MASTER DOCUMENT REGISTER (MDR)

Opdrachtnemer:	Sweco
Projectnaam:	Opwaardering KIJ-DIM-BVW380
Projectnummer:	003.430
Documentnummer MDR:	003.430.20 1554437
MDR revisie:	0.17
MDR revisie datum:	11-5-2026
[redacted]	
	zie tabblad 'Uitleg' voor uitleg per kolom

Lijnen algemeen
Mastmodellen en mastberekeningen
Funderingsconstructies
Aarding
Lijnarmaturen en kettingen

Documentnummer / Meridiankenmerk	Documenttitel	RFA	Documentnummer opdrachtnemer	Documentnaam	Bestandsextensie
1610100	Rapportage Verzwaringen mastfundaties	1610101	KIJ_BKK_DIM380-000-32-1004	KIJ_BKK_DIM380-000-32-1004-Rapportage Verzwaringen mastfundaties	PDF
C1698865	Bijlage 1_Blokpoer_3xbeton40x40_S+0_II_F4	C1698902	KIJ_BKK_DIM380-000-32-1004	KIJ_BKK_DIM380-000-32-1004-Bijlage 1_Blokpoer_3xbeton40x40_S+0_II_F4	PDF
C1698866	Bijlage 2_Blokpoer_3xbeton40x40_S+0_II_Mast 23_F4	C1698902	KIJ_BKK_DIM380-000-32-1004	KIJ_BKK_DIM380-000-32-1004-Bijlage 2_Blokpoer_3xbeton40x40_S+0_II_Mast 23_F4	PDF
C1698867	Bijlage 3_Blokpoer_3xbeton40x40_S+0_II_Mast 24_F4	C1698902	KIJ_BKK_DIM380-000-32-1004	KIJ_BKK_DIM380-000-32-1004-Bijlage 3_Blokpoer_3xbeton40x40_S+0_II_Mast 24_F4	PDF
C1698868	Bijlage 4_Balkrooster_5xbeton40x40_HA+0_Mast 37_F4	C1698902	KIJ_BKK_DIM380-000-32-1004	KIJ_BKK_DIM380-000-32-1004-Bijlage 4_Balkrooster_5xbeton40x40_HA+0_Mast 37_F4	PDF
C1698869	Bijlage 5_Blokpoer_3xbeton40x40_S+0_III_F4	C1698902	KIJ_BKK_DIM380-000-32-1004	KIJ_BKK_DIM380-000-32-1004-Bijlage 5_Blokpoer_3xbeton40x40_S+0_III_F4	PDF
C1698870	Bijlage 6_Blokpoer_3xbeton40x40_S+6_Mast 69_F4	C1698902	KIJ_BKK_DIM380-000-32-1004	KIJ_BKK_DIM380-000-32-1004-Bijlage 6_Blokpoer_3xbeton40x40_S+6_Mast 69_F4	PDF
C1698871	Bijlage 7_Blokpoer_3xbeton40x40_S+9_Mast 71_F4	C1698902	KIJ_BKK_DIM380-000-32-1004	KIJ_BKK_DIM380-000-32-1004-Bijlage 7_Blokpoer_3xbeton40x40_S+9_Mast 71_F4	PDF
C1698872	Bijlage 8_Cilinderpoer75_1xLD1_S+0_III_Mast 86+142_F3	C1698902	KIJ_BKK_DIM380-000-32-1004	KIJ_BKK_DIM380-000-32-1004-Bijlage 8_Cilinderpoer75_1xLD1_S+0_III_Mast 86+142_F3	PDF
C1698873	Bijlage 9_Cilinderpoer75_1xLD1_S+0_III_S+6_Mast 126+141+143_F3	C1698902	KIJ_BKK_DIM380-000-32-1004	KIJ_BKK_DIM380-000-32-1004-Bijlage 9_Cilinderpoer75_1xLD1_S+0_III_S+6_Mast 126+141+143_F3	PDF
~~C1698874~~	~~Bijlage 10_Koppelframe_1xLD1_S+6_Mast 144_F3~~	~~C1698902~~	~~KIJ_BKK_DIM380-000-32-1004~~	~~KIJ_BKK_DIM380-000-32-1004-Bijlage 10_Koppelframe_1xLD1_S+6_Mast 144_F3~~	~~PDF~~
~~C1698875~~	~~Bijlage 11_Balkrooster_5xbeton32x32_S+9_Mast 146_F5~~	~~C1698902~~	~~KIJ_BKK_DIM380-000-32-1004~~	~~KIJ_BKK_DIM380-000-32-1004-Bijlage 11_Balkrooster_5xbeton32x32_S+9_Mast 146_F5~~	~~PDF~~
~~C1698876~~	~~Bijlage 12_Balkrooster_5xbeton32x32_S+9_Mast 147_F5~~	~~C1698902~~	~~KIJ_BKK_DIM380-000-32-1004~~	~~KIJ_BKK_DIM380-000-32-1004-Bijlage 12_Balkrooster_5xbeton32x32_S+9_Mast 147_F5~~	~~PDF~~
~~C1698877~~	~~Bijlage 13_Blokpoer_2xLD1_S+12_Mast 148_F5~~	~~C1698902~~	~~KIJ_BKK_DIM380-000-32-1004~~	~~KIJ_BKK_DIM380-000-32-1004-Bijlage 13_Blokpoer_2xLD1_S+12_Mast 148_F5~~	~~PDF~~
C1698878	Bijlage 14_Cilinderpoer75_1xLD1_S+9_Mast 150+151_F3	C1698902	KIJ_BKK_DIM380-000-32-1004	KIJ_BKK_DIM380-000-32-1004-Bijlage 14_Cilinderpoer75_1xLD1_S+9_Mast 150+151_F3	PDF
C1698880	Bijlage 15_Cilinderpoer75_1xLD1_S+0_II_Mast 153_F3	C1698902	KIJ_BKK_DIM380-000-32-1004	KIJ_BKK_DIM380-000-32-1004-Bijlage 15_Cilinderpoer75_1xLD1_S+0_II_Mast 153_F3	PDF
C1698881	Bijlage 16_Balkrooster_5xbeton40x40_S+24_Mast 157_F5	C1698902	KIJ_BKK_DIM380-000-32-1004	KIJ_BKK_DIM380-000-32-1004-Bijlage 16_Balkrooster_5xbeton40x40_S+24_Mast 157_F5	PDF
C1698882	Bijlage 17_Balkrooster_5xbeton40x40_S+24_Mast 158_F5	C1698902	KIJ_BKK_DIM380-000-32-1004	KIJ_BKK_DIM380-000-32-1004-Bijlage 17_Balkrooster_5xbeton40x40_S+24_Mast 158_F5	PDF
C1698884	Bijlage 18_Knaggen_LEKA219_310	C1698902	KIJ_BKK_DIM380-000-32-1004	KIJ_BKK_DIM380-000-32-1004-Bijlage 18_Knaggen_LEKA219_310	PDF
C1698885	Bijlage 19_Knaggen_LEKA273_370	C1698902	KIJ_BKK_DIM380-000-32-1004	KIJ_BKK_DIM380-000-32-1004-Bijlage 19_Knaggen_LEKA273_370	PDF
C1698886	Bijlage 20_Knaggen_LEKA324_470	C1698902	KIJ_BKK_DIM380-000-32-1004	KIJ_BKK_DIM380-000-32-1004-Bijlage 20_Knaggen_LEKA324_470	PDF
C1698887	Bijlage 21_Knaggen_Buitenzijde LD1_Max	C1698902	KIJ_BKK_DIM380-000-32-1004	KIJ_BKK_DIM380-000-32-1004-Bijlage 21_Knaggen_Buitenzijde LD1_Max	PDF
C1698888	Bijlage 22_Knaggen_Buitenzijde LD1_Min	C1698902	KIJ_BKK_DIM380-000-32-1004	KIJ_BKK_DIM380-000-32-1004-Bijlage 22_Knaggen_Buitenzijde LD1_Min	PDF
C1698889	Bijlage 23_Knaggen_Buitenzijde LD1_Ballast	C1698902	KIJ_BKK_DIM380-000-32-1004	KIJ_BKK_DIM380-000-32-1004-Bijlage 23_Knaggen_Buitenzijde LD1_Ballast	PDF
C1698890	Bijlage 24_Toetsing_UC_Knaggen	C1698902	KIJ_BKK_DIM380-000-32-1004	KIJ_BKK_DIM380-000-32-1004-Bijlage 24_Toetsing_UC_Knaggen	PDF
C1698895	Bijlage 25_Doorsnedetoets_Blokpoer_3xbeton40x40	C1698902	KIJ_BKK_DIM380-000-32-1004	KIJ_BKK_DIM380-000-32-1004-Bijlage 25_Doorsnedetoets_Blokpoer_3xbeton40x40	PDF
~~C1698896~~	~~Bijlage 26_Doorsnedetoets_Koppelframe_1xLD1~~	~~C1698902~~	~~KIJ_BKK_DIM380-000-32-1004~~	~~KIJ_BKK_DIM380-000-32-1004-Bijlage 26_Doorsnedetoets_Koppelframe_1xLD1~~	~~PDF~~
~~C1698897~~	~~Bijlage 27_Doorsnedetoets_Blokpoer_2xLD1~~	~~C1698902~~	~~KIJ_BKK_DIM380-000-32-1004~~	~~KIJ_BKK_DIM380-000-32-1004-Bijlage 27_Doorsnedetoets_Blokpoer_2xLD1~~	~~PDF~~
C1698898	Bijlage 28_Doorsnedetoets_Cilinderpoer75_1xLD1	C1698902	KIJ_BKK_DIM380-000-32-1004	KIJ_BKK_DIM380-000-32-1004-Bijlage 28_Doorsnedetoets_Cilinderpoer75_1xLD1	PDF
C1698899	Bijlage 29_Doorsnedetoets_Balkrooster	C1698902	KIJ_BKK_DIM380-000-32-1004	KIJ_BKK_DIM380-000-32-1004-Bijlage 29_Doorsnedetoets_Balkrooster	PDF
C1698900	Bijlage 30_Verzamel lijst doorsnedetoetsen	C1698902	KIJ_BKK_DIM380-000-32-1004	KIJ_BKK_DIM380-000-32-1004-Bijlage 30_Verzamel lijst doorsnedetoetsen	PDF
C1698901	Bijlage 31_Ballast_alle varianten	C1698902	KIJ_BKK_DIM380-000-32-1004	KIJ_BKK_DIM380-000-32-1004-Bijlage 31_Ballast_alle varianten	PDF
C1700004	Bijlage 32_Verzamel lijst ballast	C1698902	KIJ_BKK_DIM380-000-32-1004	KIJ_BKK_DIM380-000-32-1004-Bijlage 32_Verzamel lijst ballast	PDF
C1700005	Bijlage 33_Overzichtslijst mastfundaties	C1698902	KIJ_BKK_DIM380-000-32-1004	KIJ_BKK_DIM380-000-32-1004-Bijlage 33_Overzichtslijst mastfundaties	PDF
~~C1700006~~	~~Bijlage 34_Doorsnedetoets_Mast 144~~	~~C1698902~~	~~KIJ_BKK_DIM380-000-32-1004~~	~~KIJ_BKK_DIM380-000-32-1004-Bijlage 34_Doorsnedetoets_Mast 144~~	~~PDF~~

TenneT C2 - Internal Information

KIJ_BKK_DIM380-000-32-1004
Meridian kenerk 1610100

Opwaardering 380 kV-verbinding Krimpen aan den IJssel – Beverwijk (KIJ-BVW)

Rapportage verzwaringen Mastfundaties



SWECO

Lijst met aanpassingen

Versie	Datum	Beschrijving van de wijziging	Herzien	Vrijgegeven door
D01	21-11-2025	1e uitgave	[redacted]	[redacted]
D02	19-02-2026	2e uitgave, verwerking RFA TenneT	[redacted]	[redacted]
D03	15-04-2026	3e uitgave, masten ‘De Ronde Venen’ aangepast	[redacted]	[redacted]
D04	21-05-2026	4e uitgave, LD1-palen profiel correctie	[redacted]	[redacted]

Sweco Nederland B.V.	Handelsregister 30129769
Onderwerp	Opwaardering KIJ-BVW
Projectnummer	51021552
Klant	TenneT TSO B.V.
Auteur	[redacted]
Gecontroleerd door	[redacted]
Vrijgegeven door	[redacted]
Datum	21-05-2026
Versie	D04
Documentreferentie	KIJ_BKK380_DIM380-000-32-1004-Uitwerking versterking

Inhoudsopgave

1 Inleiding 4
1.1 Achtergrond 4
1.2 Werkzaamheden 4
1.3 Scope 5
1.4 Toelichting bij versie D03 6
1.5 Toelichting bij versie D04 7

2 Aanpak 8
3 Uitgangspunten 9
3.1 Algemeen 9
3.2 Toegepaste materialen 12
3.3 Versterkingen criteria 13

4 Berekeningen 14
4.1 Versterkingen en toelichting 15
4.2 Verbinding fundering aan nieuw en bestaande palen. 17
4.3 Aansluitingen aan bestaande poeren + Doorsnedetoetsingen 21
4.4 Ballastblokken aan bestaande fundering. 23
4.5 Toetsing paalcapaciteiten 28
~~4.6 Doorsnedetoets mast 144~~ 31

5 Uitvoeringsaspecten 33
5.1 Algemeen 33
5.2 Funderingspalen 33
5.3 Knaggen aan bestaande LD1 34
5.4 Wapening 34
5.5 Aarding 34
5.6 Specifieke punten 35

Bijlagen 36

1 Inleiding

1.1 Achtergrond

Om in de toekomst een grotere elektriciteitstransportcapaciteit te waarborgen, is het noodzakelijk om naast de nieuwbouw van hoogspanningsverbindingen ook bestaande verbindingen te upgraden. TenneT heeft het voornemen om de landelijke 380 kV ring, de 'ruggengraat' van het hoogspanningsnet in Nederland, op te waarderen. Dit project omvat onder andere het deelproject ‘Opwaardering 380 kV-verbinding Krimpen aan den IJssel – Beverwijk (KIJ-BVW)’. De werkzaamheden binnen dit project vallen onder de Rijkscoördinatieregeling.

1.2 Werkzaamheden

De opwaardering van de bestaande 380 kV-verbinding KIJ-BVW omvat diverse activiteiten. Centraal staat de vervanging van de huidige geleiders door nieuwe geleiders met een hogere capaciteit. Deze nieuwe geleiders zijn in staat meer stroom te transporteren doordat ze hogere temperaturen kunnen weerstaan zonder te ver door te hangen. Aangezien de huidige hoogspanningsverbinding inmiddels 50 jaar oud is, zullen ook andere componenten, zoals isolatorkettingen en bliksemdraden, worden vervangen om de levensduur te verlengen. Daarnaast worden de hoogspanningsmasten en de mastfunderingen opnieuw constructief beoordeeld, dit als onderdeel van de niet-omgevings vergunningplichtige werkzaamheden.

1.3 Scope

Dit document vormt de vervolgfase op het eerder uitgevoerde onderzoek – KIJ_BKK380_DIM380-000-32-1001-Resultaten onderzoek (toetsingen), versie D02 – naar de restcapaciteit van de constructieve onderdelen van de funderingen van de volgende lijn:

- **Lijn KIJ – BKK – DIM380**

In het voorgaande onderzoek (hoofdstuk 7) zijn de bestaande masten en funderingen getoetst conform de NEN8700-normen. Voor de onderdelen die niet voldeden aan de gestelde eisen, zijn in hoofdstuk 8 globale versterkingsmaatregelen voorgesteld binnen fase 1a en 1b. Deze voorstellen zijn gebaseerd op schetsmatige berekeningen en richten zich op de maakbaarheid, de verbindingen tussen mast, fundering en paal, en het behoud van operationele continuïteit, zoals het in dienst houden van de stroomvoorziening.

De versterkingen zijn ingedeeld in standaardtypen F1 t/m F5, variërend van ballastoplossingen (F1, F2) tot funderingsversterkingen met extra palen (F3, F4, F5). Voor complexe versterkingen (F5 specials) wordt gebruik gemaakt van SCIA vanwege de benodigde geavanceerde rekenmogelijkheden.

In deze fase (fase 2) worden de versterkingsmaatregelen verder uitgewerkt en constructief doorgerekend op DO-niveau. Dit omvat gedetailleerde constructieve en geotechnische berekeningen, modelanalyses en documentatie van alle relevante specificaties. De uitgangspunten uit fase 1 vormen hierbij de basis, waarbij de focus ligt op veiligheid, stabiliteit en uitvoerbaarheid van de voorgestelde versterkingen.

Voor dit project worden de volgende onderdelen constructief doorgerekend:

- **Fundering (team constructies):**
    - Balken en poeren (SCIA en Technosoft)
    - Verbindingen (Excel en IDEA StatiCa)
- **Palen (team geotechniek):**
    - Capaciteit en interactie palen (D-Foundations)

De resultaten van deze berekeningen vormen de basis voor de definitieve versterkingsmaatregelen en de uitvoeringsvoorbereiding. Hoewel de draagcapaciteiten van zowel de nieuwe als de bestaande funderingspalen door het team Geotechniek worden berekend, wordt de toetsing in dit document uitgevoerd door het team Constructies.

1.4 Toelichting bij versie D03

In versie D03 zijn aanpassingen in de rapportage verwerkt als gevolg van de hertoetsing op nieuwbouwniveau van alle masten in “De Ronde Venen”. Dit betreft de masten 128 t/m 148. De nieuwbouwtoets van deze masten is apart beschreven in de rapportages:

- KIJ_BKK380_DIM380-000-32-1006-Uitgangspuntennotitie De Ronde Venen
- KIJ_BKK380_DIM380-000-32-1008-Resultaten onderzoek (toetsingen) De Ronde Venen
- KIJ_BKK380_DIM380-000-32-1009-Uitwerking versterking De Ronde Venen

Als gevolg daarvan zijn de onderstaande berekeningsrapportages van het oorspronkelijke lijndeel 1 herzien.

- KIJ_BKK380_DIM380-000-32-1001-Resultaten onderzoek (toetsingen)
- KIJ_BKK380_DIM380-000-32-1004-Uitwerking versterking

In deze rapportages zijn alle teksten en toetsingen in het hoofdrapport met betrekking tot de masten 128 t/m 148 doorgehaald (~~doorgehaald~~). Ook zijn de bijlagen die volledig zijn vervallen gemarkeerd in de lijst met bijlagen.

1.5 Toelichting bij versie D04

In versie D03 zijn een aantal aanpassingen doorgevoerd:

- De in SCIA opgenomen modellering van de LD1 palen is aangepast. Als gevolg daarvan zijn de bijlagen 8, 9, 14, 15, 28, 30 en 33 herzien. De resultaten van deze herziening zijn in de rapportage verwerkt.
- Het eigen gewicht van de LD1 palen is voor de situaties die niet met SCIA zijn berekend in overeenstemming gebracht met de modellering die in SCIA is aangehouden. Het netto-effect is dat er een hoger eigen gewicht is meegenomen. Als gevolg hiervan is bijlage 33 aangepast en zijn de resultaten in de rapportage verwerkt.
- In enkele SCIA-modellen is gebleken dat vanuit de masten de belastingcombinaties met een hoog eigen gewicht bepalend zijn voor zowel de maatgevende druk als trekbelasting. In deze gevallen hebben wij deze bewuste belastingcombinaties nu ook met 0,9xEG gecombineerd. De bijlagen 8, 9, 14, 15, 28, 30 en 33 zijn op basis daarvan herzien.
- In enkele gevallen was in de toetsing van het geotechnische draagvermogen abusievelijk de optredende waarde in het aansluitvlak fundering-paal getoetst in plaats van de waarde op de punt van de paal. Dit heeft als gevolg dat wij besloten hebben om mast 68 niet te versterken. Hier was een versterking met ballast opgenomen.
- In lijn met de aanpassingen van versie D03 zijn wederom de waarden van de masten 128 t/m 148 doorgehaald en bijbehorende bijlagen gemarkeerd als vervallen. Wel zijn wijzigingen die invloed hadden op rekenresultaten van zowel het hoofdproject als het lijndeel De Ronde Venen ook bij De Ronde Venen doorgevoerd.

2 Aanpak

Het overall plan van aanpak voor dit project bestaat uit drie fasen:

- **Fase 1a:** Toetsing
- **Fase 1b:** Schetsontwerp versterkingen
- **Fase 2:** Uitwerking versterkingen

De fasen 1a en 1b zijn inmiddels afgerond. In deze fasen zijn de capaciteiten van verbindingen, betonconstructies en palen berekend en vergeleken met de optredende krachten, om te bepalen of de bestaande constructie voldoet aan de eisen conform NEN8700. De werkwijze is per onderdeel toegelicht en de resultaten zijn overzichtelijk weergegeven in tabellen en bijlagen. Voor onderdelen die niet voldeden, zijn globale versterkingsmaatregelen voorgesteld, waarbij maatgevende situaties zijn onderzocht om efficiënt met tijd en capaciteit om te gaan.

In dit document wordt fase 2 behandeld, waarin de voorgestelde versterkingen uit fase 1b verder worden uitgewerkt en constructief doorgerekend. De engineering vindt plaats op DO-niveau en omvat gedetailleerde berekeningen, modelanalyses en technische onderbouwing. De focus ligt op het realiseren van veilige, stabiele en uitvoerbare versterkingsmaatregelen, waarbij gebruik wordt gemaakt van geavanceerde rekenprogramma’s zoals SCIA, Technosoft en IDEA StatiCa.

3 Uitgangspunten

3.1 Algemeen

Voor de berekening en uitwerking van de versterkingen in fase 2 wordt verwezen naar de uitgangspuntennotitie: KIJ_BKK380_DIM380-000-32-1000-Uitgangspuntennotitie, versie D1.0

Ter bevordering van de leesbaarheid zijn enkele relevante uitgangspunten uit deze notitie overgenomen in dit document. Daarnaast zijn aanvullende uitgangspunten opgenomen die tijdens de uitwerking en berekening van de versterkingen zijn vastgesteld:

- **Algemene uitgangspunten voor versterkingen:**
    - Versterkingen in de vorm van ballast worden bepaald op basis van het tekort aan draagvermogen onder NEN8700, CC2, afkeurniveau en een referentieperiode van 30 jaar.
    - Versterkingen in de vorm van extra funderingspalen worden bepaald op basis van het tekort aan draagvermogen onder NEN8700, CC2, verbouwniveau en een referentieperiode van 50 jaar.
- **Materiaaleigenschappen en aannames:**
    - Voor het eigen gewicht van funderingspalen onder het grondwater is het soortelijk gewicht van de toegepaste materialen verlaagd met 10 kN/m³. Voor beton resulteert dit in een effectieve waarde van 13,5 kN/m³ (0,9 × (25 − 10)).
    - Voor de betonkwaliteit van bestaande constructies is uitgegaan van C13/16 in plaats van C12/15, zoals eerder vermeld in de uitgangspuntennotitie. Bij lokale toetsingen is een verhoging van de drukcapaciteit toegepast.
- **Restlevensduuronderzoek**

  Vanuit het veld- en bodemonderzoek (perceel 3) is een onderzoek uitgevoerd naar de mechanische eigenschappen van

het bestaande beton en staal. Uit drukproeven op geboorde betonkernen blijkt dat de betonkwaliteit aanzienlijk hoger is dan de in de assetdata vermelde klasse C13/16. Het statistische gemiddelde van de onderzochte kernen komt overeen met sterkteklasse C30/37. Daarnaast zijn de betonkernen onderzocht op carbonatatie en chloride-indringing, waarbij eveneens gunstige resultaten zijn vastgesteld.
Metingen van de staaldikte van de funderingspalen tonen aan dat de mate van corrosie relatief gering is. Op basis van deze bevindingen wordt geconcludeerd dat zowel het beton als het staal een resterende levensduur van meer dan 50 jaar hebben. Deze uitkomsten hebben een positief effect gehad op de toetsing van de knaggen, waardoor vrijwel alle knaggen van de bestaande funderingen konden worden goedgekeurd.
Hoewel deze hogere betonkwaliteit positief is voor de restlevensduur van de constructie, zal deze niet worden meegenomen in de berekeningen van fase 2. Het verwerken van deze aangepaste materiaaleigenschappen zou betekenen dat de toetsingen uit fase 1a en 1b volledig opnieuw moeten worden uitgevoerd. Gezien de beschikbare planning en het budget is dit binnen dit project niet haalbaar. Daarom blijven de oorspronkelijke uitgangspunten uit fase 1 leidend voor de uitwerking van de versterkingen in fase 2.

- **Specifieke uitgangspunten per mast:**
    - **Ontwikkeling Mast 76**

      Tijdens de toetsing van Mast 76, die oorspronkelijk was geclassificeerd als blokpoer 220 met drie betonpalen per mastpoot, is uit een aanvullende drone-inspectie gebleken dat de werkelijke situatie afwijkt van de ontwerptekeningen. In plaats van een blokpoer is een balkrooster toegepast dat de vier mastpoten met elkaar verbindt.

      Verder onderzoek in het veld wijst erop dat per hoek drie prefab palen zijn toegepast, aangevuld met vermoedelijk twee LD1-palen, wat resulteert in vijf palen per hoek. Opvallend is dat de paalconfiguratie niet symmetrisch rondom het zwaartepunt van de mast is uitgevoerd, maar vier keer in dezelfde oriëntatie is toegepast. Deze keuze is constructief niet logisch en er is vooralsnog geen verklaring voor gevonden.

      Gezien deze afwijkingen dient de berekening van de fundering opnieuw te worden uitgevoerd op basis van de actuele configuratie. De resultaten van deze herberekening zullen worden vastgelegd in een afzonderlijke rapportage, die aan het projectdossier wordt toegevoegd. Inmiddels is deze rapportage beschikbaar: KIJ_BKK380_DIM380-000-32-1010-Hertoetsing mast 76, versie D01

- **Mast 120:**

  Getoetst en akkoord bevonden op basis van LD1 palen, conform assetdata. Er zijn geen tekeningen beschikbaar ter bevestiging. Verificatie in het werk dient te worden uitgevoerd.

- ~~**Mast 146/147:**~~

  ~~Is getoetst met optie 1:~~

  - ~~Optie 1: 5× betonpaal per hoekpunt~~
  - ~~Optie 2: 1× LD1 paal per hoekpunt~~
    ~~Op basis van drone-inspectie lijkt optie 1 het meest waarschijnlijk. Het uitgangspunt is dat het fundament versterkt moet worden. Verificatie in het werk volgt.~~

- **Mast 156**:

  Getoetst op basis van een fundering met 2× MV palen + 1× LD1 paal + 2× Tubex palen. Het oudste deel wordt berekend met 2× MV + 1× LD1 palen, als meest waarschijnlijke scenario. Dit wijkt af van versterkingstekeningen van IOB/Movares. Verificatie in het werk volgt.

Deze uitgangspunten vormen de basis voor de berekeningen in fase 2 en worden waar nodig aangevuld met gegevens uit inspecties, assetdata en verificaties in het veld.

3.2 Toegepaste materialen

- Bestaand (uit assetdata)
  - Beton
    - K225 vergelijkbaar met C13/16 (was C12/15)*
    - Dekking onder 40 mm (4 cm uit assetdata)
    - Dekking overigens 30 mm (3 cm uit assetdata)
  - Wapening
    - Buig/trek QR40 vergelijkbaar met Feb400
    - Beugels QR24 vergelijkbaar met Feb220
  - Staal
    - Kwaliteit S235 (aangenomen)
  - Bouten
    - Kwaliteit 5.6 / 5Din
  - Ankers
    - Kwaliteit 4.6
- Nieuw
  - Beton
    - C30/37
    - Dekking rondom 45 mm
    - Milieuklasse XC4/XS1/XF3/XD3/XA3
  - Wapening
    - B500b
  - Staal
    - S355
  - Bouten
    - Klasse 8.8

* Uit het uitgevoerde restlevensduuronderzoek is gebleken dat de kwaliteit van het bestaande beton aanzienlijk hoger is dan eerder aangenomen op basis van assetdata. Waar in de uitgangspunten werd uitgegaan van betonkwaliteit C13/16, tonen statistische analyses aan dat de gemiddelde druksterkte overeenkomt met beton van kwaliteit C30/37.

3.3 Versterkingen criteria

- NEN8700 verbouw niveau:

In fase 2 worden de versterkingen van de funderingsconstructies uitgewerkt en doorgerekend op basis van het verbouwniveau van de NEN8700, voor gevolgklasse CC2 en een referentieperiode van 50 jaar. Dit betekent dat de constructieve veiligheid wordt beoordeeld met het oog op een duurzame versterking van bestaande constructies.

De bijbehorende partiële factoren die van toepassing zijn op deze verbouwniveau-berekeningen worden conform NEN8700 gehanteerd en zijn opgenomen in de volgende tabel:

Partiële factoren bij verbouw				
Belastings-combinatie	**Blijvende belastingen**		**Overheersende veranderlijke belasting anders dan wind** [a]	**Wind maatgevende belasting** [a b]
	Ongunstig	Gunstig		
(Vgl. 6.10a)	$\gamma_{Gj,sup}$	$\gamma_{Gj,inf}$	$\gamma_{Q,1}$	$\gamma_{Q,1}$
Gevolgklasse CC2	1,30 (1,20)	0,90	1,30	1,40
(Vgl. 6.10b)	$\xi \cdot \gamma_{Gj,sup}$	$\gamma_{Gj,inf}$	$\gamma_{Q,1}$	$\gamma_{Q,1}$
Gevolgklasse CC2	1,15	0,90	1,30	1,40

Uitzondering op ballastversterkingen:
Versterkingen die worden uitgevoerd in de vorm van ballast worden niet beoordeeld op verbouwniveau. In afwijking van het bovenstaande wordt bij deze versterkingen uitgegaan van het afkeurniveau van de NEN8700, eveneens voor gevolgklasse CC2, maar met een referentieperiode van 30 jaar. Zie ook de aanvullende uitgangspunten in hoofdstuk 3.

Daarnaast wordt het effect van de grondwaterstand meegenomen in de beschouwing van de krachten die kunnen ontstaan in de fundering. Dit is van invloed op het effectieve gewicht van funderingsmaterialen en de belasting op de palen.

4 Berekeningen

In dit hoofdstuk worden de berekeningen gepresenteerd die voortvloeien uit de voorgestelde versterkingsmaatregelen uit fase 1b. De focus ligt daarbij op de constructieve onderbouwing van de gekozen versterkingstypen (F1 t/m F5), waarbij gebruik wordt gemaakt van geavanceerde rekenmethoden en software.

In paragraaf 4.1 is een overzicht met toelichting gegeven op de diverse versterkingen.

In paragraaf 4.2 zijn de nieuw aan te brengen verbindingen van zowel nieuwe palen aan fundament als bestaande palen aan nieuwe fundament beschouwd. Deze verbindingen zijn doorgerekend met behulp van Excel en IDEA statica.

In paragraaf 4.3 is de verbinding van het nieuwe beton aan het bestaande beton en de doorsnedetoetsingen van het nieuwe beton opgenomen.

In paragraaf 4.4 zijn de versterkingen door middel van ballast beschouwd.

In paragraaf 4.5. zijn zowel de nieuwe als bestaande palen getoetst aan de door geotechniek geadviseerde maximale draagvermogen. De reacties op de palen van meerpaalsconstructies zijn geanalyseerd met SCIA-Engineer.

~~In paragraaf 4.6 is een doorsnedetoetsing opgenomen van de koppelbalk bij mast 144.~~

Voor de belastingen vanuit de masten wordt verwezen naar de bijbehorende rapportages in PLS-Tower. Deze rapportages zijn opgesteld door de lijnengineers vanuit hoogspanning. De beschouwde belastingen zijn op verbouwniveau voor de versterkingen met palen en op afkeurniveau voor de versterkingen met ballast, en zijn beiden opgenomen in bijlage 33.

De geotechnische uitgangspunten zijn gebaseerd op de rapportage: KIJ_BKK380_DIM380-000-32-0004 Geotechnisch rapport (versterkingen), versie d.d. 21-11-2025

4.1 Versterkingen en toelichting

Zoals vastgesteld in het voorgaande onderzoek – KIJ_BKK380_DIM380-000-32-1001-Resultaten onderzoek (toetsingen), versie D02 – , voldoen bepaalde funderingen niet aan de eisen conform NEN8700. In hoofdstuk 8 van het betreffende onderzoek zijn daarvoor globaal versterkingsmaatregelen voorgesteld. Deze zijn ingedeeld in standaardtypen F1 t/m F5, variërend van ballastoplossingen (F1, F2) tot funderingsversterkingen met extra palen (F3, F4, F5). Voor de versterkingen met extra palen wordt gebruik gemaakt van SCIA, vanwege de benodigde geavanceerde rekenmogelijkheden.

In deze fase (fase 2) worden de versterkingen verder uitgewerkt op DO-niveau. Dit omvat gedetailleerde constructieve en geotechnische berekeningen, modelanalyses en technische documentatie. De uitgangspunten uit fase 1 blijven leidend, met als doel het realiseren van veilige, stabiele en uitvoerbare versterkingsmaatregelen binnen de gestelde planning en budget.

De berekeningen worden per type versterking uitgewerkt. Vervolgens wordt per type een toepassingsoverzicht toegevoegd waarin wordt aangegeven voor welke masten het betreffende versterkingstype van toepassing is. Specifieke aandachtspunten en afwijkingen per mast worden daarbij expliciet benoemd, zodat duidelijk is welke uitgangspunten en randvoorwaarden gelden voor de individuele mastfundaties.

- Versterking Blokpoer (220) (3xB) + ballast (F1)
- Lichte variant
    - Masten 7, 9, 14, 52, 56, 57, 65, 66, 90 en 111 (10 stuks)
- Zware variant
    - Masten 6, 18, 28 en 73 (4 stuks)
- Versterking Blokpoer (220) (3xB) + ballast met koppelbalk (F2)
    - Masten 13, 19, 22, 51, 53, 54, 55, 64, 118 en 123 (10 stuks)
- Versterking Blokpoer (220) (3xB) + 2 x paal (F4)
    - Masten 4, 5, 10, 16, 21, 23, 24, 26, 27, 29, 33, 34, 50, 58, 59, 69, 71 en 124 (18 stuks)
- Versterking Cilinderpoer (75) (1xLD1) + ballast (F1)
    - Masten 121, ~~128, 130, 131, 133, 134, 135, 136, 145~~ en 152 (10 stuks)
- Versterking Cilinderpoer (75) (1xLD1) + 2 x paal (F3)
    - Masten 86, 126, ~~141, 142, 143,~~ 150, 151 en 153 (8 stuks)
- ~~Versterking Koppelframe Cilinderpoer (75) (1xLD1) + 2x paal + koppelbalk (F5)~~
    - ~~Mast 144 (1 stuk)~~
- ~~Versterking Blokpoer (200) (2xLD1) + 2 x paal (F5)~~
    - ~~Mast 148 (1 stuk)~~
- Versterking balkenrooster (4xB) + 2 x paal (F5)

    - Mast 158 (1 stuk)
- Versterking balkenrooster (5xB) + 2 x paal (F5)
    - Mast 37 (1 stuk)
- Versterking balkenrooster (4xB) + 3 x paal (F5)
    - Mast 157 (1 stuk)
- ~~Versterking balkenrooster (5xB) + 3 x paal (F5)~~
    - ~~Masten 146 en 147 (2 stuks)~~
- Totaal 52 stuks

De onderstaande berekeningen zijn opgenomen in de volgende paragraven:

- Verbindingen (Excel/IDEA) – par. 4.2
    - Nieuwe palen aan nieuw beton
    - Bestaande palen aan nieuw beton
- Verbinding nieuwe beton aan bestaande (Excel) – par. 4.3
- Doorsnede toets beton (Excel) – par. 4.3
- Versterkingen door middel van ballast (Excel) – par. 4.4
- Toetsing palen (SCIA/GEO) – par 4.5
    - Nieuwe palen
    - Bestaande palen
- ~~Doorsnedetoetsing mast 144 (SCIA) – par 4.6~~

4.2 Verbinding fundering aan nieuw en bestaande palen.

De aansluiting van de LEKA-palen op de betonnen fundering wordt gerealiseerd door middel van knaggen. Deze knaggen zijn gedimensioneerd voor drie paaldiameters, te weten 219/310 mm, 273/370 mm en 324/470 mm, met draagcapaciteiten variërend van 1469 kN tot 2234 kN. De onderliggende berekeningen zijn opgenomen in de bijlagen 18 tot en met 20:

- Bijlage 18 Capaciteit knaggen aan palen 219/310 mm
- Bijlage 19 Capaciteit knaggen aan palen 273/370 mm
- Bijlage 20 Capaciteit knaggen aan palen 324/470 mm

Op dezelfde wijze is ook de capaciteit bepaald van de knaggen die aan de buitenzijde van de bestaande LD1 palen gelast moeten worden. Er is een zware variant uitgerekend (bijlage 21) en een minder zware variant (bijlage 22). Tevens is berekend welke knaggen bij de versterking met ballast toegepast worden. De onderliggende berekeningen zijn opgenomen in de bijlagen 21 tot en met 23:

- Bijlage 21 Capaciteit knaggen aan LD1 palen (maximaal)
- Bijlage 22 Capaciteit knaggen aan LD1 palen (minimaal)
- Bijlage 23 Capaciteit knaggen aan LD1 palen (ballast)

De knaggen aan de buitenzijde van de LD1 palen dragen de krachten via de nieuwe betonconstructie over naar de nieuwe LEKA-palen. Door deze constructieve koppeling wordt de kracht die vanuit de LEKA-paal in de bestaande paal moet worden ingeleid verdubbeld.

Voor de ballastsituatie geldt dat het gewicht van de ballast via de knaggen overgedragen moet kunnen worden. Praktisch zijn in deze situatie dezelfde knaggen toegepast als bij de versterkingen met palen.

In deze paragraaf is een overzichtstabel – tabel 4-1 – weergegeven waarin de paalbelastingen en de corresponderende capaciteiten van de knaggen zijn samengevat. De volledige weergave van deze tabel is opgenomen in bijlage 24.

In versie D02 van deze rapportage is een aanpassing doorgevoerd in de excelsheet waarmee de knaggen worden berekend. Diverse opmerkingen vanuit RFA procedure zijn hierin verwerkt.

Tabel 4-1 Resultaten toetsing knaggen

Mast	Paaltype	Maximale drukkracht in één LEKA-paal [kN]	Maximale trekkracht in één LEKA-paal [kN]	Capaciteit knag [kN/paal]	Capaciteit knag best. paal [kN/paal]	UC knag druk [kN]	UC knag trek [kN]	UC knag best. paal [kN]	Locatie berekening knag
4	Rond 219/310	251,3	355,8	1469		0,17	0,24		Bijlage 18
5	Rond 219/310	251,3	355,8	1469		0,17	0,24		Bijlage 18
6	n.v.t.	n.v.t.	n.v.t.						
7	n.v.t.	n.v.t.	n.v.t.						
9	n.v.t.	n.v.t.	n.v.t.						
10	Rond 219/310	251,3	355,8	1469		0,17	0,24		Bijlage 18
13	n.v.t.	n.v.t.	n.v.t.						
14	n.v.t.	n.v.t.	n.v.t.						
16	Rond 324/470	251,3	355,8	2234		0,11	0,16		Bijlage 20
18	n.v.t.	n.v.t.	n.v.t.						
19	n.v.t.	n.v.t.	n.v.t.						
21	Rond 273/370	251,3	355,8	1867		0,13	0,19		Bijlage 19
22	n.v.t.	n.v.t.	n.v.t.						
23	Rond 324/470	438,1	353,4	2234		0,20	0,16		Bijlage 20
24	Rond 273/370	412,7	257,8	1867		0,22	0,14		Bijlage 19
26	Rond 219/310	251,3	355,8	1469		0,17	0,24		Bijlage 18
27	Rond 219/310	251,3	355,8	1469		0,17	0,24		Bijlage 18
28	n.v.t.	n.v.t.	n.v.t.						
29	Rond 324/470	251,3	355,8	2234		0,11	0,16		Bijlage 20
33	Rond 273/370	251,3	355,8	1867		0,13	0,19		Bijlage 19
34	Rond 324/470	251,3	355,8	2234		0,11	0,16		Bijlage 20
37	Rond 219/310	180,7	8,6	1469		0,12	0,01		Bijlage 18

Mast	Paaltype	Maximale drukkracht in één LEKA-paal [kN]	Maximale trekkracht in één LEKA-paal [kN]	Capaciteit knag [kN/paal]	Capaciteit knag best. paal [kN/paal]	UC knag druk [kN]	UC knag trek [kN]	UC knag best. paal [kN]	Locatie berekening knag
50	Rond 219/310	278,9	138,8	1469		0,19	0,09		Bijlage 18
51	n.v.t.	n.v.t.	n.v.t.						
52	n.v.t.	n.v.t.	n.v.t.						
53	n.v.t.	n.v.t.	n.v.t.						
54	n.v.t.	n.v.t.	n.v.t.						
55	n.v.t.	n.v.t.	n.v.t.						
56	n.v.t.	n.v.t.	n.v.t.						
57	n.v.t.	n.v.t.	n.v.t.						
58	Rond 219/310	278,9	138,8	1469		0,19	0,09		Bijlage 18
59	Rond 219/310	278,9	138,8	1469		0,19	0,09		Bijlage 18
64	n.v.t.	n.v.t.	n.v.t.						
65	n.v.t.	n.v.t.	n.v.t.						
66	n.v.t.	n.v.t.	n.v.t.						
69	Rond 219/310	400,0	233,7	1469		0,27	0,16		Bijlage 18
71	Rond 219/310	139,7	272,2	1469		0,10	0,19		Bijlage 18
73	n.v.t.	n.v.t.	n.v.t.						
86	Rond 324/470	153,2	138,6	2234	1920	0,07	0,06	0,16	Bijlage 20 & 22
90	n.v.t.	n.v.t.	n.v.t.						
111	n.v.t.	n.v.t.	n.v.t.						
118	n.v.t.	n.v.t.	n.v.t.						
121	Ballast	294,8	0,0		1920			0,15	Bijlage 23
123	n.v.t.	n.v.t.	n.v.t.						
124	Rond 219/310	278,9	138,8	1469		0,19	0,09		Bijlage 18
126	Rond 324/470	210,4	63,4	2234	1920	0,09	0,03	0,26	Bijlage 20 & 22
~~**128**~~	~~Ballast~~	~~294,8~~	~~0,0~~	-	~~1920~~			~~0,15~~	~~Bijlage 23~~
~~**130**~~	~~Ballast~~	~~294,8~~	~~0,0~~	-	~~1920~~			~~0,15~~	~~Bijlage 23~~
~~**131**~~	~~Ballast~~	~~294,8~~	~~0,0~~	-	~~1920~~			~~0,15~~	~~Bijlage 23~~
~~**133**~~	~~Ballast~~	~~294,8~~	~~0,0~~	-	~~1920~~			~~0,15~~	~~Bijlage 23~~

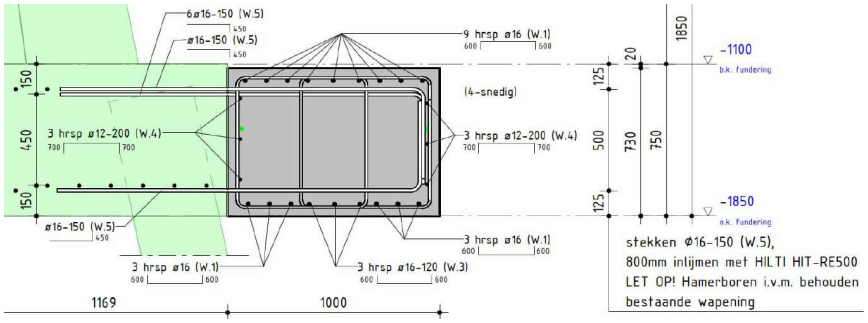
Mast	Paaltype	Maximale drukkracht in één LEKA-paal [kN]	Maximale trekkracht in één LEKA-paal [kN]	Capaciteit knag [kN/paal]	Capaciteit knag best. paal [kN/paal]	UC knag druk [kN]	UC knag trek [kN]	UC knag best. paal [kN]	Locatie berekening knag
~~**134**~~	~~Ballast~~	~~294,8~~	~~0,0~~	-	~~1920~~			~~0,15~~	~~Bijlage 23~~
~~**135**~~	~~Ballast~~	~~294,8~~	~~0,0~~	-	~~1920~~			~~0,15~~	~~Bijlage 23~~
~~**136**~~	~~Ballast~~	~~294,8~~	~~0,0~~	-	~~1920~~			~~0,15~~	~~Bijlage 23~~
~~**141**~~	~~Rond 324/470~~	~~210,4~~	~~63,4~~	~~2234~~	~~1920~~	~~0,09~~	~~0,03~~	~~0,07~~	~~Bijlage 20 & 22~~
~~**142**~~	~~Rond324/470~~	~~245,4~~	~~66,1~~	~~2234~~	~~1920~~	~~0,11~~	~~0,03~~	~~0,07~~	~~Bijlage 20 & 22~~
~~**143**~~	~~Rond 324/470~~	~~210,4~~	~~63,4~~	~~2234~~	~~1920~~	~~0,09~~	~~0,03~~	~~0,07~~	~~Bijlage 20 & 22~~
~~**144**~~	~~Rond 219/310~~	~~850,1~~	~~289,1~~	~~1469~~	~~2720~~	~~0,58~~	~~0,20~~	~~0,63~~	~~Bijlage 18 & 21~~
~~**145**~~	~~Ballast~~	~~294,8~~	~~0,0~~	-	~~1920~~			~~0,15~~	~~Bijlage 23~~
~~**146 optie 1**~~	~~Rond 219/310~~	~~413,5~~	~~0,0~~	~~1469~~		~~0,28~~	~~0,00~~		~~Bijlage 18~~
~~**147 optie 1**~~	~~Rond219/310~~	~~214,6~~	~~133,8~~	~~1469~~		~~0,15~~	~~0,09~~		~~Bijlage 18~~
~~**148**~~	~~Rond 219/310~~	~~464,0~~	~~257,2~~	~~1469~~		~~0,32~~	~~0,18~~		~~Bijlage 18~~
150	Rond 324/470	337,9	169,3	2234	1920	0,15	0,08	0,35	Bijlage 20 & 22
151	Rond 324/470	337,9	169,3	2234	1920	0,15	0,08	0,35	Bijlage 20 & 22
152	Ballast	294,8	0,0		1920			0,15	Bijlage 23
153	Rond 324/470	320,9	92,1	2234	1920	0,14	0,04	0,33	Bijlage 20 & 22
157	Rond 219/310	408,7	133,4	1469		0,28	0,09		Bijlage 18
158	Rond 219/310	197,1	37,2	1469		0,13	0,03		Bijlage 18

Conclusie

Zoals weergegeven in tabel 4.1 voldoen zowel de knaggenverbindingen van de LEKA-palen in de betonnen poeren als de knaggenverbindingen van de bestaande palen aan de nieuw te realiseren betonnen fundering aan de gestelde eisen.

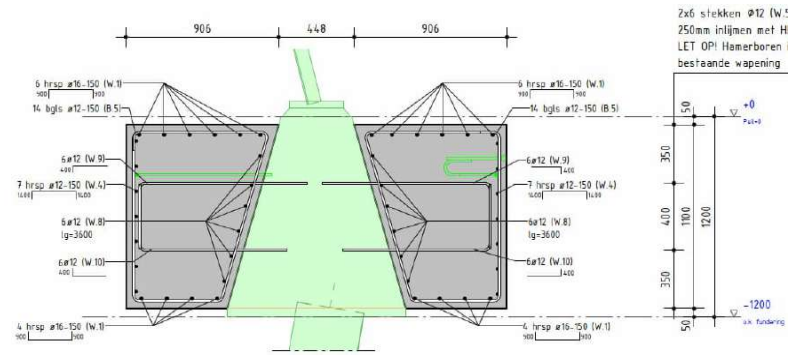
4.3 Aansluitingen aan bestaande poeren + Doorsnedetoetsingen

Voor het verbinden van in het werk te storten betonnen balken en poeren met de bestaande betonnen poeren, zodat krachten vanuit ballast en palen correct worden overgedragen, is het noodzakelijk om wapening in te boren en te verlijmen. Bij het ontwerp en de uitvoering moet rekening worden gehouden met de geometrie van de bestaande betonnen onderdelen.



Figuur 4-1: Rechte aansluiting

Bij de balken en enkele blokpoeren, die vrijwel rechthoekig van vorm zijn, vindt de krachtsoverdracht voornamelijk plaats via wrijving tussen het bestaande en het nieuwe beton. Daarnaast moet een relatief lage splijtkracht worden overgebracht door middel van ingelijmde wapening, die voorkomt dat de stortnaad openbreekt en zorgt voor een stabiele verbinding.



Figuur 4-2: Schuine aansluiting

Voor de 3B-poer, die trapeziumvormig is, ligt de situatie complexer. Door deze vorm kunnen drukkrachten relatief eenvoudig via het contactoppervlak worden overgedragen. De overdracht van trekkrachten daarentegen vormt een uitdaging, aangezien beton van nature slecht trekspanningen kan opnemen. Om deze reden moet de volledige trekkracht via de ingelijmde wapening worden

overgebracht; wrijving tussen de contactvlakken levert hier vrijwel geen bijdrage.

In de doorsnedetoetsen van de nieuw te storten betonnen funderingen (bijlagen 25 t/m 29) is de benodigde wapening voor de diverse contactvlakken berekend. De resultaten van deze berekeningen zijn verwerkt in de bijbehorende tekeningen.

Conclusie

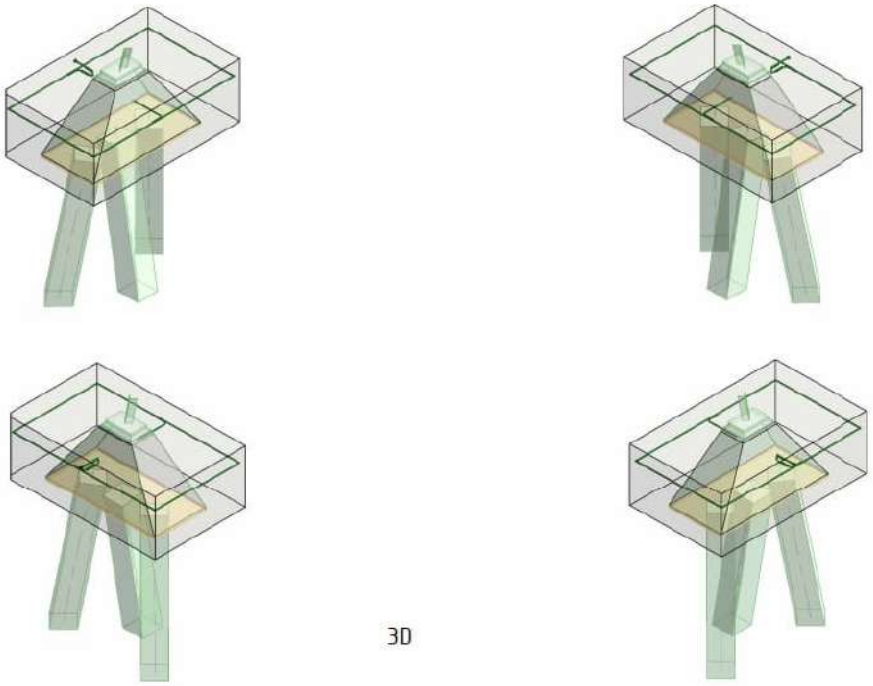
Voor een betrouwbare verbinding tussen nieuw te storten beton en bestaande poeren is het essentieel om ingelijmde wapening toe te passen, afgestemd op de geometrie van de bestaande constructie. Bij rechthoekige aansluitingen wordt de krachtsoverdracht voornamelijk gerealiseerd via wrijving, aangevuld met wapening om splijtkrachten op te nemen. Bij trapeziumvormige poeren, zoals de 3B-poer, moet de volledige trekkracht via wapening worden overgebracht, aangezien wrijving hier geen bijdrage levert. De benodigde wapening voor alle contactvlakken is berekend en verwerkt in de bijbehorende tekeningen, zoals vastgelegd in bijlagen 25 t/m 29.

4.4 Ballastblokken aan bestaande fundering.

Voor het verhogen van de capaciteit van de bestaande fundering, waar een relatief gering tekort op de trekcapaciteit van de palen aanwezig is, wordt ballast in de vorm van in het werk gestorte beton aan de bestaande fundering gekoppeld. Dit zorgt voor een effectieve overdracht van krachten en een stabiele constructie.

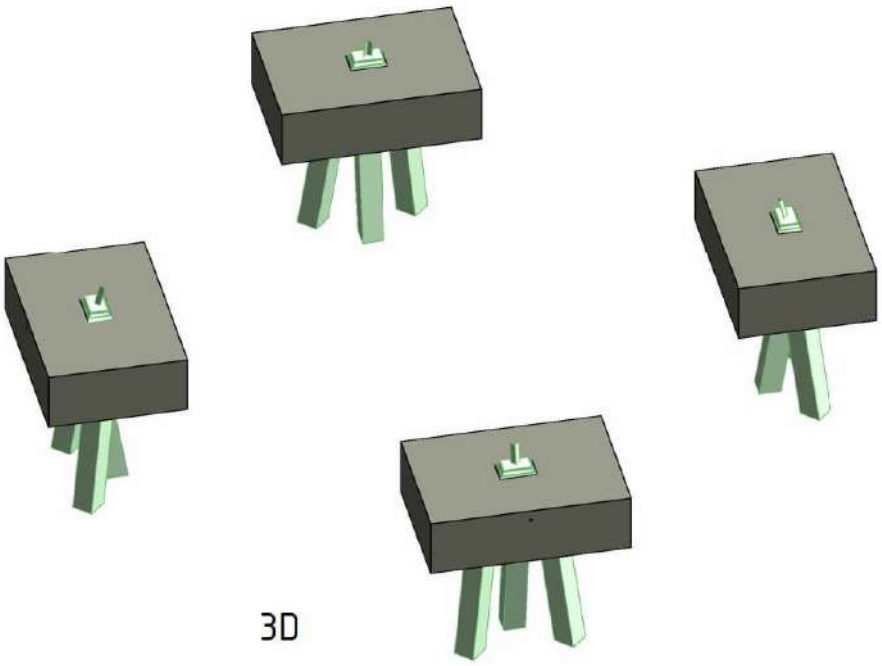
De belasting wordt verantwoord door middel van de overzichtstabel 4-2 waarin de verschillende ballastconfiguraties zijn opgenomen. De berekeningen van de verschillende configuraties is opgenomen in bijlage 31. De tabel met resultaten is ook in bijlage 32 opgenomen.

- **Ballast licht**



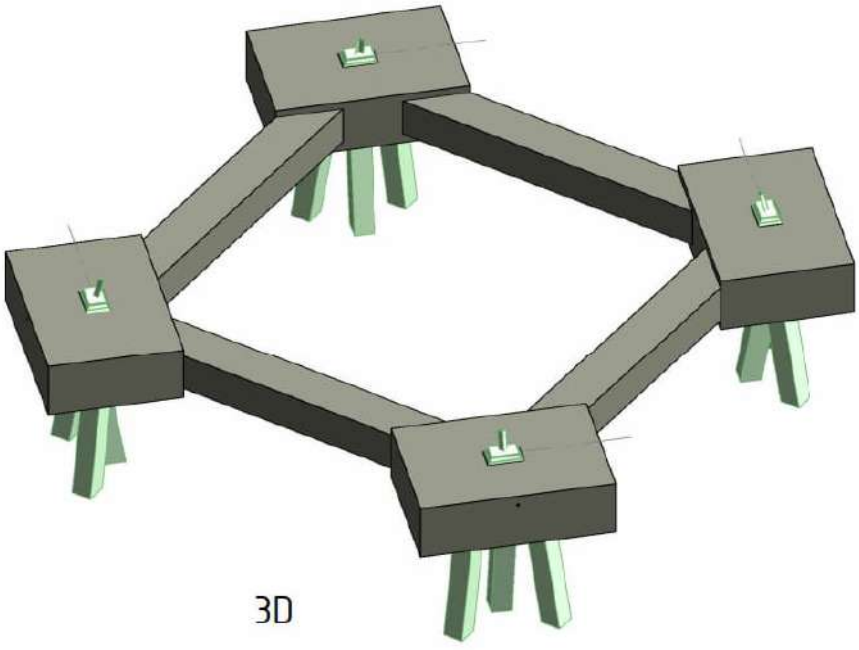
Figuur 4-3 Blokpoer (220) (3xB) + Ballast licht

- **Ballast zwaar**



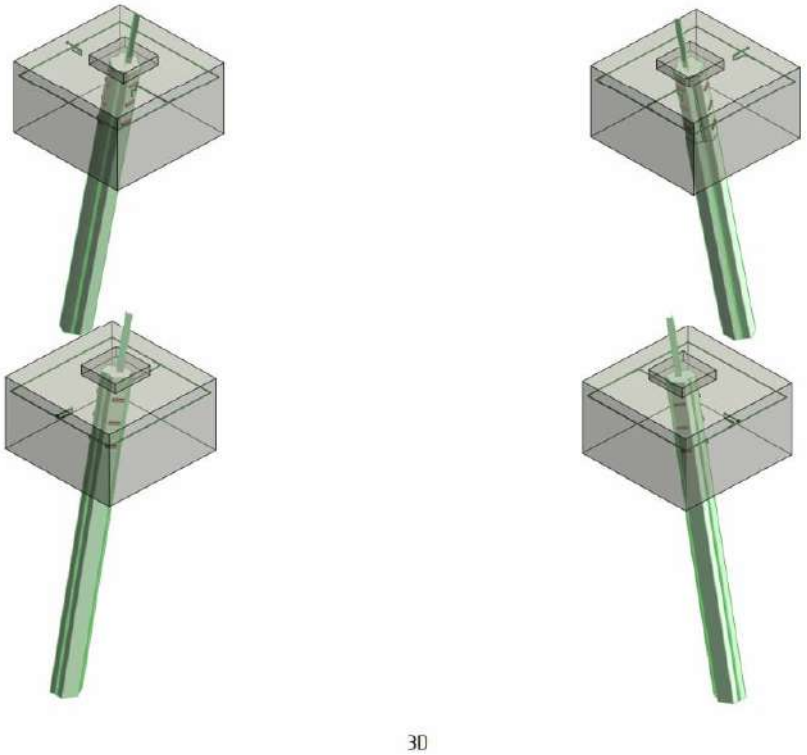
Figuur 4-4 Blokpoer (220) (3xB) + Ballast zwaar

- **Ballast zwaar + koppelbalk**



Figuur 4-5 Blokpoer (220) (3xB) + Ballast + Koppelbalk

- **Ballast aan LD1-paal**



Figuur 4-6 Cilinderpoer (75) (1xLD1) + Ballast

Tabel 4-2 Resultaten toetsingen versterkingen met ballast

Mast		GEO	GEO	Bestaande palen		Ballast blokken						
	Paaltype	Druk-capaciteit enkele paal [kN]	Trek-capaciteit enkele paal [kN]	Maximale drukkracht in één fundatiepaal [kN]	Maximale trekkracht in één fundatiepaal [kN]	Max. belasting door ballast	Min. belasting door ballast	Versterking	Cat.	Poer type	UC op druk in paal	UC op trek in paal
4	40*40 cm bet.	753	198	559,0	132,0			Lijnpoer met 2 extra palen	F4	Blokpoer(220) (3*B)		
5	40*40 cm bet.	793	170	559,0	132,0			Lijnpoer met 2 extra palen	F4	Blokpoer(220) (3*B)		
6	40*40 cm bet.	1340	242	537,2	275,0	92,2	41,5	Ballast zwaar	F1	Blokpoer(220) (3*B)	0,47	0,96
7	40*40 cm bet.	1400	263	537,2	275,0	49,4	22,2	Ballast licht	F1	Blokpoer(220) (3*B)	0,42	0,96
9	40*40 cm bet.	1577	266	537,2	275,0	49,4	22,2	Ballast licht	F1	Blokpoer(220) (3*B)	0,37	0,95
10	40*40 cm bet.	669	170	559,0	132,0			Lijnpoer met 2 extra palen	F4	Blokpoer(220) (3*B)		
13	40*40 cm bet.	1011	224	537,2	275,0	129,3	58,2	Ballast + Koppelbalk	F2	Blokpoer(220) (3*B)	0,66	0,97
14	40*40 cm bet.	1289	268	537,2	275,0	49,4	22,2	Ballast licht	F1	Blokpoer(220) (3*B)	0,46	0,94
16	40*40 cm bet.	888	171	559,0	132,0			Lijnpoer met 2 extra palen	F4	Blokpoer(220) (3*B)		
18	40*40 cm bet.	1169	250	537,2	275,0	92,2	41,5	Ballast zwaar	F1	Blokpoer(220) (3*B)	0,54	0,93
19	40*40 cm bet.	979	234	537,2	275,0	129,3	58,2	Ballast + Koppelbalk	F2	Blokpoer(220) (3*B)	0,68	0,93
21	40*40 cm bet.	873	190	559,0	132,0			Lijnpoer met 2 extra palen	F4	Blokpoer(220) (3*B)		

22	40*40 cm bet.	1270	237	537,2	275,0	129,3	58,2	Ballast + Koppelbalk	F2	Blokpoer(220) (3*B)	0,52	0,91
23	40*40 cm bet.	396	89	396,0	0,1			Lijnpoer met 2 extra palen	F4	Blokpoer(220) (3*B)		
24	40*40 cm bet.	462	128	462,0	128,0			Lijnpoer met 2 extra palen	F4	Blokpoer(220) (3*B)		
26	40*40 cm bet.	703	186	559,0	132,0			Lijnpoer met 2 extra palen	F4	Blokpoer(220) (3*B)		
27	40*40 cm bet.	706	167	559,0	132,0			Lijnpoer met 2 extra palen	F4	Blokpoer(220) (3*B)		
28	40*40 cm bet.	1199	246	537,2	275,0	92,2	41,5	Ballast zwaar	F1	Blokpoer(220) (3*B)	0,52	0,95
29	40*40 cm bet.	559	179	559,0	132,0			Lijnpoer met 2 extra palen	F4	Blokpoer(220) (3*B)		
33	40*40 cm bet.	638	168	559,0	132,0			Lijnpoer met 2 extra palen	F4	Blokpoer(220) (3*B)		
34	40*40 cm bet.	587	183	559,0	132,0			Lijnpoer met 2 extra palen	F4	Blokpoer(220) (3*B)		
37	40*40 cm bet.	664	100	459,7	100,0			Aanstorting met 2 palen	F5	Balkrooster (5*B)		
50	40*40 cm bet.	812	175	462,0	128,0			Lijnpoer met 2 extra palen	F4	Blokpoer(220) (3*B)		
51	40*40 cm bet.	1063	228	491,9	275,0	129,3	58,2	Ballast + Koppelbalk	F2	Blokpoer(220) (3*B)	0,58	0,95
52	40*40 cm bet.	1478	269	423,0	275,0	49,4	22,2	Ballast licht	F1	Blokpoer(220) (3*B)	0,32	0,94
53	40*40 cm bet.	1481	228	423,0	275,0	129,3	58,2	Ballast + Koppelbalk	F2	Blokpoer(220) (3*B)	0,37	0,95
54	40*40 cm bet.	1233	240	491,9	275,0	129,3	58,2	Ballast + Koppelbalk	F2	Blokpoer(220) (3*B)	0,50	0,90
55	40*40 cm bet.	1401	228	491,9	275,0	129,3	58,2	Ballast + Koppelbalk	F2	Blokpoer(220) (3*B)	0,44	0,95
56	40*40 cm bet.	1580	256	491,9	275,0	49,4	22,2	Ballast licht	F1	Blokpoer(220) (3*B)	0,34	0,99
57	40*40 cm bet.	1699	271	491,9	275,0	49,4	22,2	Ballast licht	F1	Blokpoer(220) (3*B)	0,32	0,93
58	40*40 cm bet.	1232	147	462,0	128,0			Lijnpoer met 2 extra palen	F4	Blokpoer(220) (3*B)		
59	40*40 cm bet.	930	135	462,0	128,0			Lijnpoer met 2 extra palen	F4	Blokpoer(220) (3*B)		
64	40*40 cm bet.	1239	226	491,9	275,0	129,3	58,2	Ballast + Koppelbalk	F2	Blokpoer(220) (3*B)	0,50	0,96
65	40*40 cm bet.	1526	260	491,9	275,0	49,4	22,2	Ballast licht	F1	Blokpoer(220) (3*B)	0,35	0,97
66	40*40 cm bet.	1319	270	491,9	275,0	49,4	22,2	Ballast licht	F1	Blokpoer(220) (3*B)	0,41	0,94
69	40*40 cm bet.	384	136	384,0	136,0			Lijnpoer met 2 extra palen	F4	Blokpoer(220) (3*B)		

Mast		**GEO**	**GEO**	**Bestaande palen**		**Ballast blokken**						
	Paaltype	**Druk-capaciteit enkele paal [kN]**	**Trek-capaciteit enkele paal [kN]**	**Maximale drukkracht in één fundatiepaal [kN]**	**Maximale trekkracht in één fundatiepaal [kN]**	**Max. belasting door ballast**	**Min. belasting door ballast**	**Versterking**	**Cat.**	**Poer type**	**UC op druk in paal**	**UC op trek in paal**
71	40*40 cm bet.	896	176	735,0	176,0			Lijnpoer met 2 extra palen	F4	Blokpoer(220) (3*B)		
73	40*40 cm bet.	1569	250	491,9	275,0	92,2	41,5	Ballast zwaar	F1	Blokpoer(220) (3*B)	0,37	0,93
86	LD1+p	909	178	800,0	178,0			Extra palen (2 stuks)	F3	Cilinderpoer (75) (1*LD1)		
90	40*40 cm bet.	1324	263	491,9	275,0	49,4	22,2	Ballast licht	F1	Blokpoer(220) (3*B)	0,41	0,96
111	40*40 cm bet.	1376	257	491,9	275,0	49,4	22,2	Ballast licht	F1	Blokpoer(220) (3*B)	0,39	0,98
118	40*40 cm bet.	1288	236		275,0	129,3	58,2	Ballast + Koppelbalk	F2	Blokpoer(220) (3*B)	0,10	0,92
121	LD1+p	1627	387	756,9	479,8	296,1	133,3	Ballast (let op knaggen)	F1	Cilinderpoer (75) (1*LD1)	0,65	0,90
123	40*40 cm bet.	1180	222	423,0	275,0	129,3	58,2	Ballast + Koppelbalk	F2	Blokpoer(220) (3*B)	0,47	0,98
124	40*40 cm bet.	962	132	462,0	128,0			Lijnpoer met 2 extra palen	F4	Blokpoer(220) (3*B)		
126	LD1+p	908	270	900,0	194,0			Extra palen (2 stuks) (let op knaggen)	F3	Cilinderpoer (75) (1*LD1)		
~~**128**~~	~~LD1+p~~	~~1319~~	~~322~~	~~678,4~~	~~434,7~~	~~296,1~~	~~133,3~~	~~Ballast~~	~~F1~~	~~Cilinderpoer (75) (1*LD1)~~	~~0,74~~	~~0,94~~
~~**130**~~	~~LD1+p~~	~~1454~~	~~348~~	~~677,8~~	~~435,1~~	~~296,1~~	~~133,3~~	~~Ballast~~	~~F1~~	~~Cilinderpoer (75) (1*LD1)~~	~~0,67~~	~~0,87~~
~~**131**~~	~~LD1+p~~	~~1245~~	~~409~~	~~754,9~~	~~481,3~~	~~296,1~~	~~133,3~~	~~Ballast~~	~~F1~~	~~Cilinderpoer (75) (1*LD1)~~	~~0,84~~	~~0,85~~

~~133~~	~~LD1+p~~	~~1223~~	~~413~~	~~678,9~~	~~434,3~~	~~296,1~~	~~133,3~~	~~Ballast~~	~~F1~~	~~Cilinderpoer (75) (1*LD1)~~	~~0,80~~	~~0,73~~
~~134~~	~~LD1+p~~	~~1505~~	~~428~~	~~677,8~~	~~435,1~~	~~296,1~~	~~133,3~~	~~Ballast~~	~~F1~~	~~Cilinderpoer (75) (1*LD1)~~	~~0,65~~	~~0,71~~
~~135~~	~~LD1+p~~	~~1457~~	~~317~~	~~678,4~~	~~434,7~~	~~296,1~~	~~133,3~~	~~Ballast~~	~~F1~~	~~Cilinderpoer (75) (1*LD1)~~	~~0,67~~	~~0,95~~
~~136~~	~~LD1+p~~	~~1271~~	~~319~~	~~676,8~~	~~435,9~~	~~296,1~~	~~133,3~~	~~Ballast~~	~~F1~~	~~Cilinderpoer (75) (1*LD1)~~	~~0,77~~	~~0,95~~
~~141~~	~~LD1+p~~	~~900~~	~~194~~	~~900,0~~	~~194,0~~			~~Extra palen (2 stuks)~~	~~F3~~	~~Cilinderpoer (75) (1*LD1)~~	-	-
~~142~~	~~LD1+p~~	~~800~~	~~203~~	~~800,0~~	~~178,0~~			~~Extra palen (2 stuks)~~	~~F3~~	~~Cilinderpoer (75) (1*LD1)~~	-	-
~~143~~	~~LD1+p~~	~~986~~	~~226~~	~~900,0~~	~~194,0~~			~~Extra palen (2 stuks)~~	~~F3~~	~~Cilinderpoer (75) (1*LD1)~~	-	-
~~144~~	~~LD1+p~~	~~868~~	~~234~~	~~868,0~~	~~234,0~~			~~Extra palen (2 stuks) lijnpoer~~	~~F3~~	~~Koppelframe (Cilinderpoer 1*LD1)~~	-	-
~~145~~	~~LD1+p~~	~~1900~~	~~414~~	~~754,9~~	~~481,3~~	~~296,1~~	~~133,3~~	~~Ballast~~	~~F1~~	~~Cilinderpoer (75) (1*LD1)~~	~~0,55~~	~~0,84~~
~~146 optie 1~~	~~32*32 cm bet.~~	~~84~~	~~1~~	~~84,0~~	~~0,0~~			~~Aanstorting met 3 palen om fundament grotendeels over te nemen~~	~~F5 fundatievernieuwing~~	~~Balkrooster (5*B)~~	-	-
~~147 optie 1~~	~~32*32 cm bet.~~	~~411~~	~~31~~	~~218,5~~	~~17,6~~			~~Aanstorting met 3 palen om fundament grotendeels over te nemen~~	~~F5 fundatievernieuwing~~	~~Balkrooster (5*B)~~	-	-
~~148~~	~~2 LD1+p~~	~~859~~	~~190~~	~~859,0~~	~~190,0~~			~~Blokpoer met 2 extra palen~~	~~F5~~	~~Blokpoer(200) (2*LD1)~~	-	-
150	LD1+p	1469	275	956,0	229,0			Extra palen (2 stuks)	F3	Cilinderpoer (75) (1*LD1)		
151	LD1+p	956	229	798,0	551,3			Extra palen (2 stuks) (let op knaggen)	F3	Cilinderpoer (75) (1*LD1)		
152	LD1+p	1572	436	798,0	551,0	296,1	133,3	Ballast (let op knaggen)	F1	Cilinderpoer (75) (1*LD1)	0,70	0,96
153	LD1+p	839	239	839,0	239,0			Extra palen (2 stuks)	F3	Cilinderpoer (75) (1*LD1)		
157	40*40 cm bet.	468	345	360,4	213,0			Aanstorting met 3 palen	F5	Balkrooster (4*B)		
158	40*40 cm bet.	1583	281	551,5	243,2			Aanstorting met 2 palen	F5	Balkrooster (4*B)		

Conclusie

Door toepassing van ballast in combinatie met zorgvuldig ontworpen verbindingen en ingelijmde wapening wordt de trekcapaciteit van de fundering effectief verhoogd, conform de eisen voor stabiliteit en krachtoverdracht.

4.5 Toetsing paalcapaciteiten

De krachten uit de SCIA-berekening van de fundering worden getoetst aan de hand van de capaciteiten van de palen. De resultaten worden in tabelvorm weergegeven.

De berekeningen en modelinvoer zijn te vinden in de bijlagen 1 t/m 17, daarnaast wordt verwezen naar de overzichtslijst in bijlage 33.

Tabel 4-3 Resultaten toetsing paaldraagvermogens na versterking

Resultaten toetsingen paaldraagvermogens na versterking									
Mast	**Paaltype**	**$F_{Rd,druk}$ [kN]**	**$F_{Rd,trek}$ [kN]**	**$F_{Ed,druk}$ [kN]**	**$F_{Ed,trek}$ [kN]**	**UC druk**	**UC trek**	**Maatgevende U.C.**	**Bijlage ##**
4	40*40 cm bet.	753,0	198,0	559,0	132,0	0,74	0,67	0,96	1
	Rond 219/310	1031,0	371,0	251,3	355,8	0,24	0,96		1
5	40*40 cm bet.	793,0	170,0	559,0	132,0	0,70	0,78	0,97	1
	Rond 219/310	1021,0	367,0	251,3	355,8	0,25	0,97		1
6	40*40 cm bet.	1340	242,0	537,2	308,4	0,46	0,86	0,86	n.v.t.
7	40*40 cm bet.	1400	263,0	537,2	308,4	0,41	0,91	0,91	n.v.t.
9	40*40 cm bet.	1577	266,0	537,2	308,4	0,37	0,90	0,90	n.v.t.
10	40*40 cm bet.	669,0	170,0	559,0	132,0	0,84	0,78	0,97	1
	Rond 219/310	935,0	368,0	251,3	355,8	0,27	0,97		1
13	40*40 cm bet.	1011	224,0	537,2	308,4	0,53	0,81	0,81	n.v.t.
14	40*40 cm bet.	1289	268,0	537,2	308,4	0,45	0,89	0,89	n.v.t.
16	40*40 cm bet.	888,0	171,0	559,0	132,0	0,63	0,77	0,93	1
	Rond 324/470	1192,0	381,0	251,3	355,8	0,21	0,93		1
18	40*40 cm bet.	1169	250,0	537,2	308,4	0,52	0,84	0,84	n.v.t.
19	40*40 cm bet.	979	234,0	537,2	308,4	0,55	0,78	0,78	n.v.t.
21	40*40 cm bet.	873,0	190,0	559,0	132,0	0,64	0,69	0,94	1
	Rond 273/370	1053,0	377,0	251,3	355,8	0,24	0,94		1
22	40*40 cm bet.	1270	237,0	537,2	308,4	0,42	0,77	0,77	n.v.t.
23	40*40 cm bet.	396,0	89,0	396,0	0,1	1,00	0,00	1,00	2
	Rond 324/470	858,0	424,0	438,1	353,4	0,51	0,83		2
24	40*40 cm bet.	462,0	128,0	462,0	128,0	1,00	1,00	1,00	3
	Rond 273/370	781,0	370,0	412,7	257,8	0,53	0,70		3
26	40*40 cm bet.	703,0	186,0	559,0	132,0	0,80	0,71	0,95	1
	Rond 219/310	981,0	376,0	251,3	355,8	0,26	0,95		1
27	40*40 cm bet.	706,0	167,0	559,0	132,0	0,79	0,79	0,93	1
	Rond 219/310	1068,0	384,0	251,3	355,8	0,24	0,93		1
28	40*40 cm bet.	1199	246,0	537,2	308,4	0,51	0,85	0,85	n.v.t.
29	40*40 cm bet.	559,0	179,0	559,0	132,0	1,00	0,74	1,00	1
	Rond 324/470	1184,0	387,0	251,3	355,8	0,21	0,92		1
33	40*40 cm bet.	638,0	168,0	559,0	132,0	0,88	0,79	0,92	1

	Rond 273/370	1266,0	387,0	251,3	355,8	0,20	0,92		1
34	40*40 cm bet.	587,0	183,0	559,0	132,0	0,95	0,72	0,95	1
	Rond 324/470	1078,0	385,0	251,3	355,8	0,23	0,92		1
37	40*40 cm bet.	664,0	100,0	459,7	100,0	0,69	1,00	1,00	4
	Rond 219/310	377,0	93,0	180,7	8,6	0,48	0,09		4
50	40*40 cm bet.	812,0	175,0	462,0	128,0	0,57	0,73	0,73	5
	Rond 219/310	802,0	272,0	278,9	138,8	0,35	0,51		5
51	40*40 cm bet.	1063	228,0	491,9	295,3	0,46	0,92	0,92	n.v.t.
52	40*40 cm bet.	1478	269,0	423,0	300,0	0,31	0,89	0,89	n.v.t.
53	40*40 cm bet.	1481	228,0	423,0	300,0	0,29	0,80	0,80	n.v.t.
54	40*40 cm bet.	1233	240,0	491,9	295,3	0,40	0,76	0,76	n.v.t.
55	40*40 cm bet.	1401	228,0	491,9	295,3	0,35	0,80	0,80	n.v.t.
56	40*40 cm bet.	1580	256,0	491,9	295,3	0,34	0,94	0,94	n.v.t.
57	40*40 cm bet.	1699	271,0	491,9	295,3	0,31	0,88	0,88	n.v.t.
58	40*40 cm bet.	1232,0	147,0	462,0	128,0	0,38	0,87	0,87	5
	Rond 219/310	897,0	291,0	278,9	138,8	0,31	0,48		5
59	40*40 cm bet.	930,0	135,0	462,0	128,0	0,50	0,95	0,95	5
	Rond 219/310	1026,0	292,0	278,9	138,8	0,27	0,48		5
64	40*40 cm bet.	1239	226,0	491,9	0,0	0,40	0,81	0,81	n.v.t.
65	40*40 cm bet.	1526	260,0	491,9	295,3	0,35	0,92	0,92	n.v.t.
66	40*40 cm bet.	1319	270,0	491,9	295,3	0,40	0,89	0,89	n.v.t.
69	40*40 cm bet.	384,0	136,0	384,0	136,0	1,00	1,00	1,00	6
	Rond 219/310	946,0	351,0	400,0	233,7	0,42	0,67		6
71	40*40 cm bet.	896,0	176,0	735,0	176,0	0,82	1,00	1,00	7
	Rond 219/310	1072,0	344,0	139,7	272,2	0,13	0,79		7
73	40*40 cm bet.	1569	250,0	491,9	295,3	0,36	0,84	0,84	n.v.t.
86	LD1+p	909,0	178,0	800,0	178,0	0,88	1,00	1,00	8
	Rond 324/470	718,0	192,0	153,2	138,6	0,21	0,72		8
90	40*40 cm bet.	1324	263,0	491,9	295,3	0,40	0,91	0,91	n.v.t.
111	40*40 cm bet.	1376	257,0	491,9	295,3	0,39	0,93	0,93	n.v.t.
118	40*40 cm bet.	1288	236,0	0,0	295,3	0,00	0,77	0,77	n.v.t.
121	LD1+p	1627,0	387,0	756,9	479,8	0,60	0,89	0,89	n.v.t.
123	40*40 cm bet.	1180	222,0	423,0	300,0	0,36	0,82	0,82	n.v.t.
124	40*40 cm bet.	962,0	132,0	462,0	128,0	0,48	0,97	0,97	5
	Rond 219/310	1027,0	305,0	278,9	138,8	0,27	0,46		5
126	LD1+p	908,0	270,0	857,7	194,0	0,94	0,72	0,94	9
	Rond 324/470	849,0	295,0	189,5	99,3	0,22	0,34		9
~~**128**~~	~~LD1+p~~	~~1319,0~~	~~322,0~~	~~678,4~~	~~434,7~~	~~0,69~~	~~0,93~~	~~0,93~~	~~n.v.t.~~
~~**130**~~	~~LD1+p~~	~~1454,0~~	~~348,0~~	~~677,8~~	~~435,1~~	~~0,62~~	~~0,86~~	~~0,86~~	~~n.v.t.~~
~~**131**~~	~~LD1+p~~	~~1245~~	~~409,0~~	~~754,9~~	~~481,3~~	~~0,79~~	~~0,84~~	~~0,84~~	~~n.v.t.~~
~~**133**~~	~~LD1+p~~	~~1223,0~~	~~413,0~~	~~678,9~~	~~434,3~~	~~0,74~~	~~0,72~~	~~0,74~~	~~n.v.t.~~

~~134~~	~~LD1+p~~	~~1505,0~~	~~428,0~~	~~677,8~~	~~435,1~~	~~0,60~~	~~0,70~~	~~0,70~~	~~n.v.t.~~
~~135~~	~~LD1+p~~	~~1457~~	~~317,0~~	~~678,4~~	~~434,7~~	~~0,62~~	~~0,94~~	~~0,94~~	~~n.v.t.~~
~~136~~	~~LD1+p~~	~~1271,0~~	~~319,0~~	~~676,8~~	~~435,9~~	~~0,71~~	~~0,94~~	~~0,94~~	~~n.v.t.~~
~~141~~	~~LD1+p~~	~~900,0~~	~~194,0~~	~~900,0~~	~~194,0~~	~~1,00~~	~~1,00~~	~~1,00~~	~~9~~
	~~Rond 324/470~~	~~716,0~~	~~207,0~~	~~210,4~~	~~63,4~~	~~0,29~~	~~0,31~~		~~9~~
~~142~~	~~LD1+p~~	~~800,0~~	~~203,0~~	~~800,0~~	~~178,0~~	~~1,00~~	~~0,88~~	~~1,00~~	~~8~~
	~~Rond 324/470~~	~~667,0~~	~~220,0~~	~~245,4~~	~~66,1~~	~~0,37~~	~~0,30~~		~~8~~
~~143~~	~~LD1+p~~	~~986,0~~	~~226,0~~	~~900,0~~	~~194,0~~	~~0,91~~	~~0,86~~	~~0,91~~	~~9~~
	~~Rond 324/470~~	~~806,0~~	~~234,0~~	~~210,4~~	~~63,4~~	~~0,26~~	~~0,27~~		~~9~~
~~144~~	~~LD1+p~~	~~868,0~~	~~234,0~~	~~868,0~~	~~234,0~~	~~1,00~~	~~1,00~~	~~1,00~~	~~10~~
	~~Rond 219/310~~	~~1343,0~~	~~453,0~~	~~850,1~~	~~289,1~~	~~0,63~~	~~0,64~~		~~10~~
~~145~~	~~LD1+p~~	~~1900,0~~	~~414,0~~	~~754,9~~	~~481,3~~	~~0,52~~	~~0,83~~	~~0,83~~	~~n.v.t.~~
~~146 optie 1~~	~~32*32 cm bet.~~	~~84,0~~	~~1,0~~	~~84,0~~	~~0,0~~	~~1,00~~	~~0,00~~	~~1,00~~	~~11~~
	~~Rond 219/310~~	~~668,0~~	~~179,0~~	~~413,5~~	~~0,0~~	~~0,62~~	~~0,00~~		~~11~~
~~147 optie 1~~	~~32*32 cm bet.~~	~~411,0~~	~~31,0~~	~~218,5~~	~~17,6~~	~~0,53~~	~~0,57~~	~~0,93~~	~~12~~
	~~Rond 219/310~~	~~545,0~~	~~144,0~~	~~214,6~~	~~133,8~~	~~0,39~~	~~0,93~~		~~12~~
~~148~~	~~2 LD1+p~~	~~859,0~~	~~190,0~~	~~859,0~~	~~190,0~~	~~1,00~~	~~1,00~~	~~1,00~~	~~13~~
	~~Rond 219/310~~	~~1256,0~~	~~336,0~~	~~464,0~~	~~257,2~~	~~0,37~~	~~0,77~~		~~13~~
150	LD1+p	1469,0	275,0	956,0	229,0	0,65	0,83	0,83	14
	Rond 324/470	993,0	256,0	289,6	213,8	0,29	0,79		14
151	LD1+p	956,0	229,0	956,0	229,0	1,00	1,00	1,00	14
	Rond 324/470	955,0	271,0	289,6	213,8	0,30	0,79		14
152	LD1+p	1572,0	436,0	798,0	551,3	0,65	0,95	0,95	n.v.t.
153	LD1+p	839,0	239,0	839,0	239,0	1,00	1,00	1,00	15
	Rond 324/470	799,0	237,0	215,7	175,2	0,27	0,75		15
157	40*40 cm bet.	468,0	345,0	360,4	213,0	0,77	0,62	0,77	16
	Rond 219/310	973,0	233,0	408,7	133,4	0,42	0,57		16
158	40*40 cm bet.	1583,0	281,0	551,5	243,2	0,35	0,87	0,87	17
	Rond 219/310	654,0	177,0	197,1	37,2	0,30	0,21		17

In de voorgaande hoofdstuk 4 zijn de toetsingen uitgevoerd op de verbindingen, betondoorsneden en paaldraagvermogens. De resultaten zijn toegevoegd aan de Excel-bestand waarin alle assetdata is verzameld dat als volgt is opgebouwd:

- Mastkenmerken,
    - Nummer,
    - Type,
    - Hoogte,
- Fundering gegevens,
    - Palen,

        - Type,
        - Aantal,
        - Lengte,
        - Paalpunt,
        - Schoor,
    - Poeren,
        - Afmetingen,
    - Balken,
        - Afmetingen,
- Verankering gegevens,
    - Mastpoot aan fundering,
    - Fundering aan paal,
- Resultaten berekeningen,
    - Modellen,
    - Uitgangspunten,
    - Trek/druk krachten in palen,
- Input belastingen vanuit Hoogspanning,
    - Afkeur,
    - Verbouw,
- Toetsing,
    - Verankeringen,
    - Paalcapaciteiten,
- Versterkingen
    - Categorie F1 t/m F5

Bovenstaande gegevens zijn opgenomen in bijlage 33.

4.6 Doorsnedetoets mast 144

De berekening van mast 144 is herzien ten opzichte van versie D01 van deze rapportage. Er is gekozen om het fundament te voorzien van een nieuwe betonnen koppelbalk welke uiteindelijk de functie van de huidige DIN30 koppelbalk overneemt.

Deze koppelbalk vormt een essentieel onderdeel in de overdracht van verticale en horizontale krachten tussen de te versterken funderingspoeren. De bestaande cilinderpoeren worden versterkt met 2 extra palen.

De uitgangspunten zijn conform hoofdstuk 3 uit deze rapportage. In afwijking van overige SCIA-modellen is de toegepaste wapening in het SCIA-model opgenomen en rechtstreeks getoetst in deze berekeningssoftware. Deze toetsing is opgenomen in bijlage 34 van deze rapportage.

Invoer en toetsing SCIA-model

Voor de versterkingsmaatregel wordt uitgegaan van een rechthoekige betonnen koppelbalk met de volgende afmetingen:

- Hoogte: 750 mm
- Breedte: 600 mm

Op basis van ontwerpberekeningen is de volgende wapening in SCIA Engineer aangebracht:

- Onderwapening: 4Ø16
- Bovenwapening: 4Ø16 + 3Ø16
- Flankwapening: 2Ø10
- Beugels: Ø10-200 mm (2-snedig)

De volgende toetsingen zijn volgens Eurocode/NEN-EN 1992 uitgevoerd:

- Buigingstoets (ULS)
  Controle op de benodigde langswapening in verband met de maatgevende positieve en negatieve buigmomenten als mede optredende normaalkrachten.
- Dwarskrachttoets (ULS)
  Verificatie van de benodigde dwarskrachtwapening (beugels) op basis van de optredende dwarskrachten/wringing en de capaciteit van de betondoorsnede.

Voor de balk (750×600) tonen de SCIA-controles in bijlage 34 aan dat wordt voldaan aan de ULS:

- N–M interactie (UC_max = 0,95)
- Dwarskracht (UC_shear,max = 0,60)
- Torsie (UC_tor,max = 0,42)
- Gecombineerde afschuivingtorsie (UC_total,max = 0,94).

Definitief gekozen wapening

Op basis van de rekenresultaten is de toegepaste wapening als volgt:

- Onderwapening: 4Ø16
- Bovenwapening: 4Ø16 + 3Ø16

Waarvan 3Ø16 aanvullend wordt toegepast over een lengte van 3,0 meter ter plaatse van de hoeken naast de poer

- Flankwapening: 2Ø10
- Beugels: Ø10-200 mm (3-snedig) in overeenstemming met de detaillering bepalingen

5 Uitvoeringsaspecten

Ten aanzien van de uitvoering van de diverse versterkingen zijn er een aantal uitvoeringsaspecten die in deze berekeningsrapportage aandacht krijgen. Deze aspecten worden daarmee zowel op tekening als in onderhavige rapportage benoemd.

5.1 Algemeen

Alle aansluitvlakken tussen bestaand beton en nieuw beton dienen te worden opgeruwd. De ruwheid dient daarbij groter of gelijk te zijn aan 3 mm. Dit kan worden bereikt door mechanisch opruwen (bijv. stralen, haken, frezen) tot een ruweheid van ≥ 3 mm of betonvlak te profileren met groeven of ribbels ≥ 5 mm diep. Daar waar een coating aanwezig is dient deze ter plaatse van het aansluitvlak verwijderd te worden.

Alle wapening dient conform tekening aangebracht te worden, waarbij de dekking 45 mm bedraagt. Deze dekking is inclusief de normtechnische uitvoeringstolerantie van 5 mm.

Alle beton dient te voldoen aan sterkteklasse en milieuklasse zoals op tekening vermeld is. Er zijn verschillende milieuklassen van toepassing, waarmee wordt voldaan aan de verschillende TenneT eisen.

Alle in te lijmen wapening dient conform tekening en conform verwerkingsrichtlijnen van leverancier verwerkt te worden.

Alle maatvoering op tekening dient in het werk gecontroleerd te worden. Dit geldt ook voor alle aangeleverde tekeningen met RD coördinaten.

Daar waar bestaande funderingsconstructies gecoat zijn dient ook de versterking van een beschermende coating voorzien te worden.

5.2 Funderingspalen

Alle nieuwe palen worden toegepast in een dikte van t=12,5 mm. Dit is inclusief corrossietoeslag, waarmee wordt voldaan aan TenneT eisen.

De palen dienen aangebracht te worden met een tolerantie van maximaal 50 mm in willekeurige richting. Grotere paalafmetingen dienen gemeld te worden en kunnen leiden tot aanpassingen in de versterkingsoplossing.

De palen worden voorzien van een praktische wapeningskorf afhankelijk van de gekozen paaldiameter. De schachtdiameters zijn resp. ø219, ø273 en ø324 mm en de korf is daarop afgestemd. De wapeningskorf dient omgezet te worden onder de aanwezige bovenwapening en gekoppeld met de wapeningskorf (t.b.v. aarding) Dekking tussen buis en korf is 30 mm.

Alle palen dienen uitgevoerd te worden met groutinjectie, conform geotechnisch advies.

Alle nieuwe funderingspalen dienen voorzien te worden van ringdeuvels aan de buitenzijde van de paal gelast. Een en ander overeenkomstig details op het palenplan.

5.3 Knaggen aan bestaande LD1

Bij diverse versterkingen dienen knaggen gelast te worden aan de bestaande LD1 palen. Ten behoeve van het aanbrengen van deze knaggen dient de aanwezige betonschil om deze palen verwijderd te worden, een en ander overeenkomstig tekeningen.

De afmetingen van deze knaggen en de lasdikte van deze knaggen is op het matenplan aangegeven.

5.4 Wapening

Bij het uitwerken van de wapening dient rekening gehouden te worden met de mogelijkheid van paalafwijkingen.

- Daar waar mogelijk mogen de beugels naast de palen uitgevoerd worden als dubbele haarspeld. De voorwaarde daarbij is dat er voldoende overlappingslas gerealiseerd kan worden.
- Daar waar het niet mogelijk is om dubbele haarspelden toe te passen in plaats van beugels dienen extra beugels meegeleverd te worden, waarbij deze beugels resp. 25 en 50 mm breder en 25 en 50 mm smaller worden uitgevoerd. Daarmee kan de wapening eenvoudig worden aangepast aan de gerealiseerde funderingspaal.

5.5 Aarding

Dit is een raakvlak met de constructie. De aardingsvoorzieningen moeten worden aangebracht conform de vormtekeningen van de versterkingen. Op deze tekening zijn de benodigde specificaties aangegeven in legenda en details.

5.6 Specifieke punten

~~**Blokpoer (200) (2xLD1) + 2 extra palen**~~

~~Bij dit fundament is het noodzakelijk om sparingen door het bestaande betonblok te maken ten behoeve van de benodigde trekbanden in het fundament. Deze sparingen dienen aangebracht te worden alvorens de palen worden aangebracht. Tevens is het belangrijk dat de geboorde gaten worden gecontroleerd en vastgelegd, indien daarbij afwijkingen optreden (bijv. raken van wapening) dient dit gemeld te worden bij opdrachtgever.~~

Balkrooster (4xB) en Balkrooster (5xB) + 2/3 extra palen

Bij deze versterking is het belangrijk dat de posities van de bestaande funderingspalen worden verkend alvorens de nieuwe palen aan te brengen.

Cilinderpoeren (75) (1xLD1) + 2 extra palen

Deze versterking is gevoelig voor paalafwijkingen uit het vlak. Paalafwijkingen groter dan 50 mm uit het vlak kunnen leiden tot de toepassing van extra palen ten einde de optredende krachten ten gevolge van paalmisstand af te kunnen dragen.

Bijlagen

Bijlage 1 uitvoer SCIA - Blokpoer-3xBeton40x40-MAST-S+0 - II F4 (60 bladzijden)

Bijlage 2 uitvoer SCIA - Blokpoer-3xBeton40x40-MAST- F4 mast 23 (71 bladzijden)

Bijlage 3 uitvoer SCIA - Blokpoer-3xBeton40x40-MAST- F4 mast 24 (61 bladzijden)

Bijlage 4 uitvoer SCIA - Balkrooster-5xBeton40x40 mast 37 (71 bladzijden)

Bijlage 5 uitvoer SCIA - Blokpoer-3xBeton40x40-MAST-S+0 - III F4 (62 bladzijden)

Bijlage 6 uitvoer SCIA - Blokpoer-3xBeton40x40-MAST-69 F4 (59 bladzijden)

Bijlage 7 uitvoer SCIA - Blokpoer-3xBeton40x40-MAST-71 F4 (62 bladzijden)

Bijlage 8 uitvoer SCIA - F3 Cilinder 75 + palen S III 86+~~142~~ (52 bladzijden)

Bijlage 9 uitvoer SCIA - F3 Cilinder 75 + palen S III (52 bladzijden)

~~Bijlage 10 uitvoer SCIA - Koppelframe-1xLD1 F3 (67 bladzijden)~~

~~Bijlage 11 uitvoer SCIA - Balkrooster-5xBeton32x32 mast 146 (65 bladzijden)~~

~~Bijlage 12 uitvoer SCIA - Balkrooster-5xBeton32x32 mast 147 (57 bladzijden)~~

~~Bijlage 13 uitvoer SCIA - Blokpoer-2xLD1 mast 148 (67 bladzijden)~~

Bijlage 14 uitvoer SCIA - F3 Cilinder 75 + palen - S+9 (52 bladzijden)

Bijlage 15 uitvoer SCIA - Cilinder 75 + palen S II (58 bladzijden)

Bijlage 16 uitvoer SCIA - Balkrooster-5xBeton40x40 mast 157 (80 bladzijden)

Bijlage 17 uitvoer SCIA - Balkrooster-5xBeton40x40 mast 158 (79 bladzijden)

Bijlage 18 uitvoer Knaggen - Leka 219

Bijlage 19 uitvoer Knaggen - Leka 273

Bijlage 20 uitvoer Knaggen - Leka 324

Bijlage 21 uitvoer Knaggen - Buitenzijde LD1 (max)

Bijlage 22 uitvoer Knaggen - Buitenzijde LD1 (min)

Bijlage 23 uitvoer Knaggen - Buitenzijde LD1 Ballast

Bijlage 24 UC Knaggen

Bijlage 25 doorsnede toets Blokpoer_3B

~~Bijlage 26 doorsnede toets Cilinderpoer 75 LD1 (Koppelframe)~~

~~Bijlage 27 doorsnede toets Blokpoer 2 x LD1~~

Bijlage 28 doorsnede toets Cilinderpoer 75_LD1

Bijlage 29 doorsnede toets Balkrooster

Bijlage 30 Verzamellijst krachten doorsnedetoetsen

Bijlage 31 Ballast - alle varianten

Bijlage 32 Verzamel lijst

Bijlage 33 Overzichtslijst mastfundaties

~~Bijlage 34 uitvoer SCIA – Koppelframe - Toetsresultaten Betonnen Balk~~

Together with our clients and the collective knowledge of our 22,000 architects, engineers and other specialists, we co-create solutions that address urbanisation, capture the power of digitalisation, and make our societies more sustainable.

Sweco – Transforming society together

SWECO

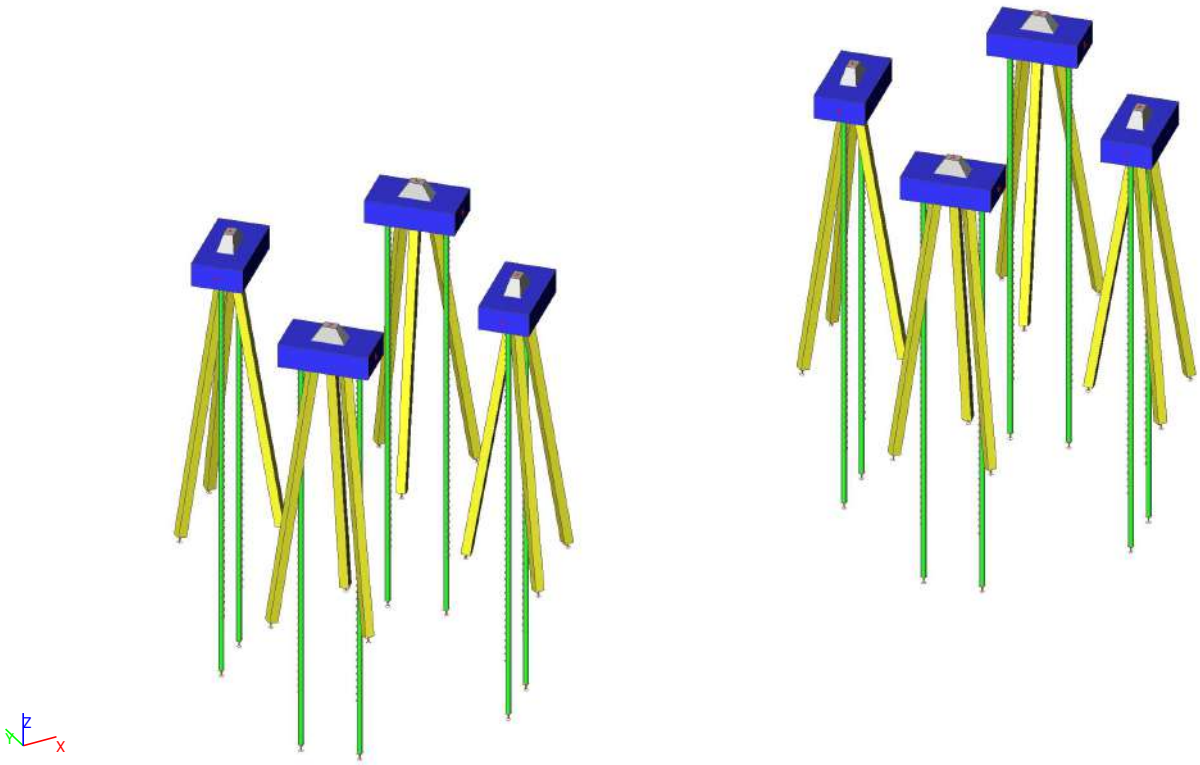
1. Inhoudsopgave

1. Inhoudsopgave 1
2. Project 2
3. Analyse model 2
4. Modeleigenschappen 3
5. Geometrie 3
5.1. Knopen 3
5.2. Analyse model met knopen 4
5.3. Staven 4
5.4. Analyse model met Staven 5
5.5. Knoopsteunpunten 6
5.6. Analyse model met Knoopondersteuningen 7
5.7. Lijnsteunpunten op staven 7
5.8. Analyse model met Lijnondersteuningen 17
5.9. Analyse model met Lijnondersteuningen 18
5.10. Niet-lineaire functies 19
6. Belastingen 30
6.1. Belastingsgevallen 30
6.1.1. Belastingsgevallen - high max Wnd ;45° 30
6.1.1.1. Puntlast op knoop 30
6.1.2. Belastingsgevallen - high max Wnd ;135° 31
6.1.2.1. Puntlast op knoop 32
6.1.3. Belastingsgevallen - high max Wnd ;225° 33
6.1.3.1. Puntlast op knoop 34
6.1.4. Belastingsgevallen - high max Wnd ;315° 34
6.1.4.1. Puntlast op knoop 35
6.1.5. Belastingsgevallen - low max Wnd ;45° 36
6.1.5.1. Puntlast op knoop 37
6.1.6. Belastingsgevallen - low max Wnd ;135° 37
6.1.6.1. Puntlast op knoop 38
6.1.7. Belastingsgevallen - low max Wnd ;225° 39
6.1.7.1. Puntlast op knoop 40
6.1.8. Belastingsgevallen - low max Wnd ;315° 40
6.1.8.1. Puntlast op knoop 41
6.1.9. Belastingsgevallen - EG_fundering 42
6.2. Niet-lineaire combinaties 43
6.3. Resultaatklasses 43
7. Resultaten 44
7.1. Reacties van de palen 44
7.1.1. Reactions; R_z 44
7.1.2. Reacties 44
7.1.3. Reacties 44
7.1.4. Reacties 45
7.2. Krachten van de Funderingspalen 51
7.2.1. Interne 1D- krachten; N 51
7.2.2. Interne 1D- krachten; V_y 51
7.2.3. Interne 1D- krachten; V_z 52
7.2.4. Interne 1D- krachten; M_x 52
7.2.5. Interne 1D- krachten; M_y 53
7.2.6. Interne 1D- krachten; M_z 53
7.2.7. Interne 1D-krachten 54
7.2.8. Interne 1D-krachten 54
7.3. Krachten van de Poeren 56
7.3.1. Interne 1D-krachten 56
7.4. Krachten van de Funderingsbalken 57
7.4.1. Interne 1D- krachten; N 57
7.4.2. Interne 1D- krachten; V_y 57
7.4.3. Interne 1D- krachten; V_z 58
7.4.4. Interne 1D- krachten; M_x 58
7.4.5. Interne 1D- krachten; M_y 59
7.4.6. Interne 1D- krachten; M_z 59
7.4.7. Interne 1D-krachten 60

2. Project

Gebruiker van licentie	[redacted]
Project	Opwaardering KIJ-BVW 380kV
Onderdeel	Blokpoer 3xBeton40x40 Mast-S+0 Wnd_II
Auteur	[redacted]
Datum	28-01-2028
Constructie	Algemeen XYZ
Aantal knopen :	112
Aantal staven :	56
Aantal platen :	0
Aantal vaste lichamen :	0
Aantal gebruikte doorsneden :	4
Aantal belastingsgevallen :	9
Aantal gebruikte materialen :	7
Gravitatieversnelling [m/s^2]	9,807
Nationale norm	EC - EN

3. Analyse model



4. Modeleigenschappen

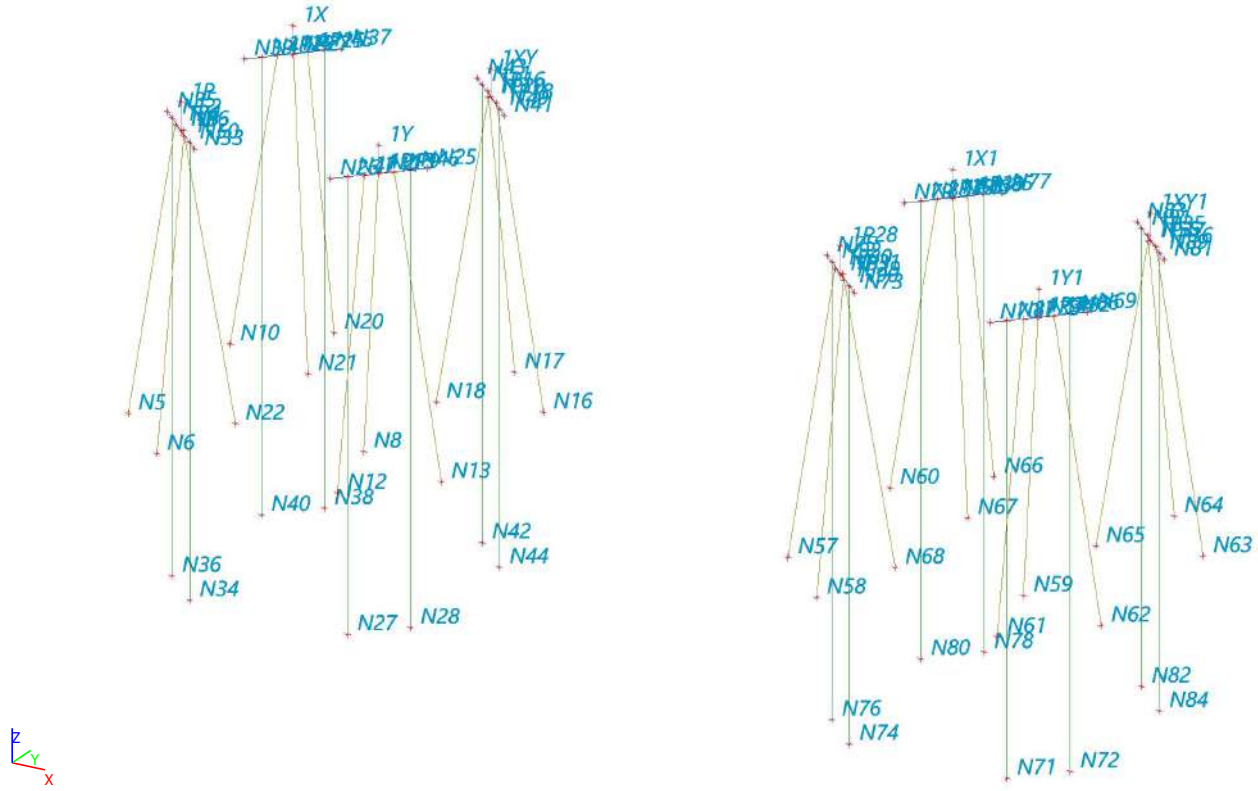
5. Geometrie

5.1. Knopen

Naam	Coördinaat X [m]	Coördinaat Y [m]	Coördinaat Z [m]
N1	0,000	0,000	0,000
1P	0,000	0,000	1,200
1P2	0,400	-0,480	0,000
1P4	-0,480	0,400	0,000
1P6	0,070	0,070	0,000
N2	9,000	0,000	0,000
1Y	9,000	0,000	1,200
1P9	9,480	0,400	0,000
1P11	8,600	-0,480	0,000
1P13	8,930	0,070	0,000
N3	9,000	9,000	0,000
1XY	9,000	9,000	1,200
1P16	8,600	9,480	0,000
1P18	9,480	8,600	0,000
1P20	8,930	8,930	0,000
N4	0,000	9,000	0,000
1X	0,000	9,000	1,200
1P23	-0,480	8,600	0,000
1P25	0,400	9,480	0,000
1P27	0,070	8,930	0,000
N5	-2,621	0,400	-12,822
N6	0,400	-2,621	-12,822
N8	7,417	1,583	-12,822
N10	-2,621	8,600	-12,822
N12	8,600	-2,621	-12,822
N13	11,621	0,400	-12,822
N16	11,621	8,600	-12,822
N17	8,600	11,621	-12,822
N18	7,417	7,417	-12,822
N20	0,400	11,621	-12,822
N21	1,583	7,417	-12,822
N22	1,583	1,583	-12,822
N25	10,414	1,414	0,000
N26	7,586	-1,414	0,000
N27	8,081	-0,919	-19,612
N28	9,919	0,919	-19,612
N33	1,414	-1,414	0,000
N34	0,919	-0,919	-19,612
N35	-1,414	1,414	0,000
N36	-0,919	0,919	-19,612
N37	1,414	10,414	0,000
N38	0,919	9,919	-19,612
N39	-1,414	7,586	0,000
N40	-0,919	8,081	-19,612
N41	10,414	7,586	0,000
N42	8,081	9,919	-19,612
N43	7,586	10,414	0,000
N44	9,919	8,081	-19,612
N45	0,919	9,919	0,000
N46	9,919	0,919	0,000
N47	8,081	-0,919	0,000
N48	-0,919	8,081	0,000
N49	9,919	8,081	0,000
N50	0,919	-0,919	0,000
N51	8,081	9,919	0,000
N52	-0,919	0,919	0,000

Naam	Coördinaat X [m]	Coördinaat Y [m]	Coördinaat Z [m]
N53	30,000	0,000	0,000
1P28	30,000	0,000	1,200
1P29	30,400	-0,480	0,000
1P30	29,520	0,400	0,000
1P31	30,070	0,070	0,000
N54	39,000	0,000	0,000
1Y1	39,000	0,000	1,200
1P32	39,480	0,400	0,000
1P33	38,600	-0,480	0,000
1P34	38,930	0,070	0,000
N55	39,000	9,000	0,000
1XY1	39,000	9,000	1,200
1P35	38,600	9,480	0,000
1P36	39,480	8,600	0,000
1P37	38,930	8,930	0,000
N56	30,000	9,000	0,000
1X1	30,000	9,000	1,200
1P38	29,520	8,600	0,000
1P39	30,400	9,480	0,000
1P40	30,070	8,930	0,000
N57	27,379	0,400	-12,822
N58	30,400	-2,621	-12,822
N59	37,417	1,583	-12,822
N60	27,379	8,600	-12,822
N61	38,600	-2,621	-12,822
N62	41,621	0,400	-12,822
N63	41,621	8,600	-12,822
N64	38,600	11,621	-12,822
N65	37,417	7,417	-12,822
N66	30,400	11,621	-12,822
N67	31,583	7,417	-12,822
N68	31,583	1,583	-12,822
N69	40,414	1,414	0,000
N70	37,586	-1,414	0,000
N71	38,081	-0,919	-19,612
N72	39,919	0,919	-19,612
N73	31,414	-1,414	0,000
N74	30,919	-0,919	-19,612
N75	28,586	1,414	0,000
N76	29,081	0,919	-19,612
N77	31,414	10,414	0,000
N78	30,919	9,919	-19,612
N79	28,586	7,586	0,000
N80	29,081	8,081	-19,612
N81	40,414	7,586	0,000
N82	38,081	9,919	-19,612
N83	37,586	10,414	0,000
N84	39,919	8,081	-19,612
N85	30,919	9,919	0,000
N86	39,919	0,919	0,000
N87	38,081	-0,919	0,000
N88	29,081	8,081	0,000
N89	39,919	8,081	0,000
N90	30,919	-0,919	0,000
N91	38,081	9,919	0,000
N92	29,081	0,919	0,000

5.2. Analyse model met knopen

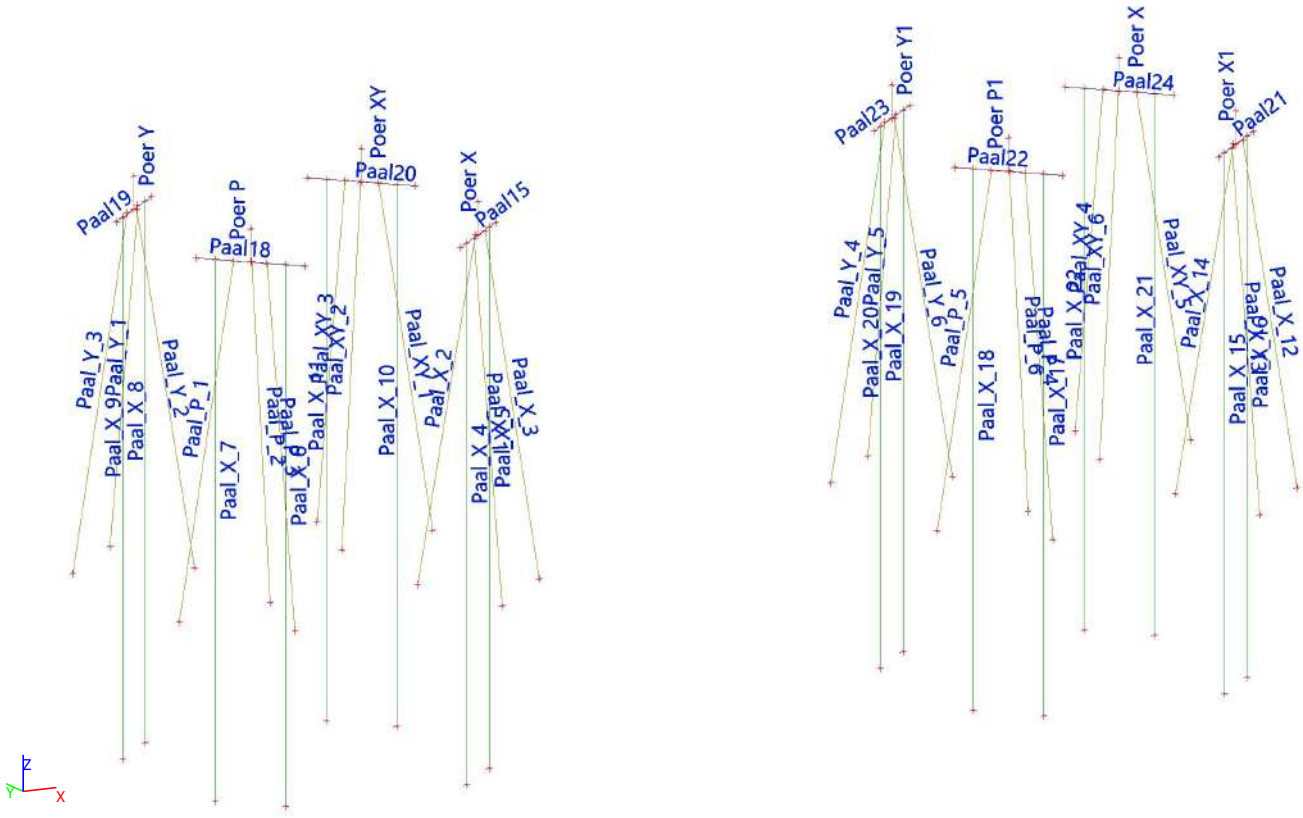


5.3. Staven

Naam	Doorsnede	Materiaal	Lengte [m]	Beginknoop	Eindknoop	Type
Paal15	lijnpoer - Rectangle (1100,00; 2260,00)	C30/37 Gescheurd	4,000	N26	N25	Balk (80)
Paal18	lijnpoer - Rectangle (1100,00; 2260,00)	C30/37 Gescheurd	4,000	N33	N35	Balk (80)
Paal19	lijnpoer - Rectangle (1100,00; 2260,00)	C30/37 Gescheurd	4,000	N37	N39	Balk (80)
Paal20	lijnpoer - Rectangle (1100,00; 2260,00)	C30/37 Gescheurd	4,000	N43	N41	Balk (80)
Paal21	lijnpoer - Rectangle (1100,00; 2260,00)	C30/37 Gescheurd	4,000	N70	N69	Balk (80)
Paal22	lijnpoer - Rectangle (1100,00; 2260,00)	C30/37 Gescheurd	4,000	N73	N75	Balk (80)
Paal23	lijnpoer - Rectangle (1100,00; 2260,00)	C30/37 Gescheurd	4,000	N77	N79	Balk (80)
Paal24	lijnpoer - Rectangle (1100,00; 2260,00)	C30/37 Gescheurd	4,000	N83	N81	Balk (80)
Paal_XY_2	Paal 40x40 - Rectangle (400,00; 400,00)	C20/25 Ongescheurd	13,000	1P20	N18	Kolom (100)
Paal_X_3	Paal 40x40 - Rectangle (400,00; 400,00)	C20/25 Ongescheurd	13,000	1P9	N13	Kolom (100)
Poer P	Poer - Rectangle (2200,00; 1060,00)	C12/15 Gescheurd	1,200	N1	1P	Kolom (100)
Poer P1	Poer - Rectangle (2200,00; 1060,00)	C12/15 Gescheurd	1,200	N53	1P28	Kolom (100)
Paal_P_5	Paal 40x40 - Rectangle (400,00; 400,00)	C20/25 Ongescheurd	13,000	1P30	N57	Kolom (100)
Poer X	Poer - Rectangle (2200,00; 1060,00)	C12/15 Gescheurd	1,200	N2	1Y	Kolom (100)
Paal_P_1	Paal 40x40 - Rectangle (400,00; 400,00)	C20/25 Ongescheurd	13,000	1P4	N5	Kolom (100)
Paal_P_2	Paal 40x40 - Rectangle (400,00; 400,00)	C20/25 Ongescheurd	13,000	1P6	N22	Kolom (100)
Paal_P_4	Paal 40x40 - Rectangle (400,00; 400,00)	C20/25 Ongescheurd	13,000	1P29	N58	Kolom (100)
Paal_XY_1	Paal 40x40 - Rectangle (400,00; 400,00)	C20/25 Ongescheurd	13,000	1P18	N16	Kolom (100)
Paal_XY_3	Paal 40x40 - Rectangle (400,00; 400,00)	C20/25 Ongescheurd	13,000	1P16	N17	Kolom (100)
Paal_XY_4	Paal 40x40 - Rectangle (400,00; 400,00)	C20/25 Ongescheurd	13,000	1P35	N64	Kolom (100)
Paal_XY_5	Paal 40x40 - Rectangle (400,00; 400,00)	C20/25 Ongescheurd	13,000	1P36	N63	Kolom (100)
Paal_X_1	Paal 40x40 - Rectangle (400,00; 400,00)	C20/25 Ongescheurd	13,000	1P11	N12	Kolom (100)
Poer X1	Poer - Rectangle (2200,00; 1060,00)	C12/15 Gescheurd	1,200	N54	1Y1	Kolom (100)
Poer XY	Poer - Rectangle (2200,00; 1060,00)	C12/15 Gescheurd	1,200	N3	1XY	Kolom (100)
Poer XY1	Poer - Rectangle (2200,00; 1060,00)	C12/15 Gescheurd	1,200	N55	1XY1	Kolom (100)
Poer Y	Poer - Rectangle (2200,00; 1060,00)	C12/15 Gescheurd	1,200	N4	1X	Kolom (100)
Poer Y1	Poer - Rectangle (2200,00; 1060,00)	C12/15 Gescheurd	1,200	N56	1X1	Kolom (100)
Paal_P_3	Paal 40x40 - Rectangle (400,00; 400,00)	C20/25 Ongescheurd	13,000	1P2	N6	Kolom (100)
Paal_P_6	Paal 40x40 - Rectangle (400,00; 400,00)	C20/25 Ongescheurd	13,000	1P31	N68	Kolom (100)

Naam	Doorsnede	Materiaal	Lengte [m]	Beginknoop	Eindknoop	Type
Paal_XY_6	Paal 40x40 - Rectangle (400,00; 400,00)	C20/25 Ongescheurd	13,000	1P37	N65	Kolom (100)
Paal_X_2	Paal 40x40 - Rectangle (400,00; 400,00)	C20/25 Ongescheurd	13,000	1P13	N8	Kolom (100)
Paal_X_4	LEKA Paal - type e (CHS219.1/10.0)	S 235	19,612	N47	N27	Kolom (100)
Paal_X_5	LEKA Paal - type e (CHS219.1/10.0)	S 235	19,612	N46	N28	Kolom (100)
Paal_X_6	LEKA Paal - type e (CHS219.1/10.0)	S 235	19,612	N50	N34	Kolom (100)
Paal_X_7	LEKA Paal - type e (CHS219.1/10.0)	S 235	19,612	N52	N36	Kolom (100)
Paal_X_8	LEKA Paal - type e (CHS219.1/10.0)	S 235	19,612	N45	N38	Kolom (100)
Paal_X_9	LEKA Paal - type e (CHS219.1/10.0)	S 235	19,612	N48	N40	Kolom (100)
Paal_X_10	LEKA Paal - type e (CHS219.1/10.0)	S 235	19,612	N49	N44	Kolom (100)
Paal_X_11	LEKA Paal - type e (CHS219.1/10.0)	S 235	19,612	N51	N42	Kolom (100)
Paal_X_12	Paal 40x40 - Rectangle (400,00; 400,00)	C20/25 Ongescheurd	13,000	1P32	N62	Kolom (100)
Paal_X_13	Paal 40x40 - Rectangle (400,00; 400,00)	C20/25 Ongescheurd	13,000	1P33	N61	Kolom (100)
Paal_X_14	Paal 40x40 - Rectangle (400,00; 400,00)	C20/25 Ongescheurd	13,000	1P34	N59	Kolom (100)
Paal_X_15	LEKA Paal - type e (CHS219.1/10.0)	S 235	19,612	N87	N71	Kolom (100)
Paal_X_16	LEKA Paal - type e (CHS219.1/10.0)	S 235	19,612	N86	N72	Kolom (100)
Paal_X_17	LEKA Paal - type e (CHS219.1/10.0)	S 235	19,612	N90	N74	Kolom (100)
Paal_X_18	LEKA Paal - type e (CHS219.1/10.0)	S 235	19,612	N92	N76	Kolom (100)
Paal_X_19	LEKA Paal - type e (CHS219.1/10.0)	S 235	19,612	N85	N78	Kolom (100)
Paal_X_20	LEKA Paal - type e (CHS219.1/10.0)	S 235	19,612	N88	N80	Kolom (100)
Paal_X_21	LEKA Paal - type e (CHS219.1/10.0)	S 235	19,612	N89	N84	Kolom (100)
Paal_X_22	LEKA Paal - type e (CHS219.1/10.0)	S 235	19,612	N91	N82	Kolom (100)
Paal_Y_1	Paal 40x40 - Rectangle (400,00; 400,00)	C20/25 Ongescheurd	13,000	1P25	N20	Kolom (100)
Paal_Y_2	Paal 40x40 - Rectangle (400,00; 400,00)	C20/25 Ongescheurd	13,000	1P27	N21	Kolom (100)
Paal_Y_3	Paal 40x40 - Rectangle (400,00; 400,00)	C20/25 Ongescheurd	13,000	1P23	N10	Kolom (100)
Paal_Y_4	Paal 40x40 - Rectangle (400,00; 400,00)	C20/25 Ongescheurd	13,000	1P38	N60	Kolom (100)
Paal_Y_5	Paal 40x40 - Rectangle (400,00; 400,00)	C20/25 Ongescheurd	13,000	1P39	N66	Kolom (100)
Paal_Y_6	Paal 40x40 - Rectangle (400,00; 400,00)	C20/25 Ongescheurd	13,000	1P40	N67	Kolom (100)

5.4. Analyse model met Staven



5.5. Knoopsteunpunten

Naam	Knoop	Systeem	Type	X	Y	Z	Rx	Ry	Rz	Hoek [deg]
S_P_1	N5	LCS van knoop	Standaard	Vrij	Vrij	Niet-lineair	Vrij	Vrij	Vrij	Ry9,50
S_P_2	N22	LCS van knoop	Standaard	Vrij	Vrij	Niet-lineair	Vrij	Vrij	Vrij	Rx6,72;Ry-6,72
S_P_3	N6	LCS van knoop	Standaard	Vrij	Vrij	Niet-lineair	Vrij	Vrij	Vrij	Rx-9,50
S_X_1	N12	LCS van knoop	Standaard	Vrij	Vrij	Niet-lineair	Vrij	Vrij	Vrij	Rx-9,50
S_X_2	N8	LCS van knoop	Standaard	Vrij	Vrij	Niet-lineair	Vrij	Vrij	Vrij	Rx6,72;Ry6,72
S_X_3	N13	LCS van knoop	Standaard	Vrij	Vrij	Niet-lineair	Vrij	Vrij	Vrij	Ry-9,50
S_XY_1	N16	LCS van knoop	Standaard	Vrij	Vrij	Niet-lineair	Vrij	Vrij	Vrij	Ry-9,50
S_XY_2	N18	LCS van knoop	Standaard	Vrij	Vrij	Niet-lineair	Vrij	Vrij	Vrij	Rx-6,72;Ry6,72
S_XY_3	N17	LCS van knoop	Standaard	Vrij	Vrij	Niet-lineair	Vrij	Vrij	Vrij	Rx9,50
S_Y_1	N20	LCS van knoop	Standaard	Vrij	Vrij	Niet-lineair	Vrij	Vrij	Vrij	Rx9,50
S_Y_2	N21	LCS van knoop	Standaard	Vrij	Vrij	Niet-lineair	Vrij	Vrij	Vrij	Rx-6,72;Ry-6,72
S_Y_3	N10	LCS van knoop	Standaard	Vrij	Vrij	Niet-lineair	Vrij	Vrij	Vrij	Ry9,50
S_Y_4	N27	LCS van knoop	Standaard	Vrij	Vrij	Niet-lineair	Vrij	Vrij	Vrij	
S_Y_5	N28	LCS van knoop	Standaard	Vrij	Vrij	Niet-lineair	Vrij	Vrij	Vrij	
S_Y_6	N34	LCS van knoop	Standaard	Vrij	Vrij	Niet-lineair	Vrij	Vrij	Vrij	
S_Y_7	N36	LCS van knoop	Standaard	Vrij	Vrij	Niet-lineair	Vrij	Vrij	Vrij	
S_Y_8	N38	LCS van knoop	Standaard	Vrij	Vrij	Niet-lineair	Vrij	Vrij	Vrij	
S_Y_9	N40	LCS van knoop	Standaard	Vrij	Vrij	Niet-lineair	Vrij	Vrij	Vrij	
S_Y_10	N42	LCS van knoop	Standaard	Vrij	Vrij	Niet-lineair	Vrij	Vrij	Vrij	
S_Y_11	N44	LCS van knoop	Standaard	Vrij	Vrij	Niet-lineair	Vrij	Vrij	Vrij	
S_P_4	N57	LCS van knoop	Standaard	Vrij	Vrij	Niet-lineair	Vrij	Vrij	Vrij	Ry9,50
S_P_5	N58	LCS van knoop	Standaard	Vrij	Vrij	Niet-lineair	Vrij	Vrij	Vrij	Rx-9,50
S_X_4	N59	LCS van knoop	Standaard	Vrij	Vrij	Niet-lineair	Vrij	Vrij	Vrij	Rx6,72;Ry6,72
S_Y_12	N60	LCS van knoop	Standaard	Vrij	Vrij	Niet-lineair	Vrij	Vrij	Vrij	Ry9,50
S_X_5	N61	LCS van knoop	Standaard	Vrij	Vrij	Niet-lineair	Vrij	Vrij	Vrij	Rx-9,50
S_X_6	N62	LCS van knoop	Standaard	Vrij	Vrij	Niet-lineair	Vrij	Vrij	Vrij	Ry-9,50
S_XY_4	N63	LCS van knoop	Standaard	Vrij	Vrij	Niet-lineair	Vrij	Vrij	Vrij	Ry-9,50
S_XY_5	N64	LCS van knoop	Standaard	Vrij	Vrij	Niet-lineair	Vrij	Vrij	Vrij	Rx9,50
S_XY_6	N65	LCS van knoop	Standaard	Vrij	Vrij	Niet-lineair	Vrij	Vrij	Vrij	Rx-6,72;Ry6,72
S_Y_13	N66	LCS van knoop	Standaard	Vrij	Vrij	Niet-lineair	Vrij	Vrij	Vrij	Rx9,50
S_Y_14	N67	LCS van knoop	Standaard	Vrij	Vrij	Niet-lineair	Vrij	Vrij	Vrij	Rx-6,72;Ry-6,72
S_P_6	N68	LCS van knoop	Standaard	Vrij	Vrij	Niet-lineair	Vrij	Vrij	Vrij	Rx6,72;Ry-6,72
S_Y_15	N71	LCS van knoop	Standaard	Vrij	Vrij	Niet-lineair	Vrij	Vrij	Vrij	
S_Y_16	N72	LCS van knoop	Standaard	Vrij	Vrij	Niet-lineair	Vrij	Vrij	Vrij	
S_Y_17	N74	LCS van knoop	Standaard	Vrij	Vrij	Niet-lineair	Vrij	Vrij	Vrij	
S_Y_18	N76	LCS van knoop	Standaard	Vrij	Vrij	Niet-lineair	Vrij	Vrij	Vrij	
S_Y_19	N78	LCS van knoop	Standaard	Vrij	Vrij	Niet-lineair	Vrij	Vrij	Vrij	
S_Y_20	N80	LCS van knoop	Standaard	Vrij	Vrij	Niet-lineair	Vrij	Vrij	Vrij	
S_Y_21	N82	LCS van knoop	Standaard	Vrij	Vrij	Niet-lineair	Vrij	Vrij	Vrij	
S_Y_22	N84	LCS van knoop	Standaard	Vrij	Vrij	Niet-lineair	Vrij	Vrij	Vrij	

5.6. Analyse model met Knoopondersteuningen



5.7. Lijnsteunpunten op staven

Naam	Type	Staaf	Pos x_1 [m]	X	Y	Z	Rx	Ry	Rz	Functie Y	Functie Z
		Systeem	Pos x_2 [m]								
Veen15	Lijn	Paal_XY_5	1,000	Vrij	Niet-lineair	Niet-lineair	Vrij	Vrij	Vrij	PY-curve-1_Veen	PY-curve-1_Veen
		LCS	8,000								
Veen13	Lijn	Paal_X_14	1,000	Vrij	Niet-lineair	Niet-lineair	Vrij	Vrij	Vrij	PY-curve-1_Veen	PY-curve-1_Veen
		LCS	8,000								
Veen30	Lijn	Paal_X_10	1,000	Vrij	Niet-lineair	Niet-lineair	Vrij	Vrij	Vrij	PY-curve-1_Veen.B	PY-curve-1_Veen.B
		LCS	8,000								
Veen17	Lijn	Paal_Y_4	1,000	Vrij	Niet-lineair	Niet-lineair	Vrij	Vrij	Vrij	PY-curve-1_Veen	PY-curve-1_Veen
		LCS	8,000								
Veen26	Lijn	Paal_X_6	1,000	Vrij	Niet-lineair	Niet-lineair	Vrij	Vrij	Vrij	PY-curve-1_Veen.B	PY-curve-1_Veen.B
		LCS	8,000								
Veen34	Lijn	Paal_X_17	1,000	Vrij	Niet-lineair	Niet-lineair	Vrij	Vrij	Vrij	PY-curve-1_Veen.B	PY-curve-1_Veen.B
		LCS	8,000								
Veen32	Lijn	Paal_X_15	1,000	Vrij	Niet-lineair	Niet-lineair	Vrij	Vrij	Vrij	PY-curve-1_Veen.B	PY-curve-1_Veen.B
		LCS	8,000								
Veen	Lijn	Paal_P_3	1,000	Vrij	Niet-lineair	Niet-lineair	Vrij	Vrij	Vrij	PY-curve-1_Veen	PY-curve-1_Veen
		LCS	8,000								
Veen16	Lijn	Paal_XY_6	1,000	Vrij	Niet-lineair	Niet-lineair	Vrij	Vrij	Vrij	PY-curve-1_Veen	PY-curve-1_Veen
		LCS	8,000								
Veen29	Lijn	Paal_X_9	1,000	Vrij	Niet-lineair	Niet-lineair	Vrij	Vrij	Vrij	PY-curve-1_Veen.B	PY-curve-1_Veen.B
		LCS	8,000								
Veen18	Lijn	Paal_Y_5	1,000	Vrij	Niet-lineair	Niet-lineair	Vrij	Vrij	Vrij	PY-curve-1_Veen	PY-curve-1_Veen
		LCS	8,000								
Veen9	Lijn	Paal_Y_3	1,000	Vrij	Niet-lineair	Niet-lineair	Vrij	Vrij	Vrij	PY-curve-1_Veen	PY-curve-1_Veen
		LCS	8,000								
Veen33	Lijn	Paal_X_16	1,000	Vrij	Niet-lineair	Niet-lineair	Vrij	Vrij	Vrij	PY-curve-1_Veen.B	PY-curve-1_Veen.B
		LCS	8,000								
Veen37	Lijn	Paal_X_20	1,000	Vrij	Niet-lineair	Niet-lineair	Vrij	Vrij	Vrij	PY-curve-1_Veen.B	PY-curve-1_Veen.B

Naam	Type	Staaf Systeem	Pos x_1 [m] Pos x_2 [m]	X	Y	Z	Rx	Ry	Rz	Functie Y	Functie Z
		LCS	8,000								
Veen19	Lijn	Paal_Y_6 LCS	1,000 8,000	Vrij	Niet-lineair	Niet-lineair	Vrij	Vrij	Vrij	PY-curve-1_Veen	PY-curve-1_Veen
Veen11	Lijn	Paal_Y_2 LCS	1,000 8,000	Vrij	Niet-lineair	Niet-lineair	Vrij	Vrij	Vrij	PY-curve-1_Veen	PY-curve-1_Veen
Veen2	Lijn	Paal_P_2 LCS	1,000 8,000	Vrij	Niet-lineair	Niet-lineair	Vrij	Vrij	Vrij	PY-curve-1_Veen	PY-curve-1_Veen
Veen25	Lijn	Paal_X_5 LCS	1,000 8,000	Vrij	Niet-lineair	Niet-lineair	Vrij	Vrij	Vrij	PY-curve-1_Veen.B	PY-curve-1_Veen.B
Veen6	Lijn	Paal_XY_3 LCS	1,000 8,000	Vrij	Niet-lineair	Niet-lineair	Vrij	Vrij	Vrij	PY-curve-1_Veen	PY-curve-1_Veen
Veen28	Lijn	Paal_X_8 LCS	1,000 8,000	Vrij	Niet-lineair	Niet-lineair	Vrij	Vrij	Vrij	PY-curve-1_Veen.B	PY-curve-1_Veen.B
Veen36	Lijn	Paal_X_19 LCS	1,000 8,000	Vrij	Niet-lineair	Niet-lineair	Vrij	Vrij	Vrij	PY-curve-1_Veen.B	PY-curve-1_Veen.B
Veen5	Lijn	Paal_X_2 LCS	1,000 8,000	Vrij	Niet-lineair	Niet-lineair	Vrij	Vrij	Vrij	PY-curve-1_Veen	PY-curve-1_Veen
Veen4	Lijn	Paal_X_1 LCS	1,000 8,000	Vrij	Niet-lineair	Niet-lineair	Vrij	Vrij	Vrij	PY-curve-1_Veen	PY-curve-1_Veen
Veen35	Lijn	Paal_X_18 LCS	1,000 8,000	Vrij	Niet-lineair	Niet-lineair	Vrij	Vrij	Vrij	PY-curve-1_Veen.B	PY-curve-1_Veen.B
Veen24	Lijn	Paal_X_4 LCS	1,000 8,000	Vrij	Niet-lineair	Niet-lineair	Vrij	Vrij	Vrij	PY-curve-1_Veen.B	PY-curve-1_Veen.B
Veen20	Lijn	Paal_P_4 LCS	1,000 8,000	Vrij	Niet-lineair	Niet-lineair	Vrij	Vrij	Vrij	PY-curve-1_Veen	PY-curve-1_Veen
Veen8	Lijn	Paal_XY_2 LCS	1,000 8,000	Vrij	Niet-lineair	Niet-lineair	Vrij	Vrij	Vrij	PY-curve-1_Veen	PY-curve-1_Veen
Veen23	Lijn	Paal_X_12 LCS	1,000 8,000	Vrij	Niet-lineair	Niet-lineair	Vrij	Vrij	Vrij	PY-curve-1_Veen	PY-curve-1_Veen
Veen38	Lijn	Paal_X_21 LCS	1,000 8,000	Vrij	Niet-lineair	Niet-lineair	Vrij	Vrij	Vrij	PY-curve-1_Veen.B	PY-curve-1_Veen.B
Veen1	Lijn	Paal_P_1 LCS	1,000 8,000	Vrij	Niet-lineair	Niet-lineair	Vrij	Vrij	Vrij	PY-curve-1_Veen	PY-curve-1_Veen
Veen7	Lijn	Paal_XY_1 LCS	1,000 8,000	Vrij	Niet-lineair	Niet-lineair	Vrij	Vrij	Vrij	PY-curve-1_Veen	PY-curve-1_Veen
Veen21	Lijn	Paal_P_5 LCS	1,000 8,000	Vrij	Niet-lineair	Niet-lineair	Vrij	Vrij	Vrij	PY-curve-1_Veen	PY-curve-1_Veen
Veen3	Lijn	Paal_X_3 LCS	1,000 8,000	Vrij	Niet-lineair	Niet-lineair	Vrij	Vrij	Vrij	PY-curve-1_Veen	PY-curve-1_Veen
Veen12	Lijn	Paal_X_13 LCS	1,000 8,000	Vrij	Niet-lineair	Niet-lineair	Vrij	Vrij	Vrij	PY-curve-1_Veen	PY-curve-1_Veen
Veen22	Lijn	Paal_P_6 LCS	1,000 8,000	Vrij	Niet-lineair	Niet-lineair	Vrij	Vrij	Vrij	PY-curve-1_Veen	PY-curve-1_Veen
Veen39	Lijn	Paal_X_22 LCS	1,000 8,000	Vrij	Niet-lineair	Niet-lineair	Vrij	Vrij	Vrij	PY-curve-1_Veen.B	PY-curve-1_Veen.B
Veen10	Lijn	Paal_Y_1 LCS	1,000 8,000	Vrij	Niet-lineair	Niet-lineair	Vrij	Vrij	Vrij	PY-curve-1_Veen	PY-curve-1_Veen
Veen27	Lijn	Paal_X_7 LCS	1,000 8,000	Vrij	Niet-lineair	Niet-lineair	Vrij	Vrij	Vrij	PY-curve-1_Veen.B	PY-curve-1_Veen.B
Veen14	Lijn	Paal_XY_4 LCS	1,000 8,000	Vrij	Niet-lineair	Niet-lineair	Vrij	Vrij	Vrij	PY-curve-1_Veen	PY-curve-1_Veen
Veen31	Lijn	Paal_X_11 LCS	1,000 8,000	Vrij	Niet-lineair	Niet-lineair	Vrij	Vrij	Vrij	PY-curve-1_Veen.B	PY-curve-1_Veen.B
(PY-curve-1_V1)24	Lijn	Paal_X_4 LCS	8,000 9,000	Vrij	Niet-lineair	Niet-lineair	Vrij	Vrij	Vrij	PY-curve-1_V1.B	PY-curve-1_V1.B
(PY-curve-1_V1)21	Lijn	Paal_P_5 LCS	8,000 9,000	Vrij	Niet-lineair	Niet-lineair	Vrij	Vrij	Vrij	PY-curve-1_V1	PY-curve-1_V1
(PY-curve-1_V1)38	Lijn	Paal_X_21 LCS	8,000 9,000	Vrij	Niet-lineair	Niet-lineair	Vrij	Vrij	Vrij	PY-curve-1_V1.B	PY-curve-1_V1.B
(PY-curve-1_V1)39	Lijn	Paal_X_22 LCS	8,000 9,000	Vrij	Niet-lineair	Niet-lineair	Vrij	Vrij	Vrij	PY-curve-1_V1.B	PY-curve-1_V1.B
(PY-curve-1_V1)10	Lijn	Paal_XY_2 LCS	8,000 9,000	Vrij	Niet-lineair	Niet-lineair	Vrij	Vrij	Vrij	PY-curve-1_V1	PY-curve-1_V1
(PY-curve-1_V1)30	Lijn	Paal_X_10	8,000	Vrij	Niet-lineair	Niet-lineair	Vrij	Vrij	Vrij	PY-curve-1_V1.B	PY-curve-1_V1.B

Naam	Type	Staaf Systeem	Pos x_1 [m] Pos x_2 [m]	X	Y	Z	Rx	Ry	Rz	Functie Y	Functie Z
		LCS	9,000								
(PY-curve-1_V1)15	Lijn	Paal_XY_5 LCS	8,000 9,000	Vrij	Niet-lineair	Niet-lineair	Vrij	Vrij	Vrij	PY-curve-1_V1	PY-curve-1_V1
(PY-curve-1_V1)16	Lijn	Paal_XY_6 LCS	8,000 9,000	Vrij	Niet-lineair	Niet-lineair	Vrij	Vrij	Vrij	PY-curve-1_V1	PY-curve-1_V1
(PY-curve-1_V1)3	Lijn	Paal_X_3 LCS	8,000 9,000	Vrij	Niet-lineair	Niet-lineair	Vrij	Vrij	Vrij	PY-curve-1_V1	PY-curve-1_V1
(PY-curve-1_V1)25	Lijn	Paal_X_5 LCS	8,000 9,000	Vrij	Niet-lineair	Niet-lineair	Vrij	Vrij	Vrij	PY-curve-1_V1.B	PY-curve-1_V1.B
(PY-curve-1_V1)34	Lijn	Paal_X_17 LCS	8,000 9,000	Vrij	Niet-lineair	Niet-lineair	Vrij	Vrij	Vrij	PY-curve-1_V1.B	PY-curve-1_V1.B
(PY-curve-1_V1)17	Lijn	Paal_Y_4 LCS	8,000 9,000	Vrij	Niet-lineair	Niet-lineair	Vrij	Vrij	Vrij	PY-curve-1_V1	PY-curve-1_V1
(PY-curve-1_V1)31	Lijn	Paal_X_11 LCS	8,000 9,000	Vrij	Niet-lineair	Niet-lineair	Vrij	Vrij	Vrij	PY-curve-1_V1.B	PY-curve-1_V1.B
(PY-curve-1_V1)1	Lijn	Paal_P_3 LCS	8,000 9,000	Vrij	Niet-lineair	Niet-lineair	Vrij	Vrij	Vrij	PY-curve-1_V1	PY-curve-1_V1
(PY-curve-1_V1)19	Lijn	Paal_Y_6 LCS	8,000 9,000	Vrij	Niet-lineair	Niet-lineair	Vrij	Vrij	Vrij	PY-curve-1_V1	PY-curve-1_V1
(PY-curve-1_V1)13	Lijn	Paal_X_14 LCS	8,000 9,000	Vrij	Niet-lineair	Niet-lineair	Vrij	Vrij	Vrij	PY-curve-1_V1	PY-curve-1_V1
(PY-curve-1_V1)11	Lijn	Paal_Y_2 LCS	8,000 9,000	Vrij	Niet-lineair	Niet-lineair	Vrij	Vrij	Vrij	PY-curve-1_V1	PY-curve-1_V1
(PY-curve-1_V1)9	Lijn	Paal_X_2 LCS	8,000 9,000	Vrij	Niet-lineair	Niet-lineair	Vrij	Vrij	Vrij	PY-curve-1_V1	PY-curve-1_V1
(PY-curve-1_V1)18	Lijn	Paal_Y_5 LCS	8,000 9,000	Vrij	Niet-lineair	Niet-lineair	Vrij	Vrij	Vrij	PY-curve-1_V1	PY-curve-1_V1
(PY-curve-1_V1)32	Lijn	Paal_X_15 LCS	8,000 9,000	Vrij	Niet-lineair	Niet-lineair	Vrij	Vrij	Vrij	PY-curve-1_V1.B	PY-curve-1_V1.B
(PY-curve-1_V1)29	Lijn	Paal_X_9 LCS	8,000 9,000	Vrij	Niet-lineair	Niet-lineair	Vrij	Vrij	Vrij	PY-curve-1_V1.B	PY-curve-1_V1.B
(PY-curve-1_V1)6	Lijn	Paal_Y_1 LCS	8,000 9,000	Vrij	Niet-lineair	Niet-lineair	Vrij	Vrij	Vrij	PY-curve-1_V1	PY-curve-1_V1
(PY-curve-1_V1)5	Lijn	Paal_XY_3 LCS	8,000 9,000	Vrij	Niet-lineair	Niet-lineair	Vrij	Vrij	Vrij	PY-curve-1_V1	PY-curve-1_V1
(PY-curve-1_V1)23	Lijn	Paal_X_12 LCS	8,000 9,000	Vrij	Niet-lineair	Niet-lineair	Vrij	Vrij	Vrij	PY-curve-1_V1	PY-curve-1_V1
(PY-curve-1_V1)28	Lijn	Paal_X_8 LCS	8,000 9,000	Vrij	Niet-lineair	Niet-lineair	Vrij	Vrij	Vrij	PY-curve-1_V1.B	PY-curve-1_V1.B
(PY-curve-1_V1)35	Lijn	Paal_X_18 LCS	8,000 9,000	Vrij	Niet-lineair	Niet-lineair	Vrij	Vrij	Vrij	PY-curve-1_V1.B	PY-curve-1_V1.B
(PY-curve-1_V1)37	Lijn	Paal_X_20 LCS	8,000 9,000	Vrij	Niet-lineair	Niet-lineair	Vrij	Vrij	Vrij	PY-curve-1_V1.B	PY-curve-1_V1.B
(PY-curve-1_V1)36	Lijn	Paal_X_19 LCS	8,000 9,000	Vrij	Niet-lineair	Niet-lineair	Vrij	Vrij	Vrij	PY-curve-1_V1.B	PY-curve-1_V1.B
(PY-curve-1_V1)8	Lijn	Paal_P_2 LCS	8,000 9,000	Vrij	Niet-lineair	Niet-lineair	Vrij	Vrij	Vrij	PY-curve-1_V1	PY-curve-1_V1
(PY-curve-1_V1)20	Lijn	Paal_P_4 LCS	8,000 9,000	Vrij	Niet-lineair	Niet-lineair	Vrij	Vrij	Vrij	PY-curve-1_V1	PY-curve-1_V1
(PY-curve-1_V1)2	Lijn	Paal_X_1 LCS	8,000 9,000	Vrij	Niet-lineair	Niet-lineair	Vrij	Vrij	Vrij	PY-curve-1_V1	PY-curve-1_V1
(PY-curve-1_V1)14	Lijn	Paal_XY_4 LCS	8,000 9,000	Vrij	Niet-lineair	Niet-lineair	Vrij	Vrij	Vrij	PY-curve-1_V1	PY-curve-1_V1
(PY-curve-1_V1)26	Lijn	Paal_X_6 LCS	8,000 9,000	Vrij	Niet-lineair	Niet-lineair	Vrij	Vrij	Vrij	PY-curve-1_V1.B	PY-curve-1_V1.B
(PY-curve-1_V1)12	Lijn	Paal_X_13 LCS	8,000 9,000	Vrij	Niet-lineair	Niet-lineair	Vrij	Vrij	Vrij	PY-curve-1_V1	PY-curve-1_V1
(PY-curve-1_V1)	Lijn	Paal_P_1 LCS	8,000 9,000	Vrij	Niet-lineair	Niet-lineair	Vrij	Vrij	Vrij	PY-curve-1_V1	PY-curve-1_V1
(PY-curve-1_V1)27	Lijn	Paal_X_7 LCS	8,000 9,000	Vrij	Niet-lineair	Niet-lineair	Vrij	Vrij	Vrij	PY-curve-1_V1.B	PY-curve-1_V1.B
(PY-curve-1_V1)33	Lijn	Paal_X_16 LCS	8,000 9,000	Vrij	Niet-lineair	Niet-lineair	Vrij	Vrij	Vrij	PY-curve-1_V1.B	PY-curve-1_V1.B
(PY-curve-1_V1)7	Lijn	Paal_Y_3	8,000	Vrij	Niet-lineair	Niet-lineair	Vrij	Vrij	Vrij	PY-curve-1_V1	PY-curve-1_V1

Naam	Type	Staaf Systeem	Pos x_1 [m] Pos x_2 [m]	X	Y	Z	Rx	Ry	Rz	Functie Y	Functie Z
		LCS	9,000								
(PY-curve-1_V1)22	Lijn	Paal_P_6 LCS	8,000 9,000	Vrij	Niet-lineair	Niet-lineair	Vrij	Vrij	Vrij	PY-curve-1_V1	PY-curve-1_V1
(PY-curve-1_V1)4	Lijn	Paal_XY_1 LCS	8,000 9,000	Vrij	Niet-lineair	Niet-lineair	Vrij	Vrij	Vrij	PY-curve-1_V1	PY-curve-1_V1
(PY-curve-1_V2)24	Lijn	Paal_X_4 LCS	9,000 10,000	Vrij	Niet-lineair	Niet-lineair	Vrij	Vrij	Vrij	PY-curve-1_V2.B	PY-curve-1_V2.B
(PY-curve-1_V2)7	Lijn	Paal_Y_3 LCS	9,000 10,000	Vrij	Niet-lineair	Niet-lineair	Vrij	Vrij	Vrij	PY-curve-1_V2	PY-curve-1_V2
(PY-curve-1_V2)38	Lijn	Paal_X_21 LCS	9,000 10,000	Vrij	Niet-lineair	Niet-lineair	Vrij	Vrij	Vrij	PY-curve-1_V2.B	PY-curve-1_V2.B
(PY-curve-1_V2)28	Lijn	Paal_X_8 LCS	9,000 10,000	Vrij	Niet-lineair	Niet-lineair	Vrij	Vrij	Vrij	PY-curve-1_V2.B	PY-curve-1_V2.B
(PY-curve-1_V2)3	Lijn	Paal_X_3 LCS	9,000 10,000	Vrij	Niet-lineair	Niet-lineair	Vrij	Vrij	Vrij	PY-curve-1_V2	PY-curve-1_V2
(PY-curve-1_V2)37	Lijn	Paal_X_20 LCS	9,000 10,000	Vrij	Niet-lineair	Niet-lineair	Vrij	Vrij	Vrij	PY-curve-1_V2.B	PY-curve-1_V2.B
(PY-curve-1_V2)34	Lijn	Paal_X_17 LCS	9,000 10,000	Vrij	Niet-lineair	Niet-lineair	Vrij	Vrij	Vrij	PY-curve-1_V2.B	PY-curve-1_V2.B
(PY-curve-1_V2)35	Lijn	Paal_X_18 LCS	9,000 10,000	Vrij	Niet-lineair	Niet-lineair	Vrij	Vrij	Vrij	PY-curve-1_V2.B	PY-curve-1_V2.B
(PY-curve-1_V2)6	Lijn	Paal_Y_1 LCS	9,000 10,000	Vrij	Niet-lineair	Niet-lineair	Vrij	Vrij	Vrij	PY-curve-1_V2	PY-curve-1_V2
(PY-curve-1_V2)1	Lijn	Paal_P_3 LCS	9,000 10,000	Vrij	Niet-lineair	Niet-lineair	Vrij	Vrij	Vrij	PY-curve-1_V2	PY-curve-1_V2
(PY-curve-1_V2)33	Lijn	Paal_X_16 LCS	9,000 10,000	Vrij	Niet-lineair	Niet-lineair	Vrij	Vrij	Vrij	PY-curve-1_V2.B	PY-curve-1_V2.B
(PY-curve-1_V2)11	Lijn	Paal_Y_2 LCS	9,000 10,000	Vrij	Niet-lineair	Niet-lineair	Vrij	Vrij	Vrij	PY-curve-1_V2	PY-curve-1_V2
(PY-curve-1_V2)32	Lijn	Paal_X_15 LCS	9,000 10,000	Vrij	Niet-lineair	Niet-lineair	Vrij	Vrij	Vrij	PY-curve-1_V2.B	PY-curve-1_V2.B
(PY-curve-1_V2)30	Lijn	Paal_X_10 LCS	9,000 10,000	Vrij	Niet-lineair	Niet-lineair	Vrij	Vrij	Vrij	PY-curve-1_V2.B	PY-curve-1_V2.B
(PY-curve-1_V2)18	Lijn	Paal_Y_5 LCS	9,000 10,000	Vrij	Niet-lineair	Niet-lineair	Vrij	Vrij	Vrij	PY-curve-1_V2	PY-curve-1_V2
(PY-curve-1_V2)36	Lijn	Paal_X_19 LCS	9,000 10,000	Vrij	Niet-lineair	Niet-lineair	Vrij	Vrij	Vrij	PY-curve-1_V2.B	PY-curve-1_V2.B
(PY-curve-1_V2)17	Lijn	Paal_Y_4 LCS	9,000 10,000	Vrij	Niet-lineair	Niet-lineair	Vrij	Vrij	Vrij	PY-curve-1_V2	PY-curve-1_V2
(PY-curve-1_V2)29	Lijn	Paal_X_9 LCS	9,000 10,000	Vrij	Niet-lineair	Niet-lineair	Vrij	Vrij	Vrij	PY-curve-1_V2.B	PY-curve-1_V2.B
(PY-curve-1_V2)16	Lijn	Paal_XY_6 LCS	9,000 10,000	Vrij	Niet-lineair	Niet-lineair	Vrij	Vrij	Vrij	PY-curve-1_V2	PY-curve-1_V2
(PY-curve-1_V2)10	Lijn	Paal_XY_2 LCS	9,000 10,000	Vrij	Niet-lineair	Niet-lineair	Vrij	Vrij	Vrij	PY-curve-1_V2	PY-curve-1_V2
(PY-curve-1_V2)19	Lijn	Paal_Y_6 LCS	9,000 10,000	Vrij	Niet-lineair	Niet-lineair	Vrij	Vrij	Vrij	PY-curve-1_V2	PY-curve-1_V2
(PY-curve-1_V2)15	Lijn	Paal_XY_5 LCS	9,000 10,000	Vrij	Niet-lineair	Niet-lineair	Vrij	Vrij	Vrij	PY-curve-1_V2	PY-curve-1_V2
(PY-curve-1_V2)20	Lijn	Paal_P_4 LCS	9,000 10,000	Vrij	Niet-lineair	Niet-lineair	Vrij	Vrij	Vrij	PY-curve-1_V2	PY-curve-1_V2
(PY-curve-1_V2)2	Lijn	Paal_X_1 LCS	9,000 10,000	Vrij	Niet-lineair	Niet-lineair	Vrij	Vrij	Vrij	PY-curve-1_V2	PY-curve-1_V2
(PY-curve-1_V2)27	Lijn	Paal_X_7 LCS	9,000 10,000	Vrij	Niet-lineair	Niet-lineair	Vrij	Vrij	Vrij	PY-curve-1_V2.B	PY-curve-1_V2.B
(PY-curve-1_V2)9	Lijn	Paal_X_2 LCS	9,000 10,000	Vrij	Niet-lineair	Niet-lineair	Vrij	Vrij	Vrij	PY-curve-1_V2	PY-curve-1_V2
(PY-curve-1_V2)13	Lijn	Paal_X_14 LCS	9,000 10,000	Vrij	Niet-lineair	Niet-lineair	Vrij	Vrij	Vrij	PY-curve-1_V2	PY-curve-1_V2
(PY-curve-1_V2)31	Lijn	Paal_X_11 LCS	9,000 10,000	Vrij	Niet-lineair	Niet-lineair	Vrij	Vrij	Vrij	PY-curve-1_V2.B	PY-curve-1_V2.B
(PY-curve-1_V2)	Lijn	Paal_P_1 LCS	9,000 10,000	Vrij	Niet-lineair	Niet-lineair	Vrij	Vrij	Vrij	PY-curve-1_V2	PY-curve-1_V2
(PY-curve-1_V2)39	Lijn	Paal_X_22	9,000	Vrij	Niet-lineair	Niet-lineair	Vrij	Vrij	Vrij	PY-curve-1_V2.B	PY-curve-1_V2.B

Naam	Type	Staaf Systeem	Pos x_1 [m] Pos x_2 [m]	X	Y	Z	Rx	Ry	Rz	Functie Y	Functie Z
		LCS	10,000								
(PY-curve-1_V2)4	Lijn	Paal_XY_1 LCS	9,000 10,000	Vrij	Niet-lineair	Niet-lineair	Vrij	Vrij	Vrij	PY-curve-1_V2	PY-curve-1_V2
(PY-curve-1_V2)12	Lijn	Paal_X_13 LCS	9,000 10,000	Vrij	Niet-lineair	Niet-lineair	Vrij	Vrij	Vrij	PY-curve-1_V2	PY-curve-1_V2
(PY-curve-1_V2)26	Lijn	Paal_X_6 LCS	9,000 10,000	Vrij	Niet-lineair	Niet-lineair	Vrij	Vrij	Vrij	PY-curve-1_V2.B	PY-curve-1_V2.B
(PY-curve-1_V2)23	Lijn	Paal_X_12 LCS	9,000 10,000	Vrij	Niet-lineair	Niet-lineair	Vrij	Vrij	Vrij	PY-curve-1_V2	PY-curve-1_V2
(PY-curve-1_V2)8	Lijn	Paal_P_2 LCS	9,000 10,000	Vrij	Niet-lineair	Niet-lineair	Vrij	Vrij	Vrij	PY-curve-1_V2	PY-curve-1_V2
(PY-curve-1_V2)25	Lijn	Paal_X_5 LCS	9,000 10,000	Vrij	Niet-lineair	Niet-lineair	Vrij	Vrij	Vrij	PY-curve-1_V2.B	PY-curve-1_V2.B
(PY-curve-1_V2)22	Lijn	Paal_P_6 LCS	9,000 10,000	Vrij	Niet-lineair	Niet-lineair	Vrij	Vrij	Vrij	PY-curve-1_V2	PY-curve-1_V2
(PY-curve-1_V2)14	Lijn	Paal_XY_4 LCS	9,000 10,000	Vrij	Niet-lineair	Niet-lineair	Vrij	Vrij	Vrij	PY-curve-1_V2	PY-curve-1_V2
(PY-curve-1_V2)5	Lijn	Paal_XY_3 LCS	9,000 10,000	Vrij	Niet-lineair	Niet-lineair	Vrij	Vrij	Vrij	PY-curve-1_V2	PY-curve-1_V2
(PY-curve-1_V2)21	Lijn	Paal_P_5 LCS	9,000 10,000	Vrij	Niet-lineair	Niet-lineair	Vrij	Vrij	Vrij	PY-curve-1_V2	PY-curve-1_V2
(PY-curve-1_V3)7	Lijn	Paal_Y_3 LCS	10,000 11,000	Vrij	Niet-lineair	Niet-lineair	Vrij	Vrij	Vrij	PY-curve-1_V3	PY-curve-1_V3
(PY-curve-1_V3)20	Lijn	Paal_P_4 LCS	10,000 11,000	Vrij	Niet-lineair	Niet-lineair	Vrij	Vrij	Vrij	PY-curve-1_V3	PY-curve-1_V3
(PY-curve-1_V3)24	Lijn	Paal_X_4 LCS	10,000 11,000	Vrij	Niet-lineair	Niet-lineair	Vrij	Vrij	Vrij	PY-curve-1_V3.B	PY-curve-1_V3.B
(PY-curve-1_V3)	Lijn	Paal_P_1 LCS	10,000 11,000	Vrij	Niet-lineair	Niet-lineair	Vrij	Vrij	Vrij	PY-curve-1_V3	PY-curve-1_V3
(PY-curve-1_V3)3	Lijn	Paal_X_3 LCS	10,000 11,000	Vrij	Niet-lineair	Niet-lineair	Vrij	Vrij	Vrij	PY-curve-1_V3	PY-curve-1_V3
(PY-curve-1_V3)1	Lijn	Paal_P_3 LCS	10,000 11,000	Vrij	Niet-lineair	Niet-lineair	Vrij	Vrij	Vrij	PY-curve-1_V3	PY-curve-1_V3
(PY-curve-1_V3)39	Lijn	Paal_X_22 LCS	10,000 11,000	Vrij	Niet-lineair	Niet-lineair	Vrij	Vrij	Vrij	PY-curve-1_V3.B	PY-curve-1_V3.B
(PY-curve-1_V3)38	Lijn	Paal_X_21 LCS	10,000 11,000	Vrij	Niet-lineair	Niet-lineair	Vrij	Vrij	Vrij	PY-curve-1_V3.B	PY-curve-1_V3.B
(PY-curve-1_V3)37	Lijn	Paal_X_20 LCS	10,000 11,000	Vrij	Niet-lineair	Niet-lineair	Vrij	Vrij	Vrij	PY-curve-1_V3.B	PY-curve-1_V3.B
(PY-curve-1_V3)36	Lijn	Paal_X_19 LCS	10,000 11,000	Vrij	Niet-lineair	Niet-lineair	Vrij	Vrij	Vrij	PY-curve-1_V3.B	PY-curve-1_V3.B
(PY-curve-1_V3)6	Lijn	Paal_Y_1 LCS	10,000 11,000	Vrij	Niet-lineair	Niet-lineair	Vrij	Vrij	Vrij	PY-curve-1_V3	PY-curve-1_V3
(PY-curve-1_V3)35	Lijn	Paal_X_18 LCS	10,000 11,000	Vrij	Niet-lineair	Niet-lineair	Vrij	Vrij	Vrij	PY-curve-1_V3.B	PY-curve-1_V3.B
(PY-curve-1_V3)34	Lijn	Paal_X_17 LCS	10,000 11,000	Vrij	Niet-lineair	Niet-lineair	Vrij	Vrij	Vrij	PY-curve-1_V3.B	PY-curve-1_V3.B
(PY-curve-1_V3)33	Lijn	Paal_X_16 LCS	10,000 11,000	Vrij	Niet-lineair	Niet-lineair	Vrij	Vrij	Vrij	PY-curve-1_V3.B	PY-curve-1_V3.B
(PY-curve-1_V3)31	Lijn	Paal_X_11 LCS	10,000 11,000	Vrij	Niet-lineair	Niet-lineair	Vrij	Vrij	Vrij	PY-curve-1_V3.B	PY-curve-1_V3.B
(PY-curve-1_V3)32	Lijn	Paal_X_15 LCS	10,000 11,000	Vrij	Niet-lineair	Niet-lineair	Vrij	Vrij	Vrij	PY-curve-1_V3.B	PY-curve-1_V3.B
(PY-curve-1_V3)19	Lijn	Paal_Y_6 LCS	10,000 11,000	Vrij	Niet-lineair	Niet-lineair	Vrij	Vrij	Vrij	PY-curve-1_V3	PY-curve-1_V3
(PY-curve-1_V3)30	Lijn	Paal_X_10 LCS	10,000 11,000	Vrij	Niet-lineair	Niet-lineair	Vrij	Vrij	Vrij	PY-curve-1_V3.B	PY-curve-1_V3.B
(PY-curve-1_V3)5	Lijn	Paal_XY_3 LCS	10,000 11,000	Vrij	Niet-lineair	Niet-lineair	Vrij	Vrij	Vrij	PY-curve-1_V3	PY-curve-1_V3
(PY-curve-1_V3)18	Lijn	Paal_Y_5 LCS	10,000 11,000	Vrij	Niet-lineair	Niet-lineair	Vrij	Vrij	Vrij	PY-curve-1_V3	PY-curve-1_V3
(PY-curve-1_V3)2	Lijn	Paal_X_1 LCS	10,000 11,000	Vrij	Niet-lineair	Niet-lineair	Vrij	Vrij	Vrij	PY-curve-1_V3	PY-curve-1_V3
(PY-curve-1_V3)29	Lijn	Paal_X_9	10,000	Vrij	Niet-lineair	Niet-lineair	Vrij	Vrij	Vrij	PY-curve-1_V3.B	PY-curve-1_V3.B

Naam	Type	Staaf Systeem	Pos x_1 [m] Pos x_2 [m]	X	Y	Z	Rx	Ry	Rz	Functie Y	Functie Z
		LCS	11,000								
(PY-curve-1_V3)17	Lijn	Paal_Y_4 LCS	10,000 11,000	Vrij	Niet-lineair	Niet-lineair	Vrij	Vrij	Vrij	PY-curve-1_V3	PY-curve-1_V3
(PY-curve-1_V3)10	Lijn	Paal_XY_2 LCS	10,000 11,000	Vrij	Niet-lineair	Niet-lineair	Vrij	Vrij	Vrij	PY-curve-1_V3	PY-curve-1_V3
(PY-curve-1_V3)16	Lijn	Paal_XY_6 LCS	10,000 11,000	Vrij	Niet-lineair	Niet-lineair	Vrij	Vrij	Vrij	PY-curve-1_V3	PY-curve-1_V3
(PY-curve-1_V3)28	Lijn	Paal_X_8 LCS	10,000 11,000	Vrij	Niet-lineair	Niet-lineair	Vrij	Vrij	Vrij	PY-curve-1_V3.B	PY-curve-1_V3.B
(PY-curve-1_V3)15	Lijn	Paal_XY_5 LCS	10,000 11,000	Vrij	Niet-lineair	Niet-lineair	Vrij	Vrij	Vrij	PY-curve-1_V3	PY-curve-1_V3
(PY-curve-1_V3)14	Lijn	Paal_XY_4 LCS	10,000 11,000	Vrij	Niet-lineair	Niet-lineair	Vrij	Vrij	Vrij	PY-curve-1_V3	PY-curve-1_V3
(PY-curve-1_V3)9	Lijn	Paal_X_2 LCS	10,000 11,000	Vrij	Niet-lineair	Niet-lineair	Vrij	Vrij	Vrij	PY-curve-1_V3	PY-curve-1_V3
(PY-curve-1_V3)27	Lijn	Paal_X_7 LCS	10,000 11,000	Vrij	Niet-lineair	Niet-lineair	Vrij	Vrij	Vrij	PY-curve-1_V3.B	PY-curve-1_V3.B
(PY-curve-1_V3)4	Lijn	Paal_XY_1 LCS	10,000 11,000	Vrij	Niet-lineair	Niet-lineair	Vrij	Vrij	Vrij	PY-curve-1_V3	PY-curve-1_V3
(PY-curve-1_V3)13	Lijn	Paal_X_14 LCS	10,000 11,000	Vrij	Niet-lineair	Niet-lineair	Vrij	Vrij	Vrij	PY-curve-1_V3	PY-curve-1_V3
(PY-curve-1_V3)12	Lijn	Paal_X_13 LCS	10,000 11,000	Vrij	Niet-lineair	Niet-lineair	Vrij	Vrij	Vrij	PY-curve-1_V3	PY-curve-1_V3
(PY-curve-1_V3)26	Lijn	Paal_X_6 LCS	10,000 11,000	Vrij	Niet-lineair	Niet-lineair	Vrij	Vrij	Vrij	PY-curve-1_V3.B	PY-curve-1_V3.B
(PY-curve-1_V3)23	Lijn	Paal_X_12 LCS	10,000 11,000	Vrij	Niet-lineair	Niet-lineair	Vrij	Vrij	Vrij	PY-curve-1_V3	PY-curve-1_V3
(PY-curve-1_V3)8	Lijn	Paal_P_2 LCS	10,000 11,000	Vrij	Niet-lineair	Niet-lineair	Vrij	Vrij	Vrij	PY-curve-1_V3	PY-curve-1_V3
(PY-curve-1_V3)11	Lijn	Paal_Y_2 LCS	10,000 11,000	Vrij	Niet-lineair	Niet-lineair	Vrij	Vrij	Vrij	PY-curve-1_V3	PY-curve-1_V3
(PY-curve-1_V3)25	Lijn	Paal_X_5 LCS	10,000 11,000	Vrij	Niet-lineair	Niet-lineair	Vrij	Vrij	Vrij	PY-curve-1_V3.B	PY-curve-1_V3.B
(PY-curve-1_V3)21	Lijn	Paal_P_5 LCS	10,000 11,000	Vrij	Niet-lineair	Niet-lineair	Vrij	Vrij	Vrij	PY-curve-1_V3	PY-curve-1_V3
(PY-curve-1_V3)22	Lijn	Paal_P_6 LCS	10,000 11,000	Vrij	Niet-lineair	Niet-lineair	Vrij	Vrij	Vrij	PY-curve-1_V3	PY-curve-1_V3
(PY-curve-1_V4)20	Lijn	Paal_P_4 LCS	11,000 12,000	Vrij	Niet-lineair	Niet-lineair	Vrij	Vrij	Vrij	PY-curve-1_V4	PY-curve-1_V4
(PY-curve-1_V4)38	Lijn	Paal_X_21 LCS	11,000 12,000	Vrij	Niet-lineair	Niet-lineair	Vrij	Vrij	Vrij	PY-curve-1_V4.B	PY-curve-1_V4.B
(PY-curve-1_V4)37	Lijn	Paal_X_20 LCS	11,000 12,000	Vrij	Niet-lineair	Niet-lineair	Vrij	Vrij	Vrij	PY-curve-1_V4.B	PY-curve-1_V4.B
(PY-curve-1_V4)6	Lijn	Paal_Y_1 LCS	11,000 12,000	Vrij	Niet-lineair	Niet-lineair	Vrij	Vrij	Vrij	PY-curve-1_V4	PY-curve-1_V4
(PY-curve-1_V4)36	Lijn	Paal_X_19 LCS	11,000 12,000	Vrij	Niet-lineair	Niet-lineair	Vrij	Vrij	Vrij	PY-curve-1_V4.B	PY-curve-1_V4.B
(PY-curve-1_V4)34	Lijn	Paal_X_17 LCS	11,000 12,000	Vrij	Niet-lineair	Niet-lineair	Vrij	Vrij	Vrij	PY-curve-1_V4.B	PY-curve-1_V4.B
(PY-curve-1_V4)39	Lijn	Paal_X_22 LCS	11,000 12,000	Vrij	Niet-lineair	Niet-lineair	Vrij	Vrij	Vrij	PY-curve-1_V4.B	PY-curve-1_V4.B
(PY-curve-1_V4)33	Lijn	Paal_X_16 LCS	11,000 12,000	Vrij	Niet-lineair	Niet-lineair	Vrij	Vrij	Vrij	PY-curve-1_V4.B	PY-curve-1_V4.B
(PY-curve-1_V4)31	Lijn	Paal_X_11 LCS	11,000 12,000	Vrij	Niet-lineair	Niet-lineair	Vrij	Vrij	Vrij	PY-curve-1_V4.B	PY-curve-1_V4.B
(PY-curve-1_V4)5	Lijn	Paal_XY_3 LCS	11,000 12,000	Vrij	Niet-lineair	Niet-lineair	Vrij	Vrij	Vrij	PY-curve-1_V4	PY-curve-1_V4
(PY-curve-1_V4)32	Lijn	Paal_X_15 LCS	11,000 12,000	Vrij	Niet-lineair	Niet-lineair	Vrij	Vrij	Vrij	PY-curve-1_V4.B	PY-curve-1_V4.B
(PY-curve-1_V4)35	Lijn	Paal_X_18 LCS	11,000 12,000	Vrij	Niet-lineair	Niet-lineair	Vrij	Vrij	Vrij	PY-curve-1_V4.B	PY-curve-1_V4.B
(PY-curve-1_V4)2	Lijn	Paal_X_1 LCS	11,000 12,000	Vrij	Niet-lineair	Niet-lineair	Vrij	Vrij	Vrij	PY-curve-1_V4	PY-curve-1_V4
(PY-curve-1_V4)11	Lijn	Paal_Y_2	11,000	Vrij	Niet-lineair	Niet-lineair	Vrij	Vrij	Vrij	PY-curve-1_V4	PY-curve-1_V4

Naam	Type	Staaf Systeem	Pos x_1 [m] Pos x_2 [m]	X	Y	Z	Rx	Ry	Rz	Functie Y	Functie Z
		LCS	12,000								
(PY-curve-1_V4)19	Lijn	Paal_Y_6 LCS	11,000 12,000	Vrij	Niet-lineair	Niet-lineair	Vrij	Vrij	Vrij	PY-curve-1_V4	PY-curve-1_V4
(PY-curve-1_V4)30	Lijn	Paal_X_10 LCS	11,000 12,000	Vrij	Niet-lineair	Niet-lineair	Vrij	Vrij	Vrij	PY-curve-1_V4.B	PY-curve-1_V4.B
(PY-curve-1_V4)18	Lijn	Paal_Y_5 LCS	11,000 12,000	Vrij	Niet-lineair	Niet-lineair	Vrij	Vrij	Vrij	PY-curve-1_V4	PY-curve-1_V4
(PY-curve-1_V4)10	Lijn	Paal_XY_2 LCS	11,000 12,000	Vrij	Niet-lineair	Niet-lineair	Vrij	Vrij	Vrij	PY-curve-1_V4	PY-curve-1_V4
(PY-curve-1_V4)29	Lijn	Paal_X_9 LCS	11,000 12,000	Vrij	Niet-lineair	Niet-lineair	Vrij	Vrij	Vrij	PY-curve-1_V4.B	PY-curve-1_V4.B
(PY-curve-1_V4)17	Lijn	Paal_Y_4 LCS	11,000 12,000	Vrij	Niet-lineair	Niet-lineair	Vrij	Vrij	Vrij	PY-curve-1_V4	PY-curve-1_V4
(PY-curve-1_V4)16	Lijn	Paal_XY_6 LCS	11,000 12,000	Vrij	Niet-lineair	Niet-lineair	Vrij	Vrij	Vrij	PY-curve-1_V4	PY-curve-1_V4
(PY-curve-1_V4)28	Lijn	Paal_X_8 LCS	11,000 12,000	Vrij	Niet-lineair	Niet-lineair	Vrij	Vrij	Vrij	PY-curve-1_V4.B	PY-curve-1_V4.B
(PY-curve-1_V4)15	Lijn	Paal_XY_5 LCS	11,000 12,000	Vrij	Niet-lineair	Niet-lineair	Vrij	Vrij	Vrij	PY-curve-1_V4	PY-curve-1_V4
(PY-curve-1_V4)9	Lijn	Paal_X_2 LCS	11,000 12,000	Vrij	Niet-lineair	Niet-lineair	Vrij	Vrij	Vrij	PY-curve-1_V4	PY-curve-1_V4
(PY-curve-1_V4)4	Lijn	Paal_XY_1 LCS	11,000 12,000	Vrij	Niet-lineair	Niet-lineair	Vrij	Vrij	Vrij	PY-curve-1_V4	PY-curve-1_V4
(PY-curve-1_V4)14	Lijn	Paal_XY_4 LCS	11,000 12,000	Vrij	Niet-lineair	Niet-lineair	Vrij	Vrij	Vrij	PY-curve-1_V4	PY-curve-1_V4
(PY-curve-1_V4)27	Lijn	Paal_X_7 LCS	11,000 12,000	Vrij	Niet-lineair	Niet-lineair	Vrij	Vrij	Vrij	PY-curve-1_V4.B	PY-curve-1_V4.B
(PY-curve-1_V4)13	Lijn	Paal_X_14 LCS	11,000 12,000	Vrij	Niet-lineair	Niet-lineair	Vrij	Vrij	Vrij	PY-curve-1_V4	PY-curve-1_V4
(PY-curve-1_V4)26	Lijn	Paal_X_6 LCS	11,000 12,000	Vrij	Niet-lineair	Niet-lineair	Vrij	Vrij	Vrij	PY-curve-1_V4.B	PY-curve-1_V4.B
(PY-curve-1_V4)12	Lijn	Paal_X_13 LCS	11,000 12,000	Vrij	Niet-lineair	Niet-lineair	Vrij	Vrij	Vrij	PY-curve-1_V4	PY-curve-1_V4
(PY-curve-1_V4)	Lijn	Paal_P_1 LCS	11,000 12,000	Vrij	Niet-lineair	Niet-lineair	Vrij	Vrij	Vrij	PY-curve-1_V4	PY-curve-1_V4
(PY-curve-1_V4)8	Lijn	Paal_P_2 LCS	11,000 12,000	Vrij	Niet-lineair	Niet-lineair	Vrij	Vrij	Vrij	PY-curve-1_V4	PY-curve-1_V4
(PY-curve-1_V4)23	Lijn	Paal_X_12 LCS	11,000 12,000	Vrij	Niet-lineair	Niet-lineair	Vrij	Vrij	Vrij	PY-curve-1_V4	PY-curve-1_V4
(PY-curve-1_V4)25	Lijn	Paal_X_5 LCS	11,000 12,000	Vrij	Niet-lineair	Niet-lineair	Vrij	Vrij	Vrij	PY-curve-1_V4.B	PY-curve-1_V4.B
(PY-curve-1_V4)1	Lijn	Paal_P_3 LCS	11,000 12,000	Vrij	Niet-lineair	Niet-lineair	Vrij	Vrij	Vrij	PY-curve-1_V4	PY-curve-1_V4
(PY-curve-1_V4)22	Lijn	Paal_P_6 LCS	11,000 12,000	Vrij	Niet-lineair	Niet-lineair	Vrij	Vrij	Vrij	PY-curve-1_V4	PY-curve-1_V4
(PY-curve-1_V4)21	Lijn	Paal_P_5 LCS	11,000 12,000	Vrij	Niet-lineair	Niet-lineair	Vrij	Vrij	Vrij	PY-curve-1_V4	PY-curve-1_V4
(PY-curve-1_V4)3	Lijn	Paal_X_3 LCS	11,000 12,000	Vrij	Niet-lineair	Niet-lineair	Vrij	Vrij	Vrij	PY-curve-1_V4	PY-curve-1_V4
(PY-curve-1_V4)7	Lijn	Paal_Y_3 LCS	11,000 12,000	Vrij	Niet-lineair	Niet-lineair	Vrij	Vrij	Vrij	PY-curve-1_V4	PY-curve-1_V4
(PY-curve-1_V4)24	Lijn	Paal_X_4 LCS	11,000 12,000	Vrij	Niet-lineair	Niet-lineair	Vrij	Vrij	Vrij	PY-curve-1_V4.B	PY-curve-1_V4.B
(PY-curve-1_V5)20	Lijn	Paal_P_4 LCS	12,000 12,700	Vrij	Niet-lineair	Niet-lineair	Vrij	Vrij	Vrij	PY-curve-1_V5	PY-curve-1_V5
(PY-curve-1_V5)11	Lijn	Paal_XY_1 LCS	12,000 12,700	Vrij	Niet-lineair	Niet-lineair	Vrij	Vrij	Vrij	PY-curve-1_V5	PY-curve-1_V5
(PY-curve-1_V5)10	Lijn	Paal_X_3 LCS	12,000 12,700	Vrij	Niet-lineair	Niet-lineair	Vrij	Vrij	Vrij	PY-curve-1_V5	PY-curve-1_V5
(PY-curve-1_V5)9	Lijn	Paal_XY_3 LCS	12,000 12,700	Vrij	Niet-lineair	Niet-lineair	Vrij	Vrij	Vrij	PY-curve-1_V5	PY-curve-1_V5
(PY-curve-1_V5)8	Lijn	Paal_X_1 LCS	12,000 12,700	Vrij	Niet-lineair	Niet-lineair	Vrij	Vrij	Vrij	PY-curve-1_V5	PY-curve-1_V5
(PY-curve-1_V5)7	Lijn	Paal_XY_2	12,000	Vrij	Niet-lineair	Niet-lineair	Vrij	Vrij	Vrij	PY-curve-1_V5	PY-curve-1_V5

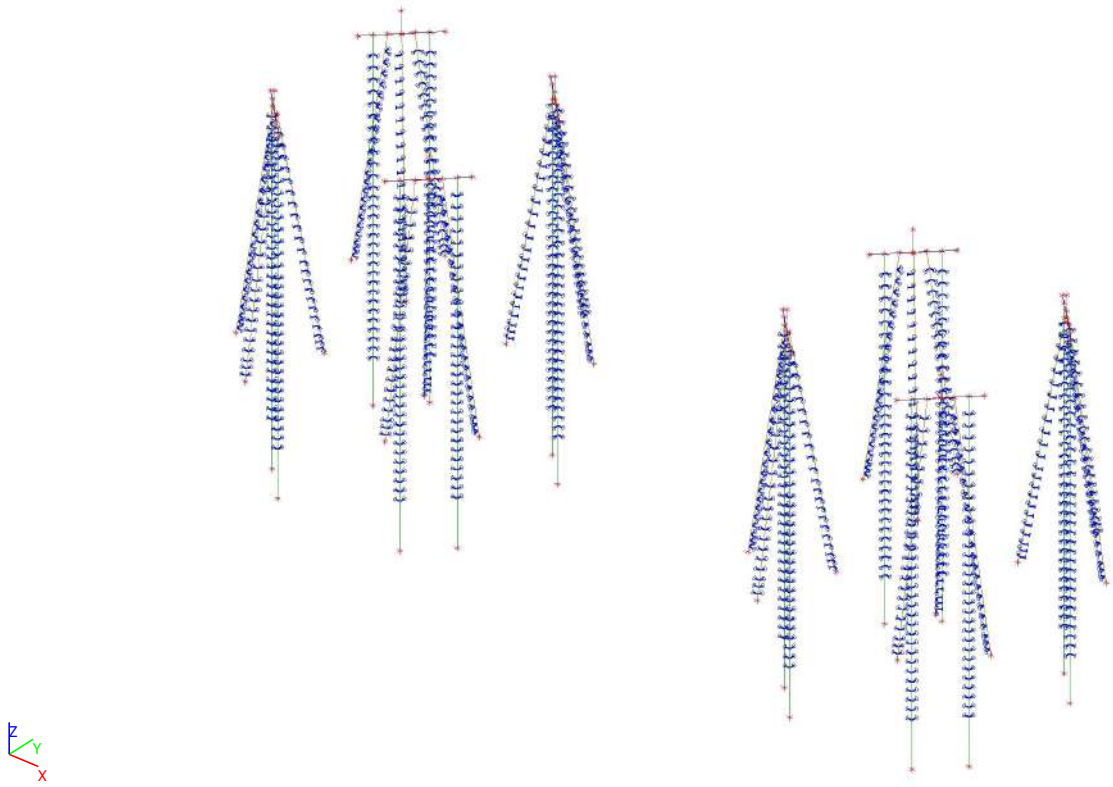
Naam	Type	Staaf Systeem	Pos x_1 [m] Pos x_2 [m]	X	Y	Z	Rx	Ry	Rz	Functie Y	Functie Z
		LCS	12,700								
(PY-curve-1_V5)6	Lijn	Paal_X_2 LCS	12,000 12,700	Vrij	Niet-lineair	Niet-lineair	Vrij	Vrij	Vrij	PY-curve-1_V5	PY-curve-1_V5
(PY-curve-1_V5)5	Lijn	Paal_Y_2 LCS	12,000 12,700	Vrij	Niet-lineair	Niet-lineair	Vrij	Vrij	Vrij	PY-curve-1_V5	PY-curve-1_V5
(PY-curve-1_V5)4	Lijn	Paal_P_2 LCS	12,000 12,700	Vrij	Niet-lineair	Niet-lineair	Vrij	Vrij	Vrij	PY-curve-1_V5	PY-curve-1_V5
(PY-curve-1_V5)3	Lijn	Paal_Y_1 LCS	12,000 12,700	Vrij	Niet-lineair	Niet-lineair	Vrij	Vrij	Vrij	PY-curve-1_V5	PY-curve-1_V5
(PY-curve-1_V5)2	Lijn	Paal_P_3 LCS	12,000 12,700	Vrij	Niet-lineair	Niet-lineair	Vrij	Vrij	Vrij	PY-curve-1_V5	PY-curve-1_V5
(PY-curve-1_V5)1	Lijn	Paal_Y_3 LCS	12,000 12,700	Vrij	Niet-lineair	Niet-lineair	Vrij	Vrij	Vrij	PY-curve-1_V5	PY-curve-1_V5
(PY-curve-1_V5)	Lijn	Paal_P_1 LCS	12,000 12,700	Vrij	Niet-lineair	Niet-lineair	Vrij	Vrij	Vrij	PY-curve-1_V5	PY-curve-1_V5
(PY-curve-1_V5)19	Lijn	Paal_Y_6 LCS	12,000 12,700	Vrij	Niet-lineair	Niet-lineair	Vrij	Vrij	Vrij	PY-curve-1_V5	PY-curve-1_V5
(PY-curve-1_V5)18	Lijn	Paal_Y_5 LCS	12,000 12,700	Vrij	Niet-lineair	Niet-lineair	Vrij	Vrij	Vrij	PY-curve-1_V5	PY-curve-1_V5
(PY-curve-1_V5)17	Lijn	Paal_Y_4 LCS	12,000 12,700	Vrij	Niet-lineair	Niet-lineair	Vrij	Vrij	Vrij	PY-curve-1_V5	PY-curve-1_V5
(PY-curve-1_V5)16	Lijn	Paal_XY_6 LCS	12,000 12,700	Vrij	Niet-lineair	Niet-lineair	Vrij	Vrij	Vrij	PY-curve-1_V5	PY-curve-1_V5
(PY-curve-1_V5)15	Lijn	Paal_XY_5 LCS	12,000 12,700	Vrij	Niet-lineair	Niet-lineair	Vrij	Vrij	Vrij	PY-curve-1_V5	PY-curve-1_V5
(PY-curve-1_V5)14	Lijn	Paal_XY_4 LCS	12,000 12,700	Vrij	Niet-lineair	Niet-lineair	Vrij	Vrij	Vrij	PY-curve-1_V5	PY-curve-1_V5
(PY-curve-1_V5)13	Lijn	Paal_X_14 LCS	12,000 12,700	Vrij	Niet-lineair	Niet-lineair	Vrij	Vrij	Vrij	PY-curve-1_V5	PY-curve-1_V5
(PY-curve-1_V5)12	Lijn	Paal_X_13 LCS	12,000 12,700	Vrij	Niet-lineair	Niet-lineair	Vrij	Vrij	Vrij	PY-curve-1_V5	PY-curve-1_V5
(PY-curve-1_V5)23	Lijn	Paal_X_12 LCS	12,000 12,700	Vrij	Niet-lineair	Niet-lineair	Vrij	Vrij	Vrij	PY-curve-1_V5	PY-curve-1_V5
(PY-curve-1_V5)22	Lijn	Paal_P_6 LCS	12,000 12,700	Vrij	Niet-lineair	Niet-lineair	Vrij	Vrij	Vrij	PY-curve-1_V5	PY-curve-1_V5
(PY-curve-1_V5)21	Lijn	Paal_P_5 LCS	12,000 12,700	Vrij	Niet-lineair	Niet-lineair	Vrij	Vrij	Vrij	PY-curve-1_V5	PY-curve-1_V5
(PY-curve-1_V5)31	Lijn	Paal_X_11 LCS	12,000 13,000	Vrij	Niet-lineair	Niet-lineair	Vrij	Vrij	Vrij	PY-curve-1_V5.B	PY-curve-1_V5.B
(PY-curve-1_V5)39	Lijn	Paal_X_22 LCS	12,000 13,000	Vrij	Niet-lineair	Niet-lineair	Vrij	Vrij	Vrij	PY-curve-1_V5.B	PY-curve-1_V5.B
(PY-curve-1_V5)30	Lijn	Paal_X_10 LCS	12,000 13,000	Vrij	Niet-lineair	Niet-lineair	Vrij	Vrij	Vrij	PY-curve-1_V5.B	PY-curve-1_V5.B
(PY-curve-1_V5)29	Lijn	Paal_X_5 LCS	12,000 13,000	Vrij	Niet-lineair	Niet-lineair	Vrij	Vrij	Vrij	PY-curve-1_V5.B	PY-curve-1_V5.B
(PY-curve-1_V5)28	Lijn	Paal_X_4 LCS	12,000 13,000	Vrij	Niet-lineair	Niet-lineair	Vrij	Vrij	Vrij	PY-curve-1_V5.B	PY-curve-1_V5.B
(PY-curve-1_V5)38	Lijn	Paal_X_21 LCS	12,000 13,000	Vrij	Niet-lineair	Niet-lineair	Vrij	Vrij	Vrij	PY-curve-1_V5.B	PY-curve-1_V5.B
(PY-curve-1_V5)27	Lijn	Paal_X_9 LCS	12,000 13,000	Vrij	Niet-lineair	Niet-lineair	Vrij	Vrij	Vrij	PY-curve-1_V5.B	PY-curve-1_V5.B
(PY-curve-1_V5)26	Lijn	Paal_X_8 LCS	12,000 13,000	Vrij	Niet-lineair	Niet-lineair	Vrij	Vrij	Vrij	PY-curve-1_V5.B	PY-curve-1_V5.B
(PY-curve-1_V5)25	Lijn	Paal_X_7 LCS	12,000 13,000	Vrij	Niet-lineair	Niet-lineair	Vrij	Vrij	Vrij	PY-curve-1_V5.B	PY-curve-1_V5.B
(PY-curve-1_V5)37	Lijn	Paal_X_20 LCS	12,000 13,000	Vrij	Niet-lineair	Niet-lineair	Vrij	Vrij	Vrij	PY-curve-1_V5.B	PY-curve-1_V5.B
(PY-curve-1_V5)24	Lijn	Paal_X_6 LCS	12,000 13,000	Vrij	Niet-lineair	Niet-lineair	Vrij	Vrij	Vrij	PY-curve-1_V5.B	PY-curve-1_V5.B
(PY-curve-1_V5)36	Lijn	Paal_X_19 LCS	12,000 13,000	Vrij	Niet-lineair	Niet-lineair	Vrij	Vrij	Vrij	PY-curve-1_V5.B	PY-curve-1_V5.B
(PY-curve-1_V5)35	Lijn	Paal_X_18 LCS	12,000 13,000	Vrij	Niet-lineair	Niet-lineair	Vrij	Vrij	Vrij	PY-curve-1_V5.B	PY-curve-1_V5.B
(PY-curve-1_V5)34	Lijn	Paal_X_17	12,000	Vrij	Niet-lineair	Niet-lineair	Vrij	Vrij	Vrij	PY-curve-1_V5.B	PY-curve-1_V5.B

Naam	Type	Staaf Systeem	Pos x_1 [m] Pos x_2 [m]	X	Y	Z	Rx	Ry	Rz	Functie Y	Functie Z
		LCS	13,000								
(PY-curve-1_V5)33	Lijn	Paal_X_16 LCS	12,000 13,000	Vrij	Niet-lineair	Niet-lineair	Vrij	Vrij	Vrij	PY-curve-1_V5.B	PY-curve-1_V5.B
(PY-curve-1_V5)32	Lijn	Paal_X_15 LCS	12,000 13,000	Vrij	Niet-lineair	Niet-lineair	Vrij	Vrij	Vrij	PY-curve-1_V5.B	PY-curve-1_V5.B
(PY-curve-1_V6)13	Lijn	Paal_X_20 LCS	13,000 14,000	Vrij	Niet-lineair	Niet-lineair	Vrij	Vrij	Vrij	PY-curve-1_V6.B	PY-curve-1_V6.B
(PY-curve-1_V6)12	Lijn	Paal_X_18 LCS	13,000 14,000	Vrij	Niet-lineair	Niet-lineair	Vrij	Vrij	Vrij	PY-curve-1_V6.B	PY-curve-1_V6.B
(PY-curve-1_V6)11	Lijn	Paal_X_17 LCS	13,000 14,000	Vrij	Niet-lineair	Niet-lineair	Vrij	Vrij	Vrij	PY-curve-1_V6.B	PY-curve-1_V6.B
(PY-curve-1_V6)10	Lijn	Paal_X_16 LCS	13,000 14,000	Vrij	Niet-lineair	Niet-lineair	Vrij	Vrij	Vrij	PY-curve-1_V6.B	PY-curve-1_V6.B
(PY-curve-1_V6)9	Lijn	Paal_X_15 LCS	13,000 14,000	Vrij	Niet-lineair	Niet-lineair	Vrij	Vrij	Vrij	PY-curve-1_V6.B	PY-curve-1_V6.B
(PY-curve-1_V6)8	Lijn	Paal_X_11 LCS	13,000 14,000	Vrij	Niet-lineair	Niet-lineair	Vrij	Vrij	Vrij	PY-curve-1_V6.B	PY-curve-1_V6.B
(PY-curve-1_V6)7	Lijn	Paal_X_10 LCS	13,000 14,000	Vrij	Niet-lineair	Niet-lineair	Vrij	Vrij	Vrij	PY-curve-1_V6.B	PY-curve-1_V6.B
(PY-curve-1_V6)14	Lijn	Paal_X_21 LCS	13,000 14,000	Vrij	Niet-lineair	Niet-lineair	Vrij	Vrij	Vrij	PY-curve-1_V6.B	PY-curve-1_V6.B
(PY-curve-1_V6)6	Lijn	Paal_X_9 LCS	13,000 14,000	Vrij	Niet-lineair	Niet-lineair	Vrij	Vrij	Vrij	PY-curve-1_V6.B	PY-curve-1_V6.B
(PY-curve-1_V6)5	Lijn	Paal_X_8 LCS	13,000 14,000	Vrij	Niet-lineair	Niet-lineair	Vrij	Vrij	Vrij	PY-curve-1_V6.B	PY-curve-1_V6.B
(PY-curve-1_V6)4	Lijn	Paal_X_7 LCS	13,000 14,000	Vrij	Niet-lineair	Niet-lineair	Vrij	Vrij	Vrij	PY-curve-1_V6.B	PY-curve-1_V6.B
(PY-curve-1_V6)3	Lijn	Paal_X_6 LCS	13,000 14,000	Vrij	Niet-lineair	Niet-lineair	Vrij	Vrij	Vrij	PY-curve-1_V6.B	PY-curve-1_V6.B
(PY-curve-1_V6)2	Lijn	Paal_X_5 LCS	13,000 14,000	Vrij	Niet-lineair	Niet-lineair	Vrij	Vrij	Vrij	PY-curve-1_V6.B	PY-curve-1_V6.B
(PY-curve-1_V6)1	Lijn	Paal_X_4 LCS	13,000 14,000	Vrij	Niet-lineair	Niet-lineair	Vrij	Vrij	Vrij	PY-curve-1_V6.B	PY-curve-1_V6.B
(PY-curve-1_V6)	Lijn	Paal_X_19 LCS	13,000 14,000	Vrij	Niet-lineair	Niet-lineair	Vrij	Vrij	Vrij	PY-curve-1_V6.B	PY-curve-1_V6.B
(PY-curve-1_V6)15	Lijn	Paal_X_22 LCS	13,000 14,000	Vrij	Niet-lineair	Niet-lineair	Vrij	Vrij	Vrij	PY-curve-1_V6.B	PY-curve-1_V6.B
(PY-curve-1_V7)15	Lijn	Paal_X_22 LCS	14,000 15,000	Vrij	Niet-lineair	Niet-lineair	Vrij	Vrij	Vrij	PY-curve-1_V7.B	PY-curve-1_V7.B
(PY-curve-1_V7)13	Lijn	Paal_X_20 LCS	14,000 15,000	Vrij	Niet-lineair	Niet-lineair	Vrij	Vrij	Vrij	PY-curve-1_V7.B	PY-curve-1_V7.B
(PY-curve-1_V7)12	Lijn	Paal_X_19 LCS	14,000 15,000	Vrij	Niet-lineair	Niet-lineair	Vrij	Vrij	Vrij	PY-curve-1_V7.B	PY-curve-1_V7.B
(PY-curve-1_V7)11	Lijn	Paal_X_18 LCS	14,000 15,000	Vrij	Niet-lineair	Niet-lineair	Vrij	Vrij	Vrij	PY-curve-1_V7.B	PY-curve-1_V7.B
(PY-curve-1_V7)10	Lijn	Paal_X_17 LCS	14,000 15,000	Vrij	Niet-lineair	Niet-lineair	Vrij	Vrij	Vrij	PY-curve-1_V7.B	PY-curve-1_V7.B
(PY-curve-1_V7)9	Lijn	Paal_X_16 LCS	14,000 15,000	Vrij	Niet-lineair	Niet-lineair	Vrij	Vrij	Vrij	PY-curve-1_V7.B	PY-curve-1_V7.B
(PY-curve-1_V7)8	Lijn	Paal_X_15 LCS	14,000 15,000	Vrij	Niet-lineair	Niet-lineair	Vrij	Vrij	Vrij	PY-curve-1_V7.B	PY-curve-1_V7.B
(PY-curve-1_V7)7	Lijn	Paal_X_11 LCS	14,000 15,000	Vrij	Niet-lineair	Niet-lineair	Vrij	Vrij	Vrij	PY-curve-1_V7.B	PY-curve-1_V7.B
(PY-curve-1_V7)14	Lijn	Paal_X_21 LCS	14,000 15,000	Vrij	Niet-lineair	Niet-lineair	Vrij	Vrij	Vrij	PY-curve-1_V7.B	PY-curve-1_V7.B
(PY-curve-1_V7)6	Lijn	Paal_X_10 LCS	14,000 15,000	Vrij	Niet-lineair	Niet-lineair	Vrij	Vrij	Vrij	PY-curve-1_V7.B	PY-curve-1_V7.B
(PY-curve-1_V7)5	Lijn	Paal_X_9 LCS	14,000 15,000	Vrij	Niet-lineair	Niet-lineair	Vrij	Vrij	Vrij	PY-curve-1_V7.B	PY-curve-1_V7.B
(PY-curve-1_V7)4	Lijn	Paal_X_8 LCS	14,000 15,000	Vrij	Niet-lineair	Niet-lineair	Vrij	Vrij	Vrij	PY-curve-1_V7.B	PY-curve-1_V7.B
(PY-curve-1_V7)3	Lijn	Paal_X_7 LCS	14,000 15,000	Vrij	Niet-lineair	Niet-lineair	Vrij	Vrij	Vrij	PY-curve-1_V7.B	PY-curve-1_V7.B
(PY-curve-1_V7)2	Lijn	Paal_X_6	14,000	Vrij	Niet-lineair	Niet-lineair	Vrij	Vrij	Vrij	PY-curve-1_V7.B	PY-curve-1_V7.B

Naam	Type	Staaf Systeem	Pos x_1 [m] Pos x_2 [m]	X	Y	Z	Rx	Ry	Rz	Functie Y	Functie Z
		LCS	15,000								
(PY-curve-1_V7)1	Lijn	Paal_X_5 LCS	14,000 15,000	Vrij	Niet-lineair	Niet-lineair	Vrij	Vrij	Vrij	PY-curve-1_V7.B	PY-curve-1_V7.B
(PY-curve-1_V7)	Lijn	Paal_X_4 LCS	14,000 15,000	Vrij	Niet-lineair	Niet-lineair	Vrij	Vrij	Vrij	PY-curve-1_V7.B	PY-curve-1_V7.B
(PY-curve-1_V8)15	Lijn	Paal_X_22 LCS	15,000 16,000	Vrij	Niet-lineair	Niet-lineair	Vrij	Vrij	Vrij	PY-curve-1_V8.B	PY-curve-1_V8.B
(PY-curve-1_V8)13	Lijn	Paal_X_20 LCS	15,000 16,000	Vrij	Niet-lineair	Niet-lineair	Vrij	Vrij	Vrij	PY-curve-1_V8.B	PY-curve-1_V8.B
(PY-curve-1_V8)12	Lijn	Paal_X_19 LCS	15,000 16,000	Vrij	Niet-lineair	Niet-lineair	Vrij	Vrij	Vrij	PY-curve-1_V8.B	PY-curve-1_V8.B
(PY-curve-1_V8)11	Lijn	Paal_X_18 LCS	15,000 16,000	Vrij	Niet-lineair	Niet-lineair	Vrij	Vrij	Vrij	PY-curve-1_V8.B	PY-curve-1_V8.B
(PY-curve-1_V8)10	Lijn	Paal_X_17 LCS	15,000 16,000	Vrij	Niet-lineair	Niet-lineair	Vrij	Vrij	Vrij	PY-curve-1_V8.B	PY-curve-1_V8.B
(PY-curve-1_V8)9	Lijn	Paal_X_16 LCS	15,000 16,000	Vrij	Niet-lineair	Niet-lineair	Vrij	Vrij	Vrij	PY-curve-1_V8.B	PY-curve-1_V8.B
(PY-curve-1_V8)8	Lijn	Paal_X_15 LCS	15,000 16,000	Vrij	Niet-lineair	Niet-lineair	Vrij	Vrij	Vrij	PY-curve-1_V8.B	PY-curve-1_V8.B
(PY-curve-1_V8)7	Lijn	Paal_X_11 LCS	15,000 16,000	Vrij	Niet-lineair	Niet-lineair	Vrij	Vrij	Vrij	PY-curve-1_V8.B	PY-curve-1_V8.B
(PY-curve-1_V8)14	Lijn	Paal_X_21 LCS	15,000 16,000	Vrij	Niet-lineair	Niet-lineair	Vrij	Vrij	Vrij	PY-curve-1_V8.B	PY-curve-1_V8.B
(PY-curve-1_V8)6	Lijn	Paal_X_10 LCS	15,000 16,000	Vrij	Niet-lineair	Niet-lineair	Vrij	Vrij	Vrij	PY-curve-1_V8.B	PY-curve-1_V8.B
(PY-curve-1_V8)5	Lijn	Paal_X_9 LCS	15,000 16,000	Vrij	Niet-lineair	Niet-lineair	Vrij	Vrij	Vrij	PY-curve-1_V8.B	PY-curve-1_V8.B
(PY-curve-1_V8)4	Lijn	Paal_X_8 LCS	15,000 16,000	Vrij	Niet-lineair	Niet-lineair	Vrij	Vrij	Vrij	PY-curve-1_V8.B	PY-curve-1_V8.B
(PY-curve-1_V8)3	Lijn	Paal_X_7 LCS	15,000 16,000	Vrij	Niet-lineair	Niet-lineair	Vrij	Vrij	Vrij	PY-curve-1_V8.B	PY-curve-1_V8.B
(PY-curve-1_V8)2	Lijn	Paal_X_6 LCS	15,000 16,000	Vrij	Niet-lineair	Niet-lineair	Vrij	Vrij	Vrij	PY-curve-1_V8.B	PY-curve-1_V8.B
(PY-curve-1_V8)1	Lijn	Paal_X_5 LCS	15,000 16,000	Vrij	Niet-lineair	Niet-lineair	Vrij	Vrij	Vrij	PY-curve-1_V8.B	PY-curve-1_V8.B
(PY-curve-1_V8)	Lijn	Paal_X_4 LCS	15,000 16,000	Vrij	Niet-lineair	Niet-lineair	Vrij	Vrij	Vrij	PY-curve-1_V8.B	PY-curve-1_V8.B
(PY-curve-1_V9)15	Lijn	Paal_X_21 LCS	16,000 17,000	Vrij	Niet-lineair	Niet-lineair	Vrij	Vrij	Vrij	PY-curve-1_V9.B	PY-curve-1_V9.B
(PY-curve-1_V9)13	Lijn	Paal_X_18 LCS	16,000 17,000	Vrij	Niet-lineair	Niet-lineair	Vrij	Vrij	Vrij	PY-curve-1_V9.B	PY-curve-1_V9.B
(PY-curve-1_V9)12	Lijn	Paal_X_17 LCS	16,000 17,000	Vrij	Niet-lineair	Niet-lineair	Vrij	Vrij	Vrij	PY-curve-1_V9.B	PY-curve-1_V9.B
(PY-curve-1_V9)11	Lijn	Paal_X_16 LCS	16,000 17,000	Vrij	Niet-lineair	Niet-lineair	Vrij	Vrij	Vrij	PY-curve-1_V9.B	PY-curve-1_V9.B
(PY-curve-1_V9)10	Lijn	Paal_X_15 LCS	16,000 17,000	Vrij	Niet-lineair	Niet-lineair	Vrij	Vrij	Vrij	PY-curve-1_V9.B	PY-curve-1_V9.B
(PY-curve-1_V9)9	Lijn	Paal_X_10 LCS	16,000 17,000	Vrij	Niet-lineair	Niet-lineair	Vrij	Vrij	Vrij	PY-curve-1_V9.B	PY-curve-1_V9.B
(PY-curve-1_V9)8	Lijn	Paal_X_9 LCS	16,000 17,000	Vrij	Niet-lineair	Niet-lineair	Vrij	Vrij	Vrij	PY-curve-1_V9.B	PY-curve-1_V9.B
(PY-curve-1_V9)7	Lijn	Paal_X_7 LCS	16,000 17,000	Vrij	Niet-lineair	Niet-lineair	Vrij	Vrij	Vrij	PY-curve-1_V9.B	PY-curve-1_V9.B
(PY-curve-1_V9)14	Lijn	Paal_X_20 LCS	16,000 17,000	Vrij	Niet-lineair	Niet-lineair	Vrij	Vrij	Vrij	PY-curve-1_V9.B	PY-curve-1_V9.B
(PY-curve-1_V9)6	Lijn	Paal_X_6 LCS	16,000 17,000	Vrij	Niet-lineair	Niet-lineair	Vrij	Vrij	Vrij	PY-curve-1_V9.B	PY-curve-1_V9.B
(PY-curve-1_V9)5	Lijn	Paal_X_5 LCS	16,000 17,000	Vrij	Niet-lineair	Niet-lineair	Vrij	Vrij	Vrij	PY-curve-1_V9.B	PY-curve-1_V9.B
(PY-curve-1_V9)4	Lijn	Paal_X_4 LCS	16,000 17,000	Vrij	Niet-lineair	Niet-lineair	Vrij	Vrij	Vrij	PY-curve-1_V9.B	PY-curve-1_V9.B
(PY-curve-1_V9)3	Lijn	Paal_X_22 LCS	16,000 17,000	Vrij	Niet-lineair	Niet-lineair	Vrij	Vrij	Vrij	PY-curve-1_V9.B	PY-curve-1_V9.B
(PY-curve-1_V9)2	Lijn	Paal_X_19	16,000	Vrij	Niet-lineair	Niet-lineair	Vrij	Vrij	Vrij	PY-curve-1_V9.B	PY-curve-1_V9.B

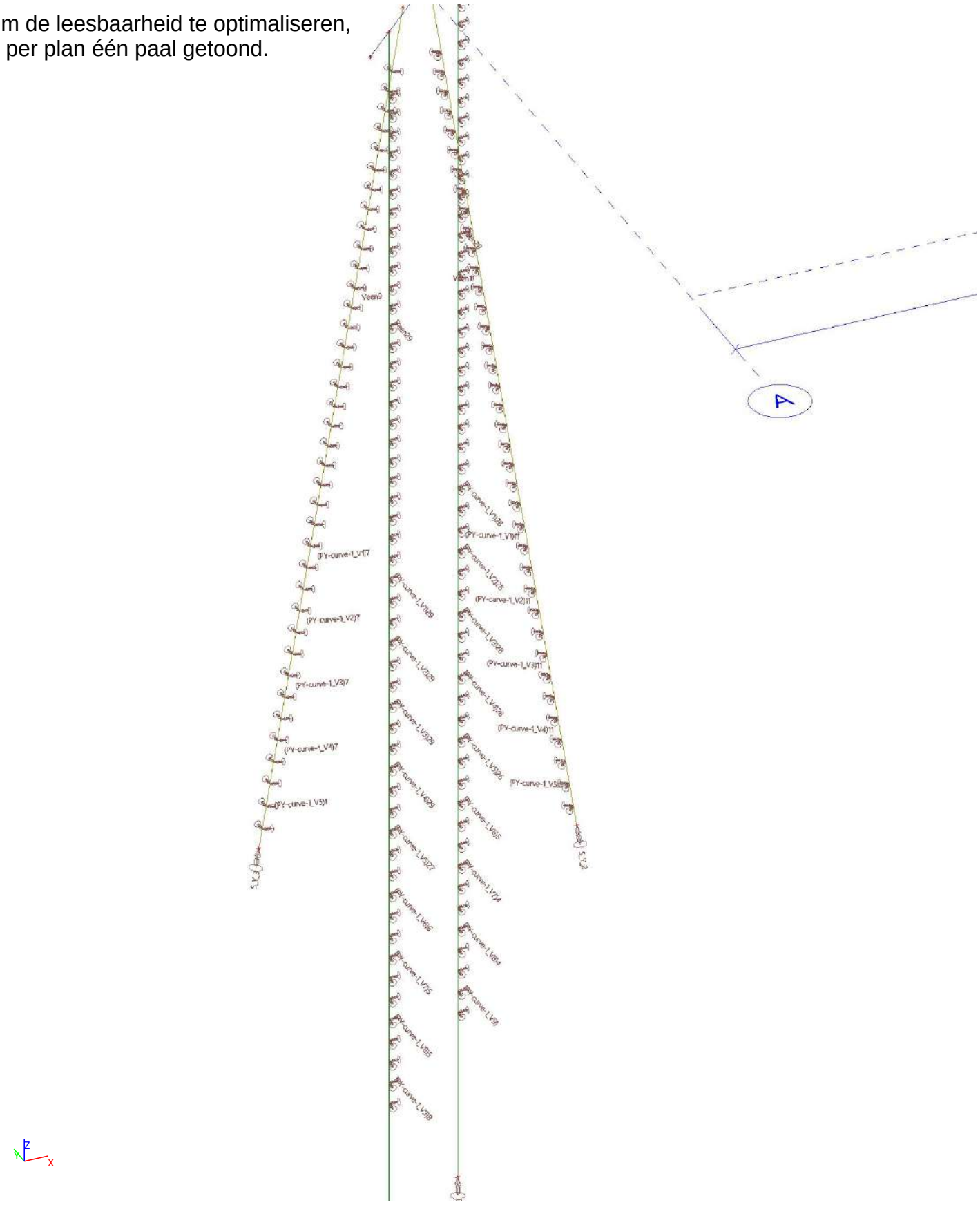
Naam	Type	Staaf	Pos x_1 [m]	X	Y	Z	Rx	Ry	Rz	Functie Y	Functie Z
		Systeem	Pos x_2 [m]								
		LCS	17,000								
(PY-curve-1_V9)1	Lijn	Paal_X_11	16,000	Vrij	Niet-lineair	Niet-lineair	Vrij	Vrij	Vrij	PY-curve-1_V9.B	PY-curve-1_V9.B
		LCS	17,000								
(PY-curve-1_V9)	Lijn	Paal_X_8	16,000	Vrij	Niet-lineair	Niet-lineair	Vrij	Vrij	Vrij	PY-curve-1_V9.B	PY-curve-1_V9.B
		LCS	17,000								

5.8. Analyse model met Lijnondersteuningen



5.9. Analyse model met Lijnondersteuningen

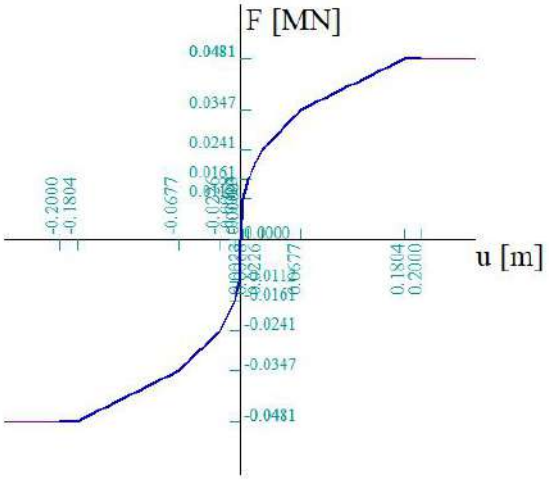
Om de leesbaarheid te optimaliseren, is per plan één paal getoond.



5.10. Niet-lineaire functies

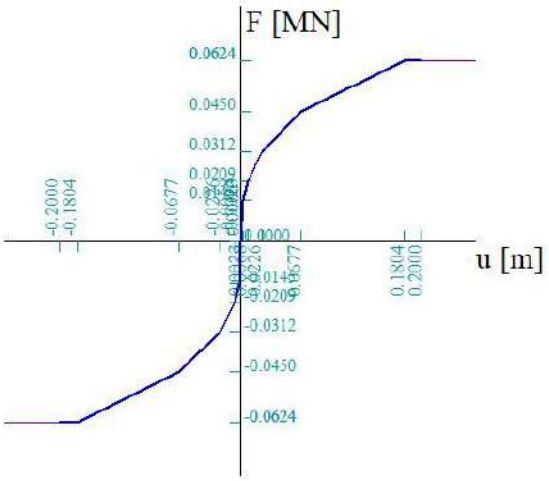
Naam	Type	u / F	Positief einde	Negatief einde
PY-curve-1_V1	Verplaatsing	-2,0000e-01[m] / -4,8130e-02[MN]	Vrij	Vrij
		-1,8040e-01[m] / -4,8130e-02[MN]		
		-6,7650e-02[m] / -3,4710e-02[MN]		
		-2,2550e-02[m] / -2,4064e-02[MN]		
		-6,7650e-03[m] / -1,6110e-02[MN]		
		-2,2550e-03[m] / -1,1170e-02[MN]		
		0,0000e+00[m] / 0,0000e+00[MN]		
		2,2550e-03[m] / 1,1170e-02[MN]		
		6,7650e-03[m] / 1,6110e-02[MN]		
		2,2550e-02[m] / 2,4064e-02[MN]		
		6,7650e-02[m] / 3,4707e-02[MN]		
		1,8040e-01[m] / 4,8129e-02[MN]		
		2,0000e-01[m] / 4,8129e-02[MN]		

Tekenen



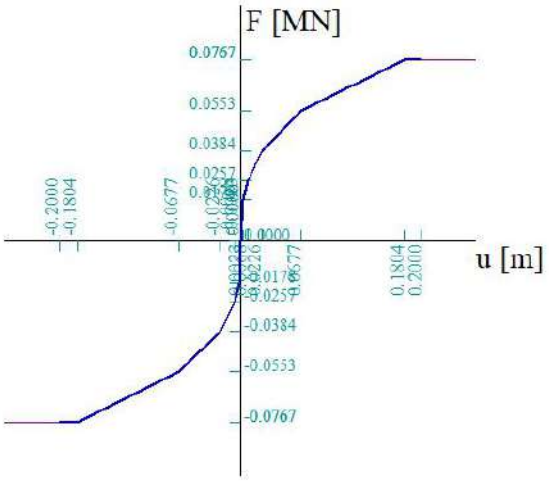
Naam	Type	u / F	Positief einde	Negatief einde
PY-curve-1_V2	Verplaatsing	-2,0000e-01[m] / -6,2400e-02[MN]	Vrij	Vrij
		-1,8040e-01[m] / -6,2400e-02[MN]		
		-6,7650e-02[m] / -4,5000e-02[MN]		
		-2,2550e-02[m] / -3,1200e-02[MN]		
		-6,7650e-03[m] / -2,0900e-02[MN]		
		-2,2550e-03[m] / -1,4500e-02[MN]		
		0,0000e+00[m] / 0,0000e+00[MN]		
		2,2550e-03[m] / 1,4490e-02[MN]		
		6,7650e-03[m] / 2,0900e-02[MN]		
		2,2550e-02[m] / 3,1220e-02[MN]		
		6,7650e-02[m] / 4,5020e-02[MN]		
		1,8040e-01[m] / 6,2430e-02[MN]		
		2,0000e-01[m] / 6,2430e-02[MN]		

Tekenen



Naam	Type	u / F	Positief einde	Negatief einde
PY-curve-1_V3	Verplaatsing	-2,0000e-01[m] / -7,6737e-02[MN]	Vrij	Vrij
		-1,8040e-01[m] / -7,6737e-02[MN]		
		-6,7650e-02[m] / -5,5337e-02[MN]		
		-2,2550e-02[m] / -3,8368e-02[MN]		
		-6,7650e-03[m] / -2,5685e-02[MN]		
		-2,2550e-03[m] / -1,7809e-02[MN]		
		0,0000e+00[m] / 0,0000e+00[MN]		
		2,2550e-03[m] / 1,7809e-02[MN]		
		6,7650e-03[m] / 2,5685e-02[MN]		
		2,2550e-02[m] / 3,8368e-02[MN]		
		6,7650e-02[m] / 5,5337e-02[MN]		
		1,8040e-01[m] / 7,6737e-02[MN]		
		2,0000e-01[m] / 7,6737e-02[MN]		

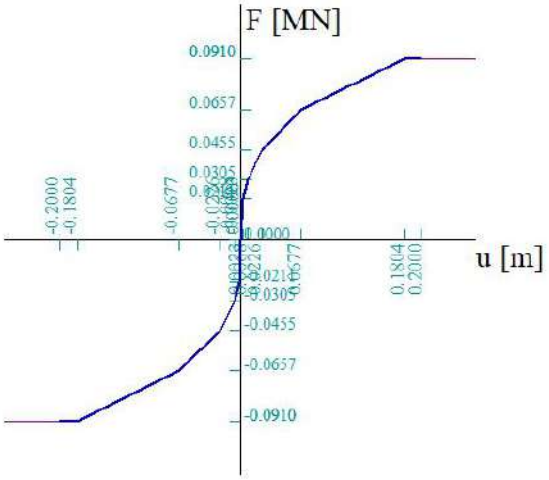
Tekenen



Naam	Type	u / F	Positief einde	Negatief einde
PY-curve-1_V4	Verplaatsing	-2,0000e-01[m] / -9,1041e-02[MN]	Vrij	Vrij
		-1,8040e-01[m] / -9,1041e-02[MN]		
		-6,7650e-02[m] / -6,5652e-02[MN]		
		-2,2550e-02[m] / -4,5520e-02[MN]		
		-6,7650e-03[m] / -3,0473e-02[MN]		
		-2,2550e-03[m] / -2,1129e-02[MN]		
		0,0000e+00[m] / 0,0000e+00[MN]		
		2,2550e-03[m] / 2,1129e-02[MN]		
		6,7650e-03[m] / 3,0473e-02[MN]		
		2,2550e-02[m] / 4,5520e-02[MN]		

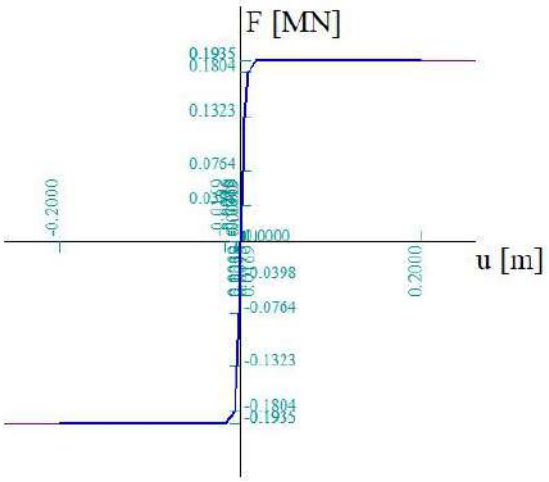
Naam	Type	u / F	Positief einde	Negatief einde
		6,7650e-02[m] / 6,5652e-02[MN]		
		1,8040e-01[m] / 9,1041e-02[MN]		
		2,0000e-01[m] / 9,1041e-02[MN]		

Tekenen



Naam	Type	u / F	Positief einde	Negatief einde
PY-curve-1_V5	Verplaatsing	-2,0000e-01[m] / -1,9349e-01[MN]	Vrij	Vrij
		-1,6913e-02[m] / -1,9349e-01[MN]		
		-7,5167e-03[m] / -1,8041e-01[MN]		
		-3,7583e-03[m] / -1,3226e-01[MN]		
		-1,8792e-03[m] / -7,6422e-02[MN]		
		-9,3958e-04[m] / -3,9826e-02[MN]		
		0,0000e+00[m] / 0,0000e+00[MN]		
		9,3958e-04[m] / 3,9826e-02[MN]		
		1,8792e-03[m] / 7,6422e-02[MN]		
		3,7583e-03[m] / 1,3226e-01[MN]		
		7,5167e-03[m] / 1,8041e-01[MN]		
		1,6913e-02[m] / 1,9349e-01[MN]		
		2,0000e-01[m] / 1,9349e-01[MN]		

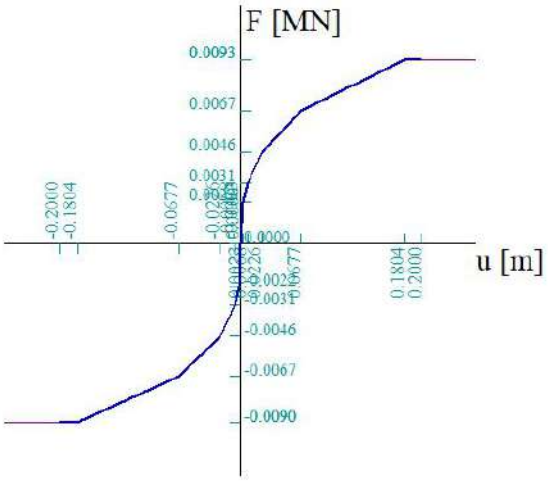
Tekenen



Naam	Type	u / F	Positief einde	Negatief einde
PY-curve-1_Veen	Verplaatsing	-2,0000e-01[m] / -9,0000e-03[MN]	Vrij	Vrij
		-1,8040e-01[m] / -9,0000e-03[MN]		
		-6,7650e-02[m] / -6,7000e-03[MN]		
		-2,2550e-02[m] / -4,6300e-03[MN]		

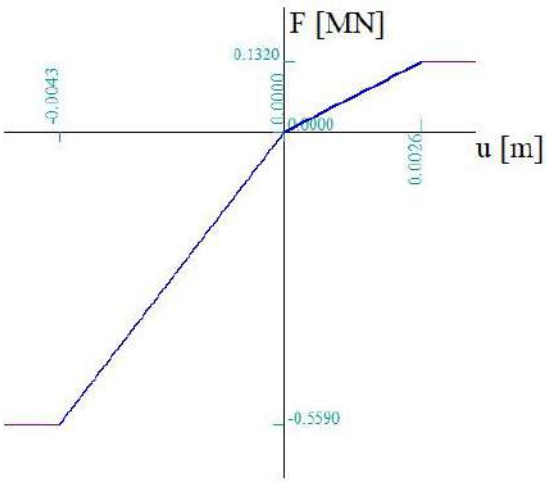
Naam	Type	u / F	Positief einde	Negatief einde
		-6,7650e-03[m] / -3,1000e-03[MN]		
		-2,2550e-03[m] / -2,1500e-03[MN]		
		0,0000e+00[m] / 0,0000e+00[MN]		
		2,2550e-03[m] / 2,1500e-03[MN]		
		6,7650e-03[m] / 3,1000e-03[MN]		
		2,2550e-02[m] / 4,6300e-03[MN]		
		6,7650e-02[m] / 6,7000e-03[MN]		
		1,8040e-01[m] / 9,2700e-03[MN]		
		2,0000e-01[m] / 9,2700e-03[MN]		

Tekenen



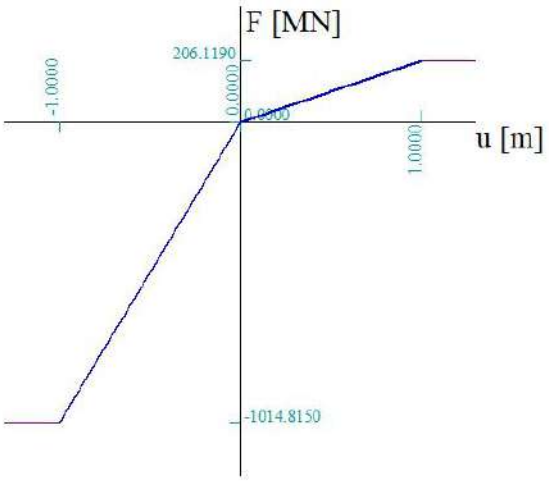
Naam	Type	u / F	Positief einde	Negatief einde
Trek-druk-S+0-paalpunt_cap275kN .min.B.	Verplaatsing	-4,3100e-03[m] / -5,5900e-01[MN]	Vrij	Vrij
		0,0000e+00[m] / 0,0000e+00[MN]		
		2,6300e-03[m] / 1,3200e-01[MN]		

Tekenen



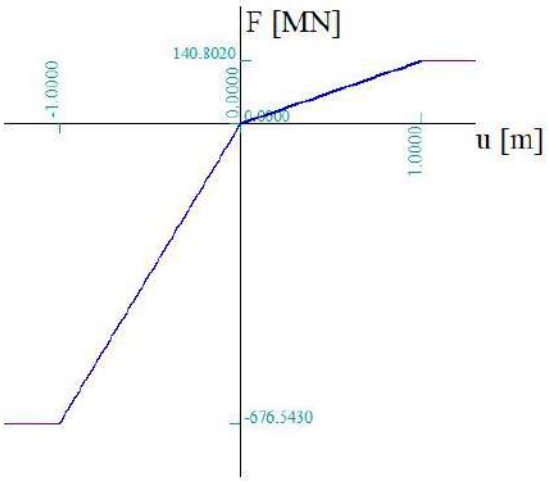
Naam	Type	u / F	Positief einde	Negatief einde
Trek-druk-paalpunt-max.LEKA	Verplaatsing	-1,0000e+00[m] / -1,0148e+03[MN]	Vrij	Vrij
		0,0000e+00[m] / 0,0000e+00[MN]		
		1,0000e+00[m] / 2,0612e+02[MN]		

Tekenen



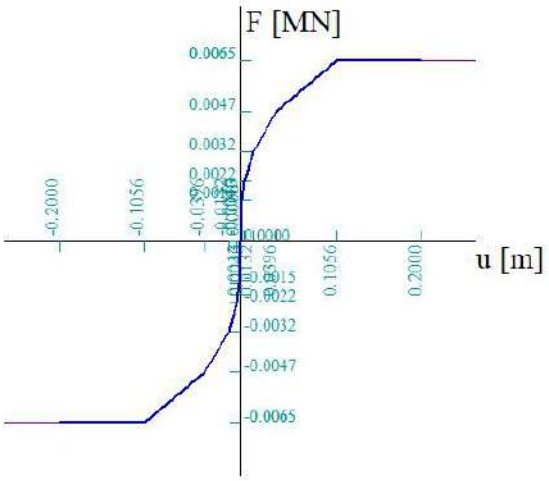
Naam	Type	u / F	Positief einde	Negatief einde
Trek-druk-paalpunt-min.LEKA	Verplaatsing	-1,0000e+00[m] / -6,7654e+02[MN]	Vrij	Vrij
		0,0000e+00[m] / 0,0000e+00[MN]		
		1,0000e+00[m] / 1,4080e+02[MN]		

Tekenen



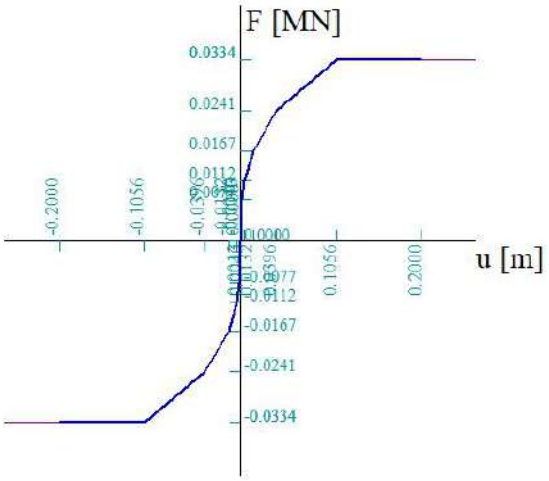
Naam	Type	u / F	Positief einde	Negatief einde
PY-curve-1_Veen.B	Verplaatsing	-2,0000e-01[m] / -6,4600e-03[MN]	Vrij	Vrij
		-1,0560e-01[m] / -6,4600e-03[MN]		
		-3,9600e-02[m] / -4,6585e-03[MN]		
		-1,3200e-02[m] / -3,2300e-03[MN]		
		-3,9600e-03[m] / -2,1623e-03[MN]		
		-1,3200e-03[m] / -1,4992e-03[MN]		
		0,0000e+00[m] / 0,0000e+00[MN]		
		1,3200e-03[m] / 1,4992e-03[MN]		
		3,9600e-03[m] / 2,1623e-03[MN]		
		1,3200e-02[m] / 3,2300e-03[MN]		
		3,9600e-02[m] / 4,6585e-03[MN]		
		1,0560e-01[m] / 6,4600e-03[MN]		
		2,0000e-01[m] / 6,4600e-03[MN]		

Tekenen



Naam	Type	u / F	Positief einde	Negatief einde
PY-curve-1_V1.B	Verplaatsing	-2,0000e-01[m] / -3,3356e-02[MN]	Vrij	Vrij
		-1,0560e-01[m] / -3,3356e-02[MN]		
		-3,9600e-02[m] / -2,4054e-02[MN]		
		-1,3200e-02[m] / -1,6678e-02[MN]		
		-3,9600e-03[m] / -1,1165e-02[MN]		
		-1,3200e-03[m] / -7,7412e-03[MN]		
		0,0000e+00[m] / 0,0000e+00[MN]		
		1,3200e-03[m] / 7,7412e-03[MN]		
		3,9600e-03[m] / 1,1165e-02[MN]		
		1,3200e-02[m] / 1,6678e-02[MN]		
		3,9600e-02[m] / 2,4054e-02[MN]		
		1,0560e-01[m] / 3,3356e-02[MN]		
		2,0000e-01[m] / 3,3356e-02[MN]		

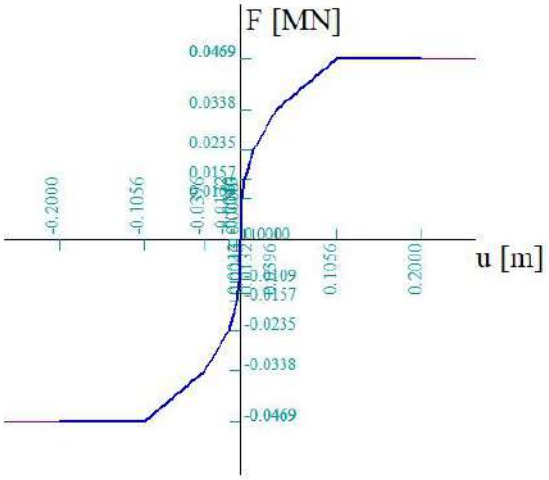
Tekenen



Naam	Type	u / F	Positief einde	Negatief einde
PY-curve-1_V2.B	Verplaatsing	-2,0000e-01[m] / -4,6912e-02[MN]	Vrij	Vrij
		-1,0560e-01[m] / -4,6912e-02[MN]		
		-3,9600e-02[m] / -3,3829e-02[MN]		
		-1,3200e-02[m] / -2,3456e-02[MN]		
		-3,9600e-03[m] / -1,5702e-02[MN]		
		-1,3200e-03[m] / -1,0887e-02[MN]		
		0,0000e+00[m] / 0,0000e+00[MN]		
		1,3200e-03[m] / 1,0887e-02[MN]		
		3,9600e-03[m] / 1,5702e-02[MN]		
		1,3200e-02[m] / 2,3456e-02[MN]		

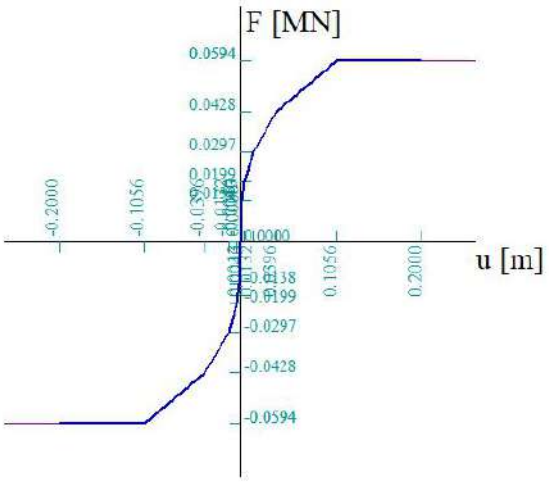
Naam	Type	u / F	Positief einde	Negatief einde
		3,9600e-02[m] / 3,3829e-02[MN]		
		1,0560e-01[m] / 4,6912e-02[MN]		
		2,0000e-01[m] / 4,6912e-02[MN]		

Tekenen



Naam	Type	u / F	Positief einde	Negatief einde
PY-curve-1_V3.B	Verplaatsing	-2,0000e-01[m] / -5,9400e-02[MN]	Vrij	Vrij
		-1,0560e-01[m] / -5,9400e-02[MN]		
		-3,9600e-02[m] / -4,2835e-02[MN]		
		-1,3200e-02[m] / -2,9700e-02[MN]		
		-3,9600e-03[m] / -1,9882e-02[MN]		
		-1,3200e-03[m] / -1,3786e-02[MN]		
		0,0000e+00[m] / 0,0000e+00[MN]		
		1,3200e-03[m] / 1,3786e-02[MN]		
		3,9600e-03[m] / 1,9882e-02[MN]		
		1,3200e-02[m] / 2,9700e-02[MN]		
		3,9600e-02[m] / 4,2835e-02[MN]		
		1,0560e-01[m] / 5,9400e-02[MN]		
		2,0000e-01[m] / 5,9400e-02[MN]		

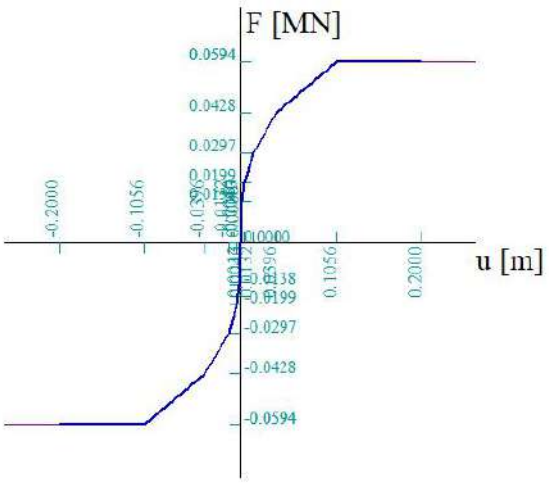
Tekenen



Naam	Type	u / F	Positief einde	Negatief einde
PY-curve-1_V4.B	Verplaatsing	-2,0000e-01[m] / -5,9400e-02[MN]	Vrij	Vrij
		-1,0560e-01[m] / -5,9400e-02[MN]		
		-3,9600e-02[m] / -4,2835e-02[MN]		
		-1,3200e-02[m] / -2,9700e-02[MN]		

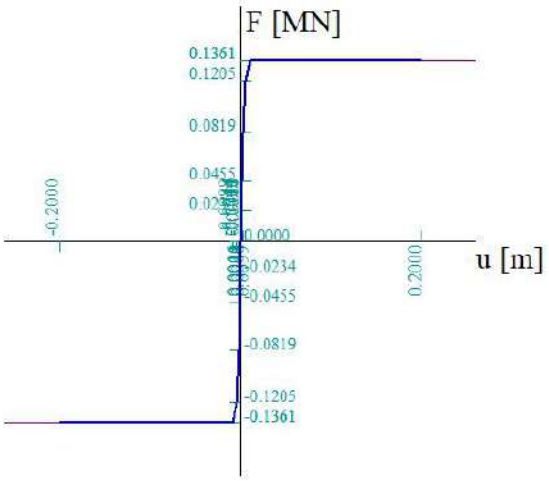
Naam	Type	u / F	Positief einde	Negatief einde
		-3,9600e-03[m] / -1,9882e-02[MN]		
		-1,3200e-03[m] / -1,3786e-02[MN]		
		0,0000e+00[m] / 0,0000e+00[MN]		
		1,3200e-03[m] / 1,3786e-02[MN]		
		3,9600e-03[m] / 1,9882e-02[MN]		
		1,3200e-02[m] / 2,9700e-02[MN]		
		3,9600e-02[m] / 4,2835e-02[MN]		
		1,0560e-01[m] / 5,9400e-02[MN]		
		2,0000e-01[m] / 5,9400e-02[MN]		

Tekenen



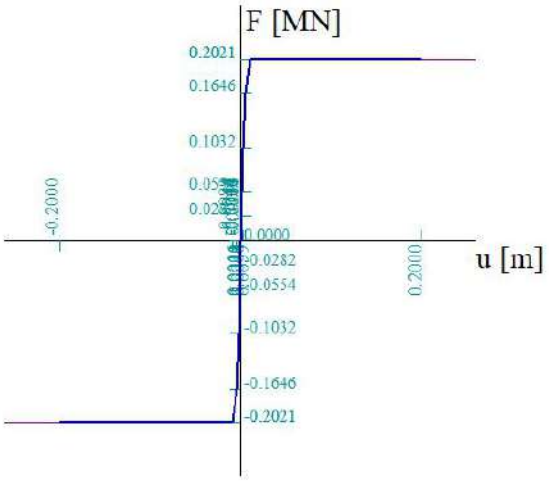
Naam	Type	u / F	Positief einde	Negatief einde
PY-curve-1_V5.B	Verplaatsing	-2,0000e-01[m] / -1,3606e-01[MN]	Vrij	Vrij
		-9,9000e-03[m] / -1,3606e-01[MN]		
		-4,4000e-03[m] / -1,2049e-01[MN]		
		-2,2000e-03[m] / -8,1906e-02[MN]		
		-1,1000e-03[m] / -4,5496e-02[MN]		
		-5,5000e-04[m] / -2,3416e-02[MN]		
		0,0000e+00[m] / 0,0000e+00[MN]		
		5,5000e-04[m] / 2,3416e-02[MN]		
		1,1000e-03[m] / 4,5496e-02[MN]		
		2,2000e-03[m] / 8,1906e-02[MN]		
		4,4000e-03[m] / 1,2049e-01[MN]		
		9,9000e-03[m] / 1,3606e-01[MN]		
		2,0000e-01[m] / 1,3606e-01[MN]		

Tekenen



Naam	Type	u / F	Positief einde	Negatief einde
PY-curve-1_V6.B	Verplaatsing	-2,0000e-01[m] / -2,0212e-01[MN]	Vrij	Vrij
		-9,9000e-03[m] / -2,0212e-01[MN]		
		-4,4000e-03[m] / -1,6461e-01[MN]		
		-2,2000e-03[m] / -1,0317e-01[MN]		
		-1,1000e-03[m] / -5,5351e-02[MN]		
		-5,5000e-04[m] / -2,8200e-02[MN]		
		0,0000e+00[m] / 0,0000e+00[MN]		
		5,5000e-04[m] / 2,8200e-02[MN]		
		1,1000e-03[m] / 5,5351e-02[MN]		
		2,2000e-03[m] / 1,0317e-01[MN]		
		4,4000e-03[m] / 1,6461e-01[MN]		
		9,9000e-03[m] / 2,0212e-01[MN]		
		2,0000e-01[m] / 2,0212e-01[MN]		

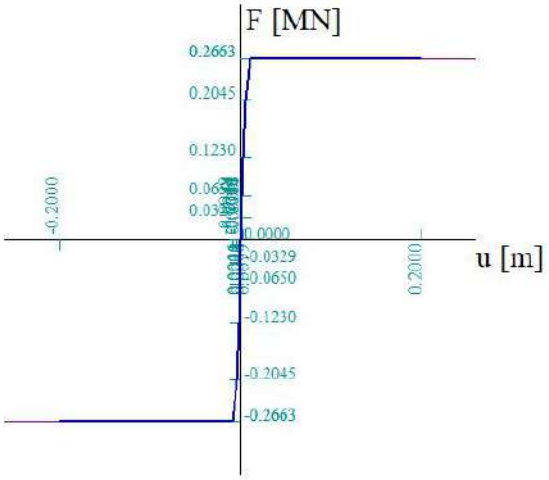
Tekenen



Naam	Type	u / F	Positief einde	Negatief einde
PY-curve-1_V7.B	Verplaatsing	-2,0000e-01[m] / -2,6632e-01[MN]	Vrij	Vrij
		-9,9000e-03[m] / -2,6632e-01[MN]		
		-4,4000e-03[m] / -2,0449e-01[MN]		
		-2,2000e-03[m] / -1,2296e-01[MN]		
		-1,1000e-03[m] / -6,4953e-02[MN]		
		-5,5000e-04[m] / -3,2949e-02[MN]		
		0,0000e+00[m] / 0,0000e+00[MN]		
		5,5000e-04[m] / 3,2949e-02[MN]		
		1,1000e-03[m] / 6,4953e-02[MN]		
		2,2000e-03[m] / 1,2296e-01[MN]		

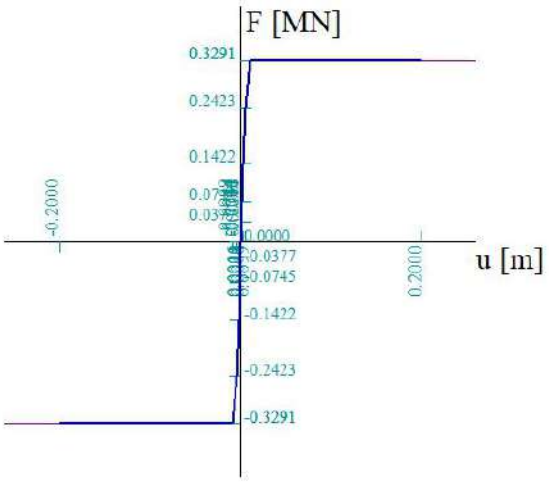
Naam	Type	u / F	Positief einde	Negatief einde
		4,4000e-03[m] / 2,0449e-01[MN]		
		9,9000e-03[m] / 2,6632e-01[MN]		
		2,0000e-01[m] / 2,6632e-01[MN]		

Tekenen



Naam	Type	u / F	Positief einde	Negatief einde
PY-curve-1_V8.B	Verplaatsing	-2,0000e-01[m] / -3,2908e-01[MN]	Vrij	Vrij
		-9,9000e-03[m] / -3,2908e-01[MN]		
		-4,4000e-03[m] / -2,4234e-01[MN]		
		-2,2000e-03[m] / -1,4217e-01[MN]		
		-1,1000e-03[m] / -7,4465e-02[MN]		
		-5,5000e-04[m] / -3,7686e-02[MN]		
		0,0000e+00[m] / 0,0000e+00[MN]		
		5,5000e-04[m] / 3,7686e-02[MN]		
		1,1000e-03[m] / 7,4465e-02[MN]		
		2,2000e-03[m] / 1,4217e-01[MN]		
		4,4000e-03[m] / 2,4234e-01[MN]		
		9,9000e-03[m] / 3,2908e-01[MN]		
		2,0000e-01[m] / 3,2908e-01[MN]		

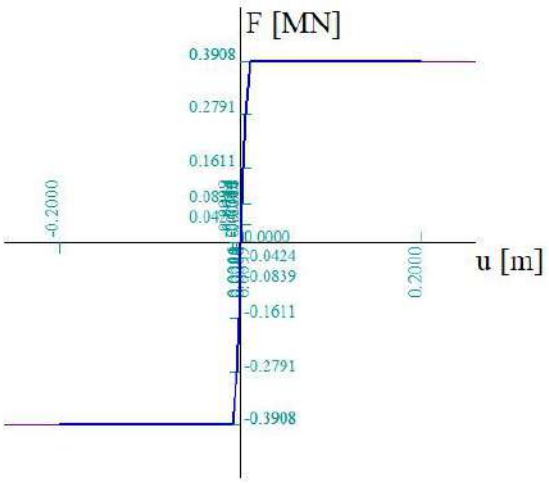
Tekenen



Naam	Type	u / F	Positief einde	Negatief einde
PY-curve-1_V9.B	Verplaatsing	-2,0000e-01[m] / -3,9077e-01[MN]	Vrij	Vrij
		-9,9000e-03[m] / -3,9077e-01[MN]		
		-4,4000e-03[m] / -2,7909e-01[MN]		
		-2,2000e-03[m] / -1,6111e-01[MN]		

Naam	Type	u / F	Positief einde	Negatief einde
		-1,1000e-03[m] / -8,3936e-02[MN]		
		-5,5000e-04[m] / -4,2418e-02[MN]		
		0,0000e+00[m] / 0,0000e+00[MN]		
		5,5000e-04[m] / 4,2418e-02[MN]		
		1,1000e-03[m] / 8,3936e-02[MN]		
		2,2000e-03[m] / 1,6111e-01[MN]		
		4,4000e-03[m] / 2,7909e-01[MN]		
		9,9000e-03[m] / 3,9077e-01[MN]		
		2,0000e-01[m] / 3,9077e-01[MN]		

Tekenen

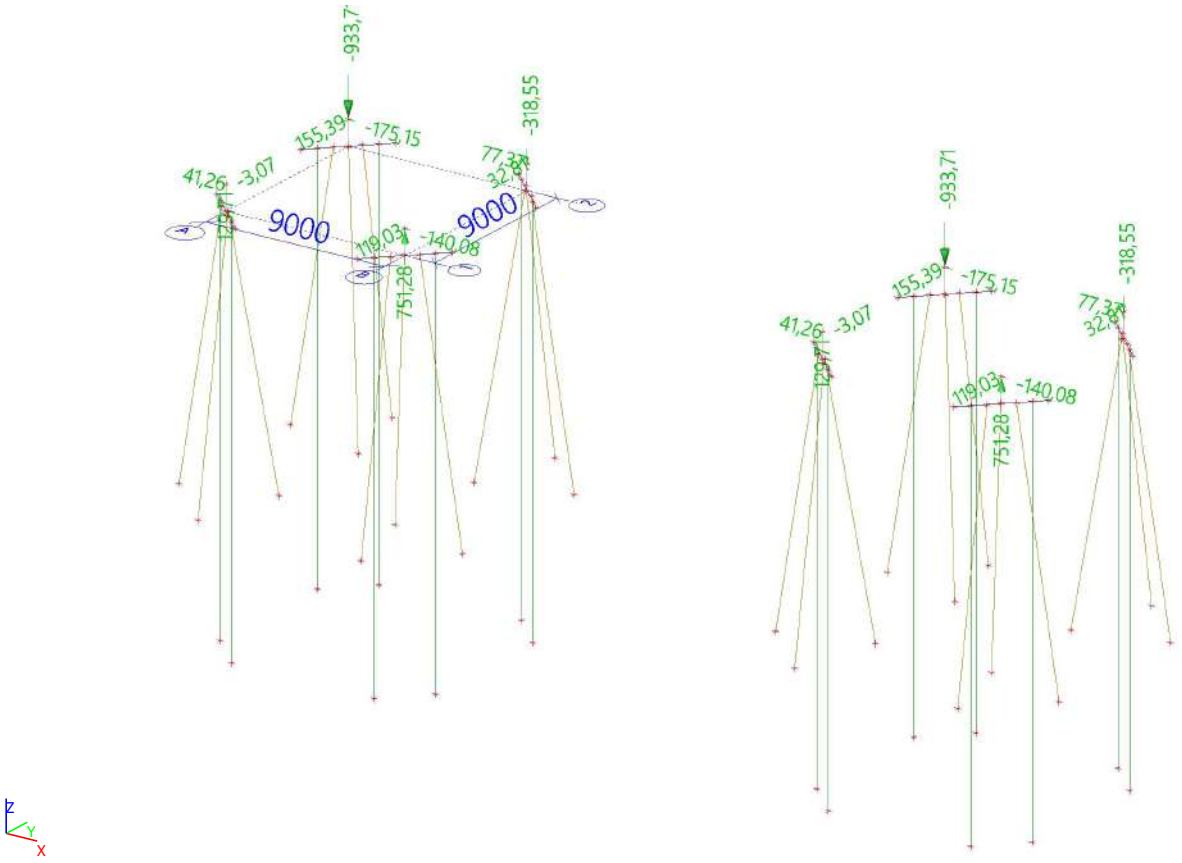


6. Belastingen

6.1. Belastingsgevallen

6.1.1. Belastingsgevallen - high max Wnd ;45°

Naam	Omschrijving	Actie type	Lastgroep	Duur	'Master' belastingsgeval
	Spec	Belastingtype			
high max Wnd ;45°		Variabel	LG4	Kort	Geen
	Standaard	Statisch			



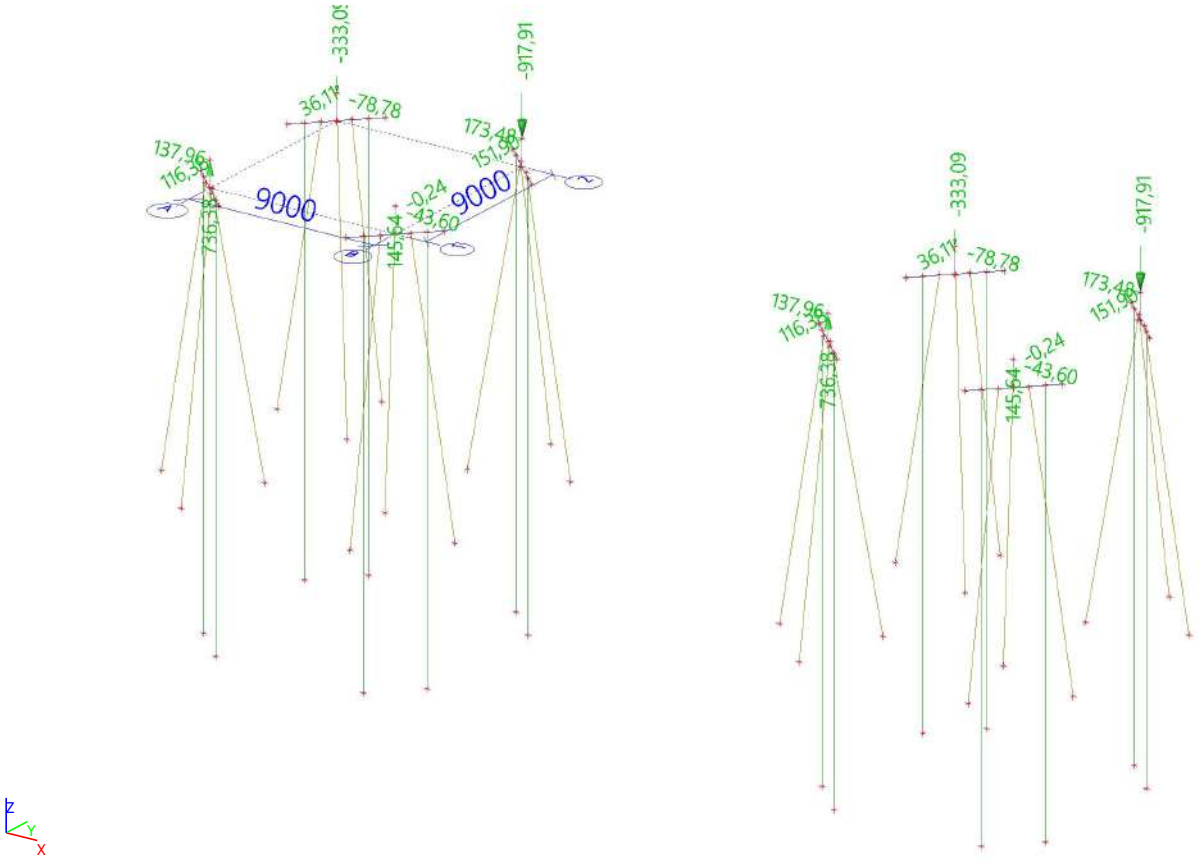
6.1.1.1. Puntlast op knoop

Naam	Knoop	Belastingsgeval	Systeem	Rich	Type	Waarde - F [kN]
high max Wnd ;45°_1P_X	1P	high max Wnd ;45°	GCS	X	Kracht	41,26
high max Wnd ;45°_1P_Y	1P	high max Wnd ;45°	GCS	Y	Kracht	-3,07
high max Wnd ;45°_1P_Z	1P	high max Wnd ;45°	GCS	Z	Kracht	129,71
high max Wnd ;45°_1X_X	1X	high max Wnd ;45°	GCS	X	Kracht	-175,15
high max Wnd ;45°_1X_Y	1X	high max Wnd ;45°	GCS	Y	Kracht	155,39
high max Wnd ;45°_1X_Z	1X	high max Wnd ;45°	GCS	Z	Kracht	-933,71
high max Wnd ;45°_1XY_X	1XY	high max Wnd ;45°	GCS	X	Kracht	77,37
high max Wnd ;45°_1XY_Y	1XY	high max Wnd ;45°	GCS	Y	Kracht	32,81
high max Wnd ;45°_1XY_Z	1XY	high max Wnd ;45°	GCS	Z	Kracht	-318,55

Naam	Knoop	Belastingsgeval	Systeem	Rich	Type	Waarde - F [kN]
high max Wnd ;45°_1Y_X	1Y	high max Wnd ;45°	GCS	X	Kracht	-140,08
high max Wnd ;45°_1Y_Y	1Y	high max Wnd ;45°	GCS	Y	Kracht	119,03
high max Wnd ;45°_1Y_Z	1Y	high max Wnd ;45°	GCS	Z	Kracht	751,28
high max Wnd ;45°_1P_X1	1P28	high max Wnd ;45°	GCS	X	Kracht	41,26
high max Wnd ;45°_1P_Y1	1P28	high max Wnd ;45°	GCS	Y	Kracht	-3,07
high max Wnd ;45°_1P_Z1	1P28	high max Wnd ;45°	GCS	Z	Kracht	129,71
high max Wnd ;45°_1Y_X1	1Y1	high max Wnd ;45°	GCS	X	Kracht	-140,08
high max Wnd ;45°_1Y_Y1	1Y1	high max Wnd ;45°	GCS	Y	Kracht	119,03
high max Wnd ;45°_1Y_Z1	1Y1	high max Wnd ;45°	GCS	Z	Kracht	751,28
high max Wnd ;45°_1XY_X1	1XY1	high max Wnd ;45°	GCS	X	Kracht	77,37
high max Wnd ;45°_1XY_Y1	1XY1	high max Wnd ;45°	GCS	Y	Kracht	32,81
high max Wnd ;45°_1XY_Z1	1XY1	high max Wnd ;45°	GCS	Z	Kracht	-318,55
high max Wnd ;45°_1X_X1	1X1	high max Wnd ;45°	GCS	X	Kracht	-175,15
high max Wnd ;45°_1X_Y1	1X1	high max Wnd ;45°	GCS	Y	Kracht	155,39
high max Wnd ;45°_1X_Z1	1X1	high max Wnd ;45°	GCS	Z	Kracht	-933,71

6.1.2. Belastingsgevallen - high max Wnd ;135°

Naam	Omschrijving	Actie type	Lastgroep	Duur	'Master' belastingsgeval
	Spec	Belastingtype			
high max Wnd ;135°		Variabel	LG4	Kort	Geen
	Standaard	Statisch			



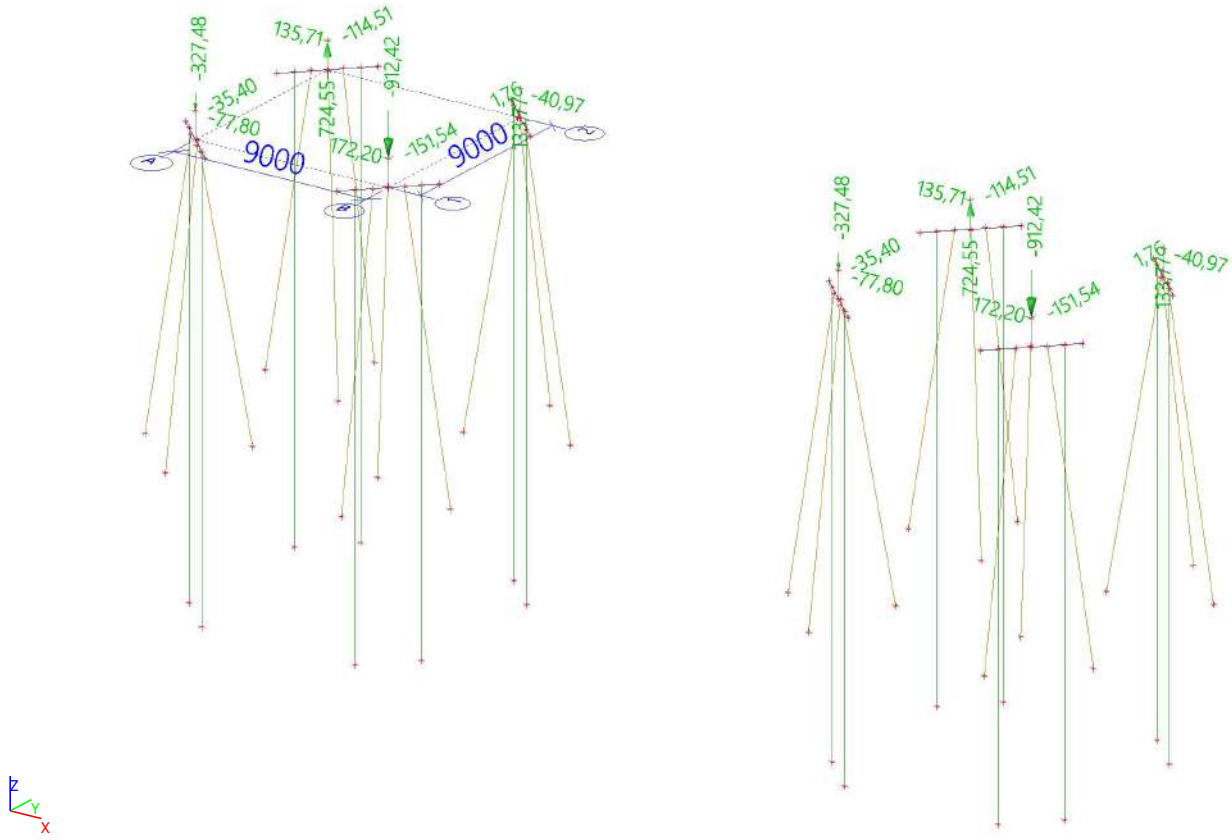
6.1.2.1. Puntlast op knoop

Naam	Knoop	Belastingsgeval	Systeem	Rich	Type	Waarde - F [kN]
high max Wnd ;135°_1P_X	1P	high max Wnd ;135°	GCS	X	Kracht	137,96
high max Wnd ;135°_1P_Y	1P	high max Wnd ;135°	GCS	Y	Kracht	116,38
high max Wnd ;135°_1P_Z	1P	high max Wnd ;135°	GCS	Z	Kracht	736,38
high max Wnd ;135°_1X_X	1X	high max Wnd ;135°	GCS	X	Kracht	-78,78
high max Wnd ;135°_1X_Y	1X	high max Wnd ;135°	GCS	Y	Kracht	36,11
high max Wnd ;135°_1X_Z	1X	high max Wnd ;135°	GCS	Z	Kracht	-333,09
high max Wnd ;135°_1XY_X	1XY	high max Wnd ;135°	GCS	X	Kracht	173,48
high max Wnd ;135°_1XY_Y	1XY	high max Wnd ;135°	GCS	Y	Kracht	151,90
high max Wnd ;135°_1XY_Z	1XY	high max Wnd ;135°	GCS	Z	Kracht	-917,91
high max Wnd ;135°_1Y_X	1Y	high max Wnd ;135°	GCS	X	Kracht	-43,60
high max Wnd ;135°_1Y_Y	1Y	high max Wnd ;135°	GCS	Y	Kracht	-0,24
high max Wnd ;135°_1Y_Z	1Y	high max Wnd ;135°	GCS	Z	Kracht	145,64
high max Wnd ;135°_1P_X1	1P28	high max Wnd ;135°	GCS	X	Kracht	137,96
high max Wnd ;135°_1P_Y1	1P28	high max Wnd ;135°	GCS	Y	Kracht	116,38
high max Wnd	1P28	high max Wnd ;135°	GCS	Z	Kracht	736,38

Naam	Knoop	Belastingsgeval	Systeem	Rich	Type	Waarde - F [kN]
;135°_1P_Z1						
high max Wnd ;135°_1Y_X1	1Y1	high max Wnd ;135°	GCS	X	Kracht	-43,60
high max Wnd ;135°_1Y_Y1	1Y1	high max Wnd ;135°	GCS	Y	Kracht	-0,24
high max Wnd ;135°_1Y_Z1	1Y1	high max Wnd ;135°	GCS	Z	Kracht	145,64
high max Wnd ;135°_1XY_X1	1XY1	high max Wnd ;135°	GCS	X	Kracht	173,48
high max Wnd ;135°_1XY_Y1	1XY1	high max Wnd ;135°	GCS	Y	Kracht	151,90
high max Wnd ;135°_1XY_Z1	1XY1	high max Wnd ;135°	GCS	Z	Kracht	-917,91
high max Wnd ;135°_1X_X1	1X1	high max Wnd ;135°	GCS	X	Kracht	-78,78
high max Wnd ;135°_1X_Y1	1X1	high max Wnd ;135°	GCS	Y	Kracht	36,11
high max Wnd ;135°_1X_Z1	1X1	high max Wnd ;135°	GCS	Z	Kracht	-333,09

6.1.3. Belastingsgevallen - high max Wnd ;225°

Naam	Omschrijving	Actie type	Lastgroep	Duur	'Master' belastingsgeval
	Spec	Belastingtype			
high max Wnd ;225°		Variabel	LG4	Kort	Geen
	Standaard	Statisch			

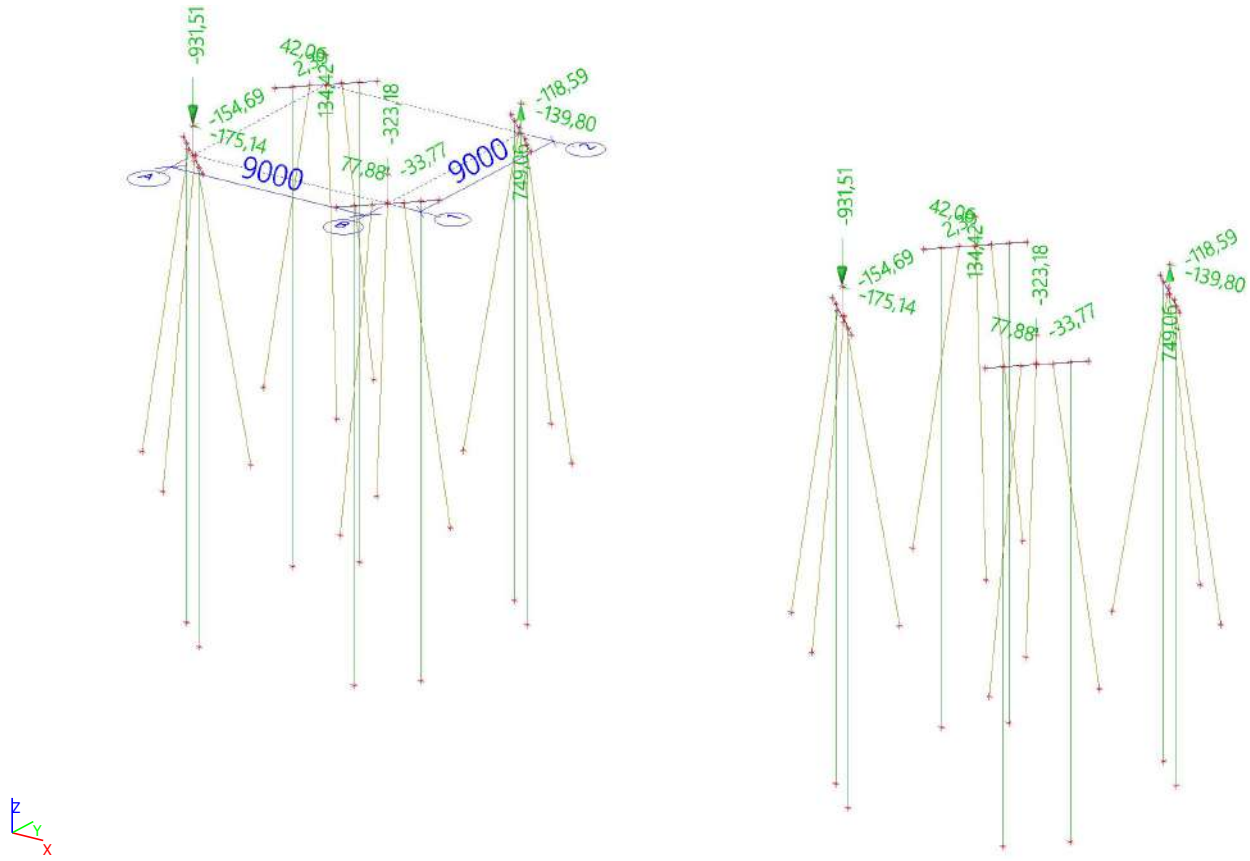


6.1.3.1. Puntlast op knoop

Naam	Knoop	Belastingsgeval	Systeem	Rich	Type	Waarde - F [kN]
high max Wnd ;225°_1P_X	1P	high max Wnd ;225°	GCS	X	Kracht	-77,80
high max Wnd ;225°_1P_Y	1P	high max Wnd ;225°	GCS	Y	Kracht	-35,40
high max Wnd ;225°_1P_Z	1P	high max Wnd ;225°	GCS	Z	Kracht	-327,48
high max Wnd ;225°_1X_X	1X	high max Wnd ;225°	GCS	X	Kracht	135,71
high max Wnd ;225°_1X_Y	1X	high max Wnd ;225°	GCS	Y	Kracht	-114,51
high max Wnd ;225°_1X_Z	1X	high max Wnd ;225°	GCS	Z	Kracht	724,55
high max Wnd ;225°_1XY_X	1XY	high max Wnd ;225°	GCS	X	Kracht	-40,97
high max Wnd ;225°_1XY_Y	1XY	high max Wnd ;225°	GCS	Y	Kracht	1,76
high max Wnd ;225°_1XY_Z	1XY	high max Wnd ;225°	GCS	Z	Kracht	133,77
high max Wnd ;225°_1Y_X	1Y	high max Wnd ;225°	GCS	X	Kracht	172,20
high max Wnd ;225°_1Y_Y	1Y	high max Wnd ;225°	GCS	Y	Kracht	-151,54
high max Wnd ;225°_1Y_Z	1Y	high max Wnd ;225°	GCS	Z	Kracht	-912,42
high max Wnd ;225°_1P_X1	1P28	high max Wnd ;225°	GCS	X	Kracht	-77,80
high max Wnd ;225°_1P_Y1	1P28	high max Wnd ;225°	GCS	Y	Kracht	-35,40
high max Wnd ;225°_1P_Z1	1P28	high max Wnd ;225°	GCS	Z	Kracht	-327,48
high max Wnd ;225°_1Y_X1	1Y1	high max Wnd ;225°	GCS	X	Kracht	172,20
high max Wnd ;225°_1Y_Y1	1Y1	high max Wnd ;225°	GCS	Y	Kracht	-151,54
high max Wnd ;225°_1Y_Z1	1Y1	high max Wnd ;225°	GCS	Z	Kracht	-912,42
high max Wnd ;225°_1XY_X1	1XY1	high max Wnd ;225°	GCS	X	Kracht	-40,97
high max Wnd ;225°_1XY_Y1	1XY1	high max Wnd ;225°	GCS	Y	Kracht	1,76
high max Wnd ;225°_1XY_Z1	1XY1	high max Wnd ;225°	GCS	Z	Kracht	133,77
high max Wnd ;225°_1X_X1	1X1	high max Wnd ;225°	GCS	X	Kracht	135,71
high max Wnd ;225°_1X_Y1	1X1	high max Wnd ;225°	GCS	Y	Kracht	-114,51
high max Wnd ;225°_1X_Z1	1X1	high max Wnd ;225°	GCS	Z	Kracht	724,55

6.1.4. Belastingsgevallen - high max Wnd ;315°

Naam	Omschrijving	Actie type	Lastgroep	Duur	'Master' belastingsgeval
	Spec	Belastingtype			
high max Wnd ;315°		Variabel	LG4	Kort	Geen
	Standaard	Statisch			



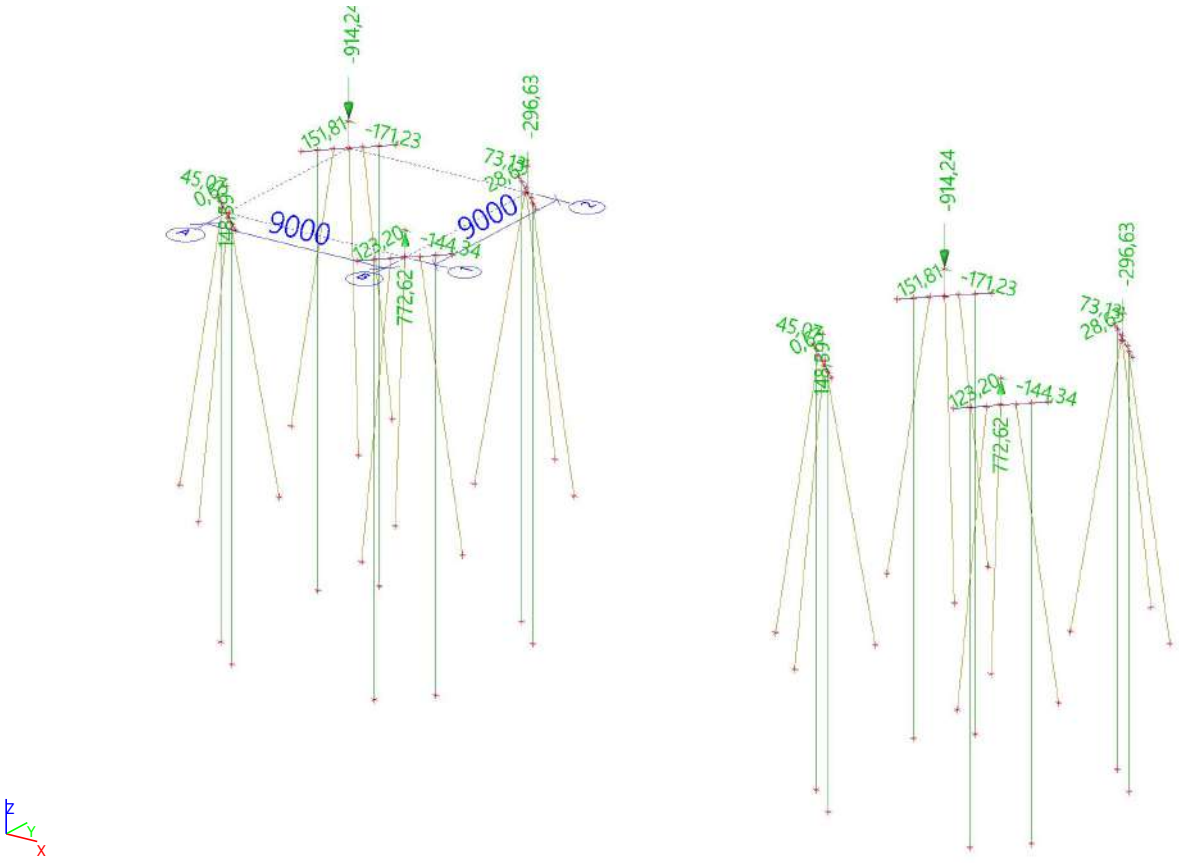
6.1.4.1. Puntlast op knoop

Naam	Knoop	Belastingsgeval	Systeem	Rich	Type	Waarde - F [kN]
high max Wnd ;315°_1P_X	1P	high max Wnd ;315°	GCS	X	Kracht	-175,14
high max Wnd ;315°_1P_Y	1P	high max Wnd ;315°	GCS	Y	Kracht	-154,69
high max Wnd ;315°_1P_Z	1P	high max Wnd ;315°	GCS	Z	Kracht	-931,51
high max Wnd ;315°_1X_X	1X	high max Wnd ;315°	GCS	X	Kracht	42,06
high max Wnd ;315°_1X_Y	1X	high max Wnd ;315°	GCS	Y	Kracht	2,39
high max Wnd ;315°_1X_Z	1X	high max Wnd ;315°	GCS	Z	Kracht	134,42
high max Wnd ;315°_1XY_X	1XY	high max Wnd ;315°	GCS	X	Kracht	-139,80
high max Wnd ;315°_1XY_Y	1XY	high max Wnd ;315°	GCS	Y	Kracht	-118,59
high max Wnd ;315°_1XY_Z	1XY	high max Wnd ;315°	GCS	Z	Kracht	749,06
high max Wnd ;315°_1Y_X	1Y	high max Wnd ;315°	GCS	X	Kracht	77,88
high max Wnd ;315°_1Y_Y	1Y	high max Wnd ;315°	GCS	Y	Kracht	-33,77
high max Wnd ;315°_1Y_Z	1Y	high max Wnd ;315°	GCS	Z	Kracht	-323,18
high max Wnd ;315°_1P_X1	1P28	high max Wnd ;315°	GCS	X	Kracht	-175,14
high max Wnd ;315°_1P_Y1	1P28	high max Wnd ;315°	GCS	Y	Kracht	-154,69
high max Wnd	1P28	high max Wnd ;315°	GCS	Z	Kracht	-931,51

Naam	Knoop	Belastingsgeval	Systeem	Rich	Type	Waarde - F [kN]
;315°_1P_Z1						
high max Wnd ;315°_1Y_X1	1Y1	high max Wnd ;315°	GCS	X	Kracht	77,88
high max Wnd ;315°_1Y_Y1	1Y1	high max Wnd ;315°	GCS	Y	Kracht	-33,77
high max Wnd ;315°_1Y_Z1	1Y1	high max Wnd ;315°	GCS	Z	Kracht	-323,18
high max Wnd ;315°_1XY_X1	1XY1	high max Wnd ;315°	GCS	X	Kracht	-139,80
high max Wnd ;315°_1XY_Y1	1XY1	high max Wnd ;315°	GCS	Y	Kracht	-118,59
high max Wnd ;315°_1XY_Z1	1XY1	high max Wnd ;315°	GCS	Z	Kracht	749,06
high max Wnd ;315°_1X_X1	1X1	high max Wnd ;315°	GCS	X	Kracht	42,06
high max Wnd ;315°_1X_Y1	1X1	high max Wnd ;315°	GCS	Y	Kracht	2,39
high max Wnd ;315°_1X_Z1	1X1	high max Wnd ;315°	GCS	Z	Kracht	134,42

6.1.5. Belastingsgevallen - low max Wnd ;45°

Naam	Omschrijving	Actie type	Lastgroep	Duur	'Master' belastingsgeval
	Spec	Belastingtype			
low max Wnd ;45°		Variabel	LG4	Kort	Geen
	Standaard	Statisch			

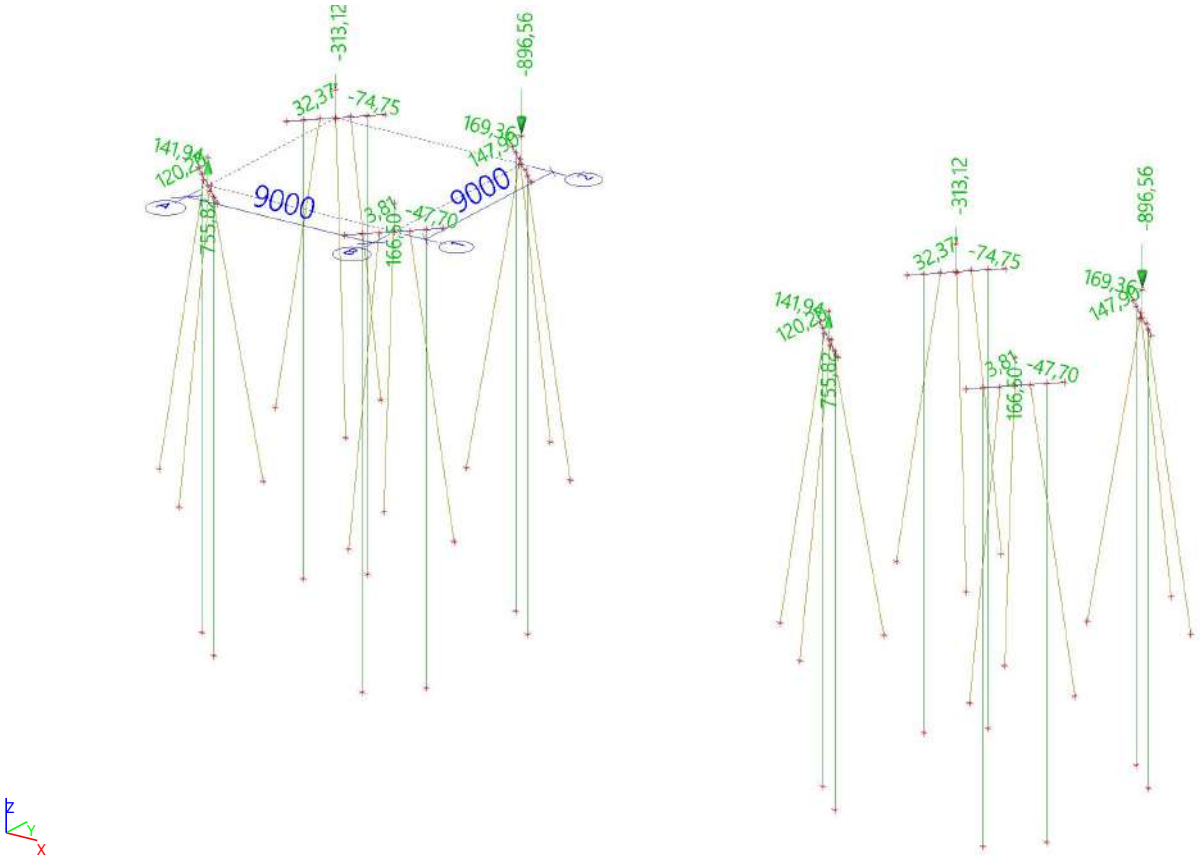


6.1.5.1. Puntlast op knoop

Naam	Knoop	Belastingsgeval	Systeem	Rich	Type	Waarde - F [kN]
low max Wnd ;45°_1P_X	1P	low max Wnd ;45°	GCS	X	Kracht	45,07
low max Wnd ;45°_1P_Y	1P	low max Wnd ;45°	GCS	Y	Kracht	0,63
low max Wnd ;45°_1P_Z	1P	low max Wnd ;45°	GCS	Z	Kracht	148,59
low max Wnd ;45°_1X_X	1X	low max Wnd ;45°	GCS	X	Kracht	-171,23
low max Wnd ;45°_1X_Y	1X	low max Wnd ;45°	GCS	Y	Kracht	151,81
low max Wnd ;45°_1X_Z	1X	low max Wnd ;45°	GCS	Z	Kracht	-914,24
low max Wnd ;45°_1XY_X	1XY	low max Wnd ;45°	GCS	X	Kracht	73,13
low max Wnd ;45°_1XY_Y	1XY	low max Wnd ;45°	GCS	Y	Kracht	28,63
low max Wnd ;45°_1XY_Z	1XY	low max Wnd ;45°	GCS	Z	Kracht	-296,63
low max Wnd ;45°_1Y_X	1Y	low max Wnd ;45°	GCS	X	Kracht	-144,34
low max Wnd ;45°_1Y_Y	1Y	low max Wnd ;45°	GCS	Y	Kracht	123,20
low max Wnd ;45°_1Y_Z	1Y	low max Wnd ;45°	GCS	Z	Kracht	772,62
low max Wnd ;45°_1P_X1	1P28	low max Wnd ;45°	GCS	X	Kracht	45,07
low max Wnd ;45°_1P_Y1	1P28	low max Wnd ;45°	GCS	Y	Kracht	0,63
low max Wnd ;45°_1P_Z1	1P28	low max Wnd ;45°	GCS	Z	Kracht	148,59
low max Wnd ;45°_1Y_X1	1Y1	low max Wnd ;45°	GCS	X	Kracht	-144,34
low max Wnd ;45°_1Y_Y1	1Y1	low max Wnd ;45°	GCS	Y	Kracht	123,20
low max Wnd ;45°_1Y_Z1	1Y1	low max Wnd ;45°	GCS	Z	Kracht	772,62
low max Wnd ;45°_1XY_X1	1XY1	low max Wnd ;45°	GCS	X	Kracht	73,13
low max Wnd ;45°_1XY_Y1	1XY1	low max Wnd ;45°	GCS	Y	Kracht	28,63
low max Wnd ;45°_1XY_Z1	1XY1	low max Wnd ;45°	GCS	Z	Kracht	-296,63
low max Wnd ;45°_1X_X1	1X1	low max Wnd ;45°	GCS	X	Kracht	-171,23
low max Wnd ;45°_1X_Y1	1X1	low max Wnd ;45°	GCS	Y	Kracht	151,81
low max Wnd ;45°_1X_Z1	1X1	low max Wnd ;45°	GCS	Z	Kracht	-914,24

6.1.6. Belastingsgevallen - low max Wnd ;135°

Naam	Omschrijving	Actie type	Lastgroep	Duur	'Master' belastingsgeval
	Spec	Belastingtype			
low max Wnd ;135°		Variabel	LG4	Kort	Geen
	Standaard	Statisch			



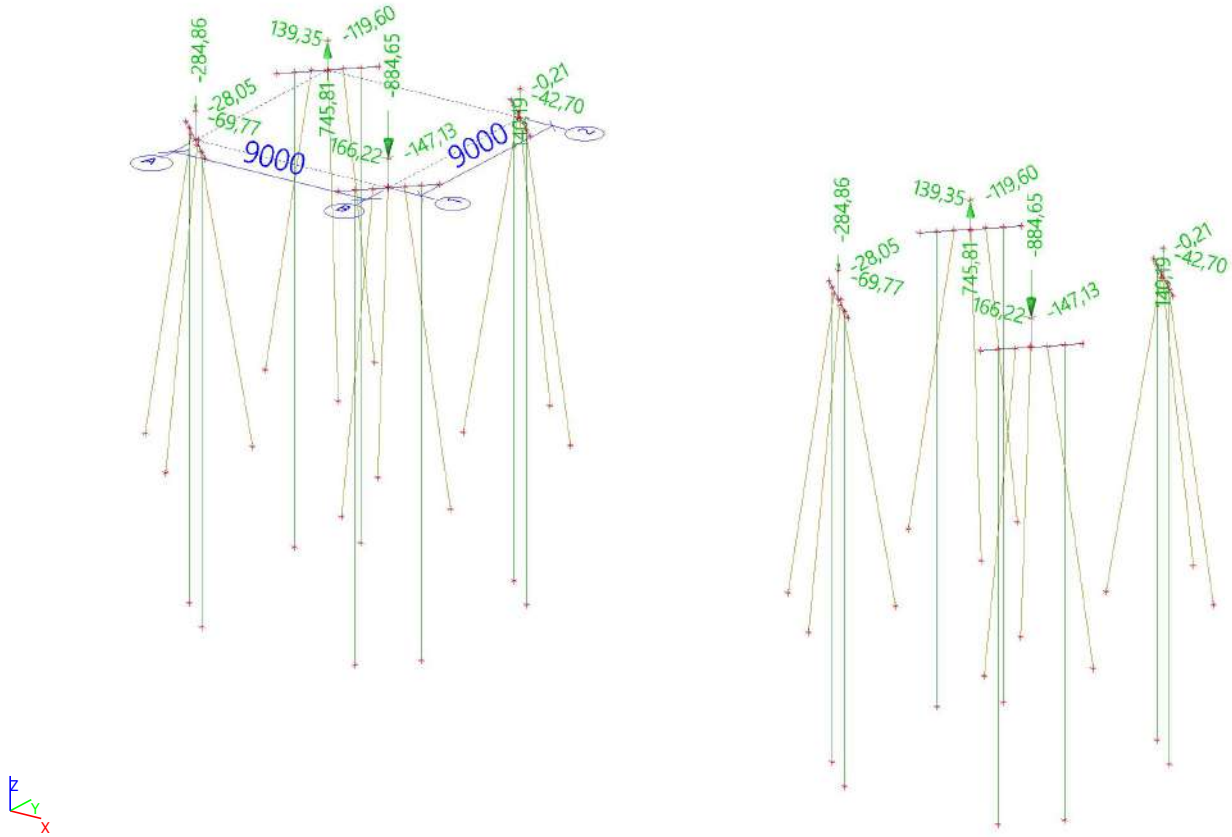
6.1.6.1. Puntlast op knoop

Naam	Knoop	Belastingsgeval	Systeem	Rich	Type	Waarde - F [kN]
low max Wnd ;135°_1P_X	1P	low max Wnd ;135°	GCS	X	Kracht	141,94
low max Wnd ;135°_1P_Y	1P	low max Wnd ;135°	GCS	Y	Kracht	120,20
low max Wnd ;135°_1P_Z	1P	low max Wnd ;135°	GCS	Z	Kracht	755,82
low max Wnd ;135°_1X_X	1X	low max Wnd ;135°	GCS	X	Kracht	-74,75
low max Wnd ;135°_1X_Y	1X	low max Wnd ;135°	GCS	Y	Kracht	32,37
low max Wnd ;135°_1X_Z	1X	low max Wnd ;135°	GCS	Z	Kracht	-313,12
low max Wnd ;135°_1XY_X	1XY	low max Wnd ;135°	GCS	X	Kracht	169,36
low max Wnd ;135°_1XY_Y	1XY	low max Wnd ;135°	GCS	Y	Kracht	147,90
low max Wnd ;135°_1XY_Z	1XY	low max Wnd ;135°	GCS	Z	Kracht	-896,56
low max Wnd ;135°_1Y_X	1Y	low max Wnd ;135°	GCS	X	Kracht	-47,70
low max Wnd ;135°_1Y_Y	1Y	low max Wnd ;135°	GCS	Y	Kracht	3,81
low max Wnd ;135°_1Y_Z	1Y	low max Wnd ;135°	GCS	Z	Kracht	166,50
low max Wnd ;135°_1P_X1	1P28	low max Wnd ;135°	GCS	X	Kracht	141,94
low max Wnd ;135°_1P_Y1	1P28	low max Wnd ;135°	GCS	Y	Kracht	120,20
low max Wnd	1P28	low max Wnd ;135°	GCS	Z	Kracht	755,82

Naam	Knoop	Belastingsgeval	Systeem	Rich	Type	Waarde - F [kN]
;135°_1P_Z1						
low max Wnd ;135°_1Y_X1	1Y1	low max Wnd ;135°	GCS	X	Kracht	-47,70
low max Wnd ;135°_1Y_Y1	1Y1	low max Wnd ;135°	GCS	Y	Kracht	3,81
low max Wnd ;135°_1Y_Z1	1Y1	low max Wnd ;135°	GCS	Z	Kracht	166,50
low max Wnd ;135°_1XY_X1	1XY1	low max Wnd ;135°	GCS	X	Kracht	169,36
low max Wnd ;135°_1XY_Y1	1XY1	low max Wnd ;135°	GCS	Y	Kracht	147,90
low max Wnd ;135°_1XY_Z1	1XY1	low max Wnd ;135°	GCS	Z	Kracht	-896,56
low max Wnd ;135°_1X_X1	1X1	low max Wnd ;135°	GCS	X	Kracht	-74,75
low max Wnd ;135°_1X_Y1	1X1	low max Wnd ;135°	GCS	Y	Kracht	32,37
low max Wnd ;135°_1X_Z1	1X1	low max Wnd ;135°	GCS	Z	Kracht	-313,12

6.1.7. Belastingsgevallen - low max Wnd ;225°

Naam	Omschrijving	Actie type	Lastgroep	Duur	'Master' belastingsgeval
	Spec	Belastingtype			
low max Wnd ;225°		Variabel	LG4	Kort	Geen
	Standaard	Statisch			

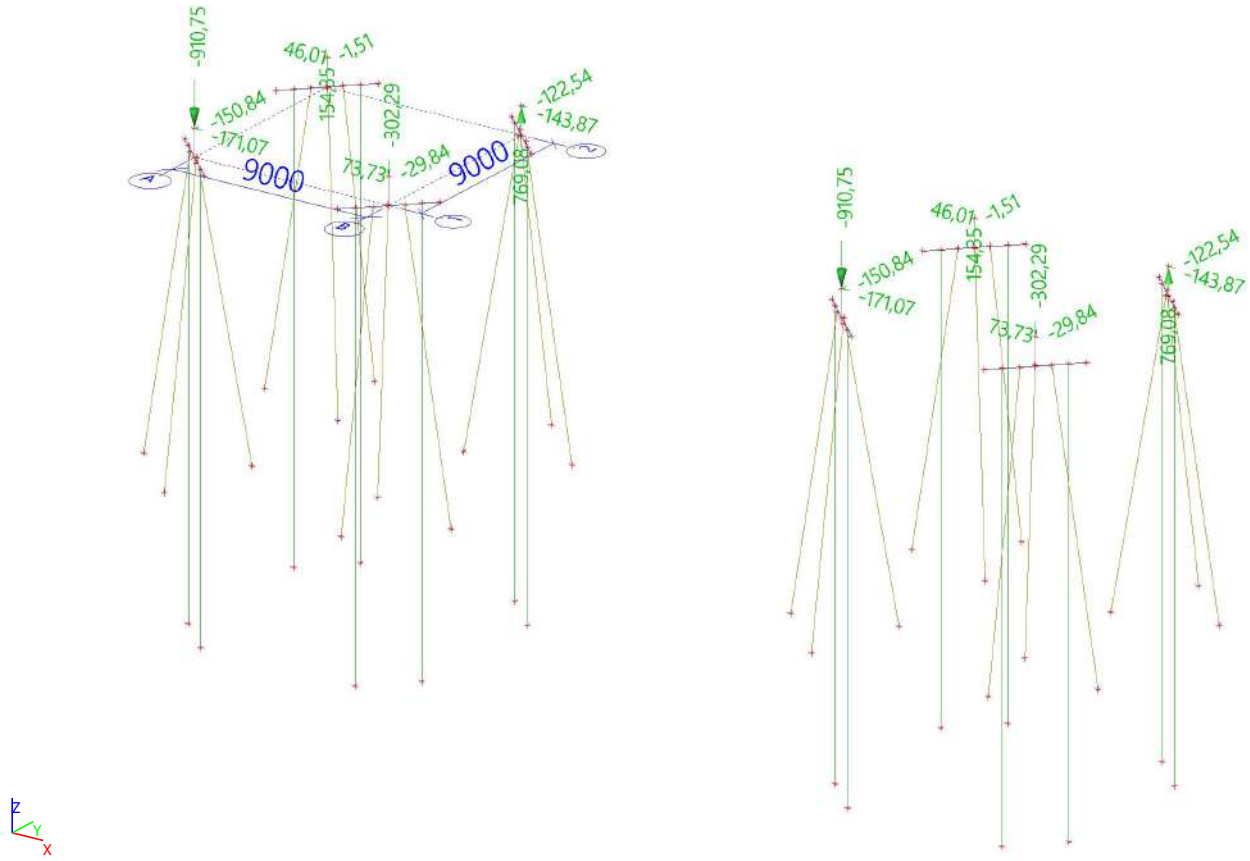


6.1.7.1. Puntlast op knoop

Naam	Knoop	Belastingsgeval	Systeem	Rich	Type	Waarde - F [kN]
low max Wnd ;225°_1P_X	1P	low max Wnd ;225°	GCS	X	Kracht	-69,77
low max Wnd ;225°_1P_Y	1P	low max Wnd ;225°	GCS	Y	Kracht	-28,05
low max Wnd ;225°_1P_Z	1P	low max Wnd ;225°	GCS	Z	Kracht	-284,86
low max Wnd ;225°_1X_X	1X	low max Wnd ;225°	GCS	X	Kracht	139,35
low max Wnd ;225°_1X_Y	1X	low max Wnd ;225°	GCS	Y	Kracht	-119,60
low max Wnd ;225°_1X_Z	1X	low max Wnd ;225°	GCS	Z	Kracht	745,81
low max Wnd ;225°_1XY_X	1XY	low max Wnd ;225°	GCS	X	Kracht	-42,70
low max Wnd ;225°_1XY_Y	1XY	low max Wnd ;225°	GCS	Y	Kracht	-0,21
low max Wnd ;225°_1XY_Z	1XY	low max Wnd ;225°	GCS	Z	Kracht	140,19
low max Wnd ;225°_1Y_X	1Y	low max Wnd ;225°	GCS	X	Kracht	166,22
low max Wnd ;225°_1Y_Y	1Y	low max Wnd ;225°	GCS	Y	Kracht	-147,13
low max Wnd ;225°_1Y_Z	1Y	low max Wnd ;225°	GCS	Z	Kracht	-884,65
low max Wnd ;225°_1P_X1	1P28	low max Wnd ;225°	GCS	X	Kracht	-69,77
low max Wnd ;225°_1P_Y1	1P28	low max Wnd ;225°	GCS	Y	Kracht	-28,05
low max Wnd ;225°_1P_Z1	1P28	low max Wnd ;225°	GCS	Z	Kracht	-284,86
low max Wnd ;225°_1Y_X1	1Y1	low max Wnd ;225°	GCS	X	Kracht	166,22
low max Wnd ;225°_1Y_Y1	1Y1	low max Wnd ;225°	GCS	Y	Kracht	-147,13
low max Wnd ;225°_1Y_Z1	1Y1	low max Wnd ;225°	GCS	Z	Kracht	-884,65
low max Wnd ;225°_1XY_X1	1XY1	low max Wnd ;225°	GCS	X	Kracht	-42,70
low max Wnd ;225°_1XY_Y1	1XY1	low max Wnd ;225°	GCS	Y	Kracht	-0,21
low max Wnd ;225°_1XY_Z1	1XY1	low max Wnd ;225°	GCS	Z	Kracht	140,19
low max Wnd ;225°_1X_X1	1X1	low max Wnd ;225°	GCS	X	Kracht	139,35
low max Wnd ;225°_1X_Y1	1X1	low max Wnd ;225°	GCS	Y	Kracht	-119,60
low max Wnd ;225°_1X_Z1	1X1	low max Wnd ;225°	GCS	Z	Kracht	745,81

6.1.8. Belastingsgevallen - low max Wnd ;315°

Naam	Omschrijving	Actie type	Lastgroep	Duur	'Master' belastingsgeval
	Spec	Belastingtype			
low max Wnd ;315°		Variabel	LG4	Kort	Geen
	Standaard	Statisch			



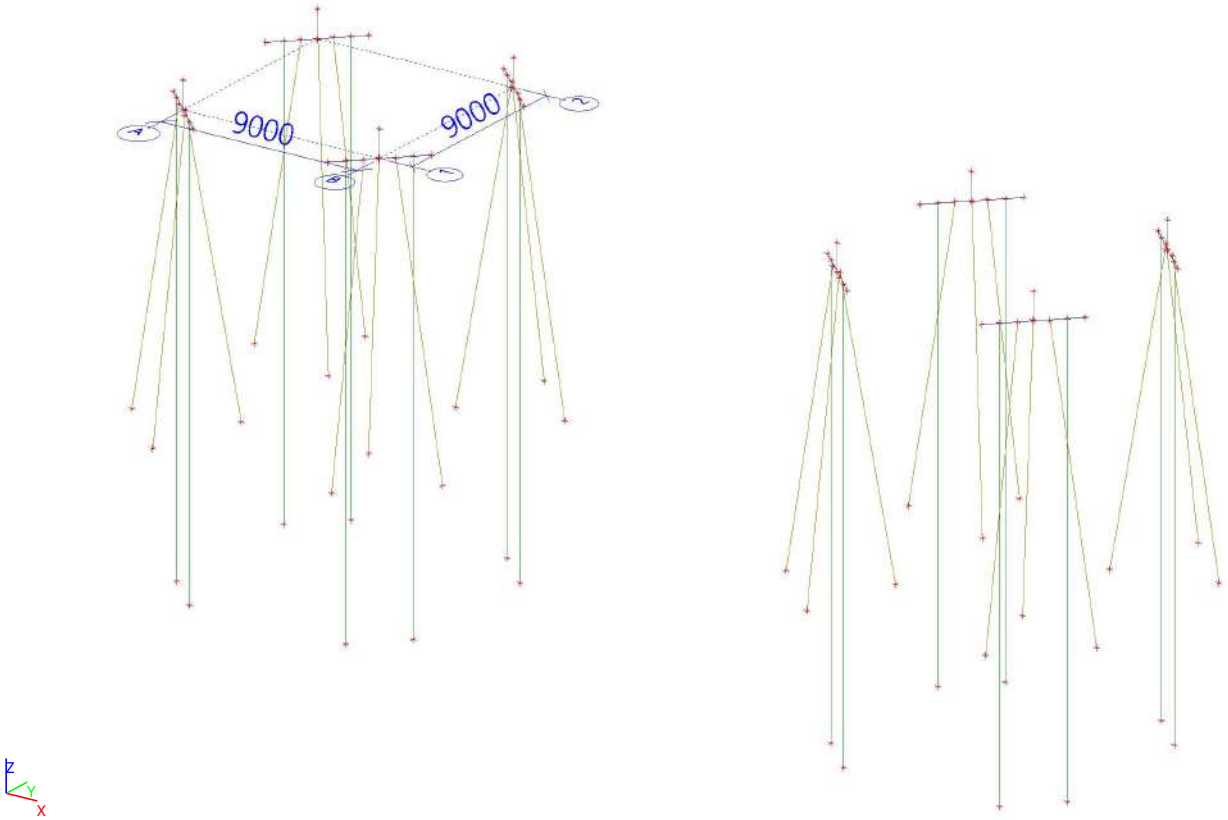
6.1.8.1. Puntlast op knoop

Naam	Knoop	Belastingsgeval	Systeem	Rich	Type	Waarde - F [kN]
low max Wnd ;315°_1P_X	1P	low max Wnd ;315°	GCS	X	Kracht	-171,07
low max Wnd ;315°_1P_Y	1P	low max Wnd ;315°	GCS	Y	Kracht	-150,84
low max Wnd ;315°_1P_Z	1P	low max Wnd ;315°	GCS	Z	Kracht	-910,75
low max Wnd ;315°_1X_X	1X	low max Wnd ;315°	GCS	X	Kracht	46,01
low max Wnd ;315°_1X_Y	1X	low max Wnd ;315°	GCS	Y	Kracht	-1,51
low max Wnd ;315°_1X_Z	1X	low max Wnd ;315°	GCS	Z	Kracht	154,35
low max Wnd ;315°_1XY_X	1XY	low max Wnd ;315°	GCS	X	Kracht	-143,87
low max Wnd ;315°_1XY_Y	1XY	low max Wnd ;315°	GCS	Y	Kracht	-122,54
low max Wnd ;315°_1XY_Z	1XY	low max Wnd ;315°	GCS	Z	Kracht	769,08
low max Wnd ;315°_1Y_X	1Y	low max Wnd ;315°	GCS	X	Kracht	73,73
low max Wnd ;315°_1Y_Y	1Y	low max Wnd ;315°	GCS	Y	Kracht	-29,84
low max Wnd ;315°_1Y_Z	1Y	low max Wnd ;315°	GCS	Z	Kracht	-302,29
low max Wnd ;315°_1P_X1	1P28	low max Wnd ;315°	GCS	X	Kracht	-171,07
low max Wnd ;315°_1P_Y1	1P28	low max Wnd ;315°	GCS	Y	Kracht	-150,84
low max Wnd	1P28	low max Wnd ;315°	GCS	Z	Kracht	-910,75

Naam	Knoop	Belastingsgeval	Systeem	Rich	Type	Waarde - F [kN]
;315°_1P_Z1						
low max Wnd ;315°_1Y_X1	1Y1	low max Wnd ;315°	GCS	X	Kracht	73,73
low max Wnd ;315°_1Y_Y1	1Y1	low max Wnd ;315°	GCS	Y	Kracht	-29,84
low max Wnd ;315°_1Y_Z1	1Y1	low max Wnd ;315°	GCS	Z	Kracht	-302,29
low max Wnd ;315°_1XY_X1	1XY1	low max Wnd ;315°	GCS	X	Kracht	-143,87
low max Wnd ;315°_1XY_Y1	1XY1	low max Wnd ;315°	GCS	Y	Kracht	-122,54
low max Wnd ;315°_1XY_Z1	1XY1	low max Wnd ;315°	GCS	Z	Kracht	769,08
low max Wnd ;315°_1X_X1	1X1	low max Wnd ;315°	GCS	X	Kracht	46,01
low max Wnd ;315°_1X_Y1	1X1	low max Wnd ;315°	GCS	Y	Kracht	-1,51
low max Wnd ;315°_1X_Z1	1X1	low max Wnd ;315°	GCS	Z	Kracht	154,35

6.1.9. Belastingsgevallen - EG_fundering

Naam	Omschrijving	Actie type	Lastgroep	Richting
	Spec	Belastingtype		
EG_fundering		Permanent	LG1	-Z
		Eigen gewicht		



6.2. Niet-lineaire combinaties

Naam	Type	Belastingsgevallen	Coëff. [-]
low max Wnd ;45° - EG_gunstig	Uiterste Grenstoestand	low max Wnd ;45°	1,000
		EG_fundering	0,900
low max Wnd ;135° - EG_gunstig	Uiterste Grenstoestand	low max Wnd ;135°	1,000
		EG_fundering	0,900
low max Wnd ;225° - EG_gunstig	Uiterste Grenstoestand	low max Wnd ;225°	1,000
		EG_fundering	0,900
low max Wnd ;315° - EG_gunstig	Uiterste Grenstoestand	low max Wnd ;315°	1,000
		EG_fundering	0,900
high max Wnd ;45° - EG_ongunstig	Uiterste Grenstoestand	high max Wnd ;45°	1,000
		EG_fundering	1,200
high max Wnd ;135° - EG_ongunstig	Uiterste Grenstoestand	high max Wnd ;135°	1,000
		EG_fundering	1,200
high max Wnd ;225° - EG_ongunstig	Uiterste Grenstoestand	high max Wnd ;225°	1,000
		EG_fundering	1,200
high max Wnd ;315° - EG_ongunstig	Uiterste Grenstoestand	high max Wnd ;315°	1,000
		EG_fundering	1,200

6.3. Resultaatklasses

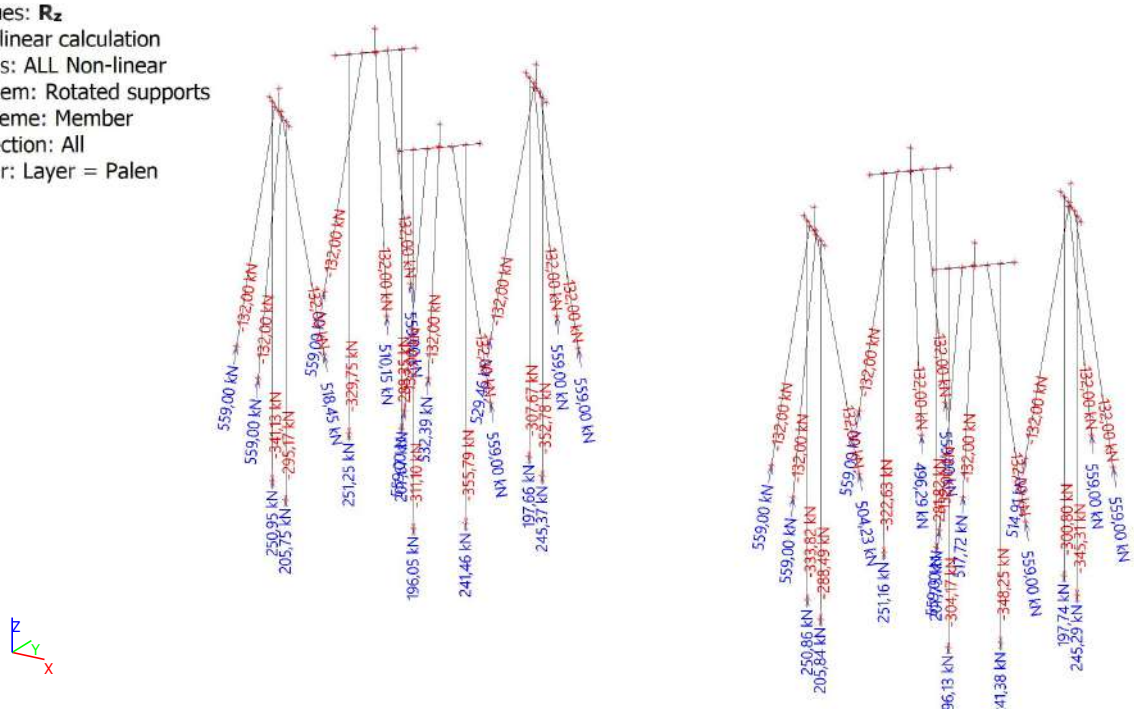
Naam	Lijst
ALL Non-linear	low max Wnd ;45° - EG_gunstig
	low max Wnd ;135° - EG_gunstig
	low max Wnd ;225° - EG_gunstig
	low max Wnd ;315° - EG_gunstig
	high max Wnd ;45° - EG_ongunstig
	high max Wnd ;135° - EG_ongunstig
	high max Wnd ;225° - EG_ongunstig
	high max Wnd ;315° - EG_ongunstig

7. Resultaten

7.1. Reacties van de palen

7.1.1. Reactions; R_z

Values: R_z
Nonlinear calculation
Class: ALL Non-linear
System: Rotated supports
Extreme: Member
Selection: All
Filter: Layer = Palen



7.1.2. Reacties

Niet-lineaire berekening
Klasse: ALL Non-linear
Systeem: Schuine steunpunten
Extreem: Globaal
Selectie: Alle
Filter: Doorsnede = Paal 40x40 - Rectangle (400,00; 400,00)

Knoopreacties

Naam	Belasting	R_x [kN]	R_y [kN]	R_z [kN]	M_x [kNm]	M_y [kNm]	M_z [kNm]	e_x [mm]	e_y [mm]
S_XY_6/N65	low max Wnd ;315° - EG_gunstig	**0,00**	0,00	514,91	0,00	0,00	0,00	0,0	0,0
S_Y_2/N21	low max Wnd ;225° - EG_gunstig	**0,00**	0,00	510,15	**0,00**	**0,00**	**0,00**	0,0	0,0
S_X_4/N59	low max Wnd ;45° - EG_gunstig	0,00	**0,00**	517,72	0,00	0,00	0,00	0,0	0,0
S_XY_2/N18	high max Wnd ;315° - EG_ongunstig	0,00	**0,00**	523,04	0,00	0,00	0,00	0,0	0,0
S_P_3/N6	low max Wnd ;135° - EG_gunstig	0,00	0,00	**-132,00**	0,00	0,00	0,00	0,0	0,0
S_P_3/N6	low max Wnd ;315° - EG_gunstig	0,00	0,00	**559,00**	0,00	0,00	0,00	0,0	0,0

7.1.3. Reacties

Niet-lineaire berekening
Klasse: ALL Non-linear

Systeem: Schuine steunpunten
Extreem: Globaal
Selectie: Alle
Filter: Doorsnede = LEKA Paal - type e (CHS219.1/10.0)
Knoopreacties

Naam	Belasting	R_x [kN]	R_y [kN]	R_z [kN]	M_x [kNm]	M_y [kNm]	M_z [kNm]	e_x [mm]	e_y [mm]
S_Y_5/N28	low max Wnd ;45° - EG_gunstig	0,00	0,00	**-355,79**	0,00	0,00	0,00	0,0	0,0
S_Y_9/N40	high max Wnd ;45° - EG_ongunstig	**0,00**	**0,00**	**251,25**	**0,00**	**0,00**	**0,00**	0,0	0,0

7.1.4. Reacties

Niet-lineaire berekening
Klasse: ALL Non-linear
Systeem: Schuine steunpunten
Extreem: Element
Selectie: Alle
Filter: Laag = Palen
Knoopreacties

Naam	Belasting	R_x [kN]	R_y [kN]	R_z [kN]	M_x [kNm]	M_y [kNm]	M_z [kNm]	e_x [mm]	e_y [mm]
S_P_3/N6	high max Wnd ;225° - EG_ongunstig	0,00	**0,00**	219,88	0,00	0,00	0,00	0,0	0,0
S_P_3/N6	low max Wnd ;135° - EG_gunstig	0,00	0,00	**-132,00**	0,00	0,00	0,00	0,0	0,0
S_P_3/N6	low max Wnd ;315° - EG_gunstig	**0,00**	**0,00**	**559,00**	**0,00**	**0,00**	**0,00**	0,0	0,0
S_P_1/N5	low max Wnd ;135° - EG_gunstig	0,00	0,00	**-132,00**	0,00	0,00	0,00	0,0	0,0
S_P_1/N5	low max Wnd ;315° - EG_gunstig	**0,00**	**0,00**	**559,00**	**0,00**	**0,00**	**0,00**	0,0	0,0
S_P_1/N5	high max Wnd ;225° - EG_ongunstig	**0,00**	0,00	290,00	0,00	0,00	**0,00**	0,0	0,0
S_P_2/N22	high max Wnd ;135° - EG_ongunstig	0,00	**0,00**	512,85	0,00	0,00	0,00	0,0	0,0
S_P_2/N22	low max Wnd ;315° - EG_gunstig	0,00	**0,00**	**-132,00**	0,00	0,00	0,00	0,0	0,0
S_P_2/N22	low max Wnd ;135° - EG_gunstig	**0,00**	0,00	**518,45**	**0,00**	**0,00**	**0,00**	0,0	0,0
S_P_2/N22	low max Wnd ;225° - EG_gunstig	**0,00**	0,00	-22,44	0,00	0,00	**0,00**	0,0	0,0
S_X_3/N13	low max Wnd ;315° - EG_gunstig	**0,00**	**0,00**	255,76	**0,00**	**0,00**	**0,00**	0,0	0,0
S_X_3/N13	low max Wnd ;45° - EG_gunstig	0,00	0,00	**-132,00**	0,00	0,00	0,00	0,0	0,0
S_X_3/N13	low max Wnd ;225° - EG_gunstig	**0,00**	0,00	**559,00**	0,00	0,00	**0,00**	0,0	0,0
S_X_1/N12	high max Wnd ;315° - EG_ongunstig	0,00	**0,00**	216,19	0,00	0,00	0,00	0,0	0,0

Naam	Belasting	R_x [kN]	R_y [kN]	R_z [kN]	M_x [kNm]	M_y [kNm]	M_z [kNm]	e_x [mm]	e_y [mm]
S_X_1/N12	low max Wnd ;225° - EG_gunstig	**0,00**	**0,00**	**559,00**	**0,00**	**0,00**	**0,00**	0,0	0,0
S_X_1/N12	low max Wnd ;45° - EG_gunstig	0,00	0,00	**-132,00**	0,00	0,00	**0,00**	0,0	0,0
S_X_2/N8	high max Wnd ;135° - EG_ongunstig	**0,00**	**0,00**	137,08	**0,00**	**0,00**	**0,00**	0,0	0,0
S_X_2/N8	low max Wnd ;225° - EG_gunstig	0,00	0,00	**-132,00**	0,00	0,00	0,00	0,0	0,0
S_X_2/N8	low max Wnd ;45° - EG_gunstig	**0,00**	**0,00**	**532,39**	0,00	0,00	**0,00**	0,0	0,0
S_XY_3/N17	low max Wnd ;135° - EG_gunstig	0,00	**0,00**	**559,00**	0,00	0,00	0,00	0,0	0,0
S_XY_3/N17	high max Wnd ;45° - EG_ongunstig	**0,00**	**0,00**	213,48	**0,00**	**0,00**	**0,00**	0,0	0,0
S_XY_3/N17	low max Wnd ;315° - EG_gunstig	0,00	0,00	**-132,00**	0,00	0,00	0,00	0,0	0,0
S_XY_1/N16	high max Wnd ;45° - EG_ongunstig	**0,00**	**0,00**	286,82	**0,00**	**0,00**	**0,00**	0,0	0,0
S_XY_1/N16	low max Wnd ;315° - EG_gunstig	0,00	0,00	**-132,00**	0,00	0,00	0,00	0,0	0,0
S_XY_1/N16	low max Wnd ;135° - EG_gunstig	**0,00**	0,00	**559,00**	0,00	0,00	**0,00**	0,0	0,0
S_XY_2/N18	high max Wnd ;225° - EG_ongunstig	0,00	**0,00**	132,17	0,00	0,00	0,00	0,0	0,0
S_XY_2/N18	high max Wnd ;315° - EG_ongunstig	**0,00**	**0,00**	523,04	**0,00**	**0,00**	**0,00**	0,0	0,0
S_XY_2/N18	low max Wnd ;135° - EG_gunstig	0,00	0,00	**-132,00**	0,00	0,00	0,00	0,0	0,0
S_XY_2/N18	low max Wnd ;315° - EG_gunstig	**0,00**	0,00	**529,46**	0,00	0,00	**0,00**	0,0	0,0
S_Y_3/N10	low max Wnd ;225° - EG_gunstig	0,00	0,00	**-132,00**	0,00	0,00	0,00	0,0	0,0
S_Y_3/N10	low max Wnd ;45° - EG_gunstig	**0,00**	**0,00**	**559,00**	**0,00**	**0,00**	**0,00**	0,0	0,0
S_Y_3/N10	low max Wnd ;135° - EG_gunstig	**0,00**	0,00	260,50	0,00	0,00	**0,00**	0,0	0,0
S_Y_1/N20	high max Wnd ;135° - EG_ongunstig	**0,00**	**0,00**	222,44	**0,00**	**0,00**	**0,00**	0,0	0,0
S_Y_1/N20	low max Wnd ;225° - EG_gunstig	0,00	0,00	**-132,00**	0,00	0,00	0,00	0,0	0,0
S_Y_1/N20	low max Wnd ;45° - EG_gunstig	0,00	**0,00**	**559,00**	0,00	0,00	**0,00**	0,0	0,0
S_Y_2/N21	low max Wnd ;315° - EG_gunstig	0,00	**0,00**	119,26	0,00	0,00	0,00	0,0	0,0

Naam	Belasting	R_x [kN]	R_y [kN]	R_z [kN]	M_x [kNm]	M_y [kNm]	M_z [kNm]	e_x [mm]	e_y [mm]
S_Y_2/N21	low max Wnd ;45° - EG_gunstig	0,00	0,00	**-132,00**	0,00	0,00	0,00	0,0	0,0
S_Y_2/N21	low max Wnd ;225° - EG_gunstig	**0,00**	**0,00**	**510,15**	**0,00**	**0,00**	**0,00**	0,0	0,0
S_Y_2/N21	high max Wnd ;315° - EG_ongunstig	**0,00**	0,00	133,07	0,00	0,00	**0,00**	0,0	0,0
S_Y_4/N27	high max Wnd ;225° - EG_ongunstig	**0,00**	**0,00**	**196,05**	**0,00**	**0,00**	**0,00**	0,0	0,0
S_Y_4/N27	low max Wnd ;45° - EG_gunstig	0,00	0,00	**-311,10**	0,00	0,00	**0,00**	0,0	0,0
S_Y_5/N28	high max Wnd ;225° - EG_ongunstig	**0,00**	**0,00**	**241,46**	**0,00**	**0,00**	**0,00**	0,0	0,0
S_Y_5/N28	low max Wnd ;45° - EG_gunstig	0,00	0,00	**-355,79**	0,00	0,00	**0,00**	0,0	0,0
S_Y_6/N34	low max Wnd ;135° - EG_gunstig	0,00	0,00	**-295,17**	0,00	0,00	0,00	0,0	0,0
S_Y_6/N34	high max Wnd ;315° - EG_ongunstig	**0,00**	**0,00**	**205,75**	**0,00**	**0,00**	**0,00**	0,0	0,0
S_Y_7/N36	low max Wnd ;135° - EG_gunstig	0,00	0,00	**-341,13**	0,00	0,00	0,00	0,0	0,0
S_Y_7/N36	high max Wnd ;315° - EG_ongunstig	**0,00**	**0,00**	**250,95**	**0,00**	**0,00**	**0,00**	0,0	0,0
S_Y_8/N38	low max Wnd ;225° - EG_gunstig	0,00	0,00	**-288,35**	0,00	0,00	0,00	0,0	0,0
S_Y_8/N38	high max Wnd ;45° - EG_ongunstig	**0,00**	**0,00**	**207,67**	**0,00**	**0,00**	**0,00**	0,0	0,0
S_Y_9/N40	low max Wnd ;225° - EG_gunstig	0,00	0,00	**-329,75**	0,00	0,00	0,00	0,0	0,0
S_Y_9/N40	high max Wnd ;45° - EG_ongunstig	**0,00**	**0,00**	**251,25**	**0,00**	**0,00**	**0,00**	0,0	0,0
S_Y_11/N44	low max Wnd ;315° - EG_gunstig	0,00	0,00	**-352,78**	0,00	0,00	0,00	0,0	0,0
S_Y_11/N44	high max Wnd ;135° - EG_ongunstig	**0,00**	**0,00**	**245,37**	**0,00**	**0,00**	**0,00**	0,0	0,0
S_Y_10/N42	low max Wnd ;315° - EG_gunstig	0,00	0,00	**-307,67**	0,00	0,00	0,00	0,0	0,0
S_Y_10/N42	high max Wnd ;135° - EG_ongunstig	**0,00**	**0,00**	**197,66**	**0,00**	**0,00**	**0,00**	0,0	0,0
S_P_5/N58	high max Wnd ;225° - EG_ongunstig	0,00	**0,00**	222,43	0,00	0,00	0,00	0,0	0,0
S_P_5/N58	low max Wnd ;135° - EG_gunstig	0,00	0,00	**-132,00**	0,00	0,00	0,00	0,0	0,0
S_P_5/N58	low max Wnd ;315° - EG_gunstig	**0,00**	**0,00**	**559,00**	**0,00**	**0,00**	**0,00**	0,0	0,0

Naam	Belasting	R_x [kN]	R_y [kN]	R_z [kN]	M_x [kNm]	M_y [kNm]	M_z [kNm]	e_x [mm]	e_y [mm]
S_P_4/N57	low max Wnd ;135° - EG_gunstig	0,00	0,00	**-132,00**	0,00	0,00	0,00	0,0	0,0
S_P_4/N57	low max Wnd ;315° - EG_gunstig	**0,00**	**0,00**	**559,00**	**0,00**	**0,00**	**0,00**	0,0	0,0
S_P_4/N57	high max Wnd ;225° - EG_ongunstig	**0,00**	0,00	292,93	0,00	0,00	**0,00**	0,0	0,0
S_P_6/N68	high max Wnd ;135° - EG_ongunstig	0,00	**0,00**	501,56	0,00	0,00	0,00	0,0	0,0
S_P_6/N68	high max Wnd ;45° - EG_ongunstig	0,00	**0,00**	133,34	**0,00**	**0,00**	**0,00**	0,0	0,0
S_P_6/N68	low max Wnd ;315° - EG_gunstig	0,00	0,00	**-132,00**	0,00	0,00	0,00	0,0	0,0
S_P_6/N68	low max Wnd ;135° - EG_gunstig	**0,00**	0,00	**504,23**	0,00	0,00	0,00	0,0	0,0
S_P_6/N68	high max Wnd ;225° - EG_ongunstig	**0,00**	0,00	-16,51	0,00	0,00	**0,00**	0,0	0,0
S_X_6/N62	high max Wnd ;135° - EG_ongunstig	**0,00**	**0,00**	-8,26	**0,00**	**0,00**	**0,00**	0,0	0,0
S_X_6/N62	low max Wnd ;45° - EG_gunstig	0,00	0,00	**-132,00**	0,00	0,00	0,00	0,0	0,0
S_X_6/N62	low max Wnd ;225° - EG_gunstig	**0,00**	0,00	**559,00**	0,00	0,00	**0,00**	0,0	0,0
S_X_5/N61	low max Wnd ;315° - EG_gunstig	0,00	**0,00**	185,65	0,00	0,00	0,00	0,0	0,0
S_X_5/N61	low max Wnd ;225° - EG_gunstig	**0,00**	**0,00**	**559,00**	**0,00**	**0,00**	**0,00**	0,0	0,0
S_X_5/N61	low max Wnd ;45° - EG_gunstig	0,00	0,00	**-132,00**	0,00	0,00	**0,00**	0,0	0,0
S_X_4/N59	low max Wnd ;315° - EG_gunstig	**0,00**	0,00	-25,44	**0,00**	**0,00**	**0,00**	0,0	0,0
S_X_4/N59	low max Wnd ;45° - EG_gunstig	0,00	**0,00**	**517,72**	0,00	0,00	0,00	0,0	0,0
S_X_4/N59	low max Wnd ;225° - EG_gunstig	0,00	**0,00**	**-132,00**	0,00	0,00	0,00	0,0	0,0
S_X_4/N59	low max Wnd ;135° - EG_gunstig	**0,00**	0,00	124,78	0,00	0,00	**0,00**	0,0	0,0
S_XY_5/N64	low max Wnd ;135° - EG_gunstig	**0,00**	**0,00**	**559,00**	**0,00**	**0,00**	**0,00**	0,0	0,0
S_XY_5/N64	low max Wnd ;315° - EG_gunstig	0,00	0,00	**-132,00**	0,00	0,00	0,00	0,0	0,0
S_XY_5/N64	low max Wnd ;45° - EG_gunstig	0,00	**0,00**	182,28	0,00	0,00	**0,00**	0,0	0,0
S_XY_4/N63	high max Wnd ;45° - EG_ongunstig	**0,00**	**0,00**	289,82	**0,00**	**0,00**	**0,00**	0,0	0,0

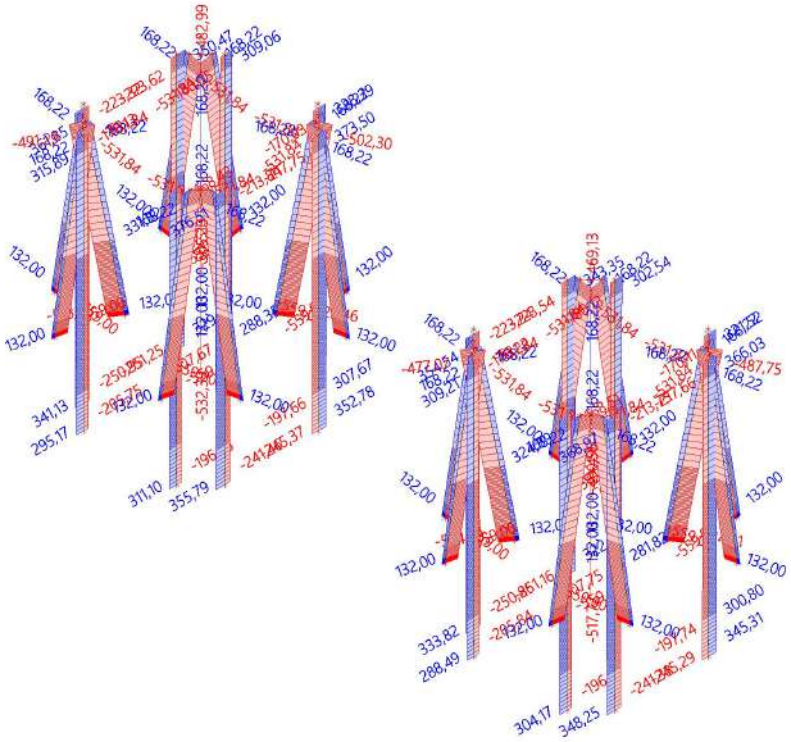
Naam	Belasting	R_x [kN]	R_y [kN]	R_z [kN]	M_x [kNm]	M_y [kNm]	M_z [kNm]	e_x [mm]	e_y [mm]
S_XY_4/N63	low max Wnd ;315° - EG_gunstig	0,00	0,00	**-132,00**	0,00	0,00	0,00	0,0	0,0
S_XY_4/N63	low max Wnd ;135° - EG_gunstig	**0,00**	0,00	**559,00**	0,00	0,00	**0,00**	0,0	0,0
S_XY_6/N65	high max Wnd ;225° - EG_ongunstig	**0,00**	0,00	134,06	**0,00**	**0,00**	**0,00**	0,0	0,0
S_XY_6/N65	high max Wnd ;315° - EG_ongunstig	0,00	**0,00**	511,43	0,00	0,00	0,00	0,0	0,0
S_XY_6/N65	low max Wnd ;135° - EG_gunstig	0,00	**0,00**	**-132,00**	0,00	0,00	0,00	0,0	0,0
S_XY_6/N65	low max Wnd ;315° - EG_gunstig	**0,00**	0,00	**514,91**	0,00	0,00	**0,00**	0,0	0,0
S_Y_12/N60	low max Wnd ;225° - EG_gunstig	0,00	0,00	**-132,00**	0,00	0,00	0,00	0,0	0,0
S_Y_12/N60	low max Wnd ;45° - EG_gunstig	**0,00**	**0,00**	**559,00**	**0,00**	**0,00**	**0,00**	0,0	0,0
S_Y_12/N60	low max Wnd ;315° - EG_gunstig	**0,00**	0,00	-27,01	0,00	0,00	**0,00**	0,0	0,0
S_Y_13/N66	low max Wnd ;135° - EG_gunstig	**0,00**	**0,00**	192,43	**0,00**	**0,00**	**0,00**	0,0	0,0
S_Y_13/N66	low max Wnd ;225° - EG_gunstig	0,00	0,00	**-132,00**	0,00	0,00	0,00	0,0	0,0
S_Y_13/N66	low max Wnd ;45° - EG_gunstig	0,00	**0,00**	**559,00**	0,00	0,00	**0,00**	0,0	0,0
S_Y_14/N67	low max Wnd ;45° - EG_gunstig	**0,00**	**0,00**	**-132,00**	0,00	0,00	0,00	0,0	0,0
S_Y_14/N67	low max Wnd ;225° - EG_gunstig	0,00	**0,00**	**496,29**	**0,00**	**0,00**	**0,00**	0,0	0,0
S_Y_14/N67	high max Wnd ;315° - EG_ongunstig	**0,00**	0,00	134,93	0,00	0,00	**0,00**	0,0	0,0
S_Y_15/N71	high max Wnd ;225° - EG_ongunstig	**0,00**	**0,00**	**196,13**	**0,00**	**0,00**	**0,00**	0,0	0,0
S_Y_15/N71	low max Wnd ;45° - EG_gunstig	0,00	0,00	**-304,17**	0,00	0,00	**0,00**	0,0	0,0
S_Y_16/N72	high max Wnd ;225° - EG_ongunstig	**0,00**	**0,00**	**241,38**	**0,00**	**0,00**	**0,00**	0,0	0,0
S_Y_16/N72	low max Wnd ;45° - EG_gunstig	0,00	0,00	**-348,25**	0,00	0,00	**0,00**	0,0	0,0
S_Y_17/N74	low max Wnd ;135° - EG_gunstig	0,00	0,00	**-288,49**	0,00	0,00	0,00	0,0	0,0
S_Y_17/N74	high max Wnd ;315° - EG_ongunstig	**0,00**	**0,00**	**205,84**	**0,00**	**0,00**	**0,00**	0,0	0,0
S_Y_18/N76	low max Wnd ;135° - EG_gunstig	0,00	0,00	**-333,82**	0,00	0,00	0,00	0,0	0,0

Naam	Belasting	R_x [kN]	R_y [kN]	R_z [kN]	M_x [kNm]	M_y [kNm]	M_z [kNm]	e_x [mm]	e_y [mm]
S_Y_18/N76	high max Wnd ;315° - EG_ongunstig	**0,00**	**0,00**	**250,86**	**0,00**	**0,00**	**0,00**	0,0	0,0
S_Y_19/N78	low max Wnd ;225° - EG_gunstig	0,00	0,00	**-281,82**	0,00	0,00	0,00	0,0	0,0
S_Y_19/N78	high max Wnd ;45° - EG_ongunstig	**0,00**	**0,00**	**207,75**	**0,00**	**0,00**	**0,00**	0,0	0,0
S_Y_20/N80	low max Wnd ;225° - EG_gunstig	0,00	0,00	**-322,63**	0,00	0,00	0,00	0,0	0,0
S_Y_20/N80	high max Wnd ;45° - EG_ongunstig	**0,00**	**0,00**	**251,16**	**0,00**	**0,00**	**0,00**	0,0	0,0
S_Y_22/N84	low max Wnd ;315° - EG_gunstig	0,00	0,00	**-345,31**	0,00	0,00	0,00	0,0	0,0
S_Y_22/N84	high max Wnd ;135° - EG_ongunstig	**0,00**	**0,00**	**245,29**	**0,00**	**0,00**	**0,00**	0,0	0,0
S_Y_21/N82	low max Wnd ;315° - EG_gunstig	0,00	0,00	**-300,80**	0,00	0,00	0,00	0,0	0,0
S_Y_21/N82	high max Wnd ;135° - EG_ongunstig	**0,00**	**0,00**	**197,74**	**0,00**	**0,00**	**0,00**	0,0	0,0

7.2. Krachten van de Funderingspalen

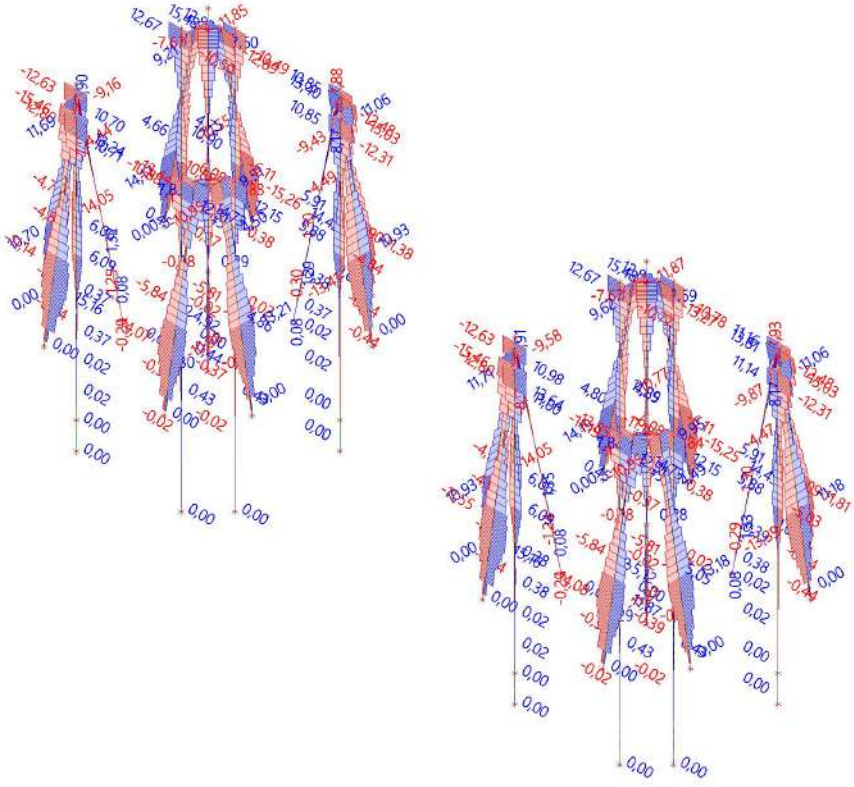
7.2.1. Interne 1D- krachten; N

Values: **N**
Nonlinear calculation
Class: ALL Non-linear
Coordinate system: Principal
Extreme 1D: Local
Selection: All
Filter: Layer = Palen



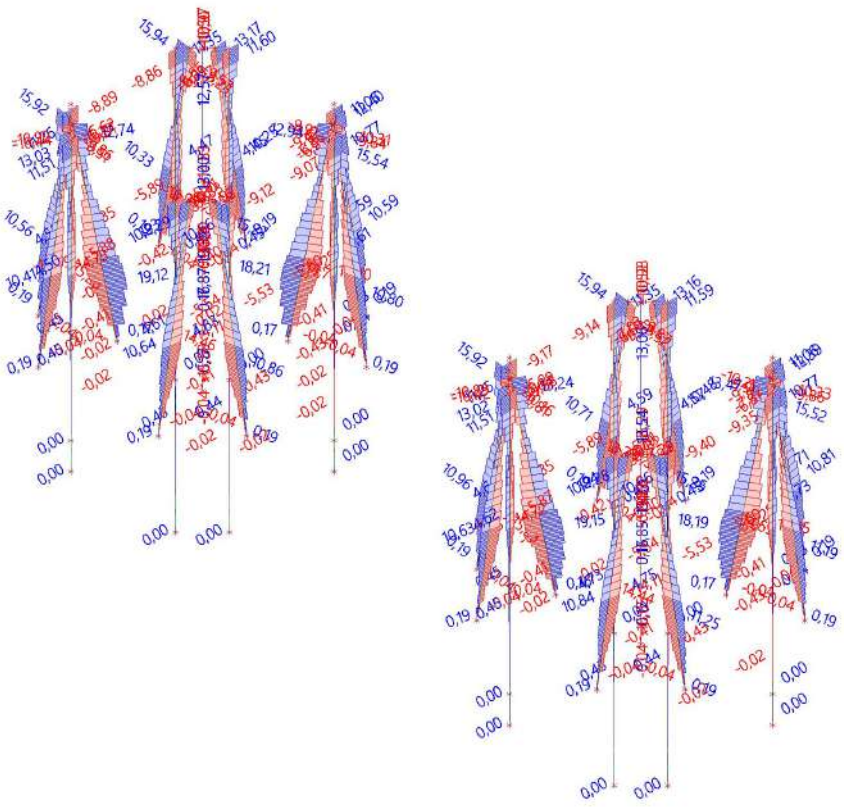
7.2.2. Interne 1D- krachten; V_y

Values: **V_y**
Nonlinear calculation
Class: ALL Non-linear
Coordinate system: Principal
Extreme 1D: Local
Selection: All
Filter: Layer = Palen



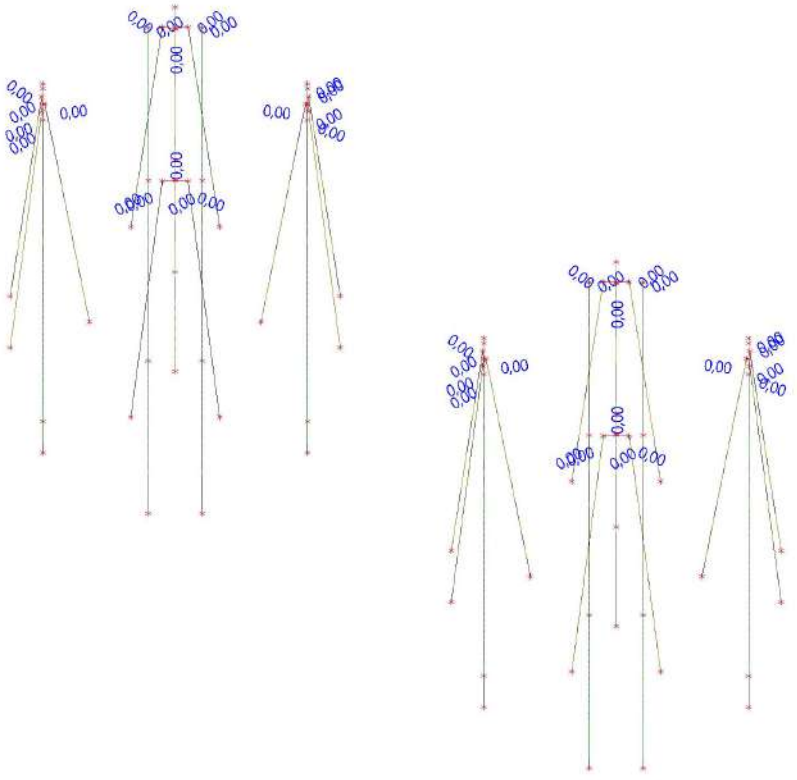
7.2.3. Interne 1D- krachten; V_z

Values: V_z
Nonlinear calculation
Class: ALL Non-linear
Coordinate system: Principal
Extreme 1D: Local
Selection: All
Filter: Layer = Palen



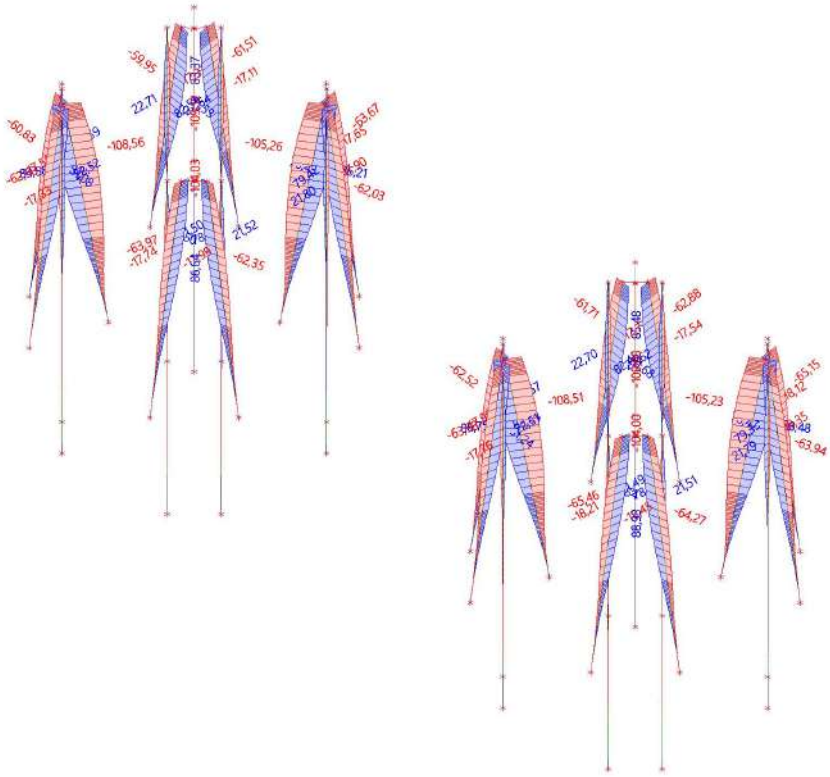
7.2.4. Interne 1D- krachten; M_x

Values: M_x
Nonlinear calculation
Class: ALL Non-linear
Coordinate system: Principal
Extreme 1D: Local
Selection: All
Filter: Layer = Palen



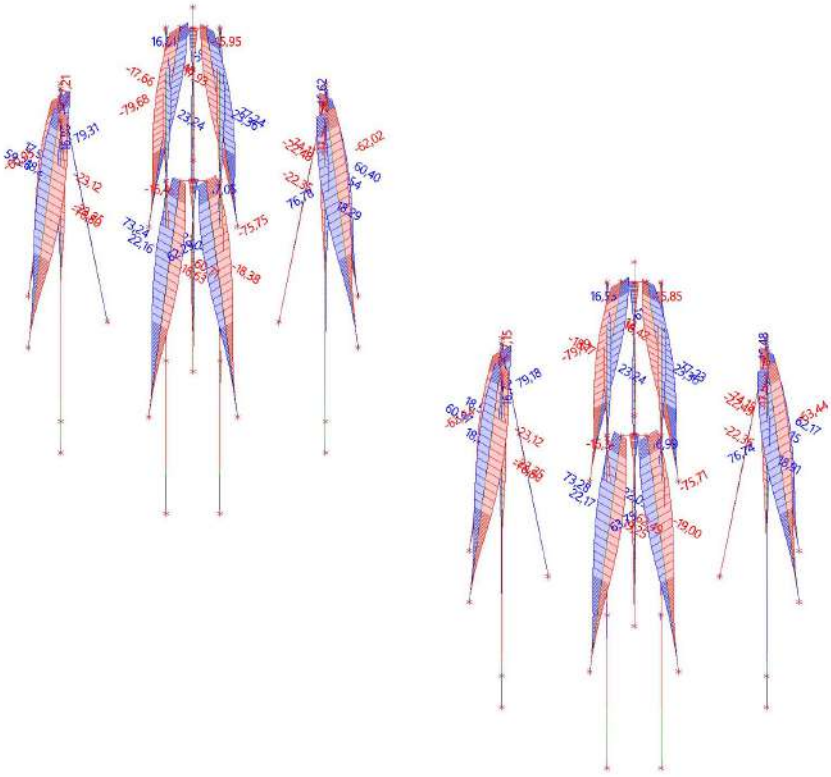
7.2.5. Interne 1D- krachten; M_y

Values: M_y
Nonlinear calculation
Class: ALL Non-linear
Coordinate system: Principal
Extreme 1D: Member
Selection: All
Filter: Layer = Palen



7.2.6. Interne 1D- krachten; M_z

Values: M_z
Nonlinear calculation
Class: ALL Non-linear
Coordinate system: Principal
Extreme 1D: Member
Selection: All
Filter: Layer = Palen



7.2.7. Interne 1D-krachten

Niet-lineaire berekening
Klasse: ALL Non-linear
Coördinatenstelsel: Hoofd
Extreme 1D: Globaal
Selectie: Alle
Filter: Doorsnede = Paal 40x40 - Rectangle (400,00; 400,00)

Naam	dx [m]	Belasting	Doorsnede	N [kN]	V_y [kN]	V_z [kN]	M_x [kNm]	M_y [kNm]	M_z [kNm]
Paal_P_3	13,000	low max Wnd ;315° - EG_gunstig	Paal 40x40 - Rectangle (400,00; 400,00)	**-559,00**	0,00	0,19	0,00	0,00	0,00
Paal_P_3	0,000	high max Wnd ;135° - EG_ongunstig	Paal 40x40 - Rectangle (400,00; 400,00)	**168,22**	12,37	-5,00	**0,00**	-49,46	26,45
Paal_P_4	0,000	high max Wnd ;315° - EG_ongunstig	Paal 40x40 - Rectangle (400,00; 400,00)	-522,78	**-15,46**	13,02	0,00	55,30	-38,93
Paal_Y_1	0,000	high max Wnd ;45° - EG_ongunstig	Paal 40x40 - Rectangle (400,00; 400,00)	-522,78	**15,48**	13,17	0,00	55,28	39,34
Paal_X_14	8,500+	low max Wnd ;45° - EG_gunstig	Paal 40x40 - Rectangle (400,00; 400,00)	-508,84	-1,28	**-16,05**	0,00	41,10	3,77
Paal_Y_2	9,000+	high max Wnd ;45° - EG_ongunstig	Paal 40x40 - Rectangle (400,00; 400,00)	142,45	1,19	**19,34**	0,00	-47,08	-3,01
Paal_Y_2	2,750-	high max Wnd ;45° - EG_ongunstig	Paal 40x40 - Rectangle (400,00; 400,00)	161,77	-4,69	-3,74	0,00	**-109,12**	-0,98
Paal_X_14	3,625-	low max Wnd ;45° - EG_gunstig	Paal 40x40 - Rectangle (400,00; 400,00)	-497,22	2,94	1,16	0,00	**88,93**	4,33
Paal_Y_3	3,625-	high max Wnd ;45° - EG_ongunstig	Paal 40x40 - Rectangle (400,00; 400,00)	-531,66	-0,92	3,25	0,00	81,53	**-79,68**
Paal_P_1	3,625-	high max Wnd ;315° - EG_ongunstig	Paal 40x40 - Rectangle (400,00; 400,00)	-531,66	0,79	3,25	0,00	81,08	**79,31**

7.2.8. Interne 1D-krachten

Niet-lineaire berekening
Klasse: ALL Non-linear
Coördinatenstelsel: Hoofd
Extreme 1D: Globaal
Selectie: Alle
Filter: Doorsnede = LEKA Paal - type e (CHS219.1/10.0)

Naam	dx [m]	Belasting	Doorsnede	N [kN]	V_y [kN]	V_z [kN]	M_x [kNm]	M_y [kNm]	M_z [kNm]
Paal_X_9	19,612	high max Wnd ;45° - EG_ongunstig	LEKA Paal - type e (CHS219.1/10.0)	**-251,25**	0,00	0,00	0,00	0,00	0,00
Paal_X_5	0,000	low max Wnd ;45° - EG_gunstig	LEKA Paal - type e (CHS219.1/10.0)	**376,51**	-10,88	-9,12	**0,00**	2,50	7,73

Naam	dx [m]	Belasting	Doorsnede	N [kN]	V_y [kN]	V_z [kN]	M_x [kNm]	M_y [kNm]	M_z [kNm]
Paal_X_17	0,000	high max Wnd ;315° - EG_ongunstig	LEKA Paal - type e (CHS219.1/10.0)	-178,22	**-12,80**	11,51	0,00	-4,70	8,45
Paal_X_15	0,000	low max Wnd ;45° - EG_gunstig	LEKA Paal - type e (CHS219.1/10.0)	324,89	-11,19	**-9,82**	0,00	4,48	7,73
Paal_X_8	0,000	high max Wnd ;45° - EG_ongunstig	LEKA Paal - type e (CHS219.1/10.0)	-180,05	**12,83**	**11,60**	0,00	-4,81	-8,42
Paal_X_16	3,625-	low max Wnd ;45° - EG_gunstig	LEKA Paal - type e (CHS219.1/10.0)	365,61	-2,82	-1,55	0,00	**-18,45**	-18,88
Paal_X_9	3,625-	high max Wnd ;45° - EG_ongunstig	LEKA Paal - type e (CHS219.1/10.0)	-228,11	3,41	2,50	0,00	**22,71**	22,86
Paal_X_6	4,500-	high max Wnd ;315° - EG_ongunstig	LEKA Paal - type e (CHS219.1/10.0)	-183,85	-0,52	-0,22	0,00	22,33	**-23,25**
Paal_X_8	4,500-	high max Wnd ;45° - EG_ongunstig	LEKA Paal - type e (CHS219.1/10.0)	-185,77	0,52	-0,19	0,00	22,48	**23,36**

7.3. Krachten van de Poeren

7.3.1. Interne 1D-krachten

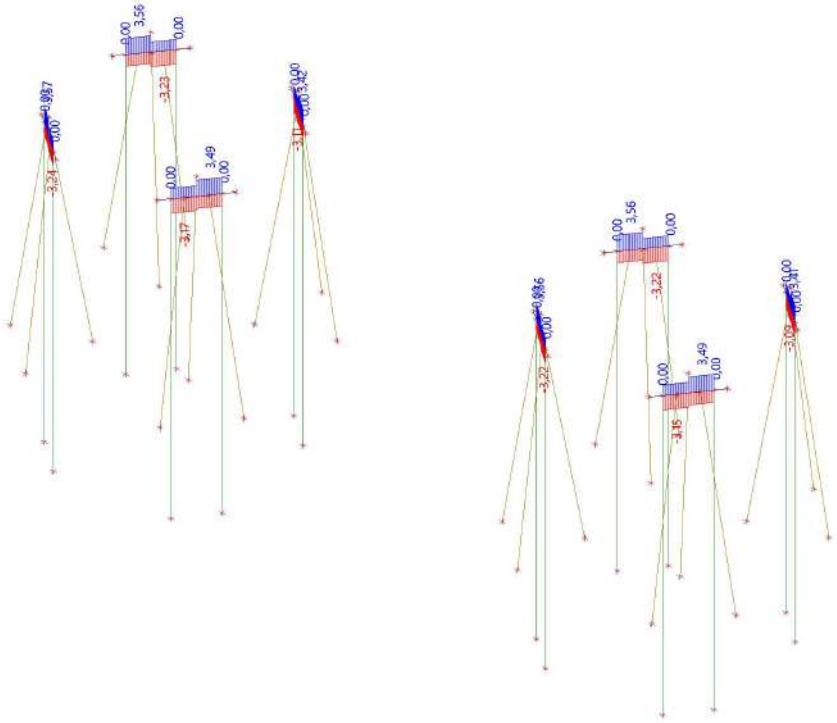
Niet-lineaire berekening
Klasse: ALL Non-linear
Coördinatenstelsel: Hoofd
Extreme 1D: Globaal
Selectie: Alle
Filter: Laag = Poeren

Naam	dx [m]	Belasting	N [kN]	V_y [kN]	V_z [kN]	M_x [kNm]	M_y [kNm]	M_z [kNm]
Poer X	1,200	low max Wnd ;45° - EG_gunstig	**772,62**	-189,18	-14,95	**0,00**	0,00	0,00
Poer X	0,000	low max Wnd ;45° - EG_gunstig	742,85	**-189,18**	-14,95	0,00	17,94	**227,02**
Poer XY	0,000	high max Wnd ;45° - EG_ongunstig	-358,24	77,91	**-31,51**	0,00	**37,81**	-93,49
Poer P	0,000	low max Wnd ;45° - EG_gunstig	118,82	-32,31	**31,42**	0,00	**-37,71**	38,78
Poer Y	0,000	high max Wnd ;45° - EG_ongunstig	**-973,40**	**233,73**	13,97	0,00	-16,77	**-280,47**

7.4. Krachten van de Funderingsbalken

7.4.1. Interne 1D- krachten; N

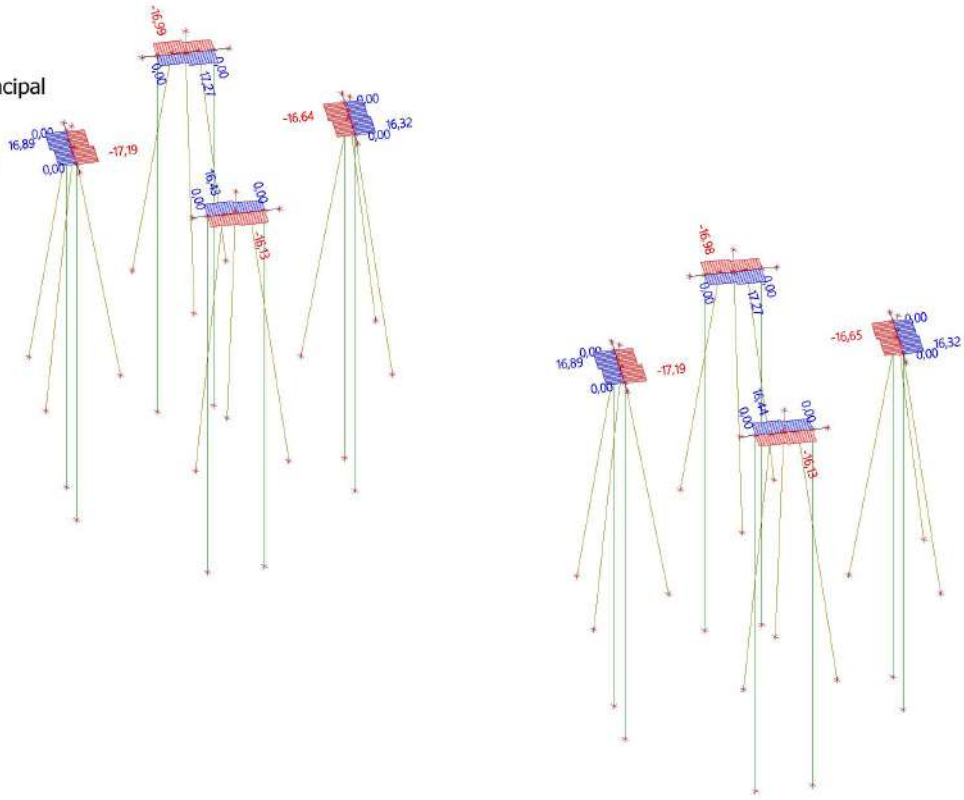
Values: **N**
Nonlinear calculation
Class: ALL Non-linear
Coordinate system: Principal
Extreme 1D: Local
Selection: All
Filter: Layer = Lijnpoer





7.4.2. Interne 1D- krachten; V_y

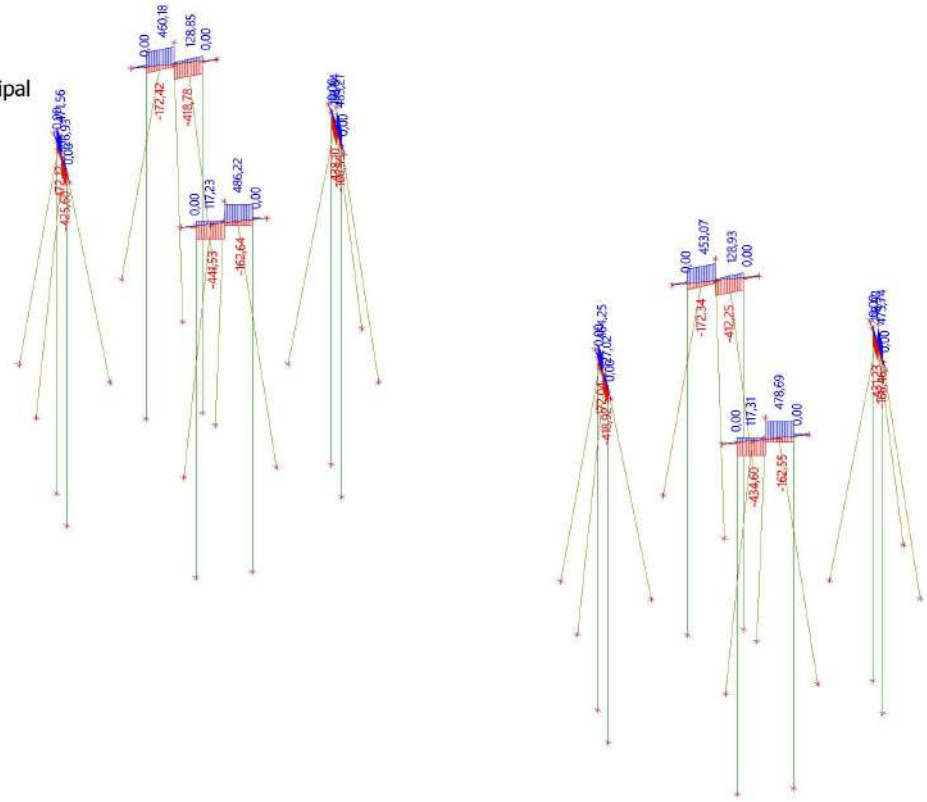
Values: **V_y**
Nonlinear calculation
Class: ALL Non-linear
Coordinate system: Principal
Extreme 1D: Local
Selection: All
Filter: Layer = Lijnpoer





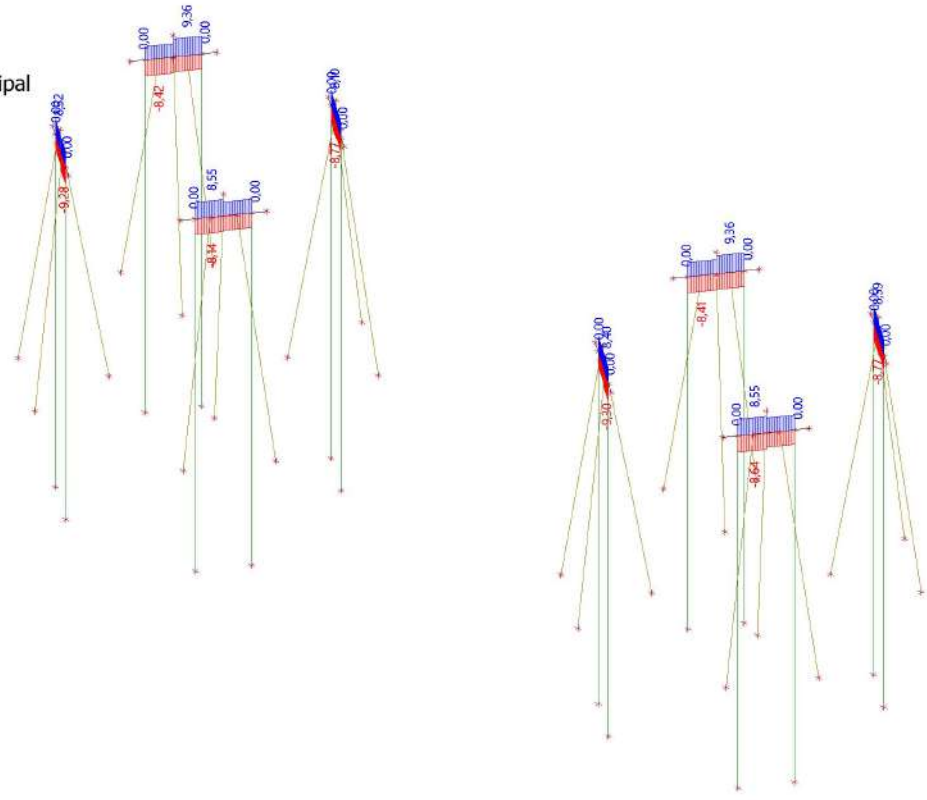
7.4.3. Interne 1D- krachten; V_z

Values: V_z
Nonlinear calculation
Class: ALL Non-linear
Coordinate system: Principal
Extreme 1D: Local
Selection: All
Filter: Layer = Lijnpoer



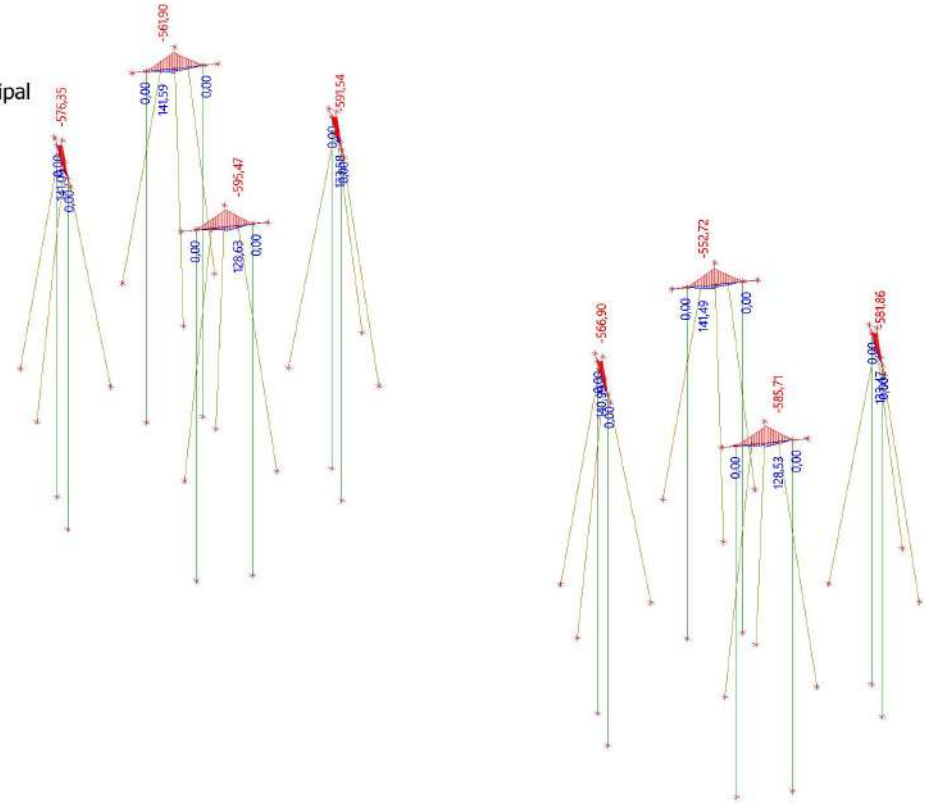
7.4.4. Interne 1D- krachten; M_x

Values: M_x
Nonlinear calculation
Class: ALL Non-linear
Coordinate system: Principal
Extreme 1D: Local
Selection: All
Filter: Layer = Lijnpoer



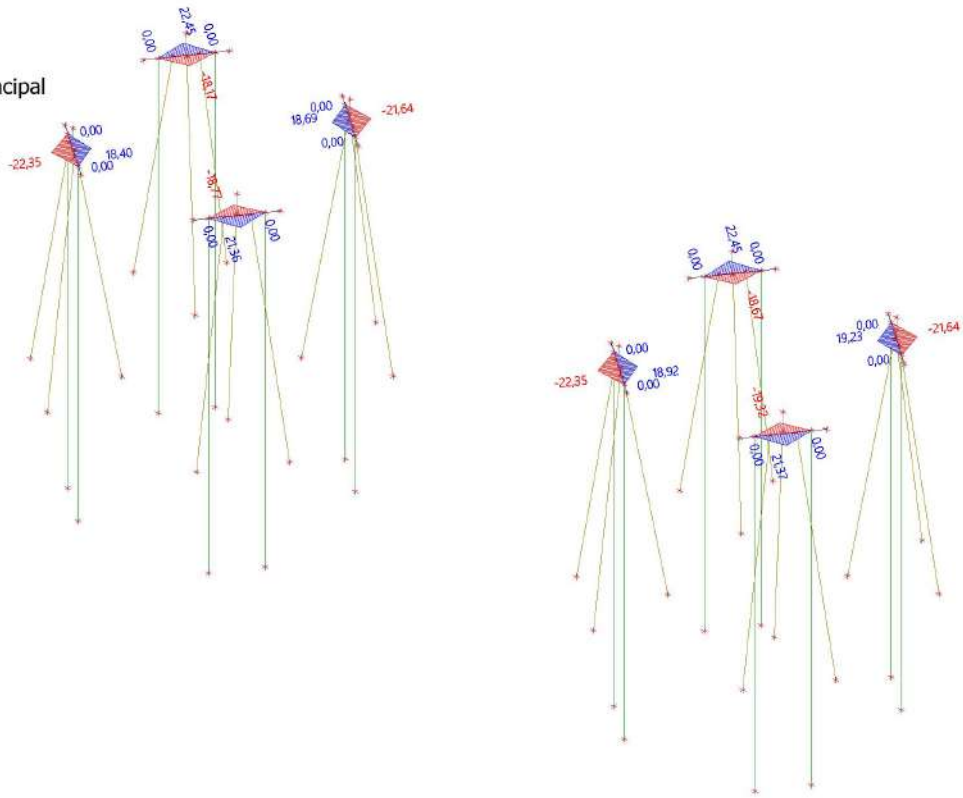
7.4.5. Interne 1D- krachten; M_y

Values: M_y
Nonlinear calculation
Class: ALL Non-linear
Coordinate system: Principal
Extreme 1D: Local
Selection: All
Filter: Layer = Lijnpoer



7.4.6. Interne 1D- krachten; M_z

Values: M_z
Nonlinear calculation
Class: ALL Non-linear
Coordinate system: Principal
Extreme 1D: Local
Selection: All
Filter: Layer = Lijnpoer



7.4.7. Interne 1D-krachten

Niet-lineaire berekening
Klasse: ALL Non-linear
Coördinatenstelsel: Hoofd
Extreme 1D: Globaal
Selectie: Alle
Filter: Laag = Lijnpoer

Naam	dx [m]	Belasting	N [kN]	V_y [kN]	V_z [kN]	M_x [kNm]	M_y [kNm]	M_z [kNm]
Paal18	0,700+	low max Wnd ;45° - EG_gunstig	**-3,24**	2,80	18,79	1,38	-19,25	0,00
Paal18	2,000+	low max Wnd ;45° - EG_gunstig	**3,57**	-2,05	99,99	0,01	-90,75	2,67
Paal15	2,000-	low max Wnd ;45° - EG_gunstig	-0,95	-14,44	**-441,53**	-8,14	-543,38	-18,77
Paal23	0,700+	high max Wnd ;45° - EG_ongunstig	0,88	17,27	128,93	**9,36**	-15,38	0,00
Paal15	2,000+	low max Wnd ;45° - EG_gunstig	1,25	14,14	**486,22**	7,23	**-595,47**	-18,39
Paal19	2,000+	high max Wnd ;45° - EG_ongunstig	-0,93	-16,99	-77,34	-8,42	**141,59**	22,08
Paal22	2,000-	high max Wnd ;315° - EG_ongunstig	0,91	**-17,19**	31,93	**-9,30**	88,05	**-22,35**
Paal19	2,000-	high max Wnd ;45° - EG_ongunstig	0,87	**17,27**	33,77	9,36	90,33	**22,45**

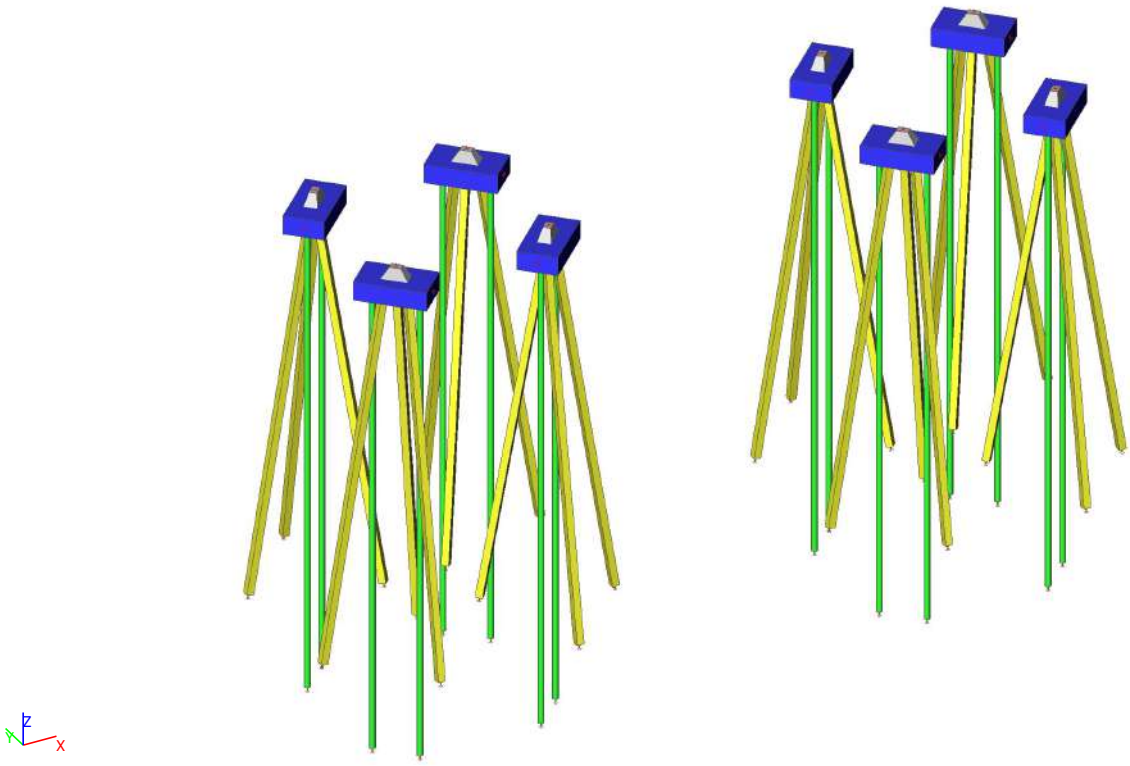
1. Inhoudsopgave

1. Inhoudsopgave 1
2. Project 2
3. Analyse model 2
4. Modeleigenschappen 3
5. Geometrie 3
5.1. Knopen 3
5.2. Analyse model met knopen 4
5.3. Staven 4
5.4. Analyse model met Staven 5
5.5. Knoopsteunpunten 6
5.6. Analyse model met Knoopondersteuningen 7
5.7. Lijnsteunpunten op staven 7
5.8. Analyse model met Lijnondersteuningen 21
5.9. Analyse model met Lijnondersteuningen 22
5.10. Niet-lineaire functies 23
6. Belastingen 31
6.1. Belastingsgevallen 31
6.1.1. Belastingsgevallen - high max Wnd ;45° 31
6.1.1.1. Puntlast op knoop 31
6.1.2. Belastingsgevallen - high max Wnd ;135° 32
6.1.2.1. Puntlast op knoop 33
6.1.3. Belastingsgevallen - high max Wnd ;225° 34
6.1.3.1. Puntlast op knoop 35
6.1.4. Belastingsgevallen - high max Wnd ;315° 35
6.1.4.1. Puntlast op knoop 36
6.1.5. Belastingsgevallen - low max Wnd ;45° 37
6.1.5.1. Puntlast op knoop 38
6.1.6. Belastingsgevallen - low max Wnd ;135° 38
6.1.6.1. Puntlast op knoop 39
6.1.7. Belastingsgevallen - low max Wnd ;225° 40
6.1.7.1. Puntlast op knoop 41
6.1.8. Belastingsgevallen - low max Wnd ;315° 41
6.1.8.1. Puntlast op knoop 42
6.1.9. Belastingsgevallen - EG_fundering 43
6.2. Niet-lineaire combinaties 44
6.3. Resultaatklasses 44
7. Resultaten 45
7.1. Reacties van de palen 45
7.1.1. Reactions; R_z 45
7.1.2. Reacties 45
7.1.3. Reacties 45
7.1.4. Reacties 46
7.2. Krachten van de Funderingspalen 52
7.2.1. Interne 1D- krachten; N 52
7.2.2. Interne 1D- krachten; V_y 52
7.2.3. Interne 1D- krachten; V_z 53
7.2.4. Interne 1D- krachten; M_x 53
7.2.5. Interne 1D- krachten; M_y 54
7.2.6. Interne 1D- krachten; M_z 54
7.2.7. Interne 1D-krachten 55
7.2.8. Interne 1D-krachten 55
7.3. Krachten van de Poeren 57
7.3.1. Interne 1D-krachten 57
7.4. Krachten van de Funderingsbalken 58
7.4.1. Interne 1D- krachten; N 58
7.4.2. Interne 1D- krachten; V_y 58
7.4.3. Interne 1D- krachten; V_z 59
7.4.4. Interne 1D- krachten; M_x 59
7.4.5. Interne 1D- krachten; M_y 60
7.4.6. Interne 1D- krachten; M_z 60
7.4.7. Interne 1D-krachten 61

2. Project

Gebruiker van licentie	[redacted]
Project	Opwaardering KIJ-BVW 380kV
Onderdeel	Blokpoer 3xBeton40x40 Mast-S+0 mast 23
Auteur	[redacted]
Datum	28-01-2026
Constructie	Algemeen XYZ
Aantal knopen :	112
Aantal staven :	56
Aantal platen :	0
Aantal vaste lichamen :	0
Aantal gebruikte doorsneden :	4
Aantal belastingsgevallen :	9
Aantal gebruikte materialen :	7
Gravitatieversnelling [m/s^2]	9,807
Nationale norm	EC - EN

3. Analyse model



4. Modeleigenschappen

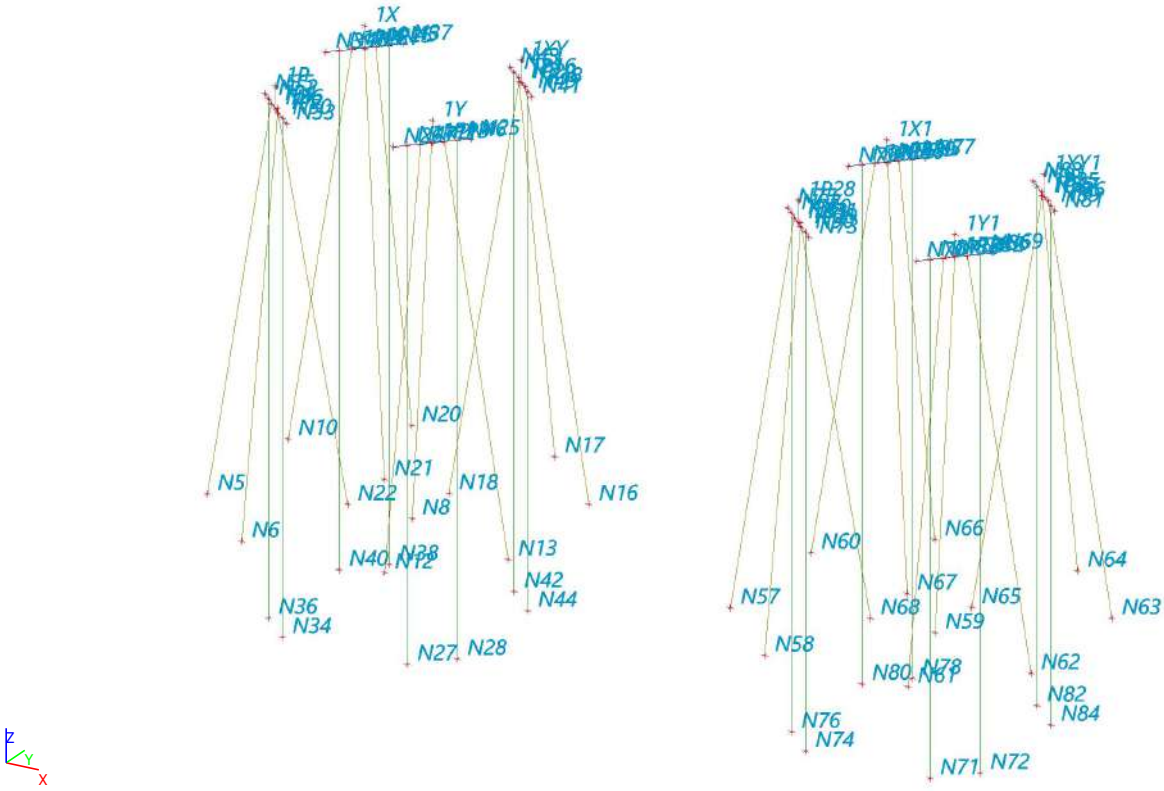
5. Geometrie

5.1. Knopen

Naam	Coördinaat X [m]	Coördinaat Y [m]	Coördinaat Z [m]
N1	0,000	0,000	0,000
1P	0,000	0,000	1,200
1P2	0,400	-0,480	0,000
1P4	-0,480	0,400	0,000
1P6	0,070	0,070	0,000
N2	9,000	0,000	0,000
1Y	9,000	0,000	1,200
1P9	9,480	0,400	0,000
1P11	8,600	-0,480	0,000
1P13	8,930	0,070	0,000
N3	9,000	9,000	0,000
1XY	9,000	9,000	1,200
1P16	8,600	9,480	0,000
1P18	9,480	8,600	0,000
1P20	8,930	8,930	0,000
N4	0,000	9,000	0,000
1X	0,000	9,000	1,200
1P23	-0,480	8,600	0,000
1P25	0,400	9,480	0,000
1P27	0,070	8,930	0,000
N5	-4,123	0,400	-21,816
N6	0,400	-4,123	-21,816
N8	6,356	2,644	-21,816
N10	-4,123	8,600	-21,816
N12	8,600	-4,123	-21,816
N13	13,123	0,400	-21,816
N16	13,123	8,600	-21,816
N17	8,600	13,123	-21,816
N18	6,356	6,356	-21,816
N20	0,400	13,123	-21,816
N21	2,644	6,356	-21,816
N22	2,644	2,644	-21,816
N25	10,414	1,414	0,000
N26	7,586	-1,414	0,000
N27	8,081	-0,919	-28,050
N28	9,919	0,919	-28,050
N33	1,414	-1,414	0,000
N34	0,919	-0,919	-28,050
N35	-1,414	1,414	0,000
N36	-0,919	0,919	-28,050
N37	1,414	10,414	0,000
N38	0,919	9,919	-28,050
N39	-1,414	7,586	0,000
N40	-0,919	8,081	-28,050
N41	10,414	7,586	0,000
N42	8,081	9,919	-28,050
N43	7,586	10,414	0,000
N44	9,919	8,081	-28,050
N45	0,919	9,919	0,000
N46	9,919	0,919	0,000
N47	8,081	-0,919	0,000
N48	-0,919	8,081	0,000
N49	9,919	8,081	0,000
N50	0,919	-0,919	0,000
N51	8,081	9,919	0,000
N52	-0,919	0,919	0,000

Naam	Coördinaat X [m]	Coördinaat Y [m]	Coördinaat Z [m]
N53	30,000	0,000	0,000
1P28	30,000	0,000	1,200
1P29	30,400	-0,480	0,000
1P30	29,520	0,400	0,000
1P31	30,070	0,070	0,000
N54	39,000	0,000	0,000
1Y1	39,000	0,000	1,200
1P32	39,480	0,400	0,000
1P33	38,600	-0,480	0,000
1P34	38,930	0,070	0,000
N55	39,000	9,000	0,000
1XY1	39,000	9,000	1,200
1P35	38,600	9,480	0,000
1P36	39,480	8,600	0,000
1P37	38,930	8,930	0,000
N56	30,000	9,000	0,000
1X1	30,000	9,000	1,200
1P38	29,520	8,600	0,000
1P39	30,400	9,480	0,000
1P40	30,070	8,930	0,000
N57	25,877	0,400	-21,816
N58	30,400	-4,123	-21,816
N59	36,356	2,644	-21,816
N60	25,877	8,600	-21,816
N61	38,600	-4,123	-21,816
N62	43,123	0,400	-21,816
N63	43,123	8,600	-21,816
N64	38,600	13,123	-21,816
N65	36,356	6,356	-21,816
N66	30,400	13,123	-21,816
N67	32,644	6,356	-21,816
N68	32,644	2,644	-21,816
N69	40,414	1,414	0,000
N70	37,586	-1,414	0,000
N71	38,081	-0,919	-28,050
N72	39,919	0,919	-28,050
N73	31,414	-1,414	0,000
N74	30,919	-0,919	-28,050
N75	28,586	1,414	0,000
N76	29,081	0,919	-28,050
N77	31,414	10,414	0,000
N78	30,919	9,919	-28,050
N79	28,586	7,586	0,000
N80	29,081	8,081	-28,050
N81	40,414	7,586	0,000
N82	38,081	9,919	-28,050
N83	37,586	10,414	0,000
N84	39,919	8,081	-28,050
N85	30,919	9,919	0,000
N86	39,919	0,919	0,000
N87	38,081	-0,919	0,000
N88	29,081	8,081	0,000
N89	39,919	8,081	0,000
N90	30,919	-0,919	0,000
N91	38,081	9,919	0,000
N92	29,081	0,919	0,000

5.2. Analyse model met knopen

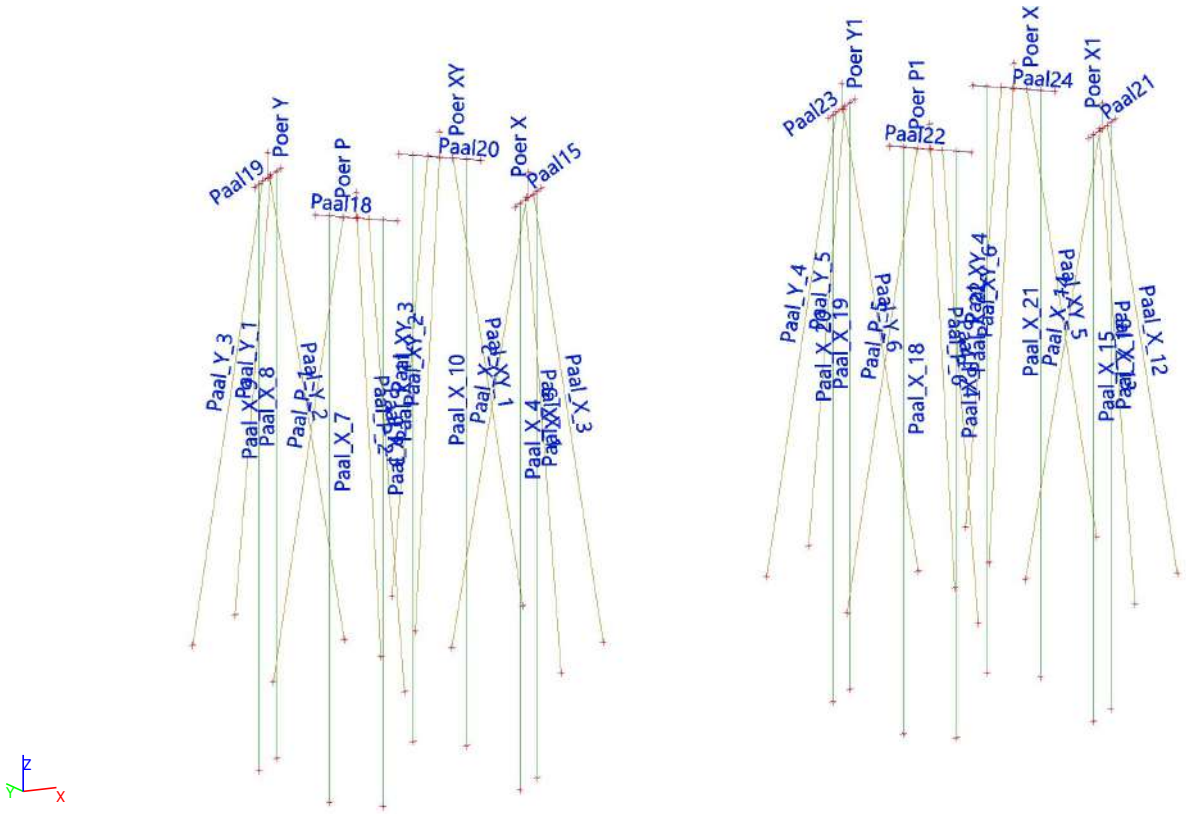


5.3. Staven

Naam	Doorsnede	Materiaal	Lengte [m]	Beginknoop	Eindknoop	Type
Paal15	lijnpoer - Rectangle (1100,00; 2260,00)	C30/37 Gescheurd	4,000	N26	N25	Balk (80)
Paal18	lijnpoer - Rectangle (1100,00; 2260,00)	C30/37 Gescheurd	4,000	N33	N35	Balk (80)
Paal19	lijnpoer - Rectangle (1100,00; 2260,00)	C30/37 Gescheurd	4,000	N37	N39	Balk (80)
Paal20	lijnpoer - Rectangle (1100,00; 2260,00)	C30/37 Gescheurd	4,000	N43	N41	Balk (80)
Paal21	lijnpoer - Rectangle (1100,00; 2260,00)	C30/37 Gescheurd	4,000	N70	N69	Balk (80)
Paal22	lijnpoer - Rectangle (1100,00; 2260,00)	C30/37 Gescheurd	4,000	N73	N75	Balk (80)
Paal23	lijnpoer - Rectangle (1100,00; 2260,00)	C30/37 Gescheurd	4,000	N77	N79	Balk (80)
Paal24	lijnpoer - Rectangle (1100,00; 2260,00)	C30/37 Gescheurd	4,000	N83	N81	Balk (80)
Paal_XY_2	Paal 40x40 - Rectangle (400,00; 400,00)	C20/25 Ongescheurd	22,118	1P20	N18	Kolom (100)
Paal_X_3	Paal 40x40 - Rectangle (400,00; 400,00)	C20/25 Ongescheurd	22,118	1P9	N13	Kolom (100)
Poer P	Poer - Rectangle (2200,00; 1060,00)	C12/15 Gescheurd	1,200	N1	1P	Kolom (100)
Poer P1	Poer - Rectangle (2200,00; 1060,00)	C12/15 Gescheurd	1,200	N53	1P28	Kolom (100)
Paal_P_5	Paal 40x40 - Rectangle (400,00; 400,00)	C20/25 Ongescheurd	22,118	1P30	N57	Kolom (100)
Poer X	Poer - Rectangle (2200,00; 1060,00)	C12/15 Gescheurd	1,200	N2	1Y	Kolom (100)
Paal_P_1	Paal 40x40 - Rectangle (400,00; 400,00)	C20/25 Ongescheurd	22,118	1P4	N5	Kolom (100)
Paal_P_2	Paal 40x40 - Rectangle (400,00; 400,00)	C20/25 Ongescheurd	22,118	1P6	N22	Kolom (100)
Paal_P_4	Paal 40x40 - Rectangle (400,00; 400,00)	C20/25 Ongescheurd	22,118	1P29	N58	Kolom (100)
Paal_XY_1	Paal 40x40 - Rectangle (400,00; 400,00)	C20/25 Ongescheurd	22,118	1P18	N16	Kolom (100)
Paal_XY_3	Paal 40x40 - Rectangle (400,00; 400,00)	C20/25 Ongescheurd	22,118	1P16	N17	Kolom (100)
Paal_XY_4	Paal 40x40 - Rectangle (400,00; 400,00)	C20/25 Ongescheurd	22,118	1P35	N64	Kolom (100)
Paal_XY_5	Paal 40x40 - Rectangle (400,00; 400,00)	C20/25 Ongescheurd	22,118	1P36	N63	Kolom (100)
Paal_X_1	Paal 40x40 - Rectangle (400,00; 400,00)	C20/25 Ongescheurd	22,118	1P11	N12	Kolom (100)
Poer X1	Poer - Rectangle (2200,00; 1060,00)	C12/15 Gescheurd	1,200	N54	1Y1	Kolom (100)
Poer XY	Poer - Rectangle (2200,00; 1060,00)	C12/15 Gescheurd	1,200	N3	1XY	Kolom (100)
Poer XY1	Poer - Rectangle (2200,00; 1060,00)	C12/15 Gescheurd	1,200	N55	1XY1	Kolom (100)
Poer Y	Poer - Rectangle (2200,00; 1060,00)	C12/15 Gescheurd	1,200	N4	1X	Kolom (100)
Poer Y1	Poer - Rectangle (2200,00; 1060,00)	C12/15 Gescheurd	1,200	N56	1X1	Kolom (100)
Paal_P_3	Paal 40x40 - Rectangle (400,00; 400,00)	C20/25 Ongescheurd	22,118	1P2	N6	Kolom (100)
Paal_P_6	Paal 40x40 - Rectangle (400,00; 400,00)	C20/25 Ongescheurd	22,118	1P31	N68	Kolom (100)

Naam	Doorsnede	Materiaal	Lengte [m]	Beginknoop	Eindknoop	Type
Paal_XY_6	Paal 40x40 - Rectangle (400,00; 400,00)	C20/25 Ongescheurd	22,118	1P37	N65	Kolom (100)
Paal_X_2	Paal 40x40 - Rectangle (400,00; 400,00)	C20/25 Ongescheurd	22,118	1P13	N8	Kolom (100)
Paal_X_4	LEKA Paal - type e (CHS323.9/10.0)	S 235	28,050	N47	N27	Kolom (100)
Paal_X_5	LEKA Paal - type e (CHS323.9/10.0)	S 235	28,050	N46	N28	Kolom (100)
Paal_X_6	LEKA Paal - type e (CHS323.9/10.0)	S 235	28,050	N50	N34	Kolom (100)
Paal_X_7	LEKA Paal - type e (CHS323.9/10.0)	S 235	28,050	N52	N36	Kolom (100)
Paal_X_8	LEKA Paal - type e (CHS323.9/10.0)	S 235	28,050	N45	N38	Kolom (100)
Paal_X_9	LEKA Paal - type e (CHS323.9/10.0)	S 235	28,050	N48	N40	Kolom (100)
Paal_X_10	LEKA Paal - type e (CHS323.9/10.0)	S 235	28,050	N49	N44	Kolom (100)
Paal_X_11	LEKA Paal - type e (CHS323.9/10.0)	S 235	28,050	N51	N42	Kolom (100)
Paal_X_12	Paal 40x40 - Rectangle (400,00; 400,00)	C20/25 Ongescheurd	22,118	1P32	N62	Kolom (100)
Paal_X_13	Paal 40x40 - Rectangle (400,00; 400,00)	C20/25 Ongescheurd	22,118	1P33	N61	Kolom (100)
Paal_X_14	Paal 40x40 - Rectangle (400,00; 400,00)	C20/25 Ongescheurd	22,118	1P34	N59	Kolom (100)
Paal_X_15	LEKA Paal - type e (CHS323.9/10.0)	S 235	28,050	N87	N71	Kolom (100)
Paal_X_16	LEKA Paal - type e (CHS323.9/10.0)	S 235	28,050	N86	N72	Kolom (100)
Paal_X_17	LEKA Paal - type e (CHS323.9/10.0)	S 235	28,050	N90	N74	Kolom (100)
Paal_X_18	LEKA Paal - type e (CHS323.9/10.0)	S 235	28,050	N92	N76	Kolom (100)
Paal_X_19	LEKA Paal - type e (CHS323.9/10.0)	S 235	28,050	N85	N78	Kolom (100)
Paal_X_20	LEKA Paal - type e (CHS323.9/10.0)	S 235	28,050	N88	N80	Kolom (100)
Paal_X_21	LEKA Paal - type e (CHS323.9/10.0)	S 235	28,050	N89	N84	Kolom (100)
Paal_X_22	LEKA Paal - type e (CHS323.9/10.0)	S 235	28,050	N91	N82	Kolom (100)
Paal_Y_1	Paal 40x40 - Rectangle (400,00; 400,00)	C20/25 Ongescheurd	22,118	1P25	N20	Kolom (100)
Paal_Y_2	Paal 40x40 - Rectangle (400,00; 400,00)	C20/25 Ongescheurd	22,118	1P27	N21	Kolom (100)
Paal_Y_3	Paal 40x40 - Rectangle (400,00; 400,00)	C20/25 Ongescheurd	22,118	1P23	N10	Kolom (100)
Paal_Y_4	Paal 40x40 - Rectangle (400,00; 400,00)	C20/25 Ongescheurd	22,118	1P38	N60	Kolom (100)
Paal_Y_5	Paal 40x40 - Rectangle (400,00; 400,00)	C20/25 Ongescheurd	22,118	1P39	N66	Kolom (100)
Paal_Y_6	Paal 40x40 - Rectangle (400,00; 400,00)	C20/25 Ongescheurd	22,118	1P40	N67	Kolom (100)

5.4. Analyse model met Staven



5.5. Knoopsteunpunten

Naam	Knoop	Systeem	Type	X	Y	Z	Rx	Ry	Rz	Hoek [deg]
S_P_1	N5	LCS van knoop	Standaard	Vrij	Vrij	Niet-lineair	Vrij	Vrij	Vrij	Ry9,50
S_P_2	N22	LCS van knoop	Standaard	Vrij	Vrij	Niet-lineair	Vrij	Vrij	Vrij	Rx6,72;Ry-6,72
S_P_3	N6	LCS van knoop	Standaard	Vrij	Vrij	Niet-lineair	Vrij	Vrij	Vrij	Rx-9,50
S_X_1	N12	LCS van knoop	Standaard	Vrij	Vrij	Niet-lineair	Vrij	Vrij	Vrij	Rx-9,50
S_X_2	N8	LCS van knoop	Standaard	Vrij	Vrij	Niet-lineair	Vrij	Vrij	Vrij	Rx6,72;Ry6,72
S_X_3	N13	LCS van knoop	Standaard	Vrij	Vrij	Niet-lineair	Vrij	Vrij	Vrij	Ry-9,50
S_XY_1	N16	LCS van knoop	Standaard	Vrij	Vrij	Niet-lineair	Vrij	Vrij	Vrij	Ry-9,50
S_XY_2	N18	LCS van knoop	Standaard	Vrij	Vrij	Niet-lineair	Vrij	Vrij	Vrij	Rx-6,72;Ry6,72
S_XY_3	N17	LCS van knoop	Standaard	Vrij	Vrij	Niet-lineair	Vrij	Vrij	Vrij	Rx9,50
S_Y_1	N20	LCS van knoop	Standaard	Vrij	Vrij	Niet-lineair	Vrij	Vrij	Vrij	Rx9,50
S_Y_2	N21	LCS van knoop	Standaard	Vrij	Vrij	Niet-lineair	Vrij	Vrij	Vrij	Rx-6,72;Ry-6,72
S_Y_3	N10	LCS van knoop	Standaard	Vrij	Vrij	Niet-lineair	Vrij	Vrij	Vrij	Ry9,50
S_Y_4	N27	LCS van knoop	Standaard	Vrij	Vrij	Niet-lineair	Vrij	Vrij	Vrij	
S_Y_5	N28	LCS van knoop	Standaard	Vrij	Vrij	Niet-lineair	Vrij	Vrij	Vrij	
S_Y_6	N34	LCS van knoop	Standaard	Vrij	Vrij	Niet-lineair	Vrij	Vrij	Vrij	
S_Y_7	N36	LCS van knoop	Standaard	Vrij	Vrij	Niet-lineair	Vrij	Vrij	Vrij	
S_Y_8	N38	LCS van knoop	Standaard	Vrij	Vrij	Niet-lineair	Vrij	Vrij	Vrij	
S_Y_9	N40	LCS van knoop	Standaard	Vrij	Vrij	Niet-lineair	Vrij	Vrij	Vrij	
S_Y_10	N42	LCS van knoop	Standaard	Vrij	Vrij	Niet-lineair	Vrij	Vrij	Vrij	
S_Y_11	N44	LCS van knoop	Standaard	Vrij	Vrij	Niet-lineair	Vrij	Vrij	Vrij	
S_P_4	N57	LCS van knoop	Standaard	Vrij	Vrij	Niet-lineair	Vrij	Vrij	Vrij	Ry9,50
S_P_5	N58	LCS van knoop	Standaard	Vrij	Vrij	Niet-lineair	Vrij	Vrij	Vrij	Rx-9,50
S_X_4	N59	LCS van knoop	Standaard	Vrij	Vrij	Niet-lineair	Vrij	Vrij	Vrij	Rx6,72;Ry6,72
S_Y_12	N60	LCS van knoop	Standaard	Vrij	Vrij	Niet-lineair	Vrij	Vrij	Vrij	Ry9,50
S_X_5	N61	LCS van knoop	Standaard	Vrij	Vrij	Niet-lineair	Vrij	Vrij	Vrij	Rx-9,50
S_X_6	N62	LCS van knoop	Standaard	Vrij	Vrij	Niet-lineair	Vrij	Vrij	Vrij	Ry-9,50
S_XY_4	N63	LCS van knoop	Standaard	Vrij	Vrij	Niet-lineair	Vrij	Vrij	Vrij	Ry-9,50
S_XY_5	N64	LCS van knoop	Standaard	Vrij	Vrij	Niet-lineair	Vrij	Vrij	Vrij	Rx9,50
S_XY_6	N65	LCS van knoop	Standaard	Vrij	Vrij	Niet-lineair	Vrij	Vrij	Vrij	Rx-6,72;Ry6,72
S_Y_13	N66	LCS van knoop	Standaard	Vrij	Vrij	Niet-lineair	Vrij	Vrij	Vrij	Rx9,50
S_Y_14	N67	LCS van knoop	Standaard	Vrij	Vrij	Niet-lineair	Vrij	Vrij	Vrij	Rx-6,72;Ry-6,72
S_P_6	N68	LCS van knoop	Standaard	Vrij	Vrij	Niet-lineair	Vrij	Vrij	Vrij	Rx6,72;Ry-6,72
S_Y_15	N71	LCS van knoop	Standaard	Vrij	Vrij	Niet-lineair	Vrij	Vrij	Vrij	
S_Y_16	N72	LCS van knoop	Standaard	Vrij	Vrij	Niet-lineair	Vrij	Vrij	Vrij	
S_Y_17	N74	LCS van knoop	Standaard	Vrij	Vrij	Niet-lineair	Vrij	Vrij	Vrij	
S_Y_18	N76	LCS van knoop	Standaard	Vrij	Vrij	Niet-lineair	Vrij	Vrij	Vrij	
S_Y_19	N78	LCS van knoop	Standaard	Vrij	Vrij	Niet-lineair	Vrij	Vrij	Vrij	
S_Y_20	N80	LCS van knoop	Standaard	Vrij	Vrij	Niet-lineair	Vrij	Vrij	Vrij	
S_Y_21	N82	LCS van knoop	Standaard	Vrij	Vrij	Niet-lineair	Vrij	Vrij	Vrij	
S_Y_22	N84	LCS van knoop	Standaard	Vrij	Vrij	Niet-lineair	Vrij	Vrij	Vrij	

5.6. Analyse model met Knoopondersteuningen



5.7. Lijnsteunpunten op staven

Naam	Type	Staaf	Pos x_1 [m] Pos x_2 [m]	X	Y	Z	Rx	Ry	Rz	Functie Y	Functie Z
Veen19	Lijn	Paal_X_11	1,000 8,000	Vrij	Niet-lineair	Niet-lineair	Vrij	Vrij	Vrij	PY-curve-1_Veen	PY-curve-1_Veen
Veen25	Lijn	Paal_X_14	1,000 8,000	Vrij	Niet-lineair	Niet-lineair	Vrij	Vrij	Vrij	PY-curve-1_Veen	PY-curve-1_Veen
Veen10	Lijn	Paal_Y_1	1,000 8,000	Vrij	Niet-lineair	Niet-lineair	Vrij	Vrij	Vrij	PY-curve-1_Veen	PY-curve-1_Veen
Veen18	Lijn	Paal_X_10	1,000 8,000	Vrij	Niet-lineair	Niet-lineair	Vrij	Vrij	Vrij	PY-curve-1_Veen	PY-curve-1_Veen
Veen34	Lijn	Paal_X_17	1,000 8,000	Vrij	Niet-lineair	Niet-lineair	Vrij	Vrij	Vrij	PY-curve-1_Veen	PY-curve-1_Veen
Veen8	Lijn	Paal_XY_2	1,000 8,000	Vrij	Niet-lineair	Niet-lineair	Vrij	Vrij	Vrij	PY-curve-1_Veen	PY-curve-1_Veen
Veen21	Lijn	Paal_P_5	1,000 8,000	Vrij	Niet-lineair	Niet-lineair	Vrij	Vrij	Vrij	PY-curve-1_Veen	PY-curve-1_Veen
Veen7	Lijn	Paal_XY_1	1,000 8,000	Vrij	Niet-lineair	Niet-lineair	Vrij	Vrij	Vrij	PY-curve-1_Veen	PY-curve-1_Veen
Veen13	Lijn	Paal_X_5	1,000 8,000	Vrij	Niet-lineair	Niet-lineair	Vrij	Vrij	Vrij	PY-curve-1_Veen	PY-curve-1_Veen
Veen3	Lijn	Paal_X_3	1,000 8,000	Vrij	Niet-lineair	Niet-lineair	Vrij	Vrij	Vrij	PY-curve-1_Veen	PY-curve-1_Veen
Veen16	Lijn	Paal_X_8	1,000 8,000	Vrij	Niet-lineair	Niet-lineair	Vrij	Vrij	Vrij	PY-curve-1_Veen	PY-curve-1_Veen
Veen6	Lijn	Paal_XY_3	1,000 8,000	Vrij	Niet-lineair	Niet-lineair	Vrij	Vrij	Vrij	PY-curve-1_Veen	PY-curve-1_Veen
Veen31	Lijn	Paal_Y_6	1,000 8,000	Vrij	Niet-lineair	Niet-lineair	Vrij	Vrij	Vrij	PY-curve-1_Veen	PY-curve-1_Veen
Veen26	Lijn	Paal_XY_4	1,000	Vrij	Niet-lineair	Niet-lineair	Vrij	Vrij	Vrij	PY-curve-1_Veen	PY-curve-1_Veen

Naam	Type	Staaf	Pos x_1 [m] Pos x_2 [m]	X	Y	Z	Rx	Ry	Rz	Functie Y	Functie Z
			8,000								
Veen39	Lijn	Paal_X_22	1,000 8,000	Vrij	Niet-lineair	Niet-lineair	Vrij	Vrij	Vrij	PY-curve-1_Veen	PY-curve-1_Veen
Veen11	Lijn	Paal_Y_2	1,000 8,000	Vrij	Niet-lineair	Niet-lineair	Vrij	Vrij	Vrij	PY-curve-1_Veen	PY-curve-1_Veen
Veen23	Lijn	Paal_X_12	1,000 8,000	Vrij	Niet-lineair	Niet-lineair	Vrij	Vrij	Vrij	PY-curve-1_Veen	PY-curve-1_Veen
Veen12	Lijn	Paal_X_4	1,000 8,000	Vrij	Niet-lineair	Niet-lineair	Vrij	Vrij	Vrij	PY-curve-1_Veen	PY-curve-1_Veen
Veen20	Lijn	Paal_P_4	1,000 8,000	Vrij	Niet-lineair	Niet-lineair	Vrij	Vrij	Vrij	PY-curve-1_Veen	PY-curve-1_Veen
Veen22	Lijn	Paal_P_6	1,000 8,000	Vrij	Niet-lineair	Niet-lineair	Vrij	Vrij	Vrij	PY-curve-1_Veen	PY-curve-1_Veen
Veen38	Lijn	Paal_X_21	1,000 8,000	Vrij	Niet-lineair	Niet-lineair	Vrij	Vrij	Vrij	PY-curve-1_Veen	PY-curve-1_Veen
Veen	Lijn	Paal_P_3	1,000 8,000	Vrij	Niet-lineair	Niet-lineair	Vrij	Vrij	Vrij	PY-curve-1_Veen	PY-curve-1_Veen
Veen32	Lijn	Paal_X_15	1,000 8,000	Vrij	Niet-lineair	Niet-lineair	Vrij	Vrij	Vrij	PY-curve-1_Veen	PY-curve-1_Veen
Veen28	Lijn	Paal_XY_6	1,000 8,000	Vrij	Niet-lineair	Niet-lineair	Vrij	Vrij	Vrij	PY-curve-1_Veen	PY-curve-1_Veen
Veen36	Lijn	Paal_X_19	1,000 8,000	Vrij	Niet-lineair	Niet-lineair	Vrij	Vrij	Vrij	PY-curve-1_Veen	PY-curve-1_Veen
Veen17	Lijn	Paal_X_9	1,000 8,000	Vrij	Niet-lineair	Niet-lineair	Vrij	Vrij	Vrij	PY-curve-1_Veen	PY-curve-1_Veen
Veen33	Lijn	Paal_X_16	1,000 8,000	Vrij	Niet-lineair	Niet-lineair	Vrij	Vrij	Vrij	PY-curve-1_Veen	PY-curve-1_Veen
Veen5	Lijn	Paal_X_2	1,000 8,000	Vrij	Niet-lineair	Niet-lineair	Vrij	Vrij	Vrij	PY-curve-1_Veen	PY-curve-1_Veen
Veen24	Lijn	Paal_X_13	1,000 8,000	Vrij	Niet-lineair	Niet-lineair	Vrij	Vrij	Vrij	PY-curve-1_Veen	PY-curve-1_Veen
Veen37	Lijn	Paal_X_20	1,000 8,000	Vrij	Niet-lineair	Niet-lineair	Vrij	Vrij	Vrij	PY-curve-1_Veen	PY-curve-1_Veen
Veen35	Lijn	Paal_X_18	1,000 8,000	Vrij	Niet-lineair	Niet-lineair	Vrij	Vrij	Vrij	PY-curve-1_Veen	PY-curve-1_Veen
Veen1	Lijn	Paal_P_1	1,000 8,000	Vrij	Niet-lineair	Niet-lineair	Vrij	Vrij	Vrij	PY-curve-1_Veen	PY-curve-1_Veen
Veen4	Lijn	Paal_X_1	1,000 8,000	Vrij	Niet-lineair	Niet-lineair	Vrij	Vrij	Vrij	PY-curve-1_Veen	PY-curve-1_Veen
Veen14	Lijn	Paal_X_6	1,000 8,000	Vrij	Niet-lineair	Niet-lineair	Vrij	Vrij	Vrij	PY-curve-1_Veen	PY-curve-1_Veen
Veen29	Lijn	Paal_Y_4	1,000 8,000	Vrij	Niet-lineair	Niet-lineair	Vrij	Vrij	Vrij	PY-curve-1_Veen	PY-curve-1_Veen
Veen27	Lijn	Paal_XY_5	1,000 8,000	Vrij	Niet-lineair	Niet-lineair	Vrij	Vrij	Vrij	PY-curve-1_Veen	PY-curve-1_Veen
Veen15	Lijn	Paal_X_7	1,000 8,000	Vrij	Niet-lineair	Niet-lineair	Vrij	Vrij	Vrij	PY-curve-1_Veen	PY-curve-1_Veen
Veen2	Lijn	Paal_P_2	1,000 8,000	Vrij	Niet-lineair	Niet-lineair	Vrij	Vrij	Vrij	PY-curve-1_Veen	PY-curve-1_Veen
Veen9	Lijn	Paal_Y_3	1,000 8,000	Vrij	Niet-lineair	Niet-lineair	Vrij	Vrij	Vrij	PY-curve-1_Veen	PY-curve-1_Veen
Veen30	Lijn	Paal_Y_5	1,000 8,000	Vrij	Niet-lineair	Niet-lineair	Vrij	Vrij	Vrij	PY-curve-1_Veen	PY-curve-1_Veen
(PY-curve-1_V1)12	Lijn	Paal_X_4	8,000 9,000	Vrij	Niet-lineair	Niet-lineair	Vrij	Vrij	Vrij	PY-curve-1_V1	PY-curve-1_V1
(PY-curve-1_V1)21	Lijn	Paal_P_5	8,000 9,000	Vrij	Niet-lineair	Niet-lineair	Vrij	Vrij	Vrij	PY-curve-1_V1	PY-curve-1_V1
(PY-curve-1_V1)20	Lijn	Paal_P_4	8,000 9,000	Vrij	Niet-lineair	Niet-lineair	Vrij	Vrij	Vrij	PY-curve-1_V1	PY-curve-1_V1
(PY-curve-1_V1)35	Lijn	Paal_X_18	8,000 9,000	Vrij	Niet-lineair	Niet-lineair	Vrij	Vrij	Vrij	PY-curve-1_V1	PY-curve-1_V1
(PY-curve-1_V1)7	Lijn	Paal_Y_3	8,000 9,000	Vrij	Niet-lineair	Niet-lineair	Vrij	Vrij	Vrij	PY-curve-1_V1	PY-curve-1_V1
(PY-curve-1_V1)39	Lijn	Paal_X_22	8,000	Vrij	Niet-lineair	Niet-lineair	Vrij	Vrij	Vrij	PY-curve-1_V1	PY-curve-1_V1

Naam	Type	Staaf	Pos x_1 [m] Pos x_2 [m]	X	Y	Z	Rx	Ry	Rz	Functie Y	Functie Z
			9,000								
(PY-curve-1_V1)38	Lijn	Paal_X_21	8,000 9,000	Vrij	Niet-lineair	Niet-lineair	Vrij	Vrij	Vrij	PY-curve-1_V1	PY-curve-1_V1
(PY-curve-1_V1)34	Lijn	Paal_X_17	8,000 9,000	Vrij	Niet-lineair	Niet-lineair	Vrij	Vrij	Vrij	PY-curve-1_V1	PY-curve-1_V1
(PY-curve-1_V1)3	Lijn	Paal_X_3	8,000 9,000	Vrij	Niet-lineair	Niet-lineair	Vrij	Vrij	Vrij	PY-curve-1_V1	PY-curve-1_V1
(PY-curve-1_V1)36	Lijn	Paal_X_19	8,000 9,000	Vrij	Niet-lineair	Niet-lineair	Vrij	Vrij	Vrij	PY-curve-1_V1	PY-curve-1_V1
(PY-curve-1_V1)16	Lijn	Paal_X_8	8,000 9,000	Vrij	Niet-lineair	Niet-lineair	Vrij	Vrij	Vrij	PY-curve-1_V1	PY-curve-1_V1
(PY-curve-1_V1)6	Lijn	Paal_Y_1	8,000 9,000	Vrij	Niet-lineair	Niet-lineair	Vrij	Vrij	Vrij	PY-curve-1_V1	PY-curve-1_V1
(PY-curve-1_V1)1	Lijn	Paal_P_3	8,000 9,000	Vrij	Niet-lineair	Niet-lineair	Vrij	Vrij	Vrij	PY-curve-1_V1	PY-curve-1_V1
(PY-curve-1_V1)27	Lijn	Paal_XY_5	8,000 9,000	Vrij	Niet-lineair	Niet-lineair	Vrij	Vrij	Vrij	PY-curve-1_V1	PY-curve-1_V1
(PY-curve-1_V1)11	Lijn	Paal_Y_2	8,000 9,000	Vrij	Niet-lineair	Niet-lineair	Vrij	Vrij	Vrij	PY-curve-1_V1	PY-curve-1_V1
(PY-curve-1_V1)10	Lijn	Paal_XY_2	8,000 9,000	Vrij	Niet-lineair	Niet-lineair	Vrij	Vrij	Vrij	PY-curve-1_V1	PY-curve-1_V1
(PY-curve-1_V1)33	Lijn	Paal_X_16	8,000 9,000	Vrij	Niet-lineair	Niet-lineair	Vrij	Vrij	Vrij	PY-curve-1_V1	PY-curve-1_V1
(PY-curve-1_V1)32	Lijn	Paal_X_15	8,000 9,000	Vrij	Niet-lineair	Niet-lineair	Vrij	Vrij	Vrij	PY-curve-1_V1	PY-curve-1_V1
(PY-curve-1_V1)28	Lijn	Paal_XY_6	8,000 9,000	Vrij	Niet-lineair	Niet-lineair	Vrij	Vrij	Vrij	PY-curve-1_V1	PY-curve-1_V1
(PY-curve-1_V1)5	Lijn	Paal_XY_3	8,000 9,000	Vrij	Niet-lineair	Niet-lineair	Vrij	Vrij	Vrij	PY-curve-1_V1	PY-curve-1_V1
(PY-curve-1_V1)37	Lijn	Paal_X_20	8,000 9,000	Vrij	Niet-lineair	Niet-lineair	Vrij	Vrij	Vrij	PY-curve-1_V1	PY-curve-1_V1
(PY-curve-1_V1)24	Lijn	Paal_X_13	8,000 9,000	Vrij	Niet-lineair	Niet-lineair	Vrij	Vrij	Vrij	PY-curve-1_V1	PY-curve-1_V1
(PY-curve-1_V1)19	Lijn	Paal_X_11	8,000 9,000	Vrij	Niet-lineair	Niet-lineair	Vrij	Vrij	Vrij	PY-curve-1_V1	PY-curve-1_V1
(PY-curve-1_V1)2	Lijn	Paal_X_1	8,000 9,000	Vrij	Niet-lineair	Niet-lineair	Vrij	Vrij	Vrij	PY-curve-1_V1	PY-curve-1_V1
(PY-curve-1_V1)15	Lijn	Paal_X_7	8,000 9,000	Vrij	Niet-lineair	Niet-lineair	Vrij	Vrij	Vrij	PY-curve-1_V1	PY-curve-1_V1
(PY-curve-1_V1)14	Lijn	Paal_X_6	8,000 9,000	Vrij	Niet-lineair	Niet-lineair	Vrij	Vrij	Vrij	PY-curve-1_V1	PY-curve-1_V1
(PY-curve-1_V1)9	Lijn	Paal_X_2	8,000 9,000	Vrij	Niet-lineair	Niet-lineair	Vrij	Vrij	Vrij	PY-curve-1_V1	PY-curve-1_V1
(PY-curve-1_V1)30	Lijn	Paal_Y_5	8,000 9,000	Vrij	Niet-lineair	Niet-lineair	Vrij	Vrij	Vrij	PY-curve-1_V1	PY-curve-1_V1
(PY-curve-1_V1)25	Lijn	Paal_X_14	8,000 9,000	Vrij	Niet-lineair	Niet-lineair	Vrij	Vrij	Vrij	PY-curve-1_V1	PY-curve-1_V1
(PY-curve-1_V1)	Lijn	Paal_P_1	8,000 9,000	Vrij	Niet-lineair	Niet-lineair	Vrij	Vrij	Vrij	PY-curve-1_V1	PY-curve-1_V1
(PY-curve-1_V1)26	Lijn	Paal_XY_4	8,000 9,000	Vrij	Niet-lineair	Niet-lineair	Vrij	Vrij	Vrij	PY-curve-1_V1	PY-curve-1_V1
(PY-curve-1_V1)31	Lijn	Paal_Y_6	8,000 9,000	Vrij	Niet-lineair	Niet-lineair	Vrij	Vrij	Vrij	PY-curve-1_V1	PY-curve-1_V1
(PY-curve-1_V1)13	Lijn	Paal_X_5	8,000 9,000	Vrij	Niet-lineair	Niet-lineair	Vrij	Vrij	Vrij	PY-curve-1_V1	PY-curve-1_V1
(PY-curve-1_V1)23	Lijn	Paal_X_12	8,000 9,000	Vrij	Niet-lineair	Niet-lineair	Vrij	Vrij	Vrij	PY-curve-1_V1	PY-curve-1_V1
(PY-curve-1_V1)22	Lijn	Paal_P_6	8,000 9,000	Vrij	Niet-lineair	Niet-lineair	Vrij	Vrij	Vrij	PY-curve-1_V1	PY-curve-1_V1
(PY-curve-1_V1)17	Lijn	Paal_X_9	8,000 9,000	Vrij	Niet-lineair	Niet-lineair	Vrij	Vrij	Vrij	PY-curve-1_V1	PY-curve-1_V1
(PY-curve-1_V1)29	Lijn	Paal_Y_4	8,000 9,000	Vrij	Niet-lineair	Niet-lineair	Vrij	Vrij	Vrij	PY-curve-1_V1	PY-curve-1_V1
(PY-curve-1_V1)8	Lijn	Paal_P_2	8,000	Vrij	Niet-lineair	Niet-lineair	Vrij	Vrij	Vrij	PY-curve-1_V1	PY-curve-1_V1

Naam	Type	Staaf	Pos x_1 [m] Pos x_2 [m]	X	Y	Z	Rx	Ry	Rz	Functie Y	Functie Z
			9,000								
(PY-curve-1_V1)4	Lijn	Paal_XY_1	8,000 9,000	Vrij	Niet-lineair	Niet-lineair	Vrij	Vrij	Vrij	PY-curve-1_V1	PY-curve-1_V1
(PY-curve-1_V1)18	Lijn	Paal_X_10	8,000 9,000	Vrij	Niet-lineair	Niet-lineair	Vrij	Vrij	Vrij	PY-curve-1_V1	PY-curve-1_V1
(PY-curve-1_V2)12	Lijn	Paal_X_4	9,000 10,000	Vrij	Niet-lineair	Niet-lineair	Vrij	Vrij	Vrij	PY-curve-1_V2	PY-curve-1_V2
(PY-curve-1_V2)21	Lijn	Paal_P_5	9,000 10,000	Vrij	Niet-lineair	Niet-lineair	Vrij	Vrij	Vrij	PY-curve-1_V2	PY-curve-1_V2
(PY-curve-1_V2)20	Lijn	Paal_P_4	9,000 10,000	Vrij	Niet-lineair	Niet-lineair	Vrij	Vrij	Vrij	PY-curve-1_V2	PY-curve-1_V2
(PY-curve-1_V2)6	Lijn	Paal_Y_1	9,000 10,000	Vrij	Niet-lineair	Niet-lineair	Vrij	Vrij	Vrij	PY-curve-1_V2	PY-curve-1_V2
(PY-curve-1_V2)7	Lijn	Paal_Y_3	9,000 10,000	Vrij	Niet-lineair	Niet-lineair	Vrij	Vrij	Vrij	PY-curve-1_V2	PY-curve-1_V2
(PY-curve-1_V2)1	Lijn	Paal_P_3	9,000 10,000	Vrij	Niet-lineair	Niet-lineair	Vrij	Vrij	Vrij	PY-curve-1_V2	PY-curve-1_V2
(PY-curve-1_V2)36	Lijn	Paal_X_19	9,000 10,000	Vrij	Niet-lineair	Niet-lineair	Vrij	Vrij	Vrij	PY-curve-1_V2	PY-curve-1_V2
(PY-curve-1_V2)37	Lijn	Paal_X_20	9,000 10,000	Vrij	Niet-lineair	Niet-lineair	Vrij	Vrij	Vrij	PY-curve-1_V2	PY-curve-1_V2
(PY-curve-1_V2)35	Lijn	Paal_X_18	9,000 10,000	Vrij	Niet-lineair	Niet-lineair	Vrij	Vrij	Vrij	PY-curve-1_V2	PY-curve-1_V2
(PY-curve-1_V2)38	Lijn	Paal_X_21	9,000 10,000	Vrij	Niet-lineair	Niet-lineair	Vrij	Vrij	Vrij	PY-curve-1_V2	PY-curve-1_V2
(PY-curve-1_V2)30	Lijn	Paal_Y_5	9,000 10,000	Vrij	Niet-lineair	Niet-lineair	Vrij	Vrij	Vrij	PY-curve-1_V2	PY-curve-1_V2
(PY-curve-1_V2)	Lijn	Paal_P_1	9,000 10,000	Vrij	Niet-lineair	Niet-lineair	Vrij	Vrij	Vrij	PY-curve-1_V2	PY-curve-1_V2
(PY-curve-1_V2)19	Lijn	Paal_X_11	9,000 10,000	Vrij	Niet-lineair	Niet-lineair	Vrij	Vrij	Vrij	PY-curve-1_V2	PY-curve-1_V2
(PY-curve-1_V2)28	Lijn	Paal_XY_6	9,000 10,000	Vrij	Niet-lineair	Niet-lineair	Vrij	Vrij	Vrij	PY-curve-1_V2	PY-curve-1_V2
(PY-curve-1_V2)3	Lijn	Paal_X_3	9,000 10,000	Vrij	Niet-lineair	Niet-lineair	Vrij	Vrij	Vrij	PY-curve-1_V2	PY-curve-1_V2
(PY-curve-1_V2)32	Lijn	Paal_X_15	9,000 10,000	Vrij	Niet-lineair	Niet-lineair	Vrij	Vrij	Vrij	PY-curve-1_V2	PY-curve-1_V2
(PY-curve-1_V2)18	Lijn	Paal_X_10	9,000 10,000	Vrij	Niet-lineair	Niet-lineair	Vrij	Vrij	Vrij	PY-curve-1_V2	PY-curve-1_V2
(PY-curve-1_V2)34	Lijn	Paal_X_17	9,000 10,000	Vrij	Niet-lineair	Niet-lineair	Vrij	Vrij	Vrij	PY-curve-1_V2	PY-curve-1_V2
(PY-curve-1_V2)11	Lijn	Paal_Y_2	9,000 10,000	Vrij	Niet-lineair	Niet-lineair	Vrij	Vrij	Vrij	PY-curve-1_V2	PY-curve-1_V2
(PY-curve-1_V2)5	Lijn	Paal_XY_3	9,000 10,000	Vrij	Niet-lineair	Niet-lineair	Vrij	Vrij	Vrij	PY-curve-1_V2	PY-curve-1_V2
(PY-curve-1_V2)16	Lijn	Paal_X_8	9,000 10,000	Vrij	Niet-lineair	Niet-lineair	Vrij	Vrij	Vrij	PY-curve-1_V2	PY-curve-1_V2
(PY-curve-1_V2)17	Lijn	Paal_X_9	9,000 10,000	Vrij	Niet-lineair	Niet-lineair	Vrij	Vrij	Vrij	PY-curve-1_V2	PY-curve-1_V2
(PY-curve-1_V2)33	Lijn	Paal_X_16	9,000 10,000	Vrij	Niet-lineair	Niet-lineair	Vrij	Vrij	Vrij	PY-curve-1_V2	PY-curve-1_V2
(PY-curve-1_V2)29	Lijn	Paal_Y_4	9,000 10,000	Vrij	Niet-lineair	Niet-lineair	Vrij	Vrij	Vrij	PY-curve-1_V2	PY-curve-1_V2
(PY-curve-1_V2)10	Lijn	Paal_XY_2	9,000 10,000	Vrij	Niet-lineair	Niet-lineair	Vrij	Vrij	Vrij	PY-curve-1_V2	PY-curve-1_V2
(PY-curve-1_V2)27	Lijn	Paal_XY_5	9,000 10,000	Vrij	Niet-lineair	Niet-lineair	Vrij	Vrij	Vrij	PY-curve-1_V2	PY-curve-1_V2
(PY-curve-1_V2)39	Lijn	Paal_X_22	9,000 10,000	Vrij	Niet-lineair	Niet-lineair	Vrij	Vrij	Vrij	PY-curve-1_V2	PY-curve-1_V2
(PY-curve-1_V2)2	Lijn	Paal_X_1	9,000 10,000	Vrij	Niet-lineair	Niet-lineair	Vrij	Vrij	Vrij	PY-curve-1_V2	PY-curve-1_V2
(PY-curve-1_V2)14	Lijn	Paal_X_6	9,000 10,000	Vrij	Niet-lineair	Niet-lineair	Vrij	Vrij	Vrij	PY-curve-1_V2	PY-curve-1_V2
(PY-curve-1_V2)24	Lijn	Paal_X_13	9,000	Vrij	Niet-lineair	Niet-lineair	Vrij	Vrij	Vrij	PY-curve-1_V2	PY-curve-1_V2

Naam	Type	Staaf	Pos x_1 [m] Pos x_2 [m]	X	Y	Z	Rx	Ry	Rz	Functie Y	Functie Z
			10,000								
(PY-curve-1_V2)15	Lijn	Paal_X_7	9,000 10,000	Vrij	Niet-lineair	Niet-lineair	Vrij	Vrij	Vrij	PY-curve-1_V2	PY-curve-1_V2
(PY-curve-1_V2)25	Lijn	Paal_X_14	9,000 10,000	Vrij	Niet-lineair	Niet-lineair	Vrij	Vrij	Vrij	PY-curve-1_V2	PY-curve-1_V2
(PY-curve-1_V2)9	Lijn	Paal_X_2	9,000 10,000	Vrij	Niet-lineair	Niet-lineair	Vrij	Vrij	Vrij	PY-curve-1_V2	PY-curve-1_V2
(PY-curve-1_V2)4	Lijn	Paal_XY_1	9,000 10,000	Vrij	Niet-lineair	Niet-lineair	Vrij	Vrij	Vrij	PY-curve-1_V2	PY-curve-1_V2
(PY-curve-1_V2)8	Lijn	Paal_P_2	9,000 10,000	Vrij	Niet-lineair	Niet-lineair	Vrij	Vrij	Vrij	PY-curve-1_V2	PY-curve-1_V2
(PY-curve-1_V2)22	Lijn	Paal_P_6	9,000 10,000	Vrij	Niet-lineair	Niet-lineair	Vrij	Vrij	Vrij	PY-curve-1_V2	PY-curve-1_V2
(PY-curve-1_V2)26	Lijn	Paal_XY_4	9,000 10,000	Vrij	Niet-lineair	Niet-lineair	Vrij	Vrij	Vrij	PY-curve-1_V2	PY-curve-1_V2
(PY-curve-1_V2)13	Lijn	Paal_X_5	9,000 10,000	Vrij	Niet-lineair	Niet-lineair	Vrij	Vrij	Vrij	PY-curve-1_V2	PY-curve-1_V2
(PY-curve-1_V2)31	Lijn	Paal_Y_6	9,000 10,000	Vrij	Niet-lineair	Niet-lineair	Vrij	Vrij	Vrij	PY-curve-1_V2	PY-curve-1_V2
(PY-curve-1_V2)23	Lijn	Paal_X_12	9,000 10,000	Vrij	Niet-lineair	Niet-lineair	Vrij	Vrij	Vrij	PY-curve-1_V2	PY-curve-1_V2
(PY-curve-1_V3)7	Lijn	Paal_Y_3	10,000 11,000	Vrij	Niet-lineair	Niet-lineair	Vrij	Vrij	Vrij	PY-curve-1_V3	PY-curve-1_V3
(PY-curve-1_V3)12	Lijn	Paal_X_4	10,000 11,000	Vrij	Niet-lineair	Niet-lineair	Vrij	Vrij	Vrij	PY-curve-1_V3	PY-curve-1_V3
(PY-curve-1_V3)20	Lijn	Paal_P_4	10,000 11,000	Vrij	Niet-lineair	Niet-lineair	Vrij	Vrij	Vrij	PY-curve-1_V3	PY-curve-1_V3
(PY-curve-1_V3)3	Lijn	Paal_X_3	10,000 11,000	Vrij	Niet-lineair	Niet-lineair	Vrij	Vrij	Vrij	PY-curve-1_V3	PY-curve-1_V3
(PY-curve-1_V3)1	Lijn	Paal_P_3	10,000 11,000	Vrij	Niet-lineair	Niet-lineair	Vrij	Vrij	Vrij	PY-curve-1_V3	PY-curve-1_V3
(PY-curve-1_V3)39	Lijn	Paal_X_22	10,000 11,000	Vrij	Niet-lineair	Niet-lineair	Vrij	Vrij	Vrij	PY-curve-1_V3	PY-curve-1_V3
(PY-curve-1_V3)	Lijn	Paal_P_1	10,000 11,000	Vrij	Niet-lineair	Niet-lineair	Vrij	Vrij	Vrij	PY-curve-1_V3	PY-curve-1_V3
(PY-curve-1_V3)37	Lijn	Paal_X_20	10,000 11,000	Vrij	Niet-lineair	Niet-lineair	Vrij	Vrij	Vrij	PY-curve-1_V3	PY-curve-1_V3
(PY-curve-1_V3)6	Lijn	Paal_Y_1	10,000 11,000	Vrij	Niet-lineair	Niet-lineair	Vrij	Vrij	Vrij	PY-curve-1_V3	PY-curve-1_V3
(PY-curve-1_V3)34	Lijn	Paal_X_17	10,000 11,000	Vrij	Niet-lineair	Niet-lineair	Vrij	Vrij	Vrij	PY-curve-1_V3	PY-curve-1_V3
(PY-curve-1_V3)17	Lijn	Paal_X_9	10,000 11,000	Vrij	Niet-lineair	Niet-lineair	Vrij	Vrij	Vrij	PY-curve-1_V3	PY-curve-1_V3
(PY-curve-1_V3)36	Lijn	Paal_X_19	10,000 11,000	Vrij	Niet-lineair	Niet-lineair	Vrij	Vrij	Vrij	PY-curve-1_V3	PY-curve-1_V3
(PY-curve-1_V3)35	Lijn	Paal_X_18	10,000 11,000	Vrij	Niet-lineair	Niet-lineair	Vrij	Vrij	Vrij	PY-curve-1_V3	PY-curve-1_V3
(PY-curve-1_V3)11	Lijn	Paal_Y_2	10,000 11,000	Vrij	Niet-lineair	Niet-lineair	Vrij	Vrij	Vrij	PY-curve-1_V3	PY-curve-1_V3
(PY-curve-1_V3)19	Lijn	Paal_X_11	10,000 11,000	Vrij	Niet-lineair	Niet-lineair	Vrij	Vrij	Vrij	PY-curve-1_V3	PY-curve-1_V3
(PY-curve-1_V3)5	Lijn	Paal_XY_3	10,000 11,000	Vrij	Niet-lineair	Niet-lineair	Vrij	Vrij	Vrij	PY-curve-1_V3	PY-curve-1_V3
(PY-curve-1_V3)30	Lijn	Paal_Y_5	10,000 11,000	Vrij	Niet-lineair	Niet-lineair	Vrij	Vrij	Vrij	PY-curve-1_V3	PY-curve-1_V3
(PY-curve-1_V3)2	Lijn	Paal_X_1	10,000 11,000	Vrij	Niet-lineair	Niet-lineair	Vrij	Vrij	Vrij	PY-curve-1_V3	PY-curve-1_V3
(PY-curve-1_V3)28	Lijn	Paal_XY_6	10,000 11,000	Vrij	Niet-lineair	Niet-lineair	Vrij	Vrij	Vrij	PY-curve-1_V3	PY-curve-1_V3
(PY-curve-1_V3)10	Lijn	Paal_XY_2	10,000 11,000	Vrij	Niet-lineair	Niet-lineair	Vrij	Vrij	Vrij	PY-curve-1_V3	PY-curve-1_V3
(PY-curve-1_V3)16	Lijn	Paal_X_8	10,000 11,000	Vrij	Niet-lineair	Niet-lineair	Vrij	Vrij	Vrij	PY-curve-1_V3	PY-curve-1_V3
(PY-curve-1_V3)18	Lijn	Paal_X_10	10,000	Vrij	Niet-lineair	Niet-lineair	Vrij	Vrij	Vrij	PY-curve-1_V3	PY-curve-1_V3

Naam	Type	Staaf	Pos x_1 [m] Pos x_2 [m]	X	Y	Z	Rx	Ry	Rz	Functie Y	Functie Z
			11,000								
(PY-curve-1_V3)29	Lijn	Paal_Y_4	10,000 11,000	Vrij	Niet-lineair	Niet-lineair	Vrij	Vrij	Vrij	PY-curve-1_V3	PY-curve-1_V3
(PY-curve-1_V3)32	Lijn	Paal_X_15	10,000 11,000	Vrij	Niet-lineair	Niet-lineair	Vrij	Vrij	Vrij	PY-curve-1_V3	PY-curve-1_V3
(PY-curve-1_V3)27	Lijn	Paal_XY_5	10,000 11,000	Vrij	Niet-lineair	Niet-lineair	Vrij	Vrij	Vrij	PY-curve-1_V3	PY-curve-1_V3
(PY-curve-1_V3)8	Lijn	Paal_P_2	10,000 11,000	Vrij	Niet-lineair	Niet-lineair	Vrij	Vrij	Vrij	PY-curve-1_V3	PY-curve-1_V3
(PY-curve-1_V3)9	Lijn	Paal_X_2	10,000 11,000	Vrij	Niet-lineair	Niet-lineair	Vrij	Vrij	Vrij	PY-curve-1_V3	PY-curve-1_V3
(PY-curve-1_V3)4	Lijn	Paal_XY_1	10,000 11,000	Vrij	Niet-lineair	Niet-lineair	Vrij	Vrij	Vrij	PY-curve-1_V3	PY-curve-1_V3
(PY-curve-1_V3)31	Lijn	Paal_Y_6	10,000 11,000	Vrij	Niet-lineair	Niet-lineair	Vrij	Vrij	Vrij	PY-curve-1_V3	PY-curve-1_V3
(PY-curve-1_V3)24	Lijn	Paal_X_13	10,000 11,000	Vrij	Niet-lineair	Niet-lineair	Vrij	Vrij	Vrij	PY-curve-1_V3	PY-curve-1_V3
(PY-curve-1_V3)15	Lijn	Paal_X_7	10,000 11,000	Vrij	Niet-lineair	Niet-lineair	Vrij	Vrij	Vrij	PY-curve-1_V3	PY-curve-1_V3
(PY-curve-1_V3)14	Lijn	Paal_X_6	10,000 11,000	Vrij	Niet-lineair	Niet-lineair	Vrij	Vrij	Vrij	PY-curve-1_V3	PY-curve-1_V3
(PY-curve-1_V3)25	Lijn	Paal_X_14	10,000 11,000	Vrij	Niet-lineair	Niet-lineair	Vrij	Vrij	Vrij	PY-curve-1_V3	PY-curve-1_V3
(PY-curve-1_V3)23	Lijn	Paal_X_12	10,000 11,000	Vrij	Niet-lineair	Niet-lineair	Vrij	Vrij	Vrij	PY-curve-1_V3	PY-curve-1_V3
(PY-curve-1_V3)26	Lijn	Paal_XY_4	10,000 11,000	Vrij	Niet-lineair	Niet-lineair	Vrij	Vrij	Vrij	PY-curve-1_V3	PY-curve-1_V3
(PY-curve-1_V3)22	Lijn	Paal_P_6	10,000 11,000	Vrij	Niet-lineair	Niet-lineair	Vrij	Vrij	Vrij	PY-curve-1_V3	PY-curve-1_V3
(PY-curve-1_V3)13	Lijn	Paal_X_5	10,000 11,000	Vrij	Niet-lineair	Niet-lineair	Vrij	Vrij	Vrij	PY-curve-1_V3	PY-curve-1_V3
(PY-curve-1_V3)33	Lijn	Paal_X_16	10,000 11,000	Vrij	Niet-lineair	Niet-lineair	Vrij	Vrij	Vrij	PY-curve-1_V3	PY-curve-1_V3
(PY-curve-1_V3)38	Lijn	Paal_X_21	10,000 11,000	Vrij	Niet-lineair	Niet-lineair	Vrij	Vrij	Vrij	PY-curve-1_V3	PY-curve-1_V3
(PY-curve-1_V3)21	Lijn	Paal_P_5	10,000 11,000	Vrij	Niet-lineair	Niet-lineair	Vrij	Vrij	Vrij	PY-curve-1_V3	PY-curve-1_V3
(PY-curve-1_V4)20	Lijn	Paal_P_4	11,000 12,000	Vrij	Niet-lineair	Niet-lineair	Vrij	Vrij	Vrij	PY-curve-1_V4	PY-curve-1_V4
(PY-curve-1_V4)38	Lijn	Paal_X_21	11,000 12,000	Vrij	Niet-lineair	Niet-lineair	Vrij	Vrij	Vrij	PY-curve-1_V4	PY-curve-1_V4
(PY-curve-1_V4)6	Lijn	Paal_Y_1	11,000 12,000	Vrij	Niet-lineair	Niet-lineair	Vrij	Vrij	Vrij	PY-curve-1_V4	PY-curve-1_V4
(PY-curve-1_V4)37	Lijn	Paal_X_20	11,000 12,000	Vrij	Niet-lineair	Niet-lineair	Vrij	Vrij	Vrij	PY-curve-1_V4	PY-curve-1_V4
(PY-curve-1_V4)36	Lijn	Paal_X_19	11,000 12,000	Vrij	Niet-lineair	Niet-lineair	Vrij	Vrij	Vrij	PY-curve-1_V4	PY-curve-1_V4
(PY-curve-1_V4)34	Lijn	Paal_X_17	11,000 12,000	Vrij	Niet-lineair	Niet-lineair	Vrij	Vrij	Vrij	PY-curve-1_V4	PY-curve-1_V4
(PY-curve-1_V4)35	Lijn	Paal_X_18	11,000 12,000	Vrij	Niet-lineair	Niet-lineair	Vrij	Vrij	Vrij	PY-curve-1_V4	PY-curve-1_V4
(PY-curve-1_V4)33	Lijn	Paal_X_16	11,000 12,000	Vrij	Niet-lineair	Niet-lineair	Vrij	Vrij	Vrij	PY-curve-1_V4	PY-curve-1_V4
(PY-curve-1_V4)2	Lijn	Paal_X_1	11,000 12,000	Vrij	Niet-lineair	Niet-lineair	Vrij	Vrij	Vrij	PY-curve-1_V4	PY-curve-1_V4
(PY-curve-1_V4)32	Lijn	Paal_X_15	11,000 12,000	Vrij	Niet-lineair	Niet-lineair	Vrij	Vrij	Vrij	PY-curve-1_V4	PY-curve-1_V4
(PY-curve-1_V4)5	Lijn	Paal_XY_3	11,000 12,000	Vrij	Niet-lineair	Niet-lineair	Vrij	Vrij	Vrij	PY-curve-1_V4	PY-curve-1_V4
(PY-curve-1_V4)11	Lijn	Paal_Y_2	11,000 12,000	Vrij	Niet-lineair	Niet-lineair	Vrij	Vrij	Vrij	PY-curve-1_V4	PY-curve-1_V4
(PY-curve-1_V4)31	Lijn	Paal_Y_6	11,000 12,000	Vrij	Niet-lineair	Niet-lineair	Vrij	Vrij	Vrij	PY-curve-1_V4	PY-curve-1_V4
(PY-curve-1_V4)18	Lijn	Paal_X_10	11,000	Vrij	Niet-lineair	Niet-lineair	Vrij	Vrij	Vrij	PY-curve-1_V4	PY-curve-1_V4

Naam	Type	Staaf	Pos x_1 [m] Pos x_2 [m]	X	Y	Z	Rx	Ry	Rz	Functie Y	Functie Z
			12,000								
(PY-curve-1_V4)30	Lijn	Paal_Y_5	11,000 12,000	Vrij	Niet-lineair	Niet-lineair	Vrij	Vrij	Vrij	PY-curve-1_V4	PY-curve-1_V4
(PY-curve-1_V4)19	Lijn	Paal_X_11	11,000 12,000	Vrij	Niet-lineair	Niet-lineair	Vrij	Vrij	Vrij	PY-curve-1_V4	PY-curve-1_V4
(PY-curve-1_V4)10	Lijn	Paal_XY_2	11,000 12,000	Vrij	Niet-lineair	Niet-lineair	Vrij	Vrij	Vrij	PY-curve-1_V4	PY-curve-1_V4
(PY-curve-1_V4)28	Lijn	Paal_XY_6	11,000 12,000	Vrij	Niet-lineair	Niet-lineair	Vrij	Vrij	Vrij	PY-curve-1_V4	PY-curve-1_V4
(PY-curve-1_V4)16	Lijn	Paal_X_8	11,000 12,000	Vrij	Niet-lineair	Niet-lineair	Vrij	Vrij	Vrij	PY-curve-1_V4	PY-curve-1_V4
(PY-curve-1_V4)27	Lijn	Paal_XY_5	11,000 12,000	Vrij	Niet-lineair	Niet-lineair	Vrij	Vrij	Vrij	PY-curve-1_V4	PY-curve-1_V4
(PY-curve-1_V4)29	Lijn	Paal_Y_4	11,000 12,000	Vrij	Niet-lineair	Niet-lineair	Vrij	Vrij	Vrij	PY-curve-1_V4	PY-curve-1_V4
(PY-curve-1_V4)17	Lijn	Paal_X_9	11,000 12,000	Vrij	Niet-lineair	Niet-lineair	Vrij	Vrij	Vrij	PY-curve-1_V4	PY-curve-1_V4
(PY-curve-1_V4)4	Lijn	Paal_XY_1	11,000 12,000	Vrij	Niet-lineair	Niet-lineair	Vrij	Vrij	Vrij	PY-curve-1_V4	PY-curve-1_V4
(PY-curve-1_V4)9	Lijn	Paal_X_2	11,000 12,000	Vrij	Niet-lineair	Niet-lineair	Vrij	Vrij	Vrij	PY-curve-1_V4	PY-curve-1_V4
(PY-curve-1_V4)26	Lijn	Paal_XY_4	11,000 12,000	Vrij	Niet-lineair	Niet-lineair	Vrij	Vrij	Vrij	PY-curve-1_V4	PY-curve-1_V4
(PY-curve-1_V4)14	Lijn	Paal_X_6	11,000 12,000	Vrij	Niet-lineair	Niet-lineair	Vrij	Vrij	Vrij	PY-curve-1_V4	PY-curve-1_V4
(PY-curve-1_V4)24	Lijn	Paal_X_13	11,000 12,000	Vrij	Niet-lineair	Niet-lineair	Vrij	Vrij	Vrij	PY-curve-1_V4	PY-curve-1_V4
(PY-curve-1_V4)25	Lijn	Paal_X_14	11,000 12,000	Vrij	Niet-lineair	Niet-lineair	Vrij	Vrij	Vrij	PY-curve-1_V4	PY-curve-1_V4
(PY-curve-1_V4)8	Lijn	Paal_P_2	11,000 12,000	Vrij	Niet-lineair	Niet-lineair	Vrij	Vrij	Vrij	PY-curve-1_V4	PY-curve-1_V4
(PY-curve-1_V4)	Lijn	Paal_P_1	11,000 12,000	Vrij	Niet-lineair	Niet-lineair	Vrij	Vrij	Vrij	PY-curve-1_V4	PY-curve-1_V4
(PY-curve-1_V4)23	Lijn	Paal_X_12	11,000 12,000	Vrij	Niet-lineair	Niet-lineair	Vrij	Vrij	Vrij	PY-curve-1_V4	PY-curve-1_V4
(PY-curve-1_V4)1	Lijn	Paal_P_3	11,000 12,000	Vrij	Niet-lineair	Niet-lineair	Vrij	Vrij	Vrij	PY-curve-1_V4	PY-curve-1_V4
(PY-curve-1_V4)22	Lijn	Paal_P_6	11,000 12,000	Vrij	Niet-lineair	Niet-lineair	Vrij	Vrij	Vrij	PY-curve-1_V4	PY-curve-1_V4
(PY-curve-1_V4)15	Lijn	Paal_X_7	11,000 12,000	Vrij	Niet-lineair	Niet-lineair	Vrij	Vrij	Vrij	PY-curve-1_V4	PY-curve-1_V4
(PY-curve-1_V4)21	Lijn	Paal_P_5	11,000 12,000	Vrij	Niet-lineair	Niet-lineair	Vrij	Vrij	Vrij	PY-curve-1_V4	PY-curve-1_V4
(PY-curve-1_V4)39	Lijn	Paal_X_22	11,000 12,000	Vrij	Niet-lineair	Niet-lineair	Vrij	Vrij	Vrij	PY-curve-1_V4	PY-curve-1_V4
(PY-curve-1_V4)3	Lijn	Paal_X_3	11,000 12,000	Vrij	Niet-lineair	Niet-lineair	Vrij	Vrij	Vrij	PY-curve-1_V4	PY-curve-1_V4
(PY-curve-1_V4)13	Lijn	Paal_X_5	11,000 12,000	Vrij	Niet-lineair	Niet-lineair	Vrij	Vrij	Vrij	PY-curve-1_V4	PY-curve-1_V4
(PY-curve-1_V4)7	Lijn	Paal_Y_3	11,000 12,000	Vrij	Niet-lineair	Niet-lineair	Vrij	Vrij	Vrij	PY-curve-1_V4	PY-curve-1_V4
(PY-curve-1_V4)12	Lijn	Paal_X_4	11,000 12,000	Vrij	Niet-lineair	Niet-lineair	Vrij	Vrij	Vrij	PY-curve-1_V4	PY-curve-1_V4
(PY-curve-1_V5)20	Lijn	Paal_P_4	12,000 13,000	Vrij	Niet-lineair	Niet-lineair	Vrij	Vrij	Vrij	PY-curve-1_V5	PY-curve-1_V5
(PY-curve-1_V5)19	Lijn	Paal_X_11	12,000 13,000	Vrij	Niet-lineair	Niet-lineair	Vrij	Vrij	Vrij	PY-curve-1_V5	PY-curve-1_V5
(PY-curve-1_V5)39	Lijn	Paal_X_22	12,000 13,000	Vrij	Niet-lineair	Niet-lineair	Vrij	Vrij	Vrij	PY-curve-1_V5	PY-curve-1_V5
(PY-curve-1_V5)18	Lijn	Paal_X_10	12,000 13,000	Vrij	Niet-lineair	Niet-lineair	Vrij	Vrij	Vrij	PY-curve-1_V5	PY-curve-1_V5
(PY-curve-1_V5)17	Lijn	Paal_X_5	12,000 13,000	Vrij	Niet-lineair	Niet-lineair	Vrij	Vrij	Vrij	PY-curve-1_V5	PY-curve-1_V5
(PY-curve-1_V5)16	Lijn	Paal_X_4	12,000	Vrij	Niet-lineair	Niet-lineair	Vrij	Vrij	Vrij	PY-curve-1_V5	PY-curve-1_V5

Naam	Type	Staaf	Pos x_1 [m] Pos x_2 [m]	X	Y	Z	Rx	Ry	Rz	Functie Y	Functie Z
			13,000								
(PY-curve-1_V5)38	Lijn	Paal_X_21	12,000 13,000	Vrij	Niet-lineair	Niet-lineair	Vrij	Vrij	Vrij	PY-curve-1_V5	PY-curve-1_V5
(PY-curve-1_V5)15	Lijn	Paal_X_9	12,000 13,000	Vrij	Niet-lineair	Niet-lineair	Vrij	Vrij	Vrij	PY-curve-1_V5	PY-curve-1_V5
(PY-curve-1_V5)14	Lijn	Paal_X_8	12,000 13,000	Vrij	Niet-lineair	Niet-lineair	Vrij	Vrij	Vrij	PY-curve-1_V5	PY-curve-1_V5
(PY-curve-1_V5)13	Lijn	Paal_X_7	12,000 13,000	Vrij	Niet-lineair	Niet-lineair	Vrij	Vrij	Vrij	PY-curve-1_V5	PY-curve-1_V5
(PY-curve-1_V5)37	Lijn	Paal_X_20	12,000 13,000	Vrij	Niet-lineair	Niet-lineair	Vrij	Vrij	Vrij	PY-curve-1_V5	PY-curve-1_V5
(PY-curve-1_V5)12	Lijn	Paal_X_6	12,000 13,000	Vrij	Niet-lineair	Niet-lineair	Vrij	Vrij	Vrij	PY-curve-1_V5	PY-curve-1_V5
(PY-curve-1_V5)11	Lijn	Paal_XY_1	12,000 13,000	Vrij	Niet-lineair	Niet-lineair	Vrij	Vrij	Vrij	PY-curve-1_V5	PY-curve-1_V5
(PY-curve-1_V5)36	Lijn	Paal_X_19	12,000 13,000	Vrij	Niet-lineair	Niet-lineair	Vrij	Vrij	Vrij	PY-curve-1_V5	PY-curve-1_V5
(PY-curve-1_V5)9	Lijn	Paal_XY_3	12,000 13,000	Vrij	Niet-lineair	Niet-lineair	Vrij	Vrij	Vrij	PY-curve-1_V5	PY-curve-1_V5
(PY-curve-1_V5)35	Lijn	Paal_X_18	12,000 13,000	Vrij	Niet-lineair	Niet-lineair	Vrij	Vrij	Vrij	PY-curve-1_V5	PY-curve-1_V5
(PY-curve-1_V5)10	Lijn	Paal_X_3	12,000 13,000	Vrij	Niet-lineair	Niet-lineair	Vrij	Vrij	Vrij	PY-curve-1_V5	PY-curve-1_V5
(PY-curve-1_V5)5	Lijn	Paal_Y_2	12,000 13,000	Vrij	Niet-lineair	Niet-lineair	Vrij	Vrij	Vrij	PY-curve-1_V5	PY-curve-1_V5
(PY-curve-1_V5)4	Lijn	Paal_P_2	12,000 13,000	Vrij	Niet-lineair	Niet-lineair	Vrij	Vrij	Vrij	PY-curve-1_V5	PY-curve-1_V5
(PY-curve-1_V5)34	Lijn	Paal_X_17	12,000 13,000	Vrij	Niet-lineair	Niet-lineair	Vrij	Vrij	Vrij	PY-curve-1_V5	PY-curve-1_V5
(PY-curve-1_V5)3	Lijn	Paal_Y_1	12,000 13,000	Vrij	Niet-lineair	Niet-lineair	Vrij	Vrij	Vrij	PY-curve-1_V5	PY-curve-1_V5
(PY-curve-1_V5)7	Lijn	Paal_XY_2	12,000 13,000	Vrij	Niet-lineair	Niet-lineair	Vrij	Vrij	Vrij	PY-curve-1_V5	PY-curve-1_V5
(PY-curve-1_V5)2	Lijn	Paal_P_3	12,000 13,000	Vrij	Niet-lineair	Niet-lineair	Vrij	Vrij	Vrij	PY-curve-1_V5	PY-curve-1_V5
(PY-curve-1_V5)8	Lijn	Paal_X_1	12,000 13,000	Vrij	Niet-lineair	Niet-lineair	Vrij	Vrij	Vrij	PY-curve-1_V5	PY-curve-1_V5
(PY-curve-1_V5)6	Lijn	Paal_X_2	12,000 13,000	Vrij	Niet-lineair	Niet-lineair	Vrij	Vrij	Vrij	PY-curve-1_V5	PY-curve-1_V5
(PY-curve-1_V5)1	Lijn	Paal_Y_3	12,000 13,000	Vrij	Niet-lineair	Niet-lineair	Vrij	Vrij	Vrij	PY-curve-1_V5	PY-curve-1_V5
(PY-curve-1_V5)33	Lijn	Paal_X_16	12,000 13,000	Vrij	Niet-lineair	Niet-lineair	Vrij	Vrij	Vrij	PY-curve-1_V5	PY-curve-1_V5
(PY-curve-1_V5)	Lijn	Paal_P_1	12,000 13,000	Vrij	Niet-lineair	Niet-lineair	Vrij	Vrij	Vrij	PY-curve-1_V5	PY-curve-1_V5
(PY-curve-1_V5)31	Lijn	Paal_Y_6	12,000 13,000	Vrij	Niet-lineair	Niet-lineair	Vrij	Vrij	Vrij	PY-curve-1_V5	PY-curve-1_V5
(PY-curve-1_V5)30	Lijn	Paal_Y_5	12,000 13,000	Vrij	Niet-lineair	Niet-lineair	Vrij	Vrij	Vrij	PY-curve-1_V5	PY-curve-1_V5
(PY-curve-1_V5)32	Lijn	Paal_X_15	12,000 13,000	Vrij	Niet-lineair	Niet-lineair	Vrij	Vrij	Vrij	PY-curve-1_V5	PY-curve-1_V5
(PY-curve-1_V5)29	Lijn	Paal_Y_4	12,000 13,000	Vrij	Niet-lineair	Niet-lineair	Vrij	Vrij	Vrij	PY-curve-1_V5	PY-curve-1_V5
(PY-curve-1_V5)27	Lijn	Paal_XY_5	12,000 13,000	Vrij	Niet-lineair	Niet-lineair	Vrij	Vrij	Vrij	PY-curve-1_V5	PY-curve-1_V5
(PY-curve-1_V5)28	Lijn	Paal_XY_6	12,000 13,000	Vrij	Niet-lineair	Niet-lineair	Vrij	Vrij	Vrij	PY-curve-1_V5	PY-curve-1_V5
(PY-curve-1_V5)26	Lijn	Paal_XY_4	12,000 13,000	Vrij	Niet-lineair	Niet-lineair	Vrij	Vrij	Vrij	PY-curve-1_V5	PY-curve-1_V5
(PY-curve-1_V5)25	Lijn	Paal_X_14	12,000 13,000	Vrij	Niet-lineair	Niet-lineair	Vrij	Vrij	Vrij	PY-curve-1_V5	PY-curve-1_V5
(PY-curve-1_V5)24	Lijn	Paal_X_13	12,000 13,000	Vrij	Niet-lineair	Niet-lineair	Vrij	Vrij	Vrij	PY-curve-1_V5	PY-curve-1_V5
(PY-curve-1_V5)23	Lijn	Paal_X_12	12,000	Vrij	Niet-lineair	Niet-lineair	Vrij	Vrij	Vrij	PY-curve-1_V5	PY-curve-1_V5

Naam	Type	Staaf	Pos x_1 [m] Pos x_2 [m]	X	Y	Z	Rx	Ry	Rz	Functie Y	Functie Z
			13,000								
(PY-curve-1_V5)22	Lijn	Paal_P_6	12,000 13,000	Vrij	Niet-lineair	Niet-lineair	Vrij	Vrij	Vrij	PY-curve-1_V5	PY-curve-1_V5
(PY-curve-1_V5)21	Lijn	Paal_P_5	12,000 13,000	Vrij	Niet-lineair	Niet-lineair	Vrij	Vrij	Vrij	PY-curve-1_V5	PY-curve-1_V5
(PY-curve-1_V6)13	Lijn	Paal_Y_2	13,000 14,000	Vrij	Niet-lineair	Niet-lineair	Vrij	Vrij	Vrij	PY-curve-1_V6	PY-curve-1_V6
(PY-curve-1_V6)12	Lijn	Paal_Y_1	13,000 14,000	Vrij	Niet-lineair	Niet-lineair	Vrij	Vrij	Vrij	PY-curve-1_V6	PY-curve-1_V6
(PY-curve-1_V6)11	Lijn	Paal_Y_3	13,000 14,000	Vrij	Niet-lineair	Niet-lineair	Vrij	Vrij	Vrij	PY-curve-1_V6	PY-curve-1_V6
(PY-curve-1_V6)10	Lijn	Paal_XY_2	13,000 14,000	Vrij	Niet-lineair	Niet-lineair	Vrij	Vrij	Vrij	PY-curve-1_V6	PY-curve-1_V6
(PY-curve-1_V6)9	Lijn	Paal_XY_1	13,000 14,000	Vrij	Niet-lineair	Niet-lineair	Vrij	Vrij	Vrij	PY-curve-1_V6	PY-curve-1_V6
(PY-curve-1_V6)8	Lijn	Paal_XY_3	13,000 14,000	Vrij	Niet-lineair	Niet-lineair	Vrij	Vrij	Vrij	PY-curve-1_V6	PY-curve-1_V6
(PY-curve-1_V6)7	Lijn	Paal_X_2	13,000 14,000	Vrij	Niet-lineair	Niet-lineair	Vrij	Vrij	Vrij	PY-curve-1_V6	PY-curve-1_V6
(PY-curve-1_V6)14	Lijn	Paal_X_4	13,000 14,000	Vrij	Niet-lineair	Niet-lineair	Vrij	Vrij	Vrij	PY-curve-1_V6	PY-curve-1_V6
(PY-curve-1_V6)6	Lijn	Paal_X_1	13,000 14,000	Vrij	Niet-lineair	Niet-lineair	Vrij	Vrij	Vrij	PY-curve-1_V6	PY-curve-1_V6
(PY-curve-1_V6)5	Lijn	Paal_X_3	13,000 14,000	Vrij	Niet-lineair	Niet-lineair	Vrij	Vrij	Vrij	PY-curve-1_V6	PY-curve-1_V6
(PY-curve-1_V6)4	Lijn	Paal_P_2	13,000 14,000	Vrij	Niet-lineair	Niet-lineair	Vrij	Vrij	Vrij	PY-curve-1_V6	PY-curve-1_V6
(PY-curve-1_V6)3	Lijn	Paal_P_1	13,000 14,000	Vrij	Niet-lineair	Niet-lineair	Vrij	Vrij	Vrij	PY-curve-1_V6	PY-curve-1_V6
(PY-curve-1_V6)2	Lijn	Paal_P_3	13,000 14,000	Vrij	Niet-lineair	Niet-lineair	Vrij	Vrij	Vrij	PY-curve-1_V6	PY-curve-1_V6
(PY-curve-1_V6)1	Lijn	Paal_XY_5	13,000 14,000	Vrij	Niet-lineair	Niet-lineair	Vrij	Vrij	Vrij	PY-curve-1_V6	PY-curve-1_V6
(PY-curve-1_V6)	Lijn	Paal_X_12	13,000 14,000	Vrij	Niet-lineair	Niet-lineair	Vrij	Vrij	Vrij	PY-curve-1_V6	PY-curve-1_V6
(PY-curve-1_V6)39	Lijn	Paal_X_22	13,000 14,000	Vrij	Niet-lineair	Niet-lineair	Vrij	Vrij	Vrij	PY-curve-1_V6	PY-curve-1_V6
(PY-curve-1_V6)37	Lijn	Paal_X_20	13,000 14,000	Vrij	Niet-lineair	Niet-lineair	Vrij	Vrij	Vrij	PY-curve-1_V6	PY-curve-1_V6
(PY-curve-1_V6)36	Lijn	Paal_X_19	13,000 14,000	Vrij	Niet-lineair	Niet-lineair	Vrij	Vrij	Vrij	PY-curve-1_V6	PY-curve-1_V6
(PY-curve-1_V6)35	Lijn	Paal_X_18	13,000 14,000	Vrij	Niet-lineair	Niet-lineair	Vrij	Vrij	Vrij	PY-curve-1_V6	PY-curve-1_V6
(PY-curve-1_V6)34	Lijn	Paal_X_17	13,000 14,000	Vrij	Niet-lineair	Niet-lineair	Vrij	Vrij	Vrij	PY-curve-1_V6	PY-curve-1_V6
(PY-curve-1_V6)33	Lijn	Paal_X_16	13,000 14,000	Vrij	Niet-lineair	Niet-lineair	Vrij	Vrij	Vrij	PY-curve-1_V6	PY-curve-1_V6
(PY-curve-1_V6)32	Lijn	Paal_X_15	13,000 14,000	Vrij	Niet-lineair	Niet-lineair	Vrij	Vrij	Vrij	PY-curve-1_V6	PY-curve-1_V6
(PY-curve-1_V6)31	Lijn	Paal_Y_6	13,000 14,000	Vrij	Niet-lineair	Niet-lineair	Vrij	Vrij	Vrij	PY-curve-1_V6	PY-curve-1_V6
(PY-curve-1_V6)30	Lijn	Paal_Y_5	13,000 14,000	Vrij	Niet-lineair	Niet-lineair	Vrij	Vrij	Vrij	PY-curve-1_V6	PY-curve-1_V6
(PY-curve-1_V6)29	Lijn	Paal_Y_4	13,000 14,000	Vrij	Niet-lineair	Niet-lineair	Vrij	Vrij	Vrij	PY-curve-1_V6	PY-curve-1_V6
(PY-curve-1_V6)28	Lijn	Paal_XY_6	13,000 14,000	Vrij	Niet-lineair	Niet-lineair	Vrij	Vrij	Vrij	PY-curve-1_V6	PY-curve-1_V6
(PY-curve-1_V6)27	Lijn	Paal_XY_4	13,000 14,000	Vrij	Niet-lineair	Niet-lineair	Vrij	Vrij	Vrij	PY-curve-1_V6	PY-curve-1_V6
(PY-curve-1_V6)26	Lijn	Paal_X_14	13,000 14,000	Vrij	Niet-lineair	Niet-lineair	Vrij	Vrij	Vrij	PY-curve-1_V6	PY-curve-1_V6
(PY-curve-1_V6)25	Lijn	Paal_X_13	13,000 14,000	Vrij	Niet-lineair	Niet-lineair	Vrij	Vrij	Vrij	PY-curve-1_V6	PY-curve-1_V6
(PY-curve-1_V6)24	Lijn	Paal_P_6	13,000	Vrij	Niet-lineair	Niet-lineair	Vrij	Vrij	Vrij	PY-curve-1_V6	PY-curve-1_V6

Naam	Type	Staaf	Pos x_1 [m] Pos x_2 [m]	X	Y	Z	Rx	Ry	Rz	Functie Y	Functie Z
			14,000								
(PY-curve-1_V6)23	Lijn	Paal_P_5	13,000 14,000	Vrij	Niet-lineair	Niet-lineair	Vrij	Vrij	Vrij	PY-curve-1_V6	PY-curve-1_V6
(PY-curve-1_V6)38	Lijn	Paal_X_21	13,000 14,000	Vrij	Niet-lineair	Niet-lineair	Vrij	Vrij	Vrij	PY-curve-1_V6	PY-curve-1_V6
(PY-curve-1_V6)22	Lijn	Paal_P_4	13,000 14,000	Vrij	Niet-lineair	Niet-lineair	Vrij	Vrij	Vrij	PY-curve-1_V6	PY-curve-1_V6
(PY-curve-1_V6)21	Lijn	Paal_X_11	13,000 14,000	Vrij	Niet-lineair	Niet-lineair	Vrij	Vrij	Vrij	PY-curve-1_V6	PY-curve-1_V6
(PY-curve-1_V6)20	Lijn	Paal_X_10	13,000 14,000	Vrij	Niet-lineair	Niet-lineair	Vrij	Vrij	Vrij	PY-curve-1_V6	PY-curve-1_V6
(PY-curve-1_V6)19	Lijn	Paal_X_9	13,000 14,000	Vrij	Niet-lineair	Niet-lineair	Vrij	Vrij	Vrij	PY-curve-1_V6	PY-curve-1_V6
(PY-curve-1_V6)18	Lijn	Paal_X_8	13,000 14,000	Vrij	Niet-lineair	Niet-lineair	Vrij	Vrij	Vrij	PY-curve-1_V6	PY-curve-1_V6
(PY-curve-1_V6)17	Lijn	Paal_X_7	13,000 14,000	Vrij	Niet-lineair	Niet-lineair	Vrij	Vrij	Vrij	PY-curve-1_V6	PY-curve-1_V6
(PY-curve-1_V6)16	Lijn	Paal_X_6	13,000 14,000	Vrij	Niet-lineair	Niet-lineair	Vrij	Vrij	Vrij	PY-curve-1_V6	PY-curve-1_V6
(PY-curve-1_V6)15	Lijn	Paal_X_5	13,000 14,000	Vrij	Niet-lineair	Niet-lineair	Vrij	Vrij	Vrij	PY-curve-1_V6	PY-curve-1_V6
(PY-curve-1_V7)39	Lijn	Paal_X_22	14,000 15,000	Vrij	Niet-lineair	Niet-lineair	Vrij	Vrij	Vrij	PY-curve-1_V7	PY-curve-1_V7
(PY-curve-1_V7)37	Lijn	Paal_X_20	14,000 15,000	Vrij	Niet-lineair	Niet-lineair	Vrij	Vrij	Vrij	PY-curve-1_V7	PY-curve-1_V7
(PY-curve-1_V7)36	Lijn	Paal_X_19	14,000 15,000	Vrij	Niet-lineair	Niet-lineair	Vrij	Vrij	Vrij	PY-curve-1_V7	PY-curve-1_V7
(PY-curve-1_V7)35	Lijn	Paal_X_18	14,000 15,000	Vrij	Niet-lineair	Niet-lineair	Vrij	Vrij	Vrij	PY-curve-1_V7	PY-curve-1_V7
(PY-curve-1_V7)33	Lijn	Paal_X_16	14,000 15,000	Vrij	Niet-lineair	Niet-lineair	Vrij	Vrij	Vrij	PY-curve-1_V7	PY-curve-1_V7
(PY-curve-1_V7)32	Lijn	Paal_X_15	14,000 15,000	Vrij	Niet-lineair	Niet-lineair	Vrij	Vrij	Vrij	PY-curve-1_V7	PY-curve-1_V7
(PY-curve-1_V7)31	Lijn	Paal_Y_6	14,000 15,000	Vrij	Niet-lineair	Niet-lineair	Vrij	Vrij	Vrij	PY-curve-1_V7	PY-curve-1_V7
(PY-curve-1_V7)29	Lijn	Paal_Y_4	14,000 15,000	Vrij	Niet-lineair	Niet-lineair	Vrij	Vrij	Vrij	PY-curve-1_V7	PY-curve-1_V7
(PY-curve-1_V7)28	Lijn	Paal_XY_6	14,000 15,000	Vrij	Niet-lineair	Niet-lineair	Vrij	Vrij	Vrij	PY-curve-1_V7	PY-curve-1_V7
(PY-curve-1_V7)27	Lijn	Paal_XY_4	14,000 15,000	Vrij	Niet-lineair	Niet-lineair	Vrij	Vrij	Vrij	PY-curve-1_V7	PY-curve-1_V7
(PY-curve-1_V7)26	Lijn	Paal_X_14	14,000 15,000	Vrij	Niet-lineair	Niet-lineair	Vrij	Vrij	Vrij	PY-curve-1_V7	PY-curve-1_V7
(PY-curve-1_V7)25	Lijn	Paal_X_13	14,000 15,000	Vrij	Niet-lineair	Niet-lineair	Vrij	Vrij	Vrij	PY-curve-1_V7	PY-curve-1_V7
(PY-curve-1_V7)24	Lijn	Paal_P_6	14,000 15,000	Vrij	Niet-lineair	Niet-lineair	Vrij	Vrij	Vrij	PY-curve-1_V7	PY-curve-1_V7
(PY-curve-1_V7)23	Lijn	Paal_P_5	14,000 15,000	Vrij	Niet-lineair	Niet-lineair	Vrij	Vrij	Vrij	PY-curve-1_V7	PY-curve-1_V7
(PY-curve-1_V7)22	Lijn	Paal_P_4	14,000 15,000	Vrij	Niet-lineair	Niet-lineair	Vrij	Vrij	Vrij	PY-curve-1_V7	PY-curve-1_V7
(PY-curve-1_V7)21	Lijn	Paal_X_11	14,000 15,000	Vrij	Niet-lineair	Niet-lineair	Vrij	Vrij	Vrij	PY-curve-1_V7	PY-curve-1_V7
(PY-curve-1_V7)20	Lijn	Paal_X_10	14,000 15,000	Vrij	Niet-lineair	Niet-lineair	Vrij	Vrij	Vrij	PY-curve-1_V7	PY-curve-1_V7
(PY-curve-1_V7)19	Lijn	Paal_X_9	14,000 15,000	Vrij	Niet-lineair	Niet-lineair	Vrij	Vrij	Vrij	PY-curve-1_V7	PY-curve-1_V7
(PY-curve-1_V7)18	Lijn	Paal_X_8	14,000 15,000	Vrij	Niet-lineair	Niet-lineair	Vrij	Vrij	Vrij	PY-curve-1_V7	PY-curve-1_V7
(PY-curve-1_V7)17	Lijn	Paal_X_7	14,000 15,000	Vrij	Niet-lineair	Niet-lineair	Vrij	Vrij	Vrij	PY-curve-1_V7	PY-curve-1_V7
(PY-curve-1_V7)16	Lijn	Paal_X_6	14,000 15,000	Vrij	Niet-lineair	Niet-lineair	Vrij	Vrij	Vrij	PY-curve-1_V7	PY-curve-1_V7
(PY-curve-1_V7)15	Lijn	Paal_X_5	14,000	Vrij	Niet-lineair	Niet-lineair	Vrij	Vrij	Vrij	PY-curve-1_V7	PY-curve-1_V7

Naam	Type	Staaf	Pos x_1 [m] / Pos x_2 [m]	X	Y	Z	Rx	Ry	Rz	Functie Y	Functie Z
			15,000								
(PY-curve-1_V7)30	Lijn	Paal_Y_5	14,000 15,000	Vrij	Niet-lineair	Niet-lineair	Vrij	Vrij	Vrij	PY-curve-1_V7	PY-curve-1_V7
(PY-curve-1_V7)14	Lijn	Paal_X_4	14,000 15,000	Vrij	Niet-lineair	Niet-lineair	Vrij	Vrij	Vrij	PY-curve-1_V7	PY-curve-1_V7
(PY-curve-1_V7)13	Lijn	Paal_Y_2	14,000 15,000	Vrij	Niet-lineair	Niet-lineair	Vrij	Vrij	Vrij	PY-curve-1_V7	PY-curve-1_V7
(PY-curve-1_V7)12	Lijn	Paal_Y_1	14,000 15,000	Vrij	Niet-lineair	Niet-lineair	Vrij	Vrij	Vrij	PY-curve-1_V7	PY-curve-1_V7
(PY-curve-1_V7)11	Lijn	Paal_Y_3	14,000 15,000	Vrij	Niet-lineair	Niet-lineair	Vrij	Vrij	Vrij	PY-curve-1_V7	PY-curve-1_V7
(PY-curve-1_V7)34	Lijn	Paal_X_17	14,000 15,000	Vrij	Niet-lineair	Niet-lineair	Vrij	Vrij	Vrij	PY-curve-1_V7	PY-curve-1_V7
(PY-curve-1_V7)10	Lijn	Paal_XY_2	14,000 15,000	Vrij	Niet-lineair	Niet-lineair	Vrij	Vrij	Vrij	PY-curve-1_V7	PY-curve-1_V7
(PY-curve-1_V7)9	Lijn	Paal_XY_1	14,000 15,000	Vrij	Niet-lineair	Niet-lineair	Vrij	Vrij	Vrij	PY-curve-1_V7	PY-curve-1_V7
(PY-curve-1_V7)8	Lijn	Paal_XY_3	14,000 15,000	Vrij	Niet-lineair	Niet-lineair	Vrij	Vrij	Vrij	PY-curve-1_V7	PY-curve-1_V7
(PY-curve-1_V7)7	Lijn	Paal_X_2	14,000 15,000	Vrij	Niet-lineair	Niet-lineair	Vrij	Vrij	Vrij	PY-curve-1_V7	PY-curve-1_V7
(PY-curve-1_V7)38	Lijn	Paal_X_21	14,000 15,000	Vrij	Niet-lineair	Niet-lineair	Vrij	Vrij	Vrij	PY-curve-1_V7	PY-curve-1_V7
(PY-curve-1_V7)6	Lijn	Paal_X_1	14,000 15,000	Vrij	Niet-lineair	Niet-lineair	Vrij	Vrij	Vrij	PY-curve-1_V7	PY-curve-1_V7
(PY-curve-1_V7)5	Lijn	Paal_X_3	14,000 15,000	Vrij	Niet-lineair	Niet-lineair	Vrij	Vrij	Vrij	PY-curve-1_V7	PY-curve-1_V7
(PY-curve-1_V7)4	Lijn	Paal_P_2	14,000 15,000	Vrij	Niet-lineair	Niet-lineair	Vrij	Vrij	Vrij	PY-curve-1_V7	PY-curve-1_V7
(PY-curve-1_V7)3	Lijn	Paal_P_1	14,000 15,000	Vrij	Niet-lineair	Niet-lineair	Vrij	Vrij	Vrij	PY-curve-1_V7	PY-curve-1_V7
(PY-curve-1_V7)2	Lijn	Paal_P_3	14,000 15,000	Vrij	Niet-lineair	Niet-lineair	Vrij	Vrij	Vrij	PY-curve-1_V7	PY-curve-1_V7
(PY-curve-1_V7)1	Lijn	Paal_XY_5	14,000 15,000	Vrij	Niet-lineair	Niet-lineair	Vrij	Vrij	Vrij	PY-curve-1_V7	PY-curve-1_V7
(PY-curve-1_V7)	Lijn	Paal_X_12	14,000 15,000	Vrij	Niet-lineair	Niet-lineair	Vrij	Vrij	Vrij	PY-curve-1_V7	PY-curve-1_V7
(PY-curve-1_V8)39	Lijn	Paal_X_22	15,000 16,000	Vrij	Niet-lineair	Niet-lineair	Vrij	Vrij	Vrij	PY-curve-1_V8	PY-curve-1_V8
(PY-curve-1_V8)37	Lijn	Paal_X_20	15,000 16,000	Vrij	Niet-lineair	Niet-lineair	Vrij	Vrij	Vrij	PY-curve-1_V8	PY-curve-1_V8
(PY-curve-1_V8)36	Lijn	Paal_X_19	15,000 16,000	Vrij	Niet-lineair	Niet-lineair	Vrij	Vrij	Vrij	PY-curve-1_V8	PY-curve-1_V8
(PY-curve-1_V8)35	Lijn	Paal_X_18	15,000 16,000	Vrij	Niet-lineair	Niet-lineair	Vrij	Vrij	Vrij	PY-curve-1_V8	PY-curve-1_V8
(PY-curve-1_V8)34	Lijn	Paal_X_17	15,000 16,000	Vrij	Niet-lineair	Niet-lineair	Vrij	Vrij	Vrij	PY-curve-1_V8	PY-curve-1_V8
(PY-curve-1_V8)33	Lijn	Paal_X_16	15,000 16,000	Vrij	Niet-lineair	Niet-lineair	Vrij	Vrij	Vrij	PY-curve-1_V8	PY-curve-1_V8
(PY-curve-1_V8)32	Lijn	Paal_X_15	15,000 16,000	Vrij	Niet-lineair	Niet-lineair	Vrij	Vrij	Vrij	PY-curve-1_V8	PY-curve-1_V8
(PY-curve-1_V8)31	Lijn	Paal_Y_6	15,000 16,000	Vrij	Niet-lineair	Niet-lineair	Vrij	Vrij	Vrij	PY-curve-1_V8	PY-curve-1_V8
(PY-curve-1_V8)29	Lijn	Paal_Y_4	15,000 16,000	Vrij	Niet-lineair	Niet-lineair	Vrij	Vrij	Vrij	PY-curve-1_V8	PY-curve-1_V8
(PY-curve-1_V8)28	Lijn	Paal_XY_6	15,000 16,000	Vrij	Niet-lineair	Niet-lineair	Vrij	Vrij	Vrij	PY-curve-1_V8	PY-curve-1_V8
(PY-curve-1_V8)27	Lijn	Paal_XY_4	15,000 16,000	Vrij	Niet-lineair	Niet-lineair	Vrij	Vrij	Vrij	PY-curve-1_V8	PY-curve-1_V8
(PY-curve-1_V8)25	Lijn	Paal_X_13	15,000 16,000	Vrij	Niet-lineair	Niet-lineair	Vrij	Vrij	Vrij	PY-curve-1_V8	PY-curve-1_V8
(PY-curve-1_V8)24	Lijn	Paal_P_6	15,000 16,000	Vrij	Niet-lineair	Niet-lineair	Vrij	Vrij	Vrij	PY-curve-1_V8	PY-curve-1_V8
(PY-curve-1_V8)23	Lijn	Paal_P_5	15,000	Vrij	Niet-lineair	Niet-lineair	Vrij	Vrij	Vrij	PY-curve-1_V8	PY-curve-1_V8

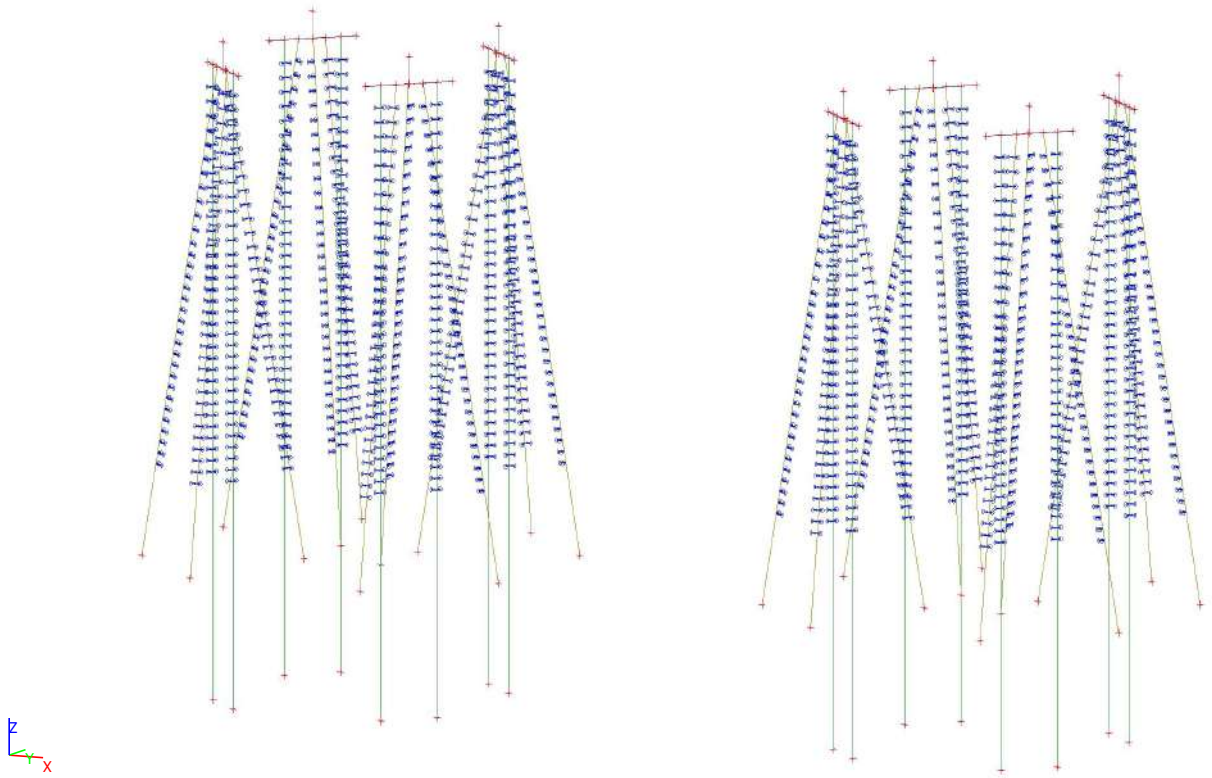
Naam	Type	Staaf	Pos x_1 [m] Pos x_2 [m]	X	Y	Z	Rx	Ry	Rz	Functie Y	Functie Z
			16,000								
(PY-curve-1_V8)22	Lijn	Paal_P_4	15,000 16,000	Vrij	Niet-lineair	Niet-lineair	Vrij	Vrij	Vrij	PY-curve-1_V8	PY-curve-1_V8
(PY-curve-1_V8)21	Lijn	Paal_X_11	15,000 16,000	Vrij	Niet-lineair	Niet-lineair	Vrij	Vrij	Vrij	PY-curve-1_V8	PY-curve-1_V8
(PY-curve-1_V8)20	Lijn	Paal_X_10	15,000 16,000	Vrij	Niet-lineair	Niet-lineair	Vrij	Vrij	Vrij	PY-curve-1_V8	PY-curve-1_V8
(PY-curve-1_V8)19	Lijn	Paal_X_9	15,000 16,000	Vrij	Niet-lineair	Niet-lineair	Vrij	Vrij	Vrij	PY-curve-1_V8	PY-curve-1_V8
(PY-curve-1_V8)26	Lijn	Paal_X_14	15,000 16,000	Vrij	Niet-lineair	Niet-lineair	Vrij	Vrij	Vrij	PY-curve-1_V8	PY-curve-1_V8
(PY-curve-1_V8)18	Lijn	Paal_X_8	15,000 16,000	Vrij	Niet-lineair	Niet-lineair	Vrij	Vrij	Vrij	PY-curve-1_V8	PY-curve-1_V8
(PY-curve-1_V8)17	Lijn	Paal_X_7	15,000 16,000	Vrij	Niet-lineair	Niet-lineair	Vrij	Vrij	Vrij	PY-curve-1_V8	PY-curve-1_V8
(PY-curve-1_V8)16	Lijn	Paal_X_6	15,000 16,000	Vrij	Niet-lineair	Niet-lineair	Vrij	Vrij	Vrij	PY-curve-1_V8	PY-curve-1_V8
(PY-curve-1_V8)15	Lijn	Paal_X_5	15,000 16,000	Vrij	Niet-lineair	Niet-lineair	Vrij	Vrij	Vrij	PY-curve-1_V8	PY-curve-1_V8
(PY-curve-1_V8)30	Lijn	Paal_Y_5	15,000 16,000	Vrij	Niet-lineair	Niet-lineair	Vrij	Vrij	Vrij	PY-curve-1_V8	PY-curve-1_V8
(PY-curve-1_V8)14	Lijn	Paal_X_4	15,000 16,000	Vrij	Niet-lineair	Niet-lineair	Vrij	Vrij	Vrij	PY-curve-1_V8	PY-curve-1_V8
(PY-curve-1_V8)13	Lijn	Paal_Y_2	15,000 16,000	Vrij	Niet-lineair	Niet-lineair	Vrij	Vrij	Vrij	PY-curve-1_V8	PY-curve-1_V8
(PY-curve-1_V8)12	Lijn	Paal_Y_1	15,000 16,000	Vrij	Niet-lineair	Niet-lineair	Vrij	Vrij	Vrij	PY-curve-1_V8	PY-curve-1_V8
(PY-curve-1_V8)11	Lijn	Paal_Y_3	15,000 16,000	Vrij	Niet-lineair	Niet-lineair	Vrij	Vrij	Vrij	PY-curve-1_V8	PY-curve-1_V8
(PY-curve-1_V8)10	Lijn	Paal_XY_2	15,000 16,000	Vrij	Niet-lineair	Niet-lineair	Vrij	Vrij	Vrij	PY-curve-1_V8	PY-curve-1_V8
(PY-curve-1_V8)9	Lijn	Paal_XY_1	15,000 16,000	Vrij	Niet-lineair	Niet-lineair	Vrij	Vrij	Vrij	PY-curve-1_V8	PY-curve-1_V8
(PY-curve-1_V8)8	Lijn	Paal_XY_3	15,000 16,000	Vrij	Niet-lineair	Niet-lineair	Vrij	Vrij	Vrij	PY-curve-1_V8	PY-curve-1_V8
(PY-curve-1_V8)7	Lijn	Paal_X_2	15,000 16,000	Vrij	Niet-lineair	Niet-lineair	Vrij	Vrij	Vrij	PY-curve-1_V8	PY-curve-1_V8
(PY-curve-1_V8)38	Lijn	Paal_X_21	15,000 16,000	Vrij	Niet-lineair	Niet-lineair	Vrij	Vrij	Vrij	PY-curve-1_V8	PY-curve-1_V8
(PY-curve-1_V8)6	Lijn	Paal_X_1	15,000 16,000	Vrij	Niet-lineair	Niet-lineair	Vrij	Vrij	Vrij	PY-curve-1_V8	PY-curve-1_V8
(PY-curve-1_V8)5	Lijn	Paal_X_3	15,000 16,000	Vrij	Niet-lineair	Niet-lineair	Vrij	Vrij	Vrij	PY-curve-1_V8	PY-curve-1_V8
(PY-curve-1_V8)4	Lijn	Paal_P_2	15,000 16,000	Vrij	Niet-lineair	Niet-lineair	Vrij	Vrij	Vrij	PY-curve-1_V8	PY-curve-1_V8
(PY-curve-1_V8)3	Lijn	Paal_P_1	15,000 16,000	Vrij	Niet-lineair	Niet-lineair	Vrij	Vrij	Vrij	PY-curve-1_V8	PY-curve-1_V8
(PY-curve-1_V8)2	Lijn	Paal_P_3	15,000 16,000	Vrij	Niet-lineair	Niet-lineair	Vrij	Vrij	Vrij	PY-curve-1_V8	PY-curve-1_V8
(PY-curve-1_V8)1	Lijn	Paal_XY_5	15,000 16,000	Vrij	Niet-lineair	Niet-lineair	Vrij	Vrij	Vrij	PY-curve-1_V8	PY-curve-1_V8
(PY-curve-1_V8)	Lijn	Paal_X_12	15,000 16,000	Vrij	Niet-lineair	Niet-lineair	Vrij	Vrij	Vrij	PY-curve-1_V8	PY-curve-1_V8
(PY-curve-1_V9)39	Lijn	Paal_X_22	16,000 17,000	Vrij	Niet-lineair	Niet-lineair	Vrij	Vrij	Vrij	PY-curve-1_V9	PY-curve-1_V9
(PY-curve-1_V9)37	Lijn	Paal_X_20	16,000 17,000	Vrij	Niet-lineair	Niet-lineair	Vrij	Vrij	Vrij	PY-curve-1_V9	PY-curve-1_V9
(PY-curve-1_V9)36	Lijn	Paal_X_19	16,000 17,000	Vrij	Niet-lineair	Niet-lineair	Vrij	Vrij	Vrij	PY-curve-1_V9	PY-curve-1_V9
(PY-curve-1_V9)35	Lijn	Paal_X_18	16,000 17,000	Vrij	Niet-lineair	Niet-lineair	Vrij	Vrij	Vrij	PY-curve-1_V9	PY-curve-1_V9
(PY-curve-1_V9)33	Lijn	Paal_X_16	16,000 17,000	Vrij	Niet-lineair	Niet-lineair	Vrij	Vrij	Vrij	PY-curve-1_V9	PY-curve-1_V9
(PY-curve-1_V9)32	Lijn	Paal_X_15	16,000	Vrij	Niet-lineair	Niet-lineair	Vrij	Vrij	Vrij	PY-curve-1_V9	PY-curve-1_V9

Naam	Type	Staaf	Pos x_1 [m] Pos x_2 [m]	X	Y	Z	Rx	Ry	Rz	Functie Y	Functie Z
			17,000								
(PY-curve-1_V9)31	Lijn	Paal_Y_6	16,000 17,000	Vrij	Niet-lineair	Niet-lineair	Vrij	Vrij	Vrij	PY-curve-1_V9	PY-curve-1_V9
(PY-curve-1_V9)29	Lijn	Paal_Y_4	16,000 17,000	Vrij	Niet-lineair	Niet-lineair	Vrij	Vrij	Vrij	PY-curve-1_V9	PY-curve-1_V9
(PY-curve-1_V9)28	Lijn	Paal_XY_6	16,000 17,000	Vrij	Niet-lineair	Niet-lineair	Vrij	Vrij	Vrij	PY-curve-1_V9	PY-curve-1_V9
(PY-curve-1_V9)27	Lijn	Paal_XY_4	16,000 17,000	Vrij	Niet-lineair	Niet-lineair	Vrij	Vrij	Vrij	PY-curve-1_V9	PY-curve-1_V9
(PY-curve-1_V9)26	Lijn	Paal_X_14	16,000 17,000	Vrij	Niet-lineair	Niet-lineair	Vrij	Vrij	Vrij	PY-curve-1_V9	PY-curve-1_V9
(PY-curve-1_V9)25	Lijn	Paal_X_13	16,000 17,000	Vrij	Niet-lineair	Niet-lineair	Vrij	Vrij	Vrij	PY-curve-1_V9	PY-curve-1_V9
(PY-curve-1_V9)24	Lijn	Paal_P_6	16,000 17,000	Vrij	Niet-lineair	Niet-lineair	Vrij	Vrij	Vrij	PY-curve-1_V9	PY-curve-1_V9
(PY-curve-1_V9)23	Lijn	Paal_P_5	16,000 17,000	Vrij	Niet-lineair	Niet-lineair	Vrij	Vrij	Vrij	PY-curve-1_V9	PY-curve-1_V9
(PY-curve-1_V9)22	Lijn	Paal_P_4	16,000 17,000	Vrij	Niet-lineair	Niet-lineair	Vrij	Vrij	Vrij	PY-curve-1_V9	PY-curve-1_V9
(PY-curve-1_V9)21	Lijn	Paal_X_11	16,000 17,000	Vrij	Niet-lineair	Niet-lineair	Vrij	Vrij	Vrij	PY-curve-1_V9	PY-curve-1_V9
(PY-curve-1_V9)20	Lijn	Paal_X_10	16,000 17,000	Vrij	Niet-lineair	Niet-lineair	Vrij	Vrij	Vrij	PY-curve-1_V9	PY-curve-1_V9
(PY-curve-1_V9)19	Lijn	Paal_X_9	16,000 17,000	Vrij	Niet-lineair	Niet-lineair	Vrij	Vrij	Vrij	PY-curve-1_V9	PY-curve-1_V9
(PY-curve-1_V9)18	Lijn	Paal_X_8	16,000 17,000	Vrij	Niet-lineair	Niet-lineair	Vrij	Vrij	Vrij	PY-curve-1_V9	PY-curve-1_V9
(PY-curve-1_V9)17	Lijn	Paal_X_7	16,000 17,000	Vrij	Niet-lineair	Niet-lineair	Vrij	Vrij	Vrij	PY-curve-1_V9	PY-curve-1_V9
(PY-curve-1_V9)16	Lijn	Paal_X_6	16,000 17,000	Vrij	Niet-lineair	Niet-lineair	Vrij	Vrij	Vrij	PY-curve-1_V9	PY-curve-1_V9
(PY-curve-1_V9)15	Lijn	Paal_X_5	16,000 17,000	Vrij	Niet-lineair	Niet-lineair	Vrij	Vrij	Vrij	PY-curve-1_V9	PY-curve-1_V9
(PY-curve-1_V9)30	Lijn	Paal_Y_5	16,000 17,000	Vrij	Niet-lineair	Niet-lineair	Vrij	Vrij	Vrij	PY-curve-1_V9	PY-curve-1_V9
(PY-curve-1_V9)14	Lijn	Paal_X_4	16,000 17,000	Vrij	Niet-lineair	Niet-lineair	Vrij	Vrij	Vrij	PY-curve-1_V9	PY-curve-1_V9
(PY-curve-1_V9)13	Lijn	Paal_Y_2	16,000 17,000	Vrij	Niet-lineair	Niet-lineair	Vrij	Vrij	Vrij	PY-curve-1_V9	PY-curve-1_V9
(PY-curve-1_V9)12	Lijn	Paal_Y_1	16,000 17,000	Vrij	Niet-lineair	Niet-lineair	Vrij	Vrij	Vrij	PY-curve-1_V9	PY-curve-1_V9
(PY-curve-1_V9)11	Lijn	Paal_Y_3	16,000 17,000	Vrij	Niet-lineair	Niet-lineair	Vrij	Vrij	Vrij	PY-curve-1_V9	PY-curve-1_V9
(PY-curve-1_V9)34	Lijn	Paal_X_17	16,000 17,000	Vrij	Niet-lineair	Niet-lineair	Vrij	Vrij	Vrij	PY-curve-1_V9	PY-curve-1_V9
(PY-curve-1_V9)10	Lijn	Paal_XY_2	16,000 17,000	Vrij	Niet-lineair	Niet-lineair	Vrij	Vrij	Vrij	PY-curve-1_V9	PY-curve-1_V9
(PY-curve-1_V9)9	Lijn	Paal_XY_1	16,000 17,000	Vrij	Niet-lineair	Niet-lineair	Vrij	Vrij	Vrij	PY-curve-1_V9	PY-curve-1_V9
(PY-curve-1_V9)8	Lijn	Paal_XY_3	16,000 17,000	Vrij	Niet-lineair	Niet-lineair	Vrij	Vrij	Vrij	PY-curve-1_V9	PY-curve-1_V9
(PY-curve-1_V9)7	Lijn	Paal_X_2	16,000 17,000	Vrij	Niet-lineair	Niet-lineair	Vrij	Vrij	Vrij	PY-curve-1_V9	PY-curve-1_V9
(PY-curve-1_V9)38	Lijn	Paal_X_21	16,000 17,000	Vrij	Niet-lineair	Niet-lineair	Vrij	Vrij	Vrij	PY-curve-1_V9	PY-curve-1_V9
(PY-curve-1_V9)6	Lijn	Paal_X_1	16,000 17,000	Vrij	Niet-lineair	Niet-lineair	Vrij	Vrij	Vrij	PY-curve-1_V9	PY-curve-1_V9
(PY-curve-1_V9)5	Lijn	Paal_X_3	16,000 17,000	Vrij	Niet-lineair	Niet-lineair	Vrij	Vrij	Vrij	PY-curve-1_V9	PY-curve-1_V9
(PY-curve-1_V9)4	Lijn	Paal_P_2	16,000 17,000	Vrij	Niet-lineair	Niet-lineair	Vrij	Vrij	Vrij	PY-curve-1_V9	PY-curve-1_V9
(PY-curve-1_V9)3	Lijn	Paal_P_1	16,000 17,000	Vrij	Niet-lineair	Niet-lineair	Vrij	Vrij	Vrij	PY-curve-1_V9	PY-curve-1_V9
(PY-curve-1_V9)2	Lijn	Paal_P_3	16,000	Vrij	Niet-lineair	Niet-lineair	Vrij	Vrij	Vrij	PY-curve-1_V9	PY-curve-1_V9

Naam	Type	Staaf	Pos x_1 [m] Pos x_2 [m]	X	Y	Z	Rx	Ry	Rz	Functie Y	Functie Z
			17,000								
(PY-curve-1_V9)1	Lijn	Paal_XY_5	16,000 17,000	Vrij	Niet-lineair	Niet-lineair	Vrij	Vrij	Vrij	PY-curve-1_V9	PY-curve-1_V9
(PY-curve-1_V9)	Lijn	Paal_X_12	16,000 17,000	Vrij	Niet-lineair	Niet-lineair	Vrij	Vrij	Vrij	PY-curve-1_V9	PY-curve-1_V9
(PY-curve-1_V10)39	Lijn	Paal_X_22	17,000 18,000	Vrij	Niet-lineair	Niet-lineair	Vrij	Vrij	Vrij	PY-curve-1_V10	PY-curve-1_V10
(PY-curve-1_V10)37	Lijn	Paal_X_20	17,000 18,000	Vrij	Niet-lineair	Niet-lineair	Vrij	Vrij	Vrij	PY-curve-1_V10	PY-curve-1_V10
(PY-curve-1_V10)36	Lijn	Paal_X_19	17,000 18,000	Vrij	Niet-lineair	Niet-lineair	Vrij	Vrij	Vrij	PY-curve-1_V10	PY-curve-1_V10
(PY-curve-1_V10)35	Lijn	Paal_X_18	17,000 18,000	Vrij	Niet-lineair	Niet-lineair	Vrij	Vrij	Vrij	PY-curve-1_V10	PY-curve-1_V10
(PY-curve-1_V10)34	Lijn	Paal_X_17	17,000 18,000	Vrij	Niet-lineair	Niet-lineair	Vrij	Vrij	Vrij	PY-curve-1_V10	PY-curve-1_V10
(PY-curve-1_V10)33	Lijn	Paal_X_16	17,000 18,000	Vrij	Niet-lineair	Niet-lineair	Vrij	Vrij	Vrij	PY-curve-1_V10	PY-curve-1_V10
(PY-curve-1_V10)32	Lijn	Paal_X_15	17,000 18,000	Vrij	Niet-lineair	Niet-lineair	Vrij	Vrij	Vrij	PY-curve-1_V10	PY-curve-1_V10
(PY-curve-1_V10)31	Lijn	Paal_Y_6	17,000 18,000	Vrij	Niet-lineair	Niet-lineair	Vrij	Vrij	Vrij	PY-curve-1_V10	PY-curve-1_V10
(PY-curve-1_V10)29	Lijn	Paal_Y_4	17,000 18,000	Vrij	Niet-lineair	Niet-lineair	Vrij	Vrij	Vrij	PY-curve-1_V10	PY-curve-1_V10
(PY-curve-1_V10)28	Lijn	Paal_XY_6	17,000 18,000	Vrij	Niet-lineair	Niet-lineair	Vrij	Vrij	Vrij	PY-curve-1_V10	PY-curve-1_V10
(PY-curve-1_V10)27	Lijn	Paal_XY_4	17,000 18,000	Vrij	Niet-lineair	Niet-lineair	Vrij	Vrij	Vrij	PY-curve-1_V10	PY-curve-1_V10
(PY-curve-1_V10)25	Lijn	Paal_X_13	17,000 18,000	Vrij	Niet-lineair	Niet-lineair	Vrij	Vrij	Vrij	PY-curve-1_V10	PY-curve-1_V10
(PY-curve-1_V10)24	Lijn	Paal_P_6	17,000 18,000	Vrij	Niet-lineair	Niet-lineair	Vrij	Vrij	Vrij	PY-curve-1_V10	PY-curve-1_V10
(PY-curve-1_V10)23	Lijn	Paal_P_5	17,000 18,000	Vrij	Niet-lineair	Niet-lineair	Vrij	Vrij	Vrij	PY-curve-1_V10	PY-curve-1_V10
(PY-curve-1_V10)22	Lijn	Paal_P_4	17,000 18,000	Vrij	Niet-lineair	Niet-lineair	Vrij	Vrij	Vrij	PY-curve-1_V10	PY-curve-1_V10
(PY-curve-1_V10)21	Lijn	Paal_X_11	17,000 18,000	Vrij	Niet-lineair	Niet-lineair	Vrij	Vrij	Vrij	PY-curve-1_V10	PY-curve-1_V10
(PY-curve-1_V10)20	Lijn	Paal_X_10	17,000 18,000	Vrij	Niet-lineair	Niet-lineair	Vrij	Vrij	Vrij	PY-curve-1_V10	PY-curve-1_V10
(PY-curve-1_V10)19	Lijn	Paal_X_9	17,000 18,000	Vrij	Niet-lineair	Niet-lineair	Vrij	Vrij	Vrij	PY-curve-1_V10	PY-curve-1_V10
(PY-curve-1_V10)18	Lijn	Paal_X_8	17,000 18,000	Vrij	Niet-lineair	Niet-lineair	Vrij	Vrij	Vrij	PY-curve-1_V10	PY-curve-1_V10
(PY-curve-1_V10)17	Lijn	Paal_X_7	17,000 18,000	Vrij	Niet-lineair	Niet-lineair	Vrij	Vrij	Vrij	PY-curve-1_V10	PY-curve-1_V10
(PY-curve-1_V10)16	Lijn	Paal_X_6	17,000 18,000	Vrij	Niet-lineair	Niet-lineair	Vrij	Vrij	Vrij	PY-curve-1_V10	PY-curve-1_V10
(PY-curve-1_V10)15	Lijn	Paal_X_5	17,000 18,000	Vrij	Niet-lineair	Niet-lineair	Vrij	Vrij	Vrij	PY-curve-1_V10	PY-curve-1_V10
(PY-curve-1_V10)26	Lijn	Paal_X_14	17,000 18,000	Vrij	Niet-lineair	Niet-lineair	Vrij	Vrij	Vrij	PY-curve-1_V10	PY-curve-1_V10
(PY-curve-1_V10)30	Lijn	Paal_Y_5	17,000 18,000	Vrij	Niet-lineair	Niet-lineair	Vrij	Vrij	Vrij	PY-curve-1_V10	PY-curve-1_V10
(PY-curve-1_V10)14	Lijn	Paal_X_4	17,000 18,000	Vrij	Niet-lineair	Niet-lineair	Vrij	Vrij	Vrij	PY-curve-1_V10	PY-curve-1_V10
(PY-curve-1_V10)13	Lijn	Paal_Y_2	17,000 18,000	Vrij	Niet-lineair	Niet-lineair	Vrij	Vrij	Vrij	PY-curve-1_V10	PY-curve-1_V10
(PY-curve-1_V10)12	Lijn	Paal_Y_1	17,000 18,000	Vrij	Niet-lineair	Niet-lineair	Vrij	Vrij	Vrij	PY-curve-1_V10	PY-curve-1_V10
(PY-curve-1_V10)11	Lijn	Paal_Y_3	17,000 18,000	Vrij	Niet-lineair	Niet-lineair	Vrij	Vrij	Vrij	PY-curve-1_V10	PY-curve-1_V10
(PY-curve-1_V10)10	Lijn	Paal_XY_2	17,000 18,000	Vrij	Niet-lineair	Niet-lineair	Vrij	Vrij	Vrij	PY-curve-1_V10	PY-curve-1_V10
(PY-curve-1_V10)9	Lijn	Paal_XY_1	17,000	Vrij	Niet-lineair	Niet-lineair	Vrij	Vrij	Vrij	PY-curve-1_V10	PY-curve-1_V10

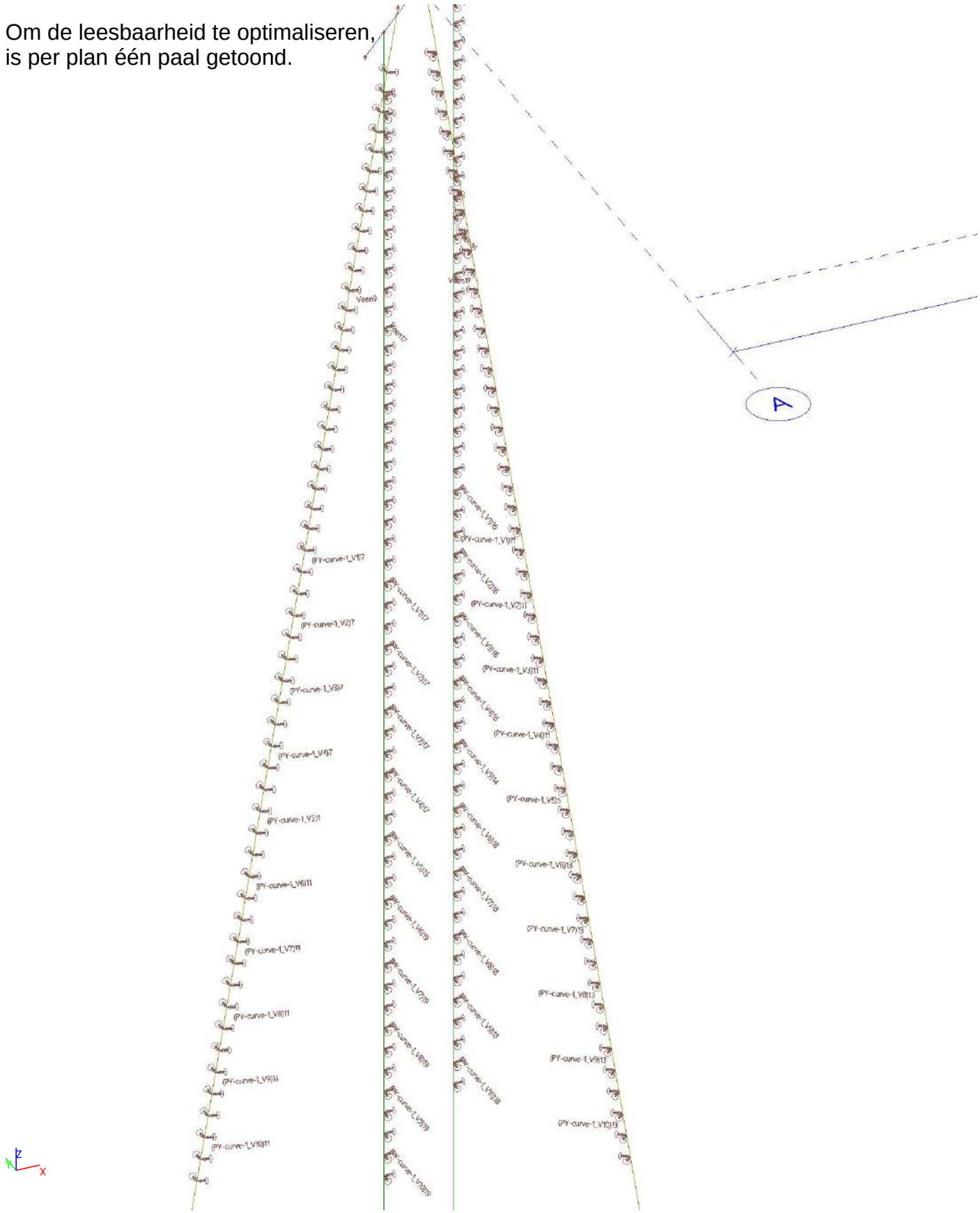
Naam	Type	Staaf	Pos x_1 [m] Pos x_2 [m]	X	Y	Z	Rx	Ry	Rz	Functie Y	Functie Z
			18,000								
(PY-curve-1_V10)8	Lijn	Paal_XY_3	17,000 18,000	Vrij	Niet-lineair	Niet-lineair	Vrij	Vrij	Vrij	PY-curve-1_V10	PY-curve-1_V10
(PY-curve-1_V10)7	Lijn	Paal_X_2	17,000 18,000	Vrij	Niet-lineair	Niet-lineair	Vrij	Vrij	Vrij	PY-curve-1_V10	PY-curve-1_V10
(PY-curve-1_V10)38	Lijn	Paal_X_21	17,000 18,000	Vrij	Niet-lineair	Niet-lineair	Vrij	Vrij	Vrij	PY-curve-1_V10	PY-curve-1_V10
(PY-curve-1_V10)6	Lijn	Paal_X_1	17,000 18,000	Vrij	Niet-lineair	Niet-lineair	Vrij	Vrij	Vrij	PY-curve-1_V10	PY-curve-1_V10
(PY-curve-1_V10)5	Lijn	Paal_X_3	17,000 18,000	Vrij	Niet-lineair	Niet-lineair	Vrij	Vrij	Vrij	PY-curve-1_V10	PY-curve-1_V10
(PY-curve-1_V10)4	Lijn	Paal_P_2	17,000 18,000	Vrij	Niet-lineair	Niet-lineair	Vrij	Vrij	Vrij	PY-curve-1_V10	PY-curve-1_V10
(PY-curve-1_V10)3	Lijn	Paal_P_1	17,000 18,000	Vrij	Niet-lineair	Niet-lineair	Vrij	Vrij	Vrij	PY-curve-1_V10	PY-curve-1_V10
(PY-curve-1_V10)2	Lijn	Paal_P_3	17,000 18,000	Vrij	Niet-lineair	Niet-lineair	Vrij	Vrij	Vrij	PY-curve-1_V10	PY-curve-1_V10
(PY-curve-1_V10)1	Lijn	Paal_XY_5	17,000 18,000	Vrij	Niet-lineair	Niet-lineair	Vrij	Vrij	Vrij	PY-curve-1_V10	PY-curve-1_V10
(PY-curve-1_V10)	Lijn	Paal_X_12	17,000 18,000	Vrij	Niet-lineair	Niet-lineair	Vrij	Vrij	Vrij	PY-curve-1_V10	PY-curve-1_V10

5.8. Analyse model met Lijnondersteuningen



5.9. Analyse model met Lijnondersteuningen

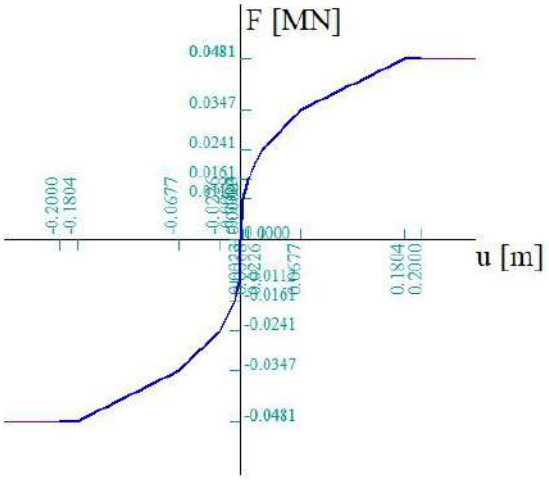
Om de leesbaarheid te optimaliseren, is per plan één paal getoond.



5.10. Niet-lineaire functies

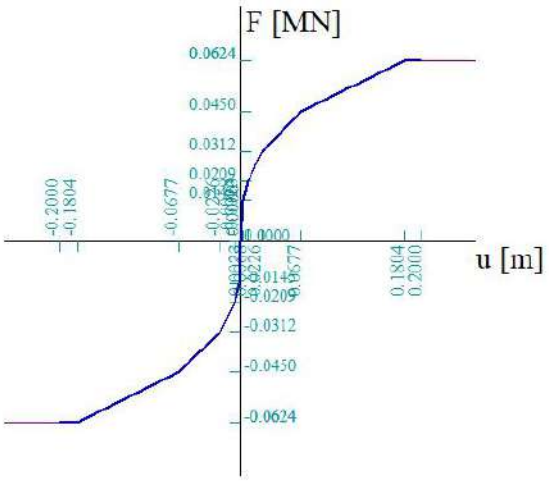
Naam	Type	u / F	Positief einde	Negatief einde
PY-curve-1_V1	Verplaatsing	-2,0000e-01[m] / -4,8130e-02[MN]	Vrij	Vrij
		-1,8040e-01[m] / -4,8130e-02[MN]		
		-6,7650e-02[m] / -3,4710e-02[MN]		
		-2,2550e-02[m] / -2,4064e-02[MN]		
		-6,7650e-03[m] / -1,6110e-02[MN]		
		-2,2550e-03[m] / -1,1170e-02[MN]		
		0,0000e+00[m] / 0,0000e+00[MN]		
		2,2550e-03[m] / 1,1170e-02[MN]		
		6,7650e-03[m] / 1,6110e-02[MN]		
		2,2550e-02[m] / 2,4064e-02[MN]		
		6,7650e-02[m] / 3,4707e-02[MN]		
		1,8040e-01[m] / 4,8129e-02[MN]		
		2,0000e-01[m] / 4,8129e-02[MN]		

Tekenen



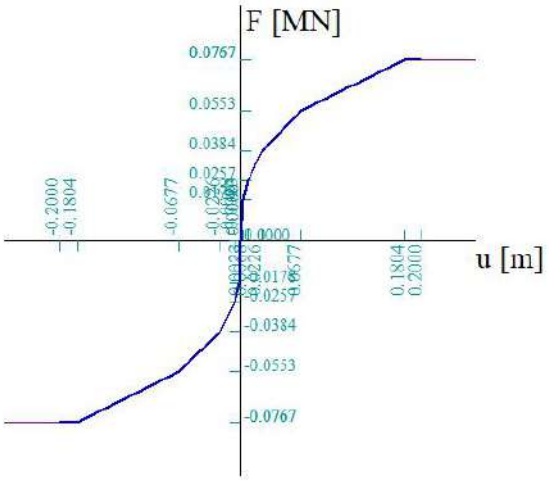
Naam	Type	u / F	Positief einde	Negatief einde
PY-curve-1_V2	Verplaatsing	-2,0000e-01[m] / -6,2400e-02[MN]	Vrij	Vrij
		-1,8040e-01[m] / -6,2400e-02[MN]		
		-6,7650e-02[m] / -4,5000e-02[MN]		
		-2,2550e-02[m] / -3,1200e-02[MN]		
		-6,7650e-03[m] / -2,0900e-02[MN]		
		-2,2550e-03[m] / -1,4500e-02[MN]		
		0,0000e+00[m] / 0,0000e+00[MN]		
		2,2550e-03[m] / 1,4490e-02[MN]		
		6,7650e-03[m] / 2,0900e-02[MN]		
		2,2550e-02[m] / 3,1220e-02[MN]		
		6,7650e-02[m] / 4,5020e-02[MN]		
		1,8040e-01[m] / 6,2430e-02[MN]		
		2,0000e-01[m] / 6,2430e-02[MN]		

Tekenen



Naam	Type	u / F	Positief einde	Negatief einde
PY-curve-1_V3	Verplaatsing	-2,0000e-01[m] / -7,6737e-02[MN]	Vrij	Vrij
		-1,8040e-01[m] / -7,6737e-02[MN]		
		-6,7650e-02[m] / -5,5337e-02[MN]		
		-2,2550e-02[m] / -3,8368e-02[MN]		
		-6,7650e-03[m] / -2,5685e-02[MN]		
		-2,2550e-03[m] / -1,7809e-02[MN]		
		0,0000e+00[m] / 0,0000e+00[MN]		
		2,2550e-03[m] / 1,7809e-02[MN]		
		6,7650e-03[m] / 2,5685e-02[MN]		
		2,2550e-02[m] / 3,8368e-02[MN]		
		6,7650e-02[m] / 5,5337e-02[MN]		
		1,8040e-01[m] / 7,6737e-02[MN]		
		2,0000e-01[m] / 7,6737e-02[MN]		

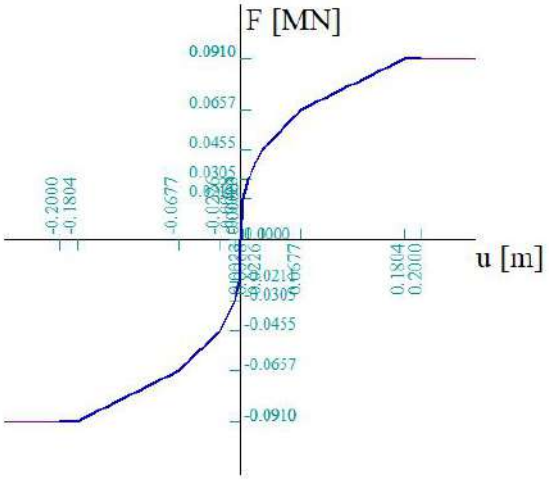
Tekenen



Naam	Type	u / F	Positief einde	Negatief einde
PY-curve-1_V4	Verplaatsing	-2,0000e-01[m] / -9,1041e-02[MN]	Vrij	Vrij
		-1,8040e-01[m] / -9,1041e-02[MN]		
		-6,7650e-02[m] / -6,5652e-02[MN]		
		-2,2550e-02[m] / -4,5520e-02[MN]		
		-6,7650e-03[m] / -3,0473e-02[MN]		
		-2,2550e-03[m] / -2,1129e-02[MN]		
		0,0000e+00[m] / 0,0000e+00[MN]		
		2,2550e-03[m] / 2,1129e-02[MN]		
		6,7650e-03[m] / 3,0473e-02[MN]		
		2,2550e-02[m] / 4,5520e-02[MN]		

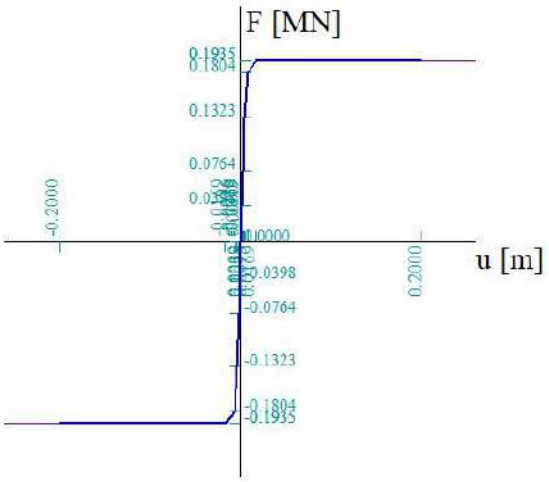
Naam	Type	u / F	Positief einde	Negatief einde
		6,7650e-02[m] / 6,5652e-02[MN]		
		1,8040e-01[m] / 9,1041e-02[MN]		
		2,0000e-01[m] / 9,1041e-02[MN]		

Tekenen



Naam	Type	u / F	Positief einde	Negatief einde
PY-curve-1_V5	Verplaatsing	-2,0000e-01[m] / -1,9349e-01[MN]	Vrij	Vrij
		-1,6913e-02[m] / -1,9349e-01[MN]		
		-7,5167e-03[m] / -1,8041e-01[MN]		
		-3,7583e-03[m] / -1,3226e-01[MN]		
		-1,8792e-03[m] / -7,6422e-02[MN]		
		-9,3958e-04[m] / -3,9826e-02[MN]		
		0,0000e+00[m] / 0,0000e+00[MN]		
		9,3958e-04[m] / 3,9826e-02[MN]		
		1,8792e-03[m] / 7,6422e-02[MN]		
		3,7583e-03[m] / 1,3226e-01[MN]		
		7,5167e-03[m] / 1,8041e-01[MN]		
		1,6913e-02[m] / 1,9349e-01[MN]		
		2,0000e-01[m] / 1,9349e-01[MN]		

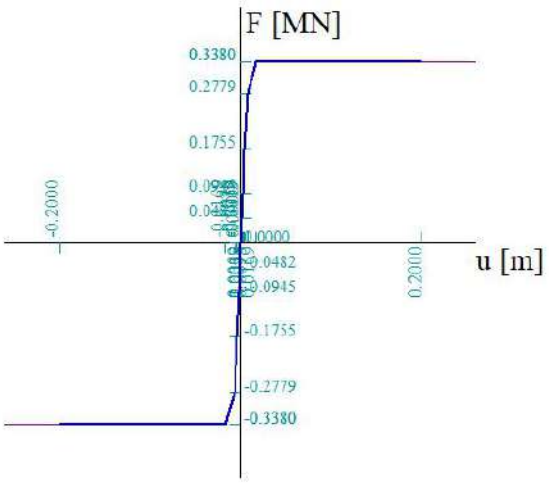
Tekenen



Naam	Type	u / F	Positief einde	Negatief einde
PY-curve-1_V6	Verplaatsing	-2,0000e-01[m] / -3,3802e-01[MN]	Vrij	Vrij
		-1,6913e-02[m] / -3,3802e-01[MN]		
		-7,5167e-03[m] / -2,7792e-01[MN]		
		-3,7583e-03[m] / -1,7553e-01[MN]		

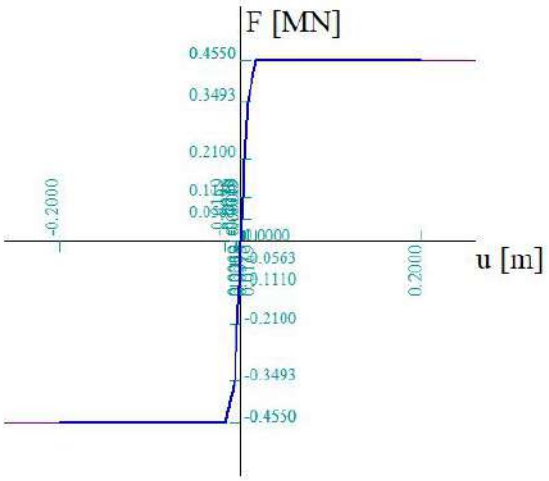
Naam	Type	u / F	Positief einde	Negatief einde
		-1,8792e-03[m] / -9,4450e-02[MN]		
		-9,3958e-04[m] / -4,8161e-02[MN]		
		0,0000e+00[m] / 0,0000e+00[MN]		
		9,3958e-04[m] / 4,8161e-02[MN]		
		1,8792e-03[m] / 9,4450e-02[MN]		
		3,7583e-03[m] / 1,7553e-01[MN]		
		7,5167e-03[m] / 2,7792e-01[MN]		
		1,6913e-02[m] / 3,3802e-01[MN]		
		2,0000e-01[m] / 3,3802e-01[MN]		

Tekenen



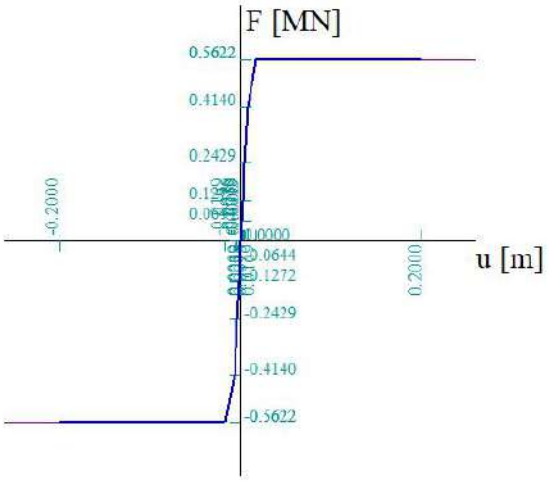
Naam	Type	u / F	Positief einde	Negatief einde
PY-curve-1_V7	Verplaatsing	-2,0000e-01[m] / -4,5496e-01[MN]	Vrij	Vrij
		-1,6913e-02[m] / -4,5496e-01[MN]		
		-7,5167e-03[m] / -3,4934e-01[MN]		
		-3,7583e-03[m] / -2,1005e-01[MN]		
		-1,8792e-03[m] / -1,1096e-01[MN]		
		-9,3958e-04[m] / -5,6288e-02[MN]		
		0,0000e+00[m] / 0,0000e+00[MN]		
		9,3958e-04[m] / 5,6288e-02[MN]		
		1,8792e-03[m] / 1,1096e-01[MN]		
		3,7583e-03[m] / 2,1005e-01[MN]		
		7,5167e-03[m] / 3,4934e-01[MN]		
		1,6913e-02[m] / 4,5496e-01[MN]		
		2,0000e-01[m] / 4,5496e-01[MN]		

Tekenen



Naam	Type	u / F	Positief einde	Negatief einde
PY-curve-1_V8	Verplaatsing	-2,0000e-01[m] / -5,6217e-01[MN]	Vrij	Vrij
		-1,6913e-02[m] / -5,6217e-01[MN]		
		-7,5167e-03[m] / -4,1399e-01[MN]		
		-3,7583e-03[m] / -2,4287e-01[MN]		
		-1,8792e-03[m] / -1,2721e-01[MN]		
		-9,3958e-04[m] / -6,4380e-02[MN]		
		0,0000e+00[m] / 0,0000e+00[MN]		
		9,3958e-04[m] / 6,4380e-02[MN]		
		1,8792e-03[m] / 1,2721e-01[MN]		
		3,7583e-03[m] / 2,4287e-01[MN]		
		7,5167e-03[m] / 4,1399e-01[MN]		
		1,6913e-02[m] / 5,6217e-01[MN]		
		2,0000e-01[m] / 5,6217e-01[MN]		

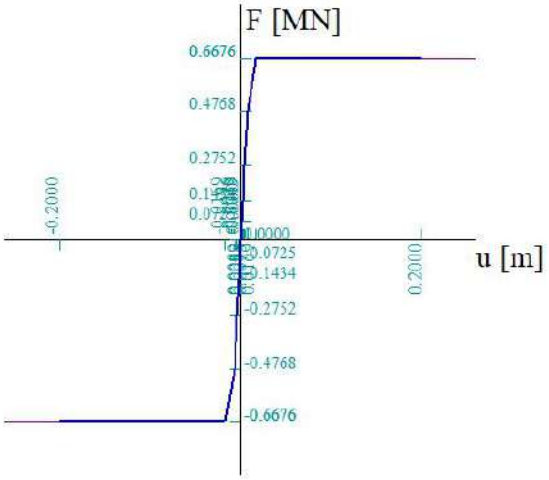
Tekenen



Naam	Type	u / F	Positief einde	Negatief einde
PY-curve-1_V9	Verplaatsing	-2,0000e-01[m] / -6,6756e-01[MN]	Vrij	Vrij
		-1,6913e-02[m] / -6,6756e-01[MN]		
		-7,5167e-03[m] / -4,7677e-01[MN]		
		-3,7583e-03[m] / -2,7523e-01[MN]		
		-1,8792e-03[m] / -1,4339e-01[MN]		
		-9,3958e-04[m] / -7,2463e-02[MN]		
		0,0000e+00[m] / 0,0000e+00[MN]		
		9,3958e-04[m] / 7,2463e-02[MN]		
		1,8792e-03[m] / 1,4339e-01[MN]		
		3,7583e-03[m] / 2,7523e-01[MN]		

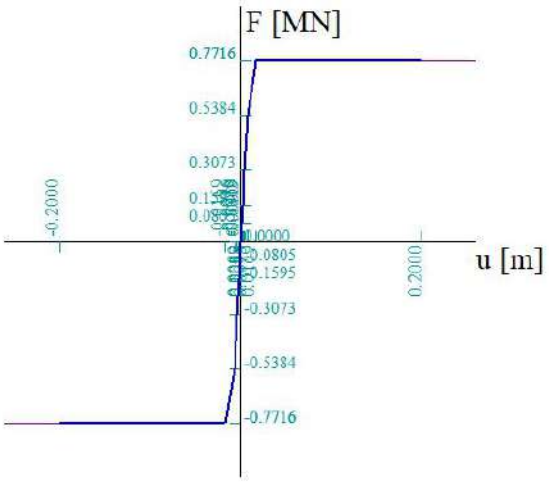
Naam	Type	u / F	Positief einde	Negatief einde
		7,5167e-03[m] / 4,7677e-01[MN]		
		1,6913e-02[m] / 6,6756e-01[MN]		
		2,0000e-01[m] / 6,6756e-01[MN]		

Tekenen



Naam	Type	u / F	Positief einde	Negatief einde
PY-curve-1_V10	Verplaatsing	-2,0000e-01[m] / -7,7164e-01[MN]	Vrij	Vrij
		-1,6913e-02[m] / -7,7164e-01[MN]		
		-7,5167e-03[m] / -5,3843e-01[MN]		
		-3,7583e-03[m] / -3,0734e-01[MN]		
		-1,8792e-03[m] / -1,5953e-01[MN]		
		-9,3958e-04[m] / -8,0542e-02[MN]		
		0,0000e+00[m] / 0,0000e+00[MN]		
		9,3958e-04[m] / 8,0542e-02[MN]		
		1,8792e-03[m] / 1,5953e-01[MN]		
		3,7583e-03[m] / 3,0734e-01[MN]		
		7,5167e-03[m] / 5,3843e-01[MN]		
		1,6913e-02[m] / 7,7164e-01[MN]		
		2,0000e-01[m] / 7,7164e-01[MN]		

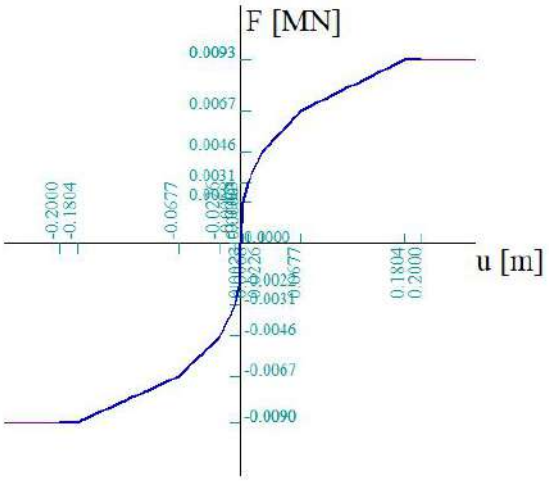
Tekenen



Naam	Type	u / F	Positief einde	Negatief einde
PY-curve-1_Veen	Verplaatsing	-2,0000e-01[m] / -9,0000e-03[MN]	Vrij	Vrij
		-1,8040e-01[m] / -9,0000e-03[MN]		
		-6,7650e-02[m] / -6,7000e-03[MN]		
		-2,2550e-02[m] / -4,6300e-03[MN]		

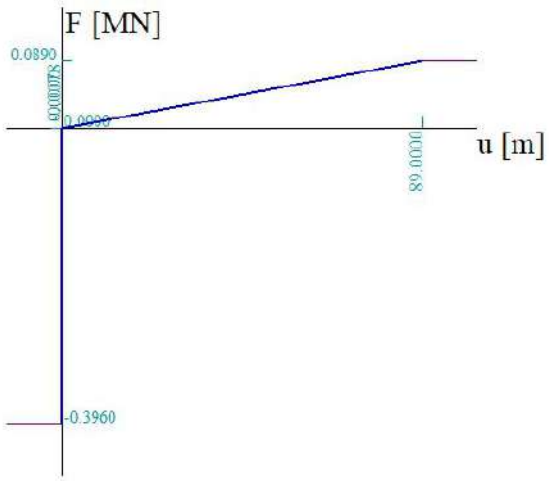
Naam	Type	u / F	Positief einde	Negatief einde
		-6,7650e-03[m] / -3,1000e-03[MN]		
		-2,2550e-03[m] / -2,1500e-03[MN]		
		0,0000e+00[m] / 0,0000e+00[MN]		
		2,2550e-03[m] / 2,1500e-03[MN]		
		6,7650e-03[m] / 3,1000e-03[MN]		
		2,2550e-02[m] / 4,6300e-03[MN]		
		6,7650e-02[m] / 6,7000e-03[MN]		
		1,8040e-01[m] / 9,2700e-03[MN]		
		2,0000e-01[m] / 9,2700e-03[MN]		

Tekenen



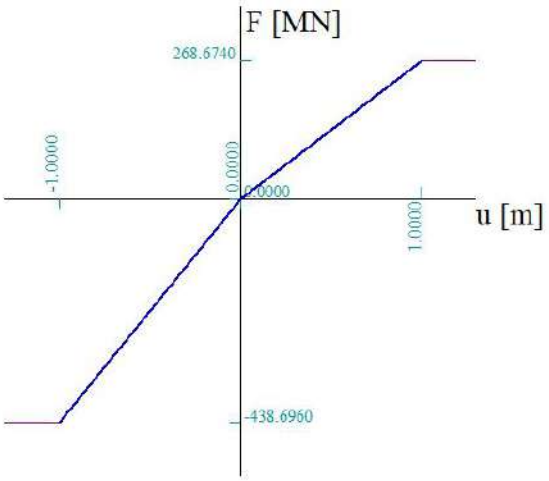
Naam	Type	u / F	Positief einde	Negatief einde
Trek-druk-S+0-paalpunt_cap275kN .min.B.	Verplaatsing	-7,8300e-03[m] / -3,9600e-01[MN]	Vrij	Vrij
		0,0000e+00[m] / 0,0000e+00[MN]		
		8,9000e+01[m] / 8,9000e-02[MN]		

Tekenen



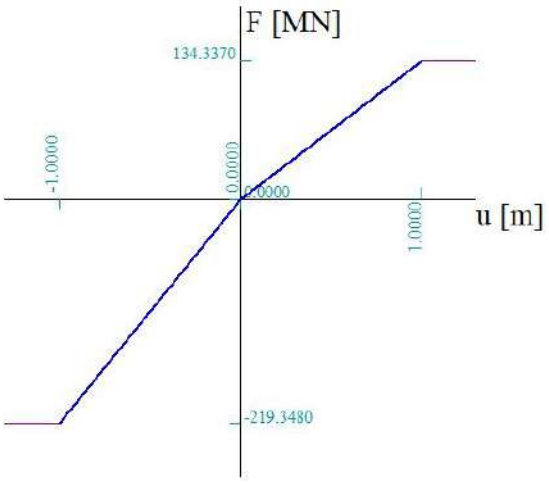
Naam	Type	u / F	Positief einde	Negatief einde
Trek-druk-paalpunt-max.LEKA	Verplaatsing	-1,0000e+00[m] / -4,3870e+02[MN]	Vrij	Vrij
		0,0000e+00[m] / 0,0000e+00[MN]		
		1,0000e+00[m] / 2,6867e+02[MN]		

Tekenen



Naam	Type	u / F	Positief einde	Negatief einde
Trek-druk-paalpunt-min.LEKA	Verplaatsing	-1,0000e+00[m] / -2,1935e+02[MN]	Vrij	Vrij
		0,0000e+00[m] / 0,0000e+00[MN]		
		1,0000e+00[m] / 1,3434e+02[MN]		

Tekenen

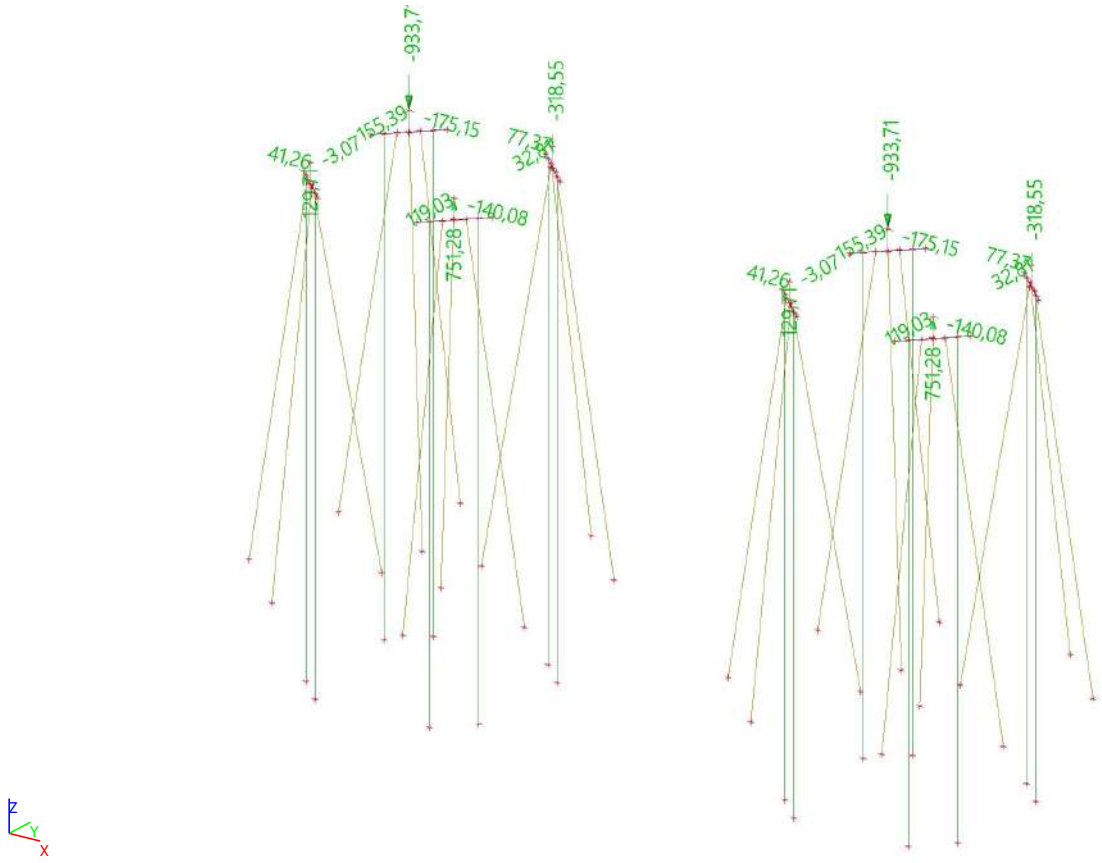


6. Belastingen

6.1. Belastingsgevallen

6.1.1. Belastingsgevallen - high max Wnd ;45°

Naam	Omschrijving	Actie type	Lastgroep	Duur	'Master' belastingsgeval
	Spec	Belastingtype			
high max Wnd ;45°		Variabel	LG4	Kort	Geen
	Standaard	Statisch			



6.1.1.1. Puntlast op knoop

Naam	Knoop	Belastingsgeval	Systeem	Rich	Type	Waarde - F [kN]
high max Wnd ;45°_1P_X	1P	high max Wnd ;45°	GCS	X	Kracht	41,26
high max Wnd ;45°_1P_Y	1P	high max Wnd ;45°	GCS	Y	Kracht	-3,07
high max Wnd ;45°_1P_Z	1P	high max Wnd ;45°	GCS	Z	Kracht	129,71
high max Wnd ;45°_1X_X	1X	high max Wnd ;45°	GCS	X	Kracht	-175,15
high max Wnd ;45°_1X_Y	1X	high max Wnd ;45°	GCS	Y	Kracht	155,39
high max Wnd ;45°_1X_Z	1X	high max Wnd ;45°	GCS	Z	Kracht	-933,71
high max Wnd ;45°_1XY_X	1XY	high max Wnd ;45°	GCS	X	Kracht	77,37
high max Wnd ;45°_1XY_Y	1XY	high max Wnd ;45°	GCS	Y	Kracht	32,81
high max Wnd ;45°_1XY_Z	1XY	high max Wnd ;45°	GCS	Z	Kracht	-318,55

Naam	Knoop	Belastingsgeval	Systeem	Rich	Type	Waarde - F [kN]
high max Wnd ;45°_1Y_X	1Y	high max Wnd ;45°	GCS	X	Kracht	-140,08
high max Wnd ;45°_1Y_Y	1Y	high max Wnd ;45°	GCS	Y	Kracht	119,03
high max Wnd ;45°_1Y_Z	1Y	high max Wnd ;45°	GCS	Z	Kracht	751,28
high max Wnd ;45°_1P_X1	1P28	high max Wnd ;45°	GCS	X	Kracht	41,26
high max Wnd ;45°_1P_Y1	1P28	high max Wnd ;45°	GCS	Y	Kracht	-3,07
high max Wnd ;45°_1P_Z1	1P28	high max Wnd ;45°	GCS	Z	Kracht	129,71
high max Wnd ;45°_1Y_X1	1Y1	high max Wnd ;45°	GCS	X	Kracht	-140,08
high max Wnd ;45°_1Y_Y1	1Y1	high max Wnd ;45°	GCS	Y	Kracht	119,03
high max Wnd ;45°_1Y_Z1	1Y1	high max Wnd ;45°	GCS	Z	Kracht	751,28
high max Wnd ;45°_1XY_X1	1XY1	high max Wnd ;45°	GCS	X	Kracht	77,37
high max Wnd ;45°_1XY_Y1	1XY1	high max Wnd ;45°	GCS	Y	Kracht	32,81
high max Wnd ;45°_1XY_Z1	1XY1	high max Wnd ;45°	GCS	Z	Kracht	-318,55
high max Wnd ;45°_1X_X1	1X1	high max Wnd ;45°	GCS	X	Kracht	-175,15
high max Wnd ;45°_1X_Y1	1X1	high max Wnd ;45°	GCS	Y	Kracht	155,39
high max Wnd ;45°_1X_Z1	1X1	high max Wnd ;45°	GCS	Z	Kracht	-933,71

6.1.2. Belastingsgevallen - high max Wnd ;135°

Naam	Omschrijving	Actie type	Lastgroep	Duur	'Master' belastingsgeval
	Spec	Belastingtype			
high max Wnd ;135°		Variabel	LG4	Kort	Geen
	Standaard	Statisch			



6.1.2.1. Puntlast op knoop

Naam	Knoop	Belastingsgeval	Systeem	Rich	Type	Waarde - F [kN]
high max Wnd ;135°_1P_X	1P	high max Wnd ;135°	GCS	X	Kracht	137,96
high max Wnd ;135°_1P_Y	1P	high max Wnd ;135°	GCS	Y	Kracht	116,38
high max Wnd ;135°_1P_Z	1P	high max Wnd ;135°	GCS	Z	Kracht	736,38
high max Wnd ;135°_1X_X	1X	high max Wnd ;135°	GCS	X	Kracht	-78,78
high max Wnd ;135°_1X_Y	1X	high max Wnd ;135°	GCS	Y	Kracht	36,11
high max Wnd ;135°_1X_Z	1X	high max Wnd ;135°	GCS	Z	Kracht	-333,09
high max Wnd ;135°_1XY_X	1XY	high max Wnd ;135°	GCS	X	Kracht	173,48
high max Wnd ;135°_1XY_Y	1XY	high max Wnd ;135°	GCS	Y	Kracht	151,90
high max Wnd ;135°_1XY_Z	1XY	high max Wnd ;135°	GCS	Z	Kracht	-917,91
high max Wnd ;135°_1Y_X	1Y	high max Wnd ;135°	GCS	X	Kracht	-43,60
high max Wnd ;135°_1Y_Y	1Y	high max Wnd ;135°	GCS	Y	Kracht	-0,24
high max Wnd ;135°_1Y_Z	1Y	high max Wnd ;135°	GCS	Z	Kracht	145,64
high max Wnd ;135°_1P_X1	1P28	high max Wnd ;135°	GCS	X	Kracht	137,96
high max Wnd ;135°_1P_Y1	1P28	high max Wnd ;135°	GCS	Y	Kracht	116,38
high max Wnd	1P28	high max Wnd ;135°	GCS	Z	Kracht	736,38

Naam	Knoop	Belastingsgeval	Systeem	Rich	Type	Waarde - F [kN]
;135°_1P_Z1						
high max Wnd ;135°_1Y_X1	1Y1	high max Wnd ;135°	GCS	X	Kracht	-43,60
high max Wnd ;135°_1Y_Y1	1Y1	high max Wnd ;135°	GCS	Y	Kracht	-0,24
high max Wnd ;135°_1Y_Z1	1Y1	high max Wnd ;135°	GCS	Z	Kracht	145,64
high max Wnd ;135°_1XY_X1	1XY1	high max Wnd ;135°	GCS	X	Kracht	173,48
high max Wnd ;135°_1XY_Y1	1XY1	high max Wnd ;135°	GCS	Y	Kracht	151,90
high max Wnd ;135°_1XY_Z1	1XY1	high max Wnd ;135°	GCS	Z	Kracht	-917,91
high max Wnd ;135°_1X_X1	1X1	high max Wnd ;135°	GCS	X	Kracht	-78,78
high max Wnd ;135°_1X_Y1	1X1	high max Wnd ;135°	GCS	Y	Kracht	36,11
high max Wnd ;135°_1X_Z1	1X1	high max Wnd ;135°	GCS	Z	Kracht	-333,09

6.1.3. Belastingsgevallen - high max Wnd ;225°

Naam	Omschrijving	Actie type	Lastgroep	Duur	'Master' belastingsgeval
	Spec	Belastingtype			
high max Wnd ;225°		Variabel	LG4	Kort	Geen
	Standaard	Statisch			

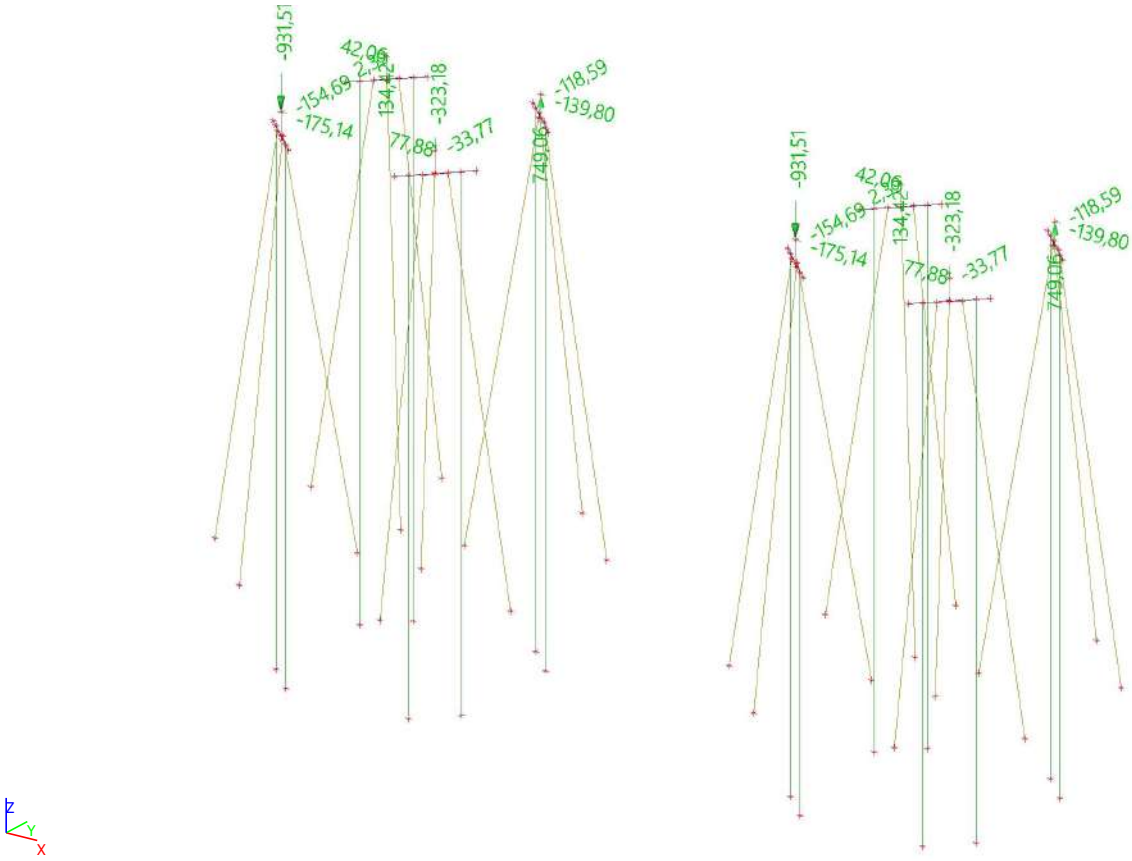


6.1.3.1. Puntlast op knoop

Naam	Knoop	Belastingsgeval	Systeem	Rich	Type	Waarde - F [kN]
high max Wnd ;225°_1P_X	1P	high max Wnd ;225°	GCS	X	Kracht	-77,80
high max Wnd ;225°_1P_Y	1P	high max Wnd ;225°	GCS	Y	Kracht	-35,40
high max Wnd ;225°_1P_Z	1P	high max Wnd ;225°	GCS	Z	Kracht	-327,48
high max Wnd ;225°_1X_X	1X	high max Wnd ;225°	GCS	X	Kracht	135,71
high max Wnd ;225°_1X_Y	1X	high max Wnd ;225°	GCS	Y	Kracht	-114,51
high max Wnd ;225°_1X_Z	1X	high max Wnd ;225°	GCS	Z	Kracht	724,55
high max Wnd ;225°_1XY_X	1XY	high max Wnd ;225°	GCS	X	Kracht	-40,97
high max Wnd ;225°_1XY_Y	1XY	high max Wnd ;225°	GCS	Y	Kracht	1,76
high max Wnd ;225°_1XY_Z	1XY	high max Wnd ;225°	GCS	Z	Kracht	133,77
high max Wnd ;225°_1Y_X	1Y	high max Wnd ;225°	GCS	X	Kracht	172,20
high max Wnd ;225°_1Y_Y	1Y	high max Wnd ;225°	GCS	Y	Kracht	-151,54
high max Wnd ;225°_1Y_Z	1Y	high max Wnd ;225°	GCS	Z	Kracht	-912,42
high max Wnd ;225°_1P_X1	1P28	high max Wnd ;225°	GCS	X	Kracht	-77,80
high max Wnd ;225°_1P_Y1	1P28	high max Wnd ;225°	GCS	Y	Kracht	-35,40
high max Wnd ;225°_1P_Z1	1P28	high max Wnd ;225°	GCS	Z	Kracht	-327,48
high max Wnd ;225°_1Y_X1	1Y1	high max Wnd ;225°	GCS	X	Kracht	172,20
high max Wnd ;225°_1Y_Y1	1Y1	high max Wnd ;225°	GCS	Y	Kracht	-151,54
high max Wnd ;225°_1Y_Z1	1Y1	high max Wnd ;225°	GCS	Z	Kracht	-912,42
high max Wnd ;225°_1XY_X1	1XY1	high max Wnd ;225°	GCS	X	Kracht	-40,97
high max Wnd ;225°_1XY_Y1	1XY1	high max Wnd ;225°	GCS	Y	Kracht	1,76
high max Wnd ;225°_1XY_Z1	1XY1	high max Wnd ;225°	GCS	Z	Kracht	133,77
high max Wnd ;225°_1X_X1	1X1	high max Wnd ;225°	GCS	X	Kracht	135,71
high max Wnd ;225°_1X_Y1	1X1	high max Wnd ;225°	GCS	Y	Kracht	-114,51
high max Wnd ;225°_1X_Z1	1X1	high max Wnd ;225°	GCS	Z	Kracht	724,55

6.1.4. Belastingsgevallen - high max Wnd ;315°

Naam	Omschrijving	Actie type	Lastgroep	Duur	'Master' belastingsgeval
	Spec	Belastingtype			
high max Wnd ;315°		Variabel	LG4	Kort	Geen
	Standaard	Statisch			



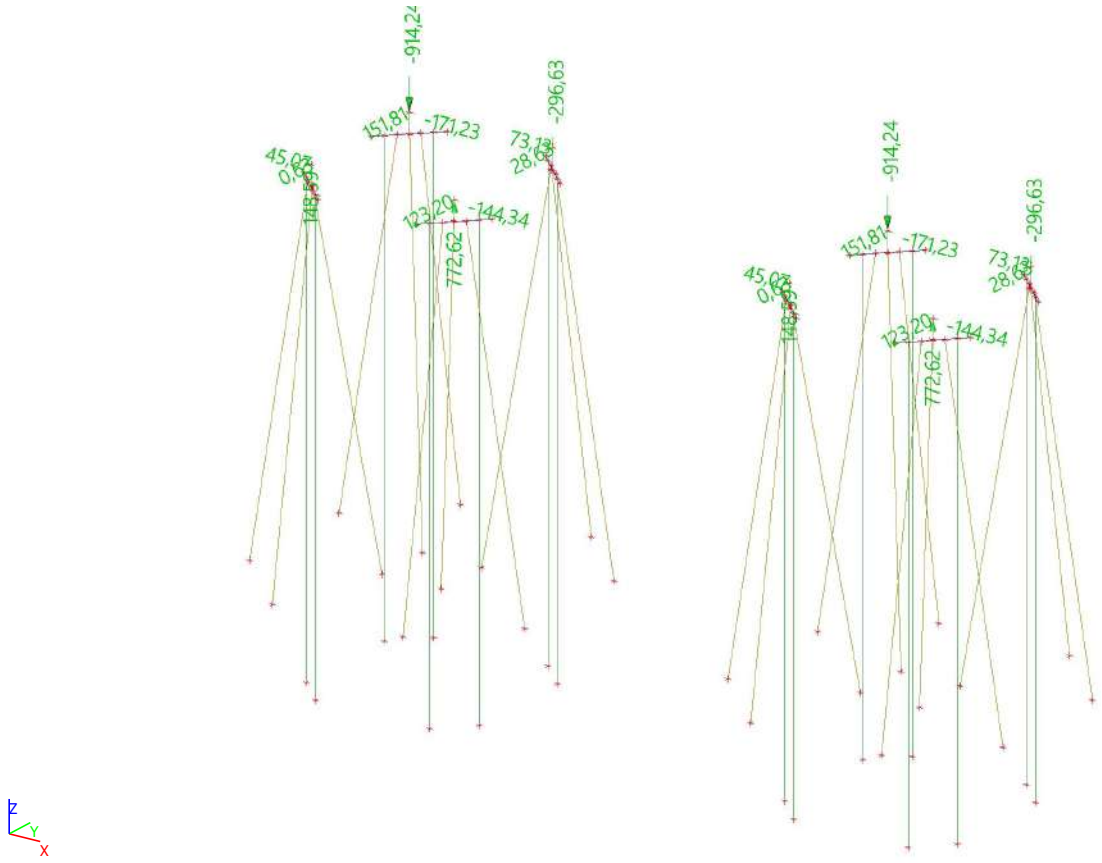
6.1.4.1. Puntlast op knoop

Naam	Knoop	Belastingsgeval	Systeem	Rich	Type	Waarde - F [kN]
high max Wnd ;315°_1P_X	1P	high max Wnd ;315°	GCS	X	Kracht	-175,14
high max Wnd ;315°_1P_Y	1P	high max Wnd ;315°	GCS	Y	Kracht	-154,69
high max Wnd ;315°_1P_Z	1P	high max Wnd ;315°	GCS	Z	Kracht	-931,51
high max Wnd ;315°_1X_X	1X	high max Wnd ;315°	GCS	X	Kracht	42,06
high max Wnd ;315°_1X_Y	1X	high max Wnd ;315°	GCS	Y	Kracht	2,39
high max Wnd ;315°_1X_Z	1X	high max Wnd ;315°	GCS	Z	Kracht	134,42
high max Wnd ;315°_1XY_X	1XY	high max Wnd ;315°	GCS	X	Kracht	-139,80
high max Wnd ;315°_1XY_Y	1XY	high max Wnd ;315°	GCS	Y	Kracht	-118,59
high max Wnd ;315°_1XY_Z	1XY	high max Wnd ;315°	GCS	Z	Kracht	749,06
high max Wnd ;315°_1Y_X	1Y	high max Wnd ;315°	GCS	X	Kracht	77,88
high max Wnd ;315°_1Y_Y	1Y	high max Wnd ;315°	GCS	Y	Kracht	-33,77
high max Wnd ;315°_1Y_Z	1Y	high max Wnd ;315°	GCS	Z	Kracht	-323,18
high max Wnd ;315°_1P_X1	1P28	high max Wnd ;315°	GCS	X	Kracht	-175,14
high max Wnd ;315°_1P_Y1	1P28	high max Wnd ;315°	GCS	Y	Kracht	-154,69
high max Wnd	1P28	high max Wnd ;315°	GCS	Z	Kracht	-931,51

Naam	Knoop	Belastingsgeval	Systeem	Rich	Type	Waarde - F [kN]
;315°_1P_Z1						
high max Wnd ;315°_1Y_X1	1Y1	high max Wnd ;315°	GCS	X	Kracht	77,88
high max Wnd ;315°_1Y_Y1	1Y1	high max Wnd ;315°	GCS	Y	Kracht	-33,77
high max Wnd ;315°_1Y_Z1	1Y1	high max Wnd ;315°	GCS	Z	Kracht	-323,18
high max Wnd ;315°_1XY_X1	1XY1	high max Wnd ;315°	GCS	X	Kracht	-139,80
high max Wnd ;315°_1XY_Y1	1XY1	high max Wnd ;315°	GCS	Y	Kracht	-118,59
high max Wnd ;315°_1XY_Z1	1XY1	high max Wnd ;315°	GCS	Z	Kracht	749,06
high max Wnd ;315°_1X_X1	1X1	high max Wnd ;315°	GCS	X	Kracht	42,06
high max Wnd ;315°_1X_Y1	1X1	high max Wnd ;315°	GCS	Y	Kracht	2,39
high max Wnd ;315°_1X_Z1	1X1	high max Wnd ;315°	GCS	Z	Kracht	134,42

6.1.5. Belastingsgevallen - low max Wnd ;45°

Naam	Omschrijving	Actie type	Lastgroep	Duur	'Master' belastingsgeval
	Spec	Belastingtype			
low max Wnd ;45°		Variabel	LG4	Kort	Geen
	Standaard	Statisch			



6.1.5.1. Puntlast op knoop

Naam	Knoop	Belastingsgeval	Systeem	Rich	Type	Waarde - F [kN]
low max Wnd ;45°_1P_X	1P	low max Wnd ;45°	GCS	X	Kracht	45,07
low max Wnd ;45°_1P_Y	1P	low max Wnd ;45°	GCS	Y	Kracht	0,63
low max Wnd ;45°_1P_Z	1P	low max Wnd ;45°	GCS	Z	Kracht	148,59
low max Wnd ;45°_1X_X	1X	low max Wnd ;45°	GCS	X	Kracht	-171,23
low max Wnd ;45°_1X_Y	1X	low max Wnd ;45°	GCS	Y	Kracht	151,81
low max Wnd ;45°_1X_Z	1X	low max Wnd ;45°	GCS	Z	Kracht	-914,24
low max Wnd ;45°_1XY_X	1XY	low max Wnd ;45°	GCS	X	Kracht	73,13
low max Wnd ;45°_1XY_Y	1XY	low max Wnd ;45°	GCS	Y	Kracht	28,63
low max Wnd ;45°_1XY_Z	1XY	low max Wnd ;45°	GCS	Z	Kracht	-296,63
low max Wnd ;45°_1Y_X	1Y	low max Wnd ;45°	GCS	X	Kracht	-144,34
low max Wnd ;45°_1Y_Y	1Y	low max Wnd ;45°	GCS	Y	Kracht	123,20
low max Wnd ;45°_1Y_Z	1Y	low max Wnd ;45°	GCS	Z	Kracht	772,62
low max Wnd ;45°_1P_X1	1P28	low max Wnd ;45°	GCS	X	Kracht	45,07
low max Wnd ;45°_1P_Y1	1P28	low max Wnd ;45°	GCS	Y	Kracht	0,63
low max Wnd ;45°_1P_Z1	1P28	low max Wnd ;45°	GCS	Z	Kracht	148,59
low max Wnd ;45°_1Y_X1	1Y1	low max Wnd ;45°	GCS	X	Kracht	-144,34
low max Wnd ;45°_1Y_Y1	1Y1	low max Wnd ;45°	GCS	Y	Kracht	123,20
low max Wnd ;45°_1Y_Z1	1Y1	low max Wnd ;45°	GCS	Z	Kracht	772,62
low max Wnd ;45°_1XY_X1	1XY1	low max Wnd ;45°	GCS	X	Kracht	73,13
low max Wnd ;45°_1XY_Y1	1XY1	low max Wnd ;45°	GCS	Y	Kracht	28,63
low max Wnd ;45°_1XY_Z1	1XY1	low max Wnd ;45°	GCS	Z	Kracht	-296,63
low max Wnd ;45°_1X_X1	1X1	low max Wnd ;45°	GCS	X	Kracht	-171,23
low max Wnd ;45°_1X_Y1	1X1	low max Wnd ;45°	GCS	Y	Kracht	151,81
low max Wnd ;45°_1X_Z1	1X1	low max Wnd ;45°	GCS	Z	Kracht	-914,24

6.1.6. Belastingsgevallen - low max Wnd ;135°

Naam	Omschrijving	Actie type	Lastgroep	Duur	'Master' belastingsgeval
	Spec	Belastingtype			
low max Wnd ;135°		Variabel	LG4	Kort	Geen
	Standaard	Statisch			



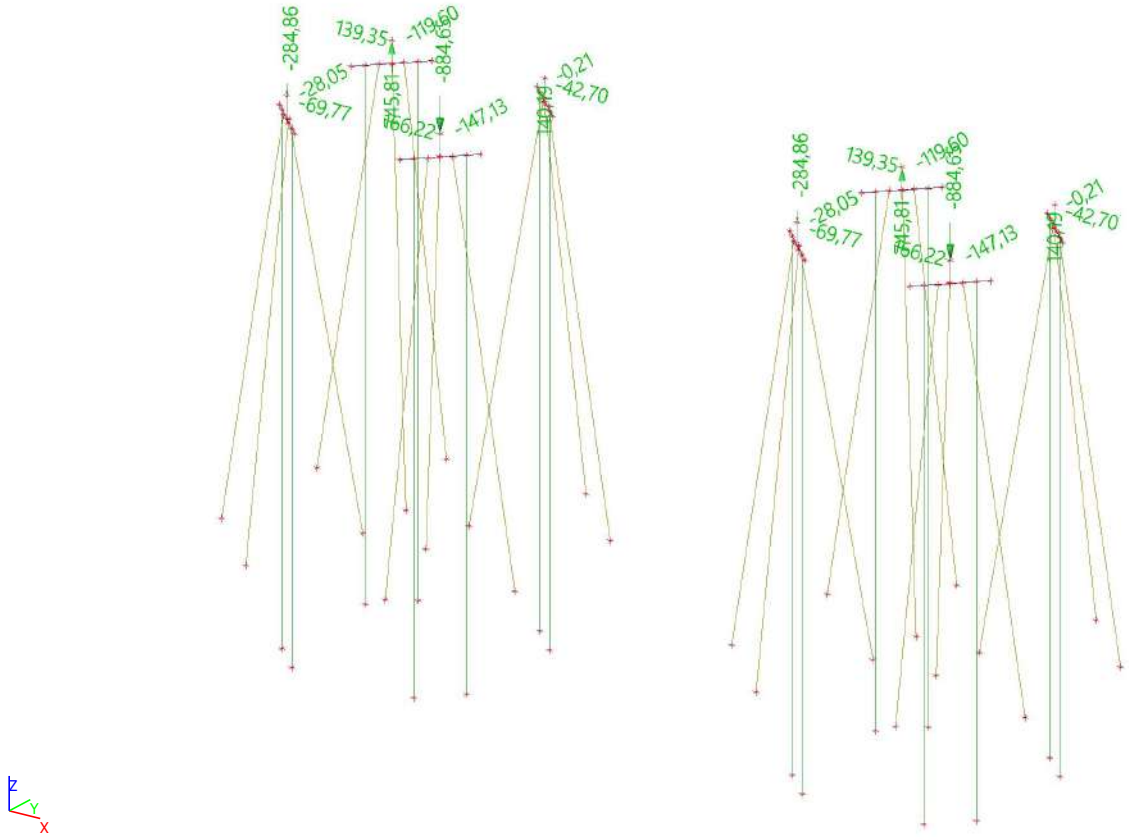
6.1.6.1. Puntlast op knoop

Naam	Knoop	Belastingsgeval	Systeem	Rich	Type	Waarde - F [kN]
low max Wnd ;135°_1P_X	1P	low max Wnd ;135°	GCS	X	Kracht	141,94
low max Wnd ;135°_1P_Y	1P	low max Wnd ;135°	GCS	Y	Kracht	120,20
low max Wnd ;135°_1P_Z	1P	low max Wnd ;135°	GCS	Z	Kracht	755,82
low max Wnd ;135°_1X_X	1X	low max Wnd ;135°	GCS	X	Kracht	-74,75
low max Wnd ;135°_1X_Y	1X	low max Wnd ;135°	GCS	Y	Kracht	32,37
low max Wnd ;135°_1X_Z	1X	low max Wnd ;135°	GCS	Z	Kracht	-313,12
low max Wnd ;135°_1XY_X	1XY	low max Wnd ;135°	GCS	X	Kracht	169,36
low max Wnd ;135°_1XY_Y	1XY	low max Wnd ;135°	GCS	Y	Kracht	147,90
low max Wnd ;135°_1XY_Z	1XY	low max Wnd ;135°	GCS	Z	Kracht	-896,56
low max Wnd ;135°_1Y_X	1Y	low max Wnd ;135°	GCS	X	Kracht	-47,70
low max Wnd ;135°_1Y_Y	1Y	low max Wnd ;135°	GCS	Y	Kracht	3,81
low max Wnd ;135°_1Y_Z	1Y	low max Wnd ;135°	GCS	Z	Kracht	166,50
low max Wnd ;135°_1P_X1	1P28	low max Wnd ;135°	GCS	X	Kracht	141,94
low max Wnd ;135°_1P_Y1	1P28	low max Wnd ;135°	GCS	Y	Kracht	120,20
low max Wnd	1P28	low max Wnd ;135°	GCS	Z	Kracht	755,82

Naam	Knoop	Belastingsgeval	Systeem	Rich	Type	Waarde - F [kN]
;135°_1P_Z1						
low max Wnd ;135°_1Y_X1	1Y1	low max Wnd ;135°	GCS	X	Kracht	-47,70
low max Wnd ;135°_1Y_Y1	1Y1	low max Wnd ;135°	GCS	Y	Kracht	3,81
low max Wnd ;135°_1Y_Z1	1Y1	low max Wnd ;135°	GCS	Z	Kracht	166,50
low max Wnd ;135°_1XY_X1	1XY1	low max Wnd ;135°	GCS	X	Kracht	169,36
low max Wnd ;135°_1XY_Y1	1XY1	low max Wnd ;135°	GCS	Y	Kracht	147,90
low max Wnd ;135°_1XY_Z1	1XY1	low max Wnd ;135°	GCS	Z	Kracht	-896,56
low max Wnd ;135°_1X_X1	1X1	low max Wnd ;135°	GCS	X	Kracht	-74,75
low max Wnd ;135°_1X_Y1	1X1	low max Wnd ;135°	GCS	Y	Kracht	32,37
low max Wnd ;135°_1X_Z1	1X1	low max Wnd ;135°	GCS	Z	Kracht	-313,12

6.1.7. Belastingsgevallen - low max Wnd ;225°

Naam	Omschrijving	Actie type	Lastgroep	Duur	'Master' belastingsgeval
	Spec	Belastingtype			
low max Wnd ;225°		Variabel	LG4	Kort	Geen
	Standaard	Statisch			

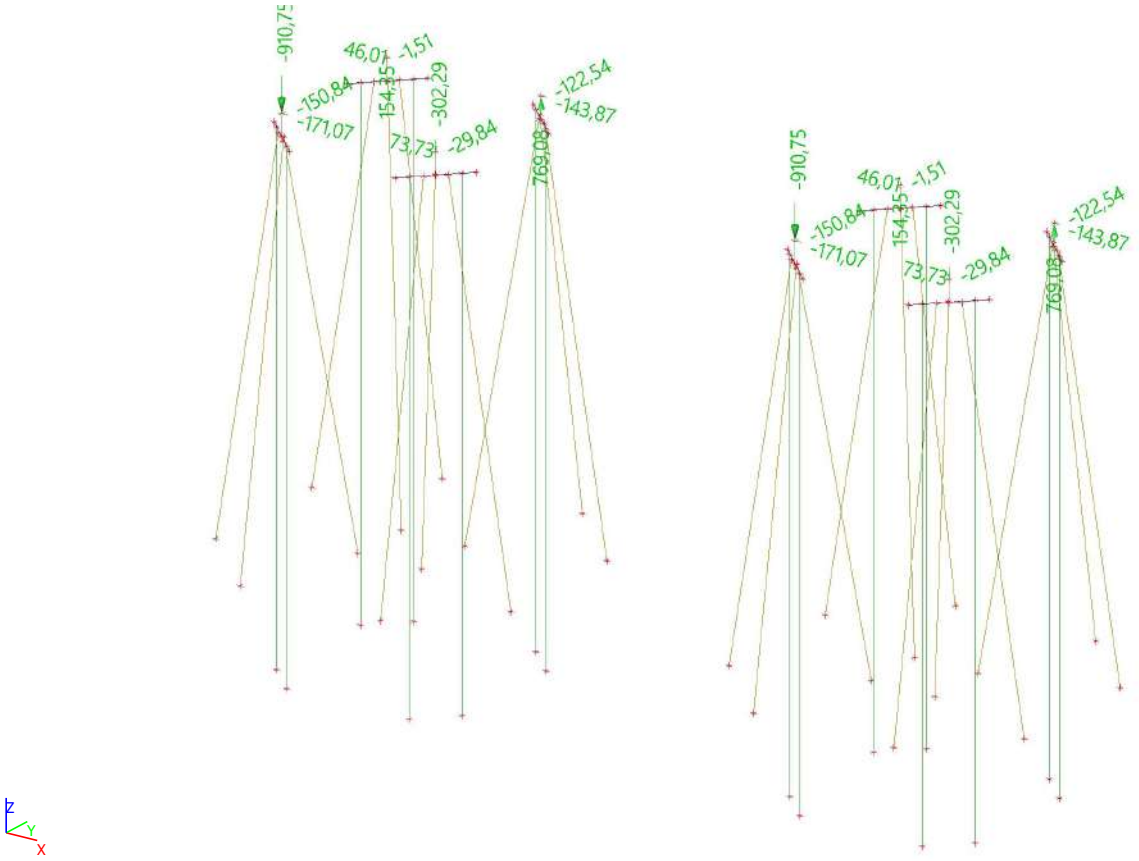


6.1.7.1. Puntlast op knoop

Naam	Knoop	Belastingsgeval	Systeem	Rich	Type	Waarde - F [kN]
low max Wnd ;225°_1P_X	1P	low max Wnd ;225°	GCS	X	Kracht	-69,77
low max Wnd ;225°_1P_Y	1P	low max Wnd ;225°	GCS	Y	Kracht	-28,05
low max Wnd ;225°_1P_Z	1P	low max Wnd ;225°	GCS	Z	Kracht	-284,86
low max Wnd ;225°_1X_X	1X	low max Wnd ;225°	GCS	X	Kracht	139,35
low max Wnd ;225°_1X_Y	1X	low max Wnd ;225°	GCS	Y	Kracht	-119,60
low max Wnd ;225°_1X_Z	1X	low max Wnd ;225°	GCS	Z	Kracht	745,81
low max Wnd ;225°_1XY_X	1XY	low max Wnd ;225°	GCS	X	Kracht	-42,70
low max Wnd ;225°_1XY_Y	1XY	low max Wnd ;225°	GCS	Y	Kracht	-0,21
low max Wnd ;225°_1XY_Z	1XY	low max Wnd ;225°	GCS	Z	Kracht	140,19
low max Wnd ;225°_1Y_X	1Y	low max Wnd ;225°	GCS	X	Kracht	166,22
low max Wnd ;225°_1Y_Y	1Y	low max Wnd ;225°	GCS	Y	Kracht	-147,13
low max Wnd ;225°_1Y_Z	1Y	low max Wnd ;225°	GCS	Z	Kracht	-884,65
low max Wnd ;225°_1P_X1	1P28	low max Wnd ;225°	GCS	X	Kracht	-69,77
low max Wnd ;225°_1P_Y1	1P28	low max Wnd ;225°	GCS	Y	Kracht	-28,05
low max Wnd ;225°_1P_Z1	1P28	low max Wnd ;225°	GCS	Z	Kracht	-284,86
low max Wnd ;225°_1Y_X1	1Y1	low max Wnd ;225°	GCS	X	Kracht	166,22
low max Wnd ;225°_1Y_Y1	1Y1	low max Wnd ;225°	GCS	Y	Kracht	-147,13
low max Wnd ;225°_1Y_Z1	1Y1	low max Wnd ;225°	GCS	Z	Kracht	-884,65
low max Wnd ;225°_1XY_X1	1XY1	low max Wnd ;225°	GCS	X	Kracht	-42,70
low max Wnd ;225°_1XY_Y1	1XY1	low max Wnd ;225°	GCS	Y	Kracht	-0,21
low max Wnd ;225°_1XY_Z1	1XY1	low max Wnd ;225°	GCS	Z	Kracht	140,19
low max Wnd ;225°_1X_X1	1X1	low max Wnd ;225°	GCS	X	Kracht	139,35
low max Wnd ;225°_1X_Y1	1X1	low max Wnd ;225°	GCS	Y	Kracht	-119,60
low max Wnd ;225°_1X_Z1	1X1	low max Wnd ;225°	GCS	Z	Kracht	745,81

6.1.8. Belastingsgevallen - low max Wnd ;315°

Naam	Omschrijving	Actie type	Lastgroep	Duur	'Master' belastingsgeval
	Spec	Belastingtype			
low max Wnd ;315°		Variabel	LG4	Kort	Geen
	Standaard	Statisch			



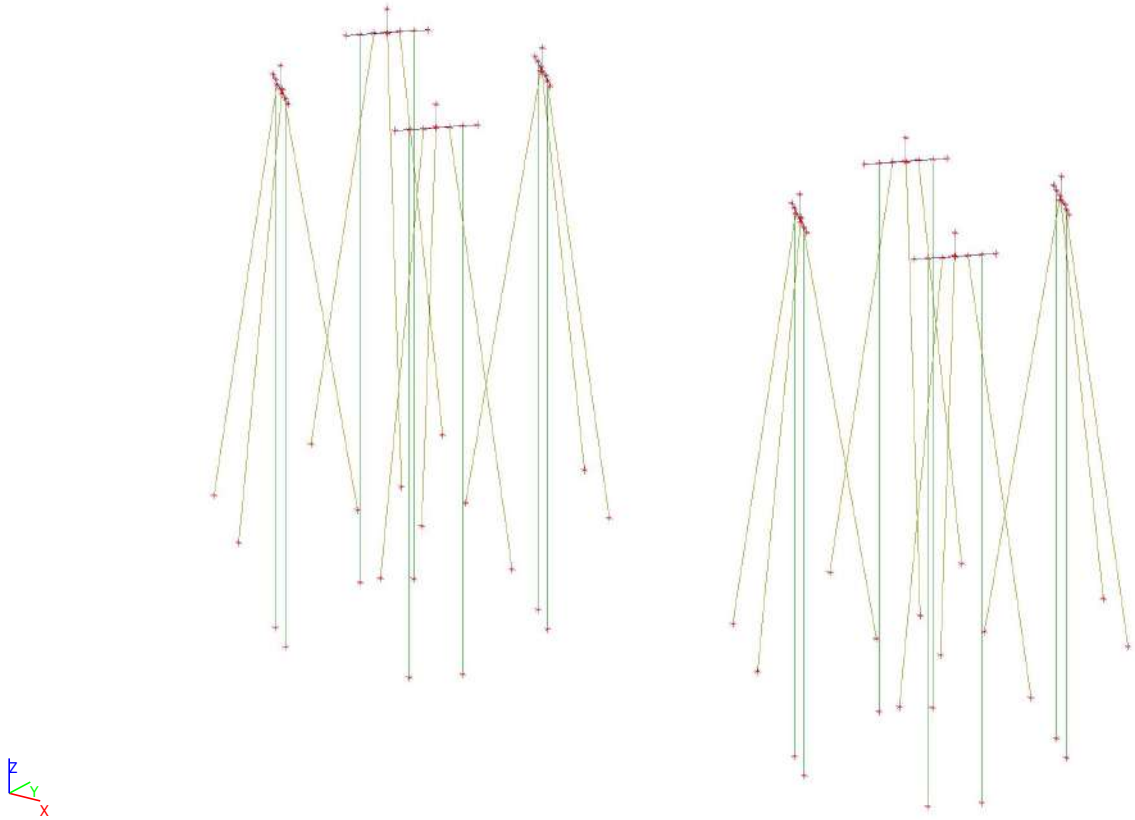
6.1.8.1. Puntlast op knoop

Naam	Knoop	Belastingsgeval	Systeem	Rich	Type	Waarde - F [kN]
low max Wnd ;315°_1P_X	1P	low max Wnd ;315°	GCS	X	Kracht	-171,07
low max Wnd ;315°_1P_Y	1P	low max Wnd ;315°	GCS	Y	Kracht	-150,84
low max Wnd ;315°_1P_Z	1P	low max Wnd ;315°	GCS	Z	Kracht	-910,75
low max Wnd ;315°_1X_X	1X	low max Wnd ;315°	GCS	X	Kracht	46,01
low max Wnd ;315°_1X_Y	1X	low max Wnd ;315°	GCS	Y	Kracht	-1,51
low max Wnd ;315°_1X_Z	1X	low max Wnd ;315°	GCS	Z	Kracht	154,35
low max Wnd ;315°_1XY_X	1XY	low max Wnd ;315°	GCS	X	Kracht	-143,87
low max Wnd ;315°_1XY_Y	1XY	low max Wnd ;315°	GCS	Y	Kracht	-122,54
low max Wnd ;315°_1XY_Z	1XY	low max Wnd ;315°	GCS	Z	Kracht	769,08
low max Wnd ;315°_1Y_X	1Y	low max Wnd ;315°	GCS	X	Kracht	73,73
low max Wnd ;315°_1Y_Y	1Y	low max Wnd ;315°	GCS	Y	Kracht	-29,84
low max Wnd ;315°_1Y_Z	1Y	low max Wnd ;315°	GCS	Z	Kracht	-302,29
low max Wnd ;315°_1P_X1	1P28	low max Wnd ;315°	GCS	X	Kracht	-171,07
low max Wnd ;315°_1P_Y1	1P28	low max Wnd ;315°	GCS	Y	Kracht	-150,84
low max Wnd	1P28	low max Wnd ;315°	GCS	Z	Kracht	-910,75

Naam	Knoop	Belastingsgeval	Systeem	Rich	Type	Waarde - F [kN]
;315°_1P_Z1						
low max Wnd ;315°_1Y_X1	1Y1	low max Wnd ;315°	GCS	X	Kracht	73,73
low max Wnd ;315°_1Y_Y1	1Y1	low max Wnd ;315°	GCS	Y	Kracht	-29,84
low max Wnd ;315°_1Y_Z1	1Y1	low max Wnd ;315°	GCS	Z	Kracht	-302,29
low max Wnd ;315°_1XY_X1	1XY1	low max Wnd ;315°	GCS	X	Kracht	-143,87
low max Wnd ;315°_1XY_Y1	1XY1	low max Wnd ;315°	GCS	Y	Kracht	-122,54
low max Wnd ;315°_1XY_Z1	1XY1	low max Wnd ;315°	GCS	Z	Kracht	769,08
low max Wnd ;315°_1X_X1	1X1	low max Wnd ;315°	GCS	X	Kracht	46,01
low max Wnd ;315°_1X_Y1	1X1	low max Wnd ;315°	GCS	Y	Kracht	-1,51
low max Wnd ;315°_1X_Z1	1X1	low max Wnd ;315°	GCS	Z	Kracht	154,35

6.1.9. Belastingsgevallen - EG_fundering

Naam	Omschrijving	Actie type	Lastgroep	Richting
	Spec	Belastingtype		
EG_fundering		Permanent	LG1	-Z
		Eigen gewicht		



6.2. Niet-lineaire combinaties

Naam	Type	Belastingsgevallen	Coëff. [-]
low max Wnd ;45° - EG_gunstig	Uiterste Grenstoestand	low max Wnd ;45°	1,000
		EG_fundering	0,900
low max Wnd ;135° - EG_gunstig	Uiterste Grenstoestand	low max Wnd ;135°	1,000
		EG_fundering	0,900
low max Wnd ;225° - EG_gunstig	Uiterste Grenstoestand	low max Wnd ;225°	1,000
		EG_fundering	0,900
low max Wnd ;315° - EG_gunstig	Uiterste Grenstoestand	low max Wnd ;315°	1,000
		EG_fundering	0,900
high max Wnd ;45° - EG_ongunstig	Uiterste Grenstoestand	high max Wnd ;45°	1,000
		EG_fundering	1,200
high max Wnd ;135° - EG_ongunstig	Uiterste Grenstoestand	high max Wnd ;135°	1,000
		EG_fundering	1,200
high max Wnd ;225° - EG_ongunstig	Uiterste Grenstoestand	high max Wnd ;225°	1,000
		EG_fundering	1,200
high max Wnd ;315° - EG_ongunstig	Uiterste Grenstoestand	high max Wnd ;315°	1,000
		EG_fundering	1,200

6.3. Resultaatklasses

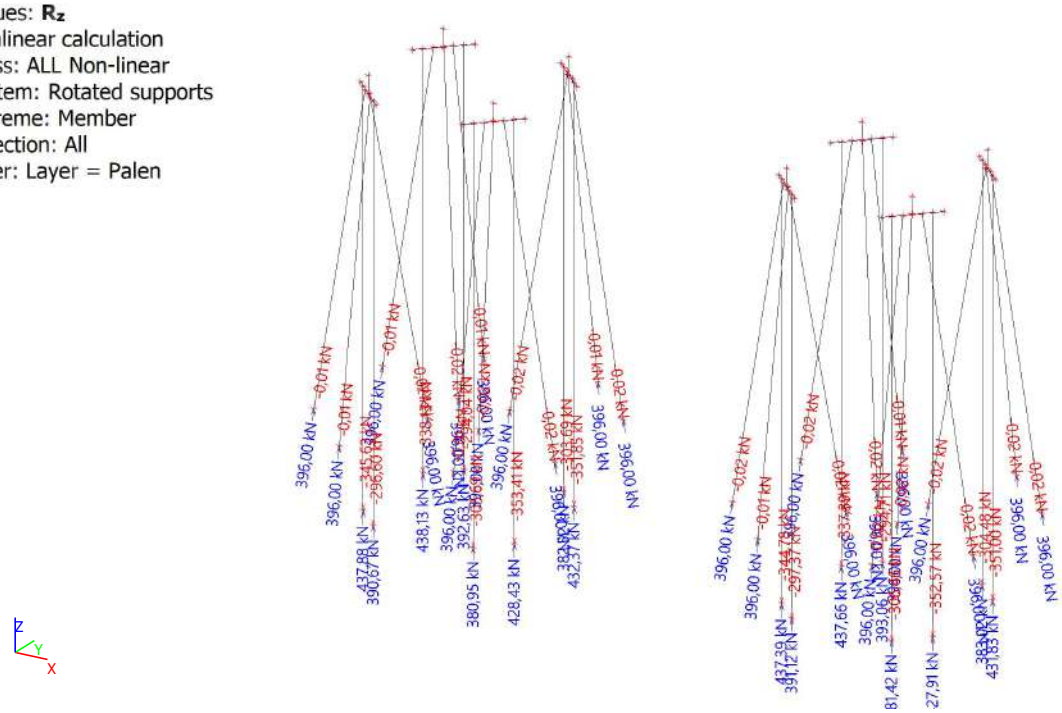
Naam	Lijst
ALL Non-linear	low max Wnd ;45° - EG_gunstig
	low max Wnd ;135° - EG_gunstig
	low max Wnd ;225° - EG_gunstig
	low max Wnd ;315° - EG_gunstig
	high max Wnd ;45° - EG_ongunstig
	high max Wnd ;135° - EG_ongunstig
	high max Wnd ;225° - EG_ongunstig
	high max Wnd ;315° - EG_ongunstig

7. Resultaten

7.1. Reacties van de palen

7.1.1. Reactions; R_z

Values: R_z
Nonlinear calculation
Class: ALL Non-linear
System: Rotated supports
Extreme: Member
Selection: All
Filter: Layer = Palen



7.1.2. Reacties

Niet-lineaire berekening
Klasse: ALL Non-linear
Systeem: Schuine steunpunten
Extreem: Globaal
Selectie: Alle
Filter: Doorsnede = Paal 40x40 - Rectangle (400,00; 400,00)
Knoopreacties

Naam	Belasting	R_x [kN]	R_y [kN]	R_z [kN]	M_x [kNm]	M_y [kNm]	M_z [kNm]	e_x [mm]	e_y [mm]
S_Y_12/N60	high max Wnd ;135° - EG_ongunstig	**0,00**	0,00	226,60	0,00	0,00	0,00	0,0	0,0
S_XY_1/N16	low max Wnd ;45° - EG_gunstig	**0,00**	0,00	178,94	**0,00**	**0,00**	**0,00**	0,0	0,0
S_P_2/N22	low max Wnd ;135° - EG_gunstig	0,00	**0,00**	396,00	0,00	0,00	0,00	0,0	0,0
S_XY_2/N18	low max Wnd ;315° - EG_gunstig	0,00	**0,00**	396,00	0,00	0,00	0,00	0,0	0,0
S_Y_2/N21	high max Wnd ;45° - EG_ongunstig	0,00	0,00	**-0,02**	0,00	0,00	0,00	0,0	0,0
S_P_3/N6	low max Wnd ;315° - EG_gunstig	0,00	0,00	**396,00**	0,00	0,00	0,00	0,0	0,0

7.1.3. Reacties

Niet-lineaire berekening
Klasse: ALL Non-linear

Systeem: Schuine steunpunten
Extreem: Globaal
Selectie: Alle
Filter: Doorsnede = LEKA Paal - type e (CHS323.9/10.0)
Knoopreacties

Naam	Belasting	R_x [kN]	R_y [kN]	R_z [kN]	M_x [kNm]	M_y [kNm]	M_z [kNm]	e_x [mm]	e_y [mm]
S_Y_5/N28	low max Wnd ;45° - EG_gunstig	0,00	0,00	**-353,41**	0,00	0,00	0,00	0,0	0,0
S_Y_9/N40	high max Wnd ;45° - EG_ongunstig	**0,00**	**0,00**	**438,13**	**0,00**	**0,00**	**0,00**	0,0	0,0

7.1.4. Reacties

Niet-lineaire berekening
Klasse: ALL Non-linear
Systeem: Schuine steunpunten
Extreem: Element
Selectie: Alle
Filter: Laag = Palen
Knoopreacties

Naam	Belasting	R_x [kN]	R_y [kN]	R_z [kN]	M_x [kNm]	M_y [kNm]	M_z [kNm]	e_x [mm]	e_y [mm]
S_P_3/N6	low max Wnd ;225° - EG_gunstig	0,00	**0,00**	131,93	0,00	0,00	0,00	0,0	0,0
S_P_3/N6	low max Wnd ;135° - EG_gunstig	0,00	0,00	**-0,01**	0,00	0,00	0,00	0,0	0,0
S_P_3/N6	low max Wnd ;315° - EG_gunstig	**0,00**	**0,00**	**396,00**	**0,00**	**0,00**	**0,00**	0,0	0,0
S_P_1/N5	high max Wnd ;45° - EG_ongunstig	**0,00**	**0,00**	18,94	**0,00**	**0,00**	**0,00**	0,0	0,0
S_P_1/N5	low max Wnd ;135° - EG_gunstig	0,00	0,00	**-0,01**	0,00	0,00	0,00	0,0	0,0
S_P_1/N5	low max Wnd ;315° - EG_gunstig	0,00	0,00	**396,00**	0,00	0,00	0,00	0,0	0,0
S_P_1/N5	high max Wnd ;225° - EG_ongunstig	**0,00**	0,00	208,25	0,00	0,00	**0,00**	0,0	0,0
S_P_2/N22	low max Wnd ;45° - EG_gunstig	**0,00**	0,00	82,70	**0,00**	**0,00**	**0,00**	0,0	0,0
S_P_2/N22	low max Wnd ;135° - EG_gunstig	0,00	**0,00**	**396,00**	0,00	0,00	0,00	0,0	0,0
S_P_2/N22	high max Wnd ;315° - EG_ongunstig	0,00	0,00	**-0,02**	0,00	0,00	0,00	0,0	0,0
S_P_2/N22	high max Wnd ;45° - EG_ongunstig	**0,00**	**0,00**	95,34	0,00	0,00	**0,00**	0,0	0,0
S_X_3/N13	high max Wnd ;315° - EG_ongunstig	**0,00**	**0,00**	207,20	**0,00**	**0,00**	**0,00**	0,0	0,0
S_X_3/N13	low max Wnd ;45° - EG_gunstig	0,00	0,00	**-0,02**	0,00	0,00	0,00	0,0	0,0
S_X_3/N13	low max Wnd ;225° - EG_gunstig	0,00	0,00	**396,00**	0,00	0,00	0,00	0,0	0,0

Naam	Belasting	R_x [kN]	R_y [kN]	R_z [kN]	M_x [kNm]	M_y [kNm]	M_z [kNm]	e_x [mm]	e_y [mm]
S_X_3/N13	low max Wnd ;315° - EG_gunstig	**0,00**	0,00	181,03	0,00	0,00	**0,00**	0,0	0,0
S_X_1/N12	low max Wnd ;135° - EG_gunstig	0,00	**0,00**	21,29	0,00	0,00	0,00	0,0	0,0
S_X_1/N12	high max Wnd ;315° - EG_ongunstig	**0,00**	**0,00**	163,37	**0,00**	**0,00**	**0,00**	0,0	0,0
S_X_1/N12	low max Wnd ;225° - EG_gunstig	0,00	0,00	**396,00**	0,00	0,00	0,00	0,0	0,0
S_X_1/N12	low max Wnd ;45° - EG_gunstig	0,00	0,00	**-0,01**	0,00	0,00	**0,00**	0,0	0,0
S_X_2/N8	low max Wnd ;135° - EG_gunstig	**0,00**	0,00	87,16	**0,00**	**0,00**	**0,00**	0,0	0,0
S_X_2/N8	low max Wnd ;45° - EG_gunstig	0,00	**0,00**	**396,00**	0,00	0,00	0,00	0,0	0,0
S_X_2/N8	high max Wnd ;225° - EG_ongunstig	0,00	**0,00**	**-0,02**	0,00	0,00	0,00	0,0	0,0
S_X_2/N8	high max Wnd ;135° - EG_ongunstig	**0,00**	0,00	98,74	0,00	0,00	**0,00**	0,0	0,0
S_XY_3/N17	high max Wnd ;45° - EG_ongunstig	0,00	**0,00**	161,40	0,00	0,00	0,00	0,0	0,0
S_XY_3/N17	low max Wnd ;315° - EG_gunstig	0,00	0,00	**-0,01**	0,00	0,00	0,00	0,0	0,0
S_XY_3/N17	low max Wnd ;135° - EG_gunstig	**0,00**	0,00	**396,00**	**0,00**	**0,00**	**0,00**	0,0	0,0
S_XY_3/N17	low max Wnd ;45° - EG_gunstig	0,00	**0,00**	135,31	0,00	0,00	**0,00**	0,0	0,0
S_XY_1/N16	low max Wnd ;45° - EG_gunstig	**0,00**	**0,00**	178,94	**0,00**	**0,00**	**0,00**	0,0	0,0
S_XY_1/N16	low max Wnd ;315° - EG_gunstig	0,00	0,00	**-0,02**	0,00	0,00	0,00	0,0	0,0
S_XY_1/N16	low max Wnd ;135° - EG_gunstig	0,00	0,00	**396,00**	0,00	0,00	0,00	0,0	0,0
S_XY_1/N16	high max Wnd ;45° - EG_ongunstig	**0,00**	0,00	205,46	0,00	0,00	**0,00**	0,0	0,0
S_XY_2/N18	high max Wnd ;225° - EG_ongunstig	**0,00**	0,00	95,75	**0,00**	**0,00**	**0,00**	0,0	0,0
S_XY_2/N18	low max Wnd ;135° - EG_gunstig	0,00	**0,00**	-0,02	0,00	0,00	0,00	0,0	0,0
S_XY_2/N18	high max Wnd ;135° - EG_ongunstig	0,00	0,00	**-0,02**	0,00	0,00	0,00	0,0	0,0
S_XY_2/N18	low max Wnd ;315° - EG_gunstig	0,00	**0,00**	**396,00**	0,00	0,00	0,00	0,0	0,0
S_XY_2/N18	low max Wnd ;225° - EG_gunstig	**0,00**	0,00	80,22	0,00	0,00	**0,00**	0,0	0,0

Naam	Belasting	R_x [kN]	R_y [kN]	R_z [kN]	M_x [kNm]	M_y [kNm]	M_z [kNm]	e_x [mm]	e_y [mm]
S_Y_3/N10	low max Wnd ;135° - EG_gunstig	**0,00**	**0,00**	184,95	**0,00**	**0,00**	**0,00**	0,0	0,0
S_Y_3/N10	low max Wnd ;225° - EG_gunstig	0,00	0,00	**-0,01**	0,00	0,00	0,00	0,0	0,0
S_Y_3/N10	low max Wnd ;45° - EG_gunstig	0,00	0,00	**396,00**	0,00	0,00	0,00	0,0	0,0
S_Y_3/N10	high max Wnd ;135° - EG_ongunstig	**0,00**	0,00	210,76	0,00	0,00	**0,00**	0,0	0,0
S_Y_1/N20	high max Wnd ;315° - EG_ongunstig	0,00	**0,00**	51,98	0,00	0,00	0,00	0,0	0,0
S_Y_1/N20	high max Wnd ;135° - EG_ongunstig	**0,00**	**0,00**	167,97	**0,00**	**0,00**	**0,00**	0,0	0,0
S_Y_1/N20	low max Wnd ;225° - EG_gunstig	0,00	0,00	**-0,01**	0,00	0,00	0,00	0,0	0,0
S_Y_1/N20	low max Wnd ;45° - EG_gunstig	0,00	0,00	**396,00**	0,00	0,00	**0,00**	0,0	0,0
S_Y_2/N21	low max Wnd ;315° - EG_gunstig	**0,00**	0,00	84,11	**0,00**	**0,00**	**0,00**	0,0	0,0
S_Y_2/N21	high max Wnd ;45° - EG_ongunstig	0,00	0,00	**-0,02**	0,00	0,00	0,00	0,0	0,0
S_Y_2/N21	low max Wnd ;225° - EG_gunstig	0,00	**0,00**	**396,00**	0,00	0,00	0,00	0,0	0,0
S_Y_2/N21	high max Wnd ;315° - EG_ongunstig	**0,00**	**0,00**	96,31	0,00	0,00	**0,00**	0,0	0,0
S_Y_4/N27	high max Wnd ;225° - EG_ongunstig	**0,00**	**0,00**	**380,95**	**0,00**	**0,00**	**0,00**	0,0	0,0
S_Y_4/N27	low max Wnd ;45° - EG_gunstig	0,00	0,00	**-305,69**	0,00	0,00	**0,00**	0,0	0,0
S_Y_5/N28	high max Wnd ;225° - EG_ongunstig	**0,00**	**0,00**	**428,43**	**0,00**	**0,00**	**0,00**	0,0	0,0
S_Y_5/N28	low max Wnd ;45° - EG_gunstig	0,00	0,00	**-353,41**	0,00	0,00	**0,00**	0,0	0,0
S_Y_6/N34	low max Wnd ;135° - EG_gunstig	0,00	0,00	**-296,60**	0,00	0,00	0,00	0,0	0,0
S_Y_6/N34	high max Wnd ;315° - EG_ongunstig	**0,00**	**0,00**	**390,67**	**0,00**	**0,00**	**0,00**	0,0	0,0
S_Y_7/N36	low max Wnd ;135° - EG_gunstig	0,00	0,00	**-345,62**	0,00	0,00	0,00	0,0	0,0
S_Y_7/N36	high max Wnd ;315° - EG_ongunstig	**0,00**	**0,00**	**437,88**	**0,00**	**0,00**	**0,00**	0,0	0,0
S_Y_8/N38	low max Wnd ;225° - EG_gunstig	0,00	0,00	**-294,04**	0,00	0,00	0,00	0,0	0,0
S_Y_8/N38	high max Wnd ;45° - EG_ongunstig	**0,00**	**0,00**	**392,63**	**0,00**	**0,00**	**0,00**	0,0	0,0

Naam	Belasting	R_x [kN]	R_y [kN]	R_z [kN]	M_x [kNm]	M_y [kNm]	M_z [kNm]	e_x [mm]	e_y [mm]
S_Y_9/N40	low max Wnd ;225° - EG_gunstig	0,00	0,00	**-338,13**	0,00	0,00	0,00	0,0	0,0
S_Y_9/N40	high max Wnd ;45° - EG_ongunstig	**0,00**	**0,00**	**438,13**	**0,00**	**0,00**	**0,00**	0,0	0,0
S_Y_11/N44	low max Wnd ;315° - EG_gunstig	0,00	0,00	**-351,85**	0,00	0,00	0,00	0,0	0,0
S_Y_11/N44	high max Wnd ;135° - EG_ongunstig	**0,00**	**0,00**	**432,37**	**0,00**	**0,00**	**0,00**	0,0	0,0
S_Y_10/N42	low max Wnd ;315° - EG_gunstig	0,00	0,00	**-303,69**	0,00	0,00	0,00	0,0	0,0
S_Y_10/N42	high max Wnd ;135° - EG_ongunstig	**0,00**	**0,00**	**382,52**	**0,00**	**0,00**	**0,00**	0,0	0,0
S_P_5/N58	low max Wnd ;225° - EG_gunstig	0,00	**0,00**	142,47	0,00	0,00	0,00	0,0	0,0
S_P_5/N58	high max Wnd ;225° - EG_ongunstig	**0,00**	**0,00**	180,14	**0,00**	**0,00**	**0,00**	0,0	0,0
S_P_5/N58	low max Wnd ;135° - EG_gunstig	0,00	0,00	**-0,01**	0,00	0,00	0,00	0,0	0,0
S_P_5/N58	low max Wnd ;315° - EG_gunstig	0,00	0,00	**396,00**	0,00	0,00	0,00	0,0	0,0
S_P_4/N57	low max Wnd ;135° - EG_gunstig	0,00	0,00	**-0,02**	0,00	0,00	0,00	0,0	0,0
S_P_4/N57	low max Wnd ;315° - EG_gunstig	**0,00**	**0,00**	**396,00**	**0,00**	**0,00**	**0,00**	0,0	0,0
S_P_4/N57	high max Wnd ;225° - EG_ongunstig	**0,00**	0,00	224,25	0,00	0,00	**0,00**	0,0	0,0
S_P_6/N68	low max Wnd ;135° - EG_gunstig	0,00	**0,00**	**396,00**	0,00	0,00	0,00	0,0	0,0
S_P_6/N68	high max Wnd ;45° - EG_ongunstig	**0,00**	**0,00**	106,37	**0,00**	**0,00**	**0,00**	0,0	0,0
S_P_6/N68	high max Wnd ;315° - EG_ongunstig	0,00	0,00	**-0,02**	0,00	0,00	0,00	0,0	0,0
S_P_6/N68	low max Wnd ;45° - EG_gunstig	**0,00**	0,00	89,74	0,00	0,00	**0,00**	0,0	0,0
S_X_6/N62	low max Wnd ;315° - EG_gunstig	**0,00**	**0,00**	192,98	**0,00**	**0,00**	**0,00**	0,0	0,0
S_X_6/N62	low max Wnd ;45° - EG_gunstig	0,00	0,00	**-0,02**	0,00	0,00	0,00	0,0	0,0
S_X_6/N62	low max Wnd ;225° - EG_gunstig	0,00	0,00	**396,00**	0,00	0,00	0,00	0,0	0,0
S_X_6/N62	high max Wnd ;315° - EG_ongunstig	**0,00**	0,00	223,37	0,00	0,00	**0,00**	0,0	0,0
S_X_5/N61	high max Wnd ;315° - EG_ongunstig	0,00	**0,00**	177,57	0,00	0,00	0,00	0,0	0,0

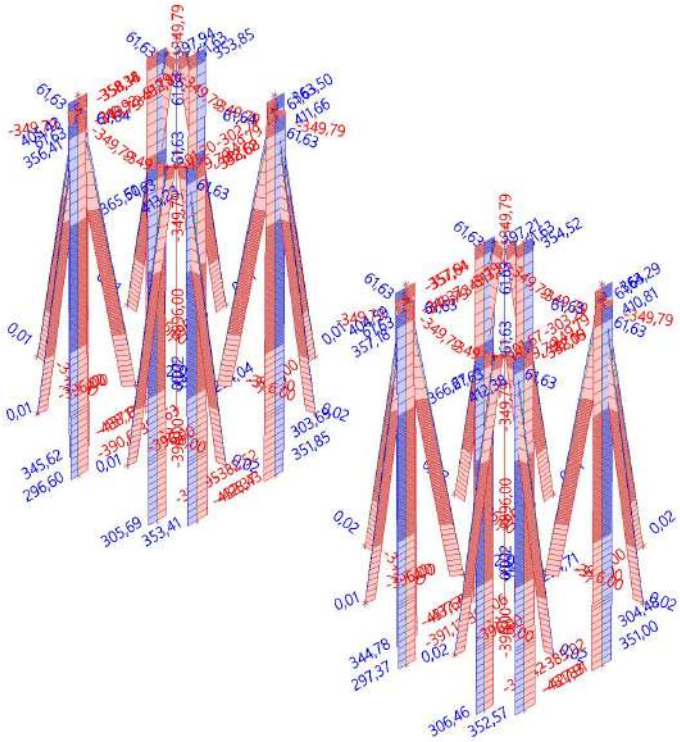
Naam	Belasting	R_x [kN]	R_y [kN]	R_z [kN]	M_x [kNm]	M_y [kNm]	M_z [kNm]	e_x [mm]	e_y [mm]
S_X_5/N61	high max Wnd ;135° - EG_ongunstig	**0,00**	**0,00**	59,04	**0,00**	**0,00**	**0,00**	0,0	0,0
S_X_5/N61	low max Wnd ;225° - EG_gunstig	0,00	0,00	**396,00**	0,00	0,00	0,00	0,0	0,0
S_X_5/N61	low max Wnd ;45° - EG_gunstig	0,00	0,00	**-0,02**	0,00	0,00	**0,00**	0,0	0,0
S_X_4/N59	low max Wnd ;45° - EG_gunstig	0,00	**0,00**	**396,00**	0,00	0,00	0,00	0,0	0,0
S_X_4/N59	low max Wnd ;135° - EG_gunstig	**0,00**	**0,00**	93,72	**0,00**	**0,00**	**0,00**	0,0	0,0
S_X_4/N59	high max Wnd ;225° - EG_ongunstig	**0,00**	0,00	**-0,02**	0,00	0,00	0,00	0,0	0,0
S_XY_5/N64	low max Wnd ;135° - EG_gunstig	0,00	**0,00**	**396,00**	0,00	0,00	0,00	0,0	0,0
S_XY_5/N64	high max Wnd ;45° - EG_ongunstig	**0,00**	**0,00**	175,65	**0,00**	**0,00**	**0,00**	0,0	0,0
S_XY_5/N64	low max Wnd ;315° - EG_gunstig	0,00	0,00	**-0,02**	0,00	0,00	0,00	0,0	0,0
S_XY_4/N63	low max Wnd ;45° - EG_gunstig	**0,00**	**0,00**	190,89	**0,00**	**0,00**	**0,00**	0,0	0,0
S_XY_4/N63	low max Wnd ;315° - EG_gunstig	0,00	0,00	**-0,02**	0,00	0,00	0,00	0,0	0,0
S_XY_4/N63	low max Wnd ;135° - EG_gunstig	0,00	0,00	**396,00**	0,00	0,00	0,00	0,0	0,0
S_XY_4/N63	high max Wnd ;45° - EG_ongunstig	**0,00**	0,00	221,77	0,00	0,00	**0,00**	0,0	0,0
S_XY_6/N65	low max Wnd ;225° - EG_gunstig	**0,00**	**0,00**	87,59	0,00	0,00	0,00	0,0	0,0
S_XY_6/N65	high max Wnd ;135° - EG_ongunstig	0,00	0,00	**-0,02**	0,00	0,00	0,00	0,0	0,0
S_XY_6/N65	low max Wnd ;315° - EG_gunstig	0,00	**0,00**	**396,00**	**0,00**	**0,00**	**0,00**	0,0	0,0
S_XY_6/N65	high max Wnd ;225° - EG_ongunstig	**0,00**	0,00	106,67	0,00	0,00	**0,00**	0,0	0,0
S_Y_12/N60	low max Wnd ;225° - EG_gunstig	0,00	0,00	**-0,02**	0,00	0,00	0,00	0,0	0,0
S_Y_12/N60	low max Wnd ;45° - EG_gunstig	**0,00**	**0,00**	**396,00**	**0,00**	**0,00**	**0,00**	0,0	0,0
S_Y_12/N60	high max Wnd ;135° - EG_ongunstig	**0,00**	0,00	226,60	0,00	0,00	**0,00**	0,0	0,0
S_Y_13/N66	low max Wnd ;135° - EG_gunstig	0,00	**0,00**	153,03	0,00	0,00	0,00	0,0	0,0
S_Y_13/N66	low max Wnd ;315° - EG_gunstig	**0,00**	**0,00**	34,01	**0,00**	**0,00**	**0,00**	0,0	0,0

Naam	Belasting	R_x [kN]	R_y [kN]	R_z [kN]	M_x [kNm]	M_y [kNm]	M_z [kNm]	e_x [mm]	e_y [mm]
S_Y_13/N66	low max Wnd ;225° - EG_gunstig	0,00	0,00	**-0,01**	0,00	0,00	0,00	0,0	0,0
S_Y_13/N66	low max Wnd ;45° - EG_gunstig	0,00	0,00	**396,00**	0,00	0,00	**0,00**	0,0	0,0
S_Y_14/N67	high max Wnd ;135° - EG_ongunstig	**0,00**	0,00	8,32	**0,00**	**0,00**	**0,00**	0,0	0,0
S_Y_14/N67	high max Wnd ;45° - EG_ongunstig	0,00	0,00	**-0,02**	0,00	0,00	0,00	0,0	0,0
S_Y_14/N67	low max Wnd ;225° - EG_gunstig	0,00	**0,00**	**396,00**	0,00	0,00	0,00	0,0	0,0
S_Y_14/N67	low max Wnd ;315° - EG_gunstig	**0,00**	**0,00**	91,00	0,00	0,00	**0,00**	0,0	0,0
S_Y_15/N71	high max Wnd ;225° - EG_ongunstig	**0,00**	**0,00**	**381,42**	**0,00**	**0,00**	**0,00**	0,0	0,0
S_Y_15/N71	low max Wnd ;45° - EG_gunstig	0,00	0,00	**-306,46**	0,00	0,00	**0,00**	0,0	0,0
S_Y_16/N72	high max Wnd ;225° - EG_ongunstig	**0,00**	**0,00**	**427,91**	**0,00**	**0,00**	**0,00**	0,0	0,0
S_Y_16/N72	low max Wnd ;45° - EG_gunstig	0,00	0,00	**-352,57**	0,00	0,00	**0,00**	0,0	0,0
S_Y_17/N74	low max Wnd ;135° - EG_gunstig	0,00	0,00	**-297,37**	0,00	0,00	0,00	0,0	0,0
S_Y_17/N74	high max Wnd ;315° - EG_ongunstig	**0,00**	**0,00**	**391,12**	**0,00**	**0,00**	**0,00**	0,0	0,0
S_Y_18/N76	low max Wnd ;135° - EG_gunstig	0,00	0,00	**-344,78**	0,00	0,00	0,00	0,0	0,0
S_Y_18/N76	high max Wnd ;315° - EG_ongunstig	**0,00**	**0,00**	**437,39**	**0,00**	**0,00**	**0,00**	0,0	0,0
S_Y_19/N78	low max Wnd ;225° - EG_gunstig	0,00	0,00	**-294,71**	0,00	0,00	0,00	0,0	0,0
S_Y_19/N78	high max Wnd ;45° - EG_ongunstig	**0,00**	**0,00**	**393,06**	**0,00**	**0,00**	**0,00**	0,0	0,0
S_Y_20/N80	low max Wnd ;225° - EG_gunstig	0,00	0,00	**-337,39**	0,00	0,00	0,00	0,0	0,0
S_Y_20/N80	high max Wnd ;45° - EG_ongunstig	**0,00**	**0,00**	**437,66**	**0,00**	**0,00**	**0,00**	0,0	0,0
S_Y_22/N84	low max Wnd ;315° - EG_gunstig	0,00	0,00	**-351,00**	0,00	0,00	0,00	0,0	0,0
S_Y_22/N84	high max Wnd ;135° - EG_ongunstig	**0,00**	**0,00**	**431,83**	**0,00**	**0,00**	**0,00**	0,0	0,0
S_Y_21/N82	low max Wnd ;315° - EG_gunstig	0,00	0,00	**-304,48**	0,00	0,00	0,00	0,0	0,0
S_Y_21/N82	high max Wnd ;135° - EG_ongunstig	**0,00**	**0,00**	**383,02**	**0,00**	**0,00**	**0,00**	0,0	0,0

7.2. Krachten van de Funderingspalen

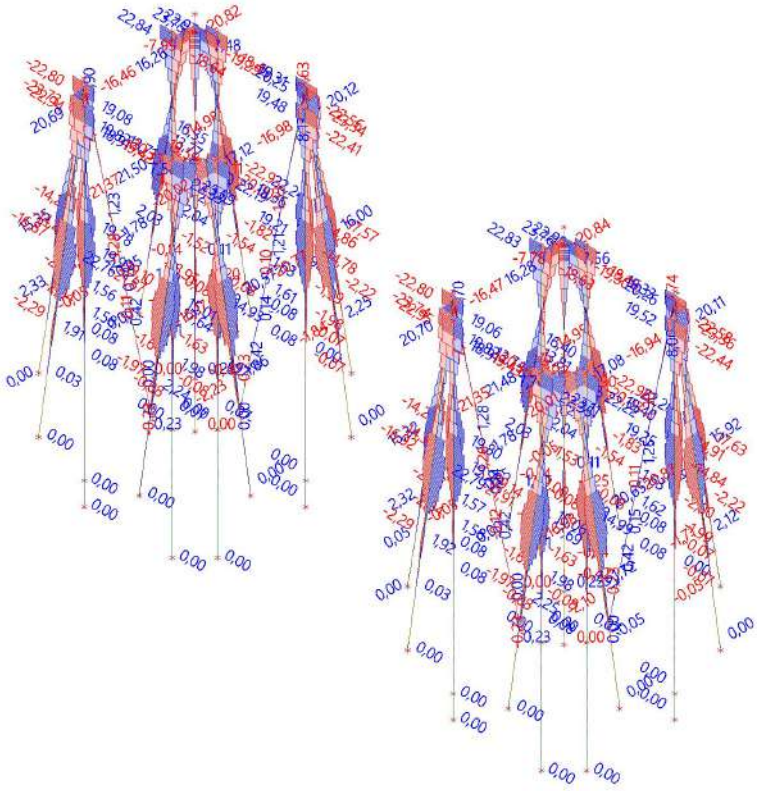
7.2.1. Interne 1D- krachten; N

Values: **N**
Nonlinear calculation
Class: ALL Non-linear
Coordinate system: Principal
Extreme 1D: Local
Selection: All
Filter: Layer = Palen



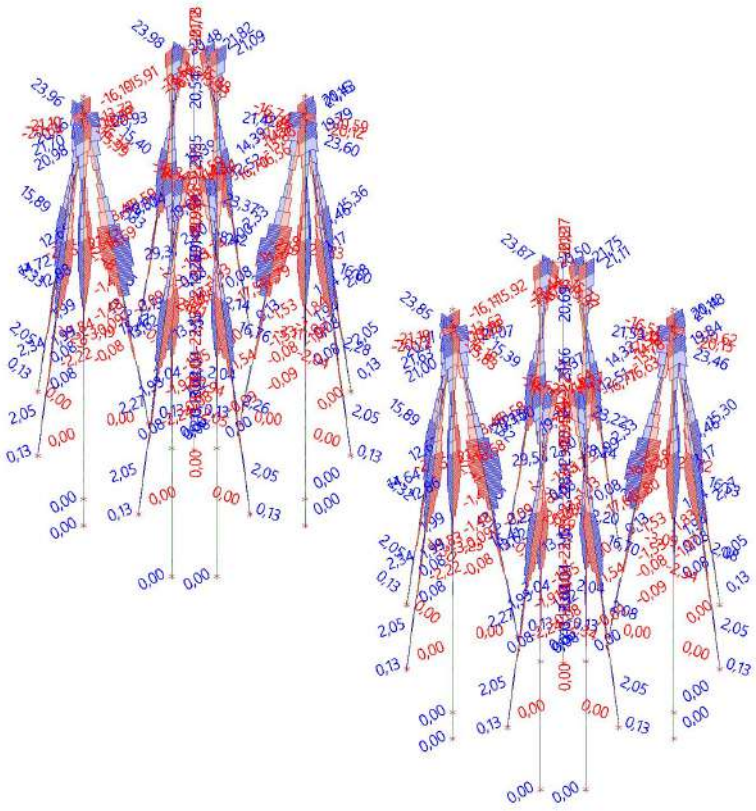
7.2.2. Interne 1D- krachten; V_y

Values: **V_y**
Nonlinear calculation
Class: ALL Non-linear
Coordinate system: Principal
Extreme 1D: Local
Selection: All
Filter: Layer = Palen



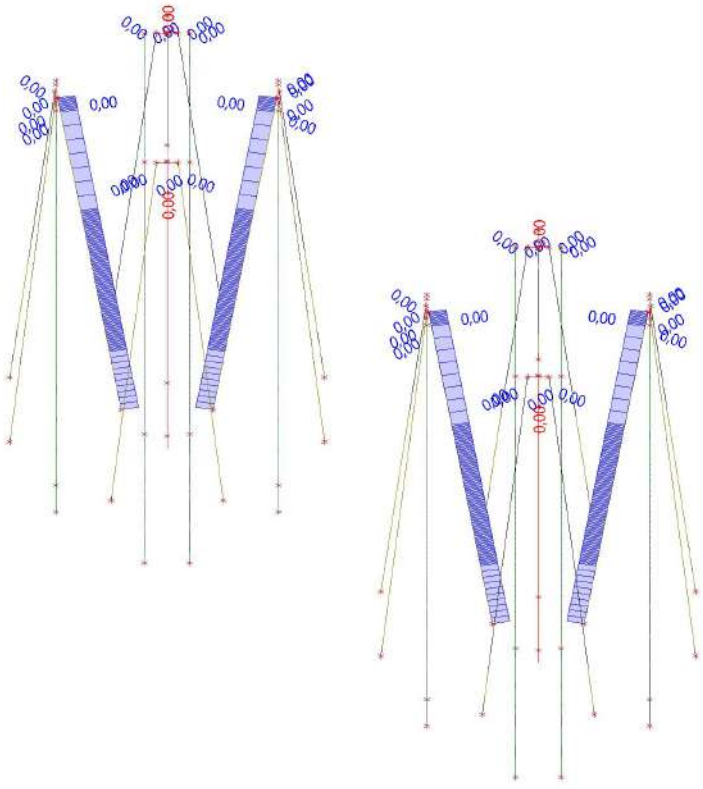
7.2.3. Interne 1D- krachten; V_z

Values: V_z
Nonlinear calculation
Class: ALL Non-linear
Coordinate system: Principal
Extreme 1D: Local
Selection: All
Filter: Layer = Palen



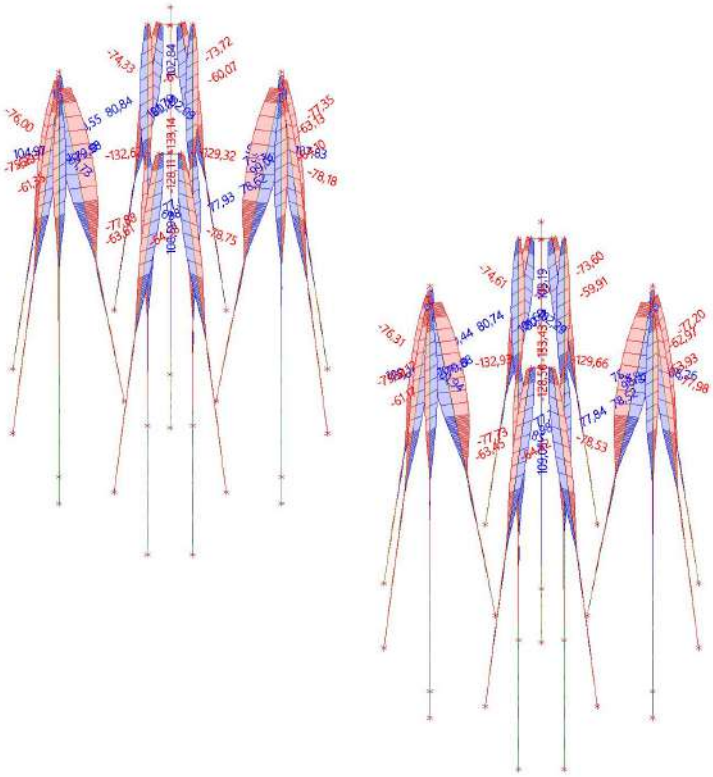
7.2.4. Interne 1D- krachten; M_x

Values: M_x
Nonlinear calculation
Class: ALL Non-linear
Coordinate system: Principal
Extreme 1D: Local
Selection: All
Filter: Layer = Palen



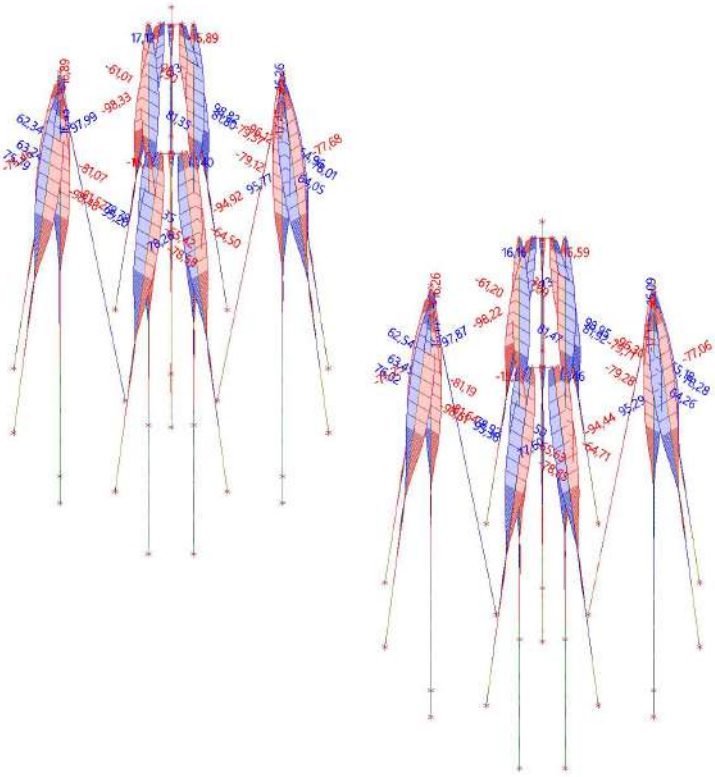
7.2.5. Interne 1D- krachten; M_y

Values: M_y
Nonlinear calculation
Class: ALL Non-linear
Coordinate system: Principal
Extreme 1D: Member
Selection: All
Filter: Layer = Palen



7.2.6. Interne 1D- krachten; M_z

Values: M_z
Nonlinear calculation
Class: ALL Non-linear
Coordinate system: Principal
Extreme 1D: Member
Selection: All
Filter: Layer = Palen



7.2.7. Interne 1D-krachten

Niet-lineaire berekening
Klasse: ALL Non-linear
Coördinatenstelsel: Hoofd
Extreme 1D: Globaal
Selectie: Alle
Filter: Doorsnede = Paal 40x40 - Rectangle (400,00; 400,00)

Naam	dx [m]	Belasting	Doorsnede	N [kN]	V_y [kN]	V_z [kN]	M_x [kNm]	M_y [kNm]	M_z [kNm]
Paal_P_3	22,118	low max Wnd ;315° - EG_gunstig	Paal 40x40 - Rectangle (400,00; 400,00)	**-396,00**	0,00	0,13	0,00	0,00	0,00
Paal_Y_2	0,000	high max Wnd ;45° - EG_ongunstig	Paal 40x40 - Rectangle (400,00; 400,00)	**61,64**	-7,40	-20,72	**0,00**	-77,12	15,85
Paal_P_4	0,000	high max Wnd ;315° - EG_ongunstig	Paal 40x40 - Rectangle (400,00; 400,00)	-334,38	**-23,74**	21,63	0,00	44,73	-28,30
Paal_Y_5	0,000	high max Wnd ;45° - EG_ongunstig	Paal 40x40 - Rectangle (400,00; 400,00)	-334,38	**23,76**	21,75	0,00	44,70	28,64
Paal_X_2	9,000+	low max Wnd ;45° - EG_gunstig	Paal 40x40 - Rectangle (400,00; 400,00)	-369,64	-1,20	**-23,53**	0,00	63,31	3,00
Paal_Y_6	10,000+	high max Wnd ;45° - EG_ongunstig	Paal 40x40 - Rectangle (400,00; 400,00)	33,08	1,06	**29,75**	0,00	-61,56	-1,74
Paal_P_2	0,000	high max Wnd ;315° - EG_ongunstig	Paal 40x40 - Rectangle (400,00; 400,00)	61,64	7,62	-20,64	**0,00**	-76,92	-16,42
Paal_Y_6	4,500-	high max Wnd ;45° - EG_ongunstig	Paal 40x40 - Rectangle (400,00; 400,00)	50,32	-1,42	-2,66	0,00	**-133,43**	-4,96
Paal_X_14	4,500-	low max Wnd ;45° - EG_gunstig	Paal 40x40 - Rectangle (400,00; 400,00)	-358,28	1,44	2,32	0,00	**109,05**	5,39
Paal_P_4	5,375-	high max Wnd ;315° - EG_ongunstig	Paal 40x40 - Rectangle (400,00; 400,00)	-348,14	-1,38	-1,98	0,00	99,57	**-98,61**
Paal_Y_5	5,375-	high max Wnd ;45° - EG_ongunstig	Paal 40x40 - Rectangle (400,00; 400,00)	-348,14	1,37	-1,93	0,00	100,00	**98,95**

7.2.8. Interne 1D-krachten

Niet-lineaire berekening
Klasse: ALL Non-linear
Coördinatenstelsel: Hoofd
Extreme 1D: Globaal
Selectie: Alle
Filter: Doorsnede = LEKA Paal - type e (CHS323.9/10.0)

Naam	dx [m]	Belasting	Doorsnede	N [kN]	V_y [kN]	V_z [kN]	M_x [kNm]	M_y [kNm]	M_z [kNm]
Paal_X_9	28,050	high max Wnd ;45° - EG_ongunstig	LEKA Paal - type e (CHS323.9/10.0)	**-438,13**	0,00	0,00	0,00	0,00	0,00
Paal_X_5	0,000	low max Wnd ;45° - EG_gunstig	LEKA Paal - type e (CHS323.9/10.0)	**413,23**	-19,59	-16,70	**0,00**	-21,71	-9,85
Paal_X_17	0,000	high max Wnd ;315° - EG_ongunstig	LEKA Paal - type e (CHS323.9/10.0)	-311,37	**-22,95**	21,00	0,00	21,94	-15,25
Paal_X_8	9,000+	high max Wnd ;45° - EG_ongunstig	LEKA Paal - type e (CHS323.9/10.0)	-339,89	-20,00	**-18,81**	0,00	46,73	51,77
Paal_X_19	0,000	high max Wnd ;45° - EG_ongunstig	LEKA Paal - type e (CHS323.9/10.0)	-313,31	**22,98**	**21,11**	0,00	21,83	15,47
Paal_X_5	4,500-	low max Wnd ;45° - EG_gunstig	LEKA Paal - type e (CHS323.9/10.0)	404,56	-3,44	-1,15	0,00	**-64,58**	-64,50
Paal_X_9	4,500-	high max Wnd ;45° - EG_ongunstig	LEKA Paal - type e (CHS323.9/10.0)	-369,93	4,86	3,00	0,00	**80,84**	80,74
Paal_X_17	5,375-	high max Wnd ;315° - EG_ongunstig	LEKA Paal - type e (CHS323.9/10.0)	-325,41	-0,76	-0,60	0,00	79,35	**-81,64**
Paal_X_19	5,375-	high max Wnd ;45° - EG_ongunstig	LEKA Paal - type e (CHS323.9/10.0)	-327,35	0,76	-0,54	0,00	79,70	**81,92**

7.3. Krachten van de Poeren

7.3.1. Interne 1D-krachten

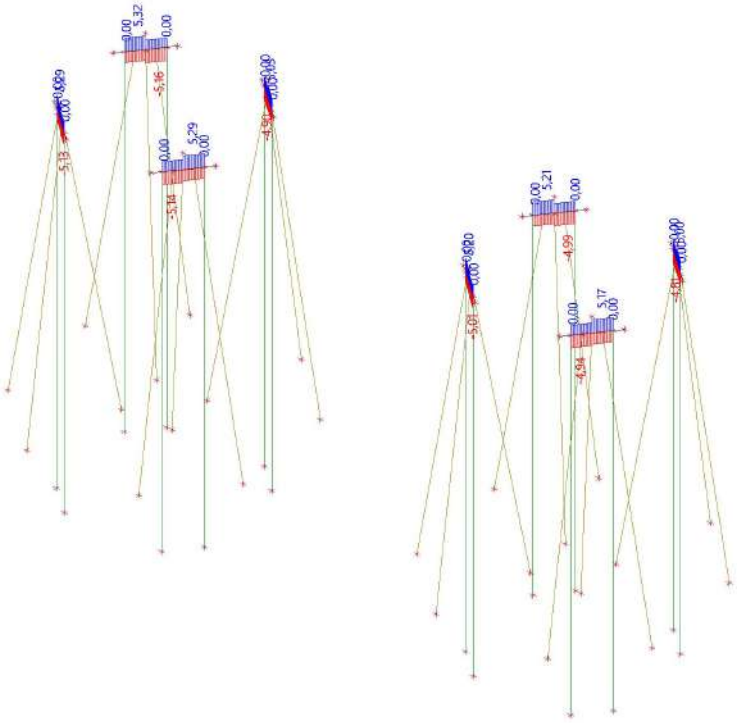
Niet-lineaire berekening
Klasse: ALL Non-linear
Coördinatenstelsel: Hoofd
Extreme 1D: Globaal
Selectie: Alle
Filter: Doorsnede = Poer - Rectangle (2200,00; 1060,00)

Naam	dx [m]	Belasting	Doorsnede	N [kN]	V_y [kN]	V_z [kN]	M_x [kNm]	M_y [kNm]	M_z [kNm]
Poer X	1,200	low max Wnd ;45° - EG_gunstig	Poer - Rectangle (2200,00; 1060,00)	**772,62**	-189,18	-14,95	**0,00**	0,00	0,00
Poer X	0,000	low max Wnd ;45° - EG_gunstig	Poer - Rectangle (2200,00; 1060,00)	742,85	**-189,18**	-14,95	0,00	17,94	**227,02**
Poer XY	0,000	high max Wnd ;45° - EG_ongunstig	Poer - Rectangle (2200,00; 1060,00)	-358,24	77,91	**-31,51**	0,00	**37,81**	-93,49
Poer P	0,000	low max Wnd ;45° - EG_gunstig	Poer - Rectangle (2200,00; 1060,00)	118,82	-32,31	**31,42**	0,00	**-37,71**	38,78
Poer Y	0,000	high max Wnd ;45° - EG_ongunstig	Poer - Rectangle (2200,00; 1060,00)	**-973,40**	**233,73**	13,97	0,00	-16,77	**-280,47**

7.4. Krachten van de Funderingsbalken

7.4.1. Interne 1D- krachten; N

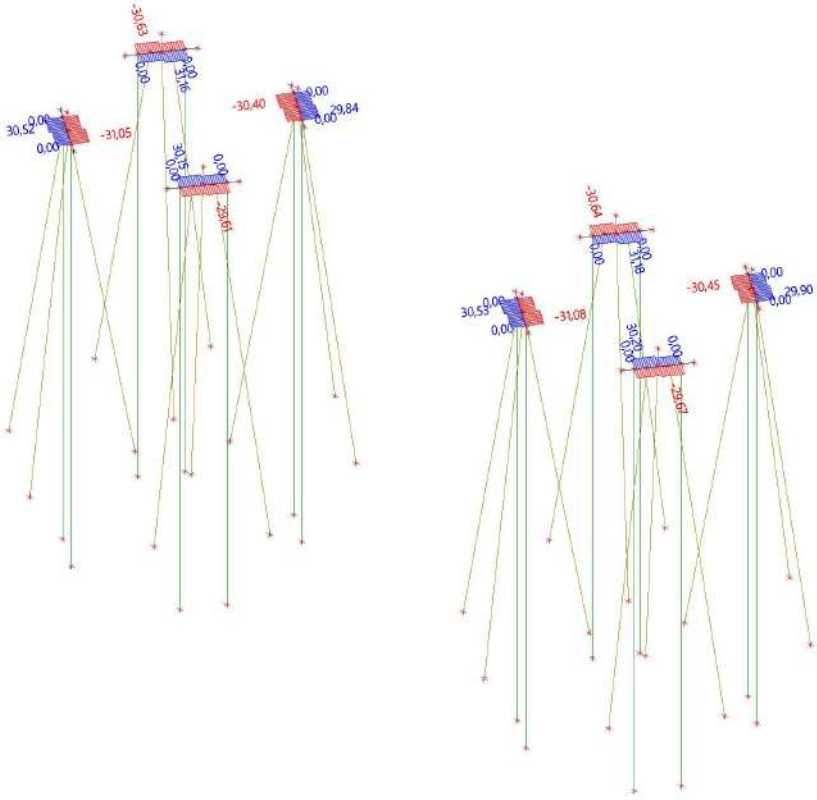
Values: **N**
Nonlinear calculation
Class: ALL Non-linear
Coordinate system: Principal
Extreme 1D: Local
Selection: All
Filter: Layer = Lijnpoer





7.4.2. Interne 1D- krachten; V_y

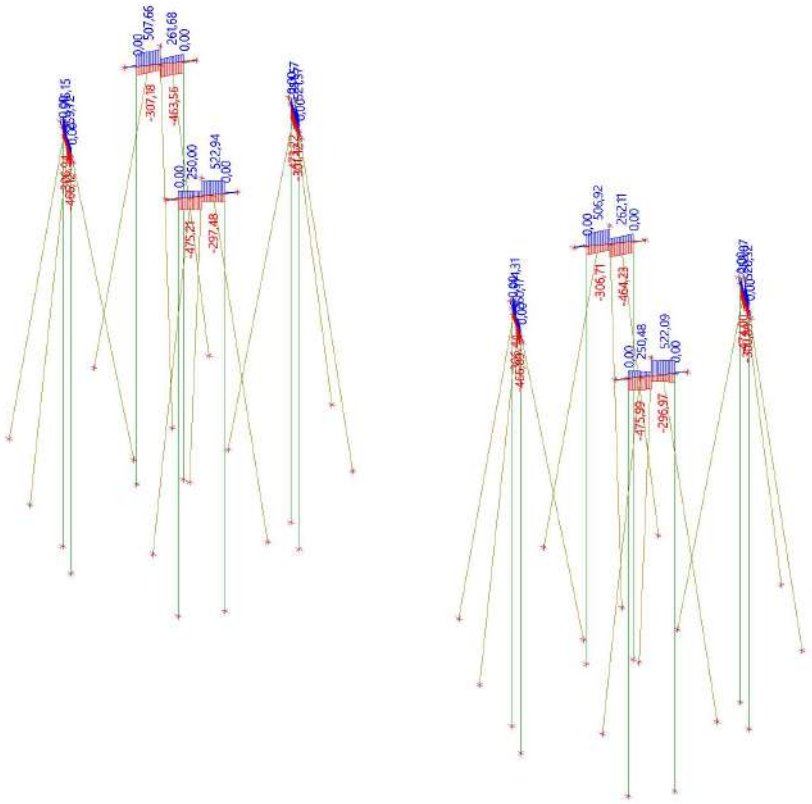
Values: **V_y**
Nonlinear calculation
Class: ALL Non-linear
Coordinate system: Principal
Extreme 1D: Local
Selection: All
Filter: Layer = Lijnpoer





7.4.3. Interne 1D- krachten; V_z

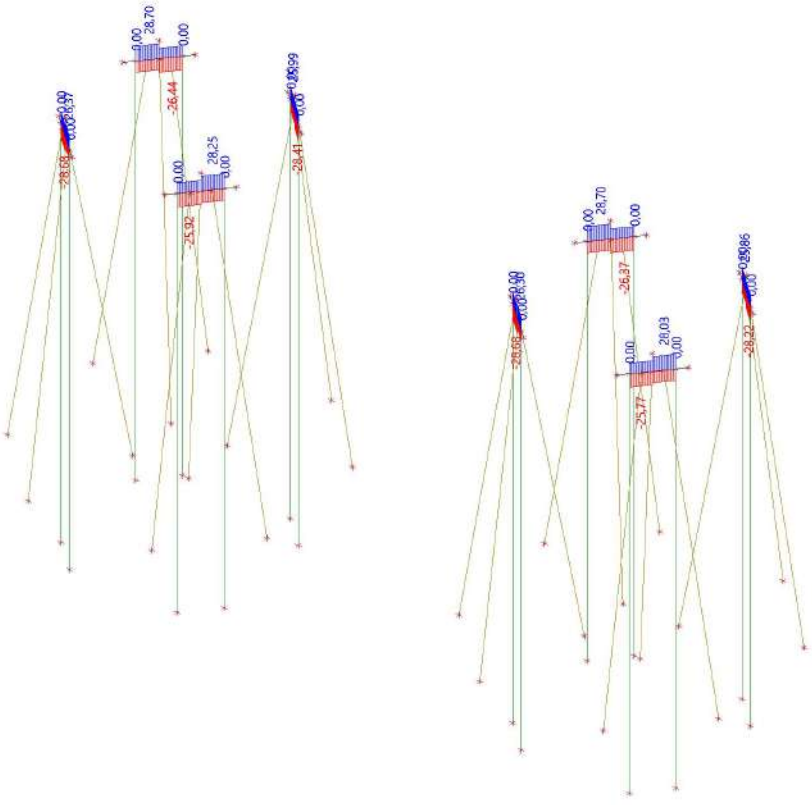
Values: V_z
Nonlinear calculation
Class: ALL Non-linear
Coordinate system: Principal
Extreme 1D: Local
Selection: All
Filter: Layer = Lijnpoer





7.4.4. Interne 1D- krachten; M_x

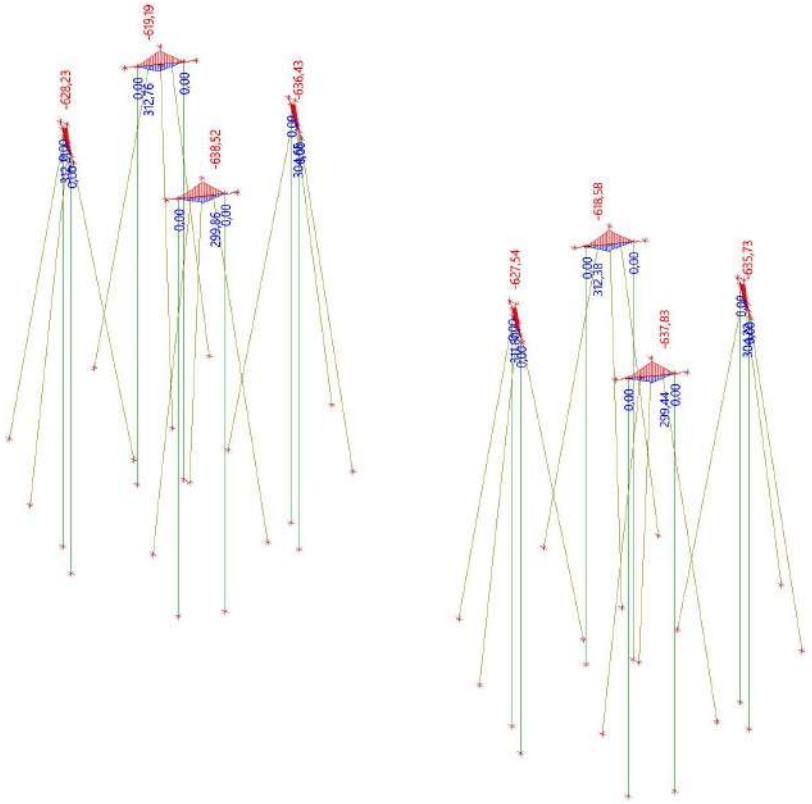
Values: M_x
Nonlinear calculation
Class: ALL Non-linear
Coordinate system: Principal
Extreme 1D: Local
Selection: All
Filter: Layer = Lijnpoer





7.4.5. Interne 1D- krachten; M_y

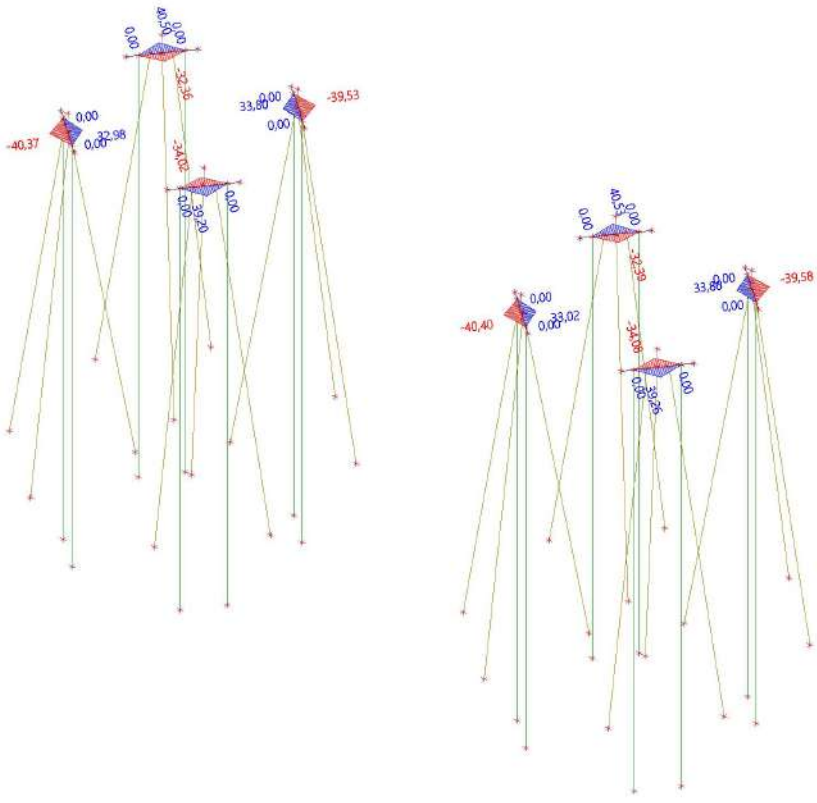
Values: M_y
Nonlinear calculation
Class: ALL Non-linear
Coordinate system: Principal
Extreme 1D: Local
Selection: All
Filter: Layer = Lijnpoer





7.4.6. Interne 1D- krachten; M_z

Values: M_z
Nonlinear calculation
Class: ALL Non-linear
Coordinate system: Principal
Extreme 1D: Local
Selection: All
Filter: Layer = Lijnpoer





7.4.7. Interne 1D-krachten

Niet-lineaire berekening
Klasse: ALL Non-linear
Coördinatenstelsel: Hoofd
Extreme 1D: Globaal
Selectie: Alle
Filter: Doorsnede = lijnpoer - Rectangle (1100,00; 2260,00)

Naam	dx [m]	Belasting	Doorsnede	N [kN]	V_y [kN]	V_z [kN]	M_x [kNm]	M_y [kNm]	M_z [kNm]
Paal19	0,700+	low max Wnd ;315° - EG_gunstig	lijnpoer - Rectangle (1100,00; 2260,00)	**-5,16**	-4,34	56,21	3,92	-24,75	0,00
Paal19	2,000+	low max Wnd ;315° - EG_gunstig	lijnpoer - Rectangle (1100,00; 2260,00)	**5,32**	3,96	80,73	-4,87	-60,34	-5,15
Paal21	2,000-	low max Wnd ;45° - EG_gunstig	lijnpoer - Rectangle (1100,00; 2260,00)	-1,27	-26,21	**-475,99**	20,05	-589,25	-34,08
Paal22	2,000+	high max Wnd ;315° - EG_ongunstig	lijnpoer - Rectangle (1100,00; 2260,00)	-1,71	30,53	-211,36	**-28,68**	311,80	-39,68
Paal23	2,000+	high max Wnd ;45° - EG_ongunstig	lijnpoer - Rectangle (1100,00; 2260,00)	-1,65	-30,64	-211,63	**28,70**	312,38	39,83
Paal15	2,000+	low max Wnd ;45° - EG_gunstig	lijnpoer - Rectangle (1100,00; 2260,00)	2,04	25,66	**522,94**	-22,31	**-638,52**	-33,35
Paal19	2,000+	high max Wnd ;45° - EG_ongunstig	lijnpoer - Rectangle (1100,00; 2260,00)	-1,66	-30,63	-212,10	28,70	**312,76**	39,82
Paal22	2,000-	high max Wnd ;315° - EG_ongunstig	lijnpoer - Rectangle (1100,00; 2260,00)	1,38	**-31,08**	165,09	26,30	263,23	**-40,40**
Paal23	2,000-	high max Wnd ;45° - EG_ongunstig	lijnpoer - Rectangle (1100,00; 2260,00)	1,32	**31,18**	167,03	-26,37	265,52	**40,53**

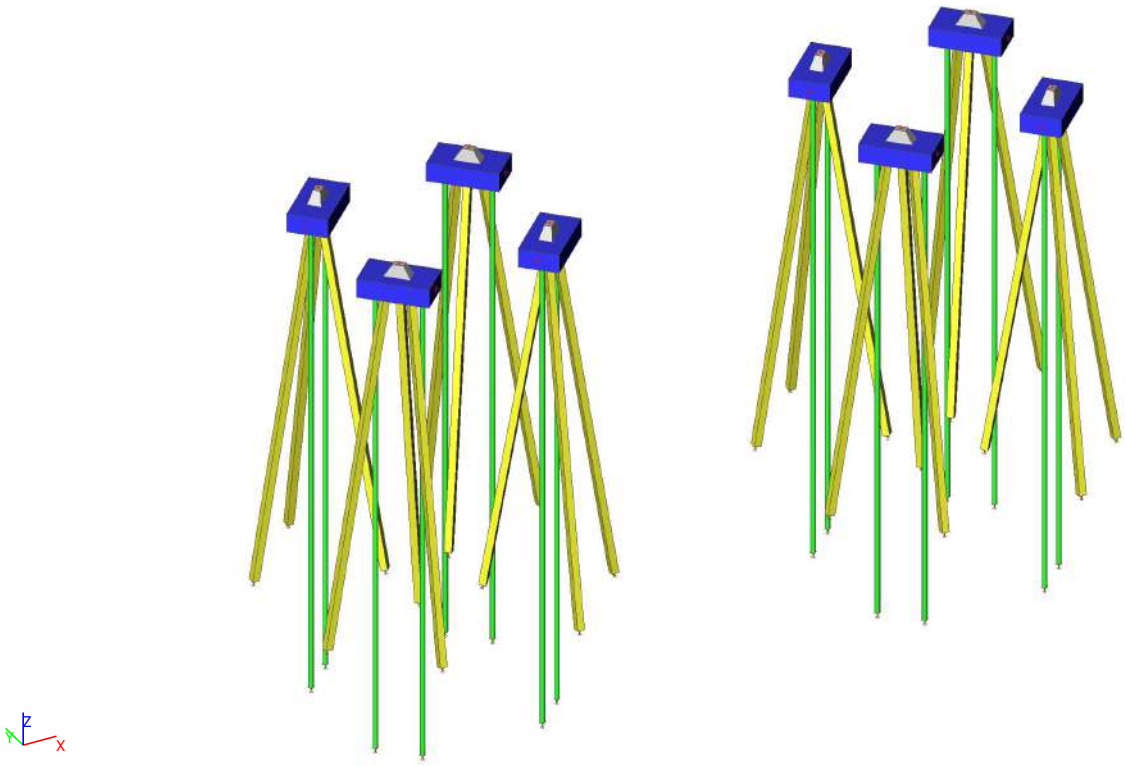
1. Inhoudsopgave

1. Inhoudsopgave 1
2. Project 2
3. Analyse model 2
4. Modeleigenschappen 3
5. Geometrie 3
5.1. Knopen 3
5.2. Analyse model met knopen 4
5.3. Staven 4
5.4. Analyse model met Staven 5
5.5. Knoopsteunpunten 6
5.6. Analyse model met Knoopondersteuningen 7
5.7. Lijnsteunpunten op staven 7
5.8. Analyse model met Lijnondersteuningen 21
5.9. Analyse model met Lijnondersteuningen 22
5.10. Niet-lineaire functies 23
6. Belastingen 31
6.1. Belastingsgevallen 31
6.1.1. Belastingsgevallen - high max Wnd ;45° 31
6.1.1.1. Puntlast op knoop 31
6.1.2. Belastingsgevallen - high max Wnd ;135° 32
6.1.2.1. Puntlast op knoop 33
6.1.3. Belastingsgevallen - high max Wnd ;225° 34
6.1.3.1. Puntlast op knoop 35
6.1.4. Belastingsgevallen - high max Wnd ;315° 35
6.1.4.1. Puntlast op knoop 36
6.1.5. Belastingsgevallen - low max Wnd ;45° 37
6.1.5.1. Puntlast op knoop 38
6.1.6. Belastingsgevallen - low max Wnd ;135° 38
6.1.6.1. Puntlast op knoop 39
6.1.7. Belastingsgevallen - low max Wnd ;225° 40
6.1.7.1. Puntlast op knoop 41
6.1.8. Belastingsgevallen - low max Wnd ;315° 41
6.1.8.1. Puntlast op knoop 42
6.1.9. Belastingsgevallen - EG_fundering 43
6.2. Niet-lineaire combinaties 44
6.3. Resultaatklasses 44
7. Resultaten 45
7.1. Reacties van de palen 45
7.1.1. Reactions; R_z 45
7.1.2. Reacties 45
7.1.3. Reacties 45
7.1.4. Reacties 46
7.2. Krachten van de Funderingspalen 52
7.2.1. Interne 1D- krachten; N 52
7.2.2. Interne 1D- krachten; V_y 52
7.2.3. Interne 1D- krachten; V_z 53
7.2.4. Interne 1D- krachten; M_x 53
7.2.5. Interne 1D- krachten; M_y 54
7.2.6. Interne 1D- krachten; M_z 54
7.2.7. Interne 1D-krachten 55
7.2.8. Interne 1D-krachten 55
7.3. Krachten van de Poeren 57
7.3.1. Interne 1D-krachten 57
7.4. Krachten van de Funderingsbalken 58
7.4.1. Interne 1D- krachten; N 58
7.4.2. Interne 1D- krachten; V_y 58
7.4.3. Interne 1D- krachten; V_z 59
7.4.4. Interne 1D- krachten; M_x 59
7.4.5. Interne 1D- krachten; M_y 60
7.4.6. Interne 1D- krachten; M_z 60
7.4.7. Interne 1D-krachten 61

2. Project

Gebruiker van licentie	[redacted]
Project	Opwaardering KIJ-BVW 380kV
Onderdeel	Blokpoer 3xBeton40x40 Mast 24
Auteur	[redacted]
Datum	28-01-2026
Constructie	Algemeen XYZ
Aantal knopen :	112
Aantal staven :	56
Aantal platen :	0
Aantal vaste lichamen :	0
Aantal gebruikte doorsneden :	4
Aantal belastingsgevallen :	9
Aantal gebruikte materialen :	7
Gravitatieversnelling [m/s^2]	9,807
Nationale norm	EC - EN

3. Analyse model



4. Modeleigenschappen

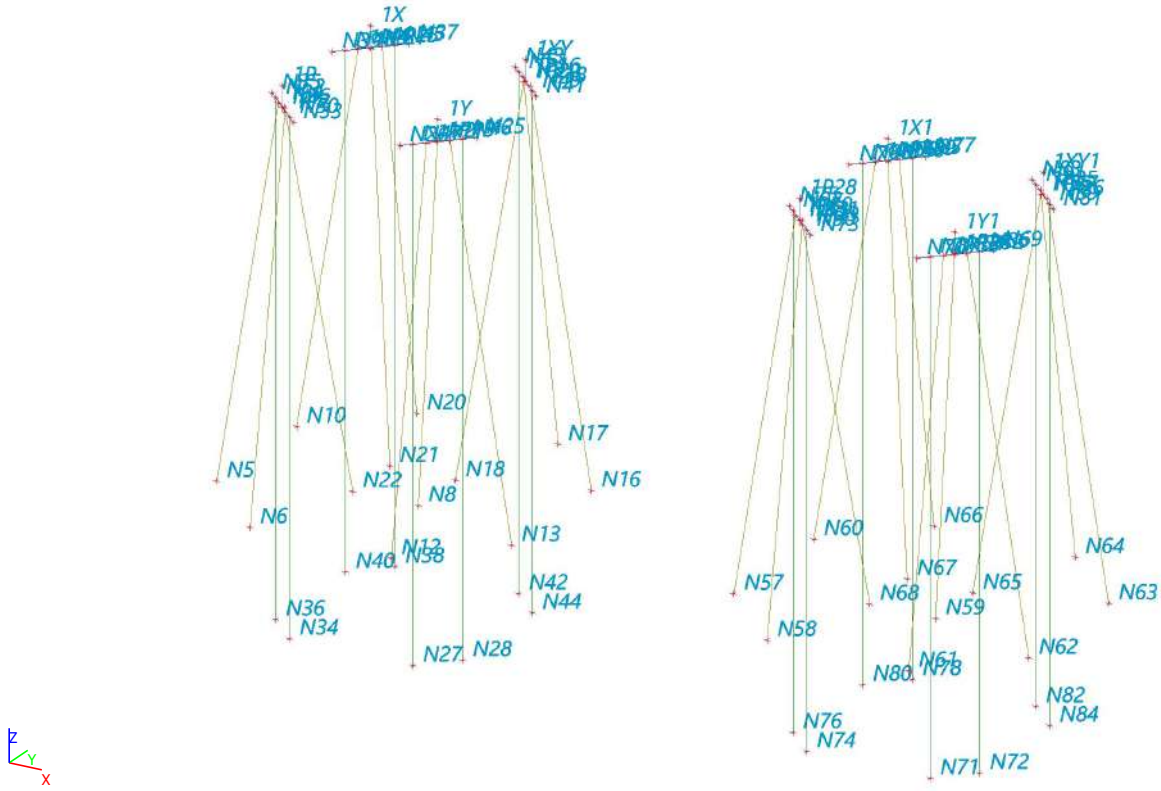
5. Geometrie

5.1. Knopen

Naam	Coördinaat X [m]	Coördinaat Y [m]	Coördinaat Z [m]
N1	0,000	0,000	0,000
1P	0,000	0,000	1,200
1P2	0,400	-0,480	0,000
1P4	-0,480	0,400	0,000
1P6	0,070	0,070	0,000
N2	9,000	0,000	0,000
1Y	9,000	0,000	1,200
1P9	9,480	0,400	0,000
1P11	8,600	-0,480	0,000
1P13	8,930	0,070	0,000
N3	9,000	9,000	0,000
1XY	9,000	9,000	1,200
1P16	8,600	9,480	0,000
1P18	9,480	8,600	0,000
1P20	8,930	8,930	0,000
N4	0,000	9,000	0,000
1X	0,000	9,000	1,200
1P23	-0,480	8,600	0,000
1P25	0,400	9,480	0,000
1P27	0,070	8,930	0,000
N5	-4,051	0,400	-21,382
N6	0,400	-4,051	-21,382
N8	6,407	2,593	-21,382
N10	-4,051	8,600	-21,382
N12	8,600	-4,051	-21,382
N13	13,051	0,400	-21,382
N16	13,051	8,600	-21,382
N17	8,600	13,051	-21,382
N18	6,407	6,407	-21,382
N20	0,400	13,051	-21,382
N21	2,593	6,407	-21,382
N22	2,593	2,593	-21,382
N25	10,414	1,414	0,000
N26	7,586	-1,414	0,000
N27	8,081	-0,919	-28,500
N28	9,919	0,919	-28,500
N33	1,414	-1,414	0,000
N34	0,919	-0,919	-28,500
N35	-1,414	1,414	0,000
N36	-0,919	0,919	-28,500
N37	1,414	10,414	0,000
N38	0,919	9,919	-28,500
N39	-1,414	7,586	0,000
N40	-0,919	8,081	-28,500
N41	10,414	7,586	0,000
N42	8,081	9,919	-28,500
N43	7,586	10,414	0,000
N44	9,919	8,081	-28,500
N45	0,919	9,919	0,000
N46	9,919	0,919	0,000
N47	8,081	-0,919	0,000
N48	-0,919	8,081	0,000
N49	9,919	8,081	0,000
N50	0,919	-0,919	0,000
N51	8,081	9,919	0,000
N52	-0,919	0,919	0,000

Naam	Coördinaat X [m]	Coördinaat Y [m]	Coördinaat Z [m]
N53	30,000	0,000	0,000
1P28	30,000	0,000	1,200
1P29	30,400	-0,480	0,000
1P30	29,520	0,400	0,000
1P31	30,070	0,070	0,000
N54	39,000	0,000	0,000
1Y1	39,000	0,000	1,200
1P32	39,480	0,400	0,000
1P33	38,600	-0,480	0,000
1P34	38,930	0,070	0,000
N55	39,000	9,000	0,000
1XY1	39,000	9,000	1,200
1P35	38,600	9,480	0,000
1P36	39,480	8,600	0,000
1P37	38,930	8,930	0,000
N56	30,000	9,000	0,000
1X1	30,000	9,000	1,200
1P38	29,520	8,600	0,000
1P39	30,400	9,480	0,000
1P40	30,070	8,930	0,000
N57	25,949	0,400	-21,382
N58	30,400	-4,051	-21,382
N59	36,407	2,593	-21,382
N60	25,949	8,600	-21,382
N61	38,600	-4,051	-21,382
N62	43,051	0,400	-21,382
N63	43,051	8,600	-21,382
N64	38,600	13,051	-21,382
N65	36,407	6,407	-21,382
N66	30,400	13,051	-21,382
N67	32,593	6,407	-21,382
N68	32,593	2,593	-21,382
N69	40,414	1,414	0,000
N70	37,586	-1,414	0,000
N71	38,081	-0,919	-28,500
N72	39,919	0,919	-28,500
N73	31,414	-1,414	0,000
N74	30,919	-0,919	-28,500
N75	28,586	1,414	0,000
N76	29,081	0,919	-28,500
N77	31,414	10,414	0,000
N78	30,919	9,919	-28,500
N79	28,586	7,586	0,000
N80	29,081	8,081	-28,500
N81	40,414	7,586	0,000
N82	38,081	9,919	-28,500
N83	37,586	10,414	0,000
N84	39,919	8,081	-28,500
N85	30,919	9,919	0,000
N86	39,919	0,919	0,000
N87	38,081	-0,919	0,000
N88	29,081	8,081	0,000
N89	39,919	8,081	0,000
N90	30,919	-0,919	0,000
N91	38,081	9,919	0,000
N92	29,081	0,919	0,000

5.2. Analyse model met knopen

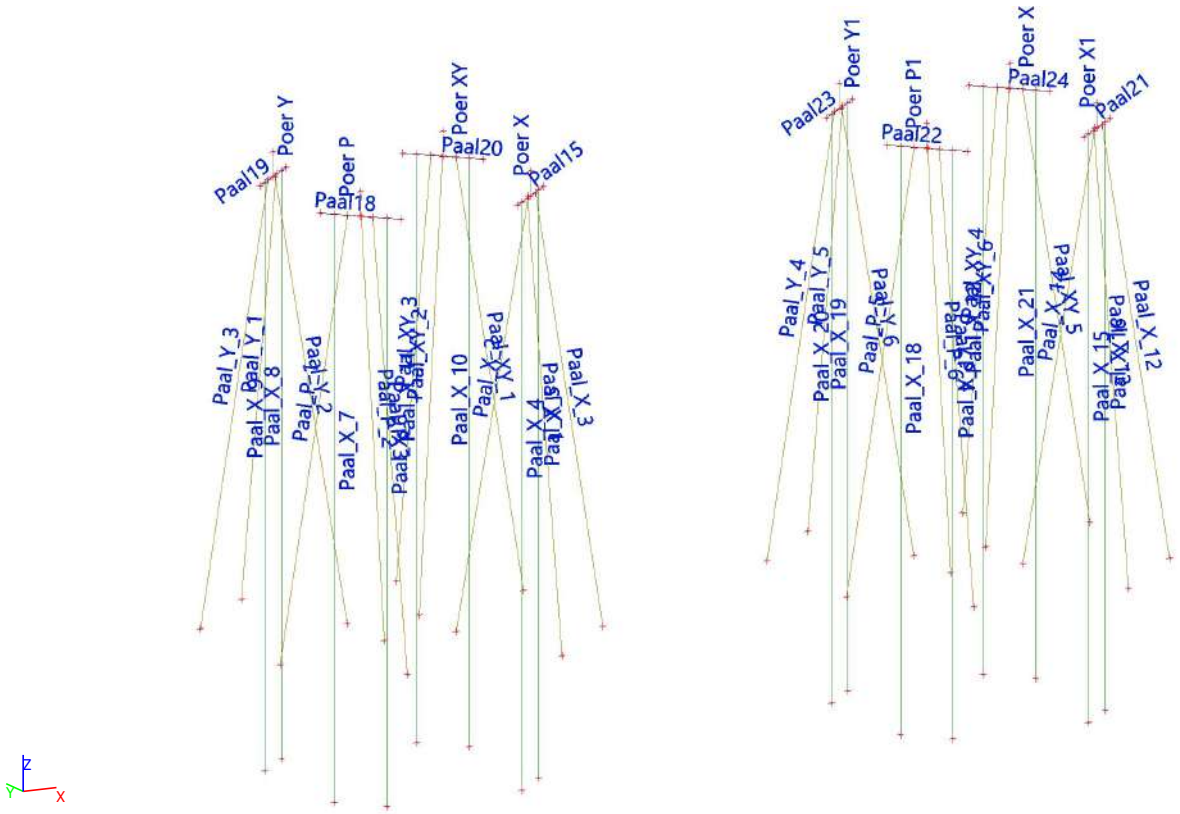


5.3. Staven

Naam	Doorsnede	Materiaal	Lengte [m]	Beginknoop	Eindknoop	Type
Paal15	lijnpoer - Rectangle (1100,00; 2260,00)	C30/37 Gescheurd	4,000	N26	N25	Balk (80)
Paal18	lijnpoer - Rectangle (1100,00; 2260,00)	C30/37 Gescheurd	4,000	N33	N35	Balk (80)
Paal19	lijnpoer - Rectangle (1100,00; 2260,00)	C30/37 Gescheurd	4,000	N37	N39	Balk (80)
Paal20	lijnpoer - Rectangle (1100,00; 2260,00)	C30/37 Gescheurd	4,000	N43	N41	Balk (80)
Paal21	lijnpoer - Rectangle (1100,00; 2260,00)	C30/37 Gescheurd	4,000	N70	N69	Balk (80)
Paal22	lijnpoer - Rectangle (1100,00; 2260,00)	C30/37 Gescheurd	4,000	N73	N75	Balk (80)
Paal23	lijnpoer - Rectangle (1100,00; 2260,00)	C30/37 Gescheurd	4,000	N77	N79	Balk (80)
Paal24	lijnpoer - Rectangle (1100,00; 2260,00)	C30/37 Gescheurd	4,000	N83	N81	Balk (80)
Paal_XY_2	Paal 40x40 - Rectangle (400,00; 400,00)	C20/25 Ongescheurd	21,678	1P20	N18	Kolom (100)
Paal_X_3	Paal 40x40 - Rectangle (400,00; 400,00)	C20/25 Ongescheurd	21,678	1P9	N13	Kolom (100)
Poer P	Poer - Rectangle (2200,00; 1060,00)	C12/15 Gescheurd	1,200	N1	1P	Kolom (100)
Poer P1	Poer - Rectangle (2200,00; 1060,00)	C12/15 Gescheurd	1,200	N53	1P28	Kolom (100)
Paal_P_5	Paal 40x40 - Rectangle (400,00; 400,00)	C20/25 Ongescheurd	21,678	1P30	N57	Kolom (100)
Poer X	Poer - Rectangle (2200,00; 1060,00)	C12/15 Gescheurd	1,200	N2	1Y	Kolom (100)
Paal_P_1	Paal 40x40 - Rectangle (400,00; 400,00)	C20/25 Ongescheurd	21,678	1P4	N5	Kolom (100)
Paal_P_2	Paal 40x40 - Rectangle (400,00; 400,00)	C20/25 Ongescheurd	21,678	1P6	N22	Kolom (100)
Paal_P_4	Paal 40x40 - Rectangle (400,00; 400,00)	C20/25 Ongescheurd	21,678	1P29	N58	Kolom (100)
Paal_XY_1	Paal 40x40 - Rectangle (400,00; 400,00)	C20/25 Ongescheurd	21,678	1P18	N16	Kolom (100)
Paal_XY_3	Paal 40x40 - Rectangle (400,00; 400,00)	C20/25 Ongescheurd	21,678	1P16	N17	Kolom (100)
Paal_XY_4	Paal 40x40 - Rectangle (400,00; 400,00)	C20/25 Ongescheurd	21,678	1P35	N64	Kolom (100)
Paal_XY_5	Paal 40x40 - Rectangle (400,00; 400,00)	C20/25 Ongescheurd	21,678	1P36	N63	Kolom (100)
Paal_X_1	Paal 40x40 - Rectangle (400,00; 400,00)	C20/25 Ongescheurd	21,678	1P11	N12	Kolom (100)
Poer X1	Poer - Rectangle (2200,00; 1060,00)	C12/15 Gescheurd	1,200	N54	1Y1	Kolom (100)
Poer XY	Poer - Rectangle (2200,00; 1060,00)	C12/15 Gescheurd	1,200	N3	1XY	Kolom (100)
Poer XY1	Poer - Rectangle (2200,00; 1060,00)	C12/15 Gescheurd	1,200	N55	1XY1	Kolom (100)
Poer Y	Poer - Rectangle (2200,00; 1060,00)	C12/15 Gescheurd	1,200	N4	1X	Kolom (100)
Poer Y1	Poer - Rectangle (2200,00; 1060,00)	C12/15 Gescheurd	1,200	N56	1X1	Kolom (100)
Paal_P_3	Paal 40x40 - Rectangle (400,00; 400,00)	C20/25 Ongescheurd	21,678	1P2	N6	Kolom (100)
Paal_P_6	Paal 40x40 - Rectangle (400,00; 400,00)	C20/25 Ongescheurd	21,678	1P31	N68	Kolom (100)

Naam	Doorsnede	Materiaal	Lengte [m]	Beginknoop	Eindknoop	Type
Paal_XY_6	Paal 40x40 - Rectangle (400,00; 400,00)	C20/25 Ongescheurd	21,678	1P37	N65	Kolom (100)
Paal_X_2	Paal 40x40 - Rectangle (400,00; 400,00)	C20/25 Ongescheurd	21,678	1P13	N8	Kolom (100)
Paal_X_4	LEKA Paal - type e (CHS273.0/10.0)	S 235	28,500	N47	N27	Kolom (100)
Paal_X_5	LEKA Paal - type e (CHS273.0/10.0)	S 235	28,500	N46	N28	Kolom (100)
Paal_X_6	LEKA Paal - type e (CHS273.0/10.0)	S 235	28,500	N50	N34	Kolom (100)
Paal_X_7	LEKA Paal - type e (CHS273.0/10.0)	S 235	28,500	N52	N36	Kolom (100)
Paal_X_8	LEKA Paal - type e (CHS273.0/10.0)	S 235	28,500	N45	N38	Kolom (100)
Paal_X_9	LEKA Paal - type e (CHS273.0/10.0)	S 235	28,500	N48	N40	Kolom (100)
Paal_X_10	LEKA Paal - type e (CHS273.0/10.0)	S 235	28,500	N49	N44	Kolom (100)
Paal_X_11	LEKA Paal - type e (CHS273.0/10.0)	S 235	28,500	N51	N42	Kolom (100)
Paal_X_12	Paal 40x40 - Rectangle (400,00; 400,00)	C20/25 Ongescheurd	21,678	1P32	N62	Kolom (100)
Paal_X_13	Paal 40x40 - Rectangle (400,00; 400,00)	C20/25 Ongescheurd	21,678	1P33	N61	Kolom (100)
Paal_X_14	Paal 40x40 - Rectangle (400,00; 400,00)	C20/25 Ongescheurd	21,678	1P34	N59	Kolom (100)
Paal_X_15	LEKA Paal - type e (CHS273.0/10.0)	S 235	28,500	N87	N71	Kolom (100)
Paal_X_16	LEKA Paal - type e (CHS273.0/10.0)	S 235	28,500	N86	N72	Kolom (100)
Paal_X_17	LEKA Paal - type e (CHS273.0/10.0)	S 235	28,500	N90	N74	Kolom (100)
Paal_X_18	LEKA Paal - type e (CHS273.0/10.0)	S 235	28,500	N92	N76	Kolom (100)
Paal_X_19	LEKA Paal - type e (CHS273.0/10.0)	S 235	28,500	N85	N78	Kolom (100)
Paal_X_20	LEKA Paal - type e (CHS273.0/10.0)	S 235	28,500	N88	N80	Kolom (100)
Paal_X_21	LEKA Paal - type e (CHS273.0/10.0)	S 235	28,500	N89	N84	Kolom (100)
Paal_X_22	LEKA Paal - type e (CHS273.0/10.0)	S 235	28,500	N91	N82	Kolom (100)
Paal_Y_1	Paal 40x40 - Rectangle (400,00; 400,00)	C20/25 Ongescheurd	21,678	1P25	N20	Kolom (100)
Paal_Y_2	Paal 40x40 - Rectangle (400,00; 400,00)	C20/25 Ongescheurd	21,678	1P27	N21	Kolom (100)
Paal_Y_3	Paal 40x40 - Rectangle (400,00; 400,00)	C20/25 Ongescheurd	21,678	1P23	N10	Kolom (100)
Paal_Y_4	Paal 40x40 - Rectangle (400,00; 400,00)	C20/25 Ongescheurd	21,678	1P38	N60	Kolom (100)
Paal_Y_5	Paal 40x40 - Rectangle (400,00; 400,00)	C20/25 Ongescheurd	21,678	1P39	N66	Kolom (100)
Paal_Y_6	Paal 40x40 - Rectangle (400,00; 400,00)	C20/25 Ongescheurd	21,678	1P40	N67	Kolom (100)

5.4. Analyse model met Staven



5.5. Knoopsteunpunten

Naam	Knoop	Systeem	Type	X	Y	Z	Rx	Ry	Rz	Hoek [deg]
S_P_1	N5	LCS van knoop	Standaard	Vrij	Vrij	Niet-lineair	Vrij	Vrij	Vrij	Ry9,50
S_P_2	N22	LCS van knoop	Standaard	Vrij	Vrij	Niet-lineair	Vrij	Vrij	Vrij	Rx6,72;Ry-6,72
S_P_3	N6	LCS van knoop	Standaard	Vrij	Vrij	Niet-lineair	Vrij	Vrij	Vrij	Rx-9,50
S_X_1	N12	LCS van knoop	Standaard	Vrij	Vrij	Niet-lineair	Vrij	Vrij	Vrij	Rx-9,50
S_X_2	N8	LCS van knoop	Standaard	Vrij	Vrij	Niet-lineair	Vrij	Vrij	Vrij	Rx6,72;Ry6,72
S_X_3	N13	LCS van knoop	Standaard	Vrij	Vrij	Niet-lineair	Vrij	Vrij	Vrij	Ry-9,50
S_XY_1	N16	LCS van knoop	Standaard	Vrij	Vrij	Niet-lineair	Vrij	Vrij	Vrij	Ry-9,50
S_XY_2	N18	LCS van knoop	Standaard	Vrij	Vrij	Niet-lineair	Vrij	Vrij	Vrij	Rx-6,72;Ry6,72
S_XY_3	N17	LCS van knoop	Standaard	Vrij	Vrij	Niet-lineair	Vrij	Vrij	Vrij	Rx9,50
S_Y_1	N20	LCS van knoop	Standaard	Vrij	Vrij	Niet-lineair	Vrij	Vrij	Vrij	Rx9,50
S_Y_2	N21	LCS van knoop	Standaard	Vrij	Vrij	Niet-lineair	Vrij	Vrij	Vrij	Rx-6,72;Ry-6,72
S_Y_3	N10	LCS van knoop	Standaard	Vrij	Vrij	Niet-lineair	Vrij	Vrij	Vrij	Ry9,50
S_Y_4	N27	LCS van knoop	Standaard	Vrij	Vrij	Niet-lineair	Vrij	Vrij	Vrij	
S_Y_5	N28	LCS van knoop	Standaard	Vrij	Vrij	Niet-lineair	Vrij	Vrij	Vrij	
S_Y_6	N34	LCS van knoop	Standaard	Vrij	Vrij	Niet-lineair	Vrij	Vrij	Vrij	
S_Y_7	N36	LCS van knoop	Standaard	Vrij	Vrij	Niet-lineair	Vrij	Vrij	Vrij	
S_Y_8	N38	LCS van knoop	Standaard	Vrij	Vrij	Niet-lineair	Vrij	Vrij	Vrij	
S_Y_9	N40	LCS van knoop	Standaard	Vrij	Vrij	Niet-lineair	Vrij	Vrij	Vrij	
S_Y_10	N42	LCS van knoop	Standaard	Vrij	Vrij	Niet-lineair	Vrij	Vrij	Vrij	
S_Y_11	N44	LCS van knoop	Standaard	Vrij	Vrij	Niet-lineair	Vrij	Vrij	Vrij	
S_P_4	N57	LCS van knoop	Standaard	Vrij	Vrij	Niet-lineair	Vrij	Vrij	Vrij	Ry9,50
S_P_5	N58	LCS van knoop	Standaard	Vrij	Vrij	Niet-lineair	Vrij	Vrij	Vrij	Rx-9,50
S_X_4	N59	LCS van knoop	Standaard	Vrij	Vrij	Niet-lineair	Vrij	Vrij	Vrij	Rx6,72;Ry6,72
S_Y_12	N60	LCS van knoop	Standaard	Vrij	Vrij	Niet-lineair	Vrij	Vrij	Vrij	Ry9,50
S_X_5	N61	LCS van knoop	Standaard	Vrij	Vrij	Niet-lineair	Vrij	Vrij	Vrij	Rx-9,50
S_X_6	N62	LCS van knoop	Standaard	Vrij	Vrij	Niet-lineair	Vrij	Vrij	Vrij	Ry-9,50
S_XY_4	N63	LCS van knoop	Standaard	Vrij	Vrij	Niet-lineair	Vrij	Vrij	Vrij	Ry-9,50
S_XY_5	N64	LCS van knoop	Standaard	Vrij	Vrij	Niet-lineair	Vrij	Vrij	Vrij	Rx9,50
S_XY_6	N65	LCS van knoop	Standaard	Vrij	Vrij	Niet-lineair	Vrij	Vrij	Vrij	Rx-6,72;Ry6,72
S_Y_13	N66	LCS van knoop	Standaard	Vrij	Vrij	Niet-lineair	Vrij	Vrij	Vrij	Rx9,50
S_Y_14	N67	LCS van knoop	Standaard	Vrij	Vrij	Niet-lineair	Vrij	Vrij	Vrij	Rx-6,72;Ry-6,72
S_P_6	N68	LCS van knoop	Standaard	Vrij	Vrij	Niet-lineair	Vrij	Vrij	Vrij	Rx6,72;Ry-6,72
S_Y_15	N71	LCS van knoop	Standaard	Vrij	Vrij	Niet-lineair	Vrij	Vrij	Vrij	
S_Y_16	N72	LCS van knoop	Standaard	Vrij	Vrij	Niet-lineair	Vrij	Vrij	Vrij	
S_Y_17	N74	LCS van knoop	Standaard	Vrij	Vrij	Niet-lineair	Vrij	Vrij	Vrij	
S_Y_18	N76	LCS van knoop	Standaard	Vrij	Vrij	Niet-lineair	Vrij	Vrij	Vrij	
S_Y_19	N78	LCS van knoop	Standaard	Vrij	Vrij	Niet-lineair	Vrij	Vrij	Vrij	
S_Y_20	N80	LCS van knoop	Standaard	Vrij	Vrij	Niet-lineair	Vrij	Vrij	Vrij	
S_Y_21	N82	LCS van knoop	Standaard	Vrij	Vrij	Niet-lineair	Vrij	Vrij	Vrij	
S_Y_22	N84	LCS van knoop	Standaard	Vrij	Vrij	Niet-lineair	Vrij	Vrij	Vrij	

5.6. Analyse model met Knoopondersteuningen



5.7. Lijnsteunpunten op staven

Naam	Type	Staaf	Pos x_1 [m] / Pos x_2 [m]	X	Y	Z	Rx	Ry	Rz	Functie Y	Functie Z
Veen19	Lijn	Paal_X_11	1,000 8,000	Vrij	Niet-lineair	Niet-lineair	Vrij	Vrij	Vrij	PY-curve-1_Veen	PY-curve-1_Veen
Veen25	Lijn	Paal_X_14	1,000 8,000	Vrij	Niet-lineair	Niet-lineair	Vrij	Vrij	Vrij	PY-curve-1_Veen	PY-curve-1_Veen
Veen10	Lijn	Paal_Y_1	1,000 8,000	Vrij	Niet-lineair	Niet-lineair	Vrij	Vrij	Vrij	PY-curve-1_Veen	PY-curve-1_Veen
Veen18	Lijn	Paal_X_10	1,000 8,000	Vrij	Niet-lineair	Niet-lineair	Vrij	Vrij	Vrij	PY-curve-1_Veen	PY-curve-1_Veen
Veen34	Lijn	Paal_X_17	1,000 8,000	Vrij	Niet-lineair	Niet-lineair	Vrij	Vrij	Vrij	PY-curve-1_Veen	PY-curve-1_Veen
Veen8	Lijn	Paal_XY_2	1,000 8,000	Vrij	Niet-lineair	Niet-lineair	Vrij	Vrij	Vrij	PY-curve-1_Veen	PY-curve-1_Veen
Veen21	Lijn	Paal_P_5	1,000 8,000	Vrij	Niet-lineair	Niet-lineair	Vrij	Vrij	Vrij	PY-curve-1_Veen	PY-curve-1_Veen
Veen7	Lijn	Paal_XY_1	1,000 8,000	Vrij	Niet-lineair	Niet-lineair	Vrij	Vrij	Vrij	PY-curve-1_Veen	PY-curve-1_Veen
Veen13	Lijn	Paal_X_5	1,000 8,000	Vrij	Niet-lineair	Niet-lineair	Vrij	Vrij	Vrij	PY-curve-1_Veen	PY-curve-1_Veen
Veen3	Lijn	Paal_X_3	1,000 8,000	Vrij	Niet-lineair	Niet-lineair	Vrij	Vrij	Vrij	PY-curve-1_Veen	PY-curve-1_Veen
Veen16	Lijn	Paal_X_8	1,000 8,000	Vrij	Niet-lineair	Niet-lineair	Vrij	Vrij	Vrij	PY-curve-1_Veen	PY-curve-1_Veen
Veen6	Lijn	Paal_XY_3	1,000 8,000	Vrij	Niet-lineair	Niet-lineair	Vrij	Vrij	Vrij	PY-curve-1_Veen	PY-curve-1_Veen
Veen31	Lijn	Paal_Y_6	1,000 8,000	Vrij	Niet-lineair	Niet-lineair	Vrij	Vrij	Vrij	PY-curve-1_Veen	PY-curve-1_Veen
Veen26	Lijn	Paal_XY_4	1,000	Vrij	Niet-lineair	Niet-lineair	Vrij	Vrij	Vrij	PY-curve-1_Veen	PY-curve-1_Veen

Naam	Type	Staaf	Pos x_1 [m] Pos x_2 [m]	X	Y	Z	Rx	Ry	Rz	Functie Y	Functie Z
			8,000								
Veen39	Lijn	Paal_X_22	1,000 8,000	Vrij	Niet-lineair	Niet-lineair	Vrij	Vrij	Vrij	PY-curve-1_Veen	PY-curve-1_Veen
Veen11	Lijn	Paal_Y_2	1,000 8,000	Vrij	Niet-lineair	Niet-lineair	Vrij	Vrij	Vrij	PY-curve-1_Veen	PY-curve-1_Veen
Veen23	Lijn	Paal_X_12	1,000 8,000	Vrij	Niet-lineair	Niet-lineair	Vrij	Vrij	Vrij	PY-curve-1_Veen	PY-curve-1_Veen
Veen12	Lijn	Paal_X_4	1,000 8,000	Vrij	Niet-lineair	Niet-lineair	Vrij	Vrij	Vrij	PY-curve-1_Veen	PY-curve-1_Veen
Veen20	Lijn	Paal_P_4	1,000 8,000	Vrij	Niet-lineair	Niet-lineair	Vrij	Vrij	Vrij	PY-curve-1_Veen	PY-curve-1_Veen
Veen22	Lijn	Paal_P_6	1,000 8,000	Vrij	Niet-lineair	Niet-lineair	Vrij	Vrij	Vrij	PY-curve-1_Veen	PY-curve-1_Veen
Veen38	Lijn	Paal_X_21	1,000 8,000	Vrij	Niet-lineair	Niet-lineair	Vrij	Vrij	Vrij	PY-curve-1_Veen	PY-curve-1_Veen
Veen	Lijn	Paal_P_3	1,000 8,000	Vrij	Niet-lineair	Niet-lineair	Vrij	Vrij	Vrij	PY-curve-1_Veen	PY-curve-1_Veen
Veen32	Lijn	Paal_X_15	1,000 8,000	Vrij	Niet-lineair	Niet-lineair	Vrij	Vrij	Vrij	PY-curve-1_Veen	PY-curve-1_Veen
Veen28	Lijn	Paal_XY_6	1,000 8,000	Vrij	Niet-lineair	Niet-lineair	Vrij	Vrij	Vrij	PY-curve-1_Veen	PY-curve-1_Veen
Veen36	Lijn	Paal_X_19	1,000 8,000	Vrij	Niet-lineair	Niet-lineair	Vrij	Vrij	Vrij	PY-curve-1_Veen	PY-curve-1_Veen
Veen17	Lijn	Paal_X_9	1,000 8,000	Vrij	Niet-lineair	Niet-lineair	Vrij	Vrij	Vrij	PY-curve-1_Veen	PY-curve-1_Veen
Veen33	Lijn	Paal_X_16	1,000 8,000	Vrij	Niet-lineair	Niet-lineair	Vrij	Vrij	Vrij	PY-curve-1_Veen	PY-curve-1_Veen
Veen5	Lijn	Paal_X_2	1,000 8,000	Vrij	Niet-lineair	Niet-lineair	Vrij	Vrij	Vrij	PY-curve-1_Veen	PY-curve-1_Veen
Veen24	Lijn	Paal_X_13	1,000 8,000	Vrij	Niet-lineair	Niet-lineair	Vrij	Vrij	Vrij	PY-curve-1_Veen	PY-curve-1_Veen
Veen37	Lijn	Paal_X_20	1,000 8,000	Vrij	Niet-lineair	Niet-lineair	Vrij	Vrij	Vrij	PY-curve-1_Veen	PY-curve-1_Veen
Veen35	Lijn	Paal_X_18	1,000 8,000	Vrij	Niet-lineair	Niet-lineair	Vrij	Vrij	Vrij	PY-curve-1_Veen	PY-curve-1_Veen
Veen1	Lijn	Paal_P_1	1,000 8,000	Vrij	Niet-lineair	Niet-lineair	Vrij	Vrij	Vrij	PY-curve-1_Veen	PY-curve-1_Veen
Veen4	Lijn	Paal_X_1	1,000 8,000	Vrij	Niet-lineair	Niet-lineair	Vrij	Vrij	Vrij	PY-curve-1_Veen	PY-curve-1_Veen
Veen14	Lijn	Paal_X_6	1,000 8,000	Vrij	Niet-lineair	Niet-lineair	Vrij	Vrij	Vrij	PY-curve-1_Veen	PY-curve-1_Veen
Veen29	Lijn	Paal_Y_4	1,000 8,000	Vrij	Niet-lineair	Niet-lineair	Vrij	Vrij	Vrij	PY-curve-1_Veen	PY-curve-1_Veen
Veen27	Lijn	Paal_XY_5	1,000 8,000	Vrij	Niet-lineair	Niet-lineair	Vrij	Vrij	Vrij	PY-curve-1_Veen	PY-curve-1_Veen
Veen15	Lijn	Paal_X_7	1,000 8,000	Vrij	Niet-lineair	Niet-lineair	Vrij	Vrij	Vrij	PY-curve-1_Veen	PY-curve-1_Veen
Veen2	Lijn	Paal_P_2	1,000 8,000	Vrij	Niet-lineair	Niet-lineair	Vrij	Vrij	Vrij	PY-curve-1_Veen	PY-curve-1_Veen
Veen9	Lijn	Paal_Y_3	1,000 8,000	Vrij	Niet-lineair	Niet-lineair	Vrij	Vrij	Vrij	PY-curve-1_Veen	PY-curve-1_Veen
Veen30	Lijn	Paal_Y_5	1,000 8,000	Vrij	Niet-lineair	Niet-lineair	Vrij	Vrij	Vrij	PY-curve-1_Veen	PY-curve-1_Veen
(PY-curve-1_V1)12	Lijn	Paal_X_4	8,000 9,000	Vrij	Niet-lineair	Niet-lineair	Vrij	Vrij	Vrij	PY-curve-1_V1	PY-curve-1_V1
(PY-curve-1_V1)21	Lijn	Paal_P_5	8,000 9,000	Vrij	Niet-lineair	Niet-lineair	Vrij	Vrij	Vrij	PY-curve-1_V1	PY-curve-1_V1
(PY-curve-1_V1)20	Lijn	Paal_P_4	8,000 9,000	Vrij	Niet-lineair	Niet-lineair	Vrij	Vrij	Vrij	PY-curve-1_V1	PY-curve-1_V1
(PY-curve-1_V1)35	Lijn	Paal_X_18	8,000 9,000	Vrij	Niet-lineair	Niet-lineair	Vrij	Vrij	Vrij	PY-curve-1_V1	PY-curve-1_V1
(PY-curve-1_V1)7	Lijn	Paal_Y_3	8,000 9,000	Vrij	Niet-lineair	Niet-lineair	Vrij	Vrij	Vrij	PY-curve-1_V1	PY-curve-1_V1
(PY-curve-1_V1)39	Lijn	Paal_X_22	8,000	Vrij	Niet-lineair	Niet-lineair	Vrij	Vrij	Vrij	PY-curve-1_V1	PY-curve-1_V1

Naam	Type	Staaf	Pos x_1 [m] Pos x_2 [m]	X	Y	Z	Rx	Ry	Rz	Functie Y	Functie Z
			9,000								
(PY-curve-1_V1)38	Lijn	Paal_X_21	8,000 9,000	Vrij	Niet-lineair	Niet-lineair	Vrij	Vrij	Vrij	PY-curve-1_V1	PY-curve-1_V1
(PY-curve-1_V1)34	Lijn	Paal_X_17	8,000 9,000	Vrij	Niet-lineair	Niet-lineair	Vrij	Vrij	Vrij	PY-curve-1_V1	PY-curve-1_V1
(PY-curve-1_V1)3	Lijn	Paal_X_3	8,000 9,000	Vrij	Niet-lineair	Niet-lineair	Vrij	Vrij	Vrij	PY-curve-1_V1	PY-curve-1_V1
(PY-curve-1_V1)36	Lijn	Paal_X_19	8,000 9,000	Vrij	Niet-lineair	Niet-lineair	Vrij	Vrij	Vrij	PY-curve-1_V1	PY-curve-1_V1
(PY-curve-1_V1)16	Lijn	Paal_X_8	8,000 9,000	Vrij	Niet-lineair	Niet-lineair	Vrij	Vrij	Vrij	PY-curve-1_V1	PY-curve-1_V1
(PY-curve-1_V1)6	Lijn	Paal_Y_1	8,000 9,000	Vrij	Niet-lineair	Niet-lineair	Vrij	Vrij	Vrij	PY-curve-1_V1	PY-curve-1_V1
(PY-curve-1_V1)1	Lijn	Paal_P_3	8,000 9,000	Vrij	Niet-lineair	Niet-lineair	Vrij	Vrij	Vrij	PY-curve-1_V1	PY-curve-1_V1
(PY-curve-1_V1)27	Lijn	Paal_XY_5	8,000 9,000	Vrij	Niet-lineair	Niet-lineair	Vrij	Vrij	Vrij	PY-curve-1_V1	PY-curve-1_V1
(PY-curve-1_V1)11	Lijn	Paal_Y_2	8,000 9,000	Vrij	Niet-lineair	Niet-lineair	Vrij	Vrij	Vrij	PY-curve-1_V1	PY-curve-1_V1
(PY-curve-1_V1)10	Lijn	Paal_XY_2	8,000 9,000	Vrij	Niet-lineair	Niet-lineair	Vrij	Vrij	Vrij	PY-curve-1_V1	PY-curve-1_V1
(PY-curve-1_V1)33	Lijn	Paal_X_16	8,000 9,000	Vrij	Niet-lineair	Niet-lineair	Vrij	Vrij	Vrij	PY-curve-1_V1	PY-curve-1_V1
(PY-curve-1_V1)32	Lijn	Paal_X_15	8,000 9,000	Vrij	Niet-lineair	Niet-lineair	Vrij	Vrij	Vrij	PY-curve-1_V1	PY-curve-1_V1
(PY-curve-1_V1)28	Lijn	Paal_XY_6	8,000 9,000	Vrij	Niet-lineair	Niet-lineair	Vrij	Vrij	Vrij	PY-curve-1_V1	PY-curve-1_V1
(PY-curve-1_V1)5	Lijn	Paal_XY_3	8,000 9,000	Vrij	Niet-lineair	Niet-lineair	Vrij	Vrij	Vrij	PY-curve-1_V1	PY-curve-1_V1
(PY-curve-1_V1)37	Lijn	Paal_X_20	8,000 9,000	Vrij	Niet-lineair	Niet-lineair	Vrij	Vrij	Vrij	PY-curve-1_V1	PY-curve-1_V1
(PY-curve-1_V1)24	Lijn	Paal_X_13	8,000 9,000	Vrij	Niet-lineair	Niet-lineair	Vrij	Vrij	Vrij	PY-curve-1_V1	PY-curve-1_V1
(PY-curve-1_V1)19	Lijn	Paal_X_11	8,000 9,000	Vrij	Niet-lineair	Niet-lineair	Vrij	Vrij	Vrij	PY-curve-1_V1	PY-curve-1_V1
(PY-curve-1_V1)2	Lijn	Paal_X_1	8,000 9,000	Vrij	Niet-lineair	Niet-lineair	Vrij	Vrij	Vrij	PY-curve-1_V1	PY-curve-1_V1
(PY-curve-1_V1)15	Lijn	Paal_X_7	8,000 9,000	Vrij	Niet-lineair	Niet-lineair	Vrij	Vrij	Vrij	PY-curve-1_V1	PY-curve-1_V1
(PY-curve-1_V1)14	Lijn	Paal_X_6	8,000 9,000	Vrij	Niet-lineair	Niet-lineair	Vrij	Vrij	Vrij	PY-curve-1_V1	PY-curve-1_V1
(PY-curve-1_V1)9	Lijn	Paal_X_2	8,000 9,000	Vrij	Niet-lineair	Niet-lineair	Vrij	Vrij	Vrij	PY-curve-1_V1	PY-curve-1_V1
(PY-curve-1_V1)30	Lijn	Paal_Y_5	8,000 9,000	Vrij	Niet-lineair	Niet-lineair	Vrij	Vrij	Vrij	PY-curve-1_V1	PY-curve-1_V1
(PY-curve-1_V1)25	Lijn	Paal_X_14	8,000 9,000	Vrij	Niet-lineair	Niet-lineair	Vrij	Vrij	Vrij	PY-curve-1_V1	PY-curve-1_V1
(PY-curve-1_V1)	Lijn	Paal_P_1	8,000 9,000	Vrij	Niet-lineair	Niet-lineair	Vrij	Vrij	Vrij	PY-curve-1_V1	PY-curve-1_V1
(PY-curve-1_V1)26	Lijn	Paal_XY_4	8,000 9,000	Vrij	Niet-lineair	Niet-lineair	Vrij	Vrij	Vrij	PY-curve-1_V1	PY-curve-1_V1
(PY-curve-1_V1)31	Lijn	Paal_Y_6	8,000 9,000	Vrij	Niet-lineair	Niet-lineair	Vrij	Vrij	Vrij	PY-curve-1_V1	PY-curve-1_V1
(PY-curve-1_V1)13	Lijn	Paal_X_5	8,000 9,000	Vrij	Niet-lineair	Niet-lineair	Vrij	Vrij	Vrij	PY-curve-1_V1	PY-curve-1_V1
(PY-curve-1_V1)23	Lijn	Paal_X_12	8,000 9,000	Vrij	Niet-lineair	Niet-lineair	Vrij	Vrij	Vrij	PY-curve-1_V1	PY-curve-1_V1
(PY-curve-1_V1)22	Lijn	Paal_P_6	8,000 9,000	Vrij	Niet-lineair	Niet-lineair	Vrij	Vrij	Vrij	PY-curve-1_V1	PY-curve-1_V1
(PY-curve-1_V1)17	Lijn	Paal_X_9	8,000 9,000	Vrij	Niet-lineair	Niet-lineair	Vrij	Vrij	Vrij	PY-curve-1_V1	PY-curve-1_V1
(PY-curve-1_V1)29	Lijn	Paal_Y_4	8,000 9,000	Vrij	Niet-lineair	Niet-lineair	Vrij	Vrij	Vrij	PY-curve-1_V1	PY-curve-1_V1
(PY-curve-1_V1)8	Lijn	Paal_P_2	8,000	Vrij	Niet-lineair	Niet-lineair	Vrij	Vrij	Vrij	PY-curve-1_V1	PY-curve-1_V1

Naam	Type	Staaf	Pos x_1 [m] Pos x_2 [m]	X	Y	Z	Rx	Ry	Rz	Functie Y	Functie Z
			9,000								
(PY-curve-1_V1)4	Lijn	Paal_XY_1	8,000 9,000	Vrij	Niet-lineair	Niet-lineair	Vrij	Vrij	Vrij	PY-curve-1_V1	PY-curve-1_V1
(PY-curve-1_V1)18	Lijn	Paal_X_10	8,000 9,000	Vrij	Niet-lineair	Niet-lineair	Vrij	Vrij	Vrij	PY-curve-1_V1	PY-curve-1_V1
(PY-curve-1_V2)12	Lijn	Paal_X_4	9,000 10,000	Vrij	Niet-lineair	Niet-lineair	Vrij	Vrij	Vrij	PY-curve-1_V2	PY-curve-1_V2
(PY-curve-1_V2)21	Lijn	Paal_P_5	9,000 10,000	Vrij	Niet-lineair	Niet-lineair	Vrij	Vrij	Vrij	PY-curve-1_V2	PY-curve-1_V2
(PY-curve-1_V2)20	Lijn	Paal_P_4	9,000 10,000	Vrij	Niet-lineair	Niet-lineair	Vrij	Vrij	Vrij	PY-curve-1_V2	PY-curve-1_V2
(PY-curve-1_V2)6	Lijn	Paal_Y_1	9,000 10,000	Vrij	Niet-lineair	Niet-lineair	Vrij	Vrij	Vrij	PY-curve-1_V2	PY-curve-1_V2
(PY-curve-1_V2)7	Lijn	Paal_Y_3	9,000 10,000	Vrij	Niet-lineair	Niet-lineair	Vrij	Vrij	Vrij	PY-curve-1_V2	PY-curve-1_V2
(PY-curve-1_V2)1	Lijn	Paal_P_3	9,000 10,000	Vrij	Niet-lineair	Niet-lineair	Vrij	Vrij	Vrij	PY-curve-1_V2	PY-curve-1_V2
(PY-curve-1_V2)36	Lijn	Paal_X_19	9,000 10,000	Vrij	Niet-lineair	Niet-lineair	Vrij	Vrij	Vrij	PY-curve-1_V2	PY-curve-1_V2
(PY-curve-1_V2)37	Lijn	Paal_X_20	9,000 10,000	Vrij	Niet-lineair	Niet-lineair	Vrij	Vrij	Vrij	PY-curve-1_V2	PY-curve-1_V2
(PY-curve-1_V2)35	Lijn	Paal_X_18	9,000 10,000	Vrij	Niet-lineair	Niet-lineair	Vrij	Vrij	Vrij	PY-curve-1_V2	PY-curve-1_V2
(PY-curve-1_V2)38	Lijn	Paal_X_21	9,000 10,000	Vrij	Niet-lineair	Niet-lineair	Vrij	Vrij	Vrij	PY-curve-1_V2	PY-curve-1_V2
(PY-curve-1_V2)30	Lijn	Paal_Y_5	9,000 10,000	Vrij	Niet-lineair	Niet-lineair	Vrij	Vrij	Vrij	PY-curve-1_V2	PY-curve-1_V2
(PY-curve-1_V2)	Lijn	Paal_P_1	9,000 10,000	Vrij	Niet-lineair	Niet-lineair	Vrij	Vrij	Vrij	PY-curve-1_V2	PY-curve-1_V2
(PY-curve-1_V2)19	Lijn	Paal_X_11	9,000 10,000	Vrij	Niet-lineair	Niet-lineair	Vrij	Vrij	Vrij	PY-curve-1_V2	PY-curve-1_V2
(PY-curve-1_V2)28	Lijn	Paal_XY_6	9,000 10,000	Vrij	Niet-lineair	Niet-lineair	Vrij	Vrij	Vrij	PY-curve-1_V2	PY-curve-1_V2
(PY-curve-1_V2)3	Lijn	Paal_X_3	9,000 10,000	Vrij	Niet-lineair	Niet-lineair	Vrij	Vrij	Vrij	PY-curve-1_V2	PY-curve-1_V2
(PY-curve-1_V2)32	Lijn	Paal_X_15	9,000 10,000	Vrij	Niet-lineair	Niet-lineair	Vrij	Vrij	Vrij	PY-curve-1_V2	PY-curve-1_V2
(PY-curve-1_V2)18	Lijn	Paal_X_10	9,000 10,000	Vrij	Niet-lineair	Niet-lineair	Vrij	Vrij	Vrij	PY-curve-1_V2	PY-curve-1_V2
(PY-curve-1_V2)34	Lijn	Paal_X_17	9,000 10,000	Vrij	Niet-lineair	Niet-lineair	Vrij	Vrij	Vrij	PY-curve-1_V2	PY-curve-1_V2
(PY-curve-1_V2)11	Lijn	Paal_Y_2	9,000 10,000	Vrij	Niet-lineair	Niet-lineair	Vrij	Vrij	Vrij	PY-curve-1_V2	PY-curve-1_V2
(PY-curve-1_V2)5	Lijn	Paal_XY_3	9,000 10,000	Vrij	Niet-lineair	Niet-lineair	Vrij	Vrij	Vrij	PY-curve-1_V2	PY-curve-1_V2
(PY-curve-1_V2)16	Lijn	Paal_X_8	9,000 10,000	Vrij	Niet-lineair	Niet-lineair	Vrij	Vrij	Vrij	PY-curve-1_V2	PY-curve-1_V2
(PY-curve-1_V2)17	Lijn	Paal_X_9	9,000 10,000	Vrij	Niet-lineair	Niet-lineair	Vrij	Vrij	Vrij	PY-curve-1_V2	PY-curve-1_V2
(PY-curve-1_V2)33	Lijn	Paal_X_16	9,000 10,000	Vrij	Niet-lineair	Niet-lineair	Vrij	Vrij	Vrij	PY-curve-1_V2	PY-curve-1_V2
(PY-curve-1_V2)29	Lijn	Paal_Y_4	9,000 10,000	Vrij	Niet-lineair	Niet-lineair	Vrij	Vrij	Vrij	PY-curve-1_V2	PY-curve-1_V2
(PY-curve-1_V2)10	Lijn	Paal_XY_2	9,000 10,000	Vrij	Niet-lineair	Niet-lineair	Vrij	Vrij	Vrij	PY-curve-1_V2	PY-curve-1_V2
(PY-curve-1_V2)27	Lijn	Paal_XY_5	9,000 10,000	Vrij	Niet-lineair	Niet-lineair	Vrij	Vrij	Vrij	PY-curve-1_V2	PY-curve-1_V2
(PY-curve-1_V2)39	Lijn	Paal_X_22	9,000 10,000	Vrij	Niet-lineair	Niet-lineair	Vrij	Vrij	Vrij	PY-curve-1_V2	PY-curve-1_V2
(PY-curve-1_V2)2	Lijn	Paal_X_1	9,000 10,000	Vrij	Niet-lineair	Niet-lineair	Vrij	Vrij	Vrij	PY-curve-1_V2	PY-curve-1_V2
(PY-curve-1_V2)14	Lijn	Paal_X_6	9,000 10,000	Vrij	Niet-lineair	Niet-lineair	Vrij	Vrij	Vrij	PY-curve-1_V2	PY-curve-1_V2
(PY-curve-1_V2)24	Lijn	Paal_X_13	9,000	Vrij	Niet-lineair	Niet-lineair	Vrij	Vrij	Vrij	PY-curve-1_V2	PY-curve-1_V2

Naam	Type	Staaf	Pos x_1 [m] Pos x_2 [m]	X	Y	Z	Rx	Ry	Rz	Functie Y	Functie Z
			10,000								
(PY-curve-1_V2)15	Lijn	Paal_X_7	9,000 10,000	Vrij	Niet-lineair	Niet-lineair	Vrij	Vrij	Vrij	PY-curve-1_V2	PY-curve-1_V2
(PY-curve-1_V2)25	Lijn	Paal_X_14	9,000 10,000	Vrij	Niet-lineair	Niet-lineair	Vrij	Vrij	Vrij	PY-curve-1_V2	PY-curve-1_V2
(PY-curve-1_V2)9	Lijn	Paal_X_2	9,000 10,000	Vrij	Niet-lineair	Niet-lineair	Vrij	Vrij	Vrij	PY-curve-1_V2	PY-curve-1_V2
(PY-curve-1_V2)4	Lijn	Paal_XY_1	9,000 10,000	Vrij	Niet-lineair	Niet-lineair	Vrij	Vrij	Vrij	PY-curve-1_V2	PY-curve-1_V2
(PY-curve-1_V2)8	Lijn	Paal_P_2	9,000 10,000	Vrij	Niet-lineair	Niet-lineair	Vrij	Vrij	Vrij	PY-curve-1_V2	PY-curve-1_V2
(PY-curve-1_V2)22	Lijn	Paal_P_6	9,000 10,000	Vrij	Niet-lineair	Niet-lineair	Vrij	Vrij	Vrij	PY-curve-1_V2	PY-curve-1_V2
(PY-curve-1_V2)26	Lijn	Paal_XY_4	9,000 10,000	Vrij	Niet-lineair	Niet-lineair	Vrij	Vrij	Vrij	PY-curve-1_V2	PY-curve-1_V2
(PY-curve-1_V2)13	Lijn	Paal_X_5	9,000 10,000	Vrij	Niet-lineair	Niet-lineair	Vrij	Vrij	Vrij	PY-curve-1_V2	PY-curve-1_V2
(PY-curve-1_V2)31	Lijn	Paal_Y_6	9,000 10,000	Vrij	Niet-lineair	Niet-lineair	Vrij	Vrij	Vrij	PY-curve-1_V2	PY-curve-1_V2
(PY-curve-1_V2)23	Lijn	Paal_X_12	9,000 10,000	Vrij	Niet-lineair	Niet-lineair	Vrij	Vrij	Vrij	PY-curve-1_V2	PY-curve-1_V2
(PY-curve-1_V3)7	Lijn	Paal_Y_3	10,000 11,000	Vrij	Niet-lineair	Niet-lineair	Vrij	Vrij	Vrij	PY-curve-1_V3	PY-curve-1_V3
(PY-curve-1_V3)12	Lijn	Paal_X_4	10,000 11,000	Vrij	Niet-lineair	Niet-lineair	Vrij	Vrij	Vrij	PY-curve-1_V3	PY-curve-1_V3
(PY-curve-1_V3)20	Lijn	Paal_P_4	10,000 11,000	Vrij	Niet-lineair	Niet-lineair	Vrij	Vrij	Vrij	PY-curve-1_V3	PY-curve-1_V3
(PY-curve-1_V3)3	Lijn	Paal_X_3	10,000 11,000	Vrij	Niet-lineair	Niet-lineair	Vrij	Vrij	Vrij	PY-curve-1_V3	PY-curve-1_V3
(PY-curve-1_V3)1	Lijn	Paal_P_3	10,000 11,000	Vrij	Niet-lineair	Niet-lineair	Vrij	Vrij	Vrij	PY-curve-1_V3	PY-curve-1_V3
(PY-curve-1_V3)39	Lijn	Paal_X_22	10,000 11,000	Vrij	Niet-lineair	Niet-lineair	Vrij	Vrij	Vrij	PY-curve-1_V3	PY-curve-1_V3
(PY-curve-1_V3)	Lijn	Paal_P_1	10,000 11,000	Vrij	Niet-lineair	Niet-lineair	Vrij	Vrij	Vrij	PY-curve-1_V3	PY-curve-1_V3
(PY-curve-1_V3)37	Lijn	Paal_X_20	10,000 11,000	Vrij	Niet-lineair	Niet-lineair	Vrij	Vrij	Vrij	PY-curve-1_V3	PY-curve-1_V3
(PY-curve-1_V3)6	Lijn	Paal_Y_1	10,000 11,000	Vrij	Niet-lineair	Niet-lineair	Vrij	Vrij	Vrij	PY-curve-1_V3	PY-curve-1_V3
(PY-curve-1_V3)34	Lijn	Paal_X_17	10,000 11,000	Vrij	Niet-lineair	Niet-lineair	Vrij	Vrij	Vrij	PY-curve-1_V3	PY-curve-1_V3
(PY-curve-1_V3)17	Lijn	Paal_X_9	10,000 11,000	Vrij	Niet-lineair	Niet-lineair	Vrij	Vrij	Vrij	PY-curve-1_V3	PY-curve-1_V3
(PY-curve-1_V3)36	Lijn	Paal_X_19	10,000 11,000	Vrij	Niet-lineair	Niet-lineair	Vrij	Vrij	Vrij	PY-curve-1_V3	PY-curve-1_V3
(PY-curve-1_V3)35	Lijn	Paal_X_18	10,000 11,000	Vrij	Niet-lineair	Niet-lineair	Vrij	Vrij	Vrij	PY-curve-1_V3	PY-curve-1_V3
(PY-curve-1_V3)11	Lijn	Paal_Y_2	10,000 11,000	Vrij	Niet-lineair	Niet-lineair	Vrij	Vrij	Vrij	PY-curve-1_V3	PY-curve-1_V3
(PY-curve-1_V3)19	Lijn	Paal_X_11	10,000 11,000	Vrij	Niet-lineair	Niet-lineair	Vrij	Vrij	Vrij	PY-curve-1_V3	PY-curve-1_V3
(PY-curve-1_V3)5	Lijn	Paal_XY_3	10,000 11,000	Vrij	Niet-lineair	Niet-lineair	Vrij	Vrij	Vrij	PY-curve-1_V3	PY-curve-1_V3
(PY-curve-1_V3)30	Lijn	Paal_Y_5	10,000 11,000	Vrij	Niet-lineair	Niet-lineair	Vrij	Vrij	Vrij	PY-curve-1_V3	PY-curve-1_V3
(PY-curve-1_V3)2	Lijn	Paal_X_1	10,000 11,000	Vrij	Niet-lineair	Niet-lineair	Vrij	Vrij	Vrij	PY-curve-1_V3	PY-curve-1_V3
(PY-curve-1_V3)28	Lijn	Paal_XY_6	10,000 11,000	Vrij	Niet-lineair	Niet-lineair	Vrij	Vrij	Vrij	PY-curve-1_V3	PY-curve-1_V3
(PY-curve-1_V3)10	Lijn	Paal_XY_2	10,000 11,000	Vrij	Niet-lineair	Niet-lineair	Vrij	Vrij	Vrij	PY-curve-1_V3	PY-curve-1_V3
(PY-curve-1_V3)16	Lijn	Paal_X_8	10,000 11,000	Vrij	Niet-lineair	Niet-lineair	Vrij	Vrij	Vrij	PY-curve-1_V3	PY-curve-1_V3
(PY-curve-1_V3)18	Lijn	Paal_X_10	10,000	Vrij	Niet-lineair	Niet-lineair	Vrij	Vrij	Vrij	PY-curve-1_V3	PY-curve-1_V3

Naam	Type	Staaf	Pos x_1 [m] Pos x_2 [m]	X	Y	Z	Rx	Ry	Rz	Functie Y	Functie Z
			11,000								
(PY-curve-1_V3)29	Lijn	Paal_Y_4	10,000 11,000	Vrij	Niet-lineair	Niet-lineair	Vrij	Vrij	Vrij	PY-curve-1_V3	PY-curve-1_V3
(PY-curve-1_V3)32	Lijn	Paal_X_15	10,000 11,000	Vrij	Niet-lineair	Niet-lineair	Vrij	Vrij	Vrij	PY-curve-1_V3	PY-curve-1_V3
(PY-curve-1_V3)27	Lijn	Paal_XY_5	10,000 11,000	Vrij	Niet-lineair	Niet-lineair	Vrij	Vrij	Vrij	PY-curve-1_V3	PY-curve-1_V3
(PY-curve-1_V3)8	Lijn	Paal_P_2	10,000 11,000	Vrij	Niet-lineair	Niet-lineair	Vrij	Vrij	Vrij	PY-curve-1_V3	PY-curve-1_V3
(PY-curve-1_V3)9	Lijn	Paal_X_2	10,000 11,000	Vrij	Niet-lineair	Niet-lineair	Vrij	Vrij	Vrij	PY-curve-1_V3	PY-curve-1_V3
(PY-curve-1_V3)4	Lijn	Paal_XY_1	10,000 11,000	Vrij	Niet-lineair	Niet-lineair	Vrij	Vrij	Vrij	PY-curve-1_V3	PY-curve-1_V3
(PY-curve-1_V3)31	Lijn	Paal_Y_6	10,000 11,000	Vrij	Niet-lineair	Niet-lineair	Vrij	Vrij	Vrij	PY-curve-1_V3	PY-curve-1_V3
(PY-curve-1_V3)24	Lijn	Paal_X_13	10,000 11,000	Vrij	Niet-lineair	Niet-lineair	Vrij	Vrij	Vrij	PY-curve-1_V3	PY-curve-1_V3
(PY-curve-1_V3)15	Lijn	Paal_X_7	10,000 11,000	Vrij	Niet-lineair	Niet-lineair	Vrij	Vrij	Vrij	PY-curve-1_V3	PY-curve-1_V3
(PY-curve-1_V3)14	Lijn	Paal_X_6	10,000 11,000	Vrij	Niet-lineair	Niet-lineair	Vrij	Vrij	Vrij	PY-curve-1_V3	PY-curve-1_V3
(PY-curve-1_V3)25	Lijn	Paal_X_14	10,000 11,000	Vrij	Niet-lineair	Niet-lineair	Vrij	Vrij	Vrij	PY-curve-1_V3	PY-curve-1_V3
(PY-curve-1_V3)23	Lijn	Paal_X_12	10,000 11,000	Vrij	Niet-lineair	Niet-lineair	Vrij	Vrij	Vrij	PY-curve-1_V3	PY-curve-1_V3
(PY-curve-1_V3)26	Lijn	Paal_XY_4	10,000 11,000	Vrij	Niet-lineair	Niet-lineair	Vrij	Vrij	Vrij	PY-curve-1_V3	PY-curve-1_V3
(PY-curve-1_V3)22	Lijn	Paal_P_6	10,000 11,000	Vrij	Niet-lineair	Niet-lineair	Vrij	Vrij	Vrij	PY-curve-1_V3	PY-curve-1_V3
(PY-curve-1_V3)13	Lijn	Paal_X_5	10,000 11,000	Vrij	Niet-lineair	Niet-lineair	Vrij	Vrij	Vrij	PY-curve-1_V3	PY-curve-1_V3
(PY-curve-1_V3)33	Lijn	Paal_X_16	10,000 11,000	Vrij	Niet-lineair	Niet-lineair	Vrij	Vrij	Vrij	PY-curve-1_V3	PY-curve-1_V3
(PY-curve-1_V3)38	Lijn	Paal_X_21	10,000 11,000	Vrij	Niet-lineair	Niet-lineair	Vrij	Vrij	Vrij	PY-curve-1_V3	PY-curve-1_V3
(PY-curve-1_V3)21	Lijn	Paal_P_5	10,000 11,000	Vrij	Niet-lineair	Niet-lineair	Vrij	Vrij	Vrij	PY-curve-1_V3	PY-curve-1_V3
(PY-curve-1_V4)20	Lijn	Paal_P_4	11,000 12,000	Vrij	Niet-lineair	Niet-lineair	Vrij	Vrij	Vrij	PY-curve-1_V4	PY-curve-1_V4
(PY-curve-1_V4)38	Lijn	Paal_X_21	11,000 12,000	Vrij	Niet-lineair	Niet-lineair	Vrij	Vrij	Vrij	PY-curve-1_V4	PY-curve-1_V4
(PY-curve-1_V4)6	Lijn	Paal_Y_1	11,000 12,000	Vrij	Niet-lineair	Niet-lineair	Vrij	Vrij	Vrij	PY-curve-1_V4	PY-curve-1_V4
(PY-curve-1_V4)37	Lijn	Paal_X_20	11,000 12,000	Vrij	Niet-lineair	Niet-lineair	Vrij	Vrij	Vrij	PY-curve-1_V4	PY-curve-1_V4
(PY-curve-1_V4)36	Lijn	Paal_X_19	11,000 12,000	Vrij	Niet-lineair	Niet-lineair	Vrij	Vrij	Vrij	PY-curve-1_V4	PY-curve-1_V4
(PY-curve-1_V4)34	Lijn	Paal_X_17	11,000 12,000	Vrij	Niet-lineair	Niet-lineair	Vrij	Vrij	Vrij	PY-curve-1_V4	PY-curve-1_V4
(PY-curve-1_V4)35	Lijn	Paal_X_18	11,000 12,000	Vrij	Niet-lineair	Niet-lineair	Vrij	Vrij	Vrij	PY-curve-1_V4	PY-curve-1_V4
(PY-curve-1_V4)33	Lijn	Paal_X_16	11,000 12,000	Vrij	Niet-lineair	Niet-lineair	Vrij	Vrij	Vrij	PY-curve-1_V4	PY-curve-1_V4
(PY-curve-1_V4)2	Lijn	Paal_X_1	11,000 12,000	Vrij	Niet-lineair	Niet-lineair	Vrij	Vrij	Vrij	PY-curve-1_V4	PY-curve-1_V4
(PY-curve-1_V4)32	Lijn	Paal_X_15	11,000 12,000	Vrij	Niet-lineair	Niet-lineair	Vrij	Vrij	Vrij	PY-curve-1_V4	PY-curve-1_V4
(PY-curve-1_V4)5	Lijn	Paal_XY_3	11,000 12,000	Vrij	Niet-lineair	Niet-lineair	Vrij	Vrij	Vrij	PY-curve-1_V4	PY-curve-1_V4
(PY-curve-1_V4)11	Lijn	Paal_Y_2	11,000 12,000	Vrij	Niet-lineair	Niet-lineair	Vrij	Vrij	Vrij	PY-curve-1_V4	PY-curve-1_V4
(PY-curve-1_V4)31	Lijn	Paal_Y_6	11,000 12,000	Vrij	Niet-lineair	Niet-lineair	Vrij	Vrij	Vrij	PY-curve-1_V4	PY-curve-1_V4
(PY-curve-1_V4)18	Lijn	Paal_X_10	11,000	Vrij	Niet-lineair	Niet-lineair	Vrij	Vrij	Vrij	PY-curve-1_V4	PY-curve-1_V4

Naam	Type	Staaf	Pos x_1 [m] Pos x_2 [m]	X	Y	Z	Rx	Ry	Rz	Functie Y	Functie Z
			12,000								
(PY-curve-1_V4)30	Lijn	Paal_Y_5	11,000 12,000	Vrij	Niet-lineair	Niet-lineair	Vrij	Vrij	Vrij	PY-curve-1_V4	PY-curve-1_V4
(PY-curve-1_V4)19	Lijn	Paal_X_11	11,000 12,000	Vrij	Niet-lineair	Niet-lineair	Vrij	Vrij	Vrij	PY-curve-1_V4	PY-curve-1_V4
(PY-curve-1_V4)10	Lijn	Paal_XY_2	11,000 12,000	Vrij	Niet-lineair	Niet-lineair	Vrij	Vrij	Vrij	PY-curve-1_V4	PY-curve-1_V4
(PY-curve-1_V4)28	Lijn	Paal_XY_6	11,000 12,000	Vrij	Niet-lineair	Niet-lineair	Vrij	Vrij	Vrij	PY-curve-1_V4	PY-curve-1_V4
(PY-curve-1_V4)16	Lijn	Paal_X_8	11,000 12,000	Vrij	Niet-lineair	Niet-lineair	Vrij	Vrij	Vrij	PY-curve-1_V4	PY-curve-1_V4
(PY-curve-1_V4)27	Lijn	Paal_XY_5	11,000 12,000	Vrij	Niet-lineair	Niet-lineair	Vrij	Vrij	Vrij	PY-curve-1_V4	PY-curve-1_V4
(PY-curve-1_V4)29	Lijn	Paal_Y_4	11,000 12,000	Vrij	Niet-lineair	Niet-lineair	Vrij	Vrij	Vrij	PY-curve-1_V4	PY-curve-1_V4
(PY-curve-1_V4)17	Lijn	Paal_X_9	11,000 12,000	Vrij	Niet-lineair	Niet-lineair	Vrij	Vrij	Vrij	PY-curve-1_V4	PY-curve-1_V4
(PY-curve-1_V4)4	Lijn	Paal_XY_1	11,000 12,000	Vrij	Niet-lineair	Niet-lineair	Vrij	Vrij	Vrij	PY-curve-1_V4	PY-curve-1_V4
(PY-curve-1_V4)9	Lijn	Paal_X_2	11,000 12,000	Vrij	Niet-lineair	Niet-lineair	Vrij	Vrij	Vrij	PY-curve-1_V4	PY-curve-1_V4
(PY-curve-1_V4)26	Lijn	Paal_XY_4	11,000 12,000	Vrij	Niet-lineair	Niet-lineair	Vrij	Vrij	Vrij	PY-curve-1_V4	PY-curve-1_V4
(PY-curve-1_V4)14	Lijn	Paal_X_6	11,000 12,000	Vrij	Niet-lineair	Niet-lineair	Vrij	Vrij	Vrij	PY-curve-1_V4	PY-curve-1_V4
(PY-curve-1_V4)24	Lijn	Paal_X_13	11,000 12,000	Vrij	Niet-lineair	Niet-lineair	Vrij	Vrij	Vrij	PY-curve-1_V4	PY-curve-1_V4
(PY-curve-1_V4)25	Lijn	Paal_X_14	11,000 12,000	Vrij	Niet-lineair	Niet-lineair	Vrij	Vrij	Vrij	PY-curve-1_V4	PY-curve-1_V4
(PY-curve-1_V4)8	Lijn	Paal_P_2	11,000 12,000	Vrij	Niet-lineair	Niet-lineair	Vrij	Vrij	Vrij	PY-curve-1_V4	PY-curve-1_V4
(PY-curve-1_V4)	Lijn	Paal_P_1	11,000 12,000	Vrij	Niet-lineair	Niet-lineair	Vrij	Vrij	Vrij	PY-curve-1_V4	PY-curve-1_V4
(PY-curve-1_V4)23	Lijn	Paal_X_12	11,000 12,000	Vrij	Niet-lineair	Niet-lineair	Vrij	Vrij	Vrij	PY-curve-1_V4	PY-curve-1_V4
(PY-curve-1_V4)1	Lijn	Paal_P_3	11,000 12,000	Vrij	Niet-lineair	Niet-lineair	Vrij	Vrij	Vrij	PY-curve-1_V4	PY-curve-1_V4
(PY-curve-1_V4)22	Lijn	Paal_P_6	11,000 12,000	Vrij	Niet-lineair	Niet-lineair	Vrij	Vrij	Vrij	PY-curve-1_V4	PY-curve-1_V4
(PY-curve-1_V4)15	Lijn	Paal_X_7	11,000 12,000	Vrij	Niet-lineair	Niet-lineair	Vrij	Vrij	Vrij	PY-curve-1_V4	PY-curve-1_V4
(PY-curve-1_V4)21	Lijn	Paal_P_5	11,000 12,000	Vrij	Niet-lineair	Niet-lineair	Vrij	Vrij	Vrij	PY-curve-1_V4	PY-curve-1_V4
(PY-curve-1_V4)39	Lijn	Paal_X_22	11,000 12,000	Vrij	Niet-lineair	Niet-lineair	Vrij	Vrij	Vrij	PY-curve-1_V4	PY-curve-1_V4
(PY-curve-1_V4)3	Lijn	Paal_X_3	11,000 12,000	Vrij	Niet-lineair	Niet-lineair	Vrij	Vrij	Vrij	PY-curve-1_V4	PY-curve-1_V4
(PY-curve-1_V4)13	Lijn	Paal_X_5	11,000 12,000	Vrij	Niet-lineair	Niet-lineair	Vrij	Vrij	Vrij	PY-curve-1_V4	PY-curve-1_V4
(PY-curve-1_V4)7	Lijn	Paal_Y_3	11,000 12,000	Vrij	Niet-lineair	Niet-lineair	Vrij	Vrij	Vrij	PY-curve-1_V4	PY-curve-1_V4
(PY-curve-1_V4)12	Lijn	Paal_X_4	11,000 12,000	Vrij	Niet-lineair	Niet-lineair	Vrij	Vrij	Vrij	PY-curve-1_V4	PY-curve-1_V4
(PY-curve-1_V5)20	Lijn	Paal_P_4	12,000 13,000	Vrij	Niet-lineair	Niet-lineair	Vrij	Vrij	Vrij	PY-curve-1_V5	PY-curve-1_V5
(PY-curve-1_V5)19	Lijn	Paal_X_11	12,000 13,000	Vrij	Niet-lineair	Niet-lineair	Vrij	Vrij	Vrij	PY-curve-1_V5	PY-curve-1_V5
(PY-curve-1_V5)39	Lijn	Paal_X_22	12,000 13,000	Vrij	Niet-lineair	Niet-lineair	Vrij	Vrij	Vrij	PY-curve-1_V5	PY-curve-1_V5
(PY-curve-1_V5)18	Lijn	Paal_X_10	12,000 13,000	Vrij	Niet-lineair	Niet-lineair	Vrij	Vrij	Vrij	PY-curve-1_V5	PY-curve-1_V5
(PY-curve-1_V5)17	Lijn	Paal_X_5	12,000 13,000	Vrij	Niet-lineair	Niet-lineair	Vrij	Vrij	Vrij	PY-curve-1_V5	PY-curve-1_V5
(PY-curve-1_V5)16	Lijn	Paal_X_4	12,000	Vrij	Niet-lineair	Niet-lineair	Vrij	Vrij	Vrij	PY-curve-1_V5	PY-curve-1_V5

Naam	Type	Staaf	Pos x_1 [m] Pos x_2 [m]	X	Y	Z	Rx	Ry	Rz	Functie Y	Functie Z
			13,000								
(PY-curve-1_V5)38	Lijn	Paal_X_21	12,000 13,000	Vrij	Niet-lineair	Niet-lineair	Vrij	Vrij	Vrij	PY-curve-1_V5	PY-curve-1_V5
(PY-curve-1_V5)15	Lijn	Paal_X_9	12,000 13,000	Vrij	Niet-lineair	Niet-lineair	Vrij	Vrij	Vrij	PY-curve-1_V5	PY-curve-1_V5
(PY-curve-1_V5)14	Lijn	Paal_X_8	12,000 13,000	Vrij	Niet-lineair	Niet-lineair	Vrij	Vrij	Vrij	PY-curve-1_V5	PY-curve-1_V5
(PY-curve-1_V5)13	Lijn	Paal_X_7	12,000 13,000	Vrij	Niet-lineair	Niet-lineair	Vrij	Vrij	Vrij	PY-curve-1_V5	PY-curve-1_V5
(PY-curve-1_V5)37	Lijn	Paal_X_20	12,000 13,000	Vrij	Niet-lineair	Niet-lineair	Vrij	Vrij	Vrij	PY-curve-1_V5	PY-curve-1_V5
(PY-curve-1_V5)12	Lijn	Paal_X_6	12,000 13,000	Vrij	Niet-lineair	Niet-lineair	Vrij	Vrij	Vrij	PY-curve-1_V5	PY-curve-1_V5
(PY-curve-1_V5)11	Lijn	Paal_XY_1	12,000 13,000	Vrij	Niet-lineair	Niet-lineair	Vrij	Vrij	Vrij	PY-curve-1_V5	PY-curve-1_V5
(PY-curve-1_V5)36	Lijn	Paal_X_19	12,000 13,000	Vrij	Niet-lineair	Niet-lineair	Vrij	Vrij	Vrij	PY-curve-1_V5	PY-curve-1_V5
(PY-curve-1_V5)9	Lijn	Paal_XY_3	12,000 13,000	Vrij	Niet-lineair	Niet-lineair	Vrij	Vrij	Vrij	PY-curve-1_V5	PY-curve-1_V5
(PY-curve-1_V5)35	Lijn	Paal_X_18	12,000 13,000	Vrij	Niet-lineair	Niet-lineair	Vrij	Vrij	Vrij	PY-curve-1_V5	PY-curve-1_V5
(PY-curve-1_V5)10	Lijn	Paal_X_3	12,000 13,000	Vrij	Niet-lineair	Niet-lineair	Vrij	Vrij	Vrij	PY-curve-1_V5	PY-curve-1_V5
(PY-curve-1_V5)5	Lijn	Paal_Y_2	12,000 13,000	Vrij	Niet-lineair	Niet-lineair	Vrij	Vrij	Vrij	PY-curve-1_V5	PY-curve-1_V5
(PY-curve-1_V5)4	Lijn	Paal_P_2	12,000 13,000	Vrij	Niet-lineair	Niet-lineair	Vrij	Vrij	Vrij	PY-curve-1_V5	PY-curve-1_V5
(PY-curve-1_V5)34	Lijn	Paal_X_17	12,000 13,000	Vrij	Niet-lineair	Niet-lineair	Vrij	Vrij	Vrij	PY-curve-1_V5	PY-curve-1_V5
(PY-curve-1_V5)3	Lijn	Paal_Y_1	12,000 13,000	Vrij	Niet-lineair	Niet-lineair	Vrij	Vrij	Vrij	PY-curve-1_V5	PY-curve-1_V5
(PY-curve-1_V5)7	Lijn	Paal_XY_2	12,000 13,000	Vrij	Niet-lineair	Niet-lineair	Vrij	Vrij	Vrij	PY-curve-1_V5	PY-curve-1_V5
(PY-curve-1_V5)2	Lijn	Paal_P_3	12,000 13,000	Vrij	Niet-lineair	Niet-lineair	Vrij	Vrij	Vrij	PY-curve-1_V5	PY-curve-1_V5
(PY-curve-1_V5)8	Lijn	Paal_X_1	12,000 13,000	Vrij	Niet-lineair	Niet-lineair	Vrij	Vrij	Vrij	PY-curve-1_V5	PY-curve-1_V5
(PY-curve-1_V5)6	Lijn	Paal_X_2	12,000 13,000	Vrij	Niet-lineair	Niet-lineair	Vrij	Vrij	Vrij	PY-curve-1_V5	PY-curve-1_V5
(PY-curve-1_V5)1	Lijn	Paal_Y_3	12,000 13,000	Vrij	Niet-lineair	Niet-lineair	Vrij	Vrij	Vrij	PY-curve-1_V5	PY-curve-1_V5
(PY-curve-1_V5)33	Lijn	Paal_X_16	12,000 13,000	Vrij	Niet-lineair	Niet-lineair	Vrij	Vrij	Vrij	PY-curve-1_V5	PY-curve-1_V5
(PY-curve-1_V5)	Lijn	Paal_P_1	12,000 13,000	Vrij	Niet-lineair	Niet-lineair	Vrij	Vrij	Vrij	PY-curve-1_V5	PY-curve-1_V5
(PY-curve-1_V5)31	Lijn	Paal_Y_6	12,000 13,000	Vrij	Niet-lineair	Niet-lineair	Vrij	Vrij	Vrij	PY-curve-1_V5	PY-curve-1_V5
(PY-curve-1_V5)30	Lijn	Paal_Y_5	12,000 13,000	Vrij	Niet-lineair	Niet-lineair	Vrij	Vrij	Vrij	PY-curve-1_V5	PY-curve-1_V5
(PY-curve-1_V5)32	Lijn	Paal_X_15	12,000 13,000	Vrij	Niet-lineair	Niet-lineair	Vrij	Vrij	Vrij	PY-curve-1_V5	PY-curve-1_V5
(PY-curve-1_V5)29	Lijn	Paal_Y_4	12,000 13,000	Vrij	Niet-lineair	Niet-lineair	Vrij	Vrij	Vrij	PY-curve-1_V5	PY-curve-1_V5
(PY-curve-1_V5)27	Lijn	Paal_XY_5	12,000 13,000	Vrij	Niet-lineair	Niet-lineair	Vrij	Vrij	Vrij	PY-curve-1_V5	PY-curve-1_V5
(PY-curve-1_V5)28	Lijn	Paal_XY_6	12,000 13,000	Vrij	Niet-lineair	Niet-lineair	Vrij	Vrij	Vrij	PY-curve-1_V5	PY-curve-1_V5
(PY-curve-1_V5)26	Lijn	Paal_XY_4	12,000 13,000	Vrij	Niet-lineair	Niet-lineair	Vrij	Vrij	Vrij	PY-curve-1_V5	PY-curve-1_V5
(PY-curve-1_V5)25	Lijn	Paal_X_14	12,000 13,000	Vrij	Niet-lineair	Niet-lineair	Vrij	Vrij	Vrij	PY-curve-1_V5	PY-curve-1_V5
(PY-curve-1_V5)24	Lijn	Paal_X_13	12,000 13,000	Vrij	Niet-lineair	Niet-lineair	Vrij	Vrij	Vrij	PY-curve-1_V5	PY-curve-1_V5
(PY-curve-1_V5)23	Lijn	Paal_X_12	12,000	Vrij	Niet-lineair	Niet-lineair	Vrij	Vrij	Vrij	PY-curve-1_V5	PY-curve-1_V5

Naam	Type	Staaf	Pos x_1 [m] Pos x_2 [m]	X	Y	Z	Rx	Ry	Rz	Functie Y	Functie Z
			13,000								
(PY-curve-1_V5)22	Lijn	Paal_P_6	12,000 13,000	Vrij	Niet-lineair	Niet-lineair	Vrij	Vrij	Vrij	PY-curve-1_V5	PY-curve-1_V5
(PY-curve-1_V5)21	Lijn	Paal_P_5	12,000 13,000	Vrij	Niet-lineair	Niet-lineair	Vrij	Vrij	Vrij	PY-curve-1_V5	PY-curve-1_V5
(PY-curve-1_V6)13	Lijn	Paal_Y_2	13,000 14,000	Vrij	Niet-lineair	Niet-lineair	Vrij	Vrij	Vrij	PY-curve-1_V6	PY-curve-1_V6
(PY-curve-1_V6)12	Lijn	Paal_Y_1	13,000 14,000	Vrij	Niet-lineair	Niet-lineair	Vrij	Vrij	Vrij	PY-curve-1_V6	PY-curve-1_V6
(PY-curve-1_V6)11	Lijn	Paal_Y_3	13,000 14,000	Vrij	Niet-lineair	Niet-lineair	Vrij	Vrij	Vrij	PY-curve-1_V6	PY-curve-1_V6
(PY-curve-1_V6)10	Lijn	Paal_XY_2	13,000 14,000	Vrij	Niet-lineair	Niet-lineair	Vrij	Vrij	Vrij	PY-curve-1_V6	PY-curve-1_V6
(PY-curve-1_V6)9	Lijn	Paal_XY_1	13,000 14,000	Vrij	Niet-lineair	Niet-lineair	Vrij	Vrij	Vrij	PY-curve-1_V6	PY-curve-1_V6
(PY-curve-1_V6)8	Lijn	Paal_XY_3	13,000 14,000	Vrij	Niet-lineair	Niet-lineair	Vrij	Vrij	Vrij	PY-curve-1_V6	PY-curve-1_V6
(PY-curve-1_V6)7	Lijn	Paal_X_2	13,000 14,000	Vrij	Niet-lineair	Niet-lineair	Vrij	Vrij	Vrij	PY-curve-1_V6	PY-curve-1_V6
(PY-curve-1_V6)14	Lijn	Paal_X_4	13,000 14,000	Vrij	Niet-lineair	Niet-lineair	Vrij	Vrij	Vrij	PY-curve-1_V6	PY-curve-1_V6
(PY-curve-1_V6)6	Lijn	Paal_X_1	13,000 14,000	Vrij	Niet-lineair	Niet-lineair	Vrij	Vrij	Vrij	PY-curve-1_V6	PY-curve-1_V6
(PY-curve-1_V6)5	Lijn	Paal_X_3	13,000 14,000	Vrij	Niet-lineair	Niet-lineair	Vrij	Vrij	Vrij	PY-curve-1_V6	PY-curve-1_V6
(PY-curve-1_V6)4	Lijn	Paal_P_2	13,000 14,000	Vrij	Niet-lineair	Niet-lineair	Vrij	Vrij	Vrij	PY-curve-1_V6	PY-curve-1_V6
(PY-curve-1_V6)3	Lijn	Paal_P_1	13,000 14,000	Vrij	Niet-lineair	Niet-lineair	Vrij	Vrij	Vrij	PY-curve-1_V6	PY-curve-1_V6
(PY-curve-1_V6)2	Lijn	Paal_P_3	13,000 14,000	Vrij	Niet-lineair	Niet-lineair	Vrij	Vrij	Vrij	PY-curve-1_V6	PY-curve-1_V6
(PY-curve-1_V6)1	Lijn	Paal_XY_5	13,000 14,000	Vrij	Niet-lineair	Niet-lineair	Vrij	Vrij	Vrij	PY-curve-1_V6	PY-curve-1_V6
(PY-curve-1_V6)	Lijn	Paal_X_12	13,000 14,000	Vrij	Niet-lineair	Niet-lineair	Vrij	Vrij	Vrij	PY-curve-1_V6	PY-curve-1_V6
(PY-curve-1_V6)39	Lijn	Paal_X_22	13,000 14,000	Vrij	Niet-lineair	Niet-lineair	Vrij	Vrij	Vrij	PY-curve-1_V6	PY-curve-1_V6
(PY-curve-1_V6)37	Lijn	Paal_X_20	13,000 14,000	Vrij	Niet-lineair	Niet-lineair	Vrij	Vrij	Vrij	PY-curve-1_V6	PY-curve-1_V6
(PY-curve-1_V6)36	Lijn	Paal_X_19	13,000 14,000	Vrij	Niet-lineair	Niet-lineair	Vrij	Vrij	Vrij	PY-curve-1_V6	PY-curve-1_V6
(PY-curve-1_V6)35	Lijn	Paal_X_18	13,000 14,000	Vrij	Niet-lineair	Niet-lineair	Vrij	Vrij	Vrij	PY-curve-1_V6	PY-curve-1_V6
(PY-curve-1_V6)34	Lijn	Paal_X_17	13,000 14,000	Vrij	Niet-lineair	Niet-lineair	Vrij	Vrij	Vrij	PY-curve-1_V6	PY-curve-1_V6
(PY-curve-1_V6)33	Lijn	Paal_X_16	13,000 14,000	Vrij	Niet-lineair	Niet-lineair	Vrij	Vrij	Vrij	PY-curve-1_V6	PY-curve-1_V6
(PY-curve-1_V6)32	Lijn	Paal_X_15	13,000 14,000	Vrij	Niet-lineair	Niet-lineair	Vrij	Vrij	Vrij	PY-curve-1_V6	PY-curve-1_V6
(PY-curve-1_V6)31	Lijn	Paal_Y_6	13,000 14,000	Vrij	Niet-lineair	Niet-lineair	Vrij	Vrij	Vrij	PY-curve-1_V6	PY-curve-1_V6
(PY-curve-1_V6)30	Lijn	Paal_Y_5	13,000 14,000	Vrij	Niet-lineair	Niet-lineair	Vrij	Vrij	Vrij	PY-curve-1_V6	PY-curve-1_V6
(PY-curve-1_V6)29	Lijn	Paal_Y_4	13,000 14,000	Vrij	Niet-lineair	Niet-lineair	Vrij	Vrij	Vrij	PY-curve-1_V6	PY-curve-1_V6
(PY-curve-1_V6)28	Lijn	Paal_XY_6	13,000 14,000	Vrij	Niet-lineair	Niet-lineair	Vrij	Vrij	Vrij	PY-curve-1_V6	PY-curve-1_V6
(PY-curve-1_V6)27	Lijn	Paal_XY_4	13,000 14,000	Vrij	Niet-lineair	Niet-lineair	Vrij	Vrij	Vrij	PY-curve-1_V6	PY-curve-1_V6
(PY-curve-1_V6)26	Lijn	Paal_X_14	13,000 14,000	Vrij	Niet-lineair	Niet-lineair	Vrij	Vrij	Vrij	PY-curve-1_V6	PY-curve-1_V6
(PY-curve-1_V6)25	Lijn	Paal_X_13	13,000 14,000	Vrij	Niet-lineair	Niet-lineair	Vrij	Vrij	Vrij	PY-curve-1_V6	PY-curve-1_V6
(PY-curve-1_V6)24	Lijn	Paal_P_6	13,000	Vrij	Niet-lineair	Niet-lineair	Vrij	Vrij	Vrij	PY-curve-1_V6	PY-curve-1_V6

Naam	Type	Staaf	Pos x_1 [m] Pos x_2 [m]	X	Y	Z	Rx	Ry	Rz	Functie Y	Functie Z
			14,000								
(PY-curve-1_V6)23	Lijn	Paal_P_5	13,000 14,000	Vrij	Niet-lineair	Niet-lineair	Vrij	Vrij	Vrij	PY-curve-1_V6	PY-curve-1_V6
(PY-curve-1_V6)38	Lijn	Paal_X_21	13,000 14,000	Vrij	Niet-lineair	Niet-lineair	Vrij	Vrij	Vrij	PY-curve-1_V6	PY-curve-1_V6
(PY-curve-1_V6)22	Lijn	Paal_P_4	13,000 14,000	Vrij	Niet-lineair	Niet-lineair	Vrij	Vrij	Vrij	PY-curve-1_V6	PY-curve-1_V6
(PY-curve-1_V6)21	Lijn	Paal_X_11	13,000 14,000	Vrij	Niet-lineair	Niet-lineair	Vrij	Vrij	Vrij	PY-curve-1_V6	PY-curve-1_V6
(PY-curve-1_V6)20	Lijn	Paal_X_10	13,000 14,000	Vrij	Niet-lineair	Niet-lineair	Vrij	Vrij	Vrij	PY-curve-1_V6	PY-curve-1_V6
(PY-curve-1_V6)19	Lijn	Paal_X_9	13,000 14,000	Vrij	Niet-lineair	Niet-lineair	Vrij	Vrij	Vrij	PY-curve-1_V6	PY-curve-1_V6
(PY-curve-1_V6)18	Lijn	Paal_X_8	13,000 14,000	Vrij	Niet-lineair	Niet-lineair	Vrij	Vrij	Vrij	PY-curve-1_V6	PY-curve-1_V6
(PY-curve-1_V6)17	Lijn	Paal_X_7	13,000 14,000	Vrij	Niet-lineair	Niet-lineair	Vrij	Vrij	Vrij	PY-curve-1_V6	PY-curve-1_V6
(PY-curve-1_V6)16	Lijn	Paal_X_6	13,000 14,000	Vrij	Niet-lineair	Niet-lineair	Vrij	Vrij	Vrij	PY-curve-1_V6	PY-curve-1_V6
(PY-curve-1_V6)15	Lijn	Paal_X_5	13,000 14,000	Vrij	Niet-lineair	Niet-lineair	Vrij	Vrij	Vrij	PY-curve-1_V6	PY-curve-1_V6
(PY-curve-1_V7)39	Lijn	Paal_X_22	14,000 15,000	Vrij	Niet-lineair	Niet-lineair	Vrij	Vrij	Vrij	PY-curve-1_V7	PY-curve-1_V7
(PY-curve-1_V7)37	Lijn	Paal_X_20	14,000 15,000	Vrij	Niet-lineair	Niet-lineair	Vrij	Vrij	Vrij	PY-curve-1_V7	PY-curve-1_V7
(PY-curve-1_V7)36	Lijn	Paal_X_19	14,000 15,000	Vrij	Niet-lineair	Niet-lineair	Vrij	Vrij	Vrij	PY-curve-1_V7	PY-curve-1_V7
(PY-curve-1_V7)35	Lijn	Paal_X_18	14,000 15,000	Vrij	Niet-lineair	Niet-lineair	Vrij	Vrij	Vrij	PY-curve-1_V7	PY-curve-1_V7
(PY-curve-1_V7)33	Lijn	Paal_X_16	14,000 15,000	Vrij	Niet-lineair	Niet-lineair	Vrij	Vrij	Vrij	PY-curve-1_V7	PY-curve-1_V7
(PY-curve-1_V7)32	Lijn	Paal_X_15	14,000 15,000	Vrij	Niet-lineair	Niet-lineair	Vrij	Vrij	Vrij	PY-curve-1_V7	PY-curve-1_V7
(PY-curve-1_V7)31	Lijn	Paal_Y_6	14,000 15,000	Vrij	Niet-lineair	Niet-lineair	Vrij	Vrij	Vrij	PY-curve-1_V7	PY-curve-1_V7
(PY-curve-1_V7)29	Lijn	Paal_Y_4	14,000 15,000	Vrij	Niet-lineair	Niet-lineair	Vrij	Vrij	Vrij	PY-curve-1_V7	PY-curve-1_V7
(PY-curve-1_V7)28	Lijn	Paal_XY_6	14,000 15,000	Vrij	Niet-lineair	Niet-lineair	Vrij	Vrij	Vrij	PY-curve-1_V7	PY-curve-1_V7
(PY-curve-1_V7)27	Lijn	Paal_XY_4	14,000 15,000	Vrij	Niet-lineair	Niet-lineair	Vrij	Vrij	Vrij	PY-curve-1_V7	PY-curve-1_V7
(PY-curve-1_V7)26	Lijn	Paal_X_14	14,000 15,000	Vrij	Niet-lineair	Niet-lineair	Vrij	Vrij	Vrij	PY-curve-1_V7	PY-curve-1_V7
(PY-curve-1_V7)25	Lijn	Paal_X_13	14,000 15,000	Vrij	Niet-lineair	Niet-lineair	Vrij	Vrij	Vrij	PY-curve-1_V7	PY-curve-1_V7
(PY-curve-1_V7)24	Lijn	Paal_P_6	14,000 15,000	Vrij	Niet-lineair	Niet-lineair	Vrij	Vrij	Vrij	PY-curve-1_V7	PY-curve-1_V7
(PY-curve-1_V7)23	Lijn	Paal_P_5	14,000 15,000	Vrij	Niet-lineair	Niet-lineair	Vrij	Vrij	Vrij	PY-curve-1_V7	PY-curve-1_V7
(PY-curve-1_V7)22	Lijn	Paal_P_4	14,000 15,000	Vrij	Niet-lineair	Niet-lineair	Vrij	Vrij	Vrij	PY-curve-1_V7	PY-curve-1_V7
(PY-curve-1_V7)21	Lijn	Paal_X_11	14,000 15,000	Vrij	Niet-lineair	Niet-lineair	Vrij	Vrij	Vrij	PY-curve-1_V7	PY-curve-1_V7
(PY-curve-1_V7)20	Lijn	Paal_X_10	14,000 15,000	Vrij	Niet-lineair	Niet-lineair	Vrij	Vrij	Vrij	PY-curve-1_V7	PY-curve-1_V7
(PY-curve-1_V7)19	Lijn	Paal_X_9	14,000 15,000	Vrij	Niet-lineair	Niet-lineair	Vrij	Vrij	Vrij	PY-curve-1_V7	PY-curve-1_V7
(PY-curve-1_V7)18	Lijn	Paal_X_8	14,000 15,000	Vrij	Niet-lineair	Niet-lineair	Vrij	Vrij	Vrij	PY-curve-1_V7	PY-curve-1_V7
(PY-curve-1_V7)17	Lijn	Paal_X_7	14,000 15,000	Vrij	Niet-lineair	Niet-lineair	Vrij	Vrij	Vrij	PY-curve-1_V7	PY-curve-1_V7
(PY-curve-1_V7)16	Lijn	Paal_X_6	14,000 15,000	Vrij	Niet-lineair	Niet-lineair	Vrij	Vrij	Vrij	PY-curve-1_V7	PY-curve-1_V7
(PY-curve-1_V7)15	Lijn	Paal_X_5	14,000	Vrij	Niet-lineair	Niet-lineair	Vrij	Vrij	Vrij	PY-curve-1_V7	PY-curve-1_V7

Naam	Type	Staaf	Pos x_1 [m] Pos x_2 [m]	X	Y	Z	Rx	Ry	Rz	Functie Y	Functie Z
			15,000								
(PY-curve-1_V7)30	Lijn	Paal_Y_5	14,000 15,000	Vrij	Niet-lineair	Niet-lineair	Vrij	Vrij	Vrij	PY-curve-1_V7	PY-curve-1_V7
(PY-curve-1_V7)14	Lijn	Paal_X_4	14,000 15,000	Vrij	Niet-lineair	Niet-lineair	Vrij	Vrij	Vrij	PY-curve-1_V7	PY-curve-1_V7
(PY-curve-1_V7)13	Lijn	Paal_Y_2	14,000 15,000	Vrij	Niet-lineair	Niet-lineair	Vrij	Vrij	Vrij	PY-curve-1_V7	PY-curve-1_V7
(PY-curve-1_V7)12	Lijn	Paal_Y_1	14,000 15,000	Vrij	Niet-lineair	Niet-lineair	Vrij	Vrij	Vrij	PY-curve-1_V7	PY-curve-1_V7
(PY-curve-1_V7)11	Lijn	Paal_Y_3	14,000 15,000	Vrij	Niet-lineair	Niet-lineair	Vrij	Vrij	Vrij	PY-curve-1_V7	PY-curve-1_V7
(PY-curve-1_V7)34	Lijn	Paal_X_17	14,000 15,000	Vrij	Niet-lineair	Niet-lineair	Vrij	Vrij	Vrij	PY-curve-1_V7	PY-curve-1_V7
(PY-curve-1_V7)10	Lijn	Paal_XY_2	14,000 15,000	Vrij	Niet-lineair	Niet-lineair	Vrij	Vrij	Vrij	PY-curve-1_V7	PY-curve-1_V7
(PY-curve-1_V7)9	Lijn	Paal_XY_1	14,000 15,000	Vrij	Niet-lineair	Niet-lineair	Vrij	Vrij	Vrij	PY-curve-1_V7	PY-curve-1_V7
(PY-curve-1_V7)8	Lijn	Paal_XY_3	14,000 15,000	Vrij	Niet-lineair	Niet-lineair	Vrij	Vrij	Vrij	PY-curve-1_V7	PY-curve-1_V7
(PY-curve-1_V7)7	Lijn	Paal_X_2	14,000 15,000	Vrij	Niet-lineair	Niet-lineair	Vrij	Vrij	Vrij	PY-curve-1_V7	PY-curve-1_V7
(PY-curve-1_V7)38	Lijn	Paal_X_21	14,000 15,000	Vrij	Niet-lineair	Niet-lineair	Vrij	Vrij	Vrij	PY-curve-1_V7	PY-curve-1_V7
(PY-curve-1_V7)6	Lijn	Paal_X_1	14,000 15,000	Vrij	Niet-lineair	Niet-lineair	Vrij	Vrij	Vrij	PY-curve-1_V7	PY-curve-1_V7
(PY-curve-1_V7)5	Lijn	Paal_X_3	14,000 15,000	Vrij	Niet-lineair	Niet-lineair	Vrij	Vrij	Vrij	PY-curve-1_V7	PY-curve-1_V7
(PY-curve-1_V7)4	Lijn	Paal_P_2	14,000 15,000	Vrij	Niet-lineair	Niet-lineair	Vrij	Vrij	Vrij	PY-curve-1_V7	PY-curve-1_V7
(PY-curve-1_V7)3	Lijn	Paal_P_1	14,000 15,000	Vrij	Niet-lineair	Niet-lineair	Vrij	Vrij	Vrij	PY-curve-1_V7	PY-curve-1_V7
(PY-curve-1_V7)2	Lijn	Paal_P_3	14,000 15,000	Vrij	Niet-lineair	Niet-lineair	Vrij	Vrij	Vrij	PY-curve-1_V7	PY-curve-1_V7
(PY-curve-1_V7)1	Lijn	Paal_XY_5	14,000 15,000	Vrij	Niet-lineair	Niet-lineair	Vrij	Vrij	Vrij	PY-curve-1_V7	PY-curve-1_V7
(PY-curve-1_V7)	Lijn	Paal_X_12	14,000 15,000	Vrij	Niet-lineair	Niet-lineair	Vrij	Vrij	Vrij	PY-curve-1_V7	PY-curve-1_V7
(PY-curve-1_V8)39	Lijn	Paal_X_22	15,000 16,000	Vrij	Niet-lineair	Niet-lineair	Vrij	Vrij	Vrij	PY-curve-1_V8	PY-curve-1_V8
(PY-curve-1_V8)37	Lijn	Paal_X_20	15,000 16,000	Vrij	Niet-lineair	Niet-lineair	Vrij	Vrij	Vrij	PY-curve-1_V8	PY-curve-1_V8
(PY-curve-1_V8)36	Lijn	Paal_X_19	15,000 16,000	Vrij	Niet-lineair	Niet-lineair	Vrij	Vrij	Vrij	PY-curve-1_V8	PY-curve-1_V8
(PY-curve-1_V8)35	Lijn	Paal_X_18	15,000 16,000	Vrij	Niet-lineair	Niet-lineair	Vrij	Vrij	Vrij	PY-curve-1_V8	PY-curve-1_V8
(PY-curve-1_V8)34	Lijn	Paal_X_17	15,000 16,000	Vrij	Niet-lineair	Niet-lineair	Vrij	Vrij	Vrij	PY-curve-1_V8	PY-curve-1_V8
(PY-curve-1_V8)33	Lijn	Paal_X_16	15,000 16,000	Vrij	Niet-lineair	Niet-lineair	Vrij	Vrij	Vrij	PY-curve-1_V8	PY-curve-1_V8
(PY-curve-1_V8)32	Lijn	Paal_X_15	15,000 16,000	Vrij	Niet-lineair	Niet-lineair	Vrij	Vrij	Vrij	PY-curve-1_V8	PY-curve-1_V8
(PY-curve-1_V8)31	Lijn	Paal_Y_6	15,000 16,000	Vrij	Niet-lineair	Niet-lineair	Vrij	Vrij	Vrij	PY-curve-1_V8	PY-curve-1_V8
(PY-curve-1_V8)29	Lijn	Paal_Y_4	15,000 16,000	Vrij	Niet-lineair	Niet-lineair	Vrij	Vrij	Vrij	PY-curve-1_V8	PY-curve-1_V8
(PY-curve-1_V8)28	Lijn	Paal_XY_6	15,000 16,000	Vrij	Niet-lineair	Niet-lineair	Vrij	Vrij	Vrij	PY-curve-1_V8	PY-curve-1_V8
(PY-curve-1_V8)27	Lijn	Paal_XY_4	15,000 16,000	Vrij	Niet-lineair	Niet-lineair	Vrij	Vrij	Vrij	PY-curve-1_V8	PY-curve-1_V8
(PY-curve-1_V8)25	Lijn	Paal_X_13	15,000 16,000	Vrij	Niet-lineair	Niet-lineair	Vrij	Vrij	Vrij	PY-curve-1_V8	PY-curve-1_V8
(PY-curve-1_V8)24	Lijn	Paal_P_6	15,000 16,000	Vrij	Niet-lineair	Niet-lineair	Vrij	Vrij	Vrij	PY-curve-1_V8	PY-curve-1_V8
(PY-curve-1_V8)23	Lijn	Paal_P_5	15,000	Vrij	Niet-lineair	Niet-lineair	Vrij	Vrij	Vrij	PY-curve-1_V8	PY-curve-1_V8

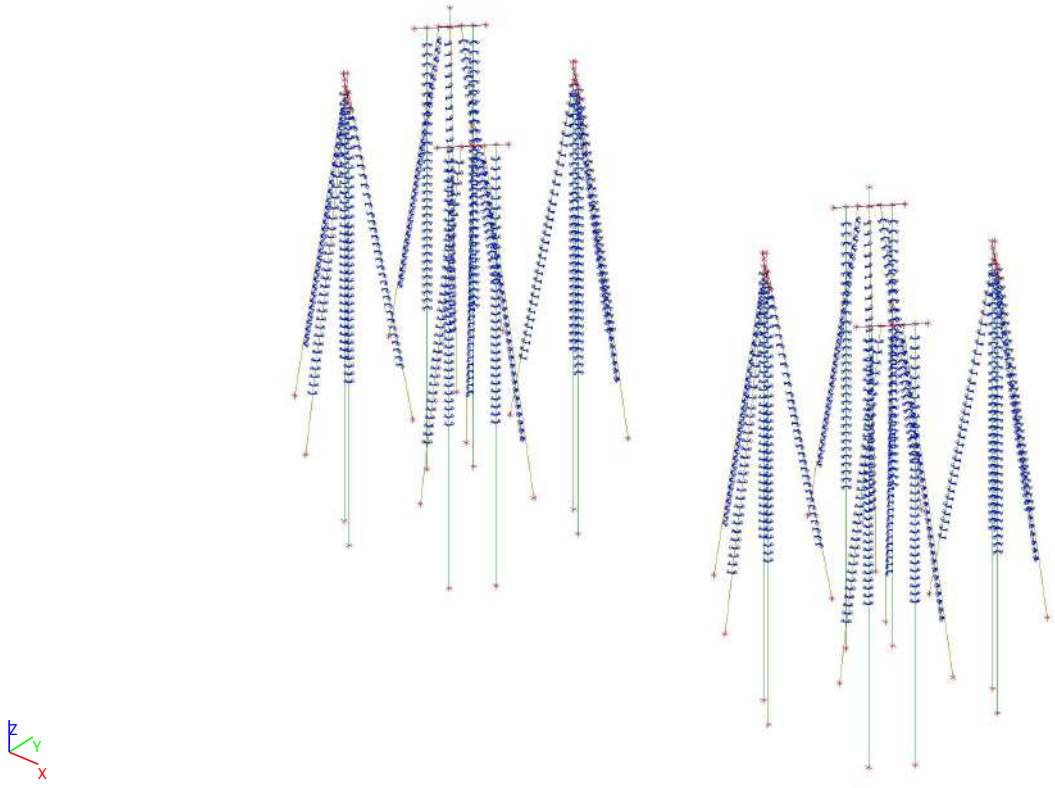
Naam	Type	Staaf	Pos x_1 [m] Pos x_2 [m]	X	Y	Z	Rx	Ry	Rz	Functie Y	Functie Z
			16,000								
(PY-curve-1_V8)22	Lijn	Paal_P_4	15,000 16,000	Vrij	Niet-lineair	Niet-lineair	Vrij	Vrij	Vrij	PY-curve-1_V8	PY-curve-1_V8
(PY-curve-1_V8)21	Lijn	Paal_X_11	15,000 16,000	Vrij	Niet-lineair	Niet-lineair	Vrij	Vrij	Vrij	PY-curve-1_V8	PY-curve-1_V8
(PY-curve-1_V8)20	Lijn	Paal_X_10	15,000 16,000	Vrij	Niet-lineair	Niet-lineair	Vrij	Vrij	Vrij	PY-curve-1_V8	PY-curve-1_V8
(PY-curve-1_V8)19	Lijn	Paal_X_9	15,000 16,000	Vrij	Niet-lineair	Niet-lineair	Vrij	Vrij	Vrij	PY-curve-1_V8	PY-curve-1_V8
(PY-curve-1_V8)26	Lijn	Paal_X_14	15,000 16,000	Vrij	Niet-lineair	Niet-lineair	Vrij	Vrij	Vrij	PY-curve-1_V8	PY-curve-1_V8
(PY-curve-1_V8)18	Lijn	Paal_X_8	15,000 16,000	Vrij	Niet-lineair	Niet-lineair	Vrij	Vrij	Vrij	PY-curve-1_V8	PY-curve-1_V8
(PY-curve-1_V8)17	Lijn	Paal_X_7	15,000 16,000	Vrij	Niet-lineair	Niet-lineair	Vrij	Vrij	Vrij	PY-curve-1_V8	PY-curve-1_V8
(PY-curve-1_V8)16	Lijn	Paal_X_6	15,000 16,000	Vrij	Niet-lineair	Niet-lineair	Vrij	Vrij	Vrij	PY-curve-1_V8	PY-curve-1_V8
(PY-curve-1_V8)15	Lijn	Paal_X_5	15,000 16,000	Vrij	Niet-lineair	Niet-lineair	Vrij	Vrij	Vrij	PY-curve-1_V8	PY-curve-1_V8
(PY-curve-1_V8)30	Lijn	Paal_Y_5	15,000 16,000	Vrij	Niet-lineair	Niet-lineair	Vrij	Vrij	Vrij	PY-curve-1_V8	PY-curve-1_V8
(PY-curve-1_V8)14	Lijn	Paal_X_4	15,000 16,000	Vrij	Niet-lineair	Niet-lineair	Vrij	Vrij	Vrij	PY-curve-1_V8	PY-curve-1_V8
(PY-curve-1_V8)13	Lijn	Paal_Y_2	15,000 16,000	Vrij	Niet-lineair	Niet-lineair	Vrij	Vrij	Vrij	PY-curve-1_V8	PY-curve-1_V8
(PY-curve-1_V8)12	Lijn	Paal_Y_1	15,000 16,000	Vrij	Niet-lineair	Niet-lineair	Vrij	Vrij	Vrij	PY-curve-1_V8	PY-curve-1_V8
(PY-curve-1_V8)11	Lijn	Paal_Y_3	15,000 16,000	Vrij	Niet-lineair	Niet-lineair	Vrij	Vrij	Vrij	PY-curve-1_V8	PY-curve-1_V8
(PY-curve-1_V8)10	Lijn	Paal_XY_2	15,000 16,000	Vrij	Niet-lineair	Niet-lineair	Vrij	Vrij	Vrij	PY-curve-1_V8	PY-curve-1_V8
(PY-curve-1_V8)9	Lijn	Paal_XY_1	15,000 16,000	Vrij	Niet-lineair	Niet-lineair	Vrij	Vrij	Vrij	PY-curve-1_V8	PY-curve-1_V8
(PY-curve-1_V8)8	Lijn	Paal_XY_3	15,000 16,000	Vrij	Niet-lineair	Niet-lineair	Vrij	Vrij	Vrij	PY-curve-1_V8	PY-curve-1_V8
(PY-curve-1_V8)7	Lijn	Paal_X_2	15,000 16,000	Vrij	Niet-lineair	Niet-lineair	Vrij	Vrij	Vrij	PY-curve-1_V8	PY-curve-1_V8
(PY-curve-1_V8)38	Lijn	Paal_X_21	15,000 16,000	Vrij	Niet-lineair	Niet-lineair	Vrij	Vrij	Vrij	PY-curve-1_V8	PY-curve-1_V8
(PY-curve-1_V8)6	Lijn	Paal_X_1	15,000 16,000	Vrij	Niet-lineair	Niet-lineair	Vrij	Vrij	Vrij	PY-curve-1_V8	PY-curve-1_V8
(PY-curve-1_V8)5	Lijn	Paal_X_3	15,000 16,000	Vrij	Niet-lineair	Niet-lineair	Vrij	Vrij	Vrij	PY-curve-1_V8	PY-curve-1_V8
(PY-curve-1_V8)4	Lijn	Paal_P_2	15,000 16,000	Vrij	Niet-lineair	Niet-lineair	Vrij	Vrij	Vrij	PY-curve-1_V8	PY-curve-1_V8
(PY-curve-1_V8)3	Lijn	Paal_P_1	15,000 16,000	Vrij	Niet-lineair	Niet-lineair	Vrij	Vrij	Vrij	PY-curve-1_V8	PY-curve-1_V8
(PY-curve-1_V8)2	Lijn	Paal_P_3	15,000 16,000	Vrij	Niet-lineair	Niet-lineair	Vrij	Vrij	Vrij	PY-curve-1_V8	PY-curve-1_V8
(PY-curve-1_V8)1	Lijn	Paal_XY_5	15,000 16,000	Vrij	Niet-lineair	Niet-lineair	Vrij	Vrij	Vrij	PY-curve-1_V8	PY-curve-1_V8
(PY-curve-1_V8)	Lijn	Paal_X_12	15,000 16,000	Vrij	Niet-lineair	Niet-lineair	Vrij	Vrij	Vrij	PY-curve-1_V8	PY-curve-1_V8
(PY-curve-1_V9)39	Lijn	Paal_X_22	16,000 17,000	Vrij	Niet-lineair	Niet-lineair	Vrij	Vrij	Vrij	PY-curve-1_V9	PY-curve-1_V9
(PY-curve-1_V9)37	Lijn	Paal_X_20	16,000 17,000	Vrij	Niet-lineair	Niet-lineair	Vrij	Vrij	Vrij	PY-curve-1_V9	PY-curve-1_V9
(PY-curve-1_V9)36	Lijn	Paal_X_19	16,000 17,000	Vrij	Niet-lineair	Niet-lineair	Vrij	Vrij	Vrij	PY-curve-1_V9	PY-curve-1_V9
(PY-curve-1_V9)35	Lijn	Paal_X_18	16,000 17,000	Vrij	Niet-lineair	Niet-lineair	Vrij	Vrij	Vrij	PY-curve-1_V9	PY-curve-1_V9
(PY-curve-1_V9)33	Lijn	Paal_X_16	16,000 17,000	Vrij	Niet-lineair	Niet-lineair	Vrij	Vrij	Vrij	PY-curve-1_V9	PY-curve-1_V9
(PY-curve-1_V9)32	Lijn	Paal_X_15	16,000	Vrij	Niet-lineair	Niet-lineair	Vrij	Vrij	Vrij	PY-curve-1_V9	PY-curve-1_V9

Naam	Type	Staaf	Pos x_1 [m] Pos x_2 [m]	X	Y	Z	Rx	Ry	Rz	Functie Y	Functie Z
			17,000								
(PY-curve-1_V9)31	Lijn	Paal_Y_6	16,000 17,000	Vrij	Niet-lineair	Niet-lineair	Vrij	Vrij	Vrij	PY-curve-1_V9	PY-curve-1_V9
(PY-curve-1_V9)29	Lijn	Paal_Y_4	16,000 17,000	Vrij	Niet-lineair	Niet-lineair	Vrij	Vrij	Vrij	PY-curve-1_V9	PY-curve-1_V9
(PY-curve-1_V9)28	Lijn	Paal_XY_6	16,000 17,000	Vrij	Niet-lineair	Niet-lineair	Vrij	Vrij	Vrij	PY-curve-1_V9	PY-curve-1_V9
(PY-curve-1_V9)27	Lijn	Paal_XY_4	16,000 17,000	Vrij	Niet-lineair	Niet-lineair	Vrij	Vrij	Vrij	PY-curve-1_V9	PY-curve-1_V9
(PY-curve-1_V9)26	Lijn	Paal_X_14	16,000 17,000	Vrij	Niet-lineair	Niet-lineair	Vrij	Vrij	Vrij	PY-curve-1_V9	PY-curve-1_V9
(PY-curve-1_V9)25	Lijn	Paal_X_13	16,000 17,000	Vrij	Niet-lineair	Niet-lineair	Vrij	Vrij	Vrij	PY-curve-1_V9	PY-curve-1_V9
(PY-curve-1_V9)24	Lijn	Paal_P_6	16,000 17,000	Vrij	Niet-lineair	Niet-lineair	Vrij	Vrij	Vrij	PY-curve-1_V9	PY-curve-1_V9
(PY-curve-1_V9)23	Lijn	Paal_P_5	16,000 17,000	Vrij	Niet-lineair	Niet-lineair	Vrij	Vrij	Vrij	PY-curve-1_V9	PY-curve-1_V9
(PY-curve-1_V9)22	Lijn	Paal_P_4	16,000 17,000	Vrij	Niet-lineair	Niet-lineair	Vrij	Vrij	Vrij	PY-curve-1_V9	PY-curve-1_V9
(PY-curve-1_V9)21	Lijn	Paal_X_11	16,000 17,000	Vrij	Niet-lineair	Niet-lineair	Vrij	Vrij	Vrij	PY-curve-1_V9	PY-curve-1_V9
(PY-curve-1_V9)20	Lijn	Paal_X_10	16,000 17,000	Vrij	Niet-lineair	Niet-lineair	Vrij	Vrij	Vrij	PY-curve-1_V9	PY-curve-1_V9
(PY-curve-1_V9)19	Lijn	Paal_X_9	16,000 17,000	Vrij	Niet-lineair	Niet-lineair	Vrij	Vrij	Vrij	PY-curve-1_V9	PY-curve-1_V9
(PY-curve-1_V9)18	Lijn	Paal_X_8	16,000 17,000	Vrij	Niet-lineair	Niet-lineair	Vrij	Vrij	Vrij	PY-curve-1_V9	PY-curve-1_V9
(PY-curve-1_V9)17	Lijn	Paal_X_7	16,000 17,000	Vrij	Niet-lineair	Niet-lineair	Vrij	Vrij	Vrij	PY-curve-1_V9	PY-curve-1_V9
(PY-curve-1_V9)16	Lijn	Paal_X_6	16,000 17,000	Vrij	Niet-lineair	Niet-lineair	Vrij	Vrij	Vrij	PY-curve-1_V9	PY-curve-1_V9
(PY-curve-1_V9)15	Lijn	Paal_X_5	16,000 17,000	Vrij	Niet-lineair	Niet-lineair	Vrij	Vrij	Vrij	PY-curve-1_V9	PY-curve-1_V9
(PY-curve-1_V9)30	Lijn	Paal_Y_5	16,000 17,000	Vrij	Niet-lineair	Niet-lineair	Vrij	Vrij	Vrij	PY-curve-1_V9	PY-curve-1_V9
(PY-curve-1_V9)14	Lijn	Paal_X_4	16,000 17,000	Vrij	Niet-lineair	Niet-lineair	Vrij	Vrij	Vrij	PY-curve-1_V9	PY-curve-1_V9
(PY-curve-1_V9)13	Lijn	Paal_Y_2	16,000 17,000	Vrij	Niet-lineair	Niet-lineair	Vrij	Vrij	Vrij	PY-curve-1_V9	PY-curve-1_V9
(PY-curve-1_V9)12	Lijn	Paal_Y_1	16,000 17,000	Vrij	Niet-lineair	Niet-lineair	Vrij	Vrij	Vrij	PY-curve-1_V9	PY-curve-1_V9
(PY-curve-1_V9)11	Lijn	Paal_Y_3	16,000 17,000	Vrij	Niet-lineair	Niet-lineair	Vrij	Vrij	Vrij	PY-curve-1_V9	PY-curve-1_V9
(PY-curve-1_V9)34	Lijn	Paal_X_17	16,000 17,000	Vrij	Niet-lineair	Niet-lineair	Vrij	Vrij	Vrij	PY-curve-1_V9	PY-curve-1_V9
(PY-curve-1_V9)10	Lijn	Paal_XY_2	16,000 17,000	Vrij	Niet-lineair	Niet-lineair	Vrij	Vrij	Vrij	PY-curve-1_V9	PY-curve-1_V9
(PY-curve-1_V9)9	Lijn	Paal_XY_1	16,000 17,000	Vrij	Niet-lineair	Niet-lineair	Vrij	Vrij	Vrij	PY-curve-1_V9	PY-curve-1_V9
(PY-curve-1_V9)8	Lijn	Paal_XY_3	16,000 17,000	Vrij	Niet-lineair	Niet-lineair	Vrij	Vrij	Vrij	PY-curve-1_V9	PY-curve-1_V9
(PY-curve-1_V9)7	Lijn	Paal_X_2	16,000 17,000	Vrij	Niet-lineair	Niet-lineair	Vrij	Vrij	Vrij	PY-curve-1_V9	PY-curve-1_V9
(PY-curve-1_V9)38	Lijn	Paal_X_21	16,000 17,000	Vrij	Niet-lineair	Niet-lineair	Vrij	Vrij	Vrij	PY-curve-1_V9	PY-curve-1_V9
(PY-curve-1_V9)6	Lijn	Paal_X_1	16,000 17,000	Vrij	Niet-lineair	Niet-lineair	Vrij	Vrij	Vrij	PY-curve-1_V9	PY-curve-1_V9
(PY-curve-1_V9)5	Lijn	Paal_X_3	16,000 17,000	Vrij	Niet-lineair	Niet-lineair	Vrij	Vrij	Vrij	PY-curve-1_V9	PY-curve-1_V9
(PY-curve-1_V9)4	Lijn	Paal_P_2	16,000 17,000	Vrij	Niet-lineair	Niet-lineair	Vrij	Vrij	Vrij	PY-curve-1_V9	PY-curve-1_V9
(PY-curve-1_V9)3	Lijn	Paal_P_1	16,000 17,000	Vrij	Niet-lineair	Niet-lineair	Vrij	Vrij	Vrij	PY-curve-1_V9	PY-curve-1_V9
(PY-curve-1_V9)2	Lijn	Paal_P_3	16,000	Vrij	Niet-lineair	Niet-lineair	Vrij	Vrij	Vrij	PY-curve-1_V9	PY-curve-1_V9

Naam	Type	Staaf	Pos x_1 [m] Pos x_2 [m]	X	Y	Z	Rx	Ry	Rz	Functie Y	Functie Z
			17,000								
(PY-curve-1_V9)1	Lijn	Paal_XY_5	16,000 17,000	Vrij	Niet-lineair	Niet-lineair	Vrij	Vrij	Vrij	PY-curve-1_V9	PY-curve-1_V9
(PY-curve-1_V9)	Lijn	Paal_X_12	16,000 17,000	Vrij	Niet-lineair	Niet-lineair	Vrij	Vrij	Vrij	PY-curve-1_V9	PY-curve-1_V9
(PY-curve-1_V10)39	Lijn	Paal_X_22	17,000 18,000	Vrij	Niet-lineair	Niet-lineair	Vrij	Vrij	Vrij	PY-curve-1_V10	PY-curve-1_V10
(PY-curve-1_V10)37	Lijn	Paal_X_20	17,000 18,000	Vrij	Niet-lineair	Niet-lineair	Vrij	Vrij	Vrij	PY-curve-1_V10	PY-curve-1_V10
(PY-curve-1_V10)36	Lijn	Paal_X_19	17,000 18,000	Vrij	Niet-lineair	Niet-lineair	Vrij	Vrij	Vrij	PY-curve-1_V10	PY-curve-1_V10
(PY-curve-1_V10)35	Lijn	Paal_X_18	17,000 18,000	Vrij	Niet-lineair	Niet-lineair	Vrij	Vrij	Vrij	PY-curve-1_V10	PY-curve-1_V10
(PY-curve-1_V10)34	Lijn	Paal_X_17	17,000 18,000	Vrij	Niet-lineair	Niet-lineair	Vrij	Vrij	Vrij	PY-curve-1_V10	PY-curve-1_V10
(PY-curve-1_V10)33	Lijn	Paal_X_16	17,000 18,000	Vrij	Niet-lineair	Niet-lineair	Vrij	Vrij	Vrij	PY-curve-1_V10	PY-curve-1_V10
(PY-curve-1_V10)32	Lijn	Paal_X_15	17,000 18,000	Vrij	Niet-lineair	Niet-lineair	Vrij	Vrij	Vrij	PY-curve-1_V10	PY-curve-1_V10
(PY-curve-1_V10)31	Lijn	Paal_Y_6	17,000 18,000	Vrij	Niet-lineair	Niet-lineair	Vrij	Vrij	Vrij	PY-curve-1_V10	PY-curve-1_V10
(PY-curve-1_V10)29	Lijn	Paal_Y_4	17,000 18,000	Vrij	Niet-lineair	Niet-lineair	Vrij	Vrij	Vrij	PY-curve-1_V10	PY-curve-1_V10
(PY-curve-1_V10)28	Lijn	Paal_XY_6	17,000 18,000	Vrij	Niet-lineair	Niet-lineair	Vrij	Vrij	Vrij	PY-curve-1_V10	PY-curve-1_V10
(PY-curve-1_V10)27	Lijn	Paal_XY_4	17,000 18,000	Vrij	Niet-lineair	Niet-lineair	Vrij	Vrij	Vrij	PY-curve-1_V10	PY-curve-1_V10
(PY-curve-1_V10)25	Lijn	Paal_X_13	17,000 18,000	Vrij	Niet-lineair	Niet-lineair	Vrij	Vrij	Vrij	PY-curve-1_V10	PY-curve-1_V10
(PY-curve-1_V10)24	Lijn	Paal_P_6	17,000 18,000	Vrij	Niet-lineair	Niet-lineair	Vrij	Vrij	Vrij	PY-curve-1_V10	PY-curve-1_V10
(PY-curve-1_V10)23	Lijn	Paal_P_5	17,000 18,000	Vrij	Niet-lineair	Niet-lineair	Vrij	Vrij	Vrij	PY-curve-1_V10	PY-curve-1_V10
(PY-curve-1_V10)22	Lijn	Paal_P_4	17,000 18,000	Vrij	Niet-lineair	Niet-lineair	Vrij	Vrij	Vrij	PY-curve-1_V10	PY-curve-1_V10
(PY-curve-1_V10)21	Lijn	Paal_X_11	17,000 18,000	Vrij	Niet-lineair	Niet-lineair	Vrij	Vrij	Vrij	PY-curve-1_V10	PY-curve-1_V10
(PY-curve-1_V10)20	Lijn	Paal_X_10	17,000 18,000	Vrij	Niet-lineair	Niet-lineair	Vrij	Vrij	Vrij	PY-curve-1_V10	PY-curve-1_V10
(PY-curve-1_V10)19	Lijn	Paal_X_9	17,000 18,000	Vrij	Niet-lineair	Niet-lineair	Vrij	Vrij	Vrij	PY-curve-1_V10	PY-curve-1_V10
(PY-curve-1_V10)18	Lijn	Paal_X_8	17,000 18,000	Vrij	Niet-lineair	Niet-lineair	Vrij	Vrij	Vrij	PY-curve-1_V10	PY-curve-1_V10
(PY-curve-1_V10)17	Lijn	Paal_X_7	17,000 18,000	Vrij	Niet-lineair	Niet-lineair	Vrij	Vrij	Vrij	PY-curve-1_V10	PY-curve-1_V10
(PY-curve-1_V10)16	Lijn	Paal_X_6	17,000 18,000	Vrij	Niet-lineair	Niet-lineair	Vrij	Vrij	Vrij	PY-curve-1_V10	PY-curve-1_V10
(PY-curve-1_V10)15	Lijn	Paal_X_5	17,000 18,000	Vrij	Niet-lineair	Niet-lineair	Vrij	Vrij	Vrij	PY-curve-1_V10	PY-curve-1_V10
(PY-curve-1_V10)26	Lijn	Paal_X_14	17,000 18,000	Vrij	Niet-lineair	Niet-lineair	Vrij	Vrij	Vrij	PY-curve-1_V10	PY-curve-1_V10
(PY-curve-1_V10)30	Lijn	Paal_Y_5	17,000 18,000	Vrij	Niet-lineair	Niet-lineair	Vrij	Vrij	Vrij	PY-curve-1_V10	PY-curve-1_V10
(PY-curve-1_V10)14	Lijn	Paal_X_4	17,000 18,000	Vrij	Niet-lineair	Niet-lineair	Vrij	Vrij	Vrij	PY-curve-1_V10	PY-curve-1_V10
(PY-curve-1_V10)13	Lijn	Paal_Y_2	17,000 18,000	Vrij	Niet-lineair	Niet-lineair	Vrij	Vrij	Vrij	PY-curve-1_V10	PY-curve-1_V10
(PY-curve-1_V10)12	Lijn	Paal_Y_1	17,000 18,000	Vrij	Niet-lineair	Niet-lineair	Vrij	Vrij	Vrij	PY-curve-1_V10	PY-curve-1_V10
(PY-curve-1_V10)11	Lijn	Paal_Y_3	17,000 18,000	Vrij	Niet-lineair	Niet-lineair	Vrij	Vrij	Vrij	PY-curve-1_V10	PY-curve-1_V10
(PY-curve-1_V10)10	Lijn	Paal_XY_2	17,000 18,000	Vrij	Niet-lineair	Niet-lineair	Vrij	Vrij	Vrij	PY-curve-1_V10	PY-curve-1_V10
(PY-curve-1_V10)9	Lijn	Paal_XY_1	17,000	Vrij	Niet-lineair	Niet-lineair	Vrij	Vrij	Vrij	PY-curve-1_V10	PY-curve-1_V10

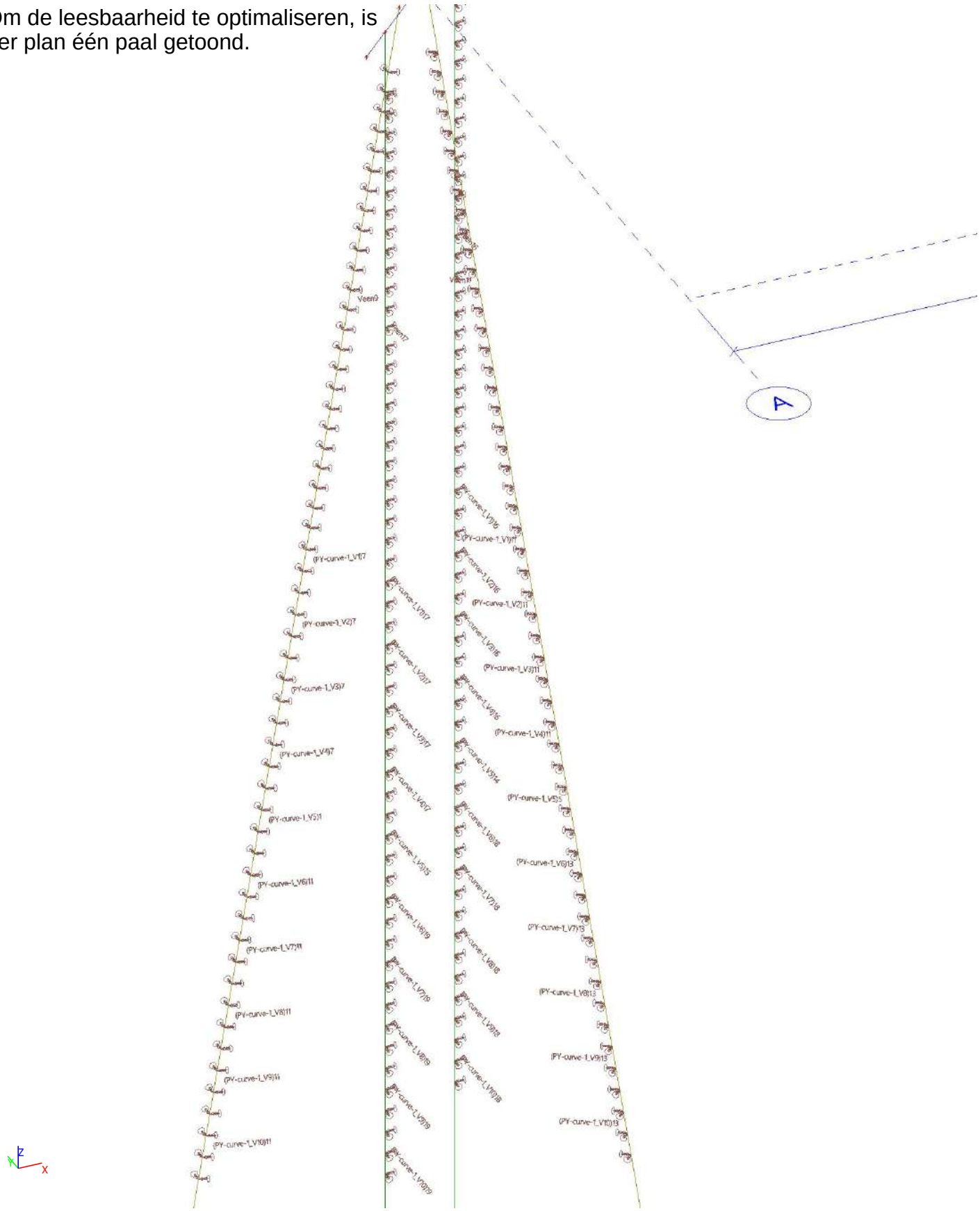
Naam	Type	Staaf	Pos x_1 [m] Pos x_2 [m]	X	Y	Z	Rx	Ry	Rz	Functie Y	Functie Z
			18,000								
(PY-curve-1_V10)8	Lijn	Paal_XY_3	17,000 18,000	Vrij	Niet-lineair	Niet-lineair	Vrij	Vrij	Vrij	PY-curve-1_V10	PY-curve-1_V10
(PY-curve-1_V10)7	Lijn	Paal_X_2	17,000 18,000	Vrij	Niet-lineair	Niet-lineair	Vrij	Vrij	Vrij	PY-curve-1_V10	PY-curve-1_V10
(PY-curve-1_V10)38	Lijn	Paal_X_21	17,000 18,000	Vrij	Niet-lineair	Niet-lineair	Vrij	Vrij	Vrij	PY-curve-1_V10	PY-curve-1_V10
(PY-curve-1_V10)6	Lijn	Paal_X_1	17,000 18,000	Vrij	Niet-lineair	Niet-lineair	Vrij	Vrij	Vrij	PY-curve-1_V10	PY-curve-1_V10
(PY-curve-1_V10)5	Lijn	Paal_X_3	17,000 18,000	Vrij	Niet-lineair	Niet-lineair	Vrij	Vrij	Vrij	PY-curve-1_V10	PY-curve-1_V10
(PY-curve-1_V10)4	Lijn	Paal_P_2	17,000 18,000	Vrij	Niet-lineair	Niet-lineair	Vrij	Vrij	Vrij	PY-curve-1_V10	PY-curve-1_V10
(PY-curve-1_V10)3	Lijn	Paal_P_1	17,000 18,000	Vrij	Niet-lineair	Niet-lineair	Vrij	Vrij	Vrij	PY-curve-1_V10	PY-curve-1_V10
(PY-curve-1_V10)2	Lijn	Paal_P_3	17,000 18,000	Vrij	Niet-lineair	Niet-lineair	Vrij	Vrij	Vrij	PY-curve-1_V10	PY-curve-1_V10
(PY-curve-1_V10)1	Lijn	Paal_XY_5	17,000 18,000	Vrij	Niet-lineair	Niet-lineair	Vrij	Vrij	Vrij	PY-curve-1_V10	PY-curve-1_V10
(PY-curve-1_V10)	Lijn	Paal_X_12	17,000 18,000	Vrij	Niet-lineair	Niet-lineair	Vrij	Vrij	Vrij	PY-curve-1_V10	PY-curve-1_V10

5.8. Analyse model met Lijnondersteuningen



5.9. Analyse model met Lijnondersteuningen

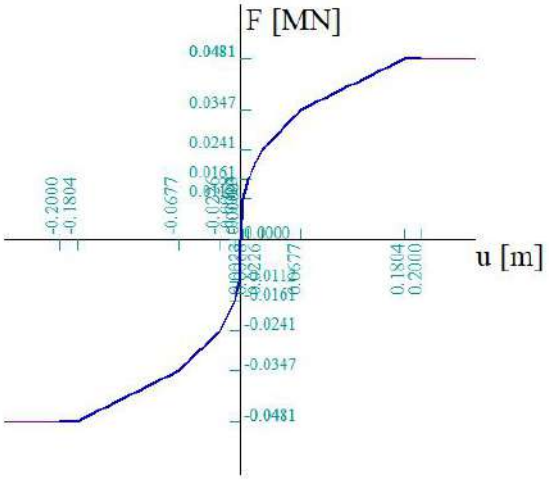
Om de leesbaarheid te optimaliseren, is per plan één paal getoond.



5.10. Niet-lineaire functies

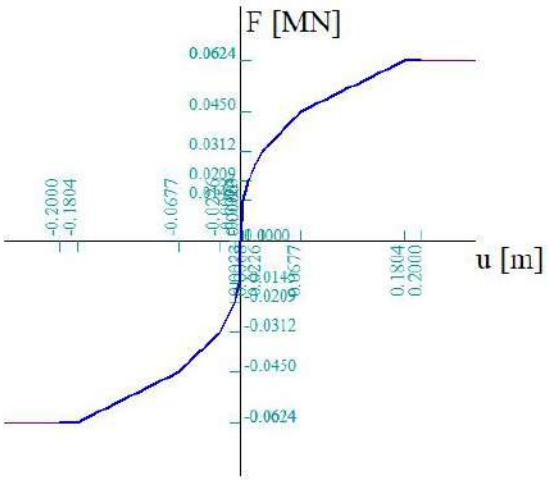
Naam	Type	u / F	Positief einde	Negatief einde
PY-curve-1_V1	Verplaatsing	-2,0000e-01[m] / -4,8130e-02[MN]	Vrij	Vrij
		-1,8040e-01[m] / -4,8130e-02[MN]		
		-6,7650e-02[m] / -3,4710e-02[MN]		
		-2,2550e-02[m] / -2,4064e-02[MN]		
		-6,7650e-03[m] / -1,6110e-02[MN]		
		-2,2550e-03[m] / -1,1170e-02[MN]		
		0,0000e+00[m] / 0,0000e+00[MN]		
		2,2550e-03[m] / 1,1170e-02[MN]		
		6,7650e-03[m] / 1,6110e-02[MN]		
		2,2550e-02[m] / 2,4064e-02[MN]		
		6,7650e-02[m] / 3,4707e-02[MN]		
		1,8040e-01[m] / 4,8129e-02[MN]		
		2,0000e-01[m] / 4,8129e-02[MN]		

Tekenen



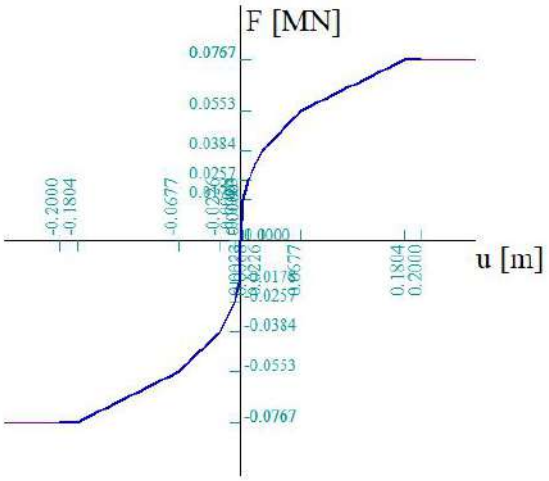
Naam	Type	u / F	Positief einde	Negatief einde
PY-curve-1_V2	Verplaatsing	-2,0000e-01[m] / -6,2400e-02[MN]	Vrij	Vrij
		-1,8040e-01[m] / -6,2400e-02[MN]		
		-6,7650e-02[m] / -4,5000e-02[MN]		
		-2,2550e-02[m] / -3,1200e-02[MN]		
		-6,7650e-03[m] / -2,0900e-02[MN]		
		-2,2550e-03[m] / -1,4500e-02[MN]		
		0,0000e+00[m] / 0,0000e+00[MN]		
		2,2550e-03[m] / 1,4490e-02[MN]		
		6,7650e-03[m] / 2,0900e-02[MN]		
		2,2550e-02[m] / 3,1220e-02[MN]		
		6,7650e-02[m] / 4,5020e-02[MN]		
		1,8040e-01[m] / 6,2430e-02[MN]		
		2,0000e-01[m] / 6,2430e-02[MN]		

Tekenen



Naam	Type	u / F	Positief einde	Negatief einde
PY-curve-1_V3	Verplaatsing	-2,0000e-01[m] / -7,6737e-02[MN]	Vrij	Vrij
		-1,8040e-01[m] / -7,6737e-02[MN]		
		-6,7650e-02[m] / -5,5337e-02[MN]		
		-2,2550e-02[m] / -3,8368e-02[MN]		
		-6,7650e-03[m] / -2,5685e-02[MN]		
		-2,2550e-03[m] / -1,7809e-02[MN]		
		0,0000e+00[m] / 0,0000e+00[MN]		
		2,2550e-03[m] / 1,7809e-02[MN]		
		6,7650e-03[m] / 2,5685e-02[MN]		
		2,2550e-02[m] / 3,8368e-02[MN]		
		6,7650e-02[m] / 5,5337e-02[MN]		
		1,8040e-01[m] / 7,6737e-02[MN]		
		2,0000e-01[m] / 7,6737e-02[MN]		

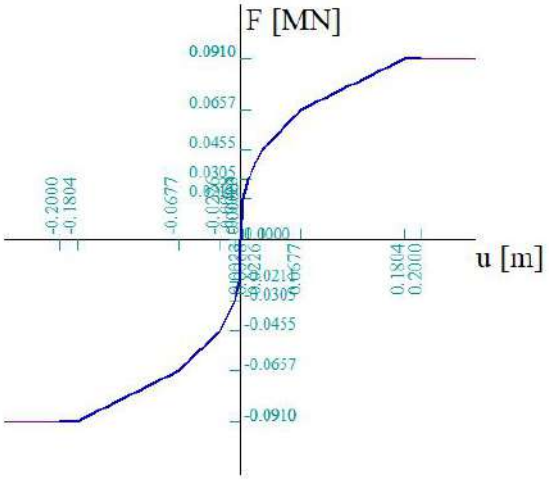
Tekenen



Naam	Type	u / F	Positief einde	Negatief einde
PY-curve-1_V4	Verplaatsing	-2,0000e-01[m] / -9,1041e-02[MN]	Vrij	Vrij
		-1,8040e-01[m] / -9,1041e-02[MN]		
		-6,7650e-02[m] / -6,5652e-02[MN]		
		-2,2550e-02[m] / -4,5520e-02[MN]		
		-6,7650e-03[m] / -3,0473e-02[MN]		
		-2,2550e-03[m] / -2,1129e-02[MN]		
		0,0000e+00[m] / 0,0000e+00[MN]		
		2,2550e-03[m] / 2,1129e-02[MN]		
		6,7650e-03[m] / 3,0473e-02[MN]		
		2,2550e-02[m] / 4,5520e-02[MN]		

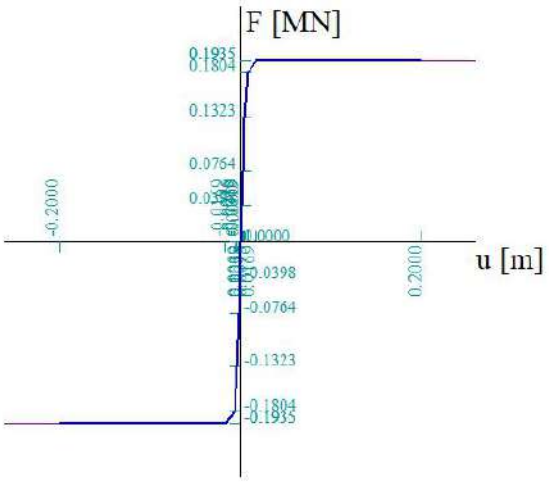
Naam	Type	u / F	Positief einde	Negatief einde
		6,7650e-02[m] / 6,5652e-02[MN]		
		1,8040e-01[m] / 9,1041e-02[MN]		
		2,0000e-01[m] / 9,1041e-02[MN]		

Tekenen



Naam	Type	u / F	Positief einde	Negatief einde
PY-curve-1_V5	Verplaatsing	-2,0000e-01[m] / -1,9349e-01[MN]	Vrij	Vrij
		-1,6913e-02[m] / -1,9349e-01[MN]		
		-7,5167e-03[m] / -1,8041e-01[MN]		
		-3,7583e-03[m] / -1,3226e-01[MN]		
		-1,8792e-03[m] / -7,6422e-02[MN]		
		-9,3958e-04[m] / -3,9826e-02[MN]		
		0,0000e+00[m] / 0,0000e+00[MN]		
		9,3958e-04[m] / 3,9826e-02[MN]		
		1,8792e-03[m] / 7,6422e-02[MN]		
		3,7583e-03[m] / 1,3226e-01[MN]		
		7,5167e-03[m] / 1,8041e-01[MN]		
		1,6913e-02[m] / 1,9349e-01[MN]		
		2,0000e-01[m] / 1,9349e-01[MN]		

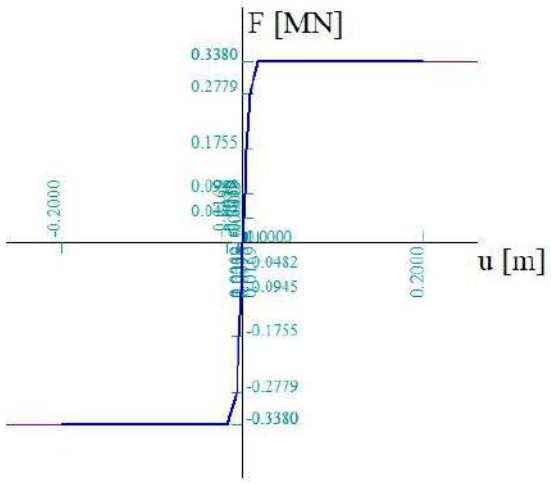
Tekenen



Naam	Type	u / F	Positief einde	Negatief einde
PY-curve-1_V6	Verplaatsing	-2,0000e-01[m] / -3,3802e-01[MN]	Vrij	Vrij
		-1,6913e-02[m] / -3,3802e-01[MN]		
		-7,5167e-03[m] / -2,7792e-01[MN]		
		-3,7583e-03[m] / -1,7553e-01[MN]		

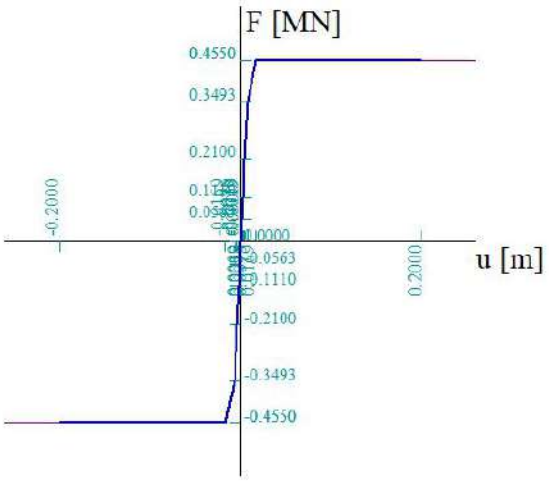
Naam	Type	u / F	Positief einde	Negatief einde
		-1,8792e-03[m] / -9,4450e-02[MN]		
		-9,3958e-04[m] / -4,8161e-02[MN]		
		0,0000e+00[m] / 0,0000e+00[MN]		
		9,3958e-04[m] / 4,8161e-02[MN]		
		1,8792e-03[m] / 9,4450e-02[MN]		
		3,7583e-03[m] / 1,7553e-01[MN]		
		7,5167e-03[m] / 2,7792e-01[MN]		
		1,6913e-02[m] / 3,3802e-01[MN]		
		2,0000e-01[m] / 3,3802e-01[MN]		

Tekenen



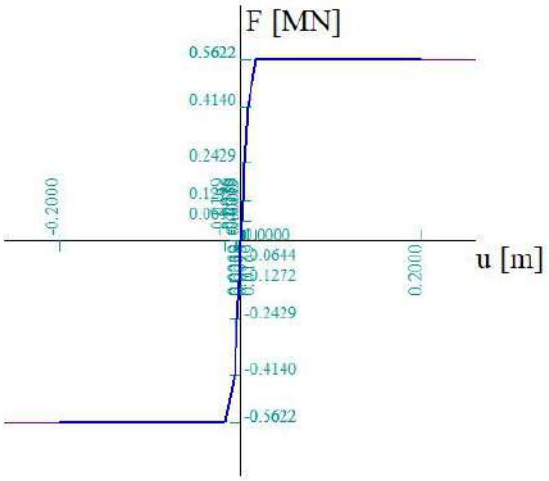
Naam	Type	u / F	Positief einde	Negatief einde
PY-curve-1_V7	Verplaatsing	-2,0000e-01[m] / -4,5496e-01[MN]	Vrij	Vrij
		-1,6913e-02[m] / -4,5496e-01[MN]		
		-7,5167e-03[m] / -3,4934e-01[MN]		
		-3,7583e-03[m] / -2,1005e-01[MN]		
		-1,8792e-03[m] / -1,1096e-01[MN]		
		-9,3958e-04[m] / -5,6288e-02[MN]		
		0,0000e+00[m] / 0,0000e+00[MN]		
		9,3958e-04[m] / 5,6288e-02[MN]		
		1,8792e-03[m] / 1,1096e-01[MN]		
		3,7583e-03[m] / 2,1005e-01[MN]		
		7,5167e-03[m] / 3,4934e-01[MN]		
		1,6913e-02[m] / 4,5496e-01[MN]		
		2,0000e-01[m] / 4,5496e-01[MN]		

Tekenen



Naam	Type	u / F	Positief einde	Negatief einde
PY-curve-1_V8	Verplaatsing	-2,0000e-01[m] / -5,6217e-01[MN]	Vrij	Vrij
		-1,6913e-02[m] / -5,6217e-01[MN]		
		-7,5167e-03[m] / -4,1399e-01[MN]		
		-3,7583e-03[m] / -2,4287e-01[MN]		
		-1,8792e-03[m] / -1,2721e-01[MN]		
		-9,3958e-04[m] / -6,4380e-02[MN]		
		0,0000e+00[m] / 0,0000e+00[MN]		
		9,3958e-04[m] / 6,4380e-02[MN]		
		1,8792e-03[m] / 1,2721e-01[MN]		
		3,7583e-03[m] / 2,4287e-01[MN]		
		7,5167e-03[m] / 4,1399e-01[MN]		
		1,6913e-02[m] / 5,6217e-01[MN]		
		2,0000e-01[m] / 5,6217e-01[MN]		

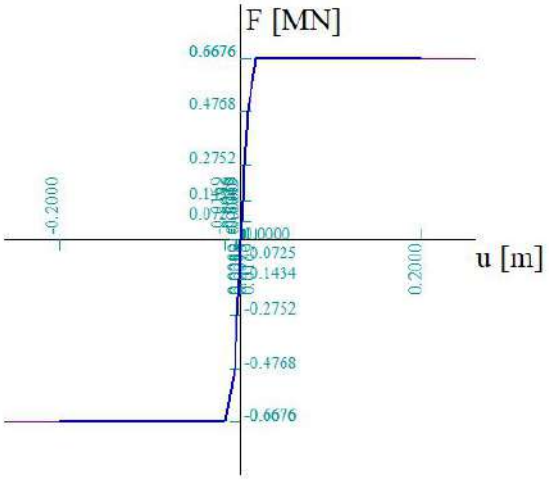
Tekenen



Naam	Type	u / F	Positief einde	Negatief einde
PY-curve-1_V9	Verplaatsing	-2,0000e-01[m] / -6,6756e-01[MN]	Vrij	Vrij
		-1,6913e-02[m] / -6,6756e-01[MN]		
		-7,5167e-03[m] / -4,7677e-01[MN]		
		-3,7583e-03[m] / -2,7523e-01[MN]		
		-1,8792e-03[m] / -1,4339e-01[MN]		
		-9,3958e-04[m] / -7,2463e-02[MN]		
		0,0000e+00[m] / 0,0000e+00[MN]		
		9,3958e-04[m] / 7,2463e-02[MN]		
		1,8792e-03[m] / 1,4339e-01[MN]		
		3,7583e-03[m] / 2,7523e-01[MN]		

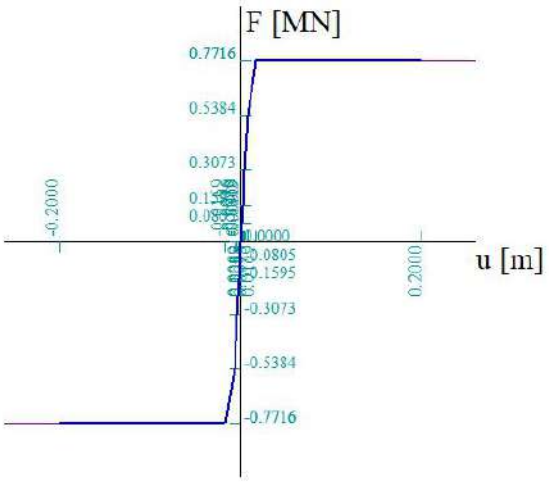
Naam	Type	u / F	Positief einde	Negatief einde
		7,5167e-03[m] / 4,7677e-01[MN]		
		1,6913e-02[m] / 6,6756e-01[MN]		
		2,0000e-01[m] / 6,6756e-01[MN]		

Tekenen



Naam	Type	u / F	Positief einde	Negatief einde
PY-curve-1_V10	Verplaatsing	-2,0000e-01[m] / -7,7164e-01[MN]	Vrij	Vrij
		-1,6913e-02[m] / -7,7164e-01[MN]		
		-7,5167e-03[m] / -5,3843e-01[MN]		
		-3,7583e-03[m] / -3,0734e-01[MN]		
		-1,8792e-03[m] / -1,5953e-01[MN]		
		-9,3958e-04[m] / -8,0542e-02[MN]		
		0,0000e+00[m] / 0,0000e+00[MN]		
		9,3958e-04[m] / 8,0542e-02[MN]		
		1,8792e-03[m] / 1,5953e-01[MN]		
		3,7583e-03[m] / 3,0734e-01[MN]		
		7,5167e-03[m] / 5,3843e-01[MN]		
		1,6913e-02[m] / 7,7164e-01[MN]		
		2,0000e-01[m] / 7,7164e-01[MN]		

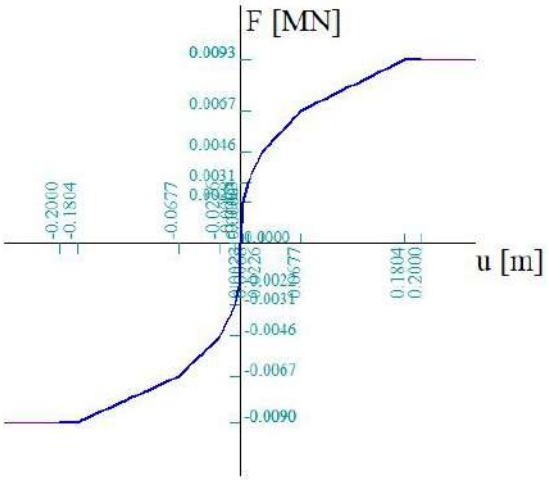
Tekenen



Naam	Type	u / F	Positief einde	Negatief einde
PY-curve-1_Veen	Verplaatsing	-2,0000e-01[m] / -9,0000e-03[MN]	Vrij	Vrij
		-1,8040e-01[m] / -9,0000e-03[MN]		
		-6,7650e-02[m] / -6,7000e-03[MN]		
		-2,2550e-02[m] / -4,6300e-03[MN]		

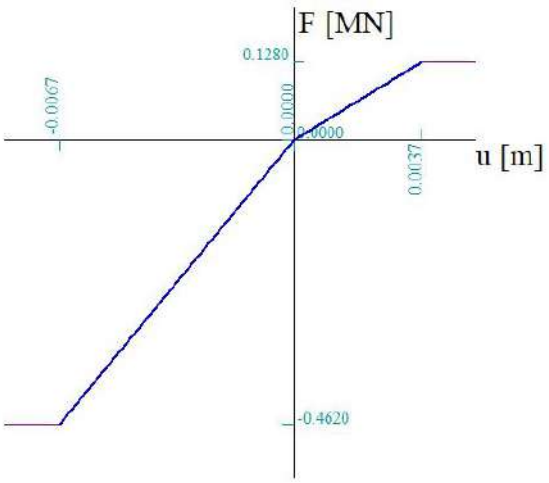
Naam	Type	u / F	Positief einde	Negatief einde
		-6,7650e-03[m] / -3,1000e-03[MN]		
		-2,2550e-03[m] / -2,1500e-03[MN]		
		0,0000e+00[m] / 0,0000e+00[MN]		
		2,2550e-03[m] / 2,1500e-03[MN]		
		6,7650e-03[m] / 3,1000e-03[MN]		
		2,2550e-02[m] / 4,6300e-03[MN]		
		6,7650e-02[m] / 6,7000e-03[MN]		
		1,8040e-01[m] / 9,2700e-03[MN]		
		2,0000e-01[m] / 9,2700e-03[MN]		

Tekenen



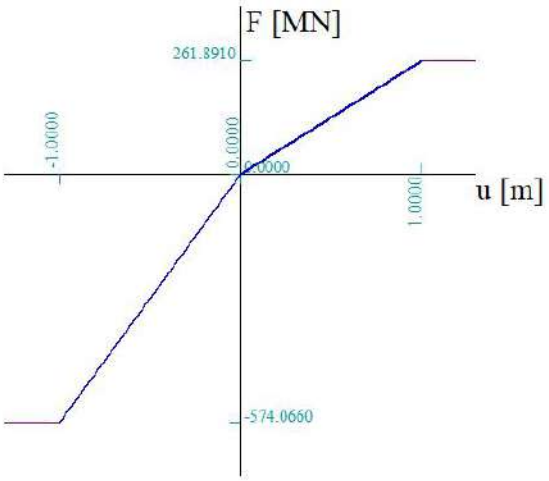
Naam	Type	u / F	Positief einde	Negatief einde
Trek-druk-S+0-paalpunt_cap275kN .min.B.	Verplaatsing	-6,7200e-03[m] / -4,6200e-01[MN]	Vrij	Vrij
		0,0000e+00[m] / 0,0000e+00[MN]		
		3,6700e-03[m] / 1,2800e-01[MN]		

Tekenen



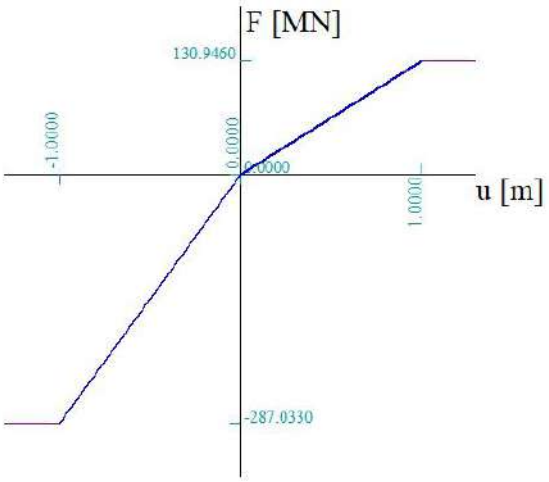
Naam	Type	u / F	Positief einde	Negatief einde
Trek-druk-paalpunt-max.LEKA	Verplaatsing	-1,0000e+00[m] / -5,7407e+02[MN]	Vrij	Vrij
		0,0000e+00[m] / 0,0000e+00[MN]		
		1,0000e+00[m] / 2,6189e+02[MN]		

Tekenen



Naam	Type	u / F	Positief einde	Negatief einde
Trek-druk-paalpunt-min.LEKA	Verplaatsing	-1,0000e+00[m] / -2,8703e+02[MN]	Vrij	Vrij
		0,0000e+00[m] / 0,0000e+00[MN]		
		1,0000e+00[m] / 1,3095e+02[MN]		

Tekenen



6. Belastingen

6.1. Belastingsgevallen

6.1.1. Belastingsgevallen - high max Wnd ;45°

Naam	Omschrijving	Actie type	Lastgroep	Duur	'Master' belastingsgeval
	Spec	Belastingtype			
high max Wnd ;45°		Variabel	LG4	Kort	Geen
	Standaard	Statisch			



6.1.1.1. Puntlast op knoop

Naam	Knoop	Belastingsgeval	Systeem	Rich	Type	Waarde - F [kN]
high max Wnd ;45°_1P_X	1P	high max Wnd ;45°	GCS	X	Kracht	41,26
high max Wnd ;45°_1P_Y	1P	high max Wnd ;45°	GCS	Y	Kracht	-3,07
high max Wnd ;45°_1P_Z	1P	high max Wnd ;45°	GCS	Z	Kracht	129,71
high max Wnd ;45°_1X_X	1X	high max Wnd ;45°	GCS	X	Kracht	-175,15
high max Wnd ;45°_1X_Y	1X	high max Wnd ;45°	GCS	Y	Kracht	155,39
high max Wnd ;45°_1X_Z	1X	high max Wnd ;45°	GCS	Z	Kracht	-933,71
high max Wnd ;45°_1XY_X	1XY	high max Wnd ;45°	GCS	X	Kracht	77,37
high max Wnd ;45°_1XY_Y	1XY	high max Wnd ;45°	GCS	Y	Kracht	32,81
high max Wnd ;45°_1XY_Z	1XY	high max Wnd ;45°	GCS	Z	Kracht	-318,55

Naam	Knoop	Belastingsgeval	Systeem	Rich	Type	Waarde - F [kN]
high max Wnd ;45°_1Y_X	1Y	high max Wnd ;45°	GCS	X	Kracht	-140,08
high max Wnd ;45°_1Y_Y	1Y	high max Wnd ;45°	GCS	Y	Kracht	119,03
high max Wnd ;45°_1Y_Z	1Y	high max Wnd ;45°	GCS	Z	Kracht	751,28
high max Wnd ;45°_1P_X1	1P28	high max Wnd ;45°	GCS	X	Kracht	41,26
high max Wnd ;45°_1P_Y1	1P28	high max Wnd ;45°	GCS	Y	Kracht	-3,07
high max Wnd ;45°_1P_Z1	1P28	high max Wnd ;45°	GCS	Z	Kracht	129,71
high max Wnd ;45°_1Y_X1	1Y1	high max Wnd ;45°	GCS	X	Kracht	-140,08
high max Wnd ;45°_1Y_Y1	1Y1	high max Wnd ;45°	GCS	Y	Kracht	119,03
high max Wnd ;45°_1Y_Z1	1Y1	high max Wnd ;45°	GCS	Z	Kracht	751,28
high max Wnd ;45°_1XY_X1	1XY1	high max Wnd ;45°	GCS	X	Kracht	77,37
high max Wnd ;45°_1XY_Y1	1XY1	high max Wnd ;45°	GCS	Y	Kracht	32,81
high max Wnd ;45°_1XY_Z1	1XY1	high max Wnd ;45°	GCS	Z	Kracht	-318,55
high max Wnd ;45°_1X_X1	1X1	high max Wnd ;45°	GCS	X	Kracht	-175,15
high max Wnd ;45°_1X_Y1	1X1	high max Wnd ;45°	GCS	Y	Kracht	155,39
high max Wnd ;45°_1X_Z1	1X1	high max Wnd ;45°	GCS	Z	Kracht	-933,71

6.1.2. Belastingsgevallen - high max Wnd ;135°

Naam	Omschrijving	Actie type	Lastgroep	Duur	'Master' belastingsgeval
	Spec	Belastingtype			
high max Wnd ;135°		Variabel	LG4	Kort	Geen
	Standaard	Statisch			



6.1.2.1. Puntlast op knoop

Naam	Knoop	Belastingsgeval	Systeem	Rich	Type	Waarde - F [kN]
high max Wnd ;135°_1P_X	1P	high max Wnd ;135°	GCS	X	Kracht	137,96
high max Wnd ;135°_1P_Y	1P	high max Wnd ;135°	GCS	Y	Kracht	116,38
high max Wnd ;135°_1P_Z	1P	high max Wnd ;135°	GCS	Z	Kracht	736,38
high max Wnd ;135°_1X_X	1X	high max Wnd ;135°	GCS	X	Kracht	-78,78
high max Wnd ;135°_1X_Y	1X	high max Wnd ;135°	GCS	Y	Kracht	36,11
high max Wnd ;135°_1X_Z	1X	high max Wnd ;135°	GCS	Z	Kracht	-333,09
high max Wnd ;135°_1XY_X	1XY	high max Wnd ;135°	GCS	X	Kracht	173,48
high max Wnd ;135°_1XY_Y	1XY	high max Wnd ;135°	GCS	Y	Kracht	151,90
high max Wnd ;135°_1XY_Z	1XY	high max Wnd ;135°	GCS	Z	Kracht	-917,91
high max Wnd ;135°_1Y_X	1Y	high max Wnd ;135°	GCS	X	Kracht	-43,60
high max Wnd ;135°_1Y_Y	1Y	high max Wnd ;135°	GCS	Y	Kracht	-0,24
high max Wnd ;135°_1Y_Z	1Y	high max Wnd ;135°	GCS	Z	Kracht	145,64
high max Wnd ;135°_1P_X1	1P28	high max Wnd ;135°	GCS	X	Kracht	137,96
high max Wnd ;135°_1P_Y1	1P28	high max Wnd ;135°	GCS	Y	Kracht	116,38
high max Wnd	1P28	high max Wnd ;135°	GCS	Z	Kracht	736,38

Naam	Knoop	Belastingsgeval	Systeem	Rich	Type	Waarde - F [kN]
;135°_1P_Z1						
high max Wnd ;135°_1Y_X1	1Y1	high max Wnd ;135°	GCS	X	Kracht	-43,60
high max Wnd ;135°_1Y_Y1	1Y1	high max Wnd ;135°	GCS	Y	Kracht	-0,24
high max Wnd ;135°_1Y_Z1	1Y1	high max Wnd ;135°	GCS	Z	Kracht	145,64
high max Wnd ;135°_1XY_X1	1XY1	high max Wnd ;135°	GCS	X	Kracht	173,48
high max Wnd ;135°_1XY_Y1	1XY1	high max Wnd ;135°	GCS	Y	Kracht	151,90
high max Wnd ;135°_1XY_Z1	1XY1	high max Wnd ;135°	GCS	Z	Kracht	-917,91
high max Wnd ;135°_1X_X1	1X1	high max Wnd ;135°	GCS	X	Kracht	-78,78
high max Wnd ;135°_1X_Y1	1X1	high max Wnd ;135°	GCS	Y	Kracht	36,11
high max Wnd ;135°_1X_Z1	1X1	high max Wnd ;135°	GCS	Z	Kracht	-333,09

6.1.3. Belastingsgevallen - high max Wnd ;225°

Naam	Omschrijving	Actie type	Lastgroep	Duur	'Master' belastingsgeval
	Spec	Belastingtype			
high max Wnd ;225°		Variabel	LG4	Kort	Geen
	Standaard	Statisch			

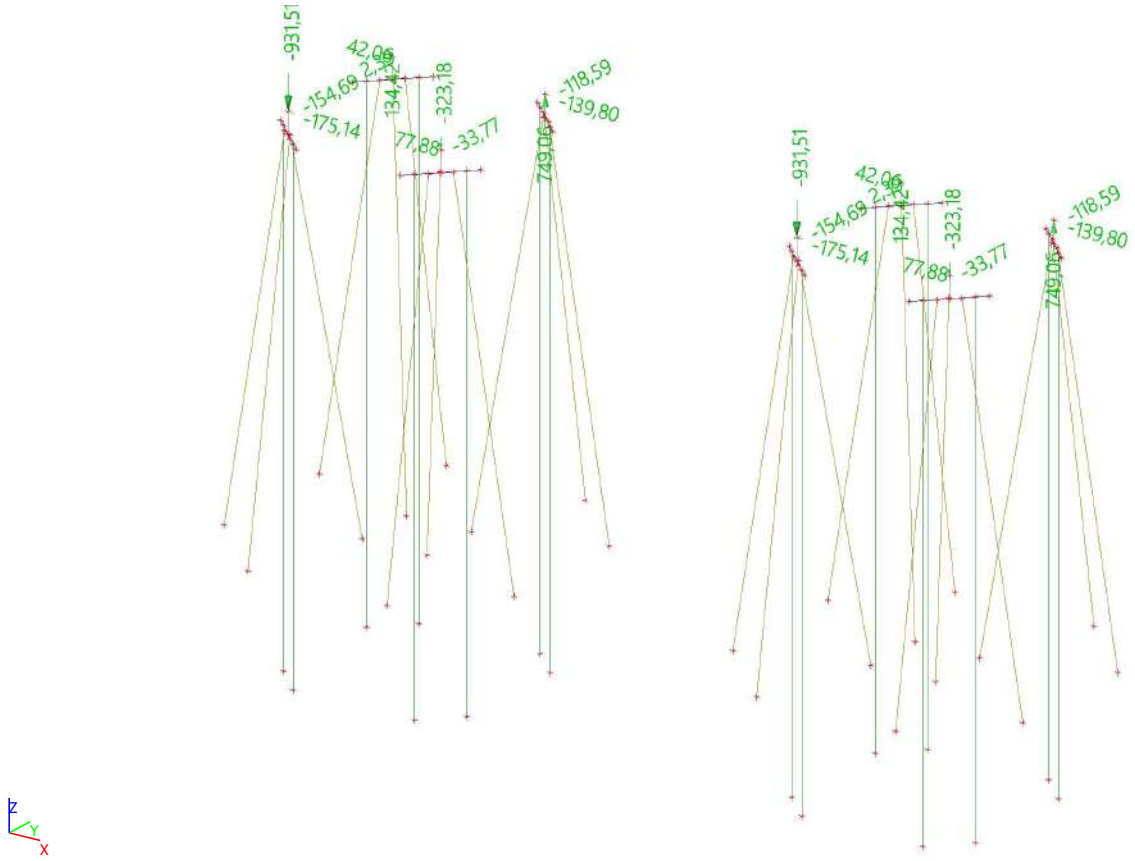


6.1.3.1. Puntlast op knoop

Naam	Knoop	Belastingsgeval	Systeem	Rich	Type	Waarde - F [kN]
high max Wnd ;225°_1P_X	1P	high max Wnd ;225°	GCS	X	Kracht	-77,80
high max Wnd ;225°_1P_Y	1P	high max Wnd ;225°	GCS	Y	Kracht	-35,40
high max Wnd ;225°_1P_Z	1P	high max Wnd ;225°	GCS	Z	Kracht	-327,48
high max Wnd ;225°_1X_X	1X	high max Wnd ;225°	GCS	X	Kracht	135,71
high max Wnd ;225°_1X_Y	1X	high max Wnd ;225°	GCS	Y	Kracht	-114,51
high max Wnd ;225°_1X_Z	1X	high max Wnd ;225°	GCS	Z	Kracht	724,55
high max Wnd ;225°_1XY_X	1XY	high max Wnd ;225°	GCS	X	Kracht	-40,97
high max Wnd ;225°_1XY_Y	1XY	high max Wnd ;225°	GCS	Y	Kracht	1,76
high max Wnd ;225°_1XY_Z	1XY	high max Wnd ;225°	GCS	Z	Kracht	133,77
high max Wnd ;225°_1Y_X	1Y	high max Wnd ;225°	GCS	X	Kracht	172,20
high max Wnd ;225°_1Y_Y	1Y	high max Wnd ;225°	GCS	Y	Kracht	-151,54
high max Wnd ;225°_1Y_Z	1Y	high max Wnd ;225°	GCS	Z	Kracht	-912,42
high max Wnd ;225°_1P_X1	1P28	high max Wnd ;225°	GCS	X	Kracht	-77,80
high max Wnd ;225°_1P_Y1	1P28	high max Wnd ;225°	GCS	Y	Kracht	-35,40
high max Wnd ;225°_1P_Z1	1P28	high max Wnd ;225°	GCS	Z	Kracht	-327,48
high max Wnd ;225°_1Y_X1	1Y1	high max Wnd ;225°	GCS	X	Kracht	172,20
high max Wnd ;225°_1Y_Y1	1Y1	high max Wnd ;225°	GCS	Y	Kracht	-151,54
high max Wnd ;225°_1Y_Z1	1Y1	high max Wnd ;225°	GCS	Z	Kracht	-912,42
high max Wnd ;225°_1XY_X1	1XY1	high max Wnd ;225°	GCS	X	Kracht	-40,97
high max Wnd ;225°_1XY_Y1	1XY1	high max Wnd ;225°	GCS	Y	Kracht	1,76
high max Wnd ;225°_1XY_Z1	1XY1	high max Wnd ;225°	GCS	Z	Kracht	133,77
high max Wnd ;225°_1X_X1	1X1	high max Wnd ;225°	GCS	X	Kracht	135,71
high max Wnd ;225°_1X_Y1	1X1	high max Wnd ;225°	GCS	Y	Kracht	-114,51
high max Wnd ;225°_1X_Z1	1X1	high max Wnd ;225°	GCS	Z	Kracht	724,55

6.1.4. Belastingsgevallen - high max Wnd ;315°

Naam	Omschrijving	Actie type	Lastgroep	Duur	'Master' belastingsgeval
	Spec	Belastingtype			
high max Wnd ;315°		Variabel	LG4	Kort	Geen
	Standaard	Statisch			



6.1.4.1. Puntlast op knoop

Naam	Knoop	Belastingsgeval	Systeem	Rich	Type	Waarde - F [kN]
high max Wnd ;315°_1P_X	1P	high max Wnd ;315°	GCS	X	Kracht	-175,14
high max Wnd ;315°_1P_Y	1P	high max Wnd ;315°	GCS	Y	Kracht	-154,69
high max Wnd ;315°_1P_Z	1P	high max Wnd ;315°	GCS	Z	Kracht	-931,51
high max Wnd ;315°_1X_X	1X	high max Wnd ;315°	GCS	X	Kracht	42,06
high max Wnd ;315°_1X_Y	1X	high max Wnd ;315°	GCS	Y	Kracht	2,39
high max Wnd ;315°_1X_Z	1X	high max Wnd ;315°	GCS	Z	Kracht	134,42
high max Wnd ;315°_1XY_X	1XY	high max Wnd ;315°	GCS	X	Kracht	-139,80
high max Wnd ;315°_1XY_Y	1XY	high max Wnd ;315°	GCS	Y	Kracht	-118,59
high max Wnd ;315°_1XY_Z	1XY	high max Wnd ;315°	GCS	Z	Kracht	749,06
high max Wnd ;315°_1Y_X	1Y	high max Wnd ;315°	GCS	X	Kracht	77,88
high max Wnd ;315°_1Y_Y	1Y	high max Wnd ;315°	GCS	Y	Kracht	-33,77
high max Wnd ;315°_1Y_Z	1Y	high max Wnd ;315°	GCS	Z	Kracht	-323,18
high max Wnd ;315°_1P_X1	1P28	high max Wnd ;315°	GCS	X	Kracht	-175,14
high max Wnd ;315°_1P_Y1	1P28	high max Wnd ;315°	GCS	Y	Kracht	-154,69
high max Wnd	1P28	high max Wnd ;315°	GCS	Z	Kracht	-931,51

Naam	Knoop	Belastingsgeval	Systeem	Rich	Type	Waarde - F [kN]
;315°_1P_Z1						
high max Wnd ;315°_1Y_X1	1Y1	high max Wnd ;315°	GCS	X	Kracht	77,88
high max Wnd ;315°_1Y_Y1	1Y1	high max Wnd ;315°	GCS	Y	Kracht	-33,77
high max Wnd ;315°_1Y_Z1	1Y1	high max Wnd ;315°	GCS	Z	Kracht	-323,18
high max Wnd ;315°_1XY_X1	1XY1	high max Wnd ;315°	GCS	X	Kracht	-139,80
high max Wnd ;315°_1XY_Y1	1XY1	high max Wnd ;315°	GCS	Y	Kracht	-118,59
high max Wnd ;315°_1XY_Z1	1XY1	high max Wnd ;315°	GCS	Z	Kracht	749,06
high max Wnd ;315°_1X_X1	1X1	high max Wnd ;315°	GCS	X	Kracht	42,06
high max Wnd ;315°_1X_Y1	1X1	high max Wnd ;315°	GCS	Y	Kracht	2,39
high max Wnd ;315°_1X_Z1	1X1	high max Wnd ;315°	GCS	Z	Kracht	134,42

6.1.5. Belastingsgevallen - low max Wnd ;45°

Naam	Omschrijving	Actie type	Lastgroep	Duur	'Master' belastingsgeval
	Spec	Belastingtype			
low max Wnd ;45°		Variabel	LG4	Kort	Geen
	Standaard	Statisch			

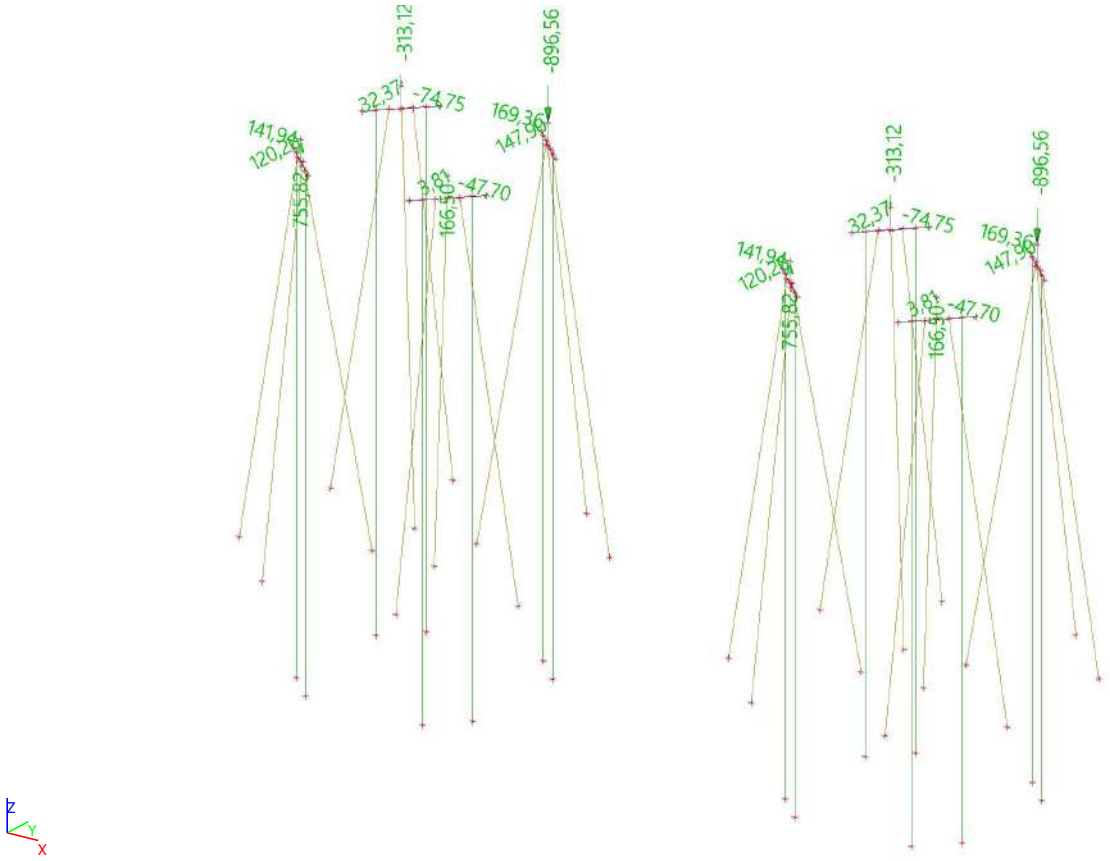


6.1.5.1. Puntlast op knoop

Naam	Knoop	Belastingsgeval	Systeem	Rich	Type	Waarde - F [kN]
low max Wnd ;45°_1P_X	1P	low max Wnd ;45°	GCS	X	Kracht	45,07
low max Wnd ;45°_1P_Y	1P	low max Wnd ;45°	GCS	Y	Kracht	0,63
low max Wnd ;45°_1P_Z	1P	low max Wnd ;45°	GCS	Z	Kracht	148,59
low max Wnd ;45°_1X_X	1X	low max Wnd ;45°	GCS	X	Kracht	-171,23
low max Wnd ;45°_1X_Y	1X	low max Wnd ;45°	GCS	Y	Kracht	151,81
low max Wnd ;45°_1X_Z	1X	low max Wnd ;45°	GCS	Z	Kracht	-914,24
low max Wnd ;45°_1XY_X	1XY	low max Wnd ;45°	GCS	X	Kracht	73,13
low max Wnd ;45°_1XY_Y	1XY	low max Wnd ;45°	GCS	Y	Kracht	28,63
low max Wnd ;45°_1XY_Z	1XY	low max Wnd ;45°	GCS	Z	Kracht	-296,63
low max Wnd ;45°_1Y_X	1Y	low max Wnd ;45°	GCS	X	Kracht	-144,34
low max Wnd ;45°_1Y_Y	1Y	low max Wnd ;45°	GCS	Y	Kracht	123,20
low max Wnd ;45°_1Y_Z	1Y	low max Wnd ;45°	GCS	Z	Kracht	772,62
low max Wnd ;45°_1P_X1	1P28	low max Wnd ;45°	GCS	X	Kracht	45,07
low max Wnd ;45°_1P_Y1	1P28	low max Wnd ;45°	GCS	Y	Kracht	0,63
low max Wnd ;45°_1P_Z1	1P28	low max Wnd ;45°	GCS	Z	Kracht	148,59
low max Wnd ;45°_1Y_X1	1Y1	low max Wnd ;45°	GCS	X	Kracht	-144,34
low max Wnd ;45°_1Y_Y1	1Y1	low max Wnd ;45°	GCS	Y	Kracht	123,20
low max Wnd ;45°_1Y_Z1	1Y1	low max Wnd ;45°	GCS	Z	Kracht	772,62
low max Wnd ;45°_1XY_X1	1XY1	low max Wnd ;45°	GCS	X	Kracht	73,13
low max Wnd ;45°_1XY_Y1	1XY1	low max Wnd ;45°	GCS	Y	Kracht	28,63
low max Wnd ;45°_1XY_Z1	1XY1	low max Wnd ;45°	GCS	Z	Kracht	-296,63
low max Wnd ;45°_1X_X1	1X1	low max Wnd ;45°	GCS	X	Kracht	-171,23
low max Wnd ;45°_1X_Y1	1X1	low max Wnd ;45°	GCS	Y	Kracht	151,81
low max Wnd ;45°_1X_Z1	1X1	low max Wnd ;45°	GCS	Z	Kracht	-914,24

6.1.6. Belastingsgevallen - low max Wnd ;135°

Naam	Omschrijving	Actie type	Lastgroep	Duur	'Master' belastingsgeval
	Spec	Belastingtype			
low max Wnd ;135°		Variabel	LG4	Kort	Geen
	Standaard	Statisch			



6.1.6.1. Puntlast op knoop

Naam	Knoop	Belastingsgeval	Systeem	Rich	Type	Waarde - F [kN]
low max Wnd ;135°_1P_X	1P	low max Wnd ;135°	GCS	X	Kracht	141,94
low max Wnd ;135°_1P_Y	1P	low max Wnd ;135°	GCS	Y	Kracht	120,20
low max Wnd ;135°_1P_Z	1P	low max Wnd ;135°	GCS	Z	Kracht	755,82
low max Wnd ;135°_1X_X	1X	low max Wnd ;135°	GCS	X	Kracht	-74,75
low max Wnd ;135°_1X_Y	1X	low max Wnd ;135°	GCS	Y	Kracht	32,37
low max Wnd ;135°_1X_Z	1X	low max Wnd ;135°	GCS	Z	Kracht	-313,12
low max Wnd ;135°_1XY_X	1XY	low max Wnd ;135°	GCS	X	Kracht	169,36
low max Wnd ;135°_1XY_Y	1XY	low max Wnd ;135°	GCS	Y	Kracht	147,90
low max Wnd ;135°_1XY_Z	1XY	low max Wnd ;135°	GCS	Z	Kracht	-896,56
low max Wnd ;135°_1Y_X	1Y	low max Wnd ;135°	GCS	X	Kracht	-47,70
low max Wnd ;135°_1Y_Y	1Y	low max Wnd ;135°	GCS	Y	Kracht	3,81
low max Wnd ;135°_1Y_Z	1Y	low max Wnd ;135°	GCS	Z	Kracht	166,50
low max Wnd ;135°_1P_X1	1P28	low max Wnd ;135°	GCS	X	Kracht	141,94
low max Wnd ;135°_1P_Y1	1P28	low max Wnd ;135°	GCS	Y	Kracht	120,20
low max Wnd	1P28	low max Wnd ;135°	GCS	Z	Kracht	755,82

Naam	Knoop	Belastingsgeval	Systeem	Rich	Type	Waarde - F [kN]
;135°_1P_Z1						
low max Wnd ;135°_1Y_X1	1Y1	low max Wnd ;135°	GCS	X	Kracht	-47,70
low max Wnd ;135°_1Y_Y1	1Y1	low max Wnd ;135°	GCS	Y	Kracht	3,81
low max Wnd ;135°_1Y_Z1	1Y1	low max Wnd ;135°	GCS	Z	Kracht	166,50
low max Wnd ;135°_1XY_X1	1XY1	low max Wnd ;135°	GCS	X	Kracht	169,36
low max Wnd ;135°_1XY_Y1	1XY1	low max Wnd ;135°	GCS	Y	Kracht	147,90
low max Wnd ;135°_1XY_Z1	1XY1	low max Wnd ;135°	GCS	Z	Kracht	-896,56
low max Wnd ;135°_1X_X1	1X1	low max Wnd ;135°	GCS	X	Kracht	-74,75
low max Wnd ;135°_1X_Y1	1X1	low max Wnd ;135°	GCS	Y	Kracht	32,37
low max Wnd ;135°_1X_Z1	1X1	low max Wnd ;135°	GCS	Z	Kracht	-313,12

6.1.7. Belastingsgevallen - low max Wnd ;225°

Naam	Omschrijving	Actie type	Lastgroep	Duur	'Master' belastingsgeval
	Spec	Belastingtype			
low max Wnd ;225°		Variabel	LG4	Kort	Geen
	Standaard	Statisch			



6.1.7.1. Puntlast op knoop

Naam	Knoop	Belastingsgeval	Systeem	Rich	Type	Waarde - F [kN]
low max Wnd ;225°_1P_X	1P	low max Wnd ;225°	GCS	X	Kracht	-69,77
low max Wnd ;225°_1P_Y	1P	low max Wnd ;225°	GCS	Y	Kracht	-28,05
low max Wnd ;225°_1P_Z	1P	low max Wnd ;225°	GCS	Z	Kracht	-284,86
low max Wnd ;225°_1X_X	1X	low max Wnd ;225°	GCS	X	Kracht	139,35
low max Wnd ;225°_1X_Y	1X	low max Wnd ;225°	GCS	Y	Kracht	-119,60
low max Wnd ;225°_1X_Z	1X	low max Wnd ;225°	GCS	Z	Kracht	745,81
low max Wnd ;225°_1XY_X	1XY	low max Wnd ;225°	GCS	X	Kracht	-42,70
low max Wnd ;225°_1XY_Y	1XY	low max Wnd ;225°	GCS	Y	Kracht	-0,21
low max Wnd ;225°_1XY_Z	1XY	low max Wnd ;225°	GCS	Z	Kracht	140,19
low max Wnd ;225°_1Y_X	1Y	low max Wnd ;225°	GCS	X	Kracht	166,22
low max Wnd ;225°_1Y_Y	1Y	low max Wnd ;225°	GCS	Y	Kracht	-147,13
low max Wnd ;225°_1Y_Z	1Y	low max Wnd ;225°	GCS	Z	Kracht	-884,65
low max Wnd ;225°_1P_X1	1P28	low max Wnd ;225°	GCS	X	Kracht	-69,77
low max Wnd ;225°_1P_Y1	1P28	low max Wnd ;225°	GCS	Y	Kracht	-28,05
low max Wnd ;225°_1P_Z1	1P28	low max Wnd ;225°	GCS	Z	Kracht	-284,86
low max Wnd ;225°_1Y_X1	1Y1	low max Wnd ;225°	GCS	X	Kracht	166,22
low max Wnd ;225°_1Y_Y1	1Y1	low max Wnd ;225°	GCS	Y	Kracht	-147,13
low max Wnd ;225°_1Y_Z1	1Y1	low max Wnd ;225°	GCS	Z	Kracht	-884,65
low max Wnd ;225°_1XY_X1	1XY1	low max Wnd ;225°	GCS	X	Kracht	-42,70
low max Wnd ;225°_1XY_Y1	1XY1	low max Wnd ;225°	GCS	Y	Kracht	-0,21
low max Wnd ;225°_1XY_Z1	1XY1	low max Wnd ;225°	GCS	Z	Kracht	140,19
low max Wnd ;225°_1X_X1	1X1	low max Wnd ;225°	GCS	X	Kracht	139,35
low max Wnd ;225°_1X_Y1	1X1	low max Wnd ;225°	GCS	Y	Kracht	-119,60
low max Wnd ;225°_1X_Z1	1X1	low max Wnd ;225°	GCS	Z	Kracht	745,81

6.1.8. Belastingsgevallen - low max Wnd ;315°

Naam	Omschrijving	Actie type	Lastgroep	Duur	'Master' belastingsgeval
	Spec	Belastingtype			
low max Wnd ;315°		Variabel	LG4	Kort	Geen
	Standaard	Statisch			



6.1.8.1. Puntlast op knoop

Naam	Knoop	Belastingsgeval	Systeem	Rich	Type	Waarde - F [kN]
low max Wnd ;315°_1P_X	1P	low max Wnd ;315°	GCS	X	Kracht	-171,07
low max Wnd ;315°_1P_Y	1P	low max Wnd ;315°	GCS	Y	Kracht	-150,84
low max Wnd ;315°_1P_Z	1P	low max Wnd ;315°	GCS	Z	Kracht	-910,75
low max Wnd ;315°_1X_X	1X	low max Wnd ;315°	GCS	X	Kracht	46,01
low max Wnd ;315°_1X_Y	1X	low max Wnd ;315°	GCS	Y	Kracht	-1,51
low max Wnd ;315°_1X_Z	1X	low max Wnd ;315°	GCS	Z	Kracht	154,35
low max Wnd ;315°_1XY_X	1XY	low max Wnd ;315°	GCS	X	Kracht	-143,87
low max Wnd ;315°_1XY_Y	1XY	low max Wnd ;315°	GCS	Y	Kracht	-122,54
low max Wnd ;315°_1XY_Z	1XY	low max Wnd ;315°	GCS	Z	Kracht	769,08
low max Wnd ;315°_1Y_X	1Y	low max Wnd ;315°	GCS	X	Kracht	73,73
low max Wnd ;315°_1Y_Y	1Y	low max Wnd ;315°	GCS	Y	Kracht	-29,84
low max Wnd ;315°_1Y_Z	1Y	low max Wnd ;315°	GCS	Z	Kracht	-302,29
low max Wnd ;315°_1P_X1	1P28	low max Wnd ;315°	GCS	X	Kracht	-171,07
low max Wnd ;315°_1P_Y1	1P28	low max Wnd ;315°	GCS	Y	Kracht	-150,84
low max Wnd	1P28	low max Wnd ;315°	GCS	Z	Kracht	-910,75

Naam	Knoop	Belastingsgeval	Systeem	Rich	Type	Waarde - F [kN]
;315°_1P_Z1						
low max Wnd ;315°_1Y_X1	1Y1	low max Wnd ;315°	GCS	X	Kracht	73,73
low max Wnd ;315°_1Y_Y1	1Y1	low max Wnd ;315°	GCS	Y	Kracht	-29,84
low max Wnd ;315°_1Y_Z1	1Y1	low max Wnd ;315°	GCS	Z	Kracht	-302,29
low max Wnd ;315°_1XY_X1	1XY1	low max Wnd ;315°	GCS	X	Kracht	-143,87
low max Wnd ;315°_1XY_Y1	1XY1	low max Wnd ;315°	GCS	Y	Kracht	-122,54
low max Wnd ;315°_1XY_Z1	1XY1	low max Wnd ;315°	GCS	Z	Kracht	769,08
low max Wnd ;315°_1X_X1	1X1	low max Wnd ;315°	GCS	X	Kracht	46,01
low max Wnd ;315°_1X_Y1	1X1	low max Wnd ;315°	GCS	Y	Kracht	-1,51
low max Wnd ;315°_1X_Z1	1X1	low max Wnd ;315°	GCS	Z	Kracht	154,35

6.1.9. Belastingsgevallen - EG_fundering

Naam	Omschrijving	Actie type	Lastgroep	Richting
	Spec	Belastingtype		
EG_fundering		Permanent	LG1	-Z
		Eigen gewicht		



6.2. Niet-lineaire combinaties

Naam	Type	Belastingsgevallen	Coëff. [-]
low max Wnd ;45° - EG_gunstig	Uiterste Grenstoestand	low max Wnd ;45°	1,000
		EG_fundering	0,900
low max Wnd ;135° - EG_gunstig	Uiterste Grenstoestand	low max Wnd ;135°	1,000
		EG_fundering	0,900
low max Wnd ;225° - EG_gunstig	Uiterste Grenstoestand	low max Wnd ;225°	1,000
		EG_fundering	0,900
low max Wnd ;315° - EG_gunstig	Uiterste Grenstoestand	low max Wnd ;315°	1,000
		EG_fundering	0,900
high max Wnd ;45° - EG_ongunstig	Uiterste Grenstoestand	high max Wnd ;45°	1,000
		EG_fundering	1,200
high max Wnd ;135° - EG_ongunstig	Uiterste Grenstoestand	high max Wnd ;135°	1,000
		EG_fundering	1,200
high max Wnd ;225° - EG_ongunstig	Uiterste Grenstoestand	high max Wnd ;225°	1,000
		EG_fundering	1,200
high max Wnd ;315° - EG_ongunstig	Uiterste Grenstoestand	high max Wnd ;315°	1,000
		EG_fundering	1,200

6.3. Resultaatklasses

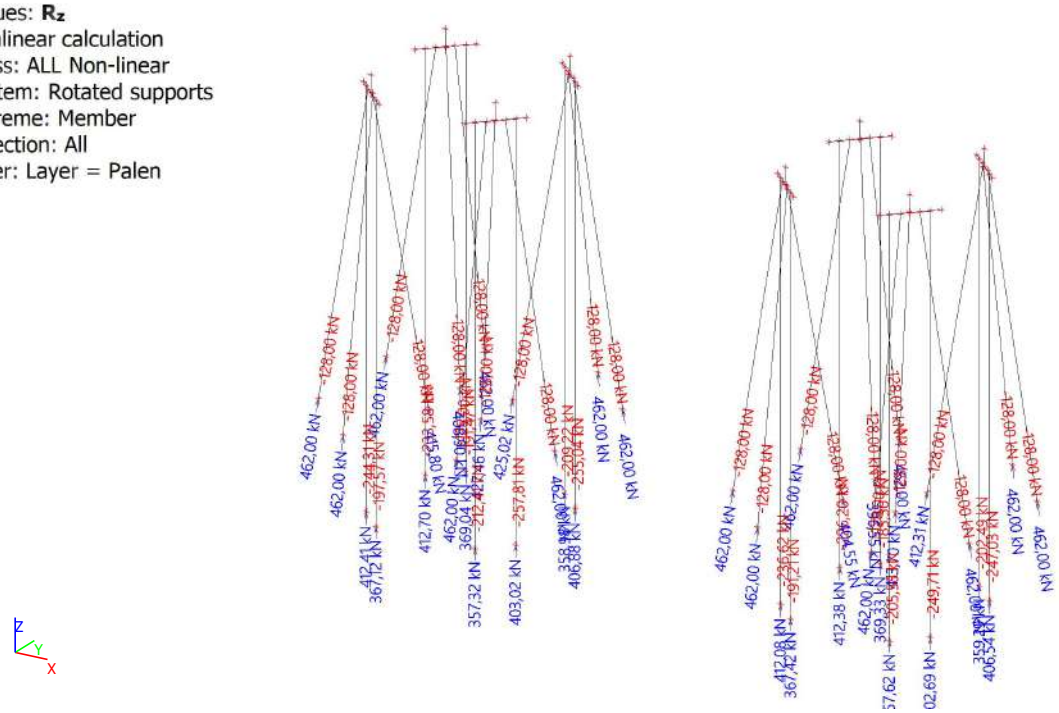
Naam	Lijst
ALL Non-linear	low max Wnd ;45° - EG_gunstig
	low max Wnd ;135° - EG_gunstig
	low max Wnd ;225° - EG_gunstig
	low max Wnd ;315° - EG_gunstig
	high max Wnd ;45° - EG_ongunstig
	high max Wnd ;135° - EG_ongunstig
	high max Wnd ;225° - EG_ongunstig
	high max Wnd ;315° - EG_ongunstig

7. Resultaten

7.1. Reacties van de palen

7.1.1. Reactions; R_z

Values: R_z
Nonlinear calculation
Class: ALL Non-linear
System: Rotated supports
Extreme: Member
Selection: All
Filter: Layer = Palen



7.1.2. Reacties

Niet-lineaire berekening
Klasse: ALL Non-linear
Systeem: Schuine steunpunten
Extreem: Globaal
Selectie: Alle
Filter: Doorsnede = Paal 40x40 - Rectangle (400,00; 400,00)

Knoopreacties

Naam	Belasting	R_x [kN]	R_y [kN]	R_z [kN]	M_x [kNm]	M_y [kNm]	M_z [kNm]	e_x [mm]	e_y [mm]
S_XY_6/N65	high max Wnd ;315° - EG_ongunstig	**0,00**	0,00	412,31	0,00	0,00	0,00	0,0	0,0
S_P_6/N68	low max Wnd ;135° - EG_gunstig	**0,00**	0,00	401,55	**0,00**	**0,00**	**0,00**	0,0	0,0
S_X_4/N59	high max Wnd ;45° - EG_ongunstig	0,00	**0,00**	413,70	0,00	0,00	0,00	0,0	0,0
S_Y_2/N21	low max Wnd ;225° - EG_gunstig	0,00	**0,00**	408,90	0,00	0,00	0,00	0,0	0,0
S_P_3/N6	low max Wnd ;135° - EG_gunstig	0,00	0,00	**-128,00**	0,00	0,00	0,00	0,0	0,0
S_P_3/N6	low max Wnd ;315° - EG_gunstig	0,00	0,00	**462,00**	0,00	0,00	0,00	0,0	0,0

7.1.3. Reacties

Niet-lineaire berekening
Klasse: ALL Non-linear

Systeem: Schuine steunpunten
Extreem: Globaal
Selectie: Alle
Filter: Doorsnede = LEKA Paal - type e (CHS273.0/10.0)
Knoopreacties

Naam	Belasting	R_x [kN]	R_y [kN]	R_z [kN]	M_x [kNm]	M_y [kNm]	M_z [kNm]	e_x [mm]	e_y [mm]
S_Y_5/N28	low max Wnd ;45° - EG_gunstig	0,00	0,00	**-257,81**	0,00	0,00	0,00	0,0	0,0
S_Y_9/N40	high max Wnd ;45° - EG_ongunstig	**0,00**	**0,00**	**412,70**	**0,00**	**0,00**	**0,00**	0,0	0,0

7.1.4. Reacties

Niet-lineaire berekening
Klasse: ALL Non-linear
Systeem: Schuine steunpunten
Extreem: Element
Selectie: Alle
Filter: Laag = Palen
Knoopreacties

Naam	Belasting	R_x [kN]	R_y [kN]	R_z [kN]	M_x [kNm]	M_y [kNm]	M_z [kNm]	e_x [mm]	e_y [mm]
S_P_3/N6	low max Wnd ;315° - EG_gunstig	0,00	**0,00**	**462,00**	0,00	0,00	0,00	0,0	0,0
S_P_3/N6	high max Wnd ;45° - EG_ongunstig	**0,00**	**0,00**	63,69	**0,00**	**0,00**	**0,00**	0,0	0,0
S_P_3/N6	low max Wnd ;135° - EG_gunstig	0,00	0,00	**-128,00**	0,00	0,00	0,00	0,0	0,0
S_P_1/N5	low max Wnd ;225° - EG_gunstig	**0,00**	**0,00**	203,17	**0,00**	**0,00**	**0,00**	0,0	0,0
S_P_1/N5	low max Wnd ;135° - EG_gunstig	0,00	0,00	**-128,00**	0,00	0,00	0,00	0,0	0,0
S_P_1/N5	low max Wnd ;315° - EG_gunstig	**0,00**	0,00	**462,00**	0,00	0,00	**0,00**	0,0	0,0
S_P_2/N22	high max Wnd ;135° - EG_ongunstig	**0,00**	**0,00**	413,26	0,00	0,00	0,00	0,0	0,0
S_P_2/N22	low max Wnd ;315° - EG_gunstig	0,00	**0,00**	**-128,00**	0,00	0,00	0,00	0,0	0,0
S_P_2/N22	low max Wnd ;135° - EG_gunstig	0,00	0,00	**415,80**	**0,00**	**0,00**	**0,00**	0,0	0,0
S_P_2/N22	high max Wnd ;45° - EG_ongunstig	**0,00**	0,00	115,16	0,00	0,00	**0,00**	0,0	0,0
S_X_3/N13	high max Wnd ;315° - EG_ongunstig	**0,00**	**0,00**	244,57	**0,00**	**0,00**	**0,00**	0,0	0,0
S_X_3/N13	low max Wnd ;225° - EG_gunstig	0,00	0,00	**462,00**	0,00	0,00	0,00	0,0	0,0
S_X_3/N13	low max Wnd ;45° - EG_gunstig	**0,00**	0,00	**-128,00**	0,00	0,00	**0,00**	0,0	0,0
S_X_1/N12	low max Wnd ;225° - EG_gunstig	0,00	**0,00**	**462,00**	0,00	0,00	0,00	0,0	0,0

Naam	Belasting	R_x [kN]	R_y [kN]	R_z [kN]	M_x [kNm]	M_y [kNm]	M_z [kNm]	e_x [mm]	e_y [mm]
S_X_1/N12	high max Wnd ;315° - EG_ongunstig	**0,00**	**0,00**	191,77	**0,00**	**0,00**	**0,00**	0,0	0,0
S_X_1/N12	low max Wnd ;45° - EG_gunstig	0,00	0,00	**-128,00**	0,00	0,00	**0,00**	0,0	0,0
S_X_2/N8	high max Wnd ;135° - EG_ongunstig	**0,00**	0,00	119,05	**0,00**	**0,00**	**0,00**	0,0	0,0
S_X_2/N8	low max Wnd ;45° - EG_gunstig	0,00	**0,00**	**427,46**	0,00	0,00	0,00	0,0	0,0
S_X_2/N8	low max Wnd ;225° - EG_gunstig	0,00	**0,00**	**-128,00**	0,00	0,00	0,00	0,0	0,0
S_X_2/N8	low max Wnd ;135° - EG_gunstig	**0,00**	0,00	103,72	0,00	0,00	**0,00**	0,0	0,0
S_XY_3/N17	high max Wnd ;225° - EG_ongunstig	0,00	**0,00**	61,68	0,00	0,00	0,00	0,0	0,0
S_XY_3/N17	low max Wnd ;315° - EG_gunstig	0,00	0,00	**-128,00**	0,00	0,00	0,00	0,0	0,0
S_XY_3/N17	low max Wnd ;135° - EG_gunstig	**0,00**	**0,00**	**462,00**	**0,00**	**0,00**	**0,00**	0,0	0,0
S_XY_1/N16	low max Wnd ;135° - EG_gunstig	**0,00**	**0,00**	**462,00**	**0,00**	**0,00**	**0,00**	0,0	0,0
S_XY_1/N16	low max Wnd ;315° - EG_gunstig	**0,00**	0,00	**-128,00**	0,00	0,00	**0,00**	0,0	0,0
S_XY_2/N18	low max Wnd ;225° - EG_gunstig	**0,00**	0,00	96,42	**0,00**	**0,00**	**0,00**	0,0	0,0
S_XY_2/N18	high max Wnd ;225° - EG_ongunstig	0,00	**0,00**	115,63	0,00	0,00	0,00	0,0	0,0
S_XY_2/N18	low max Wnd ;135° - EG_gunstig	0,00	0,00	**-128,00**	0,00	0,00	0,00	0,0	0,0
S_XY_2/N18	low max Wnd ;315° - EG_gunstig	**0,00**	**0,00**	**425,02**	0,00	0,00	**0,00**	0,0	0,0
S_Y_3/N10	low max Wnd ;225° - EG_gunstig	**0,00**	0,00	**-128,00**	0,00	0,00	0,00	0,0	0,0
S_Y_3/N10	low max Wnd ;45° - EG_gunstig	0,00	**0,00**	**462,00**	**0,00**	**0,00**	**0,00**	0,0	0,0
S_Y_3/N10	low max Wnd ;135° - EG_gunstig	**0,00**	0,00	216,81	0,00	0,00	**0,00**	0,0	0,0
S_Y_1/N20	high max Wnd ;315° - EG_ongunstig	**0,00**	**0,00**	62,08	**0,00**	**0,00**	**0,00**	0,0	0,0
S_Y_1/N20	low max Wnd ;225° - EG_gunstig	0,00	0,00	**-128,00**	0,00	0,00	0,00	0,0	0,0
S_Y_1/N20	low max Wnd ;45° - EG_gunstig	0,00	**0,00**	**462,00**	0,00	0,00	**0,00**	0,0	0,0
S_Y_2/N21	high max Wnd ;315° - EG_ongunstig	**0,00**	0,00	116,28	**0,00**	**0,00**	**0,00**	0,0	0,0

Naam	Belasting	R_x [kN]	R_y [kN]	R_z [kN]	M_x [kNm]	M_y [kNm]	M_z [kNm]	e_x [mm]	e_y [mm]
S_Y_2/N21	low max Wnd ;45° - EG_gunstig	0,00	**0,00**	**-128,00**	0,00	0,00	0,00	0,0	0,0
S_Y_2/N21	low max Wnd ;225° - EG_gunstig	0,00	**0,00**	**408,90**	0,00	0,00	0,00	0,0	0,0
S_Y_2/N21	high max Wnd ;135° - EG_ongunstig	**0,00**	0,00	-3,45	0,00	0,00	**0,00**	0,0	0,0
S_Y_4/N27	high max Wnd ;225° - EG_ongunstig	**0,00**	**0,00**	**357,32**	**0,00**	**0,00**	**0,00**	0,0	0,0
S_Y_4/N27	low max Wnd ;45° - EG_gunstig	0,00	0,00	**-212,41**	0,00	0,00	**0,00**	0,0	0,0
S_Y_5/N28	high max Wnd ;225° - EG_ongunstig	**0,00**	**0,00**	**403,02**	**0,00**	**0,00**	**0,00**	0,0	0,0
S_Y_5/N28	low max Wnd ;45° - EG_gunstig	0,00	0,00	**-257,81**	0,00	0,00	**0,00**	0,0	0,0
S_Y_6/N34	low max Wnd ;135° - EG_gunstig	0,00	0,00	**-197,57**	0,00	0,00	0,00	0,0	0,0
S_Y_6/N34	high max Wnd ;315° - EG_ongunstig	**0,00**	**0,00**	**367,12**	**0,00**	**0,00**	**0,00**	0,0	0,0
S_Y_7/N36	low max Wnd ;135° - EG_gunstig	0,00	0,00	**-244,31**	0,00	0,00	0,00	0,0	0,0
S_Y_7/N36	high max Wnd ;315° - EG_ongunstig	**0,00**	**0,00**	**412,41**	**0,00**	**0,00**	**0,00**	0,0	0,0
S_Y_8/N38	low max Wnd ;225° - EG_gunstig	0,00	0,00	**-191,47**	0,00	0,00	0,00	0,0	0,0
S_Y_8/N38	high max Wnd ;45° - EG_ongunstig	**0,00**	**0,00**	**369,04**	**0,00**	**0,00**	**0,00**	0,0	0,0
S_Y_9/N40	low max Wnd ;225° - EG_gunstig	0,00	0,00	**-233,58**	0,00	0,00	0,00	0,0	0,0
S_Y_9/N40	high max Wnd ;45° - EG_ongunstig	**0,00**	**0,00**	**412,70**	**0,00**	**0,00**	**0,00**	0,0	0,0
S_Y_11/N44	low max Wnd ;315° - EG_gunstig	0,00	0,00	**-255,04**	0,00	0,00	0,00	0,0	0,0
S_Y_11/N44	high max Wnd ;135° - EG_ongunstig	**0,00**	**0,00**	**406,88**	**0,00**	**0,00**	**0,00**	0,0	0,0
S_Y_10/N42	low max Wnd ;315° - EG_gunstig	0,00	0,00	**-209,22**	0,00	0,00	0,00	0,0	0,0
S_Y_10/N42	high max Wnd ;135° - EG_ongunstig	**0,00**	**0,00**	**358,98**	**0,00**	**0,00**	**0,00**	0,0	0,0
S_P_5/N58	low max Wnd ;315° - EG_gunstig	0,00	**0,00**	**462,00**	0,00	0,00	0,00	0,0	0,0
S_P_5/N58	high max Wnd ;225° - EG_ongunstig	**0,00**	**0,00**	204,82	**0,00**	**0,00**	**0,00**	0,0	0,0
S_P_5/N58	low max Wnd ;135° - EG_gunstig	0,00	0,00	**-128,00**	0,00	0,00	0,00	0,0	0,0

Naam	Belasting	R_x [kN]	R_y [kN]	R_z [kN]	M_x [kNm]	M_y [kNm]	M_z [kNm]	e_x [mm]	e_y [mm]
S_P_4/N57	high max Wnd ;225° - EG_ongunstig	**0,00**	**0,00**	257,29	**0,00**	**0,00**	**0,00**	0,0	0,0
S_P_4/N57	low max Wnd ;135° - EG_gunstig	0,00	0,00	**-128,00**	0,00	0,00	0,00	0,0	0,0
S_P_4/N57	low max Wnd ;315° - EG_gunstig	**0,00**	0,00	**462,00**	0,00	0,00	**0,00**	0,0	0,0
S_P_6/N68	low max Wnd ;45° - EG_gunstig	0,00	**0,00**	103,87	0,00	0,00	0,00	0,0	0,0
S_P_6/N68	low max Wnd ;135° - EG_gunstig	**0,00**	**0,00**	401,55	**0,00**	**0,00**	**0,00**	0,0	0,0
S_P_6/N68	low max Wnd ;315° - EG_gunstig	0,00	0,00	**-128,00**	0,00	0,00	0,00	0,0	0,0
S_P_6/N68	high max Wnd ;135° - EG_ongunstig	0,00	0,00	**404,55**	0,00	0,00	0,00	0,0	0,0
S_P_6/N68	low max Wnd ;225° - EG_gunstig	**0,00**	0,00	0,69	0,00	0,00	**0,00**	0,0	0,0
S_X_6/N62	low max Wnd ;45° - EG_gunstig	0,00	0,00	**-128,00**	0,00	0,00	0,00	0,0	0,0
S_X_6/N62	low max Wnd ;225° - EG_gunstig	**0,00**	**0,00**	**462,00**	**0,00**	**0,00**	**0,00**	0,0	0,0
S_X_6/N62	high max Wnd ;315° - EG_ongunstig	**0,00**	0,00	256,38	0,00	0,00	**0,00**	0,0	0,0
S_X_5/N61	low max Wnd ;225° - EG_gunstig	0,00	**0,00**	**462,00**	0,00	0,00	0,00	0,0	0,0
S_X_5/N61	low max Wnd ;315° - EG_gunstig	**0,00**	**0,00**	168,51	**0,00**	**0,00**	**0,00**	0,0	0,0
S_X_5/N61	low max Wnd ;45° - EG_gunstig	0,00	0,00	**-128,00**	0,00	0,00	**0,00**	0,0	0,0
S_X_4/N59	high max Wnd ;45° - EG_ongunstig	**0,00**	**0,00**	**413,70**	**0,00**	**0,00**	**0,00**	0,0	0,0
S_X_4/N59	low max Wnd ;225° - EG_gunstig	0,00	0,00	**-128,00**	0,00	0,00	0,00	0,0	0,0
S_X_4/N59	low max Wnd ;135° - EG_gunstig	**0,00**	**0,00**	108,41	0,00	0,00	**0,00**	0,0	0,0
S_XY_5/N64	high max Wnd ;45° - EG_ongunstig	0,00	**0,00**	199,60	0,00	0,00	0,00	0,0	0,0
S_XY_5/N64	low max Wnd ;315° - EG_gunstig	0,00	0,00	**-128,00**	0,00	0,00	0,00	0,0	0,0
S_XY_5/N64	low max Wnd ;135° - EG_gunstig	**0,00**	**0,00**	**462,00**	**0,00**	**0,00**	**0,00**	0,0	0,0
S_XY_4/N63	low max Wnd ;315° - EG_gunstig	0,00	0,00	**-128,00**	0,00	0,00	0,00	0,0	0,0
S_XY_4/N63	low max Wnd ;135° - EG_gunstig	**0,00**	**0,00**	**462,00**	**0,00**	**0,00**	**0,00**	0,0	0,0

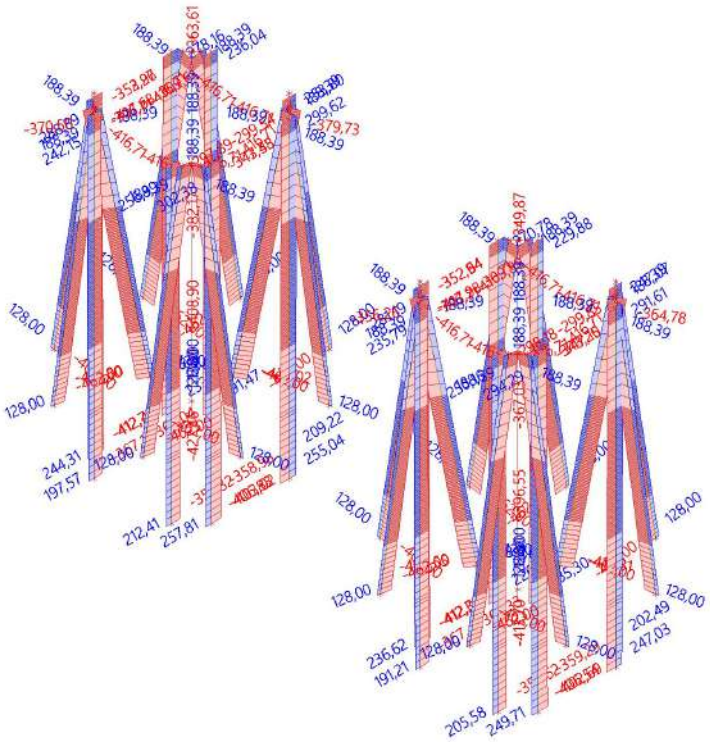
Naam	Belasting	R_x [kN]	R_y [kN]	R_z [kN]	M_x [kNm]	M_y [kNm]	M_z [kNm]	e_x [mm]	e_y [mm]
S_XY_4/N63	high max Wnd ;45° - EG_ongunstig	**0,00**	0,00	254,59	0,00	0,00	**0,00**	0,0	0,0
S_XY_6/N65	high max Wnd ;45° - EG_ongunstig	**0,00**	0,00	13,15	**0,00**	**0,00**	**0,00**	0,0	0,0
S_XY_6/N65	low max Wnd ;315° - EG_gunstig	0,00	**0,00**	410,08	0,00	0,00	0,00	0,0	0,0
S_XY_6/N65	high max Wnd ;225° - EG_ongunstig	0,00	**0,00**	123,12	0,00	0,00	0,00	0,0	0,0
S_XY_6/N65	low max Wnd ;135° - EG_gunstig	0,00	0,00	**-128,00**	0,00	0,00	0,00	0,0	0,0
S_XY_6/N65	high max Wnd ;315° - EG_ongunstig	**0,00**	0,00	**412,31**	0,00	0,00	**0,00**	0,0	0,0
S_Y_12/N60	high max Wnd ;135° - EG_ongunstig	**0,00**	**0,00**	259,97	**0,00**	**0,00**	**0,00**	0,0	0,0
S_Y_12/N60	low max Wnd ;225° - EG_gunstig	0,00	0,00	**-128,00**	0,00	0,00	0,00	0,0	0,0
S_Y_12/N60	low max Wnd ;45° - EG_gunstig	**0,00**	0,00	**462,00**	0,00	0,00	**0,00**	0,0	0,0
S_Y_13/N66	low max Wnd ;225° - EG_gunstig	**0,00**	**0,00**	**-128,00**	**0,00**	**0,00**	**0,00**	0,0	0,0
S_Y_13/N66	low max Wnd ;45° - EG_gunstig	0,00	**0,00**	**462,00**	0,00	0,00	**0,00**	0,0	0,0
S_Y_14/N67	low max Wnd ;315° - EG_gunstig	**0,00**	0,00	105,28	**0,00**	**0,00**	**0,00**	0,0	0,0
S_Y_14/N67	low max Wnd ;225° - EG_gunstig	0,00	**0,00**	395,16	0,00	0,00	0,00	0,0	0,0
S_Y_14/N67	low max Wnd ;45° - EG_gunstig	0,00	**0,00**	**-128,00**	0,00	0,00	0,00	0,0	0,0
S_Y_14/N67	high max Wnd ;225° - EG_ongunstig	0,00	0,00	**396,55**	0,00	0,00	0,00	0,0	0,0
S_Y_14/N67	high max Wnd ;315° - EG_ongunstig	**0,00**	0,00	123,77	0,00	0,00	**0,00**	0,0	0,0
S_Y_15/N71	high max Wnd ;225° - EG_ongunstig	**0,00**	**0,00**	**357,62**	**0,00**	**0,00**	**0,00**	0,0	0,0
S_Y_15/N71	low max Wnd ;45° - EG_gunstig	0,00	0,00	**-205,58**	0,00	0,00	**0,00**	0,0	0,0
S_Y_16/N72	high max Wnd ;225° - EG_ongunstig	**0,00**	**0,00**	**402,69**	**0,00**	**0,00**	**0,00**	0,0	0,0
S_Y_16/N72	low max Wnd ;45° - EG_gunstig	0,00	0,00	**-249,71**	0,00	0,00	**0,00**	0,0	0,0
S_Y_17/N74	low max Wnd ;135° - EG_gunstig	0,00	0,00	**-191,21**	0,00	0,00	0,00	0,0	0,0
S_Y_17/N74	high max Wnd ;315° - EG_ongunstig	**0,00**	**0,00**	**367,42**	**0,00**	**0,00**	**0,00**	0,0	0,0

Naam	Belasting	R_x [kN]	R_y [kN]	R_z [kN]	M_x [kNm]	M_y [kNm]	M_z [kNm]	e_x [mm]	e_y [mm]
S_Y_18/N76	low max Wnd ;135° - EG_gunstig	0,00	0,00	**-236,62**	0,00	0,00	0,00	0,0	0,0
S_Y_18/N76	high max Wnd ;315° - EG_ongunstig	**0,00**	**0,00**	**412,08**	**0,00**	**0,00**	**0,00**	0,0	0,0
S_Y_19/N78	low max Wnd ;225° - EG_gunstig	0,00	0,00	**-185,30**	0,00	0,00	0,00	0,0	0,0
S_Y_19/N78	high max Wnd ;45° - EG_ongunstig	**0,00**	**0,00**	**369,33**	**0,00**	**0,00**	**0,00**	0,0	0,0
S_Y_20/N80	low max Wnd ;225° - EG_gunstig	0,00	0,00	**-226,20**	0,00	0,00	0,00	0,0	0,0
S_Y_20/N80	high max Wnd ;45° - EG_ongunstig	**0,00**	**0,00**	**412,38**	**0,00**	**0,00**	**0,00**	0,0	0,0
S_Y_22/N84	low max Wnd ;315° - EG_gunstig	0,00	0,00	**-247,03**	0,00	0,00	0,00	0,0	0,0
S_Y_22/N84	high max Wnd ;135° - EG_ongunstig	**0,00**	**0,00**	**406,54**	**0,00**	**0,00**	**0,00**	0,0	0,0
S_Y_21/N82	low max Wnd ;315° - EG_gunstig	0,00	0,00	**-202,49**	0,00	0,00	0,00	0,0	0,0
S_Y_21/N82	high max Wnd ;135° - EG_ongunstig	**0,00**	**0,00**	**359,29**	**0,00**	**0,00**	**0,00**	0,0	0,0

7.2. Krachten van de Funderingspalen

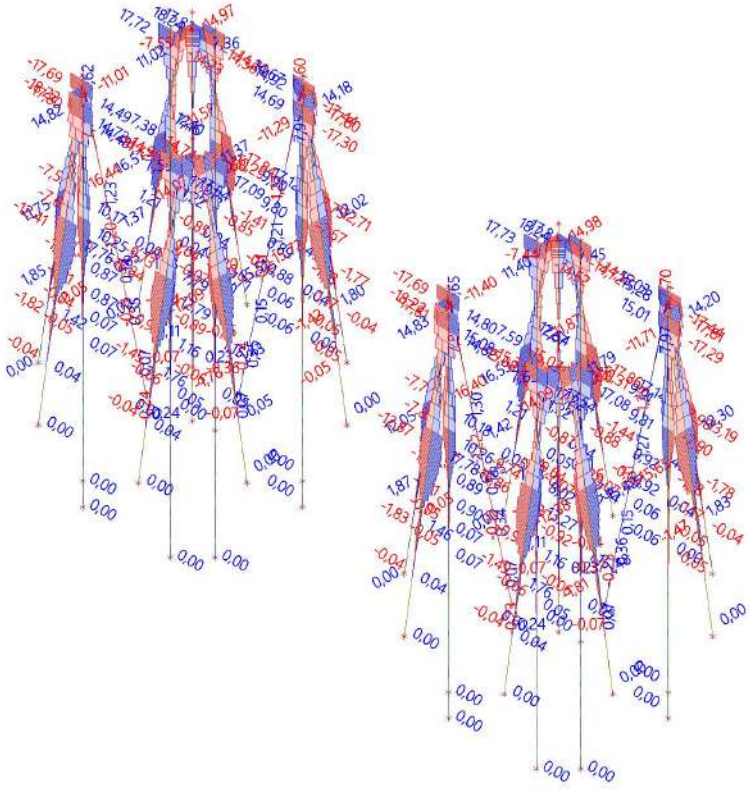
7.2.1. Interne 1D- krachten; N

Values: **N**
Nonlinear calculation
Class: ALL Non-linear
Coordinate system: Principal
Extreme 1D: Local
Selection: All
Filter: Layer = Palen



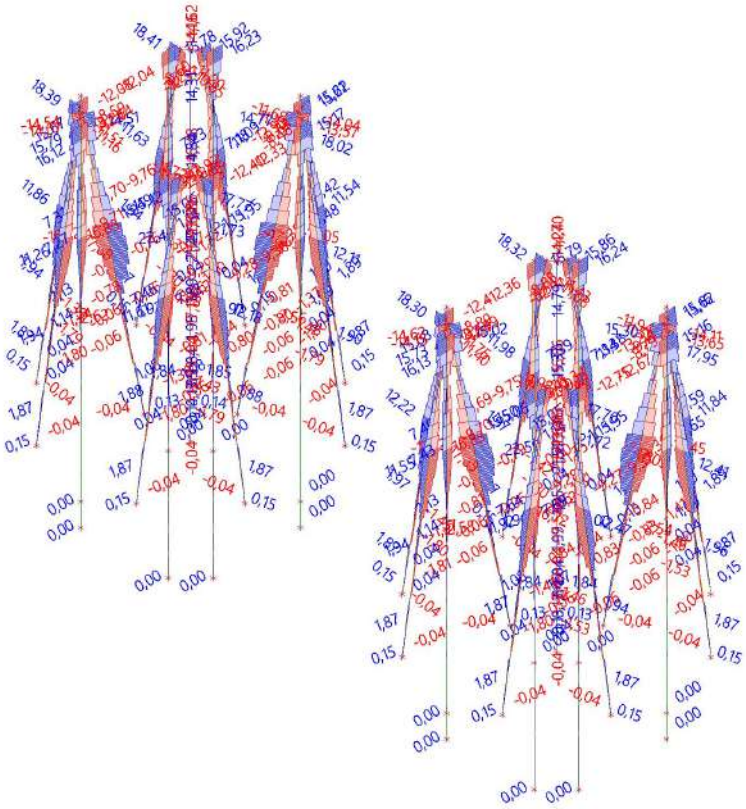
7.2.2. Interne 1D- krachten; V_y

Values: **V_y**
Nonlinear calculation
Class: ALL Non-linear
Coordinate system: Principal
Extreme 1D: Local
Selection: All
Filter: Layer = Palen



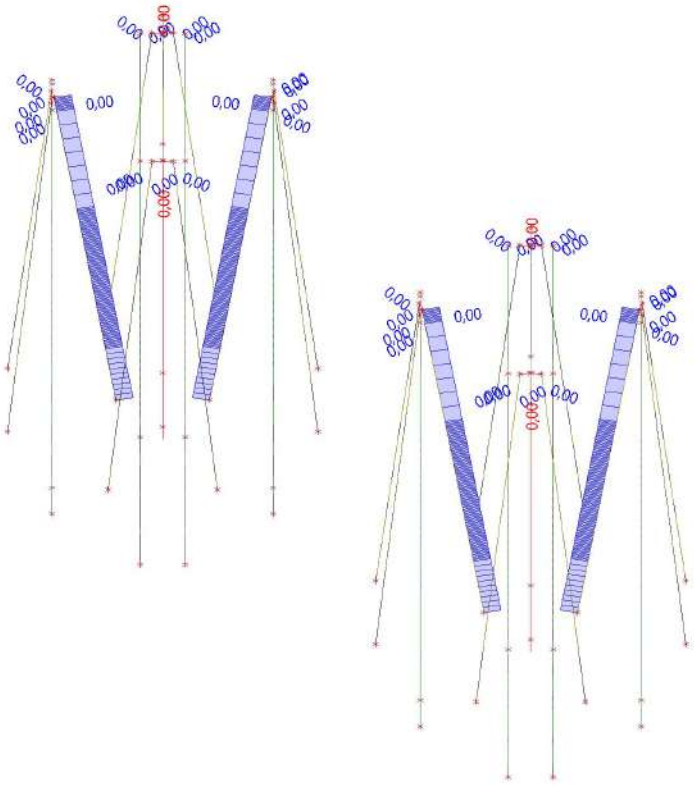
7.2.3. Interne 1D- krachten; V_z

Values: V_z
Nonlinear calculation
Class: ALL Non-linear
Coordinate system: Principal
Extreme 1D: Local
Selection: All
Filter: Layer = Palen



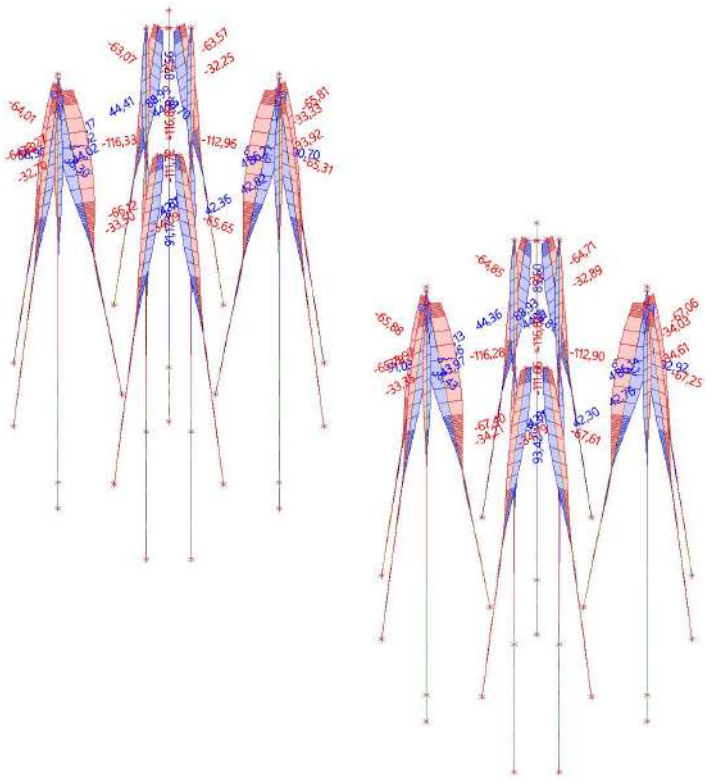
7.2.4. Interne 1D- krachten; M_x

Values: M_x
Nonlinear calculation
Class: ALL Non-linear
Coordinate system: Principal
Extreme 1D: Local
Selection: All
Filter: Layer = Palen



7.2.5. Interne 1D- krachten; M_y

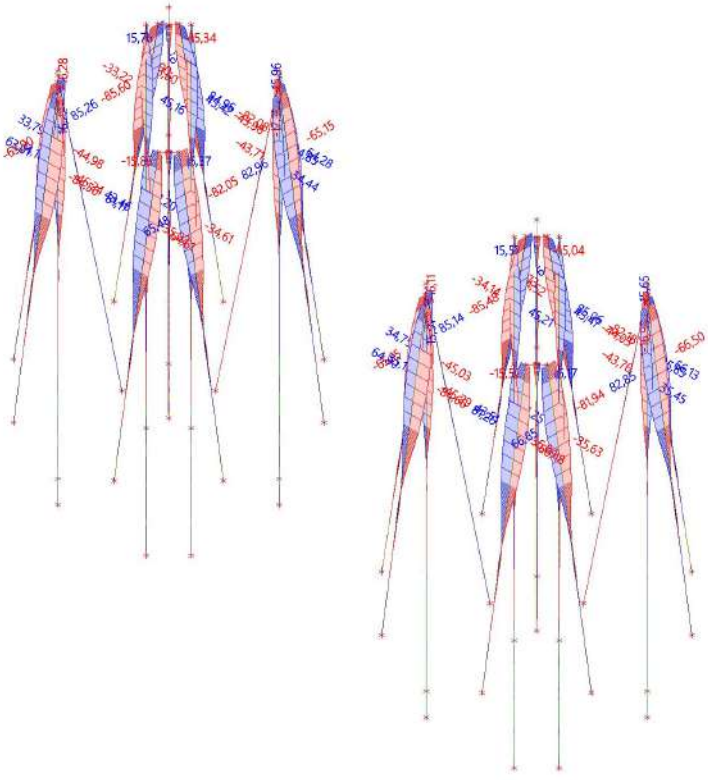
Values: M_y
Nonlinear calculation
Class: ALL Non-linear
Coordinate system: Principal
Extreme 1D: Member
Selection: All
Filter: Layer = Palen





7.2.6. Interne 1D- krachten; M_z

Values: M_z
Nonlinear calculation
Class: ALL Non-linear
Coordinate system: Principal
Extreme 1D: Member
Selection: All
Filter: Layer = Palen





7.2.7. Interne 1D-krachten

Niet-lineaire berekening
Klasse: ALL Non-linear
Coördinatenstelsel: Hoofd
Extreme 1D: Globaal
Selectie: Alle
Filter: Doorsnede = Paal 40x40 - Rectangle (400,00; 400,00)

Naam	dx [m]	Belasting	Doorsnede	N [kN]	V_y [kN]	V_z [kN]	M_x [kNm]	M_y [kNm]	M_z [kNm]
Paal_P_3	21,678	low max Wnd ;315° - EG_gunstig	Paal 40x40 - Rectangle (400,00; 400,00)	**-462,00**	0,00	0,15	0,00	0,00	0,00
Paal_P_4	0,000	high max Wnd ;315° - EG_ongunstig	Paal 40x40 - Rectangle (400,00; 400,00)	-401,61	**-18,22**	15,73	0,00	53,09	-36,40
Paal_Y_5	0,000	high max Wnd ;45° - EG_ongunstig	Paal 40x40 - Rectangle (400,00; 400,00)	-401,61	**18,24**	15,86	0,00	53,06	36,75
Paal_Y_3	9,000+	high max Wnd ;45° - EG_ongunstig	Paal 40x40 - Rectangle (400,00; 400,00)	-427,38	16,57	**-17,70**	0,00	42,73	-39,79
Paal_Y_6	9,500+	high max Wnd ;45° - EG_ongunstig	Paal 40x40 - Rectangle (400,00; 400,00)	161,23	1,14	**22,63**	**0,00**	-50,03	-2,32
Paal_P_2	0,000	high max Wnd ;315° - EG_ongunstig	Paal 40x40 - Rectangle (400,00; 400,00)	**188,39**	7,62	-14,07	**0,00**	-84,29	-16,28
Paal_Y_2	4,000-	high max Wnd ;45° - EG_ongunstig	Paal 40x40 - Rectangle (400,00; 400,00)	178,64	-2,23	-0,71	0,00	**-116,87**	-4,22
Paal_X_14	4,000-	low max Wnd ;45° - EG_gunstig	Paal 40x40 - Rectangle (400,00; 400,00)	-374,35	2,24	0,93	0,00	**93,42**	5,03
Paal_Y_3	3,625-	high max Wnd ;45° - EG_ongunstig	Paal 40x40 - Rectangle (400,00; 400,00)	-410,49	-3,31	5,06	0,00	88,21	**-85,60**
Paal_P_1	3,625-	high max Wnd ;315° - EG_ongunstig	Paal 40x40 - Rectangle (400,00; 400,00)	-410,49	3,20	5,06	0,00	87,81	**85,26**

7.2.8. Interne 1D-krachten

Niet-lineaire berekening
Klasse: ALL Non-linear
Coördinatenstelsel: Hoofd
Extreme 1D: Globaal
Selectie: Alle
Filter: Doorsnede = LEKA Paal - type e (CHS273.0/10.0)

Naam	dx [m]	Belasting	Doorsnede	N [kN]	V_y [kN]	V_z [kN]	M_x [kNm]	M_y [kNm]	M_z [kNm]
Paal_X_9	28,500	high max Wnd ;45° - EG_ongunstig	LEKA Paal - type e (CHS273.0/10.0)	**-412,70**	0,00	0,00	0,00	0,00	0,00
Paal_X_5	0,000	low max Wnd ;45° - EG_gunstig	LEKA Paal - type e (CHS273.0/10.0)	**302,38**	-14,74	-12,40	**0,00**	-5,34	2,51

Naam	dx [m]	Belasting	Doorsnede	N [kN]	V_y [kN]	V_z [kN]	M_x [kNm]	M_y [kNm]	M_z [kNm]
Paal_X_17	0,000	high max Wnd ;315° - EG_ongunstig	LEKA Paal - type e (CHS273.0/10.0)	-307,98	**-17,81**	16,13	0,00	3,52	1,52
Paal_X_15	0,000	low max Wnd ;45° - EG_gunstig	LEKA Paal - type e (CHS273.0/10.0)	250,16	-15,08	**-13,34**	0,00	-2,37	2,07
Paal_X_19	0,000	high max Wnd ;45° - EG_ongunstig	LEKA Paal - type e (CHS273.0/10.0)	-309,89	**17,84**	**16,24**	0,00	3,39	-1,40
Paal_X_16	3,625-	low max Wnd ;45° - EG_gunstig	LEKA Paal - type e (CHS273.0/10.0)	289,30	-4,37	-2,65	0,00	**-34,79**	-34,83
Paal_X_9	4,500-	high max Wnd ;45° - EG_ongunstig	LEKA Paal - type e (CHS273.0/10.0)	-361,73	1,75	0,44	0,00	**44,41**	45,16
Paal_X_17	4,500-	high max Wnd ;315° - EG_ongunstig	LEKA Paal - type e (CHS273.0/10.0)	-316,45	-1,80	0,74	0,00	43,97	**-45,29**
Paal_X_19	4,500-	high max Wnd ;45° - EG_ongunstig	LEKA Paal - type e (CHS273.0/10.0)	-318,36	1,80	0,79	0,00	44,21	**45,47**

7.3. Krachten van de Poeren

7.3.1. Interne 1D-krachten

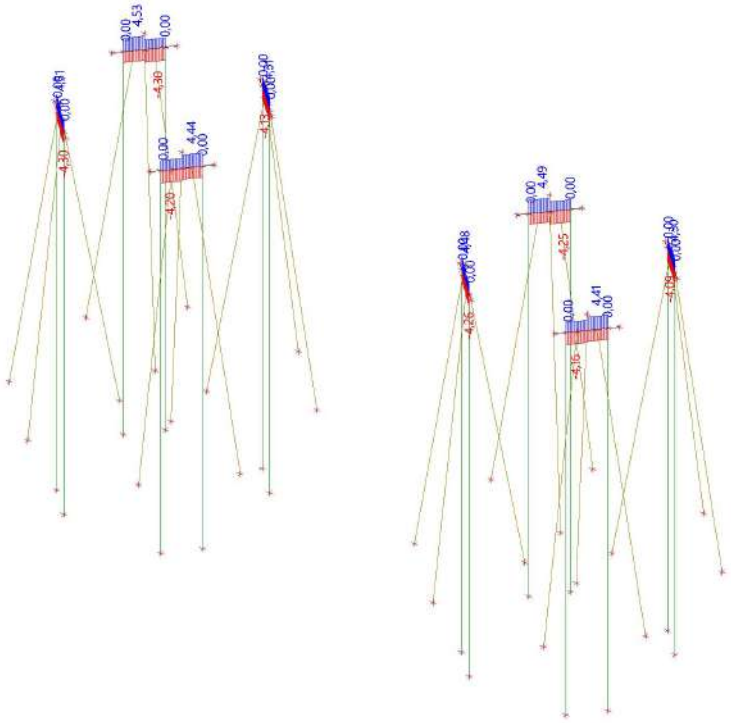
Niet-lineaire berekening
Klasse: ALL Non-linear
Coördinatenstelsel: Hoofd
Extreme 1D: Globaal
Selectie: Alle
Filter: Doorsnede = Poer - Rectangle (2200,00; 1060,00)

Naam	dx [m]	Belasting	Doorsnede	N [kN]	V_y [kN]	V_z [kN]	M_x [kNm]	M_y [kNm]	M_z [kNm]
Poer X	1,200	low max Wnd ;45° - EG_gunstig	Poer - Rectangle (2200,00; 1060,00)	**772,62**	-189,18	-14,95	**0,00**	0,00	0,00
Poer X	0,000	low max Wnd ;45° - EG_gunstig	Poer - Rectangle (2200,00; 1060,00)	742,85	**-189,18**	-14,95	0,00	17,94	**227,02**
Poer XY	0,000	high max Wnd ;45° - EG_ongunstig	Poer - Rectangle (2200,00; 1060,00)	-358,24	77,91	**-31,51**	0,00	**37,81**	-93,49
Poer P	0,000	low max Wnd ;45° - EG_gunstig	Poer - Rectangle (2200,00; 1060,00)	118,82	-32,31	**31,42**	0,00	**-37,71**	38,78
Poer Y	0,000	high max Wnd ;45° - EG_ongunstig	Poer - Rectangle (2200,00; 1060,00)	**-973,40**	**233,73**	13,97	0,00	-16,77	**-280,47**

7.4. Krachten van de Funderingsbalken

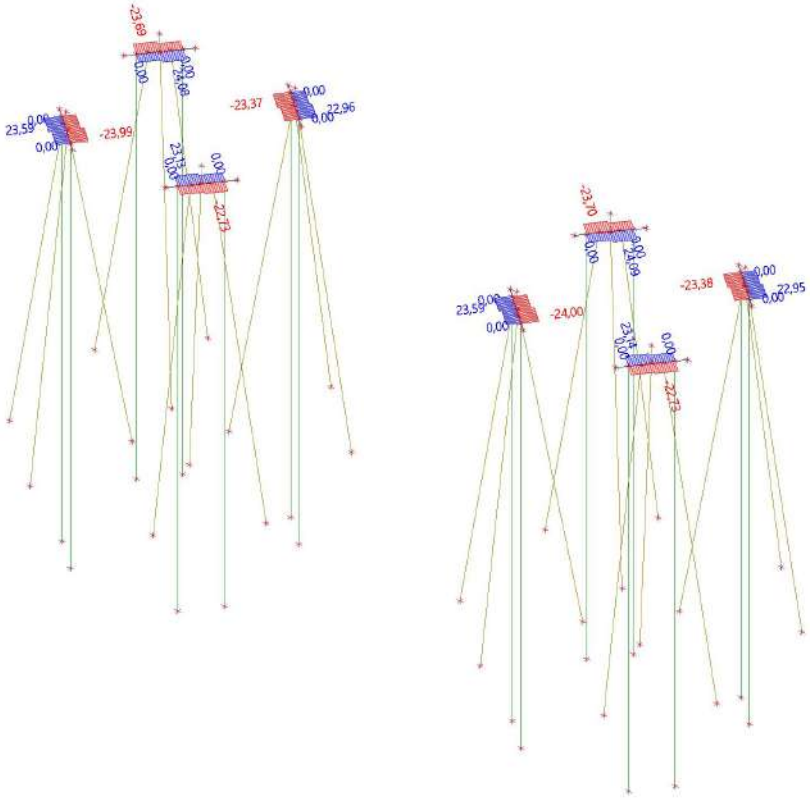
7.4.1. Interne 1D- krachten; N

Values: **N**
Nonlinear calculation
Class: ALL Non-linear
Coordinate system: Principal
Extreme 1D: Local
Selection: All
Filter: Layer = Lijnpoer



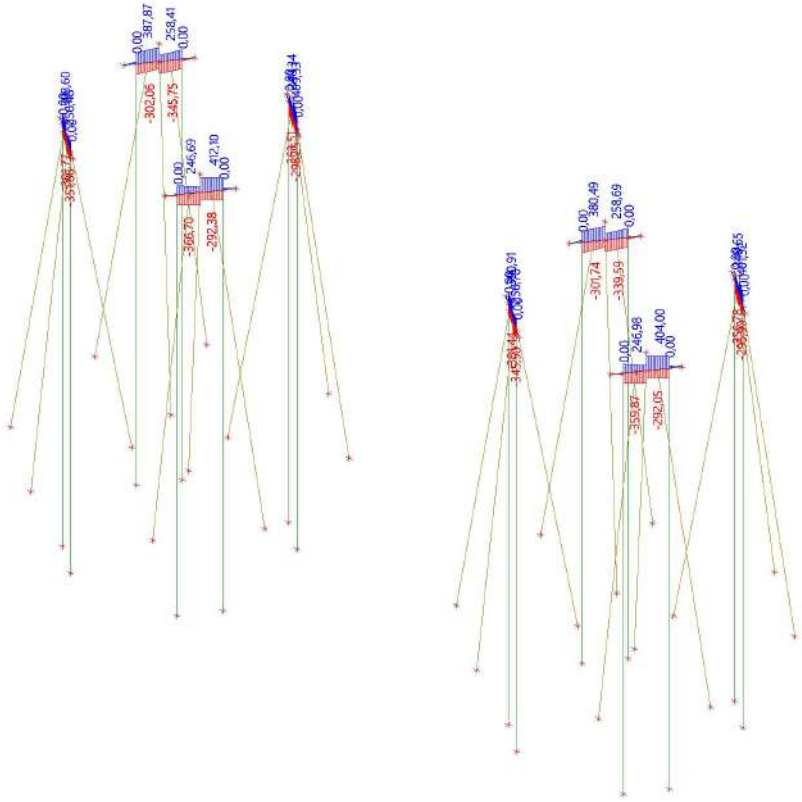
7.4.2. Interne 1D- krachten; V_y

Values: **V_y**
Nonlinear calculation
Class: ALL Non-linear
Coordinate system: Principal
Extreme 1D: Local
Selection: All
Filter: Layer = Lijnpoer



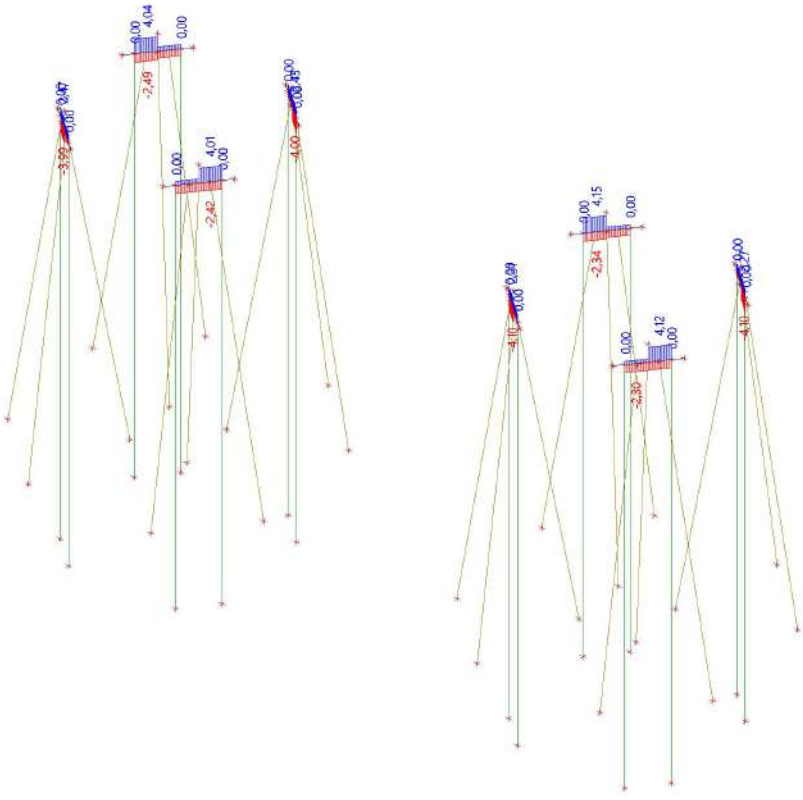
7.4.3. Interne 1D- krachten; V_z

Values: V_z
Nonlinear calculation
Class: ALL Non-linear
Coordinate system: Principal
Extreme 1D: Local
Selection: All
Filter: Layer = Lijnpoer



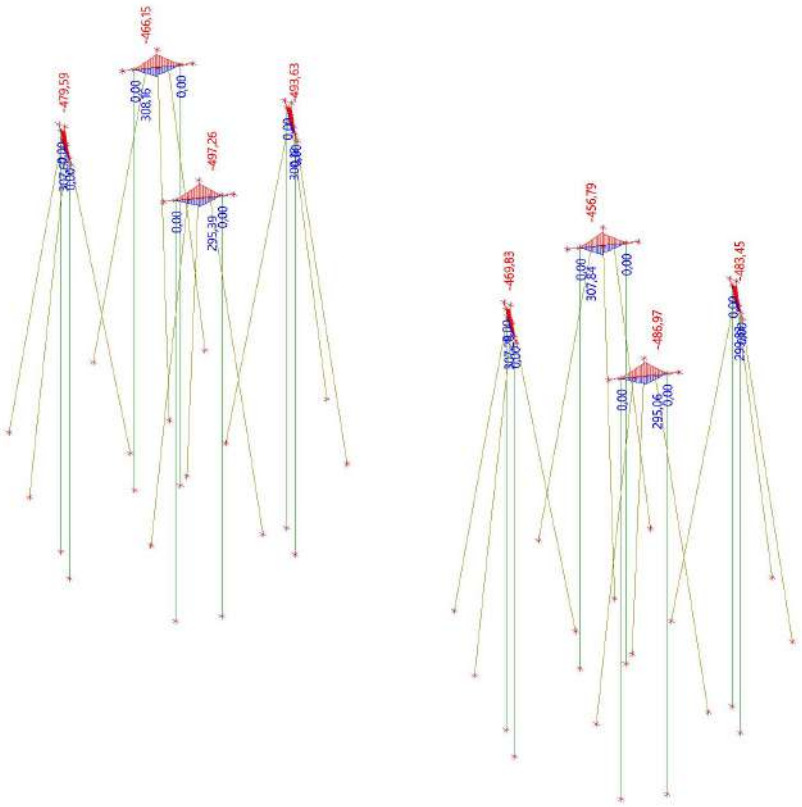
7.4.4. Interne 1D- krachten; M_x

Values: M_x
Nonlinear calculation
Class: ALL Non-linear
Coordinate system: Principal
Extreme 1D: Local
Selection: All
Filter: Layer = Lijnpoer



7.4.5. Interne 1D- krachten; M_y

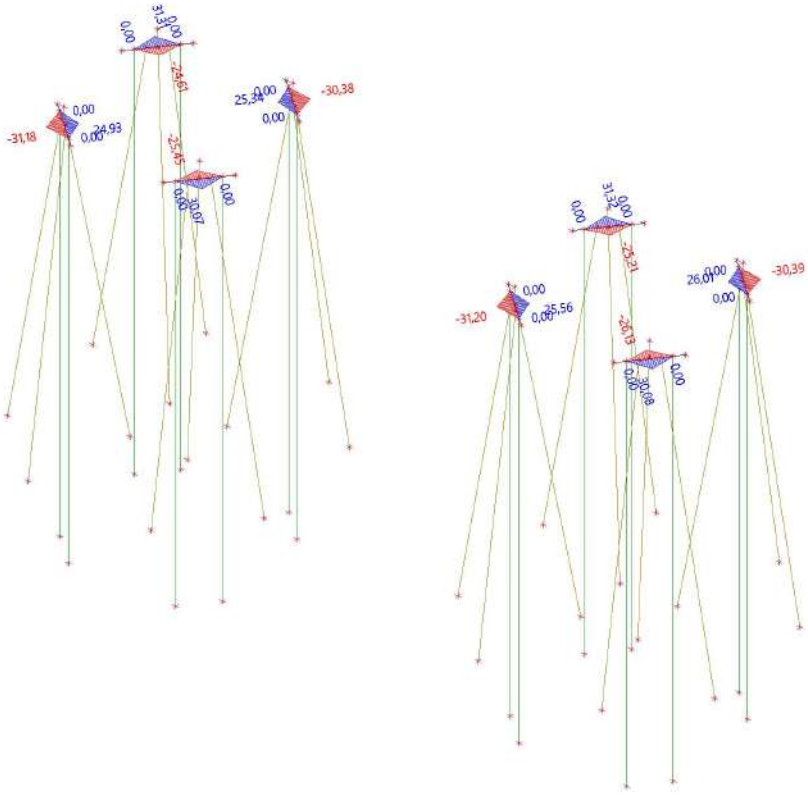
Values: M_y
Nonlinear calculation
Class: ALL Non-linear
Coordinate system: Principal
Extreme 1D: Local
Selection: All
Filter: Layer = Lijnpoer





7.4.6. Interne 1D- krachten; M_z

Values: M_z
Nonlinear calculation
Class: ALL Non-linear
Coordinate system: Principal
Extreme 1D: Local
Selection: All
Filter: Layer = Lijnpoer





7.4.7. Interne 1D-krachten

Niet-lineaire berekening
Klasse: ALL Non-linear
Coördinatenstelsel: Hoofd
Extreme 1D: Globaal
Selectie: Alle
Filter: Doorsnede = lijnpoer - Rectangle (1100,00; 2260,00)

Naam	dx [m]	Belasting	Doorsnede	N [kN]	V_y [kN]	V_z [kN]	M_x [kNm]	M_y [kNm]	M_z [kNm]
Paal18	0,700+	high max Wnd ;45° - EG_ongunstig	lijnpoer - Rectangle (1100,00; 2260,00)	**-4,30**	3,42	66,93	0,11	-26,14	0,00
Paal19	2,000+	low max Wnd ;315° - EG_gunstig	lijnpoer - Rectangle (1100,00; 2260,00)	**4,53**	3,37	82,57	-1,64	-65,54	-4,38
Paal15	2,000-	low max Wnd ;45° - EG_gunstig	lijnpoer - Rectangle (1100,00; 2260,00)	-1,23	-19,58	**-366,70**	0,62	-447,12	-25,45
Paal24	2,000+	high max Wnd ;45° - EG_ongunstig	lijnpoer - Rectangle (1100,00; 2260,00)	-3,76	6,51	-63,98	**-4,10**	118,12	-8,47
Paal23	2,000+	high max Wnd ;135° - EG_ongunstig	lijnpoer - Rectangle (1100,00; 2260,00)	-3,57	-6,79	-66,14	**4,15**	121,30	8,83
Paal15	2,000+	low max Wnd ;45° - EG_gunstig	lijnpoer - Rectangle (1100,00; 2260,00)	1,65	19,19	**412,10**	-2,00	**-497,26**	-24,94
Paal19	2,000+	high max Wnd ;45° - EG_ongunstig	lijnpoer - Rectangle (1100,00; 2260,00)	-1,37	-23,69	-206,98	2,91	**308,16**	30,80
Paal22	2,000-	high max Wnd ;315° - EG_ongunstig	lijnpoer - Rectangle (1100,00; 2260,00)	1,19	**-24,00**	161,70	1,42	257,65	**-31,20**
Paal23	2,000-	high max Wnd ;45° - EG_ongunstig	lijnpoer - Rectangle (1100,00; 2260,00)	1,13	**24,09**	163,61	-1,41	259,96	**31,32**

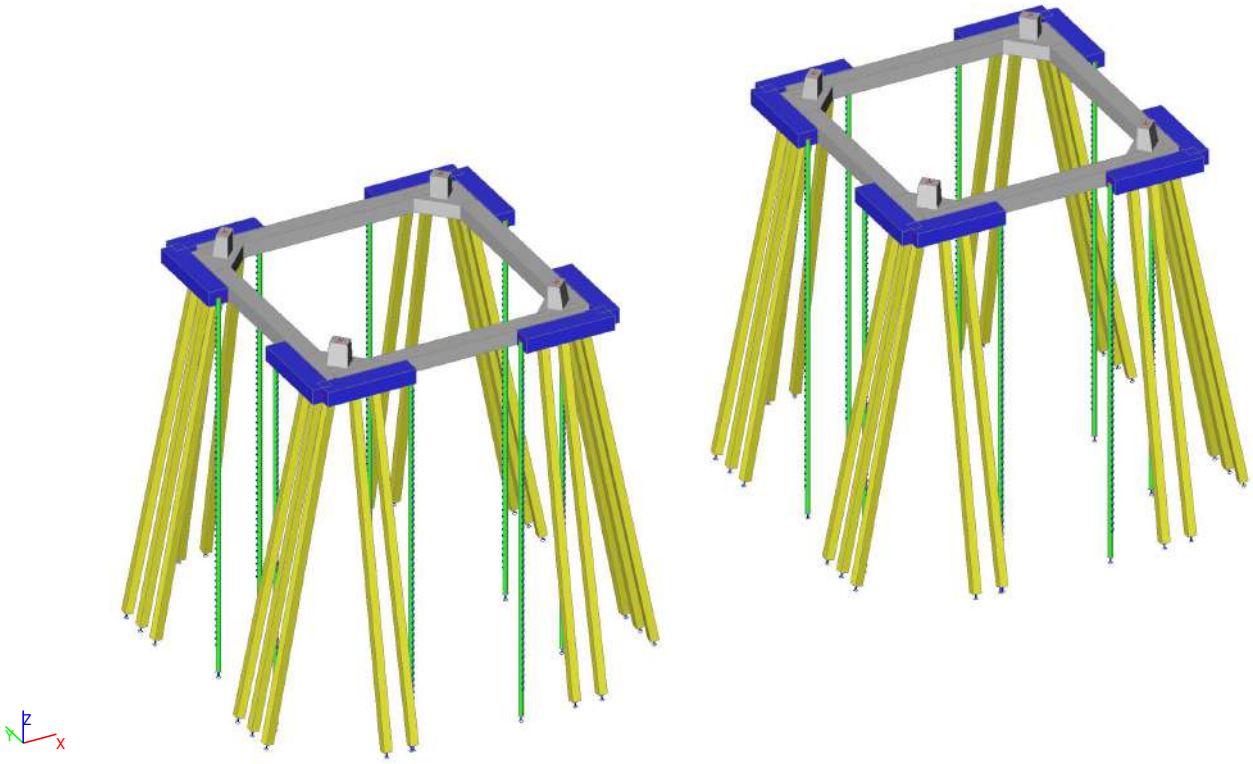
1. Inhoudsopgave

1. Inhoudsopgave 1
2. Project 2
3. Analyse model 2
4. Modeleigenschappen 3
4.1. Materialen 3
4.2. Doorsneden 3
4.3. Analyse model met doorsneden 5
4.4. Analyse model met doorsneden 5
4.5. Instellingen net 6
5. Geometrie 6
5.1. Knopen 6
5.2. Analyse model met knopen 8
5.3. Staven 8
5.4. Analyse model met Staven 10
5.5. Knoopsteunpunten 10
5.6. Analyse model met Knoopondersteuningen 11
5.7. Lijnsteunpunten op staven 12
5.8. Analyse model met Lijnondersteuningen 31
5.9. Analyse model met Lijnondersteuningen 32
5.10. Niet-lineaire functies 32
6. Belastingen 50
6.1. Belastingsgevallen 50
6.1.1. Belastingsgevallen - E.G. 50
6.1.2. Belastingsgevallen - hL Bck + Wnd ;135° 50
6.1.2.1. Puntlast op knoop 51
6.1.3. Belastingsgevallen - hL Bck + Wnd ;270° 52
6.1.3.1. Puntlast op knoop 53
6.1.4. Belastingsgevallen - hL Ahd + Wnd ;315° 53
6.1.4.1. Puntlast op knoop 54
6.1.5. Belastingsgevallen - hL Ahd + Wnd ;45° 55
6.1.5.1. Puntlast op knoop 56
6.2. Niet-lineaire combinaties 56
6.3. Resultaatklasses 57
7. Resultaten 58
7.1. Reacties van de palen 58
7.1.1. Reactions; R_z 58
7.1.2. Reacties 58
7.1.3. Reacties 58
7.1.4. Reacties 59
7.2. Krachten van de Funderingspalen 63
7.2.1. Interne 1D- krachten; N 63
7.2.2. Interne 1D- krachten; V_y 63
7.2.3. Interne 1D- krachten; V_z 64
7.2.4. Interne 1D- krachten; M_x 64
7.2.5. Interne 1D- krachten; M_y 65
7.2.6. Interne 1D- krachten; M_z 65
7.2.7. Interne 1D-krachten 66
7.2.8. Interne 1D-krachten 66
7.3. Krachten van de Poeren 68
7.3.1. Interne 1D-krachten 68
7.4. Krachten van de Funderingsbalken 69
7.4.1. Interne 1D- krachten; N 69
7.4.2. Interne 1D- krachten; V_y 69
7.4.3. Interne 1D- krachten; V_z 70
7.4.4. Interne 1D- krachten; M_x 70
7.4.5. Interne 1D- krachten; M_y 71
7.4.6. Interne 1D- krachten; M_z 71
7.4.7. Interne 1D-krachten 72
7.4.8. Interne 1D-krachten 72

2. Project

Gebruiker van licentie	[redacted]
Project	Opwaardering KIJ-DIM 380kV
Onderdeel	Balkrooster 5xBeton40x40 mast 37
Auteur	[redacted]
Datum	30-4-2026
Constructie	Algemeen XYZ
Aantal knopen :	168
Aantal staven :	88
Aantal platen :	0
Aantal vaste lichamen :	0
Aantal gebruikte doorsneden :	5
Aantal belastingsgevallen :	5
Aantal gebruikte materialen :	7
Gravitatieversnelling [m/s^2]	9,810
Nationale norm	EC - EN

3. Analyse model



4. Modeleigenschappen

4.1. Materialen

Staal EC3

Naam	ρ [kg/m³]	E_{mod} [MPa]	μ	Onderlimiet [mm]	Bovenlimiet [mm]	F_y [MPa]	F_u [MPa]	Kleur
		G_{mod} [MPa]	α [m/mK]					
S 235	6850,0	2,1000e+05	0.3	0	40	235,0	360,0	
		8,0769e+04	0,00	40	80	215,0	360,0	
S 235	6850,0	2,1000e+05	0.3	0	40	235,0	360,0	
		8,0769e+04	0,00	40	80	215,0	360,0	

Naam	Type	ρ [kg/m³]	Dichtheid in natte toestand [kg/m³]	E_{mod} [MPa]	μ	α [m/mK]	$f_{c.k.28}$ [MPa]	Kleur
C20/25 Ongescheurd	Beton	1500,0	2600,0	2,4000e+04	0.2	0,00	20,00	
C20/25 Gescheurd	Beton	2500,0	2600,0	8,0000e+03	0.2	0,00	20,00	
C30/37 Gescheurd	Beton	2500,0	2600,0	1,1000e+04	0.2	0,00	30,00	
C30/37	Beton	2400,0	2600,0	3,2800e+04	0.2	0,00	30,00	

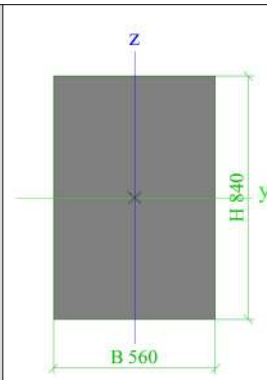
Verklaring van symbolen	
Dichtheid in natte toestand	De waarde van de dichtheid van het kenmerk nieuwe toestand wordt alleen gebruikt als een samengesteld dek wordt ingevoerd en rekening wordt gehouden met de belasting van het eigengewicht.

Wapening EC2

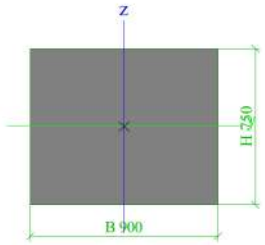
Naam	Type	ρ [kg/m³]	E_{mod} [MPa]	G_{mod} [MPa]	α [m/mK]	$f_{y.k}$ [MPa]
B 500B	Betonstaal	7850,0	2,0000e+05	8,3333e+04	0,00	500,0

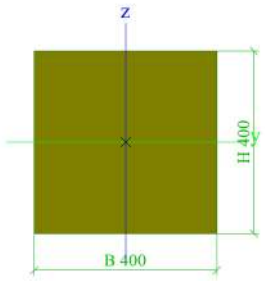
4.2. Doorsneden

Poer.Opstort		
Type	Rectangle	
Gedetailleerd	840; 560	
Vorm type	Dikke wanden	
Onderdeelmateriaal	C20/25 Gescheurd	
Bouwwijze	beton	
Kleur		
A [m²]	4,7040e-01	
A_y [m²], A_z [m²]	3,9200e-01	3,9200e-01
A_L [m²/m], A_D [m²/m]	2,8000e+00	2,8000e+00
$c_{Y.UCS}$ [mm], $c_{Z.UCS}$ [mm]	280	420
α [deg]	0,00	
I_y [m⁴], I_z [m⁴]	2,7660e-02	1,2293e-02
i_y [mm], i_z [mm]	242	162
$W_{el.y}$ [m³], $W_{el.z}$ [m³]	6,5856e-02	4,3904e-02
$W_{pl.y}$ [m³], $W_{pl.z}$ [m³]	0,0000e+00	0,0000e+00
$M_{pl.y.+}$ [Nm], $M_{pl.y.-}$ [Nm]	0,00e+00	0,00e+00
$M_{pl.z.+}$ [Nm], $M_{pl.z.-}$ [Nm]	0,00e+00	0,00e+00
d_y [mm], d_z [mm]	0	0
I_t [m⁴], I_w [m⁶]	2,8888e-02	0,0000e+00
β_y [mm], β_z [mm]	0	0

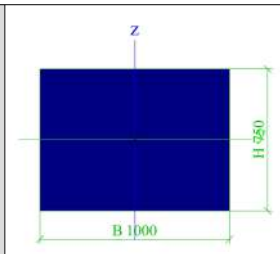
Afbeelding		

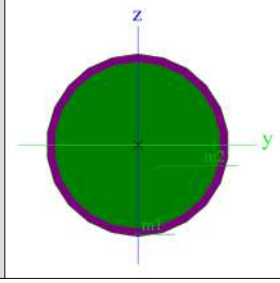
Balk		
Type	Rectangle	
Gedetailleerd	750; 900	
Vorm type	Dikke wanden	
Onderdeelmateriaal	C20/25 Gescheurd	
Bouwwijze	beton	
Kleur		
A [m²]	6,7500e-01	
A_y [m²], A_z [m²]	5,6250e-01	5,6250e-01
A_L [m²/m], A_D [m²/m]	3,3000e+00	3,3000e+00
$c_{Y.UCS}$ [mm], $c_{Z.UCS}$ [mm]	450	375
α [deg]	0,00	
I_y [m⁴], I_z [m⁴]	3,1641e-02	4,5563e-02
i_y [mm], i_z [mm]	217	260
$W_{el.y}$ [m³], $W_{el.z}$ [m³]	8,4375e-02	1,0125e-01
$W_{pl.y}$ [m³], $W_{pl.z}$ [m³]	0,0000e+00	0,0000e+00
$M_{pl.y.+}$ [Nm], $M_{pl.y.-}$ [Nm]	0,00e+00	0,00e+00
$M_{pl.z.+}$ [Nm], $M_{pl.z.-}$ [Nm]	0,00e+00	0,00e+00

d_y [mm], d_z [mm]	0	0
I_t [m⁴], I_w [m⁶]	6,3112e-02	0,0000e+00
β_y [mm], β_z [mm]	0	0
Afbeelding		

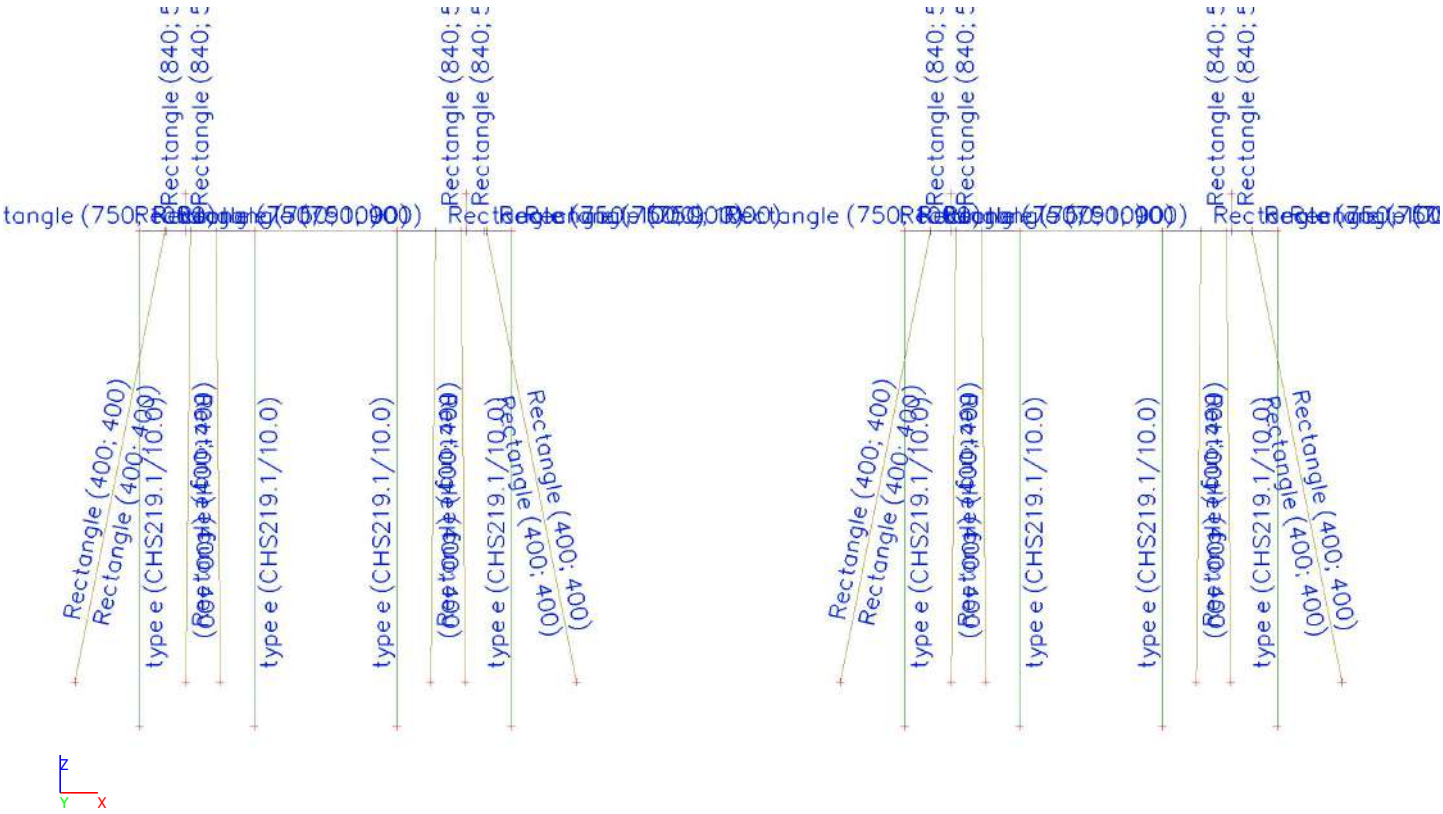
Funderingspaal		
Type	Rectangle	
Gedetailleerd	400; 400	
Vorm type	Dikke wanden	
Onderdeelmateriaal	C20/25 Ongescheurd	
Bouwwijze	beton	
Kleur		
A [m²]	1,6000e-01	
A_y [m²], A_z [m²]	1,3333e-01	1,3333e-01
A_L [m²/m], A_D [m²/m]	1,6000e+00	1,6000e+00
$c_{Y.UCS}$ [mm], $c_{Z.UCS}$ [mm]	200	200
α [deg]	0,00	
I_y [m⁴], I_z [m⁴]	2,1333e-03	2,1333e-03
i_y [mm], i_z [mm]	115	115
$W_{el.y}$ [m³], $W_{el.z}$ [m³]	1,0667e-02	1,0667e-02
$W_{pl.y}$ [m³], $W_{pl.z}$ [m³]	0,0000e+00	0,0000e+00
$M_{pl.y.+}$ [Nm], $M_{pl.y.-}$ [Nm]	0,00e+00	0,00e+00
$M_{pl.z.+}$ [Nm], $M_{pl.z.-}$ [Nm]	0,00e+00	0,00e+00
d_y [mm], d_z [mm]	0	0
I_t [m⁴], I_w [m⁶]	3,6027e-03	0,0000e+00
β_y [mm], β_z [mm]	0	0
Afbeelding		

Ringbalk		
Type	Rectangle	
Gedetailleerd	750; 1000	
Vorm type	Dikke wanden	
Onderdeelmateriaal	C30/37 Gescheurd	
Bouwwijze	beton	
Kleur		
A [m²]	7,5000e-01	
A_y [m²], A_z [m²]	6,2517e-01	6,2531e-01
A_L [m²/m], A_D [m²/m]	3,5000e+00	3,5000e+00
$c_{Y.UCS}$ [mm], $c_{Z.UCS}$ [mm]	500	375
α [deg]	0,00	
I_y [m⁴], I_z [m⁴]	3,5156e-02	6,2500e-02
i_y [mm], i_z [mm]	217	289
$W_{el.y}$ [m³], $W_{el.z}$ [m³]	9,3750e-02	1,2500e-01
$W_{pl.y}$ [m³], $W_{pl.z}$ [m³]	0,0000e+00	0,0000e+00
$M_{pl.y.+}$ [Nm], $M_{pl.y.-}$ [Nm]	0,00e+00	0,00e+00
$M_{pl.z.+}$ [Nm], $M_{pl.z.-}$ [Nm]	0,00e+00	0,00e+00
d_y [mm], d_z [mm]	0	0
I_t [m⁴], I_w [m⁶]	7,6159e-02	2,7801e-04
β_y [mm], β_z [mm]	0	0

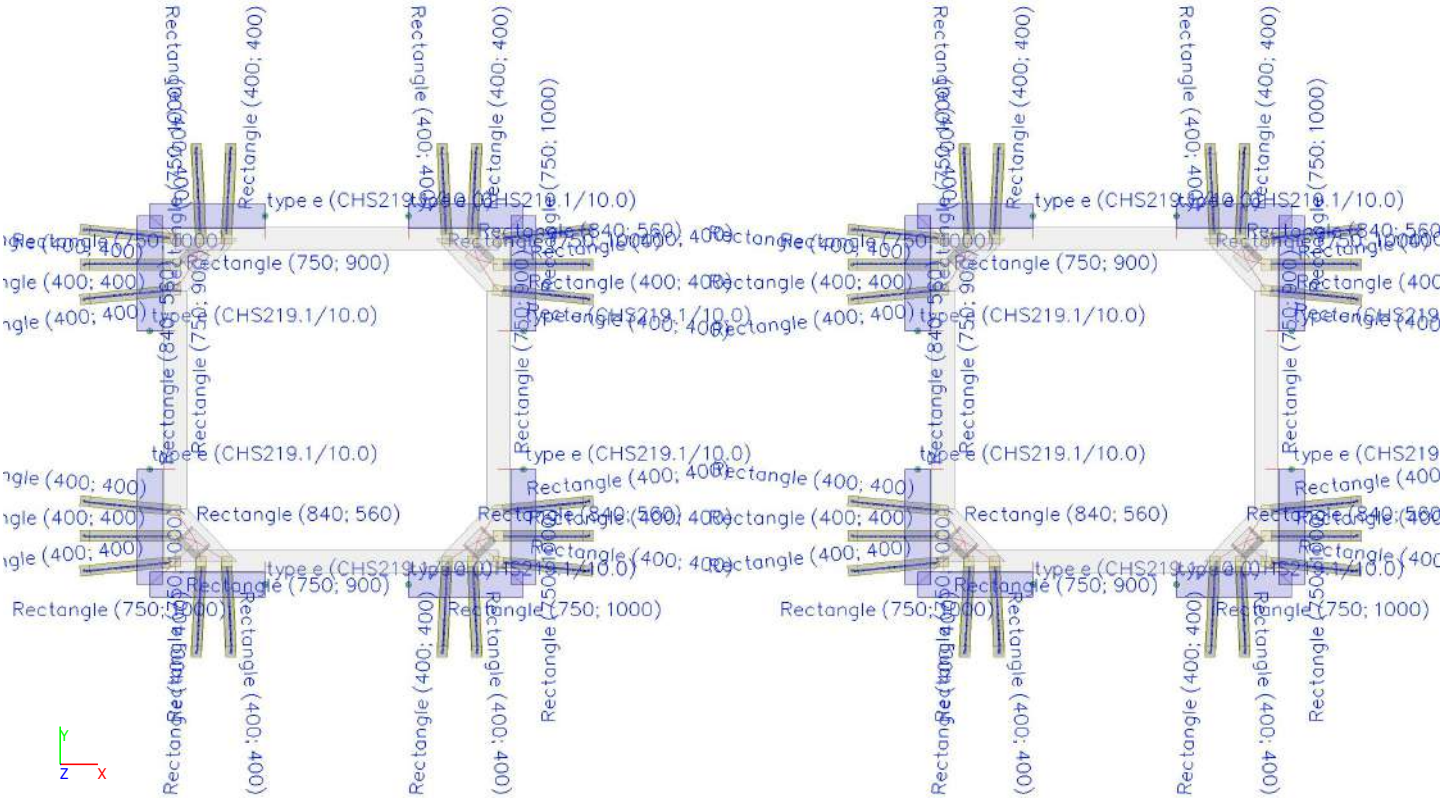
Afbeelding		
		

LEKA Paal		
Type	type e	
Gedetailleerd	CHS219.1/10.0	
Vorm type	Dikke wanden	
Onderdeelmateriaal	S 235	
	C30/37	
Bouwwijze	beton	
Knik y-y, Knik z-z	a	a
A [m²]	1,1430e-02	
A_y [m²], A_z [m²]	8,7249e-03	8,7249e-03
A_L [m²/m], A_D [m²/m]	6,8829e-01	6,8829e-01
$c_{Y.UCS}$ [mm], $c_{Z.UCS}$ [mm]	110	110
α [deg]	0,00	
I_y [m⁴], I_z [m⁴]	4,8013e-05	4,8013e-05
i_y [mm], i_z [mm]	65	65
$W_{el.y}$ [m³], $W_{el.z}$ [m³]	4,3827e-04	4,3827e-04
$W_{pl.y}$ [m³], $W_{pl.z}$ [m³]	4,9123e-04	4,9123e-04
$M_{pl.y.+}$ [Nm], $M_{pl.y.-}$ [Nm]	1,15e+05	1,15e+05
$M_{pl.z.+}$ [Nm], $M_{pl.z.-}$ [Nm]	1,15e+05	1,15e+05
d_y [mm], d_z [mm]	0	0
I_t [m⁴], I_w [m⁶]	9,8040e-05	0,0000e+00
β_y [mm], β_z [mm]	0	0
Afbeelding		

4.3. Analyse model met doorsneden



4.4. Analyse model met doorsneden



4.5. Instellingen net

Naam	NetInstelling1
Generatie van variabele excentriciteiten op elementen in plaats van constante excentriciteiten	×
Generatie van knopen op staven	×
Elastisch net	✓
Pas automatische netverfijning toe	×
Constructie-entiteiten verbinden	✓
Verdeling op consoles en variabele staven	5
Verdeling voor integratiestrook en 2D-1D upgrade	50
Gemiddeld aantal 1D-netelementen op rechte 1D-elementen	5
Gemiddelde grootte van 2D-netelement [m]	0,250
Gemiddelde grootte van 1D-element op gebogen 1D-elementen [m]	0,200
Minimum lengte van staafelement [m]	0,100
Maximum lengte van staafelement [m]	1000,000
Gemiddelde grootte van voorspankabels, elementen op elastische bedding, niet-lineaire grondveer [m]	1,000
Maximale hoek uit het vlak van vierhoekig element [mrad]	30,0
Minimale afstand tussen definitiepunt en -lijn [m]	0,001
Gemiddelde afmeting van paneelelement [m]	1,000
Netverfijning volgens het liggertype	Geen
Definitie van netelementen afmetingen voor panelen	Handmatig

5. Geometrie

5.1. Knopen

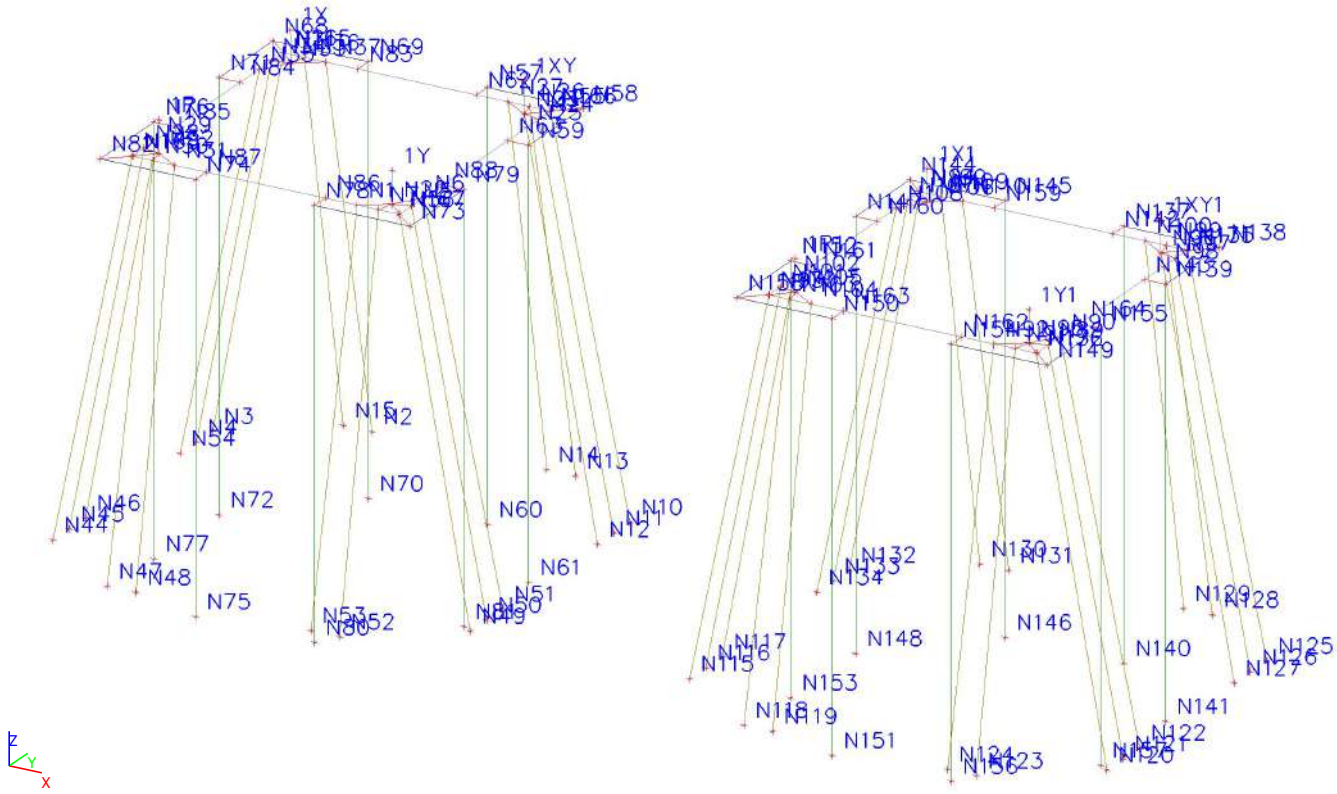
Naam	Coördinaat X [m]	Coördinaat Y [m]	Coördinaat Z [m]
N5	13,000	1,400	0,000
N6	13,000	2,400	0,000
N7	12,000	0,400	0,000
N1	11,000	0,400	0,000
N17	0,400	0,400	0,000
N21	0,400	13,000	0,000
1Y	12,200	1,200	1,475
N22	12,200	1,200	0,000
N23	12,200	12,200	0,000
1XY	12,200	12,200	1,475
N24	13,000	12,000	0,000
N25	13,000	11,000	0,000
N26	12,000	13,000	0,000
N27	11,000	13,000	0,000
N28	0,400	1,400	0,000
N29	0,400	2,400	0,000
N30	1,400	0,400	0,000
N31	2,400	0,400	0,000
1P	1,200	1,200	1,475
N32	1,200	1,200	0,000
N33	1,200	12,200	0,000
1X	1,200	12,187	1,475
N34	0,400	12,000	0,000
N35	0,400	11,000	0,000
N36	1,400	13,000	0,000
N37	2,400	13,000	0,000
N38	12,200	1,200	0,000
N39	1,200	1,200	0,000
N40	12,200	12,200	0,000
N41	1,200	12,200	0,000
N44	-3,129	0,047	-17,647
N45	-3,129	1,400	-17,647
N46	-3,129	2,753	-17,647
N47	1,224	-3,129	-17,647
N48	2,576	-3,129	-17,647
N49	16,529	0,047	-17,647
N50	16,529	1,400	-17,647
N51	16,529	2,753	-17,647
N52	12,176	-3,129	-17,647
N53	10,824	-3,129	-17,647

Naam	Coördinaat X [m]	Coördinaat Y [m]	Coördinaat Z [m]
N10	16,529	13,353	-17,647
N11	16,529	12,000	-17,647
N12	16,529	10,647	-17,647
N13	12,176	16,529	-17,647
N14	10,824	16,529	-17,647
N15	1,224	16,529	-17,647
N2	2,576	16,529	-17,647
N3	-3,129	13,353	-17,647
N4	-3,129	12,000	-17,647
N54	-3,129	10,647	-17,647
N55	13,000	13,000	0,000
N56	13,000	0,400	0,000
N57	9,500	13,900	0,000
N58	14,000	13,900	0,000
N59	14,000	9,400	0,000
N60	9,500	13,900	-19,400
N61	14,000	9,400	-19,400
N62	9,500	13,000	0,000
N63	13,000	9,400	0,000
N68	-0,600	13,900	0,000
N69	3,900	13,900	0,000
N70	3,900	13,900	-19,400
N71	-0,600	9,400	0,000
N72	-0,600	9,400	-19,400
N73	14,000	-0,500	0,000
N74	3,900	-0,500	0,000
N75	3,900	-0,500	-19,400
N76	-0,600	4,000	0,000
N77	-0,600	4,000	-19,400
N78	9,500	-0,500	0,000
N79	14,000	4,000	0,000
N80	9,500	-0,500	-19,400
N81	14,000	4,000	-19,400
N82	-0,600	-0,500	0,000
N83	3,900	13,000	0,000
N84	0,400	9,400	0,000
N85	0,400	4,000	0,000
N86	9,500	0,400	0,000
N87	3,900	0,400	0,000
N88	13,000	4,000	0,000

Naam	Coördinaat X [m]	Coördinaat Y [m]	Coördinaat Z [m]
N89	43,000	1,400	0,000
N90	43,000	2,400	0,000
N91	42,000	0,400	0,000
N92	41,000	0,400	0,000
N93	30,400	0,400	0,000
N94	30,400	13,000	0,000
1Y1	42,200	1,200	1,475
N95	42,200	1,200	0,000
N96	42,200	12,200	0,000
1XY1	42,200	12,200	1,475
N97	43,000	12,000	0,000
N98	43,000	11,000	0,000
N99	42,000	13,000	0,000
N100	41,000	13,000	0,000
N101	30,400	1,400	0,000
N102	30,400	2,400	0,000
N103	31,400	0,400	0,000
N104	32,400	0,400	0,000
1P1	31,200	1,200	1,475
N105	31,200	1,200	0,000
N106	31,200	12,200	0,000
1X1	31,200	12,187	1,475
N107	30,400	12,000	0,000
N108	30,400	11,000	0,000
N109	31,400	13,000	0,000
N110	32,400	13,000	0,000
N111	42,200	1,200	0,000
N112	31,200	1,200	0,000
N113	42,200	12,200	0,000
N114	31,200	12,200	0,000
N115	26,871	0,047	-17,647
N116	26,871	1,400	-17,647
N117	26,871	2,753	-17,647
N118	31,224	-3,129	-17,647
N119	32,576	-3,129	-17,647
N120	46,529	0,047	-17,647
N121	46,529	1,400	-17,647
N122	46,529	2,753	-17,647
N123	42,176	-3,129	-17,647
N124	40,824	-3,129	-17,647
N125	46,529	13,353	-17,647
N126	46,529	12,000	-17,647
N127	46,529	10,647	-17,647
N128	42,176	16,529	-17,647

Naam	Coördinaat X [m]	Coördinaat Y [m]	Coördinaat Z [m]
N129	40,824	16,529	-17,647
N130	31,224	16,529	-17,647
N131	32,576	16,529	-17,647
N132	26,871	13,353	-17,647
N133	26,871	12,000	-17,647
N134	26,871	10,647	-17,647
N135	43,000	13,000	0,000
N136	43,000	0,400	0,000
N137	39,500	13,900	0,000
N138	44,000	13,900	0,000
N139	44,000	9,400	0,000
N140	39,500	13,900	-19,400
N141	44,000	9,400	-19,400
N142	39,500	13,000	0,000
N143	43,000	9,400	0,000
N144	29,400	13,900	0,000
N145	33,900	13,900	0,000
N146	33,900	13,900	-19,400
N147	29,400	9,400	0,000
N148	29,400	9,400	-19,400
N149	44,000	-0,500	0,000
N150	33,900	-0,500	0,000
N151	33,900	-0,500	-19,400
N152	29,400	4,000	0,000
N153	29,400	4,000	-19,400
N154	39,500	-0,500	0,000
N155	44,000	4,000	0,000
N156	39,500	-0,500	-19,400
N157	44,000	4,000	-19,400
N158	29,400	-0,500	0,000
N159	33,900	13,000	0,000
N160	30,400	9,400	0,000
N161	30,400	4,000	0,000
N162	39,500	0,400	0,000
N163	33,900	0,400	0,000
N164	43,000	4,000	0,000
N165	0,450	13,000	0,000
N166	12,950	13,000	0,000
N167	12,950	0,400	0,000
N168	0,450	0,400	0,000
N169	30,400	12,950	0,000
N170	30,400	0,450	0,000
N171	43,000	12,950	0,000
N172	43,000	0,450	0,000

5.2. Analyse model met knopen

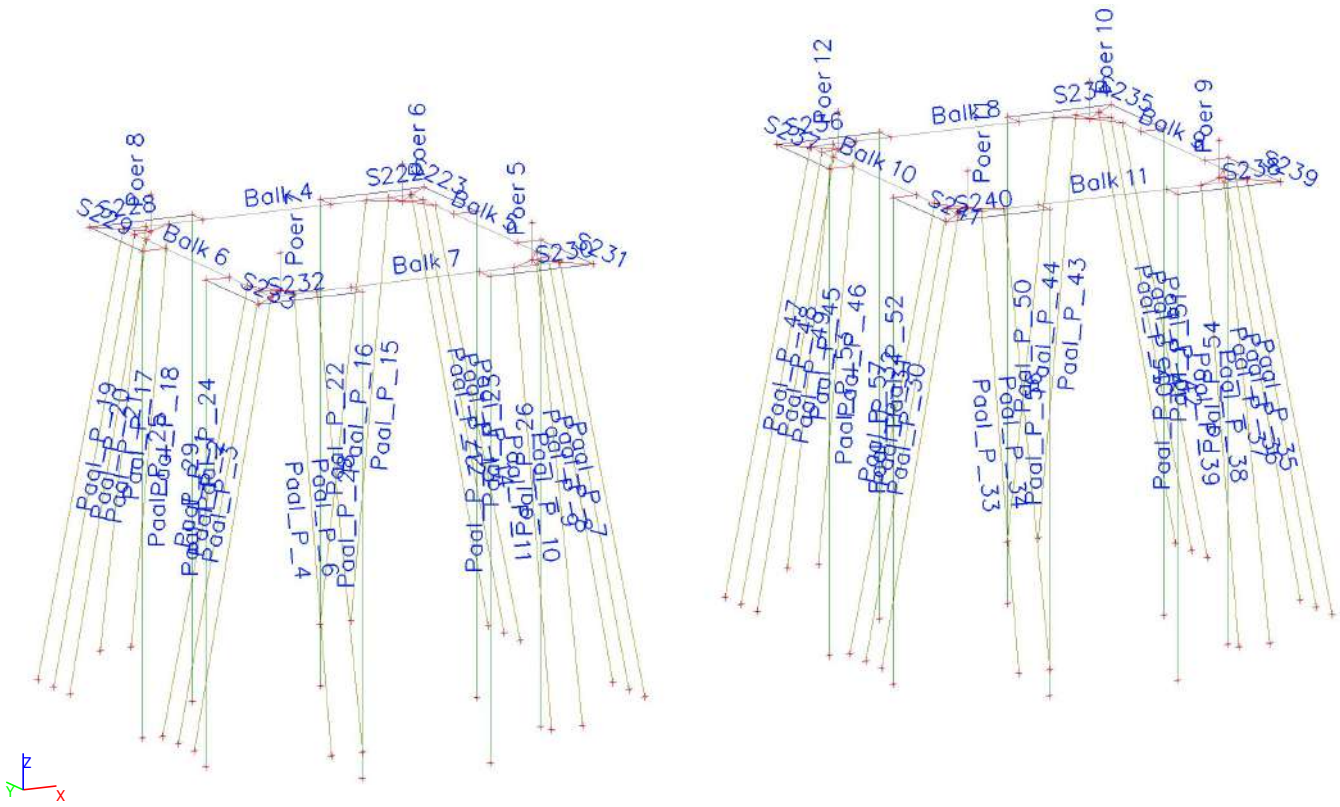


5.3. Staven

Naam	Doorsnede	Materiaal	Lengte [m]	Beginknoop	Eindknoop	Type
Balk 4	Balk - Rectangle (750; 900)	C20/25 Gescheurd	12,600	N55	N21	Balk (80)
Balk 5	Balk - Rectangle (750; 900)	C20/25 Gescheurd	12,600	N56	N55	Balk (80)
Balk 6	Balk - Rectangle (750; 900)	C20/25 Gescheurd	12,600	N17	N21	Balk (80)
Balk 7	Balk - Rectangle (750; 900)	C20/25 Gescheurd	12,600	N56	N17	Balk (80)
Balk 8	Balk - Rectangle (750; 900)	C20/25 Gescheurd	12,600	N135	N94	Balk (80)
Balk 9	Balk - Rectangle (750; 900)	C20/25 Gescheurd	12,600	N136	N135	Balk (80)
Balk 10	Balk - Rectangle (750; 900)	C20/25 Gescheurd	12,600	N93	N94	Balk (80)
Balk 11	Balk - Rectangle (750; 900)	C20/25 Gescheurd	12,600	N136	N93	Balk (80)
S222	Ringbalk - Rectangle (750; 1000)	C30/37 Gescheurd	4,500	N57	N58	Balk (80)
S223	Ringbalk - Rectangle (750; 1000)	C30/37 Gescheurd	4,500	N59	N58	Balk (80)
S228	Ringbalk - Rectangle (750; 1000)	C30/37 Gescheurd	4,500	N69	N68	Balk (80)
S229	Ringbalk - Rectangle (750; 1000)	C30/37 Gescheurd	4,500	N71	N68	Balk (80)
S230	Ringbalk - Rectangle (750; 1000)	C30/37 Gescheurd	4,500	N78	N73	Balk (80)
S231	Ringbalk - Rectangle (750; 1000)	C30/37 Gescheurd	4,500	N79	N73	Balk (80)
S232	Ringbalk - Rectangle (750; 1000)	C30/37 Gescheurd	4,500	N74	N82	Balk (80)
S233	Ringbalk - Rectangle (750; 1000)	C30/37 Gescheurd	4,500	N76	N82	Balk (80)
S234	Ringbalk - Rectangle (750; 1000)	C30/37 Gescheurd	4,500	N137	N138	Balk (80)
S235	Ringbalk - Rectangle (750; 1000)	C30/37 Gescheurd	4,500	N139	N138	Balk (80)
S236	Ringbalk - Rectangle (750; 1000)	C30/37 Gescheurd	4,500	N145	N144	Balk (80)
S237	Ringbalk - Rectangle (750; 1000)	C30/37 Gescheurd	4,500	N147	N144	Balk (80)
S238	Ringbalk - Rectangle (750; 1000)	C30/37 Gescheurd	4,500	N154	N149	Balk (80)
S239	Ringbalk - Rectangle (750; 1000)	C30/37 Gescheurd	4,500	N155	N149	Balk (80)
S240	Ringbalk - Rectangle (750; 1000)	C30/37 Gescheurd	4,500	N150	N158	Balk (80)
S241	Ringbalk - Rectangle (750; 1000)	C30/37 Gescheurd	4,500	N152	N158	Balk (80)
Poer 6	Poer.Opstort - Rectangle (840; 560)	C20/25 Gescheurd	1,475	N23	1XY	Kolom (100)
Poer 11	Poer.Opstort - Rectangle (840; 560)	C20/25 Gescheurd	1,475	N105	1P1	Kolom (100)
Poer 12	Poer.Opstort - Rectangle (840; 560)	C20/25 Gescheurd	1,475	N106	1X1	Kolom (100)
Paal_P_3	Funderingspaal - Rectangle (400; 400)	C20/25 Ongescheurd	18,000	N17	N44	Kolom (100)
Paal_P_4	Funderingspaal - Rectangle (400; 400)	C20/25 Ongescheurd	17,997	N30	N47	Kolom (100)

Naam	Doorsnede	Materiaal	Lengte [m]	Beginknoop	Eindknoop	Type
Paal_P_6	Funderingspaal - Rectangle (400; 400)	C20/25 Ongescheurd	17,997	N31	N48	Kolom (100)
Paal_P_14	Funderingspaal - Rectangle (400; 400)	C20/25 Ongescheurd	18,000	N25	N12	Kolom (100)
Paal_P_17	Funderingspaal - Rectangle (400; 400)	C20/25 Ongescheurd	17,997	N36	N15	Kolom (100)
Paal_P_18	Funderingspaal - Rectangle (400; 400)	C20/25 Ongescheurd	17,997	N37	N2	Kolom (100)
Paal_P_19	Funderingspaal - Rectangle (400; 400)	C20/25 Ongescheurd	18,000	N21	N3	Kolom (100)
Paal_P_20	Funderingspaal - Rectangle (400; 400)	C20/25 Ongescheurd	17,996	N34	N4	Kolom (100)
Paal_P_22	LEKA Paal - type e (CHS219.1/10.0)	S 235	19,400	N57	N60	Kolom (100)
Paal_P_26	LEKA Paal - type e (CHS219.1/10.0)	S 235	19,400	N79	N81	Kolom (100)
Paal_P_30	Funderingspaal - Rectangle (400; 400)	C20/25 Ongescheurd	18,000	N93	N115	Kolom (100)
Paal_P_31	Funderingspaal - Rectangle (400; 400)	C20/25 Ongescheurd	17,996	N101	N116	Kolom (100)
Paal_P_32	Funderingspaal - Rectangle (400; 400)	C20/25 Ongescheurd	18,000	N102	N117	Kolom (100)
Paal_P_34	Funderingspaal - Rectangle (400; 400)	C20/25 Ongescheurd	17,997	N104	N119	Kolom (100)
Paal_P_35	Funderingspaal - Rectangle (400; 400)	C20/25 Ongescheurd	18,000	N136	N120	Kolom (100)
Paal_P_36	Funderingspaal - Rectangle (400; 400)	C20/25 Ongescheurd	17,996	N89	N121	Kolom (100)
Paal_P_38	Funderingspaal - Rectangle (400; 400)	C20/25 Ongescheurd	17,997	N91	N123	Kolom (100)
Paal_P_39	Funderingspaal - Rectangle (400; 400)	C20/25 Ongescheurd	17,997	N92	N124	Kolom (100)
Paal_P_40	Funderingspaal - Rectangle (400; 400)	C20/25 Ongescheurd	18,000	N135	N125	Kolom (100)
Poer 5	Poer.Opstort - Rectangle (840; 560)	C20/25 Gescheurd	1,475	N22	1Y	Kolom (100)
Poer 7	Poer.Opstort - Rectangle (840; 560)	C20/25 Gescheurd	1,475	N32	1P	Kolom (100)
Poer 8	Poer.Opstort - Rectangle (840; 560)	C20/25 Gescheurd	1,475	N33	1X	Kolom (100)
Poer 9	Poer.Opstort - Rectangle (840; 560)	C20/25 Gescheurd	1,475	N95	1Y1	Kolom (100)
Poer 10	Poer.Opstort - Rectangle (840; 560)	C20/25 Gescheurd	1,475	N96	1XY1	Kolom (100)
Paal_P_1	Funderingspaal - Rectangle (400; 400)	C20/25 Ongescheurd	18,000	N29	N46	Kolom (100)
Paal_P_2	Funderingspaal - Rectangle (400; 400)	C20/25 Ongescheurd	17,996	N28	N45	Kolom (100)
Paal_P_7	Funderingspaal - Rectangle (400; 400)	C20/25 Ongescheurd	18,000	N56	N49	Kolom (100)
Paal_P_33	Funderingspaal - Rectangle (400; 400)	C20/25 Ongescheurd	17,997	N103	N118	Kolom (100)
Paal_P_21	Funderingspaal - Rectangle (400; 400)	C20/25 Ongescheurd	18,000	N35	N54	Kolom (100)
Paal_P_8	Funderingspaal - Rectangle (400; 400)	C20/25 Ongescheurd	17,996	N5	N50	Kolom (100)
Paal_P_9	Funderingspaal - Rectangle (400; 400)	C20/25 Ongescheurd	18,000	N6	N51	Kolom (100)
Paal_P_37	Funderingspaal - Rectangle (400; 400)	C20/25 Ongescheurd	18,000	N90	N122	Kolom (100)
Paal_P_10	Funderingspaal - Rectangle (400; 400)	C20/25 Ongescheurd	17,997	N7	N52	Kolom (100)
Paal_P_11	Funderingspaal - Rectangle (400; 400)	C20/25 Ongescheurd	17,997	N1	N53	Kolom (100)
Paal_P_12	Funderingspaal - Rectangle (400; 400)	C20/25 Ongescheurd	18,000	N55	N10	Kolom (100)
Paal_P_13	Funderingspaal - Rectangle (400; 400)	C20/25 Ongescheurd	17,996	N24	N11	Kolom (100)
Paal_P_15	Funderingspaal - Rectangle (400; 400)	C20/25 Ongescheurd	17,997	N26	N13	Kolom (100)
Paal_P_16	Funderingspaal - Rectangle (400; 400)	C20/25 Ongescheurd	17,997	N27	N14	Kolom (100)
Paal_P_23	LEKA Paal - type e (CHS219.1/10.0)	S 235	19,400	N59	N61	Kolom (100)
Paal_P_24	LEKA Paal - type e (CHS219.1/10.0)	S 235	19,400	N69	N70	Kolom (100)
Paal_P_25	LEKA Paal - type e (CHS219.1/10.0)	S 235	19,400	N71	N72	Kolom (100)
Paal_P_27	LEKA Paal - type e (CHS219.1/10.0)	S 235	19,400	N78	N80	Kolom (100)
Paal_P_28	LEKA Paal - type e (CHS219.1/10.0)	S 235	19,400	N74	N75	Kolom (100)
Paal_P_29	LEKA Paal - type e (CHS219.1/10.0)	S 235	19,400	N76	N77	Kolom (100)
Paal_P_41	Funderingspaal - Rectangle (400; 400)	C20/25 Ongescheurd	17,996	N97	N126	Kolom (100)
Paal_P_42	Funderingspaal - Rectangle (400; 400)	C20/25 Ongescheurd	18,000	N98	N127	Kolom (100)
Paal_P_43	Funderingspaal - Rectangle (400; 400)	C20/25 Ongescheurd	17,997	N99	N128	Kolom (100)
Paal_P_44	Funderingspaal - Rectangle (400; 400)	C20/25 Ongescheurd	17,997	N100	N129	Kolom (100)
Paal_P_45	Funderingspaal - Rectangle (400; 400)	C20/25 Ongescheurd	17,997	N109	N130	Kolom (100)
Paal_P_46	Funderingspaal - Rectangle (400; 400)	C20/25 Ongescheurd	17,997	N110	N131	Kolom (100)
Paal_P_47	Funderingspaal - Rectangle (400; 400)	C20/25 Ongescheurd	18,000	N94	N132	Kolom (100)
Paal_P_48	Funderingspaal - Rectangle (400; 400)	C20/25 Ongescheurd	17,996	N107	N133	Kolom (100)
Paal_P_49	Funderingspaal - Rectangle (400; 400)	C20/25 Ongescheurd	18,000	N108	N134	Kolom (100)
Paal_P_50	LEKA Paal - type e (CHS219.1/10.0)	S 235	19,400	N137	N140	Kolom (100)
Paal_P_51	LEKA Paal - type e (CHS219.1/10.0)	S 235	19,400	N139	N141	Kolom (100)
Paal_P_52	LEKA Paal - type e (CHS219.1/10.0)	S 235	19,400	N145	N146	Kolom (100)
Paal_P_53	LEKA Paal - type e (CHS219.1/10.0)	S 235	19,400	N147	N148	Kolom (100)
Paal_P_54	LEKA Paal - type e (CHS219.1/10.0)	S 235	19,400	N155	N157	Kolom (100)
Paal_P_55	LEKA Paal - type e (CHS219.1/10.0)	S 235	19,400	N154	N156	Kolom (100)
Paal_P_56	LEKA Paal - type e (CHS219.1/10.0)	S 235	19,400	N150	N151	Kolom (100)
Paal_P_57	LEKA Paal - type e (CHS219.1/10.0)	S 235	19,400	N152	N153	Kolom (100)

5.4. Analyse model met Staven

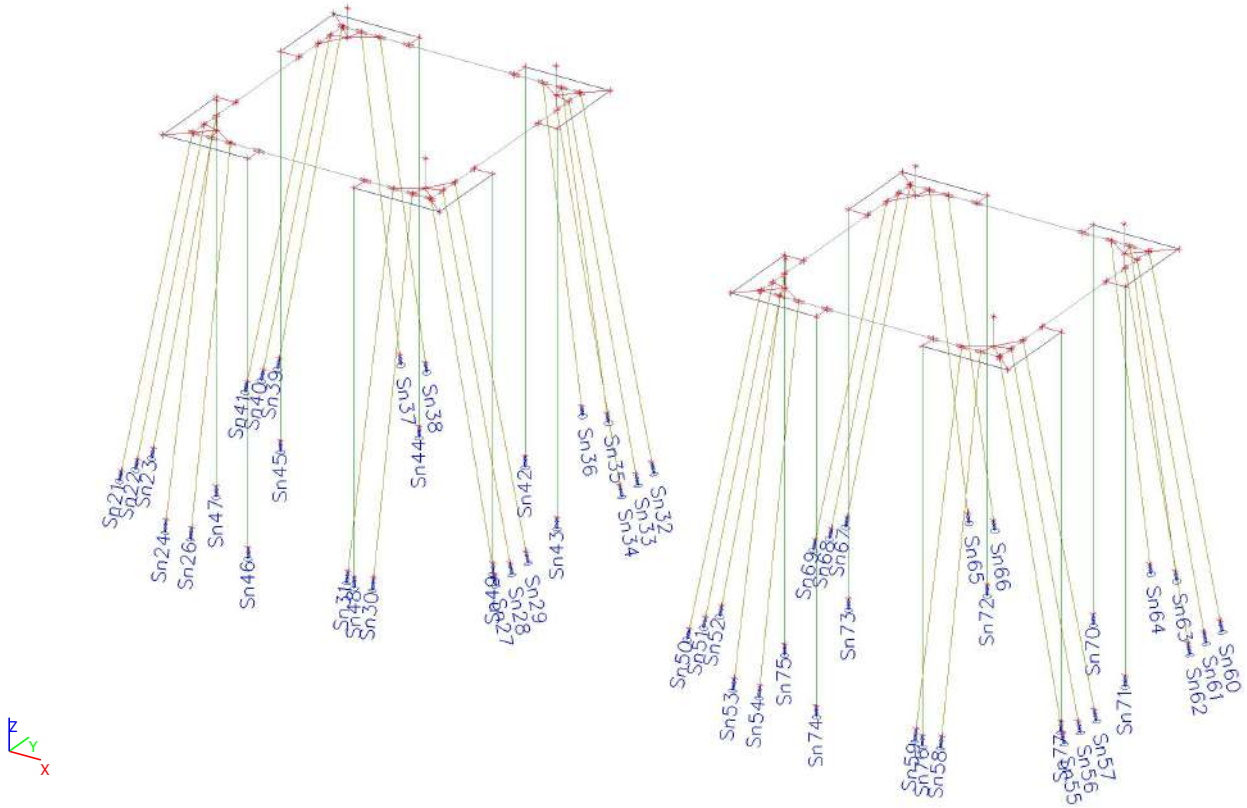


5.5. Knoopsteunpunten

Naam	Knoop	Systeem	Type	X	Y	Z	Rx	Ry	Rz	Hoek [deg]
Sn21	N44	LCS van knoop	Standaard	Vrij	Vrij	Niet-lineair	Vrij	Vrij	Vrij	Rx-1,12;Ry11,31
Sn22	N45	LCS van knoop	Standaard	Vrij	Vrij	Niet-lineair	Vrij	Vrij	Vrij	Ry11,31
Sn23	N46	LCS van knoop	Standaard	Vrij	Vrij	Niet-lineair	Vrij	Vrij	Vrij	Rx1,12;Ry11,31
Sn24	N47	LCS van knoop	Standaard	Vrij	Vrij	Niet-lineair	Vrij	Vrij	Vrij	Ry0,56;Rx-11,31
Sn26	N48	LCS van knoop	Standaard	Vrij	Vrij	Niet-lineair	Vrij	Vrij	Vrij	Ry-0,56;Rx-11,31
Sn27	N49	LCS van knoop	Standaard	Vrij	Vrij	Niet-lineair	Vrij	Vrij	Vrij	Rx-1,12;Ry-11,31
Sn28	N50	LCS van knoop	Standaard	Vrij	Vrij	Niet-lineair	Vrij	Vrij	Vrij	Ry-11,31
Sn29	N51	LCS van knoop	Standaard	Vrij	Vrij	Niet-lineair	Vrij	Vrij	Vrij	Rx1,12;Ry-11,31
Sn30	N52	LCS van knoop	Standaard	Vrij	Vrij	Niet-lineair	Vrij	Vrij	Vrij	Ry-0,56;Rx-11,31
Sn31	N53	LCS van knoop	Standaard	Vrij	Vrij	Niet-lineair	Vrij	Vrij	Vrij	Ry0,56;Rx-11,31
Sn32	N10	LCS van knoop	Standaard	Vrij	Vrij	Niet-lineair	Vrij	Vrij	Vrij	Rx1,12;Ry-11,31
Sn33	N11	LCS van knoop	Standaard	Vrij	Vrij	Niet-lineair	Vrij	Vrij	Vrij	Ry-11,31
Sn34	N12	LCS van knoop	Standaard	Vrij	Vrij	Niet-lineair	Vrij	Vrij	Vrij	Rx-1,12;Ry-11,31
Sn35	N13	LCS van knoop	Standaard	Vrij	Vrij	Niet-lineair	Vrij	Vrij	Vrij	Ry-0,56;Rx11,31
Sn36	N14	LCS van knoop	Standaard	Vrij	Vrij	Niet-lineair	Vrij	Vrij	Vrij	Ry0,56;Rx11,31
Sn37	N15	LCS van knoop	Standaard	Vrij	Vrij	Niet-lineair	Vrij	Vrij	Vrij	Ry0,56;Rx11,31
Sn38	N2	LCS van knoop	Standaard	Vrij	Vrij	Niet-lineair	Vrij	Vrij	Vrij	Ry-0,56;Rx11,31
Sn39	N3	LCS van knoop	Standaard	Vrij	Vrij	Niet-lineair	Vrij	Vrij	Vrij	Rx1,12;Ry11,31
Sn40	N4	LCS van knoop	Standaard	Vrij	Vrij	Niet-lineair	Vrij	Vrij	Vrij	Ry11,31
Sn41	N54	LCS van knoop	Standaard	Vrij	Vrij	Niet-lineair	Vrij	Vrij	Vrij	Rx-1,12;Ry11,31
Sn42	N60	LCS van knoop	Standaard	Vrij	Vrij	Niet-lineair	Vrij	Vrij	Vrij	
Sn43	N61	LCS van knoop	Standaard	Vrij	Vrij	Niet-lineair	Vrij	Vrij	Vrij	
Sn44	N70	LCS van knoop	Standaard	Vrij	Vrij	Niet-lineair	Vrij	Vrij	Vrij	
Sn45	N72	LCS van knoop	Standaard	Vrij	Vrij	Niet-lineair	Vrij	Vrij	Vrij	
Sn46	N75	LCS van knoop	Standaard	Vrij	Vrij	Niet-lineair	Vrij	Vrij	Vrij	
Sn47	N77	LCS van knoop	Standaard	Vrij	Vrij	Niet-lineair	Vrij	Vrij	Vrij	
Sn48	N80	LCS van knoop	Standaard	Vrij	Vrij	Niet-lineair	Vrij	Vrij	Vrij	
Sn49	N81	LCS van knoop	Standaard	Vrij	Vrij	Niet-lineair	Vrij	Vrij	Vrij	
Sn50	N115	LCS van knoop	Standaard	Vrij	Vrij	Niet-lineair	Vrij	Vrij	Vrij	Rx-1,12;Ry11,31
Sn51	N116	LCS van knoop	Standaard	Vrij	Vrij	Niet-lineair	Vrij	Vrij	Vrij	Ry11,31

Naam	Knoop	Systeem	Type	X	Y	Z	Rx	Ry	Rz	Hoek [deg]
Sn52	N117	LCS van knoop	Standaard	Vrij	Vrij	Niet-lineair	Vrij	Vrij	Vrij	Rx1,12;Ry11,31
Sn53	N118	LCS van knoop	Standaard	Vrij	Vrij	Niet-lineair	Vrij	Vrij	Vrij	Ry0,56;Rx-11,31
Sn54	N119	LCS van knoop	Standaard	Vrij	Vrij	Niet-lineair	Vrij	Vrij	Vrij	Ry-0,56;Rx-11,31
Sn55	N120	LCS van knoop	Standaard	Vrij	Vrij	Niet-lineair	Vrij	Vrij	Vrij	Rx-1,12;Ry-11,31
Sn56	N121	LCS van knoop	Standaard	Vrij	Vrij	Niet-lineair	Vrij	Vrij	Vrij	Ry-11,31
Sn57	N122	LCS van knoop	Standaard	Vrij	Vrij	Niet-lineair	Vrij	Vrij	Vrij	Rx1,12;Ry-11,31
Sn58	N123	LCS van knoop	Standaard	Vrij	Vrij	Niet-lineair	Vrij	Vrij	Vrij	Ry-0,56;Rx-11,31
Sn59	N124	LCS van knoop	Standaard	Vrij	Vrij	Niet-lineair	Vrij	Vrij	Vrij	Ry0,56;Rx-11,31
Sn60	N125	LCS van knoop	Standaard	Vrij	Vrij	Niet-lineair	Vrij	Vrij	Vrij	Rx1,12;Ry-11,31
Sn61	N126	LCS van knoop	Standaard	Vrij	Vrij	Niet-lineair	Vrij	Vrij	Vrij	Ry-11,31
Sn62	N127	LCS van knoop	Standaard	Vrij	Vrij	Niet-lineair	Vrij	Vrij	Vrij	Rx-1,12;Ry-11,31
Sn63	N128	LCS van knoop	Standaard	Vrij	Vrij	Niet-lineair	Vrij	Vrij	Vrij	Ry-0,56;Rx11,31
Sn64	N129	LCS van knoop	Standaard	Vrij	Vrij	Niet-lineair	Vrij	Vrij	Vrij	Ry0,56;Rx11,31
Sn65	N130	LCS van knoop	Standaard	Vrij	Vrij	Niet-lineair	Vrij	Vrij	Vrij	Ry0,56;Rx11,31
Sn66	N131	LCS van knoop	Standaard	Vrij	Vrij	Niet-lineair	Vrij	Vrij	Vrij	Ry-0,56;Rx11,31
Sn67	N132	LCS van knoop	Standaard	Vrij	Vrij	Niet-lineair	Vrij	Vrij	Vrij	Rx1,12;Ry11,31
Sn68	N133	LCS van knoop	Standaard	Vrij	Vrij	Niet-lineair	Vrij	Vrij	Vrij	Ry11,31
Sn69	N134	LCS van knoop	Standaard	Vrij	Vrij	Niet-lineair	Vrij	Vrij	Vrij	Rx-1,12;Ry11,31
Sn70	N140	LCS van knoop	Standaard	Vrij	Vrij	Niet-lineair	Vrij	Vrij	Vrij	
Sn71	N141	LCS van knoop	Standaard	Vrij	Vrij	Niet-lineair	Vrij	Vrij	Vrij	
Sn72	N146	LCS van knoop	Standaard	Vrij	Vrij	Niet-lineair	Vrij	Vrij	Vrij	
Sn73	N148	LCS van knoop	Standaard	Vrij	Vrij	Niet-lineair	Vrij	Vrij	Vrij	
Sn74	N151	LCS van knoop	Standaard	Vrij	Vrij	Niet-lineair	Vrij	Vrij	Vrij	
Sn75	N153	LCS van knoop	Standaard	Vrij	Vrij	Niet-lineair	Vrij	Vrij	Vrij	
Sn76	N156	LCS van knoop	Standaard	Vrij	Vrij	Niet-lineair	Vrij	Vrij	Vrij	
Sn77	N157	LCS van knoop	Standaard	Vrij	Vrij	Niet-lineair	Vrij	Vrij	Vrij	

5.6. Analyse model met Knoopondersteuningen



5.7. Lijnsteunpunten op staven

Naam	Type	Staaf	Pos x_1 [m]	Coör	X	Y	Z	Rx	Ry	Rz
		Systeem	Pos x_2 [m]	Oors						
Veen	Lijn	Paal_P_1	1,000	Abso	Vrij	Niet-lineair	Niet-lineair	Vrij	Vrij	Vrij
		LCS	8,000	Vanaf begin						
Veen3	Lijn	Paal_P_2	1,000	Abso	Vrij	Niet-lineair	Niet-lineair	Vrij	Vrij	Vrij
		LCS	8,000	Vanaf begin						
Veen4	Lijn	Paal_P_3	1,000	Abso	Vrij	Niet-lineair	Niet-lineair	Vrij	Vrij	Vrij
		LCS	8,000	Vanaf begin						
(PY-curve-1_V1)1	Lijn	Paal_P_3	8,000	Abso	Vrij	Niet-lineair	Niet-lineair	Vrij	Vrij	Vrij
		LCS	9,000	Vanaf begin						
(PY-curve-1_V1)3	Lijn	Paal_P_2	8,000	Abso	Vrij	Niet-lineair	Niet-lineair	Vrij	Vrij	Vrij
		LCS	9,000	Vanaf begin						
(PY-curve-1_V1)4	Lijn	Paal_P_1	8,000	Abso	Vrij	Niet-lineair	Niet-lineair	Vrij	Vrij	Vrij
		LCS	9,000	Vanaf begin						
(PY-curve-1_V2)	Lijn	Paal_P_3	9,000	Abso	Vrij	Niet-lineair	Niet-lineair	Vrij	Vrij	Vrij
		LCS	10,000	Vanaf begin						
(PY-curve-1_V2)1	Lijn	Paal_P_2	9,000	Abso	Vrij	Niet-lineair	Niet-lineair	Vrij	Vrij	Vrij
		LCS	10,000	Vanaf begin						
(PY-curve-1_V2)2	Lijn	Paal_P_1	9,000	Abso	Vrij	Niet-lineair	Niet-lineair	Vrij	Vrij	Vrij
		LCS	10,000	Vanaf begin						
(PY-curve-1_V3)	Lijn	Paal_P_3	10,000	Abso	Vrij	Niet-lineair	Niet-lineair	Vrij	Vrij	Vrij
		LCS	11,000	Vanaf begin						
(PY-curve-1_V3)19	Lijn	Paal_P_2	10,000	Abso	Vrij	Niet-lineair	Niet-lineair	Vrij	Vrij	Vrij
		LCS	11,000	Vanaf begin						
(PY-curve-1_V3)12	Lijn	Paal_P_1	10,000	Abso	Vrij	Niet-lineair	Niet-lineair	Vrij	Vrij	Vrij
		LCS	11,000	Vanaf begin						
(PY-curve-1_V4)8	Lijn	Paal_P_3	11,000	Abso	Vrij	Niet-lineair	Niet-lineair	Vrij	Vrij	Vrij
		LCS	12,000	Vanaf begin						
(PY-curve-1_V4)17	Lijn	Paal_P_2	11,000	Abso	Vrij	Niet-lineair	Niet-lineair	Vrij	Vrij	Vrij
		LCS	12,000	Vanaf begin						
(PY-curve-1_V4)16	Lijn	Paal_P_1	11,000	Abso	Vrij	Niet-lineair	Niet-lineair	Vrij	Vrij	Vrij
		LCS	12,000	Vanaf begin						
(PY-curve-1_V5)18	Lijn	Paal_P_3	12,000	Abso	Vrij	Niet-lineair	Niet-lineair	Vrij	Vrij	Vrij
		LCS	13,000	Vanaf begin						
(PY-curve-1_V5)	Lijn	Paal_P_2	12,000	Abso	Vrij	Niet-lineair	Niet-lineair	Vrij	Vrij	Vrij
		LCS	13,000	Vanaf begin						
(PY-curve-1_V5)1	Lijn	Paal_P_1	12,000	Abso	Vrij	Niet-lineair	Niet-lineair	Vrij	Vrij	Vrij
		LCS	13,000	Vanaf begin						
(PY-curve-1_V6)6	Lijn	Paal_P_3	13,000	Abso	Vrij	Niet-lineair	Niet-lineair	Vrij	Vrij	Vrij
		LCS	14,000	Vanaf begin						
(PY-curve-1_V6)9	Lijn	Paal_P_2	13,000	Abso	Vrij	Niet-lineair	Niet-lineair	Vrij	Vrij	Vrij
		LCS	14,000	Vanaf begin						
(PY-curve-1_V6)11	Lijn	Paal_P_1	13,000	Abso	Vrij	Niet-lineair	Niet-lineair	Vrij	Vrij	Vrij
		LCS	14,000	Vanaf begin						
(PY-curve-1_V7)14	Lijn	Paal_P_3	14,000	Abso	Vrij	Niet-lineair	Niet-lineair	Vrij	Vrij	Vrij
		LCS	15,000	Vanaf begin						
(PY-curve-1_V7)16	Lijn	Paal_P_2	14,000	Abso	Vrij	Niet-lineair	Niet-lineair	Vrij	Vrij	Vrij
		LCS	15,000	Vanaf begin						
(PY-curve-1_V7)15	Lijn	Paal_P_1	14,000	Abso	Vrij	Niet-lineair	Niet-lineair	Vrij	Vrij	Vrij
		LCS	15,000	Vanaf begin						
(PY-curve-1_V8)12	Lijn	Paal_P_3	15,000	Abso	Vrij	Niet-lineair	Niet-lineair	Vrij	Vrij	Vrij
		LCS	16,000	Vanaf begin						
(PY-curve-1_V8)4	Lijn	Paal_P_2	15,000	Abso	Vrij	Niet-lineair	Niet-lineair	Vrij	Vrij	Vrij
		LCS	16,000	Vanaf begin						
(PY-curve-1_V8)3	Lijn	Paal_P_1	15,000	Abso	Vrij	Niet-lineair	Niet-lineair	Vrij	Vrij	Vrij
		LCS	16,000	Vanaf begin						
(PY-curve-1_V9)14	Lijn	Paal_P_3	16,000	Abso	Vrij	Niet-lineair	Niet-lineair	Vrij	Vrij	Vrij
		LCS	17,000	Vanaf begin						
(PY-curve-1_V9)13	Lijn	Paal_P_2	16,000	Abso	Vrij	Niet-lineair	Niet-lineair	Vrij	Vrij	Vrij
		LCS	17,000	Vanaf begin						
(PY-curve-1_V9)12	Lijn	Paal_P_1	16,000	Abso	Vrij	Niet-lineair	Niet-lineair	Vrij	Vrij	Vrij
		LCS	17,000	Vanaf begin						
(PY-curve-1_V10)7	Lijn	Paal_P_3	17,000	Abso	Vrij	Niet-lineair	Niet-lineair	Vrij	Vrij	Vrij
		LCS	17,750	Vanaf begin						

Naam	Type	Staaf Systeem	Pos x_1 [m] Pos x_2 [m]	Coör Oors	X	Y	Z	Rx	Ry	Rz
(PY-curve-1_V10)6	Lijn	Paal_P_2 LCS	17,000 17,750	Abso Vanaf begin	Vrij	Niet-lineair	Niet-lineair	Vrij	Vrij	Vrij
(PY-curve-1_V10)5	Lijn	Paal_P_1 LCS	17,000 17,750	Abso Vanaf begin	Vrij	Niet-lineair	Niet-lineair	Vrij	Vrij	Vrij
Veen18	Lijn	Paal_P_4 LCS	1,000 8,000	Abso Vanaf begin	Vrij	Niet-lineair	Niet-lineair	Vrij	Vrij	Vrij
(PY-curve-1_V1)14	Lijn	Paal_P_4 LCS	8,000 9,000	Abso Vanaf begin	Vrij	Niet-lineair	Niet-lineair	Vrij	Vrij	Vrij
(PY-curve-1_V2)7	Lijn	Paal_P_4 LCS	9,000 10,000	Abso Vanaf begin	Vrij	Niet-lineair	Niet-lineair	Vrij	Vrij	Vrij
(PY-curve-1_V3)5	Lijn	Paal_P_4 LCS	10,000 11,000	Abso Vanaf begin	Vrij	Niet-lineair	Niet-lineair	Vrij	Vrij	Vrij
(PY-curve-1_V4)3	Lijn	Paal_P_4 LCS	11,000 12,000	Abso Vanaf begin	Vrij	Niet-lineair	Niet-lineair	Vrij	Vrij	Vrij
(PY-curve-1_V5)3	Lijn	Paal_P_4 LCS	12,000 13,000	Abso Vanaf begin	Vrij	Niet-lineair	Niet-lineair	Vrij	Vrij	Vrij
(PY-curve-1_V6)10	Lijn	Paal_P_4 LCS	13,000 14,000	Abso Vanaf begin	Vrij	Niet-lineair	Niet-lineair	Vrij	Vrij	Vrij
(PY-curve-1_V7)8	Lijn	Paal_P_4 LCS	14,000 15,000	Abso Vanaf begin	Vrij	Niet-lineair	Niet-lineair	Vrij	Vrij	Vrij
(PY-curve-1_V8)1	Lijn	Paal_P_4 LCS	15,000 16,000	Abso Vanaf begin	Vrij	Niet-lineair	Niet-lineair	Vrij	Vrij	Vrij
(PY-curve-1_V9)10	Lijn	Paal_P_4 LCS	16,000 17,000	Abso Vanaf begin	Vrij	Niet-lineair	Niet-lineair	Vrij	Vrij	Vrij
(PY-curve-1_V10)11	Lijn	Paal_P_4 LCS	17,000 17,750	Abso Vanaf begin	Vrij	Niet-lineair	Niet-lineair	Vrij	Vrij	Vrij
Veen9	Lijn	Paal_P_6 LCS	1,000 8,000	Abso Vanaf begin	Vrij	Niet-lineair	Niet-lineair	Vrij	Vrij	Vrij
(PY-curve-1_V1)18	Lijn	Paal_P_6 LCS	8,000 9,000	Abso Vanaf begin	Vrij	Niet-lineair	Niet-lineair	Vrij	Vrij	Vrij
(PY-curve-1_V2)9	Lijn	Paal_P_6 LCS	9,000 10,000	Abso Vanaf begin	Vrij	Niet-lineair	Niet-lineair	Vrij	Vrij	Vrij
(PY-curve-1_V3)8	Lijn	Paal_P_6 LCS	10,000 11,000	Abso Vanaf begin	Vrij	Niet-lineair	Niet-lineair	Vrij	Vrij	Vrij
(PY-curve-1_V4)2	Lijn	Paal_P_6 LCS	11,000 12,000	Abso Vanaf begin	Vrij	Niet-lineair	Niet-lineair	Vrij	Vrij	Vrij
(PY-curve-1_V5)4	Lijn	Paal_P_6 LCS	12,000 13,000	Abso Vanaf begin	Vrij	Niet-lineair	Niet-lineair	Vrij	Vrij	Vrij
(PY-curve-1_V6)13	Lijn	Paal_P_6 LCS	13,000 14,000	Abso Vanaf begin	Vrij	Niet-lineair	Niet-lineair	Vrij	Vrij	Vrij
(PY-curve-1_V7)3	Lijn	Paal_P_6 LCS	14,000 15,000	Abso Vanaf begin	Vrij	Niet-lineair	Niet-lineair	Vrij	Vrij	Vrij
(PY-curve-1_V8)6	Lijn	Paal_P_6 LCS	15,000 16,000	Abso Vanaf begin	Vrij	Niet-lineair	Niet-lineair	Vrij	Vrij	Vrij
(PY-curve-1_V9)6	Lijn	Paal_P_6 LCS	16,000 17,000	Abso Vanaf begin	Vrij	Niet-lineair	Niet-lineair	Vrij	Vrij	Vrij
(PY-curve-1_V10)9	Lijn	Paal_P_6 LCS	17,000 17,750	Abso Vanaf begin	Vrij	Niet-lineair	Niet-lineair	Vrij	Vrij	Vrij
Veen8	Lijn	Paal_P_7 LCS	1,000 8,000	Abso Vanaf begin	Vrij	Niet-lineair	Niet-lineair	Vrij	Vrij	Vrij
(PY-curve-1_V1)19	Lijn	Paal_P_7 LCS	8,000 9,000	Abso Vanaf begin	Vrij	Niet-lineair	Niet-lineair	Vrij	Vrij	Vrij
(PY-curve-1_V2)12	Lijn	Paal_P_7 LCS	9,000 10,000	Abso Vanaf begin	Vrij	Niet-lineair	Niet-lineair	Vrij	Vrij	Vrij
(PY-curve-1_V3)10	Lijn	Paal_P_7 LCS	10,000 11,000	Abso Vanaf begin	Vrij	Niet-lineair	Niet-lineair	Vrij	Vrij	Vrij
(PY-curve-1_V4)13	Lijn	Paal_P_7 LCS	11,000 12,000	Abso Vanaf begin	Vrij	Niet-lineair	Niet-lineair	Vrij	Vrij	Vrij
(PY-curve-1_V5)5	Lijn	Paal_P_7 LCS	12,000 13,000	Abso Vanaf begin	Vrij	Niet-lineair	Niet-lineair	Vrij	Vrij	Vrij
(PY-curve-1_V6)14	Lijn	Paal_P_7 LCS	13,000 14,000	Abso Vanaf begin	Vrij	Niet-lineair	Niet-lineair	Vrij	Vrij	Vrij
(PY-curve-1_V7)11	Lijn	Paal_P_7 LCS	14,000 15,000	Abso Vanaf begin	Vrij	Niet-lineair	Niet-lineair	Vrij	Vrij	Vrij

Naam	Type	Staaf Systeem	Pos x_1 [m] Pos x_2 [m]	Coör Oors	X	Y	Z	Rx	Ry	Rz
(PY-curve-1_V8)7	Lijn	Paal_P_7 LCS	15,000 16,000	Abso Vanaf begin	Vrij	Niet-lineair	Niet-lineair	Vrij	Vrij	Vrij
(PY-curve-1_V9)4	Lijn	Paal_P_7 LCS	16,000 17,000	Abso Vanaf begin	Vrij	Niet-lineair	Niet-lineair	Vrij	Vrij	Vrij
(PY-curve-1_V10)3	Lijn	Paal_P_7 LCS	17,000 17,750	Abso Vanaf begin	Vrij	Niet-lineair	Niet-lineair	Vrij	Vrij	Vrij
Veen16	Lijn	Paal_P_8 LCS	1,000 8,000	Abso Vanaf begin	Vrij	Niet-lineair	Niet-lineair	Vrij	Vrij	Vrij
(PY-curve-1_V1)8	Lijn	Paal_P_8 LCS	8,000 9,000	Abso Vanaf begin	Vrij	Niet-lineair	Niet-lineair	Vrij	Vrij	Vrij
(PY-curve-1_V2)14	Lijn	Paal_P_8 LCS	9,000 10,000	Abso Vanaf begin	Vrij	Niet-lineair	Niet-lineair	Vrij	Vrij	Vrij
(PY-curve-1_V3)9	Lijn	Paal_P_8 LCS	10,000 11,000	Abso Vanaf begin	Vrij	Niet-lineair	Niet-lineair	Vrij	Vrij	Vrij
(PY-curve-1_V4)5	Lijn	Paal_P_8 LCS	11,000 12,000	Abso Vanaf begin	Vrij	Niet-lineair	Niet-lineair	Vrij	Vrij	Vrij
(PY-curve-1_V5)6	Lijn	Paal_P_8 LCS	12,000 13,000	Abso Vanaf begin	Vrij	Niet-lineair	Niet-lineair	Vrij	Vrij	Vrij
(PY-curve-1_V6)19	Lijn	Paal_P_8 LCS	13,000 14,000	Abso Vanaf begin	Vrij	Niet-lineair	Niet-lineair	Vrij	Vrij	Vrij
(PY-curve-1_V7)9	Lijn	Paal_P_8 LCS	14,000 15,000	Abso Vanaf begin	Vrij	Niet-lineair	Niet-lineair	Vrij	Vrij	Vrij
(PY-curve-1_V8)10	Lijn	Paal_P_8 LCS	15,000 16,000	Abso Vanaf begin	Vrij	Niet-lineair	Niet-lineair	Vrij	Vrij	Vrij
(PY-curve-1_V9)7	Lijn	Paal_P_8 LCS	16,000 17,000	Abso Vanaf begin	Vrij	Niet-lineair	Niet-lineair	Vrij	Vrij	Vrij
(PY-curve-1_V10)17	Lijn	Paal_P_8 LCS	17,000 17,750	Abso Vanaf begin	Vrij	Niet-lineair	Niet-lineair	Vrij	Vrij	Vrij
Veen13	Lijn	Paal_P_9 LCS	1,000 8,000	Abso Vanaf begin	Vrij	Niet-lineair	Niet-lineair	Vrij	Vrij	Vrij
(PY-curve-1_V1)2	Lijn	Paal_P_9 LCS	8,000 9,000	Abso Vanaf begin	Vrij	Niet-lineair	Niet-lineair	Vrij	Vrij	Vrij
(PY-curve-1_V2)16	Lijn	Paal_P_9 LCS	9,000 10,000	Abso Vanaf begin	Vrij	Niet-lineair	Niet-lineair	Vrij	Vrij	Vrij
(PY-curve-1_V3)1	Lijn	Paal_P_9 LCS	10,000 11,000	Abso Vanaf begin	Vrij	Niet-lineair	Niet-lineair	Vrij	Vrij	Vrij
(PY-curve-1_V4)18	Lijn	Paal_P_9 LCS	11,000 12,000	Abso Vanaf begin	Vrij	Niet-lineair	Niet-lineair	Vrij	Vrij	Vrij
(PY-curve-1_V5)7	Lijn	Paal_P_9 LCS	12,000 13,000	Abso Vanaf begin	Vrij	Niet-lineair	Niet-lineair	Vrij	Vrij	Vrij
(PY-curve-1_V6)17	Lijn	Paal_P_9 LCS	13,000 14,000	Abso Vanaf begin	Vrij	Niet-lineair	Niet-lineair	Vrij	Vrij	Vrij
(PY-curve-1_V7)6	Lijn	Paal_P_9 LCS	14,000 15,000	Abso Vanaf begin	Vrij	Niet-lineair	Niet-lineair	Vrij	Vrij	Vrij
(PY-curve-1_V8)9	Lijn	Paal_P_9 LCS	15,000 16,000	Abso Vanaf begin	Vrij	Niet-lineair	Niet-lineair	Vrij	Vrij	Vrij
(PY-curve-1_V9)1	Lijn	Paal_P_9 LCS	16,000 17,000	Abso Vanaf begin	Vrij	Niet-lineair	Niet-lineair	Vrij	Vrij	Vrij
(PY-curve-1_V10)1	Lijn	Paal_P_9 LCS	17,000 17,750	Abso Vanaf begin	Vrij	Niet-lineair	Niet-lineair	Vrij	Vrij	Vrij
Veen10	Lijn	Paal_P_10 LCS	1,000 8,000	Abso Vanaf begin	Vrij	Niet-lineair	Niet-lineair	Vrij	Vrij	Vrij
(PY-curve-1_V1)15	Lijn	Paal_P_10 LCS	8,000 9,000	Abso Vanaf begin	Vrij	Niet-lineair	Niet-lineair	Vrij	Vrij	Vrij
(PY-curve-1_V2)18	Lijn	Paal_P_10 LCS	9,000 10,000	Abso Vanaf begin	Vrij	Niet-lineair	Niet-lineair	Vrij	Vrij	Vrij
(PY-curve-1_V3)11	Lijn	Paal_P_10 LCS	10,000 11,000	Abso Vanaf begin	Vrij	Niet-lineair	Niet-lineair	Vrij	Vrij	Vrij
(PY-curve-1_V4)12	Lijn	Paal_P_10 LCS	11,000 12,000	Abso Vanaf begin	Vrij	Niet-lineair	Niet-lineair	Vrij	Vrij	Vrij
(PY-curve-1_V5)8	Lijn	Paal_P_10 LCS	12,000 13,000	Abso Vanaf begin	Vrij	Niet-lineair	Niet-lineair	Vrij	Vrij	Vrij
(PY-curve-1_V6)	Lijn	Paal_P_10 LCS	13,000 14,000	Abso Vanaf begin	Vrij	Niet-lineair	Niet-lineair	Vrij	Vrij	Vrij

Naam	Type	Staaf	Pos x_1 [m]	Coör	X	Y	Z	Rx	Ry	Rz
		Systeem	Pos x_2 [m]	Oors						
(PY-curve-1_V7)1	Lijn	Paal_P_10	14,000	Abso	Vrij	Niet-lineair	Niet-lineair	Vrij	Vrij	Vrij
		LCS	15,000	Vanaf begin						
(PY-curve-1_V8)17	Lijn	Paal_P_10	15,000	Abso	Vrij	Niet-lineair	Niet-lineair	Vrij	Vrij	Vrij
		LCS	16,000	Vanaf begin						
(PY-curve-1_V9)16	Lijn	Paal_P_10	16,000	Abso	Vrij	Niet-lineair	Niet-lineair	Vrij	Vrij	Vrij
		LCS	17,000	Vanaf begin						
(PY-curve-1_V10)12	Lijn	Paal_P_10	17,000	Abso	Vrij	Niet-lineair	Niet-lineair	Vrij	Vrij	Vrij
		LCS	17,750	Vanaf begin						
Veen5	Lijn	Paal_P_11	1,000	Abso	Vrij	Niet-lineair	Niet-lineair	Vrij	Vrij	Vrij
		LCS	8,000	Vanaf begin						
(PY-curve-1_V1)16	Lijn	Paal_P_11	8,000	Abso	Vrij	Niet-lineair	Niet-lineair	Vrij	Vrij	Vrij
		LCS	9,000	Vanaf begin						
(PY-curve-1_V2)4	Lijn	Paal_P_11	9,000	Abso	Vrij	Niet-lineair	Niet-lineair	Vrij	Vrij	Vrij
		LCS	10,000	Vanaf begin						
(PY-curve-1_V3)15	Lijn	Paal_P_11	10,000	Abso	Vrij	Niet-lineair	Niet-lineair	Vrij	Vrij	Vrij
		LCS	11,000	Vanaf begin						
(PY-curve-1_V4)14	Lijn	Paal_P_11	11,000	Abso	Vrij	Niet-lineair	Niet-lineair	Vrij	Vrij	Vrij
		LCS	12,000	Vanaf begin						
(PY-curve-1_V5)9	Lijn	Paal_P_11	12,000	Abso	Vrij	Niet-lineair	Niet-lineair	Vrij	Vrij	Vrij
		LCS	13,000	Vanaf begin						
(PY-curve-1_V6)1	Lijn	Paal_P_11	13,000	Abso	Vrij	Niet-lineair	Niet-lineair	Vrij	Vrij	Vrij
		LCS	14,000	Vanaf begin						
(PY-curve-1_V7)12	Lijn	Paal_P_11	14,000	Abso	Vrij	Niet-lineair	Niet-lineair	Vrij	Vrij	Vrij
		LCS	15,000	Vanaf begin						
(PY-curve-1_V8)18	Lijn	Paal_P_11	15,000	Abso	Vrij	Niet-lineair	Niet-lineair	Vrij	Vrij	Vrij
		LCS	16,000	Vanaf begin						
(PY-curve-1_V9)17	Lijn	Paal_P_11	16,000	Abso	Vrij	Niet-lineair	Niet-lineair	Vrij	Vrij	Vrij
		LCS	17,000	Vanaf begin						
(PY-curve-1_V10)	Lijn	Paal_P_11	17,000	Abso	Vrij	Niet-lineair	Niet-lineair	Vrij	Vrij	Vrij
		LCS	17,750	Vanaf begin						
Veen7	Lijn	Paal_P_12	1,000	Abso	Vrij	Niet-lineair	Niet-lineair	Vrij	Vrij	Vrij
		LCS	8,000	Vanaf begin						
(PY-curve-1_V1)10	Lijn	Paal_P_12	8,000	Abso	Vrij	Niet-lineair	Niet-lineair	Vrij	Vrij	Vrij
		LCS	9,000	Vanaf begin						
(PY-curve-1_V2)19	Lijn	Paal_P_12	9,000	Abso	Vrij	Niet-lineair	Niet-lineair	Vrij	Vrij	Vrij
		LCS	10,000	Vanaf begin						
(PY-curve-1_V3)2	Lijn	Paal_P_12	10,000	Abso	Vrij	Niet-lineair	Niet-lineair	Vrij	Vrij	Vrij
		LCS	11,000	Vanaf begin						
(PY-curve-1_V4)6	Lijn	Paal_P_12	11,000	Abso	Vrij	Niet-lineair	Niet-lineair	Vrij	Vrij	Vrij
		LCS	12,000	Vanaf begin						
(PY-curve-1_V5)11	Lijn	Paal_P_12	12,000	Abso	Vrij	Niet-lineair	Niet-lineair	Vrij	Vrij	Vrij
		LCS	13,000	Vanaf begin						
(PY-curve-1_V6)8	Lijn	Paal_P_12	13,000	Abso	Vrij	Niet-lineair	Niet-lineair	Vrij	Vrij	Vrij
		LCS	14,000	Vanaf begin						
(PY-curve-1_V7)17	Lijn	Paal_P_12	14,000	Abso	Vrij	Niet-lineair	Niet-lineair	Vrij	Vrij	Vrij
		LCS	15,000	Vanaf begin						
(PY-curve-1_V8)16	Lijn	Paal_P_12	15,000	Abso	Vrij	Niet-lineair	Niet-lineair	Vrij	Vrij	Vrij
		LCS	16,000	Vanaf begin						
(PY-curve-1_V9)15	Lijn	Paal_P_12	16,000	Abso	Vrij	Niet-lineair	Niet-lineair	Vrij	Vrij	Vrij
		LCS	17,000	Vanaf begin						
(PY-curve-1_V10)15	Lijn	Paal_P_12	17,000	Abso	Vrij	Niet-lineair	Niet-lineair	Vrij	Vrij	Vrij
		LCS	17,750	Vanaf begin						
Veen21	Lijn	Paal_P_13	1,000	Abso	Vrij	Niet-lineair	Niet-lineair	Vrij	Vrij	Vrij
		LCS	8,000	Vanaf begin						
(PY-curve-1_V1)12	Lijn	Paal_P_13	8,000	Abso	Vrij	Niet-lineair	Niet-lineair	Vrij	Vrij	Vrij
		LCS	9,000	Vanaf begin						
(PY-curve-1_V2)3	Lijn	Paal_P_13	9,000	Abso	Vrij	Niet-lineair	Niet-lineair	Vrij	Vrij	Vrij
		LCS	10,000	Vanaf begin						
(PY-curve-1_V3)16	Lijn	Paal_P_13	10,000	Abso	Vrij	Niet-lineair	Niet-lineair	Vrij	Vrij	Vrij
		LCS	11,000	Vanaf begin						
(PY-curve-1_V4)15	Lijn	Paal_P_13	11,000	Abso	Vrij	Niet-lineair	Niet-lineair	Vrij	Vrij	Vrij
		LCS	12,000	Vanaf begin						
(PY-curve-1_V5)12	Lijn	Paal_P_13	12,000	Abso	Vrij	Niet-lineair	Niet-lineair	Vrij	Vrij	Vrij
		LCS	13,000	Vanaf begin						

Naam	Type	Staaf Systeem	Pos x_1 [m] Pos x_2 [m]	Coör Oors	X	Y	Z	Rx	Ry	Rz
(PY-curve-1_V6)7	Lijn	Paal_P_13 LCS	13,000 14,000	Abso Vanaf begin	Vrij	Niet-lineair	Niet-lineair	Vrij	Vrij	Vrij
(PY-curve-1_V7)2	Lijn	Paal_P_13 LCS	14,000 15,000	Abso Vanaf begin	Vrij	Niet-lineair	Niet-lineair	Vrij	Vrij	Vrij
(PY-curve-1_V8)14	Lijn	Paal_P_13 LCS	15,000 16,000	Abso Vanaf begin	Vrij	Niet-lineair	Niet-lineair	Vrij	Vrij	Vrij
(PY-curve-1_V9)	Lijn	Paal_P_13 LCS	16,000 17,000	Abso Vanaf begin	Vrij	Niet-lineair	Niet-lineair	Vrij	Vrij	Vrij
(PY-curve-1_V10)2	Lijn	Paal_P_13 LCS	17,000 17,750	Abso Vanaf begin	Vrij	Niet-lineair	Niet-lineair	Vrij	Vrij	Vrij
Veen6	Lijn	Paal_P_14 LCS	1,000 8,000	Abso Vanaf begin	Vrij	Niet-lineair	Niet-lineair	Vrij	Vrij	Vrij
(PY-curve-1_V1)13	Lijn	Paal_P_14 LCS	8,000 9,000	Abso Vanaf begin	Vrij	Niet-lineair	Niet-lineair	Vrij	Vrij	Vrij
(PY-curve-1_V2)17	Lijn	Paal_P_14 LCS	9,000 10,000	Abso Vanaf begin	Vrij	Niet-lineair	Niet-lineair	Vrij	Vrij	Vrij
(PY-curve-1_V3)4	Lijn	Paal_P_14 LCS	10,000 11,000	Abso Vanaf begin	Vrij	Niet-lineair	Niet-lineair	Vrij	Vrij	Vrij
(PY-curve-1_V4)11	Lijn	Paal_P_14 LCS	11,000 12,000	Abso Vanaf begin	Vrij	Niet-lineair	Niet-lineair	Vrij	Vrij	Vrij
(PY-curve-1_V5)2	Lijn	Paal_P_14 LCS	12,000 13,000	Abso Vanaf begin	Vrij	Niet-lineair	Niet-lineair	Vrij	Vrij	Vrij
(PY-curve-1_V6)18	Lijn	Paal_P_14 LCS	13,000 14,000	Abso Vanaf begin	Vrij	Niet-lineair	Niet-lineair	Vrij	Vrij	Vrij
(PY-curve-1_V7)7	Lijn	Paal_P_14 LCS	14,000 15,000	Abso Vanaf begin	Vrij	Niet-lineair	Niet-lineair	Vrij	Vrij	Vrij
(PY-curve-1_V8)	Lijn	Paal_P_14 LCS	15,000 16,000	Abso Vanaf begin	Vrij	Niet-lineair	Niet-lineair	Vrij	Vrij	Vrij
(PY-curve-1_V9)2	Lijn	Paal_P_14 LCS	16,000 17,000	Abso Vanaf begin	Vrij	Niet-lineair	Niet-lineair	Vrij	Vrij	Vrij
(PY-curve-1_V10)18	Lijn	Paal_P_14 LCS	17,000 17,750	Abso Vanaf begin	Vrij	Niet-lineair	Niet-lineair	Vrij	Vrij	Vrij
Veen14	Lijn	Paal_P_15 LCS	1,000 8,000	Abso Vanaf begin	Vrij	Niet-lineair	Niet-lineair	Vrij	Vrij	Vrij
(PY-curve-1_V1)7	Lijn	Paal_P_15 LCS	8,000 9,000	Abso Vanaf begin	Vrij	Niet-lineair	Niet-lineair	Vrij	Vrij	Vrij
(PY-curve-1_V2)15	Lijn	Paal_P_15 LCS	9,000 10,000	Abso Vanaf begin	Vrij	Niet-lineair	Niet-lineair	Vrij	Vrij	Vrij
(PY-curve-1_V3)13	Lijn	Paal_P_15 LCS	10,000 11,000	Abso Vanaf begin	Vrij	Niet-lineair	Niet-lineair	Vrij	Vrij	Vrij
(PY-curve-1_V4)7	Lijn	Paal_P_15 LCS	11,000 12,000	Abso Vanaf begin	Vrij	Niet-lineair	Niet-lineair	Vrij	Vrij	Vrij
(PY-curve-1_V5)13	Lijn	Paal_P_15 LCS	12,000 13,000	Abso Vanaf begin	Vrij	Niet-lineair	Niet-lineair	Vrij	Vrij	Vrij
(PY-curve-1_V6)16	Lijn	Paal_P_15 LCS	13,000 14,000	Abso Vanaf begin	Vrij	Niet-lineair	Niet-lineair	Vrij	Vrij	Vrij
(PY-curve-1_V7)10	Lijn	Paal_P_15 LCS	14,000 15,000	Abso Vanaf begin	Vrij	Niet-lineair	Niet-lineair	Vrij	Vrij	Vrij
(PY-curve-1_V8)8	Lijn	Paal_P_15 LCS	15,000 16,000	Abso Vanaf begin	Vrij	Niet-lineair	Niet-lineair	Vrij	Vrij	Vrij
(PY-curve-1_V9)3	Lijn	Paal_P_15 LCS	16,000 17,000	Abso Vanaf begin	Vrij	Niet-lineair	Niet-lineair	Vrij	Vrij	Vrij
(PY-curve-1_V10)14	Lijn	Paal_P_15 LCS	17,000 17,750	Abso Vanaf begin	Vrij	Niet-lineair	Niet-lineair	Vrij	Vrij	Vrij
Veen20	Lijn	Paal_P_16 LCS	1,000 8,000	Abso Vanaf begin	Vrij	Niet-lineair	Niet-lineair	Vrij	Vrij	Vrij
(PY-curve-1_V1)17	Lijn	Paal_P_16 LCS	8,000 9,000	Abso Vanaf begin	Vrij	Niet-lineair	Niet-lineair	Vrij	Vrij	Vrij
(PY-curve-1_V2)13	Lijn	Paal_P_16 LCS	9,000 10,000	Abso Vanaf begin	Vrij	Niet-lineair	Niet-lineair	Vrij	Vrij	Vrij
(PY-curve-1_V3)18	Lijn	Paal_P_16 LCS	10,000 11,000	Abso Vanaf begin	Vrij	Niet-lineair	Niet-lineair	Vrij	Vrij	Vrij
(PY-curve-1_V4)	Lijn	Paal_P_16 LCS	11,000 12,000	Abso Vanaf begin	Vrij	Niet-lineair	Niet-lineair	Vrij	Vrij	Vrij

Naam	Type	Staaf	Pos x_1 [m]	Coör	X	Y	Z	Rx	Ry	Rz
		Systeem	Pos x_2 [m]	Oors						
(PY-curve-1_V5)14	Lijn	Paal_P_16	12,000	Abso	Vrij	Niet-lineair	Niet-lineair	Vrij	Vrij	Vrij
		LCS	13,000	Vanaf begin						
(PY-curve-1_V6)3	Lijn	Paal_P_16	13,000	Abso	Vrij	Niet-lineair	Niet-lineair	Vrij	Vrij	Vrij
		LCS	14,000	Vanaf begin						
(PY-curve-1_V7)	Lijn	Paal_P_16	14,000	Abso	Vrij	Niet-lineair	Niet-lineair	Vrij	Vrij	Vrij
		LCS	15,000	Vanaf begin						
(PY-curve-1_V8)15	Lijn	Paal_P_16	15,000	Abso	Vrij	Niet-lineair	Niet-lineair	Vrij	Vrij	Vrij
		LCS	16,000	Vanaf begin						
(PY-curve-1_V9)5	Lijn	Paal_P_16	16,000	Abso	Vrij	Niet-lineair	Niet-lineair	Vrij	Vrij	Vrij
		LCS	17,000	Vanaf begin						
(PY-curve-1_V10)13	Lijn	Paal_P_16	17,000	Abso	Vrij	Niet-lineair	Niet-lineair	Vrij	Vrij	Vrij
		LCS	17,750	Vanaf begin						
Veen19	Lijn	Paal_P_17	1,000	Abso	Vrij	Niet-lineair	Niet-lineair	Vrij	Vrij	Vrij
		LCS	8,000	Vanaf begin						
(PY-curve-1_V1)6	Lijn	Paal_P_17	8,000	Abso	Vrij	Niet-lineair	Niet-lineair	Vrij	Vrij	Vrij
		LCS	9,000	Vanaf begin						
(PY-curve-1_V2)11	Lijn	Paal_P_17	9,000	Abso	Vrij	Niet-lineair	Niet-lineair	Vrij	Vrij	Vrij
		LCS	10,000	Vanaf begin						
(PY-curve-1_V3)7	Lijn	Paal_P_17	10,000	Abso	Vrij	Niet-lineair	Niet-lineair	Vrij	Vrij	Vrij
		LCS	11,000	Vanaf begin						
(PY-curve-1_V4)1	Lijn	Paal_P_17	11,000	Abso	Vrij	Niet-lineair	Niet-lineair	Vrij	Vrij	Vrij
		LCS	12,000	Vanaf begin						
(PY-curve-1_V5)15	Lijn	Paal_P_17	12,000	Abso	Vrij	Niet-lineair	Niet-lineair	Vrij	Vrij	Vrij
		LCS	13,000	Vanaf begin						
(PY-curve-1_V6)5	Lijn	Paal_P_17	13,000	Abso	Vrij	Niet-lineair	Niet-lineair	Vrij	Vrij	Vrij
		LCS	14,000	Vanaf begin						
(PY-curve-1_V7)5	Lijn	Paal_P_17	14,000	Abso	Vrij	Niet-lineair	Niet-lineair	Vrij	Vrij	Vrij
		LCS	15,000	Vanaf begin						
(PY-curve-1_V8)5	Lijn	Paal_P_17	15,000	Abso	Vrij	Niet-lineair	Niet-lineair	Vrij	Vrij	Vrij
		LCS	16,000	Vanaf begin						
(PY-curve-1_V9)8	Lijn	Paal_P_17	16,000	Abso	Vrij	Niet-lineair	Niet-lineair	Vrij	Vrij	Vrij
		LCS	17,000	Vanaf begin						
(PY-curve-1_V10)10	Lijn	Paal_P_17	17,000	Abso	Vrij	Niet-lineair	Niet-lineair	Vrij	Vrij	Vrij
		LCS	17,750	Vanaf begin						
Veen11	Lijn	Paal_P_18	1,000	Abso	Vrij	Niet-lineair	Niet-lineair	Vrij	Vrij	Vrij
		LCS	8,000	Vanaf begin						
(PY-curve-1_V1)9	Lijn	Paal_P_18	8,000	Abso	Vrij	Niet-lineair	Niet-lineair	Vrij	Vrij	Vrij
		LCS	9,000	Vanaf begin						
(PY-curve-1_V2)8	Lijn	Paal_P_18	9,000	Abso	Vrij	Niet-lineair	Niet-lineair	Vrij	Vrij	Vrij
		LCS	10,000	Vanaf begin						
(PY-curve-1_V3)14	Lijn	Paal_P_18	10,000	Abso	Vrij	Niet-lineair	Niet-lineair	Vrij	Vrij	Vrij
		LCS	11,000	Vanaf begin						
(PY-curve-1_V4)10	Lijn	Paal_P_18	11,000	Abso	Vrij	Niet-lineair	Niet-lineair	Vrij	Vrij	Vrij
		LCS	12,000	Vanaf begin						
(PY-curve-1_V5)16	Lijn	Paal_P_18	12,000	Abso	Vrij	Niet-lineair	Niet-lineair	Vrij	Vrij	Vrij
		LCS	13,000	Vanaf begin						
(PY-curve-1_V6)12	Lijn	Paal_P_18	13,000	Abso	Vrij	Niet-lineair	Niet-lineair	Vrij	Vrij	Vrij
		LCS	14,000	Vanaf begin						
(PY-curve-1_V7)4	Lijn	Paal_P_18	14,000	Abso	Vrij	Niet-lineair	Niet-lineair	Vrij	Vrij	Vrij
		LCS	15,000	Vanaf begin						
(PY-curve-1_V8)13	Lijn	Paal_P_18	15,000	Abso	Vrij	Niet-lineair	Niet-lineair	Vrij	Vrij	Vrij
		LCS	16,000	Vanaf begin						
(PY-curve-1_V9)11	Lijn	Paal_P_18	16,000	Abso	Vrij	Niet-lineair	Niet-lineair	Vrij	Vrij	Vrij
		LCS	17,000	Vanaf begin						
(PY-curve-1_V10)4	Lijn	Paal_P_18	17,000	Abso	Vrij	Niet-lineair	Niet-lineair	Vrij	Vrij	Vrij
		LCS	17,750	Vanaf begin						
Veen17	Lijn	Paal_P_19	1,000	Abso	Vrij	Niet-lineair	Niet-lineair	Vrij	Vrij	Vrij
		LCS	8,000	Vanaf begin						
(PY-curve-1_V1)11	Lijn	Paal_P_19	8,000	Abso	Vrij	Niet-lineair	Niet-lineair	Vrij	Vrij	Vrij
		LCS	9,000	Vanaf begin						
(PY-curve-1_V2)6	Lijn	Paal_P_19	9,000	Abso	Vrij	Niet-lineair	Niet-lineair	Vrij	Vrij	Vrij
		LCS	10,000	Vanaf begin						
(PY-curve-1_V3)6	Lijn	Paal_P_19	10,000	Abso	Vrij	Niet-lineair	Niet-lineair	Vrij	Vrij	Vrij
		LCS	11,000	Vanaf begin						

Naam	Type	Staaf Systeem	Pos x_1 [m] Pos x_2 [m]	Coör Oors	X	Y	Z	Rx	Ry	Rz
(PY-curve-1_V4)4	Lijn	Paal_P_19 LCS	11,000 12,000	Abso Vanaf begin	Vrij	Niet-lineair	Niet-lineair	Vrij	Vrij	Vrij
(PY-curve-1_V5)10	Lijn	Paal_P_19 LCS	12,000 13,000	Abso Vanaf begin	Vrij	Niet-lineair	Niet-lineair	Vrij	Vrij	Vrij
(PY-curve-1_V6)2	Lijn	Paal_P_19 LCS	13,000 14,000	Abso Vanaf begin	Vrij	Niet-lineair	Niet-lineair	Vrij	Vrij	Vrij
(PY-curve-1_V7)13	Lijn	Paal_P_19 LCS	14,000 15,000	Abso Vanaf begin	Vrij	Niet-lineair	Niet-lineair	Vrij	Vrij	Vrij
(PY-curve-1_V8)2	Lijn	Paal_P_19 LCS	15,000 16,000	Abso Vanaf begin	Vrij	Niet-lineair	Niet-lineair	Vrij	Vrij	Vrij
(PY-curve-1_V9)18	Lijn	Paal_P_19 LCS	16,000 17,000	Abso Vanaf begin	Vrij	Niet-lineair	Niet-lineair	Vrij	Vrij	Vrij
(PY-curve-1_V10)16	Lijn	Paal_P_19 LCS	17,000 17,750	Abso Vanaf begin	Vrij	Niet-lineair	Niet-lineair	Vrij	Vrij	Vrij
Veen15	Lijn	Paal_P_20 LCS	1,000 8,000	Abso Vanaf begin	Vrij	Niet-lineair	Niet-lineair	Vrij	Vrij	Vrij
(PY-curve-1_V1)5	Lijn	Paal_P_20 LCS	8,000 9,000	Abso Vanaf begin	Vrij	Niet-lineair	Niet-lineair	Vrij	Vrij	Vrij
(PY-curve-1_V2)10	Lijn	Paal_P_20 LCS	9,000 10,000	Abso Vanaf begin	Vrij	Niet-lineair	Niet-lineair	Vrij	Vrij	Vrij
(PY-curve-1_V3)17	Lijn	Paal_P_20 LCS	10,000 11,000	Abso Vanaf begin	Vrij	Niet-lineair	Niet-lineair	Vrij	Vrij	Vrij
(PY-curve-1_V4)9	Lijn	Paal_P_20 LCS	11,000 12,000	Abso Vanaf begin	Vrij	Niet-lineair	Niet-lineair	Vrij	Vrij	Vrij
(PY-curve-1_V5)17	Lijn	Paal_P_20 LCS	12,000 13,000	Abso Vanaf begin	Vrij	Niet-lineair	Niet-lineair	Vrij	Vrij	Vrij
(PY-curve-1_V6)15	Lijn	Paal_P_20 LCS	13,000 14,000	Abso Vanaf begin	Vrij	Niet-lineair	Niet-lineair	Vrij	Vrij	Vrij
(PY-curve-1_V7)18	Lijn	Paal_P_20 LCS	14,000 15,000	Abso Vanaf begin	Vrij	Niet-lineair	Niet-lineair	Vrij	Vrij	Vrij
(PY-curve-1_V8)11	Lijn	Paal_P_20 LCS	15,000 16,000	Abso Vanaf begin	Vrij	Niet-lineair	Niet-lineair	Vrij	Vrij	Vrij
(PY-curve-1_V9)9	Lijn	Paal_P_20 LCS	16,000 17,000	Abso Vanaf begin	Vrij	Niet-lineair	Niet-lineair	Vrij	Vrij	Vrij
(PY-curve-1_V10)8	Lijn	Paal_P_20 LCS	17,000 17,750	Abso Vanaf begin	Vrij	Niet-lineair	Niet-lineair	Vrij	Vrij	Vrij
Veen12	Lijn	Paal_P_21 LCS	1,000 8,000	Abso Vanaf begin	Vrij	Niet-lineair	Niet-lineair	Vrij	Vrij	Vrij
(PY-curve-1_V1)	Lijn	Paal_P_21 LCS	8,000 9,000	Abso Vanaf begin	Vrij	Niet-lineair	Niet-lineair	Vrij	Vrij	Vrij
(PY-curve-1_V2)5	Lijn	Paal_P_21 LCS	9,000 10,000	Abso Vanaf begin	Vrij	Niet-lineair	Niet-lineair	Vrij	Vrij	Vrij
(PY-curve-1_V3)3	Lijn	Paal_P_21 LCS	10,000 11,000	Abso Vanaf begin	Vrij	Niet-lineair	Niet-lineair	Vrij	Vrij	Vrij
(PY-curve-1_V4)19	Lijn	Paal_P_21 LCS	11,000 12,000	Abso Vanaf begin	Vrij	Niet-lineair	Niet-lineair	Vrij	Vrij	Vrij
(PY-curve-1_V5)19	Lijn	Paal_P_21 LCS	12,000 13,000	Abso Vanaf begin	Vrij	Niet-lineair	Niet-lineair	Vrij	Vrij	Vrij
(PY-curve-1_V6)4	Lijn	Paal_P_21 LCS	13,000 14,000	Abso Vanaf begin	Vrij	Niet-lineair	Niet-lineair	Vrij	Vrij	Vrij
(PY-curve-1_V7)19	Lijn	Paal_P_21 LCS	14,000 15,000	Abso Vanaf begin	Vrij	Niet-lineair	Niet-lineair	Vrij	Vrij	Vrij
(PY-curve-1_V8)19	Lijn	Paal_P_21 LCS	15,000 16,000	Abso Vanaf begin	Vrij	Niet-lineair	Niet-lineair	Vrij	Vrij	Vrij
(PY-curve-1_V9)19	Lijn	Paal_P_21 LCS	16,000 17,000	Abso Vanaf begin	Vrij	Niet-lineair	Niet-lineair	Vrij	Vrij	Vrij
(PY-curve-1_V10)19	Lijn	Paal_P_21 LCS	17,000 17,750	Abso Vanaf begin	Vrij	Niet-lineair	Niet-lineair	Vrij	Vrij	Vrij
Veen22	Lijn	Paal_P_22 LCS	1,000 8,000	Abso Vanaf begin	Vrij	Niet-lineair	Niet-lineair	Vrij	Vrij	Vrij
(PY-curve-1_V1)20	Lijn	Paal_P_22 LCS	8,000 9,000	Abso Vanaf begin	Vrij	Niet-lineair	Niet-lineair	Vrij	Vrij	Vrij
(PY-curve-1_V2)20	Lijn	Paal_P_22 LCS	9,000 10,000	Abso Vanaf begin	Vrij	Niet-lineair	Niet-lineair	Vrij	Vrij	Vrij

Naam	Type	Staaf	Pos x_1 [m]	Coör	X	Y	Z	Rx	Ry	Rz
		Systeem	Pos x_2 [m]	Oors						
(PY-curve-1_V3)20	Lijn	Paal_P_22	10,000	Abso	Vrij	Niet-lineair	Niet-lineair	Vrij	Vrij	Vrij
		LCS	11,000	Vanaf begin						
(PY-curve-1_V4)20	Lijn	Paal_P_22	11,000	Abso	Vrij	Niet-lineair	Niet-lineair	Vrij	Vrij	Vrij
		LCS	12,000	Vanaf begin						
(PY-curve-1_V5)20	Lijn	Paal_P_22	12,000	Abso	Vrij	Niet-lineair	Niet-lineair	Vrij	Vrij	Vrij
		LCS	13,000	Vanaf begin						
(PY-curve-1_V6)20	Lijn	Paal_P_22	13,000	Abso	Vrij	Niet-lineair	Niet-lineair	Vrij	Vrij	Vrij
		LCS	14,000	Vanaf begin						
(PY-curve-1_V7)20	Lijn	Paal_P_22	14,000	Abso	Vrij	Niet-lineair	Niet-lineair	Vrij	Vrij	Vrij
		LCS	15,000	Vanaf begin						
(PY-curve-1_V8)20	Lijn	Paal_P_22	15,000	Abso	Vrij	Niet-lineair	Niet-lineair	Vrij	Vrij	Vrij
		LCS	16,000	Vanaf begin						
(PY-curve-1_V9)20	Lijn	Paal_P_22	16,000	Abso	Vrij	Niet-lineair	Niet-lineair	Vrij	Vrij	Vrij
		LCS	17,000	Vanaf begin						
(PY-curve-1_V10)20	Lijn	Paal_P_22	17,000	Abso	Vrij	Niet-lineair	Niet-lineair	Vrij	Vrij	Vrij
		LCS	18,000	Vanaf begin						
Veen23	Lijn	Paal_P_23	1,000	Abso	Vrij	Niet-lineair	Niet-lineair	Vrij	Vrij	Vrij
		LCS	8,000	Vanaf begin						
(PY-curve-1_V1)21	Lijn	Paal_P_23	8,000	Abso	Vrij	Niet-lineair	Niet-lineair	Vrij	Vrij	Vrij
		LCS	9,000	Vanaf begin						
(PY-curve-1_V2)21	Lijn	Paal_P_23	9,000	Abso	Vrij	Niet-lineair	Niet-lineair	Vrij	Vrij	Vrij
		LCS	10,000	Vanaf begin						
(PY-curve-1_V3)21	Lijn	Paal_P_23	10,000	Abso	Vrij	Niet-lineair	Niet-lineair	Vrij	Vrij	Vrij
		LCS	11,000	Vanaf begin						
(PY-curve-1_V4)21	Lijn	Paal_P_23	11,000	Abso	Vrij	Niet-lineair	Niet-lineair	Vrij	Vrij	Vrij
		LCS	12,000	Vanaf begin						
(PY-curve-1_V5)21	Lijn	Paal_P_23	12,000	Abso	Vrij	Niet-lineair	Niet-lineair	Vrij	Vrij	Vrij
		LCS	13,000	Vanaf begin						
(PY-curve-1_V6)21	Lijn	Paal_P_23	13,000	Abso	Vrij	Niet-lineair	Niet-lineair	Vrij	Vrij	Vrij
		LCS	14,000	Vanaf begin						
(PY-curve-1_V7)21	Lijn	Paal_P_23	14,000	Abso	Vrij	Niet-lineair	Niet-lineair	Vrij	Vrij	Vrij
		LCS	15,000	Vanaf begin						
(PY-curve-1_V8)21	Lijn	Paal_P_23	15,000	Abso	Vrij	Niet-lineair	Niet-lineair	Vrij	Vrij	Vrij
		LCS	16,000	Vanaf begin						
(PY-curve-1_V9)21	Lijn	Paal_P_23	16,000	Abso	Vrij	Niet-lineair	Niet-lineair	Vrij	Vrij	Vrij
		LCS	17,000	Vanaf begin						
(PY-curve-1_V10)21	Lijn	Paal_P_23	17,000	Abso	Vrij	Niet-lineair	Niet-lineair	Vrij	Vrij	Vrij
		LCS	18,000	Vanaf begin						
Veen24	Lijn	Paal_P_24	1,000	Abso	Vrij	Niet-lineair	Niet-lineair	Vrij	Vrij	Vrij
		LCS	8,000	Vanaf begin						
(PY-curve-1_V1)22	Lijn	Paal_P_24	8,000	Abso	Vrij	Niet-lineair	Niet-lineair	Vrij	Vrij	Vrij
		LCS	9,000	Vanaf begin						
(PY-curve-1_V2)22	Lijn	Paal_P_24	9,000	Abso	Vrij	Niet-lineair	Niet-lineair	Vrij	Vrij	Vrij
		LCS	10,000	Vanaf begin						
(PY-curve-1_V3)22	Lijn	Paal_P_24	10,000	Abso	Vrij	Niet-lineair	Niet-lineair	Vrij	Vrij	Vrij
		LCS	11,000	Vanaf begin						
(PY-curve-1_V4)22	Lijn	Paal_P_24	11,000	Abso	Vrij	Niet-lineair	Niet-lineair	Vrij	Vrij	Vrij
		LCS	12,000	Vanaf begin						
(PY-curve-1_V5)22	Lijn	Paal_P_24	12,000	Abso	Vrij	Niet-lineair	Niet-lineair	Vrij	Vrij	Vrij
		LCS	13,000	Vanaf begin						
(PY-curve-1_V6)22	Lijn	Paal_P_24	13,000	Abso	Vrij	Niet-lineair	Niet-lineair	Vrij	Vrij	Vrij
		LCS	14,000	Vanaf begin						
(PY-curve-1_V7)22	Lijn	Paal_P_24	14,000	Abso	Vrij	Niet-lineair	Niet-lineair	Vrij	Vrij	Vrij
		LCS	15,000	Vanaf begin						
(PY-curve-1_V8)22	Lijn	Paal_P_24	15,000	Abso	Vrij	Niet-lineair	Niet-lineair	Vrij	Vrij	Vrij
		LCS	16,000	Vanaf begin						
(PY-curve-1_V9)22	Lijn	Paal_P_24	16,000	Abso	Vrij	Niet-lineair	Niet-lineair	Vrij	Vrij	Vrij
		LCS	17,000	Vanaf begin						
(PY-curve-1_V10)22	Lijn	Paal_P_24	17,000	Abso	Vrij	Niet-lineair	Niet-lineair	Vrij	Vrij	Vrij
		LCS	18,000	Vanaf begin						
Veen25	Lijn	Paal_P_25	1,000	Abso	Vrij	Niet-lineair	Niet-lineair	Vrij	Vrij	Vrij
		LCS	8,000	Vanaf begin						
(PY-curve-1_V1)23	Lijn	Paal_P_25	8,000	Abso	Vrij	Niet-lineair	Niet-lineair	Vrij	Vrij	Vrij
		LCS	9,000	Vanaf begin						

Naam	Type	Staaf	Pos x_1 [m]	Coör	X	Y	Z	Rx	Ry	Rz
		Systeem	Pos x_2 [m]	Oors						
(PY-curve-1_V2)23	Lijn	Paal_P_25	9,000	Abso	Vrij	Niet-lineair	Niet-lineair	Vrij	Vrij	Vrij
		LCS	10,000	Vanaf begin						
(PY-curve-1_V3)23	Lijn	Paal_P_25	10,000	Abso	Vrij	Niet-lineair	Niet-lineair	Vrij	Vrij	Vrij
		LCS	11,000	Vanaf begin						
(PY-curve-1_V4)23	Lijn	Paal_P_25	11,000	Abso	Vrij	Niet-lineair	Niet-lineair	Vrij	Vrij	Vrij
		LCS	12,000	Vanaf begin						
(PY-curve-1_V5)23	Lijn	Paal_P_25	12,000	Abso	Vrij	Niet-lineair	Niet-lineair	Vrij	Vrij	Vrij
		LCS	13,000	Vanaf begin						
(PY-curve-1_V6)23	Lijn	Paal_P_25	13,000	Abso	Vrij	Niet-lineair	Niet-lineair	Vrij	Vrij	Vrij
		LCS	14,000	Vanaf begin						
(PY-curve-1_V7)23	Lijn	Paal_P_25	14,000	Abso	Vrij	Niet-lineair	Niet-lineair	Vrij	Vrij	Vrij
		LCS	15,000	Vanaf begin						
(PY-curve-1_V8)23	Lijn	Paal_P_25	15,000	Abso	Vrij	Niet-lineair	Niet-lineair	Vrij	Vrij	Vrij
		LCS	16,000	Vanaf begin						
(PY-curve-1_V9)23	Lijn	Paal_P_25	16,000	Abso	Vrij	Niet-lineair	Niet-lineair	Vrij	Vrij	Vrij
		LCS	17,000	Vanaf begin						
(PY-curve-1_V10)23	Lijn	Paal_P_25	17,000	Abso	Vrij	Niet-lineair	Niet-lineair	Vrij	Vrij	Vrij
		LCS	18,000	Vanaf begin						
Veen26	Lijn	Paal_P_26	1,000	Abso	Vrij	Niet-lineair	Niet-lineair	Vrij	Vrij	Vrij
		LCS	8,000	Vanaf begin						
(PY-curve-1_V1)24	Lijn	Paal_P_26	8,000	Abso	Vrij	Niet-lineair	Niet-lineair	Vrij	Vrij	Vrij
		LCS	9,000	Vanaf begin						
(PY-curve-1_V2)24	Lijn	Paal_P_26	9,000	Abso	Vrij	Niet-lineair	Niet-lineair	Vrij	Vrij	Vrij
		LCS	10,000	Vanaf begin						
(PY-curve-1_V3)24	Lijn	Paal_P_26	10,000	Abso	Vrij	Niet-lineair	Niet-lineair	Vrij	Vrij	Vrij
		LCS	11,000	Vanaf begin						
(PY-curve-1_V4)24	Lijn	Paal_P_26	11,000	Abso	Vrij	Niet-lineair	Niet-lineair	Vrij	Vrij	Vrij
		LCS	12,000	Vanaf begin						
(PY-curve-1_V5)24	Lijn	Paal_P_26	12,000	Abso	Vrij	Niet-lineair	Niet-lineair	Vrij	Vrij	Vrij
		LCS	13,000	Vanaf begin						
(PY-curve-1_V6)24	Lijn	Paal_P_26	13,000	Abso	Vrij	Niet-lineair	Niet-lineair	Vrij	Vrij	Vrij
		LCS	14,000	Vanaf begin						
(PY-curve-1_V7)24	Lijn	Paal_P_26	14,000	Abso	Vrij	Niet-lineair	Niet-lineair	Vrij	Vrij	Vrij
		LCS	15,000	Vanaf begin						
(PY-curve-1_V8)24	Lijn	Paal_P_26	15,000	Abso	Vrij	Niet-lineair	Niet-lineair	Vrij	Vrij	Vrij
		LCS	16,000	Vanaf begin						
(PY-curve-1_V9)24	Lijn	Paal_P_26	16,000	Abso	Vrij	Niet-lineair	Niet-lineair	Vrij	Vrij	Vrij
		LCS	17,000	Vanaf begin						
(PY-curve-1_V10)24	Lijn	Paal_P_26	17,000	Abso	Vrij	Niet-lineair	Niet-lineair	Vrij	Vrij	Vrij
		LCS	18,000	Vanaf begin						
Veen27	Lijn	Paal_P_27	1,000	Abso	Vrij	Niet-lineair	Niet-lineair	Vrij	Vrij	Vrij
		LCS	8,000	Vanaf begin						
(PY-curve-1_V1)25	Lijn	Paal_P_27	8,000	Abso	Vrij	Niet-lineair	Niet-lineair	Vrij	Vrij	Vrij
		LCS	9,000	Vanaf begin						
(PY-curve-1_V2)25	Lijn	Paal_P_27	9,000	Abso	Vrij	Niet-lineair	Niet-lineair	Vrij	Vrij	Vrij
		LCS	10,000	Vanaf begin						
(PY-curve-1_V3)25	Lijn	Paal_P_27	10,000	Abso	Vrij	Niet-lineair	Niet-lineair	Vrij	Vrij	Vrij
		LCS	11,000	Vanaf begin						
(PY-curve-1_V4)25	Lijn	Paal_P_27	11,000	Abso	Vrij	Niet-lineair	Niet-lineair	Vrij	Vrij	Vrij
		LCS	12,000	Vanaf begin						
(PY-curve-1_V5)25	Lijn	Paal_P_27	12,000	Abso	Vrij	Niet-lineair	Niet-lineair	Vrij	Vrij	Vrij
		LCS	13,000	Vanaf begin						
(PY-curve-1_V6)25	Lijn	Paal_P_27	13,000	Abso	Vrij	Niet-lineair	Niet-lineair	Vrij	Vrij	Vrij
		LCS	14,000	Vanaf begin						
(PY-curve-1_V7)25	Lijn	Paal_P_27	14,000	Abso	Vrij	Niet-lineair	Niet-lineair	Vrij	Vrij	Vrij
		LCS	15,000	Vanaf begin						
(PY-curve-1_V8)25	Lijn	Paal_P_27	15,000	Abso	Vrij	Niet-lineair	Niet-lineair	Vrij	Vrij	Vrij
		LCS	16,000	Vanaf begin						
(PY-curve-1_V9)25	Lijn	Paal_P_27	16,000	Abso	Vrij	Niet-lineair	Niet-lineair	Vrij	Vrij	Vrij
		LCS	17,000	Vanaf begin						
(PY-curve-1_V10)25	Lijn	Paal_P_27	17,000	Abso	Vrij	Niet-lineair	Niet-lineair	Vrij	Vrij	Vrij
		LCS	18,000	Vanaf begin						
Veen28	Lijn	Paal_P_28	1,000	Abso	Vrij	Niet-lineair	Niet-lineair	Vrij	Vrij	Vrij
		LCS	8,000	Vanaf begin						

Naam	Type	Staaf Systeem	Pos x_1 [m] Pos x_2 [m]	Coör Oors	X	Y	Z	Rx	Ry	Rz
(PY-curve-1_V1)26	Lijn	Paal_P_28 LCS	8,000 9,000	Abso Vanaf begin	Vrij	Niet-lineair	Niet-lineair	Vrij	Vrij	Vrij
(PY-curve-1_V2)26	Lijn	Paal_P_28 LCS	9,000 10,000	Abso Vanaf begin	Vrij	Niet-lineair	Niet-lineair	Vrij	Vrij	Vrij
(PY-curve-1_V3)26	Lijn	Paal_P_28 LCS	10,000 11,000	Abso Vanaf begin	Vrij	Niet-lineair	Niet-lineair	Vrij	Vrij	Vrij
(PY-curve-1_V4)26	Lijn	Paal_P_28 LCS	11,000 12,000	Abso Vanaf begin	Vrij	Niet-lineair	Niet-lineair	Vrij	Vrij	Vrij
(PY-curve-1_V5)26	Lijn	Paal_P_28 LCS	12,000 13,000	Abso Vanaf begin	Vrij	Niet-lineair	Niet-lineair	Vrij	Vrij	Vrij
(PY-curve-1_V6)26	Lijn	Paal_P_28 LCS	13,000 14,000	Abso Vanaf begin	Vrij	Niet-lineair	Niet-lineair	Vrij	Vrij	Vrij
(PY-curve-1_V7)26	Lijn	Paal_P_28 LCS	14,000 15,000	Abso Vanaf begin	Vrij	Niet-lineair	Niet-lineair	Vrij	Vrij	Vrij
(PY-curve-1_V8)26	Lijn	Paal_P_28 LCS	15,000 16,000	Abso Vanaf begin	Vrij	Niet-lineair	Niet-lineair	Vrij	Vrij	Vrij
(PY-curve-1_V9)26	Lijn	Paal_P_28 LCS	16,000 17,000	Abso Vanaf begin	Vrij	Niet-lineair	Niet-lineair	Vrij	Vrij	Vrij
(PY-curve-1_V10)26	Lijn	Paal_P_28 LCS	17,000 18,000	Abso Vanaf begin	Vrij	Niet-lineair	Niet-lineair	Vrij	Vrij	Vrij
Veen29	Lijn	Paal_P_29 LCS	1,000 8,000	Abso Vanaf begin	Vrij	Niet-lineair	Niet-lineair	Vrij	Vrij	Vrij
(PY-curve-1_V1)27	Lijn	Paal_P_29 LCS	8,000 9,000	Abso Vanaf begin	Vrij	Niet-lineair	Niet-lineair	Vrij	Vrij	Vrij
(PY-curve-1_V2)27	Lijn	Paal_P_29 LCS	9,000 10,000	Abso Vanaf begin	Vrij	Niet-lineair	Niet-lineair	Vrij	Vrij	Vrij
(PY-curve-1_V3)27	Lijn	Paal_P_29 LCS	10,000 11,000	Abso Vanaf begin	Vrij	Niet-lineair	Niet-lineair	Vrij	Vrij	Vrij
(PY-curve-1_V4)27	Lijn	Paal_P_29 LCS	11,000 12,000	Abso Vanaf begin	Vrij	Niet-lineair	Niet-lineair	Vrij	Vrij	Vrij
(PY-curve-1_V5)27	Lijn	Paal_P_29 LCS	12,000 13,000	Abso Vanaf begin	Vrij	Niet-lineair	Niet-lineair	Vrij	Vrij	Vrij
(PY-curve-1_V6)27	Lijn	Paal_P_29 LCS	13,000 14,000	Abso Vanaf begin	Vrij	Niet-lineair	Niet-lineair	Vrij	Vrij	Vrij
(PY-curve-1_V7)27	Lijn	Paal_P_29 LCS	14,000 15,000	Abso Vanaf begin	Vrij	Niet-lineair	Niet-lineair	Vrij	Vrij	Vrij
(PY-curve-1_V8)27	Lijn	Paal_P_29 LCS	15,000 16,000	Abso Vanaf begin	Vrij	Niet-lineair	Niet-lineair	Vrij	Vrij	Vrij
(PY-curve-1_V9)27	Lijn	Paal_P_29 LCS	16,000 17,000	Abso Vanaf begin	Vrij	Niet-lineair	Niet-lineair	Vrij	Vrij	Vrij
(PY-curve-1_V10)27	Lijn	Paal_P_29 LCS	17,000 18,000	Abso Vanaf begin	Vrij	Niet-lineair	Niet-lineair	Vrij	Vrij	Vrij
Veen30	Lijn	Paal_P_30 LCS	1,000 8,000	Abso Vanaf begin	Vrij	Niet-lineair	Niet-lineair	Vrij	Vrij	Vrij
(PY-curve-1_V1)28	Lijn	Paal_P_30 LCS	8,000 9,000	Abso Vanaf begin	Vrij	Niet-lineair	Niet-lineair	Vrij	Vrij	Vrij
(PY-curve-1_V2)28	Lijn	Paal_P_30 LCS	9,000 10,000	Abso Vanaf begin	Vrij	Niet-lineair	Niet-lineair	Vrij	Vrij	Vrij
(PY-curve-1_V3)28	Lijn	Paal_P_30 LCS	10,000 11,000	Abso Vanaf begin	Vrij	Niet-lineair	Niet-lineair	Vrij	Vrij	Vrij
(PY-curve-1_V4)28	Lijn	Paal_P_30 LCS	11,000 12,000	Abso Vanaf begin	Vrij	Niet-lineair	Niet-lineair	Vrij	Vrij	Vrij
(PY-curve-1_V5)28	Lijn	Paal_P_30 LCS	12,000 13,000	Abso Vanaf begin	Vrij	Niet-lineair	Niet-lineair	Vrij	Vrij	Vrij
(PY-curve-1_V6)28	Lijn	Paal_P_30 LCS	13,000 14,000	Abso Vanaf begin	Vrij	Niet-lineair	Niet-lineair	Vrij	Vrij	Vrij
(PY-curve-1_V7)28	Lijn	Paal_P_30 LCS	14,000 15,000	Abso Vanaf begin	Vrij	Niet-lineair	Niet-lineair	Vrij	Vrij	Vrij
(PY-curve-1_V8)28	Lijn	Paal_P_30 LCS	15,000 16,000	Abso Vanaf begin	Vrij	Niet-lineair	Niet-lineair	Vrij	Vrij	Vrij
(PY-curve-1_V9)28	Lijn	Paal_P_30 LCS	16,000 17,000	Abso Vanaf begin	Vrij	Niet-lineair	Niet-lineair	Vrij	Vrij	Vrij
(PY-curve-1_V10)28	Lijn	Paal_P_30 LCS	17,000 17,750	Abso Vanaf begin	Vrij	Niet-lineair	Niet-lineair	Vrij	Vrij	Vrij

Naam	Type	Staaf Systeem	Pos x_1 [m] Pos x_2 [m]	Coör Oors	X	Y	Z	Rx	Ry	Rz
Veen31	Lijn	Paal_P_31 LCS	1,000 8,000	Abso Vanaf begin	Vrij	Niet-lineair	Niet-lineair	Vrij	Vrij	Vrij
(PY-curve-1_V1)29	Lijn	Paal_P_31 LCS	8,000 9,000	Abso Vanaf begin	Vrij	Niet-lineair	Niet-lineair	Vrij	Vrij	Vrij
(PY-curve-1_V2)29	Lijn	Paal_P_31 LCS	9,000 10,000	Abso Vanaf begin	Vrij	Niet-lineair	Niet-lineair	Vrij	Vrij	Vrij
(PY-curve-1_V3)29	Lijn	Paal_P_31 LCS	10,000 11,000	Abso Vanaf begin	Vrij	Niet-lineair	Niet-lineair	Vrij	Vrij	Vrij
(PY-curve-1_V4)29	Lijn	Paal_P_31 LCS	11,000 12,000	Abso Vanaf begin	Vrij	Niet-lineair	Niet-lineair	Vrij	Vrij	Vrij
(PY-curve-1_V5)29	Lijn	Paal_P_31 LCS	12,000 13,000	Abso Vanaf begin	Vrij	Niet-lineair	Niet-lineair	Vrij	Vrij	Vrij
(PY-curve-1_V6)29	Lijn	Paal_P_31 LCS	13,000 14,000	Abso Vanaf begin	Vrij	Niet-lineair	Niet-lineair	Vrij	Vrij	Vrij
(PY-curve-1_V7)29	Lijn	Paal_P_31 LCS	14,000 15,000	Abso Vanaf begin	Vrij	Niet-lineair	Niet-lineair	Vrij	Vrij	Vrij
(PY-curve-1_V8)29	Lijn	Paal_P_31 LCS	15,000 16,000	Abso Vanaf begin	Vrij	Niet-lineair	Niet-lineair	Vrij	Vrij	Vrij
(PY-curve-1_V9)29	Lijn	Paal_P_31 LCS	16,000 17,000	Abso Vanaf begin	Vrij	Niet-lineair	Niet-lineair	Vrij	Vrij	Vrij
(PY-curve-1_V10)29	Lijn	Paal_P_31 LCS	17,000 17,750	Abso Vanaf begin	Vrij	Niet-lineair	Niet-lineair	Vrij	Vrij	Vrij
Veen32	Lijn	Paal_P_32 LCS	1,000 8,000	Abso Vanaf begin	Vrij	Niet-lineair	Niet-lineair	Vrij	Vrij	Vrij
(PY-curve-1_V1)30	Lijn	Paal_P_32 LCS	8,000 9,000	Abso Vanaf begin	Vrij	Niet-lineair	Niet-lineair	Vrij	Vrij	Vrij
(PY-curve-1_V2)30	Lijn	Paal_P_32 LCS	9,000 10,000	Abso Vanaf begin	Vrij	Niet-lineair	Niet-lineair	Vrij	Vrij	Vrij
(PY-curve-1_V3)30	Lijn	Paal_P_32 LCS	10,000 11,000	Abso Vanaf begin	Vrij	Niet-lineair	Niet-lineair	Vrij	Vrij	Vrij
(PY-curve-1_V4)30	Lijn	Paal_P_32 LCS	11,000 12,000	Abso Vanaf begin	Vrij	Niet-lineair	Niet-lineair	Vrij	Vrij	Vrij
(PY-curve-1_V5)30	Lijn	Paal_P_32 LCS	12,000 13,000	Abso Vanaf begin	Vrij	Niet-lineair	Niet-lineair	Vrij	Vrij	Vrij
(PY-curve-1_V6)30	Lijn	Paal_P_32 LCS	13,000 14,000	Abso Vanaf begin	Vrij	Niet-lineair	Niet-lineair	Vrij	Vrij	Vrij
(PY-curve-1_V7)30	Lijn	Paal_P_32 LCS	14,000 15,000	Abso Vanaf begin	Vrij	Niet-lineair	Niet-lineair	Vrij	Vrij	Vrij
(PY-curve-1_V8)30	Lijn	Paal_P_32 LCS	15,000 16,000	Abso Vanaf begin	Vrij	Niet-lineair	Niet-lineair	Vrij	Vrij	Vrij
(PY-curve-1_V9)30	Lijn	Paal_P_32 LCS	16,000 17,000	Abso Vanaf begin	Vrij	Niet-lineair	Niet-lineair	Vrij	Vrij	Vrij
(PY-curve-1_V10)30	Lijn	Paal_P_32 LCS	17,000 17,750	Abso Vanaf begin	Vrij	Niet-lineair	Niet-lineair	Vrij	Vrij	Vrij
Veen33	Lijn	Paal_P_33 LCS	1,000 8,000	Abso Vanaf begin	Vrij	Niet-lineair	Niet-lineair	Vrij	Vrij	Vrij
(PY-curve-1_V1)31	Lijn	Paal_P_33 LCS	8,000 9,000	Abso Vanaf begin	Vrij	Niet-lineair	Niet-lineair	Vrij	Vrij	Vrij
(PY-curve-1_V2)31	Lijn	Paal_P_33 LCS	9,000 10,000	Abso Vanaf begin	Vrij	Niet-lineair	Niet-lineair	Vrij	Vrij	Vrij
(PY-curve-1_V3)31	Lijn	Paal_P_33 LCS	10,000 11,000	Abso Vanaf begin	Vrij	Niet-lineair	Niet-lineair	Vrij	Vrij	Vrij
(PY-curve-1_V4)31	Lijn	Paal_P_33 LCS	11,000 12,000	Abso Vanaf begin	Vrij	Niet-lineair	Niet-lineair	Vrij	Vrij	Vrij
(PY-curve-1_V5)31	Lijn	Paal_P_33 LCS	12,000 13,000	Abso Vanaf begin	Vrij	Niet-lineair	Niet-lineair	Vrij	Vrij	Vrij
(PY-curve-1_V6)31	Lijn	Paal_P_33 LCS	13,000 14,000	Abso Vanaf begin	Vrij	Niet-lineair	Niet-lineair	Vrij	Vrij	Vrij
(PY-curve-1_V7)31	Lijn	Paal_P_33 LCS	14,000 15,000	Abso Vanaf begin	Vrij	Niet-lineair	Niet-lineair	Vrij	Vrij	Vrij
(PY-curve-1_V8)31	Lijn	Paal_P_33 LCS	15,000 16,000	Abso Vanaf begin	Vrij	Niet-lineair	Niet-lineair	Vrij	Vrij	Vrij
(PY-curve-1_V9)31	Lijn	Paal_P_33 LCS	16,000 17,000	Abso Vanaf begin	Vrij	Niet-lineair	Niet-lineair	Vrij	Vrij	Vrij

Naam	Type	Staaf Systeem	Pos x_1 [m] Pos x_2 [m]	Coör Oors	X	Y	Z	Rx	Ry	Rz
(PY-curve-1_V10)31	Lijn	Paal_P_33 LCS	17,000 17,750	Abso Vanaf begin	Vrij	Niet-lineair	Niet-lineair	Vrij	Vrij	Vrij
Veen34	Lijn	Paal_P_34 LCS	1,000 8,000	Abso Vanaf begin	Vrij	Niet-lineair	Niet-lineair	Vrij	Vrij	Vrij
(PY-curve-1_V1)32	Lijn	Paal_P_34 LCS	8,000 9,000	Abso Vanaf begin	Vrij	Niet-lineair	Niet-lineair	Vrij	Vrij	Vrij
(PY-curve-1_V2)32	Lijn	Paal_P_34 LCS	9,000 10,000	Abso Vanaf begin	Vrij	Niet-lineair	Niet-lineair	Vrij	Vrij	Vrij
(PY-curve-1_V3)32	Lijn	Paal_P_34 LCS	10,000 11,000	Abso Vanaf begin	Vrij	Niet-lineair	Niet-lineair	Vrij	Vrij	Vrij
(PY-curve-1_V4)32	Lijn	Paal_P_34 LCS	11,000 12,000	Abso Vanaf begin	Vrij	Niet-lineair	Niet-lineair	Vrij	Vrij	Vrij
(PY-curve-1_V5)32	Lijn	Paal_P_34 LCS	12,000 13,000	Abso Vanaf begin	Vrij	Niet-lineair	Niet-lineair	Vrij	Vrij	Vrij
(PY-curve-1_V6)32	Lijn	Paal_P_34 LCS	13,000 14,000	Abso Vanaf begin	Vrij	Niet-lineair	Niet-lineair	Vrij	Vrij	Vrij
(PY-curve-1_V7)32	Lijn	Paal_P_34 LCS	14,000 15,000	Abso Vanaf begin	Vrij	Niet-lineair	Niet-lineair	Vrij	Vrij	Vrij
(PY-curve-1_V8)32	Lijn	Paal_P_34 LCS	15,000 16,000	Abso Vanaf begin	Vrij	Niet-lineair	Niet-lineair	Vrij	Vrij	Vrij
(PY-curve-1_V9)32	Lijn	Paal_P_34 LCS	16,000 17,000	Abso Vanaf begin	Vrij	Niet-lineair	Niet-lineair	Vrij	Vrij	Vrij
(PY-curve-1_V10)32	Lijn	Paal_P_34 LCS	17,000 17,750	Abso Vanaf begin	Vrij	Niet-lineair	Niet-lineair	Vrij	Vrij	Vrij
Veen35	Lijn	Paal_P_35 LCS	1,000 8,000	Abso Vanaf begin	Vrij	Niet-lineair	Niet-lineair	Vrij	Vrij	Vrij
(PY-curve-1_V1)33	Lijn	Paal_P_35 LCS	8,000 9,000	Abso Vanaf begin	Vrij	Niet-lineair	Niet-lineair	Vrij	Vrij	Vrij
(PY-curve-1_V2)33	Lijn	Paal_P_35 LCS	9,000 10,000	Abso Vanaf begin	Vrij	Niet-lineair	Niet-lineair	Vrij	Vrij	Vrij
(PY-curve-1_V3)33	Lijn	Paal_P_35 LCS	10,000 11,000	Abso Vanaf begin	Vrij	Niet-lineair	Niet-lineair	Vrij	Vrij	Vrij
(PY-curve-1_V4)33	Lijn	Paal_P_35 LCS	11,000 12,000	Abso Vanaf begin	Vrij	Niet-lineair	Niet-lineair	Vrij	Vrij	Vrij
(PY-curve-1_V5)33	Lijn	Paal_P_35 LCS	12,000 13,000	Abso Vanaf begin	Vrij	Niet-lineair	Niet-lineair	Vrij	Vrij	Vrij
(PY-curve-1_V6)33	Lijn	Paal_P_35 LCS	13,000 14,000	Abso Vanaf begin	Vrij	Niet-lineair	Niet-lineair	Vrij	Vrij	Vrij
(PY-curve-1_V7)33	Lijn	Paal_P_35 LCS	14,000 15,000	Abso Vanaf begin	Vrij	Niet-lineair	Niet-lineair	Vrij	Vrij	Vrij
(PY-curve-1_V8)33	Lijn	Paal_P_35 LCS	15,000 16,000	Abso Vanaf begin	Vrij	Niet-lineair	Niet-lineair	Vrij	Vrij	Vrij
(PY-curve-1_V9)33	Lijn	Paal_P_35 LCS	16,000 17,000	Abso Vanaf begin	Vrij	Niet-lineair	Niet-lineair	Vrij	Vrij	Vrij
(PY-curve-1_V10)33	Lijn	Paal_P_35 LCS	17,000 17,750	Abso Vanaf begin	Vrij	Niet-lineair	Niet-lineair	Vrij	Vrij	Vrij
Veen36	Lijn	Paal_P_36 LCS	1,000 8,000	Abso Vanaf begin	Vrij	Niet-lineair	Niet-lineair	Vrij	Vrij	Vrij
(PY-curve-1_V1)34	Lijn	Paal_P_36 LCS	8,000 9,000	Abso Vanaf begin	Vrij	Niet-lineair	Niet-lineair	Vrij	Vrij	Vrij
(PY-curve-1_V2)34	Lijn	Paal_P_36 LCS	9,000 10,000	Abso Vanaf begin	Vrij	Niet-lineair	Niet-lineair	Vrij	Vrij	Vrij
(PY-curve-1_V3)34	Lijn	Paal_P_36 LCS	10,000 11,000	Abso Vanaf begin	Vrij	Niet-lineair	Niet-lineair	Vrij	Vrij	Vrij
(PY-curve-1_V4)34	Lijn	Paal_P_36 LCS	11,000 12,000	Abso Vanaf begin	Vrij	Niet-lineair	Niet-lineair	Vrij	Vrij	Vrij
(PY-curve-1_V5)34	Lijn	Paal_P_36 LCS	12,000 13,000	Abso Vanaf begin	Vrij	Niet-lineair	Niet-lineair	Vrij	Vrij	Vrij
(PY-curve-1_V6)34	Lijn	Paal_P_36 LCS	13,000 14,000	Abso Vanaf begin	Vrij	Niet-lineair	Niet-lineair	Vrij	Vrij	Vrij
(PY-curve-1_V7)34	Lijn	Paal_P_36 LCS	14,000 15,000	Abso Vanaf begin	Vrij	Niet-lineair	Niet-lineair	Vrij	Vrij	Vrij
(PY-curve-1_V8)34	Lijn	Paal_P_36 LCS	15,000 16,000	Abso Vanaf begin	Vrij	Niet-lineair	Niet-lineair	Vrij	Vrij	Vrij

Naam	Type	Staaf Systeem	Pos x_1 [m] Pos x_2 [m]	Coör Oors	X	Y	Z	Rx	Ry	Rz
(PY-curve-1_V9)34	Lijn	Paal_P_36 LCS	16,000 17,000	Abso Vanaf begin	Vrij	Niet-lineair	Niet-lineair	Vrij	Vrij	Vrij
(PY-curve-1_V10)34	Lijn	Paal_P_36 LCS	17,000 17,750	Abso Vanaf begin	Vrij	Niet-lineair	Niet-lineair	Vrij	Vrij	Vrij
Veen37	Lijn	Paal_P_37 LCS	1,000 8,000	Abso Vanaf begin	Vrij	Niet-lineair	Niet-lineair	Vrij	Vrij	Vrij
(PY-curve-1_V1)35	Lijn	Paal_P_37 LCS	8,000 9,000	Abso Vanaf begin	Vrij	Niet-lineair	Niet-lineair	Vrij	Vrij	Vrij
(PY-curve-1_V2)35	Lijn	Paal_P_37 LCS	9,000 10,000	Abso Vanaf begin	Vrij	Niet-lineair	Niet-lineair	Vrij	Vrij	Vrij
(PY-curve-1_V3)35	Lijn	Paal_P_37 LCS	10,000 11,000	Abso Vanaf begin	Vrij	Niet-lineair	Niet-lineair	Vrij	Vrij	Vrij
(PY-curve-1_V4)35	Lijn	Paal_P_37 LCS	11,000 12,000	Abso Vanaf begin	Vrij	Niet-lineair	Niet-lineair	Vrij	Vrij	Vrij
(PY-curve-1_V5)35	Lijn	Paal_P_37 LCS	12,000 13,000	Abso Vanaf begin	Vrij	Niet-lineair	Niet-lineair	Vrij	Vrij	Vrij
(PY-curve-1_V6)35	Lijn	Paal_P_37 LCS	13,000 14,000	Abso Vanaf begin	Vrij	Niet-lineair	Niet-lineair	Vrij	Vrij	Vrij
(PY-curve-1_V7)35	Lijn	Paal_P_37 LCS	14,000 15,000	Abso Vanaf begin	Vrij	Niet-lineair	Niet-lineair	Vrij	Vrij	Vrij
(PY-curve-1_V8)35	Lijn	Paal_P_37 LCS	15,000 16,000	Abso Vanaf begin	Vrij	Niet-lineair	Niet-lineair	Vrij	Vrij	Vrij
(PY-curve-1_V9)35	Lijn	Paal_P_37 LCS	16,000 17,000	Abso Vanaf begin	Vrij	Niet-lineair	Niet-lineair	Vrij	Vrij	Vrij
(PY-curve-1_V10)35	Lijn	Paal_P_37 LCS	17,000 17,750	Abso Vanaf begin	Vrij	Niet-lineair	Niet-lineair	Vrij	Vrij	Vrij
Veen38	Lijn	Paal_P_38 LCS	1,000 8,000	Abso Vanaf begin	Vrij	Niet-lineair	Niet-lineair	Vrij	Vrij	Vrij
(PY-curve-1_V1)36	Lijn	Paal_P_38 LCS	8,000 9,000	Abso Vanaf begin	Vrij	Niet-lineair	Niet-lineair	Vrij	Vrij	Vrij
(PY-curve-1_V2)36	Lijn	Paal_P_38 LCS	9,000 10,000	Abso Vanaf begin	Vrij	Niet-lineair	Niet-lineair	Vrij	Vrij	Vrij
(PY-curve-1_V3)36	Lijn	Paal_P_38 LCS	10,000 11,000	Abso Vanaf begin	Vrij	Niet-lineair	Niet-lineair	Vrij	Vrij	Vrij
(PY-curve-1_V4)36	Lijn	Paal_P_38 LCS	11,000 12,000	Abso Vanaf begin	Vrij	Niet-lineair	Niet-lineair	Vrij	Vrij	Vrij
(PY-curve-1_V5)36	Lijn	Paal_P_38 LCS	12,000 13,000	Abso Vanaf begin	Vrij	Niet-lineair	Niet-lineair	Vrij	Vrij	Vrij
(PY-curve-1_V6)36	Lijn	Paal_P_38 LCS	13,000 14,000	Abso Vanaf begin	Vrij	Niet-lineair	Niet-lineair	Vrij	Vrij	Vrij
(PY-curve-1_V7)36	Lijn	Paal_P_38 LCS	14,000 15,000	Abso Vanaf begin	Vrij	Niet-lineair	Niet-lineair	Vrij	Vrij	Vrij
(PY-curve-1_V8)36	Lijn	Paal_P_38 LCS	15,000 16,000	Abso Vanaf begin	Vrij	Niet-lineair	Niet-lineair	Vrij	Vrij	Vrij
(PY-curve-1_V9)36	Lijn	Paal_P_38 LCS	16,000 17,000	Abso Vanaf begin	Vrij	Niet-lineair	Niet-lineair	Vrij	Vrij	Vrij
(PY-curve-1_V10)36	Lijn	Paal_P_38 LCS	17,000 17,750	Abso Vanaf begin	Vrij	Niet-lineair	Niet-lineair	Vrij	Vrij	Vrij
Veen39	Lijn	Paal_P_39 LCS	1,000 8,000	Abso Vanaf begin	Vrij	Niet-lineair	Niet-lineair	Vrij	Vrij	Vrij
(PY-curve-1_V1)37	Lijn	Paal_P_39 LCS	8,000 9,000	Abso Vanaf begin	Vrij	Niet-lineair	Niet-lineair	Vrij	Vrij	Vrij
(PY-curve-1_V2)37	Lijn	Paal_P_39 LCS	9,000 10,000	Abso Vanaf begin	Vrij	Niet-lineair	Niet-lineair	Vrij	Vrij	Vrij
(PY-curve-1_V3)37	Lijn	Paal_P_39 LCS	10,000 11,000	Abso Vanaf begin	Vrij	Niet-lineair	Niet-lineair	Vrij	Vrij	Vrij
(PY-curve-1_V4)37	Lijn	Paal_P_39 LCS	11,000 12,000	Abso Vanaf begin	Vrij	Niet-lineair	Niet-lineair	Vrij	Vrij	Vrij
(PY-curve-1_V5)37	Lijn	Paal_P_39 LCS	12,000 13,000	Abso Vanaf begin	Vrij	Niet-lineair	Niet-lineair	Vrij	Vrij	Vrij
(PY-curve-1_V6)37	Lijn	Paal_P_39 LCS	13,000 14,000	Abso Vanaf begin	Vrij	Niet-lineair	Niet-lineair	Vrij	Vrij	Vrij
(PY-curve-1_V7)37	Lijn	Paal_P_39 LCS	14,000 15,000	Abso Vanaf begin	Vrij	Niet-lineair	Niet-lineair	Vrij	Vrij	Vrij

Naam	Type	Staaf	Pos x_1 [m]	Coör	X	Y	Z	Rx	Ry	Rz
		Systeem	Pos x_2 [m]	Oors						
(PY-curve-1_V8)37	Lijn	Paal_P_39	15,000	Abso	Vrij	Niet-lineair	Niet-lineair	Vrij	Vrij	Vrij
		LCS	16,000	Vanaf begin						
(PY-curve-1_V9)37	Lijn	Paal_P_39	16,000	Abso	Vrij	Niet-lineair	Niet-lineair	Vrij	Vrij	Vrij
		LCS	17,000	Vanaf begin						
(PY-curve-1_V10)37	Lijn	Paal_P_39	17,000	Abso	Vrij	Niet-lineair	Niet-lineair	Vrij	Vrij	Vrij
		LCS	17,750	Vanaf begin						
Veen40	Lijn	Paal_P_40	1,000	Abso	Vrij	Niet-lineair	Niet-lineair	Vrij	Vrij	Vrij
		LCS	8,000	Vanaf begin						
(PY-curve-1_V1)38	Lijn	Paal_P_40	8,000	Abso	Vrij	Niet-lineair	Niet-lineair	Vrij	Vrij	Vrij
		LCS	9,000	Vanaf begin						
(PY-curve-1_V2)38	Lijn	Paal_P_40	9,000	Abso	Vrij	Niet-lineair	Niet-lineair	Vrij	Vrij	Vrij
		LCS	10,000	Vanaf begin						
(PY-curve-1_V3)38	Lijn	Paal_P_40	10,000	Abso	Vrij	Niet-lineair	Niet-lineair	Vrij	Vrij	Vrij
		LCS	11,000	Vanaf begin						
(PY-curve-1_V4)38	Lijn	Paal_P_40	11,000	Abso	Vrij	Niet-lineair	Niet-lineair	Vrij	Vrij	Vrij
		LCS	12,000	Vanaf begin						
(PY-curve-1_V5)38	Lijn	Paal_P_40	12,000	Abso	Vrij	Niet-lineair	Niet-lineair	Vrij	Vrij	Vrij
		LCS	13,000	Vanaf begin						
(PY-curve-1_V6)38	Lijn	Paal_P_40	13,000	Abso	Vrij	Niet-lineair	Niet-lineair	Vrij	Vrij	Vrij
		LCS	14,000	Vanaf begin						
(PY-curve-1_V7)38	Lijn	Paal_P_40	14,000	Abso	Vrij	Niet-lineair	Niet-lineair	Vrij	Vrij	Vrij
		LCS	15,000	Vanaf begin						
(PY-curve-1_V8)38	Lijn	Paal_P_40	15,000	Abso	Vrij	Niet-lineair	Niet-lineair	Vrij	Vrij	Vrij
		LCS	16,000	Vanaf begin						
(PY-curve-1_V9)38	Lijn	Paal_P_40	16,000	Abso	Vrij	Niet-lineair	Niet-lineair	Vrij	Vrij	Vrij
		LCS	17,000	Vanaf begin						
(PY-curve-1_V10)38	Lijn	Paal_P_40	17,000	Abso	Vrij	Niet-lineair	Niet-lineair	Vrij	Vrij	Vrij
		LCS	17,750	Vanaf begin						
Veen41	Lijn	Paal_P_41	1,000	Abso	Vrij	Niet-lineair	Niet-lineair	Vrij	Vrij	Vrij
		LCS	8,000	Vanaf begin						
(PY-curve-1_V1)39	Lijn	Paal_P_41	8,000	Abso	Vrij	Niet-lineair	Niet-lineair	Vrij	Vrij	Vrij
		LCS	9,000	Vanaf begin						
(PY-curve-1_V2)39	Lijn	Paal_P_41	9,000	Abso	Vrij	Niet-lineair	Niet-lineair	Vrij	Vrij	Vrij
		LCS	10,000	Vanaf begin						
(PY-curve-1_V3)39	Lijn	Paal_P_41	10,000	Abso	Vrij	Niet-lineair	Niet-lineair	Vrij	Vrij	Vrij
		LCS	11,000	Vanaf begin						
(PY-curve-1_V4)39	Lijn	Paal_P_41	11,000	Abso	Vrij	Niet-lineair	Niet-lineair	Vrij	Vrij	Vrij
		LCS	12,000	Vanaf begin						
(PY-curve-1_V5)39	Lijn	Paal_P_41	12,000	Abso	Vrij	Niet-lineair	Niet-lineair	Vrij	Vrij	Vrij
		LCS	13,000	Vanaf begin						
(PY-curve-1_V6)39	Lijn	Paal_P_41	13,000	Abso	Vrij	Niet-lineair	Niet-lineair	Vrij	Vrij	Vrij
		LCS	14,000	Vanaf begin						
(PY-curve-1_V7)39	Lijn	Paal_P_41	14,000	Abso	Vrij	Niet-lineair	Niet-lineair	Vrij	Vrij	Vrij
		LCS	15,000	Vanaf begin						
(PY-curve-1_V8)39	Lijn	Paal_P_41	15,000	Abso	Vrij	Niet-lineair	Niet-lineair	Vrij	Vrij	Vrij
		LCS	16,000	Vanaf begin						
(PY-curve-1_V9)39	Lijn	Paal_P_41	16,000	Abso	Vrij	Niet-lineair	Niet-lineair	Vrij	Vrij	Vrij
		LCS	17,000	Vanaf begin						
(PY-curve-1_V10)39	Lijn	Paal_P_41	17,000	Abso	Vrij	Niet-lineair	Niet-lineair	Vrij	Vrij	Vrij
		LCS	17,750	Vanaf begin						
Veen42	Lijn	Paal_P_42	1,000	Abso	Vrij	Niet-lineair	Niet-lineair	Vrij	Vrij	Vrij
		LCS	8,000	Vanaf begin						
(PY-curve-1_V1)40	Lijn	Paal_P_42	8,000	Abso	Vrij	Niet-lineair	Niet-lineair	Vrij	Vrij	Vrij
		LCS	9,000	Vanaf begin						
(PY-curve-1_V2)40	Lijn	Paal_P_42	9,000	Abso	Vrij	Niet-lineair	Niet-lineair	Vrij	Vrij	Vrij
		LCS	10,000	Vanaf begin						
(PY-curve-1_V3)40	Lijn	Paal_P_42	10,000	Abso	Vrij	Niet-lineair	Niet-lineair	Vrij	Vrij	Vrij
		LCS	11,000	Vanaf begin						
(PY-curve-1_V4)40	Lijn	Paal_P_42	11,000	Abso	Vrij	Niet-lineair	Niet-lineair	Vrij	Vrij	Vrij
		LCS	12,000	Vanaf begin						
(PY-curve-1_V5)40	Lijn	Paal_P_42	12,000	Abso	Vrij	Niet-lineair	Niet-lineair	Vrij	Vrij	Vrij
		LCS	13,000	Vanaf begin						
(PY-curve-1_V6)40	Lijn	Paal_P_42	13,000	Abso	Vrij	Niet-lineair	Niet-lineair	Vrij	Vrij	Vrij
		LCS	14,000	Vanaf begin						

Naam	Type	Staaf	Pos x_1 [m]	Coör	X	Y	Z	Rx	Ry	Rz
		Systeem	Pos x_2 [m]	Oors						
(PY-curve-1_V7)40	Lijn	Paal_P_42	14,000	Abso	Vrij	Niet-lineair	Niet-lineair	Vrij	Vrij	Vrij
		LCS	15,000	Vanaf begin						
(PY-curve-1_V8)40	Lijn	Paal_P_42	15,000	Abso	Vrij	Niet-lineair	Niet-lineair	Vrij	Vrij	Vrij
		LCS	16,000	Vanaf begin						
(PY-curve-1_V9)40	Lijn	Paal_P_42	16,000	Abso	Vrij	Niet-lineair	Niet-lineair	Vrij	Vrij	Vrij
		LCS	17,000	Vanaf begin						
(PY-curve-1_V10)40	Lijn	Paal_P_42	17,000	Abso	Vrij	Niet-lineair	Niet-lineair	Vrij	Vrij	Vrij
		LCS	17,750	Vanaf begin						
Veen43	Lijn	Paal_P_43	1,000	Abso	Vrij	Niet-lineair	Niet-lineair	Vrij	Vrij	Vrij
		LCS	8,000	Vanaf begin						
(PY-curve-1_V1)41	Lijn	Paal_P_43	8,000	Abso	Vrij	Niet-lineair	Niet-lineair	Vrij	Vrij	Vrij
		LCS	9,000	Vanaf begin						
(PY-curve-1_V2)41	Lijn	Paal_P_43	9,000	Abso	Vrij	Niet-lineair	Niet-lineair	Vrij	Vrij	Vrij
		LCS	10,000	Vanaf begin						
(PY-curve-1_V3)41	Lijn	Paal_P_43	10,000	Abso	Vrij	Niet-lineair	Niet-lineair	Vrij	Vrij	Vrij
		LCS	11,000	Vanaf begin						
(PY-curve-1_V4)41	Lijn	Paal_P_43	11,000	Abso	Vrij	Niet-lineair	Niet-lineair	Vrij	Vrij	Vrij
		LCS	12,000	Vanaf begin						
(PY-curve-1_V5)41	Lijn	Paal_P_43	12,000	Abso	Vrij	Niet-lineair	Niet-lineair	Vrij	Vrij	Vrij
		LCS	13,000	Vanaf begin						
(PY-curve-1_V6)41	Lijn	Paal_P_43	13,000	Abso	Vrij	Niet-lineair	Niet-lineair	Vrij	Vrij	Vrij
		LCS	14,000	Vanaf begin						
(PY-curve-1_V7)41	Lijn	Paal_P_43	14,000	Abso	Vrij	Niet-lineair	Niet-lineair	Vrij	Vrij	Vrij
		LCS	15,000	Vanaf begin						
(PY-curve-1_V8)41	Lijn	Paal_P_43	15,000	Abso	Vrij	Niet-lineair	Niet-lineair	Vrij	Vrij	Vrij
		LCS	16,000	Vanaf begin						
(PY-curve-1_V9)41	Lijn	Paal_P_43	16,000	Abso	Vrij	Niet-lineair	Niet-lineair	Vrij	Vrij	Vrij
		LCS	17,000	Vanaf begin						
(PY-curve-1_V10)41	Lijn	Paal_P_43	17,000	Abso	Vrij	Niet-lineair	Niet-lineair	Vrij	Vrij	Vrij
		LCS	17,750	Vanaf begin						
Veen44	Lijn	Paal_P_44	1,000	Abso	Vrij	Niet-lineair	Niet-lineair	Vrij	Vrij	Vrij
		LCS	8,000	Vanaf begin						
(PY-curve-1_V1)42	Lijn	Paal_P_44	8,000	Abso	Vrij	Niet-lineair	Niet-lineair	Vrij	Vrij	Vrij
		LCS	9,000	Vanaf begin						
(PY-curve-1_V2)42	Lijn	Paal_P_44	9,000	Abso	Vrij	Niet-lineair	Niet-lineair	Vrij	Vrij	Vrij
		LCS	10,000	Vanaf begin						
(PY-curve-1_V3)42	Lijn	Paal_P_44	10,000	Abso	Vrij	Niet-lineair	Niet-lineair	Vrij	Vrij	Vrij
		LCS	11,000	Vanaf begin						
(PY-curve-1_V4)42	Lijn	Paal_P_44	11,000	Abso	Vrij	Niet-lineair	Niet-lineair	Vrij	Vrij	Vrij
		LCS	12,000	Vanaf begin						
(PY-curve-1_V5)42	Lijn	Paal_P_44	12,000	Abso	Vrij	Niet-lineair	Niet-lineair	Vrij	Vrij	Vrij
		LCS	13,000	Vanaf begin						
(PY-curve-1_V6)42	Lijn	Paal_P_44	13,000	Abso	Vrij	Niet-lineair	Niet-lineair	Vrij	Vrij	Vrij
		LCS	14,000	Vanaf begin						
(PY-curve-1_V7)42	Lijn	Paal_P_44	14,000	Abso	Vrij	Niet-lineair	Niet-lineair	Vrij	Vrij	Vrij
		LCS	15,000	Vanaf begin						
(PY-curve-1_V8)42	Lijn	Paal_P_44	15,000	Abso	Vrij	Niet-lineair	Niet-lineair	Vrij	Vrij	Vrij
		LCS	16,000	Vanaf begin						
(PY-curve-1_V9)42	Lijn	Paal_P_44	16,000	Abso	Vrij	Niet-lineair	Niet-lineair	Vrij	Vrij	Vrij
		LCS	17,000	Vanaf begin						
(PY-curve-1_V10)42	Lijn	Paal_P_44	17,000	Abso	Vrij	Niet-lineair	Niet-lineair	Vrij	Vrij	Vrij
		LCS	17,750	Vanaf begin						
Veen45	Lijn	Paal_P_45	1,000	Abso	Vrij	Niet-lineair	Niet-lineair	Vrij	Vrij	Vrij
		LCS	8,000	Vanaf begin						
(PY-curve-1_V1)43	Lijn	Paal_P_45	8,000	Abso	Vrij	Niet-lineair	Niet-lineair	Vrij	Vrij	Vrij
		LCS	9,000	Vanaf begin						
(PY-curve-1_V2)43	Lijn	Paal_P_45	9,000	Abso	Vrij	Niet-lineair	Niet-lineair	Vrij	Vrij	Vrij
		LCS	10,000	Vanaf begin						
(PY-curve-1_V3)43	Lijn	Paal_P_45	10,000	Abso	Vrij	Niet-lineair	Niet-lineair	Vrij	Vrij	Vrij
		LCS	11,000	Vanaf begin						
(PY-curve-1_V4)43	Lijn	Paal_P_45	11,000	Abso	Vrij	Niet-lineair	Niet-lineair	Vrij	Vrij	Vrij
		LCS	12,000	Vanaf begin						
(PY-curve-1_V5)43	Lijn	Paal_P_45	12,000	Abso	Vrij	Niet-lineair	Niet-lineair	Vrij	Vrij	Vrij
		LCS	13,000	Vanaf begin						

Naam	Type	Staaf	Pos x_1 [m]	Coör	X	Y	Z	Rx	Ry	Rz
		Systeem	Pos x_2 [m]	Oors						
(PY-curve-1_V6)43	Lijn	Paal_P_45	13,000	Abso	Vrij	Niet-lineair	Niet-lineair	Vrij	Vrij	Vrij
		LCS	14,000	Vanaf begin						
(PY-curve-1_V7)43	Lijn	Paal_P_45	14,000	Abso	Vrij	Niet-lineair	Niet-lineair	Vrij	Vrij	Vrij
		LCS	15,000	Vanaf begin						
(PY-curve-1_V8)43	Lijn	Paal_P_45	15,000	Abso	Vrij	Niet-lineair	Niet-lineair	Vrij	Vrij	Vrij
		LCS	16,000	Vanaf begin						
(PY-curve-1_V9)43	Lijn	Paal_P_45	16,000	Abso	Vrij	Niet-lineair	Niet-lineair	Vrij	Vrij	Vrij
		LCS	17,000	Vanaf begin						
(PY-curve-1_V10)43	Lijn	Paal_P_45	17,000	Abso	Vrij	Niet-lineair	Niet-lineair	Vrij	Vrij	Vrij
		LCS	17,750	Vanaf begin						
Veen46	Lijn	Paal_P_46	1,000	Abso	Vrij	Niet-lineair	Niet-lineair	Vrij	Vrij	Vrij
		LCS	8,000	Vanaf begin						
(PY-curve-1_V1)44	Lijn	Paal_P_46	8,000	Abso	Vrij	Niet-lineair	Niet-lineair	Vrij	Vrij	Vrij
		LCS	9,000	Vanaf begin						
(PY-curve-1_V2)44	Lijn	Paal_P_46	9,000	Abso	Vrij	Niet-lineair	Niet-lineair	Vrij	Vrij	Vrij
		LCS	10,000	Vanaf begin						
(PY-curve-1_V3)44	Lijn	Paal_P_46	10,000	Abso	Vrij	Niet-lineair	Niet-lineair	Vrij	Vrij	Vrij
		LCS	11,000	Vanaf begin						
(PY-curve-1_V4)44	Lijn	Paal_P_46	11,000	Abso	Vrij	Niet-lineair	Niet-lineair	Vrij	Vrij	Vrij
		LCS	12,000	Vanaf begin						
(PY-curve-1_V5)44	Lijn	Paal_P_46	12,000	Abso	Vrij	Niet-lineair	Niet-lineair	Vrij	Vrij	Vrij
		LCS	13,000	Vanaf begin						
(PY-curve-1_V6)44	Lijn	Paal_P_46	13,000	Abso	Vrij	Niet-lineair	Niet-lineair	Vrij	Vrij	Vrij
		LCS	14,000	Vanaf begin						
(PY-curve-1_V7)44	Lijn	Paal_P_46	14,000	Abso	Vrij	Niet-lineair	Niet-lineair	Vrij	Vrij	Vrij
		LCS	15,000	Vanaf begin						
(PY-curve-1_V8)44	Lijn	Paal_P_46	15,000	Abso	Vrij	Niet-lineair	Niet-lineair	Vrij	Vrij	Vrij
		LCS	16,000	Vanaf begin						
(PY-curve-1_V9)44	Lijn	Paal_P_46	16,000	Abso	Vrij	Niet-lineair	Niet-lineair	Vrij	Vrij	Vrij
		LCS	17,000	Vanaf begin						
(PY-curve-1_V10)44	Lijn	Paal_P_46	17,000	Abso	Vrij	Niet-lineair	Niet-lineair	Vrij	Vrij	Vrij
		LCS	17,750	Vanaf begin						
Veen47	Lijn	Paal_P_47	1,000	Abso	Vrij	Niet-lineair	Niet-lineair	Vrij	Vrij	Vrij
		LCS	8,000	Vanaf begin						
(PY-curve-1_V1)45	Lijn	Paal_P_47	8,000	Abso	Vrij	Niet-lineair	Niet-lineair	Vrij	Vrij	Vrij
		LCS	9,000	Vanaf begin						
(PY-curve-1_V2)45	Lijn	Paal_P_47	9,000	Abso	Vrij	Niet-lineair	Niet-lineair	Vrij	Vrij	Vrij
		LCS	10,000	Vanaf begin						
(PY-curve-1_V3)45	Lijn	Paal_P_47	10,000	Abso	Vrij	Niet-lineair	Niet-lineair	Vrij	Vrij	Vrij
		LCS	11,000	Vanaf begin						
(PY-curve-1_V4)45	Lijn	Paal_P_47	11,000	Abso	Vrij	Niet-lineair	Niet-lineair	Vrij	Vrij	Vrij
		LCS	12,000	Vanaf begin						
(PY-curve-1_V5)45	Lijn	Paal_P_47	12,000	Abso	Vrij	Niet-lineair	Niet-lineair	Vrij	Vrij	Vrij
		LCS	13,000	Vanaf begin						
(PY-curve-1_V6)45	Lijn	Paal_P_47	13,000	Abso	Vrij	Niet-lineair	Niet-lineair	Vrij	Vrij	Vrij
		LCS	14,000	Vanaf begin						
(PY-curve-1_V7)45	Lijn	Paal_P_47	14,000	Abso	Vrij	Niet-lineair	Niet-lineair	Vrij	Vrij	Vrij
		LCS	15,000	Vanaf begin						
(PY-curve-1_V8)45	Lijn	Paal_P_47	15,000	Abso	Vrij	Niet-lineair	Niet-lineair	Vrij	Vrij	Vrij
		LCS	16,000	Vanaf begin						
(PY-curve-1_V9)45	Lijn	Paal_P_47	16,000	Abso	Vrij	Niet-lineair	Niet-lineair	Vrij	Vrij	Vrij
		LCS	17,000	Vanaf begin						
(PY-curve-1_V10)45	Lijn	Paal_P_47	17,000	Abso	Vrij	Niet-lineair	Niet-lineair	Vrij	Vrij	Vrij
		LCS	17,750	Vanaf begin						
Veen48	Lijn	Paal_P_48	1,000	Abso	Vrij	Niet-lineair	Niet-lineair	Vrij	Vrij	Vrij
		LCS	8,000	Vanaf begin						
(PY-curve-1_V1)46	Lijn	Paal_P_48	8,000	Abso	Vrij	Niet-lineair	Niet-lineair	Vrij	Vrij	Vrij
		LCS	9,000	Vanaf begin						
(PY-curve-1_V2)46	Lijn	Paal_P_48	9,000	Abso	Vrij	Niet-lineair	Niet-lineair	Vrij	Vrij	Vrij
		LCS	10,000	Vanaf begin						
(PY-curve-1_V3)46	Lijn	Paal_P_48	10,000	Abso	Vrij	Niet-lineair	Niet-lineair	Vrij	Vrij	Vrij
		LCS	11,000	Vanaf begin						
(PY-curve-1_V4)46	Lijn	Paal_P_48	11,000	Abso	Vrij	Niet-lineair	Niet-lineair	Vrij	Vrij	Vrij
		LCS	12,000	Vanaf begin						

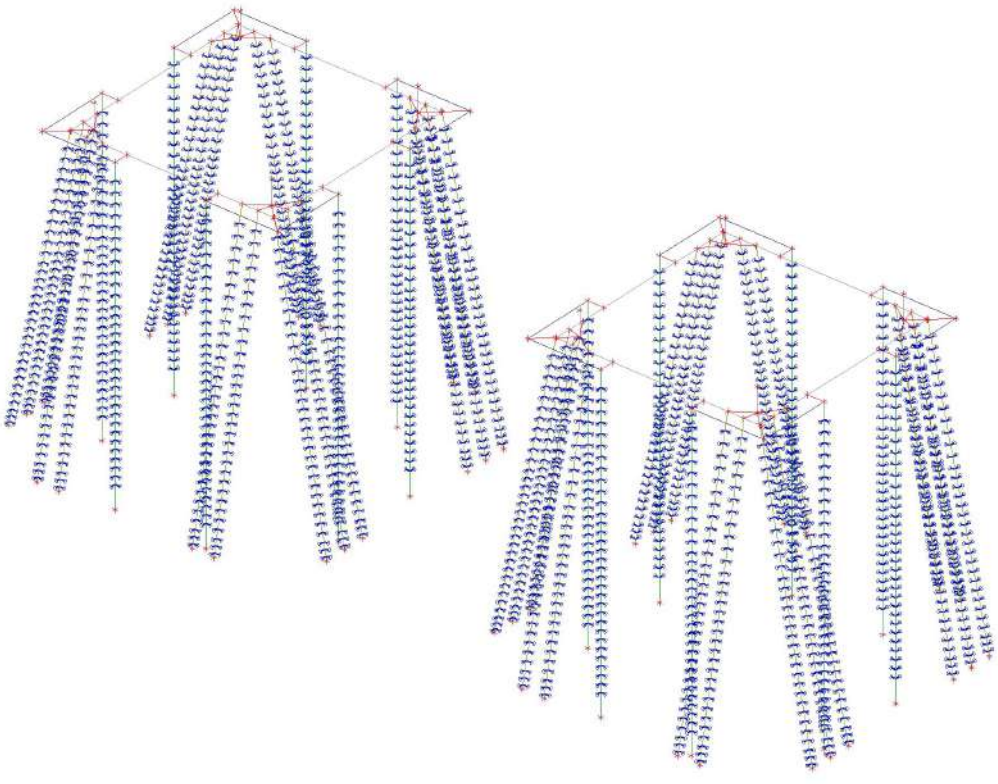
Naam	Type	Staaf Systeem	Pos x_1 [m] Pos x_2 [m]	Coör Oors	X	Y	Z	Rx	Ry	Rz
(PY-curve-1_V5)46	Lijn	Paal_P_48 LCS	12,000 13,000	Abso Vanaf begin	Vrij	Niet-lineair	Niet-lineair	Vrij	Vrij	Vrij
(PY-curve-1_V6)46	Lijn	Paal_P_48 LCS	13,000 14,000	Abso Vanaf begin	Vrij	Niet-lineair	Niet-lineair	Vrij	Vrij	Vrij
(PY-curve-1_V7)46	Lijn	Paal_P_48 LCS	14,000 15,000	Abso Vanaf begin	Vrij	Niet-lineair	Niet-lineair	Vrij	Vrij	Vrij
(PY-curve-1_V8)46	Lijn	Paal_P_48 LCS	15,000 16,000	Abso Vanaf begin	Vrij	Niet-lineair	Niet-lineair	Vrij	Vrij	Vrij
(PY-curve-1_V9)46	Lijn	Paal_P_48 LCS	16,000 17,000	Abso Vanaf begin	Vrij	Niet-lineair	Niet-lineair	Vrij	Vrij	Vrij
(PY-curve-1_V10)46	Lijn	Paal_P_48 LCS	17,000 17,750	Abso Vanaf begin	Vrij	Niet-lineair	Niet-lineair	Vrij	Vrij	Vrij
Veen49	Lijn	Paal_P_49 LCS	1,000 8,000	Abso Vanaf begin	Vrij	Niet-lineair	Niet-lineair	Vrij	Vrij	Vrij
(PY-curve-1_V1)47	Lijn	Paal_P_49 LCS	8,000 9,000	Abso Vanaf begin	Vrij	Niet-lineair	Niet-lineair	Vrij	Vrij	Vrij
(PY-curve-1_V2)47	Lijn	Paal_P_49 LCS	9,000 10,000	Abso Vanaf begin	Vrij	Niet-lineair	Niet-lineair	Vrij	Vrij	Vrij
(PY-curve-1_V3)47	Lijn	Paal_P_49 LCS	10,000 11,000	Abso Vanaf begin	Vrij	Niet-lineair	Niet-lineair	Vrij	Vrij	Vrij
(PY-curve-1_V4)47	Lijn	Paal_P_49 LCS	11,000 12,000	Abso Vanaf begin	Vrij	Niet-lineair	Niet-lineair	Vrij	Vrij	Vrij
(PY-curve-1_V5)47	Lijn	Paal_P_49 LCS	12,000 13,000	Abso Vanaf begin	Vrij	Niet-lineair	Niet-lineair	Vrij	Vrij	Vrij
(PY-curve-1_V6)47	Lijn	Paal_P_49 LCS	13,000 14,000	Abso Vanaf begin	Vrij	Niet-lineair	Niet-lineair	Vrij	Vrij	Vrij
(PY-curve-1_V7)47	Lijn	Paal_P_49 LCS	14,000 15,000	Abso Vanaf begin	Vrij	Niet-lineair	Niet-lineair	Vrij	Vrij	Vrij
(PY-curve-1_V8)47	Lijn	Paal_P_49 LCS	15,000 16,000	Abso Vanaf begin	Vrij	Niet-lineair	Niet-lineair	Vrij	Vrij	Vrij
(PY-curve-1_V9)47	Lijn	Paal_P_49 LCS	16,000 17,000	Abso Vanaf begin	Vrij	Niet-lineair	Niet-lineair	Vrij	Vrij	Vrij
(PY-curve-1_V10)47	Lijn	Paal_P_49 LCS	17,000 17,750	Abso Vanaf begin	Vrij	Niet-lineair	Niet-lineair	Vrij	Vrij	Vrij
Veen50	Lijn	Paal_P_50 LCS	1,000 8,000	Abso Vanaf begin	Vrij	Niet-lineair	Niet-lineair	Vrij	Vrij	Vrij
(PY-curve-1_V1)48	Lijn	Paal_P_50 LCS	8,000 9,000	Abso Vanaf begin	Vrij	Niet-lineair	Niet-lineair	Vrij	Vrij	Vrij
(PY-curve-1_V2)48	Lijn	Paal_P_50 LCS	9,000 10,000	Abso Vanaf begin	Vrij	Niet-lineair	Niet-lineair	Vrij	Vrij	Vrij
(PY-curve-1_V3)48	Lijn	Paal_P_50 LCS	10,000 11,000	Abso Vanaf begin	Vrij	Niet-lineair	Niet-lineair	Vrij	Vrij	Vrij
(PY-curve-1_V4)48	Lijn	Paal_P_50 LCS	11,000 12,000	Abso Vanaf begin	Vrij	Niet-lineair	Niet-lineair	Vrij	Vrij	Vrij
(PY-curve-1_V5)48	Lijn	Paal_P_50 LCS	12,000 13,000	Abso Vanaf begin	Vrij	Niet-lineair	Niet-lineair	Vrij	Vrij	Vrij
(PY-curve-1_V6)48	Lijn	Paal_P_50 LCS	13,000 14,000	Abso Vanaf begin	Vrij	Niet-lineair	Niet-lineair	Vrij	Vrij	Vrij
(PY-curve-1_V7)48	Lijn	Paal_P_50 LCS	14,000 15,000	Abso Vanaf begin	Vrij	Niet-lineair	Niet-lineair	Vrij	Vrij	Vrij
(PY-curve-1_V8)48	Lijn	Paal_P_50 LCS	15,000 16,000	Abso Vanaf begin	Vrij	Niet-lineair	Niet-lineair	Vrij	Vrij	Vrij
(PY-curve-1_V9)48	Lijn	Paal_P_50 LCS	16,000 17,000	Abso Vanaf begin	Vrij	Niet-lineair	Niet-lineair	Vrij	Vrij	Vrij
(PY-curve-1_V10)48	Lijn	Paal_P_50 LCS	17,000 18,000	Abso Vanaf begin	Vrij	Niet-lineair	Niet-lineair	Vrij	Vrij	Vrij
Veen51	Lijn	Paal_P_51 LCS	1,000 8,000	Abso Vanaf begin	Vrij	Niet-lineair	Niet-lineair	Vrij	Vrij	Vrij
(PY-curve-1_V1)49	Lijn	Paal_P_51 LCS	8,000 9,000	Abso Vanaf begin	Vrij	Niet-lineair	Niet-lineair	Vrij	Vrij	Vrij
(PY-curve-1_V2)49	Lijn	Paal_P_51 LCS	9,000 10,000	Abso Vanaf begin	Vrij	Niet-lineair	Niet-lineair	Vrij	Vrij	Vrij
(PY-curve-1_V3)49	Lijn	Paal_P_51 LCS	10,000 11,000	Abso Vanaf begin	Vrij	Niet-lineair	Niet-lineair	Vrij	Vrij	Vrij

Naam	Type	Staaf Systeem	Pos x_1 [m] Pos x_2 [m]	Coör Oors	X	Y	Z	Rx	Ry	Rz
(PY-curve-1_V4)49	Lijn	Paal_P_51 LCS	11,000 12,000	Abso Vanaf begin	Vrij	Niet-lineair	Niet-lineair	Vrij	Vrij	Vrij
(PY-curve-1_V5)49	Lijn	Paal_P_51 LCS	12,000 13,000	Abso Vanaf begin	Vrij	Niet-lineair	Niet-lineair	Vrij	Vrij	Vrij
(PY-curve-1_V6)49	Lijn	Paal_P_51 LCS	13,000 14,000	Abso Vanaf begin	Vrij	Niet-lineair	Niet-lineair	Vrij	Vrij	Vrij
(PY-curve-1_V7)49	Lijn	Paal_P_51 LCS	14,000 15,000	Abso Vanaf begin	Vrij	Niet-lineair	Niet-lineair	Vrij	Vrij	Vrij
(PY-curve-1_V8)49	Lijn	Paal_P_51 LCS	15,000 16,000	Abso Vanaf begin	Vrij	Niet-lineair	Niet-lineair	Vrij	Vrij	Vrij
(PY-curve-1_V9)49	Lijn	Paal_P_51 LCS	16,000 17,000	Abso Vanaf begin	Vrij	Niet-lineair	Niet-lineair	Vrij	Vrij	Vrij
(PY-curve-1_V10)49	Lijn	Paal_P_51 LCS	17,000 18,000	Abso Vanaf begin	Vrij	Niet-lineair	Niet-lineair	Vrij	Vrij	Vrij
Veen52	Lijn	Paal_P_52 LCS	1,000 8,000	Abso Vanaf begin	Vrij	Niet-lineair	Niet-lineair	Vrij	Vrij	Vrij
(PY-curve-1_V1)50	Lijn	Paal_P_52 LCS	8,000 9,000	Abso Vanaf begin	Vrij	Niet-lineair	Niet-lineair	Vrij	Vrij	Vrij
(PY-curve-1_V2)50	Lijn	Paal_P_52 LCS	9,000 10,000	Abso Vanaf begin	Vrij	Niet-lineair	Niet-lineair	Vrij	Vrij	Vrij
(PY-curve-1_V3)50	Lijn	Paal_P_52 LCS	10,000 11,000	Abso Vanaf begin	Vrij	Niet-lineair	Niet-lineair	Vrij	Vrij	Vrij
(PY-curve-1_V4)50	Lijn	Paal_P_52 LCS	11,000 12,000	Abso Vanaf begin	Vrij	Niet-lineair	Niet-lineair	Vrij	Vrij	Vrij
(PY-curve-1_V5)50	Lijn	Paal_P_52 LCS	12,000 13,000	Abso Vanaf begin	Vrij	Niet-lineair	Niet-lineair	Vrij	Vrij	Vrij
(PY-curve-1_V6)50	Lijn	Paal_P_52 LCS	13,000 14,000	Abso Vanaf begin	Vrij	Niet-lineair	Niet-lineair	Vrij	Vrij	Vrij
(PY-curve-1_V7)50	Lijn	Paal_P_52 LCS	14,000 15,000	Abso Vanaf begin	Vrij	Niet-lineair	Niet-lineair	Vrij	Vrij	Vrij
(PY-curve-1_V8)50	Lijn	Paal_P_52 LCS	15,000 16,000	Abso Vanaf begin	Vrij	Niet-lineair	Niet-lineair	Vrij	Vrij	Vrij
(PY-curve-1_V9)50	Lijn	Paal_P_52 LCS	16,000 17,000	Abso Vanaf begin	Vrij	Niet-lineair	Niet-lineair	Vrij	Vrij	Vrij
(PY-curve-1_V10)50	Lijn	Paal_P_52 LCS	17,000 18,000	Abso Vanaf begin	Vrij	Niet-lineair	Niet-lineair	Vrij	Vrij	Vrij
Veen53	Lijn	Paal_P_53 LCS	1,000 8,000	Abso Vanaf begin	Vrij	Niet-lineair	Niet-lineair	Vrij	Vrij	Vrij
(PY-curve-1_V1)51	Lijn	Paal_P_53 LCS	8,000 9,000	Abso Vanaf begin	Vrij	Niet-lineair	Niet-lineair	Vrij	Vrij	Vrij
(PY-curve-1_V2)51	Lijn	Paal_P_53 LCS	9,000 10,000	Abso Vanaf begin	Vrij	Niet-lineair	Niet-lineair	Vrij	Vrij	Vrij
(PY-curve-1_V3)51	Lijn	Paal_P_53 LCS	10,000 11,000	Abso Vanaf begin	Vrij	Niet-lineair	Niet-lineair	Vrij	Vrij	Vrij
(PY-curve-1_V4)51	Lijn	Paal_P_53 LCS	11,000 12,000	Abso Vanaf begin	Vrij	Niet-lineair	Niet-lineair	Vrij	Vrij	Vrij
(PY-curve-1_V5)51	Lijn	Paal_P_53 LCS	12,000 13,000	Abso Vanaf begin	Vrij	Niet-lineair	Niet-lineair	Vrij	Vrij	Vrij
(PY-curve-1_V6)51	Lijn	Paal_P_53 LCS	13,000 14,000	Abso Vanaf begin	Vrij	Niet-lineair	Niet-lineair	Vrij	Vrij	Vrij
(PY-curve-1_V7)51	Lijn	Paal_P_53 LCS	14,000 15,000	Abso Vanaf begin	Vrij	Niet-lineair	Niet-lineair	Vrij	Vrij	Vrij
(PY-curve-1_V8)51	Lijn	Paal_P_53 LCS	15,000 16,000	Abso Vanaf begin	Vrij	Niet-lineair	Niet-lineair	Vrij	Vrij	Vrij
(PY-curve-1_V9)51	Lijn	Paal_P_53 LCS	16,000 17,000	Abso Vanaf begin	Vrij	Niet-lineair	Niet-lineair	Vrij	Vrij	Vrij
(PY-curve-1_V10)51	Lijn	Paal_P_53 LCS	17,000 18,000	Abso Vanaf begin	Vrij	Niet-lineair	Niet-lineair	Vrij	Vrij	Vrij
Veen54	Lijn	Paal_P_54 LCS	1,000 8,000	Abso Vanaf begin	Vrij	Niet-lineair	Niet-lineair	Vrij	Vrij	Vrij
(PY-curve-1_V1)52	Lijn	Paal_P_54 LCS	8,000 9,000	Abso Vanaf begin	Vrij	Niet-lineair	Niet-lineair	Vrij	Vrij	Vrij
(PY-curve-1_V2)52	Lijn	Paal_P_54 LCS	9,000 10,000	Abso Vanaf begin	Vrij	Niet-lineair	Niet-lineair	Vrij	Vrij	Vrij

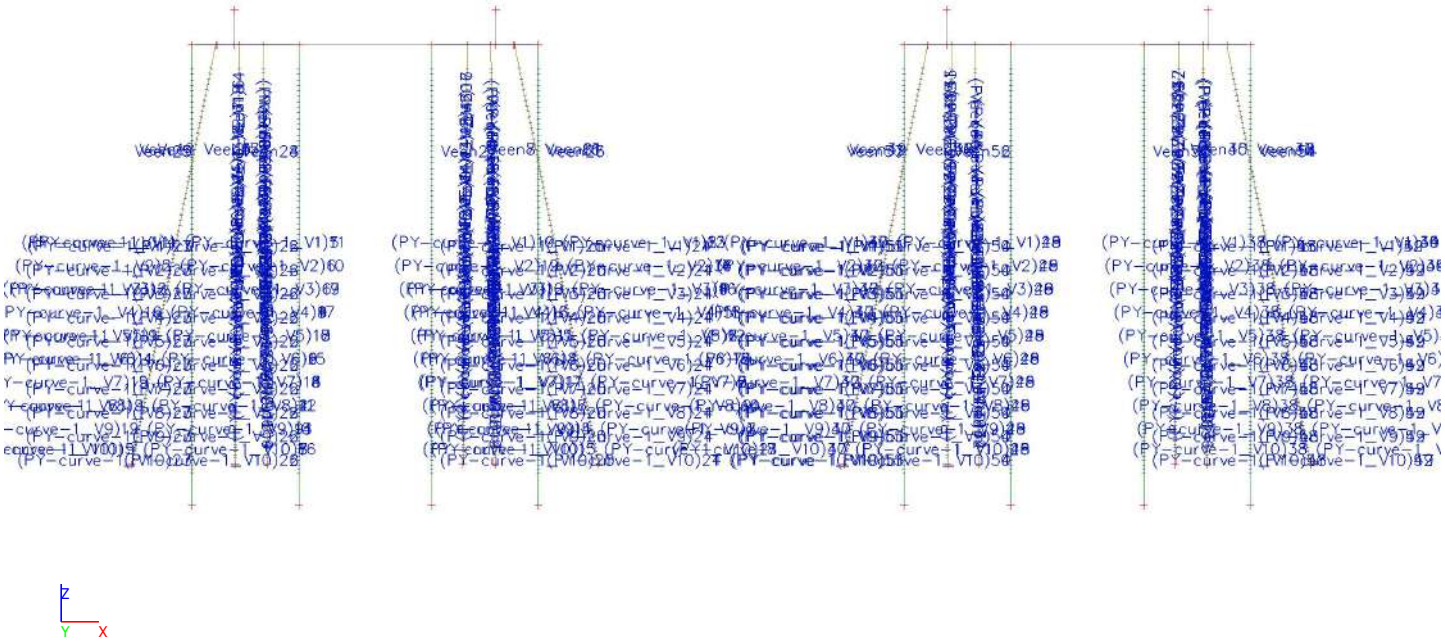
Naam	Type	Staaf Systeem	Pos x_1 [m] Pos x_2 [m]	Coör Oors	X	Y	Z	Rx	Ry	Rz
(PY-curve-1_V3)52	Lijn	Paal_P_54 LCS	10,000 11,000	Abso Vanaf begin	Vrij	Niet-lineair	Niet-lineair	Vrij	Vrij	Vrij
(PY-curve-1_V4)52	Lijn	Paal_P_54 LCS	11,000 12,000	Abso Vanaf begin	Vrij	Niet-lineair	Niet-lineair	Vrij	Vrij	Vrij
(PY-curve-1_V5)52	Lijn	Paal_P_54 LCS	12,000 13,000	Abso Vanaf begin	Vrij	Niet-lineair	Niet-lineair	Vrij	Vrij	Vrij
(PY-curve-1_V6)52	Lijn	Paal_P_54 LCS	13,000 14,000	Abso Vanaf begin	Vrij	Niet-lineair	Niet-lineair	Vrij	Vrij	Vrij
(PY-curve-1_V7)52	Lijn	Paal_P_54 LCS	14,000 15,000	Abso Vanaf begin	Vrij	Niet-lineair	Niet-lineair	Vrij	Vrij	Vrij
(PY-curve-1_V8)52	Lijn	Paal_P_54 LCS	15,000 16,000	Abso Vanaf begin	Vrij	Niet-lineair	Niet-lineair	Vrij	Vrij	Vrij
(PY-curve-1_V9)52	Lijn	Paal_P_54 LCS	16,000 17,000	Abso Vanaf begin	Vrij	Niet-lineair	Niet-lineair	Vrij	Vrij	Vrij
(PY-curve-1_V10)52	Lijn	Paal_P_54 LCS	17,000 18,000	Abso Vanaf begin	Vrij	Niet-lineair	Niet-lineair	Vrij	Vrij	Vrij
Veen55	Lijn	Paal_P_55 LCS	1,000 8,000	Abso Vanaf begin	Vrij	Niet-lineair	Niet-lineair	Vrij	Vrij	Vrij
(PY-curve-1_V1)53	Lijn	Paal_P_55 LCS	8,000 9,000	Abso Vanaf begin	Vrij	Niet-lineair	Niet-lineair	Vrij	Vrij	Vrij
(PY-curve-1_V2)53	Lijn	Paal_P_55 LCS	9,000 10,000	Abso Vanaf begin	Vrij	Niet-lineair	Niet-lineair	Vrij	Vrij	Vrij
(PY-curve-1_V3)53	Lijn	Paal_P_55 LCS	10,000 11,000	Abso Vanaf begin	Vrij	Niet-lineair	Niet-lineair	Vrij	Vrij	Vrij
(PY-curve-1_V4)53	Lijn	Paal_P_55 LCS	11,000 12,000	Abso Vanaf begin	Vrij	Niet-lineair	Niet-lineair	Vrij	Vrij	Vrij
(PY-curve-1_V5)53	Lijn	Paal_P_55 LCS	12,000 13,000	Abso Vanaf begin	Vrij	Niet-lineair	Niet-lineair	Vrij	Vrij	Vrij
(PY-curve-1_V6)53	Lijn	Paal_P_55 LCS	13,000 14,000	Abso Vanaf begin	Vrij	Niet-lineair	Niet-lineair	Vrij	Vrij	Vrij
(PY-curve-1_V7)53	Lijn	Paal_P_55 LCS	14,000 15,000	Abso Vanaf begin	Vrij	Niet-lineair	Niet-lineair	Vrij	Vrij	Vrij
(PY-curve-1_V8)53	Lijn	Paal_P_55 LCS	15,000 16,000	Abso Vanaf begin	Vrij	Niet-lineair	Niet-lineair	Vrij	Vrij	Vrij
(PY-curve-1_V9)53	Lijn	Paal_P_55 LCS	16,000 17,000	Abso Vanaf begin	Vrij	Niet-lineair	Niet-lineair	Vrij	Vrij	Vrij
(PY-curve-1_V10)53	Lijn	Paal_P_55 LCS	17,000 18,000	Abso Vanaf begin	Vrij	Niet-lineair	Niet-lineair	Vrij	Vrij	Vrij
Veen56	Lijn	Paal_P_56 LCS	1,000 8,000	Abso Vanaf begin	Vrij	Niet-lineair	Niet-lineair	Vrij	Vrij	Vrij
(PY-curve-1_V1)54	Lijn	Paal_P_56 LCS	8,000 9,000	Abso Vanaf begin	Vrij	Niet-lineair	Niet-lineair	Vrij	Vrij	Vrij
(PY-curve-1_V2)54	Lijn	Paal_P_56 LCS	9,000 10,000	Abso Vanaf begin	Vrij	Niet-lineair	Niet-lineair	Vrij	Vrij	Vrij
(PY-curve-1_V3)54	Lijn	Paal_P_56 LCS	10,000 11,000	Abso Vanaf begin	Vrij	Niet-lineair	Niet-lineair	Vrij	Vrij	Vrij
(PY-curve-1_V4)54	Lijn	Paal_P_56 LCS	11,000 12,000	Abso Vanaf begin	Vrij	Niet-lineair	Niet-lineair	Vrij	Vrij	Vrij
(PY-curve-1_V5)54	Lijn	Paal_P_56 LCS	12,000 13,000	Abso Vanaf begin	Vrij	Niet-lineair	Niet-lineair	Vrij	Vrij	Vrij
(PY-curve-1_V6)54	Lijn	Paal_P_56 LCS	13,000 14,000	Abso Vanaf begin	Vrij	Niet-lineair	Niet-lineair	Vrij	Vrij	Vrij
(PY-curve-1_V7)54	Lijn	Paal_P_56 LCS	14,000 15,000	Abso Vanaf begin	Vrij	Niet-lineair	Niet-lineair	Vrij	Vrij	Vrij
(PY-curve-1_V8)54	Lijn	Paal_P_56 LCS	15,000 16,000	Abso Vanaf begin	Vrij	Niet-lineair	Niet-lineair	Vrij	Vrij	Vrij
(PY-curve-1_V9)54	Lijn	Paal_P_56 LCS	16,000 17,000	Abso Vanaf begin	Vrij	Niet-lineair	Niet-lineair	Vrij	Vrij	Vrij
(PY-curve-1_V10)54	Lijn	Paal_P_56 LCS	17,000 18,000	Abso Vanaf begin	Vrij	Niet-lineair	Niet-lineair	Vrij	Vrij	Vrij
Veen57	Lijn	Paal_P_57 LCS	1,000 8,000	Abso Vanaf begin	Vrij	Niet-lineair	Niet-lineair	Vrij	Vrij	Vrij
(PY-curve-1_V1)55	Lijn	Paal_P_57 LCS	8,000 9,000	Abso Vanaf begin	Vrij	Niet-lineair	Niet-lineair	Vrij	Vrij	Vrij

Naam	Type	Staaf	Pos x_1 [m]	Coör	X	Y	Z	Rx	Ry	Rz
		Systeem	Pos x_2 [m]	Oors						
(PY-curve-1_V2)55	Lijn	Paal_P_57	9,000	Abso	Vrij	Niet-lineair	Niet-lineair	Vrij	Vrij	Vrij
		LCS	10,000	Vanaf begin						
(PY-curve-1_V3)55	Lijn	Paal_P_57	10,000	Abso	Vrij	Niet-lineair	Niet-lineair	Vrij	Vrij	Vrij
		LCS	11,000	Vanaf begin						
(PY-curve-1_V4)55	Lijn	Paal_P_57	11,000	Abso	Vrij	Niet-lineair	Niet-lineair	Vrij	Vrij	Vrij
		LCS	12,000	Vanaf begin						
(PY-curve-1_V5)55	Lijn	Paal_P_57	12,000	Abso	Vrij	Niet-lineair	Niet-lineair	Vrij	Vrij	Vrij
		LCS	13,000	Vanaf begin						
(PY-curve-1_V6)55	Lijn	Paal_P_57	13,000	Abso	Vrij	Niet-lineair	Niet-lineair	Vrij	Vrij	Vrij
		LCS	14,000	Vanaf begin						
(PY-curve-1_V7)55	Lijn	Paal_P_57	14,000	Abso	Vrij	Niet-lineair	Niet-lineair	Vrij	Vrij	Vrij
		LCS	15,000	Vanaf begin						
(PY-curve-1_V8)55	Lijn	Paal_P_57	15,000	Abso	Vrij	Niet-lineair	Niet-lineair	Vrij	Vrij	Vrij
		LCS	16,000	Vanaf begin						
(PY-curve-1_V9)55	Lijn	Paal_P_57	16,000	Abso	Vrij	Niet-lineair	Niet-lineair	Vrij	Vrij	Vrij
		LCS	17,000	Vanaf begin						
(PY-curve-1_V10)55	Lijn	Paal_P_57	17,000	Abso	Vrij	Niet-lineair	Niet-lineair	Vrij	Vrij	Vrij
		LCS	18,000	Vanaf begin						

5.8. Analyse model met Lijnondersteuningen



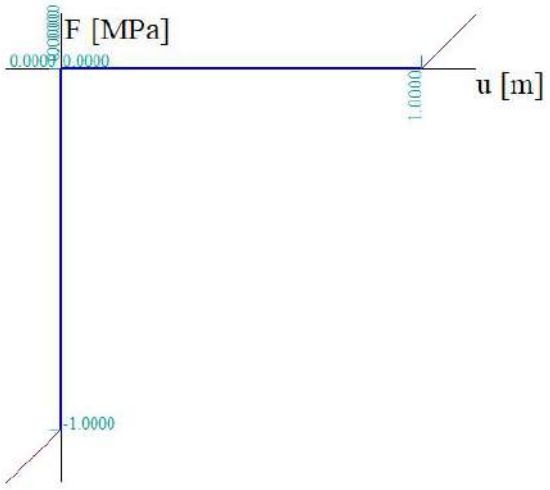
5.9. Analyse model met Lijnondersteuningen



5.10. Niet-lineaire functies

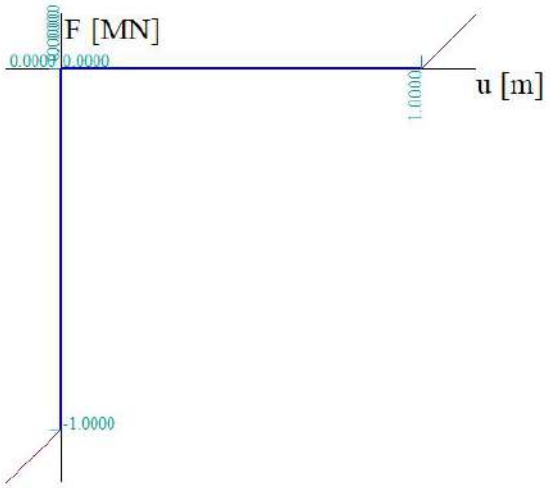
Naam	Type	u / F	Positief einde	Negatief einde
soil press only	Niet-lineair bedding		Verend	Verend

Tekenen



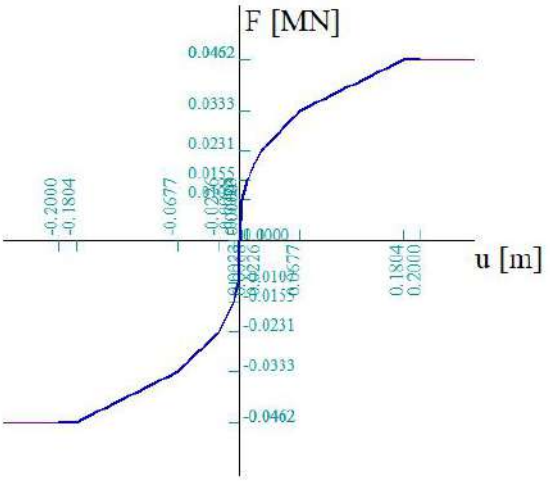
Naam	Type	u / F	Positief einde	Negatief einde
press only	Verplaatsing	-0.000001 / -1000000.000000	Verend	Verend
		0.000000 / 0.000000		
		1.000000 / 0.000000		

Tekenen



Naam	Type	u / F	Positief einde	Negatief einde
PY-curve-1_V1	Verplaatsing	-0.200000 / -46203.840000	Vrij	Vrij
		-0.180400 / -46203.840000		
		-0.067650 / -33318.734193		
		-0.022550 / -23101.920000		
		-0.006765 / -15465.186458		
		-0.002255 / -10722.961391		
		0.000000 / 0.000000		
		0.002255 / 10722.961391		
		0.006765 / 15465.186458		
		0.022550 / 23101.920000		
		0.067650 / 33318.734193		
		0.180400 / 46203.840000		
		0.200000 / 46203.840000		

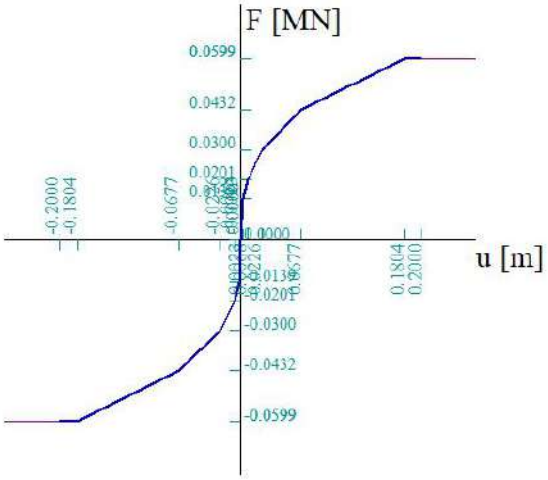
Tekenen



Naam	Type	u / F	Positief einde	Negatief einde
PY-curve-1_V2	Verplaatsing	-0.200000 / -59935.680000	Vrij	Vrij
		-0.180400 / -59935.680000		
		-0.067650 / -43221.104363		
		-0.022550 / -29967.840000		
		-0.006765 / -20061.459539		
		-0.002255 / -13909.839151		
		0.000000 / 0.000000		
		0.002255 / 13909.839151		
		0.006765 / 20061.459539		

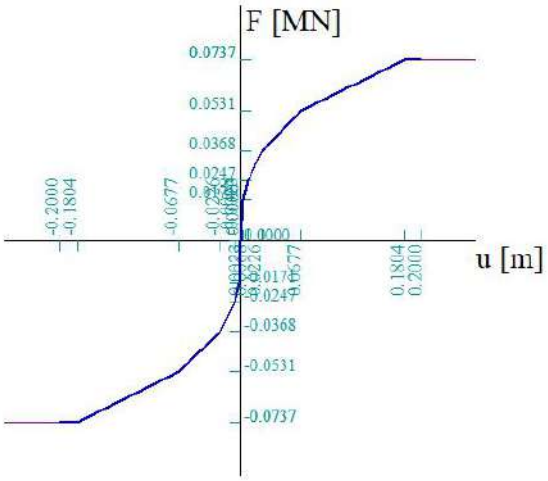
Naam	Type	u / F	Positief einde	Negatief einde
		0.022550 / 29967.840000		
		0.067650 / 43221.104363		
		0.180400 / 59935.680000		
		0.200000 / 59935.680000		

Tekenen



Naam	Type	u / F	Positief einde	Negatief einde
PY-curve-1_V3	Verplaatsing	-0.200000 / -73667.520000	Vrij	Vrij
		-0.180400 / -73667.520000		
		-0.067650 / -53123.474533		
		-0.022550 / -36833.760000		
		-0.006765 / -24657.732619		
		-0.002255 / -17096.716912		
		0.000000 / 0.000000		
		0.002255 / 17096.716912		
		0.006765 / 24657.732619		
		0.022550 / 36833.760000		
		0.067650 / 53123.474533		
		0.180400 / 73667.520000		
		0.200000 / 73667.520000		

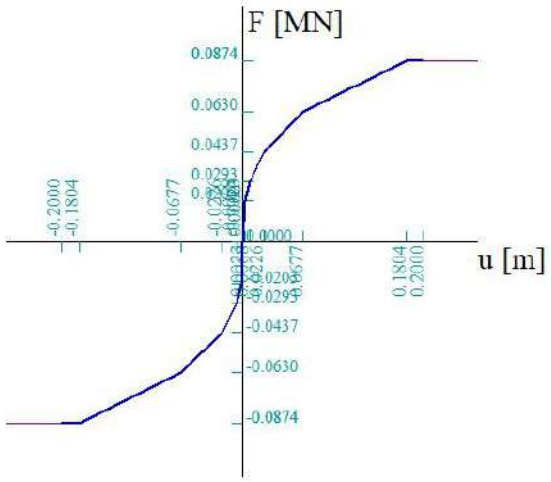
Tekenen



Naam	Type	u / F	Positief einde	Negatief einde
PY-curve-1_V4	Verplaatsing	-0.200000 / -87399.360000	Vrij	Vrij
		-0.180400 / -87399.360000		
		-0.067650 / -63025.844703		

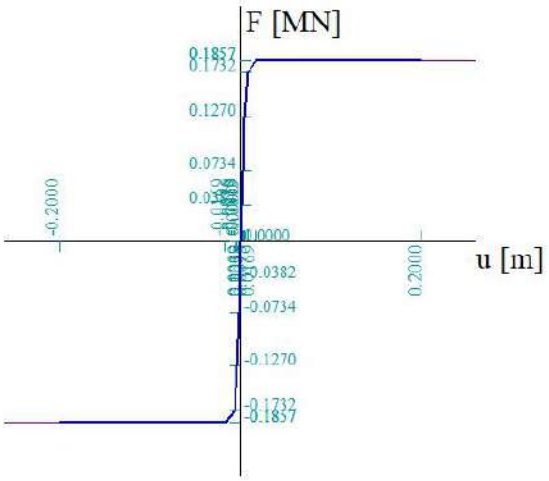
Naam	Type	u / F	Positief einde	Negatief einde
		-0.022550 / -43699.680000		
		-0.006765 / -29254.005700		
		-0.002255 / -20283.594672		
		0.000000 / 0.000000		
		0.002255 / 20283.594672		
		0.006765 / 29254.005700		
		0.022550 / 43699.680000		
		0.067650 / 63025.844703		
		0.180400 / 87399.360000		
		0.200000 / 87399.360000		

Tekenen



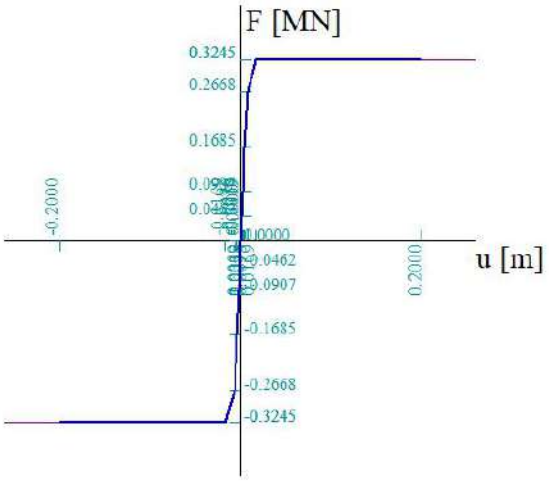
Naam	Type	u / F	Positief einde	Negatief einde
PY-curve-1_V5	Verplaatsing	-0.200000 / -185749.581577	Vrij	Vrij
		-0.016913 / -185749.581577		
		-0.007517 / -173191.521652		
		-0.003758 / -126966.550767		
		-0.001879 / -73364.887728		
		-0.000940 / -38233.153457		
		0.000000 / 0.000000		
		0.000940 / 38233.153457		
		0.001879 / 73364.887728		
		0.003758 / 126966.550767		
		0.007517 / 173191.521652		
		0.016913 / 185749.581577		
		0.200000 / 185749.581577		

Tekenen



Naam	Type	u / F	Positief einde	Negatief einde
PY-curve-1_V6	Verplaatsing	-0.200000 / -324503.959510	Vrij	Vrij
		-0.016913 / -324503.959510		
		-0.007517 / -266801.170128		
		-0.003758 / -168504.997582		
		-0.001879 / -90672.108471		
		-0.000940 / -46234.204284		
		0.000000 / 0.000000		
		0.000940 / 46234.204284		
		0.001879 / 90672.108471		
		0.003758 / 168504.997582		
		0.007517 / 266801.170128		
		0.016913 / 324503.959510		
		0.200000 / 324503.959510		

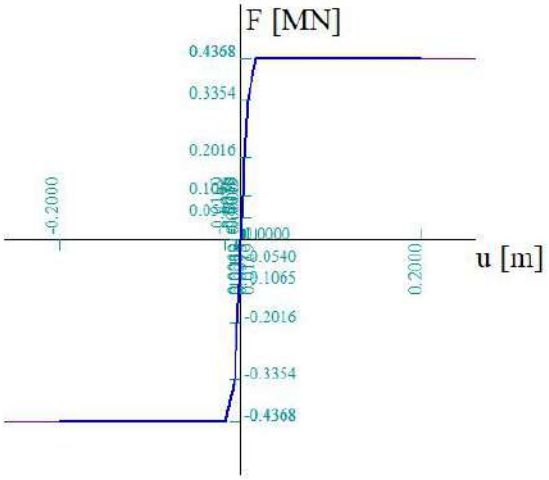
Tekenen



Naam	Type	u / F	Positief einde	Negatief einde
PY-curve-1_V7	Verplaatsing	-0.200000 / -436765.819801	Vrij	Vrij
		-0.016913 / -436765.819801		
		-0.007517 / -335362.730832		
		-0.003758 / -201646.948699		
		-0.001879 / -106522.716227		
		-0.000940 / -54036.089272		
		0.000000 / 0.000000		
		0.000940 / 54036.089272		
		0.001879 / 106522.716227		
		0.003758 / 201646.948699		

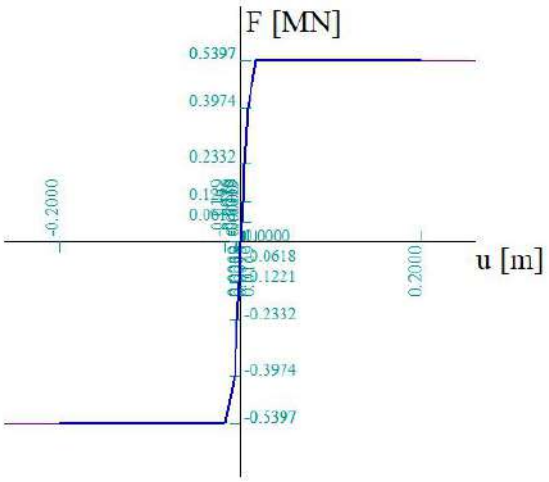
Naam	Type	u / F	Positief einde	Negatief einde
		0.007517 / 335362.730832		
		0.016913 / 436765.819801		
		0.200000 / 436765.819801		

Tekenen



Naam	Type	u / F	Positief einde	Negatief einde
PY-curve-1_V8	Verplaatsing	-0.200000 / -539683.678038	Vrij	Vrij
		-0.016913 / -539683.678038		
		-0.007517 / -397433.011814		
		-0.003758 / -233158.398644		
		-0.001879 / -122122.429030		
		-0.000940 / -61804.852432		
		0.000000 / 0.000000		
		0.000940 / 61804.852432		
		0.001879 / 122122.429030		
		0.003758 / 233158.398644		
		0.007517 / 397433.011814		
		0.016913 / 539683.678038		
		0.200000 / 539683.678038		

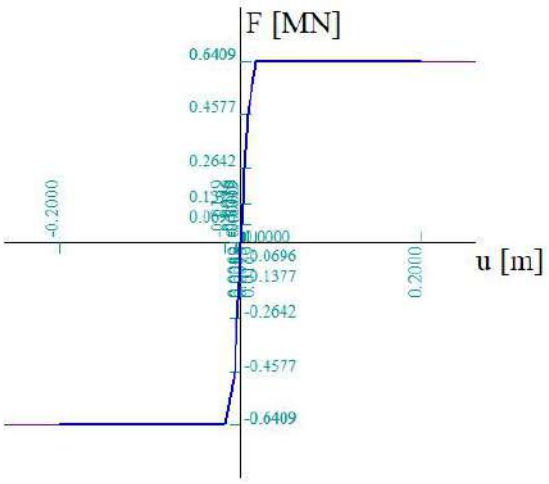
Tekenen



Naam	Type	u / F	Positief einde	Negatief einde
PY-curve-1_V9	Verplaatsing	-0.200000 / -640861.931437	Vrij	Vrij
		-0.016913 / -640861.931437		
		-0.007517 / -457700.088592		
		-0.003758 / -264224.038576		

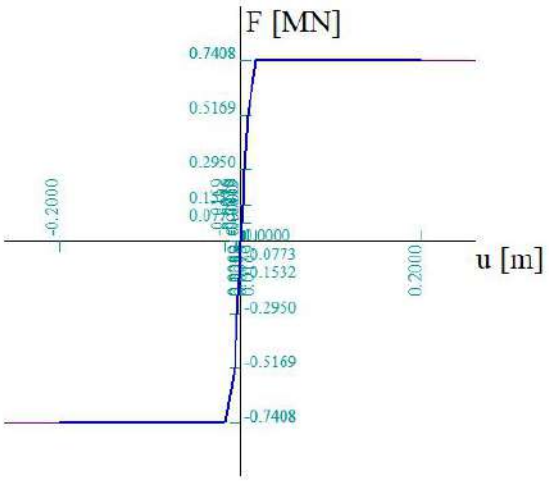
Naam	Type	u / F	Positief einde	Negatief einde
		-0.001879 / -137654.602914		
		-0.000940 / -69564.742931		
		0.000000 / 0.000000		
		0.000940 / 69564.742931		
		0.001879 / 137654.602914		
		0.003758 / 264224.038576		
		0.007517 / 457700.088592		
		0.016913 / 640861.931437		
		0.200000 / 640861.931437		

Tekenen



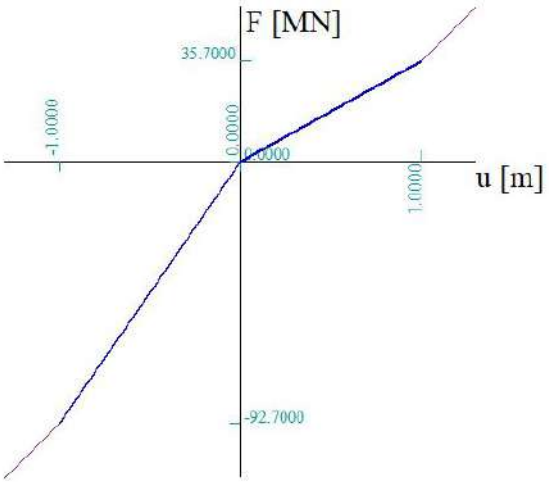
Naam	Type	u / F	Positief einde	Negatief einde
PY-curve-1_V10	Verplaatsing	-0.200000 / -740774.043969	Vrij	Vrij
		-0.016913 / -740774.043969		
		-0.007517 / -516894.797403		
		-0.003758 / -295043.983610		
		-0.001879 / -153150.432455		
		-0.000940 / -77319.889121		
		0.000000 / 0.000000		
		0.000940 / 77319.889121		
		0.001879 / 153150.432455		
		0.003758 / 295043.983610		
		0.007517 / 516894.797403		
		0.016913 / 740774.043969		
		0.200000 / 740774.043969		

Tekenen



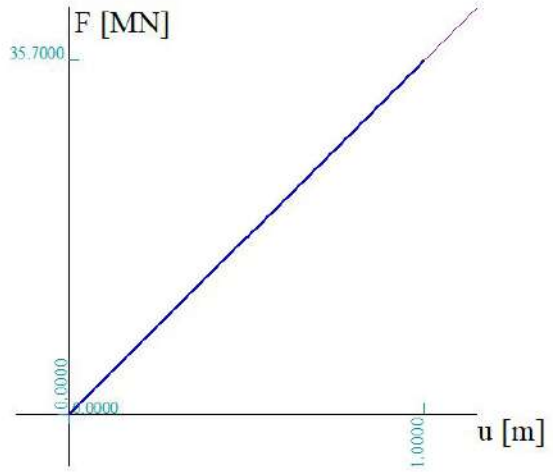
Naam	Type	u / F	Positief einde	Negatief einde
S+0 lower bound	Verplaatsing	-1.000000 / -92700000.000000	Verend	Verend
		0.000000 / 0.000000		
		1.000000 / 35700000.000000		

Tekenen



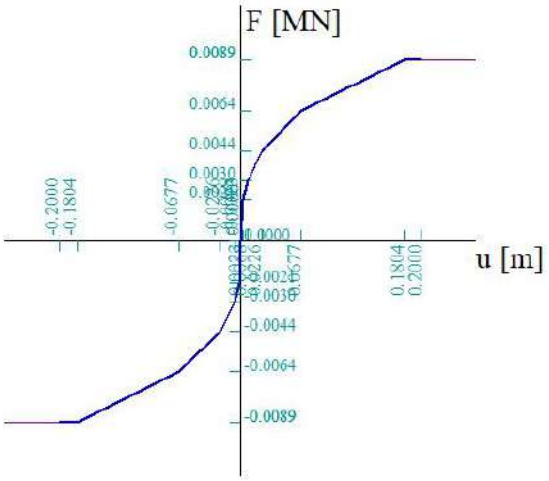
Naam	Type	u / F	Positief einde	Negatief einde
S+0 lower bound Trek	Verplaatsing	0.000000 / 0.000000	Verend	Vrij
		1.000000 / 35700000.000000		

Tekenen



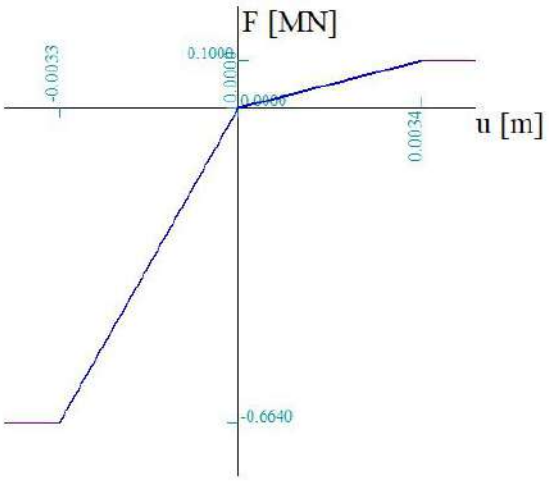
Naam	Type	u / F	Positief einde	Negatief einde
PY-curve-1_Veen	Verplaatsing	-0.200000 / -8894.400000	Vrij	Vrij
		-0.180400 / -8894.400000		
		-0.067650 / -6413.760000		
		-0.022550 / -4447.680000		
		-0.006765 / -2976.960000		
		-0.002255 / -2064.000000		
		0.000000 / 0.000000		
		0.002255 / 2064.000000		
		0.006765 / 2976.960000		
		0.022550 / 4447.680000		
		0.067650 / 6413.760000		
		0.180400 / 8894.400000		
		0.200000 / 8894.400000		

Tekenen



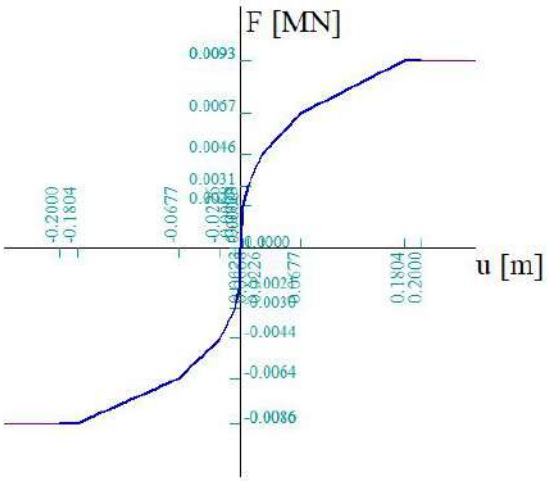
Naam	Type	u / F	Positief einde	Negatief einde
Trek-druk-S+paalpunt	Verplaatsing	-0.003320 / -664000.000000	Vrij	Vrij
		0.000000 / 0.000000		
		0.003430 / 100000.000000		

Tekenen



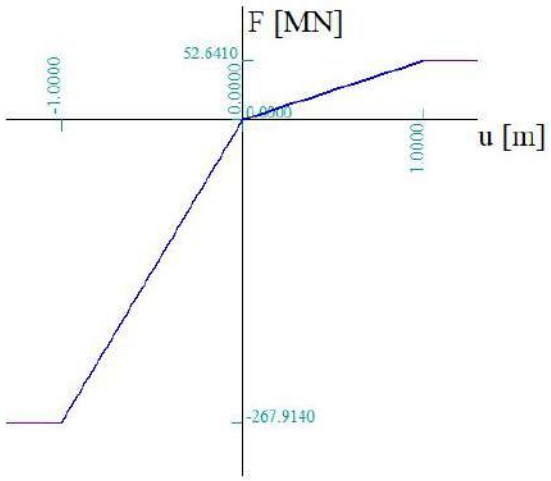
Naam	Type	u / F	Positief einde	Negatief einde
PY-curve-1_Veen1 reduced	Verplaatsing	-0.200000 / -8640.000000	Vrij	Vrij
		-0.180400 / -8640.000000		
		-0.067650 / -6432.000000		
		-0.022550 / -4444.800000		
		-0.006765 / -2976.000000		
		-0.002255 / -2064.000000		
		0.000000 / 0.000000		
		0.002255 / 2150.000000		
		0.006765 / 3100.000000		
		0.022550 / 4630.000000		
		0.067650 / 6700.000000		
		0.180400 / 9270.000000		
		0.200000 / 9270.000000		

Tekenen



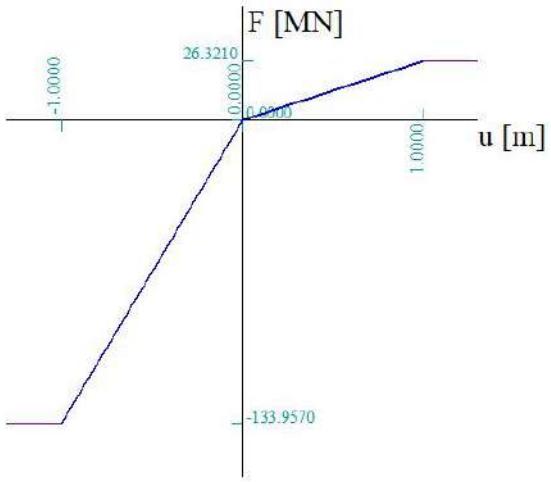
Naam	Type	u / F	Positief einde	Negatief einde
Trek-druk-paalpunt-LEKA.BG.	Verplaatsing	-1.000000 / -267914000.000000	Vrij	Vrij
		0.000000 / 0.000000		
		1.000000 / 52641000.000000		

Tekenen



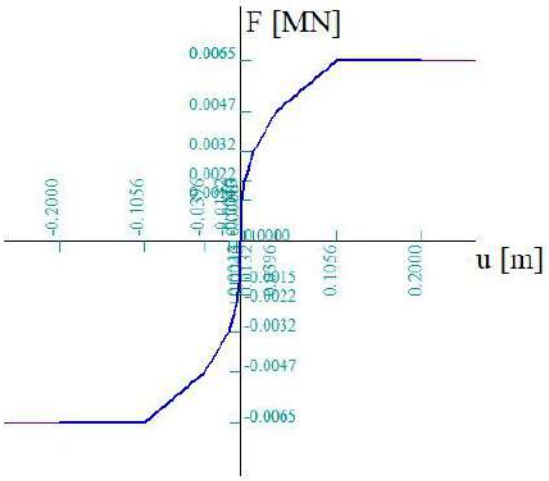
Naam	Type	u / F	Positief einde	Negatief einde
Trek-druk-paalpunt-LEKA.OG.	Verplaatsing	-1.000000 / -133957000.000000	Vrij	Vrij
		0.000000 / 0.000000		
		1.000000 / 26321000.000000		

Tekenen



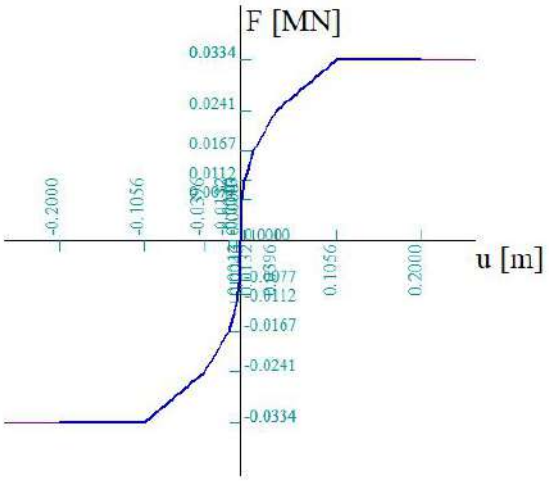
Naam	Type	u / F	Positief einde	Negatief einde
PY-curve-1_Veen.B	Verplaatsing	-0.200000 / -6460.000000	Vrij	Vrij
		-0.105600 / -6460.000000		
		-0.039600 / -4658.466112		
		-0.013200 / -3230.000000		
		-0.003960 / -2162.268429		
		-0.001320 / -1499.233193		
		0.000000 / 0.000000		
		0.001320 / 1499.233193		
		0.003960 / 2162.268429		
		0.013200 / 3230.000000		
		0.039600 / 4658.466112		
		0.105600 / 6460.000000		
		0.200000 / 6460.000000		

Tekenen



Naam	Type	u / F	Positief einde	Negatief einde
PY-curve-1_V1.B	Verplaatsing	-0.200000 / -33356.000000	Vrij	Vrij
		-0.105600 / -33356.000000		
		-0.039600 / -24053.838334		
		-0.013200 / -16678.000000		
		-0.003960 / -11164.802741		
		-0.001320 / -7741.241857		
		0.000000 / 0.000000		
		0.001320 / 7741.241857		
		0.003960 / 11164.802741		
		0.013200 / 16678.000000		
		0.039600 / 24053.838334		
		0.105600 / 33356.000000		
		0.200000 / 33356.000000		

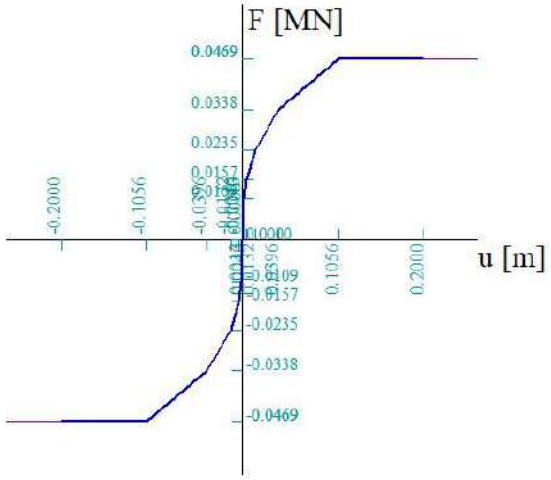
Tekenen



Naam	Type	u / F	Positief einde	Negatief einde
PY-curve-1_V2.B	Verplaatsing	-0.200000 / -46912.000000	Vrij	Vrij
		-0.105600 / -46912.000000		
		-0.039600 / -33829.405921		
		-0.013200 / -23456.000000		
		-0.003960 / -15702.219277		
		-0.001320 / -10887.310768		
		0.000000 / 0.000000		
		0.001320 / 10887.310768		
		0.003960 / 15702.219277		
		0.013200 / 23456.000000		

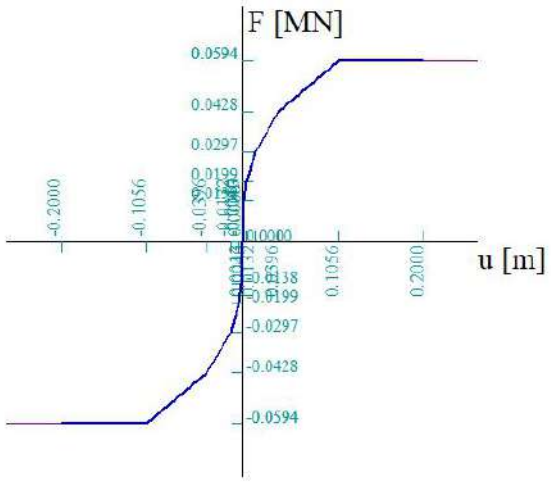
Naam	Type	u / F	Positief einde	Negatief einde
		0.039600 / 33829.405921		
		0.105600 / 46912.000000		
		0.200000 / 46912.000000		

Tekenen



Naam	Type	u / F	Positief einde	Negatief einde
PY-curve-1_V3.B	Verplaatsing	-0.200000 / -59400.000000	Vrij	Vrij
		-0.105600 / -59400.000000		
		-0.039600 / -42834.812238		
		-0.013200 / -29700.000000		
		-0.003960 / -19882.158617		
		-0.001320 / -13785.518836		
		0.000000 / 0.000000		
		0.001320 / 13785.518836		
		0.003960 / 19882.158617		
		0.013200 / 29700.000000		
		0.039600 / 42834.812238		
		0.105600 / 59400.000000		
		0.200000 / 59400.000000		

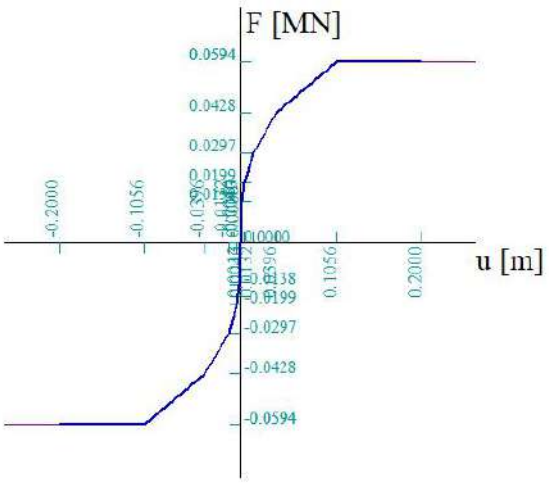
Tekenen



Naam	Type	u / F	Positief einde	Negatief einde
PY-curve-1_V4.B	Verplaatsing	-0.200000 / -59400.000000	Vrij	Vrij
		-0.105600 / -59400.000000		
		-0.039600 / -42834.812238		
		-0.013200 / -29700.000000		

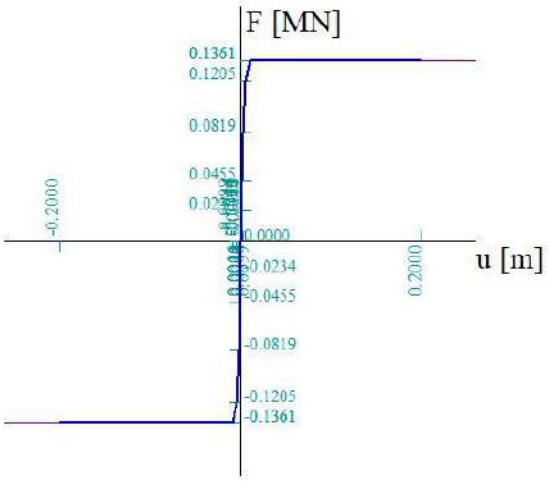
Naam	Type	u / F	Positief einde	Negatief einde
		-0.003960 / -19882.158617		
		-0.001320 / -13785.518836		
		0.000000 / 0.000000		
		0.001320 / 13785.518836		
		0.003960 / 19882.158617		
		0.013200 / 29700.000000		
		0.039600 / 42834.812238		
		0.105600 / 59400.000000		
		0.200000 / 59400.000000		

Tekenen



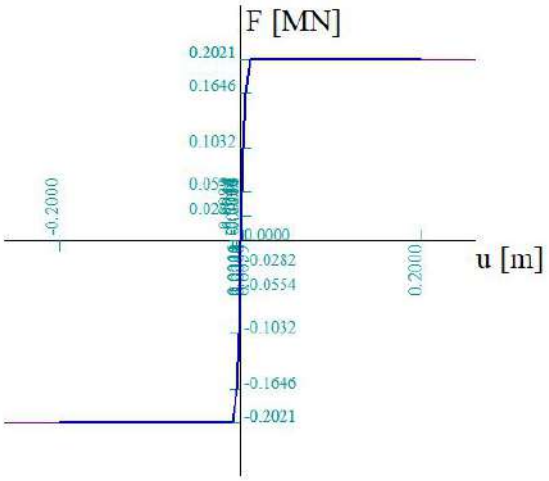
Naam	Type	u / F	Positief einde	Negatief einde
PY-curve-1_V5.B	Verplaatsing	-0.200000 / -136061.435780	Vrij	Vrij
		-0.009900 / -136061.435780		
		-0.004400 / -120490.397152		
		-0.002200 / -81905.788954		
		-0.001100 / -45495.958980		
		-0.000550 / -23416.484836		
		0.000000 / 0.000000		
		0.000550 / 23416.484836		
		0.001100 / 45495.958980		
		0.002200 / 81905.788954		
		0.004400 / 120490.397152		
		0.009900 / 136061.435780		
		0.200000 / 136061.435780		

Tekenen



Naam	Type	u / F	Positief einde	Negatief einde
PY-curve-1_V6.B	Verplaatsing	-0.200000 / -202115.170793	Vrij	Vrij
		-0.009900 / -202115.170793		
		-0.004400 / -164609.181382		
		-0.002200 / -103173.239353		
		-0.001100 / -55351.307550		
		-0.000550 / -28199.892288		
		0.000000 / 0.000000		
		0.000550 / 28199.892288		
		0.001100 / 55351.307550		
		0.002200 / 103173.239353		
		0.004400 / 164609.181382		
		0.009900 / 202115.170793		
		0.200000 / 202115.170793		

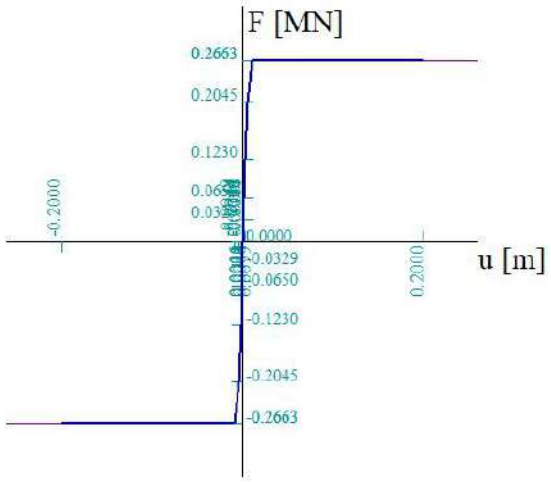
Tekenen



Naam	Type	u / F	Positief einde	Negatief einde
PY-curve-1_V7.B	Verplaatsing	-0.200000 / -266320.621830	Vrij	Vrij
		-0.009900 / -266320.621830		
		-0.004400 / -204489.470019		
		-0.002200 / -122955.456524		
		-0.001100 / -64952.875748		
		-0.000550 / -32948.834922		
		0.000000 / 0.000000		
		0.000550 / 32948.834922		
		0.001100 / 64952.875748		
		0.002200 / 122955.456524		

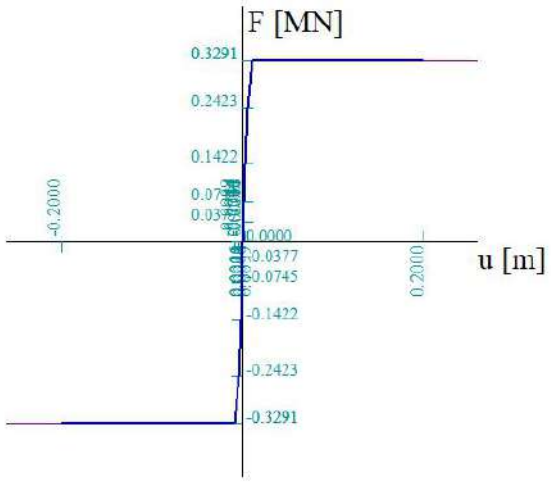
Naam	Type	u / F	Positief einde	Negatief einde
		0.004400 / 204489.470019		
		0.009900 / 266320.621830		
		0.200000 / 266320.621830		

Tekenen



Naam	Type	u / F	Positief einde	Negatief einde
PY-curve-1_V8.B	Verplaatsing	-0.200000 / -329075.413438	Vrij	Vrij
		-0.009900 / -329075.413438		
		-0.004400 / -242337.202326		
		-0.002200 / -142169.755271		
		-0.001100 / -74464.895750		
		-0.000550 / -37685.885629		
		0.000000 / 0.000000		
		0.000550 / 37685.885629		
		0.001100 / 74464.895750		
		0.002200 / 142169.755271		
		0.004400 / 242337.202326		
		0.009900 / 329075.413438		
		0.200000 / 329075.413438		

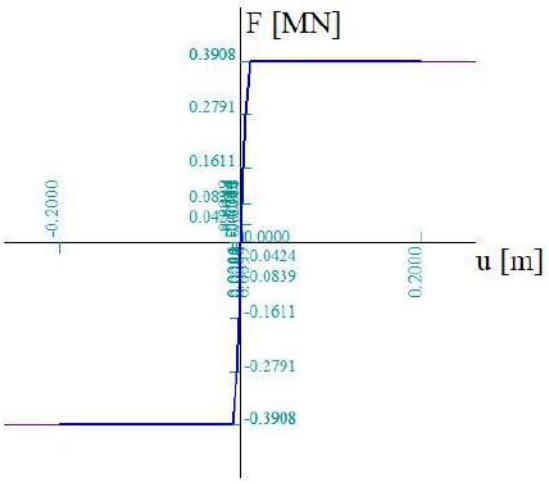
Tekenen



Naam	Type	u / F	Positief einde	Negatief einde
PY-curve-1_V9.B	Verplaatsing	-0.200000 / -390769.470388	Vrij	Vrij
		-0.009900 / -390769.470388		
		-0.004400 / -279085.419873		
		-0.002200 / -161112.218644		

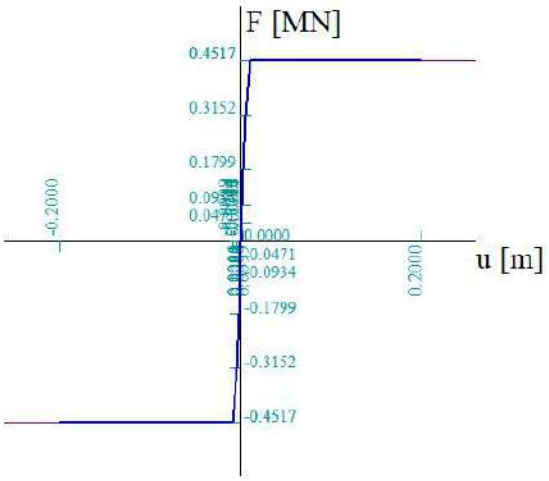
Naam	Type	u / F	Positief einde	Negatief einde
		-0.001100 / -83935.733484		
		-0.000550 / -42417.526178		
		0.000000 / 0.000000		
		0.000550 / 42417.526178		
		0.001100 / 83935.733484		
		0.002200 / 161112.218644		
		0.004400 / 279085.419873		
		0.009900 / 390769.470388		
		0.200000 / 390769.470388		

Tekenen



Naam	Type	u / F	Positief einde	Negatief einde
PY-curve-1_V10.B	Verplaatsing	-0.200000 / -451691.490225	Vrij	Vrij
		-0.009900 / -451691.490225		
		-0.004400 / -315179.754514		
		-0.002200 / -179904.868055		
		-0.001100 / -93384.410034		
		-0.000550 / -47146.273854		
		0.000000 / 0.000000		
		0.000550 / 47146.273854		
		0.001100 / 93384.410034		
		0.002200 / 179904.868055		
		0.004400 / 315179.754514		
		0.009900 / 451691.490225		
		0.200000 / 451691.490225		

Tekenen

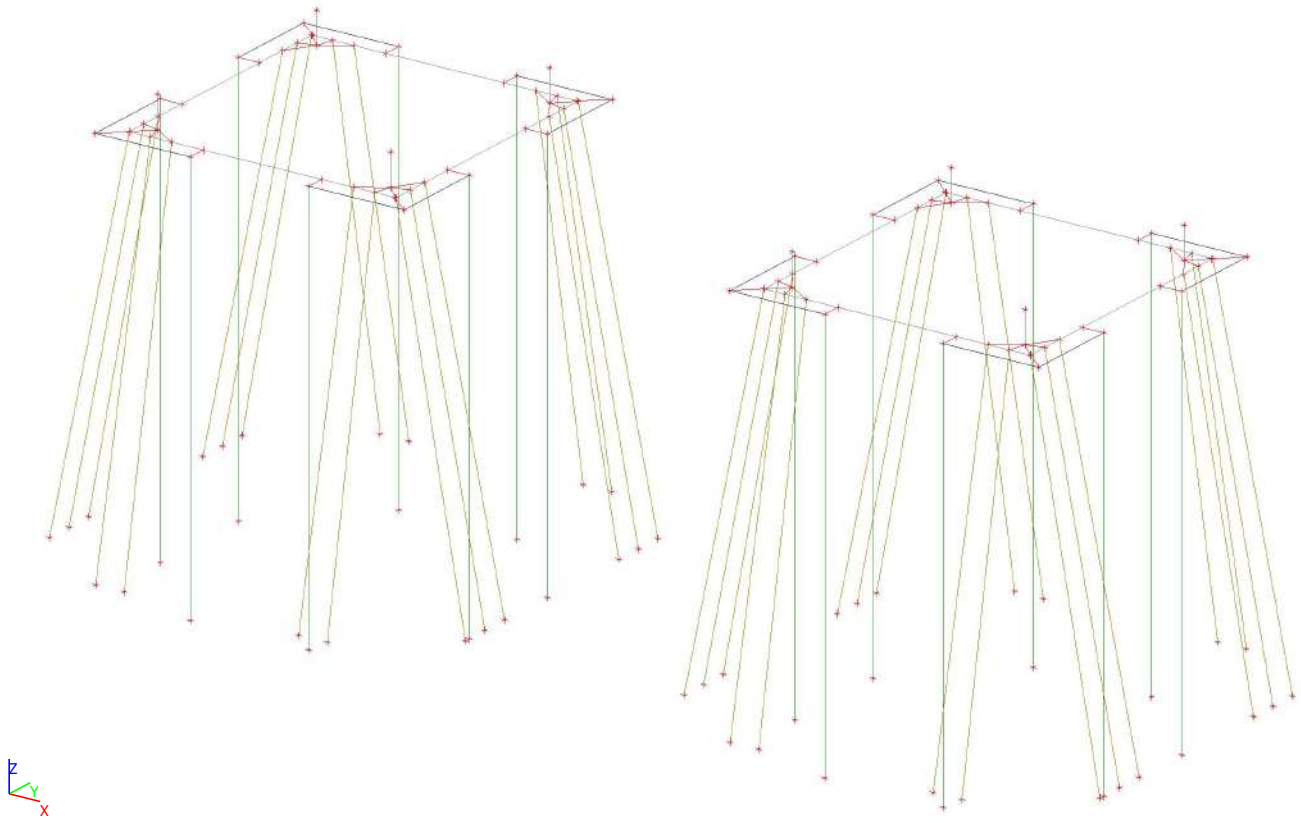

F [MN]
0.4517
0.3152
0.1799
-0.2000
0.0000
0.0471
0.0934
-0.1799
-0.3152
-0.4517
0.2000
u [m]

6. Belastingen

6.1. Belastingsgevallen

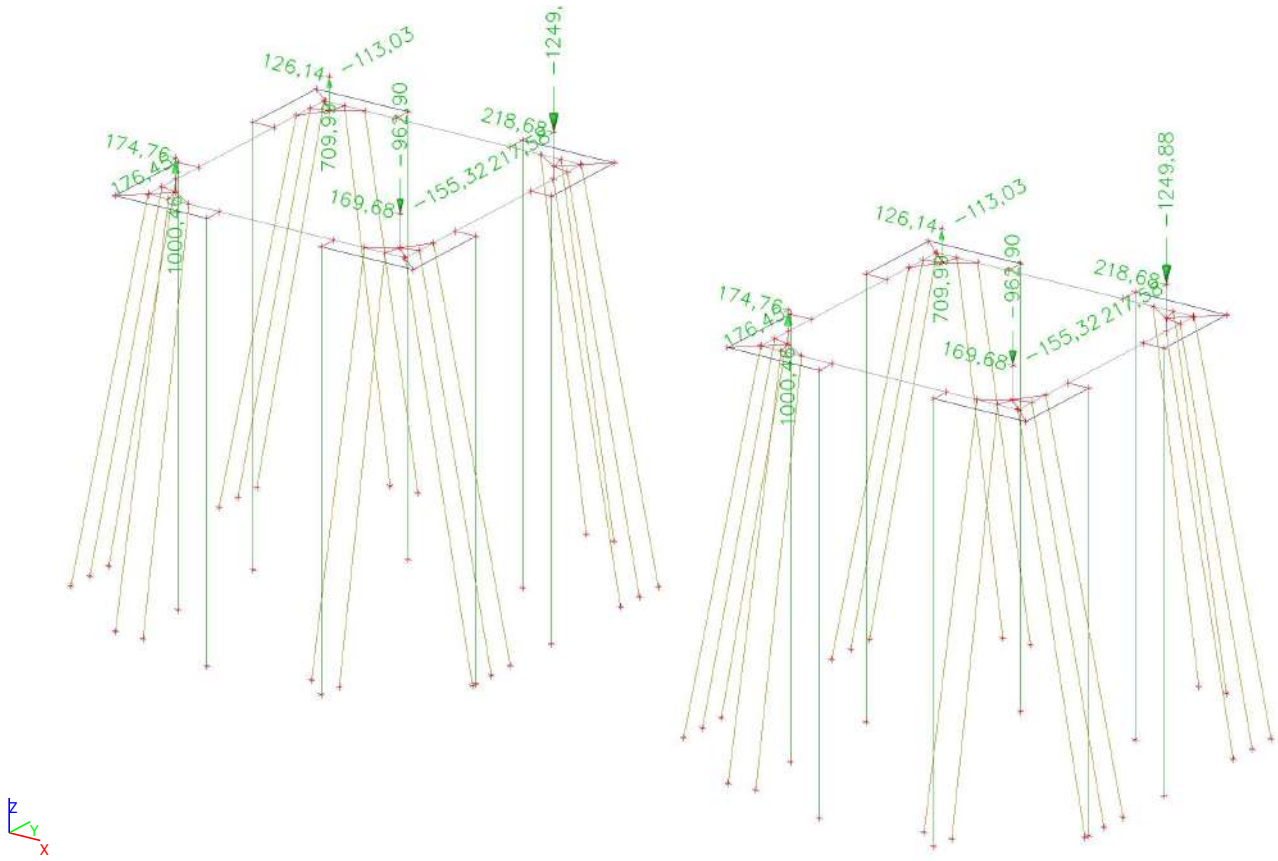
6.1.1. Belastingsgevallen - E.G.

Naam	Omschrijving	Actie type	Lastgroep	Richting
	Spec	Type last		
E.G.		Permanent	LG1	-Z
		Eigen gewicht		



6.1.2. Belastingsgevallen - hL Bck + Wnd ;135°

Naam	Omschrijving	Actie type	Lastgroep	Duur	'Master' belastingsgeval
	Spec	Type last			
hL Bck + Wnd ;135°		Variabel	LG4	Kort	Geen
	Standaard	Statisch			



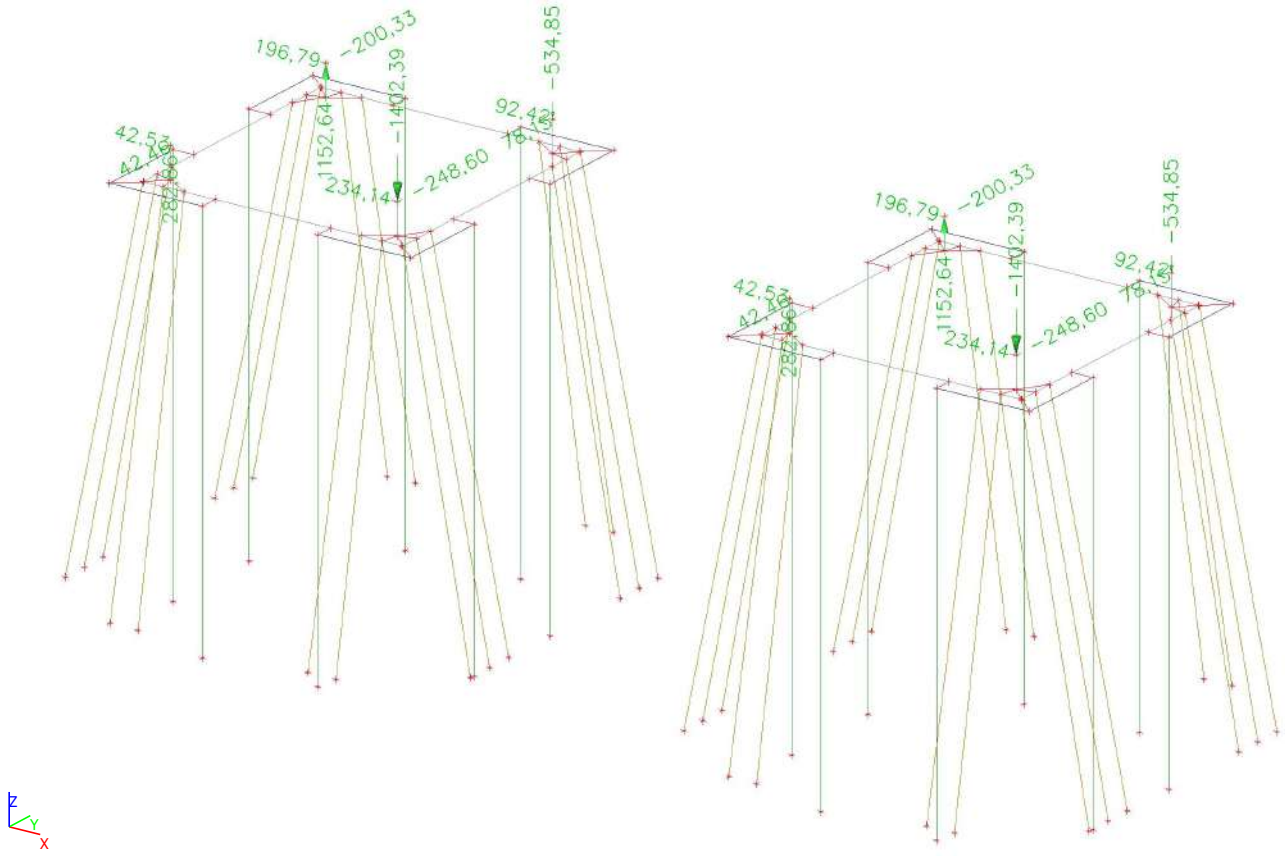
6.1.2.1. Puntlast op knoop

Naam	Knoop	Belastingsgeval	Systeem	Rich	Type	Waarde - F [kN]
hL Bck + Wnd ;135°_1P_X	1P	hL Bck + Wnd ;135°	GCS	X	Kracht	174,76
hL Bck + Wnd ;135°_1P_Y	1P	hL Bck + Wnd ;135°	GCS	Y	Kracht	176,45
hL Bck + Wnd ;135°_1P_Z	1P	hL Bck + Wnd ;135°	GCS	Z	Kracht	1000,46
hL Bck + Wnd ;135°_1X_X	1X	hL Bck + Wnd ;135°	GCS	X	Kracht	126,14
hL Bck + Wnd ;135°_1X_Y	1X	hL Bck + Wnd ;135°	GCS	Y	Kracht	-113,03
hL Bck + Wnd ;135°_1X_Z	1X	hL Bck + Wnd ;135°	GCS	Z	Kracht	709,99
hL Bck + Wnd ;135°_1XY_X	1XY	hL Bck + Wnd ;135°	GCS	X	Kracht	218,68
hL Bck + Wnd ;135°_1XY_Y	1XY	hL Bck + Wnd ;135°	GCS	Y	Kracht	217,58
hL Bck + Wnd ;135°_1XY_Z	1XY	hL Bck + Wnd ;135°	GCS	Z	Kracht	-1249,88
hL Bck + Wnd ;135°_1Y_X	1Y	hL Bck + Wnd ;135°	GCS	X	Kracht	169,68
hL Bck + Wnd ;135°_1Y_Y	1Y	hL Bck + Wnd ;135°	GCS	Y	Kracht	-155,32
hL Bck + Wnd ;135°_1Y_Z	1Y	hL Bck + Wnd ;135°	GCS	Z	Kracht	-962,90
hL Bck + Wnd ;135°_1Y_X1	1Y1	hL Bck + Wnd ;135°	GCS	X	Kracht	169,68
hL Bck + Wnd ;135°_1Y_Y1	1Y1	hL Bck + Wnd ;135°	GCS	Y	Kracht	-155,32
hL Bck + Wnd	1Y1	hL Bck + Wnd ;135°	GCS	Z	Kracht	-962,90

Naam	Knoop	Belastingsgeval	Systeem	Rich	Type	Waarde - F [kN]
;135°_1Y_Z1						
hL Bck + Wnd ;135°_1XY_X1	1XY1	hL Bck + Wnd ;135°	GCS	X	Kracht	218,68
hL Bck + Wnd ;135°_1XY_Y1	1XY1	hL Bck + Wnd ;135°	GCS	Y	Kracht	217,58
hL Bck + Wnd ;135°_1XY_Z1	1XY1	hL Bck + Wnd ;135°	GCS	Z	Kracht	-1249,88
hL Bck + Wnd ;135°_1P_X1	1P1	hL Bck + Wnd ;135°	GCS	X	Kracht	174,76
hL Bck + Wnd ;135°_1P_Y1	1P1	hL Bck + Wnd ;135°	GCS	Y	Kracht	176,45
hL Bck + Wnd ;135°_1P_Z1	1P1	hL Bck + Wnd ;135°	GCS	Z	Kracht	1000,46
hL Bck + Wnd ;135°_1X_X1	1X1	hL Bck + Wnd ;135°	GCS	X	Kracht	126,14
hL Bck + Wnd ;135°_1X_Y1	1X1	hL Bck + Wnd ;135°	GCS	Y	Kracht	-113,03
hL Bck + Wnd ;135°_1X_Z1	1X1	hL Bck + Wnd ;135°	GCS	Z	Kracht	709,99

6.1.3. Belastingsgevallen - hL Bck + Wnd ;270°

Naam	Omschrijving	Actie type	Lastgroep	Duur	'Master' belastingsgeval
	Spec	Type last			
hL Bck + Wnd ;270°	Standaard	Variabel Statisch	LG4	Kort	Geen

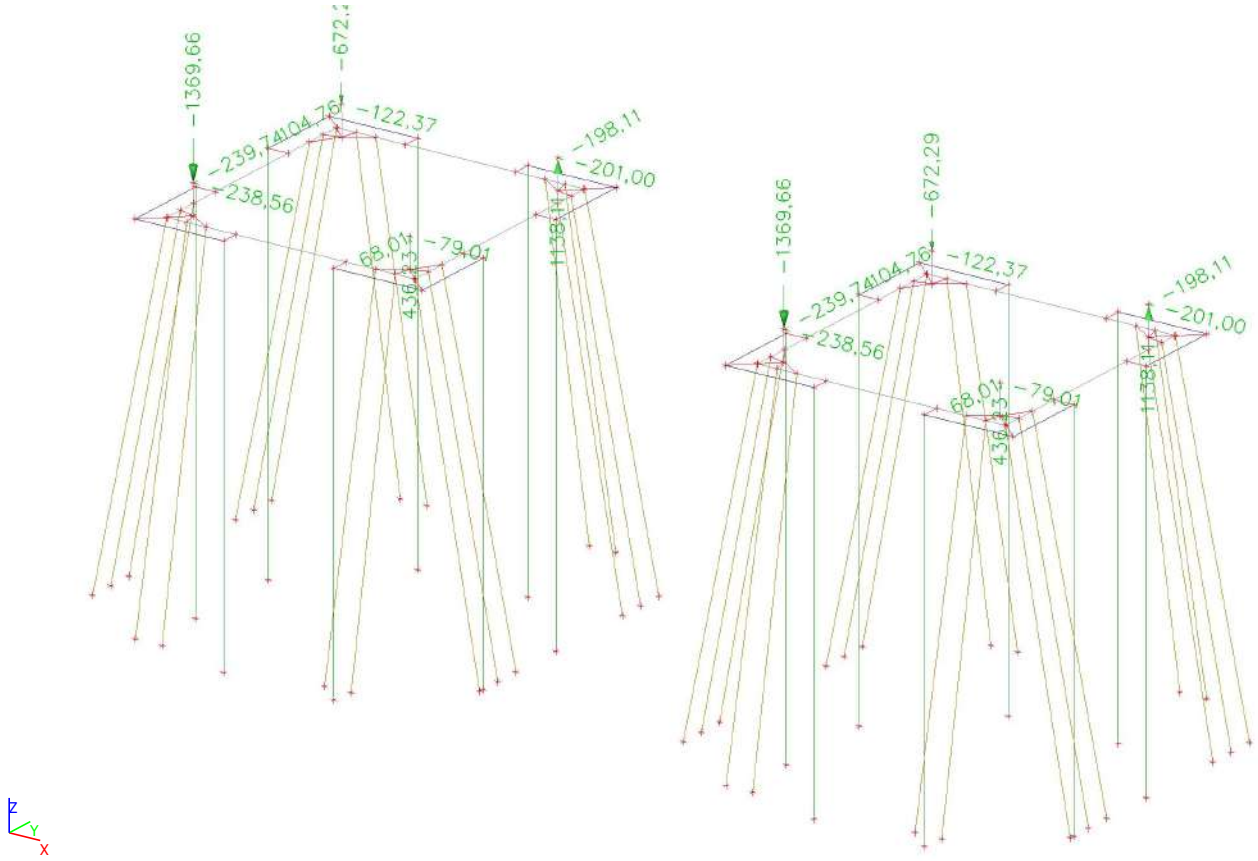


6.1.3.1. Puntlast op knoop

Naam	Knoop	Belastingsgeval	Systeem	Rich	Type	Waarde - F [kN]
hL Bck + Wnd ;270°_1P_X	1P	hL Bck + Wnd ;270°	GCS	X	Kracht	42,53
hL Bck + Wnd ;270°_1P_Y	1P	hL Bck + Wnd ;270°	GCS	Y	Kracht	42,46
hL Bck + Wnd ;270°_1P_Z	1P	hL Bck + Wnd ;270°	GCS	Z	Kracht	282,86
hL Bck + Wnd ;270°_1X_X	1X	hL Bck + Wnd ;270°	GCS	X	Kracht	196,79
hL Bck + Wnd ;270°_1X_Y	1X	hL Bck + Wnd ;270°	GCS	Y	Kracht	-200,33
hL Bck + Wnd ;270°_1X_Z	1X	hL Bck + Wnd ;270°	GCS	Z	Kracht	1152,64
hL Bck + Wnd ;270°_1XY_X	1XY	hL Bck + Wnd ;270°	GCS	X	Kracht	92,42
hL Bck + Wnd ;270°_1XY_Y	1XY	hL Bck + Wnd ;270°	GCS	Y	Kracht	78,15
hL Bck + Wnd ;270°_1XY_Z	1XY	hL Bck + Wnd ;270°	GCS	Z	Kracht	-534,85
hL Bck + Wnd ;270°_1Y_X	1Y	hL Bck + Wnd ;270°	GCS	X	Kracht	234,14
hL Bck + Wnd ;270°_1Y_Y	1Y	hL Bck + Wnd ;270°	GCS	Y	Kracht	-248,60
hL Bck + Wnd ;270°_1Y_Z	1Y	hL Bck + Wnd ;270°	GCS	Z	Kracht	-1402,39
hL Bck + Wnd ;270°_1Y_X1	1Y1	hL Bck + Wnd ;270°	GCS	X	Kracht	234,14
hL Bck + Wnd ;270°_1Y_Y1	1Y1	hL Bck + Wnd ;270°	GCS	Y	Kracht	-248,60
hL Bck + Wnd ;270°_1Y_Z1	1Y1	hL Bck + Wnd ;270°	GCS	Z	Kracht	-1402,39
hL Bck + Wnd ;270°_1XY_X1	1XY1	hL Bck + Wnd ;270°	GCS	X	Kracht	92,42
hL Bck + Wnd ;270°_1XY_Y1	1XY1	hL Bck + Wnd ;270°	GCS	Y	Kracht	78,15
hL Bck + Wnd ;270°_1XY_Z1	1XY1	hL Bck + Wnd ;270°	GCS	Z	Kracht	-534,85
hL Bck + Wnd ;270°_1P_X1	1P1	hL Bck + Wnd ;270°	GCS	X	Kracht	42,53
hL Bck + Wnd ;270°_1P_Y1	1P1	hL Bck + Wnd ;270°	GCS	Y	Kracht	42,46
hL Bck + Wnd ;270°_1P_Z1	1P1	hL Bck + Wnd ;270°	GCS	Z	Kracht	282,86
hL Bck + Wnd ;270°_1X_X1	1X1	hL Bck + Wnd ;270°	GCS	X	Kracht	196,79
hL Bck + Wnd ;270°_1X_Y1	1X1	hL Bck + Wnd ;270°	GCS	Y	Kracht	-200,33
hL Bck + Wnd ;270°_1X_Z1	1X1	hL Bck + Wnd ;270°	GCS	Z	Kracht	1152,64

6.1.4. Belastingsgevallen - hL Ahd + Wnd ;315°

Naam	Omschrijving	Actie type	Lastgroep	Duur	'Master' belastingsgeval
	Spec	Type last			
hL Ahd + Wnd ;315°		Variabel	LG4	Kort	Geen
	Standaard	Statisch			



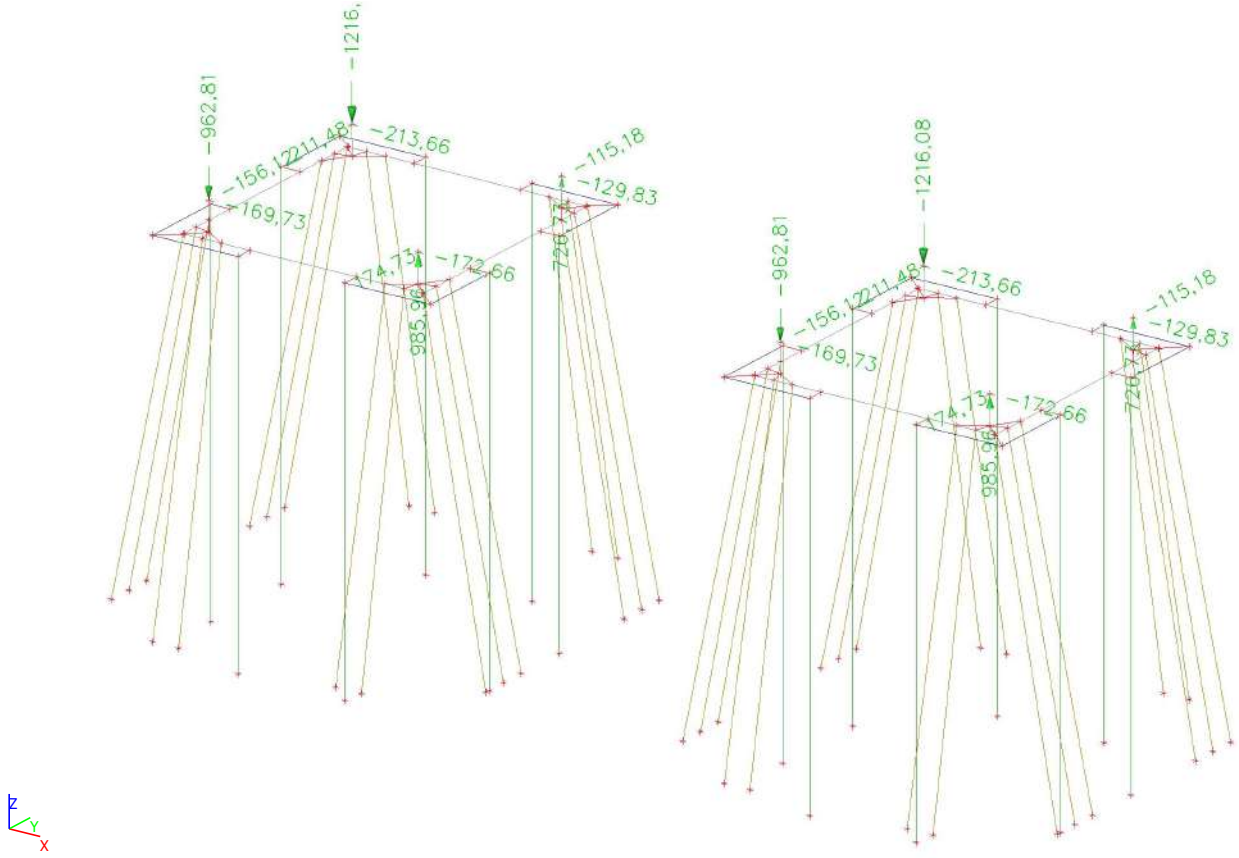
6.1.4.1. Puntlast op knoop

Naam	Knoop	Belastingsgeval	Systeem	Rich	Type	Waarde - F [kN]
hL Ahd + Wnd ;315°_1P_X	1P	hL Ahd + Wnd ;315°	GCS	X	Kracht	-238,56
hL Ahd + Wnd ;315°_1P_Y	1P	hL Ahd + Wnd ;315°	GCS	Y	Kracht	-239,74
hL Ahd + Wnd ;315°_1P_Z	1P	hL Ahd + Wnd ;315°	GCS	Z	Kracht	-1369,66
hL Ahd + Wnd ;315°_1X_X	1X	hL Ahd + Wnd ;315°	GCS	X	Kracht	-122,37
hL Ahd + Wnd ;315°_1X_Y	1X	hL Ahd + Wnd ;315°	GCS	Y	Kracht	104,76
hL Ahd + Wnd ;315°_1X_Z	1X	hL Ahd + Wnd ;315°	GCS	Z	Kracht	-672,29
hL Ahd + Wnd ;315°_1XY_X	1XY	hL Ahd + Wnd ;315°	GCS	X	Kracht	-201,00
hL Ahd + Wnd ;315°_1XY_Y	1XY	hL Ahd + Wnd ;315°	GCS	Y	Kracht	-198,11
hL Ahd + Wnd ;315°_1XY_Z	1XY	hL Ahd + Wnd ;315°	GCS	Z	Kracht	1138,11
hL Ahd + Wnd ;315°_1Y_X	1Y	hL Ahd + Wnd ;315°	GCS	X	Kracht	-79,01
hL Ahd + Wnd ;315°_1Y_Y	1Y	hL Ahd + Wnd ;315°	GCS	Y	Kracht	68,01
hL Ahd + Wnd ;315°_1Y_Z	1Y	hL Ahd + Wnd ;315°	GCS	Z	Kracht	436,23
hL Ahd + Wnd ;315°_1Y_X1	1Y1	hL Ahd + Wnd ;315°	GCS	X	Kracht	-79,01
hL Ahd + Wnd ;315°_1Y_Y1	1Y1	hL Ahd + Wnd ;315°	GCS	Y	Kracht	68,01
hL Ahd + Wnd	1Y1	hL Ahd + Wnd ;315°	GCS	Z	Kracht	436,23

Naam	Knoop	Belastingsgeval	Systeem	Rich	Type	Waarde - F [kN]
;315°_1Y_Z1						
hL Ahd + Wnd ;315°_1XY_X1	1XY1	hL Ahd + Wnd ;315°	GCS	X	Kracht	-201,00
hL Ahd + Wnd ;315°_1XY_Y1	1XY1	hL Ahd + Wnd ;315°	GCS	Y	Kracht	-198,11
hL Ahd + Wnd ;315°_1XY_Z1	1XY1	hL Ahd + Wnd ;315°	GCS	Z	Kracht	1138,11
hL Ahd + Wnd ;315°_1P_X1	1P1	hL Ahd + Wnd ;315°	GCS	X	Kracht	-238,56
hL Ahd + Wnd ;315°_1P_Y1	1P1	hL Ahd + Wnd ;315°	GCS	Y	Kracht	-239,74
hL Ahd + Wnd ;315°_1P_Z1	1P1	hL Ahd + Wnd ;315°	GCS	Z	Kracht	-1369,66
hL Ahd + Wnd ;315°_1X_X1	1X1	hL Ahd + Wnd ;315°	GCS	X	Kracht	-122,37
hL Ahd + Wnd ;315°_1X_Y1	1X1	hL Ahd + Wnd ;315°	GCS	Y	Kracht	104,76
hL Ahd + Wnd ;315°_1X_Z1	1X1	hL Ahd + Wnd ;315°	GCS	Z	Kracht	-672,29

6.1.5. Belastingsgevallen - hL Ahd + Wnd ;45°

Naam	Omschrijving	Actie type	Lastgroep	Duur	'Master' belastingsgeval
	Spec	Type last			
hL Ahd + Wnd ;45°	Standaard	Variabel Statisch	LG4	Kort	Geen



6.1.5.1. Puntlast op knoop

Naam	Knoop	Belastingsgeval	Systeem	Rich	Type	Waarde - F [kN]
hL Ahd + Wnd ;45°_1P_X	1P	hL Ahd + Wnd ;45°	GCS	X	Kracht	-169,73
hL Ahd + Wnd ;45°_1P_Y	1P	hL Ahd + Wnd ;45°	GCS	Y	Kracht	-156,12
hL Ahd + Wnd ;45°_1P_Z	1P	hL Ahd + Wnd ;45°	GCS	Z	Kracht	-962,81
hL Ahd + Wnd ;45°_1X_X	1X	hL Ahd + Wnd ;45°	GCS	X	Kracht	-213,66
hL Ahd + Wnd ;45°_1X_Y	1X	hL Ahd + Wnd ;45°	GCS	Y	Kracht	211,48
hL Ahd + Wnd ;45°_1X_Z	1X	hL Ahd + Wnd ;45°	GCS	Z	Kracht	-1216,08
hL Ahd + Wnd ;45°_1XY_X	1XY	hL Ahd + Wnd ;45°	GCS	X	Kracht	-129,83
hL Ahd + Wnd ;45°_1XY_Y	1XY	hL Ahd + Wnd ;45°	GCS	Y	Kracht	-115,18
hL Ahd + Wnd ;45°_1XY_Z	1XY	hL Ahd + Wnd ;45°	GCS	Z	Kracht	726,73
hL Ahd + Wnd ;45°_1Y_X	1Y	hL Ahd + Wnd ;45°	GCS	X	Kracht	-172,66
hL Ahd + Wnd ;45°_1Y_Y	1Y	hL Ahd + Wnd ;45°	GCS	Y	Kracht	174,73
hL Ahd + Wnd ;45°_1Y_Z	1Y	hL Ahd + Wnd ;45°	GCS	Z	Kracht	985,96
hL Ahd + Wnd ;45°_1Y_X1	1Y1	hL Ahd + Wnd ;45°	GCS	X	Kracht	-172,66
hL Ahd + Wnd ;45°_1Y_Y1	1Y1	hL Ahd + Wnd ;45°	GCS	Y	Kracht	174,73
hL Ahd + Wnd ;45°_1Y_Z1	1Y1	hL Ahd + Wnd ;45°	GCS	Z	Kracht	985,96
hL Ahd + Wnd ;45°_1XY_X1	1XY1	hL Ahd + Wnd ;45°	GCS	X	Kracht	-129,83
hL Ahd + Wnd ;45°_1XY_Y1	1XY1	hL Ahd + Wnd ;45°	GCS	Y	Kracht	-115,18
hL Ahd + Wnd ;45°_1XY_Z1	1XY1	hL Ahd + Wnd ;45°	GCS	Z	Kracht	726,73
hL Ahd + Wnd ;45°_1P_X1	1P1	hL Ahd + Wnd ;45°	GCS	X	Kracht	-169,73
hL Ahd + Wnd ;45°_1P_Y1	1P1	hL Ahd + Wnd ;45°	GCS	Y	Kracht	-156,12
hL Ahd + Wnd ;45°_1P_Z1	1P1	hL Ahd + Wnd ;45°	GCS	Z	Kracht	-962,81
hL Ahd + Wnd ;45°_1X_X1	1X1	hL Ahd + Wnd ;45°	GCS	X	Kracht	-213,66
hL Ahd + Wnd ;45°_1X_Y1	1X1	hL Ahd + Wnd ;45°	GCS	Y	Kracht	211,48
hL Ahd + Wnd ;45°_1X_Z1	1X1	hL Ahd + Wnd ;45°	GCS	Z	Kracht	-1216,08

6.2. Niet-lineaire combinaties

Naam	Type	Belastingsgevallen	Coëff. [-]
hL Ahd + Wnd ;45°	Uiterste Grenstoestand	E.G.	1,20
		hL Ahd + Wnd ;45°	1,00
hL Bck + Wnd ;135°	Uiterste Grenstoestand	E.G.	1,20
		hL Bck + Wnd ;135°	1,00
hL Bck + Wnd ;270°	Uiterste Grenstoestand	E.G.	1,20
		hL Bck + Wnd ;270°	1,00
hL Ahd + Wnd ;270°	Uiterste Grenstoestand	E.G.	1,20
		hL Ahd + Wnd ;315°	1,00
lL Bck + Wnd ;135°	Uiterste Grenstoestand	E.G.	0,90
		hL Bck + Wnd ;135°	1,00
lL Bck + Wnd ;270°	Uiterste Grenstoestand	E.G.	0,90

Naam	Type	Belastingsgevallen	Coëff. [-]
		hL Bck + Wnd ;270°	1,00
lL Ahd + Wnd ;270°	Uiterste Grenstoestand	E.G.	0,90
		hL Ahd + Wnd ;315°	1,00
lL Ahd + Wnd ;45°	Uiterste Grenstoestand	E.G.	0,90
		hL Ahd + Wnd ;45°	1,00

6.3. Resultaatklasses

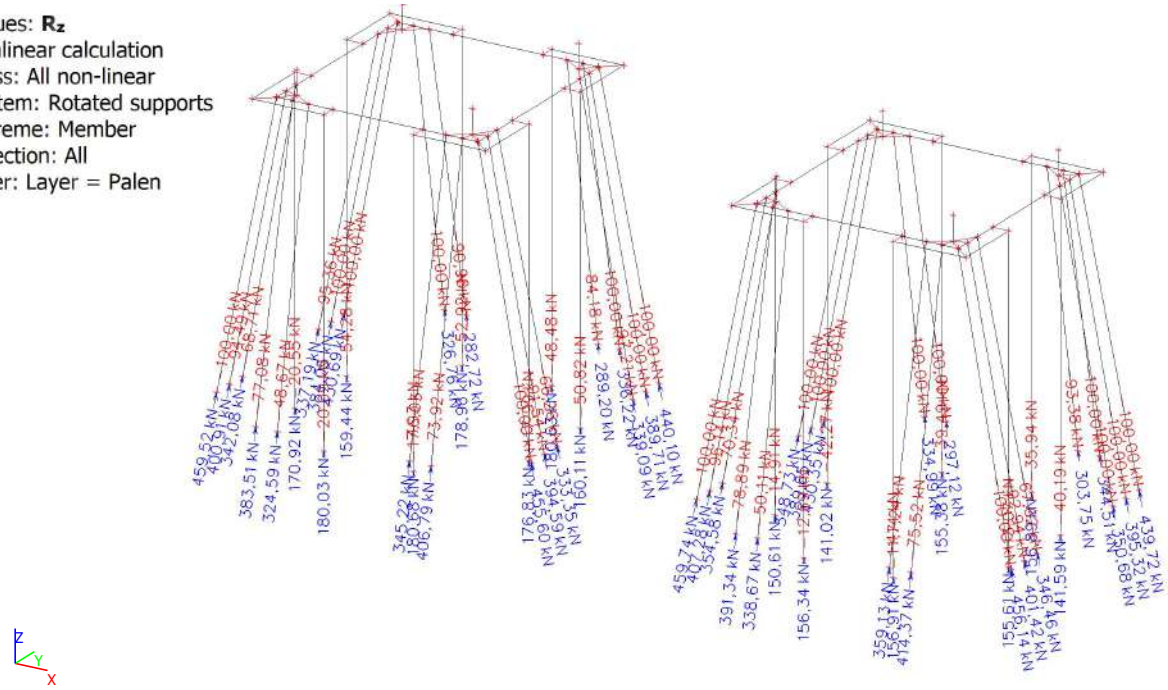
Naam	Lijst
All non-linear	hL Ahd + Wnd ;45°
	hL Bck + Wnd ;135°
	hL Bck + Wnd ;270°
	hL Ahd + Wnd ;270°
	lL Bck + Wnd ;135°
	lL Bck + Wnd ;270°
	lL Ahd + Wnd ;270°
	lL Ahd + Wnd ;45°

7. Resultaten

7.1. Reacties van de palen

7.1.1. Reactions; R_z

Values: R_z
Nonlinear calculation
Class: All non-linear
System: Rotated supports
Extreme: Member
Selection: All
Filter: Layer = Palen



7.1.2. Reacties

Niet-lineaire berekening
Klasse: All non-linear
Systeem: Schuine steunpunten
Extreme: Globaal
Selectie: Alle
Filter: Doorsnede = Funderingspaal - Rectangle (400; 400)
Knoopreacties

Naam	Belasting	R_x [kN]	R_y [kN]	R_z [kN]	M_x [kNm]	M_y [kNm]	M_z [kNm]	e_x [mm]	e_y [mm]
Sn21/N44	lL Bck + Wnd ;135°	0,00	0,00	**-100,00**	0,00	0,00	0,00	0,0	0,0
Sn50/N115	hL Ahd + Wnd ;270°	**0,00**	**0,00**	**459,74**	**0,00**	**0,00**	**0,00**	0,0	0,0

7.1.3. Reacties

Niet-lineaire berekening
Klasse: All non-linear
Systeem: Schuine steunpunten
Extreme: Globaal
Selectie: Alle
Filter: Doorsnede = LEKA Paal - type e (CHS219.1/10.0)
Knoopreacties

Naam	Belasting	R_x [kN]	R_y [kN]	R_z [kN]	M_x [kNm]	M_y [kNm]	M_z [kNm]	e_x [mm]	e_y [mm]
Sn45/N72	lL Bck + Wnd ;270°	0,00	0,00	**-54,28**	0,00	0,00	0,00	0,0	0,0
Sn48/N80	hL Bck + Wnd ;270°	**0,00**	**0,00**	**180,68**	**0,00**	**0,00**	**0,00**	0,0	0,0

7.1.4. Reacties

Niet-lineaire berekening
Klasse: All non-linear
Systeem: Schuine steunpunten
Extreme: Element
Selectie: Alle
Filter: Laag = Palen

Knoopreacties

Naam	Belasting	R_x [kN]	R_y [kN]	R_z [kN]	M_x [kNm]	M_y [kNm]	M_z [kNm]	e_x [mm]	e_y [mm]
Sn21/N44	lL Bck + Wnd ;135°	0,00	0,00	**-100,00**	0,00	0,00	0,00	0,0	0,0
Sn21/N44	hL Ahd + Wnd ;270°	**0,00**	**0,00**	**459,52**	**0,00**	**0,00**	**0,00**	0,0	0,0
Sn22/N45	lL Bck + Wnd ;135°	0,00	0,00	**-94,49**	0,00	0,00	0,00	0,0	0,0
Sn22/N45	hL Ahd + Wnd ;270°	**0,00**	**0,00**	**400,91**	**0,00**	**0,00**	**0,00**	0,0	0,0
Sn23/N46	lL Bck + Wnd ;135°	0,00	0,00	**-68,71**	0,00	0,00	0,00	0,0	0,0
Sn23/N46	hL Ahd + Wnd ;270°	**0,00**	**0,00**	**342,08**	**0,00**	**0,00**	**0,00**	0,0	0,0
Sn24/N47	lL Bck + Wnd ;135°	0,00	0,00	**-77,08**	0,00	0,00	0,00	0,0	0,0
Sn24/N47	hL Ahd + Wnd ;270°	**0,00**	**0,00**	**383,51**	**0,00**	**0,00**	**0,00**	0,0	0,0
Sn26/N48	lL Bck + Wnd ;135°	0,00	0,00	**-48,67**	0,00	0,00	0,00	0,0	0,0
Sn26/N48	hL Ahd + Wnd ;270°	**0,00**	**0,00**	**324,59**	**0,00**	**0,00**	**0,00**	0,0	0,0
Sn27/N49	lL Ahd + Wnd ;45°	0,00	0,00	**-100,00**	0,00	0,00	0,00	0,0	0,0
Sn27/N49	hL Bck + Wnd ;270°	**0,00**	**0,00**	**455,60**	**0,00**	**0,00**	**0,00**	0,0	0,0
Sn28/N50	lL Ahd + Wnd ;45°	0,00	0,00	**-91,54**	0,00	0,00	0,00	0,0	0,0
Sn28/N50	hL Bck + Wnd ;270°	**0,00**	**0,00**	**394,58**	**0,00**	**0,00**	**0,00**	0,0	0,0
Sn29/N51	lL Ahd + Wnd ;45°	0,00	0,00	**-66,26**	0,00	0,00	0,00	0,0	0,0
Sn29/N51	hL Bck + Wnd ;270°	**0,00**	**0,00**	**333,35**	**0,00**	**0,00**	**0,00**	0,0	0,0
Sn30/N52	lL Ahd + Wnd ;45°	0,00	0,00	**-73,92**	0,00	0,00	0,00	0,0	0,0
Sn30/N52	hL Bck + Wnd ;270°	**0,00**	**0,00**	**406,79**	**0,00**	**0,00**	**0,00**	0,0	0,0
Sn31/N53	lL Ahd + Wnd ;45°	0,00	0,00	**-46,03**	0,00	0,00	0,00	0,0	0,0
Sn31/N53	hL Bck + Wnd ;270°	**0,00**	**0,00**	**345,22**	**0,00**	**0,00**	**0,00**	0,0	0,0
Sn32/N10	hL Ahd + Wnd ;270°	0,00	0,00	**-100,00**	0,00	0,00	0,00	0,0	0,0
Sn32/N10	hL Bck + Wnd ;135°	**0,00**	**0,00**	**440,10**	**0,00**	**0,00**	**0,00**	0,0	0,0
Sn33/N11	lL Ahd + Wnd ;270°	0,00	0,00	**-100,00**	0,00	0,00	0,00	0,0	0,0
Sn33/N11	hL Bck + Wnd ;135°	**0,00**	**0,00**	**389,71**	**0,00**	**0,00**	**0,00**	0,0	0,0
Sn34/N12	lL Ahd + Wnd ;270°	0,00	0,00	**-97,21**	0,00	0,00	0,00	0,0	0,0
Sn34/N12	hL Bck + Wnd ;135°	**0,00**	**0,00**	**339,09**	**0,00**	**0,00**	**0,00**	0,0	0,0
Sn35/N13	lL Ahd + Wnd ;270°	0,00	0,00	**-100,00**	0,00	0,00	0,00	0,0	0,0
Sn35/N13	hL Bck + Wnd ;135°	**0,00**	**0,00**	**336,22**	**0,00**	**0,00**	**0,00**	0,0	0,0
Sn36/N14	lL Ahd +	0,00	0,00	**-84,18**	0,00	0,00	0,00	0,0	0,0

Naam	Belasting	R_x [kN]	R_y [kN]	R_z [kN]	M_x [kNm]	M_y [kNm]	M_z [kNm]	e_x [mm]	e_y [mm]
	Wnd ;270°								
Sn36/N14	hL Bck + Wnd ;135°	**0,00**	**0,00**	**289,20**	**0,00**	**0,00**	**0,00**	0,0	0,0
Sn37/N15	lL Bck + Wnd ;270°	**0,00**	**0,00**	**-100,00**	**0,00**	**0,00**	**0,00**	0,0	0,0
Sn37/N15	hL Ahd + Wnd ;45°	0,00	0,00	**326,76**	0,00	0,00	**0,00**	0,0	0,0
Sn38/N2	lL Bck + Wnd ;270°	**0,00**	**0,00**	**-90,96**	**0,00**	**0,00**	**0,00**	0,0	0,0
Sn38/N2	hL Ahd + Wnd ;45°	0,00	0,00	**282,72**	0,00	0,00	**0,00**	0,0	0,0
Sn39/N3	hL Bck + Wnd ;270°	**0,00**	**0,00**	**-100,00**	**0,00**	**0,00**	**0,00**	0,0	0,0
Sn39/N3	hL Ahd + Wnd ;45°	0,00	0,00	**430,69**	0,00	0,00	**0,00**	0,0	0,0
Sn40/N4	lL Bck + Wnd ;270°	**0,00**	**0,00**	**-100,00**	**0,00**	**0,00**	**0,00**	0,0	0,0
Sn40/N4	hL Ahd + Wnd ;45°	0,00	0,00	**384,05**	0,00	0,00	**0,00**	0,0	0,0
Sn41/N54	lL Bck + Wnd ;270°	**0,00**	**0,00**	**-95,36**	**0,00**	**0,00**	**0,00**	0,0	0,0
Sn41/N54	hL Ahd + Wnd ;45°	0,00	0,00	**337,19**	0,00	0,00	**0,00**	0,0	0,0
Sn42/N60	lL Ahd + Wnd ;270°	0,00	0,00	**-48,48**	0,00	0,00	0,00	0,0	0,0
Sn42/N60	hL Bck + Wnd ;135°	**0,00**	**0,00**	**180,63**	**0,00**	**0,00**	**0,00**	0,0	0,0
Sn43/N61	lL Ahd + Wnd ;270°	0,00	0,00	**-50,82**	0,00	0,00	0,00	0,0	0,0
Sn43/N61	hL Bck + Wnd ;135°	**0,00**	**0,00**	**160,11**	**0,00**	**0,00**	**0,00**	0,0	0,0
Sn44/N70	lL Bck + Wnd ;270°	**0,00**	**0,00**	**-52,92**	**0,00**	**0,00**	**0,00**	0,0	0,0
Sn44/N70	hL Ahd + Wnd ;45°	0,00	0,00	**178,96**	0,00	0,00	**0,00**	0,0	0,0
Sn45/N72	lL Bck + Wnd ;270°	**0,00**	**0,00**	**-54,28**	**0,00**	**0,00**	**0,00**	0,0	0,0
Sn45/N72	hL Ahd + Wnd ;45°	0,00	0,00	**159,44**	0,00	0,00	**0,00**	0,0	0,0
Sn49/N81	lL Ahd + Wnd ;45°	0,00	0,00	**-17,99**	0,00	0,00	0,00	0,0	0,0
Sn49/N81	hL Bck + Wnd ;270°	**0,00**	**0,00**	**176,83**	**0,00**	**0,00**	**0,00**	0,0	0,0
Sn48/N80	lL Ahd + Wnd ;45°	0,00	0,00	**-17,93**	0,00	0,00	0,00	0,0	0,0
Sn48/N80	hL Bck + Wnd ;270°	**0,00**	**0,00**	**180,68**	**0,00**	**0,00**	**0,00**	0,0	0,0
Sn46/N75	lL Bck + Wnd ;135°	0,00	0,00	**-20,09**	0,00	0,00	0,00	0,0	0,0
Sn46/N75	hL Ahd + Wnd ;270°	**0,00**	**0,00**	**180,03**	**0,00**	**0,00**	**0,00**	0,0	0,0
Sn47/N77	lL Bck + Wnd ;135°	0,00	0,00	**-20,55**	0,00	0,00	0,00	0,0	0,0
Sn47/N77	hL Ahd + Wnd ;270°	**0,00**	**0,00**	**170,92**	**0,00**	**0,00**	**0,00**	0,0	0,0
Sn50/N115	lL Bck + Wnd ;135°	0,00	0,00	**-100,00**	0,00	0,00	0,00	0,0	0,0
Sn50/N115	hL Ahd + Wnd ;270°	**0,00**	**0,00**	**459,74**	**0,00**	**0,00**	**0,00**	0,0	0,0
Sn51/N116	lL Bck + Wnd ;135°	0,00	0,00	**-96,14**	0,00	0,00	0,00	0,0	0,0
Sn51/N116	hL Ahd + Wnd ;270°	**0,00**	**0,00**	**407,28**	**0,00**	**0,00**	**0,00**	0,0	0,0
Sn52/N117	lL Bck + Wnd ;135°	0,00	0,00	**-70,34**	0,00	0,00	0,00	0,0	0,0
Sn52/N117	hL Ahd +	**0,00**	**0,00**	**354,58**	**0,00**	**0,00**	**0,00**	0,0	0,0

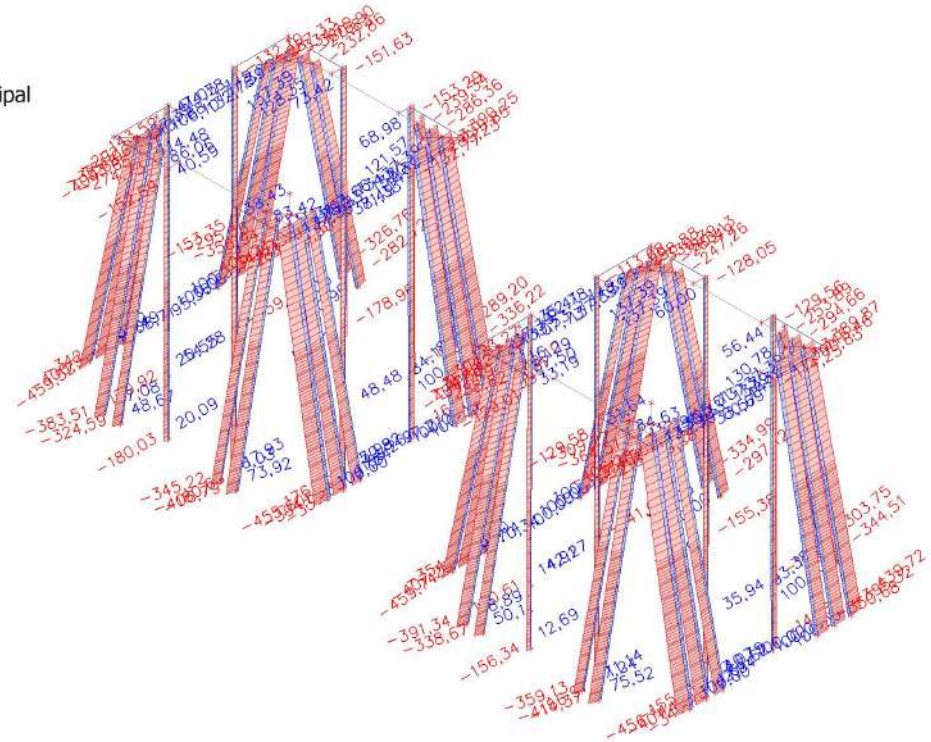
Naam	Belasting	R_x [kN]	R_y [kN]	R_z [kN]	M_x [kNm]	M_y [kNm]	M_z [kNm]	e_x [mm]	e_y [mm]
	Wnd ;270°								
Sn53/N118	lL Bck + Wnd ;135°	0,00	0,00	**-78,89**	0,00	0,00	0,00	0,0	0,0
Sn53/N118	hL Ahd + Wnd ;270°	**0,00**	**0,00**	**391,34**	**0,00**	**0,00**	**0,00**	0,0	0,0
Sn54/N119	lL Bck + Wnd ;135°	0,00	0,00	**-50,11**	0,00	0,00	0,00	0,0	0,0
Sn54/N119	hL Ahd + Wnd ;270°	**0,00**	**0,00**	**338,67**	**0,00**	**0,00**	**0,00**	0,0	0,0
Sn55/N120	lL Ahd + Wnd ;45°	0,00	0,00	**-100,00**	0,00	0,00	0,00	0,0	0,0
Sn55/N120	hL Bck + Wnd ;270°	**0,00**	**0,00**	**456,14**	**0,00**	**0,00**	**0,00**	0,0	0,0
Sn56/N121	lL Ahd + Wnd ;45°	0,00	0,00	**-92,94**	0,00	0,00	0,00	0,0	0,0
Sn56/N121	hL Bck + Wnd ;270°	**0,00**	**0,00**	**401,42**	**0,00**	**0,00**	**0,00**	0,0	0,0
Sn57/N122	lL Ahd + Wnd ;45°	0,00	0,00	**-67,62**	0,00	0,00	0,00	0,0	0,0
Sn57/N122	hL Bck + Wnd ;270°	**0,00**	**0,00**	**346,46**	**0,00**	**0,00**	**0,00**	0,0	0,0
Sn58/N123	lL Ahd + Wnd ;45°	0,00	0,00	**-75,52**	0,00	0,00	0,00	0,0	0,0
Sn58/N123	hL Bck + Wnd ;270°	**0,00**	**0,00**	**414,37**	**0,00**	**0,00**	**0,00**	0,0	0,0
Sn59/N124	lL Ahd + Wnd ;45°	0,00	0,00	**-47,24**	0,00	0,00	0,00	0,0	0,0
Sn59/N124	hL Bck + Wnd ;270°	**0,00**	**0,00**	**359,13**	**0,00**	**0,00**	**0,00**	0,0	0,0
Sn60/N125	hL Ahd + Wnd ;270°	0,00	0,00	**-100,00**	0,00	0,00	0,00	0,0	0,0
Sn60/N125	hL Bck + Wnd ;135°	**0,00**	**0,00**	**439,72**	**0,00**	**0,00**	**0,00**	0,0	0,0
Sn61/N126	lL Ahd + Wnd ;270°	0,00	0,00	**-100,00**	0,00	0,00	0,00	0,0	0,0
Sn61/N126	hL Bck + Wnd ;135°	**0,00**	**0,00**	**395,32**	**0,00**	**0,00**	**0,00**	0,0	0,0
Sn62/N127	lL Ahd + Wnd ;270°	0,00	0,00	**-100,00**	0,00	0,00	0,00	0,0	0,0
Sn62/N127	hL Bck + Wnd ;135°	**0,00**	**0,00**	**350,68**	**0,00**	**0,00**	**0,00**	0,0	0,0
Sn63/N128	lL Ahd + Wnd ;270°	0,00	0,00	**-100,00**	0,00	0,00	0,00	0,0	0,0
Sn63/N128	hL Bck + Wnd ;135°	**0,00**	**0,00**	**344,51**	**0,00**	**0,00**	**0,00**	0,0	0,0
Sn64/N129	lL Ahd + Wnd ;270°	0,00	0,00	**-93,38**	0,00	0,00	0,00	0,0	0,0
Sn64/N129	hL Bck + Wnd ;135°	**0,00**	**0,00**	**303,75**	**0,00**	**0,00**	**0,00**	0,0	0,0
Sn65/N130	lL Bck + Wnd ;270°	**0,00**	**0,00**	**-100,00**	**0,00**	**0,00**	**0,00**	0,0	0,0
Sn65/N130	hL Ahd + Wnd ;45°	0,00	0,00	**334,99**	0,00	0,00	**0,00**	0,0	0,0
Sn66/N131	lL Bck + Wnd ;270°	**0,00**	**0,00**	**-100,00**	**0,00**	**0,00**	**0,00**	0,0	0,0
Sn66/N131	hL Ahd + Wnd ;45°	0,00	0,00	**297,12**	0,00	0,00	**0,00**	0,0	0,0
Sn67/N132	hL Bck + Wnd ;270°	**0,00**	**0,00**	**-100,00**	**0,00**	**0,00**	**0,00**	0,0	0,0
Sn67/N132	hL Ahd + Wnd ;45°	0,00	0,00	**430,35**	0,00	0,00	**0,00**	0,0	0,0
Sn68/N133	lL Bck + Wnd ;270°	**0,00**	**0,00**	**-100,00**	**0,00**	**0,00**	**0,00**	0,0	0,0
Sn68/N133	hL Ahd + Wnd ;45°	0,00	0,00	**389,65**	0,00	0,00	**0,00**	0,0	0,0
Sn69/N134	lL Bck +	**0,00**	**0,00**	**-100,00**	**0,00**	**0,00**	**0,00**	0,0	0,0

Naam	Belasting	R_x [kN]	R_y [kN]	R_z [kN]	M_x [kNm]	M_y [kNm]	M_z [kNm]	e_x [mm]	e_y [mm]
	Wnd ;270°								
Sn69/N134	hL Ahd + Wnd ;45°	0,00	0,00	**348,73**	0,00	0,00	**0,00**	0,0	0,0
Sn70/N140	lL Ahd + Wnd ;270°	0,00	0,00	**-35,94**	0,00	0,00	0,00	0,0	0,0
Sn70/N140	hL Bck + Wnd ;135°	**0,00**	**0,00**	**156,89**	**0,00**	**0,00**	**0,00**	0,0	0,0
Sn71/N141	lL Ahd + Wnd ;270°	0,00	0,00	**-40,19**	0,00	0,00	0,00	0,0	0,0
Sn71/N141	hL Bck + Wnd ;135°	**0,00**	**0,00**	**141,59**	**0,00**	**0,00**	**0,00**	0,0	0,0
Sn72/N146	lL Bck + Wnd ;270°	**0,00**	**0,00**	**-39,49**	**0,00**	**0,00**	**0,00**	0,0	0,0
Sn72/N146	hL Ahd + Wnd ;45°	0,00	0,00	**155,38**	0,00	0,00	**0,00**	0,0	0,0
Sn73/N148	lL Bck + Wnd ;270°	**0,00**	**0,00**	**-42,27**	**0,00**	**0,00**	**0,00**	0,0	0,0
Sn73/N148	hL Ahd + Wnd ;45°	0,00	0,00	**141,02**	0,00	0,00	**0,00**	0,0	0,0
Sn77/N157	lL Ahd + Wnd ;45°	0,00	0,00	**-13,07**	0,00	0,00	0,00	0,0	0,0
Sn77/N157	hL Bck + Wnd ;270°	**0,00**	**0,00**	**155,61**	**0,00**	**0,00**	**0,00**	0,0	0,0
Sn76/N156	lL Ahd + Wnd ;45°	0,00	0,00	**-11,14**	0,00	0,00	0,00	0,0	0,0
Sn76/N156	hL Bck + Wnd ;270°	**0,00**	**0,00**	**156,91**	**0,00**	**0,00**	**0,00**	0,0	0,0
Sn74/N151	lL Bck + Wnd ;135°	0,00	0,00	**-12,69**	0,00	0,00	0,00	0,0	0,0
Sn74/N151	hL Ahd + Wnd ;270°	**0,00**	**0,00**	**156,34**	**0,00**	**0,00**	**0,00**	0,0	0,0
Sn75/N153	lL Bck + Wnd ;135°	0,00	0,00	**-14,91**	0,00	0,00	0,00	0,0	0,0
Sn75/N153	hL Ahd + Wnd ;270°	**0,00**	**0,00**	**150,61**	**0,00**	**0,00**	**0,00**	0,0	0,0

7.2. Krachten van de Funderingspalen

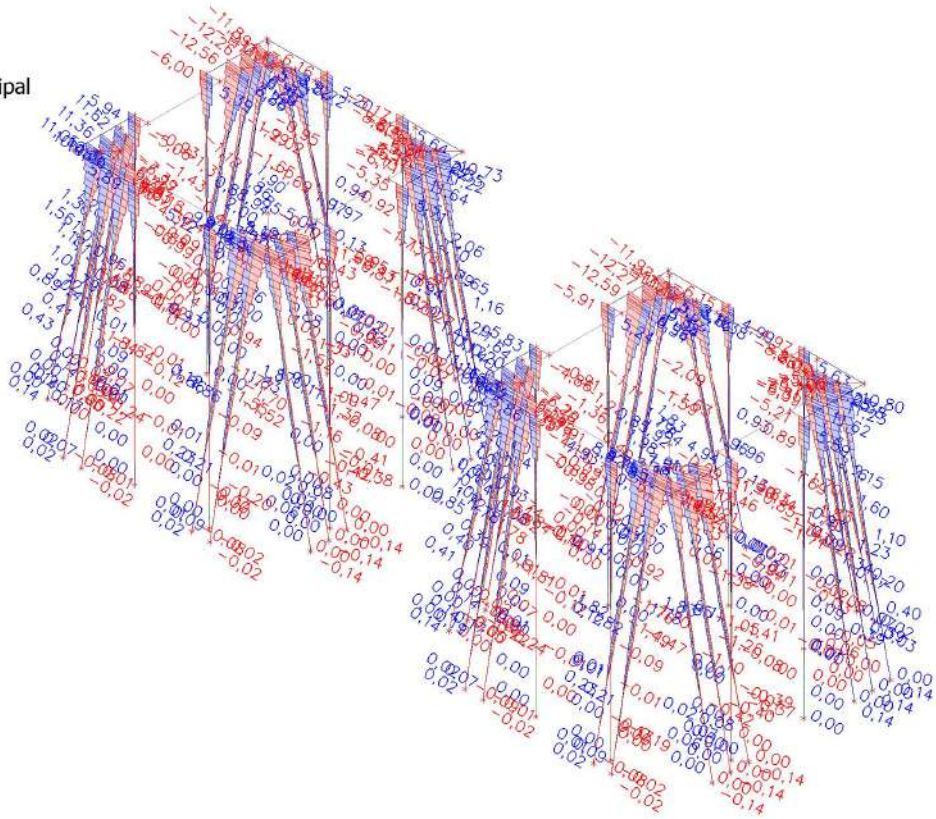
7.2.1. Interne 1D- krachten; N

Values: **N**
Nonlinear calculation
Class: All non-linear
Coordinate system: Principal
Extreme 1D: Local
Selection: All
Filter: Layer = Palen



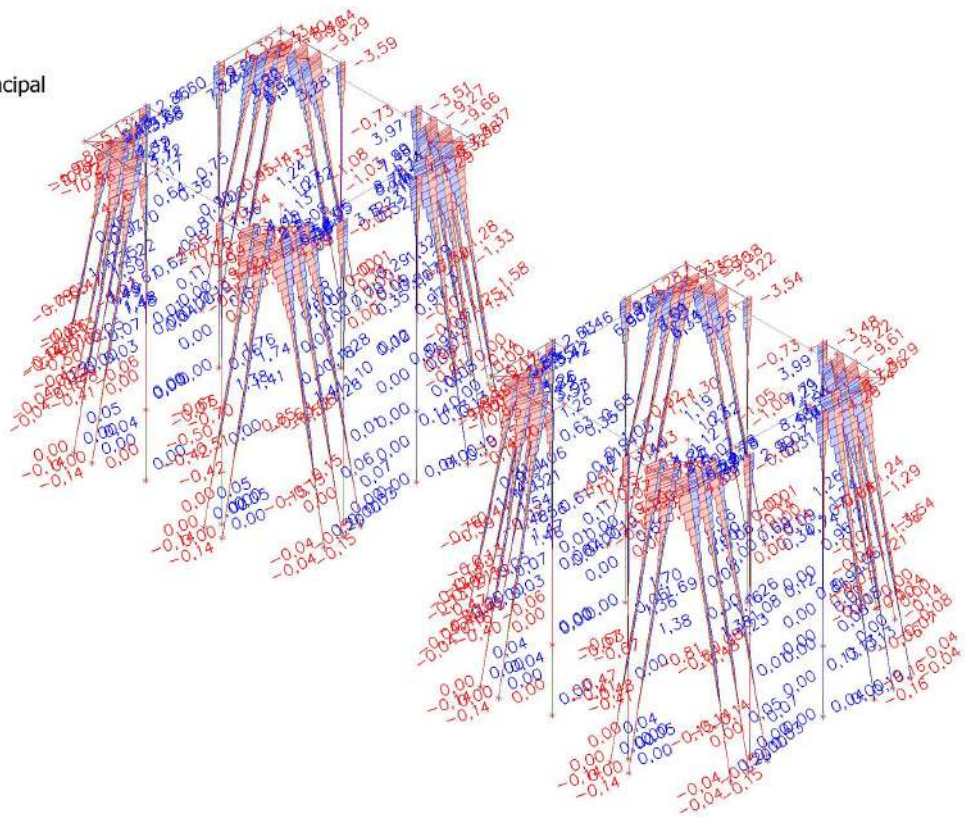
7.2.2. Interne 1D- krachten; V_y

Values: V_y
Nonlinear calculation
Class: All non-linear
Coordinate system: Principal
Extreme 1D: Local
Selection: All
Filter: Layer = Palen



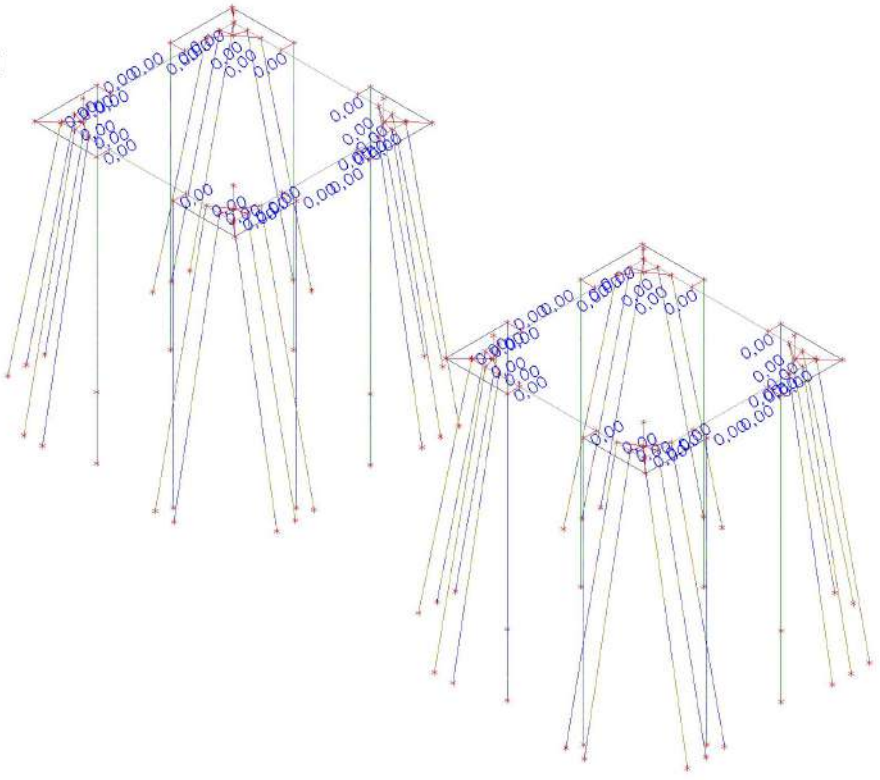
7.2.3. Interne 1D- krachten; V_z

Values: V_z
Nonlinear calculation
Class: All non-linear
Coordinate system: Principal
Extreme 1D: Local
Selection: All
Filter: Layer = Palen



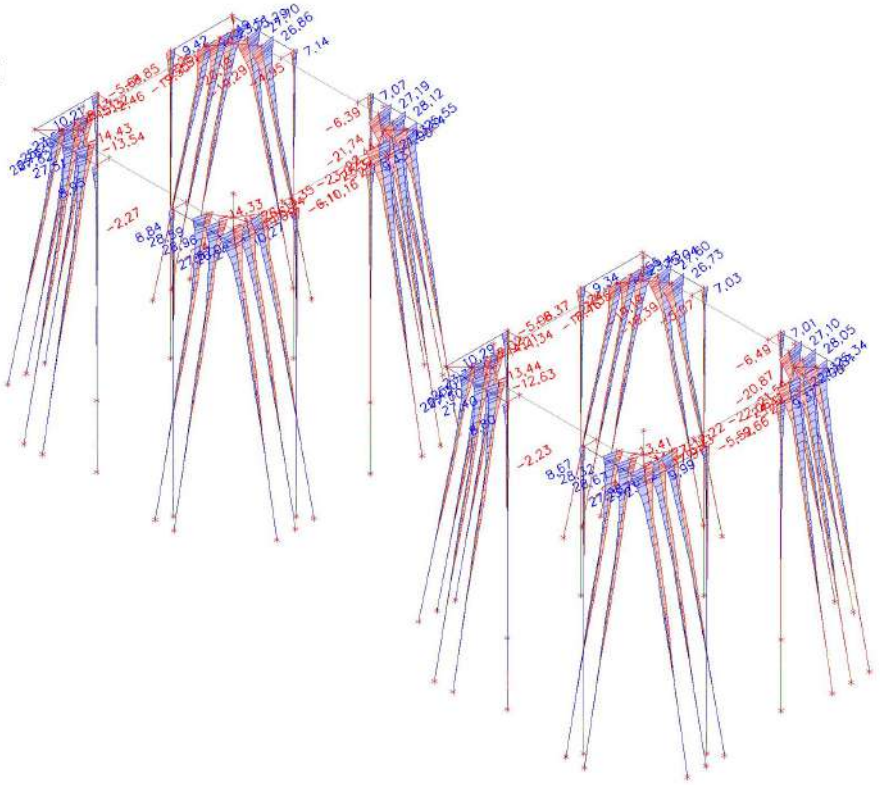
7.2.4. Interne 1D- krachten; M_x

Values: M_x
Nonlinear calculation
Class: All non-linear
Coordinate system: Principal
Extreme 1D: Local
Selection: All
Filter: Layer = Palen



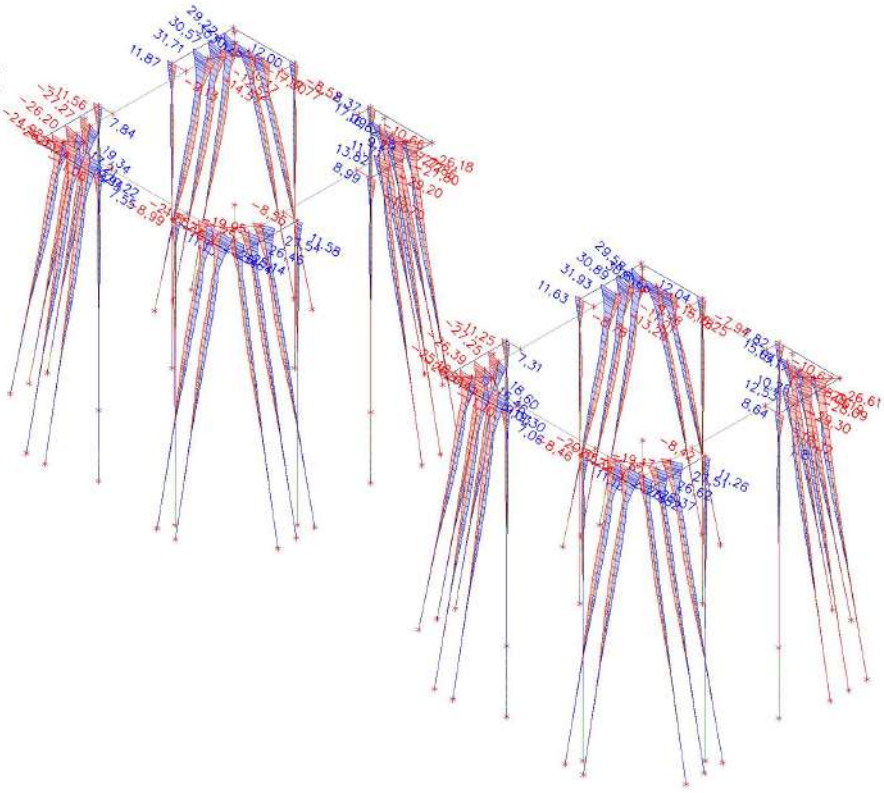
7.2.5. Interne 1D- krachten; M_y

Values: M_y
Nonlinear calculation
Class: All non-linear
Coordinate system: Principal
Extreme 1D: Member
Selection: All
Filter: Layer = Palen



7.2.6. Interne 1D- krachten; M_z

Values: M_z
Nonlinear calculation
Class: All non-linear
Coordinate system: Principal
Extreme 1D: Member
Selection: All
Filter: Layer = Palen



7.2.7. Interne 1D-krachten

Niet-lineaire berekening
Klasse: All non-linear
Coördinatenstelsel: Hoofd
Extreme 1D: Globaal
Selectie: Alle
Filter: Doorsnede = Funderingspaal - Rectangle (400; 400)

Naam	dx [m]	Belasting	Doorsnede	N [kN]	V_y [kN]	V_z [kN]	M_x [kNm]	M_y [kNm]	M_z [kNm]
Paal_P_30	18,000	hL Ahd + Wnd ;270°	Funderingspaal - Rectangle (400; 400)	**-459,74**	0,00	0,20	0,00	0,00	0,00
Paal_P_12	0,000	hL Ahd + Wnd ;270°	Funderingspaal - Rectangle (400; 400)	**149,86**	-0,96	-0,12	**0,00**	10,58	-8,68
Paal_P_49	0,000	lL Ahd + Wnd ;270°	Funderingspaal - Rectangle (400; 400)	-228,53	**-12,59**	6,98	0,00	-18,46	**31,93**
Paal_P_14	0,000	lL Bck + Wnd ;270°	Funderingspaal - Rectangle (400; 400)	-197,94	**11,64**	8,71	0,00	-23,07	-29,20
Paal_P_33	0,000	hL Bck + Wnd ;270°	Funderingspaal - Rectangle (400; 400)	-87,22	-7,25	**-11,01**	0,00	27,60	17,40
Paal_P_12	0,200-	lL Bck + Wnd ;270°	Funderingspaal - Rectangle (400; 400)	-210,47	10,65	**10,07**	0,00	-25,48	-24,04
Paal_P_12	0,000	lL Bck + Wnd ;270°	Funderingspaal - Rectangle (400; 400)	-210,05	10,73	10,07	0,00	**-27,49**	-26,18
Paal_P_10	0,000	lL Ahd + Wnd ;270°	Funderingspaal - Rectangle (400; 400)	-14,93	9,02	-10,89	0,00	**28,96**	-21,22
Paal_P_42	0,000	lL Bck + Wnd ;270°	Funderingspaal - Rectangle (400; 400)	-205,36	11,62	8,48	0,00	-22,06	**-29,30**

7.2.8. Interne 1D-krachten

Niet-lineaire berekening
Klasse: All non-linear
Coördinatenstelsel: Hoofd
Extreme 1D: Globaal
Selectie: Alle
Filter: Doorsnede = LEKA Paal - type e (CHS219.1/10.0)

Naam	dx [m]	Belasting	Doorsnede	N [kN]	V_y [kN]	V_z [kN]	M_x [kNm]	M_y [kNm]	M_z [kNm]
Paal_P_27	19,400	hL Bck + Wnd ;270°	LEKA Paal - type e (CHS219.1/10.0)	**-180,68**	0,00	0,00	0,00	0,00	0,00
Paal_P_25	0,000	lL Bck + Wnd ;270°	LEKA Paal - type e (CHS219.1/10.0)	**74,78**	3,81	1,75	**0,00**	0,92	-4,75
Paal_P_24	0,000	lL Ahd + Wnd ;270°	LEKA Paal - type e (CHS219.1/10.0)	-117,92	**-6,16**	3,24	0,00	-4,95	12,00
Paal_P_29	0,000	lL Bck + Wnd ;270°	LEKA Paal - type e (CHS219.1/10.0)	-60,91	-4,18	**-5,13**	0,00	10,21	6,99
Paal_P_23	0,000	lL Bck + Wnd ;270°	LEKA Paal - type e (CHS219.1/10.0)	-76,81	5,37	**5,23**	0,00	**-10,16**	-10,52
Paal_P_57	0,000	hL Bck + Wnd ;270°	LEKA Paal - type e (CHS219.1/10.0)	-68,53	-3,88	-5,07	0,00	**10,29**	6,37
Paal_P_29	0,000	lL Ahd +	LEKA Paal - type	-95,95	**5,94**	2,86	0,00	-5,64	**-11,56**

Naam	dx [m]	Belasting	Doorsnede	N [kN]	V_y [kN]	V_z [kN]	M_x [kNm]	M_y [kNm]	M_z [kNm]
		Wnd ;45°	e (CHS219.1/10.0)						
Paal_P_52	0,000	lL Ahd + Wnd ;270°	LEKA Paal - type e (CHS219.1/10.0)	-96,16	-6,15	3,26	0,00	-5,07	**12,04**

7.3. Krachten van de Poeren

7.3.1. Interne 1D-krachten

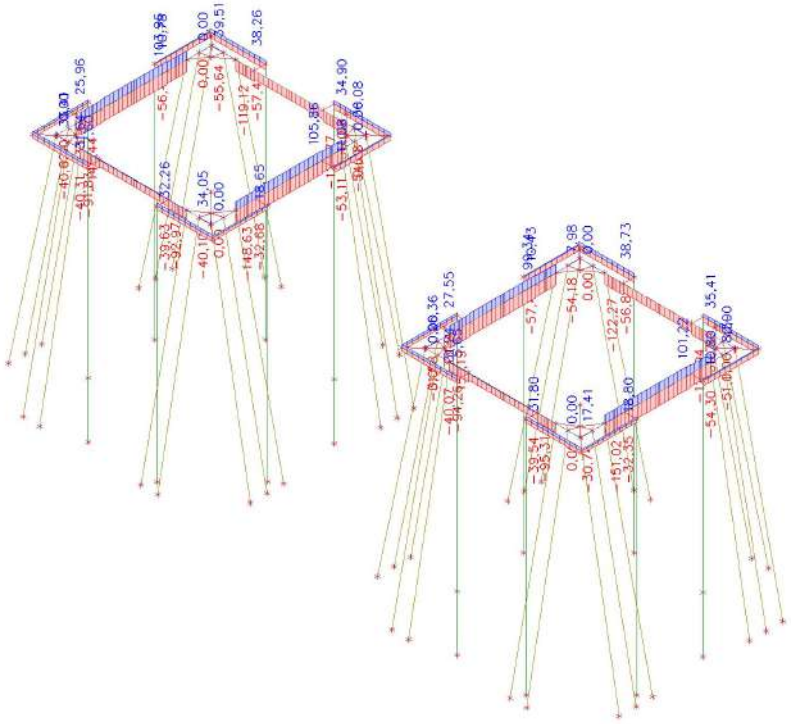
Niet-lineaire berekening
Klasse: All non-linear
Coördinatenstelsel: Hoofd
Extreme 1D: Globaal
Selectie: Alle
Filter: Laag = Poeren

Naam	dx [m]	Belasting	N [kN]	V_y [kN]	V_z [kN]	M_x [kNm]	M_y [kNm]	M_z [kNm]
Poer 5	0,000	hL Bck + Wnd ;270°	**-1430,30**	**341,35**	-10,22	-1,10	15,08	-350,84
Poer 8	1,475	hL Bck + Wnd ;270°	**1154,36**	273,62	4,69	-0,06	0,00	13,85
Poer 8	0,000	hL Ahd + Wnd ;270°	-697,98	-156,26	**-16,80**	**1,80**	**24,66**	156,80
Poer 8	1,475	hL Bck + Wnd ;135°	710,96	164,69	**13,70**	-0,16	0,00	8,53
Poer 8	0,000	lL Bck + Wnd ;135°	692,36	164,81	13,59	**-1,47**	**-20,13**	-167,06
Poer 5	0,000	lL Bck + Wnd ;270°	-1423,33	341,35	-10,22	-1,10	15,08	**-351,14**
Poer 7	0,000	lL Ahd + Wnd ;270°	-1390,60	**-338,21**	-0,83	0,09	1,23	**350,04**

7.4. Krachten van de Funderingsbalken

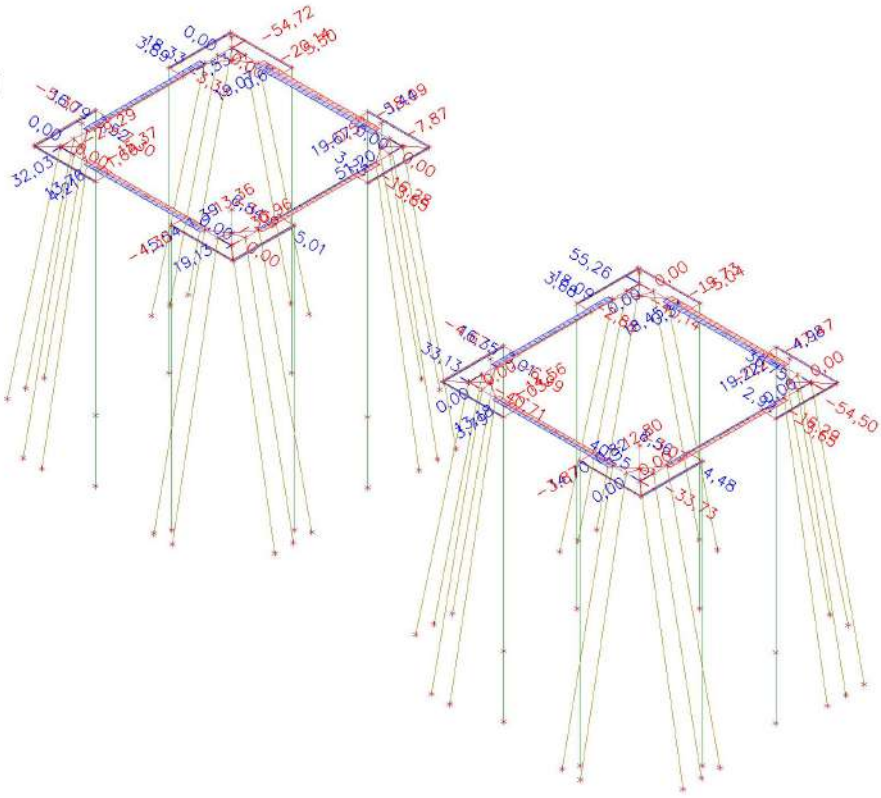
7.4.1. Interne 1D- krachten; N

Values: **N**
Nonlinear calculation
Class: All non-linear
Coordinate system: Principal
Extreme 1D: Local
Selection: All
Filter: Layer = Balken



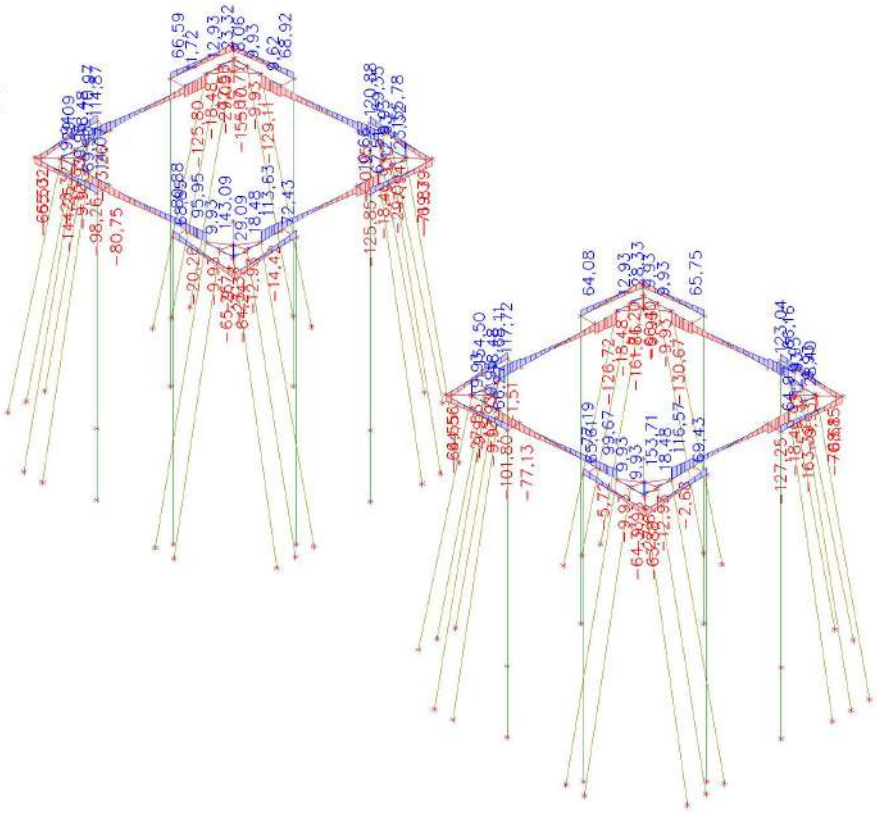
7.4.2. Interne 1D- krachten; V_y

Values: **V_y**
Nonlinear calculation
Class: All non-linear
Coordinate system: Principal
Extreme 1D: Local
Selection: All
Filter: Layer = Balken



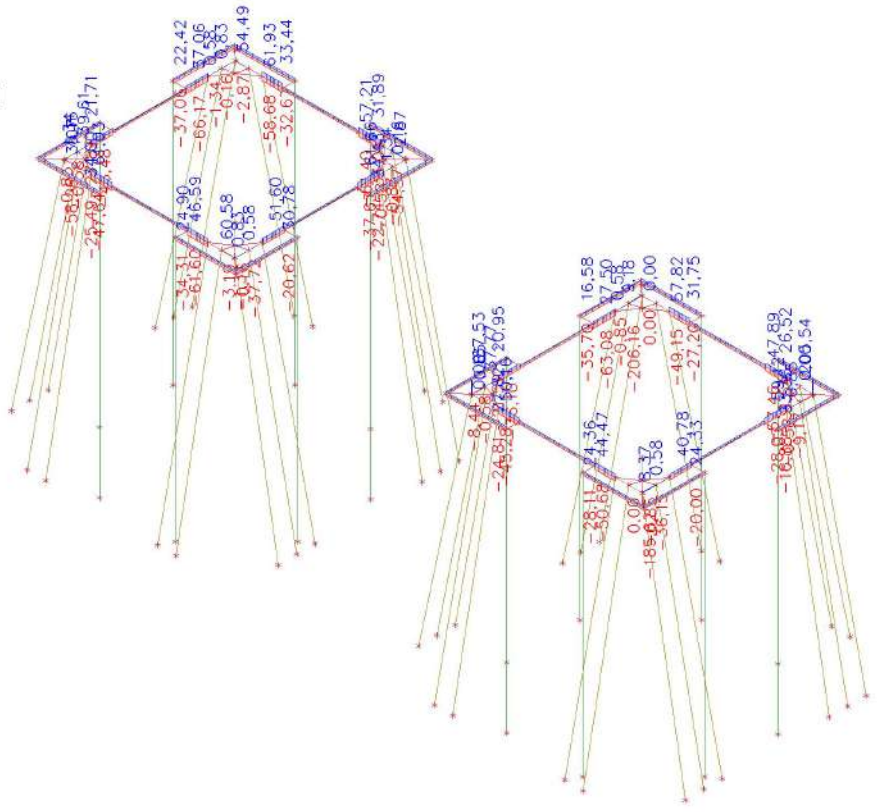
7.4.3. Interne 1D- krachten; V_z

Values: V_z
Nonlinear calculation
Class: All non-linear
Coordinate system: Principal
Extreme 1D: Local
Selection: All
Filter: Layer = Balken



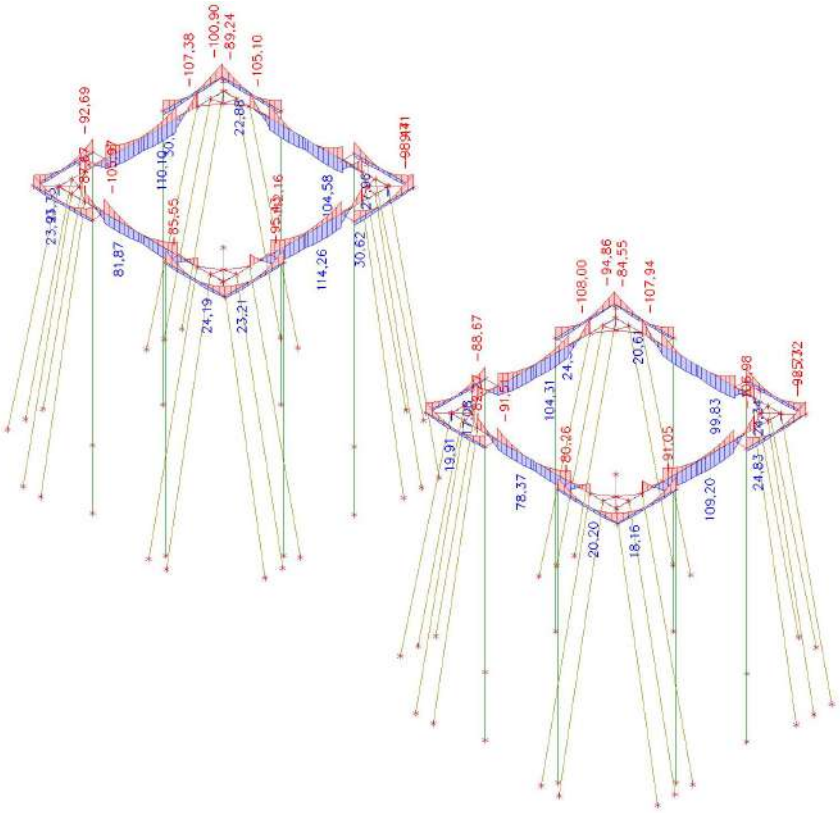
7.4.4. Interne 1D- krachten; M_x

Values: M_x
Nonlinear calculation
Class: All non-linear
Coordinate system: Principal
Extreme 1D: Local
Selection: All
Filter: Layer = Balken



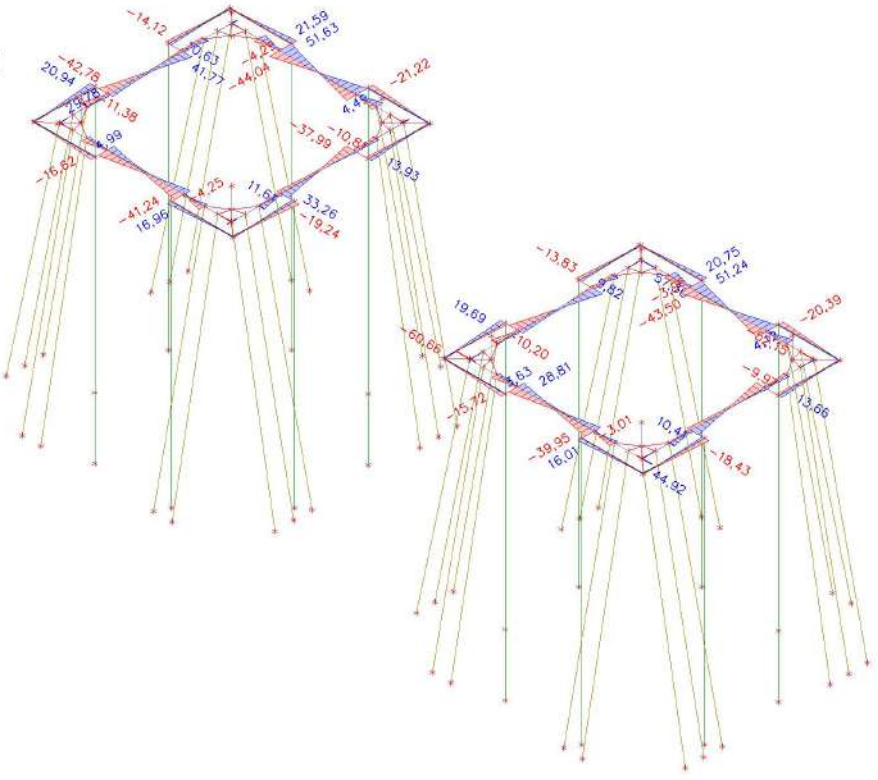
7.4.5. Interne 1D- krachten; M_y

Values: M_y
Nonlinear calculation
Class: All non-linear
Coordinate system: Principal
Extreme 1D: Member
Selection: All
Filter: Layer = Balken



7.4.6. Interne 1D- krachten; M_z

Values: M_z
Nonlinear calculation
Class: All non-linear
Coordinate system: Principal
Extreme 1D: Member
Selection: All
Filter: Layer = Balken



7.4.7. Interne 1D-krachten

Niet-lineaire berekening
Klasse: All non-linear
Coördinatenstelsel: Hoofd
Extreme 1D: Globaal
Selectie: Alle
Filter: Doorsnede = Balk - Rectangle (750; 900)

Naam	dx [m]	Belasting	Doorsnede	N [kN]	V_y [kN]	V_z [kN]	M_x [kNm]	M_y [kNm]	M_z [kNm]
Balk 10	2,000+	lL Bck + Wnd ;270°	Balk - Rectangle (750; 900)	**-151,19**	16,35	76,54	-23,39	-59,71	-25,14
Balk 5	3,600+	lL Bck + Wnd ;135°	Balk - Rectangle (750; 900)	**105,86**	-0,28	34,65	-5,34	-53,17	-7,82
Balk 4	12,550+	lL Bck + Wnd ;270°	Balk - Rectangle (750; 900)	-55,64	**-54,72**	-137,83	44,17	73,95	7,76
Balk 9	12,600	hL Ahd + Wnd ;270°	Balk - Rectangle (750; 900)	-45,25	-50,22	**-163,39**	**205,54**	52,54	-44,44
Balk 4	0,000	hL Ahd + Wnd ;270°	Balk - Rectangle (750; 900)	-50,71	46,45	**155,78**	-54,00	70,76	2,03
Balk 10	12,550+	hL Bck + Wnd ;270°	Balk - Rectangle (750; 900)	-46,99	48,33	-158,74	**-206,16**	57,52	46,90
Balk 5	3,600+	hL Bck + Wnd ;270°	Balk - Rectangle (750; 900)	76,15	-2,65	67,74	12,70	**-112,16**	4,40
Balk 5	7,560	lL Ahd + Wnd ;270°	Balk - Rectangle (750; 900)	-135,36	-13,19	1,54	20,51	**114,26**	-18,99
Balk 10	0,050-	lL Bck + Wnd ;270°	Balk - Rectangle (750; 900)	26,36	-10,60	90,67	80,59	51,54	**-60,66**
Balk 10	12,600	lL Bck + Wnd ;270°	Balk - Rectangle (750; 900)	-54,18	**55,26**	-138,25	-182,79	42,30	**57,36**

7.4.8. Interne 1D-krachten

Niet-lineaire berekening
Klasse: All non-linear
Coördinatenstelsel: Hoofd
Extreme 1D: Globaal
Selectie: Alle
Filter: Doorsnede = Ringbalk - Rectangle (750; 1000)

Naam	dx [m]	Belasting	Doorsnede	N [kN]	V_y [kN]	V_z [kN]	M_x [kNm]	M_y [kNm]	M_z [kNm]
S237	0,000	lL Bck + Wnd ;270°	Ringbalk - Rectangle (750; 1000)	**-57,45**	1,30	11,59	-35,70	20,61	-1,37
S236	0,000	lL Ahd + Wnd ;270°	Ringbalk - Rectangle (750; 1000)	**38,73**	-5,04	46,33	-27,20	-44,43	20,75
S228	0,000	lL Ahd + Wnd ;270°	Ringbalk - Rectangle (750; 1000)	38,26	**-5,50**	49,97	-31,89	-53,56	**21,59**
S229	4,500	hL Bck + Wnd ;270°	Ringbalk - Rectangle (750; 1000)	-49,58	1,47	**-72,56**	-27,38	-96,96	3,88
S231	0,000	hL Bck + Wnd ;270°	Ringbalk - Rectangle (750; 1000)	18,65	-1,43	**72,43**	30,78	-95,43	4,36
S229	4,500	lL Bck +	Ringbalk -	-56,45	1,13	-65,90	**-37,06**	**-100,90**	4,18

Naam	dx [m]	Belasting	Doorsnede	N [kN]	V_y [kN]	V_z [kN]	M_x [kNm]	M_y [kNm]	M_z [kNm]
		Wnd ;270°	Rectangle (750; 1000)						
S223	0,450	IL Ahd + Wnd ;270°	Ringbalk - Rectangle (750; 1000)	-53,11	-1,49	1,65	**34,43**	**30,62**	1,81
S222	0,000	IL Bck + Wnd ;270°	Ringbalk - Rectangle (750; 1000)	34,90	**5,44**	47,64	31,11	-45,71	**-21,22**

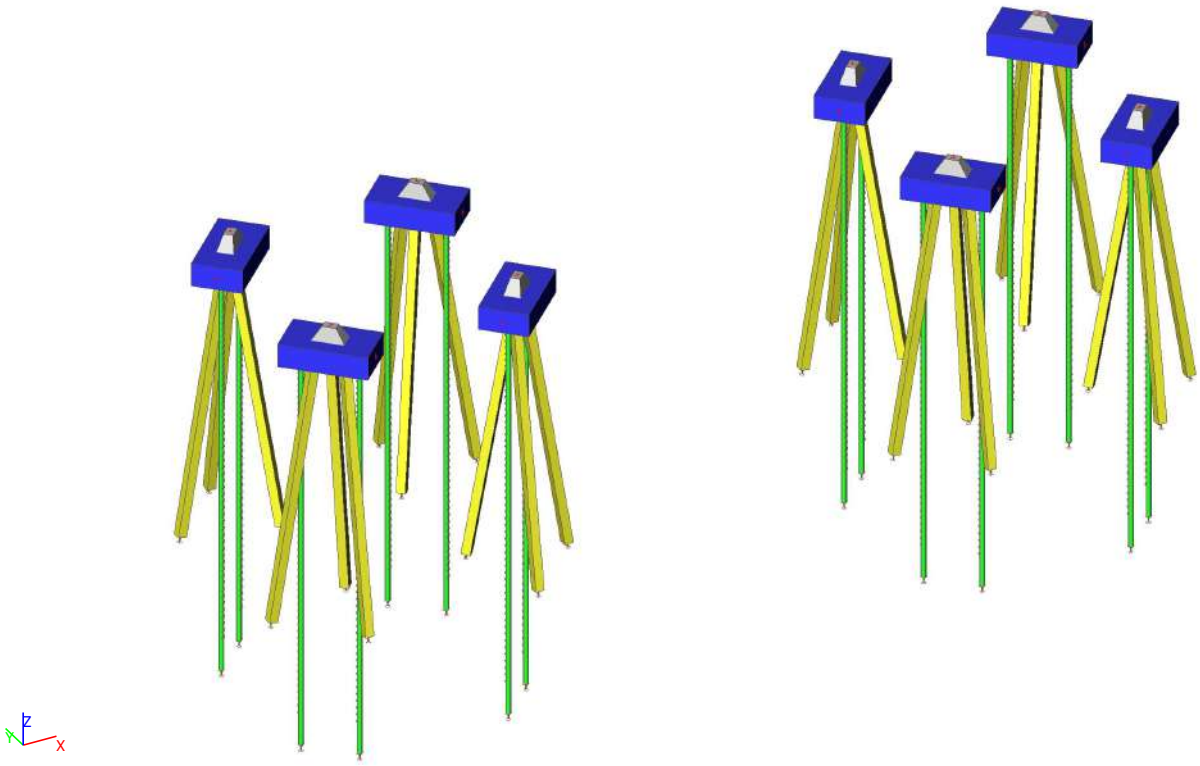
1. Table of contents

1. Table of contents 1
2. Project 2
3. Analyse model 2
4. Modeleigenschappen 3
5. Geometrie 3
5.1. Nodes 3
5.2. Analyse model met knopen 4
5.3. Members 4
5.4. Analyse model met Staven 5
5.5. Nodal supports 6
5.6. Analyse model met Knoopondersteuningen 7
5.7. Line supports on member 7
5.8. Analyse model met Lijnondersteuningen 18
5.9. Analyse model met Lijnondersteuningen 19
5.10. Nonlinear functions 19
6. Belastingen 32
6.1. Load cases 32
6.1.1. Load cases - high max Wnd ;45° 32
6.1.1.1. Point force in node 32
6.1.2. Load cases - high max Wnd ;135° 33
6.1.2.1. Point force in node 34
6.1.3. Load cases - high max Wnd ;225° 35
6.1.3.1. Point force in node 36
6.1.4. Load cases - high max Wnd ;315° 36
6.1.4.1. Point force in node 37
6.1.5. Load cases - low max Wnd ;45° 38
6.1.5.1. Point force in node 39
6.1.6. Load cases - low max Wnd ;135° 39
6.1.6.1. Point force in node 40
6.1.7. Load cases - low max Wnd ;225° 41
6.1.7.1. Point force in node 42
6.1.8. Load cases - low max Wnd ;315° 42
6.1.8.1. Point force in node 43
6.1.9. Load cases - EG_fundering 44
6.2. Nonlinear combinations 45
6.3. Result classes 45
7. Resultaten 46
7.1. Reacties van de palen 46
7.1.1. Reactions; R_z 46
7.1.2. Reactions 46
7.1.3. Reactions 46
7.1.4. Reactions 47
7.2. Krachten van de Funderingspalen 53
7.2.1. Interne 1D- krachten; N 53
7.2.2. Interne 1D- krachten; V_y 53
7.2.3. Interne 1D- krachten; V_z 54
7.2.4. Interne 1D- krachten; M_x 54
7.2.5. Interne 1D- krachten; M_y 55
7.2.6. Interne 1D- krachten; M_z 55
7.2.7. 1D internal forces 56
7.2.8. 1D internal forces 56
7.3. Krachten van de Poeren 58
7.3.1. 1D internal forces 58
7.4. Krachten van de Funderingsbalken 59
7.4.1. Interne 1D- krachten; N 59
7.4.2. Interne 1D- krachten; V_y 59
7.4.3. Interne 1D- krachten; V_z 60
7.4.4. Interne 1D- krachten; M_x 60
7.4.5. Interne 1D- krachten; M_y 61
7.4.6. Interne 1D- krachten; M_z 61
7.4.7. 1D internal forces 62

2. Project

Licence user	[redacted]
Project	Opwaardering KIJ-BVW 380kV
Part	Blokpoer-3xBeton40x40-MAST-S+0 - III F4
Author	[redacted]
Date	28-01-2026
Structure	General XYZ
No. of nodes :	112
No. of beams :	56
No. of slabs :	0
No. of solids :	0
No. of used profiles :	4
No. of load cases :	9
No. of used materials :	7
Acceleration of gravity [m/s^2]	9,807
National code	EC - EN

3. Analyse model



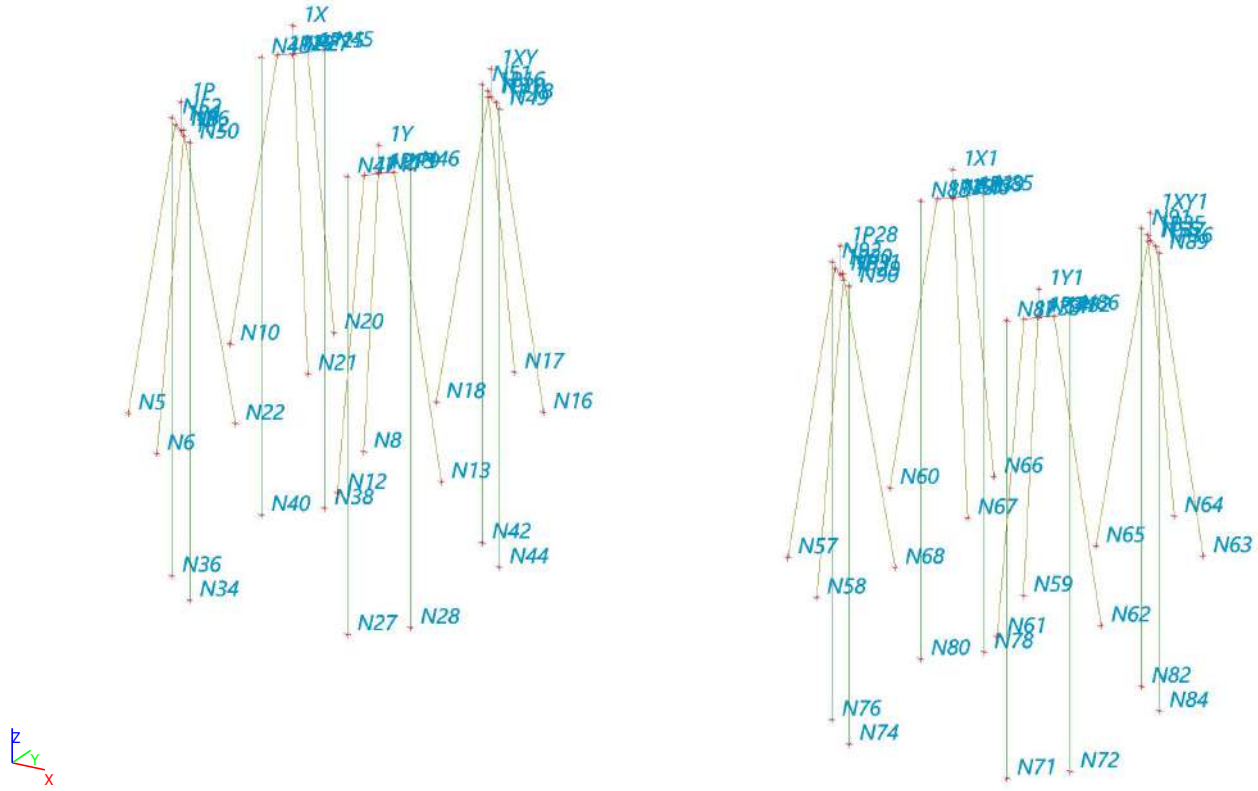
4. Modeleigenschappen

5. Geometrie

5.1. Nodes

Name	Coord X [m]	Coord Y [m]	Coord Z [m]
N1	0,000	0,000	0,000
1P	0,000	0,000	1,200
1P2	0,400	-0,480	0,000
1P4	-0,480	0,400	0,000
1P6	0,070	0,070	0,000
N2	9,000	0,000	0,000
1Y	9,000	0,000	1,200
1P9	9,480	0,400	0,000
1P11	8,600	-0,480	0,000
1P13	8,930	0,070	0,000
N3	9,000	9,000	0,000
1XY	9,000	9,000	1,200
1P16	8,600	9,480	0,000
1P18	9,480	8,600	0,000
1P20	8,930	8,930	0,000
N4	0,000	9,000	0,000
1X	0,000	9,000	1,200
1P23	-0,480	8,600	0,000
1P25	0,400	9,480	0,000
1P27	0,070	8,930	0,000
N5	-2,621	0,400	-12,822
N6	0,400	-2,621	-12,822
N8	7,417	1,583	-12,822
N10	-2,621	8,600	-12,822
N12	8,600	-2,621	-12,822
N13	11,621	0,400	-12,822
N16	11,621	8,600	-12,822
N17	8,600	11,621	-12,822
N18	7,417	7,417	-12,822
N20	0,400	11,621	-12,822
N21	1,583	7,417	-12,822
N22	1,583	1,583	-12,822
N25	10,414	1,414	0,000
N26	7,586	-1,414	0,000
N27	8,081	-0,919	-19,612
N28	9,919	0,919	-19,612
N33	1,414	-1,414	0,000
N34	0,919	-0,919	-19,612
N35	-1,414	1,414	0,000
N36	-0,919	0,919	-19,612
N37	1,414	10,414	0,000
N38	0,919	9,919	-19,612
N39	-1,414	7,586	0,000
N40	-0,919	8,081	-19,612
N41	10,414	7,586	0,000
N42	8,081	9,919	-19,612
N43	7,586	10,414	0,000
N44	9,919	8,081	-19,612
N45	0,919	9,919	0,000
N46	9,919	0,919	0,000
N47	8,081	-0,919	0,000
N48	-0,919	8,081	0,000
N49	9,919	8,081	0,000
N50	0,919	-0,919	0,000
N51	8,081	9,919	0,000
N52	-0,919	0,919	0,000
N53	30,000	0,000	0,000
1P28	30,000	0,000	1,200
1P29	30,400	-0,480	0,000
1P30	29,520	0,400	0,000
1P31	30,070	0,070	0,000
N54	39,000	0,000	0,000
1Y1	39,000	0,000	1,200
1P32	39,480	0,400	0,000
1P33	38,600	-0,480	0,000
1P34	38,930	0,070	0,000
N55	39,000	9,000	0,000
1XY1	39,000	9,000	1,200
1P35	38,600	9,480	0,000
1P36	39,480	8,600	0,000
1P37	38,930	8,930	0,000
N56	30,000	9,000	0,000
1X1	30,000	9,000	1,200
1P38	29,520	8,600	0,000
1P39	30,400	9,480	0,000
1P40	30,070	8,930	0,000
N57	27,379	0,400	-12,822
N58	30,400	-2,621	-12,822
N59	37,417	1,583	-12,822
N60	27,379	8,600	-12,822
N61	38,600	-2,621	-12,822
N62	41,621	0,400	-12,822
N63	41,621	8,600	-12,822
N64	38,600	11,621	-12,822
N65	37,417	7,417	-12,822
N66	30,400	11,621	-12,822
N67	31,583	7,417	-12,822
N68	31,583	1,583	-12,822
N69	40,414	1,414	0,000
N70	37,586	-1,414	0,000
N71	38,081	-0,919	-19,612
N72	39,919	0,919	-19,612
N73	31,414	-1,414	0,000
N74	30,919	-0,919	-19,612
N75	28,586	1,414	0,000
N76	29,081	0,919	-19,612
N77	31,414	10,414	0,000
N78	30,919	9,919	-19,612
N79	28,586	7,586	0,000
N80	29,081	8,081	-19,612
N81	40,414	7,586	0,000
N82	38,081	9,919	-19,612
N83	37,586	10,414	0,000
N84	39,919	8,081	-19,612
N85	30,919	9,919	0,000
N86	39,919	0,919	0,000
N87	38,081	-0,919	0,000
N88	29,081	8,081	0,000
N89	39,919	8,081	0,000
N90	30,919	-0,919	0,000
N91	38,081	9,919	0,000
N92	29,081	0,919	0,000

5.2. Analyse model met knopen

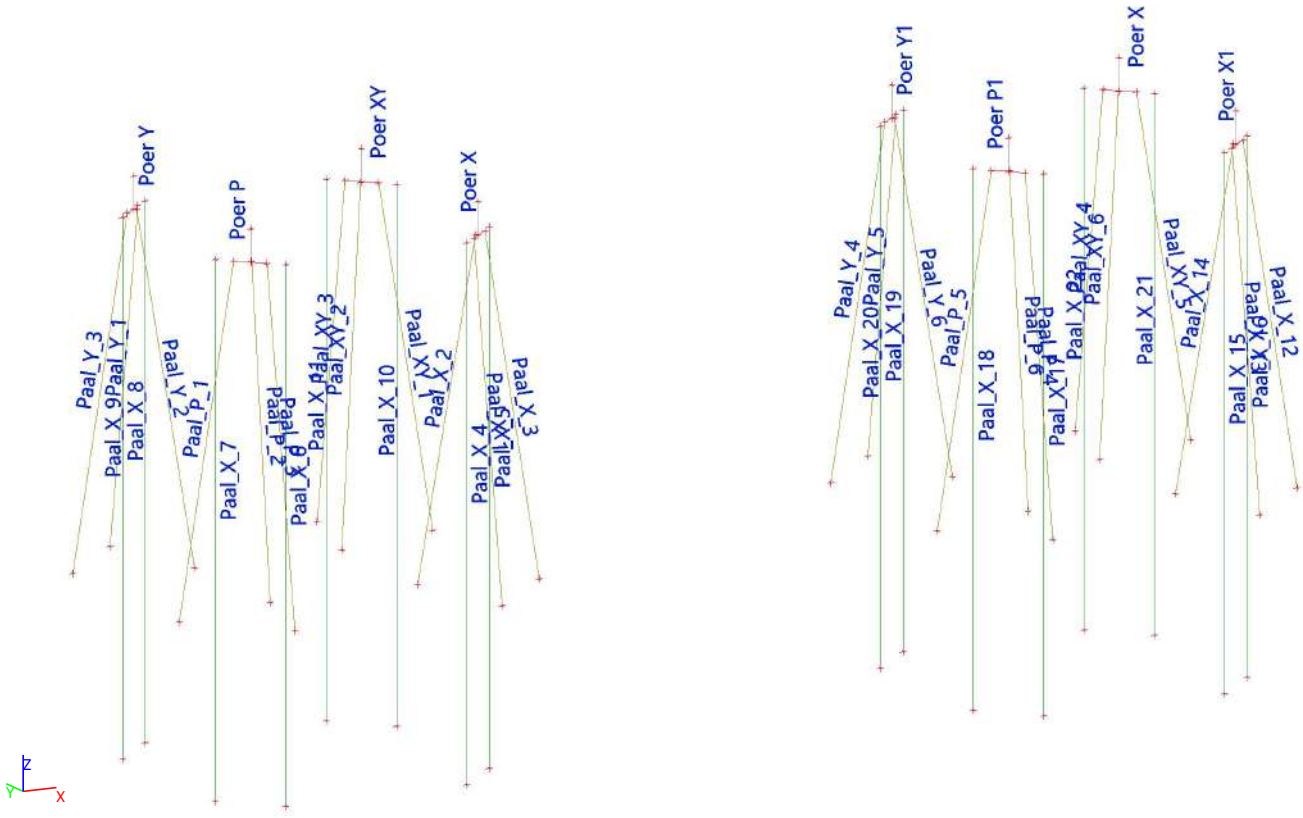


5.3. Members

Name	Cross-section	Material	Length [m]	Beg. node	End node	Type
Paal15	lijnpoer - Rectangle (1100,00; 2260,00)	C30/37 Gescheurd	4,000	N26	N25	beam (80)
Paal18	lijnpoer - Rectangle (1100,00; 2260,00)	C30/37 Gescheurd	4,000	N33	N35	beam (80)
Paal19	lijnpoer - Rectangle (1100,00; 2260,00)	C30/37 Gescheurd	4,000	N37	N39	beam (80)
Paal20	lijnpoer - Rectangle (1100,00; 2260,00)	C30/37 Gescheurd	4,000	N43	N41	beam (80)
Paal21	lijnpoer - Rectangle (1100,00; 2260,00)	C30/37 Gescheurd	4,000	N70	N69	beam (80)
Paal22	lijnpoer - Rectangle (1100,00; 2260,00)	C30/37 Gescheurd	4,000	N73	N75	beam (80)
Paal23	lijnpoer - Rectangle (1100,00; 2260,00)	C30/37 Gescheurd	4,000	N77	N79	beam (80)
Paal24	lijnpoer - Rectangle (1100,00; 2260,00)	C30/37 Gescheurd	4,000	N83	N81	beam (80)
Paal_XY_2	Paal 40x40 - Rectangle (400,00; 400,00)	C20/25 Ongescheurd	13,000	1P20	N18	column (100)
Paal_X_3	Paal 40x40 - Rectangle (400,00; 400,00)	C20/25 Ongescheurd	13,000	1P9	N13	column (100)
Poer P	Poer - Rectangle (2200,00; 1060,00)	C12/15 Gescheurd	1,200	N1	1P	column (100)
Poer P1	Poer - Rectangle (2200,00; 1060,00)	C12/15 Gescheurd	1,200	N53	1P28	column (100)
Paal_P_5	Paal 40x40 - Rectangle (400,00; 400,00)	C20/25 Ongescheurd	13,000	1P30	N57	column (100)
Poer X	Poer - Rectangle (2200,00; 1060,00)	C12/15 Gescheurd	1,200	N2	1Y	column (100)
Paal_P_1	Paal 40x40 - Rectangle (400,00; 400,00)	C20/25 Ongescheurd	13,000	1P4	N5	column (100)
Paal_P_2	Paal 40x40 - Rectangle (400,00; 400,00)	C20/25 Ongescheurd	13,000	1P6	N22	column (100)
Paal_P_4	Paal 40x40 - Rectangle (400,00; 400,00)	C20/25 Ongescheurd	13,000	1P29	N58	column (100)
Paal_XY_1	Paal 40x40 - Rectangle (400,00; 400,00)	C20/25 Ongescheurd	13,000	1P18	N16	column (100)
Paal_XY_3	Paal 40x40 - Rectangle (400,00; 400,00)	C20/25 Ongescheurd	13,000	1P16	N17	column (100)
Paal_XY_4	Paal 40x40 - Rectangle (400,00; 400,00)	C20/25 Ongescheurd	13,000	1P35	N64	column (100)
Paal_XY_5	Paal 40x40 - Rectangle (400,00; 400,00)	C20/25 Ongescheurd	13,000	1P36	N63	column (100)
Paal_X_1	Paal 40x40 - Rectangle (400,00; 400,00)	C20/25 Ongescheurd	13,000	1P11	N12	column (100)
Poer X1	Poer - Rectangle (2200,00; 1060,00)	C12/15 Gescheurd	1,200	N54	1Y1	column (100)
Poer XY	Poer - Rectangle (2200,00; 1060,00)	C12/15 Gescheurd	1,200	N3	1XY	column (100)
Poer XY1	Poer - Rectangle (2200,00; 1060,00)	C12/15 Gescheurd	1,200	N55	1XY1	column (100)
Poer Y	Poer - Rectangle (2200,00; 1060,00)	C12/15 Gescheurd	1,200	N4	1X	column (100)
Poer Y1	Poer - Rectangle (2200,00; 1060,00)	C12/15 Gescheurd	1,200	N56	1X1	column (100)
Paal_P_3	Paal 40x40 - Rectangle (400,00; 400,00)	C20/25 Ongescheurd	13,000	1P2	N6	column (100)
Paal_P_6	Paal 40x40 - Rectangle (400,00; 400,00)	C20/25 Ongescheurd	13,000	1P31	N68	column (100)

Name	Cross-section	Material	Length [m]	Beg. node	End node	Type
Paal_XY_6	Paal 40x40 - Rectangle (400,00; 400,00)	C20/25 Ongescheurd	13,000	1P37	N65	column (100)
Paal_X_2	Paal 40x40 - Rectangle (400,00; 400,00)	C20/25 Ongescheurd	13,000	1P13	N8	column (100)
Paal_X_4	LEKA Paal - type e (CHS219.1/10.0)	S 235	19,612	N47	N27	column (100)
Paal_X_5	LEKA Paal - type e (CHS219.1/10.0)	S 235	19,612	N46	N28	column (100)
Paal_X_6	LEKA Paal - type e (CHS219.1/10.0)	S 235	19,612	N50	N34	column (100)
Paal_X_7	LEKA Paal - type e (CHS219.1/10.0)	S 235	19,612	N52	N36	column (100)
Paal_X_8	LEKA Paal - type e (CHS219.1/10.0)	S 235	19,612	N45	N38	column (100)
Paal_X_9	LEKA Paal - type e (CHS219.1/10.0)	S 235	19,612	N48	N40	column (100)
Paal_X_10	LEKA Paal - type e (CHS219.1/10.0)	S 235	19,612	N49	N44	column (100)
Paal_X_11	LEKA Paal - type e (CHS219.1/10.0)	S 235	19,612	N51	N42	column (100)
Paal_X_12	Paal 40x40 - Rectangle (400,00; 400,00)	C20/25 Ongescheurd	13,000	1P32	N62	column (100)
Paal_X_13	Paal 40x40 - Rectangle (400,00; 400,00)	C20/25 Ongescheurd	13,000	1P33	N61	column (100)
Paal_X_14	Paal 40x40 - Rectangle (400,00; 400,00)	C20/25 Ongescheurd	13,000	1P34	N59	column (100)
Paal_X_15	LEKA Paal - type e (CHS219.1/10.0)	S 235	19,612	N87	N71	column (100)
Paal_X_16	LEKA Paal - type e (CHS219.1/10.0)	S 235	19,612	N86	N72	column (100)
Paal_X_17	LEKA Paal - type e (CHS219.1/10.0)	S 235	19,612	N90	N74	column (100)
Paal_X_18	LEKA Paal - type e (CHS219.1/10.0)	S 235	19,612	N92	N76	column (100)
Paal_X_19	LEKA Paal - type e (CHS219.1/10.0)	S 235	19,612	N85	N78	column (100)
Paal_X_20	LEKA Paal - type e (CHS219.1/10.0)	S 235	19,612	N88	N80	column (100)
Paal_X_21	LEKA Paal - type e (CHS219.1/10.0)	S 235	19,612	N89	N84	column (100)
Paal_X_22	LEKA Paal - type e (CHS219.1/10.0)	S 235	19,612	N91	N82	column (100)
Paal_Y_1	Paal 40x40 - Rectangle (400,00; 400,00)	C20/25 Ongescheurd	13,000	1P25	N20	column (100)
Paal_Y_2	Paal 40x40 - Rectangle (400,00; 400,00)	C20/25 Ongescheurd	13,000	1P27	N21	column (100)
Paal_Y_3	Paal 40x40 - Rectangle (400,00; 400,00)	C20/25 Ongescheurd	13,000	1P23	N10	column (100)
Paal_Y_4	Paal 40x40 - Rectangle (400,00; 400,00)	C20/25 Ongescheurd	13,000	1P38	N60	column (100)
Paal_Y_5	Paal 40x40 - Rectangle (400,00; 400,00)	C20/25 Ongescheurd	13,000	1P39	N66	column (100)
Paal_Y_6	Paal 40x40 - Rectangle (400,00; 400,00)	C20/25 Ongescheurd	13,000	1P40	N67	column (100)

5.4. Analyse model met Staven



5.5. Nodal supports

Name	Node	System	Type	X	Y	Z	Rx	Ry	Rz	Angle [deg]
S_P_1	N5	LCS of node	Standard	Free	Free	Nonlinear	Free	Free	Free	Ry9,50
S_P_2	N22	LCS of node	Standard	Free	Free	Nonlinear	Free	Free	Free	Rx6,72;Ry-6,72
S_P_3	N6	LCS of node	Standard	Free	Free	Nonlinear	Free	Free	Free	Rx-9,50
S_X_1	N12	LCS of node	Standard	Free	Free	Nonlinear	Free	Free	Free	Rx-9,50
S_X_2	N8	LCS of node	Standard	Free	Free	Nonlinear	Free	Free	Free	Rx6,72;Ry6,72
S_X_3	N13	LCS of node	Standard	Free	Free	Nonlinear	Free	Free	Free	Ry-9,50
S_XY_1	N16	LCS of node	Standard	Free	Free	Nonlinear	Free	Free	Free	Ry-9,50
S_XY_2	N18	LCS of node	Standard	Free	Free	Nonlinear	Free	Free	Free	Rx-6,72;Ry6,72
S_XY_3	N17	LCS of node	Standard	Free	Free	Nonlinear	Free	Free	Free	Rx9,50
S_Y_1	N20	LCS of node	Standard	Free	Free	Nonlinear	Free	Free	Free	Rx9,50
S_Y_2	N21	LCS of node	Standard	Free	Free	Nonlinear	Free	Free	Free	Rx-6,72;Ry-6,72
S_Y_3	N10	LCS of node	Standard	Free	Free	Nonlinear	Free	Free	Free	Ry9,50
S_Y_4	N27	LCS of node	Standard	Free	Free	Nonlinear	Free	Free	Free	
S_Y_5	N28	LCS of node	Standard	Free	Free	Nonlinear	Free	Free	Free	
S_Y_6	N34	LCS of node	Standard	Free	Free	Nonlinear	Free	Free	Free	
S_Y_7	N36	LCS of node	Standard	Free	Free	Nonlinear	Free	Free	Free	
S_Y_8	N38	LCS of node	Standard	Free	Free	Nonlinear	Free	Free	Free	
S_Y_9	N40	LCS of node	Standard	Free	Free	Nonlinear	Free	Free	Free	
S_Y_10	N42	LCS of node	Standard	Free	Free	Nonlinear	Free	Free	Free	
S_Y_11	N44	LCS of node	Standard	Free	Free	Nonlinear	Free	Free	Free	
S_P_4	N57	LCS of node	Standard	Free	Free	Nonlinear	Free	Free	Free	Ry9,50
S_P_5	N58	LCS of node	Standard	Free	Free	Nonlinear	Free	Free	Free	Rx-9,50
S_X_4	N59	LCS of node	Standard	Free	Free	Nonlinear	Free	Free	Free	Rx6,72;Ry6,72
S_Y_12	N60	LCS of node	Standard	Free	Free	Nonlinear	Free	Free	Free	Ry9,50
S_X_5	N61	LCS of node	Standard	Free	Free	Nonlinear	Free	Free	Free	Rx-9,50
S_X_6	N62	LCS of node	Standard	Free	Free	Nonlinear	Free	Free	Free	Ry-9,50
S_XY_4	N63	LCS of node	Standard	Free	Free	Nonlinear	Free	Free	Free	Ry-9,50
S_XY_5	N64	LCS of node	Standard	Free	Free	Nonlinear	Free	Free	Free	Rx9,50
S_XY_6	N65	LCS of node	Standard	Free	Free	Nonlinear	Free	Free	Free	Rx-6,72;Ry6,72
S_Y_13	N66	LCS of node	Standard	Free	Free	Nonlinear	Free	Free	Free	Rx9,50
S_Y_14	N67	LCS of node	Standard	Free	Free	Nonlinear	Free	Free	Free	Rx-6,72;Ry-6,72
S_P_6	N68	LCS of node	Standard	Free	Free	Nonlinear	Free	Free	Free	Rx6,72;Ry-6,72
S_Y_15	N71	LCS of node	Standard	Free	Free	Nonlinear	Free	Free	Free	
S_Y_16	N72	LCS of node	Standard	Free	Free	Nonlinear	Free	Free	Free	
S_Y_17	N74	LCS of node	Standard	Free	Free	Nonlinear	Free	Free	Free	
S_Y_18	N76	LCS of node	Standard	Free	Free	Nonlinear	Free	Free	Free	
S_Y_19	N78	LCS of node	Standard	Free	Free	Nonlinear	Free	Free	Free	
S_Y_20	N80	LCS of node	Standard	Free	Free	Nonlinear	Free	Free	Free	
S_Y_21	N82	LCS of node	Standard	Free	Free	Nonlinear	Free	Free	Free	
S_Y_22	N84	LCS of node	Standard	Free	Free	Nonlinear	Free	Free	Free	

5.6. Analyse model met Knoopondersteuningen



5.7. Line supports on member

Name	Type	Member	Pos x_1 [m] / Pos x_2 [m]	X	Y	Z	Rx	Ry	Rz	Function Y	Function Z
Veen15	Line	Paal_XY_5	1,000 8,000	Free	Nonlinear	Nonlinear	Free	Free	Free	PY-curve-1_Veen	PY-curve-1_Veen
Veen26	Line	Paal_X_6	1,000 8,000	Free	Nonlinear	Nonlinear	Free	Free	Free	PY-curve-1_V1.B	PY-curve-1_Veen.B
Veen27	Line	Paal_X_7	1,000 8,000	Free	Nonlinear	Nonlinear	Free	Free	Free	PY-curve-1_V1.B	PY-curve-1_Veen.B
Veen18	Line	Paal_Y_5	1,000 8,000	Free	Nonlinear	Nonlinear	Free	Free	Free	PY-curve-1_Veen	PY-curve-1_Veen
Veen14	Line	Paal_XY_4	1,000 8,000	Free	Nonlinear	Nonlinear	Free	Free	Free	PY-curve-1_Veen	PY-curve-1_Veen
Veen3	Line	Paal_X_3	1,000 8,000	Free	Nonlinear	Nonlinear	Free	Free	Free	PY-curve-1_Veen	PY-curve-1_Veen
Veen32	Line	Paal_X_15	1,000 8,000	Free	Nonlinear	Nonlinear	Free	Free	Free	PY-curve-1_V1.B	PY-curve-1_Veen.B
Veen16	Line	Paal_XY_6	1,000 8,000	Free	Nonlinear	Nonlinear	Free	Free	Free	PY-curve-1_Veen	PY-curve-1_Veen
Veen30	Line	Paal_X_10	1,000 8,000	Free	Nonlinear	Nonlinear	Free	Free	Free	PY-curve-1_V1.B	PY-curve-1_Veen.B
Veen12	Line	Paal_X_13	1,000 8,000	Free	Nonlinear	Nonlinear	Free	Free	Free	PY-curve-1_Veen	PY-curve-1_Veen
Veen24	Line	Paal_X_4	1,000 8,000	Free	Nonlinear	Nonlinear	Free	Free	Free	PY-curve-1_V1.B	PY-curve-1_Veen.B
Veen11	Line	Paal_Y_2	1,000 8,000	Free	Nonlinear	Nonlinear	Free	Free	Free	PY-curve-1_Veen	PY-curve-1_Veen
Veen7	Line	Paal_XY_1	1,000 8,000	Free	Nonlinear	Nonlinear	Free	Free	Free	PY-curve-1_Veen	PY-curve-1_Veen
Veen19	Line	Paal_Y_6	1,000	Free	Nonlinear	Nonlinear	Free	Free	Free	PY-curve-1_Veen	PY-curve-1_Veen

Name	Type	Member	Pos x_1 [m] / Pos x_2 [m]	X	Y	Z	Rx	Ry	Rz	Function Y	Function Z
			8,000								
Veen20	Line	Paal_P_4	1,000 8,000	Free	Nonlinear	Nonlinear	Free	Free	Free	PY-curve-1_Veen	PY-curve-1_Veen
Veen36	Line	Paal_X_19	1,000 8,000	Free	Nonlinear	Nonlinear	Free	Free	Free	PY-curve-1_V1.B	PY-curve-1_Veen.B
Veen2	Line	Paal_P_2	1,000 8,000	Free	Nonlinear	Nonlinear	Free	Free	Free	PY-curve-1_Veen	PY-curve-1_Veen
Veen25	Line	Paal_X_5	1,000 8,000	Free	Nonlinear	Nonlinear	Free	Free	Free	PY-curve-1_V1.B	PY-curve-1_Veen.B
Veen9	Line	Paal_Y_3	1,000 8,000	Free	Nonlinear	Nonlinear	Free	Free	Free	PY-curve-1_Veen	PY-curve-1_Veen
Veen28	Line	Paal_X_8	1,000 8,000	Free	Nonlinear	Nonlinear	Free	Free	Free	PY-curve-1_V1.B	PY-curve-1_Veen.B
Veen4	Line	Paal_X_1	1,000 8,000	Free	Nonlinear	Nonlinear	Free	Free	Free	PY-curve-1_Veen	PY-curve-1_Veen
Veen29	Line	Paal_X_9	1,000 8,000	Free	Nonlinear	Nonlinear	Free	Free	Free	PY-curve-1_V1.B	PY-curve-1_Veen.B
Veen6	Line	Paal_XY_3	1,000 8,000	Free	Nonlinear	Nonlinear	Free	Free	Free	PY-curve-1_Veen	PY-curve-1_Veen
Veen17	Line	Paal_Y_4	1,000 8,000	Free	Nonlinear	Nonlinear	Free	Free	Free	PY-curve-1_Veen	PY-curve-1_Veen
Veen13	Line	Paal_X_14	1,000 8,000	Free	Nonlinear	Nonlinear	Free	Free	Free	PY-curve-1_Veen	PY-curve-1_Veen
Veen5	Line	Paal_X_2	1,000 8,000	Free	Nonlinear	Nonlinear	Free	Free	Free	PY-curve-1_Veen	PY-curve-1_Veen
Veen22	Line	Paal_P_6	1,000 8,000	Free	Nonlinear	Nonlinear	Free	Free	Free	PY-curve-1_Veen	PY-curve-1_Veen
Veen35	Line	Paal_X_18	1,000 8,000	Free	Nonlinear	Nonlinear	Free	Free	Free	PY-curve-1_V1.B	PY-curve-1_Veen.B
Veen38	Line	Paal_X_21	1,000 8,000	Free	Nonlinear	Nonlinear	Free	Free	Free	PY-curve-1_V1.B	PY-curve-1_Veen.B
Veen10	Line	Paal_Y_1	1,000 8,000	Free	Nonlinear	Nonlinear	Free	Free	Free	PY-curve-1_Veen	PY-curve-1_Veen
Veen1	Line	Paal_P_1	1,000 8,000	Free	Nonlinear	Nonlinear	Free	Free	Free	PY-curve-1_Veen	PY-curve-1_Veen
Veen37	Line	Paal_X_20	1,000 8,000	Free	Nonlinear	Nonlinear	Free	Free	Free	PY-curve-1_V1.B	PY-curve-1_Veen.B
Veen21	Line	Paal_P_5	1,000 8,000	Free	Nonlinear	Nonlinear	Free	Free	Free	PY-curve-1_Veen	PY-curve-1_Veen
Veen39	Line	Paal_X_22	1,000 8,000	Free	Nonlinear	Nonlinear	Free	Free	Free	PY-curve-1_V1.B	PY-curve-1_Veen.B
Veen33	Line	Paal_X_16	1,000 8,000	Free	Nonlinear	Nonlinear	Free	Free	Free	PY-curve-1_V1.B	PY-curve-1_Veen.B
Veen	Line	Paal_P_3	1,000 8,000	Free	Nonlinear	Nonlinear	Free	Free	Free	PY-curve-1_Veen	PY-curve-1_Veen
Veen34	Line	Paal_X_17	1,000 8,000	Free	Nonlinear	Nonlinear	Free	Free	Free	PY-curve-1_V1.B	PY-curve-1_Veen.B
Veen23	Line	Paal_X_12	1,000 8,000	Free	Nonlinear	Nonlinear	Free	Free	Free	PY-curve-1_Veen	PY-curve-1_Veen
Veen8	Line	Paal_XY_2	1,000 8,000	Free	Nonlinear	Nonlinear	Free	Free	Free	PY-curve-1_Veen	PY-curve-1_Veen
Veen31	Line	Paal_X_11	1,000 8,000	Free	Nonlinear	Nonlinear	Free	Free	Free	PY-curve-1_V1.B	PY-curve-1_Veen.B
(PY-curve-1_V1)24	Line	Paal_X_4	8,000 9,000	Free	Nonlinear	Nonlinear	Free	Free	Free	PY-curve-1_V1.B	PY-curve-1_V1.B
(PY-curve-1_V1)21	Line	Paal_P_5	8,000 9,000	Free	Nonlinear	Nonlinear	Free	Free	Free	PY-curve-1_V1	PY-curve-1_V1
(PY-curve-1_V1)38	Line	Paal_X_21	8,000 9,000	Free	Nonlinear	Nonlinear	Free	Free	Free	PY-curve-1_V1.B	PY-curve-1_V1.B
(PY-curve-1_V1)19	Line	Paal_Y_6	8,000 9,000	Free	Nonlinear	Nonlinear	Free	Free	Free	PY-curve-1_V1	PY-curve-1_V1
(PY-curve-1_V1)39	Line	Paal_X_22	8,000 9,000	Free	Nonlinear	Nonlinear	Free	Free	Free	PY-curve-1_V1.B	PY-curve-1_V1.B
(PY-curve-1_V1)15	Line	Paal_XY_5	8,000	Free	Nonlinear	Nonlinear	Free	Free	Free	PY-curve-1_V1	PY-curve-1_V1

Name	Type	Member	Pos x_1 [m] Pos x_2 [m]	X	Y	Z	Rx	Ry	Rz	Function Y	Function Z
			9,000								
(PY-curve-1_V1)16	Line	Paal_XY_6	8,000 9,000	Free	Nonlinear	Nonlinear	Free	Free	Free	PY-curve-1_V1	PY-curve-1_V1
(PY-curve-1_V1)3	Line	Paal_X_3	8,000 9,000	Free	Nonlinear	Nonlinear	Free	Free	Free	PY-curve-1_V1	PY-curve-1_V1
(PY-curve-1_V1)34	Line	Paal_X_17	8,000 9,000	Free	Nonlinear	Nonlinear	Free	Free	Free	PY-curve-1_V1.B	PY-curve-1_V1.B
(PY-curve-1_V1)17	Line	Paal_Y_4	8,000 9,000	Free	Nonlinear	Nonlinear	Free	Free	Free	PY-curve-1_V1	PY-curve-1_V1
(PY-curve-1_V1)31	Line	Paal_X_11	8,000 9,000	Free	Nonlinear	Nonlinear	Free	Free	Free	PY-curve-1_V1.B	PY-curve-1_V1.B
(PY-curve-1_V1)25	Line	Paal_X_5	8,000 9,000	Free	Nonlinear	Nonlinear	Free	Free	Free	PY-curve-1_V1.B	PY-curve-1_V1.B
(PY-curve-1_V1)10	Line	Paal_XY_2	8,000 9,000	Free	Nonlinear	Nonlinear	Free	Free	Free	PY-curve-1_V1	PY-curve-1_V1
(PY-curve-1_V1)30	Line	Paal_X_10	8,000 9,000	Free	Nonlinear	Nonlinear	Free	Free	Free	PY-curve-1_V1.B	PY-curve-1_V1.B
(PY-curve-1_V1)27	Line	Paal_X_7	8,000 9,000	Free	Nonlinear	Nonlinear	Free	Free	Free	PY-curve-1_V1.B	PY-curve-1_V1.B
(PY-curve-1_V1)36	Line	Paal_X_19	8,000 9,000	Free	Nonlinear	Nonlinear	Free	Free	Free	PY-curve-1_V1.B	PY-curve-1_V1.B
(PY-curve-1_V1)11	Line	Paal_Y_2	8,000 9,000	Free	Nonlinear	Nonlinear	Free	Free	Free	PY-curve-1_V1	PY-curve-1_V1
(PY-curve-1_V1)18	Line	Paal_Y_5	8,000 9,000	Free	Nonlinear	Nonlinear	Free	Free	Free	PY-curve-1_V1	PY-curve-1_V1
(PY-curve-1_V1)6	Line	Paal_Y_1	8,000 9,000	Free	Nonlinear	Nonlinear	Free	Free	Free	PY-curve-1_V1	PY-curve-1_V1
(PY-curve-1_V1)29	Line	Paal_X_9	8,000 9,000	Free	Nonlinear	Nonlinear	Free	Free	Free	PY-curve-1_V1.B	PY-curve-1_V1.B
(PY-curve-1_V1)35	Line	Paal_X_18	8,000 9,000	Free	Nonlinear	Nonlinear	Free	Free	Free	PY-curve-1_V1.B	PY-curve-1_V1.B
(PY-curve-1_V1)5	Line	Paal_XY_3	8,000 9,000	Free	Nonlinear	Nonlinear	Free	Free	Free	PY-curve-1_V1	PY-curve-1_V1
(PY-curve-1_V1)23	Line	Paal_X_12	8,000 9,000	Free	Nonlinear	Nonlinear	Free	Free	Free	PY-curve-1_V1	PY-curve-1_V1
(PY-curve-1_V1)28	Line	Paal_X_8	8,000 9,000	Free	Nonlinear	Nonlinear	Free	Free	Free	PY-curve-1_V1.B	PY-curve-1_V1.B
(PY-curve-1_V1)37	Line	Paal_X_20	8,000 9,000	Free	Nonlinear	Nonlinear	Free	Free	Free	PY-curve-1_V1.B	PY-curve-1_V1.B
(PY-curve-1_V1)1	Line	Paal_P_3	8,000 9,000	Free	Nonlinear	Nonlinear	Free	Free	Free	PY-curve-1_V1	PY-curve-1_V1
(PY-curve-1_V1)32	Line	Paal_X_15	8,000 9,000	Free	Nonlinear	Nonlinear	Free	Free	Free	PY-curve-1_V1.B	PY-curve-1_V1.B
(PY-curve-1_V1)	Line	Paal_P_1	8,000 9,000	Free	Nonlinear	Nonlinear	Free	Free	Free	PY-curve-1_V1	PY-curve-1_V1
(PY-curve-1_V1)8	Line	Paal_P_2	8,000 9,000	Free	Nonlinear	Nonlinear	Free	Free	Free	PY-curve-1_V1	PY-curve-1_V1
(PY-curve-1_V1)9	Line	Paal_X_2	8,000 9,000	Free	Nonlinear	Nonlinear	Free	Free	Free	PY-curve-1_V1	PY-curve-1_V1
(PY-curve-1_V1)20	Line	Paal_P_4	8,000 9,000	Free	Nonlinear	Nonlinear	Free	Free	Free	PY-curve-1_V1	PY-curve-1_V1
(PY-curve-1_V1)13	Line	Paal_X_14	8,000 9,000	Free	Nonlinear	Nonlinear	Free	Free	Free	PY-curve-1_V1	PY-curve-1_V1
(PY-curve-1_V1)26	Line	Paal_X_6	8,000 9,000	Free	Nonlinear	Nonlinear	Free	Free	Free	PY-curve-1_V1.B	PY-curve-1_V1.B
(PY-curve-1_V1)12	Line	Paal_X_13	8,000 9,000	Free	Nonlinear	Nonlinear	Free	Free	Free	PY-curve-1_V1	PY-curve-1_V1
(PY-curve-1_V1)2	Line	Paal_X_1	8,000 9,000	Free	Nonlinear	Nonlinear	Free	Free	Free	PY-curve-1_V1	PY-curve-1_V1
(PY-curve-1_V1)33	Line	Paal_X_16	8,000 9,000	Free	Nonlinear	Nonlinear	Free	Free	Free	PY-curve-1_V1.B	PY-curve-1_V1.B
(PY-curve-1_V1)7	Line	Paal_Y_3	8,000 9,000	Free	Nonlinear	Nonlinear	Free	Free	Free	PY-curve-1_V1	PY-curve-1_V1
(PY-curve-1_V1)22	Line	Paal_P_6	8,000	Free	Nonlinear	Nonlinear	Free	Free	Free	PY-curve-1_V1	PY-curve-1_V1

Name	Type	Member	Pos x_1 [m] / Pos x_2 [m]	X	Y	Z	Rx	Ry	Rz	Function Y	Function Z
			9,000								
(PY-curve-1_V1)4	Line	Paal_XY_1	8,000 9,000	Free	Nonlinear	Nonlinear	Free	Free	Free	PY-curve-1_V1	PY-curve-1_V1
(PY-curve-1_V1)14	Line	Paal_XY_4	8,000 9,000	Free	Nonlinear	Nonlinear	Free	Free	Free	PY-curve-1_V1	PY-curve-1_V1
(PY-curve-1_V2)24	Line	Paal_X_4	9,000 10,000	Free	Nonlinear	Nonlinear	Free	Free	Free	PY-curve-1_V2.B	PY-curve-1_V2.B
(PY-curve-1_V2)7	Line	Paal_Y_3	9,000 10,000	Free	Nonlinear	Nonlinear	Free	Free	Free	PY-curve-1_V2	PY-curve-1_V2
(PY-curve-1_V2)38	Line	Paal_X_21	9,000 10,000	Free	Nonlinear	Nonlinear	Free	Free	Free	PY-curve-1_V2.B	PY-curve-1_V2.B
(PY-curve-1_V2)28	Line	Paal_X_8	9,000 10,000	Free	Nonlinear	Nonlinear	Free	Free	Free	PY-curve-1_V2.B	PY-curve-1_V2.B
(PY-curve-1_V2)3	Line	Paal_X_3	9,000 10,000	Free	Nonlinear	Nonlinear	Free	Free	Free	PY-curve-1_V2	PY-curve-1_V2
(PY-curve-1_V2)37	Line	Paal_X_20	9,000 10,000	Free	Nonlinear	Nonlinear	Free	Free	Free	PY-curve-1_V2.B	PY-curve-1_V2.B
(PY-curve-1_V2)34	Line	Paal_X_17	9,000 10,000	Free	Nonlinear	Nonlinear	Free	Free	Free	PY-curve-1_V2.B	PY-curve-1_V2.B
(PY-curve-1_V2)35	Line	Paal_X_18	9,000 10,000	Free	Nonlinear	Nonlinear	Free	Free	Free	PY-curve-1_V2.B	PY-curve-1_V2.B
(PY-curve-1_V2)6	Line	Paal_Y_1	9,000 10,000	Free	Nonlinear	Nonlinear	Free	Free	Free	PY-curve-1_V2	PY-curve-1_V2
(PY-curve-1_V2)1	Line	Paal_P_3	9,000 10,000	Free	Nonlinear	Nonlinear	Free	Free	Free	PY-curve-1_V2	PY-curve-1_V2
(PY-curve-1_V2)33	Line	Paal_X_16	9,000 10,000	Free	Nonlinear	Nonlinear	Free	Free	Free	PY-curve-1_V2.B	PY-curve-1_V2.B
(PY-curve-1_V2)11	Line	Paal_Y_2	9,000 10,000	Free	Nonlinear	Nonlinear	Free	Free	Free	PY-curve-1_V2	PY-curve-1_V2
(PY-curve-1_V2)32	Line	Paal_X_15	9,000 10,000	Free	Nonlinear	Nonlinear	Free	Free	Free	PY-curve-1_V2.B	PY-curve-1_V2.B
(PY-curve-1_V2)30	Line	Paal_X_10	9,000 10,000	Free	Nonlinear	Nonlinear	Free	Free	Free	PY-curve-1_V2.B	PY-curve-1_V2.B
(PY-curve-1_V2)18	Line	Paal_Y_5	9,000 10,000	Free	Nonlinear	Nonlinear	Free	Free	Free	PY-curve-1_V2	PY-curve-1_V2
(PY-curve-1_V2)36	Line	Paal_X_19	9,000 10,000	Free	Nonlinear	Nonlinear	Free	Free	Free	PY-curve-1_V2.B	PY-curve-1_V2.B
(PY-curve-1_V2)17	Line	Paal_Y_4	9,000 10,000	Free	Nonlinear	Nonlinear	Free	Free	Free	PY-curve-1_V2	PY-curve-1_V2
(PY-curve-1_V2)29	Line	Paal_X_9	9,000 10,000	Free	Nonlinear	Nonlinear	Free	Free	Free	PY-curve-1_V2.B	PY-curve-1_V2.B
(PY-curve-1_V2)9	Line	Paal_X_2	9,000 10,000	Free	Nonlinear	Nonlinear	Free	Free	Free	PY-curve-1_V2	PY-curve-1_V2
(PY-curve-1_V2)16	Line	Paal_XY_6	9,000 10,000	Free	Nonlinear	Nonlinear	Free	Free	Free	PY-curve-1_V2	PY-curve-1_V2
(PY-curve-1_V2)10	Line	Paal_XY_2	9,000 10,000	Free	Nonlinear	Nonlinear	Free	Free	Free	PY-curve-1_V2	PY-curve-1_V2
(PY-curve-1_V2)19	Line	Paal_Y_6	9,000 10,000	Free	Nonlinear	Nonlinear	Free	Free	Free	PY-curve-1_V2	PY-curve-1_V2
(PY-curve-1_V2)15	Line	Paal_XY_5	9,000 10,000	Free	Nonlinear	Nonlinear	Free	Free	Free	PY-curve-1_V2	PY-curve-1_V2
(PY-curve-1_V2)20	Line	Paal_P_4	9,000 10,000	Free	Nonlinear	Nonlinear	Free	Free	Free	PY-curve-1_V2	PY-curve-1_V2
(PY-curve-1_V2)2	Line	Paal_X_1	9,000 10,000	Free	Nonlinear	Nonlinear	Free	Free	Free	PY-curve-1_V2	PY-curve-1_V2
(PY-curve-1_V2)27	Line	Paal_X_7	9,000 10,000	Free	Nonlinear	Nonlinear	Free	Free	Free	PY-curve-1_V2.B	PY-curve-1_V2.B
(PY-curve-1_V2)	Line	Paal_P_1	9,000 10,000	Free	Nonlinear	Nonlinear	Free	Free	Free	PY-curve-1_V2	PY-curve-1_V2
(PY-curve-1_V2)13	Line	Paal_X_14	9,000 10,000	Free	Nonlinear	Nonlinear	Free	Free	Free	PY-curve-1_V2	PY-curve-1_V2
(PY-curve-1_V2)31	Line	Paal_X_11	9,000 10,000	Free	Nonlinear	Nonlinear	Free	Free	Free	PY-curve-1_V2.B	PY-curve-1_V2.B
(PY-curve-1_V2)39	Line	Paal_X_22	9,000	Free	Nonlinear	Nonlinear	Free	Free	Free	PY-curve-1_V2.B	PY-curve-1_V2.B

Name	Type	Member	Pos x_1 [m] / Pos x_2 [m]	X	Y	Z	Rx	Ry	Rz	Function Y	Function Z
			10,000								
(PY-curve-1_V2)12	Line	Paal_X_13	9,000 10,000	Free	Nonlinear	Nonlinear	Free	Free	Free	PY-curve-1_V2	PY-curve-1_V2
(PY-curve-1_V2)4	Line	Paal_XY_1	9,000 10,000	Free	Nonlinear	Nonlinear	Free	Free	Free	PY-curve-1_V2	PY-curve-1_V2
(PY-curve-1_V2)26	Line	Paal_X_6	9,000 10,000	Free	Nonlinear	Nonlinear	Free	Free	Free	PY-curve-1_V2.B	PY-curve-1_V2.B
(PY-curve-1_V2)23	Line	Paal_X_12	9,000 10,000	Free	Nonlinear	Nonlinear	Free	Free	Free	PY-curve-1_V2	PY-curve-1_V2
(PY-curve-1_V2)14	Line	Paal_XY_4	9,000 10,000	Free	Nonlinear	Nonlinear	Free	Free	Free	PY-curve-1_V2	PY-curve-1_V2
(PY-curve-1_V2)8	Line	Paal_P_2	9,000 10,000	Free	Nonlinear	Nonlinear	Free	Free	Free	PY-curve-1_V2	PY-curve-1_V2
(PY-curve-1_V2)25	Line	Paal_X_5	9,000 10,000	Free	Nonlinear	Nonlinear	Free	Free	Free	PY-curve-1_V2.B	PY-curve-1_V2.B
(PY-curve-1_V2)22	Line	Paal_P_6	9,000 10,000	Free	Nonlinear	Nonlinear	Free	Free	Free	PY-curve-1_V2	PY-curve-1_V2
(PY-curve-1_V2)5	Line	Paal_XY_3	9,000 10,000	Free	Nonlinear	Nonlinear	Free	Free	Free	PY-curve-1_V2	PY-curve-1_V2
(PY-curve-1_V2)21	Line	Paal_P_5	9,000 10,000	Free	Nonlinear	Nonlinear	Free	Free	Free	PY-curve-1_V2	PY-curve-1_V2
(PY-curve-1_V3)7	Line	Paal_Y_3	10,000 11,000	Free	Nonlinear	Nonlinear	Free	Free	Free	PY-curve-1_V3	PY-curve-1_V3
(PY-curve-1_V3)20	Line	Paal_P_4	10,000 11,000	Free	Nonlinear	Nonlinear	Free	Free	Free	PY-curve-1_V3	PY-curve-1_V3
(PY-curve-1_V3)24	Line	Paal_X_4	10,000 11,000	Free	Nonlinear	Nonlinear	Free	Free	Free	PY-curve-1_V3.B	PY-curve-1_V3.B
(PY-curve-1_V3)	Line	Paal_P_1	10,000 11,000	Free	Nonlinear	Nonlinear	Free	Free	Free	PY-curve-1_V3	PY-curve-1_V3
(PY-curve-1_V3)3	Line	Paal_X_3	10,000 11,000	Free	Nonlinear	Nonlinear	Free	Free	Free	PY-curve-1_V3	PY-curve-1_V3
(PY-curve-1_V3)1	Line	Paal_P_3	10,000 11,000	Free	Nonlinear	Nonlinear	Free	Free	Free	PY-curve-1_V3	PY-curve-1_V3
(PY-curve-1_V3)39	Line	Paal_X_22	10,000 11,000	Free	Nonlinear	Nonlinear	Free	Free	Free	PY-curve-1_V3.B	PY-curve-1_V3.B
(PY-curve-1_V3)38	Line	Paal_X_21	10,000 11,000	Free	Nonlinear	Nonlinear	Free	Free	Free	PY-curve-1_V3.B	PY-curve-1_V3.B
(PY-curve-1_V3)37	Line	Paal_X_20	10,000 11,000	Free	Nonlinear	Nonlinear	Free	Free	Free	PY-curve-1_V3.B	PY-curve-1_V3.B
(PY-curve-1_V3)36	Line	Paal_X_19	10,000 11,000	Free	Nonlinear	Nonlinear	Free	Free	Free	PY-curve-1_V3.B	PY-curve-1_V3.B
(PY-curve-1_V3)6	Line	Paal_Y_1	10,000 11,000	Free	Nonlinear	Nonlinear	Free	Free	Free	PY-curve-1_V3	PY-curve-1_V3
(PY-curve-1_V3)35	Line	Paal_X_18	10,000 11,000	Free	Nonlinear	Nonlinear	Free	Free	Free	PY-curve-1_V3.B	PY-curve-1_V3.B
(PY-curve-1_V3)34	Line	Paal_X_17	10,000 11,000	Free	Nonlinear	Nonlinear	Free	Free	Free	PY-curve-1_V3.B	PY-curve-1_V3.B
(PY-curve-1_V3)33	Line	Paal_X_16	10,000 11,000	Free	Nonlinear	Nonlinear	Free	Free	Free	PY-curve-1_V3.B	PY-curve-1_V3.B
(PY-curve-1_V3)31	Line	Paal_X_11	10,000 11,000	Free	Nonlinear	Nonlinear	Free	Free	Free	PY-curve-1_V3.B	PY-curve-1_V3.B
(PY-curve-1_V3)32	Line	Paal_X_15	10,000 11,000	Free	Nonlinear	Nonlinear	Free	Free	Free	PY-curve-1_V3.B	PY-curve-1_V3.B
(PY-curve-1_V3)19	Line	Paal_Y_6	10,000 11,000	Free	Nonlinear	Nonlinear	Free	Free	Free	PY-curve-1_V3	PY-curve-1_V3
(PY-curve-1_V3)30	Line	Paal_X_10	10,000 11,000	Free	Nonlinear	Nonlinear	Free	Free	Free	PY-curve-1_V3.B	PY-curve-1_V3.B
(PY-curve-1_V3)5	Line	Paal_XY_3	10,000 11,000	Free	Nonlinear	Nonlinear	Free	Free	Free	PY-curve-1_V3	PY-curve-1_V3
(PY-curve-1_V3)18	Line	Paal_Y_5	10,000 11,000	Free	Nonlinear	Nonlinear	Free	Free	Free	PY-curve-1_V3	PY-curve-1_V3
(PY-curve-1_V3)2	Line	Paal_X_1	10,000 11,000	Free	Nonlinear	Nonlinear	Free	Free	Free	PY-curve-1_V3	PY-curve-1_V3
(PY-curve-1_V3)29	Line	Paal_X_9	10,000	Free	Nonlinear	Nonlinear	Free	Free	Free	PY-curve-1_V3.B	PY-curve-1_V3.B

Name	Type	Member	Pos x_1 [m] / Pos x_2 [m]	X	Y	Z	Rx	Ry	Rz	Function Y	Function Z
			11,000								
(PY-curve-1_V3)17	Line	Paal_Y_4	10,000 11,000	Free	Nonlinear	Nonlinear	Free	Free	Free	PY-curve-1_V3	PY-curve-1_V3
(PY-curve-1_V3)10	Line	Paal_XY_2	10,000 11,000	Free	Nonlinear	Nonlinear	Free	Free	Free	PY-curve-1_V3	PY-curve-1_V3
(PY-curve-1_V3)16	Line	Paal_XY_6	10,000 11,000	Free	Nonlinear	Nonlinear	Free	Free	Free	PY-curve-1_V3	PY-curve-1_V3
(PY-curve-1_V3)28	Line	Paal_X_8	10,000 11,000	Free	Nonlinear	Nonlinear	Free	Free	Free	PY-curve-1_V3.B	PY-curve-1_V3.B
(PY-curve-1_V3)15	Line	Paal_XY_5	10,000 11,000	Free	Nonlinear	Nonlinear	Free	Free	Free	PY-curve-1_V3	PY-curve-1_V3
(PY-curve-1_V3)27	Line	Paal_X_7	10,000 11,000	Free	Nonlinear	Nonlinear	Free	Free	Free	PY-curve-1_V3.B	PY-curve-1_V3.B
(PY-curve-1_V3)9	Line	Paal_X_2	10,000 11,000	Free	Nonlinear	Nonlinear	Free	Free	Free	PY-curve-1_V3	PY-curve-1_V3
(PY-curve-1_V3)4	Line	Paal_XY_1	10,000 11,000	Free	Nonlinear	Nonlinear	Free	Free	Free	PY-curve-1_V3	PY-curve-1_V3
(PY-curve-1_V3)13	Line	Paal_X_14	10,000 11,000	Free	Nonlinear	Nonlinear	Free	Free	Free	PY-curve-1_V3	PY-curve-1_V3
(PY-curve-1_V3)14	Line	Paal_XY_4	10,000 11,000	Free	Nonlinear	Nonlinear	Free	Free	Free	PY-curve-1_V3	PY-curve-1_V3
(PY-curve-1_V3)12	Line	Paal_X_13	10,000 11,000	Free	Nonlinear	Nonlinear	Free	Free	Free	PY-curve-1_V3	PY-curve-1_V3
(PY-curve-1_V3)26	Line	Paal_X_6	10,000 11,000	Free	Nonlinear	Nonlinear	Free	Free	Free	PY-curve-1_V3.B	PY-curve-1_V3.B
(PY-curve-1_V3)23	Line	Paal_X_12	10,000 11,000	Free	Nonlinear	Nonlinear	Free	Free	Free	PY-curve-1_V3	PY-curve-1_V3
(PY-curve-1_V3)8	Line	Paal_P_2	10,000 11,000	Free	Nonlinear	Nonlinear	Free	Free	Free	PY-curve-1_V3	PY-curve-1_V3
(PY-curve-1_V3)11	Line	Paal_Y_2	10,000 11,000	Free	Nonlinear	Nonlinear	Free	Free	Free	PY-curve-1_V3	PY-curve-1_V3
(PY-curve-1_V3)25	Line	Paal_X_5	10,000 11,000	Free	Nonlinear	Nonlinear	Free	Free	Free	PY-curve-1_V3.B	PY-curve-1_V3.B
(PY-curve-1_V3)21	Line	Paal_P_5	10,000 11,000	Free	Nonlinear	Nonlinear	Free	Free	Free	PY-curve-1_V3	PY-curve-1_V3
(PY-curve-1_V3)22	Line	Paal_P_6	10,000 11,000	Free	Nonlinear	Nonlinear	Free	Free	Free	PY-curve-1_V3	PY-curve-1_V3
(PY-curve-1_V4)20	Line	Paal_P_4	11,000 12,000	Free	Nonlinear	Nonlinear	Free	Free	Free	PY-curve-1_V4	PY-curve-1_V4
(PY-curve-1_V4)38	Line	Paal_X_21	11,000 12,000	Free	Nonlinear	Nonlinear	Free	Free	Free	PY-curve-1_V4.B	PY-curve-1_V4.B
(PY-curve-1_V4)37	Line	Paal_X_20	11,000 12,000	Free	Nonlinear	Nonlinear	Free	Free	Free	PY-curve-1_V4.B	PY-curve-1_V4.B
(PY-curve-1_V4)6	Line	Paal_Y_1	11,000 12,000	Free	Nonlinear	Nonlinear	Free	Free	Free	PY-curve-1_V4	PY-curve-1_V4
(PY-curve-1_V4)36	Line	Paal_X_19	11,000 12,000	Free	Nonlinear	Nonlinear	Free	Free	Free	PY-curve-1_V4.B	PY-curve-1_V4.B
(PY-curve-1_V4)34	Line	Paal_X_17	11,000 12,000	Free	Nonlinear	Nonlinear	Free	Free	Free	PY-curve-1_V4.B	PY-curve-1_V4.B
(PY-curve-1_V4)39	Line	Paal_X_22	11,000 12,000	Free	Nonlinear	Nonlinear	Free	Free	Free	PY-curve-1_V4.B	PY-curve-1_V4.B
(PY-curve-1_V4)33	Line	Paal_X_16	11,000 12,000	Free	Nonlinear	Nonlinear	Free	Free	Free	PY-curve-1_V4.B	PY-curve-1_V4.B
(PY-curve-1_V4)31	Line	Paal_X_11	11,000 12,000	Free	Nonlinear	Nonlinear	Free	Free	Free	PY-curve-1_V4.B	PY-curve-1_V4.B
(PY-curve-1_V4)5	Line	Paal_XY_3	11,000 12,000	Free	Nonlinear	Nonlinear	Free	Free	Free	PY-curve-1_V4	PY-curve-1_V4
(PY-curve-1_V4)32	Line	Paal_X_15	11,000 12,000	Free	Nonlinear	Nonlinear	Free	Free	Free	PY-curve-1_V4.B	PY-curve-1_V4.B
(PY-curve-1_V4)35	Line	Paal_X_18	11,000 12,000	Free	Nonlinear	Nonlinear	Free	Free	Free	PY-curve-1_V4.B	PY-curve-1_V4.B
(PY-curve-1_V4)2	Line	Paal_X_1	11,000 12,000	Free	Nonlinear	Nonlinear	Free	Free	Free	PY-curve-1_V4	PY-curve-1_V4
(PY-curve-1_V4)11	Line	Paal_Y_2	11,000	Free	Nonlinear	Nonlinear	Free	Free	Free	PY-curve-1_V4	PY-curve-1_V4

Name	Type	Member	Pos x_1 [m] Pos x_2 [m]	X	Y	Z	Rx	Ry	Rz	Function Y	Function Z
			12,000								
(PY-curve-1_V4)19	Line	Paal_Y_6	11,000 12,000	Free	Nonlinear	Nonlinear	Free	Free	Free	PY-curve-1_V4	PY-curve-1_V4
(PY-curve-1_V4)30	Line	Paal_X_10	11,000 12,000	Free	Nonlinear	Nonlinear	Free	Free	Free	PY-curve-1_V4.B	PY-curve-1_V4.B
(PY-curve-1_V4)18	Line	Paal_Y_5	11,000 12,000	Free	Nonlinear	Nonlinear	Free	Free	Free	PY-curve-1_V4	PY-curve-1_V4
(PY-curve-1_V4)10	Line	Paal_XY_2	11,000 12,000	Free	Nonlinear	Nonlinear	Free	Free	Free	PY-curve-1_V4	PY-curve-1_V4
(PY-curve-1_V4)29	Line	Paal_X_9	11,000 12,000	Free	Nonlinear	Nonlinear	Free	Free	Free	PY-curve-1_V4.B	PY-curve-1_V4.B
(PY-curve-1_V4)17	Line	Paal_Y_4	11,000 12,000	Free	Nonlinear	Nonlinear	Free	Free	Free	PY-curve-1_V4	PY-curve-1_V4
(PY-curve-1_V4)16	Line	Paal_XY_6	11,000 12,000	Free	Nonlinear	Nonlinear	Free	Free	Free	PY-curve-1_V4	PY-curve-1_V4
(PY-curve-1_V4)28	Line	Paal_X_8	11,000 12,000	Free	Nonlinear	Nonlinear	Free	Free	Free	PY-curve-1_V4.B	PY-curve-1_V4.B
(PY-curve-1_V4)15	Line	Paal_XY_5	11,000 12,000	Free	Nonlinear	Nonlinear	Free	Free	Free	PY-curve-1_V4	PY-curve-1_V4
(PY-curve-1_V4)4	Line	Paal_XY_1	11,000 12,000	Free	Nonlinear	Nonlinear	Free	Free	Free	PY-curve-1_V4	PY-curve-1_V4
(PY-curve-1_V4)9	Line	Paal_X_2	11,000 12,000	Free	Nonlinear	Nonlinear	Free	Free	Free	PY-curve-1_V4	PY-curve-1_V4
(PY-curve-1_V4)14	Line	Paal_XY_4	11,000 12,000	Free	Nonlinear	Nonlinear	Free	Free	Free	PY-curve-1_V4	PY-curve-1_V4
(PY-curve-1_V4)27	Line	Paal_X_7	11,000 12,000	Free	Nonlinear	Nonlinear	Free	Free	Free	PY-curve-1_V4.B	PY-curve-1_V4.B
(PY-curve-1_V4)	Line	Paal_P_1	11,000 12,000	Free	Nonlinear	Nonlinear	Free	Free	Free	PY-curve-1_V4	PY-curve-1_V4
(PY-curve-1_V4)13	Line	Paal_X_14	11,000 12,000	Free	Nonlinear	Nonlinear	Free	Free	Free	PY-curve-1_V4	PY-curve-1_V4
(PY-curve-1_V4)26	Line	Paal_X_6	11,000 12,000	Free	Nonlinear	Nonlinear	Free	Free	Free	PY-curve-1_V4.B	PY-curve-1_V4.B
(PY-curve-1_V4)12	Line	Paal_X_13	11,000 12,000	Free	Nonlinear	Nonlinear	Free	Free	Free	PY-curve-1_V4	PY-curve-1_V4
(PY-curve-1_V4)8	Line	Paal_P_2	11,000 12,000	Free	Nonlinear	Nonlinear	Free	Free	Free	PY-curve-1_V4	PY-curve-1_V4
(PY-curve-1_V4)23	Line	Paal_X_12	11,000 12,000	Free	Nonlinear	Nonlinear	Free	Free	Free	PY-curve-1_V4	PY-curve-1_V4
(PY-curve-1_V4)25	Line	Paal_X_5	11,000 12,000	Free	Nonlinear	Nonlinear	Free	Free	Free	PY-curve-1_V4.B	PY-curve-1_V4.B
(PY-curve-1_V4)1	Line	Paal_P_3	11,000 12,000	Free	Nonlinear	Nonlinear	Free	Free	Free	PY-curve-1_V4	PY-curve-1_V4
(PY-curve-1_V4)22	Line	Paal_P_6	11,000 12,000	Free	Nonlinear	Nonlinear	Free	Free	Free	PY-curve-1_V4	PY-curve-1_V4
(PY-curve-1_V4)21	Line	Paal_P_5	11,000 12,000	Free	Nonlinear	Nonlinear	Free	Free	Free	PY-curve-1_V4	PY-curve-1_V4
(PY-curve-1_V4)3	Line	Paal_X_3	11,000 12,000	Free	Nonlinear	Nonlinear	Free	Free	Free	PY-curve-1_V4	PY-curve-1_V4
(PY-curve-1_V4)7	Line	Paal_Y_3	11,000 12,000	Free	Nonlinear	Nonlinear	Free	Free	Free	PY-curve-1_V4	PY-curve-1_V4
(PY-curve-1_V4)24	Line	Paal_X_4	11,000 12,000	Free	Nonlinear	Nonlinear	Free	Free	Free	PY-curve-1_V4.B	PY-curve-1_V4.B
(PY-curve-1_V5)20	Line	Paal_P_4	12,000 12,700	Free	Nonlinear	Nonlinear	Free	Free	Free	PY-curve-1_V5	PY-curve-1_V5
(PY-curve-1_V5)11	Line	Paal_XY_1	12,000 12,700	Free	Nonlinear	Nonlinear	Free	Free	Free	PY-curve-1_V5	PY-curve-1_V5
(PY-curve-1_V5)10	Line	Paal_X_3	12,000 12,700	Free	Nonlinear	Nonlinear	Free	Free	Free	PY-curve-1_V5	PY-curve-1_V5
(PY-curve-1_V5)9	Line	Paal_XY_3	12,000 12,700	Free	Nonlinear	Nonlinear	Free	Free	Free	PY-curve-1_V5	PY-curve-1_V5
(PY-curve-1_V5)8	Line	Paal_X_1	12,000 12,700	Free	Nonlinear	Nonlinear	Free	Free	Free	PY-curve-1_V5	PY-curve-1_V5
(PY-curve-1_V5)7	Line	Paal_XY_2	12,000	Free	Nonlinear	Nonlinear	Free	Free	Free	PY-curve-1_V5	PY-curve-1_V5

Name	Type	Member	Pos x_1 [m] / Pos x_2 [m]	X	Y	Z	Rx	Ry	Rz	Function Y	Function Z
			12,700								
(PY-curve-1_V5)6	Line	Paal_X_2	12,000 12,700	Free	Nonlinear	Nonlinear	Free	Free	Free	PY-curve-1_V5	PY-curve-1_V5
(PY-curve-1_V5)5	Line	Paal_Y_2	12,000 12,700	Free	Nonlinear	Nonlinear	Free	Free	Free	PY-curve-1_V5	PY-curve-1_V5
(PY-curve-1_V5)4	Line	Paal_P_2	12,000 12,700	Free	Nonlinear	Nonlinear	Free	Free	Free	PY-curve-1_V5	PY-curve-1_V5
(PY-curve-1_V5)3	Line	Paal_Y_1	12,000 12,700	Free	Nonlinear	Nonlinear	Free	Free	Free	PY-curve-1_V5	PY-curve-1_V5
(PY-curve-1_V5)2	Line	Paal_P_3	12,000 12,700	Free	Nonlinear	Nonlinear	Free	Free	Free	PY-curve-1_V5	PY-curve-1_V5
(PY-curve-1_V5)1	Line	Paal_Y_3	12,000 12,700	Free	Nonlinear	Nonlinear	Free	Free	Free	PY-curve-1_V5	PY-curve-1_V5
(PY-curve-1_V5)	Line	Paal_P_1	12,000 12,700	Free	Nonlinear	Nonlinear	Free	Free	Free	PY-curve-1_V5	PY-curve-1_V5
(PY-curve-1_V5)19	Line	Paal_Y_6	12,000 12,700	Free	Nonlinear	Nonlinear	Free	Free	Free	PY-curve-1_V5	PY-curve-1_V5
(PY-curve-1_V5)18	Line	Paal_Y_5	12,000 12,700	Free	Nonlinear	Nonlinear	Free	Free	Free	PY-curve-1_V5	PY-curve-1_V5
(PY-curve-1_V5)17	Line	Paal_Y_4	12,000 12,700	Free	Nonlinear	Nonlinear	Free	Free	Free	PY-curve-1_V5	PY-curve-1_V5
(PY-curve-1_V5)16	Line	Paal_XY_6	12,000 12,700	Free	Nonlinear	Nonlinear	Free	Free	Free	PY-curve-1_V5	PY-curve-1_V5
(PY-curve-1_V5)15	Line	Paal_XY_5	12,000 12,700	Free	Nonlinear	Nonlinear	Free	Free	Free	PY-curve-1_V5	PY-curve-1_V5
(PY-curve-1_V5)14	Line	Paal_XY_4	12,000 12,700	Free	Nonlinear	Nonlinear	Free	Free	Free	PY-curve-1_V5	PY-curve-1_V5
(PY-curve-1_V5)13	Line	Paal_X_14	12,000 12,700	Free	Nonlinear	Nonlinear	Free	Free	Free	PY-curve-1_V5	PY-curve-1_V5
(PY-curve-1_V5)12	Line	Paal_X_13	12,000 12,700	Free	Nonlinear	Nonlinear	Free	Free	Free	PY-curve-1_V5	PY-curve-1_V5
(PY-curve-1_V5)23	Line	Paal_X_12	12,000 12,700	Free	Nonlinear	Nonlinear	Free	Free	Free	PY-curve-1_V5	PY-curve-1_V5
(PY-curve-1_V5)22	Line	Paal_P_6	12,000 12,700	Free	Nonlinear	Nonlinear	Free	Free	Free	PY-curve-1_V5	PY-curve-1_V5
(PY-curve-1_V5)21	Line	Paal_P_5	12,000 12,700	Free	Nonlinear	Nonlinear	Free	Free	Free	PY-curve-1_V5	PY-curve-1_V5
(PY-curve-1_V5)31	Line	Paal_X_11	12,000 13,000	Free	Nonlinear	Nonlinear	Free	Free	Free	PY-curve-1_V5.B	PY-curve-1_V5.B
(PY-curve-1_V5)39	Line	Paal_X_22	12,000 13,000	Free	Nonlinear	Nonlinear	Free	Free	Free	PY-curve-1_V5.B	PY-curve-1_V5.B
(PY-curve-1_V5)30	Line	Paal_X_10	12,000 13,000	Free	Nonlinear	Nonlinear	Free	Free	Free	PY-curve-1_V5.B	PY-curve-1_V5.B
(PY-curve-1_V5)29	Line	Paal_X_5	12,000 13,000	Free	Nonlinear	Nonlinear	Free	Free	Free	PY-curve-1_V5.B	PY-curve-1_V5.B
(PY-curve-1_V5)28	Line	Paal_X_4	12,000 13,000	Free	Nonlinear	Nonlinear	Free	Free	Free	PY-curve-1_V5.B	PY-curve-1_V5.B
(PY-curve-1_V5)38	Line	Paal_X_21	12,000 13,000	Free	Nonlinear	Nonlinear	Free	Free	Free	PY-curve-1_V5.B	PY-curve-1_V5.B
(PY-curve-1_V5)27	Line	Paal_X_9	12,000 13,000	Free	Nonlinear	Nonlinear	Free	Free	Free	PY-curve-1_V5.B	PY-curve-1_V5.B
(PY-curve-1_V5)26	Line	Paal_X_8	12,000 13,000	Free	Nonlinear	Nonlinear	Free	Free	Free	PY-curve-1_V5.B	PY-curve-1_V5.B
(PY-curve-1_V5)25	Line	Paal_X_7	12,000 13,000	Free	Nonlinear	Nonlinear	Free	Free	Free	PY-curve-1_V5.B	PY-curve-1_V5.B
(PY-curve-1_V5)37	Line	Paal_X_20	12,000 13,000	Free	Nonlinear	Nonlinear	Free	Free	Free	PY-curve-1_V5.B	PY-curve-1_V5.B
(PY-curve-1_V5)24	Line	Paal_X_6	12,000 13,000	Free	Nonlinear	Nonlinear	Free	Free	Free	PY-curve-1_V5.B	PY-curve-1_V5.B
(PY-curve-1_V5)36	Line	Paal_X_19	12,000 13,000	Free	Nonlinear	Nonlinear	Free	Free	Free	PY-curve-1_V5.B	PY-curve-1_V5.B
(PY-curve-1_V5)35	Line	Paal_X_18	12,000 13,000	Free	Nonlinear	Nonlinear	Free	Free	Free	PY-curve-1_V5.B	PY-curve-1_V5.B
(PY-curve-1_V5)34	Line	Paal_X_17	12,000	Free	Nonlinear	Nonlinear	Free	Free	Free	PY-curve-1_V5.B	PY-curve-1_V5.B

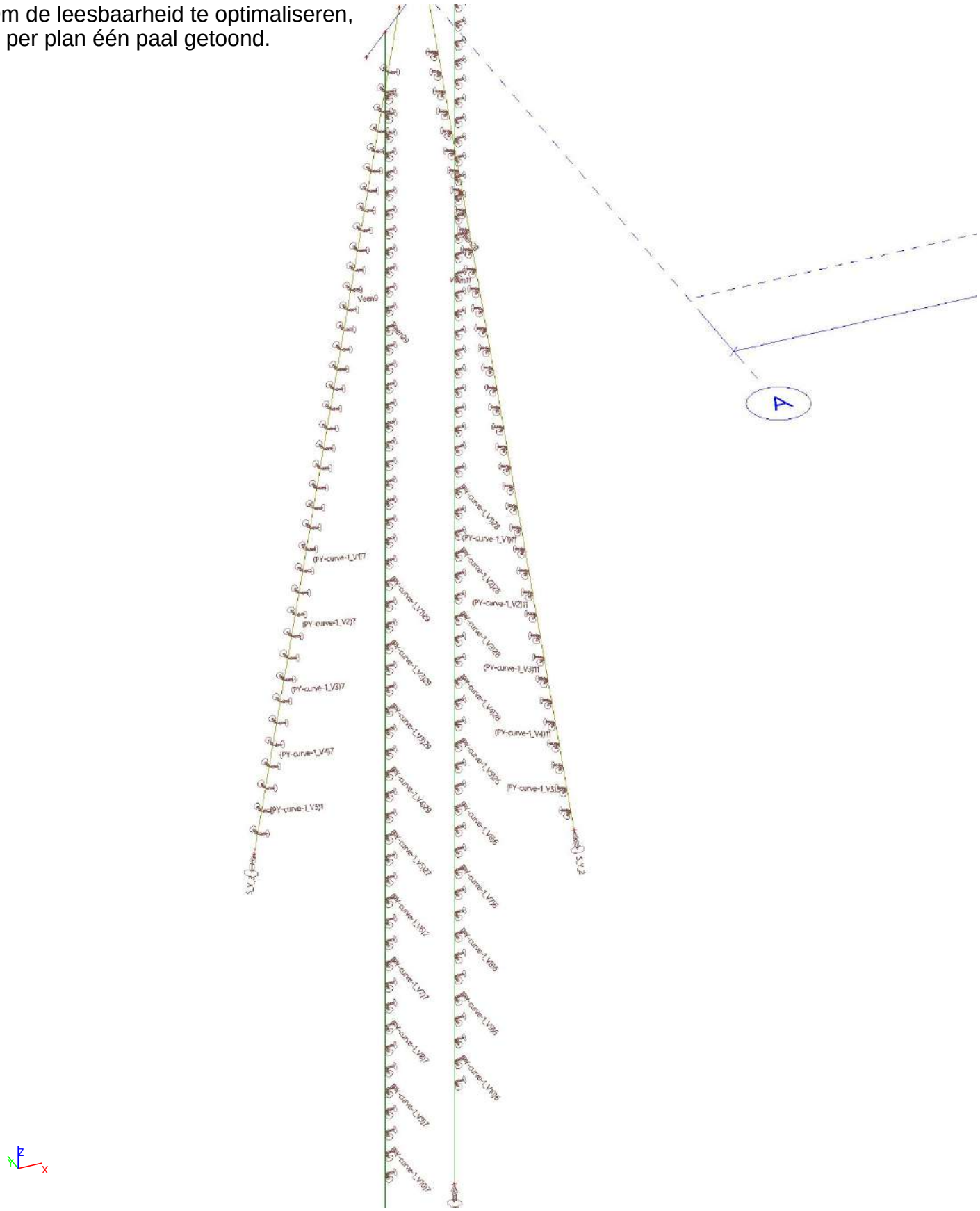
Name	Type	Member	Pos x_1 [m] / Pos x_2 [m]	X	Y	Z	Rx	Ry	Rz	Function Y	Function Z
			13,000								
(PY-curve-1_V5)33	Line	Paal_X_16	12,000 13,000	Free	Nonlinear	Nonlinear	Free	Free	Free	PY-curve-1_V5.B	PY-curve-1_V5.B
(PY-curve-1_V5)32	Line	Paal_X_15	12,000 13,000	Free	Nonlinear	Nonlinear	Free	Free	Free	PY-curve-1_V5.B	PY-curve-1_V5.B
(PY-curve-1_V6)13	Line	Paal_X_19	13,000 14,000	Free	Nonlinear	Nonlinear	Free	Free	Free	PY-curve-1_V6.B	PY-curve-1_V6.B
(PY-curve-1_V6)12	Line	Paal_X_18	13,000 14,000	Free	Nonlinear	Nonlinear	Free	Free	Free	PY-curve-1_V6.B	PY-curve-1_V6.B
(PY-curve-1_V6)11	Line	Paal_X_17	13,000 14,000	Free	Nonlinear	Nonlinear	Free	Free	Free	PY-curve-1_V6.B	PY-curve-1_V6.B
(PY-curve-1_V6)10	Line	Paal_X_15	13,000 14,000	Free	Nonlinear	Nonlinear	Free	Free	Free	PY-curve-1_V6.B	PY-curve-1_V6.B
(PY-curve-1_V6)9	Line	Paal_X_11	13,000 14,000	Free	Nonlinear	Nonlinear	Free	Free	Free	PY-curve-1_V6.B	PY-curve-1_V6.B
(PY-curve-1_V6)8	Line	Paal_X_10	13,000 14,000	Free	Nonlinear	Nonlinear	Free	Free	Free	PY-curve-1_V6.B	PY-curve-1_V6.B
(PY-curve-1_V6)7	Line	Paal_X_9	13,000 14,000	Free	Nonlinear	Nonlinear	Free	Free	Free	PY-curve-1_V6.B	PY-curve-1_V6.B
(PY-curve-1_V6)14	Line	Paal_X_20	13,000 14,000	Free	Nonlinear	Nonlinear	Free	Free	Free	PY-curve-1_V6.B	PY-curve-1_V6.B
(PY-curve-1_V6)6	Line	Paal_X_8	13,000 14,000	Free	Nonlinear	Nonlinear	Free	Free	Free	PY-curve-1_V6.B	PY-curve-1_V6.B
(PY-curve-1_V6)5	Line	Paal_X_7	13,000 14,000	Free	Nonlinear	Nonlinear	Free	Free	Free	PY-curve-1_V6.B	PY-curve-1_V6.B
(PY-curve-1_V6)4	Line	Paal_X_6	13,000 14,000	Free	Nonlinear	Nonlinear	Free	Free	Free	PY-curve-1_V6.B	PY-curve-1_V6.B
(PY-curve-1_V6)3	Line	Paal_X_5	13,000 14,000	Free	Nonlinear	Nonlinear	Free	Free	Free	PY-curve-1_V6.B	PY-curve-1_V6.B
(PY-curve-1_V6)2	Line	Paal_X_4	13,000 14,000	Free	Nonlinear	Nonlinear	Free	Free	Free	PY-curve-1_V6.B	PY-curve-1_V6.B
(PY-curve-1_V6)1	Line	Paal_X_21	13,000 14,000	Free	Nonlinear	Nonlinear	Free	Free	Free	PY-curve-1_V6.B	PY-curve-1_V6.B
(PY-curve-1_V6)	Line	Paal_X_16	13,000 14,000	Free	Nonlinear	Nonlinear	Free	Free	Free	PY-curve-1_V6.B	PY-curve-1_V6.B
(PY-curve-1_V6)15	Line	Paal_X_22	13,000 14,000	Free	Nonlinear	Nonlinear	Free	Free	Free	PY-curve-1_V6.B	PY-curve-1_V6.B
(PY-curve-1_V7)15	Line	Paal_X_22	14,000 15,000	Free	Nonlinear	Nonlinear	Free	Free	Free	PY-curve-1_V7.B	PY-curve-1_V7.B
(PY-curve-1_V7)13	Line	Paal_X_19	14,000 15,000	Free	Nonlinear	Nonlinear	Free	Free	Free	PY-curve-1_V7.B	PY-curve-1_V7.B
(PY-curve-1_V7)12	Line	Paal_X_18	14,000 15,000	Free	Nonlinear	Nonlinear	Free	Free	Free	PY-curve-1_V7.B	PY-curve-1_V7.B
(PY-curve-1_V7)11	Line	Paal_X_17	14,000 15,000	Free	Nonlinear	Nonlinear	Free	Free	Free	PY-curve-1_V7.B	PY-curve-1_V7.B
(PY-curve-1_V7)10	Line	Paal_X_15	14,000 15,000	Free	Nonlinear	Nonlinear	Free	Free	Free	PY-curve-1_V7.B	PY-curve-1_V7.B
(PY-curve-1_V7)9	Line	Paal_X_11	14,000 15,000	Free	Nonlinear	Nonlinear	Free	Free	Free	PY-curve-1_V7.B	PY-curve-1_V7.B
(PY-curve-1_V7)8	Line	Paal_X_10	14,000 15,000	Free	Nonlinear	Nonlinear	Free	Free	Free	PY-curve-1_V7.B	PY-curve-1_V7.B
(PY-curve-1_V7)7	Line	Paal_X_9	14,000 15,000	Free	Nonlinear	Nonlinear	Free	Free	Free	PY-curve-1_V7.B	PY-curve-1_V7.B
(PY-curve-1_V7)14	Line	Paal_X_20	14,000 15,000	Free	Nonlinear	Nonlinear	Free	Free	Free	PY-curve-1_V7.B	PY-curve-1_V7.B
(PY-curve-1_V7)6	Line	Paal_X_8	14,000 15,000	Free	Nonlinear	Nonlinear	Free	Free	Free	PY-curve-1_V7.B	PY-curve-1_V7.B
(PY-curve-1_V7)5	Line	Paal_X_7	14,000 15,000	Free	Nonlinear	Nonlinear	Free	Free	Free	PY-curve-1_V7.B	PY-curve-1_V7.B
(PY-curve-1_V7)4	Line	Paal_X_6	14,000 15,000	Free	Nonlinear	Nonlinear	Free	Free	Free	PY-curve-1_V7.B	PY-curve-1_V7.B
(PY-curve-1_V7)3	Line	Paal_X_5	14,000 15,000	Free	Nonlinear	Nonlinear	Free	Free	Free	PY-curve-1_V7.B	PY-curve-1_V7.B
(PY-curve-1_V7)2	Line	Paal_X_4	14,000	Free	Nonlinear	Nonlinear	Free	Free	Free	PY-curve-1_V7.B	PY-curve-1_V7.B

Name	Type	Member	Pos x_1 [m] Pos x_2 [m]	X	Y	Z	Rx	Ry	Rz	Function Y	Function Z
			15,000								
(PY-curve-1_V7)1	Line	Paal_X_21	14,000 15,000	Free	Nonlinear	Nonlinear	Free	Free	Free	PY-curve-1_V7.B	PY-curve-1_V7.B
(PY-curve-1_V7)	Line	Paal_X_16	14,000 15,000	Free	Nonlinear	Nonlinear	Free	Free	Free	PY-curve-1_V7.B	PY-curve-1_V7.B
(PY-curve-1_V8)15	Line	Paal_X_22	15,000 16,000	Free	Nonlinear	Nonlinear	Free	Free	Free	PY-curve-1_V8.B	PY-curve-1_V8.B
(PY-curve-1_V8)13	Line	Paal_X_19	15,000 16,000	Free	Nonlinear	Nonlinear	Free	Free	Free	PY-curve-1_V8.B	PY-curve-1_V8.B
(PY-curve-1_V8)12	Line	Paal_X_18	15,000 16,000	Free	Nonlinear	Nonlinear	Free	Free	Free	PY-curve-1_V8.B	PY-curve-1_V8.B
(PY-curve-1_V8)11	Line	Paal_X_17	15,000 16,000	Free	Nonlinear	Nonlinear	Free	Free	Free	PY-curve-1_V8.B	PY-curve-1_V8.B
(PY-curve-1_V8)10	Line	Paal_X_15	15,000 16,000	Free	Nonlinear	Nonlinear	Free	Free	Free	PY-curve-1_V8.B	PY-curve-1_V8.B
(PY-curve-1_V8)9	Line	Paal_X_11	15,000 16,000	Free	Nonlinear	Nonlinear	Free	Free	Free	PY-curve-1_V8.B	PY-curve-1_V8.B
(PY-curve-1_V8)8	Line	Paal_X_10	15,000 16,000	Free	Nonlinear	Nonlinear	Free	Free	Free	PY-curve-1_V8.B	PY-curve-1_V8.B
(PY-curve-1_V8)7	Line	Paal_X_9	15,000 16,000	Free	Nonlinear	Nonlinear	Free	Free	Free	PY-curve-1_V8.B	PY-curve-1_V8.B
(PY-curve-1_V8)14	Line	Paal_X_20	15,000 16,000	Free	Nonlinear	Nonlinear	Free	Free	Free	PY-curve-1_V8.B	PY-curve-1_V8.B
(PY-curve-1_V8)6	Line	Paal_X_8	15,000 16,000	Free	Nonlinear	Nonlinear	Free	Free	Free	PY-curve-1_V8.B	PY-curve-1_V8.B
(PY-curve-1_V8)5	Line	Paal_X_7	15,000 16,000	Free	Nonlinear	Nonlinear	Free	Free	Free	PY-curve-1_V8.B	PY-curve-1_V8.B
(PY-curve-1_V8)4	Line	Paal_X_6	15,000 16,000	Free	Nonlinear	Nonlinear	Free	Free	Free	PY-curve-1_V8.B	PY-curve-1_V8.B
(PY-curve-1_V8)3	Line	Paal_X_5	15,000 16,000	Free	Nonlinear	Nonlinear	Free	Free	Free	PY-curve-1_V8.B	PY-curve-1_V8.B
(PY-curve-1_V8)2	Line	Paal_X_4	15,000 16,000	Free	Nonlinear	Nonlinear	Free	Free	Free	PY-curve-1_V8.B	PY-curve-1_V8.B
(PY-curve-1_V8)1	Line	Paal_X_21	15,000 16,000	Free	Nonlinear	Nonlinear	Free	Free	Free	PY-curve-1_V8.B	PY-curve-1_V8.B
(PY-curve-1_V8)	Line	Paal_X_16	15,000 16,000	Free	Nonlinear	Nonlinear	Free	Free	Free	PY-curve-1_V8.B	PY-curve-1_V8.B
(PY-curve-1_V9)15	Line	Paal_X_22	16,000 17,000	Free	Nonlinear	Nonlinear	Free	Free	Free	PY-curve-1_V9.B	PY-curve-1_V9.B
(PY-curve-1_V9)13	Line	Paal_X_19	16,000 17,000	Free	Nonlinear	Nonlinear	Free	Free	Free	PY-curve-1_V9.B	PY-curve-1_V9.B
(PY-curve-1_V9)12	Line	Paal_X_18	16,000 17,000	Free	Nonlinear	Nonlinear	Free	Free	Free	PY-curve-1_V9.B	PY-curve-1_V9.B
(PY-curve-1_V9)11	Line	Paal_X_17	16,000 17,000	Free	Nonlinear	Nonlinear	Free	Free	Free	PY-curve-1_V9.B	PY-curve-1_V9.B
(PY-curve-1_V9)10	Line	Paal_X_15	16,000 17,000	Free	Nonlinear	Nonlinear	Free	Free	Free	PY-curve-1_V9.B	PY-curve-1_V9.B
(PY-curve-1_V9)9	Line	Paal_X_11	16,000 17,000	Free	Nonlinear	Nonlinear	Free	Free	Free	PY-curve-1_V9.B	PY-curve-1_V9.B
(PY-curve-1_V9)8	Line	Paal_X_10	16,000 17,000	Free	Nonlinear	Nonlinear	Free	Free	Free	PY-curve-1_V9.B	PY-curve-1_V9.B
(PY-curve-1_V9)7	Line	Paal_X_9	16,000 17,000	Free	Nonlinear	Nonlinear	Free	Free	Free	PY-curve-1_V9.B	PY-curve-1_V9.B
(PY-curve-1_V9)14	Line	Paal_X_20	16,000 17,000	Free	Nonlinear	Nonlinear	Free	Free	Free	PY-curve-1_V9.B	PY-curve-1_V9.B
(PY-curve-1_V9)6	Line	Paal_X_8	16,000 17,000	Free	Nonlinear	Nonlinear	Free	Free	Free	PY-curve-1_V9.B	PY-curve-1_V9.B
(PY-curve-1_V9)5	Line	Paal_X_7	16,000 17,000	Free	Nonlinear	Nonlinear	Free	Free	Free	PY-curve-1_V9.B	PY-curve-1_V9.B
(PY-curve-1_V9)4	Line	Paal_X_6	16,000 17,000	Free	Nonlinear	Nonlinear	Free	Free	Free	PY-curve-1_V9.B	PY-curve-1_V9.B
(PY-curve-1_V9)3	Line	Paal_X_5	16,000 17,000	Free	Nonlinear	Nonlinear	Free	Free	Free	PY-curve-1_V9.B	PY-curve-1_V9.B
(PY-curve-1_V9)2	Line	Paal_X_4	16,000	Free	Nonlinear	Nonlinear	Free	Free	Free	PY-curve-1_V9.B	PY-curve-1_V9.B

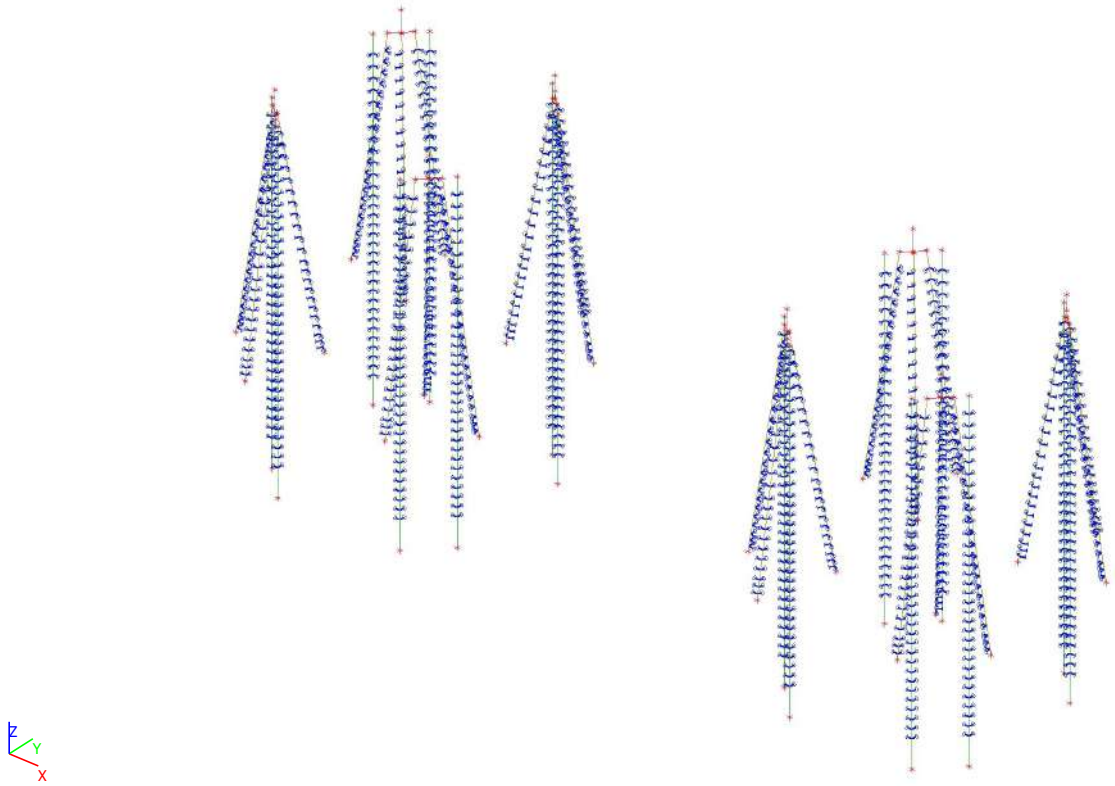
Name	Type	Member	Pos x_1 [m] / Pos x_2 [m]	X	Y	Z	Rx	Ry	Rz	Function Y	Function Z
			17,000								
(PY-curve-1_V9)1	Line	Paal_X_21	16,000 17,000	Free	Nonlinear	Nonlinear	Free	Free	Free	PY-curve-1_V9.B	PY-curve-1_V9.B
(PY-curve-1_V9)	Line	Paal_X_16	16,000 17,000	Free	Nonlinear	Nonlinear	Free	Free	Free	PY-curve-1_V9.B	PY-curve-1_V9.B
(PY-curve-1_V10)15	Line	Paal_X_22	17,000 18,000	Free	Nonlinear	Nonlinear	Free	Free	Free	PY-curve-1_V10.B	PY-curve-1_V10.B
(PY-curve-1_V10)13	Line	Paal_X_19	17,000 18,000	Free	Nonlinear	Nonlinear	Free	Free	Free	PY-curve-1_V10.B	PY-curve-1_V10.B
(PY-curve-1_V10)12	Line	Paal_X_18	17,000 18,000	Free	Nonlinear	Nonlinear	Free	Free	Free	PY-curve-1_V10.B	PY-curve-1_V10.B
(PY-curve-1_V10)11	Line	Paal_X_17	17,000 18,000	Free	Nonlinear	Nonlinear	Free	Free	Free	PY-curve-1_V10.B	PY-curve-1_V10.B
(PY-curve-1_V10)10	Line	Paal_X_15	17,000 18,000	Free	Nonlinear	Nonlinear	Free	Free	Free	PY-curve-1_V10.B	PY-curve-1_V10.B
(PY-curve-1_V10)9	Line	Paal_X_11	17,000 18,000	Free	Nonlinear	Nonlinear	Free	Free	Free	PY-curve-1_V10.B	PY-curve-1_V10.B
(PY-curve-1_V10)8	Line	Paal_X_10	17,000 18,000	Free	Nonlinear	Nonlinear	Free	Free	Free	PY-curve-1_V10.B	PY-curve-1_V10.B
(PY-curve-1_V10)7	Line	Paal_X_9	17,000 18,000	Free	Nonlinear	Nonlinear	Free	Free	Free	PY-curve-1_V10.B	PY-curve-1_V10.B
(PY-curve-1_V10)14	Line	Paal_X_20	17,000 18,000	Free	Nonlinear	Nonlinear	Free	Free	Free	PY-curve-1_V10.B	PY-curve-1_V10.B
(PY-curve-1_V10)6	Line	Paal_X_8	17,000 18,000	Free	Nonlinear	Nonlinear	Free	Free	Free	PY-curve-1_V10.B	PY-curve-1_V10.B
(PY-curve-1_V10)5	Line	Paal_X_7	17,000 18,000	Free	Nonlinear	Nonlinear	Free	Free	Free	PY-curve-1_V10.B	PY-curve-1_V10.B
(PY-curve-1_V10)4	Line	Paal_X_6	17,000 18,000	Free	Nonlinear	Nonlinear	Free	Free	Free	PY-curve-1_V10.B	PY-curve-1_V10.B
(PY-curve-1_V10)3	Line	Paal_X_5	17,000 18,000	Free	Nonlinear	Nonlinear	Free	Free	Free	PY-curve-1_V10.B	PY-curve-1_V10.B
(PY-curve-1_V10)2	Line	Paal_X_4	17,000 18,000	Free	Nonlinear	Nonlinear	Free	Free	Free	PY-curve-1_V10.B	PY-curve-1_V10.B
(PY-curve-1_V10)1	Line	Paal_X_21	17,000 18,000	Free	Nonlinear	Nonlinear	Free	Free	Free	PY-curve-1_V10.B	PY-curve-1_V10.B
(PY-curve-1_V10)	Line	Paal_X_16	17,000 18,000	Free	Nonlinear	Nonlinear	Free	Free	Free	PY-curve-1_V10.B	PY-curve-1_V10.B

5.8. Analyse model met Lijnondersteuningen

Om de leesbaarheid te optimaliseren, is per plan één paal getoond.



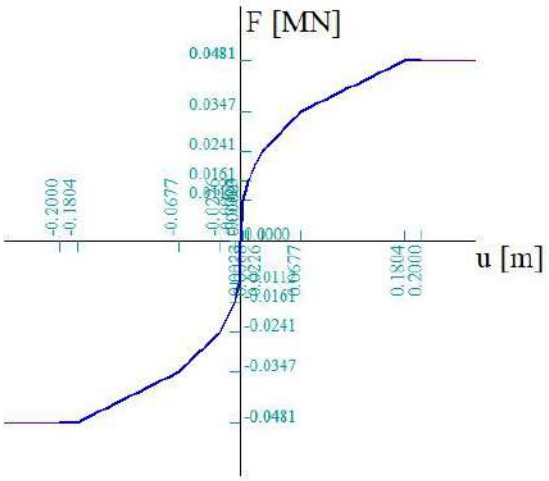
5.9. Analyse model met Lijnondersteuningen



5.10. Nonlinear functions

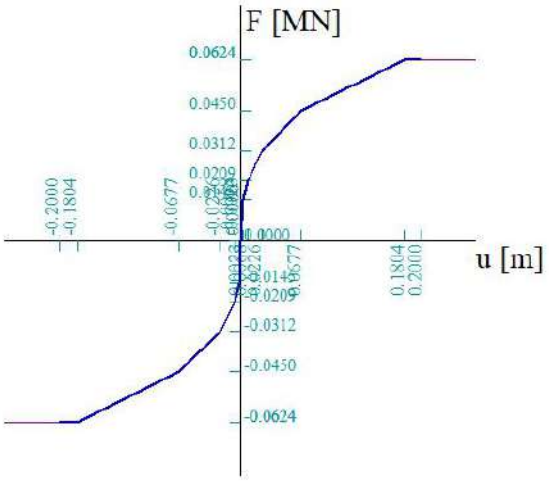
Name	Type	u / F	Positive end	Negative end
PY-curve-1_V1	Translation	-2,0000e-01[m] / -4,8130e-02[MN]	Free	Free
		-1,8040e-01[m] / -4,8130e-02[MN]		
		-6,7650e-02[m] / -3,4710e-02[MN]		
		-2,2550e-02[m] / -2,4064e-02[MN]		
		-6,7650e-03[m] / -1,6110e-02[MN]		
		-2,2550e-03[m] / -1,1170e-02[MN]		
		0,0000e+00[m] / 0,0000e+00[MN]		
		2,2550e-03[m] / 1,1170e-02[MN]		
		6,7650e-03[m] / 1,6110e-02[MN]		
		2,2550e-02[m] / 2,4064e-02[MN]		
		6,7650e-02[m] / 3,4707e-02[MN]		
		1,8040e-01[m] / 4,8129e-02[MN]		
		2,0000e-01[m] / 4,8129e-02[MN]		

Drawing



Name	Type	u / F	Positive end	Negative end
PY-curve-1_V2	Translation	-2,0000e-01[m] / -6,2400e-02[MN]	Free	Free
		-1,8040e-01[m] / -6,2400e-02[MN]		
		-6,7650e-02[m] / -4,5000e-02[MN]		
		-2,2550e-02[m] / -3,1200e-02[MN]		
		-6,7650e-03[m] / -2,0900e-02[MN]		
		-2,2550e-03[m] / -1,4500e-02[MN]		
		0,0000e+00[m] / 0,0000e+00[MN]		
		2,2550e-03[m] / 1,4490e-02[MN]		
		6,7650e-03[m] / 2,0900e-02[MN]		
		2,2550e-02[m] / 3,1220e-02[MN]		
		6,7650e-02[m] / 4,5020e-02[MN]		
		1,8040e-01[m] / 6,2430e-02[MN]		
		2,0000e-01[m] / 6,2430e-02[MN]		

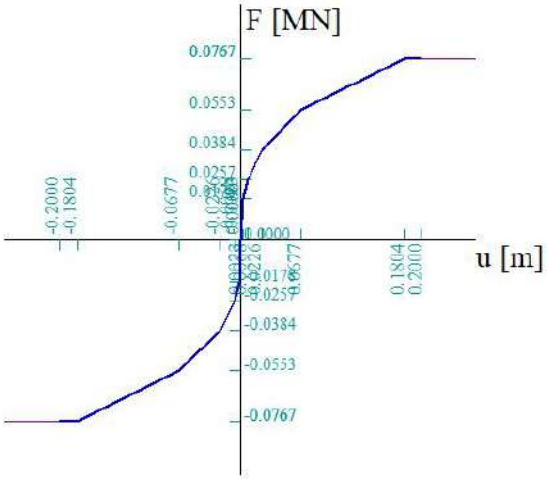
Drawing



Name	Type	u / F	Positive end	Negative end
PY-curve-1_V3	Translation	-2,0000e-01[m] / -7,6737e-02[MN]	Free	Free
		-1,8040e-01[m] / -7,6737e-02[MN]		
		-6,7650e-02[m] / -5,5337e-02[MN]		
		-2,2550e-02[m] / -3,8368e-02[MN]		
		-6,7650e-03[m] / -2,5685e-02[MN]		
		-2,2550e-03[m] / -1,7809e-02[MN]		
		0,0000e+00[m] / 0,0000e+00[MN]		
		2,2550e-03[m] / 1,7809e-02[MN]		
		6,7650e-03[m] / 2,5685e-02[MN]		
		2,2550e-02[m] / 3,8368e-02[MN]		

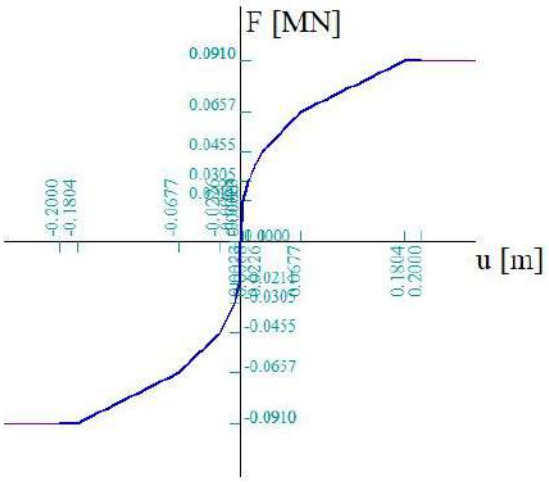
Name	Type	u / F	Positive end	Negative end
		6,7650e-02[m] / 5,5337e-02[MN]		
		1,8040e-01[m] / 7,6737e-02[MN]		
		2,0000e-01[m] / 7,6737e-02[MN]		

Drawing



Name	Type	u / F	Positive end	Negative end
PY-curve-1_V4	Translation	-2,0000e-01[m] / -9,1041e-02[MN]	Free	Free
		-1,8040e-01[m] / -9,1041e-02[MN]		
		-6,7650e-02[m] / -6,5652e-02[MN]		
		-2,2550e-02[m] / -4,5520e-02[MN]		
		-6,7650e-03[m] / -3,0473e-02[MN]		
		-2,2550e-03[m] / -2,1129e-02[MN]		
		0,0000e+00[m] / 0,0000e+00[MN]		
		2,2550e-03[m] / 2,1129e-02[MN]		
		6,7650e-03[m] / 3,0473e-02[MN]		
		2,2550e-02[m] / 4,5520e-02[MN]		
		6,7650e-02[m] / 6,5652e-02[MN]		
		1,8040e-01[m] / 9,1041e-02[MN]		
		2,0000e-01[m] / 9,1041e-02[MN]		

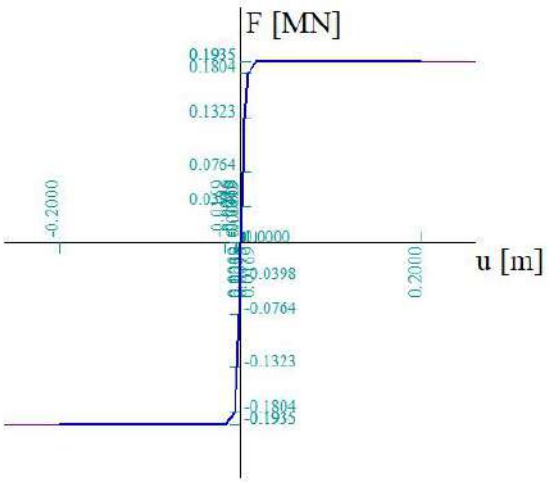
Drawing



Name	Type	u / F	Positive end	Negative end
PY-curve-1_V5	Translation	-2,0000e-01[m] / -1,9349e-01[MN]	Free	Free
		-1,6913e-02[m] / -1,9349e-01[MN]		
		-7,5167e-03[m] / -1,8041e-01[MN]		
		-3,7583e-03[m] / -1,3226e-01[MN]		

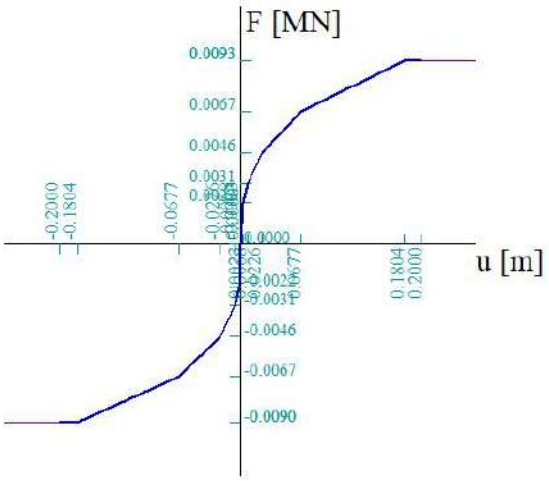
Name	Type	u / F	Positive end	Negative end
		-1,8792e-03[m] / -7,6422e-02[MN]		
		-9,3958e-04[m] / -3,9826e-02[MN]		
		0,0000e+00[m] / 0,0000e+00[MN]		
		9,3958e-04[m] / 3,9826e-02[MN]		
		1,8792e-03[m] / 7,6422e-02[MN]		
		3,7583e-03[m] / 1,3226e-01[MN]		
		7,5167e-03[m] / 1,8041e-01[MN]		
		1,6913e-02[m] / 1,9349e-01[MN]		
		2,0000e-01[m] / 1,9349e-01[MN]		

Drawing



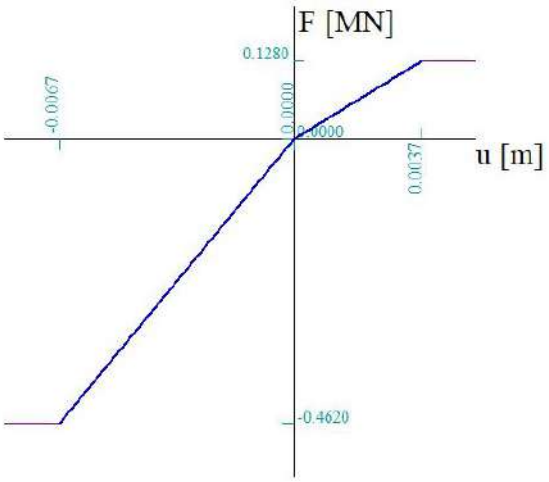
Name	Type	u / F	Positive end	Negative end
PY-curve-1_Veen	Translation	-2,0000e-01[m] / -9,0000e-03[MN]	Free	Free
		-1,8040e-01[m] / -9,0000e-03[MN]		
		-6,7650e-02[m] / -6,7000e-03[MN]		
		-2,2550e-02[m] / -4,6300e-03[MN]		
		-6,7650e-03[m] / -3,1000e-03[MN]		
		-2,2550e-03[m] / -2,1500e-03[MN]		
		0,0000e+00[m] / 0,0000e+00[MN]		
		2,2550e-03[m] / 2,1500e-03[MN]		
		6,7650e-03[m] / 3,1000e-03[MN]		
		2,2550e-02[m] / 4,6300e-03[MN]		
		6,7650e-02[m] / 6,7000e-03[MN]		
		1,8040e-01[m] / 9,2700e-03[MN]		
		2,0000e-01[m] / 9,2700e-03[MN]		

Drawing



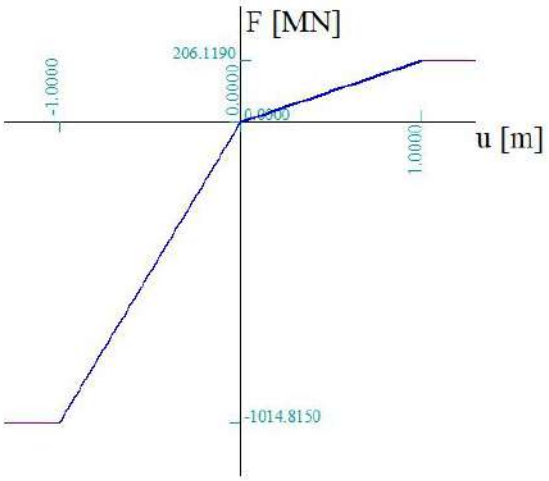
Name	Type	u / F	Positive end	Negative end
Trek-druk-S+0-paalpunt_cap275kN .min.B.	Translation	-6,7200e-03[m] / -4,6200e-01[MN]	Free	Free
		0,0000e+00[m] / 0,0000e+00[MN]		
		3,6700e-03[m] / 1,2800e-01[MN]		

Drawing



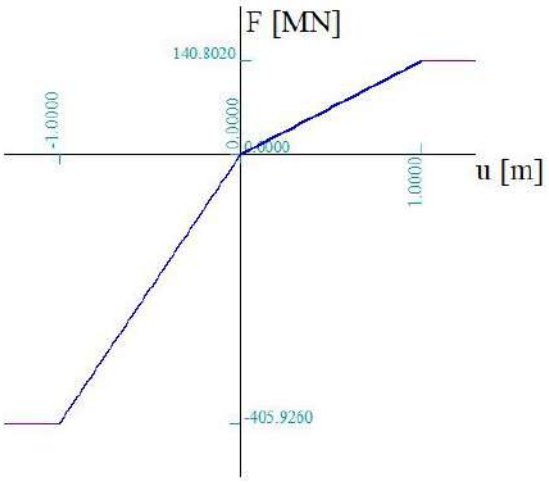
Name	Type	u / F	Positive end	Negative end
Trek-druk-paalpunt-max.LEKA	Translation	-1,0000e+00[m] / -1,0148e+03[MN]	Free	Free
		0,0000e+00[m] / 0,0000e+00[MN]		
		1,0000e+00[m] / 2,0612e+02[MN]		

Drawing



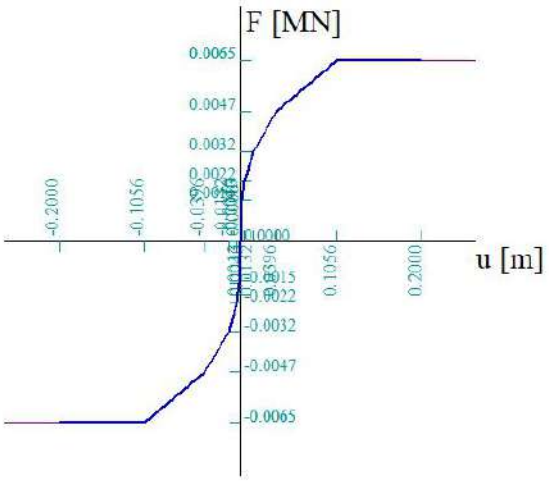
Name	Type	u / F	Positive end	Negative end
Trek-druk-paalpunt-min.LEKA	Translation	-1,0000e+00[m] / -4,0593e+02[MN]	Free	Free
		0,0000e+00[m] / 0,0000e+00[MN]		
		1,0000e+00[m] / 1,4080e+02[MN]		

Drawing



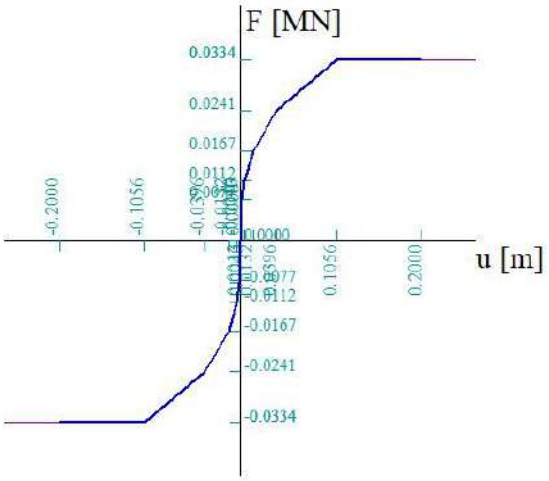
Name	Type	u / F	Positive end	Negative end
PY-curve-1_Veen.B	Translation	-2,0000e-01[m] / -6,4600e-03[MN]	Free	Free
		-1,0560e-01[m] / -6,4600e-03[MN]		
		-3,9600e-02[m] / -4,6585e-03[MN]		
		-1,3200e-02[m] / -3,2300e-03[MN]		
		-3,9600e-03[m] / -2,1623e-03[MN]		
		-1,3200e-03[m] / -1,4992e-03[MN]		
		0,0000e+00[m] / 0,0000e+00[MN]		
		1,3200e-03[m] / 1,4992e-03[MN]		
		3,9600e-03[m] / 2,1623e-03[MN]		
		1,3200e-02[m] / 3,2300e-03[MN]		
		3,9600e-02[m] / 4,6585e-03[MN]		
		1,0560e-01[m] / 6,4600e-03[MN]		
		2,0000e-01[m] / 6,4600e-03[MN]		

Drawing



Name	Type	u / F	Positive end	Negative end
PY-curve-1_V1.B	Translation	-2,0000e-01[m] / -3,3356e-02[MN]	Free	Free
		-1,0560e-01[m] / -3,3356e-02[MN]		
		-3,9600e-02[m] / -2,4054e-02[MN]		
		-1,3200e-02[m] / -1,6678e-02[MN]		
		-3,9600e-03[m] / -1,1165e-02[MN]		
		-1,3200e-03[m] / -7,7412e-03[MN]		
		0,0000e+00[m] / 0,0000e+00[MN]		
		1,3200e-03[m] / 7,7412e-03[MN]		
		3,9600e-03[m] / 1,1165e-02[MN]		
		1,3200e-02[m] / 1,6678e-02[MN]		
		3,9600e-02[m] / 2,4054e-02[MN]		
		1,0560e-01[m] / 3,3356e-02[MN]		
		2,0000e-01[m] / 3,3356e-02[MN]		

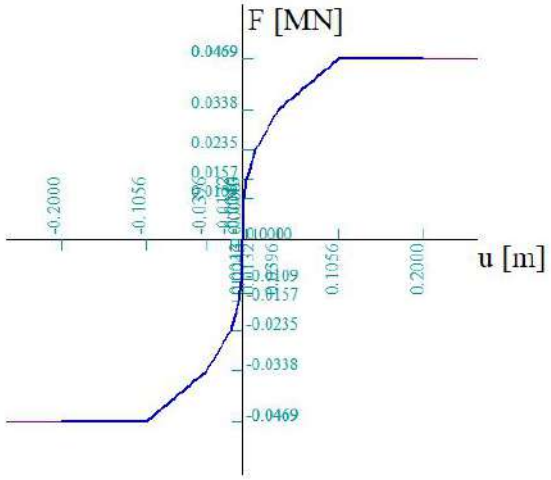
Drawing



Name	Type	u / F	Positive end	Negative end
PY-curve-1_V2.B	Translation	-2,0000e-01[m] / -4,6912e-02[MN]	Free	Free
		-1,0560e-01[m] / -4,6912e-02[MN]		
		-3,9600e-02[m] / -3,3829e-02[MN]		
		-1,3200e-02[m] / -2,3456e-02[MN]		
		-3,9600e-03[m] / -1,5702e-02[MN]		
		-1,3200e-03[m] / -1,0887e-02[MN]		
		0,0000e+00[m] / 0,0000e+00[MN]		
		1,3200e-03[m] / 1,0887e-02[MN]		
		3,9600e-03[m] / 1,5702e-02[MN]		
		1,3200e-02[m] / 2,3456e-02[MN]		

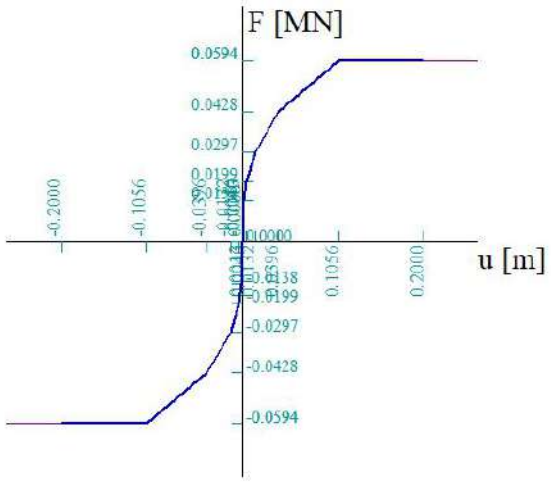
Name	Type	u / F	Positive end	Negative end
		3,9600e-02[m] / 3,3829e-02[MN]		
		1,0560e-01[m] / 4,6912e-02[MN]		
		2,0000e-01[m] / 4,6912e-02[MN]		

Drawing



Name	Type	u / F	Positive end	Negative end
PY-curve-1_V3.B	Translation	-2,0000e-01[m] / -5,9400e-02[MN]	Free	Free
		-1,0560e-01[m] / -5,9400e-02[MN]		
		-3,9600e-02[m] / -4,2835e-02[MN]		
		-1,3200e-02[m] / -2,9700e-02[MN]		
		-3,9600e-03[m] / -1,9882e-02[MN]		
		-1,3200e-03[m] / -1,3786e-02[MN]		
		0,0000e+00[m] / 0,0000e+00[MN]		
		1,3200e-03[m] / 1,3786e-02[MN]		
		3,9600e-03[m] / 1,9882e-02[MN]		
		1,3200e-02[m] / 2,9700e-02[MN]		
		3,9600e-02[m] / 4,2835e-02[MN]		
		1,0560e-01[m] / 5,9400e-02[MN]		
		2,0000e-01[m] / 5,9400e-02[MN]		

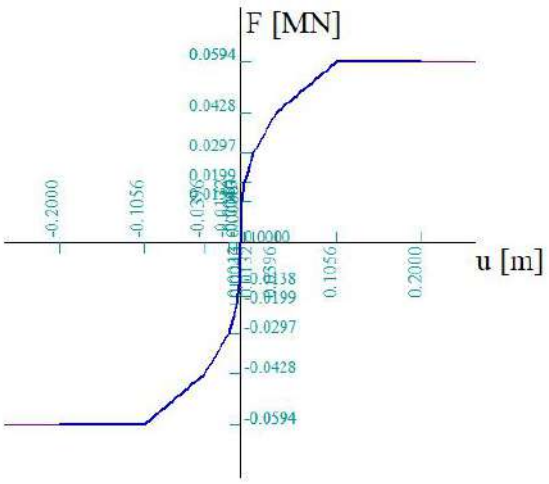
Drawing



Name	Type	u / F	Positive end	Negative end
PY-curve-1_V4.B	Translation	-2,0000e-01[m] / -5,9400e-02[MN]	Free	Free
		-1,0560e-01[m] / -5,9400e-02[MN]		
		-3,9600e-02[m] / -4,2835e-02[MN]		
		-1,3200e-02[m] / -2,9700e-02[MN]		

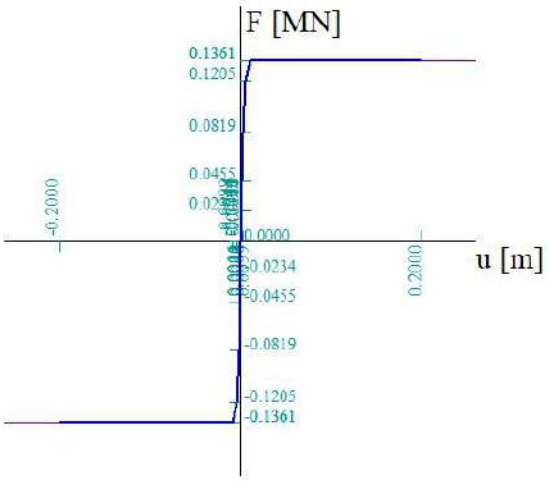
Name	Type	u / F	Positive end	Negative end
		-3,9600e-03[m] / -1,9882e-02[MN]		
		-1,3200e-03[m] / -1,3786e-02[MN]		
		0,0000e+00[m] / 0,0000e+00[MN]		
		1,3200e-03[m] / 1,3786e-02[MN]		
		3,9600e-03[m] / 1,9882e-02[MN]		
		1,3200e-02[m] / 2,9700e-02[MN]		
		3,9600e-02[m] / 4,2835e-02[MN]		
		1,0560e-01[m] / 5,9400e-02[MN]		
		2,0000e-01[m] / 5,9400e-02[MN]		

Drawing



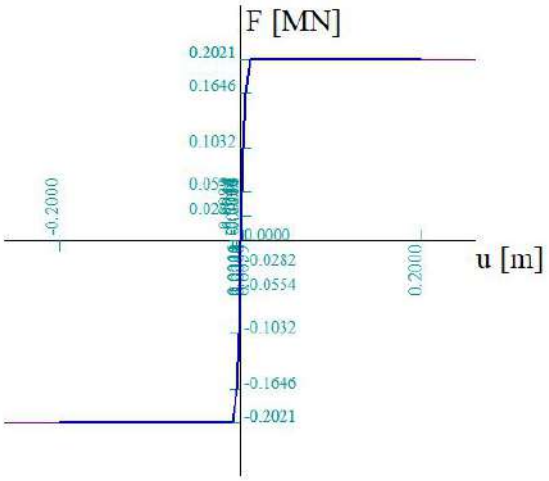
Name	Type	u / F	Positive end	Negative end
PY-curve-1_V5.B	Translation	-2,0000e-01[m] / -1,3606e-01[MN]	Free	Free
		-9,9000e-03[m] / -1,3606e-01[MN]		
		-4,4000e-03[m] / -1,2049e-01[MN]		
		-2,2000e-03[m] / -8,1906e-02[MN]		
		-1,1000e-03[m] / -4,5496e-02[MN]		
		-5,5000e-04[m] / -2,3416e-02[MN]		
		0,0000e+00[m] / 0,0000e+00[MN]		
		5,5000e-04[m] / 2,3416e-02[MN]		
		1,1000e-03[m] / 4,5496e-02[MN]		
		2,2000e-03[m] / 8,1906e-02[MN]		
		4,4000e-03[m] / 1,2049e-01[MN]		
		9,9000e-03[m] / 1,3606e-01[MN]		
		2,0000e-01[m] / 1,3606e-01[MN]		

Drawing



Name	Type	u / F	Positive end	Negative end
PY-curve-1_V6.B	Translation	-2,0000e-01[m] / -2,0212e-01[MN]	Free	Free
		-9,9000e-03[m] / -2,0212e-01[MN]		
		-4,4000e-03[m] / -1,6461e-01[MN]		
		-2,2000e-03[m] / -1,0317e-01[MN]		
		-1,1000e-03[m] / -5,5351e-02[MN]		
		-5,5000e-04[m] / -2,8200e-02[MN]		
		0,0000e+00[m] / 0,0000e+00[MN]		
		5,5000e-04[m] / 2,8200e-02[MN]		
		1,1000e-03[m] / 5,5351e-02[MN]		
		2,2000e-03[m] / 1,0317e-01[MN]		
		4,4000e-03[m] / 1,6461e-01[MN]		
		9,9000e-03[m] / 2,0212e-01[MN]		
		2,0000e-01[m] / 2,0212e-01[MN]		

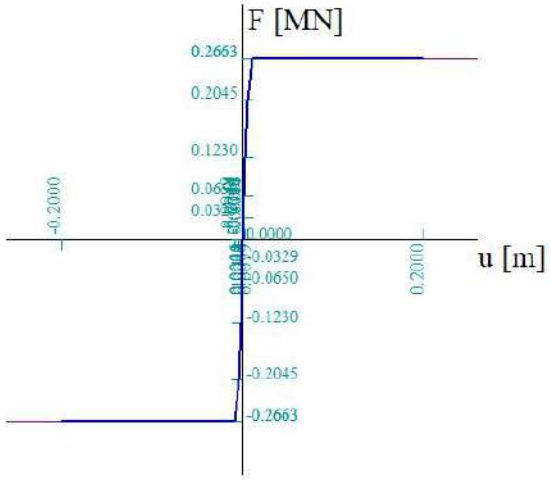
Drawing



Name	Type	u / F	Positive end	Negative end
PY-curve-1_V7.B	Translation	-2,0000e-01[m] / -2,6632e-01[MN]	Free	Free
		-9,9000e-03[m] / -2,6632e-01[MN]		
		-4,4000e-03[m] / -2,0449e-01[MN]		
		-2,2000e-03[m] / -1,2296e-01[MN]		
		-1,1000e-03[m] / -6,4953e-02[MN]		
		-5,5000e-04[m] / -3,2949e-02[MN]		
		0,0000e+00[m] / 0,0000e+00[MN]		
		5,5000e-04[m] / 3,2949e-02[MN]		
		1,1000e-03[m] / 6,4953e-02[MN]		
		2,2000e-03[m] / 1,2296e-01[MN]		

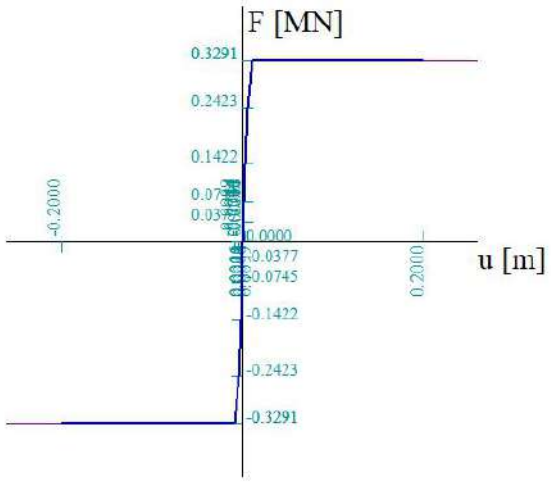
Name	Type	u / F	Positive end	Negative end
		4,4000e-03[m] / 2,0449e-01[MN]		
		9,9000e-03[m] / 2,6632e-01[MN]		
		2,0000e-01[m] / 2,6632e-01[MN]		

Drawing



Name	Type	u / F	Positive end	Negative end
PY-curve-1_V8.B	Translation	-2,0000e-01[m] / -3,2908e-01[MN]	Free	Free
		-9,9000e-03[m] / -3,2908e-01[MN]		
		-4,4000e-03[m] / -2,4234e-01[MN]		
		-2,2000e-03[m] / -1,4217e-01[MN]		
		-1,1000e-03[m] / -7,4465e-02[MN]		
		-5,5000e-04[m] / -3,7686e-02[MN]		
		0,0000e+00[m] / 0,0000e+00[MN]		
		5,5000e-04[m] / 3,7686e-02[MN]		
		1,1000e-03[m] / 7,4465e-02[MN]		
		2,2000e-03[m] / 1,4217e-01[MN]		
		4,4000e-03[m] / 2,4234e-01[MN]		
		9,9000e-03[m] / 3,2908e-01[MN]		
		2,0000e-01[m] / 3,2908e-01[MN]		

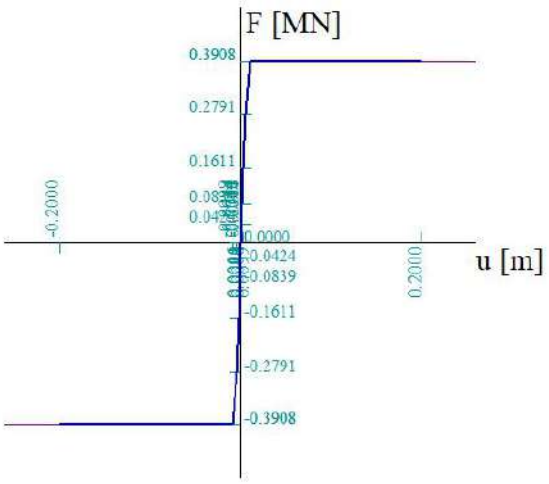
Drawing



Name	Type	u / F	Positive end	Negative end
PY-curve-1_V9.B	Translation	-2,0000e-01[m] / -3,9077e-01[MN]	Free	Free
		-9,9000e-03[m] / -3,9077e-01[MN]		
		-4,4000e-03[m] / -2,7909e-01[MN]		
		-2,2000e-03[m] / -1,6111e-01[MN]		

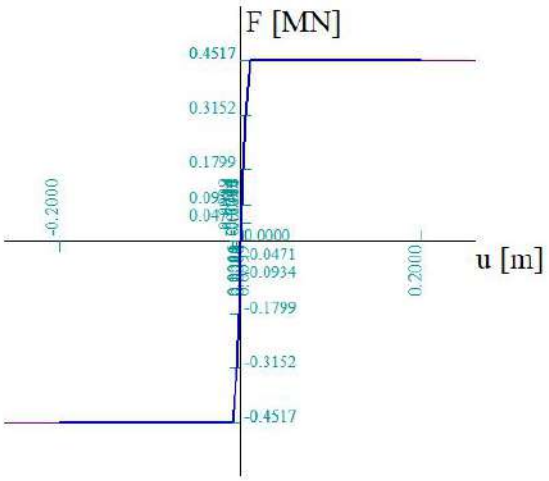
Name	Type	u / F	Positive end	Negative end
		-1,1000e-03[m] / -8,3936e-02[MN]		
		-5,5000e-04[m] / -4,2418e-02[MN]		
		0,0000e+00[m] / 0,0000e+00[MN]		
		5,5000e-04[m] / 4,2418e-02[MN]		
		1,1000e-03[m] / 8,3936e-02[MN]		
		2,2000e-03[m] / 1,6111e-01[MN]		
		4,4000e-03[m] / 2,7909e-01[MN]		
		9,9000e-03[m] / 3,9077e-01[MN]		
		2,0000e-01[m] / 3,9077e-01[MN]		

Drawing



Name	Type	u / F	Positive end	Negative end
PY-curve-1_V10.B	Translation	-2,0000e-01[m] / -4,5169e-01[MN]	Free	Free
		-9,9000e-03[m] / -4,5169e-01[MN]		
		-4,4000e-03[m] / -3,1518e-01[MN]		
		-2,2000e-03[m] / -1,7990e-01[MN]		
		-1,1000e-03[m] / -9,3384e-02[MN]		
		-5,5000e-04[m] / -4,7146e-02[MN]		
		0,0000e+00[m] / 0,0000e+00[MN]		
		5,5000e-04[m] / 4,7146e-02[MN]		
		1,1000e-03[m] / 9,3384e-02[MN]		
		2,2000e-03[m] / 1,7990e-01[MN]		
		4,4000e-03[m] / 3,1518e-01[MN]		
		9,9000e-03[m] / 4,5169e-01[MN]		
		2,0000e-01[m] / 4,5169e-01[MN]		

Drawing

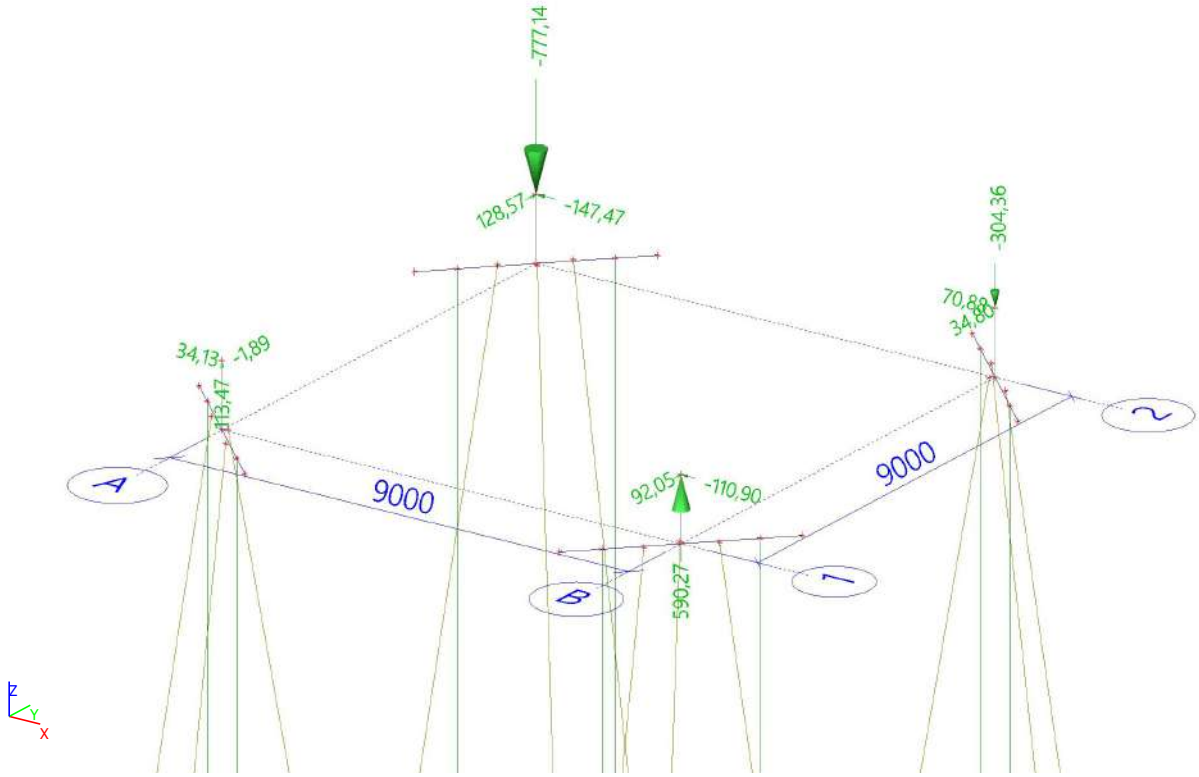

F [MN]
0.4517
0.3152
0.1799
0.0934
0.0471
0.0000
-0.2000
0.2000
u [m]
-0.0471
-0.0934
-0.1799
-0.3152
-0.4517

6. Belastingen

6.1. Load cases

6.1.1. Load cases - high max Wnd ;45°

Name	Description	Action type	Load group	Duration	Master load case
	Spec	Load type			
high max Wnd ;45°		Variable	LG4	Short	None
	Standard	Static			



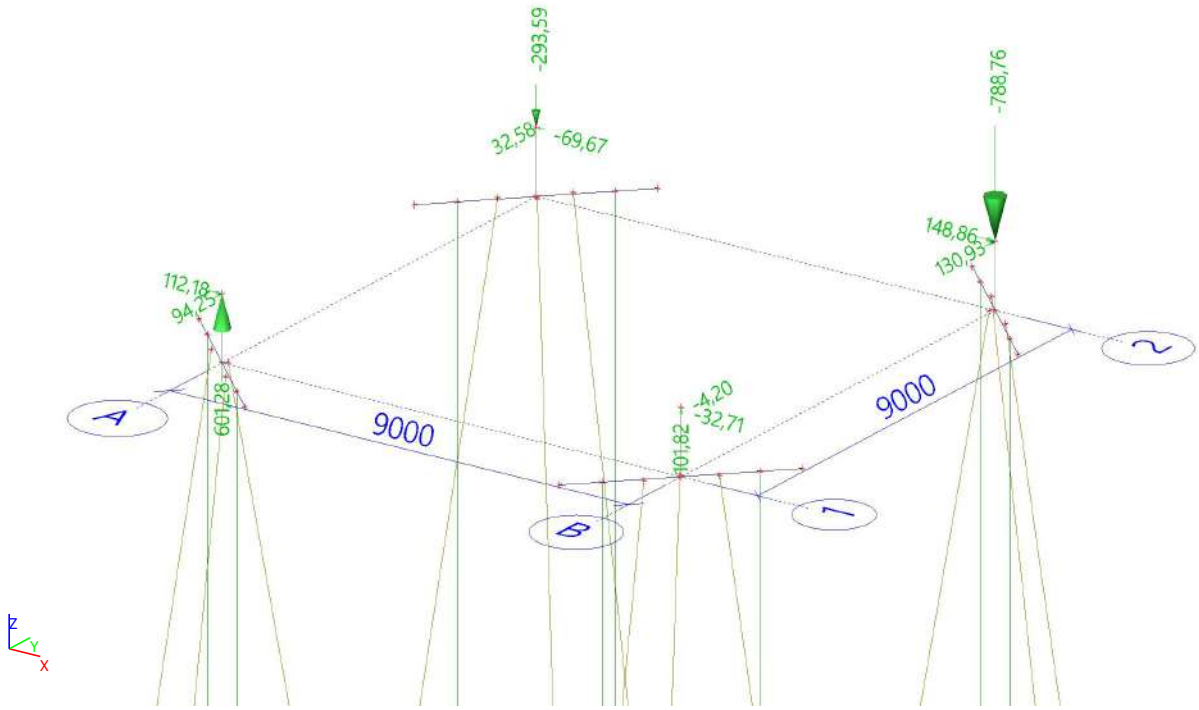
6.1.1.1. Point force in node

Name	Node	Load case	System	Dir	Type	Value - F [kN]
high max Wnd ;45°_1P_X	1P	high max Wnd ;45°	GCS	X	Force	34,13
high max Wnd ;45°_1P_Y	1P	high max Wnd ;45°	GCS	Y	Force	-1,89
high max Wnd ;45°_1P_Z	1P	high max Wnd ;45°	GCS	Z	Force	113,47
high max Wnd ;45°_1X_X	1X	high max Wnd ;45°	GCS	X	Force	-147,47
high max Wnd ;45°_1X_Y	1X	high max Wnd ;45°	GCS	Y	Force	128,57
high max Wnd ;45°_1X_Z	1X	high max Wnd ;45°	GCS	Z	Force	-777,14
high max Wnd ;45°_1XY_X	1XY	high max Wnd ;45°	GCS	X	Force	70,88
high max Wnd ;45°_1XY_Y	1XY	high max Wnd ;45°	GCS	Y	Force	34,80
high max Wnd ;45°_1XY_Z	1XY	high max Wnd ;45°	GCS	Z	Force	-304,36

Name	Node	Load case	System	Dir	Type	Value - F [kN]
high max Wnd ;45°_1Y_X	1Y	high max Wnd ;45°	GCS	X	Force	-110,90
high max Wnd ;45°_1Y_Y	1Y	high max Wnd ;45°	GCS	Y	Force	92,05
high max Wnd ;45°_1Y_Z	1Y	high max Wnd ;45°	GCS	Z	Force	590,27
high max Wnd ;45°_1P_X1	1P28	high max Wnd ;45°	GCS	X	Force	34,13
high max Wnd ;45°_1P_Y1	1P28	high max Wnd ;45°	GCS	Y	Force	-1,89
high max Wnd ;45°_1P_Z1	1P28	high max Wnd ;45°	GCS	Z	Force	113,47
high max Wnd ;45°_1Y_X1	1Y1	high max Wnd ;45°	GCS	X	Force	-110,90
high max Wnd ;45°_1Y_Y1	1Y1	high max Wnd ;45°	GCS	Y	Force	92,05
high max Wnd ;45°_1Y_Z1	1Y1	high max Wnd ;45°	GCS	Z	Force	590,27
high max Wnd ;45°_1XY_X1	1XY1	high max Wnd ;45°	GCS	X	Force	70,88
high max Wnd ;45°_1XY_Y1	1XY1	high max Wnd ;45°	GCS	Y	Force	34,80
high max Wnd ;45°_1XY_Z1	1XY1	high max Wnd ;45°	GCS	Z	Force	-304,36
high max Wnd ;45°_1X_X1	1X1	high max Wnd ;45°	GCS	X	Force	-147,47
high max Wnd ;45°_1X_Y1	1X1	high max Wnd ;45°	GCS	Y	Force	128,57
high max Wnd ;45°_1X_Z1	1X1	high max Wnd ;45°	GCS	Z	Force	-777,14

6.1.2. Load cases - high max Wnd ;135°

Name	Description	Action type	Load group	Duration	Master load case
	Spec	Load type			
high max Wnd ;135°		Variable	LG4	Short	None
	Standard	Static			



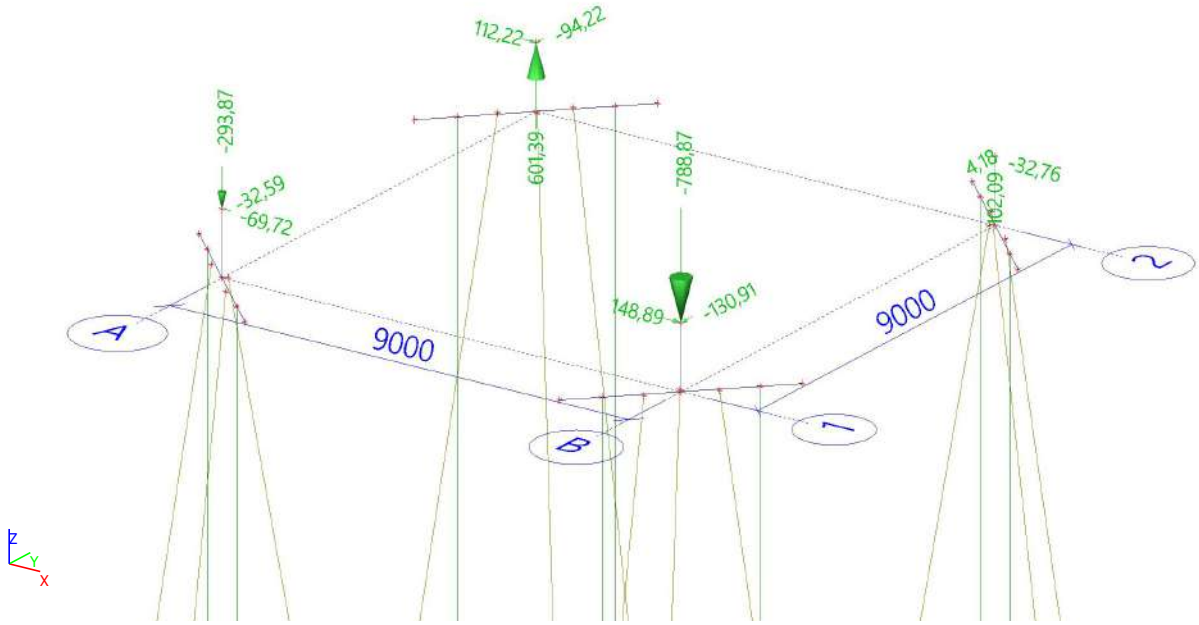
6.1.2.1. Point force in node

Name	Node	Load case	System	Dir	Type	Value - F [kN]
high max Wnd ;135°_1P_X	1P	high max Wnd ;135°	GCS	X	Force	112,18
high max Wnd ;135°_1P_Y	1P	high max Wnd ;135°	GCS	Y	Force	94,25
high max Wnd ;135°_1P_Z	1P	high max Wnd ;135°	GCS	Z	Force	601,28
high max Wnd ;135°_1X_X	1X	high max Wnd ;135°	GCS	X	Force	-69,67
high max Wnd ;135°_1X_Y	1X	high max Wnd ;135°	GCS	Y	Force	32,58
high max Wnd ;135°_1X_Z	1X	high max Wnd ;135°	GCS	Z	Force	-293,59
high max Wnd ;135°_1XY_X	1XY	high max Wnd ;135°	GCS	X	Force	148,86
high max Wnd ;135°_1XY_Y	1XY	high max Wnd ;135°	GCS	Y	Force	130,93
high max Wnd ;135°_1XY_Z	1XY	high max Wnd ;135°	GCS	Z	Force	-788,76
high max Wnd ;135°_1Y_X	1Y	high max Wnd ;135°	GCS	X	Force	-32,71
high max Wnd ;135°_1Y_Y	1Y	high max Wnd ;135°	GCS	Y	Force	-4,20
high max Wnd ;135°_1Y_Z	1Y	high max Wnd ;135°	GCS	Z	Force	101,82
high max Wnd ;135°_1P_X1	1P28	high max Wnd ;135°	GCS	X	Force	112,18
high max Wnd ;135°_1P_Y1	1P28	high max Wnd ;135°	GCS	Y	Force	94,25
high max Wnd	1P28	high max Wnd ;135°	GCS	Z	Force	601,28

Name	Node	Load case	System	Dir	Type	Value - F [kN]
;135°_1P_Z1						
high max Wnd ;135°_1Y_X1	1Y1	high max Wnd ;135°	GCS	X	Force	-32,71
high max Wnd ;135°_1Y_Y1	1Y1	high max Wnd ;135°	GCS	Y	Force	-4,20
high max Wnd ;135°_1Y_Z1	1Y1	high max Wnd ;135°	GCS	Z	Force	101,82
high max Wnd ;135°_1XY_X1	1XY1	high max Wnd ;135°	GCS	X	Force	148,86
high max Wnd ;135°_1XY_Y1	1XY1	high max Wnd ;135°	GCS	Y	Force	130,93
high max Wnd ;135°_1XY_Z1	1XY1	high max Wnd ;135°	GCS	Z	Force	-788,76
high max Wnd ;135°_1X_X1	1X1	high max Wnd ;135°	GCS	X	Force	-69,67
high max Wnd ;135°_1X_Y1	1X1	high max Wnd ;135°	GCS	Y	Force	32,58
high max Wnd ;135°_1X_Z1	1X1	high max Wnd ;135°	GCS	Z	Force	-293,59

6.1.3. Load cases - high max Wnd ;225°

Name	Description	Action type	Load group	Duration	Master load case
	Spec	Load type			
high max Wnd ;225°		Variable	LG4	Short	None
	Standard	Static			

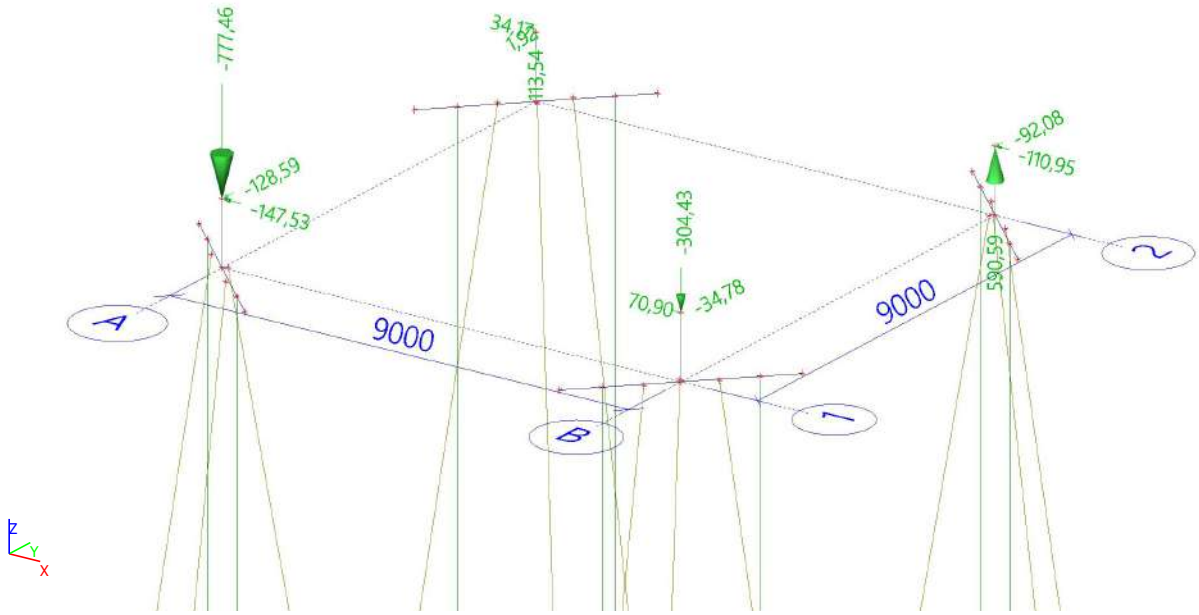


6.1.3.1. Point force in node

Name	Node	Load case	System	Dir	Type	Value - F [kN]
high max Wnd ;225°_1P_X	1P	high max Wnd ;225°	GCS	X	Force	-69,72
high max Wnd ;225°_1P_Y	1P	high max Wnd ;225°	GCS	Y	Force	-32,59
high max Wnd ;225°_1P_Z	1P	high max Wnd ;225°	GCS	Z	Force	-293,87
high max Wnd ;225°_1X_X	1X	high max Wnd ;225°	GCS	X	Force	112,22
high max Wnd ;225°_1X_Y	1X	high max Wnd ;225°	GCS	Y	Force	-94,22
high max Wnd ;225°_1X_Z	1X	high max Wnd ;225°	GCS	Z	Force	601,39
high max Wnd ;225°_1XY_X	1XY	high max Wnd ;225°	GCS	X	Force	-32,76
high max Wnd ;225°_1XY_Y	1XY	high max Wnd ;225°	GCS	Y	Force	4,18
high max Wnd ;225°_1XY_Z	1XY	high max Wnd ;225°	GCS	Z	Force	102,09
high max Wnd ;225°_1Y_X	1Y	high max Wnd ;225°	GCS	X	Force	148,89
high max Wnd ;225°_1Y_Y	1Y	high max Wnd ;225°	GCS	Y	Force	-130,91
high max Wnd ;225°_1Y_Z	1Y	high max Wnd ;225°	GCS	Z	Force	-788,87
high max Wnd ;225°_1P_X1	1P28	high max Wnd ;225°	GCS	X	Force	-69,72
high max Wnd ;225°_1P_Y1	1P28	high max Wnd ;225°	GCS	Y	Force	-32,59
high max Wnd ;225°_1P_Z1	1P28	high max Wnd ;225°	GCS	Z	Force	-293,87
high max Wnd ;225°_1Y_X1	1Y1	high max Wnd ;225°	GCS	X	Force	148,89
high max Wnd ;225°_1Y_Y1	1Y1	high max Wnd ;225°	GCS	Y	Force	-130,91
high max Wnd ;225°_1Y_Z1	1Y1	high max Wnd ;225°	GCS	Z	Force	-788,87
high max Wnd ;225°_1XY_X1	1XY1	high max Wnd ;225°	GCS	X	Force	-32,76
high max Wnd ;225°_1XY_Y1	1XY1	high max Wnd ;225°	GCS	Y	Force	4,18
high max Wnd ;225°_1XY_Z1	1XY1	high max Wnd ;225°	GCS	Z	Force	102,09
high max Wnd ;225°_1X_X1	1X1	high max Wnd ;225°	GCS	X	Force	112,22
high max Wnd ;225°_1X_Y1	1X1	high max Wnd ;225°	GCS	Y	Force	-94,22
high max Wnd ;225°_1X_Z1	1X1	high max Wnd ;225°	GCS	Z	Force	601,39

6.1.4. Load cases - high max Wnd ;315°

Name	Description	Action type	Load group	Duration	Master load case
	Spec	Load type			
high max Wnd ;315°		Variable	LG4	Short	None
	Standard	Static			



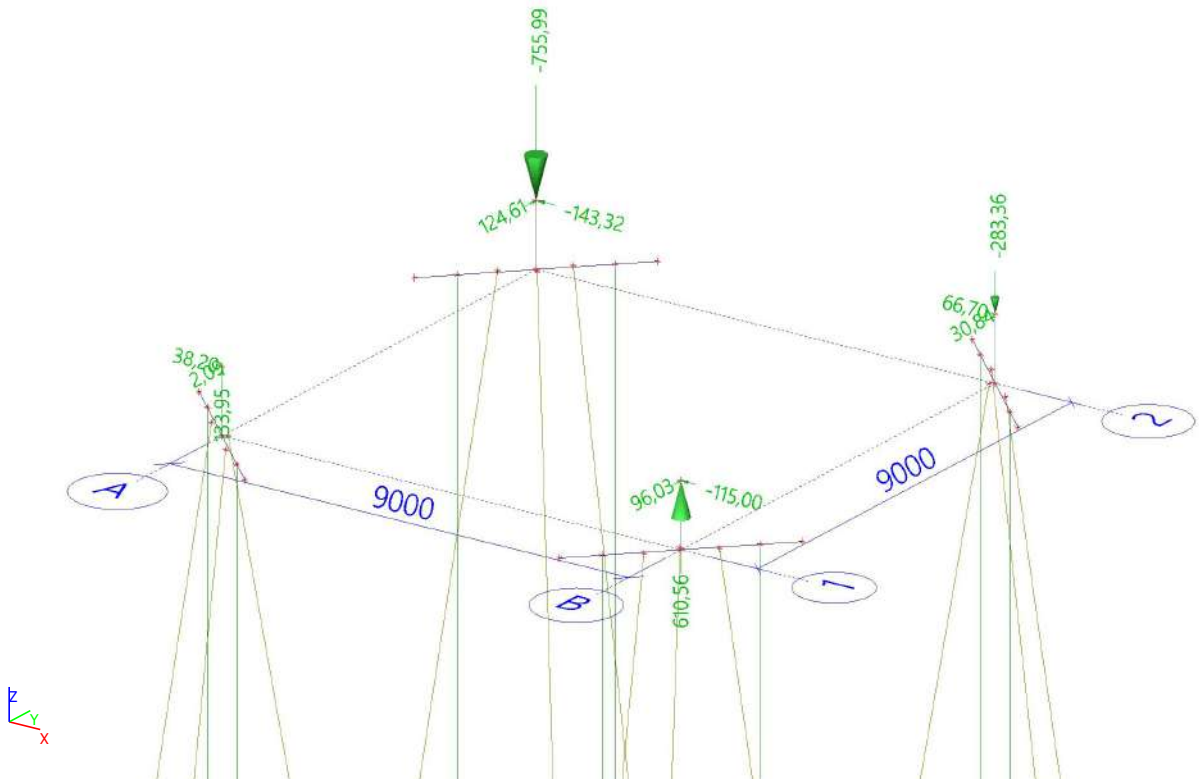
6.1.4.1. Point force in node

Name	Node	Load case	System	Dir	Type	Value - F [kN]
high max Wnd ;315°_1P_X	1P	high max Wnd ;315°	GCS	X	Force	-147,53
high max Wnd ;315°_1P_Y	1P	high max Wnd ;315°	GCS	Y	Force	-128,59
high max Wnd ;315°_1P_Z	1P	high max Wnd ;315°	GCS	Z	Force	-777,46
high max Wnd ;315°_1X_X	1X	high max Wnd ;315°	GCS	X	Force	34,17
high max Wnd ;315°_1X_Y	1X	high max Wnd ;315°	GCS	Y	Force	1,92
high max Wnd ;315°_1X_Z	1X	high max Wnd ;315°	GCS	Z	Force	113,54
high max Wnd ;315°_1XY_X	1XY	high max Wnd ;315°	GCS	X	Force	-110,95
high max Wnd ;315°_1XY_Y	1XY	high max Wnd ;315°	GCS	Y	Force	-92,08
high max Wnd ;315°_1XY_Z	1XY	high max Wnd ;315°	GCS	Z	Force	590,59
high max Wnd ;315°_1Y_X	1Y	high max Wnd ;315°	GCS	X	Force	70,90
high max Wnd ;315°_1Y_Y	1Y	high max Wnd ;315°	GCS	Y	Force	-34,78
high max Wnd ;315°_1Y_Z	1Y	high max Wnd ;315°	GCS	Z	Force	-304,43
high max Wnd ;315°_1P_X1	1P28	high max Wnd ;315°	GCS	X	Force	-147,53
high max Wnd ;315°_1P_Y1	1P28	high max Wnd ;315°	GCS	Y	Force	-128,59
high max Wnd	1P28	high max Wnd ;315°	GCS	Z	Force	-777,46

Name	Node	Load case	System	Dir	Type	Value - F [kN]
;315°_1P_Z1						
high max Wnd ;315°_1Y_X1	1Y1	high max Wnd ;315°	GCS	X	Force	70,90
high max Wnd ;315°_1Y_Y1	1Y1	high max Wnd ;315°	GCS	Y	Force	-34,78
high max Wnd ;315°_1Y_Z1	1Y1	high max Wnd ;315°	GCS	Z	Force	-304,43
high max Wnd ;315°_1XY_X1	1XY1	high max Wnd ;315°	GCS	X	Force	-110,95
high max Wnd ;315°_1XY_Y1	1XY1	high max Wnd ;315°	GCS	Y	Force	-92,08
high max Wnd ;315°_1XY_Z1	1XY1	high max Wnd ;315°	GCS	Z	Force	590,59
high max Wnd ;315°_1X_X1	1X1	high max Wnd ;315°	GCS	X	Force	34,17
high max Wnd ;315°_1X_Y1	1X1	high max Wnd ;315°	GCS	Y	Force	1,92
high max Wnd ;315°_1X_Z1	1X1	high max Wnd ;315°	GCS	Z	Force	113,54

6.1.5. Load cases - low max Wnd ;45°

Name	Description	Action type	Load group	Duration	Master load case
	Spec	Load type			
low max Wnd ;45°		Variable	LG4	Short	None
	Standard	Static			

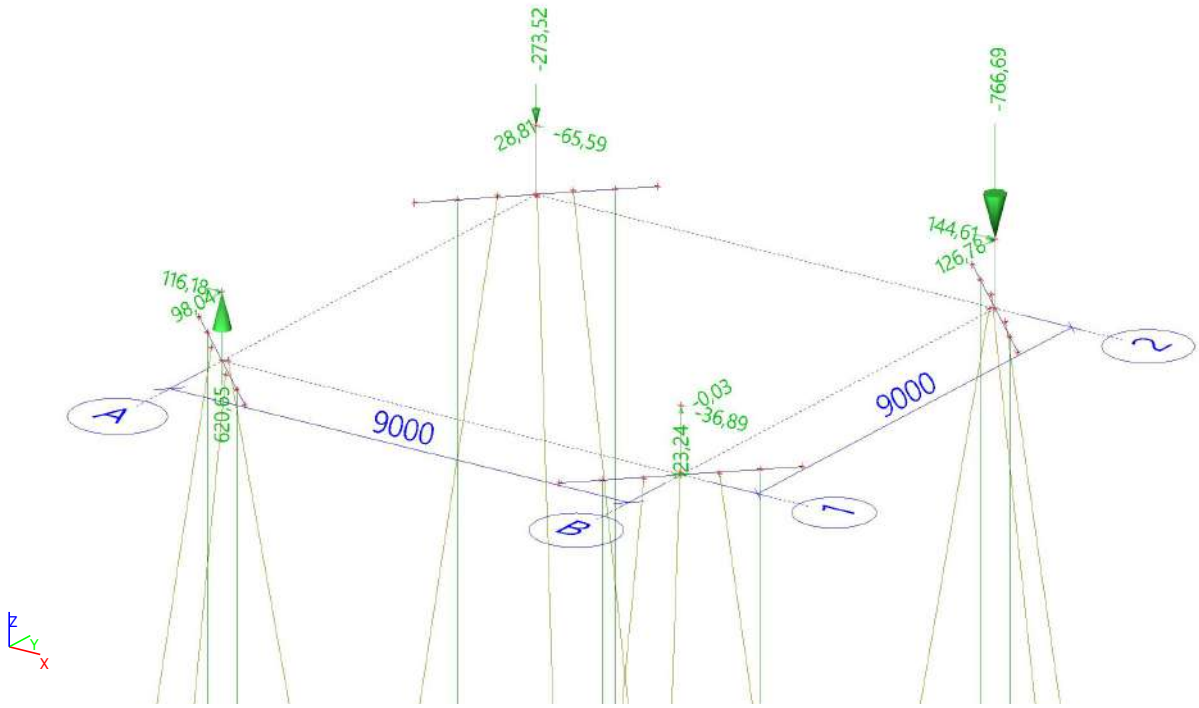


6.1.5.1. Point force in node

Name	Node	Load case	System	Dir	Type	Value - F [kN]
low max Wnd ;45°_1P_X	1P	low max Wnd ;45°	GCS	X	Force	38,20
low max Wnd ;45°_1P_Y	1P	low max Wnd ;45°	GCS	Y	Force	2,09
low max Wnd ;45°_1P_Z	1P	low max Wnd ;45°	GCS	Z	Force	133,95
low max Wnd ;45°_1X_X	1X	low max Wnd ;45°	GCS	X	Force	-143,32
low max Wnd ;45°_1X_Y	1X	low max Wnd ;45°	GCS	Y	Force	124,61
low max Wnd ;45°_1X_Z	1X	low max Wnd ;45°	GCS	Z	Force	-755,99
low max Wnd ;45°_1XY_X	1XY	low max Wnd ;45°	GCS	X	Force	66,70
low max Wnd ;45°_1XY_Y	1XY	low max Wnd ;45°	GCS	Y	Force	30,84
low max Wnd ;45°_1XY_Z	1XY	low max Wnd ;45°	GCS	Z	Force	-283,36
low max Wnd ;45°_1Y_X	1Y	low max Wnd ;45°	GCS	X	Force	-115,00
low max Wnd ;45°_1Y_Y	1Y	low max Wnd ;45°	GCS	Y	Force	96,03
low max Wnd ;45°_1Y_Z	1Y	low max Wnd ;45°	GCS	Z	Force	610,56
low max Wnd ;45°_1P_X1	1P28	low max Wnd ;45°	GCS	X	Force	38,20
low max Wnd ;45°_1P_Y1	1P28	low max Wnd ;45°	GCS	Y	Force	2,09
low max Wnd ;45°_1P_Z1	1P28	low max Wnd ;45°	GCS	Z	Force	133,95
low max Wnd ;45°_1Y_X1	1Y1	low max Wnd ;45°	GCS	X	Force	-115,00
low max Wnd ;45°_1Y_Y1	1Y1	low max Wnd ;45°	GCS	Y	Force	96,03
low max Wnd ;45°_1Y_Z1	1Y1	low max Wnd ;45°	GCS	Z	Force	610,56
low max Wnd ;45°_1XY_X1	1XY1	low max Wnd ;45°	GCS	X	Force	66,70
low max Wnd ;45°_1XY_Y1	1XY1	low max Wnd ;45°	GCS	Y	Force	30,84
low max Wnd ;45°_1XY_Z1	1XY1	low max Wnd ;45°	GCS	Z	Force	-283,36
low max Wnd ;45°_1X_X1	1X1	low max Wnd ;45°	GCS	X	Force	-143,32
low max Wnd ;45°_1X_Y1	1X1	low max Wnd ;45°	GCS	Y	Force	124,61
low max Wnd ;45°_1X_Z1	1X1	low max Wnd ;45°	GCS	Z	Force	-755,99

6.1.6. Load cases - low max Wnd ;135°

Name	Description	Action type	Load group	Duration	Master load case
	Spec	Load type			
low max Wnd ;135°		Variable	LG4	Short	None
	Standard	Static			



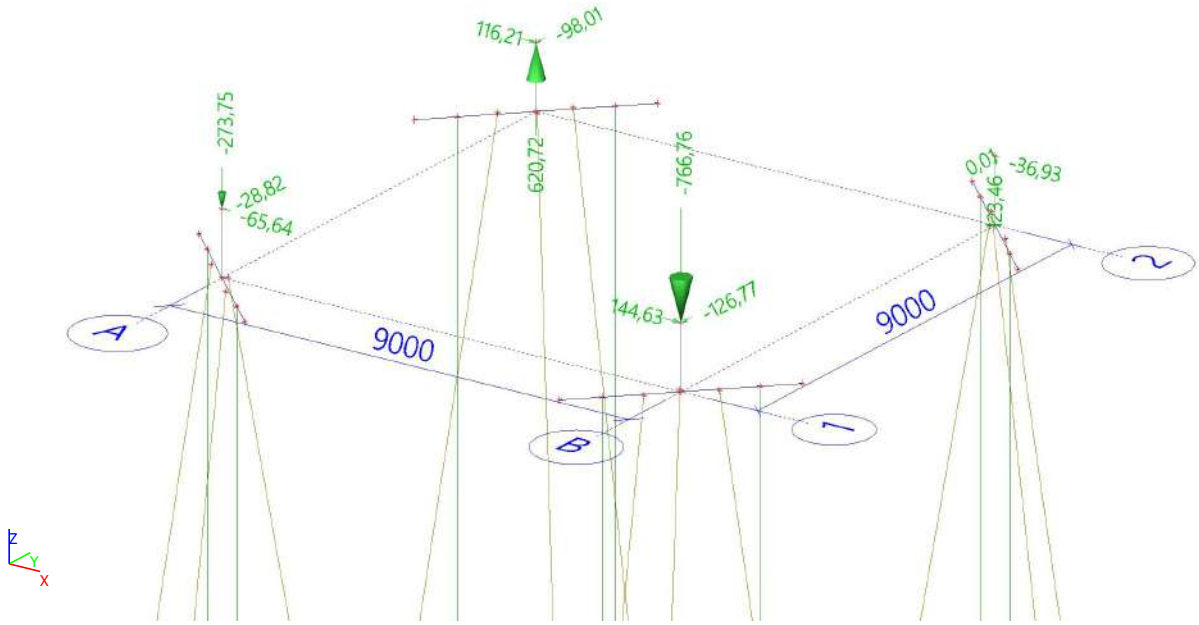
6.1.6.1. Point force in node

Name	Node	Load case	System	Dir	Type	Value - F [kN]
low max Wnd ;135°_1P_X	1P	low max Wnd ;135°	GCS	X	Force	116,18
low max Wnd ;135°_1P_Y	1P	low max Wnd ;135°	GCS	Y	Force	98,04
low max Wnd ;135°_1P_Z	1P	low max Wnd ;135°	GCS	Z	Force	620,65
low max Wnd ;135°_1X_X	1X	low max Wnd ;135°	GCS	X	Force	-65,59
low max Wnd ;135°_1X_Y	1X	low max Wnd ;135°	GCS	Y	Force	28,81
low max Wnd ;135°_1X_Z	1X	low max Wnd ;135°	GCS	Z	Force	-273,52
low max Wnd ;135°_1XY_X	1XY	low max Wnd ;135°	GCS	X	Force	144,61
low max Wnd ;135°_1XY_Y	1XY	low max Wnd ;135°	GCS	Y	Force	126,78
low max Wnd ;135°_1XY_Z	1XY	low max Wnd ;135°	GCS	Z	Force	-766,69
low max Wnd ;135°_1Y_X	1Y	low max Wnd ;135°	GCS	X	Force	-36,89
low max Wnd ;135°_1Y_Y	1Y	low max Wnd ;135°	GCS	Y	Force	-0,03
low max Wnd ;135°_1Y_Z	1Y	low max Wnd ;135°	GCS	Z	Force	123,24
low max Wnd ;135°_1P_X1	1P28	low max Wnd ;135°	GCS	X	Force	116,18
low max Wnd ;135°_1P_Y1	1P28	low max Wnd ;135°	GCS	Y	Force	98,04
low max Wnd	1P28	low max Wnd ;135°	GCS	Z	Force	620,65

Name	Node	Load case	System	Dir	Type	Value - F [kN]
;135°_1P_Z1						
low max Wnd ;135°_1Y_X1	1Y1	low max Wnd ;135°	GCS	X	Force	-36,89
low max Wnd ;135°_1Y_Y1	1Y1	low max Wnd ;135°	GCS	Y	Force	-0,03
low max Wnd ;135°_1Y_Z1	1Y1	low max Wnd ;135°	GCS	Z	Force	123,24
low max Wnd ;135°_1XY_X1	1XY1	low max Wnd ;135°	GCS	X	Force	144,61
low max Wnd ;135°_1XY_Y1	1XY1	low max Wnd ;135°	GCS	Y	Force	126,78
low max Wnd ;135°_1XY_Z1	1XY1	low max Wnd ;135°	GCS	Z	Force	-766,69
low max Wnd ;135°_1X_X1	1X1	low max Wnd ;135°	GCS	X	Force	-65,59
low max Wnd ;135°_1X_Y1	1X1	low max Wnd ;135°	GCS	Y	Force	28,81
low max Wnd ;135°_1X_Z1	1X1	low max Wnd ;135°	GCS	Z	Force	-273,52

6.1.7. Load cases - low max Wnd ;225°

Name	Description	Action type	Load group	Duration	Master load case
	Spec	Load type			
low max Wnd ;225°	Standard	Variable Static	LG4	Short	None

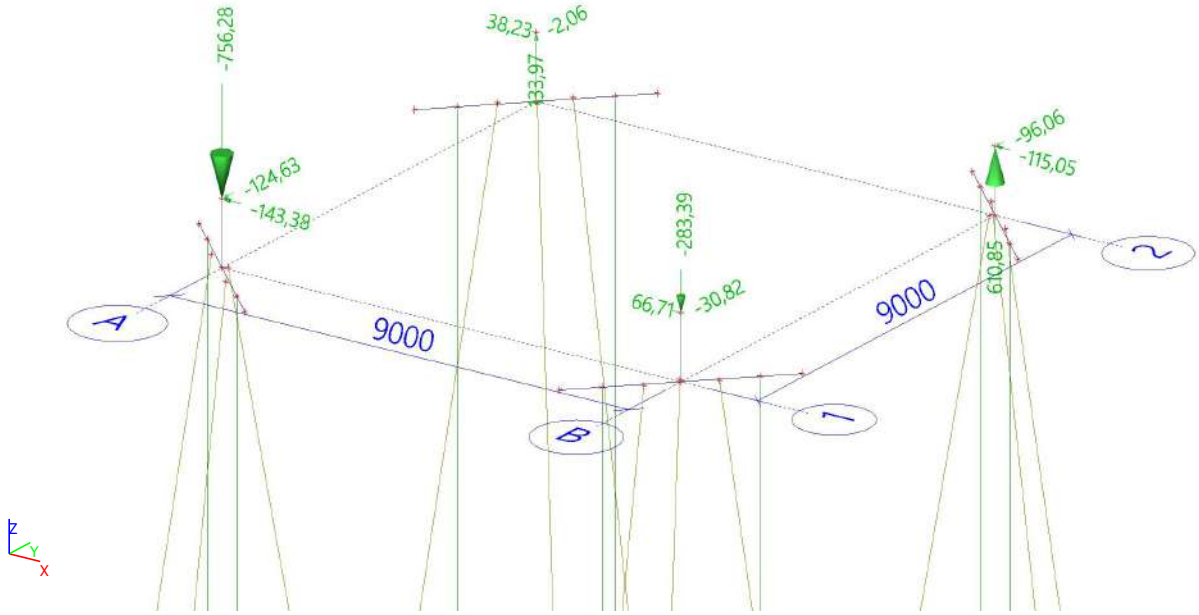


6.1.7.1. Point force in node

Name	Node	Load case	System	Dir	Type	Value - F [kN]
low max Wnd ;225°_1P_X	1P	low max Wnd ;225°	GCS	X	Force	-65,64
low max Wnd ;225°_1P_Y	1P	low max Wnd ;225°	GCS	Y	Force	-28,82
low max Wnd ;225°_1P_Z	1P	low max Wnd ;225°	GCS	Z	Force	-273,75
low max Wnd ;225°_1X_X	1X	low max Wnd ;225°	GCS	X	Force	116,21
low max Wnd ;225°_1X_Y	1X	low max Wnd ;225°	GCS	Y	Force	-98,01
low max Wnd ;225°_1X_Z	1X	low max Wnd ;225°	GCS	Z	Force	620,72
low max Wnd ;225°_1XY_X	1XY	low max Wnd ;225°	GCS	X	Force	-36,93
low max Wnd ;225°_1XY_Y	1XY	low max Wnd ;225°	GCS	Y	Force	0,01
low max Wnd ;225°_1XY_Z	1XY	low max Wnd ;225°	GCS	Z	Force	123,46
low max Wnd ;225°_1Y_X	1Y	low max Wnd ;225°	GCS	X	Force	144,63
low max Wnd ;225°_1Y_Y	1Y	low max Wnd ;225°	GCS	Y	Force	-126,77
low max Wnd ;225°_1Y_Z	1Y	low max Wnd ;225°	GCS	Z	Force	-766,76
low max Wnd ;225°_1P_X1	1P28	low max Wnd ;225°	GCS	X	Force	-65,64
low max Wnd ;225°_1P_Y1	1P28	low max Wnd ;225°	GCS	Y	Force	-28,82
low max Wnd ;225°_1P_Z1	1P28	low max Wnd ;225°	GCS	Z	Force	-273,75
low max Wnd ;225°_1Y_X1	1Y1	low max Wnd ;225°	GCS	X	Force	144,63
low max Wnd ;225°_1Y_Y1	1Y1	low max Wnd ;225°	GCS	Y	Force	-126,77
low max Wnd ;225°_1Y_Z1	1Y1	low max Wnd ;225°	GCS	Z	Force	-766,76
low max Wnd ;225°_1XY_X1	1XY1	low max Wnd ;225°	GCS	X	Force	-36,93
low max Wnd ;225°_1XY_Y1	1XY1	low max Wnd ;225°	GCS	Y	Force	0,01
low max Wnd ;225°_1XY_Z1	1XY1	low max Wnd ;225°	GCS	Z	Force	123,46
low max Wnd ;225°_1X_X1	1X1	low max Wnd ;225°	GCS	X	Force	116,21
low max Wnd ;225°_1X_Y1	1X1	low max Wnd ;225°	GCS	Y	Force	-98,01
low max Wnd ;225°_1X_Z1	1X1	low max Wnd ;225°	GCS	Z	Force	620,72

6.1.8. Load cases - low max Wnd ;315°

Name	Description	Action type	Load group	Duration	Master load case
	Spec	Load type			
low max Wnd ;315°		Variable	LG4	Short	None
	Standard	Static			



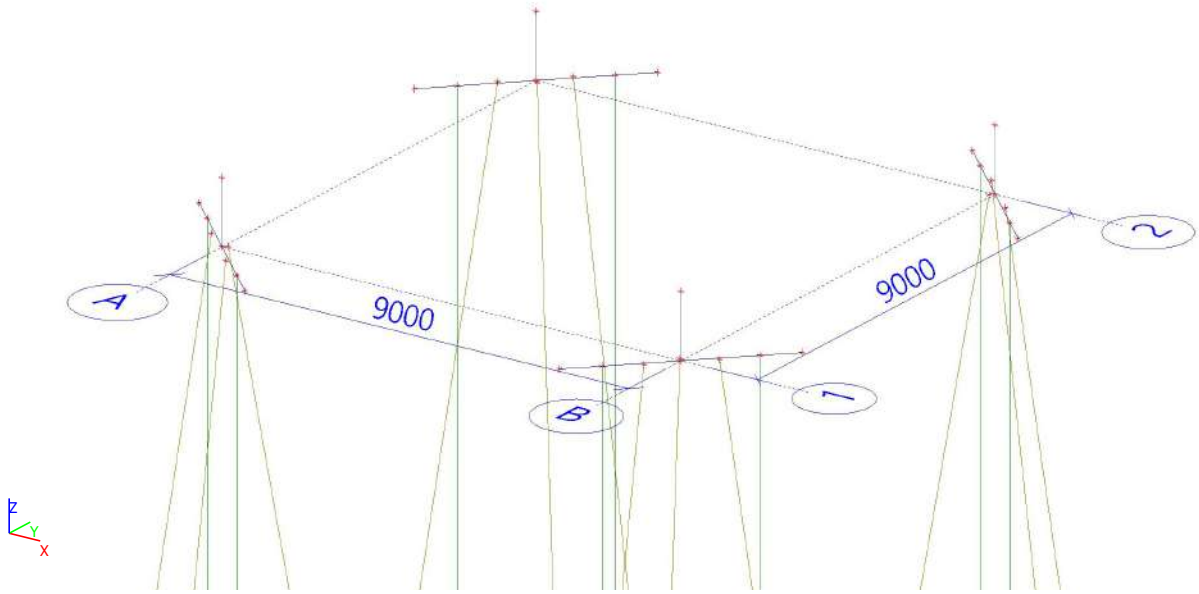
6.1.8.1. Point force in node

Name	Node	Load case	System	Dir	Type	Value - F [kN]
low max Wnd ;315°_1P_X	1P	low max Wnd ;315°	GCS	X	Force	-143,38
low max Wnd ;315°_1P_Y	1P	low max Wnd ;315°	GCS	Y	Force	-124,63
low max Wnd ;315°_1P_Z	1P	low max Wnd ;315°	GCS	Z	Force	-756,28
low max Wnd ;315°_1X_X	1X	low max Wnd ;315°	GCS	X	Force	38,23
low max Wnd ;315°_1X_Y	1X	low max Wnd ;315°	GCS	Y	Force	-2,06
low max Wnd ;315°_1X_Z	1X	low max Wnd ;315°	GCS	Z	Force	133,97
low max Wnd ;315°_1XY_X	1XY	low max Wnd ;315°	GCS	X	Force	-115,05
low max Wnd ;315°_1XY_Y	1XY	low max Wnd ;315°	GCS	Y	Force	-96,06
low max Wnd ;315°_1XY_Z	1XY	low max Wnd ;315°	GCS	Z	Force	610,85
low max Wnd ;315°_1Y_X	1Y	low max Wnd ;315°	GCS	X	Force	66,71
low max Wnd ;315°_1Y_Y	1Y	low max Wnd ;315°	GCS	Y	Force	-30,82
low max Wnd ;315°_1Y_Z	1Y	low max Wnd ;315°	GCS	Z	Force	-283,39
low max Wnd ;315°_1P_X1	1P28	low max Wnd ;315°	GCS	X	Force	-143,38
low max Wnd ;315°_1P_Y1	1P28	low max Wnd ;315°	GCS	Y	Force	-124,63
low max Wnd	1P28	low max Wnd ;315°	GCS	Z	Force	-756,28

Name	Node	Load case	System	Dir	Type	Value - F [kN]
;315°_1P_Z1						
low max Wnd ;315°_1Y_X1	1Y1	low max Wnd ;315°	GCS	X	Force	66,71
low max Wnd ;315°_1Y_Y1	1Y1	low max Wnd ;315°	GCS	Y	Force	-30,82
low max Wnd ;315°_1Y_Z1	1Y1	low max Wnd ;315°	GCS	Z	Force	-283,39
low max Wnd ;315°_1XY_X1	1XY1	low max Wnd ;315°	GCS	X	Force	-115,05
low max Wnd ;315°_1XY_Y1	1XY1	low max Wnd ;315°	GCS	Y	Force	-96,06
low max Wnd ;315°_1XY_Z1	1XY1	low max Wnd ;315°	GCS	Z	Force	610,85
low max Wnd ;315°_1X_X1	1X1	low max Wnd ;315°	GCS	X	Force	38,23
low max Wnd ;315°_1X_Y1	1X1	low max Wnd ;315°	GCS	Y	Force	-2,06
low max Wnd ;315°_1X_Z1	1X1	low max Wnd ;315°	GCS	Z	Force	133,97

6.1.9. Load cases - EG_fundering

Name	Description	Action type	Load group	Direction
	Spec	Load type		
EG_fundering		Permanent	LG1	-Z
		Self weight		



6.2. Nonlinear combinations

Name	Type	Load cases	Coeff. [-]
low max Wnd ;45° - EG_gunstig	Ultimate	low max Wnd ;45°	1,000
		EG_fundering	0,900
low max Wnd ;135° - EG_gunstig	Ultimate	low max Wnd ;135°	1,000
		EG_fundering	0,900
low max Wnd ;225° - EG_gunstig	Ultimate	low max Wnd ;225°	1,000
		EG_fundering	0,900
low max Wnd ;315° - EG_gunstig	Ultimate	low max Wnd ;315°	1,000
		EG_fundering	0,900
high max Wnd ;45° - EG_ongunstig	Ultimate	high max Wnd ;45°	1,000
		EG_fundering	1,200
high max Wnd ;135° - EG_ongunstig	Ultimate	high max Wnd ;135°	1,000
		EG_fundering	1,200
high max Wnd ;225° - EG_ongunstig	Ultimate	high max Wnd ;225°	1,000
		EG_fundering	1,200
high max Wnd ;315° - EG_ongunstig	Ultimate	high max Wnd ;315°	1,000
		EG_fundering	1,200

6.3. Result classes

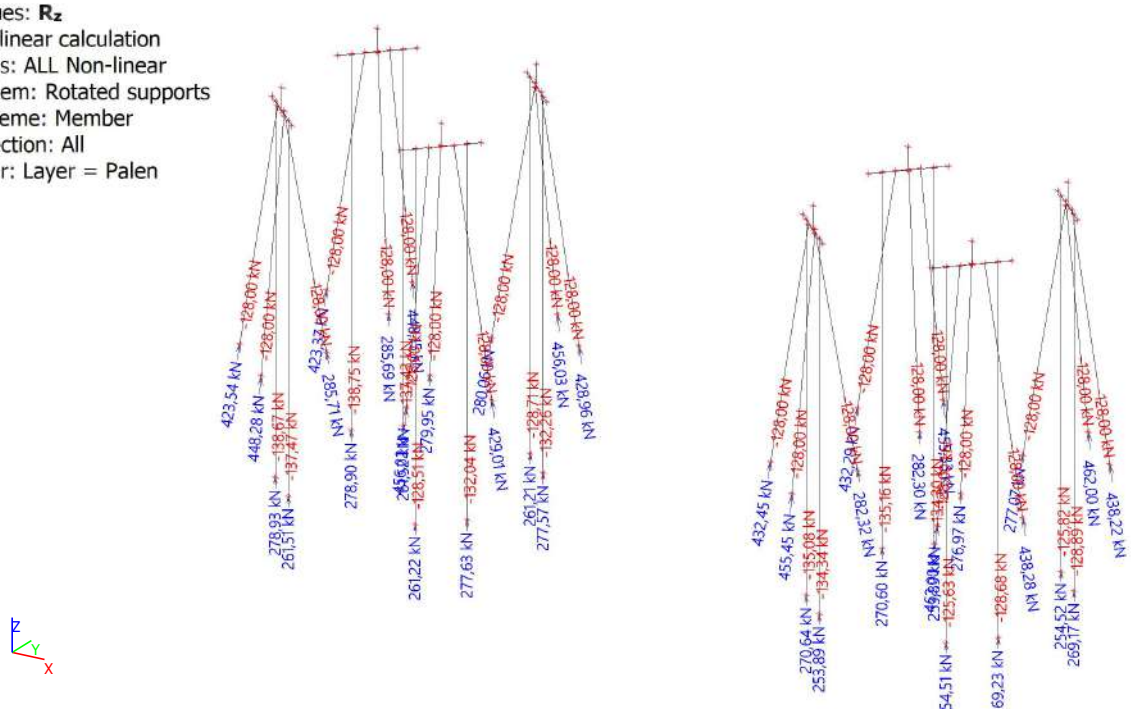
Name	List
ALL Non-linear	low max Wnd ;45° - EG_gunstig
	low max Wnd ;135° - EG_gunstig
	low max Wnd ;225° - EG_gunstig
	low max Wnd ;315° - EG_gunstig
	high max Wnd ;45° - EG_ongunstig
	high max Wnd ;135° - EG_ongunstig
	high max Wnd ;225° - EG_ongunstig
	high max Wnd ;315° - EG_ongunstig

7. Resultaten

7.1. Reacties van de palen

7.1.1. Reactions; R_z

Values: R_z
Nonlinear calculation
Class: ALL Non-linear
System: Rotated supports
Extreme: Member
Selection: All
Filter: Layer = Palen



7.1.2. Reactions

Nonlinear calculation
Class: ALL Non-linear
System: Rotated supports
Extreme: Global
Selection: All
Filter: Cross-section = Paal 40x40 - Rectangle (400,00; 400,00)

Nodal reactions

Name	Case	R_x [kN]	R_y [kN]	R_z [kN]	M_x [kNm]	M_y [kNm]	M_z [kNm]	e_x [mm]	e_y [mm]
S_X_4/N59	low max Wnd ;45° - EG_gunstig	**0,00**	0,00	270,86	0,00	0,00	0,00	0,0	0,0
S_P_1/N5	low max Wnd ;315° - EG_gunstig	**0,00**	0,00	397,00	**0,00**	**0,00**	**0,00**	0,0	0,0
S_P_3/N6	low max Wnd ;315° - EG_gunstig	0,00	**0,00**	421,71	0,00	0,00	0,00	0,0	0,0
S_XY_5/N64	high max Wnd ;135° - EG_ongunstig	0,00	**0,00**	**462,00**	0,00	0,00	0,00	0,0	0,0
S_P_3/N6	low max Wnd ;135° - EG_gunstig	0,00	0,00	**-128,00**	0,00	0,00	0,00	0,0	0,0

7.1.3. Reactions

Nonlinear calculation
Class: ALL Non-linear
System: Rotated supports
Extreme: Global
Selection: All

Filter: Cross-section = LEKA Paal - type e (CHS219.1/10.0)
Nodal reactions

Name	Case	R_x [kN]	R_y [kN]	R_z [kN]	M_x [kNm]	M_y [kNm]	M_z [kNm]	e_x [mm]	e_y [mm]
S_Y_9/N40	low max Wnd ;225° - EG_gunstig	0,00	0,00	**-138,75**	0,00	0,00	0,00	0,0	0,0
S_Y_7/N36	high max Wnd ;315° - EG_ongunstig	**0,00**	**0,00**	**278,93**	**0,00**	**0,00**	**0,00**	0,0	0,0

7.1.4. Reactions

Nonlinear calculation
Class: ALL Non-linear
System: Rotated supports
Extreme: Member
Selection: All
Filter: Layer = Palen
Nodal reactions

Name	Case	R_x [kN]	R_y [kN]	R_z [kN]	M_x [kNm]	M_y [kNm]	M_z [kNm]	e_x [mm]	e_y [mm]
S_P_3/N6	low max Wnd ;315° - EG_gunstig	0,00	**0,00**	421,71	0,00	0,00	0,00	0,0	0,0
S_P_3/N6	low max Wnd ;225° - EG_gunstig	**0,00**	**0,00**	143,27	**0,00**	**0,00**	**0,00**	0,0	0,0
S_P_3/N6	low max Wnd ;135° - EG_gunstig	0,00	0,00	**-128,00**	0,00	0,00	0,00	0,0	0,0
S_P_3/N6	high max Wnd ;315° - EG_ongunstig	0,00	0,00	**448,28**	0,00	0,00	0,00	0,0	0,0
S_P_1/N5	low max Wnd ;315° - EG_gunstig	**0,00**	**0,00**	397,00	**0,00**	**0,00**	**0,00**	0,0	0,0
S_P_1/N5	low max Wnd ;135° - EG_gunstig	0,00	0,00	**-128,00**	0,00	0,00	0,00	0,0	0,0
S_P_1/N5	high max Wnd ;315° - EG_ongunstig	0,00	0,00	**423,54**	0,00	0,00	0,00	0,0	0,0
S_P_1/N5	high max Wnd ;225° - EG_ongunstig	**0,00**	0,00	194,95	0,00	0,00	**0,00**	0,0	0,0
S_P_2/N22	low max Wnd ;135° - EG_gunstig	0,00	**0,00**	282,75	0,00	0,00	0,00	0,0	0,0
S_P_2/N22	low max Wnd ;315° - EG_gunstig	0,00	**0,00**	**-128,00**	0,00	0,00	0,00	0,0	0,0
S_P_2/N22	high max Wnd ;135° - EG_ongunstig	**0,00**	0,00	**285,71**	**0,00**	**0,00**	**0,00**	0,0	0,0
S_P_2/N22	low max Wnd ;225° - EG_gunstig	**0,00**	0,00	-8,25	0,00	0,00	**0,00**	0,0	0,0
S_X_3/N13	low max Wnd ;45° - EG_gunstig	0,00	0,00	**-128,00**	0,00	0,00	0,00	0,0	0,0
S_X_3/N13	high max Wnd ;225° - EG_ongunstig	**0,00**	**0,00**	**429,01**	**0,00**	**0,00**	**0,00**	0,0	0,0
S_X_3/N13	low max Wnd ;225° - EG_gunstig	**0,00**	0,00	402,02	0,00	0,00	**0,00**	0,0	0,0

Name	Case	R_x [kN]	R_y [kN]	R_z [kN]	M_x [kNm]	M_y [kNm]	M_z [kNm]	e_x [mm]	e_y [mm]
S_X_1/N12	low max Wnd ;315° - EG_gunstig	0,00	**0,00**	147,93	0,00	0,00	0,00	0,0	0,0
S_X_1/N12	high max Wnd ;315° - EG_ongunstig	**0,00**	**0,00**	174,65	**0,00**	**0,00**	**0,00**	0,0	0,0
S_X_1/N12	high max Wnd ;225° - EG_ongunstig	0,00	0,00	**456,02**	0,00	0,00	0,00	0,0	0,0
S_X_1/N12	low max Wnd ;45° - EG_gunstig	0,00	0,00	**-128,00**	0,00	0,00	**0,00**	0,0	0,0
S_X_2/N8	high max Wnd ;315° - EG_ongunstig	**0,00**	0,00	-3,00	**0,00**	**0,00**	**0,00**	0,0	0,0
S_X_2/N8	high max Wnd ;45° - EG_ongunstig	0,00	**0,00**	**279,95**	0,00	0,00	0,00	0,0	0,0
S_X_2/N8	low max Wnd ;225° - EG_gunstig	0,00	**0,00**	**-128,00**	0,00	0,00	0,00	0,0	0,0
S_X_2/N8	low max Wnd ;45° - EG_gunstig	**0,00**	0,00	277,20	0,00	0,00	**0,00**	0,0	0,0
S_XY_3/N17	low max Wnd ;135° - EG_gunstig	0,00	**0,00**	428,81	0,00	0,00	0,00	0,0	0,0
S_XY_3/N17	low max Wnd ;315° - EG_gunstig	0,00	0,00	**-128,00**	0,00	0,00	0,00	0,0	0,0
S_XY_3/N17	high max Wnd ;135° - EG_ongunstig	**0,00**	**0,00**	**456,03**	**0,00**	**0,00**	**0,00**	0,0	0,0
S_XY_1/N16	low max Wnd ;45° - EG_gunstig	**0,00**	**0,00**	172,25	**0,00**	**0,00**	**0,00**	0,0	0,0
S_XY_1/N16	low max Wnd ;315° - EG_gunstig	0,00	0,00	**-128,00**	0,00	0,00	0,00	0,0	0,0
S_XY_1/N16	high max Wnd ;135° - EG_ongunstig	0,00	0,00	**428,96**	0,00	0,00	0,00	0,0	0,0
S_XY_1/N16	low max Wnd ;135° - EG_gunstig	**0,00**	0,00	401,98	0,00	0,00	**0,00**	0,0	0,0
S_XY_2/N18	low max Wnd ;315° - EG_gunstig	**0,00**	0,00	277,32	**0,00**	**0,00**	**0,00**	0,0	0,0
S_XY_2/N18	low max Wnd ;135° - EG_gunstig	0,00	**0,00**	**-128,00**	0,00	0,00	0,00	0,0	0,0
S_XY_2/N18	high max Wnd ;315° - EG_ongunstig	**0,00**	**0,00**	**280,06**	0,00	0,00	**0,00**	0,0	0,0
S_Y_3/N10	low max Wnd ;135° - EG_gunstig	**0,00**	**0,00**	168,74	**0,00**	**0,00**	**0,00**	0,0	0,0
S_Y_3/N10	low max Wnd ;225° - EG_gunstig	0,00	0,00	**-128,00**	0,00	0,00	0,00	0,0	0,0
S_Y_3/N10	high max Wnd ;45° - EG_ongunstig	0,00	0,00	**423,37**	0,00	0,00	0,00	0,0	0,0
S_Y_3/N10	low max Wnd ;45° - EG_gunstig	**0,00**	0,00	396,83	0,00	0,00	**0,00**	0,0	0,0

Name	Case	R_x [kN]	R_y [kN]	R_z [kN]	M_x [kNm]	M_y [kNm]	M_z [kNm]	e_x [mm]	e_y [mm]
S_Y_1/N20	high max Wnd ;45° - EG_ongunstig	**0,00**	**0,00**	**448,15**	**0,00**	**0,00**	**0,00**	0,0	0,0
S_Y_1/N20	low max Wnd ;225° - EG_gunstig	0,00	0,00	**-128,00**	0,00	0,00	0,00	0,0	0,0
S_Y_1/N20	low max Wnd ;45° - EG_gunstig	0,00	**0,00**	421,59	0,00	0,00	**0,00**	0,0	0,0
S_Y_2/N21	high max Wnd ;315° - EG_ongunstig	0,00	**0,00**	87,20	0,00	0,00	0,00	0,0	0,0
S_Y_2/N21	low max Wnd ;45° - EG_gunstig	0,00	0,00	**-128,00**	0,00	0,00	0,00	0,0	0,0
S_Y_2/N21	high max Wnd ;225° - EG_ongunstig	**0,00**	**0,00**	**285,69**	**0,00**	**0,00**	**0,00**	0,0	0,0
S_Y_2/N21	low max Wnd ;135° - EG_gunstig	**0,00**	0,00	-8,22	0,00	0,00	**0,00**	0,0	0,0
S_Y_4/N27	high max Wnd ;225° - EG_ongunstig	**0,00**	**0,00**	**261,22**	**0,00**	**0,00**	**0,00**	0,0	0,0
S_Y_4/N27	low max Wnd ;45° - EG_gunstig	0,00	0,00	**-128,51**	0,00	0,00	**0,00**	0,0	0,0
S_Y_5/N28	high max Wnd ;225° - EG_ongunstig	**0,00**	**0,00**	**277,63**	**0,00**	**0,00**	**0,00**	0,0	0,0
S_Y_5/N28	low max Wnd ;45° - EG_gunstig	0,00	0,00	**-132,04**	0,00	0,00	**0,00**	0,0	0,0
S_Y_6/N34	low max Wnd ;135° - EG_gunstig	0,00	0,00	**-137,47**	0,00	0,00	0,00	0,0	0,0
S_Y_6/N34	high max Wnd ;315° - EG_ongunstig	**0,00**	**0,00**	**261,51**	**0,00**	**0,00**	**0,00**	0,0	0,0
S_Y_7/N36	low max Wnd ;135° - EG_gunstig	0,00	0,00	**-138,67**	0,00	0,00	0,00	0,0	0,0
S_Y_7/N36	high max Wnd ;315° - EG_ongunstig	**0,00**	**0,00**	**278,93**	**0,00**	**0,00**	**0,00**	0,0	0,0
S_Y_8/N38	low max Wnd ;225° - EG_gunstig	0,00	0,00	**-137,43**	0,00	0,00	0,00	0,0	0,0
S_Y_8/N38	high max Wnd ;45° - EG_ongunstig	**0,00**	**0,00**	**261,52**	**0,00**	**0,00**	**0,00**	0,0	0,0
S_Y_9/N40	low max Wnd ;225° - EG_gunstig	0,00	0,00	**-138,75**	0,00	0,00	0,00	0,0	0,0
S_Y_9/N40	high max Wnd ;45° - EG_ongunstig	**0,00**	**0,00**	**278,90**	**0,00**	**0,00**	**0,00**	0,0	0,0
S_Y_11/N44	low max Wnd ;315° - EG_gunstig	0,00	0,00	**-132,26**	0,00	0,00	0,00	0,0	0,0
S_Y_11/N44	high max Wnd ;135° - EG_ongunstig	**0,00**	**0,00**	**277,57**	**0,00**	**0,00**	**0,00**	0,0	0,0
S_Y_10/N42	low max Wnd ;315° - EG_gunstig	0,00	0,00	**-128,71**	0,00	0,00	0,00	0,0	0,0

Name	Case	R_x [kN]	R_y [kN]	R_z [kN]	M_x [kNm]	M_y [kNm]	M_z [kNm]	e_x [mm]	e_y [mm]
S_Y_10/N42	high max Wnd ;135° - EG_ongunstig	**0,00**	**0,00**	**261,21**	**0,00**	**0,00**	**0,00**	0,0	0,0
S_P_5/N58	low max Wnd ;225° - EG_gunstig	0,00	**0,00**	149,40	0,00	0,00	0,00	0,0	0,0
S_P_5/N58	low max Wnd ;135° - EG_gunstig	0,00	0,00	**-128,00**	0,00	0,00	0,00	0,0	0,0
S_P_5/N58	high max Wnd ;315° - EG_ongunstig	**0,00**	**0,00**	**455,45**	**0,00**	**0,00**	**0,00**	0,0	0,0
S_P_4/N57	low max Wnd ;135° - EG_gunstig	**0,00**	**0,00**	**-128,00**	**0,00**	**0,00**	**0,00**	0,0	0,0
S_P_4/N57	high max Wnd ;315° - EG_ongunstig	**0,00**	0,00	**432,45**	0,00	0,00	**0,00**	0,0	0,0
S_P_6/N68	low max Wnd ;135° - EG_gunstig	**0,00**	0,00	275,93	**0,00**	**0,00**	**0,00**	0,0	0,0
S_P_6/N68	high max Wnd ;45° - EG_ongunstig	0,00	**0,00**	92,55	0,00	0,00	0,00	0,0	0,0
S_P_6/N68	low max Wnd ;315° - EG_gunstig	0,00	**0,00**	**-128,00**	0,00	0,00	0,00	0,0	0,0
S_P_6/N68	high max Wnd ;135° - EG_ongunstig	0,00	0,00	**282,32**	0,00	0,00	0,00	0,0	0,0
S_P_6/N68	low max Wnd ;45° - EG_gunstig	**0,00**	0,00	78,28	0,00	0,00	**0,00**	0,0	0,0
S_X_6/N62	low max Wnd ;45° - EG_gunstig	0,00	0,00	**-128,00**	0,00	0,00	0,00	0,0	0,0
S_X_6/N62	high max Wnd ;225° - EG_ongunstig	**0,00**	**0,00**	**438,28**	**0,00**	**0,00**	**0,00**	0,0	0,0
S_X_6/N62	low max Wnd ;315° - EG_gunstig	**0,00**	0,00	179,82	0,00	0,00	**0,00**	0,0	0,0
S_X_5/N61	high max Wnd ;225° - EG_ongunstig	0,00	**0,00**	**462,00**	0,00	0,00	0,00	0,0	0,0
S_X_5/N61	low max Wnd ;315° - EG_gunstig	**0,00**	**0,00**	154,12	**0,00**	**0,00**	**0,00**	0,0	0,0
S_X_5/N61	low max Wnd ;45° - EG_gunstig	0,00	0,00	**-128,00**	0,00	0,00	**0,00**	0,0	0,0
S_X_4/N59	low max Wnd ;315° - EG_gunstig	**0,00**	0,00	-4,38	**0,00**	**0,00**	**0,00**	0,0	0,0
S_X_4/N59	high max Wnd ;135° - EG_ongunstig	0,00	**0,00**	90,22	0,00	0,00	0,00	0,0	0,0
S_X_4/N59	low max Wnd ;225° - EG_gunstig	0,00	0,00	**-128,00**	0,00	0,00	0,00	0,0	0,0
S_X_4/N59	high max Wnd ;45° - EG_ongunstig	0,00	**0,00**	**276,97**	0,00	0,00	0,00	0,0	0,0
S_X_4/N59	low max Wnd ;45° - EG_gunstig	**0,00**	0,00	270,86	0,00	0,00	**0,00**	0,0	0,0

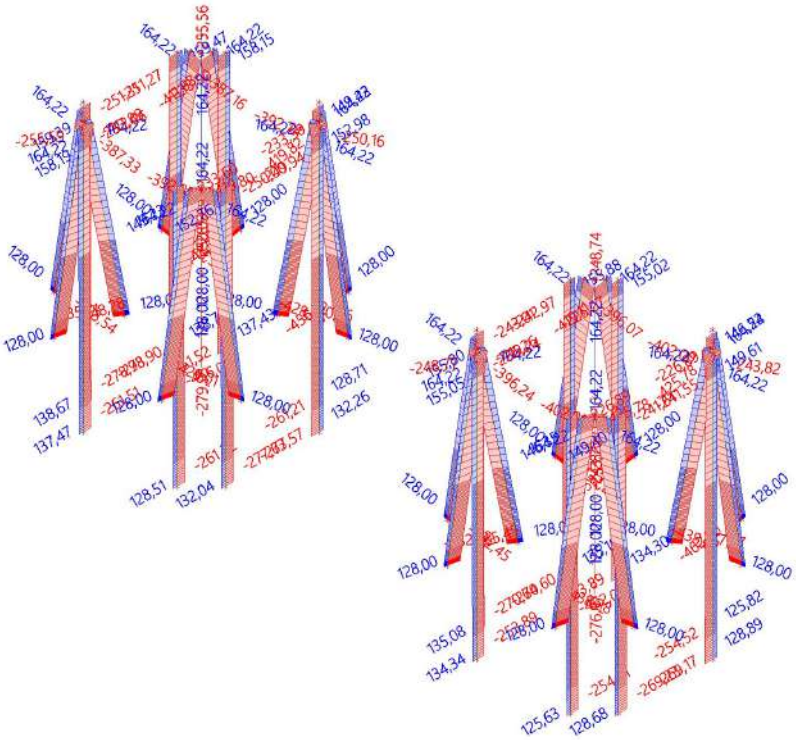
Name	Case	R_x [kN]	R_y [kN]	R_z [kN]	M_x [kNm]	M_y [kNm]	M_z [kNm]	e_x [mm]	e_y [mm]
S_XY_5/N64	high max Wnd ;45° - EG_ongunstig	0,00	**0,00**	182,58	0,00	0,00	0,00	0,0	0,0
S_XY_5/N64	low max Wnd ;315° - EG_gunstig	0,00	0,00	**-128,00**	0,00	0,00	0,00	0,0	0,0
S_XY_5/N64	high max Wnd ;135° - EG_ongunstig	**0,00**	**0,00**	**462,00**	**0,00**	**0,00**	**0,00**	0,0	0,0
S_XY_4/N63	low max Wnd ;315° - EG_gunstig	0,00	0,00	**-128,00**	0,00	0,00	0,00	0,0	0,0
S_XY_4/N63	high max Wnd ;135° - EG_ongunstig	**0,00**	**0,00**	**438,22**	**0,00**	**0,00**	**0,00**	0,0	0,0
S_XY_4/N63	high max Wnd ;45° - EG_ongunstig	**0,00**	0,00	208,00	0,00	0,00	**0,00**	0,0	0,0
S_XY_6/N65	low max Wnd ;45° - EG_gunstig	**0,00**	0,00	-4,39	**0,00**	**0,00**	**0,00**	0,0	0,0
S_XY_6/N65	low max Wnd ;315° - EG_gunstig	0,00	**0,00**	270,98	0,00	0,00	0,00	0,0	0,0
S_XY_6/N65	low max Wnd ;135° - EG_gunstig	0,00	**0,00**	**-128,00**	0,00	0,00	0,00	0,0	0,0
S_XY_6/N65	high max Wnd ;315° - EG_ongunstig	0,00	0,00	**277,07**	0,00	0,00	0,00	0,0	0,0
S_XY_6/N65	high max Wnd ;225° - EG_ongunstig	**0,00**	0,00	90,25	0,00	0,00	**0,00**	0,0	0,0
S_Y_12/N60	low max Wnd ;225° - EG_gunstig	**0,00**	0,00	**-128,00**	0,00	0,00	0,00	0,0	0,0
S_Y_12/N60	high max Wnd ;45° - EG_ongunstig	0,00	**0,00**	**432,29**	**0,00**	**0,00**	**0,00**	0,0	0,0
S_Y_12/N60	low max Wnd ;45° - EG_gunstig	**0,00**	0,00	404,25	0,00	0,00	**0,00**	0,0	0,0
S_Y_13/N66	low max Wnd ;135° - EG_gunstig	**0,00**	**0,00**	149,34	**0,00**	**0,00**	**0,00**	0,0	0,0
S_Y_13/N66	low max Wnd ;225° - EG_gunstig	0,00	0,00	**-128,00**	0,00	0,00	0,00	0,0	0,0
S_Y_13/N66	high max Wnd ;45° - EG_ongunstig	0,00	0,00	**455,33**	0,00	0,00	0,00	0,0	0,0
S_Y_13/N66	low max Wnd ;45° - EG_gunstig	0,00	**0,00**	427,48	0,00	0,00	**0,00**	0,0	0,0
S_Y_14/N67	low max Wnd ;225° - EG_gunstig	0,00	**0,00**	275,90	**0,00**	**0,00**	**0,00**	0,0	0,0
S_Y_14/N67	low max Wnd ;45° - EG_gunstig	0,00	**0,00**	**-128,00**	0,00	0,00	0,00	0,0	0,0
S_Y_14/N67	high max Wnd ;225° - EG_ongunstig	**0,00**	0,00	**282,30**	0,00	0,00	0,00	0,0	0,0
S_Y_14/N67	low max Wnd ;315° - EG_gunstig	**0,00**	0,00	78,27	0,00	0,00	**0,00**	0,0	0,0

Name	Case	R_x [kN]	R_y [kN]	R_z [kN]	M_x [kNm]	M_y [kNm]	M_z [kNm]	e_x [mm]	e_y [mm]
S_Y_15/N71	high max Wnd ;225° - EG_ongunstig	**0,00**	**0,00**	**254,51**	**0,00**	**0,00**	**0,00**	0,0	0,0
S_Y_15/N71	low max Wnd ;45° - EG_gunstig	0,00	0,00	**-125,63**	0,00	0,00	**0,00**	0,0	0,0
S_Y_16/N72	high max Wnd ;225° - EG_ongunstig	**0,00**	**0,00**	**269,23**	**0,00**	**0,00**	**0,00**	0,0	0,0
S_Y_16/N72	low max Wnd ;45° - EG_gunstig	0,00	0,00	**-128,68**	0,00	0,00	**0,00**	0,0	0,0
S_Y_17/N74	low max Wnd ;135° - EG_gunstig	0,00	0,00	**-134,34**	0,00	0,00	0,00	0,0	0,0
S_Y_17/N74	high max Wnd ;315° - EG_ongunstig	**0,00**	**0,00**	**253,89**	**0,00**	**0,00**	**0,00**	0,0	0,0
S_Y_18/N76	low max Wnd ;135° - EG_gunstig	0,00	0,00	**-135,08**	0,00	0,00	0,00	0,0	0,0
S_Y_18/N76	high max Wnd ;315° - EG_ongunstig	**0,00**	**0,00**	**270,64**	**0,00**	**0,00**	**0,00**	0,0	0,0
S_Y_19/N78	low max Wnd ;225° - EG_gunstig	0,00	0,00	**-134,30**	0,00	0,00	0,00	0,0	0,0
S_Y_19/N78	high max Wnd ;45° - EG_ongunstig	**0,00**	**0,00**	**253,89**	**0,00**	**0,00**	**0,00**	0,0	0,0
S_Y_20/N80	low max Wnd ;225° - EG_gunstig	0,00	0,00	**-135,16**	0,00	0,00	0,00	0,0	0,0
S_Y_20/N80	high max Wnd ;45° - EG_ongunstig	**0,00**	**0,00**	**270,60**	**0,00**	**0,00**	**0,00**	0,0	0,0
S_Y_22/N84	low max Wnd ;315° - EG_gunstig	0,00	0,00	**-128,89**	0,00	0,00	0,00	0,0	0,0
S_Y_22/N84	high max Wnd ;135° - EG_ongunstig	**0,00**	**0,00**	**269,17**	**0,00**	**0,00**	**0,00**	0,0	0,0
S_Y_21/N82	low max Wnd ;315° - EG_gunstig	0,00	0,00	**-125,82**	0,00	0,00	0,00	0,0	0,0
S_Y_21/N82	high max Wnd ;135° - EG_ongunstig	**0,00**	**0,00**	**254,52**	**0,00**	**0,00**	**0,00**	0,0	0,0

7.2. Krachten van de Funderingspalen

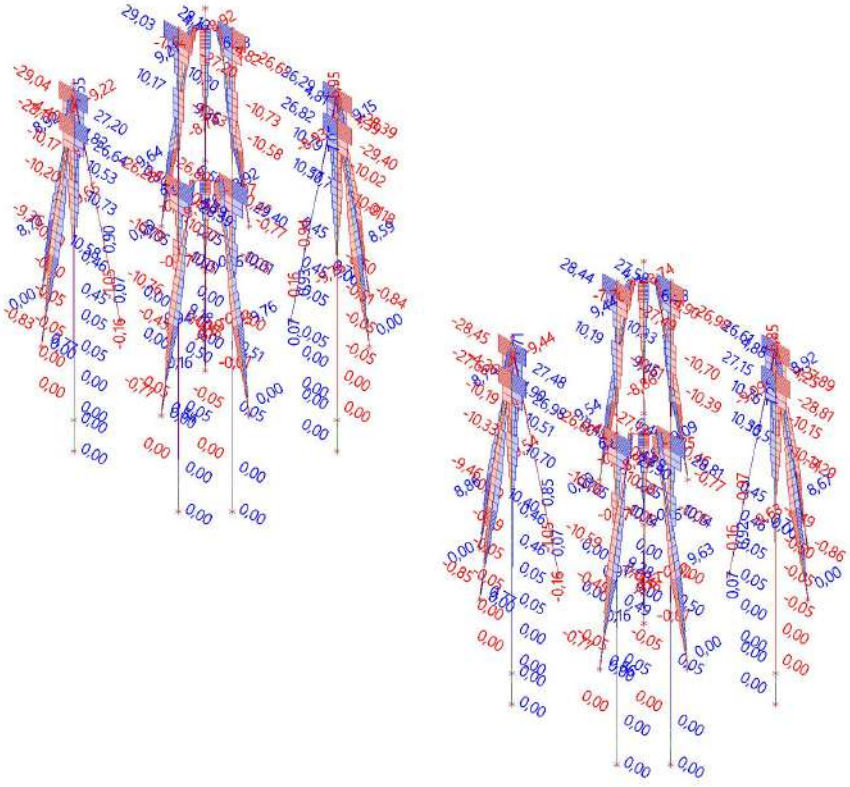
7.2.1. Interne 1D- krachten; N

Values: **N**
Nonlinear calculation
Class: ALL Non-linear
Coordinate system: Principal
Extreme 1D: Local
Selection: All
Filter: Layer = Palen



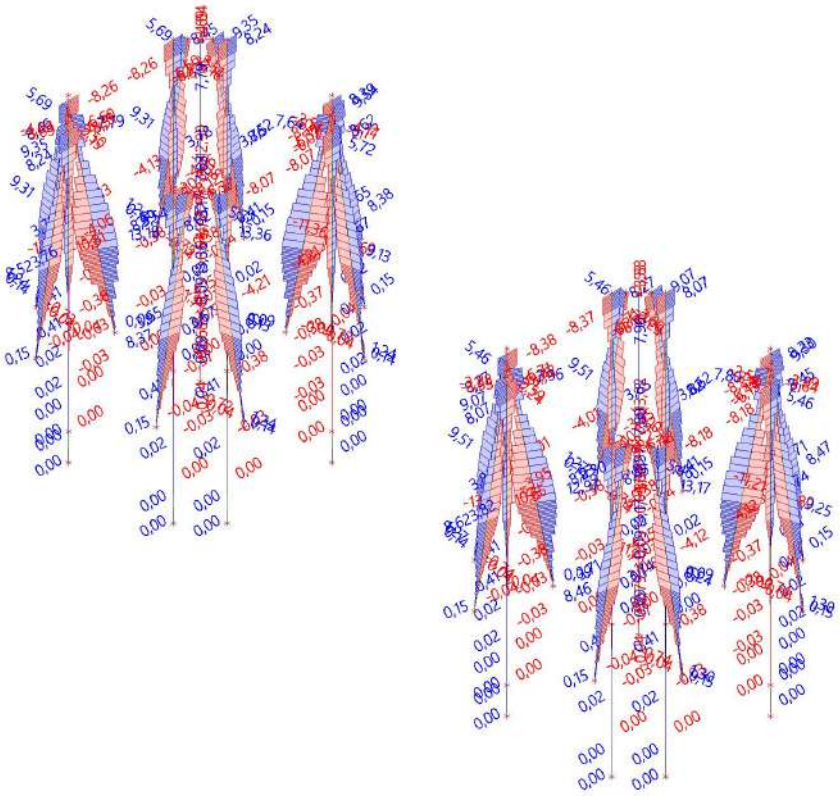
7.2.2. Interne 1D- krachten; V_y

Values: **V_y**
Nonlinear calculation
Class: ALL Non-linear
Coordinate system: Principal
Extreme 1D: Local
Selection: All
Filter: Layer = Palen



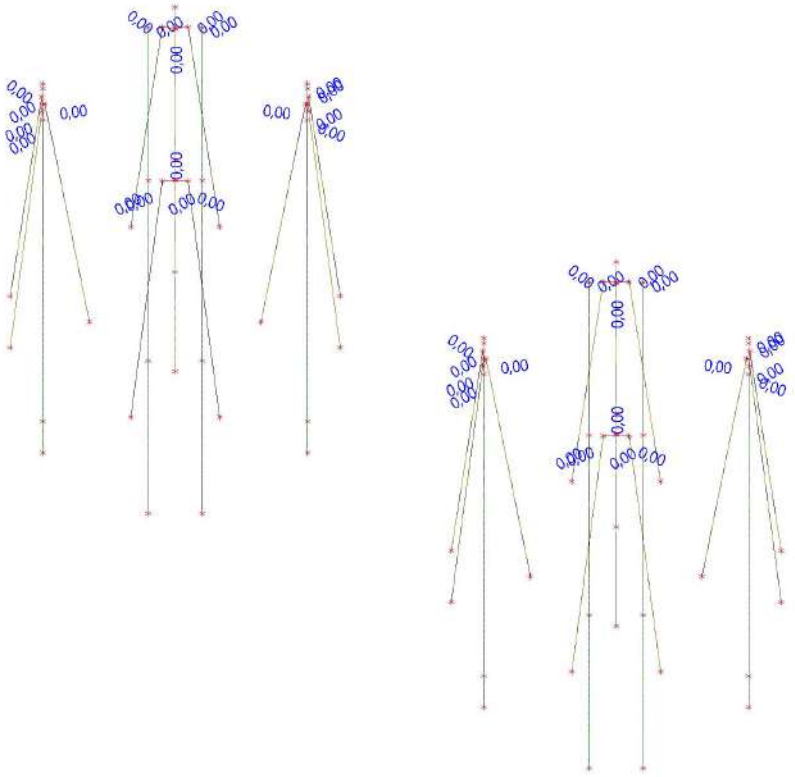
7.2.3. Interne 1D- krachten; V_z

Values: V_z
Nonlinear calculation
Class: ALL Non-linear
Coordinate system: Principal
Extreme 1D: Local
Selection: All
Filter: Layer = Palen



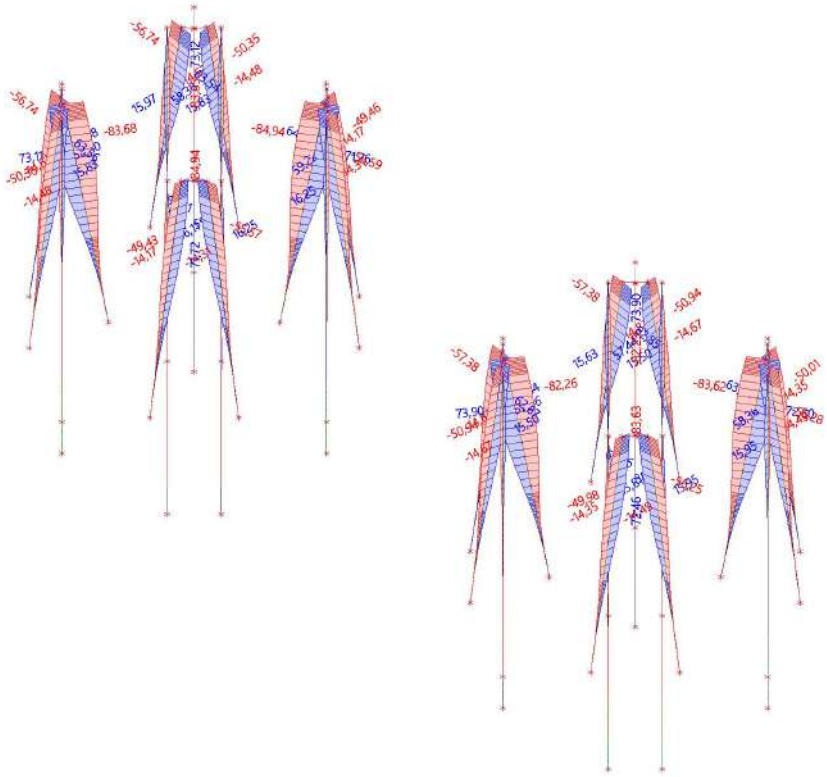
7.2.4. Interne 1D- krachten; M_x

Values: M_x
Nonlinear calculation
Class: ALL Non-linear
Coordinate system: Principal
Extreme 1D: Local
Selection: All
Filter: Layer = Palen



7.2.5. Interne 1D- krachten; M_y

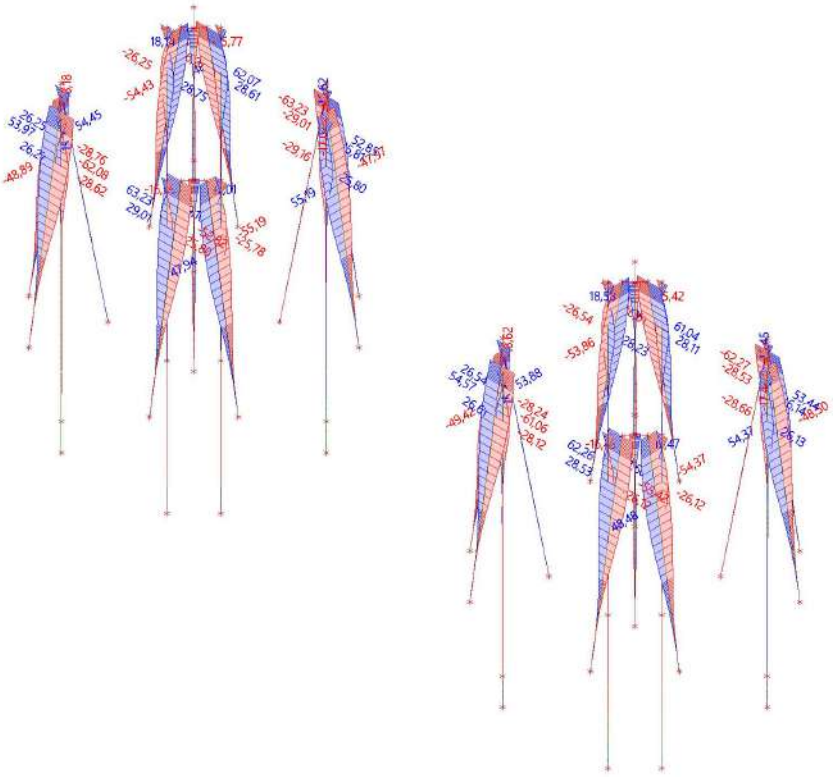
Values: M_y
Nonlinear calculation
Class: ALL Non-linear
Coordinate system: Principal
Extreme 1D: Member
Selection: All
Filter: Layer = Palen





7.2.6. Interne 1D- krachten; M_z

Values: M_z
Nonlinear calculation
Class: ALL Non-linear
Coordinate system: Principal
Extreme 1D: Member
Selection: All
Filter: Layer = Palen





7.2.7. 1D internal forces

Nonlinear calculation
Class: ALL Non-linear
Coordinate system: Principal
Extreme 1D: Global
Selection: All
Filter: Cross-section = Paal 40x40 - Rectangle (400,00; 400,00)

Name	dx [m]	Case	Cross-section	N [kN]	V_y [kN]	V_z [kN]	M_x [kNm]	M_y [kNm]	M_z [kNm]
Paal_X_13	13,000	high max Wnd ;225° - EG_ongunstig	Paal 40x40 - Rectangle (400,00; 400,00)	**-462,00**	0,00	0,15	0,00	0,00	0,00
Paal_P_3	0,000	high max Wnd ;135° - EG_ongunstig	Paal 40x40 - Rectangle (400,00; 400,00)	**164,22**	4,41	-5,00	**0,00**	-36,77	42,92
Paal_X_1	6,250+	high max Wnd ;225° - EG_ongunstig	Paal 40x40 - Rectangle (400,00; 400,00)	-438,43	**-10,76**	-10,45	0,00	41,18	36,41
Paal_XY_3	6,250+	high max Wnd ;135° - EG_ongunstig	Paal 40x40 - Rectangle (400,00; 400,00)	-438,45	**10,76**	-10,45	0,00	41,18	-36,41
Paal_Y_6	7,125+	low max Wnd ;225° - EG_gunstig	Paal 40x40 - Rectangle (400,00; 400,00)	-264,54	0,49	**-13,02**	0,00	38,19	-4,28
Paal_X_2	7,125+	low max Wnd ;225° - EG_gunstig	Paal 40x40 - Rectangle (400,00; 400,00)	139,36	-0,43	**13,36**	0,00	-40,31	3,72
Paal_X_2	1,875-	high max Wnd ;225° - EG_ongunstig	Paal 40x40 - Rectangle (400,00; 400,00)	160,21	5,98	-1,64	0,00	**-84,94**	-4,42
Paal_Y_6	2,750-	low max Wnd ;225° - EG_gunstig	Paal 40x40 - Rectangle (400,00; 400,00)	-253,57	-4,80	1,13	0,00	**73,90**	0,81
Paal_XY_3	1,875-	high max Wnd ;135° - EG_ongunstig	Paal 40x40 - Rectangle (400,00; 400,00)	-423,82	-2,41	6,84	0,00	56,73	**-63,23**
Paal_X_1	1,875-	high max Wnd ;225° - EG_ongunstig	Paal 40x40 - Rectangle (400,00; 400,00)	-423,81	2,42	6,84	0,00	56,74	**63,23**

7.2.8. 1D internal forces

Nonlinear calculation
Class: ALL Non-linear
Coordinate system: Principal
Extreme 1D: Global
Selection: All
Filter: Cross-section = LEKA Paal - type e (CHS219.1/10.0)

Name	dx [m]	Case	Cross-section	N [kN]	V_y [kN]	V_z [kN]	M_x [kNm]	M_y [kNm]	M_z [kNm]
Paal_X_7	19,612	high max Wnd ;315° - EG_ongunstig	LEKA Paal - type e (CHS219.1/10.0)	**-278,93**	0,00	0,00	0,00	0,00	0,00
Paal_X_9	0,000	low max Wnd ;225° - EG_gunstig	LEKA Paal - type e (CHS219.1/10.0)	**159,47**	-27,20	-8,26	**0,00**	3,81	23,92

Name	dx [m]	Case	Cross-section	N [kN]	V_y [kN]	V_z [kN]	M_x [kNm]	M_y [kNm]	M_z [kNm]
Paal_X_10	0,000	high max Wnd ;135° - EG_ongunstig	LEKA Paal - type e (CHS219.1/10.0)	-249,94	**-29,40**	**8,62**	0,00	-3,02	25,51
Paal_X_5	0,000	high max Wnd ;225° - EG_ongunstig	LEKA Paal - type e (CHS219.1/10.0)	-250,00	**29,40**	8,62	0,00	-3,01	-25,52
Paal_X_17	0,000	low max Wnd ;135° - EG_gunstig	LEKA Paal - type e (CHS219.1/10.0)	155,05	26,98	**-8,42**	0,00	4,29	-22,92
Paal_X_18	3,625-	low max Wnd ;135° - EG_gunstig	LEKA Paal - type e (CHS219.1/10.0)	152,43	-3,32	-1,29	0,00	**-14,82**	23,63
Paal_X_10	3,625-	high max Wnd ;135° - EG_ongunstig	LEKA Paal - type e (CHS219.1/10.0)	-254,43	3,17	1,28	0,00	**16,25**	-26,39
Paal_X_10	2,750-	high max Wnd ;135° - EG_ongunstig	LEKA Paal - type e (CHS219.1/10.0)	-253,20	-7,53	3,94	0,00	15,13	**-29,16**
Paal_X_5	2,750-	high max Wnd ;225° - EG_ongunstig	LEKA Paal - type e (CHS219.1/10.0)	-253,26	7,53	3,94	0,00	15,13	**29,16**

7.3. Krachten van de Poeren

7.3.1. 1D internal forces

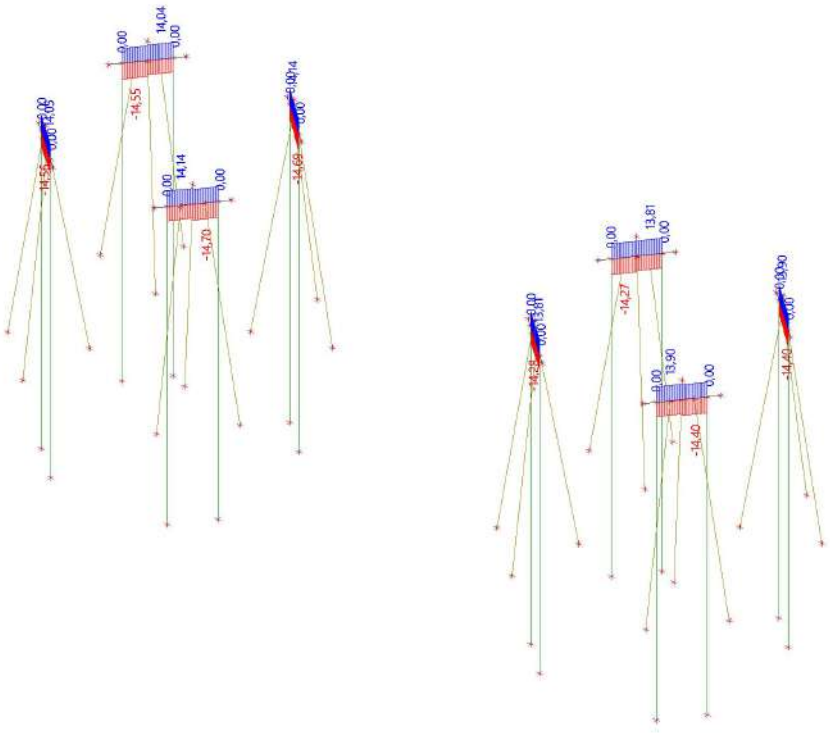
Nonlinear calculation
Class: ALL Non-linear
Coordinate system: Principal
Extreme 1D: Global
Selection: All
Filter: Layer = Poeren

Name	dx [m]	Case	N [kN]	V_y [kN]	V_z [kN]	M_x [kNm]	M_y [kNm]	M_z [kNm]
Poer Y	1,200	low max Wnd ;225° - EG_gunstig	**620,72**	-151,48	-12,87	**0,00**	0,00	0,00
Poer P	0,000	low max Wnd ;135° - EG_gunstig	590,88	**-151,48**	12,83	0,00	-15,39	**181,77**
Poer P	0,000	high max Wnd ;225° - EG_ongunstig	-333,56	72,34	**-26,25**	0,00	**31,51**	-86,81
Poer Y	0,000	high max Wnd ;135° - EG_ongunstig	-333,28	72,30	**26,23**	0,00	**-31,47**	-86,76
Poer X	0,000	high max Wnd ;225° - EG_ongunstig	**-828,56**	**197,85**	12,71	0,00	-15,26	**-237,42**

7.4. Krachten van de Funderingsbalken

7.4.1. Interne 1D- krachten; N

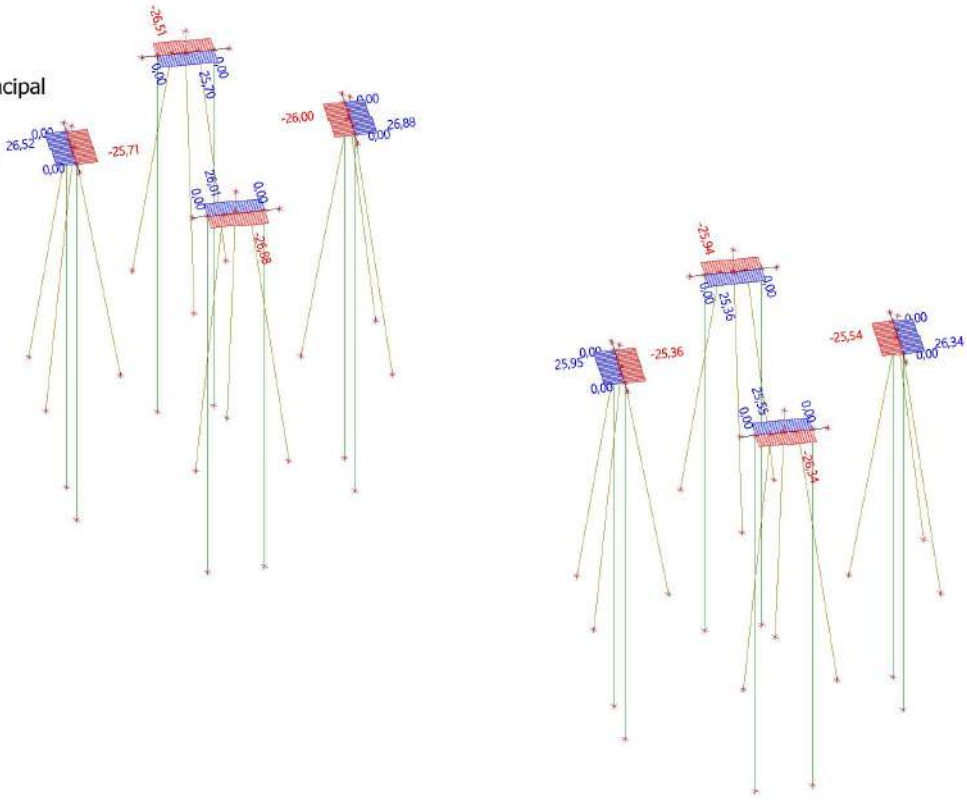
Values: **N**
Nonlinear calculation
Class: ALL Non-linear
Coordinate system: Principal
Extreme 1D: Local
Selection: All
Filter: Layer = Lijnpoer





7.4.2. Interne 1D- krachten; V_y

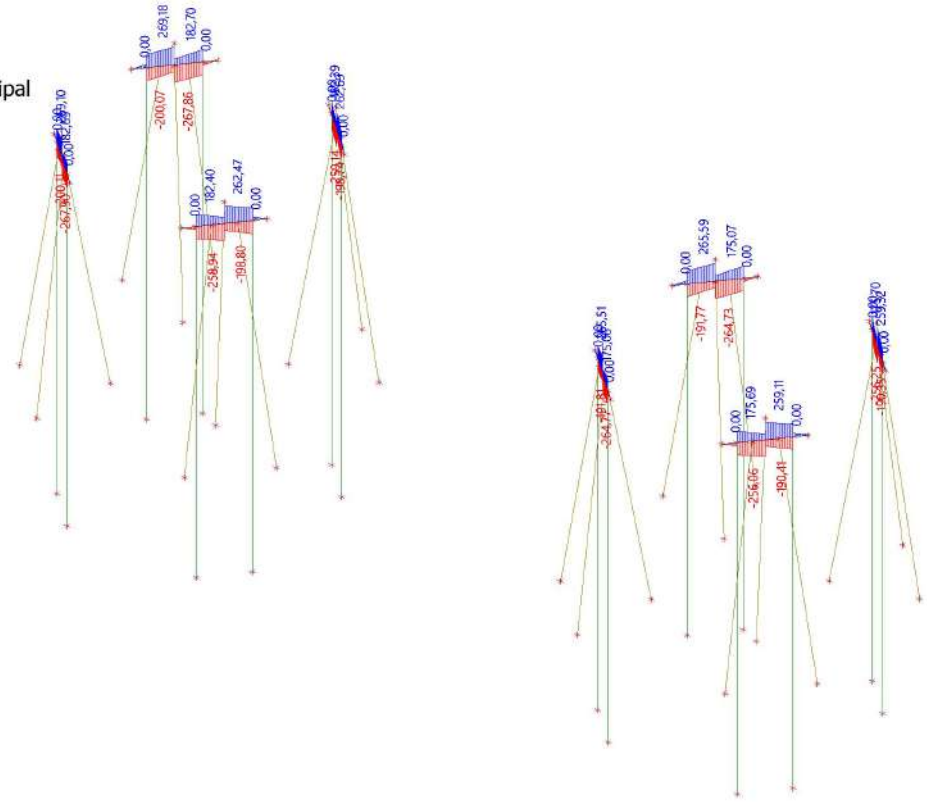
Values: **V_y**
Nonlinear calculation
Class: ALL Non-linear
Coordinate system: Principal
Extreme 1D: Local
Selection: All
Filter: Layer = Lijnpoer





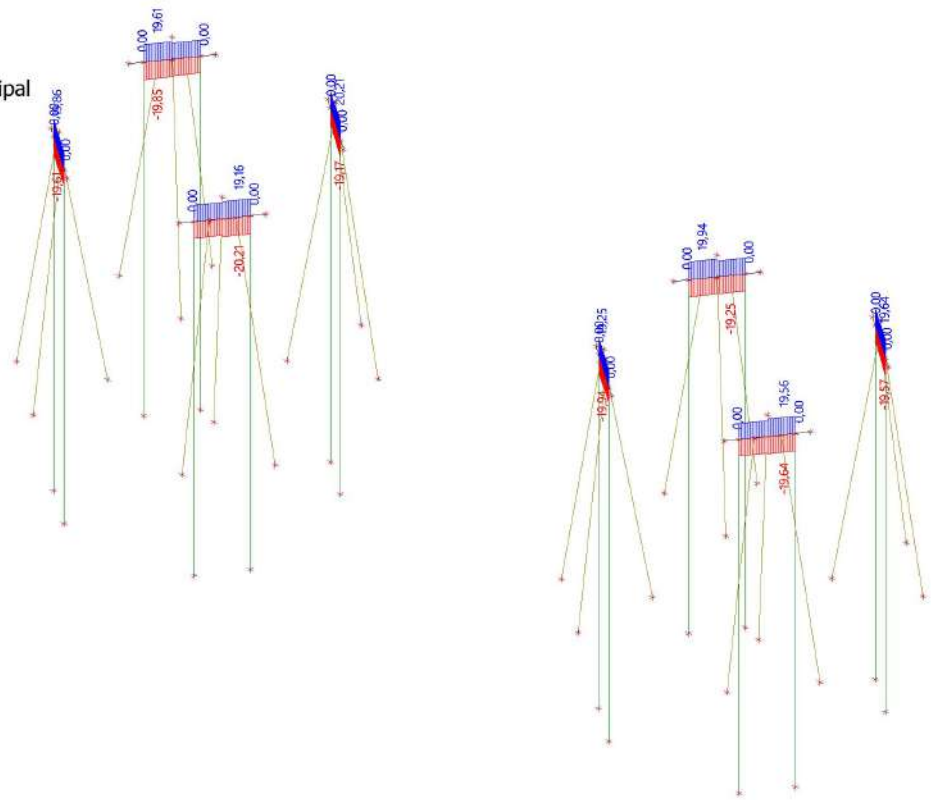
7.4.3. Interne 1D- krachten; V_z

Values: V_z
Nonlinear calculation
Class: ALL Non-linear
Coordinate system: Principal
Extreme 1D: Local
Selection: All
Filter: Layer = Lijnpoer



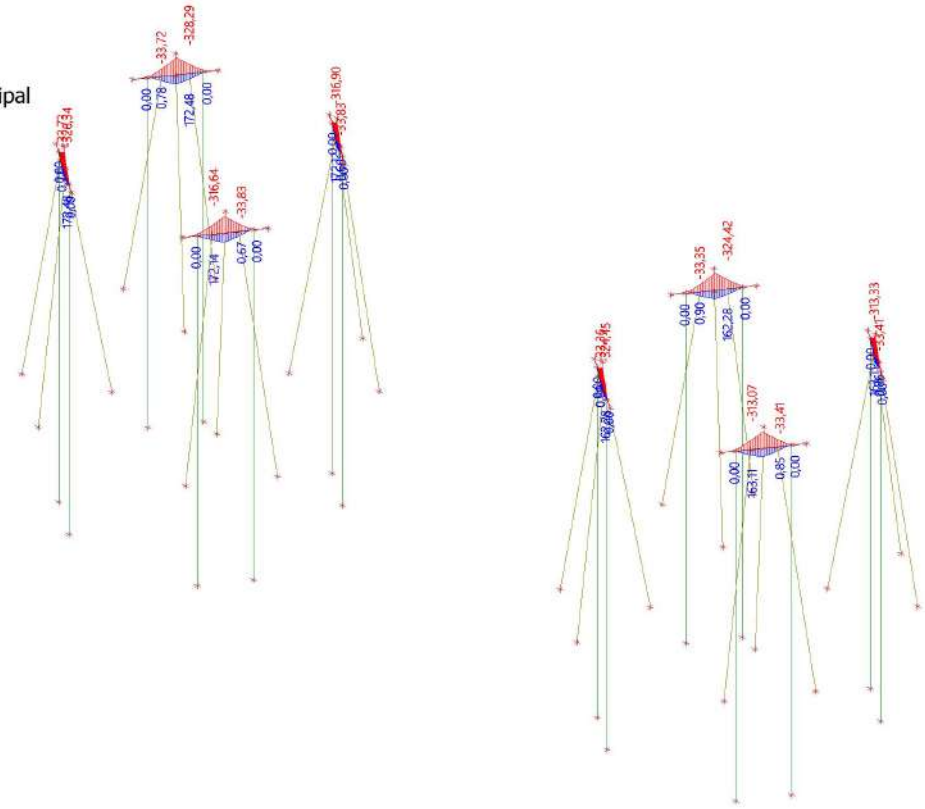
7.4.4. Interne 1D- krachten; M_x

Values: M_x
Nonlinear calculation
Class: ALL Non-linear
Coordinate system: Principal
Extreme 1D: Local
Selection: All
Filter: Layer = Lijnpoer



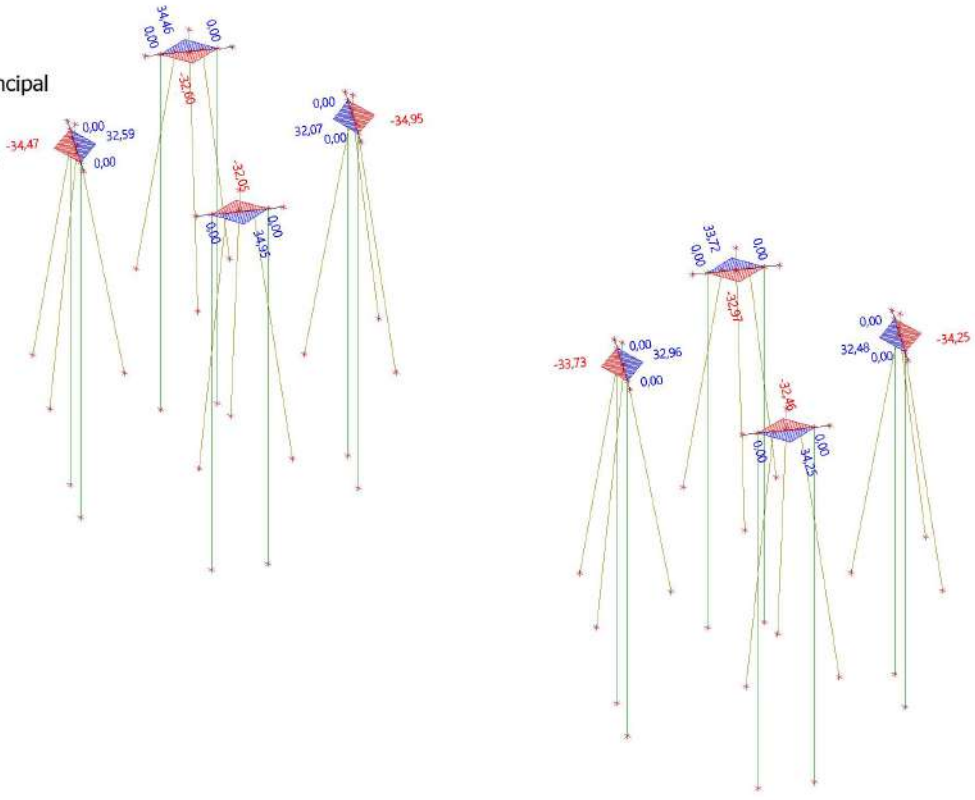
7.4.5. Interne 1D- krachten; M_y

Values: M_y
Nonlinear calculation
Class: ALL Non-linear
Coordinate system: Principal
Extreme 1D: Local
Selection: All
Filter: Layer = Lijnpoer



7.4.6. Interne 1D- krachten; M_z

Values: M_z
Nonlinear calculation
Class: ALL Non-linear
Coordinate system: Principal
Extreme 1D: Local
Selection: All
Filter: Layer = Lijnpoer



7.4.7. 1D internal forces

Nonlinear calculation
Class: ALL Non-linear
Coordinate system: Principal
Extreme 1D: Global
Selection: All
Filter: Layer = Lijnpoer

Name	dx [m]	Case	N [kN]	V_y [kN]	V_z [kN]	M_x [kNm]	M_y [kNm]	M_z [kNm]
Paal15	0,700+	high max Wnd ;225° - EG_ongunstig	**14,14**	26,01	182,40	18,20	-3,18	0,00
Paal15	2,000+	high max Wnd ;225° - EG_ongunstig	**-14,70**	**-26,88**	-103,72	-20,18	162,81	**34,95**
Paal19	2,000+	low max Wnd ;225° - EG_gunstig	13,39	25,07	**269,18**	19,61	-302,81	-32,60
Paal15	2,000+	low max Wnd ;225° - EG_gunstig	-14,58	-26,73	-100,86	**-20,21**	148,28	34,75
Paal20	2,000+	low max Wnd ;135° - EG_gunstig	-14,58	26,73	-100,83	**20,21**	148,24	-34,75
Paal18	2,000-	low max Wnd ;135° - EG_gunstig	-12,96	24,72	**-267,90**	18,86	**-328,34**	32,13
Paal18	2,000-	high max Wnd ;315° - EG_ongunstig	14,05	-25,71	87,61	-17,96	**172,48**	-33,42
Paal20	2,000+	high max Wnd ;135° - EG_ongunstig	-14,69	**26,88**	-103,66	20,18	162,73	**-34,95**

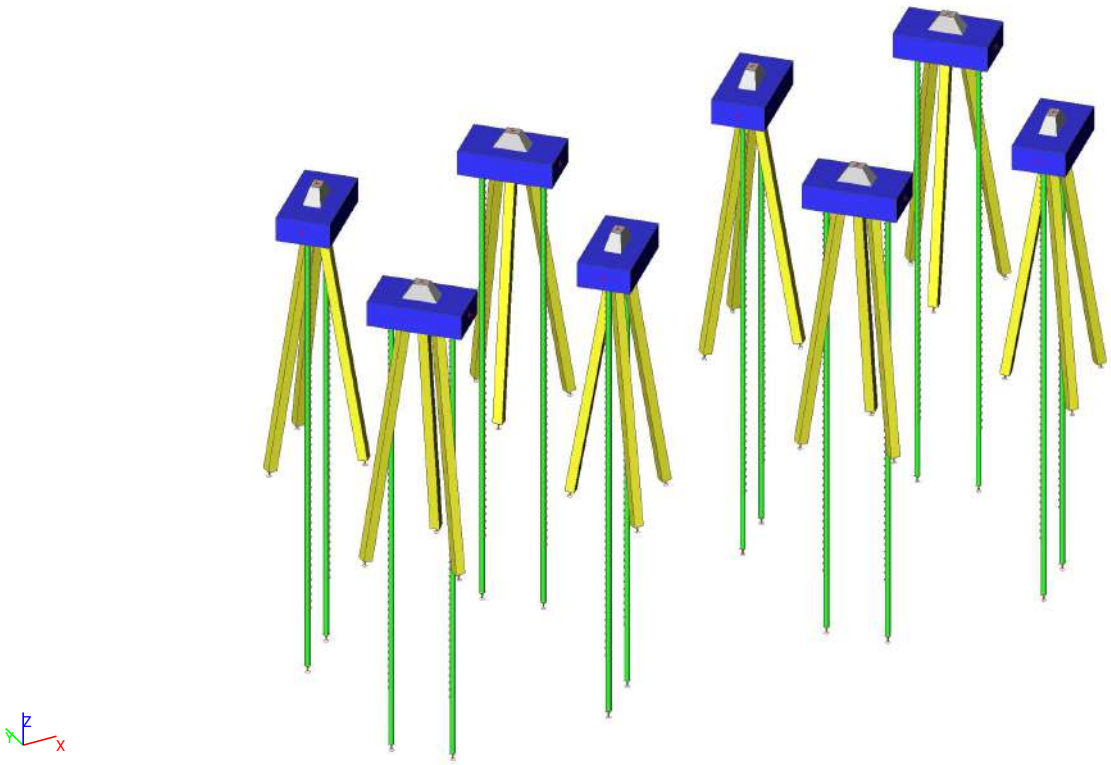
1. Table of contents

1. Table of contents 1
2. Project 2
3. Analyse model 2
4. Modeleigenschappen 3
5. Geometrie 3
5.1. Nodes 3
5.2. Analyse model met knopen 4
5.3. Members 4
5.4. Analyse model met Staven 5
5.5. Nodal supports 6
5.6. Analyse model met Knoopondersteuningen 7
5.7. Line supports on member 7
5.8. Analyse model met Lijnondersteuningen 17
5.9. Analyse model met Lijnondersteuningen 18
5.10. Nonlinear functions 19
6. Belastingen 30
6.1. Load cases 30
6.1.1. Load cases - high max Wnd ;45° 30
6.1.1.1. Point force in node 30
6.1.2. Load cases - high max Wnd ;135° 31
6.1.2.1. Point force in node 32
6.1.3. Load cases - high max Wnd ;225° 33
6.1.3.1. Point force in node 34
6.1.4. Load cases - high max Wnd ;315° 34
6.1.4.1. Point force in node 35
6.1.5. Load cases - low max Wnd ;45° 36
6.1.5.1. Point force in node 37
6.1.6. Load cases - low max Wnd ;135° 37
6.1.6.1. Point force in node 38
6.1.7. Load cases - low max Wnd ;225° 39
6.1.7.1. Point force in node 40
6.1.8. Load cases - low max Wnd ;315° 40
6.1.8.1. Point force in node 41
6.1.9. Load cases - EG_fundering 42
6.2. Nonlinear combinations 43
6.3. Result classes 43
7. Resultaten 44
7.1. Reacties van de palen 44
7.1.1. Reactions; R_z 44
7.1.2. Reactions 44
7.1.3. Reactions 44
7.1.4. Reactions 45
7.2. Krachten van de Funderingspalen 50
7.2.1. Interne 1D- krachten; N 50
7.2.2. Interne 1D- krachten; V_y 50
7.2.3. Interne 1D- krachten; V_z 51
7.2.4. Interne 1D- krachten; M_x 51
7.2.5. Interne 1D- krachten; M_y 52
7.2.6. Interne 1D- krachten; M_z 52
7.2.7. 1D internal forces 53
7.2.8. 1D internal forces 53
7.3. Krachten van de Poeren 55
7.3.1. 1D internal forces 55
7.4. Krachten van de Funderingsbalken 56
7.4.1. Interne 1D- krachten; N 56
7.4.2. Interne 1D- krachten; V_y 56
7.4.3. Interne 1D- krachten; V_z 57
7.4.4. Interne 1D- krachten; M_x 57
7.4.5. Interne 1D- krachten; M_y 58
7.4.6. Interne 1D- krachten; M_z 58
7.4.7. 1D internal forces 59

2. Project

Licence user	[redacted]
Project	Opwaardering KIJ-BVW 380kV
Part	Blokpoer 3xBeton40x40 Mast 69
Author	[redacted]
Date	28-01-2026
Structure	General XYZ
No. of nodes :	112
No. of beams :	56
No. of slabs :	0
No. of solids :	0
No. of used profiles :	4
No. of load cases :	9
No. of used materials :	7
Acceleration of gravity [m/s^2]	9,807
National code	EC - EN

3. Analyse model



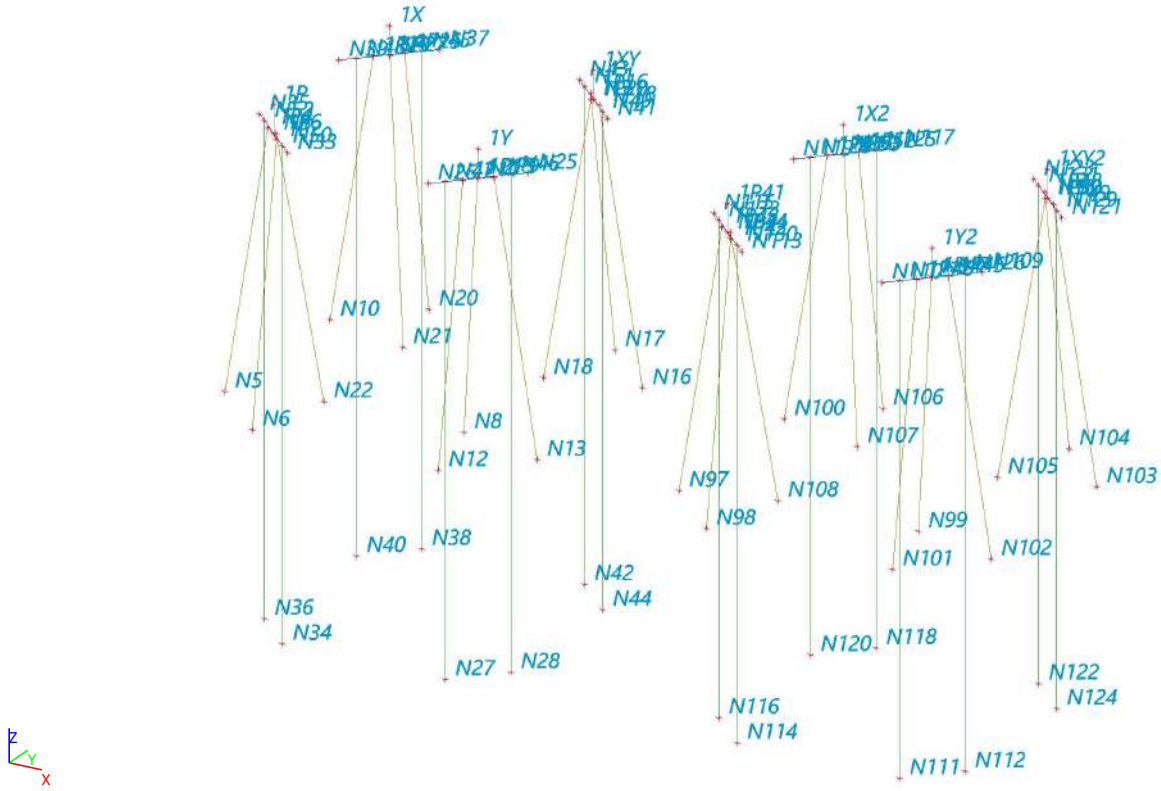
4. Modeleigenschappen

5. Geometrie

5.1. Nodes

Name	Coord X [m]	Coord Y [m]	Coord Z [m]
N1	0,000	0,000	0,000
1P	0,000	0,000	1,200
1P2	0,400	-0,480	0,000
1P4	-0,480	0,400	0,000
1P6	0,070	0,070	0,000
N2	9,000	0,000	0,000
1Y	9,000	0,000	1,200
1P9	9,480	0,400	0,000
1P11	8,600	-0,480	0,000
1P13	8,930	0,070	0,000
N3	9,000	9,000	0,000
1XY	9,000	9,000	1,200
1P16	8,600	9,480	0,000
1P18	9,480	8,600	0,000
1P20	8,930	8,930	0,000
N4	0,000	9,000	0,000
1X	0,000	9,000	1,200
1P23	-0,480	8,600	0,000
1P25	0,400	9,480	0,000
1P27	0,070	8,930	0,000
N5	-2,374	0,400	-11,343
N6	0,400	-2,374	-11,343
N8	7,592	1,408	-11,343
N10	-2,374	8,600	-11,343
N12	8,600	-2,374	-11,343
N13	11,374	0,400	-11,343
N16	11,374	8,600	-11,343
N17	8,600	11,374	-11,343
N18	7,592	7,592	-11,343
N20	0,400	11,374	-11,343
N21	1,408	7,592	-11,343
N22	1,408	1,408	-11,343
N25	10,414	1,414	0,000
N26	7,586	-1,414	0,000
N27	8,081	-0,919	-20,650
N28	9,919	0,919	-20,650
N33	1,414	-1,414	0,000
N34	0,919	-0,919	-20,650
N35	-1,414	1,414	0,000
N36	-0,919	0,919	-20,650
N37	1,414	10,414	0,000
N38	0,919	9,919	-20,650
N39	-1,414	7,586	0,000
N40	-0,919	8,081	-20,650
N41	10,414	7,586	0,000
N42	8,081	9,919	-20,650
N43	7,586	10,414	0,000
N44	9,919	8,081	-20,650
N45	0,919	9,919	0,000
N46	9,919	0,919	0,000
N47	8,081	-0,919	0,000
N48	-0,919	8,081	0,000
N49	9,919	8,081	0,000
N50	0,919	-0,919	0,000
N51	8,081	9,919	0,000
N52	-0,919	0,919	0,000
N93	20,000	0,000	0,000
1P41	20,000	0,000	1,200
1P42	20,400	-0,480	0,000
1P43	19,520	0,400	0,000
1P44	20,070	0,070	0,000
N94	29,000	0,000	0,000
1Y2	29,000	0,000	1,200
1P45	29,480	0,400	0,000
1P46	28,600	-0,480	0,000
1P47	28,930	0,070	0,000
N95	29,000	9,000	0,000
1XY2	29,000	9,000	1,200
1P48	28,600	9,480	0,000
1P49	29,480	8,600	0,000
1P50	28,930	8,930	0,000
N96	20,000	9,000	0,000
1X2	20,000	9,000	1,200
1P51	19,520	8,600	0,000
1P52	20,400	9,480	0,000
1P53	20,070	8,930	0,000
N97	17,626	0,400	-11,343
N98	20,400	-2,374	-11,343
N99	27,592	1,408	-11,343
N100	17,626	8,600	-11,343
N101	28,600	-2,374	-11,343
N102	31,374	0,400	-11,343
N103	31,374	8,600	-11,343
N104	28,600	11,374	-11,343
N105	27,592	7,592	-11,343
N106	20,400	11,374	-11,343
N107	21,408	7,592	-11,343
N108	21,408	1,408	-11,343
N109	30,414	1,414	0,000
N110	27,586	-1,414	0,000
N111	28,081	-0,919	-20,650
N112	29,919	0,919	-20,650
N113	21,414	-1,414	0,000
N114	20,919	-0,919	-20,650
N115	18,586	1,414	0,000
N116	19,081	0,919	-20,650
N117	21,414	10,414	0,000
N118	20,919	9,919	-20,650
N119	18,586	7,586	0,000
N120	19,081	8,081	-20,650
N121	30,414	7,586	0,000
N122	28,081	9,919	-20,650
N123	27,586	10,414	0,000
N124	29,919	8,081	-20,650
N125	20,919	9,919	0,000
N126	29,919	0,919	0,000
N127	28,081	-0,919	0,000
N128	19,081	8,081	0,000
N129	29,919	8,081	0,000
N130	20,919	-0,919	0,000
N131	28,081	9,919	0,000
N132	19,081	0,919	0,000

5.2. Analyse model met knopen

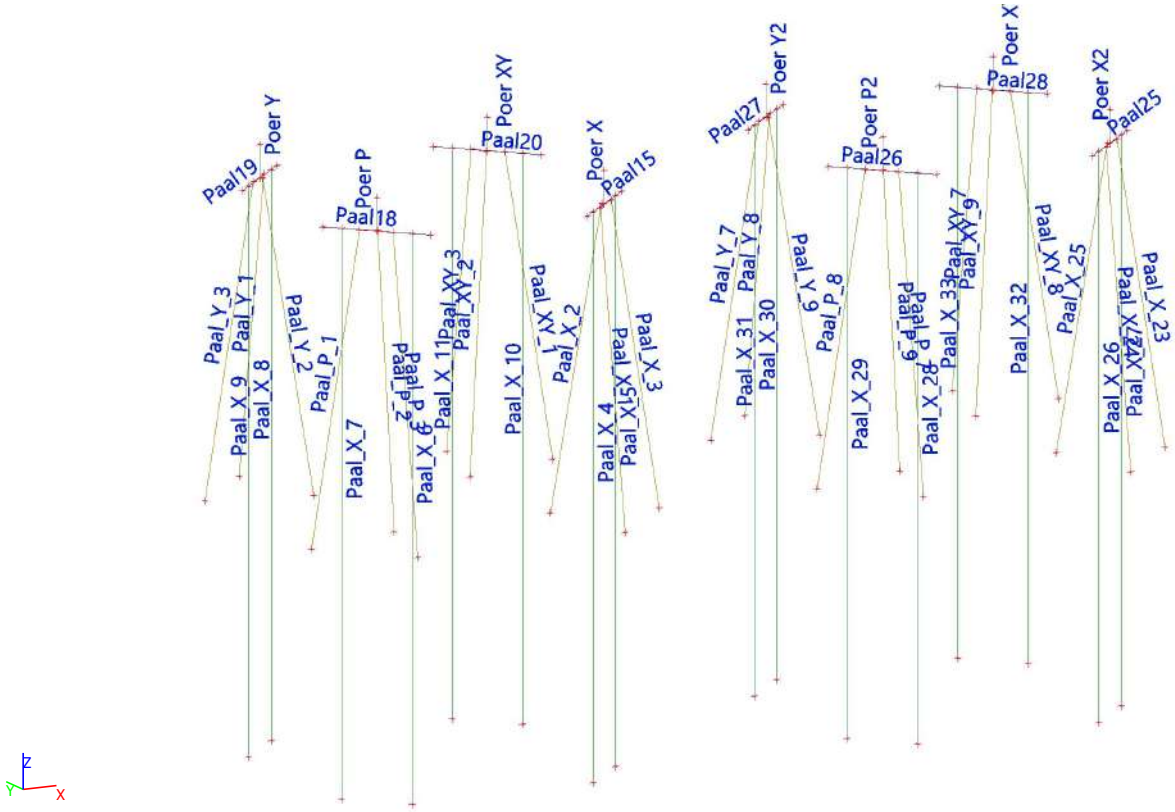


5.3. Members

Name	Cross-section	Material	Length [m]	Beg. node	End node	Type
Paal15	lijnpoer - Rectangle (1100,00; 2260,00)	C30/37 Gescheurd	4,000	N26	N25	beam (80)
Paal18	lijnpoer - Rectangle (1100,00; 2260,00)	C30/37 Gescheurd	4,000	N33	N35	beam (80)
Paal19	lijnpoer - Rectangle (1100,00; 2260,00)	C30/37 Gescheurd	4,000	N37	N39	beam (80)
Paal20	lijnpoer - Rectangle (1100,00; 2260,00)	C30/37 Gescheurd	4,000	N43	N41	beam (80)
Paal25	lijnpoer - Rectangle (1100,00; 2260,00)	C30/37 Gescheurd	4,000	N110	N109	beam (80)
Paal26	lijnpoer - Rectangle (1100,00; 2260,00)	C30/37 Gescheurd	4,000	N113	N115	beam (80)
Paal27	lijnpoer - Rectangle (1100,00; 2260,00)	C30/37 Gescheurd	4,000	N117	N119	beam (80)
Paal28	lijnpoer - Rectangle (1100,00; 2260,00)	C30/37 Gescheurd	4,000	N123	N121	beam (80)
Paal_XY_2	Paal 40x40 - Rectangle (400,00; 400,00)	C20/25 Ongescheurd	11,500	1P20	N18	column (100)
Paal_X_3	Paal 40x40 - Rectangle (400,00; 400,00)	C20/25 Ongescheurd	11,500	1P9	N13	column (100)
Poer P	Poer - Rectangle (2200,00; 1060,00)	C12/15 Gescheurd	1,200	N1	1P	column (100)
Poer P2	Poer - Rectangle (2200,00; 1060,00)	C12/15 Gescheurd	1,200	N93	1P41	column (100)
Paal_P_8	Paal 40x40 - Rectangle (400,00; 400,00)	C20/25 Ongescheurd	11,500	1P43	N97	column (100)
Poer X	Poer - Rectangle (2200,00; 1060,00)	C12/15 Gescheurd	1,200	N2	1Y	column (100)
Paal_P_1	Paal 40x40 - Rectangle (400,00; 400,00)	C20/25 Ongescheurd	11,500	1P4	N5	column (100)
Paal_P_2	Paal 40x40 - Rectangle (400,00; 400,00)	C20/25 Ongescheurd	11,500	1P6	N22	column (100)
Paal_P_7	Paal 40x40 - Rectangle (400,00; 400,00)	C20/25 Ongescheurd	11,500	1P42	N98	column (100)
Paal_XY_1	Paal 40x40 - Rectangle (400,00; 400,00)	C20/25 Ongescheurd	11,500	1P18	N16	column (100)
Paal_XY_3	Paal 40x40 - Rectangle (400,00; 400,00)	C20/25 Ongescheurd	11,500	1P16	N17	column (100)
Paal_XY_7	Paal 40x40 - Rectangle (400,00; 400,00)	C20/25 Ongescheurd	11,500	1P48	N104	column (100)
Paal_XY_8	Paal 40x40 - Rectangle (400,00; 400,00)	C20/25 Ongescheurd	11,500	1P49	N103	column (100)
Paal_X_1	Paal 40x40 - Rectangle (400,00; 400,00)	C20/25 Ongescheurd	11,500	1P11	N12	column (100)
Poer X2	Poer - Rectangle (2200,00; 1060,00)	C12/15 Gescheurd	1,200	N94	1Y2	column (100)
Poer XY	Poer - Rectangle (2200,00; 1060,00)	C12/15 Gescheurd	1,200	N3	1XY	column (100)
Poer XY2	Poer - Rectangle (2200,00; 1060,00)	C12/15 Gescheurd	1,200	N95	1XY2	column (100)
Poer Y	Poer - Rectangle (2200,00; 1060,00)	C12/15 Gescheurd	1,200	N4	1X	column (100)
Poer Y2	Poer - Rectangle (2200,00; 1060,00)	C12/15 Gescheurd	1,200	N96	1X2	column (100)
Paal_P_3	Paal 40x40 - Rectangle (400,00; 400,00)	C20/25 Ongescheurd	11,500	1P2	N6	column (100)
Paal_P_9	Paal 40x40 - Rectangle (400,00; 400,00)	C20/25 Ongescheurd	11,500	1P44	N108	column (100)

Name	Cross-section	Material	Length [m]	Beg. node	End node	Type
Paal_XY_9	Paal 40x40 - Rectangle (400,00; 400,00)	C20/25 Ongescheurd	11,500	1P50	N105	column (100)
Paal_X_2	Paal 40x40 - Rectangle (400,00; 400,00)	C20/25 Ongescheurd	11,500	1P13	N8	column (100)
Paal_X_4	LEKA Paal - type e (CHS219.1/10.0)	S 235	20,650	N47	N27	column (100)
Paal_X_5	LEKA Paal - type e (CHS219.1/10.0)	S 235	20,650	N46	N28	column (100)
Paal_X_6	LEKA Paal - type e (CHS219.1/10.0)	S 235	20,650	N50	N34	column (100)
Paal_X_7	LEKA Paal - type e (CHS219.1/10.0)	S 235	20,650	N52	N36	column (100)
Paal_X_8	LEKA Paal - type e (CHS219.1/10.0)	S 235	20,650	N45	N38	column (100)
Paal_X_9	LEKA Paal - type e (CHS219.1/10.0)	S 235	20,650	N48	N40	column (100)
Paal_X_10	LEKA Paal - type e (CHS219.1/10.0)	S 235	20,650	N49	N44	column (100)
Paal_X_11	LEKA Paal - type e (CHS219.1/10.0)	S 235	20,650	N51	N42	column (100)
Paal_X_23	Paal 40x40 - Rectangle (400,00; 400,00)	C20/25 Ongescheurd	11,500	1P45	N102	column (100)
Paal_X_24	Paal 40x40 - Rectangle (400,00; 400,00)	C20/25 Ongescheurd	11,500	1P46	N101	column (100)
Paal_X_25	Paal 40x40 - Rectangle (400,00; 400,00)	C20/25 Ongescheurd	11,500	1P47	N99	column (100)
Paal_X_26	LEKA Paal - type e (CHS219.1/10.0)	S 235	20,650	N127	N111	column (100)
Paal_X_27	LEKA Paal - type e (CHS219.1/10.0)	S 235	20,650	N126	N112	column (100)
Paal_X_28	LEKA Paal - type e (CHS219.1/10.0)	S 235	20,650	N130	N114	column (100)
Paal_X_29	LEKA Paal - type e (CHS219.1/10.0)	S 235	20,650	N132	N116	column (100)
Paal_X_30	LEKA Paal - type e (CHS219.1/10.0)	S 235	20,650	N125	N118	column (100)
Paal_X_31	LEKA Paal - type e (CHS219.1/10.0)	S 235	20,650	N128	N120	column (100)
Paal_X_32	LEKA Paal - type e (CHS219.1/10.0)	S 235	20,650	N129	N124	column (100)
Paal_X_33	LEKA Paal - type e (CHS219.1/10.0)	S 235	20,650	N131	N122	column (100)
Paal_Y_1	Paal 40x40 - Rectangle (400,00; 400,00)	C20/25 Ongescheurd	11,500	1P25	N20	column (100)
Paal_Y_2	Paal 40x40 - Rectangle (400,00; 400,00)	C20/25 Ongescheurd	11,500	1P27	N21	column (100)
Paal_Y_3	Paal 40x40 - Rectangle (400,00; 400,00)	C20/25 Ongescheurd	11,500	1P23	N10	column (100)
Paal_Y_7	Paal 40x40 - Rectangle (400,00; 400,00)	C20/25 Ongescheurd	11,500	1P51	N100	column (100)
Paal_Y_8	Paal 40x40 - Rectangle (400,00; 400,00)	C20/25 Ongescheurd	11,500	1P52	N106	column (100)
Paal_Y_9	Paal 40x40 - Rectangle (400,00; 400,00)	C20/25 Ongescheurd	11,500	1P53	N107	column (100)

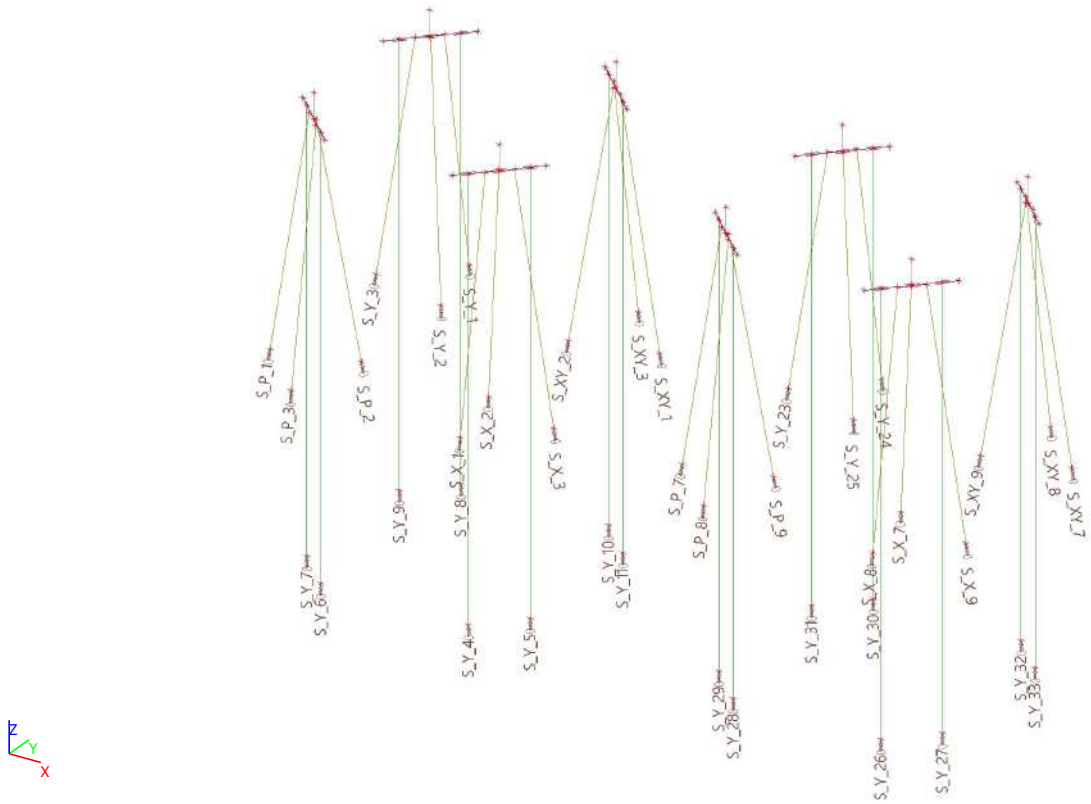
5.4. Analyse model met Staven



5.5. Nodal supports

Name	Node	System	Type	X	Y	Z	Rx	Ry	Rz	Angle [deg]
S_P_1	N5	LCS of node	Standard	Free	Free	Nonlinear	Free	Free	Free	Ry9,50
S_P_2	N22	LCS of node	Standard	Free	Free	Nonlinear	Free	Free	Free	Rx6,72;Ry-6,72
S_P_3	N6	LCS of node	Standard	Free	Free	Nonlinear	Free	Free	Free	Rx-9,50
S_X_1	N12	LCS of node	Standard	Free	Free	Nonlinear	Free	Free	Free	Rx-9,50
S_X_2	N8	LCS of node	Standard	Free	Free	Nonlinear	Free	Free	Free	Rx6,72;Ry6,72
S_X_3	N13	LCS of node	Standard	Free	Free	Nonlinear	Free	Free	Free	Ry-9,50
S_XY_1	N16	LCS of node	Standard	Free	Free	Nonlinear	Free	Free	Free	Ry-9,50
S_XY_2	N18	LCS of node	Standard	Free	Free	Nonlinear	Free	Free	Free	Rx-6,72;Ry6,72
S_XY_3	N17	LCS of node	Standard	Free	Free	Nonlinear	Free	Free	Free	Rx9,50
S_Y_1	N20	LCS of node	Standard	Free	Free	Nonlinear	Free	Free	Free	Rx9,50
S_Y_2	N21	LCS of node	Standard	Free	Free	Nonlinear	Free	Free	Free	Rx-6,72;Ry-6,72
S_Y_3	N10	LCS of node	Standard	Free	Free	Nonlinear	Free	Free	Free	Ry9,50
S_Y_4	N27	LCS of node	Standard	Free	Free	Nonlinear	Free	Free	Free	
S_Y_5	N28	LCS of node	Standard	Free	Free	Nonlinear	Free	Free	Free	
S_Y_6	N34	LCS of node	Standard	Free	Free	Nonlinear	Free	Free	Free	
S_Y_7	N36	LCS of node	Standard	Free	Free	Nonlinear	Free	Free	Free	
S_Y_8	N38	LCS of node	Standard	Free	Free	Nonlinear	Free	Free	Free	
S_Y_9	N40	LCS of node	Standard	Free	Free	Nonlinear	Free	Free	Free	
S_Y_10	N42	LCS of node	Standard	Free	Free	Nonlinear	Free	Free	Free	
S_Y_11	N44	LCS of node	Standard	Free	Free	Nonlinear	Free	Free	Free	
S_P_7	N97	LCS of node	Standard	Free	Free	Nonlinear	Free	Free	Free	Ry9,50
S_P_8	N98	LCS of node	Standard	Free	Free	Nonlinear	Free	Free	Free	Rx-9,50
S_X_7	N99	LCS of node	Standard	Free	Free	Nonlinear	Free	Free	Free	Rx6,72;Ry6,72
S_Y_23	N100	LCS of node	Standard	Free	Free	Nonlinear	Free	Free	Free	Ry9,50
S_X_8	N101	LCS of node	Standard	Free	Free	Nonlinear	Free	Free	Free	Rx-9,50
S_X_9	N102	LCS of node	Standard	Free	Free	Nonlinear	Free	Free	Free	Ry-9,50
S_XY_7	N103	LCS of node	Standard	Free	Free	Nonlinear	Free	Free	Free	Ry-9,50
S_XY_8	N104	LCS of node	Standard	Free	Free	Nonlinear	Free	Free	Free	Rx9,50
S_XY_9	N105	LCS of node	Standard	Free	Free	Nonlinear	Free	Free	Free	Rx-6,72;Ry6,72
S_Y_24	N106	LCS of node	Standard	Free	Free	Nonlinear	Free	Free	Free	Rx9,50
S_Y_25	N107	LCS of node	Standard	Free	Free	Nonlinear	Free	Free	Free	Rx-6,72;Ry-6,72
S_P_9	N108	LCS of node	Standard	Free	Free	Nonlinear	Free	Free	Free	Rx6,72;Ry-6,72
S_Y_26	N111	LCS of node	Standard	Free	Free	Nonlinear	Free	Free	Free	
S_Y_27	N112	LCS of node	Standard	Free	Free	Nonlinear	Free	Free	Free	
S_Y_28	N114	LCS of node	Standard	Free	Free	Nonlinear	Free	Free	Free	
S_Y_29	N116	LCS of node	Standard	Free	Free	Nonlinear	Free	Free	Free	
S_Y_30	N118	LCS of node	Standard	Free	Free	Nonlinear	Free	Free	Free	
S_Y_31	N120	LCS of node	Standard	Free	Free	Nonlinear	Free	Free	Free	
S_Y_32	N122	LCS of node	Standard	Free	Free	Nonlinear	Free	Free	Free	
S_Y_33	N124	LCS of node	Standard	Free	Free	Nonlinear	Free	Free	Free	

5.6. Analyse model met Knoopondersteuningen



5.7. Line supports on member

Name	Type	Member System	Pos x_1 [m] Pos x_2 [m]	X	Y	Z	Rx	Ry	Rz	Function Y	Function Z
Veen4	Line	Paal_X_1 LCS	1,000 8,000	Free	Nonlinear	Nonlinear	Free	Free	Free	PY-curve-1_Veen	PY-curve-1_Veen
Veen16	Line	Paal_XY_9 LCS	1,000 8,000	Free	Nonlinear	Nonlinear	Free	Free	Free	PY-curve-1_Veen	PY-curve-1_Veen
Veen39	Line	Paal_X_33 LCS	1,000 8,000	Free	Nonlinear	Nonlinear	Free	Free	Free	PY-curve-1_Veen.B	PY-curve-1_Veen.B
Veen33	Line	Paal_X_27 LCS	1,000 8,000	Free	Nonlinear	Nonlinear	Free	Free	Free	PY-curve-1_Veen.B	PY-curve-1_Veen.B
Veen23	Line	Paal_X_23 LCS	1,000 8,000	Free	Nonlinear	Nonlinear	Free	Free	Free	PY-curve-1_Veen	PY-curve-1_Veen
Veen17	Line	Paal_Y_7 LCS	1,000 8,000	Free	Nonlinear	Nonlinear	Free	Free	Free	PY-curve-1_Veen	PY-curve-1_Veen
Veen1	Line	Paal_P_1 LCS	1,000 8,000	Free	Nonlinear	Nonlinear	Free	Free	Free	PY-curve-1_Veen	PY-curve-1_Veen
Veen3	Line	Paal_X_3 LCS	1,000 8,000	Free	Nonlinear	Nonlinear	Free	Free	Free	PY-curve-1_Veen	PY-curve-1_Veen
Veen25	Line	Paal_X_5 LCS	1,000 8,000	Free	Nonlinear	Nonlinear	Free	Free	Free	PY-curve-1_Veen.B	PY-curve-1_Veen.B
Veen15	Line	Paal_XY_8 LCS	1,000 8,000	Free	Nonlinear	Nonlinear	Free	Free	Free	PY-curve-1_Veen	PY-curve-1_Veen
Veen35	Line	Paal_X_29 LCS	1,000 8,000	Free	Nonlinear	Nonlinear	Free	Free	Free	PY-curve-1_Veen.B	PY-curve-1_Veen.B
Veen6	Line	Paal_XY_3 LCS	1,000 8,000	Free	Nonlinear	Nonlinear	Free	Free	Free	PY-curve-1_Veen	PY-curve-1_Veen
Veen21	Line	Paal_P_8 LCS	1,000 8,000	Free	Nonlinear	Nonlinear	Free	Free	Free	PY-curve-1_Veen	PY-curve-1_Veen
Veen9	Line	Paal_Y_3	1,000	Free	Nonlinear	Nonlinear	Free	Free	Free	PY-curve-1_Veen	PY-curve-1_Veen

Name	Type	Member System	Pos x_1 [m] Pos x_2 [m]	X	Y	Z	Rx	Ry	Rz	Function Y	Function Z
		LCS	8,000								
Veen12	Line	Paal_X_24	1,000	Free	Nonlinear	Nonlinear	Free	Free	Free	PY-curve-1_Veen	PY-curve-1_Veen
		LCS	8,000								
Veen18	Line	Paal_Y_8	1,000	Free	Nonlinear	Nonlinear	Free	Free	Free	PY-curve-1_Veen	PY-curve-1_Veen
		LCS	8,000								
Veen26	Line	Paal_X_6	1,000	Free	Nonlinear	Nonlinear	Free	Free	Free	PY-curve-1_Veen.B	PY-curve-1_Veen.B
		LCS	8,000								
Veen19	Line	Paal_Y_9	1,000	Free	Nonlinear	Nonlinear	Free	Free	Free	PY-curve-1_Veen	PY-curve-1_Veen
		LCS	8,000								
Veen5	Line	Paal_X_2	1,000	Free	Nonlinear	Nonlinear	Free	Free	Free	PY-curve-1_Veen	PY-curve-1_Veen
		LCS	8,000								
Veen27	Line	Paal_X_7	1,000	Free	Nonlinear	Nonlinear	Free	Free	Free	PY-curve-1_Veen.B	PY-curve-1_Veen.B
		LCS	8,000								
Veen36	Line	Paal_X_30	1,000	Free	Nonlinear	Nonlinear	Free	Free	Free	PY-curve-1_Veen.B	PY-curve-1_Veen.B
		LCS	8,000								
Veen13	Line	Paal_X_25	1,000	Free	Nonlinear	Nonlinear	Free	Free	Free	PY-curve-1_Veen	PY-curve-1_Veen
		LCS	8,000								
Veen2	Line	Paal_P_2	1,000	Free	Nonlinear	Nonlinear	Free	Free	Free	PY-curve-1_Veen	PY-curve-1_Veen
		LCS	8,000								
Veen14	Line	Paal_XY_7	1,000	Free	Nonlinear	Nonlinear	Free	Free	Free	PY-curve-1_Veen	PY-curve-1_Veen
		LCS	8,000								
Veen20	Line	Paal_P_7	1,000	Free	Nonlinear	Nonlinear	Free	Free	Free	PY-curve-1_Veen	PY-curve-1_Veen
		LCS	8,000								
Veen11	Line	Paal_Y_2	1,000	Free	Nonlinear	Nonlinear	Free	Free	Free	PY-curve-1_Veen	PY-curve-1_Veen
		LCS	8,000								
Veen	Line	Paal_P_3	1,000	Free	Nonlinear	Nonlinear	Free	Free	Free	PY-curve-1_Veen	PY-curve-1_Veen
		LCS	8,000								
Veen31	Line	Paal_X_11	1,000	Free	Nonlinear	Nonlinear	Free	Free	Free	PY-curve-1_Veen.B	PY-curve-1_Veen.B
		LCS	8,000								
Veen29	Line	Paal_X_9	1,000	Free	Nonlinear	Nonlinear	Free	Free	Free	PY-curve-1_Veen.B	PY-curve-1_Veen.B
		LCS	8,000								
Veen34	Line	Paal_X_28	1,000	Free	Nonlinear	Nonlinear	Free	Free	Free	PY-curve-1_Veen.B	PY-curve-1_Veen.B
		LCS	8,000								
Veen10	Line	Paal_Y_1	1,000	Free	Nonlinear	Nonlinear	Free	Free	Free	PY-curve-1_Veen	PY-curve-1_Veen
		LCS	8,000								
Veen24	Line	Paal_X_4	1,000	Free	Nonlinear	Nonlinear	Free	Free	Free	PY-curve-1_Veen.B	PY-curve-1_Veen.B
		LCS	8,000								
Veen38	Line	Paal_X_32	1,000	Free	Nonlinear	Nonlinear	Free	Free	Free	PY-curve-1_Veen.B	PY-curve-1_Veen.B
		LCS	8,000								
Veen22	Line	Paal_P_9	1,000	Free	Nonlinear	Nonlinear	Free	Free	Free	PY-curve-1_Veen	PY-curve-1_Veen
		LCS	8,000								
Veen28	Line	Paal_X_8	1,000	Free	Nonlinear	Nonlinear	Free	Free	Free	PY-curve-1_Veen.B	PY-curve-1_Veen.B
		LCS	8,000								
Veen37	Line	Paal_X_31	1,000	Free	Nonlinear	Nonlinear	Free	Free	Free	PY-curve-1_Veen.B	PY-curve-1_Veen.B
		LCS	8,000								
Veen7	Line	Paal_XY_1	1,000	Free	Nonlinear	Nonlinear	Free	Free	Free	PY-curve-1_Veen	PY-curve-1_Veen
		LCS	8,000								
Veen32	Line	Paal_X_26	1,000	Free	Nonlinear	Nonlinear	Free	Free	Free	PY-curve-1_Veen.B	PY-curve-1_Veen.B
		LCS	8,000								
Veen30	Line	Paal_X_10	1,000	Free	Nonlinear	Nonlinear	Free	Free	Free	PY-curve-1_Veen.B	PY-curve-1_Veen.B
		LCS	8,000								
Veen8	Line	Paal_XY_2	1,000	Free	Nonlinear	Nonlinear	Free	Free	Free	PY-curve-1_Veen	PY-curve-1_Veen
		LCS	8,000								
(PY-curve-1_V1)10	Line	Paal_XY_2	8,000	Free	Nonlinear	Nonlinear	Free	Free	Free	PY-curve-1_V1	PY-curve-1_V1
		LCS	9,000								
(PY-curve-1_V1)13	Line	Paal_X_25	8,000	Free	Nonlinear	Nonlinear	Free	Free	Free	PY-curve-1_V1	PY-curve-1_V1
		LCS	9,000								
(PY-curve-1_V1)23	Line	Paal_X_23	8,000	Free	Nonlinear	Nonlinear	Free	Free	Free	PY-curve-1_V1	PY-curve-1_V1
		LCS	9,000								
(PY-curve-1_V1)1	Line	Paal_P_3	8,000	Free	Nonlinear	Nonlinear	Free	Free	Free	PY-curve-1_V1	PY-curve-1_V1
		LCS	9,000								
(PY-curve-1_V1)24	Line	Paal_X_4	8,000	Free	Nonlinear	Nonlinear	Free	Free	Free	PY-curve-1_V1.B	PY-curve-1_V1.B
		LCS	9,000								
(PY-curve-1_V1)7	Line	Paal_Y_3	8,000	Free	Nonlinear	Nonlinear	Free	Free	Free	PY-curve-1_V1	PY-curve-1_V1

Name	Type	Member System	Pos x_1 [m] Pos x_2 [m]	X	Y	Z	Rx	Ry	Rz	Function Y	Function Z
		LCS	9,000								
(PY-curve-1_V1)6	Line	Paal_Y_1 LCS	8,000 9,000	Free	Nonlinear	Nonlinear	Free	Free	Free	PY-curve-1_V1	PY-curve-1_V1
(PY-curve-1_V1)35	Line	Paal_X_29 LCS	8,000 9,000	Free	Nonlinear	Nonlinear	Free	Free	Free	PY-curve-1_V1.B	PY-curve-1_V1.B
(PY-curve-1_V1)3	Line	Paal_X_3 LCS	8,000 9,000	Free	Nonlinear	Nonlinear	Free	Free	Free	PY-curve-1_V1	PY-curve-1_V1
(PY-curve-1_V1)20	Line	Paal_P_7 LCS	8,000 9,000	Free	Nonlinear	Nonlinear	Free	Free	Free	PY-curve-1_V1	PY-curve-1_V1
(PY-curve-1_V1)14	Line	Paal_XY_7 LCS	8,000 9,000	Free	Nonlinear	Nonlinear	Free	Free	Free	PY-curve-1_V1	PY-curve-1_V1
(PY-curve-1_V1)33	Line	Paal_X_27 LCS	8,000 9,000	Free	Nonlinear	Nonlinear	Free	Free	Free	PY-curve-1_V1.B	PY-curve-1_V1.B
(PY-curve-1_V1)22	Line	Paal_P_9 LCS	8,000 9,000	Free	Nonlinear	Nonlinear	Free	Free	Free	PY-curve-1_V1	PY-curve-1_V1
(PY-curve-1_V1)21	Line	Paal_P_8 LCS	8,000 9,000	Free	Nonlinear	Nonlinear	Free	Free	Free	PY-curve-1_V1	PY-curve-1_V1
(PY-curve-1_V1)38	Line	Paal_X_32 LCS	8,000 9,000	Free	Nonlinear	Nonlinear	Free	Free	Free	PY-curve-1_V1.B	PY-curve-1_V1.B
(PY-curve-1_V1)37	Line	Paal_X_31 LCS	8,000 9,000	Free	Nonlinear	Nonlinear	Free	Free	Free	PY-curve-1_V1.B	PY-curve-1_V1.B
(PY-curve-1_V1)19	Line	Paal_Y_9 LCS	8,000 9,000	Free	Nonlinear	Nonlinear	Free	Free	Free	PY-curve-1_V1	PY-curve-1_V1
(PY-curve-1_V1)36	Line	Paal_X_30 LCS	8,000 9,000	Free	Nonlinear	Nonlinear	Free	Free	Free	PY-curve-1_V1.B	PY-curve-1_V1.B
(PY-curve-1_V1)29	Line	Paal_X_9 LCS	8,000 9,000	Free	Nonlinear	Nonlinear	Free	Free	Free	PY-curve-1_V1.B	PY-curve-1_V1.B
(PY-curve-1_V1)	Line	Paal_P_1 LCS	8,000 9,000	Free	Nonlinear	Nonlinear	Free	Free	Free	PY-curve-1_V1	PY-curve-1_V1
(PY-curve-1_V1)34	Line	Paal_X_28 LCS	8,000 9,000	Free	Nonlinear	Nonlinear	Free	Free	Free	PY-curve-1_V1.B	PY-curve-1_V1.B
(PY-curve-1_V1)5	Line	Paal_XY_3 LCS	8,000 9,000	Free	Nonlinear	Nonlinear	Free	Free	Free	PY-curve-1_V1	PY-curve-1_V1
(PY-curve-1_V1)28	Line	Paal_X_8 LCS	8,000 9,000	Free	Nonlinear	Nonlinear	Free	Free	Free	PY-curve-1_V1.B	PY-curve-1_V1.B
(PY-curve-1_V1)32	Line	Paal_X_26 LCS	8,000 9,000	Free	Nonlinear	Nonlinear	Free	Free	Free	PY-curve-1_V1.B	PY-curve-1_V1.B
(PY-curve-1_V1)27	Line	Paal_X_7 LCS	8,000 9,000	Free	Nonlinear	Nonlinear	Free	Free	Free	PY-curve-1_V1.B	PY-curve-1_V1.B
(PY-curve-1_V1)26	Line	Paal_X_6 LCS	8,000 9,000	Free	Nonlinear	Nonlinear	Free	Free	Free	PY-curve-1_V1.B	PY-curve-1_V1.B
(PY-curve-1_V1)39	Line	Paal_X_33 LCS	8,000 9,000	Free	Nonlinear	Nonlinear	Free	Free	Free	PY-curve-1_V1.B	PY-curve-1_V1.B
(PY-curve-1_V1)2	Line	Paal_X_1 LCS	8,000 9,000	Free	Nonlinear	Nonlinear	Free	Free	Free	PY-curve-1_V1	PY-curve-1_V1
(PY-curve-1_V1)9	Line	Paal_X_2 LCS	8,000 9,000	Free	Nonlinear	Nonlinear	Free	Free	Free	PY-curve-1_V1	PY-curve-1_V1
(PY-curve-1_V1)18	Line	Paal_Y_8 LCS	8,000 9,000	Free	Nonlinear	Nonlinear	Free	Free	Free	PY-curve-1_V1	PY-curve-1_V1
(PY-curve-1_V1)30	Line	Paal_X_10 LCS	8,000 9,000	Free	Nonlinear	Nonlinear	Free	Free	Free	PY-curve-1_V1.B	PY-curve-1_V1.B
(PY-curve-1_V1)15	Line	Paal_XY_8 LCS	8,000 9,000	Free	Nonlinear	Nonlinear	Free	Free	Free	PY-curve-1_V1	PY-curve-1_V1
(PY-curve-1_V1)12	Line	Paal_X_24 LCS	8,000 9,000	Free	Nonlinear	Nonlinear	Free	Free	Free	PY-curve-1_V1	PY-curve-1_V1
(PY-curve-1_V1)11	Line	Paal_Y_2 LCS	8,000 9,000	Free	Nonlinear	Nonlinear	Free	Free	Free	PY-curve-1_V1	PY-curve-1_V1
(PY-curve-1_V1)16	Line	Paal_XY_9 LCS	8,000 9,000	Free	Nonlinear	Nonlinear	Free	Free	Free	PY-curve-1_V1	PY-curve-1_V1
(PY-curve-1_V1)31	Line	Paal_X_11 LCS	8,000 9,000	Free	Nonlinear	Nonlinear	Free	Free	Free	PY-curve-1_V1.B	PY-curve-1_V1.B
(PY-curve-1_V1)17	Line	Paal_Y_7 LCS	8,000 9,000	Free	Nonlinear	Nonlinear	Free	Free	Free	PY-curve-1_V1	PY-curve-1_V1
(PY-curve-1_V1)25	Line	Paal_X_5	8,000	Free	Nonlinear	Nonlinear	Free	Free	Free	PY-curve-1_V1.B	PY-curve-1_V1.B

Name	Type	Member System	Pos x_1 [m] Pos x_2 [m]	X	Y	Z	Rx	Ry	Rz	Function Y	Function Z
		LCS	9,000								
(PY-curve-1_V1)4	Line	Paal_XY_1 LCS	8,000 9,000	Free	Nonlinear	Nonlinear	Free	Free	Free	PY-curve-1_V1	PY-curve-1_V1
(PY-curve-1_V1)8	Line	Paal_P_2 LCS	8,000 9,000	Free	Nonlinear	Nonlinear	Free	Free	Free	PY-curve-1_V1	PY-curve-1_V1
(PY-curve-1_V2)13	Line	Paal_X_25 LCS	9,000 10,000	Free	Nonlinear	Nonlinear	Free	Free	Free	PY-curve-1_V2	PY-curve-1_V2
(PY-curve-1_V2)24	Line	Paal_X_4 LCS	9,000 10,000	Free	Nonlinear	Nonlinear	Free	Free	Free	PY-curve-1_V2.B	PY-curve-1_V2.B
(PY-curve-1_V2)7	Line	Paal_Y_3 LCS	9,000 10,000	Free	Nonlinear	Nonlinear	Free	Free	Free	PY-curve-1_V2	PY-curve-1_V2
(PY-curve-1_V2)23	Line	Paal_X_23 LCS	9,000 10,000	Free	Nonlinear	Nonlinear	Free	Free	Free	PY-curve-1_V2	PY-curve-1_V2
(PY-curve-1_V2)22	Line	Paal_P_9 LCS	9,000 10,000	Free	Nonlinear	Nonlinear	Free	Free	Free	PY-curve-1_V2	PY-curve-1_V2
(PY-curve-1_V2)3	Line	Paal_X_3 LCS	9,000 10,000	Free	Nonlinear	Nonlinear	Free	Free	Free	PY-curve-1_V2	PY-curve-1_V2
(PY-curve-1_V2)21	Line	Paal_P_8 LCS	9,000 10,000	Free	Nonlinear	Nonlinear	Free	Free	Free	PY-curve-1_V2	PY-curve-1_V2
(PY-curve-1_V2)6	Line	Paal_Y_1 LCS	9,000 10,000	Free	Nonlinear	Nonlinear	Free	Free	Free	PY-curve-1_V2	PY-curve-1_V2
(PY-curve-1_V2)20	Line	Paal_P_7 LCS	9,000 10,000	Free	Nonlinear	Nonlinear	Free	Free	Free	PY-curve-1_V2	PY-curve-1_V2
(PY-curve-1_V2)12	Line	Paal_X_24 LCS	9,000 10,000	Free	Nonlinear	Nonlinear	Free	Free	Free	PY-curve-1_V2	PY-curve-1_V2
(PY-curve-1_V2)39	Line	Paal_X_33 LCS	9,000 10,000	Free	Nonlinear	Nonlinear	Free	Free	Free	PY-curve-1_V2.B	PY-curve-1_V2.B
(PY-curve-1_V2)38	Line	Paal_X_32 LCS	9,000 10,000	Free	Nonlinear	Nonlinear	Free	Free	Free	PY-curve-1_V2.B	PY-curve-1_V2.B
(PY-curve-1_V2)31	Line	Paal_X_11 LCS	9,000 10,000	Free	Nonlinear	Nonlinear	Free	Free	Free	PY-curve-1_V2.B	PY-curve-1_V2.B
(PY-curve-1_V2)37	Line	Paal_X_31 LCS	9,000 10,000	Free	Nonlinear	Nonlinear	Free	Free	Free	PY-curve-1_V2.B	PY-curve-1_V2.B
(PY-curve-1_V2)30	Line	Paal_X_10 LCS	9,000 10,000	Free	Nonlinear	Nonlinear	Free	Free	Free	PY-curve-1_V2.B	PY-curve-1_V2.B
(PY-curve-1_V2)36	Line	Paal_X_30 LCS	9,000 10,000	Free	Nonlinear	Nonlinear	Free	Free	Free	PY-curve-1_V2.B	PY-curve-1_V2.B
(PY-curve-1_V2)35	Line	Paal_X_29 LCS	9,000 10,000	Free	Nonlinear	Nonlinear	Free	Free	Free	PY-curve-1_V2.B	PY-curve-1_V2.B
(PY-curve-1_V2)1	Line	Paal_P_3 LCS	9,000 10,000	Free	Nonlinear	Nonlinear	Free	Free	Free	PY-curve-1_V2	PY-curve-1_V2
(PY-curve-1_V2)34	Line	Paal_X_28 LCS	9,000 10,000	Free	Nonlinear	Nonlinear	Free	Free	Free	PY-curve-1_V2.B	PY-curve-1_V2.B
(PY-curve-1_V2)10	Line	Paal_XY_2 LCS	9,000 10,000	Free	Nonlinear	Nonlinear	Free	Free	Free	PY-curve-1_V2	PY-curve-1_V2
(PY-curve-1_V2)33	Line	Paal_X_27 LCS	9,000 10,000	Free	Nonlinear	Nonlinear	Free	Free	Free	PY-curve-1_V2.B	PY-curve-1_V2.B
(PY-curve-1_V2)29	Line	Paal_X_9 LCS	9,000 10,000	Free	Nonlinear	Nonlinear	Free	Free	Free	PY-curve-1_V2.B	PY-curve-1_V2.B
(PY-curve-1_V2)28	Line	Paal_X_8 LCS	9,000 10,000	Free	Nonlinear	Nonlinear	Free	Free	Free	PY-curve-1_V2.B	PY-curve-1_V2.B
(PY-curve-1_V2)2	Line	Paal_X_1 LCS	9,000 10,000	Free	Nonlinear	Nonlinear	Free	Free	Free	PY-curve-1_V2	PY-curve-1_V2
(PY-curve-1_V2)32	Line	Paal_X_26 LCS	9,000 10,000	Free	Nonlinear	Nonlinear	Free	Free	Free	PY-curve-1_V2.B	PY-curve-1_V2.B
(PY-curve-1_V2)9	Line	Paal_X_2 LCS	9,000 10,000	Free	Nonlinear	Nonlinear	Free	Free	Free	PY-curve-1_V2	PY-curve-1_V2
(PY-curve-1_V2)19	Line	Paal_Y_9 LCS	9,000 10,000	Free	Nonlinear	Nonlinear	Free	Free	Free	PY-curve-1_V2	PY-curve-1_V2
(PY-curve-1_V2)27	Line	Paal_X_7 LCS	9,000 10,000	Free	Nonlinear	Nonlinear	Free	Free	Free	PY-curve-1_V2.B	PY-curve-1_V2.B
(PY-curve-1_V2)18	Line	Paal_Y_8 LCS	9,000 10,000	Free	Nonlinear	Nonlinear	Free	Free	Free	PY-curve-1_V2	PY-curve-1_V2
(PY-curve-1_V2)5	Line	Paal_XY_3	9,000	Free	Nonlinear	Nonlinear	Free	Free	Free	PY-curve-1_V2	PY-curve-1_V2

Name	Type	Member System	Pos x_1 [m] Pos x_2 [m]	X	Y	Z	Rx	Ry	Rz	Function Y	Function Z
		LCS	10,000								
(PY-curve-1_V2)26	Line	Paal_X_6 LCS	9,000 10,000	Free	Nonlinear	Nonlinear	Free	Free	Free	PY-curve-1_V2.B	PY-curve-1_V2.B
(PY-curve-1_V2)4	Line	Paal_XY_1 LCS	9,000 10,000	Free	Nonlinear	Nonlinear	Free	Free	Free	PY-curve-1_V2	PY-curve-1_V2
(PY-curve-1_V2)	Line	Paal_P_1 LCS	9,000 10,000	Free	Nonlinear	Nonlinear	Free	Free	Free	PY-curve-1_V2	PY-curve-1_V2
(PY-curve-1_V2)16	Line	Paal_XY_9 LCS	9,000 10,000	Free	Nonlinear	Nonlinear	Free	Free	Free	PY-curve-1_V2	PY-curve-1_V2
(PY-curve-1_V2)17	Line	Paal_Y_7 LCS	9,000 10,000	Free	Nonlinear	Nonlinear	Free	Free	Free	PY-curve-1_V2	PY-curve-1_V2
(PY-curve-1_V2)8	Line	Paal_P_2 LCS	9,000 10,000	Free	Nonlinear	Nonlinear	Free	Free	Free	PY-curve-1_V2	PY-curve-1_V2
(PY-curve-1_V2)15	Line	Paal_XY_8 LCS	9,000 10,000	Free	Nonlinear	Nonlinear	Free	Free	Free	PY-curve-1_V2	PY-curve-1_V2
(PY-curve-1_V2)25	Line	Paal_X_5 LCS	9,000 10,000	Free	Nonlinear	Nonlinear	Free	Free	Free	PY-curve-1_V2.B	PY-curve-1_V2.B
(PY-curve-1_V2)14	Line	Paal_XY_7 LCS	9,000 10,000	Free	Nonlinear	Nonlinear	Free	Free	Free	PY-curve-1_V2	PY-curve-1_V2
(PY-curve-1_V2)11	Line	Paal_Y_2 LCS	9,000 10,000	Free	Nonlinear	Nonlinear	Free	Free	Free	PY-curve-1_V2	PY-curve-1_V2
(PY-curve-1_V3)	Line	Paal_P_1 LCS	10,000 11,000	Free	Nonlinear	Nonlinear	Free	Free	Free	PY-curve-1_V3	PY-curve-1_V3
(PY-curve-1_V3)24	Line	Paal_X_4 LCS	10,000 11,000	Free	Nonlinear	Nonlinear	Free	Free	Free	PY-curve-1_V3.B	PY-curve-1_V3.B
(PY-curve-1_V3)7	Line	Paal_Y_3 LCS	10,000 11,000	Free	Nonlinear	Nonlinear	Free	Free	Free	PY-curve-1_V3	PY-curve-1_V3
(PY-curve-1_V3)1	Line	Paal_P_3 LCS	10,000 11,000	Free	Nonlinear	Nonlinear	Free	Free	Free	PY-curve-1_V3	PY-curve-1_V3
(PY-curve-1_V3)12	Line	Paal_X_24 LCS	10,000 11,000	Free	Nonlinear	Nonlinear	Free	Free	Free	PY-curve-1_V3	PY-curve-1_V3
(PY-curve-1_V3)23	Line	Paal_X_23 LCS	10,000 11,000	Free	Nonlinear	Nonlinear	Free	Free	Free	PY-curve-1_V3	PY-curve-1_V3
(PY-curve-1_V3)3	Line	Paal_X_3 LCS	10,000 11,000	Free	Nonlinear	Nonlinear	Free	Free	Free	PY-curve-1_V3	PY-curve-1_V3
(PY-curve-1_V3)22	Line	Paal_P_9 LCS	10,000 11,000	Free	Nonlinear	Nonlinear	Free	Free	Free	PY-curve-1_V3	PY-curve-1_V3
(PY-curve-1_V3)6	Line	Paal_Y_1 LCS	10,000 11,000	Free	Nonlinear	Nonlinear	Free	Free	Free	PY-curve-1_V3	PY-curve-1_V3
(PY-curve-1_V3)21	Line	Paal_P_8 LCS	10,000 11,000	Free	Nonlinear	Nonlinear	Free	Free	Free	PY-curve-1_V3	PY-curve-1_V3
(PY-curve-1_V3)20	Line	Paal_P_7 LCS	10,000 11,000	Free	Nonlinear	Nonlinear	Free	Free	Free	PY-curve-1_V3	PY-curve-1_V3
(PY-curve-1_V3)39	Line	Paal_X_33 LCS	10,000 11,000	Free	Nonlinear	Nonlinear	Free	Free	Free	PY-curve-1_V3.B	PY-curve-1_V3.B
(PY-curve-1_V3)31	Line	Paal_X_11 LCS	10,000 11,000	Free	Nonlinear	Nonlinear	Free	Free	Free	PY-curve-1_V3.B	PY-curve-1_V3.B
(PY-curve-1_V3)38	Line	Paal_X_32 LCS	10,000 11,000	Free	Nonlinear	Nonlinear	Free	Free	Free	PY-curve-1_V3.B	PY-curve-1_V3.B
(PY-curve-1_V3)11	Line	Paal_Y_2 LCS	10,000 11,000	Free	Nonlinear	Nonlinear	Free	Free	Free	PY-curve-1_V3	PY-curve-1_V3
(PY-curve-1_V3)37	Line	Paal_X_31 LCS	10,000 11,000	Free	Nonlinear	Nonlinear	Free	Free	Free	PY-curve-1_V3.B	PY-curve-1_V3.B
(PY-curve-1_V3)5	Line	Paal_XY_3 LCS	10,000 11,000	Free	Nonlinear	Nonlinear	Free	Free	Free	PY-curve-1_V3	PY-curve-1_V3
(PY-curve-1_V3)30	Line	Paal_X_10 LCS	10,000 11,000	Free	Nonlinear	Nonlinear	Free	Free	Free	PY-curve-1_V3.B	PY-curve-1_V3.B
(PY-curve-1_V3)36	Line	Paal_X_30 LCS	10,000 11,000	Free	Nonlinear	Nonlinear	Free	Free	Free	PY-curve-1_V3.B	PY-curve-1_V3.B
(PY-curve-1_V3)2	Line	Paal_X_1 LCS	10,000 11,000	Free	Nonlinear	Nonlinear	Free	Free	Free	PY-curve-1_V3	PY-curve-1_V3
(PY-curve-1_V3)35	Line	Paal_X_29 LCS	10,000 11,000	Free	Nonlinear	Nonlinear	Free	Free	Free	PY-curve-1_V3.B	PY-curve-1_V3.B
(PY-curve-1_V3)29	Line	Paal_X_9	10,000	Free	Nonlinear	Nonlinear	Free	Free	Free	PY-curve-1_V3.B	PY-curve-1_V3.B

Name	Type	Member System	Pos x_1 [m] Pos x_2 [m]	X	Y	Z	Rx	Ry	Rz	Function Y	Function Z
		LCS	11,000								
(PY-curve-1_V3)10	Line	Paal_XY_2 LCS	10,000 11,000	Free	Nonlinear	Nonlinear	Free	Free	Free	PY-curve-1_V3	PY-curve-1_V3
(PY-curve-1_V3)34	Line	Paal_X_28 LCS	10,000 11,000	Free	Nonlinear	Nonlinear	Free	Free	Free	PY-curve-1_V3.B	PY-curve-1_V3.B
(PY-curve-1_V3)33	Line	Paal_X_27 LCS	10,000 11,000	Free	Nonlinear	Nonlinear	Free	Free	Free	PY-curve-1_V3.B	PY-curve-1_V3.B
(PY-curve-1_V3)28	Line	Paal_X_8 LCS	10,000 11,000	Free	Nonlinear	Nonlinear	Free	Free	Free	PY-curve-1_V3.B	PY-curve-1_V3.B
(PY-curve-1_V3)32	Line	Paal_X_26 LCS	10,000 11,000	Free	Nonlinear	Nonlinear	Free	Free	Free	PY-curve-1_V3.B	PY-curve-1_V3.B
(PY-curve-1_V3)19	Line	Paal_Y_9 LCS	10,000 11,000	Free	Nonlinear	Nonlinear	Free	Free	Free	PY-curve-1_V3	PY-curve-1_V3
(PY-curve-1_V3)27	Line	Paal_X_7 LCS	10,000 11,000	Free	Nonlinear	Nonlinear	Free	Free	Free	PY-curve-1_V3.B	PY-curve-1_V3.B
(PY-curve-1_V3)18	Line	Paal_Y_8 LCS	10,000 11,000	Free	Nonlinear	Nonlinear	Free	Free	Free	PY-curve-1_V3	PY-curve-1_V3
(PY-curve-1_V3)17	Line	Paal_Y_7 LCS	10,000 11,000	Free	Nonlinear	Nonlinear	Free	Free	Free	PY-curve-1_V3	PY-curve-1_V3
(PY-curve-1_V3)4	Line	Paal_XY_1 LCS	10,000 11,000	Free	Nonlinear	Nonlinear	Free	Free	Free	PY-curve-1_V3	PY-curve-1_V3
(PY-curve-1_V3)9	Line	Paal_X_2 LCS	10,000 11,000	Free	Nonlinear	Nonlinear	Free	Free	Free	PY-curve-1_V3	PY-curve-1_V3
(PY-curve-1_V3)16	Line	Paal_XY_9 LCS	10,000 11,000	Free	Nonlinear	Nonlinear	Free	Free	Free	PY-curve-1_V3	PY-curve-1_V3
(PY-curve-1_V3)8	Line	Paal_P_2 LCS	10,000 11,000	Free	Nonlinear	Nonlinear	Free	Free	Free	PY-curve-1_V3	PY-curve-1_V3
(PY-curve-1_V3)26	Line	Paal_X_6 LCS	10,000 11,000	Free	Nonlinear	Nonlinear	Free	Free	Free	PY-curve-1_V3.B	PY-curve-1_V3.B
(PY-curve-1_V3)15	Line	Paal_XY_8 LCS	10,000 11,000	Free	Nonlinear	Nonlinear	Free	Free	Free	PY-curve-1_V3	PY-curve-1_V3
(PY-curve-1_V3)25	Line	Paal_X_5 LCS	10,000 11,000	Free	Nonlinear	Nonlinear	Free	Free	Free	PY-curve-1_V3.B	PY-curve-1_V3.B
(PY-curve-1_V3)14	Line	Paal_XY_7 LCS	10,000 11,000	Free	Nonlinear	Nonlinear	Free	Free	Free	PY-curve-1_V3	PY-curve-1_V3
(PY-curve-1_V3)13	Line	Paal_X_25 LCS	10,000 11,000	Free	Nonlinear	Nonlinear	Free	Free	Free	PY-curve-1_V3	PY-curve-1_V3
(PY-curve-1_V4)12	Line	Paal_X_24 LCS	11,000 11,250	Free	Nonlinear	Nonlinear	Free	Free	Free	PY-curve-1_V4	PY-curve-1_V4
(PY-curve-1_V4)23	Line	Paal_X_23 LCS	11,000 11,250	Free	Nonlinear	Nonlinear	Free	Free	Free	PY-curve-1_V4	PY-curve-1_V4
(PY-curve-1_V4)6	Line	Paal_Y_1 LCS	11,000 11,250	Free	Nonlinear	Nonlinear	Free	Free	Free	PY-curve-1_V4	PY-curve-1_V4
(PY-curve-1_V4)21	Line	Paal_P_8 LCS	11,000 11,250	Free	Nonlinear	Nonlinear	Free	Free	Free	PY-curve-1_V4	PY-curve-1_V4
(PY-curve-1_V4)22	Line	Paal_P_9 LCS	11,000 11,250	Free	Nonlinear	Nonlinear	Free	Free	Free	PY-curve-1_V4	PY-curve-1_V4
(PY-curve-1_V4)20	Line	Paal_P_7 LCS	11,000 11,250	Free	Nonlinear	Nonlinear	Free	Free	Free	PY-curve-1_V4	PY-curve-1_V4
(PY-curve-1_V4)2	Line	Paal_X_1 LCS	11,000 11,250	Free	Nonlinear	Nonlinear	Free	Free	Free	PY-curve-1_V4	PY-curve-1_V4
(PY-curve-1_V4)5	Line	Paal_XY_3 LCS	11,000 11,250	Free	Nonlinear	Nonlinear	Free	Free	Free	PY-curve-1_V4	PY-curve-1_V4
(PY-curve-1_V4)11	Line	Paal_Y_2 LCS	11,000 11,250	Free	Nonlinear	Nonlinear	Free	Free	Free	PY-curve-1_V4	PY-curve-1_V4
(PY-curve-1_V4)10	Line	Paal_XY_2 LCS	11,000 11,250	Free	Nonlinear	Nonlinear	Free	Free	Free	PY-curve-1_V4	PY-curve-1_V4
(PY-curve-1_V4)4	Line	Paal_XY_1 LCS	11,000 11,250	Free	Nonlinear	Nonlinear	Free	Free	Free	PY-curve-1_V4	PY-curve-1_V4
(PY-curve-1_V4)9	Line	Paal_X_2 LCS	11,000 11,250	Free	Nonlinear	Nonlinear	Free	Free	Free	PY-curve-1_V4	PY-curve-1_V4
(PY-curve-1_V4)19	Line	Paal_Y_9 LCS	11,000 11,250	Free	Nonlinear	Nonlinear	Free	Free	Free	PY-curve-1_V4	PY-curve-1_V4
(PY-curve-1_V4)18	Line	Paal_Y_8	11,000	Free	Nonlinear	Nonlinear	Free	Free	Free	PY-curve-1_V4	PY-curve-1_V4

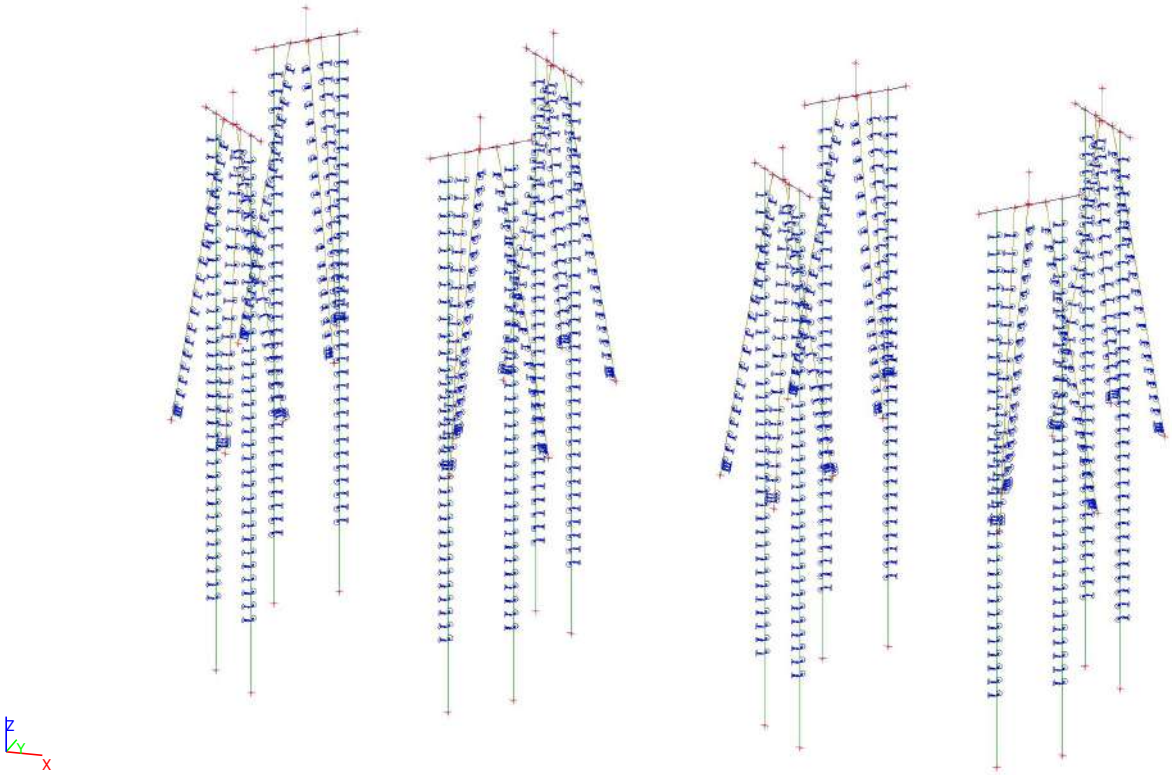
Name	Type	Member System	Pos x_1 [m] Pos x_2 [m]	X	Y	Z	Rx	Ry	Rz	Function Y	Function Z
		LCS	11,250								
(PY-curve-1_V4)17	Line	Paal_Y_7 LCS	11,000 11,250	Free	Nonlinear	Nonlinear	Free	Free	Free	PY-curve-1_V4	PY-curve-1_V4
(PY-curve-1_V4)8	Line	Paal_P_2 LCS	11,000 11,250	Free	Nonlinear	Nonlinear	Free	Free	Free	PY-curve-1_V4	PY-curve-1_V4
(PY-curve-1_V4)16	Line	Paal_XY_9 LCS	11,000 11,250	Free	Nonlinear	Nonlinear	Free	Free	Free	PY-curve-1_V4	PY-curve-1_V4
(PY-curve-1_V4)	Line	Paal_P_1 LCS	11,000 11,250	Free	Nonlinear	Nonlinear	Free	Free	Free	PY-curve-1_V4	PY-curve-1_V4
(PY-curve-1_V4)1	Line	Paal_P_3 LCS	11,000 11,250	Free	Nonlinear	Nonlinear	Free	Free	Free	PY-curve-1_V4	PY-curve-1_V4
(PY-curve-1_V4)14	Line	Paal_XY_7 LCS	11,000 11,250	Free	Nonlinear	Nonlinear	Free	Free	Free	PY-curve-1_V4	PY-curve-1_V4
(PY-curve-1_V4)15	Line	Paal_XY_8 LCS	11,000 11,250	Free	Nonlinear	Nonlinear	Free	Free	Free	PY-curve-1_V4	PY-curve-1_V4
(PY-curve-1_V4)3	Line	Paal_X_3 LCS	11,000 11,250	Free	Nonlinear	Nonlinear	Free	Free	Free	PY-curve-1_V4	PY-curve-1_V4
(PY-curve-1_V4)13	Line	Paal_X_25 LCS	11,000 11,250	Free	Nonlinear	Nonlinear	Free	Free	Free	PY-curve-1_V4	PY-curve-1_V4
(PY-curve-1_V4)7	Line	Paal_Y_3 LCS	11,000 11,250	Free	Nonlinear	Nonlinear	Free	Free	Free	PY-curve-1_V4	PY-curve-1_V4
(PY-curve-1_V4)31	Line	Paal_X_11 LCS	11,000 12,000	Free	Nonlinear	Nonlinear	Free	Free	Free	PY-curve-1_V4.B	PY-curve-1_V4.B
(PY-curve-1_V4)39	Line	Paal_X_33 LCS	11,000 12,000	Free	Nonlinear	Nonlinear	Free	Free	Free	PY-curve-1_V4.B	PY-curve-1_V4.B
(PY-curve-1_V4)38	Line	Paal_X_32 LCS	11,000 12,000	Free	Nonlinear	Nonlinear	Free	Free	Free	PY-curve-1_V4.B	PY-curve-1_V4.B
(PY-curve-1_V4)30	Line	Paal_X_10 LCS	11,000 12,000	Free	Nonlinear	Nonlinear	Free	Free	Free	PY-curve-1_V4.B	PY-curve-1_V4.B
(PY-curve-1_V4)37	Line	Paal_X_31 LCS	11,000 12,000	Free	Nonlinear	Nonlinear	Free	Free	Free	PY-curve-1_V4.B	PY-curve-1_V4.B
(PY-curve-1_V4)36	Line	Paal_X_30 LCS	11,000 12,000	Free	Nonlinear	Nonlinear	Free	Free	Free	PY-curve-1_V4.B	PY-curve-1_V4.B
(PY-curve-1_V4)29	Line	Paal_X_9 LCS	11,000 12,000	Free	Nonlinear	Nonlinear	Free	Free	Free	PY-curve-1_V4.B	PY-curve-1_V4.B
(PY-curve-1_V4)35	Line	Paal_X_29 LCS	11,000 12,000	Free	Nonlinear	Nonlinear	Free	Free	Free	PY-curve-1_V4.B	PY-curve-1_V4.B
(PY-curve-1_V4)34	Line	Paal_X_28 LCS	11,000 12,000	Free	Nonlinear	Nonlinear	Free	Free	Free	PY-curve-1_V4.B	PY-curve-1_V4.B
(PY-curve-1_V4)28	Line	Paal_X_8 LCS	11,000 12,000	Free	Nonlinear	Nonlinear	Free	Free	Free	PY-curve-1_V4.B	PY-curve-1_V4.B
(PY-curve-1_V4)33	Line	Paal_X_27 LCS	11,000 12,000	Free	Nonlinear	Nonlinear	Free	Free	Free	PY-curve-1_V4.B	PY-curve-1_V4.B
(PY-curve-1_V4)32	Line	Paal_X_26 LCS	11,000 12,000	Free	Nonlinear	Nonlinear	Free	Free	Free	PY-curve-1_V4.B	PY-curve-1_V4.B
(PY-curve-1_V4)27	Line	Paal_X_7 LCS	11,000 12,000	Free	Nonlinear	Nonlinear	Free	Free	Free	PY-curve-1_V4.B	PY-curve-1_V4.B
(PY-curve-1_V4)26	Line	Paal_X_6 LCS	11,000 12,000	Free	Nonlinear	Nonlinear	Free	Free	Free	PY-curve-1_V4.B	PY-curve-1_V4.B
(PY-curve-1_V4)25	Line	Paal_X_5 LCS	11,000 12,000	Free	Nonlinear	Nonlinear	Free	Free	Free	PY-curve-1_V4.B	PY-curve-1_V4.B
(PY-curve-1_V4)24	Line	Paal_X_4 LCS	11,000 12,000	Free	Nonlinear	Nonlinear	Free	Free	Free	PY-curve-1_V4.B	PY-curve-1_V4.B
(PY-curve-1_V5)15	Line	Paal_X_33 LCS	12,000 13,000	Free	Nonlinear	Nonlinear	Free	Free	Free	PY-curve-1_V5.B	PY-curve-1_V5.B
(PY-curve-1_V5)13	Line	Paal_X_31 LCS	12,000 13,000	Free	Nonlinear	Nonlinear	Free	Free	Free	PY-curve-1_V5.B	PY-curve-1_V5.B
(PY-curve-1_V5)12	Line	Paal_X_30 LCS	12,000 13,000	Free	Nonlinear	Nonlinear	Free	Free	Free	PY-curve-1_V5.B	PY-curve-1_V5.B
(PY-curve-1_V5)11	Line	Paal_X_29 LCS	12,000 13,000	Free	Nonlinear	Nonlinear	Free	Free	Free	PY-curve-1_V5.B	PY-curve-1_V5.B
(PY-curve-1_V5)10	Line	Paal_X_28 LCS	12,000 13,000	Free	Nonlinear	Nonlinear	Free	Free	Free	PY-curve-1_V5.B	PY-curve-1_V5.B
(PY-curve-1_V5)9	Line	Paal_X_27	12,000	Free	Nonlinear	Nonlinear	Free	Free	Free	PY-curve-1_V5.B	PY-curve-1_V5.B

Name	Type	Member System	Pos x_1 [m] Pos x_2 [m]	X	Y	Z	Rx	Ry	Rz	Function Y	Function Z
		LCS	13,000								
(PY-curve-1_V5)8	Line	Paal_X_26 LCS	12,000 13,000	Free	Nonlinear	Nonlinear	Free	Free	Free	PY-curve-1_V5.B	PY-curve-1_V5.B
(PY-curve-1_V5)7	Line	Paal_X_11 LCS	12,000 13,000	Free	Nonlinear	Nonlinear	Free	Free	Free	PY-curve-1_V5.B	PY-curve-1_V5.B
(PY-curve-1_V5)14	Line	Paal_X_32 LCS	12,000 13,000	Free	Nonlinear	Nonlinear	Free	Free	Free	PY-curve-1_V5.B	PY-curve-1_V5.B
(PY-curve-1_V5)6	Line	Paal_X_10 LCS	12,000 13,000	Free	Nonlinear	Nonlinear	Free	Free	Free	PY-curve-1_V5.B	PY-curve-1_V5.B
(PY-curve-1_V5)5	Line	Paal_X_8 LCS	12,000 13,000	Free	Nonlinear	Nonlinear	Free	Free	Free	PY-curve-1_V5.B	PY-curve-1_V5.B
(PY-curve-1_V5)4	Line	Paal_X_6 LCS	12,000 13,000	Free	Nonlinear	Nonlinear	Free	Free	Free	PY-curve-1_V5.B	PY-curve-1_V5.B
(PY-curve-1_V5)3	Line	Paal_X_5 LCS	12,000 13,000	Free	Nonlinear	Nonlinear	Free	Free	Free	PY-curve-1_V5.B	PY-curve-1_V5.B
(PY-curve-1_V5)2	Line	Paal_X_4 LCS	12,000 13,000	Free	Nonlinear	Nonlinear	Free	Free	Free	PY-curve-1_V5.B	PY-curve-1_V5.B
(PY-curve-1_V5)1	Line	Paal_X_9 LCS	12,000 13,000	Free	Nonlinear	Nonlinear	Free	Free	Free	PY-curve-1_V5.B	PY-curve-1_V5.B
(PY-curve-1_V5)	Line	Paal_X_7 LCS	12,000 13,000	Free	Nonlinear	Nonlinear	Free	Free	Free	PY-curve-1_V5.B	PY-curve-1_V5.B
(PY-curve-1_V6)15	Line	Paal_X_33 LCS	13,000 14,000	Free	Nonlinear	Nonlinear	Free	Free	Free	PY-curve-1_V6.B	PY-curve-1_V6.B
(PY-curve-1_V6)13	Line	Paal_X_31 LCS	13,000 14,000	Free	Nonlinear	Nonlinear	Free	Free	Free	PY-curve-1_V6.B	PY-curve-1_V6.B
(PY-curve-1_V6)12	Line	Paal_X_30 LCS	13,000 14,000	Free	Nonlinear	Nonlinear	Free	Free	Free	PY-curve-1_V6.B	PY-curve-1_V6.B
(PY-curve-1_V6)11	Line	Paal_X_29 LCS	13,000 14,000	Free	Nonlinear	Nonlinear	Free	Free	Free	PY-curve-1_V6.B	PY-curve-1_V6.B
(PY-curve-1_V6)10	Line	Paal_X_28 LCS	13,000 14,000	Free	Nonlinear	Nonlinear	Free	Free	Free	PY-curve-1_V6.B	PY-curve-1_V6.B
(PY-curve-1_V6)9	Line	Paal_X_27 LCS	13,000 14,000	Free	Nonlinear	Nonlinear	Free	Free	Free	PY-curve-1_V6.B	PY-curve-1_V6.B
(PY-curve-1_V6)8	Line	Paal_X_26 LCS	13,000 14,000	Free	Nonlinear	Nonlinear	Free	Free	Free	PY-curve-1_V6.B	PY-curve-1_V6.B
(PY-curve-1_V6)7	Line	Paal_X_11 LCS	13,000 14,000	Free	Nonlinear	Nonlinear	Free	Free	Free	PY-curve-1_V6.B	PY-curve-1_V6.B
(PY-curve-1_V6)14	Line	Paal_X_32 LCS	13,000 14,000	Free	Nonlinear	Nonlinear	Free	Free	Free	PY-curve-1_V6.B	PY-curve-1_V6.B
(PY-curve-1_V6)6	Line	Paal_X_10 LCS	13,000 14,000	Free	Nonlinear	Nonlinear	Free	Free	Free	PY-curve-1_V6.B	PY-curve-1_V6.B
(PY-curve-1_V6)5	Line	Paal_X_8 LCS	13,000 14,000	Free	Nonlinear	Nonlinear	Free	Free	Free	PY-curve-1_V6.B	PY-curve-1_V6.B
(PY-curve-1_V6)4	Line	Paal_X_6 LCS	13,000 14,000	Free	Nonlinear	Nonlinear	Free	Free	Free	PY-curve-1_V6.B	PY-curve-1_V6.B
(PY-curve-1_V6)3	Line	Paal_X_5 LCS	13,000 14,000	Free	Nonlinear	Nonlinear	Free	Free	Free	PY-curve-1_V6.B	PY-curve-1_V6.B
(PY-curve-1_V6)2	Line	Paal_X_4 LCS	13,000 14,000	Free	Nonlinear	Nonlinear	Free	Free	Free	PY-curve-1_V6.B	PY-curve-1_V6.B
(PY-curve-1_V6)1	Line	Paal_X_9 LCS	13,000 14,000	Free	Nonlinear	Nonlinear	Free	Free	Free	PY-curve-1_V6.B	PY-curve-1_V6.B
(PY-curve-1_V6)	Line	Paal_X_7 LCS	13,000 14,000	Free	Nonlinear	Nonlinear	Free	Free	Free	PY-curve-1_V6.B	PY-curve-1_V6.B
(PY-curve-1_V7)15	Line	Paal_X_33 LCS	14,000 15,000	Free	Nonlinear	Nonlinear	Free	Free	Free	PY-curve-1_V7.B	PY-curve-1_V7.B
(PY-curve-1_V7)13	Line	Paal_X_31 LCS	14,000 15,000	Free	Nonlinear	Nonlinear	Free	Free	Free	PY-curve-1_V7.B	PY-curve-1_V7.B
(PY-curve-1_V7)12	Line	Paal_X_30 LCS	14,000 15,000	Free	Nonlinear	Nonlinear	Free	Free	Free	PY-curve-1_V7.B	PY-curve-1_V7.B
(PY-curve-1_V7)11	Line	Paal_X_29 LCS	14,000 15,000	Free	Nonlinear	Nonlinear	Free	Free	Free	PY-curve-1_V7.B	PY-curve-1_V7.B
(PY-curve-1_V7)10	Line	Paal_X_28 LCS	14,000 15,000	Free	Nonlinear	Nonlinear	Free	Free	Free	PY-curve-1_V7.B	PY-curve-1_V7.B
(PY-curve-1_V7)9	Line	Paal_X_27	14,000	Free	Nonlinear	Nonlinear	Free	Free	Free	PY-curve-1_V7.B	PY-curve-1_V7.B

Name	Type	Member System	Pos x_1 [m] Pos x_2 [m]	X	Y	Z	Rx	Ry	Rz	Function Y	Function Z
		LCS	15,000								
(PY-curve-1_V7)8	Line	Paal_X_26 LCS	14,000 15,000	Free	Nonlinear	Nonlinear	Free	Free	Free	PY-curve-1_V7.B	PY-curve-1_V7.B
(PY-curve-1_V7)7	Line	Paal_X_11 LCS	14,000 15,000	Free	Nonlinear	Nonlinear	Free	Free	Free	PY-curve-1_V7.B	PY-curve-1_V7.B
(PY-curve-1_V7)14	Line	Paal_X_32 LCS	14,000 15,000	Free	Nonlinear	Nonlinear	Free	Free	Free	PY-curve-1_V7.B	PY-curve-1_V7.B
(PY-curve-1_V7)6	Line	Paal_X_10 LCS	14,000 15,000	Free	Nonlinear	Nonlinear	Free	Free	Free	PY-curve-1_V7.B	PY-curve-1_V7.B
(PY-curve-1_V7)5	Line	Paal_X_8 LCS	14,000 15,000	Free	Nonlinear	Nonlinear	Free	Free	Free	PY-curve-1_V7.B	PY-curve-1_V7.B
(PY-curve-1_V7)4	Line	Paal_X_6 LCS	14,000 15,000	Free	Nonlinear	Nonlinear	Free	Free	Free	PY-curve-1_V7.B	PY-curve-1_V7.B
(PY-curve-1_V7)3	Line	Paal_X_5 LCS	14,000 15,000	Free	Nonlinear	Nonlinear	Free	Free	Free	PY-curve-1_V7.B	PY-curve-1_V7.B
(PY-curve-1_V7)2	Line	Paal_X_4 LCS	14,000 15,000	Free	Nonlinear	Nonlinear	Free	Free	Free	PY-curve-1_V7.B	PY-curve-1_V7.B
(PY-curve-1_V7)1	Line	Paal_X_9 LCS	14,000 15,000	Free	Nonlinear	Nonlinear	Free	Free	Free	PY-curve-1_V7.B	PY-curve-1_V7.B
(PY-curve-1_V7)	Line	Paal_X_7 LCS	14,000 15,000	Free	Nonlinear	Nonlinear	Free	Free	Free	PY-curve-1_V7.B	PY-curve-1_V7.B
(PY-curve-1_V8)6	Line	Paal_X_10 LCS	15,000 16,000	Free	Nonlinear	Nonlinear	Free	Free	Free	PY-curve-1_V8.B	PY-curve-1_V8.B
(PY-curve-1_V8)5	Line	Paal_X_8 LCS	15,000 16,000	Free	Nonlinear	Nonlinear	Free	Free	Free	PY-curve-1_V8.B	PY-curve-1_V8.B
(PY-curve-1_V8)4	Line	Paal_X_6 LCS	15,000 16,000	Free	Nonlinear	Nonlinear	Free	Free	Free	PY-curve-1_V8.B	PY-curve-1_V8.B
(PY-curve-1_V8)3	Line	Paal_X_5 LCS	15,000 16,000	Free	Nonlinear	Nonlinear	Free	Free	Free	PY-curve-1_V8.B	PY-curve-1_V8.B
(PY-curve-1_V8)2	Line	Paal_X_4 LCS	15,000 16,000	Free	Nonlinear	Nonlinear	Free	Free	Free	PY-curve-1_V8.B	PY-curve-1_V8.B
(PY-curve-1_V8)1	Line	Paal_X_9 LCS	15,000 16,000	Free	Nonlinear	Nonlinear	Free	Free	Free	PY-curve-1_V8.B	PY-curve-1_V8.B
(PY-curve-1_V8)	Line	Paal_X_7 LCS	15,000 16,000	Free	Nonlinear	Nonlinear	Free	Free	Free	PY-curve-1_V8.B	PY-curve-1_V8.B
(PY-curve-1_V8)15	Line	Paal_X_33 LCS	15,000 16,000	Free	Nonlinear	Nonlinear	Free	Free	Free	PY-curve-1_V8.B	PY-curve-1_V8.B
(PY-curve-1_V8)14	Line	Paal_X_32 LCS	15,000 16,000	Free	Nonlinear	Nonlinear	Free	Free	Free	PY-curve-1_V8.B	PY-curve-1_V8.B
(PY-curve-1_V8)13	Line	Paal_X_31 LCS	15,000 16,000	Free	Nonlinear	Nonlinear	Free	Free	Free	PY-curve-1_V8.B	PY-curve-1_V8.B
(PY-curve-1_V8)12	Line	Paal_X_30 LCS	15,000 16,000	Free	Nonlinear	Nonlinear	Free	Free	Free	PY-curve-1_V8.B	PY-curve-1_V8.B
(PY-curve-1_V8)11	Line	Paal_X_29 LCS	15,000 16,000	Free	Nonlinear	Nonlinear	Free	Free	Free	PY-curve-1_V8.B	PY-curve-1_V8.B
(PY-curve-1_V8)10	Line	Paal_X_28 LCS	15,000 16,000	Free	Nonlinear	Nonlinear	Free	Free	Free	PY-curve-1_V8.B	PY-curve-1_V8.B
(PY-curve-1_V8)9	Line	Paal_X_27 LCS	15,000 16,000	Free	Nonlinear	Nonlinear	Free	Free	Free	PY-curve-1_V8.B	PY-curve-1_V8.B
(PY-curve-1_V8)8	Line	Paal_X_26 LCS	15,000 16,000	Free	Nonlinear	Nonlinear	Free	Free	Free	PY-curve-1_V8.B	PY-curve-1_V8.B
(PY-curve-1_V8)7	Line	Paal_X_11 LCS	15,000 16,000	Free	Nonlinear	Nonlinear	Free	Free	Free	PY-curve-1_V8.B	PY-curve-1_V8.B
(PY-curve-1_V9)15	Line	Paal_X_33 LCS	16,000 17,000	Free	Nonlinear	Nonlinear	Free	Free	Free	PY-curve-1_V9.B	PY-curve-1_V9.B
(PY-curve-1_V9)13	Line	Paal_X_31 LCS	16,000 17,000	Free	Nonlinear	Nonlinear	Free	Free	Free	PY-curve-1_V9.B	PY-curve-1_V9.B
(PY-curve-1_V9)12	Line	Paal_X_30 LCS	16,000 17,000	Free	Nonlinear	Nonlinear	Free	Free	Free	PY-curve-1_V9.B	PY-curve-1_V9.B
(PY-curve-1_V9)11	Line	Paal_X_29 LCS	16,000 17,000	Free	Nonlinear	Nonlinear	Free	Free	Free	PY-curve-1_V9.B	PY-curve-1_V9.B
(PY-curve-1_V9)10	Line	Paal_X_28 LCS	16,000 17,000	Free	Nonlinear	Nonlinear	Free	Free	Free	PY-curve-1_V9.B	PY-curve-1_V9.B
(PY-curve-1_V9)9	Line	Paal_X_27	16,000	Free	Nonlinear	Nonlinear	Free	Free	Free	PY-curve-1_V9.B	PY-curve-1_V9.B

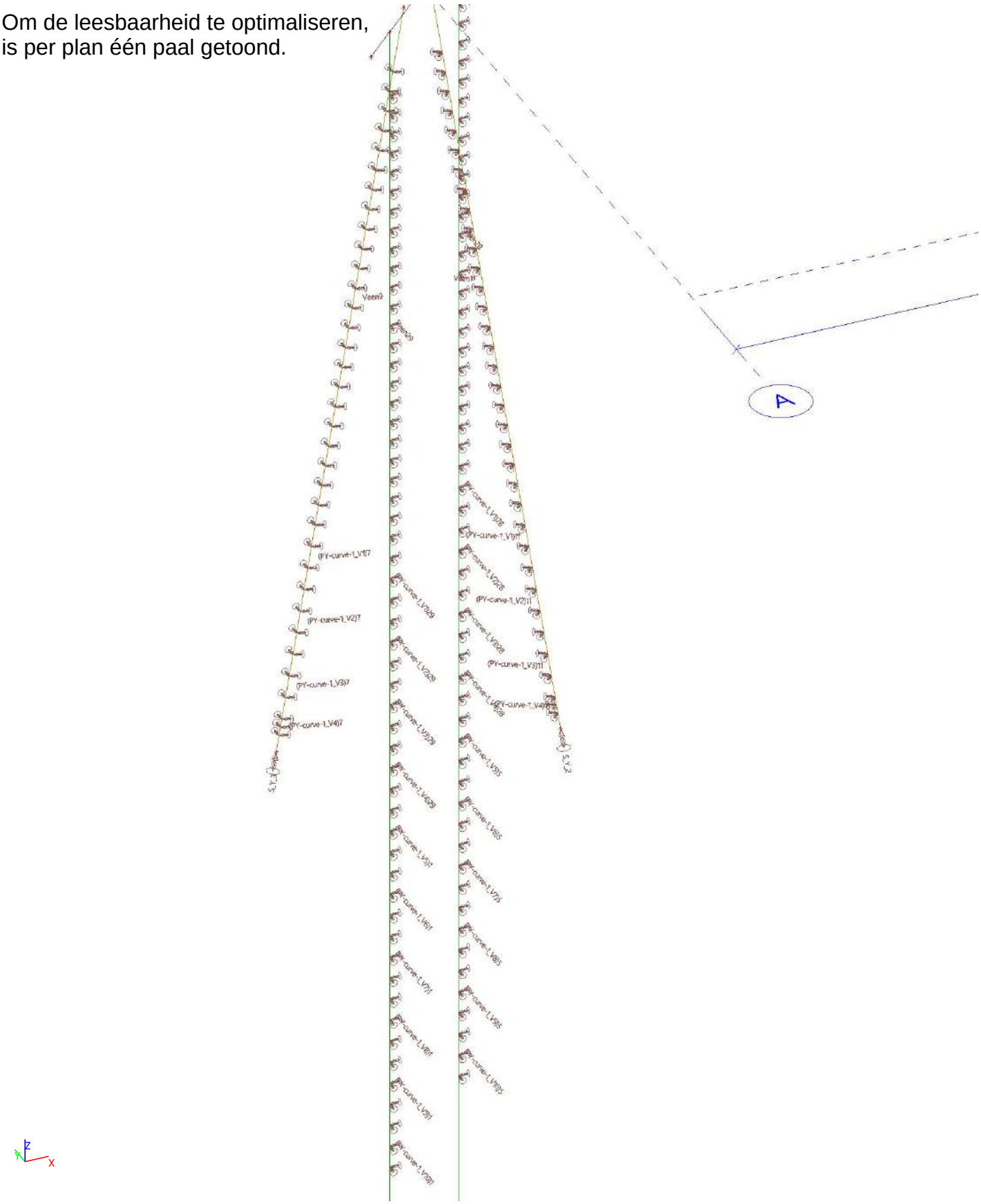
Name	Type	Member System	Pos x_1 [m] Pos x_2 [m]	X	Y	Z	Rx	Ry	Rz	Function Y	Function Z
		LCS	17,000								
(PY-curve-1_V9)8	Line	Paal_X_26 LCS	16,000 17,000	Free	Nonlinear	Nonlinear	Free	Free	Free	PY-curve-1_V9.B	PY-curve-1_V9.B
(PY-curve-1_V9)7	Line	Paal_X_11 LCS	16,000 17,000	Free	Nonlinear	Nonlinear	Free	Free	Free	PY-curve-1_V9.B	PY-curve-1_V9.B
(PY-curve-1_V9)14	Line	Paal_X_32 LCS	16,000 17,000	Free	Nonlinear	Nonlinear	Free	Free	Free	PY-curve-1_V9.B	PY-curve-1_V9.B
(PY-curve-1_V9)6	Line	Paal_X_10 LCS	16,000 17,000	Free	Nonlinear	Nonlinear	Free	Free	Free	PY-curve-1_V9.B	PY-curve-1_V9.B
(PY-curve-1_V9)5	Line	Paal_X_8 LCS	16,000 17,000	Free	Nonlinear	Nonlinear	Free	Free	Free	PY-curve-1_V9.B	PY-curve-1_V9.B
(PY-curve-1_V9)4	Line	Paal_X_6 LCS	16,000 17,000	Free	Nonlinear	Nonlinear	Free	Free	Free	PY-curve-1_V9.B	PY-curve-1_V9.B
(PY-curve-1_V9)3	Line	Paal_X_5 LCS	16,000 17,000	Free	Nonlinear	Nonlinear	Free	Free	Free	PY-curve-1_V9.B	PY-curve-1_V9.B
(PY-curve-1_V9)2	Line	Paal_X_4 LCS	16,000 17,000	Free	Nonlinear	Nonlinear	Free	Free	Free	PY-curve-1_V9.B	PY-curve-1_V9.B
(PY-curve-1_V9)1	Line	Paal_X_9 LCS	16,000 17,000	Free	Nonlinear	Nonlinear	Free	Free	Free	PY-curve-1_V9.B	PY-curve-1_V9.B
(PY-curve-1_V9)	Line	Paal_X_7 LCS	16,000 17,000	Free	Nonlinear	Nonlinear	Free	Free	Free	PY-curve-1_V9.B	PY-curve-1_V9.B
(PY-curve-1_V10)15	Line	Paal_X_33 LCS	17,000 18,000	Free	Nonlinear	Nonlinear	Free	Free	Free	PY-curve-1_V10.B	PY-curve-1_V10.B
(PY-curve-1_V10)13	Line	Paal_X_31 LCS	17,000 18,000	Free	Nonlinear	Nonlinear	Free	Free	Free	PY-curve-1_V10.B	PY-curve-1_V10.B
(PY-curve-1_V10)12	Line	Paal_X_30 LCS	17,000 18,000	Free	Nonlinear	Nonlinear	Free	Free	Free	PY-curve-1_V10.B	PY-curve-1_V10.B
(PY-curve-1_V10)11	Line	Paal_X_29 LCS	17,000 18,000	Free	Nonlinear	Nonlinear	Free	Free	Free	PY-curve-1_V10.B	PY-curve-1_V10.B
(PY-curve-1_V10)10	Line	Paal_X_28 LCS	17,000 18,000	Free	Nonlinear	Nonlinear	Free	Free	Free	PY-curve-1_V10.B	PY-curve-1_V10.B
(PY-curve-1_V10)9	Line	Paal_X_27 LCS	17,000 18,000	Free	Nonlinear	Nonlinear	Free	Free	Free	PY-curve-1_V10.B	PY-curve-1_V10.B
(PY-curve-1_V10)8	Line	Paal_X_26 LCS	17,000 18,000	Free	Nonlinear	Nonlinear	Free	Free	Free	PY-curve-1_V10.B	PY-curve-1_V10.B
(PY-curve-1_V10)7	Line	Paal_X_11 LCS	17,000 18,000	Free	Nonlinear	Nonlinear	Free	Free	Free	PY-curve-1_V10.B	PY-curve-1_V10.B
(PY-curve-1_V10)14	Line	Paal_X_32 LCS	17,000 18,000	Free	Nonlinear	Nonlinear	Free	Free	Free	PY-curve-1_V10.B	PY-curve-1_V10.B
(PY-curve-1_V10)6	Line	Paal_X_10 LCS	17,000 18,000	Free	Nonlinear	Nonlinear	Free	Free	Free	PY-curve-1_V10.B	PY-curve-1_V10.B
(PY-curve-1_V10)5	Line	Paal_X_8 LCS	17,000 18,000	Free	Nonlinear	Nonlinear	Free	Free	Free	PY-curve-1_V10.B	PY-curve-1_V10.B
(PY-curve-1_V10)4	Line	Paal_X_6 LCS	17,000 18,000	Free	Nonlinear	Nonlinear	Free	Free	Free	PY-curve-1_V10.B	PY-curve-1_V10.B
(PY-curve-1_V10)3	Line	Paal_X_5 LCS	17,000 18,000	Free	Nonlinear	Nonlinear	Free	Free	Free	PY-curve-1_V10.B	PY-curve-1_V10.B
(PY-curve-1_V10)2	Line	Paal_X_4 LCS	17,000 18,000	Free	Nonlinear	Nonlinear	Free	Free	Free	PY-curve-1_V10.B	PY-curve-1_V10.B
(PY-curve-1_V10)1	Line	Paal_X_9 LCS	17,000 18,000	Free	Nonlinear	Nonlinear	Free	Free	Free	PY-curve-1_V10.B	PY-curve-1_V10.B
(PY-curve-1_V10)	Line	Paal_X_7 LCS	17,000 18,000	Free	Nonlinear	Nonlinear	Free	Free	Free	PY-curve-1_V10.B	PY-curve-1_V10.B

5.8. Analyse model met Lijnondersteuningen



5.9. Analyse model met Lijnondersteuningen

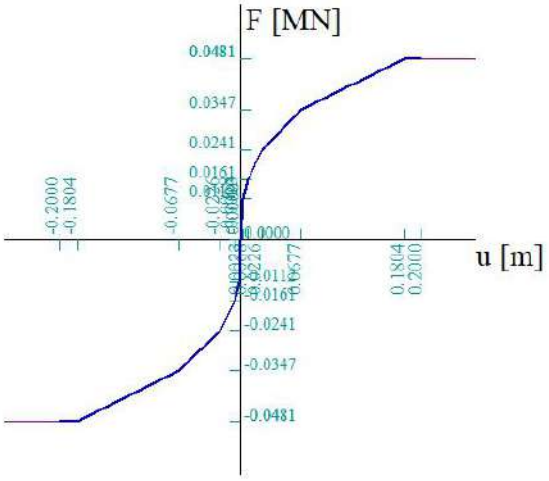
Om de leesbaarheid te optimaliseren, is per plan één paal getoond.



5.10. Nonlinear functions

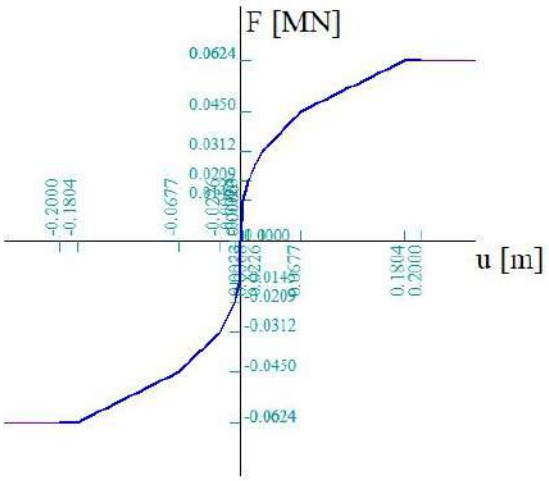
Name	Type	u / F	Positive end	Negative end
PY-curve-1_V1	Translation	-2,0000e-01[m] / -4,8130e-02[MN]	Free	Free
		-1,8040e-01[m] / -4,8130e-02[MN]		
		-6,7650e-02[m] / -3,4710e-02[MN]		
		-2,2550e-02[m] / -2,4064e-02[MN]		
		-6,7650e-03[m] / -1,6110e-02[MN]		
		-2,2550e-03[m] / -1,1170e-02[MN]		
		0,0000e+00[m] / 0,0000e+00[MN]		
		2,2550e-03[m] / 1,1170e-02[MN]		
		6,7650e-03[m] / 1,6110e-02[MN]		
		2,2550e-02[m] / 2,4064e-02[MN]		
		6,7650e-02[m] / 3,4707e-02[MN]		
		1,8040e-01[m] / 4,8129e-02[MN]		
		2,0000e-01[m] / 4,8129e-02[MN]		

Drawing



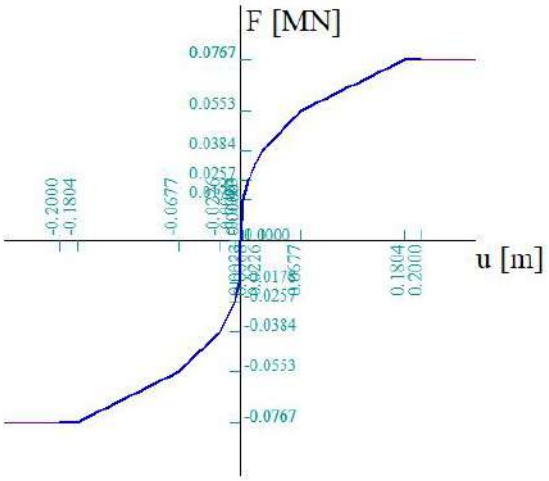
Name	Type	u / F	Positive end	Negative end
PY-curve-1_V2	Translation	-2,0000e-01[m] / -6,2400e-02[MN]	Free	Free
		-1,8040e-01[m] / -6,2400e-02[MN]		
		-6,7650e-02[m] / -4,5000e-02[MN]		
		-2,2550e-02[m] / -3,1200e-02[MN]		
		-6,7650e-03[m] / -2,0900e-02[MN]		
		-2,2550e-03[m] / -1,4500e-02[MN]		
		0,0000e+00[m] / 0,0000e+00[MN]		
		2,2550e-03[m] / 1,4490e-02[MN]		
		6,7650e-03[m] / 2,0900e-02[MN]		
		2,2550e-02[m] / 3,1220e-02[MN]		
		6,7650e-02[m] / 4,5020e-02[MN]		
		1,8040e-01[m] / 6,2430e-02[MN]		
		2,0000e-01[m] / 6,2430e-02[MN]		

Drawing



Name	Type	u / F	Positive end	Negative end
PY-curve-1_V3	Translation	-2,0000e-01[m] / -7,6737e-02[MN]	Free	Free
		-1,8040e-01[m] / -7,6737e-02[MN]		
		-6,7650e-02[m] / -5,5337e-02[MN]		
		-2,2550e-02[m] / -3,8368e-02[MN]		
		-6,7650e-03[m] / -2,5685e-02[MN]		
		-2,2550e-03[m] / -1,7809e-02[MN]		
		0,0000e+00[m] / 0,0000e+00[MN]		
		2,2550e-03[m] / 1,7809e-02[MN]		
		6,7650e-03[m] / 2,5685e-02[MN]		
		2,2550e-02[m] / 3,8368e-02[MN]		
		6,7650e-02[m] / 5,5337e-02[MN]		
		1,8040e-01[m] / 7,6737e-02[MN]		
		2,0000e-01[m] / 7,6737e-02[MN]		

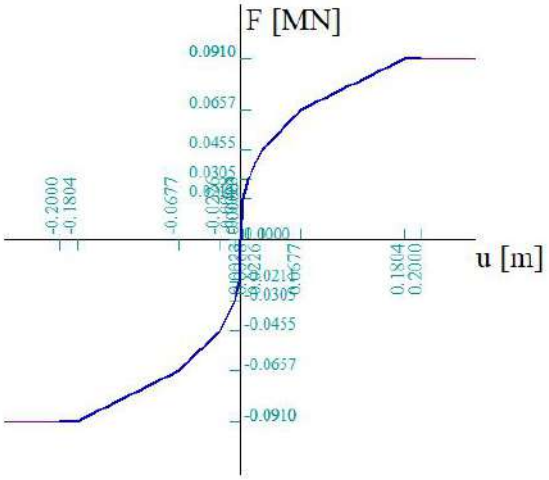
Drawing



Name	Type	u / F	Positive end	Negative end
PY-curve-1_V4	Translation	-2,0000e-01[m] / -9,1041e-02[MN]	Free	Free
		-1,8040e-01[m] / -9,1041e-02[MN]		
		-6,7650e-02[m] / -6,5652e-02[MN]		
		-2,2550e-02[m] / -4,5520e-02[MN]		
		-6,7650e-03[m] / -3,0473e-02[MN]		
		-2,2550e-03[m] / -2,1129e-02[MN]		
		0,0000e+00[m] / 0,0000e+00[MN]		
		2,2550e-03[m] / 2,1129e-02[MN]		
		6,7650e-03[m] / 3,0473e-02[MN]		
		2,2550e-02[m] / 4,5520e-02[MN]		

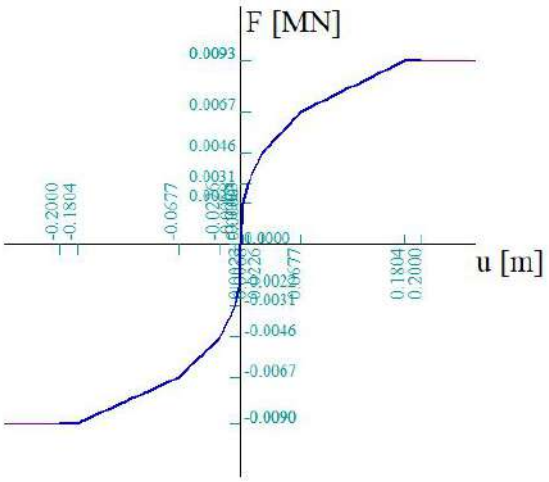
Name	Type	u / F	Positive end	Negative end
		6,7650e-02[m] / 6,5652e-02[MN]		
		1,8040e-01[m] / 9,1041e-02[MN]		
		2,0000e-01[m] / 9,1041e-02[MN]		

Drawing



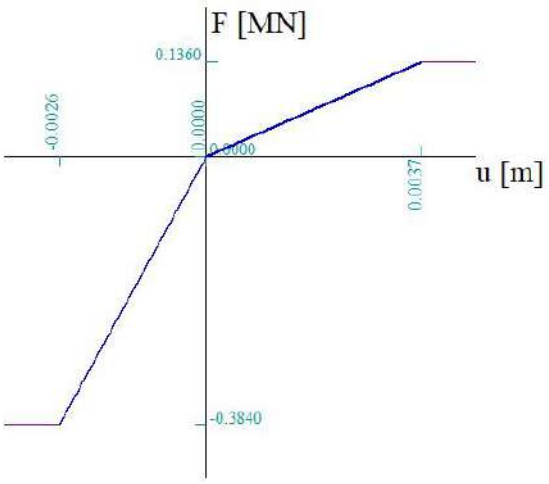
Name	Type	u / F	Positive end	Negative end
PY-curve-1_Veen	Translation	-2,0000e-01[m] / -9,0000e-03[MN]	Free	Free
		-1,8040e-01[m] / -9,0000e-03[MN]		
		-6,7650e-02[m] / -6,7000e-03[MN]		
		-2,2550e-02[m] / -4,6300e-03[MN]		
		-6,7650e-03[m] / -3,1000e-03[MN]		
		-2,2550e-03[m] / -2,1500e-03[MN]		
		0,0000e+00[m] / 0,0000e+00[MN]		
		2,2550e-03[m] / 2,1500e-03[MN]		
		6,7650e-03[m] / 3,1000e-03[MN]		
		2,2550e-02[m] / 4,6300e-03[MN]		
		6,7650e-02[m] / 6,7000e-03[MN]		
		1,8040e-01[m] / 9,2700e-03[MN]		
		2,0000e-01[m] / 9,2700e-03[MN]		

Drawing



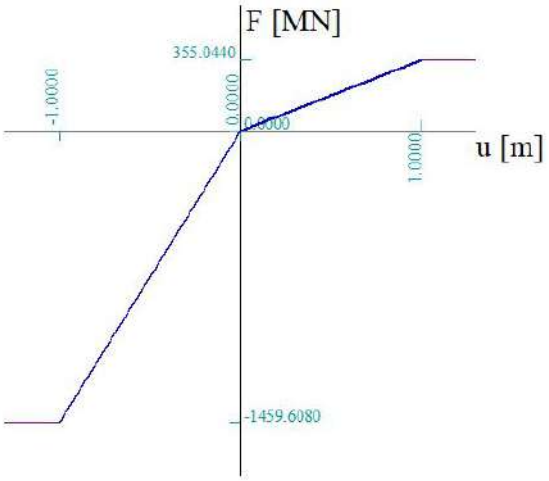
Name	Type	u / F	Positive end	Negative end
Trek-druk-S+0-paalpunt_ mast69.B	Translation	-2,5600e-03[m] / -3,8400e-01[MN]	Free	Free
		0,0000e+00[m] / 0,0000e+00[MN]		
		3,7500e-03[m] / 1,3600e-01[MN]		

Drawing



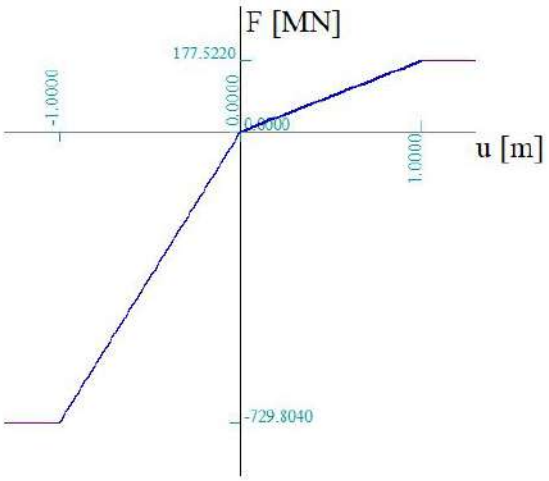
Name	Type	u / F	Positive end	Negative end
Trek-druk-paalpunt-max.LEKA. BG.	Translation	-1,0000e+00[m] / -1,4596e+03[MN]	Free	Free
		0,0000e+00[m] / 0,0000e+00[MN]		
		1,0000e+00[m] / 3,5504e+02[MN]		

Drawing



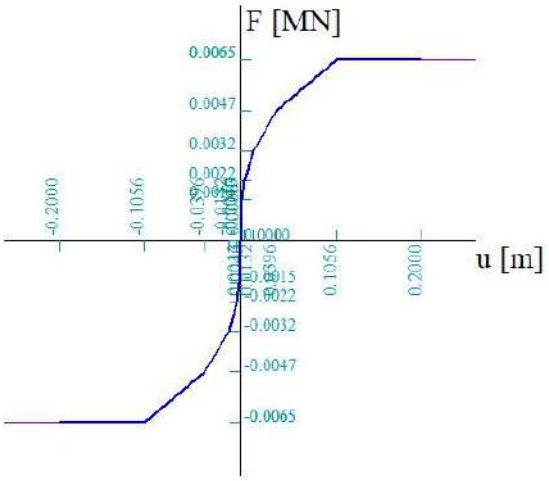
Name	Type	u / F	Positive end	Negative end
Trek-druk-paalpunt-max.LEKA. OG.	Translation	-1,0000e+00[m] / -7,2980e+02[MN]	Free	Free
		0,0000e+00[m] / 0,0000e+00[MN]		
		1,0000e+00[m] / 1,7752e+02[MN]		

Drawing



Name	Type	u / F	Positive end	Negative end
PY-curve-1_Veen.B	Translation	-2,0000e-01[m] / -6,4600e-03[MN]	Free	Free
		-1,0560e-01[m] / -6,4600e-03[MN]		
		-3,9600e-02[m] / -4,6585e-03[MN]		
		-1,3200e-02[m] / -3,2300e-03[MN]		
		-3,9600e-03[m] / -2,1623e-03[MN]		
		-1,3200e-03[m] / -1,4992e-03[MN]		
		0,0000e+00[m] / 0,0000e+00[MN]		
		1,3200e-03[m] / 1,4992e-03[MN]		
		3,9600e-03[m] / 2,1623e-03[MN]		
		1,3200e-02[m] / 3,2300e-03[MN]		
		3,9600e-02[m] / 4,6585e-03[MN]		
		1,0560e-01[m] / 6,4600e-03[MN]		
		2,0000e-01[m] / 6,4600e-03[MN]		

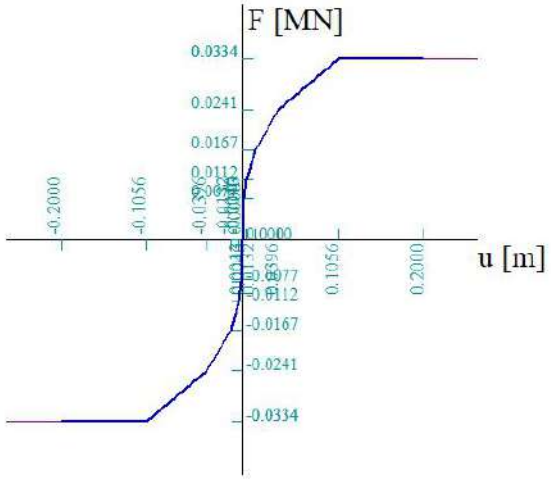
Drawing



Name	Type	u / F	Positive end	Negative end
PY-curve-1_V1.B	Translation	-2,0000e-01[m] / -3,3356e-02[MN]	Free	Free
		-1,0560e-01[m] / -3,3356e-02[MN]		
		-3,9600e-02[m] / -2,4054e-02[MN]		
		-1,3200e-02[m] / -1,6678e-02[MN]		
		-3,9600e-03[m] / -1,1165e-02[MN]		
		-1,3200e-03[m] / -7,7412e-03[MN]		
		0,0000e+00[m] / 0,0000e+00[MN]		
		1,3200e-03[m] / 7,7412e-03[MN]		
		3,9600e-03[m] / 1,1165e-02[MN]		
		1,3200e-02[m] / 1,6678e-02[MN]		

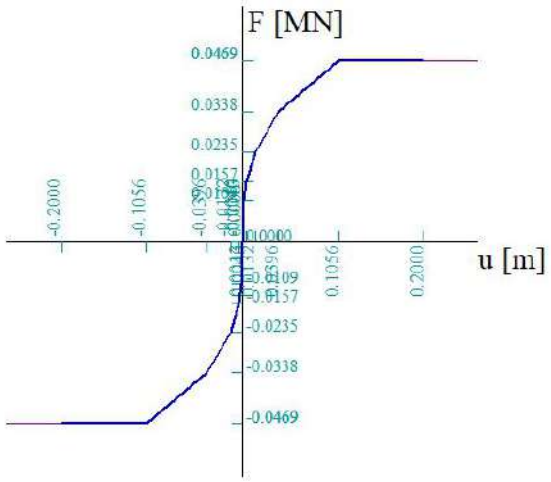
Name	Type	u / F	Positive end	Negative end
		3,9600e-02[m] / 2,4054e-02[MN]		
		1,0560e-01[m] / 3,3356e-02[MN]		
		2,0000e-01[m] / 3,3356e-02[MN]		

Drawing



Name	Type	u / F	Positive end	Negative end
PY-curve-1_V2.B	Translation	-2,0000e-01[m] / -4,6912e-02[MN]	Free	Free
		-1,0560e-01[m] / -4,6912e-02[MN]		
		-3,9600e-02[m] / -3,3829e-02[MN]		
		-1,3200e-02[m] / -2,3456e-02[MN]		
		-3,9600e-03[m] / -1,5702e-02[MN]		
		-1,3200e-03[m] / -1,0887e-02[MN]		
		0,0000e+00[m] / 0,0000e+00[MN]		
		1,3200e-03[m] / 1,0887e-02[MN]		
		3,9600e-03[m] / 1,5702e-02[MN]		
		1,3200e-02[m] / 2,3456e-02[MN]		
		3,9600e-02[m] / 3,3829e-02[MN]		
		1,0560e-01[m] / 4,6912e-02[MN]		
		2,0000e-01[m] / 4,6912e-02[MN]		

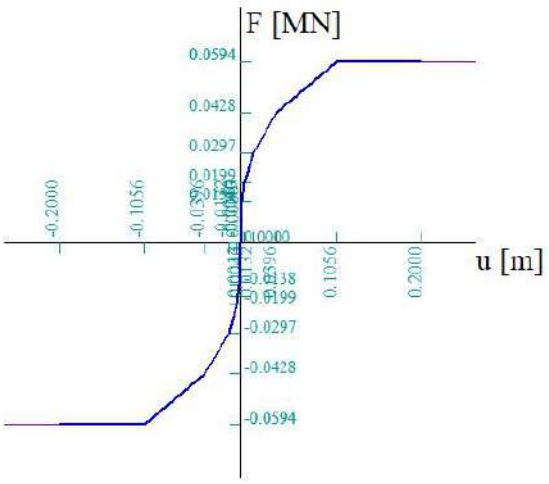
Drawing



Name	Type	u / F	Positive end	Negative end
PY-curve-1_V3.B	Translation	-2,0000e-01[m] / -5,9400e-02[MN]	Free	Free
		-1,0560e-01[m] / -5,9400e-02[MN]		
		-3,9600e-02[m] / -4,2835e-02[MN]		
		-1,3200e-02[m] / -2,9700e-02[MN]		

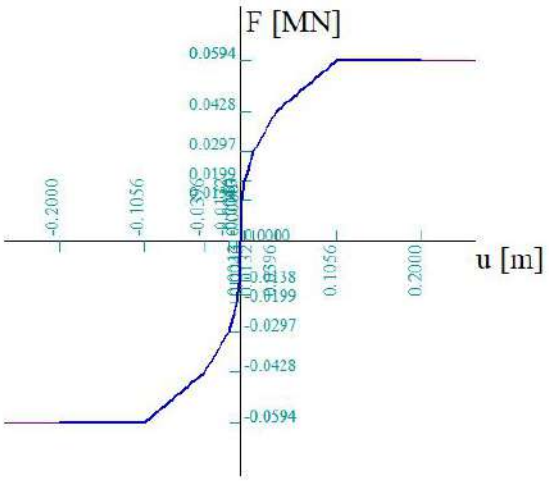
Name	Type	u / F	Positive end	Negative end
		-3,9600e-03[m] / -1,9882e-02[MN]		
		-1,3200e-03[m] / -1,3786e-02[MN]		
		0,0000e+00[m] / 0,0000e+00[MN]		
		1,3200e-03[m] / 1,3786e-02[MN]		
		3,9600e-03[m] / 1,9882e-02[MN]		
		1,3200e-02[m] / 2,9700e-02[MN]		
		3,9600e-02[m] / 4,2835e-02[MN]		
		1,0560e-01[m] / 5,9400e-02[MN]		
		2,0000e-01[m] / 5,9400e-02[MN]		

Drawing



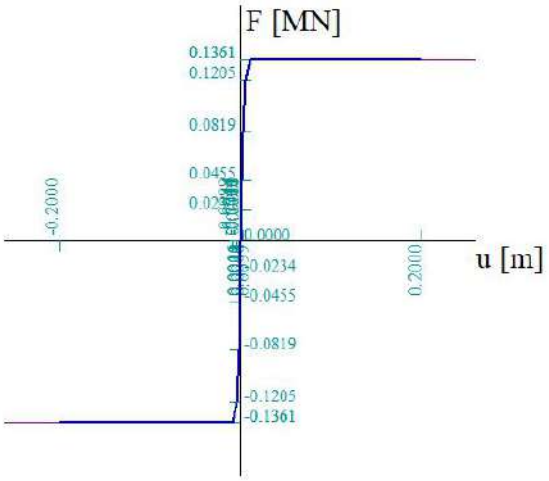
Name	Type	u / F	Positive end	Negative end
PY-curve-1_V4.B	Translation	-2,0000e-01[m] / -5,9400e-02[MN]	Free	Free
		-1,0560e-01[m] / -5,9400e-02[MN]		
		-3,9600e-02[m] / -4,2835e-02[MN]		
		-1,3200e-02[m] / -2,9700e-02[MN]		
		-3,9600e-03[m] / -1,9882e-02[MN]		
		-1,3200e-03[m] / -1,3786e-02[MN]		
		0,0000e+00[m] / 0,0000e+00[MN]		
		1,3200e-03[m] / 1,3786e-02[MN]		
		3,9600e-03[m] / 1,9882e-02[MN]		
		1,3200e-02[m] / 2,9700e-02[MN]		
		3,9600e-02[m] / 4,2835e-02[MN]		
		1,0560e-01[m] / 5,9400e-02[MN]		
		2,0000e-01[m] / 5,9400e-02[MN]		

Drawing



Name	Type	u / F	Positive end	Negative end
PY-curve-1_V5.B	Translation	-2,0000e-01[m] / -1,3606e-01[MN]	Free	Free
		-9,9000e-03[m] / -1,3606e-01[MN]		
		-4,4000e-03[m] / -1,2049e-01[MN]		
		-2,2000e-03[m] / -8,1906e-02[MN]		
		-1,1000e-03[m] / -4,5496e-02[MN]		
		-5,5000e-04[m] / -2,3416e-02[MN]		
		0,0000e+00[m] / 0,0000e+00[MN]		
		5,5000e-04[m] / 2,3416e-02[MN]		
		1,1000e-03[m] / 4,5496e-02[MN]		
		2,2000e-03[m] / 8,1906e-02[MN]		
		4,4000e-03[m] / 1,2049e-01[MN]		
		9,9000e-03[m] / 1,3606e-01[MN]		
		2,0000e-01[m] / 1,3606e-01[MN]		

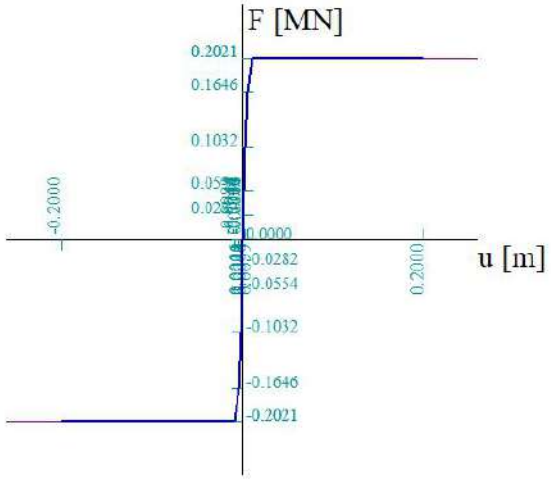
Drawing



Name	Type	u / F	Positive end	Negative end
PY-curve-1_V6.B	Translation	-2,0000e-01[m] / -2,0212e-01[MN]	Free	Free
		-9,9000e-03[m] / -2,0212e-01[MN]		
		-4,4000e-03[m] / -1,6461e-01[MN]		
		-2,2000e-03[m] / -1,0317e-01[MN]		
		-1,1000e-03[m] / -5,5351e-02[MN]		
		-5,5000e-04[m] / -2,8200e-02[MN]		
		0,0000e+00[m] / 0,0000e+00[MN]		
		5,5000e-04[m] / 2,8200e-02[MN]		
		1,1000e-03[m] / 5,5351e-02[MN]		
		2,2000e-03[m] / 1,0317e-01[MN]		

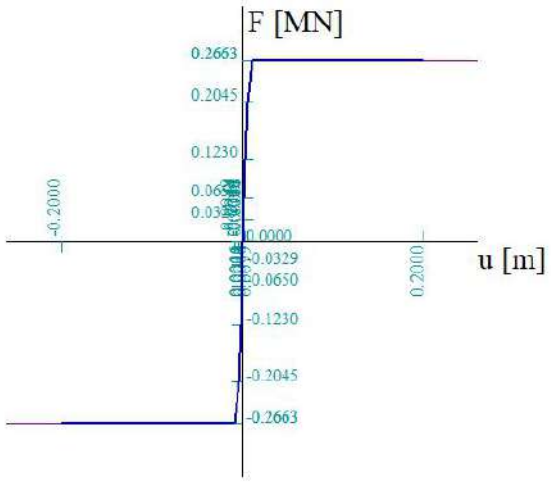
Name	Type	u / F	Positive end	Negative end
		4,4000e-03[m] / 1,6461e-01[MN]		
		9,9000e-03[m] / 2,0212e-01[MN]		
		2,0000e-01[m] / 2,0212e-01[MN]		

Drawing



Name	Type	u / F	Positive end	Negative end
PY-curve-1_V7.B	Translation	-2,0000e-01[m] / -2,6632e-01[MN]	Free	Free
		-9,9000e-03[m] / -2,6632e-01[MN]		
		-4,4000e-03[m] / -2,0449e-01[MN]		
		-2,2000e-03[m] / -1,2296e-01[MN]		
		-1,1000e-03[m] / -6,4953e-02[MN]		
		-5,5000e-04[m] / -3,2949e-02[MN]		
		0,0000e+00[m] / 0,0000e+00[MN]		
		5,5000e-04[m] / 3,2949e-02[MN]		
		1,1000e-03[m] / 6,4953e-02[MN]		
		2,2000e-03[m] / 1,2296e-01[MN]		
		4,4000e-03[m] / 2,0449e-01[MN]		
		9,9000e-03[m] / 2,6632e-01[MN]		
		2,0000e-01[m] / 2,6632e-01[MN]		

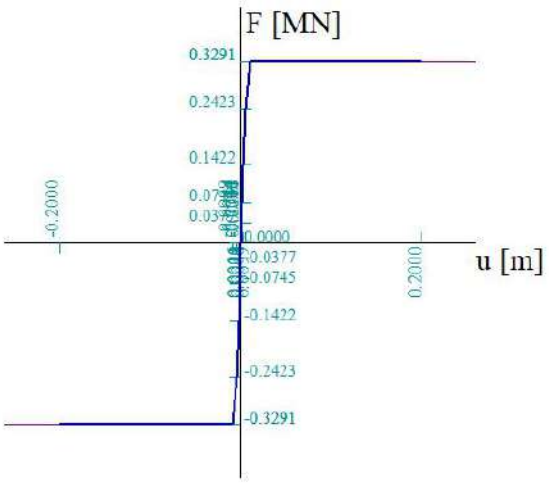
Drawing



Name	Type	u / F	Positive end	Negative end
PY-curve-1_V8.B	Translation	-2,0000e-01[m] / -3,2908e-01[MN]	Free	Free
		-9,9000e-03[m] / -3,2908e-01[MN]		
		-4,4000e-03[m] / -2,4234e-01[MN]		
		-2,2000e-03[m] / -1,4217e-01[MN]		

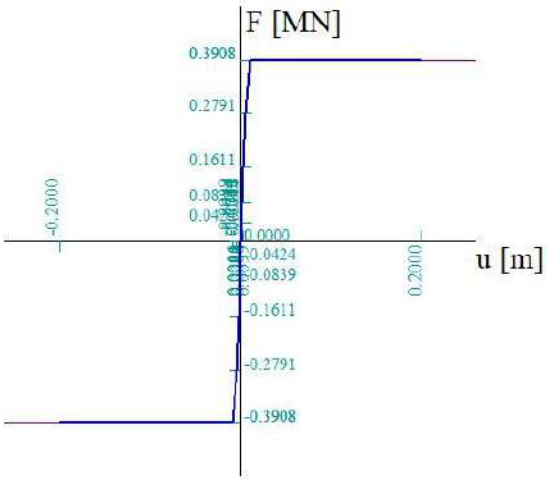
Name	Type	u / F	Positive end	Negative end
		-1,1000e-03[m] / -7,4465e-02[MN]		
		-5,5000e-04[m] / -3,7686e-02[MN]		
		0,0000e+00[m] / 0,0000e+00[MN]		
		5,5000e-04[m] / 3,7686e-02[MN]		
		1,1000e-03[m] / 7,4465e-02[MN]		
		2,2000e-03[m] / 1,4217e-01[MN]		
		4,4000e-03[m] / 2,4234e-01[MN]		
		9,9000e-03[m] / 3,2908e-01[MN]		
		2,0000e-01[m] / 3,2908e-01[MN]		

Drawing



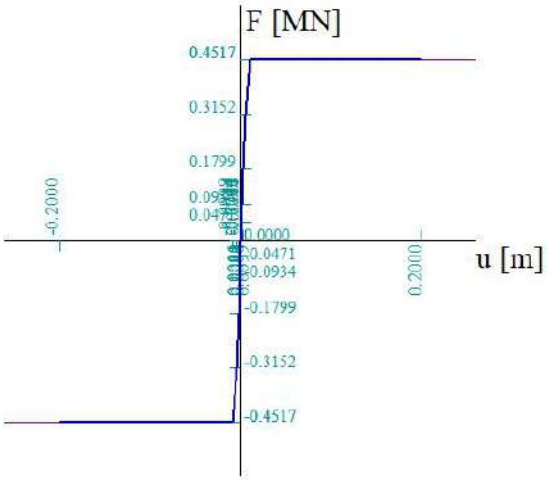
Name	Type	u / F	Positive end	Negative end
PY-curve-1_V9.B	Translation	-2,0000e-01[m] / -3,9077e-01[MN]	Free	Free
		-9,9000e-03[m] / -3,9077e-01[MN]		
		-4,4000e-03[m] / -2,7909e-01[MN]		
		-2,2000e-03[m] / -1,6111e-01[MN]		
		-1,1000e-03[m] / -8,3936e-02[MN]		
		-5,5000e-04[m] / -4,2418e-02[MN]		
		0,0000e+00[m] / 0,0000e+00[MN]		
		5,5000e-04[m] / 4,2418e-02[MN]		
		1,1000e-03[m] / 8,3936e-02[MN]		
		2,2000e-03[m] / 1,6111e-01[MN]		
		4,4000e-03[m] / 2,7909e-01[MN]		
		9,9000e-03[m] / 3,9077e-01[MN]		
		2,0000e-01[m] / 3,9077e-01[MN]		

Drawing



Name	Type	u / F	Positive end	Negative end
PY-curve-1_V10.B	Translation	-2,0000e-01[m] / -4,5169e-01[MN]	Free	Free
		-9,9000e-03[m] / -4,5169e-01[MN]		
		-4,4000e-03[m] / -3,1518e-01[MN]		
		-2,2000e-03[m] / -1,7990e-01[MN]		
		-1,1000e-03[m] / -9,3384e-02[MN]		
		-5,5000e-04[m] / -4,7146e-02[MN]		
		0,0000e+00[m] / 0,0000e+00[MN]		
		5,5000e-04[m] / 4,7146e-02[MN]		
		1,1000e-03[m] / 9,3384e-02[MN]		
		2,2000e-03[m] / 1,7990e-01[MN]		
		4,4000e-03[m] / 3,1518e-01[MN]		
		9,9000e-03[m] / 4,5169e-01[MN]		
		2,0000e-01[m] / 4,5169e-01[MN]		

Drawing

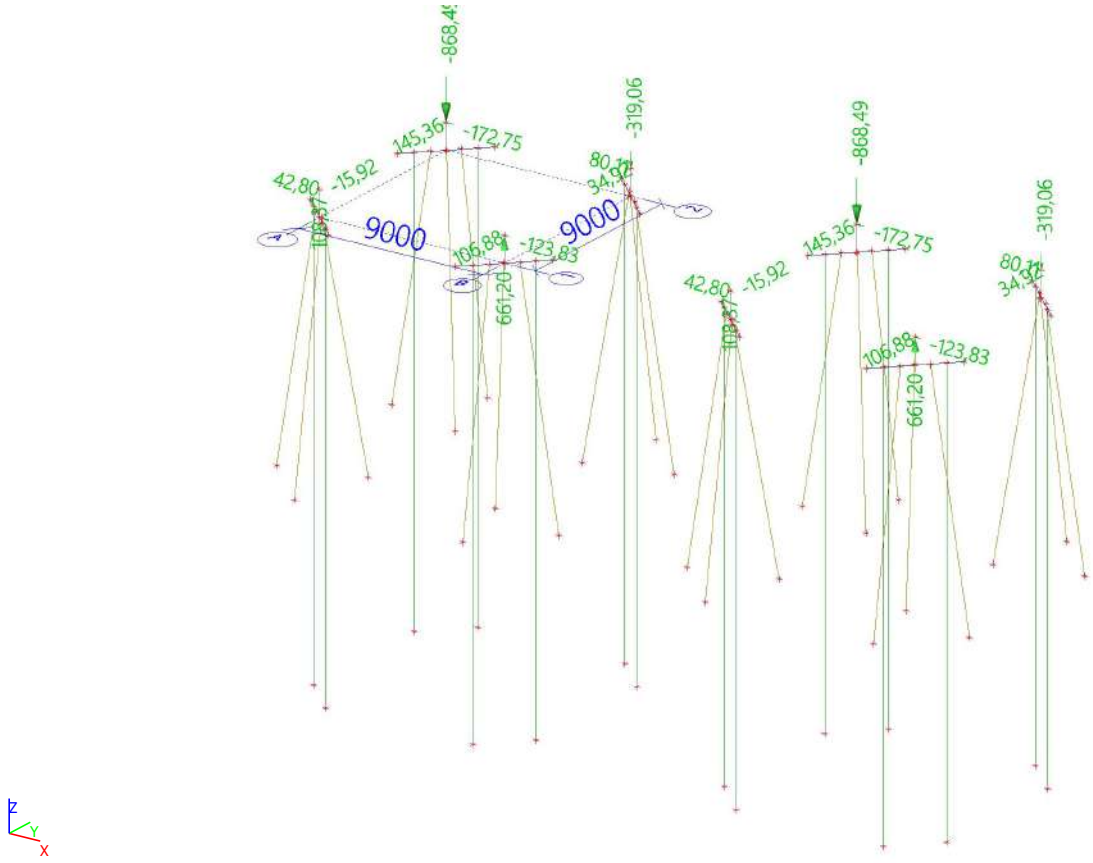


6. Belastingen

6.1. Load cases

6.1.1. Load cases - high max Wnd ;45°

Name	Description	Action type	Load group	Duration	Master load case
	Spec	Load type			
high max Wnd ;45°		Variable	LG4	Short	None
	Standard	Static			



6.1.1.1. Point force in node

Name	Node	Load case	System	Dir	Type	Value - F [kN]
high max Wnd ;45°_1P_X	1P	high max Wnd ;45°	GCS	X	Force	42,80
high max Wnd ;45°_1P_Y	1P	high max Wnd ;45°	GCS	Y	Force	-15,92
high max Wnd ;45°_1P_Z	1P	high max Wnd ;45°	GCS	Z	Force	108,37
high max Wnd ;45°_1X_X	1X	high max Wnd ;45°	GCS	X	Force	-172,75
high max Wnd ;45°_1X_Y	1X	high max Wnd ;45°	GCS	Y	Force	145,36
high max Wnd ;45°_1X_Z	1X	high max Wnd ;45°	GCS	Z	Force	-868,49
high max Wnd ;45°_1XY_X	1XY	high max Wnd ;45°	GCS	X	Force	80,11
high max Wnd ;45°_1XY_Y	1XY	high max Wnd ;45°	GCS	Y	Force	34,92
high max Wnd ;45°_1XY_Z	1XY	high max Wnd ;45°	GCS	Z	Force	-319,06

Name	Node	Load case	System	Dir	Type	Value - F [kN]
high max Wnd ;45°_1Y_X	1Y	high max Wnd ;45°	GCS	X	Force	-123,83
high max Wnd ;45°_1Y_Y	1Y	high max Wnd ;45°	GCS	Y	Force	106,88
high max Wnd ;45°_1Y_Z	1Y	high max Wnd ;45°	GCS	Z	Force	661,20
high max Wnd ;45°_1P_X1	1P41	high max Wnd ;45°	GCS	X	Force	42,80
high max Wnd ;45°_1P_Y1	1P41	high max Wnd ;45°	GCS	Y	Force	-15,92
high max Wnd ;45°_1P_Z1	1P41	high max Wnd ;45°	GCS	Z	Force	108,37
high max Wnd ;45°_1Y_X1	1Y2	high max Wnd ;45°	GCS	X	Force	-123,83
high max Wnd ;45°_1Y_Y1	1Y2	high max Wnd ;45°	GCS	Y	Force	106,88
high max Wnd ;45°_1Y_Z1	1Y2	high max Wnd ;45°	GCS	Z	Force	661,20
high max Wnd ;45°_1XY_X1	1XY2	high max Wnd ;45°	GCS	X	Force	80,11
high max Wnd ;45°_1XY_Y1	1XY2	high max Wnd ;45°	GCS	Y	Force	34,92
high max Wnd ;45°_1XY_Z1	1XY2	high max Wnd ;45°	GCS	Z	Force	-319,06
high max Wnd ;45°_1X_X1	1X2	high max Wnd ;45°	GCS	X	Force	-172,75
high max Wnd ;45°_1X_Y1	1X2	high max Wnd ;45°	GCS	Y	Force	145,36
high max Wnd ;45°_1X_Z1	1X2	high max Wnd ;45°	GCS	Z	Force	-868,49

6.1.2. Load cases - high max Wnd ;135°

Name	Description	Action type	Load group	Duration	Master load case
	Spec	Load type			
high max Wnd ;135°		Variable	LG4	Short	None
	Standard	Static			



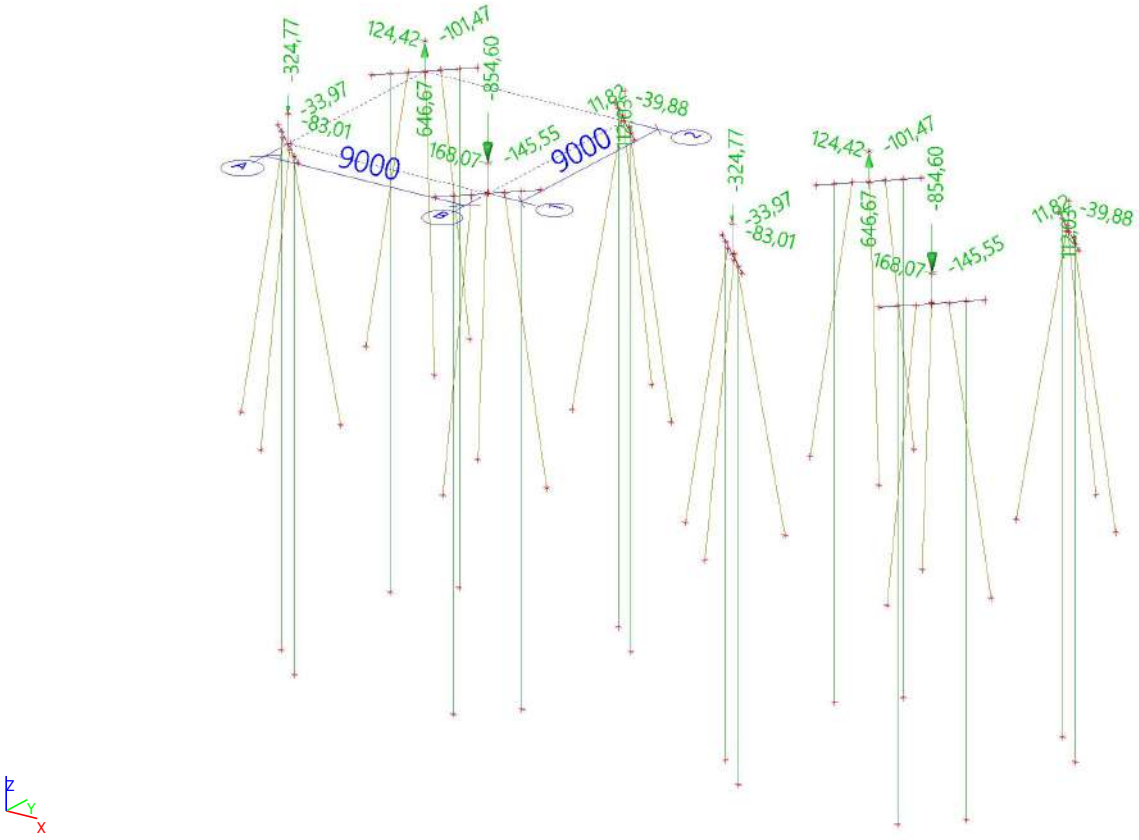
6.1.2.1. Point force in node

Name	Node	Load case	System	Dir	Type	Value - F [kN]
high max Wnd ;135°_1P_X	1P	high max Wnd ;135°	GCS	X	Force	124,65
high max Wnd ;135°_1P_Y	1P	high max Wnd ;135°	GCS	Y	Force	101,57
high max Wnd ;135°_1P_Z	1P	high max Wnd ;135°	GCS	Z	Force	647,76
high max Wnd ;135°_1X_X	1X	high max Wnd ;135°	GCS	X	Force	-83,26
high max Wnd ;135°_1X_Y	1X	high max Wnd ;135°	GCS	Y	Force	34,08
high max Wnd ;135°_1X_Z	1X	high max Wnd ;135°	GCS	Z	Force	-325,90
high max Wnd ;135°_1XY_X	1XY	high max Wnd ;135°	GCS	X	Force	168,32
high max Wnd ;135°_1XY_Y	1XY	high max Wnd ;135°	GCS	Y	Force	145,65
high max Wnd ;135°_1XY_Z	1XY	high max Wnd ;135°	GCS	Z	Force	-855,70
high max Wnd ;135°_1Y_X	1Y	high max Wnd ;135°	GCS	X	Force	-40,13
high max Wnd ;135°_1Y_Y	1Y	high max Wnd ;135°	GCS	Y	Force	-11,72
high max Wnd ;135°_1Y_Z	1Y	high max Wnd ;135°	GCS	Z	Force	113,14
high max Wnd ;135°_1P_X1	1P41	high max Wnd ;135°	GCS	X	Force	124,65
high max Wnd ;135°_1P_Y1	1P41	high max Wnd ;135°	GCS	Y	Force	101,57
high max Wnd	1P41	high max Wnd ;135°	GCS	Z	Force	647,76

Name	Node	Load case	System	Dir	Type	Value - F [kN]
;135°_1P_Z1						
high max Wnd ;135°_1Y_X1	1Y2	high max Wnd ;135°	GCS	X	Force	-40,13
high max Wnd ;135°_1Y_Y1	1Y2	high max Wnd ;135°	GCS	Y	Force	-11,72
high max Wnd ;135°_1Y_Z1	1Y2	high max Wnd ;135°	GCS	Z	Force	113,14
high max Wnd ;135°_1XY_X1	1XY2	high max Wnd ;135°	GCS	X	Force	168,32
high max Wnd ;135°_1XY_Y1	1XY2	high max Wnd ;135°	GCS	Y	Force	145,65
high max Wnd ;135°_1XY_Z1	1XY2	high max Wnd ;135°	GCS	Z	Force	-855,70
high max Wnd ;135°_1X_X1	1X2	high max Wnd ;135°	GCS	X	Force	-83,26
high max Wnd ;135°_1X_Y1	1X2	high max Wnd ;135°	GCS	Y	Force	34,08
high max Wnd ;135°_1X_Z1	1X2	high max Wnd ;135°	GCS	Z	Force	-325,90

6.1.3. Load cases - high max Wnd ;225°

Name	Description	Action type	Load group	Duration	Master load case
	Spec	Load type			
high max Wnd ;225°		Variable	LG4	Short	None
	Standard	Static			

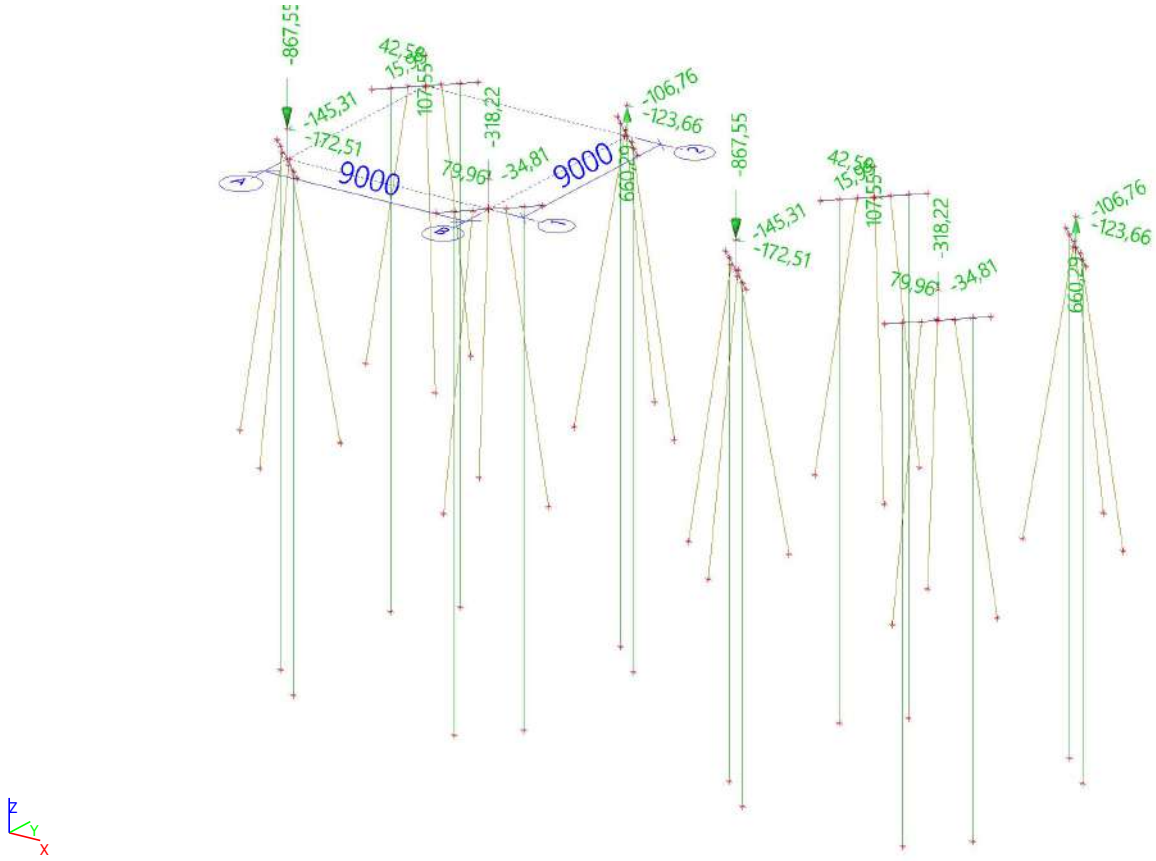


6.1.3.1. Point force in node

Name	Node	Load case	System	Dir	Type	Value - F [kN]
high max Wnd ;225°_1P_X	1P	high max Wnd ;225°	GCS	X	Force	-83,01
high max Wnd ;225°_1P_Y	1P	high max Wnd ;225°	GCS	Y	Force	-33,97
high max Wnd ;225°_1P_Z	1P	high max Wnd ;225°	GCS	Z	Force	-324,77
high max Wnd ;225°_1X_X	1X	high max Wnd ;225°	GCS	X	Force	124,42
high max Wnd ;225°_1X_Y	1X	high max Wnd ;225°	GCS	Y	Force	-101,47
high max Wnd ;225°_1X_Z	1X	high max Wnd ;225°	GCS	Z	Force	646,67
high max Wnd ;225°_1XY_X	1XY	high max Wnd ;225°	GCS	X	Force	-39,88
high max Wnd ;225°_1XY_Y	1XY	high max Wnd ;225°	GCS	Y	Force	11,82
high max Wnd ;225°_1XY_Z	1XY	high max Wnd ;225°	GCS	Z	Force	112,03
high max Wnd ;225°_1Y_X	1Y	high max Wnd ;225°	GCS	X	Force	168,07
high max Wnd ;225°_1Y_Y	1Y	high max Wnd ;225°	GCS	Y	Force	-145,55
high max Wnd ;225°_1Y_Z	1Y	high max Wnd ;225°	GCS	Z	Force	-854,60
high max Wnd ;225°_1P_X1	1P41	high max Wnd ;225°	GCS	X	Force	-83,01
high max Wnd ;225°_1P_Y1	1P41	high max Wnd ;225°	GCS	Y	Force	-33,97
high max Wnd ;225°_1P_Z1	1P41	high max Wnd ;225°	GCS	Z	Force	-324,77
high max Wnd ;225°_1Y_X1	1Y2	high max Wnd ;225°	GCS	X	Force	168,07
high max Wnd ;225°_1Y_Y1	1Y2	high max Wnd ;225°	GCS	Y	Force	-145,55
high max Wnd ;225°_1Y_Z1	1Y2	high max Wnd ;225°	GCS	Z	Force	-854,60
high max Wnd ;225°_1XY_X1	1XY2	high max Wnd ;225°	GCS	X	Force	-39,88
high max Wnd ;225°_1XY_Y1	1XY2	high max Wnd ;225°	GCS	Y	Force	11,82
high max Wnd ;225°_1XY_Z1	1XY2	high max Wnd ;225°	GCS	Z	Force	112,03
high max Wnd ;225°_1X_X1	1X2	high max Wnd ;225°	GCS	X	Force	124,42
high max Wnd ;225°_1X_Y1	1X2	high max Wnd ;225°	GCS	Y	Force	-101,47
high max Wnd ;225°_1X_Z1	1X2	high max Wnd ;225°	GCS	Z	Force	646,67

6.1.4. Load cases - high max Wnd ;315°

Name	Description	Action type	Load group	Duration	Master load case
	Spec	Load type			
high max Wnd ;315°		Variable	LG4	Short	None
	Standard	Static			



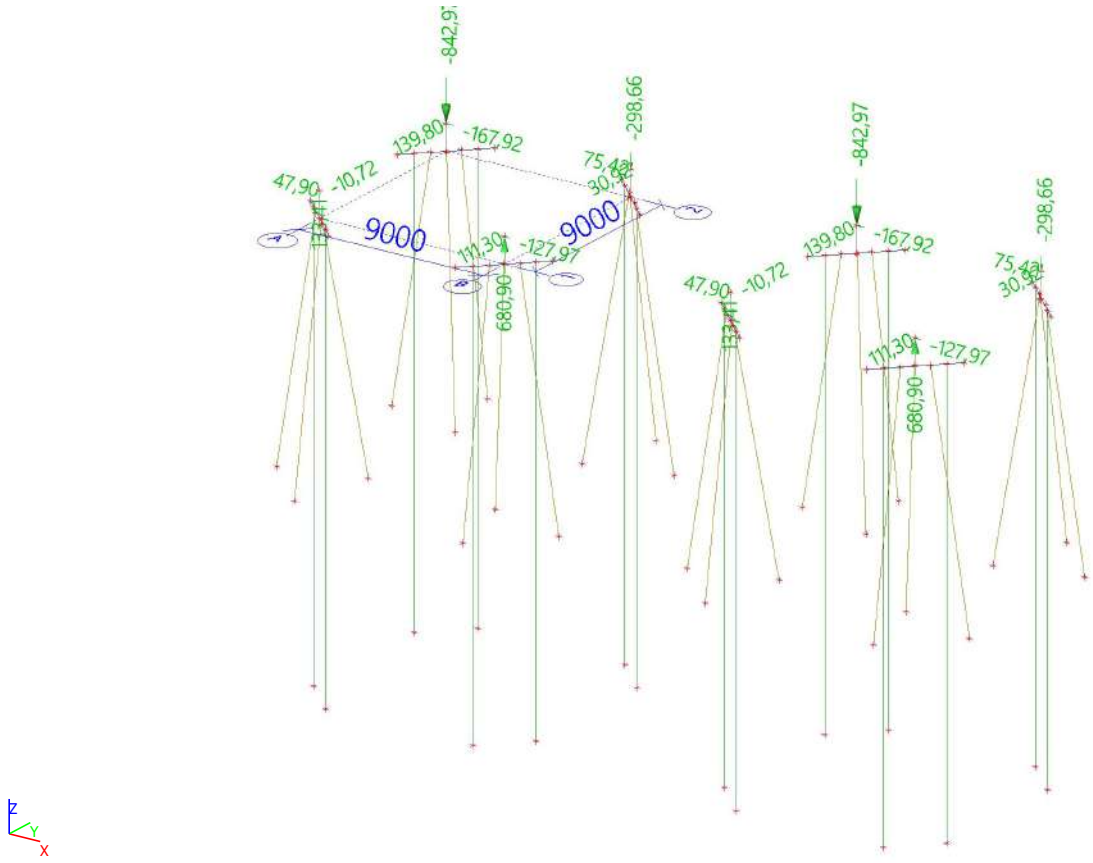
6.1.4.1. Point force in node

Name	Node	Load case	System	Dir	Type	Value - F [kN]
high max Wnd ;315°_1P_X	1P	high max Wnd ;315°	GCS	X	Force	-172,51
high max Wnd ;315°_1P_Y	1P	high max Wnd ;315°	GCS	Y	Force	-145,31
high max Wnd ;315°_1P_Z	1P	high max Wnd ;315°	GCS	Z	Force	-867,55
high max Wnd ;315°_1X_X	1X	high max Wnd ;315°	GCS	X	Force	42,58
high max Wnd ;315°_1X_Y	1X	high max Wnd ;315°	GCS	Y	Force	15,95
high max Wnd ;315°_1X_Z	1X	high max Wnd ;315°	GCS	Z	Force	107,55
high max Wnd ;315°_1XY_X	1XY	high max Wnd ;315°	GCS	X	Force	-123,66
high max Wnd ;315°_1XY_Y	1XY	high max Wnd ;315°	GCS	Y	Force	-106,76
high max Wnd ;315°_1XY_Z	1XY	high max Wnd ;315°	GCS	Z	Force	660,29
high max Wnd ;315°_1Y_X	1Y	high max Wnd ;315°	GCS	X	Force	79,96
high max Wnd ;315°_1Y_Y	1Y	high max Wnd ;315°	GCS	Y	Force	-34,81
high max Wnd ;315°_1Y_Z	1Y	high max Wnd ;315°	GCS	Z	Force	-318,22
high max Wnd ;315°_1P_X1	1P41	high max Wnd ;315°	GCS	X	Force	-172,51
high max Wnd ;315°_1P_Y1	1P41	high max Wnd ;315°	GCS	Y	Force	-145,31
high max Wnd	1P41	high max Wnd ;315°	GCS	Z	Force	-867,55

Name	Node	Load case	System	Dir	Type	Value - F [kN]
;315°_1P_Z1						
high max Wnd ;315°_1Y_X1	1Y2	high max Wnd ;315°	GCS	X	Force	79,96
high max Wnd ;315°_1Y_Y1	1Y2	high max Wnd ;315°	GCS	Y	Force	-34,81
high max Wnd ;315°_1Y_Z1	1Y2	high max Wnd ;315°	GCS	Z	Force	-318,22
high max Wnd ;315°_1XY_X1	1XY2	high max Wnd ;315°	GCS	X	Force	-123,66
high max Wnd ;315°_1XY_Y1	1XY2	high max Wnd ;315°	GCS	Y	Force	-106,76
high max Wnd ;315°_1XY_Z1	1XY2	high max Wnd ;315°	GCS	Z	Force	660,29
high max Wnd ;315°_1X_X1	1X2	high max Wnd ;315°	GCS	X	Force	42,58
high max Wnd ;315°_1X_Y1	1X2	high max Wnd ;315°	GCS	Y	Force	15,95
high max Wnd ;315°_1X_Z1	1X2	high max Wnd ;315°	GCS	Z	Force	107,55

6.1.5. Load cases - low max Wnd ;45°

Name	Description	Action type	Load group	Duration	Master load case
	Spec	Load type			
low max Wnd ;45°		Variable	LG4	Short	None
	Standard	Static			



6.1.5.1. Point force in node

Name	Node	Load case	System	Dir	Type	Value - F [kN]
low max Wnd ;45°_1P_X	1P	low max Wnd ;45°	GCS	X	Force	47,90
low max Wnd ;45°_1P_Y	1P	low max Wnd ;45°	GCS	Y	Force	-10,72
low max Wnd ;45°_1P_Z	1P	low max Wnd ;45°	GCS	Z	Force	133,41
low max Wnd ;45°_1X_X	1X	low max Wnd ;45°	GCS	X	Force	-167,92
low max Wnd ;45°_1X_Y	1X	low max Wnd ;45°	GCS	Y	Force	139,80
low max Wnd ;45°_1X_Z	1X	low max Wnd ;45°	GCS	Z	Force	-842,97
low max Wnd ;45°_1XY_X	1XY	low max Wnd ;45°	GCS	X	Force	75,42
low max Wnd ;45°_1XY_Y	1XY	low max Wnd ;45°	GCS	Y	Force	30,92
low max Wnd ;45°_1XY_Z	1XY	low max Wnd ;45°	GCS	Z	Force	-298,66
low max Wnd ;45°_1Y_X	1Y	low max Wnd ;45°	GCS	X	Force	-127,97
low max Wnd ;45°_1Y_Y	1Y	low max Wnd ;45°	GCS	Y	Force	111,30
low max Wnd ;45°_1Y_Z	1Y	low max Wnd ;45°	GCS	Z	Force	680,90
low max Wnd ;45°_1P_X1	1P41	low max Wnd ;45°	GCS	X	Force	47,90
low max Wnd ;45°_1P_Y1	1P41	low max Wnd ;45°	GCS	Y	Force	-10,72
low max Wnd ;45°_1P_Z1	1P41	low max Wnd ;45°	GCS	Z	Force	133,41
low max Wnd ;45°_1Y_X1	1Y2	low max Wnd ;45°	GCS	X	Force	-127,97
low max Wnd ;45°_1Y_Y1	1Y2	low max Wnd ;45°	GCS	Y	Force	111,30
low max Wnd ;45°_1Y_Z1	1Y2	low max Wnd ;45°	GCS	Z	Force	680,90
low max Wnd ;45°_1XY_X1	1XY2	low max Wnd ;45°	GCS	X	Force	75,42
low max Wnd ;45°_1XY_Y1	1XY2	low max Wnd ;45°	GCS	Y	Force	30,92
low max Wnd ;45°_1XY_Z1	1XY2	low max Wnd ;45°	GCS	Z	Force	-298,66
low max Wnd ;45°_1X_X1	1X2	low max Wnd ;45°	GCS	X	Force	-167,92
low max Wnd ;45°_1X_Y1	1X2	low max Wnd ;45°	GCS	Y	Force	139,80
low max Wnd ;45°_1X_Z1	1X2	low max Wnd ;45°	GCS	Z	Force	-842,97

6.1.6. Load cases - low max Wnd ;135°

Name	Description	Action type	Load group	Duration	Master load case
	Spec	Load type			
low max Wnd ;135°		Variable	LG4	Short	None
	Standard	Static			



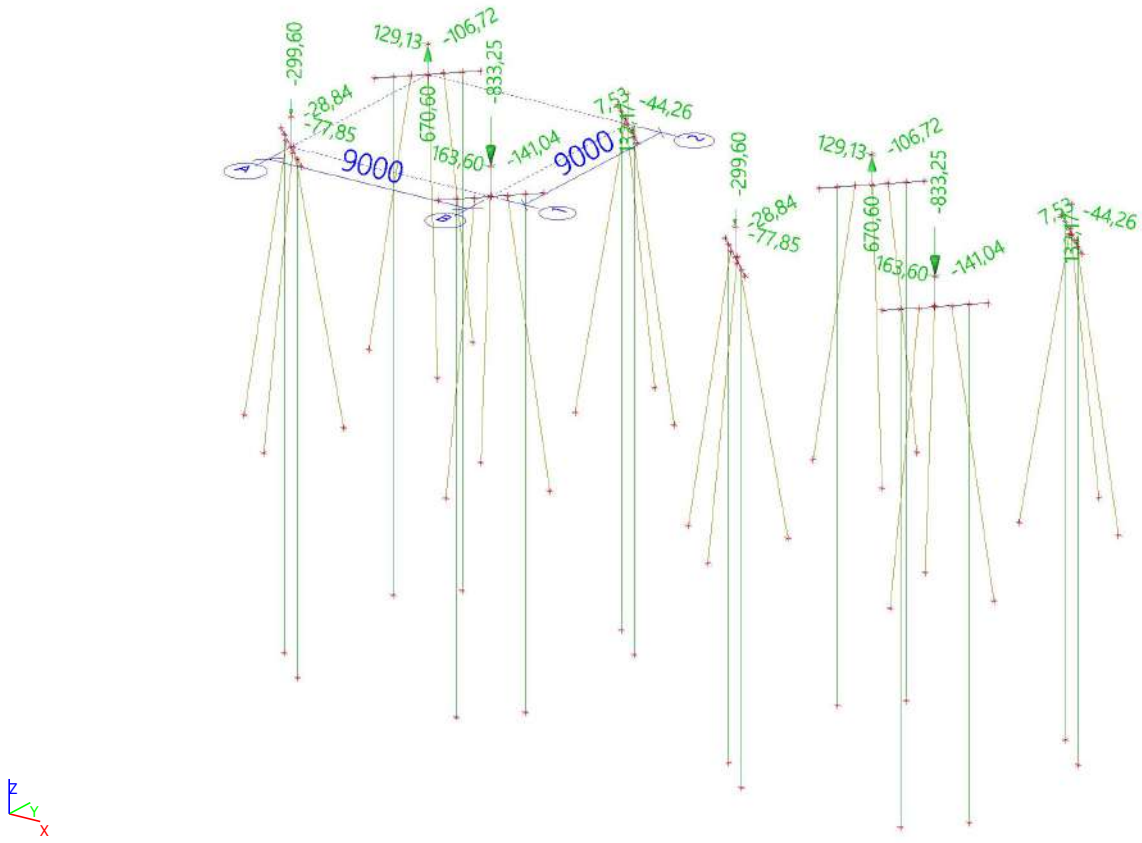
6.1.6.1. Point force in node

Name	Node	Load case	System	Dir	Type	Value - F [kN]
low max Wnd ;135°_1P_X	1P	low max Wnd ;135°	GCS	X	Force	129,30
low max Wnd ;135°_1P_Y	1P	low max Wnd ;135°	GCS	Y	Force	106,84
low max Wnd ;135°_1P_Z	1P	low max Wnd ;135°	GCS	Z	Force	671,51
low max Wnd ;135°_1X_X	1X	low max Wnd ;135°	GCS	X	Force	-78,04
low max Wnd ;135°_1X_Y	1X	low max Wnd ;135°	GCS	Y	Force	28,99
low max Wnd ;135°_1X_Z	1X	low max Wnd ;135°	GCS	Z	Force	-300,62
low max Wnd ;135°_1XY_X	1XY	low max Wnd ;135°	GCS	X	Force	163,84
low max Wnd ;135°_1XY_Y	1XY	low max Wnd ;135°	GCS	Y	Force	141,09
low max Wnd ;135°_1XY_Z	1XY	low max Wnd ;135°	GCS	Z	Force	-834,18
low max Wnd ;135°_1Y_X	1Y	low max Wnd ;135°	GCS	X	Force	-44,53
low max Wnd ;135°_1Y_Y	1Y	low max Wnd ;135°	GCS	Y	Force	-7,47
low max Wnd ;135°_1Y_Z	1Y	low max Wnd ;135°	GCS	Z	Force	133,18
low max Wnd ;135°_1P_X1	1P41	low max Wnd ;135°	GCS	X	Force	129,30
low max Wnd ;135°_1P_Y1	1P41	low max Wnd ;135°	GCS	Y	Force	106,84
low max Wnd	1P41	low max Wnd ;135°	GCS	Z	Force	671,51

Name	Node	Load case	System	Dir	Type	Value - F [kN]
;135°_1P_Z1						
low max Wnd ;135°_1Y_X1	1Y2	low max Wnd ;135°	GCS	X	Force	-44,53
low max Wnd ;135°_1Y_Y1	1Y2	low max Wnd ;135°	GCS	Y	Force	-7,47
low max Wnd ;135°_1Y_Z1	1Y2	low max Wnd ;135°	GCS	Z	Force	133,18
low max Wnd ;135°_1XY_X1	1XY2	low max Wnd ;135°	GCS	X	Force	163,84
low max Wnd ;135°_1XY_Y1	1XY2	low max Wnd ;135°	GCS	Y	Force	141,09
low max Wnd ;135°_1XY_Z1	1XY2	low max Wnd ;135°	GCS	Z	Force	-834,18
low max Wnd ;135°_1X_X1	1X2	low max Wnd ;135°	GCS	X	Force	-78,04
low max Wnd ;135°_1X_Y1	1X2	low max Wnd ;135°	GCS	Y	Force	28,99
low max Wnd ;135°_1X_Z1	1X2	low max Wnd ;135°	GCS	Z	Force	-300,62

6.1.7. Load cases - low max Wnd ;225°

Name	Description	Action type	Load group	Duration	Master load case
	Spec	Load type			
low max Wnd ;225°	Standard	Variable Static	LG4	Short	None

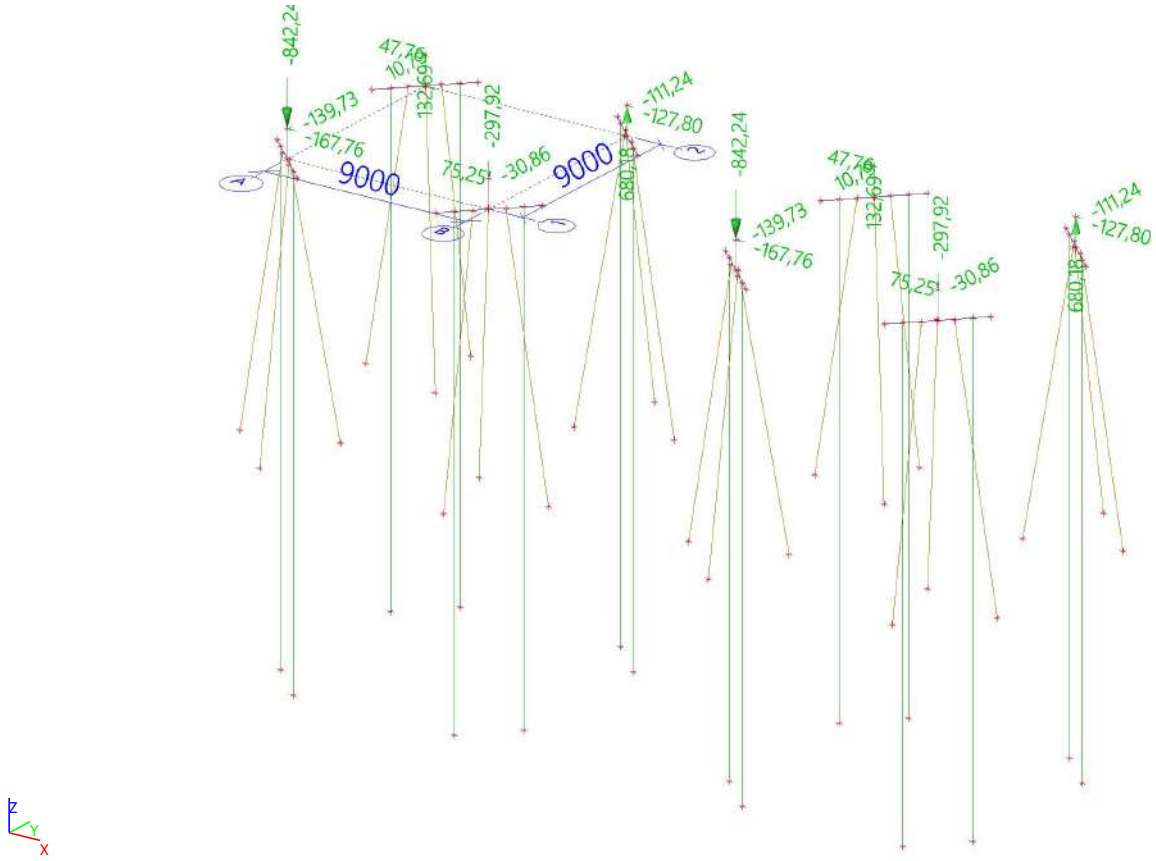


6.1.7.1. Point force in node

Name	Node	Load case	System	Dir	Type	Value - F [kN]
low max Wnd ;225°_1P_X	1P	low max Wnd ;225°	GCS	X	Force	-77,85
low max Wnd ;225°_1P_Y	1P	low max Wnd ;225°	GCS	Y	Force	-28,84
low max Wnd ;225°_1P_Z	1P	low max Wnd ;225°	GCS	Z	Force	-299,60
low max Wnd ;225°_1X_X	1X	low max Wnd ;225°	GCS	X	Force	129,13
low max Wnd ;225°_1X_Y	1X	low max Wnd ;225°	GCS	Y	Force	-106,72
low max Wnd ;225°_1X_Z	1X	low max Wnd ;225°	GCS	Z	Force	670,60
low max Wnd ;225°_1XY_X	1XY	low max Wnd ;225°	GCS	X	Force	-44,26
low max Wnd ;225°_1XY_Y	1XY	low max Wnd ;225°	GCS	Y	Force	7,53
low max Wnd ;225°_1XY_Z	1XY	low max Wnd ;225°	GCS	Z	Force	132,17
low max Wnd ;225°_1Y_X	1Y	low max Wnd ;225°	GCS	X	Force	163,60
low max Wnd ;225°_1Y_Y	1Y	low max Wnd ;225°	GCS	Y	Force	-141,04
low max Wnd ;225°_1Y_Z	1Y	low max Wnd ;225°	GCS	Z	Force	-833,25
low max Wnd ;225°_1P_X1	1P41	low max Wnd ;225°	GCS	X	Force	-77,85
low max Wnd ;225°_1P_Y1	1P41	low max Wnd ;225°	GCS	Y	Force	-28,84
low max Wnd ;225°_1P_Z1	1P41	low max Wnd ;225°	GCS	Z	Force	-299,60
low max Wnd ;225°_1Y_X1	1Y2	low max Wnd ;225°	GCS	X	Force	163,60
low max Wnd ;225°_1Y_Y1	1Y2	low max Wnd ;225°	GCS	Y	Force	-141,04
low max Wnd ;225°_1Y_Z1	1Y2	low max Wnd ;225°	GCS	Z	Force	-833,25
low max Wnd ;225°_1XY_X1	1XY2	low max Wnd ;225°	GCS	X	Force	-44,26
low max Wnd ;225°_1XY_Y1	1XY2	low max Wnd ;225°	GCS	Y	Force	7,53
low max Wnd ;225°_1XY_Z1	1XY2	low max Wnd ;225°	GCS	Z	Force	132,17
low max Wnd ;225°_1X_X1	1X2	low max Wnd ;225°	GCS	X	Force	129,13
low max Wnd ;225°_1X_Y1	1X2	low max Wnd ;225°	GCS	Y	Force	-106,72
low max Wnd ;225°_1X_Z1	1X2	low max Wnd ;225°	GCS	Z	Force	670,60

6.1.8. Load cases - low max Wnd ;315°

Name	Description	Action type	Load group	Duration	Master load case
	Spec	Load type			
low max Wnd ;315°		Variable	LG4	Short	None
	Standard	Static			



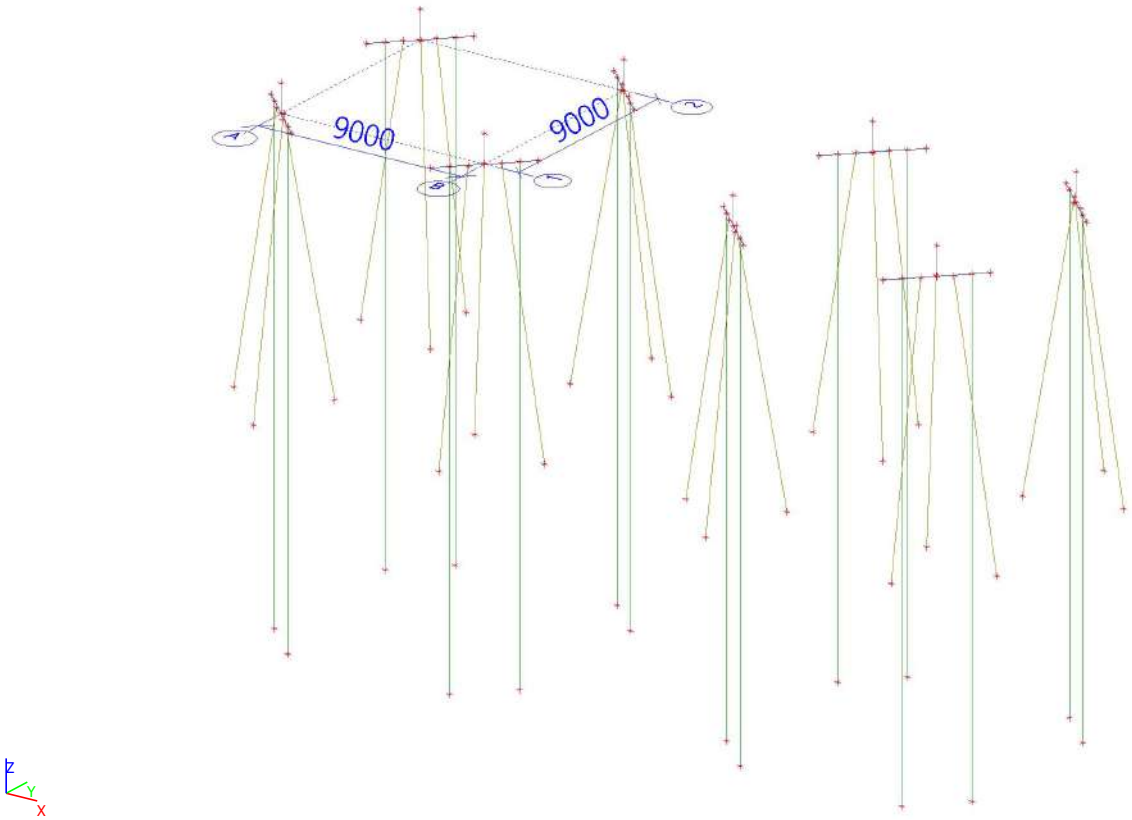
6.1.8.1. Point force in node

Name	Node	Load case	System	Dir	Type	Value - F [kN]
low max Wnd ;315°_1P_X	1P	low max Wnd ;315°	GCS	X	Force	-167,76
low max Wnd ;315°_1P_Y	1P	low max Wnd ;315°	GCS	Y	Force	-139,73
low max Wnd ;315°_1P_Z	1P	low max Wnd ;315°	GCS	Z	Force	-842,24
low max Wnd ;315°_1X_X	1X	low max Wnd ;315°	GCS	X	Force	47,76
low max Wnd ;315°_1X_Y	1X	low max Wnd ;315°	GCS	Y	Force	10,79
low max Wnd ;315°_1X_Z	1X	low max Wnd ;315°	GCS	Z	Force	132,69
low max Wnd ;315°_1XY_X	1XY	low max Wnd ;315°	GCS	X	Force	-127,80
low max Wnd ;315°_1XY_Y	1XY	low max Wnd ;315°	GCS	Y	Force	-111,24
low max Wnd ;315°_1XY_Z	1XY	low max Wnd ;315°	GCS	Z	Force	680,18
low max Wnd ;315°_1Y_X	1Y	low max Wnd ;315°	GCS	X	Force	75,25
low max Wnd ;315°_1Y_Y	1Y	low max Wnd ;315°	GCS	Y	Force	-30,86
low max Wnd ;315°_1Y_Z	1Y	low max Wnd ;315°	GCS	Z	Force	-297,92
low max Wnd ;315°_1P_X1	1P41	low max Wnd ;315°	GCS	X	Force	-167,76
low max Wnd ;315°_1P_Y1	1P41	low max Wnd ;315°	GCS	Y	Force	-139,73
low max Wnd	1P41	low max Wnd ;315°	GCS	Z	Force	-842,24

Name	Node	Load case	System	Dir	Type	Value - F [kN]
;315°_1P_Z1						
low max Wnd ;315°_1Y_X1	1Y2	low max Wnd ;315°	GCS	X	Force	75,25
low max Wnd ;315°_1Y_Y1	1Y2	low max Wnd ;315°	GCS	Y	Force	-30,86
low max Wnd ;315°_1Y_Z1	1Y2	low max Wnd ;315°	GCS	Z	Force	-297,92
low max Wnd ;315°_1XY_X1	1XY2	low max Wnd ;315°	GCS	X	Force	-127,80
low max Wnd ;315°_1XY_Y1	1XY2	low max Wnd ;315°	GCS	Y	Force	-111,24
low max Wnd ;315°_1XY_Z1	1XY2	low max Wnd ;315°	GCS	Z	Force	680,18
low max Wnd ;315°_1X_X1	1X2	low max Wnd ;315°	GCS	X	Force	47,76
low max Wnd ;315°_1X_Y1	1X2	low max Wnd ;315°	GCS	Y	Force	10,79
low max Wnd ;315°_1X_Z1	1X2	low max Wnd ;315°	GCS	Z	Force	132,69

6.1.9. Load cases - EG_fundering

Name	Description	Action type	Load group	Direction
	Spec	Load type		
EG_fundering		Permanent	LG1	-Z
		Self weight		



6.2. Nonlinear combinations

Name	Type	Load cases	Coeff. [-]
low max Wnd ;45° - EG_gunstig	Ultimate	low max Wnd ;45°	1,000
		EG_fundering	0,900
low max Wnd ;135° - EG_gunstig	Ultimate	low max Wnd ;135°	1,000
		EG_fundering	0,900
low max Wnd ;225° - EG_gunstig	Ultimate	low max Wnd ;225°	1,000
		EG_fundering	0,900
low max Wnd ;315° - EG_gunstig	Ultimate	low max Wnd ;315°	1,000
		EG_fundering	0,900
high max Wnd ;45° - EG_ongunstig	Ultimate	high max Wnd ;45°	1,000
		EG_fundering	1,200
high max Wnd ;135° - EG_ongunstig	Ultimate	high max Wnd ;135°	1,000
		EG_fundering	1,200
high max Wnd ;225° - EG_ongunstig	Ultimate	high max Wnd ;225°	1,000
		EG_fundering	1,200
high max Wnd ;315° - EG_ongunstig	Ultimate	high max Wnd ;315°	1,000
		EG_fundering	1,200

6.3. Result classes

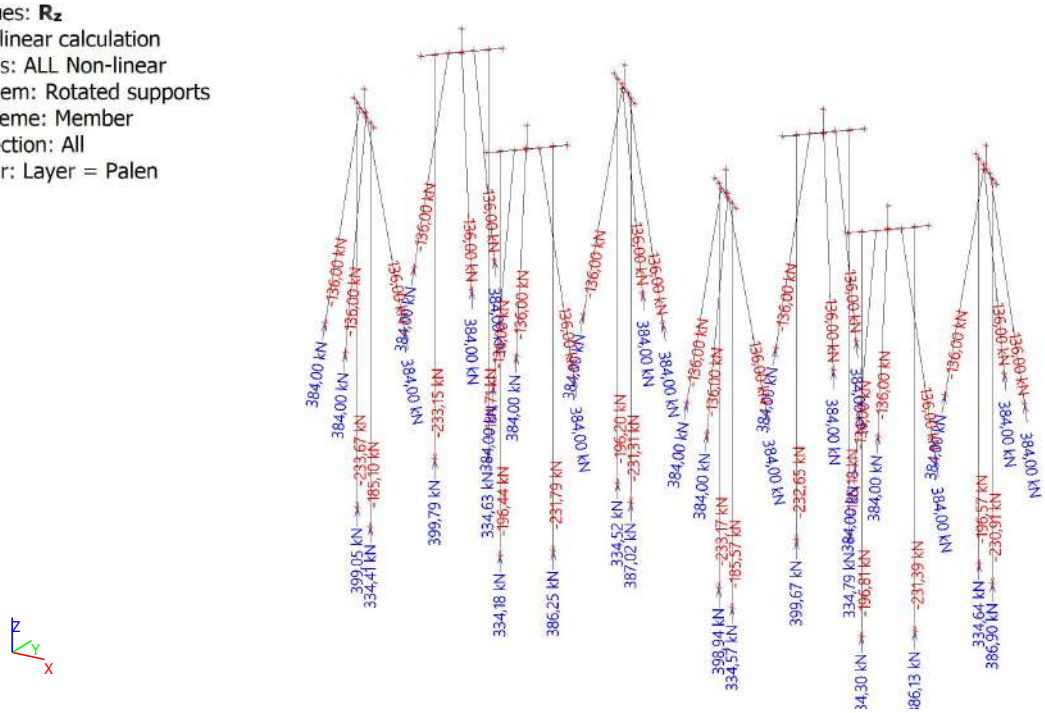
Name	List
ALL Non-linear	low max Wnd ;45° - EG_gunstig
	low max Wnd ;135° - EG_gunstig
	low max Wnd ;225° - EG_gunstig
	low max Wnd ;315° - EG_gunstig
	high max Wnd ;45° - EG_ongunstig
	high max Wnd ;135° - EG_ongunstig
	high max Wnd ;225° - EG_ongunstig
	high max Wnd ;315° - EG_ongunstig

7. Resultaten

7.1. Reacties van de palen

7.1.1. Reactions; R_z

Values: R_z
Nonlinear calculation
Class: ALL Non-linear
System: Rotated supports
Extreme: Member
Selection: All
Filter: Layer = Palen



7.1.2. Reactions

Nonlinear calculation
Class: ALL Non-linear
System: Rotated supports
Extreme: Global
Selection: All
Filter: Cross-section = Paal 40x40 - Rectangle (400,00; 400,00)

Nodal reactions

Name	Case	R_x [kN]	R_y [kN]	R_z [kN]	M_x [kNm]	M_y [kNm]	M_z [kNm]	e_x [mm]	e_y [mm]
S_X_3/N13	low max Wnd ;45° - EG_gunstig	**0,00**	0,00	-136,00	0,00	0,00	0,00	0,0	0,0
S_P_1/N5	low max Wnd ;135° - EG_gunstig	**0,00**	0,00	-136,00	**0,00**	**0,00**	**0,00**	0,0	0,0
S_XY_3/N17	low max Wnd ;315° - EG_gunstig	0,00	**0,00**	-136,00	0,00	0,00	0,00	0,0	0,0
S_P_3/N6	low max Wnd ;135° - EG_gunstig	0,00	**0,00**	**-136,00**	0,00	0,00	0,00	0,0	0,0
S_P_2/N22	low max Wnd ;135° - EG_gunstig	0,00	0,00	**384,00**	0,00	0,00	0,00	0,0	0,0

7.1.3. Reactions

Nonlinear calculation
Class: ALL Non-linear
System: Rotated supports
Extreme: Global
Selection: All

Filter: Cross-section = LEKA Paal - type e (CHS219.1/10.0)
Nodal reactions

Name	Case	R_x [kN]	R_y [kN]	R_z [kN]	M_x [kNm]	M_y [kNm]	M_z [kNm]	e_x [mm]	e_y [mm]
S_Y_7/N36	low max Wnd ;135° - EG_gunstig	0,00	0,00	**-233,67**	0,00	0,00	0,00	0,0	0,0
S_Y_9/N40	high max Wnd ;45° - EG_ongunstig	**0,00**	**0,00**	**399,79**	**0,00**	**0,00**	**0,00**	0,0	0,0

7.1.4. Reactions

Nonlinear calculation
Class: ALL Non-linear
System: Rotated supports
Extreme: Member
Selection: All
Filter: Layer = Palen
Nodal reactions

Name	Case	R_x [kN]	R_y [kN]	R_z [kN]	M_x [kNm]	M_y [kNm]	M_z [kNm]	e_x [mm]	e_y [mm]
S_P_3/N6	low max Wnd ;315° - EG_gunstig	**0,00**	**0,00**	**384,00**	**0,00**	**0,00**	**0,00**	0,0	0,0
S_P_3/N6	low max Wnd ;135° - EG_gunstig	0,00	**0,00**	**-136,00**	0,00	0,00	0,00	0,0	0,0
S_P_1/N5	low max Wnd ;135° - EG_gunstig	**0,00**	**0,00**	**-136,00**	**0,00**	**0,00**	**0,00**	0,0	0,0
S_P_1/N5	low max Wnd ;315° - EG_gunstig	**0,00**	0,00	**384,00**	0,00	0,00	**0,00**	0,0	0,0
S_P_2/N22	low max Wnd ;135° - EG_gunstig	**0,00**	**0,00**	**384,00**	**0,00**	**0,00**	**0,00**	0,0	0,0
S_P_2/N22	low max Wnd ;315° - EG_gunstig	0,00	**0,00**	**-136,00**	0,00	0,00	0,00	0,0	0,0
S_P_2/N22	high max Wnd ;225° - EG_ongunstig	**0,00**	0,00	-19,84	0,00	0,00	**0,00**	0,0	0,0
S_X_3/N13	low max Wnd ;225° - EG_gunstig	**0,00**	**0,00**	**384,00**	**0,00**	**0,00**	**0,00**	0,0	0,0
S_X_3/N13	low max Wnd ;45° - EG_gunstig	**0,00**	0,00	**-136,00**	0,00	0,00	**0,00**	0,0	0,0
S_X_1/N12	high max Wnd ;315° - EG_ongunstig	0,00	**0,00**	225,43	0,00	0,00	0,00	0,0	0,0
S_X_1/N12	low max Wnd ;225° - EG_gunstig	**0,00**	0,00	**384,00**	**0,00**	**0,00**	**0,00**	0,0	0,0
S_X_1/N12	low max Wnd ;45° - EG_gunstig	0,00	**0,00**	**-136,00**	0,00	0,00	**0,00**	0,0	0,0
S_X_2/N8	high max Wnd ;135° - EG_ongunstig	**0,00**	**0,00**	124,52	**0,00**	**0,00**	**0,00**	0,0	0,0
S_X_2/N8	low max Wnd ;225° - EG_gunstig	0,00	**0,00**	**-136,00**	0,00	0,00	0,00	0,0	0,0
S_X_2/N8	low max Wnd ;45° - EG_gunstig	**0,00**	0,00	**384,00**	0,00	0,00	**0,00**	0,0	0,0

Name	Case	R_x [kN]	R_y [kN]	R_z [kN]	M_x [kNm]	M_y [kNm]	M_z [kNm]	e_x [mm]	e_y [mm]
S_XY_3/N17	high max Wnd ;45° - EG_ongunstig	**0,00**	**0,00**	225,84	**0,00**	**0,00**	**0,00**	0,0	0,0
S_XY_3/N17	low max Wnd ;315° - EG_gunstig	0,00	**0,00**	**-136,00**	0,00	0,00	0,00	0,0	0,0
S_XY_3/N17	low max Wnd ;135° - EG_gunstig	0,00	0,00	**384,00**	0,00	0,00	0,00	0,0	0,0
S_XY_1/N16	low max Wnd ;45° - EG_gunstig	**0,00**	**0,00**	271,06	**0,00**	**0,00**	**0,00**	0,0	0,0
S_XY_1/N16	low max Wnd ;135° - EG_gunstig	0,00	0,00	**384,00**	0,00	0,00	0,00	0,0	0,0
S_XY_1/N16	low max Wnd ;315° - EG_gunstig	**0,00**	0,00	**-136,00**	0,00	0,00	**0,00**	0,0	0,0
S_XY_2/N18	high max Wnd ;225° - EG_ongunstig	**0,00**	**0,00**	124,10	**0,00**	**0,00**	**0,00**	0,0	0,0
S_XY_2/N18	low max Wnd ;135° - EG_gunstig	0,00	**0,00**	**-136,00**	0,00	0,00	0,00	0,0	0,0
S_XY_2/N18	low max Wnd ;315° - EG_gunstig	**0,00**	0,00	**384,00**	0,00	0,00	**0,00**	0,0	0,0
S_Y_3/N10	low max Wnd ;225° - EG_gunstig	**0,00**	0,00	**-136,00**	0,00	0,00	0,00	0,0	0,0
S_Y_3/N10	low max Wnd ;45° - EG_gunstig	0,00	**0,00**	**384,00**	**0,00**	**0,00**	**0,00**	0,0	0,0
S_Y_3/N10	low max Wnd ;135° - EG_gunstig	**0,00**	0,00	276,92	0,00	0,00	**0,00**	0,0	0,0
S_Y_1/N20	low max Wnd ;135° - EG_gunstig	**0,00**	**0,00**	189,56	**0,00**	**0,00**	**0,00**	0,0	0,0
S_Y_1/N20	low max Wnd ;225° - EG_gunstig	0,00	**0,00**	**-136,00**	0,00	0,00	0,00	0,0	0,0
S_Y_1/N20	low max Wnd ;45° - EG_gunstig	0,00	0,00	**384,00**	0,00	0,00	**0,00**	0,0	0,0
S_Y_2/N21	high max Wnd ;315° - EG_ongunstig	0,00	**0,00**	123,62	**0,00**	**0,00**	**0,00**	0,0	0,0
S_Y_2/N21	low max Wnd ;45° - EG_gunstig	0,00	**0,00**	**-136,00**	0,00	0,00	0,00	0,0	0,0
S_Y_2/N21	low max Wnd ;225° - EG_gunstig	**0,00**	0,00	**384,00**	0,00	0,00	0,00	0,0	0,0
S_Y_2/N21	low max Wnd ;135° - EG_gunstig	**0,00**	0,00	-26,34	0,00	0,00	**0,00**	0,0	0,0
S_Y_4/N27	high max Wnd ;225° - EG_ongunstig	**0,00**	**0,00**	**334,18**	**0,00**	**0,00**	**0,00**	0,0	0,0
S_Y_4/N27	low max Wnd ;45° - EG_gunstig	0,00	0,00	**-196,44**	0,00	0,00	**0,00**	0,0	0,0
S_Y_5/N28	high max Wnd ;225° - EG_ongunstig	**0,00**	**0,00**	**386,25**	**0,00**	**0,00**	**0,00**	0,0	0,0

Name	Case	R_x [kN]	R_y [kN]	R_z [kN]	M_x [kNm]	M_y [kNm]	M_z [kNm]	e_x [mm]	e_y [mm]
S_Y_5/N28	low max Wnd ;45° - EG_gunstig	0,00	0,00	**-231,79**	0,00	0,00	**0,00**	0,0	0,0
S_Y_6/N34	low max Wnd ;135° - EG_gunstig	0,00	0,00	**-185,10**	0,00	0,00	0,00	0,0	0,0
S_Y_6/N34	high max Wnd ;315° - EG_ongunstig	**0,00**	**0,00**	**334,41**	**0,00**	**0,00**	**0,00**	0,0	0,0
S_Y_7/N36	low max Wnd ;135° - EG_gunstig	0,00	0,00	**-233,67**	0,00	0,00	0,00	0,0	0,0
S_Y_7/N36	high max Wnd ;315° - EG_ongunstig	**0,00**	**0,00**	**399,05**	**0,00**	**0,00**	**0,00**	0,0	0,0
S_Y_8/N38	low max Wnd ;225° - EG_gunstig	0,00	0,00	**-184,71**	0,00	0,00	0,00	0,0	0,0
S_Y_8/N38	high max Wnd ;45° - EG_ongunstig	**0,00**	**0,00**	**334,63**	**0,00**	**0,00**	**0,00**	0,0	0,0
S_Y_9/N40	low max Wnd ;225° - EG_gunstig	0,00	0,00	**-233,15**	0,00	0,00	0,00	0,0	0,0
S_Y_9/N40	high max Wnd ;45° - EG_ongunstig	**0,00**	**0,00**	**399,79**	**0,00**	**0,00**	**0,00**	0,0	0,0
S_Y_11/N44	low max Wnd ;315° - EG_gunstig	0,00	0,00	**-231,31**	0,00	0,00	0,00	0,0	0,0
S_Y_11/N44	high max Wnd ;135° - EG_ongunstig	**0,00**	**0,00**	**387,02**	**0,00**	**0,00**	**0,00**	0,0	0,0
S_Y_10/N42	low max Wnd ;315° - EG_gunstig	0,00	0,00	**-196,20**	0,00	0,00	0,00	0,0	0,0
S_Y_10/N42	high max Wnd ;135° - EG_ongunstig	**0,00**	**0,00**	**334,52**	**0,00**	**0,00**	**0,00**	0,0	0,0
S_P_8/N98	low max Wnd ;225° - EG_gunstig	0,00	**0,00**	191,40	0,00	0,00	0,00	0,0	0,0
S_P_8/N98	low max Wnd ;135° - EG_gunstig	0,00	**0,00**	**-136,00**	0,00	0,00	0,00	0,0	0,0
S_P_8/N98	low max Wnd ;315° - EG_gunstig	**0,00**	0,00	**384,00**	**0,00**	**0,00**	**0,00**	0,0	0,0
S_P_7/N97	low max Wnd ;135° - EG_gunstig	**0,00**	**0,00**	**-136,00**	**0,00**	**0,00**	**0,00**	0,0	0,0
S_P_7/N97	low max Wnd ;315° - EG_gunstig	**0,00**	0,00	**384,00**	0,00	0,00	**0,00**	0,0	0,0
S_P_9/N108	high max Wnd ;45° - EG_ongunstig	0,00	**0,00**	126,55	0,00	0,00	0,00	0,0	0,0
S_P_9/N108	low max Wnd ;315° - EG_gunstig	0,00	**0,00**	**-136,00**	0,00	0,00	0,00	0,0	0,0
S_P_9/N108	low max Wnd ;135° - EG_gunstig	**0,00**	0,00	**384,00**	**0,00**	**0,00**	**0,00**	0,0	0,0
S_P_9/N108	high max Wnd ;225° - EG_ongunstig	**0,00**	0,00	-17,19	0,00	0,00	**0,00**	0,0	0,0

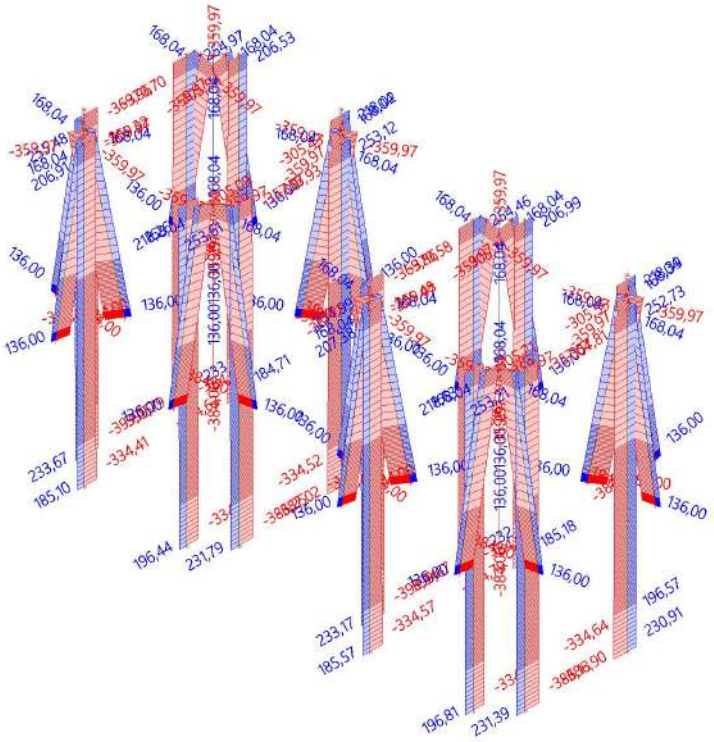
Name	Case	R_x [kN]	R_y [kN]	R_z [kN]	M_x [kNm]	M_y [kNm]	M_z [kNm]	e_x [mm]	e_y [mm]
S_X_9/N102	high max Wnd ;315° - EG_ongunstig	**0,00**	**0,00**	309,28	**0,00**	**0,00**	**0,00**	0,0	0,0
S_X_9/N102	low max Wnd ;225° - EG_gunstig	0,00	0,00	**384,00**	0,00	0,00	0,00	0,0	0,0
S_X_9/N102	low max Wnd ;45° - EG_gunstig	**0,00**	0,00	**-136,00**	0,00	0,00	**0,00**	0,0	0,0
S_X_8/N101	high max Wnd ;315° - EG_ongunstig	0,00	**0,00**	228,60	0,00	0,00	0,00	0,0	0,0
S_X_8/N101	low max Wnd ;225° - EG_gunstig	**0,00**	0,00	**384,00**	**0,00**	**0,00**	**0,00**	0,0	0,0
S_X_8/N101	low max Wnd ;45° - EG_gunstig	0,00	**0,00**	**-136,00**	0,00	0,00	**0,00**	0,0	0,0
S_X_7/N99	high max Wnd ;135° - EG_ongunstig	**0,00**	**0,00**	127,14	**0,00**	**0,00**	**0,00**	0,0	0,0
S_X_7/N99	low max Wnd ;225° - EG_gunstig	0,00	**0,00**	**-136,00**	0,00	0,00	0,00	0,0	0,0
S_X_7/N99	low max Wnd ;45° - EG_gunstig	**0,00**	0,00	**384,00**	0,00	0,00	**0,00**	0,0	0,0
S_XY_8/N104	high max Wnd ;45° - EG_ongunstig	**0,00**	**0,00**	229,02	**0,00**	**0,00**	**0,00**	0,0	0,0
S_XY_8/N104	low max Wnd ;315° - EG_gunstig	0,00	**0,00**	**-136,00**	0,00	0,00	0,00	0,0	0,0
S_XY_8/N104	low max Wnd ;135° - EG_gunstig	0,00	0,00	**384,00**	0,00	0,00	0,00	0,0	0,0
S_XY_7/N103	high max Wnd ;45° - EG_ongunstig	**0,00**	**0,00**	309,81	**0,00**	**0,00**	**0,00**	0,0	0,0
S_XY_7/N103	low max Wnd ;135° - EG_gunstig	0,00	0,00	**384,00**	0,00	0,00	0,00	0,0	0,0
S_XY_7/N103	low max Wnd ;315° - EG_gunstig	**0,00**	0,00	**-136,00**	0,00	0,00	**0,00**	0,0	0,0
S_XY_9/N105	high max Wnd ;225° - EG_ongunstig	**0,00**	0,00	126,74	**0,00**	**0,00**	**0,00**	0,0	0,0
S_XY_9/N105	low max Wnd ;135° - EG_gunstig	0,00	**0,00**	**-136,00**	0,00	0,00	0,00	0,0	0,0
S_XY_9/N105	low max Wnd ;315° - EG_gunstig	**0,00**	**0,00**	**384,00**	0,00	0,00	**0,00**	0,0	0,0
S_Y_23/N100	low max Wnd ;225° - EG_gunstig	**0,00**	0,00	**-136,00**	0,00	0,00	0,00	0,0	0,0
S_Y_23/N100	low max Wnd ;45° - EG_gunstig	0,00	**0,00**	**384,00**	**0,00**	**0,00**	**0,00**	0,0	0,0
S_Y_23/N100	high max Wnd ;135° - EG_ongunstig	**0,00**	0,00	318,12	0,00	0,00	**0,00**	0,0	0,0
S_Y_24/N106	high max Wnd ;135° - EG_ongunstig	**0,00**	**0,00**	229,44	**0,00**	**0,00**	**0,00**	0,0	0,0

Name	Case	R_x [kN]	R_y [kN]	R_z [kN]	M_x [kNm]	M_y [kNm]	M_z [kNm]	e_x [mm]	e_y [mm]
S_Y_24/N106	low max Wnd ;225° - EG_gunstig	0,00	**0,00**	**-136,00**	0,00	0,00	0,00	0,0	0,0
S_Y_24/N106	low max Wnd ;45° - EG_gunstig	0,00	0,00	**384,00**	0,00	0,00	**0,00**	0,0	0,0
S_Y_25/N107	low max Wnd ;45° - EG_gunstig	0,00	**0,00**	**-136,00**	0,00	0,00	0,00	0,0	0,0
S_Y_25/N107	low max Wnd ;225° - EG_gunstig	**0,00**	**0,00**	**384,00**	**0,00**	**0,00**	**0,00**	0,0	0,0
S_Y_25/N107	high max Wnd ;315° - EG_ongunstig	**0,00**	0,00	126,25	0,00	0,00	**0,00**	0,0	0,0
S_Y_26/N111	high max Wnd ;225° - EG_ongunstig	**0,00**	**0,00**	**334,30**	**0,00**	**0,00**	**0,00**	0,0	0,0
S_Y_26/N111	low max Wnd ;45° - EG_gunstig	0,00	0,00	**-196,81**	0,00	0,00	**0,00**	0,0	0,0
S_Y_27/N112	high max Wnd ;225° - EG_ongunstig	**0,00**	**0,00**	**386,13**	**0,00**	**0,00**	**0,00**	0,0	0,0
S_Y_27/N112	low max Wnd ;45° - EG_gunstig	0,00	0,00	**-231,39**	0,00	0,00	**0,00**	0,0	0,0
S_Y_28/N114	low max Wnd ;135° - EG_gunstig	0,00	0,00	**-185,57**	0,00	0,00	0,00	0,0	0,0
S_Y_28/N114	high max Wnd ;315° - EG_ongunstig	**0,00**	**0,00**	**334,57**	**0,00**	**0,00**	**0,00**	0,0	0,0
S_Y_29/N116	low max Wnd ;135° - EG_gunstig	0,00	0,00	**-233,17**	0,00	0,00	0,00	0,0	0,0
S_Y_29/N116	high max Wnd ;315° - EG_ongunstig	**0,00**	**0,00**	**398,94**	**0,00**	**0,00**	**0,00**	0,0	0,0
S_Y_30/N118	low max Wnd ;225° - EG_gunstig	0,00	0,00	**-185,18**	0,00	0,00	0,00	0,0	0,0
S_Y_30/N118	high max Wnd ;45° - EG_ongunstig	**0,00**	**0,00**	**334,79**	**0,00**	**0,00**	**0,00**	0,0	0,0
S_Y_31/N120	low max Wnd ;225° - EG_gunstig	0,00	0,00	**-232,65**	0,00	0,00	0,00	0,0	0,0
S_Y_31/N120	high max Wnd ;45° - EG_ongunstig	**0,00**	**0,00**	**399,67**	**0,00**	**0,00**	**0,00**	0,0	0,0
S_Y_33/N124	low max Wnd ;315° - EG_gunstig	0,00	0,00	**-230,91**	0,00	0,00	0,00	0,0	0,0
S_Y_33/N124	high max Wnd ;135° - EG_ongunstig	**0,00**	**0,00**	**386,90**	**0,00**	**0,00**	**0,00**	0,0	0,0
S_Y_32/N122	low max Wnd ;315° - EG_gunstig	0,00	0,00	**-196,57**	0,00	0,00	0,00	0,0	0,0
S_Y_32/N122	high max Wnd ;135° - EG_ongunstig	**0,00**	**0,00**	**334,64**	**0,00**	**0,00**	**0,00**	0,0	0,0

7.2. Krachten van de Funderingspalen

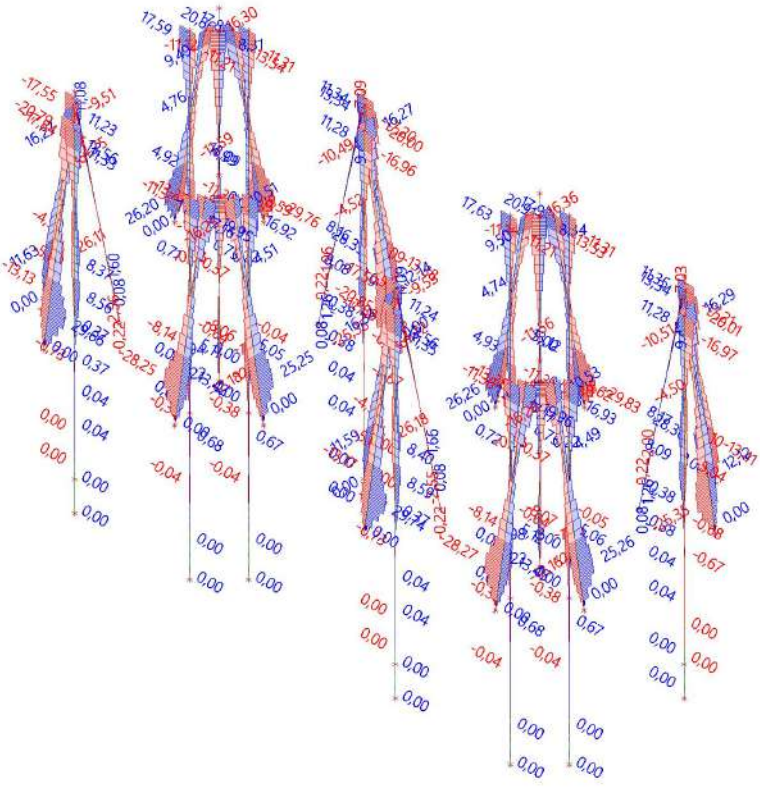
7.2.1. Interne 1D- krachten; N

Values: **N**
Nonlinear calculation
Class: ALL Non-linear
Coordinate system: Principal
Extreme 1D: Local
Selection: All
Filter: Layer = Palen



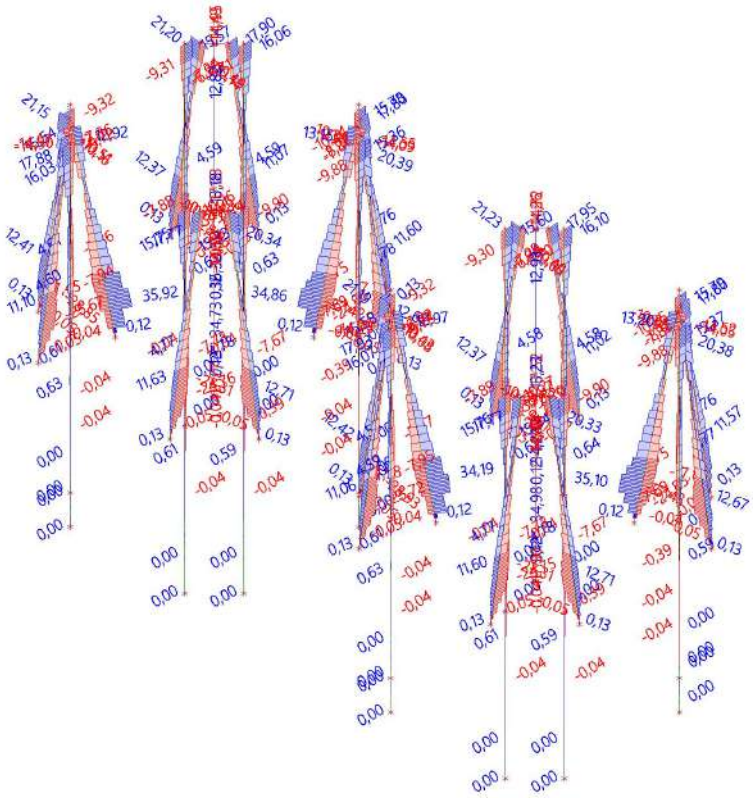
7.2.2. Interne 1D- krachten; V_y

Values: **V_y**
Nonlinear calculation
Class: ALL Non-linear
Coordinate system: Principal
Extreme 1D: Local
Selection: All
Filter: Layer = Palen



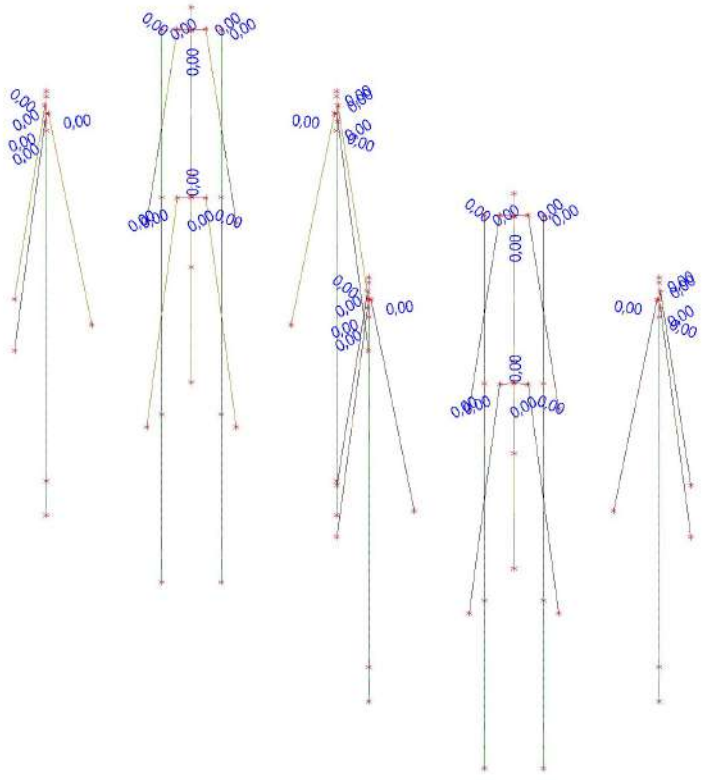
7.2.3. Interne 1D- krachten; V_z

Values: V_z
Nonlinear calculation
Class: ALL Non-linear
Coordinate system: Principal
Extreme 1D: Local
Selection: All
Filter: Layer = Palen



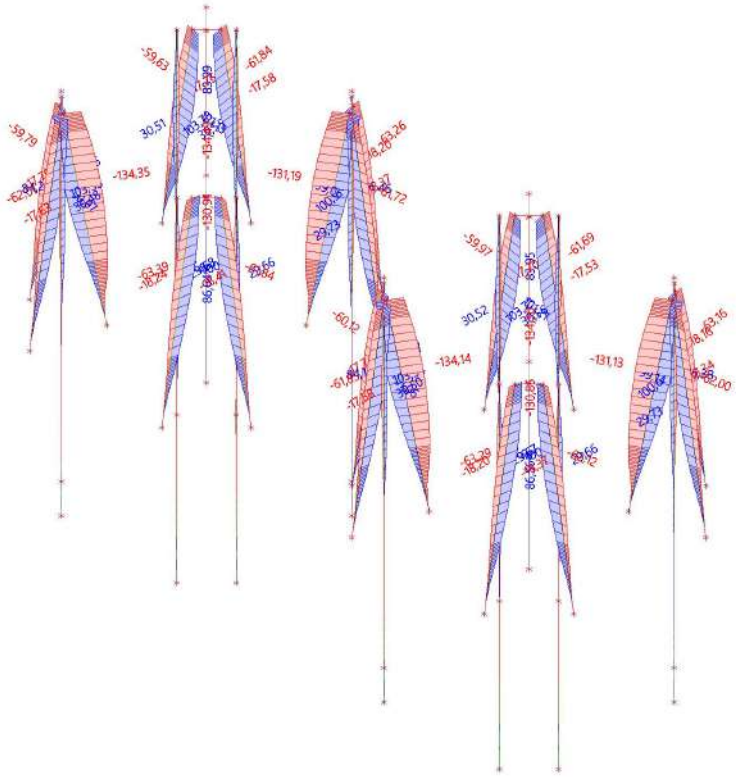
7.2.4. Interne 1D- krachten; M_x

Values: M_x
Nonlinear calculation
Class: ALL Non-linear
Coordinate system: Principal
Extreme 1D: Local
Selection: All
Filter: Layer = Palen



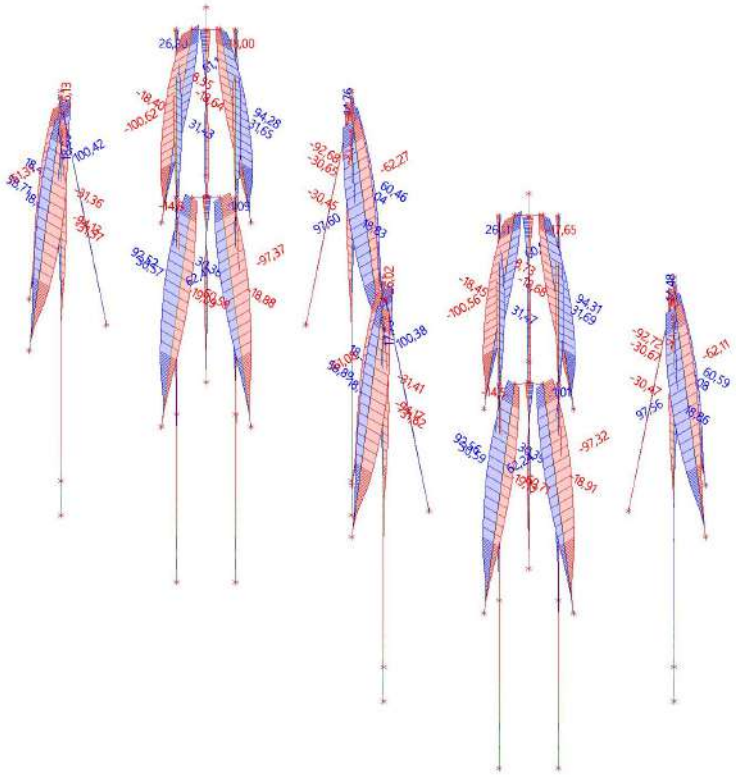
7.2.5. Interne 1D- krachten; M_y

Values: M_y
Nonlinear calculation
Class: ALL Non-linear
Coordinate system: Principal
Extreme 1D: Member
Selection: All
Filter: Layer = Palen



7.2.6. Interne 1D- krachten; M_z

Values: M_z
Nonlinear calculation
Class: ALL Non-linear
Coordinate system: Principal
Extreme 1D: Member
Selection: All
Filter: Layer = Palen



7.2.7. 1D internal forces

Nonlinear calculation
Class: ALL Non-linear
Coordinate system: Principal
Extreme 1D: Global
Selection: All
Filter: Cross-section = Paal 40x40 - Rectangle (400,00; 400,00)

Name	dx [m]	Case	Cross-section	N [kN]	V_y [kN]	V_z [kN]	M_x [kNm]	M_y [kNm]	M_z [kNm]
Paal_P_3	11,500	low max Wnd ;315° - EG_gunstig	Paal 40x40 - Rectangle (400,00; 400,00)	**-384,00**	0,00	0,13	0,00	0,00	0,00
Paal_P_3	0,000	high max Wnd ;135° - EG_ongunstig	Paal 40x40 - Rectangle (400,00; 400,00)	**168,04**	12,48	-5,30	**0,00**	-46,66	23,78
Paal_Y_8	9,000+	high max Wnd ;45° - EG_ongunstig	Paal 40x40 - Rectangle (400,00; 400,00)	-378,43	**-29,83**	-25,79	0,00	40,63	47,28
Paal_P_7	9,000+	high max Wnd ;315° - EG_ongunstig	Paal 40x40 - Rectangle (400,00; 400,00)	-378,43	**29,74**	-25,72	0,00	40,53	-47,15
Paal_Y_7	9,000+	high max Wnd ;45° - EG_ongunstig	Paal 40x40 - Rectangle (400,00; 400,00)	-378,43	26,26	**-29,01**	0,00	45,28	-41,87
Paal_Y_2	9,000+	high max Wnd ;45° - EG_ongunstig	Paal 40x40 - Rectangle (400,00; 400,00)	141,57	2,61	**36,32**	0,00	-56,95	-4,33
Paal_Y_2	3,625-	high max Wnd ;45° - EG_ongunstig	Paal 40x40 - Rectangle (400,00; 400,00)	159,16	-5,27	-0,80	0,00	**-134,49**	-4,76
Paal_Y_1	4,000-	high max Wnd ;45° - EG_ongunstig	Paal 40x40 - Rectangle (400,00; 400,00)	-361,71	5,13	1,59	0,00	**103,78**	94,28
Paal_Y_3	4,000-	high max Wnd ;45° - EG_ongunstig	Paal 40x40 - Rectangle (400,00; 400,00)	-361,71	-1,46	4,18	0,00	101,13	**-100,62**
Paal_P_1	4,000-	high max Wnd ;315° - EG_ongunstig	Paal 40x40 - Rectangle (400,00; 400,00)	-361,71	1,46	4,15	0,00	100,97	**100,42**

7.2.8. 1D internal forces

Nonlinear calculation
Class: ALL Non-linear
Coordinate system: Principal
Extreme 1D: Global
Selection: All
Filter: Cross-section = LEKA Paal - type e (CHS219.1/10.0)

Name	dx [m]	Case	Cross-section	N [kN]	V_y [kN]	V_z [kN]	M_x [kNm]	M_y [kNm]	M_z [kNm]
Paal_X_9	20,650	high max Wnd ;45° - EG_ongunstig	LEKA Paal - type e (CHS219.1/10.0)	**-399,79**	0,00	0,00	0,00	0,00	0,00
Paal_X_7	0,000	low max Wnd ;135° - EG_gunstig	LEKA Paal - type e (CHS219.1/10.0)	**255,48**	11,23	-9,32	**0,00**	3,39	-8,98

Name	dx [m]	Case	Cross-section	N [kN]	V_y [kN]	V_z [kN]	M_x [kNm]	M_y [kNm]	M_z [kNm]
Paal_X_28	0,000	high max Wnd ;315° - EG_ongunstig	LEKA Paal - type e (CHS219.1/10.0)	-305,48	**-17,88**	16,07	0,00	-11,75	17,49
Paal_X_26	0,000	low max Wnd ;45° - EG_gunstig	LEKA Paal - type e (CHS219.1/10.0)	218,63	-11,38	**-10,27**	0,00	5,93	8,62
Paal_X_30	0,000	high max Wnd ;45° - EG_ongunstig	LEKA Paal - type e (CHS219.1/10.0)	-305,71	**17,92**	**16,10**	0,00	-11,76	-17,56
Paal_X_5	3,625-	low max Wnd ;45° - EG_gunstig	LEKA Paal - type e (CHS219.1/10.0)	250,24	-2,94	-1,92	0,00	**-18,41**	-18,66
Paal_X_28	4,500-	high max Wnd ;315° - EG_ongunstig	LEKA Paal - type e (CHS219.1/10.0)	-311,21	-2,85	1,71	0,00	30,50	**-31,62**
Paal_X_30	4,500-	high max Wnd ;45° - EG_ongunstig	LEKA Paal - type e (CHS219.1/10.0)	-311,43	2,87	1,72	0,00	**30,56**	**31,69**

7.3. Krachten van de Poeren

7.3.1. 1D internal forces

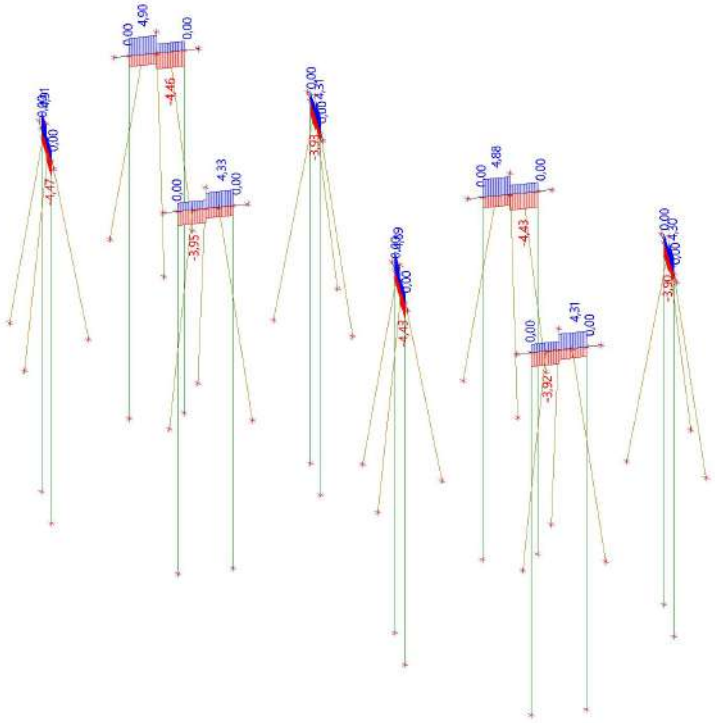
Nonlinear calculation
Class: ALL Non-linear
Coordinate system: Principal
Extreme 1D: Global
Selection: All
Filter: Layer = Poeren

Name	dx [m]	Case	N [kN]	V_y [kN]	V_z [kN]	M_x [kNm]	M_y [kNm]	M_z [kNm]
Poer X	1,200	low max Wnd ;45° - EG_gunstig	**680,90**	-169,19	-11,79	**0,00**	0,00	0,00
Poer X	0,000	low max Wnd ;45° - EG_gunstig	651,13	**-169,19**	-11,79	0,00	14,14	**203,03**
Poer Y	0,000	low max Wnd ;315° - EG_gunstig	102,92	-26,14	**-41,40**	0,00	**49,68**	31,37
Poer P	0,000	high max Wnd ;45° - EG_ongunstig	68,68	-19,01	**41,52**	0,00	**-49,83**	22,81
Poer Y	0,000	high max Wnd ;45° - EG_ongunstig	**-908,18**	**224,94**	19,37	0,00	-23,24	**-269,93**

7.4. Krachten van de Funderingsbalken

7.4.1. Interne 1D- krachten; N

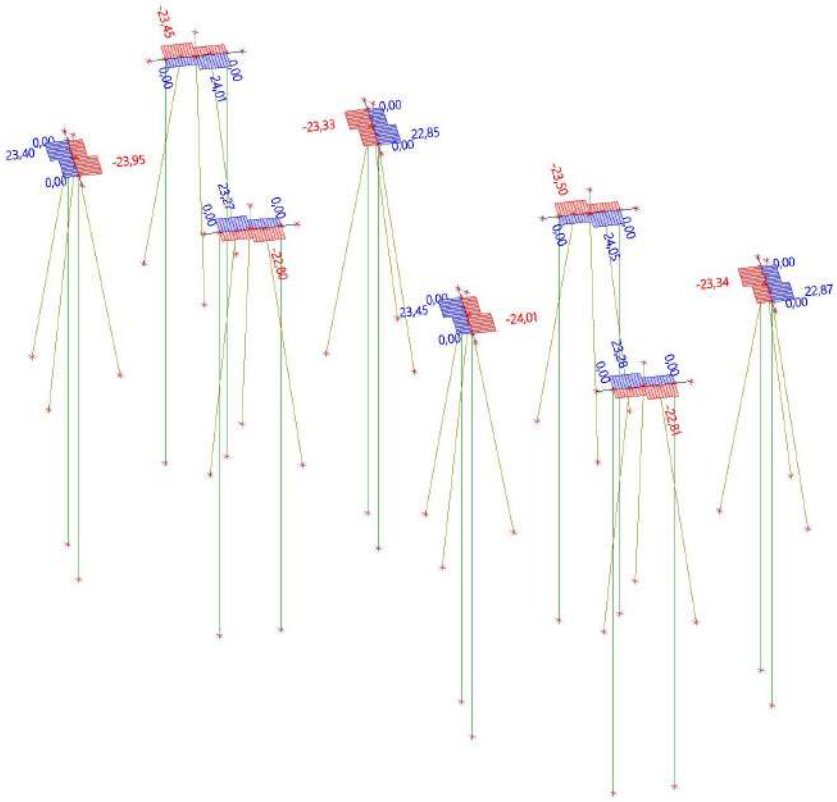
Values: **N**
Nonlinear calculation
Class: ALL Non-linear
Coordinate system: Principal
Extreme 1D: Local
Selection: All
Filter: Layer = Lijnpoer





7.4.2. Interne 1D- krachten; V_y

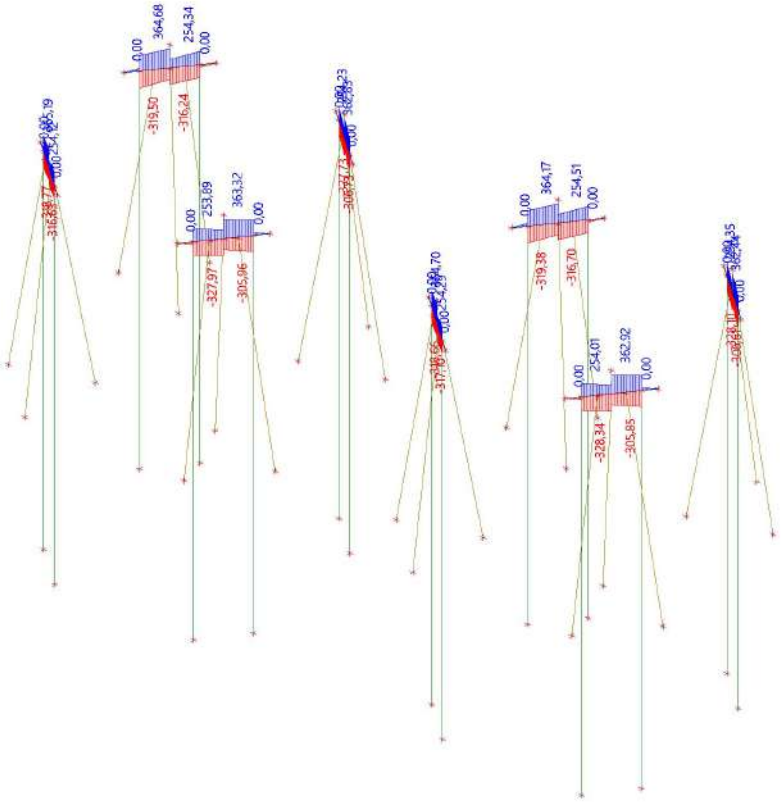
Values: **V_y**
Nonlinear calculation
Class: ALL Non-linear
Coordinate system: Principal
Extreme 1D: Local
Selection: All
Filter: Layer = Lijnpoer





7.4.3. Interne 1D- krachten; V_z

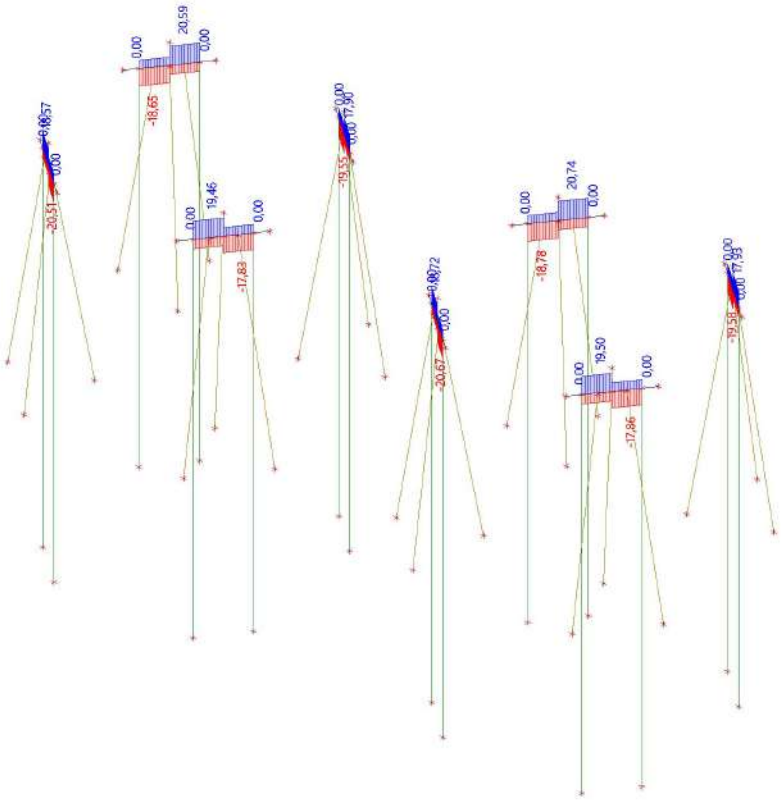
Values: V_z
Nonlinear calculation
Class: ALL Non-linear
Coordinate system: Principal
Extreme 1D: Local
Selection: All
Filter: Layer = Lijnpoer





7.4.4. Interne 1D- krachten; M_x

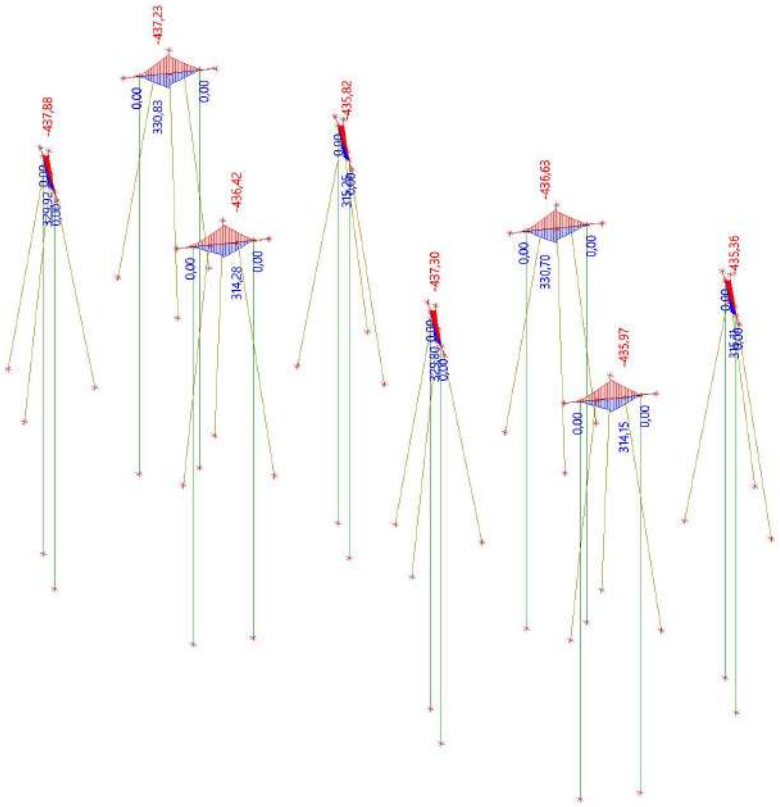
Values: M_x
Nonlinear calculation
Class: ALL Non-linear
Coordinate system: Principal
Extreme 1D: Local
Selection: All
Filter: Layer = Lijnpoer





7.4.5. Interne 1D- krachten; M_y

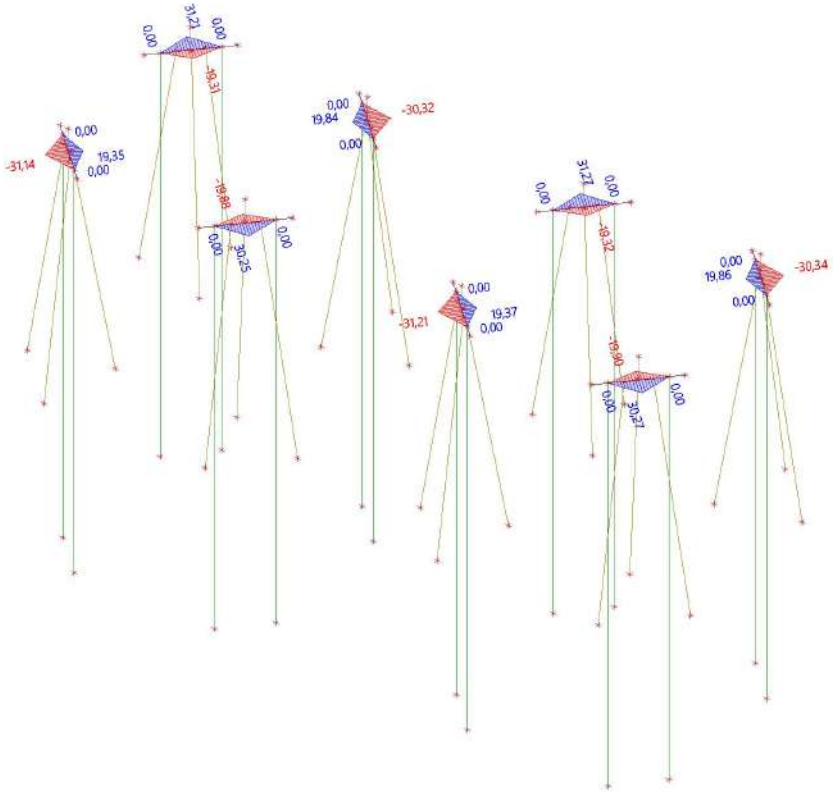
Values: M_y
Nonlinear calculation
Class: ALL Non-linear
Coordinate system: Principal
Extreme 1D: Local
Selection: All
Filter: Layer = Lijnpoer





7.4.6. Interne 1D- krachten; M_z

Values: M_z
Nonlinear calculation
Class: ALL Non-linear
Coordinate system: Principal
Extreme 1D: Local
Selection: All
Filter: Layer = Lijnpoer





7.4.7. 1D internal forces

Nonlinear calculation
Class: ALL Non-linear
Coordinate system: Principal
Extreme 1D: Global
Selection: All
Filter: Cross-section = lijnpoer - Rectangle (1100,00; 2260,00)

Name	dx [m]	Case	Cross-section	N [kN]	V_y [kN]	V_z [kN]	M_x [kNm]	M_y [kNm]	M_z [kNm]
Paal18	0,700+	low max Wnd ;45° - EG_gunstig	lijnpoer - Rectangle (1100,00; 2260,00)	**-4,47**	2,23	18,88	1,34	-21,30	0,00
Paal18	2,000+	low max Wnd ;45° - EG_gunstig	lijnpoer - Rectangle (1100,00; 2260,00)	**4,91**	-1,23	113,33	0,54	-105,91	1,60
Paal25	2,000-	low max Wnd ;45° - EG_gunstig	lijnpoer - Rectangle (1100,00; 2260,00)	-0,78	-15,31	**-328,34**	-10,29	-395,83	-19,90
Paal18	2,000+	low max Wnd ;135° - EG_gunstig	lijnpoer - Rectangle (1100,00; 2260,00)	1,35	-14,53	**365,19**	-8,75	**-437,88**	18,89
Paal19	2,000+	high max Wnd ;45° - EG_ongunstig	lijnpoer - Rectangle (1100,00; 2260,00)	-1,43	-23,45	-224,42	-18,65	**330,83**	30,49
Paal26	2,000-	high max Wnd ;315° - EG_ongunstig	lijnpoer - Rectangle (1100,00; 2260,00)	1,28	**-24,01**	159,20	**-20,67**	254,91	**-31,21**
Paal27	2,000-	high max Wnd ;45° - EG_ongunstig	lijnpoer - Rectangle (1100,00; 2260,00)	1,29	**24,05**	159,42	**20,74**	255,23	**31,27**

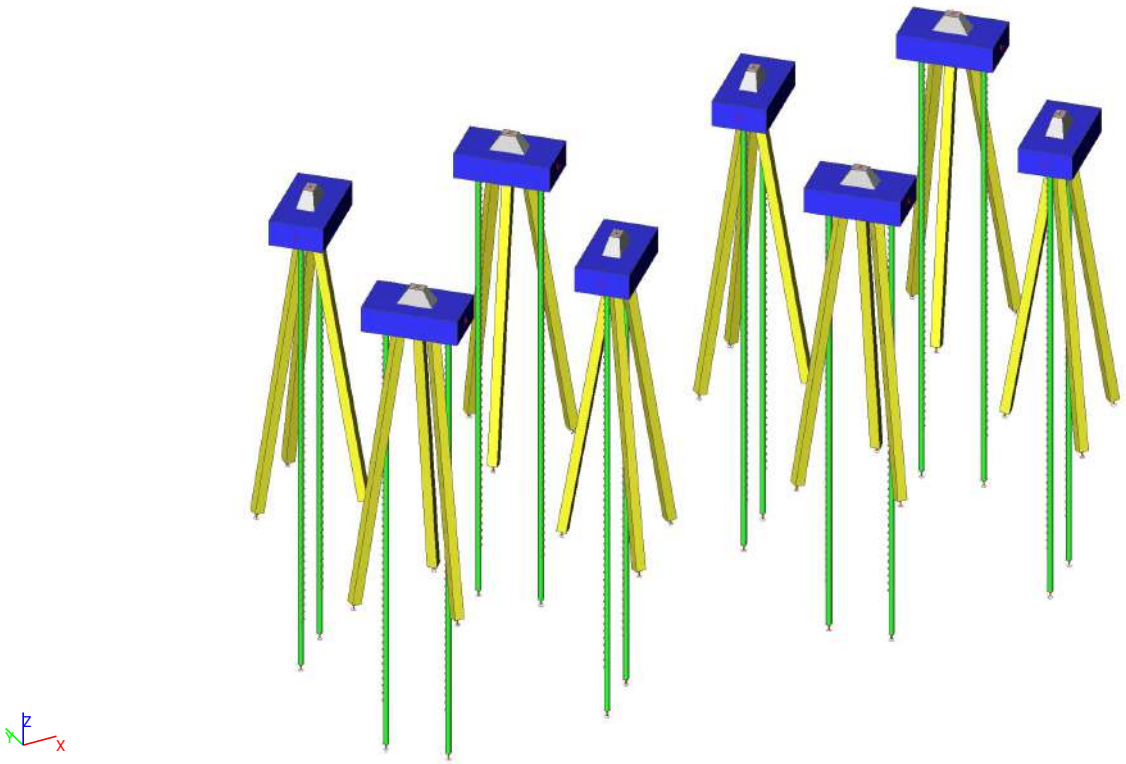
1. Inhoudsopgave

1. Inhoudsopgave 1
2. Project 2
3. Analyse model 2
4. Modeleigenschappen 3
5. Geometrie 3
5.1. Knopen 3
5.2. Analyse model met knopen 4
5.3. Staven 4
5.4. Analyse model met Staven 5
5.5. Knoopsteunpunten 6
5.6. Analyse model met Knoopondersteuningen 7
5.7. Lijnsteunpunten op staven 7
5.8. Analyse model met Lijnondersteuningen 18
5.9. Analyse model met Lijnondersteuningen 19
5.10. Niet-lineaire functies 20
6. Belastingen 32
6.1. Belastingsgevallen 32
6.1.1. Belastingsgevallen - high max Wnd ;45° 32
6.1.1.1. Puntlast op knoop 32
6.1.2. Belastingsgevallen - high max Wnd ;135° 33
6.1.2.1. Puntlast op knoop 34
6.1.3. Belastingsgevallen - high max Wnd ;225° 35
6.1.3.1. Puntlast op knoop 36
6.1.4. Belastingsgevallen - high max Wnd ;315° 36
6.1.4.1. Puntlast op knoop 37
6.1.5. Belastingsgevallen - low max Wnd ;45° 38
6.1.5.1. Puntlast op knoop 39
6.1.6. Belastingsgevallen - low max Wnd ;135° 39
6.1.6.1. Puntlast op knoop 40
6.1.7. Belastingsgevallen - low max Wnd ;225° 41
6.1.7.1. Puntlast op knoop 42
6.1.8. Belastingsgevallen - low max Wnd ;315° 42
6.1.8.1. Puntlast op knoop 43
6.1.9. Belastingsgevallen - EG_fundering 44
6.2. Niet-lineaire combinaties 45
6.3. Resultaatklasses 45
7. Resultaten 46
7.1. Reacties van de palen 46
7.1.1. Reactions; R_z 46
7.1.2. Reacties 46
7.1.3. Reacties 46
7.1.4. Reacties 47
7.2. Krachten van de Funderingspalen 53
7.2.1. Interne 1D- krachten; N 53
7.2.2. Interne 1D- krachten; V_y 53
7.2.3. Interne 1D- krachten; V_z 54
7.2.4. Interne 1D- krachten; M_x 54
7.2.5. Interne 1D- krachten; M_y 55
7.2.6. Interne 1D- krachten; M_z 55
7.2.7. Interne 1D-krachten 56
7.2.8. Interne 1D-krachten 56
7.3. Krachten van de Poeren 58
7.3.1. Interne 1D-krachten 58
7.4. Krachten van de Funderingsbalken 59
7.4.1. Interne 1D- krachten; N 59
7.4.2. Interne 1D- krachten; V_y 59
7.4.3. Interne 1D- krachten; V_z 60
7.4.4. Interne 1D- krachten; M_x 60
7.4.5. Interne 1D- krachten; M_y 61
7.4.6. Interne 1D- krachten; M_z 61
7.4.7. Interne 1D-krachten 62

2. Project

Gebruiker van licentie	[redacted]
Project	Opwaardering KIJ-BVW 380kV
Onderdeel	Blokpoer 3xBeton40x40 Mast 71
Auteur	[redacted]
Datum	28-01-2026
Constructie	Algemeen XYZ
Aantal knopen :	112
Aantal staven :	56
Aantal platen :	0
Aantal vaste lichamen :	0
Aantal gebruikte doorsneden :	4
Aantal belastingsgevallen :	9
Aantal gebruikte materialen :	7
Gravitatieversnelling [m/s^2]	9,807
Nationale norm	EC - EN

3. Analyse model



4. Modeleigenschappen

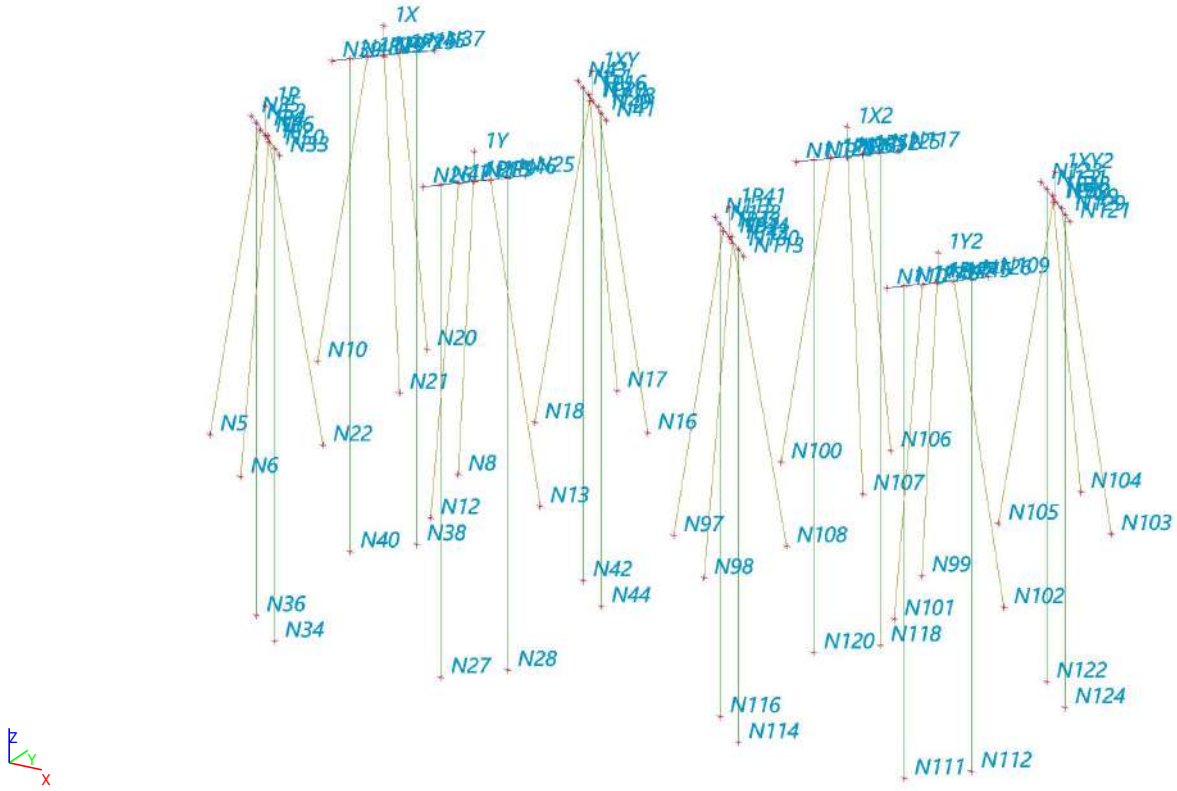
5. Geometrie

5.1. Knopen

Naam	Coördinaat X [m]	Coördinaat Y [m]	Coördinaat Z [m]
N1	0,000	0,000	0,000
1P	0,000	0,000	1,200
1P2	0,400	-0,480	0,000
1P4	-0,480	0,400	0,000
1P6	0,070	0,070	0,000
N2	9,000	0,000	0,000
1Y	9,000	0,000	1,200
1P9	9,480	0,400	0,000
1P11	8,600	-0,480	0,000
1P13	8,930	0,070	0,000
N3	9,000	9,000	0,000
1XY	9,000	9,000	1,200
1P16	8,600	9,480	0,000
1P18	9,480	8,600	0,000
1P20	8,930	8,930	0,000
N4	0,000	9,000	0,000
1X	0,000	9,000	1,200
1P23	-0,480	8,600	0,000
1P25	0,400	9,480	0,000
1P27	0,070	8,930	0,000
N5	-2,621	0,400	-12,822
N6	0,400	-2,621	-12,822
N8	7,417	1,583	-12,822
N10	-2,621	8,600	-12,822
N12	8,600	-2,621	-12,822
N13	11,621	0,400	-12,822
N16	11,621	8,600	-12,822
N17	8,600	11,621	-12,822
N18	7,417	7,417	-12,822
N20	0,400	11,621	-12,822
N21	1,583	7,417	-12,822
N22	1,583	1,583	-12,822
N25	10,414	1,414	0,000
N26	7,586	-1,414	0,000
N27	8,081	-0,919	-20,020
N28	9,919	0,919	-20,020
N33	1,414	-1,414	0,000
N34	0,919	-0,919	-20,020
N35	-1,414	1,414	0,000
N36	-0,919	0,919	-20,020
N37	1,414	10,414	0,000
N38	0,919	9,919	-20,020
N39	-1,414	7,586	0,000
N40	-0,919	8,081	-20,020
N41	10,414	7,586	0,000
N42	8,081	9,919	-20,020
N43	7,586	10,414	0,000
N44	9,919	8,081	-20,020
N45	0,919	9,919	0,000
N46	9,919	0,919	0,000
N47	8,081	-0,919	0,000
N48	-0,919	8,081	0,000
N49	9,919	8,081	0,000
N50	0,919	-0,919	0,000
N51	8,081	9,919	0,000
N52	-0,919	0,919	0,000

Naam	Coördinaat X [m]	Coördinaat Y [m]	Coördinaat Z [m]
N93	20,000	0,000	0,000
1P41	20,000	0,000	1,200
1P42	20,400	-0,480	0,000
1P43	19,520	0,400	0,000
1P44	20,070	0,070	0,000
N94	29,000	0,000	0,000
1Y2	29,000	0,000	1,200
1P45	29,480	0,400	0,000
1P46	28,600	-0,480	0,000
1P47	28,930	0,070	0,000
N95	29,000	9,000	0,000
1XY2	29,000	9,000	1,200
1P48	28,600	9,480	0,000
1P49	29,480	8,600	0,000
1P50	28,930	8,930	0,000
N96	20,000	9,000	0,000
1X2	20,000	9,000	1,200
1P51	19,520	8,600	0,000
1P52	20,400	9,480	0,000
1P53	20,070	8,930	0,000
N97	17,379	0,400	-12,822
N98	20,400	-2,621	-12,822
N99	27,417	1,583	-12,822
N100	17,379	8,600	-12,822
N101	28,600	-2,621	-12,822
N102	31,621	0,400	-12,822
N103	31,621	8,600	-12,822
N104	28,600	11,621	-12,822
N105	27,417	7,417	-12,822
N106	20,400	11,621	-12,822
N107	21,583	7,417	-12,822
N108	21,583	1,583	-12,822
N109	30,414	1,414	0,000
N110	27,586	-1,414	0,000
N111	28,081	-0,919	-20,020
N112	29,919	0,919	-20,020
N113	21,414	-1,414	0,000
N114	20,919	-0,919	-20,020
N115	18,586	1,414	0,000
N116	19,081	0,919	-20,020
N117	21,414	10,414	0,000
N118	20,919	9,919	-20,020
N119	18,586	7,586	0,000
N120	19,081	8,081	-20,020
N121	30,414	7,586	0,000
N122	28,081	9,919	-20,020
N123	27,586	10,414	0,000
N124	29,919	8,081	-20,020
N125	20,919	9,919	0,000
N126	29,919	0,919	0,000
N127	28,081	-0,919	0,000
N128	19,081	8,081	0,000
N129	29,919	8,081	0,000
N130	20,919	-0,919	0,000
N131	28,081	9,919	0,000
N132	19,081	0,919	0,000

5.2. Analyse model met knopen

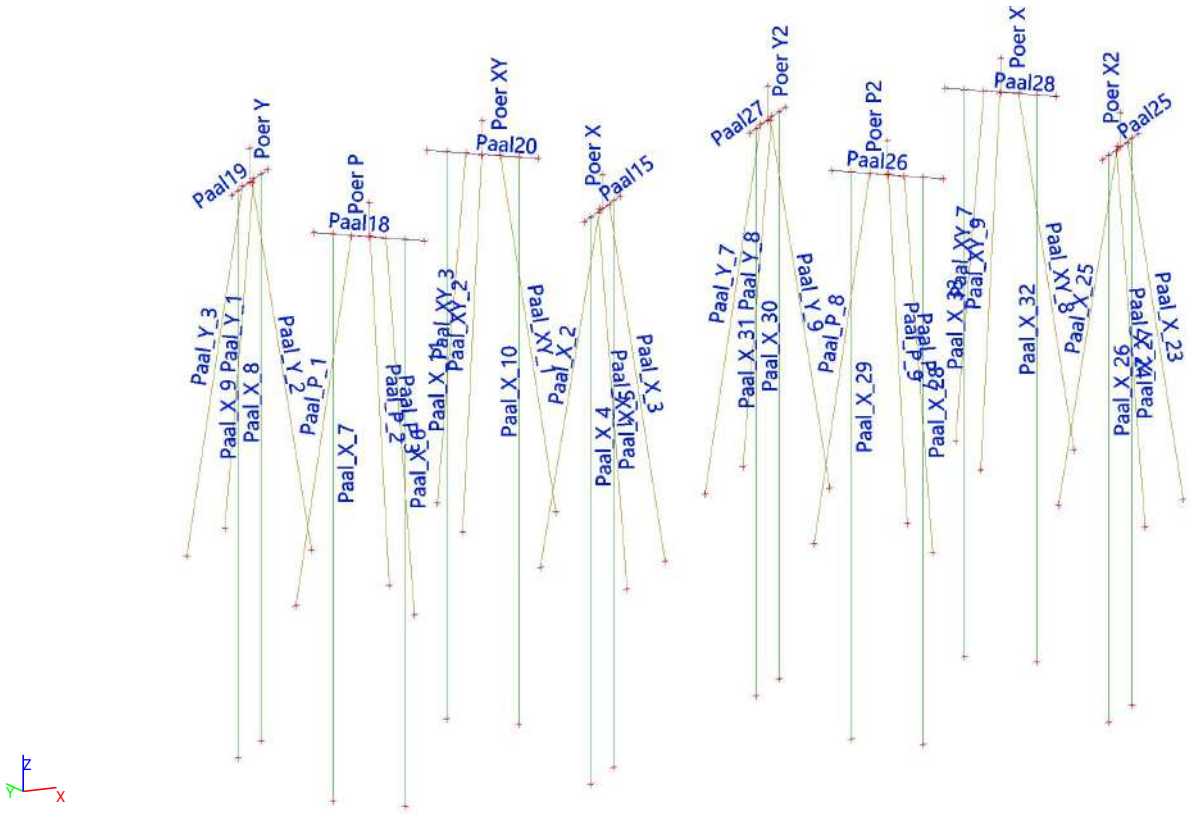


5.3. Staven

Naam	Doorsnede	Materiaal	Lengte [m]	Beginknoop	Eindknoop	Type
Paal15	lijnpoer - Rectangle (1100,00; 2260,00)	C30/37 Gescheurd	4,000	N26	N25	Balk (80)
Paal18	lijnpoer - Rectangle (1100,00; 2260,00)	C30/37 Gescheurd	4,000	N33	N35	Balk (80)
Paal19	lijnpoer - Rectangle (1100,00; 2260,00)	C30/37 Gescheurd	4,000	N37	N39	Balk (80)
Paal20	lijnpoer - Rectangle (1100,00; 2260,00)	C30/37 Gescheurd	4,000	N43	N41	Balk (80)
Paal25	lijnpoer - Rectangle (1100,00; 2260,00)	C30/37 Gescheurd	4,000	N110	N109	Balk (80)
Paal26	lijnpoer - Rectangle (1100,00; 2260,00)	C30/37 Gescheurd	4,000	N113	N115	Balk (80)
Paal27	lijnpoer - Rectangle (1100,00; 2260,00)	C30/37 Gescheurd	4,000	N117	N119	Balk (80)
Paal28	lijnpoer - Rectangle (1100,00; 2260,00)	C30/37 Gescheurd	4,000	N123	N121	Balk (80)
Paal_XY_2	Paal 40x40 - Rectangle (400,00; 400,00)	C20/25 Ongescheurd	13,000	1P20	N18	Kolom (100)
Paal_X_3	Paal 40x40 - Rectangle (400,00; 400,00)	C20/25 Ongescheurd	13,000	1P9	N13	Kolom (100)
Poer P	Poer - Rectangle (2200,00; 1060,00)	C12/15 Gescheurd	1,200	N1	1P	Kolom (100)
Poer P2	Poer - Rectangle (2200,00; 1060,00)	C12/15 Gescheurd	1,200	N93	1P41	Kolom (100)
Paal_P_8	Paal 40x40 - Rectangle (400,00; 400,00)	C20/25 Ongescheurd	13,000	1P43	N97	Kolom (100)
Poer X	Poer - Rectangle (2200,00; 1060,00)	C12/15 Gescheurd	1,200	N2	1Y	Kolom (100)
Paal_P_1	Paal 40x40 - Rectangle (400,00; 400,00)	C20/25 Ongescheurd	13,000	1P4	N5	Kolom (100)
Paal_P_2	Paal 40x40 - Rectangle (400,00; 400,00)	C20/25 Ongescheurd	13,000	1P6	N22	Kolom (100)
Paal_P_7	Paal 40x40 - Rectangle (400,00; 400,00)	C20/25 Ongescheurd	13,000	1P42	N98	Kolom (100)
Paal_XY_1	Paal 40x40 - Rectangle (400,00; 400,00)	C20/25 Ongescheurd	13,000	1P18	N16	Kolom (100)
Paal_XY_3	Paal 40x40 - Rectangle (400,00; 400,00)	C20/25 Ongescheurd	13,000	1P16	N17	Kolom (100)
Paal_XY_7	Paal 40x40 - Rectangle (400,00; 400,00)	C20/25 Ongescheurd	13,000	1P48	N104	Kolom (100)
Paal_XY_8	Paal 40x40 - Rectangle (400,00; 400,00)	C20/25 Ongescheurd	13,000	1P49	N103	Kolom (100)
Paal_X_1	Paal 40x40 - Rectangle (400,00; 400,00)	C20/25 Ongescheurd	13,000	1P11	N12	Kolom (100)
Poer X2	Poer - Rectangle (2200,00; 1060,00)	C12/15 Gescheurd	1,200	N94	1Y2	Kolom (100)
Poer XY	Poer - Rectangle (2200,00; 1060,00)	C12/15 Gescheurd	1,200	N3	1XY	Kolom (100)
Poer XY2	Poer - Rectangle (2200,00; 1060,00)	C12/15 Gescheurd	1,200	N95	1XY2	Kolom (100)
Poer Y	Poer - Rectangle (2200,00; 1060,00)	C12/15 Gescheurd	1,200	N4	1X	Kolom (100)
Poer Y2	Poer - Rectangle (2200,00; 1060,00)	C12/15 Gescheurd	1,200	N96	1X2	Kolom (100)
Paal_P_3	Paal 40x40 - Rectangle (400,00; 400,00)	C20/25 Ongescheurd	13,000	1P2	N6	Kolom (100)
Paal_P_9	Paal 40x40 - Rectangle (400,00; 400,00)	C20/25 Ongescheurd	13,000	1P44	N108	Kolom (100)

Naam	Doorsnede	Materiaal	Lengte [m]	Beginknoop	Eindknoop	Type
Paal_XY_9	Paal 40x40 - Rectangle (400,00; 400,00)	C20/25 Ongescheurd	13,000	1P50	N105	Kolom (100)
Paal_X_2	Paal 40x40 - Rectangle (400,00; 400,00)	C20/25 Ongescheurd	13,000	1P13	N8	Kolom (100)
Paal_X_4	LEKA Paal - type e (CHS219.1/10.0)	S 235	20,020	N47	N27	Kolom (100)
Paal_X_5	LEKA Paal - type e (CHS219.1/10.0)	S 235	20,020	N46	N28	Kolom (100)
Paal_X_6	LEKA Paal - type e (CHS219.1/10.0)	S 235	20,020	N50	N34	Kolom (100)
Paal_X_7	LEKA Paal - type e (CHS219.1/10.0)	S 235	20,020	N52	N36	Kolom (100)
Paal_X_8	LEKA Paal - type e (CHS219.1/10.0)	S 235	20,020	N45	N38	Kolom (100)
Paal_X_9	LEKA Paal - type e (CHS219.1/10.0)	S 235	20,020	N48	N40	Kolom (100)
Paal_X_10	LEKA Paal - type e (CHS219.1/10.0)	S 235	20,020	N49	N44	Kolom (100)
Paal_X_11	LEKA Paal - type e (CHS219.1/10.0)	S 235	20,020	N51	N42	Kolom (100)
Paal_X_23	Paal 40x40 - Rectangle (400,00; 400,00)	C20/25 Ongescheurd	13,000	1P45	N102	Kolom (100)
Paal_X_24	Paal 40x40 - Rectangle (400,00; 400,00)	C20/25 Ongescheurd	13,000	1P46	N101	Kolom (100)
Paal_X_25	Paal 40x40 - Rectangle (400,00; 400,00)	C20/25 Ongescheurd	13,000	1P47	N99	Kolom (100)
Paal_X_26	LEKA Paal - type e (CHS219.1/10.0)	S 235	20,020	N127	N111	Kolom (100)
Paal_X_27	LEKA Paal - type e (CHS219.1/10.0)	S 235	20,020	N126	N112	Kolom (100)
Paal_X_28	LEKA Paal - type e (CHS219.1/10.0)	S 235	20,020	N130	N114	Kolom (100)
Paal_X_29	LEKA Paal - type e (CHS219.1/10.0)	S 235	20,020	N132	N116	Kolom (100)
Paal_X_30	LEKA Paal - type e (CHS219.1/10.0)	S 235	20,020	N125	N118	Kolom (100)
Paal_X_31	LEKA Paal - type e (CHS219.1/10.0)	S 235	20,020	N128	N120	Kolom (100)
Paal_X_32	LEKA Paal - type e (CHS219.1/10.0)	S 235	20,020	N129	N124	Kolom (100)
Paal_X_33	LEKA Paal - type e (CHS219.1/10.0)	S 235	20,020	N131	N122	Kolom (100)
Paal_Y_1	Paal 40x40 - Rectangle (400,00; 400,00)	C20/25 Ongescheurd	13,000	1P25	N20	Kolom (100)
Paal_Y_2	Paal 40x40 - Rectangle (400,00; 400,00)	C20/25 Ongescheurd	13,000	1P27	N21	Kolom (100)
Paal_Y_3	Paal 40x40 - Rectangle (400,00; 400,00)	C20/25 Ongescheurd	13,000	1P23	N10	Kolom (100)
Paal_Y_7	Paal 40x40 - Rectangle (400,00; 400,00)	C20/25 Ongescheurd	13,000	1P51	N100	Kolom (100)
Paal_Y_8	Paal 40x40 - Rectangle (400,00; 400,00)	C20/25 Ongescheurd	13,000	1P52	N106	Kolom (100)
Paal_Y_9	Paal 40x40 - Rectangle (400,00; 400,00)	C20/25 Ongescheurd	13,000	1P53	N107	Kolom (100)

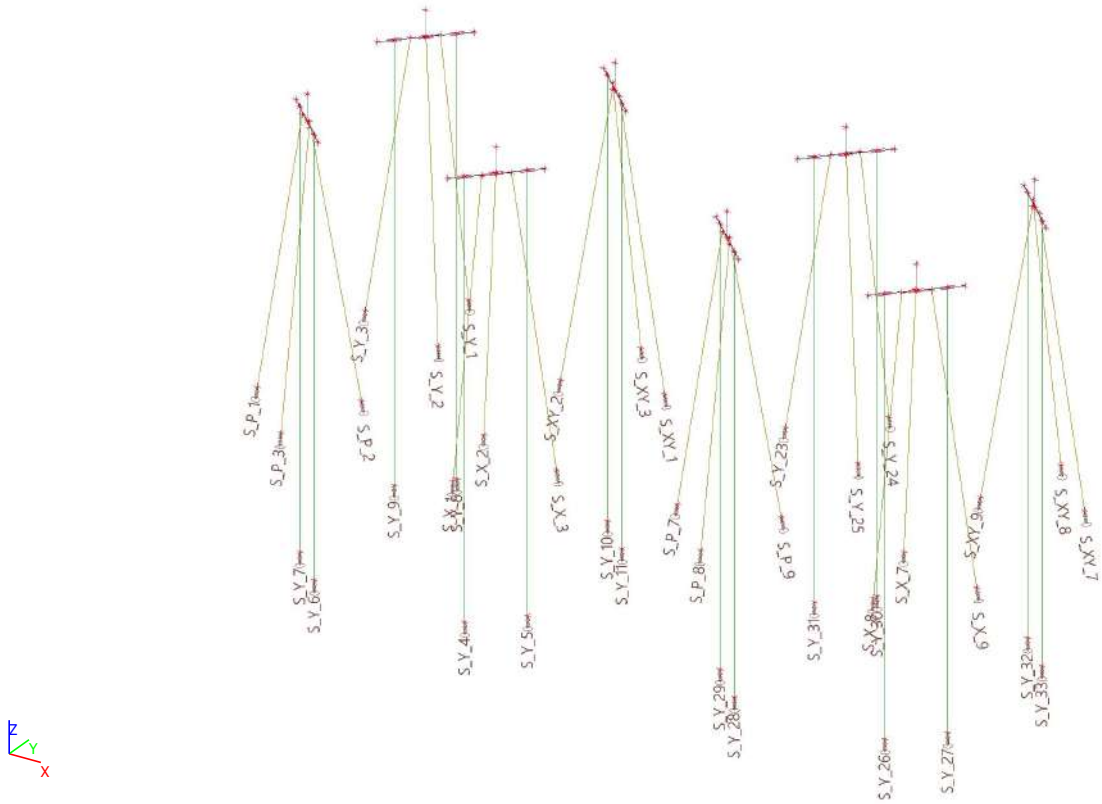
5.4. Analyse model met Staven



5.5. Knoopsteunpunten

Naam	Knoop	Systeem	Type	X	Y	Z	Rx	Ry	Rz	Hoek [deg]
S_P_1	N5	LCS van knoop	Standaard	Vrij	Vrij	Niet-lineair	Vrij	Vrij	Vrij	Ry9,50
S_P_2	N22	LCS van knoop	Standaard	Vrij	Vrij	Niet-lineair	Vrij	Vrij	Vrij	Rx6,72;Ry-6,72
S_P_3	N6	LCS van knoop	Standaard	Vrij	Vrij	Niet-lineair	Vrij	Vrij	Vrij	Rx-9,50
S_X_1	N12	LCS van knoop	Standaard	Vrij	Vrij	Niet-lineair	Vrij	Vrij	Vrij	Rx-9,50
S_X_2	N8	LCS van knoop	Standaard	Vrij	Vrij	Niet-lineair	Vrij	Vrij	Vrij	Rx6,72;Ry6,72
S_X_3	N13	LCS van knoop	Standaard	Vrij	Vrij	Niet-lineair	Vrij	Vrij	Vrij	Ry-9,50
S_XY_1	N16	LCS van knoop	Standaard	Vrij	Vrij	Niet-lineair	Vrij	Vrij	Vrij	Ry-9,50
S_XY_2	N18	LCS van knoop	Standaard	Vrij	Vrij	Niet-lineair	Vrij	Vrij	Vrij	Rx-6,72;Ry6,72
S_XY_3	N17	LCS van knoop	Standaard	Vrij	Vrij	Niet-lineair	Vrij	Vrij	Vrij	Rx9,50
S_Y_1	N20	LCS van knoop	Standaard	Vrij	Vrij	Niet-lineair	Vrij	Vrij	Vrij	Rx9,50
S_Y_2	N21	LCS van knoop	Standaard	Vrij	Vrij	Niet-lineair	Vrij	Vrij	Vrij	Rx-6,72;Ry-6,72
S_Y_3	N10	LCS van knoop	Standaard	Vrij	Vrij	Niet-lineair	Vrij	Vrij	Vrij	Ry9,50
S_Y_4	N27	LCS van knoop	Standaard	Vrij	Vrij	Niet-lineair	Vrij	Vrij	Vrij	
S_Y_5	N28	LCS van knoop	Standaard	Vrij	Vrij	Niet-lineair	Vrij	Vrij	Vrij	
S_Y_6	N34	LCS van knoop	Standaard	Vrij	Vrij	Niet-lineair	Vrij	Vrij	Vrij	
S_Y_7	N36	LCS van knoop	Standaard	Vrij	Vrij	Niet-lineair	Vrij	Vrij	Vrij	
S_Y_8	N38	LCS van knoop	Standaard	Vrij	Vrij	Niet-lineair	Vrij	Vrij	Vrij	
S_Y_9	N40	LCS van knoop	Standaard	Vrij	Vrij	Niet-lineair	Vrij	Vrij	Vrij	
S_Y_10	N42	LCS van knoop	Standaard	Vrij	Vrij	Niet-lineair	Vrij	Vrij	Vrij	
S_Y_11	N44	LCS van knoop	Standaard	Vrij	Vrij	Niet-lineair	Vrij	Vrij	Vrij	
S_P_7	N97	LCS van knoop	Standaard	Vrij	Vrij	Niet-lineair	Vrij	Vrij	Vrij	Ry9,50
S_P_8	N98	LCS van knoop	Standaard	Vrij	Vrij	Niet-lineair	Vrij	Vrij	Vrij	Rx-9,50
S_X_7	N99	LCS van knoop	Standaard	Vrij	Vrij	Niet-lineair	Vrij	Vrij	Vrij	Rx6,72;Ry6,72
S_Y_23	N100	LCS van knoop	Standaard	Vrij	Vrij	Niet-lineair	Vrij	Vrij	Vrij	Ry9,50
S_X_8	N101	LCS van knoop	Standaard	Vrij	Vrij	Niet-lineair	Vrij	Vrij	Vrij	Rx-9,50
S_X_9	N102	LCS van knoop	Standaard	Vrij	Vrij	Niet-lineair	Vrij	Vrij	Vrij	Ry-9,50
S_XY_7	N103	LCS van knoop	Standaard	Vrij	Vrij	Niet-lineair	Vrij	Vrij	Vrij	Ry-9,50
S_XY_8	N104	LCS van knoop	Standaard	Vrij	Vrij	Niet-lineair	Vrij	Vrij	Vrij	Rx9,50
S_XY_9	N105	LCS van knoop	Standaard	Vrij	Vrij	Niet-lineair	Vrij	Vrij	Vrij	Rx-6,72;Ry6,72
S_Y_24	N106	LCS van knoop	Standaard	Vrij	Vrij	Niet-lineair	Vrij	Vrij	Vrij	Rx9,50
S_Y_25	N107	LCS van knoop	Standaard	Vrij	Vrij	Niet-lineair	Vrij	Vrij	Vrij	Rx-6,72;Ry-6,72
S_P_9	N108	LCS van knoop	Standaard	Vrij	Vrij	Niet-lineair	Vrij	Vrij	Vrij	Rx6,72;Ry-6,72
S_Y_26	N111	LCS van knoop	Standaard	Vrij	Vrij	Niet-lineair	Vrij	Vrij	Vrij	
S_Y_27	N112	LCS van knoop	Standaard	Vrij	Vrij	Niet-lineair	Vrij	Vrij	Vrij	
S_Y_28	N114	LCS van knoop	Standaard	Vrij	Vrij	Niet-lineair	Vrij	Vrij	Vrij	
S_Y_29	N116	LCS van knoop	Standaard	Vrij	Vrij	Niet-lineair	Vrij	Vrij	Vrij	
S_Y_30	N118	LCS van knoop	Standaard	Vrij	Vrij	Niet-lineair	Vrij	Vrij	Vrij	
S_Y_31	N120	LCS van knoop	Standaard	Vrij	Vrij	Niet-lineair	Vrij	Vrij	Vrij	
S_Y_32	N122	LCS van knoop	Standaard	Vrij	Vrij	Niet-lineair	Vrij	Vrij	Vrij	
S_Y_33	N124	LCS van knoop	Standaard	Vrij	Vrij	Niet-lineair	Vrij	Vrij	Vrij	

5.6. Analyse model met Knoopondersteuningen



5.7. Lijnsteunpunten op staven

Naam	Type	Staaf	Pos x_1 [m]	X	Y	Z	Rx	Ry	Rz	Functie Y	Functie Z
		Systeem	Pos x_2 [m]								
Veen15	Lijn	Paal_XY_8	1,000	Vrij	Niet-lineair	Niet-lineair	Vrij	Vrij	Vrij	PY-curve-1_Veen	PY-curve-1_Veen
		LCS	8,000								
Veen26	Lijn	Paal_X_6	1,000	Vrij	Niet-lineair	Niet-lineair	Vrij	Vrij	Vrij	PY-curve-1_Veen.B	PY-curve-1_Veen.B
		LCS	8,000								
Veen27	Lijn	Paal_X_7	1,000	Vrij	Niet-lineair	Niet-lineair	Vrij	Vrij	Vrij	PY-curve-1_Veen.B	PY-curve-1_Veen.B
		LCS	8,000								
Veen18	Lijn	Paal_Y_8	1,000	Vrij	Niet-lineair	Niet-lineair	Vrij	Vrij	Vrij	PY-curve-1_Veen	PY-curve-1_Veen
		LCS	8,000								
Veen14	Lijn	Paal_XY_7	1,000	Vrij	Niet-lineair	Niet-lineair	Vrij	Vrij	Vrij	PY-curve-1_Veen	PY-curve-1_Veen
		LCS	8,000								
Veen3	Lijn	Paal_X_3	1,000	Vrij	Niet-lineair	Niet-lineair	Vrij	Vrij	Vrij	PY-curve-1_Veen	PY-curve-1_Veen
		LCS	8,000								
Veen32	Lijn	Paal_X_26	1,000	Vrij	Niet-lineair	Niet-lineair	Vrij	Vrij	Vrij	PY-curve-1_Veen.B	PY-curve-1_Veen.B
		LCS	8,000								
Veen16	Lijn	Paal_XY_9	1,000	Vrij	Niet-lineair	Niet-lineair	Vrij	Vrij	Vrij	PY-curve-1_Veen	PY-curve-1_Veen
		LCS	8,000								
Veen30	Lijn	Paal_X_10	1,000	Vrij	Niet-lineair	Niet-lineair	Vrij	Vrij	Vrij	PY-curve-1_Veen.B	PY-curve-1_Veen.B
		LCS	8,000								
Veen12	Lijn	Paal_X_24	1,000	Vrij	Niet-lineair	Niet-lineair	Vrij	Vrij	Vrij	PY-curve-1_Veen	PY-curve-1_Veen
		LCS	8,000								
Veen24	Lijn	Paal_X_4	1,000	Vrij	Niet-lineair	Niet-lineair	Vrij	Vrij	Vrij	PY-curve-1_Veen.B	PY-curve-1_Veen.B
		LCS	8,000								
Veen11	Lijn	Paal_Y_2	1,000	Vrij	Niet-lineair	Niet-lineair	Vrij	Vrij	Vrij	PY-curve-1_Veen	PY-curve-1_Veen
		LCS	8,000								
Veen7	Lijn	Paal_XY_1	1,000	Vrij	Niet-lineair	Niet-lineair	Vrij	Vrij	Vrij	PY-curve-1_Veen	PY-curve-1_Veen
		LCS	8,000								
Veen19	Lijn	Paal_Y_9	1,000	Vrij	Niet-lineair	Niet-lineair	Vrij	Vrij	Vrij	PY-curve-1_Veen	PY-curve-1_Veen

Naam	Type	Staaf Systeem	Pos x_1 [m] Pos x_2 [m]	X	Y	Z	Rx	Ry	Rz	Functie Y	Functie Z
		LCS	8,000								
Veen20	Lijn	Paal_P_7 LCS	1,000 8,000	Vrij	Niet-lineair	Niet-lineair	Vrij	Vrij	Vrij	PY-curve-1_Veen	PY-curve-1_Veen
Veen36	Lijn	Paal_X_30 LCS	1,000 8,000	Vrij	Niet-lineair	Niet-lineair	Vrij	Vrij	Vrij	PY-curve-1_Veen.B	PY-curve-1_Veen.B
Veen2	Lijn	Paal_P_2 LCS	1,000 8,000	Vrij	Niet-lineair	Niet-lineair	Vrij	Vrij	Vrij	PY-curve-1_Veen	PY-curve-1_Veen
Veen25	Lijn	Paal_X_5 LCS	1,000 8,000	Vrij	Niet-lineair	Niet-lineair	Vrij	Vrij	Vrij	PY-curve-1_Veen.B	PY-curve-1_Veen.B
Veen9	Lijn	Paal_Y_3 LCS	1,000 8,000	Vrij	Niet-lineair	Niet-lineair	Vrij	Vrij	Vrij	PY-curve-1_Veen	PY-curve-1_Veen
Veen28	Lijn	Paal_X_8 LCS	1,000 8,000	Vrij	Niet-lineair	Niet-lineair	Vrij	Vrij	Vrij	PY-curve-1_Veen.B	PY-curve-1_Veen.B
Veen4	Lijn	Paal_X_1 LCS	1,000 8,000	Vrij	Niet-lineair	Niet-lineair	Vrij	Vrij	Vrij	PY-curve-1_Veen	PY-curve-1_Veen
Veen29	Lijn	Paal_X_9 LCS	1,000 8,000	Vrij	Niet-lineair	Niet-lineair	Vrij	Vrij	Vrij	PY-curve-1_Veen.B	PY-curve-1_Veen.B
Veen6	Lijn	Paal_XY_3 LCS	1,000 8,000	Vrij	Niet-lineair	Niet-lineair	Vrij	Vrij	Vrij	PY-curve-1_Veen	PY-curve-1_Veen
Veen17	Lijn	Paal_Y_7 LCS	1,000 8,000	Vrij	Niet-lineair	Niet-lineair	Vrij	Vrij	Vrij	PY-curve-1_Veen	PY-curve-1_Veen
Veen13	Lijn	Paal_X_25 LCS	1,000 8,000	Vrij	Niet-lineair	Niet-lineair	Vrij	Vrij	Vrij	PY-curve-1_Veen	PY-curve-1_Veen
Veen5	Lijn	Paal_X_2 LCS	1,000 8,000	Vrij	Niet-lineair	Niet-lineair	Vrij	Vrij	Vrij	PY-curve-1_Veen	PY-curve-1_Veen
Veen22	Lijn	Paal_P_9 LCS	1,000 8,000	Vrij	Niet-lineair	Niet-lineair	Vrij	Vrij	Vrij	PY-curve-1_Veen	PY-curve-1_Veen
Veen35	Lijn	Paal_X_29 LCS	1,000 8,000	Vrij	Niet-lineair	Niet-lineair	Vrij	Vrij	Vrij	PY-curve-1_Veen.B	PY-curve-1_Veen.B
Veen38	Lijn	Paal_X_32 LCS	1,000 8,000	Vrij	Niet-lineair	Niet-lineair	Vrij	Vrij	Vrij	PY-curve-1_Veen.B	PY-curve-1_Veen.B
Veen10	Lijn	Paal_Y_1 LCS	1,000 8,000	Vrij	Niet-lineair	Niet-lineair	Vrij	Vrij	Vrij	PY-curve-1_Veen	PY-curve-1_Veen
Veen1	Lijn	Paal_P_1 LCS	1,000 8,000	Vrij	Niet-lineair	Niet-lineair	Vrij	Vrij	Vrij	PY-curve-1_Veen	PY-curve-1_Veen
Veen37	Lijn	Paal_X_31 LCS	1,000 8,000	Vrij	Niet-lineair	Niet-lineair	Vrij	Vrij	Vrij	PY-curve-1_Veen.B	PY-curve-1_Veen.B
Veen21	Lijn	Paal_P_8 LCS	1,000 8,000	Vrij	Niet-lineair	Niet-lineair	Vrij	Vrij	Vrij	PY-curve-1_Veen	PY-curve-1_Veen
Veen39	Lijn	Paal_X_33 LCS	1,000 8,000	Vrij	Niet-lineair	Niet-lineair	Vrij	Vrij	Vrij	PY-curve-1_Veen.B	PY-curve-1_Veen.B
Veen33	Lijn	Paal_X_27 LCS	1,000 8,000	Vrij	Niet-lineair	Niet-lineair	Vrij	Vrij	Vrij	PY-curve-1_Veen.B	PY-curve-1_Veen.B
Veen	Lijn	Paal_P_3 LCS	1,000 8,000	Vrij	Niet-lineair	Niet-lineair	Vrij	Vrij	Vrij	PY-curve-1_Veen	PY-curve-1_Veen
Veen34	Lijn	Paal_X_28 LCS	1,000 8,000	Vrij	Niet-lineair	Niet-lineair	Vrij	Vrij	Vrij	PY-curve-1_Veen.B	PY-curve-1_Veen.B
Veen23	Lijn	Paal_X_23 LCS	1,000 8,000	Vrij	Niet-lineair	Niet-lineair	Vrij	Vrij	Vrij	PY-curve-1_Veen	PY-curve-1_Veen
Veen8	Lijn	Paal_XY_2 LCS	1,000 8,000	Vrij	Niet-lineair	Niet-lineair	Vrij	Vrij	Vrij	PY-curve-1_Veen	PY-curve-1_Veen
Veen31	Lijn	Paal_X_11 LCS	1,000 8,000	Vrij	Niet-lineair	Niet-lineair	Vrij	Vrij	Vrij	PY-curve-1_Veen.B	PY-curve-1_Veen.B
(PY-curve-1_V1)24	Lijn	Paal_X_4 LCS	8,000 9,000	Vrij	Niet-lineair	Niet-lineair	Vrij	Vrij	Vrij	PY-curve-1_V1.B	PY-curve-1_V1.B
(PY-curve-1_V1)21	Lijn	Paal_P_8 LCS	8,000 9,000	Vrij	Niet-lineair	Niet-lineair	Vrij	Vrij	Vrij	PY-curve-1_V1	PY-curve-1_V1
(PY-curve-1_V1)38	Lijn	Paal_X_32 LCS	8,000 9,000	Vrij	Niet-lineair	Niet-lineair	Vrij	Vrij	Vrij	PY-curve-1_V1.B	PY-curve-1_V1.B
(PY-curve-1_V1)19	Lijn	Paal_Y_9 LCS	8,000 9,000	Vrij	Niet-lineair	Niet-lineair	Vrij	Vrij	Vrij	PY-curve-1_V1	PY-curve-1_V1
(PY-curve-1_V1)39	Lijn	Paal_X_33 LCS	8,000 9,000	Vrij	Niet-lineair	Niet-lineair	Vrij	Vrij	Vrij	PY-curve-1_V1.B	PY-curve-1_V1.B
(PY-curve-1_V1)15	Lijn	Paal_XY_8	8,000	Vrij	Niet-lineair	Niet-lineair	Vrij	Vrij	Vrij	PY-curve-1_V1	PY-curve-1_V1

Naam	Type	Staaf Systeem	Pos x_1 [m] Pos x_2 [m]	X	Y	Z	Rx	Ry	Rz	Functie Y	Functie Z
		LCS	9,000								
(PY-curve-1_V1)16	Lijn	Paal_XY_9 LCS	8,000 9,000	Vrij	Niet-lineair	Niet-lineair	Vrij	Vrij	Vrij	PY-curve-1_V1	PY-curve-1_V1
(PY-curve-1_V1)3	Lijn	Paal_X_3 LCS	8,000 9,000	Vrij	Niet-lineair	Niet-lineair	Vrij	Vrij	Vrij	PY-curve-1_V1	PY-curve-1_V1
(PY-curve-1_V1)34	Lijn	Paal_X_28 LCS	8,000 9,000	Vrij	Niet-lineair	Niet-lineair	Vrij	Vrij	Vrij	PY-curve-1_V1.B	PY-curve-1_V1.B
(PY-curve-1_V1)17	Lijn	Paal_Y_7 LCS	8,000 9,000	Vrij	Niet-lineair	Niet-lineair	Vrij	Vrij	Vrij	PY-curve-1_V1	PY-curve-1_V1
(PY-curve-1_V1)31	Lijn	Paal_X_11 LCS	8,000 9,000	Vrij	Niet-lineair	Niet-lineair	Vrij	Vrij	Vrij	PY-curve-1_V1.B	PY-curve-1_V1.B
(PY-curve-1_V1)25	Lijn	Paal_X_5 LCS	8,000 9,000	Vrij	Niet-lineair	Niet-lineair	Vrij	Vrij	Vrij	PY-curve-1_V1.B	PY-curve-1_V1.B
(PY-curve-1_V1)10	Lijn	Paal_XY_2 LCS	8,000 9,000	Vrij	Niet-lineair	Niet-lineair	Vrij	Vrij	Vrij	PY-curve-1_V1	PY-curve-1_V1
(PY-curve-1_V1)30	Lijn	Paal_X_10 LCS	8,000 9,000	Vrij	Niet-lineair	Niet-lineair	Vrij	Vrij	Vrij	PY-curve-1_V1.B	PY-curve-1_V1.B
(PY-curve-1_V1)27	Lijn	Paal_X_7 LCS	8,000 9,000	Vrij	Niet-lineair	Niet-lineair	Vrij	Vrij	Vrij	PY-curve-1_V1.B	PY-curve-1_V1.B
(PY-curve-1_V1)36	Lijn	Paal_X_30 LCS	8,000 9,000	Vrij	Niet-lineair	Niet-lineair	Vrij	Vrij	Vrij	PY-curve-1_V1.B	PY-curve-1_V1.B
(PY-curve-1_V1)11	Lijn	Paal_Y_2 LCS	8,000 9,000	Vrij	Niet-lineair	Niet-lineair	Vrij	Vrij	Vrij	PY-curve-1_V1	PY-curve-1_V1
(PY-curve-1_V1)18	Lijn	Paal_Y_8 LCS	8,000 9,000	Vrij	Niet-lineair	Niet-lineair	Vrij	Vrij	Vrij	PY-curve-1_V1	PY-curve-1_V1
(PY-curve-1_V1)6	Lijn	Paal_Y_1 LCS	8,000 9,000	Vrij	Niet-lineair	Niet-lineair	Vrij	Vrij	Vrij	PY-curve-1_V1	PY-curve-1_V1
(PY-curve-1_V1)29	Lijn	Paal_X_9 LCS	8,000 9,000	Vrij	Niet-lineair	Niet-lineair	Vrij	Vrij	Vrij	PY-curve-1_V1.B	PY-curve-1_V1.B
(PY-curve-1_V1)35	Lijn	Paal_X_29 LCS	8,000 9,000	Vrij	Niet-lineair	Niet-lineair	Vrij	Vrij	Vrij	PY-curve-1_V1.B	PY-curve-1_V1.B
(PY-curve-1_V1)5	Lijn	Paal_XY_3 LCS	8,000 9,000	Vrij	Niet-lineair	Niet-lineair	Vrij	Vrij	Vrij	PY-curve-1_V1	PY-curve-1_V1
(PY-curve-1_V1)23	Lijn	Paal_X_23 LCS	8,000 9,000	Vrij	Niet-lineair	Niet-lineair	Vrij	Vrij	Vrij	PY-curve-1_V1	PY-curve-1_V1
(PY-curve-1_V1)28	Lijn	Paal_X_8 LCS	8,000 9,000	Vrij	Niet-lineair	Niet-lineair	Vrij	Vrij	Vrij	PY-curve-1_V1.B	PY-curve-1_V1.B
(PY-curve-1_V1)37	Lijn	Paal_X_31 LCS	8,000 9,000	Vrij	Niet-lineair	Niet-lineair	Vrij	Vrij	Vrij	PY-curve-1_V1.B	PY-curve-1_V1.B
(PY-curve-1_V1)1	Lijn	Paal_P_3 LCS	8,000 9,000	Vrij	Niet-lineair	Niet-lineair	Vrij	Vrij	Vrij	PY-curve-1_V1	PY-curve-1_V1
(PY-curve-1_V1)32	Lijn	Paal_X_26 LCS	8,000 9,000	Vrij	Niet-lineair	Niet-lineair	Vrij	Vrij	Vrij	PY-curve-1_V1.B	PY-curve-1_V1.B
(PY-curve-1_V1)	Lijn	Paal_P_1 LCS	8,000 9,000	Vrij	Niet-lineair	Niet-lineair	Vrij	Vrij	Vrij	PY-curve-1_V1	PY-curve-1_V1
(PY-curve-1_V1)8	Lijn	Paal_P_2 LCS	8,000 9,000	Vrij	Niet-lineair	Niet-lineair	Vrij	Vrij	Vrij	PY-curve-1_V1	PY-curve-1_V1
(PY-curve-1_V1)9	Lijn	Paal_X_2 LCS	8,000 9,000	Vrij	Niet-lineair	Niet-lineair	Vrij	Vrij	Vrij	PY-curve-1_V1	PY-curve-1_V1
(PY-curve-1_V1)20	Lijn	Paal_P_7 LCS	8,000 9,000	Vrij	Niet-lineair	Niet-lineair	Vrij	Vrij	Vrij	PY-curve-1_V1	PY-curve-1_V1
(PY-curve-1_V1)13	Lijn	Paal_X_25 LCS	8,000 9,000	Vrij	Niet-lineair	Niet-lineair	Vrij	Vrij	Vrij	PY-curve-1_V1	PY-curve-1_V1
(PY-curve-1_V1)26	Lijn	Paal_X_6 LCS	8,000 9,000	Vrij	Niet-lineair	Niet-lineair	Vrij	Vrij	Vrij	PY-curve-1_V1.B	PY-curve-1_V1.B
(PY-curve-1_V1)12	Lijn	Paal_X_24 LCS	8,000 9,000	Vrij	Niet-lineair	Niet-lineair	Vrij	Vrij	Vrij	PY-curve-1_V1	PY-curve-1_V1
(PY-curve-1_V1)2	Lijn	Paal_X_1 LCS	8,000 9,000	Vrij	Niet-lineair	Niet-lineair	Vrij	Vrij	Vrij	PY-curve-1_V1	PY-curve-1_V1
(PY-curve-1_V1)33	Lijn	Paal_X_27 LCS	8,000 9,000	Vrij	Niet-lineair	Niet-lineair	Vrij	Vrij	Vrij	PY-curve-1_V1.B	PY-curve-1_V1.B
(PY-curve-1_V1)7	Lijn	Paal_Y_3 LCS	8,000 9,000	Vrij	Niet-lineair	Niet-lineair	Vrij	Vrij	Vrij	PY-curve-1_V1	PY-curve-1_V1
(PY-curve-1_V1)22	Lijn	Paal_P_9	8,000	Vrij	Niet-lineair	Niet-lineair	Vrij	Vrij	Vrij	PY-curve-1_V1	PY-curve-1_V1

Naam	Type	Staaf Systeem	Pos x_1 [m] Pos x_2 [m]	X	Y	Z	Rx	Ry	Rz	Functie Y	Functie Z
		LCS	9,000								
(PY-curve-1_V1)4	Lijn	Paal_XY_1 LCS	8,000 9,000	Vrij	Niet-lineair	Niet-lineair	Vrij	Vrij	Vrij	PY-curve-1_V1	PY-curve-1_V1
(PY-curve-1_V1)14	Lijn	Paal_XY_7 LCS	8,000 9,000	Vrij	Niet-lineair	Niet-lineair	Vrij	Vrij	Vrij	PY-curve-1_V1	PY-curve-1_V1
(PY-curve-1_V2)24	Lijn	Paal_X_4 LCS	9,000 10,000	Vrij	Niet-lineair	Niet-lineair	Vrij	Vrij	Vrij	PY-curve-1_V2.B	PY-curve-1_V2.B
(PY-curve-1_V2)7	Lijn	Paal_Y_3 LCS	9,000 10,000	Vrij	Niet-lineair	Niet-lineair	Vrij	Vrij	Vrij	PY-curve-1_V2	PY-curve-1_V2
(PY-curve-1_V2)38	Lijn	Paal_X_32 LCS	9,000 10,000	Vrij	Niet-lineair	Niet-lineair	Vrij	Vrij	Vrij	PY-curve-1_V2.B	PY-curve-1_V2.B
(PY-curve-1_V2)28	Lijn	Paal_X_8 LCS	9,000 10,000	Vrij	Niet-lineair	Niet-lineair	Vrij	Vrij	Vrij	PY-curve-1_V2.B	PY-curve-1_V2.B
(PY-curve-1_V2)3	Lijn	Paal_X_3 LCS	9,000 10,000	Vrij	Niet-lineair	Niet-lineair	Vrij	Vrij	Vrij	PY-curve-1_V2	PY-curve-1_V2
(PY-curve-1_V2)37	Lijn	Paal_X_31 LCS	9,000 10,000	Vrij	Niet-lineair	Niet-lineair	Vrij	Vrij	Vrij	PY-curve-1_V2.B	PY-curve-1_V2.B
(PY-curve-1_V2)34	Lijn	Paal_X_28 LCS	9,000 10,000	Vrij	Niet-lineair	Niet-lineair	Vrij	Vrij	Vrij	PY-curve-1_V2.B	PY-curve-1_V2.B
(PY-curve-1_V2)35	Lijn	Paal_X_29 LCS	9,000 10,000	Vrij	Niet-lineair	Niet-lineair	Vrij	Vrij	Vrij	PY-curve-1_V2.B	PY-curve-1_V2.B
(PY-curve-1_V2)6	Lijn	Paal_Y_1 LCS	9,000 10,000	Vrij	Niet-lineair	Niet-lineair	Vrij	Vrij	Vrij	PY-curve-1_V2	PY-curve-1_V2
(PY-curve-1_V2)1	Lijn	Paal_P_3 LCS	9,000 10,000	Vrij	Niet-lineair	Niet-lineair	Vrij	Vrij	Vrij	PY-curve-1_V2	PY-curve-1_V2
(PY-curve-1_V2)33	Lijn	Paal_X_27 LCS	9,000 10,000	Vrij	Niet-lineair	Niet-lineair	Vrij	Vrij	Vrij	PY-curve-1_V2.B	PY-curve-1_V2.B
(PY-curve-1_V2)11	Lijn	Paal_Y_2 LCS	9,000 10,000	Vrij	Niet-lineair	Niet-lineair	Vrij	Vrij	Vrij	PY-curve-1_V2	PY-curve-1_V2
(PY-curve-1_V2)32	Lijn	Paal_X_26 LCS	9,000 10,000	Vrij	Niet-lineair	Niet-lineair	Vrij	Vrij	Vrij	PY-curve-1_V2.B	PY-curve-1_V2.B
(PY-curve-1_V2)30	Lijn	Paal_X_10 LCS	9,000 10,000	Vrij	Niet-lineair	Niet-lineair	Vrij	Vrij	Vrij	PY-curve-1_V2.B	PY-curve-1_V2.B
(PY-curve-1_V2)18	Lijn	Paal_Y_8 LCS	9,000 10,000	Vrij	Niet-lineair	Niet-lineair	Vrij	Vrij	Vrij	PY-curve-1_V2	PY-curve-1_V2
(PY-curve-1_V2)36	Lijn	Paal_X_30 LCS	9,000 10,000	Vrij	Niet-lineair	Niet-lineair	Vrij	Vrij	Vrij	PY-curve-1_V2.B	PY-curve-1_V2.B
(PY-curve-1_V2)17	Lijn	Paal_Y_7 LCS	9,000 10,000	Vrij	Niet-lineair	Niet-lineair	Vrij	Vrij	Vrij	PY-curve-1_V2	PY-curve-1_V2
(PY-curve-1_V2)29	Lijn	Paal_X_9 LCS	9,000 10,000	Vrij	Niet-lineair	Niet-lineair	Vrij	Vrij	Vrij	PY-curve-1_V2.B	PY-curve-1_V2.B
(PY-curve-1_V2)9	Lijn	Paal_X_2 LCS	9,000 10,000	Vrij	Niet-lineair	Niet-lineair	Vrij	Vrij	Vrij	PY-curve-1_V2	PY-curve-1_V2
(PY-curve-1_V2)16	Lijn	Paal_XY_9 LCS	9,000 10,000	Vrij	Niet-lineair	Niet-lineair	Vrij	Vrij	Vrij	PY-curve-1_V2	PY-curve-1_V2
(PY-curve-1_V2)10	Lijn	Paal_XY_2 LCS	9,000 10,000	Vrij	Niet-lineair	Niet-lineair	Vrij	Vrij	Vrij	PY-curve-1_V2	PY-curve-1_V2
(PY-curve-1_V2)19	Lijn	Paal_Y_9 LCS	9,000 10,000	Vrij	Niet-lineair	Niet-lineair	Vrij	Vrij	Vrij	PY-curve-1_V2	PY-curve-1_V2
(PY-curve-1_V2)15	Lijn	Paal_XY_8 LCS	9,000 10,000	Vrij	Niet-lineair	Niet-lineair	Vrij	Vrij	Vrij	PY-curve-1_V2	PY-curve-1_V2
(PY-curve-1_V2)20	Lijn	Paal_P_7 LCS	9,000 10,000	Vrij	Niet-lineair	Niet-lineair	Vrij	Vrij	Vrij	PY-curve-1_V2	PY-curve-1_V2
(PY-curve-1_V2)2	Lijn	Paal_X_1 LCS	9,000 10,000	Vrij	Niet-lineair	Niet-lineair	Vrij	Vrij	Vrij	PY-curve-1_V2	PY-curve-1_V2
(PY-curve-1_V2)27	Lijn	Paal_X_7 LCS	9,000 10,000	Vrij	Niet-lineair	Niet-lineair	Vrij	Vrij	Vrij	PY-curve-1_V2.B	PY-curve-1_V2.B
(PY-curve-1_V2)	Lijn	Paal_P_1 LCS	9,000 10,000	Vrij	Niet-lineair	Niet-lineair	Vrij	Vrij	Vrij	PY-curve-1_V2	PY-curve-1_V2
(PY-curve-1_V2)13	Lijn	Paal_X_25 LCS	9,000 10,000	Vrij	Niet-lineair	Niet-lineair	Vrij	Vrij	Vrij	PY-curve-1_V2	PY-curve-1_V2
(PY-curve-1_V2)31	Lijn	Paal_X_11 LCS	9,000 10,000	Vrij	Niet-lineair	Niet-lineair	Vrij	Vrij	Vrij	PY-curve-1_V2.B	PY-curve-1_V2.B
(PY-curve-1_V2)39	Lijn	Paal_X_33	9,000	Vrij	Niet-lineair	Niet-lineair	Vrij	Vrij	Vrij	PY-curve-1_V2.B	PY-curve-1_V2.B

Naam	Type	Staaf Systeem	Pos x_1 [m] Pos x_2 [m]	X	Y	Z	Rx	Ry	Rz	Functie Y	Functie Z
		LCS	10,000								
(PY-curve-1_V2)12	Lijn	Paal_X_24 LCS	9,000 10,000	Vrij	Niet-lineair	Niet-lineair	Vrij	Vrij	Vrij	PY-curve-1_V2	PY-curve-1_V2
(PY-curve-1_V2)4	Lijn	Paal_XY_1 LCS	9,000 10,000	Vrij	Niet-lineair	Niet-lineair	Vrij	Vrij	Vrij	PY-curve-1_V2	PY-curve-1_V2
(PY-curve-1_V2)26	Lijn	Paal_X_6 LCS	9,000 10,000	Vrij	Niet-lineair	Niet-lineair	Vrij	Vrij	Vrij	PY-curve-1_V2.B	PY-curve-1_V2.B
(PY-curve-1_V2)23	Lijn	Paal_X_23 LCS	9,000 10,000	Vrij	Niet-lineair	Niet-lineair	Vrij	Vrij	Vrij	PY-curve-1_V2	PY-curve-1_V2
(PY-curve-1_V2)14	Lijn	Paal_XY_7 LCS	9,000 10,000	Vrij	Niet-lineair	Niet-lineair	Vrij	Vrij	Vrij	PY-curve-1_V2	PY-curve-1_V2
(PY-curve-1_V2)8	Lijn	Paal_P_2 LCS	9,000 10,000	Vrij	Niet-lineair	Niet-lineair	Vrij	Vrij	Vrij	PY-curve-1_V2	PY-curve-1_V2
(PY-curve-1_V2)25	Lijn	Paal_X_5 LCS	9,000 10,000	Vrij	Niet-lineair	Niet-lineair	Vrij	Vrij	Vrij	PY-curve-1_V2.B	PY-curve-1_V2.B
(PY-curve-1_V2)22	Lijn	Paal_P_9 LCS	9,000 10,000	Vrij	Niet-lineair	Niet-lineair	Vrij	Vrij	Vrij	PY-curve-1_V2	PY-curve-1_V2
(PY-curve-1_V2)5	Lijn	Paal_XY_3 LCS	9,000 10,000	Vrij	Niet-lineair	Niet-lineair	Vrij	Vrij	Vrij	PY-curve-1_V2	PY-curve-1_V2
(PY-curve-1_V2)21	Lijn	Paal_P_8 LCS	9,000 10,000	Vrij	Niet-lineair	Niet-lineair	Vrij	Vrij	Vrij	PY-curve-1_V2	PY-curve-1_V2
(PY-curve-1_V3)7	Lijn	Paal_Y_3 LCS	10,000 11,000	Vrij	Niet-lineair	Niet-lineair	Vrij	Vrij	Vrij	PY-curve-1_V3	PY-curve-1_V3
(PY-curve-1_V3)20	Lijn	Paal_P_7 LCS	10,000 11,000	Vrij	Niet-lineair	Niet-lineair	Vrij	Vrij	Vrij	PY-curve-1_V3	PY-curve-1_V3
(PY-curve-1_V3)24	Lijn	Paal_X_4 LCS	10,000 11,000	Vrij	Niet-lineair	Niet-lineair	Vrij	Vrij	Vrij	PY-curve-1_V3.B	PY-curve-1_V3.B
(PY-curve-1_V3)	Lijn	Paal_P_1 LCS	10,000 11,000	Vrij	Niet-lineair	Niet-lineair	Vrij	Vrij	Vrij	PY-curve-1_V3	PY-curve-1_V3
(PY-curve-1_V3)3	Lijn	Paal_X_3 LCS	10,000 11,000	Vrij	Niet-lineair	Niet-lineair	Vrij	Vrij	Vrij	PY-curve-1_V3	PY-curve-1_V3
(PY-curve-1_V3)1	Lijn	Paal_P_3 LCS	10,000 11,000	Vrij	Niet-lineair	Niet-lineair	Vrij	Vrij	Vrij	PY-curve-1_V3	PY-curve-1_V3
(PY-curve-1_V3)39	Lijn	Paal_X_33 LCS	10,000 11,000	Vrij	Niet-lineair	Niet-lineair	Vrij	Vrij	Vrij	PY-curve-1_V3.B	PY-curve-1_V3.B
(PY-curve-1_V3)38	Lijn	Paal_X_32 LCS	10,000 11,000	Vrij	Niet-lineair	Niet-lineair	Vrij	Vrij	Vrij	PY-curve-1_V3.B	PY-curve-1_V3.B
(PY-curve-1_V3)37	Lijn	Paal_X_31 LCS	10,000 11,000	Vrij	Niet-lineair	Niet-lineair	Vrij	Vrij	Vrij	PY-curve-1_V3.B	PY-curve-1_V3.B
(PY-curve-1_V3)36	Lijn	Paal_X_30 LCS	10,000 11,000	Vrij	Niet-lineair	Niet-lineair	Vrij	Vrij	Vrij	PY-curve-1_V3.B	PY-curve-1_V3.B
(PY-curve-1_V3)6	Lijn	Paal_Y_1 LCS	10,000 11,000	Vrij	Niet-lineair	Niet-lineair	Vrij	Vrij	Vrij	PY-curve-1_V3	PY-curve-1_V3
(PY-curve-1_V3)35	Lijn	Paal_X_29 LCS	10,000 11,000	Vrij	Niet-lineair	Niet-lineair	Vrij	Vrij	Vrij	PY-curve-1_V3.B	PY-curve-1_V3.B
(PY-curve-1_V3)34	Lijn	Paal_X_28 LCS	10,000 11,000	Vrij	Niet-lineair	Niet-lineair	Vrij	Vrij	Vrij	PY-curve-1_V3.B	PY-curve-1_V3.B
(PY-curve-1_V3)33	Lijn	Paal_X_27 LCS	10,000 11,000	Vrij	Niet-lineair	Niet-lineair	Vrij	Vrij	Vrij	PY-curve-1_V3.B	PY-curve-1_V3.B
(PY-curve-1_V3)31	Lijn	Paal_X_11 LCS	10,000 11,000	Vrij	Niet-lineair	Niet-lineair	Vrij	Vrij	Vrij	PY-curve-1_V3.B	PY-curve-1_V3.B
(PY-curve-1_V3)32	Lijn	Paal_X_26 LCS	10,000 11,000	Vrij	Niet-lineair	Niet-lineair	Vrij	Vrij	Vrij	PY-curve-1_V3.B	PY-curve-1_V3.B
(PY-curve-1_V3)19	Lijn	Paal_Y_9 LCS	10,000 11,000	Vrij	Niet-lineair	Niet-lineair	Vrij	Vrij	Vrij	PY-curve-1_V3	PY-curve-1_V3
(PY-curve-1_V3)30	Lijn	Paal_X_10 LCS	10,000 11,000	Vrij	Niet-lineair	Niet-lineair	Vrij	Vrij	Vrij	PY-curve-1_V3.B	PY-curve-1_V3.B
(PY-curve-1_V3)5	Lijn	Paal_XY_3 LCS	10,000 11,000	Vrij	Niet-lineair	Niet-lineair	Vrij	Vrij	Vrij	PY-curve-1_V3	PY-curve-1_V3
(PY-curve-1_V3)18	Lijn	Paal_Y_8 LCS	10,000 11,000	Vrij	Niet-lineair	Niet-lineair	Vrij	Vrij	Vrij	PY-curve-1_V3	PY-curve-1_V3
(PY-curve-1_V3)2	Lijn	Paal_X_1 LCS	10,000 11,000	Vrij	Niet-lineair	Niet-lineair	Vrij	Vrij	Vrij	PY-curve-1_V3	PY-curve-1_V3
(PY-curve-1_V3)29	Lijn	Paal_X_9	10,000	Vrij	Niet-lineair	Niet-lineair	Vrij	Vrij	Vrij	PY-curve-1_V3.B	PY-curve-1_V3.B

Naam	Type	Staaf Systeem	Pos x_1 [m] Pos x_2 [m]	X	Y	Z	Rx	Ry	Rz	Functie Y	Functie Z
		LCS	11,000								
(PY-curve-1_V3)17	Lijn	Paal_Y_7 LCS	10,000 11,000	Vrij	Niet-lineair	Niet-lineair	Vrij	Vrij	Vrij	PY-curve-1_V3	PY-curve-1_V3
(PY-curve-1_V3)10	Lijn	Paal_XY_2 LCS	10,000 11,000	Vrij	Niet-lineair	Niet-lineair	Vrij	Vrij	Vrij	PY-curve-1_V3	PY-curve-1_V3
(PY-curve-1_V3)16	Lijn	Paal_XY_9 LCS	10,000 11,000	Vrij	Niet-lineair	Niet-lineair	Vrij	Vrij	Vrij	PY-curve-1_V3	PY-curve-1_V3
(PY-curve-1_V3)28	Lijn	Paal_X_8 LCS	10,000 11,000	Vrij	Niet-lineair	Niet-lineair	Vrij	Vrij	Vrij	PY-curve-1_V3.B	PY-curve-1_V3.B
(PY-curve-1_V3)15	Lijn	Paal_XY_8 LCS	10,000 11,000	Vrij	Niet-lineair	Niet-lineair	Vrij	Vrij	Vrij	PY-curve-1_V3	PY-curve-1_V3
(PY-curve-1_V3)27	Lijn	Paal_X_7 LCS	10,000 11,000	Vrij	Niet-lineair	Niet-lineair	Vrij	Vrij	Vrij	PY-curve-1_V3.B	PY-curve-1_V3.B
(PY-curve-1_V3)9	Lijn	Paal_X_2 LCS	10,000 11,000	Vrij	Niet-lineair	Niet-lineair	Vrij	Vrij	Vrij	PY-curve-1_V3	PY-curve-1_V3
(PY-curve-1_V3)4	Lijn	Paal_XY_1 LCS	10,000 11,000	Vrij	Niet-lineair	Niet-lineair	Vrij	Vrij	Vrij	PY-curve-1_V3	PY-curve-1_V3
(PY-curve-1_V3)13	Lijn	Paal_X_25 LCS	10,000 11,000	Vrij	Niet-lineair	Niet-lineair	Vrij	Vrij	Vrij	PY-curve-1_V3	PY-curve-1_V3
(PY-curve-1_V3)14	Lijn	Paal_XY_7 LCS	10,000 11,000	Vrij	Niet-lineair	Niet-lineair	Vrij	Vrij	Vrij	PY-curve-1_V3	PY-curve-1_V3
(PY-curve-1_V3)12	Lijn	Paal_X_24 LCS	10,000 11,000	Vrij	Niet-lineair	Niet-lineair	Vrij	Vrij	Vrij	PY-curve-1_V3	PY-curve-1_V3
(PY-curve-1_V3)26	Lijn	Paal_X_6 LCS	10,000 11,000	Vrij	Niet-lineair	Niet-lineair	Vrij	Vrij	Vrij	PY-curve-1_V3.B	PY-curve-1_V3.B
(PY-curve-1_V3)23	Lijn	Paal_X_23 LCS	10,000 11,000	Vrij	Niet-lineair	Niet-lineair	Vrij	Vrij	Vrij	PY-curve-1_V3	PY-curve-1_V3
(PY-curve-1_V3)8	Lijn	Paal_P_2 LCS	10,000 11,000	Vrij	Niet-lineair	Niet-lineair	Vrij	Vrij	Vrij	PY-curve-1_V3	PY-curve-1_V3
(PY-curve-1_V3)11	Lijn	Paal_Y_2 LCS	10,000 11,000	Vrij	Niet-lineair	Niet-lineair	Vrij	Vrij	Vrij	PY-curve-1_V3	PY-curve-1_V3
(PY-curve-1_V3)25	Lijn	Paal_X_5 LCS	10,000 11,000	Vrij	Niet-lineair	Niet-lineair	Vrij	Vrij	Vrij	PY-curve-1_V3.B	PY-curve-1_V3.B
(PY-curve-1_V3)21	Lijn	Paal_P_8 LCS	10,000 11,000	Vrij	Niet-lineair	Niet-lineair	Vrij	Vrij	Vrij	PY-curve-1_V3	PY-curve-1_V3
(PY-curve-1_V3)22	Lijn	Paal_P_9 LCS	10,000 11,000	Vrij	Niet-lineair	Niet-lineair	Vrij	Vrij	Vrij	PY-curve-1_V3	PY-curve-1_V3
(PY-curve-1_V4)20	Lijn	Paal_P_7 LCS	11,000 12,000	Vrij	Niet-lineair	Niet-lineair	Vrij	Vrij	Vrij	PY-curve-1_V4	PY-curve-1_V4
(PY-curve-1_V4)38	Lijn	Paal_X_32 LCS	11,000 12,000	Vrij	Niet-lineair	Niet-lineair	Vrij	Vrij	Vrij	PY-curve-1_V4.B	PY-curve-1_V4.B
(PY-curve-1_V4)37	Lijn	Paal_X_31 LCS	11,000 12,000	Vrij	Niet-lineair	Niet-lineair	Vrij	Vrij	Vrij	PY-curve-1_V4.B	PY-curve-1_V4.B
(PY-curve-1_V4)6	Lijn	Paal_Y_1 LCS	11,000 12,000	Vrij	Niet-lineair	Niet-lineair	Vrij	Vrij	Vrij	PY-curve-1_V4	PY-curve-1_V4
(PY-curve-1_V4)36	Lijn	Paal_X_30 LCS	11,000 12,000	Vrij	Niet-lineair	Niet-lineair	Vrij	Vrij	Vrij	PY-curve-1_V4.B	PY-curve-1_V4.B
(PY-curve-1_V4)34	Lijn	Paal_X_28 LCS	11,000 12,000	Vrij	Niet-lineair	Niet-lineair	Vrij	Vrij	Vrij	PY-curve-1_V4.B	PY-curve-1_V4.B
(PY-curve-1_V4)39	Lijn	Paal_X_33 LCS	11,000 12,000	Vrij	Niet-lineair	Niet-lineair	Vrij	Vrij	Vrij	PY-curve-1_V4.B	PY-curve-1_V4.B
(PY-curve-1_V4)33	Lijn	Paal_X_27 LCS	11,000 12,000	Vrij	Niet-lineair	Niet-lineair	Vrij	Vrij	Vrij	PY-curve-1_V4.B	PY-curve-1_V4.B
(PY-curve-1_V4)31	Lijn	Paal_X_11 LCS	11,000 12,000	Vrij	Niet-lineair	Niet-lineair	Vrij	Vrij	Vrij	PY-curve-1_V4.B	PY-curve-1_V4.B
(PY-curve-1_V4)5	Lijn	Paal_XY_3 LCS	11,000 12,000	Vrij	Niet-lineair	Niet-lineair	Vrij	Vrij	Vrij	PY-curve-1_V4	PY-curve-1_V4
(PY-curve-1_V4)32	Lijn	Paal_X_26 LCS	11,000 12,000	Vrij	Niet-lineair	Niet-lineair	Vrij	Vrij	Vrij	PY-curve-1_V4.B	PY-curve-1_V4.B
(PY-curve-1_V4)35	Lijn	Paal_X_29 LCS	11,000 12,000	Vrij	Niet-lineair	Niet-lineair	Vrij	Vrij	Vrij	PY-curve-1_V4.B	PY-curve-1_V4.B
(PY-curve-1_V4)2	Lijn	Paal_X_1 LCS	11,000 12,000	Vrij	Niet-lineair	Niet-lineair	Vrij	Vrij	Vrij	PY-curve-1_V4	PY-curve-1_V4
(PY-curve-1_V4)11	Lijn	Paal_Y_2	11,000	Vrij	Niet-lineair	Niet-lineair	Vrij	Vrij	Vrij	PY-curve-1_V4	PY-curve-1_V4

Naam	Type	Staaf Systeem	Pos x_1 [m] Pos x_2 [m]	X	Y	Z	Rx	Ry	Rz	Functie Y	Functie Z
		LCS	12,000								
(PY-curve-1_V4)19	Lijn	Paal_Y_9 LCS	11,000 12,000	Vrij	Niet-lineair	Niet-lineair	Vrij	Vrij	Vrij	PY-curve-1_V4	PY-curve-1_V4
(PY-curve-1_V4)30	Lijn	Paal_X_10 LCS	11,000 12,000	Vrij	Niet-lineair	Niet-lineair	Vrij	Vrij	Vrij	PY-curve-1_V4.B	PY-curve-1_V4.B
(PY-curve-1_V4)18	Lijn	Paal_Y_8 LCS	11,000 12,000	Vrij	Niet-lineair	Niet-lineair	Vrij	Vrij	Vrij	PY-curve-1_V4	PY-curve-1_V4
(PY-curve-1_V4)10	Lijn	Paal_XY_2 LCS	11,000 12,000	Vrij	Niet-lineair	Niet-lineair	Vrij	Vrij	Vrij	PY-curve-1_V4	PY-curve-1_V4
(PY-curve-1_V4)29	Lijn	Paal_X_9 LCS	11,000 12,000	Vrij	Niet-lineair	Niet-lineair	Vrij	Vrij	Vrij	PY-curve-1_V4.B	PY-curve-1_V4.B
(PY-curve-1_V4)17	Lijn	Paal_Y_7 LCS	11,000 12,000	Vrij	Niet-lineair	Niet-lineair	Vrij	Vrij	Vrij	PY-curve-1_V4	PY-curve-1_V4
(PY-curve-1_V4)16	Lijn	Paal_XY_9 LCS	11,000 12,000	Vrij	Niet-lineair	Niet-lineair	Vrij	Vrij	Vrij	PY-curve-1_V4	PY-curve-1_V4
(PY-curve-1_V4)28	Lijn	Paal_X_8 LCS	11,000 12,000	Vrij	Niet-lineair	Niet-lineair	Vrij	Vrij	Vrij	PY-curve-1_V4.B	PY-curve-1_V4.B
(PY-curve-1_V4)15	Lijn	Paal_XY_8 LCS	11,000 12,000	Vrij	Niet-lineair	Niet-lineair	Vrij	Vrij	Vrij	PY-curve-1_V4	PY-curve-1_V4
(PY-curve-1_V4)4	Lijn	Paal_XY_1 LCS	11,000 12,000	Vrij	Niet-lineair	Niet-lineair	Vrij	Vrij	Vrij	PY-curve-1_V4	PY-curve-1_V4
(PY-curve-1_V4)9	Lijn	Paal_X_2 LCS	11,000 12,000	Vrij	Niet-lineair	Niet-lineair	Vrij	Vrij	Vrij	PY-curve-1_V4	PY-curve-1_V4
(PY-curve-1_V4)14	Lijn	Paal_XY_7 LCS	11,000 12,000	Vrij	Niet-lineair	Niet-lineair	Vrij	Vrij	Vrij	PY-curve-1_V4	PY-curve-1_V4
(PY-curve-1_V4)27	Lijn	Paal_X_7 LCS	11,000 12,000	Vrij	Niet-lineair	Niet-lineair	Vrij	Vrij	Vrij	PY-curve-1_V4.B	PY-curve-1_V4.B
(PY-curve-1_V4)	Lijn	Paal_P_1 LCS	11,000 12,000	Vrij	Niet-lineair	Niet-lineair	Vrij	Vrij	Vrij	PY-curve-1_V4	PY-curve-1_V4
(PY-curve-1_V4)13	Lijn	Paal_X_25 LCS	11,000 12,000	Vrij	Niet-lineair	Niet-lineair	Vrij	Vrij	Vrij	PY-curve-1_V4	PY-curve-1_V4
(PY-curve-1_V4)26	Lijn	Paal_X_6 LCS	11,000 12,000	Vrij	Niet-lineair	Niet-lineair	Vrij	Vrij	Vrij	PY-curve-1_V4.B	PY-curve-1_V4.B
(PY-curve-1_V4)12	Lijn	Paal_X_24 LCS	11,000 12,000	Vrij	Niet-lineair	Niet-lineair	Vrij	Vrij	Vrij	PY-curve-1_V4	PY-curve-1_V4
(PY-curve-1_V4)8	Lijn	Paal_P_2 LCS	11,000 12,000	Vrij	Niet-lineair	Niet-lineair	Vrij	Vrij	Vrij	PY-curve-1_V4	PY-curve-1_V4
(PY-curve-1_V4)23	Lijn	Paal_X_23 LCS	11,000 12,000	Vrij	Niet-lineair	Niet-lineair	Vrij	Vrij	Vrij	PY-curve-1_V4	PY-curve-1_V4
(PY-curve-1_V4)25	Lijn	Paal_X_5 LCS	11,000 12,000	Vrij	Niet-lineair	Niet-lineair	Vrij	Vrij	Vrij	PY-curve-1_V4.B	PY-curve-1_V4.B
(PY-curve-1_V4)1	Lijn	Paal_P_3 LCS	11,000 12,000	Vrij	Niet-lineair	Niet-lineair	Vrij	Vrij	Vrij	PY-curve-1_V4	PY-curve-1_V4
(PY-curve-1_V4)22	Lijn	Paal_P_9 LCS	11,000 12,000	Vrij	Niet-lineair	Niet-lineair	Vrij	Vrij	Vrij	PY-curve-1_V4	PY-curve-1_V4
(PY-curve-1_V4)21	Lijn	Paal_P_8 LCS	11,000 12,000	Vrij	Niet-lineair	Niet-lineair	Vrij	Vrij	Vrij	PY-curve-1_V4	PY-curve-1_V4
(PY-curve-1_V4)3	Lijn	Paal_X_3 LCS	11,000 12,000	Vrij	Niet-lineair	Niet-lineair	Vrij	Vrij	Vrij	PY-curve-1_V4	PY-curve-1_V4
(PY-curve-1_V4)7	Lijn	Paal_Y_3 LCS	11,000 12,000	Vrij	Niet-lineair	Niet-lineair	Vrij	Vrij	Vrij	PY-curve-1_V4	PY-curve-1_V4
(PY-curve-1_V4)24	Lijn	Paal_X_4 LCS	11,000 12,000	Vrij	Niet-lineair	Niet-lineair	Vrij	Vrij	Vrij	PY-curve-1_V4.B	PY-curve-1_V4.B
(PY-curve-1_V5)20	Lijn	Paal_P_7 LCS	12,000 12,750	Vrij	Niet-lineair	Niet-lineair	Vrij	Vrij	Vrij	PY-curve-1_V5	PY-curve-1_V5
(PY-curve-1_V5)11	Lijn	Paal_XY_1 LCS	12,000 12,750	Vrij	Niet-lineair	Niet-lineair	Vrij	Vrij	Vrij	PY-curve-1_V5	PY-curve-1_V5
(PY-curve-1_V5)10	Lijn	Paal_X_3 LCS	12,000 12,750	Vrij	Niet-lineair	Niet-lineair	Vrij	Vrij	Vrij	PY-curve-1_V5	PY-curve-1_V5
(PY-curve-1_V5)9	Lijn	Paal_XY_3 LCS	12,000 12,750	Vrij	Niet-lineair	Niet-lineair	Vrij	Vrij	Vrij	PY-curve-1_V5	PY-curve-1_V5
(PY-curve-1_V5)8	Lijn	Paal_X_1 LCS	12,000 12,750	Vrij	Niet-lineair	Niet-lineair	Vrij	Vrij	Vrij	PY-curve-1_V5	PY-curve-1_V5
(PY-curve-1_V5)7	Lijn	Paal_XY_2	12,000	Vrij	Niet-lineair	Niet-lineair	Vrij	Vrij	Vrij	PY-curve-1_V5	PY-curve-1_V5

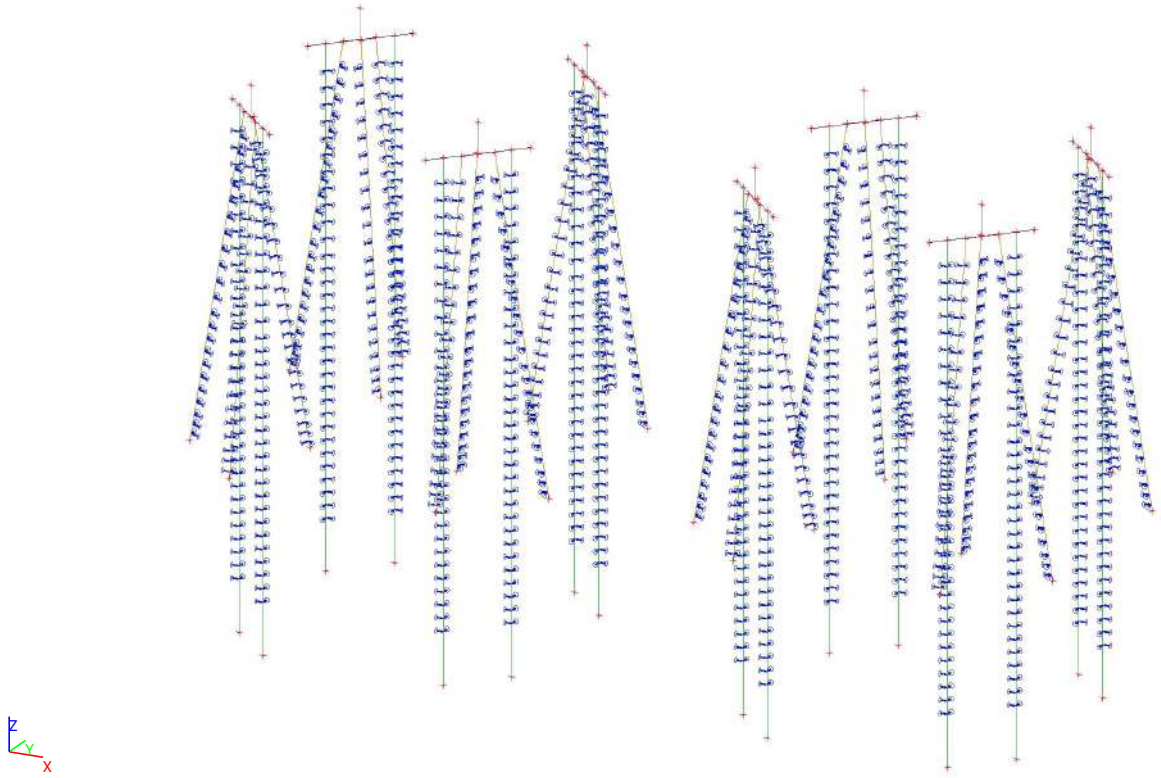
Naam	Type	Staaf Systeem	Pos x_1 [m] Pos x_2 [m]	X	Y	Z	Rx	Ry	Rz	Functie Y	Functie Z
		LCS	12,750								
(PY-curve-1_V5)6	Lijn	Paal_X_2 LCS	12,000 12,750	Vrij	Niet-lineair	Niet-lineair	Vrij	Vrij	Vrij	PY-curve-1_V5	PY-curve-1_V5
(PY-curve-1_V5)5	Lijn	Paal_Y_2 LCS	12,000 12,750	Vrij	Niet-lineair	Niet-lineair	Vrij	Vrij	Vrij	PY-curve-1_V5	PY-curve-1_V5
(PY-curve-1_V5)4	Lijn	Paal_P_2 LCS	12,000 12,750	Vrij	Niet-lineair	Niet-lineair	Vrij	Vrij	Vrij	PY-curve-1_V5	PY-curve-1_V5
(PY-curve-1_V5)3	Lijn	Paal_Y_1 LCS	12,000 12,750	Vrij	Niet-lineair	Niet-lineair	Vrij	Vrij	Vrij	PY-curve-1_V5	PY-curve-1_V5
(PY-curve-1_V5)2	Lijn	Paal_P_3 LCS	12,000 12,750	Vrij	Niet-lineair	Niet-lineair	Vrij	Vrij	Vrij	PY-curve-1_V5	PY-curve-1_V5
(PY-curve-1_V5)1	Lijn	Paal_Y_3 LCS	12,000 12,750	Vrij	Niet-lineair	Niet-lineair	Vrij	Vrij	Vrij	PY-curve-1_V5	PY-curve-1_V5
(PY-curve-1_V5)	Lijn	Paal_P_1 LCS	12,000 12,750	Vrij	Niet-lineair	Niet-lineair	Vrij	Vrij	Vrij	PY-curve-1_V5	PY-curve-1_V5
(PY-curve-1_V5)19	Lijn	Paal_Y_9 LCS	12,000 12,750	Vrij	Niet-lineair	Niet-lineair	Vrij	Vrij	Vrij	PY-curve-1_V5	PY-curve-1_V5
(PY-curve-1_V5)18	Lijn	Paal_Y_8 LCS	12,000 12,750	Vrij	Niet-lineair	Niet-lineair	Vrij	Vrij	Vrij	PY-curve-1_V5	PY-curve-1_V5
(PY-curve-1_V5)17	Lijn	Paal_Y_7 LCS	12,000 12,750	Vrij	Niet-lineair	Niet-lineair	Vrij	Vrij	Vrij	PY-curve-1_V5	PY-curve-1_V5
(PY-curve-1_V5)16	Lijn	Paal_XY_9 LCS	12,000 12,750	Vrij	Niet-lineair	Niet-lineair	Vrij	Vrij	Vrij	PY-curve-1_V5	PY-curve-1_V5
(PY-curve-1_V5)15	Lijn	Paal_XY_8 LCS	12,000 12,750	Vrij	Niet-lineair	Niet-lineair	Vrij	Vrij	Vrij	PY-curve-1_V5	PY-curve-1_V5
(PY-curve-1_V5)14	Lijn	Paal_XY_7 LCS	12,000 12,750	Vrij	Niet-lineair	Niet-lineair	Vrij	Vrij	Vrij	PY-curve-1_V5	PY-curve-1_V5
(PY-curve-1_V5)13	Lijn	Paal_X_25 LCS	12,000 12,750	Vrij	Niet-lineair	Niet-lineair	Vrij	Vrij	Vrij	PY-curve-1_V5	PY-curve-1_V5
(PY-curve-1_V5)12	Lijn	Paal_X_24 LCS	12,000 12,750	Vrij	Niet-lineair	Niet-lineair	Vrij	Vrij	Vrij	PY-curve-1_V5	PY-curve-1_V5
(PY-curve-1_V5)23	Lijn	Paal_X_23 LCS	12,000 12,750	Vrij	Niet-lineair	Niet-lineair	Vrij	Vrij	Vrij	PY-curve-1_V5	PY-curve-1_V5
(PY-curve-1_V5)22	Lijn	Paal_P_9 LCS	12,000 12,750	Vrij	Niet-lineair	Niet-lineair	Vrij	Vrij	Vrij	PY-curve-1_V5	PY-curve-1_V5
(PY-curve-1_V5)21	Lijn	Paal_P_8 LCS	12,000 12,750	Vrij	Niet-lineair	Niet-lineair	Vrij	Vrij	Vrij	PY-curve-1_V5	PY-curve-1_V5
(PY-curve-1_V5)31	Lijn	Paal_X_11 LCS	12,000 13,000	Vrij	Niet-lineair	Niet-lineair	Vrij	Vrij	Vrij	PY-curve-1_V5.B	PY-curve-1_V5.B
(PY-curve-1_V5)39	Lijn	Paal_X_33 LCS	12,000 13,000	Vrij	Niet-lineair	Niet-lineair	Vrij	Vrij	Vrij	PY-curve-1_V5.B	PY-curve-1_V5.B
(PY-curve-1_V5)30	Lijn	Paal_X_10 LCS	12,000 13,000	Vrij	Niet-lineair	Niet-lineair	Vrij	Vrij	Vrij	PY-curve-1_V5.B	PY-curve-1_V5.B
(PY-curve-1_V5)29	Lijn	Paal_X_5 LCS	12,000 13,000	Vrij	Niet-lineair	Niet-lineair	Vrij	Vrij	Vrij	PY-curve-1_V5.B	PY-curve-1_V5.B
(PY-curve-1_V5)28	Lijn	Paal_X_4 LCS	12,000 13,000	Vrij	Niet-lineair	Niet-lineair	Vrij	Vrij	Vrij	PY-curve-1_V5.B	PY-curve-1_V5.B
(PY-curve-1_V5)38	Lijn	Paal_X_32 LCS	12,000 13,000	Vrij	Niet-lineair	Niet-lineair	Vrij	Vrij	Vrij	PY-curve-1_V5.B	PY-curve-1_V5.B
(PY-curve-1_V5)27	Lijn	Paal_X_9 LCS	12,000 13,000	Vrij	Niet-lineair	Niet-lineair	Vrij	Vrij	Vrij	PY-curve-1_V5.B	PY-curve-1_V5.B
(PY-curve-1_V5)26	Lijn	Paal_X_8 LCS	12,000 13,000	Vrij	Niet-lineair	Niet-lineair	Vrij	Vrij	Vrij	PY-curve-1_V5.B	PY-curve-1_V5.B
(PY-curve-1_V5)25	Lijn	Paal_X_7 LCS	12,000 13,000	Vrij	Niet-lineair	Niet-lineair	Vrij	Vrij	Vrij	PY-curve-1_V5.B	PY-curve-1_V5.B
(PY-curve-1_V5)37	Lijn	Paal_X_31 LCS	12,000 13,000	Vrij	Niet-lineair	Niet-lineair	Vrij	Vrij	Vrij	PY-curve-1_V5.B	PY-curve-1_V5.B
(PY-curve-1_V5)24	Lijn	Paal_X_6 LCS	12,000 13,000	Vrij	Niet-lineair	Niet-lineair	Vrij	Vrij	Vrij	PY-curve-1_V5.B	PY-curve-1_V5.B
(PY-curve-1_V5)36	Lijn	Paal_X_30 LCS	12,000 13,000	Vrij	Niet-lineair	Niet-lineair	Vrij	Vrij	Vrij	PY-curve-1_V5.B	PY-curve-1_V5.B
(PY-curve-1_V5)35	Lijn	Paal_X_29 LCS	12,000 13,000	Vrij	Niet-lineair	Niet-lineair	Vrij	Vrij	Vrij	PY-curve-1_V5.B	PY-curve-1_V5.B
(PY-curve-1_V5)34	Lijn	Paal_X_28	12,000	Vrij	Niet-lineair	Niet-lineair	Vrij	Vrij	Vrij	PY-curve-1_V5.B	PY-curve-1_V5.B

Naam	Type	Staaf Systeem	Pos x_1 [m] Pos x_2 [m]	X	Y	Z	Rx	Ry	Rz	Functie Y	Functie Z
		LCS	13,000								
(PY-curve-1_V5)33	Lijn	Paal_X_27 LCS	12,000 13,000	Vrij	Niet-lineair	Niet-lineair	Vrij	Vrij	Vrij	PY-curve-1_V5.B	PY-curve-1_V5.B
(PY-curve-1_V5)32	Lijn	Paal_X_26 LCS	12,000 13,000	Vrij	Niet-lineair	Niet-lineair	Vrij	Vrij	Vrij	PY-curve-1_V5.B	PY-curve-1_V5.B
(PY-curve-1_V6)13	Lijn	Paal_X_29 LCS	13,000 14,000	Vrij	Niet-lineair	Niet-lineair	Vrij	Vrij	Vrij	PY-curve-1_V6.B	PY-curve-1_V6.B
(PY-curve-1_V6)12	Lijn	Paal_X_28 LCS	13,000 14,000	Vrij	Niet-lineair	Niet-lineair	Vrij	Vrij	Vrij	PY-curve-1_V6.B	PY-curve-1_V6.B
(PY-curve-1_V6)11	Lijn	Paal_X_27 LCS	13,000 14,000	Vrij	Niet-lineair	Niet-lineair	Vrij	Vrij	Vrij	PY-curve-1_V6.B	PY-curve-1_V6.B
(PY-curve-1_V6)10	Lijn	Paal_X_26 LCS	13,000 14,000	Vrij	Niet-lineair	Niet-lineair	Vrij	Vrij	Vrij	PY-curve-1_V6.B	PY-curve-1_V6.B
(PY-curve-1_V6)9	Lijn	Paal_X_11 LCS	13,000 14,000	Vrij	Niet-lineair	Niet-lineair	Vrij	Vrij	Vrij	PY-curve-1_V6.B	PY-curve-1_V6.B
(PY-curve-1_V6)8	Lijn	Paal_X_10 LCS	13,000 14,000	Vrij	Niet-lineair	Niet-lineair	Vrij	Vrij	Vrij	PY-curve-1_V6.B	PY-curve-1_V6.B
(PY-curve-1_V6)7	Lijn	Paal_X_9 LCS	13,000 14,000	Vrij	Niet-lineair	Niet-lineair	Vrij	Vrij	Vrij	PY-curve-1_V6.B	PY-curve-1_V6.B
(PY-curve-1_V6)14	Lijn	Paal_X_30 LCS	13,000 14,000	Vrij	Niet-lineair	Niet-lineair	Vrij	Vrij	Vrij	PY-curve-1_V6.B	PY-curve-1_V6.B
(PY-curve-1_V6)6	Lijn	Paal_X_8 LCS	13,000 14,000	Vrij	Niet-lineair	Niet-lineair	Vrij	Vrij	Vrij	PY-curve-1_V6.B	PY-curve-1_V6.B
(PY-curve-1_V6)5	Lijn	Paal_X_7 LCS	13,000 14,000	Vrij	Niet-lineair	Niet-lineair	Vrij	Vrij	Vrij	PY-curve-1_V6.B	PY-curve-1_V6.B
(PY-curve-1_V6)4	Lijn	Paal_X_6 LCS	13,000 14,000	Vrij	Niet-lineair	Niet-lineair	Vrij	Vrij	Vrij	PY-curve-1_V6.B	PY-curve-1_V6.B
(PY-curve-1_V6)3	Lijn	Paal_X_5 LCS	13,000 14,000	Vrij	Niet-lineair	Niet-lineair	Vrij	Vrij	Vrij	PY-curve-1_V6.B	PY-curve-1_V6.B
(PY-curve-1_V6)2	Lijn	Paal_X_4 LCS	13,000 14,000	Vrij	Niet-lineair	Niet-lineair	Vrij	Vrij	Vrij	PY-curve-1_V6.B	PY-curve-1_V6.B
(PY-curve-1_V6)1	Lijn	Paal_X_33 LCS	13,000 14,000	Vrij	Niet-lineair	Niet-lineair	Vrij	Vrij	Vrij	PY-curve-1_V6.B	PY-curve-1_V6.B
(PY-curve-1_V6)	Lijn	Paal_X_32 LCS	13,000 14,000	Vrij	Niet-lineair	Niet-lineair	Vrij	Vrij	Vrij	PY-curve-1_V6.B	PY-curve-1_V6.B
(PY-curve-1_V6)15	Lijn	Paal_X_31 LCS	13,000 14,000	Vrij	Niet-lineair	Niet-lineair	Vrij	Vrij	Vrij	PY-curve-1_V6.B	PY-curve-1_V6.B
(PY-curve-1_V7)15	Lijn	Paal_X_31 LCS	14,000 15,000	Vrij	Niet-lineair	Niet-lineair	Vrij	Vrij	Vrij	PY-curve-1_V7.B	PY-curve-1_V7.B
(PY-curve-1_V7)13	Lijn	Paal_X_29 LCS	14,000 15,000	Vrij	Niet-lineair	Niet-lineair	Vrij	Vrij	Vrij	PY-curve-1_V7.B	PY-curve-1_V7.B
(PY-curve-1_V7)12	Lijn	Paal_X_28 LCS	14,000 15,000	Vrij	Niet-lineair	Niet-lineair	Vrij	Vrij	Vrij	PY-curve-1_V7.B	PY-curve-1_V7.B
(PY-curve-1_V7)11	Lijn	Paal_X_27 LCS	14,000 15,000	Vrij	Niet-lineair	Niet-lineair	Vrij	Vrij	Vrij	PY-curve-1_V7.B	PY-curve-1_V7.B
(PY-curve-1_V7)10	Lijn	Paal_X_26 LCS	14,000 15,000	Vrij	Niet-lineair	Niet-lineair	Vrij	Vrij	Vrij	PY-curve-1_V7.B	PY-curve-1_V7.B
(PY-curve-1_V7)9	Lijn	Paal_X_11 LCS	14,000 15,000	Vrij	Niet-lineair	Niet-lineair	Vrij	Vrij	Vrij	PY-curve-1_V7.B	PY-curve-1_V7.B
(PY-curve-1_V7)8	Lijn	Paal_X_10 LCS	14,000 15,000	Vrij	Niet-lineair	Niet-lineair	Vrij	Vrij	Vrij	PY-curve-1_V7.B	PY-curve-1_V7.B
(PY-curve-1_V7)7	Lijn	Paal_X_9 LCS	14,000 15,000	Vrij	Niet-lineair	Niet-lineair	Vrij	Vrij	Vrij	PY-curve-1_V7.B	PY-curve-1_V7.B
(PY-curve-1_V7)14	Lijn	Paal_X_30 LCS	14,000 15,000	Vrij	Niet-lineair	Niet-lineair	Vrij	Vrij	Vrij	PY-curve-1_V7.B	PY-curve-1_V7.B
(PY-curve-1_V7)6	Lijn	Paal_X_8 LCS	14,000 15,000	Vrij	Niet-lineair	Niet-lineair	Vrij	Vrij	Vrij	PY-curve-1_V7.B	PY-curve-1_V7.B
(PY-curve-1_V7)5	Lijn	Paal_X_7 LCS	14,000 15,000	Vrij	Niet-lineair	Niet-lineair	Vrij	Vrij	Vrij	PY-curve-1_V7.B	PY-curve-1_V7.B
(PY-curve-1_V7)4	Lijn	Paal_X_6 LCS	14,000 15,000	Vrij	Niet-lineair	Niet-lineair	Vrij	Vrij	Vrij	PY-curve-1_V7.B	PY-curve-1_V7.B
(PY-curve-1_V7)3	Lijn	Paal_X_5 LCS	14,000 15,000	Vrij	Niet-lineair	Niet-lineair	Vrij	Vrij	Vrij	PY-curve-1_V7.B	PY-curve-1_V7.B
(PY-curve-1_V7)2	Lijn	Paal_X_4	14,000	Vrij	Niet-lineair	Niet-lineair	Vrij	Vrij	Vrij	PY-curve-1_V7.B	PY-curve-1_V7.B

Naam	Type	Staaf Systeem	Pos x_1 [m] Pos x_2 [m]	X	Y	Z	Rx	Ry	Rz	Functie Y	Functie Z
		LCS	15,000								
(PY-curve-1_V7)1	Lijn	Paal_X_33 LCS	14,000 15,000	Vrij	Niet-lineair	Niet-lineair	Vrij	Vrij	Vrij	PY-curve-1_V7.B	PY-curve-1_V7.B
(PY-curve-1_V7)	Lijn	Paal_X_32 LCS	14,000 15,000	Vrij	Niet-lineair	Niet-lineair	Vrij	Vrij	Vrij	PY-curve-1_V7.B	PY-curve-1_V7.B
(PY-curve-1_V8)15	Lijn	Paal_X_31 LCS	15,000 16,000	Vrij	Niet-lineair	Niet-lineair	Vrij	Vrij	Vrij	PY-curve-1_V8.B	PY-curve-1_V8.B
(PY-curve-1_V8)13	Lijn	Paal_X_29 LCS	15,000 16,000	Vrij	Niet-lineair	Niet-lineair	Vrij	Vrij	Vrij	PY-curve-1_V8.B	PY-curve-1_V8.B
(PY-curve-1_V8)12	Lijn	Paal_X_28 LCS	15,000 16,000	Vrij	Niet-lineair	Niet-lineair	Vrij	Vrij	Vrij	PY-curve-1_V8.B	PY-curve-1_V8.B
(PY-curve-1_V8)11	Lijn	Paal_X_27 LCS	15,000 16,000	Vrij	Niet-lineair	Niet-lineair	Vrij	Vrij	Vrij	PY-curve-1_V8.B	PY-curve-1_V8.B
(PY-curve-1_V8)10	Lijn	Paal_X_26 LCS	15,000 16,000	Vrij	Niet-lineair	Niet-lineair	Vrij	Vrij	Vrij	PY-curve-1_V8.B	PY-curve-1_V8.B
(PY-curve-1_V8)9	Lijn	Paal_X_11 LCS	15,000 16,000	Vrij	Niet-lineair	Niet-lineair	Vrij	Vrij	Vrij	PY-curve-1_V8.B	PY-curve-1_V8.B
(PY-curve-1_V8)8	Lijn	Paal_X_10 LCS	15,000 16,000	Vrij	Niet-lineair	Niet-lineair	Vrij	Vrij	Vrij	PY-curve-1_V8.B	PY-curve-1_V8.B
(PY-curve-1_V8)7	Lijn	Paal_X_9 LCS	15,000 16,000	Vrij	Niet-lineair	Niet-lineair	Vrij	Vrij	Vrij	PY-curve-1_V8.B	PY-curve-1_V8.B
(PY-curve-1_V8)14	Lijn	Paal_X_30 LCS	15,000 16,000	Vrij	Niet-lineair	Niet-lineair	Vrij	Vrij	Vrij	PY-curve-1_V8.B	PY-curve-1_V8.B
(PY-curve-1_V8)6	Lijn	Paal_X_8 LCS	15,000 16,000	Vrij	Niet-lineair	Niet-lineair	Vrij	Vrij	Vrij	PY-curve-1_V8.B	PY-curve-1_V8.B
(PY-curve-1_V8)5	Lijn	Paal_X_7 LCS	15,000 16,000	Vrij	Niet-lineair	Niet-lineair	Vrij	Vrij	Vrij	PY-curve-1_V8.B	PY-curve-1_V8.B
(PY-curve-1_V8)4	Lijn	Paal_X_6 LCS	15,000 16,000	Vrij	Niet-lineair	Niet-lineair	Vrij	Vrij	Vrij	PY-curve-1_V8.B	PY-curve-1_V8.B
(PY-curve-1_V8)3	Lijn	Paal_X_5 LCS	15,000 16,000	Vrij	Niet-lineair	Niet-lineair	Vrij	Vrij	Vrij	PY-curve-1_V8.B	PY-curve-1_V8.B
(PY-curve-1_V8)2	Lijn	Paal_X_4 LCS	15,000 16,000	Vrij	Niet-lineair	Niet-lineair	Vrij	Vrij	Vrij	PY-curve-1_V8.B	PY-curve-1_V8.B
(PY-curve-1_V8)1	Lijn	Paal_X_33 LCS	15,000 16,000	Vrij	Niet-lineair	Niet-lineair	Vrij	Vrij	Vrij	PY-curve-1_V8.B	PY-curve-1_V8.B
(PY-curve-1_V8)	Lijn	Paal_X_32 LCS	15,000 16,000	Vrij	Niet-lineair	Niet-lineair	Vrij	Vrij	Vrij	PY-curve-1_V8.B	PY-curve-1_V8.B
(PY-curve-1_V9)15	Lijn	Paal_X_31 LCS	16,000 17,000	Vrij	Niet-lineair	Niet-lineair	Vrij	Vrij	Vrij	PY-curve-1_V9.B	PY-curve-1_V9.B
(PY-curve-1_V9)13	Lijn	Paal_X_29 LCS	16,000 17,000	Vrij	Niet-lineair	Niet-lineair	Vrij	Vrij	Vrij	PY-curve-1_V9.B	PY-curve-1_V9.B
(PY-curve-1_V9)12	Lijn	Paal_X_28 LCS	16,000 17,000	Vrij	Niet-lineair	Niet-lineair	Vrij	Vrij	Vrij	PY-curve-1_V9.B	PY-curve-1_V9.B
(PY-curve-1_V9)11	Lijn	Paal_X_27 LCS	16,000 17,000	Vrij	Niet-lineair	Niet-lineair	Vrij	Vrij	Vrij	PY-curve-1_V9.B	PY-curve-1_V9.B
(PY-curve-1_V9)10	Lijn	Paal_X_26 LCS	16,000 17,000	Vrij	Niet-lineair	Niet-lineair	Vrij	Vrij	Vrij	PY-curve-1_V9.B	PY-curve-1_V9.B
(PY-curve-1_V9)9	Lijn	Paal_X_11 LCS	16,000 17,000	Vrij	Niet-lineair	Niet-lineair	Vrij	Vrij	Vrij	PY-curve-1_V9.B	PY-curve-1_V9.B
(PY-curve-1_V9)8	Lijn	Paal_X_10 LCS	16,000 17,000	Vrij	Niet-lineair	Niet-lineair	Vrij	Vrij	Vrij	PY-curve-1_V9.B	PY-curve-1_V9.B
(PY-curve-1_V9)7	Lijn	Paal_X_9 LCS	16,000 17,000	Vrij	Niet-lineair	Niet-lineair	Vrij	Vrij	Vrij	PY-curve-1_V9.B	PY-curve-1_V9.B
(PY-curve-1_V9)14	Lijn	Paal_X_30 LCS	16,000 17,000	Vrij	Niet-lineair	Niet-lineair	Vrij	Vrij	Vrij	PY-curve-1_V9.B	PY-curve-1_V9.B
(PY-curve-1_V9)6	Lijn	Paal_X_8 LCS	16,000 17,000	Vrij	Niet-lineair	Niet-lineair	Vrij	Vrij	Vrij	PY-curve-1_V9.B	PY-curve-1_V9.B
(PY-curve-1_V9)5	Lijn	Paal_X_7 LCS	16,000 17,000	Vrij	Niet-lineair	Niet-lineair	Vrij	Vrij	Vrij	PY-curve-1_V9.B	PY-curve-1_V9.B
(PY-curve-1_V9)4	Lijn	Paal_X_6 LCS	16,000 17,000	Vrij	Niet-lineair	Niet-lineair	Vrij	Vrij	Vrij	PY-curve-1_V9.B	PY-curve-1_V9.B
(PY-curve-1_V9)3	Lijn	Paal_X_5 LCS	16,000 17,000	Vrij	Niet-lineair	Niet-lineair	Vrij	Vrij	Vrij	PY-curve-1_V9.B	PY-curve-1_V9.B
(PY-curve-1_V9)2	Lijn	Paal_X_4	16,000	Vrij	Niet-lineair	Niet-lineair	Vrij	Vrij	Vrij	PY-curve-1_V9.B	PY-curve-1_V9.B

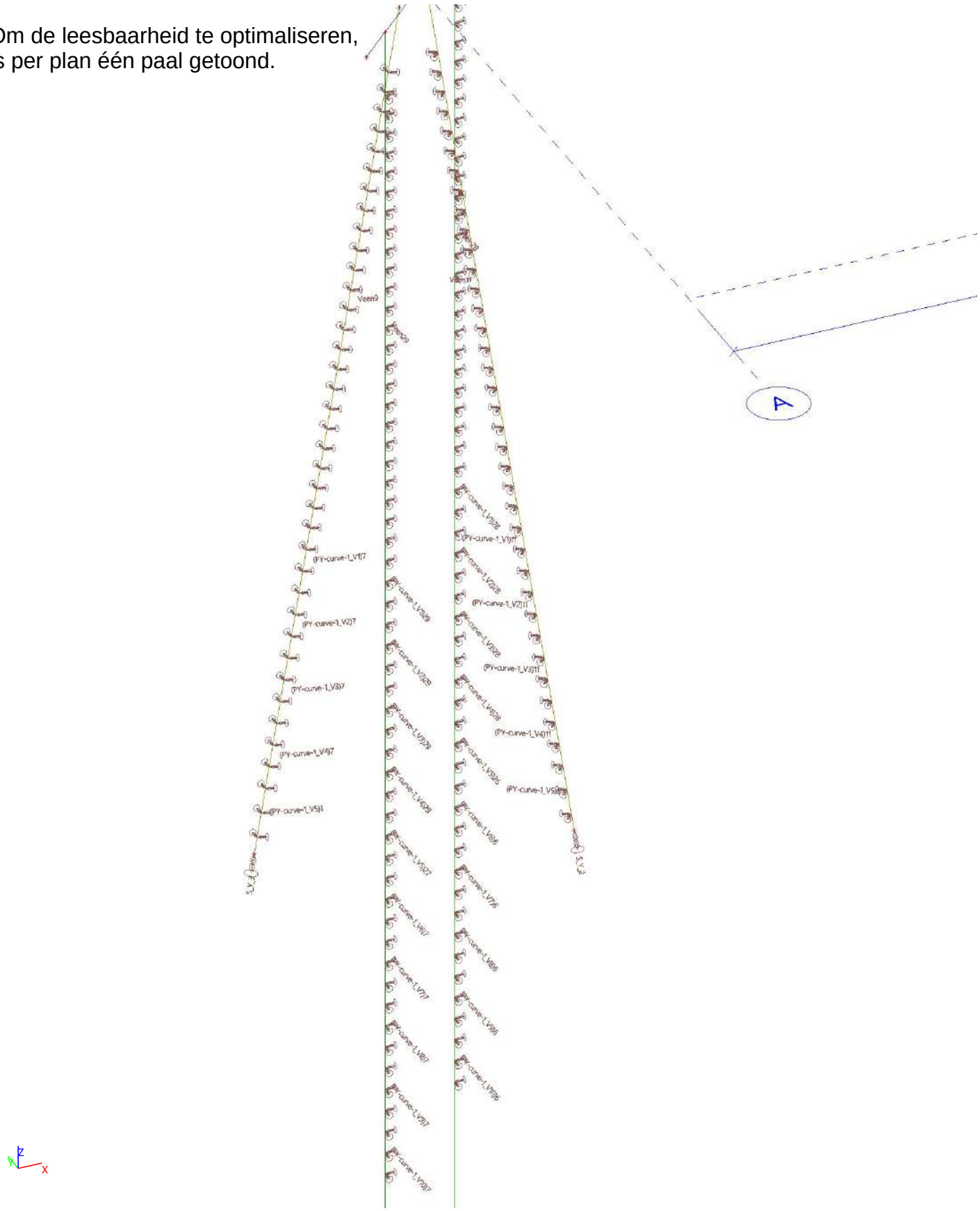
Naam	Type	Staaf Systeem	Pos x_1 [m] Pos x_2 [m]	X	Y	Z	Rx	Ry	Rz	Functie Y	Functie Z
		LCS	17,000								
(PY-curve-1_V9)1	Lijn	Paal_X_33 LCS	16,000 17,000	Vrij	Niet-lineair	Niet-lineair	Vrij	Vrij	Vrij	PY-curve-1_V9.B	PY-curve-1_V9.B
(PY-curve-1_V9)	Lijn	Paal_X_32 LCS	16,000 17,000	Vrij	Niet-lineair	Niet-lineair	Vrij	Vrij	Vrij	PY-curve-1_V9.B	PY-curve-1_V9.B
(PY-curve-1_V10)15	Lijn	Paal_X_31 LCS	17,000 18,000	Vrij	Niet-lineair	Niet-lineair	Vrij	Vrij	Vrij	PY-curve-1_V10.B	PY-curve-1_V10.B
(PY-curve-1_V10)13	Lijn	Paal_X_29 LCS	17,000 18,000	Vrij	Niet-lineair	Niet-lineair	Vrij	Vrij	Vrij	PY-curve-1_V10.B	PY-curve-1_V10.B
(PY-curve-1_V10)12	Lijn	Paal_X_28 LCS	17,000 18,000	Vrij	Niet-lineair	Niet-lineair	Vrij	Vrij	Vrij	PY-curve-1_V10.B	PY-curve-1_V10.B
(PY-curve-1_V10)11	Lijn	Paal_X_27 LCS	17,000 18,000	Vrij	Niet-lineair	Niet-lineair	Vrij	Vrij	Vrij	PY-curve-1_V10.B	PY-curve-1_V10.B
(PY-curve-1_V10)10	Lijn	Paal_X_26 LCS	17,000 18,000	Vrij	Niet-lineair	Niet-lineair	Vrij	Vrij	Vrij	PY-curve-1_V10.B	PY-curve-1_V10.B
(PY-curve-1_V10)9	Lijn	Paal_X_11 LCS	17,000 18,000	Vrij	Niet-lineair	Niet-lineair	Vrij	Vrij	Vrij	PY-curve-1_V10.B	PY-curve-1_V10.B
(PY-curve-1_V10)8	Lijn	Paal_X_10 LCS	17,000 18,000	Vrij	Niet-lineair	Niet-lineair	Vrij	Vrij	Vrij	PY-curve-1_V10.B	PY-curve-1_V10.B
(PY-curve-1_V10)7	Lijn	Paal_X_9 LCS	17,000 18,000	Vrij	Niet-lineair	Niet-lineair	Vrij	Vrij	Vrij	PY-curve-1_V10.B	PY-curve-1_V10.B
(PY-curve-1_V10)14	Lijn	Paal_X_30 LCS	17,000 18,000	Vrij	Niet-lineair	Niet-lineair	Vrij	Vrij	Vrij	PY-curve-1_V10.B	PY-curve-1_V10.B
(PY-curve-1_V10)6	Lijn	Paal_X_8 LCS	17,000 18,000	Vrij	Niet-lineair	Niet-lineair	Vrij	Vrij	Vrij	PY-curve-1_V10.B	PY-curve-1_V10.B
(PY-curve-1_V10)5	Lijn	Paal_X_7 LCS	17,000 18,000	Vrij	Niet-lineair	Niet-lineair	Vrij	Vrij	Vrij	PY-curve-1_V10.B	PY-curve-1_V10.B
(PY-curve-1_V10)4	Lijn	Paal_X_6 LCS	17,000 18,000	Vrij	Niet-lineair	Niet-lineair	Vrij	Vrij	Vrij	PY-curve-1_V10.B	PY-curve-1_V10.B
(PY-curve-1_V10)3	Lijn	Paal_X_5 LCS	17,000 18,000	Vrij	Niet-lineair	Niet-lineair	Vrij	Vrij	Vrij	PY-curve-1_V10.B	PY-curve-1_V10.B
(PY-curve-1_V10)2	Lijn	Paal_X_4 LCS	17,000 18,000	Vrij	Niet-lineair	Niet-lineair	Vrij	Vrij	Vrij	PY-curve-1_V10.B	PY-curve-1_V10.B
(PY-curve-1_V10)1	Lijn	Paal_X_33 LCS	17,000 18,000	Vrij	Niet-lineair	Niet-lineair	Vrij	Vrij	Vrij	PY-curve-1_V10.B	PY-curve-1_V10.B
(PY-curve-1_V10)	Lijn	Paal_X_32 LCS	17,000 18,000	Vrij	Niet-lineair	Niet-lineair	Vrij	Vrij	Vrij	PY-curve-1_V10.B	PY-curve-1_V10.B

5.8. Analyse model met Lijnondersteuningen



5.9. Analyse model met Lijnondersteuningen

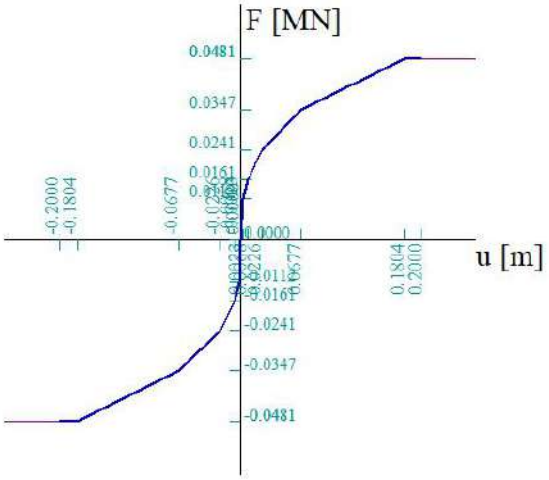
Om de leesbaarheid te optimaliseren, is per plan één paal getoond.



5.10. Niet-lineaire functies

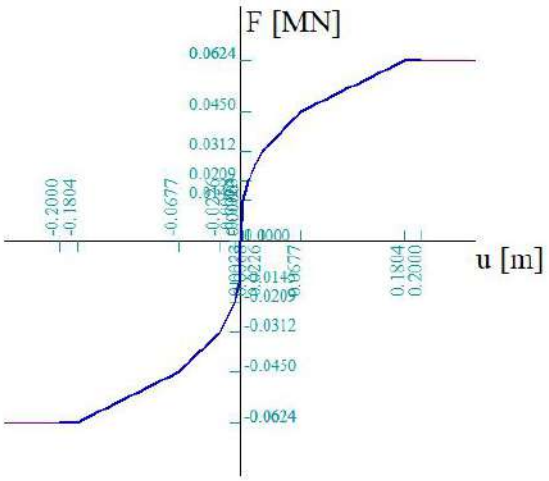
Naam	Type	u / F	Positief einde	Negatief einde
PY-curve-1_V1	Verplaatsing	-2,0000e-01[m] / -4,8130e-02[MN]	Vrij	Vrij
		-1,8040e-01[m] / -4,8130e-02[MN]		
		-6,7650e-02[m] / -3,4710e-02[MN]		
		-2,2550e-02[m] / -2,4064e-02[MN]		
		-6,7650e-03[m] / -1,6110e-02[MN]		
		-2,2550e-03[m] / -1,1170e-02[MN]		
		0,0000e+00[m] / 0,0000e+00[MN]		
		2,2550e-03[m] / 1,1170e-02[MN]		
		6,7650e-03[m] / 1,6110e-02[MN]		
		2,2550e-02[m] / 2,4064e-02[MN]		
		6,7650e-02[m] / 3,4707e-02[MN]		
		1,8040e-01[m] / 4,8129e-02[MN]		
		2,0000e-01[m] / 4,8129e-02[MN]		

Tekenen



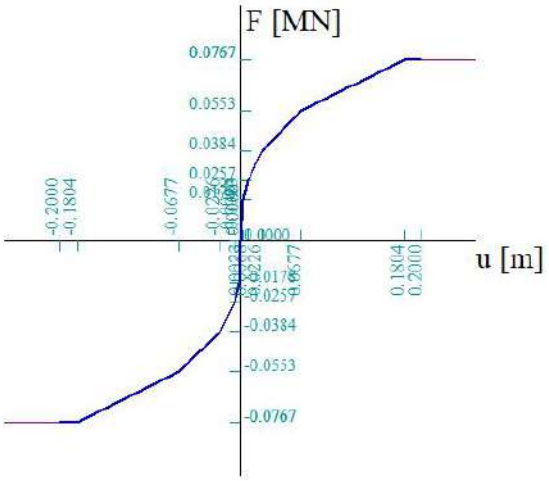
Naam	Type	u / F	Positief einde	Negatief einde
PY-curve-1_V2	Verplaatsing	-2,0000e-01[m] / -6,2400e-02[MN]	Vrij	Vrij
		-1,8040e-01[m] / -6,2400e-02[MN]		
		-6,7650e-02[m] / -4,5000e-02[MN]		
		-2,2550e-02[m] / -3,1200e-02[MN]		
		-6,7650e-03[m] / -2,0900e-02[MN]		
		-2,2550e-03[m] / -1,4500e-02[MN]		
		0,0000e+00[m] / 0,0000e+00[MN]		
		2,2550e-03[m] / 1,4490e-02[MN]		
		6,7650e-03[m] / 2,0900e-02[MN]		
		2,2550e-02[m] / 3,1220e-02[MN]		
		6,7650e-02[m] / 4,5020e-02[MN]		
		1,8040e-01[m] / 6,2430e-02[MN]		
		2,0000e-01[m] / 6,2430e-02[MN]		

Tekenen



Naam	Type	u / F	Positief einde	Negatief einde
PY-curve-1_V3	Verplaatsing	-2,0000e-01[m] / -7,6737e-02[MN]	Vrij	Vrij
		-1,8040e-01[m] / -7,6737e-02[MN]		
		-6,7650e-02[m] / -5,5337e-02[MN]		
		-2,2550e-02[m] / -3,8368e-02[MN]		
		-6,7650e-03[m] / -2,5685e-02[MN]		
		-2,2550e-03[m] / -1,7809e-02[MN]		
		0,0000e+00[m] / 0,0000e+00[MN]		
		2,2550e-03[m] / 1,7809e-02[MN]		
		6,7650e-03[m] / 2,5685e-02[MN]		
		2,2550e-02[m] / 3,8368e-02[MN]		
		6,7650e-02[m] / 5,5337e-02[MN]		
		1,8040e-01[m] / 7,6737e-02[MN]		
		2,0000e-01[m] / 7,6737e-02[MN]		

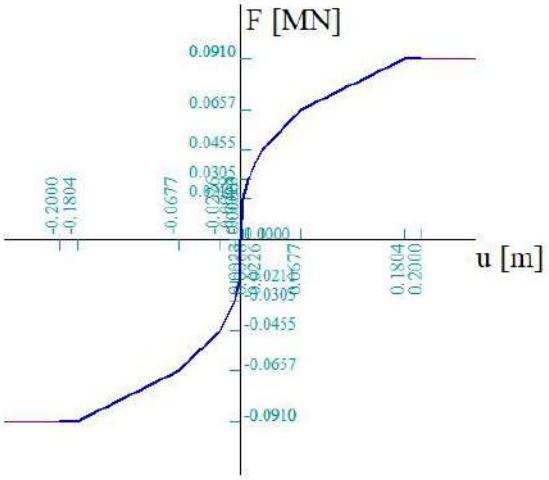
Tekenen



Naam	Type	u / F	Positief einde	Negatief einde
PY-curve-1_V4	Verplaatsing	-2,0000e-01[m] / -9,1041e-02[MN]	Vrij	Vrij
		-1,8040e-01[m] / -9,1041e-02[MN]		
		-6,7650e-02[m] / -6,5652e-02[MN]		
		-2,2550e-02[m] / -4,5520e-02[MN]		
		-6,7650e-03[m] / -3,0473e-02[MN]		
		-2,2550e-03[m] / -2,1129e-02[MN]		
		0,0000e+00[m] / 0,0000e+00[MN]		
		2,2550e-03[m] / 2,1129e-02[MN]		
		6,7650e-03[m] / 3,0473e-02[MN]		
		2,2550e-02[m] / 4,5520e-02[MN]		

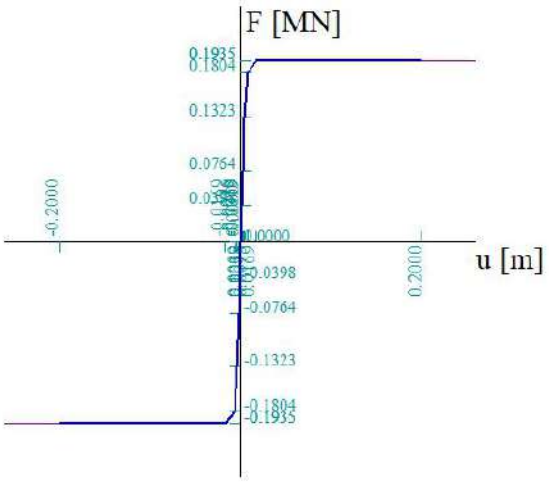
Naam	Type	u / F	Positief einde	Negatief einde
		6,7650e-02[m] / 6,5652e-02[MN]		
		1,8040e-01[m] / 9,1041e-02[MN]		
		2,0000e-01[m] / 9,1041e-02[MN]		

Tekenen



Naam	Type	u / F	Positief einde	Negatief einde
PY-curve-1_V5	Verplaatsing	-2,0000e-01[m] / -1,9349e-01[MN]	Vrij	Vrij
		-1,6913e-02[m] / -1,9349e-01[MN]		
		-7,5167e-03[m] / -1,8041e-01[MN]		
		-3,7583e-03[m] / -1,3226e-01[MN]		
		-1,8792e-03[m] / -7,6422e-02[MN]		
		-9,3958e-04[m] / -3,9826e-02[MN]		
		0,0000e+00[m] / 0,0000e+00[MN]		
		9,3958e-04[m] / 3,9826e-02[MN]		
		1,8792e-03[m] / 7,6422e-02[MN]		
		3,7583e-03[m] / 1,3226e-01[MN]		
		7,5167e-03[m] / 1,8041e-01[MN]		
		1,6913e-02[m] / 1,9349e-01[MN]		
		2,0000e-01[m] / 1,9349e-01[MN]		

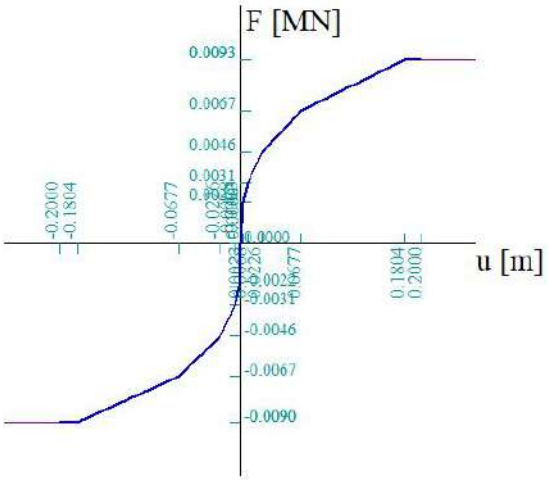
Tekenen



Naam	Type	u / F	Positief einde	Negatief einde
PY-curve-1_Veen	Verplaatsing	-2,0000e-01[m] / -9,0000e-03[MN]	Vrij	Vrij
		-1,8040e-01[m] / -9,0000e-03[MN]		
		-6,7650e-02[m] / -6,7000e-03[MN]		
		-2,2550e-02[m] / -4,6300e-03[MN]		

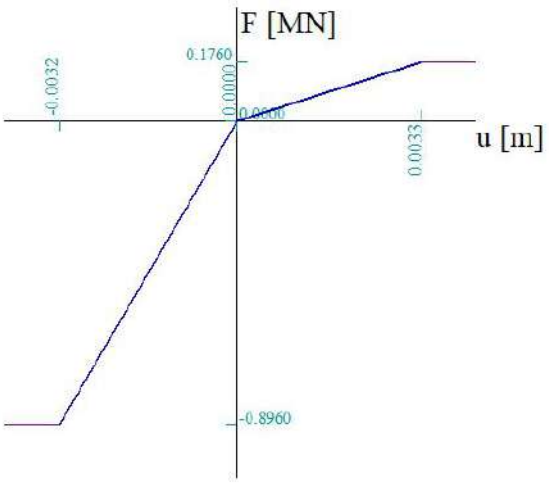
Naam	Type	u / F	Positief einde	Negatief einde
		-6,7650e-03[m] / -3,1000e-03[MN]		
		-2,2550e-03[m] / -2,1500e-03[MN]		
		0,0000e+00[m] / 0,0000e+00[MN]		
		2,2550e-03[m] / 2,1500e-03[MN]		
		6,7650e-03[m] / 3,1000e-03[MN]		
		2,2550e-02[m] / 4,6300e-03[MN]		
		6,7650e-02[m] / 6,7000e-03[MN]		
		1,8040e-01[m] / 9,2700e-03[MN]		
		2,0000e-01[m] / 9,2700e-03[MN]		

Tekenen



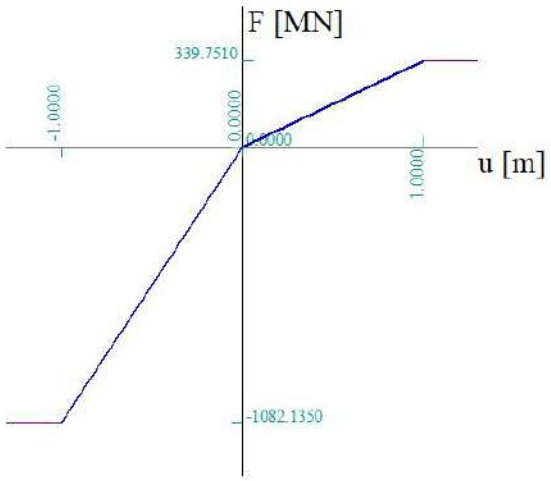
Naam	Type	u / F	Positief einde	Negatief einde
Trek-druk-paalpunt_.mast71.B.	Verplaatsing	-3,1700e-03[m] / -8,9600e-01[MN]	Vrij	Vrij
		0,0000e+00[m] / 0,0000e+00[MN]		
		3,3100e-03[m] / 1,7600e-01[MN]		

Tekenen



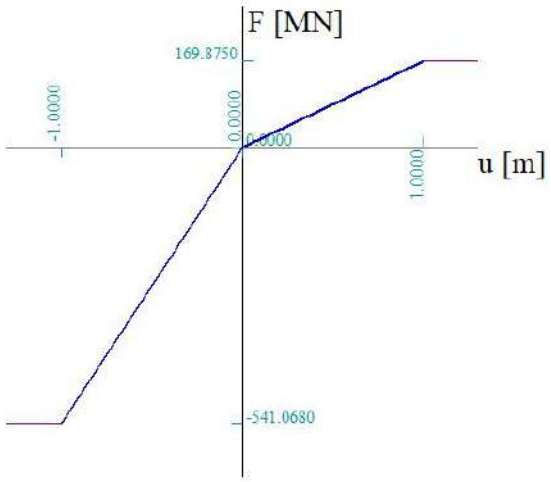
Naam	Type	u / F	Positief einde	Negatief einde
Trek-druk-paalpunt-.LEKA.BG.	Verplaatsing	-1,0000e+00[m] / -1,0821e+03[MN]	Vrij	Vrij
		0,0000e+00[m] / 0,0000e+00[MN]		
		1,0000e+00[m] / 3,3975e+02[MN]		

Tekenen



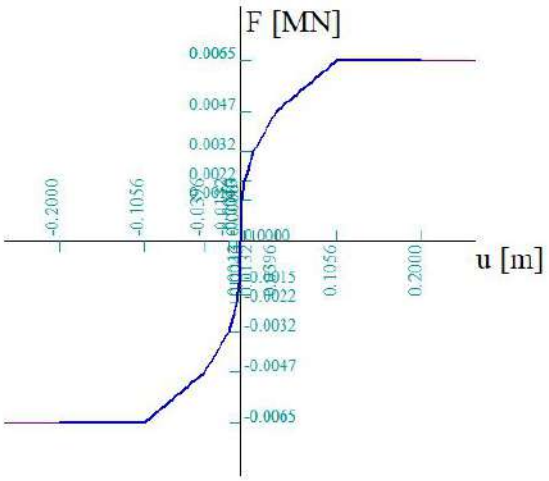
Naam	Type	u / F	Positief einde	Negatief einde
Trek-druk-paalpunt-.LEKA.OG.	Verplaatsing	-1,0000e+00[m] / -5,4107e+02[MN]	Vrij	Vrij
		0,0000e+00[m] / 0,0000e+00[MN]		
		1,0000e+00[m] / 1,6988e+02[MN]		

Tekenen



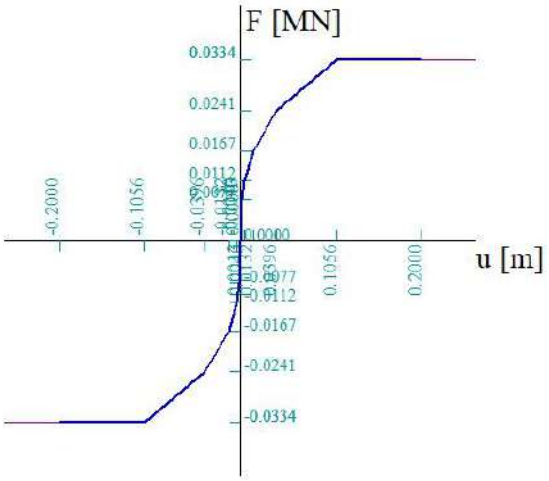
Naam	Type	u / F	Positief einde	Negatief einde
PY-curve-1_Veen.B	Verplaatsing	-2,0000e-01[m] / -6,4600e-03[MN]	Vrij	Vrij
		-1,0560e-01[m] / -6,4600e-03[MN]		
		-3,9600e-02[m] / -4,6585e-03[MN]		
		-1,3200e-02[m] / -3,2300e-03[MN]		
		-3,9600e-03[m] / -2,1623e-03[MN]		
		-1,3200e-03[m] / -1,4992e-03[MN]		
		0,0000e+00[m] / 0,0000e+00[MN]		
		1,3200e-03[m] / 1,4992e-03[MN]		
		3,9600e-03[m] / 2,1623e-03[MN]		
		1,3200e-02[m] / 3,2300e-03[MN]		
		3,9600e-02[m] / 4,6585e-03[MN]		
		1,0560e-01[m] / 6,4600e-03[MN]		
		2,0000e-01[m] / 6,4600e-03[MN]		

Tekenen



Naam	Type	u / F	Positief einde	Negatief einde
PY-curve-1_V1.B	Verplaatsing	-2,0000e-01[m] / -3,3356e-02[MN]	Vrij	Vrij
		-1,0560e-01[m] / -3,3356e-02[MN]		
		-3,9600e-02[m] / -2,4054e-02[MN]		
		-1,3200e-02[m] / -1,6678e-02[MN]		
		-3,9600e-03[m] / -1,1165e-02[MN]		
		-1,3200e-03[m] / -7,7412e-03[MN]		
		0,0000e+00[m] / 0,0000e+00[MN]		
		1,3200e-03[m] / 7,7412e-03[MN]		
		3,9600e-03[m] / 1,1165e-02[MN]		
		1,3200e-02[m] / 1,6678e-02[MN]		
		3,9600e-02[m] / 2,4054e-02[MN]		
		1,0560e-01[m] / 3,3356e-02[MN]		
		2,0000e-01[m] / 3,3356e-02[MN]		

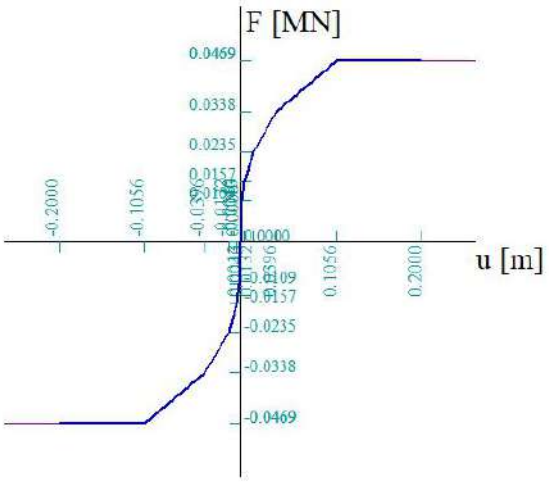
Tekenen



Naam	Type	u / F	Positief einde	Negatief einde
PY-curve-1_V2.B	Verplaatsing	-2,0000e-01[m] / -4,6912e-02[MN]	Vrij	Vrij
		-1,0560e-01[m] / -4,6912e-02[MN]		
		-3,9600e-02[m] / -3,3829e-02[MN]		
		-1,3200e-02[m] / -2,3456e-02[MN]		
		-3,9600e-03[m] / -1,5702e-02[MN]		
		-1,3200e-03[m] / -1,0887e-02[MN]		
		0,0000e+00[m] / 0,0000e+00[MN]		
		1,3200e-03[m] / 1,0887e-02[MN]		
		3,9600e-03[m] / 1,5702e-02[MN]		
		1,3200e-02[m] / 2,3456e-02[MN]		

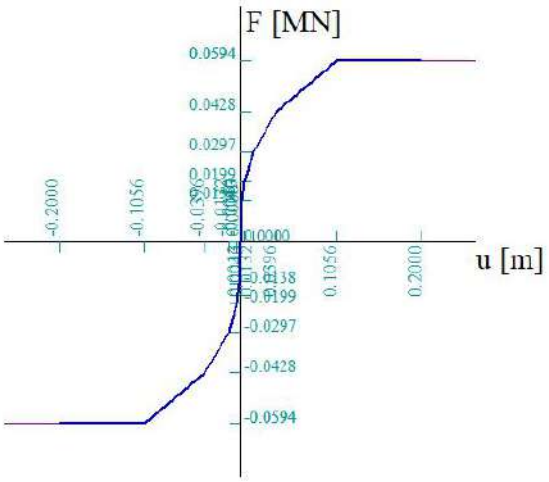
Naam	Type	u / F	Positief einde	Negatief einde
		3,9600e-02[m] / 3,3829e-02[MN]		
		1,0560e-01[m] / 4,6912e-02[MN]		
		2,0000e-01[m] / 4,6912e-02[MN]		

Tekenen



Naam	Type	u / F	Positief einde	Negatief einde
PY-curve-1_V3.B	Verplaatsing	-2,0000e-01[m] / -5,9400e-02[MN]	Vrij	Vrij
		-1,0560e-01[m] / -5,9400e-02[MN]		
		-3,9600e-02[m] / -4,2835e-02[MN]		
		-1,3200e-02[m] / -2,9700e-02[MN]		
		-3,9600e-03[m] / -1,9882e-02[MN]		
		-1,3200e-03[m] / -1,3786e-02[MN]		
		0,0000e+00[m] / 0,0000e+00[MN]		
		1,3200e-03[m] / 1,3786e-02[MN]		
		3,9600e-03[m] / 1,9882e-02[MN]		
		1,3200e-02[m] / 2,9700e-02[MN]		
		3,9600e-02[m] / 4,2835e-02[MN]		
		1,0560e-01[m] / 5,9400e-02[MN]		
		2,0000e-01[m] / 5,9400e-02[MN]		

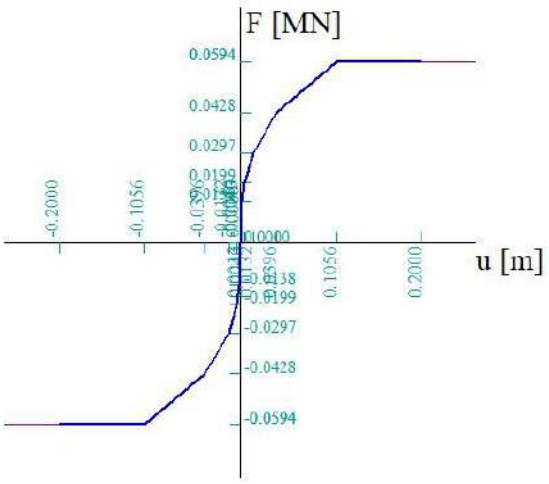
Tekenen



Naam	Type	u / F	Positief einde	Negatief einde
PY-curve-1_V4.B	Verplaatsing	-2,0000e-01[m] / -5,9400e-02[MN]	Vrij	Vrij
		-1,0560e-01[m] / -5,9400e-02[MN]		
		-3,9600e-02[m] / -4,2835e-02[MN]		
		-1,3200e-02[m] / -2,9700e-02[MN]		

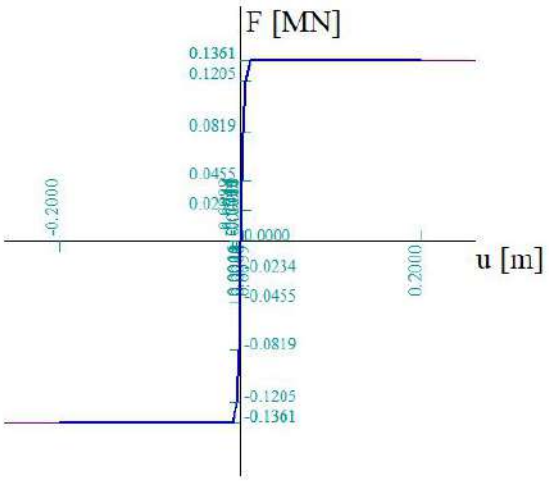
Naam	Type	u / F	Positief einde	Negatief einde
		-3,9600e-03[m] / -1,9882e-02[MN]		
		-1,3200e-03[m] / -1,3786e-02[MN]		
		0,0000e+00[m] / 0,0000e+00[MN]		
		1,3200e-03[m] / 1,3786e-02[MN]		
		3,9600e-03[m] / 1,9882e-02[MN]		
		1,3200e-02[m] / 2,9700e-02[MN]		
		3,9600e-02[m] / 4,2835e-02[MN]		
		1,0560e-01[m] / 5,9400e-02[MN]		
		2,0000e-01[m] / 5,9400e-02[MN]		

Tekenen



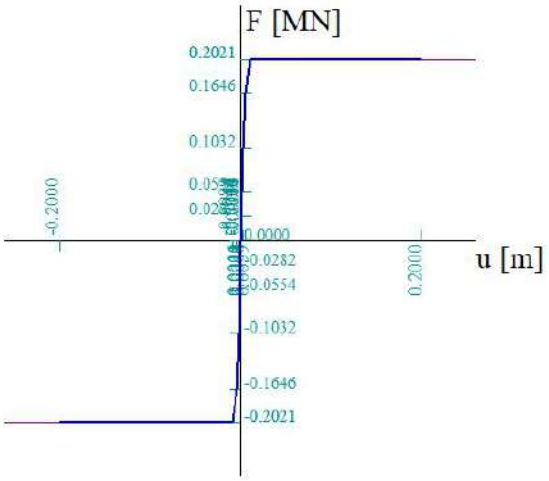
Naam	Type	u / F	Positief einde	Negatief einde
PY-curve-1_V5.B	Verplaatsing	-2,0000e-01[m] / -1,3606e-01[MN]	Vrij	Vrij
		-9,9000e-03[m] / -1,3606e-01[MN]		
		-4,4000e-03[m] / -1,2049e-01[MN]		
		-2,2000e-03[m] / -8,1906e-02[MN]		
		-1,1000e-03[m] / -4,5496e-02[MN]		
		-5,5000e-04[m] / -2,3416e-02[MN]		
		0,0000e+00[m] / 0,0000e+00[MN]		
		5,5000e-04[m] / 2,3416e-02[MN]		
		1,1000e-03[m] / 4,5496e-02[MN]		
		2,2000e-03[m] / 8,1906e-02[MN]		
		4,4000e-03[m] / 1,2049e-01[MN]		
		9,9000e-03[m] / 1,3606e-01[MN]		
		2,0000e-01[m] / 1,3606e-01[MN]		

Tekenen



Naam	Type	u / F	Positief einde	Negatief einde
PY-curve-1_V6.B	Verplaatsing	-2,0000e-01[m] / -2,0212e-01[MN]	Vrij	Vrij
		-9,9000e-03[m] / -2,0212e-01[MN]		
		-4,4000e-03[m] / -1,6461e-01[MN]		
		-2,2000e-03[m] / -1,0317e-01[MN]		
		-1,1000e-03[m] / -5,5351e-02[MN]		
		-5,5000e-04[m] / -2,8200e-02[MN]		
		0,0000e+00[m] / 0,0000e+00[MN]		
		5,5000e-04[m] / 2,8200e-02[MN]		
		1,1000e-03[m] / 5,5351e-02[MN]		
		2,2000e-03[m] / 1,0317e-01[MN]		
		4,4000e-03[m] / 1,6461e-01[MN]		
		9,9000e-03[m] / 2,0212e-01[MN]		
		2,0000e-01[m] / 2,0212e-01[MN]		

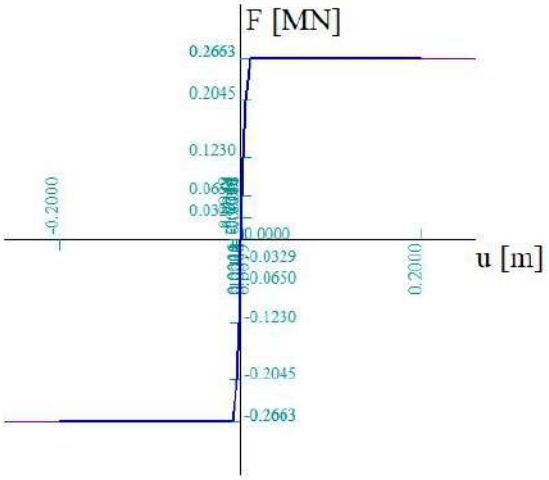
Tekenen



Naam	Type	u / F	Positief einde	Negatief einde
PY-curve-1_V7.B	Verplaatsing	-2,0000e-01[m] / -2,6632e-01[MN]	Vrij	Vrij
		-9,9000e-03[m] / -2,6632e-01[MN]		
		-4,4000e-03[m] / -2,0449e-01[MN]		
		-2,2000e-03[m] / -1,2296e-01[MN]		
		-1,1000e-03[m] / -6,4953e-02[MN]		
		-5,5000e-04[m] / -3,2949e-02[MN]		
		0,0000e+00[m] / 0,0000e+00[MN]		
		5,5000e-04[m] / 3,2949e-02[MN]		
		1,1000e-03[m] / 6,4953e-02[MN]		
		2,2000e-03[m] / 1,2296e-01[MN]		

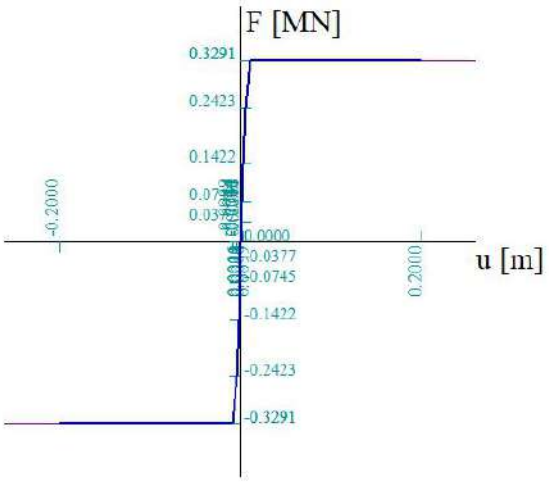
Naam	Type	u / F	Positief einde	Negatief einde
		4,4000e-03[m] / 2,0449e-01[MN]		
		9,9000e-03[m] / 2,6632e-01[MN]		
		2,0000e-01[m] / 2,6632e-01[MN]		

Tekenen



Naam	Type	u / F	Positief einde	Negatief einde
PY-curve-1_V8.B	Verplaatsing	-2,0000e-01[m] / -3,2908e-01[MN]	Vrij	Vrij
		-9,9000e-03[m] / -3,2908e-01[MN]		
		-4,4000e-03[m] / -2,4234e-01[MN]		
		-2,2000e-03[m] / -1,4217e-01[MN]		
		-1,1000e-03[m] / -7,4465e-02[MN]		
		-5,5000e-04[m] / -3,7686e-02[MN]		
		0,0000e+00[m] / 0,0000e+00[MN]		
		5,5000e-04[m] / 3,7686e-02[MN]		
		1,1000e-03[m] / 7,4465e-02[MN]		
		2,2000e-03[m] / 1,4217e-01[MN]		
		4,4000e-03[m] / 2,4234e-01[MN]		
		9,9000e-03[m] / 3,2908e-01[MN]		
		2,0000e-01[m] / 3,2908e-01[MN]		

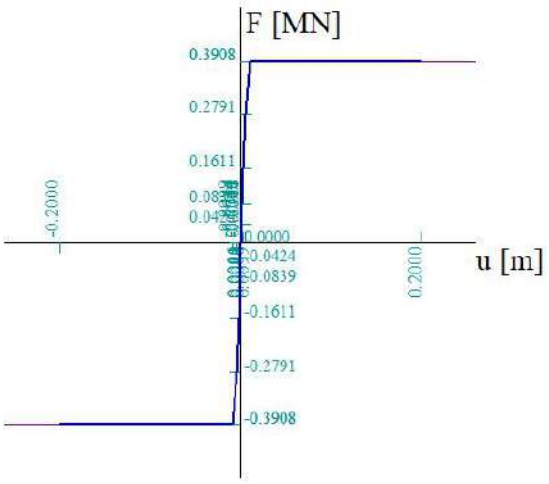
Tekenen



Naam	Type	u / F	Positief einde	Negatief einde
PY-curve-1_V9.B	Verplaatsing	-2,0000e-01[m] / -3,9077e-01[MN]	Vrij	Vrij
		-9,9000e-03[m] / -3,9077e-01[MN]		
		-4,4000e-03[m] / -2,7909e-01[MN]		
		-2,2000e-03[m] / -1,6111e-01[MN]		

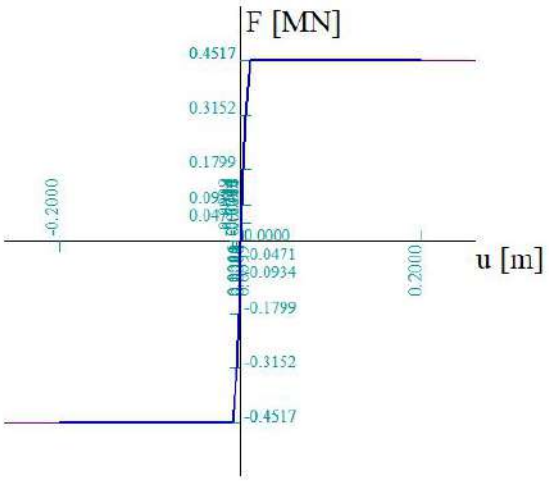
Naam	Type	u / F	Positief einde	Negatief einde
		-1,1000e-03[m] / -8,3936e-02[MN]		
		-5,5000e-04[m] / -4,2418e-02[MN]		
		0,0000e+00[m] / 0,0000e+00[MN]		
		5,5000e-04[m] / 4,2418e-02[MN]		
		1,1000e-03[m] / 8,3936e-02[MN]		
		2,2000e-03[m] / 1,6111e-01[MN]		
		4,4000e-03[m] / 2,7909e-01[MN]		
		9,9000e-03[m] / 3,9077e-01[MN]		
		2,0000e-01[m] / 3,9077e-01[MN]		

Tekenen



Naam	Type	u / F	Positief einde	Negatief einde
PY-curve-1_V10.B	Verplaatsing	-2,0000e-01[m] / -4,5169e-01[MN]	Vrij	Vrij
		-9,9000e-03[m] / -4,5169e-01[MN]		
		-4,4000e-03[m] / -3,1518e-01[MN]		
		-2,2000e-03[m] / -1,7990e-01[MN]		
		-1,1000e-03[m] / -9,3384e-02[MN]		
		-5,5000e-04[m] / -4,7146e-02[MN]		
		0,0000e+00[m] / 0,0000e+00[MN]		
		5,5000e-04[m] / 4,7146e-02[MN]		
		1,1000e-03[m] / 9,3384e-02[MN]		
		2,2000e-03[m] / 1,7990e-01[MN]		
		4,4000e-03[m] / 3,1518e-01[MN]		
		9,9000e-03[m] / 4,5169e-01[MN]		
		2,0000e-01[m] / 4,5169e-01[MN]		

Tekenen

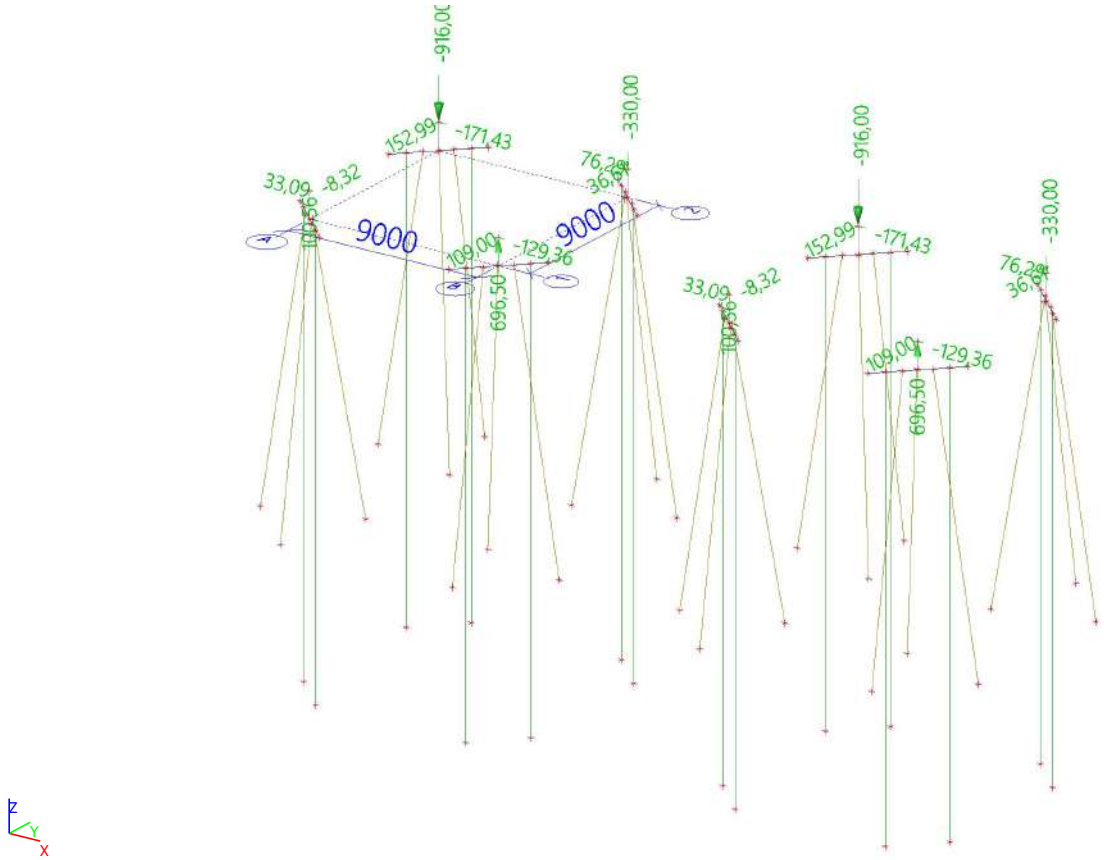

F [MN]
0.4517
0.3152
0.1799
0.0934
0.0471
0.0000
-0.2000
0.2000
u [m]
-0.0471
-0.0934
-0.1799
-0.3152
-0.4517

6. Belastingen

6.1. Belastingsgevallen

6.1.1. Belastingsgevallen - high max Wnd ;45°

Naam	Omschrijving	Actie type	Lastgroep	Duur	'Master' belastingsgeval
	Spec	Belastingtype			
high max Wnd ;45°		Variabel	LG4	Kort	Geen
	Standaard	Statisch			



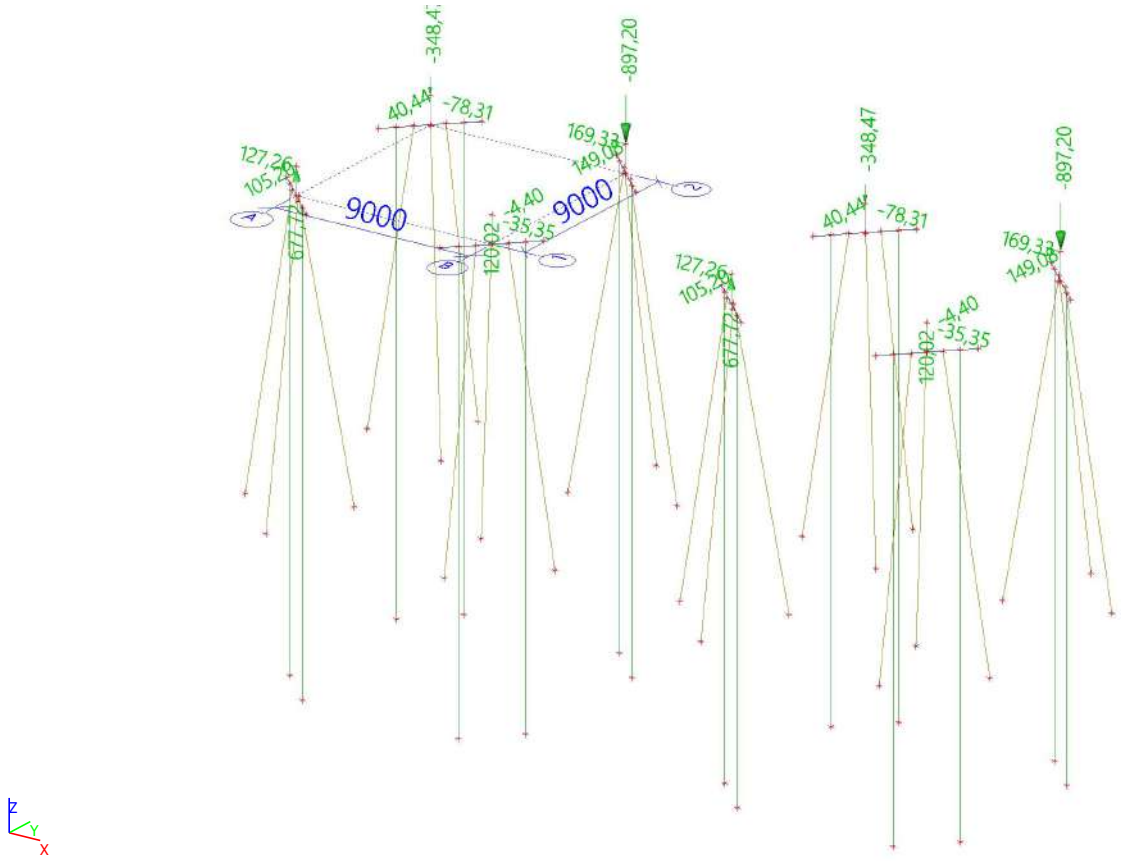
6.1.1.1. Puntlast op knoop

Naam	Knoop	Belastingsgeval	Systeem	Rich	Type	Waarde - F [kN]
high max Wnd ;45°_1P_X	1P	high max Wnd ;45°	GCS	X	Kracht	33,09
high max Wnd ;45°_1P_Y	1P	high max Wnd ;45°	GCS	Y	Kracht	-8,32
high max Wnd ;45°_1P_Z	1P	high max Wnd ;45°	GCS	Z	Kracht	100,56
high max Wnd ;45°_1X_X	1X	high max Wnd ;45°	GCS	X	Kracht	-171,43
high max Wnd ;45°_1X_Y	1X	high max Wnd ;45°	GCS	Y	Kracht	152,99
high max Wnd ;45°_1X_Z	1X	high max Wnd ;45°	GCS	Z	Kracht	-916,00
high max Wnd ;45°_1XY_X	1XY	high max Wnd ;45°	GCS	X	Kracht	76,29
high max Wnd ;45°_1XY_Y	1XY	high max Wnd ;45°	GCS	Y	Kracht	36,61
high max Wnd ;45°_1XY_Z	1XY	high max Wnd ;45°	GCS	Z	Kracht	-330,00

Naam	Knoop	Belastingsgeval	Systeem	Rich	Type	Waarde - F [kN]
high max Wnd ;45°_1Y_X	1Y	high max Wnd ;45°	GCS	X	Kracht	-129,36
high max Wnd ;45°_1Y_Y	1Y	high max Wnd ;45°	GCS	Y	Kracht	109,00
high max Wnd ;45°_1Y_Z	1Y	high max Wnd ;45°	GCS	Z	Kracht	696,50
high max Wnd ;45°_1P_X1	1P41	high max Wnd ;45°	GCS	X	Kracht	33,09
high max Wnd ;45°_1P_Y1	1P41	high max Wnd ;45°	GCS	Y	Kracht	-8,32
high max Wnd ;45°_1P_Z1	1P41	high max Wnd ;45°	GCS	Z	Kracht	100,56
high max Wnd ;45°_1Y_X1	1Y2	high max Wnd ;45°	GCS	X	Kracht	-129,36
high max Wnd ;45°_1Y_Y1	1Y2	high max Wnd ;45°	GCS	Y	Kracht	109,00
high max Wnd ;45°_1Y_Z1	1Y2	high max Wnd ;45°	GCS	Z	Kracht	696,50
high max Wnd ;45°_1XY_X1	1XY2	high max Wnd ;45°	GCS	X	Kracht	76,29
high max Wnd ;45°_1XY_Y1	1XY2	high max Wnd ;45°	GCS	Y	Kracht	36,61
high max Wnd ;45°_1XY_Z1	1XY2	high max Wnd ;45°	GCS	Z	Kracht	-330,00
high max Wnd ;45°_1X_X1	1X2	high max Wnd ;45°	GCS	X	Kracht	-171,43
high max Wnd ;45°_1X_Y1	1X2	high max Wnd ;45°	GCS	Y	Kracht	152,99
high max Wnd ;45°_1X_Z1	1X2	high max Wnd ;45°	GCS	Z	Kracht	-916,00

6.1.2. Belastingsgevallen - high max Wnd ;135°

Naam	Omschrijving	Actie type	Lastgroep	Duur	'Master' belastingsgeval
	Spec	Belastingtype			
high max Wnd ;135°		Variabel	LG4	Kort	Geen
	Standaard	Statisch			



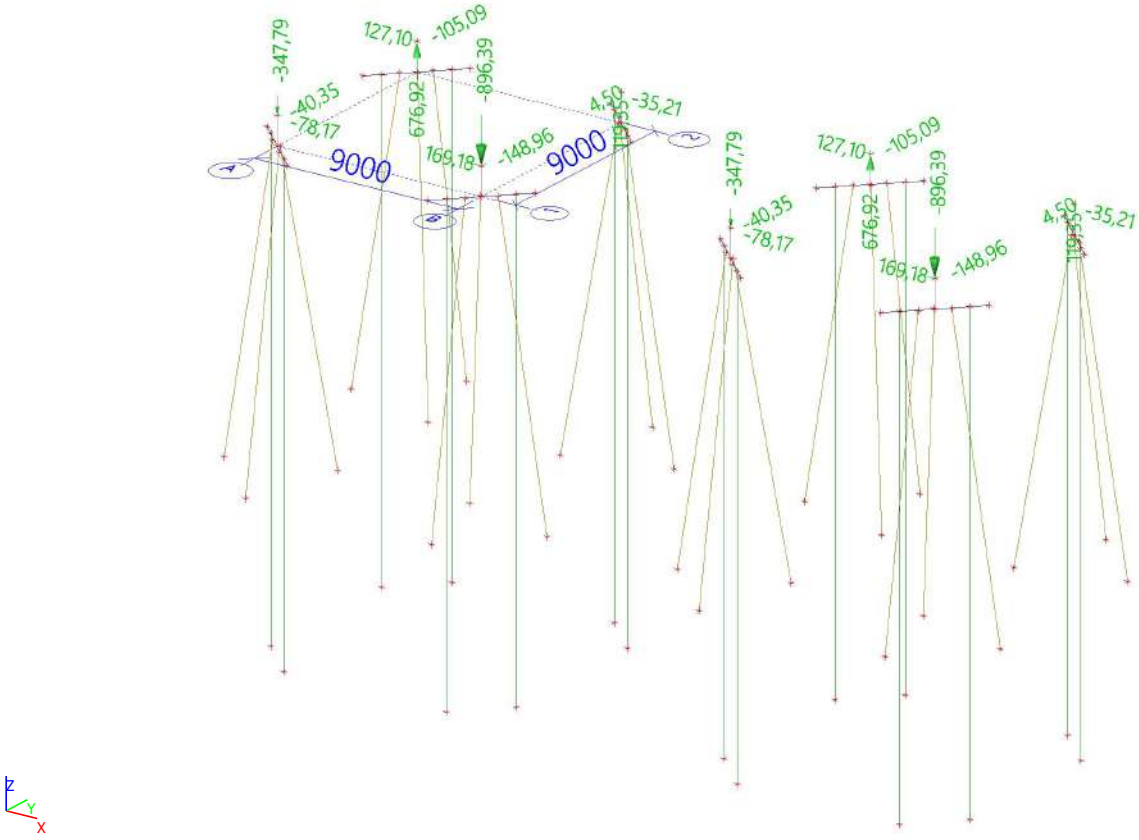
6.1.2.1. Puntlast op knoop

Naam	Knoop	Belastingsgeval	Systeem	Rich	Type	Waarde - F [kN]
high max Wnd ;135°_1P_X	1P	high max Wnd ;135°	GCS	X	Kracht	127,26
high max Wnd ;135°_1P_Y	1P	high max Wnd ;135°	GCS	Y	Kracht	105,20
high max Wnd ;135°_1P_Z	1P	high max Wnd ;135°	GCS	Z	Kracht	677,72
high max Wnd ;135°_1X_X	1X	high max Wnd ;135°	GCS	X	Kracht	-78,31
high max Wnd ;135°_1X_Y	1X	high max Wnd ;135°	GCS	Y	Kracht	40,44
high max Wnd ;135°_1X_Z	1X	high max Wnd ;135°	GCS	Z	Kracht	-348,47
high max Wnd ;135°_1XY_X	1XY	high max Wnd ;135°	GCS	X	Kracht	169,33
high max Wnd ;135°_1XY_Y	1XY	high max Wnd ;135°	GCS	Y	Kracht	149,08
high max Wnd ;135°_1XY_Z	1XY	high max Wnd ;135°	GCS	Z	Kracht	-897,20
high max Wnd ;135°_1Y_X	1Y	high max Wnd ;135°	GCS	X	Kracht	-35,35
high max Wnd ;135°_1Y_Y	1Y	high max Wnd ;135°	GCS	Y	Kracht	-4,40
high max Wnd ;135°_1Y_Z	1Y	high max Wnd ;135°	GCS	Z	Kracht	120,02
high max Wnd ;135°_1P_X1	1P41	high max Wnd ;135°	GCS	X	Kracht	127,26
high max Wnd ;135°_1P_Y1	1P41	high max Wnd ;135°	GCS	Y	Kracht	105,20
high max Wnd	1P41	high max Wnd ;135°	GCS	Z	Kracht	677,72

Naam	Knoop	Belastingsgeval	Systeem	Rich	Type	Waarde - F [kN]
;135°_1P_Z1						
high max Wnd ;135°_1Y_X1	1Y2	high max Wnd ;135°	GCS	X	Kracht	-35,35
high max Wnd ;135°_1Y_Y1	1Y2	high max Wnd ;135°	GCS	Y	Kracht	-4,40
high max Wnd ;135°_1Y_Z1	1Y2	high max Wnd ;135°	GCS	Z	Kracht	120,02
high max Wnd ;135°_1XY_X1	1XY2	high max Wnd ;135°	GCS	X	Kracht	169,33
high max Wnd ;135°_1XY_Y1	1XY2	high max Wnd ;135°	GCS	Y	Kracht	149,08
high max Wnd ;135°_1XY_Z1	1XY2	high max Wnd ;135°	GCS	Z	Kracht	-897,20
high max Wnd ;135°_1X_X1	1X2	high max Wnd ;135°	GCS	X	Kracht	-78,31
high max Wnd ;135°_1X_Y1	1X2	high max Wnd ;135°	GCS	Y	Kracht	40,44
high max Wnd ;135°_1X_Z1	1X2	high max Wnd ;135°	GCS	Z	Kracht	-348,47

6.1.3. Belastingsgevallen - high max Wnd ;225°

Naam	Omschrijving	Actie type	Lastgroep	Duur	'Master' belastingsgeval
	Spec	Belastingtype			
high max Wnd ;225°		Variabel	LG4	Kort	Geen
	Standaard	Statisch			

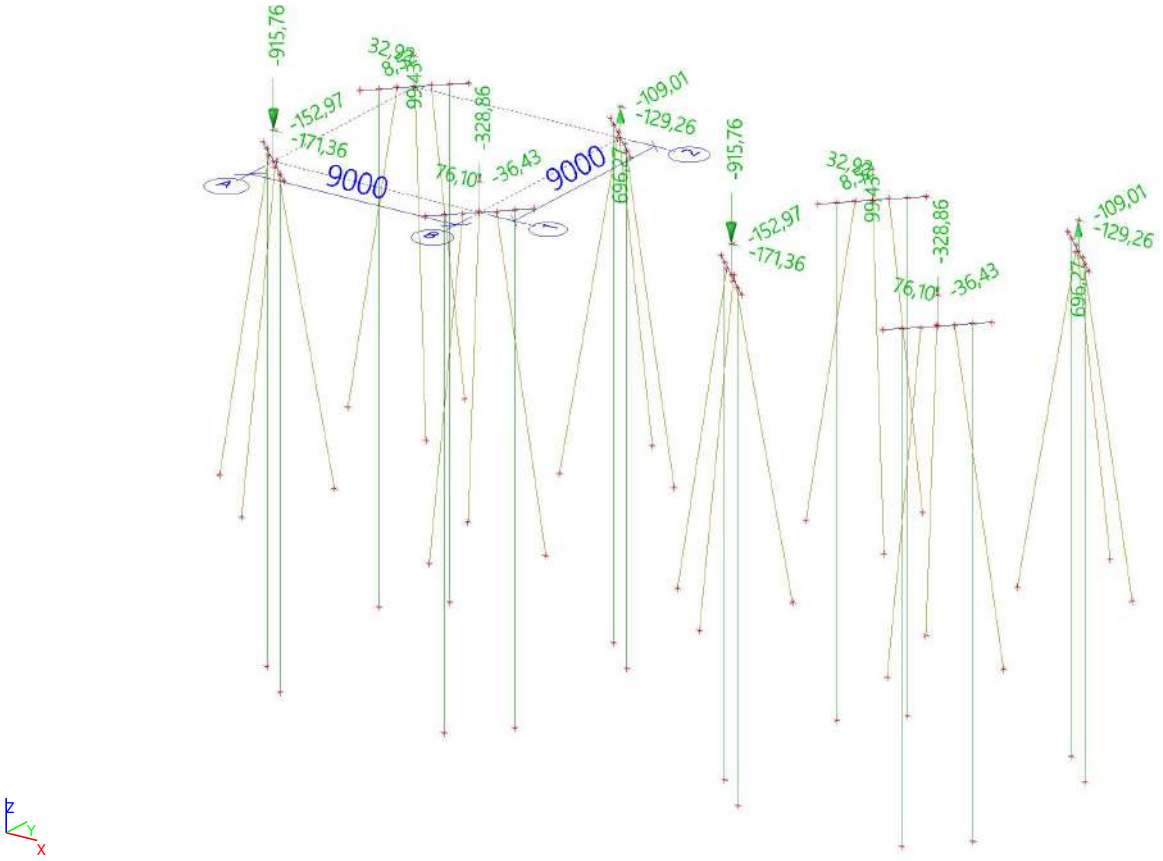


6.1.3.1. Puntlast op knoop

Naam	Knoop	Belastingsgeval	Systeem	Rich	Type	Waarde - F [kN]
high max Wnd ;225°_1P_X	1P	high max Wnd ;225°	GCS	X	Kracht	-78,17
high max Wnd ;225°_1P_Y	1P	high max Wnd ;225°	GCS	Y	Kracht	-40,35
high max Wnd ;225°_1P_Z	1P	high max Wnd ;225°	GCS	Z	Kracht	-347,79
high max Wnd ;225°_1X_X	1X	high max Wnd ;225°	GCS	X	Kracht	127,10
high max Wnd ;225°_1X_Y	1X	high max Wnd ;225°	GCS	Y	Kracht	-105,09
high max Wnd ;225°_1X_Z	1X	high max Wnd ;225°	GCS	Z	Kracht	676,92
high max Wnd ;225°_1XY_X	1XY	high max Wnd ;225°	GCS	X	Kracht	-35,21
high max Wnd ;225°_1XY_Y	1XY	high max Wnd ;225°	GCS	Y	Kracht	4,50
high max Wnd ;225°_1XY_Z	1XY	high max Wnd ;225°	GCS	Z	Kracht	119,35
high max Wnd ;225°_1Y_X	1Y	high max Wnd ;225°	GCS	X	Kracht	169,18
high max Wnd ;225°_1Y_Y	1Y	high max Wnd ;225°	GCS	Y	Kracht	-148,96
high max Wnd ;225°_1Y_Z	1Y	high max Wnd ;225°	GCS	Z	Kracht	-896,39
high max Wnd ;225°_1P_X1	1P41	high max Wnd ;225°	GCS	X	Kracht	-78,17
high max Wnd ;225°_1P_Y1	1P41	high max Wnd ;225°	GCS	Y	Kracht	-40,35
high max Wnd ;225°_1P_Z1	1P41	high max Wnd ;225°	GCS	Z	Kracht	-347,79
high max Wnd ;225°_1Y_X1	1Y2	high max Wnd ;225°	GCS	X	Kracht	169,18
high max Wnd ;225°_1Y_Y1	1Y2	high max Wnd ;225°	GCS	Y	Kracht	-148,96
high max Wnd ;225°_1Y_Z1	1Y2	high max Wnd ;225°	GCS	Z	Kracht	-896,39
high max Wnd ;225°_1XY_X1	1XY2	high max Wnd ;225°	GCS	X	Kracht	-35,21
high max Wnd ;225°_1XY_Y1	1XY2	high max Wnd ;225°	GCS	Y	Kracht	4,50
high max Wnd ;225°_1XY_Z1	1XY2	high max Wnd ;225°	GCS	Z	Kracht	119,35
high max Wnd ;225°_1X_X1	1X2	high max Wnd ;225°	GCS	X	Kracht	127,10
high max Wnd ;225°_1X_Y1	1X2	high max Wnd ;225°	GCS	Y	Kracht	-105,09
high max Wnd ;225°_1X_Z1	1X2	high max Wnd ;225°	GCS	Z	Kracht	676,92

6.1.4. Belastingsgevallen - high max Wnd ;315°

Naam	Omschrijving	Actie type	Lastgroep	Duur	'Master' belastingsgeval
	Spec	Belastingtype			
high max Wnd ;315°		Variabel	LG4	Kort	Geen
	Standaard	Statisch			



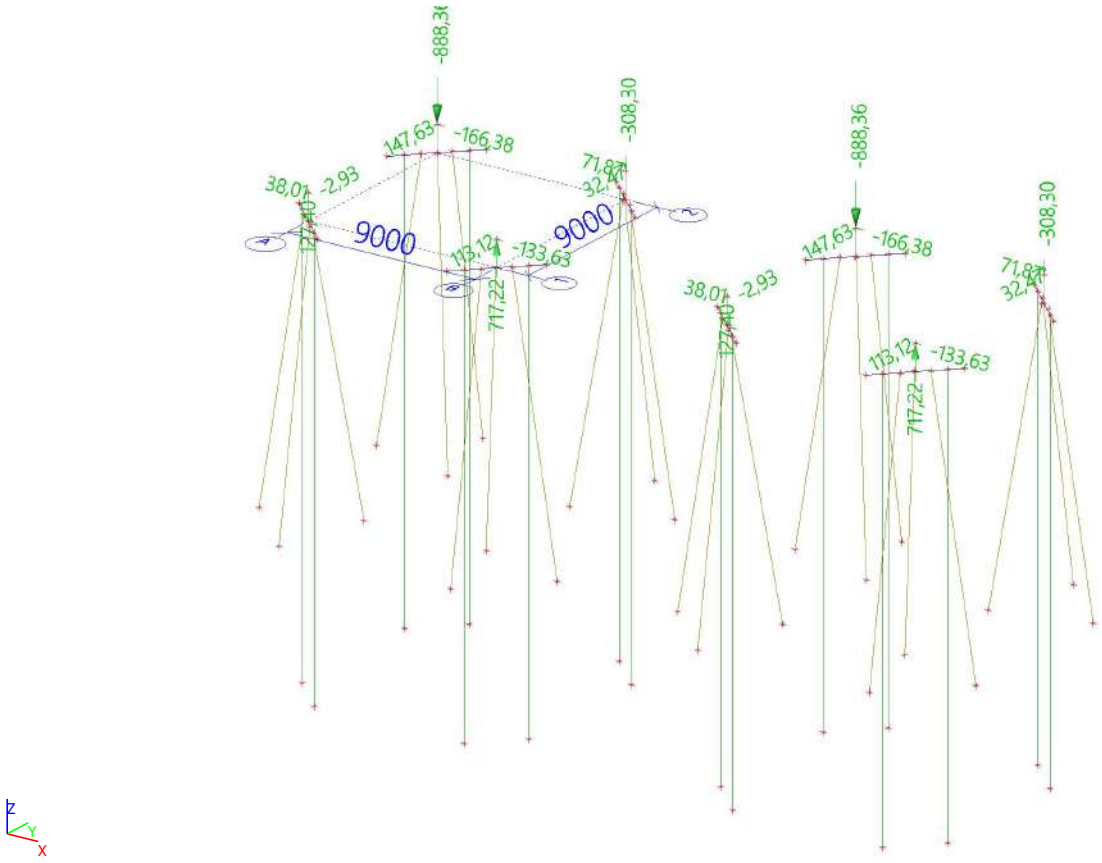
6.1.4.1. Puntlast op knoop

Naam	Knoop	Belastingsgeval	Systeem	Rich	Type	Waarde - F [kN]
high max Wnd ;315°_1P_X	1P	high max Wnd ;315°	GCS	X	Kracht	-171,36
high max Wnd ;315°_1P_Y	1P	high max Wnd ;315°	GCS	Y	Kracht	-152,97
high max Wnd ;315°_1P_Z	1P	high max Wnd ;315°	GCS	Z	Kracht	-915,76
high max Wnd ;315°_1X_X	1X	high max Wnd ;315°	GCS	X	Kracht	32,92
high max Wnd ;315°_1X_Y	1X	high max Wnd ;315°	GCS	Y	Kracht	8,52
high max Wnd ;315°_1X_Z	1X	high max Wnd ;315°	GCS	Z	Kracht	99,43
high max Wnd ;315°_1XY_X	1XY	high max Wnd ;315°	GCS	X	Kracht	-129,26
high max Wnd ;315°_1XY_Y	1XY	high max Wnd ;315°	GCS	Y	Kracht	-109,01
high max Wnd ;315°_1XY_Z	1XY	high max Wnd ;315°	GCS	Z	Kracht	696,27
high max Wnd ;315°_1Y_X	1Y	high max Wnd ;315°	GCS	X	Kracht	76,10
high max Wnd ;315°_1Y_Y	1Y	high max Wnd ;315°	GCS	Y	Kracht	-36,43
high max Wnd ;315°_1Y_Z	1Y	high max Wnd ;315°	GCS	Z	Kracht	-328,86
high max Wnd ;315°_1P_X1	1P41	high max Wnd ;315°	GCS	X	Kracht	-171,36
high max Wnd ;315°_1P_Y1	1P41	high max Wnd ;315°	GCS	Y	Kracht	-152,97
high max Wnd	1P41	high max Wnd ;315°	GCS	Z	Kracht	-915,76

Naam	Knoop	Belastingsgeval	Systeem	Rich	Type	Waarde - F [kN]
;315°_1P_Z1						
high max Wnd ;315°_1Y_X1	1Y2	high max Wnd ;315°	GCS	X	Kracht	76,10
high max Wnd ;315°_1Y_Y1	1Y2	high max Wnd ;315°	GCS	Y	Kracht	-36,43
high max Wnd ;315°_1Y_Z1	1Y2	high max Wnd ;315°	GCS	Z	Kracht	-328,86
high max Wnd ;315°_1XY_X1	1XY2	high max Wnd ;315°	GCS	X	Kracht	-129,26
high max Wnd ;315°_1XY_Y1	1XY2	high max Wnd ;315°	GCS	Y	Kracht	-109,01
high max Wnd ;315°_1XY_Z1	1XY2	high max Wnd ;315°	GCS	Z	Kracht	696,27
high max Wnd ;315°_1X_X1	1X2	high max Wnd ;315°	GCS	X	Kracht	32,92
high max Wnd ;315°_1X_Y1	1X2	high max Wnd ;315°	GCS	Y	Kracht	8,52
high max Wnd ;315°_1X_Z1	1X2	high max Wnd ;315°	GCS	Z	Kracht	99,43

6.1.5. Belastingsgevallen - low max Wnd ;45°

Naam	Omschrijving	Actie type	Lastgroep	Duur	'Master' belastingsgeval
	Spec	Belastingtype			
low max Wnd ;45°		Variabel	LG4	Kort	Geen
	Standaard	Statisch			

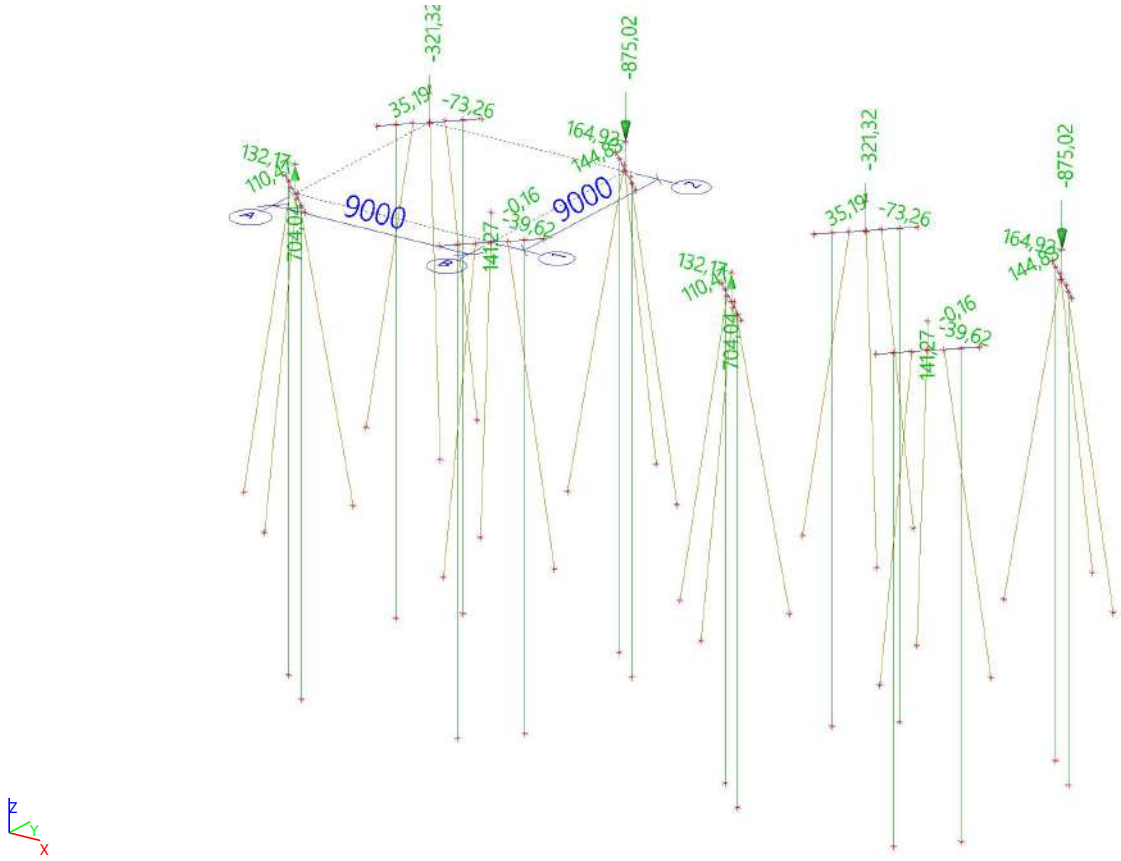


6.1.5.1. Puntlast op knoop

Naam	Knoop	Belastingsgeval	Systeem	Rich	Type	Waarde - F [kN]
low max Wnd ;45°_1P_X	1P	low max Wnd ;45°	GCS	X	Kracht	38,01
low max Wnd ;45°_1P_Y	1P	low max Wnd ;45°	GCS	Y	Kracht	-2,93
low max Wnd ;45°_1P_Z	1P	low max Wnd ;45°	GCS	Z	Kracht	127,40
low max Wnd ;45°_1X_X	1X	low max Wnd ;45°	GCS	X	Kracht	-166,38
low max Wnd ;45°_1X_Y	1X	low max Wnd ;45°	GCS	Y	Kracht	147,63
low max Wnd ;45°_1X_Z	1X	low max Wnd ;45°	GCS	Z	Kracht	-888,36
low max Wnd ;45°_1XY_X	1XY	low max Wnd ;45°	GCS	X	Kracht	71,87
low max Wnd ;45°_1XY_Y	1XY	low max Wnd ;45°	GCS	Y	Kracht	32,47
low max Wnd ;45°_1XY_Z	1XY	low max Wnd ;45°	GCS	Z	Kracht	-308,30
low max Wnd ;45°_1Y_X	1Y	low max Wnd ;45°	GCS	X	Kracht	-133,63
low max Wnd ;45°_1Y_Y	1Y	low max Wnd ;45°	GCS	Y	Kracht	113,12
low max Wnd ;45°_1Y_Z	1Y	low max Wnd ;45°	GCS	Z	Kracht	717,22
low max Wnd ;45°_1P_X1	1P41	low max Wnd ;45°	GCS	X	Kracht	38,01
low max Wnd ;45°_1P_Y1	1P41	low max Wnd ;45°	GCS	Y	Kracht	-2,93
low max Wnd ;45°_1P_Z1	1P41	low max Wnd ;45°	GCS	Z	Kracht	127,40
low max Wnd ;45°_1Y_X1	1Y2	low max Wnd ;45°	GCS	X	Kracht	-133,63
low max Wnd ;45°_1Y_Y1	1Y2	low max Wnd ;45°	GCS	Y	Kracht	113,12
low max Wnd ;45°_1Y_Z1	1Y2	low max Wnd ;45°	GCS	Z	Kracht	717,22
low max Wnd ;45°_1XY_X1	1XY2	low max Wnd ;45°	GCS	X	Kracht	71,87
low max Wnd ;45°_1XY_Y1	1XY2	low max Wnd ;45°	GCS	Y	Kracht	32,47
low max Wnd ;45°_1XY_Z1	1XY2	low max Wnd ;45°	GCS	Z	Kracht	-308,30
low max Wnd ;45°_1X_X1	1X2	low max Wnd ;45°	GCS	X	Kracht	-166,38
low max Wnd ;45°_1X_Y1	1X2	low max Wnd ;45°	GCS	Y	Kracht	147,63
low max Wnd ;45°_1X_Z1	1X2	low max Wnd ;45°	GCS	Z	Kracht	-888,36

6.1.6. Belastingsgevallen - low max Wnd ;135°

Naam	Omschrijving	Actie type	Lastgroep	Duur	'Master' belastingsgeval
	Spec	Belastingtype			
low max Wnd ;135°		Variabel	LG4	Kort	Geen
	Standaard	Statisch			



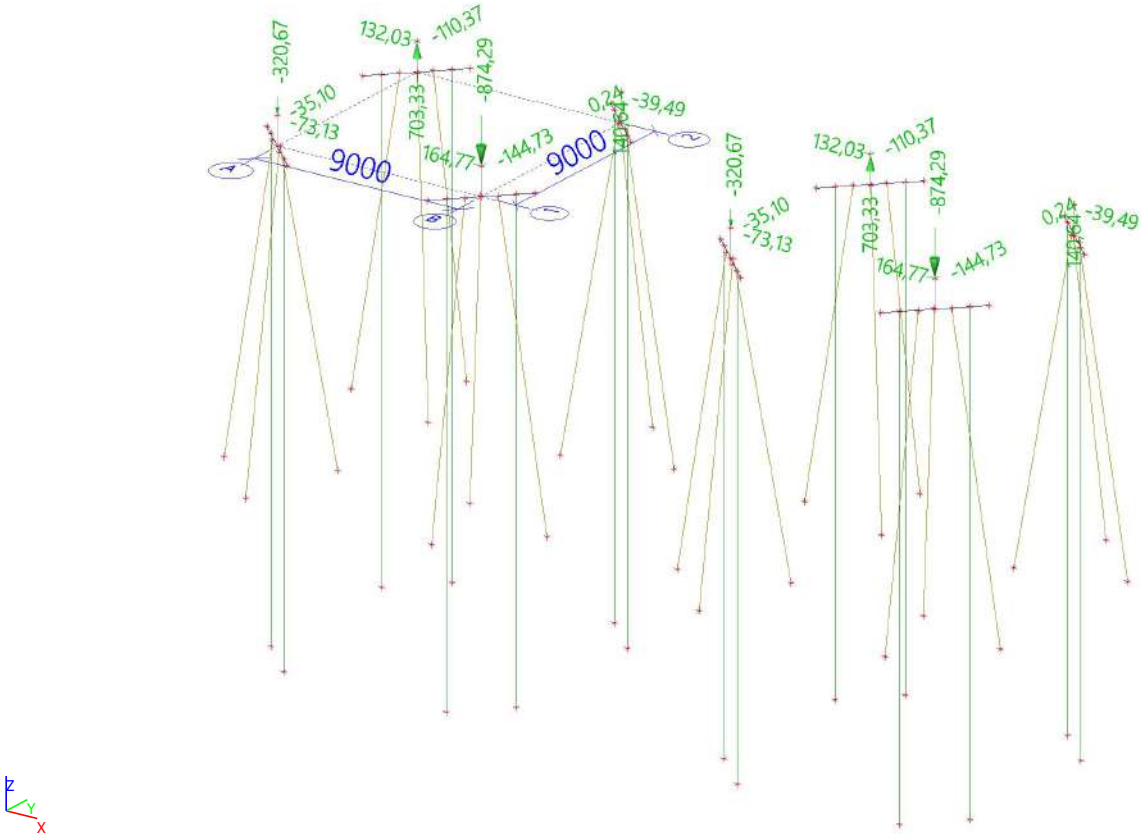
6.1.6.1. Puntlast op knoop

Naam	Knoop	Belastingsgeval	Systeem	Rich	Type	Waarde - F [kN]
low max Wnd ;135°_1P_X	1P	low max Wnd ;135°	GCS	X	Kracht	132,17
low max Wnd ;135°_1P_Y	1P	low max Wnd ;135°	GCS	Y	Kracht	110,47
low max Wnd ;135°_1P_Z	1P	low max Wnd ;135°	GCS	Z	Kracht	704,04
low max Wnd ;135°_1X_X	1X	low max Wnd ;135°	GCS	X	Kracht	-73,26
low max Wnd ;135°_1X_Y	1X	low max Wnd ;135°	GCS	Y	Kracht	35,19
low max Wnd ;135°_1X_Z	1X	low max Wnd ;135°	GCS	Z	Kracht	-321,32
low max Wnd ;135°_1XY_X	1XY	low max Wnd ;135°	GCS	X	Kracht	164,92
low max Wnd ;135°_1XY_Y	1XY	low max Wnd ;135°	GCS	Y	Kracht	144,83
low max Wnd ;135°_1XY_Z	1XY	low max Wnd ;135°	GCS	Z	Kracht	-875,02
low max Wnd ;135°_1Y_X	1Y	low max Wnd ;135°	GCS	X	Kracht	-39,62
low max Wnd ;135°_1Y_Y	1Y	low max Wnd ;135°	GCS	Y	Kracht	-0,16
low max Wnd ;135°_1Y_Z	1Y	low max Wnd ;135°	GCS	Z	Kracht	141,27
low max Wnd ;135°_1P_X1	1P41	low max Wnd ;135°	GCS	X	Kracht	132,17
low max Wnd ;135°_1P_Y1	1P41	low max Wnd ;135°	GCS	Y	Kracht	110,47
low max Wnd	1P41	low max Wnd ;135°	GCS	Z	Kracht	704,04

Naam	Knoop	Belastingsgeval	Systeem	Rich	Type	Waarde - F [kN]
;135°_1P_Z1						
low max Wnd ;135°_1Y_X1	1Y2	low max Wnd ;135°	GCS	X	Kracht	-39,62
low max Wnd ;135°_1Y_Y1	1Y2	low max Wnd ;135°	GCS	Y	Kracht	-0,16
low max Wnd ;135°_1Y_Z1	1Y2	low max Wnd ;135°	GCS	Z	Kracht	141,27
low max Wnd ;135°_1XY_X1	1XY2	low max Wnd ;135°	GCS	X	Kracht	164,92
low max Wnd ;135°_1XY_Y1	1XY2	low max Wnd ;135°	GCS	Y	Kracht	144,83
low max Wnd ;135°_1XY_Z1	1XY2	low max Wnd ;135°	GCS	Z	Kracht	-875,02
low max Wnd ;135°_1X_X1	1X2	low max Wnd ;135°	GCS	X	Kracht	-73,26
low max Wnd ;135°_1X_Y1	1X2	low max Wnd ;135°	GCS	Y	Kracht	35,19
low max Wnd ;135°_1X_Z1	1X2	low max Wnd ;135°	GCS	Z	Kracht	-321,32

6.1.7. Belastingsgevallen - low max Wnd ;225°

Naam	Omschrijving	Actie type	Lastgroep	Duur	'Master' belastingsgeval
	Spec	Belastingtype			
low max Wnd ;225°		Variabel	LG4	Kort	Geen
	Standaard	Statisch			

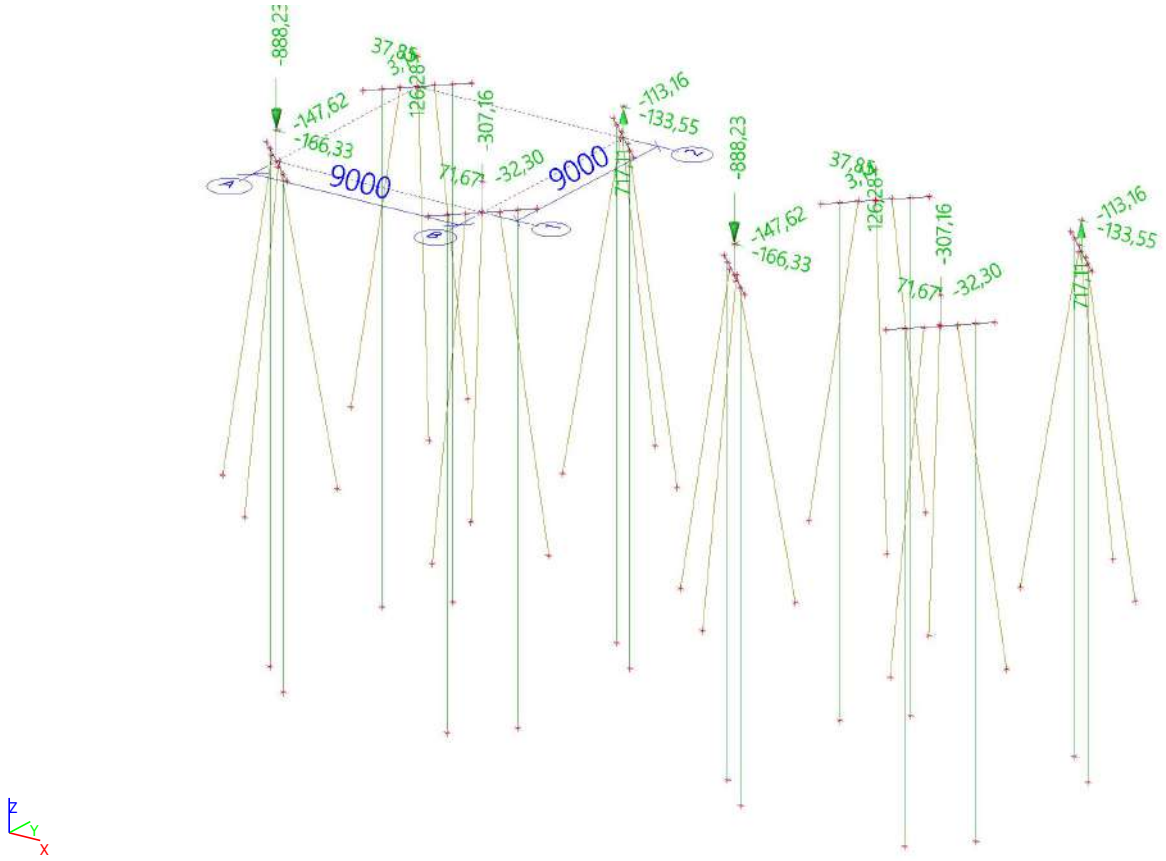


6.1.7.1. Puntlast op knoop

Naam	Knoop	Belastingsgeval	Systeem	Rich	Type	Waarde - F [kN]
low max Wnd ;225°_1P_X	1P	low max Wnd ;225°	GCS	X	Kracht	-73,13
low max Wnd ;225°_1P_Y	1P	low max Wnd ;225°	GCS	Y	Kracht	-35,10
low max Wnd ;225°_1P_Z	1P	low max Wnd ;225°	GCS	Z	Kracht	-320,67
low max Wnd ;225°_1X_X	1X	low max Wnd ;225°	GCS	X	Kracht	132,03
low max Wnd ;225°_1X_Y	1X	low max Wnd ;225°	GCS	Y	Kracht	-110,37
low max Wnd ;225°_1X_Z	1X	low max Wnd ;225°	GCS	Z	Kracht	703,33
low max Wnd ;225°_1XY_X	1XY	low max Wnd ;225°	GCS	X	Kracht	-39,49
low max Wnd ;225°_1XY_Y	1XY	low max Wnd ;225°	GCS	Y	Kracht	0,24
low max Wnd ;225°_1XY_Z	1XY	low max Wnd ;225°	GCS	Z	Kracht	140,64
low max Wnd ;225°_1Y_X	1Y	low max Wnd ;225°	GCS	X	Kracht	164,77
low max Wnd ;225°_1Y_Y	1Y	low max Wnd ;225°	GCS	Y	Kracht	-144,73
low max Wnd ;225°_1Y_Z	1Y	low max Wnd ;225°	GCS	Z	Kracht	-874,29
low max Wnd ;225°_1P_X1	1P41	low max Wnd ;225°	GCS	X	Kracht	-73,13
low max Wnd ;225°_1P_Y1	1P41	low max Wnd ;225°	GCS	Y	Kracht	-35,10
low max Wnd ;225°_1P_Z1	1P41	low max Wnd ;225°	GCS	Z	Kracht	-320,67
low max Wnd ;225°_1Y_X1	1Y2	low max Wnd ;225°	GCS	X	Kracht	164,77
low max Wnd ;225°_1Y_Y1	1Y2	low max Wnd ;225°	GCS	Y	Kracht	-144,73
low max Wnd ;225°_1Y_Z1	1Y2	low max Wnd ;225°	GCS	Z	Kracht	-874,29
low max Wnd ;225°_1XY_X1	1XY2	low max Wnd ;225°	GCS	X	Kracht	-39,49
low max Wnd ;225°_1XY_Y1	1XY2	low max Wnd ;225°	GCS	Y	Kracht	0,24
low max Wnd ;225°_1XY_Z1	1XY2	low max Wnd ;225°	GCS	Z	Kracht	140,64
low max Wnd ;225°_1X_X1	1X2	low max Wnd ;225°	GCS	X	Kracht	132,03
low max Wnd ;225°_1X_Y1	1X2	low max Wnd ;225°	GCS	Y	Kracht	-110,37
low max Wnd ;225°_1X_Z1	1X2	low max Wnd ;225°	GCS	Z	Kracht	703,33

6.1.8. Belastingsgevallen - low max Wnd ;315°

Naam	Omschrijving	Actie type	Lastgroep	Duur	'Master' belastingsgeval
	Spec	Belastingtype			
low max Wnd ;315°		Variabel	LG4	Kort	Geen
	Standaard	Statisch			



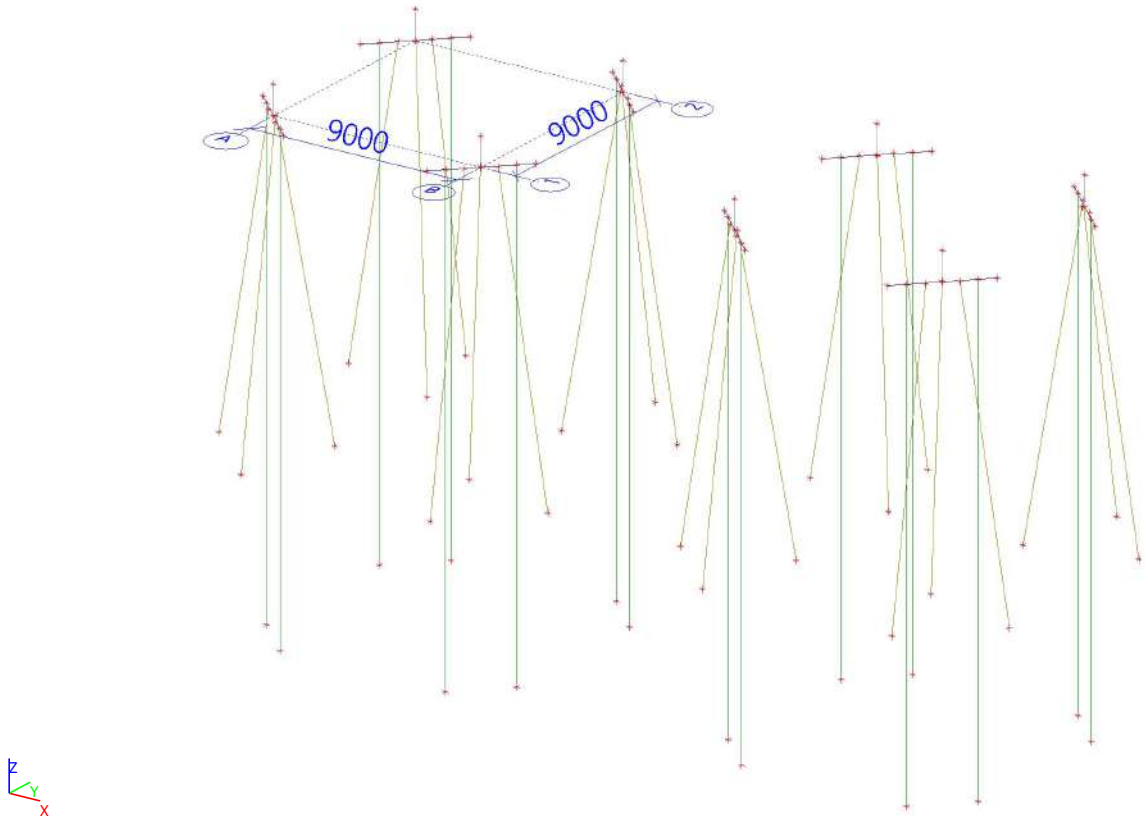
6.1.8.1. Puntlast op knoop

Naam	Knoop	Belastingsgeval	Systeem	Rich	Type	Waarde - F [kN]
low max Wnd ;315°_1P_X	1P	low max Wnd ;315°	GCS	X	Kracht	-166,33
low max Wnd ;315°_1P_Y	1P	low max Wnd ;315°	GCS	Y	Kracht	-147,62
low max Wnd ;315°_1P_Z	1P	low max Wnd ;315°	GCS	Z	Kracht	-888,23
low max Wnd ;315°_1X_X	1X	low max Wnd ;315°	GCS	X	Kracht	37,85
low max Wnd ;315°_1X_Y	1X	low max Wnd ;315°	GCS	Y	Kracht	3,14
low max Wnd ;315°_1X_Z	1X	low max Wnd ;315°	GCS	Z	Kracht	126,28
low max Wnd ;315°_1XY_X	1XY	low max Wnd ;315°	GCS	X	Kracht	-133,55
low max Wnd ;315°_1XY_Y	1XY	low max Wnd ;315°	GCS	Y	Kracht	-113,16
low max Wnd ;315°_1XY_Z	1XY	low max Wnd ;315°	GCS	Z	Kracht	717,11
low max Wnd ;315°_1Y_X	1Y	low max Wnd ;315°	GCS	X	Kracht	71,67
low max Wnd ;315°_1Y_Y	1Y	low max Wnd ;315°	GCS	Y	Kracht	-32,30
low max Wnd ;315°_1Y_Z	1Y	low max Wnd ;315°	GCS	Z	Kracht	-307,16
low max Wnd ;315°_1P_X1	1P41	low max Wnd ;315°	GCS	X	Kracht	-166,33
low max Wnd ;315°_1P_Y1	1P41	low max Wnd ;315°	GCS	Y	Kracht	-147,62
low max Wnd	1P41	low max Wnd ;315°	GCS	Z	Kracht	-888,23

Naam	Knoop	Belastingsgeval	Systeem	Rich	Type	Waarde - F [kN]
;315°_1P_Z1						
low max Wnd ;315°_1Y_X1	1Y2	low max Wnd ;315°	GCS	X	Kracht	71,67
low max Wnd ;315°_1Y_Y1	1Y2	low max Wnd ;315°	GCS	Y	Kracht	-32,30
low max Wnd ;315°_1Y_Z1	1Y2	low max Wnd ;315°	GCS	Z	Kracht	-307,16
low max Wnd ;315°_1XY_X1	1XY2	low max Wnd ;315°	GCS	X	Kracht	-133,55
low max Wnd ;315°_1XY_Y1	1XY2	low max Wnd ;315°	GCS	Y	Kracht	-113,16
low max Wnd ;315°_1XY_Z1	1XY2	low max Wnd ;315°	GCS	Z	Kracht	717,11
low max Wnd ;315°_1X_X1	1X2	low max Wnd ;315°	GCS	X	Kracht	37,85
low max Wnd ;315°_1X_Y1	1X2	low max Wnd ;315°	GCS	Y	Kracht	3,14
low max Wnd ;315°_1X_Z1	1X2	low max Wnd ;315°	GCS	Z	Kracht	126,28

6.1.9. Belastingsgevallen - EG_fundering

Naam	Omschrijving	Actie type	Lastgroep	Richting
	Spec	Belastingtype		
EG_fundering		Permanent	LG1	-Z
		Eigen gewicht		



6.2. Niet-lineaire combinaties

Naam	Type	Belastingsgevallen	Coëff. [-]
low max Wnd ;45° - EG_gunstig	Uiterste Grenstoestand	low max Wnd ;45°	1,000
		EG_fundering	0,900
low max Wnd ;135° - EG_gunstig	Uiterste Grenstoestand	low max Wnd ;135°	1,000
		EG_fundering	0,900
low max Wnd ;225° - EG_gunstig	Uiterste Grenstoestand	low max Wnd ;225°	1,000
		EG_fundering	0,900
low max Wnd ;315° - EG_gunstig	Uiterste Grenstoestand	low max Wnd ;315°	1,000
		EG_fundering	0,900
high max Wnd ;45° - EG_ongunstig	Uiterste Grenstoestand	high max Wnd ;45°	1,000
		EG_fundering	1,200
high max Wnd ;135° - EG_ongunstig	Uiterste Grenstoestand	high max Wnd ;135°	1,000
		EG_fundering	1,200
high max Wnd ;225° - EG_ongunstig	Uiterste Grenstoestand	high max Wnd ;225°	1,000
		EG_fundering	1,200
high max Wnd ;315° - EG_ongunstig	Uiterste Grenstoestand	high max Wnd ;315°	1,000
		EG_fundering	1,200

6.3. Resultaatklasses

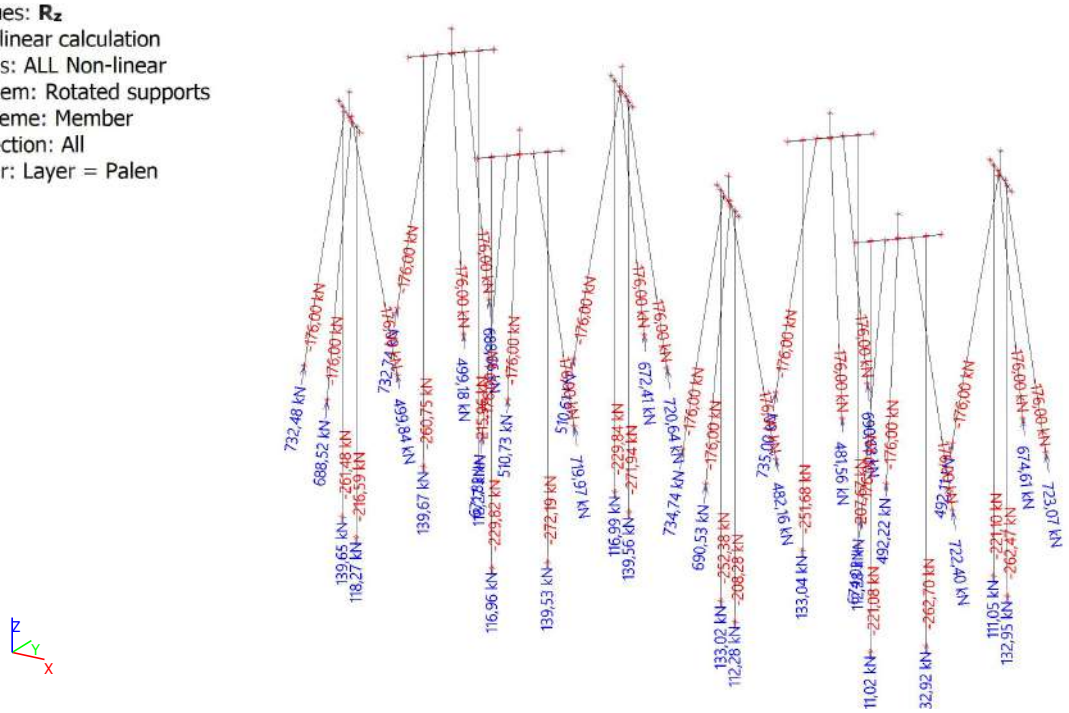
Naam	Lijst
ALL Non-linear	low max Wnd ;45° - EG_gunstig
	low max Wnd ;135° - EG_gunstig
	low max Wnd ;225° - EG_gunstig
	low max Wnd ;315° - EG_gunstig
	high max Wnd ;45° - EG_ongunstig
	high max Wnd ;135° - EG_ongunstig
	high max Wnd ;225° - EG_ongunstig
	high max Wnd ;315° - EG_ongunstig

7. Resultaten

7.1. Reacties van de palen

7.1.1. Reactions; R_z

Values: R_z
Nonlinear calculation
Class: ALL Non-linear
System: Rotated supports
Extreme: Member
Selection: All
Filter: Layer = Palen



7.1.2. Reacties

Niet-lineaire berekening
Klasse: ALL Non-linear
Systeem: Schuine steunpunten
Extreem: Globaal
Selectie: Alle
Filter: Doorsnede = Paal 40x40 - Rectangle (400,00; 400,00)
Knoopreacties

Naam	Belasting	R_x [kN]	R_y [kN]	R_z [kN]	M_x [kNm]	M_y [kNm]	M_z [kNm]	e_x [mm]	e_y [mm]
S_Y_23/N100	low max Wnd ;45° - EG_gunstig	**0,00**	0,00	694,81	0,00	0,00	0,00	0,0	0,0
S_Y_3/N10	high max Wnd ;45° - EG_ongunstig	**0,00**	0,00	732,74	**0,00**	**0,00**	**0,00**	0,0	0,0
S_XY_3/N17	high max Wnd ;135° - EG_ongunstig	0,00	**0,00**	672,41	0,00	0,00	0,00	0,0	0,0
S_X_1/N12	low max Wnd ;225° - EG_gunstig	0,00	**0,00**	636,26	0,00	0,00	0,00	0,0	0,0
S_P_3/N6	low max Wnd ;135° - EG_gunstig	0,00	0,00	**-176,00**	0,00	0,00	0,00	0,0	0,0
S_Y_23/N100	high max Wnd ;45° - EG_ongunstig	0,00	0,00	**735,00**	0,00	0,00	0,00	0,0	0,0

7.1.3. Reacties

Niet-lineaire berekening
Klasse: ALL Non-linear

Systeem: Schuine steunpunten
Extreem: Globaal
Selectie: Alle
Filter: Doorsnede = LEKA Paal - type e (CHS219.1/10.0)
Knoopreacties

Naam	Belasting	R_x [kN]	R_y [kN]	R_z [kN]	M_x [kNm]	M_y [kNm]	M_z [kNm]	e_x [mm]	e_y [mm]
S_Y_5/N28	low max Wnd ;45° - EG_gunstig	0,00	0,00	**-272,19**	0,00	0,00	0,00	0,0	0,0
S_Y_9/N40	high max Wnd ;135° - EG_ongunstig	**0,00**	**0,00**	**139,67**	**0,00**	**0,00**	**0,00**	0,0	0,0

7.1.4. Reacties

Niet-lineaire berekening
Klasse: ALL Non-linear
Systeem: Schuine steunpunten
Extreem: Element
Selectie: Alle
Filter: Laag = Palen
Knoopreacties

Naam	Belasting	R_x [kN]	R_y [kN]	R_z [kN]	M_x [kNm]	M_y [kNm]	M_z [kNm]	e_x [mm]	e_y [mm]
S_P_3/N6	high max Wnd ;45° - EG_ongunstig	0,00	**0,00**	91,59	0,00	0,00	0,00	0,0	0,0
S_P_3/N6	low max Wnd ;315° - EG_gunstig	**0,00**	**0,00**	648,40	**0,00**	**0,00**	**0,00**	0,0	0,0
S_P_3/N6	low max Wnd ;135° - EG_gunstig	0,00	0,00	**-176,00**	0,00	0,00	0,00	0,0	0,0
S_P_3/N6	high max Wnd ;315° - EG_ongunstig	0,00	0,00	**688,52**	0,00	0,00	0,00	0,0	0,0
S_P_1/N5	low max Wnd ;135° - EG_gunstig	**0,00**	**0,00**	**-176,00**	**0,00**	**0,00**	**0,00**	0,0	0,0
S_P_1/N5	high max Wnd ;315° - EG_ongunstig	**0,00**	0,00	**732,48**	0,00	0,00	**0,00**	0,0	0,0
S_P_2/N22	high max Wnd ;135° - EG_ongunstig	0,00	**0,00**	489,51	0,00	0,00	0,00	0,0	0,0
S_P_2/N22	low max Wnd ;315° - EG_gunstig	0,00	**0,00**	**-176,00**	0,00	0,00	0,00	0,0	0,0
S_P_2/N22	low max Wnd ;135° - EG_gunstig	**0,00**	0,00	**499,84**	**0,00**	**0,00**	**0,00**	0,0	0,0
S_P_2/N22	low max Wnd ;45° - EG_gunstig	**0,00**	0,00	124,14	0,00	0,00	**0,00**	0,0	0,0
S_X_3/N13	high max Wnd ;315° - EG_ongunstig	**0,00**	**0,00**	332,88	**0,00**	**0,00**	**0,00**	0,0	0,0
S_X_3/N13	low max Wnd ;45° - EG_gunstig	0,00	0,00	**-176,00**	0,00	0,00	0,00	0,0	0,0
S_X_3/N13	high max Wnd ;225° - EG_ongunstig	0,00	0,00	**719,97**	0,00	0,00	0,00	0,0	0,0
S_X_3/N13	low max Wnd ;225° - EG_gunstig	**0,00**	0,00	684,19	0,00	0,00	**0,00**	0,0	0,0

Naam	Belasting	R_x [kN]	R_y [kN]	R_z [kN]	M_x [kNm]	M_y [kNm]	M_z [kNm]	e_x [mm]	e_y [mm]
S_X_1/N12	low max Wnd ;315° - EG_gunstig	0,00	**0,00**	215,77	0,00	0,00	0,00	0,0	0,0
S_X_1/N12	low max Wnd ;225° - EG_gunstig	**0,00**	**0,00**	636,26	**0,00**	**0,00**	**0,00**	0,0	0,0
S_X_1/N12	high max Wnd ;225° - EG_ongunstig	0,00	0,00	**671,83**	0,00	0,00	0,00	0,0	0,0
S_X_1/N12	low max Wnd ;45° - EG_gunstig	0,00	0,00	**-176,00**	0,00	0,00	**0,00**	0,0	0,0
S_X_2/N8	high max Wnd ;135° - EG_ongunstig	**0,00**	0,00	146,85	**0,00**	**0,00**	**0,00**	0,0	0,0
S_X_2/N8	low max Wnd ;45° - EG_gunstig	0,00	**0,00**	**510,73**	0,00	0,00	0,00	0,0	0,0
S_X_2/N8	low max Wnd ;225° - EG_gunstig	0,00	**0,00**	**-176,00**	0,00	0,00	0,00	0,0	0,0
S_X_2/N8	low max Wnd ;135° - EG_gunstig	**0,00**	0,00	129,28	0,00	0,00	**0,00**	0,0	0,0
S_XY_3/N17	high max Wnd ;135° - EG_ongunstig	0,00	**0,00**	**672,41**	0,00	0,00	0,00	0,0	0,0
S_XY_3/N17	low max Wnd ;135° - EG_gunstig	**0,00**	**0,00**	636,78	**0,00**	**0,00**	**0,00**	0,0	0,0
S_XY_3/N17	low max Wnd ;315° - EG_gunstig	0,00	0,00	**-176,00**	0,00	0,00	0,00	0,0	0,0
S_XY_1/N16	low max Wnd ;315° - EG_gunstig	0,00	0,00	**-176,00**	0,00	0,00	0,00	0,0	0,0
S_XY_1/N16	high max Wnd ;135° - EG_ongunstig	**0,00**	**0,00**	**720,64**	**0,00**	**0,00**	**0,00**	0,0	0,0
S_XY_1/N16	high max Wnd ;45° - EG_ongunstig	**0,00**	0,00	333,61	0,00	0,00	**0,00**	0,0	0,0
S_XY_2/N18	low max Wnd ;225° - EG_gunstig	**0,00**	0,00	129,01	**0,00**	**0,00**	**0,00**	0,0	0,0
S_XY_2/N18	high max Wnd ;225° - EG_ongunstig	0,00	**0,00**	146,56	0,00	0,00	0,00	0,0	0,0
S_XY_2/N18	low max Wnd ;135° - EG_gunstig	0,00	**0,00**	**-176,00**	0,00	0,00	0,00	0,0	0,0
S_XY_2/N18	low max Wnd ;315° - EG_gunstig	0,00	0,00	**510,61**	0,00	0,00	0,00	0,0	0,0
S_XY_2/N18	high max Wnd ;315° - EG_ongunstig	**0,00**	0,00	503,99	0,00	0,00	**0,00**	0,0	0,0
S_Y_3/N10	low max Wnd ;225° - EG_gunstig	0,00	0,00	**-176,00**	0,00	0,00	0,00	0,0	0,0
S_Y_3/N10	high max Wnd ;45° - EG_ongunstig	**0,00**	**0,00**	**732,74**	**0,00**	**0,00**	**0,00**	0,0	0,0
S_Y_3/N10	low max Wnd ;45° - EG_gunstig	**0,00**	0,00	693,38	0,00	0,00	**0,00**	0,0	0,0

Naam	Belasting	R_x [kN]	R_y [kN]	R_z [kN]	M_x [kNm]	M_y [kNm]	M_z [kNm]	e_x [mm]	e_y [mm]
S_Y_1/N20	low max Wnd ;225° - EG_gunstig	0,00	**0,00**	**-176,00**	0,00	0,00	0,00	0,0	0,0
S_Y_1/N20	high max Wnd ;45° - EG_ongunstig	**0,00**	0,00	**688,66**	**0,00**	**0,00**	**0,00**	0,0	0,0
S_Y_1/N20	low max Wnd ;45° - EG_gunstig	0,00	**0,00**	648,48	0,00	0,00	**0,00**	0,0	0,0
S_Y_2/N21	high max Wnd ;225° - EG_ongunstig	**0,00**	0,00	488,81	**0,00**	**0,00**	**0,00**	0,0	0,0
S_Y_2/N21	low max Wnd ;45° - EG_gunstig	0,00	**0,00**	**-176,00**	0,00	0,00	0,00	0,0	0,0
S_Y_2/N21	low max Wnd ;225° - EG_gunstig	0,00	**0,00**	**499,18**	0,00	0,00	0,00	0,0	0,0
S_Y_2/N21	low max Wnd ;315° - EG_gunstig	**0,00**	0,00	123,70	0,00	0,00	**0,00**	0,0	0,0
S_Y_4/N27	high max Wnd ;315° - EG_ongunstig	**0,00**	**0,00**	**116,96**	**0,00**	**0,00**	**0,00**	0,0	0,0
S_Y_4/N27	low max Wnd ;45° - EG_gunstig	0,00	0,00	**-229,82**	0,00	0,00	**0,00**	0,0	0,0
S_Y_5/N28	high max Wnd ;315° - EG_ongunstig	**0,00**	**0,00**	**139,53**	**0,00**	**0,00**	**0,00**	0,0	0,0
S_Y_5/N28	low max Wnd ;45° - EG_gunstig	0,00	0,00	**-272,19**	0,00	0,00	**0,00**	0,0	0,0
S_Y_6/N34	low max Wnd ;135° - EG_gunstig	0,00	0,00	**-216,59**	0,00	0,00	0,00	0,0	0,0
S_Y_6/N34	high max Wnd ;225° - EG_ongunstig	**0,00**	**0,00**	**118,27**	**0,00**	**0,00**	**0,00**	0,0	0,0
S_Y_7/N36	low max Wnd ;135° - EG_gunstig	0,00	0,00	**-261,48**	0,00	0,00	0,00	0,0	0,0
S_Y_7/N36	high max Wnd ;225° - EG_ongunstig	**0,00**	**0,00**	**139,65**	**0,00**	**0,00**	**0,00**	0,0	0,0
S_Y_8/N38	low max Wnd ;225° - EG_gunstig	0,00	0,00	**-215,96**	0,00	0,00	0,00	0,0	0,0
S_Y_8/N38	high max Wnd ;135° - EG_ongunstig	**0,00**	**0,00**	**118,27**	**0,00**	**0,00**	**0,00**	0,0	0,0
S_Y_9/N40	low max Wnd ;225° - EG_gunstig	0,00	0,00	**-260,75**	0,00	0,00	0,00	0,0	0,0
S_Y_9/N40	high max Wnd ;135° - EG_ongunstig	**0,00**	**0,00**	**139,67**	**0,00**	**0,00**	**0,00**	0,0	0,0
S_Y_11/N44	low max Wnd ;315° - EG_gunstig	0,00	0,00	**-271,94**	0,00	0,00	0,00	0,0	0,0
S_Y_11/N44	high max Wnd ;45° - EG_ongunstig	**0,00**	**0,00**	**139,56**	**0,00**	**0,00**	**0,00**	0,0	0,0
S_Y_10/N42	low max Wnd ;315° - EG_gunstig	0,00	0,00	**-229,84**	0,00	0,00	0,00	0,0	0,0

Naam	Belasting	R_x [kN]	R_y [kN]	R_z [kN]	M_x [kNm]	M_y [kNm]	M_z [kNm]	e_x [mm]	e_y [mm]
S_Y_10/N42	high max Wnd ;45° - EG_ongunstig	**0,00**	**0,00**	**116,99**	**0,00**	**0,00**	**0,00**	0,0	0,0
S_P_8/N98	high max Wnd ;315° - EG_ongunstig	0,00	**0,00**	**690,53**	0,00	0,00	0,00	0,0	0,0
S_P_8/N98	high max Wnd ;225° - EG_ongunstig	**0,00**	**0,00**	270,98	**0,00**	**0,00**	**0,00**	0,0	0,0
S_P_8/N98	low max Wnd ;135° - EG_gunstig	0,00	0,00	**-176,00**	0,00	0,00	0,00	0,0	0,0
S_P_7/N97	low max Wnd ;135° - EG_gunstig	0,00	0,00	**-176,00**	0,00	0,00	0,00	0,0	0,0
S_P_7/N97	high max Wnd ;315° - EG_ongunstig	**0,00**	**0,00**	**734,74**	**0,00**	**0,00**	**0,00**	0,0	0,0
S_P_7/N97	low max Wnd ;315° - EG_gunstig	**0,00**	0,00	694,62	0,00	0,00	**0,00**	0,0	0,0
S_P_9/N108	high max Wnd ;135° - EG_ongunstig	**0,00**	**0,00**	476,95	0,00	0,00	0,00	0,0	0,0
S_P_9/N108	low max Wnd ;315° - EG_gunstig	0,00	**0,00**	**-176,00**	0,00	0,00	0,00	0,0	0,0
S_P_9/N108	low max Wnd ;135° - EG_gunstig	0,00	0,00	**482,16**	**0,00**	**0,00**	**0,00**	0,0	0,0
S_P_9/N108	high max Wnd ;45° - EG_ongunstig	**0,00**	0,00	143,56	0,00	0,00	**0,00**	0,0	0,0
S_X_9/N102	high max Wnd ;315° - EG_ongunstig	**0,00**	**0,00**	337,70	**0,00**	**0,00**	**0,00**	0,0	0,0
S_X_9/N102	low max Wnd ;45° - EG_gunstig	0,00	0,00	**-176,00**	0,00	0,00	0,00	0,0	0,0
S_X_9/N102	high max Wnd ;225° - EG_ongunstig	0,00	0,00	**722,40**	0,00	0,00	0,00	0,0	0,0
S_X_9/N102	low max Wnd ;225° - EG_gunstig	**0,00**	0,00	685,72	0,00	0,00	**0,00**	0,0	0,0
S_X_8/N101	high max Wnd ;225° - EG_ongunstig	0,00	**0,00**	**674,03**	0,00	0,00	0,00	0,0	0,0
S_X_8/N101	low max Wnd ;225° - EG_gunstig	**0,00**	**0,00**	637,50	**0,00**	**0,00**	**0,00**	0,0	0,0
S_X_8/N101	low max Wnd ;45° - EG_gunstig	0,00	0,00	**-176,00**	0,00	0,00	**0,00**	0,0	0,0
S_X_7/N99	low max Wnd ;135° - EG_gunstig	**0,00**	0,00	131,23	**0,00**	**0,00**	**0,00**	0,0	0,0
S_X_7/N99	low max Wnd ;225° - EG_gunstig	0,00	**0,00**	**-176,00**	0,00	0,00	0,00	0,0	0,0
S_X_7/N99	low max Wnd ;45° - EG_gunstig	0,00	0,00	**492,22**	0,00	0,00	0,00	0,0	0,0
S_X_7/N99	high max Wnd ;45° - EG_ongunstig	**0,00**	**0,00**	490,91	0,00	0,00	**0,00**	0,0	0,0

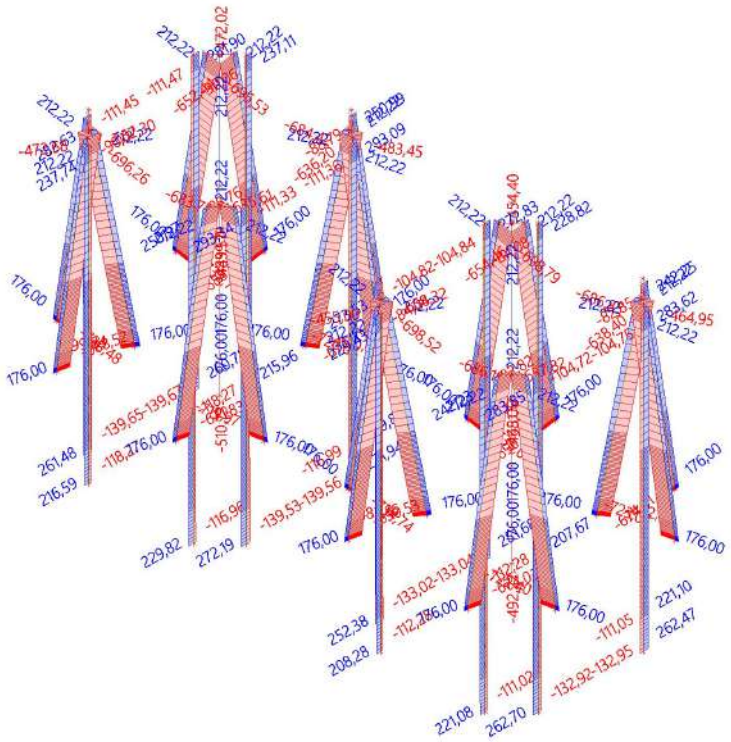
Naam	Belasting	R_x [kN]	R_y [kN]	R_z [kN]	M_x [kNm]	M_y [kNm]	M_z [kNm]	e_x [mm]	e_y [mm]
S_XY_8/N104	high max Wnd ;135° - EG_ongunstig	0,00	**0,00**	**674,61**	0,00	0,00	0,00	0,0	0,0
S_XY_8/N104	high max Wnd ;225° - EG_ongunstig	**0,00**	**0,00**	83,06	**0,00**	**0,00**	**0,00**	0,0	0,0
S_XY_8/N104	low max Wnd ;315° - EG_gunstig	0,00	0,00	**-176,00**	0,00	0,00	0,00	0,0	0,0
S_XY_7/N103	low max Wnd ;315° - EG_gunstig	0,00	0,00	**-176,00**	0,00	0,00	0,00	0,0	0,0
S_XY_7/N103	high max Wnd ;135° - EG_ongunstig	**0,00**	**0,00**	**723,07**	**0,00**	**0,00**	**0,00**	0,0	0,0
S_XY_7/N103	low max Wnd ;135° - EG_gunstig	**0,00**	0,00	686,36	0,00	0,00	**0,00**	0,0	0,0
S_XY_9/N105	high max Wnd ;315° - EG_ongunstig	**0,00**	**0,00**	490,68	**0,00**	**0,00**	**0,00**	0,0	0,0
S_XY_9/N105	low max Wnd ;135° - EG_gunstig	0,00	**0,00**	**-176,00**	0,00	0,00	0,00	0,0	0,0
S_XY_9/N105	low max Wnd ;315° - EG_gunstig	**0,00**	0,00	**492,11**	0,00	0,00	**0,00**	0,0	0,0
S_Y_23/N100	low max Wnd ;225° - EG_gunstig	0,00	0,00	**-176,00**	0,00	0,00	0,00	0,0	0,0
S_Y_23/N100	high max Wnd ;45° - EG_ongunstig	**0,00**	**0,00**	**735,00**	**0,00**	**0,00**	**0,00**	0,0	0,0
S_Y_23/N100	low max Wnd ;45° - EG_gunstig	**0,00**	0,00	694,81	0,00	0,00	**0,00**	0,0	0,0
S_Y_24/N106	low max Wnd ;225° - EG_gunstig	0,00	0,00	**-176,00**	0,00	0,00	0,00	0,0	0,0
S_Y_24/N106	high max Wnd ;45° - EG_ongunstig	**0,00**	**0,00**	**690,68**	**0,00**	**0,00**	**0,00**	0,0	0,0
S_Y_24/N106	low max Wnd ;45° - EG_gunstig	0,00	**0,00**	649,62	0,00	0,00	**0,00**	0,0	0,0
S_Y_25/N107	high max Wnd ;225° - EG_ongunstig	**0,00**	0,00	476,30	**0,00**	**0,00**	**0,00**	0,0	0,0
S_Y_25/N107	low max Wnd ;225° - EG_gunstig	0,00	**0,00**	**481,56**	0,00	0,00	0,00	0,0	0,0
S_Y_25/N107	low max Wnd ;45° - EG_gunstig	**0,00**	**0,00**	**-176,00**	0,00	0,00	**0,00**	0,0	0,0
S_Y_26/N111	high max Wnd ;315° - EG_ongunstig	**0,00**	**0,00**	**111,02**	**0,00**	**0,00**	**0,00**	0,0	0,0
S_Y_26/N111	low max Wnd ;45° - EG_gunstig	0,00	0,00	**-221,08**	0,00	0,00	**0,00**	0,0	0,0
S_Y_27/N112	high max Wnd ;315° - EG_ongunstig	**0,00**	**0,00**	**132,92**	**0,00**	**0,00**	**0,00**	0,0	0,0
S_Y_27/N112	low max Wnd ;45° - EG_gunstig	0,00	0,00	**-262,70**	0,00	0,00	**0,00**	0,0	0,0

Naam	Belasting	R_x [kN]	R_y [kN]	R_z [kN]	M_x [kNm]	M_y [kNm]	M_z [kNm]	e_x [mm]	e_y [mm]
S_Y_28/N114	low max Wnd ;135° - EG_gunstig	0,00	0,00	**-208,28**	0,00	0,00	0,00	0,0	0,0
S_Y_28/N114	high max Wnd ;225° - EG_ongunstig	**0,00**	**0,00**	**112,28**	**0,00**	**0,00**	**0,00**	0,0	0,0
S_Y_29/N116	low max Wnd ;135° - EG_gunstig	0,00	0,00	**-252,38**	0,00	0,00	0,00	0,0	0,0
S_Y_29/N116	high max Wnd ;225° - EG_ongunstig	**0,00**	**0,00**	**133,02**	**0,00**	**0,00**	**0,00**	0,0	0,0
S_Y_30/N118	low max Wnd ;225° - EG_gunstig	0,00	0,00	**-207,67**	0,00	0,00	0,00	0,0	0,0
S_Y_30/N118	high max Wnd ;135° - EG_ongunstig	**0,00**	**0,00**	**112,28**	**0,00**	**0,00**	**0,00**	0,0	0,0
S_Y_31/N120	low max Wnd ;225° - EG_gunstig	0,00	0,00	**-251,68**	0,00	0,00	0,00	0,0	0,0
S_Y_31/N120	high max Wnd ;135° - EG_ongunstig	**0,00**	**0,00**	**133,04**	**0,00**	**0,00**	**0,00**	0,0	0,0
S_Y_33/N124	low max Wnd ;315° - EG_gunstig	0,00	0,00	**-262,47**	0,00	0,00	0,00	0,0	0,0
S_Y_33/N124	high max Wnd ;45° - EG_ongunstig	**0,00**	**0,00**	**132,95**	**0,00**	**0,00**	**0,00**	0,0	0,0
S_Y_32/N122	low max Wnd ;315° - EG_gunstig	0,00	0,00	**-221,10**	0,00	0,00	0,00	0,0	0,0
S_Y_32/N122	high max Wnd ;45° - EG_ongunstig	**0,00**	**0,00**	**111,05**	**0,00**	**0,00**	**0,00**	0,0	0,0

7.2. Krachten van de Funderingspalen

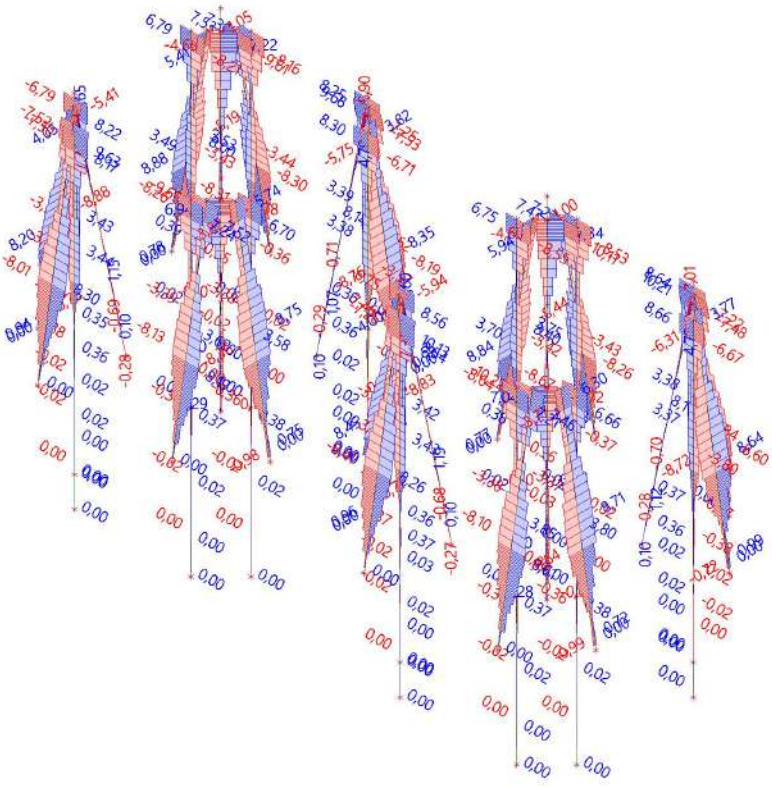
7.2.1. Interne 1D- krachten; N

Values: **N**
Nonlinear calculation
Class: ALL Non-linear
Coordinate system: Principal
Extreme 1D: Local
Selection: All
Filter: Layer = Palen



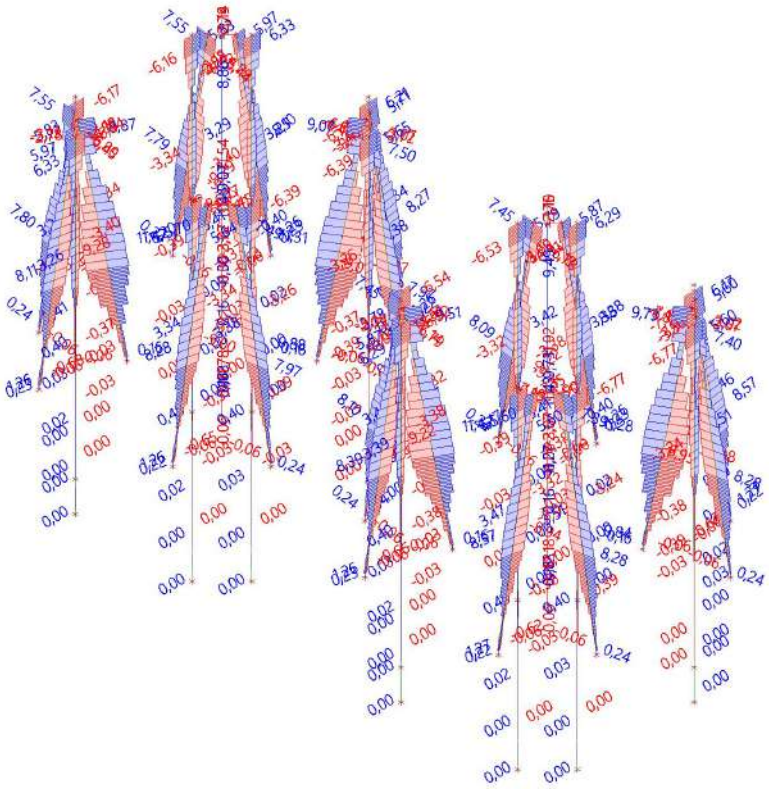
7.2.2. Interne 1D- krachten; V_y

Values: **V_y**
Nonlinear calculation
Class: ALL Non-linear
Coordinate system: Principal
Extreme 1D: Local
Selection: All
Filter: Layer = Palen



7.2.3. Interne 1D- krachten; V_z

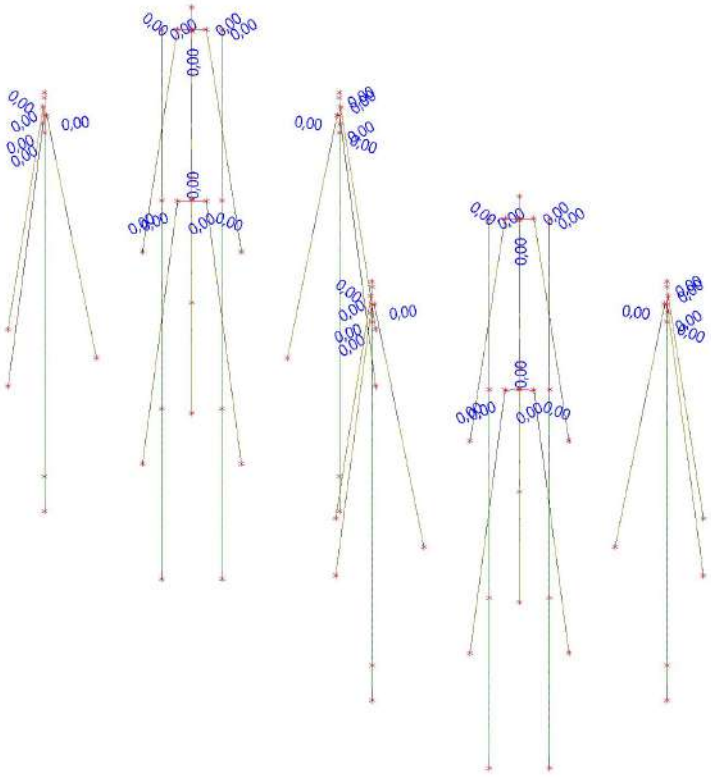
Values: V_z
Nonlinear calculation
Class: ALL Non-linear
Coordinate system: Principal
Extreme 1D: Local
Selection: All
Filter: Layer = Palen





7.2.4. Interne 1D- krachten; M_x

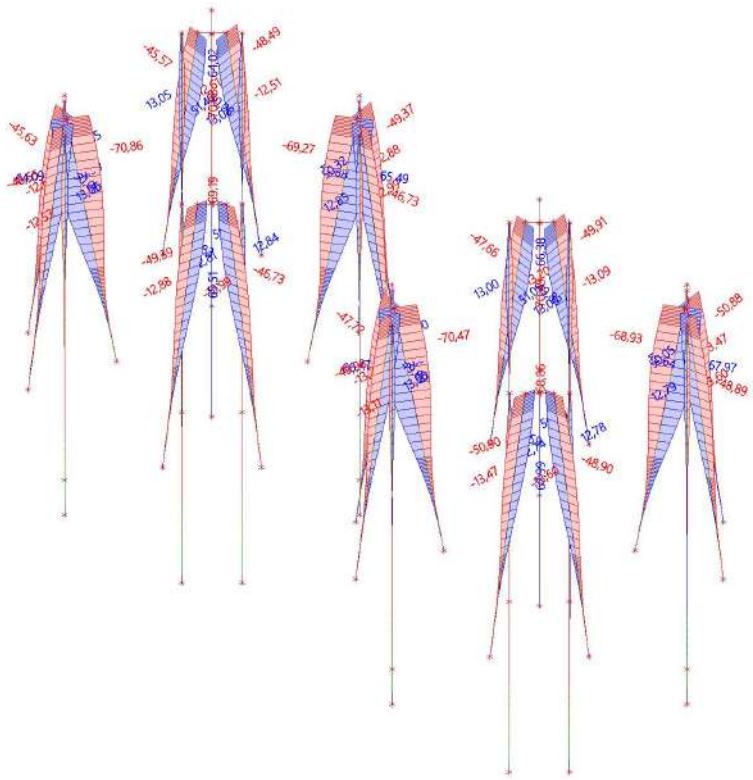
Values: M_x
Nonlinear calculation
Class: ALL Non-linear
Coordinate system: Principal
Extreme 1D: Local
Selection: All
Filter: Layer = Palen





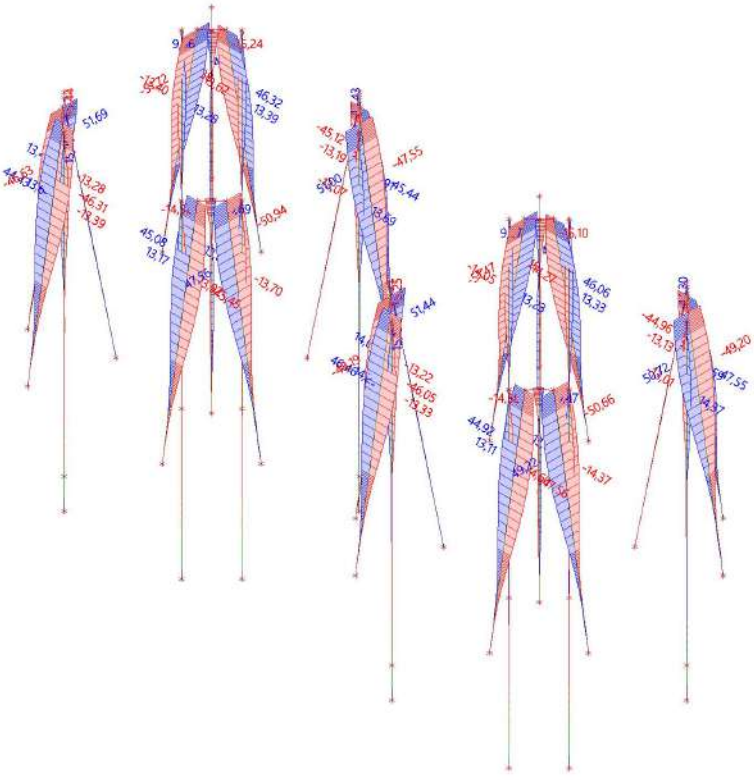
7.2.5. Interne 1D- krachten; M_y

Values: M_y
Nonlinear calculation
Class: ALL Non-linear
Coordinate system: Principal
Extreme 1D: Member
Selection: All
Filter: Layer = Palen



7.2.6. Interne 1D- krachten; M_z

Values: M_z
Nonlinear calculation
Class: ALL Non-linear
Coordinate system: Principal
Extreme 1D: Member
Selection: All
Filter: Layer = Palen



7.2.7. Interne 1D-krachten

Niet-lineaire berekening
Klasse: ALL Non-linear
Coördinatenstelsel: Hoofd
Extreme 1D: Globaal
Selectie: Alle
Filter: Doorsnede = Paal 40x40 - Rectangle (400,00; 400,00)

Naam	dx [m]	Belasting	Doorsnede	N [kN]	V_y [kN]	V_z [kN]	M_x [kNm]	M_y [kNm]	M_z [kNm]
Paal_Y_7	13,000	high max Wnd ;45° - EG_ongunstig	Paal 40x40 - Rectangle (400,00; 400,00)	**-735,00**	0,00	0,24	0,00	0,00	0,00
Paal_P_3	0,000	high max Wnd ;135° - EG_ongunstig	Paal 40x40 - Rectangle (400,00; 400,00)	**212,22**	8,70	-1,41	**0,00**	-42,28	21,42
Paal_X_24	0,000	low max Wnd ;45° - EG_gunstig	Paal 40x40 - Rectangle (400,00; 400,00)	203,16	**-10,22**	-3,55	0,00	-45,19	-24,87
Paal_XY_7	0,000	low max Wnd ;315° - EG_gunstig	Paal 40x40 - Rectangle (400,00; 400,00)	203,16	**10,21**	-3,56	0,00	-45,15	24,91
Paal_X_25	7,125+	low max Wnd ;45° - EG_gunstig	Paal 40x40 - Rectangle (400,00; 400,00)	-480,86	-0,80	**-12,18**	0,00	38,70	4,40
Paal_P_2	6,250+	low max Wnd ;315° - EG_gunstig	Paal 40x40 - Rectangle (400,00; 400,00)	189,19	-0,28	**11,47**	0,00	-40,08	2,11
Paal_Y_2	1,875-	high max Wnd ;45° - EG_ongunstig	Paal 40x40 - Rectangle (400,00; 400,00)	208,21	-2,52	-0,59	0,00	**-70,88**	0,67
Paal_X_25	2,750-	low max Wnd ;45° - EG_gunstig	Paal 40x40 - Rectangle (400,00; 400,00)	-469,89	4,12	2,86	0,00	**67,99**	1,56
Paal_Y_3	1,875-	high max Wnd ;45° - EG_ongunstig	Paal 40x40 - Rectangle (400,00; 400,00)	-700,53	-2,10	5,11	0,00	48,73	**-51,72**
Paal_P_1	1,875-	high max Wnd ;315° - EG_ongunstig	Paal 40x40 - Rectangle (400,00; 400,00)	-700,27	2,10	5,11	0,00	48,71	**51,69**

7.2.8. Interne 1D-krachten

Niet-lineaire berekening
Klasse: ALL Non-linear
Coördinatenstelsel: Hoofd
Extreme 1D: Globaal
Selectie: Alle
Filter: Doorsnede = LEKA Paal - type e (CHS219.1/10.0)

Naam	dx [m]	Belasting	Doorsnede	N [kN]	V_y [kN]	V_z [kN]	M_x [kNm]	M_y [kNm]	M_z [kNm]
Paal_X_9	20,020	high max Wnd ;135° - EG_ongunstig	LEKA Paal - type e (CHS219.1/10.0)	**-139,67**	0,00	0,00	0,00	0,00	0,00
Paal_X_5	0,000	low max Wnd ;45° - EG_gunstig	LEKA Paal - type e (CHS219.1/10.0)	**293,34**	-8,31	-6,39	**0,00**	-0,14	5,11

Naam	dx [m]	Belasting	Doorsnede	N [kN]	V_y [kN]	V_z [kN]	M_x [kNm]	M_y [kNm]	M_z [kNm]
Paal_X_27	0,000	low max Wnd ;45° - EG_gunstig	LEKA Paal - type e (CHS219.1/10.0)	283,85	**-8,67**	-6,77	0,00	0,30	5,45
Paal_X_32	0,000	low max Wnd ;315° - EG_gunstig	LEKA Paal - type e (CHS219.1/10.0)	283,62	**8,66**	-6,77	0,00	0,32	-5,43
Paal_X_33	0,000	low max Wnd ;315° - EG_gunstig	LEKA Paal - type e (CHS219.1/10.0)	242,25	8,64	**-7,15**	0,00	1,68	-5,08
Paal_X_8	0,000	low max Wnd ;45° - EG_gunstig	LEKA Paal - type e (CHS219.1/10.0)	-30,35	7,30	**6,33**	0,00	0,43	-2,24
Paal_X_32	3,625-	low max Wnd ;315° - EG_gunstig	LEKA Paal - type e (CHS219.1/10.0)	280,25	1,56	-0,32	0,00	**-13,60**	14,37
Paal_X_8	3,625-	low max Wnd ;45° - EG_gunstig	LEKA Paal - type e (CHS219.1/10.0)	-33,72	0,71	0,09	0,00	**13,07**	13,39
Paal_X_26	3,625-	low max Wnd ;45° - EG_gunstig	LEKA Paal - type e (CHS219.1/10.0)	238,86	-1,52	-0,59	0,00	-13,47	**-14,60**
Paal_X_33	3,625-	low max Wnd ;315° - EG_gunstig	LEKA Paal - type e (CHS219.1/10.0)	238,88	1,51	-0,60	0,00	-13,47	**14,59**

7.3. Krachten van de Poeren

7.3.1. Interne 1D-krachten

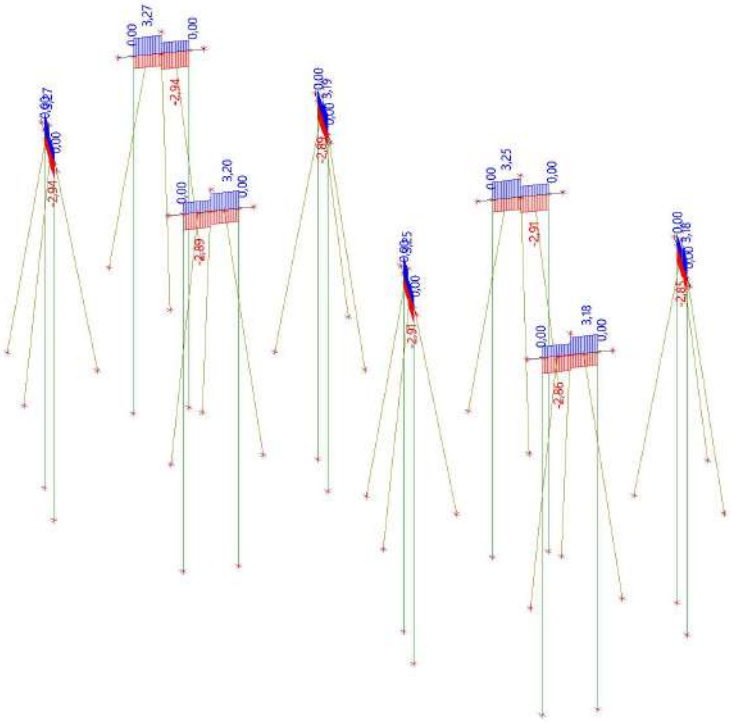
Niet-lineaire berekening
Klasse: ALL Non-linear
Coördinatenstelsel: Hoofd
Extreme 1D: Globaal
Selectie: Alle
Filter: Laag = Poeren

Naam	dx [m]	Belasting	N [kN]	V_y [kN]	V_z [kN]	M_x [kNm]	M_y [kNm]	M_z [kNm]
Poer X	1,200	low max Wnd ;45° - EG_gunstig	**717,22**	-174,48	-14,50	**0,00**	0,00	0,00
Poer X	0,000	low max Wnd ;45° - EG_gunstig	687,45	**-174,48**	-14,50	0,00	17,40	**209,37**
Poer Y	0,000	high max Wnd ;315° - EG_ongunstig	59,74	-17,25	**-29,30**	0,00	**35,16**	20,70
Poer P	0,000	high max Wnd ;45° - EG_ongunstig	60,87	-17,52	**29,28**	0,00	**-35,14**	21,02
Poer Y	0,000	high max Wnd ;45° - EG_ongunstig	**-955,69**	**229,40**	13,04	0,00	-15,65	**-275,28**

7.4. Krachten van de Funderingsbalken

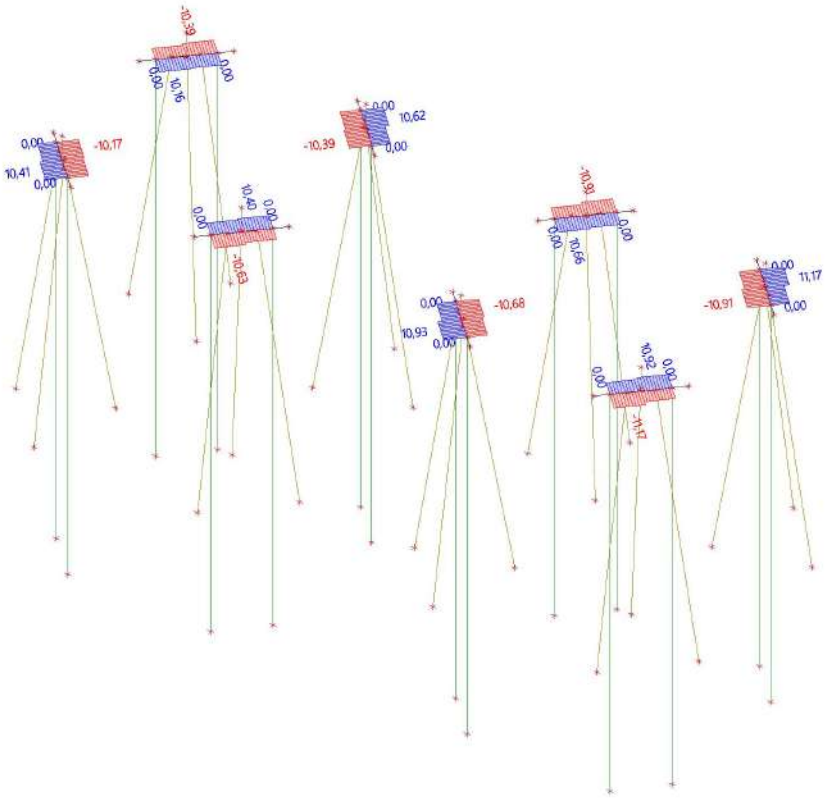
7.4.1. Interne 1D- krachten; N

Values: **N**
Nonlinear calculation
Class: ALL Non-linear
Coordinate system: Principal
Extreme 1D: Local
Selection: All
Filter: Layer = Lijnpoer



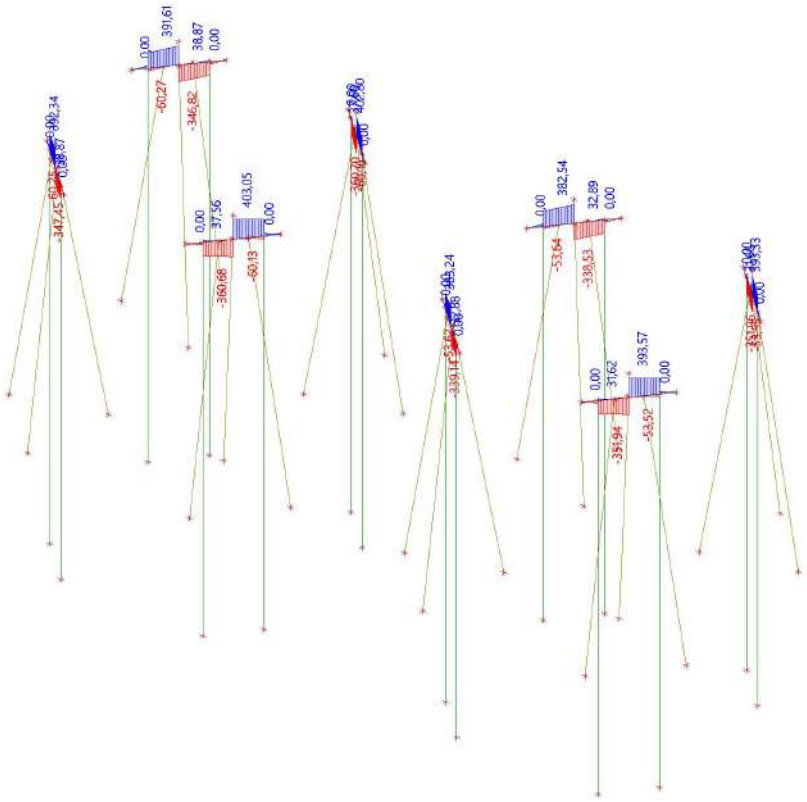
7.4.2. Interne 1D- krachten; V_y

Values: **V_y**
Nonlinear calculation
Class: ALL Non-linear
Coordinate system: Principal
Extreme 1D: Local
Selection: All
Filter: Layer = Lijnpoer



7.4.3. Interne 1D- krachten; V_z

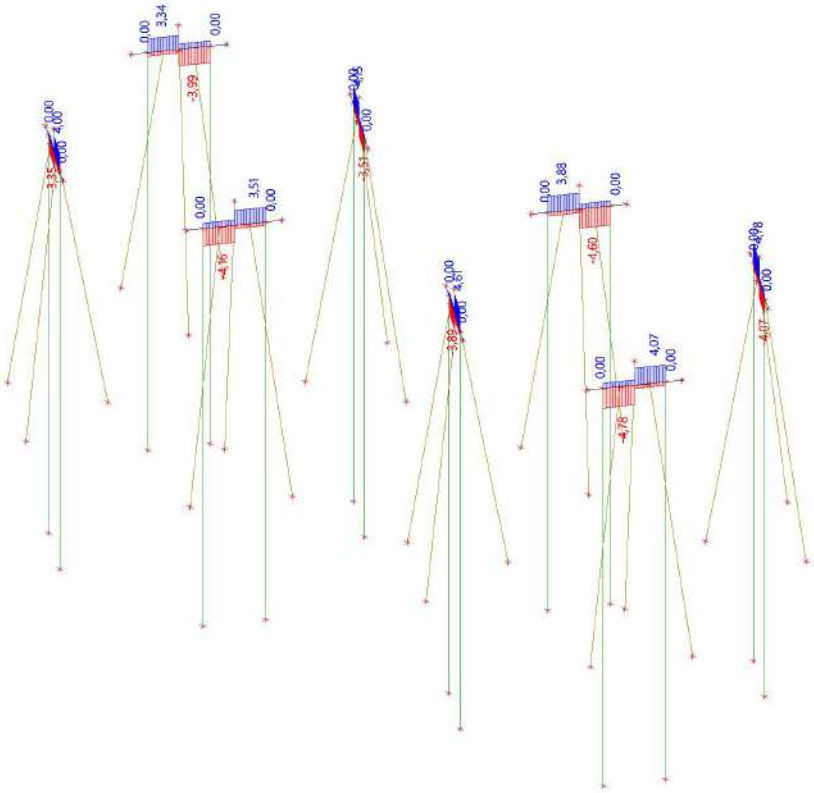
Values: V_z
Nonlinear calculation
Class: ALL Non-linear
Coordinate system: Principal
Extreme 1D: Local
Selection: All
Filter: Layer = Lijnpoer





7.4.4. Interne 1D- krachten; M_x

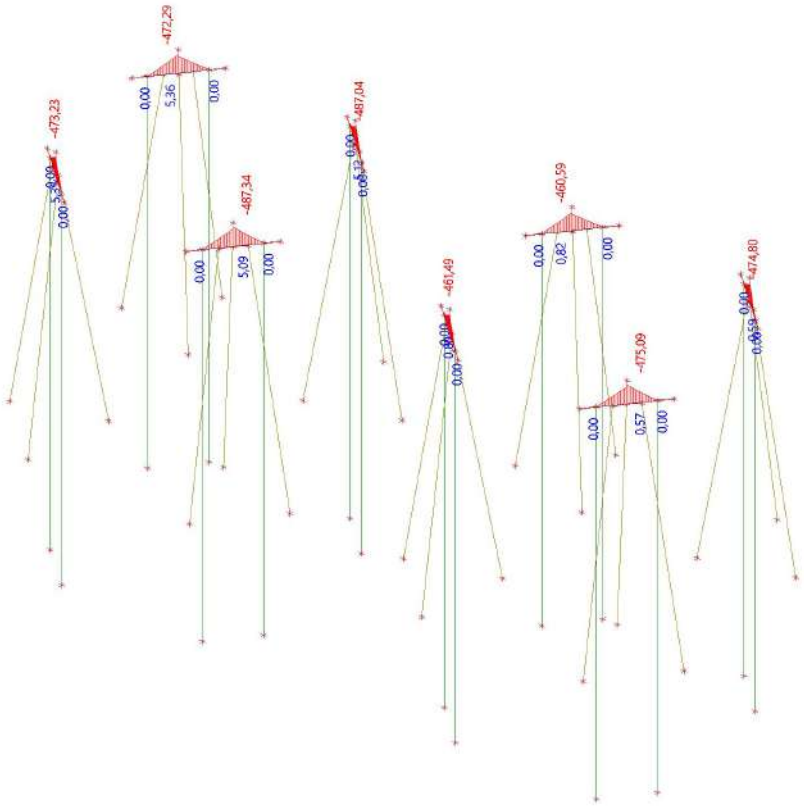
Values: M_x
Nonlinear calculation
Class: ALL Non-linear
Coordinate system: Principal
Extreme 1D: Local
Selection: All
Filter: Layer = Lijnpoer





7.4.5. Interne 1D- krachten; M_y

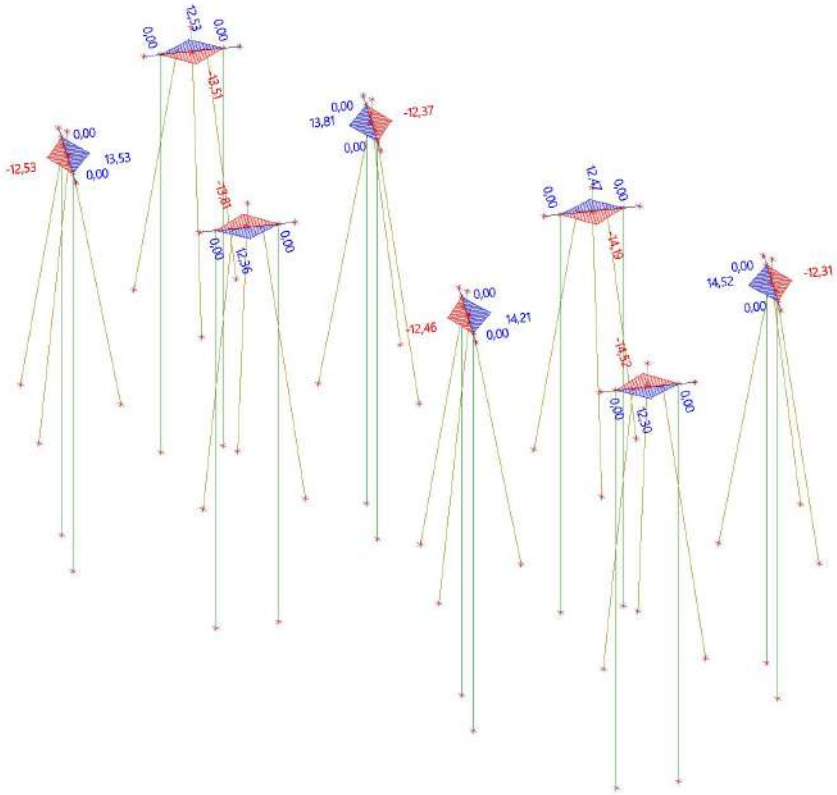
Values: M_y
Nonlinear calculation
Class: ALL Non-linear
Coordinate system: Principal
Extreme 1D: Local
Selection: All
Filter: Layer = Lijnpoer





7.4.6. Interne 1D- krachten; M_z

Values: M_z
Nonlinear calculation
Class: ALL Non-linear
Coordinate system: Principal
Extreme 1D: Local
Selection: All
Filter: Layer = Lijnpoer





7.4.7. Interne 1D-krachten

Niet-lineaire berekening
Klasse: ALL Non-linear
Coördinatenstelsel: Hoofd
Extreme 1D: Globaal
Selectie: Alle
Filter: Doorsnede = lijnpoer - Rectangle (1100,00; 2260,00)

Naam	dx [m]	Belasting	Doorsnede	N [kN]	V_y [kN]	V_z [kN]	M_x [kNm]	M_y [kNm]	M_z [kNm]
Paal19	0,700+	low max Wnd ;315° - EG_gunstig	lijnpoer - Rectangle (1100,00; 2260,00)	**-2,94**	-2,00	2,46	-1,23	-18,41	0,00
Paal19	2,000+	low max Wnd ;315° - EG_gunstig	lijnpoer - Rectangle (1100,00; 2260,00)	**3,27**	1,00	101,62	-0,62	-93,72	-1,30
Paal20	2,000-	low max Wnd ;315° - EG_gunstig	lijnpoer - Rectangle (1100,00; 2260,00)	-1,05	10,62	**-360,70**	4,15	-438,44	13,81
Paal15	2,000+	low max Wnd ;45° - EG_gunstig	lijnpoer - Rectangle (1100,00; 2260,00)	1,36	10,40	**403,05**	3,51	**-487,34**	-13,51
Paal19	2,390	low max Wnd ;135° - EG_gunstig	lijnpoer - Rectangle (1100,00; 2260,00)	-2,26	-2,75	-0,57	1,71	**5,36**	2,50
Paal25	2,000-	low max Wnd ;45° - EG_gunstig	lijnpoer - Rectangle (1100,00; 2260,00)	-1,05	**-11,17**	-351,94	**-4,78**	-427,03	**-14,52**
Paal28	2,000-	low max Wnd ;315° - EG_gunstig	lijnpoer - Rectangle (1100,00; 2260,00)	-1,05	**11,17**	-351,96	**4,78**	-427,04	**14,52**

1. Table of contents

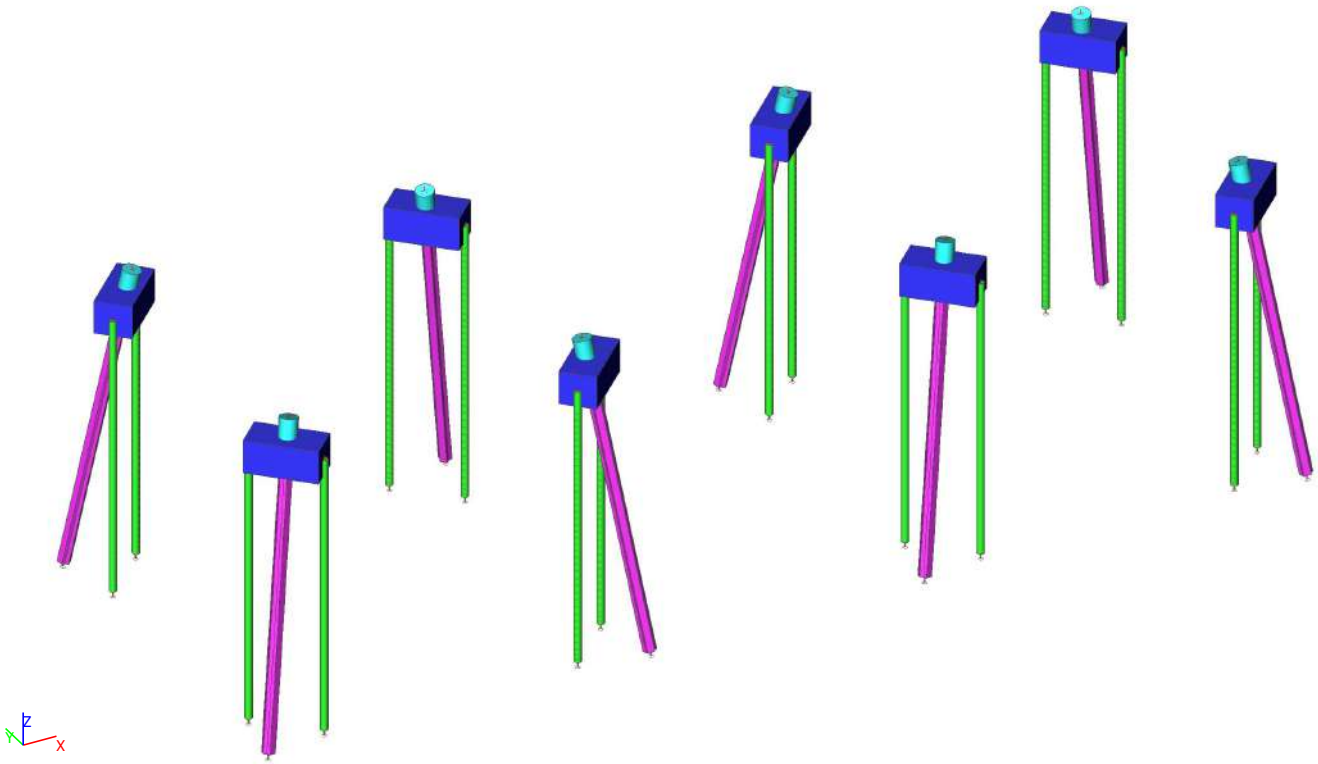
1. Table of contents 1
2. Project 3
3. Analyse model 3
4. Modeleigenschappen 4
4.1. Materials 4
4.2. Cross-sections 4
4.3. Analyse model met doorsneden 7
4.4. Analyse model met doorsneden 7
4.5. Mesh setup 8
5. Geometrie 8
5.1. Nodes 8
5.2. Analyse model met knopen 9
5.3. Members 9
5.4. Analyse model met Staven 10
5.5. Nodal supports 10
5.6. Analyse model met Knoopondersteuningen 11
5.7. Line supports on member 11
5.8. Analyse model met Lijnondersteuningen 16
5.9. Analyse model met Lijnondersteuningen 17
5.10. Nonlinear functions 17
6. Belastingen 26
6.1. Load cases 26
6.1.1. Load cases - EG_Fundering 26
6.1.2. Load cases - high max Wnd ;45° 26
6.1.2.1. Point force in node 27
6.1.3. Load cases - high max Wnd ;315° 28
6.1.3.1. Point force in node 29
6.1.4. Load cases - high max Wnd ;135° 29
6.1.4.1. Point force in node 30
6.1.5. Load cases - high max Wnd ;225° 31
6.1.5.1. Point force in node 32
6.1.6. Load cases - low max Wnd ;45° 32
6.1.6.1. Point force in node 33
6.1.7. Load cases - low max Wnd ;225° 34
6.1.7.1. Point force in node 35
6.1.8. Load cases - low max Wnd ;135° 35
6.1.8.1. Point force in node 36
6.1.9. Load cases - low max Wnd ;315° 37
6.1.9.1. Point force in node 38
6.2. Nonlinear combinations 38
6.3. Result classes 39
7. Resultaten 40
7.1. Reacties van de palen 40
7.1.1. Reactions; R_z 40
7.1.2. Reactions 40
7.1.3. Reactions 40
7.1.4. Reactions 41
8. Krachten van de Funderingspalen 44
8.1. Interne 1D- krachten; N 44
8.2. Interne 1D- krachten; V_y 44
8.3. Interne 1D- krachten; V_z 45
8.4. Interne 1D- krachten; M_x 45
8.5. Interne 1D- krachten; M_y 46
8.6. Interne 1D- krachten; M_z 46
8.7. 1D internal forces 47
8.8. 1D internal forces 47
9. Krachten van de Poeren 48
9.1. 1D internal forces 48
10. Krachten van de Funderingsbalken 49
10.1. Interne 1D- krachten; N 49
10.2. Interne 1D- krachten; V_y 49
10.3. Interne 1D- krachten; V_z 50
10.4. Interne 1D- krachten; M_x 50
10.5. Interne 1D- krachten; M_y 51
10.6. Interne 1D- krachten; M_z 51

10.7. 1D internal forces 52

2. Project

Licence user	[redacted]
Project	Opwaardering KIJ-BVW 380kV
Part	Cilinder 75 + palen S III 86 + 142
Author	[redacted]
Date	7-05-2026
Structure	General XYZ
No. of nodes :	56
No. of beams :	40
No. of slabs :	0
No. of solids :	0
No. of used profiles :	4
No. of load cases :	9
No. of used materials :	8
Acceleration of gravity [m/s^2]	9,807
National code	EC - EN

3. Analyse model



4. Modeleigenschappen

4.1. Materials

Steel EC3

Name	ρ [kg/m³]	E_{mod} [MPa]	μ [-]	Lower limit [mm]	Upper limit [mm]	F_y [MPa]	F_u [MPa]	Colour
		G_{mod} [MPa]	α [m/mK]					
S 235	6850,00	2,1000e+05	0,30	0,00	40,00	235,0	360,0	
		8,0769e+04	0,01e-003	40,00	80,00	215,0	360,0	
S 235	6850,00	2,1000e+05	0,30	0,00	40,00	235,0	360,0	
		8,0769e+04	0,01e-003	40,00	80,00	215,0	360,0	
S 235	6850,00	2,1000e+05	0,30	0,00	40,00	235,0	360,0	
		8,0769e+04	0,01e-003	40,00	80,00	215,0	360,0	

Name	Type	ρ [kg/m³]	Density in fresh state [kg/m³]	E_{mod} [MPa]	μ [-]	α [m/mK]	$f_{c.k.28}$ [MPa]	Colour
C12/15 Gescheurd	Concrete	2500,00	2600,00	9,0000e+03	0,23	0,01e-003	12,00	
C30/37 Gescheurd	Concrete	1500,00	2600,00	1,1000e+04	0,20	0,01e-003	30,00	
C30/37	Concrete	1500,00	2600,00	1,0900e+04	0,20	0,01e-003	30,00	
C12/15 Gescheurd	Concrete	1500,00	2600,00	7,0000e+03	0,20	0,01e-003	12,00	

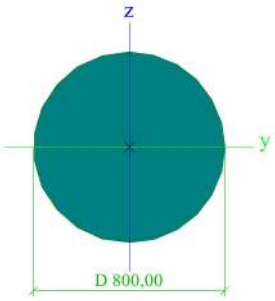
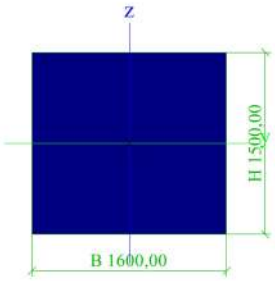
Explanations of symbols	
Density in fresh state	The value in the density in fresh state property is used only in case a composite deck is input and its self-weight load is taken into account.

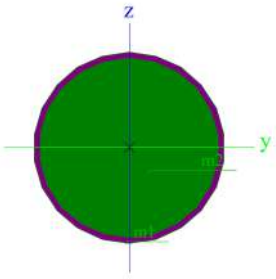
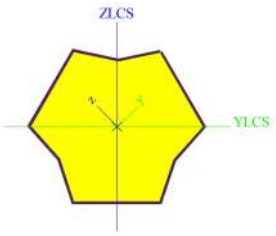
Reinforcement EC2

Name	Type	ρ [kg/m³]	E_{mod} [MPa]	G_{mod} [MPa]	α [m/mK]	$f_{y.k}$ [MPa]
B 400A	Reinforcement steel	7850,00	2,0000e+05	8,3333e+04	0,01e-003	400,0

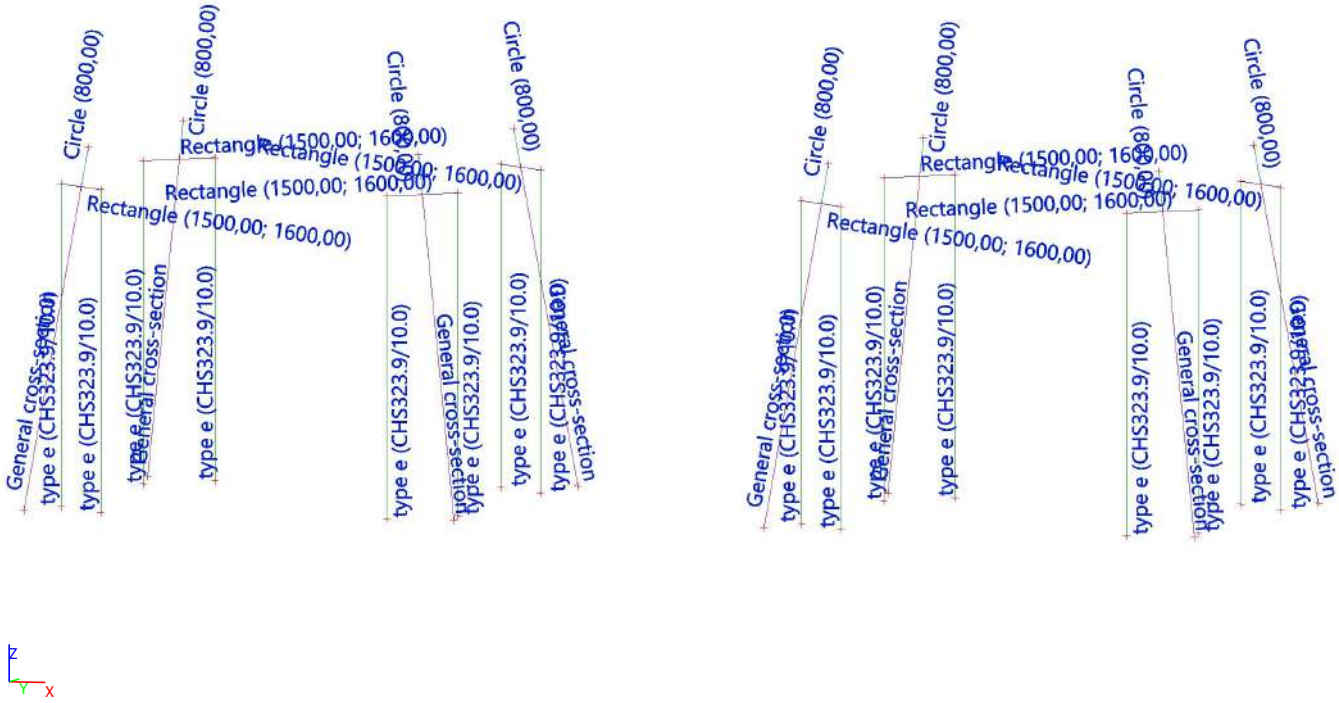
4.2. Cross-sections

Poer800		
Type	Circle	
Detailed	800,00	
Shape type	Thick-walled	
Item material	C12/15 Gescheurd	
Fabrication	general	
Colour		
A [mm²]	5,0265e+05	
A_y [mm²], A_z [mm²]	4,5239e+05	4,5239e+05
A_L [m²/m], A_D [m²/m]	2,5131e+00	2,5131e+00
$c_{Y.UCS}$ [mm], $c_{Z.UCS}$ [mm]	400,00	400,00
α [deg]	0,00	
I_y [mm⁴], I_z [mm⁴]	2,0106e+10	2,0106e+10
i_y [mm], i_z [mm]	199,98	199,98
$W_{el.y}$ [mm³], $W_{el.z}$ [mm³]	5,0265e+07	5,0265e+07
$W_{pl.y}$ [mm³], $W_{pl.z}$ [mm³]	8,5333e+07	8,5333e+07
$M_{pl.y.+}$ [Nmm], $M_{pl.y.-}$ [Nmm]	0,00	0,00
$M_{pl.z.+}$ [Nmm], $M_{pl.z.-}$ [Nmm]	0,00	0,00
d_y [mm], d_z [mm]	0,00	0,00
I_t [mm⁴], I_w [mm⁶]	4,0212e+10	0,0000e+00
β_y [mm], β_z [mm]	0,00	0,00

Picture		
lijnpoer		
Type	Rectangle	
Detailed	1500,00; 1600,00	
Shape type	Thick-walled	
Item material	C30/37 Gescheurd	
Fabrication	concrete	
Colour		
A [mm²]	2,4000e+06	
A_y [mm²], A_z [mm²]	2,0007e+06	2,0008e+06
A_L [m²/m], A_D [m²/m]	6,2000e+00	6,2000e+00
$c_{Y.UCS}$ [mm], $c_{Z.UCS}$ [mm]	800,00	750,00
α [deg]	0,00	
I_y [mm⁴], I_z [mm⁴]	4,5000e+11	5,1200e+11
i_y [mm], i_z [mm]	433,01	461,88
$W_{el.y}$ [mm³], $W_{el.z}$ [mm³]	6,0000e+08	6,4000e+08
$W_{pl.y}$ [mm³], $W_{pl.z}$ [mm³]	0,0000e+00	0,0000e+00
$M_{pl.y.+}$ [Nmm], $M_{pl.y.-}$ [Nmm]	0,00	0,00
$M_{pl.z.+}$ [Nmm], $M_{pl.z.-}$ [Nmm]	0,00	0,00
d_y [mm], d_z [mm]	0,00	0,00
I_t [mm⁴], I_w [mm⁶]	8,0849e+11	2,2447e+15
β_y [mm], β_z [mm]	0,00	0,00
Picture		
LEKA Paal		
Type	type e	
Detailed	CHS323.9/10.0	
Shape type	Thick-walled	
Item material	S 235	
	C30/37	
Fabrication	concrete	
Flexural buckling y-y, Flexural buckling z-z	a	a
A [mm²]	1,3624e+04	
A_y [mm²], A_z [mm²]	9,1187e+03	9,1187e+03
A_L [m²/m], A_D [m²/m]	1,0175e+00	1,0175e+00
$c_{Y.UCS}$ [mm], $c_{Z.UCS}$ [mm]	161,95	161,95
α [deg]	0,00	
I_y [mm⁴], I_z [mm⁴]	1,4326e+08	1,4326e+08
i_y [mm], i_z [mm]	102,54	102,54
$W_{el.y}$ [mm³], $W_{el.z}$ [mm³]	8,8458e+05	8,8458e+05
$W_{pl.y}$ [mm³], $W_{pl.z}$ [mm³]	1,1479e+06	1,1479e+06
$M_{pl.y.+}$ [Nmm], $M_{pl.y.-}$ [Nmm]	269749430,18	269749430,18

$M_{pl.z.+}$ [Nmm], $M_{pl.z.-}$ [Nmm]	269749430,18	269749430,18
d_y [mm], d_z [mm]	0,00	0,00
I_t [mm⁴], I_w [mm⁶]	2,9003e+08	2,9935e+04
β_y [mm], β_z [mm]	0,00	0,00
Picture		
LD1(31-plank)		
Type	General cross-section	
Shape type	Thick-walled	
Item material	C12/15 Gescheurd	
	S 235	
Fabrication	concrete	
Flexural buckling y-y, Flexural buckling z-z	d	d
A [mm²]	6,0572e+05	
A_y [mm²], A_z [mm²]	3,6248e+05	3,6314e+05
A_L [m²/m], A_D [m²/m]	1,7651e+00	3,4664e+00
$c_{Y.UCS}$ [mm], $c_{Z.UCS}$ [mm]	553,25	9,99
$I_{Y.LCS}$ [mm⁴], $I_{Z.LCS}$ [mm⁴]	1,6274e+10	1,6264e+10
$I_{YZ.LCS}$ [mm⁴]	-1,0231e+08	
α [deg]	43,55	
I_y [mm⁴], I_z [mm⁴]	1,6372e+10	1,6167e+10
i_y [mm], i_z [mm]	164,40	163,37
$W_{el.y}$ [mm³], $W_{el.z}$ [mm³]	5,7898e+07	5,8163e+07
$W_{pl.y}$ [mm³], $W_{pl.z}$ [mm³]	4,9594e+07	4,9245e+07
$M_{pl.y.+}$ [Nmm], $M_{pl.y.-}$ [Nmm]	601215312,58	595125922,92
$M_{pl.z.+}$ [Nmm], $M_{pl.z.-}$ [Nmm]	597037111,16	590937542,96
d_y [mm], d_z [mm]	0,12	0,03
I_t [mm⁴], I_w [mm⁶]	2,6243e+10	1,7700e+12
β_y [mm], β_z [mm]	0,09	0,21
Picture		

4.3. Analyse model met doorsneden



4.4. Analyse model met doorsneden



4.5. Mesh setup

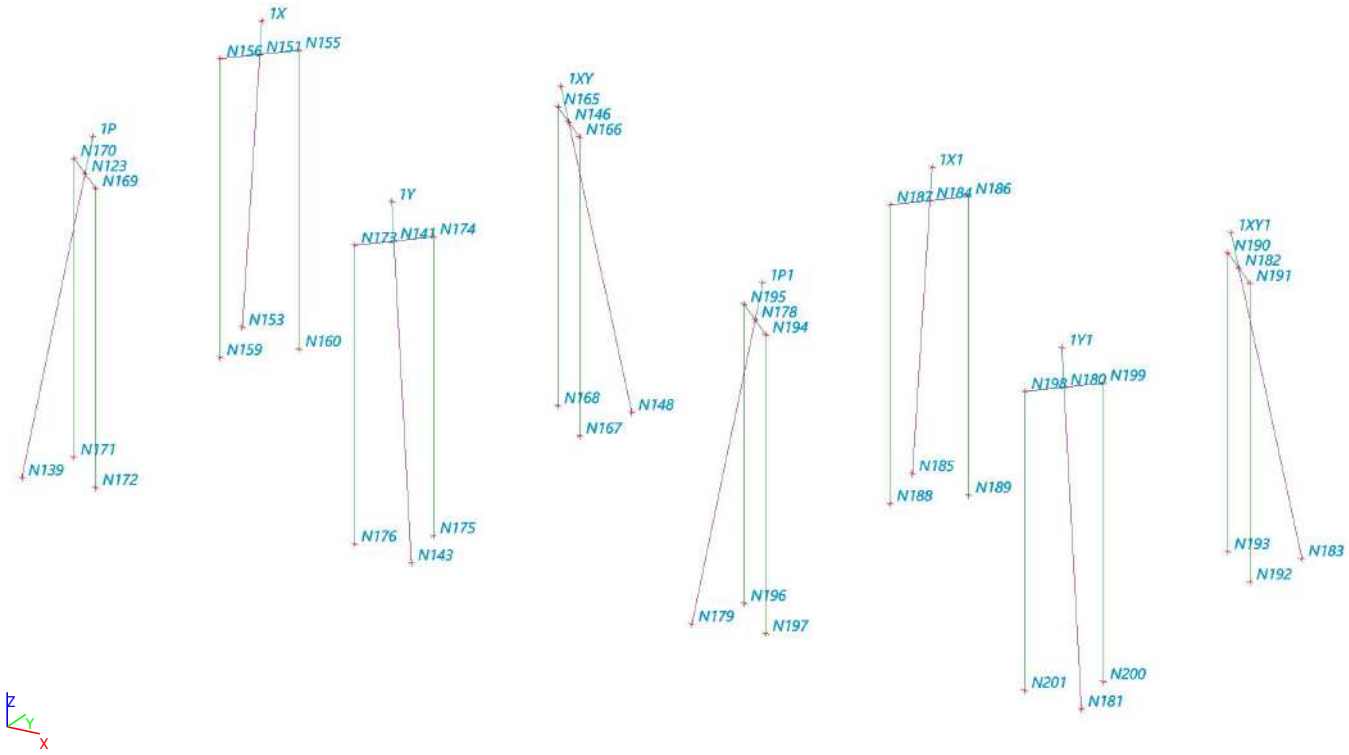
Name	MeshSetup1
Generation of variable eccentricities on members instead of constant ones	×
Generation of nodes in connections of beam elements	×
Elastic mesh	✓
Use automatic mesh refinement	×
Connect members/nodes	✓
Division on haunches and arbitrary members	5
Division for integration strip and 2D-1D upgrade	50
Average number of 1D mesh elements on straight 1D members	1
Average size of 2D mesh element [m]	0,200
Average size of 1D mesh element on curved 1D members [m]	0,100
Minimal length of beam element [m]	0,100
Maximal length of beam element [m]	1000,000
Average size of tendons, elements on subsoil, nonlinear soil spring [m]	1,000
Maximal out of plane angle of a quadrilateral [mrad]	30,0
Minimal distance between definition point and line [m]	0,001
Average size of panel element [m]	1,000
Mesh refinement following the beam type	None
Definition of mesh element size for panels	Manual

5. Geometrie

5.1. Nodes

Name	Coord X [m]	Coord Y [m]	Coord Z [m]
N123	-0,427	-0,433	-0,250
1P	-0,209	-0,212	1,279
N139	-2,232	-2,240	-12,793
N141	13,399	-0,433	-0,250
1Y	13,181	-0,212	1,279
N143	15,204	-2,240	-12,793
N146	13,399	13,405	-0,250
1XY	13,181	13,184	1,279
N148	15,204	15,212	-12,793
N151	-0,427	13,405	-0,250
1X	-0,209	13,184	1,279
N153	-2,232	15,212	-12,793
N155	0,693	14,525	-0,250
N156	-1,560	12,272	-0,250
N159	-1,560	12,272	-12,850
N160	0,693	14,525	-12,850
N165	12,279	14,525	-0,250
N166	14,532	12,272	-0,250
N167	14,532	12,272	-12,850
N168	12,279	14,525	-12,850
N169	0,693	-1,553	-0,250
N170	-1,560	0,700	-0,250
N171	-1,560	0,700	-12,850
N172	0,693	-1,553	-12,850
N173	12,279	-1,553	-0,250
N174	14,532	0,700	-0,250
N175	14,532	0,700	-12,850
N176	12,279	-1,553	-12,850
N178	29,573	-0,433	-0,250
1P1	29,791	-0,212	1,279
N179	27,768	-2,240	-12,793
N180	43,399	-0,433	-0,250
1Y1	43,181	-0,212	1,279
N181	45,204	-2,240	-12,793
N182	43,399	13,405	-0,250
1XY1	43,181	13,184	1,279
N183	45,204	15,212	-12,793
N184	29,573	13,405	-0,250
1X1	29,791	13,184	1,279
N185	27,768	15,212	-12,793
N186	30,693	14,525	-0,250
N187	28,440	12,272	-0,250
N188	28,440	12,272	-12,849
N189	30,693	14,525	-12,849
N190	42,279	14,525	-0,250
N191	44,532	12,272	-0,250
N192	44,532	12,272	-12,849
N193	42,279	14,525	-12,849
N194	30,693	-1,553	-0,250
N195	28,440	0,700	-0,250
N196	28,440	0,700	-12,849
N197	30,693	-1,553	-12,849
N198	42,279	-1,553	-0,250
N199	44,532	0,700	-0,250
N200	44,532	0,700	-12,849
N201	42,279	-1,553	-12,849

5.2. Analyse model met knopen

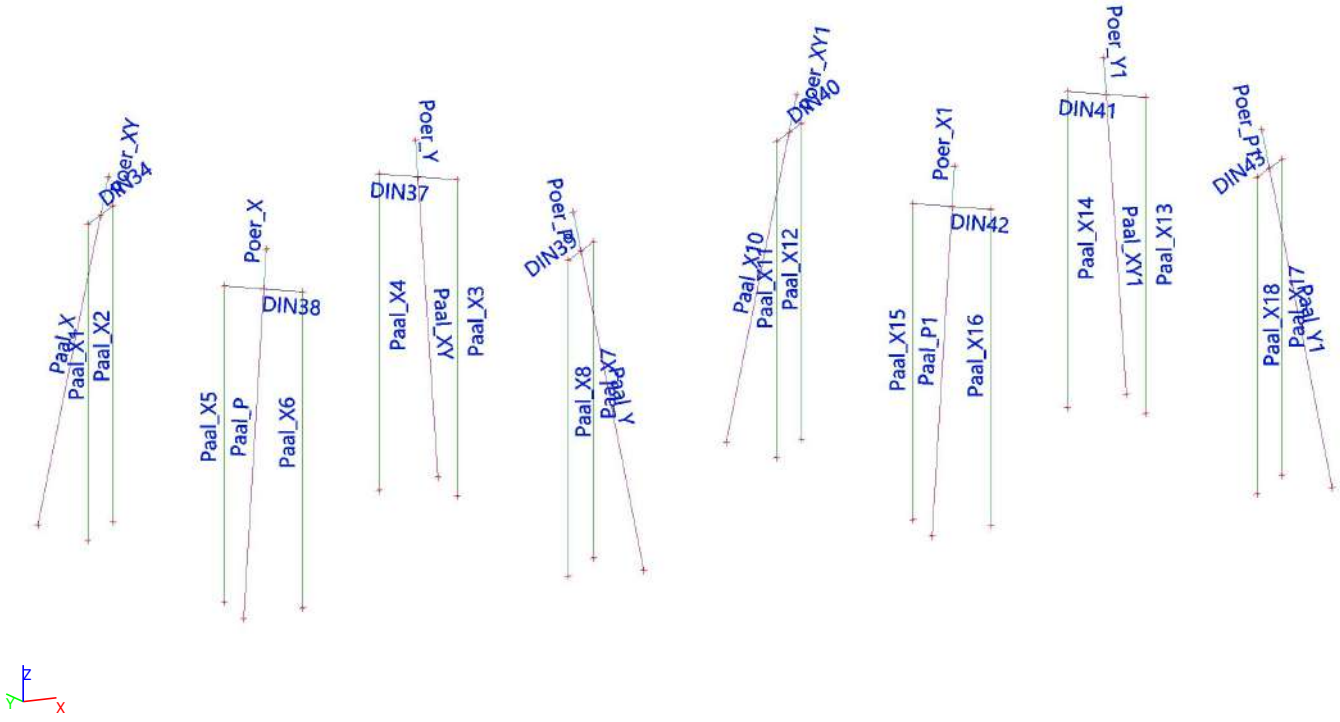


5.3. Members

Name	Cross-section	Material	Length [m]	Beg. node	End node	Type
DIN34	lijnpoer - Rectangle (1500,00; 1600,00)	C30/37 Gescheurd	3,186	N156	N155	beam (80)
DIN37	lijnpoer - Rectangle (1500,00; 1600,00)	C30/37 Gescheurd	3,186	N166	N165	beam (80)
DIN38	lijnpoer - Rectangle (1500,00; 1600,00)	C30/37 Gescheurd	3,186	N170	N169	beam (80)
DIN39	lijnpoer - Rectangle (1500,00; 1600,00)	C30/37 Gescheurd	3,186	N174	N173	beam (80)
DIN40	lijnpoer - Rectangle (1500,00; 1600,00)	C30/37 Gescheurd	3,186	N187	N186	beam (80)
DIN41	lijnpoer - Rectangle (1500,00; 1600,00)	C30/37 Gescheurd	3,186	N191	N190	beam (80)
DIN42	lijnpoer - Rectangle (1500,00; 1600,00)	C30/37 Gescheurd	3,186	N195	N194	beam (80)
DIN43	lijnpoer - Rectangle (1500,00; 1600,00)	C30/37 Gescheurd	3,186	N199	N198	beam (80)
Paal_P	LD1(31-plank) - General cross-section	C12/15 Gescheurd	12,800	N123	N139	column (100)
Paal_P1	LD1(31-plank) - General cross-section	C12/15 Gescheurd	12,800	N178	N179	column (100)
Paal_X	LD1(31-plank) - General cross-section	C12/15 Gescheurd	12,800	N151	N153	column (100)
Paal_X1	LEKA Paal - type e (CHS323.9/10.0)	S 235	12,600	N156	N159	column (100)
Paal_X2	LEKA Paal - type e (CHS323.9/10.0)	S 235	12,600	N155	N160	column (100)
Paal_X3	LEKA Paal - type e (CHS323.9/10.0)	S 235	12,600	N166	N167	column (100)
Paal_X4	LEKA Paal - type e (CHS323.9/10.0)	S 235	12,600	N165	N168	column (100)
Paal_X5	LEKA Paal - type e (CHS323.9/10.0)	S 235	12,600	N170	N171	column (100)
Paal_X6	LEKA Paal - type e (CHS323.9/10.0)	S 235	12,600	N169	N172	column (100)
Paal_X7	LEKA Paal - type e (CHS323.9/10.0)	S 235	12,600	N174	N175	column (100)
Paal_X8	LEKA Paal - type e (CHS323.9/10.0)	S 235	12,600	N173	N176	column (100)
Paal_X10	LD1(31-plank) - General cross-section	C12/15 Gescheurd	12,800	N184	N185	column (100)
Paal_X11	LEKA Paal - type e (CHS323.9/10.0)	S 235	12,599	N187	N188	column (100)
Paal_X12	LEKA Paal - type e (CHS323.9/10.0)	S 235	12,599	N186	N189	column (100)
Paal_X13	LEKA Paal - type e (CHS323.9/10.0)	S 235	12,599	N191	N192	column (100)
Paal_X14	LEKA Paal - type e (CHS323.9/10.0)	S 235	12,599	N190	N193	column (100)
Paal_X15	LEKA Paal - type e (CHS323.9/10.0)	S 235	12,599	N195	N196	column (100)
Paal_X16	LEKA Paal - type e (CHS323.9/10.0)	S 235	12,599	N194	N197	column (100)
Paal_X17	LEKA Paal - type e (CHS323.9/10.0)	S 235	12,599	N199	N200	column (100)
Paal_X18	LEKA Paal - type e (CHS323.9/10.0)	S 235	12,599	N198	N201	column (100)
Paal_XY	LD1(31-plank) - General cross-section	C12/15 Gescheurd	12,800	N146	N148	column (100)

Name	Cross-section	Material	Length [m]	Beg. node	End node	Type
Paal_XY1	LD1(31-plank) - General cross-section	C12/15 Gescheurd	12,800	N182	N183	column (100)
Paal_Y	LD1(31-plank) - General cross-section	C12/15 Gescheurd	12,800	N141	N143	column (100)
Paal_Y1	LD1(31-plank) - General cross-section	C12/15 Gescheurd	12,800	N180	N181	column (100)
Poer_P	Poer800 - Circle (800,00)	C12/15 Gescheurd	1,560	N141	1Y	column (100)
Poer_P1	Poer800 - Circle (800,00)	C12/15 Gescheurd	1,560	N180	1Y1	column (100)
Poer_X	Poer800 - Circle (800,00)	C12/15 Gescheurd	1,560	N123	1P	column (100)
Poer_X1	Poer800 - Circle (800,00)	C12/15 Gescheurd	1,560	N178	1P1	column (100)
Poer_XY	Poer800 - Circle (800,00)	C12/15 Gescheurd	1,560	N151	1X	column (100)
Poer_XY1	Poer800 - Circle (800,00)	C12/15 Gescheurd	1,560	N184	1X1	column (100)
Poer_Y	Poer800 - Circle (800,00)	C12/15 Gescheurd	1,560	N146	1XY	column (100)
Poer_Y1	Poer800 - Circle (800,00)	C12/15 Gescheurd	1,560	N182	1XY1	column (100)

5.4. Analyse model met Staven



5.5. Nodal supports

Name	Node	System	Type	X	Y	Z	Rx	Ry	Rz	Angle [deg]
S_P	N139	GCS	Standard	Free	Free	Nonlinear	Free	Free	Free	Rx-8,11;Ry8,11
S_Y	N143	GCS	Standard	Free	Free	Nonlinear	Free	Free	Free	Rx-8,11;Ry-8,11
S_XY	N148	GCS	Standard	Free	Free	Nonlinear	Free	Free	Free	Rx8,11;Ry-8,11
S_X	N153	GCS	Standard	Free	Free	Nonlinear	Free	Free	Free	Rx8,11;Ry8,11
Sn LK	N159	GCS	Standard	Free	Free	Nonlinear	Free	Free	Free	
Sn LK1	N160	GCS	Standard	Free	Free	Nonlinear	Free	Free	Free	
Sn LK2	N167	GCS	Standard	Free	Free	Nonlinear	Free	Free	Free	
Sn LK3	N168	GCS	Standard	Free	Free	Nonlinear	Free	Free	Free	
Sn LK4	N171	GCS	Standard	Free	Free	Nonlinear	Free	Free	Free	
Sn LK5	N172	GCS	Standard	Free	Free	Nonlinear	Free	Free	Free	
Sn LK6	N175	GCS	Standard	Free	Free	Nonlinear	Free	Free	Free	
Sn LK7	N176	GCS	Standard	Free	Free	Nonlinear	Free	Free	Free	
S_P1	N179	GCS	Standard	Free	Free	Nonlinear	Free	Free	Free	Rx-8,11;Ry8,11
S_Y1	N181	GCS	Standard	Free	Free	Nonlinear	Free	Free	Free	Rx-8,11;Ry-8,11
S_XY1	N183	GCS	Standard	Free	Free	Nonlinear	Free	Free	Free	Rx8,11;Ry-8,11
S_X1	N185	GCS	Standard	Free	Free	Nonlinear	Free	Free	Free	Rx8,11;Ry8,11

Name	Node	System	Type	X	Y	Z	Rx	Ry	Rz	Angle [deg]
Sn LK8	N188	GCS	Standard	Free	Free	Nonlinear	Free	Free	Free	
Sn LK9	N189	GCS	Standard	Free	Free	Nonlinear	Free	Free	Free	
Sn LK10	N192	GCS	Standard	Free	Free	Nonlinear	Free	Free	Free	
Sn LK11	N193	GCS	Standard	Free	Free	Nonlinear	Free	Free	Free	
Sn LK12	N196	GCS	Standard	Free	Free	Nonlinear	Free	Free	Free	
Sn LK13	N197	GCS	Standard	Free	Free	Nonlinear	Free	Free	Free	
Sn LK14	N200	GCS	Standard	Free	Free	Nonlinear	Free	Free	Free	
Sn LK15	N201	GCS	Standard	Free	Free	Nonlinear	Free	Free	Free	

5.6. Analyse model met Knoopondersteuningen



5.7. Line supports on member

Name	Type	Member	Pos x_1 [m]	Coor	X	Y	Z	Rx	Ry	Rz
		System	Pos x_2 [m]	Orig						
Slb_P_Veen	Line	Paal_P	1,000	Abso	Free	Nonlinear	Nonlinear	Free	Free	Free
		LCS	8,000	From start						
Slb_Y_Veen	Line	Paal_Y	1,000	Abso	Free	Nonlinear	Nonlinear	Free	Free	Free
		LCS	8,000	From start						
Slb_XY_Veen	Line	Paal_XY	1,000	Abso	Free	Nonlinear	Nonlinear	Free	Free	Free
		LCS	8,000	From start						
Slb_X_Veen	Line	Paal_X	1,000	Abso	Free	Nonlinear	Nonlinear	Free	Free	Free
		LCS	8,000	From start						
Slb_P_V9	Line	Paal_P	8,000	Abso	Free	Nonlinear	Nonlinear	Free	Free	Free
		LCS	9,000	From start						
Slb_Y_V9	Line	Paal_Y	8,000	Abso	Free	Nonlinear	Nonlinear	Free	Free	Free
		LCS	9,000	From start						
Slb_XY_V9	Line	Paal_XY	8,000	Abso	Free	Nonlinear	Nonlinear	Free	Free	Free
		LCS	9,000	From start						
Slb_X_V9	Line	Paal_X	8,000	Abso	Free	Nonlinear	Nonlinear	Free	Free	Free
		LCS	9,000	From start						
Slb_P_V10	Line	Paal_P	9,000	Abso	Free	Nonlinear	Nonlinear	Free	Free	Free

Name	Type	Member System	Pos x_1 [m] Pos x_2 [m]	Coor Orig	X	Y	Z	Rx	Ry	Rz
		LCS	10,000	From start						
Slb_P_V11	Line	Paal_P	10,000	Abso	Free	Nonlinear	Nonlinear	Free	Free	Free
		LCS	11,000	From start						
Slb_P_V12	Line	Paal_P	11,000	Abso	Free	Nonlinear	Nonlinear	Free	Free	Free
		LCS	12,000	From start						
Slb_P_V13	Line	Paal_P	12,000	Abso	Free	Nonlinear	Nonlinear	Free	Free	Free
		LCS	12,650	From start						
Slb_Y_V10	Line	Paal_Y	9,000	Abso	Free	Nonlinear	Nonlinear	Free	Free	Free
		LCS	10,000	From start						
Slb_Y_V11	Line	Paal_Y	10,000	Abso	Free	Nonlinear	Nonlinear	Free	Free	Free
		LCS	11,000	From start						
Slb_Y_V12	Line	Paal_Y	11,000	Abso	Free	Nonlinear	Nonlinear	Free	Free	Free
		LCS	12,000	From start						
Slb_Y_V13	Line	Paal_Y	12,000	Abso	Free	Nonlinear	Nonlinear	Free	Free	Free
		LCS	12,650	From start						
Slb_XY_V10	Line	Paal_XY	9,000	Abso	Free	Nonlinear	Nonlinear	Free	Free	Free
		LCS	10,000	From start						
Slb_XY_V11	Line	Paal_XY	10,000	Abso	Free	Nonlinear	Nonlinear	Free	Free	Free
		LCS	11,000	From start						
Slb_XY_V12	Line	Paal_XY	11,000	Abso	Free	Nonlinear	Nonlinear	Free	Free	Free
		LCS	12,000	From start						
Slb_XY_V13	Line	Paal_XY	12,000	Abso	Free	Nonlinear	Nonlinear	Free	Free	Free
		LCS	12,650	From start						
Slb_X_V10	Line	Paal_X	9,000	Abso	Free	Nonlinear	Nonlinear	Free	Free	Free
		LCS	10,000	From start						
Slb_X_V11	Line	Paal_X	10,000	Abso	Free	Nonlinear	Nonlinear	Free	Free	Free
		LCS	11,000	From start						
Slb_X_V12	Line	Paal_X	11,000	Abso	Free	Nonlinear	Nonlinear	Free	Free	Free
		LCS	12,000	From start						
Slb_X_V13	Line	Paal_X	12,000	Abso	Free	Nonlinear	Nonlinear	Free	Free	Free
		LCS	12,650	From start						
Slb_X_Veen1	Line	Paal_X1	1,000	Abso	Free	Nonlinear	Nonlinear	Free	Free	Free
		LCS	8,000	From start						
Slb_X_V22	Line	Paal_X1	8,000	Abso	Free	Nonlinear	Nonlinear	Free	Free	Free
		LCS	9,000	From start						
Slb_X_V23	Line	Paal_X1	9,000	Abso	Free	Nonlinear	Nonlinear	Free	Free	Free
		LCS	10,000	From start						
Slb_X_V24	Line	Paal_X1	10,000	Abso	Free	Nonlinear	Nonlinear	Free	Free	Free
		LCS	11,000	From start						
Slb_X_V25	Line	Paal_X1	11,000	Abso	Free	Nonlinear	Nonlinear	Free	Free	Free
		LCS	12,000	From start						
Slb_X_V26	Line	Paal_X1	12,000	Abso	Free	Nonlinear	Nonlinear	Free	Free	Free
		LCS	12,450	From start						
Slb_X_Veen2	Line	Paal_X2	1,000	Abso	Free	Nonlinear	Nonlinear	Free	Free	Free
		LCS	8,000	From start						
Slb_X_V32	Line	Paal_X2	8,000	Abso	Free	Nonlinear	Nonlinear	Free	Free	Free
		LCS	9,000	From start						
Slb_X_V33	Line	Paal_X2	9,000	Abso	Free	Nonlinear	Nonlinear	Free	Free	Free
		LCS	10,000	From start						
Slb_X_V34	Line	Paal_X2	10,000	Abso	Free	Nonlinear	Nonlinear	Free	Free	Free
		LCS	11,000	From start						
Slb_X_V35	Line	Paal_X2	11,000	Abso	Free	Nonlinear	Nonlinear	Free	Free	Free
		LCS	12,000	From start						
Slb_X_V36	Line	Paal_X2	12,000	Abso	Free	Nonlinear	Nonlinear	Free	Free	Free
		LCS	12,450	From start						
Slb_X_Veen3	Line	Paal_X3	1,000	Abso	Free	Nonlinear	Nonlinear	Free	Free	Free
		LCS	8,000	From start						
Slb_X_V42	Line	Paal_X3	8,000	Abso	Free	Nonlinear	Nonlinear	Free	Free	Free
		LCS	9,000	From start						
Slb_X_V43	Line	Paal_X3	9,000	Abso	Free	Nonlinear	Nonlinear	Free	Free	Free
		LCS	10,000	From start						
Slb_X_V44	Line	Paal_X3	10,000	Abso	Free	Nonlinear	Nonlinear	Free	Free	Free
		LCS	11,000	From start						
Slb_X_V45	Line	Paal_X3	11,000	Abso	Free	Nonlinear	Nonlinear	Free	Free	Free

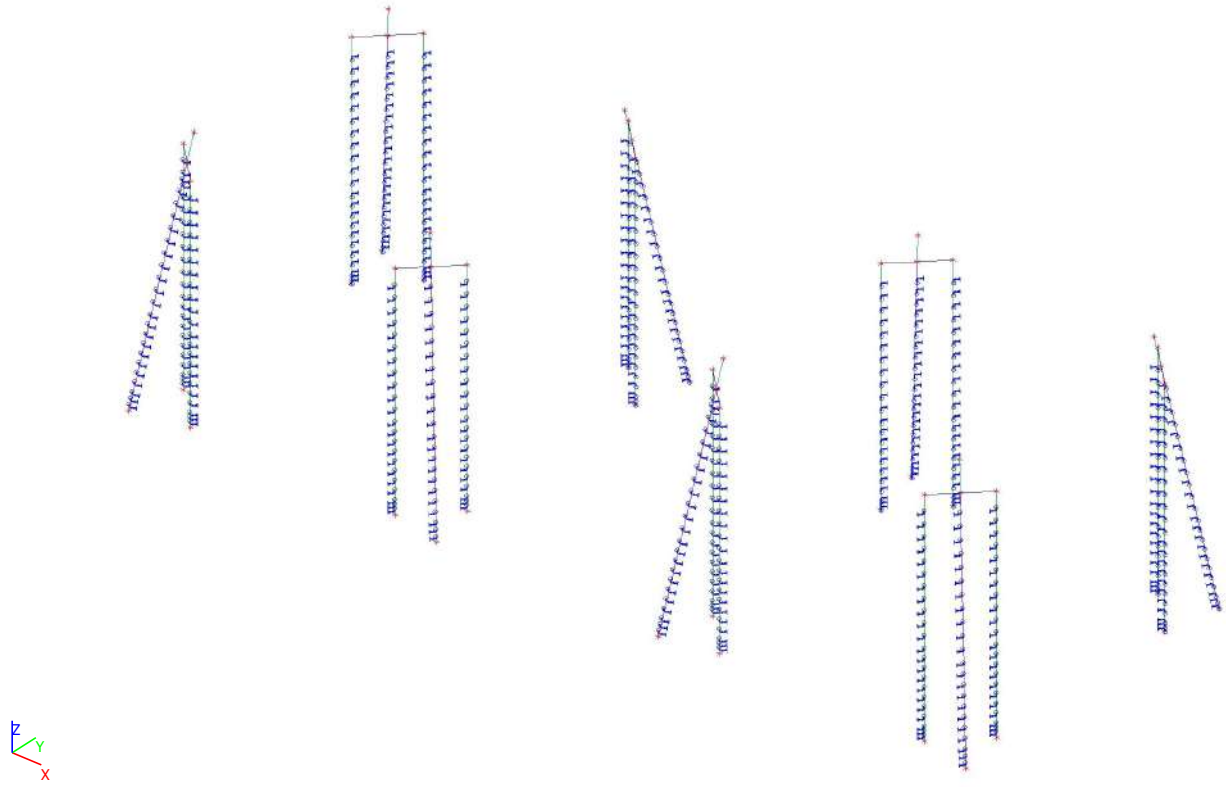
Name	Type	Member System	Pos x_1 [m] Pos x_2 [m]	Coor Orig	X	Y	Z	Rx	Ry	Rz
		LCS	12,000	From start						
Slb_X_V46	Line	Paal_X3	12,000	Abso	Free	Nonlinear	Nonlinear	Free	Free	Free
		LCS	12,450	From start						
Slb_X_Veen4	Line	Paal_X4	1,000	Abso	Free	Nonlinear	Nonlinear	Free	Free	Free
		LCS	8,000	From start						
Slb_X_V52	Line	Paal_X4	8,000	Abso	Free	Nonlinear	Nonlinear	Free	Free	Free
		LCS	9,000	From start						
Slb_X_V53	Line	Paal_X4	9,000	Abso	Free	Nonlinear	Nonlinear	Free	Free	Free
		LCS	10,000	From start						
Slb_X_V54	Line	Paal_X4	10,000	Abso	Free	Nonlinear	Nonlinear	Free	Free	Free
		LCS	11,000	From start						
Slb_X_V55	Line	Paal_X4	11,000	Abso	Free	Nonlinear	Nonlinear	Free	Free	Free
		LCS	12,000	From start						
Slb_X_V56	Line	Paal_X4	12,000	Abso	Free	Nonlinear	Nonlinear	Free	Free	Free
		LCS	12,450	From start						
Slb_X_Veen5	Line	Paal_X5	1,000	Abso	Free	Nonlinear	Nonlinear	Free	Free	Free
		LCS	8,000	From start						
Slb_X_V62	Line	Paal_X5	8,000	Abso	Free	Nonlinear	Nonlinear	Free	Free	Free
		LCS	9,000	From start						
Slb_X_V63	Line	Paal_X5	9,000	Abso	Free	Nonlinear	Nonlinear	Free	Free	Free
		LCS	10,000	From start						
Slb_X_V64	Line	Paal_X5	10,000	Abso	Free	Nonlinear	Nonlinear	Free	Free	Free
		LCS	11,000	From start						
Slb_X_V65	Line	Paal_X5	11,000	Abso	Free	Nonlinear	Nonlinear	Free	Free	Free
		LCS	12,000	From start						
Slb_X_V66	Line	Paal_X5	12,000	Abso	Free	Nonlinear	Nonlinear	Free	Free	Free
		LCS	12,450	From start						
Slb_X_Veen6	Line	Paal_X6	1,000	Abso	Free	Nonlinear	Nonlinear	Free	Free	Free
		LCS	8,000	From start						
Slb_X_V72	Line	Paal_X6	8,000	Abso	Free	Nonlinear	Nonlinear	Free	Free	Free
		LCS	9,000	From start						
Slb_X_V73	Line	Paal_X6	9,000	Abso	Free	Nonlinear	Nonlinear	Free	Free	Free
		LCS	10,000	From start						
Slb_X_V74	Line	Paal_X6	10,000	Abso	Free	Nonlinear	Nonlinear	Free	Free	Free
		LCS	11,000	From start						
Slb_X_V75	Line	Paal_X6	11,000	Abso	Free	Nonlinear	Nonlinear	Free	Free	Free
		LCS	12,000	From start						
Slb_X_V76	Line	Paal_X6	12,000	Abso	Free	Nonlinear	Nonlinear	Free	Free	Free
		LCS	12,450	From start						
Slb_X_Veen7	Line	Paal_X7	1,000	Abso	Free	Nonlinear	Nonlinear	Free	Free	Free
		LCS	8,000	From start						
Slb_X_V82	Line	Paal_X7	8,000	Abso	Free	Nonlinear	Nonlinear	Free	Free	Free
		LCS	9,000	From start						
Slb_X_V83	Line	Paal_X7	9,000	Abso	Free	Nonlinear	Nonlinear	Free	Free	Free
		LCS	10,000	From start						
Slb_X_V84	Line	Paal_X7	10,000	Abso	Free	Nonlinear	Nonlinear	Free	Free	Free
		LCS	11,000	From start						
Slb_X_V85	Line	Paal_X7	11,000	Abso	Free	Nonlinear	Nonlinear	Free	Free	Free
		LCS	12,000	From start						
Slb_X_V86	Line	Paal_X7	12,000	Abso	Free	Nonlinear	Nonlinear	Free	Free	Free
		LCS	12,450	From start						
Slb_X_Veen8	Line	Paal_X8	1,000	Abso	Free	Nonlinear	Nonlinear	Free	Free	Free
		LCS	8,000	From start						
Slb_X_V92	Line	Paal_X8	8,000	Abso	Free	Nonlinear	Nonlinear	Free	Free	Free
		LCS	9,000	From start						
Slb_X_V93	Line	Paal_X8	9,000	Abso	Free	Nonlinear	Nonlinear	Free	Free	Free
		LCS	10,000	From start						
Slb_X_V94	Line	Paal_X8	10,000	Abso	Free	Nonlinear	Nonlinear	Free	Free	Free
		LCS	11,000	From start						
Slb_X_V95	Line	Paal_X8	11,000	Abso	Free	Nonlinear	Nonlinear	Free	Free	Free
		LCS	12,000	From start						
Slb_X_V96	Line	Paal_X8	12,000	Abso	Free	Nonlinear	Nonlinear	Free	Free	Free
		LCS	12,450	From start						
Slb_P_Veen1	Line	Paal_P1	1,000	Abso	Free	Nonlinear	Nonlinear	Free	Free	Free

Name	Type	Member System	Pos x_1 [m] Pos x_2 [m]	Coor Orig	X	Y	Z	Rx	Ry	Rz
		LCS	8,000	From start						
Slb_P_V14	Line	Paal_P1	8,000	Abso	Free	Nonlinear	Nonlinear	Free	Free	Free
		LCS	9,000	From start						
Slb_P_V15	Line	Paal_P1	9,000	Abso	Free	Nonlinear	Nonlinear	Free	Free	Free
		LCS	10,000	From start						
Slb_P_V16	Line	Paal_P1	10,000	Abso	Free	Nonlinear	Nonlinear	Free	Free	Free
		LCS	11,000	From start						
Slb_P_V17	Line	Paal_P1	11,000	Abso	Free	Nonlinear	Nonlinear	Free	Free	Free
		LCS	12,000	From start						
Slb_P_V18	Line	Paal_P1	12,000	Abso	Free	Nonlinear	Nonlinear	Free	Free	Free
		LCS	12,650	From start						
Slb_Y_Veen1	Line	Paal_Y1	1,000	Abso	Free	Nonlinear	Nonlinear	Free	Free	Free
		LCS	8,000	From start						
Slb_Y_V14	Line	Paal_Y1	8,000	Abso	Free	Nonlinear	Nonlinear	Free	Free	Free
		LCS	9,000	From start						
Slb_Y_V15	Line	Paal_Y1	9,000	Abso	Free	Nonlinear	Nonlinear	Free	Free	Free
		LCS	10,000	From start						
Slb_Y_V16	Line	Paal_Y1	10,000	Abso	Free	Nonlinear	Nonlinear	Free	Free	Free
		LCS	11,000	From start						
Slb_Y_V17	Line	Paal_Y1	11,000	Abso	Free	Nonlinear	Nonlinear	Free	Free	Free
		LCS	12,000	From start						
Slb_Y_V18	Line	Paal_Y1	12,000	Abso	Free	Nonlinear	Nonlinear	Free	Free	Free
		LCS	12,650	From start						
Slb_XY_Veen1	Line	Paal_XY1	1,000	Abso	Free	Nonlinear	Nonlinear	Free	Free	Free
		LCS	8,000	From start						
Slb_XY_V14	Line	Paal_XY1	8,000	Abso	Free	Nonlinear	Nonlinear	Free	Free	Free
		LCS	9,000	From start						
Slb_XY_V15	Line	Paal_XY1	9,000	Abso	Free	Nonlinear	Nonlinear	Free	Free	Free
		LCS	10,000	From start						
Slb_XY_V16	Line	Paal_XY1	10,000	Abso	Free	Nonlinear	Nonlinear	Free	Free	Free
		LCS	11,000	From start						
Slb_XY_V17	Line	Paal_XY1	11,000	Abso	Free	Nonlinear	Nonlinear	Free	Free	Free
		LCS	12,000	From start						
Slb_XY_V18	Line	Paal_XY1	12,000	Abso	Free	Nonlinear	Nonlinear	Free	Free	Free
		LCS	12,650	From start						
Slb_X_Veen10	Line	Paal_X10	1,000	Abso	Free	Nonlinear	Nonlinear	Free	Free	Free
		LCS	8,000	From start						
Slb_X_V112	Line	Paal_X10	8,000	Abso	Free	Nonlinear	Nonlinear	Free	Free	Free
		LCS	9,000	From start						
Slb_X_V113	Line	Paal_X10	9,000	Abso	Free	Nonlinear	Nonlinear	Free	Free	Free
		LCS	10,000	From start						
Slb_X_V114	Line	Paal_X10	10,000	Abso	Free	Nonlinear	Nonlinear	Free	Free	Free
		LCS	11,000	From start						
Slb_X_V115	Line	Paal_X10	11,000	Abso	Free	Nonlinear	Nonlinear	Free	Free	Free
		LCS	12,000	From start						
Slb_X_V116	Line	Paal_X10	12,000	Abso	Free	Nonlinear	Nonlinear	Free	Free	Free
		LCS	12,650	From start						
Slb_X_Veen11	Line	Paal_X11	1,000	Abso	Free	Nonlinear	Nonlinear	Free	Free	Free
		LCS	8,000	From start						
Slb_X_V117	Line	Paal_X11	8,000	Abso	Free	Nonlinear	Nonlinear	Free	Free	Free
		LCS	9,000	From start						
Slb_X_V118	Line	Paal_X11	9,000	Abso	Free	Nonlinear	Nonlinear	Free	Free	Free
		LCS	10,000	From start						
Slb_X_V119	Line	Paal_X11	10,000	Abso	Free	Nonlinear	Nonlinear	Free	Free	Free
		LCS	11,000	From start						
Slb_X_V120	Line	Paal_X11	11,000	Abso	Free	Nonlinear	Nonlinear	Free	Free	Free
		LCS	12,000	From start						
Slb_X_V121	Line	Paal_X11	12,000	Abso	Free	Nonlinear	Nonlinear	Free	Free	Free
		LCS	12,450	From start						
Slb_X_Veen12	Line	Paal_X12	1,000	Abso	Free	Nonlinear	Nonlinear	Free	Free	Free
		LCS	8,000	From start						
Slb_X_V125	Line	Paal_X12	8,000	Abso	Free	Nonlinear	Nonlinear	Free	Free	Free
		LCS	9,000	From start						
Slb_X_V126	Line	Paal_X12	9,000	Abso	Free	Nonlinear	Nonlinear	Free	Free	Free

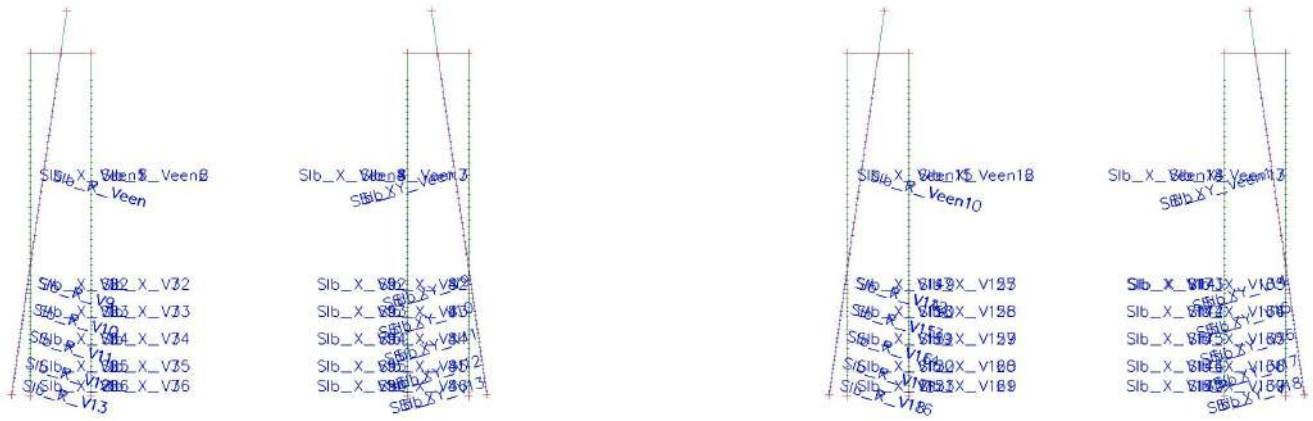
Name	Type	Member System	Pos x_1 [m] Pos x_2 [m]	Coor Orig	X	Y	Z	Rx	Ry	Rz
		LCS	10,000	From start						
Slb_X_V127	Line	Paal_X12	10,000	Abso	Free	Nonlinear	Nonlinear	Free	Free	Free
		LCS	11,000	From start						
Slb_X_V128	Line	Paal_X12	11,000	Abso	Free	Nonlinear	Nonlinear	Free	Free	Free
		LCS	12,000	From start						
Slb_X_V129	Line	Paal_X12	12,000	Abso	Free	Nonlinear	Nonlinear	Free	Free	Free
		LCS	12,450	From start						
Slb_X_Veen13	Line	Paal_X13	1,000	Abso	Free	Nonlinear	Nonlinear	Free	Free	Free
		LCS	8,000	From start						
Slb_X_V133	Line	Paal_X13	8,000	Abso	Free	Nonlinear	Nonlinear	Free	Free	Free
		LCS	9,000	From start						
Slb_X_V134	Line	Paal_X13	9,000	Abso	Free	Nonlinear	Nonlinear	Free	Free	Free
		LCS	10,000	From start						
Slb_X_V135	Line	Paal_X13	10,000	Abso	Free	Nonlinear	Nonlinear	Free	Free	Free
		LCS	11,000	From start						
Slb_X_V136	Line	Paal_X13	11,000	Abso	Free	Nonlinear	Nonlinear	Free	Free	Free
		LCS	12,000	From start						
Slb_X_V137	Line	Paal_X13	12,000	Abso	Free	Nonlinear	Nonlinear	Free	Free	Free
		LCS	12,450	From start						
Slb_X_Veen14	Line	Paal_X14	1,000	Abso	Free	Nonlinear	Nonlinear	Free	Free	Free
		LCS	8,000	From start						
Slb_X_V141	Line	Paal_X14	8,000	Abso	Free	Nonlinear	Nonlinear	Free	Free	Free
		LCS	9,000	From start						
Slb_X_V142	Line	Paal_X14	9,000	Abso	Free	Nonlinear	Nonlinear	Free	Free	Free
		LCS	10,000	From start						
Slb_X_V143	Line	Paal_X14	10,000	Abso	Free	Nonlinear	Nonlinear	Free	Free	Free
		LCS	11,000	From start						
Slb_X_V144	Line	Paal_X14	11,000	Abso	Free	Nonlinear	Nonlinear	Free	Free	Free
		LCS	12,000	From start						
Slb_X_V145	Line	Paal_X14	12,000	Abso	Free	Nonlinear	Nonlinear	Free	Free	Free
		LCS	12,450	From start						
Slb_X_Veen15	Line	Paal_X15	1,000	Abso	Free	Nonlinear	Nonlinear	Free	Free	Free
		LCS	8,000	From start						
Slb_X_V149	Line	Paal_X15	8,000	Abso	Free	Nonlinear	Nonlinear	Free	Free	Free
		LCS	9,000	From start						
Slb_X_V150	Line	Paal_X15	9,000	Abso	Free	Nonlinear	Nonlinear	Free	Free	Free
		LCS	10,000	From start						
Slb_X_V151	Line	Paal_X15	10,000	Abso	Free	Nonlinear	Nonlinear	Free	Free	Free
		LCS	11,000	From start						
Slb_X_V152	Line	Paal_X15	11,000	Abso	Free	Nonlinear	Nonlinear	Free	Free	Free
		LCS	12,000	From start						
Slb_X_V153	Line	Paal_X15	12,000	Abso	Free	Nonlinear	Nonlinear	Free	Free	Free
		LCS	12,450	From start						
Slb_X_Veen16	Line	Paal_X16	1,000	Abso	Free	Nonlinear	Nonlinear	Free	Free	Free
		LCS	8,000	From start						
Slb_X_V157	Line	Paal_X16	8,000	Abso	Free	Nonlinear	Nonlinear	Free	Free	Free
		LCS	9,000	From start						
Slb_X_V158	Line	Paal_X16	9,000	Abso	Free	Nonlinear	Nonlinear	Free	Free	Free
		LCS	10,000	From start						
Slb_X_V159	Line	Paal_X16	10,000	Abso	Free	Nonlinear	Nonlinear	Free	Free	Free
		LCS	11,000	From start						
Slb_X_V160	Line	Paal_X16	11,000	Abso	Free	Nonlinear	Nonlinear	Free	Free	Free
		LCS	12,000	From start						
Slb_X_V161	Line	Paal_X16	12,000	Abso	Free	Nonlinear	Nonlinear	Free	Free	Free
		LCS	12,450	From start						
Slb_X_Veen17	Line	Paal_X17	1,000	Abso	Free	Nonlinear	Nonlinear	Free	Free	Free
		LCS	8,000	From start						
Slb_X_V165	Line	Paal_X17	8,000	Abso	Free	Nonlinear	Nonlinear	Free	Free	Free
		LCS	9,000	From start						
Slb_X_V166	Line	Paal_X17	9,000	Abso	Free	Nonlinear	Nonlinear	Free	Free	Free
		LCS	10,000	From start						
Slb_X_V167	Line	Paal_X17	10,000	Abso	Free	Nonlinear	Nonlinear	Free	Free	Free
		LCS	11,000	From start						
Slb_X_V168	Line	Paal_X17	11,000	Abso	Free	Nonlinear	Nonlinear	Free	Free	Free

Name	Type	Member System	Pos x_1 [m] Pos x_2 [m]	Coor Orig	X	Y	Z	Rx	Ry	Rz
		LCS	12,000	From start						
Slb_X_V169	Line	Paal_X17	12,000	Abso	Free	Nonlinear	Nonlinear	Free	Free	Free
		LCS	12,450	From start						
Slb_X_Veen18	Line	Paal_X18	1,000	Abso	Free	Nonlinear	Nonlinear	Free	Free	Free
		LCS	8,000	From start						
Slb_X_V173	Line	Paal_X18	8,000	Abso	Free	Nonlinear	Nonlinear	Free	Free	Free
		LCS	9,000	From start						
Slb_X_V174	Line	Paal_X18	9,000	Abso	Free	Nonlinear	Nonlinear	Free	Free	Free
		LCS	10,000	From start						
Slb_X_V175	Line	Paal_X18	10,000	Abso	Free	Nonlinear	Nonlinear	Free	Free	Free
		LCS	11,000	From start						
Slb_X_V176	Line	Paal_X18	11,000	Abso	Free	Nonlinear	Nonlinear	Free	Free	Free
		LCS	12,000	From start						
Slb_X_V177	Line	Paal_X18	12,000	Abso	Free	Nonlinear	Nonlinear	Free	Free	Free
		LCS	12,450	From start						

5.8. Analyse model met Lijnondersteuningen



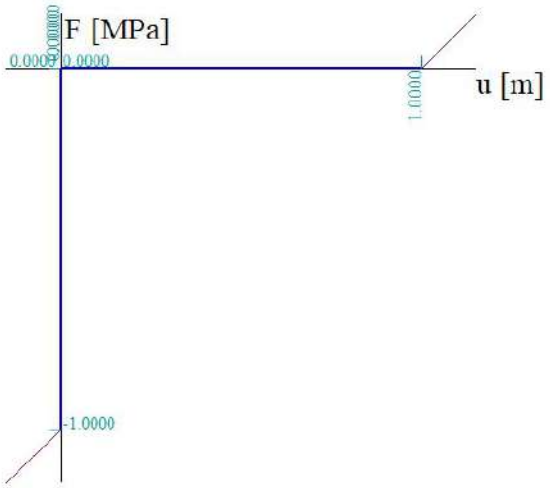
5.9. Analyse model met Lijnondersteuningen



5.10. Nonlinear functions

Name	Type	u / F	Positive end	Negative end
soil press only	Nonlinear subsoil		Flexible	Flexible

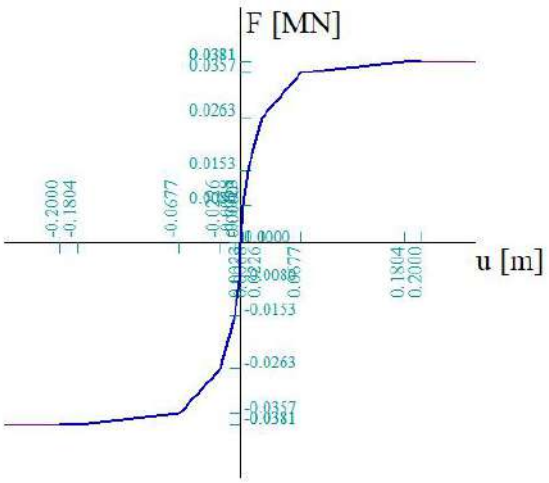
Drawing



Name	Type	u / F	Positive end	Negative end
PY-curve-2_V9	Translation	-0.200000 / -38100.000000	Free	Free
		-0.180400 / -38100.000000		
		-0.067650 / -35700.000000		
		-0.022550 / -26300.000000		
		-0.006765 / -15300.000000		

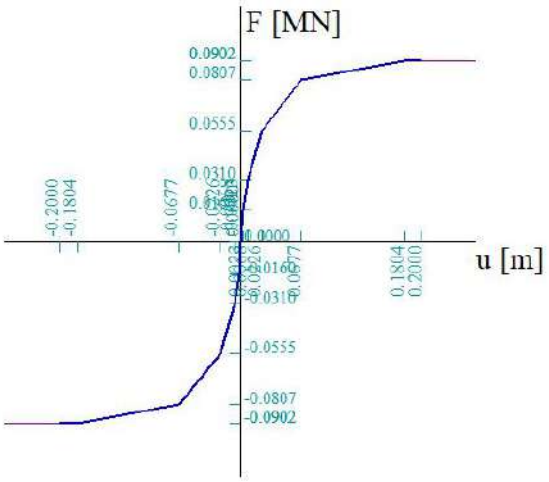
Name	Type	u / F	Positive end	Negative end
		-0.002255 / -8000.000000		
		0.000000 / 0.000000		
		0.002255 / 8000.000000		
		0.006765 / 15300.000000		
		0.022550 / 26300.000000		
		0.067650 / 35700.000000		
		0.180400 / 38100.000000		
		0.200000 / 38100.000000		

Drawing



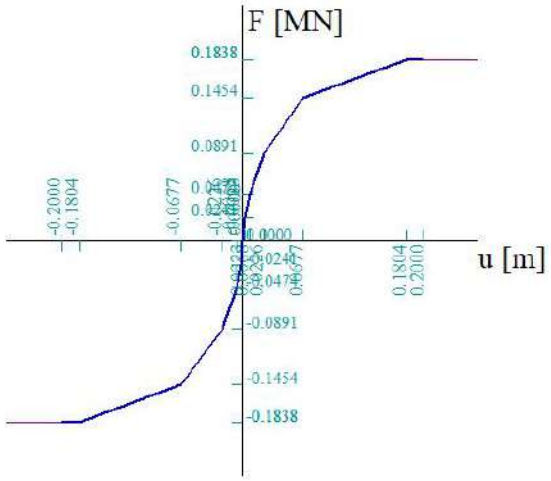
Name	Type	u / F	Positive end	Negative end
PY-curve-2_V10	Translation	-0.200000 / -90200.000000	Free	Free
		-0.180400 / -90200.000000		
		-0.067650 / -80700.000000		
		-0.022550 / -55500.000000		
		-0.006765 / -31000.000000		
		-0.002255 / -16000.000000		
		0.000000 / 0.000000		
		0.002255 / 16000.000000		
		0.006765 / 31000.000000		
		0.022550 / 55500.000000		
		0.067650 / 80700.000000		
		0.180400 / 90200.000000		
		0.200000 / 90200.000000		

Drawing



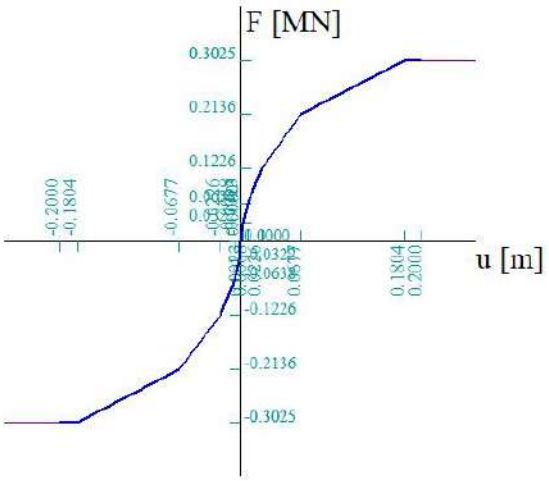
Name	Type	u / F	Positive end	Negative end
PY-curve-2_V11	Translation	-0.200000 / -183800.000000	Free	Free
		-0.180400 / -183800.000000		
		-0.067650 / -145400.000000		
		-0.022550 / -89100.000000		
		-0.006765 / -47400.000000		
		-0.002255 / -24100.000000		
		0.000000 / 0.000000		
		0.002255 / 24100.000000		
		0.006765 / 47400.000000		
		0.022550 / 89100.000000		
		0.067650 / 145400.000000		
		0.180400 / 183800.000000		
		0.200000 / 183800.000000		

Drawing



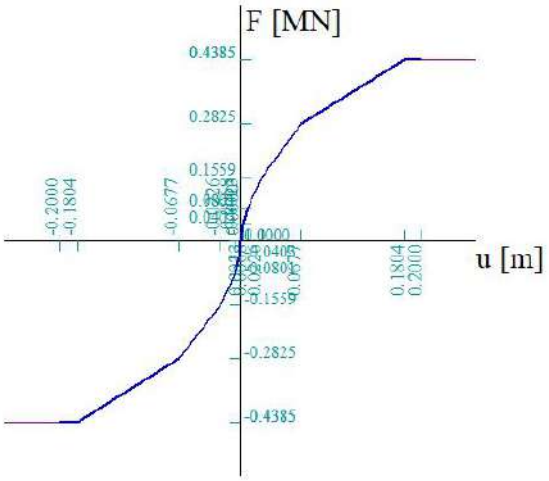
Name	Type	u / F	Positive end	Negative end
PY-curve-2_V12	Translation	-0.200000 / -302500.000000	Free	Free
		-0.180400 / -302500.000000		
		-0.067650 / -213600.000000		
		-0.022550 / -122600.000000		
		-0.006765 / -63800.000000		
		-0.002255 / -32200.000000		
		0.000000 / 0.000000		
		0.002255 / 32200.000000		
		0.006765 / 63800.000000		
		0.022550 / 122600.000000		
		0.067650 / 213600.000000		
		0.180400 / 302500.000000		
		0.200000 / 302500.000000		

Drawing



Name	Type	u / F	Positive end	Negative end
PY-curve-2_V13	Translation	-0.200000 / -438500.000000	Free	Free
		-0.180400 / -438500.000000		
		-0.067650 / -282500.000000		
		-0.022550 / -155900.000000		
		-0.006765 / -80100.000000		
		-0.002255 / -40300.000000		
		0.000000 / 0.000000		
		0.002255 / 40300.000000		
		0.006765 / 80100.000000		
		0.022550 / 155900.000000		
		0.067650 / 282500.000000		
		0.180400 / 438500.000000		
		0.200000 / 438500.000000		

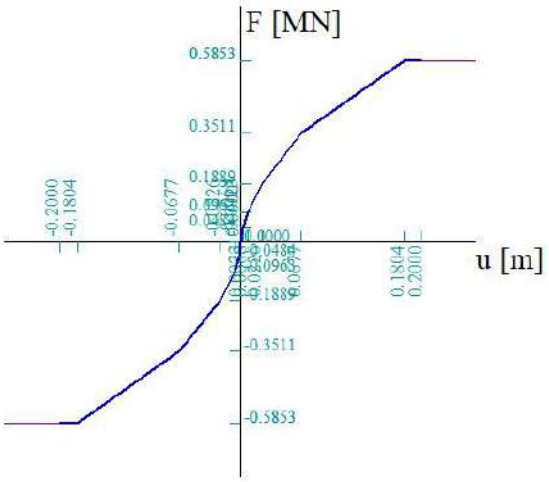
Drawing



Name	Type	u / F	Positive end	Negative end
PY-curve-2_V14	Translation	-0.200000 / -585300.000000	Free	Free
		-0.180400 / -585300.000000		
		-0.067650 / -351100.000000		
		-0.022550 / -188900.000000		
		-0.006765 / -96300.000000		
		-0.002255 / -48400.000000		
		0.000000 / 0.000000		
		0.002255 / 48400.000000		
		0.006765 / 96300.000000		
		0.022550 / 188900.000000		

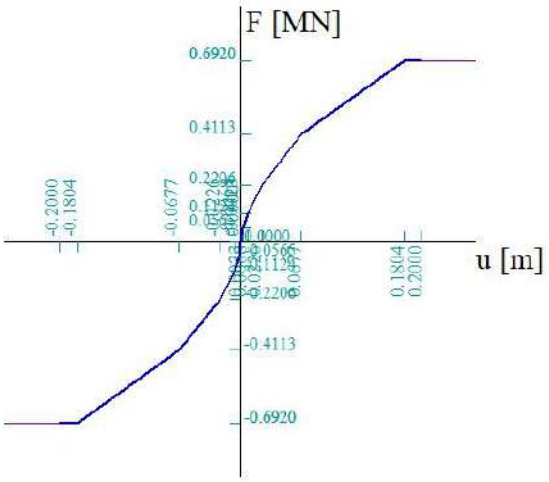
Name	Type	u / F	Positive end	Negative end
		0.067650 / 351100.000000		
		0.180400 / 585300.000000		
		0.200000 / 585300.000000		

Drawing



Name	Type	u / F	Positive end	Negative end
PY-curve-2_V15	Translation	-0.200000 / -692000.000000	Free	Free
		-0.180400 / -692000.000000		
		-0.067650 / -411300.000000		
		-0.022550 / -220600.000000		
		-0.006765 / -112400.000000		
		-0.002255 / -56500.000000		
		0.000000 / 0.000000		
		0.002255 / 56500.000000		
		0.006765 / 112400.000000		
		0.022550 / 220600.000000		
		0.067650 / 411300.000000		
		0.180400 / 692000.000000		
		0.200000 / 692000.000000		

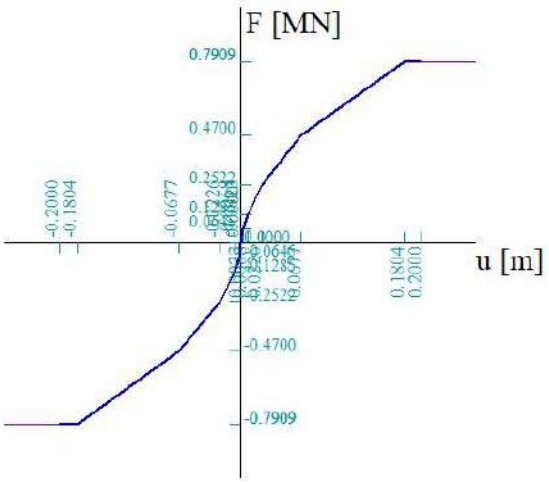
Drawing



Name	Type	u / F	Positive end	Negative end
PY-curve-2_V16	Translation	-0.200000 / -790900.000000	Free	Free
		-0.180400 / -790900.000000		
		-0.067650 / -470000.000000		
		-0.022550 / -252200.000000		

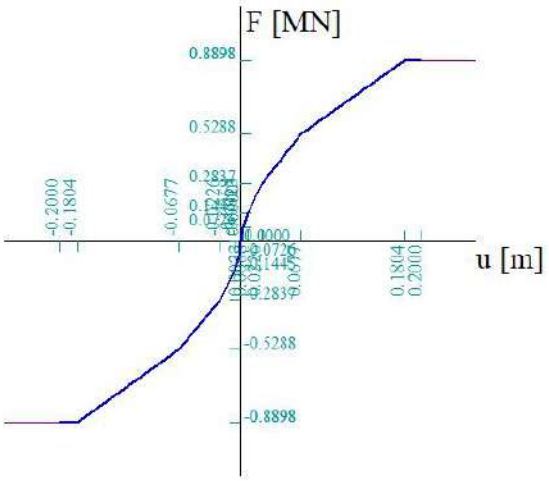
Name	Type	u / F	Positive end	Negative end
		-0.006765 / -128500.000000		
		-0.002255 / -64500.000000		
		0.000000 / 0.000000		
		0.002255 / 64500.000000		
		0.006765 / 128500.000000		
		0.022550 / 252200.000000		
		0.067650 / 470000.000000		
		0.180400 / 790900.000000		
		0.200000 / 790900.000000		

Drawing



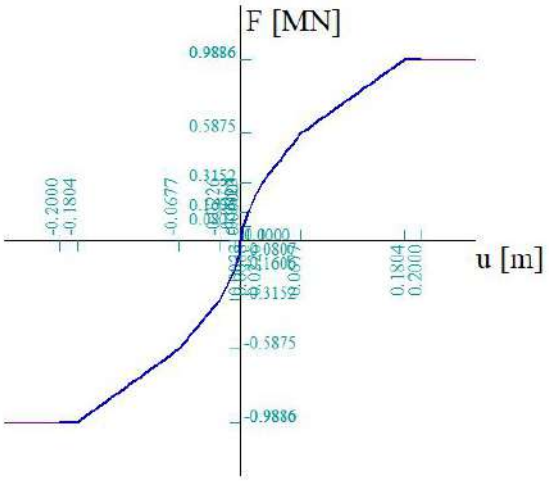
Name	Type	u / F	Positive end	Negative end
PY-curve-2_V17	Translation	-0.200000 / -889800.000000	Free	Free
		-0.180400 / -889800.000000		
		-0.067650 / -528800.000000		
		-0.022550 / -283700.000000		
		-0.006765 / -144500.000000		
		-0.002255 / -72600.000000		
		0.000000 / 0.000000		
		0.002255 / 72600.000000		
		0.006765 / 144500.000000		
		0.022550 / 283700.000000		
		0.067650 / 528800.000000		
		0.180400 / 889800.000000		
		0.200000 / 889800.000000		

Drawing



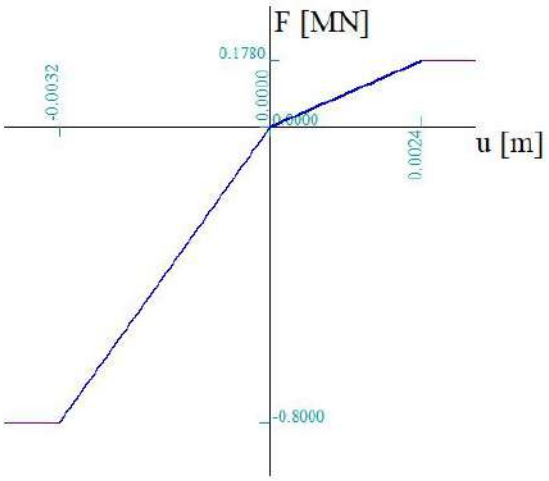
Name	Type	u / F	Positive end	Negative end
PY-curve-2_V18	Translation	-0.200000 / -988600.000000	Free	Free
		-0.180400 / -988600.000000		
		-0.067650 / -587500.000000		
		-0.022550 / -315200.000000		
		-0.006765 / -160600.000000		
		-0.002255 / -80700.000000		
		0.000000 / 0.000000		
		0.002255 / 80700.000000		
		0.006765 / 160600.000000		
		0.022550 / 315200.000000		
		0.067650 / 587500.000000		
		0.180400 / 988600.000000		
		0.200000 / 988600.000000		

Drawing



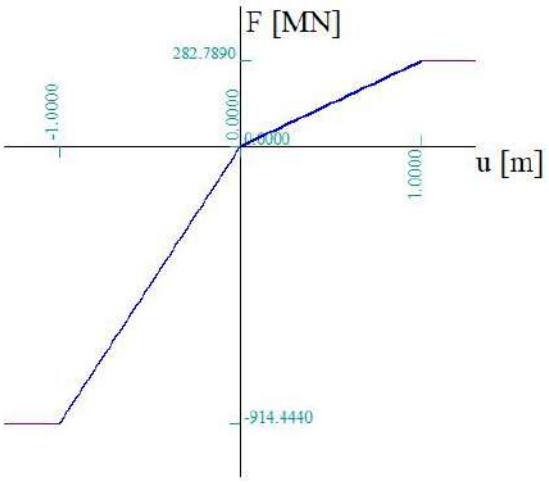
Name	Type	u / F	Positive end	Negative end
Trek-druk-paalpunt_min.B.	Translation	-0.003240 / -800000.000000	Free	Free
		0.000000 / 0.000000		
		0.002350 / 178000.000000		

Drawing



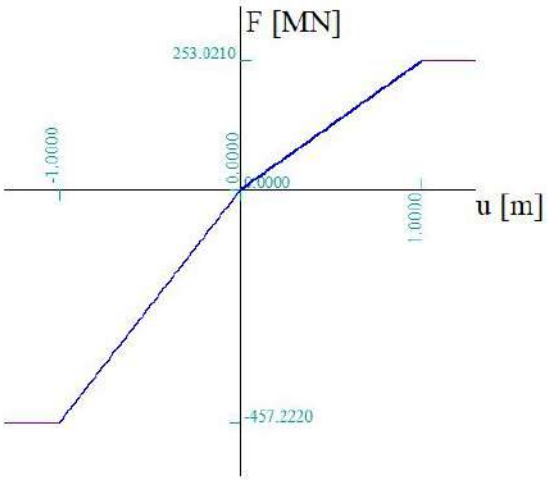
Name	Type	u / F	Positive end	Negative end
Trek-druk-paalpunt-max.LEKA	Translation	-1.000000 / -914444000.000000	Free	Free
		0.000000 / 0.000000		
		1.000000 / 282789000.000000		

Drawing



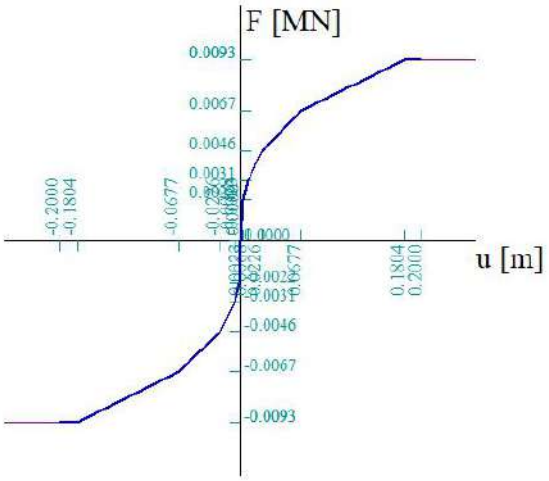
Name	Type	u / F	Positive end	Negative end
Trek-druk-paalpunt-min.LEKA	Translation	-1.000000 / -457222000.000000	Free	Free
		0.000000 / 0.000000		
		1.000000 / 253021000.000000		

Drawing



Name	Type	u / F	Positive end	Negative end
PY-curve-2_Veen	Translation	-0.200000 / -9265.000000	Free	Free
		-0.180400 / -9265.000000		
		-0.067650 / -6681.000000		
		-0.022550 / -4633.000000		
		-0.006765 / -3101.000000		
		-0.002255 / -2150.000000		
		0.000000 / 0.000000		
		0.002255 / 2150.000000		
		0.006765 / 3101.000000		
		0.022550 / 4633.000000		
		0.067650 / 6681.000000		
		0.180400 / 9265.000000		
		0.200000 / 9265.000000		

Drawing

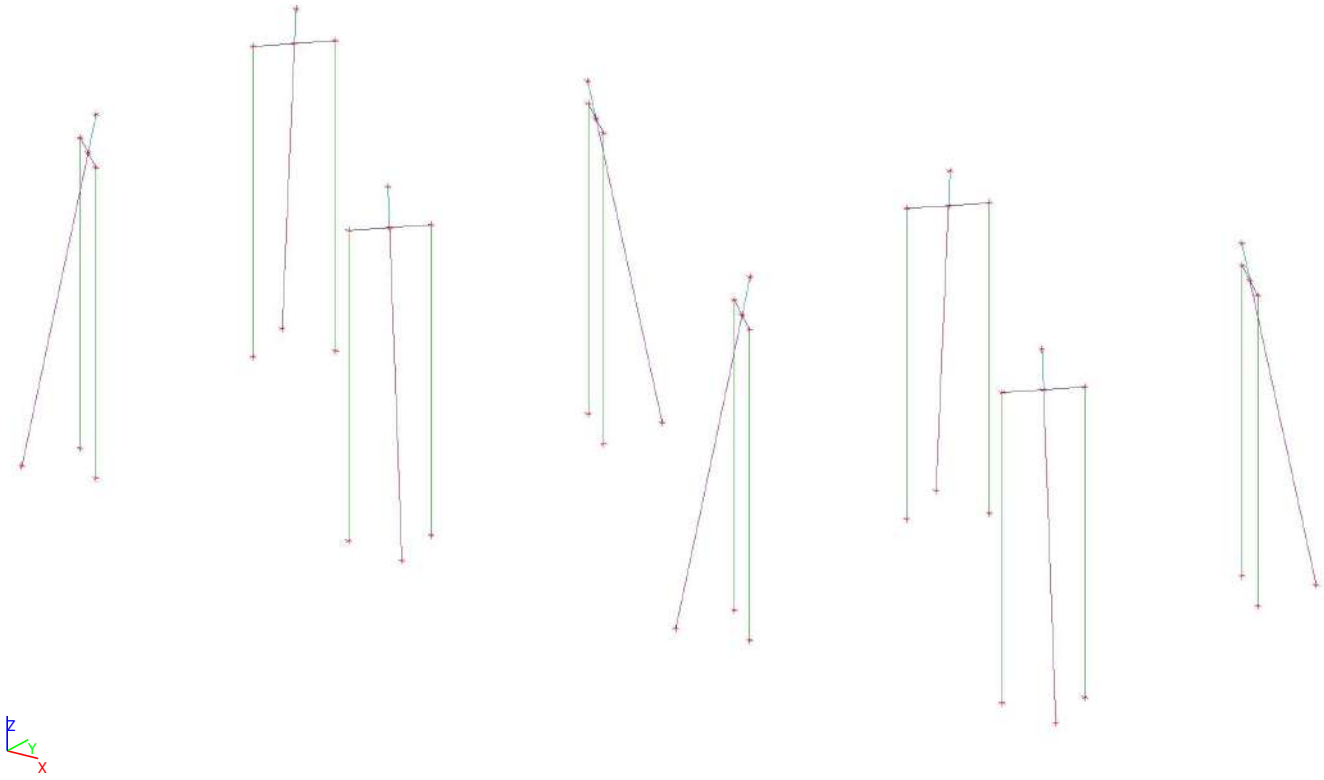


6. Belastingen

6.1. Load cases

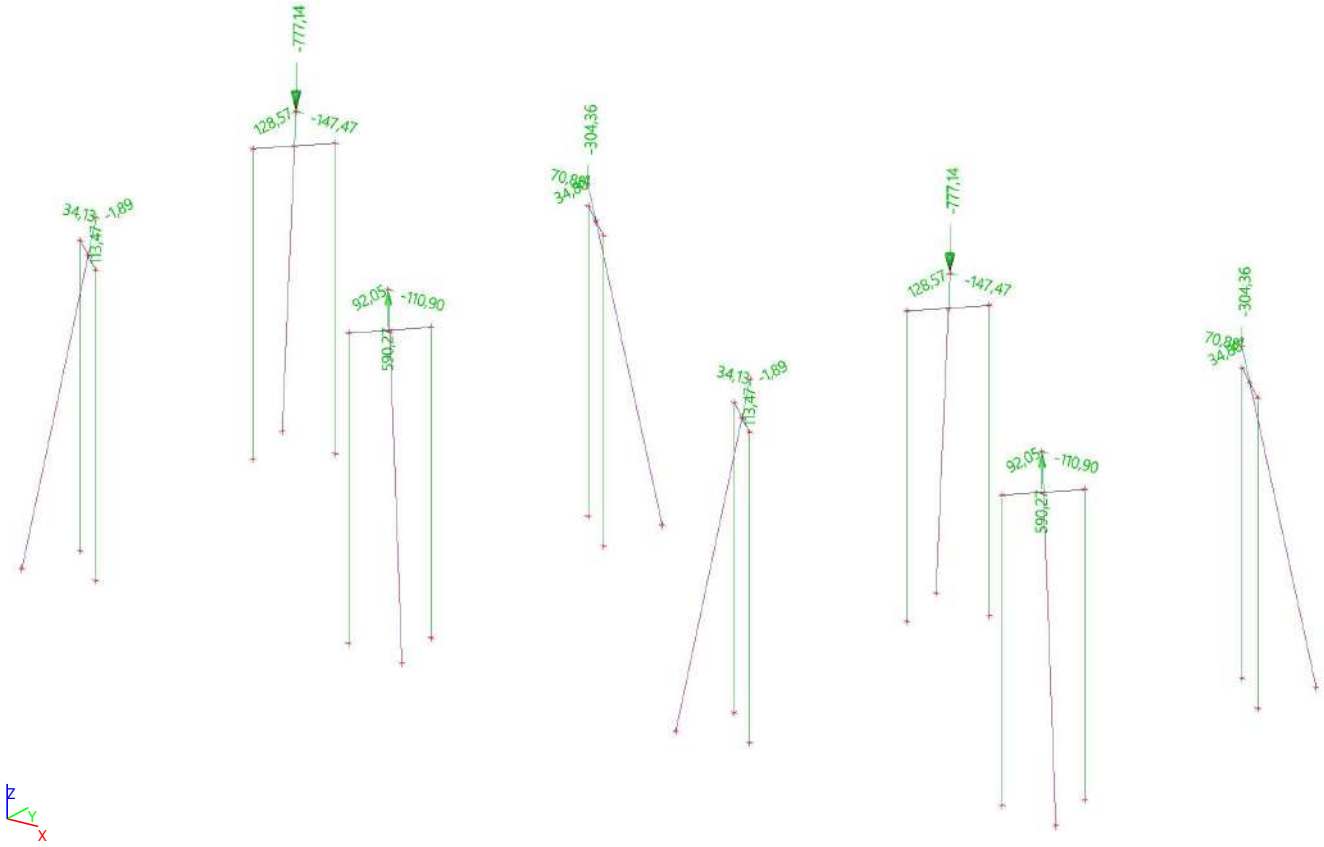
6.1.1. Load cases - EG_Fundering

Name	Description	Action type	Load group	Direction
	Spec	Load type		
EG_Fundering		Permanent	LG1	-Z
		Self weight		



6.1.2. Load cases - high max Wnd ;45°

Name	Description	Action type	Load group	Duration	Master load case
	Spec	Load type			
high max Wnd ;45°		Variable	LG4	Short	None
	Standard	Static			



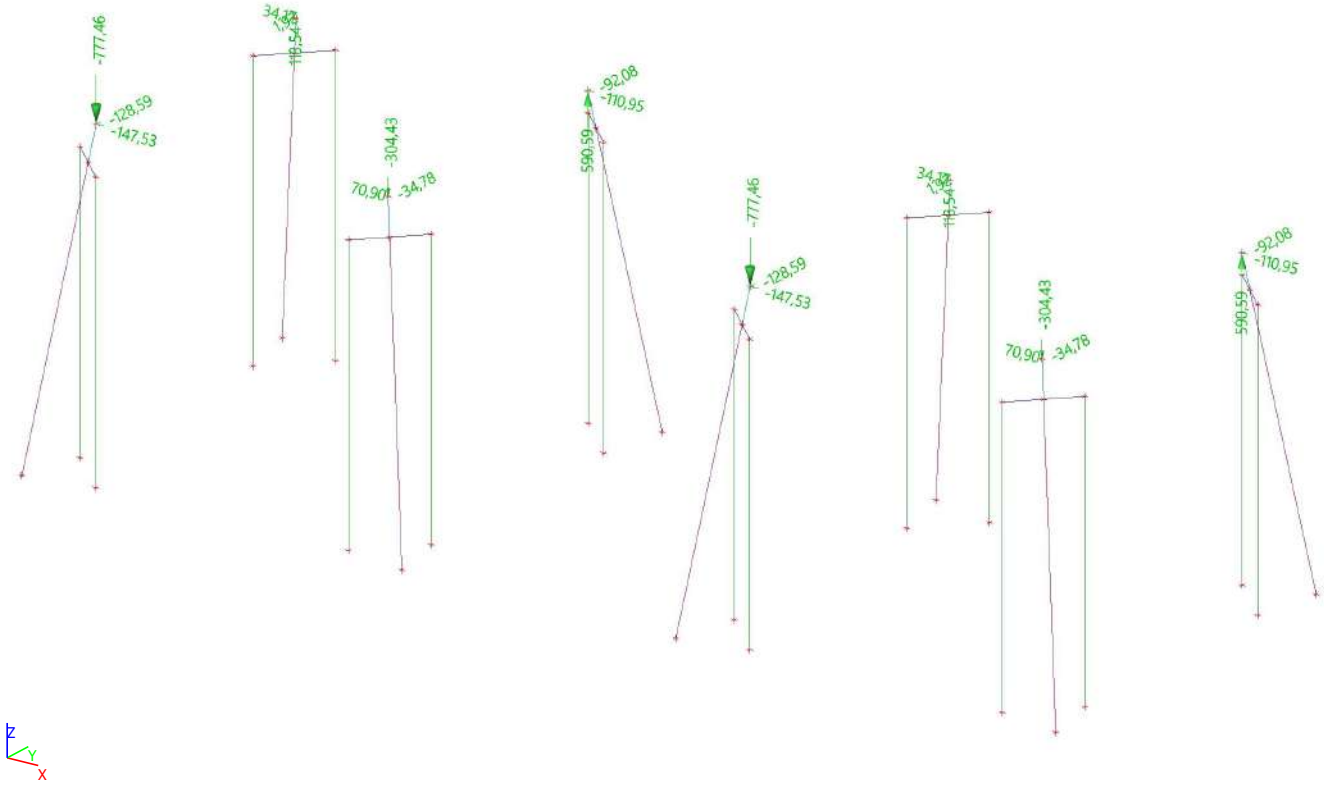
6.1.2.1. Point force in node

Name	Node	Load case	System	Dir	Type	Value - F [kN]
high max Wnd ;45°_1P_X	1P	high max Wnd ;45°	GCS	X	Force	34,13
high max Wnd ;45°_1P_Y	1P	high max Wnd ;45°	GCS	Y	Force	-1,89
high max Wnd ;45°_1P_Z	1P	high max Wnd ;45°	GCS	Z	Force	113,47
high max Wnd ;45°_1X_X	1X	high max Wnd ;45°	GCS	X	Force	-147,47
high max Wnd ;45°_1X_Y	1X	high max Wnd ;45°	GCS	Y	Force	128,57
high max Wnd ;45°_1X_Z	1X	high max Wnd ;45°	GCS	Z	Force	-777,14
high max Wnd ;45°_1XY_X	1XY	high max Wnd ;45°	GCS	X	Force	70,88
high max Wnd ;45°_1XY_Y	1XY	high max Wnd ;45°	GCS	Y	Force	34,80
high max Wnd ;45°_1XY_Z	1XY	high max Wnd ;45°	GCS	Z	Force	-304,36
high max Wnd ;45°_1Y_X	1Y	high max Wnd ;45°	GCS	X	Force	-110,90
high max Wnd ;45°_1Y_Y	1Y	high max Wnd ;45°	GCS	Y	Force	92,05
high max Wnd ;45°_1Y_Z	1Y	high max Wnd ;45°	GCS	Z	Force	590,27
high max Wnd ;45°_1P_X1	1P1	high max Wnd ;45°	GCS	X	Force	34,13
high max Wnd ;45°_1P_Y1	1P1	high max Wnd ;45°	GCS	Y	Force	-1,89
high max Wnd	1P1	high max Wnd ;45°	GCS	Z	Force	113,47

Name	Node	Load case	System	Dir	Type	Value - F [kN]
;45°_1P_Z1						
high max Wnd ;45°_1Y_X1	1Y1	high max Wnd ;45°	GCS	X	Force	-110,90
high max Wnd ;45°_1Y_Y1	1Y1	high max Wnd ;45°	GCS	Y	Force	92,05
high max Wnd ;45°_1Y_Z1	1Y1	high max Wnd ;45°	GCS	Z	Force	590,27
high max Wnd ;45°_1XY_X1	1XY1	high max Wnd ;45°	GCS	X	Force	70,88
high max Wnd ;45°_1XY_Y1	1XY1	high max Wnd ;45°	GCS	Y	Force	34,80
high max Wnd ;45°_1XY_Z1	1XY1	high max Wnd ;45°	GCS	Z	Force	-304,36
high max Wnd ;45°_1X_X1	1X1	high max Wnd ;45°	GCS	X	Force	-147,47
high max Wnd ;45°_1X_Y1	1X1	high max Wnd ;45°	GCS	Y	Force	128,57
high max Wnd ;45°_1X_Z1	1X1	high max Wnd ;45°	GCS	Z	Force	-777,14

6.1.3. Load cases - high max Wnd ;315°

Name	Description	Action type	Load group	Duration	Master load case
	Spec	Load type			
high max Wnd ;315°		Variable	LG4	Short	None
	Standard	Static			

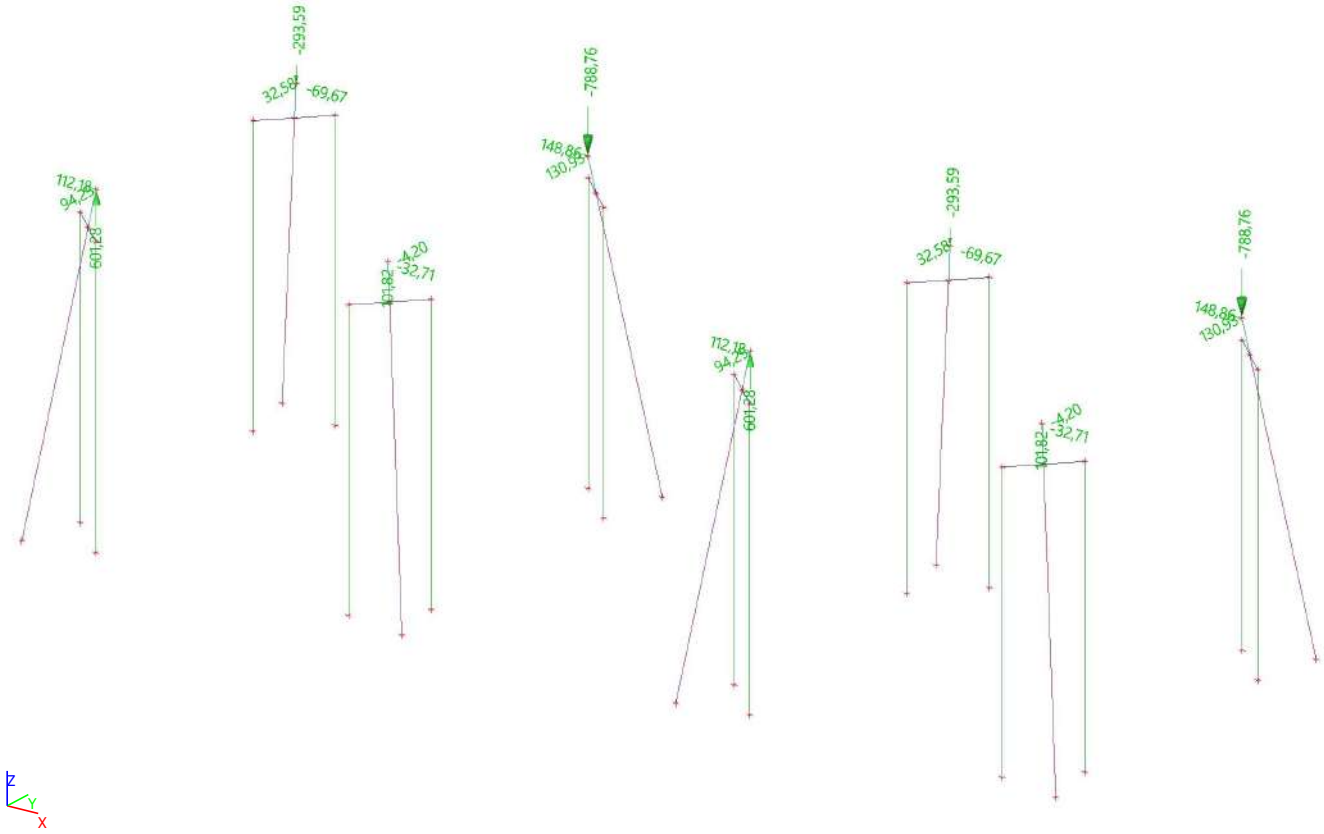


6.1.3.1. Point force in node

Name	Node	Load case	System	Dir	Type	Value - F [kN]
high max Wnd ;315°_1P_X	1P	high max Wnd ;315°	GCS	X	Force	-147,53
high max Wnd ;315°_1P_Y	1P	high max Wnd ;315°	GCS	Y	Force	-128,59
high max Wnd ;315°_1P_Z	1P	high max Wnd ;315°	GCS	Z	Force	-777,46
high max Wnd ;315°_1X_X	1X	high max Wnd ;315°	GCS	X	Force	34,17
high max Wnd ;315°_1X_Y	1X	high max Wnd ;315°	GCS	Y	Force	1,92
high max Wnd ;315°_1X_Z	1X	high max Wnd ;315°	GCS	Z	Force	113,54
high max Wnd ;315°_1XY_X	1XY	high max Wnd ;315°	GCS	X	Force	-110,95
high max Wnd ;315°_1XY_Y	1XY	high max Wnd ;315°	GCS	Y	Force	-92,08
high max Wnd ;315°_1XY_Z	1XY	high max Wnd ;315°	GCS	Z	Force	590,59
high max Wnd ;315°_1Y_X	1Y	high max Wnd ;315°	GCS	X	Force	70,90
high max Wnd ;315°_1Y_Y	1Y	high max Wnd ;315°	GCS	Y	Force	-34,78
high max Wnd ;315°_1Y_Z	1Y	high max Wnd ;315°	GCS	Z	Force	-304,43
high max Wnd ;315°_1P_X1	1P1	high max Wnd ;315°	GCS	X	Force	-147,53
high max Wnd ;315°_1P_Y1	1P1	high max Wnd ;315°	GCS	Y	Force	-128,59
high max Wnd ;315°_1P_Z1	1P1	high max Wnd ;315°	GCS	Z	Force	-777,46
high max Wnd ;315°_1Y_X1	1Y1	high max Wnd ;315°	GCS	X	Force	70,90
high max Wnd ;315°_1Y_Y1	1Y1	high max Wnd ;315°	GCS	Y	Force	-34,78
high max Wnd ;315°_1Y_Z1	1Y1	high max Wnd ;315°	GCS	Z	Force	-304,43
high max Wnd ;315°_1XY_X1	1XY1	high max Wnd ;315°	GCS	X	Force	-110,95
high max Wnd ;315°_1XY_Y1	1XY1	high max Wnd ;315°	GCS	Y	Force	-92,08
high max Wnd ;315°_1XY_Z1	1XY1	high max Wnd ;315°	GCS	Z	Force	590,59
high max Wnd ;315°_1X_X1	1X1	high max Wnd ;315°	GCS	X	Force	34,17
high max Wnd ;315°_1X_Y1	1X1	high max Wnd ;315°	GCS	Y	Force	1,92
high max Wnd ;315°_1X_Z1	1X1	high max Wnd ;315°	GCS	Z	Force	113,54

6.1.4. Load cases - high max Wnd ;135°

Name	Description	Action type	Load group	Duration	Master load case
	Spec	Load type			
high max Wnd ;135°		Variable	LG4	Short	None
	Standard	Static			



6.1.4.1. Point force in node

Name	Node	Load case	System	Dir	Type	Value - F [kN]
high max Wnd ;135°_1P_X	1P	high max Wnd ;135°	GCS	X	Force	112,18
high max Wnd ;135°_1P_Y	1P	high max Wnd ;135°	GCS	Y	Force	94,25
high max Wnd ;135°_1P_Z	1P	high max Wnd ;135°	GCS	Z	Force	601,28
high max Wnd ;135°_1X_X	1X	high max Wnd ;135°	GCS	X	Force	-69,67
high max Wnd ;135°_1X_Y	1X	high max Wnd ;135°	GCS	Y	Force	32,58
high max Wnd ;135°_1X_Z	1X	high max Wnd ;135°	GCS	Z	Force	-293,59
high max Wnd ;135°_1XY_X	1XY	high max Wnd ;135°	GCS	X	Force	148,86
high max Wnd ;135°_1XY_Y	1XY	high max Wnd ;135°	GCS	Y	Force	130,93
high max Wnd ;135°_1XY_Z	1XY	high max Wnd ;135°	GCS	Z	Force	-788,76
high max Wnd ;135°_1Y_X	1Y	high max Wnd ;135°	GCS	X	Force	-32,71
high max Wnd ;135°_1Y_Y	1Y	high max Wnd ;135°	GCS	Y	Force	-4,20
high max Wnd ;135°_1Y_Z	1Y	high max Wnd ;135°	GCS	Z	Force	101,82
high max Wnd ;135°_1P_X1	1P1	high max Wnd ;135°	GCS	X	Force	112,18
high max Wnd ;135°_1P_Y1	1P1	high max Wnd ;135°	GCS	Y	Force	94,25
high max Wnd	1P1	high max Wnd ;135°	GCS	Z	Force	601,28

Name	Node	Load case	System	Dir	Type	Value - F [kN]
;135°_1P_Z1						
high max Wnd ;135°_1Y_X1	1Y1	high max Wnd ;135°	GCS	X	Force	-32,71
high max Wnd ;135°_1Y_Y1	1Y1	high max Wnd ;135°	GCS	Y	Force	-4,20
high max Wnd ;135°_1Y_Z1	1Y1	high max Wnd ;135°	GCS	Z	Force	101,82
high max Wnd ;135°_1XY_X1	1XY1	high max Wnd ;135°	GCS	X	Force	148,86
high max Wnd ;135°_1XY_Y1	1XY1	high max Wnd ;135°	GCS	Y	Force	130,93
high max Wnd ;135°_1XY_Z1	1XY1	high max Wnd ;135°	GCS	Z	Force	-788,76
high max Wnd ;135°_1X_X1	1X1	high max Wnd ;135°	GCS	X	Force	-69,67
high max Wnd ;135°_1X_Y1	1X1	high max Wnd ;135°	GCS	Y	Force	32,58
high max Wnd ;135°_1X_Z1	1X1	high max Wnd ;135°	GCS	Z	Force	-293,59

6.1.5. Load cases - high max Wnd ;225°

Name	Description	Action type	Load group	Duration	Master load case
	Spec	Load type			
high max Wnd ;225°		Variable	LG4	Short	None
	Standard	Static			



6.1.5.1. Point force in node

Name	Node	Load case	System	Dir	Type	Value - F [kN]
high max Wnd ;225°_1P_X	1P	high max Wnd ;225°	GCS	X	Force	-69,72
high max Wnd ;225°_1P_Y	1P	high max Wnd ;225°	GCS	Y	Force	-32,59
high max Wnd ;225°_1P_Z	1P	high max Wnd ;225°	GCS	Z	Force	-293,87
high max Wnd ;225°_1X_X	1X	high max Wnd ;225°	GCS	X	Force	112,22
high max Wnd ;225°_1X_Y	1X	high max Wnd ;225°	GCS	Y	Force	-94,22
high max Wnd ;225°_1X_Z	1X	high max Wnd ;225°	GCS	Z	Force	601,39
high max Wnd ;225°_1XY_X	1XY	high max Wnd ;225°	GCS	X	Force	-32,76
high max Wnd ;225°_1XY_Y	1XY	high max Wnd ;225°	GCS	Y	Force	4,18
high max Wnd ;225°_1XY_Z	1XY	high max Wnd ;225°	GCS	Z	Force	102,09
high max Wnd ;225°_1Y_X	1Y	high max Wnd ;225°	GCS	X	Force	148,89
high max Wnd ;225°_1Y_Y	1Y	high max Wnd ;225°	GCS	Y	Force	-130,91
high max Wnd ;225°_1Y_Z	1Y	high max Wnd ;225°	GCS	Z	Force	-788,87
high max Wnd ;225°_1P_X1	1P1	high max Wnd ;225°	GCS	X	Force	-69,72
high max Wnd ;225°_1P_Y1	1P1	high max Wnd ;225°	GCS	Y	Force	-32,59
high max Wnd ;225°_1P_Z1	1P1	high max Wnd ;225°	GCS	Z	Force	-293,87
high max Wnd ;225°_1Y_X1	1Y1	high max Wnd ;225°	GCS	X	Force	148,89
high max Wnd ;225°_1Y_Y1	1Y1	high max Wnd ;225°	GCS	Y	Force	-130,91
high max Wnd ;225°_1Y_Z1	1Y1	high max Wnd ;225°	GCS	Z	Force	-788,87
high max Wnd ;225°_1XY_X1	1XY1	high max Wnd ;225°	GCS	X	Force	-32,76
high max Wnd ;225°_1XY_Y1	1XY1	high max Wnd ;225°	GCS	Y	Force	4,18
high max Wnd ;225°_1XY_Z1	1XY1	high max Wnd ;225°	GCS	Z	Force	102,09
high max Wnd ;225°_1X_X1	1X1	high max Wnd ;225°	GCS	X	Force	112,22
high max Wnd ;225°_1X_Y1	1X1	high max Wnd ;225°	GCS	Y	Force	-94,22
high max Wnd ;225°_1X_Z1	1X1	high max Wnd ;225°	GCS	Z	Force	601,39

6.1.6. Load cases - low max Wnd ;45°

Name	Description	Action type	Load group	Duration	Master load case
	Spec	Load type			
low max Wnd ;45°		Variable	LG4	Short	None
	Standard	Static			



6.1.6.1. Point force in node

Name	Node	Load case	System	Dir	Type	Value - F [kN]
low max Wnd ;45°_1P_X	1P	low max Wnd ;45°	GCS	X	Force	38,20
low max Wnd ;45°_1P_Y	1P	low max Wnd ;45°	GCS	Y	Force	2,09
low max Wnd ;45°_1P_Z	1P	low max Wnd ;45°	GCS	Z	Force	133,95
low max Wnd ;45°_1X_X	1X	low max Wnd ;45°	GCS	X	Force	-143,32
low max Wnd ;45°_1X_Y	1X	low max Wnd ;45°	GCS	Y	Force	124,61
low max Wnd ;45°_1X_Z	1X	low max Wnd ;45°	GCS	Z	Force	-755,99
low max Wnd ;45°_1XY_X	1XY	low max Wnd ;45°	GCS	X	Force	66,70
low max Wnd ;45°_1XY_Y	1XY	low max Wnd ;45°	GCS	Y	Force	30,84
low max Wnd ;45°_1XY_Z	1XY	low max Wnd ;45°	GCS	Z	Force	-283,36
low max Wnd ;45°_1Y_X	1Y	low max Wnd ;45°	GCS	X	Force	-115,00
low max Wnd ;45°_1Y_Y	1Y	low max Wnd ;45°	GCS	Y	Force	96,03
low max Wnd ;45°_1Y_Z	1Y	low max Wnd ;45°	GCS	Z	Force	610,56
low max Wnd ;45°_1P_X1	1P1	low max Wnd ;45°	GCS	X	Force	38,20
low max Wnd ;45°_1P_Y1	1P1	low max Wnd ;45°	GCS	Y	Force	2,09
low max Wnd	1P1	low max Wnd ;45°	GCS	Z	Force	133,95

Name	Node	Load case	System	Dir	Type	Value - F [kN]
;45°_1P_Z1						
low max Wnd ;45°_1Y_X1	1Y1	low max Wnd ;45°	GCS	X	Force	-115,00
low max Wnd ;45°_1Y_Y1	1Y1	low max Wnd ;45°	GCS	Y	Force	96,03
low max Wnd ;45°_1Y_Z1	1Y1	low max Wnd ;45°	GCS	Z	Force	610,56
low max Wnd ;45°_1XY_X1	1XY1	low max Wnd ;45°	GCS	X	Force	66,70
low max Wnd ;45°_1XY_Y1	1XY1	low max Wnd ;45°	GCS	Y	Force	30,84
low max Wnd ;45°_1XY_Z1	1XY1	low max Wnd ;45°	GCS	Z	Force	-283,36
low max Wnd ;45°_1X_X1	1X1	low max Wnd ;45°	GCS	X	Force	-143,32
low max Wnd ;45°_1X_Y1	1X1	low max Wnd ;45°	GCS	Y	Force	124,61
low max Wnd ;45°_1X_Z1	1X1	low max Wnd ;45°	GCS	Z	Force	-755,99

6.1.7. Load cases - low max Wnd ;225°

Name	Description	Action type	Load group	Duration	Master load case
	Spec	Load type			
low max Wnd ;225°	Standard	Variable Static	LG4	Short	None

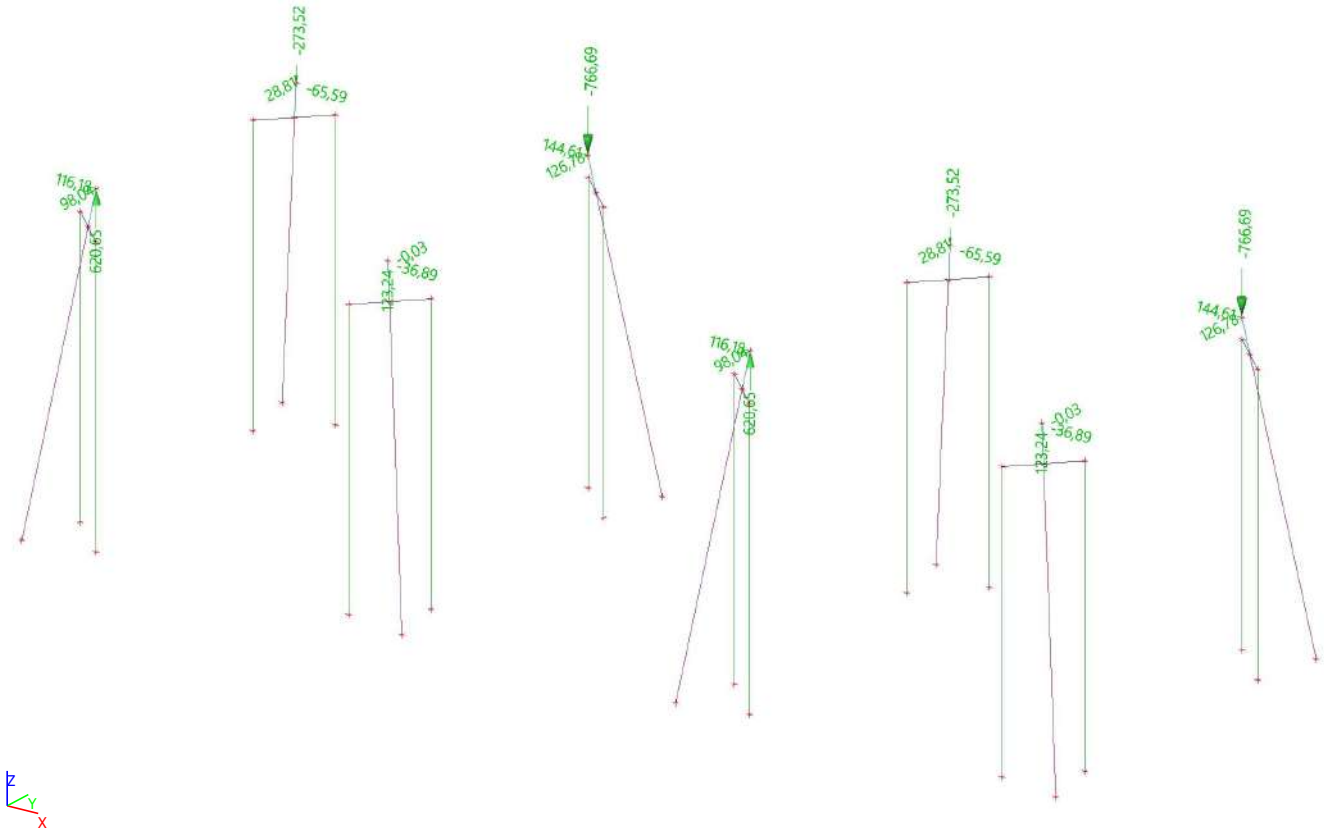


6.1.7.1. Point force in node

Name	Node	Load case	System	Dir	Type	Value - F [kN]
low max Wnd ;225°_1P_X	1P	low max Wnd ;225°	GCS	X	Force	-65,64
low max Wnd ;225°_1P_Y	1P	low max Wnd ;225°	GCS	Y	Force	-28,82
low max Wnd ;225°_1P_Z	1P	low max Wnd ;225°	GCS	Z	Force	-273,75
low max Wnd ;225°_1X_X	1X	low max Wnd ;225°	GCS	X	Force	116,21
low max Wnd ;225°_1X_Y	1X	low max Wnd ;225°	GCS	Y	Force	-98,01
low max Wnd ;225°_1X_Z	1X	low max Wnd ;225°	GCS	Z	Force	620,72
low max Wnd ;225°_1XY_X	1XY	low max Wnd ;225°	GCS	X	Force	-36,93
low max Wnd ;225°_1XY_Y	1XY	low max Wnd ;225°	GCS	Y	Force	0,01
low max Wnd ;225°_1XY_Z	1XY	low max Wnd ;225°	GCS	Z	Force	123,46
low max Wnd ;225°_1Y_X	1Y	low max Wnd ;225°	GCS	X	Force	144,63
low max Wnd ;225°_1Y_Y	1Y	low max Wnd ;225°	GCS	Y	Force	-126,77
low max Wnd ;225°_1Y_Z	1Y	low max Wnd ;225°	GCS	Z	Force	-766,76
low max Wnd ;225°_1P_X1	1P1	low max Wnd ;225°	GCS	X	Force	-65,64
low max Wnd ;225°_1P_Y1	1P1	low max Wnd ;225°	GCS	Y	Force	-28,82
low max Wnd ;225°_1P_Z1	1P1	low max Wnd ;225°	GCS	Z	Force	-273,75
low max Wnd ;225°_1Y_X1	1Y1	low max Wnd ;225°	GCS	X	Force	144,63
low max Wnd ;225°_1Y_Y1	1Y1	low max Wnd ;225°	GCS	Y	Force	-126,77
low max Wnd ;225°_1Y_Z1	1Y1	low max Wnd ;225°	GCS	Z	Force	-766,76
low max Wnd ;225°_1XY_X1	1XY1	low max Wnd ;225°	GCS	X	Force	-36,93
low max Wnd ;225°_1XY_Y1	1XY1	low max Wnd ;225°	GCS	Y	Force	0,01
low max Wnd ;225°_1XY_Z1	1XY1	low max Wnd ;225°	GCS	Z	Force	123,46
low max Wnd ;225°_1X_X1	1X1	low max Wnd ;225°	GCS	X	Force	116,21
low max Wnd ;225°_1X_Y1	1X1	low max Wnd ;225°	GCS	Y	Force	-98,01
low max Wnd ;225°_1X_Z1	1X1	low max Wnd ;225°	GCS	Z	Force	620,72

6.1.8. Load cases - low max Wnd ;135°

Name	Description	Action type	Load group	Duration	Master load case
	Spec	Load type			
low max Wnd ;135°		Variable	LG4	Short	None
	Standard	Static			



6.1.8.1. Point force in node

Name	Node	Load case	System	Dir	Type	Value - F [kN]
low max Wnd ;135°_1P_X	1P	low max Wnd ;135°	GCS	X	Force	116,18
low max Wnd ;135°_1P_Y	1P	low max Wnd ;135°	GCS	Y	Force	98,04
low max Wnd ;135°_1P_Z	1P	low max Wnd ;135°	GCS	Z	Force	620,65
low max Wnd ;135°_1X_X	1X	low max Wnd ;135°	GCS	X	Force	-65,59
low max Wnd ;135°_1X_Y	1X	low max Wnd ;135°	GCS	Y	Force	28,81
low max Wnd ;135°_1X_Z	1X	low max Wnd ;135°	GCS	Z	Force	-273,52
low max Wnd ;135°_1XY_X	1XY	low max Wnd ;135°	GCS	X	Force	144,61
low max Wnd ;135°_1XY_Y	1XY	low max Wnd ;135°	GCS	Y	Force	126,78
low max Wnd ;135°_1XY_Z	1XY	low max Wnd ;135°	GCS	Z	Force	-766,69
low max Wnd ;135°_1Y_X	1Y	low max Wnd ;135°	GCS	X	Force	-36,89
low max Wnd ;135°_1Y_Y	1Y	low max Wnd ;135°	GCS	Y	Force	-0,03
low max Wnd ;135°_1Y_Z	1Y	low max Wnd ;135°	GCS	Z	Force	123,24
low max Wnd ;135°_1P_X1	1P1	low max Wnd ;135°	GCS	X	Force	116,18
low max Wnd ;135°_1P_Y1	1P1	low max Wnd ;135°	GCS	Y	Force	98,04
low max Wnd	1P1	low max Wnd ;135°	GCS	Z	Force	620,65

Name	Node	Load case	System	Dir	Type	Value - F [kN]
;135°_1P_Z1						
low max Wnd ;135°_1Y_X1	1Y1	low max Wnd ;135°	GCS	X	Force	-36,89
low max Wnd ;135°_1Y_Y1	1Y1	low max Wnd ;135°	GCS	Y	Force	-0,03
low max Wnd ;135°_1Y_Z1	1Y1	low max Wnd ;135°	GCS	Z	Force	123,24
low max Wnd ;135°_1XY_X1	1XY1	low max Wnd ;135°	GCS	X	Force	144,61
low max Wnd ;135°_1XY_Y1	1XY1	low max Wnd ;135°	GCS	Y	Force	126,78
low max Wnd ;135°_1XY_Z1	1XY1	low max Wnd ;135°	GCS	Z	Force	-766,69
low max Wnd ;135°_1X_X1	1X1	low max Wnd ;135°	GCS	X	Force	-65,59
low max Wnd ;135°_1X_Y1	1X1	low max Wnd ;135°	GCS	Y	Force	28,81
low max Wnd ;135°_1X_Z1	1X1	low max Wnd ;135°	GCS	Z	Force	-273,52

6.1.9. Load cases - low max Wnd ;315°

Name	Description	Action type	Load group	Duration	Master load case
	Spec	Load type			
low max Wnd ;315°	Standard	Variable Static	LG4	Short	None



6.1.9.1. Point force in node

Name	Node	Load case	System	Dir	Type	Value - F [kN]
low max Wnd ;315°_1P_X	1P	low max Wnd ;315°	GCS	X	Force	-143,38
low max Wnd ;315°_1P_Y	1P	low max Wnd ;315°	GCS	Y	Force	-124,63
low max Wnd ;315°_1P_Z	1P	low max Wnd ;315°	GCS	Z	Force	-756,28
low max Wnd ;315°_1X_X	1X	low max Wnd ;315°	GCS	X	Force	38,23
low max Wnd ;315°_1X_Y	1X	low max Wnd ;315°	GCS	Y	Force	-2,06
low max Wnd ;315°_1X_Z	1X	low max Wnd ;315°	GCS	Z	Force	133,97
low max Wnd ;315°_1XY_X	1XY	low max Wnd ;315°	GCS	X	Force	-115,05
low max Wnd ;315°_1XY_Y	1XY	low max Wnd ;315°	GCS	Y	Force	-96,06
low max Wnd ;315°_1XY_Z	1XY	low max Wnd ;315°	GCS	Z	Force	610,85
low max Wnd ;315°_1Y_X	1Y	low max Wnd ;315°	GCS	X	Force	66,71
low max Wnd ;315°_1Y_Y	1Y	low max Wnd ;315°	GCS	Y	Force	-30,82
low max Wnd ;315°_1Y_Z	1Y	low max Wnd ;315°	GCS	Z	Force	-283,39
low max Wnd ;315°_1P_X1	1P1	low max Wnd ;315°	GCS	X	Force	-143,38
low max Wnd ;315°_1P_Y1	1P1	low max Wnd ;315°	GCS	Y	Force	-124,63
low max Wnd ;315°_1P_Z1	1P1	low max Wnd ;315°	GCS	Z	Force	-756,28
low max Wnd ;315°_1Y_X1	1Y1	low max Wnd ;315°	GCS	X	Force	66,71
low max Wnd ;315°_1Y_Y1	1Y1	low max Wnd ;315°	GCS	Y	Force	-30,82
low max Wnd ;315°_1Y_Z1	1Y1	low max Wnd ;315°	GCS	Z	Force	-283,39
low max Wnd ;315°_1XY_X1	1XY1	low max Wnd ;315°	GCS	X	Force	-115,05
low max Wnd ;315°_1XY_Y1	1XY1	low max Wnd ;315°	GCS	Y	Force	-96,06
low max Wnd ;315°_1XY_Z1	1XY1	low max Wnd ;315°	GCS	Z	Force	610,85
low max Wnd ;315°_1X_X1	1X1	low max Wnd ;315°	GCS	X	Force	38,23
low max Wnd ;315°_1X_Y1	1X1	low max Wnd ;315°	GCS	Y	Force	-2,06
low max Wnd ;315°_1X_Z1	1X1	low max Wnd ;315°	GCS	Z	Force	133,97

6.2. Nonlinear combinations

Name	Type	Load cases	Coeff. [-]
low max Wnd ;45° - EG_Gunstig	Ultimate	EG_Fundering	0,900
		low max Wnd ;45°	1,000
low max Wnd ;225° - EG_Gunstig	Ultimate	EG_Fundering	0,900
		low max Wnd ;225°	1,000
low max Wnd ;135° - EG_Gunstig	Ultimate	EG_Fundering	0,900
		low max Wnd ;135°	1,000
low max Wnd ;315° - EG_Gunstig	Ultimate	EG_Fundering	0,900

Name	Type	Load cases	Coeff. [-]
		low max Wnd ;315°	1,000
high max Wnd ;45° - EG_Ongunstig	Ultimate	EG_Fundering	1,200
		high max Wnd ;45°	1,000
high max Wnd ;225° - EG_Ongunstig	Ultimate	EG_Fundering	1,200
		high max Wnd ;315°	1,000
high max Wnd ;135° - EG_Ongunstig	Ultimate	EG_Fundering	1,200
		high max Wnd ;135°	1,000
high max Wnd ;315° - EG_Ongunstig	Ultimate	EG_Fundering	1,200
		high max Wnd ;225°	1,000

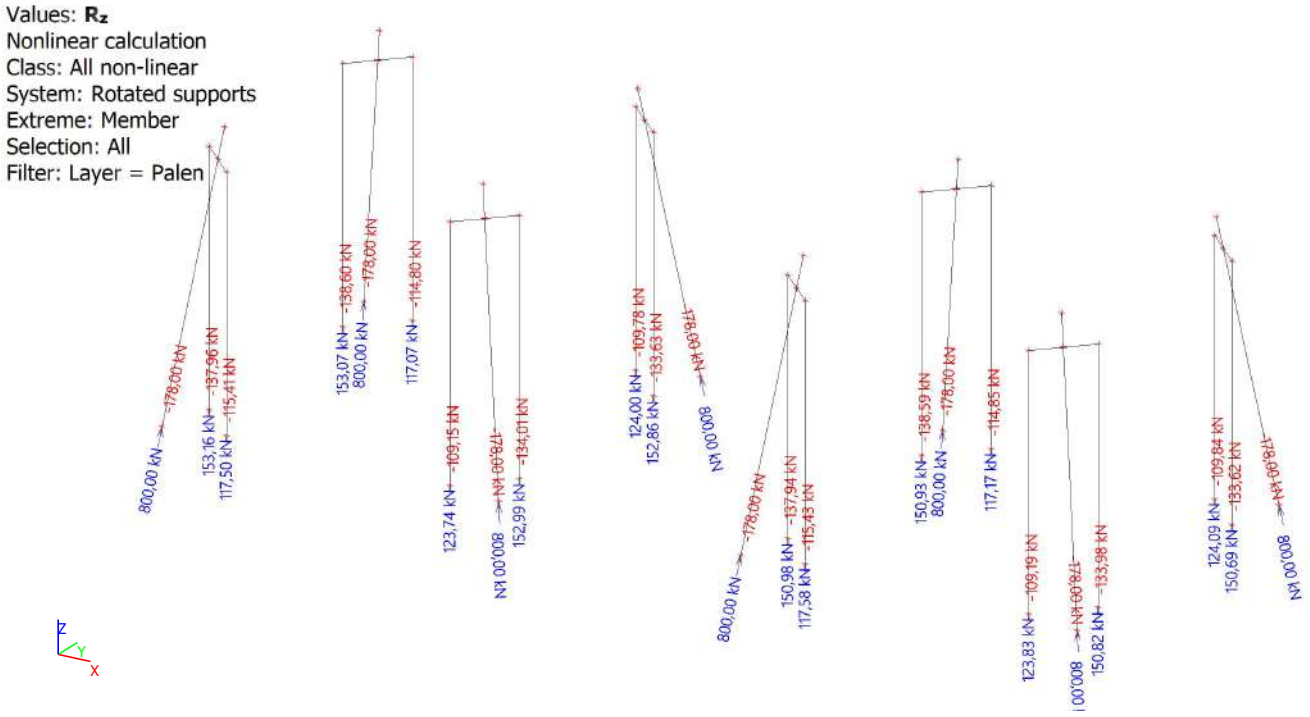
6.3. Result classes

Name	List
All non-linear	low max Wnd ;45° - EG_Gunstig
	low max Wnd ;225° - EG_Gunstig
	low max Wnd ;135° - EG_Gunstig
	low max Wnd ;315° - EG_Gunstig
	high max Wnd ;45° - EG_Ongunstig
	high max Wnd ;225° - EG_Ongunstig
	high max Wnd ;135° - EG_Ongunstig
	high max Wnd ;315° - EG_Ongunstig

7. Resultaten

7.1. Reacties van de palen

7.1.1. Reactions; R_z



7.1.2. Reactions

Nonlinear calculation
Class: All non-linear
System: Rotated supports
Extreme: Global
Selection: All
Filter: Cross-section = LD1(31-plank) - General cross-section
Nodal reactions

Name	Case	R_x [kN]	R_y [kN]	R_z [kN]	M_x [kNm]	M_y [kNm]	M_z [kNm]	e_x [mm]	e_y [mm]
S_P/N139	low max Wnd ;135° - EG_Gunstig	0,00	0,00	**-178,00**	0,00	0,00	0,00	0,0	0,0
S_P/N139	low max Wnd ;315° - EG_Gunstig	**0,00**	**0,00**	**800,00**	**0,00**	**0,00**	**0,00**	0,0	0,0

7.1.3. Reactions

Nonlinear calculation
Class: All non-linear
System: Rotated supports
Extreme: Global
Selection: All
Filter: Cross-section = LEKA Paal - type e (CHS323.9/10.0)
Nodal reactions

Name	Case	R_x [kN]	R_y [kN]	R_z [kN]	M_x [kNm]	M_y [kNm]	M_z [kNm]	e_x [mm]	e_y [mm]
Sn LK/N159	low max Wnd ;225° - EG_Gunstig	0,00	0,00	**-138,60**	0,00	0,00	0,00	0,0	0,0
Sn LK4/N171	high max Wnd ;315° - EG_Ongunstig	**0,00**	**0,00**	**153,16**	**0,00**	**0,00**	**0,00**	0,0	0,0

7.1.4. Reactions

Nonlinear calculation
Class: All non-linear
System: Rotated supports
Extreme: Member
Selection: All
Filter: Layer = Palen

Nodal reactions

Name	Case	R_x [kN]	R_y [kN]	R_z [kN]	M_x [kNm]	M_y [kNm]	M_z [kNm]	e_x [mm]	e_y [mm]
S_P/N139	low max Wnd ;135° - EG_Gunstig	0,00	0,00	**-178,00**	0,00	0,00	0,00	0,0	0,0
S_P/N139	low max Wnd ;315° - EG_Gunstig	**0,00**	**0,00**	**800,00**	**0,00**	**0,00**	**0,00**	0,0	0,0
S_Y/N143	low max Wnd ;225° - EG_Gunstig	**0,00**	**0,00**	**800,00**	**0,00**	**0,00**	**0,00**	0,0	0,0
S_Y/N143	low max Wnd ;45° - EG_Gunstig	0,00	0,00	**-178,00**	0,00	0,00	**0,00**	0,0	0,0
S_XY/N148	low max Wnd ;315° - EG_Gunstig	0,00	0,00	**-178,00**	0,00	0,00	0,00	0,0	0,0
S_XY/N148	low max Wnd ;135° - EG_Gunstig	**0,00**	**0,00**	**800,00**	**0,00**	**0,00**	**0,00**	0,0	0,0
S_X/N153	low max Wnd ;225° - EG_Gunstig	**0,00**	**0,00**	**-178,00**	**0,00**	**0,00**	**0,00**	0,0	0,0
S_X/N153	low max Wnd ;45° - EG_Gunstig	0,00	0,00	**800,00**	0,00	0,00	**0,00**	0,0	0,0
Sn LK/N159	low max Wnd ;225° - EG_Gunstig	0,00	0,00	**-138,60**	0,00	0,00	0,00	0,0	0,0
Sn LK/N159	high max Wnd ;135° - EG_Ongunstig	**0,00**	**0,00**	**153,07**	**0,00**	**0,00**	**0,00**	0,0	0,0
Sn LK1/N160	low max Wnd ;225° - EG_Gunstig	0,00	0,00	**-114,80**	0,00	0,00	0,00	0,0	0,0
Sn LK1/N160	high max Wnd ;45° - EG_Ongunstig	**0,00**	**0,00**	**117,07**	**0,00**	**0,00**	**0,00**	0,0	0,0
Sn LK2/N167	low max Wnd ;315° - EG_Gunstig	0,00	0,00	**-133,63**	0,00	0,00	0,00	0,0	0,0
Sn LK2/N167	high max Wnd ;45° - EG_Ongunstig	**0,00**	**0,00**	**152,86**	**0,00**	**0,00**	**0,00**	0,0	0,0
Sn LK3/N168	low max Wnd ;315° - EG_Gunstig	0,00	0,00	**-109,78**	0,00	0,00	0,00	0,0	0,0
Sn LK3/N168	high max Wnd ;135° -	**0,00**	**0,00**	**124,00**	**0,00**	**0,00**	**0,00**	0,0	0,0

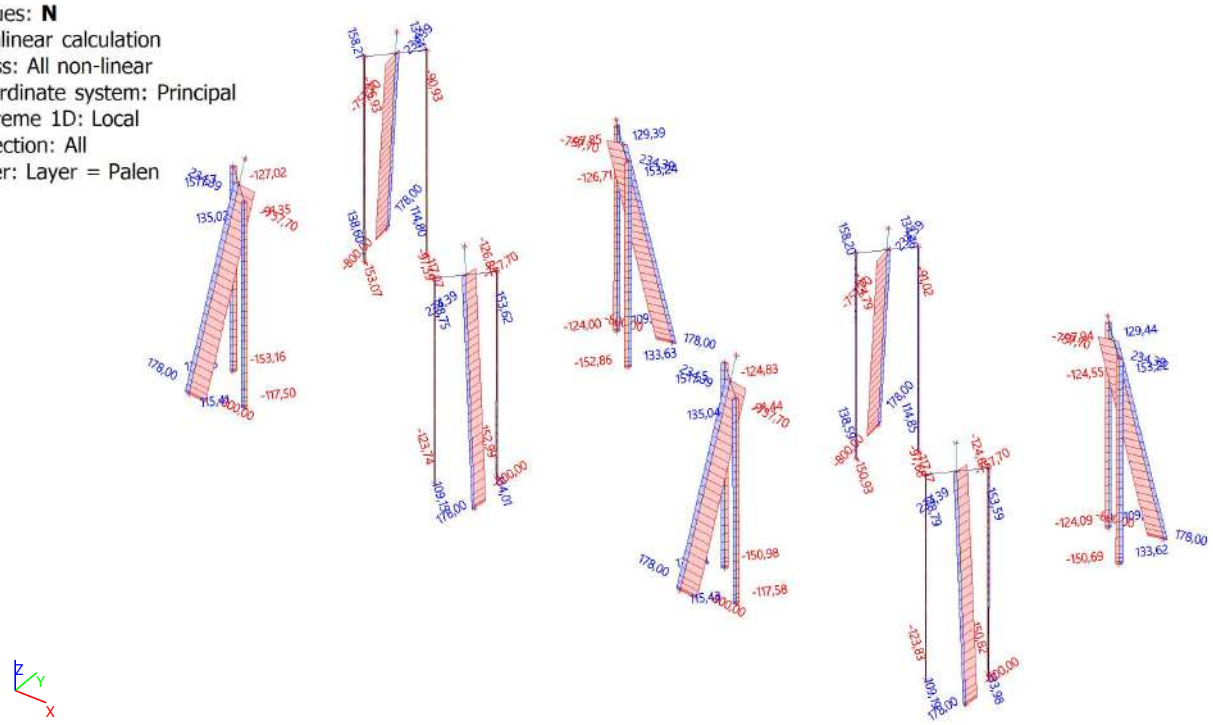
Name	Case	R_x [kN]	R_y [kN]	R_z [kN]	M_x [kNm]	M_y [kNm]	M_z [kNm]	e_x [mm]	e_y [mm]
	EG_Ongunstig								
Sn LK4/N171	low max Wnd ;135° - EG_Gunstig	0,00	0,00	**-137,96**	0,00	0,00	0,00	0,0	0,0
Sn LK4/N171	high max Wnd ;315° - EG_Ongunstig	**0,00**	**0,00**	**153,16**	**0,00**	**0,00**	**0,00**	0,0	0,0
Sn LK5/N172	low max Wnd ;135° - EG_Gunstig	0,00	0,00	**-115,41**	0,00	0,00	0,00	0,0	0,0
Sn LK5/N172	high max Wnd ;225° - EG_Ongunstig	**0,00**	**0,00**	**117,50**	**0,00**	**0,00**	**0,00**	0,0	0,0
Sn LK6/N175	high max Wnd ;225° - EG_Ongunstig	**0,00**	**0,00**	**152,99**	**0,00**	**0,00**	**0,00**	0,0	0,0
Sn LK6/N175	low max Wnd ;45° - EG_Gunstig	0,00	0,00	**-134,01**	0,00	0,00	**0,00**	0,0	0,0
Sn LK7/N176	high max Wnd ;315° - EG_Ongunstig	**0,00**	**0,00**	**123,74**	**0,00**	**0,00**	**0,00**	0,0	0,0
Sn LK7/N176	low max Wnd ;45° - EG_Gunstig	0,00	0,00	**-109,15**	0,00	0,00	**0,00**	0,0	0,0
S_P1/N179	low max Wnd ;135° - EG_Gunstig	0,00	0,00	**-178,00**	0,00	0,00	0,00	0,0	0,0
S_P1/N179	low max Wnd ;315° - EG_Gunstig	**0,00**	**0,00**	**800,00**	**0,00**	**0,00**	**0,00**	0,0	0,0
S_Y1/N181	low max Wnd ;225° - EG_Gunstig	**0,00**	**0,00**	**800,00**	**0,00**	**0,00**	**0,00**	0,0	0,0
S_Y1/N181	low max Wnd ;45° - EG_Gunstig	0,00	0,00	**-178,00**	0,00	0,00	**0,00**	0,0	0,0
S_XY1/N183	low max Wnd ;315° - EG_Gunstig	0,00	0,00	**-178,00**	0,00	0,00	0,00	0,0	0,0
S_XY1/N183	low max Wnd ;135° - EG_Gunstig	**0,00**	**0,00**	**800,00**	**0,00**	**0,00**	**0,00**	0,0	0,0
S_X1/N185	low max Wnd ;225° - EG_Gunstig	**0,00**	**0,00**	**-178,00**	**0,00**	**0,00**	**0,00**	0,0	0,0
S_X1/N185	low max Wnd ;45° - EG_Gunstig	0,00	0,00	**800,00**	0,00	0,00	**0,00**	0,0	0,0
Sn LK8/N188	low max Wnd ;225° - EG_Gunstig	0,00	0,00	**-138,59**	0,00	0,00	0,00	0,0	0,0
Sn LK8/N188	high max Wnd ;135° - EG_Ongunstig	**0,00**	**0,00**	**150,93**	**0,00**	**0,00**	**0,00**	0,0	0,0
Sn LK9/N189	low max Wnd ;225° - EG_Gunstig	0,00	0,00	**-114,85**	0,00	0,00	0,00	0,0	0,0
Sn LK9/N189	high max Wnd ;45° - EG_Ongunstig	**0,00**	**0,00**	**117,17**	**0,00**	**0,00**	**0,00**	0,0	0,0
Sn LK10/N192	low max Wnd ;315° - EG_Gunstig	0,00	0,00	**-133,62**	0,00	0,00	0,00	0,0	0,0
Sn LK10/N192	high max Wnd ;45° -	**0,00**	**0,00**	**150,69**	**0,00**	**0,00**	**0,00**	0,0	0,0

Name	Case	R_x [kN]	R_y [kN]	R_z [kN]	M_x [kNm]	M_y [kNm]	M_z [kNm]	e_x [mm]	e_y [mm]
	EG_Ongunstig								
Sn LK11/N193	low max Wnd ;315° - EG_Gunstig	0,00	0,00	**-109,84**	0,00	0,00	0,00	0,0	0,0
Sn LK11/N193	high max Wnd ;135° - EG_Ongunstig	**0,00**	**0,00**	**124,09**	**0,00**	**0,00**	**0,00**	0,0	0,0
Sn LK12/N196	low max Wnd ;135° - EG_Gunstig	0,00	0,00	**-137,94**	0,00	0,00	0,00	0,0	0,0
Sn LK12/N196	high max Wnd ;315° - EG_Ongunstig	**0,00**	**0,00**	**150,98**	**0,00**	**0,00**	**0,00**	0,0	0,0
Sn LK13/N197	low max Wnd ;135° - EG_Gunstig	0,00	0,00	**-115,43**	0,00	0,00	0,00	0,0	0,0
Sn LK13/N197	high max Wnd ;225° - EG_Ongunstig	**0,00**	**0,00**	**117,58**	**0,00**	**0,00**	**0,00**	0,0	0,0
Sn LK14/N200	high max Wnd ;225° - EG_Ongunstig	**0,00**	**0,00**	**150,82**	**0,00**	**0,00**	**0,00**	0,0	0,0
Sn LK14/N200	low max Wnd ;45° - EG_Gunstig	0,00	0,00	**-133,98**	0,00	0,00	**0,00**	0,0	0,0
Sn LK15/N201	high max Wnd ;315° - EG_Ongunstig	**0,00**	**0,00**	**123,83**	**0,00**	**0,00**	**0,00**	0,0	0,0
Sn LK15/N201	low max Wnd ;45° - EG_Gunstig	0,00	0,00	**-109,19**	0,00	0,00	**0,00**	0,0	0,0

8. Krachten van de Funderingspalen

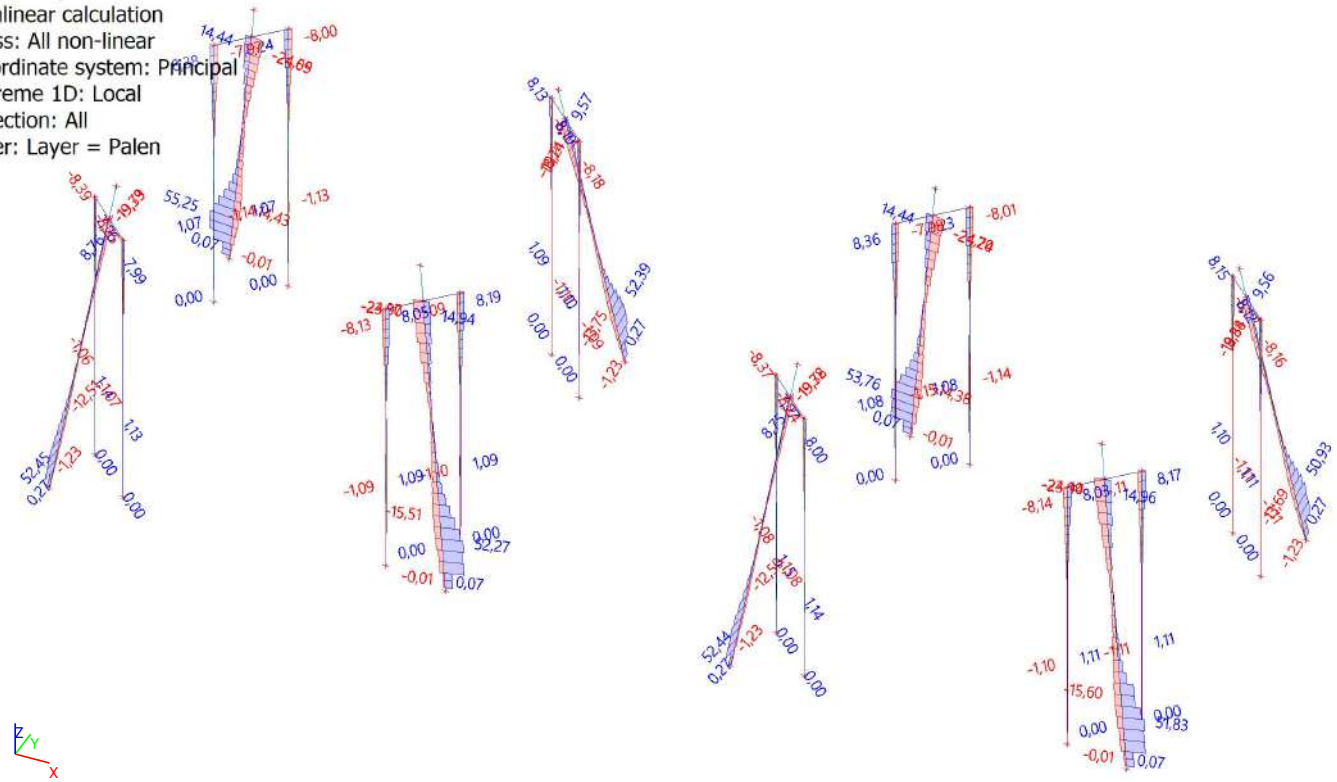
8.1. Interne 1D- krachten; N

Values: **N**
Nonlinear calculation
Class: All non-linear
Coordinate system: Principal
Extreme 1D: Local
Selection: All
Filter: Layer = Palen



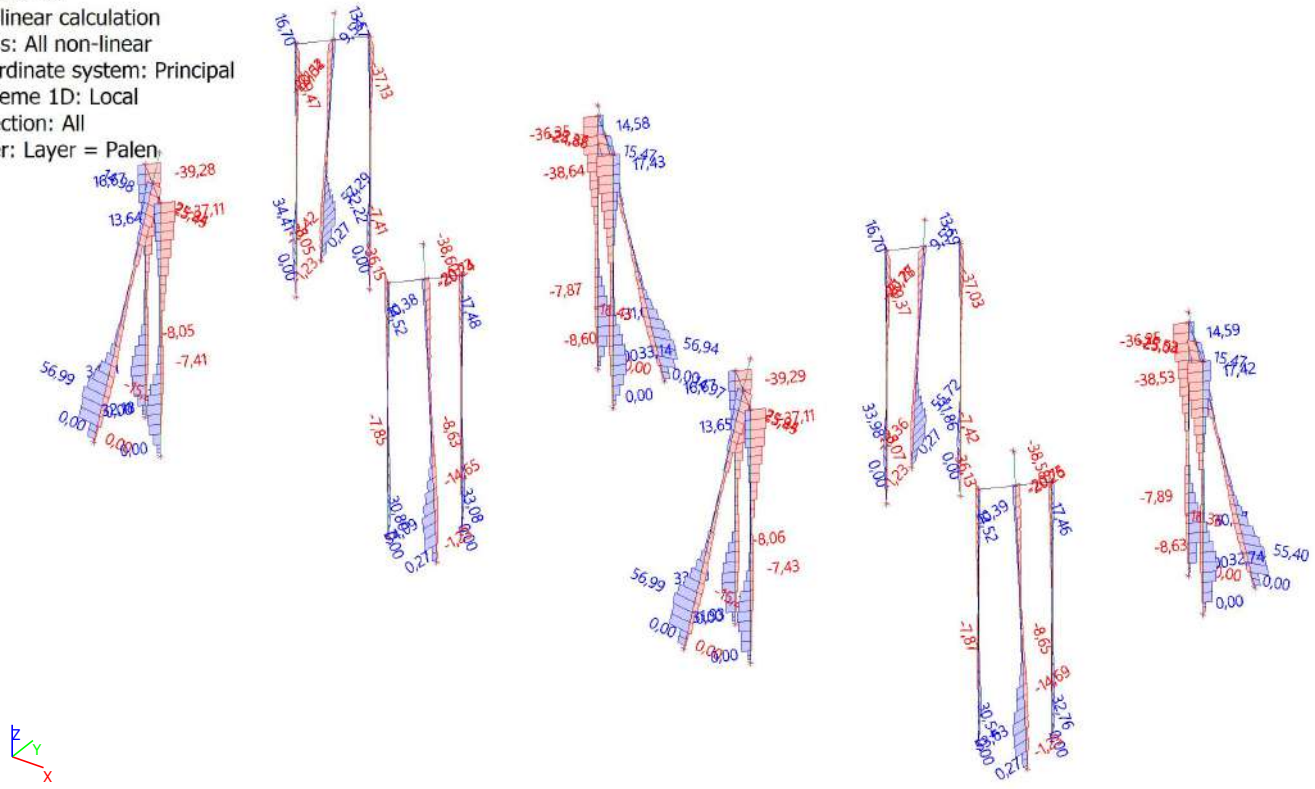
8.2. Interne 1D- krachten; V_y

Values: **V_y**
Nonlinear calculation
Class: All non-linear
Coordinate system: Principal
Extreme 1D: Local
Selection: All
Filter: Layer = Palen



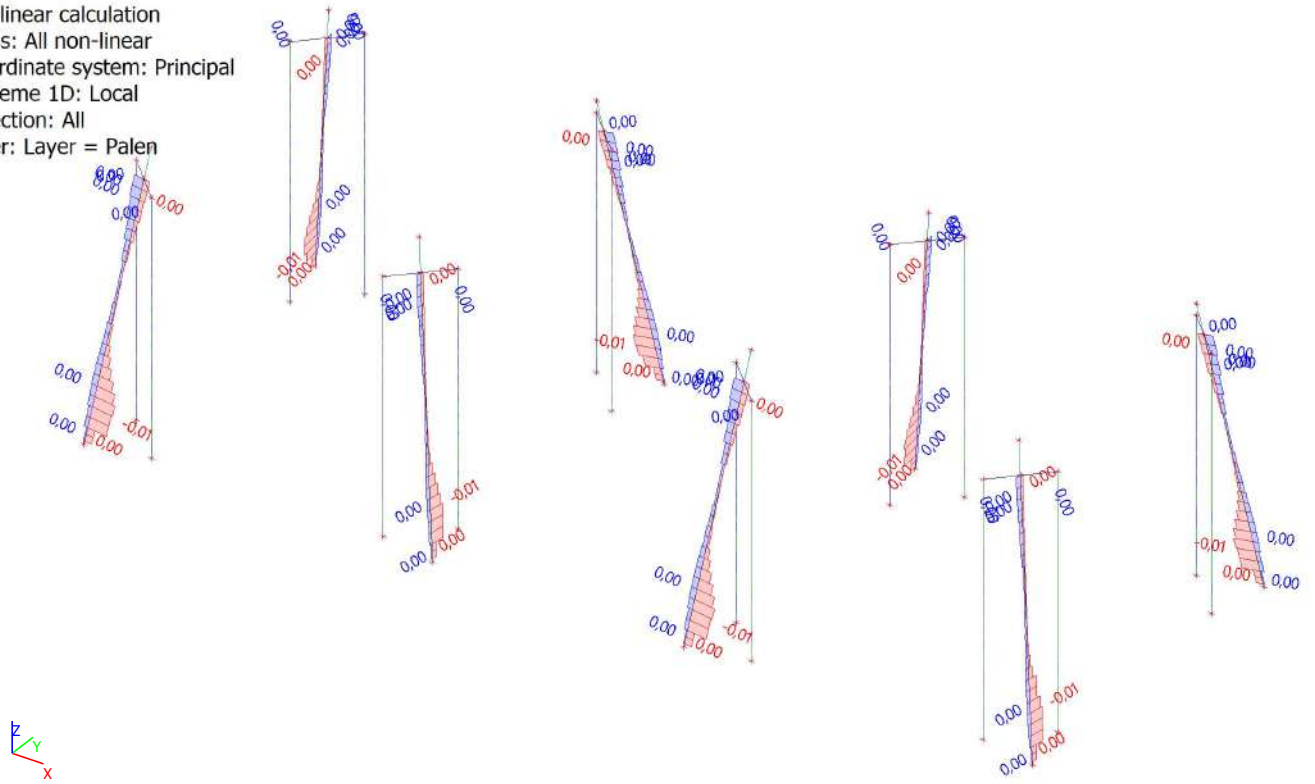
8.3. Interne 1D- krachten; V_z

Values: V_z
Nonlinear calculation
Class: All non-linear
Coordinate system: Principal
Extreme 1D: Local
Selection: All
Filter: Layer = Palen



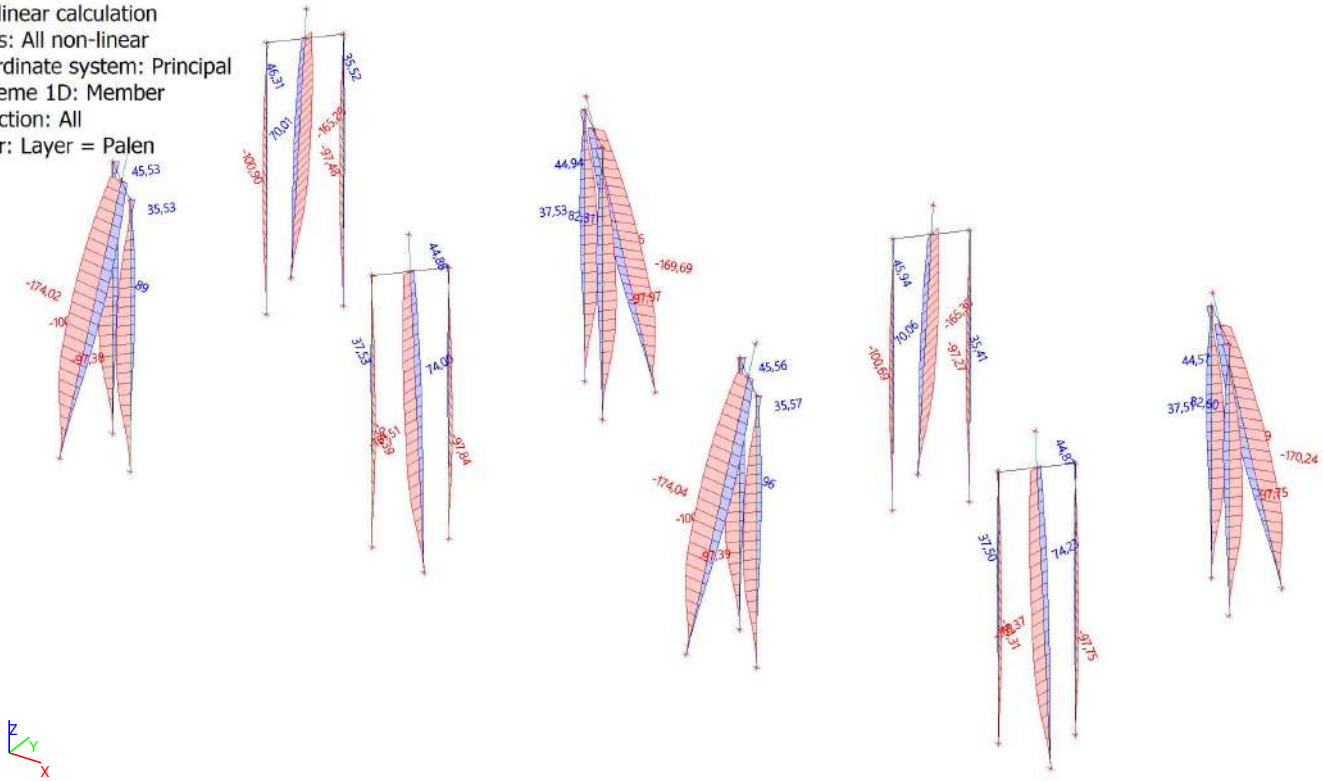
8.4. Interne 1D- krachten; M_x

Values: M_x
Nonlinear calculation
Class: All non-linear
Coordinate system: Principal
Extreme 1D: Local
Selection: All
Filter: Layer = Palen



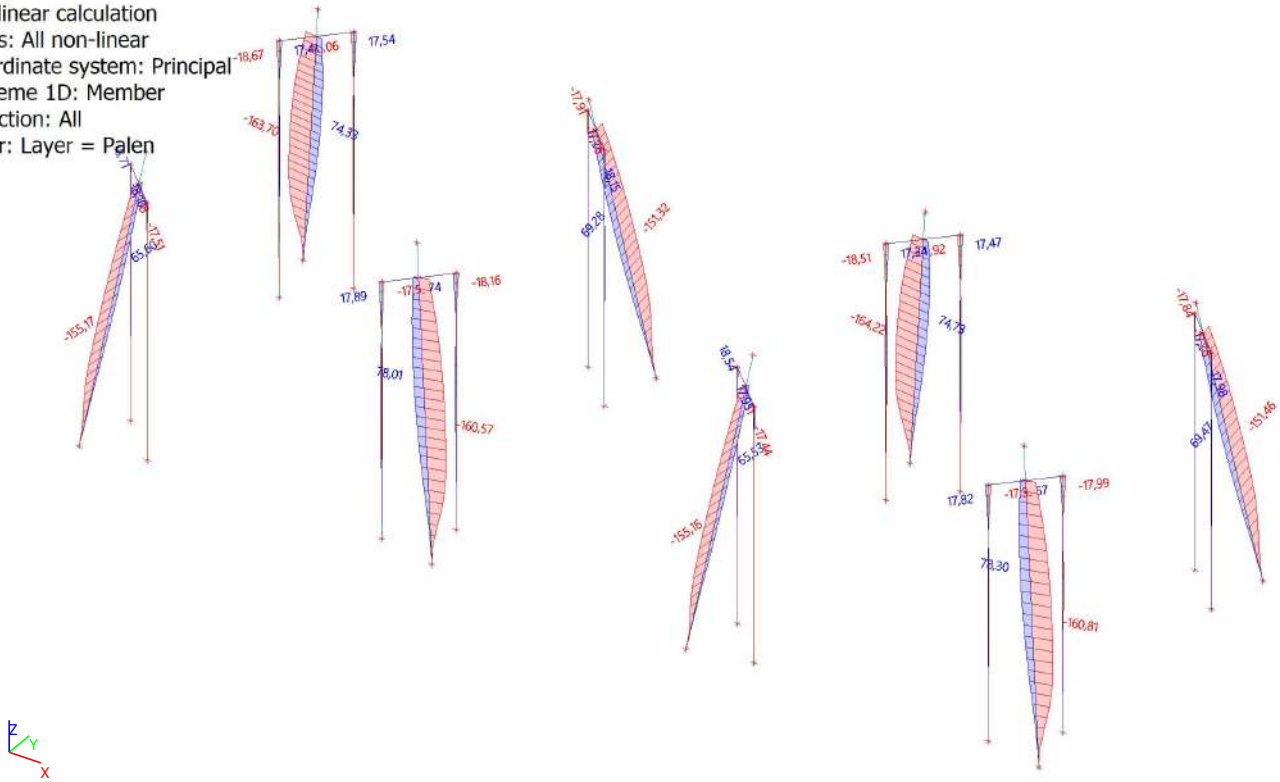
8.5. Interne 1D- krachten; M_y

Values: **My**
Nonlinear calculation
Class: All non-linear
Coordinate system: Principal
Extreme 1D: Member
Selection: All
Filter: Layer = Palen



8.6. Interne 1D- krachten; M_z

Values: **Mz**
Nonlinear calculation
Class: All non-linear
Coordinate system: Principal
Extreme 1D: Member
Selection: All
Filter: Layer = Palen



8.7. 1D internal forces

Nonlinear calculation
Class: All non-linear
Coordinate system: Principal
Extreme 1D: Global
Selection: All
Nothing in selection to display.

8.8. 1D internal forces

Nonlinear calculation
Class: All non-linear
Coordinate system: Principal
Extreme 1D: Global
Selection: All
Filter: Cross-section = LEKA Paal - type e (CHS323.9/10.0)

Name	dx [m]	Case	Cross-section	N [kN]	V_y [kN]	V_z [kN]	M_x [kNm]	M_y [kNm]	M_z [kNm]
Paal_X5	12,600	high max Wnd ;315° - EG_Ongunstig	LEKA Paal - type e (CHS323.9/10.0)	**-153,16**	0,00	0,00	0,00	0,00	0,00
Paal_X5	0,000	high max Wnd ;315° - EG_Ongunstig	LEKA Paal - type e (CHS323.9/10.0)	-127,02	**-8,39**	9,16	0,00	-10,73	**18,71**
Paal_X1	0,000	low max Wnd ;225° - EG_Gunstig	LEKA Paal - type e (CHS323.9/10.0)	**158,21**	-5,03	**-39,47**	0,00	**46,31**	10,65
Paal_X1	10,000+	low max Wnd ;225° - EG_Gunstig	LEKA Paal - type e (CHS323.9/10.0)	142,26	0,39	**34,41**	**0,00**	-59,80	-0,47
Paal_X1	7,125-	low max Wnd ;225° - EG_Gunstig	LEKA Paal - type e (CHS323.9/10.0)	147,80	0,42	-1,87	0,00	**-100,90**	-2,01
Paal_X1	0,000	high max Wnd ;135° - EG_Ongunstig	LEKA Paal - type e (CHS323.9/10.0)	-126,93	**8,38**	9,18	0,00	-10,78	**-18,67**

9. Krachten van de Poeren

9.1. 1D internal forces

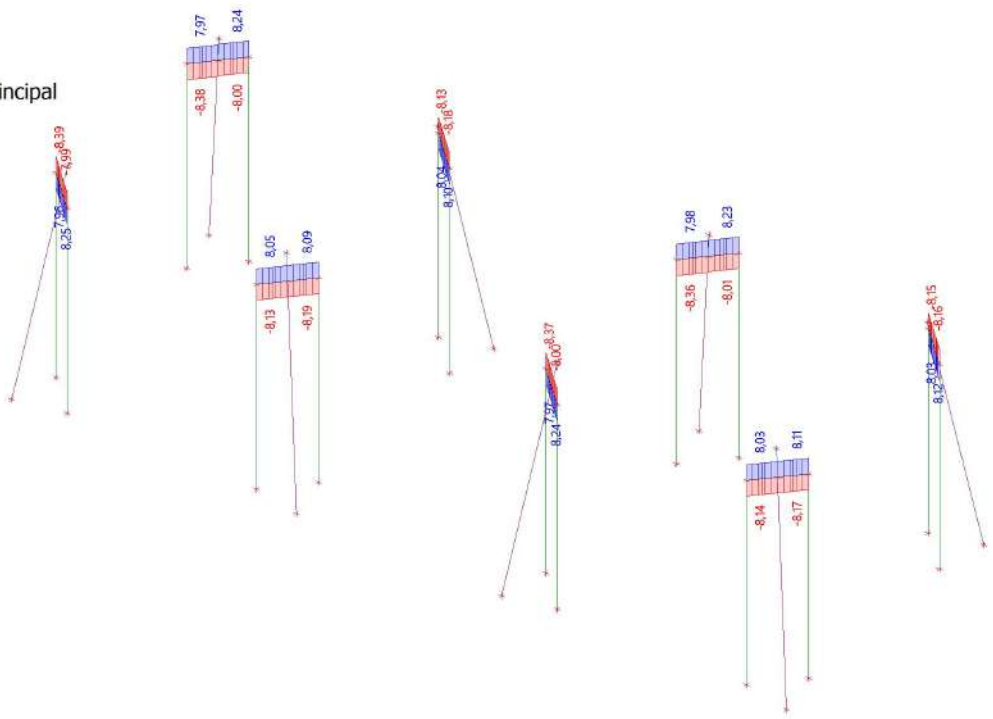
Nonlinear calculation
Class: All non-linear
Coordinate system: Principal
Extreme 1D: Global
Selection: All
Filter: Cross-section = Poer800 - Circle (800,00)

Name	dx [m]	Case	Cross-section	N [kN]	V_y [kN]	V_z [kN]	M_x [kNm]	M_y [kNm]	M_z [kNm]
Poer_P	0,000	high max Wnd ;315° - EG_Ongunstig	Poer800 - Circle (800,00)	**-835,05**	32,47	13,82	0,00	-21,54	-54,24
Poer_XY	1,560	low max Wnd ;225° - EG_Gunstig	Poer800 - Circle (800,00)	**638,43**	-25,04	-13,72	**0,00**	0,00	0,00
Poer_X	0,000	low max Wnd ;135° - EG_Gunstig	Poer800 - Circle (800,00)	621,40	**-28,50**	13,65	0,00	-21,31	**41,77**
Poer_Y	1,560	high max Wnd ;135° - EG_Ongunstig	Poer800 - Circle (800,00)	-812,33	**37,07**	-13,76	0,00	0,00	0,00
Poer_X	0,000	high max Wnd ;315° - EG_Ongunstig	Poer800 - Circle (800,00)	-324,96	7,89	**-26,69**	0,00	**41,61**	-15,88
Poer_XY	0,000	high max Wnd ;135° - EG_Ongunstig	Poer800 - Circle (800,00)	-324,68	7,90	**26,66**	0,00	**-41,56**	-15,90
Poer_Y	0,000	high max Wnd ;135° - EG_Ongunstig	Poer800 - Circle (800,00)	-834,94	32,49	-13,79	0,00	21,48	**-54,26**

10. Krachten van de Funderingsbalken

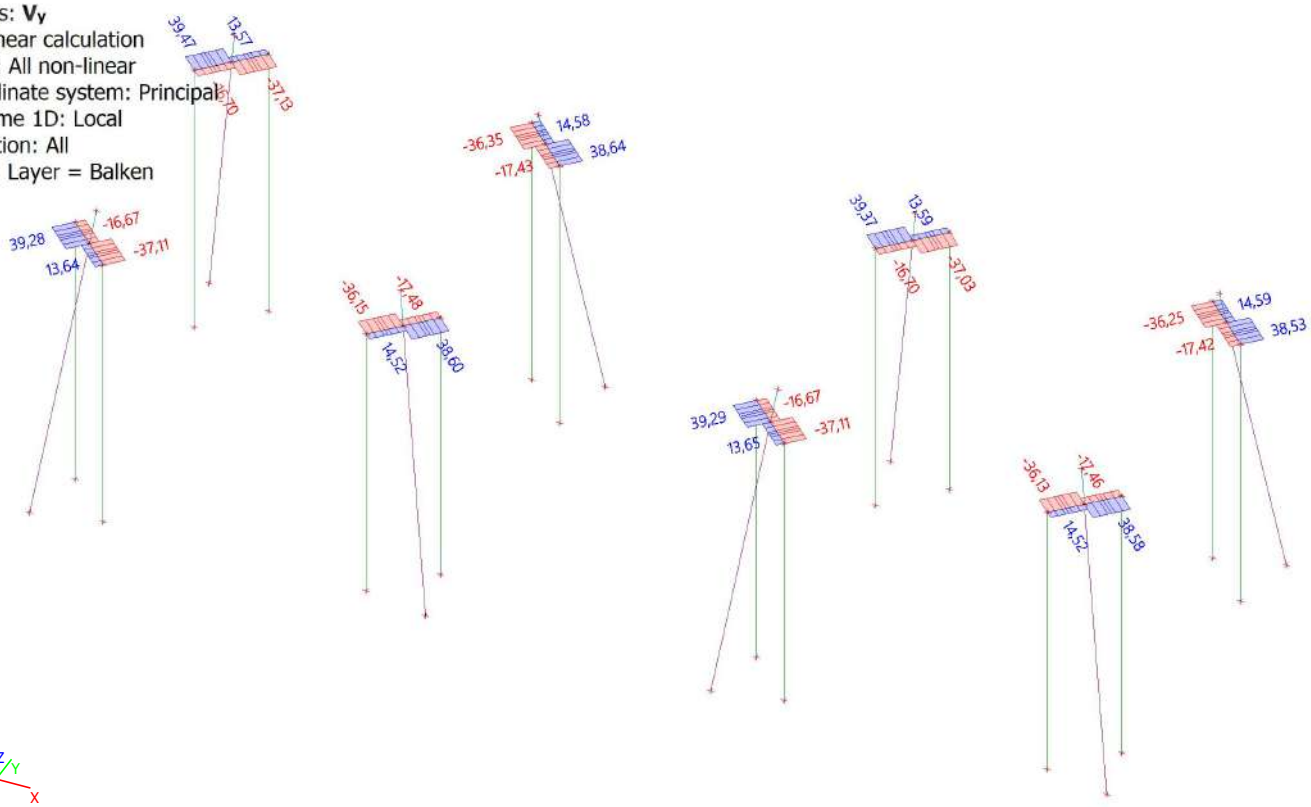
10.1. Interne 1D- krachten; N

Values: **N**
Nonlinear calculation
Class: All non-linear
Coordinate system: Principal
Extreme 1D: Local
Selection: All
Filter: Layer = Balken



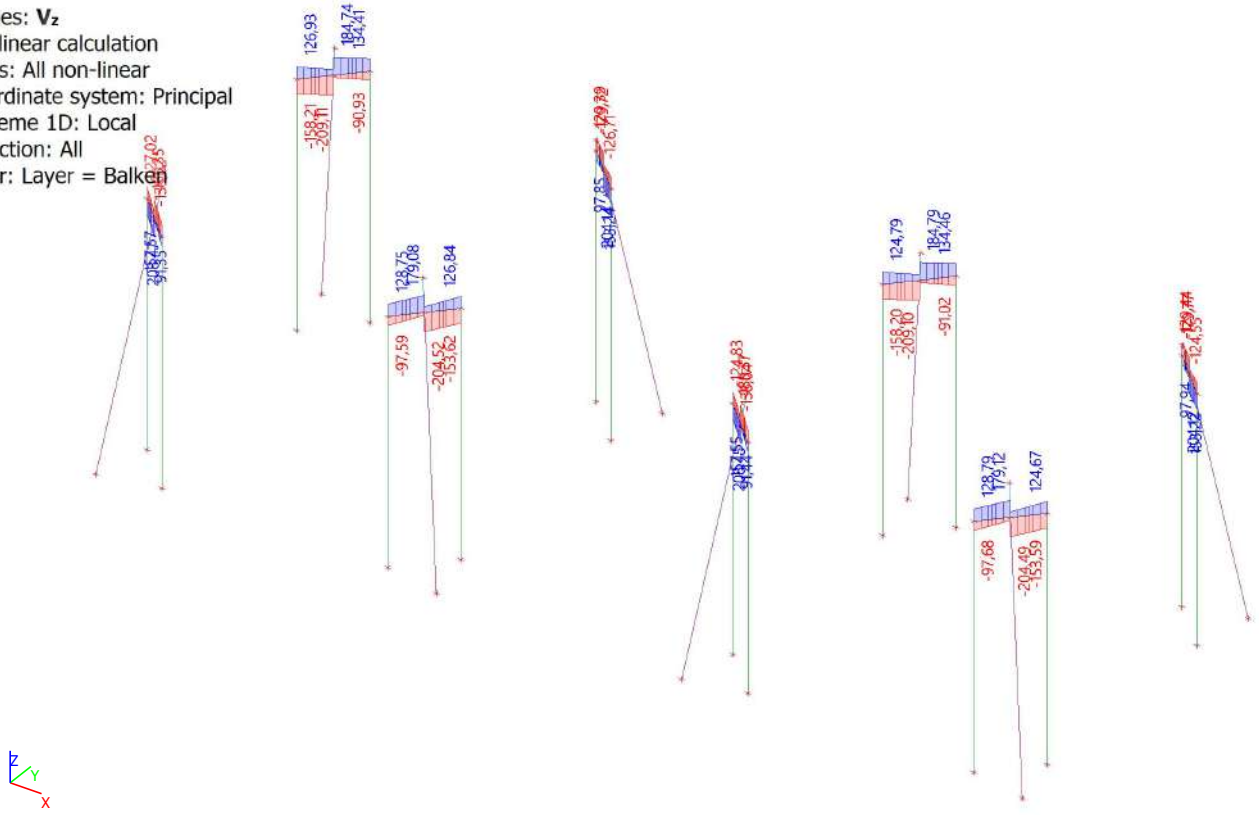
10.2. Interne 1D- krachten; V_y

Values: **V_y**
Nonlinear calculation
Class: All non-linear
Coordinate system: Principal
Extreme 1D: Local
Selection: All
Filter: Layer = Balken



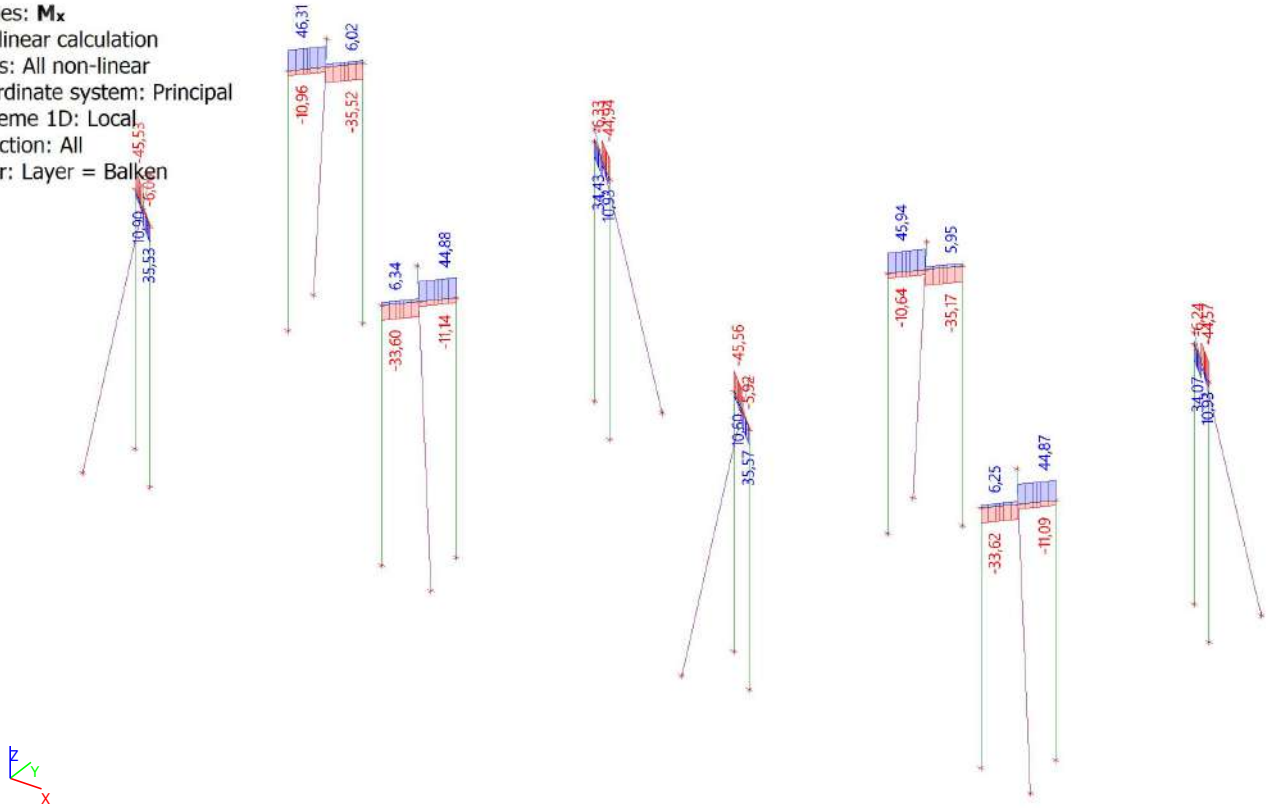
10.3. Interne 1D- krachten; V_z

Values: V_z
Nonlinear calculation
Class: All non-linear
Coordinate system: Principal
Extreme 1D: Local
Selection: All
Filter: Layer = Balken



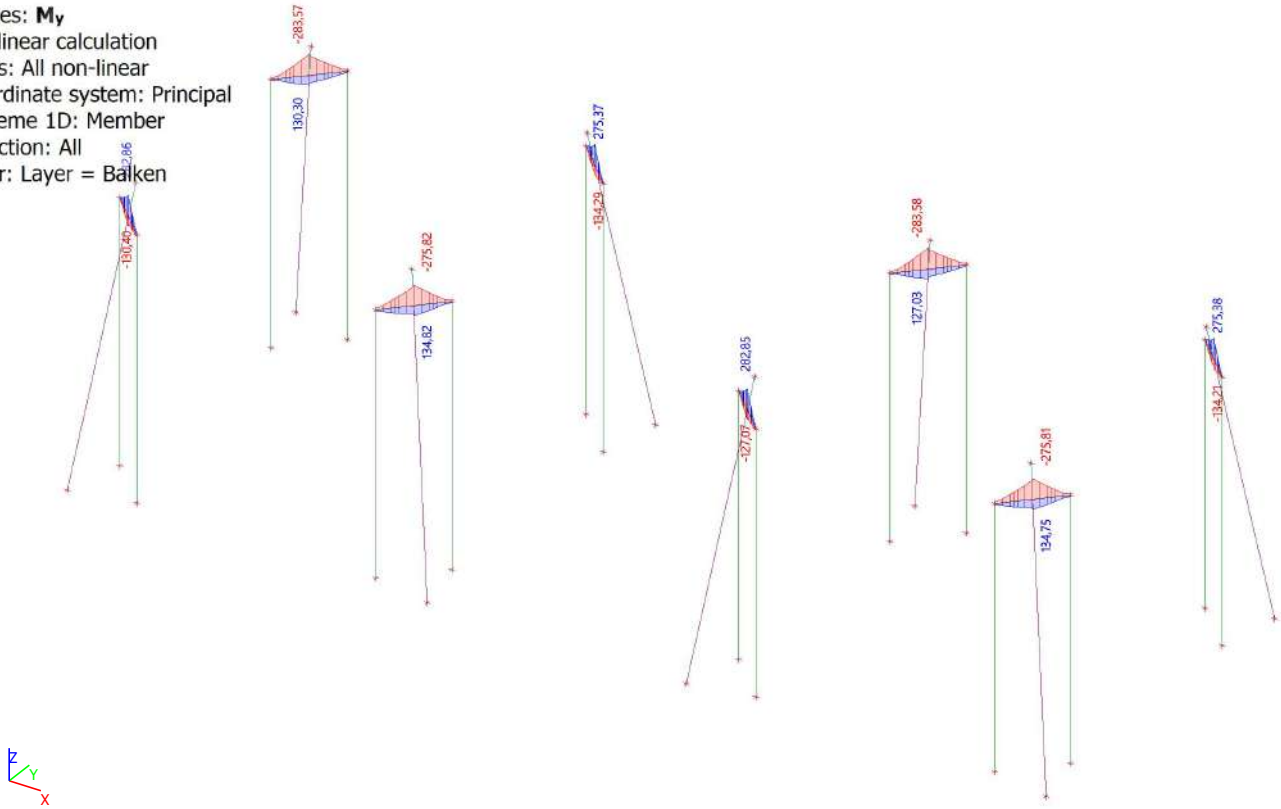
10.4. Interne 1D- krachten; M_x

Values: M_x
Nonlinear calculation
Class: All non-linear
Coordinate system: Principal
Extreme 1D: Local
Selection: All
Filter: Layer = Balken



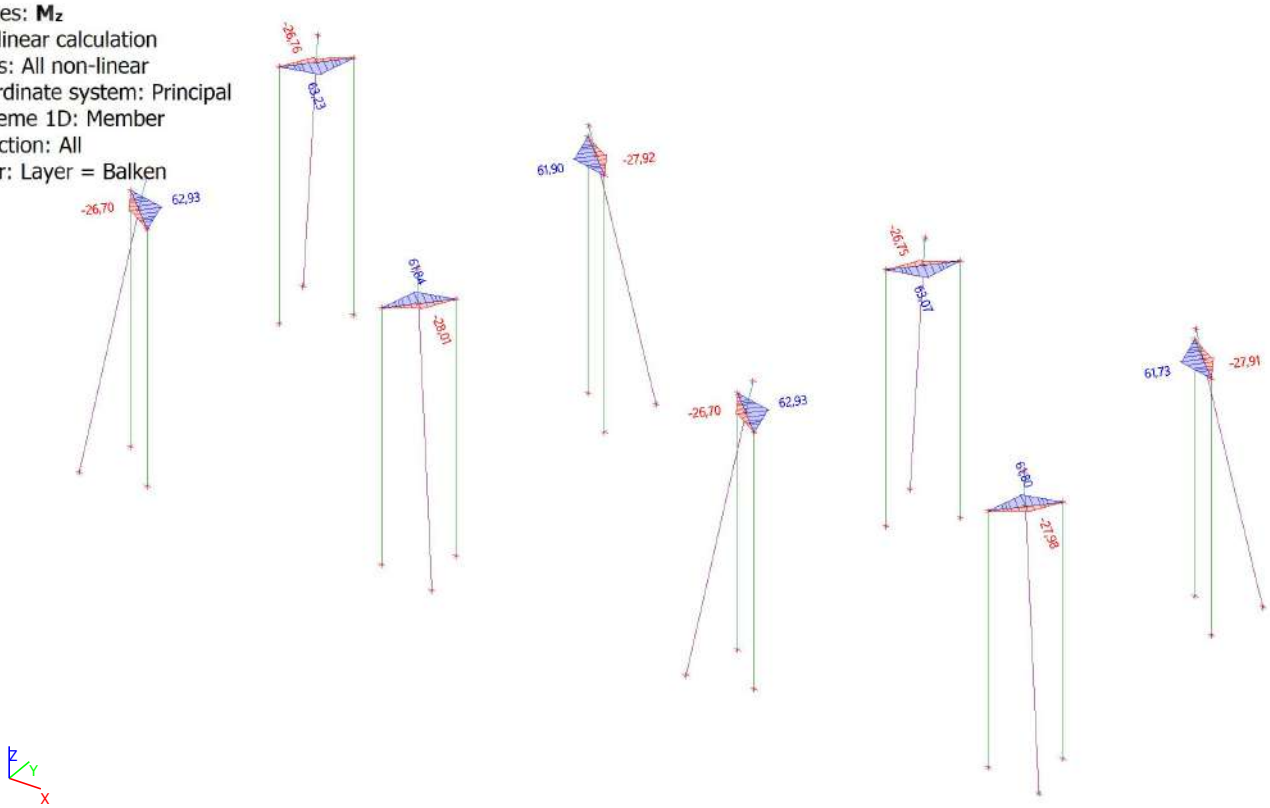
10.5. Interne 1D- krachten; M_y

Values: M_y
Nonlinear calculation
Class: All non-linear
Coordinate system: Principal
Extreme 1D: Member
Selection: All
Filter: Layer = Balken



10.6. Interne 1D- krachten; M_z

Values: M_z
Nonlinear calculation
Class: All non-linear
Coordinate system: Principal
Extreme 1D: Member
Selection: All
Filter: Layer = Balken



10.7. 1D internal forces

Nonlinear calculation
Class: All non-linear
Coordinate system: Principal
Extreme 1D: Global
Selection: All
Filter: Cross-section = lijnpoer - Rectangle (1500,00; 1600,00)

Name	dx [m]	Case	Cross-section	N [kN]	V_y [kN]	V_z [kN]	M_x [kNm]	M_y [kNm]	M_z [kNm]
DIN38	0,000	high max Wnd ;315° - EG_Ongunstig	lijnpoer - Rectangle (1500,00; 1600,00)	**-8,39**	-9,16	-127,02	10,73	18,71	0,00
DIN38	1,602+	high max Wnd ;315° - EG_Ongunstig	lijnpoer - Rectangle (1500,00; 1600,00)	**8,25**	1,55	-0,56	10,20	-70,37	-2,46
DIN34	1,602+	low max Wnd ;225° - EG_Gunstig	lijnpoer - Rectangle (1500,00; 1600,00)	-4,62	**-37,13**	184,74	-35,52	-261,93	58,81
DIN34	1,602-	low max Wnd ;225° - EG_Gunstig	lijnpoer - Rectangle (1500,00; 1600,00)	5,03	**39,47**	**-209,11**	**46,31**	-283,57	**63,23**
DIN42	0,000	low max Wnd ;135° - EG_Gunstig	lijnpoer - Rectangle (1500,00; 1600,00)	4,88	39,29	157,55	**-45,56**	-10,31	0,00
DIN40	1,602-	low max Wnd ;225° - EG_Gunstig	lijnpoer - Rectangle (1500,00; 1600,00)	5,03	39,37	-209,10	45,94	**-283,58**	63,07
DIN38	1,602-	low max Wnd ;135° - EG_Gunstig	lijnpoer - Rectangle (1500,00; 1600,00)	4,88	39,28	**208,47**	-45,53	**282,86**	62,93
DIN39	1,602-	high max Wnd ;315° - EG_Ongunstig	lijnpoer - Rectangle (1500,00; 1600,00)	-4,67	-17,48	56,36	-11,14	134,82	**-28,01**

1. Table of contents

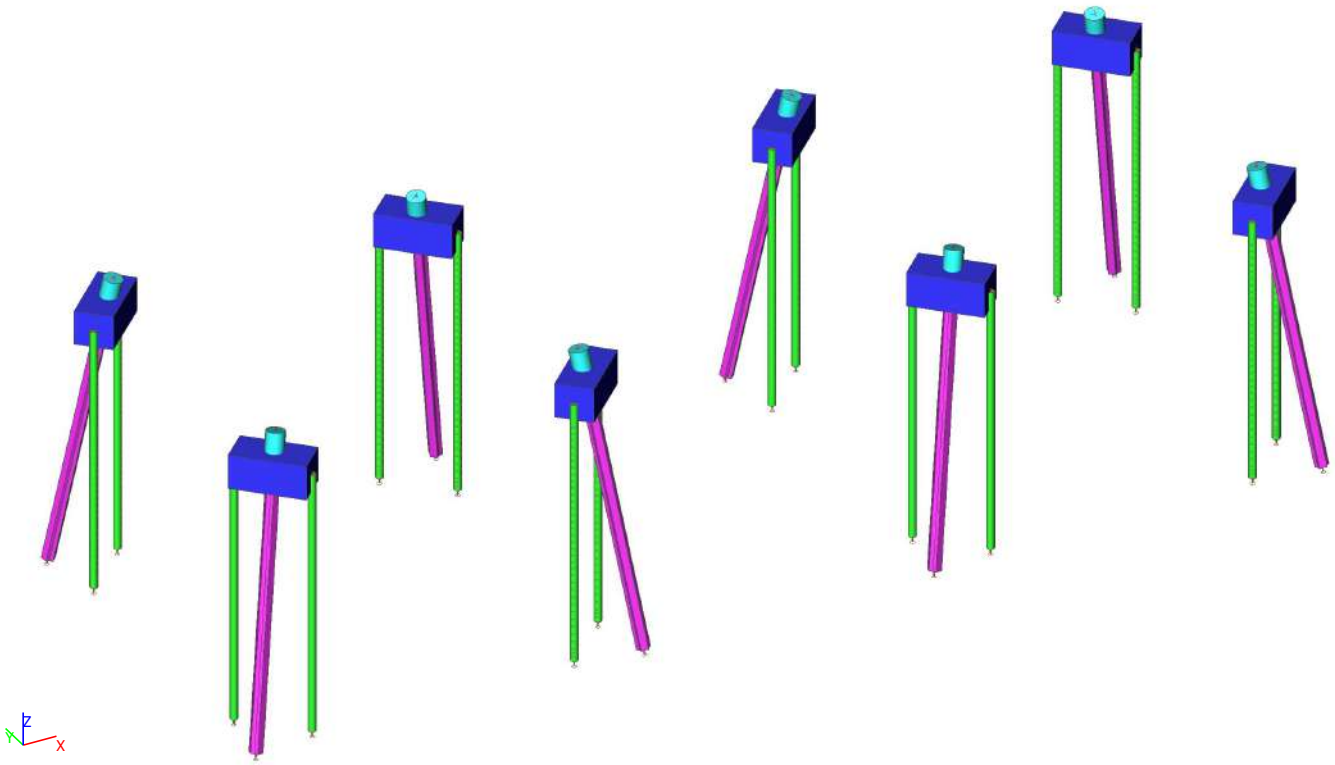
1. Table of contents 1
2. Project 3
3. Analyse model 3
4. Modeleigenschappen 4
4.1. Materials 4
4.2. Cross-sections 4
4.3. Analyse model met doorsneden 7
4.4. Analyse model met doorsneden 7
4.5. Mesh setup 8
5. Geometrie 8
5.1. Nodes 8
5.2. Analyse model met knopen 9
5.3. Members 9
5.4. Analyse model met Staven 10
5.5. Nodal supports 10
5.6. Analyse model met Knoopondersteuningen 11
5.7. Line supports on member 11
5.8. Analyse model met Lijnondersteuningen 16
5.9. Analyse model met Lijnondersteuningen 16
5.10. Nonlinear functions 17
6. Belastingen 26
6.1. Load cases 26
6.1.1. Load cases - EG_Fundering 26
6.1.2. Load cases - high max Wnd ;45° 26
6.1.2.1. Point force in node 27
6.1.3. Load cases - high max Wnd ;315° 28
6.1.3.1. Point force in node 29
6.1.4. Load cases - high max Wnd ;135° 29
6.1.4.1. Point force in node 30
6.1.5. Load cases - high max Wnd ;225° 31
6.1.5.1. Point force in node 32
6.1.6. Load cases - low max Wnd ;45° 32
6.1.6.1. Point force in node 33
6.1.7. Load cases - low max Wnd ;225° 34
6.1.7.1. Point force in node 35
6.1.8. Load cases - low max Wnd ;135° 35
6.1.8.1. Point force in node 36
6.1.9. Load cases - low max Wnd ;315° 37
6.1.9.1. Point force in node 38
6.2. Nonlinear combinations 38
6.3. Result classes 39
7. Resultaten 40
7.1. Reacties van de palen 40
7.1.1. Reactions; R_z 40
7.1.2. Reactions 40
7.1.3. Reactions 40
7.1.4. Reactions 41
8. Krachten van de Funderingspalen 44
8.1. Interne 1D- krachten; N 44
8.2. Interne 1D- krachten; V_y 44
8.3. Interne 1D- krachten; V_z 45
8.4. Interne 1D- krachten; M_x 45
8.5. Interne 1D- krachten; M_y 46
8.6. Interne 1D- krachten; M_z 46
8.7. 1D internal forces 47
8.8. 1D internal forces 47
9. Krachten van de Poeren 48
9.1. 1D internal forces 48
10. Krachten van de Funderingsbalken 49
10.1. Interne 1D- krachten; N 49
10.2. Interne 1D- krachten; V_y 49
10.3. Interne 1D- krachten; V_z 50
10.4. Interne 1D- krachten; M_x 50
10.5. Interne 1D- krachten; M_y 51
10.6. Interne 1D- krachten; M_z 51

10.7. 1D internal forces 52

2. Project

Licence user	[redacted]
Project	Opwaardering KIJ-BVW 380kV
Part	Cilinder 75 + palen S III masten 126 , 141 en 143
Author	[redacted]
Date	7-05-2026
Structure	General XYZ
No. of nodes :	56
No. of beams :	40
No. of slabs :	0
No. of solids :	0
No. of used profiles :	4
No. of load cases :	9
No. of used materials :	8
Acceleration of gravity [m/s^2]	9,807
National code	EC - EN

3. Analyse model



4. Modeleigenschappen

4.1. Materials

Steel EC3

Name	ρ [kg/m³]	E_{mod} [MPa]	μ [-]	Lower limit [mm]	Upper limit [mm]	F_y [MPa]	F_u [MPa]	Colour
		G_{mod} [MPa]	α [m/mK]					
S 235	6850,00	2,1000e+05	0,30	0,00	40,00	235,0	360,0	
		8,0769e+04	0,01e-003	40,00	80,00	215,0	360,0	
S 235	6850,00	2,1000e+05	0,30	0,00	40,00	235,0	360,0	
		8,0769e+04	0,01e-003	40,00	80,00	215,0	360,0	
S 235	6850,00	2,1000e+05	0,30	0,00	40,00	235,0	360,0	
		8,0769e+04	0,01e-003	40,00	80,00	215,0	360,0	

Name	Type	ρ [kg/m³]	Density in fresh state [kg/m³]	E_{mod} [MPa]	μ [-]	α [m/mK]	$f_{c.k.28}$ [MPa]	Colour
C12/15 Gescheurd	Concrete	2500,00	2600,00	9,0000e+03	0,23	0,01e-003	12,00	
C30/37 Gescheurd	Concrete	2500,00	2600,00	1,1000e+04	0,20	0,01e-003	30,00	
C30/37	Concrete	1500,00	2600,00	1,0900e+04	0,20	0,01e-003	30,00	
C12/15 Gescheurd	Concrete	1500,00	2600,00	7,0000e+03	0,20	0,01e-003	12,00	

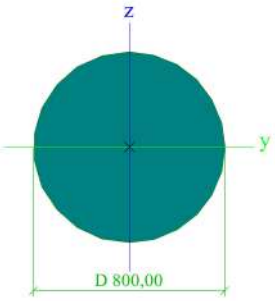
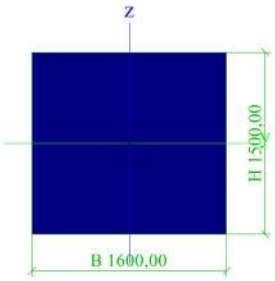
Explanations of symbols	
Density in fresh state	The value in the density in fresh state property is used only in case a composite deck is input and its self-weight load is taken into account.

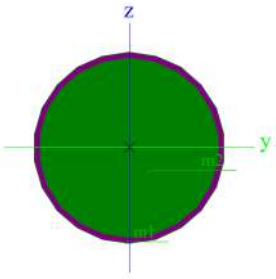
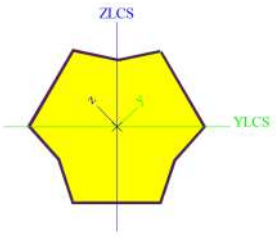
Reinforcement EC2

Name	Type	ρ [kg/m³]	E_{mod} [MPa]	G_{mod} [MPa]	α [m/mK]	$f_{y.k}$ [MPa]
B 400A	Reinforcement steel	7850,00	2,0000e+05	8,3333e+04	0,01e-003	400,0

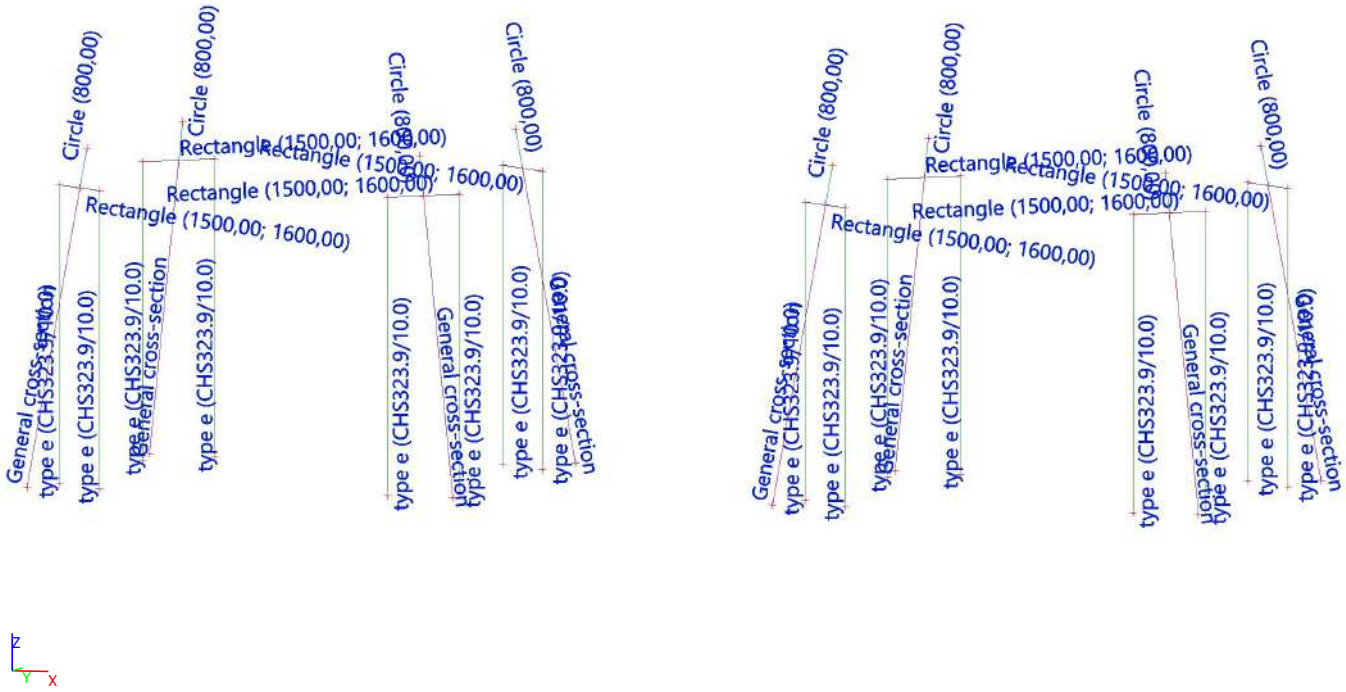
4.2. Cross-sections

Poer800		
Type	Circle	
Detailed	800,00	
Shape type	Thick-walled	
Item material	C12/15 Gescheurd	
Fabrication	general	
Colour		
A [mm²]	5,0265e+05	
A_y [mm²], A_z [mm²]	4,5239e+05	4,5239e+05
A_L [m²/m], A_D [m²/m]	2,5131e+00	2,5131e+00
$c_{Y.UCS}$ [mm], $c_{Z.UCS}$ [mm]	400,00	400,00
α [deg]	0,00	
I_y [mm⁴], I_z [mm⁴]	2,0106e+10	2,0106e+10
i_y [mm], i_z [mm]	199,98	199,98
$W_{el.y}$ [mm³], $W_{el.z}$ [mm³]	5,0265e+07	5,0265e+07
$W_{pl.y}$ [mm³], $W_{pl.z}$ [mm³]	8,5333e+07	8,5333e+07
$M_{pl.y.+}$ [Nmm], $M_{pl.y.-}$ [Nmm]	0,00	0,00
$M_{pl.z.+}$ [Nmm], $M_{pl.z.-}$ [Nmm]	0,00	0,00
d_y [mm], d_z [mm]	0,00	0,00
I_t [mm⁴], I_w [mm⁶]	4,0212e+10	0,0000e+00
β_y [mm], β_z [mm]	0,00	0,00

Picture		
lijnpoer		
Type	Rectangle	
Detailed	1500,00; 1600,00	
Shape type	Thick-walled	
Item material	C30/37 Gescheurd	
Fabrication	concrete	
Colour		
A [mm²]	2,4000e+06	
A_y [mm²], A_z [mm²]	2,0007e+06	2,0008e+06
A_L [m²/m], A_D [m²/m]	6,2000e+00	6,2000e+00
$c_{Y.UCS}$ [mm], $c_{Z.UCS}$ [mm]	800,00	750,00
α [deg]	0,00	
I_y [mm⁴], I_z [mm⁴]	4,5000e+11	5,1200e+11
i_y [mm], i_z [mm]	433,01	461,88
$W_{el.y}$ [mm³], $W_{el.z}$ [mm³]	6,0000e+08	6,4000e+08
$W_{pl.y}$ [mm³], $W_{pl.z}$ [mm³]	0,0000e+00	0,0000e+00
$M_{pl.y.+}$ [Nmm], $M_{pl.y.-}$ [Nmm]	0,00	0,00
$M_{pl.z.+}$ [Nmm], $M_{pl.z.-}$ [Nmm]	0,00	0,00
d_y [mm], d_z [mm]	0,00	0,00
I_t [mm⁴], I_w [mm⁶]	8,0849e+11	2,2447e+15
β_y [mm], β_z [mm]	0,00	0,00
Picture		
LEKA Paal		
Type	type e	
Detailed	CHS323.9/10.0	
Shape type	Thick-walled	
Item material	S 235	
	C30/37	
Fabrication	concrete	
Flexural buckling y-y, Flexural buckling z-z	a	a
A [mm²]	1,3624e+04	
A_y [mm²], A_z [mm²]	9,1187e+03	9,1187e+03
A_L [m²/m], A_D [m²/m]	1,0175e+00	1,0175e+00
$c_{Y.UCS}$ [mm], $c_{Z.UCS}$ [mm]	161,95	161,95
α [deg]	0,00	
I_y [mm⁴], I_z [mm⁴]	1,4326e+08	1,4326e+08
i_y [mm], i_z [mm]	102,54	102,54
$W_{el.y}$ [mm³], $W_{el.z}$ [mm³]	8,8458e+05	8,8458e+05
$W_{pl.y}$ [mm³], $W_{pl.z}$ [mm³]	1,1479e+06	1,1479e+06
$M_{pl.y.+}$ [Nmm], $M_{pl.y.-}$ [Nmm]	269749430,18	269749430,18

$M_{pl.z.+}$ [Nmm], $M_{pl.z.-}$ [Nmm]	269749430,18	269749430,18
d_y [mm], d_z [mm]	0,00	0,00
I_t [mm⁴], I_w [mm⁶]	2,9003e+08	2,9935e+04
β_y [mm], β_z [mm]	0,00	0,00
Picture		
LD1(31-plank)		
Type	General cross-section	
Shape type	Thick-walled	
Item material	C12/15 Gescheurd	
	S 235	
Fabrication	concrete	
Flexural buckling y-y, Flexural buckling z-z	d	d
A [mm²]	6,0572e+05	
A_y [mm²], A_z [mm²]	3,6248e+05	3,6314e+05
A_L [m²/m], A_D [m²/m]	1,7651e+00	3,4664e+00
$c_{Y.UCS}$ [mm], $c_{Z.UCS}$ [mm]	553,25	9,99
$I_{Y.LCS}$ [mm⁴], $I_{Z.LCS}$ [mm⁴]	1,6274e+10	1,6264e+10
$I_{YZ.LCS}$ [mm⁴]	-1,0231e+08	
α [deg]	43,55	
I_y [mm⁴], I_z [mm⁴]	1,6372e+10	1,6167e+10
i_y [mm], i_z [mm]	164,40	163,37
$W_{el.y}$ [mm³], $W_{el.z}$ [mm³]	5,7898e+07	5,8163e+07
$W_{pl.y}$ [mm³], $W_{pl.z}$ [mm³]	4,9594e+07	4,9245e+07
$M_{pl.y.+}$ [Nmm], $M_{pl.y.-}$ [Nmm]	601215312,58	595125922,92
$M_{pl.z.+}$ [Nmm], $M_{pl.z.-}$ [Nmm]	597037111,16	590937542,96
d_y [mm], d_z [mm]	0,12	0,03
I_t [mm⁴], I_w [mm⁶]	2,6243e+10	1,7700e+12
β_y [mm], β_z [mm]	0,09	0,21
Picture		

4.3. Analyse model met doorsneden



4.4. Analyse model met doorsneden



4.5. Mesh setup

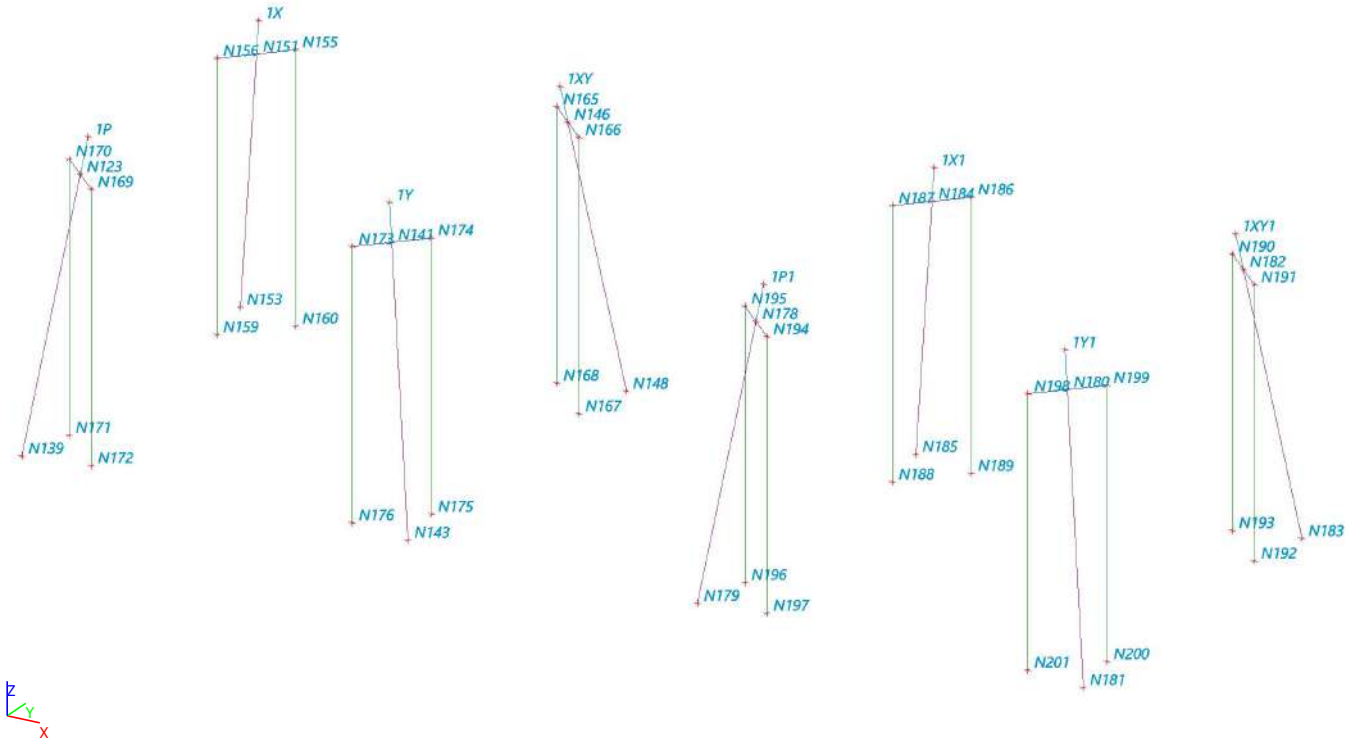
Name	MeshSetup1
Generation of variable eccentricities on members instead of constant ones	×
Generation of nodes in connections of beam elements	×
Elastic mesh	✓
Use automatic mesh refinement	×
Connect members/nodes	✓
Division on haunches and arbitrary members	5
Division for integration strip and 2D-1D upgrade	50
Average number of 1D mesh elements on straight 1D members	1
Average size of 2D mesh element [m]	0,200
Average size of 1D mesh element on curved 1D members [m]	0,100
Minimal length of beam element [m]	0,100
Maximal length of beam element [m]	1000,000
Average size of tendons, elements on subsoil, nonlinear soil spring [m]	1,000
Maximal out of plane angle of a quadrilateral [mrad]	30,0
Minimal distance between definition point and line [m]	0,001
Average size of panel element [m]	1,000
Mesh refinement following the beam type	None
Definition of mesh element size for panels	Manual

5. Geometrie

5.1. Nodes

Name	Coord X [m]	Coord Y [m]	Coord Z [m]
N123	-0,427	-0,433	-0,250
1P	-0,209	-0,212	1,279
N139	-2,086	-2,093	-11,775
N141	13,399	-0,433	-0,250
1Y	13,181	-0,212	1,279
N143	15,058	-2,093	-11,775
N146	13,399	13,405	-0,250
1XY	13,181	13,184	1,279
N148	15,058	15,065	-11,775
N151	-0,427	13,405	-0,250
1X	-0,209	13,184	1,279
N153	-2,086	15,065	-11,775
N155	0,693	14,525	-0,250
N156	-1,560	12,272	-0,250
N159	-1,560	12,272	-11,810
N160	0,693	14,525	-11,810
N165	12,279	14,525	-0,250
N166	14,532	12,272	-0,250
N167	14,532	12,272	-11,810
N168	12,279	14,525	-11,810
N169	0,693	-1,553	-0,250
N170	-1,560	0,700	-0,250
N171	-1,560	0,700	-11,810
N172	0,693	-1,553	-11,810
N173	12,279	-1,553	-0,250
N174	14,532	0,700	-0,250
N175	14,532	0,700	-11,810
N176	12,279	-1,553	-11,810
N178	29,573	-0,433	-0,250
1P1	29,791	-0,212	1,279
N179	27,914	-2,093	-11,775
N180	43,399	-0,433	-0,250
1Y1	43,181	-0,212	1,279
N181	45,058	-2,093	-11,775
N182	43,399	13,405	-0,250
1XY1	43,181	13,184	1,279
N183	45,058	15,065	-11,775
N184	29,573	13,405	-0,250
1X1	29,791	13,184	1,279
N185	27,914	15,065	-11,775
N186	30,693	14,525	-0,250
N187	28,440	12,272	-0,250
N188	28,440	12,272	-11,810
N189	30,693	14,525	-11,810
N190	42,279	14,525	-0,250
N191	44,532	12,272	-0,250
N192	44,532	12,272	-11,810
N193	42,279	14,525	-11,810
N194	30,693	-1,553	-0,250
N195	28,440	0,700	-0,250
N196	28,440	0,700	-11,810
N197	30,693	-1,553	-11,810
N198	42,279	-1,553	-0,250
N199	44,532	0,700	-0,250
N200	44,532	0,700	-11,810
N201	42,279	-1,553	-11,810

5.2. Analyse model met knopen

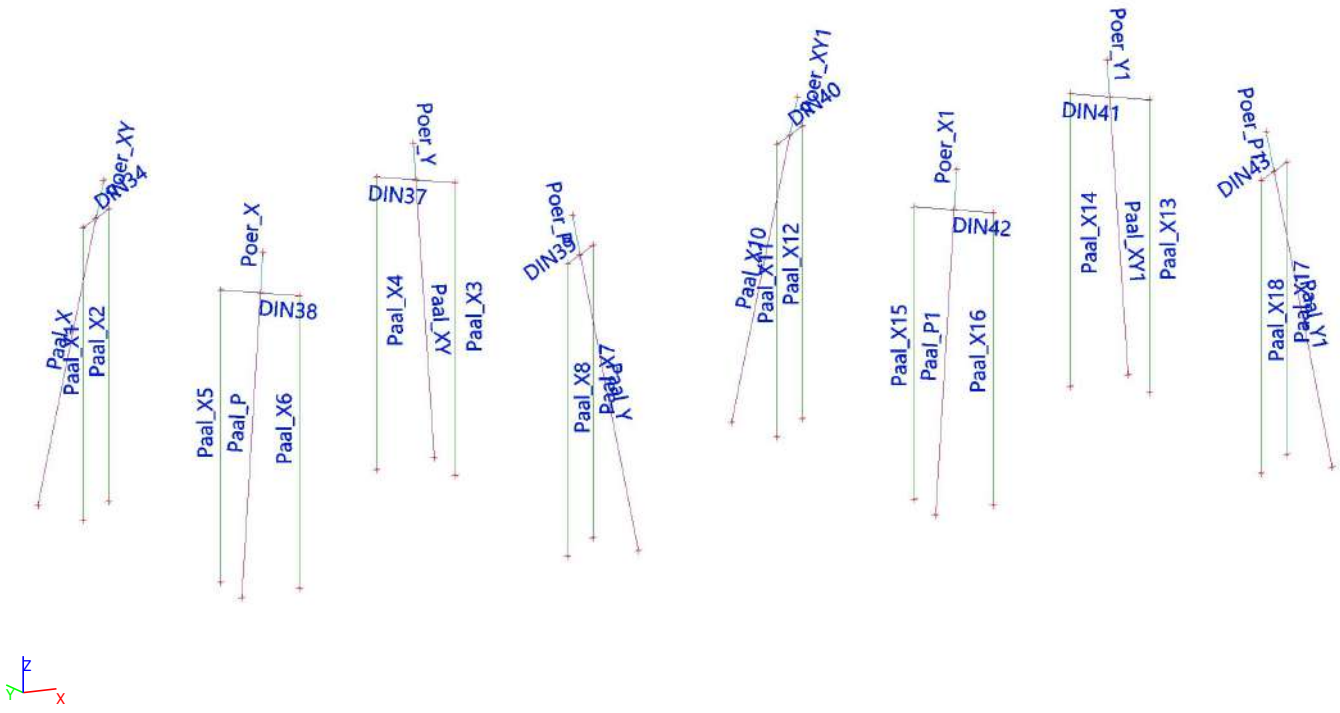


5.3. Members

Name	Cross-section	Material	Length [m]	Beg. node	End node	Type
DIN34	lijnpoer - Rectangle (1500,00; 1600,00)	C30/37 Gescheurd	3,186	N156	N155	beam (80)
DIN37	lijnpoer - Rectangle (1500,00; 1600,00)	C30/37 Gescheurd	3,186	N166	N165	beam (80)
DIN38	lijnpoer - Rectangle (1500,00; 1600,00)	C30/37 Gescheurd	3,186	N170	N169	beam (80)
DIN39	lijnpoer - Rectangle (1500,00; 1600,00)	C30/37 Gescheurd	3,186	N174	N173	beam (80)
DIN40	lijnpoer - Rectangle (1500,00; 1600,00)	C30/37 Gescheurd	3,186	N187	N186	beam (80)
DIN41	lijnpoer - Rectangle (1500,00; 1600,00)	C30/37 Gescheurd	3,186	N191	N190	beam (80)
DIN42	lijnpoer - Rectangle (1500,00; 1600,00)	C30/37 Gescheurd	3,186	N195	N194	beam (80)
DIN43	lijnpoer - Rectangle (1500,00; 1600,00)	C30/37 Gescheurd	3,186	N199	N198	beam (80)
Paal_P	LD1(31-plank) - General cross-section	C12/15 Gescheurd	11,761	N123	N139	column (100)
Paal_P1	LD1(31-plank) - General cross-section	C12/15 Gescheurd	11,761	N178	N179	column (100)
Paal_X	LD1(31-plank) - General cross-section	C12/15 Gescheurd	11,761	N151	N153	column (100)
Paal_X1	LEKA Paal - type e (CHS323.9/10.0)	S 235	11,560	N156	N159	column (100)
Paal_X2	LEKA Paal - type e (CHS323.9/10.0)	S 235	11,560	N155	N160	column (100)
Paal_X3	LEKA Paal - type e (CHS323.9/10.0)	S 235	11,560	N166	N167	column (100)
Paal_X4	LEKA Paal - type e (CHS323.9/10.0)	S 235	11,560	N165	N168	column (100)
Paal_X5	LEKA Paal - type e (CHS323.9/10.0)	S 235	11,560	N170	N171	column (100)
Paal_X6	LEKA Paal - type e (CHS323.9/10.0)	S 235	11,560	N169	N172	column (100)
Paal_X7	LEKA Paal - type e (CHS323.9/10.0)	S 235	11,560	N174	N175	column (100)
Paal_X8	LEKA Paal - type e (CHS323.9/10.0)	S 235	11,560	N173	N176	column (100)
Paal_X10	LD1(31-plank) - General cross-section	C12/15 Gescheurd	11,761	N184	N185	column (100)
Paal_X11	LEKA Paal - type e (CHS323.9/10.0)	S 235	11,560	N187	N188	column (100)
Paal_X12	LEKA Paal - type e (CHS323.9/10.0)	S 235	11,560	N186	N189	column (100)
Paal_X13	LEKA Paal - type e (CHS323.9/10.0)	S 235	11,560	N191	N192	column (100)
Paal_X14	LEKA Paal - type e (CHS323.9/10.0)	S 235	11,560	N190	N193	column (100)
Paal_X15	LEKA Paal - type e (CHS323.9/10.0)	S 235	11,560	N195	N196	column (100)
Paal_X16	LEKA Paal - type e (CHS323.9/10.0)	S 235	11,560	N194	N197	column (100)
Paal_X17	LEKA Paal - type e (CHS323.9/10.0)	S 235	11,560	N199	N200	column (100)
Paal_X18	LEKA Paal - type e (CHS323.9/10.0)	S 235	11,560	N198	N201	column (100)
Paal_XY	LD1(31-plank) - General cross-section	C12/15 Gescheurd	11,761	N146	N148	column (100)

Name	Cross-section	Material	Length [m]	Beg. node	End node	Type
Paal_XY1	LD1(31-plank) - General cross-section	C12/15 Gescheurd	11,761	N182	N183	column (100)
Paal_Y	LD1(31-plank) - General cross-section	C12/15 Gescheurd	11,761	N141	N143	column (100)
Paal_Y1	LD1(31-plank) - General cross-section	C12/15 Gescheurd	11,761	N180	N181	column (100)
Poer_P	Poer800 - Circle (800,00)	C12/15 Gescheurd	1,560	N141	1Y	column (100)
Poer_P1	Poer800 - Circle (800,00)	C12/15 Gescheurd	1,560	N180	1Y1	column (100)
Poer_X	Poer800 - Circle (800,00)	C12/15 Gescheurd	1,560	N123	1P	column (100)
Poer_X1	Poer800 - Circle (800,00)	C12/15 Gescheurd	1,560	N178	1P1	column (100)
Poer_XY	Poer800 - Circle (800,00)	C12/15 Gescheurd	1,560	N151	1X	column (100)
Poer_XY1	Poer800 - Circle (800,00)	C12/15 Gescheurd	1,560	N184	1X1	column (100)
Poer_Y	Poer800 - Circle (800,00)	C12/15 Gescheurd	1,560	N146	1XY	column (100)
Poer_Y1	Poer800 - Circle (800,00)	C12/15 Gescheurd	1,560	N182	1XY1	column (100)

5.4. Analyse model met Staven

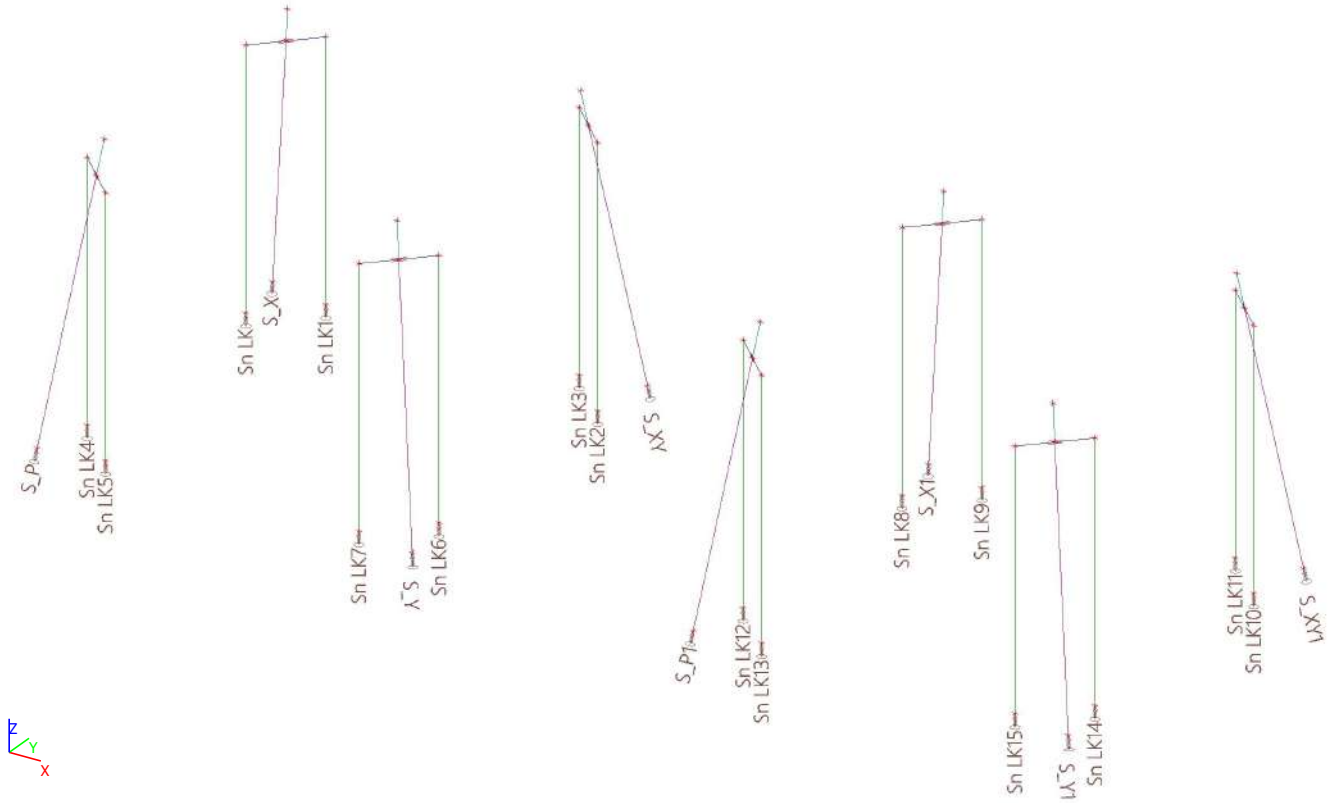


5.5. Nodal supports

Name	Node	System	Type	X	Y	Z	Rx	Ry	Rz	Angle [deg]
S_P	N139	GCS	Standard	Free	Free	Nonlinear	Free	Free	Free	Rx-8,11;Ry8,11
S_Y	N143	GCS	Standard	Free	Free	Nonlinear	Free	Free	Free	Rx-8,11;Ry-8,11
S_XY	N148	GCS	Standard	Free	Free	Nonlinear	Free	Free	Free	Rx8,11;Ry-8,11
S_X	N153	GCS	Standard	Free	Free	Nonlinear	Free	Free	Free	Rx8,11;Ry8,11
Sn LK	N159	GCS	Standard	Free	Free	Nonlinear	Free	Free	Free	
Sn LK1	N160	GCS	Standard	Free	Free	Nonlinear	Free	Free	Free	
Sn LK2	N167	GCS	Standard	Free	Free	Nonlinear	Free	Free	Free	
Sn LK3	N168	GCS	Standard	Free	Free	Nonlinear	Free	Free	Free	
Sn LK4	N171	GCS	Standard	Free	Free	Nonlinear	Free	Free	Free	
Sn LK5	N172	GCS	Standard	Free	Free	Nonlinear	Free	Free	Free	
Sn LK6	N175	GCS	Standard	Free	Free	Nonlinear	Free	Free	Free	
Sn LK7	N176	GCS	Standard	Free	Free	Nonlinear	Free	Free	Free	
S_P1	N179	GCS	Standard	Free	Free	Nonlinear	Free	Free	Free	Rx-8,11;Ry8,11
S_Y1	N181	GCS	Standard	Free	Free	Nonlinear	Free	Free	Free	Rx-8,11;Ry-8,11
S_XY1	N183	GCS	Standard	Free	Free	Nonlinear	Free	Free	Free	Rx8,11;Ry-8,11
S_X1	N185	GCS	Standard	Free	Free	Nonlinear	Free	Free	Free	Rx8,11;Ry8,11

Name	Node	System	Type	X	Y	Z	Rx	Ry	Rz	Angle [deg]
Sn LK8	N188	GCS	Standard	Free	Free	Nonlinear	Free	Free	Free	
Sn LK9	N189	GCS	Standard	Free	Free	Nonlinear	Free	Free	Free	
Sn LK10	N192	GCS	Standard	Free	Free	Nonlinear	Free	Free	Free	
Sn LK11	N193	GCS	Standard	Free	Free	Nonlinear	Free	Free	Free	
Sn LK12	N196	GCS	Standard	Free	Free	Nonlinear	Free	Free	Free	
Sn LK13	N197	GCS	Standard	Free	Free	Nonlinear	Free	Free	Free	
Sn LK14	N200	GCS	Standard	Free	Free	Nonlinear	Free	Free	Free	
Sn LK15	N201	GCS	Standard	Free	Free	Nonlinear	Free	Free	Free	

5.6. Analyse model met Knoopondersteuningen



5.7. Line supports on member

Name	Type	Member	Pos x_1 [m]	Coor	X	Y	Z	Rx	Ry	Rz
		System	Pos x_2 [m]	Orig						
Slb_P_Veen	Line	Paal_P	1,000	Abso	Free	Nonlinear	Nonlinear	Free	Free	Free
		LCS	8,000	From start						
Slb_Y_Veen	Line	Paal_Y	1,000	Abso	Free	Nonlinear	Nonlinear	Free	Free	Free
		LCS	8,000	From start						
Slb_XY_Veen	Line	Paal_XY	1,000	Abso	Free	Nonlinear	Nonlinear	Free	Free	Free
		LCS	8,000	From start						
Slb_X_Veen	Line	Paal_X	1,000	Abso	Free	Nonlinear	Nonlinear	Free	Free	Free
		LCS	8,000	From start						
Slb_P_V9	Line	Paal_P	8,000	Abso	Free	Nonlinear	Nonlinear	Free	Free	Free
		LCS	9,000	From start						
Slb_Y_V9	Line	Paal_Y	8,000	Abso	Free	Nonlinear	Nonlinear	Free	Free	Free
		LCS	9,000	From start						
Slb_XY_V9	Line	Paal_XY	8,000	Abso	Free	Nonlinear	Nonlinear	Free	Free	Free
		LCS	9,000	From start						
Slb_X_V9	Line	Paal_X	8,000	Abso	Free	Nonlinear	Nonlinear	Free	Free	Free
		LCS	9,000	From start						
Slb_P_V10	Line	Paal_P	9,000	Abso	Free	Nonlinear	Nonlinear	Free	Free	Free

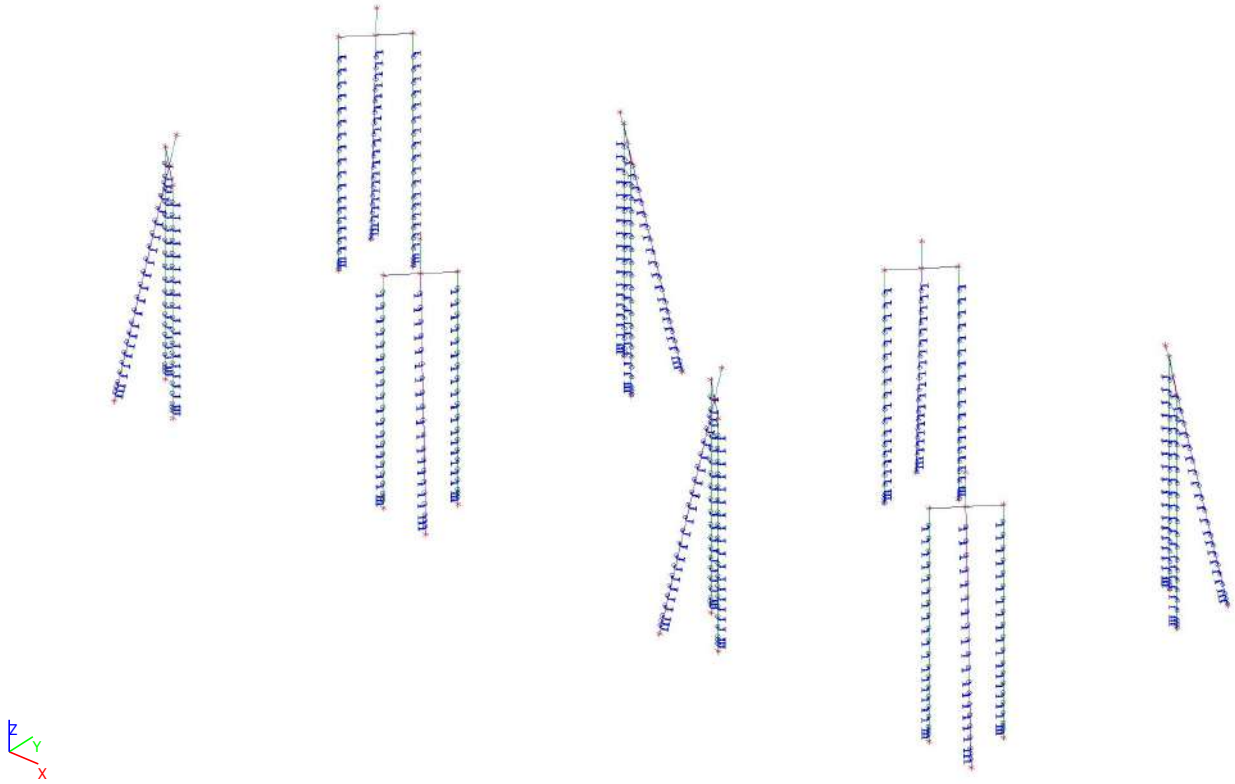
Name	Type	Member System	Pos x_1 [m] Pos x_2 [m]	Coor Orig	X	Y	Z	Rx	Ry	Rz
		LCS	10,000	From start						
Slb_P_V11	Line	Paal_P	10,000	Abso	Free	Nonlinear	Nonlinear	Free	Free	Free
		LCS	11,000	From start						
Slb_P_V12	Line	Paal_P	11,000	Abso	Free	Nonlinear	Nonlinear	Free	Free	Free
		LCS	11,500	From start						
Slb_Y_V10	Line	Paal_Y	9,000	Abso	Free	Nonlinear	Nonlinear	Free	Free	Free
		LCS	10,000	From start						
Slb_Y_V11	Line	Paal_Y	10,000	Abso	Free	Nonlinear	Nonlinear	Free	Free	Free
		LCS	11,000	From start						
Slb_Y_V12	Line	Paal_Y	11,000	Abso	Free	Nonlinear	Nonlinear	Free	Free	Free
		LCS	11,500	From start						
Slb_XY_V10	Line	Paal_XY	9,000	Abso	Free	Nonlinear	Nonlinear	Free	Free	Free
		LCS	10,000	From start						
Slb_XY_V11	Line	Paal_XY	10,000	Abso	Free	Nonlinear	Nonlinear	Free	Free	Free
		LCS	11,000	From start						
Slb_XY_V12	Line	Paal_XY	11,000	Abso	Free	Nonlinear	Nonlinear	Free	Free	Free
		LCS	11,500	From start						
Slb_X_V10	Line	Paal_X	9,000	Abso	Free	Nonlinear	Nonlinear	Free	Free	Free
		LCS	10,000	From start						
Slb_X_V11	Line	Paal_X	10,000	Abso	Free	Nonlinear	Nonlinear	Free	Free	Free
		LCS	11,000	From start						
Slb_X_V12	Line	Paal_X	11,000	Abso	Free	Nonlinear	Nonlinear	Free	Free	Free
		LCS	11,500	From start						
Slb_X_Veen1	Line	Paal_X1	1,000	Abso	Free	Nonlinear	Nonlinear	Free	Free	Free
		LCS	8,000	From start						
Slb_X_V22	Line	Paal_X1	8,000	Abso	Free	Nonlinear	Nonlinear	Free	Free	Free
		LCS	9,000	From start						
Slb_X_V23	Line	Paal_X1	9,000	Abso	Free	Nonlinear	Nonlinear	Free	Free	Free
		LCS	10,000	From start						
Slb_X_V24	Line	Paal_X1	10,000	Abso	Free	Nonlinear	Nonlinear	Free	Free	Free
		LCS	11,000	From start						
Slb_X_V25	Line	Paal_X1	11,000	Abso	Free	Nonlinear	Nonlinear	Free	Free	Free
		LCS	11,350	From start						
Slb_X_Veen2	Line	Paal_X2	1,000	Abso	Free	Nonlinear	Nonlinear	Free	Free	Free
		LCS	8,000	From start						
Slb_X_V32	Line	Paal_X2	8,000	Abso	Free	Nonlinear	Nonlinear	Free	Free	Free
		LCS	9,000	From start						
Slb_X_V33	Line	Paal_X2	9,000	Abso	Free	Nonlinear	Nonlinear	Free	Free	Free
		LCS	10,000	From start						
Slb_X_V34	Line	Paal_X2	10,000	Abso	Free	Nonlinear	Nonlinear	Free	Free	Free
		LCS	11,000	From start						
Slb_X_V35	Line	Paal_X2	11,000	Abso	Free	Nonlinear	Nonlinear	Free	Free	Free
		LCS	11,350	From start						
Slb_X_Veen3	Line	Paal_X3	1,000	Abso	Free	Nonlinear	Nonlinear	Free	Free	Free
		LCS	8,000	From start						
Slb_X_V42	Line	Paal_X3	8,000	Abso	Free	Nonlinear	Nonlinear	Free	Free	Free
		LCS	9,000	From start						
Slb_X_V43	Line	Paal_X3	9,000	Abso	Free	Nonlinear	Nonlinear	Free	Free	Free
		LCS	10,000	From start						
Slb_X_V44	Line	Paal_X3	10,000	Abso	Free	Nonlinear	Nonlinear	Free	Free	Free
		LCS	11,000	From start						
Slb_X_V45	Line	Paal_X3	11,000	Abso	Free	Nonlinear	Nonlinear	Free	Free	Free
		LCS	11,350	From start						
Slb_X_Veen4	Line	Paal_X4	1,000	Abso	Free	Nonlinear	Nonlinear	Free	Free	Free
		LCS	8,000	From start						
Slb_X_V52	Line	Paal_X4	8,000	Abso	Free	Nonlinear	Nonlinear	Free	Free	Free
		LCS	9,000	From start						
Slb_X_V53	Line	Paal_X4	9,000	Abso	Free	Nonlinear	Nonlinear	Free	Free	Free
		LCS	10,000	From start						
Slb_X_V54	Line	Paal_X4	10,000	Abso	Free	Nonlinear	Nonlinear	Free	Free	Free
		LCS	11,000	From start						
Slb_X_V55	Line	Paal_X4	11,000	Abso	Free	Nonlinear	Nonlinear	Free	Free	Free
		LCS	11,350	From start						
Slb_X_Veen5	Line	Paal_X5	1,000	Abso	Free	Nonlinear	Nonlinear	Free	Free	Free

Name	Type	Member System	Pos x_1 [m] Pos x_2 [m]	Coor Orig	X	Y	Z	Rx	Ry	Rz
		LCS	8,000	From start						
Slb_X_V62	Line	Paal_X5	8,000	Abso	Free	Nonlinear	Nonlinear	Free	Free	Free
		LCS	9,000	From start						
Slb_X_V63	Line	Paal_X5	9,000	Abso	Free	Nonlinear	Nonlinear	Free	Free	Free
		LCS	10,000	From start						
Slb_X_V64	Line	Paal_X5	10,000	Abso	Free	Nonlinear	Nonlinear	Free	Free	Free
		LCS	11,000	From start						
Slb_X_V65	Line	Paal_X5	11,000	Abso	Free	Nonlinear	Nonlinear	Free	Free	Free
		LCS	11,350	From start						
Slb_X_Veen6	Line	Paal_X6	1,000	Abso	Free	Nonlinear	Nonlinear	Free	Free	Free
		LCS	8,000	From start						
Slb_X_V72	Line	Paal_X6	8,000	Abso	Free	Nonlinear	Nonlinear	Free	Free	Free
		LCS	9,000	From start						
Slb_X_V73	Line	Paal_X6	9,000	Abso	Free	Nonlinear	Nonlinear	Free	Free	Free
		LCS	10,000	From start						
Slb_X_V74	Line	Paal_X6	10,000	Abso	Free	Nonlinear	Nonlinear	Free	Free	Free
		LCS	11,000	From start						
Slb_X_V75	Line	Paal_X6	11,000	Abso	Free	Nonlinear	Nonlinear	Free	Free	Free
		LCS	11,350	From start						
Slb_X_Veen7	Line	Paal_X7	1,000	Abso	Free	Nonlinear	Nonlinear	Free	Free	Free
		LCS	8,000	From start						
Slb_X_V82	Line	Paal_X7	8,000	Abso	Free	Nonlinear	Nonlinear	Free	Free	Free
		LCS	9,000	From start						
Slb_X_V83	Line	Paal_X7	9,000	Abso	Free	Nonlinear	Nonlinear	Free	Free	Free
		LCS	10,000	From start						
Slb_X_V84	Line	Paal_X7	10,000	Abso	Free	Nonlinear	Nonlinear	Free	Free	Free
		LCS	11,000	From start						
Slb_X_V85	Line	Paal_X7	11,000	Abso	Free	Nonlinear	Nonlinear	Free	Free	Free
		LCS	11,350	From start						
Slb_X_Veen8	Line	Paal_X8	1,000	Abso	Free	Nonlinear	Nonlinear	Free	Free	Free
		LCS	8,000	From start						
Slb_X_V92	Line	Paal_X8	8,000	Abso	Free	Nonlinear	Nonlinear	Free	Free	Free
		LCS	9,000	From start						
Slb_X_V93	Line	Paal_X8	9,000	Abso	Free	Nonlinear	Nonlinear	Free	Free	Free
		LCS	10,000	From start						
Slb_X_V94	Line	Paal_X8	10,000	Abso	Free	Nonlinear	Nonlinear	Free	Free	Free
		LCS	11,000	From start						
Slb_X_V95	Line	Paal_X8	11,000	Abso	Free	Nonlinear	Nonlinear	Free	Free	Free
		LCS	11,350	From start						
Slb_P_Veen1	Line	Paal_P1	1,000	Abso	Free	Nonlinear	Nonlinear	Free	Free	Free
		LCS	8,000	From start						
Slb_P_V14	Line	Paal_P1	8,000	Abso	Free	Nonlinear	Nonlinear	Free	Free	Free
		LCS	9,000	From start						
Slb_P_V15	Line	Paal_P1	9,000	Abso	Free	Nonlinear	Nonlinear	Free	Free	Free
		LCS	10,000	From start						
Slb_P_V16	Line	Paal_P1	10,000	Abso	Free	Nonlinear	Nonlinear	Free	Free	Free
		LCS	11,000	From start						
Slb_P_V17	Line	Paal_P1	11,000	Abso	Free	Nonlinear	Nonlinear	Free	Free	Free
		LCS	11,500	From start						
Slb_Y_Veen1	Line	Paal_Y1	1,000	Abso	Free	Nonlinear	Nonlinear	Free	Free	Free
		LCS	8,000	From start						
Slb_Y_V14	Line	Paal_Y1	8,000	Abso	Free	Nonlinear	Nonlinear	Free	Free	Free
		LCS	9,000	From start						
Slb_Y_V15	Line	Paal_Y1	9,000	Abso	Free	Nonlinear	Nonlinear	Free	Free	Free
		LCS	10,000	From start						
Slb_Y_V16	Line	Paal_Y1	10,000	Abso	Free	Nonlinear	Nonlinear	Free	Free	Free
		LCS	11,000	From start						
Slb_Y_V17	Line	Paal_Y1	11,000	Abso	Free	Nonlinear	Nonlinear	Free	Free	Free
		LCS	11,500	From start						
Slb_XY_Veen1	Line	Paal_XY1	1,000	Abso	Free	Nonlinear	Nonlinear	Free	Free	Free
		LCS	8,000	From start						
Slb_XY_V14	Line	Paal_XY1	8,000	Abso	Free	Nonlinear	Nonlinear	Free	Free	Free
		LCS	9,000	From start						
Slb_XY_V15	Line	Paal_XY1	9,000	Abso	Free	Nonlinear	Nonlinear	Free	Free	Free

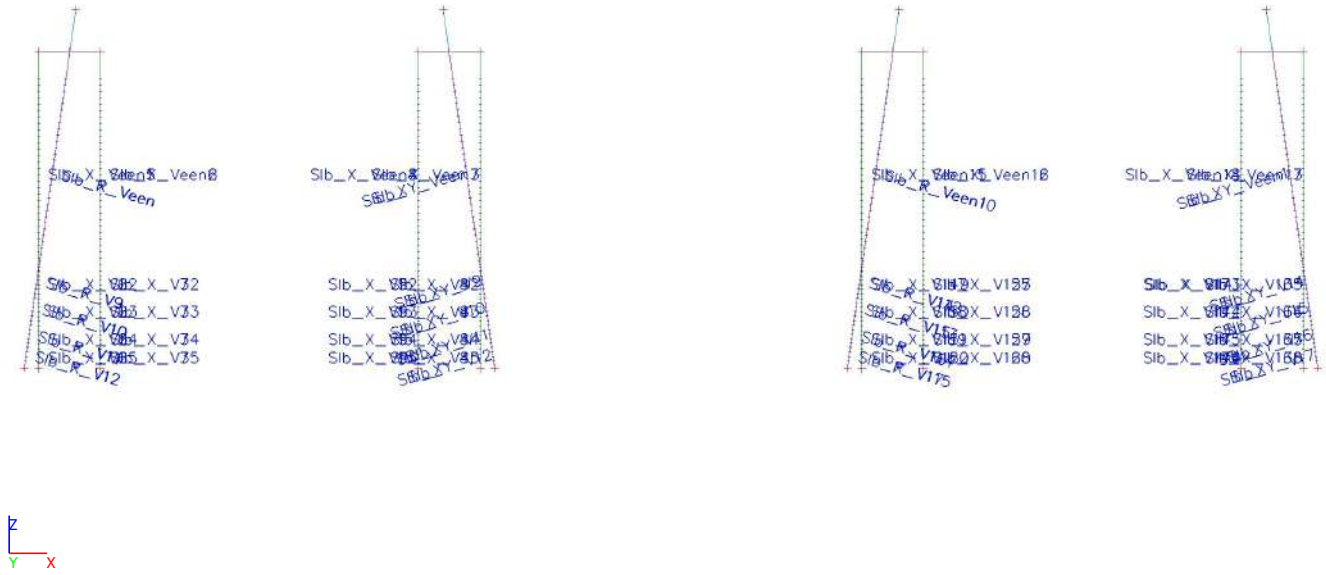
Name	Type	Member System	Pos x_1 [m] Pos x_2 [m]	Coor Orig	X	Y	Z	Rx	Ry	Rz
		LCS	10,000	From start						
Slb_XY_V16	Line	Paal_XY1	10,000	Abso	Free	Nonlinear	Nonlinear	Free	Free	Free
		LCS	11,000	From start						
Slb_XY_V17	Line	Paal_XY1	11,000	Abso	Free	Nonlinear	Nonlinear	Free	Free	Free
		LCS	11,500	From start						
Slb_X_Veen10	Line	Paal_X10	1,000	Abso	Free	Nonlinear	Nonlinear	Free	Free	Free
		LCS	8,000	From start						
Slb_X_V112	Line	Paal_X10	8,000	Abso	Free	Nonlinear	Nonlinear	Free	Free	Free
		LCS	9,000	From start						
Slb_X_V113	Line	Paal_X10	9,000	Abso	Free	Nonlinear	Nonlinear	Free	Free	Free
		LCS	10,000	From start						
Slb_X_V114	Line	Paal_X10	10,000	Abso	Free	Nonlinear	Nonlinear	Free	Free	Free
		LCS	11,000	From start						
Slb_X_V115	Line	Paal_X10	11,000	Abso	Free	Nonlinear	Nonlinear	Free	Free	Free
		LCS	11,500	From start						
Slb_X_Veen11	Line	Paal_X11	1,000	Abso	Free	Nonlinear	Nonlinear	Free	Free	Free
		LCS	8,000	From start						
Slb_X_V117	Line	Paal_X11	8,000	Abso	Free	Nonlinear	Nonlinear	Free	Free	Free
		LCS	9,000	From start						
Slb_X_V118	Line	Paal_X11	9,000	Abso	Free	Nonlinear	Nonlinear	Free	Free	Free
		LCS	10,000	From start						
Slb_X_V119	Line	Paal_X11	10,000	Abso	Free	Nonlinear	Nonlinear	Free	Free	Free
		LCS	11,000	From start						
Slb_X_V120	Line	Paal_X11	11,000	Abso	Free	Nonlinear	Nonlinear	Free	Free	Free
		LCS	11,350	From start						
Slb_X_Veen12	Line	Paal_X12	1,000	Abso	Free	Nonlinear	Nonlinear	Free	Free	Free
		LCS	8,000	From start						
Slb_X_V125	Line	Paal_X12	8,000	Abso	Free	Nonlinear	Nonlinear	Free	Free	Free
		LCS	9,000	From start						
Slb_X_V126	Line	Paal_X12	9,000	Abso	Free	Nonlinear	Nonlinear	Free	Free	Free
		LCS	10,000	From start						
Slb_X_V127	Line	Paal_X12	10,000	Abso	Free	Nonlinear	Nonlinear	Free	Free	Free
		LCS	11,000	From start						
Slb_X_V128	Line	Paal_X12	11,000	Abso	Free	Nonlinear	Nonlinear	Free	Free	Free
		LCS	11,350	From start						
Slb_X_Veen13	Line	Paal_X13	1,000	Abso	Free	Nonlinear	Nonlinear	Free	Free	Free
		LCS	8,000	From start						
Slb_X_V133	Line	Paal_X13	8,000	Abso	Free	Nonlinear	Nonlinear	Free	Free	Free
		LCS	9,000	From start						
Slb_X_V134	Line	Paal_X13	9,000	Abso	Free	Nonlinear	Nonlinear	Free	Free	Free
		LCS	10,000	From start						
Slb_X_V135	Line	Paal_X13	10,000	Abso	Free	Nonlinear	Nonlinear	Free	Free	Free
		LCS	11,000	From start						
Slb_X_V136	Line	Paal_X13	11,000	Abso	Free	Nonlinear	Nonlinear	Free	Free	Free
		LCS	11,350	From start						
Slb_X_Veen14	Line	Paal_X14	1,000	Abso	Free	Nonlinear	Nonlinear	Free	Free	Free
		LCS	8,000	From start						
Slb_X_V141	Line	Paal_X14	8,000	Abso	Free	Nonlinear	Nonlinear	Free	Free	Free
		LCS	9,000	From start						
Slb_X_V142	Line	Paal_X14	9,000	Abso	Free	Nonlinear	Nonlinear	Free	Free	Free
		LCS	10,000	From start						
Slb_X_V143	Line	Paal_X14	10,000	Abso	Free	Nonlinear	Nonlinear	Free	Free	Free
		LCS	11,000	From start						
Slb_X_V144	Line	Paal_X14	11,000	Abso	Free	Nonlinear	Nonlinear	Free	Free	Free
		LCS	11,350	From start						
Slb_X_Veen15	Line	Paal_X15	1,000	Abso	Free	Nonlinear	Nonlinear	Free	Free	Free
		LCS	8,000	From start						
Slb_X_V149	Line	Paal_X15	8,000	Abso	Free	Nonlinear	Nonlinear	Free	Free	Free
		LCS	9,000	From start						
Slb_X_V150	Line	Paal_X15	9,000	Abso	Free	Nonlinear	Nonlinear	Free	Free	Free
		LCS	10,000	From start						
Slb_X_V151	Line	Paal_X15	10,000	Abso	Free	Nonlinear	Nonlinear	Free	Free	Free
		LCS	11,000	From start						
Slb_X_V152	Line	Paal_X15	11,000	Abso	Free	Nonlinear	Nonlinear	Free	Free	Free

Name	Type	Member System	Pos x_1 [m] Pos x_2 [m]	Coor Orig	X	Y	Z	Rx	Ry	Rz
		LCS	11,350	From start						
Slb_X_Veen16	Line	Paal_X16	1,000	Abso	Free	Nonlinear	Nonlinear	Free	Free	Free
		LCS	8,000	From start						
Slb_X_V157	Line	Paal_X16	8,000	Abso	Free	Nonlinear	Nonlinear	Free	Free	Free
		LCS	9,000	From start						
Slb_X_V158	Line	Paal_X16	9,000	Abso	Free	Nonlinear	Nonlinear	Free	Free	Free
		LCS	10,000	From start						
Slb_X_V159	Line	Paal_X16	10,000	Abso	Free	Nonlinear	Nonlinear	Free	Free	Free
		LCS	11,000	From start						
Slb_X_V160	Line	Paal_X16	11,000	Abso	Free	Nonlinear	Nonlinear	Free	Free	Free
		LCS	11,350	From start						
Slb_X_Veen17	Line	Paal_X17	1,000	Abso	Free	Nonlinear	Nonlinear	Free	Free	Free
		LCS	8,000	From start						
Slb_X_V165	Line	Paal_X17	8,000	Abso	Free	Nonlinear	Nonlinear	Free	Free	Free
		LCS	9,000	From start						
Slb_X_V166	Line	Paal_X17	9,000	Abso	Free	Nonlinear	Nonlinear	Free	Free	Free
		LCS	10,000	From start						
Slb_X_V167	Line	Paal_X17	10,000	Abso	Free	Nonlinear	Nonlinear	Free	Free	Free
		LCS	11,000	From start						
Slb_X_V168	Line	Paal_X17	11,000	Abso	Free	Nonlinear	Nonlinear	Free	Free	Free
		LCS	11,350	From start						
Slb_X_Veen18	Line	Paal_X18	1,000	Abso	Free	Nonlinear	Nonlinear	Free	Free	Free
		LCS	8,000	From start						
Slb_X_V173	Line	Paal_X18	8,000	Abso	Free	Nonlinear	Nonlinear	Free	Free	Free
		LCS	9,000	From start						
Slb_X_V174	Line	Paal_X18	9,000	Abso	Free	Nonlinear	Nonlinear	Free	Free	Free
		LCS	10,000	From start						
Slb_X_V175	Line	Paal_X18	10,000	Abso	Free	Nonlinear	Nonlinear	Free	Free	Free
		LCS	11,000	From start						
Slb_X_V176	Line	Paal_X18	11,000	Abso	Free	Nonlinear	Nonlinear	Free	Free	Free
		LCS	11,350	From start						

5.8. Analyse model met Lijnondersteuningen



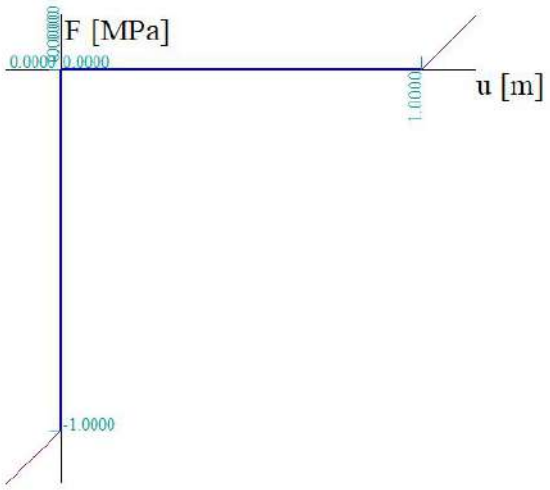
5.9. Analyse model met Lijnondersteuningen



5.10. Nonlinear functions

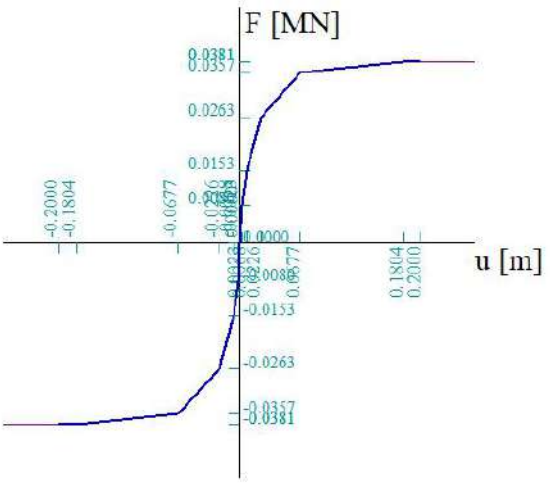
Name	Type	u / F	Positive end	Negative end
soil press only	Nonlinear subsoil		Flexible	Flexible

Drawing



Name	Type	u / F	Positive end	Negative end
PY-curve-2_V9	Translation	-0.200000 / -38100.000000	Free	Free
		-0.180400 / -38100.000000		
		-0.067650 / -35700.000000		
		-0.022550 / -26300.000000		
		-0.006765 / -15300.000000		
		-0.002255 / -8000.000000		
		0.000000 / 0.000000		
		0.002255 / 8000.000000		
		0.006765 / 15300.000000		
		0.022550 / 26300.000000		
		0.067650 / 35700.000000		
		0.180400 / 38100.000000		
		0.200000 / 38100.000000		

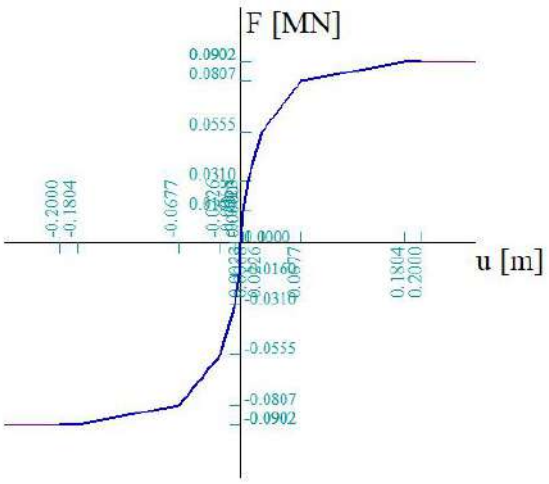
Drawing



Name	Type	u / F	Positive end	Negative end
PY-curve-2_V10	Translation	-0.200000 / -90200.000000	Free	Free
		-0.180400 / -90200.000000		
		-0.067650 / -80700.000000		
		-0.022550 / -55500.000000		

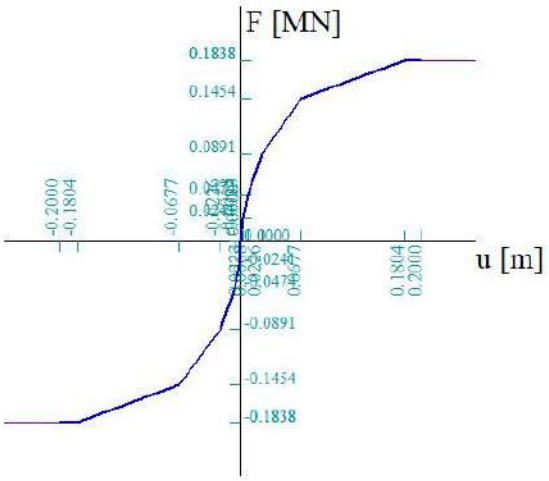
Name	Type	u / F	Positive end	Negative end
		-0.006765 / -31000.000000		
		-0.002255 / -16000.000000		
		0.000000 / 0.000000		
		0.002255 / 16000.000000		
		0.006765 / 31000.000000		
		0.022550 / 55500.000000		
		0.067650 / 80700.000000		
		0.180400 / 90200.000000		
		0.200000 / 90200.000000		

Drawing



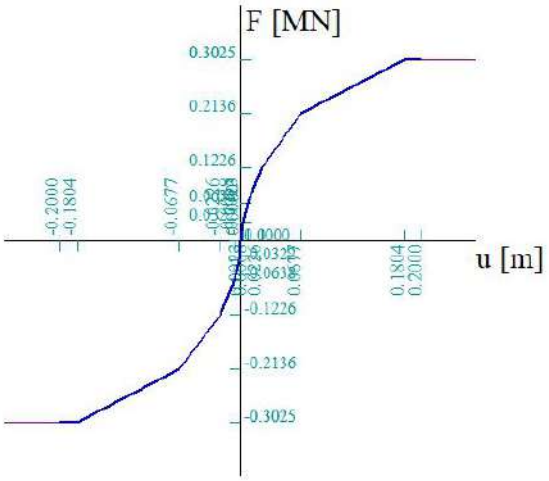
Name	Type	u / F	Positive end	Negative end
PY-curve-2_V11	Translation	-0.200000 / -183800.000000	Free	Free
		-0.180400 / -183800.000000		
		-0.067650 / -145400.000000		
		-0.022550 / -89100.000000		
		-0.006765 / -47400.000000		
		-0.002255 / -24100.000000		
		0.000000 / 0.000000		
		0.002255 / 24100.000000		
		0.006765 / 47400.000000		
		0.022550 / 89100.000000		
		0.067650 / 145400.000000		
		0.180400 / 183800.000000		
		0.200000 / 183800.000000		

Drawing



Name	Type	u / F	Positive end	Negative end
PY-curve-2_V12	Translation	-0.200000 / -302500.000000	Free	Free
		-0.180400 / -302500.000000		
		-0.067650 / -213600.000000		
		-0.022550 / -122600.000000		
		-0.006765 / -63800.000000		
		-0.002255 / -32200.000000		
		0.000000 / 0.000000		
		0.002255 / 32200.000000		
		0.006765 / 63800.000000		
		0.022550 / 122600.000000		
		0.067650 / 213600.000000		
		0.180400 / 302500.000000		
		0.200000 / 302500.000000		

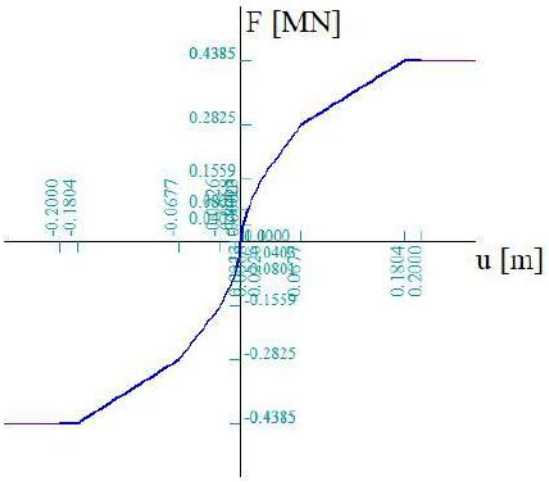
Drawing



Name	Type	u / F	Positive end	Negative end
PY-curve-2_V13	Translation	-0.200000 / -438500.000000	Free	Free
		-0.180400 / -438500.000000		
		-0.067650 / -282500.000000		
		-0.022550 / -155900.000000		
		-0.006765 / -80100.000000		
		-0.002255 / -40300.000000		
		0.000000 / 0.000000		
		0.002255 / 40300.000000		
		0.006765 / 80100.000000		
		0.022550 / 155900.000000		

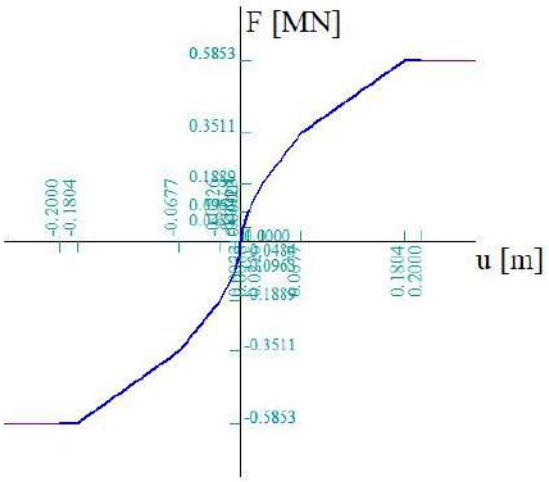
Name	Type	u / F	Positive end	Negative end
		0.067650 / 282500.000000		
		0.180400 / 438500.000000		
		0.200000 / 438500.000000		

Drawing



Name	Type	u / F	Positive end	Negative end
PY-curve-2_V14	Translation	-0.200000 / -585300.000000	Free	Free
		-0.180400 / -585300.000000		
		-0.067650 / -351100.000000		
		-0.022550 / -188900.000000		
		-0.006765 / -96300.000000		
		-0.002255 / -48400.000000		
		0.000000 / 0.000000		
		0.002255 / 48400.000000		
		0.006765 / 96300.000000		
		0.022550 / 188900.000000		
		0.067650 / 351100.000000		
		0.180400 / 585300.000000		
		0.200000 / 585300.000000		

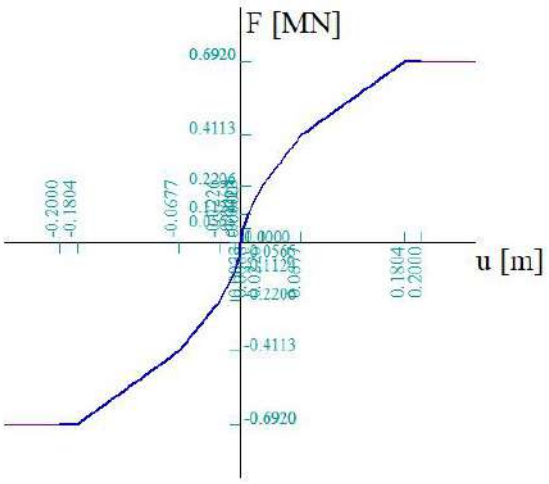
Drawing



Name	Type	u / F	Positive end	Negative end
PY-curve-2_V15	Translation	-0.200000 / -692000.000000	Free	Free
		-0.180400 / -692000.000000		
		-0.067650 / -411300.000000		
		-0.022550 / -220600.000000		

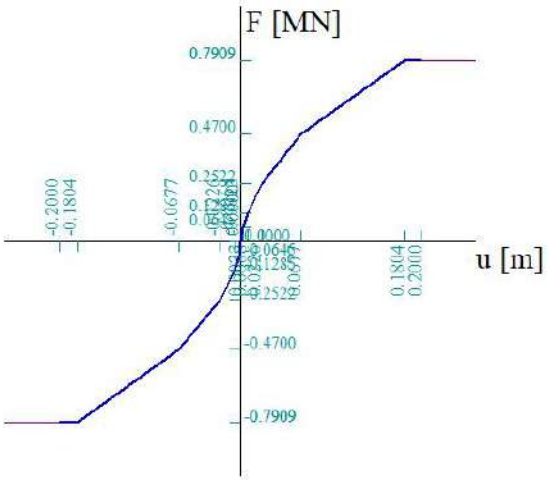
Name	Type	u / F	Positive end	Negative end
		-0.006765 / -112400.000000		
		-0.002255 / -56500.000000		
		0.000000 / 0.000000		
		0.002255 / 56500.000000		
		0.006765 / 112400.000000		
		0.022550 / 220600.000000		
		0.067650 / 411300.000000		
		0.180400 / 692000.000000		
		0.200000 / 692000.000000		

Drawing



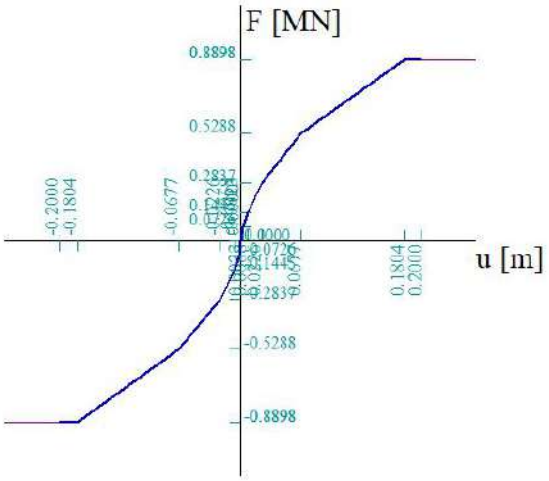
Name	Type	u / F	Positive end	Negative end
PY-curve-2_V16	Translation	-0.200000 / -790900.000000	Free	Free
		-0.180400 / -790900.000000		
		-0.067650 / -470000.000000		
		-0.022550 / -252200.000000		
		-0.006765 / -128500.000000		
		-0.002255 / -64500.000000		
		0.000000 / 0.000000		
		0.002255 / 64500.000000		
		0.006765 / 128500.000000		
		0.022550 / 252200.000000		
		0.067650 / 470000.000000		
		0.180400 / 790900.000000		
		0.200000 / 790900.000000		

Drawing



Name	Type	u / F	Positive end	Negative end
PY-curve-2_V17	Translation	-0.200000 / -889800.000000	Free	Free
		-0.180400 / -889800.000000		
		-0.067650 / -528800.000000		
		-0.022550 / -283700.000000		
		-0.006765 / -144500.000000		
		-0.002255 / -72600.000000		
		0.000000 / 0.000000		
		0.002255 / 72600.000000		
		0.006765 / 144500.000000		
		0.022550 / 283700.000000		
		0.067650 / 528800.000000		
		0.180400 / 889800.000000		
		0.200000 / 889800.000000		

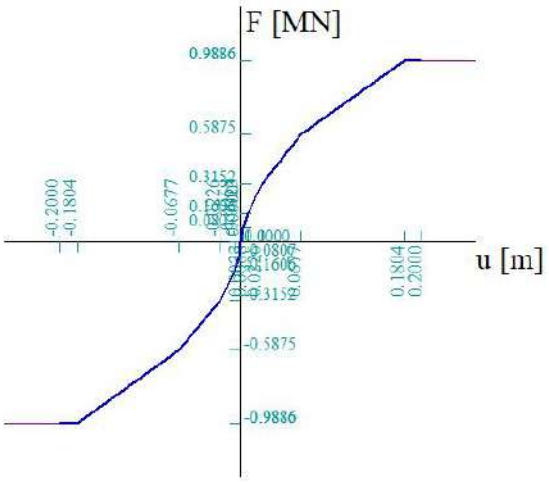
Drawing



Name	Type	u / F	Positive end	Negative end
PY-curve-2_V18	Translation	-0.200000 / -988600.000000	Free	Free
		-0.180400 / -988600.000000		
		-0.067650 / -587500.000000		
		-0.022550 / -315200.000000		
		-0.006765 / -160600.000000		
		-0.002255 / -80700.000000		
		0.000000 / 0.000000		
		0.002255 / 80700.000000		
		0.006765 / 160600.000000		
		0.022550 / 315200.000000		

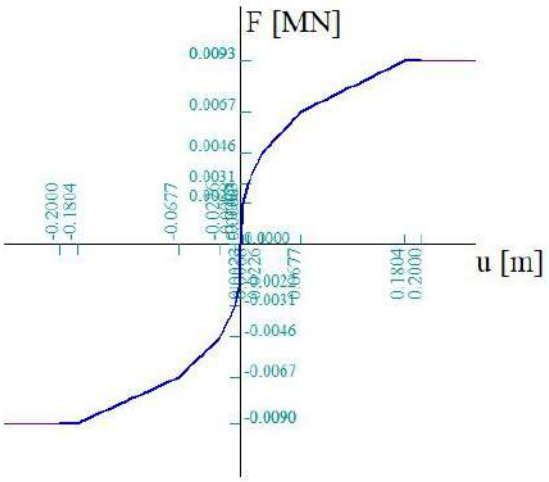
Name	Type	u / F	Positive end	Negative end
		0.067650 / 587500.000000		
		0.180400 / 988600.000000		
		0.200000 / 988600.000000		

Drawing



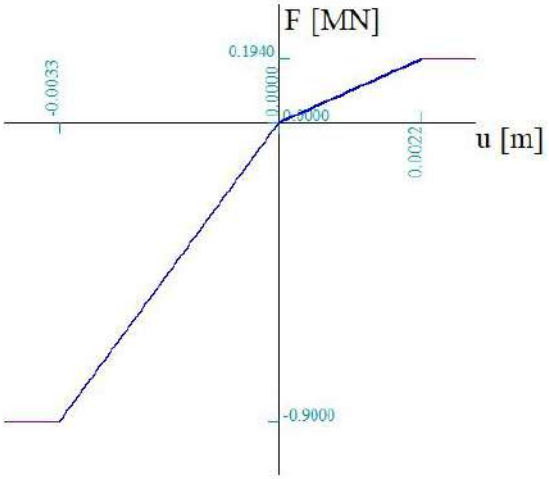
Name	Type	u / F	Positive end	Negative end
PY-curve-1_Veen	Translation	-0.200000 / -9000.000000	Free	Free
		-0.180400 / -9000.000000		
		-0.067650 / -6700.000000		
		-0.022550 / -4630.000000		
		-0.006765 / -3100.000000		
		-0.002255 / -2150.000000		
		0.000000 / 0.000000		
		0.002255 / 2150.000000		
		0.006765 / 3100.000000		
		0.022550 / 4630.000000		
		0.067650 / 6700.000000		
		0.180400 / 9270.000000		
		0.200000 / 9270.000000		

Drawing



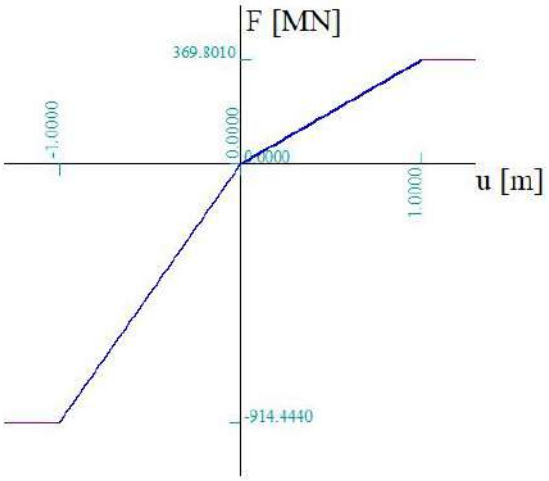
Name	Type	u / F	Positive end	Negative end
Trek-druk-paalpunt_min.B.	Translation	-0.003340 / -900000.000000	Free	Free
		0.000000 / 0.000000		
		0.002160 / 194000.000000		

Drawing



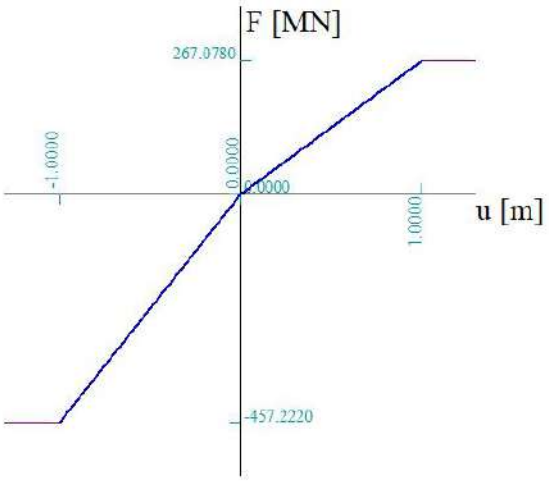
Name	Type	u / F	Positive end	Negative end
Trek-druk-paalpunt-max.LEKA	Translation	-1.000000 / -914444000.000000	Free	Free
		0.000000 / 0.000000		
		1.000000 / 369801000.000000		

Drawing



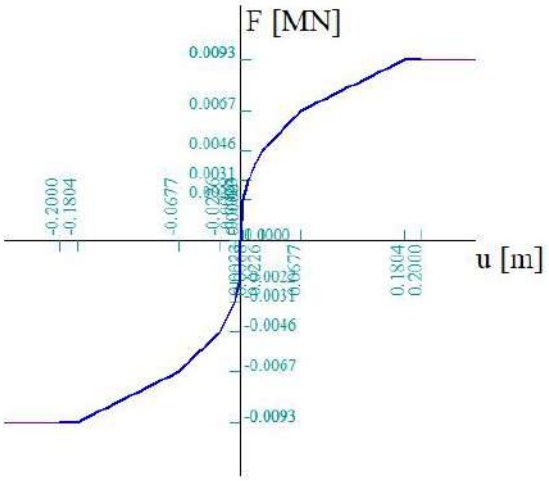
Name	Type	u / F	Positive end	Negative end
Trek-druk-paalpunt-min.LEKA	Translation	-1.000000 / -457222000.000000	Free	Free
		0.000000 / 0.000000		
		1.000000 / 267078000.000000		

Drawing



Name	Type	u / F	Positive end	Negative end
PY-curve-2_Veen	Translation	-0.200000 / -9265.000000	Free	Free
		-0.180400 / -9265.000000		
		-0.067650 / -6681.000000		
		-0.022550 / -4633.000000		
		-0.006765 / -3101.000000		
		-0.002255 / -2150.000000		
		0.000000 / 0.000000		
		0.002255 / 2150.000000		
		0.006765 / 3101.000000		
		0.022550 / 4633.000000		
		0.067650 / 6681.000000		
		0.180400 / 9265.000000		
		0.200000 / 9265.000000		

Drawing

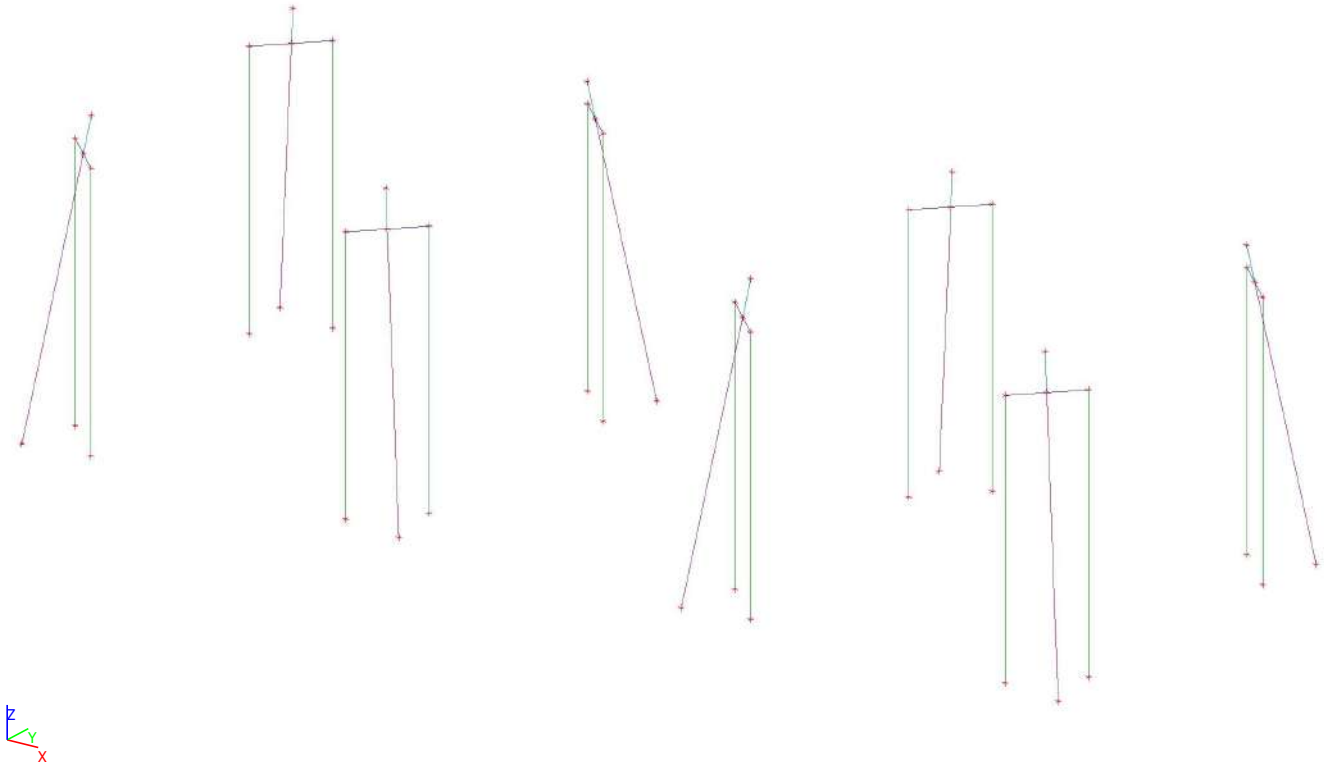


6. Belastingen

6.1. Load cases

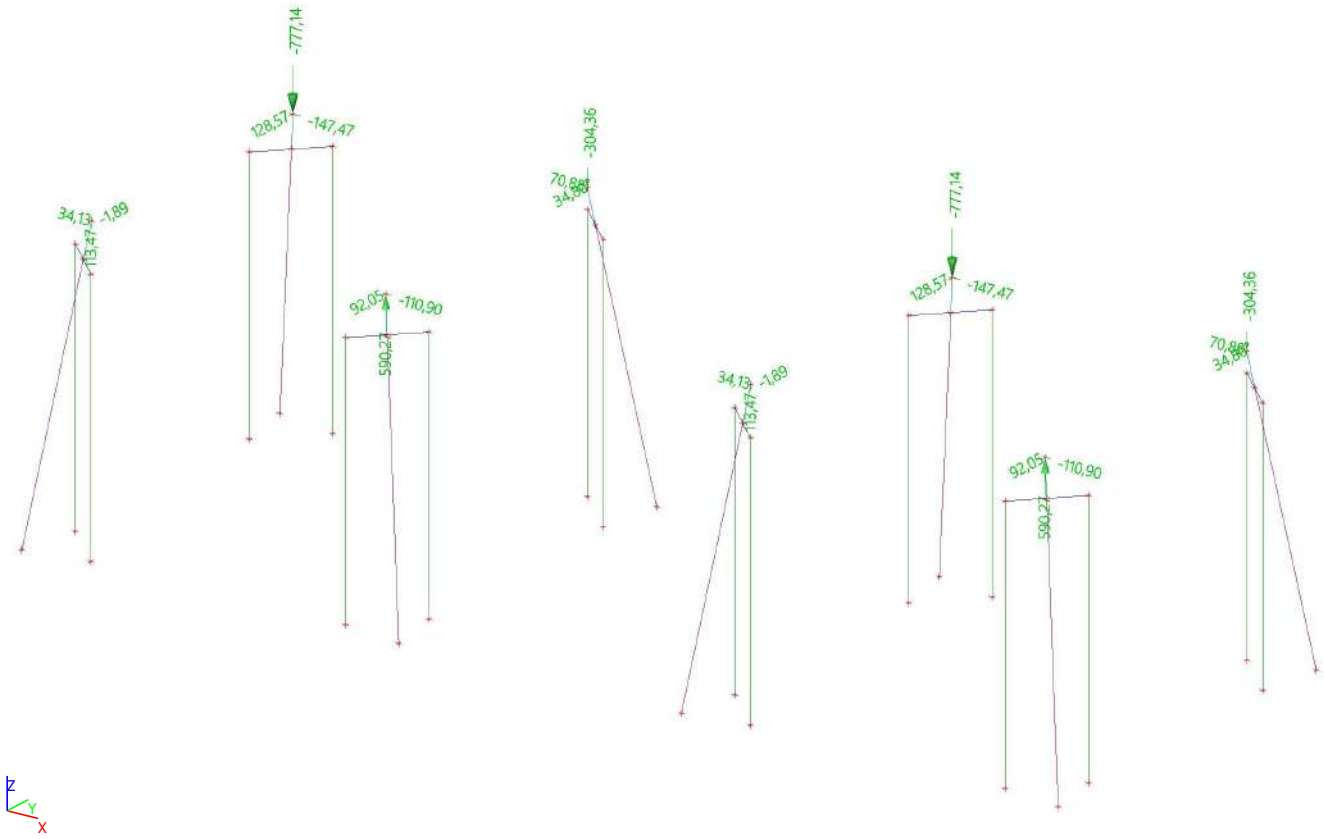
6.1.1. Load cases - EG_Fundering

Name	Description	Action type	Load group	Direction
	Spec	Load type		
EG_Fundering		Permanent	LG1	-Z
		Self weight		



6.1.2. Load cases - high max Wnd ;45°

Name	Description	Action type	Load group	Duration	Master load case
	Spec	Load type			
high max Wnd ;45°		Variable	LG4	Short	None
	Standard	Static			



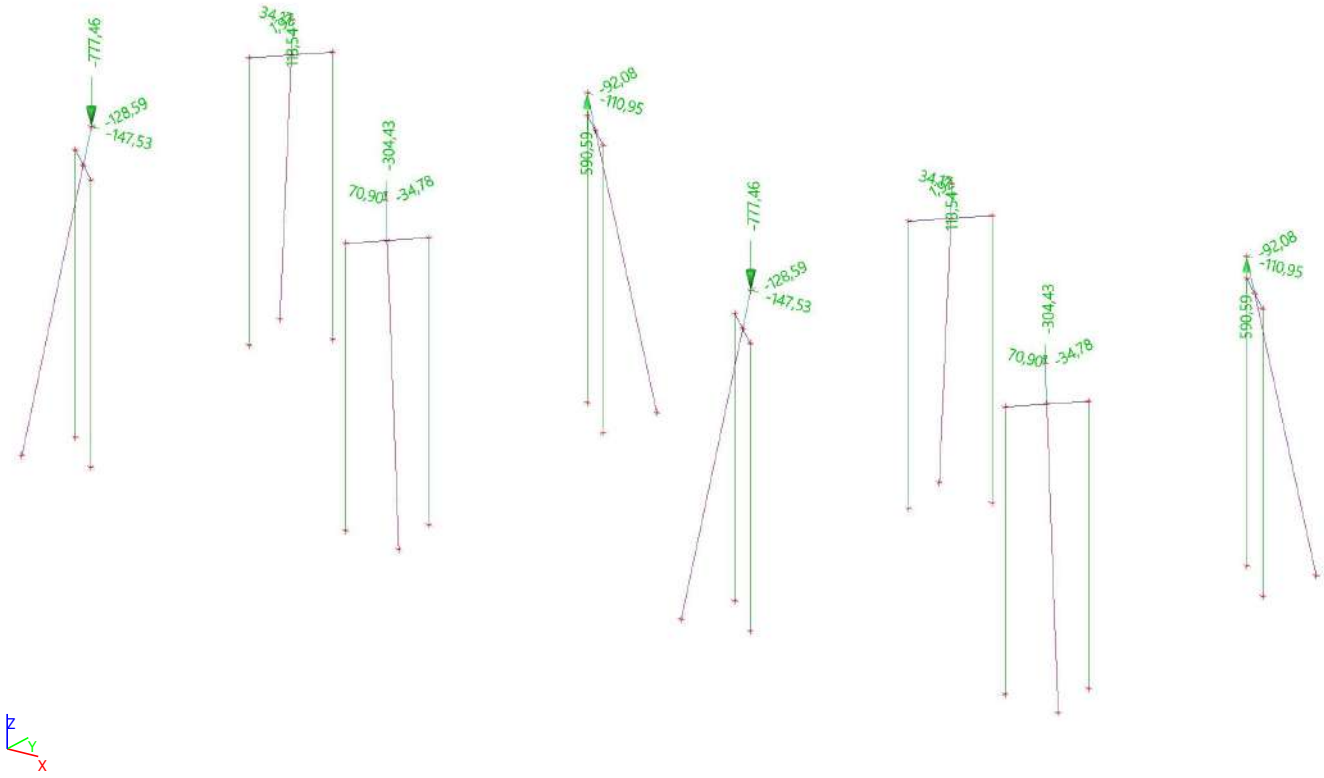
6.1.2.1. Point force in node

Name	Node	Load case	System	Dir	Type	Value - F [kN]
high max Wnd ;45°_1P_X	1P	high max Wnd ;45°	GCS	X	Force	34,13
high max Wnd ;45°_1P_Y	1P	high max Wnd ;45°	GCS	Y	Force	-1,89
high max Wnd ;45°_1P_Z	1P	high max Wnd ;45°	GCS	Z	Force	113,47
high max Wnd ;45°_1X_X	1X	high max Wnd ;45°	GCS	X	Force	-147,47
high max Wnd ;45°_1X_Y	1X	high max Wnd ;45°	GCS	Y	Force	128,57
high max Wnd ;45°_1X_Z	1X	high max Wnd ;45°	GCS	Z	Force	-777,14
high max Wnd ;45°_1XY_X	1XY	high max Wnd ;45°	GCS	X	Force	70,88
high max Wnd ;45°_1XY_Y	1XY	high max Wnd ;45°	GCS	Y	Force	34,80
high max Wnd ;45°_1XY_Z	1XY	high max Wnd ;45°	GCS	Z	Force	-304,36
high max Wnd ;45°_1Y_X	1Y	high max Wnd ;45°	GCS	X	Force	-110,90
high max Wnd ;45°_1Y_Y	1Y	high max Wnd ;45°	GCS	Y	Force	92,05
high max Wnd ;45°_1Y_Z	1Y	high max Wnd ;45°	GCS	Z	Force	590,27
high max Wnd ;45°_1P_X1	1P1	high max Wnd ;45°	GCS	X	Force	34,13
high max Wnd ;45°_1P_Y1	1P1	high max Wnd ;45°	GCS	Y	Force	-1,89
high max Wnd	1P1	high max Wnd ;45°	GCS	Z	Force	113,47

Name	Node	Load case	System	Dir	Type	Value - F [kN]
;45°_1P_Z1						
high max Wnd ;45°_1Y_X1	1Y1	high max Wnd ;45°	GCS	X	Force	-110,90
high max Wnd ;45°_1Y_Y1	1Y1	high max Wnd ;45°	GCS	Y	Force	92,05
high max Wnd ;45°_1Y_Z1	1Y1	high max Wnd ;45°	GCS	Z	Force	590,27
high max Wnd ;45°_1XY_X1	1XY1	high max Wnd ;45°	GCS	X	Force	70,88
high max Wnd ;45°_1XY_Y1	1XY1	high max Wnd ;45°	GCS	Y	Force	34,80
high max Wnd ;45°_1XY_Z1	1XY1	high max Wnd ;45°	GCS	Z	Force	-304,36
high max Wnd ;45°_1X_X1	1X1	high max Wnd ;45°	GCS	X	Force	-147,47
high max Wnd ;45°_1X_Y1	1X1	high max Wnd ;45°	GCS	Y	Force	128,57
high max Wnd ;45°_1X_Z1	1X1	high max Wnd ;45°	GCS	Z	Force	-777,14

6.1.3. Load cases - high max Wnd ;315°

Name	Description	Action type	Load group	Duration	Master load case
	Spec	Load type			
high max Wnd ;315°		Variable	LG4	Short	None
	Standard	Static			



6.1.3.1. Point force in node

Name	Node	Load case	System	Dir	Type	Value - F [kN]
high max Wnd ;315°_1P_X	1P	high max Wnd ;315°	GCS	X	Force	-147,53
high max Wnd ;315°_1P_Y	1P	high max Wnd ;315°	GCS	Y	Force	-128,59
high max Wnd ;315°_1P_Z	1P	high max Wnd ;315°	GCS	Z	Force	-777,46
high max Wnd ;315°_1X_X	1X	high max Wnd ;315°	GCS	X	Force	34,17
high max Wnd ;315°_1X_Y	1X	high max Wnd ;315°	GCS	Y	Force	1,92
high max Wnd ;315°_1X_Z	1X	high max Wnd ;315°	GCS	Z	Force	113,54
high max Wnd ;315°_1XY_X	1XY	high max Wnd ;315°	GCS	X	Force	-110,95
high max Wnd ;315°_1XY_Y	1XY	high max Wnd ;315°	GCS	Y	Force	-92,08
high max Wnd ;315°_1XY_Z	1XY	high max Wnd ;315°	GCS	Z	Force	590,59
high max Wnd ;315°_1Y_X	1Y	high max Wnd ;315°	GCS	X	Force	70,90
high max Wnd ;315°_1Y_Y	1Y	high max Wnd ;315°	GCS	Y	Force	-34,78
high max Wnd ;315°_1Y_Z	1Y	high max Wnd ;315°	GCS	Z	Force	-304,43
high max Wnd ;315°_1P_X1	1P1	high max Wnd ;315°	GCS	X	Force	-147,53
high max Wnd ;315°_1P_Y1	1P1	high max Wnd ;315°	GCS	Y	Force	-128,59
high max Wnd ;315°_1P_Z1	1P1	high max Wnd ;315°	GCS	Z	Force	-777,46
high max Wnd ;315°_1Y_X1	1Y1	high max Wnd ;315°	GCS	X	Force	70,90
high max Wnd ;315°_1Y_Y1	1Y1	high max Wnd ;315°	GCS	Y	Force	-34,78
high max Wnd ;315°_1Y_Z1	1Y1	high max Wnd ;315°	GCS	Z	Force	-304,43
high max Wnd ;315°_1XY_X1	1XY1	high max Wnd ;315°	GCS	X	Force	-110,95
high max Wnd ;315°_1XY_Y1	1XY1	high max Wnd ;315°	GCS	Y	Force	-92,08
high max Wnd ;315°_1XY_Z1	1XY1	high max Wnd ;315°	GCS	Z	Force	590,59
high max Wnd ;315°_1X_X1	1X1	high max Wnd ;315°	GCS	X	Force	34,17
high max Wnd ;315°_1X_Y1	1X1	high max Wnd ;315°	GCS	Y	Force	1,92
high max Wnd ;315°_1X_Z1	1X1	high max Wnd ;315°	GCS	Z	Force	113,54

6.1.4. Load cases - high max Wnd ;135°

Name	Description	Action type	Load group	Duration	Master load case
	Spec	Load type			
high max Wnd ;135°		Variable	LG4	Short	None
	Standard	Static			



6.1.4.1. Point force in node

Name	Node	Load case	System	Dir	Type	Value - F [kN]
high max Wnd ;135°_1P_X	1P	high max Wnd ;135°	GCS	X	Force	112,18
high max Wnd ;135°_1P_Y	1P	high max Wnd ;135°	GCS	Y	Force	94,25
high max Wnd ;135°_1P_Z	1P	high max Wnd ;135°	GCS	Z	Force	601,28
high max Wnd ;135°_1X_X	1X	high max Wnd ;135°	GCS	X	Force	-69,67
high max Wnd ;135°_1X_Y	1X	high max Wnd ;135°	GCS	Y	Force	32,58
high max Wnd ;135°_1X_Z	1X	high max Wnd ;135°	GCS	Z	Force	-293,59
high max Wnd ;135°_1XY_X	1XY	high max Wnd ;135°	GCS	X	Force	148,86
high max Wnd ;135°_1XY_Y	1XY	high max Wnd ;135°	GCS	Y	Force	130,93
high max Wnd ;135°_1XY_Z	1XY	high max Wnd ;135°	GCS	Z	Force	-788,76
high max Wnd ;135°_1Y_X	1Y	high max Wnd ;135°	GCS	X	Force	-32,71
high max Wnd ;135°_1Y_Y	1Y	high max Wnd ;135°	GCS	Y	Force	-4,20
high max Wnd ;135°_1Y_Z	1Y	high max Wnd ;135°	GCS	Z	Force	101,82
high max Wnd ;135°_1P_X1	1P1	high max Wnd ;135°	GCS	X	Force	112,18
high max Wnd ;135°_1P_Y1	1P1	high max Wnd ;135°	GCS	Y	Force	94,25
high max Wnd	1P1	high max Wnd ;135°	GCS	Z	Force	601,28

Name	Node	Load case	System	Dir	Type	Value - F [kN]
;135°_1P_Z1						
high max Wnd ;135°_1Y_X1	1Y1	high max Wnd ;135°	GCS	X	Force	-32,71
high max Wnd ;135°_1Y_Y1	1Y1	high max Wnd ;135°	GCS	Y	Force	-4,20
high max Wnd ;135°_1Y_Z1	1Y1	high max Wnd ;135°	GCS	Z	Force	101,82
high max Wnd ;135°_1XY_X1	1XY1	high max Wnd ;135°	GCS	X	Force	148,86
high max Wnd ;135°_1XY_Y1	1XY1	high max Wnd ;135°	GCS	Y	Force	130,93
high max Wnd ;135°_1XY_Z1	1XY1	high max Wnd ;135°	GCS	Z	Force	-788,76
high max Wnd ;135°_1X_X1	1X1	high max Wnd ;135°	GCS	X	Force	-69,67
high max Wnd ;135°_1X_Y1	1X1	high max Wnd ;135°	GCS	Y	Force	32,58
high max Wnd ;135°_1X_Z1	1X1	high max Wnd ;135°	GCS	Z	Force	-293,59

6.1.5. Load cases - high max Wnd ;225°

Name	Description	Action type	Load group	Duration	Master load case
	Spec	Load type			
high max Wnd ;225°		Variable	LG4	Short	None
	Standard	Static			

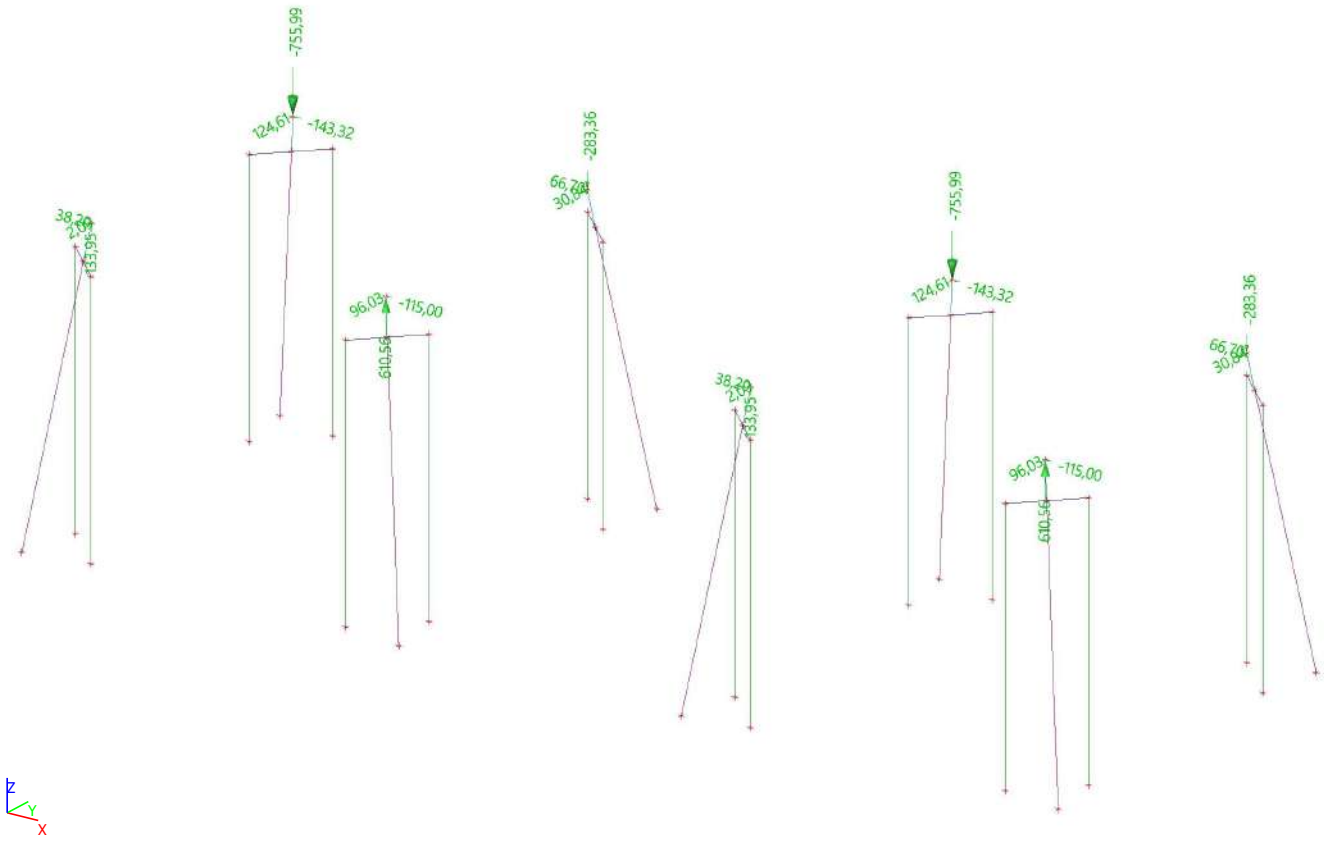


6.1.5.1. Point force in node

Name	Node	Load case	System	Dir	Type	Value - F [kN]
high max Wnd ;225°_1P_X	1P	high max Wnd ;225°	GCS	X	Force	-69,72
high max Wnd ;225°_1P_Y	1P	high max Wnd ;225°	GCS	Y	Force	-32,59
high max Wnd ;225°_1P_Z	1P	high max Wnd ;225°	GCS	Z	Force	-293,87
high max Wnd ;225°_1X_X	1X	high max Wnd ;225°	GCS	X	Force	112,22
high max Wnd ;225°_1X_Y	1X	high max Wnd ;225°	GCS	Y	Force	-94,22
high max Wnd ;225°_1X_Z	1X	high max Wnd ;225°	GCS	Z	Force	601,39
high max Wnd ;225°_1XY_X	1XY	high max Wnd ;225°	GCS	X	Force	-32,76
high max Wnd ;225°_1XY_Y	1XY	high max Wnd ;225°	GCS	Y	Force	4,18
high max Wnd ;225°_1XY_Z	1XY	high max Wnd ;225°	GCS	Z	Force	102,09
high max Wnd ;225°_1Y_X	1Y	high max Wnd ;225°	GCS	X	Force	148,89
high max Wnd ;225°_1Y_Y	1Y	high max Wnd ;225°	GCS	Y	Force	-130,91
high max Wnd ;225°_1Y_Z	1Y	high max Wnd ;225°	GCS	Z	Force	-788,87
high max Wnd ;225°_1P_X1	1P1	high max Wnd ;225°	GCS	X	Force	-69,72
high max Wnd ;225°_1P_Y1	1P1	high max Wnd ;225°	GCS	Y	Force	-32,59
high max Wnd ;225°_1P_Z1	1P1	high max Wnd ;225°	GCS	Z	Force	-293,87
high max Wnd ;225°_1Y_X1	1Y1	high max Wnd ;225°	GCS	X	Force	148,89
high max Wnd ;225°_1Y_Y1	1Y1	high max Wnd ;225°	GCS	Y	Force	-130,91
high max Wnd ;225°_1Y_Z1	1Y1	high max Wnd ;225°	GCS	Z	Force	-788,87
high max Wnd ;225°_1XY_X1	1XY1	high max Wnd ;225°	GCS	X	Force	-32,76
high max Wnd ;225°_1XY_Y1	1XY1	high max Wnd ;225°	GCS	Y	Force	4,18
high max Wnd ;225°_1XY_Z1	1XY1	high max Wnd ;225°	GCS	Z	Force	102,09
high max Wnd ;225°_1X_X1	1X1	high max Wnd ;225°	GCS	X	Force	112,22
high max Wnd ;225°_1X_Y1	1X1	high max Wnd ;225°	GCS	Y	Force	-94,22
high max Wnd ;225°_1X_Z1	1X1	high max Wnd ;225°	GCS	Z	Force	601,39

6.1.6. Load cases - low max Wnd ;45°

Name	Description	Action type	Load group	Duration	Master load case
	Spec	Load type			
low max Wnd ;45°		Variable	LG4	Short	None
	Standard	Static			



6.1.6.1. Point force in node

Name	Node	Load case	System	Dir	Type	Value - F [kN]
low max Wnd ;45°_1P_X	1P	low max Wnd ;45°	GCS	X	Force	38,20
low max Wnd ;45°_1P_Y	1P	low max Wnd ;45°	GCS	Y	Force	2,09
low max Wnd ;45°_1P_Z	1P	low max Wnd ;45°	GCS	Z	Force	133,95
low max Wnd ;45°_1X_X	1X	low max Wnd ;45°	GCS	X	Force	-143,32
low max Wnd ;45°_1X_Y	1X	low max Wnd ;45°	GCS	Y	Force	124,61
low max Wnd ;45°_1X_Z	1X	low max Wnd ;45°	GCS	Z	Force	-755,99
low max Wnd ;45°_1XY_X	1XY	low max Wnd ;45°	GCS	X	Force	66,70
low max Wnd ;45°_1XY_Y	1XY	low max Wnd ;45°	GCS	Y	Force	30,84
low max Wnd ;45°_1XY_Z	1XY	low max Wnd ;45°	GCS	Z	Force	-283,36
low max Wnd ;45°_1Y_X	1Y	low max Wnd ;45°	GCS	X	Force	-115,00
low max Wnd ;45°_1Y_Y	1Y	low max Wnd ;45°	GCS	Y	Force	96,03
low max Wnd ;45°_1Y_Z	1Y	low max Wnd ;45°	GCS	Z	Force	610,56
low max Wnd ;45°_1P_X1	1P1	low max Wnd ;45°	GCS	X	Force	38,20
low max Wnd ;45°_1P_Y1	1P1	low max Wnd ;45°	GCS	Y	Force	2,09
low max Wnd	1P1	low max Wnd ;45°	GCS	Z	Force	133,95

Name	Node	Load case	System	Dir	Type	Value - F [kN]
;45°_1P_Z1						
low max Wnd ;45°_1Y_X1	1Y1	low max Wnd ;45°	GCS	X	Force	-115,00
low max Wnd ;45°_1Y_Y1	1Y1	low max Wnd ;45°	GCS	Y	Force	96,03
low max Wnd ;45°_1Y_Z1	1Y1	low max Wnd ;45°	GCS	Z	Force	610,56
low max Wnd ;45°_1XY_X1	1XY1	low max Wnd ;45°	GCS	X	Force	66,70
low max Wnd ;45°_1XY_Y1	1XY1	low max Wnd ;45°	GCS	Y	Force	30,84
low max Wnd ;45°_1XY_Z1	1XY1	low max Wnd ;45°	GCS	Z	Force	-283,36
low max Wnd ;45°_1X_X1	1X1	low max Wnd ;45°	GCS	X	Force	-143,32
low max Wnd ;45°_1X_Y1	1X1	low max Wnd ;45°	GCS	Y	Force	124,61
low max Wnd ;45°_1X_Z1	1X1	low max Wnd ;45°	GCS	Z	Force	-755,99

6.1.7. Load cases - low max Wnd ;225°

Name	Description	Action type	Load group	Duration	Master load case
	Spec	Load type			
low max Wnd ;225°	Standard	Variable Static	LG4	Short	None



6.1.7.1. Point force in node

Name	Node	Load case	System	Dir	Type	Value - F [kN]
low max Wnd ;225°_1P_X	1P	low max Wnd ;225°	GCS	X	Force	-65,64
low max Wnd ;225°_1P_Y	1P	low max Wnd ;225°	GCS	Y	Force	-28,82
low max Wnd ;225°_1P_Z	1P	low max Wnd ;225°	GCS	Z	Force	-273,75
low max Wnd ;225°_1X_X	1X	low max Wnd ;225°	GCS	X	Force	116,21
low max Wnd ;225°_1X_Y	1X	low max Wnd ;225°	GCS	Y	Force	-98,01
low max Wnd ;225°_1X_Z	1X	low max Wnd ;225°	GCS	Z	Force	620,72
low max Wnd ;225°_1XY_X	1XY	low max Wnd ;225°	GCS	X	Force	-36,93
low max Wnd ;225°_1XY_Y	1XY	low max Wnd ;225°	GCS	Y	Force	0,01
low max Wnd ;225°_1XY_Z	1XY	low max Wnd ;225°	GCS	Z	Force	123,46
low max Wnd ;225°_1Y_X	1Y	low max Wnd ;225°	GCS	X	Force	144,63
low max Wnd ;225°_1Y_Y	1Y	low max Wnd ;225°	GCS	Y	Force	-126,77
low max Wnd ;225°_1Y_Z	1Y	low max Wnd ;225°	GCS	Z	Force	-766,76
low max Wnd ;225°_1P_X1	1P1	low max Wnd ;225°	GCS	X	Force	-65,64
low max Wnd ;225°_1P_Y1	1P1	low max Wnd ;225°	GCS	Y	Force	-28,82
low max Wnd ;225°_1P_Z1	1P1	low max Wnd ;225°	GCS	Z	Force	-273,75
low max Wnd ;225°_1Y_X1	1Y1	low max Wnd ;225°	GCS	X	Force	144,63
low max Wnd ;225°_1Y_Y1	1Y1	low max Wnd ;225°	GCS	Y	Force	-126,77
low max Wnd ;225°_1Y_Z1	1Y1	low max Wnd ;225°	GCS	Z	Force	-766,76
low max Wnd ;225°_1XY_X1	1XY1	low max Wnd ;225°	GCS	X	Force	-36,93
low max Wnd ;225°_1XY_Y1	1XY1	low max Wnd ;225°	GCS	Y	Force	0,01
low max Wnd ;225°_1XY_Z1	1XY1	low max Wnd ;225°	GCS	Z	Force	123,46
low max Wnd ;225°_1X_X1	1X1	low max Wnd ;225°	GCS	X	Force	116,21
low max Wnd ;225°_1X_Y1	1X1	low max Wnd ;225°	GCS	Y	Force	-98,01
low max Wnd ;225°_1X_Z1	1X1	low max Wnd ;225°	GCS	Z	Force	620,72

6.1.8. Load cases - low max Wnd ;135°

Name	Description	Action type	Load group	Duration	Master load case
	Spec	Load type			
low max Wnd ;135°		Variable	LG4	Short	None
	Standard	Static			



6.1.8.1. Point force in node

Name	Node	Load case	System	Dir	Type	Value - F [kN]
low max Wnd ;135°_1P_X	1P	low max Wnd ;135°	GCS	X	Force	116,18
low max Wnd ;135°_1P_Y	1P	low max Wnd ;135°	GCS	Y	Force	98,04
low max Wnd ;135°_1P_Z	1P	low max Wnd ;135°	GCS	Z	Force	620,65
low max Wnd ;135°_1X_X	1X	low max Wnd ;135°	GCS	X	Force	-65,59
low max Wnd ;135°_1X_Y	1X	low max Wnd ;135°	GCS	Y	Force	28,81
low max Wnd ;135°_1X_Z	1X	low max Wnd ;135°	GCS	Z	Force	-273,52
low max Wnd ;135°_1XY_X	1XY	low max Wnd ;135°	GCS	X	Force	144,61
low max Wnd ;135°_1XY_Y	1XY	low max Wnd ;135°	GCS	Y	Force	126,78
low max Wnd ;135°_1XY_Z	1XY	low max Wnd ;135°	GCS	Z	Force	-766,69
low max Wnd ;135°_1Y_X	1Y	low max Wnd ;135°	GCS	X	Force	-36,89
low max Wnd ;135°_1Y_Y	1Y	low max Wnd ;135°	GCS	Y	Force	-0,03
low max Wnd ;135°_1Y_Z	1Y	low max Wnd ;135°	GCS	Z	Force	123,24
low max Wnd ;135°_1P_X1	1P1	low max Wnd ;135°	GCS	X	Force	116,18
low max Wnd ;135°_1P_Y1	1P1	low max Wnd ;135°	GCS	Y	Force	98,04
low max Wnd	1P1	low max Wnd ;135°	GCS	Z	Force	620,65

Name	Node	Load case	System	Dir	Type	Value - F [kN]
;135°_1P_Z1						
low max Wnd ;135°_1Y_X1	1Y1	low max Wnd ;135°	GCS	X	Force	-36,89
low max Wnd ;135°_1Y_Y1	1Y1	low max Wnd ;135°	GCS	Y	Force	-0,03
low max Wnd ;135°_1Y_Z1	1Y1	low max Wnd ;135°	GCS	Z	Force	123,24
low max Wnd ;135°_1XY_X1	1XY1	low max Wnd ;135°	GCS	X	Force	144,61
low max Wnd ;135°_1XY_Y1	1XY1	low max Wnd ;135°	GCS	Y	Force	126,78
low max Wnd ;135°_1XY_Z1	1XY1	low max Wnd ;135°	GCS	Z	Force	-766,69
low max Wnd ;135°_1X_X1	1X1	low max Wnd ;135°	GCS	X	Force	-65,59
low max Wnd ;135°_1X_Y1	1X1	low max Wnd ;135°	GCS	Y	Force	28,81
low max Wnd ;135°_1X_Z1	1X1	low max Wnd ;135°	GCS	Z	Force	-273,52

6.1.9. Load cases - low max Wnd ;315°

Name	Description	Action type	Load group	Duration	Master load case
	Spec	Load type			
low max Wnd ;315°	Standard	Variable Static	LG4	Short	None



6.1.9.1. Point force in node

Name	Node	Load case	System	Dir	Type	Value - F [kN]
low max Wnd ;315°_1P_X	1P	low max Wnd ;315°	GCS	X	Force	-143,38
low max Wnd ;315°_1P_Y	1P	low max Wnd ;315°	GCS	Y	Force	-124,63
low max Wnd ;315°_1P_Z	1P	low max Wnd ;315°	GCS	Z	Force	-756,28
low max Wnd ;315°_1X_X	1X	low max Wnd ;315°	GCS	X	Force	38,23
low max Wnd ;315°_1X_Y	1X	low max Wnd ;315°	GCS	Y	Force	-2,06
low max Wnd ;315°_1X_Z	1X	low max Wnd ;315°	GCS	Z	Force	133,97
low max Wnd ;315°_1XY_X	1XY	low max Wnd ;315°	GCS	X	Force	-115,05
low max Wnd ;315°_1XY_Y	1XY	low max Wnd ;315°	GCS	Y	Force	-96,06
low max Wnd ;315°_1XY_Z	1XY	low max Wnd ;315°	GCS	Z	Force	610,85
low max Wnd ;315°_1Y_X	1Y	low max Wnd ;315°	GCS	X	Force	66,71
low max Wnd ;315°_1Y_Y	1Y	low max Wnd ;315°	GCS	Y	Force	-30,82
low max Wnd ;315°_1Y_Z	1Y	low max Wnd ;315°	GCS	Z	Force	-283,39
low max Wnd ;315°_1P_X1	1P1	low max Wnd ;315°	GCS	X	Force	-143,38
low max Wnd ;315°_1P_Y1	1P1	low max Wnd ;315°	GCS	Y	Force	-124,63
low max Wnd ;315°_1P_Z1	1P1	low max Wnd ;315°	GCS	Z	Force	-756,28
low max Wnd ;315°_1Y_X1	1Y1	low max Wnd ;315°	GCS	X	Force	66,71
low max Wnd ;315°_1Y_Y1	1Y1	low max Wnd ;315°	GCS	Y	Force	-30,82
low max Wnd ;315°_1Y_Z1	1Y1	low max Wnd ;315°	GCS	Z	Force	-283,39
low max Wnd ;315°_1XY_X1	1XY1	low max Wnd ;315°	GCS	X	Force	-115,05
low max Wnd ;315°_1XY_Y1	1XY1	low max Wnd ;315°	GCS	Y	Force	-96,06
low max Wnd ;315°_1XY_Z1	1XY1	low max Wnd ;315°	GCS	Z	Force	610,85
low max Wnd ;315°_1X_X1	1X1	low max Wnd ;315°	GCS	X	Force	38,23
low max Wnd ;315°_1X_Y1	1X1	low max Wnd ;315°	GCS	Y	Force	-2,06
low max Wnd ;315°_1X_Z1	1X1	low max Wnd ;315°	GCS	Z	Force	133,97

6.2. Nonlinear combinations

Name	Type	Load cases	Coeff. [-]
low max Wnd ;45° - EG_Gunstig	Ultimate	EG_Fundering	0,900
		low max Wnd ;45°	1,000
low max Wnd ;225° - EG_Gunstig	Ultimate	EG_Fundering	0,900
		low max Wnd ;225°	1,000
low max Wnd ;135° - EG_Gunstig	Ultimate	EG_Fundering	0,900
		low max Wnd ;135°	1,000
low max Wnd ;315° - EG_Gunstig	Ultimate	EG_Fundering	0,900

Name	Type	Load cases	Coeff. [-]
		low max Wnd ;315°	1,000
high max Wnd ;45° - EG_Ongunstig	Ultimate	EG_Fundering	1,200
		high max Wnd ;45°	1,000
high max Wnd ;225° - EG_Ongunstig	Ultimate	EG_Fundering	1,200
		high max Wnd ;315°	1,000
high max Wnd ;135° - EG_Ongunstig	Ultimate	EG_Fundering	1,200
		high max Wnd ;135°	1,000
high max Wnd ;315° - EG_Ongunstig	Ultimate	EG_Fundering	1,200
		high max Wnd ;225°	1,000

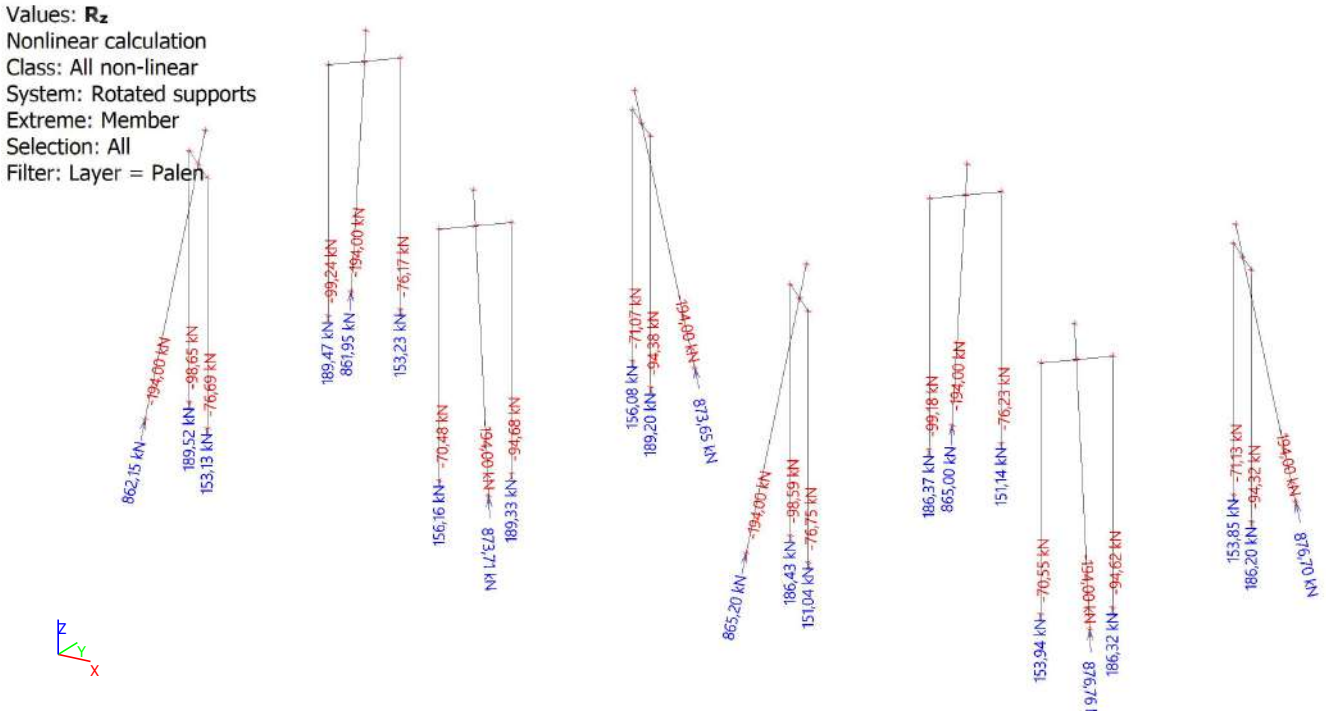
6.3. Result classes

Name	List
All non-linear	low max Wnd ;45° - EG_Gunstig
	low max Wnd ;225° - EG_Gunstig
	low max Wnd ;135° - EG_Gunstig
	low max Wnd ;315° - EG_Gunstig
	high max Wnd ;45° - EG_Ongunstig
	high max Wnd ;225° - EG_Ongunstig
	high max Wnd ;135° - EG_Ongunstig
	high max Wnd ;315° - EG_Ongunstig

7. Resultaten

7.1. Reacties van de palen

7.1.1. Reactions; R_z



7.1.2. Reactions

Nonlinear calculation
Class: All non-linear
System: Rotated supports
Extreme: Global
Selection: All
Filter: Cross-section = LD1(31-plank) - General cross-section
Nodal reactions

Name	Case	R_x [kN]	R_y [kN]	R_z [kN]	M_x [kNm]	M_y [kNm]	M_z [kNm]	e_x [mm]	e_y [mm]
S_P/N139	low max Wnd ;135° - EG_Gunstig	0,00	0,00	**-194,00**	0,00	0,00	0,00	0,0	0,0
S_Y1/N181	high max Wnd ;315° - EG_Ongunstig	**0,00**	**0,00**	**876,76**	**0,00**	**0,00**	**0,00**	0,0	0,0

7.1.3. Reactions

Nonlinear calculation
Class: All non-linear
System: Rotated supports
Extreme: Global
Selection: All
Filter: Cross-section = LEKA Paal - type e (CHS323.9/10.0)
Nodal reactions

Name	Case	R_x [kN]	R_y [kN]	R_z [kN]	M_x [kNm]	M_y [kNm]	M_z [kNm]	e_x [mm]	e_y [mm]
Sn LK/N159	low max Wnd ;225° - EG_Gunstig	0,00	0,00	**-99,24**	0,00	0,00	0,00	0,0	0,0
Sn LK4/N171	high max Wnd ;315° - EG_Ongunstig	**0,00**	**0,00**	**189,52**	**0,00**	**0,00**	**0,00**	0,0	0,0

7.1.4. Reactions

Nonlinear calculation
Class: All non-linear
System: Rotated supports
Extreme: Member
Selection: All
Filter: Layer = Palen

Nodal reactions

Name	Case	R_x [kN]	R_y [kN]	R_z [kN]	M_x [kNm]	M_y [kNm]	M_z [kNm]	e_x [mm]	e_y [mm]
S_P/N139	low max Wnd ;135° - EG_Gunstig	0,00	0,00	**-194,00**	0,00	0,00	0,00	0,0	0,0
S_P/N139	high max Wnd ;225° - EG_Ongunstig	**0,00**	**0,00**	**862,15**	**0,00**	**0,00**	**0,00**	0,0	0,0
S_Y/N143	high max Wnd ;315° - EG_Ongunstig	**0,00**	**0,00**	**873,71**	**0,00**	**0,00**	**0,00**	0,0	0,0
S_Y/N143	low max Wnd ;45° - EG_Gunstig	0,00	0,00	**-194,00**	0,00	0,00	**0,00**	0,0	0,0
S_XY/N148	low max Wnd ;315° - EG_Gunstig	0,00	0,00	**-194,00**	0,00	0,00	0,00	0,0	0,0
S_XY/N148	high max Wnd ;135° - EG_Ongunstig	**0,00**	**0,00**	**873,65**	**0,00**	**0,00**	**0,00**	0,0	0,0
S_X/N153	low max Wnd ;225° - EG_Gunstig	0,00	0,00	**-194,00**	0,00	0,00	0,00	0,0	0,0
S_X/N153	high max Wnd ;45° - EG_Ongunstig	**0,00**	**0,00**	**861,95**	**0,00**	**0,00**	**0,00**	0,0	0,0
Sn LK/N159	low max Wnd ;225° - EG_Gunstig	0,00	0,00	**-99,24**	0,00	0,00	0,00	0,0	0,0
Sn LK/N159	high max Wnd ;135° - EG_Ongunstig	**0,00**	**0,00**	**189,47**	**0,00**	**0,00**	**0,00**	0,0	0,0
Sn LK1/N160	low max Wnd ;225° - EG_Gunstig	0,00	0,00	**-76,17**	0,00	0,00	0,00	0,0	0,0
Sn LK1/N160	high max Wnd ;225° - EG_Ongunstig	**0,00**	**0,00**	**153,23**	**0,00**	**0,00**	**0,00**	0,0	0,0
Sn LK2/N167	low max Wnd ;315° - EG_Gunstig	0,00	0,00	**-94,38**	0,00	0,00	0,00	0,0	0,0
Sn LK2/N167	high max Wnd ;45° - EG_Ongunstig	**0,00**	**0,00**	**189,20**	**0,00**	**0,00**	**0,00**	0,0	0,0
Sn LK3/N168	low max Wnd ;315° - EG_Gunstig	0,00	0,00	**-71,07**	0,00	0,00	0,00	0,0	0,0
Sn LK3/N168	high max Wnd ;315° -	**0,00**	**0,00**	**156,08**	**0,00**	**0,00**	**0,00**	0,0	0,0

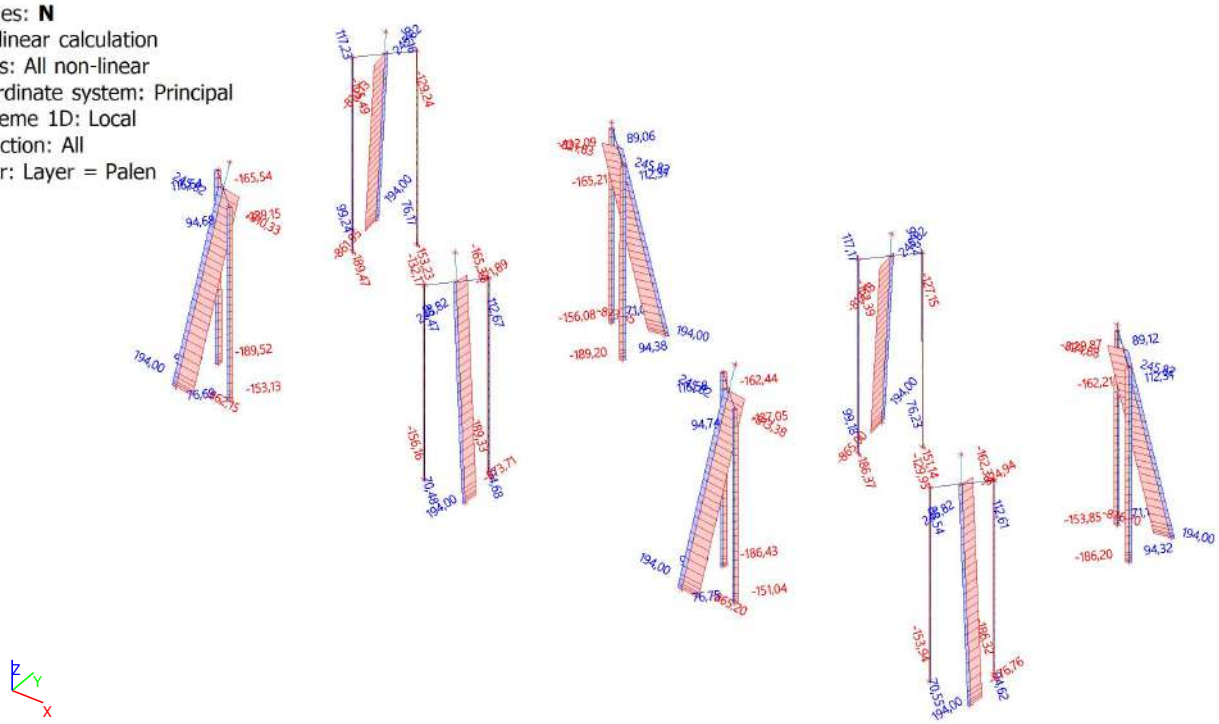
Name	Case	R_x [kN]	R_y [kN]	R_z [kN]	M_x [kNm]	M_y [kNm]	M_z [kNm]	e_x [mm]	e_y [mm]
	EG_Ongunstig								
Sn LK4/N171	low max Wnd ;135° - EG_Gunstig	0,00	0,00	**-98,65**	0,00	0,00	0,00	0,0	0,0
Sn LK4/N171	high max Wnd ;315° - EG_Ongunstig	**0,00**	**0,00**	**189,52**	**0,00**	**0,00**	**0,00**	0,0	0,0
Sn LK5/N172	low max Wnd ;135° - EG_Gunstig	0,00	0,00	**-76,69**	0,00	0,00	0,00	0,0	0,0
Sn LK5/N172	high max Wnd ;45° - EG_Ongunstig	**0,00**	**0,00**	**153,13**	**0,00**	**0,00**	**0,00**	0,0	0,0
Sn LK6/N175	high max Wnd ;225° - EG_Ongunstig	**0,00**	**0,00**	**189,33**	**0,00**	**0,00**	**0,00**	0,0	0,0
Sn LK6/N175	low max Wnd ;45° - EG_Gunstig	0,00	0,00	**-94,68**	0,00	0,00	**0,00**	0,0	0,0
Sn LK7/N176	high max Wnd ;135° - EG_Ongunstig	**0,00**	**0,00**	**156,16**	**0,00**	**0,00**	**0,00**	0,0	0,0
Sn LK7/N176	low max Wnd ;45° - EG_Gunstig	0,00	0,00	**-70,48**	0,00	0,00	**0,00**	0,0	0,0
S_P1/N179	low max Wnd ;135° - EG_Gunstig	0,00	0,00	**-194,00**	0,00	0,00	0,00	0,0	0,0
S_P1/N179	high max Wnd ;225° - EG_Ongunstig	**0,00**	**0,00**	**865,20**	**0,00**	**0,00**	**0,00**	0,0	0,0
S_Y1/N181	high max Wnd ;315° - EG_Ongunstig	**0,00**	**0,00**	**876,76**	**0,00**	**0,00**	**0,00**	0,0	0,0
S_Y1/N181	low max Wnd ;45° - EG_Gunstig	0,00	0,00	**-194,00**	0,00	0,00	**0,00**	0,0	0,0
S_XY1/N183	low max Wnd ;315° - EG_Gunstig	0,00	0,00	**-194,00**	0,00	0,00	0,00	0,0	0,0
S_XY1/N183	high max Wnd ;135° - EG_Ongunstig	**0,00**	**0,00**	**876,70**	**0,00**	**0,00**	**0,00**	0,0	0,0
S_X1/N185	low max Wnd ;225° - EG_Gunstig	0,00	0,00	**-194,00**	0,00	0,00	0,00	0,0	0,0
S_X1/N185	high max Wnd ;45° - EG_Ongunstig	**0,00**	**0,00**	**865,00**	**0,00**	**0,00**	**0,00**	0,0	0,0
Sn LK8/N188	low max Wnd ;225° - EG_Gunstig	0,00	0,00	**-99,18**	0,00	0,00	0,00	0,0	0,0
Sn LK8/N188	high max Wnd ;135° - EG_Ongunstig	**0,00**	**0,00**	**186,37**	**0,00**	**0,00**	**0,00**	0,0	0,0
Sn LK9/N189	low max Wnd ;225° - EG_Gunstig	0,00	0,00	**-76,23**	0,00	0,00	0,00	0,0	0,0
Sn LK9/N189	high max Wnd ;225° - EG_Ongunstig	**0,00**	**0,00**	**151,14**	**0,00**	**0,00**	**0,00**	0,0	0,0
Sn LK10/N192	low max Wnd ;315° - EG_Gunstig	0,00	0,00	**-94,32**	0,00	0,00	0,00	0,0	0,0
Sn LK10/N192	high max Wnd ;45° -	**0,00**	**0,00**	**186,20**	**0,00**	**0,00**	**0,00**	0,0	0,0

Name	Case	R_x [kN]	R_y [kN]	R_z [kN]	M_x [kNm]	M_y [kNm]	M_z [kNm]	e_x [mm]	e_y [mm]
	EG_Ongunstig								
Sn LK11/N193	low max Wnd ;315° - EG_Gunstig	0,00	0,00	**-71,13**	0,00	0,00	0,00	0,0	0,0
Sn LK11/N193	high max Wnd ;315° - EG_Ongunstig	**0,00**	**0,00**	**153,85**	**0,00**	**0,00**	**0,00**	0,0	0,0
Sn LK12/N196	low max Wnd ;135° - EG_Gunstig	0,00	0,00	**-98,59**	0,00	0,00	0,00	0,0	0,0
Sn LK12/N196	high max Wnd ;315° - EG_Ongunstig	**0,00**	**0,00**	**186,43**	**0,00**	**0,00**	**0,00**	0,0	0,0
Sn LK13/N197	low max Wnd ;135° - EG_Gunstig	0,00	0,00	**-76,75**	0,00	0,00	0,00	0,0	0,0
Sn LK13/N197	high max Wnd ;45° - EG_Ongunstig	**0,00**	**0,00**	**151,04**	**0,00**	**0,00**	**0,00**	0,0	0,0
Sn LK14/N200	high max Wnd ;225° - EG_Ongunstig	**0,00**	**0,00**	**186,32**	**0,00**	**0,00**	**0,00**	0,0	0,0
Sn LK14/N200	low max Wnd ;45° - EG_Gunstig	0,00	0,00	**-94,62**	0,00	0,00	**0,00**	0,0	0,0
Sn LK15/N201	high max Wnd ;135° - EG_Ongunstig	**0,00**	**0,00**	**153,94**	**0,00**	**0,00**	**0,00**	0,0	0,0
Sn LK15/N201	low max Wnd ;45° - EG_Gunstig	0,00	0,00	**-70,55**	0,00	0,00	**0,00**	0,0	0,0

8. Krachten van de Funderingspalen

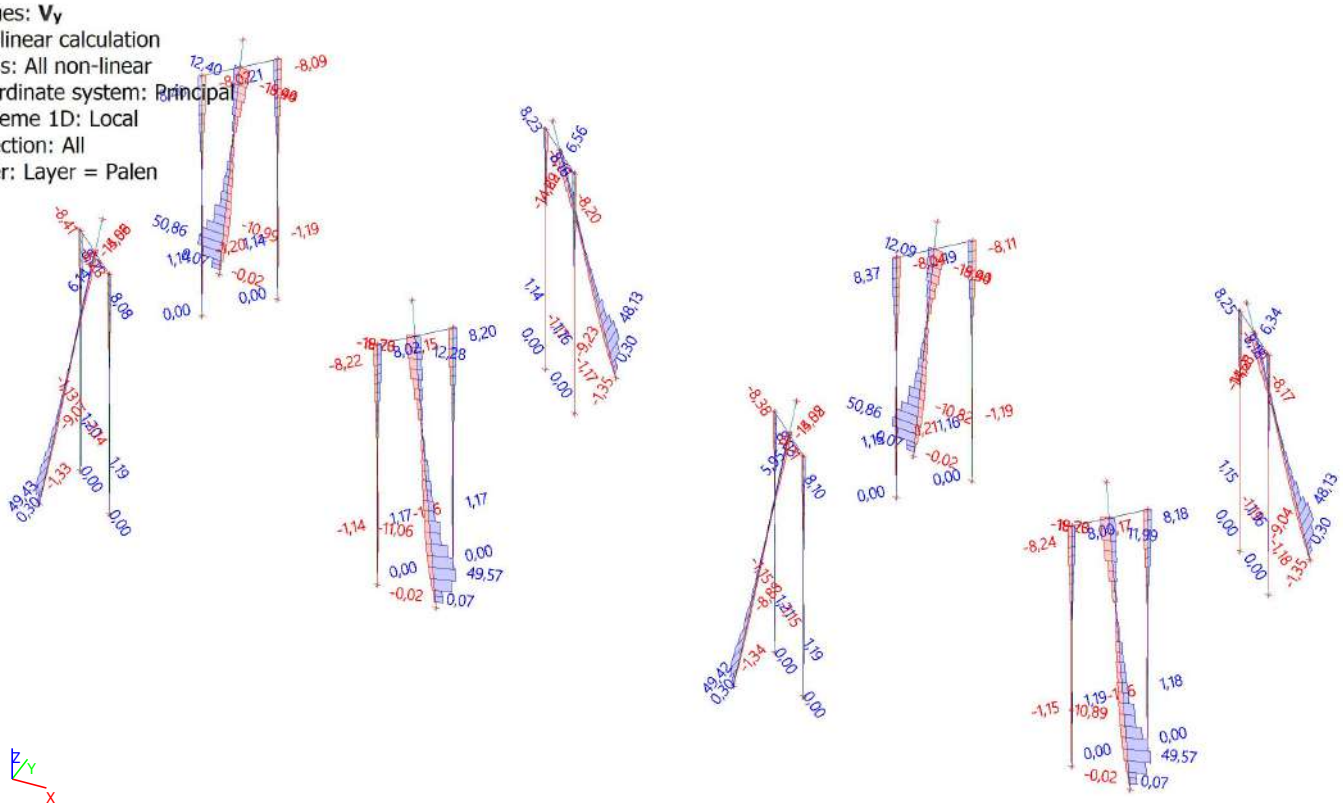
8.1. Interne 1D- krachten; N

Values: **N**
Nonlinear calculation
Class: All non-linear
Coordinate system: Principal
Extreme 1D: Local
Selection: All
Filter: Layer = Palen



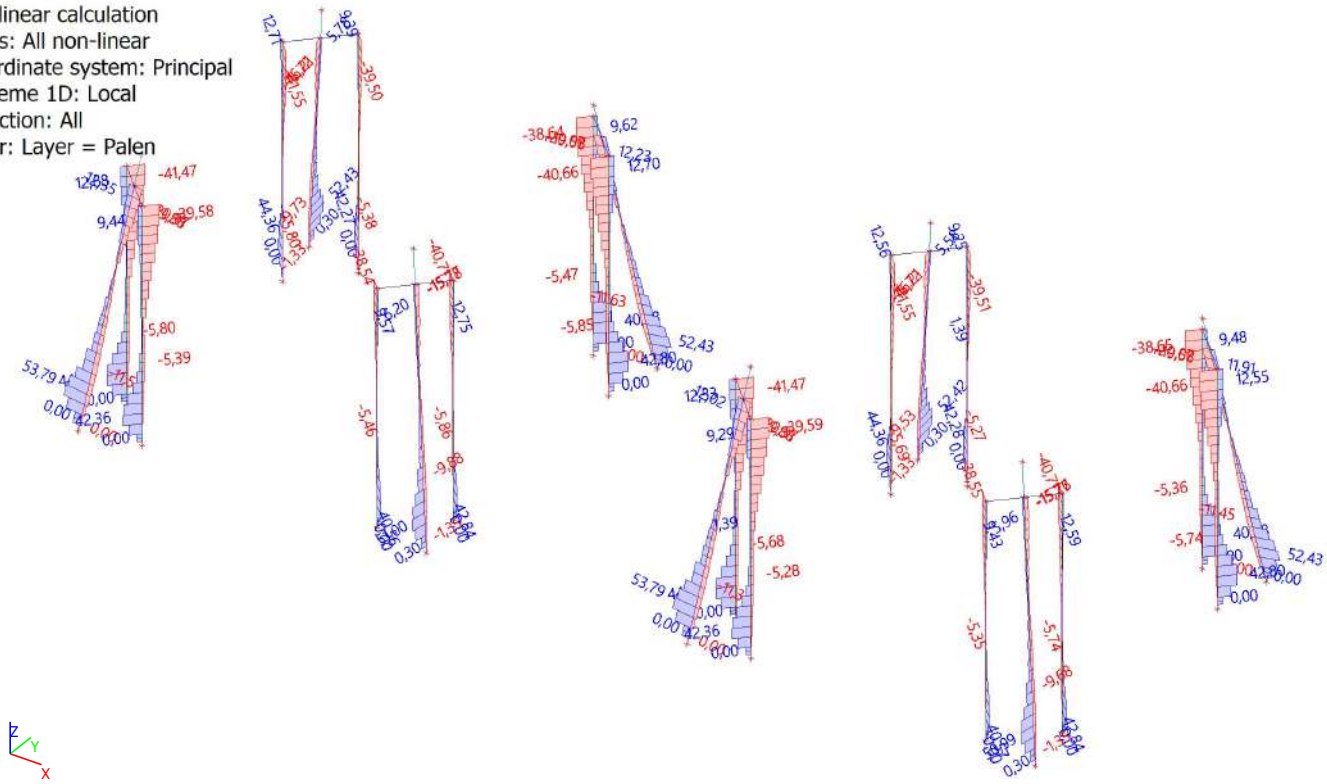
8.2. Interne 1D- krachten; V_y

Values: **V_y**
Nonlinear calculation
Class: All non-linear
Coordinate system: Principal
Extreme 1D: Local
Selection: All
Filter: Layer = Palen



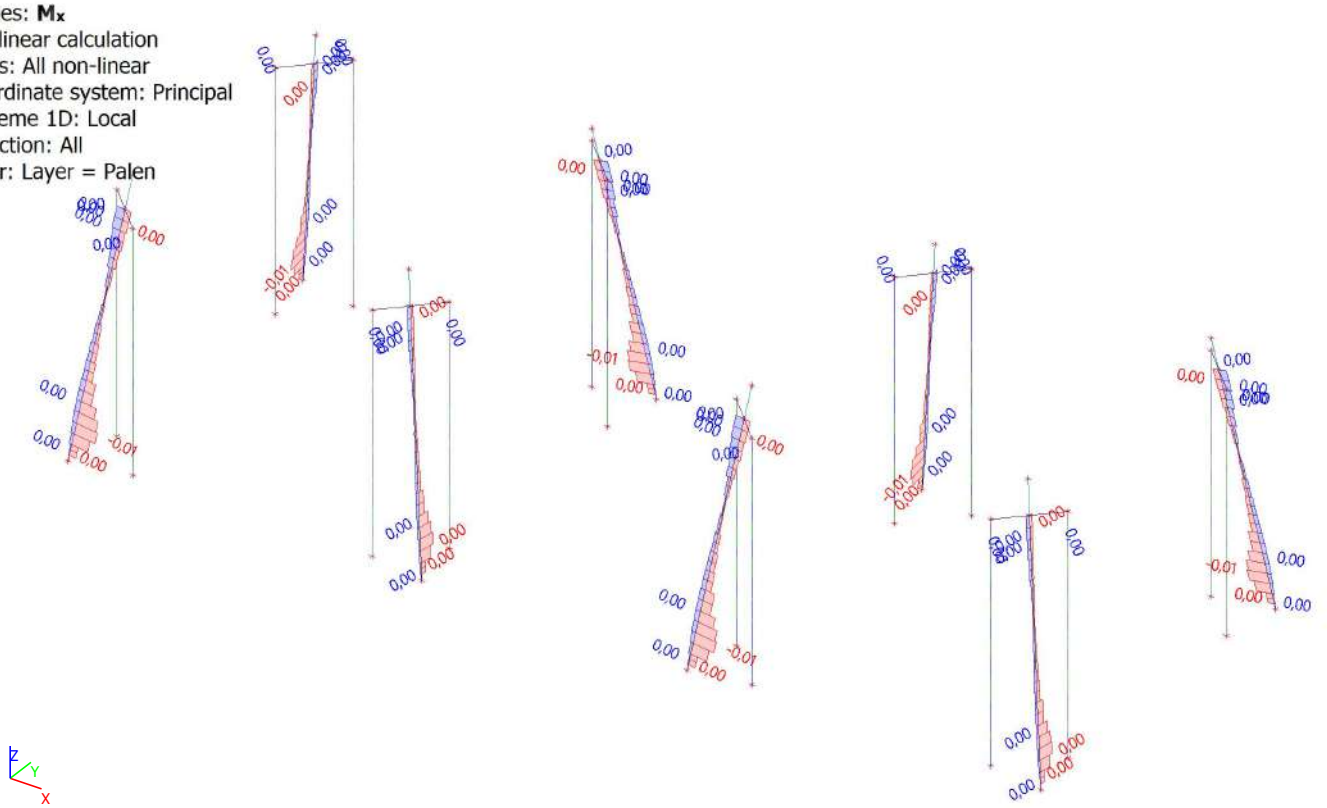
8.3. Interne 1D- krachten; V_z

Values: V_z
Nonlinear calculation
Class: All non-linear
Coordinate system: Principal
Extreme 1D: Local
Selection: All
Filter: Layer = Palen



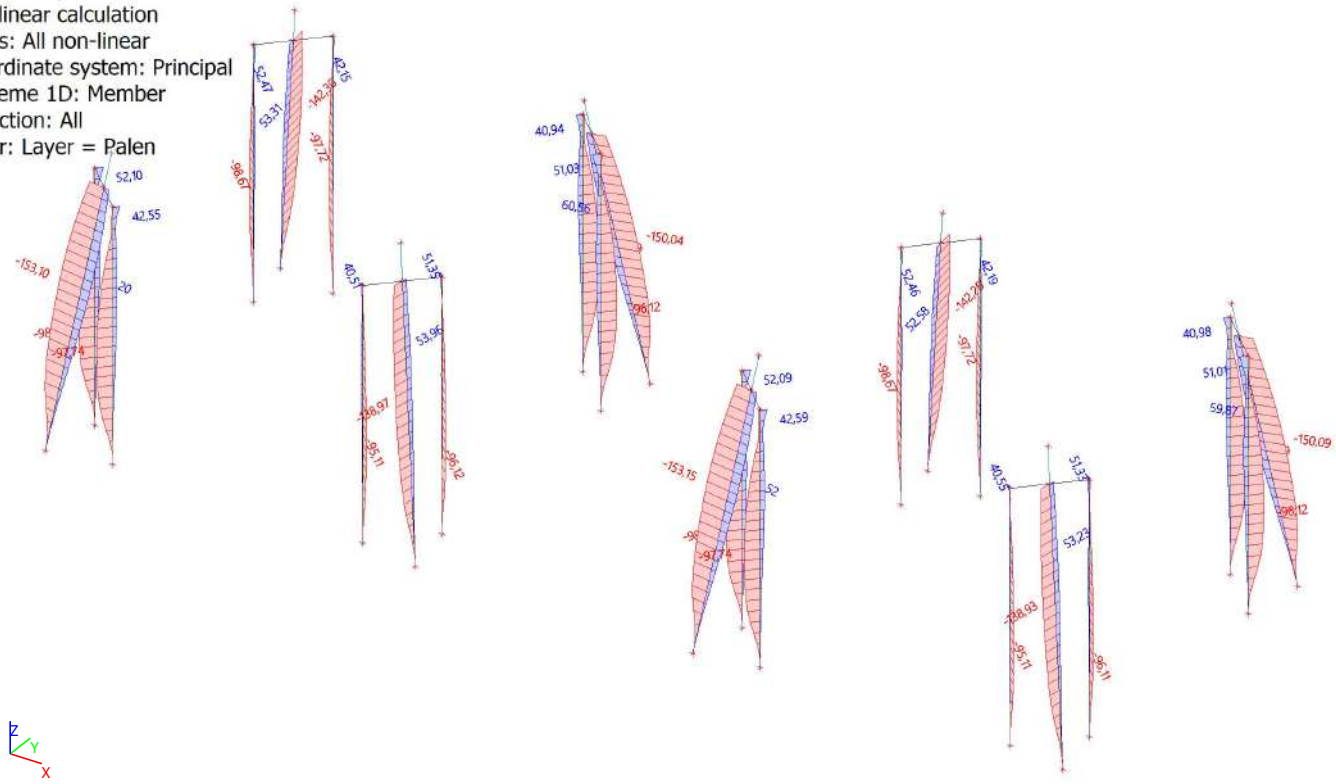
8.4. Interne 1D- krachten; M_x

Values: M_x
Nonlinear calculation
Class: All non-linear
Coordinate system: Principal
Extreme 1D: Local
Selection: All
Filter: Layer = Palen



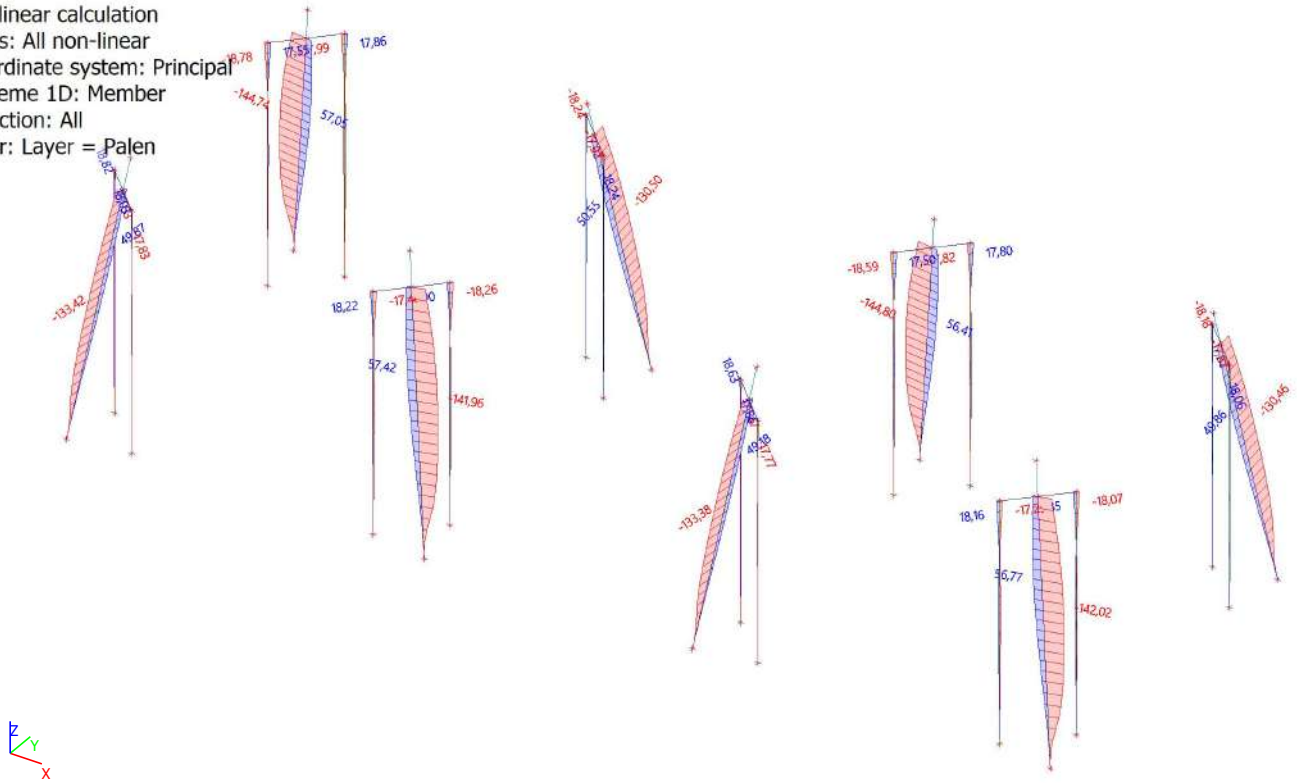
8.5. Interne 1D- krachten; M_y

Values: M_y
Nonlinear calculation
Class: All non-linear
Coordinate system: Principal
Extreme 1D: Member
Selection: All
Filter: Layer = Palen



8.6. Interne 1D- krachten; M_z

Values: M_z
Nonlinear calculation
Class: All non-linear
Coordinate system: Principal
Extreme 1D: Member
Selection: All
Filter: Layer = Palen



8.7. 1D internal forces

Nonlinear calculation
Class: All non-linear
Coordinate system: Principal
Extreme 1D: Global
Selection: All
Nothing in selection to display.

8.8. 1D internal forces

Nonlinear calculation
Class: All non-linear
Coordinate system: Principal
Extreme 1D: Global
Selection: All
Filter: Cross-section = LEKA Paal - type e (CHS323.9/10.0)

Name	dx [m]	Case	Cross-section	N [kN]	V_y [kN]	V_z [kN]	M_x [kNm]	M_y [kNm]	M_z [kNm]
Paal_X5	11,560	high max Wnd ;315° - EG_Ongunstig	LEKA Paal - type e (CHS323.9/10.0)	**-189,52**	0,00	0,00	0,00	0,00	0,00
Paal_X5	0,000	high max Wnd ;315° - EG_Ongunstig	LEKA Paal - type e (CHS323.9/10.0)	-165,54	**-8,41**	8,34	0,00	-9,70	**18,82**
Paal_X1	0,000	low max Wnd ;225° - EG_Gunstig	LEKA Paal - type e (CHS323.9/10.0)	**117,23**	-5,17	**-41,55**	0,00	**52,47**	10,96
Paal_X1	10,000+	low max Wnd ;225° - EG_Gunstig	LEKA Paal - type e (CHS323.9/10.0)	101,28	0,41	**44,36**	**0,00**	-41,88	-0,36
Paal_X1	7,125-	low max Wnd ;225° - EG_Gunstig	LEKA Paal - type e (CHS323.9/10.0)	106,83	0,45	-0,63	0,00	**-98,67**	-2,03
Paal_X1	0,000	high max Wnd ;135° - EG_Ongunstig	LEKA Paal - type e (CHS323.9/10.0)	-165,49	**8,40**	8,35	0,00	-9,74	**-18,78**

9. Krachten van de Poeren

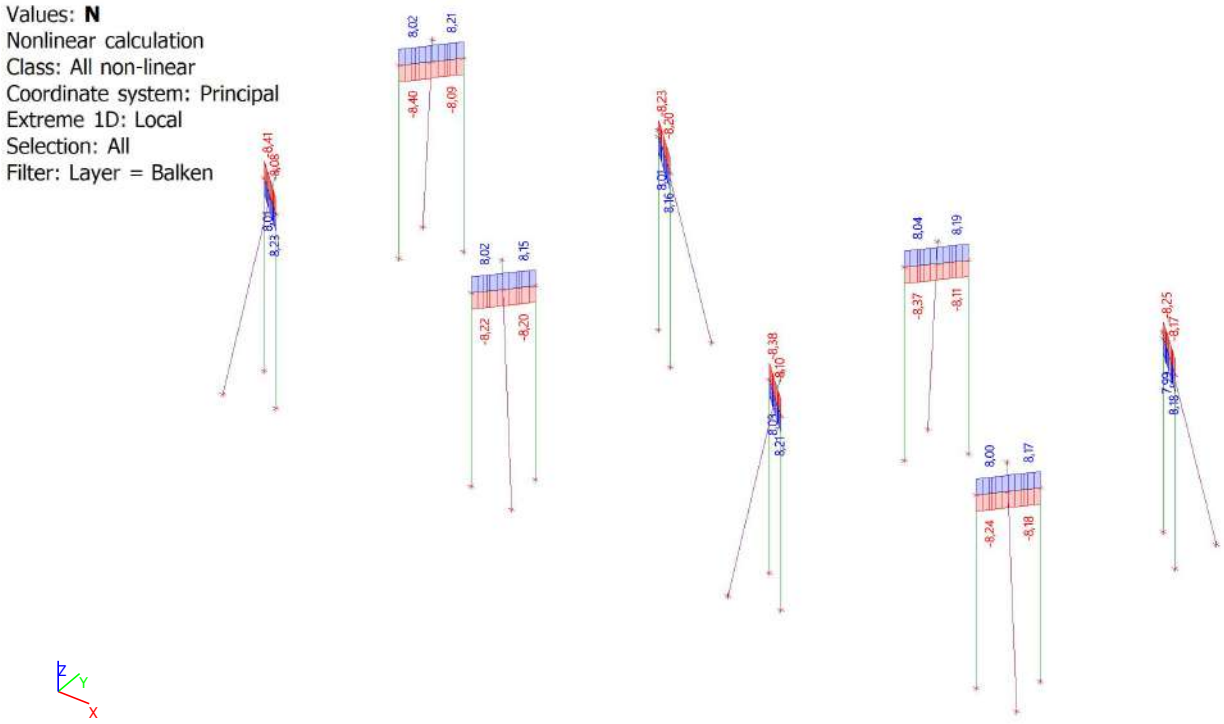
9.1. 1D internal forces

Nonlinear calculation
Class: All non-linear
Coordinate system: Principal
Extreme 1D: Global
Selection: All
Filter: Cross-section = Poer800 - Circle (800,00)

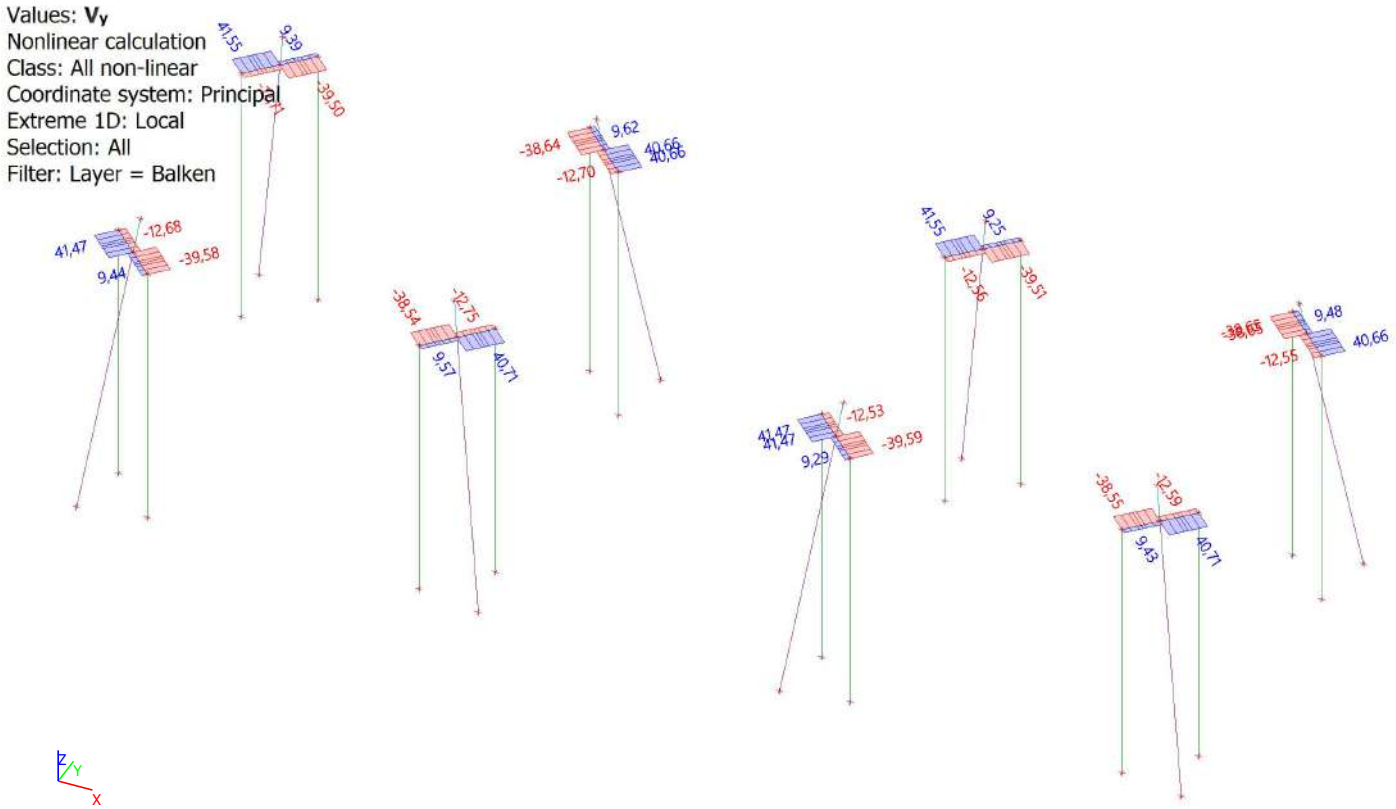
Name	dx [m]	Case	Cross-section	N [kN]	V_y [kN]	V_z [kN]	M_x [kNm]	M_y [kNm]	M_z [kNm]
Poer_P	0,000	high max Wnd ;315° - EG_Ongunstig	Poer800 - Circle (800,00)	**-835,05**	32,47	13,82	0,00	-21,54	-54,24
Poer_XY	1,560	low max Wnd ;225° - EG_Gunstig	Poer800 - Circle (800,00)	**638,43**	-25,04	-13,72	**0,00**	0,00	0,00
Poer_X	0,000	low max Wnd ;135° - EG_Gunstig	Poer800 - Circle (800,00)	621,40	**-28,50**	13,65	0,00	-21,31	**41,77**
Poer_Y	1,560	high max Wnd ;135° - EG_Ongunstig	Poer800 - Circle (800,00)	-812,33	**37,07**	-13,76	0,00	0,00	0,00
Poer_X	0,000	high max Wnd ;315° - EG_Ongunstig	Poer800 - Circle (800,00)	-324,96	7,89	**-26,69**	0,00	**41,61**	-15,88
Poer_XY	0,000	high max Wnd ;135° - EG_Ongunstig	Poer800 - Circle (800,00)	-324,68	7,90	**26,66**	0,00	**-41,56**	-15,90
Poer_Y	0,000	high max Wnd ;135° - EG_Ongunstig	Poer800 - Circle (800,00)	-834,94	32,49	-13,79	0,00	21,48	**-54,26**

10. Krachten van de Funderingsbalken

10.1. Interne 1D- krachten; N

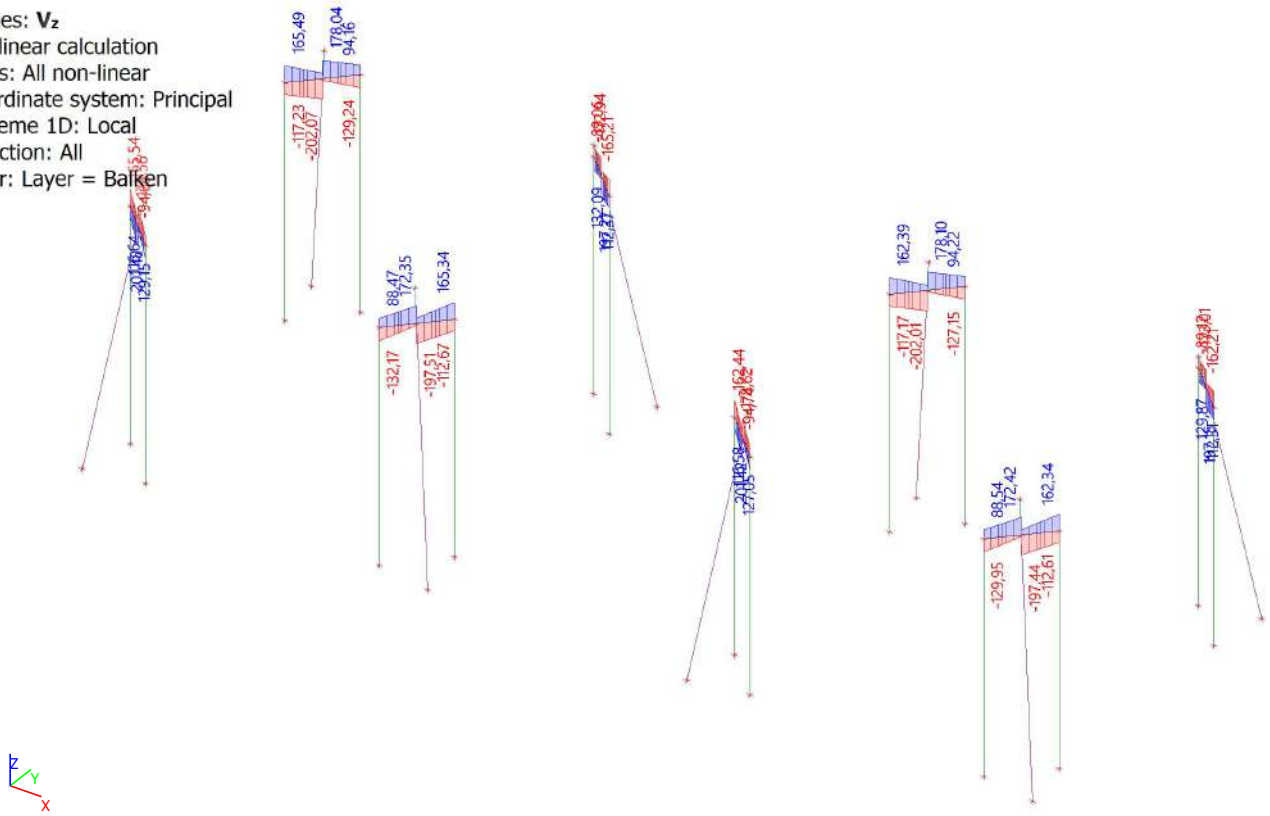


10.2. Interne 1D- krachten; V_y



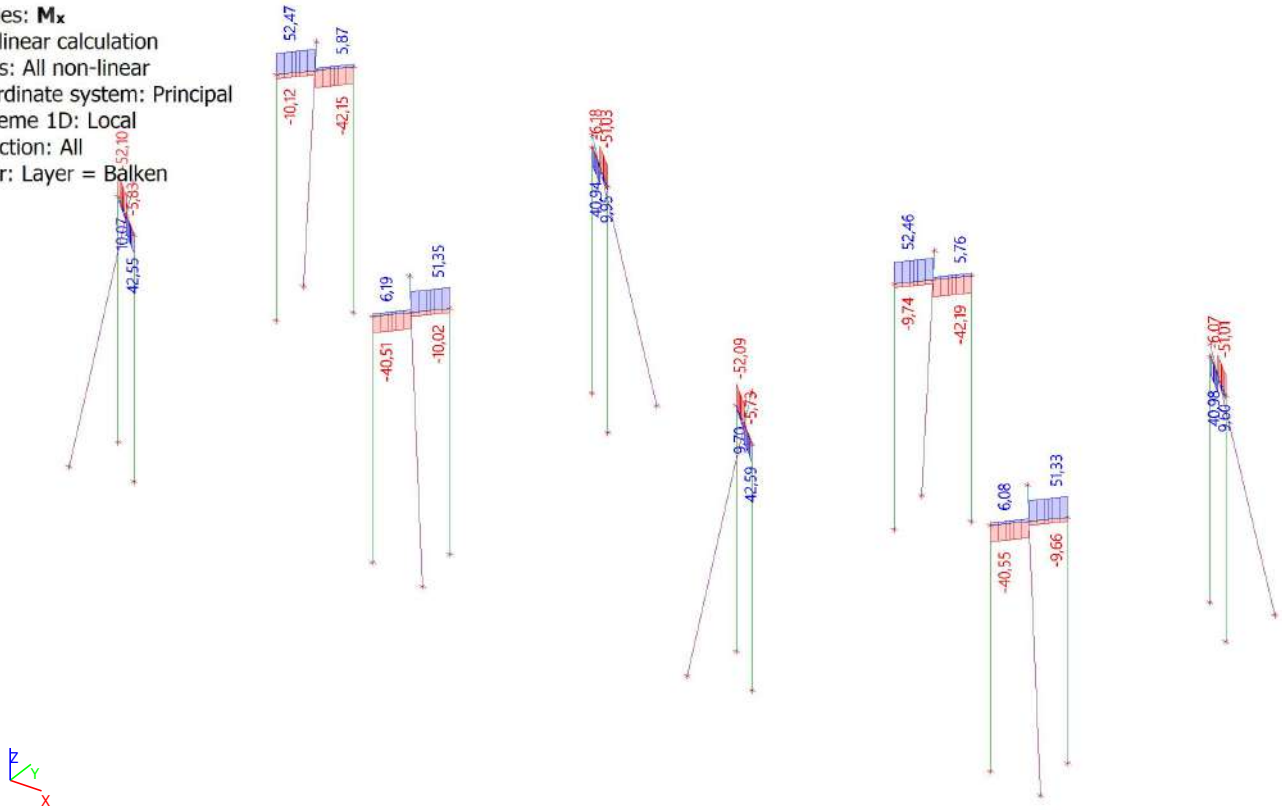
10.3. Interne 1D- krachten; V_z

Values: V_z
Nonlinear calculation
Class: All non-linear
Coordinate system: Principal
Extreme 1D: Local
Selection: All
Filter: Layer = Balken

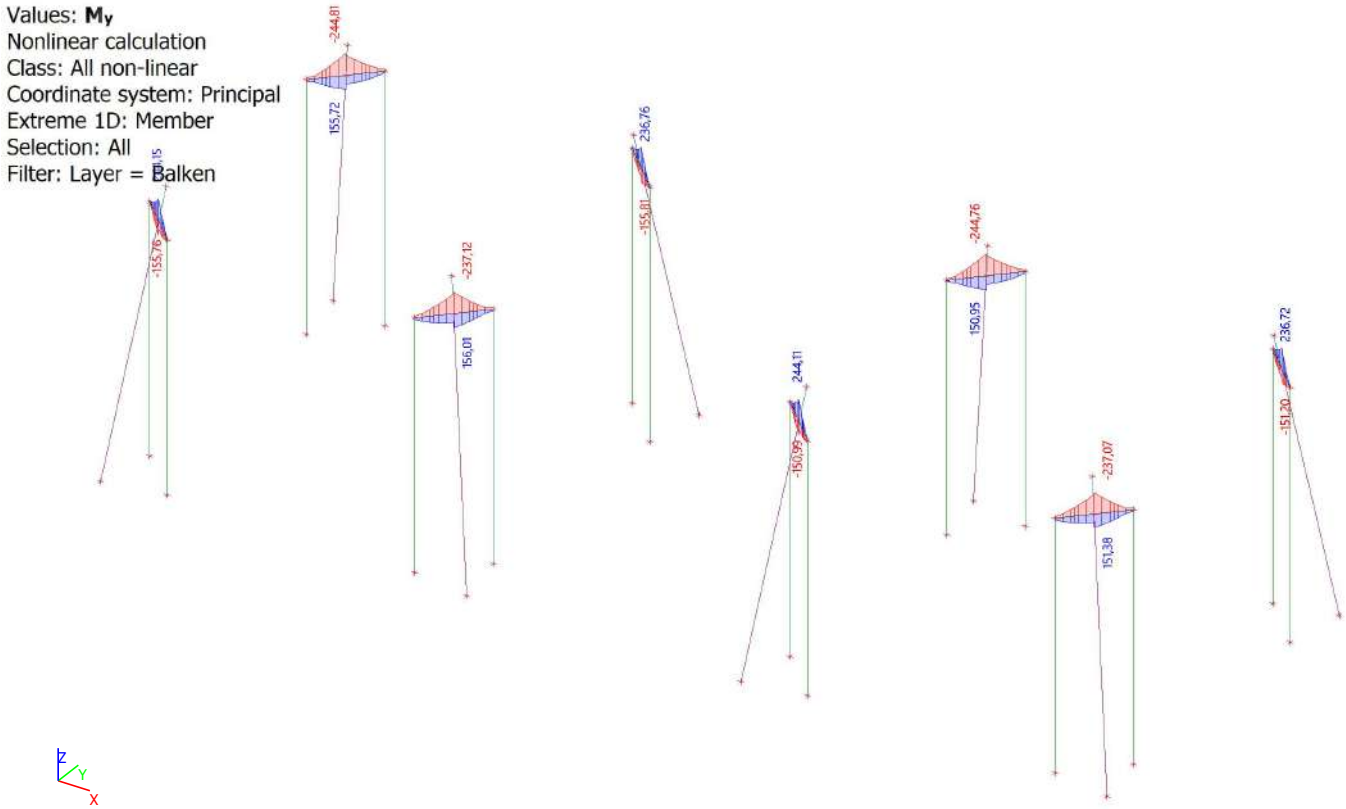


10.4. Interne 1D- krachten; M_x

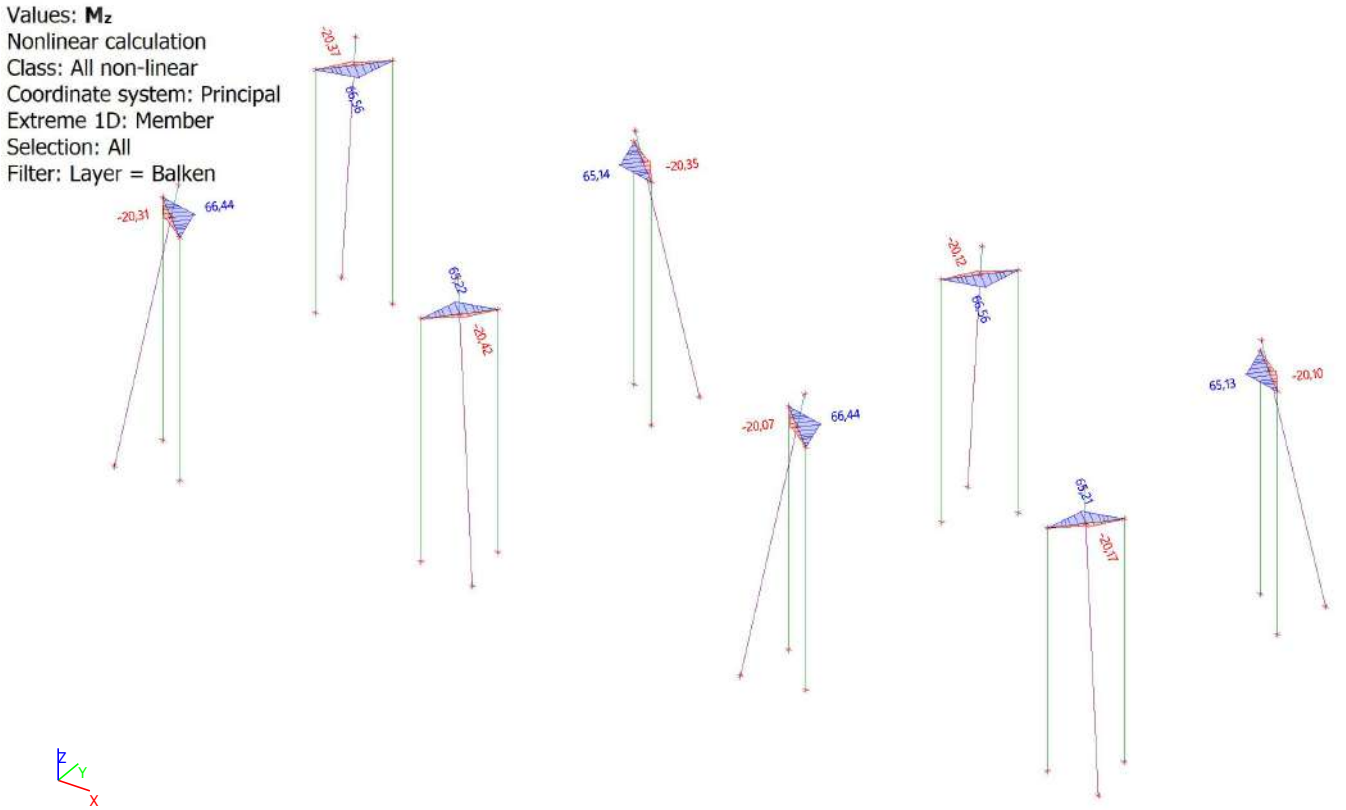
Values: M_x
Nonlinear calculation
Class: All non-linear
Coordinate system: Principal
Extreme 1D: Local
Selection: All
Filter: Layer = Balken



10.5. Interne 1D- krachten; M_y



10.6. Interne 1D- krachten; M_z



10.7. 1D internal forces

Nonlinear calculation
Class: All non-linear
Coordinate system: Principal
Extreme 1D: Global
Selection: All
Filter: Cross-section = lijnpoer - Rectangle (1500,00; 1600,00)

Name	dx [m]	Case	Cross-section	N [kN]	V_y [kN]	V_z [kN]	M_x [kNm]	M_y [kNm]	M_z [kNm]
DIN38	0,000	high max Wnd ;315° - EG_Ongunstig	lijnpoer - Rectangle (1500,00; 1600,00)	**-8,41**	-8,34	-165,54	9,70	18,82	0,00
DIN38	1,602+	high max Wnd ;315° - EG_Ongunstig	lijnpoer - Rectangle (1500,00; 1600,00)	**8,23**	0,61	-7,41	10,58	-94,87	-0,97
DIN42	1,602+	low max Wnd ;135° - EG_Gunstig	lijnpoer - Rectangle (1500,00; 1600,00)	-4,69	**-39,59**	-178,62	42,59	225,91	62,71
DIN34	1,602-	low max Wnd ;225° - EG_Gunstig	lijnpoer - Rectangle (1500,00; 1600,00)	5,17	**41,55**	**-202,07**	**52,47**	**-244,81**	**66,56**
DIN38	1,602-	low max Wnd ;135° - EG_Gunstig	lijnpoer - Rectangle (1500,00; 1600,00)	5,03	41,47	**201,48**	**-52,10**	**244,15**	66,44
DIN39	1,602-	low max Wnd ;225° - EG_Gunstig	lijnpoer - Rectangle (1500,00; 1600,00)	-4,50	-12,75	16,18	-6,44	84,45	**-20,42**

1. Table of contents

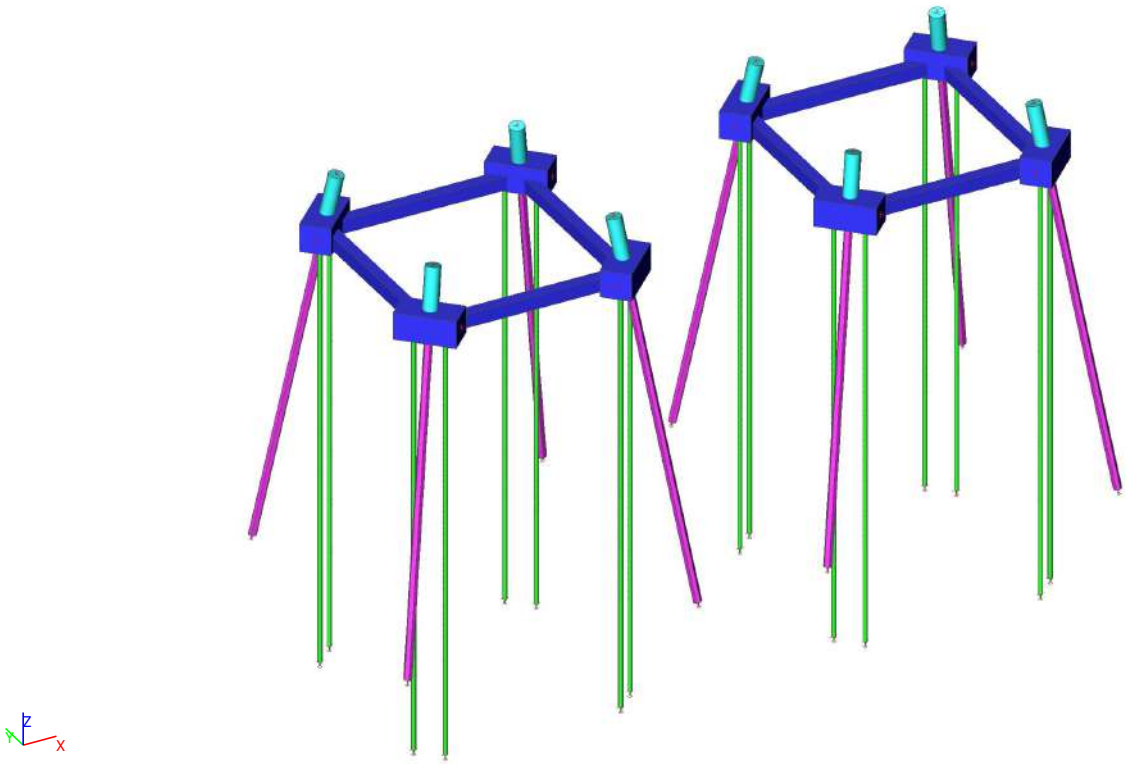
1. Table of contents 1
2. Project 3
3. Analyse model 3
4. Modeleigenschappen 4
4.1. Materials 4
4.2. Cross-sections 4
4.3. Analyse model met doorsneden 8
4.4. Analyse model met doorsneden 8
4.5. Mesh setup 9
5. Geometrie 9
5.1. Nodes 9
5.2. Analyse model met knopen 10
5.3. Members 10
5.4. Analyse model met Staven 12
5.5. Nodal supports 12
5.6. Analyse model met Knoopondersteuningen 13
5.7. Line supports on member 13
5.8. Analyse model met Lijnondersteuningen 22
5.9. Analyse model met Lijnondersteuningen 23
5.10. Nonlinear functions 24
6. Belastingen 40
6.1. Load cases 40
6.1.1. Load cases - EG_Fundering 40
6.1.2. Load cases - high max Wnd ;45° 40
6.1.2.1. Point force in node 41
6.1.3. Load cases - high max Wnd ;225° 42
6.1.3.1. Point force in node 43
6.1.4. Load cases - high max Wnd ;135° 43
6.1.4.1. Point force in node 44
6.1.5. Load cases - high max Wnd ;315° 45
6.1.5.1. Point force in node 46
6.1.6. Load cases - low max Wnd ;45° 47
6.1.6.1. Point force in node 48
6.1.7. Load cases - low max Wnd ;225° 48
6.1.7.1. Point force in node 49
6.1.8. Load cases - low max Wnd ;135° 50
6.1.9. Load cases - low max Wnd ;315° 51
6.1.9.1. Point force in node 51
6.2. Nonlinear combinations 52
6.3. Result classes 52
7. Resultaten 54
7.1. Reacties van de palen 54
7.1.1. Reactions; R_z 54
7.1.2. Reactions 54
7.1.3. Reactions 54
7.1.4. Reactions 55
8. Krachten van de Funderingspalen 58
8.1. Interne 1D- krachten; N 58
8.2. Interne 1D- krachten; V_y 58
8.3. Interne 1D- krachten; V_z 59
8.4. Interne 1D- krachten; M_x 59
8.5. Interne 1D- krachten; M_y 60
8.6. Interne 1D- krachten; M_z 60
8.7. 1D internal forces 61
8.8. 1D internal forces 61
9. Krachten van de Poeren 62
9.1. 1D internal forces 62
10. Krachten van de Funderingsbalken 63
10.1. Interne 1D- krachten; N 63
10.2. Interne 1D- krachten; V_y 63
10.3. Interne 1D- krachten; V_z 64
10.4. Interne 1D- krachten; M_x 64
10.5. Interne 1D- krachten; M_y 65
10.6. Interne 1D- krachten; M_z 65
10.7. 1D internal forces 66

10.8. 1D internal forces 66

2. Project

Licence user	[redacted]
Project	Opwaardering KIJ-BVW 380kV
Part	Koppelframe 1xLD1 F3
Author	[redacted]
Date	02-02-2026
Structure	General XYZ
No. of nodes :	92
No. of beams :	64
No. of slabs :	0
No. of solids :	0
No. of used profiles :	6
No. of load cases :	9
No. of used materials :	9
Acceleration of gravity [m/s^2]	9,807
National code	EC - EN

3. Analyse model



4. Modeleigenschappen

4.1. Materials

Steel EC3

Name	ρ [kg/m³]	E_{mod} [MPa]	μ	Lower limit [mm]	Upper limit [mm]	F_y [MPa]	F_u [MPa]	Colour
		G_{mod} [MPa]	α [m/mK]					
S 235 balk	7850,00	2,1000e+05	0.3	0,00	40,00	235,0	360,0	
		8,0769e+04	0,01e-003	40,00	80,00	215,0	360,0	
S 235	6850,00	2,1000e+05	0.3	0,00	40,00	235,0	360,0	
		8,0769e+04	0,01e-003	40,00	80,00	215,0	360,0	
S 235	6850,00	2,1000e+05	0.3	0,00	40,00	235,0	360,0	
		8,0769e+04	0,01e-003	40,00	80,00	215,0	360,0	

Name	Type	ρ [kg/m³]	Density in fresh state [kg/m³]	E_{mod} [MPa]	μ	α [m/mK]	$f_{c.k.28}$ [MPa]	Colour
C12/15 Gescheurd	Concrete	2500,00	2600,00	9,0000e+03	0.23	0,01e-003	12,00	
C12/15 en zand	Concrete	1000,00	2600,00	9,0000e+03	0.23	0,01e-003	12,00	
C30/37 Gescheurd	Concrete	2500,00	2600,00	1,1000e+04	0.2	0,01e-003	30,00	
C30/37	Concrete	2400,00	2600,00	3,2800e+04	0.2	0,01e-003	30,00	

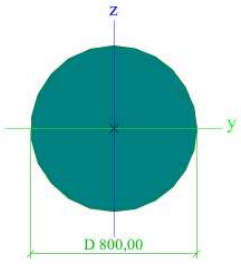
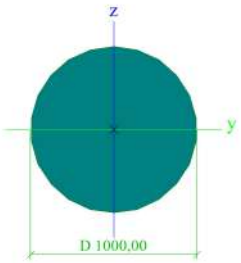
Explanations of symbols	
Density in fresh state	The value in the density in fresh state property is used only in case a composite deck is input and its self-weight load is taken into account.

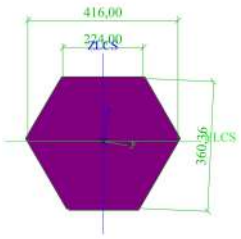
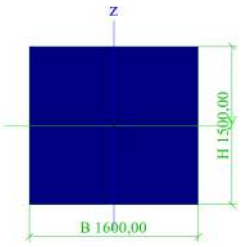
Reinforcement EC2

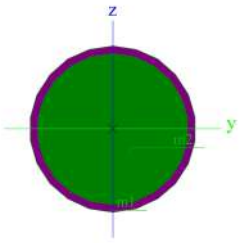
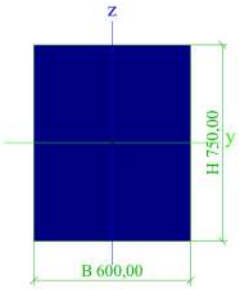
Name	Type	ρ [kg/m³]	E_{mod} [MPa]	G_{mod} [MPa]	α [m/mK]	$f_{y.k}$ [MPa]
B 400A	Reinforcement steel	7850,00	2,0000e+05	8,3333e+04	0,01e-003	400,0
B 500A	Reinforcement steel	7850,00	2,0000e+05	8,3333e+04	0,01e-003	500,0

4.2. Cross-sections

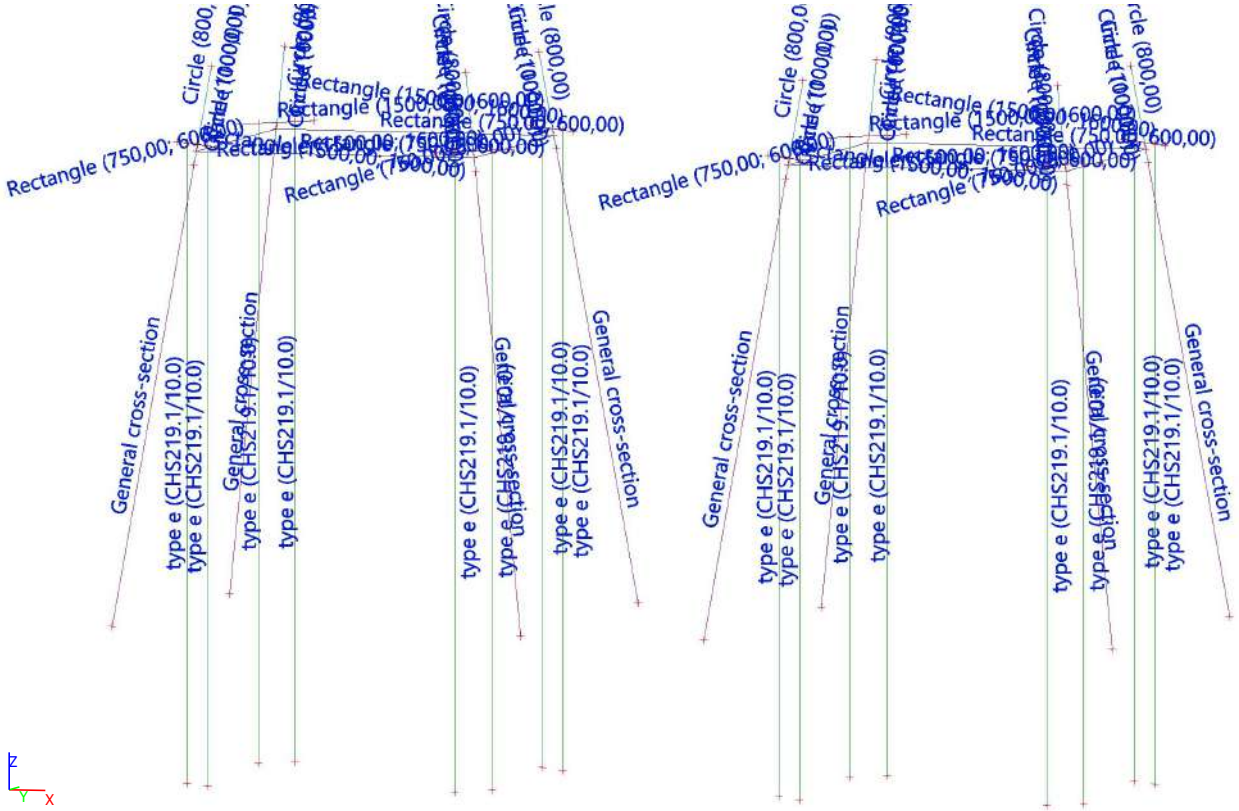
Poer800		
Type	Circle	
Detailed	800,00	
Shape type	Thick-walled	
Item material	C12/15 Gescheurd	
Fabrication	general	
Colour		
A [mm²]	5,0265e+05	
A_y [mm²], A_z [mm²]	4,5239e+05	4,5239e+05
A_L [m²/m], A_D [m²/m]	2,5131e+00	2,5131e+00
$c_{Y.UCS}$ [mm], $c_{Z.UCS}$ [mm]	400,00	400,00
α [deg]	0,00	
I_y [mm⁴], I_z [mm⁴]	2,0106e+10	2,0106e+10
i_y [mm], i_z [mm]	199,98	199,98
$W_{el.y}$ [mm³], $W_{el.z}$ [mm³]	5,0265e+07	5,0265e+07
$W_{pl.y}$ [mm³], $W_{pl.z}$ [mm³]	8,5333e+07	8,5333e+07
$M_{pl.y.+}$ [Nmm], $M_{pl.y.-}$ [Nmm]	0,00	0,00
$M_{pl.z.+}$ [Nmm], $M_{pl.z.-}$ [Nmm]	0,00	0,00
d_y [mm], d_z [mm]	0,00	0,00
I_t [mm⁴], I_w [mm⁶]	4,0212e+10	0,0000e+00
β_y [mm], β_z [mm]	0,00	0,00

Picture		
Putring1000		
Type	Circle	
Detailed	1000,00	
Shape type	Thick-walled	
Item material	C12/15 Gescheurd	
Fabrication	general	
Colour		
A [mm²]	7,8540e+05	
A_y [mm²], A_z [mm²]	7,0686e+05	7,0686e+05
A_L [m²/m], A_D [m²/m]	3,1414e+00	3,1414e+00
$c_{Y.UCS}$ [mm], $c_{Z.UCS}$ [mm]	500,00	500,00
α [deg]	0,00	
I_y [mm⁴], I_z [mm⁴]	4,9087e+10	4,9087e+10
i_y [mm], i_z [mm]	249,97	249,97
$W_{el.y}$ [mm³], $W_{el.z}$ [mm³]	9,8175e+07	9,8175e+07
$W_{pl.y}$ [mm³], $W_{pl.z}$ [mm³]	1,6667e+08	1,6667e+08
$M_{pl.y.+}$ [Nmm], $M_{pl.y.-}$ [Nmm]	0,00	0,00
$M_{pl.z.+}$ [Nmm], $M_{pl.z.-}$ [Nmm]	0,00	0,00
d_y [mm], d_z [mm]	0,00	0,00
I_t [mm⁴], I_w [mm⁶]	9,8175e+10	0,0000e+00
β_y [mm], β_z [mm]	0,00	0,00
Picture		
LD1.		
Type	General cross-section	
Shape type	Thick-walled	
Item material	C12/15 en zand	
	S 235	
Fabrication	general	
Colour		
Flexural buckling y-y, Flexural buckling z-z	d	d
A [mm²]	2,9047e+06	
A_y [mm²], A_z [mm²]	2,3425e+06	2,3428e+06
A_L [m²/m], A_D [m²/m]	1,2942e+00	1,2942e+00
$c_{Y.UCS}$ [mm], $c_{Z.UCS}$ [mm]	0,02	4,66
$I_{Y.LCS}$ [mm⁴], $I_{Z.LCS}$ [mm⁴]	2,7824e+10	2,7875e+10
$I_{YZ.LCS}$ [mm⁴]	-8,9452e+06	
α [deg]	-9,57	
I_y [mm⁴], I_z [mm⁴]	2,7822e+10	2,7877e+10
i_y [mm], i_z [mm]	97,87	97,96
$W_{el.y}$ [mm³], $W_{el.z}$ [mm³]	1,3640e+08	1,3057e+08
$W_{pl.y}$ [mm³], $W_{pl.z}$ [mm³]	1,9854e+08	1,9981e+08
$M_{pl.y.+}$ [Nmm], $M_{pl.y.-}$ [Nmm]	2382532275,12	2384748629,23
$M_{pl.z.+}$ [Nmm], $M_{pl.z.-}$	2397717601,24	2398789409,67

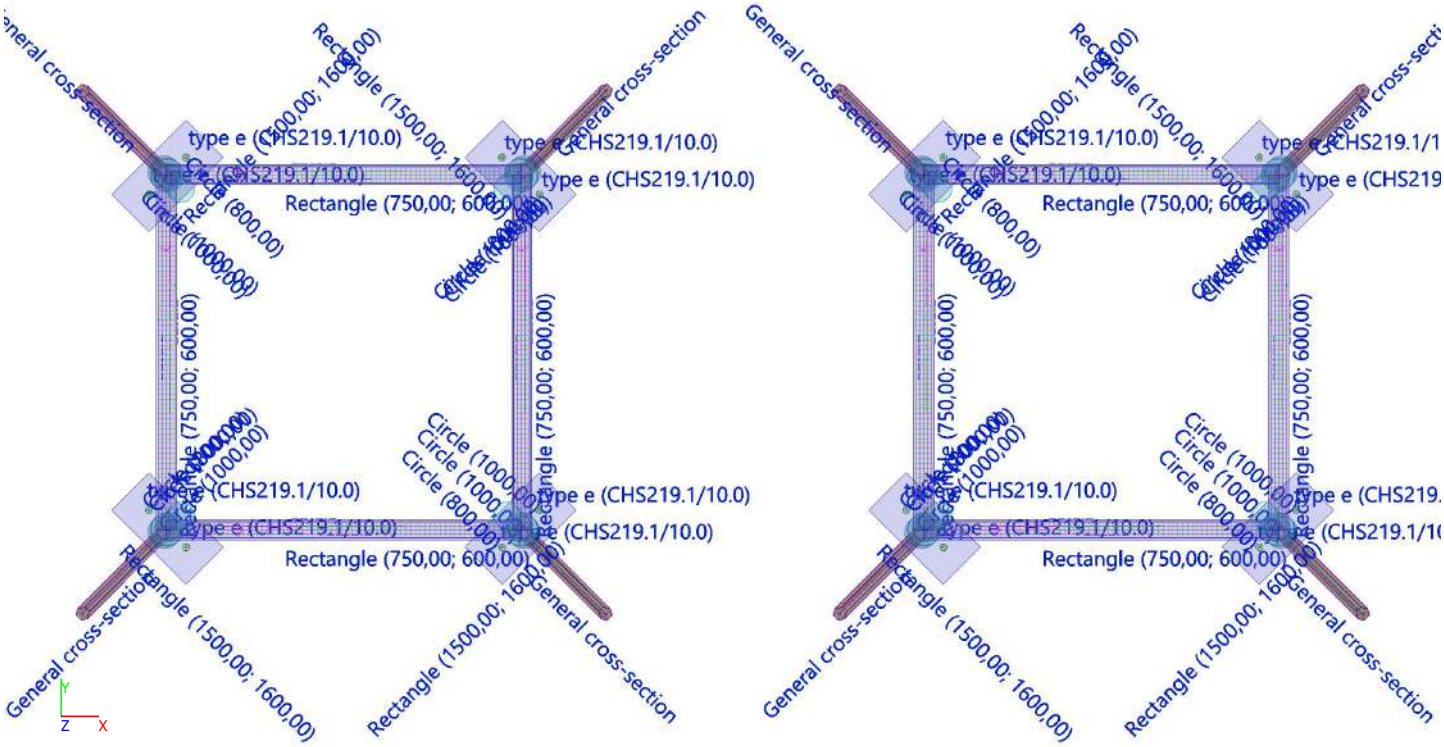
[Nmm]		
d_y [mm], d_z [mm]	-0,01	-0,03
I_t [mm⁴], I_w [mm⁶]	5,0345e+10	1,3197e+12
β_y [mm], β_z [mm]	0,06	0,02
Picture		
lijnpoer		
Type	Rectangle	
Detailed	1500,00; 1600,00	
Shape type	Thick-walled	
Item material	C30/37 Gescheurd	
Fabrication	concrete	
Colour		
A [mm²]	2,4000e+06	
A_y [mm²], A_z [mm²]	2,0007e+06	2,0008e+06
A_L [m²/m], A_D [m²/m]	6,2000e+00	6,2000e+00
$c_{Y.UCS}$ [mm], $c_{Z.UCS}$ [mm]	800,00	750,00
α [deg]	0,00	
I_y [mm⁴], I_z [mm⁴]	4,5000e+11	5,1200e+11
i_y [mm], i_z [mm]	433,01	461,88
$W_{el.y}$ [mm³], $W_{el.z}$ [mm³]	6,0000e+08	6,4000e+08
$W_{pl.y}$ [mm³], $W_{pl.z}$ [mm³]	0,0000e+00	0,0000e+00
$M_{pl.y.+}$ [Nmm], $M_{pl.y.-}$ [Nmm]	0,00	0,00
$M_{pl.z.+}$ [Nmm], $M_{pl.z.-}$ [Nmm]	0,00	0,00
d_y [mm], d_z [mm]	0,00	0,00
I_t [mm⁴], I_w [mm⁶]	8,0849e+11	2,2447e+15
β_y [mm], β_z [mm]	0,00	0,00
Picture		
LEKA Paal		
Type	type e	
Detailed	CHS219.1/10.0	
Shape type	Thick-walled	
Item material	S 235	
	C30/37	
Fabrication	concrete	
Flexural buckling y-y, Flexural buckling z-z	a	a
A [mm²]	1,1430e+04	
A_y [mm²], A_z [mm²]	8,7249e+03	8,7249e+03
A_L [m²/m], A_D [m²/m]	6,8829e-01	6,8829e-01
$c_{Y.UCS}$ [mm], $c_{Z.UCS}$ [mm]	109,55	109,55
α [deg]	0,00	
I_y [mm⁴], I_z [mm⁴]	4,8013e+07	4,8013e+07
i_y [mm], i_z [mm]	64,81	64,81
$W_{el.y}$ [mm³], $W_{el.z}$ [mm³]	4,3827e+05	4,3827e+05
$W_{pl.y}$ [mm³], $W_{pl.z}$ [mm³]	4,9123e+05	4,9123e+05
$M_{pl.y.+}$ [Nmm], $M_{pl.y.-}$ [Nmm]	115439254,87	115439254,87
$M_{pl.z.+}$ [Nmm], $M_{pl.z.-}$	115439254,87	115439254,87

[Nmm]		
d_y [mm], d_z [mm]	0,00	0,00
I_t [mm⁴], I_w [mm⁶]	9,8040e+07	0,0000e+00
β_y [mm], β_z [mm]	0,00	0,00
Picture		
Betonnen Balk		
Type	Rectangle	
Detailed	750,00; 600,00	
Shape type	Thick-walled	
Item material	C30/37 Gescheurd	
Fabrication	concrete	
Colour		
A [mm²]	4,5000e+05	
A_y [mm²], A_z [mm²]	3,7515e+05	3,7510e+05
A_L [m²/m], A_D [m²/m]	2,7000e+00	2,7000e+00
$c_{Y.UCS}$ [mm], $c_{Z.UCS}$ [mm]	300,00	375,00
α [deg]	0,00	
I_y [mm⁴], I_z [mm⁴]	2,1094e+10	1,3500e+10
i_y [mm], i_z [mm]	216,51	173,21
$W_{el.y}$ [mm³], $W_{el.z}$ [mm³]	5,6250e+07	4,5000e+07
$W_{pl.y}$ [mm³], $W_{pl.z}$ [mm³]	0,0000e+00	0,0000e+00
$M_{pl.y.+}$ [Nmm], $M_{pl.y.-}$ [Nmm]	0,00	0,00
$M_{pl.z.+}$ [Nmm], $M_{pl.z.-}$ [Nmm]	0,00	0,00
d_y [mm], d_z [mm]	0,00	0,00
I_t [mm⁴], I_w [mm⁶]	2,7830e+10	4,1630e+13
β_y [mm], β_z [mm]	0,00	0,00
Picture		

4.3. Analyse model met doorsneden



4.4. Analyse model met doorsneden



4.5. Mesh setup

Name	MeshSetup1
Generation of variable eccentricities on members instead of constant ones	×
Generation of nodes in connections of beam elements	×
Elastic mesh	✓
Use automatic mesh refinement	×
Connect members/nodes	✓
Division on haunches and arbitrary members	5
Division for integration strip and 2D-1D upgrade	50
Average number of 1D mesh elements on straight 1D members	1
Average size of 2D mesh element [m]	0,200
Average size of 1D mesh element on curved 1D members [m]	0,100
Minimal length of beam element [m]	0,100
Maximal length of beam element [m]	1000,000
Average size of tendons, elements on subsoil, nonlinear soil spring [m]	1,000
Maximal out of plane angle of a quadrilateral [mrad]	30,0
Minimal distance between definition point and line [m]	0,001
Average size of panel element [m]	1,000
Mesh refinement following the beam type	None
Definition of mesh element size for panels	Manual

5. Geometrie

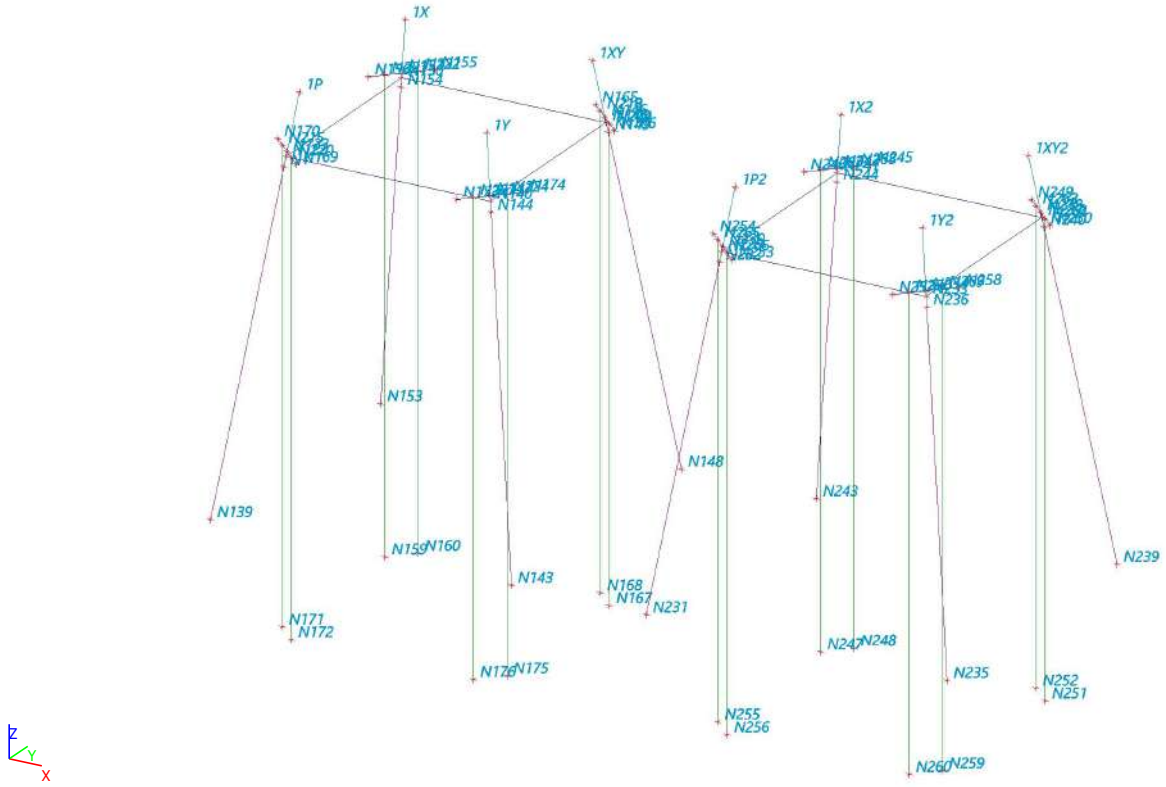
5.1. Nodes

Name	Coord X [m]	Coord Y [m]	Coord Z [m]
N122	-0,466	-0,466	-0,500
N123	-0,427	-0,433	-0,250
1P	-0,014	-0,014	2,650
N139	-3,009	-3,009	-18,148
N1	-0,540	-0,540	-1,000
N140	10,326	-0,466	-0,500
N141	10,287	-0,433	-0,250
1Y	9,874	-0,014	2,650
N143	12,869	-3,009	-18,148
N144	10,400	-0,540	-1,000
N145	10,326	10,326	-0,500
N146	10,287	10,293	-0,250
1XY	9,874	9,874	2,650
N148	12,869	12,869	-18,148
N149	10,400	10,400	-1,000
N150	-0,466	10,326	-0,500
N151	-0,427	10,293	-0,250
1X	-0,014	9,874	2,650
N153	-3,009	12,869	-18,148
N154	-0,540	10,400	-1,000
N155	0,693	11,413	-0,250
N156	-1,560	9,160	-0,250
N159	-0,994	9,726	-24,208
N160	0,127	10,847	-24,208
N165	9,167	11,413	-0,250
N166	11,420	9,160	-0,250
N167	10,858	9,722	-24,208
N168	9,733	10,847	-24,208
N169	0,693	-1,553	-0,250
N170	-1,560	0,700	-0,250
N171	-0,994	0,134	-24,208

Name	Coord X [m]	Coord Y [m]	Coord Z [m]
N172	0,131	-0,991	-24,208
N173	9,167	-1,553	-0,250
N174	11,420	0,700	-0,250
N175	10,854	0,134	-24,208
N176	9,733	-0,987	-24,208
N209	10,853	9,727	-0,250
N210	9,733	10,847	-0,250
N213	9,727	10,853	-0,250
N214	10,858	9,722	-0,250
N215	-0,994	0,134	-0,250
N220	0,131	-0,991	-0,250
N221	-0,994	9,726	-0,250
N222	0,127	10,847	-0,250
N224	10,854	0,134	-0,250
N227	9,733	-0,987	-0,250
N229	22,534	-0,466	-0,500
N230	22,573	-0,433	-0,250
1P2	22,986	-0,014	2,650
N231	19,991	-3,009	-18,148
N232	22,460	-0,540	-1,000
N233	33,326	-0,466	-0,500
N234	33,287	-0,433	-0,250
1Y2	32,874	-0,014	2,650
N235	35,869	-3,009	-18,148
N236	33,400	-0,540	-1,000
N237	33,326	10,326	-0,500
N238	33,287	10,293	-0,250
1XY2	32,874	9,874	2,650
N239	35,869	12,869	-18,148
N240	33,400	10,400	-1,000
N241	22,534	10,326	-0,500

Name	Coord X [m]	Coord Y [m]	Coord Z [m]
N242	22,573	10,293	-0,250
1X2	22,986	9,874	2,650
N243	19,991	12,869	-18,148
N244	22,460	10,400	-1,000
N245	23,693	11,413	-0,250
N246	21,440	9,160	-0,250
N247	22,006	9,726	-24,208
N248	23,127	10,847	-24,208
N249	32,167	11,413	-0,250
N250	34,420	9,160	-0,250
N251	33,858	9,722	-24,208
N252	32,733	10,847	-24,208
N253	23,693	-1,553	-0,250
N254	21,440	0,700	-0,250
N255	22,006	0,134	-24,208
N256	23,131	-0,991	-24,208
N257	32,167	-1,553	-0,250
N258	34,420	0,700	-0,250
N259	33,854	0,134	-24,208
N260	32,733	-0,987	-24,208
N261	33,853	9,727	-0,250
N262	32,733	10,847	-0,250
N263	32,727	10,853	-0,250
N264	33,858	9,722	-0,250
N265	22,006	0,134	-0,250
N266	23,131	-0,991	-0,250
N267	22,006	9,726	-0,250
N268	23,127	10,847	-0,250
N269	33,854	0,134	-0,250
N270	32,733	-0,987	-0,250

5.2. Analyse model met knopen

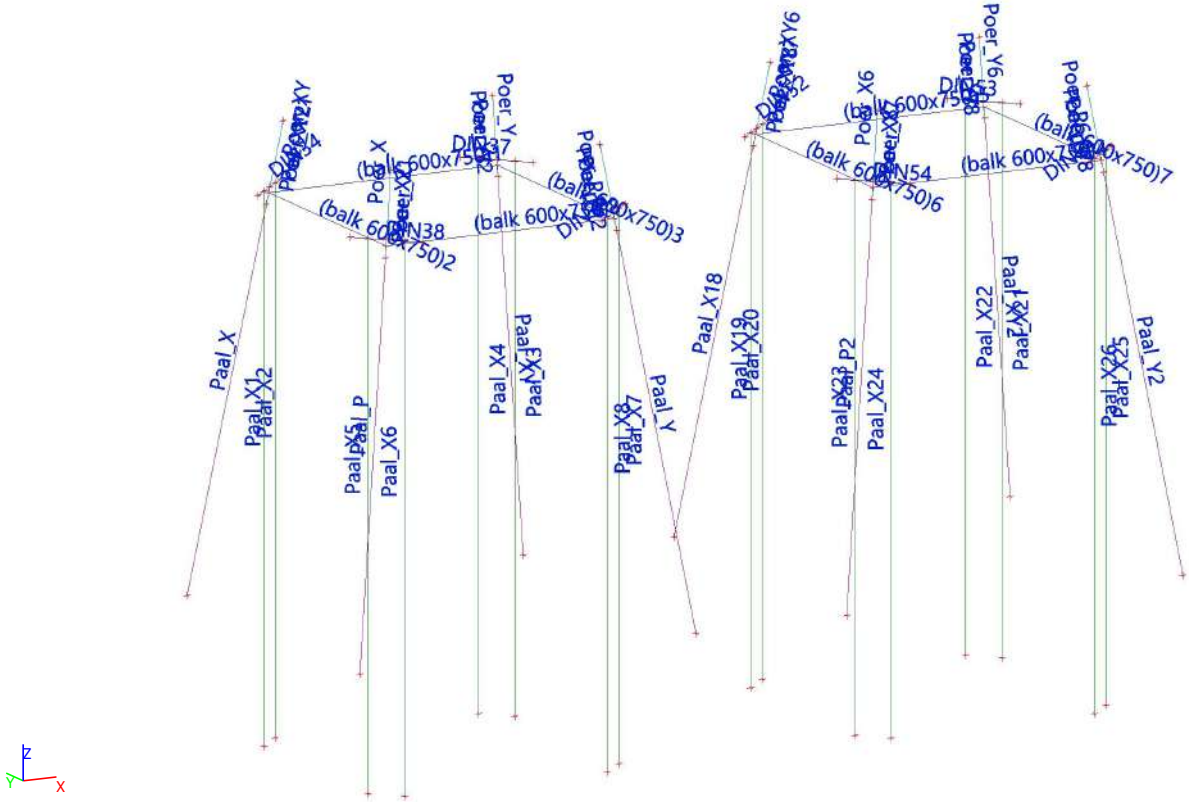


5.3. Members

Name	Cross-section	Material	Length [m]	Beg. node	End node	Type
(balk 600x750)1	Betonnen Blalk - Rectangle (750,00; 600,00)	C30/37 Gescheurd	10,792	N150	N145	beam (80)
(balk 600x750)2	Betonnen Blalk - Rectangle (750,00; 600,00)	C30/37 Gescheurd	10,792	N150	N122	beam (80)
(balk 600x750)3	Betonnen Blalk - Rectangle (750,00; 600,00)	C30/37 Gescheurd	10,792	N145	N140	beam (80)
(balk 600x750)4	Betonnen Blalk - Rectangle (750,00; 600,00)	C30/37 Gescheurd	10,792	N229	N233	beam (80)
(balk 600x750)5	Betonnen Blalk - Rectangle (750,00; 600,00)	C30/37 Gescheurd	10,792	N241	N237	beam (80)
(balk 600x750)6	Betonnen Blalk - Rectangle (750,00; 600,00)	C30/37 Gescheurd	10,792	N241	N229	beam (80)
(balk 600x750)7	Betonnen Blalk - Rectangle (750,00; 600,00)	C30/37 Gescheurd	10,792	N237	N233	beam (80)
(balk 600x750)8	Betonnen Blalk - Rectangle (750,00; 600,00)	C30/37 Gescheurd	10,792	N122	N140	beam (80)
DIN34	lijnpoer - Rectangle (1500,00; 1600,00)	C30/37 Gescheurd	3,186	N156	N155	beam (80)
DIN37	lijnpoer - Rectangle (1500,00; 1600,00)	C30/37 Gescheurd	3,186	N166	N165	beam (80)
DIN38	lijnpoer - Rectangle (1500,00; 1600,00)	C30/37 Gescheurd	3,186	N170	N169	beam (80)
DIN39	lijnpoer - Rectangle (1500,00; 1600,00)	C30/37 Gescheurd	3,186	N174	N173	beam (80)
DIN52	lijnpoer - Rectangle (1500,00; 1600,00)	C30/37 Gescheurd	3,186	N246	N245	beam (80)
DIN53	lijnpoer - Rectangle (1500,00; 1600,00)	C30/37 Gescheurd	3,186	N250	N249	beam (80)
DIN54	lijnpoer - Rectangle (1500,00; 1600,00)	C30/37 Gescheurd	3,186	N254	N253	beam (80)
DIN55	lijnpoer - Rectangle (1500,00; 1600,00)	C30/37 Gescheurd	3,186	N258	N257	beam (80)
Paal_P	LD1. - General cross-section	C12/15 en zand	17,500	N1	N139	column (100)
Paal_P2	LD1. - General cross-section	C12/15 en zand	17,500	N232	N231	column (100)
Paal_X	LD1. - General cross-section	C12/15 en zand	17,500	N154	N153	column (100)
Paal_X1	LEKA Paal - type e (CHS219.1/10.0)	S 235	23,958	N221	N159	column (100)
Paal_X2	LEKA Paal - type e (CHS219.1/10.0)	S 235	23,958	N222	N160	column (100)
Paal_X3	LEKA Paal - type e (CHS219.1/10.0)	S 235	23,958	N214	N167	column (100)
Paal_X4	LEKA Paal - type e (CHS219.1/10.0)	S 235	23,958	N210	N168	column (100)
Paal_X5	LEKA Paal - type e (CHS219.1/10.0)	S 235	23,958	N215	N171	column (100)
Paal_X6	LEKA Paal - type e (CHS219.1/10.0)	S 235	23,958	N220	N172	column (100)
Paal_X7	LEKA Paal - type e (CHS219.1/10.0)	S 235	23,958	N224	N175	column (100)
Paal_X8	LEKA Paal - type e (CHS219.1/10.0)	S 235	23,958	N227	N176	column (100)
Paal_X18	LD1. - General cross-section	C12/15 en zand	17,500	N244	N243	column (100)
Paal_X19	LEKA Paal - type e (CHS219.1/10.0)	S 235	23,958	N267	N247	column (100)

Name	Cross-section	Material	Length [m]	Beg. node	End node	Type
Paal_X20	LEKA Paal - type e (CHS219.1/10.0)	S 235	23,958	N268	N248	column (100)
Paal_X21	LEKA Paal - type e (CHS219.1/10.0)	S 235	23,958	N264	N251	column (100)
Paal_X22	LEKA Paal - type e (CHS219.1/10.0)	S 235	23,958	N262	N252	column (100)
Paal_X23	LEKA Paal - type e (CHS219.1/10.0)	S 235	23,958	N265	N255	column (100)
Paal_X24	LEKA Paal - type e (CHS219.1/10.0)	S 235	23,958	N266	N256	column (100)
Paal_X25	LEKA Paal - type e (CHS219.1/10.0)	S 235	23,958	N269	N259	column (100)
Paal_X26	LEKA Paal - type e (CHS219.1/10.0)	S 235	23,958	N270	N260	column (100)
Paal_XY	LD1. - General cross-section	C12/15 en zand	17,500	N149	N148	column (100)
Paal_XY2	LD1. - General cross-section	C12/15 en zand	17,500	N240	N239	column (100)
Paal_Y	LD1. - General cross-section	C12/15 en zand	17,500	N144	N143	column (100)
Paal_Y2	LD1. - General cross-section	C12/15 en zand	17,500	N236	N235	column (100)
Poer_P	Poer800 - Circle (800,00)	C12/15 Gescheurd	2,959	N141	1Y	column (100)
Poer_P1	Putring1000 - Circle (1000,00)	C12/15 Gescheurd	0,255	N140	N141	column (100)
Poer_P2	Putring1000 - Circle (1000,00)	C12/15 Gescheurd	0,511	N144	N140	column (100)
Poer_P6	Poer800 - Circle (800,00)	C12/15 Gescheurd	2,959	N234	1Y2	column (100)
Poer_P7	Putring1000 - Circle (1000,00)	C12/15 Gescheurd	0,255	N233	N234	column (100)
Poer_P8	Putring1000 - Circle (1000,00)	C12/15 Gescheurd	0,511	N236	N233	column (100)
Poer_X	Poer800 - Circle (800,00)	C12/15 Gescheurd	2,959	N123	1P	column (100)
Poer_X1	Putring1000 - Circle (1000,00)	C12/15 Gescheurd	0,255	N122	N123	column (100)
Poer_X2	Putring1000 - Circle (1000,00)	C12/15 Gescheurd	0,511	N1	N122	column (100)
Poer_X6	Poer800 - Circle (800,00)	C12/15 Gescheurd	2,959	N230	1P2	column (100)
Poer_X7	Putring1000 - Circle (1000,00)	C12/15 Gescheurd	0,255	N229	N230	column (100)
Poer_X8	Putring1000 - Circle (1000,00)	C12/15 Gescheurd	0,511	N232	N229	column (100)
Poer_XY	Poer800 - Circle (800,00)	C12/15 Gescheurd	2,959	N151	1X	column (100)
Poer_XY1	Putring1000 - Circle (1000,00)	C12/15 Gescheurd	0,255	N150	N151	column (100)
Poer_XY2	Putring1000 - Circle (1000,00)	C12/15 Gescheurd	0,511	N154	N150	column (100)
Poer_XY6	Poer800 - Circle (800,00)	C12/15 Gescheurd	2,959	N242	1X2	column (100)
Poer_XY7	Putring1000 - Circle (1000,00)	C12/15 Gescheurd	0,255	N241	N242	column (100)
Poer_XY8	Putring1000 - Circle (1000,00)	C12/15 Gescheurd	0,511	N244	N241	column (100)
Poer_Y	Poer800 - Circle (800,00)	C12/15 Gescheurd	2,959	N146	1XY	column (100)
Poer_Y1	Putring1000 - Circle (1000,00)	C12/15 Gescheurd	0,255	N145	N146	column (100)
Poer_Y2	Putring1000 - Circle (1000,00)	C12/15 Gescheurd	0,511	N149	N145	column (100)
Poer_Y6	Poer800 - Circle (800,00)	C12/15 Gescheurd	2,959	N238	1XY2	column (100)
Poer_Y7	Putring1000 - Circle (1000,00)	C12/15 Gescheurd	0,255	N237	N238	column (100)
Poer_Y8	Putring1000 - Circle (1000,00)	C12/15 Gescheurd	0,511	N240	N237	column (100)

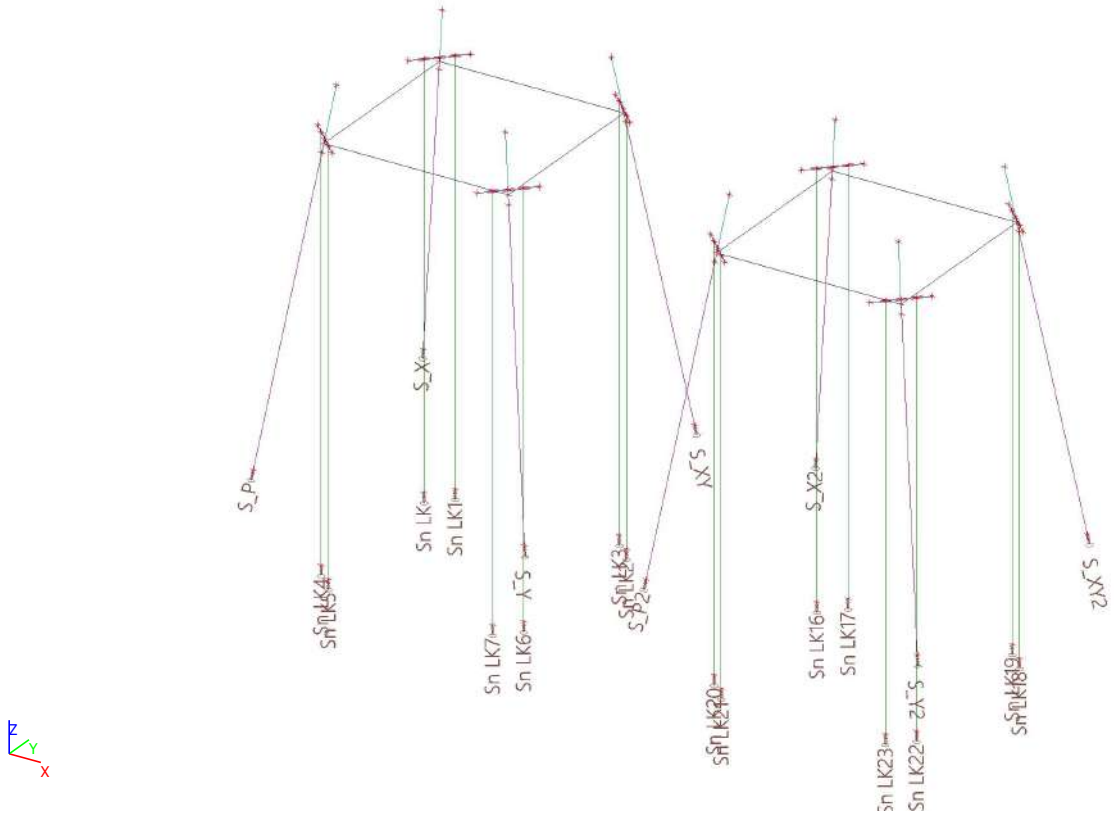
5.4. Analyse model met Staven



5.5. Nodal supports

Name	Node	System	Type	X	Y	Z	Rx	Ry	Rz	Angle [deg]
S_P	N139	GCS	Standard	Free	Free	Nonlinear	Free	Free	Free	Rx-8,11;Ry8,11
S_Y	N143	GCS	Standard	Free	Free	Nonlinear	Free	Free	Free	Rx-8,11;Ry-8,11
S_XY	N148	GCS	Standard	Free	Free	Nonlinear	Free	Free	Free	Rx8,11;Ry-8,11
S_X	N153	GCS	Standard	Free	Free	Nonlinear	Free	Free	Free	Rx8,11;Ry8,11
Sn LK	N159	GCS	Standard	Free	Free	Nonlinear	Free	Free	Free	
Sn LK1	N160	GCS	Standard	Free	Free	Nonlinear	Free	Free	Free	
Sn LK2	N167	GCS	Standard	Free	Free	Nonlinear	Free	Free	Free	
Sn LK3	N168	GCS	Standard	Free	Free	Nonlinear	Free	Free	Free	
Sn LK4	N171	GCS	Standard	Free	Free	Nonlinear	Free	Free	Free	
Sn LK5	N172	GCS	Standard	Free	Free	Nonlinear	Free	Free	Free	
Sn LK6	N175	GCS	Standard	Free	Free	Nonlinear	Free	Free	Free	
Sn LK7	N176	GCS	Standard	Free	Free	Nonlinear	Free	Free	Free	
S_P2	N231	GCS	Standard	Free	Free	Nonlinear	Free	Free	Free	Rx-8,11;Ry8,11
S_Y2	N235	GCS	Standard	Free	Free	Nonlinear	Free	Free	Free	Rx-8,11;Ry-8,11
S_XY2	N239	GCS	Standard	Free	Free	Nonlinear	Free	Free	Free	Rx8,11;Ry-8,11
S_X2	N243	GCS	Standard	Free	Free	Nonlinear	Free	Free	Free	Rx8,11;Ry8,11
Sn LK16	N247	GCS	Standard	Free	Free	Nonlinear	Free	Free	Free	
Sn LK17	N248	GCS	Standard	Free	Free	Nonlinear	Free	Free	Free	
Sn LK18	N251	GCS	Standard	Free	Free	Nonlinear	Free	Free	Free	
Sn LK19	N252	GCS	Standard	Free	Free	Nonlinear	Free	Free	Free	
Sn LK20	N255	GCS	Standard	Free	Free	Nonlinear	Free	Free	Free	
Sn LK21	N256	GCS	Standard	Free	Free	Nonlinear	Free	Free	Free	
Sn LK22	N259	GCS	Standard	Free	Free	Nonlinear	Free	Free	Free	
Sn LK23	N260	GCS	Standard	Free	Free	Nonlinear	Free	Free	Free	

5.6. Analyse model met Knoopondersteuningen



5.7. Line supports on member

Name	Type	Member	Pos x_1 [m] / Pos x_2 [m]	X	Y	Z	Rx	Ry	Rz	Function Y	Function Z
Veen13	Line	Paal_X18	1,000 8,000	Free	Nonlinear	Nonlinear	Free	Free	Free	PY-curve-2_Veen	PY-curve-2_Veen
Veen3	Line	Paal_XY2	1,000 8,000	Free	Nonlinear	Nonlinear	Free	Free	Free	PY-curve-2_Veen	PY-curve-2_Veen
Veen	Line	Paal_P	1,000 8,000	Free	Nonlinear	Nonlinear	Free	Free	Free	PY-curve-2_Veen	PY-curve-2_Veen
Veen4	Line	Paal_X	1,000 8,000	Free	Nonlinear	Nonlinear	Free	Free	Free	PY-curve-2_Veen	PY-curve-2_Veen
Veen23	Line	Paal_Y2	1,000 8,000	Free	Nonlinear	Nonlinear	Free	Free	Free	PY-curve-2_Veen	PY-curve-2_Veen
Veen1	Line	Paal_P2	1,000 8,000	Free	Nonlinear	Nonlinear	Free	Free	Free	PY-curve-2_Veen	PY-curve-2_Veen
Veen2	Line	Paal_XY	1,000 8,000	Free	Nonlinear	Nonlinear	Free	Free	Free	PY-curve-2_Veen	PY-curve-2_Veen
Veen22	Line	Paal_Y	1,000 8,000	Free	Nonlinear	Nonlinear	Free	Free	Free	PY-curve-2_Veen	PY-curve-2_Veen
Veen7	Line	Paal_X3	1,750 8,750	Free	Nonlinear	Nonlinear	Free	Free	Free	PY-curve-2_Veen.B	PY-curve-2_Veen.B
Veen15	Line	Paal_X20	1,750 8,750	Free	Nonlinear	Nonlinear	Free	Free	Free	PY-curve-2_Veen.B	PY-curve-2_Veen.B
Veen16	Line	Paal_X21	1,750 8,750	Free	Nonlinear	Nonlinear	Free	Free	Free	PY-curve-2_Veen.B	PY-curve-2_Veen.B
Veen8	Line	Paal_X4	1,750 8,750	Free	Nonlinear	Nonlinear	Free	Free	Free	PY-curve-2_Veen.B	PY-curve-2_Veen.B
Veen20	Line	Paal_X25	1,750 8,750	Free	Nonlinear	Nonlinear	Free	Free	Free	PY-curve-2_Veen.B	PY-curve-2_Veen.B
Veen14	Line	Paal_X19	1,750	Free	Nonlinear	Nonlinear	Free	Free	Free	PY-curve-2_Veen.B	PY-curve-2_Veen.B

Name	Type	Member	Pos x_1 [m] Pos x_2 [m]	X	Y	Z	Rx	Ry	Rz	Function Y	Function Z
			8,750								
Veen6	Line	Paal_X2	1,750 8,750	Free	Nonlinear	Nonlinear	Free	Free	Free	PY-curve-2_Veen.B	PY-curve-2_Veen.B
Veen11	Line	Paal_X7	1,750 8,750	Free	Nonlinear	Nonlinear	Free	Free	Free	PY-curve-2_Veen.B	PY-curve-2_Veen.B
Veen18	Line	Paal_X23	1,750 8,750	Free	Nonlinear	Nonlinear	Free	Free	Free	PY-curve-2_Veen.B	PY-curve-2_Veen.B
Veen10	Line	Paal_X6	1,750 8,750	Free	Nonlinear	Nonlinear	Free	Free	Free	PY-curve-2_Veen.B	PY-curve-2_Veen.B
Veen21	Line	Paal_X26	1,750 8,750	Free	Nonlinear	Nonlinear	Free	Free	Free	PY-curve-2_Veen.B	PY-curve-2_Veen.B
Veen5	Line	Paal_X1	1,750 8,750	Free	Nonlinear	Nonlinear	Free	Free	Free	PY-curve-2_Veen.B	PY-curve-2_Veen.B
Veen17	Line	Paal_X22	1,750 8,750	Free	Nonlinear	Nonlinear	Free	Free	Free	PY-curve-2_Veen.B	PY-curve-2_Veen.B
Veen9	Line	Paal_X5	1,750 8,750	Free	Nonlinear	Nonlinear	Free	Free	Free	PY-curve-2_Veen.B	PY-curve-2_Veen.B
Veen19	Line	Paal_X24	1,750 8,750	Free	Nonlinear	Nonlinear	Free	Free	Free	PY-curve-2_Veen.B	PY-curve-2_Veen.B
Veen12	Line	Paal_X8	1,750 8,750	Free	Nonlinear	Nonlinear	Free	Free	Free	PY-curve-2_Veen.B	PY-curve-2_Veen.B
(PY-curve-2_V1)1	Line	Paal_P2	8,000 9,000	Free	Nonlinear	Nonlinear	Free	Free	Free	PY-curve-2_V1	PY-curve-2_V1
(PY-curve-2_V1)	Line	Paal_P	8,000 9,000	Free	Nonlinear	Nonlinear	Free	Free	Free	PY-curve-2_V1	PY-curve-2_V1
(PY-curve-2_V1)13	Line	Paal_X18	8,000 9,000	Free	Nonlinear	Nonlinear	Free	Free	Free	PY-curve-2_V1	PY-curve-2_V1
(PY-curve-2_V1)4	Line	Paal_X	8,000 9,000	Free	Nonlinear	Nonlinear	Free	Free	Free	PY-curve-2_V1	PY-curve-2_V1
(PY-curve-2_V1)23	Line	Paal_Y2	8,000 9,000	Free	Nonlinear	Nonlinear	Free	Free	Free	PY-curve-2_V1	PY-curve-2_V1
(PY-curve-2_V1)2	Line	Paal_XY	8,000 9,000	Free	Nonlinear	Nonlinear	Free	Free	Free	PY-curve-2_V1	PY-curve-2_V1
(PY-curve-2_V1)22	Line	Paal_Y	8,000 9,000	Free	Nonlinear	Nonlinear	Free	Free	Free	PY-curve-2_V1	PY-curve-2_V1
(PY-curve-2_V1)3	Line	Paal_XY2	8,000 9,000	Free	Nonlinear	Nonlinear	Free	Free	Free	PY-curve-2_V1	PY-curve-2_V1
(PY-curve-2_V1)10	Line	Paal_X6	8,750 9,750	Free	Nonlinear	Nonlinear	Free	Free	Free	PY-curve-2_V1.B	PY-curve-2_V1.B
(PY-curve-2_V1)6	Line	Paal_X2	8,750 9,750	Free	Nonlinear	Nonlinear	Free	Free	Free	PY-curve-2_V1.B	PY-curve-2_V1.B
(PY-curve-2_V1)17	Line	Paal_X22	8,750 9,750	Free	Nonlinear	Nonlinear	Free	Free	Free	PY-curve-2_V1.B	PY-curve-2_V1.B
(PY-curve-2_V1)7	Line	Paal_X3	8,750 9,750	Free	Nonlinear	Nonlinear	Free	Free	Free	PY-curve-2_V1.B	PY-curve-2_V1.B
(PY-curve-2_V1)20	Line	Paal_X25	8,750 9,750	Free	Nonlinear	Nonlinear	Free	Free	Free	PY-curve-2_V1.B	PY-curve-2_V1.B
(PY-curve-2_V1)8	Line	Paal_X4	8,750 9,750	Free	Nonlinear	Nonlinear	Free	Free	Free	PY-curve-2_V1.B	PY-curve-2_V1.B
(PY-curve-2_V1)12	Line	Paal_X8	8,750 9,750	Free	Nonlinear	Nonlinear	Free	Free	Free	PY-curve-2_V1.B	PY-curve-2_V1.B
(PY-curve-2_V1)16	Line	Paal_X21	8,750 9,750	Free	Nonlinear	Nonlinear	Free	Free	Free	PY-curve-2_V1.B	PY-curve-2_V1.B
(PY-curve-2_V1)15	Line	Paal_X20	8,750 9,750	Free	Nonlinear	Nonlinear	Free	Free	Free	PY-curve-2_V1.B	PY-curve-2_V1.B
(PY-curve-2_V1)21	Line	Paal_X26	8,750 9,750	Free	Nonlinear	Nonlinear	Free	Free	Free	PY-curve-2_V1.B	PY-curve-2_V1.B
(PY-curve-2_V1)19	Line	Paal_X24	8,750 9,750	Free	Nonlinear	Nonlinear	Free	Free	Free	PY-curve-2_V1.B	PY-curve-2_V1.B
(PY-curve-2_V1)5	Line	Paal_X1	8,750 9,750	Free	Nonlinear	Nonlinear	Free	Free	Free	PY-curve-2_V1.B	PY-curve-2_V1.B
(PY-curve-2_V1)14	Line	Paal_X19	8,750 9,750	Free	Nonlinear	Nonlinear	Free	Free	Free	PY-curve-2_V1.B	PY-curve-2_V1.B
(PY-curve-2_V1)11	Line	Paal_X7	8,750	Free	Nonlinear	Nonlinear	Free	Free	Free	PY-curve-2_V1.B	PY-curve-2_V1.B

Name	Type	Member	Pos x_1 [m] / Pos x_2 [m]	X	Y	Z	Rx	Ry	Rz	Function Y	Function Z
			9,750								
(PY-curve-2_V1)18	Line	Paal_X23	8,750 9,750	Free	Nonlinear	Nonlinear	Free	Free	Free	PY-curve-2_V1.B	PY-curve-2_V1.B
(PY-curve-2_V1)9	Line	Paal_X5	8,750 9,750	Free	Nonlinear	Nonlinear	Free	Free	Free	PY-curve-2_V1.B	PY-curve-2_V1.B
(PY-curve-2_V2)2	Line	Paal_XY	9,000 10,000	Free	Nonlinear	Nonlinear	Free	Free	Free	PY-curve-2_V2	PY-curve-2_V2
(PY-curve-2_V2)22	Line	Paal_Y	9,000 10,000	Free	Nonlinear	Nonlinear	Free	Free	Free	PY-curve-2_V2	PY-curve-2_V2
(PY-curve-2_V2)13	Line	Paal_X18	9,000 10,000	Free	Nonlinear	Nonlinear	Free	Free	Free	PY-curve-2_V2	PY-curve-2_V2
(PY-curve-2_V2)3	Line	Paal_XY2	9,000 10,000	Free	Nonlinear	Nonlinear	Free	Free	Free	PY-curve-2_V2	PY-curve-2_V2
(PY-curve-2_V2)	Line	Paal_P	9,000 10,000	Free	Nonlinear	Nonlinear	Free	Free	Free	PY-curve-2_V2	PY-curve-2_V2
(PY-curve-2_V2)23	Line	Paal_Y2	9,000 10,000	Free	Nonlinear	Nonlinear	Free	Free	Free	PY-curve-2_V2	PY-curve-2_V2
(PY-curve-2_V2)1	Line	Paal_P2	9,000 10,000	Free	Nonlinear	Nonlinear	Free	Free	Free	PY-curve-2_V2	PY-curve-2_V2
(PY-curve-2_V2)4	Line	Paal_X	9,000 10,000	Free	Nonlinear	Nonlinear	Free	Free	Free	PY-curve-2_V2	PY-curve-2_V2
(PY-curve-2_V2)20	Line	Paal_X25	9,750 10,750	Free	Nonlinear	Nonlinear	Free	Free	Free	PY-curve-2_V2.B	PY-curve-2_V2.B
(PY-curve-2_V2)11	Line	Paal_X7	9,750 10,750	Free	Nonlinear	Nonlinear	Free	Free	Free	PY-curve-2_V2.B	PY-curve-2_V2.B
(PY-curve-2_V2)5	Line	Paal_X1	9,750 10,750	Free	Nonlinear	Nonlinear	Free	Free	Free	PY-curve-2_V2.B	PY-curve-2_V2.B
(PY-curve-2_V2)18	Line	Paal_X23	9,750 10,750	Free	Nonlinear	Nonlinear	Free	Free	Free	PY-curve-2_V2.B	PY-curve-2_V2.B
(PY-curve-2_V2)8	Line	Paal_X4	9,750 10,750	Free	Nonlinear	Nonlinear	Free	Free	Free	PY-curve-2_V2.B	PY-curve-2_V2.B
(PY-curve-2_V2)16	Line	Paal_X21	9,750 10,750	Free	Nonlinear	Nonlinear	Free	Free	Free	PY-curve-2_V2.B	PY-curve-2_V2.B
(PY-curve-2_V2)7	Line	Paal_X3	9,750 10,750	Free	Nonlinear	Nonlinear	Free	Free	Free	PY-curve-2_V2.B	PY-curve-2_V2.B
(PY-curve-2_V2)10	Line	Paal_X6	9,750 10,750	Free	Nonlinear	Nonlinear	Free	Free	Free	PY-curve-2_V2.B	PY-curve-2_V2.B
(PY-curve-2_V2)9	Line	Paal_X5	9,750 10,750	Free	Nonlinear	Nonlinear	Free	Free	Free	PY-curve-2_V2.B	PY-curve-2_V2.B
(PY-curve-2_V2)14	Line	Paal_X19	9,750 10,750	Free	Nonlinear	Nonlinear	Free	Free	Free	PY-curve-2_V2.B	PY-curve-2_V2.B
(PY-curve-2_V2)21	Line	Paal_X26	9,750 10,750	Free	Nonlinear	Nonlinear	Free	Free	Free	PY-curve-2_V2.B	PY-curve-2_V2.B
(PY-curve-2_V2)15	Line	Paal_X20	9,750 10,750	Free	Nonlinear	Nonlinear	Free	Free	Free	PY-curve-2_V2.B	PY-curve-2_V2.B
(PY-curve-2_V2)17	Line	Paal_X22	9,750 10,750	Free	Nonlinear	Nonlinear	Free	Free	Free	PY-curve-2_V2.B	PY-curve-2_V2.B
(PY-curve-2_V2)19	Line	Paal_X24	9,750 10,750	Free	Nonlinear	Nonlinear	Free	Free	Free	PY-curve-2_V2.B	PY-curve-2_V2.B
(PY-curve-2_V2)12	Line	Paal_X8	9,750 10,750	Free	Nonlinear	Nonlinear	Free	Free	Free	PY-curve-2_V2.B	PY-curve-2_V2.B
(PY-curve-2_V2)6	Line	Paal_X2	9,750 10,750	Free	Nonlinear	Nonlinear	Free	Free	Free	PY-curve-2_V2.B	PY-curve-2_V2.B
(PY-curve-2_V3)2	Line	Paal_XY	10,000 11,000	Free	Nonlinear	Nonlinear	Free	Free	Free	PY-curve-2_V3	PY-curve-2_V3
(PY-curve-2_V3)	Line	Paal_P	10,000 11,000	Free	Nonlinear	Nonlinear	Free	Free	Free	PY-curve-2_V3	PY-curve-2_V3
(PY-curve-2_V3)3	Line	Paal_XY2	10,000 11,000	Free	Nonlinear	Nonlinear	Free	Free	Free	PY-curve-2_V3	PY-curve-2_V3
(PY-curve-2_V3)13	Line	Paal_X18	10,000 11,000	Free	Nonlinear	Nonlinear	Free	Free	Free	PY-curve-2_V3	PY-curve-2_V3
(PY-curve-2_V3)22	Line	Paal_Y	10,000 11,000	Free	Nonlinear	Nonlinear	Free	Free	Free	PY-curve-2_V3	PY-curve-2_V3
(PY-curve-2_V3)23	Line	Paal_Y2	10,000	Free	Nonlinear	Nonlinear	Free	Free	Free	PY-curve-2_V3	PY-curve-2_V3

Name	Type	Member	Pos x_1 [m] / Pos x_2 [m]	X	Y	Z	Rx	Ry	Rz	Function Y	Function Z
			11,000								
(PY-curve-2_V3)4	Line	Paal_X	10,000 11,000	Free	Nonlinear	Nonlinear	Free	Free	Free	PY-curve-2_V3	PY-curve-2_V3
(PY-curve-2_V3)1	Line	Paal_P2	10,000 11,000	Free	Nonlinear	Nonlinear	Free	Free	Free	PY-curve-2_V3	PY-curve-2_V3
(PY-curve-2_V3)16	Line	Paal_X21	10,750 11,750	Free	Nonlinear	Nonlinear	Free	Free	Free	PY-curve-2_V3.B	PY-curve-2_V3.B
(PY-curve-2_V3)12	Line	Paal_X8	10,750 11,750	Free	Nonlinear	Nonlinear	Free	Free	Free	PY-curve-2_V3.B	PY-curve-2_V3.B
(PY-curve-2_V3)14	Line	Paal_X19	10,750 11,750	Free	Nonlinear	Nonlinear	Free	Free	Free	PY-curve-2_V3.B	PY-curve-2_V3.B
(PY-curve-2_V3)19	Line	Paal_X24	10,750 11,750	Free	Nonlinear	Nonlinear	Free	Free	Free	PY-curve-2_V3.B	PY-curve-2_V3.B
(PY-curve-2_V3)11	Line	Paal_X7	10,750 11,750	Free	Nonlinear	Nonlinear	Free	Free	Free	PY-curve-2_V3.B	PY-curve-2_V3.B
(PY-curve-2_V3)21	Line	Paal_X26	10,750 11,750	Free	Nonlinear	Nonlinear	Free	Free	Free	PY-curve-2_V3.B	PY-curve-2_V3.B
(PY-curve-2_V3)5	Line	Paal_X1	10,750 11,750	Free	Nonlinear	Nonlinear	Free	Free	Free	PY-curve-2_V3.B	PY-curve-2_V3.B
(PY-curve-2_V3)15	Line	Paal_X20	10,750 11,750	Free	Nonlinear	Nonlinear	Free	Free	Free	PY-curve-2_V3.B	PY-curve-2_V3.B
(PY-curve-2_V3)9	Line	Paal_X5	10,750 11,750	Free	Nonlinear	Nonlinear	Free	Free	Free	PY-curve-2_V3.B	PY-curve-2_V3.B
(PY-curve-2_V3)20	Line	Paal_X25	10,750 11,750	Free	Nonlinear	Nonlinear	Free	Free	Free	PY-curve-2_V3.B	PY-curve-2_V3.B
(PY-curve-2_V3)6	Line	Paal_X2	10,750 11,750	Free	Nonlinear	Nonlinear	Free	Free	Free	PY-curve-2_V3.B	PY-curve-2_V3.B
(PY-curve-2_V3)8	Line	Paal_X4	10,750 11,750	Free	Nonlinear	Nonlinear	Free	Free	Free	PY-curve-2_V3.B	PY-curve-2_V3.B
(PY-curve-2_V3)17	Line	Paal_X22	10,750 11,750	Free	Nonlinear	Nonlinear	Free	Free	Free	PY-curve-2_V3.B	PY-curve-2_V3.B
(PY-curve-2_V3)10	Line	Paal_X6	10,750 11,750	Free	Nonlinear	Nonlinear	Free	Free	Free	PY-curve-2_V3.B	PY-curve-2_V3.B
(PY-curve-2_V3)7	Line	Paal_X3	10,750 11,750	Free	Nonlinear	Nonlinear	Free	Free	Free	PY-curve-2_V3.B	PY-curve-2_V3.B
(PY-curve-2_V3)18	Line	Paal_X23	10,750 11,750	Free	Nonlinear	Nonlinear	Free	Free	Free	PY-curve-2_V3.B	PY-curve-2_V3.B
(PY-curve-2_V4)13	Line	Paal_X18	11,000 12,000	Free	Nonlinear	Nonlinear	Free	Free	Free	PY-curve-2_V4	PY-curve-2_V4
(PY-curve-2_V4)4	Line	Paal_X	11,000 12,000	Free	Nonlinear	Nonlinear	Free	Free	Free	PY-curve-2_V4	PY-curve-2_V4
(PY-curve-2_V4)	Line	Paal_P	11,000 12,000	Free	Nonlinear	Nonlinear	Free	Free	Free	PY-curve-2_V4	PY-curve-2_V4
(PY-curve-2_V4)2	Line	Paal_XY	11,000 12,000	Free	Nonlinear	Nonlinear	Free	Free	Free	PY-curve-2_V4	PY-curve-2_V4
(PY-curve-2_V4)3	Line	Paal_XY2	11,000 12,000	Free	Nonlinear	Nonlinear	Free	Free	Free	PY-curve-2_V4	PY-curve-2_V4
(PY-curve-2_V4)22	Line	Paal_Y	11,000 12,000	Free	Nonlinear	Nonlinear	Free	Free	Free	PY-curve-2_V4	PY-curve-2_V4
(PY-curve-2_V4)23	Line	Paal_Y2	11,000 12,000	Free	Nonlinear	Nonlinear	Free	Free	Free	PY-curve-2_V4	PY-curve-2_V4
(PY-curve-2_V4)1	Line	Paal_P2	11,000 12,000	Free	Nonlinear	Nonlinear	Free	Free	Free	PY-curve-2_V4	PY-curve-2_V4
(PY-curve-2_V4)20	Line	Paal_X25	11,750 12,750	Free	Nonlinear	Nonlinear	Free	Free	Free	PY-curve-2_V4.B	PY-curve-2_V4.B
(PY-curve-2_V4)18	Line	Paal_X23	11,750 12,750	Free	Nonlinear	Nonlinear	Free	Free	Free	PY-curve-2_V4.B	PY-curve-2_V4.B
(PY-curve-2_V4)21	Line	Paal_X26	11,750 12,750	Free	Nonlinear	Nonlinear	Free	Free	Free	PY-curve-2_V4.B	PY-curve-2_V4.B
(PY-curve-2_V4)10	Line	Paal_X6	11,750 12,750	Free	Nonlinear	Nonlinear	Free	Free	Free	PY-curve-2_V4.B	PY-curve-2_V4.B
(PY-curve-2_V4)16	Line	Paal_X21	11,750 12,750	Free	Nonlinear	Nonlinear	Free	Free	Free	PY-curve-2_V4.B	PY-curve-2_V4.B
(PY-curve-2_V4)5	Line	Paal_X1	11,750	Free	Nonlinear	Nonlinear	Free	Free	Free	PY-curve-2_V4.B	PY-curve-2_V4.B

Name	Type	Member	Pos x_1 [m] / Pos x_2 [m]	X	Y	Z	Rx	Ry	Rz	Function Y	Function Z
			12,750								
(PY-curve-2_V4)11	Line	Paal_X7	11,750 12,750	Free	Nonlinear	Nonlinear	Free	Free	Free	PY-curve-2_V4.B	PY-curve-2_V4.B
(PY-curve-2_V4)8	Line	Paal_X4	11,750 12,750	Free	Nonlinear	Nonlinear	Free	Free	Free	PY-curve-2_V4.B	PY-curve-2_V4.B
(PY-curve-2_V4)9	Line	Paal_X5	11,750 12,750	Free	Nonlinear	Nonlinear	Free	Free	Free	PY-curve-2_V4.B	PY-curve-2_V4.B
(PY-curve-2_V4)17	Line	Paal_X22	11,750 12,750	Free	Nonlinear	Nonlinear	Free	Free	Free	PY-curve-2_V4.B	PY-curve-2_V4.B
(PY-curve-2_V4)14	Line	Paal_X19	11,750 12,750	Free	Nonlinear	Nonlinear	Free	Free	Free	PY-curve-2_V4.B	PY-curve-2_V4.B
(PY-curve-2_V4)15	Line	Paal_X20	11,750 12,750	Free	Nonlinear	Nonlinear	Free	Free	Free	PY-curve-2_V4.B	PY-curve-2_V4.B
(PY-curve-2_V4)7	Line	Paal_X3	11,750 12,750	Free	Nonlinear	Nonlinear	Free	Free	Free	PY-curve-2_V4.B	PY-curve-2_V4.B
(PY-curve-2_V4)6	Line	Paal_X2	11,750 12,750	Free	Nonlinear	Nonlinear	Free	Free	Free	PY-curve-2_V4.B	PY-curve-2_V4.B
(PY-curve-2_V4)19	Line	Paal_X24	11,750 12,750	Free	Nonlinear	Nonlinear	Free	Free	Free	PY-curve-2_V4.B	PY-curve-2_V4.B
(PY-curve-2_V4)12	Line	Paal_X8	11,750 12,750	Free	Nonlinear	Nonlinear	Free	Free	Free	PY-curve-2_V4.B	PY-curve-2_V4.B
(PY-curve-2_V5)	Line	Paal_P	12,000 13,000	Free	Nonlinear	Nonlinear	Free	Free	Free	PY-curve-2_V5	PY-curve-2_V5
(PY-curve-2_V5)22	Line	Paal_Y	12,000 13,000	Free	Nonlinear	Nonlinear	Free	Free	Free	PY-curve-2_V5	PY-curve-2_V5
(PY-curve-2_V5)23	Line	Paal_Y2	12,000 13,000	Free	Nonlinear	Nonlinear	Free	Free	Free	PY-curve-2_V5	PY-curve-2_V5
(PY-curve-2_V5)1	Line	Paal_P2	12,000 13,000	Free	Nonlinear	Nonlinear	Free	Free	Free	PY-curve-2_V5	PY-curve-2_V5
(PY-curve-2_V5)2	Line	Paal_XY	12,000 13,000	Free	Nonlinear	Nonlinear	Free	Free	Free	PY-curve-2_V5	PY-curve-2_V5
(PY-curve-2_V5)13	Line	Paal_X18	12,000 13,000	Free	Nonlinear	Nonlinear	Free	Free	Free	PY-curve-2_V5	PY-curve-2_V5
(PY-curve-2_V5)3	Line	Paal_XY2	12,000 13,000	Free	Nonlinear	Nonlinear	Free	Free	Free	PY-curve-2_V5	PY-curve-2_V5
(PY-curve-2_V5)4	Line	Paal_X	12,000 13,000	Free	Nonlinear	Nonlinear	Free	Free	Free	PY-curve-2_V5	PY-curve-2_V5
(PY-curve-2_V5)12	Line	Paal_X8	12,750 13,750	Free	Nonlinear	Nonlinear	Free	Free	Free	PY-curve-2_V5.B	PY-curve-2_V5.B
(PY-curve-2_V5)6	Line	Paal_X2	12,750 13,750	Free	Nonlinear	Nonlinear	Free	Free	Free	PY-curve-2_V5.B	PY-curve-2_V5.B
(PY-curve-2_V5)11	Line	Paal_X7	12,750 13,750	Free	Nonlinear	Nonlinear	Free	Free	Free	PY-curve-2_V5.B	PY-curve-2_V5.B
(PY-curve-2_V5)18	Line	Paal_X23	12,750 13,750	Free	Nonlinear	Nonlinear	Free	Free	Free	PY-curve-2_V5.B	PY-curve-2_V5.B
(PY-curve-2_V5)21	Line	Paal_X26	12,750 13,750	Free	Nonlinear	Nonlinear	Free	Free	Free	PY-curve-2_V5.B	PY-curve-2_V5.B
(PY-curve-2_V5)17	Line	Paal_X22	12,750 13,750	Free	Nonlinear	Nonlinear	Free	Free	Free	PY-curve-2_V5.B	PY-curve-2_V5.B
(PY-curve-2_V5)10	Line	Paal_X6	12,750 13,750	Free	Nonlinear	Nonlinear	Free	Free	Free	PY-curve-2_V5.B	PY-curve-2_V5.B
(PY-curve-2_V5)16	Line	Paal_X21	12,750 13,750	Free	Nonlinear	Nonlinear	Free	Free	Free	PY-curve-2_V5.B	PY-curve-2_V5.B
(PY-curve-2_V5)5	Line	Paal_X1	12,750 13,750	Free	Nonlinear	Nonlinear	Free	Free	Free	PY-curve-2_V5.B	PY-curve-2_V5.B
(PY-curve-2_V5)15	Line	Paal_X20	12,750 13,750	Free	Nonlinear	Nonlinear	Free	Free	Free	PY-curve-2_V5.B	PY-curve-2_V5.B
(PY-curve-2_V5)9	Line	Paal_X5	12,750 13,750	Free	Nonlinear	Nonlinear	Free	Free	Free	PY-curve-2_V5.B	PY-curve-2_V5.B
(PY-curve-2_V5)14	Line	Paal_X19	12,750 13,750	Free	Nonlinear	Nonlinear	Free	Free	Free	PY-curve-2_V5.B	PY-curve-2_V5.B
(PY-curve-2_V5)20	Line	Paal_X25	12,750 13,750	Free	Nonlinear	Nonlinear	Free	Free	Free	PY-curve-2_V5.B	PY-curve-2_V5.B
(PY-curve-2_V5)8	Line	Paal_X4	12,750	Free	Nonlinear	Nonlinear	Free	Free	Free	PY-curve-2_V5.B	PY-curve-2_V5.B

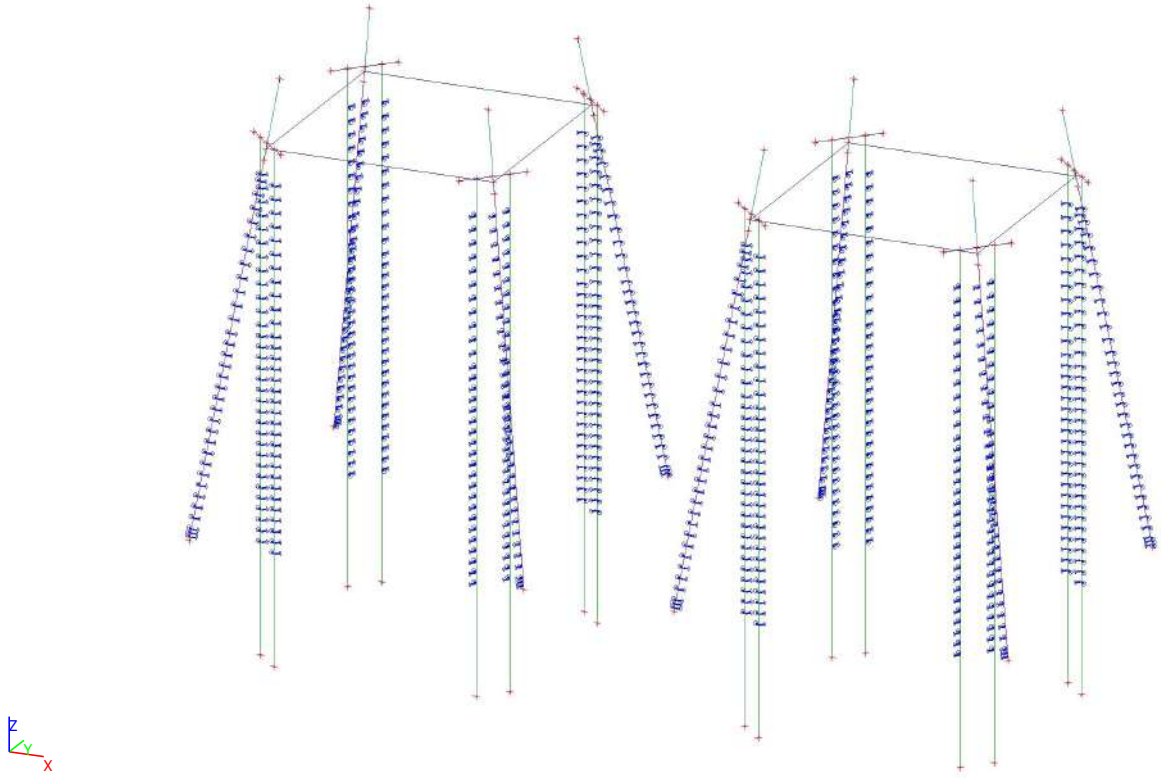
Name	Type	Member	Pos x_1 [m] / Pos x_2 [m]	X	Y	Z	Rx	Ry	Rz	Function Y	Function Z
			13,750								
(PY-curve-2_V5)19	Line	Paal_X24	12,750 13,750	Free	Nonlinear	Nonlinear	Free	Free	Free	PY-curve-2_V5.B	PY-curve-2_V5.B
(PY-curve-2_V5)7	Line	Paal_X3	12,750 13,750	Free	Nonlinear	Nonlinear	Free	Free	Free	PY-curve-2_V5.B	PY-curve-2_V5.B
(PY-curve-2_V6)	Line	Paal_P	13,000 14,000	Free	Nonlinear	Nonlinear	Free	Free	Free	PY-curve-2_V6	PY-curve-2_V6
(PY-curve-2_V6)13	Line	Paal_X18	13,000 14,000	Free	Nonlinear	Nonlinear	Free	Free	Free	PY-curve-2_V6	PY-curve-2_V6
(PY-curve-2_V6)22	Line	Paal_Y	13,000 14,000	Free	Nonlinear	Nonlinear	Free	Free	Free	PY-curve-2_V6	PY-curve-2_V6
(PY-curve-2_V6)4	Line	Paal_X	13,000 14,000	Free	Nonlinear	Nonlinear	Free	Free	Free	PY-curve-2_V6	PY-curve-2_V6
(PY-curve-2_V6)23	Line	Paal_Y2	13,000 14,000	Free	Nonlinear	Nonlinear	Free	Free	Free	PY-curve-2_V6	PY-curve-2_V6
(PY-curve-2_V6)1	Line	Paal_P2	13,000 14,000	Free	Nonlinear	Nonlinear	Free	Free	Free	PY-curve-2_V6	PY-curve-2_V6
(PY-curve-2_V6)2	Line	Paal_XY	13,000 14,000	Free	Nonlinear	Nonlinear	Free	Free	Free	PY-curve-2_V6	PY-curve-2_V6
(PY-curve-2_V6)3	Line	Paal_XY2	13,000 14,000	Free	Nonlinear	Nonlinear	Free	Free	Free	PY-curve-2_V6	PY-curve-2_V6
(PY-curve-2_V6)20	Line	Paal_X25	13,750 14,750	Free	Nonlinear	Nonlinear	Free	Free	Free	PY-curve-2_V6.B	PY-curve-2_V6.B
(PY-curve-2_V6)11	Line	Paal_X7	13,750 14,750	Free	Nonlinear	Nonlinear	Free	Free	Free	PY-curve-2_V6.B	PY-curve-2_V6.B
(PY-curve-2_V6)18	Line	Paal_X23	13,750 14,750	Free	Nonlinear	Nonlinear	Free	Free	Free	PY-curve-2_V6.B	PY-curve-2_V6.B
(PY-curve-2_V6)10	Line	Paal_X6	13,750 14,750	Free	Nonlinear	Nonlinear	Free	Free	Free	PY-curve-2_V6.B	PY-curve-2_V6.B
(PY-curve-2_V6)5	Line	Paal_X1	13,750 14,750	Free	Nonlinear	Nonlinear	Free	Free	Free	PY-curve-2_V6.B	PY-curve-2_V6.B
(PY-curve-2_V6)16	Line	Paal_X21	13,750 14,750	Free	Nonlinear	Nonlinear	Free	Free	Free	PY-curve-2_V6.B	PY-curve-2_V6.B
(PY-curve-2_V6)15	Line	Paal_X20	13,750 14,750	Free	Nonlinear	Nonlinear	Free	Free	Free	PY-curve-2_V6.B	PY-curve-2_V6.B
(PY-curve-2_V6)6	Line	Paal_X2	13,750 14,750	Free	Nonlinear	Nonlinear	Free	Free	Free	PY-curve-2_V6.B	PY-curve-2_V6.B
(PY-curve-2_V6)9	Line	Paal_X5	13,750 14,750	Free	Nonlinear	Nonlinear	Free	Free	Free	PY-curve-2_V6.B	PY-curve-2_V6.B
(PY-curve-2_V6)19	Line	Paal_X24	13,750 14,750	Free	Nonlinear	Nonlinear	Free	Free	Free	PY-curve-2_V6.B	PY-curve-2_V6.B
(PY-curve-2_V6)14	Line	Paal_X19	13,750 14,750	Free	Nonlinear	Nonlinear	Free	Free	Free	PY-curve-2_V6.B	PY-curve-2_V6.B
(PY-curve-2_V6)8	Line	Paal_X4	13,750 14,750	Free	Nonlinear	Nonlinear	Free	Free	Free	PY-curve-2_V6.B	PY-curve-2_V6.B
(PY-curve-2_V6)17	Line	Paal_X22	13,750 14,750	Free	Nonlinear	Nonlinear	Free	Free	Free	PY-curve-2_V6.B	PY-curve-2_V6.B
(PY-curve-2_V6)21	Line	Paal_X26	13,750 14,750	Free	Nonlinear	Nonlinear	Free	Free	Free	PY-curve-2_V6.B	PY-curve-2_V6.B
(PY-curve-2_V6)7	Line	Paal_X3	13,750 14,750	Free	Nonlinear	Nonlinear	Free	Free	Free	PY-curve-2_V6.B	PY-curve-2_V6.B
(PY-curve-2_V6)12	Line	Paal_X8	13,750 14,750	Free	Nonlinear	Nonlinear	Free	Free	Free	PY-curve-2_V6.B	PY-curve-2_V6.B
(PY-curve-2_V7)2	Line	Paal_XY	14,000 15,000	Free	Nonlinear	Nonlinear	Free	Free	Free	PY-curve-2_V7	PY-curve-2_V7
(PY-curve-2_V7)22	Line	Paal_Y	14,000 15,000	Free	Nonlinear	Nonlinear	Free	Free	Free	PY-curve-2_V7	PY-curve-2_V7
(PY-curve-2_V7)13	Line	Paal_X18	14,000 15,000	Free	Nonlinear	Nonlinear	Free	Free	Free	PY-curve-2_V7	PY-curve-2_V7
(PY-curve-2_V7)3	Line	Paal_XY2	14,000 15,000	Free	Nonlinear	Nonlinear	Free	Free	Free	PY-curve-2_V7	PY-curve-2_V7
(PY-curve-2_V7)4	Line	Paal_X	14,000 15,000	Free	Nonlinear	Nonlinear	Free	Free	Free	PY-curve-2_V7	PY-curve-2_V7
(PY-curve-2_V7)23	Line	Paal_Y2	14,000	Free	Nonlinear	Nonlinear	Free	Free	Free	PY-curve-2_V7	PY-curve-2_V7

Name	Type	Member	Pos x_1 [m] / Pos x_2 [m]	X	Y	Z	Rx	Ry	Rz	Function Y	Function Z
			15,000								
(PY-curve-2_V7)	Line	Paal_P	14,000 15,000	Free	Nonlinear	Nonlinear	Free	Free	Free	PY-curve-2_V7	PY-curve-2_V7
(PY-curve-2_V7)1	Line	Paal_P2	14,000 15,000	Free	Nonlinear	Nonlinear	Free	Free	Free	PY-curve-2_V7	PY-curve-2_V7
(PY-curve-2_V7)6	Line	Paal_X2	14,750 15,750	Free	Nonlinear	Nonlinear	Free	Free	Free	PY-curve-2_V7.B	PY-curve-2_V7.B
(PY-curve-2_V7)20	Line	Paal_X25	14,750 15,750	Free	Nonlinear	Nonlinear	Free	Free	Free	PY-curve-2_V7.B	PY-curve-2_V7.B
(PY-curve-2_V7)19	Line	Paal_X24	14,750 15,750	Free	Nonlinear	Nonlinear	Free	Free	Free	PY-curve-2_V7.B	PY-curve-2_V7.B
(PY-curve-2_V7)11	Line	Paal_X7	14,750 15,750	Free	Nonlinear	Nonlinear	Free	Free	Free	PY-curve-2_V7.B	PY-curve-2_V7.B
(PY-curve-2_V7)18	Line	Paal_X23	14,750 15,750	Free	Nonlinear	Nonlinear	Free	Free	Free	PY-curve-2_V7.B	PY-curve-2_V7.B
(PY-curve-2_V7)17	Line	Paal_X22	14,750 15,750	Free	Nonlinear	Nonlinear	Free	Free	Free	PY-curve-2_V7.B	PY-curve-2_V7.B
(PY-curve-2_V7)10	Line	Paal_X6	14,750 15,750	Free	Nonlinear	Nonlinear	Free	Free	Free	PY-curve-2_V7.B	PY-curve-2_V7.B
(PY-curve-2_V7)5	Line	Paal_X1	14,750 15,750	Free	Nonlinear	Nonlinear	Free	Free	Free	PY-curve-2_V7.B	PY-curve-2_V7.B
(PY-curve-2_V7)16	Line	Paal_X21	14,750 15,750	Free	Nonlinear	Nonlinear	Free	Free	Free	PY-curve-2_V7.B	PY-curve-2_V7.B
(PY-curve-2_V7)15	Line	Paal_X20	14,750 15,750	Free	Nonlinear	Nonlinear	Free	Free	Free	PY-curve-2_V7.B	PY-curve-2_V7.B
(PY-curve-2_V7)9	Line	Paal_X5	14,750 15,750	Free	Nonlinear	Nonlinear	Free	Free	Free	PY-curve-2_V7.B	PY-curve-2_V7.B
(PY-curve-2_V7)14	Line	Paal_X19	14,750 15,750	Free	Nonlinear	Nonlinear	Free	Free	Free	PY-curve-2_V7.B	PY-curve-2_V7.B
(PY-curve-2_V7)8	Line	Paal_X4	14,750 15,750	Free	Nonlinear	Nonlinear	Free	Free	Free	PY-curve-2_V7.B	PY-curve-2_V7.B
(PY-curve-2_V7)21	Line	Paal_X26	14,750 15,750	Free	Nonlinear	Nonlinear	Free	Free	Free	PY-curve-2_V7.B	PY-curve-2_V7.B
(PY-curve-2_V7)7	Line	Paal_X3	14,750 15,750	Free	Nonlinear	Nonlinear	Free	Free	Free	PY-curve-2_V7.B	PY-curve-2_V7.B
(PY-curve-2_V7)12	Line	Paal_X8	14,750 15,750	Free	Nonlinear	Nonlinear	Free	Free	Free	PY-curve-2_V7.B	PY-curve-2_V7.B
(PY-curve-2_V8)22	Line	Paal_Y	15,000 16,000	Free	Nonlinear	Nonlinear	Free	Free	Free	PY-curve-2_V8	PY-curve-2_V8
(PY-curve-2_V8)23	Line	Paal_Y2	15,000 16,000	Free	Nonlinear	Nonlinear	Free	Free	Free	PY-curve-2_V8	PY-curve-2_V8
(PY-curve-2_V8)2	Line	Paal_XY	15,000 16,000	Free	Nonlinear	Nonlinear	Free	Free	Free	PY-curve-2_V8	PY-curve-2_V8
(PY-curve-2_V8)	Line	Paal_P	15,000 16,000	Free	Nonlinear	Nonlinear	Free	Free	Free	PY-curve-2_V8	PY-curve-2_V8
(PY-curve-2_V8)13	Line	Paal_X18	15,000 16,000	Free	Nonlinear	Nonlinear	Free	Free	Free	PY-curve-2_V8	PY-curve-2_V8
(PY-curve-2_V8)3	Line	Paal_XY2	15,000 16,000	Free	Nonlinear	Nonlinear	Free	Free	Free	PY-curve-2_V8	PY-curve-2_V8
(PY-curve-2_V8)4	Line	Paal_X	15,000 16,000	Free	Nonlinear	Nonlinear	Free	Free	Free	PY-curve-2_V8	PY-curve-2_V8
(PY-curve-2_V8)1	Line	Paal_P2	15,000 16,000	Free	Nonlinear	Nonlinear	Free	Free	Free	PY-curve-2_V8	PY-curve-2_V8
(PY-curve-2_V8)20	Line	Paal_X25	15,750 16,750	Free	Nonlinear	Nonlinear	Free	Free	Free	PY-curve-2_V8.B	PY-curve-2_V8.B
(PY-curve-2_V8)19	Line	Paal_X24	15,750 16,750	Free	Nonlinear	Nonlinear	Free	Free	Free	PY-curve-2_V8.B	PY-curve-2_V8.B
(PY-curve-2_V8)11	Line	Paal_X7	15,750 16,750	Free	Nonlinear	Nonlinear	Free	Free	Free	PY-curve-2_V8.B	PY-curve-2_V8.B
(PY-curve-2_V8)18	Line	Paal_X23	15,750 16,750	Free	Nonlinear	Nonlinear	Free	Free	Free	PY-curve-2_V8.B	PY-curve-2_V8.B
(PY-curve-2_V8)17	Line	Paal_X22	15,750 16,750	Free	Nonlinear	Nonlinear	Free	Free	Free	PY-curve-2_V8.B	PY-curve-2_V8.B
(PY-curve-2_V8)10	Line	Paal_X6	15,750	Free	Nonlinear	Nonlinear	Free	Free	Free	PY-curve-2_V8.B	PY-curve-2_V8.B

Name	Type	Member	Pos x_1 [m] / Pos x_2 [m]	X	Y	Z	Rx	Ry	Rz	Function Y	Function Z
			16,750								
(PY-curve-2_V8)5	Line	Paal_X1	15,750 16,750	Free	Nonlinear	Nonlinear	Free	Free	Free	PY-curve-2_V8.B	PY-curve-2_V8.B
(PY-curve-2_V8)16	Line	Paal_X21	15,750 16,750	Free	Nonlinear	Nonlinear	Free	Free	Free	PY-curve-2_V8.B	PY-curve-2_V8.B
(PY-curve-2_V8)15	Line	Paal_X20	15,750 16,750	Free	Nonlinear	Nonlinear	Free	Free	Free	PY-curve-2_V8.B	PY-curve-2_V8.B
(PY-curve-2_V8)9	Line	Paal_X5	15,750 16,750	Free	Nonlinear	Nonlinear	Free	Free	Free	PY-curve-2_V8.B	PY-curve-2_V8.B
(PY-curve-2_V8)14	Line	Paal_X19	15,750 16,750	Free	Nonlinear	Nonlinear	Free	Free	Free	PY-curve-2_V8.B	PY-curve-2_V8.B
(PY-curve-2_V8)8	Line	Paal_X4	15,750 16,750	Free	Nonlinear	Nonlinear	Free	Free	Free	PY-curve-2_V8.B	PY-curve-2_V8.B
(PY-curve-2_V8)7	Line	Paal_X3	15,750 16,750	Free	Nonlinear	Nonlinear	Free	Free	Free	PY-curve-2_V8.B	PY-curve-2_V8.B
(PY-curve-2_V8)21	Line	Paal_X26	15,750 16,750	Free	Nonlinear	Nonlinear	Free	Free	Free	PY-curve-2_V8.B	PY-curve-2_V8.B
(PY-curve-2_V8)12	Line	Paal_X8	15,750 16,750	Free	Nonlinear	Nonlinear	Free	Free	Free	PY-curve-2_V8.B	PY-curve-2_V8.B
(PY-curve-2_V8)6	Line	Paal_X2	15,750 16,750	Free	Nonlinear	Nonlinear	Free	Free	Free	PY-curve-2_V8.B	PY-curve-2_V8.B
(PY-curve-2_V9)13	Line	Paal_X18	16,000 17,000	Free	Nonlinear	Nonlinear	Free	Free	Free	PY-curve-2_V9	PY-curve-2_V9
(PY-curve-2_V9)3	Line	Paal_XY2	16,000 17,000	Free	Nonlinear	Nonlinear	Free	Free	Free	PY-curve-2_V9	PY-curve-2_V9
(PY-curve-2_V9)4	Line	Paal_X	16,000 17,000	Free	Nonlinear	Nonlinear	Free	Free	Free	PY-curve-2_V9	PY-curve-2_V9
(PY-curve-2_V9)2	Line	Paal_XY	16,000 17,000	Free	Nonlinear	Nonlinear	Free	Free	Free	PY-curve-2_V9	PY-curve-2_V9
(PY-curve-2_V9)22	Line	Paal_Y	16,000 17,000	Free	Nonlinear	Nonlinear	Free	Free	Free	PY-curve-2_V9	PY-curve-2_V9
(PY-curve-2_V9)23	Line	Paal_Y2	16,000 17,000	Free	Nonlinear	Nonlinear	Free	Free	Free	PY-curve-2_V9	PY-curve-2_V9
(PY-curve-2_V9)1	Line	Paal_P2	16,000 17,000	Free	Nonlinear	Nonlinear	Free	Free	Free	PY-curve-2_V9	PY-curve-2_V9
(PY-curve-2_V9)	Line	Paal_P	16,000 17,000	Free	Nonlinear	Nonlinear	Free	Free	Free	PY-curve-2_V9	PY-curve-2_V9
(PY-curve-2_V9)20	Line	Paal_X25	16,750 17,750	Free	Nonlinear	Nonlinear	Free	Free	Free	PY-curve-2_V9.B	PY-curve-2_V9.B
(PY-curve-2_V9)11	Line	Paal_X7	16,750 17,750	Free	Nonlinear	Nonlinear	Free	Free	Free	PY-curve-2_V9.B	PY-curve-2_V9.B
(PY-curve-2_V9)19	Line	Paal_X24	16,750 17,750	Free	Nonlinear	Nonlinear	Free	Free	Free	PY-curve-2_V9.B	PY-curve-2_V9.B
(PY-curve-2_V9)18	Line	Paal_X23	16,750 17,750	Free	Nonlinear	Nonlinear	Free	Free	Free	PY-curve-2_V9.B	PY-curve-2_V9.B
(PY-curve-2_V9)5	Line	Paal_X1	16,750 17,750	Free	Nonlinear	Nonlinear	Free	Free	Free	PY-curve-2_V9.B	PY-curve-2_V9.B
(PY-curve-2_V9)10	Line	Paal_X6	16,750 17,750	Free	Nonlinear	Nonlinear	Free	Free	Free	PY-curve-2_V9.B	PY-curve-2_V9.B
(PY-curve-2_V9)17	Line	Paal_X22	16,750 17,750	Free	Nonlinear	Nonlinear	Free	Free	Free	PY-curve-2_V9.B	PY-curve-2_V9.B
(PY-curve-2_V9)16	Line	Paal_X21	16,750 17,750	Free	Nonlinear	Nonlinear	Free	Free	Free	PY-curve-2_V9.B	PY-curve-2_V9.B
(PY-curve-2_V9)9	Line	Paal_X5	16,750 17,750	Free	Nonlinear	Nonlinear	Free	Free	Free	PY-curve-2_V9.B	PY-curve-2_V9.B
(PY-curve-2_V9)15	Line	Paal_X20	16,750 17,750	Free	Nonlinear	Nonlinear	Free	Free	Free	PY-curve-2_V9.B	PY-curve-2_V9.B
(PY-curve-2_V9)14	Line	Paal_X19	16,750 17,750	Free	Nonlinear	Nonlinear	Free	Free	Free	PY-curve-2_V9.B	PY-curve-2_V9.B
(PY-curve-2_V9)8	Line	Paal_X4	16,750 17,750	Free	Nonlinear	Nonlinear	Free	Free	Free	PY-curve-2_V9.B	PY-curve-2_V9.B
(PY-curve-2_V9)7	Line	Paal_X3	16,750 17,750	Free	Nonlinear	Nonlinear	Free	Free	Free	PY-curve-2_V9.B	PY-curve-2_V9.B
(PY-curve-2_V9)6	Line	Paal_X2	16,750	Free	Nonlinear	Nonlinear	Free	Free	Free	PY-curve-2_V9.B	PY-curve-2_V9.B

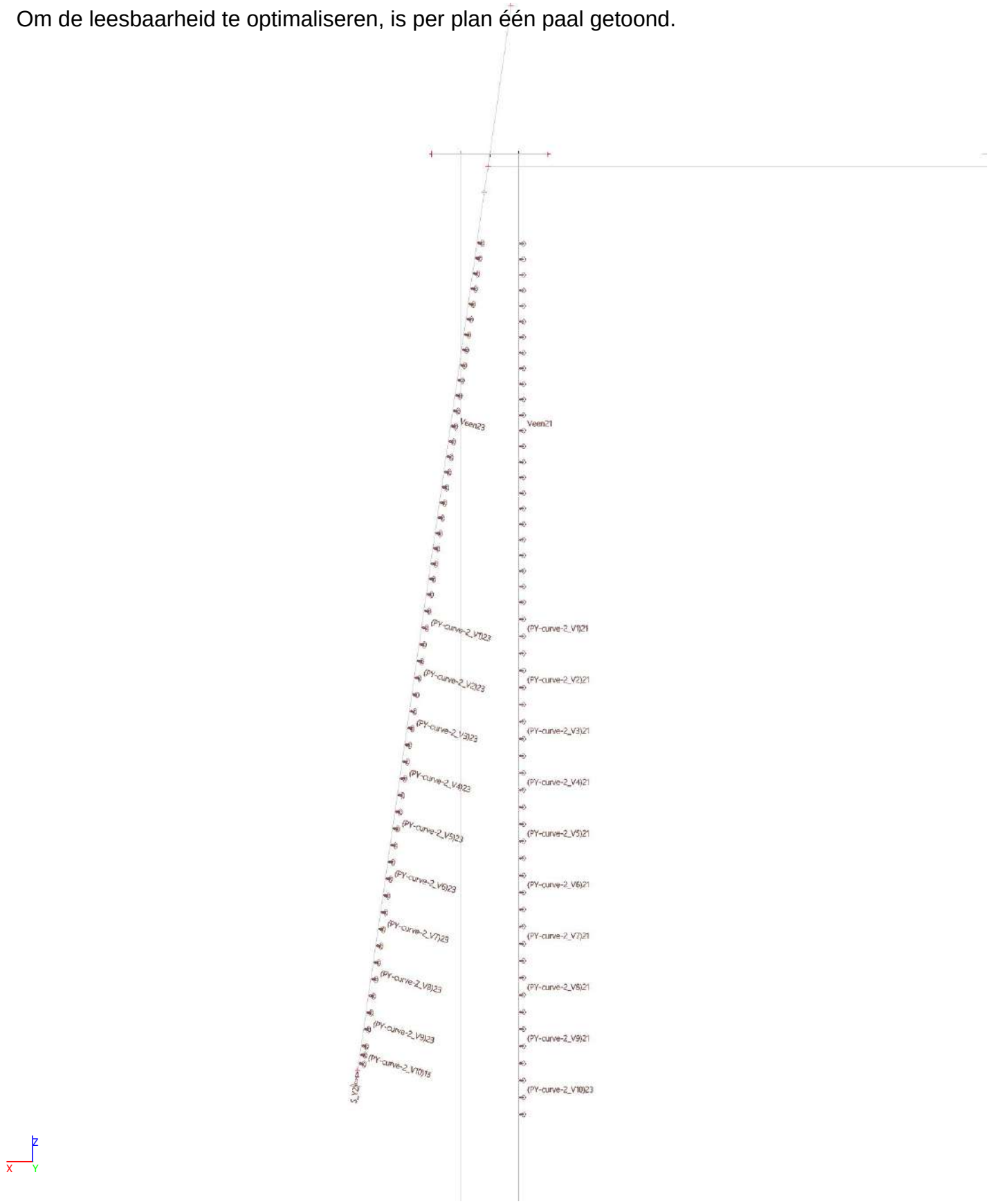
Name	Type	Member	Pos x_1 [m] / Pos x_2 [m]	X	Y	Z	Rx	Ry	Rz	Function Y	Function Z
			17,750								
(PY-curve-2_V9)12	Line	Paal_X8	16,750 17,750	Free	Nonlinear	Nonlinear	Free	Free	Free	PY-curve-2_V9.B	PY-curve-2_V9.B
(PY-curve-2_V9)21	Line	Paal_X26	16,750 17,750	Free	Nonlinear	Nonlinear	Free	Free	Free	PY-curve-2_V9.B	PY-curve-2_V9.B
(PY-curve-2_V10)3	Line	Paal_X	17,000 17,350	Free	Nonlinear	Nonlinear	Free	Free	Free	PY-curve-2_V10	PY-curve-2_V10
(PY-curve-2_V10)15	Line	Paal_X18	17,000 17,350	Free	Nonlinear	Nonlinear	Free	Free	Free	PY-curve-2_V10	PY-curve-2_V10
(PY-curve-2_V10)2	Line	Paal_XY	17,000 17,350	Free	Nonlinear	Nonlinear	Free	Free	Free	PY-curve-2_V10	PY-curve-2_V10
(PY-curve-2_V10)1	Line	Paal_Y	17,000 17,350	Free	Nonlinear	Nonlinear	Free	Free	Free	PY-curve-2_V10	PY-curve-2_V10
(PY-curve-2_V10)	Line	Paal_P	17,000 17,350	Free	Nonlinear	Nonlinear	Free	Free	Free	PY-curve-2_V10	PY-curve-2_V10
(PY-curve-2_V10)14	Line	Paal_XY2	17,000 17,350	Free	Nonlinear	Nonlinear	Free	Free	Free	PY-curve-2_V10	PY-curve-2_V10
(PY-curve-2_V10)13	Line	Paal_Y2	17,000 17,350	Free	Nonlinear	Nonlinear	Free	Free	Free	PY-curve-2_V10	PY-curve-2_V10
(PY-curve-2_V10)12	Line	Paal_P2	17,000 17,350	Free	Nonlinear	Nonlinear	Free	Free	Free	PY-curve-2_V10	PY-curve-2_V10
(PY-curve-2_V10)22	Line	Paal_X25	17,750 18,750	Free	Nonlinear	Nonlinear	Free	Free	Free	PY-curve-2_V10.B	PY-curve-2_V10.B
(PY-curve-2_V10)10	Line	Paal_X7	17,750 18,750	Free	Nonlinear	Nonlinear	Free	Free	Free	PY-curve-2_V10.B	PY-curve-2_V10.B
(PY-curve-2_V10)21	Line	Paal_X24	17,750 18,750	Free	Nonlinear	Nonlinear	Free	Free	Free	PY-curve-2_V10.B	PY-curve-2_V10.B
(PY-curve-2_V10)20	Line	Paal_X23	17,750 18,750	Free	Nonlinear	Nonlinear	Free	Free	Free	PY-curve-2_V10.B	PY-curve-2_V10.B
(PY-curve-2_V10)4	Line	Paal_X1	17,750 18,750	Free	Nonlinear	Nonlinear	Free	Free	Free	PY-curve-2_V10.B	PY-curve-2_V10.B
(PY-curve-2_V10)9	Line	Paal_X6	17,750 18,750	Free	Nonlinear	Nonlinear	Free	Free	Free	PY-curve-2_V10.B	PY-curve-2_V10.B
(PY-curve-2_V10)19	Line	Paal_X22	17,750 18,750	Free	Nonlinear	Nonlinear	Free	Free	Free	PY-curve-2_V10.B	PY-curve-2_V10.B
(PY-curve-2_V10)18	Line	Paal_X21	17,750 18,750	Free	Nonlinear	Nonlinear	Free	Free	Free	PY-curve-2_V10.B	PY-curve-2_V10.B
(PY-curve-2_V10)8	Line	Paal_X5	17,750 18,750	Free	Nonlinear	Nonlinear	Free	Free	Free	PY-curve-2_V10.B	PY-curve-2_V10.B
(PY-curve-2_V10)17	Line	Paal_X20	17,750 18,750	Free	Nonlinear	Nonlinear	Free	Free	Free	PY-curve-2_V10.B	PY-curve-2_V10.B
(PY-curve-2_V10)16	Line	Paal_X19	17,750 18,750	Free	Nonlinear	Nonlinear	Free	Free	Free	PY-curve-2_V10.B	PY-curve-2_V10.B
(PY-curve-2_V10)7	Line	Paal_X4	17,750 18,750	Free	Nonlinear	Nonlinear	Free	Free	Free	PY-curve-2_V10.B	PY-curve-2_V10.B
(PY-curve-2_V10)6	Line	Paal_X3	17,750 18,750	Free	Nonlinear	Nonlinear	Free	Free	Free	PY-curve-2_V10.B	PY-curve-2_V10.B
(PY-curve-2_V10)5	Line	Paal_X2	17,750 18,750	Free	Nonlinear	Nonlinear	Free	Free	Free	PY-curve-2_V10.B	PY-curve-2_V10.B
(PY-curve-2_V10)11	Line	Paal_X8	17,750 18,750	Free	Nonlinear	Nonlinear	Free	Free	Free	PY-curve-2_V10.B	PY-curve-2_V10.B
(PY-curve-2_V10)23	Line	Paal_X26	17,750 18,750	Free	Nonlinear	Nonlinear	Free	Free	Free	PY-curve-2_V10.B	PY-curve-2_V10.B

5.8. Analyse model met Lijnondersteuningen



5.9. Analyse model met Lijnondersteuningen

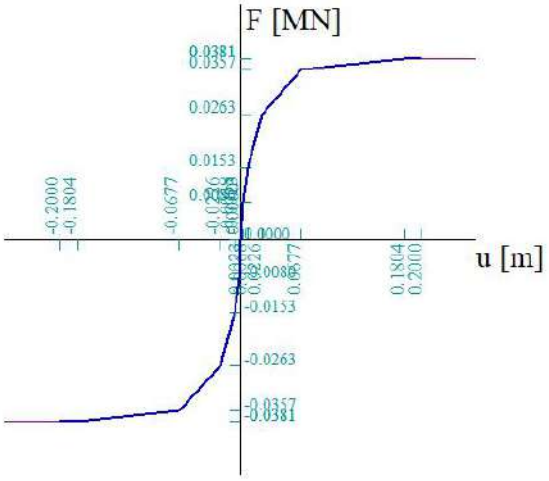
Om de leesbaarheid te optimaliseren, is per plan één paal getoond.



5.10. Nonlinear functions

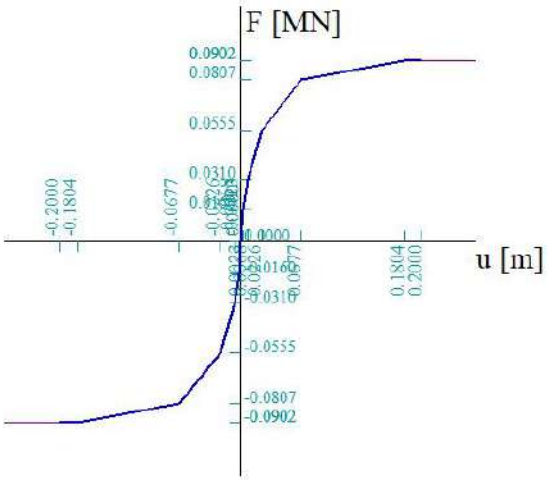
Name	Type	u / F	Positive end	Negative end
PY-curve-2_V1	Translation	-0.200000 / -38100.000000	Free	Free
		-0.180400 / -38100.000000		
		-0.067650 / -35700.000000		
		-0.022550 / -26300.000000		
		-0.006765 / -15300.000000		
		-0.002255 / -8000.000000		
		0.000000 / 0.000000		
		0.002255 / 8000.000000		
		0.006765 / 15300.000000		
		0.022550 / 26300.000000		
		0.067650 / 35700.000000		
		0.180400 / 38100.000000		
		0.200000 / 38100.000000		

Drawing



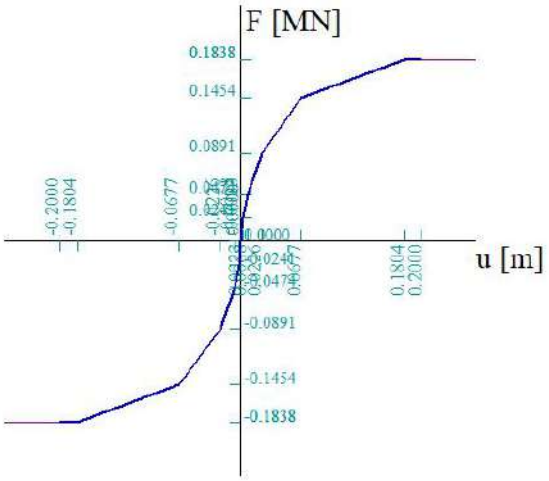
Name	Type	u / F	Positive end	Negative end
PY-curve-2_V2	Translation	-0.200000 / -90200.000000	Free	Free
		-0.180400 / -90200.000000		
		-0.067650 / -80700.000000		
		-0.022550 / -55500.000000		
		-0.006765 / -31000.000000		
		-0.002255 / -16000.000000		
		0.000000 / 0.000000		
		0.002255 / 16000.000000		
		0.006765 / 31000.000000		
		0.022550 / 55500.000000		
		0.067650 / 80700.000000		
		0.180400 / 90200.000000		
		0.200000 / 90200.000000		

Drawing



Name	Type	u / F	Positive end	Negative end
PY-curve-2_V3	Translation	-0.200000 / -183800.000000	Free	Free
		-0.180400 / -183800.000000		
		-0.067650 / -145400.000000		
		-0.022550 / -89100.000000		
		-0.006765 / -47400.000000		
		-0.002255 / -24100.000000		
		0.000000 / 0.000000		
		0.002255 / 24100.000000		
		0.006765 / 47400.000000		
		0.022550 / 89100.000000		
		0.067650 / 145400.000000		
		0.180400 / 183800.000000		
		0.200000 / 183800.000000		

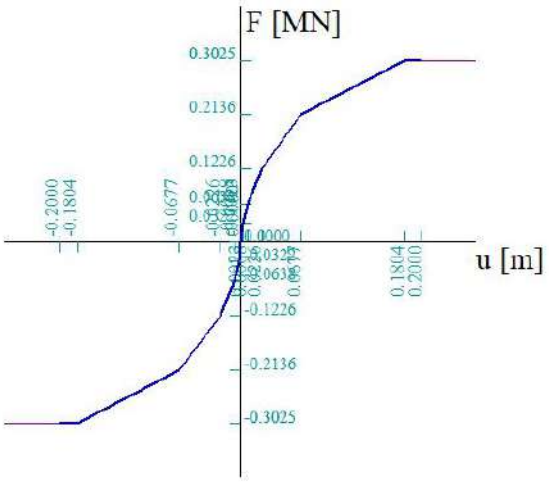
Drawing



Name	Type	u / F	Positive end	Negative end
PY-curve-2_V4	Translation	-0.200000 / -302500.000000	Free	Free
		-0.180400 / -302500.000000		
		-0.067650 / -213600.000000		
		-0.022550 / -122600.000000		
		-0.006765 / -63800.000000		
		-0.002255 / -32200.000000		
		0.000000 / 0.000000		
		0.002255 / 32200.000000		
		0.006765 / 63800.000000		
		0.022550 / 122600.000000		

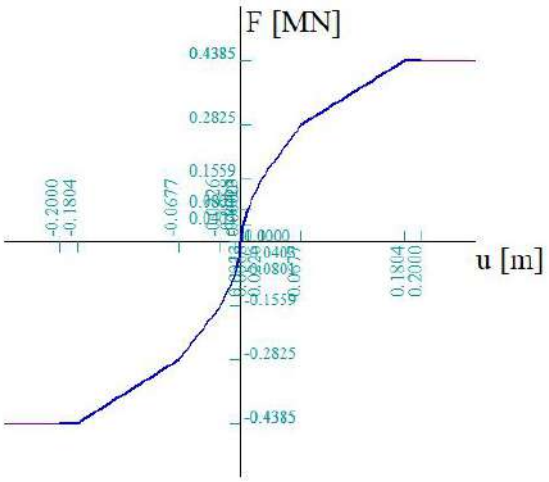
Name	Type	u / F	Positive end	Negative end
		0.067650 / 213600.000000		
		0.180400 / 302500.000000		
		0.200000 / 302500.000000		

Drawing



Name	Type	u / F	Positive end	Negative end
PY-curve-2_V5	Translation	-0.200000 / -438500.000000	Free	Free
		-0.180400 / -438500.000000		
		-0.067650 / -282500.000000		
		-0.022550 / -155900.000000		
		-0.006765 / -80100.000000		
		-0.002255 / -40300.000000		
		0.000000 / 0.000000		
		0.002255 / 40300.000000		
		0.006765 / 80100.000000		
		0.022550 / 155900.000000		
		0.067650 / 282500.000000		
		0.180400 / 438500.000000		
		0.200000 / 438500.000000		

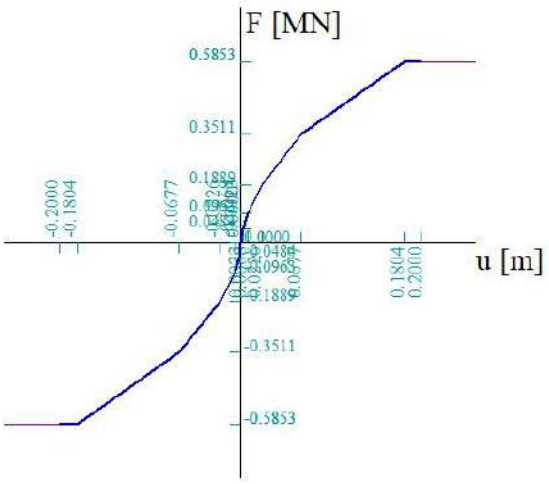
Drawing



Name	Type	u / F	Positive end	Negative end
PY-curve-2_V6	Translation	-0.200000 / -585300.000000	Free	Free
		-0.180400 / -585300.000000		
		-0.067650 / -351100.000000		
		-0.022550 / -188900.000000		

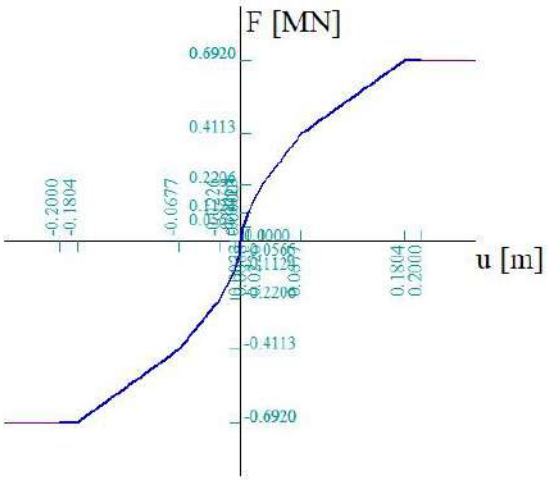
Name	Type	u / F	Positive end	Negative end
		-0.006765 / -96300.000000		
		-0.002255 / -48400.000000		
		0.000000 / 0.000000		
		0.002255 / 48400.000000		
		0.006765 / 96300.000000		
		0.022550 / 188900.000000		
		0.067650 / 351100.000000		
		0.180400 / 585300.000000		
		0.200000 / 585300.000000		

Drawing



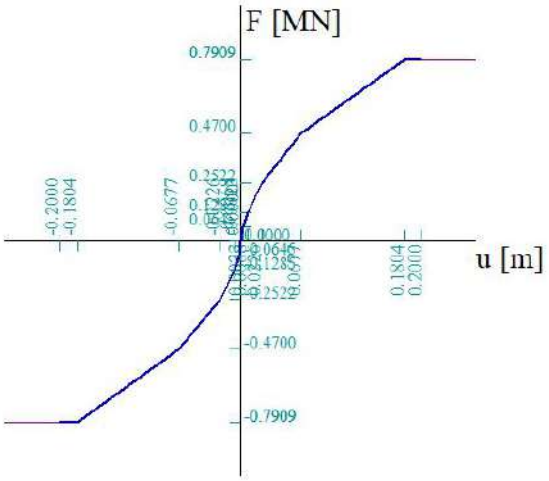
Name	Type	u / F	Positive end	Negative end
PY-curve-2_V7	Translation	-0.200000 / -692000.000000	Free	Free
		-0.180400 / -692000.000000		
		-0.067650 / -411300.000000		
		-0.022550 / -220600.000000		
		-0.006765 / -112400.000000		
		-0.002255 / -56500.000000		
		0.000000 / 0.000000		
		0.002255 / 56500.000000		
		0.006765 / 112400.000000		
		0.022550 / 220600.000000		
		0.067650 / 411300.000000		
		0.180400 / 692000.000000		
		0.200000 / 692000.000000		

Drawing



Name	Type	u / F	Positive end	Negative end
PY-curve-2_V8	Translation	-0.200000 / -790900.000000	Free	Free
		-0.180400 / -790900.000000		
		-0.067650 / -470000.000000		
		-0.022550 / -252200.000000		
		-0.006765 / -128500.000000		
		-0.002255 / -64500.000000		
		0.000000 / 0.000000		
		0.002255 / 64500.000000		
		0.006765 / 128500.000000		
		0.022550 / 252200.000000		
		0.067650 / 470000.000000		
		0.180400 / 790900.000000		
		0.200000 / 790900.000000		

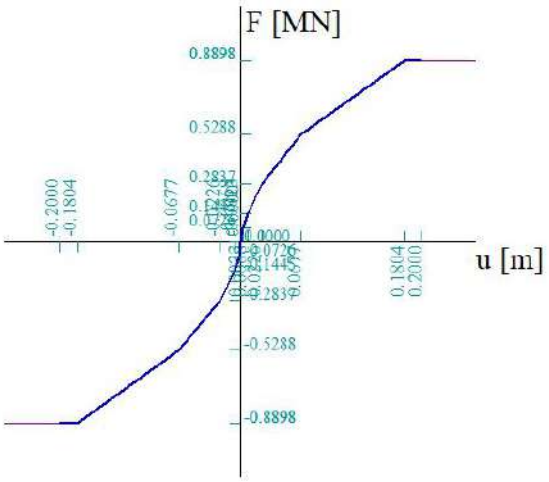
Drawing



Name	Type	u / F	Positive end	Negative end
PY-curve-2_V9	Translation	-0.200000 / -889800.000000	Free	Free
		-0.180400 / -889800.000000		
		-0.067650 / -528800.000000		
		-0.022550 / -283700.000000		
		-0.006765 / -144500.000000		
		-0.002255 / -72600.000000		
		0.000000 / 0.000000		
		0.002255 / 72600.000000		
		0.006765 / 144500.000000		
		0.022550 / 283700.000000		

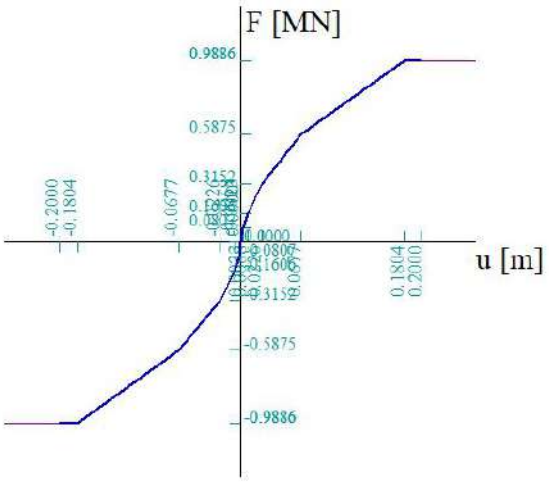
Name	Type	u / F	Positive end	Negative end
		0.067650 / 528800.000000		
		0.180400 / 889800.000000		
		0.200000 / 889800.000000		

Drawing



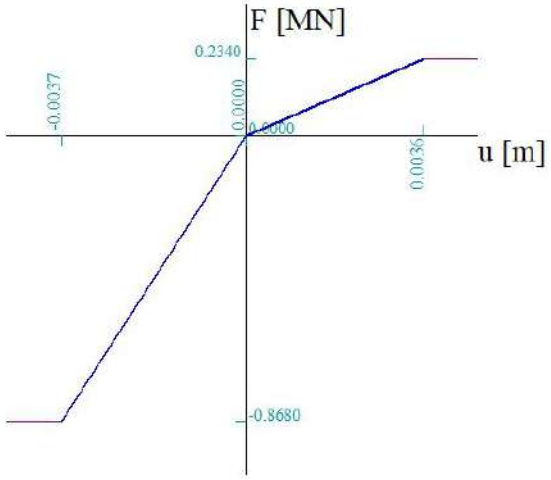
Name	Type	u / F	Positive end	Negative end
PY-curve-2_V10	Translation	-0.200000 / -988600.000000	Free	Free
		-0.180400 / -988600.000000		
		-0.067650 / -587500.000000		
		-0.022550 / -315200.000000		
		-0.006765 / -160600.000000		
		-0.002255 / -80700.000000		
		0.000000 / 0.000000		
		0.002255 / 80700.000000		
		0.006765 / 160600.000000		
		0.022550 / 315200.000000		
		0.067650 / 587500.000000		
		0.180400 / 988600.000000		
		0.200000 / 988600.000000		

Drawing



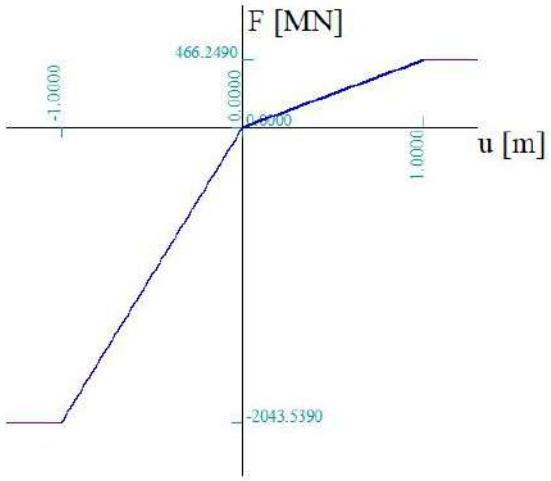
Name	Type	u / F	Positive end	Negative end
Trek-druk-paalpunt_mast_144	Translation	-0.003740 / -868000.000000	Free	Free
		0.000000 / 0.000000		
		0.003620 / 234000.000000		

Drawing



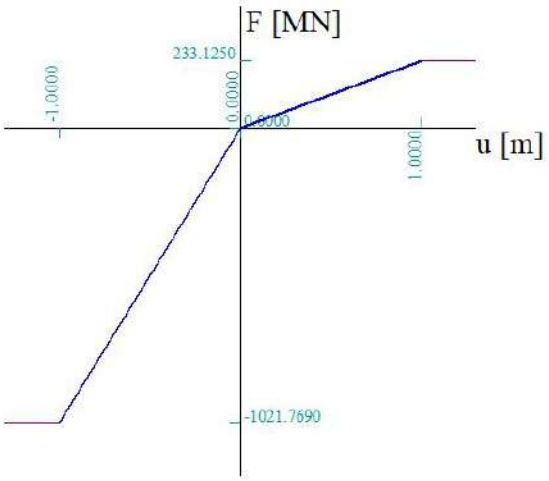
Name	Type	u / F	Positive end	Negative end
Trek-druk-paalpunt-LEKA.BG.	Translation	-1.000000 / -2043539000.000000	Free	Free
		0.000000 / 0.000000		
		1.000000 / 466249000.000000		

Drawing



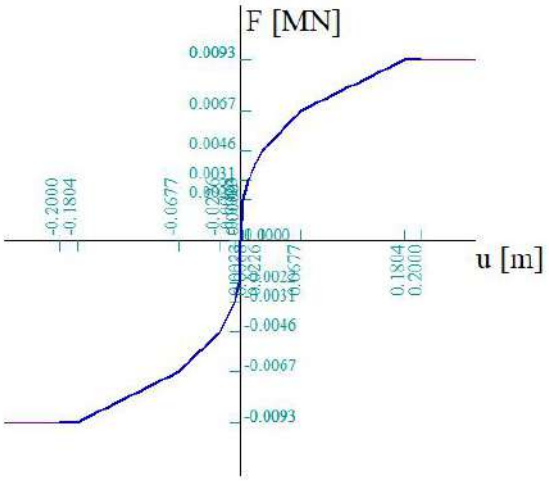
Name	Type	u / F	Positive end	Negative end
Trek-druk-paalpunt-LEKA.OG.	Translation	-1.000000 / -1021769000.000000	Free	Free
		0.000000 / 0.000000		
		1.000000 / 233125000.000000		

Drawing



Name	Type	u / F	Positive end	Negative end
PY-curve-2_Veen	Translation	-0.200000 / -9265.000000	Free	Free
		-0.180400 / -9265.000000		
		-0.067650 / -6681.000000		
		-0.022550 / -4633.000000		
		-0.006765 / -3101.000000		
		-0.002255 / -2150.000000		
		0.000000 / 0.000000		
		0.002255 / 2150.000000		
		0.006765 / 3101.000000		
		0.022550 / 4633.000000		
		0.067650 / 6681.000000		
		0.180400 / 9265.000000		
		0.200000 / 9265.000000		

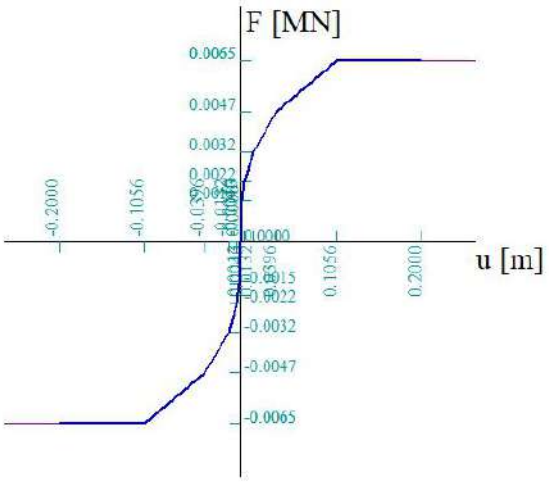
Drawing



Name	Type	u / F	Positive end	Negative end
PY-curve-2_Veen.B	Translation	-0.200000 / -6460.000000	Free	Free
		-0.105600 / -6460.000000		
		-0.039600 / -4658.466112		
		-0.013200 / -3230.000000		
		-0.003960 / -2162.268429		
		-0.001320 / -1499.233193		
		0.000000 / 0.000000		
		0.001320 / 1499.233193		
		0.003960 / 2162.268429		
		0.013200 / 3230.000000		

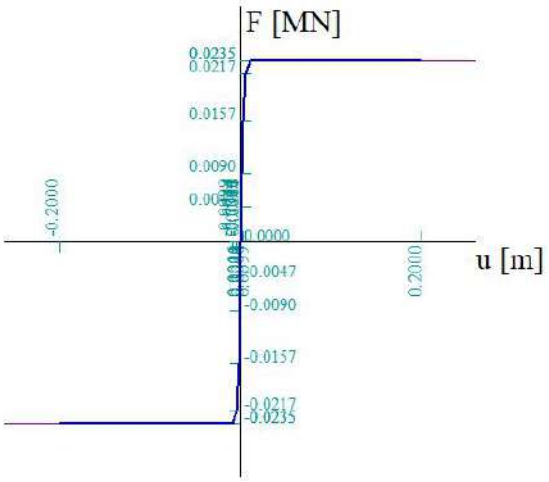
Name	Type	u / F	Positive end	Negative end
		0.039600 / 4658.466112		
		0.105600 / 6460.000000		
		0.200000 / 6460.000000		

Drawing



Name	Type	u / F	Positive end	Negative end
PY-curve-2_V1.B	Translation	-0.200000 / -23507.363202	Free	Free
		-0.009900 / -23507.363202		
		-0.004400 / -21723.306095		
		-0.002200 / -15680.794047		
		-0.001100 / -8981.671111		
		-0.000550 / -4667.361101		
		0.000000 / 0.000000		
		0.000550 / 4667.361101		
		0.001100 / 8981.671111		
		0.002200 / 15680.794047		
		0.004400 / 21723.306095		
		0.009900 / 23507.363202		
		0.200000 / 23507.363202		

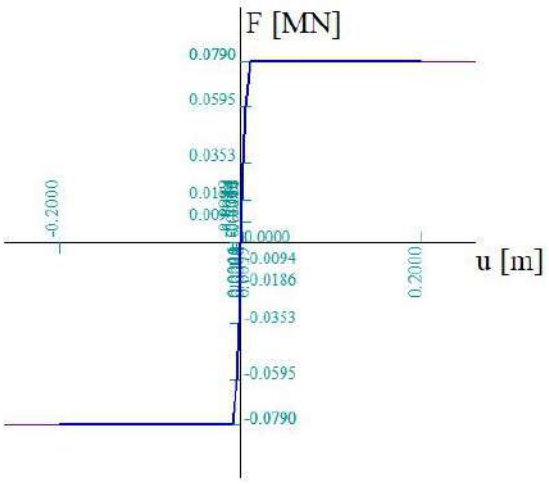
Drawing



Name	Type	u / F	Positive end	Negative end
PY-curve-2_V2.B	Translation	-0.200000 / -79035.038593	Free	Free
		-0.009900 / -79035.038593		
		-0.004400 / -59487.765327		
		-0.002200 / -35336.219808		

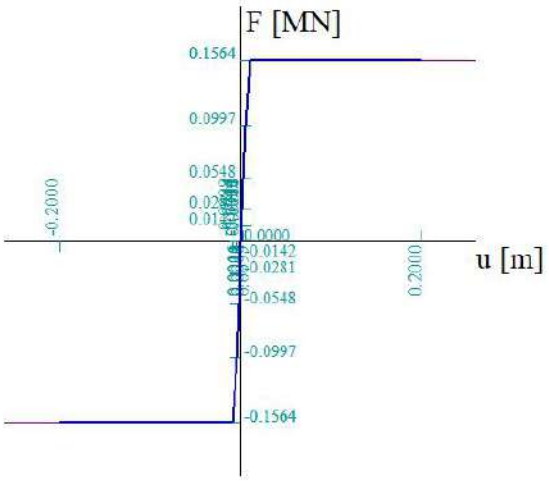
Name	Type	u / F	Positive end	Negative end
		-0.001100 / -18587.236311		
		-0.000550 / -9417.735746		
		0.000000 / 0.000000		
		0.000550 / 9417.735746		
		0.001100 / 18587.236311		
		0.002200 / 35336.219808		
		0.004400 / 59487.765327		
		0.009900 / 79035.038593		
		0.200000 / 79035.038593		

Drawing



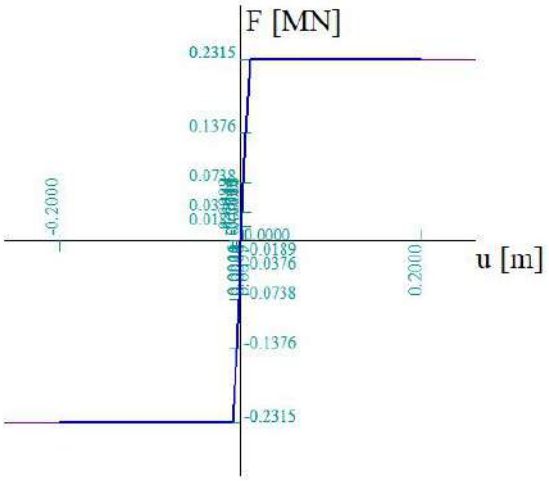
Name	Type	u / F	Positive end	Negative end
PY-curve-2_V3.B	Translation	-0.200000 / -156368.664870	Free	Free
		-0.009900 / -156368.664870		
		-0.004400 / -99733.431143		
		-0.002200 / -54825.793146		
		-0.001100 / -28130.579433		
		-0.000550 / -14158.573896		
		0.000000 / 0.000000		
		0.000550 / 14158.573896		
		0.001100 / 28130.579433		
		0.002200 / 54825.793146		
		0.004400 / 99733.431143		
		0.009900 / 156368.664870		
		0.200000 / 156368.664870		

Drawing



Name	Type	u / F	Positive end	Negative end
PY-curve-2_V4.B	Translation	-0.200000 / -231483.603402	Free	Free
		-0.009900 / -231483.603402		
		-0.004400 / -137564.319138		
		-0.002200 / -73801.743400		
		-0.001100 / -37599.856384		
		-0.000550 / -18889.809630		
		0.000000 / 0.000000		
		0.000550 / 18889.809630		
		0.001100 / 37599.856384		
		0.002200 / 73801.743400		
		0.004400 / 137564.319138		
		0.009900 / 231483.603402		
		0.200000 / 231483.603402		

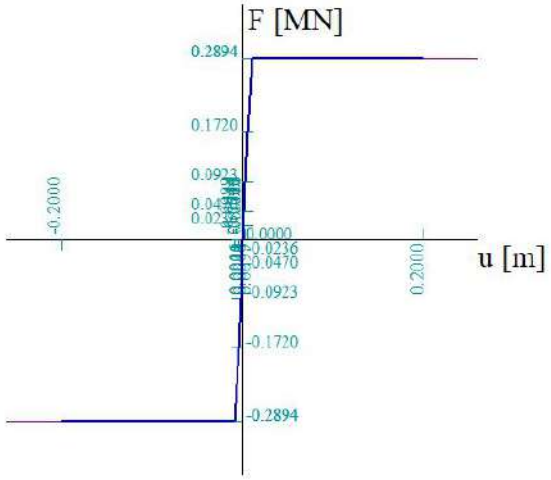
Drawing



Name	Type	u / F	Positive end	Negative end
PY-curve-2_V5.B	Translation	-0.200000 / -289354.504253	Free	Free
		-0.009900 / -289354.504253		
		-0.004400 / -171955.398922		
		-0.002200 / -92252.179250		
		-0.001100 / -46999.820480		
		-0.000550 / -23612.262038		
		0.000000 / 0.000000		
		0.000550 / 23612.262038		
		0.001100 / 46999.820480		
		0.002200 / 92252.179250		

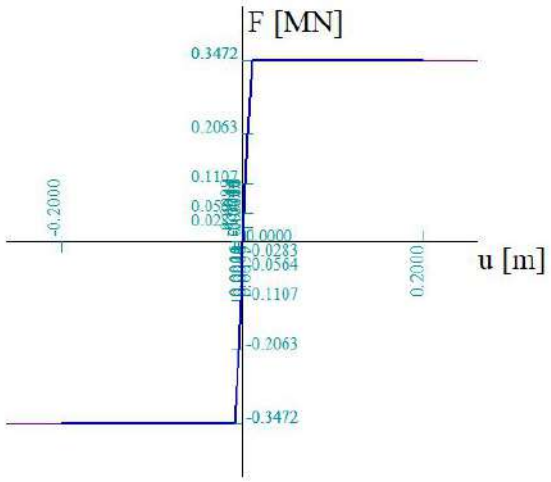
Name	Type	u / F	Positive end	Negative end
		0.004400 / 171955.398922		
		0.009900 / 289354.504253		
		0.200000 / 289354.504253		

Drawing



Name	Type	u / F	Positive end	Negative end
PY-curve-2_V6.B	Translation	-0.200000 / -347225.405104	Free	Free
		-0.009900 / -347225.405104		
		-0.004400 / -206346.478706		
		-0.002200 / -110702.615099		
		-0.001100 / -56399.784576		
		-0.000550 / -28334.714446		
		0.000000 / 0.000000		
		0.000550 / 28334.714446		
		0.001100 / 56399.784576		
		0.002200 / 110702.615099		
		0.004400 / 206346.478706		
		0.009900 / 347225.405104		
		0.200000 / 347225.405104		

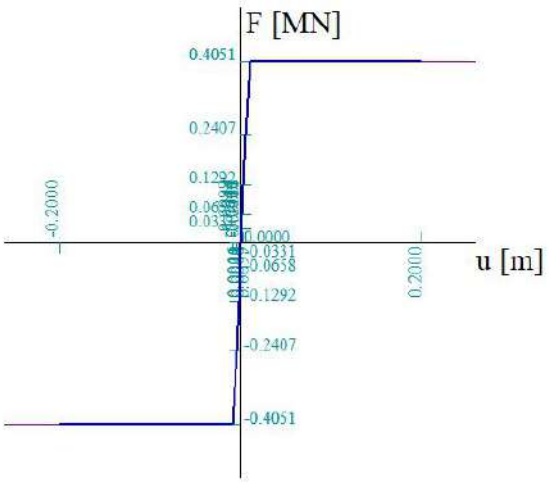
Drawing



Name	Type	u / F	Positive end	Negative end
PY-curve-2_V7.B	Translation	-0.200000 / -405096.305954	Free	Free
		-0.009900 / -405096.305954		
		-0.004400 / -240737.558491		
		-0.002200 / -129153.050949		

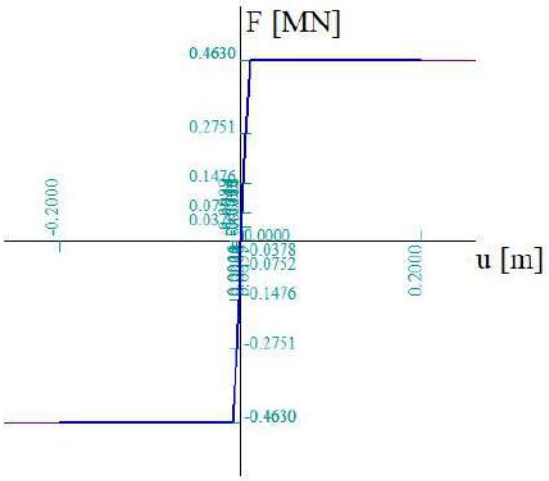
Name	Type	u / F	Positive end	Negative end
		-0.001100 / -65799.748672		
		-0.000550 / -33057.166853		
		0.000000 / 0.000000		
		0.000550 / 33057.166853		
		0.001100 / 65799.748672		
		0.002200 / 129153.050949		
		0.004400 / 240737.558491		
		0.009900 / 405096.305954		
		0.200000 / 405096.305954		

Drawing



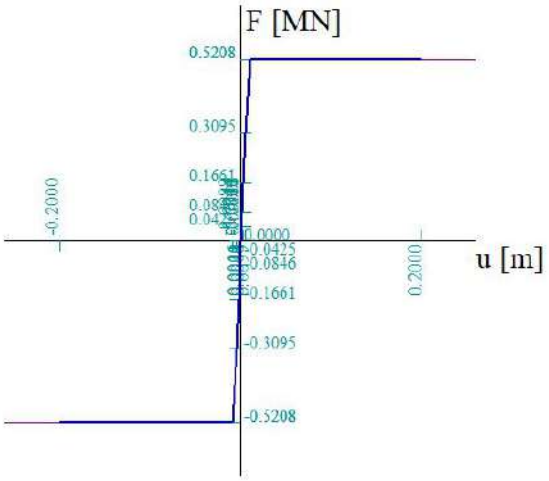
Name	Type	u / F	Positive end	Negative end
PY-curve-2_V8.B	Translation	-0.200000 / -462967.206805	Free	Free
		-0.009900 / -462967.206805		
		-0.004400 / -275128.638275		
		-0.002200 / -147603.486799		
		-0.001100 / -75199.712768		
		-0.000550 / -37779.619261		
		0.000000 / 0.000000		
		0.000550 / 37779.619261		
		0.001100 / 75199.712768		
		0.002200 / 147603.486799		
		0.004400 / 275128.638275		
		0.009900 / 462967.206805		
		0.200000 / 462967.206805		

Drawing



Name	Type	u / F	Positive end	Negative end
PY-curve-2_V9.B	Translation	-0.200000 / -520838.107655	Free	Free
		-0.009900 / -520838.107655		
		-0.004400 / -309519.718059		
		-0.002200 / -166053.922649		
		-0.001100 / -84599.676864		
		-0.000550 / -42502.071669		
		0.000000 / 0.000000		
		0.000550 / 42502.071669		
		0.001100 / 84599.676864		
		0.002200 / 166053.922649		
		0.004400 / 309519.718059		
		0.009900 / 520838.107655		
		0.200000 / 520838.107655		

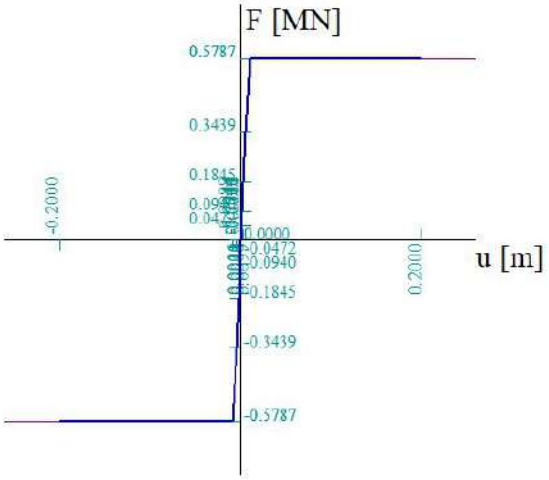
Drawing



Name	Type	u / F	Positive end	Negative end
PY-curve-2_V10.B	Translation	-0.200000 / -578709.008506	Free	Free
		-0.009900 / -578709.008506		
		-0.004400 / -343910.797844		
		-0.002200 / -184504.358499		
		-0.001100 / -93999.640960		
		-0.000550 / -47224.524076		
		0.000000 / 0.000000		
		0.000550 / 47224.524076		
		0.001100 / 93999.640960		
		0.002200 / 184504.358499		

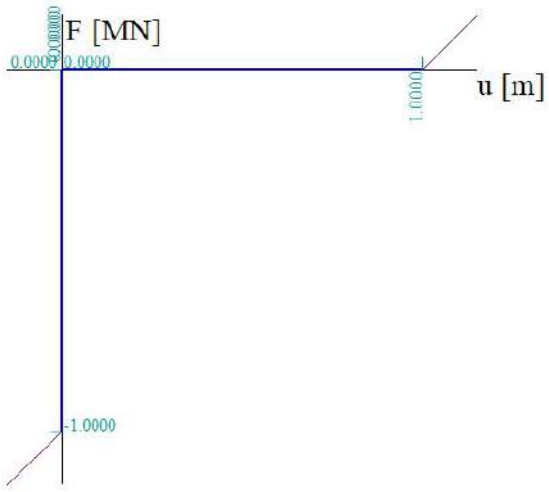
Name	Type	u / F	Positive end	Negative end
		0.004400 / 343910.797844		
		0.009900 / 578709.008506		
		0.200000 / 578709.008506		

Drawing



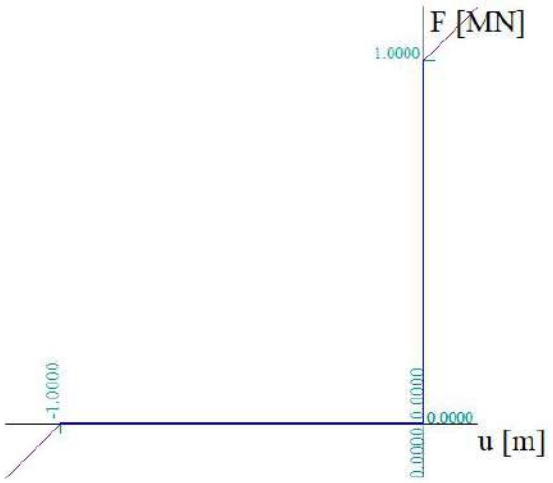
Name	Type	u / F	Positive end	Negative end
press only	Translation	-0.000001 / -1000000.000000	Flexible	Flexible
		0.000000 / 0.000000		
		1.000000 / 0.000000		

Drawing



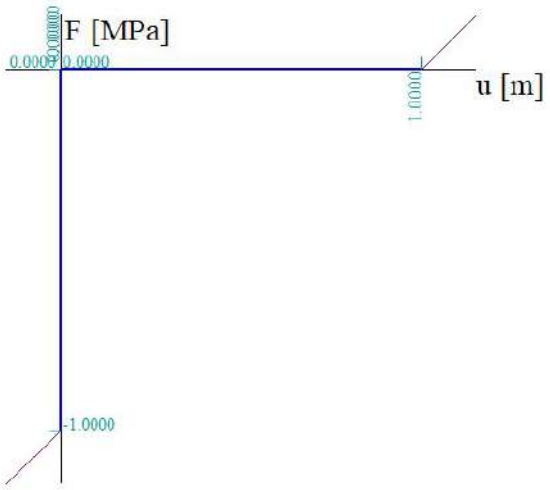
Name	Type	u / F	Positive end	Negative end
tension only	Translation	-1.000000 / 0.000000	Flexible	Flexible
		0.000000 / 0.000000		
		0.000001 / 1000000.000000		

Drawing



Name	Type	u / F	Positive end	Negative end
soil press only	Nonlinear subsoil		Flexible	Flexible

Drawing

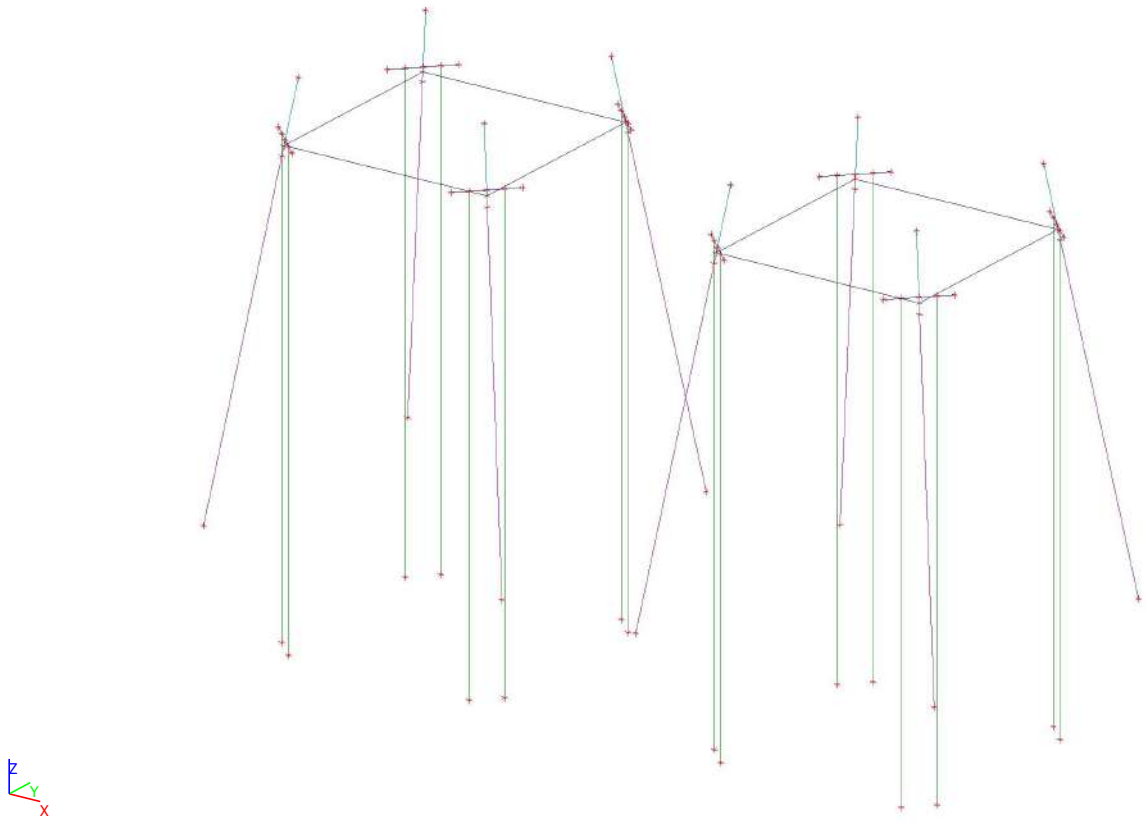


6. Belastingen

6.1. Load cases

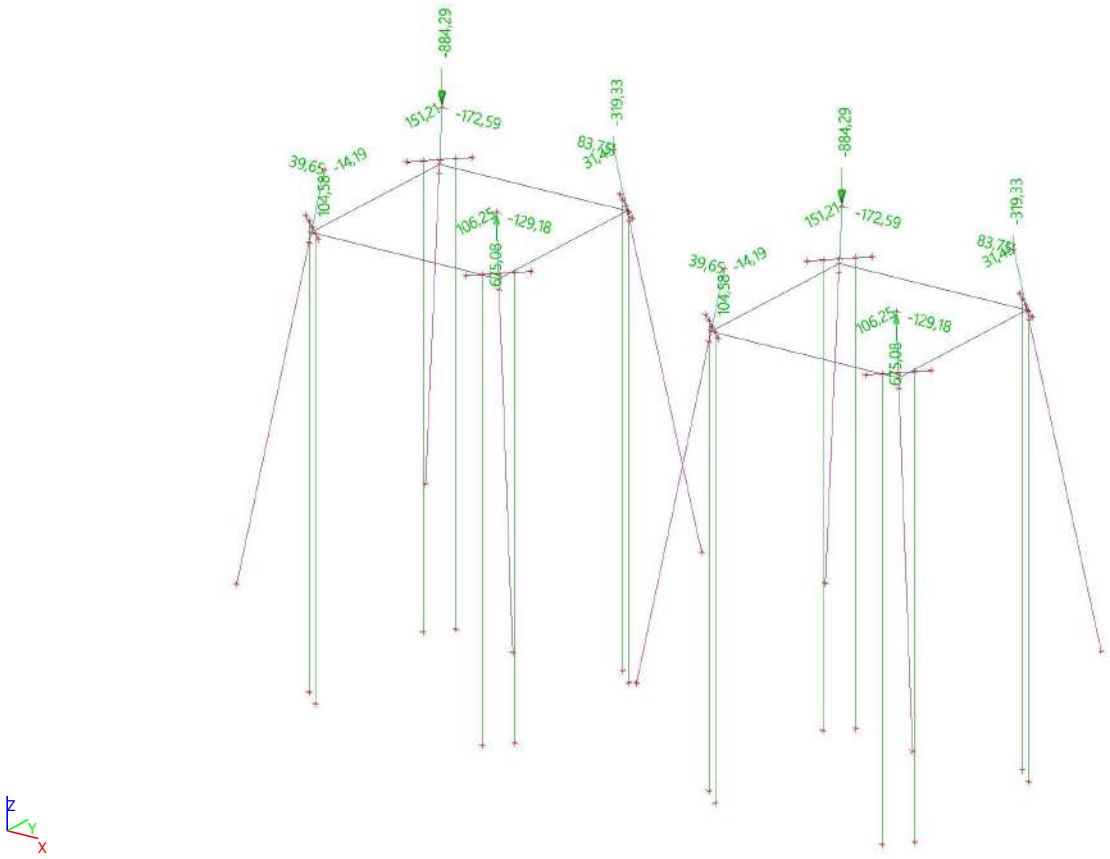
6.1.1. Load cases - EG_Fundering

Name	Description	Action type	Load group	Direction
	Spec	Load type		
EG_Fundering		Permanent	LG1	-Z
		Self weight		



6.1.2. Load cases - high max Wnd ;45°

Name	Description	Action type	Load group	Duration	Master load case
	Spec	Load type			
high max Wnd ;45°		Variable	LG4	Short	None
	Standard	Static			



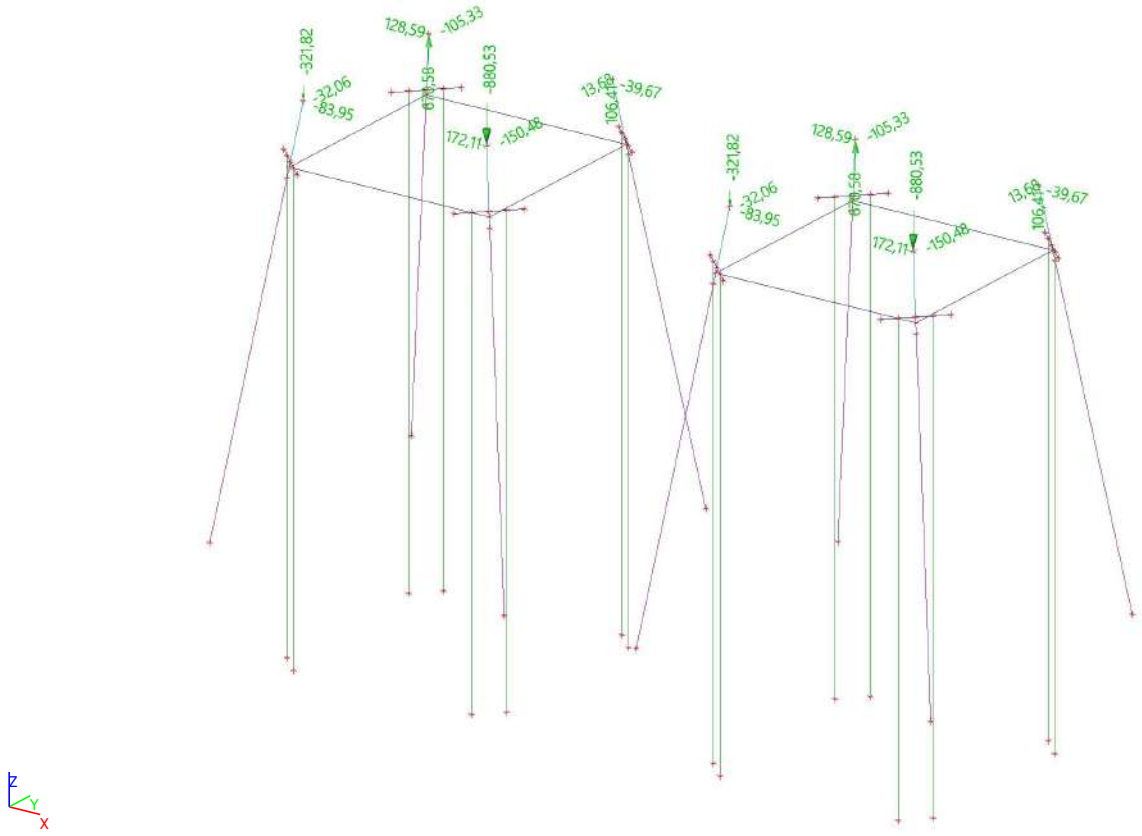
6.1.2.1. Point force in node

Name	Node	Load case	System	Dir	Type	Value - F [kN]
high max Wnd ;45°_1P_X	1P	high max Wnd ;45°	GCS	X	Force	39,65
high max Wnd ;45°_1P_Y	1P	high max Wnd ;45°	GCS	Y	Force	-14,19
high max Wnd ;45°_1P_Z	1P	high max Wnd ;45°	GCS	Z	Force	104,58
high max Wnd ;45°_1X_X	1X	high max Wnd ;45°	GCS	X	Force	-172,59
high max Wnd ;45°_1X_Y	1X	high max Wnd ;45°	GCS	Y	Force	151,21
high max Wnd ;45°_1X_Z	1X	high max Wnd ;45°	GCS	Z	Force	-884,29
high max Wnd ;45°_1XY_X	1XY	high max Wnd ;45°	GCS	X	Force	83,75
high max Wnd ;45°_1XY_Y	1XY	high max Wnd ;45°	GCS	Y	Force	31,45
high max Wnd ;45°_1XY_Z	1XY	high max Wnd ;45°	GCS	Z	Force	-319,33
high max Wnd ;45°_1Y_X	1Y	high max Wnd ;45°	GCS	X	Force	-129,18
high max Wnd ;45°_1Y_Y	1Y	high max Wnd ;45°	GCS	Y	Force	106,25
high max Wnd ;45°_1Y_Z	1Y	high max Wnd ;45°	GCS	Z	Force	675,08
high max Wnd ;45°_1P_X1	1P2	high max Wnd ;45°	GCS	X	Force	39,65
high max Wnd ;45°_1P_Y1	1P2	high max Wnd ;45°	GCS	Y	Force	-14,19
high max Wnd	1P2	high max Wnd ;45°	GCS	Z	Force	104,58

Name	Node	Load case	System	Dir	Type	Value - F [kN]
;45°_1P_Z1						
high max Wnd ;45°_1Y_X1	1Y2	high max Wnd ;45°	GCS	X	Force	-129,18
high max Wnd ;45°_1Y_Y1	1Y2	high max Wnd ;45°	GCS	Y	Force	106,25
high max Wnd ;45°_1Y_Z1	1Y2	high max Wnd ;45°	GCS	Z	Force	675,08
high max Wnd ;45°_1XY_X1	1XY2	high max Wnd ;45°	GCS	X	Force	83,75
high max Wnd ;45°_1XY_Y1	1XY2	high max Wnd ;45°	GCS	Y	Force	31,45
high max Wnd ;45°_1XY_Z1	1XY2	high max Wnd ;45°	GCS	Z	Force	-319,33
high max Wnd ;45°_1X_X1	1X2	high max Wnd ;45°	GCS	X	Force	-172,59
high max Wnd ;45°_1X_Y1	1X2	high max Wnd ;45°	GCS	Y	Force	151,21
high max Wnd ;45°_1X_Z1	1X2	high max Wnd ;45°	GCS	Z	Force	-884,29

6.1.3. Load cases - high max Wnd ;225°

Name	Description	Action type	Load group	Duration	Master load case
	Spec	Load type			
high max Wnd ;225°		Variable	LG4	Short	None
	Standard	Static			

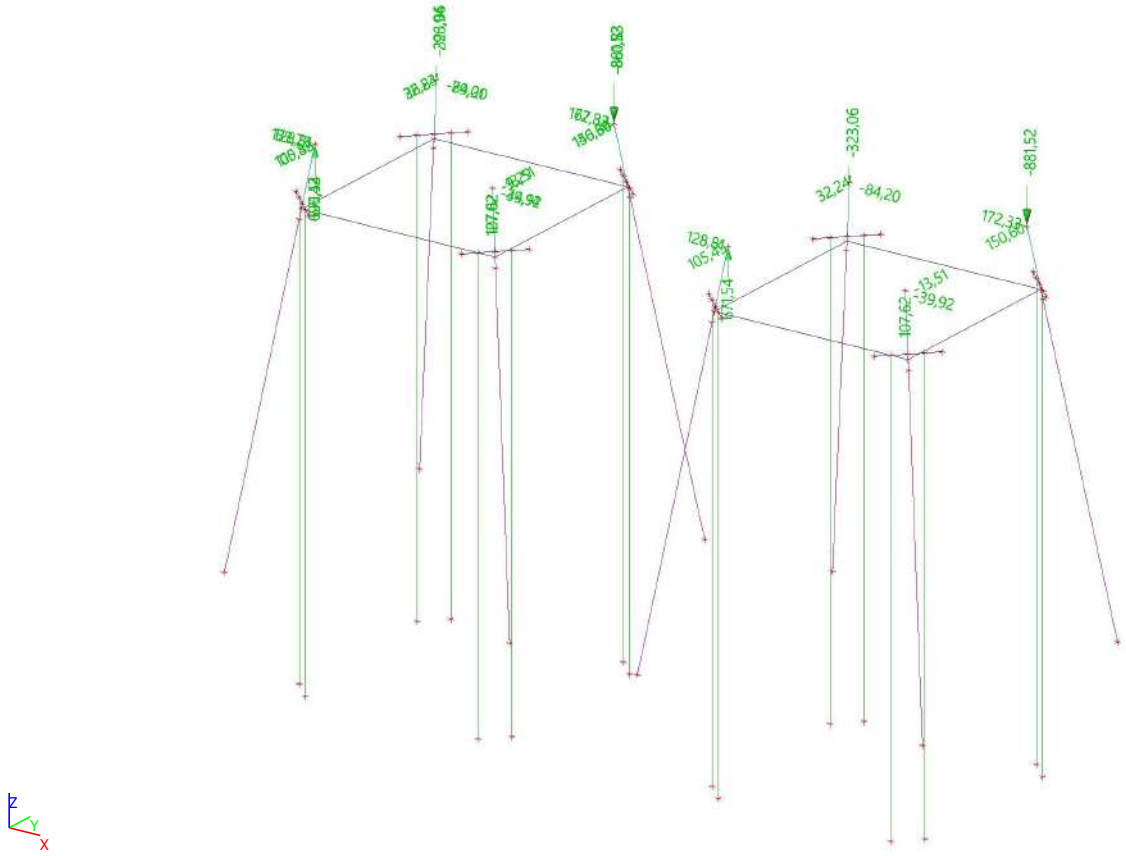


6.1.3.1. Point force in node

Name	Node	Load case	System	Dir	Type	Value - F [kN]
high max Wnd ;255°_1P_X	1P	high max Wnd ;225°	GCS	X	Force	-83,95
high max Wnd ;255°_1P_Y	1P	high max Wnd ;225°	GCS	Y	Force	-32,06
high max Wnd ;255°_1P_Z	1P	high max Wnd ;225°	GCS	Z	Force	-321,82
high max Wnd ;255°_1X_X	1X	high max Wnd ;225°	GCS	X	Force	128,59
high max Wnd ;255°_1X_Y	1X	high max Wnd ;225°	GCS	Y	Force	-105,33
high max Wnd ;255°_1X_Z	1X	high max Wnd ;225°	GCS	Z	Force	670,58
high max Wnd ;255°_1XY_X	1XY	high max Wnd ;225°	GCS	X	Force	-39,67
high max Wnd ;255°_1XY_Y	1XY	high max Wnd ;225°	GCS	Y	Force	13,68
high max Wnd ;255°_1XY_Z	1XY	high max Wnd ;225°	GCS	Z	Force	106,41
high max Wnd ;255°_1Y_X	1Y	high max Wnd ;225°	GCS	X	Force	172,11
high max Wnd ;255°_1Y_Y	1Y	high max Wnd ;225°	GCS	Y	Force	-150,48
high max Wnd ;255°_1Y_Z	1Y	high max Wnd ;225°	GCS	Z	Force	-880,53
high max Wnd ;255°_1P_X1	1P2	high max Wnd ;225°	GCS	X	Force	-83,95
high max Wnd ;255°_1P_Y1	1P2	high max Wnd ;225°	GCS	Y	Force	-32,06
high max Wnd ;255°_1P_Z1	1P2	high max Wnd ;225°	GCS	Z	Force	-321,82
high max Wnd ;255°_1Y_X1	1Y2	high max Wnd ;225°	GCS	X	Force	172,11
high max Wnd ;255°_1Y_Y1	1Y2	high max Wnd ;225°	GCS	Y	Force	-150,48
high max Wnd ;255°_1Y_Z1	1Y2	high max Wnd ;225°	GCS	Z	Force	-880,53
high max Wnd ;255°_1XY_X1	1XY2	high max Wnd ;225°	GCS	X	Force	-39,67
high max Wnd ;255°_1XY_Y1	1XY2	high max Wnd ;225°	GCS	Y	Force	13,68
high max Wnd ;255°_1XY_Z1	1XY2	high max Wnd ;225°	GCS	Z	Force	106,41
high max Wnd ;255°_1X_X1	1X2	high max Wnd ;225°	GCS	X	Force	128,59
high max Wnd ;255°_1X_Y1	1X2	high max Wnd ;225°	GCS	Y	Force	-105,33
high max Wnd ;255°_1X_Z1	1X2	high max Wnd ;225°	GCS	Z	Force	670,58

6.1.4. Load cases - high max Wnd ;135°

Name	Description	Action type	Load group	Duration	Master load case
	Spec	Load type			
high max Wnd ;135°		Variable	LG4	Short	None
	Standard	Static			



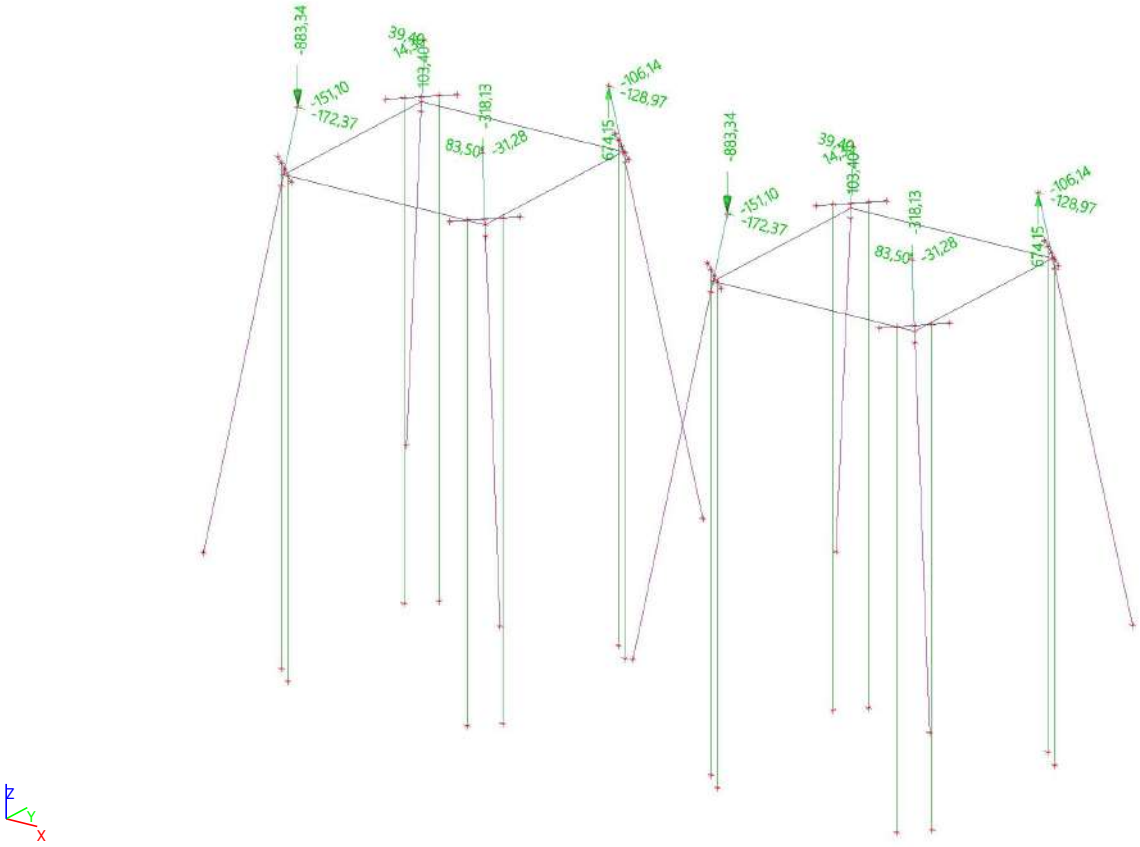
6.1.4.1. Point force in node

Name	Node	Load case	System	Dir	Type	Value - F [kN]
high max Wnd ;135°_1P_X	1P	high max Wnd ;135°	GCS	X	Force	128,81
high max Wnd ;135°_1P_Y	1P	high max Wnd ;135°	GCS	Y	Force	105,45
high max Wnd ;135°_1P_Z	1P	high max Wnd ;135°	GCS	Z	Force	671,54
high max Wnd ;135°_1X_X	1X	high max Wnd ;135°	GCS	X	Force	-84,20
high max Wnd ;135°_1X_Y	1X	high max Wnd ;135°	GCS	Y	Force	32,24
high max Wnd ;135°_1X_Z	1X	high max Wnd ;135°	GCS	Z	Force	-323,06
high max Wnd ;135°_1XY_X	1XY	high max Wnd ;135°	GCS	X	Force	172,33
high max Wnd ;135°_1XY_Y	1XY	high max Wnd ;135°	GCS	Y	Force	150,60
high max Wnd ;135°_1XY_Z	1XY	high max Wnd ;135°	GCS	Z	Force	-881,52
high max Wnd ;135°_1Y_X	1Y	high max Wnd ;135°	GCS	X	Force	-39,92
high max Wnd ;135°_1Y_Y	1Y	high max Wnd ;135°	GCS	Y	Force	-13,51
high max Wnd ;135°_1Y_Z	1Y	high max Wnd ;135°	GCS	Z	Force	107,62
high max Wnd ;135°_1P_X1	1P	high max Wnd ;135°	GCS	X	Force	133,73
high max Wnd ;135°_1P_Y1	1P	high max Wnd ;135°	GCS	Y	Force	110,82
high max Wnd	1P	high max Wnd ;135°	GCS	Z	Force	696,42

Name	Node	Load case	System	Dir	Type	Value - F [kN]
;135°_1P_Z1						
high max Wnd ;135°_1X_X1	1X	high max Wnd ;135°	GCS	X	Force	-79,01
high max Wnd ;135°_1X_Y1	1X	high max Wnd ;135°	GCS	Y	Force	26,83
high max Wnd ;135°_1X_Z1	1X	high max Wnd ;135°	GCS	Z	Force	-296,94
high max Wnd ;135°_1XY_X1	1XY	high max Wnd ;135°	GCS	X	Force	167,82
high max Wnd ;135°_1XY_Y1	1XY	high max Wnd ;135°	GCS	Y	Force	146,34
high max Wnd ;135°_1XY_Z1	1XY	high max Wnd ;135°	GCS	Z	Force	-860,83
high max Wnd ;135°_1Y_X1	1Y	high max Wnd ;135°	GCS	X	Force	-44,14
high max Wnd ;135°_1Y_Y1	1Y	high max Wnd ;135°	GCS	Y	Force	-9,29
high max Wnd ;135°_1Y_Z1	1Y	high max Wnd ;135°	GCS	Z	Force	127,02
high max Wnd ;135°_1P_X2	1P2	high max Wnd ;135°	GCS	X	Force	128,81
high max Wnd ;135°_1P_Y2	1P2	high max Wnd ;135°	GCS	Y	Force	105,45
high max Wnd ;135°_1P_Z2	1P2	high max Wnd ;135°	GCS	Z	Force	671,54
high max Wnd ;135°_1Y_X2	1Y2	high max Wnd ;135°	GCS	X	Force	-39,92
high max Wnd ;135°_1Y_Y2	1Y2	high max Wnd ;135°	GCS	Y	Force	-13,51
high max Wnd ;135°_1Y_Z2	1Y2	high max Wnd ;135°	GCS	Z	Force	107,62
high max Wnd ;135°_1XY_X2	1XY2	high max Wnd ;135°	GCS	X	Force	172,33
high max Wnd ;135°_1XY_Y2	1XY2	high max Wnd ;135°	GCS	Y	Force	150,60
high max Wnd ;135°_1XY_Z2	1XY2	high max Wnd ;135°	GCS	Z	Force	-881,52
high max Wnd ;135°_1X_X2	1X2	high max Wnd ;135°	GCS	X	Force	-84,20
high max Wnd ;135°_1X_Y2	1X2	high max Wnd ;135°	GCS	Y	Force	32,24
high max Wnd ;135°_1X_Z2	1X2	high max Wnd ;135°	GCS	Z	Force	-323,06

6.1.5. Load cases - high max Wnd ;315°

Name	Description	Action type	Load group	Duration	Master load case
	Spec	Load type			
high max Wnd ;315°		Variable	LG4	Short	None
	Standard	Static			



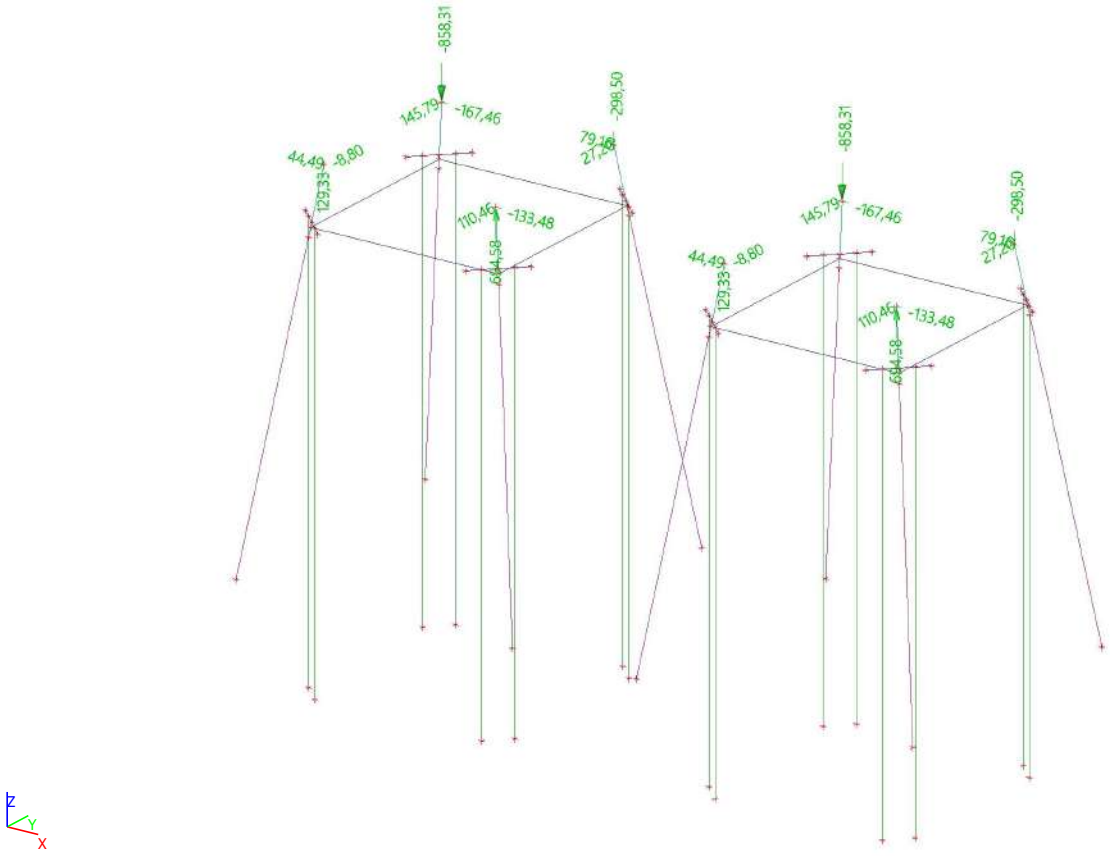
6.1.5.1. Point force in node

Name	Node	Load case	System	Dir	Type	Value - F [kN]
high max Wnd ;315°_1P_X	1P	high max Wnd ;315°	GCS	X	Force	-172,37
high max Wnd ;315°_1P_Y	1P	high max Wnd ;315°	GCS	Y	Force	-151,10
high max Wnd ;315°_1P_Z	1P	high max Wnd ;315°	GCS	Z	Force	-883,34
high max Wnd ;315°_1X_X	1X	high max Wnd ;315°	GCS	X	Force	39,40
high max Wnd ;315°_1X_Y	1X	high max Wnd ;315°	GCS	Y	Force	14,35
high max Wnd ;315°_1X_Z	1X	high max Wnd ;315°	GCS	Z	Force	103,40
high max Wnd ;315°_1XY_X	1XY	high max Wnd ;315°	GCS	X	Force	-128,97
high max Wnd ;315°_1XY_Y	1XY	high max Wnd ;315°	GCS	Y	Force	-106,14
high max Wnd ;315°_1XY_Z	1XY	high max Wnd ;315°	GCS	Z	Force	674,15
high max Wnd ;315°_1Y_X	1Y	high max Wnd ;315°	GCS	X	Force	83,50
high max Wnd ;315°_1Y_Y	1Y	high max Wnd ;315°	GCS	Y	Force	-31,28
high max Wnd ;315°_1Y_Z	1Y	high max Wnd ;315°	GCS	Z	Force	-318,13
high max Wnd ;315°_1P_X1	1P2	high max Wnd ;315°	GCS	X	Force	-172,37
high max Wnd ;315°_1P_Y1	1P2	high max Wnd ;315°	GCS	Y	Force	-151,10
high max Wnd	1P2	high max Wnd ;315°	GCS	Z	Force	-883,34

Name	Node	Load case	System	Dir	Type	Value - F [kN]
;315°_1P_Z1						
high max Wnd ;315°_1Y_X1	1Y2	high max Wnd ;315°	GCS	X	Force	83,50
high max Wnd ;315°_1Y_Y1	1Y2	high max Wnd ;315°	GCS	Y	Force	-31,28
high max Wnd ;315°_1Y_Z1	1Y2	high max Wnd ;315°	GCS	Z	Force	-318,13
high max Wnd ;315°_1XY_X1	1XY2	high max Wnd ;315°	GCS	X	Force	-128,97
high max Wnd ;315°_1XY_Y1	1XY2	high max Wnd ;315°	GCS	Y	Force	-106,14
high max Wnd ;315°_1XY_Z1	1XY2	high max Wnd ;315°	GCS	Z	Force	674,15
high max Wnd ;315°_1X_X1	1X2	high max Wnd ;315°	GCS	X	Force	39,40
high max Wnd ;315°_1X_Y1	1X2	high max Wnd ;315°	GCS	Y	Force	14,35
high max Wnd ;315°_1X_Z1	1X2	high max Wnd ;315°	GCS	Z	Force	103,40

6.1.6. Load cases - low max Wnd ;45°

Name	Description	Action type	Load group	Duration	Master load case
	Spec	Load type			
low max Wnd ;45°		Variable	LG4	Short	None
	Standard	Static			

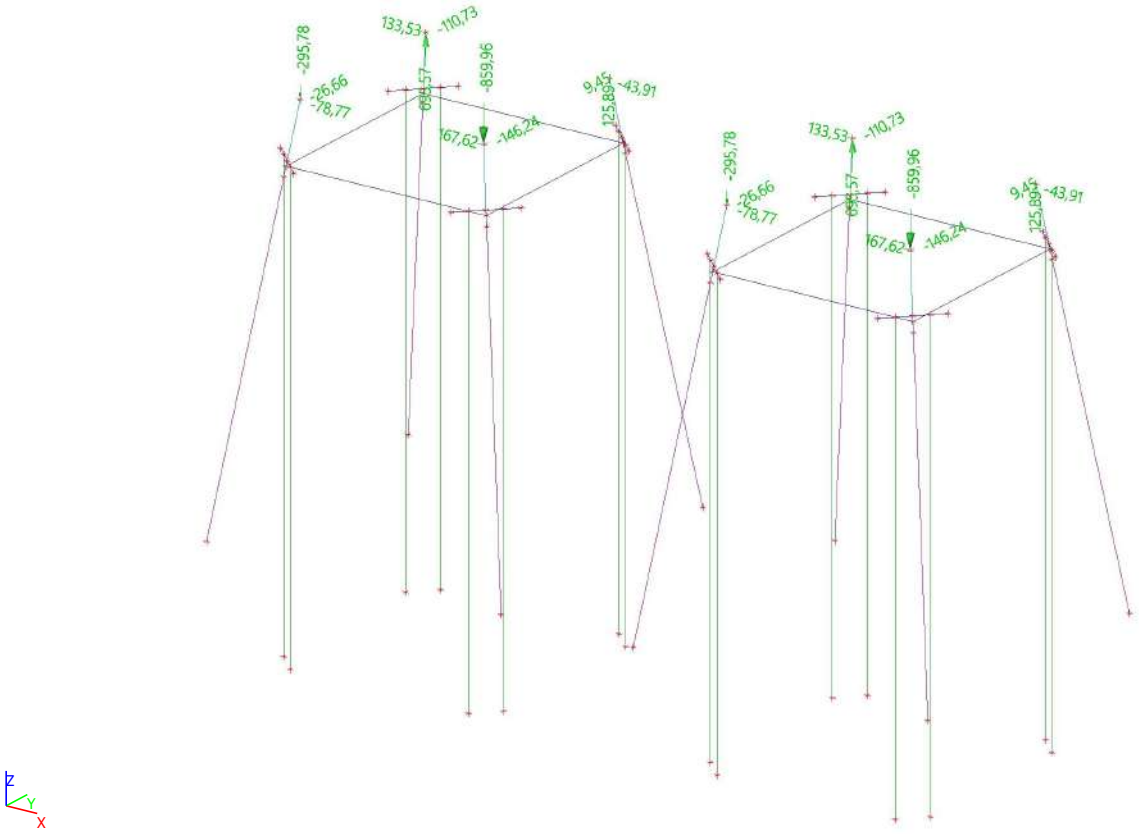


6.1.6.1. Point force in node

Name	Node	Load case	System	Dir	Type	Value - F [kN]
low max Wnd ;45°_1P_X	1P	low max Wnd ;45°	GCS	X	Force	44,49
low max Wnd ;45°_1P_Y	1P	low max Wnd ;45°	GCS	Y	Force	-8,80
low max Wnd ;45°_1P_Z	1P	low max Wnd ;45°	GCS	Z	Force	129,33
low max Wnd ;45°_1X_X	1X	low max Wnd ;45°	GCS	X	Force	-167,46
low max Wnd ;45°_1X_Y	1X	low max Wnd ;45°	GCS	Y	Force	145,79
low max Wnd ;45°_1X_Z	1X	low max Wnd ;45°	GCS	Z	Force	-858,31
low max Wnd ;45°_1XY_X	1XY	low max Wnd ;45°	GCS	X	Force	79,16
low max Wnd ;45°_1XY_Y	1XY	low max Wnd ;45°	GCS	Y	Force	27,20
low max Wnd ;45°_1XY_Z	1XY	low max Wnd ;45°	GCS	Z	Force	-298,50
low max Wnd ;45°_1Y_X	1Y	low max Wnd ;45°	GCS	X	Force	-133,48
low max Wnd ;45°_1Y_Y	1Y	low max Wnd ;45°	GCS	Y	Force	110,46
low max Wnd ;45°_1Y_Z	1Y	low max Wnd ;45°	GCS	Z	Force	694,58
low max Wnd ;45°_1P_X1	1P2	low max Wnd ;45°	GCS	X	Force	44,49
low max Wnd ;45°_1P_Y1	1P2	low max Wnd ;45°	GCS	Y	Force	-8,80
low max Wnd ;45°_1P_Z1	1P2	low max Wnd ;45°	GCS	Z	Force	129,33
low max Wnd ;45°_1Y_X1	1Y2	low max Wnd ;45°	GCS	X	Force	-133,48
low max Wnd ;45°_1Y_Y1	1Y2	low max Wnd ;45°	GCS	Y	Force	110,46
low max Wnd ;45°_1Y_Z1	1Y2	low max Wnd ;45°	GCS	Z	Force	694,58
low max Wnd ;45°_1XY_X1	1XY2	low max Wnd ;45°	GCS	X	Force	79,16
low max Wnd ;45°_1XY_Y1	1XY2	low max Wnd ;45°	GCS	Y	Force	27,20
low max Wnd ;45°_1XY_Z1	1XY2	low max Wnd ;45°	GCS	Z	Force	-298,50
low max Wnd ;45°_1X_X1	1X2	low max Wnd ;45°	GCS	X	Force	-167,46
low max Wnd ;45°_1X_Y1	1X2	low max Wnd ;45°	GCS	Y	Force	145,79
low max Wnd ;45°_1X_Z1	1X2	low max Wnd ;45°	GCS	Z	Force	-858,31

6.1.7. Load cases - low max Wnd ;225°

Name	Description	Action type	Load group	Duration	Master load case
	Spec	Load type			
low max Wnd ;225°		Variable	LG4	Short	None
	Standard	Static			



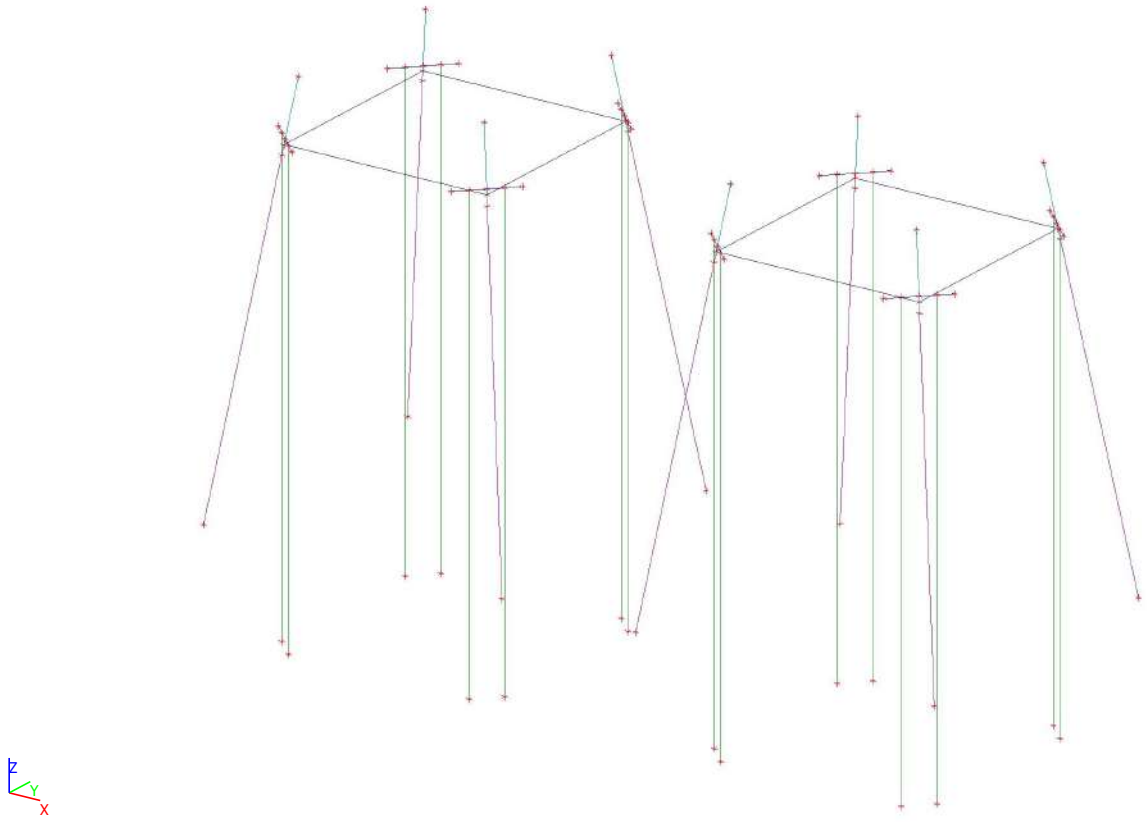
6.1.7.1. Point force in node

Name	Node	Load case	System	Dir	Type	Value - F [kN]
low max Wnd ;225°_1P_X	1P	low max Wnd ;225°	GCS	X	Force	-78,77
low max Wnd ;225°_1P_Y	1P	low max Wnd ;225°	GCS	Y	Force	-26,66
low max Wnd ;225°_1P_Z	1P	low max Wnd ;225°	GCS	Z	Force	-295,78
low max Wnd ;225°_1X_X	1X	low max Wnd ;225°	GCS	X	Force	133,53
low max Wnd ;225°_1X_Y	1X	low max Wnd ;225°	GCS	Y	Force	-110,73
low max Wnd ;225°_1X_Z	1X	low max Wnd ;225°	GCS	Z	Force	695,57
low max Wnd ;225°_1XY_X	1XY	low max Wnd ;225°	GCS	X	Force	-43,91
low max Wnd ;225°_1XY_Y	1XY	low max Wnd ;225°	GCS	Y	Force	9,45
low max Wnd ;225°_1XY_Z	1XY	low max Wnd ;225°	GCS	Z	Force	125,89
low max Wnd ;225°_1Y_X	1Y	low max Wnd ;225°	GCS	X	Force	167,62
low max Wnd ;225°_1Y_Y	1Y	low max Wnd ;225°	GCS	Y	Force	-146,24
low max Wnd ;225°_1Y_Z	1Y	low max Wnd ;225°	GCS	Z	Force	-859,96
low max Wnd ;225°_1P_X1	1P2	low max Wnd ;225°	GCS	X	Force	-78,77
low max Wnd ;225°_1P_Y1	1P2	low max Wnd ;225°	GCS	Y	Force	-26,66
low max Wnd	1P2	low max Wnd ;225°	GCS	Z	Force	-295,78

Name	Node	Load case	System	Dir	Type	Value - F [kN]
;225°_1P_Z1						
low max Wnd ;225°_1Y_X1	1Y2	low max Wnd ;225°	GCS	X	Force	167,62
low max Wnd ;225°_1Y_Y1	1Y2	low max Wnd ;225°	GCS	Y	Force	-146,24
low max Wnd ;225°_1Y_Z1	1Y2	low max Wnd ;225°	GCS	Z	Force	-859,96
low max Wnd ;225°_1XY_X1	1XY2	low max Wnd ;225°	GCS	X	Force	-43,91
low max Wnd ;225°_1XY_Y1	1XY2	low max Wnd ;225°	GCS	Y	Force	9,45
low max Wnd ;225°_1XY_Z1	1XY2	low max Wnd ;225°	GCS	Z	Force	125,89
low max Wnd ;225°_1X_X1	1X2	low max Wnd ;225°	GCS	X	Force	133,53
low max Wnd ;225°_1X_Y1	1X2	low max Wnd ;225°	GCS	Y	Force	-110,73
low max Wnd ;225°_1X_Z1	1X2	low max Wnd ;225°	GCS	Z	Force	695,57

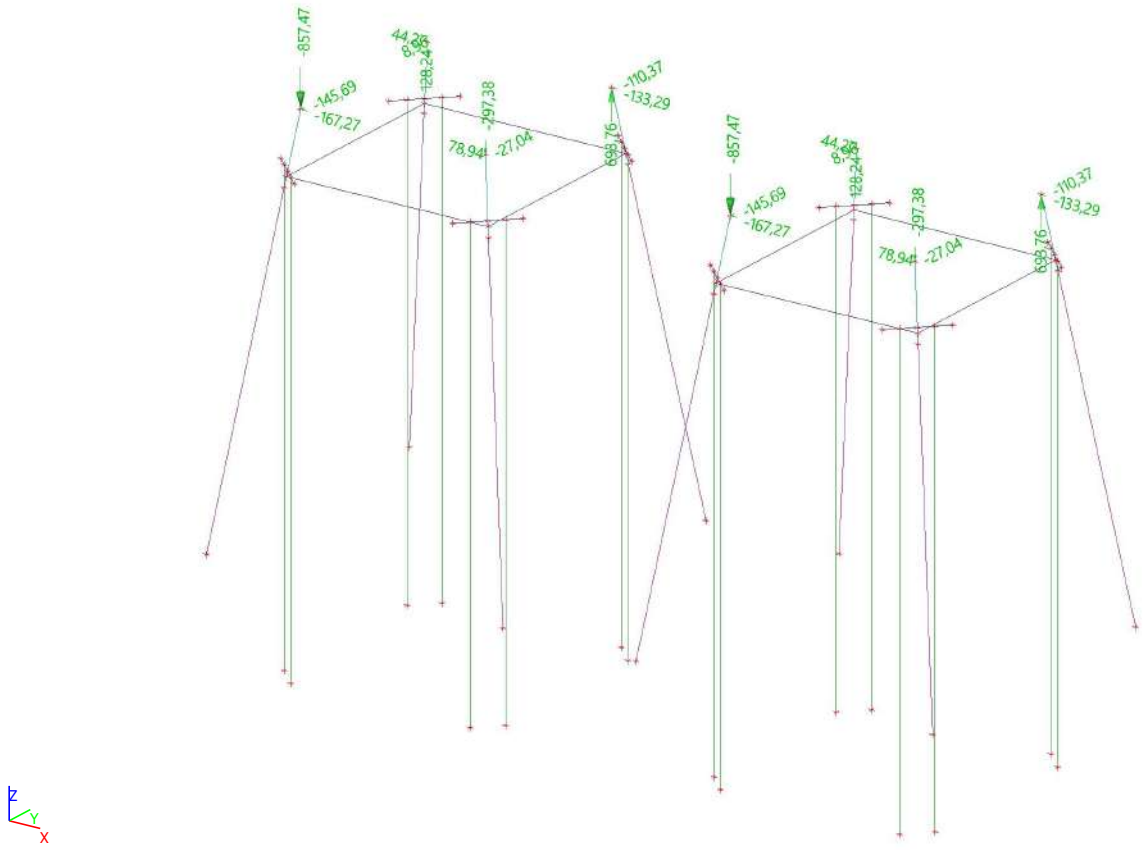
6.1.8. Load cases - low max Wnd ;135°

Name	Description	Action type	Load group	Duration	Master load case
	Spec	Load type			
low max Wnd ;135°	Standard	Variable Static	LG4	Short	None



6.1.9. Load cases - low max Wnd ;315°

Name	Description	Action type	Load group	Duration	Master load case
	Spec	Load type			
low max Wnd ;315°		Variable	LG4	Short	None
	Standard	Static			



6.1.9.1. Point force in node

Name	Node	Load case	System	Dir	Type	Value - F [kN]
low max Wnd ;315°_1P_X	1P	low max Wnd ;315°	GCS	X	Force	-167,27
low max Wnd ;315°_1P_Y	1P	low max Wnd ;315°	GCS	Y	Force	-145,69
low max Wnd ;315°_1P_Z	1P	low max Wnd ;315°	GCS	Z	Force	-857,47
low max Wnd ;315°_1X_X	1X	low max Wnd ;315°	GCS	X	Force	44,27
low max Wnd ;315°_1X_Y	1X	low max Wnd ;315°	GCS	Y	Force	8,96
low max Wnd ;315°_1X_Z	1X	low max Wnd ;315°	GCS	Z	Force	128,24
low max Wnd ;315°_1XY_X	1XY	low max Wnd ;315°	GCS	X	Force	-133,29
low max Wnd ;315°_1XY_Y	1XY	low max Wnd ;315°	GCS	Y	Force	-110,37
low max Wnd ;315°_1XY_Z	1XY	low max Wnd ;315°	GCS	Z	Force	693,76
low max Wnd ;315°_1Y_X	1Y	low max Wnd ;315°	GCS	X	Force	78,94
low max Wnd ;315°_1Y_Y	1Y	low max Wnd ;315°	GCS	Y	Force	-27,04

Name	Node	Load case	System	Dir	Type	Value - F [kN]
low max Wnd ;315°_1Y_Z	1Y	low max Wnd ;315°	GCS	Z	Force	-297,38
low max Wnd ;315°_1P_X1	1P2	low max Wnd ;315°	GCS	X	Force	-167,27
low max Wnd ;315°_1P_Y1	1P2	low max Wnd ;315°	GCS	Y	Force	-145,69
low max Wnd ;315°_1P_Z1	1P2	low max Wnd ;315°	GCS	Z	Force	-857,47
low max Wnd ;315°_1Y_X1	1Y2	low max Wnd ;315°	GCS	X	Force	78,94
low max Wnd ;315°_1Y_Y1	1Y2	low max Wnd ;315°	GCS	Y	Force	-27,04
low max Wnd ;315°_1Y_Z1	1Y2	low max Wnd ;315°	GCS	Z	Force	-297,38
low max Wnd ;315°_1XY_X1	1XY2	low max Wnd ;315°	GCS	X	Force	-133,29
low max Wnd ;315°_1XY_Y1	1XY2	low max Wnd ;315°	GCS	Y	Force	-110,37
low max Wnd ;315°_1XY_Z1	1XY2	low max Wnd ;315°	GCS	Z	Force	693,76
low max Wnd ;315°_1X_X1	1X2	low max Wnd ;315°	GCS	X	Force	44,27
low max Wnd ;315°_1X_Y1	1X2	low max Wnd ;315°	GCS	Y	Force	8,96
low max Wnd ;315°_1X_Z1	1X2	low max Wnd ;315°	GCS	Z	Force	128,24

6.2. Nonlinear combinations

Name	Type	Load cases	Coeff. [-]
low max Wnd ;45° - EG_Gunstig	Ultimate	EG_Fundering	0,900
		low max Wnd ;45°	1,000
low max Wnd ;225° - EG_Gunstig	Ultimate	EG_Fundering	0,900
		low max Wnd ;225°	1,000
low max Wnd ;135° - EG_Gunstig	Ultimate	EG_Fundering	0,900
		low max Wnd ;135°	1,000
low max Wnd ;315° - EG_Gunstig	Ultimate	EG_Fundering	0,900
		low max Wnd ;315°	1,000
high max Wnd ;45° - EG_Ongunstig	Ultimate	EG_Fundering	1,200
		high max Wnd ;45°	1,000
high max Wnd ;225° - EG_Ongunstig	Ultimate	EG_Fundering	1,200
		high max Wnd ;225°	1,000
high max Wnd ;135° - EG_Ongunstig	Ultimate	EG_Fundering	1,200
		high max Wnd ;135°	1,000
high max Wnd ;315° - EG_Ongunstig	Ultimate	EG_Fundering	1,200
		high max Wnd ;315°	1,000

6.3. Result classes

Name	List
All non-linear	low max Wnd ;45° - EG_Gunstig
	low max Wnd ;225° - EG_Gunstig
	low max Wnd ;135° - EG_Gunstig
	low max Wnd ;315° -

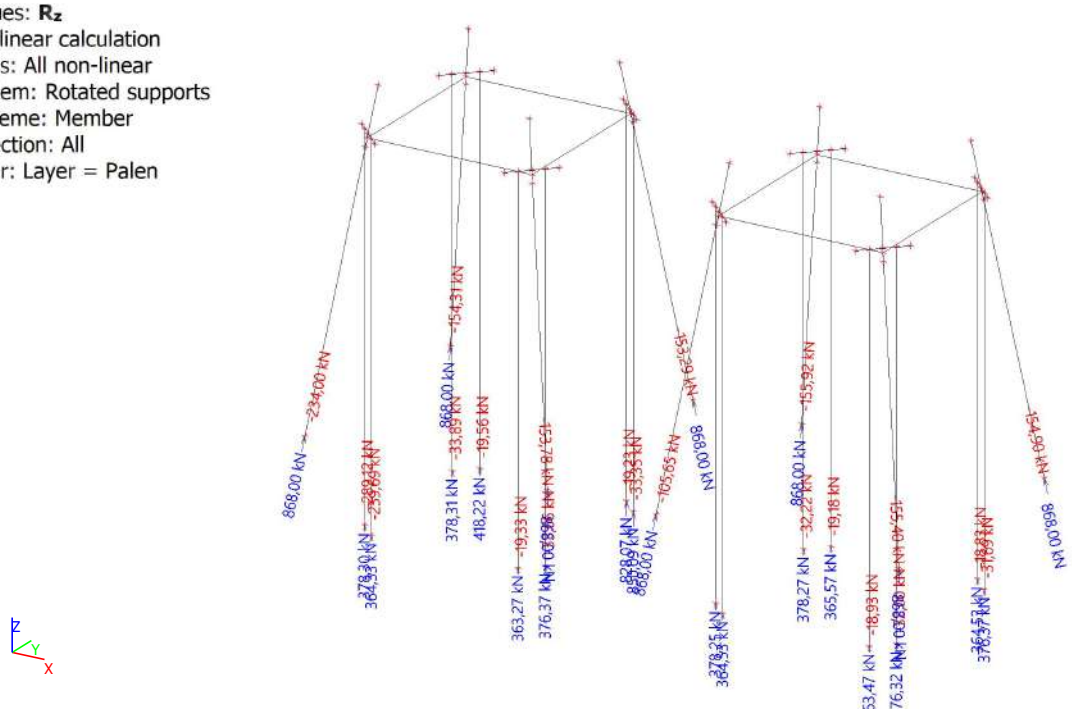
Name	List
	EG_Gunstig
	high max Wnd ;45° - EG_Ongunstig
	high max Wnd ;225° - EG_Ongunstig
	high max Wnd ;135° - EG_Ongunstig
	high max Wnd ;315° - EG_Ongunstig

7. Resultaten

7.1. Reacties van de palen

7.1.1. Reactions; R_z

Values: R_z
Nonlinear calculation
Class: All non-linear
System: Rotated supports
Extreme: Member
Selection: All
Filter: Layer = Palen



7.1.2. Reactions

Nonlinear calculation
Class: All non-linear
System: Rotated supports
Extreme: Global
Selection: All
Filter: Cross-section = LD1. - General cross-section

Nodal reactions

Name	Case	R_x [kN]	R_y [kN]	R_z [kN]	M_x [kNm]	M_y [kNm]	M_z [kNm]	e_x [mm]	e_y [mm]
S_Y/N143	low max Wnd ;225° - EG_Gunstig	**0,00**	0,00	**868,00**	**0,00**	**0,00**	**0,00**	0,0	0,0
S_P/N139	high max Wnd ;225° - EG_Ongunstig	0,00	**0,00**	514,68	0,00	0,00	0,00	0,0	0,0
S_X/N153	high max Wnd ;135° - EG_Ongunstig	0,00	**0,00**	659,80	0,00	0,00	0,00	0,0	0,0
S_P/N139	high max Wnd ;135° - EG_Ongunstig	0,00	0,00	**-234,00**	0,00	0,00	0,00	0,0	0,0
S_P/N139	low max Wnd ;315° - EG_Gunstig	**0,00**	0,00	868,00	0,00	0,00	**0,00**	0,0	0,0

7.1.3. Reactions

Nonlinear calculation
Class: All non-linear
System: Rotated supports
Extreme: Global
Selection: All

Filter: Cross-section = LEKA Paal - type e (CHS219.1/10.0)
Nodal reactions

Name	Case	R_x [kN]	R_y [kN]	R_z [kN]	M_x [kNm]	M_y [kNm]	M_z [kNm]	e_x [mm]	e_y [mm]
Sn LK4/N171	high max Wnd ;135° - EG_Ongunstig	0,00	0,00	**-289,12**	0,00	0,00	0,00	0,0	0,0
Sn LK2/N167	high max Wnd ;135° - EG_Ongunstig	**0,00**	**0,00**	**850,09**	**0,00**	**0,00**	**0,00**	0,0	0,0

7.1.4. Reactions

Nonlinear calculation
Class: All non-linear
System: Rotated supports
Extreme: Member
Selection: All
Filter: Layer = Palen
Nodal reactions

Name	Case	R_x [kN]	R_y [kN]	R_z [kN]	M_x [kNm]	M_y [kNm]	M_z [kNm]	e_x [mm]	e_y [mm]
S_P/N139	high max Wnd ;225° - EG_Ongunstig	0,00	**0,00**	514,68	**0,00**	**0,00**	**0,00**	0,0	0,0
S_P/N139	high max Wnd ;135° - EG_Ongunstig	**0,00**	**0,00**	**-234,00**	0,00	0,00	0,00	0,0	0,0
S_P/N139	low max Wnd ;315° - EG_Gunstig	**0,00**	0,00	**868,00**	0,00	0,00	**0,00**	0,0	0,0
S_Y/N143	low max Wnd ;315° - EG_Gunstig	0,00	**0,00**	437,89	0,00	0,00	0,00	0,0	0,0
S_Y/N143	low max Wnd ;225° - EG_Gunstig	**0,00**	0,00	**868,00**	**0,00**	**0,00**	**0,00**	0,0	0,0
S_Y/N143	low max Wnd ;45° - EG_Gunstig	**0,00**	**0,00**	**-153,78**	0,00	0,00	**0,00**	0,0	0,0
S_XY/N148	low max Wnd ;45° - EG_Gunstig	0,00	**0,00**	438,59	**0,00**	**0,00**	**0,00**	0,0	0,0
S_XY/N148	high max Wnd ;135° - EG_Ongunstig	**0,00**	0,00	**868,00**	0,00	0,00	0,00	0,0	0,0
S_XY/N148	low max Wnd ;315° - EG_Gunstig	**0,00**	**0,00**	**-153,29**	0,00	0,00	**0,00**	0,0	0,0
S_X/N153	high max Wnd ;135° - EG_Ongunstig	0,00	**0,00**	659,80	**0,00**	**0,00**	**0,00**	0,0	0,0
S_X/N153	low max Wnd ;225° - EG_Gunstig	**0,00**	**0,00**	**-154,31**	0,00	0,00	0,00	0,0	0,0
S_X/N153	low max Wnd ;45° - EG_Gunstig	**0,00**	0,00	**868,00**	0,00	0,00	**0,00**	0,0	0,0
Sn LK/N159	low max Wnd ;225° - EG_Gunstig	0,00	0,00	**-33,89**	0,00	0,00	0,00	0,0	0,0
Sn LK/N159	high max Wnd ;45° - EG_Ongunstig	**0,00**	**0,00**	**378,31**	**0,00**	**0,00**	**0,00**	0,0	0,0
Sn LK1/N160	low max Wnd ;225° - EG_Gunstig	0,00	0,00	**-19,56**	0,00	0,00	0,00	0,0	0,0

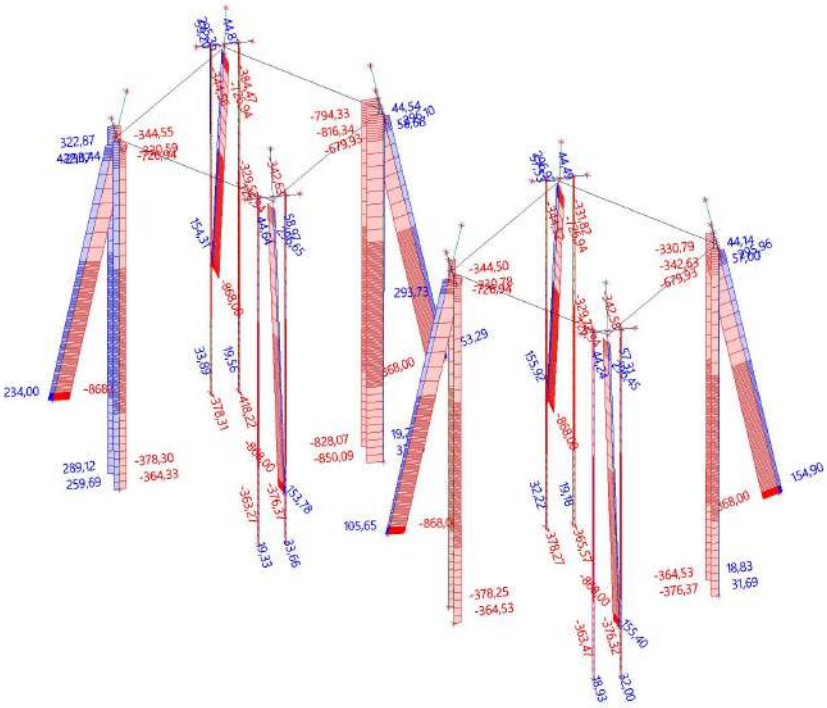
Name	Case	R_x [kN]	R_y [kN]	R_z [kN]	M_x [kNm]	M_y [kNm]	M_z [kNm]	e_x [mm]	e_y [mm]
Sn LK1/N160	high max Wnd ;135° - EG_Ongunstig	**0,00**	**0,00**	**418,22**	**0,00**	**0,00**	**0,00**	0,0	0,0
Sn LK2/N167	low max Wnd ;315° - EG_Gunstig	0,00	0,00	**-33,35**	0,00	0,00	0,00	0,0	0,0
Sn LK2/N167	high max Wnd ;135° - EG_Ongunstig	**0,00**	**0,00**	**850,09**	**0,00**	**0,00**	**0,00**	0,0	0,0
Sn LK3/N168	low max Wnd ;315° - EG_Gunstig	0,00	0,00	**-19,23**	0,00	0,00	0,00	0,0	0,0
Sn LK3/N168	high max Wnd ;135° - EG_Ongunstig	**0,00**	**0,00**	**828,07**	**0,00**	**0,00**	**0,00**	0,0	0,0
Sn LK4/N171	high max Wnd ;135° - EG_Ongunstig	0,00	0,00	**-289,12**	0,00	0,00	0,00	0,0	0,0
Sn LK4/N171	high max Wnd ;315° - EG_Ongunstig	**0,00**	**0,00**	**378,30**	**0,00**	**0,00**	**0,00**	0,0	0,0
Sn LK5/N172	high max Wnd ;135° - EG_Ongunstig	0,00	0,00	**-259,69**	0,00	0,00	0,00	0,0	0,0
Sn LK5/N172	high max Wnd ;315° - EG_Ongunstig	**0,00**	**0,00**	**364,33**	**0,00**	**0,00**	**0,00**	0,0	0,0
Sn LK6/N175	high max Wnd ;225° - EG_Ongunstig	**0,00**	**0,00**	**376,37**	**0,00**	**0,00**	**0,00**	0,0	0,0
Sn LK6/N175	low max Wnd ;45° - EG_Gunstig	0,00	0,00	**-33,66**	0,00	0,00	**0,00**	0,0	0,0
Sn LK7/N176	high max Wnd ;225° - EG_Ongunstig	**0,00**	**0,00**	**363,27**	**0,00**	**0,00**	**0,00**	0,0	0,0
Sn LK7/N176	low max Wnd ;45° - EG_Gunstig	0,00	0,00	**-19,33**	0,00	0,00	**0,00**	0,0	0,0
S_P2/N231	high max Wnd ;225° - EG_Ongunstig	0,00	**0,00**	523,37	**0,00**	**0,00**	**0,00**	0,0	0,0
S_P2/N231	high max Wnd ;135° - EG_Ongunstig	**0,00**	**0,00**	**-105,65**	0,00	0,00	0,00	0,0	0,0
S_P2/N231	low max Wnd ;315° - EG_Gunstig	**0,00**	0,00	**868,00**	0,00	0,00	**0,00**	0,0	0,0
S_Y2/N235	high max Wnd ;315° - EG_Ongunstig	0,00	**0,00**	521,01	0,00	0,00	0,00	0,0	0,0
S_Y2/N235	high max Wnd ;45° - EG_Ongunstig	0,00	**0,00**	-107,21	**0,00**	**0,00**	**0,00**	0,0	0,0
S_Y2/N235	low max Wnd ;225° - EG_Gunstig	**0,00**	0,00	**868,00**	0,00	0,00	0,00	0,0	0,0
S_Y2/N235	low max Wnd ;45° - EG_Gunstig	**0,00**	0,00	**-155,40**	0,00	0,00	**0,00**	0,0	0,0
S_XY2/N239	low max Wnd ;45° - EG_Gunstig	0,00	**0,00**	444,93	**0,00**	**0,00**	**0,00**	0,0	0,0
S_XY2/N239	high max Wnd ;135° - EG_Ongunstig	**0,00**	0,00	**868,00**	0,00	0,00	0,00	0,0	0,0

Name	Case	R_x [kN]	R_y [kN]	R_z [kN]	M_x [kNm]	M_y [kNm]	M_z [kNm]	e_x [mm]	e_y [mm]
S_XY2/N239	low max Wnd ;315° - EG_Gunstig	**0,00**	**0,00**	**-154,90**	0,00	0,00	**0,00**	0,0	0,0
S_X2/N243	high max Wnd ;225° - EG_Ongunstig	0,00	**0,00**	-105,04	0,00	0,00	0,00	0,0	0,0
S_X2/N243	high max Wnd ;135° - EG_Ongunstig	0,00	**0,00**	524,21	**0,00**	**0,00**	**0,00**	0,0	0,0
S_X2/N243	low max Wnd ;225° - EG_Gunstig	**0,00**	0,00	**-155,92**	0,00	0,00	0,00	0,0	0,0
S_X2/N243	low max Wnd ;45° - EG_Gunstig	**0,00**	0,00	**868,00**	0,00	0,00	**0,00**	0,0	0,0
Sn LK16/N247	low max Wnd ;225° - EG_Gunstig	0,00	0,00	**-32,22**	0,00	0,00	0,00	0,0	0,0
Sn LK16/N247	high max Wnd ;45° - EG_Ongunstig	**0,00**	**0,00**	**378,27**	**0,00**	**0,00**	**0,00**	0,0	0,0
Sn LK17/N248	low max Wnd ;225° - EG_Gunstig	0,00	0,00	**-19,18**	0,00	0,00	0,00	0,0	0,0
Sn LK17/N248	high max Wnd ;45° - EG_Ongunstig	**0,00**	**0,00**	**365,57**	**0,00**	**0,00**	**0,00**	0,0	0,0
Sn LK18/N251	low max Wnd ;315° - EG_Gunstig	0,00	0,00	**-31,69**	0,00	0,00	0,00	0,0	0,0
Sn LK18/N251	high max Wnd ;135° - EG_Ongunstig	**0,00**	**0,00**	**376,37**	**0,00**	**0,00**	**0,00**	0,0	0,0
Sn LK19/N252	low max Wnd ;315° - EG_Gunstig	0,00	0,00	**-18,83**	0,00	0,00	0,00	0,0	0,0
Sn LK19/N252	high max Wnd ;135° - EG_Ongunstig	**0,00**	**0,00**	**364,53**	**0,00**	**0,00**	**0,00**	0,0	0,0
Sn LK20/N255	high max Wnd ;135° - EG_Ongunstig	0,00	0,00	**39,21**	0,00	0,00	0,00	0,0	0,0
Sn LK20/N255	high max Wnd ;315° - EG_Ongunstig	**0,00**	**0,00**	**378,25**	**0,00**	**0,00**	**0,00**	0,0	0,0
Sn LK21/N256	high max Wnd ;135° - EG_Ongunstig	0,00	0,00	**55,18**	0,00	0,00	0,00	0,0	0,0
Sn LK21/N256	high max Wnd ;315° - EG_Ongunstig	**0,00**	**0,00**	**364,53**	**0,00**	**0,00**	**0,00**	0,0	0,0
Sn LK22/N259	high max Wnd ;225° - EG_Ongunstig	**0,00**	**0,00**	**376,32**	**0,00**	**0,00**	**0,00**	0,0	0,0
Sn LK22/N259	low max Wnd ;45° - EG_Gunstig	0,00	0,00	**-32,00**	0,00	0,00	**0,00**	0,0	0,0
Sn LK23/N260	high max Wnd ;225° - EG_Ongunstig	**0,00**	**0,00**	**363,47**	**0,00**	**0,00**	**0,00**	0,0	0,0
Sn LK23/N260	low max Wnd ;45° - EG_Gunstig	0,00	0,00	**-18,93**	0,00	0,00	**0,00**	0,0	0,0

8. Krachten van de Funderingspalen

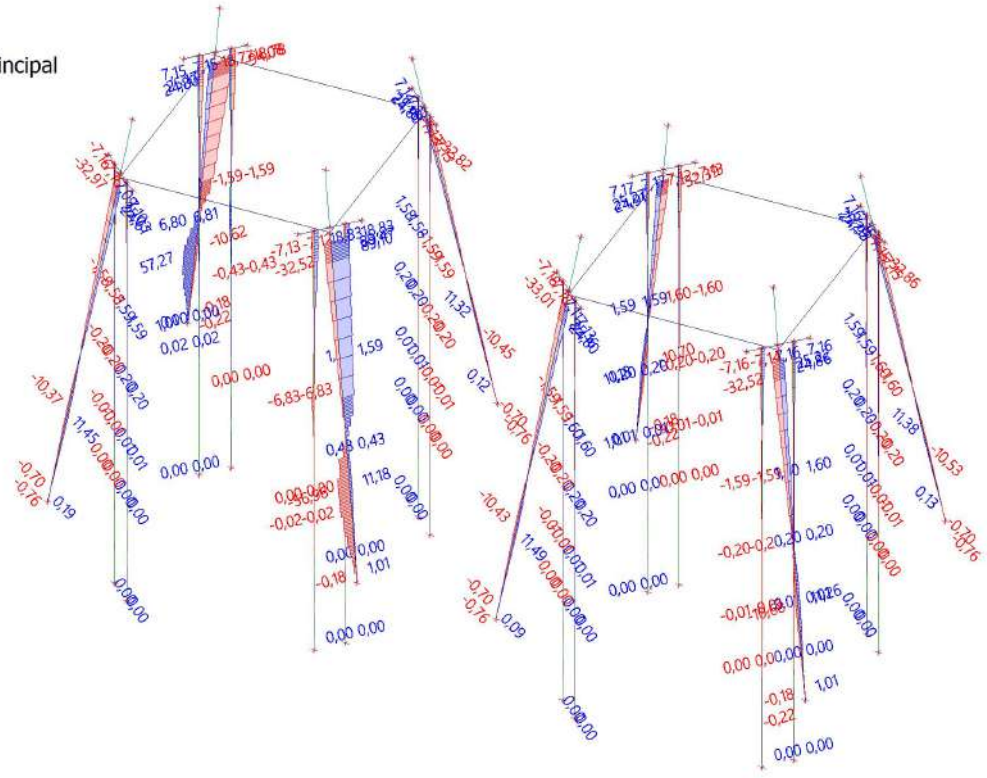
8.1. Interne 1D- krachten; N

Values: **N**
Nonlinear calculation
Class: All non-linear
Coordinate system: Principal
Extreme 1D: Local
Selection: All
Filter: Layer = Palen



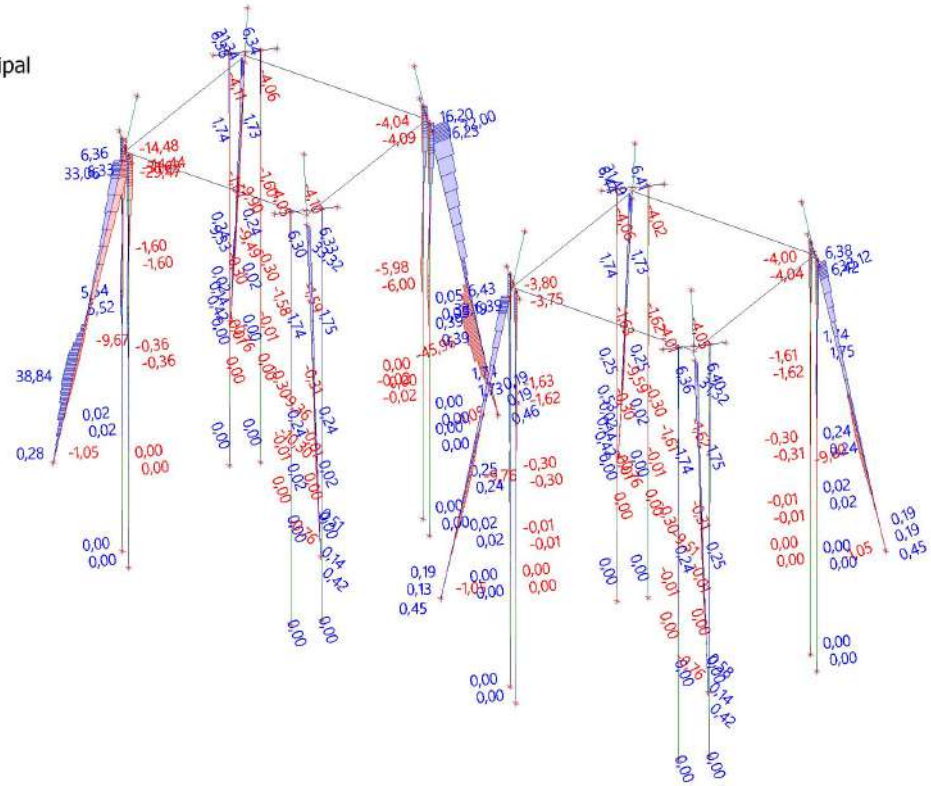
8.2. Interne 1D- krachten; V_y

Values: **V_y**
Nonlinear calculation
Class: All non-linear
Coordinate system: Principal
Extreme 1D: Local
Selection: All
Filter: Layer = Palen



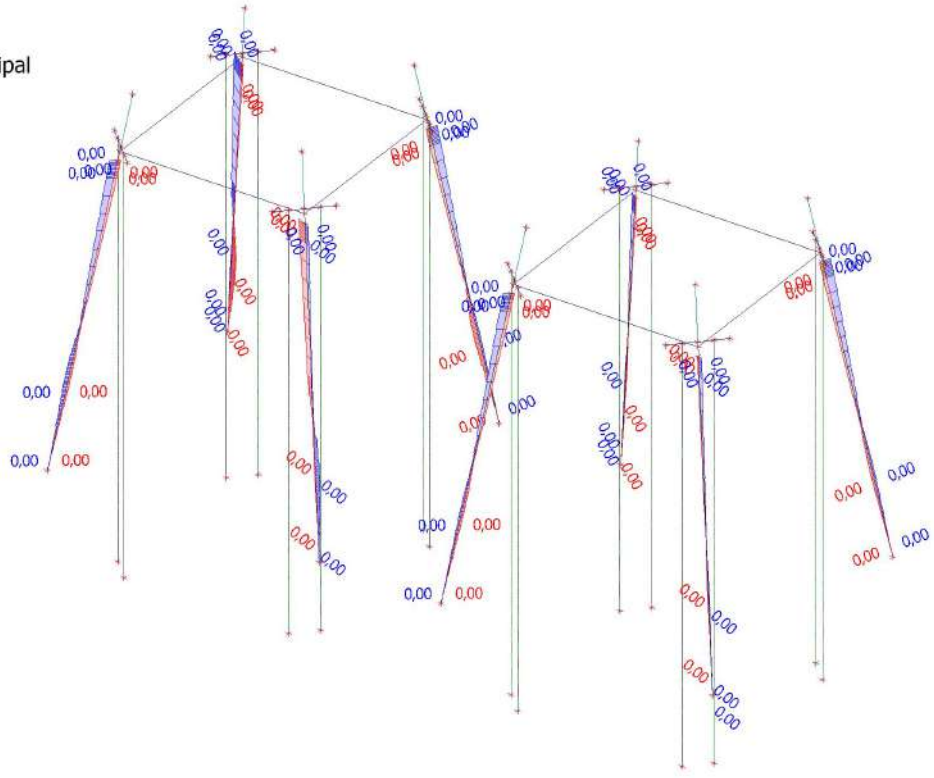
8.3. Interne 1D- krachten; V_z

Values: V_z
Nonlinear calculation
Class: All non-linear
Coordinate system: Principal
Extreme 1D: Local
Selection: All
Filter: Layer = Palen



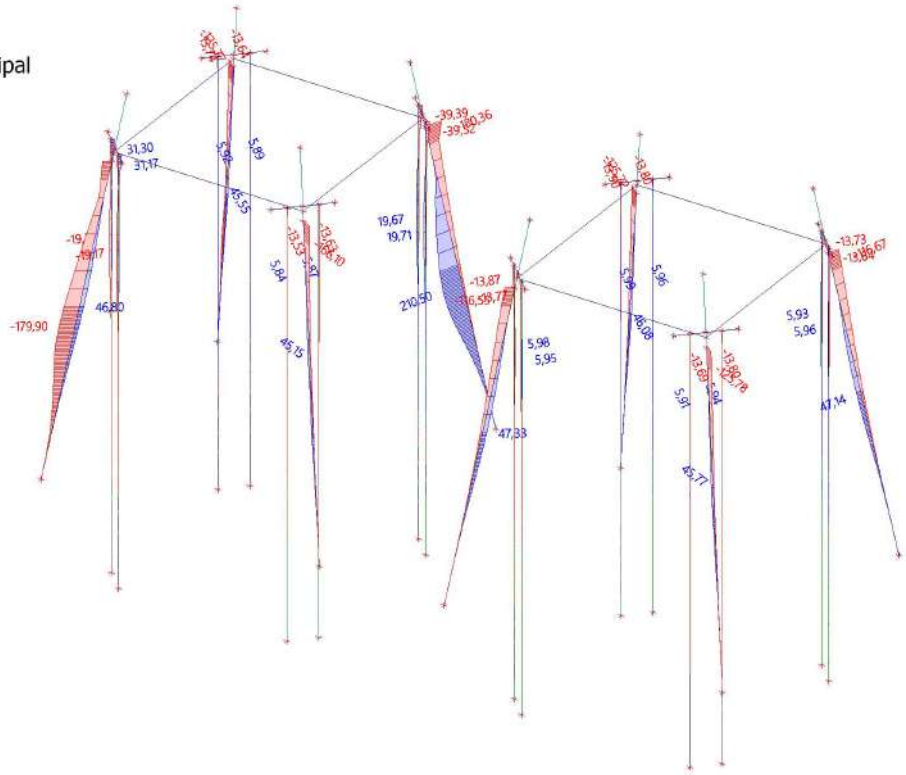
8.4. Interne 1D- krachten; M_x

Values: M_x
Nonlinear calculation
Class: All non-linear
Coordinate system: Principal
Extreme 1D: Local
Selection: All
Filter: Layer = Palen



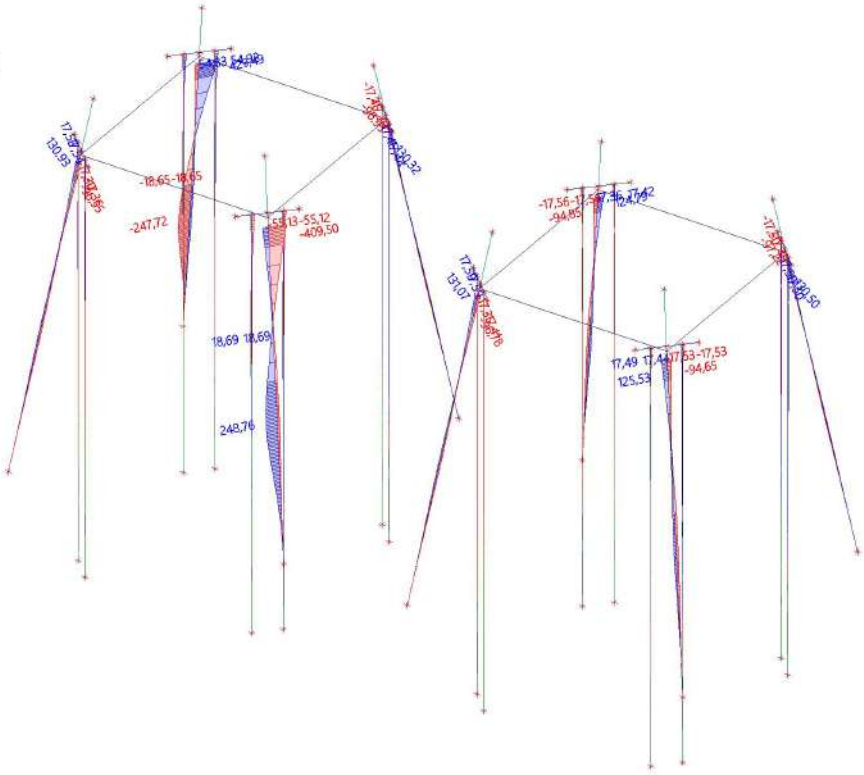
8.5. Interne 1D- krachten; M_y

Values: M_y
Nonlinear calculation
Class: All non-linear
Coordinate system: Principal
Extreme 1D: Member
Selection: All
Filter: Layer = Palen



8.6. Interne 1D- krachten; M_z

Values: M_z
Nonlinear calculation
Class: All non-linear
Coordinate system: Principal
Extreme 1D: Member
Selection: All
Filter: Layer = Palen



8.7. 1D internal forces

Nonlinear calculation
Class: All non-linear
Coordinate system: Principal
Extreme 1D: Global
Selection: All
Filter: Cross-section = LD1. - General cross-section

Name	dx [m]	Case	Cross-section	N [kN]	V_y [kN]	V_z [kN]	M_x [kNm]	M_y [kNm]	M_z [kNm]
Paal_P	17,500	low max Wnd ;315° - EG_Gunstig	LD1. - General cross-section	**-868,00**	-0,70	-1,05	0,00	0,00	0,00
Paal_P	0,000	high max Wnd ;135° - EG_Ongunstig	LD1. - General cross-section	**422,07**	-6,30	-29,47	0,00	8,66	43,27
Paal_X	0,000	high max Wnd ;135° - EG_Ongunstig	LD1. - General cross-section	-471,72	**-94,08**	0,19	**0,00**	21,76	**429,49**
Paal_XY	12,000+	high max Wnd ;135° - EG_Ongunstig	LD1. - General cross-section	-814,26	5,46	**-45,96**	0,00	129,28	-14,58
Paal_Y	1,000-	high max Wnd ;135° - EG_Ongunstig	LD1. - General cross-section	35,82	**89,47**	31,16	**0,00**	-133,85	-320,22
Paal_XY	0,000	high max Wnd ;135° - EG_Ongunstig	LD1. - General cross-section	-679,93	-1,43	**72,00**	0,00	**-180,36**	-9,81
Paal_XY	9,000-	high max Wnd ;135° - EG_Ongunstig	LD1. - General cross-section	-771,27	-0,65	12,10	0,00	**210,50**	-24,81
Paal_Y	0,000	high max Wnd ;135° - EG_Ongunstig	LD1. - General cross-section	46,57	89,10	33,32	0,00	-166,10	**-409,50**

8.8. 1D internal forces

Nonlinear calculation
Class: All non-linear
Coordinate system: Principal
Extreme 1D: Global
Selection: All
Filter: Cross-section = LEKA Paal - type e (CHS219.1/10.0)

Name	dx [m]	Case	Cross-section	N [kN]	V_y [kN]	V_z [kN]	M_x [kNm]	M_y [kNm]	M_z [kNm]
Paal_X3	23,958	high max Wnd ;135° - EG_Ongunstig	LEKA Paal - type e (CHS219.1/10.0)	**-850,09**	0,00	0,00	**0,00**	0,00	0,00
Paal_X2	0,000	high max Wnd ;135° - EG_Ongunstig	LEKA Paal - type e (CHS219.1/10.0)	-384,47	**-18,78**	1,40	0,00	-3,66	**54,92**
Paal_X5	0,000	high max Wnd ;135° - EG_Ongunstig	LEKA Paal - type e (CHS219.1/10.0)	**322,87**	-2,47	**-14,48**	0,00	**31,30**	5,57
Paal_X3	0,000	high max Wnd ;135° - EG_Ongunstig	LEKA Paal - type e (CHS219.1/10.0)	-816,34	2,41	**16,23**	0,00	**-39,52**	-5,24
Paal_X8	0,000	high max Wnd ;135° - EG_Ongunstig	LEKA Paal - type e (CHS219.1/10.0)	-32,43	**18,83**	-1,46	0,00	-0,24	**-55,13**

9. Krachten van de Poeren

9.1. 1D internal forces

Nonlinear calculation
Class: All non-linear
Coordinate system: Principal
Extreme 1D: Global
Selection: All
Filter: Layer = Poeren

Name	dx [m]	Case	N [kN]	V_y [kN]	V_z [kN]	M_x [kNm]	M_y [kNm]	M_z [kNm]
Poer_P6	2,959	low max Wnd ;45° - EG_Gunstig	**714,99**	-30,95	-17,23	0,00	0,00	0,00
Poer_P7	0,255	high max Wnd ;315° - EG_Ongunstig	-173,79	**-48,56**	43,51	6,15	-46,70	83,71
Poer_P7	0,000	high max Wnd ;135° - EG_Ongunstig	90,29	**50,72**	-2,79	-5,36	-5,58	-98,05
Poer_P7	0,000	low max Wnd ;45° - EG_Gunstig	412,34	12,49	**-83,89**	-5,39	**130,87**	-35,82
Poer_P7	0,255	high max Wnd ;225° - EG_Ongunstig	-510,55	-9,94	**115,84**	6,38	-158,02	29,48
Poer_P7	0,000	high max Wnd ;45° - EG_Ongunstig	448,59	11,83	-70,83	**-5,56**	122,56	-34,15
Poer_P7	0,000	low max Wnd ;315° - EG_Gunstig	-186,79	-47,20	33,59	**6,53**	-52,98	92,79
Poer_P7	0,000	high max Wnd ;225° - EG_Ongunstig	-516,32	-9,85	114,66	6,38	**-187,43**	32,00
Poer_P6	0,000	high max Wnd ;225° - EG_Ongunstig	**-951,17**	39,79	16,56	0,00	-48,91	**-130,61**
Poer_P8	0,511	high max Wnd ;315° - EG_Ongunstig	-321,50	29,13	23,45	-0,61	96,22	**127,87**

10. Krachten van de Funderingsbalken

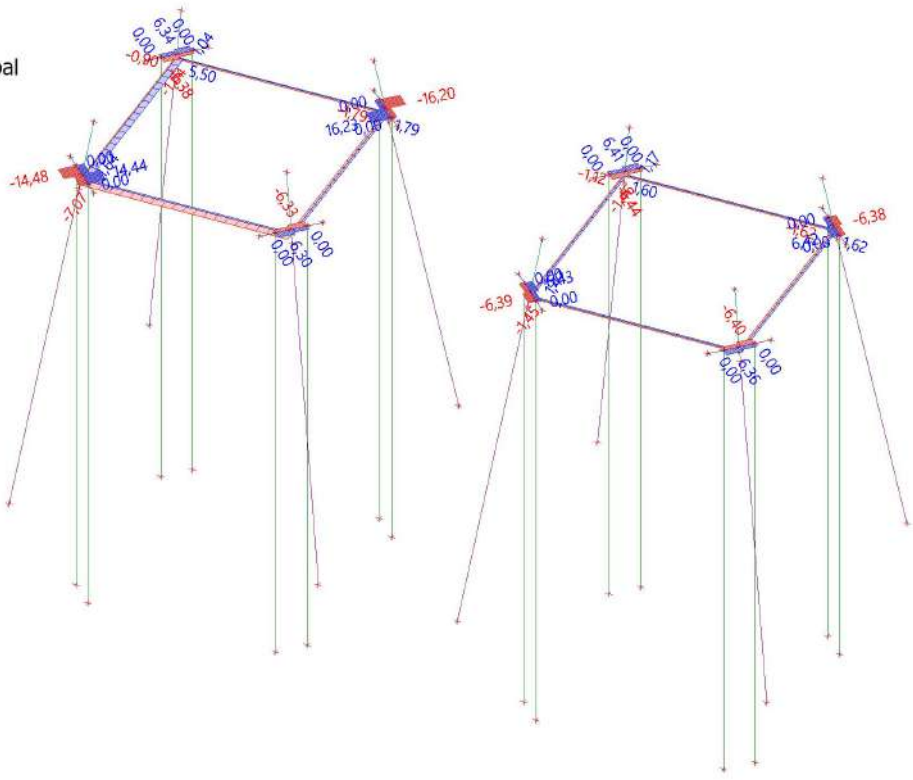
10.1. Interne 1D- krachten; N

Values: **N**
Nonlinear calculation
Class: All non-linear
Coordinate system: Principal
Extreme 1D: Local
Selection: All
Filter: Layer = Balken



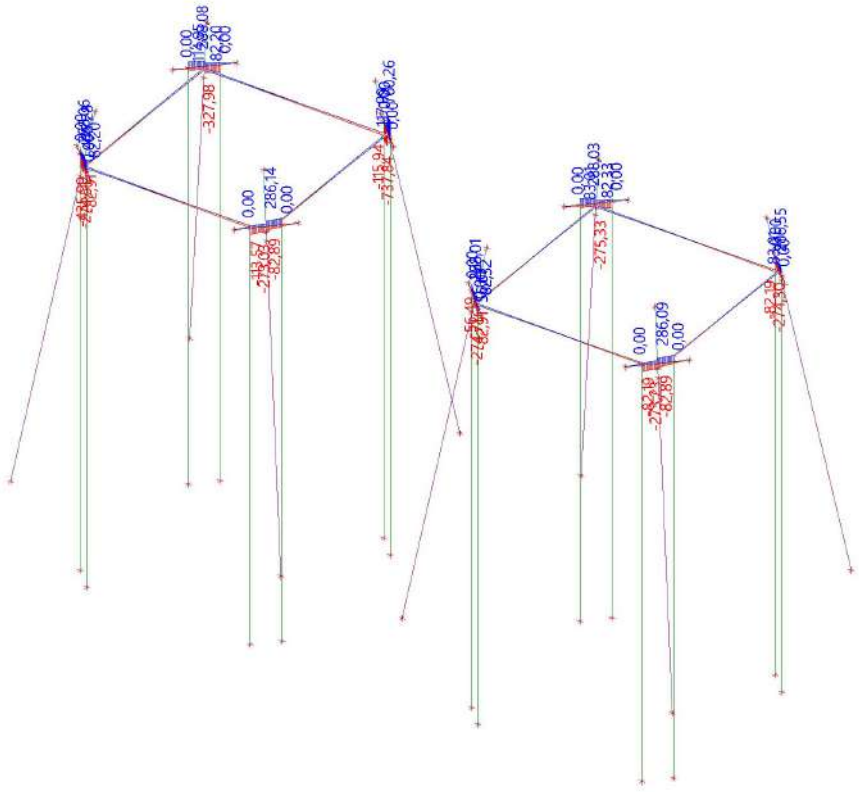
10.2. Interne 1D- krachten; V_y

Values: **V_y**
Nonlinear calculation
Class: All non-linear
Coordinate system: Principal
Extreme 1D: Local
Selection: All
Filter: Layer = Balken



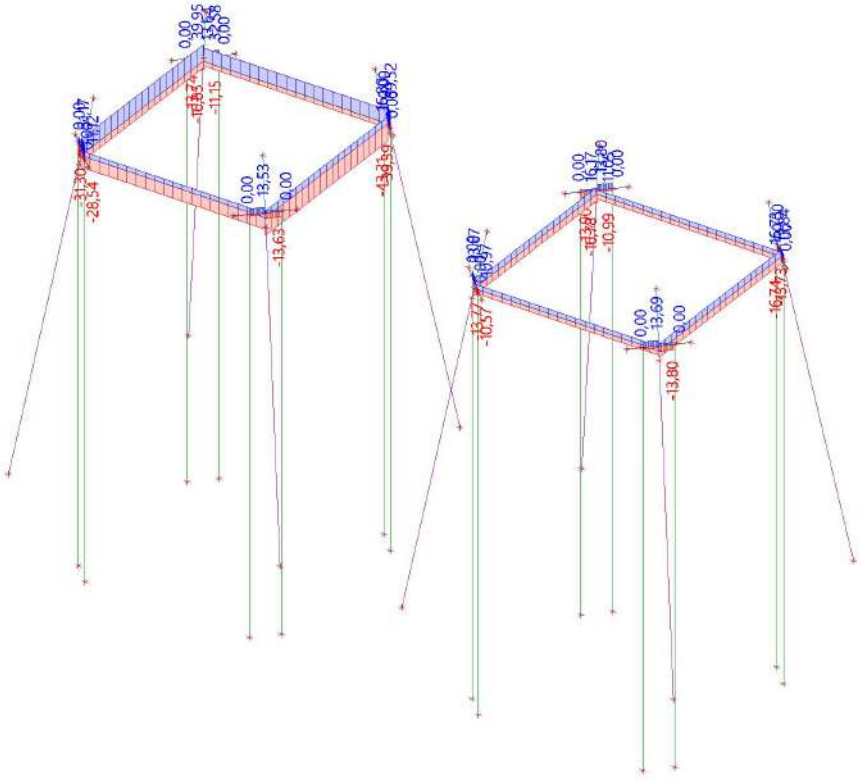
10.3. Interne 1D- krachten; V_z

Values: V_z
Nonlinear calculation
Class: All non-linear
Coordinate system: Principal
Extreme 1D: Local
Selection: All
Filter: Layer = Balken



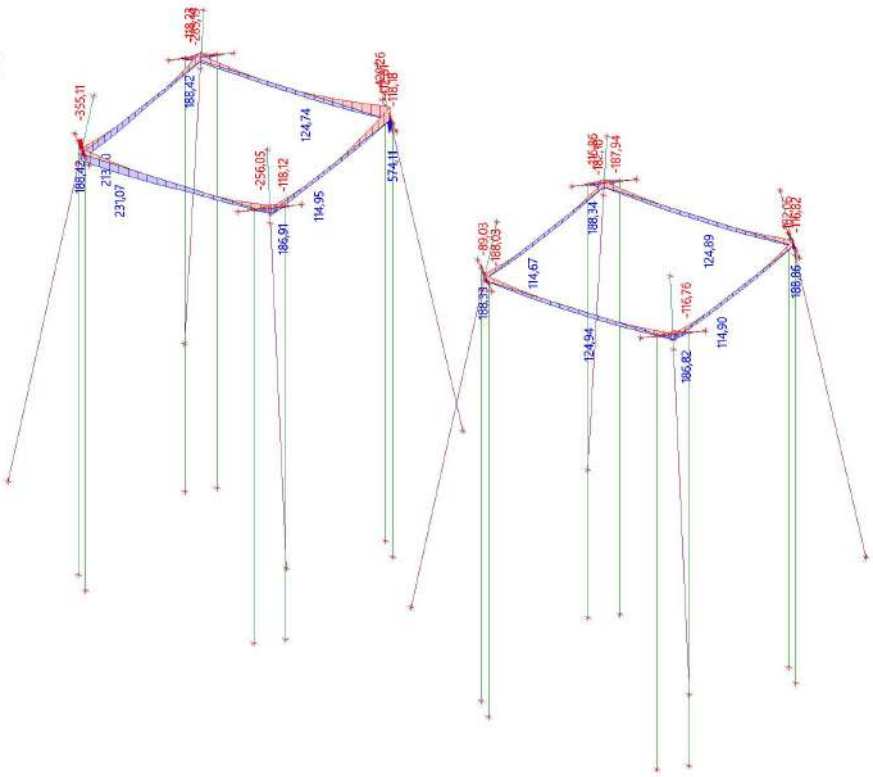
10.4. Interne 1D- krachten; M_x

Values: M_x
Nonlinear calculation
Class: All non-linear
Coordinate system: Principal
Extreme 1D: Local
Selection: All
Filter: Layer = Balken



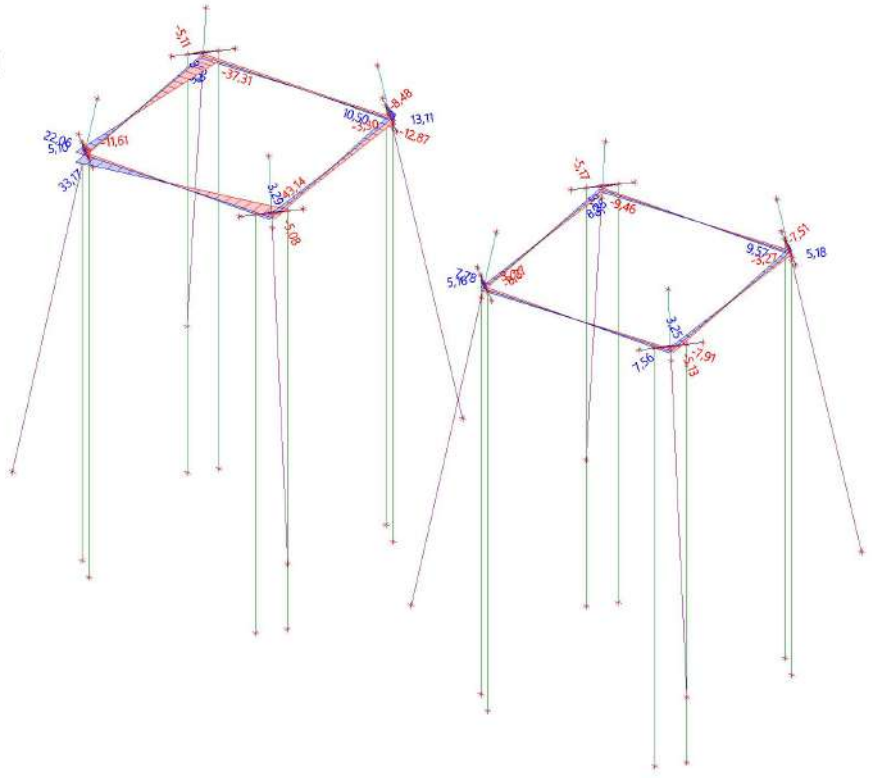
10.5. Interne 1D- krachten; M_y

Values: M_y
Nonlinear calculation
Class: All non-linear
Coordinate system: Principal
Extreme 1D: Member
Selection: All
Filter: Layer = Balken



10.6. Interne 1D- krachten; M_z

Values: M_z
Nonlinear calculation
Class: All non-linear
Coordinate system: Principal
Extreme 1D: Member
Selection: All
Filter: Layer = Balken



10.7. 1D internal forces

Nonlinear calculation
Class: All non-linear
Coordinate system: Principal
Extreme 1D: Global
Selection: All
Filter: Cross-section = Betonnen Blalk - Rectangle (750,00; 600,00)

Name	dx [m]	Case	Cross-section	N [kN]	V_y [kN]	V_z [kN]	M_x [kNm]	M_y [kNm]	M_z [kNm]
(balk 600x750)8	0,000	high max Wnd ;135° - EG_Ongunstig	Betonnen Blalk - Rectangle (750,00; 600,00)	-180,06	**-7,07**	29,31	-28,54	198,66	**33,17**
(balk 600x750)3	0,000	high max Wnd ;135° - EG_Ongunstig	Betonnen Blalk - Rectangle (750,00; 600,00)	118,21	1,01	**117,99**	**-43,31**	-412,81	-12,87
(balk 600x750)2	0,000	high max Wnd ;135° - EG_Ongunstig	Betonnen Blalk - Rectangle (750,00; 600,00)	-112,49	**5,50**	114,95	**39,95**	-285,19	-37,31
(balk 600x750)1	10,792	high max Wnd ;135° - EG_Ongunstig	Betonnen Blalk - Rectangle (750,00; 600,00)	**181,93**	0,52	**-115,94**	32,58	**-420,26**	-2,39
(balk 600x750)8	2,158	high max Wnd ;135° - EG_Ongunstig	Betonnen Blalk - Rectangle (750,00; 600,00)	**-180,06**	-7,07	0,73	-28,54	**231,07**	17,91
(balk 600x750)8	10,792	high max Wnd ;135° - EG_Ongunstig	Betonnen Blalk - Rectangle (750,00; 600,00)	-180,06	-7,07	-113,57	-28,54	-256,05	**-43,14**

10.8. 1D internal forces

Nonlinear calculation
Class: All non-linear
Coordinate system: Principal
Extreme 1D: Global
Selection: All
Filter: Cross-section = lijnpoer - Rectangle (1500,00; 1600,00)

Name	dx [m]	Case	Cross-section	N [kN]	V_y [kN]	V_z [kN]	M_x [kNm]	M_y [kNm]	M_z [kNm]
DIN39	0,800+	high max Wnd ;135° - EG_Ongunstig	lijnpoer - Rectangle (1500,00; 1600,00)	**-18,83**	0,80	150,56	-1,72	-77,72	0,00
DIN39	1,602+	high max Wnd ;135° - EG_Ongunstig	lijnpoer - Rectangle (1500,00; 1600,00)	**18,83**	-1,46	79,42	0,24	-8,03	1,15
DIN37	2,386-	high max Wnd ;135° - EG_Ongunstig	lijnpoer - Rectangle (1500,00; 1600,00)	-2,61	**-16,20**	**-737,84**	**-39,39**	-28,46	0,00
DIN37	0,794+	high max Wnd ;135° - EG_Ongunstig	lijnpoer - Rectangle (1500,00; 1600,00)	2,41	**16,23**	**760,26**	**39,52**	-17,03	0,00
DIN38	1,602-	high max Wnd ;135° - EG_Ongunstig	lijnpoer - Rectangle (1500,00; 1600,00)	-2,47	-14,48	-435,99	-31,30	**-355,11**	**-11,61**
DIN37	1,602-	high max Wnd ;135° -	lijnpoer - Rectangle	2,41	16,23	703,22	39,52	**574,11**	**13,11**

Name	dx [m]	Case	Cross-section	N [kN]	V_y [kN]	V_z [kN]	M_x [kNm]	M_y [kNm]	M_z [kNm]
		EG_Ongunstig	(1500,00; 1600,00)						

1. Inhoudsopgave

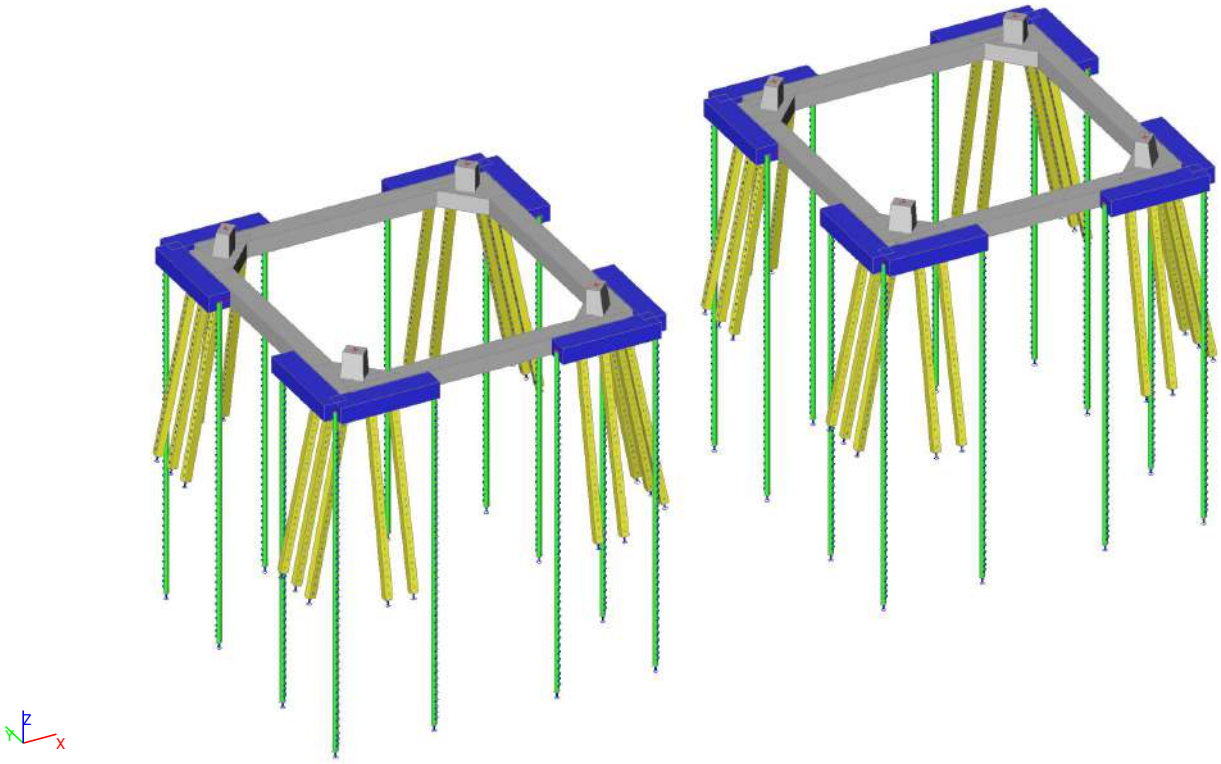
1. Inhoudsopgave 1
2. Project 3
3. Analyse model 3
4. Modeleigenschappen 4
4.1. Materialen 4
4.2. Doorsneden 4
4.3. Analyse model met doorsneden 7
4.4. Analyse model met doorsneden 8
4.5. Instellingen net 8
5. Geometrie 8
5.1. Knopen 8
5.2. Analyse model met knopen 10
5.3. Staven 10
5.4. Analyse model met Staven 12
5.5. Knoopsteunpunten 12
5.6. Analyse model met Knoopondersteuningen 14
5.7. Lijnsteunpunten op staven 14
5.8. Analyse model met Lijnondersteuningen 24
5.9. Analyse model met Lijnondersteuningen 25
5.10. Niet-lineaire functies 26
6. Belastingen 34
6.1. Belastingsgevallen 34
6.1.1. Belastingsgevallen - E.G. 34
6.1.2. Belastingsgevallen - high max Wnd ;225° 34
6.1.2.1. Puntlast op knoop 35
6.1.3. Belastingsgevallen - high max Wnd ;135° 36
6.1.3.1. Puntlast op knoop 37
6.1.4. Belastingsgevallen - high max Wnd ;45° 37
6.1.4.1. Puntlast op knoop 38
6.1.5. Belastingsgevallen - high max Wnd ;315° 39
6.1.5.1. Puntlast op knoop 40
6.1.6. Belastingsgevallen - low max Wnd ;225° 40
6.1.6.1. Puntlast op knoop 41
6.1.7. Belastingsgevallen - low max Wnd ;135° 42
6.1.7.1. Puntlast op knoop 43
6.1.8. Belastingsgevallen - low max Wnd ;45° 43
6.1.8.1. Puntlast op knoop 44
6.1.9. Belastingsgevallen - low max Wnd ;315° 45
6.1.9.1. Puntlast op knoop 46
6.2. Niet-lineaire combinaties 46
6.3. Resultaatklasses 47
7. Resultaten 48
7.1. Reacties van de palen 48
7.1.1. Reactions; R_z 48
7.1.2. Reacties 48
7.1.3. Reacties 48
7.1.4. Reacties 49
7.2. Krachten van de Funderingspalen 55
7.2.1. Interne 1D- krachten; N 55
7.2.2. Interne 1D- krachten; V_y 55
7.2.3. Interne 1D- krachten; V_z 56
7.2.4. Interne 1D- krachten; M_x 56
7.2.5. Interne 1D- krachten; M_y 57
7.2.6. Interne 1D- krachten; M_z 57
7.2.7. Interne 1D-krachten 58
7.2.8. Interne 1D-krachten 58
7.3. Krachten van de Poeren 60
7.3.1. Interne 1D-krachten 60
7.4. Krachten van de Funderingsbalken 61
7.4.1. Interne 1D- krachten; N 61
7.4.2. Interne 1D- krachten; V_y 61
7.4.3. Interne 1D- krachten; V_z 62
7.4.4. Interne 1D- krachten; M_x 62
7.4.5. Interne 1D- krachten; M_y 63
7.4.6. Interne 1D- krachten; M_z 63

7.4.7. Interne 1D-krachten 64
7.4.8. Interne 1D-krachten 64

2. Project

Gebruiker van licentie	[redacted]
Project	Opwaardering KIJ-DIM 380kV
Onderdeel	Balkrooster 5xBeton32x32 mast 146
Auteur	[redacted]
Datum	22-01-2026
Constructie	Algemeen XYZ
Aantal knopen :	172
Aantal staven :	96
Aantal platen :	0
Aantal vaste lichamen :	0
Aantal gebruikte doorsneden :	5
Aantal belastingsgevallen :	9
Aantal gebruikte materialen :	6
Gravitatieversnelling [m/s^2]	9,810
Nationale norm	EC - EN

3. Analyse model



4. Modeleigenschappen

4.1. Materialen

Staal EC3

Naam	ρ [kg/m³]	E_{mod} [MPa]	μ	Onderlimiet [mm]	Bovenlimiet [mm]	F_y [MPa]	F_u [MPa]	Kleur
		G_{mod} [MPa]	α [m/mK]					
S 235	6850,0	2,1000e+05	0.3	0	40	235,0	360,0	
		8,0769e+04	0,00	40	80	215,0	360,0	

Naam	Type	ρ [kg/m³]	Dichtheid in natte toestand [kg/m³]	E_{mod} [MPa]	μ	α [m/mK]	$f_{c.k.28}$ [MPa]	Kleur
C20/25 Ongescheurd	Beton	1500,0	2600,0	2,4000e+04	0.2	0,00	20,00	
C20/25 Gescheurd	Beton	2500,0	2600,0	8,0000e+03	0.2	0,00	20,00	
C30/37	Beton	2400,0	2600,0	3,2800e+04	0.2	0,00	30,00	
C30/37 Gescheurd	Beton	2500,0	2600,0	1,1000e+04	0.2	0,00	30,00	

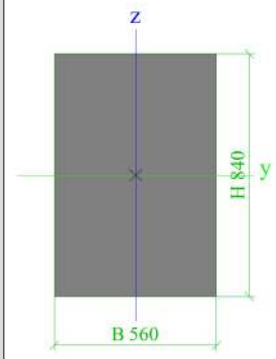
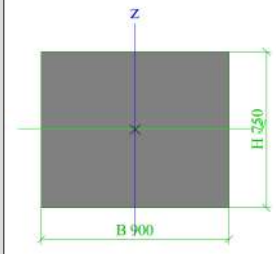
Verklaring van symbolen	
Dichtheid in natte toestand	De waarde van de dichtheid van het kenmerk nieuwe toestand wordt alleen gebruikt als een samengesteld dek wordt ingevoerd en rekening wordt gehouden met de belasting van het eigengewicht.

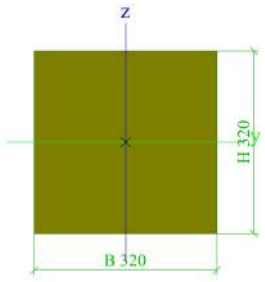
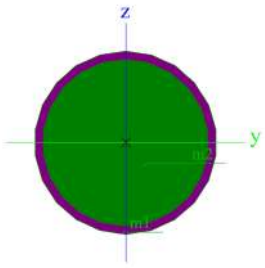
Wapening EC2

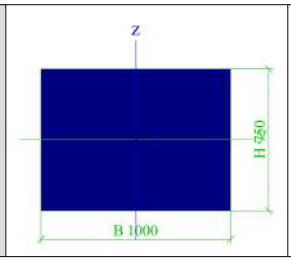
Naam	Type	ρ [kg/m³]	E_{mod} [MPa]	G_{mod} [MPa]	α [m/mK]	$f_{y.k}$ [MPa]
B 500B	Betonstaal	7850,0	2,0000e+05	8,3333e+04	0,00	500,0

4.2. Doorsneden

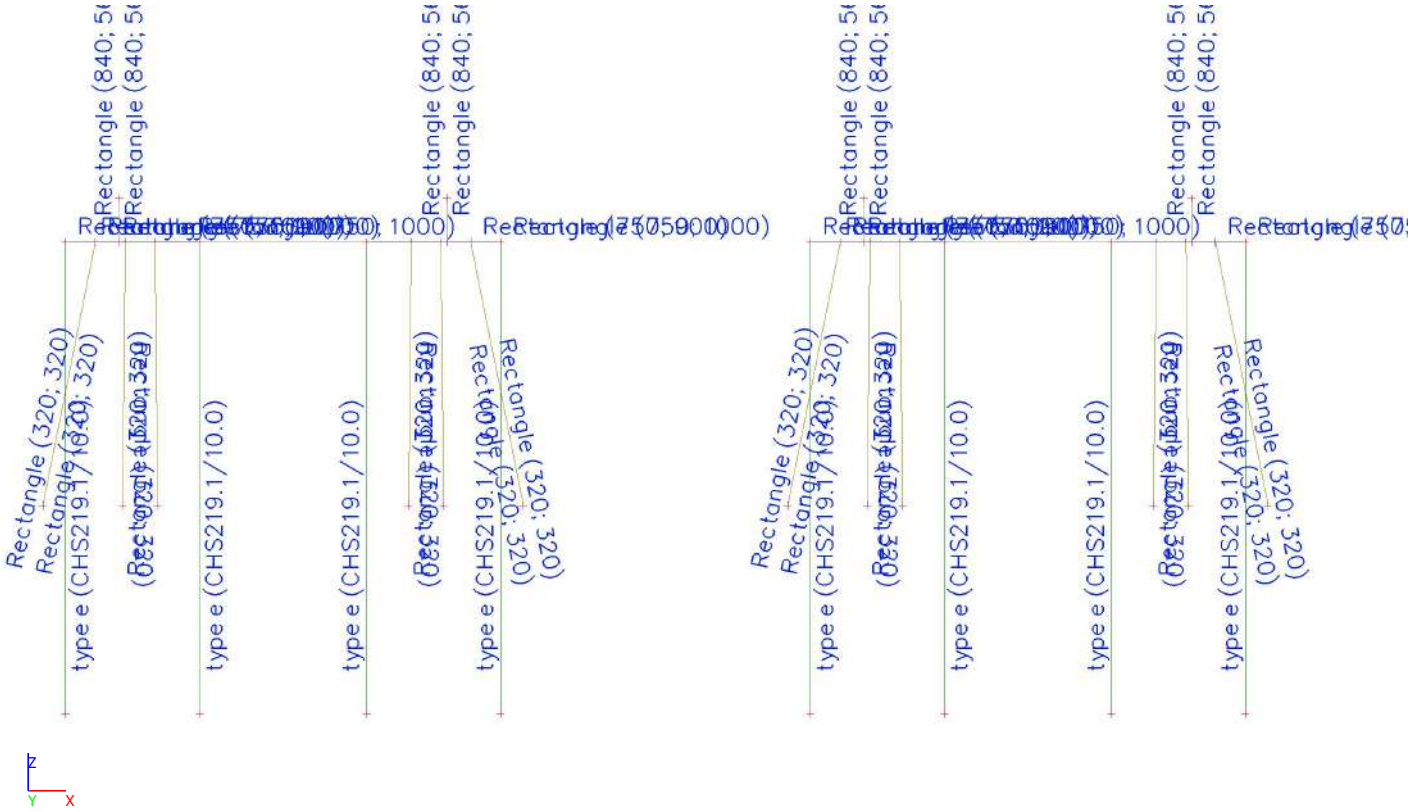
Poer.Opstort		
Type	Rectangle	
Gedetailleerd	840; 560	
Vorm type	Dikke wanden	
Onderdeelmateriaal	C20/25 Gescheurd	
Bouwwijze	beton	
Kleur		
A [m²]	4,7040e-01	
A_y [m²], A_z [m²]	3,9200e-01	3,9200e-01
A_L [m²/m], A_D [m²/m]	2,8000e+00	2,8000e+00
$c_{Y.UCS}$ [mm], $c_{Z.UCS}$ [mm]	280	420
α [deg]	0,00	
I_y [m⁴], I_z [m⁴]	2,7660e-02	1,2293e-02
i_y [mm], i_z [mm]	242	162
$W_{el.y}$ [m³], $W_{el.z}$ [m³]	6,5856e-02	4,3904e-02
$W_{pl.y}$ [m³], $W_{pl.z}$ [m³]	0,0000e+00	0,0000e+00
$M_{pl.y.+}$ [Nm], $M_{pl.y.-}$ [Nm]	0,00e+00	0,00e+00
$M_{pl.z.+}$ [Nm], $M_{pl.z.-}$ [Nm]	0,00e+00	0,00e+00
d_y [mm], d_z [mm]	0	0
I_t [m⁴], I_w [m⁶]	2,8888e-02	0,0000e+00
β_y [mm], β_z [mm]	0	0

Afbeelding		
Balk		
Type	Rectangle	
Gedetailleerd	750; 900	
Vorm type	Dikke wanden	
Onderdeelmateriaal	C20/25 Gescheurd	
Bouwwijze	beton	
Kleur		
A [m²]	6,7500e-01	
A_y [m²], A_z [m²]	5,6250e-01	5,6250e-01
A_L [m²/m], A_D [m²/m]	3,3000e+00	3,3000e+00
$c_{Y.UCS}$ [mm], $c_{Z.UCS}$ [mm]	450	375
α [deg]	0,00	
I_y [m⁴], I_z [m⁴]	3,1641e-02	4,5563e-02
i_y [mm], i_z [mm]	217	260
$W_{el.y}$ [m³], $W_{el.z}$ [m³]	8,4375e-02	1,0125e-01
$W_{pl.y}$ [m³], $W_{pl.z}$ [m³]	0,0000e+00	0,0000e+00
$M_{pl.y.+}$ [Nm], $M_{pl.y.-}$ [Nm]	0,00e+00	0,00e+00
$M_{pl.z.+}$ [Nm], $M_{pl.z.-}$ [Nm]	0,00e+00	0,00e+00
d_y [mm], d_z [mm]	0	0
I_t [m⁴], I_w [m⁶]	6,3112e-02	0,0000e+00
β_y [mm], β_z [mm]	0	0
Afbeelding		
Funderingspaal		
Type	Rectangle	
Gedetailleerd	320; 320	
Vorm type	Dikke wanden	
Onderdeelmateriaal	C20/25 Ongescheurd	
Bouwwijze	beton	
Kleur		
A [m²]	1,0240e-01	
A_y [m²], A_z [m²]	8,5333e-02	8,5333e-02
A_L [m²/m], A_D [m²/m]	1,2800e+00	1,2800e+00
$c_{Y.UCS}$ [mm], $c_{Z.UCS}$ [mm]	160	160
α [deg]	0,00	
I_y [m⁴], I_z [m⁴]	8,7381e-04	8,7381e-04
i_y [mm], i_z [mm]	92	92
$W_{el.y}$ [m³], $W_{el.z}$ [m³]	5,4613e-03	5,4613e-03
$W_{pl.y}$ [m³], $W_{pl.z}$ [m³]	0,0000e+00	0,0000e+00
$M_{pl.y.+}$ [Nm], $M_{pl.y.-}$ [Nm]	0,00e+00	0,00e+00
$M_{pl.z.+}$ [Nm], $M_{pl.z.-}$ [Nm]	0,00e+00	0,00e+00
d_y [mm], d_z [mm]	0	0
I_t [m⁴], I_w [m⁶]	1,4757e-03	0,0000e+00
β_y [mm], β_z [mm]	0	0

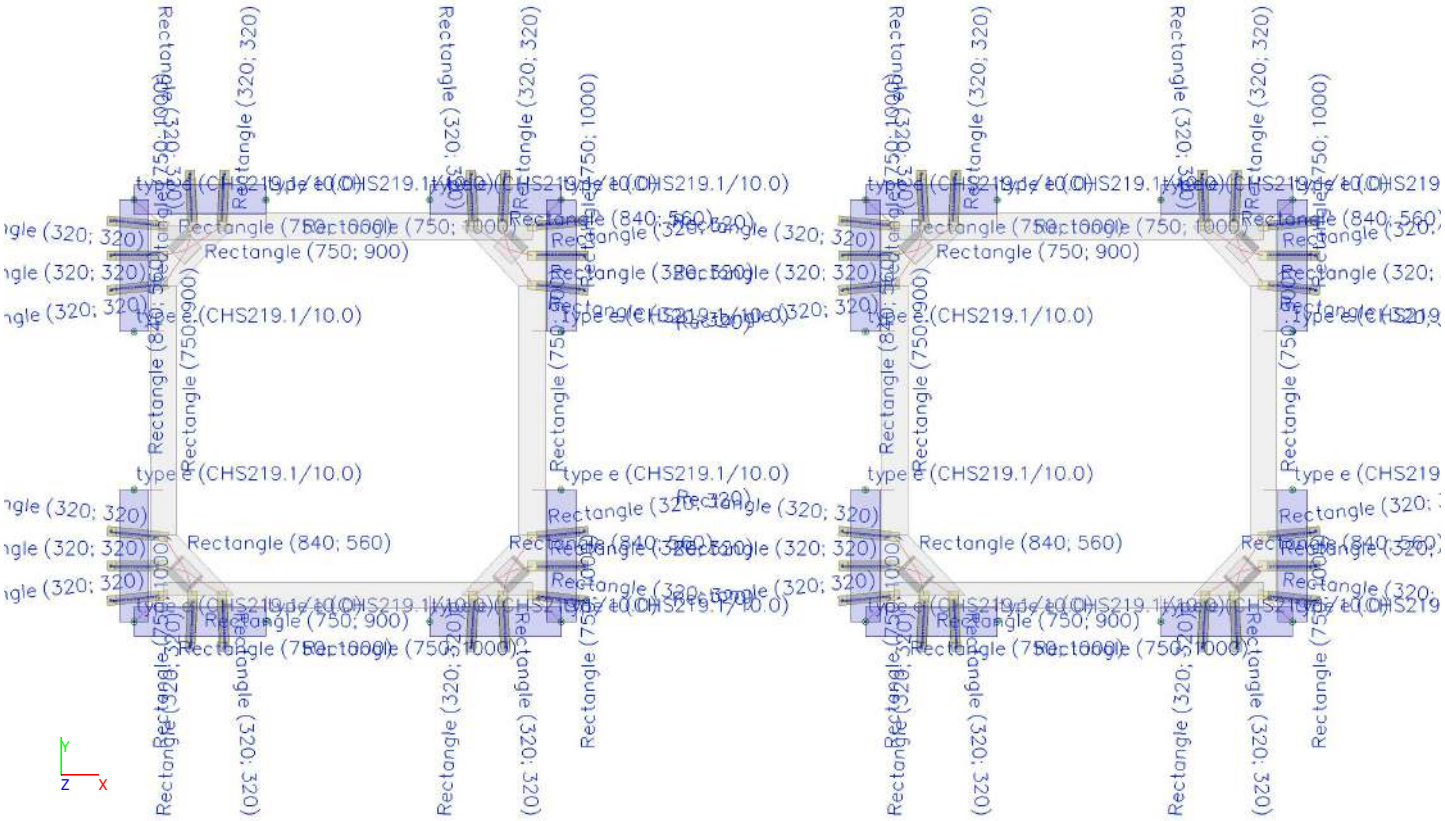
Afbeelding		
LEKA Paal		
Type	type e	
Gedetailleerd	CHS219.1/10.0	
Vorm type	Dikke wanden	
Onderdeelmateriaal	S 235	
	C30/37	
Bouwwijze	beton	
Knik y-y, Knik z-z	a	a
A [m^2]	1,1430e-02	
A_y [m^2], A_z [m^2]	8,7249e-03	8,7249e-03
A_L [m^2/m], A_D [m^2/m]	6,8829e-01	6,8829e-01
$c_{Y.UCS}$ [mm], $c_{Z.UCS}$ [mm]	110	110
α [deg]	0,00	
I_y [m^4], I_z [m^4]	4,8013e-05	4,8013e-05
i_y [mm], i_z [mm]	65	65
$W_{el.y}$ [m^3], $W_{el.z}$ [m^3]	4,3827e-04	4,3827e-04
$W_{pl.y}$ [m^3], $W_{pl.z}$ [m^3]	4,9123e-04	4,9123e-04
$M_{pl.y.+}$ [Nm], $M_{pl.y.-}$ [Nm]	1,15e+05	1,15e+05
$M_{pl.z.+}$ [Nm], $M_{pl.z.-}$ [Nm]	1,15e+05	1,15e+05
d_y [mm], d_z [mm]	0	0
I_t [m^4], I_w [m^6]	9,8040e-05	0,0000e+00
β_y [mm], β_z [mm]	0	0
Afbeelding		
Ringbalk		
Type	Rectangle	
Gedetailleerd	750; 1000	
Vorm type	Dikke wanden	
Onderdeelmateriaal	C30/37 Gescheurd	
Bouwwijze	beton	
Kleur		
A [m^2]	7,5000e-01	
A_y [m^2], A_z [m^2]	6,2517e-01	6,2531e-01
A_L [m^2/m], A_D [m^2/m]	3,5000e+00	3,5000e+00
$c_{Y.UCS}$ [mm], $c_{Z.UCS}$ [mm]	500	375
α [deg]	0,00	
I_y [m^4], I_z [m^4]	3,5156e-02	6,2500e-02
i_y [mm], i_z [mm]	217	289
$W_{el.y}$ [m^3], $W_{el.z}$ [m^3]	9,3750e-02	1,2500e-01
$W_{pl.y}$ [m^3], $W_{pl.z}$ [m^3]	0,0000e+00	0,0000e+00
$M_{pl.y.+}$ [Nm], $M_{pl.y.-}$ [Nm]	0,00e+00	0,00e+00
$M_{pl.z.+}$ [Nm], $M_{pl.z.-}$ [Nm]	0,00e+00	0,00e+00
d_y [mm], d_z [mm]	0	0
I_t [m^4], I_w [m^6]	7,6159e-02	2,7801e-04
β_y [mm], β_z [mm]	0	0

Afbeelding		

4.3. Analyse model met doorsneden



4.4. Analyse model met doorsneden



4.5. Instellingen net

Naam	NetInstelling1
Generatie van variabele excentriciteiten op elementen in plaats van constante excentriciteiten	×
Generatie van knopen op staven	×
Elastisch net	✓
Pas automatische netverfijning toe	×
Constructie-entiteiten verbinden	✓
Verdeling op consoles en variabele staven	5
Verdeling voor integratiestrook en 2D-1D upgrade	50
Gemiddeld aantal 1D-netelementen op rechte 1D-elementen	5
Gemiddelde grootte van 2D-netelement [m]	0,250
Gemiddelde grootte van 1D-element op gebogen 1D-elementen [m]	0,200
Minimum lengte van staafelement [m]	0,100
Maximum lengte van staafelement [m]	1000,000
Gemiddelde grootte van voorspankabels, elementen op elastische bedding, niet-lineaire grondveer [m]	1,000
Maximale hoek uit het vlak van vierhoekig element [mrad]	30,0
Minimale afstand tussen definitiepunt en -lijn [m]	0,001
Gemiddelde afmeting van paneelelement [m]	1,000
Netverfijning volgens het liggertype	Geen
Definitie van netelementen afmetingen voor panelen	Handmatig

5. Geometrie

5.1. Knopen

Naam	Coördinaat X [m]	Coördinaat Y [m]	Coördinaat Z [m]
N5	13,000	1,400	0,000
N6	13,000	2,400	0,000
N7	12,000	0,400	0,000
N1	11,000	0,400	0,000
N17	0,400	0,400	0,000

Naam	Coördinaat X [m]	Coördinaat Y [m]	Coördinaat Z [m]
N21	0,400	13,000	0,000
1Y	12,200	1,200	1,475
N22	12,200	1,200	0,000
N23	12,200	12,200	0,000
1XY	12,200	12,200	1,475

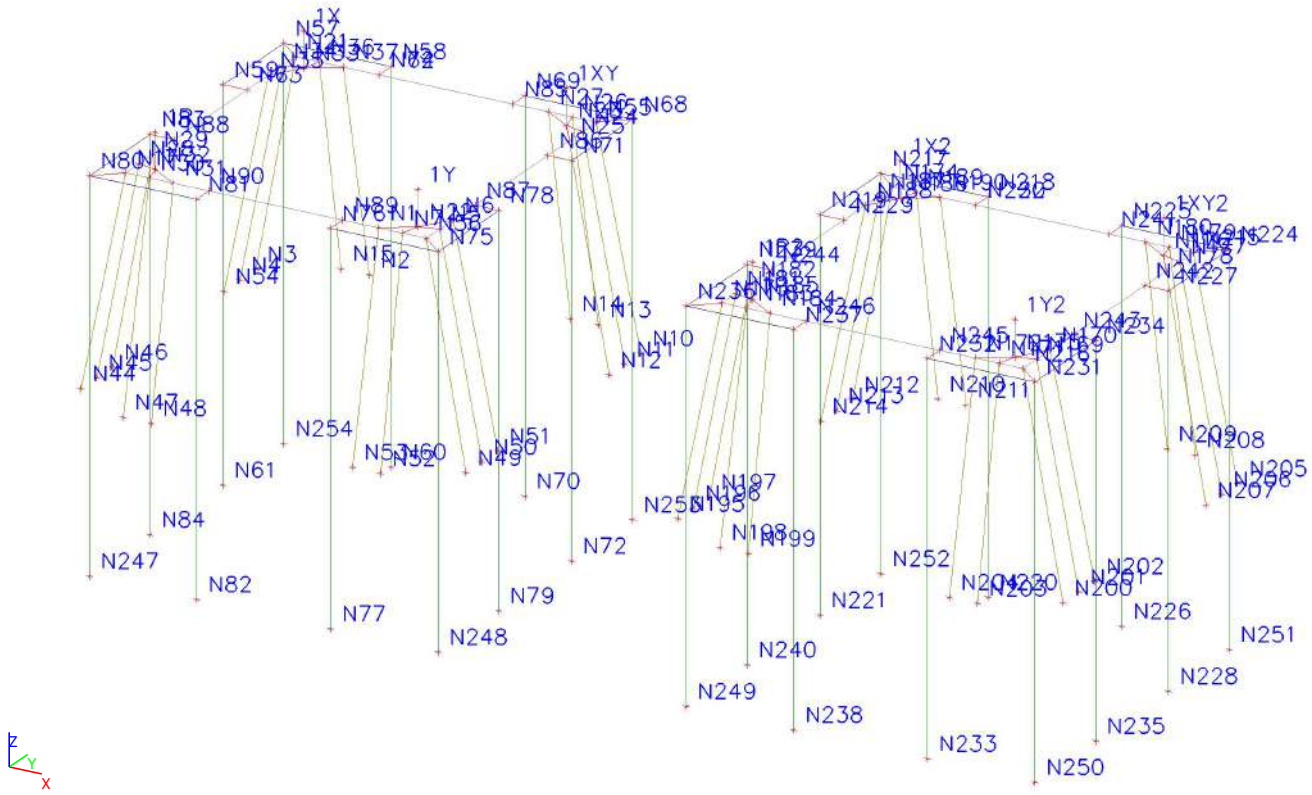
Naam	Coördinaat X [m]	Coördinaat Y [m]	Coördinaat Z [m]
N24	13,000	12,000	0,000
N25	13,000	11,000	0,000
N26	12,000	13,000	0,000
N27	11,000	13,000	0,000
N28	0,400	1,400	0,000
N29	0,400	2,400	0,000
N30	1,400	0,400	0,000
N31	2,400	0,400	0,000
1P	1,200	1,200	1,475
N32	1,200	1,200	0,000
N33	1,200	12,200	0,000
1X	1,200	12,187	1,475
N34	0,400	12,000	0,000
N35	0,400	11,000	0,000
N36	1,400	13,000	0,000
N37	2,400	13,000	0,000
N38	12,200	1,200	0,000
N39	1,200	1,200	0,000
N40	12,200	12,200	0,000
N41	1,200	12,200	0,000
N44	-1,365	0,224	-8,824
N45	-1,364	1,400	-8,821
N46	-1,365	2,576	-8,824
N47	1,312	-1,364	-8,822
N48	2,488	-1,364	-8,822
N49	14,765	0,224	-8,824
N50	14,764	1,400	-8,821
N51	14,765	2,576	-8,824
N52	12,088	-1,364	-8,822
N53	10,912	-1,364	-8,822
N10	14,765	13,176	-8,824
N11	14,764	12,000	-8,821
N12	14,765	10,824	-8,824
N13	12,088	14,764	-8,822
N14	10,912	14,764	-8,822
N15	1,312	14,764	-8,822
N2	2,488	14,764	-8,822
N3	-1,365	13,176	-8,824
N4	-1,364	12,000	-8,821
N54	-1,365	10,824	-8,824
N55	13,000	13,000	0,000
N56	13,000	0,400	0,000
N57	-0,600	13,900	0,000
N58	3,900	13,900	0,000
N59	-0,600	9,400	0,000
N60	3,900	13,900	-15,800
N61	-0,600	9,400	-15,800
N62	3,900	13,000	0,000
N63	0,400	9,400	0,000
N68	14,000	13,900	0,000
N69	9,500	13,900	0,000
N70	9,500	13,900	-15,800
N71	14,000	9,400	0,000
N72	14,000	9,400	-15,800
N73	0,400	9,400	0,000
N74	3,900	13,000	0,000
N75	14,000	-0,500	0,000
N76	9,500	-0,500	0,000
N77	9,500	-0,500	-15,800
N78	14,000	4,000	0,000
N79	14,000	4,000	-15,800
N80	-0,600	-0,500	0,000
N81	3,900	-0,500	0,000
N82	3,900	-0,500	-15,800
N83	-0,600	4,000	0,000
N84	-0,600	4,000	-15,800

Naam	Coördinaat X [m]	Coördinaat Y [m]	Coördinaat Z [m]
N85	9,500	13,000	0,000
N86	13,000	9,400	0,000
N87	13,000	4,000	0,000
N88	0,400	4,000	0,000
N89	9,500	0,400	0,000
N90	3,900	0,400	0,000
N169	38,000	1,400	0,000
N170	38,000	2,400	0,000
N171	37,000	0,400	0,000
N172	36,000	0,400	0,000
N173	25,400	0,400	0,000
N174	25,400	13,000	0,000
1Y2	37,200	1,200	1,475
N175	37,200	1,200	0,000
N176	37,200	12,200	0,000
1XY2	37,200	12,200	1,475
N177	38,000	12,000	0,000
N178	38,000	11,000	0,000
N179	37,000	13,000	0,000
N180	36,000	13,000	0,000
N181	25,400	1,400	0,000
N182	25,400	2,400	0,000
N183	26,400	0,400	0,000
N184	27,400	0,400	0,000
1P2	26,200	1,200	1,475
N185	26,200	1,200	0,000
N186	26,200	12,200	0,000
1X2	26,200	12,187	1,475
N187	25,400	12,000	0,000
N188	25,400	11,000	0,000
N189	26,400	13,000	0,000
N190	27,400	13,000	0,000
N191	37,200	1,200	0,000
N192	26,200	1,200	0,000
N193	37,200	12,200	0,000
N194	26,200	12,200	0,000
N195	23,635	0,224	-8,824
N196	23,636	1,400	-8,821
N197	23,635	2,576	-8,824
N198	26,312	-1,364	-8,822
N199	27,488	-1,364	-8,822
N200	39,765	0,224	-8,824
N201	39,764	1,400	-8,821
N202	39,765	2,576	-8,824
N203	37,088	-1,364	-8,822
N204	35,912	-1,364	-8,822
N205	39,765	13,176	-8,824
N206	39,764	12,000	-8,821
N207	39,765	10,824	-8,824
N208	37,088	14,764	-8,822
N209	35,912	14,764	-8,822
N210	26,312	14,764	-8,822
N211	27,488	14,764	-8,822
N212	23,635	13,176	-8,824
N213	23,636	12,000	-8,821
N214	23,635	10,824	-8,824
N215	38,000	13,000	0,000
N216	38,000	0,400	0,000
N217	24,400	13,900	0,000
N218	28,900	13,900	0,000
N219	24,400	9,400	0,000
N220	28,900	13,900	-15,800
N221	24,400	9,400	-15,800
N222	28,900	13,000	0,000
N223	25,400	9,400	0,000
N224	39,000	13,900	0,000

Naam	Coördinaat X [m]	Coördinaat Y [m]	Coördinaat Z [m]
N225	34,500	13,900	0,000
N226	34,500	13,900	-15,800
N227	39,000	9,400	0,000
N228	39,000	9,400	-15,800
N229	25,400	9,400	0,000
N230	28,900	13,000	0,000
N231	39,000	-0,500	0,000
N232	34,500	-0,500	0,000
N233	34,500	-0,500	-15,800
N234	39,000	4,000	0,000
N235	39,000	4,000	-15,800
N236	24,400	-0,500	0,000
N237	28,900	-0,500	0,000
N238	28,900	-0,500	-15,800
N239	24,400	4,000	0,000

Naam	Coördinaat X [m]	Coördinaat Y [m]	Coördinaat Z [m]
N240	24,400	4,000	-15,800
N241	34,500	13,000	0,000
N242	38,000	9,400	0,000
N243	38,000	4,000	0,000
N244	25,400	4,000	0,000
N245	34,500	0,400	0,000
N246	28,900	0,400	0,000
N247	-0,600	-0,500	-15,800
N248	14,000	-0,500	-15,800
N249	24,400	-0,500	-15,800
N250	39,000	-0,500	-15,800
N251	39,000	13,900	-15,800
N252	24,400	13,900	-15,800
N253	14,000	13,900	-15,800
N254	-0,600	13,900	-15,800

5.2. Analyse model met knopen



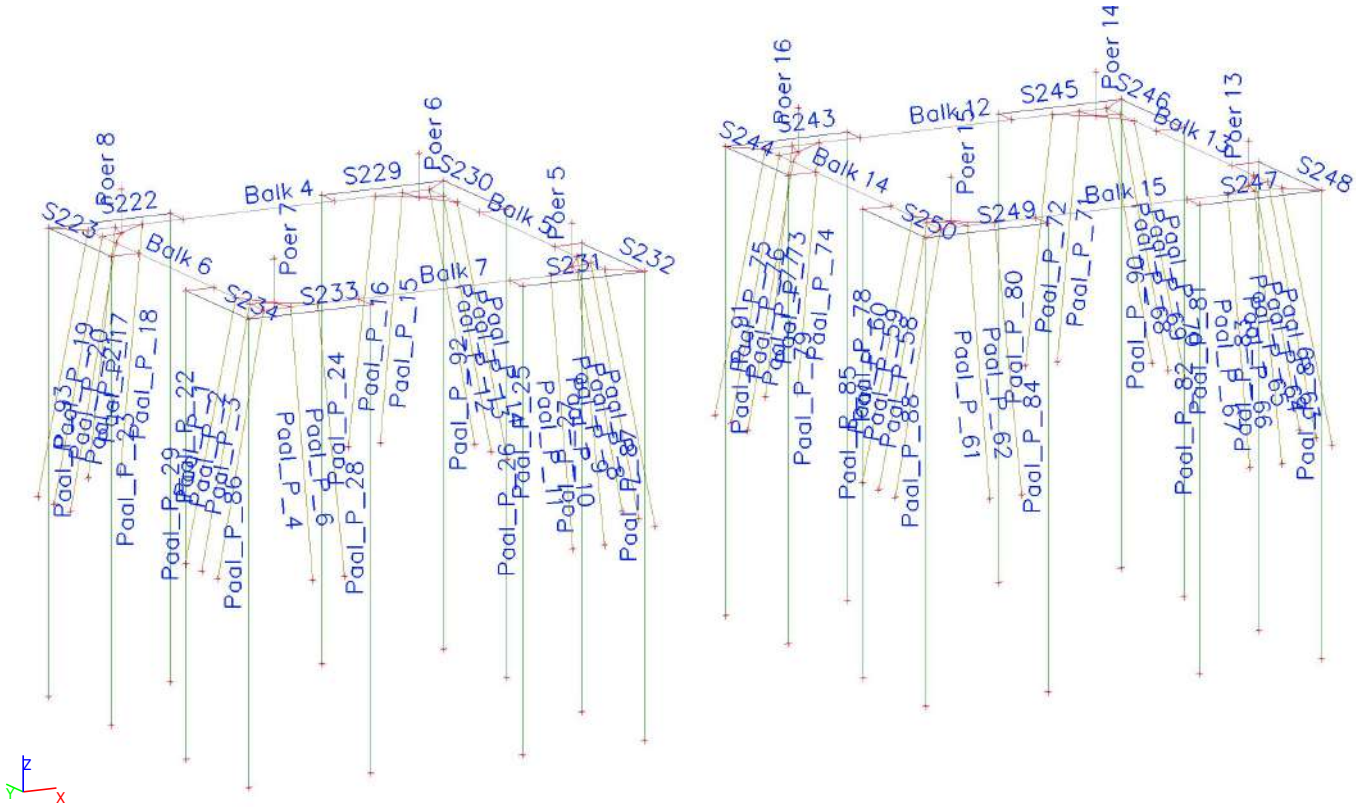
5.3. Staven

Naam	Doorsnede	Materiaal	Lengte [m]	Beginknoop	Eindknoop	Type
Balk 4	Balk - Rectangle (750; 900)	C20/25 Gescheurd	12,600	N55	N21	Balk (80)
Balk 5	Balk - Rectangle (750; 900)	C20/25 Gescheurd	12,600	N56	N55	Balk (80)
Balk 6	Balk - Rectangle (750; 900)	C20/25 Gescheurd	12,600	N17	N21	Balk (80)
Balk 7	Balk - Rectangle (750; 900)	C20/25 Gescheurd	12,600	N56	N17	Balk (80)
Balk 12	Balk - Rectangle (750; 900)	C20/25 Gescheurd	12,600	N215	N174	Balk (80)
Balk 13	Balk - Rectangle (750; 900)	C20/25 Gescheurd	12,600	N216	N215	Balk (80)
Balk 14	Balk - Rectangle (750; 900)	C20/25 Gescheurd	12,600	N173	N174	Balk (80)
Balk 15	Balk - Rectangle (750; 900)	C20/25 Gescheurd	12,600	N216	N173	Balk (80)
S222	Ringbalk - Rectangle (750; 1000)	C30/37 Gescheurd	4,500	N57	N58	Balk (80)
S223	Ringbalk - Rectangle (750; 1000)	C30/37 Gescheurd	4,500	N59	N57	Balk (80)
S229	Ringbalk - Rectangle (750; 1000)	C30/37 Gescheurd	4,500	N68	N69	Balk (80)

Naam	Doorsnede	Materiaal	Lengte [m]	Beginknoop	Eindknoop	Type
S230	Ringbalk - Rectangle (750; 1000)	C30/37 Gescheurd	4,500	N71	N68	Balk (80)
S231	Ringbalk - Rectangle (750; 1000)	C30/37 Gescheurd	4,500	N75	N76	Balk (80)
S232	Ringbalk - Rectangle (750; 1000)	C30/37 Gescheurd	4,500	N78	N75	Balk (80)
S233	Ringbalk - Rectangle (750; 1000)	C30/37 Gescheurd	4,500	N80	N81	Balk (80)
S234	Ringbalk - Rectangle (750; 1000)	C30/37 Gescheurd	4,500	N83	N80	Balk (80)
S243	Ringbalk - Rectangle (750; 1000)	C30/37 Gescheurd	4,500	N217	N218	Balk (80)
S244	Ringbalk - Rectangle (750; 1000)	C30/37 Gescheurd	4,500	N219	N217	Balk (80)
S245	Ringbalk - Rectangle (750; 1000)	C30/37 Gescheurd	4,500	N224	N225	Balk (80)
S246	Ringbalk - Rectangle (750; 1000)	C30/37 Gescheurd	4,500	N227	N224	Balk (80)
S247	Ringbalk - Rectangle (750; 1000)	C30/37 Gescheurd	4,500	N231	N232	Balk (80)
S248	Ringbalk - Rectangle (750; 1000)	C30/37 Gescheurd	4,500	N234	N231	Balk (80)
S249	Ringbalk - Rectangle (750; 1000)	C30/37 Gescheurd	4,500	N236	N237	Balk (80)
S250	Ringbalk - Rectangle (750; 1000)	C30/37 Gescheurd	4,500	N239	N236	Balk (80)
Paal_P_3	Funderingspaal - Rectangle (320; 320)	C20/25 Ongescheurd	9,000	N17	N44	Kolom (100)
Paal_P_4	Funderingspaal - Rectangle (320; 320)	C20/25 Ongescheurd	8,997	N30	N47	Kolom (100)
Paal_P_16	Funderingspaal - Rectangle (320; 320)	C20/25 Ongescheurd	8,997	N27	N14	Kolom (100)
Poer 6	Poer.Opstort - Rectangle (840; 560)	C20/25 Gescheurd	1,475	N23	1XY	Kolom (100)
Paal_P_6	Funderingspaal - Rectangle (320; 320)	C20/25 Ongescheurd	8,997	N31	N48	Kolom (100)
Poer 15	Poer.Opstort - Rectangle (840; 560)	C20/25 Gescheurd	1,475	N185	1P2	Kolom (100)
Poer 16	Poer.Opstort - Rectangle (840; 560)	C20/25 Gescheurd	1,475	N186	1X2	Kolom (100)
Paal_P_7	Funderingspaal - Rectangle (320; 320)	C20/25 Ongescheurd	9,000	N56	N49	Kolom (100)
Paal_P_12	Funderingspaal - Rectangle (320; 320)	C20/25 Ongescheurd	9,000	N55	N10	Kolom (100)
Paal_P_14	Funderingspaal - Rectangle (320; 320)	C20/25 Ongescheurd	9,000	N25	N12	Kolom (100)
Paal_P_17	Funderingspaal - Rectangle (320; 320)	C20/25 Ongescheurd	8,997	N36	N15	Kolom (100)
Paal_P_18	Funderingspaal - Rectangle (320; 320)	C20/25 Ongescheurd	8,997	N37	N2	Kolom (100)
Paal_P_19	Funderingspaal - Rectangle (320; 320)	C20/25 Ongescheurd	9,000	N21	N3	Kolom (100)
Paal_P_20	Funderingspaal - Rectangle (320; 320)	C20/25 Ongescheurd	8,996	N34	N4	Kolom (100)
Paal_P_21	Funderingspaal - Rectangle (320; 320)	C20/25 Ongescheurd	9,000	N35	N54	Kolom (100)
Paal_P_22	LEKA Paal - type e (CHS219.1/10.0)	S 235	15,800	N58	N60	Kolom (100)
Paal_P_58	Funderingspaal - Rectangle (320; 320)	C20/25 Ongescheurd	9,000	N173	N195	Kolom (100)
Paal_P_59	Funderingspaal - Rectangle (320; 320)	C20/25 Ongescheurd	8,996	N181	N196	Kolom (100)
Paal_P_60	Funderingspaal - Rectangle (320; 320)	C20/25 Ongescheurd	9,000	N182	N197	Kolom (100)
Paal_P_61	Funderingspaal - Rectangle (320; 320)	C20/25 Ongescheurd	8,997	N183	N198	Kolom (100)
Paal_P_62	Funderingspaal - Rectangle (320; 320)	C20/25 Ongescheurd	8,997	N184	N199	Kolom (100)
Paal_P_63	Funderingspaal - Rectangle (320; 320)	C20/25 Ongescheurd	9,000	N216	N200	Kolom (100)
Paal_P_64	Funderingspaal - Rectangle (320; 320)	C20/25 Ongescheurd	8,996	N169	N201	Kolom (100)
Paal_P_66	Funderingspaal - Rectangle (320; 320)	C20/25 Ongescheurd	8,997	N171	N203	Kolom (100)
Paal_P_67	Funderingspaal - Rectangle (320; 320)	C20/25 Ongescheurd	8,997	N172	N204	Kolom (100)
Paal_P_68	Funderingspaal - Rectangle (320; 320)	C20/25 Ongescheurd	9,000	N215	N205	Kolom (100)
Poer 5	Poer.Opstort - Rectangle (840; 560)	C20/25 Gescheurd	1,475	N22	1Y	Kolom (100)
Poer 7	Poer.Opstort - Rectangle (840; 560)	C20/25 Gescheurd	1,475	N32	1P	Kolom (100)
Poer 8	Poer.Opstort - Rectangle (840; 560)	C20/25 Gescheurd	1,475	N33	1X	Kolom (100)
Poer 13	Poer.Opstort - Rectangle (840; 560)	C20/25 Gescheurd	1,475	N175	1Y2	Kolom (100)
Poer 14	Poer.Opstort - Rectangle (840; 560)	C20/25 Gescheurd	1,475	N176	1XY2	Kolom (100)
Paal_P_1	Funderingspaal - Rectangle (320; 320)	C20/25 Ongescheurd	9,000	N29	N46	Kolom (100)
Paal_P_2	Funderingspaal - Rectangle (320; 320)	C20/25 Ongescheurd	8,996	N28	N45	Kolom (100)
Paal_P_8	Funderingspaal - Rectangle (320; 320)	C20/25 Ongescheurd	8,996	N5	N50	Kolom (100)
Paal_P_65	Funderingspaal - Rectangle (320; 320)	C20/25 Ongescheurd	9,000	N170	N202	Kolom (100)
Paal_P_9	Funderingspaal - Rectangle (320; 320)	C20/25 Ongescheurd	9,000	N6	N51	Kolom (100)
Paal_P_10	Funderingspaal - Rectangle (320; 320)	C20/25 Ongescheurd	8,997	N7	N52	Kolom (100)
Paal_P_11	Funderingspaal - Rectangle (320; 320)	C20/25 Ongescheurd	8,997	N1	N53	Kolom (100)
Paal_P_13	Funderingspaal - Rectangle (320; 320)	C20/25 Ongescheurd	8,996	N24	N11	Kolom (100)
Paal_P_15	Funderingspaal - Rectangle (320; 320)	C20/25 Ongescheurd	8,997	N26	N13	Kolom (100)
Paal_P_23	LEKA Paal - type e (CHS219.1/10.0)	S 235	15,800	N59	N61	Kolom (100)
Paal_P_24	LEKA Paal - type e (CHS219.1/10.0)	S 235	15,800	N69	N70	Kolom (100)
Paal_P_25	LEKA Paal - type e (CHS219.1/10.0)	S 235	15,800	N71	N72	Kolom (100)
Paal_P_26	LEKA Paal - type e (CHS219.1/10.0)	S 235	15,800	N76	N77	Kolom (100)
Paal_P_27	LEKA Paal - type e (CHS219.1/10.0)	S 235	15,800	N78	N79	Kolom (100)
Paal_P_28	LEKA Paal - type e (CHS219.1/10.0)	S 235	15,800	N81	N82	Kolom (100)
Paal_P_29	LEKA Paal - type e (CHS219.1/10.0)	S 235	15,800	N83	N84	Kolom (100)
Paal_P_69	Funderingspaal - Rectangle (320; 320)	C20/25 Ongescheurd	8,996	N177	N206	Kolom (100)
Paal_P_70	Funderingspaal - Rectangle (320; 320)	C20/25 Ongescheurd	9,000	N178	N207	Kolom (100)
Paal_P_71	Funderingspaal - Rectangle (320; 320)	C20/25 Ongescheurd	8,997	N179	N208	Kolom (100)
Paal_P_72	Funderingspaal - Rectangle (320; 320)	C20/25 Ongescheurd	8,997	N180	N209	Kolom (100)
Paal_P_73	Funderingspaal - Rectangle (320; 320)	C20/25 Ongescheurd	8,997	N189	N210	Kolom (100)
Paal_P_74	Funderingspaal - Rectangle (320; 320)	C20/25 Ongescheurd	8,997	N190	N211	Kolom (100)

Naam	Doorsnede	Materiaal	Lengte [m]	Beginknoop	Eindknoop	Type
Paal_P_75	Funderingspaal - Rectangle (320; 320)	C20/25 Ongescheurd	9,000	N174	N212	Kolom (100)
Paal_P_76	Funderingspaal - Rectangle (320; 320)	C20/25 Ongescheurd	8,996	N187	N213	Kolom (100)
Paal_P_77	Funderingspaal - Rectangle (320; 320)	C20/25 Ongescheurd	9,000	N188	N214	Kolom (100)
Paal_P_78	LEKA Paal - type e (CHS219.1/10.0)	S 235	15,800	N218	N220	Kolom (100)
Paal_P_79	LEKA Paal - type e (CHS219.1/10.0)	S 235	15,800	N219	N221	Kolom (100)
Paal_P_80	LEKA Paal - type e (CHS219.1/10.0)	S 235	15,800	N225	N226	Kolom (100)
Paal_P_81	LEKA Paal - type e (CHS219.1/10.0)	S 235	15,800	N227	N228	Kolom (100)
Paal_P_82	LEKA Paal - type e (CHS219.1/10.0)	S 235	15,800	N232	N233	Kolom (100)
Paal_P_83	LEKA Paal - type e (CHS219.1/10.0)	S 235	15,800	N234	N235	Kolom (100)
Paal_P_84	LEKA Paal - type e (CHS219.1/10.0)	S 235	15,800	N237	N238	Kolom (100)
Paal_P_85	LEKA Paal - type e (CHS219.1/10.0)	S 235	15,800	N239	N240	Kolom (100)
Paal_P_86	LEKA Paal - type e (CHS219.1/10.0)	S 235	15,800	N80	N247	Kolom (100)
Paal_P_87	LEKA Paal - type e (CHS219.1/10.0)	S 235	15,800	N75	N248	Kolom (100)
Paal_P_88	LEKA Paal - type e (CHS219.1/10.0)	S 235	15,800	N236	N249	Kolom (100)
Paal_P_89	LEKA Paal - type e (CHS219.1/10.0)	S 235	15,800	N231	N250	Kolom (100)
Paal_P_90	LEKA Paal - type e (CHS219.1/10.0)	S 235	15,800	N224	N251	Kolom (100)
Paal_P_91	LEKA Paal - type e (CHS219.1/10.0)	S 235	15,800	N217	N252	Kolom (100)
Paal_P_92	LEKA Paal - type e (CHS219.1/10.0)	S 235	15,800	N68	N253	Kolom (100)
Paal_P_93	LEKA Paal - type e (CHS219.1/10.0)	S 235	15,800	N57	N254	Kolom (100)

5.4. Analyse model met Staven

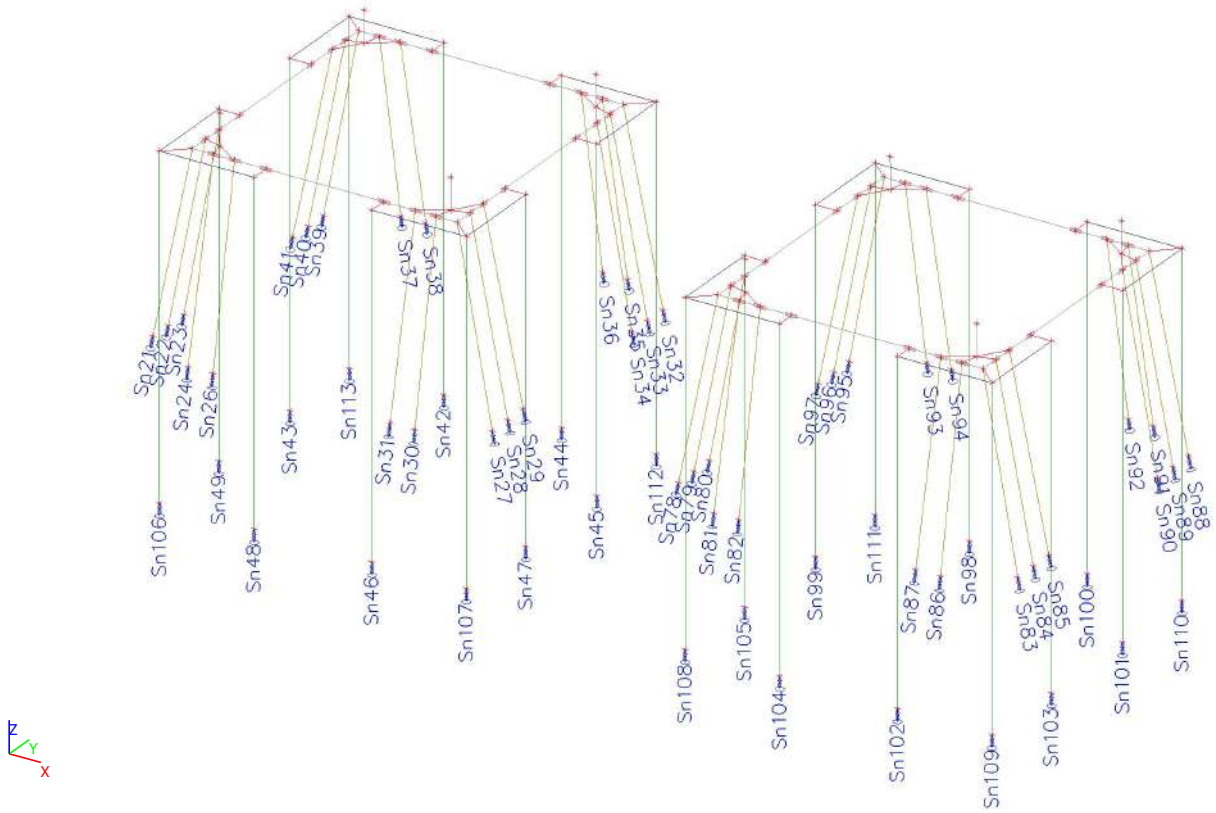


5.5. Knoopsteunpunten

Naam	Knoop	Systeem	Type	X	Y	Z	Rx	Ry	Rz	Hoek [deg]
Sn21	N44	LCS van knoop	Standaard	Vrij	Vrij	Niet-lineair	Vrij	Vrij	Vrij	Rx-1,12;Ry11,31
Sn22	N45	LCS van knoop	Standaard	Vrij	Vrij	Niet-lineair	Vrij	Vrij	Vrij	Ry11,31
Sn23	N46	LCS van knoop	Standaard	Vrij	Vrij	Niet-lineair	Vrij	Vrij	Vrij	Rx1,12;Ry11,31
Sn24	N47	LCS van knoop	Standaard	Vrij	Vrij	Niet-lineair	Vrij	Vrij	Vrij	Ry0,56;Rx-11,31
Sn26	N48	LCS van knoop	Standaard	Vrij	Vrij	Niet-lineair	Vrij	Vrij	Vrij	Ry-0,56;Rx-11,31
Sn27	N49	LCS van knoop	Standaard	Vrij	Vrij	Niet-lineair	Vrij	Vrij	Vrij	Rx-1,12;Ry-11,31
Sn28	N50	LCS van knoop	Standaard	Vrij	Vrij	Niet-lineair	Vrij	Vrij	Vrij	Ry-11,31
Sn29	N51	LCS van knoop	Standaard	Vrij	Vrij	Niet-lineair	Vrij	Vrij	Vrij	Rx1,12;Ry-11,31

Naam	Knoop	Systeem	Type	X	Y	Z	Rx	Ry	Rz	Hoek [deg]
Sn30	N52	LCS van knoop	Standaard	Vrij	Vrij	Niet-lineair	Vrij	Vrij	Vrij	Ry-0,56;Rx-11,31
Sn31	N53	LCS van knoop	Standaard	Vrij	Vrij	Niet-lineair	Vrij	Vrij	Vrij	Ry0,56;Rx-11,31
Sn32	N10	LCS van knoop	Standaard	Vrij	Vrij	Niet-lineair	Vrij	Vrij	Vrij	Rx1,12;Ry-11,31
Sn33	N11	LCS van knoop	Standaard	Vrij	Vrij	Niet-lineair	Vrij	Vrij	Vrij	Ry-11,31
Sn34	N12	LCS van knoop	Standaard	Vrij	Vrij	Niet-lineair	Vrij	Vrij	Vrij	Rx-1,12;Ry-11,31
Sn35	N13	LCS van knoop	Standaard	Vrij	Vrij	Niet-lineair	Vrij	Vrij	Vrij	Ry-0,56;Rx11,31
Sn36	N14	LCS van knoop	Standaard	Vrij	Vrij	Niet-lineair	Vrij	Vrij	Vrij	Ry0,56;Rx11,31
Sn37	N15	LCS van knoop	Standaard	Vrij	Vrij	Niet-lineair	Vrij	Vrij	Vrij	Ry0,56;Rx11,31
Sn38	N2	LCS van knoop	Standaard	Vrij	Vrij	Niet-lineair	Vrij	Vrij	Vrij	Ry-0,56;Rx11,31
Sn39	N3	LCS van knoop	Standaard	Vrij	Vrij	Niet-lineair	Vrij	Vrij	Vrij	Rx1,12;Ry11,31
Sn40	N4	LCS van knoop	Standaard	Vrij	Vrij	Niet-lineair	Vrij	Vrij	Vrij	Ry11,31
Sn41	N54	LCS van knoop	Standaard	Vrij	Vrij	Niet-lineair	Vrij	Vrij	Vrij	Rx-1,12;Ry11,31
Sn42	N60	LCS van knoop	Standaard	Vrij	Vrij	Niet-lineair	Vrij	Vrij	Vrij	
Sn43	N61	LCS van knoop	Standaard	Vrij	Vrij	Niet-lineair	Vrij	Vrij	Vrij	
Sn44	N70	LCS van knoop	Standaard	Vrij	Vrij	Niet-lineair	Vrij	Vrij	Vrij	
Sn45	N72	LCS van knoop	Standaard	Vrij	Vrij	Niet-lineair	Vrij	Vrij	Vrij	
Sn46	N77	LCS van knoop	Standaard	Vrij	Vrij	Niet-lineair	Vrij	Vrij	Vrij	
Sn47	N79	LCS van knoop	Standaard	Vrij	Vrij	Niet-lineair	Vrij	Vrij	Vrij	
Sn48	N82	LCS van knoop	Standaard	Vrij	Vrij	Niet-lineair	Vrij	Vrij	Vrij	
Sn49	N84	LCS van knoop	Standaard	Vrij	Vrij	Niet-lineair	Vrij	Vrij	Vrij	
Sn78	N195	LCS van knoop	Standaard	Vrij	Vrij	Niet-lineair	Vrij	Vrij	Vrij	Rx-1,12;Ry11,31
Sn79	N196	LCS van knoop	Standaard	Vrij	Vrij	Niet-lineair	Vrij	Vrij	Vrij	Ry11,31
Sn80	N197	LCS van knoop	Standaard	Vrij	Vrij	Niet-lineair	Vrij	Vrij	Vrij	Rx1,12;Ry11,31
Sn81	N198	LCS van knoop	Standaard	Vrij	Vrij	Niet-lineair	Vrij	Vrij	Vrij	Ry0,56;Rx-11,31
Sn82	N199	LCS van knoop	Standaard	Vrij	Vrij	Niet-lineair	Vrij	Vrij	Vrij	Ry-0,56;Rx-11,31
Sn83	N200	LCS van knoop	Standaard	Vrij	Vrij	Niet-lineair	Vrij	Vrij	Vrij	Rx-1,12;Ry-11,31
Sn84	N201	LCS van knoop	Standaard	Vrij	Vrij	Niet-lineair	Vrij	Vrij	Vrij	Ry-11,31
Sn85	N202	LCS van knoop	Standaard	Vrij	Vrij	Niet-lineair	Vrij	Vrij	Vrij	Rx1,12;Ry-11,31
Sn86	N203	LCS van knoop	Standaard	Vrij	Vrij	Niet-lineair	Vrij	Vrij	Vrij	Ry-0,56;Rx-11,31
Sn87	N204	LCS van knoop	Standaard	Vrij	Vrij	Niet-lineair	Vrij	Vrij	Vrij	Ry0,56;Rx-11,31
Sn88	N205	LCS van knoop	Standaard	Vrij	Vrij	Niet-lineair	Vrij	Vrij	Vrij	Rx1,12;Ry-11,31
Sn89	N206	LCS van knoop	Standaard	Vrij	Vrij	Niet-lineair	Vrij	Vrij	Vrij	Ry-11,31
Sn90	N207	LCS van knoop	Standaard	Vrij	Vrij	Niet-lineair	Vrij	Vrij	Vrij	Rx-1,12;Ry-11,31
Sn91	N208	LCS van knoop	Standaard	Vrij	Vrij	Niet-lineair	Vrij	Vrij	Vrij	Ry-0,56;Rx11,31
Sn92	N209	LCS van knoop	Standaard	Vrij	Vrij	Niet-lineair	Vrij	Vrij	Vrij	Ry0,56;Rx11,31
Sn93	N210	LCS van knoop	Standaard	Vrij	Vrij	Niet-lineair	Vrij	Vrij	Vrij	Ry0,56;Rx11,31
Sn94	N211	LCS van knoop	Standaard	Vrij	Vrij	Niet-lineair	Vrij	Vrij	Vrij	Ry-0,56;Rx11,31
Sn95	N212	LCS van knoop	Standaard	Vrij	Vrij	Niet-lineair	Vrij	Vrij	Vrij	Rx1,12;Ry11,31
Sn96	N213	LCS van knoop	Standaard	Vrij	Vrij	Niet-lineair	Vrij	Vrij	Vrij	Ry11,31
Sn97	N214	LCS van knoop	Standaard	Vrij	Vrij	Niet-lineair	Vrij	Vrij	Vrij	Rx-1,12;Ry11,31
Sn98	N220	LCS van knoop	Standaard	Vrij	Vrij	Niet-lineair	Vrij	Vrij	Vrij	
Sn99	N221	LCS van knoop	Standaard	Vrij	Vrij	Niet-lineair	Vrij	Vrij	Vrij	
Sn100	N226	LCS van knoop	Standaard	Vrij	Vrij	Niet-lineair	Vrij	Vrij	Vrij	
Sn101	N228	LCS van knoop	Standaard	Vrij	Vrij	Niet-lineair	Vrij	Vrij	Vrij	
Sn102	N233	LCS van knoop	Standaard	Vrij	Vrij	Niet-lineair	Vrij	Vrij	Vrij	
Sn103	N235	LCS van knoop	Standaard	Vrij	Vrij	Niet-lineair	Vrij	Vrij	Vrij	
Sn104	N238	LCS van knoop	Standaard	Vrij	Vrij	Niet-lineair	Vrij	Vrij	Vrij	
Sn105	N240	LCS van knoop	Standaard	Vrij	Vrij	Niet-lineair	Vrij	Vrij	Vrij	
Sn106	N247	LCS van knoop	Standaard	Vrij	Vrij	Niet-lineair	Vrij	Vrij	Vrij	
Sn107	N248	LCS van knoop	Standaard	Vrij	Vrij	Niet-lineair	Vrij	Vrij	Vrij	
Sn108	N249	LCS van knoop	Standaard	Vrij	Vrij	Niet-lineair	Vrij	Vrij	Vrij	
Sn109	N250	LCS van knoop	Standaard	Vrij	Vrij	Niet-lineair	Vrij	Vrij	Vrij	
Sn110	N251	LCS van knoop	Standaard	Vrij	Vrij	Niet-lineair	Vrij	Vrij	Vrij	
Sn111	N252	LCS van knoop	Standaard	Vrij	Vrij	Niet-lineair	Vrij	Vrij	Vrij	
Sn112	N253	LCS van knoop	Standaard	Vrij	Vrij	Niet-lineair	Vrij	Vrij	Vrij	
Sn113	N254	LCS van knoop	Standaard	Vrij	Vrij	Niet-lineair	Vrij	Vrij	Vrij	

5.6. Analyse model met Knoopondersteuningen



5.7. Lijnsteunpunten op staven

Naam	Type	Staaf	Pos x_1 [m] / Pos x_2 [m]	X	Y	Z	Rx	Ry	Rz	Functie Y	Functie Z
Veen71	Lijn	Paal_P_71	1,000 8,000	Vrij	Niet-lineair	Niet-lineair	Vrij	Vrij	Vrij	PY-curve-2_Veen	PY-curve-2_Veen
Veen63	Lijn	Paal_P_63	1,000 8,000	Vrij	Niet-lineair	Niet-lineair	Vrij	Vrij	Vrij	PY-curve-2_Veen	PY-curve-2_Veen
Veen75	Lijn	Paal_P_75	1,000 8,000	Vrij	Niet-lineair	Niet-lineair	Vrij	Vrij	Vrij	PY-curve-2_Veen	PY-curve-2_Veen
Veen14	Lijn	Paal_P_15	1,000 8,000	Vrij	Niet-lineair	Niet-lineair	Vrij	Vrij	Vrij	PY-curve-2_Veen	PY-curve-2_Veen
Veen84	Lijn	Paal_P_84	1,000 8,000	Vrij	Niet-lineair	Niet-lineair	Vrij	Vrij	Vrij	PY-curve-2_Veen.B	PY-curve-2_Veen.B
Veen93	Lijn	Paal_P_93	1,000 8,000	Vrij	Niet-lineair	Niet-lineair	Vrij	Vrij	Vrij	PY-curve-2_Veen.B	PY-curve-2_Veen.B
Veen67	Lijn	Paal_P_67	1,000 8,000	Vrij	Niet-lineair	Niet-lineair	Vrij	Vrij	Vrij	PY-curve-2_Veen	PY-curve-2_Veen
Veen13	Lijn	Paal_P_9	1,000 8,000	Vrij	Niet-lineair	Niet-lineair	Vrij	Vrij	Vrij	PY-curve-2_Veen	PY-curve-2_Veen
Veen86	Lijn	Paal_P_86	1,000 8,000	Vrij	Niet-lineair	Niet-lineair	Vrij	Vrij	Vrij	PY-curve-2_Veen.B	PY-curve-2_Veen.B
Veen26	Lijn	Paal_P_26	1,000 8,000	Vrij	Niet-lineair	Niet-lineair	Vrij	Vrij	Vrij	PY-curve-2_Veen.B	PY-curve-2_Veen.B
Veen82	Lijn	Paal_P_82	1,000 8,000	Vrij	Niet-lineair	Niet-lineair	Vrij	Vrij	Vrij	PY-curve-2_Veen.B	PY-curve-2_Veen.B
Veen59	Lijn	Paal_P_59	1,000 8,000	Vrij	Niet-lineair	Niet-lineair	Vrij	Vrij	Vrij	PY-curve-2_Veen	PY-curve-2_Veen
Veen74	Lijn	Paal_P_74	1,000 8,000	Vrij	Niet-lineair	Niet-lineair	Vrij	Vrij	Vrij	PY-curve-2_Veen	PY-curve-2_Veen
Veen17	Lijn	Paal_P_19	1,000	Vrij	Niet-lineair	Niet-lineair	Vrij	Vrij	Vrij	PY-curve-2_Veen	PY-curve-2_Veen

Naam	Type	Staaf	Pos x_1 [m] Pos x_2 [m]	X	Y	Z	Rx	Ry	Rz	Functie Y	Functie Z
			8,000								
Veen80	Lijn	Paal_P_80	1,000 8,000	Vrij	Niet-lineair	Niet-lineair	Vrij	Vrij	Vrij	PY-curve-2_Veen.B	PY-curve-2_Veen.B
Veen66	Lijn	Paal_P_66	1,000 8,000	Vrij	Niet-lineair	Niet-lineair	Vrij	Vrij	Vrij	PY-curve-2_Veen	PY-curve-2_Veen
Veen60	Lijn	Paal_P_60	1,000 8,000	Vrij	Niet-lineair	Niet-lineair	Vrij	Vrij	Vrij	PY-curve-2_Veen	PY-curve-2_Veen
Veen12	Lijn	Paal_P_21	1,000 8,000	Vrij	Niet-lineair	Niet-lineair	Vrij	Vrij	Vrij	PY-curve-2_Veen	PY-curve-2_Veen
Veen77	Lijn	Paal_P_77	1,000 8,000	Vrij	Niet-lineair	Niet-lineair	Vrij	Vrij	Vrij	PY-curve-2_Veen	PY-curve-2_Veen
Veen92	Lijn	Paal_P_92	1,000 8,000	Vrij	Niet-lineair	Niet-lineair	Vrij	Vrij	Vrij	PY-curve-2_Veen.B	PY-curve-2_Veen.B
Veen69	Lijn	Paal_P_69	1,000 8,000	Vrij	Niet-lineair	Niet-lineair	Vrij	Vrij	Vrij	PY-curve-2_Veen	PY-curve-2_Veen
Veen79	Lijn	Paal_P_79	1,000 8,000	Vrij	Niet-lineair	Niet-lineair	Vrij	Vrij	Vrij	PY-curve-2_Veen.B	PY-curve-2_Veen.B
Veen24	Lijn	Paal_P_24	1,000 8,000	Vrij	Niet-lineair	Niet-lineair	Vrij	Vrij	Vrij	PY-curve-2_Veen.B	PY-curve-2_Veen.B
Veen10	Lijn	Paal_P_10	1,000 8,000	Vrij	Niet-lineair	Niet-lineair	Vrij	Vrij	Vrij	PY-curve-2_Veen	PY-curve-2_Veen
Veen29	Lijn	Paal_P_29	1,000 8,000	Vrij	Niet-lineair	Niet-lineair	Vrij	Vrij	Vrij	PY-curve-2_Veen.B	PY-curve-2_Veen.B
Veen4	Lijn	Paal_P_3	1,000 8,000	Vrij	Niet-lineair	Niet-lineair	Vrij	Vrij	Vrij	PY-curve-2_Veen	PY-curve-2_Veen
Veen89	Lijn	Paal_P_89	1,000 8,000	Vrij	Niet-lineair	Niet-lineair	Vrij	Vrij	Vrij	PY-curve-2_Veen.B	PY-curve-2_Veen.B
Veen61	Lijn	Paal_P_61	1,000 8,000	Vrij	Niet-lineair	Niet-lineair	Vrij	Vrij	Vrij	PY-curve-2_Veen	PY-curve-2_Veen
Veen3	Lijn	Paal_P_2	1,000 8,000	Vrij	Niet-lineair	Niet-lineair	Vrij	Vrij	Vrij	PY-curve-2_Veen	PY-curve-2_Veen
Veen70	Lijn	Paal_P_70	1,000 8,000	Vrij	Niet-lineair	Niet-lineair	Vrij	Vrij	Vrij	PY-curve-2_Veen	PY-curve-2_Veen
Veen	Lijn	Paal_P_1	1,000 8,000	Vrij	Niet-lineair	Niet-lineair	Vrij	Vrij	Vrij	PY-curve-2_Veen	PY-curve-2_Veen
Veen91	Lijn	Paal_P_91	1,000 8,000	Vrij	Niet-lineair	Niet-lineair	Vrij	Vrij	Vrij	PY-curve-2_Veen.B	PY-curve-2_Veen.B
Veen72	Lijn	Paal_P_72	1,000 8,000	Vrij	Niet-lineair	Niet-lineair	Vrij	Vrij	Vrij	PY-curve-2_Veen	PY-curve-2_Veen
Veen76	Lijn	Paal_P_76	1,000 8,000	Vrij	Niet-lineair	Niet-lineair	Vrij	Vrij	Vrij	PY-curve-2_Veen	PY-curve-2_Veen
Veen7	Lijn	Paal_P_12	1,000 8,000	Vrij	Niet-lineair	Niet-lineair	Vrij	Vrij	Vrij	PY-curve-2_Veen	PY-curve-2_Veen
Veen23	Lijn	Paal_P_23	1,000 8,000	Vrij	Niet-lineair	Niet-lineair	Vrij	Vrij	Vrij	PY-curve-2_Veen.B	PY-curve-2_Veen.B
Veen22	Lijn	Paal_P_22	1,000 8,000	Vrij	Niet-lineair	Niet-lineair	Vrij	Vrij	Vrij	PY-curve-2_Veen.B	PY-curve-2_Veen.B
Veen64	Lijn	Paal_P_64	1,000 8,000	Vrij	Niet-lineair	Niet-lineair	Vrij	Vrij	Vrij	PY-curve-2_Veen	PY-curve-2_Veen
Veen73	Lijn	Paal_P_73	1,000 8,000	Vrij	Niet-lineair	Niet-lineair	Vrij	Vrij	Vrij	PY-curve-2_Veen	PY-curve-2_Veen
Veen5	Lijn	Paal_P_11	1,000 8,000	Vrij	Niet-lineair	Niet-lineair	Vrij	Vrij	Vrij	PY-curve-2_Veen	PY-curve-2_Veen
Veen65	Lijn	Paal_P_65	1,000 8,000	Vrij	Niet-lineair	Niet-lineair	Vrij	Vrij	Vrij	PY-curve-2_Veen	PY-curve-2_Veen
Veen78	Lijn	Paal_P_78	1,000 8,000	Vrij	Niet-lineair	Niet-lineair	Vrij	Vrij	Vrij	PY-curve-2_Veen.B	PY-curve-2_Veen.B
Veen21	Lijn	Paal_P_13	1,000 8,000	Vrij	Niet-lineair	Niet-lineair	Vrij	Vrij	Vrij	PY-curve-2_Veen	PY-curve-2_Veen
Veen9	Lijn	Paal_P_6	1,000 8,000	Vrij	Niet-lineair	Niet-lineair	Vrij	Vrij	Vrij	PY-curve-2_Veen	PY-curve-2_Veen
Veen8	Lijn	Paal_P_7	1,000 8,000	Vrij	Niet-lineair	Niet-lineair	Vrij	Vrij	Vrij	PY-curve-2_Veen	PY-curve-2_Veen
Veen88	Lijn	Paal_P_88	1,000	Vrij	Niet-lineair	Niet-lineair	Vrij	Vrij	Vrij	PY-curve-2_Veen.B	PY-curve-2_Veen.B

Naam	Type	Staaf	Pos x_1 [m] Pos x_2 [m]	X	Y	Z	Rx	Ry	Rz	Functie Y	Functie Z
			8,000								
Veen20	Lijn	Paal_P_16	1,000 8,000	Vrij	Niet-lineair	Niet-lineair	Vrij	Vrij	Vrij	PY-curve-2_Veen	PY-curve-2_Veen
Veen15	Lijn	Paal_P_20	1,000 8,000	Vrij	Niet-lineair	Niet-lineair	Vrij	Vrij	Vrij	PY-curve-2_Veen	PY-curve-2_Veen
Veen19	Lijn	Paal_P_17	1,000 8,000	Vrij	Niet-lineair	Niet-lineair	Vrij	Vrij	Vrij	PY-curve-2_Veen	PY-curve-2_Veen
Veen11	Lijn	Paal_P_18	1,000 8,000	Vrij	Niet-lineair	Niet-lineair	Vrij	Vrij	Vrij	PY-curve-2_Veen	PY-curve-2_Veen
Veen81	Lijn	Paal_P_81	1,000 8,000	Vrij	Niet-lineair	Niet-lineair	Vrij	Vrij	Vrij	PY-curve-2_Veen.B	PY-curve-2_Veen.B
Veen6	Lijn	Paal_P_14	1,000 8,000	Vrij	Niet-lineair	Niet-lineair	Vrij	Vrij	Vrij	PY-curve-2_Veen	PY-curve-2_Veen
Veen68	Lijn	Paal_P_68	1,000 8,000	Vrij	Niet-lineair	Niet-lineair	Vrij	Vrij	Vrij	PY-curve-2_Veen	PY-curve-2_Veen
Veen27	Lijn	Paal_P_27	1,000 8,000	Vrij	Niet-lineair	Niet-lineair	Vrij	Vrij	Vrij	PY-curve-2_Veen.B	PY-curve-2_Veen.B
Veen28	Lijn	Paal_P_28	1,000 8,000	Vrij	Niet-lineair	Niet-lineair	Vrij	Vrij	Vrij	PY-curve-2_Veen.B	PY-curve-2_Veen.B
Veen16	Lijn	Paal_P_8	1,000 8,000	Vrij	Niet-lineair	Niet-lineair	Vrij	Vrij	Vrij	PY-curve-2_Veen	PY-curve-2_Veen
Veen90	Lijn	Paal_P_90	1,000 8,000	Vrij	Niet-lineair	Niet-lineair	Vrij	Vrij	Vrij	PY-curve-2_Veen.B	PY-curve-2_Veen.B
Veen18	Lijn	Paal_P_4	1,000 8,000	Vrij	Niet-lineair	Niet-lineair	Vrij	Vrij	Vrij	PY-curve-2_Veen	PY-curve-2_Veen
Veen62	Lijn	Paal_P_62	1,000 8,000	Vrij	Niet-lineair	Niet-lineair	Vrij	Vrij	Vrij	PY-curve-2_Veen	PY-curve-2_Veen
Veen58	Lijn	Paal_P_58	1,000 8,000	Vrij	Niet-lineair	Niet-lineair	Vrij	Vrij	Vrij	PY-curve-2_Veen	PY-curve-2_Veen
Veen25	Lijn	Paal_P_25	1,000 8,000	Vrij	Niet-lineair	Niet-lineair	Vrij	Vrij	Vrij	PY-curve-2_Veen.B	PY-curve-2_Veen.B
Veen87	Lijn	Paal_P_87	1,000 8,000	Vrij	Niet-lineair	Niet-lineair	Vrij	Vrij	Vrij	PY-curve-2_Veen.B	PY-curve-2_Veen.B
Veen83	Lijn	Paal_P_83	1,000 8,000	Vrij	Niet-lineair	Niet-lineair	Vrij	Vrij	Vrij	PY-curve-2_Veen.B	PY-curve-2_Veen.B
Veen85	Lijn	Paal_P_85	1,000 8,000	Vrij	Niet-lineair	Niet-lineair	Vrij	Vrij	Vrij	PY-curve-2_Veen.B	PY-curve-2_Veen.B
(PY-curve-2_V1)30	Lijn	Paal_P_8	8,000 8,750	Vrij	Niet-lineair	Niet-lineair	Vrij	Vrij	Vrij	PY-curve-2_V1	PY-curve-2_V1
(PY-curve-2_V1)37	Lijn	Paal_P_15	8,000 8,750	Vrij	Niet-lineair	Niet-lineair	Vrij	Vrij	Vrij	PY-curve-2_V1	PY-curve-2_V1
(PY-curve-2_V1)36	Lijn	Paal_P_14	8,000 8,750	Vrij	Niet-lineair	Niet-lineair	Vrij	Vrij	Vrij	PY-curve-2_V1	PY-curve-2_V1
(PY-curve-2_V1)48	Lijn	Paal_P_62	8,000 8,750	Vrij	Niet-lineair	Niet-lineair	Vrij	Vrij	Vrij	PY-curve-2_V1	PY-curve-2_V1
(PY-curve-2_V1)38	Lijn	Paal_P_16	8,000 8,750	Vrij	Niet-lineair	Niet-lineair	Vrij	Vrij	Vrij	PY-curve-2_V1	PY-curve-2_V1
(PY-curve-2_V1)63	Lijn	Paal_P_77	8,000 8,750	Vrij	Niet-lineair	Niet-lineair	Vrij	Vrij	Vrij	PY-curve-2_V1	PY-curve-2_V1
(PY-curve-2_V1)62	Lijn	Paal_P_76	8,000 8,750	Vrij	Niet-lineair	Niet-lineair	Vrij	Vrij	Vrij	PY-curve-2_V1	PY-curve-2_V1
(PY-curve-2_V1)29	Lijn	Paal_P_7	8,000 8,750	Vrij	Niet-lineair	Niet-lineair	Vrij	Vrij	Vrij	PY-curve-2_V1	PY-curve-2_V1
(PY-curve-2_V1)61	Lijn	Paal_P_75	8,000 8,750	Vrij	Niet-lineair	Niet-lineair	Vrij	Vrij	Vrij	PY-curve-2_V1	PY-curve-2_V1
(PY-curve-2_V1)58	Lijn	Paal_P_72	8,000 8,750	Vrij	Niet-lineair	Niet-lineair	Vrij	Vrij	Vrij	PY-curve-2_V1	PY-curve-2_V1
(PY-curve-2_V1)60	Lijn	Paal_P_74	8,000 8,750	Vrij	Niet-lineair	Niet-lineair	Vrij	Vrij	Vrij	PY-curve-2_V1	PY-curve-2_V1
(PY-curve-2_V1)57	Lijn	Paal_P_71	8,000 8,750	Vrij	Niet-lineair	Niet-lineair	Vrij	Vrij	Vrij	PY-curve-2_V1	PY-curve-2_V1
(PY-curve-2_V1)56	Lijn	Paal_P_70	8,000 8,750	Vrij	Niet-lineair	Niet-lineair	Vrij	Vrij	Vrij	PY-curve-2_V1	PY-curve-2_V1
(PY-curve-2_V1)34	Lijn	Paal_P_12	8,000	Vrij	Niet-lineair	Niet-lineair	Vrij	Vrij	Vrij	PY-curve-2_V1	PY-curve-2_V1

Naam	Type	Staaf	Pos x_1 [m] Pos x_2 [m]	X	Y	Z	Rx	Ry	Rz	Functie Y	Functie Z
			8,750								
(PY-curve-2_V1)25	Lijn	Paal_P_2	8,000 8,750	Vrij	Niet-lineair	Niet-lineair	Vrij	Vrij	Vrij	PY-curve-2_V1	PY-curve-2_V1
(PY-curve-2_V1)55	Lijn	Paal_P_69	8,000 8,750	Vrij	Niet-lineair	Niet-lineair	Vrij	Vrij	Vrij	PY-curve-2_V1	PY-curve-2_V1
(PY-curve-2_V1)53	Lijn	Paal_P_67	8,000 8,750	Vrij	Niet-lineair	Niet-lineair	Vrij	Vrij	Vrij	PY-curve-2_V1	PY-curve-2_V1
(PY-curve-2_V1)52	Lijn	Paal_P_66	8,000 8,750	Vrij	Niet-lineair	Niet-lineair	Vrij	Vrij	Vrij	PY-curve-2_V1	PY-curve-2_V1
(PY-curve-2_V1)28	Lijn	Paal_P_6	8,000 8,750	Vrij	Niet-lineair	Niet-lineair	Vrij	Vrij	Vrij	PY-curve-2_V1	PY-curve-2_V1
(PY-curve-2_V1)43	Lijn	Paal_P_21	8,000 8,750	Vrij	Niet-lineair	Niet-lineair	Vrij	Vrij	Vrij	PY-curve-2_V1	PY-curve-2_V1
(PY-curve-2_V1)33	Lijn	Paal_P_11	8,000 8,750	Vrij	Niet-lineair	Niet-lineair	Vrij	Vrij	Vrij	PY-curve-2_V1	PY-curve-2_V1
(PY-curve-2_V1)51	Lijn	Paal_P_65	8,000 8,750	Vrij	Niet-lineair	Niet-lineair	Vrij	Vrij	Vrij	PY-curve-2_V1	PY-curve-2_V1
(PY-curve-2_V1)26	Lijn	Paal_P_1	8,000 8,750	Vrij	Niet-lineair	Niet-lineair	Vrij	Vrij	Vrij	PY-curve-2_V1	PY-curve-2_V1
(PY-curve-2_V1)35	Lijn	Paal_P_13	8,000 8,750	Vrij	Niet-lineair	Niet-lineair	Vrij	Vrij	Vrij	PY-curve-2_V1	PY-curve-2_V1
(PY-curve-2_V1)59	Lijn	Paal_P_73	8,000 8,750	Vrij	Niet-lineair	Niet-lineair	Vrij	Vrij	Vrij	PY-curve-2_V1	PY-curve-2_V1
(PY-curve-2_V1)50	Lijn	Paal_P_64	8,000 8,750	Vrij	Niet-lineair	Niet-lineair	Vrij	Vrij	Vrij	PY-curve-2_V1	PY-curve-2_V1
(PY-curve-2_V1)42	Lijn	Paal_P_20	8,000 8,750	Vrij	Niet-lineair	Niet-lineair	Vrij	Vrij	Vrij	PY-curve-2_V1	PY-curve-2_V1
(PY-curve-2_V1)32	Lijn	Paal_P_10	8,000 8,750	Vrij	Niet-lineair	Niet-lineair	Vrij	Vrij	Vrij	PY-curve-2_V1	PY-curve-2_V1
(PY-curve-2_V1)54	Lijn	Paal_P_68	8,000 8,750	Vrij	Niet-lineair	Niet-lineair	Vrij	Vrij	Vrij	PY-curve-2_V1	PY-curve-2_V1
(PY-curve-2_V1)47	Lijn	Paal_P_61	8,000 8,750	Vrij	Niet-lineair	Niet-lineair	Vrij	Vrij	Vrij	PY-curve-2_V1	PY-curve-2_V1
(PY-curve-2_V1)41	Lijn	Paal_P_19	8,000 8,750	Vrij	Niet-lineair	Niet-lineair	Vrij	Vrij	Vrij	PY-curve-2_V1	PY-curve-2_V1
(PY-curve-2_V1)46	Lijn	Paal_P_60	8,000 8,750	Vrij	Niet-lineair	Niet-lineair	Vrij	Vrij	Vrij	PY-curve-2_V1	PY-curve-2_V1
(PY-curve-2_V1)24	Lijn	Paal_P_3	8,000 8,750	Vrij	Niet-lineair	Niet-lineair	Vrij	Vrij	Vrij	PY-curve-2_V1	PY-curve-2_V1
(PY-curve-2_V1)40	Lijn	Paal_P_18	8,000 8,750	Vrij	Niet-lineair	Niet-lineair	Vrij	Vrij	Vrij	PY-curve-2_V1	PY-curve-2_V1
(PY-curve-2_V1)45	Lijn	Paal_P_59	8,000 8,750	Vrij	Niet-lineair	Niet-lineair	Vrij	Vrij	Vrij	PY-curve-2_V1	PY-curve-2_V1
(PY-curve-2_V1)44	Lijn	Paal_P_58	8,000 8,750	Vrij	Niet-lineair	Niet-lineair	Vrij	Vrij	Vrij	PY-curve-2_V1	PY-curve-2_V1
(PY-curve-2_V1)27	Lijn	Paal_P_4	8,000 8,750	Vrij	Niet-lineair	Niet-lineair	Vrij	Vrij	Vrij	PY-curve-2_V1	PY-curve-2_V1
(PY-curve-2_V1)49	Lijn	Paal_P_63	8,000 8,750	Vrij	Niet-lineair	Niet-lineair	Vrij	Vrij	Vrij	PY-curve-2_V1	PY-curve-2_V1
(PY-curve-2_V1)31	Lijn	Paal_P_9	8,000 8,750	Vrij	Niet-lineair	Niet-lineair	Vrij	Vrij	Vrij	PY-curve-2_V1	PY-curve-2_V1
(PY-curve-2_V1)39	Lijn	Paal_P_17	8,000 8,750	Vrij	Niet-lineair	Niet-lineair	Vrij	Vrij	Vrij	PY-curve-2_V1	PY-curve-2_V1
(PY-curve-2_V1)7	Lijn	Paal_P_29	8,000 9,000	Vrij	Niet-lineair	Niet-lineair	Vrij	Vrij	Vrij	PY-curve-2_V1.B	PY-curve-2_V1.B
(PY-curve-2_V1)14	Lijn	Paal_P_84	8,000 9,000	Vrij	Niet-lineair	Niet-lineair	Vrij	Vrij	Vrij	PY-curve-2_V1.B	PY-curve-2_V1.B
(PY-curve-2_V1)6	Lijn	Paal_P_28	8,000 9,000	Vrij	Niet-lineair	Niet-lineair	Vrij	Vrij	Vrij	PY-curve-2_V1.B	PY-curve-2_V1.B
(PY-curve-2_V1)12	Lijn	Paal_P_82	8,000 9,000	Vrij	Niet-lineair	Niet-lineair	Vrij	Vrij	Vrij	PY-curve-2_V1.B	PY-curve-2_V1.B
(PY-curve-2_V1)13	Lijn	Paal_P_83	8,000 9,000	Vrij	Niet-lineair	Niet-lineair	Vrij	Vrij	Vrij	PY-curve-2_V1.B	PY-curve-2_V1.B
(PY-curve-2_V1)11	Lijn	Paal_P_81	8,000	Vrij	Niet-lineair	Niet-lineair	Vrij	Vrij	Vrij	PY-curve-2_V1.B	PY-curve-2_V1.B

Naam	Type	Staaf	Pos x_1 [m] Pos x_2 [m]	X	Y	Z	Rx	Ry	Rz	Functie Y	Functie Z
			9,000								
(PY-curve-2_V1)5	Lijn	Paal_P_27	8,000 9,000	Vrij	Niet-lineair	Niet-lineair	Vrij	Vrij	Vrij	PY-curve-2_V1.B	PY-curve-2_V1.B
(PY-curve-2_V1)10	Lijn	Paal_P_80	8,000 9,000	Vrij	Niet-lineair	Niet-lineair	Vrij	Vrij	Vrij	PY-curve-2_V1.B	PY-curve-2_V1.B
(PY-curve-2_V1)4	Lijn	Paal_P_26	8,000 9,000	Vrij	Niet-lineair	Niet-lineair	Vrij	Vrij	Vrij	PY-curve-2_V1.B	PY-curve-2_V1.B
(PY-curve-2_V1)8	Lijn	Paal_P_78	8,000 9,000	Vrij	Niet-lineair	Niet-lineair	Vrij	Vrij	Vrij	PY-curve-2_V1.B	PY-curve-2_V1.B
(PY-curve-2_V1)9	Lijn	Paal_P_79	8,000 9,000	Vrij	Niet-lineair	Niet-lineair	Vrij	Vrij	Vrij	PY-curve-2_V1.B	PY-curve-2_V1.B
(PY-curve-2_V1)3	Lijn	Paal_P_25	8,000 9,000	Vrij	Niet-lineair	Niet-lineair	Vrij	Vrij	Vrij	PY-curve-2_V1.B	PY-curve-2_V1.B
(PY-curve-2_V1)2	Lijn	Paal_P_24	8,000 9,000	Vrij	Niet-lineair	Niet-lineair	Vrij	Vrij	Vrij	PY-curve-2_V1.B	PY-curve-2_V1.B
(PY-curve-2_V1)1	Lijn	Paal_P_23	8,000 9,000	Vrij	Niet-lineair	Niet-lineair	Vrij	Vrij	Vrij	PY-curve-2_V1.B	PY-curve-2_V1.B
(PY-curve-2_V1)	Lijn	Paal_P_22	8,000 9,000	Vrij	Niet-lineair	Niet-lineair	Vrij	Vrij	Vrij	PY-curve-2_V1.B	PY-curve-2_V1.B
(PY-curve-2_V1)23	Lijn	Paal_P_93	8,000 9,000	Vrij	Niet-lineair	Niet-lineair	Vrij	Vrij	Vrij	PY-curve-2_V1.B	PY-curve-2_V1.B
(PY-curve-2_V1)22	Lijn	Paal_P_92	8,000 9,000	Vrij	Niet-lineair	Niet-lineair	Vrij	Vrij	Vrij	PY-curve-2_V1.B	PY-curve-2_V1.B
(PY-curve-2_V1)21	Lijn	Paal_P_91	8,000 9,000	Vrij	Niet-lineair	Niet-lineair	Vrij	Vrij	Vrij	PY-curve-2_V1.B	PY-curve-2_V1.B
(PY-curve-2_V1)15	Lijn	Paal_P_85	8,000 9,000	Vrij	Niet-lineair	Niet-lineair	Vrij	Vrij	Vrij	PY-curve-2_V1.B	PY-curve-2_V1.B
(PY-curve-2_V1)20	Lijn	Paal_P_90	8,000 9,000	Vrij	Niet-lineair	Niet-lineair	Vrij	Vrij	Vrij	PY-curve-2_V1.B	PY-curve-2_V1.B
(PY-curve-2_V1)19	Lijn	Paal_P_89	8,000 9,000	Vrij	Niet-lineair	Niet-lineair	Vrij	Vrij	Vrij	PY-curve-2_V1.B	PY-curve-2_V1.B
(PY-curve-2_V1)18	Lijn	Paal_P_88	8,000 9,000	Vrij	Niet-lineair	Niet-lineair	Vrij	Vrij	Vrij	PY-curve-2_V1.B	PY-curve-2_V1.B
(PY-curve-2_V1)17	Lijn	Paal_P_87	8,000 9,000	Vrij	Niet-lineair	Niet-lineair	Vrij	Vrij	Vrij	PY-curve-2_V1.B	PY-curve-2_V1.B
(PY-curve-2_V1)16	Lijn	Paal_P_86	8,000 9,000	Vrij	Niet-lineair	Niet-lineair	Vrij	Vrij	Vrij	PY-curve-2_V1.B	PY-curve-2_V1.B
(PY-curve-2_V2)14	Lijn	Paal_P_84	9,000 10,000	Vrij	Niet-lineair	Niet-lineair	Vrij	Vrij	Vrij	PY-curve-2_V2.B	PY-curve-2_V2.B
(PY-curve-2_V2)12	Lijn	Paal_P_82	9,000 10,000	Vrij	Niet-lineair	Niet-lineair	Vrij	Vrij	Vrij	PY-curve-2_V2.B	PY-curve-2_V2.B
(PY-curve-2_V2)13	Lijn	Paal_P_83	9,000 10,000	Vrij	Niet-lineair	Niet-lineair	Vrij	Vrij	Vrij	PY-curve-2_V2.B	PY-curve-2_V2.B
(PY-curve-2_V2)5	Lijn	Paal_P_27	9,000 10,000	Vrij	Niet-lineair	Niet-lineair	Vrij	Vrij	Vrij	PY-curve-2_V2.B	PY-curve-2_V2.B
(PY-curve-2_V2)11	Lijn	Paal_P_81	9,000 10,000	Vrij	Niet-lineair	Niet-lineair	Vrij	Vrij	Vrij	PY-curve-2_V2.B	PY-curve-2_V2.B
(PY-curve-2_V2)6	Lijn	Paal_P_28	9,000 10,000	Vrij	Niet-lineair	Niet-lineair	Vrij	Vrij	Vrij	PY-curve-2_V2.B	PY-curve-2_V2.B
(PY-curve-2_V2)10	Lijn	Paal_P_80	9,000 10,000	Vrij	Niet-lineair	Niet-lineair	Vrij	Vrij	Vrij	PY-curve-2_V2.B	PY-curve-2_V2.B
(PY-curve-2_V2)8	Lijn	Paal_P_78	9,000 10,000	Vrij	Niet-lineair	Niet-lineair	Vrij	Vrij	Vrij	PY-curve-2_V2.B	PY-curve-2_V2.B
(PY-curve-2_V2)3	Lijn	Paal_P_25	9,000 10,000	Vrij	Niet-lineair	Niet-lineair	Vrij	Vrij	Vrij	PY-curve-2_V2.B	PY-curve-2_V2.B
(PY-curve-2_V2)4	Lijn	Paal_P_26	9,000 10,000	Vrij	Niet-lineair	Niet-lineair	Vrij	Vrij	Vrij	PY-curve-2_V2.B	PY-curve-2_V2.B
(PY-curve-2_V2)9	Lijn	Paal_P_79	9,000 10,000	Vrij	Niet-lineair	Niet-lineair	Vrij	Vrij	Vrij	PY-curve-2_V2.B	PY-curve-2_V2.B
(PY-curve-2_V2)1	Lijn	Paal_P_23	9,000 10,000	Vrij	Niet-lineair	Niet-lineair	Vrij	Vrij	Vrij	PY-curve-2_V2.B	PY-curve-2_V2.B
(PY-curve-2_V2)2	Lijn	Paal_P_24	9,000 10,000	Vrij	Niet-lineair	Niet-lineair	Vrij	Vrij	Vrij	PY-curve-2_V2.B	PY-curve-2_V2.B
(PY-curve-2_V2)	Lijn	Paal_P_22	9,000	Vrij	Niet-lineair	Niet-lineair	Vrij	Vrij	Vrij	PY-curve-2_V2.B	PY-curve-2_V2.B

Naam	Type	Staaf	Pos x_1 [m] Pos x_2 [m]	X	Y	Z	Rx	Ry	Rz	Functie Y	Functie Z
			10,000								
(PY-curve-2_V2)23	Lijn	Paal_P_93	9,000 10,000	Vrij	Niet-lineair	Niet-lineair	Vrij	Vrij	Vrij	PY-curve-2_V2.B	PY-curve-2_V2.B
(PY-curve-2_V2)22	Lijn	Paal_P_92	9,000 10,000	Vrij	Niet-lineair	Niet-lineair	Vrij	Vrij	Vrij	PY-curve-2_V2.B	PY-curve-2_V2.B
(PY-curve-2_V2)20	Lijn	Paal_P_90	9,000 10,000	Vrij	Niet-lineair	Niet-lineair	Vrij	Vrij	Vrij	PY-curve-2_V2.B	PY-curve-2_V2.B
(PY-curve-2_V2)21	Lijn	Paal_P_91	9,000 10,000	Vrij	Niet-lineair	Niet-lineair	Vrij	Vrij	Vrij	PY-curve-2_V2.B	PY-curve-2_V2.B
(PY-curve-2_V2)19	Lijn	Paal_P_89	9,000 10,000	Vrij	Niet-lineair	Niet-lineair	Vrij	Vrij	Vrij	PY-curve-2_V2.B	PY-curve-2_V2.B
(PY-curve-2_V2)18	Lijn	Paal_P_88	9,000 10,000	Vrij	Niet-lineair	Niet-lineair	Vrij	Vrij	Vrij	PY-curve-2_V2.B	PY-curve-2_V2.B
(PY-curve-2_V2)17	Lijn	Paal_P_87	9,000 10,000	Vrij	Niet-lineair	Niet-lineair	Vrij	Vrij	Vrij	PY-curve-2_V2.B	PY-curve-2_V2.B
(PY-curve-2_V2)16	Lijn	Paal_P_86	9,000 10,000	Vrij	Niet-lineair	Niet-lineair	Vrij	Vrij	Vrij	PY-curve-2_V2.B	PY-curve-2_V2.B
(PY-curve-2_V2)7	Lijn	Paal_P_29	9,000 10,000	Vrij	Niet-lineair	Niet-lineair	Vrij	Vrij	Vrij	PY-curve-2_V2.B	PY-curve-2_V2.B
(PY-curve-2_V2)15	Lijn	Paal_P_85	9,000 10,000	Vrij	Niet-lineair	Niet-lineair	Vrij	Vrij	Vrij	PY-curve-2_V2.B	PY-curve-2_V2.B
(PY-curve-2_V3)23	Lijn	Paal_P_90	10,000 11,000	Vrij	Niet-lineair	Niet-lineair	Vrij	Vrij	Vrij	PY-curve-2_V3.B	PY-curve-2_V3.B
(PY-curve-2_V3)21	Lijn	Paal_P_83	10,000 11,000	Vrij	Niet-lineair	Niet-lineair	Vrij	Vrij	Vrij	PY-curve-2_V3.B	PY-curve-2_V3.B
(PY-curve-2_V3)20	Lijn	Paal_P_82	10,000 11,000	Vrij	Niet-lineair	Niet-lineair	Vrij	Vrij	Vrij	PY-curve-2_V3.B	PY-curve-2_V3.B
(PY-curve-2_V3)19	Lijn	Paal_P_81	10,000 11,000	Vrij	Niet-lineair	Niet-lineair	Vrij	Vrij	Vrij	PY-curve-2_V3.B	PY-curve-2_V3.B
(PY-curve-2_V3)17	Lijn	Paal_P_91	10,000 11,000	Vrij	Niet-lineair	Niet-lineair	Vrij	Vrij	Vrij	PY-curve-2_V3.B	PY-curve-2_V3.B
(PY-curve-2_V3)16	Lijn	Paal_P_88	10,000 11,000	Vrij	Niet-lineair	Niet-lineair	Vrij	Vrij	Vrij	PY-curve-2_V3.B	PY-curve-2_V3.B
(PY-curve-2_V3)15	Lijn	Paal_P_85	10,000 11,000	Vrij	Niet-lineair	Niet-lineair	Vrij	Vrij	Vrij	PY-curve-2_V3.B	PY-curve-2_V3.B
(PY-curve-2_V3)14	Lijn	Paal_P_84	10,000 11,000	Vrij	Niet-lineair	Niet-lineair	Vrij	Vrij	Vrij	PY-curve-2_V3.B	PY-curve-2_V3.B
(PY-curve-2_V3)13	Lijn	Paal_P_79	10,000 11,000	Vrij	Niet-lineair	Niet-lineair	Vrij	Vrij	Vrij	PY-curve-2_V3.B	PY-curve-2_V3.B
(PY-curve-2_V3)12	Lijn	Paal_P_78	10,000 11,000	Vrij	Niet-lineair	Niet-lineair	Vrij	Vrij	Vrij	PY-curve-2_V3.B	PY-curve-2_V3.B
(PY-curve-2_V3)11	Lijn	Paal_P_92	10,000 11,000	Vrij	Niet-lineair	Niet-lineair	Vrij	Vrij	Vrij	PY-curve-2_V3.B	PY-curve-2_V3.B
(PY-curve-2_V3)10	Lijn	Paal_P_87	10,000 11,000	Vrij	Niet-lineair	Niet-lineair	Vrij	Vrij	Vrij	PY-curve-2_V3.B	PY-curve-2_V3.B
(PY-curve-2_V3)9	Lijn	Paal_P_27	10,000 11,000	Vrij	Niet-lineair	Niet-lineair	Vrij	Vrij	Vrij	PY-curve-2_V3.B	PY-curve-2_V3.B
(PY-curve-2_V3)8	Lijn	Paal_P_25	10,000 11,000	Vrij	Niet-lineair	Niet-lineair	Vrij	Vrij	Vrij	PY-curve-2_V3.B	PY-curve-2_V3.B
(PY-curve-2_V3)7	Lijn	Paal_P_26	10,000 11,000	Vrij	Niet-lineair	Niet-lineair	Vrij	Vrij	Vrij	PY-curve-2_V3.B	PY-curve-2_V3.B
(PY-curve-2_V3)18	Lijn	Paal_P_80	10,000 11,000	Vrij	Niet-lineair	Niet-lineair	Vrij	Vrij	Vrij	PY-curve-2_V3.B	PY-curve-2_V3.B
(PY-curve-2_V3)22	Lijn	Paal_P_89	10,000 11,000	Vrij	Niet-lineair	Niet-lineair	Vrij	Vrij	Vrij	PY-curve-2_V3.B	PY-curve-2_V3.B
(PY-curve-2_V3)6	Lijn	Paal_P_24	10,000 11,000	Vrij	Niet-lineair	Niet-lineair	Vrij	Vrij	Vrij	PY-curve-2_V3.B	PY-curve-2_V3.B
(PY-curve-2_V3)5	Lijn	Paal_P_28	10,000 11,000	Vrij	Niet-lineair	Niet-lineair	Vrij	Vrij	Vrij	PY-curve-2_V3.B	PY-curve-2_V3.B
(PY-curve-2_V3)4	Lijn	Paal_P_22	10,000 11,000	Vrij	Niet-lineair	Niet-lineair	Vrij	Vrij	Vrij	PY-curve-2_V3.B	PY-curve-2_V3.B
(PY-curve-2_V3)3	Lijn	Paal_P_93	10,000 11,000	Vrij	Niet-lineair	Niet-lineair	Vrij	Vrij	Vrij	PY-curve-2_V3.B	PY-curve-2_V3.B
(PY-curve-2_V3)2	Lijn	Paal_P_86	10,000	Vrij	Niet-lineair	Niet-lineair	Vrij	Vrij	Vrij	PY-curve-2_V3.B	PY-curve-2_V3.B

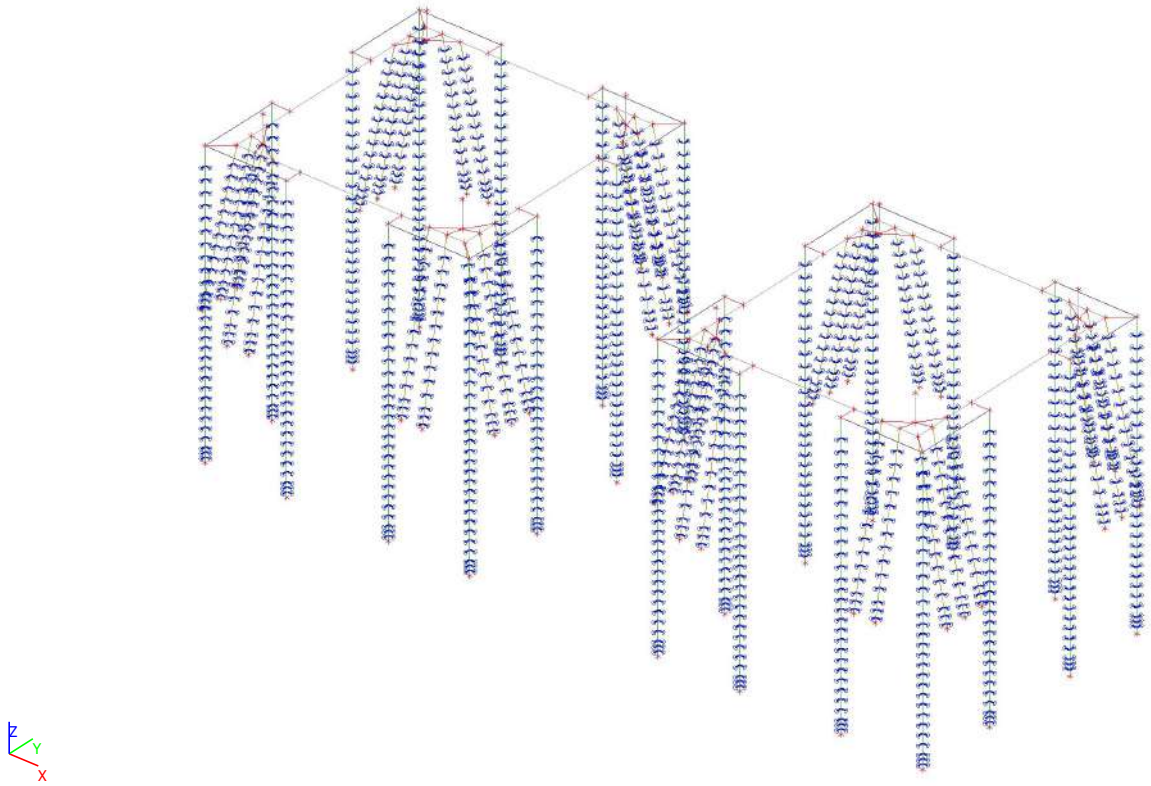
Naam	Type	Staaf	Pos x_1 [m] / Pos x_2 [m]	X	Y	Z	Rx	Ry	Rz	Functie Y	Functie Z
			11,000								
(PY-curve-2_V3)1	Lijn	Paal_P_29	10,000 11,000	Vrij	Niet-lineair	Niet-lineair	Vrij	Vrij	Vrij	PY-curve-2_V3.B	PY-curve-2_V3.B
(PY-curve-2_V3)	Lijn	Paal_P_23	10,000 11,000	Vrij	Niet-lineair	Niet-lineair	Vrij	Vrij	Vrij	PY-curve-2_V3.B	PY-curve-2_V3.B
(PY-curve-2_V4)23	Lijn	Paal_P_93	11,000 12,000	Vrij	Niet-lineair	Niet-lineair	Vrij	Vrij	Vrij	PY-curve-2_V4.B	PY-curve-2_V4.B
(PY-curve-2_V4)21	Lijn	Paal_P_91	11,000 12,000	Vrij	Niet-lineair	Niet-lineair	Vrij	Vrij	Vrij	PY-curve-2_V4.B	PY-curve-2_V4.B
(PY-curve-2_V4)20	Lijn	Paal_P_90	11,000 12,000	Vrij	Niet-lineair	Niet-lineair	Vrij	Vrij	Vrij	PY-curve-2_V4.B	PY-curve-2_V4.B
(PY-curve-2_V4)19	Lijn	Paal_P_89	11,000 12,000	Vrij	Niet-lineair	Niet-lineair	Vrij	Vrij	Vrij	PY-curve-2_V4.B	PY-curve-2_V4.B
(PY-curve-2_V4)18	Lijn	Paal_P_88	11,000 12,000	Vrij	Niet-lineair	Niet-lineair	Vrij	Vrij	Vrij	PY-curve-2_V4.B	PY-curve-2_V4.B
(PY-curve-2_V4)17	Lijn	Paal_P_87	11,000 12,000	Vrij	Niet-lineair	Niet-lineair	Vrij	Vrij	Vrij	PY-curve-2_V4.B	PY-curve-2_V4.B
(PY-curve-2_V4)16	Lijn	Paal_P_86	11,000 12,000	Vrij	Niet-lineair	Niet-lineair	Vrij	Vrij	Vrij	PY-curve-2_V4.B	PY-curve-2_V4.B
(PY-curve-2_V4)15	Lijn	Paal_P_85	11,000 12,000	Vrij	Niet-lineair	Niet-lineair	Vrij	Vrij	Vrij	PY-curve-2_V4.B	PY-curve-2_V4.B
(PY-curve-2_V4)14	Lijn	Paal_P_84	11,000 12,000	Vrij	Niet-lineair	Niet-lineair	Vrij	Vrij	Vrij	PY-curve-2_V4.B	PY-curve-2_V4.B
(PY-curve-2_V4)13	Lijn	Paal_P_83	11,000 12,000	Vrij	Niet-lineair	Niet-lineair	Vrij	Vrij	Vrij	PY-curve-2_V4.B	PY-curve-2_V4.B
(PY-curve-2_V4)12	Lijn	Paal_P_82	11,000 12,000	Vrij	Niet-lineair	Niet-lineair	Vrij	Vrij	Vrij	PY-curve-2_V4.B	PY-curve-2_V4.B
(PY-curve-2_V4)11	Lijn	Paal_P_81	11,000 12,000	Vrij	Niet-lineair	Niet-lineair	Vrij	Vrij	Vrij	PY-curve-2_V4.B	PY-curve-2_V4.B
(PY-curve-2_V4)10	Lijn	Paal_P_80	11,000 12,000	Vrij	Niet-lineair	Niet-lineair	Vrij	Vrij	Vrij	PY-curve-2_V4.B	PY-curve-2_V4.B
(PY-curve-2_V4)9	Lijn	Paal_P_79	11,000 12,000	Vrij	Niet-lineair	Niet-lineair	Vrij	Vrij	Vrij	PY-curve-2_V4.B	PY-curve-2_V4.B
(PY-curve-2_V4)8	Lijn	Paal_P_78	11,000 12,000	Vrij	Niet-lineair	Niet-lineair	Vrij	Vrij	Vrij	PY-curve-2_V4.B	PY-curve-2_V4.B
(PY-curve-2_V4)7	Lijn	Paal_P_29	11,000 12,000	Vrij	Niet-lineair	Niet-lineair	Vrij	Vrij	Vrij	PY-curve-2_V4.B	PY-curve-2_V4.B
(PY-curve-2_V4)22	Lijn	Paal_P_92	11,000 12,000	Vrij	Niet-lineair	Niet-lineair	Vrij	Vrij	Vrij	PY-curve-2_V4.B	PY-curve-2_V4.B
(PY-curve-2_V4)6	Lijn	Paal_P_28	11,000 12,000	Vrij	Niet-lineair	Niet-lineair	Vrij	Vrij	Vrij	PY-curve-2_V4.B	PY-curve-2_V4.B
(PY-curve-2_V4)5	Lijn	Paal_P_27	11,000 12,000	Vrij	Niet-lineair	Niet-lineair	Vrij	Vrij	Vrij	PY-curve-2_V4.B	PY-curve-2_V4.B
(PY-curve-2_V4)4	Lijn	Paal_P_26	11,000 12,000	Vrij	Niet-lineair	Niet-lineair	Vrij	Vrij	Vrij	PY-curve-2_V4.B	PY-curve-2_V4.B
(PY-curve-2_V4)3	Lijn	Paal_P_25	11,000 12,000	Vrij	Niet-lineair	Niet-lineair	Vrij	Vrij	Vrij	PY-curve-2_V4.B	PY-curve-2_V4.B
(PY-curve-2_V4)2	Lijn	Paal_P_24	11,000 12,000	Vrij	Niet-lineair	Niet-lineair	Vrij	Vrij	Vrij	PY-curve-2_V4.B	PY-curve-2_V4.B
(PY-curve-2_V4)1	Lijn	Paal_P_23	11,000 12,000	Vrij	Niet-lineair	Niet-lineair	Vrij	Vrij	Vrij	PY-curve-2_V4.B	PY-curve-2_V4.B
(PY-curve-2_V4)	Lijn	Paal_P_22	11,000 12,000	Vrij	Niet-lineair	Niet-lineair	Vrij	Vrij	Vrij	PY-curve-2_V4.B	PY-curve-2_V4.B
(PY-curve-2_V5)23	Lijn	Paal_P_93	12,000 13,000	Vrij	Niet-lineair	Niet-lineair	Vrij	Vrij	Vrij	PY-curve-2_V5.B	PY-curve-2_V5.B
(PY-curve-2_V5)21	Lijn	Paal_P_91	12,000 13,000	Vrij	Niet-lineair	Niet-lineair	Vrij	Vrij	Vrij	PY-curve-2_V5.B	PY-curve-2_V5.B
(PY-curve-2_V5)20	Lijn	Paal_P_90	12,000 13,000	Vrij	Niet-lineair	Niet-lineair	Vrij	Vrij	Vrij	PY-curve-2_V5.B	PY-curve-2_V5.B
(PY-curve-2_V5)19	Lijn	Paal_P_89	12,000 13,000	Vrij	Niet-lineair	Niet-lineair	Vrij	Vrij	Vrij	PY-curve-2_V5.B	PY-curve-2_V5.B
(PY-curve-2_V5)17	Lijn	Paal_P_87	12,000 13,000	Vrij	Niet-lineair	Niet-lineair	Vrij	Vrij	Vrij	PY-curve-2_V5.B	PY-curve-2_V5.B
(PY-curve-2_V5)16	Lijn	Paal_P_86	12,000	Vrij	Niet-lineair	Niet-lineair	Vrij	Vrij	Vrij	PY-curve-2_V5.B	PY-curve-2_V5.B

Naam	Type	Staaf	Pos x_1 [m] Pos x_2 [m]	X	Y	Z	Rx	Ry	Rz	Functie Y	Functie Z
			13,000								
(PY-curve-2_V5)15	Lijn	Paal_P_85	12,000 13,000	Vrij	Niet-lineair	Niet-lineair	Vrij	Vrij	Vrij	PY-curve-2_V5.B	PY-curve-2_V5.B
(PY-curve-2_V5)14	Lijn	Paal_P_84	12,000 13,000	Vrij	Niet-lineair	Niet-lineair	Vrij	Vrij	Vrij	PY-curve-2_V5.B	PY-curve-2_V5.B
(PY-curve-2_V5)13	Lijn	Paal_P_83	12,000 13,000	Vrij	Niet-lineair	Niet-lineair	Vrij	Vrij	Vrij	PY-curve-2_V5.B	PY-curve-2_V5.B
(PY-curve-2_V5)12	Lijn	Paal_P_82	12,000 13,000	Vrij	Niet-lineair	Niet-lineair	Vrij	Vrij	Vrij	PY-curve-2_V5.B	PY-curve-2_V5.B
(PY-curve-2_V5)11	Lijn	Paal_P_81	12,000 13,000	Vrij	Niet-lineair	Niet-lineair	Vrij	Vrij	Vrij	PY-curve-2_V5.B	PY-curve-2_V5.B
(PY-curve-2_V5)18	Lijn	Paal_P_88	12,000 13,000	Vrij	Niet-lineair	Niet-lineair	Vrij	Vrij	Vrij	PY-curve-2_V5.B	PY-curve-2_V5.B
(PY-curve-2_V5)10	Lijn	Paal_P_80	12,000 13,000	Vrij	Niet-lineair	Niet-lineair	Vrij	Vrij	Vrij	PY-curve-2_V5.B	PY-curve-2_V5.B
(PY-curve-2_V5)9	Lijn	Paal_P_79	12,000 13,000	Vrij	Niet-lineair	Niet-lineair	Vrij	Vrij	Vrij	PY-curve-2_V5.B	PY-curve-2_V5.B
(PY-curve-2_V5)8	Lijn	Paal_P_78	12,000 13,000	Vrij	Niet-lineair	Niet-lineair	Vrij	Vrij	Vrij	PY-curve-2_V5.B	PY-curve-2_V5.B
(PY-curve-2_V5)7	Lijn	Paal_P_29	12,000 13,000	Vrij	Niet-lineair	Niet-lineair	Vrij	Vrij	Vrij	PY-curve-2_V5.B	PY-curve-2_V5.B
(PY-curve-2_V5)22	Lijn	Paal_P_92	12,000 13,000	Vrij	Niet-lineair	Niet-lineair	Vrij	Vrij	Vrij	PY-curve-2_V5.B	PY-curve-2_V5.B
(PY-curve-2_V5)6	Lijn	Paal_P_28	12,000 13,000	Vrij	Niet-lineair	Niet-lineair	Vrij	Vrij	Vrij	PY-curve-2_V5.B	PY-curve-2_V5.B
(PY-curve-2_V5)5	Lijn	Paal_P_27	12,000 13,000	Vrij	Niet-lineair	Niet-lineair	Vrij	Vrij	Vrij	PY-curve-2_V5.B	PY-curve-2_V5.B
(PY-curve-2_V5)4	Lijn	Paal_P_26	12,000 13,000	Vrij	Niet-lineair	Niet-lineair	Vrij	Vrij	Vrij	PY-curve-2_V5.B	PY-curve-2_V5.B
(PY-curve-2_V5)3	Lijn	Paal_P_25	12,000 13,000	Vrij	Niet-lineair	Niet-lineair	Vrij	Vrij	Vrij	PY-curve-2_V5.B	PY-curve-2_V5.B
(PY-curve-2_V5)2	Lijn	Paal_P_24	12,000 13,000	Vrij	Niet-lineair	Niet-lineair	Vrij	Vrij	Vrij	PY-curve-2_V5.B	PY-curve-2_V5.B
(PY-curve-2_V5)1	Lijn	Paal_P_23	12,000 13,000	Vrij	Niet-lineair	Niet-lineair	Vrij	Vrij	Vrij	PY-curve-2_V5.B	PY-curve-2_V5.B
(PY-curve-2_V5)	Lijn	Paal_P_22	12,000 13,000	Vrij	Niet-lineair	Niet-lineair	Vrij	Vrij	Vrij	PY-curve-2_V5.B	PY-curve-2_V5.B
(PY-curve-2_V6)23	Lijn	Paal_P_93	13,000 14,000	Vrij	Niet-lineair	Niet-lineair	Vrij	Vrij	Vrij	PY-curve-2_V6.B	PY-curve-2_V6.B
(PY-curve-2_V6)21	Lijn	Paal_P_91	13,000 14,000	Vrij	Niet-lineair	Niet-lineair	Vrij	Vrij	Vrij	PY-curve-2_V6.B	PY-curve-2_V6.B
(PY-curve-2_V6)20	Lijn	Paal_P_90	13,000 14,000	Vrij	Niet-lineair	Niet-lineair	Vrij	Vrij	Vrij	PY-curve-2_V6.B	PY-curve-2_V6.B
(PY-curve-2_V6)19	Lijn	Paal_P_89	13,000 14,000	Vrij	Niet-lineair	Niet-lineair	Vrij	Vrij	Vrij	PY-curve-2_V6.B	PY-curve-2_V6.B
(PY-curve-2_V6)18	Lijn	Paal_P_88	13,000 14,000	Vrij	Niet-lineair	Niet-lineair	Vrij	Vrij	Vrij	PY-curve-2_V6.B	PY-curve-2_V6.B
(PY-curve-2_V6)17	Lijn	Paal_P_87	13,000 14,000	Vrij	Niet-lineair	Niet-lineair	Vrij	Vrij	Vrij	PY-curve-2_V6.B	PY-curve-2_V6.B
(PY-curve-2_V6)16	Lijn	Paal_P_86	13,000 14,000	Vrij	Niet-lineair	Niet-lineair	Vrij	Vrij	Vrij	PY-curve-2_V6.B	PY-curve-2_V6.B
(PY-curve-2_V6)15	Lijn	Paal_P_85	13,000 14,000	Vrij	Niet-lineair	Niet-lineair	Vrij	Vrij	Vrij	PY-curve-2_V6.B	PY-curve-2_V6.B
(PY-curve-2_V6)14	Lijn	Paal_P_84	13,000 14,000	Vrij	Niet-lineair	Niet-lineair	Vrij	Vrij	Vrij	PY-curve-2_V6.B	PY-curve-2_V6.B
(PY-curve-2_V6)13	Lijn	Paal_P_83	13,000 14,000	Vrij	Niet-lineair	Niet-lineair	Vrij	Vrij	Vrij	PY-curve-2_V6.B	PY-curve-2_V6.B
(PY-curve-2_V6)12	Lijn	Paal_P_82	13,000 14,000	Vrij	Niet-lineair	Niet-lineair	Vrij	Vrij	Vrij	PY-curve-2_V6.B	PY-curve-2_V6.B
(PY-curve-2_V6)11	Lijn	Paal_P_81	13,000 14,000	Vrij	Niet-lineair	Niet-lineair	Vrij	Vrij	Vrij	PY-curve-2_V6.B	PY-curve-2_V6.B
(PY-curve-2_V6)10	Lijn	Paal_P_80	13,000 14,000	Vrij	Niet-lineair	Niet-lineair	Vrij	Vrij	Vrij	PY-curve-2_V6.B	PY-curve-2_V6.B
(PY-curve-2_V6)9	Lijn	Paal_P_79	13,000	Vrij	Niet-lineair	Niet-lineair	Vrij	Vrij	Vrij	PY-curve-2_V6.B	PY-curve-2_V6.B

Naam	Type	Staaf	Pos x_1 [m] Pos x_2 [m]	X	Y	Z	Rx	Ry	Rz	Functie Y	Functie Z
			14,000								
(PY-curve-2_V6)8	Lijn	Paal_P_78	13,000 14,000	Vrij	Niet-lineair	Niet-lineair	Vrij	Vrij	Vrij	PY-curve-2_V6.B	PY-curve-2_V6.B
(PY-curve-2_V6)7	Lijn	Paal_P_29	13,000 14,000	Vrij	Niet-lineair	Niet-lineair	Vrij	Vrij	Vrij	PY-curve-2_V6.B	PY-curve-2_V6.B
(PY-curve-2_V6)22	Lijn	Paal_P_92	13,000 14,000	Vrij	Niet-lineair	Niet-lineair	Vrij	Vrij	Vrij	PY-curve-2_V6.B	PY-curve-2_V6.B
(PY-curve-2_V6)6	Lijn	Paal_P_28	13,000 14,000	Vrij	Niet-lineair	Niet-lineair	Vrij	Vrij	Vrij	PY-curve-2_V6.B	PY-curve-2_V6.B
(PY-curve-2_V6)5	Lijn	Paal_P_27	13,000 14,000	Vrij	Niet-lineair	Niet-lineair	Vrij	Vrij	Vrij	PY-curve-2_V6.B	PY-curve-2_V6.B
(PY-curve-2_V6)4	Lijn	Paal_P_26	13,000 14,000	Vrij	Niet-lineair	Niet-lineair	Vrij	Vrij	Vrij	PY-curve-2_V6.B	PY-curve-2_V6.B
(PY-curve-2_V6)3	Lijn	Paal_P_25	13,000 14,000	Vrij	Niet-lineair	Niet-lineair	Vrij	Vrij	Vrij	PY-curve-2_V6.B	PY-curve-2_V6.B
(PY-curve-2_V6)2	Lijn	Paal_P_24	13,000 14,000	Vrij	Niet-lineair	Niet-lineair	Vrij	Vrij	Vrij	PY-curve-2_V6.B	PY-curve-2_V6.B
(PY-curve-2_V6)1	Lijn	Paal_P_23	13,000 14,000	Vrij	Niet-lineair	Niet-lineair	Vrij	Vrij	Vrij	PY-curve-2_V6.B	PY-curve-2_V6.B
(PY-curve-2_V6)	Lijn	Paal_P_22	13,000 14,000	Vrij	Niet-lineair	Niet-lineair	Vrij	Vrij	Vrij	PY-curve-2_V6.B	PY-curve-2_V6.B
(PY-curve-2_V7)6	Lijn	Paal_P_28	14,000 15,000	Vrij	Niet-lineair	Niet-lineair	Vrij	Vrij	Vrij	PY-curve-2_V7.B	PY-curve-2_V7.B
(PY-curve-2_V7)5	Lijn	Paal_P_27	14,000 15,000	Vrij	Niet-lineair	Niet-lineair	Vrij	Vrij	Vrij	PY-curve-2_V7.B	PY-curve-2_V7.B
(PY-curve-2_V7)4	Lijn	Paal_P_26	14,000 15,000	Vrij	Niet-lineair	Niet-lineair	Vrij	Vrij	Vrij	PY-curve-2_V7.B	PY-curve-2_V7.B
(PY-curve-2_V7)3	Lijn	Paal_P_25	14,000 15,000	Vrij	Niet-lineair	Niet-lineair	Vrij	Vrij	Vrij	PY-curve-2_V7.B	PY-curve-2_V7.B
(PY-curve-2_V7)2	Lijn	Paal_P_24	14,000 15,000	Vrij	Niet-lineair	Niet-lineair	Vrij	Vrij	Vrij	PY-curve-2_V7.B	PY-curve-2_V7.B
(PY-curve-2_V7)1	Lijn	Paal_P_23	14,000 15,000	Vrij	Niet-lineair	Niet-lineair	Vrij	Vrij	Vrij	PY-curve-2_V7.B	PY-curve-2_V7.B
(PY-curve-2_V7)	Lijn	Paal_P_22	14,000 15,000	Vrij	Niet-lineair	Niet-lineair	Vrij	Vrij	Vrij	PY-curve-2_V7.B	PY-curve-2_V7.B
(PY-curve-2_V7)23	Lijn	Paal_P_93	14,000 15,000	Vrij	Niet-lineair	Niet-lineair	Vrij	Vrij	Vrij	PY-curve-2_V7.B	PY-curve-2_V7.B
(PY-curve-2_V7)21	Lijn	Paal_P_91	14,000 15,000	Vrij	Niet-lineair	Niet-lineair	Vrij	Vrij	Vrij	PY-curve-2_V7.B	PY-curve-2_V7.B
(PY-curve-2_V7)20	Lijn	Paal_P_90	14,000 15,000	Vrij	Niet-lineair	Niet-lineair	Vrij	Vrij	Vrij	PY-curve-2_V7.B	PY-curve-2_V7.B
(PY-curve-2_V7)19	Lijn	Paal_P_89	14,000 15,000	Vrij	Niet-lineair	Niet-lineair	Vrij	Vrij	Vrij	PY-curve-2_V7.B	PY-curve-2_V7.B
(PY-curve-2_V7)18	Lijn	Paal_P_88	14,000 15,000	Vrij	Niet-lineair	Niet-lineair	Vrij	Vrij	Vrij	PY-curve-2_V7.B	PY-curve-2_V7.B
(PY-curve-2_V7)17	Lijn	Paal_P_87	14,000 15,000	Vrij	Niet-lineair	Niet-lineair	Vrij	Vrij	Vrij	PY-curve-2_V7.B	PY-curve-2_V7.B
(PY-curve-2_V7)16	Lijn	Paal_P_86	14,000 15,000	Vrij	Niet-lineair	Niet-lineair	Vrij	Vrij	Vrij	PY-curve-2_V7.B	PY-curve-2_V7.B
(PY-curve-2_V7)15	Lijn	Paal_P_85	14,000 15,000	Vrij	Niet-lineair	Niet-lineair	Vrij	Vrij	Vrij	PY-curve-2_V7.B	PY-curve-2_V7.B
(PY-curve-2_V7)22	Lijn	Paal_P_92	14,000 15,000	Vrij	Niet-lineair	Niet-lineair	Vrij	Vrij	Vrij	PY-curve-2_V7.B	PY-curve-2_V7.B
(PY-curve-2_V7)14	Lijn	Paal_P_84	14,000 15,000	Vrij	Niet-lineair	Niet-lineair	Vrij	Vrij	Vrij	PY-curve-2_V7.B	PY-curve-2_V7.B
(PY-curve-2_V7)13	Lijn	Paal_P_83	14,000 15,000	Vrij	Niet-lineair	Niet-lineair	Vrij	Vrij	Vrij	PY-curve-2_V7.B	PY-curve-2_V7.B
(PY-curve-2_V7)12	Lijn	Paal_P_82	14,000 15,000	Vrij	Niet-lineair	Niet-lineair	Vrij	Vrij	Vrij	PY-curve-2_V7.B	PY-curve-2_V7.B
(PY-curve-2_V7)11	Lijn	Paal_P_81	14,000 15,000	Vrij	Niet-lineair	Niet-lineair	Vrij	Vrij	Vrij	PY-curve-2_V7.B	PY-curve-2_V7.B
(PY-curve-2_V7)10	Lijn	Paal_P_80	14,000 15,000	Vrij	Niet-lineair	Niet-lineair	Vrij	Vrij	Vrij	PY-curve-2_V7.B	PY-curve-2_V7.B
(PY-curve-2_V7)9	Lijn	Paal_P_79	14,000	Vrij	Niet-lineair	Niet-lineair	Vrij	Vrij	Vrij	PY-curve-2_V7.B	PY-curve-2_V7.B

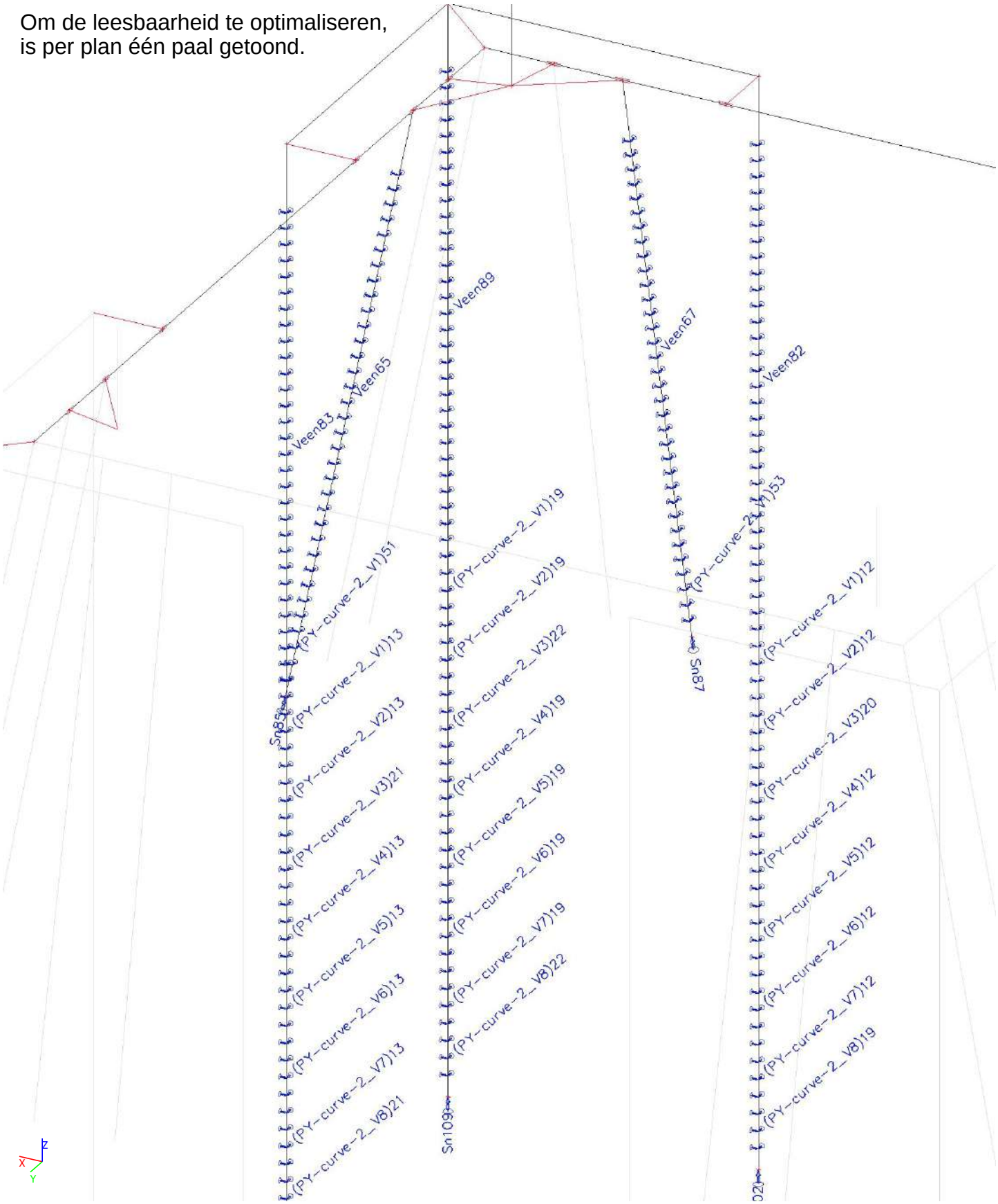
Naam	Type	Staaf	Pos x_1 [m] / Pos x_2 [m]	X	Y	Z	Rx	Ry	Rz	Functie Y	Functie Z
			15,000								
(PY-curve-2_V7)8	Lijn	Paal_P_78	14,000 15,000	Vrij	Niet-lineair	Niet-lineair	Vrij	Vrij	Vrij	PY-curve-2_V7.B	PY-curve-2_V7.B
(PY-curve-2_V7)7	Lijn	Paal_P_29	14,000 15,000	Vrij	Niet-lineair	Niet-lineair	Vrij	Vrij	Vrij	PY-curve-2_V7.B	PY-curve-2_V7.B
(PY-curve-2_V8)23	Lijn	Paal_P_90	15,000 15,500	Vrij	Niet-lineair	Niet-lineair	Vrij	Vrij	Vrij	PY-curve-2_V8.B	PY-curve-2_V8.B
(PY-curve-2_V8)21	Lijn	Paal_P_83	15,000 15,500	Vrij	Niet-lineair	Niet-lineair	Vrij	Vrij	Vrij	PY-curve-2_V8.B	PY-curve-2_V8.B
(PY-curve-2_V8)20	Lijn	Paal_P_81	15,000 15,500	Vrij	Niet-lineair	Niet-lineair	Vrij	Vrij	Vrij	PY-curve-2_V8.B	PY-curve-2_V8.B
(PY-curve-2_V8)19	Lijn	Paal_P_82	15,000 15,500	Vrij	Niet-lineair	Niet-lineair	Vrij	Vrij	Vrij	PY-curve-2_V8.B	PY-curve-2_V8.B
(PY-curve-2_V8)18	Lijn	Paal_P_80	15,000 15,500	Vrij	Niet-lineair	Niet-lineair	Vrij	Vrij	Vrij	PY-curve-2_V8.B	PY-curve-2_V8.B
(PY-curve-2_V8)17	Lijn	Paal_P_84	15,000 15,500	Vrij	Niet-lineair	Niet-lineair	Vrij	Vrij	Vrij	PY-curve-2_V8.B	PY-curve-2_V8.B
(PY-curve-2_V8)16	Lijn	Paal_P_78	15,000 15,500	Vrij	Niet-lineair	Niet-lineair	Vrij	Vrij	Vrij	PY-curve-2_V8.B	PY-curve-2_V8.B
(PY-curve-2_V8)15	Lijn	Paal_P_91	15,000 15,500	Vrij	Niet-lineair	Niet-lineair	Vrij	Vrij	Vrij	PY-curve-2_V8.B	PY-curve-2_V8.B
(PY-curve-2_V8)14	Lijn	Paal_P_88	15,000 15,500	Vrij	Niet-lineair	Niet-lineair	Vrij	Vrij	Vrij	PY-curve-2_V8.B	PY-curve-2_V8.B
(PY-curve-2_V8)13	Lijn	Paal_P_85	15,000 15,500	Vrij	Niet-lineair	Niet-lineair	Vrij	Vrij	Vrij	PY-curve-2_V8.B	PY-curve-2_V8.B
(PY-curve-2_V8)12	Lijn	Paal_P_79	15,000 15,500	Vrij	Niet-lineair	Niet-lineair	Vrij	Vrij	Vrij	PY-curve-2_V8.B	PY-curve-2_V8.B
(PY-curve-2_V8)11	Lijn	Paal_P_92	15,000 15,500	Vrij	Niet-lineair	Niet-lineair	Vrij	Vrij	Vrij	PY-curve-2_V8.B	PY-curve-2_V8.B
(PY-curve-2_V8)10	Lijn	Paal_P_87	15,000 15,500	Vrij	Niet-lineair	Niet-lineair	Vrij	Vrij	Vrij	PY-curve-2_V8.B	PY-curve-2_V8.B
(PY-curve-2_V8)9	Lijn	Paal_P_27	15,000 15,500	Vrij	Niet-lineair	Niet-lineair	Vrij	Vrij	Vrij	PY-curve-2_V8.B	PY-curve-2_V8.B
(PY-curve-2_V8)8	Lijn	Paal_P_26	15,000 15,500	Vrij	Niet-lineair	Niet-lineair	Vrij	Vrij	Vrij	PY-curve-2_V8.B	PY-curve-2_V8.B
(PY-curve-2_V8)7	Lijn	Paal_P_25	15,000 15,500	Vrij	Niet-lineair	Niet-lineair	Vrij	Vrij	Vrij	PY-curve-2_V8.B	PY-curve-2_V8.B
(PY-curve-2_V8)22	Lijn	Paal_P_89	15,000 15,500	Vrij	Niet-lineair	Niet-lineair	Vrij	Vrij	Vrij	PY-curve-2_V8.B	PY-curve-2_V8.B
(PY-curve-2_V8)6	Lijn	Paal_P_24	15,000 15,500	Vrij	Niet-lineair	Niet-lineair	Vrij	Vrij	Vrij	PY-curve-2_V8.B	PY-curve-2_V8.B
(PY-curve-2_V8)5	Lijn	Paal_P_93	15,000 15,500	Vrij	Niet-lineair	Niet-lineair	Vrij	Vrij	Vrij	PY-curve-2_V8.B	PY-curve-2_V8.B
(PY-curve-2_V8)4	Lijn	Paal_P_86	15,000 15,500	Vrij	Niet-lineair	Niet-lineair	Vrij	Vrij	Vrij	PY-curve-2_V8.B	PY-curve-2_V8.B
(PY-curve-2_V8)3	Lijn	Paal_P_29	15,000 15,500	Vrij	Niet-lineair	Niet-lineair	Vrij	Vrij	Vrij	PY-curve-2_V8.B	PY-curve-2_V8.B
(PY-curve-2_V8)2	Lijn	Paal_P_28	15,000 15,500	Vrij	Niet-lineair	Niet-lineair	Vrij	Vrij	Vrij	PY-curve-2_V8.B	PY-curve-2_V8.B
(PY-curve-2_V8)1	Lijn	Paal_P_23	15,000 15,500	Vrij	Niet-lineair	Niet-lineair	Vrij	Vrij	Vrij	PY-curve-2_V8.B	PY-curve-2_V8.B
(PY-curve-2_V8)	Lijn	Paal_P_22	15,000 15,500	Vrij	Niet-lineair	Niet-lineair	Vrij	Vrij	Vrij	PY-curve-2_V8.B	PY-curve-2_V8.B

5.8. Analyse model met Lijnondersteuningen



5.9. Analyse model met Lijnondersteuningen

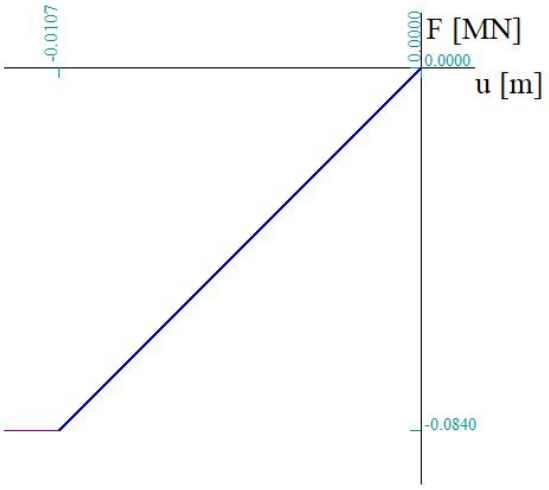
Om de leesbaarheid te optimaliseren, is per plan één paal getoond.



5.10. Niet-lineaire functies

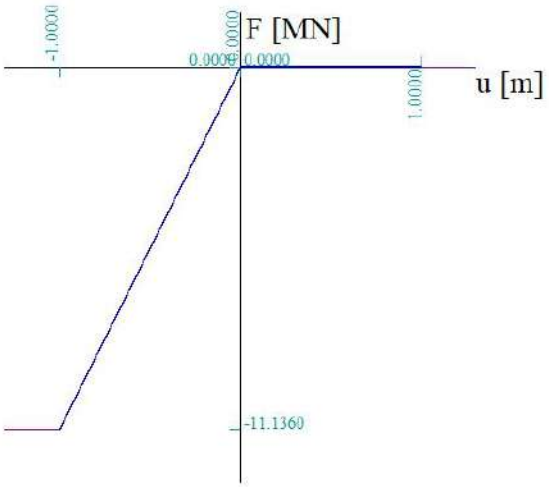
Naam	Type	u / F	Positief einde	Negatief einde
Trek-druk-S+paalpunt	Verplaatsing	-1,0670e-02[m] / -8,4000e-02[MN]	Vrij	Vrij
		0,0000e+00[m] / 0,0000e+00[MN]		

Tekenen



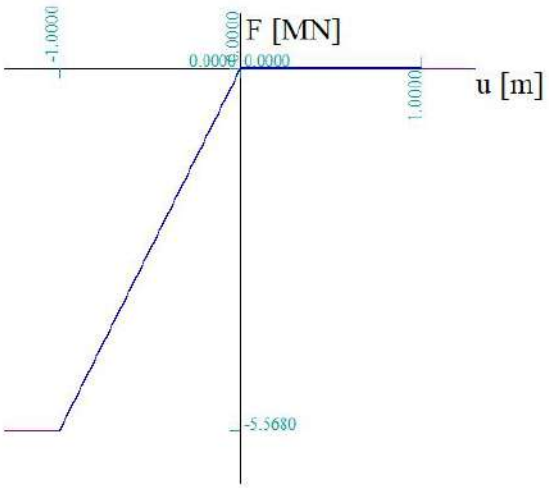
Naam	Type	u / F	Positief einde	Negatief einde
Trek-druk-S+paalpunt.LEKA.BG.	Verplaatsing	-1,0000e+00[m] / -1,1136e+01[MN]	Vrij	Vrij
		0,0000e+00[m] / 0,0000e+00[MN]		
		1,0000e+00[m] / 0,0000e+00[MN]		

Tekenen



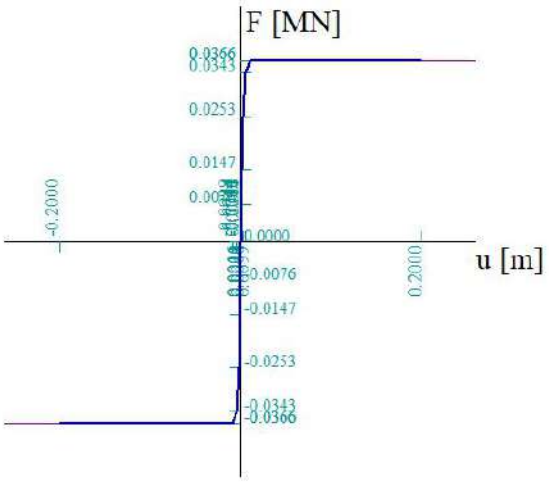
Naam	Type	u / F	Positief einde	Negatief einde
Trek-druk-S+paalpunt.LEKA.OG.	Verplaatsing	-1,0000e+00[m] / -5,5680e+00[MN]	Vrij	Vrij
		0,0000e+00[m] / 0,0000e+00[MN]		
		1,0000e+00[m] / 0,0000e+00[MN]		

Tekenen



Naam	Type	u / F	Positief einde	Negatief einde
PY-curve-2_V1	Verplaatsing	-2,0000e-01[m] / -3,6624e-02[MN]	Vrij	Vrij
		-9,9000e-03[m] / -3,6624e-02[MN]		
		-4,4000e-03[m] / -3,4259e-02[MN]		
		-2,2000e-03[m] / -2,5265e-02[MN]		
		-1,1000e-03[m] / -1,4650e-02[MN]		
		-5,5000e-04[m] / -7,6435e-03[MN]		
		0,0000e+00[m] / 0,0000e+00[MN]		
		5,5000e-04[m] / 7,6435e-03[MN]		
		1,1000e-03[m] / 1,4650e-02[MN]		
		2,2000e-03[m] / 2,5265e-02[MN]		
		4,4000e-03[m] / 3,4259e-02[MN]		
		9,9000e-03[m] / 3,6624e-02[MN]		
		2,0000e-01[m] / 3,6624e-02[MN]		

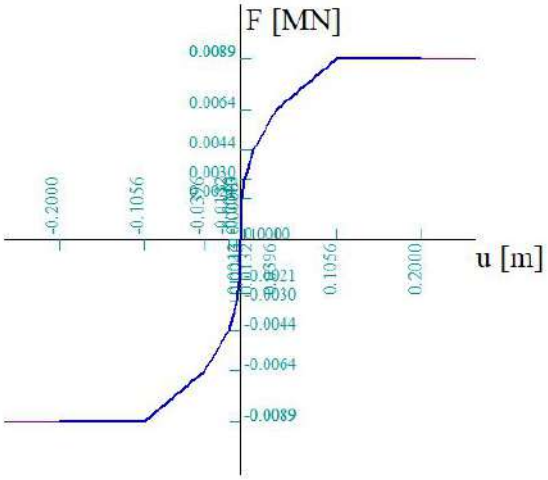
Tekenen



Naam	Type	u / F	Positief einde	Negatief einde
PY-curve-2_Veen	Verplaatsing	-2,0000e-01[m] / -8,8944e-03[MN]	Vrij	Vrij
		-1,0560e-01[m] / -8,8944e-03[MN]		
		-3,9600e-02[m] / -6,4138e-03[MN]		
		-1,3200e-02[m] / -4,4477e-03[MN]		
		-3,9600e-03[m] / -2,9770e-03[MN]		
		-1,3200e-03[m] / -2,0640e-03[MN]		
		0,0000e+00[m] / 0,0000e+00[MN]		
		1,3200e-03[m] / 2,0640e-03[MN]		
		3,9600e-03[m] / 2,9770e-03[MN]		

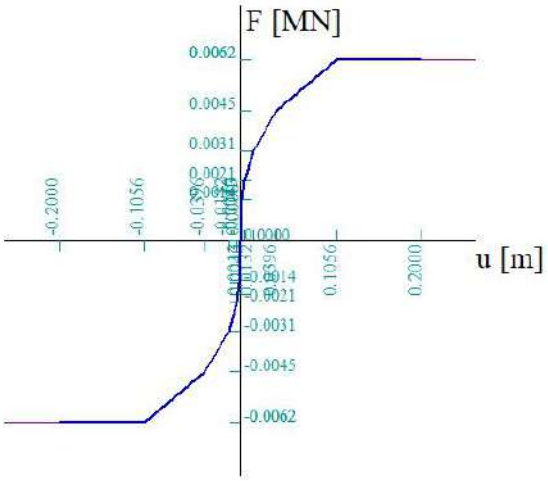
Naam	Type	u / F	Positief einde	Negatief einde
		1,3200e-02[m] / 4,4477e-03[MN]		
		3,9600e-02[m] / 6,4138e-03[MN]		
		1,0560e-01[m] / 8,8944e-03[MN]		
		2,0000e-01[m] / 8,8944e-03[MN]		

Tekenen



Naam	Type	u / F	Positief einde	Negatief einde
PY-curve-2_Veen.B	Verplaatsing	-2,0000e-01[m] / -6,2016e-03[MN]	Vrij	Vrij
		-1,0560e-01[m] / -6,2016e-03[MN]		
		-3,9600e-02[m] / -4,4721e-03[MN]		
		-1,3200e-02[m] / -3,1008e-03[MN]		
		-3,9600e-03[m] / -2,0758e-03[MN]		
		-1,3200e-03[m] / -1,4393e-03[MN]		
		0,0000e+00[m] / 0,0000e+00[MN]		
		1,3200e-03[m] / 1,4393e-03[MN]		
		3,9600e-03[m] / 2,0758e-03[MN]		
		1,3200e-02[m] / 3,1008e-03[MN]		
		3,9600e-02[m] / 4,4721e-03[MN]		
		1,0560e-01[m] / 6,2016e-03[MN]		
		2,0000e-01[m] / 6,2016e-03[MN]		

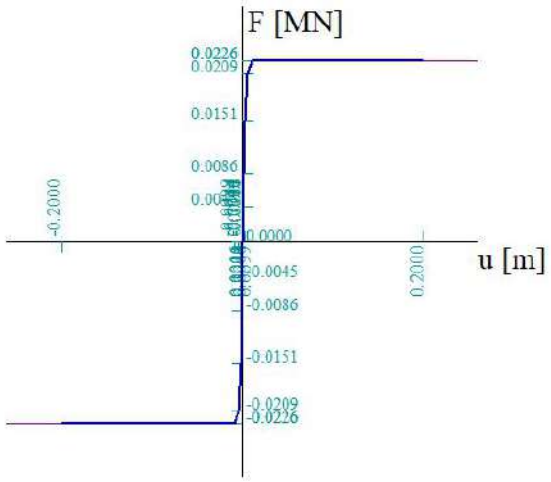
Tekenen



Naam	Type	u / F	Positief einde	Negatief einde
PY-curve-2_V1.B	Verplaatsing	-2,0000e-01[m] / -2,2567e-02[MN]	Vrij	Vrij
		-9,9000e-03[m] / -2,2567e-02[MN]		
		-4,4000e-03[m] / -2,0854e-02[MN]		

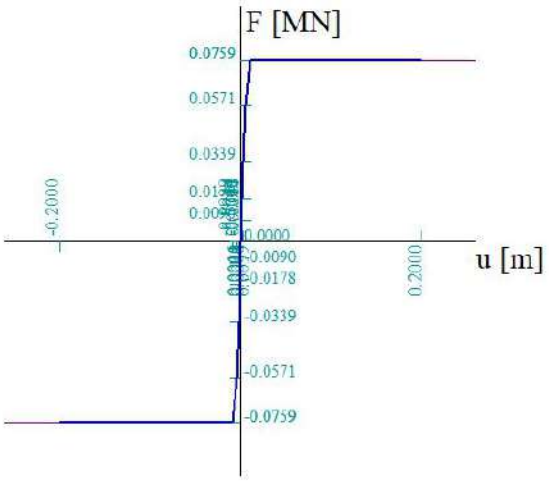
Naam	Type	u / F	Positief einde	Negatief einde
		-2,2000e-03[m] / -1,5054e-02[MN]		
		-1,1000e-03[m] / -8,6224e-03[MN]		
		-5,5000e-04[m] / -4,4807e-03[MN]		
		0,0000e+00[m] / 0,0000e+00[MN]		
		5,5000e-04[m] / 4,4807e-03[MN]		
		1,1000e-03[m] / 8,6224e-03[MN]		
		2,2000e-03[m] / 1,5054e-02[MN]		
		4,4000e-03[m] / 2,0854e-02[MN]		
		9,9000e-03[m] / 2,2567e-02[MN]		
		2,0000e-01[m] / 2,2567e-02[MN]		

Tekenen



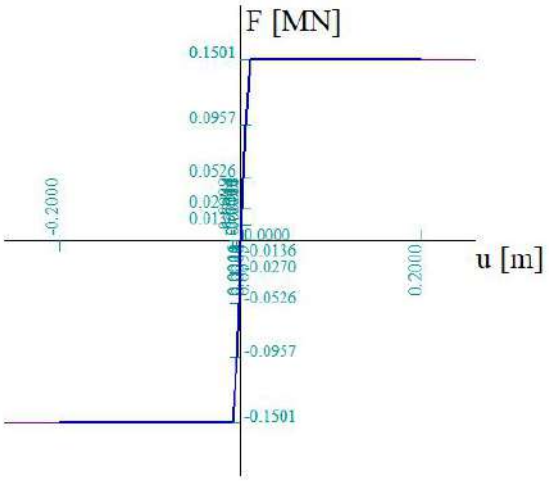
Naam	Type	u / F	Positief einde	Negatief einde
PY-curve-2_V2.B	Verplaatsing	-2,0000e-01[m] / -7,5874e-02[MN]	Vrij	Vrij
		-9,9000e-03[m] / -7,5874e-02[MN]		
		-4,4000e-03[m] / -5,7108e-02[MN]		
		-2,2000e-03[m] / -3,3923e-02[MN]		
		-1,1000e-03[m] / -1,7844e-02[MN]		
		-5,5000e-04[m] / -9,0410e-03[MN]		
		0,0000e+00[m] / 0,0000e+00[MN]		
		5,5000e-04[m] / 9,0410e-03[MN]		
		1,1000e-03[m] / 1,7844e-02[MN]		
		2,2000e-03[m] / 3,3923e-02[MN]		
		4,4000e-03[m] / 5,7108e-02[MN]		
		9,9000e-03[m] / 7,5874e-02[MN]		
		2,0000e-01[m] / 7,5874e-02[MN]		

Tekenen



Naam	Type	u / F	Positief einde	Negatief einde
PY-curve-2_V3.B	Verplaatsing	-2,0000e-01[m] / -1,5011e-01[MN]	Vrij	Vrij
		-9,9000e-03[m] / -1,5011e-01[MN]		
		-4,4000e-03[m] / -9,5744e-02[MN]		
		-2,2000e-03[m] / -5,2633e-02[MN]		
		-1,1000e-03[m] / -2,7005e-02[MN]		
		-5,5000e-04[m] / -1,3592e-02[MN]		
		0,0000e+00[m] / 0,0000e+00[MN]		
		5,5000e-04[m] / 1,3592e-02[MN]		
		1,1000e-03[m] / 2,7005e-02[MN]		
		2,2000e-03[m] / 5,2633e-02[MN]		
		4,4000e-03[m] / 9,5744e-02[MN]		
		9,9000e-03[m] / 1,5011e-01[MN]		
		2,0000e-01[m] / 1,5011e-01[MN]		

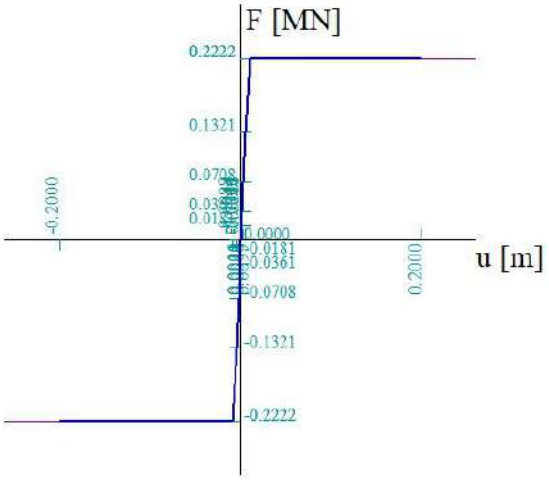
Tekenen



Naam	Type	u / F	Positief einde	Negatief einde
PY-curve-2_V4.B	Verplaatsing	-2,0000e-01[m] / -2,2222e-01[MN]	Vrij	Vrij
		-9,9000e-03[m] / -2,2222e-01[MN]		
		-4,4000e-03[m] / -1,3206e-01[MN]		
		-2,2000e-03[m] / -7,0850e-02[MN]		
		-1,1000e-03[m] / -3,6096e-02[MN]		
		-5,5000e-04[m] / -1,8134e-02[MN]		
		0,0000e+00[m] / 0,0000e+00[MN]		
		5,5000e-04[m] / 1,8134e-02[MN]		
		1,1000e-03[m] / 3,6096e-02[MN]		
		2,2000e-03[m] / 7,0850e-02[MN]		

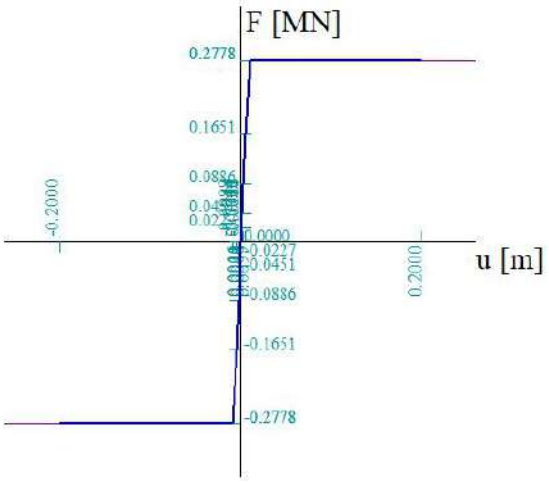
Naam	Type	u / F	Positief einde	Negatief einde
		4,4000e-03[m] / 1,3206e-01[MN]		
		9,9000e-03[m] / 2,2222e-01[MN]		
		2,0000e-01[m] / 2,2222e-01[MN]		

Tekenen



Naam	Type	u / F	Positief einde	Negatief einde
PY-curve-2_V5.B	Verplaatsing	-2,0000e-01[m] / -2,7778e-01[MN]	Vrij	Vrij
		-9,9000e-03[m] / -2,7778e-01[MN]		
		-4,4000e-03[m] / -1,6508e-01[MN]		
		-2,2000e-03[m] / -8,8562e-02[MN]		
		-1,1000e-03[m] / -4,5120e-02[MN]		
		-5,5000e-04[m] / -2,2668e-02[MN]		
		0,0000e+00[m] / 0,0000e+00[MN]		
		5,5000e-04[m] / 2,2668e-02[MN]		
		1,1000e-03[m] / 4,5120e-02[MN]		
		2,2000e-03[m] / 8,8562e-02[MN]		
		4,4000e-03[m] / 1,6508e-01[MN]		
		9,9000e-03[m] / 2,7778e-01[MN]		
		2,0000e-01[m] / 2,7778e-01[MN]		

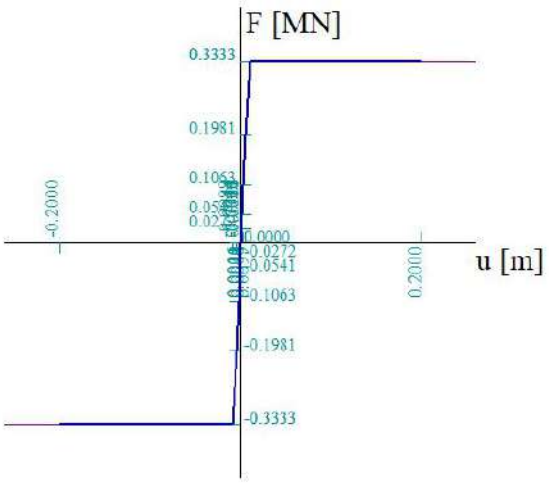
Tekenen



Naam	Type	u / F	Positief einde	Negatief einde
PY-curve-2_V6.B	Verplaatsing	-2,0000e-01[m] / -3,3334e-01[MN]	Vrij	Vrij
		-9,9000e-03[m] / -3,3334e-01[MN]		
		-4,4000e-03[m] / -1,9809e-01[MN]		
		-2,2000e-03[m] / -1,0627e-01[MN]		

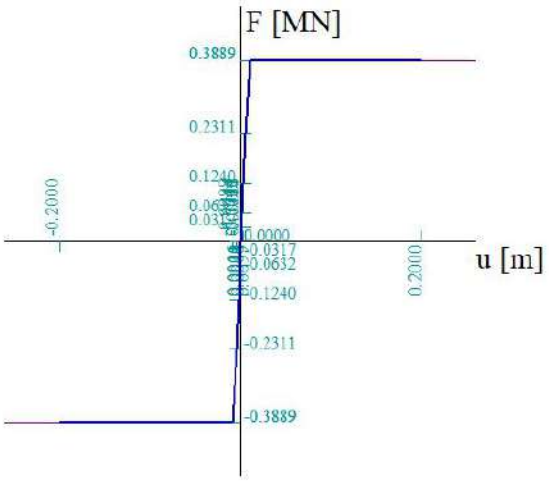
Naam	Type	u / F	Positief einde	Negatief einde
		-1,1000e-03[m] / -5,4144e-02[MN]		
		-5,5000e-04[m] / -2,7201e-02[MN]		
		0,0000e+00[m] / 0,0000e+00[MN]		
		5,5000e-04[m] / 2,7201e-02[MN]		
		1,1000e-03[m] / 5,4144e-02[MN]		
		2,2000e-03[m] / 1,0627e-01[MN]		
		4,4000e-03[m] / 1,9809e-01[MN]		
		9,9000e-03[m] / 3,3334e-01[MN]		
		2,0000e-01[m] / 3,3334e-01[MN]		

Tekenen



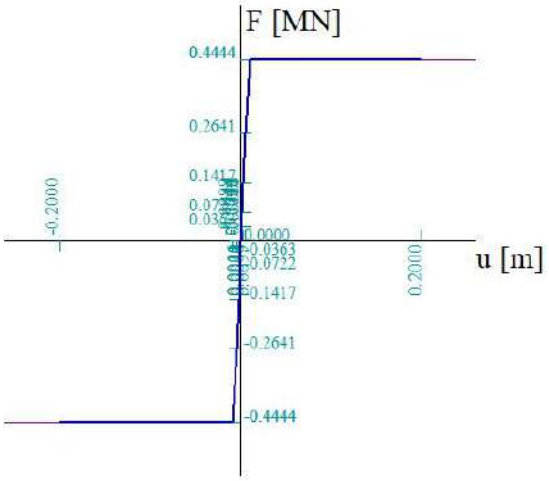
Naam	Type	u / F	Positief einde	Negatief einde
PY-curve-2_V7.B	Verplaatsing	-2,0000e-01[m] / -3,8889e-01[MN]	Vrij	Vrij
		-9,9000e-03[m] / -3,8889e-01[MN]		
		-4,4000e-03[m] / -2,3111e-01[MN]		
		-2,2000e-03[m] / -1,2399e-01[MN]		
		-1,1000e-03[m] / -6,3168e-02[MN]		
		-5,5000e-04[m] / -3,1735e-02[MN]		
		0,0000e+00[m] / 0,0000e+00[MN]		
		5,5000e-04[m] / 3,1735e-02[MN]		
		1,1000e-03[m] / 6,3168e-02[MN]		
		2,2000e-03[m] / 1,2399e-01[MN]		
		4,4000e-03[m] / 2,3111e-01[MN]		
		9,9000e-03[m] / 3,8889e-01[MN]		
		2,0000e-01[m] / 3,8889e-01[MN]		

Tekenen



Naam	Type	u / F	Positief einde	Negatief einde
PY-curve-2_V8.B	Verplaatsing	-2,0000e-01[m] / -4,4445e-01[MN]	Vrij	Vrij
		-9,9000e-03[m] / -4,4445e-01[MN]		
		-4,4000e-03[m] / -2,6412e-01[MN]		
		-2,2000e-03[m] / -1,4170e-01[MN]		
		-1,1000e-03[m] / -7,2192e-02[MN]		
		-5,5000e-04[m] / -3,6268e-02[MN]		
		0,0000e+00[m] / 0,0000e+00[MN]		
		5,5000e-04[m] / 3,6268e-02[MN]		
		1,1000e-03[m] / 7,2192e-02[MN]		
		2,2000e-03[m] / 1,4170e-01[MN]		
		4,4000e-03[m] / 2,6412e-01[MN]		
		9,9000e-03[m] / 4,4445e-01[MN]		
		2,0000e-01[m] / 4,4445e-01[MN]		

Tekenen

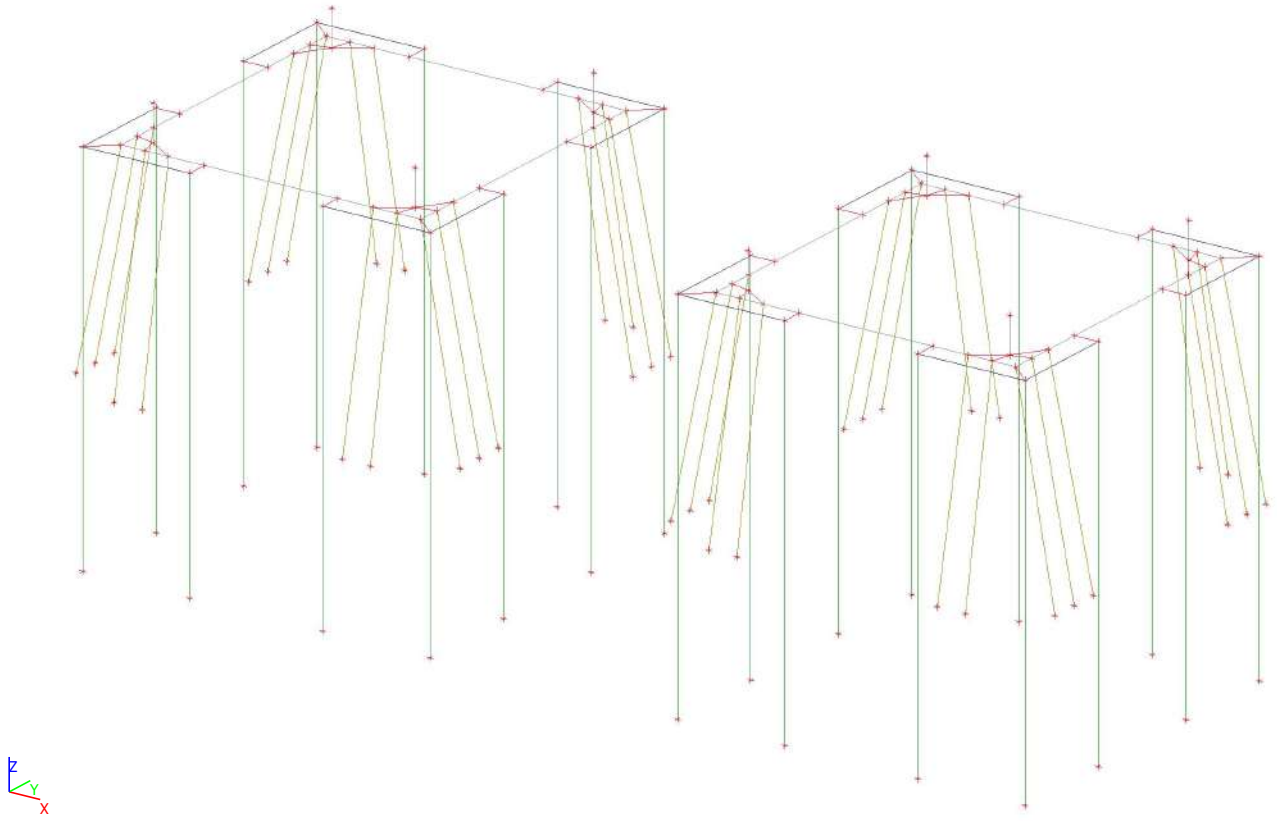


6. Belastingen

6.1. Belastingsgevallen

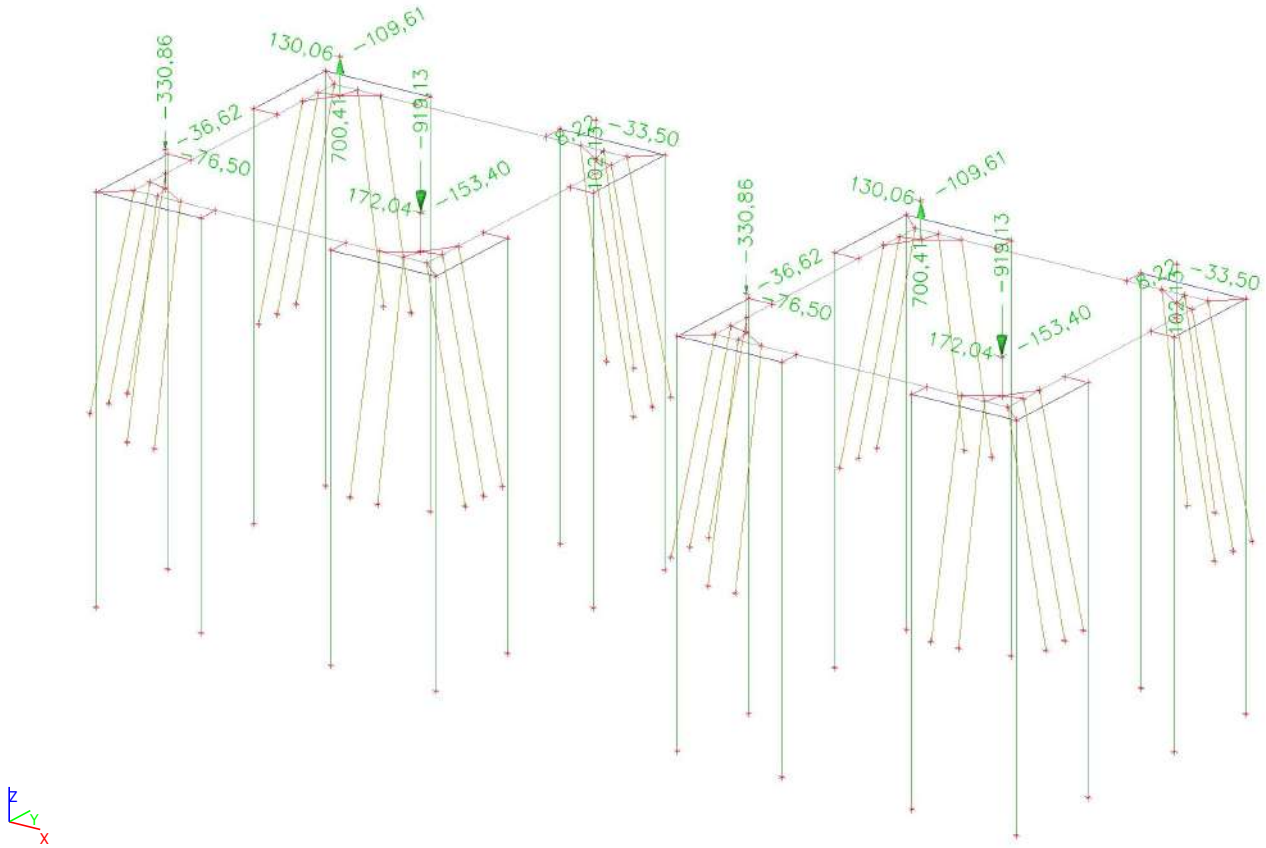
6.1.1. Belastingsgevallen - E.G.

Naam	Omschrijving	Actie type	Lastgroep	Richting
	Spec	Belastingtype		
E.G.		Permanent	LG1	-Z
		Eigen gewicht		



6.1.2. Belastingsgevallen - high max Wnd ;225°

Naam	Omschrijving	Actie type	Lastgroep	Duur	'Master' belastingsgeval
	Spec	Belastingtype			
high max Wnd ;225°		Variabel	LG4	Kort	Geen
	Standaard	Statisch			



6.1.2.1. Puntlast op knoop

Naam	Knoop	Belastingsgeval	Systeem	Rich	Type	Waarde - F [kN]
high max Wnd ;225°_1P_X	1P	high max Wnd ;225°	GCS	X	Kracht	-76,50
high max Wnd ;225°_1P_Y	1P	high max Wnd ;225°	GCS	Y	Kracht	-36,62
high max Wnd ;225°_1P_Z	1P	high max Wnd ;225°	GCS	Z	Kracht	-330,86
high max Wnd ;225°_1X_X	1X	high max Wnd ;225°	GCS	X	Kracht	130,06
high max Wnd ;225°_1X_Y	1X	high max Wnd ;225°	GCS	Y	Kracht	-109,61
high max Wnd ;225°_1X_Z	1X	high max Wnd ;225°	GCS	Z	Kracht	700,41
high max Wnd ;225°_1XY_X	1XY	high max Wnd ;225°	GCS	X	Kracht	-33,50
high max Wnd ;225°_1XY_Y	1XY	high max Wnd ;225°	GCS	Y	Kracht	8,22
high max Wnd ;225°_1XY_Z	1XY	high max Wnd ;225°	GCS	Z	Kracht	102,13
high max Wnd ;225°_1Y_X	1Y	high max Wnd ;225°	GCS	X	Kracht	172,04
high max Wnd ;225°_1Y_Y	1Y	high max Wnd ;225°	GCS	Y	Kracht	-153,40
high max Wnd ;225°_1Y_Z	1Y	high max Wnd ;225°	GCS	Z	Kracht	-919,13
high max Wnd ;225°_1Y_X1	1Y2	high max Wnd ;225°	GCS	X	Kracht	172,04
high max Wnd ;225°_1Y_Y1	1Y2	high max Wnd ;225°	GCS	Y	Kracht	-153,40
high max Wnd	1Y2	high max Wnd ;225°	GCS	Z	Kracht	-919,13

Naam	Knoop	Belastingsgeval	Systeem	Rich	Type	Waarde - F [kN]
;225°_1Y_Z1						
high max Wnd ;225°_1XY_X1	1XY2	high max Wnd ;225°	GCS	X	Kracht	-33,50
high max Wnd ;225°_1XY_Y1	1XY2	high max Wnd ;225°	GCS	Y	Kracht	8,22
high max Wnd ;225°_1XY_Z1	1XY2	high max Wnd ;225°	GCS	Z	Kracht	102,13
high max Wnd ;225°_1P_X1	1P2	high max Wnd ;225°	GCS	X	Kracht	-76,50
high max Wnd ;225°_1P_Y1	1P2	high max Wnd ;225°	GCS	Y	Kracht	-36,62
high max Wnd ;225°_1P_Z1	1P2	high max Wnd ;225°	GCS	Z	Kracht	-330,86
high max Wnd ;225°_1X_X1	1X2	high max Wnd ;225°	GCS	X	Kracht	130,06
high max Wnd ;225°_1X_Y1	1X2	high max Wnd ;225°	GCS	Y	Kracht	-109,61
high max Wnd ;225°_1X_Z1	1X2	high max Wnd ;225°	GCS	Z	Kracht	700,41

6.1.3. Belastingsgevallen - high max Wnd ;135°

Naam	Omschrijving	Actie type	Lastgroep	Duur	'Master' belastingsgeval
	Spec	Belastingtype			
high max Wnd ;135°		Variabel	LG4	Kort	Geen
	Standaard	Statisch			

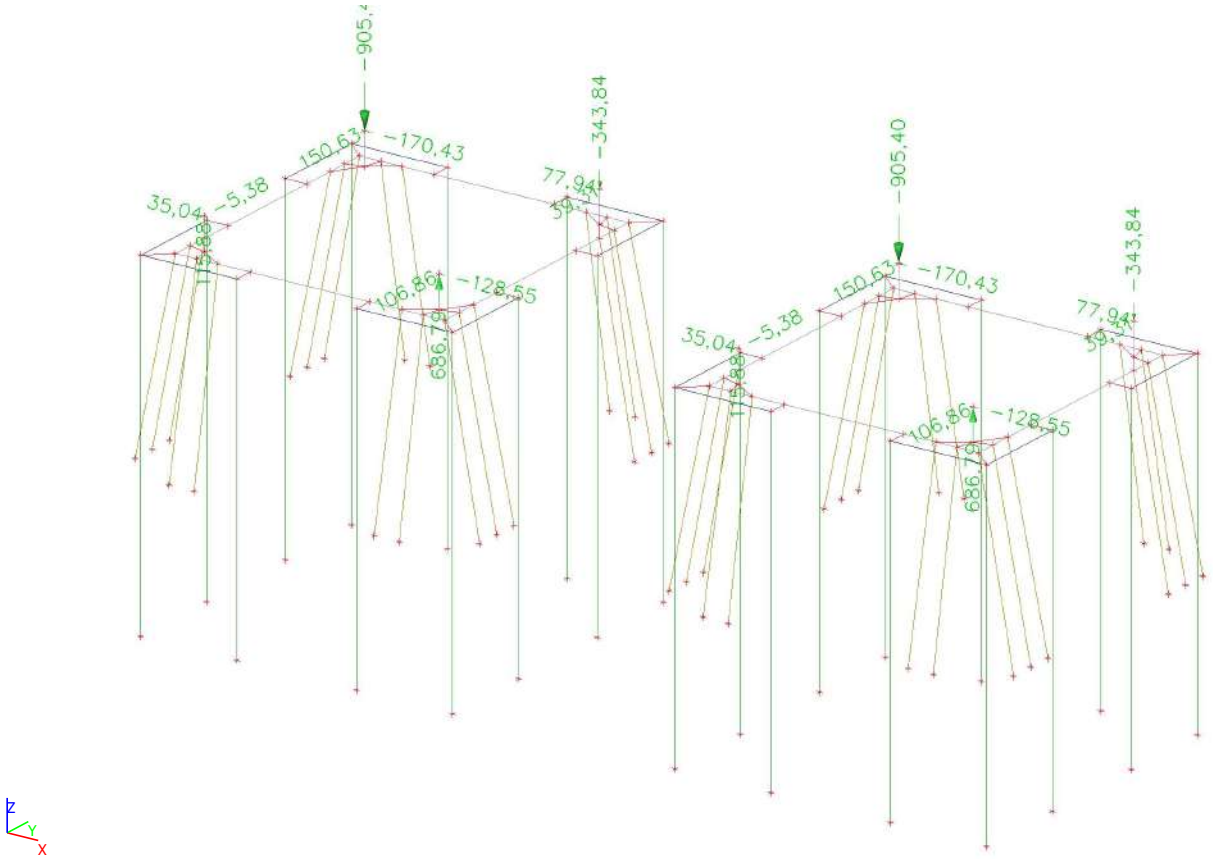


6.1.3.1. Puntlast op knoop

Naam	Knoop	Belastingsgeval	Systeem	Rich	Type	Waarde - F [kN]
high max Wnd ;135°_1P_X	1P	high max Wnd ;135°	GCS	X	Kracht	129,99
high max Wnd ;135°_1P_Y	1P	high max Wnd ;135°	GCS	Y	Kracht	109,56
high max Wnd ;135°_1P_Z	1P	high max Wnd ;135°	GCS	Z	Kracht	699,95
high max Wnd ;135°_1X_X	1X	high max Wnd ;135°	GCS	X	Kracht	-76,48
high max Wnd ;135°_1X_Y	1X	high max Wnd ;135°	GCS	Y	Kracht	36,67
high max Wnd ;135°_1X_Z	1X	high max Wnd ;135°	GCS	Z	Kracht	-330,90
high max Wnd ;135°_1XY_X	1XY	high max Wnd ;135°	GCS	X	Kracht	171,97
high max Wnd ;135°_1XY_Y	1XY	high max Wnd ;135°	GCS	Y	Kracht	153,35
high max Wnd ;135°_1XY_Z	1XY	high max Wnd ;135°	GCS	Z	Kracht	-918,69
high max Wnd ;135°_1Y_X	1Y	high max Wnd ;135°	GCS	X	Kracht	-33,49
high max Wnd ;135°_1Y_Y	1Y	high max Wnd ;135°	GCS	Y	Kracht	-8,18
high max Wnd ;135°_1Y_Z	1Y	high max Wnd ;135°	GCS	Z	Kracht	102,18
high max Wnd ;135°_1Y_X1	1Y2	high max Wnd ;135°	GCS	X	Kracht	-33,49
high max Wnd ;135°_1Y_Y1	1Y2	high max Wnd ;135°	GCS	Y	Kracht	-8,18
high max Wnd ;135°_1Y_Z1	1Y2	high max Wnd ;135°	GCS	Z	Kracht	102,18
high max Wnd ;135°_1XY_X1	1XY2	high max Wnd ;135°	GCS	X	Kracht	171,97
high max Wnd ;135°_1XY_Y1	1XY2	high max Wnd ;135°	GCS	Y	Kracht	153,35
high max Wnd ;135°_1XY_Z1	1XY2	high max Wnd ;135°	GCS	Z	Kracht	-918,69
high max Wnd ;135°_1P_X1	1P2	high max Wnd ;135°	GCS	X	Kracht	129,99
high max Wnd ;135°_1P_Y1	1P2	high max Wnd ;135°	GCS	Y	Kracht	109,56
high max Wnd ;135°_1P_Z1	1P2	high max Wnd ;135°	GCS	Z	Kracht	699,95
high max Wnd ;135°_1X_X1	1X2	high max Wnd ;135°	GCS	X	Kracht	-76,48
high max Wnd ;135°_1X_Y1	1X2	high max Wnd ;135°	GCS	Y	Kracht	36,67
high max Wnd ;135°_1X_Z1	1X2	high max Wnd ;135°	GCS	Z	Kracht	-330,90

6.1.4. Belastingsgevallen - high max Wnd ;45°

Naam	Omschrijving	Actie type	Lastgroep	Duur	'Master' belastingsgeval
	Spec	Belastingtype			
high max Wnd ;45°		Variabel	LG4	Kort	Geen
	Standaard	Statisch			



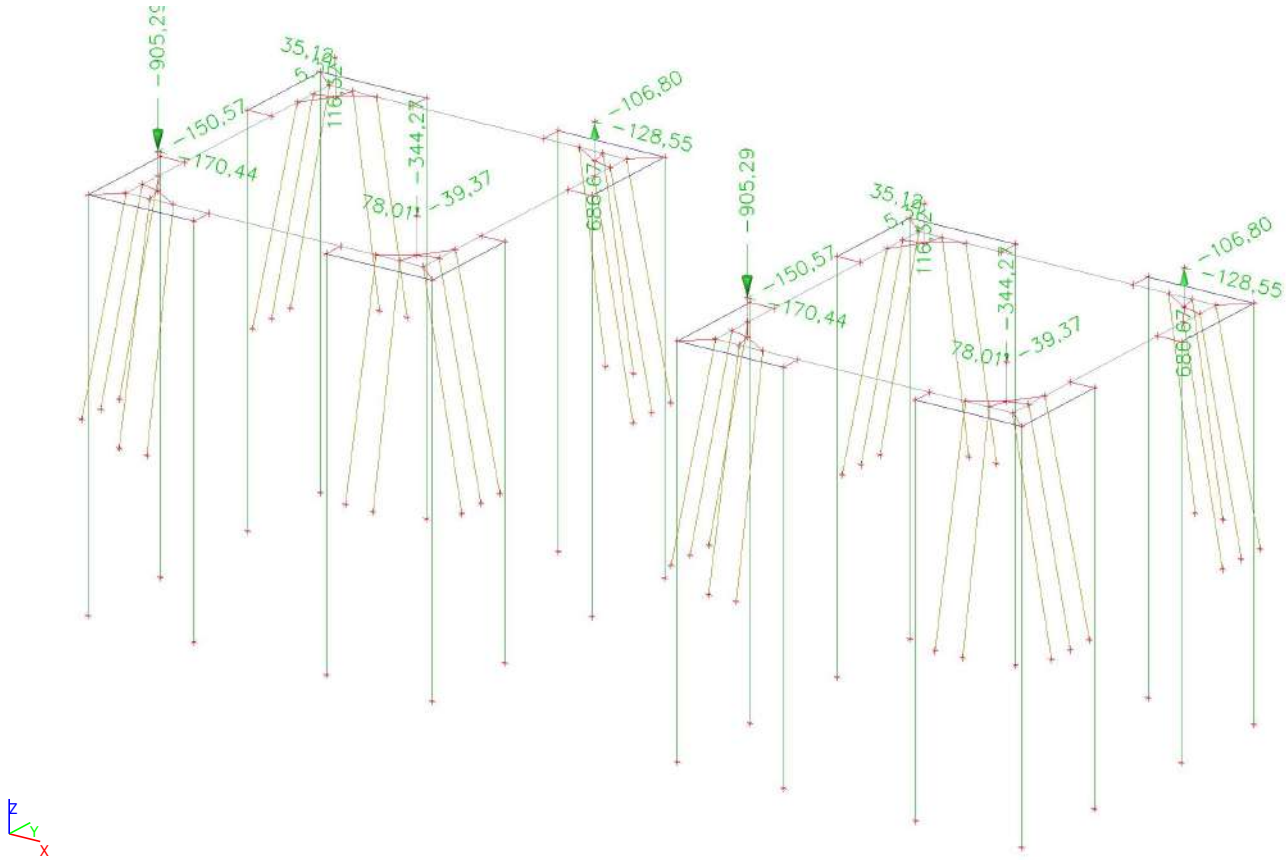
6.1.4.1. Puntlast op knoop

Naam	Knoop	Belastingsgeval	Systeem	Rich	Type	Waarde - F [kN]
high max Wnd ;45°_1P_X	1P	high max Wnd ;45°	GCS	X	Kracht	35,04
high max Wnd ;45°_1P_Y	1P	high max Wnd ;45°	GCS	Y	Kracht	-5,38
high max Wnd ;45°_1P_Z	1P	high max Wnd ;45°	GCS	Z	Kracht	115,88
high max Wnd ;45°_1X_X	1X	high max Wnd ;45°	GCS	X	Kracht	-170,43
high max Wnd ;45°_1X_Y	1X	high max Wnd ;45°	GCS	Y	Kracht	150,63
high max Wnd ;45°_1X_Z	1X	high max Wnd ;45°	GCS	Z	Kracht	-905,40
high max Wnd ;45°_1XY_X	1XY	high max Wnd ;45°	GCS	X	Kracht	77,94
high max Wnd ;45°_1XY_Y	1XY	high max Wnd ;45°	GCS	Y	Kracht	39,31
high max Wnd ;45°_1XY_Z	1XY	high max Wnd ;45°	GCS	Z	Kracht	-343,84
high max Wnd ;45°_1Y_X	1Y	high max Wnd ;45°	GCS	X	Kracht	-128,55
high max Wnd ;45°_1Y_Y	1Y	high max Wnd ;45°	GCS	Y	Kracht	106,86
high max Wnd ;45°_1Y_Z	1Y	high max Wnd ;45°	GCS	Z	Kracht	686,79
high max Wnd ;45°_1Y_X1	1Y2	high max Wnd ;45°	GCS	X	Kracht	-128,55
high max Wnd ;45°_1Y_Y1	1Y2	high max Wnd ;45°	GCS	Y	Kracht	106,86
high max Wnd	1Y2	high max Wnd ;45°	GCS	Z	Kracht	686,79

Naam	Knoop	Belastingsgeval	Systeem	Rich	Type	Waarde - F [kN]
;45°_1Y_Z1						
high max Wnd ;45°_1XY_X1	1XY2	high max Wnd ;45°	GCS	X	Kracht	77,94
high max Wnd ;45°_1XY_Y1	1XY2	high max Wnd ;45°	GCS	Y	Kracht	39,31
high max Wnd ;45°_1XY_Z1	1XY2	high max Wnd ;45°	GCS	Z	Kracht	-343,84
high max Wnd ;45°_1P_X1	1P2	high max Wnd ;45°	GCS	X	Kracht	35,04
high max Wnd ;45°_1P_Y1	1P2	high max Wnd ;45°	GCS	Y	Kracht	-5,38
high max Wnd ;45°_1P_Z1	1P2	high max Wnd ;45°	GCS	Z	Kracht	115,88
high max Wnd ;45°_1X_X1	1X2	high max Wnd ;45°	GCS	X	Kracht	-170,43
high max Wnd ;45°_1X_Y1	1X2	high max Wnd ;45°	GCS	Y	Kracht	150,63
high max Wnd ;45°_1X_Z1	1X2	high max Wnd ;45°	GCS	Z	Kracht	-905,40

6.1.5. Belastingsgevallen - high max Wnd ;315°

Naam	Omschrijving	Actie type	Lastgroep	Duur	'Master' belastingsgeval
	Spec	Belastingtype			
high max Wnd ;315°		Variabel	LG4	Kort	Geen
	Standaard	Statisch			

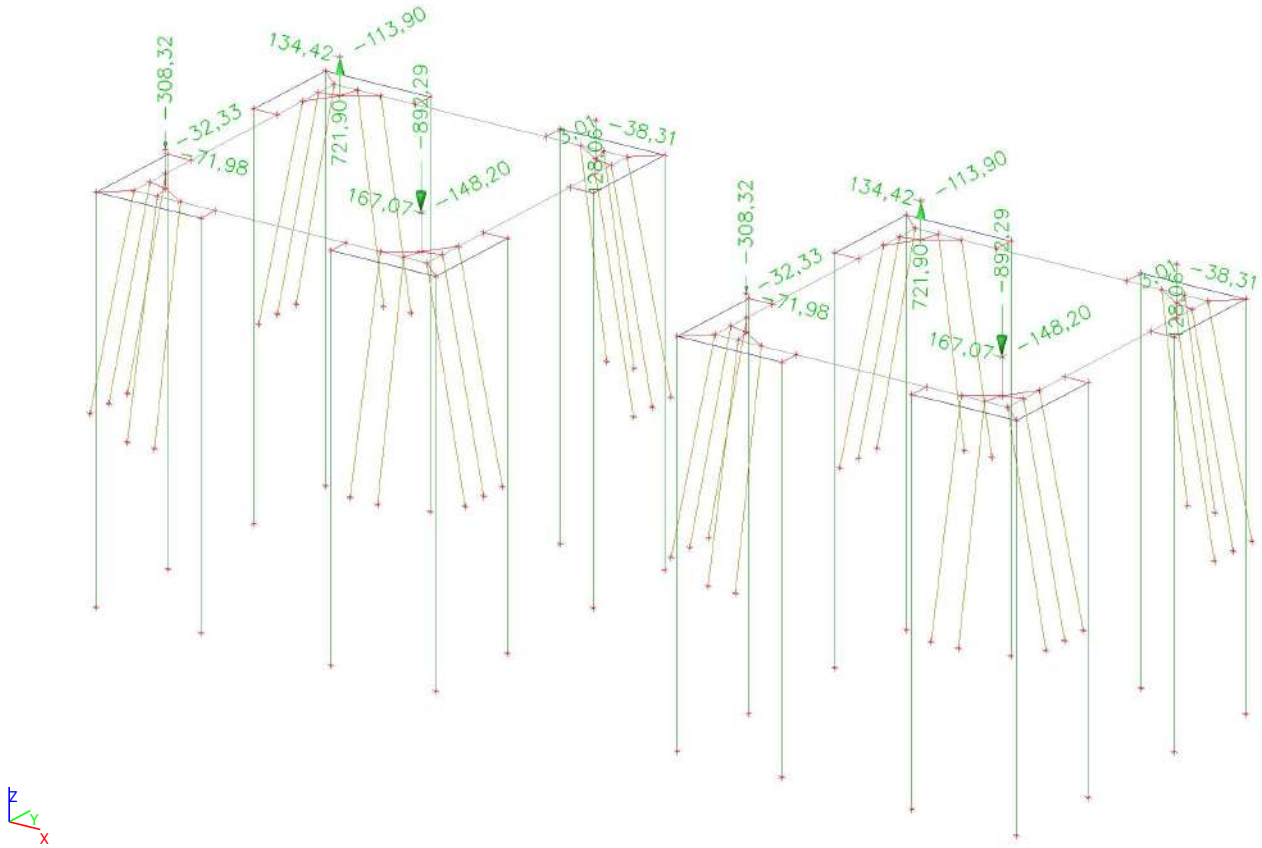


6.1.5.1. Puntlast op knoop

Naam	Knoop	Belastingsgeval	Systeem	Rich	Type	Waarde - F [kN]
high max Wnd ;315°_1P_X	1P	high max Wnd ;315°	GCS	X	Kracht	-170,44
high max Wnd ;315°_1P_Y	1P	high max Wnd ;315°	GCS	Y	Kracht	-150,57
high max Wnd ;315°_1P_Z	1P	high max Wnd ;315°	GCS	Z	Kracht	-905,29
high max Wnd ;315°_1X_X	1X	high max Wnd ;315°	GCS	X	Kracht	35,12
high max Wnd ;315°_1X_Y	1X	high max Wnd ;315°	GCS	Y	Kracht	5,32
high max Wnd ;315°_1X_Z	1X	high max Wnd ;315°	GCS	Z	Kracht	116,32
high max Wnd ;315°_1XY_X	1XY	high max Wnd ;315°	GCS	X	Kracht	-128,55
high max Wnd ;315°_1XY_Y	1XY	high max Wnd ;315°	GCS	Y	Kracht	-106,80
high max Wnd ;315°_1XY_Z	1XY	high max Wnd ;315°	GCS	Z	Kracht	686,67
high max Wnd ;315°_1Y_X	1Y	high max Wnd ;315°	GCS	X	Kracht	78,01
high max Wnd ;315°_1Y_Y	1Y	high max Wnd ;315°	GCS	Y	Kracht	-39,37
high max Wnd ;315°_1Y_Z	1Y	high max Wnd ;315°	GCS	Z	Kracht	-344,27
high max Wnd ;315°_1Y_X1	1Y2	high max Wnd ;315°	GCS	X	Kracht	78,01
high max Wnd ;315°_1Y_Y1	1Y2	high max Wnd ;315°	GCS	Y	Kracht	-39,37
high max Wnd ;315°_1Y_Z1	1Y2	high max Wnd ;315°	GCS	Z	Kracht	-344,27
high max Wnd ;315°_1XY_X1	1XY2	high max Wnd ;315°	GCS	X	Kracht	-128,55
high max Wnd ;315°_1XY_Y1	1XY2	high max Wnd ;315°	GCS	Y	Kracht	-106,80
high max Wnd ;315°_1XY_Z1	1XY2	high max Wnd ;315°	GCS	Z	Kracht	686,67
high max Wnd ;315°_1P_X1	1P2	high max Wnd ;315°	GCS	X	Kracht	-170,44
high max Wnd ;315°_1P_Y1	1P2	high max Wnd ;315°	GCS	Y	Kracht	-150,57
high max Wnd ;315°_1P_Z1	1P2	high max Wnd ;315°	GCS	Z	Kracht	-905,29
high max Wnd ;315°_1X_X1	1X2	high max Wnd ;315°	GCS	X	Kracht	35,12
high max Wnd ;315°_1X_Y1	1X2	high max Wnd ;315°	GCS	Y	Kracht	5,32
high max Wnd ;315°_1X_Z1	1X2	high max Wnd ;315°	GCS	Z	Kracht	116,32

6.1.6. Belastingsgevallen - low max Wnd ;225°

Naam	Omschrijving	Actie type	Lastgroep	Duur	'Master' belastingsgeval
	Spec	Belastingtype			
low max Wnd ;225°		Variabel	LG4	Kort	Geen
	Standaard	Statisch			



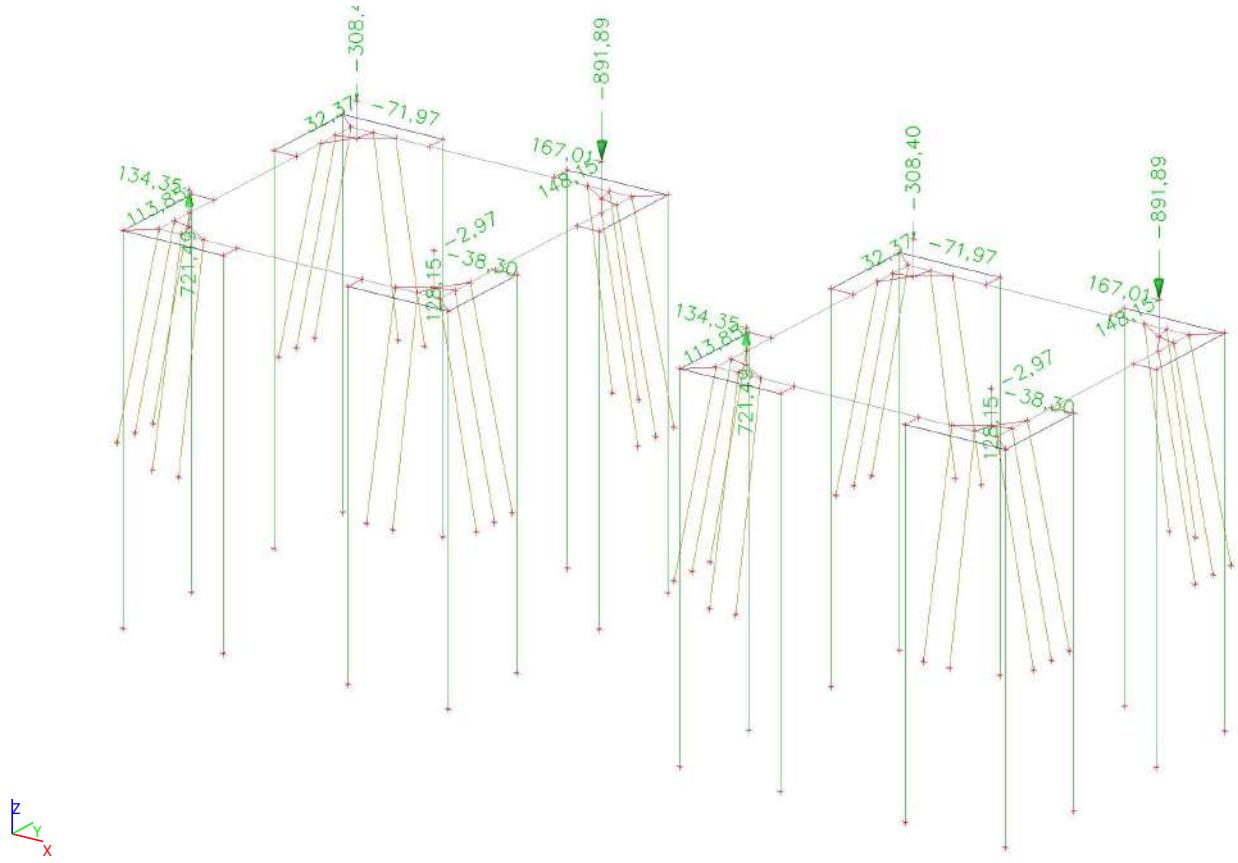
6.1.6.1. Puntlast op knoop

Naam	Knoop	Belastingsgeval	Systeem	Rich	Type	Waarde - F [kN]
low max Wnd ;225°_1P_X	1P	low max Wnd ;225°	GCS	X	Kracht	-71,98
low max Wnd ;225°_1P_Y	1P	low max Wnd ;225°	GCS	Y	Kracht	-32,33
low max Wnd ;225°_1P_Z	1P	low max Wnd ;225°	GCS	Z	Kracht	-308,32
low max Wnd ;225°_1X_X	1X	low max Wnd ;225°	GCS	X	Kracht	134,42
low max Wnd ;225°_1X_Y	1X	low max Wnd ;225°	GCS	Y	Kracht	-113,90
low max Wnd ;225°_1X_Z	1X	low max Wnd ;225°	GCS	Z	Kracht	721,90
low max Wnd ;225°_1XY_X	1XY	low max Wnd ;225°	GCS	X	Kracht	-38,31
low max Wnd ;225°_1XY_Y	1XY	low max Wnd ;225°	GCS	Y	Kracht	3,01
low max Wnd ;225°_1XY_Z	1XY	low max Wnd ;225°	GCS	Z	Kracht	128,06
low max Wnd ;225°_1Y_X	1Y	low max Wnd ;225°	GCS	X	Kracht	167,07
low max Wnd ;225°_1Y_Y	1Y	low max Wnd ;225°	GCS	Y	Kracht	-148,20
low max Wnd ;225°_1Y_Z	1Y	low max Wnd ;225°	GCS	Z	Kracht	-892,29
low max Wnd ;225°_1Y_X1	1Y2	low max Wnd ;225°	GCS	X	Kracht	167,07
low max Wnd ;225°_1Y_Y1	1Y2	low max Wnd ;225°	GCS	Y	Kracht	-148,20
low max Wnd	1Y2	low max Wnd ;225°	GCS	Z	Kracht	-892,29

Naam	Knoop	Belastingsgeval	Systeem	Rich	Type	Waarde - F [kN]
;225°_1Y_Z1						
low max Wnd ;225°_1XY_X1	1XY2	low max Wnd ;225°	GCS	X	Kracht	-38,31
low max Wnd ;225°_1XY_Y1	1XY2	low max Wnd ;225°	GCS	Y	Kracht	3,01
low max Wnd ;225°_1XY_Z1	1XY2	low max Wnd ;225°	GCS	Z	Kracht	128,06
low max Wnd ;225°_1P_X1	1P2	low max Wnd ;225°	GCS	X	Kracht	-71,98
low max Wnd ;225°_1P_Y1	1P2	low max Wnd ;225°	GCS	Y	Kracht	-32,33
low max Wnd ;225°_1P_Z1	1P2	low max Wnd ;225°	GCS	Z	Kracht	-308,32
low max Wnd ;225°_1X_X1	1X2	low max Wnd ;225°	GCS	X	Kracht	134,42
low max Wnd ;225°_1X_Y1	1X2	low max Wnd ;225°	GCS	Y	Kracht	-113,90
low max Wnd ;225°_1X_Z1	1X2	low max Wnd ;225°	GCS	Z	Kracht	721,90

6.1.7. Belastingsgevallen - low max Wnd ;135°

Naam	Omschrijving	Actie type	Lastgroep	Duur	'Master' belastingsgeval
	Spec	Belastingtype			
low max Wnd ;135°		Variabel	LG4	Kort	Geen
	Standaard	Statisch			

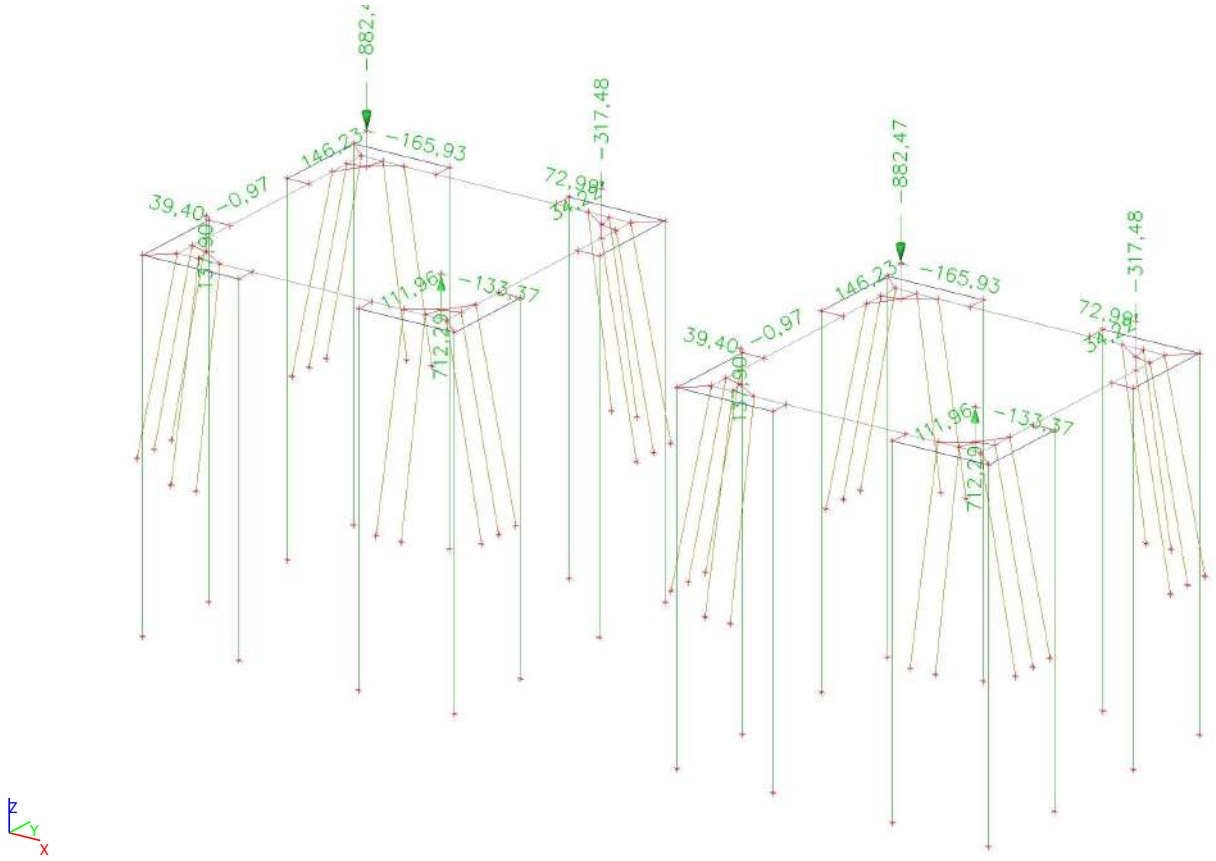


6.1.7.1. Puntlast op knoop

Naam	Knoop	Belastingsgeval	Systeem	Rich	Type	Waarde - F [kN]
low max Wnd ;135°_1P_X	1P	low max Wnd ;135°	GCS	X	Kracht	134,35
low max Wnd ;135°_1P_Y	1P	low max Wnd ;135°	GCS	Y	Kracht	113,85
low max Wnd ;135°_1P_Z	1P	low max Wnd ;135°	GCS	Z	Kracht	721,49
low max Wnd ;135°_1X_X	1X	low max Wnd ;135°	GCS	X	Kracht	-71,97
low max Wnd ;135°_1X_Y	1X	low max Wnd ;135°	GCS	Y	Kracht	32,37
low max Wnd ;135°_1X_Z	1X	low max Wnd ;135°	GCS	Z	Kracht	-308,40
low max Wnd ;135°_1XY_X	1XY	low max Wnd ;135°	GCS	X	Kracht	167,01
low max Wnd ;135°_1XY_Y	1XY	low max Wnd ;135°	GCS	Y	Kracht	148,15
low max Wnd ;135°_1XY_Z	1XY	low max Wnd ;135°	GCS	Z	Kracht	-891,89
low max Wnd ;135°_1Y_X	1Y	low max Wnd ;135°	GCS	X	Kracht	-38,30
low max Wnd ;135°_1Y_Y	1Y	low max Wnd ;135°	GCS	Y	Kracht	-2,97
low max Wnd ;135°_1Y_Z	1Y	low max Wnd ;135°	GCS	Z	Kracht	128,15
low max Wnd ;135°_1Y_X1	1Y2	low max Wnd ;135°	GCS	X	Kracht	-38,30
low max Wnd ;135°_1Y_Y1	1Y2	low max Wnd ;135°	GCS	Y	Kracht	-2,97
low max Wnd ;135°_1Y_Z1	1Y2	low max Wnd ;135°	GCS	Z	Kracht	128,15
low max Wnd ;135°_1XY_X1	1XY2	low max Wnd ;135°	GCS	X	Kracht	167,01
low max Wnd ;135°_1XY_Y1	1XY2	low max Wnd ;135°	GCS	Y	Kracht	148,15
low max Wnd ;135°_1XY_Z1	1XY2	low max Wnd ;135°	GCS	Z	Kracht	-891,89
low max Wnd ;135°_1P_X1	1P2	low max Wnd ;135°	GCS	X	Kracht	134,35
low max Wnd ;135°_1P_Y1	1P2	low max Wnd ;135°	GCS	Y	Kracht	113,85
low max Wnd ;135°_1P_Z1	1P2	low max Wnd ;135°	GCS	Z	Kracht	721,49
low max Wnd ;135°_1X_X1	1X2	low max Wnd ;135°	GCS	X	Kracht	-71,97
low max Wnd ;135°_1X_Y1	1X2	low max Wnd ;135°	GCS	Y	Kracht	32,37
low max Wnd ;135°_1X_Z1	1X2	low max Wnd ;135°	GCS	Z	Kracht	-308,40

6.1.8. Belastingsgevallen - low max Wnd ;45°

Naam	Omschrijving	Actie type	Lastgroep	Duur	'Master' belastingsgeval
	Spec	Belastingtype			
low max Wnd ;45°		Variabel	LG4	Kort	Geen
	Standaard	Statisch			



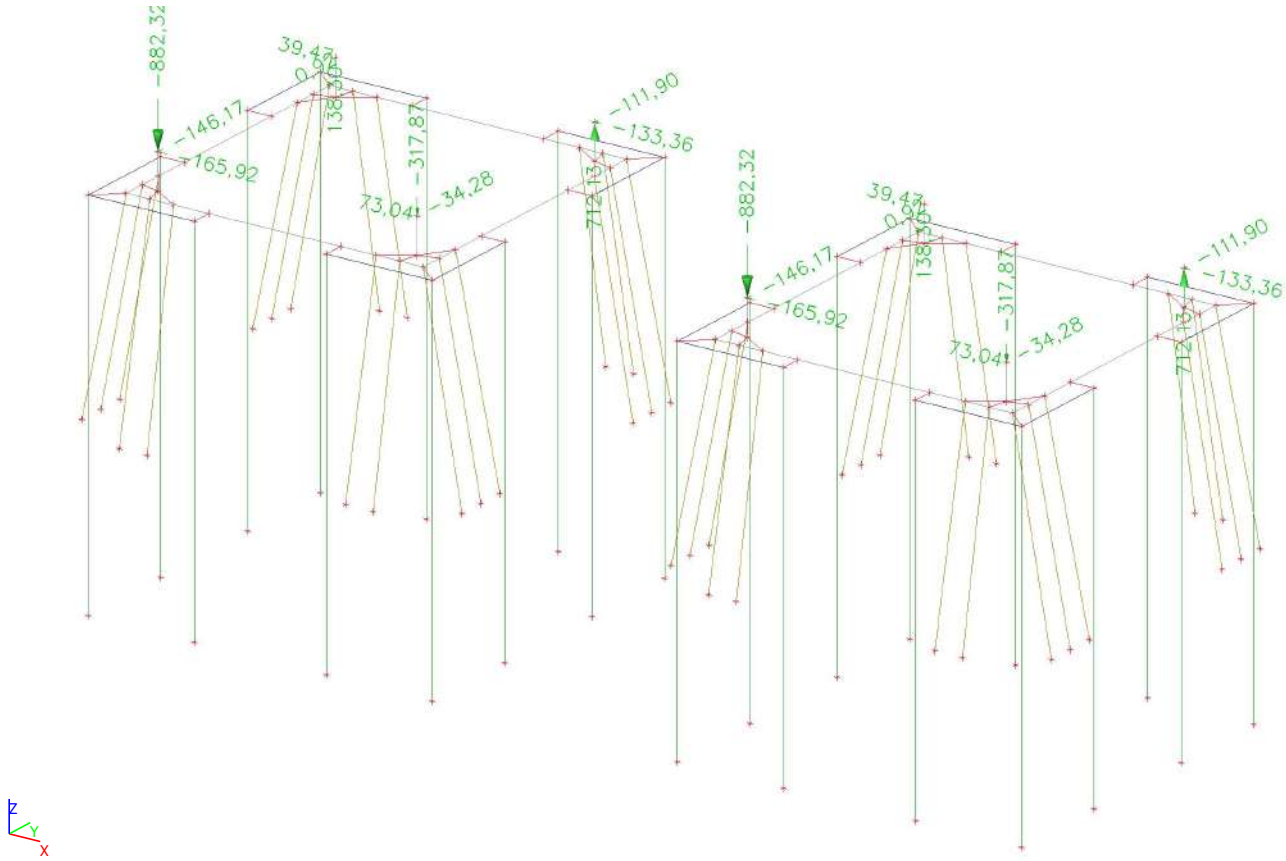
6.1.8.1. Puntlast op knoop

Naam	Knoop	Belastingsgeval	Systeem	Rich	Type	Waarde - F [kN]
low max Wnd ;45°_1P_X	1P	low max Wnd ;45°	GCS	X	Kracht	39,40
low max Wnd ;45°_1P_Y	1P	low max Wnd ;45°	GCS	Y	Kracht	-0,97
low max Wnd ;45°_1P_Z	1P	low max Wnd ;45°	GCS	Z	Kracht	137,90
low max Wnd ;45°_1X_X	1X	low max Wnd ;45°	GCS	X	Kracht	-165,93
low max Wnd ;45°_1X_Y	1X	low max Wnd ;45°	GCS	Y	Kracht	146,23
low max Wnd ;45°_1X_Z	1X	low max Wnd ;45°	GCS	Z	Kracht	-882,47
low max Wnd ;45°_1XY_X	1XY	low max Wnd ;45°	GCS	X	Kracht	72,99
low max Wnd ;45°_1XY_Y	1XY	low max Wnd ;45°	GCS	Y	Kracht	34,22
low max Wnd ;45°_1XY_Z	1XY	low max Wnd ;45°	GCS	Z	Kracht	-317,48
low max Wnd ;45°_1Y_X	1Y	low max Wnd ;45°	GCS	X	Kracht	-133,37
low max Wnd ;45°_1Y_Y	1Y	low max Wnd ;45°	GCS	Y	Kracht	111,96
low max Wnd ;45°_1Y_Z	1Y	low max Wnd ;45°	GCS	Z	Kracht	712,29
low max Wnd ;45°_1Y_X1	1Y2	low max Wnd ;45°	GCS	X	Kracht	-133,37
low max Wnd ;45°_1Y_Y1	1Y2	low max Wnd ;45°	GCS	Y	Kracht	111,96
low max Wnd	1Y2	low max Wnd ;45°	GCS	Z	Kracht	712,29

Naam	Knoop	Belastingsgeval	Systeem	Rich	Type	Waarde - F [kN]
;45°_1Y_Z1						
low max Wnd ;45°_1XY_X1	1XY2	low max Wnd ;45°	GCS	X	Kracht	72,99
low max Wnd ;45°_1XY_Y1	1XY2	low max Wnd ;45°	GCS	Y	Kracht	34,22
low max Wnd ;45°_1XY_Z1	1XY2	low max Wnd ;45°	GCS	Z	Kracht	-317,48
low max Wnd ;45°_1P_X1	1P2	low max Wnd ;45°	GCS	X	Kracht	39,40
low max Wnd ;45°_1P_Y1	1P2	low max Wnd ;45°	GCS	Y	Kracht	-0,97
low max Wnd ;45°_1P_Z1	1P2	low max Wnd ;45°	GCS	Z	Kracht	137,90
low max Wnd ;45°_1X_X1	1X2	low max Wnd ;45°	GCS	X	Kracht	-165,93
low max Wnd ;45°_1X_Y1	1X2	low max Wnd ;45°	GCS	Y	Kracht	146,23
low max Wnd ;45°_1X_Z1	1X2	low max Wnd ;45°	GCS	Z	Kracht	-882,47

6.1.9. Belastingsgevallen - low max Wnd ;315°

Naam	Omschrijving	Actie type	Lastgroep	Duur	'Master' belastingsgeval
	Spec	Belastingtype			
low max Wnd ;315°		Variabel	LG4	Kort	Geen
	Standaard	Statisch			



6.1.9.1. Puntlast op knoop

Naam	Knoop	Belastingsgeval	Systeem	Rich	Type	Waarde - F [kN]
low max Wnd ;315°_1P_X	1P	low max Wnd ;315°	GCS	X	Kracht	-165,92
low max Wnd ;315°_1P_Y	1P	low max Wnd ;315°	GCS	Y	Kracht	-146,17
low max Wnd ;315°_1P_Z	1P	low max Wnd ;315°	GCS	Z	Kracht	-882,32
low max Wnd ;315°_1X_X	1X	low max Wnd ;315°	GCS	X	Kracht	39,47
low max Wnd ;315°_1X_Y	1X	low max Wnd ;315°	GCS	Y	Kracht	0,92
low max Wnd ;315°_1X_Z	1X	low max Wnd ;315°	GCS	Z	Kracht	138,30
low max Wnd ;315°_1XY_X	1XY	low max Wnd ;315°	GCS	X	Kracht	-133,36
low max Wnd ;315°_1XY_Y	1XY	low max Wnd ;315°	GCS	Y	Kracht	-111,90
low max Wnd ;315°_1XY_Z	1XY	low max Wnd ;315°	GCS	Z	Kracht	712,13
low max Wnd ;315°_1Y_X	1Y	low max Wnd ;315°	GCS	X	Kracht	73,04
low max Wnd ;315°_1Y_Y	1Y	low max Wnd ;315°	GCS	Y	Kracht	-34,28
low max Wnd ;315°_1Y_Z	1Y	low max Wnd ;315°	GCS	Z	Kracht	-317,87
low max Wnd ;315°_1Y_X1	1Y2	low max Wnd ;315°	GCS	X	Kracht	73,04
low max Wnd ;315°_1Y_Y1	1Y2	low max Wnd ;315°	GCS	Y	Kracht	-34,28
low max Wnd ;315°_1Y_Z1	1Y2	low max Wnd ;315°	GCS	Z	Kracht	-317,87
low max Wnd ;315°_1XY_X1	1XY2	low max Wnd ;315°	GCS	X	Kracht	-133,36
low max Wnd ;315°_1XY_Y1	1XY2	low max Wnd ;315°	GCS	Y	Kracht	-111,90
low max Wnd ;315°_1XY_Z1	1XY2	low max Wnd ;315°	GCS	Z	Kracht	712,13
low max Wnd ;315°_1P_X1	1P2	low max Wnd ;315°	GCS	X	Kracht	-165,92
low max Wnd ;315°_1P_Y1	1P2	low max Wnd ;315°	GCS	Y	Kracht	-146,17
low max Wnd ;315°_1P_Z1	1P2	low max Wnd ;315°	GCS	Z	Kracht	-882,32
low max Wnd ;315°_1X_X1	1X2	low max Wnd ;315°	GCS	X	Kracht	39,47
low max Wnd ;315°_1X_Y1	1X2	low max Wnd ;315°	GCS	Y	Kracht	0,92
low max Wnd ;315°_1X_Z1	1X2	low max Wnd ;315°	GCS	Z	Kracht	138,30

6.2. Niet-lineaire combinaties

Naam	Type	Belastingsgevallen	Coëff. [-]
high max Wnd ;225°	Uiterste Grenstoestand	E.G.	1,20
		high max Wnd ;225°	1,00
high max Wnd ;135°	Uiterste Grenstoestand	E.G.	1,20
		high max Wnd ;135°	1,00
high max Wnd ;45°	Uiterste Grenstoestand	E.G.	1,20
		high max Wnd ;45°	1,00
high max Wnd ;315°	Uiterste Grenstoestand	E.G.	1,20
		high max Wnd ;315°	1,00
low max Wnd ;45°	Uiterste Grenstoestand	E.G.	0,90
		low max Wnd ;45°	1,00
low max Wnd ;135°	Uiterste Grenstoestand	E.G.	0,90

Naam	Type	Belastingsgevallen	Coëff. [-]
		low max Wnd ;135°	1,00
low max Wnd ;315°	Uiterste Grenstoestand	E.G.	0,90
		low max Wnd ;315°	1,00
low max Wnd ;225°	Uiterste Grenstoestand	E.G.	0,90
		low max Wnd ;225°	1,00

6.3. Resultaatklassen

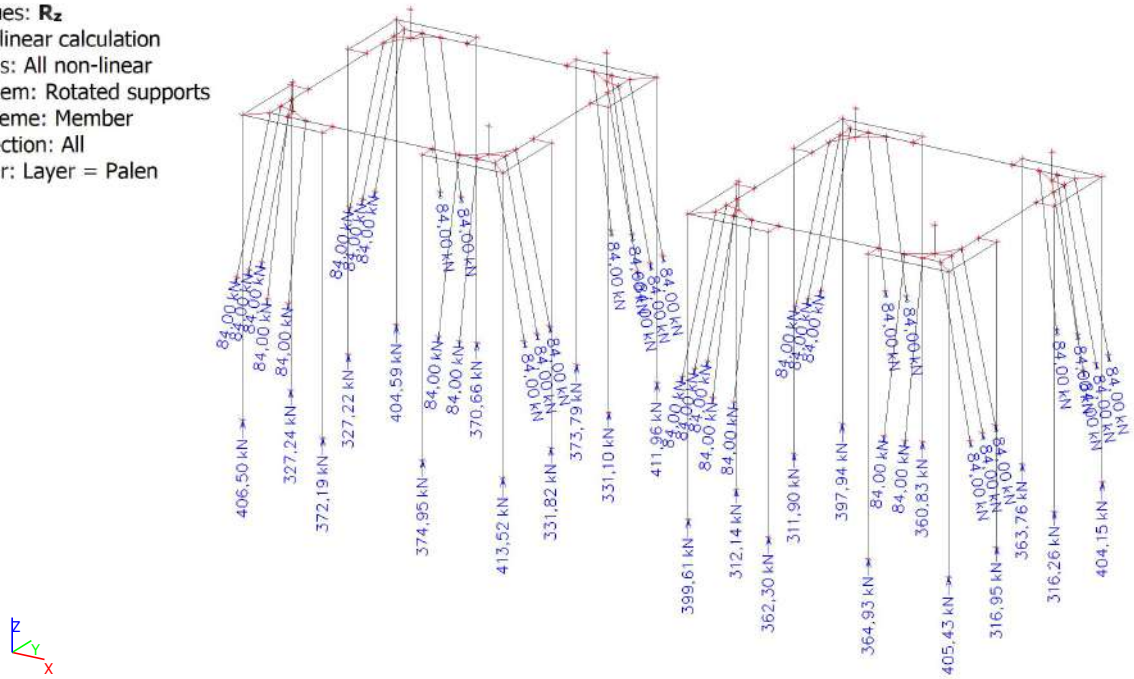
Naam	Lijst
All non-linear	high max Wnd ;225°
	high max Wnd ;135°
	high max Wnd ;45°
	high max Wnd ;315°
	low max Wnd ;45°
	low max Wnd ;135°
	low max Wnd ;315°
	low max Wnd ;225°

7. Resultaten

7.1. Reacties van de palen

7.1.1. Reactions; R_z

Values: R_z
Nonlinear calculation
Class: All non-linear
System: Rotated supports
Extreme: Member
Selection: All
Filter: Layer = Palen



7.1.2. Reacties

Niet-lineaire berekening
Klasse: All non-linear
Systeem: Schuine steunpunten
Extreem: Globaal
Selectie: Alle
Filter: Doorsnede = Funderingspaal - Rectangle (320; 320)
Knoopreacties

Naam	Belasting	R_x [kN]	R_y [kN]	R_z [kN]	M_x [kNm]	M_y [kNm]	M_z [kNm]	e_x [mm]	e_y [mm]
Sn89/N206	low max Wnd ;225°	**0,00**	0,00	64,72	0,00	0,00	0,00	0,0	0,0
Sn21/N44	high max Wnd ;45°	**0,00**	0,00	60,12	**0,00**	**0,00**	**0,00**	0,0	0,0
Sn94/N211	high max Wnd ;315°	0,00	**0,00**	55,01	0,00	0,00	0,00	0,0	0,0
Sn86/N203	high max Wnd ;135°	0,00	**0,00**	60,14	0,00	0,00	0,00	0,0	0,0
Sn21/N44	high max Wnd ;135°	0,00	0,00	**0,00**	0,00	0,00	0,00	-	-
Sn21/N44	high max Wnd ;225°	0,00	0,00	**84,00**	0,00	0,00	**0,00**	0,0	0,0

7.1.3. Reacties

Niet-lineaire berekening
Klasse: All non-linear
Systeem: Schuine steunpunten
Extreem: Globaal
Selectie: Alle
Filter: Doorsnede = LEKA Paal - type e (CHS219.1/10.0)
Knoopreacties

Naam	Belasting	R_x [kN]	R_y [kN]	R_z [kN]	M_x [kNm]	M_y [kNm]	M_z [kNm]	e_x [mm]	e_y [mm]
Sn107/N248	high max Wnd ;225°	**0,00**	**0,00**	**413,52**	**0,00**	**0,00**	**0,00**	0,0	0,0
Sn42/N60	high max Wnd ;225°	0,00	0,00	**0,00**	0,00	0,00	**0,00**	-	-

7.1.4. Reacties

Niet-lineaire berekening
Klasse: All non-linear
Systeem: Schuine steunpunten
Extreem: Element
Selectie: Alle
Filter: Laag = Palen

Knoopreacties

Naam	Belasting	R_x [kN]	R_y [kN]	R_z [kN]	M_x [kNm]	M_y [kNm]	M_z [kNm]	e_x [mm]	e_y [mm]
Sn21/N44	high max Wnd ;45°	**0,00**	0,00	60,12	**0,00**	**0,00**	**0,00**	0,0	0,0
Sn21/N44	high max Wnd ;135°	0,00	**0,00**	**0,00**	0,00	0,00	0,00	-	-
Sn21/N44	high max Wnd ;225°	**0,00**	**0,00**	**84,00**	0,00	0,00	**0,00**	0,0	0,0
Sn22/N45	low max Wnd ;45°	**0,00**	**0,00**	42,99	**0,00**	**0,00**	**0,00**	0,0	0,0
Sn22/N45	high max Wnd ;135°	0,00	0,00	**0,00**	0,00	0,00	0,00	-	-
Sn22/N45	high max Wnd ;225°	**0,00**	0,00	**84,00**	0,00	0,00	**0,00**	0,0	0,0
Sn23/N46	high max Wnd ;135°	**0,00**	**0,00**	**0,00**	**0,00**	**0,00**	**0,00**	-	-
Sn23/N46	high max Wnd ;225°	**0,00**	**0,00**	**84,00**	0,00	0,00	**0,00**	0,0	0,0
Sn24/N47	high max Wnd ;225°	**0,00**	**0,00**	**84,00**	**0,00**	**0,00**	**0,00**	0,0	0,0
Sn24/N47	high max Wnd ;135°	**0,00**	**0,00**	**0,00**	0,00	0,00	**0,00**	-	-
Sn26/N48	high max Wnd ;45°	0,00	**0,00**	42,84	**0,00**	**0,00**	**0,00**	0,0	0,0
Sn26/N48	high max Wnd ;135°	**0,00**	0,00	**0,00**	0,00	0,00	0,00	-	-
Sn26/N48	high max Wnd ;225°	**0,00**	**0,00**	**84,00**	0,00	0,00	**0,00**	0,0	0,0
Sn27/N49	high max Wnd ;225°	**0,00**	**0,00**	**84,00**	**0,00**	**0,00**	**0,00**	0,0	0,0
Sn27/N49	high max Wnd ;45°	**0,00**	**0,00**	**0,00**	0,00	0,00	**0,00**	-	-
Sn28/N50	high max Wnd ;45°	0,00	0,00	**0,00**	0,00	0,00	0,00	-	-
Sn28/N50	high max Wnd ;225°	**0,00**	**0,00**	**84,00**	**0,00**	**0,00**	**0,00**	0,0	0,0
Sn28/N50	low max Wnd ;135°	**0,00**	0,00	43,22	0,00	0,00	**0,00**	0,0	0,0
Sn29/N51	high max Wnd ;225°	**0,00**	**0,00**	**84,00**	**0,00**	**0,00**	**0,00**	0,0	0,0
Sn29/N51	high max Wnd ;45°	**0,00**	**0,00**	**0,00**	0,00	0,00	**0,00**	-	-
Sn30/N52	high max Wnd ;135°	0,00	**0,00**	40,70	**0,00**	**0,00**	**0,00**	0,0	0,0
Sn30/N52	high max Wnd ;45°	**0,00**	0,00	**0,00**	0,00	0,00	0,00	-	-
Sn30/N52	high max Wnd ;225°	**0,00**	**0,00**	**84,00**	0,00	0,00	**0,00**	0,0	0,0
Sn31/N53	high max Wnd ;225°	**0,00**	**0,00**	**84,00**	0,00	0,00	0,00	0,0	0,0
Sn31/N53	high max	0,00	**0,00**	41,53	**0,00**	**0,00**	**0,00**	0,0	0,0

Naam	Belasting	R_x [kN]	R_y [kN]	R_z [kN]	M_x [kNm]	M_y [kNm]	M_z [kNm]	e_x [mm]	e_y [mm]
	Wnd ;135°								
Sn31/N53	high max Wnd ;45°	**0,00**	0,00	**0,00**	0,00	0,00	**0,00**	-	-
Sn32/N10	high max Wnd ;135°	**0,00**	**0,00**	**84,00**	**0,00**	**0,00**	**0,00**	0,0	0,0
Sn32/N10	high max Wnd ;315°	0,00	**0,00**	**0,00**	0,00	0,00	0,00	-	-
Sn32/N10	high max Wnd ;225°	**0,00**	0,00	62,60	0,00	0,00	**0,00**	0,0	0,0
Sn33/N11	high max Wnd ;315°	0,00	0,00	**0,00**	0,00	0,00	0,00	-	-
Sn33/N11	high max Wnd ;135°	**0,00**	**0,00**	**84,00**	**0,00**	**0,00**	**0,00**	0,0	0,0
Sn33/N11	low max Wnd ;45°	**0,00**	0,00	54,03	0,00	0,00	**0,00**	0,0	0,0
Sn34/N12	high max Wnd ;315°	0,00	**0,00**	**0,00**	0,00	0,00	0,00	-	-
Sn34/N12	high max Wnd ;225°	**0,00**	**0,00**	**84,00**	**0,00**	**0,00**	**0,00**	0,0	0,0
Sn34/N12	low max Wnd ;45°	**0,00**	0,00	20,32	0,00	0,00	**0,00**	0,0	0,0
Sn35/N13	high max Wnd ;225°	0,00	**0,00**	39,96	**0,00**	**0,00**	**0,00**	0,0	0,0
Sn35/N13	high max Wnd ;315°	**0,00**	0,00	**0,00**	0,00	0,00	0,00	-	-
Sn35/N13	high max Wnd ;135°	**0,00**	**0,00**	**84,00**	0,00	0,00	**0,00**	0,0	0,0
Sn36/N14	high max Wnd ;225°	0,00	**0,00**	40,49	0,00	0,00	0,00	0,0	0,0
Sn36/N14	high max Wnd ;135°	**0,00**	**0,00**	**84,00**	**0,00**	**0,00**	**0,00**	0,0	0,0
Sn36/N14	high max Wnd ;315°	**0,00**	0,00	**0,00**	0,00	0,00	**0,00**	-	-
Sn37/N15	high max Wnd ;315°	0,00	**0,00**	39,93	0,00	0,00	0,00	0,0	0,0
Sn37/N15	high max Wnd ;135°	**0,00**	**0,00**	**84,00**	**0,00**	**0,00**	**0,00**	0,0	0,0
Sn37/N15	high max Wnd ;225°	**0,00**	0,00	**0,00**	0,00	0,00	**0,00**	-	-
Sn38/N2	high max Wnd ;315°	0,00	**0,00**	41,98	**0,00**	**0,00**	**0,00**	0,0	0,0
Sn38/N2	high max Wnd ;225°	**0,00**	0,00	**0,00**	0,00	0,00	0,00	-	-
Sn38/N2	high max Wnd ;135°	**0,00**	**0,00**	**84,00**	0,00	0,00	**0,00**	0,0	0,0
Sn39/N3	low max Wnd ;315°	**0,00**	0,00	18,66	**0,00**	**0,00**	**0,00**	0,0	0,0
Sn39/N3	low max Wnd ;135°	0,00	**0,00**	83,46	0,00	0,00	0,00	0,0	0,0
Sn39/N3	high max Wnd ;225°	0,00	**0,00**	**0,00**	0,00	0,00	0,00	-	-
Sn39/N3	high max Wnd ;135°	**0,00**	0,00	**84,00**	0,00	0,00	**0,00**	0,0	0,0
Sn40/N4	low max Wnd ;135°	**0,00**	**0,00**	48,72	**0,00**	**0,00**	**0,00**	0,0	0,0
Sn40/N4	high max Wnd ;225°	0,00	0,00	**0,00**	0,00	0,00	0,00	-	-
Sn40/N4	high max Wnd ;135°	**0,00**	0,00	**84,00**	0,00	0,00	**0,00**	0,0	0,0
Sn41/N54	low max Wnd ;315°	**0,00**	0,00	65,86	**0,00**	**0,00**	**0,00**	0,0	0,0
Sn41/N54	high max Wnd ;225°	0,00	**0,00**	**0,00**	0,00	0,00	0,00	-	-
Sn41/N54	high max Wnd ;135°	**0,00**	**0,00**	**84,00**	0,00	0,00	**0,00**	0,0	0,0
Sn42/N60	high max	**0,00**	**0,00**	**370,66**	**0,00**	**0,00**	**0,00**	0,0	0,0

Naam	Belasting	R_x [kN]	R_y [kN]	R_z [kN]	M_x [kNm]	M_y [kNm]	M_z [kNm]	e_x [mm]	e_y [mm]
	Wnd ;45°								
Sn42/N60	high max Wnd ;225°	0,00	0,00	**0,00**	0,00	0,00	**0,00**	-	-
Sn43/N61	high max Wnd ;45°	**0,00**	**0,00**	**327,22**	**0,00**	**0,00**	**0,00**	0,0	0,0
Sn43/N61	high max Wnd ;225°	0,00	0,00	**0,00**	0,00	0,00	**0,00**	-	-
Sn44/N70	high max Wnd ;315°	0,00	0,00	**0,00**	0,00	0,00	0,00	-	-
Sn44/N70	high max Wnd ;135°	**0,00**	**0,00**	**373,79**	**0,00**	**0,00**	**0,00**	0,0	0,0
Sn45/N72	low max Wnd ;45°	0,00	0,00	**0,00**	0,00	0,00	0,00	-	-
Sn45/N72	high max Wnd ;135°	**0,00**	**0,00**	**331,10**	**0,00**	**0,00**	**0,00**	0,0	0,0
Sn46/N77	high max Wnd ;45°	**0,00**	**0,00**	**0,00**	**0,00**	**0,00**	**0,00**	-	-
Sn46/N77	high max Wnd ;225°	0,00	0,00	**374,95**	0,00	0,00	**0,00**	0,0	0,0
Sn47/N79	low max Wnd ;45°	**0,00**	**0,00**	**0,00**	**0,00**	**0,00**	**0,00**	-	-
Sn47/N79	high max Wnd ;225°	0,00	0,00	**331,82**	0,00	0,00	**0,00**	0,0	0,0
Sn48/N82	high max Wnd ;135°	0,00	0,00	**0,00**	0,00	0,00	0,00	-	-
Sn48/N82	high max Wnd ;315°	**0,00**	**0,00**	**372,19**	**0,00**	**0,00**	**0,00**	0,0	0,0
Sn49/N84	high max Wnd ;135°	0,00	0,00	**0,00**	0,00	0,00	0,00	-	-
Sn49/N84	high max Wnd ;315°	**0,00**	**0,00**	**327,24**	**0,00**	**0,00**	**0,00**	0,0	0,0
Sn78/N195	low max Wnd ;45°	**0,00**	0,00	23,73	**0,00**	**0,00**	**0,00**	0,0	0,0
Sn78/N195	high max Wnd ;135°	0,00	**0,00**	**0,00**	0,00	0,00	0,00	-	-
Sn78/N195	high max Wnd ;225°	**0,00**	**0,00**	**84,00**	0,00	0,00	**0,00**	0,0	0,0
Sn79/N196	low max Wnd ;45°	**0,00**	**0,00**	64,91	**0,00**	**0,00**	**0,00**	0,0	0,0
Sn79/N196	high max Wnd ;135°	0,00	0,00	**0,00**	0,00	0,00	0,00	-	-
Sn79/N196	high max Wnd ;225°	**0,00**	0,00	**84,00**	0,00	0,00	**0,00**	0,0	0,0
Sn80/N197	low max Wnd ;225°	**0,00**	0,00	28,57	**0,00**	**0,00**	**0,00**	0,0	0,0
Sn80/N197	high max Wnd ;135°	0,00	**0,00**	**0,00**	0,00	0,00	0,00	-	-
Sn80/N197	high max Wnd ;225°	**0,00**	**0,00**	**84,00**	0,00	0,00	**0,00**	0,0	0,0
Sn81/N198	high max Wnd ;225°	**0,00**	**0,00**	**84,00**	**0,00**	**0,00**	**0,00**	0,0	0,0
Sn81/N198	high max Wnd ;135°	**0,00**	**0,00**	**0,00**	0,00	0,00	**0,00**	-	-
Sn82/N199	high max Wnd ;135°	**0,00**	**0,00**	**0,00**	**0,00**	**0,00**	**0,00**	-	-
Sn82/N199	high max Wnd ;225°	**0,00**	**0,00**	**84,00**	0,00	0,00	**0,00**	0,0	0,0
Sn83/N200	high max Wnd ;225°	**0,00**	**0,00**	**84,00**	**0,00**	**0,00**	**0,00**	0,0	0,0
Sn83/N200	high max Wnd ;45°	**0,00**	**0,00**	**0,00**	0,00	0,00	**0,00**	-	-
Sn84/N201	high max Wnd ;45°	0,00	0,00	**0,00**	0,00	0,00	0,00	-	-
Sn84/N201	high max Wnd ;225°	**0,00**	**0,00**	**84,00**	**0,00**	**0,00**	**0,00**	0,0	0,0
Sn84/N201	low max	**0,00**	0,00	65,74	0,00	0,00	**0,00**	0,0	0,0

Naam	Belasting	R_x [kN]	R_y [kN]	R_z [kN]	M_x [kNm]	M_y [kNm]	M_z [kNm]	e_x [mm]	e_y [mm]
	Wnd ;135°								
Sn85/N202	high max Wnd ;225°	**0,00**	**0,00**	**84,00**	**0,00**	**0,00**	**0,00**	0,0	0,0
Sn85/N202	high max Wnd ;45°	0,00	**0,00**	**0,00**	0,00	0,00	0,00	-	-
Sn85/N202	low max Wnd ;315°	**0,00**	0,00	39,94	0,00	0,00	**0,00**	0,0	0,0
Sn86/N203	high max Wnd ;135°	0,00	**0,00**	60,14	**0,00**	**0,00**	**0,00**	0,0	0,0
Sn86/N203	high max Wnd ;45°	**0,00**	0,00	**0,00**	0,00	0,00	0,00	-	-
Sn86/N203	high max Wnd ;225°	**0,00**	**0,00**	**84,00**	0,00	0,00	**0,00**	0,0	0,0
Sn87/N204	high max Wnd ;225°	**0,00**	**0,00**	**84,00**	0,00	0,00	0,00	0,0	0,0
Sn87/N204	high max Wnd ;135°	0,00	**0,00**	56,94	**0,00**	**0,00**	**0,00**	0,0	0,0
Sn87/N204	high max Wnd ;45°	**0,00**	0,00	**0,00**	0,00	0,00	**0,00**	-	-
Sn88/N205	high max Wnd ;225°	**0,00**	**0,00**	**84,00**	**0,00**	**0,00**	**0,00**	0,0	0,0
Sn88/N205	high max Wnd ;315°	**0,00**	**0,00**	**0,00**	0,00	0,00	**0,00**	-	-
Sn89/N206	high max Wnd ;315°	0,00	0,00	**0,00**	0,00	0,00	0,00	-	-
Sn89/N206	high max Wnd ;225°	**0,00**	**0,00**	**84,00**	**0,00**	**0,00**	**0,00**	0,0	0,0
Sn89/N206	low max Wnd ;225°	**0,00**	0,00	64,72	0,00	0,00	**0,00**	0,0	0,0
Sn90/N207	high max Wnd ;315°	0,00	**0,00**	**0,00**	0,00	0,00	0,00	-	-
Sn90/N207	high max Wnd ;225°	**0,00**	**0,00**	**84,00**	**0,00**	**0,00**	**0,00**	0,0	0,0
Sn90/N207	low max Wnd ;45°	**0,00**	0,00	40,94	0,00	0,00	**0,00**	0,0	0,0
Sn91/N208	high max Wnd ;225°	0,00	**0,00**	59,21	**0,00**	**0,00**	**0,00**	0,0	0,0
Sn91/N208	high max Wnd ;315°	**0,00**	0,00	**0,00**	0,00	0,00	0,00	-	-
Sn91/N208	high max Wnd ;135°	**0,00**	**0,00**	**84,00**	0,00	0,00	**0,00**	0,0	0,0
Sn92/N209	high max Wnd ;225°	0,00	**0,00**	55,84	0,00	0,00	0,00	0,0	0,0
Sn92/N209	high max Wnd ;135°	**0,00**	**0,00**	**84,00**	**0,00**	**0,00**	**0,00**	0,0	0,0
Sn92/N209	high max Wnd ;315°	**0,00**	0,00	**0,00**	0,00	0,00	**0,00**	-	-
Sn93/N210	high max Wnd ;315°	0,00	**0,00**	56,80	**0,00**	**0,00**	**0,00**	0,0	0,0
Sn93/N210	high max Wnd ;135°	**0,00**	0,00	**84,00**	0,00	0,00	0,00	0,0	0,0
Sn93/N210	high max Wnd ;225°	**0,00**	**0,00**	**0,00**	0,00	0,00	**0,00**	-	-
Sn94/N211	high max Wnd ;315°	0,00	**0,00**	55,01	**0,00**	**0,00**	**0,00**	0,0	0,0
Sn94/N211	high max Wnd ;225°	**0,00**	0,00	**0,00**	0,00	0,00	0,00	-	-
Sn94/N211	high max Wnd ;135°	**0,00**	**0,00**	**84,00**	0,00	0,00	**0,00**	0,0	0,0
Sn95/N212	high max Wnd ;225°	**0,00**	**0,00**	**0,00**	**0,00**	**0,00**	**0,00**	-	-
Sn95/N212	high max Wnd ;135°	**0,00**	**0,00**	**84,00**	0,00	0,00	**0,00**	0,0	0,0
Sn96/N213	low max Wnd ;315°	**0,00**	**0,00**	63,54	**0,00**	**0,00**	**0,00**	0,0	0,0
Sn96/N213	high max	0,00	0,00	**0,00**	0,00	0,00	0,00	-	-

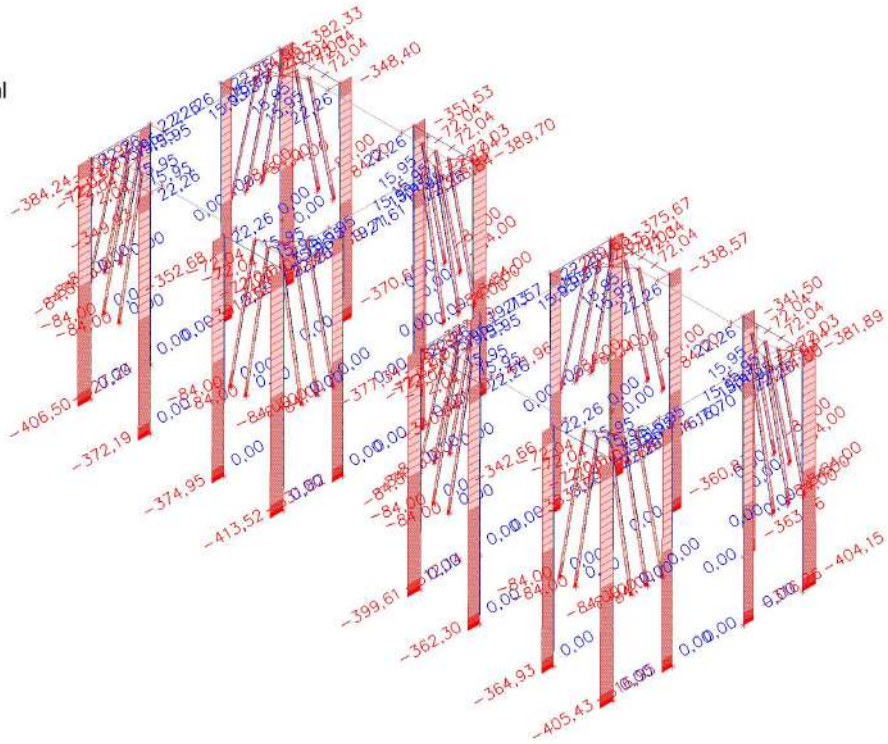
Naam	Belasting	R_x [kN]	R_y [kN]	R_z [kN]	M_x [kNm]	M_y [kNm]	M_z [kNm]	e_x [mm]	e_y [mm]
	Wnd ;225°								
Sn96/N213	high max Wnd ;135°	**0,00**	0,00	**84,00**	0,00	0,00	**0,00**	0,0	0,0
Sn97/N214	high max Wnd ;225°	**0,00**	**0,00**	**0,00**	**0,00**	**0,00**	**0,00**	-	-
Sn97/N214	high max Wnd ;135°	**0,00**	**0,00**	**84,00**	0,00	0,00	**0,00**	0,0	0,0
Sn98/N220	high max Wnd ;45°	**0,00**	**0,00**	**360,83**	**0,00**	**0,00**	**0,00**	0,0	0,0
Sn98/N220	high max Wnd ;225°	0,00	0,00	**0,00**	0,00	0,00	**0,00**	-	-
Sn99/N221	low max Wnd ;135°	0,00	0,00	**0,00**	0,00	0,00	0,00	-	-
Sn99/N221	high max Wnd ;45°	**0,00**	**0,00**	**311,90**	**0,00**	**0,00**	**0,00**	0,0	0,0
Sn100/N226	high max Wnd ;315°	0,00	0,00	**0,00**	0,00	0,00	0,00	-	-
Sn100/N226	high max Wnd ;135°	**0,00**	**0,00**	**363,76**	**0,00**	**0,00**	**0,00**	0,0	0,0
Sn101/N228	low max Wnd ;45°	0,00	0,00	**0,00**	0,00	0,00	0,00	-	-
Sn101/N228	high max Wnd ;135°	**0,00**	**0,00**	**316,26**	**0,00**	**0,00**	**0,00**	0,0	0,0
Sn102/N233	high max Wnd ;45°	**0,00**	**0,00**	**0,00**	**0,00**	**0,00**	**0,00**	-	-
Sn102/N233	high max Wnd ;225°	0,00	0,00	**364,93**	0,00	0,00	**0,00**	0,0	0,0
Sn103/N235	low max Wnd ;45°	**0,00**	**0,00**	**0,00**	**0,00**	**0,00**	**0,00**	-	-
Sn103/N235	high max Wnd ;225°	0,00	0,00	**316,95**	0,00	0,00	**0,00**	0,0	0,0
Sn104/N238	high max Wnd ;135°	0,00	0,00	**0,00**	0,00	0,00	0,00	-	-
Sn104/N238	high max Wnd ;315°	**0,00**	**0,00**	**362,30**	**0,00**	**0,00**	**0,00**	0,0	0,0
Sn105/N240	low max Wnd ;135°	0,00	0,00	**0,00**	0,00	0,00	0,00	-	-
Sn105/N240	high max Wnd ;315°	**0,00**	**0,00**	**312,14**	**0,00**	**0,00**	**0,00**	0,0	0,0
Sn106/N247	high max Wnd ;135°	0,00	0,00	**0,00**	0,00	0,00	0,00	-	-
Sn106/N247	high max Wnd ;315°	**0,00**	**0,00**	**406,50**	**0,00**	**0,00**	**0,00**	0,0	0,0
Sn107/N248	high max Wnd ;45°	**0,00**	**0,00**	**0,00**	**0,00**	**0,00**	**0,00**	-	-
Sn107/N248	high max Wnd ;225°	0,00	0,00	**413,52**	0,00	0,00	**0,00**	0,0	0,0
Sn108/N249	high max Wnd ;135°	0,00	0,00	**0,00**	0,00	0,00	0,00	-	-
Sn108/N249	high max Wnd ;315°	**0,00**	**0,00**	**399,61**	**0,00**	**0,00**	**0,00**	0,0	0,0
Sn109/N250	high max Wnd ;45°	**0,00**	**0,00**	**0,00**	**0,00**	**0,00**	**0,00**	-	-
Sn109/N250	high max Wnd ;225°	0,00	0,00	**405,43**	0,00	0,00	**0,00**	0,0	0,0
Sn110/N251	high max Wnd ;315°	0,00	0,00	**0,00**	0,00	0,00	0,00	-	-
Sn110/N251	high max Wnd ;135°	**0,00**	**0,00**	**404,15**	**0,00**	**0,00**	**0,00**	0,0	0,0
Sn111/N252	high max Wnd ;45°	**0,00**	**0,00**	**397,94**	**0,00**	**0,00**	**0,00**	0,0	0,0
Sn111/N252	high max Wnd ;225°	0,00	0,00	**0,00**	0,00	0,00	**0,00**	-	-
Sn112/N253	high max Wnd ;315°	0,00	0,00	**0,00**	0,00	0,00	0,00	-	-
Sn112/N253	high max	**0,00**	**0,00**	**411,96**	**0,00**	**0,00**	**0,00**	0,0	0,0

Naam	Belasting	R_x [kN]	R_y [kN]	R_z [kN]	M_x [kNm]	M_y [kNm]	M_z [kNm]	e_x [mm]	e_y [mm]
	Wnd ;135°								
Sn113/N254	high max Wnd ;45°	**0,00**	**0,00**	**404,59**	**0,00**	**0,00**	**0,00**	0,0	0,0
Sn113/N254	high max Wnd ;225°	0,00	0,00	**0,00**	0,00	0,00	**0,00**	-	-

7.2. Krachten van de Funderingspalen

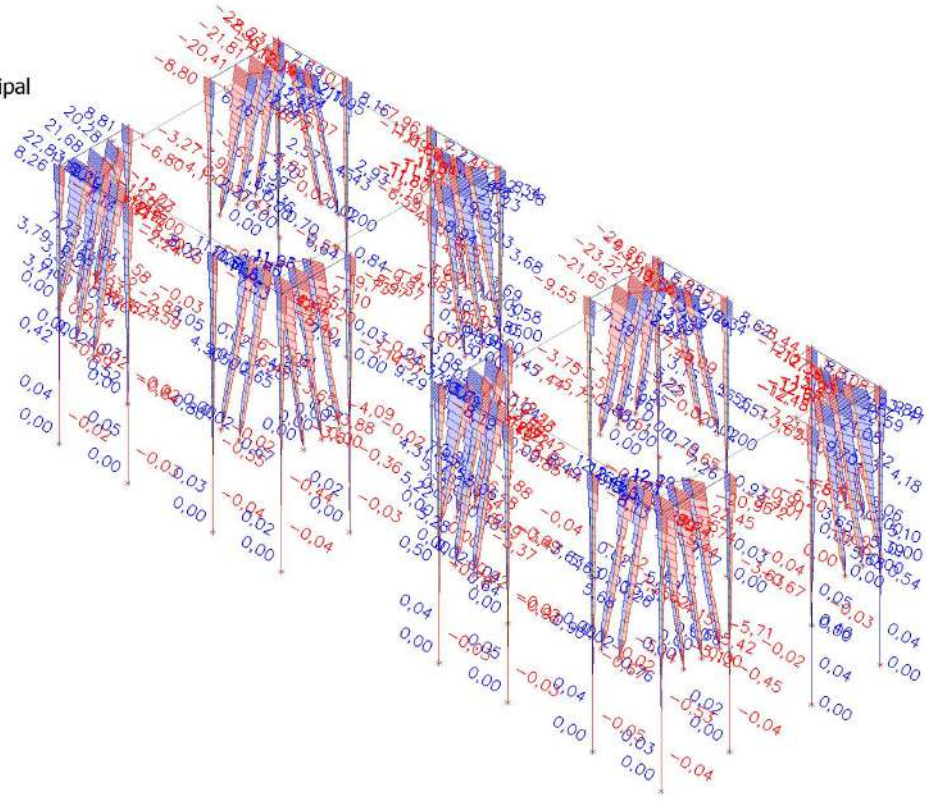
7.2.1. Interne 1D- krachten; N

Values: **N**
Nonlinear calculation
Class: All non-linear
Coordinate system: Principal
Extreme 1D: Local
Selection: All
Filter: Layer = Palen



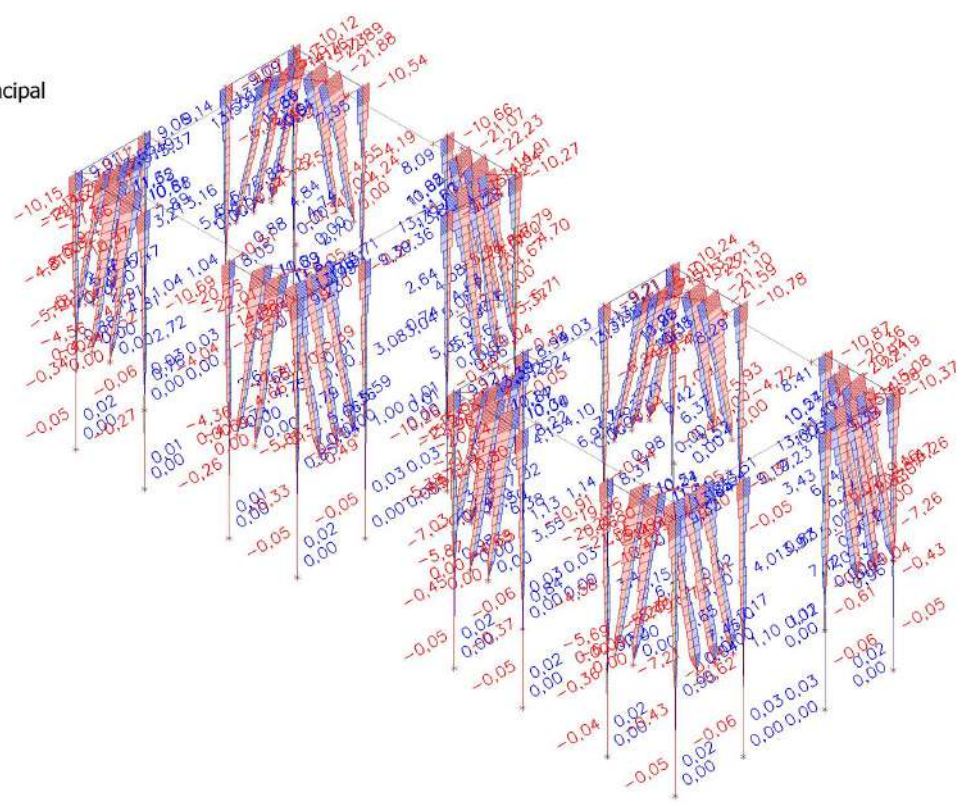
7.2.2. Interne 1D- krachten; V_y

Values: **V_y**
Nonlinear calculation
Class: All non-linear
Coordinate system: Principal
Extreme 1D: Local
Selection: All
Filter: Layer = Palen



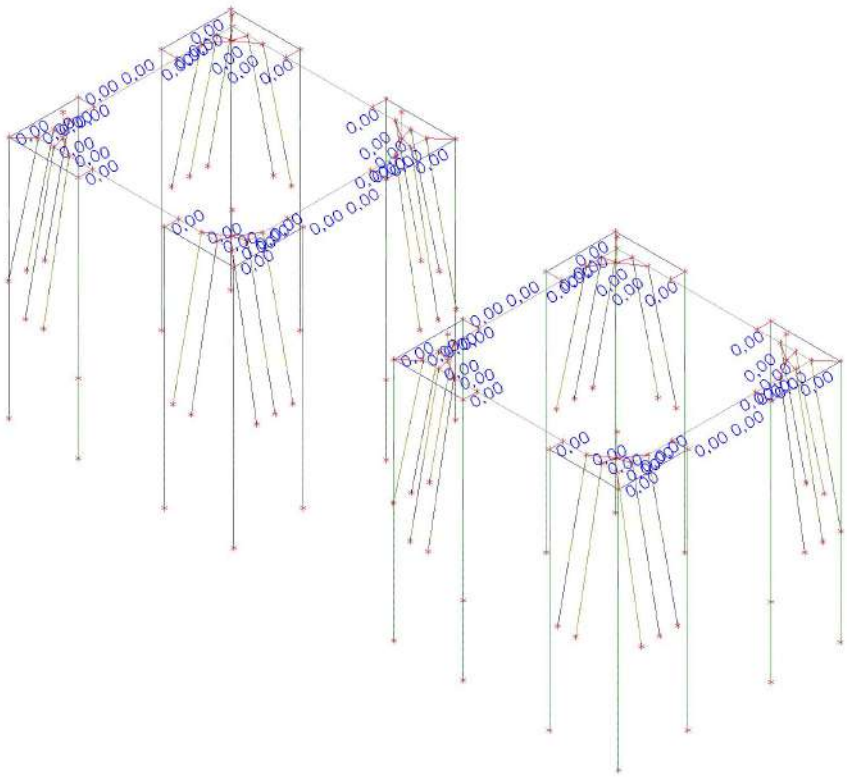
7.2.3. Interne 1D- krachten; V_z

Values: V_z
Nonlinear calculation
Class: All non-linear
Coordinate system: Principal
Extreme 1D: Local
Selection: All
Filter: Layer = Palen



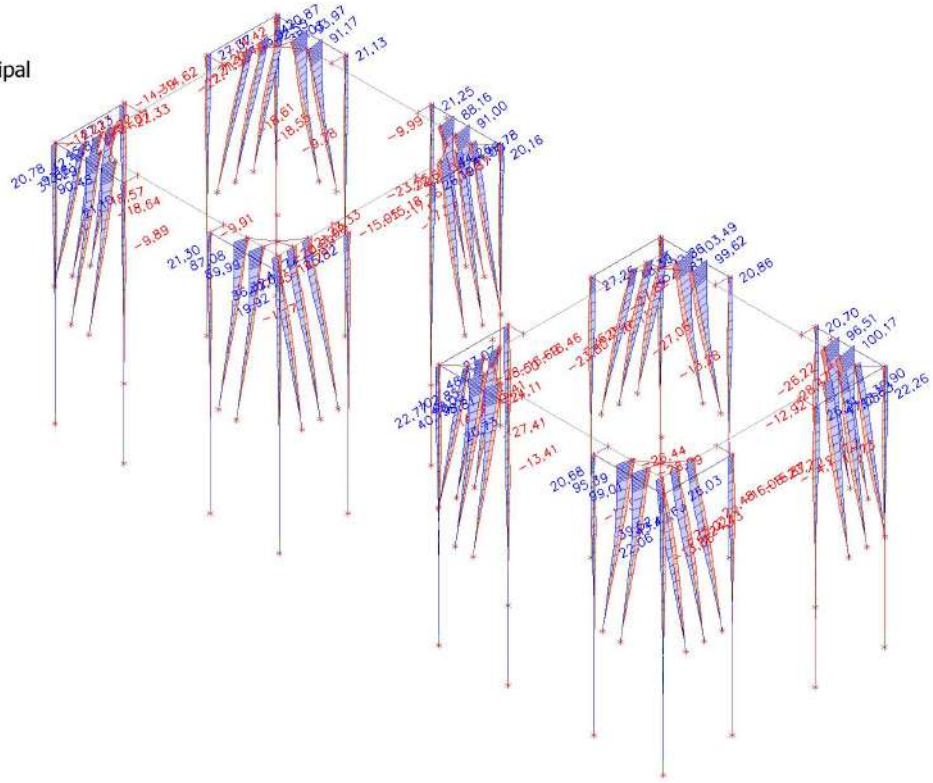
7.2.4. Interne 1D- krachten; M_x

Values: M_x
Nonlinear calculation
Class: All non-linear
Coordinate system: Principal
Extreme 1D: Local
Selection: All
Filter: Layer = Palen



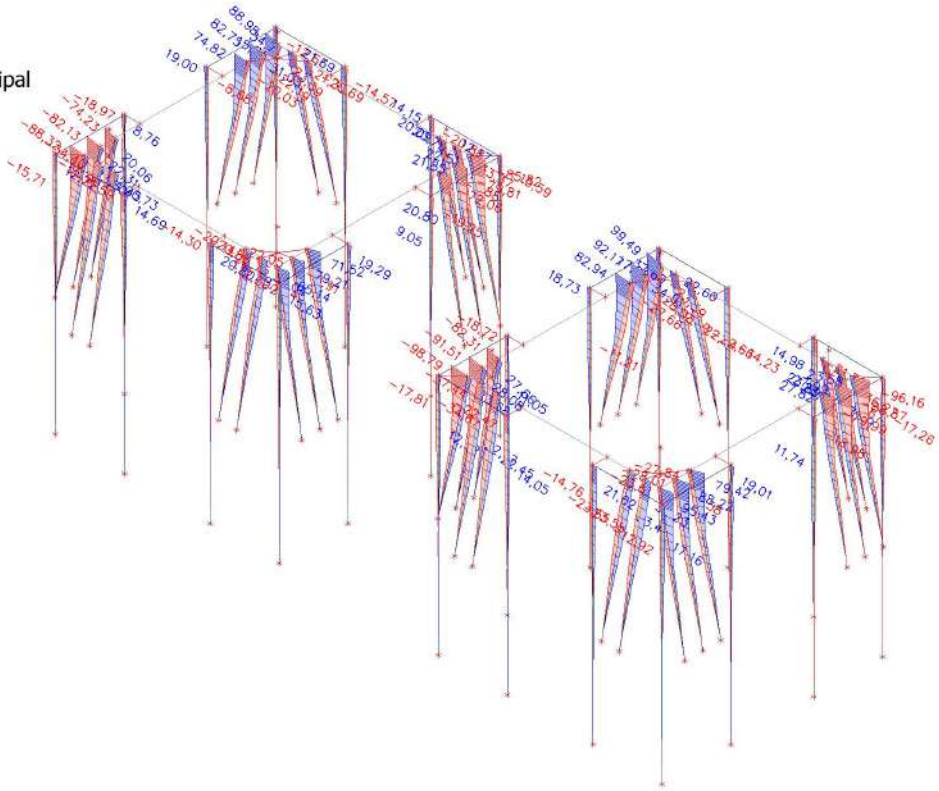
7.2.5. Interne 1D- krachten; M_y

Values: M_y
Nonlinear calculation
Class: All non-linear
Coordinate system: Principal
Extreme 1D: Member
Selection: All
Filter: Layer = Palen



7.2.6. Interne 1D- krachten; M_z

Values: M_z
Nonlinear calculation
Class: All non-linear
Coordinate system: Principal
Extreme 1D: Member
Selection: All
Filter: Layer = Palen



7.2.7. Interne 1D-krachten

Niet-lineaire berekening
Klasse: All non-linear
Coördinatenstelsel: Hoofd
Extreme 1D: Globaal
Selectie: Alle
Filter: Doorsnede = Funderingspaal - Rectangle (320; 320)

Naam	dx [m]	Belasting	Doorsnede	N [kN]	V_y [kN]	V_z [kN]	M_x [kNm]	M_y [kNm]	M_z [kNm]
Paal_P_3	9,000	high max Wnd ;225°	Funderingspaal - Rectangle (320; 320)	**-84,00**	0,00	0,04	0,00	0,00	0,00
Paal_P_3	0,000	high max Wnd ;135°	Funderingspaal - Rectangle (320; 320)	**15,95**	6,24	5,90	**0,00**	4,33	-30,36
Paal_P_75	0,000	low max Wnd ;225°	Funderingspaal - Rectangle (320; 320)	11,97	**-24,51**	3,07	0,00	37,09	**99,49**
Paal_P_73	0,000	low max Wnd ;225°	Funderingspaal - Rectangle (320; 320)	11,96	1,22	**-23,13**	0,00	**103,49**	36,38
Paal_P_12	0,900	low max Wnd ;225°	Funderingspaal - Rectangle (320; 320)	-7,82	6,58	**14,01**	0,00	-8,39	12,80
Paal_P_66	0,000	high max Wnd ;225°	Funderingspaal - Rectangle (320; 320)	-68,05	-10,94	5,02	0,00	**-28,69**	18,69
Paal_P_58	0,000	low max Wnd ;135°	Funderingspaal - Rectangle (320; 320)	11,97	**24,37**	3,04	0,00	36,99	**-98,79**

7.2.8. Interne 1D-krachten

Niet-lineaire berekening
Klasse: All non-linear
Coördinatenstelsel: Hoofd
Extreme 1D: Globaal
Selectie: Alle
Filter: Doorsnede = LEKA Paal - type e (CHS219.1/10.0)

Naam	dx [m]	Belasting	Doorsnede	N [kN]	V_y [kN]	V_z [kN]	M_x [kNm]	M_y [kNm]	M_z [kNm]
Paal_P_87	15,800	high max Wnd ;225°	LEKA Paal - type e (CHS219.1/10.0)	**-413,52**	0,00	0,00	0,00	0,00	0,00
Paal_P_22	0,000	high max Wnd ;225°	LEKA Paal - type e (CHS219.1/10.0)	**22,26**	0,03	4,12	**0,00**	0,80	9,58
Paal_P_83	0,000	low max Wnd ;225°	LEKA Paal - type e (CHS219.1/10.0)	-251,71	**-9,72**	-9,30	0,00	10,49	16,94
Paal_P_81	0,000	low max Wnd ;135°	LEKA Paal - type e (CHS219.1/10.0)	-251,08	**9,70**	-9,24	0,00	10,39	-16,92
Paal_P_82	0,000	low max Wnd ;225°	LEKA Paal - type e (CHS219.1/10.0)	-288,75	-8,35	**-10,91**	0,00	17,85	10,84
Paal_P_90	0,000	low max Wnd ;225°	LEKA Paal - type e (CHS219.1/10.0)	10,79	5,53	**9,38**	0,00	-10,92	2,36
Paal_P_85	3,000-	low max Wnd ;225°	LEKA Paal - type e (CHS219.1/10.0)	14,06	-3,11	-1,37	0,00	**-16,69**	-9,43
Paal_P_23	0,000	low max Wnd ;225°	LEKA Paal - type e (CHS219.1/10.0)	16,70	2,83	-1,01	0,00	**27,37**	8,98
Paal_P_84	1,000-	low max	LEKA Paal - type	15,64	-0,44	3,95	0,00	17,70	**-22,47**

Naam	dx [m]	Belasting	Doorsnede	N [kN]	V_y [kN]	V_z [kN]	M_x [kNm]	M_y [kNm]	M_z [kNm]
		Wnd ;135°	e (CHS219.1/10.0)						
Paal_P_78	1,000-	low max Wnd ;225°	LEKA Paal - type e (CHS219.1/10.0)	15,64	0,46	3,99	0,00	17,73	**22,60**

7.3. Krachten van de Poeren

7.3.1. Interne 1D-krachten

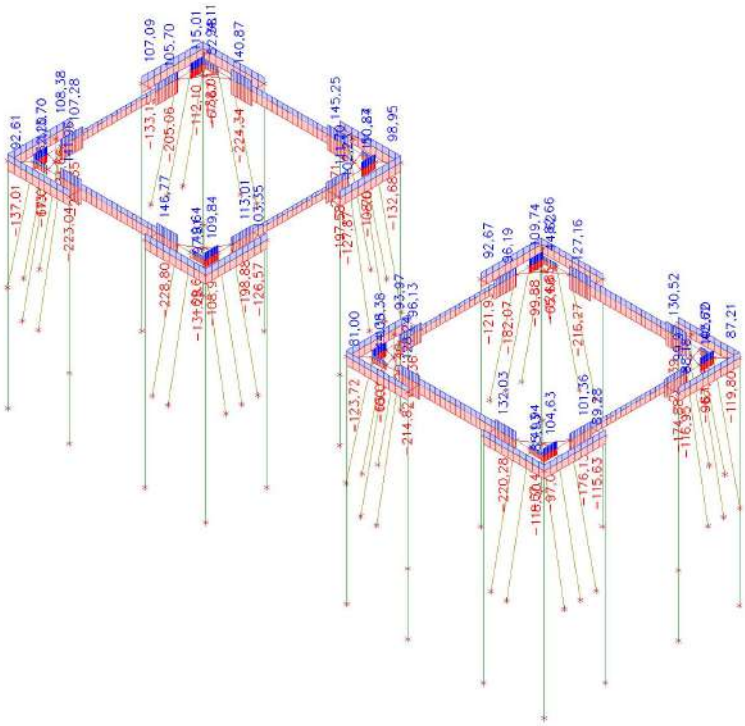
Niet-lineaire berekening
Klasse: All non-linear
Coördinatenstelsel: Hoofd
Extreme 1D: Globaal
Selectie: Alle
Filter: Laag = Poeren

Naam	dx [m]	Belasting	N [kN]	V_y [kN]	V_z [kN]	M_x [kNm]	M_y [kNm]	M_z [kNm]
Poer 8	0,000	high max Wnd ;45°	**-931,49**	-221,22	-19,81	2,13	29,09	**227,41**
Poer 8	1,475	low max Wnd ;225°	**722,88**	171,09	19,02	-0,23	0,00	8,67
Poer 8	1,475	high max Wnd ;45°	-906,69	**-221,38**	-19,65	0,24	0,00	-10,88
Poer 8	0,000	high max Wnd ;135°	-356,01	-77,79	**-30,37**	**3,27**	**44,68**	77,99
Poer 8	1,475	low max Wnd ;315°	138,29	26,40	**29,42**	-0,35	0,00	1,66
Poer 8	0,000	low max Wnd ;315°	119,69	26,51	29,31	**-3,17**	**-43,32**	-24,91
Poer 8	0,000	low max Wnd ;225°	704,28	**171,20**	18,90	-2,05	-27,97	**-175,20**

7.4. Krachten van de Funderingsbalken

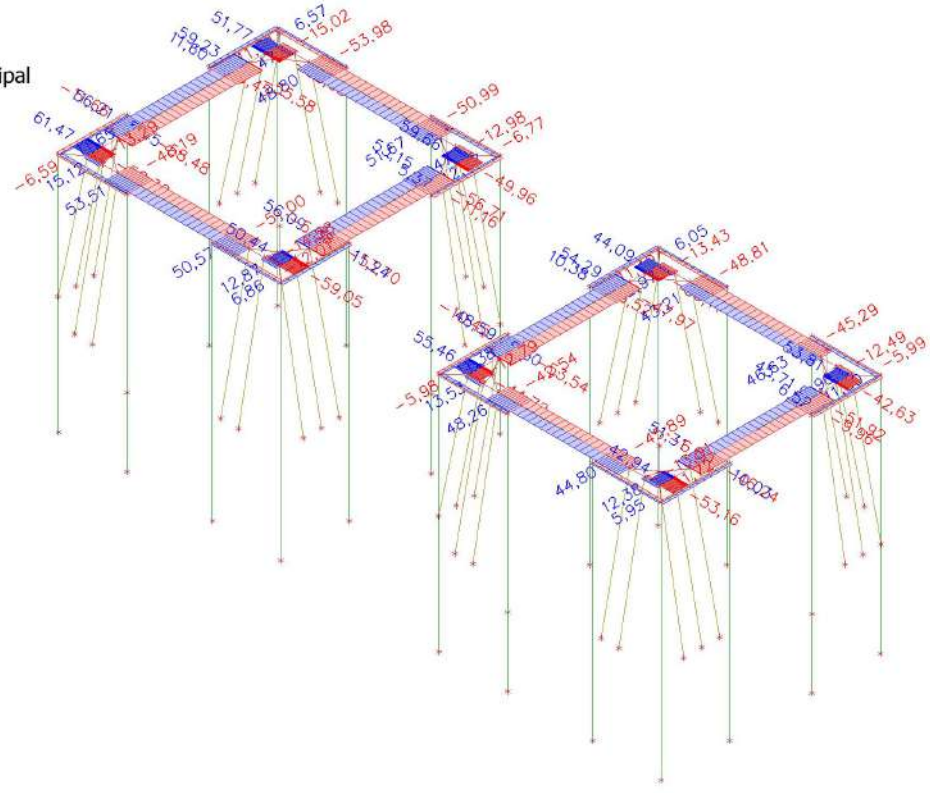
7.4.1. Interne 1D- krachten; N

Values: **N**
Nonlinear calculation
Class: All non-linear
Coordinate system: Principal
Extreme 1D: Local
Selection: All
Filter: Layer = Balken



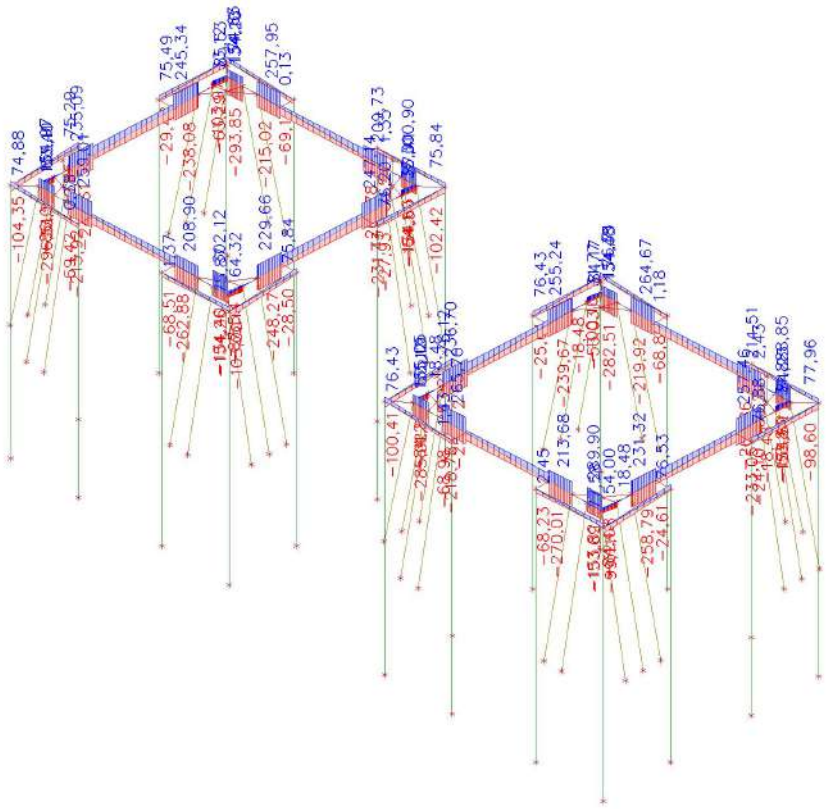
7.4.2. Interne 1D- krachten; V_y

Values: **V_y**
Nonlinear calculation
Class: All non-linear
Coordinate system: Principal
Extreme 1D: Local
Selection: All
Filter: Layer = Balken



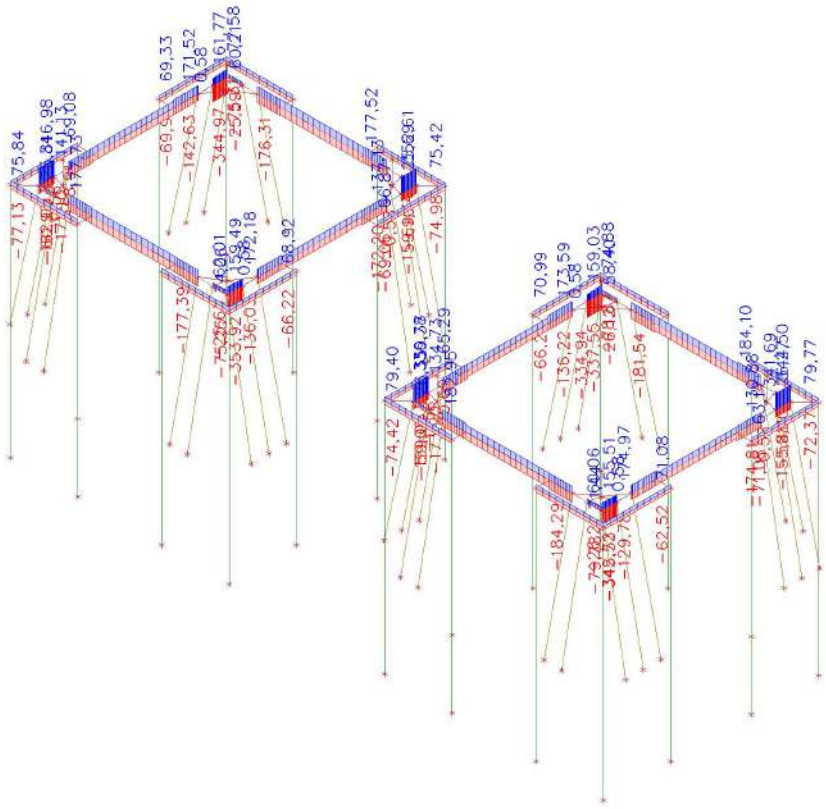
7.4.3. Interne 1D- krachten; V_z

Values: V_z
Nonlinear calculation
Class: All non-linear
Coordinate system: Principal
Extreme 1D: Local
Selection: All
Filter: Layer = Balken



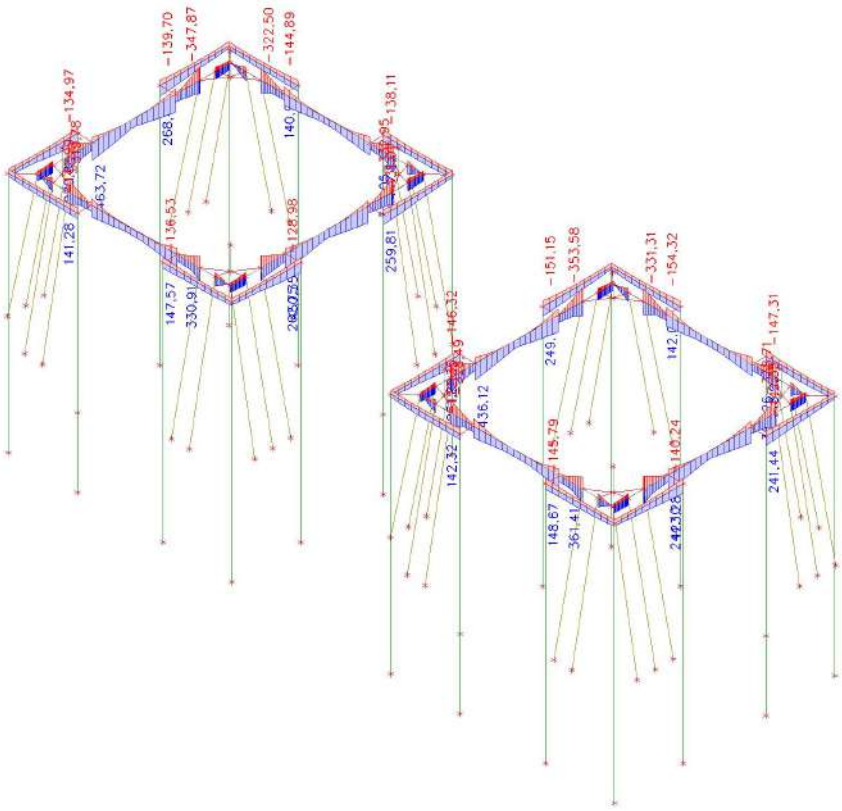
7.4.4. Interne 1D- krachten; M_x

Values: M_x
Nonlinear calculation
Class: All non-linear
Coordinate system: Principal
Extreme 1D: Local
Selection: All
Filter: Layer = Balken



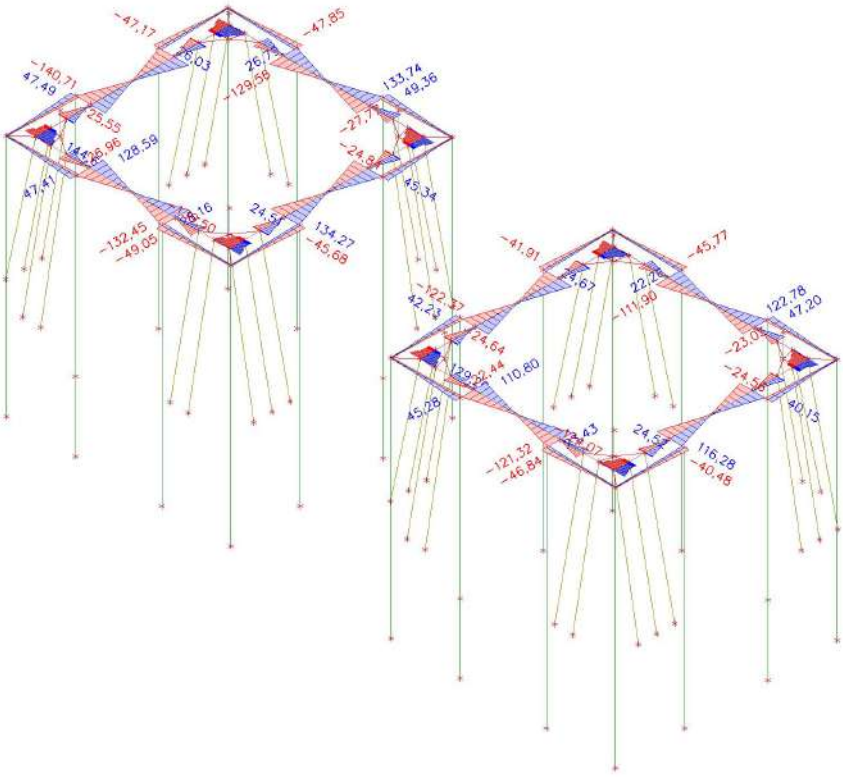
7.4.5. Interne 1D- krachten; M_y

Values: M_y
Nonlinear calculation
Class: All non-linear
Coordinate system: Principal
Extreme 1D: Member
Selection: All
Filter: Layer = Balken



7.4.6. Interne 1D- krachten; M_z

Values: M_z
Nonlinear calculation
Class: All non-linear
Coordinate system: Principal
Extreme 1D: Member
Selection: All
Filter: Layer = Balken



7.4.7. Interne 1D-krachten

Niet-lineaire berekening
Klasse: All non-linear
Coördinatenstelsel: Hoofd
Extreme 1D: Globaal
Selectie: Alle
Filter: Doorsnede = Balk - Rectangle (750; 900)

Naam	dx [m]	Belasting	Doorsnede	N [kN]	V_y [kN]	V_z [kN]	M_x [kNm]	M_y [kNm]	M_z [kNm]
Balk 4	2,000+	low max Wnd ;225°	Balk - Rectangle (750; 900)	**-229,71**	-50,99	-9,49	101,27	190,90	74,94
Balk 7	2,000+	low max Wnd ;225°	Balk - Rectangle (750; 900)	**146,77**	-25,96	-189,63	-99,02	222,68	39,85
Balk 6	11,600+	low max Wnd ;225°	Balk - Rectangle (750; 900)	115,01	**-62,08**	25,87	137,63	-82,24	-3,65
Balk 6	0,000	low max Wnd ;135°	Balk - Rectangle (750; 900)	113,70	**61,47**	12,92	-141,93	-75,27	-102,57
Balk 7	12,600	high max Wnd ;315°	Balk - Rectangle (750; 900)	-27,52	7,26	**-296,51**	-60,92	-45,64	1,76
Balk 7	0,000	high max Wnd ;225°	Balk - Rectangle (750; 900)	-26,94	-6,87	**302,12**	62,01	-46,49	1,69
Balk 5	0,000	high max Wnd ;225°	Balk - Rectangle (750; 900)	-55,92	34,48	52,33	**-353,92**	177,17	-60,25
Balk 5	12,190+	high max Wnd ;135°	Balk - Rectangle (750; 900)	-56,86	-34,99	-28,14	**352,61**	192,88	-46,90
Balk 14	10,600-	low max Wnd ;225°	Balk - Rectangle (750; 900)	25,49	54,29	-239,67	-136,22	**-353,58**	65,02
Balk 6	3,600+	low max Wnd ;225°	Balk - Rectangle (750; 900)	-103,52	51,33	-74,00	-141,00	**463,72**	**-140,71**
Balk 6	0,000	low max Wnd ;225°	Balk - Rectangle (750; 900)	-113,05	-52,39	5,21	85,48	79,61	**144,68**

7.4.8. Interne 1D-krachten

Niet-lineaire berekening
Klasse: All non-linear
Coördinatenstelsel: Hoofd
Extreme 1D: Globaal
Selectie: Alle
Filter: Doorsnede = Ringbalk - Rectangle (750; 1000)

Naam	dx [m]	Belasting	Doorsnede	N [kN]	V_y [kN]	V_z [kN]	M_x [kNm]	M_y [kNm]	M_z [kNm]
S222	0,000	low max Wnd ;225°	Ringbalk - Rectangle (750; 1000)	**-138,01**	4,13	29,14	77,58	-108,42	5,33
S234	4,500	low max Wnd ;225°	Ringbalk - Rectangle (750; 1000)	108,38	-11,66	**-104,35**	-55,50	-31,14	-4,99
S245	0,000	high max Wnd ;225°	Ringbalk - Rectangle (750; 1000)	-28,99	3,96	**77,96**	7,98	-69,49	-6,70
S247	0,000	high max Wnd ;225°	Ringbalk - Rectangle (750; 1000)	65,22	-0,43	53,38	**-79,78**	76,64	-4,58
S245	0,000	high max	Ringbalk -	65,68	0,45	53,37	**79,77**	76,41	4,62

Naam	dx [m]	Belasting	Doorsnede	N [kN]	V_y [kN]	V_z [kN]	M_x [kNm]	M_y [kNm]	M_z [kNm]
		Wnd ;135°	Rectangle (750; 1000)						
S243	4,500	low max Wnd ;225°	Ringbalk - Rectangle (750; 1000)	-124,85	2,91	-48,38	74,88	**-154,32**	18,85
S234	0,000	low max Wnd ;225°	Ringbalk - Rectangle (750; 1000)	**108,38**	-11,66	-29,85	-55,50	**270,82**	47,49
S231	4,500	low max Wnd ;135°	Ringbalk - Rectangle (750; 1000)	97,81	**-12,01**	1,37	-59,53	147,57	**-49,05**
S229	4,500	low max Wnd ;225°	Ringbalk - Rectangle (750; 1000)	98,95	**12,07**	1,35	59,87	147,80	**49,36**

1. Inhoudsopgave

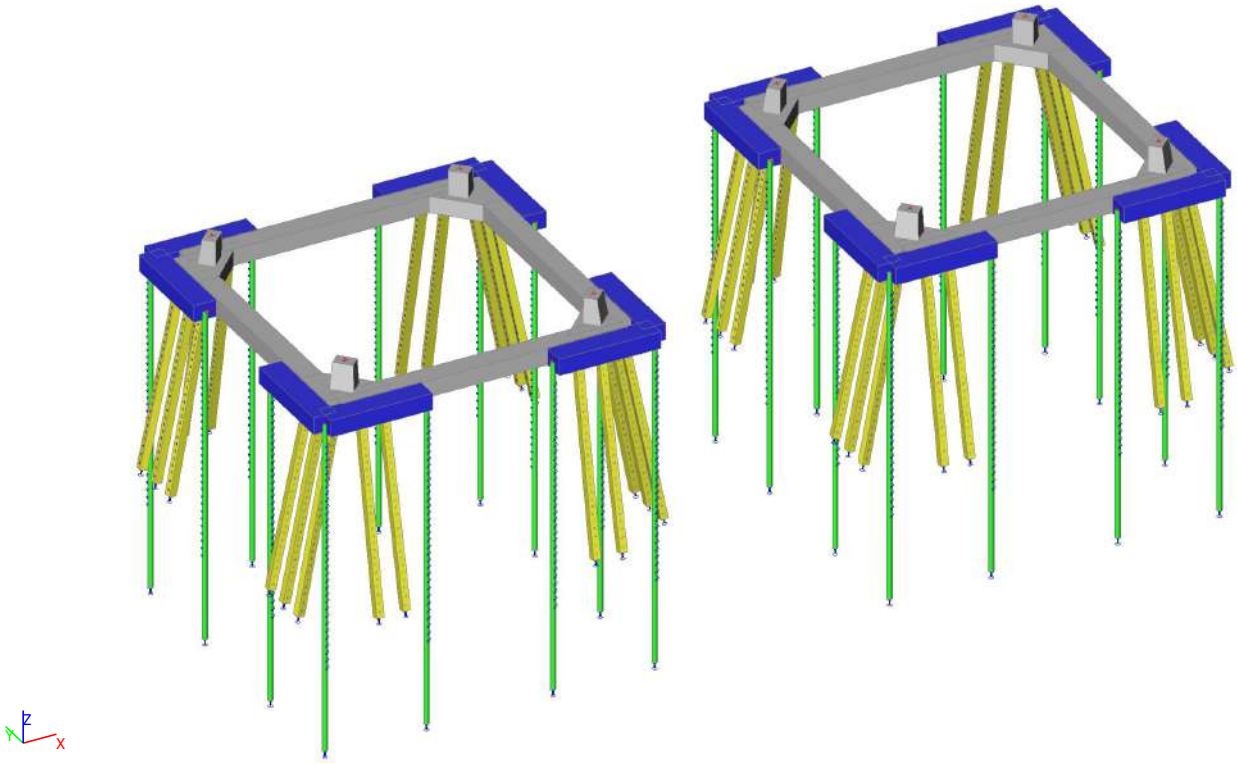
1. Inhoudsopgave 1
2. Project 3
3. Analyse model 3
4. Modeleigenschappen 4
4.1. Materialen 4
4.2. Doorsneden 4
4.3. Analyse model met doorsneden 7
4.4. Analyse model met doorsneden 8
4.5. Instellingen net 8
5. Geometrie 8
5.1. Knopen 8
5.2. Analyse model met knopen 10
5.3. Staven 10
5.4. Analyse model met Staven 12
5.5. Knoopsteunpunten 12
5.6. Analyse model met Knoopondersteuningen 14
5.7. Lijnsteunpunten op staven 14
5.8. Analyse model met Lijnondersteuningen 20
5.9. Analyse model met Lijnondersteuningen 21
5.10. Niet-lineaire functies 22
6. Belastingen 27
6.1. Belastingsgevallen 27
6.1.1. Belastingsgevallen - E.G. 27
6.1.2. Belastingsgevallen - high max Wnd ;225° 27
6.1.2.1. Puntlast op knoop 28
6.1.3. Belastingsgevallen - high max Wnd ;135° 29
6.1.3.1. Puntlast op knoop 30
6.1.4. Belastingsgevallen - high max Wnd ;45° 30
6.1.4.1. Puntlast op knoop 31
6.1.5. Belastingsgevallen - high max Wnd ;315° 32
6.1.5.1. Puntlast op knoop 33
6.1.6. Belastingsgevallen - low max Wnd ;225° 33
6.1.6.1. Puntlast op knoop 34
6.1.7. Belastingsgevallen - low max Wnd ;135° 35
6.1.7.1. Puntlast op knoop 36
6.1.8. Belastingsgevallen - low max Wnd ;45° 36
6.1.8.1. Puntlast op knoop 37
6.1.9. Belastingsgevallen - low max Wnd ;315° 38
6.1.9.1. Puntlast op knoop 39
6.2. Niet-lineaire combinaties 39
6.3. Resultaatklasses 40
7. Resultaten 41
7.1. Reacties van de palen 41
7.1.1. Reactions; R_z 41
7.1.2. Reacties 41
7.1.3. Reacties 41
7.1.4. Reacties 42
7.2. Krachten van de Funderingspalen 48
7.2.1. Interne 1D- krachten; N 48
7.2.2. Interne 1D- krachten; V_y 48
7.2.3. Interne 1D- krachten; V_z 49
7.2.4. Interne 1D- krachten; M_x 49
7.2.5. Interne 1D- krachten; M_y 50
7.2.6. Interne 1D- krachten; M_z 50
7.2.7. Interne 1D-krachten 51
7.2.8. Interne 1D-krachten 51
7.3. Krachten van de Poeren 52
7.3.1. Interne 1D-krachten 52
7.4. Krachten van de Funderingsbalken 53
7.4.1. Interne 1D- krachten; N 53
7.4.2. Interne 1D- krachten; V_y 53
7.4.3. Interne 1D- krachten; V_z 54
7.4.4. Interne 1D- krachten; M_x 54
7.4.5. Interne 1D- krachten; M_y 55
7.4.6. Interne 1D- krachten; M_z 55

7.4.7. Interne 1D-krachten 56
7.4.8. Interne 1D-krachten 56

2. Project

Gebruiker van licentie	[redacted]
Project	Opwaardering KIJ-DIM 380kV
Onderdeel	Balkrooster 5xBeton32x32 mast 147
Auteur	[redacted]
Datum	22-01-2026
Constructie	Algemeen XYZ
Aantal knopen :	168
Aantal staven :	96
Aantal platen :	0
Aantal vaste lichamen :	0
Aantal gebruikte doorsneden :	5
Aantal belastingsgevallen :	9
Aantal gebruikte materialen :	6
Gravitatieversnelling [m/s^2]	9,810
Nationale norm	EC - EN

3. Analyse model



4. Modeleigenschappen

4.1. Materialen

Staal EC3

Naam	ρ [kg/m³]	E_{mod} [MPa]	μ	Onderlimiet [mm]	Bovenlimiet [mm]	F_y [MPa]	F_u [MPa]	Kleur
		G_{mod} [MPa]	α [m/mK]					
S 235	6850,0	2,1000e+05	0.3	0	40	235,0	360,0	
		8,0769e+04	0,00	40	80	215,0	360,0	

Naam	Type	ρ [kg/m³]	Dichtheid in natte toestand [kg/m³]	E_{mod} [MPa]	μ	α [m/mK]	$f_{c.k.28}$ [MPa]	Kleur
C20/25 Ongescheurd	Beton	1500,0	2600,0	2,4000e+04	0.2	0,00	20,00	
C20/25 Gescheurd	Beton	2500,0	2600,0	8,0000e+03	0.2	0,00	20,00	
C30/37 Gescheurd	Beton	2500,0	2600,0	1,1000e+04	0.2	0,00	30,00	
C30/37	Beton	2400,0	2600,0	3,2800e+04	0.2	0,00	30,00	

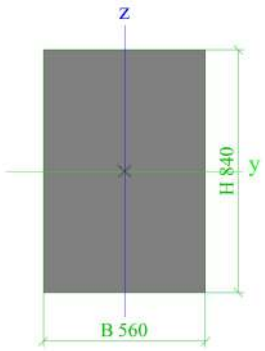
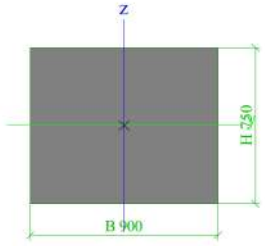
Verklaring van symbolen	
Dichtheid in natte toestand	De waarde van de dichtheid van het kenmerk nieuwe toestand wordt alleen gebruikt als een samengesteld dek wordt ingevoerd en rekening wordt gehouden met de belasting van het eigengewicht.

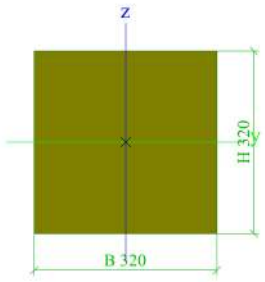
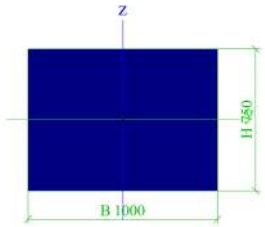
Wapening EC2

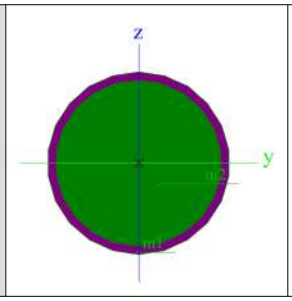
Naam	Type	ρ [kg/m³]	E_{mod} [MPa]	G_{mod} [MPa]	α [m/mK]	$f_{y.k}$ [MPa]
B 500B	Betonstaal	7850,0	2,0000e+05	8,3333e+04	0,00	500,0

4.2. Doorsneden

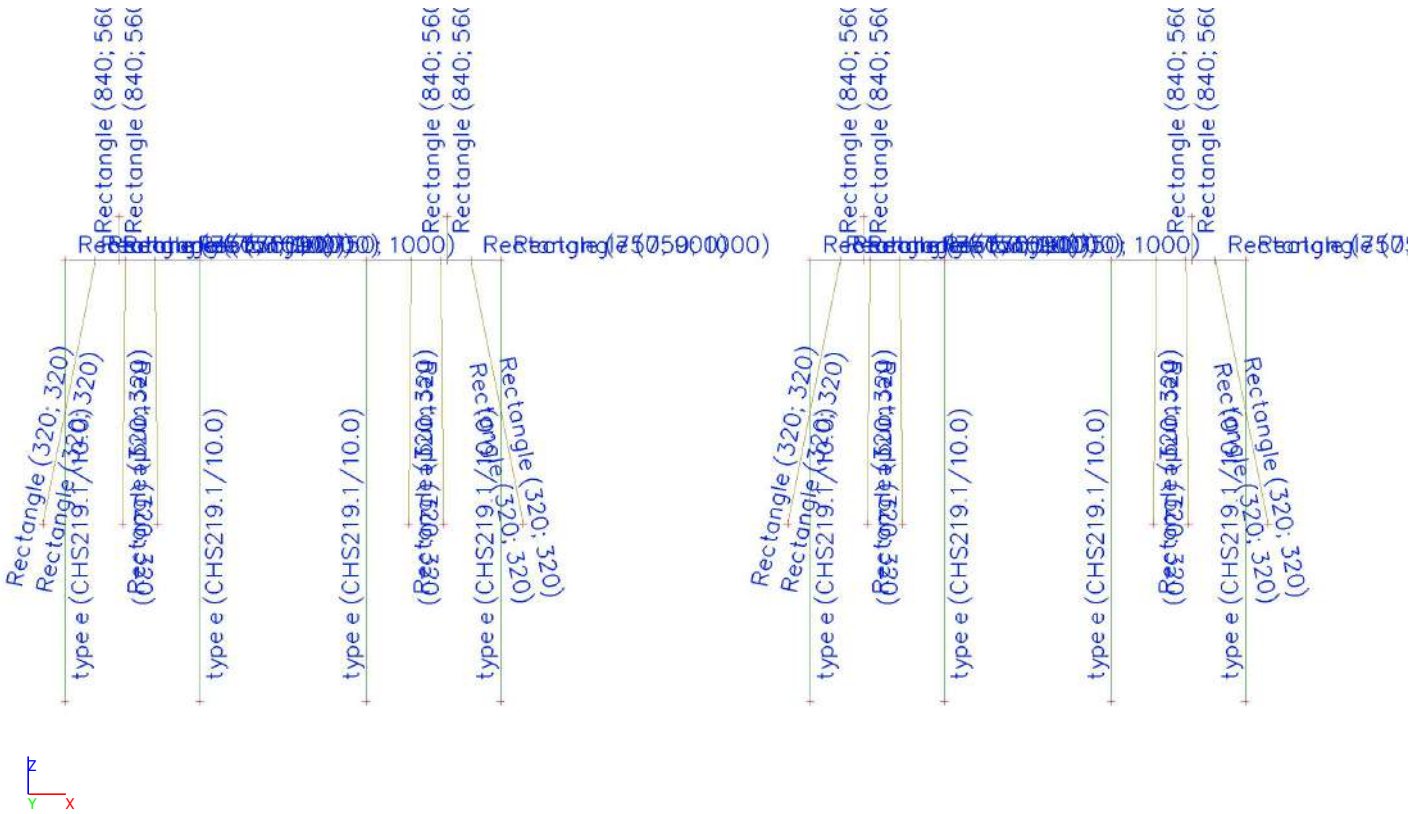
Poer.Opstort		
Type	Rectangle	
Gedetailleerd	840; 560	
Vorm type	Dikke wanden	
Onderdeelmateriaal	C20/25 Gescheurd	
Bouwwijze	beton	
Kleur		
A [m²]	4,7040e-01	
A_y [m²], A_z [m²]	3,9200e-01	3,9200e-01
A_L [m²/m], A_D [m²/m]	2,8000e+00	2,8000e+00
$c_{Y.UCS}$ [mm], $c_{Z.UCS}$ [mm]	280	420
α [deg]	0,00	
I_y [m⁴], I_z [m⁴]	2,7660e-02	1,2293e-02
i_y [mm], i_z [mm]	242	162
$W_{el.y}$ [m³], $W_{el.z}$ [m³]	6,5856e-02	4,3904e-02
$W_{pl.y}$ [m³], $W_{pl.z}$ [m³]	0,0000e+00	0,0000e+00
$M_{pl.y.+}$ [Nm], $M_{pl.y.-}$ [Nm]	0,00e+00	0,00e+00
$M_{pl.z.+}$ [Nm], $M_{pl.z.-}$ [Nm]	0,00e+00	0,00e+00
d_y [mm], d_z [mm]	0	0
I_t [m⁴], I_w [m⁶]	2,8888e-02	0,0000e+00
β_y [mm], β_z [mm]	0	0

Afbeelding		
Balk		
Type	Rectangle	
Gedetailleerd	750; 900	
Vorm type	Dikke wanden	
Onderdeelmateriaal	C20/25 Gescheurd	
Bouwwijze	beton	
Kleur		
A [m²]	6,7500e-01	
A_y [m²], A_z [m²]	5,6250e-01	5,6250e-01
A_L [m²/m], A_D [m²/m]	3,3000e+00	3,3000e+00
$c_{Y.UCS}$ [mm], $c_{Z.UCS}$ [mm]	450	375
α [deg]	0,00	
I_y [m⁴], I_z [m⁴]	3,1641e-02	4,5563e-02
i_y [mm], i_z [mm]	217	260
$W_{el.y}$ [m³], $W_{el.z}$ [m³]	8,4375e-02	1,0125e-01
$W_{pl.y}$ [m³], $W_{pl.z}$ [m³]	0,0000e+00	0,0000e+00
$M_{pl.y.+}$ [Nm], $M_{pl.y.-}$ [Nm]	0,00e+00	0,00e+00
$M_{pl.z.+}$ [Nm], $M_{pl.z.-}$ [Nm]	0,00e+00	0,00e+00
d_y [mm], d_z [mm]	0	0
I_t [m⁴], I_w [m⁶]	6,3112e-02	0,0000e+00
β_y [mm], β_z [mm]	0	0
Afbeelding		
Funderingspaal		
Type	Rectangle	
Gedetailleerd	320; 320	
Vorm type	Dikke wanden	
Onderdeelmateriaal	C20/25 Ongescheurd	
Bouwwijze	beton	
Kleur		
A [m²]	1,0240e-01	
A_y [m²], A_z [m²]	8,5333e-02	8,5333e-02
A_L [m²/m], A_D [m²/m]	1,2800e+00	1,2800e+00
$c_{Y.UCS}$ [mm], $c_{Z.UCS}$ [mm]	160	160
α [deg]	0,00	
I_y [m⁴], I_z [m⁴]	8,7381e-04	8,7381e-04
i_y [mm], i_z [mm]	92	92
$W_{el.y}$ [m³], $W_{el.z}$ [m³]	5,4613e-03	5,4613e-03
$W_{pl.y}$ [m³], $W_{pl.z}$ [m³]	0,0000e+00	0,0000e+00
$M_{pl.y.+}$ [Nm], $M_{pl.y.-}$ [Nm]	0,00e+00	0,00e+00
$M_{pl.z.+}$ [Nm], $M_{pl.z.-}$ [Nm]	0,00e+00	0,00e+00
d_y [mm], d_z [mm]	0	0
I_t [m⁴], I_w [m⁶]	1,4757e-03	0,0000e+00
β_y [mm], β_z [mm]	0	0

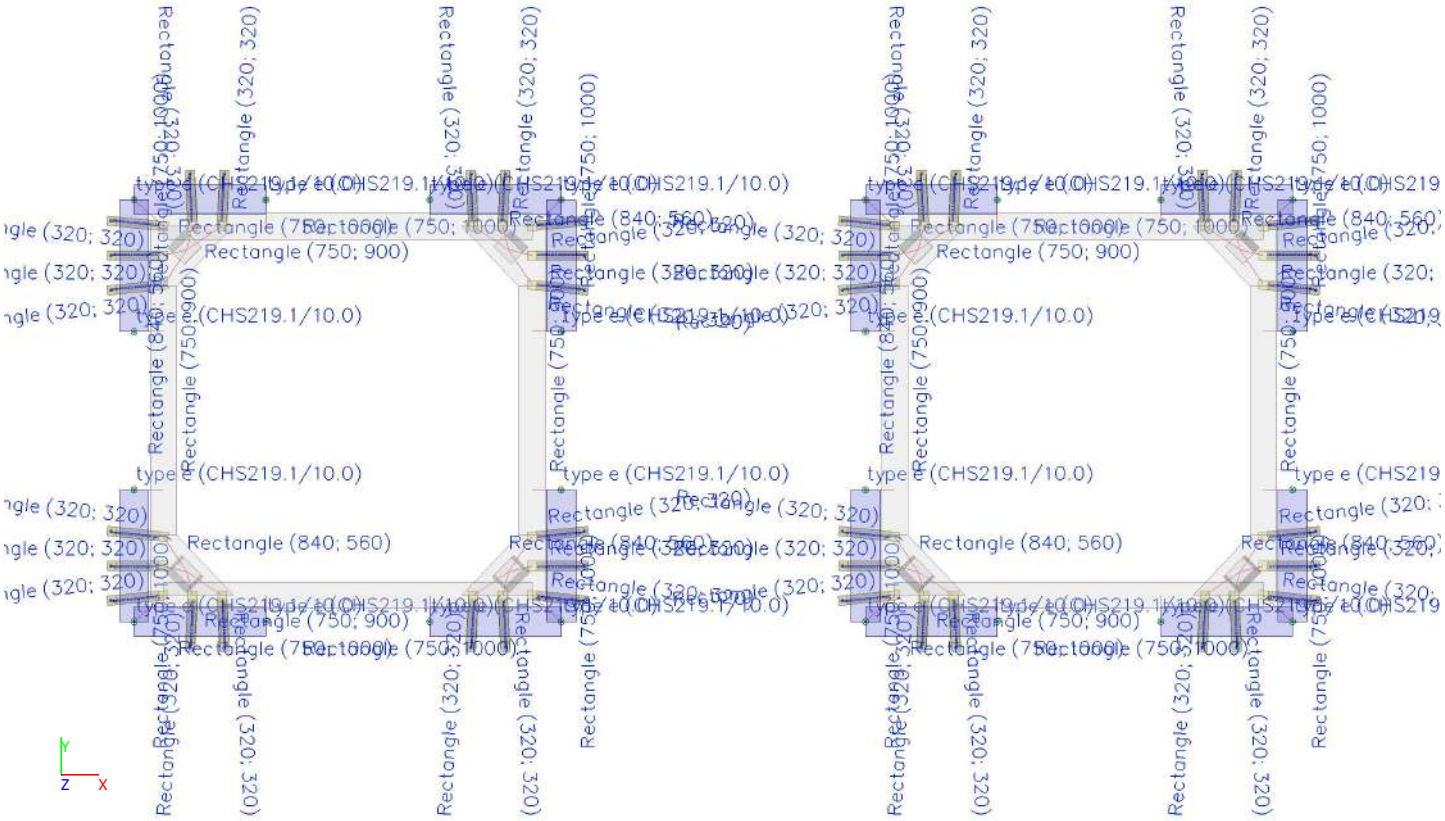
Afbeelding		
Ringbalk		
Type	Rectangle	
Gedetailleerd	750; 1000	
Vorm type	Dikke wanden	
Onderdeelmateriaal	C30/37 Gescheurd	
Bouwwijze	beton	
Kleur		
A [m²]	7,5000e-01	
A_y [m²], A_z [m²]	6,2517e-01	6,2531e-01
A_L [m²/m], A_D [m²/m]	3,5000e+00	3,5000e+00
$c_{Y.UCS}$ [mm], $c_{Z.UCS}$ [mm]	500	375
α [deg]	0,00	
I_y [m⁴], I_z [m⁴]	3,5156e-02	6,2500e-02
i_y [mm], i_z [mm]	217	289
$W_{el.y}$ [m³], $W_{el.z}$ [m³]	9,3750e-02	1,2500e-01
$W_{pl.y}$ [m³], $W_{pl.z}$ [m³]	0,0000e+00	0,0000e+00
$M_{pl.y.+}$ [Nm], $M_{pl.y.-}$ [Nm]	0,00e+00	0,00e+00
$M_{pl.z.+}$ [Nm], $M_{pl.z.-}$ [Nm]	0,00e+00	0,00e+00
d_y [mm], d_z [mm]	0	0
I_t [m⁴], I_w [m⁶]	7,6159e-02	2,7801e-04
β_y [mm], β_z [mm]	0	0
Afbeelding		
LEKA Paal		
Type	type e	
Gedetailleerd	CHS219.1/10.0	
Vorm type	Dikke wanden	
Onderdeelmateriaal	S 235	
	C30/37	
Bouwwijze	beton	
Knik y-y, Knik z-z	a	a
A [m²]	1,1430e-02	
A_y [m²], A_z [m²]	8,7249e-03	8,7249e-03
A_L [m²/m], A_D [m²/m]	6,8829e-01	6,8829e-01
$c_{Y.UCS}$ [mm], $c_{Z.UCS}$ [mm]	110	110
α [deg]	0,00	
I_y [m⁴], I_z [m⁴]	4,8013e-05	4,8013e-05
i_y [mm], i_z [mm]	65	65
$W_{el.y}$ [m³], $W_{el.z}$ [m³]	4,3827e-04	4,3827e-04
$W_{pl.y}$ [m³], $W_{pl.z}$ [m³]	4,9123e-04	4,9123e-04
$M_{pl.y.+}$ [Nm], $M_{pl.y.-}$ [Nm]	1,15e+05	1,15e+05
$M_{pl.z.+}$ [Nm], $M_{pl.z.-}$ [Nm]	1,15e+05	1,15e+05
d_y [mm], d_z [mm]	0	0
I_t [m⁴], I_w [m⁶]	9,8040e-05	0,0000e+00
β_y [mm], β_z [mm]	0	0

Afbeelding		
		

4.3. Analyse model met doorsneden



4.4. Analyse model met doorsneden



4.5. Instellingen net

Naam	NetInstelling1
Generatie van variabele excentriciteiten op elementen in plaats van constante excentriciteiten	×
Generatie van knopen op staven	×
Elastisch net	✓
Pas automatische netverfijning toe	×
Constructie-entiteiten verbinden	✓
Verdeling op consoles en variabele staven	5
Verdeling voor integratiestrook en 2D-1D upgrade	50
Gemiddeld aantal 1D-netelementen op rechte 1D-elementen	5
Gemiddelde grootte van 2D-netelement [m]	0,250
Gemiddelde grootte van 1D-element op gebogen 1D-elementen [m]	0,200
Minimum lengte van staafelement [m]	0,100
Maximum lengte van staafelement [m]	1000,000
Gemiddelde grootte van voorspankabels, elementen op elastische bedding, niet-lineaire grondveer [m]	1,000
Maximale hoek uit het vlak van vierhoekig element [mrad]	30,0
Minimale afstand tussen definitiepunt en -lijn [m]	0,001
Gemiddelde afmeting van paneelelement [m]	1,000
Netverfijning volgens het liggertype	Geen
Definitie van netelementen afmetingen voor panelen	Handmatig

5. Geometrie

5.1. Knopen

Naam	Coördinaat X [m]	Coördinaat Y [m]	Coördinaat Z [m]
N5	13,000	1,400	0,000
N6	13,000	2,400	0,000
N7	12,000	0,400	0,000
N1	11,000	0,400	0,000
N17	0,400	0,400	0,000

Naam	Coördinaat X [m]	Coördinaat Y [m]	Coördinaat Z [m]
N21	0,400	13,000	0,000
1Y	12,200	1,200	1,475
N22	12,200	1,200	0,000
N23	12,200	12,200	0,000
1XY	12,200	12,200	1,475

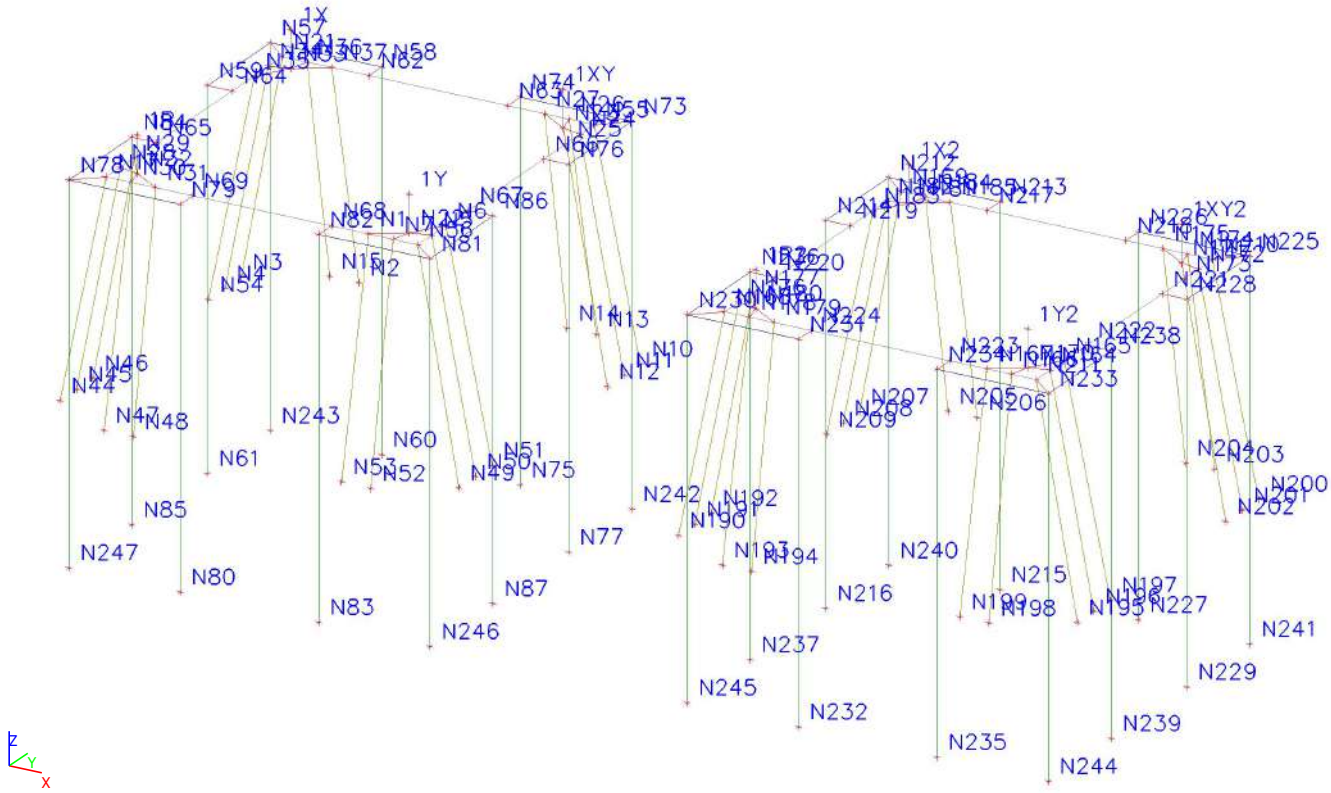
Naam	Coördinaat X [m]	Coördinaat Y [m]	Coördinaat Z [m]
N24	13,000	12,000	0,000
N25	13,000	11,000	0,000
N26	12,000	13,000	0,000
N27	11,000	13,000	0,000
N28	0,400	1,400	0,000
N29	0,400	2,400	0,000
N30	1,400	0,400	0,000
N31	2,400	0,400	0,000
1P	1,200	1,200	1,475
N32	1,200	1,200	0,000
N33	1,200	12,200	0,000
1X	1,200	12,187	1,475
N34	0,400	12,000	0,000
N35	0,400	11,000	0,000
N36	1,400	13,000	0,000
N37	2,400	13,000	0,000
N38	12,200	1,200	0,000
N39	1,200	1,200	0,000
N40	12,200	12,200	0,000
N41	1,200	12,200	0,000
N44	-1,365	0,224	-8,824
N45	-1,364	1,400	-8,821
N46	-1,365	2,576	-8,824
N47	1,312	-1,364	-8,822
N48	2,488	-1,364	-8,822
N49	14,765	0,224	-8,824
N50	14,764	1,400	-8,821
N51	14,765	2,576	-8,824
N52	12,088	-1,364	-8,822
N53	10,912	-1,364	-8,822
N10	14,765	13,176	-8,824
N11	14,764	12,000	-8,821
N12	14,765	10,824	-8,824
N13	12,088	14,764	-8,822
N14	10,912	14,764	-8,822
N15	1,312	14,764	-8,822
N2	2,488	14,764	-8,822
N3	-1,365	13,176	-8,824
N4	-1,364	12,000	-8,821
N54	-1,365	10,824	-8,824
N55	13,000	13,000	0,000
N56	13,000	0,400	0,000
N57	-0,600	13,900	0,000
N58	3,900	13,900	0,000
N59	-0,600	9,400	0,000
N60	3,900	13,900	-14,770
N61	-0,600	9,400	-14,770
N62	3,900	13,000	0,000
N63	9,500	13,000	0,000
N64	0,400	9,400	0,000
N65	0,400	4,000	0,000
N66	13,000	9,400	0,000
N67	13,000	4,000	0,000
N68	9,500	0,400	0,000
N69	3,900	0,400	0,000
N73	14,000	13,900	0,000
N74	9,500	13,900	0,000
N75	9,500	13,900	-14,770
N76	14,000	9,400	0,000
N77	14,000	9,400	-14,770
N78	-0,600	-0,500	0,000
N79	3,900	-0,500	0,000
N80	3,900	-0,500	-14,770
N81	14,000	-0,500	0,000
N82	9,500	-0,500	0,000
N83	9,500	-0,500	-14,770

Naam	Coördinaat X [m]	Coördinaat Y [m]	Coördinaat Z [m]
N84	-0,600	4,000	0,000
N85	-0,600	4,000	-14,770
N86	14,000	4,000	0,000
N87	14,000	4,000	-14,770
N164	38,000	1,400	0,000
N165	38,000	2,400	0,000
N166	37,000	0,400	0,000
N167	36,000	0,400	0,000
N168	25,400	0,400	0,000
N169	25,400	13,000	0,000
1Y2	37,200	1,200	1,475
N170	37,200	1,200	0,000
N171	37,200	12,200	0,000
1XY2	37,200	12,200	1,475
N172	38,000	12,000	0,000
N173	38,000	11,000	0,000
N174	37,000	13,000	0,000
N175	36,000	13,000	0,000
N176	25,400	1,400	0,000
N177	25,400	2,400	0,000
N178	26,400	0,400	0,000
N179	27,400	0,400	0,000
1P2	26,200	1,200	1,475
N180	26,200	1,200	0,000
N181	26,200	12,200	0,000
1X2	26,200	12,187	1,475
N182	25,400	12,000	0,000
N183	25,400	11,000	0,000
N184	26,400	13,000	0,000
N185	27,400	13,000	0,000
N186	37,200	1,200	0,000
N187	26,200	1,200	0,000
N188	37,200	12,200	0,000
N189	26,200	12,200	0,000
N190	23,635	0,224	-8,824
N191	23,636	1,400	-8,821
N192	23,635	2,576	-8,824
N193	26,312	-1,364	-8,822
N194	27,488	-1,364	-8,822
N195	39,765	0,224	-8,824
N196	39,764	1,400	-8,821
N197	39,765	2,576	-8,824
N198	37,088	-1,364	-8,822
N199	35,912	-1,364	-8,822
N200	39,765	13,176	-8,824
N201	39,764	12,000	-8,821
N202	39,765	10,824	-8,824
N203	37,088	14,764	-8,822
N204	35,912	14,764	-8,822
N205	26,312	14,764	-8,822
N206	27,488	14,764	-8,822
N207	23,635	13,176	-8,824
N208	23,636	12,000	-8,821
N209	23,635	10,824	-8,824
N210	38,000	13,000	0,000
N211	38,000	0,400	0,000
N212	24,400	13,900	0,000
N213	28,900	13,900	0,000
N214	24,400	9,400	0,000
N215	28,900	13,900	-14,770
N216	24,400	9,400	-14,770
N217	28,900	13,000	0,000
N218	34,500	13,000	0,000
N219	25,400	9,400	0,000
N220	25,400	4,000	0,000
N221	38,000	9,400	0,000

Naam	Coördinaat X [m]	Coördinaat Y [m]	Coördinaat Z [m]
N222	38,000	4,000	0,000
N223	34,500	0,400	0,000
N224	28,900	0,400	0,000
N225	39,000	13,900	0,000
N226	34,500	13,900	0,000
N227	34,500	13,900	-14,770
N228	39,000	9,400	0,000
N229	39,000	9,400	-14,770
N230	24,400	-0,500	0,000
N231	28,900	-0,500	0,000
N232	28,900	-0,500	-14,770
N233	39,000	-0,500	0,000
N234	34,500	-0,500	0,000

Naam	Coördinaat X [m]	Coördinaat Y [m]	Coördinaat Z [m]
N235	34,500	-0,500	-14,770
N236	24,400	4,000	0,000
N237	24,400	4,000	-14,770
N238	39,000	4,000	0,000
N239	39,000	4,000	-14,770
N240	24,400	13,900	-14,770
N241	39,000	13,900	-14,770
N242	14,000	13,900	-14,770
N243	-0,600	13,900	-14,770
N244	39,000	-0,500	-14,770
N245	24,400	-0,500	-14,770
N246	14,000	-0,500	-14,770
N247	-0,600	-0,500	-14,770

5.2. Analyse model met knopen



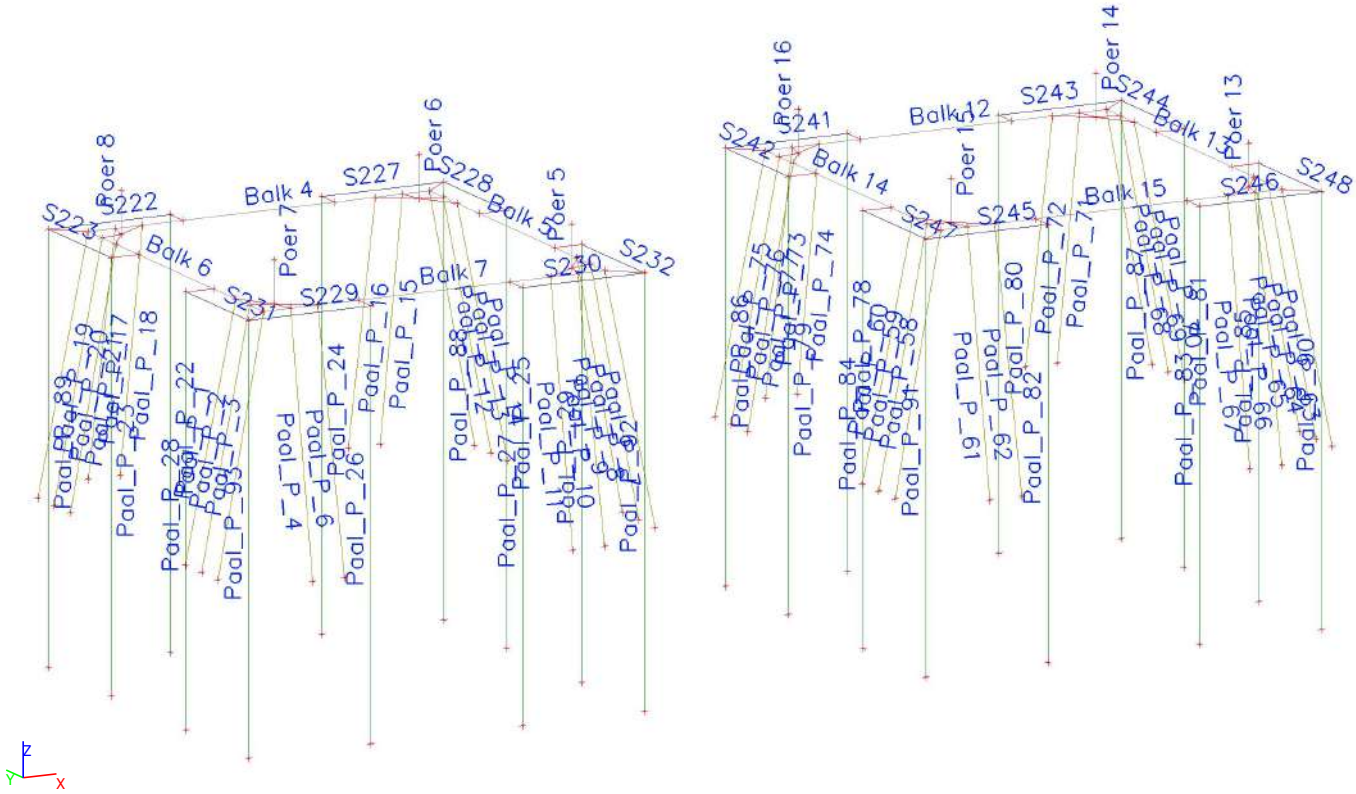
5.3. Staven

Naam	Doorsnede	Materiaal	Lengte [m]	Beginknoop	Eindknoop	Type
Balk 4	Balk - Rectangle (750; 900)	C20/25 Gescheurd	12,600	N55	N21	Balk (80)
Balk 5	Balk - Rectangle (750; 900)	C20/25 Gescheurd	12,600	N56	N55	Balk (80)
Balk 6	Balk - Rectangle (750; 900)	C20/25 Gescheurd	12,600	N17	N21	Balk (80)
Balk 7	Balk - Rectangle (750; 900)	C20/25 Gescheurd	12,600	N56	N17	Balk (80)
Balk 12	Balk - Rectangle (750; 900)	C20/25 Gescheurd	12,600	N210	N169	Balk (80)
Balk 13	Balk - Rectangle (750; 900)	C20/25 Gescheurd	12,600	N211	N210	Balk (80)
Balk 14	Balk - Rectangle (750; 900)	C20/25 Gescheurd	12,600	N168	N169	Balk (80)
Balk 15	Balk - Rectangle (750; 900)	C20/25 Gescheurd	12,600	N211	N168	Balk (80)
S222	Ringbalk - Rectangle (750; 1000)	C30/37 Gescheurd	4,500	N57	N58	Balk (80)
S223	Ringbalk - Rectangle (750; 1000)	C30/37 Gescheurd	4,500	N59	N57	Balk (80)
S227	Ringbalk - Rectangle (750; 1000)	C30/37 Gescheurd	4,500	N73	N74	Balk (80)
S228	Ringbalk - Rectangle (750; 1000)	C30/37 Gescheurd	4,500	N76	N73	Balk (80)
S229	Ringbalk - Rectangle (750; 1000)	C30/37 Gescheurd	4,500	N78	N79	Balk (80)

Naam	Doorsnede	Materiaal	Lengte [m]	Beginknoop	Eindknoop	Type
S230	Ringbalk - Rectangle (750; 1000)	C30/37 Gescheurd	4,500	N81	N82	Balk (80)
S231	Ringbalk - Rectangle (750; 1000)	C30/37 Gescheurd	4,500	N84	N78	Balk (80)
S232	Ringbalk - Rectangle (750; 1000)	C30/37 Gescheurd	4,500	N86	N81	Balk (80)
S241	Ringbalk - Rectangle (750; 1000)	C30/37 Gescheurd	4,500	N212	N213	Balk (80)
S242	Ringbalk - Rectangle (750; 1000)	C30/37 Gescheurd	4,500	N214	N212	Balk (80)
S243	Ringbalk - Rectangle (750; 1000)	C30/37 Gescheurd	4,500	N225	N226	Balk (80)
S244	Ringbalk - Rectangle (750; 1000)	C30/37 Gescheurd	4,500	N228	N225	Balk (80)
S245	Ringbalk - Rectangle (750; 1000)	C30/37 Gescheurd	4,500	N230	N231	Balk (80)
S246	Ringbalk - Rectangle (750; 1000)	C30/37 Gescheurd	4,500	N233	N234	Balk (80)
S247	Ringbalk - Rectangle (750; 1000)	C30/37 Gescheurd	4,500	N236	N230	Balk (80)
S248	Ringbalk - Rectangle (750; 1000)	C30/37 Gescheurd	4,500	N238	N233	Balk (80)
Paal_P_3	Funderingspaal - Rectangle (320; 320)	C20/25 Ongescheurd	9,000	N17	N44	Kolom (100)
Paal_P_4	Funderingspaal - Rectangle (320; 320)	C20/25 Ongescheurd	8,997	N30	N47	Kolom (100)
Paal_P_16	Funderingspaal - Rectangle (320; 320)	C20/25 Ongescheurd	8,997	N27	N14	Kolom (100)
Poer 6	Poer.Opstort - Rectangle (840; 560)	C20/25 Gescheurd	1,475	N23	1XY	Kolom (100)
Paal_P_6	Funderingspaal - Rectangle (320; 320)	C20/25 Ongescheurd	8,997	N31	N48	Kolom (100)
Poer 15	Poer.Opstort - Rectangle (840; 560)	C20/25 Gescheurd	1,475	N180	1P2	Kolom (100)
Poer 16	Poer.Opstort - Rectangle (840; 560)	C20/25 Gescheurd	1,475	N181	1X2	Kolom (100)
Paal_P_7	Funderingspaal - Rectangle (320; 320)	C20/25 Ongescheurd	9,000	N56	N49	Kolom (100)
Paal_P_12	Funderingspaal - Rectangle (320; 320)	C20/25 Ongescheurd	9,000	N55	N10	Kolom (100)
Paal_P_14	Funderingspaal - Rectangle (320; 320)	C20/25 Ongescheurd	9,000	N25	N12	Kolom (100)
Paal_P_17	Funderingspaal - Rectangle (320; 320)	C20/25 Ongescheurd	8,997	N36	N15	Kolom (100)
Paal_P_18	Funderingspaal - Rectangle (320; 320)	C20/25 Ongescheurd	8,997	N37	N2	Kolom (100)
Paal_P_19	Funderingspaal - Rectangle (320; 320)	C20/25 Ongescheurd	9,000	N21	N3	Kolom (100)
Paal_P_20	Funderingspaal - Rectangle (320; 320)	C20/25 Ongescheurd	8,996	N34	N4	Kolom (100)
Paal_P_21	Funderingspaal - Rectangle (320; 320)	C20/25 Ongescheurd	9,000	N35	N54	Kolom (100)
Paal_P_22	LEKA Paal - type e (CHS219.1/10.0)	S 235	14,770	N58	N60	Kolom (100)
Paal_P_58	Funderingspaal - Rectangle (320; 320)	C20/25 Ongescheurd	9,000	N168	N190	Kolom (100)
Paal_P_59	Funderingspaal - Rectangle (320; 320)	C20/25 Ongescheurd	8,996	N176	N191	Kolom (100)
Paal_P_60	Funderingspaal - Rectangle (320; 320)	C20/25 Ongescheurd	9,000	N177	N192	Kolom (100)
Paal_P_61	Funderingspaal - Rectangle (320; 320)	C20/25 Ongescheurd	8,997	N178	N193	Kolom (100)
Paal_P_62	Funderingspaal - Rectangle (320; 320)	C20/25 Ongescheurd	8,997	N179	N194	Kolom (100)
Paal_P_63	Funderingspaal - Rectangle (320; 320)	C20/25 Ongescheurd	9,000	N211	N195	Kolom (100)
Paal_P_64	Funderingspaal - Rectangle (320; 320)	C20/25 Ongescheurd	8,996	N164	N196	Kolom (100)
Paal_P_66	Funderingspaal - Rectangle (320; 320)	C20/25 Ongescheurd	8,997	N166	N198	Kolom (100)
Paal_P_67	Funderingspaal - Rectangle (320; 320)	C20/25 Ongescheurd	8,997	N167	N199	Kolom (100)
Paal_P_68	Funderingspaal - Rectangle (320; 320)	C20/25 Ongescheurd	9,000	N210	N200	Kolom (100)
Poer 5	Poer.Opstort - Rectangle (840; 560)	C20/25 Gescheurd	1,475	N22	1Y	Kolom (100)
Poer 7	Poer.Opstort - Rectangle (840; 560)	C20/25 Gescheurd	1,475	N32	1P	Kolom (100)
Poer 8	Poer.Opstort - Rectangle (840; 560)	C20/25 Gescheurd	1,475	N33	1X	Kolom (100)
Poer 13	Poer.Opstort - Rectangle (840; 560)	C20/25 Gescheurd	1,475	N170	1Y2	Kolom (100)
Poer 14	Poer.Opstort - Rectangle (840; 560)	C20/25 Gescheurd	1,475	N171	1XY2	Kolom (100)
Paal_P_1	Funderingspaal - Rectangle (320; 320)	C20/25 Ongescheurd	9,000	N29	N46	Kolom (100)
Paal_P_2	Funderingspaal - Rectangle (320; 320)	C20/25 Ongescheurd	8,996	N28	N45	Kolom (100)
Paal_P_8	Funderingspaal - Rectangle (320; 320)	C20/25 Ongescheurd	8,996	N5	N50	Kolom (100)
Paal_P_65	Funderingspaal - Rectangle (320; 320)	C20/25 Ongescheurd	9,000	N165	N197	Kolom (100)
Paal_P_9	Funderingspaal - Rectangle (320; 320)	C20/25 Ongescheurd	9,000	N6	N51	Kolom (100)
Paal_P_10	Funderingspaal - Rectangle (320; 320)	C20/25 Ongescheurd	8,997	N7	N52	Kolom (100)
Paal_P_11	Funderingspaal - Rectangle (320; 320)	C20/25 Ongescheurd	8,997	N1	N53	Kolom (100)
Paal_P_13	Funderingspaal - Rectangle (320; 320)	C20/25 Ongescheurd	8,996	N24	N11	Kolom (100)
Paal_P_15	Funderingspaal - Rectangle (320; 320)	C20/25 Ongescheurd	8,997	N26	N13	Kolom (100)
Paal_P_23	LEKA Paal - type e (CHS219.1/10.0)	S 235	14,770	N59	N61	Kolom (100)
Paal_P_24	LEKA Paal - type e (CHS219.1/10.0)	S 235	14,770	N74	N75	Kolom (100)
Paal_P_25	LEKA Paal - type e (CHS219.1/10.0)	S 235	14,770	N76	N77	Kolom (100)
Paal_P_26	LEKA Paal - type e (CHS219.1/10.0)	S 235	14,770	N79	N80	Kolom (100)
Paal_P_27	LEKA Paal - type e (CHS219.1/10.0)	S 235	14,770	N82	N83	Kolom (100)
Paal_P_28	LEKA Paal - type e (CHS219.1/10.0)	S 235	14,770	N84	N85	Kolom (100)
Paal_P_29	LEKA Paal - type e (CHS219.1/10.0)	S 235	14,770	N86	N87	Kolom (100)
Paal_P_69	Funderingspaal - Rectangle (320; 320)	C20/25 Ongescheurd	8,996	N172	N201	Kolom (100)
Paal_P_70	Funderingspaal - Rectangle (320; 320)	C20/25 Ongescheurd	9,000	N173	N202	Kolom (100)
Paal_P_71	Funderingspaal - Rectangle (320; 320)	C20/25 Ongescheurd	8,997	N174	N203	Kolom (100)
Paal_P_72	Funderingspaal - Rectangle (320; 320)	C20/25 Ongescheurd	8,997	N175	N204	Kolom (100)
Paal_P_73	Funderingspaal - Rectangle (320; 320)	C20/25 Ongescheurd	8,997	N184	N205	Kolom (100)
Paal_P_74	Funderingspaal - Rectangle (320; 320)	C20/25 Ongescheurd	8,997	N185	N206	Kolom (100)
Paal_P_75	Funderingspaal - Rectangle (320; 320)	C20/25 Ongescheurd	9,000	N169	N207	Kolom (100)
Paal_P_76	Funderingspaal - Rectangle (320; 320)	C20/25 Ongescheurd	8,996	N182	N208	Kolom (100)

Naam	Doorsnede	Materiaal	Lengte [m]	Beginknoop	Eindknoop	Type
Paal_P_77	Funderingspaal - Rectangle (320; 320)	C20/25 Ongescheurd	9,000	N183	N209	Kolom (100)
Paal_P_78	LEKA Paal - type e (CHS219.1/10.0)	S 235	14,770	N213	N215	Kolom (100)
Paal_P_79	LEKA Paal - type e (CHS219.1/10.0)	S 235	14,770	N214	N216	Kolom (100)
Paal_P_80	LEKA Paal - type e (CHS219.1/10.0)	S 235	14,770	N226	N227	Kolom (100)
Paal_P_81	LEKA Paal - type e (CHS219.1/10.0)	S 235	14,770	N228	N229	Kolom (100)
Paal_P_82	LEKA Paal - type e (CHS219.1/10.0)	S 235	14,770	N231	N232	Kolom (100)
Paal_P_83	LEKA Paal - type e (CHS219.1/10.0)	S 235	14,770	N234	N235	Kolom (100)
Paal_P_84	LEKA Paal - type e (CHS219.1/10.0)	S 235	14,770	N236	N237	Kolom (100)
Paal_P_85	LEKA Paal - type e (CHS219.1/10.0)	S 235	14,770	N238	N239	Kolom (100)
Paal_P_86	LEKA Paal - type e (CHS219.1/10.0)	S 235	14,770	N212	N240	Kolom (100)
Paal_P_87	LEKA Paal - type e (CHS219.1/10.0)	S 235	14,770	N225	N241	Kolom (100)
Paal_P_88	LEKA Paal - type e (CHS219.1/10.0)	S 235	14,770	N73	N242	Kolom (100)
Paal_P_89	LEKA Paal - type e (CHS219.1/10.0)	S 235	14,770	N57	N243	Kolom (100)
Paal_P_90	LEKA Paal - type e (CHS219.1/10.0)	S 235	14,770	N233	N244	Kolom (100)
Paal_P_91	LEKA Paal - type e (CHS219.1/10.0)	S 235	14,770	N230	N245	Kolom (100)
Paal_P_92	LEKA Paal - type e (CHS219.1/10.0)	S 235	14,770	N81	N246	Kolom (100)
Paal_P_93	LEKA Paal - type e (CHS219.1/10.0)	S 235	14,770	N78	N247	Kolom (100)

5.4. Analyse model met Staven

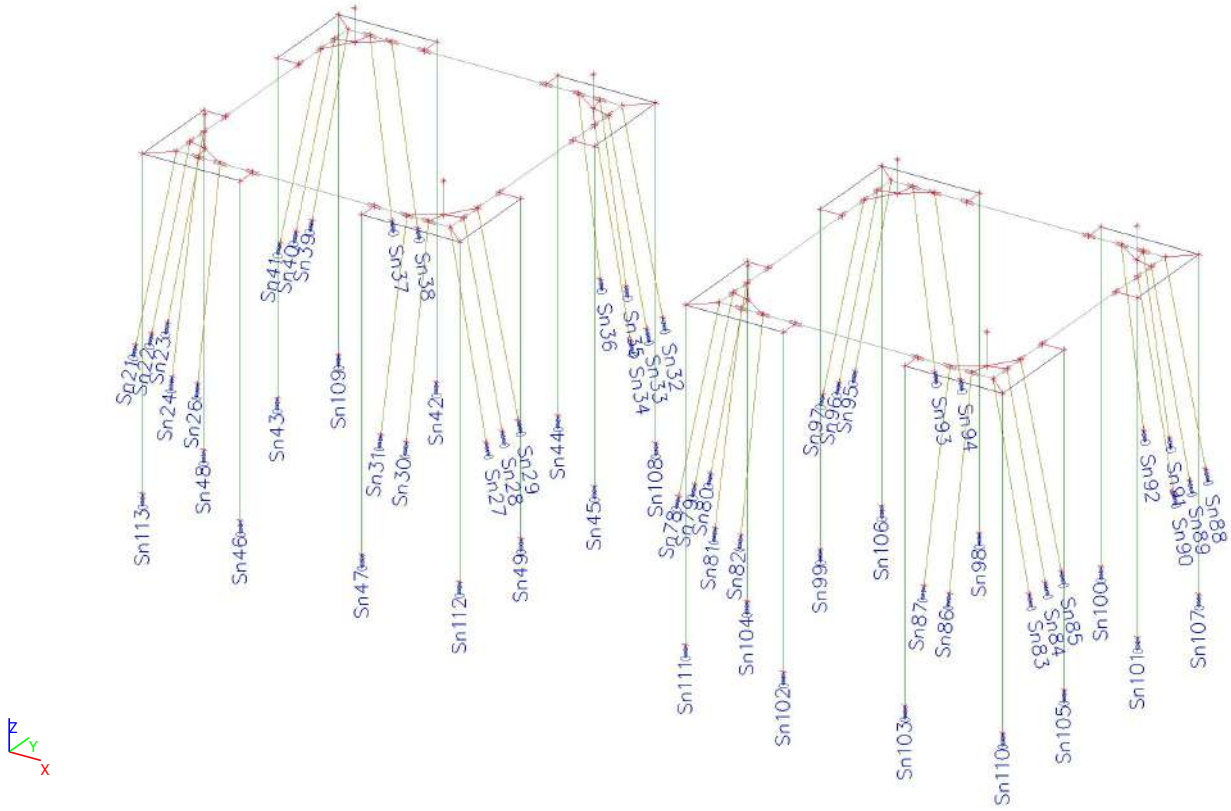


5.5. Knoopsteunpunten

Naam	Knoop	Systeem	Type	X	Y	Z	Rx	Ry	Rz	Hoek [deg]
Sn21	N44	LCS van knoop	Standaard	Vrij	Vrij	Niet-lineair	Vrij	Vrij	Vrij	Rx-1,12;Ry11,31
Sn22	N45	LCS van knoop	Standaard	Vrij	Vrij	Niet-lineair	Vrij	Vrij	Vrij	Ry11,31
Sn23	N46	LCS van knoop	Standaard	Vrij	Vrij	Niet-lineair	Vrij	Vrij	Vrij	Rx1,12;Ry11,31
Sn24	N47	LCS van knoop	Standaard	Vrij	Vrij	Niet-lineair	Vrij	Vrij	Vrij	Ry0,56;Rx-11,31
Sn26	N48	LCS van knoop	Standaard	Vrij	Vrij	Niet-lineair	Vrij	Vrij	Vrij	Ry-0,56;Rx-11,31
Sn27	N49	LCS van knoop	Standaard	Vrij	Vrij	Niet-lineair	Vrij	Vrij	Vrij	Rx-1,12;Ry-11,31
Sn28	N50	LCS van knoop	Standaard	Vrij	Vrij	Niet-lineair	Vrij	Vrij	Vrij	Ry-11,31
Sn29	N51	LCS van knoop	Standaard	Vrij	Vrij	Niet-lineair	Vrij	Vrij	Vrij	Rx1,12;Ry-11,31
Sn30	N52	LCS van knoop	Standaard	Vrij	Vrij	Niet-lineair	Vrij	Vrij	Vrij	Ry-0,56;Rx-11,31
Sn31	N53	LCS van knoop	Standaard	Vrij	Vrij	Niet-lineair	Vrij	Vrij	Vrij	Ry0,56;Rx-11,31

Naam	Knoop	Systeem	Type	X	Y	Z	Rx	Ry	Rz	Hoek [deg]
Sn32	N10	LCS van knoop	Standaard	Vrij	Vrij	Niet-lineair	Vrij	Vrij	Vrij	Rx1,12;Ry-11,31
Sn33	N11	LCS van knoop	Standaard	Vrij	Vrij	Niet-lineair	Vrij	Vrij	Vrij	Ry-11,31
Sn34	N12	LCS van knoop	Standaard	Vrij	Vrij	Niet-lineair	Vrij	Vrij	Vrij	Rx-1,12;Ry-11,31
Sn35	N13	LCS van knoop	Standaard	Vrij	Vrij	Niet-lineair	Vrij	Vrij	Vrij	Ry-0,56;Rx11,31
Sn36	N14	LCS van knoop	Standaard	Vrij	Vrij	Niet-lineair	Vrij	Vrij	Vrij	Ry0,56;Rx11,31
Sn37	N15	LCS van knoop	Standaard	Vrij	Vrij	Niet-lineair	Vrij	Vrij	Vrij	Ry0,56;Rx11,31
Sn38	N2	LCS van knoop	Standaard	Vrij	Vrij	Niet-lineair	Vrij	Vrij	Vrij	Ry-0,56;Rx11,31
Sn39	N3	LCS van knoop	Standaard	Vrij	Vrij	Niet-lineair	Vrij	Vrij	Vrij	Rx1,12;Ry11,31
Sn40	N4	LCS van knoop	Standaard	Vrij	Vrij	Niet-lineair	Vrij	Vrij	Vrij	Ry11,31
Sn41	N54	LCS van knoop	Standaard	Vrij	Vrij	Niet-lineair	Vrij	Vrij	Vrij	Rx-1,12;Ry11,31
Sn42	N60	LCS van knoop	Standaard	Vrij	Vrij	Niet-lineair	Vrij	Vrij	Vrij	
Sn43	N61	LCS van knoop	Standaard	Vrij	Vrij	Niet-lineair	Vrij	Vrij	Vrij	
Sn44	N75	LCS van knoop	Standaard	Vrij	Vrij	Niet-lineair	Vrij	Vrij	Vrij	
Sn45	N77	LCS van knoop	Standaard	Vrij	Vrij	Niet-lineair	Vrij	Vrij	Vrij	
Sn46	N80	LCS van knoop	Standaard	Vrij	Vrij	Niet-lineair	Vrij	Vrij	Vrij	
Sn47	N83	LCS van knoop	Standaard	Vrij	Vrij	Niet-lineair	Vrij	Vrij	Vrij	
Sn48	N85	LCS van knoop	Standaard	Vrij	Vrij	Niet-lineair	Vrij	Vrij	Vrij	
Sn49	N87	LCS van knoop	Standaard	Vrij	Vrij	Niet-lineair	Vrij	Vrij	Vrij	
Sn78	N190	LCS van knoop	Standaard	Vrij	Vrij	Niet-lineair	Vrij	Vrij	Vrij	Rx-1,12;Ry11,31
Sn79	N191	LCS van knoop	Standaard	Vrij	Vrij	Niet-lineair	Vrij	Vrij	Vrij	Ry11,31
Sn80	N192	LCS van knoop	Standaard	Vrij	Vrij	Niet-lineair	Vrij	Vrij	Vrij	Rx1,12;Ry11,31
Sn81	N193	LCS van knoop	Standaard	Vrij	Vrij	Niet-lineair	Vrij	Vrij	Vrij	Ry0,56;Rx-11,31
Sn82	N194	LCS van knoop	Standaard	Vrij	Vrij	Niet-lineair	Vrij	Vrij	Vrij	Ry-0,56;Rx-11,31
Sn83	N195	LCS van knoop	Standaard	Vrij	Vrij	Niet-lineair	Vrij	Vrij	Vrij	Rx-1,12;Ry-11,31
Sn84	N196	LCS van knoop	Standaard	Vrij	Vrij	Niet-lineair	Vrij	Vrij	Vrij	Ry-11,31
Sn85	N197	LCS van knoop	Standaard	Vrij	Vrij	Niet-lineair	Vrij	Vrij	Vrij	Rx1,12;Ry-11,31
Sn86	N198	LCS van knoop	Standaard	Vrij	Vrij	Niet-lineair	Vrij	Vrij	Vrij	Ry-0,56;Rx-11,31
Sn87	N199	LCS van knoop	Standaard	Vrij	Vrij	Niet-lineair	Vrij	Vrij	Vrij	Ry0,56;Rx-11,31
Sn88	N200	LCS van knoop	Standaard	Vrij	Vrij	Niet-lineair	Vrij	Vrij	Vrij	Rx1,12;Ry-11,31
Sn89	N201	LCS van knoop	Standaard	Vrij	Vrij	Niet-lineair	Vrij	Vrij	Vrij	Ry-11,31
Sn90	N202	LCS van knoop	Standaard	Vrij	Vrij	Niet-lineair	Vrij	Vrij	Vrij	Rx-1,12;Ry-11,31
Sn91	N203	LCS van knoop	Standaard	Vrij	Vrij	Niet-lineair	Vrij	Vrij	Vrij	Ry-0,56;Rx11,31
Sn92	N204	LCS van knoop	Standaard	Vrij	Vrij	Niet-lineair	Vrij	Vrij	Vrij	Ry0,56;Rx11,31
Sn93	N205	LCS van knoop	Standaard	Vrij	Vrij	Niet-lineair	Vrij	Vrij	Vrij	Ry0,56;Rx11,31
Sn94	N206	LCS van knoop	Standaard	Vrij	Vrij	Niet-lineair	Vrij	Vrij	Vrij	Ry-0,56;Rx11,31
Sn95	N207	LCS van knoop	Standaard	Vrij	Vrij	Niet-lineair	Vrij	Vrij	Vrij	Rx1,12;Ry11,31
Sn96	N208	LCS van knoop	Standaard	Vrij	Vrij	Niet-lineair	Vrij	Vrij	Vrij	Ry11,31
Sn97	N209	LCS van knoop	Standaard	Vrij	Vrij	Niet-lineair	Vrij	Vrij	Vrij	Rx-1,12;Ry11,31
Sn98	N215	LCS van knoop	Standaard	Vrij	Vrij	Niet-lineair	Vrij	Vrij	Vrij	
Sn99	N216	LCS van knoop	Standaard	Vrij	Vrij	Niet-lineair	Vrij	Vrij	Vrij	
Sn100	N227	LCS van knoop	Standaard	Vrij	Vrij	Niet-lineair	Vrij	Vrij	Vrij	
Sn101	N229	LCS van knoop	Standaard	Vrij	Vrij	Niet-lineair	Vrij	Vrij	Vrij	
Sn102	N232	LCS van knoop	Standaard	Vrij	Vrij	Niet-lineair	Vrij	Vrij	Vrij	
Sn103	N235	LCS van knoop	Standaard	Vrij	Vrij	Niet-lineair	Vrij	Vrij	Vrij	
Sn104	N237	LCS van knoop	Standaard	Vrij	Vrij	Niet-lineair	Vrij	Vrij	Vrij	
Sn105	N239	LCS van knoop	Standaard	Vrij	Vrij	Niet-lineair	Vrij	Vrij	Vrij	
Sn106	N240	LCS van knoop	Standaard	Vrij	Vrij	Niet-lineair	Vrij	Vrij	Vrij	
Sn107	N241	LCS van knoop	Standaard	Vrij	Vrij	Niet-lineair	Vrij	Vrij	Vrij	
Sn108	N242	LCS van knoop	Standaard	Vrij	Vrij	Niet-lineair	Vrij	Vrij	Vrij	
Sn109	N243	LCS van knoop	Standaard	Vrij	Vrij	Niet-lineair	Vrij	Vrij	Vrij	
Sn110	N244	LCS van knoop	Standaard	Vrij	Vrij	Niet-lineair	Vrij	Vrij	Vrij	
Sn111	N245	LCS van knoop	Standaard	Vrij	Vrij	Niet-lineair	Vrij	Vrij	Vrij	
Sn112	N246	LCS van knoop	Standaard	Vrij	Vrij	Niet-lineair	Vrij	Vrij	Vrij	
Sn113	N247	LCS van knoop	Standaard	Vrij	Vrij	Niet-lineair	Vrij	Vrij	Vrij	

5.6. Analyse model met Knoopondersteuningen



5.7. Lijnsteunpunten op staven

Naam	Type	Staaf	Pos x_1 [m] / Pos x_2 [m]	X	Y	Z	Rx	Ry	Rz	Functie Y	Functie Z
Veen84	Lijn	Paal_P_84	1,000 8,000	Vrij	Niet-lineair	Niet-lineair	Vrij	Vrij	Vrij	PY-curve-2_Veen.B	PY-curve-2_Veen.B
Veen29	Lijn	Paal_P_29	1,000 8,000	Vrij	Niet-lineair	Niet-lineair	Vrij	Vrij	Vrij	PY-curve-2_Veen.B	PY-curve-2_Veen.B
Veen79	Lijn	Paal_P_79	1,000 8,000	Vrij	Niet-lineair	Niet-lineair	Vrij	Vrij	Vrij	PY-curve-2_Veen.B	PY-curve-2_Veen.B
Veen77	Lijn	Paal_P_77	1,000 8,000	Vrij	Niet-lineair	Niet-lineair	Vrij	Vrij	Vrij	PY-curve-2_Veen	PY-curve-2_Veen
Veen83	Lijn	Paal_P_83	1,000 8,000	Vrij	Niet-lineair	Niet-lineair	Vrij	Vrij	Vrij	PY-curve-2_Veen.B	PY-curve-2_Veen.B
Veen26	Lijn	Paal_P_26	1,000 8,000	Vrij	Niet-lineair	Niet-lineair	Vrij	Vrij	Vrij	PY-curve-2_Veen.B	PY-curve-2_Veen.B
Veen22	Lijn	Paal_P_22	1,000 8,000	Vrij	Niet-lineair	Niet-lineair	Vrij	Vrij	Vrij	PY-curve-2_Veen.B	PY-curve-2_Veen.B
Veen5	Lijn	Paal_P_11	1,000 8,000	Vrij	Niet-lineair	Niet-lineair	Vrij	Vrij	Vrij	PY-curve-2_Veen	PY-curve-2_Veen
Veen16	Lijn	Paal_P_8	1,000 8,000	Vrij	Niet-lineair	Niet-lineair	Vrij	Vrij	Vrij	PY-curve-2_Veen	PY-curve-2_Veen
Veen73	Lijn	Paal_P_73	1,000 8,000	Vrij	Niet-lineair	Niet-lineair	Vrij	Vrij	Vrij	PY-curve-2_Veen	PY-curve-2_Veen
Veen13	Lijn	Paal_P_9	1,000 8,000	Vrij	Niet-lineair	Niet-lineair	Vrij	Vrij	Vrij	PY-curve-2_Veen	PY-curve-2_Veen
Veen10	Lijn	Paal_P_10	1,000 8,000	Vrij	Niet-lineair	Niet-lineair	Vrij	Vrij	Vrij	PY-curve-2_Veen	PY-curve-2_Veen
Veen71	Lijn	Paal_P_71	1,000 8,000	Vrij	Niet-lineair	Niet-lineair	Vrij	Vrij	Vrij	PY-curve-2_Veen	PY-curve-2_Veen
Veen58	Lijn	Paal_P_58	1,000	Vrij	Niet-lineair	Niet-lineair	Vrij	Vrij	Vrij	PY-curve-2_Veen	PY-curve-2_Veen

Naam	Type	Staaf	Pos x_1 [m] Pos x_2 [m]	X	Y	Z	Rx	Ry	Rz	Functie Y	Functie Z
			8,000								
Veen67	Lijn	Paal_P_67	1,000 8,000	Vrij	Niet-lineair	Niet-lineair	Vrij	Vrij	Vrij	PY-curve-2_Veen	PY-curve-2_Veen
Veen18	Lijn	Paal_P_4	1,000 8,000	Vrij	Niet-lineair	Niet-lineair	Vrij	Vrij	Vrij	PY-curve-2_Veen	PY-curve-2_Veen
Veen87	Lijn	Paal_P_87	1,000 8,000	Vrij	Niet-lineair	Niet-lineair	Vrij	Vrij	Vrij	PY-curve-2_Veen.B	PY-curve-2_Veen.B
Veen62	Lijn	Paal_P_62	1,000 8,000	Vrij	Niet-lineair	Niet-lineair	Vrij	Vrij	Vrij	PY-curve-2_Veen	PY-curve-2_Veen
Veen82	Lijn	Paal_P_82	1,000 8,000	Vrij	Niet-lineair	Niet-lineair	Vrij	Vrij	Vrij	PY-curve-2_Veen.B	PY-curve-2_Veen.B
Veen91	Lijn	Paal_P_91	1,000 8,000	Vrij	Niet-lineair	Niet-lineair	Vrij	Vrij	Vrij	PY-curve-2_Veen.B	PY-curve-2_Veen.B
Veen93	Lijn	Paal_P_93	1,000 8,000	Vrij	Niet-lineair	Niet-lineair	Vrij	Vrij	Vrij	PY-curve-2_Veen.B	PY-curve-2_Veen.B
Veen4	Lijn	Paal_P_3	1,000 8,000	Vrij	Niet-lineair	Niet-lineair	Vrij	Vrij	Vrij	PY-curve-2_Veen	PY-curve-2_Veen
Veen	Lijn	Paal_P_1	1,000 8,000	Vrij	Niet-lineair	Niet-lineair	Vrij	Vrij	Vrij	PY-curve-2_Veen	PY-curve-2_Veen
Veen20	Lijn	Paal_P_16	1,000 8,000	Vrij	Niet-lineair	Niet-lineair	Vrij	Vrij	Vrij	PY-curve-2_Veen	PY-curve-2_Veen
Veen7	Lijn	Paal_P_12	1,000 8,000	Vrij	Niet-lineair	Niet-lineair	Vrij	Vrij	Vrij	PY-curve-2_Veen	PY-curve-2_Veen
Veen19	Lijn	Paal_P_17	1,000 8,000	Vrij	Niet-lineair	Niet-lineair	Vrij	Vrij	Vrij	PY-curve-2_Veen	PY-curve-2_Veen
Veen11	Lijn	Paal_P_18	1,000 8,000	Vrij	Niet-lineair	Niet-lineair	Vrij	Vrij	Vrij	PY-curve-2_Veen	PY-curve-2_Veen
Veen92	Lijn	Paal_P_92	1,000 8,000	Vrij	Niet-lineair	Niet-lineair	Vrij	Vrij	Vrij	PY-curve-2_Veen.B	PY-curve-2_Veen.B
Veen89	Lijn	Paal_P_89	1,000 8,000	Vrij	Niet-lineair	Niet-lineair	Vrij	Vrij	Vrij	PY-curve-2_Veen.B	PY-curve-2_Veen.B
Veen70	Lijn	Paal_P_70	1,000 8,000	Vrij	Niet-lineair	Niet-lineair	Vrij	Vrij	Vrij	PY-curve-2_Veen	PY-curve-2_Veen
Veen9	Lijn	Paal_P_6	1,000 8,000	Vrij	Niet-lineair	Niet-lineair	Vrij	Vrij	Vrij	PY-curve-2_Veen	PY-curve-2_Veen
Veen12	Lijn	Paal_P_21	1,000 8,000	Vrij	Niet-lineair	Niet-lineair	Vrij	Vrij	Vrij	PY-curve-2_Veen	PY-curve-2_Veen
Veen27	Lijn	Paal_P_27	1,000 8,000	Vrij	Niet-lineair	Niet-lineair	Vrij	Vrij	Vrij	PY-curve-2_Veen.B	PY-curve-2_Veen.B
Veen66	Lijn	Paal_P_66	1,000 8,000	Vrij	Niet-lineair	Niet-lineair	Vrij	Vrij	Vrij	PY-curve-2_Veen	PY-curve-2_Veen
Veen85	Lijn	Paal_P_85	1,000 8,000	Vrij	Niet-lineair	Niet-lineair	Vrij	Vrij	Vrij	PY-curve-2_Veen.B	PY-curve-2_Veen.B
Veen28	Lijn	Paal_P_28	1,000 8,000	Vrij	Niet-lineair	Niet-lineair	Vrij	Vrij	Vrij	PY-curve-2_Veen.B	PY-curve-2_Veen.B
Veen63	Lijn	Paal_P_63	1,000 8,000	Vrij	Niet-lineair	Niet-lineair	Vrij	Vrij	Vrij	PY-curve-2_Veen	PY-curve-2_Veen
Veen23	Lijn	Paal_P_23	1,000 8,000	Vrij	Niet-lineair	Niet-lineair	Vrij	Vrij	Vrij	PY-curve-2_Veen.B	PY-curve-2_Veen.B
Veen59	Lijn	Paal_P_59	1,000 8,000	Vrij	Niet-lineair	Niet-lineair	Vrij	Vrij	Vrij	PY-curve-2_Veen	PY-curve-2_Veen
Veen88	Lijn	Paal_P_88	1,000 8,000	Vrij	Niet-lineair	Niet-lineair	Vrij	Vrij	Vrij	PY-curve-2_Veen.B	PY-curve-2_Veen.B
Veen8	Lijn	Paal_P_7	1,000 8,000	Vrij	Niet-lineair	Niet-lineair	Vrij	Vrij	Vrij	PY-curve-2_Veen	PY-curve-2_Veen
Veen74	Lijn	Paal_P_74	1,000 8,000	Vrij	Niet-lineair	Niet-lineair	Vrij	Vrij	Vrij	PY-curve-2_Veen	PY-curve-2_Veen
Veen24	Lijn	Paal_P_24	1,000 8,000	Vrij	Niet-lineair	Niet-lineair	Vrij	Vrij	Vrij	PY-curve-2_Veen.B	PY-curve-2_Veen.B
Veen78	Lijn	Paal_P_78	1,000 8,000	Vrij	Niet-lineair	Niet-lineair	Vrij	Vrij	Vrij	PY-curve-2_Veen.B	PY-curve-2_Veen.B
Veen15	Lijn	Paal_P_20	1,000 8,000	Vrij	Niet-lineair	Niet-lineair	Vrij	Vrij	Vrij	PY-curve-2_Veen	PY-curve-2_Veen
Veen21	Lijn	Paal_P_13	1,000	Vrij	Niet-lineair	Niet-lineair	Vrij	Vrij	Vrij	PY-curve-2_Veen	PY-curve-2_Veen

Naam	Type	Staaf	Pos x_1 [m] Pos x_2 [m]	X	Y	Z	Rx	Ry	Rz	Functie Y	Functie Z
			8,000								
Veen69	Lijn	Paal_P_69	1,000 8,000	Vrij	Niet-lineair	Niet-lineair	Vrij	Vrij	Vrij	PY-curve-2_Veen	PY-curve-2_Veen
Veen80	Lijn	Paal_P_80	1,000 8,000	Vrij	Niet-lineair	Niet-lineair	Vrij	Vrij	Vrij	PY-curve-2_Veen.B	PY-curve-2_Veen.B
Veen25	Lijn	Paal_P_25	1,000 8,000	Vrij	Niet-lineair	Niet-lineair	Vrij	Vrij	Vrij	PY-curve-2_Veen.B	PY-curve-2_Veen.B
Veen61	Lijn	Paal_P_61	1,000 8,000	Vrij	Niet-lineair	Niet-lineair	Vrij	Vrij	Vrij	PY-curve-2_Veen	PY-curve-2_Veen
Veen75	Lijn	Paal_P_75	1,000 8,000	Vrij	Niet-lineair	Niet-lineair	Vrij	Vrij	Vrij	PY-curve-2_Veen	PY-curve-2_Veen
Veen86	Lijn	Paal_P_86	1,000 8,000	Vrij	Niet-lineair	Niet-lineair	Vrij	Vrij	Vrij	PY-curve-2_Veen.B	PY-curve-2_Veen.B
Veen60	Lijn	Paal_P_60	1,000 8,000	Vrij	Niet-lineair	Niet-lineair	Vrij	Vrij	Vrij	PY-curve-2_Veen	PY-curve-2_Veen
Veen6	Lijn	Paal_P_14	1,000 8,000	Vrij	Niet-lineair	Niet-lineair	Vrij	Vrij	Vrij	PY-curve-2_Veen	PY-curve-2_Veen
Veen64	Lijn	Paal_P_64	1,000 8,000	Vrij	Niet-lineair	Niet-lineair	Vrij	Vrij	Vrij	PY-curve-2_Veen	PY-curve-2_Veen
Veen76	Lijn	Paal_P_76	1,000 8,000	Vrij	Niet-lineair	Niet-lineair	Vrij	Vrij	Vrij	PY-curve-2_Veen	PY-curve-2_Veen
Veen14	Lijn	Paal_P_15	1,000 8,000	Vrij	Niet-lineair	Niet-lineair	Vrij	Vrij	Vrij	PY-curve-2_Veen	PY-curve-2_Veen
Veen81	Lijn	Paal_P_81	1,000 8,000	Vrij	Niet-lineair	Niet-lineair	Vrij	Vrij	Vrij	PY-curve-2_Veen.B	PY-curve-2_Veen.B
Veen17	Lijn	Paal_P_19	1,000 8,000	Vrij	Niet-lineair	Niet-lineair	Vrij	Vrij	Vrij	PY-curve-2_Veen	PY-curve-2_Veen
Veen68	Lijn	Paal_P_68	1,000 8,000	Vrij	Niet-lineair	Niet-lineair	Vrij	Vrij	Vrij	PY-curve-2_Veen	PY-curve-2_Veen
Veen72	Lijn	Paal_P_72	1,000 8,000	Vrij	Niet-lineair	Niet-lineair	Vrij	Vrij	Vrij	PY-curve-2_Veen	PY-curve-2_Veen
Veen3	Lijn	Paal_P_2	1,000 8,000	Vrij	Niet-lineair	Niet-lineair	Vrij	Vrij	Vrij	PY-curve-2_Veen	PY-curve-2_Veen
Veen65	Lijn	Paal_P_65	1,000 8,000	Vrij	Niet-lineair	Niet-lineair	Vrij	Vrij	Vrij	PY-curve-2_Veen	PY-curve-2_Veen
Veen90	Lijn	Paal_P_90	1,000 8,000	Vrij	Niet-lineair	Niet-lineair	Vrij	Vrij	Vrij	PY-curve-2_Veen.B	PY-curve-2_Veen.B
(PY-curve-2_V1)14	Lijn	Paal_P_16	8,000 8,750	Vrij	Niet-lineair	Niet-lineair	Vrij	Vrij	Vrij	PY-curve-2_V1	PY-curve-2_V1
(PY-curve-2_V1)6	Lijn	Paal_P_8	8,000 8,750	Vrij	Niet-lineair	Niet-lineair	Vrij	Vrij	Vrij	PY-curve-2_V1	PY-curve-2_V1
(PY-curve-2_V1)13	Lijn	Paal_P_15	8,000 8,750	Vrij	Niet-lineair	Niet-lineair	Vrij	Vrij	Vrij	PY-curve-2_V1	PY-curve-2_V1
(PY-curve-2_V1)39	Lijn	Paal_P_77	8,000 8,750	Vrij	Niet-lineair	Niet-lineair	Vrij	Vrij	Vrij	PY-curve-2_V1	PY-curve-2_V1
(PY-curve-2_V1)38	Lijn	Paal_P_76	8,000 8,750	Vrij	Niet-lineair	Niet-lineair	Vrij	Vrij	Vrij	PY-curve-2_V1	PY-curve-2_V1
(PY-curve-2_V1)37	Lijn	Paal_P_75	8,000 8,750	Vrij	Niet-lineair	Niet-lineair	Vrij	Vrij	Vrij	PY-curve-2_V1	PY-curve-2_V1
(PY-curve-2_V1)36	Lijn	Paal_P_74	8,000 8,750	Vrij	Niet-lineair	Niet-lineair	Vrij	Vrij	Vrij	PY-curve-2_V1	PY-curve-2_V1
(PY-curve-2_V1)12	Lijn	Paal_P_14	8,000 8,750	Vrij	Niet-lineair	Niet-lineair	Vrij	Vrij	Vrij	PY-curve-2_V1	PY-curve-2_V1
(PY-curve-2_V1)35	Lijn	Paal_P_73	8,000 8,750	Vrij	Niet-lineair	Niet-lineair	Vrij	Vrij	Vrij	PY-curve-2_V1	PY-curve-2_V1
(PY-curve-2_V1)34	Lijn	Paal_P_72	8,000 8,750	Vrij	Niet-lineair	Niet-lineair	Vrij	Vrij	Vrij	PY-curve-2_V1	PY-curve-2_V1
(PY-curve-2_V1)2	Lijn	Paal_P_1	8,000 8,750	Vrij	Niet-lineair	Niet-lineair	Vrij	Vrij	Vrij	PY-curve-2_V1	PY-curve-2_V1
(PY-curve-2_V1)33	Lijn	Paal_P_71	8,000 8,750	Vrij	Niet-lineair	Niet-lineair	Vrij	Vrij	Vrij	PY-curve-2_V1	PY-curve-2_V1
(PY-curve-2_V1)32	Lijn	Paal_P_70	8,000 8,750	Vrij	Niet-lineair	Niet-lineair	Vrij	Vrij	Vrij	PY-curve-2_V1	PY-curve-2_V1
(PY-curve-2_V1)5	Lijn	Paal_P_7	8,000	Vrij	Niet-lineair	Niet-lineair	Vrij	Vrij	Vrij	PY-curve-2_V1	PY-curve-2_V1

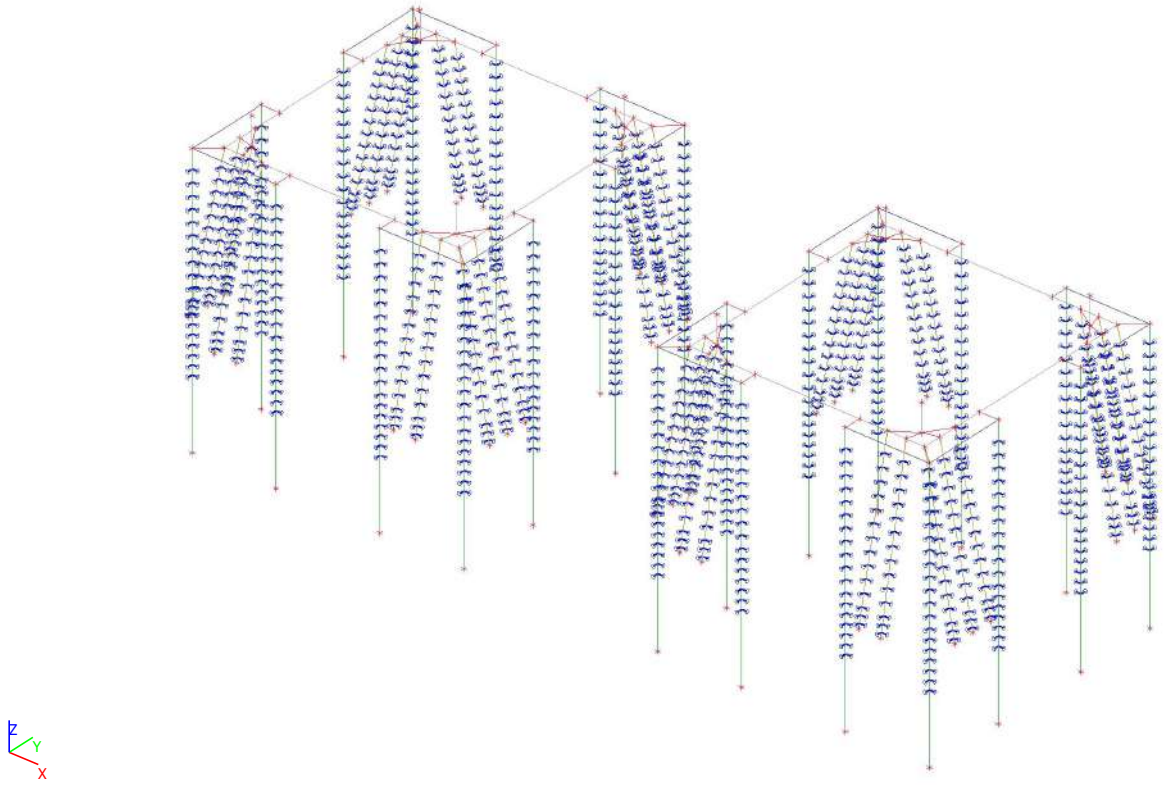
Naam	Type	Staaf	Pos x_1 [m] Pos x_2 [m]	X	Y	Z	Rx	Ry	Rz	Functie Y	Functie Z
			8,750								
(PY-curve-2_V1)11	Lijn	Paal_P_13	8,000 8,750	Vrij	Niet-lineair	Niet-lineair	Vrij	Vrij	Vrij	PY-curve-2_V1	PY-curve-2_V1
(PY-curve-2_V1)31	Lijn	Paal_P_69	8,000 8,750	Vrij	Niet-lineair	Niet-lineair	Vrij	Vrij	Vrij	PY-curve-2_V1	PY-curve-2_V1
(PY-curve-2_V1)30	Lijn	Paal_P_68	8,000 8,750	Vrij	Niet-lineair	Niet-lineair	Vrij	Vrij	Vrij	PY-curve-2_V1	PY-curve-2_V1
(PY-curve-2_V1)29	Lijn	Paal_P_67	8,000 8,750	Vrij	Niet-lineair	Niet-lineair	Vrij	Vrij	Vrij	PY-curve-2_V1	PY-curve-2_V1
(PY-curve-2_V1)28	Lijn	Paal_P_66	8,000 8,750	Vrij	Niet-lineair	Niet-lineair	Vrij	Vrij	Vrij	PY-curve-2_V1	PY-curve-2_V1
(PY-curve-2_V1)10	Lijn	Paal_P_12	8,000 8,750	Vrij	Niet-lineair	Niet-lineair	Vrij	Vrij	Vrij	PY-curve-2_V1	PY-curve-2_V1
(PY-curve-2_V1)27	Lijn	Paal_P_65	8,000 8,750	Vrij	Niet-lineair	Niet-lineair	Vrij	Vrij	Vrij	PY-curve-2_V1	PY-curve-2_V1
(PY-curve-2_V1)4	Lijn	Paal_P_6	8,000 8,750	Vrij	Niet-lineair	Niet-lineair	Vrij	Vrij	Vrij	PY-curve-2_V1	PY-curve-2_V1
(PY-curve-2_V1)24	Lijn	Paal_P_62	8,000 8,750	Vrij	Niet-lineair	Niet-lineair	Vrij	Vrij	Vrij	PY-curve-2_V1	PY-curve-2_V1
(PY-curve-2_V1)9	Lijn	Paal_P_11	8,000 8,750	Vrij	Niet-lineair	Niet-lineair	Vrij	Vrij	Vrij	PY-curve-2_V1	PY-curve-2_V1
(PY-curve-2_V1)19	Lijn	Paal_P_21	8,000 8,750	Vrij	Niet-lineair	Niet-lineair	Vrij	Vrij	Vrij	PY-curve-2_V1	PY-curve-2_V1
(PY-curve-2_V1)23	Lijn	Paal_P_61	8,000 8,750	Vrij	Niet-lineair	Niet-lineair	Vrij	Vrij	Vrij	PY-curve-2_V1	PY-curve-2_V1
(PY-curve-2_V1)22	Lijn	Paal_P_60	8,000 8,750	Vrij	Niet-lineair	Niet-lineair	Vrij	Vrij	Vrij	PY-curve-2_V1	PY-curve-2_V1
(PY-curve-2_V1)21	Lijn	Paal_P_59	8,000 8,750	Vrij	Niet-lineair	Niet-lineair	Vrij	Vrij	Vrij	PY-curve-2_V1	PY-curve-2_V1
(PY-curve-2_V1)20	Lijn	Paal_P_58	8,000 8,750	Vrij	Niet-lineair	Niet-lineair	Vrij	Vrij	Vrij	PY-curve-2_V1	PY-curve-2_V1
(PY-curve-2_V1)1	Lijn	Paal_P_2	8,000 8,750	Vrij	Niet-lineair	Niet-lineair	Vrij	Vrij	Vrij	PY-curve-2_V1	PY-curve-2_V1
(PY-curve-2_V1)26	Lijn	Paal_P_64	8,000 8,750	Vrij	Niet-lineair	Niet-lineair	Vrij	Vrij	Vrij	PY-curve-2_V1	PY-curve-2_V1
(PY-curve-2_V1)8	Lijn	Paal_P_10	8,000 8,750	Vrij	Niet-lineair	Niet-lineair	Vrij	Vrij	Vrij	PY-curve-2_V1	PY-curve-2_V1
(PY-curve-2_V1)17	Lijn	Paal_P_19	8,000 8,750	Vrij	Niet-lineair	Niet-lineair	Vrij	Vrij	Vrij	PY-curve-2_V1	PY-curve-2_V1
(PY-curve-2_V1)18	Lijn	Paal_P_20	8,000 8,750	Vrij	Niet-lineair	Niet-lineair	Vrij	Vrij	Vrij	PY-curve-2_V1	PY-curve-2_V1
(PY-curve-2_V1)16	Lijn	Paal_P_18	8,000 8,750	Vrij	Niet-lineair	Niet-lineair	Vrij	Vrij	Vrij	PY-curve-2_V1	PY-curve-2_V1
(PY-curve-2_V1)	Lijn	Paal_P_3	8,000 8,750	Vrij	Niet-lineair	Niet-lineair	Vrij	Vrij	Vrij	PY-curve-2_V1	PY-curve-2_V1
(PY-curve-2_V1)25	Lijn	Paal_P_63	8,000 8,750	Vrij	Niet-lineair	Niet-lineair	Vrij	Vrij	Vrij	PY-curve-2_V1	PY-curve-2_V1
(PY-curve-2_V1)3	Lijn	Paal_P_4	8,000 8,750	Vrij	Niet-lineair	Niet-lineair	Vrij	Vrij	Vrij	PY-curve-2_V1	PY-curve-2_V1
(PY-curve-2_V1)7	Lijn	Paal_P_9	8,000 8,750	Vrij	Niet-lineair	Niet-lineair	Vrij	Vrij	Vrij	PY-curve-2_V1	PY-curve-2_V1
(PY-curve-2_V1)15	Lijn	Paal_P_17	8,000 8,750	Vrij	Niet-lineair	Niet-lineair	Vrij	Vrij	Vrij	PY-curve-2_V1	PY-curve-2_V1
(PY-curve-2_V1)51	Lijn	Paal_P_81	8,000 9,000	Vrij	Niet-lineair	Niet-lineair	Vrij	Vrij	Vrij	PY-curve-2_V1.B	PY-curve-2_V1.B
(PY-curve-2_V1)45	Lijn	Paal_P_27	8,000 9,000	Vrij	Niet-lineair	Niet-lineair	Vrij	Vrij	Vrij	PY-curve-2_V1.B	PY-curve-2_V1.B
(PY-curve-2_V1)50	Lijn	Paal_P_80	8,000 9,000	Vrij	Niet-lineair	Niet-lineair	Vrij	Vrij	Vrij	PY-curve-2_V1.B	PY-curve-2_V1.B
(PY-curve-2_V1)49	Lijn	Paal_P_79	8,000 9,000	Vrij	Niet-lineair	Niet-lineair	Vrij	Vrij	Vrij	PY-curve-2_V1.B	PY-curve-2_V1.B
(PY-curve-2_V1)44	Lijn	Paal_P_26	8,000 9,000	Vrij	Niet-lineair	Niet-lineair	Vrij	Vrij	Vrij	PY-curve-2_V1.B	PY-curve-2_V1.B
(PY-curve-2_V1)48	Lijn	Paal_P_78	8,000	Vrij	Niet-lineair	Niet-lineair	Vrij	Vrij	Vrij	PY-curve-2_V1.B	PY-curve-2_V1.B

Naam	Type	Staaf	Pos x_1 [m] Pos x_2 [m]	X	Y	Z	Rx	Ry	Rz	Functie Y	Functie Z
			9,000								
(PY-curve-2_V1)43	Lijn	Paal_P_25	8,000 9,000	Vrij	Niet-lineair	Niet-lineair	Vrij	Vrij	Vrij	PY-curve-2_V1.B	PY-curve-2_V1.B
(PY-curve-2_V1)42	Lijn	Paal_P_24	8,000 9,000	Vrij	Niet-lineair	Niet-lineair	Vrij	Vrij	Vrij	PY-curve-2_V1.B	PY-curve-2_V1.B
(PY-curve-2_V1)41	Lijn	Paal_P_23	8,000 9,000	Vrij	Niet-lineair	Niet-lineair	Vrij	Vrij	Vrij	PY-curve-2_V1.B	PY-curve-2_V1.B
(PY-curve-2_V1)62	Lijn	Paal_P_92	8,000 9,000	Vrij	Niet-lineair	Niet-lineair	Vrij	Vrij	Vrij	PY-curve-2_V1.B	PY-curve-2_V1.B
(PY-curve-2_V1)40	Lijn	Paal_P_22	8,000 9,000	Vrij	Niet-lineair	Niet-lineair	Vrij	Vrij	Vrij	PY-curve-2_V1.B	PY-curve-2_V1.B
(PY-curve-2_V1)61	Lijn	Paal_P_91	8,000 9,000	Vrij	Niet-lineair	Niet-lineair	Vrij	Vrij	Vrij	PY-curve-2_V1.B	PY-curve-2_V1.B
(PY-curve-2_V1)60	Lijn	Paal_P_90	8,000 9,000	Vrij	Niet-lineair	Niet-lineair	Vrij	Vrij	Vrij	PY-curve-2_V1.B	PY-curve-2_V1.B
(PY-curve-2_V1)59	Lijn	Paal_P_89	8,000 9,000	Vrij	Niet-lineair	Niet-lineair	Vrij	Vrij	Vrij	PY-curve-2_V1.B	PY-curve-2_V1.B
(PY-curve-2_V1)58	Lijn	Paal_P_88	8,000 9,000	Vrij	Niet-lineair	Niet-lineair	Vrij	Vrij	Vrij	PY-curve-2_V1.B	PY-curve-2_V1.B
(PY-curve-2_V1)57	Lijn	Paal_P_87	8,000 9,000	Vrij	Niet-lineair	Niet-lineair	Vrij	Vrij	Vrij	PY-curve-2_V1.B	PY-curve-2_V1.B
(PY-curve-2_V1)56	Lijn	Paal_P_86	8,000 9,000	Vrij	Niet-lineair	Niet-lineair	Vrij	Vrij	Vrij	PY-curve-2_V1.B	PY-curve-2_V1.B
(PY-curve-2_V1)55	Lijn	Paal_P_85	8,000 9,000	Vrij	Niet-lineair	Niet-lineair	Vrij	Vrij	Vrij	PY-curve-2_V1.B	PY-curve-2_V1.B
(PY-curve-2_V1)47	Lijn	Paal_P_29	8,000 9,000	Vrij	Niet-lineair	Niet-lineair	Vrij	Vrij	Vrij	PY-curve-2_V1.B	PY-curve-2_V1.B
(PY-curve-2_V1)54	Lijn	Paal_P_84	8,000 9,000	Vrij	Niet-lineair	Niet-lineair	Vrij	Vrij	Vrij	PY-curve-2_V1.B	PY-curve-2_V1.B
(PY-curve-2_V1)63	Lijn	Paal_P_93	8,000 9,000	Vrij	Niet-lineair	Niet-lineair	Vrij	Vrij	Vrij	PY-curve-2_V1.B	PY-curve-2_V1.B
(PY-curve-2_V1)53	Lijn	Paal_P_83	8,000 9,000	Vrij	Niet-lineair	Niet-lineair	Vrij	Vrij	Vrij	PY-curve-2_V1.B	PY-curve-2_V1.B
(PY-curve-2_V1)46	Lijn	Paal_P_28	8,000 9,000	Vrij	Niet-lineair	Niet-lineair	Vrij	Vrij	Vrij	PY-curve-2_V1.B	PY-curve-2_V1.B
(PY-curve-2_V1)52	Lijn	Paal_P_82	8,000 9,000	Vrij	Niet-lineair	Niet-lineair	Vrij	Vrij	Vrij	PY-curve-2_V1.B	PY-curve-2_V1.B
(PY-curve-2_V2)5	Lijn	Paal_P_27	9,000 10,000	Vrij	Niet-lineair	Niet-lineair	Vrij	Vrij	Vrij	PY-curve-2_V2.B	PY-curve-2_V2.B
(PY-curve-2_V2)11	Lijn	Paal_P_81	9,000 10,000	Vrij	Niet-lineair	Niet-lineair	Vrij	Vrij	Vrij	PY-curve-2_V2.B	PY-curve-2_V2.B
(PY-curve-2_V2)10	Lijn	Paal_P_80	9,000 10,000	Vrij	Niet-lineair	Niet-lineair	Vrij	Vrij	Vrij	PY-curve-2_V2.B	PY-curve-2_V2.B
(PY-curve-2_V2)4	Lijn	Paal_P_26	9,000 10,000	Vrij	Niet-lineair	Niet-lineair	Vrij	Vrij	Vrij	PY-curve-2_V2.B	PY-curve-2_V2.B
(PY-curve-2_V2)9	Lijn	Paal_P_79	9,000 10,000	Vrij	Niet-lineair	Niet-lineair	Vrij	Vrij	Vrij	PY-curve-2_V2.B	PY-curve-2_V2.B
(PY-curve-2_V2)8	Lijn	Paal_P_78	9,000 10,000	Vrij	Niet-lineair	Niet-lineair	Vrij	Vrij	Vrij	PY-curve-2_V2.B	PY-curve-2_V2.B
(PY-curve-2_V2)3	Lijn	Paal_P_25	9,000 10,000	Vrij	Niet-lineair	Niet-lineair	Vrij	Vrij	Vrij	PY-curve-2_V2.B	PY-curve-2_V2.B
(PY-curve-2_V2)2	Lijn	Paal_P_24	9,000 10,000	Vrij	Niet-lineair	Niet-lineair	Vrij	Vrij	Vrij	PY-curve-2_V2.B	PY-curve-2_V2.B
(PY-curve-2_V2)1	Lijn	Paal_P_23	9,000 10,000	Vrij	Niet-lineair	Niet-lineair	Vrij	Vrij	Vrij	PY-curve-2_V2.B	PY-curve-2_V2.B
(PY-curve-2_V2)23	Lijn	Paal_P_93	9,000 10,000	Vrij	Niet-lineair	Niet-lineair	Vrij	Vrij	Vrij	PY-curve-2_V2.B	PY-curve-2_V2.B
(PY-curve-2_V2)	Lijn	Paal_P_22	9,000 10,000	Vrij	Niet-lineair	Niet-lineair	Vrij	Vrij	Vrij	PY-curve-2_V2.B	PY-curve-2_V2.B
(PY-curve-2_V2)22	Lijn	Paal_P_92	9,000 10,000	Vrij	Niet-lineair	Niet-lineair	Vrij	Vrij	Vrij	PY-curve-2_V2.B	PY-curve-2_V2.B
(PY-curve-2_V2)21	Lijn	Paal_P_91	9,000 10,000	Vrij	Niet-lineair	Niet-lineair	Vrij	Vrij	Vrij	PY-curve-2_V2.B	PY-curve-2_V2.B
(PY-curve-2_V2)20	Lijn	Paal_P_90	9,000	Vrij	Niet-lineair	Niet-lineair	Vrij	Vrij	Vrij	PY-curve-2_V2.B	PY-curve-2_V2.B

Naam	Type	Staaf	Pos x_1 [m] Pos x_2 [m]	X	Y	Z	Rx	Ry	Rz	Functie Y	Functie Z
			10,000								
(PY-curve-2_V2)19	Lijn	Paal_P_89	9,000 10,000	Vrij	Niet-lineair	Niet-lineair	Vrij	Vrij	Vrij	PY-curve-2_V2.B	PY-curve-2_V2.B
(PY-curve-2_V2)18	Lijn	Paal_P_88	9,000 10,000	Vrij	Niet-lineair	Niet-lineair	Vrij	Vrij	Vrij	PY-curve-2_V2.B	PY-curve-2_V2.B
(PY-curve-2_V2)17	Lijn	Paal_P_87	9,000 10,000	Vrij	Niet-lineair	Niet-lineair	Vrij	Vrij	Vrij	PY-curve-2_V2.B	PY-curve-2_V2.B
(PY-curve-2_V2)16	Lijn	Paal_P_86	9,000 10,000	Vrij	Niet-lineair	Niet-lineair	Vrij	Vrij	Vrij	PY-curve-2_V2.B	PY-curve-2_V2.B
(PY-curve-2_V2)7	Lijn	Paal_P_29	9,000 10,000	Vrij	Niet-lineair	Niet-lineair	Vrij	Vrij	Vrij	PY-curve-2_V2.B	PY-curve-2_V2.B
(PY-curve-2_V2)15	Lijn	Paal_P_85	9,000 10,000	Vrij	Niet-lineair	Niet-lineair	Vrij	Vrij	Vrij	PY-curve-2_V2.B	PY-curve-2_V2.B
(PY-curve-2_V2)14	Lijn	Paal_P_84	9,000 10,000	Vrij	Niet-lineair	Niet-lineair	Vrij	Vrij	Vrij	PY-curve-2_V2.B	PY-curve-2_V2.B
(PY-curve-2_V2)6	Lijn	Paal_P_28	9,000 10,000	Vrij	Niet-lineair	Niet-lineair	Vrij	Vrij	Vrij	PY-curve-2_V2.B	PY-curve-2_V2.B
(PY-curve-2_V2)13	Lijn	Paal_P_83	9,000 10,000	Vrij	Niet-lineair	Niet-lineair	Vrij	Vrij	Vrij	PY-curve-2_V2.B	PY-curve-2_V2.B
(PY-curve-2_V2)12	Lijn	Paal_P_82	9,000 10,000	Vrij	Niet-lineair	Niet-lineair	Vrij	Vrij	Vrij	PY-curve-2_V2.B	PY-curve-2_V2.B
(PY-curve-2_V3)10	Lijn	Paal_P_80	10,000 11,000	Vrij	Niet-lineair	Niet-lineair	Vrij	Vrij	Vrij	PY-curve-2_V3.B	PY-curve-2_V3.B
(PY-curve-2_V3)4	Lijn	Paal_P_26	10,000 11,000	Vrij	Niet-lineair	Niet-lineair	Vrij	Vrij	Vrij	PY-curve-2_V3.B	PY-curve-2_V3.B
(PY-curve-2_V3)9	Lijn	Paal_P_79	10,000 11,000	Vrij	Niet-lineair	Niet-lineair	Vrij	Vrij	Vrij	PY-curve-2_V3.B	PY-curve-2_V3.B
(PY-curve-2_V3)8	Lijn	Paal_P_78	10,000 11,000	Vrij	Niet-lineair	Niet-lineair	Vrij	Vrij	Vrij	PY-curve-2_V3.B	PY-curve-2_V3.B
(PY-curve-2_V3)3	Lijn	Paal_P_25	10,000 11,000	Vrij	Niet-lineair	Niet-lineair	Vrij	Vrij	Vrij	PY-curve-2_V3.B	PY-curve-2_V3.B
(PY-curve-2_V3)2	Lijn	Paal_P_24	10,000 11,000	Vrij	Niet-lineair	Niet-lineair	Vrij	Vrij	Vrij	PY-curve-2_V3.B	PY-curve-2_V3.B
(PY-curve-2_V3)1	Lijn	Paal_P_23	10,000 11,000	Vrij	Niet-lineair	Niet-lineair	Vrij	Vrij	Vrij	PY-curve-2_V3.B	PY-curve-2_V3.B
(PY-curve-2_V3)	Lijn	Paal_P_22	10,000 11,000	Vrij	Niet-lineair	Niet-lineair	Vrij	Vrij	Vrij	PY-curve-2_V3.B	PY-curve-2_V3.B
(PY-curve-2_V3)23	Lijn	Paal_P_93	10,000 11,000	Vrij	Niet-lineair	Niet-lineair	Vrij	Vrij	Vrij	PY-curve-2_V3.B	PY-curve-2_V3.B
(PY-curve-2_V3)22	Lijn	Paal_P_92	10,000 11,000	Vrij	Niet-lineair	Niet-lineair	Vrij	Vrij	Vrij	PY-curve-2_V3.B	PY-curve-2_V3.B
(PY-curve-2_V3)21	Lijn	Paal_P_91	10,000 11,000	Vrij	Niet-lineair	Niet-lineair	Vrij	Vrij	Vrij	PY-curve-2_V3.B	PY-curve-2_V3.B
(PY-curve-2_V3)20	Lijn	Paal_P_90	10,000 11,000	Vrij	Niet-lineair	Niet-lineair	Vrij	Vrij	Vrij	PY-curve-2_V3.B	PY-curve-2_V3.B
(PY-curve-2_V3)19	Lijn	Paal_P_89	10,000 11,000	Vrij	Niet-lineair	Niet-lineair	Vrij	Vrij	Vrij	PY-curve-2_V3.B	PY-curve-2_V3.B
(PY-curve-2_V3)18	Lijn	Paal_P_88	10,000 11,000	Vrij	Niet-lineair	Niet-lineair	Vrij	Vrij	Vrij	PY-curve-2_V3.B	PY-curve-2_V3.B
(PY-curve-2_V3)17	Lijn	Paal_P_87	10,000 11,000	Vrij	Niet-lineair	Niet-lineair	Vrij	Vrij	Vrij	PY-curve-2_V3.B	PY-curve-2_V3.B
(PY-curve-2_V3)16	Lijn	Paal_P_86	10,000 11,000	Vrij	Niet-lineair	Niet-lineair	Vrij	Vrij	Vrij	PY-curve-2_V3.B	PY-curve-2_V3.B
(PY-curve-2_V3)7	Lijn	Paal_P_29	10,000 11,000	Vrij	Niet-lineair	Niet-lineair	Vrij	Vrij	Vrij	PY-curve-2_V3.B	PY-curve-2_V3.B
(PY-curve-2_V3)15	Lijn	Paal_P_85	10,000 11,000	Vrij	Niet-lineair	Niet-lineair	Vrij	Vrij	Vrij	PY-curve-2_V3.B	PY-curve-2_V3.B
(PY-curve-2_V3)14	Lijn	Paal_P_84	10,000 11,000	Vrij	Niet-lineair	Niet-lineair	Vrij	Vrij	Vrij	PY-curve-2_V3.B	PY-curve-2_V3.B
(PY-curve-2_V3)6	Lijn	Paal_P_28	10,000 11,000	Vrij	Niet-lineair	Niet-lineair	Vrij	Vrij	Vrij	PY-curve-2_V3.B	PY-curve-2_V3.B
(PY-curve-2_V3)13	Lijn	Paal_P_83	10,000 11,000	Vrij	Niet-lineair	Niet-lineair	Vrij	Vrij	Vrij	PY-curve-2_V3.B	PY-curve-2_V3.B
(PY-curve-2_V3)12	Lijn	Paal_P_82	10,000	Vrij	Niet-lineair	Niet-lineair	Vrij	Vrij	Vrij	PY-curve-2_V3.B	PY-curve-2_V3.B

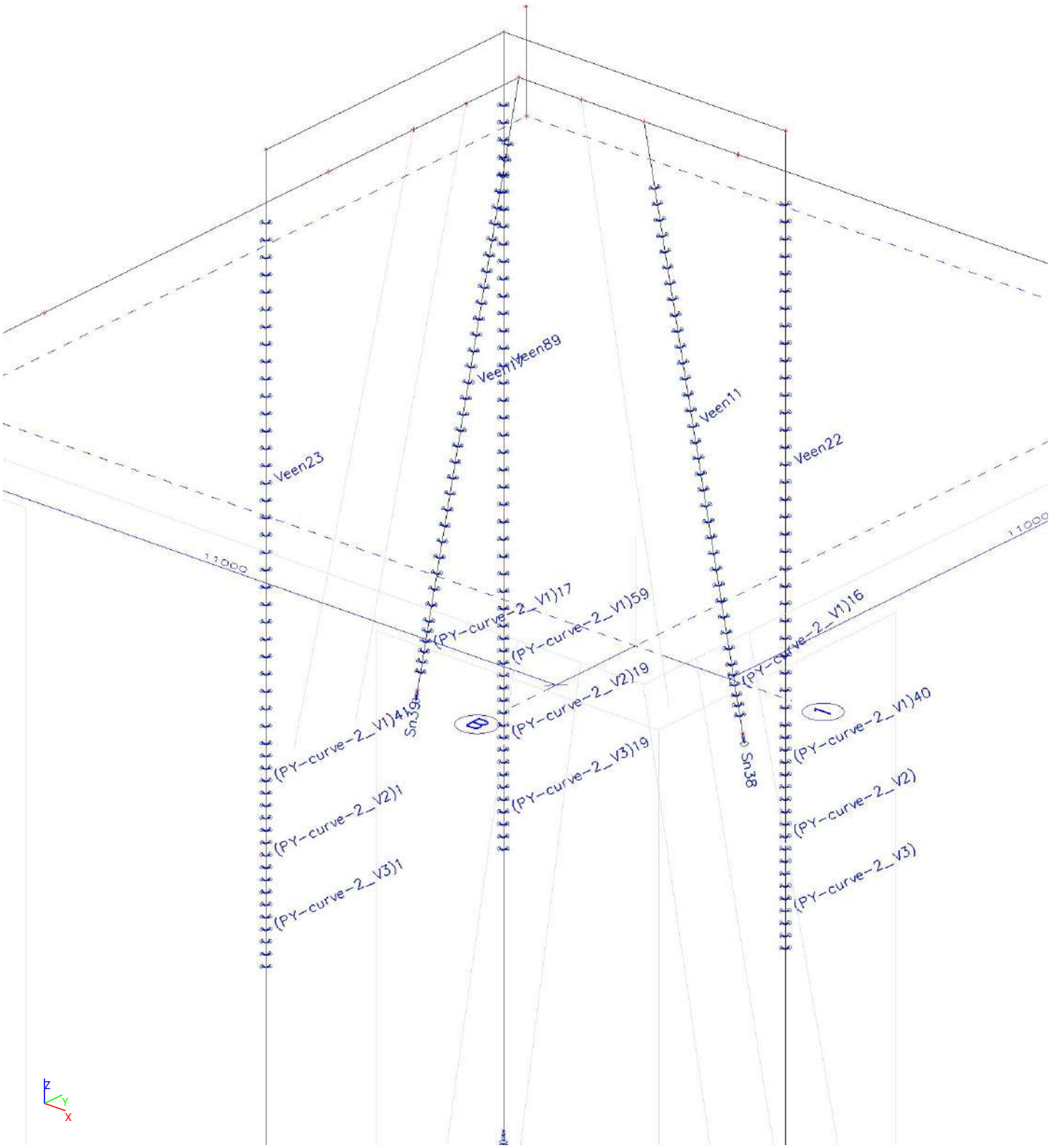
Naam	Type	Staaf	Pos x_1 [m] Pos x_2 [m]	X	Y	Z	Rx	Ry	Rz	Functie Y	Functie Z
			11,000								
(PY-curve-2_V3)5	Lijn	Paal_P_27	10,000 11,000	Vrij	Niet-lineair	Niet-lineair	Vrij	Vrij	Vrij	PY-curve-2_V3.B	PY-curve-2_V3.B
(PY-curve-2_V3)11	Lijn	Paal_P_81	10,000 11,000	Vrij	Niet-lineair	Niet-lineair	Vrij	Vrij	Vrij	PY-curve-2_V3.B	PY-curve-2_V3.B

5.8. Analyse model met Lijnondersteuningen



5.9. Analyse model met Lijnondersteuningen

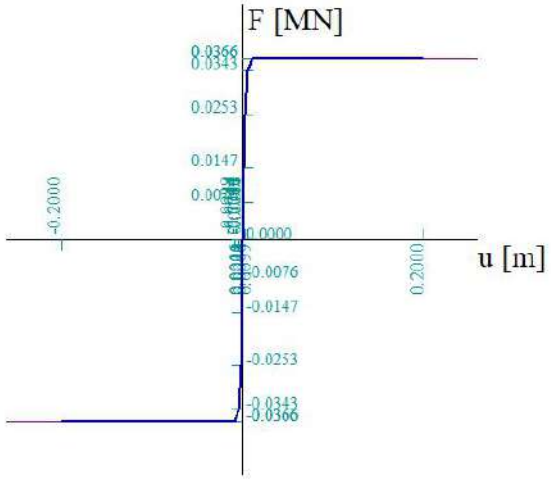
Om de leesbaarheid te optimaliseren, is per plan één paal getoond.



5.10. Niet-lineaire functies

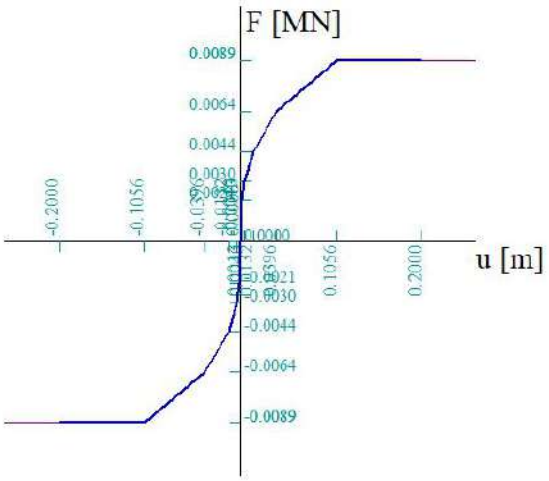
Naam	Type	u / F	Positief einde	Negatief einde
PY-curve-2_V1	Verplaatsing	-2,0000e-01[m] / -3,6624e-02[MN]	Vrij	Vrij
		-9,9000e-03[m] / -3,6624e-02[MN]		
		-4,4000e-03[m] / -3,4259e-02[MN]		
		-2,2000e-03[m] / -2,5265e-02[MN]		
		-1,1000e-03[m] / -1,4650e-02[MN]		
		-5,5000e-04[m] / -7,6435e-03[MN]		
		0,0000e+00[m] / 0,0000e+00[MN]		
		5,5000e-04[m] / 7,6435e-03[MN]		
		1,1000e-03[m] / 1,4650e-02[MN]		
		2,2000e-03[m] / 2,5265e-02[MN]		
		4,4000e-03[m] / 3,4259e-02[MN]		
		9,9000e-03[m] / 3,6624e-02[MN]		
		2,0000e-01[m] / 3,6624e-02[MN]		

Tekenen



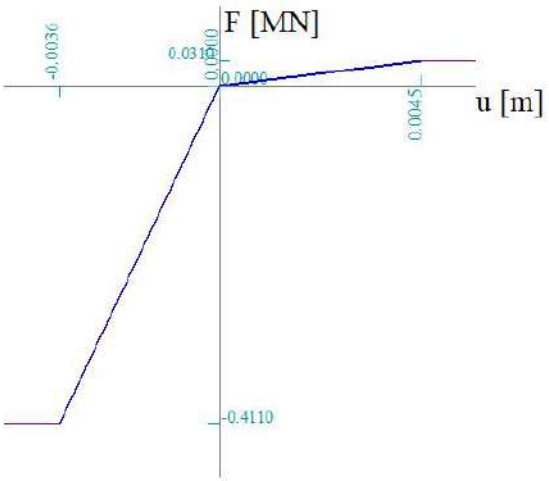
Naam	Type	u / F	Positief einde	Negatief einde
PY-curve-2_Veen	Verplaatsing	-2,0000e-01[m] / -8,8944e-03[MN]	Vrij	Vrij
		-1,0560e-01[m] / -8,8944e-03[MN]		
		-3,9600e-02[m] / -6,4138e-03[MN]		
		-1,3200e-02[m] / -4,4477e-03[MN]		
		-3,9600e-03[m] / -2,9770e-03[MN]		
		-1,3200e-03[m] / -2,0640e-03[MN]		
		0,0000e+00[m] / 0,0000e+00[MN]		
		1,3200e-03[m] / 2,0640e-03[MN]		
		3,9600e-03[m] / 2,9770e-03[MN]		
		1,3200e-02[m] / 4,4477e-03[MN]		
		3,9600e-02[m] / 6,4138e-03[MN]		
		1,0560e-01[m] / 8,8944e-03[MN]		
		2,0000e-01[m] / 8,8944e-03[MN]		

Tekenen



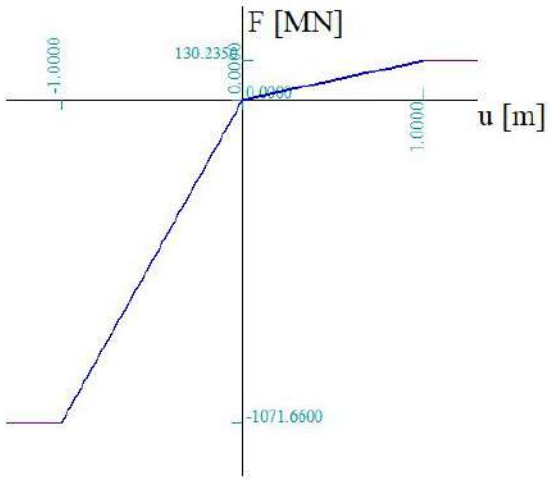
Naam	Type	u / F	Positief einde	Negatief einde
Trek-druk-S+paalpunt	Verplaatsing	-3,5600e-03[m] / -4,1100e-01[MN]	Vrij	Vrij
		0,0000e+00[m] / 0,0000e+00[MN]		
		4,5200e-03[m] / 3,1000e-02[MN]		

Tekenen



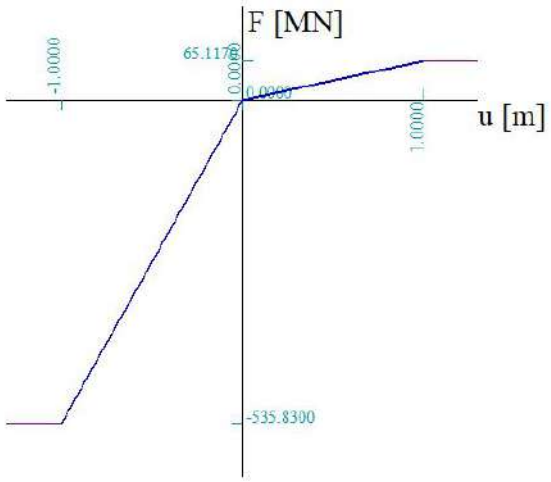
Naam	Type	u / F	Positief einde	Negatief einde
Trek-druk-S+paalpunt.LEKA.BG.	Verplaatsing	-1,0000e+00[m] / -1,0717e+03[MN]	Vrij	Vrij
		0,0000e+00[m] / 0,0000e+00[MN]		
		1,0000e+00[m] / 1,3024e+02[MN]		

Tekenen



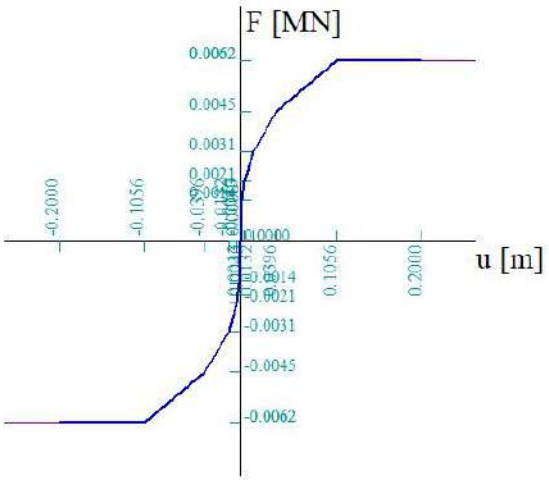
Naam	Type	u / F	Positief einde	Negatief einde
Trek-druk-S+paalpunt.LEKA.OG.	Verplaatsing	-1,0000e+00[m] / -5,3583e+02[MN]	Vrij	Vrij
		0,0000e+00[m] / 0,0000e+00[MN]		
		1,0000e+00[m] / 6,5117e+01[MN]		

Tekenen



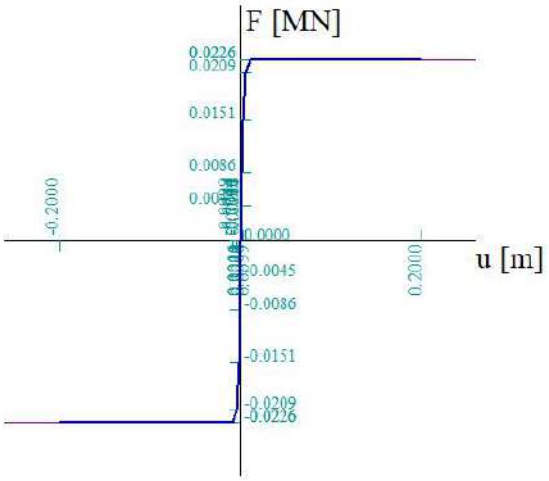
Naam	Type	u / F	Positief einde	Negatief einde
PY-curve-2_Veen.B	Verplaatsing	-2,0000e-01[m] / -6,2016e-03[MN]	Vrij	Vrij
		-1,0560e-01[m] / -6,2016e-03[MN]		
		-3,9600e-02[m] / -4,4721e-03[MN]		
		-1,3200e-02[m] / -3,1008e-03[MN]		
		-3,9600e-03[m] / -2,0758e-03[MN]		
		-1,3200e-03[m] / -1,4393e-03[MN]		
		0,0000e+00[m] / 0,0000e+00[MN]		
		1,3200e-03[m] / 1,4393e-03[MN]		
		3,9600e-03[m] / 2,0758e-03[MN]		
		1,3200e-02[m] / 3,1008e-03[MN]		
		3,9600e-02[m] / 4,4721e-03[MN]		
		1,0560e-01[m] / 6,2016e-03[MN]		
		2,0000e-01[m] / 6,2016e-03[MN]		

Tekenen



Naam	Type	u / F	Positief einde	Negatief einde
PY-curve-2_V1.B	Verplaatsing	-2,0000e-01[m] / -2,2567e-02[MN]	Vrij	Vrij
		-9,9000e-03[m] / -2,2567e-02[MN]		
		-4,4000e-03[m] / -2,0854e-02[MN]		
		-2,2000e-03[m] / -1,5054e-02[MN]		
		-1,1000e-03[m] / -8,6224e-03[MN]		
		-5,5000e-04[m] / -4,4807e-03[MN]		
		0,0000e+00[m] / 0,0000e+00[MN]		
		5,5000e-04[m] / 4,4807e-03[MN]		
		1,1000e-03[m] / 8,6224e-03[MN]		
		2,2000e-03[m] / 1,5054e-02[MN]		
		4,4000e-03[m] / 2,0854e-02[MN]		
		9,9000e-03[m] / 2,2567e-02[MN]		
		2,0000e-01[m] / 2,2567e-02[MN]		

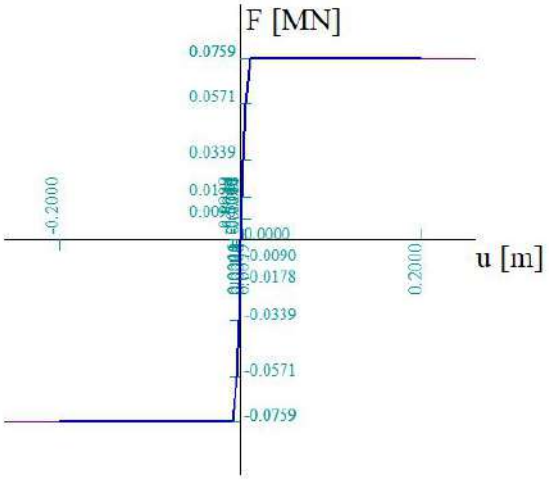
Tekenen



Naam	Type	u / F	Positief einde	Negatief einde
PY-curve-2_V2.B	Verplaatsing	-2,0000e-01[m] / -7,5874e-02[MN]	Vrij	Vrij
		-9,9000e-03[m] / -7,5874e-02[MN]		
		-4,4000e-03[m] / -5,7108e-02[MN]		
		-2,2000e-03[m] / -3,3923e-02[MN]		
		-1,1000e-03[m] / -1,7844e-02[MN]		
		-5,5000e-04[m] / -9,0410e-03[MN]		
		0,0000e+00[m] / 0,0000e+00[MN]		
		5,5000e-04[m] / 9,0410e-03[MN]		
		1,1000e-03[m] / 1,7844e-02[MN]		
		2,2000e-03[m] / 3,3923e-02[MN]		

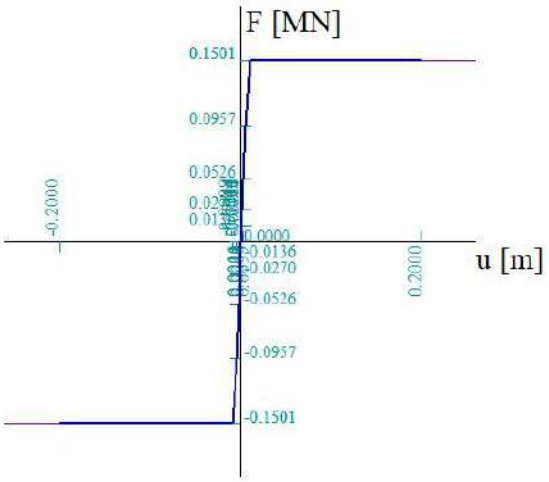
Naam	Type	u / F	Positief einde	Negatief einde
		4,4000e-03[m] / 5,7108e-02[MN]		
		9,9000e-03[m] / 7,5874e-02[MN]		
		2,0000e-01[m] / 7,5874e-02[MN]		

Tekenen



Naam	Type	u / F	Positief einde	Negatief einde
PY-curve-2_V3.B	Verplaatsing	-2,0000e-01[m] / -1,5011e-01[MN]	Vrij	Vrij
		-9,9000e-03[m] / -1,5011e-01[MN]		
		-4,4000e-03[m] / -9,5744e-02[MN]		
		-2,2000e-03[m] / -5,2633e-02[MN]		
		-1,1000e-03[m] / -2,7005e-02[MN]		
		-5,5000e-04[m] / -1,3592e-02[MN]		
		0,0000e+00[m] / 0,0000e+00[MN]		
		5,5000e-04[m] / 1,3592e-02[MN]		
		1,1000e-03[m] / 2,7005e-02[MN]		
		2,2000e-03[m] / 5,2633e-02[MN]		
		4,4000e-03[m] / 9,5744e-02[MN]		
		9,9000e-03[m] / 1,5011e-01[MN]		
		2,0000e-01[m] / 1,5011e-01[MN]		

Tekenen

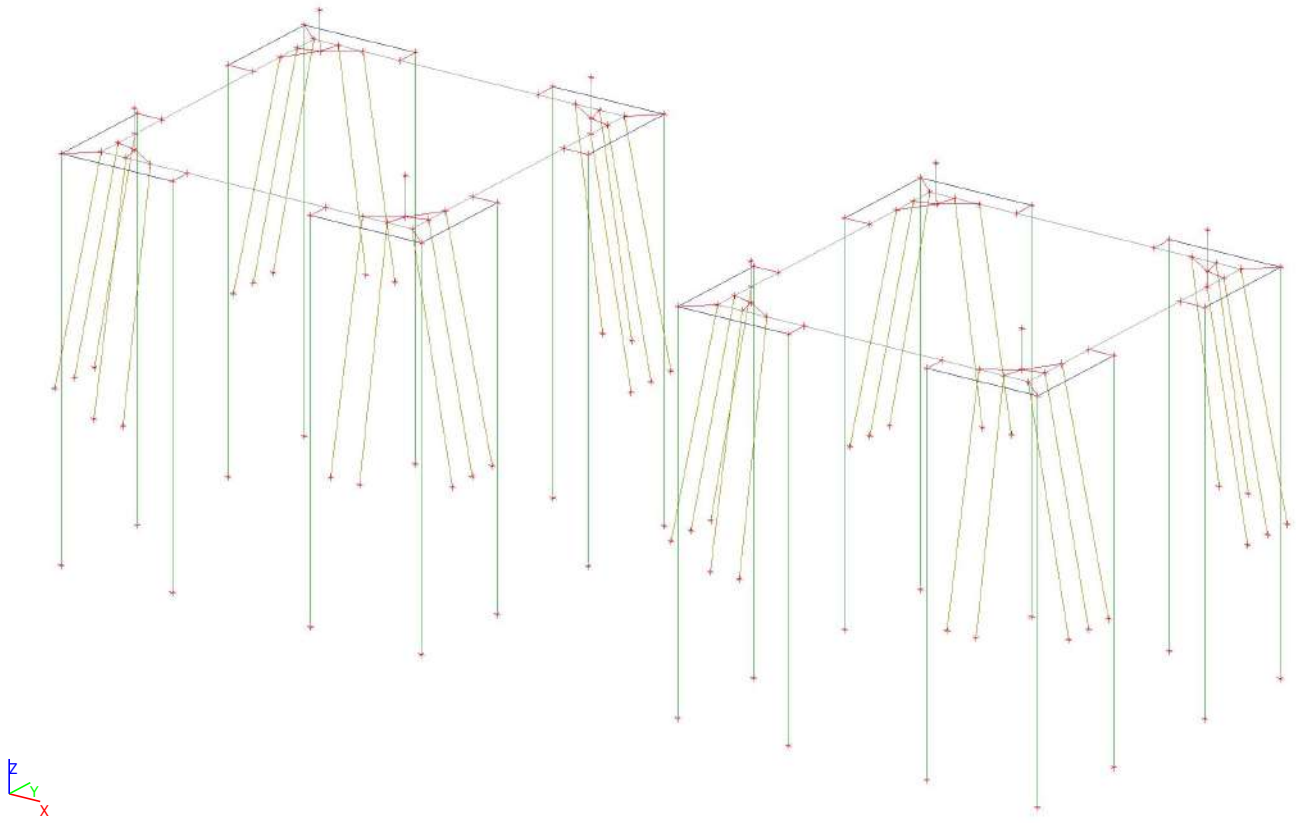


6. Belastingen

6.1. Belastingsgevallen

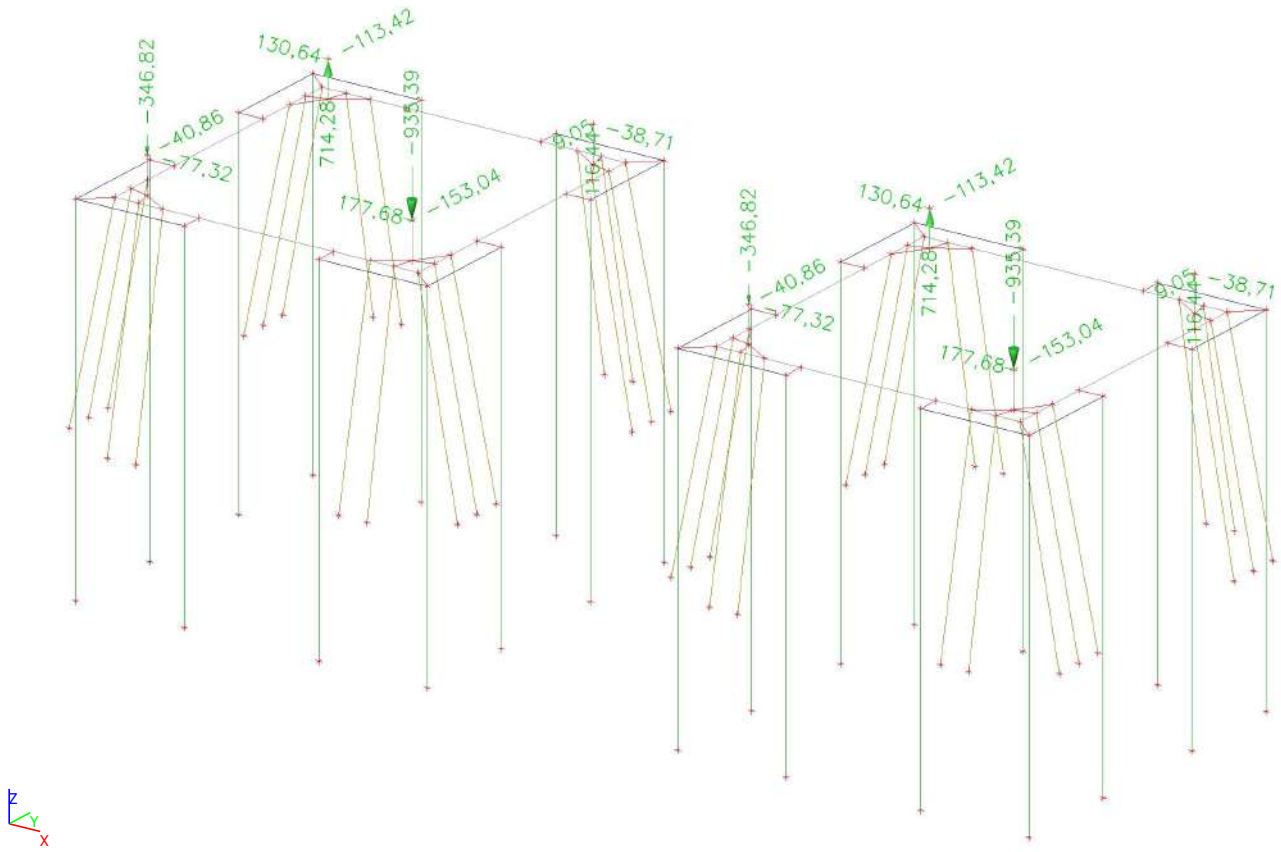
6.1.1. Belastingsgevallen - E.G.

Naam	Omschrijving	Actie type	Lastgroep	Richting
	Spec	Belastingtype		
E.G.		Permanent	LG1	-Z
		Eigen gewicht		



6.1.2. Belastingsgevallen - high max Wnd ;225°

Naam	Omschrijving	Actie type	Lastgroep	Duur	'Master' belastingsgeval
	Spec	Belastingtype			
high max Wnd ;225°		Variabel	LG4	Kort	Geen
	Standaard	Statisch			



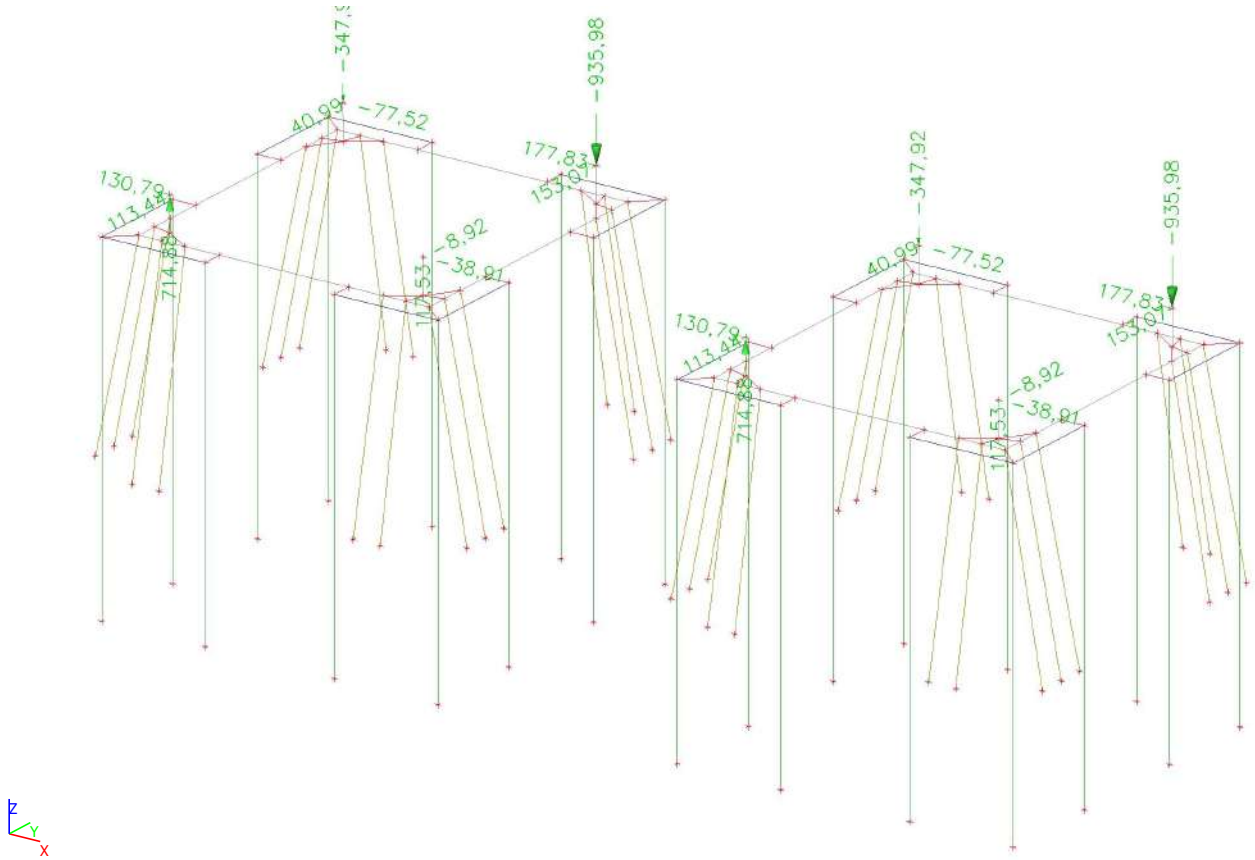
6.1.2.1. Puntlast op knoop

Naam	Knoop	Belastingsgeval	Systeem	Rich	Type	Waarde - F [kN]
high max Wnd ;225°_1P_X	1P	high max Wnd ;225°	GCS	X	Kracht	-77,32
high max Wnd ;225°_1P_Y	1P	high max Wnd ;225°	GCS	Y	Kracht	-40,86
high max Wnd ;225°_1P_Z	1P	high max Wnd ;225°	GCS	Z	Kracht	-346,82
high max Wnd ;225°_1X_X	1X	high max Wnd ;225°	GCS	X	Kracht	130,64
high max Wnd ;225°_1X_Y	1X	high max Wnd ;225°	GCS	Y	Kracht	-113,42
high max Wnd ;225°_1X_Z	1X	high max Wnd ;225°	GCS	Z	Kracht	714,28
high max Wnd ;225°_1XY_X	1XY	high max Wnd ;225°	GCS	X	Kracht	-38,71
high max Wnd ;225°_1XY_Y	1XY	high max Wnd ;225°	GCS	Y	Kracht	9,05
high max Wnd ;225°_1XY_Z	1XY	high max Wnd ;225°	GCS	Z	Kracht	116,44
high max Wnd ;225°_1Y_X	1Y	high max Wnd ;225°	GCS	X	Kracht	177,68
high max Wnd ;225°_1Y_Y	1Y	high max Wnd ;225°	GCS	Y	Kracht	-153,04
high max Wnd ;225°_1Y_Z	1Y	high max Wnd ;225°	GCS	Z	Kracht	-935,39
high max Wnd ;225°_1Y_X1	1Y2	high max Wnd ;225°	GCS	X	Kracht	177,68
high max Wnd ;225°_1Y_Y1	1Y2	high max Wnd ;225°	GCS	Y	Kracht	-153,04
high max Wnd	1Y2	high max Wnd ;225°	GCS	Z	Kracht	-935,39

Naam	Knoop	Belastingsgeval	Systeem	Rich	Type	Waarde - F [kN]
;225°_1Y_Z1						
high max Wnd ;225°_1XY_X1	1XY2	high max Wnd ;225°	GCS	X	Kracht	-38,71
high max Wnd ;225°_1XY_Y1	1XY2	high max Wnd ;225°	GCS	Y	Kracht	9,05
high max Wnd ;225°_1XY_Z1	1XY2	high max Wnd ;225°	GCS	Z	Kracht	116,44
high max Wnd ;225°_1P_X1	1P2	high max Wnd ;225°	GCS	X	Kracht	-77,32
high max Wnd ;225°_1P_Y1	1P2	high max Wnd ;225°	GCS	Y	Kracht	-40,86
high max Wnd ;225°_1P_Z1	1P2	high max Wnd ;225°	GCS	Z	Kracht	-346,82
high max Wnd ;225°_1X_X1	1X2	high max Wnd ;225°	GCS	X	Kracht	130,64
high max Wnd ;225°_1X_Y1	1X2	high max Wnd ;225°	GCS	Y	Kracht	-113,42
high max Wnd ;225°_1X_Z1	1X2	high max Wnd ;225°	GCS	Z	Kracht	714,28

6.1.3. Belastingsgevallen - high max Wnd ;135°

Naam	Omschrijving	Actie type	Lastgroep	Duur	'Master' belastingsgeval
	Spec	Belastingtype			
high max Wnd ;135°		Variabel	LG4	Kort	Geen
	Standaard	Statisch			

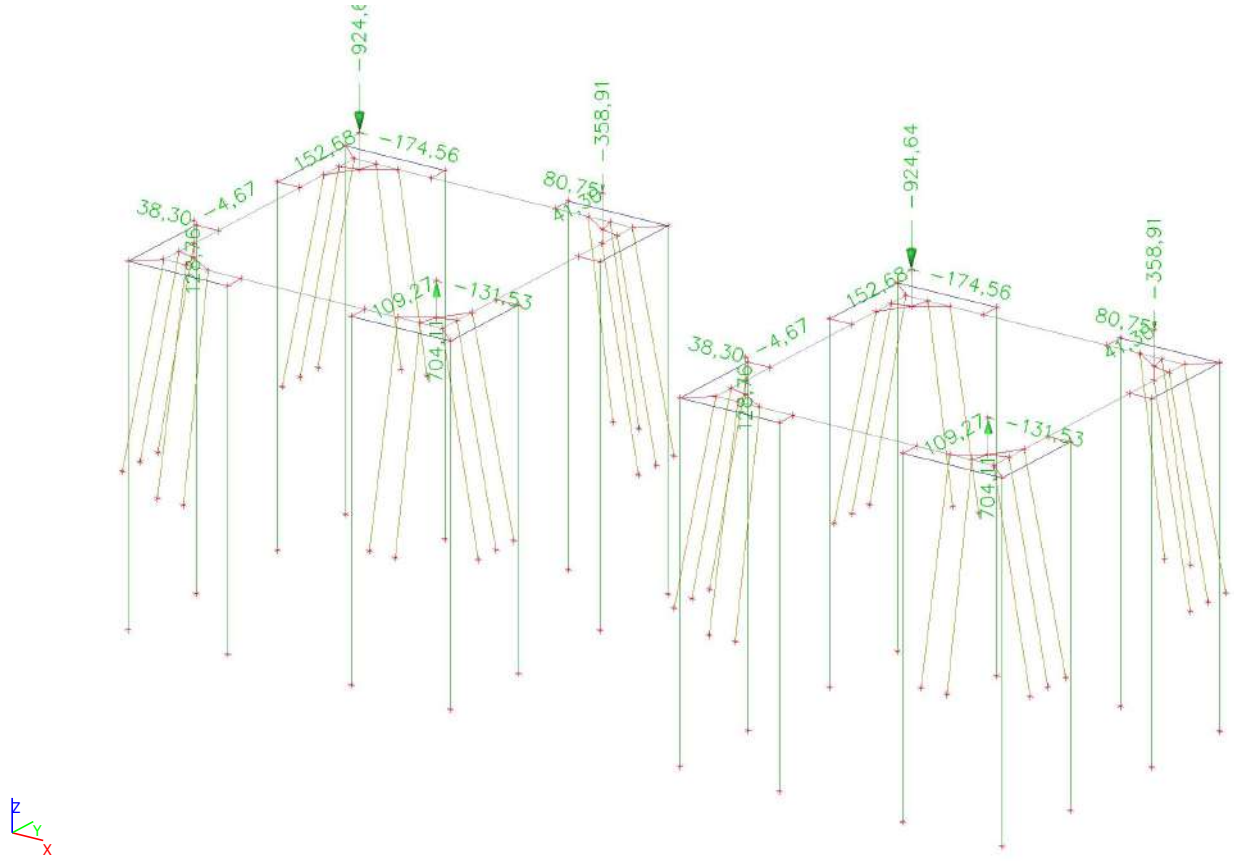


6.1.3.1. Puntlast op knoop

Naam	Knoop	Belastingsgeval	Systeem	Rich	Type	Waarde - F [kN]
high max Wnd ;135°_1P_X	1P	high max Wnd ;135°	GCS	X	Kracht	130,79
high max Wnd ;135°_1P_Y	1P	high max Wnd ;135°	GCS	Y	Kracht	113,44
high max Wnd ;135°_1P_Z	1P	high max Wnd ;135°	GCS	Z	Kracht	714,88
high max Wnd ;135°_1X_X	1X	high max Wnd ;135°	GCS	X	Kracht	-77,52
high max Wnd ;135°_1X_Y	1X	high max Wnd ;135°	GCS	Y	Kracht	40,99
high max Wnd ;135°_1X_Z	1X	high max Wnd ;135°	GCS	Z	Kracht	-347,92
high max Wnd ;135°_1XY_X	1XY	high max Wnd ;135°	GCS	X	Kracht	177,83
high max Wnd ;135°_1XY_Y	1XY	high max Wnd ;135°	GCS	Y	Kracht	153,07
high max Wnd ;135°_1XY_Z	1XY	high max Wnd ;135°	GCS	Z	Kracht	-935,98
high max Wnd ;135°_1Y_X	1Y	high max Wnd ;135°	GCS	X	Kracht	-38,91
high max Wnd ;135°_1Y_Y	1Y	high max Wnd ;135°	GCS	Y	Kracht	-8,92
high max Wnd ;135°_1Y_Z	1Y	high max Wnd ;135°	GCS	Z	Kracht	117,53
high max Wnd ;135°_1Y_X1	1Y2	high max Wnd ;135°	GCS	X	Kracht	-38,91
high max Wnd ;135°_1Y_Y1	1Y2	high max Wnd ;135°	GCS	Y	Kracht	-8,92
high max Wnd ;135°_1Y_Z1	1Y2	high max Wnd ;135°	GCS	Z	Kracht	117,53
high max Wnd ;135°_1XY_X1	1XY2	high max Wnd ;135°	GCS	X	Kracht	177,83
high max Wnd ;135°_1XY_Y1	1XY2	high max Wnd ;135°	GCS	Y	Kracht	153,07
high max Wnd ;135°_1XY_Z1	1XY2	high max Wnd ;135°	GCS	Z	Kracht	-935,98
high max Wnd ;135°_1P_X1	1P2	high max Wnd ;135°	GCS	X	Kracht	130,79
high max Wnd ;135°_1P_Y1	1P2	high max Wnd ;135°	GCS	Y	Kracht	113,44
high max Wnd ;135°_1P_Z1	1P2	high max Wnd ;135°	GCS	Z	Kracht	714,88
high max Wnd ;135°_1X_X1	1X2	high max Wnd ;135°	GCS	X	Kracht	-77,52
high max Wnd ;135°_1X_Y1	1X2	high max Wnd ;135°	GCS	Y	Kracht	40,99
high max Wnd ;135°_1X_Z1	1X2	high max Wnd ;135°	GCS	Z	Kracht	-347,92

6.1.4. Belastingsgevallen - high max Wnd ;45°

Naam	Omschrijving	Actie type	Lastgroep	Duur	'Master' belastingsgeval
	Spec	Belastingtype			
high max Wnd ;45°		Variabel	LG4	Kort	Geen
	Standaard	Statisch			



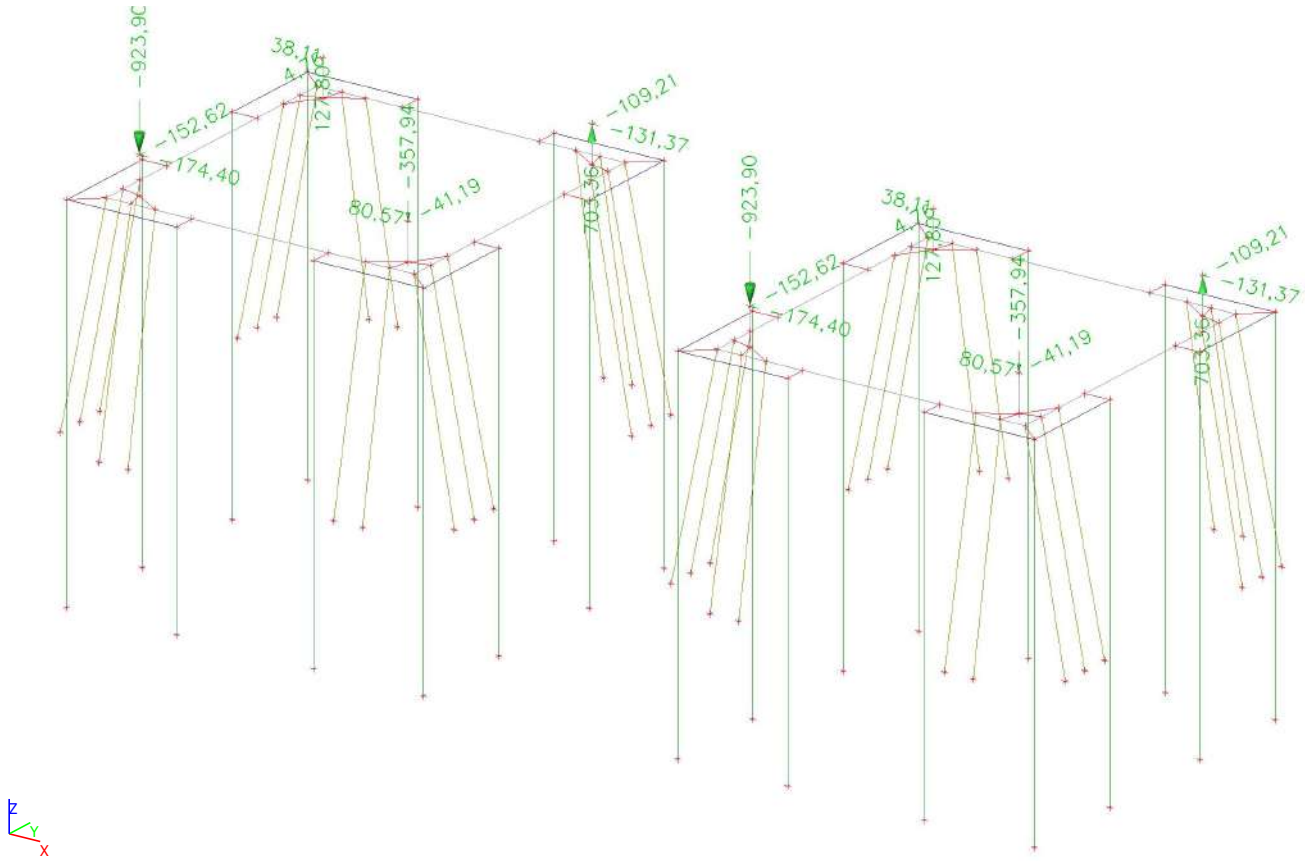
6.1.4.1. Puntlast op knoop

Naam	Knoop	Belastingsgeval	Systeem	Rich	Type	Waarde - F [kN]
high max Wnd ;45°_1P_X	1P	high max Wnd ;45°	GCS	X	Kracht	38,30
high max Wnd ;45°_1P_Y	1P	high max Wnd ;45°	GCS	Y	Kracht	-4,67
high max Wnd ;45°_1P_Z	1P	high max Wnd ;45°	GCS	Z	Kracht	128,76
high max Wnd ;45°_1X_X	1X	high max Wnd ;45°	GCS	X	Kracht	-174,56
high max Wnd ;45°_1X_Y	1X	high max Wnd ;45°	GCS	Y	Kracht	152,68
high max Wnd ;45°_1X_Z	1X	high max Wnd ;45°	GCS	Z	Kracht	-924,64
high max Wnd ;45°_1XY_X	1XY	high max Wnd ;45°	GCS	X	Kracht	80,75
high max Wnd ;45°_1XY_Y	1XY	high max Wnd ;45°	GCS	Y	Kracht	41,30
high max Wnd ;45°_1XY_Z	1XY	high max Wnd ;45°	GCS	Z	Kracht	-358,91
high max Wnd ;45°_1Y_X	1Y	high max Wnd ;45°	GCS	X	Kracht	-131,53
high max Wnd ;45°_1Y_Y	1Y	high max Wnd ;45°	GCS	Y	Kracht	109,27
high max Wnd ;45°_1Y_Z	1Y	high max Wnd ;45°	GCS	Z	Kracht	704,11
high max Wnd ;45°_1Y_X1	1Y2	high max Wnd ;45°	GCS	X	Kracht	-131,53
high max Wnd ;45°_1Y_Y1	1Y2	high max Wnd ;45°	GCS	Y	Kracht	109,27
high max Wnd	1Y2	high max Wnd ;45°	GCS	Z	Kracht	704,11

Naam	Knoop	Belastingsgeval	Systeem	Rich	Type	Waarde - F [kN]
;45°_1Y_Z1						
high max Wnd ;45°_1XY_X1	1XY2	high max Wnd ;45°	GCS	X	Kracht	80,75
high max Wnd ;45°_1XY_Y1	1XY2	high max Wnd ;45°	GCS	Y	Kracht	41,30
high max Wnd ;45°_1XY_Z1	1XY2	high max Wnd ;45°	GCS	Z	Kracht	-358,91
high max Wnd ;45°_1P_X1	1P2	high max Wnd ;45°	GCS	X	Kracht	38,30
high max Wnd ;45°_1P_Y1	1P2	high max Wnd ;45°	GCS	Y	Kracht	-4,67
high max Wnd ;45°_1P_Z1	1P2	high max Wnd ;45°	GCS	Z	Kracht	128,76
high max Wnd ;45°_1X_X1	1X2	high max Wnd ;45°	GCS	X	Kracht	-174,56
high max Wnd ;45°_1X_Y1	1X2	high max Wnd ;45°	GCS	Y	Kracht	152,68
high max Wnd ;45°_1X_Z1	1X2	high max Wnd ;45°	GCS	Z	Kracht	-924,64

6.1.5. Belastingsgevallen - high max Wnd ;315°

Naam	Omschrijving	Actie type	Lastgroep	Duur	'Master' belastingsgeval
	Spec	Belastingtype			
high max Wnd ;315°		Variabel	LG4	Kort	Geen
	Standaard	Statisch			

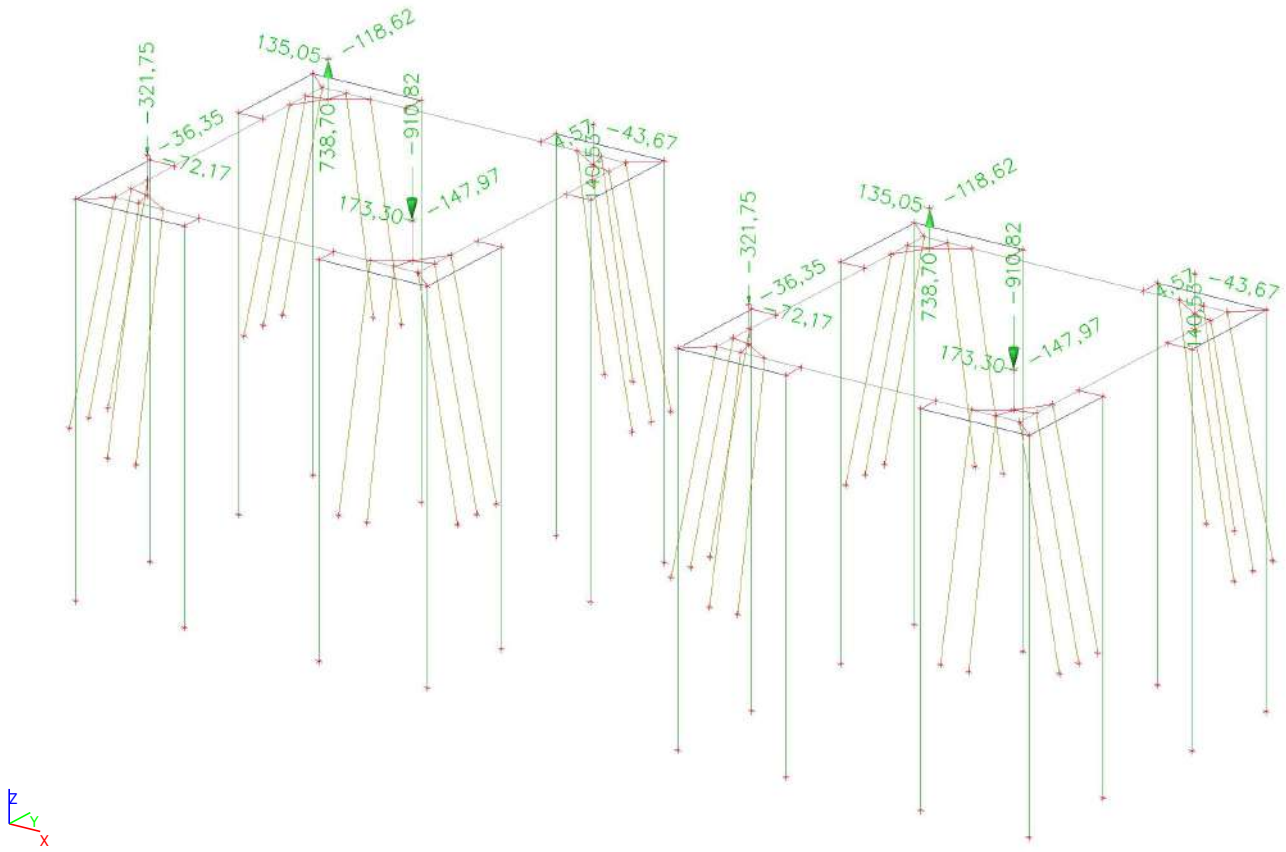


6.1.5.1. Puntlast op knoop

Naam	Knoop	Belastingsgeval	Systeem	Rich	Type	Waarde - F [kN]
high max Wnd ;315°_1P_X	1P	high max Wnd ;315°	GCS	X	Kracht	-174,40
high max Wnd ;315°_1P_Y	1P	high max Wnd ;315°	GCS	Y	Kracht	-152,62
high max Wnd ;315°_1P_Z	1P	high max Wnd ;315°	GCS	Z	Kracht	-923,90
high max Wnd ;315°_1X_X	1X	high max Wnd ;315°	GCS	X	Kracht	38,11
high max Wnd ;315°_1X_Y	1X	high max Wnd ;315°	GCS	Y	Kracht	4,76
high max Wnd ;315°_1X_Z	1X	high max Wnd ;315°	GCS	Z	Kracht	127,80
high max Wnd ;315°_1XY_X	1XY	high max Wnd ;315°	GCS	X	Kracht	-131,37
high max Wnd ;315°_1XY_Y	1XY	high max Wnd ;315°	GCS	Y	Kracht	-109,21
high max Wnd ;315°_1XY_Z	1XY	high max Wnd ;315°	GCS	Z	Kracht	703,36
high max Wnd ;315°_1Y_X	1Y	high max Wnd ;315°	GCS	X	Kracht	80,57
high max Wnd ;315°_1Y_Y	1Y	high max Wnd ;315°	GCS	Y	Kracht	-41,19
high max Wnd ;315°_1Y_Z	1Y	high max Wnd ;315°	GCS	Z	Kracht	-357,94
high max Wnd ;315°_1Y_X1	1Y2	high max Wnd ;315°	GCS	X	Kracht	80,57
high max Wnd ;315°_1Y_Y1	1Y2	high max Wnd ;315°	GCS	Y	Kracht	-41,19
high max Wnd ;315°_1Y_Z1	1Y2	high max Wnd ;315°	GCS	Z	Kracht	-357,94
high max Wnd ;315°_1XY_X1	1XY2	high max Wnd ;315°	GCS	X	Kracht	-131,37
high max Wnd ;315°_1XY_Y1	1XY2	high max Wnd ;315°	GCS	Y	Kracht	-109,21
high max Wnd ;315°_1XY_Z1	1XY2	high max Wnd ;315°	GCS	Z	Kracht	703,36
high max Wnd ;315°_1P_X1	1P2	high max Wnd ;315°	GCS	X	Kracht	-174,40
high max Wnd ;315°_1P_Y1	1P2	high max Wnd ;315°	GCS	Y	Kracht	-152,62
high max Wnd ;315°_1P_Z1	1P2	high max Wnd ;315°	GCS	Z	Kracht	-923,90
high max Wnd ;315°_1X_X1	1X2	high max Wnd ;315°	GCS	X	Kracht	38,11
high max Wnd ;315°_1X_Y1	1X2	high max Wnd ;315°	GCS	Y	Kracht	4,76
high max Wnd ;315°_1X_Z1	1X2	high max Wnd ;315°	GCS	Z	Kracht	127,80

6.1.6. Belastingsgevallen - low max Wnd ;225°

Naam	Omschrijving	Actie type	Lastgroep	Duur	'Master' belastingsgeval
	Spec	Belastingtype			
low max Wnd ;225°		Variabel	LG4	Kort	Geen
	Standaard	Statisch			



6.1.6.1. Puntlast op knoop

Naam	Knoop	Belastingsgeval	Systeem	Rich	Type	Waarde - F [kN]
low max Wnd ;225°_1P_X	1P	low max Wnd ;225°	GCS	X	Kracht	-72,17
low max Wnd ;225°_1P_Y	1P	low max Wnd ;225°	GCS	Y	Kracht	-36,35
low max Wnd ;225°_1P_Z	1P	low max Wnd ;225°	GCS	Z	Kracht	-321,75
low max Wnd ;225°_1X_X	1X	low max Wnd ;225°	GCS	X	Kracht	135,05
low max Wnd ;225°_1X_Y	1X	low max Wnd ;225°	GCS	Y	Kracht	-118,62
low max Wnd ;225°_1X_Z	1X	low max Wnd ;225°	GCS	Z	Kracht	738,70
low max Wnd ;225°_1XY_X	1XY	low max Wnd ;225°	GCS	X	Kracht	-43,67
low max Wnd ;225°_1XY_Y	1XY	low max Wnd ;225°	GCS	Y	Kracht	4,57
low max Wnd ;225°_1XY_Z	1XY	low max Wnd ;225°	GCS	Z	Kracht	140,53
low max Wnd ;225°_1Y_X	1Y	low max Wnd ;225°	GCS	X	Kracht	173,30
low max Wnd ;225°_1Y_Y	1Y	low max Wnd ;225°	GCS	Y	Kracht	-147,97
low max Wnd ;225°_1Y_Z	1Y	low max Wnd ;225°	GCS	Z	Kracht	-910,82
low max Wnd ;225°_1Y_X1	1Y2	low max Wnd ;225°	GCS	X	Kracht	173,30
low max Wnd ;225°_1Y_Y1	1Y2	low max Wnd ;225°	GCS	Y	Kracht	-147,97
low max Wnd	1Y2	low max Wnd ;225°	GCS	Z	Kracht	-910,82

Naam	Knoop	Belastingsgeval	Systeem	Rich	Type	Waarde - F [kN]
;225°_1Y_Z1						
low max Wnd ;225°_1XY_X1	1XY2	low max Wnd ;225°	GCS	X	Kracht	-43,67
low max Wnd ;225°_1XY_Y1	1XY2	low max Wnd ;225°	GCS	Y	Kracht	4,57
low max Wnd ;225°_1XY_Z1	1XY2	low max Wnd ;225°	GCS	Z	Kracht	140,53
low max Wnd ;225°_1P_X1	1P2	low max Wnd ;225°	GCS	X	Kracht	-72,17
low max Wnd ;225°_1P_Y1	1P2	low max Wnd ;225°	GCS	Y	Kracht	-36,35
low max Wnd ;225°_1P_Z1	1P2	low max Wnd ;225°	GCS	Z	Kracht	-321,75
low max Wnd ;225°_1X_X1	1X2	low max Wnd ;225°	GCS	X	Kracht	135,05
low max Wnd ;225°_1X_Y1	1X2	low max Wnd ;225°	GCS	Y	Kracht	-118,62
low max Wnd ;225°_1X_Z1	1X2	low max Wnd ;225°	GCS	Z	Kracht	738,70

6.1.7. Belastingsgevallen - low max Wnd ;135°

Naam	Omschrijving	Actie type	Lastgroep	Duur	'Master' belastingsgeval
	Spec	Belastingtype			
low max Wnd ;135°		Variabel	LG4	Kort	Geen
	Standaard	Statisch			

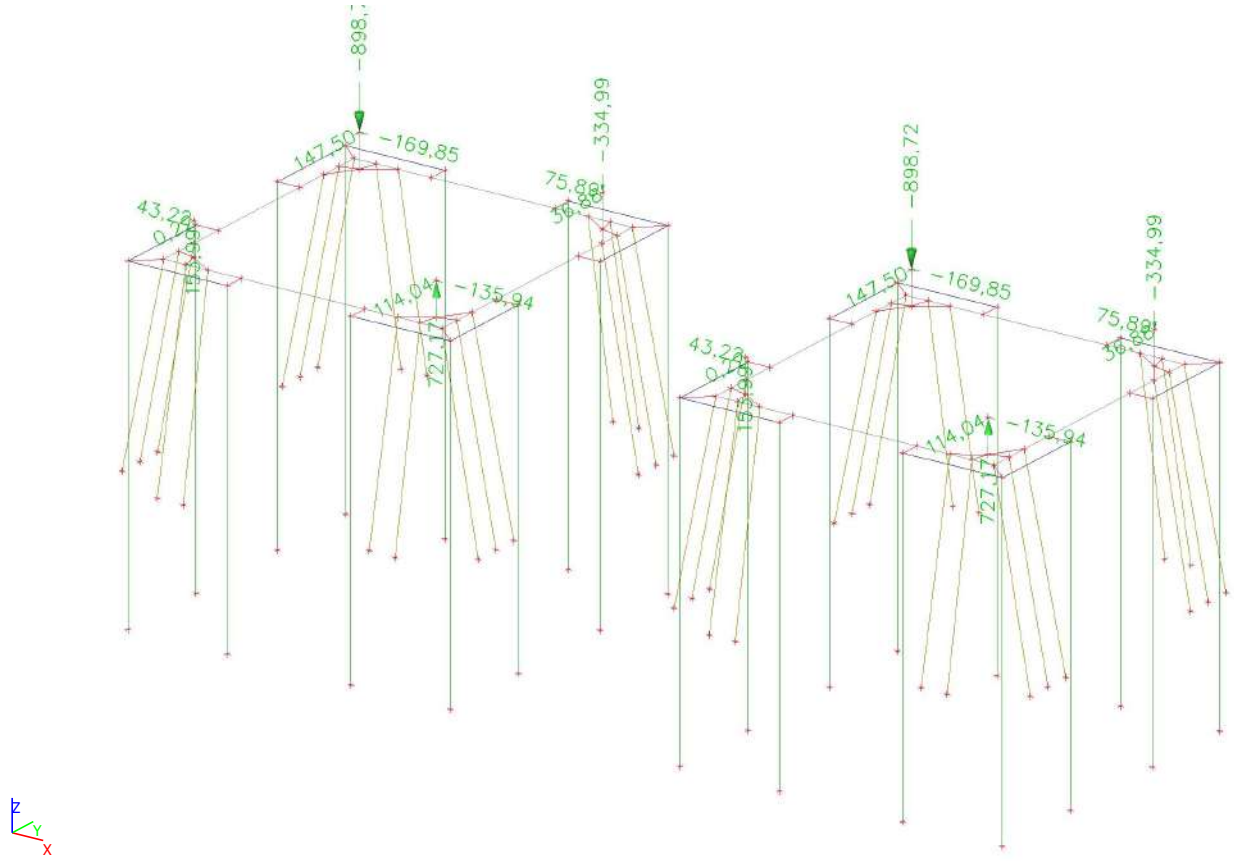


6.1.7.1. Puntlast op knoop

Naam	Knoop	Belastingsgeval	Systeem	Rich	Type	Waarde - F [kN]
low max Wnd ;135°_1P_X	1P	low max Wnd ;135°	GCS	X	Kracht	135,17
low max Wnd ;135°_1P_Y	1P	low max Wnd ;135°	GCS	Y	Kracht	118,62
low max Wnd ;135°_1P_Z	1P	low max Wnd ;135°	GCS	Z	Kracht	739,16
low max Wnd ;135°_1X_X	1X	low max Wnd ;135°	GCS	X	Kracht	-72,36
low max Wnd ;135°_1X_Y	1X	low max Wnd ;135°	GCS	Y	Kracht	36,48
low max Wnd ;135°_1X_Z	1X	low max Wnd ;135°	GCS	Z	Kracht	-322,76
low max Wnd ;135°_1XY_X	1XY	low max Wnd ;135°	GCS	X	Kracht	173,42
low max Wnd ;135°_1XY_Y	1XY	low max Wnd ;135°	GCS	Y	Kracht	147,98
low max Wnd ;135°_1XY_Z	1XY	low max Wnd ;135°	GCS	Z	Kracht	-911,28
low max Wnd ;135°_1Y_X	1Y	low max Wnd ;135°	GCS	X	Kracht	-43,85
low max Wnd ;135°_1Y_Y	1Y	low max Wnd ;135°	GCS	Y	Kracht	-4,44
low max Wnd ;135°_1Y_Z	1Y	low max Wnd ;135°	GCS	Z	Kracht	141,52
low max Wnd ;135°_1Y_X1	1Y2	low max Wnd ;135°	GCS	X	Kracht	-43,85
low max Wnd ;135°_1Y_Y1	1Y2	low max Wnd ;135°	GCS	Y	Kracht	-4,44
low max Wnd ;135°_1Y_Z1	1Y2	low max Wnd ;135°	GCS	Z	Kracht	141,52
low max Wnd ;135°_1XY_X1	1XY2	low max Wnd ;135°	GCS	X	Kracht	173,42
low max Wnd ;135°_1XY_Y1	1XY2	low max Wnd ;135°	GCS	Y	Kracht	147,98
low max Wnd ;135°_1XY_Z1	1XY2	low max Wnd ;135°	GCS	Z	Kracht	-911,28
low max Wnd ;135°_1P_X1	1P2	low max Wnd ;135°	GCS	X	Kracht	135,17
low max Wnd ;135°_1P_Y1	1P2	low max Wnd ;135°	GCS	Y	Kracht	118,62
low max Wnd ;135°_1P_Z1	1P2	low max Wnd ;135°	GCS	Z	Kracht	739,16
low max Wnd ;135°_1X_X1	1X2	low max Wnd ;135°	GCS	X	Kracht	-72,36
low max Wnd ;135°_1X_Y1	1X2	low max Wnd ;135°	GCS	Y	Kracht	36,48
low max Wnd ;135°_1X_Z1	1X2	low max Wnd ;135°	GCS	Z	Kracht	-322,76

6.1.8. Belastingsgevallen - low max Wnd ;45°

Naam	Omschrijving	Actie type	Lastgroep	Duur	'Master' belastingsgeval
	Spec	Belastingtype			
low max Wnd ;45°		Variabel	LG4	Kort	Geen
	Standaard	Statisch			



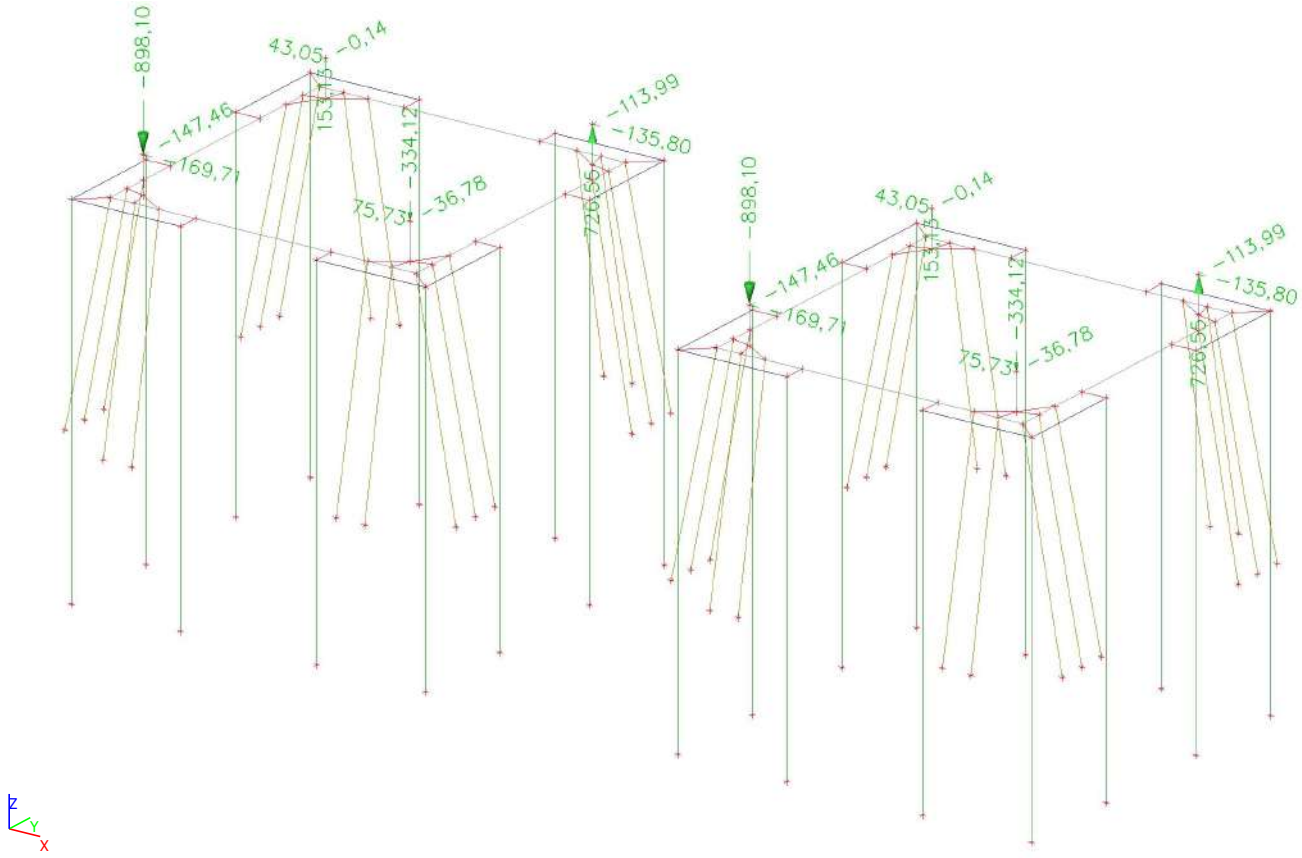
6.1.8.1. Puntlast op knoop

Naam	Knoop	Belastingsgeval	Systeem	Rich	Type	Waarde - F [kN]
low max Wnd ;45°_1P_X	1P	low max Wnd ;45°	GCS	X	Kracht	43,22
low max Wnd ;45°_1P_Y	1P	low max Wnd ;45°	GCS	Y	Kracht	0,22
low max Wnd ;45°_1P_Z	1P	low max Wnd ;45°	GCS	Z	Kracht	153,99
low max Wnd ;45°_1X_X	1X	low max Wnd ;45°	GCS	X	Kracht	-169,85
low max Wnd ;45°_1X_Y	1X	low max Wnd ;45°	GCS	Y	Kracht	147,50
low max Wnd ;45°_1X_Z	1X	low max Wnd ;45°	GCS	Z	Kracht	-898,72
low max Wnd ;45°_1XY_X	1XY	low max Wnd ;45°	GCS	X	Kracht	75,89
low max Wnd ;45°_1XY_Y	1XY	low max Wnd ;45°	GCS	Y	Kracht	36,88
low max Wnd ;45°_1XY_Z	1XY	low max Wnd ;45°	GCS	Z	Kracht	-334,99
low max Wnd ;45°_1Y_X	1Y	low max Wnd ;45°	GCS	X	Kracht	-135,94
low max Wnd ;45°_1Y_Y	1Y	low max Wnd ;45°	GCS	Y	Kracht	114,04
low max Wnd ;45°_1Y_Z	1Y	low max Wnd ;45°	GCS	Z	Kracht	727,17
low max Wnd ;45°_1Y_X1	1Y2	low max Wnd ;45°	GCS	X	Kracht	-135,94
low max Wnd ;45°_1Y_Y1	1Y2	low max Wnd ;45°	GCS	Y	Kracht	114,04
low max Wnd	1Y2	low max Wnd ;45°	GCS	Z	Kracht	727,17

Naam	Knoop	Belastingsgeval	Systeem	Rich	Type	Waarde - F [kN]
;45°_1Y_Z1						
low max Wnd ;45°_1XY_X1	1XY2	low max Wnd ;45°	GCS	X	Kracht	75,89
low max Wnd ;45°_1XY_Y1	1XY2	low max Wnd ;45°	GCS	Y	Kracht	36,88
low max Wnd ;45°_1XY_Z1	1XY2	low max Wnd ;45°	GCS	Z	Kracht	-334,99
low max Wnd ;45°_1P_X1	1P2	low max Wnd ;45°	GCS	X	Kracht	43,22
low max Wnd ;45°_1P_Y1	1P2	low max Wnd ;45°	GCS	Y	Kracht	0,22
low max Wnd ;45°_1P_Z1	1P2	low max Wnd ;45°	GCS	Z	Kracht	153,99
low max Wnd ;45°_1X_X1	1X2	low max Wnd ;45°	GCS	X	Kracht	-169,85
low max Wnd ;45°_1X_Y1	1X2	low max Wnd ;45°	GCS	Y	Kracht	147,50
low max Wnd ;45°_1X_Z1	1X2	low max Wnd ;45°	GCS	Z	Kracht	-898,72

6.1.9. Belastingsgevallen - low max Wnd ;315°

Naam	Omschrijving	Actie type	Lastgroep	Duur	'Master' belastingsgeval
	Spec	Belastingtype			
low max Wnd ;315°		Variabel	LG4	Kort	Geen
	Standaard	Statisch			



6.1.9.1. Puntlast op knoop

Naam	Knoop	Belastingsgeval	Systeem	Rich	Type	Waarde - F [kN]
low max Wnd ;315°_1P_X	1P	low max Wnd ;315°	GCS	X	Kracht	-169,71
low max Wnd ;315°_1P_Y	1P	low max Wnd ;315°	GCS	Y	Kracht	-147,46
low max Wnd ;315°_1P_Z	1P	low max Wnd ;315°	GCS	Z	Kracht	-898,10
low max Wnd ;315°_1X_X	1X	low max Wnd ;315°	GCS	X	Kracht	43,05
low max Wnd ;315°_1X_Y	1X	low max Wnd ;315°	GCS	Y	Kracht	-0,14
low max Wnd ;315°_1X_Z	1X	low max Wnd ;315°	GCS	Z	Kracht	153,13
low max Wnd ;315°_1XY_X	1XY	low max Wnd ;315°	GCS	X	Kracht	-135,80
low max Wnd ;315°_1XY_Y	1XY	low max Wnd ;315°	GCS	Y	Kracht	-113,99
low max Wnd ;315°_1XY_Z	1XY	low max Wnd ;315°	GCS	Z	Kracht	726,55
low max Wnd ;315°_1Y_X	1Y	low max Wnd ;315°	GCS	X	Kracht	75,73
low max Wnd ;315°_1Y_Y	1Y	low max Wnd ;315°	GCS	Y	Kracht	-36,78
low max Wnd ;315°_1Y_Z	1Y	low max Wnd ;315°	GCS	Z	Kracht	-334,12
low max Wnd ;315°_1Y_X1	1Y2	low max Wnd ;315°	GCS	X	Kracht	75,73
low max Wnd ;315°_1Y_Y1	1Y2	low max Wnd ;315°	GCS	Y	Kracht	-36,78
low max Wnd ;315°_1Y_Z1	1Y2	low max Wnd ;315°	GCS	Z	Kracht	-334,12
low max Wnd ;315°_1XY_X1	1XY2	low max Wnd ;315°	GCS	X	Kracht	-135,80
low max Wnd ;315°_1XY_Y1	1XY2	low max Wnd ;315°	GCS	Y	Kracht	-113,99
low max Wnd ;315°_1XY_Z1	1XY2	low max Wnd ;315°	GCS	Z	Kracht	726,55
low max Wnd ;315°_1P_X1	1P2	low max Wnd ;315°	GCS	X	Kracht	-169,71
low max Wnd ;315°_1P_Y1	1P2	low max Wnd ;315°	GCS	Y	Kracht	-147,46
low max Wnd ;315°_1P_Z1	1P2	low max Wnd ;315°	GCS	Z	Kracht	-898,10
low max Wnd ;315°_1X_X1	1X2	low max Wnd ;315°	GCS	X	Kracht	43,05
low max Wnd ;315°_1X_Y1	1X2	low max Wnd ;315°	GCS	Y	Kracht	-0,14
low max Wnd ;315°_1X_Z1	1X2	low max Wnd ;315°	GCS	Z	Kracht	153,13

6.2. Niet-lineaire combinaties

Naam	Type	Belastingsgevallen	Coëff. [-]
high max Wnd ;225°	Uiterste Grenstoestand	E.G.	1,20
		high max Wnd ;225°	1,00
high max Wnd ;135°	Uiterste Grenstoestand	E.G.	1,20
		high max Wnd ;135°	1,00
high max Wnd ;45°	Uiterste Grenstoestand	E.G.	1,20
		high max Wnd ;45°	1,00
high max Wnd ;315°	Uiterste Grenstoestand	E.G.	1,20
		high max Wnd ;315°	1,00
low max Wnd ;45°	Uiterste Grenstoestand	E.G.	0,90
		low max Wnd ;45°	1,00
low max Wnd ;135°	Uiterste Grenstoestand	E.G.	0,90

Naam	Type	Belastingsgevallen	Coëff. [-]
		low max Wnd ;135°	1,00
low max Wnd ;315°	Uiterste Grenstoestand	E.G.	0,90
		low max Wnd ;315°	1,00
low max Wnd ;225°	Uiterste Grenstoestand	E.G.	0,90
		low max Wnd ;225°	1,00

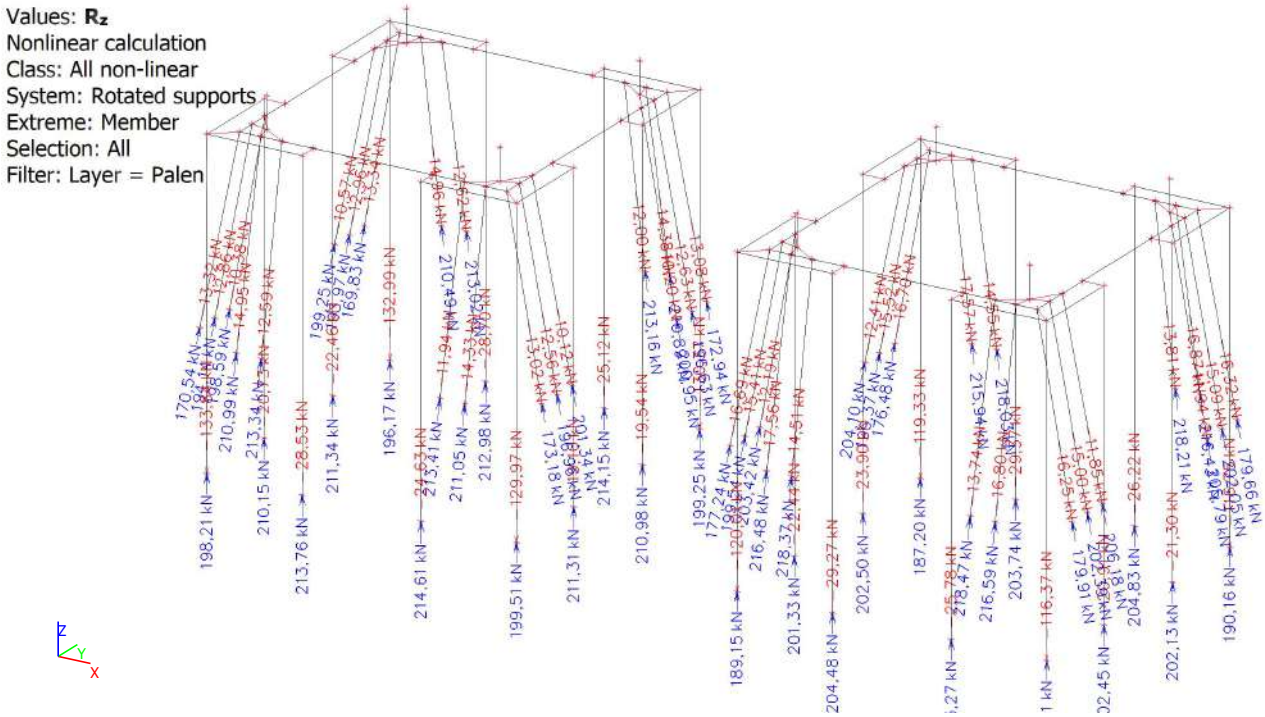
6.3. Resultaatklasses

Naam	Lijst
All non-linear	high max Wnd ;225°
	high max Wnd ;135°
	high max Wnd ;45°
	high max Wnd ;315°
	low max Wnd ;45°
	low max Wnd ;135°
	low max Wnd ;315°
	low max Wnd ;225°

7. Resultaten

7.1. Reacties van de palen

7.1.1. Reactions; R_z



7.1.2. Reacties

Niet-lineaire berekening
Klasse: All non-linear
Systeem: Schuine steunpunten
Extreem: Globaal
Selectie: Alle
Filter: Doorsnede = Funderingspaal - Rectangle (320; 320)
Knoopreacties

Naam	Belasting	R_x [kN]	R_y [kN]	R_z [kN]	M_x [kNm]	M_y [kNm]	M_z [kNm]	e_x [mm]	e_y [mm]
Sn27/N49	low max Wnd ;225°	**0,00**	0,00	157,68	0,00	0,00	0,00	0,0	0,0
Sn89/N201	low max Wnd ;135°	**0,00**	0,00	182,01	**0,00**	**0,00**	**0,00**	0,0	0,0
Sn36/N14	high max Wnd ;135°	0,00	**0,00**	213,16	0,00	0,00	0,00	0,0	0,0
Sn92/N204	low max Wnd ;45°	0,00	**0,00**	137,41	0,00	0,00	0,00	0,0	0,0
Sn93/N205	low max Wnd ;225°	0,00	0,00	**-17,57**	0,00	0,00	0,00	0,0	0,0
Sn87/N199	high max Wnd ;225°	0,00	0,00	**218,47**	0,00	0,00	0,00	0,0	0,0

7.1.3. Reacties

Niet-lineaire berekening
Klasse: All non-linear
Systeem: Schuine steunpunten
Extreem: Globaal
Selectie: Alle
Filter: Doorsnede = LEKA Paal - type e (CHS219.1/10.0)
Knoopreacties

Naam	Belasting	R_x [kN]	R_y [kN]	R_z [kN]	M_x [kNm]	M_y [kNm]	M_z [kNm]	e_x [mm]	e_y [mm]
Sn113/N247	low max Wnd ;135°	0,00	0,00	**-133,84**	0,00	0,00	0,00	0,0	0,0
Sn47/N83	high max Wnd ;225°	**0,00**	**0,00**	**214,61**	**0,00**	**0,00**	**0,00**	0,0	0,0

7.1.4. Reacties

Niet-lineaire berekening
Klasse: All non-linear
Systeem: Schuine steunpunten
Extreem: Element
Selectie: Alle
Filter: Laag = Palen

Knoopreacties

Naam	Belasting	R_x [kN]	R_y [kN]	R_z [kN]	M_x [kNm]	M_y [kNm]	M_z [kNm]	e_x [mm]	e_y [mm]
Sn21/N44	low max Wnd ;135°	0,00	**0,00**	**-13,32**	0,00	0,00	0,00	0,0	0,0
Sn21/N44	high max Wnd ;315°	**0,00**	**0,00**	**170,54**	**0,00**	**0,00**	**0,00**	0,0	0,0
Sn21/N44	low max Wnd ;315°	**0,00**	0,00	154,77	0,00	0,00	**0,00**	0,0	0,0
Sn22/N45	low max Wnd ;135°	0,00	0,00	**-12,86**	0,00	0,00	0,00	0,0	0,0
Sn22/N45	high max Wnd ;315°	**0,00**	**0,00**	**194,14**	**0,00**	**0,00**	**0,00**	0,0	0,0
Sn22/N45	low max Wnd ;315°	**0,00**	0,00	174,41	0,00	0,00	**0,00**	0,0	0,0
Sn23/N46	high max Wnd ;225°	**0,00**	0,00	104,27	**0,00**	**0,00**	**0,00**	0,0	0,0
Sn23/N46	high max Wnd ;315°	0,00	**0,00**	**198,59**	0,00	0,00	0,00	0,0	0,0
Sn23/N46	low max Wnd ;135°	0,00	**0,00**	**-10,38**	0,00	0,00	0,00	0,0	0,0
Sn23/N46	low max Wnd ;315°	**0,00**	0,00	174,89	0,00	0,00	**0,00**	0,0	0,0
Sn24/N47	high max Wnd ;315°	**0,00**	**0,00**	**210,99**	0,00	0,00	0,00	0,0	0,0
Sn24/N47	high max Wnd ;225°	0,00	**0,00**	147,46	**0,00**	**0,00**	**0,00**	0,0	0,0
Sn24/N47	low max Wnd ;135°	**0,00**	0,00	**-14,95**	0,00	0,00	**0,00**	0,0	0,0
Sn26/N48	high max Wnd ;135°	0,00	**0,00**	-6,93	**0,00**	**0,00**	**0,00**	0,0	0,0
Sn26/N48	low max Wnd ;135°	**0,00**	0,00	**-12,59**	0,00	0,00	0,00	0,0	0,0
Sn26/N48	high max Wnd ;315°	**0,00**	**0,00**	**213,34**	0,00	0,00	**0,00**	0,0	0,0
Sn27/N49	low max Wnd ;45°	0,00	**0,00**	**-13,02**	0,00	0,00	0,00	0,0	0,0
Sn27/N49	high max Wnd ;225°	**0,00**	0,00	**173,18**	**0,00**	**0,00**	**0,00**	0,0	0,0
Sn27/N49	low max Wnd ;225°	**0,00**	**0,00**	157,68	0,00	0,00	**0,00**	0,0	0,0
Sn28/N50	low max Wnd ;135°	**0,00**	**0,00**	49,80	**0,00**	**0,00**	**0,00**	0,0	0,0
Sn28/N50	low max Wnd ;45°	0,00	0,00	**-12,56**	0,00	0,00	0,00	0,0	0,0
Sn28/N50	high max Wnd ;225°	**0,00**	0,00	**196,96**	0,00	0,00	**0,00**	0,0	0,0
Sn29/N51	high max Wnd ;225°	**0,00**	**0,00**	**201,34**	**0,00**	**0,00**	**0,00**	0,0	0,0
Sn29/N51	low max Wnd ;45°	0,00	**0,00**	**-10,12**	0,00	0,00	0,00	0,0	0,0
Sn29/N51	high max	**0,00**	0,00	107,23	0,00	0,00	**0,00**	0,0	0,0

Naam	Belasting	R_x [kN]	R_y [kN]	R_z [kN]	M_x [kNm]	M_y [kNm]	M_z [kNm]	e_x [mm]	e_y [mm]
	Wnd ;315°								
Sn30/N52	low max Wnd ;225°	0,00	**0,00**	191,64	0,00	0,00	0,00	0,0	0,0
Sn30/N52	high max Wnd ;315°	0,00	**0,00**	147,12	**0,00**	**0,00**	**0,00**	0,0	0,0
Sn30/N52	low max Wnd ;45°	**0,00**	0,00	**-14,33**	0,00	0,00	0,00	0,0	0,0
Sn30/N52	high max Wnd ;225°	**0,00**	0,00	**211,05**	0,00	0,00	**0,00**	0,0	0,0
Sn31/N53	low max Wnd ;315°	0,00	**0,00**	134,21	0,00	0,00	0,00	0,0	0,0
Sn31/N53	low max Wnd ;225°	0,00	**0,00**	189,98	**0,00**	**0,00**	**0,00**	0,0	0,0
Sn31/N53	high max Wnd ;225°	**0,00**	0,00	**213,41**	0,00	0,00	0,00	0,0	0,0
Sn31/N53	low max Wnd ;45°	**0,00**	0,00	**-11,94**	0,00	0,00	**0,00**	0,0	0,0
Sn32/N10	low max Wnd ;45°	**0,00**	0,00	62,11	**0,00**	**0,00**	**0,00**	0,0	0,0
Sn32/N10	high max Wnd ;135°	0,00	**0,00**	**172,94**	0,00	0,00	0,00	0,0	0,0
Sn32/N10	low max Wnd ;315°	0,00	**0,00**	**-13,08**	0,00	0,00	0,00	0,0	0,0
Sn32/N10	low max Wnd ;135°	**0,00**	0,00	157,51	0,00	0,00	**0,00**	0,0	0,0
Sn33/N11	low max Wnd ;315°	0,00	0,00	**-12,63**	0,00	0,00	0,00	0,0	0,0
Sn33/N11	high max Wnd ;135°	**0,00**	**0,00**	**196,63**	**0,00**	**0,00**	**0,00**	0,0	0,0
Sn33/N11	low max Wnd ;135°	**0,00**	0,00	177,31	0,00	0,00	**0,00**	0,0	0,0
Sn34/N12	low max Wnd ;45°	**0,00**	0,00	81,73	**0,00**	**0,00**	**0,00**	0,0	0,0
Sn34/N12	low max Wnd ;315°	0,00	**0,00**	**-10,20**	0,00	0,00	0,00	0,0	0,0
Sn34/N12	high max Wnd ;135°	**0,00**	**0,00**	**200,95**	0,00	0,00	**0,00**	0,0	0,0
Sn35/N13	low max Wnd ;45°	0,00	**0,00**	129,33	**0,00**	**0,00**	**0,00**	0,0	0,0
Sn35/N13	low max Wnd ;315°	**0,00**	0,00	**-14,38**	0,00	0,00	0,00	0,0	0,0
Sn35/N13	high max Wnd ;135°	**0,00**	**0,00**	**210,89**	0,00	0,00	**0,00**	0,0	0,0
Sn36/N14	high max Wnd ;135°	**0,00**	**0,00**	**213,16**	0,00	0,00	0,00	0,0	0,0
Sn36/N14	low max Wnd ;45°	0,00	**0,00**	134,04	**0,00**	**0,00**	**0,00**	0,0	0,0
Sn36/N14	low max Wnd ;315°	**0,00**	0,00	**-12,00**	0,00	0,00	**0,00**	0,0	0,0
Sn37/N15	low max Wnd ;45°	**0,00**	**0,00**	191,25	0,00	0,00	0,00	0,0	0,0
Sn37/N15	low max Wnd ;315°	0,00	**0,00**	-0,38	**0,00**	**0,00**	**0,00**	0,0	0,0
Sn37/N15	high max Wnd ;45°	0,00	0,00	**210,49**	0,00	0,00	0,00	0,0	0,0
Sn37/N15	low max Wnd ;225°	**0,00**	0,00	**-14,96**	0,00	0,00	**0,00**	0,0	0,0
Sn38/N2	low max Wnd ;135°	0,00	**0,00**	134,29	0,00	0,00	0,00	0,0	0,0
Sn38/N2	high max Wnd ;135°	0,00	**0,00**	156,11	**0,00**	**0,00**	**0,00**	0,0	0,0
Sn38/N2	low max Wnd ;225°	**0,00**	0,00	**-12,62**	0,00	0,00	0,00	0,0	0,0
Sn38/N2	high max Wnd ;45°	**0,00**	0,00	**213,02**	0,00	0,00	**0,00**	0,0	0,0
Sn39/N3	high max	**0,00**	0,00	55,87	**0,00**	**0,00**	**0,00**	0,0	0,0

Naam	Belasting	R_x [kN]	R_y [kN]	R_z [kN]	M_x [kNm]	M_y [kNm]	M_z [kNm]	e_x [mm]	e_y [mm]
	Wnd ;315°								
Sn39/N3	high max Wnd ;45°	0,00	**0,00**	**169,83**	0,00	0,00	0,00	0,0	0,0
Sn39/N3	low max Wnd ;225°	0,00	**0,00**	**-13,34**	0,00	0,00	0,00	0,0	0,0
Sn39/N3	low max Wnd ;135°	**0,00**	0,00	59,01	0,00	0,00	**0,00**	0,0	0,0
Sn40/N4	high max Wnd ;315°	**0,00**	**0,00**	67,15	**0,00**	**0,00**	**0,00**	0,0	0,0
Sn40/N4	low max Wnd ;225°	0,00	0,00	**-12,96**	0,00	0,00	0,00	0,0	0,0
Sn40/N4	high max Wnd ;45°	0,00	0,00	**193,97**	0,00	0,00	0,00	0,0	0,0
Sn40/N4	low max Wnd ;135°	**0,00**	0,00	71,71	0,00	0,00	**0,00**	0,0	0,0
Sn41/N54	low max Wnd ;45°	**0,00**	0,00	175,64	**0,00**	**0,00**	**0,00**	0,0	0,0
Sn41/N54	low max Wnd ;225°	0,00	**0,00**	**-10,57**	0,00	0,00	0,00	0,0	0,0
Sn41/N54	high max Wnd ;45°	0,00	**0,00**	**199,25**	0,00	0,00	0,00	0,0	0,0
Sn41/N54	high max Wnd ;135°	**0,00**	0,00	104,43	0,00	0,00	**0,00**	0,0	0,0
Sn42/N60	low max Wnd ;225°	0,00	0,00	**-28,70**	0,00	0,00	0,00	0,0	0,0
Sn42/N60	high max Wnd ;45°	**0,00**	**0,00**	**212,98**	**0,00**	**0,00**	**0,00**	0,0	0,0
Sn43/N61	low max Wnd ;225°	0,00	0,00	**-22,46**	0,00	0,00	0,00	0,0	0,0
Sn43/N61	high max Wnd ;45°	**0,00**	**0,00**	**211,34**	**0,00**	**0,00**	**0,00**	0,0	0,0
Sn44/N75	low max Wnd ;315°	0,00	0,00	**-25,12**	0,00	0,00	0,00	0,0	0,0
Sn44/N75	high max Wnd ;135°	**0,00**	**0,00**	**214,15**	**0,00**	**0,00**	**0,00**	0,0	0,0
Sn45/N77	low max Wnd ;315°	0,00	0,00	**-19,54**	0,00	0,00	0,00	0,0	0,0
Sn45/N77	high max Wnd ;135°	**0,00**	**0,00**	**210,98**	**0,00**	**0,00**	**0,00**	0,0	0,0
Sn46/N80	low max Wnd ;135°	0,00	0,00	**-28,53**	0,00	0,00	0,00	0,0	0,0
Sn46/N80	high max Wnd ;315°	**0,00**	**0,00**	**213,76**	**0,00**	**0,00**	**0,00**	0,0	0,0
Sn47/N83	low max Wnd ;45°	**0,00**	**0,00**	**-24,63**	**0,00**	**0,00**	**0,00**	0,0	0,0
Sn47/N83	high max Wnd ;225°	0,00	0,00	**214,61**	0,00	0,00	**0,00**	0,0	0,0
Sn48/N85	low max Wnd ;135°	0,00	0,00	**-20,73**	0,00	0,00	0,00	0,0	0,0
Sn48/N85	high max Wnd ;315°	**0,00**	**0,00**	**210,15**	**0,00**	**0,00**	**0,00**	0,0	0,0
Sn49/N87	low max Wnd ;45°	**0,00**	**0,00**	**-19,10**	**0,00**	**0,00**	**0,00**	0,0	0,0
Sn49/N87	high max Wnd ;225°	0,00	0,00	**211,31**	0,00	0,00	**0,00**	0,0	0,0
Sn78/N190	high max Wnd ;45°	**0,00**	0,00	57,73	**0,00**	**0,00**	**0,00**	0,0	0,0
Sn78/N190	low max Wnd ;135°	0,00	**0,00**	**-16,69**	0,00	0,00	0,00	0,0	0,0
Sn78/N190	high max Wnd ;315°	0,00	**0,00**	**177,24**	0,00	0,00	0,00	0,0	0,0
Sn78/N190	low max Wnd ;315°	**0,00**	0,00	160,78	0,00	0,00	**0,00**	0,0	0,0
Sn79/N191	low max Wnd ;135°	0,00	0,00	**-15,41**	0,00	0,00	0,00	0,0	0,0
Sn79/N191	high max	**0,00**	**0,00**	**199,54**	**0,00**	**0,00**	**0,00**	0,0	0,0

Naam	Belasting	R_x [kN]	R_y [kN]	R_z [kN]	M_x [kNm]	M_y [kNm]	M_z [kNm]	e_x [mm]	e_y [mm]
	Wnd ;315°								
Sn79/N191	high max Wnd ;225°	**0,00**	0,00	97,12	0,00	0,00	**0,00**	0,0	0,0
Sn80/N192	high max Wnd ;225°	**0,00**	0,00	108,92	**0,00**	**0,00**	**0,00**	0,0	0,0
Sn80/N192	high max Wnd ;315°	0,00	**0,00**	**203,42**	0,00	0,00	0,00	0,0	0,0
Sn80/N192	low max Wnd ;135°	**0,00**	**0,00**	**-12,19**	0,00	0,00	**0,00**	0,0	0,0
Sn81/N193	high max Wnd ;45°	0,00	**0,00**	20,30	0,00	0,00	0,00	0,0	0,0
Sn81/N193	low max Wnd ;315°	**0,00**	**0,00**	196,36	**0,00**	**0,00**	**0,00**	0,0	0,0
Sn81/N193	high max Wnd ;315°	0,00	0,00	**216,48**	0,00	0,00	0,00	0,0	0,0
Sn81/N193	low max Wnd ;135°	**0,00**	0,00	**-17,56**	0,00	0,00	**0,00**	0,0	0,0
Sn82/N194	high max Wnd ;225°	0,00	**0,00**	160,40	**0,00**	**0,00**	**0,00**	0,0	0,0
Sn82/N194	low max Wnd ;135°	**0,00**	0,00	**-14,51**	0,00	0,00	0,00	0,0	0,0
Sn82/N194	high max Wnd ;315°	**0,00**	**0,00**	**218,37**	0,00	0,00	**0,00**	0,0	0,0
Sn83/N195	low max Wnd ;45°	0,00	**0,00**	**-16,25**	0,00	0,00	0,00	0,0	0,0
Sn83/N195	high max Wnd ;225°	**0,00**	**0,00**	**179,91**	**0,00**	**0,00**	**0,00**	0,0	0,0
Sn83/N195	low max Wnd ;225°	**0,00**	0,00	163,73	0,00	0,00	**0,00**	0,0	0,0
Sn84/N196	low max Wnd ;45°	0,00	0,00	**-15,00**	0,00	0,00	0,00	0,0	0,0
Sn84/N196	high max Wnd ;225°	**0,00**	**0,00**	**202,39**	**0,00**	**0,00**	**0,00**	0,0	0,0
Sn84/N196	low max Wnd ;135°	**0,00**	0,00	51,58	0,00	0,00	**0,00**	0,0	0,0
Sn85/N197	low max Wnd ;135°	**0,00**	0,00	64,64	**0,00**	**0,00**	**0,00**	0,0	0,0
Sn85/N197	high max Wnd ;225°	0,00	**0,00**	**206,18**	0,00	0,00	0,00	0,0	0,0
Sn85/N197	low max Wnd ;45°	0,00	**0,00**	**-11,85**	0,00	0,00	0,00	0,0	0,0
Sn85/N197	low max Wnd ;225°	**0,00**	0,00	181,94	0,00	0,00	**0,00**	0,0	0,0
Sn86/N198	high max Wnd ;315°	0,00	**0,00**	151,04	0,00	0,00	0,00	0,0	0,0
Sn86/N198	low max Wnd ;315°	0,00	**0,00**	132,83	**0,00**	**0,00**	**0,00**	0,0	0,0
Sn86/N198	low max Wnd ;45°	**0,00**	0,00	**-16,80**	0,00	0,00	0,00	0,0	0,0
Sn86/N198	high max Wnd ;225°	**0,00**	0,00	**216,59**	0,00	0,00	**0,00**	0,0	0,0
Sn87/N199	low max Wnd ;315°	0,00	**0,00**	137,59	0,00	0,00	0,00	0,0	0,0
Sn87/N199	high max Wnd ;225°	**0,00**	**0,00**	**218,47**	**0,00**	**0,00**	**0,00**	0,0	0,0
Sn87/N199	low max Wnd ;45°	**0,00**	0,00	**-13,74**	0,00	0,00	**0,00**	0,0	0,0
Sn88/N200	low max Wnd ;315°	0,00	**0,00**	**-16,32**	0,00	0,00	0,00	0,0	0,0
Sn88/N200	high max Wnd ;135°	**0,00**	0,00	**179,66**	**0,00**	**0,00**	**0,00**	0,0	0,0
Sn88/N200	low max Wnd ;135°	**0,00**	**0,00**	163,55	0,00	0,00	**0,00**	0,0	0,0
Sn89/N201	low max Wnd ;135°	**0,00**	**0,00**	182,01	**0,00**	**0,00**	**0,00**	0,0	0,0
Sn89/N201	low max	0,00	0,00	**-15,09**	0,00	0,00	0,00	0,0	0,0

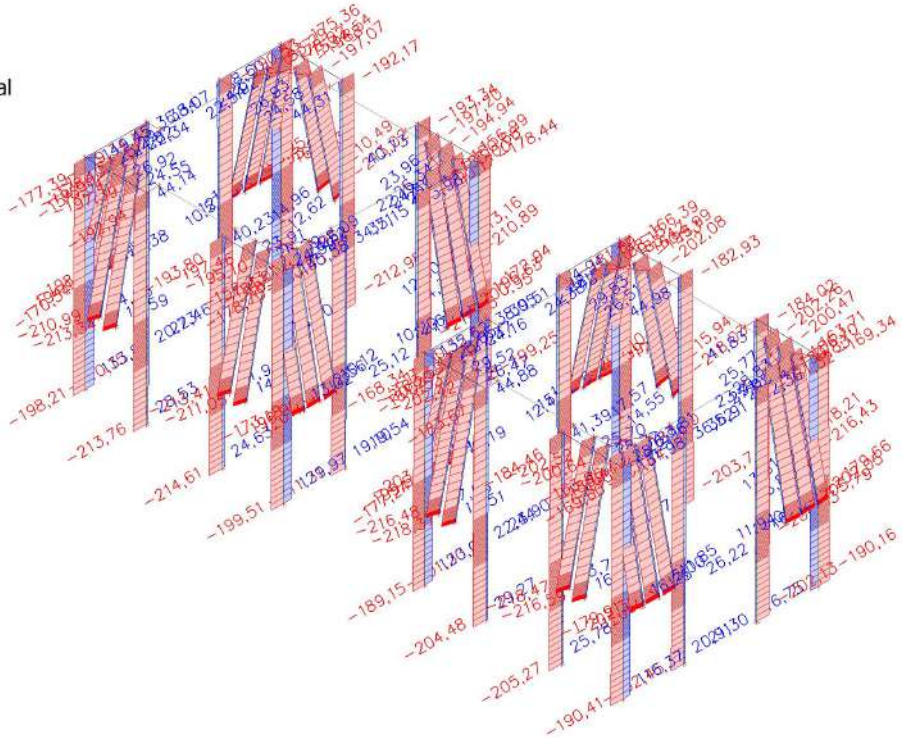
Naam	Belasting	R_x [kN]	R_y [kN]	R_z [kN]	M_x [kNm]	M_y [kNm]	M_z [kNm]	e_x [mm]	e_y [mm]
	Wnd ;315°								
Sn89/N201	high max Wnd ;135°	**0,00**	0,00	**202,05**	0,00	0,00	**0,00**	0,0	0,0
Sn90/N202	low max Wnd ;135°	**0,00**	0,00	181,66	**0,00**	**0,00**	**0,00**	0,0	0,0
Sn90/N202	low max Wnd ;315°	0,00	**0,00**	**-11,94**	0,00	0,00	0,00	0,0	0,0
Sn90/N202	high max Wnd ;135°	0,00	**0,00**	**205,79**	0,00	0,00	0,00	0,0	0,0
Sn90/N202	low max Wnd ;45°	**0,00**	0,00	85,28	0,00	0,00	**0,00**	0,0	0,0
Sn91/N203	high max Wnd ;315°	**0,00**	0,00	-10,18	**0,00**	**0,00**	**0,00**	0,0	0,0
Sn91/N203	low max Wnd ;45°	0,00	**0,00**	132,69	0,00	0,00	0,00	0,0	0,0
Sn91/N203	low max Wnd ;315°	0,00	0,00	**-16,87**	0,00	0,00	0,00	0,0	0,0
Sn91/N203	high max Wnd ;135°	**0,00**	**0,00**	**216,43**	0,00	0,00	**0,00**	0,0	0,0
Sn92/N204	high max Wnd ;135°	**0,00**	**0,00**	**218,21**	0,00	0,00	0,00	0,0	0,0
Sn92/N204	low max Wnd ;45°	0,00	**0,00**	137,41	**0,00**	**0,00**	**0,00**	0,0	0,0
Sn92/N204	low max Wnd ;315°	**0,00**	0,00	**-13,81**	0,00	0,00	**0,00**	0,0	0,0
Sn93/N205	high max Wnd ;45°	**0,00**	**0,00**	**215,94**	0,00	0,00	0,00	0,0	0,0
Sn93/N205	high max Wnd ;135°	0,00	**0,00**	151,13	**0,00**	**0,00**	**0,00**	0,0	0,0
Sn93/N205	low max Wnd ;225°	**0,00**	0,00	**-17,57**	0,00	0,00	**0,00**	0,0	0,0
Sn94/N206	high max Wnd ;135°	0,00	**0,00**	160,22	0,00	0,00	0,00	0,0	0,0
Sn94/N206	low max Wnd ;225°	**0,00**	0,00	**-14,55**	0,00	0,00	0,00	0,0	0,0
Sn94/N206	high max Wnd ;45°	0,00	**0,00**	**218,03**	**0,00**	**0,00**	**0,00**	0,0	0,0
Sn94/N206	low max Wnd ;45°	**0,00**	0,00	193,78	0,00	0,00	**0,00**	0,0	0,0
Sn95/N207	low max Wnd ;45°	**0,00**	0,00	160,11	**0,00**	**0,00**	**0,00**	0,0	0,0
Sn95/N207	high max Wnd ;45°	0,00	**0,00**	**176,48**	0,00	0,00	0,00	0,0	0,0
Sn95/N207	low max Wnd ;225°	0,00	**0,00**	**-16,70**	0,00	0,00	0,00	0,0	0,0
Sn95/N207	high max Wnd ;225°	**0,00**	0,00	-10,19	0,00	0,00	**0,00**	0,0	0,0
Sn96/N208	high max Wnd ;45°	**0,00**	**0,00**	**199,37**	**0,00**	**0,00**	**0,00**	0,0	0,0
Sn96/N208	low max Wnd ;225°	**0,00**	0,00	**-15,52**	0,00	0,00	**0,00**	0,0	0,0
Sn97/N209	low max Wnd ;225°	0,00	**0,00**	**-12,41**	0,00	0,00	0,00	0,0	0,0
Sn97/N209	high max Wnd ;45°	**0,00**	**0,00**	**204,10**	**0,00**	**0,00**	**0,00**	0,0	0,0
Sn97/N209	low max Wnd ;315°	**0,00**	0,00	63,52	0,00	0,00	**0,00**	0,0	0,0
Sn98/N215	low max Wnd ;225°	0,00	0,00	**-29,37**	0,00	0,00	0,00	0,0	0,0
Sn98/N215	high max Wnd ;45°	**0,00**	**0,00**	**203,74**	**0,00**	**0,00**	**0,00**	0,0	0,0
Sn99/N216	low max Wnd ;225°	0,00	0,00	**-23,90**	0,00	0,00	0,00	0,0	0,0
Sn99/N216	high max Wnd ;45°	**0,00**	**0,00**	**202,50**	**0,00**	**0,00**	**0,00**	0,0	0,0
Sn100/N227	low max	0,00	0,00	**-26,22**	0,00	0,00	0,00	0,0	0,0

Naam	Belasting	R_x [kN]	R_y [kN]	R_z [kN]	M_x [kNm]	M_y [kNm]	M_z [kNm]	e_x [mm]	e_y [mm]
	Wnd ;315°								
Sn100/N227	high max Wnd ;135°	**0,00**	**0,00**	**204,83**	**0,00**	**0,00**	**0,00**	0,0	0,0
Sn101/N229	low max Wnd ;315°	0,00	0,00	**-21,30**	0,00	0,00	0,00	0,0	0,0
Sn101/N229	high max Wnd ;135°	**0,00**	**0,00**	**202,13**	**0,00**	**0,00**	**0,00**	0,0	0,0
Sn102/N232	low max Wnd ;135°	0,00	0,00	**-29,27**	0,00	0,00	0,00	0,0	0,0
Sn102/N232	high max Wnd ;315°	**0,00**	**0,00**	**204,48**	**0,00**	**0,00**	**0,00**	0,0	0,0
Sn103/N235	low max Wnd ;45°	**0,00**	**0,00**	**-25,78**	**0,00**	**0,00**	**0,00**	0,0	0,0
Sn103/N235	high max Wnd ;225°	0,00	0,00	**205,27**	0,00	0,00	**0,00**	0,0	0,0
Sn104/N237	low max Wnd ;135°	0,00	0,00	**-22,44**	0,00	0,00	0,00	0,0	0,0
Sn104/N237	high max Wnd ;315°	**0,00**	**0,00**	**201,33**	**0,00**	**0,00**	**0,00**	0,0	0,0
Sn105/N239	low max Wnd ;45°	**0,00**	**0,00**	**-20,91**	**0,00**	**0,00**	**0,00**	0,0	0,0
Sn105/N239	high max Wnd ;225°	0,00	0,00	**202,45**	0,00	0,00	**0,00**	0,0	0,0
Sn106/N240	low max Wnd ;225°	0,00	0,00	**-119,33**	0,00	0,00	0,00	0,0	0,0
Sn106/N240	high max Wnd ;45°	**0,00**	**0,00**	**187,20**	**0,00**	**0,00**	**0,00**	0,0	0,0
Sn107/N241	low max Wnd ;315°	0,00	0,00	**-116,75**	0,00	0,00	0,00	0,0	0,0
Sn107/N241	high max Wnd ;135°	**0,00**	**0,00**	**190,16**	**0,00**	**0,00**	**0,00**	0,0	0,0
Sn108/N242	low max Wnd ;315°	0,00	0,00	**-130,37**	0,00	0,00	0,00	0,0	0,0
Sn108/N242	high max Wnd ;135°	**0,00**	**0,00**	**199,25**	**0,00**	**0,00**	**0,00**	0,0	0,0
Sn109/N243	low max Wnd ;225°	0,00	0,00	**-132,99**	0,00	0,00	0,00	0,0	0,0
Sn109/N243	high max Wnd ;45°	**0,00**	**0,00**	**196,17**	**0,00**	**0,00**	**0,00**	0,0	0,0
Sn110/N244	low max Wnd ;45°	**0,00**	**0,00**	**-116,37**	**0,00**	**0,00**	**0,00**	0,0	0,0
Sn110/N244	high max Wnd ;225°	0,00	0,00	**190,41**	0,00	0,00	**0,00**	0,0	0,0
Sn111/N245	low max Wnd ;135°	0,00	0,00	**-120,01**	0,00	0,00	0,00	0,0	0,0
Sn111/N245	high max Wnd ;315°	**0,00**	**0,00**	**189,15**	**0,00**	**0,00**	**0,00**	0,0	0,0
Sn112/N246	low max Wnd ;45°	**0,00**	**0,00**	**-129,97**	**0,00**	**0,00**	**0,00**	0,0	0,0
Sn112/N246	high max Wnd ;225°	0,00	0,00	**199,51**	0,00	0,00	**0,00**	0,0	0,0
Sn113/N247	low max Wnd ;135°	0,00	0,00	**-133,84**	0,00	0,00	0,00	0,0	0,0
Sn113/N247	high max Wnd ;315°	**0,00**	**0,00**	**198,21**	**0,00**	**0,00**	**0,00**	0,0	0,0

7.2. Krachten van de Funderingspalen

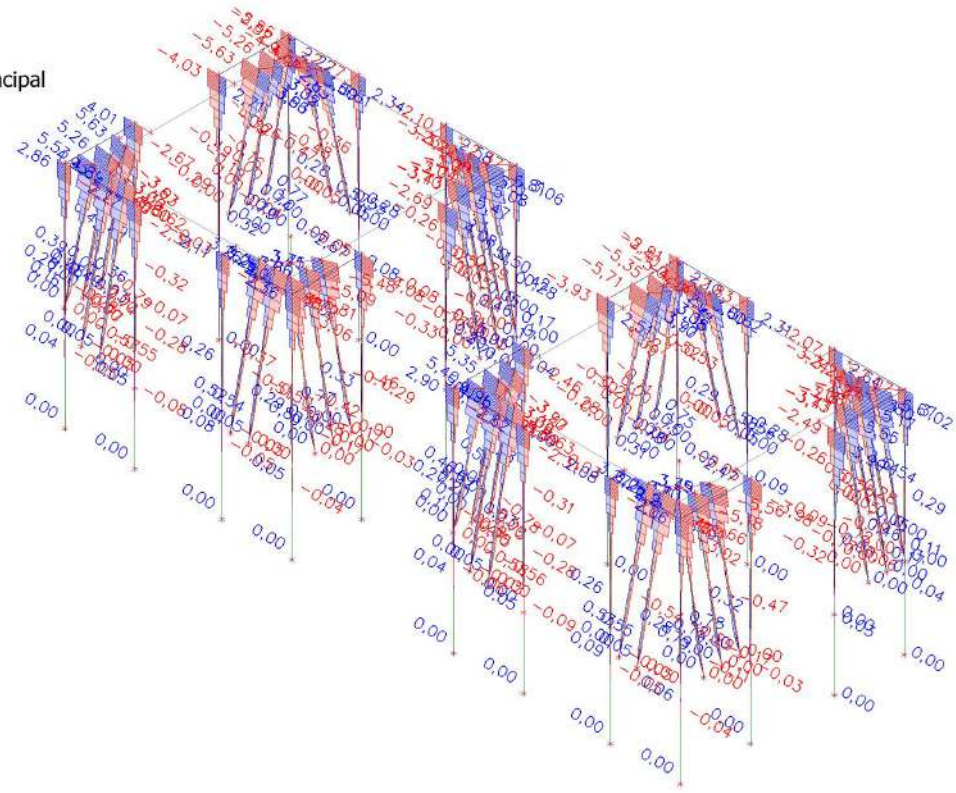
7.2.1. Interne 1D- krachten; N

Values: **N**
Nonlinear calculation
Class: All non-linear
Coordinate system: Principal
Extreme 1D: Local
Selection: All
Filter: Layer = Palen



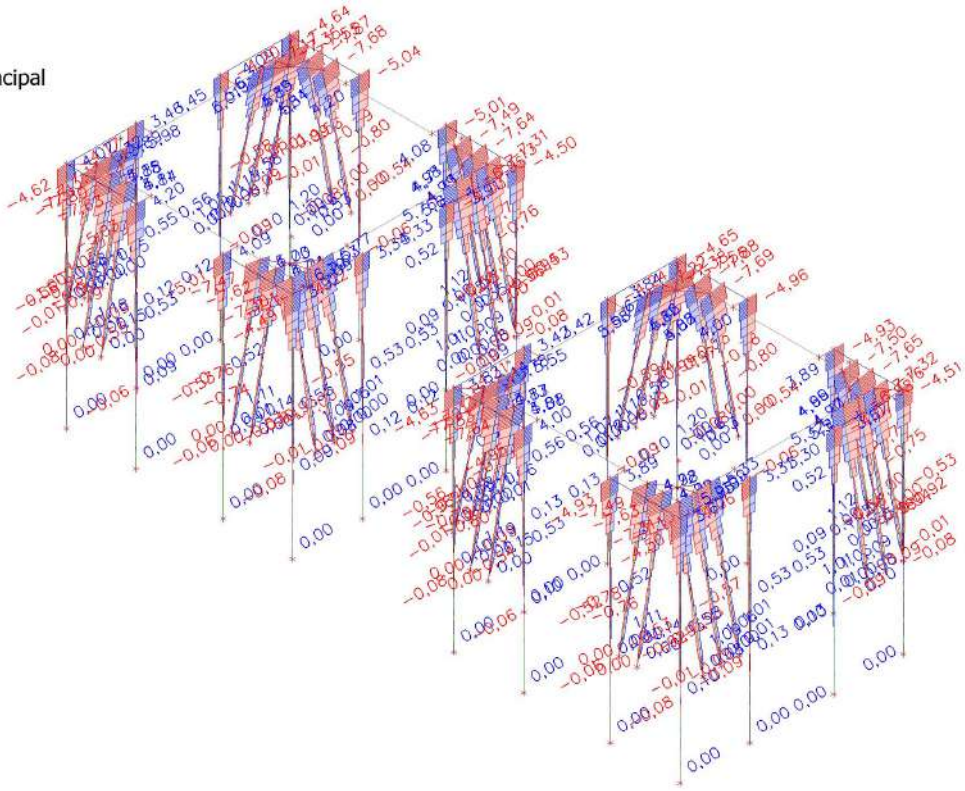
7.2.2. Interne 1D- krachten; V_y

Values: **V_y**
Nonlinear calculation
Class: All non-linear
Coordinate system: Principal
Extreme 1D: Local
Selection: All
Filter: Layer = Palen



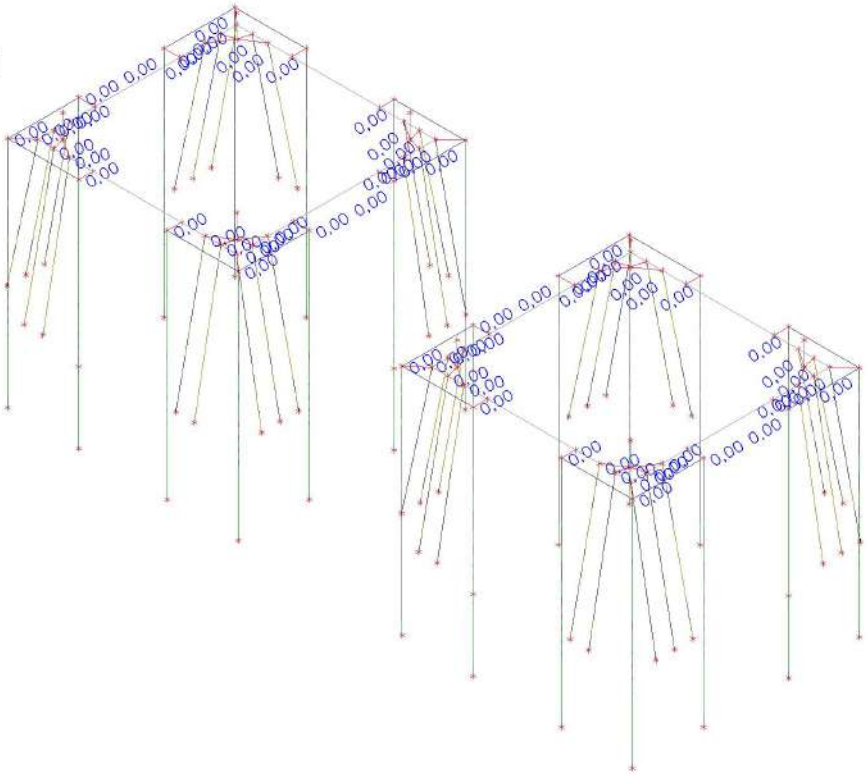
7.2.3. Interne 1D- krachten; V_z

Values: V_z
Nonlinear calculation
Class: All non-linear
Coordinate system: Principal
Extreme 1D: Local
Selection: All
Filter: Layer = Palen



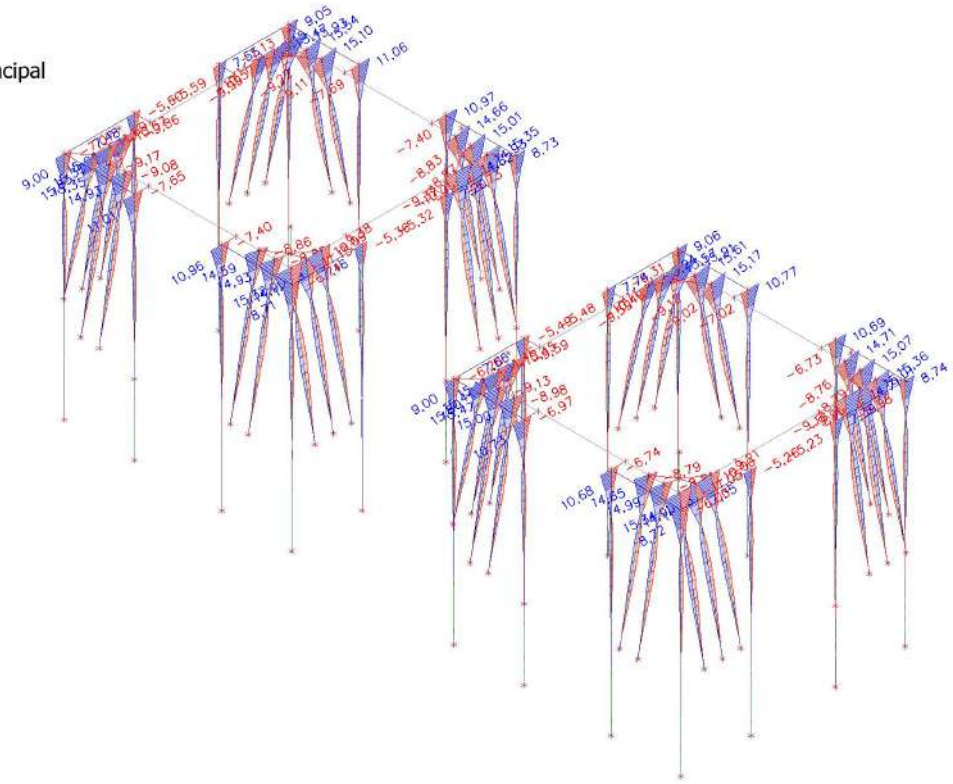
7.2.4. Interne 1D- krachten; M_x

Values: M_x
Nonlinear calculation
Class: All non-linear
Coordinate system: Principal
Extreme 1D: Local
Selection: All
Filter: Layer = Palen



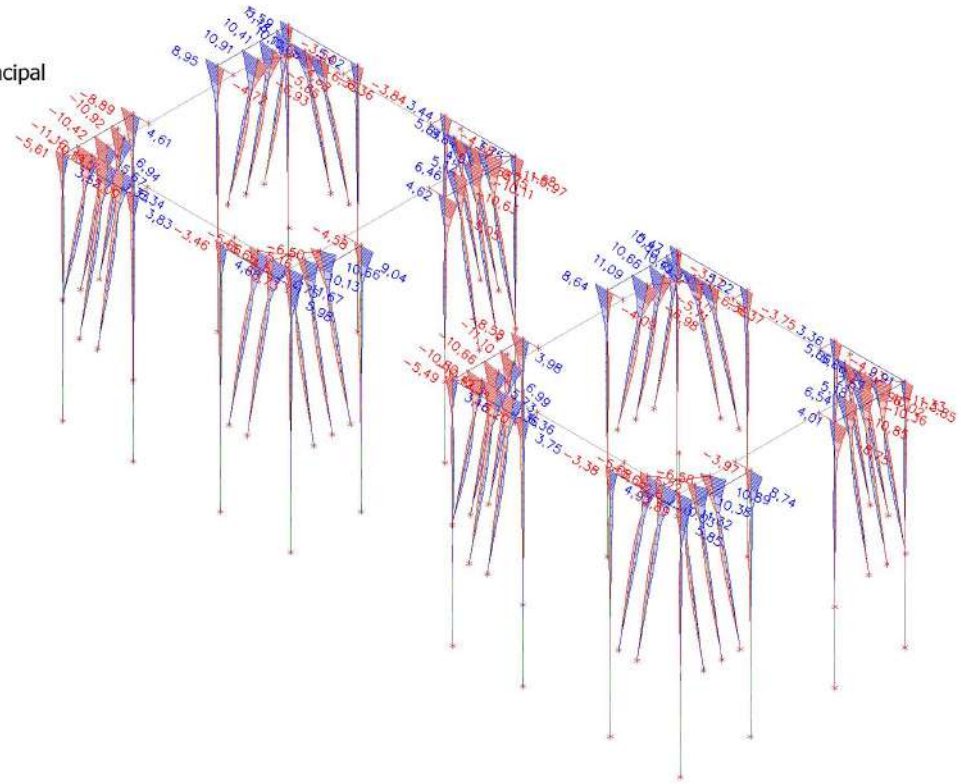
7.2.5. Interne 1D- krachten; M_y

Values: M_y
Nonlinear calculation
Class: All non-linear
Coordinate system: Principal
Extreme 1D: Member
Selection: All
Filter: Layer = Palen



7.2.6. Interne 1D- krachten; M_z

Values: M_z
Nonlinear calculation
Class: All non-linear
Coordinate system: Principal
Extreme 1D: Member
Selection: All
Filter: Layer = Palen



7.2.7. Interne 1D-krachten

Niet-lineaire berekening
Klasse: All non-linear
Coördinatenstelsel: Hoofd
Extreme 1D: Globaal
Selectie: Alle
Filter: Doorsnede = Funderingspaal - Rectangle (320; 320)

Naam	dx [m]	Belasting	Doorsnede	N [kN]	V_y [kN]	V_z [kN]	M_x [kNm]	M_y [kNm]	M_z [kNm]
Paal_P_67	8,997	high max Wnd ;225°	Funderingspaal - Rectangle (320; 320)	**-218,47**	-0,05	0,00	0,00	0,00	0,00
Paal_P_73	0,000	low max Wnd ;225°	Funderingspaal - Rectangle (320; 320)	**29,53**	1,85	3,72	**0,00**	-5,16	-0,92
Paal_P_7	0,000	high max Wnd ;225°	Funderingspaal - Rectangle (320; 320)	-157,23	**-5,81**	-6,54	0,00	13,71	**11,67**
Paal_P_73	0,000	high max Wnd ;135°	Funderingspaal - Rectangle (320; 320)	-135,17	3,13	**-7,88**	0,00	15,61	-5,20
Paal_P_19	0,800-	low max Wnd ;225°	Funderingspaal - Rectangle (320; 320)	24,24	2,84	**6,33**	0,00	-6,71	-2,50
Paal_P_19	0,000	low max Wnd ;225°	Funderingspaal - Rectangle (320; 320)	25,30	2,63	6,33	0,00	**-11,78**	-4,68
Paal_P_19	0,000	low max Wnd ;135°	Funderingspaal - Rectangle (320; 320)	-47,04	1,88	-7,55	0,00	**15,93**	-3,00
Paal_P_12	0,000	high max Wnd ;135°	Funderingspaal - Rectangle (320; 320)	-156,99	**5,81**	-6,56	0,00	13,77	**-11,68**

7.2.8. Interne 1D-krachten

Niet-lineaire berekening
Klasse: All non-linear
Coördinatenstelsel: Hoofd
Extreme 1D: Globaal
Selectie: Alle
Filter: Doorsnede = LEKA Paal - type e (CHS219.1/10.0)

Naam	dx [m]	Belasting	Doorsnede	N [kN]	V_y [kN]	V_z [kN]	M_x [kNm]	M_y [kNm]	M_z [kNm]
Paal_P_27	14,770	high max Wnd ;225°	LEKA Paal - type e (CHS219.1/10.0)	**-214,61**	0,00	0,00	0,00	0,00	0,00
Paal_P_93	0,000	low max Wnd ;135°	LEKA Paal - type e (CHS219.1/10.0)	**149,45**	-2,22	4,07	**0,00**	-7,07	3,52
Paal_P_29	0,000	high max Wnd ;225°	LEKA Paal - type e (CHS219.1/10.0)	-190,50	**-4,08**	-3,38	0,00	5,57	**9,04**
Paal_P_22	0,000	high max Wnd ;45°	LEKA Paal - type e (CHS219.1/10.0)	-192,17	-1,74	**-5,04**	**0,00**	**11,06**	2,61
Paal_P_22	0,000	low max Wnd ;225°	LEKA Paal - type e (CHS219.1/10.0)	44,31	0,76	**4,20**	0,00	**-7,69**	0,40
Paal_P_25	0,000	high max Wnd ;135°	LEKA Paal - type e (CHS219.1/10.0)	-190,17	**4,08**	-3,40	0,00	5,62	**-9,05**

7.3. Krachten van de Poeren

7.3.1. Interne 1D-krachten

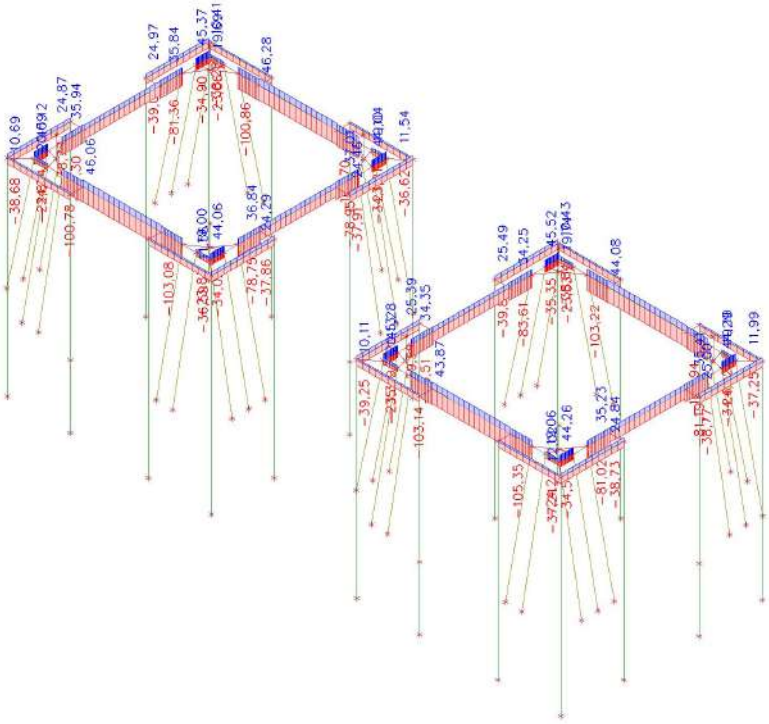
Niet-lineaire berekening
Klasse: All non-linear
Coördinatenstelsel: Hoofd
Extreme 1D: Globaal
Selectie: Alle
Filter: Laag = Poeren

Naam	dx [m]	Belasting	N [kN]	V_y [kN]	V_z [kN]	M_x [kNm]	M_y [kNm]	M_z [kNm]
Poer 5	0,000	high max Wnd ;225°	**-963,30**	233,85	17,42	1,88	-25,70	-242,72
Poer 8	1,475	low max Wnd ;225°	**739,72**	174,76	16,23	-0,19	0,00	8,88
Poer 7	0,000	high max Wnd ;315°	-951,81	**-231,24**	15,40	-1,66	-22,72	**240,11**
Poer 5	0,000	low max Wnd ;135°	120,58	-27,87	**-34,15**	**-3,69**	**50,37**	26,71
Poer 6	0,000	low max Wnd ;225°	121,93	-27,65	**34,11**	**3,68**	**-50,31**	26,43
Poer 6	0,000	high max Wnd ;135°	-960,78	**233,98**	-17,51	-1,89	25,82	**-242,93**

7.4. Krachten van de Funderingsbalken

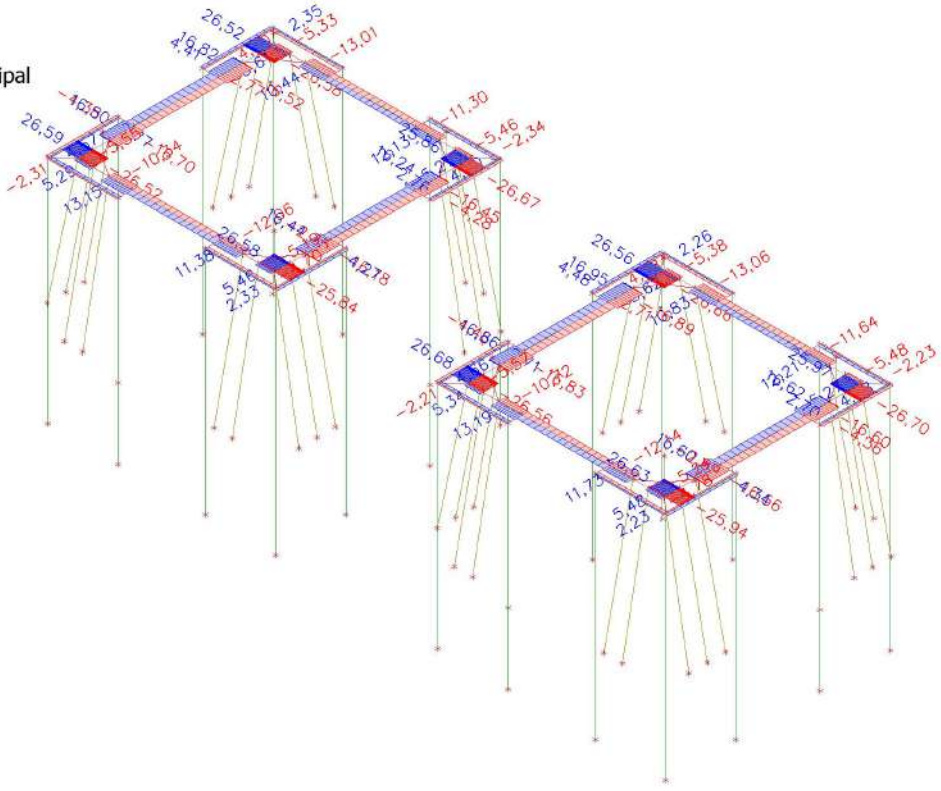
7.4.1. Interne 1D- krachten; N

Values: **N**
Nonlinear calculation
Class: All non-linear
Coordinate system: Principal
Extreme 1D: Local
Selection: All
Filter: Layer = Balken



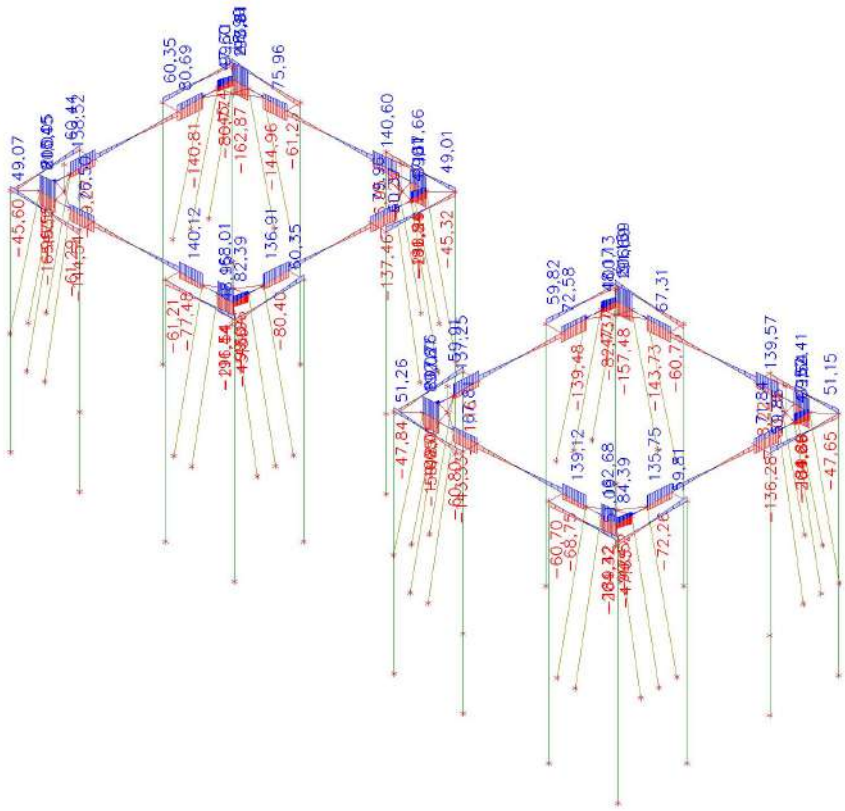
7.4.2. Interne 1D- krachten; V_y

Values: **V_y**
Nonlinear calculation
Class: All non-linear
Coordinate system: Principal
Extreme 1D: Local
Selection: All
Filter: Layer = Balken



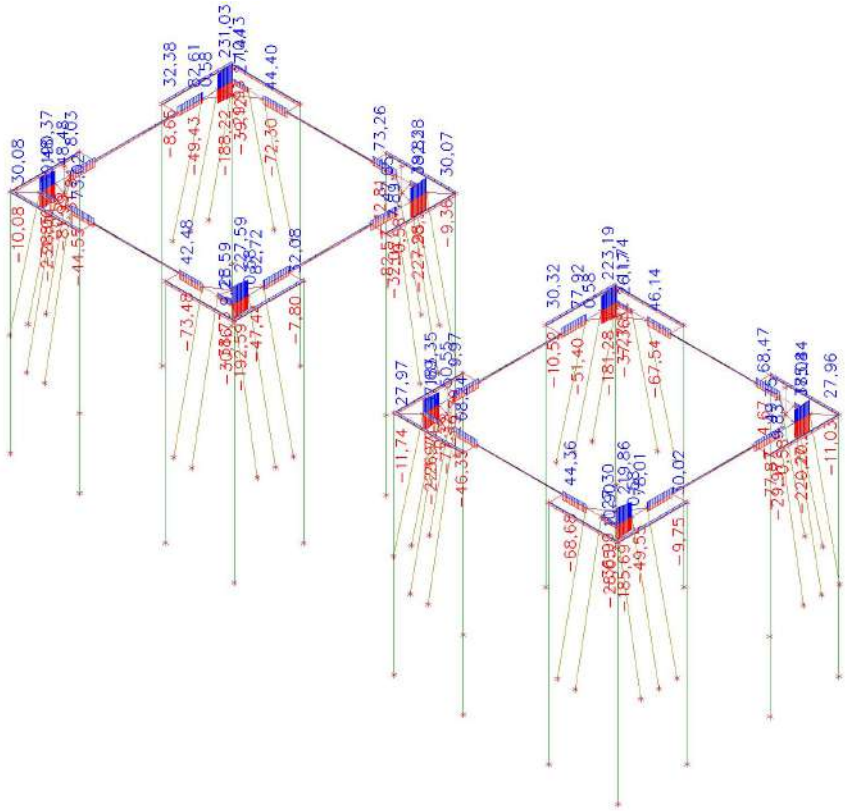
7.4.3. Interne 1D- krachten; V_z

Values: V_z
Nonlinear calculation
Class: All non-linear
Coordinate system: Principal
Extreme 1D: Local
Selection: All
Filter: Layer = Balken



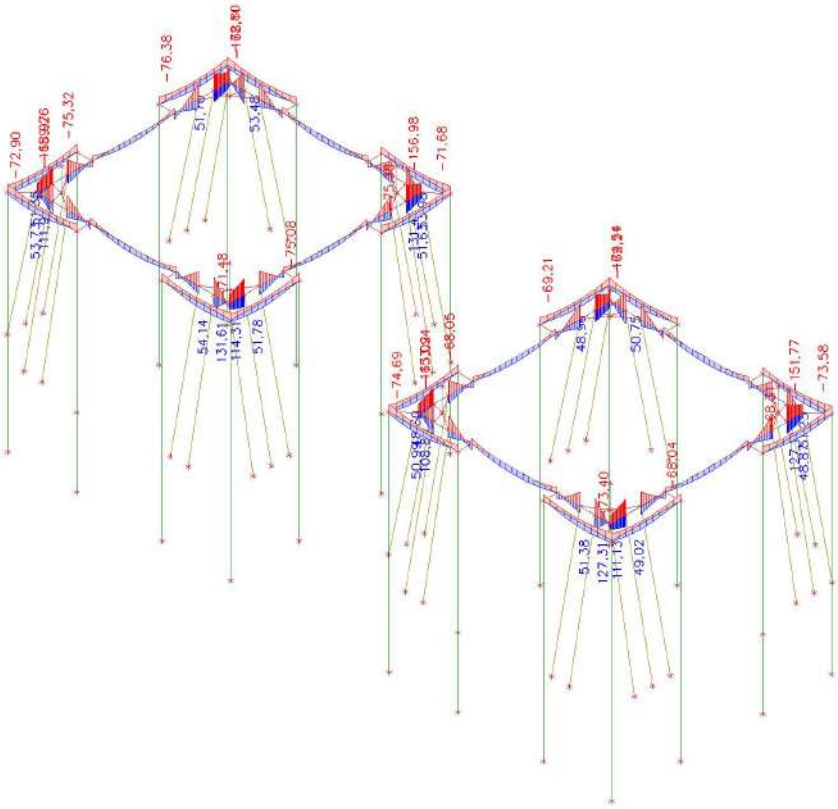
7.4.4. Interne 1D- krachten; M_x

Values: M_x
Nonlinear calculation
Class: All non-linear
Coordinate system: Principal
Extreme 1D: Local
Selection: All
Filter: Layer = Balken



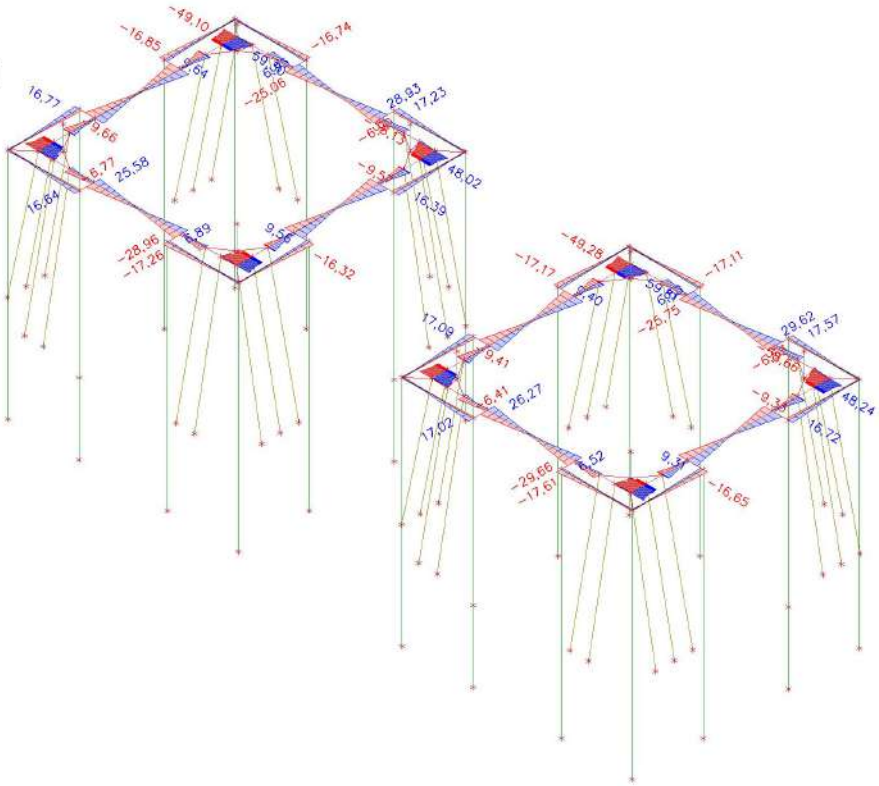
7.4.5. Interne 1D- krachten; M_y

Values: M_y
Nonlinear calculation
Class: All non-linear
Coordinate system: Principal
Extreme 1D: Member
Selection: All
Filter: Layer = Balken



7.4.6. Interne 1D- krachten; M_z

Values: M_z
Nonlinear calculation
Class: All non-linear
Coordinate system: Principal
Extreme 1D: Member
Selection: All
Filter: Layer = Balken



7.4.7. Interne 1D-krachten

Niet-lineaire berekening
Klasse: All non-linear
Coördinatenstelsel: Hoofd
Extreme 1D: Globaal
Selectie: Alle
Filter: Doorsnede = Balk - Rectangle (750; 900)

Naam	dx [m]	Belasting	Doorsnede	N [kN]	V_y [kN]	V_z [kN]	M_x [kNm]	M_y [kNm]	M_z [kNm]
Balk 15	2,000+	low max Wnd ;135°	Balk - Rectangle (750; 900)	**-105,35**	11,73	24,05	-20,72	3,83	-21,20
Balk 4	3,500+	low max Wnd ;135°	Balk - Rectangle (750; 900)	**46,28**	-0,32	41,66	-5,24	-43,72	-3,02
Balk 13	11,600+	high max Wnd ;135°	Balk - Rectangle (750; 900)	-30,64	**-26,70**	-31,88	167,89	106,60	-5,18
Balk 14	0,000	low max Wnd ;135°	Balk - Rectangle (750; 900)	45,28	**26,68**	-48,09	-223,97	-85,07	-48,49
Balk 4	1,000-	low max Wnd ;315°	Balk - Rectangle (750; 900)	19,04	-5,46	**-211,84**	38,83	-166,26	-4,18
Balk 6	0,000	low max Wnd ;135°	Balk - Rectangle (750; 900)	45,12	26,59	-47,51	**-231,85**	-90,97	-48,29
Balk 6	12,190+	low max Wnd ;225°	Balk - Rectangle (750; 900)	45,37	-26,58	65,62	**231,03**	-113,02	-38,20
Balk 7	11,600+	low max Wnd ;135°	Balk - Rectangle (750; 900)	20,09	-5,55	**215,05**	39,48	**-168,97**	4,20
Balk 7	1,000-	low max Wnd ;225°	Balk - Rectangle (750; 900)	-19,09	-3,78	152,66	28,59	**131,61**	-3,08
Balk 13	12,600	low max Wnd ;45°	Balk - Rectangle (750; 900)	-34,66	-13,67	-25,94	66,03	10,52	**-58,66**
Balk 14	12,600	low max Wnd ;135°	Balk - Rectangle (750; 900)	-35,35	13,49	-24,41	-63,25	9,10	**59,81**

7.4.8. Interne 1D-krachten

Niet-lineaire berekening
Klasse: All non-linear
Coördinatenstelsel: Hoofd
Extreme 1D: Globaal
Selectie: Alle
Filter: Doorsnede = Ringbalk - Rectangle (750; 1000)

Naam	dx [m]	Belasting	Doorsnede	N [kN]	V_y [kN]	V_z [kN]	M_x [kNm]	M_y [kNm]	M_z [kNm]
S242	0,000	low max Wnd ;225°	Ringbalk - Rectangle (750; 1000)	**-39,80**	-1,15	37,33	-10,52	-65,00	5,72
S242	0,000	low max Wnd ;135°	Ringbalk - Rectangle (750; 1000)	**25,49**	4,48	37,69	19,50	-12,20	-17,17
S229	4,500	high max Wnd ;225°	Ringbalk - Rectangle (750; 1000)	2,45	-2,30	**-61,29**	21,86	-53,84	-6,77
S231	0,000	high max Wnd ;45°	Ringbalk - Rectangle (750; 1000)	-11,09	2,77	**60,44**	-16,55	-68,03	-9,66
S228	0,000	high max	Ringbalk -	19,92	-0,86	56,68	**-32,02**	-20,94	3,72

Naam	dx [m]	Belasting	Doorsnede	N [kN]	V_y [kN]	V_z [kN]	M_x [kNm]	M_y [kNm]	M_z [kNm]
		Wnd ;135°	Rectangle (750; 1000)						
S223	0,000	high max Wnd ;45°	Ringbalk - Rectangle (750; 1000)	20,53	0,97	56,48	**32,38**	-20,35	-4,14
S223	0,000	high max Wnd ;225°	Ringbalk - Rectangle (750; 1000)	-34,84	-0,95	54,06	2,17	**-76,38**	4,61
S230	1,800-	high max Wnd ;225°	Ringbalk - Rectangle (750; 1000)	9,98	0,95	-1,10	-30,16	**54,14**	-0,55
S246	4,500	low max Wnd ;135°	Ringbalk - Rectangle (750; 1000)	12,02	**-4,78**	-36,32	-13,54	-22,50	**-17,61**
S243	4,500	low max Wnd ;225°	Ringbalk - Rectangle (750; 1000)	11,99	**4,78**	-36,21	13,30	-22,28	**17,57**

1. Inhoudsopgave

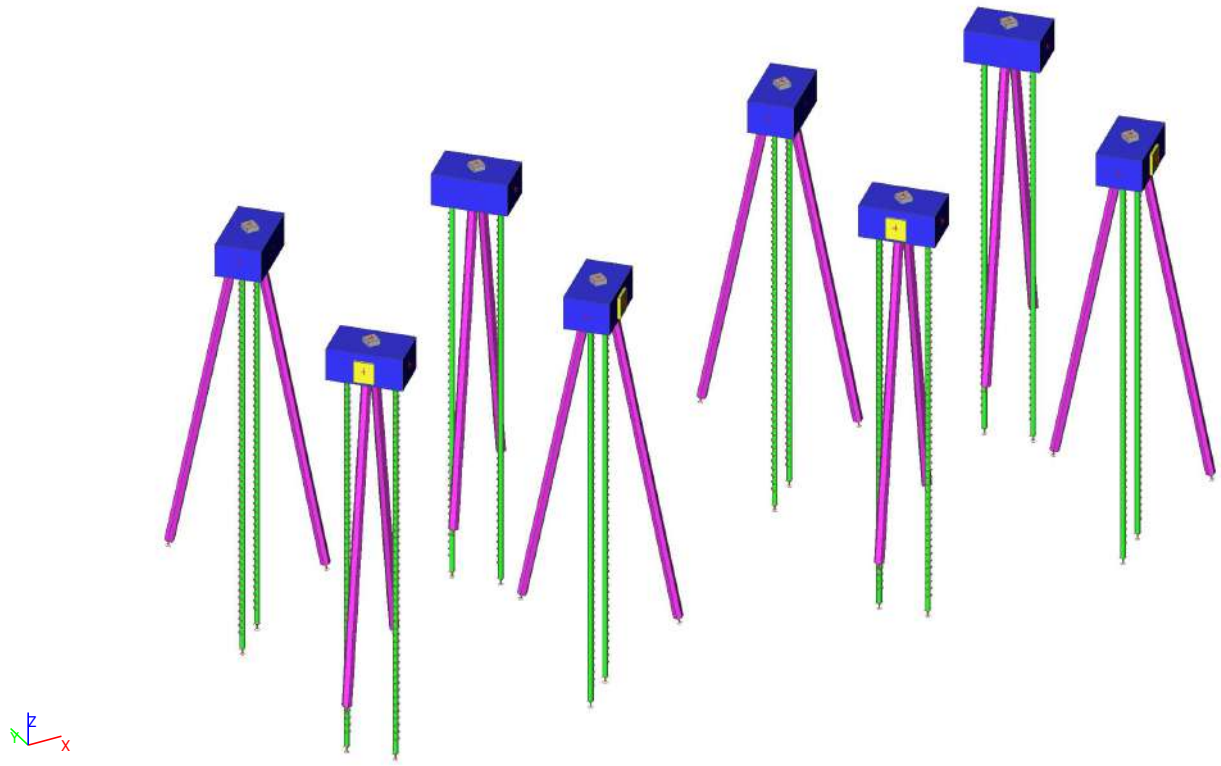
1. Inhoudsopgave 1
2. Project 3
3. Analyse model 3
4. Modeleigenschappen 4
4.1. Materialen 4
4.2. Doorsneden 4
4.3. Analyse model met doorsneden 7
4.4. Analyse model met doorsneden 8
4.5. Instellingen net 8
5. Geometrie 8
5.1. Knopen 8
5.2. Analyse model met knopen 10
5.3. Staven 10
5.4. Analyse model met Staven 12
5.5. Knoopsteunpunten 12
5.6. Analyse model met Knoopondersteuningen 13
5.7. Lijnsteunpunten op staven 13
5.8. Analyse model met Lijnondersteuningen 23
5.9. Analyse model met Lijnondersteuningen 24
5.10. Niet-lineaire functies 25
6. Belastingen 38
6.1. Belastingsgevallen 38
6.1.1. Belastingsgevallen - E.G. 38
6.1.2. Belastingsgevallen - high max Wnd ;45° 38
6.1.2.1. Puntlast op knoop 39
6.1.3. Belastingsgevallen - high max Wnd ;135° 40
6.1.3.1. Puntlast op knoop 41
6.1.4. Belastingsgevallen - high max Wnd ;225° 41
6.1.4.1. Puntlast op knoop 42
6.1.5. Belastingsgevallen - high max Wnd ;315° 43
6.1.5.1. Puntlast op knoop 44
6.1.6. Belastingsgevallen - low max Wnd ;135° 44
6.1.6.1. Puntlast op knoop 45
6.1.7. Belastingsgevallen - low max Wnd ;225° 46
6.1.7.1. Puntlast op knoop 47
6.1.8. Belastingsgevallen - low max Wnd ;315° 47
6.1.8.1. Puntlast op knoop 48
6.1.9. Belastingsgevallen - low max Wnd ;45° 49
6.1.9.1. Puntlast op knoop 50
6.2. Niet-lineaire combinaties 50
6.3. Resultaatklasses 51
7. Resultaten 52
7.1. Reacties van de palen 52
7.1.1. Reactions; R_z 52
7.1.2. Reacties 52
7.1.3. Reacties 52
7.1.4. Reacties 53
8. Krachten van de Funderingspalen 58
8.1. Interne 1D- krachten; N 58
8.2. Interne 1D- krachten; V_y 58
8.3. Interne 1D- krachten; V_z 59
8.4. Interne 1D- krachten; M_x 59
8.5. Interne 1D- krachten; M_z 60
8.6. Interne 1D- krachten; M_y 60
8.7. Interne 1D-krachten 61
8.8. Interne 1D-krachten 61
9. Krachten van de Poeren 63
9.1. Interne 1D-krachten 63
10. Krachten van de Funderingsbalken 64
10.1. Interne 1D- krachten; N 64
10.2. Interne 1D- krachten; V_y 64
10.3. Interne 1D- krachten; V_z 65
10.4. Interne 1D- krachten; M_x 65
10.5. Interne 1D- krachten; M_y 66
10.6. Interne 1D- krachten; M_z 66

10.7. Interne 1D-krachten 67

2. Project

Gebruiker van licentie	[redacted]
Project	Opwaardering KIJ-BVW 380kV
Onderdeel	Blokpoer 2xLD1
Auteur	[redacted]
Datum	28-01-2026
Constructie	Algemeen XYZ
Aantal knopen :	120
Aantal staven :	64
Aantal platen :	0
Aantal vaste lichamen :	0
Aantal gebruikte doorsneden :	5
Aantal belastingsgevallen :	9
Aantal gebruikte materialen :	7
Gravitatieversnelling [m/s^2]	9,807
Nationale norm	EC - EN

3. Analyse model



4. Modeleigenschappen

4.1. Materialen

Steel EC3

Naam	ρ [kg/m³]	E_{mod} [MPa]	μ	Lower limit [mm]	Upper limit [mm]	F_y [MPa]	F_u [MPa]	Colour
		G_{mod} [MPa]	α [m/mK]					
S 235	6850,00	2,1000e+05	0.3	0,00	40,00	235,0	360,0	
		8,0769e+04	0,01e-003	40,00	80,00	215,0	360,0	
S 235	6850,00	2,1000e+05	0.3	0,00	40,00	235,0	360,0	
		8,0769e+04	0,01e-003	40,00	80,00	215,0	360,0	

Naam	Type	ρ [kg/m³]	Dichtheid in natte toestand [kg/m³]	E_{mod} [MPa]	μ	α [m/mK]	$f_{c.k.28}$ [MPa]	Kleur
C12/15 Gescheurd	Beton	2500,00	2600,00	7,0000e+03	0.2	0,01e-003	12,00	
C12/15 en zand	Beton	1034,00	2600,00	2,7100e+04	0.2	0,01e-003	12,00	
C30/37 Gescheurd	Beton	2500,00	2600,00	1,1000e+04	0.2	0,01e-003	30,00	
C30/37	Beton	2400,00	2600,00	3,2800e+04	0.2	0,01e-003	30,00	

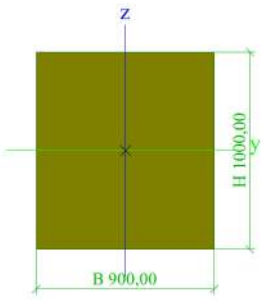
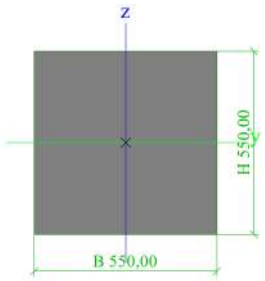
Verklaring van symbolen	
Dichtheid in natte toestand	De waarde van de dichtheid van het kenmerk nieuwe toestand wordt alleen gebruikt als een samengesteld dek wordt ingevoerd en rekening wordt gehouden met de belasting van het eigengewicht.

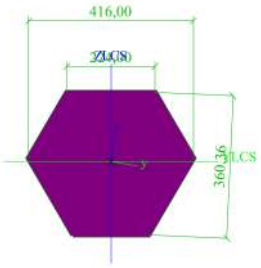
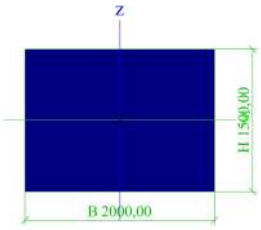
Wapening EC2

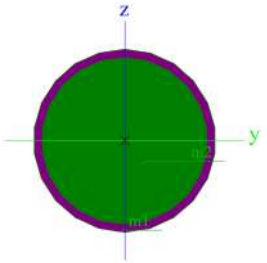
Naam	Type	ρ [kg/m³]	E_{mod} [MPa]	G_{mod} [MPa]	α [m/mK]	$f_{y.k}$ [MPa]
B 400A	Betonstaal	7850,00	2,0000e+05	8,3333e+04	0,01e-003	400,0

4.2. Doorsneden

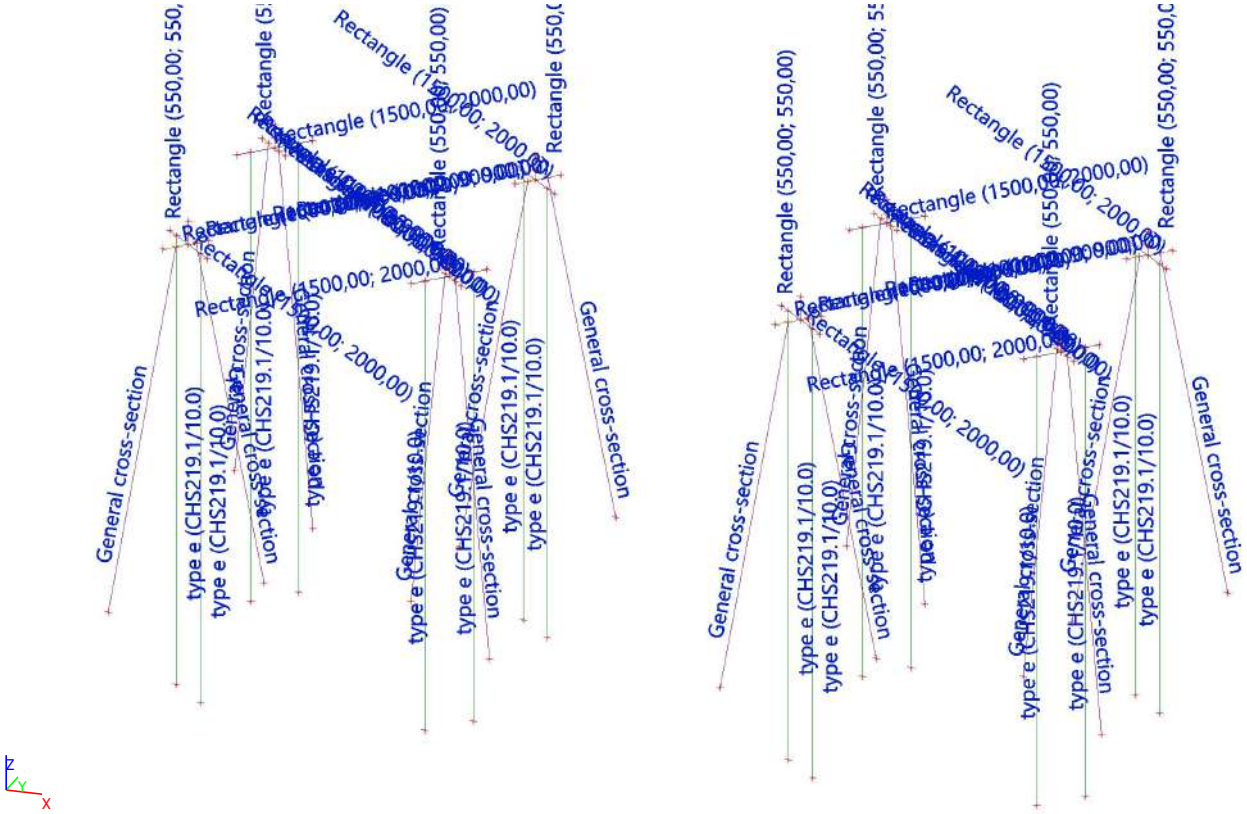
Balk		
Type	Rectangle	
Gedetailleerd	1000,00; 900,00	
Vorm type	Dikke wanden	
Onderdeelmateriaal	C12/15 Gescheurd	
Bouwwijze	beton	
Kleur		
A [mm²]	9,0000e+05	
A_y [mm²], A_z [mm²]	7,5031e+05	7,5025e+05
A_L [m²/m], A_D [m²/m]	3,8000e+00	3,8000e+00
$c_{Y.UCS}$ [mm], $c_{Z.UCS}$ [mm]	450,00	500,00
α [deg]	0,00	
I_y [mm⁴], I_z [mm⁴]	7,5000e+10	6,0750e+10
i_y [mm], i_z [mm]	288,68	259,81
$W_{el.y}$ [mm³], $W_{el.z}$ [mm³]	1,5000e+08	1,3500e+08
$W_{pl.y}$ [mm³], $W_{pl.z}$ [mm³]	0,0000e+00	0,0000e+00
$M_{pl.y.+}$ [Nmm], $M_{pl.y.-}$ [Nmm]	0,00	0,00
$M_{pl.z.+}$ [Nmm], $M_{pl.z.-}$ [Nmm]	0,00	0,00
d_y [mm], d_z [mm]	0,00	0,00
I_t [mm⁴], I_w [mm⁶]	1,1333e+11	1,5185e+14
β_y [mm], β_z [mm]	0,00	0,00

Afbeelding		
Poer		
Type	Rectangle	
Gedetailleerd	550,00; 550,00	
Vorm type	Dikke wanden	
Onderdeelmateriaal	C12/15 Gescheurd	
Bouwwijze	beton	
Kleur		
A [mm²]	3,0250e+05	
A_y [mm²], A_z [mm²]	2,5218e+05	2,5218e+05
A_L [m²/m], A_D [m²/m]	2,2000e+00	2,2000e+00
$c_{Y.UCS}$ [mm], $c_{Z.UCS}$ [mm]	275,00	275,00
α [deg]	0,00	
I_y [mm⁴], I_z [mm⁴]	7,6255e+09	7,6255e+09
i_y [mm], i_z [mm]	158,77	158,77
$W_{el.y}$ [mm³], $W_{el.z}$ [mm³]	2,7729e+07	2,7729e+07
$W_{pl.y}$ [mm³], $W_{pl.z}$ [mm³]	0,0000e+00	0,0000e+00
$M_{pl.y.+}$ [Nmm], $M_{pl.y.-}$ [Nmm]	0,00	0,00
$M_{pl.z.+}$ [Nmm], $M_{pl.z.-}$ [Nmm]	0,00	0,00
d_y [mm], d_z [mm]	0,00	0,00
I_t [mm⁴], I_w [mm⁶]	1,2869e+10	3,7254e+12
β_y [mm], β_z [mm]	0,00	0,00
Afbeelding		
LD1		
Type	General cross-section	
Vorm type	Dikke wanden	
Onderdeelmateriaal	C12/15 en zand	
	S 235	
Bouwwijze	Algemeen	
Kleur		
Knik y-y, Knik z-z	d	d
A [mm²]	1,0395e+06	
A_y [mm²], A_z [mm²]	8,2228e+05	8,2238e+05
A_L [m²/m], A_D [m²/m]	1,2942e+00	1,2942e+00
$c_{Y.UCS}$ [mm], $c_{Z.UCS}$ [mm]	0,02	4,66
$I_{Y.LCS}$ [mm⁴], $I_{Z.LCS}$ [mm⁴]	9,9139e+09	9,9320e+09
$I_{YZ.LCS}$ [mm⁴]	-2,9707e+06	
α [deg]	-9,09	
I_y [mm⁴], I_z [mm⁴]	9,9134e+09	9,9325e+09
i_y [mm], i_z [mm]	97,65	97,75
$W_{el.y}$ [mm³], $W_{el.z}$ [mm³]	4,8730e+07	4,6474e+07
$W_{pl.y}$ [mm³], $W_{pl.z}$ [mm³]	1,9850e+08	1,9985e+08
$M_{pl.y.+}$ [Nmm], $M_{pl.y.-}$ [Nmm]	2381946504,64	2384211815,40

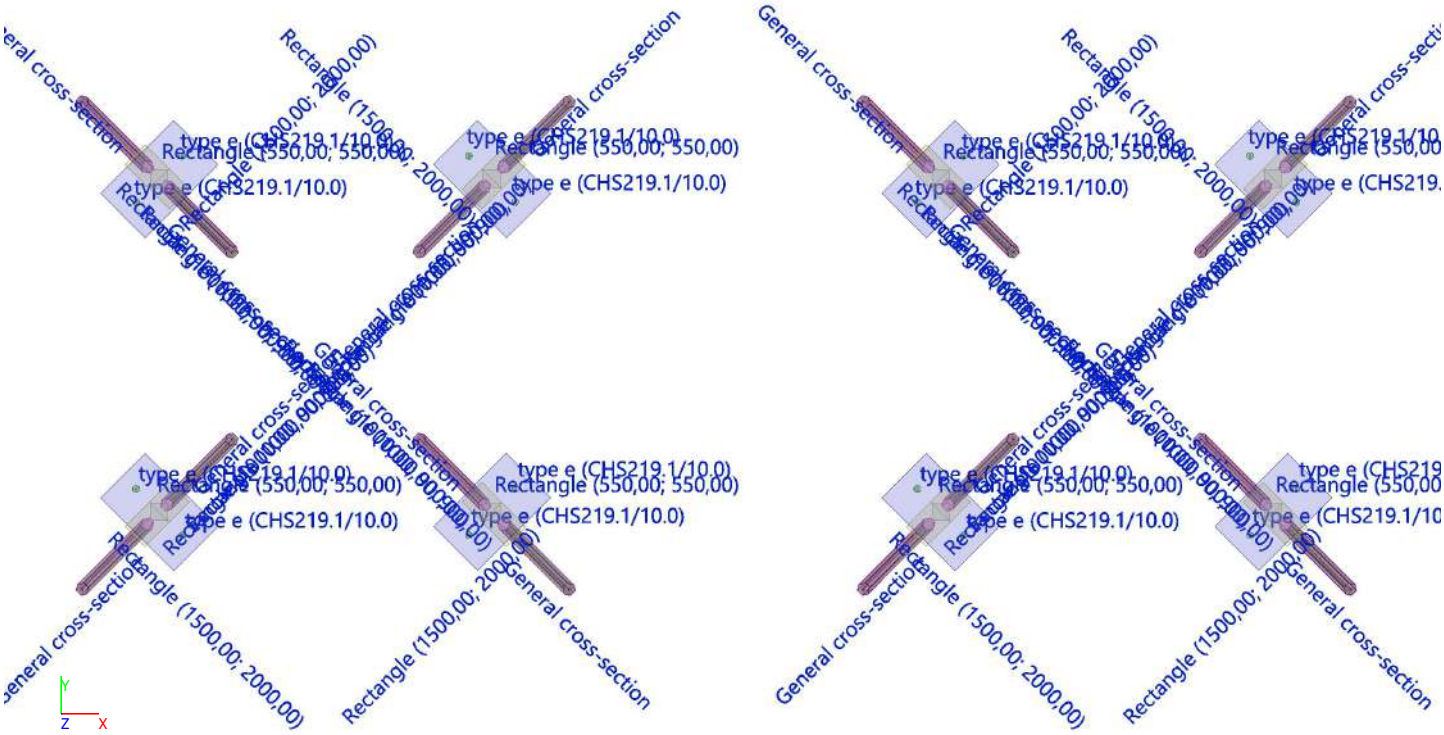
$M_{pl.z.+}$ [Nmm], $M_{pl.z.-}$ [Nmm]	2398157107,97	2399177721,95
d_y [mm], d_z [mm]	-0,01	-0,03
I_t [mm⁴], I_w [mm⁶]	1,7613e+10	4,6919e+11
β_y [mm], β_z [mm]	0,05	0,02
Afbeelding		
lijnpoer		
Type	Rectangle	
Gedetailleerd	1500,00; 2000,00	
Vorm type	Dikke wanden	
Onderdeelmateriaal	C30/37 Gescheurd	
Bouwwijze	beton	
Kleur		
A [mm²]	3,0000e+06	
A_y [mm²], A_z [mm²]	2,5006e+06	2,5010e+06
A_L [m²/m], A_D [m²/m]	7,0000e+00	7,0000e+00
$c_{Y.UCS}$ [mm], $c_{Z.UCS}$ [mm]	1000,00	750,00
α [deg]	0,00	
I_y [mm⁴], I_z [mm⁴]	5,6250e+11	1,0000e+12
i_y [mm], i_z [mm]	433,01	577,35
$W_{el.y}$ [mm³], $W_{el.z}$ [mm³]	7,5000e+08	1,0000e+09
$W_{pl.y}$ [mm³], $W_{pl.z}$ [mm³]	0,0000e+00	0,0000e+00
$M_{pl.y.+}$ [Nmm], $M_{pl.y.-}$ [Nmm]	0,00	0,00
$M_{pl.z.+}$ [Nmm], $M_{pl.z.-}$ [Nmm]	0,00	0,00
d_y [mm], d_z [mm]	0,00	0,00
I_t [mm⁴], I_w [mm⁶]	1,2185e+12	1,7790e+16
β_y [mm], β_z [mm]	0,00	0,00
Afbeelding		
LEKA Paal		
Type	type e	
Gedetailleerd	CHS219.1/10.0	
Vorm type	Dikke wanden	
Onderdeelmateriaal	S 235	
	C30/37	
Bouwwijze	beton	
Knik y-y, Knik z-z	a	a
A [mm²]	1,1430e+04	
A_y [mm²], A_z [mm²]	8,7249e+03	8,7249e+03
A_L [m²/m], A_D [m²/m]	6,8829e-01	6,8829e-01
$c_{Y.UCS}$ [mm], $c_{Z.UCS}$ [mm]	109,55	109,55
α [deg]	0,00	
I_y [mm⁴], I_z [mm⁴]	4,8013e+07	4,8013e+07
i_y [mm], i_z [mm]	64,81	64,81
$W_{el.y}$ [mm³], $W_{el.z}$ [mm³]	4,3827e+05	4,3827e+05
$W_{pl.y}$ [mm³], $W_{pl.z}$ [mm³]	4,9123e+05	4,9123e+05
$M_{pl.y.+}$ [Nmm], $M_{pl.y.-}$ [Nmm]	115439254,87	115439254,87

$M_{pl.z.+}$ [Nmm], $M_{pl.z.-}$ [Nmm]	115439254,87	115439254,87
d_y [mm], d_z [mm]	0,00	0,00
I_t [mm^4], I_w [mm^6]	9,8040e+07	0,0000e+00
β_y [mm], β_z [mm]	0,00	0,00
Afbeelding		

4.3. Analyse model met doorsneden



4.4. Analyse model met doorsneden



4.5. Instellingen net

Naam	MeshSetup1
Generatie van variabele excentriciteiten op elementen in plaats van constante excentriciteiten	×
Generatie van knopen op staven	×
Elastisch net	✓
Pas automatische netverfijning toe	×
Constructie-entiteiten verbinden	✓
Verdeling op consoles en variabele staven	5
Verdeling voor integratiestrook en 2D-1D upgrade	50
Gemiddeld aantal 1D-netelementen op rechte 1D-elementen	1
Gemiddelde grootte van 2D-netelement [m]	0,200
Gemiddelde grootte van 1D-element op gebogen 1D-elementen [m]	0,100
Minimum lengte van staafelement [m]	0,100
Maximum lengte van staafelement [m]	1000,000
Gemiddelde grootte van voorspankabels, elementen op elastische bedding, niet-lineaire grondveer [m]	1,000
Maximale hoek uit het vlak van vierhoekig element [mrad]	30,0
Minimale afstand tussen definitiepunt en -lijn [m]	0,001
Gemiddelde afmeting van paneelelement [m]	1,000
Netverfijning volgens het liggertype	Geen
Definitie van netelementen afmetingen voor panelen	Handmatig

5. Geometrie

5.1. Knopen

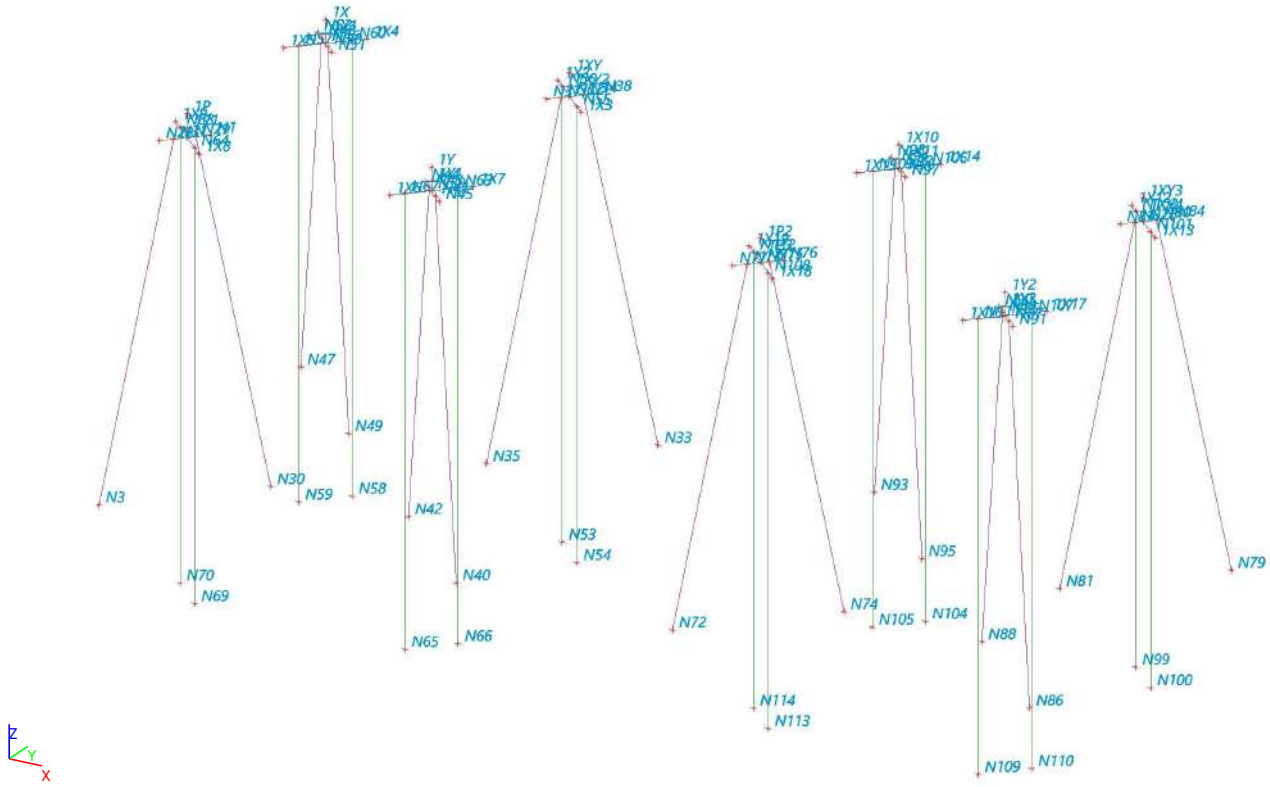
Naam	Coördinaat X [m]	Coördinaat Y [m]	Coördinaat Z [m]
N	0,000	0,000	0,000
N3	-2,462	-2,462	-14,706
N31	-0,382	-0,382	0,000
N30	2,320	2,320	-14,706
N29	0,240	0,240	0,000

Naam	Coördinaat X [m]	Coördinaat Y [m]	Coördinaat Z [m]
N1	0,636	0,636	0,000
N28	-0,778	-0,778	0,000
1P	0,000	0,000	0,970
1P1	0,000	0,000	0,400
N32	10,646	10,646	0,000

Naam	Coördinaat X [m]	Coördinaat Y [m]	Coördinaat Z [m]
N33	13,108	13,108	-14,706
N34	11,028	11,028	0,000
N35	8,326	8,326	-14,706
N36	10,406	10,406	0,000
N37	10,010	10,010	0,000
N38	11,424	11,424	0,000
1XY	10,646	10,646	0,970
1XY2	10,646	10,646	0,400
N39	10,646	0,000	0,000
N40	13,108	-2,462	-14,706
N41	11,028	-0,382	0,000
N42	8,326	2,320	-14,706
N43	10,406	0,240	0,000
N44	10,010	0,636	0,000
N45	11,424	-0,778	0,000
1Y	10,646	0,000	0,970
1Y1	10,646	0,000	0,400
N46	0,000	10,646	0,000
N47	-2,462	13,108	-14,706
N48	-0,382	11,028	0,000
N49	2,320	8,326	-14,706
N50	0,240	10,406	0,000
N51	0,636	10,010	0,000
N52	-0,778	11,424	0,000
1X	0,000	10,646	0,970
1X1	0,000	10,646	0,400
1X2	9,479	11,813	0,000
1X3	11,813	9,479	0,000
N53	9,904	11,388	-18,720
N54	11,388	9,904	-18,720
N55	11,388	9,904	0,000
N56	9,904	11,388	0,000
N57	-0,742	9,904	0,000
1X4	1,167	11,813	0,000
1X5	-1,167	9,479	0,000
N58	0,742	11,388	-18,720
N59	-0,742	9,904	-18,720
N60	0,742	11,388	0,000
N63	11,388	0,742	0,000
N64	0,742	-0,742	0,000
1X6	9,479	-1,167	0,000
1X7	11,813	1,167	0,000
N65	9,904	-0,742	-18,720
N66	11,388	0,742	-18,720
N67	9,904	-0,742	0,000
N68	-0,742	0,742	0,000
1X8	1,167	-1,167	0,000
1X9	-1,167	1,167	0,000
N69	0,742	-0,742	-18,720
N70	-0,742	0,742	-18,720
N71	25,000	0,000	0,000
N72	22,538	-2,462	-14,706
N73	24,618	-0,382	0,000
N74	27,320	2,320	-14,706
N75	25,240	0,240	0,000

Naam	Coördinaat X [m]	Coördinaat Y [m]	Coördinaat Z [m]
N76	25,636	0,636	0,000
N77	24,222	-0,778	0,000
1P2	25,000	0,000	0,970
1P3	25,000	0,000	0,400
N78	35,646	10,646	0,000
N79	38,108	13,108	-14,706
N80	36,028	11,028	0,000
N81	33,326	8,326	-14,706
N82	35,406	10,406	0,000
N83	35,010	10,010	0,000
N84	36,424	11,424	0,000
1XY3	35,646	10,646	0,970
1XY4	35,646	10,646	0,400
N85	35,646	0,000	0,000
N86	38,108	-2,462	-14,706
N87	36,028	-0,382	0,000
N88	33,326	2,320	-14,706
N89	35,406	0,240	0,000
N90	35,010	0,636	0,000
N91	36,424	-0,778	0,000
1Y2	35,646	0,000	0,970
1Y3	35,646	0,000	0,400
N92	25,000	10,646	0,000
N93	22,538	13,108	-14,706
N94	24,618	11,028	0,000
N95	27,320	8,326	-14,706
N96	25,240	10,406	0,000
N97	25,636	10,010	0,000
N98	24,222	11,424	0,000
1X10	25,000	10,646	0,970
1X11	25,000	10,646	0,400
1X12	34,479	11,813	0,000
1X13	36,813	9,479	0,000
N99	34,904	11,388	-18,720
N100	36,388	9,904	-18,720
N101	36,388	9,904	0,000
N102	34,904	11,388	0,000
N103	24,258	9,904	0,000
1X14	26,167	11,813	0,000
1X15	23,833	9,479	0,000
N104	25,742	11,388	-18,720
N105	24,258	9,904	-18,720
N106	25,742	11,388	0,000
N107	36,388	0,742	0,000
N108	25,742	-0,742	0,000
1X16	34,479	-1,167	0,000
1X17	36,813	1,167	0,000
N109	34,904	-0,742	-18,720
N110	36,388	0,742	-18,720
N111	34,904	-0,742	0,000
N112	24,258	0,742	0,000
1X18	26,167	-1,167	0,000
1X19	23,833	1,167	0,000
N113	25,742	-0,742	-18,720
N114	24,258	0,742	-18,720

5.2. Analyse model met knopen

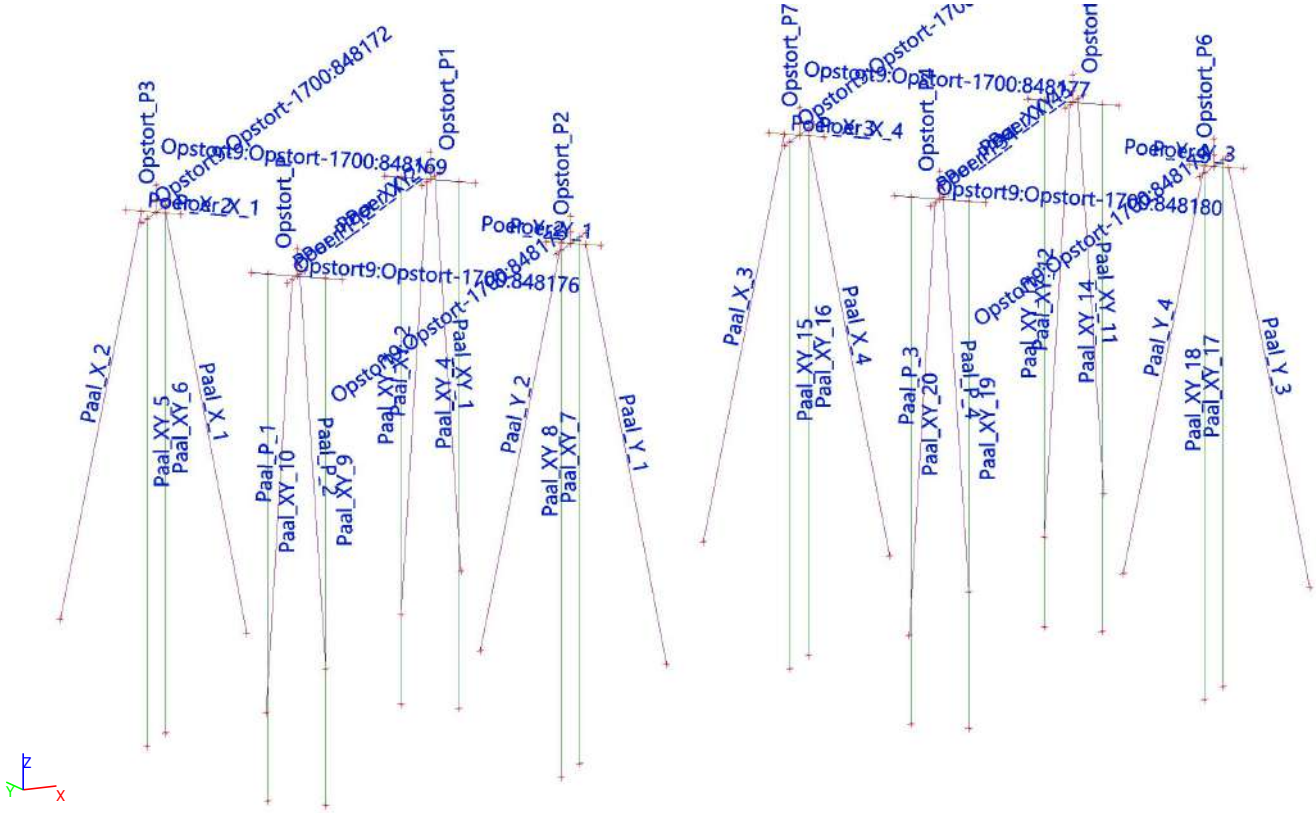


5.3. Staven

Naam	Doorsnede	Materiaal	Lengte [m]	Beginknoop	Eindknoop	Type
Opstort9:Opstort-1700:848169	lijnpoer - Rectangle (1500,00; 2000,00)	C30/37 Gescheurd	3,300	1X3	1X2	Balk (80)
Opstort9:Opstort-1700:848172	lijnpoer - Rectangle (1500,00; 2000,00)	C30/37 Gescheurd	3,300	1X5	1X4	Balk (80)
Poer_P_1	Balk - Rectangle (1000,00; 900,00)	C12/15 Gescheurd	1,100	N28	N	Balk (80)
Opstort9:Opstort-1700:848176	lijnpoer - Rectangle (1500,00; 2000,00)	C30/37 Gescheurd	3,300	1X9	1X8	Balk (80)
Opstort9:Opstort-1700:848177	lijnpoer - Rectangle (1500,00; 2000,00)	C30/37 Gescheurd	3,300	1X13	1X12	Balk (80)
Opstort9:Opstort-1700:848178	lijnpoer - Rectangle (1500,00; 2000,00)	C30/37 Gescheurd	3,300	1X15	1X14	Balk (80)
Poer_P_2	Balk - Rectangle (1000,00; 900,00)	C12/15 Gescheurd	0,900	N	N1	Balk (80)
Poer_P_3	Balk - Rectangle (1000,00; 900,00)	C12/15 Gescheurd	1,100	N77	N71	Balk (80)
Poer_P_4	Balk - Rectangle (1000,00; 900,00)	C12/15 Gescheurd	0,900	N71	N76	Balk (80)
Poer_XY_1	Balk - Rectangle (1000,00; 900,00)	C12/15 Gescheurd	1,100	N38	N32	Balk (80)
Poer_XY_2	Balk - Rectangle (1000,00; 900,00)	C12/15 Gescheurd	0,900	N32	N37	Balk (80)
Poer_XY_3	Balk - Rectangle (1000,00; 900,00)	C12/15 Gescheurd	1,100	N84	N78	Balk (80)
Poer_XY_4	Balk - Rectangle (1000,00; 900,00)	C12/15 Gescheurd	0,900	N78	N83	Balk (80)
Poer_X_1	Balk - Rectangle (1000,00; 900,00)	C12/15 Gescheurd	0,900	N46	N51	Balk (80)
Poer_X_2	Balk - Rectangle (1000,00; 900,00)	C12/15 Gescheurd	1,100	N52	N46	Balk (80)
Poer_X_3	Balk - Rectangle (1000,00; 900,00)	C12/15 Gescheurd	1,100	N98	N92	Balk (80)
Poer_X_4	Balk - Rectangle (1000,00; 900,00)	C12/15 Gescheurd	0,900	N92	N97	Balk (80)
Poer_Y_1	Balk - Rectangle (1000,00; 900,00)	C12/15 Gescheurd	1,100	N45	N39	Balk (80)
Opstort9:Opstort-1700:848175	lijnpoer - Rectangle (1500,00; 2000,00)	C30/37 Gescheurd	3,300	1X7	1X6	Balk (80)
Opstort9:Opstort-1700:848179	lijnpoer - Rectangle (1500,00; 2000,00)	C30/37 Gescheurd	3,300	1X17	1X16	Balk (80)
Poer_Y_2	Balk - Rectangle (1000,00; 900,00)	C12/15 Gescheurd	0,900	N39	N44	Balk (80)
Poer_Y_3	Balk - Rectangle (1000,00; 900,00)	C12/15 Gescheurd	1,100	N91	N85	Balk (80)
Poer_Y_4	Balk - Rectangle (1000,00; 900,00)	C12/15 Gescheurd	0,900	N85	N90	Balk (80)
Opstort9:Opstort-1700:848180	lijnpoer - Rectangle (1500,00; 2000,00)	C30/37 Gescheurd	3,300	1X19	1X18	Balk (80)
Opstort_P	Poer - Rectangle (550,00; 550,00)	C12/15 Gescheurd	0,570	1P1	1P	Kolom (100)
Opstort_P1	Poer - Rectangle (550,00; 550,00)	C12/15 Gescheurd	0,570	1XY2	1XY	Kolom (100)
Opstort_P2	Poer - Rectangle (550,00; 550,00)	C12/15 Gescheurd	0,570	1Y1	1Y	Kolom (100)
Opstort_P3	Poer - Rectangle (550,00; 550,00)	C12/15 Gescheurd	0,570	1X1	1X	Kolom (100)
Opstort_P4	Poer - Rectangle (550,00; 550,00)	C12/15 Gescheurd	0,570	1P3	1P2	Kolom (100)

Naam	Doorsnede	Materiaal	Lengte [m]	Beginknoop	Eindknoop	Type
Opstort_P5	Poer - Rectangle (550,00; 550,00)	C12/15 Gescheurd	0,570	1XY4	1XY3	Kolom (100)
Opstort_P6	Poer - Rectangle (550,00; 550,00)	C12/15 Gescheurd	0,570	1Y3	1Y2	Kolom (100)
Opstort_P7	Poer - Rectangle (550,00; 550,00)	C12/15 Gescheurd	0,570	1X11	1X10	Kolom (100)
Paal_P_1	LD1 - General cross-section	C12/15 en zand	14,997	N31	N3	Kolom (100)
Paal_P_2	LD1 - General cross-section	C12/15 en zand	14,997	N29	N30	Kolom (100)
Paal_P_3	LD1 - General cross-section	C12/15 en zand	14,997	N73	N72	Kolom (100)
Paal_P_4	LD1 - General cross-section	C12/15 en zand	14,997	N75	N74	Kolom (100)
Paal_XY_1	LD1 - General cross-section	C12/15 en zand	14,997	N34	N33	Kolom (100)
Paal_XY_2	LD1 - General cross-section	C12/15 en zand	14,997	N36	N35	Kolom (100)
Paal_XY_3	LEKA Paal - type e (CHS219.1/10.0)	S 235	18,720	N56	N53	Kolom (100)
Paal_XY_4	LEKA Paal - type e (CHS219.1/10.0)	S 235	18,720	N55	N54	Kolom (100)
Paal_XY_5	LEKA Paal - type e (CHS219.1/10.0)	S 235	18,720	N57	N59	Kolom (100)
Paal_XY_6	LEKA Paal - type e (CHS219.1/10.0)	S 235	18,720	N60	N58	Kolom (100)
Paal_XY_7	LEKA Paal - type e (CHS219.1/10.0)	S 235	18,720	N63	N66	Kolom (100)
Paal_XY_8	LEKA Paal - type e (CHS219.1/10.0)	S 235	18,720	N67	N65	Kolom (100)
Paal_XY_9	LEKA Paal - type e (CHS219.1/10.0)	S 235	18,720	N64	N69	Kolom (100)
Paal_XY_10	LEKA Paal - type e (CHS219.1/10.0)	S 235	18,720	N68	N70	Kolom (100)
Paal_XY_11	LD1 - General cross-section	C12/15 en zand	14,997	N80	N79	Kolom (100)
Paal_XY_12	LD1 - General cross-section	C12/15 en zand	14,997	N82	N81	Kolom (100)
Paal_XY_13	LEKA Paal - type e (CHS219.1/10.0)	S 235	18,720	N102	N99	Kolom (100)
Paal_XY_14	LEKA Paal - type e (CHS219.1/10.0)	S 235	18,720	N101	N100	Kolom (100)
Paal_XY_15	LEKA Paal - type e (CHS219.1/10.0)	S 235	18,720	N103	N105	Kolom (100)
Paal_XY_16	LEKA Paal - type e (CHS219.1/10.0)	S 235	18,720	N106	N104	Kolom (100)
Paal_XY_17	LEKA Paal - type e (CHS219.1/10.0)	S 235	18,720	N107	N110	Kolom (100)
Paal_XY_18	LEKA Paal - type e (CHS219.1/10.0)	S 235	18,720	N111	N109	Kolom (100)
Paal_XY_19	LEKA Paal - type e (CHS219.1/10.0)	S 235	18,720	N108	N113	Kolom (100)
Paal_XY_20	LEKA Paal - type e (CHS219.1/10.0)	S 235	18,720	N112	N114	Kolom (100)
Paal_X_1	LD1 - General cross-section	C12/15 en zand	14,997	N50	N49	Kolom (100)
Paal_X_2	LD1 - General cross-section	C12/15 en zand	14,997	N48	N47	Kolom (100)
Paal_X_3	LD1 - General cross-section	C12/15 en zand	14,997	N94	N93	Kolom (100)
Paal_X_4	LD1 - General cross-section	C12/15 en zand	14,997	N96	N95	Kolom (100)
Paal_Y_1	LD1 - General cross-section	C12/15 en zand	14,997	N41	N40	Kolom (100)
Paal_Y_2	LD1 - General cross-section	C12/15 en zand	14,997	N43	N42	Kolom (100)
Paal_Y_3	LD1 - General cross-section	C12/15 en zand	14,997	N87	N86	Kolom (100)
Paal_Y_4	LD1 - General cross-section	C12/15 en zand	14,997	N89	N88	Kolom (100)

5.4. Analyse model met Staven

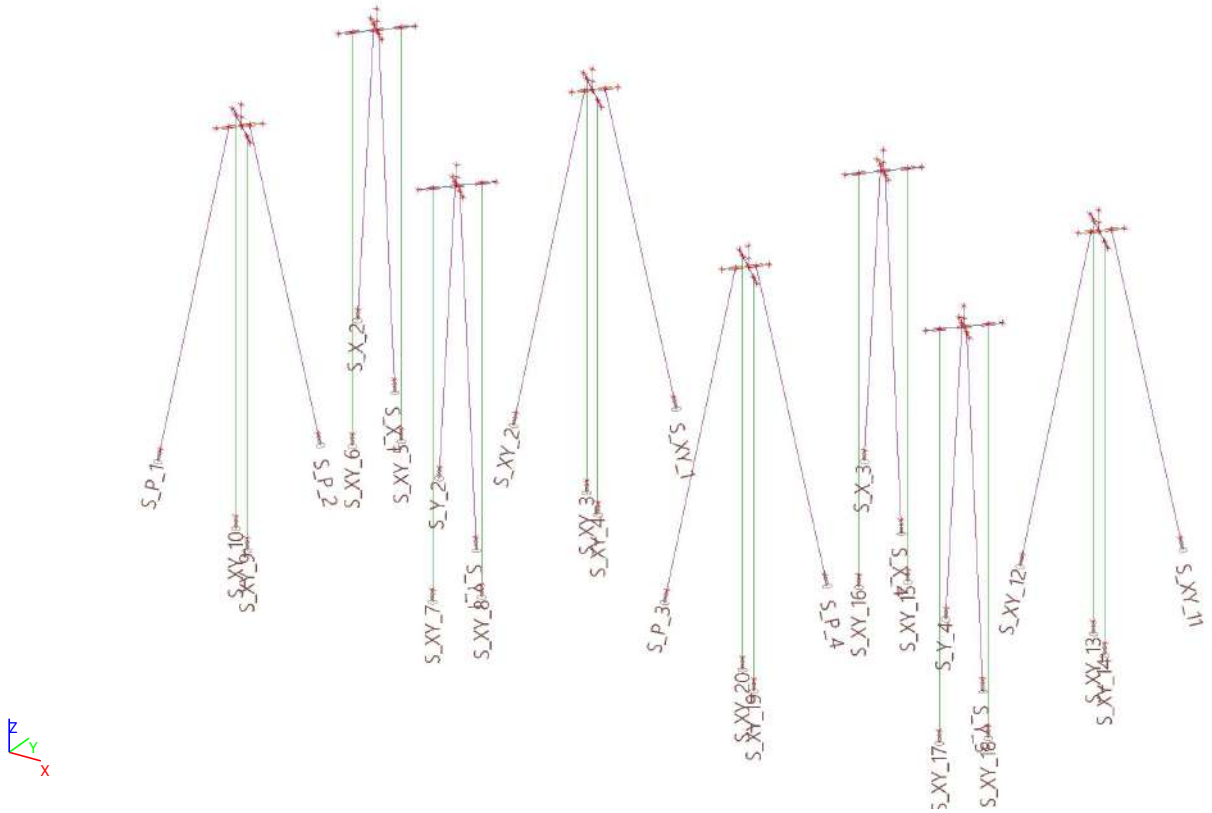


5.5. Knoopsteunpunten

Naam	Knoop	Systeem	Type	X	Y	Z	Rx	Ry	Rz	Hoek [deg]
S_P_1	N3	LCS van knoop	Standaard	Vrij	Vrij	Niet-lineair	Vrij	Vrij	Vrij	Ry8,00;Rx-8,00
S_P_2	N30	LCS van knoop	Standaard	Vrij	Vrij	Niet-lineair	Vrij	Vrij	Vrij	Ry-8,00;Rx8,00
S_XY_1	N33	LCS van knoop	Standaard	Vrij	Vrij	Niet-lineair	Vrij	Vrij	Vrij	Ry-8,00;Rx8,00
S_XY_2	N35	LCS van knoop	Standaard	Vrij	Vrij	Niet-lineair	Vrij	Vrij	Vrij	Ry8,00;Rx-8,00
S_Y_1	N40	LCS van knoop	Standaard	Vrij	Vrij	Niet-lineair	Vrij	Vrij	Vrij	Ry-8,00;Rx-8,00
S_Y_2	N42	LCS van knoop	Standaard	Vrij	Vrij	Niet-lineair	Vrij	Vrij	Vrij	Ry8,00;Rx8,00
S_X_2	N47	LCS van knoop	Standaard	Vrij	Vrij	Niet-lineair	Vrij	Vrij	Vrij	Ry8,00;Rx8,00
S_X_1	N49	LCS van knoop	Standaard	Vrij	Vrij	Niet-lineair	Vrij	Vrij	Vrij	Ry-8,00;Rx-8,00
S_XY_3	N53	LCS van knoop	Standaard	Vrij	Vrij	Niet-lineair	Vrij	Vrij	Vrij	
S_XY_4	N54	LCS van knoop	Standaard	Vrij	Vrij	Niet-lineair	Vrij	Vrij	Vrij	
S_XY_5	N58	LCS van knoop	Standaard	Vrij	Vrij	Niet-lineair	Vrij	Vrij	Vrij	
S_XY_6	N59	LCS van knoop	Standaard	Vrij	Vrij	Niet-lineair	Vrij	Vrij	Vrij	
S_XY_7	N65	LCS van knoop	Standaard	Vrij	Vrij	Niet-lineair	Vrij	Vrij	Vrij	
S_XY_8	N66	LCS van knoop	Standaard	Vrij	Vrij	Niet-lineair	Vrij	Vrij	Vrij	
S_XY_9	N69	LCS van knoop	Standaard	Vrij	Vrij	Niet-lineair	Vrij	Vrij	Vrij	
S_XY_10	N70	LCS van knoop	Standaard	Vrij	Vrij	Niet-lineair	Vrij	Vrij	Vrij	
S_P_3	N72	LCS van knoop	Standaard	Vrij	Vrij	Niet-lineair	Vrij	Vrij	Vrij	Ry8,00;Rx-8,00
S_P_4	N74	LCS van knoop	Standaard	Vrij	Vrij	Niet-lineair	Vrij	Vrij	Vrij	Ry-8,00;Rx8,00
S_XY_11	N79	LCS van knoop	Standaard	Vrij	Vrij	Niet-lineair	Vrij	Vrij	Vrij	Ry-8,00;Rx8,00
S_XY_12	N81	LCS van knoop	Standaard	Vrij	Vrij	Niet-lineair	Vrij	Vrij	Vrij	Ry8,00;Rx-8,00
S_Y_3	N86	LCS van knoop	Standaard	Vrij	Vrij	Niet-lineair	Vrij	Vrij	Vrij	Ry-8,00;Rx-8,00
S_Y_4	N88	LCS van knoop	Standaard	Vrij	Vrij	Niet-lineair	Vrij	Vrij	Vrij	Ry8,00;Rx8,00
S_X_3	N93	LCS van knoop	Standaard	Vrij	Vrij	Niet-lineair	Vrij	Vrij	Vrij	Ry8,00;Rx8,00
S_X_4	N95	LCS van knoop	Standaard	Vrij	Vrij	Niet-lineair	Vrij	Vrij	Vrij	Ry-8,00;Rx-8,00
S_XY_13	N99	LCS van knoop	Standaard	Vrij	Vrij	Niet-lineair	Vrij	Vrij	Vrij	
S_XY_14	N100	LCS van knoop	Standaard	Vrij	Vrij	Niet-lineair	Vrij	Vrij	Vrij	
S_XY_15	N104	LCS van knoop	Standaard	Vrij	Vrij	Niet-lineair	Vrij	Vrij	Vrij	
S_XY_16	N105	LCS van knoop	Standaard	Vrij	Vrij	Niet-lineair	Vrij	Vrij	Vrij	
S_XY_17	N109	LCS van knoop	Standaard	Vrij	Vrij	Niet-lineair	Vrij	Vrij	Vrij	
S_XY_18	N110	LCS van knoop	Standaard	Vrij	Vrij	Niet-lineair	Vrij	Vrij	Vrij	

Naam	Knoop	Systeem	Type	X	Y	Z	Rx	Ry	Rz	Hoek [deg]
S_XY_19	N113	LCS van knoop	Standaard	Vrij	Vrij	Niet-lineair	Vrij	Vrij	Vrij	
S_XY_20	N114	LCS van knoop	Standaard	Vrij	Vrij	Niet-lineair	Vrij	Vrij	Vrij	

5.6. Analyse model met Knoopondersteuningen



5.7. Lijnsteunpunten op staven

Naam	Type	Staaf	Pos x_1 [m] / Pos x_2 [m]	X	Y	Z	Rx	Ry	Rz	Functie Y	Functie Z
Veen1	Lijn	Paal_XY_4	1,000 8,000	Vrij	Niet-lineair	Niet-lineair	Vrij	Vrij	Vrij	PY-curve-2_Veen.B	PY-curve-1_Veen
Veen5	Lijn	Paal_XY_8	1,000 8,000	Vrij	Niet-lineair	Niet-lineair	Vrij	Vrij	Vrij	PY-curve-2_Veen.B	PY-curve-1_Veen
Veen4	Lijn	Paal_XY_7	1,000 8,000	Vrij	Niet-lineair	Niet-lineair	Vrij	Vrij	Vrij	PY-curve-2_Veen.B	PY-curve-1_Veen
Veen31	Lijn	Paal_X_4	1,000 8,000	Vrij	Niet-lineair	Niet-lineair	Vrij	Vrij	Vrij	PY-curve-2_Veen	PY-curve-2_Veen
Veen20	Lijn	Paal_Y_1	1,000 8,000	Vrij	Niet-lineair	Niet-lineair	Vrij	Vrij	Vrij	PY-curve-2_Veen	PY-curve-2_Veen
Veen19	Lijn	Paal_XY_2	1,000 8,000	Vrij	Niet-lineair	Niet-lineair	Vrij	Vrij	Vrij	PY-curve-2_Veen	PY-curve-2_Veen
Veen27	Lijn	Paal_XY_12	1,000 8,000	Vrij	Niet-lineair	Niet-lineair	Vrij	Vrij	Vrij	PY-curve-2_Veen	PY-curve-2_Veen
Veen12	Lijn	Paal_XY_17	1,000 8,000	Vrij	Niet-lineair	Niet-lineair	Vrij	Vrij	Vrij	PY-curve-2_Veen.B	PY-curve-1_Veen
Veen28	Lijn	Paal_Y_3	1,000 8,000	Vrij	Niet-lineair	Niet-lineair	Vrij	Vrij	Vrij	PY-curve-2_Veen	PY-curve-2_Veen
Veen15	Lijn	Paal_XY_20	1,000 8,000	Vrij	Niet-lineair	Niet-lineair	Vrij	Vrij	Vrij	PY-curve-2_Veen.B	PY-curve-1_Veen
Veen6	Lijn	Paal_XY_9	1,000 8,000	Vrij	Niet-lineair	Niet-lineair	Vrij	Vrij	Vrij	PY-curve-2_Veen.B	PY-curve-1_Veen
Veen7	Lijn	Paal_XY_10	1,000	Vrij	Niet-lineair	Niet-lineair	Vrij	Vrij	Vrij	PY-curve-2_Veen.B	PY-curve-1_Veen

Naam	Type	Staaf	Pos x_1 [m] Pos x_2 [m]	X	Y	Z	Rx	Ry	Rz	Functie Y	Functie Z
			8,000								
Veen22	Lijn	Paal_X_2	1,000 8,000	Vrij	Niet-lineair	Niet-lineair	Vrij	Vrij	Vrij	PY-curve-2_Veen	PY-curve-2_Veen
Veen14	Lijn	Paal_XY_19	1,000 8,000	Vrij	Niet-lineair	Niet-lineair	Vrij	Vrij	Vrij	PY-curve-2_Veen.B	PY-curve-1_Veen
Veen11	Lijn	Paal_XY_16	1,000 8,000	Vrij	Niet-lineair	Niet-lineair	Vrij	Vrij	Vrij	PY-curve-2_Veen.B	PY-curve-1_Veen
Veen29	Lijn	Paal_Y_4	1,000 8,000	Vrij	Niet-lineair	Niet-lineair	Vrij	Vrij	Vrij	PY-curve-2_Veen	PY-curve-2_Veen
Veen9	Lijn	Paal_XY_14	1,000 8,000	Vrij	Niet-lineair	Niet-lineair	Vrij	Vrij	Vrij	PY-curve-2_Veen.B	PY-curve-1_Veen
Veen3	Lijn	Paal_XY_6	1,000 8,000	Vrij	Niet-lineair	Niet-lineair	Vrij	Vrij	Vrij	PY-curve-2_Veen.B	PY-curve-1_Veen
Veen21	Lijn	Paal_Y_2	1,000 8,000	Vrij	Niet-lineair	Niet-lineair	Vrij	Vrij	Vrij	PY-curve-2_Veen	PY-curve-2_Veen
Veen18	Lijn	Paal_XY_1	1,000 8,000	Vrij	Niet-lineair	Niet-lineair	Vrij	Vrij	Vrij	PY-curve-2_Veen	PY-curve-2_Veen
Veen25	Lijn	Paal_P_4	1,000 8,000	Vrij	Niet-lineair	Niet-lineair	Vrij	Vrij	Vrij	PY-curve-2_Veen	PY-curve-2_Veen
Veen	Lijn	Paal_XY_3	1,000 8,000	Vrij	Niet-lineair	Niet-lineair	Vrij	Vrij	Vrij	PY-curve-2_Veen.B	PY-curve-1_Veen
Veen26	Lijn	Paal_XY_11	1,000 8,000	Vrij	Niet-lineair	Niet-lineair	Vrij	Vrij	Vrij	PY-curve-2_Veen	PY-curve-2_Veen
Veen17	Lijn	Paal_P_2	1,000 8,000	Vrij	Niet-lineair	Niet-lineair	Vrij	Vrij	Vrij	PY-curve-2_Veen	PY-curve-2_Veen
Veen30	Lijn	Paal_X_3	1,000 8,000	Vrij	Niet-lineair	Niet-lineair	Vrij	Vrij	Vrij	PY-curve-2_Veen	PY-curve-2_Veen
Veen23	Lijn	Paal_X_1	1,000 8,000	Vrij	Niet-lineair	Niet-lineair	Vrij	Vrij	Vrij	PY-curve-2_Veen	PY-curve-2_Veen
Veen8	Lijn	Paal_XY_13	1,000 8,000	Vrij	Niet-lineair	Niet-lineair	Vrij	Vrij	Vrij	PY-curve-2_Veen.B	PY-curve-1_Veen
Veen10	Lijn	Paal_XY_15	1,000 8,000	Vrij	Niet-lineair	Niet-lineair	Vrij	Vrij	Vrij	PY-curve-2_Veen.B	PY-curve-1_Veen
Veen24	Lijn	Paal_P_3	1,000 8,000	Vrij	Niet-lineair	Niet-lineair	Vrij	Vrij	Vrij	PY-curve-2_Veen	PY-curve-2_Veen
Veen2	Lijn	Paal_XY_5	1,000 8,000	Vrij	Niet-lineair	Niet-lineair	Vrij	Vrij	Vrij	PY-curve-2_Veen.B	PY-curve-1_Veen
Veen13	Lijn	Paal_XY_18	1,000 8,000	Vrij	Niet-lineair	Niet-lineair	Vrij	Vrij	Vrij	PY-curve-2_Veen.B	PY-curve-1_Veen
Veen16	Lijn	Paal_P_1	1,000 8,000	Vrij	Niet-lineair	Niet-lineair	Vrij	Vrij	Vrij	PY-curve-2_Veen	PY-curve-2_Veen
(PY-curve-2_V1)12	Lijn	Paal_XY_10	8,000 9,000	Vrij	Niet-lineair	Niet-lineair	Vrij	Vrij	Vrij	PY-curve-2_V1.B	PY-curve-2_V1.B
(PY-curve-2_V1)1	Lijn	Paal_Y_3	8,000 9,000	Vrij	Niet-lineair	Niet-lineair	Vrij	Vrij	Vrij	PY-curve-2_V9	PY-curve-2_V9
(PY-curve-2_V1)15	Lijn	Paal_XY_15	8,000 9,000	Vrij	Niet-lineair	Niet-lineair	Vrij	Vrij	Vrij	PY-curve-2_V1.B	PY-curve-2_V1.B
(PY-curve-2_V1)14	Lijn	Paal_XY_14	8,000 9,000	Vrij	Niet-lineair	Niet-lineair	Vrij	Vrij	Vrij	PY-curve-2_V1.B	PY-curve-2_V1.B
(PY-curve-2_V1)10	Lijn	Paal_XY_8	8,000 9,000	Vrij	Niet-lineair	Niet-lineair	Vrij	Vrij	Vrij	PY-curve-2_V1.B	PY-curve-2_V1.B
(PY-curve-2_V1)26	Lijn	Paal_Y_2	8,000 9,000	Vrij	Niet-lineair	Niet-lineair	Vrij	Vrij	Vrij	PY-curve-2_V9	PY-curve-2_V9
(PY-curve-2_V1)4	Lijn	Paal_X_4	8,000 9,000	Vrij	Niet-lineair	Niet-lineair	Vrij	Vrij	Vrij	PY-curve-2_V9	PY-curve-2_V9
(PY-curve-2_V1)24	Lijn	Paal_XY_2	8,000 9,000	Vrij	Niet-lineair	Niet-lineair	Vrij	Vrij	Vrij	PY-curve-2_V9	PY-curve-2_V9
(PY-curve-2_V1)9	Lijn	Paal_XY_7	8,000 9,000	Vrij	Niet-lineair	Niet-lineair	Vrij	Vrij	Vrij	PY-curve-2_V1.B	PY-curve-2_V1.B
(PY-curve-2_V1)13	Lijn	Paal_XY_13	8,000 9,000	Vrij	Niet-lineair	Niet-lineair	Vrij	Vrij	Vrij	PY-curve-2_V1.B	PY-curve-2_V1.B
(PY-curve-2_V1)21	Lijn	Paal_P_1	8,000 9,000	Vrij	Niet-lineair	Niet-lineair	Vrij	Vrij	Vrij	PY-curve-2_V9	PY-curve-2_V9
(PY-curve-2_V1)3	Lijn	Paal_X_3	8,000	Vrij	Niet-lineair	Niet-lineair	Vrij	Vrij	Vrij	PY-curve-2_V9	PY-curve-2_V9

Naam	Type	Staaf	Pos x_1 [m] Pos x_2 [m]	X	Y	Z	Rx	Ry	Rz	Functie Y	Functie Z
			9,000								
(PY-curve-2_V1)5	Lijn	Paal_XY_3	8,000 9,000	Vrij	Niet-lineair	Niet-lineair	Vrij	Vrij	Vrij	PY-curve-2_V1.B	PY-curve-2_V1.B
(PY-curve-2_V1)6	Lijn	Paal_XY_4	8,000 9,000	Vrij	Niet-lineair	Niet-lineair	Vrij	Vrij	Vrij	PY-curve-2_V1.B	PY-curve-2_V1.B
(PY-curve-2_V1)16	Lijn	Paal_XY_16	8,000 9,000	Vrij	Niet-lineair	Niet-lineair	Vrij	Vrij	Vrij	PY-curve-2_V1.B	PY-curve-2_V1.B
(PY-curve-2_V1)17	Lijn	Paal_XY_17	8,000 9,000	Vrij	Niet-lineair	Niet-lineair	Vrij	Vrij	Vrij	PY-curve-2_V1.B	PY-curve-2_V1.B
(PY-curve-2_V1)27	Lijn	Paal_X_2	8,000 9,000	Vrij	Niet-lineair	Niet-lineair	Vrij	Vrij	Vrij	PY-curve-2_V9	PY-curve-2_V9
(PY-curve-2_V1)	Lijn	Paal_XY_12	8,000 9,000	Vrij	Niet-lineair	Niet-lineair	Vrij	Vrij	Vrij	PY-curve-2_V9	PY-curve-2_V9
(PY-curve-2_V1)20	Lijn	Paal_XY_20	8,000 9,000	Vrij	Niet-lineair	Niet-lineair	Vrij	Vrij	Vrij	PY-curve-2_V1.B	PY-curve-2_V1.B
(PY-curve-2_V1)8	Lijn	Paal_XY_6	8,000 9,000	Vrij	Niet-lineair	Niet-lineair	Vrij	Vrij	Vrij	PY-curve-2_V1.B	PY-curve-2_V1.B
(PY-curve-2_V1)31	Lijn	Paal_XY_11	8,000 9,000	Vrij	Niet-lineair	Niet-lineair	Vrij	Vrij	Vrij	PY-curve-2_V9	PY-curve-2_V9
(PY-curve-2_V1)22	Lijn	Paal_P_2	8,000 9,000	Vrij	Niet-lineair	Niet-lineair	Vrij	Vrij	Vrij	PY-curve-2_V9	PY-curve-2_V9
(PY-curve-2_V1)2	Lijn	Paal_Y_4	8,000 9,000	Vrij	Niet-lineair	Niet-lineair	Vrij	Vrij	Vrij	PY-curve-2_V9	PY-curve-2_V9
(PY-curve-2_V1)18	Lijn	Paal_XY_18	8,000 9,000	Vrij	Niet-lineair	Niet-lineair	Vrij	Vrij	Vrij	PY-curve-2_V1.B	PY-curve-2_V1.B
(PY-curve-2_V1)7	Lijn	Paal_XY_5	8,000 9,000	Vrij	Niet-lineair	Niet-lineair	Vrij	Vrij	Vrij	PY-curve-2_V1.B	PY-curve-2_V1.B
(PY-curve-2_V1)19	Lijn	Paal_XY_19	8,000 9,000	Vrij	Niet-lineair	Niet-lineair	Vrij	Vrij	Vrij	PY-curve-2_V1.B	PY-curve-2_V1.B
(PY-curve-2_V1)30	Lijn	Paal_P_4	8,000 9,000	Vrij	Niet-lineair	Niet-lineair	Vrij	Vrij	Vrij	PY-curve-2_V9	PY-curve-2_V9
(PY-curve-2_V1)25	Lijn	Paal_Y_1	8,000 9,000	Vrij	Niet-lineair	Niet-lineair	Vrij	Vrij	Vrij	PY-curve-2_V9	PY-curve-2_V9
(PY-curve-2_V1)28	Lijn	Paal_X_1	8,000 9,000	Vrij	Niet-lineair	Niet-lineair	Vrij	Vrij	Vrij	PY-curve-2_V9	PY-curve-2_V9
(PY-curve-2_V1)11	Lijn	Paal_XY_9	8,000 9,000	Vrij	Niet-lineair	Niet-lineair	Vrij	Vrij	Vrij	PY-curve-2_V1.B	PY-curve-2_V1.B
(PY-curve-2_V1)29	Lijn	Paal_P_3	8,000 9,000	Vrij	Niet-lineair	Niet-lineair	Vrij	Vrij	Vrij	PY-curve-2_V9	PY-curve-2_V9
(PY-curve-2_V1)23	Lijn	Paal_XY_1	8,000 9,000	Vrij	Niet-lineair	Niet-lineair	Vrij	Vrij	Vrij	PY-curve-2_V9	PY-curve-2_V9
(PY-curve-2_V2)21	Lijn	Paal_XY_18	9,000 10,000	Vrij	Niet-lineair	Niet-lineair	Vrij	Vrij	Vrij	PY-curve-2_V2.B	PY-curve-2_V2.B
(PY-curve-2_V2)13	Lijn	Paal_XY_9	9,000 10,000	Vrij	Niet-lineair	Niet-lineair	Vrij	Vrij	Vrij	PY-curve-2_V2.B	PY-curve-2_V2.B
(PY-curve-2_V2)20	Lijn	Paal_XY_17	9,000 10,000	Vrij	Niet-lineair	Niet-lineair	Vrij	Vrij	Vrij	PY-curve-2_V2.B	PY-curve-2_V2.B
(PY-curve-2_V2)26	Lijn	Paal_X_2	9,000 10,000	Vrij	Niet-lineair	Niet-lineair	Vrij	Vrij	Vrij	PY-curve-2_V10	PY-curve-2_V10
(PY-curve-2_V2)18	Lijn	Paal_XY_15	9,000 10,000	Vrij	Niet-lineair	Niet-lineair	Vrij	Vrij	Vrij	PY-curve-2_V2.B	PY-curve-2_V2.B
(PY-curve-2_V2)2	Lijn	Paal_P_2	9,000 10,000	Vrij	Niet-lineair	Niet-lineair	Vrij	Vrij	Vrij	PY-curve-2_V10	PY-curve-2_V10
(PY-curve-2_V2)17	Lijn	Paal_XY_14	9,000 10,000	Vrij	Niet-lineair	Niet-lineair	Vrij	Vrij	Vrij	PY-curve-2_V2.B	PY-curve-2_V2.B
(PY-curve-2_V2)30	Lijn	Paal_Y_2	9,000 10,000	Vrij	Niet-lineair	Niet-lineair	Vrij	Vrij	Vrij	PY-curve-2_V10	PY-curve-2_V10
(PY-curve-2_V2)19	Lijn	Paal_XY_16	9,000 10,000	Vrij	Niet-lineair	Niet-lineair	Vrij	Vrij	Vrij	PY-curve-2_V2.B	PY-curve-2_V2.B
(PY-curve-2_V2)11	Lijn	Paal_XY_7	9,000 10,000	Vrij	Niet-lineair	Niet-lineair	Vrij	Vrij	Vrij	PY-curve-2_V2.B	PY-curve-2_V2.B
(PY-curve-2_V2)16	Lijn	Paal_XY_13	9,000 10,000	Vrij	Niet-lineair	Niet-lineair	Vrij	Vrij	Vrij	PY-curve-2_V2.B	PY-curve-2_V2.B
(PY-curve-2_V2)10	Lijn	Paal_XY_6	9,000	Vrij	Niet-lineair	Niet-lineair	Vrij	Vrij	Vrij	PY-curve-2_V2.B	PY-curve-2_V2.B

Naam	Type	Staaf	Pos x_1 [m] Pos x_2 [m]	X	Y	Z	Rx	Ry	Rz	Functie Y	Functie Z
			10,000								
(PY-curve-2_V2)25	Lijn	Paal_X_4	9,000 10,000	Vrij	Niet-lineair	Niet-lineair	Vrij	Vrij	Vrij	PY-curve-2_V10	PY-curve-2_V10
(PY-curve-2_V2)27	Lijn	Paal_X_3	9,000 10,000	Vrij	Niet-lineair	Niet-lineair	Vrij	Vrij	Vrij	PY-curve-2_V10	PY-curve-2_V10
(PY-curve-2_V2)4	Lijn	Paal_XY_1	9,000 10,000	Vrij	Niet-lineair	Niet-lineair	Vrij	Vrij	Vrij	PY-curve-2_V10	PY-curve-2_V10
(PY-curve-2_V2)8	Lijn	Paal_XY_4	9,000 10,000	Vrij	Niet-lineair	Niet-lineair	Vrij	Vrij	Vrij	PY-curve-2_V2.B	PY-curve-2_V2.B
(PY-curve-2_V2)23	Lijn	Paal_XY_20	9,000 10,000	Vrij	Niet-lineair	Niet-lineair	Vrij	Vrij	Vrij	PY-curve-2_V2.B	PY-curve-2_V2.B
(PY-curve-2_V2)31	Lijn	Paal_Y_4	9,000 10,000	Vrij	Niet-lineair	Niet-lineair	Vrij	Vrij	Vrij	PY-curve-2_V10	PY-curve-2_V10
(PY-curve-2_V2)9	Lijn	Paal_XY_5	9,000 10,000	Vrij	Niet-lineair	Niet-lineair	Vrij	Vrij	Vrij	PY-curve-2_V2.B	PY-curve-2_V2.B
(PY-curve-2_V2)28	Lijn	Paal_Y_1	9,000 10,000	Vrij	Niet-lineair	Niet-lineair	Vrij	Vrij	Vrij	PY-curve-2_V10	PY-curve-2_V10
(PY-curve-2_V2)29	Lijn	Paal_Y_3	9,000 10,000	Vrij	Niet-lineair	Niet-lineair	Vrij	Vrij	Vrij	PY-curve-2_V10	PY-curve-2_V10
(PY-curve-2_V2)	Lijn	Paal_P_1	9,000 10,000	Vrij	Niet-lineair	Niet-lineair	Vrij	Vrij	Vrij	PY-curve-2_V10	PY-curve-2_V10
(PY-curve-2_V2)14	Lijn	Paal_XY_10	9,000 10,000	Vrij	Niet-lineair	Niet-lineair	Vrij	Vrij	Vrij	PY-curve-2_V2.B	PY-curve-2_V2.B
(PY-curve-2_V2)22	Lijn	Paal_XY_19	9,000 10,000	Vrij	Niet-lineair	Niet-lineair	Vrij	Vrij	Vrij	PY-curve-2_V2.B	PY-curve-2_V2.B
(PY-curve-2_V2)15	Lijn	Paal_XY_12	9,000 10,000	Vrij	Niet-lineair	Niet-lineair	Vrij	Vrij	Vrij	PY-curve-2_V10	PY-curve-2_V10
(PY-curve-2_V2)6	Lijn	Paal_XY_2	9,000 10,000	Vrij	Niet-lineair	Niet-lineair	Vrij	Vrij	Vrij	PY-curve-2_V10	PY-curve-2_V10
(PY-curve-2_V2)5	Lijn	Paal_XY_11	9,000 10,000	Vrij	Niet-lineair	Niet-lineair	Vrij	Vrij	Vrij	PY-curve-2_V10	PY-curve-2_V10
(PY-curve-2_V2)12	Lijn	Paal_XY_8	9,000 10,000	Vrij	Niet-lineair	Niet-lineair	Vrij	Vrij	Vrij	PY-curve-2_V2.B	PY-curve-2_V2.B
(PY-curve-2_V2)3	Lijn	Paal_P_4	9,000 10,000	Vrij	Niet-lineair	Niet-lineair	Vrij	Vrij	Vrij	PY-curve-2_V10	PY-curve-2_V10
(PY-curve-2_V2)7	Lijn	Paal_XY_3	9,000 10,000	Vrij	Niet-lineair	Niet-lineair	Vrij	Vrij	Vrij	PY-curve-2_V2.B	PY-curve-2_V2.B
(PY-curve-2_V2)24	Lijn	Paal_X_1	9,000 10,000	Vrij	Niet-lineair	Niet-lineair	Vrij	Vrij	Vrij	PY-curve-2_V10	PY-curve-2_V10
(PY-curve-2_V2)1	Lijn	Paal_P_3	9,000 10,000	Vrij	Niet-lineair	Niet-lineair	Vrij	Vrij	Vrij	PY-curve-2_V10	PY-curve-2_V10
(PY-curve-2_V3)22	Lijn	Paal_XY_19	10,000 11,000	Vrij	Niet-lineair	Niet-lineair	Vrij	Vrij	Vrij	PY-curve-2_V3.B	PY-curve-2_V3.B
(PY-curve-2_V3)20	Lijn	Paal_XY_17	10,000 11,000	Vrij	Niet-lineair	Niet-lineair	Vrij	Vrij	Vrij	PY-curve-2_V3.B	PY-curve-2_V3.B
(PY-curve-2_V3)13	Lijn	Paal_XY_9	10,000 11,000	Vrij	Niet-lineair	Niet-lineair	Vrij	Vrij	Vrij	PY-curve-2_V3.B	PY-curve-2_V3.B
(PY-curve-2_V3)	Lijn	Paal_P_1	10,000 11,000	Vrij	Niet-lineair	Niet-lineair	Vrij	Vrij	Vrij	PY-curve-2_V11	PY-curve-2_V11
(PY-curve-2_V3)6	Lijn	Paal_XY_2	10,000 11,000	Vrij	Niet-lineair	Niet-lineair	Vrij	Vrij	Vrij	PY-curve-2_V11	PY-curve-2_V11
(PY-curve-2_V3)12	Lijn	Paal_XY_8	10,000 11,000	Vrij	Niet-lineair	Niet-lineair	Vrij	Vrij	Vrij	PY-curve-2_V3.B	PY-curve-2_V3.B
(PY-curve-2_V3)17	Lijn	Paal_XY_14	10,000 11,000	Vrij	Niet-lineair	Niet-lineair	Vrij	Vrij	Vrij	PY-curve-2_V3.B	PY-curve-2_V3.B
(PY-curve-2_V3)23	Lijn	Paal_XY_20	10,000 11,000	Vrij	Niet-lineair	Niet-lineair	Vrij	Vrij	Vrij	PY-curve-2_V3.B	PY-curve-2_V3.B
(PY-curve-2_V3)26	Lijn	Paal_X_2	10,000 11,000	Vrij	Niet-lineair	Niet-lineair	Vrij	Vrij	Vrij	PY-curve-2_V11	PY-curve-2_V11
(PY-curve-2_V3)11	Lijn	Paal_XY_7	10,000 11,000	Vrij	Niet-lineair	Niet-lineair	Vrij	Vrij	Vrij	PY-curve-2_V3.B	PY-curve-2_V3.B
(PY-curve-2_V3)16	Lijn	Paal_XY_13	10,000 11,000	Vrij	Niet-lineair	Niet-lineair	Vrij	Vrij	Vrij	PY-curve-2_V3.B	PY-curve-2_V3.B
(PY-curve-2_V3)10	Lijn	Paal_XY_6	10,000	Vrij	Niet-lineair	Niet-lineair	Vrij	Vrij	Vrij	PY-curve-2_V3.B	PY-curve-2_V3.B

Naam	Type	Staaf	Pos x_1 [m] / Pos x_2 [m]	X	Y	Z	Rx	Ry	Rz	Functie Y	Functie Z
			11,000								
(PY-curve-2_V3)27	Lijn	Paal_X_3	10,000 11,000	Vrij	Niet-lineair	Niet-lineair	Vrij	Vrij	Vrij	PY-curve-2_V11	PY-curve-2_V11
(PY-curve-2_V3)18	Lijn	Paal_XY_15	10,000 11,000	Vrij	Niet-lineair	Niet-lineair	Vrij	Vrij	Vrij	PY-curve-2_V3.B	PY-curve-2_V3.B
(PY-curve-2_V3)30	Lijn	Paal_Y_2	10,000 11,000	Vrij	Niet-lineair	Niet-lineair	Vrij	Vrij	Vrij	PY-curve-2_V11	PY-curve-2_V11
(PY-curve-2_V3)21	Lijn	Paal_XY_18	10,000 11,000	Vrij	Niet-lineair	Niet-lineair	Vrij	Vrij	Vrij	PY-curve-2_V3.B	PY-curve-2_V3.B
(PY-curve-2_V3)31	Lijn	Paal_Y_4	10,000 11,000	Vrij	Niet-lineair	Niet-lineair	Vrij	Vrij	Vrij	PY-curve-2_V11	PY-curve-2_V11
(PY-curve-2_V3)9	Lijn	Paal_XY_5	10,000 11,000	Vrij	Niet-lineair	Niet-lineair	Vrij	Vrij	Vrij	PY-curve-2_V3.B	PY-curve-2_V3.B
(PY-curve-2_V3)29	Lijn	Paal_Y_3	10,000 11,000	Vrij	Niet-lineair	Niet-lineair	Vrij	Vrij	Vrij	PY-curve-2_V11	PY-curve-2_V11
(PY-curve-2_V3)4	Lijn	Paal_XY_1	10,000 11,000	Vrij	Niet-lineair	Niet-lineair	Vrij	Vrij	Vrij	PY-curve-2_V11	PY-curve-2_V11
(PY-curve-2_V3)15	Lijn	Paal_XY_12	10,000 11,000	Vrij	Niet-lineair	Niet-lineair	Vrij	Vrij	Vrij	PY-curve-2_V11	PY-curve-2_V11
(PY-curve-2_V3)8	Lijn	Paal_XY_4	10,000 11,000	Vrij	Niet-lineair	Niet-lineair	Vrij	Vrij	Vrij	PY-curve-2_V3.B	PY-curve-2_V3.B
(PY-curve-2_V3)5	Lijn	Paal_XY_11	10,000 11,000	Vrij	Niet-lineair	Niet-lineair	Vrij	Vrij	Vrij	PY-curve-2_V11	PY-curve-2_V11
(PY-curve-2_V3)14	Lijn	Paal_XY_10	10,000 11,000	Vrij	Niet-lineair	Niet-lineair	Vrij	Vrij	Vrij	PY-curve-2_V3.B	PY-curve-2_V3.B
(PY-curve-2_V3)25	Lijn	Paal_X_4	10,000 11,000	Vrij	Niet-lineair	Niet-lineair	Vrij	Vrij	Vrij	PY-curve-2_V11	PY-curve-2_V11
(PY-curve-2_V3)28	Lijn	Paal_Y_1	10,000 11,000	Vrij	Niet-lineair	Niet-lineair	Vrij	Vrij	Vrij	PY-curve-2_V11	PY-curve-2_V11
(PY-curve-2_V3)3	Lijn	Paal_P_4	10,000 11,000	Vrij	Niet-lineair	Niet-lineair	Vrij	Vrij	Vrij	PY-curve-2_V11	PY-curve-2_V11
(PY-curve-2_V3)19	Lijn	Paal_XY_16	10,000 11,000	Vrij	Niet-lineair	Niet-lineair	Vrij	Vrij	Vrij	PY-curve-2_V3.B	PY-curve-2_V3.B
(PY-curve-2_V3)7	Lijn	Paal_XY_3	10,000 11,000	Vrij	Niet-lineair	Niet-lineair	Vrij	Vrij	Vrij	PY-curve-2_V3.B	PY-curve-2_V3.B
(PY-curve-2_V3)24	Lijn	Paal_X_1	10,000 11,000	Vrij	Niet-lineair	Niet-lineair	Vrij	Vrij	Vrij	PY-curve-2_V11	PY-curve-2_V11
(PY-curve-2_V3)1	Lijn	Paal_P_3	10,000 11,000	Vrij	Niet-lineair	Niet-lineair	Vrij	Vrij	Vrij	PY-curve-2_V11	PY-curve-2_V11
(PY-curve-2_V3)2	Lijn	Paal_P_2	10,000 11,000	Vrij	Niet-lineair	Niet-lineair	Vrij	Vrij	Vrij	PY-curve-2_V11	PY-curve-2_V11
(PY-curve-2_V4)14	Lijn	Paal_XY_10	11,000 12,000	Vrij	Niet-lineair	Niet-lineair	Vrij	Vrij	Vrij	PY-curve-2_V4.B	PY-curve-2_V4.B
(PY-curve-2_V4)22	Lijn	Paal_XY_19	11,000 12,000	Vrij	Niet-lineair	Niet-lineair	Vrij	Vrij	Vrij	PY-curve-2_V4.B	PY-curve-2_V4.B
(PY-curve-2_V4)24	Lijn	Paal_X_1	11,000 12,000	Vrij	Niet-lineair	Niet-lineair	Vrij	Vrij	Vrij	PY-curve-2_V12	PY-curve-2_V12
(PY-curve-2_V4)6	Lijn	Paal_XY_2	11,000 12,000	Vrij	Niet-lineair	Niet-lineair	Vrij	Vrij	Vrij	PY-curve-2_V12	PY-curve-2_V12
(PY-curve-2_V4)13	Lijn	Paal_XY_9	11,000 12,000	Vrij	Niet-lineair	Niet-lineair	Vrij	Vrij	Vrij	PY-curve-2_V4.B	PY-curve-2_V4.B
(PY-curve-2_V4)20	Lijn	Paal_XY_17	11,000 12,000	Vrij	Niet-lineair	Niet-lineair	Vrij	Vrij	Vrij	PY-curve-2_V4.B	PY-curve-2_V4.B
(PY-curve-2_V4)12	Lijn	Paal_XY_8	11,000 12,000	Vrij	Niet-lineair	Niet-lineair	Vrij	Vrij	Vrij	PY-curve-2_V4.B	PY-curve-2_V4.B
(PY-curve-2_V4)26	Lijn	Paal_X_2	11,000 12,000	Vrij	Niet-lineair	Niet-lineair	Vrij	Vrij	Vrij	PY-curve-2_V12	PY-curve-2_V12
(PY-curve-2_V4)18	Lijn	Paal_XY_15	11,000 12,000	Vrij	Niet-lineair	Niet-lineair	Vrij	Vrij	Vrij	PY-curve-2_V4.B	PY-curve-2_V4.B
(PY-curve-2_V4)17	Lijn	Paal_XY_14	11,000 12,000	Vrij	Niet-lineair	Niet-lineair	Vrij	Vrij	Vrij	PY-curve-2_V4.B	PY-curve-2_V4.B
(PY-curve-2_V4)11	Lijn	Paal_XY_7	11,000 12,000	Vrij	Niet-lineair	Niet-lineair	Vrij	Vrij	Vrij	PY-curve-2_V4.B	PY-curve-2_V4.B
(PY-curve-2_V4)16	Lijn	Paal_XY_13	11,000	Vrij	Niet-lineair	Niet-lineair	Vrij	Vrij	Vrij	PY-curve-2_V4.B	PY-curve-2_V4.B

Naam	Type	Staaf	Pos x_1 [m] Pos x_2 [m]	X	Y	Z	Rx	Ry	Rz	Functie Y	Functie Z
			12,000								
(PY-curve-2_V4)25	Lijn	Paal_X_4	11,000 12,000	Vrij	Niet-lineair	Niet-lineair	Vrij	Vrij	Vrij	PY-curve-2_V12	PY-curve-2_V12
(PY-curve-2_V4)10	Lijn	Paal_XY_6	11,000 12,000	Vrij	Niet-lineair	Niet-lineair	Vrij	Vrij	Vrij	PY-curve-2_V4.B	PY-curve-2_V4.B
(PY-curve-2_V4)30	Lijn	Paal_Y_2	11,000 12,000	Vrij	Niet-lineair	Niet-lineair	Vrij	Vrij	Vrij	PY-curve-2_V12	PY-curve-2_V12
(PY-curve-2_V4)27	Lijn	Paal_X_3	11,000 12,000	Vrij	Niet-lineair	Niet-lineair	Vrij	Vrij	Vrij	PY-curve-2_V12	PY-curve-2_V12
(PY-curve-2_V4)31	Lijn	Paal_Y_4	11,000 12,000	Vrij	Niet-lineair	Niet-lineair	Vrij	Vrij	Vrij	PY-curve-2_V12	PY-curve-2_V12
(PY-curve-2_V4)4	Lijn	Paal_XY_1	11,000 12,000	Vrij	Niet-lineair	Niet-lineair	Vrij	Vrij	Vrij	PY-curve-2_V12	PY-curve-2_V12
(PY-curve-2_V4)9	Lijn	Paal_XY_5	11,000 12,000	Vrij	Niet-lineair	Niet-lineair	Vrij	Vrij	Vrij	PY-curve-2_V4.B	PY-curve-2_V4.B
(PY-curve-2_V4)29	Lijn	Paal_Y_3	11,000 12,000	Vrij	Niet-lineair	Niet-lineair	Vrij	Vrij	Vrij	PY-curve-2_V12	PY-curve-2_V12
(PY-curve-2_V4)2	Lijn	Paal_P_2	11,000 12,000	Vrij	Niet-lineair	Niet-lineair	Vrij	Vrij	Vrij	PY-curve-2_V12	PY-curve-2_V12
(PY-curve-2_V4)15	Lijn	Paal_XY_12	11,000 12,000	Vrij	Niet-lineair	Niet-lineair	Vrij	Vrij	Vrij	PY-curve-2_V12	PY-curve-2_V12
(PY-curve-2_V4)8	Lijn	Paal_XY_4	11,000 12,000	Vrij	Niet-lineair	Niet-lineair	Vrij	Vrij	Vrij	PY-curve-2_V4.B	PY-curve-2_V4.B
(PY-curve-2_V4)5	Lijn	Paal_XY_11	11,000 12,000	Vrij	Niet-lineair	Niet-lineair	Vrij	Vrij	Vrij	PY-curve-2_V12	PY-curve-2_V12
(PY-curve-2_V4)28	Lijn	Paal_Y_1	11,000 12,000	Vrij	Niet-lineair	Niet-lineair	Vrij	Vrij	Vrij	PY-curve-2_V12	PY-curve-2_V12
(PY-curve-2_V4)19	Lijn	Paal_XY_16	11,000 12,000	Vrij	Niet-lineair	Niet-lineair	Vrij	Vrij	Vrij	PY-curve-2_V4.B	PY-curve-2_V4.B
(PY-curve-2_V4)	Lijn	Paal_P_1	11,000 12,000	Vrij	Niet-lineair	Niet-lineair	Vrij	Vrij	Vrij	PY-curve-2_V12	PY-curve-2_V12
(PY-curve-2_V4)3	Lijn	Paal_P_4	11,000 12,000	Vrij	Niet-lineair	Niet-lineair	Vrij	Vrij	Vrij	PY-curve-2_V12	PY-curve-2_V12
(PY-curve-2_V4)21	Lijn	Paal_XY_18	11,000 12,000	Vrij	Niet-lineair	Niet-lineair	Vrij	Vrij	Vrij	PY-curve-2_V4.B	PY-curve-2_V4.B
(PY-curve-2_V4)7	Lijn	Paal_XY_3	11,000 12,000	Vrij	Niet-lineair	Niet-lineair	Vrij	Vrij	Vrij	PY-curve-2_V4.B	PY-curve-2_V4.B
(PY-curve-2_V4)1	Lijn	Paal_P_3	11,000 12,000	Vrij	Niet-lineair	Niet-lineair	Vrij	Vrij	Vrij	PY-curve-2_V12	PY-curve-2_V12
(PY-curve-2_V4)23	Lijn	Paal_XY_20	11,000 12,000	Vrij	Niet-lineair	Niet-lineair	Vrij	Vrij	Vrij	PY-curve-2_V4.B	PY-curve-2_V4.B
(PY-curve-2_V5)14	Lijn	Paal_XY_10	12,000 13,000	Vrij	Niet-lineair	Niet-lineair	Vrij	Vrij	Vrij	PY-curve-2_V5.B	PY-curve-2_V5.B
(PY-curve-2_V5)24	Lijn	Paal_X_1	12,000 13,000	Vrij	Niet-lineair	Niet-lineair	Vrij	Vrij	Vrij	PY-curve-2_V13	PY-curve-2_V13
(PY-curve-2_V5)22	Lijn	Paal_XY_19	12,000 13,000	Vrij	Niet-lineair	Niet-lineair	Vrij	Vrij	Vrij	PY-curve-2_V5.B	PY-curve-2_V5.B
(PY-curve-2_V5)6	Lijn	Paal_XY_2	12,000 13,000	Vrij	Niet-lineair	Niet-lineair	Vrij	Vrij	Vrij	PY-curve-2_V13	PY-curve-2_V13
(PY-curve-2_V5)21	Lijn	Paal_XY_18	12,000 13,000	Vrij	Niet-lineair	Niet-lineair	Vrij	Vrij	Vrij	PY-curve-2_V5.B	PY-curve-2_V5.B
(PY-curve-2_V5)13	Lijn	Paal_XY_9	12,000 13,000	Vrij	Niet-lineair	Niet-lineair	Vrij	Vrij	Vrij	PY-curve-2_V5.B	PY-curve-2_V5.B
(PY-curve-2_V5)20	Lijn	Paal_XY_17	12,000 13,000	Vrij	Niet-lineair	Niet-lineair	Vrij	Vrij	Vrij	PY-curve-2_V5.B	PY-curve-2_V5.B
(PY-curve-2_V5)12	Lijn	Paal_XY_8	12,000 13,000	Vrij	Niet-lineair	Niet-lineair	Vrij	Vrij	Vrij	PY-curve-2_V5.B	PY-curve-2_V5.B
(PY-curve-2_V5)26	Lijn	Paal_X_2	12,000 13,000	Vrij	Niet-lineair	Niet-lineair	Vrij	Vrij	Vrij	PY-curve-2_V13	PY-curve-2_V13
(PY-curve-2_V5)18	Lijn	Paal_XY_15	12,000 13,000	Vrij	Niet-lineair	Niet-lineair	Vrij	Vrij	Vrij	PY-curve-2_V5.B	PY-curve-2_V5.B
(PY-curve-2_V5)17	Lijn	Paal_XY_14	12,000 13,000	Vrij	Niet-lineair	Niet-lineair	Vrij	Vrij	Vrij	PY-curve-2_V5.B	PY-curve-2_V5.B
(PY-curve-2_V5)11	Lijn	Paal_XY_7	12,000	Vrij	Niet-lineair	Niet-lineair	Vrij	Vrij	Vrij	PY-curve-2_V5.B	PY-curve-2_V5.B

Naam	Type	Staaf	Pos x_1 [m] Pos x_2 [m]	X	Y	Z	Rx	Ry	Rz	Functie Y	Functie Z
			13,000								
(PY-curve-2_V5)16	Lijn	Paal_XY_13	12,000 13,000	Vrij	Niet-lineair	Niet-lineair	Vrij	Vrij	Vrij	PY-curve-2_V5.B	PY-curve-2_V5.B
(PY-curve-2_V5)2	Lijn	Paal_P_2	12,000 13,000	Vrij	Niet-lineair	Niet-lineair	Vrij	Vrij	Vrij	PY-curve-2_V13	PY-curve-2_V13
(PY-curve-2_V5)25	Lijn	Paal_X_4	12,000 13,000	Vrij	Niet-lineair	Niet-lineair	Vrij	Vrij	Vrij	PY-curve-2_V13	PY-curve-2_V13
(PY-curve-2_V5)10	Lijn	Paal_XY_6	12,000 13,000	Vrij	Niet-lineair	Niet-lineair	Vrij	Vrij	Vrij	PY-curve-2_V5.B	PY-curve-2_V5.B
(PY-curve-2_V5)30	Lijn	Paal_Y_2	12,000 13,000	Vrij	Niet-lineair	Niet-lineair	Vrij	Vrij	Vrij	PY-curve-2_V13	PY-curve-2_V13
(PY-curve-2_V5)27	Lijn	Paal_X_3	12,000 13,000	Vrij	Niet-lineair	Niet-lineair	Vrij	Vrij	Vrij	PY-curve-2_V13	PY-curve-2_V13
(PY-curve-2_V5)	Lijn	Paal_P_1	12,000 13,000	Vrij	Niet-lineair	Niet-lineair	Vrij	Vrij	Vrij	PY-curve-2_V13	PY-curve-2_V13
(PY-curve-2_V5)4	Lijn	Paal_XY_1	12,000 13,000	Vrij	Niet-lineair	Niet-lineair	Vrij	Vrij	Vrij	PY-curve-2_V13	PY-curve-2_V13
(PY-curve-2_V5)31	Lijn	Paal_Y_4	12,000 13,000	Vrij	Niet-lineair	Niet-lineair	Vrij	Vrij	Vrij	PY-curve-2_V13	PY-curve-2_V13
(PY-curve-2_V5)9	Lijn	Paal_XY_5	12,000 13,000	Vrij	Niet-lineair	Niet-lineair	Vrij	Vrij	Vrij	PY-curve-2_V5.B	PY-curve-2_V5.B
(PY-curve-2_V5)23	Lijn	Paal_XY_20	12,000 13,000	Vrij	Niet-lineair	Niet-lineair	Vrij	Vrij	Vrij	PY-curve-2_V5.B	PY-curve-2_V5.B
(PY-curve-2_V5)29	Lijn	Paal_Y_3	12,000 13,000	Vrij	Niet-lineair	Niet-lineair	Vrij	Vrij	Vrij	PY-curve-2_V13	PY-curve-2_V13
(PY-curve-2_V5)15	Lijn	Paal_XY_12	12,000 13,000	Vrij	Niet-lineair	Niet-lineair	Vrij	Vrij	Vrij	PY-curve-2_V13	PY-curve-2_V13
(PY-curve-2_V5)8	Lijn	Paal_XY_4	12,000 13,000	Vrij	Niet-lineair	Niet-lineair	Vrij	Vrij	Vrij	PY-curve-2_V5.B	PY-curve-2_V5.B
(PY-curve-2_V5)19	Lijn	Paal_XY_16	12,000 13,000	Vrij	Niet-lineair	Niet-lineair	Vrij	Vrij	Vrij	PY-curve-2_V5.B	PY-curve-2_V5.B
(PY-curve-2_V5)28	Lijn	Paal_Y_1	12,000 13,000	Vrij	Niet-lineair	Niet-lineair	Vrij	Vrij	Vrij	PY-curve-2_V13	PY-curve-2_V13
(PY-curve-2_V5)5	Lijn	Paal_XY_11	12,000 13,000	Vrij	Niet-lineair	Niet-lineair	Vrij	Vrij	Vrij	PY-curve-2_V13	PY-curve-2_V13
(PY-curve-2_V5)3	Lijn	Paal_P_4	12,000 13,000	Vrij	Niet-lineair	Niet-lineair	Vrij	Vrij	Vrij	PY-curve-2_V13	PY-curve-2_V13
(PY-curve-2_V5)7	Lijn	Paal_XY_3	12,000 13,000	Vrij	Niet-lineair	Niet-lineair	Vrij	Vrij	Vrij	PY-curve-2_V5.B	PY-curve-2_V5.B
(PY-curve-2_V5)1	Lijn	Paal_P_3	12,000 13,000	Vrij	Niet-lineair	Niet-lineair	Vrij	Vrij	Vrij	PY-curve-2_V13	PY-curve-2_V13
(PY-curve-2_V6)14	Lijn	Paal_XY_10	13,000 14,000	Vrij	Niet-lineair	Niet-lineair	Vrij	Vrij	Vrij	PY-curve-2_V6.B	PY-curve-2_V6.B
(PY-curve-2_V6)23	Lijn	Paal_XY_20	13,000 14,000	Vrij	Niet-lineair	Niet-lineair	Vrij	Vrij	Vrij	PY-curve-2_V6.B	PY-curve-2_V6.B
(PY-curve-2_V6)6	Lijn	Paal_XY_2	13,000 14,000	Vrij	Niet-lineair	Niet-lineair	Vrij	Vrij	Vrij	PY-curve-2_V14	PY-curve-2_V14
(PY-curve-2_V6)22	Lijn	Paal_XY_19	13,000 14,000	Vrij	Niet-lineair	Niet-lineair	Vrij	Vrij	Vrij	PY-curve-2_V6.B	PY-curve-2_V6.B
(PY-curve-2_V6)13	Lijn	Paal_XY_9	13,000 14,000	Vrij	Niet-lineair	Niet-lineair	Vrij	Vrij	Vrij	PY-curve-2_V6.B	PY-curve-2_V6.B
(PY-curve-2_V6)21	Lijn	Paal_XY_18	13,000 14,000	Vrij	Niet-lineair	Niet-lineair	Vrij	Vrij	Vrij	PY-curve-2_V6.B	PY-curve-2_V6.B
(PY-curve-2_V6)20	Lijn	Paal_XY_17	13,000 14,000	Vrij	Niet-lineair	Niet-lineair	Vrij	Vrij	Vrij	PY-curve-2_V6.B	PY-curve-2_V6.B
(PY-curve-2_V6)2	Lijn	Paal_P_2	13,000 14,000	Vrij	Niet-lineair	Niet-lineair	Vrij	Vrij	Vrij	PY-curve-2_V14	PY-curve-2_V14
(PY-curve-2_V6)26	Lijn	Paal_X_2	13,000 14,000	Vrij	Niet-lineair	Niet-lineair	Vrij	Vrij	Vrij	PY-curve-2_V14	PY-curve-2_V14
(PY-curve-2_V6)12	Lijn	Paal_XY_8	13,000 14,000	Vrij	Niet-lineair	Niet-lineair	Vrij	Vrij	Vrij	PY-curve-2_V6.B	PY-curve-2_V6.B
(PY-curve-2_V6)19	Lijn	Paal_XY_16	13,000 14,000	Vrij	Niet-lineair	Niet-lineair	Vrij	Vrij	Vrij	PY-curve-2_V6.B	PY-curve-2_V6.B
(PY-curve-2_V6)18	Lijn	Paal_XY_15	13,000	Vrij	Niet-lineair	Niet-lineair	Vrij	Vrij	Vrij	PY-curve-2_V6.B	PY-curve-2_V6.B

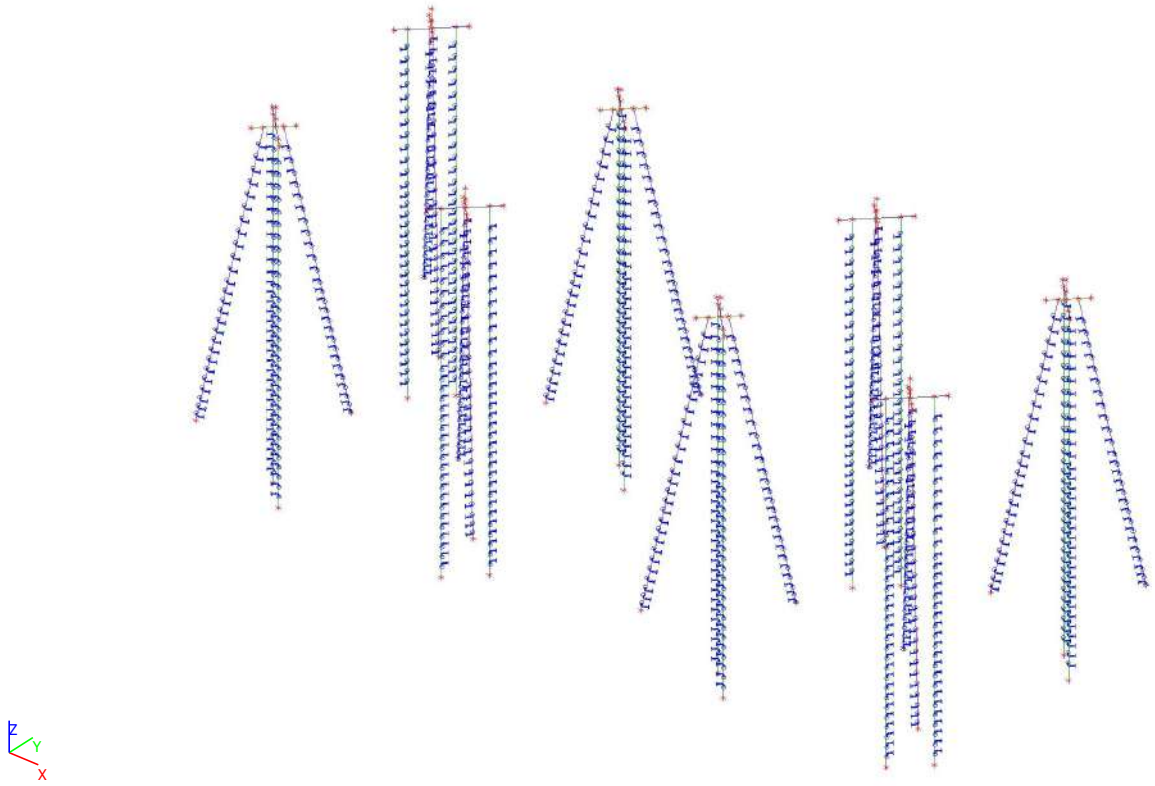
Naam	Type	Staaf	Pos x_1 [m] Pos x_2 [m]	X	Y	Z	Rx	Ry	Rz	Functie Y	Functie Z
			14,000								
(PY-curve-2_V6)	Lijn	Paal_P_1	13,000 14,000	Vrij	Niet-lineair	Niet-lineair	Vrij	Vrij	Vrij	PY-curve-2_V14	PY-curve-2_V14
(PY-curve-2_V6)11	Lijn	Paal_XY_7	13,000 14,000	Vrij	Niet-lineair	Niet-lineair	Vrij	Vrij	Vrij	PY-curve-2_V6.B	PY-curve-2_V6.B
(PY-curve-2_V6)17	Lijn	Paal_XY_14	13,000 14,000	Vrij	Niet-lineair	Niet-lineair	Vrij	Vrij	Vrij	PY-curve-2_V6.B	PY-curve-2_V6.B
(PY-curve-2_V6)16	Lijn	Paal_XY_13	13,000 14,000	Vrij	Niet-lineair	Niet-lineair	Vrij	Vrij	Vrij	PY-curve-2_V6.B	PY-curve-2_V6.B
(PY-curve-2_V6)30	Lijn	Paal_Y_2	13,000 14,000	Vrij	Niet-lineair	Niet-lineair	Vrij	Vrij	Vrij	PY-curve-2_V14	PY-curve-2_V14
(PY-curve-2_V6)10	Lijn	Paal_XY_6	13,000 14,000	Vrij	Niet-lineair	Niet-lineair	Vrij	Vrij	Vrij	PY-curve-2_V6.B	PY-curve-2_V6.B
(PY-curve-2_V6)25	Lijn	Paal_X_4	13,000 14,000	Vrij	Niet-lineair	Niet-lineair	Vrij	Vrij	Vrij	PY-curve-2_V14	PY-curve-2_V14
(PY-curve-2_V6)4	Lijn	Paal_XY_1	13,000 14,000	Vrij	Niet-lineair	Niet-lineair	Vrij	Vrij	Vrij	PY-curve-2_V14	PY-curve-2_V14
(PY-curve-2_V6)24	Lijn	Paal_X_1	13,000 14,000	Vrij	Niet-lineair	Niet-lineair	Vrij	Vrij	Vrij	PY-curve-2_V14	PY-curve-2_V14
(PY-curve-2_V6)27	Lijn	Paal_X_3	13,000 14,000	Vrij	Niet-lineair	Niet-lineair	Vrij	Vrij	Vrij	PY-curve-2_V14	PY-curve-2_V14
(PY-curve-2_V6)9	Lijn	Paal_XY_5	13,000 14,000	Vrij	Niet-lineair	Niet-lineair	Vrij	Vrij	Vrij	PY-curve-2_V6.B	PY-curve-2_V6.B
(PY-curve-2_V6)31	Lijn	Paal_Y_4	13,000 14,000	Vrij	Niet-lineair	Niet-lineair	Vrij	Vrij	Vrij	PY-curve-2_V14	PY-curve-2_V14
(PY-curve-2_V6)29	Lijn	Paal_Y_3	13,000 14,000	Vrij	Niet-lineair	Niet-lineair	Vrij	Vrij	Vrij	PY-curve-2_V14	PY-curve-2_V14
(PY-curve-2_V6)28	Lijn	Paal_Y_1	13,000 14,000	Vrij	Niet-lineair	Niet-lineair	Vrij	Vrij	Vrij	PY-curve-2_V14	PY-curve-2_V14
(PY-curve-2_V6)8	Lijn	Paal_XY_4	13,000 14,000	Vrij	Niet-lineair	Niet-lineair	Vrij	Vrij	Vrij	PY-curve-2_V6.B	PY-curve-2_V6.B
(PY-curve-2_V6)15	Lijn	Paal_XY_12	13,000 14,000	Vrij	Niet-lineair	Niet-lineair	Vrij	Vrij	Vrij	PY-curve-2_V14	PY-curve-2_V14
(PY-curve-2_V6)5	Lijn	Paal_XY_11	13,000 14,000	Vrij	Niet-lineair	Niet-lineair	Vrij	Vrij	Vrij	PY-curve-2_V14	PY-curve-2_V14
(PY-curve-2_V6)7	Lijn	Paal_XY_3	13,000 14,000	Vrij	Niet-lineair	Niet-lineair	Vrij	Vrij	Vrij	PY-curve-2_V6.B	PY-curve-2_V6.B
(PY-curve-2_V6)3	Lijn	Paal_P_4	13,000 14,000	Vrij	Niet-lineair	Niet-lineair	Vrij	Vrij	Vrij	PY-curve-2_V14	PY-curve-2_V14
(PY-curve-2_V6)1	Lijn	Paal_P_3	13,000 14,000	Vrij	Niet-lineair	Niet-lineair	Vrij	Vrij	Vrij	PY-curve-2_V14	PY-curve-2_V14
(PY-curve-2_V7)	Lijn	Paal_P_1	14,000 14,800	Vrij	Niet-lineair	Niet-lineair	Vrij	Vrij	Vrij	PY-curve-2_V15	PY-curve-2_V15
(PY-curve-2_V7)26	Lijn	Paal_X_2	14,000 14,800	Vrij	Niet-lineair	Niet-lineair	Vrij	Vrij	Vrij	PY-curve-2_V15	PY-curve-2_V15
(PY-curve-2_V7)4	Lijn	Paal_XY_1	14,000 14,800	Vrij	Niet-lineair	Niet-lineair	Vrij	Vrij	Vrij	PY-curve-2_V15	PY-curve-2_V15
(PY-curve-2_V7)30	Lijn	Paal_Y_2	14,000 14,800	Vrij	Niet-lineair	Niet-lineair	Vrij	Vrij	Vrij	PY-curve-2_V15	PY-curve-2_V15
(PY-curve-2_V7)25	Lijn	Paal_X_4	14,000 14,800	Vrij	Niet-lineair	Niet-lineair	Vrij	Vrij	Vrij	PY-curve-2_V15	PY-curve-2_V15
(PY-curve-2_V7)27	Lijn	Paal_X_3	14,000 14,800	Vrij	Niet-lineair	Niet-lineair	Vrij	Vrij	Vrij	PY-curve-2_V15	PY-curve-2_V15
(PY-curve-2_V7)31	Lijn	Paal_Y_4	14,000 14,800	Vrij	Niet-lineair	Niet-lineair	Vrij	Vrij	Vrij	PY-curve-2_V15	PY-curve-2_V15
(PY-curve-2_V7)29	Lijn	Paal_Y_3	14,000 14,800	Vrij	Niet-lineair	Niet-lineair	Vrij	Vrij	Vrij	PY-curve-2_V15	PY-curve-2_V15
(PY-curve-2_V7)28	Lijn	Paal_Y_1	14,000 14,800	Vrij	Niet-lineair	Niet-lineair	Vrij	Vrij	Vrij	PY-curve-2_V15	PY-curve-2_V15
(PY-curve-2_V7)15	Lijn	Paal_XY_12	14,000 14,800	Vrij	Niet-lineair	Niet-lineair	Vrij	Vrij	Vrij	PY-curve-2_V15	PY-curve-2_V15
(PY-curve-2_V7)5	Lijn	Paal_XY_11	14,000 14,800	Vrij	Niet-lineair	Niet-lineair	Vrij	Vrij	Vrij	PY-curve-2_V15	PY-curve-2_V15
(PY-curve-2_V7)3	Lijn	Paal_P_4	14,000	Vrij	Niet-lineair	Niet-lineair	Vrij	Vrij	Vrij	PY-curve-2_V15	PY-curve-2_V15

Naam	Type	Staaf	Pos x_1 [m] Pos x_2 [m]	X	Y	Z	Rx	Ry	Rz	Functie Y	Functie Z
			14,800								
(PY-curve-2_V7)1	Lijn	Paal_P_3	14,000 14,800	Vrij	Niet-lineair	Niet-lineair	Vrij	Vrij	Vrij	PY-curve-2_V15	PY-curve-2_V15
(PY-curve-2_V7)2	Lijn	Paal_P_2	14,000 14,800	Vrij	Niet-lineair	Niet-lineair	Vrij	Vrij	Vrij	PY-curve-2_V15	PY-curve-2_V15
(PY-curve-2_V7)6	Lijn	Paal_XY_2	14,000 14,800	Vrij	Niet-lineair	Niet-lineair	Vrij	Vrij	Vrij	PY-curve-2_V15	PY-curve-2_V15
(PY-curve-2_V7)24	Lijn	Paal_X_1	14,000 14,800	Vrij	Niet-lineair	Niet-lineair	Vrij	Vrij	Vrij	PY-curve-2_V15	PY-curve-2_V15
(PY-curve-2_V7)22	Lijn	Paal_XY_19	14,000 15,000	Vrij	Niet-lineair	Niet-lineair	Vrij	Vrij	Vrij	PY-curve-2_V7.B	PY-curve-2_V7.B
(PY-curve-2_V7)13	Lijn	Paal_XY_9	14,000 15,000	Vrij	Niet-lineair	Niet-lineair	Vrij	Vrij	Vrij	PY-curve-2_V7.B	PY-curve-2_V7.B
(PY-curve-2_V7)21	Lijn	Paal_XY_18	14,000 15,000	Vrij	Niet-lineair	Niet-lineair	Vrij	Vrij	Vrij	PY-curve-2_V7.B	PY-curve-2_V7.B
(PY-curve-2_V7)20	Lijn	Paal_XY_17	14,000 15,000	Vrij	Niet-lineair	Niet-lineair	Vrij	Vrij	Vrij	PY-curve-2_V7.B	PY-curve-2_V7.B
(PY-curve-2_V7)12	Lijn	Paal_XY_8	14,000 15,000	Vrij	Niet-lineair	Niet-lineair	Vrij	Vrij	Vrij	PY-curve-2_V7.B	PY-curve-2_V7.B
(PY-curve-2_V7)19	Lijn	Paal_XY_16	14,000 15,000	Vrij	Niet-lineair	Niet-lineair	Vrij	Vrij	Vrij	PY-curve-2_V7.B	PY-curve-2_V7.B
(PY-curve-2_V7)18	Lijn	Paal_XY_15	14,000 15,000	Vrij	Niet-lineair	Niet-lineair	Vrij	Vrij	Vrij	PY-curve-2_V7.B	PY-curve-2_V7.B
(PY-curve-2_V7)11	Lijn	Paal_XY_7	14,000 15,000	Vrij	Niet-lineair	Niet-lineair	Vrij	Vrij	Vrij	PY-curve-2_V7.B	PY-curve-2_V7.B
(PY-curve-2_V7)17	Lijn	Paal_XY_14	14,000 15,000	Vrij	Niet-lineair	Niet-lineair	Vrij	Vrij	Vrij	PY-curve-2_V7.B	PY-curve-2_V7.B
(PY-curve-2_V7)16	Lijn	Paal_XY_13	14,000 15,000	Vrij	Niet-lineair	Niet-lineair	Vrij	Vrij	Vrij	PY-curve-2_V7.B	PY-curve-2_V7.B
(PY-curve-2_V7)10	Lijn	Paal_XY_6	14,000 15,000	Vrij	Niet-lineair	Niet-lineair	Vrij	Vrij	Vrij	PY-curve-2_V7.B	PY-curve-2_V7.B
(PY-curve-2_V7)9	Lijn	Paal_XY_5	14,000 15,000	Vrij	Niet-lineair	Niet-lineair	Vrij	Vrij	Vrij	PY-curve-2_V7.B	PY-curve-2_V7.B
(PY-curve-2_V7)8	Lijn	Paal_XY_4	14,000 15,000	Vrij	Niet-lineair	Niet-lineair	Vrij	Vrij	Vrij	PY-curve-2_V7.B	PY-curve-2_V7.B
(PY-curve-2_V7)7	Lijn	Paal_XY_3	14,000 15,000	Vrij	Niet-lineair	Niet-lineair	Vrij	Vrij	Vrij	PY-curve-2_V7.B	PY-curve-2_V7.B
(PY-curve-2_V7)14	Lijn	Paal_XY_10	14,000 15,000	Vrij	Niet-lineair	Niet-lineair	Vrij	Vrij	Vrij	PY-curve-2_V7.B	PY-curve-2_V7.B
(PY-curve-2_V7)23	Lijn	Paal_XY_20	14,000 15,000	Vrij	Niet-lineair	Niet-lineair	Vrij	Vrij	Vrij	PY-curve-2_V7.B	PY-curve-2_V7.B
(PY-curve-2_V8)15	Lijn	Paal_XY_20	15,000 16,000	Vrij	Niet-lineair	Niet-lineair	Vrij	Vrij	Vrij	PY-curve-2_V8.B	PY-curve-2_V8.B
(PY-curve-2_V8)13	Lijn	Paal_XY_18	15,000 16,000	Vrij	Niet-lineair	Niet-lineair	Vrij	Vrij	Vrij	PY-curve-2_V8.B	PY-curve-2_V8.B
(PY-curve-2_V8)12	Lijn	Paal_XY_16	15,000 16,000	Vrij	Niet-lineair	Niet-lineair	Vrij	Vrij	Vrij	PY-curve-2_V8.B	PY-curve-2_V8.B
(PY-curve-2_V8)11	Lijn	Paal_XY_15	15,000 16,000	Vrij	Niet-lineair	Niet-lineair	Vrij	Vrij	Vrij	PY-curve-2_V8.B	PY-curve-2_V8.B
(PY-curve-2_V8)10	Lijn	Paal_XY_13	15,000 16,000	Vrij	Niet-lineair	Niet-lineair	Vrij	Vrij	Vrij	PY-curve-2_V8.B	PY-curve-2_V8.B
(PY-curve-2_V8)9	Lijn	Paal_XY_10	15,000 16,000	Vrij	Niet-lineair	Niet-lineair	Vrij	Vrij	Vrij	PY-curve-2_V8.B	PY-curve-2_V8.B
(PY-curve-2_V8)8	Lijn	Paal_XY_9	15,000 16,000	Vrij	Niet-lineair	Niet-lineair	Vrij	Vrij	Vrij	PY-curve-2_V8.B	PY-curve-2_V8.B
(PY-curve-2_V8)7	Lijn	Paal_XY_8	15,000 16,000	Vrij	Niet-lineair	Niet-lineair	Vrij	Vrij	Vrij	PY-curve-2_V8.B	PY-curve-2_V8.B
(PY-curve-2_V8)14	Lijn	Paal_XY_19	15,000 16,000	Vrij	Niet-lineair	Niet-lineair	Vrij	Vrij	Vrij	PY-curve-2_V8.B	PY-curve-2_V8.B
(PY-curve-2_V8)6	Lijn	Paal_XY_7	15,000 16,000	Vrij	Niet-lineair	Niet-lineair	Vrij	Vrij	Vrij	PY-curve-2_V8.B	PY-curve-2_V8.B
(PY-curve-2_V8)5	Lijn	Paal_XY_6	15,000 16,000	Vrij	Niet-lineair	Niet-lineair	Vrij	Vrij	Vrij	PY-curve-2_V8.B	PY-curve-2_V8.B
(PY-curve-2_V8)4	Lijn	Paal_XY_5	15,000	Vrij	Niet-lineair	Niet-lineair	Vrij	Vrij	Vrij	PY-curve-2_V8.B	PY-curve-2_V8.B

Naam	Type	Staaf	Pos x_1 [m] Pos x_2 [m]	X	Y	Z	Rx	Ry	Rz	Functie Y	Functie Z
			16,000								
(PY-curve-2_V8)3	Lijn	Paal_XY_4	15,000 16,000	Vrij	Niet-lineair	Niet-lineair	Vrij	Vrij	Vrij	PY-curve-2_V8.B	PY-curve-2_V8.B
(PY-curve-2_V8)2	Lijn	Paal_XY_3	15,000 16,000	Vrij	Niet-lineair	Niet-lineair	Vrij	Vrij	Vrij	PY-curve-2_V8.B	PY-curve-2_V8.B
(PY-curve-2_V8)1	Lijn	Paal_XY_17	15,000 16,000	Vrij	Niet-lineair	Niet-lineair	Vrij	Vrij	Vrij	PY-curve-2_V8.B	PY-curve-2_V8.B
(PY-curve-2_V8)	Lijn	Paal_XY_14	15,000 16,000	Vrij	Niet-lineair	Niet-lineair	Vrij	Vrij	Vrij	PY-curve-2_V8.B	PY-curve-2_V8.B
(PY-curve-2_V9)15	Lijn	Paal_XY_20	16,000 17,000	Vrij	Niet-lineair	Niet-lineair	Vrij	Vrij	Vrij	PY-curve-2_V9.B	PY-curve-2_V9.B
(PY-curve-2_V9)13	Lijn	Paal_XY_18	16,000 17,000	Vrij	Niet-lineair	Niet-lineair	Vrij	Vrij	Vrij	PY-curve-2_V9.B	PY-curve-2_V9.B
(PY-curve-2_V9)12	Lijn	Paal_XY_16	16,000 17,000	Vrij	Niet-lineair	Niet-lineair	Vrij	Vrij	Vrij	PY-curve-2_V9.B	PY-curve-2_V9.B
(PY-curve-2_V9)11	Lijn	Paal_XY_15	16,000 17,000	Vrij	Niet-lineair	Niet-lineair	Vrij	Vrij	Vrij	PY-curve-2_V9.B	PY-curve-2_V9.B
(PY-curve-2_V9)10	Lijn	Paal_XY_13	16,000 17,000	Vrij	Niet-lineair	Niet-lineair	Vrij	Vrij	Vrij	PY-curve-2_V9.B	PY-curve-2_V9.B
(PY-curve-2_V9)9	Lijn	Paal_XY_10	16,000 17,000	Vrij	Niet-lineair	Niet-lineair	Vrij	Vrij	Vrij	PY-curve-2_V9.B	PY-curve-2_V9.B
(PY-curve-2_V9)8	Lijn	Paal_XY_9	16,000 17,000	Vrij	Niet-lineair	Niet-lineair	Vrij	Vrij	Vrij	PY-curve-2_V9.B	PY-curve-2_V9.B
(PY-curve-2_V9)7	Lijn	Paal_XY_8	16,000 17,000	Vrij	Niet-lineair	Niet-lineair	Vrij	Vrij	Vrij	PY-curve-2_V9.B	PY-curve-2_V9.B
(PY-curve-2_V9)14	Lijn	Paal_XY_19	16,000 17,000	Vrij	Niet-lineair	Niet-lineair	Vrij	Vrij	Vrij	PY-curve-2_V9.B	PY-curve-2_V9.B
(PY-curve-2_V9)6	Lijn	Paal_XY_7	16,000 17,000	Vrij	Niet-lineair	Niet-lineair	Vrij	Vrij	Vrij	PY-curve-2_V9.B	PY-curve-2_V9.B
(PY-curve-2_V9)5	Lijn	Paal_XY_6	16,000 17,000	Vrij	Niet-lineair	Niet-lineair	Vrij	Vrij	Vrij	PY-curve-2_V9.B	PY-curve-2_V9.B
(PY-curve-2_V9)4	Lijn	Paal_XY_5	16,000 17,000	Vrij	Niet-lineair	Niet-lineair	Vrij	Vrij	Vrij	PY-curve-2_V9.B	PY-curve-2_V9.B
(PY-curve-2_V9)3	Lijn	Paal_XY_4	16,000 17,000	Vrij	Niet-lineair	Niet-lineair	Vrij	Vrij	Vrij	PY-curve-2_V9.B	PY-curve-2_V9.B
(PY-curve-2_V9)2	Lijn	Paal_XY_3	16,000 17,000	Vrij	Niet-lineair	Niet-lineair	Vrij	Vrij	Vrij	PY-curve-2_V9.B	PY-curve-2_V9.B
(PY-curve-2_V9)1	Lijn	Paal_XY_17	16,000 17,000	Vrij	Niet-lineair	Niet-lineair	Vrij	Vrij	Vrij	PY-curve-2_V9.B	PY-curve-2_V9.B
(PY-curve-2_V9)	Lijn	Paal_XY_14	16,000 17,000	Vrij	Niet-lineair	Niet-lineair	Vrij	Vrij	Vrij	PY-curve-2_V9.B	PY-curve-2_V9.B
(PY-curve-2_V10)15	Lijn	Paal_XY_20	17,000 18,000	Vrij	Niet-lineair	Niet-lineair	Vrij	Vrij	Vrij	PY-curve-2_V10.B	PY-curve-2_V10.B
(PY-curve-2_V10)13	Lijn	Paal_XY_18	17,000 18,000	Vrij	Niet-lineair	Niet-lineair	Vrij	Vrij	Vrij	PY-curve-2_V10.B	PY-curve-2_V10.B
(PY-curve-2_V10)12	Lijn	Paal_XY_16	17,000 18,000	Vrij	Niet-lineair	Niet-lineair	Vrij	Vrij	Vrij	PY-curve-2_V10.B	PY-curve-2_V10.B
(PY-curve-2_V10)11	Lijn	Paal_XY_15	17,000 18,000	Vrij	Niet-lineair	Niet-lineair	Vrij	Vrij	Vrij	PY-curve-2_V10.B	PY-curve-2_V10.B
(PY-curve-2_V10)10	Lijn	Paal_XY_13	17,000 18,000	Vrij	Niet-lineair	Niet-lineair	Vrij	Vrij	Vrij	PY-curve-2_V10.B	PY-curve-2_V10.B
(PY-curve-2_V10)9	Lijn	Paal_XY_10	17,000 18,000	Vrij	Niet-lineair	Niet-lineair	Vrij	Vrij	Vrij	PY-curve-2_V10.B	PY-curve-2_V10.B
(PY-curve-2_V10)8	Lijn	Paal_XY_9	17,000 18,000	Vrij	Niet-lineair	Niet-lineair	Vrij	Vrij	Vrij	PY-curve-2_V10.B	PY-curve-2_V10.B
(PY-curve-2_V10)7	Lijn	Paal_XY_8	17,000 18,000	Vrij	Niet-lineair	Niet-lineair	Vrij	Vrij	Vrij	PY-curve-2_V10.B	PY-curve-2_V10.B
(PY-curve-2_V10)14	Lijn	Paal_XY_19	17,000 18,000	Vrij	Niet-lineair	Niet-lineair	Vrij	Vrij	Vrij	PY-curve-2_V10.B	PY-curve-2_V10.B
(PY-curve-2_V10)6	Lijn	Paal_XY_7	17,000 18,000	Vrij	Niet-lineair	Niet-lineair	Vrij	Vrij	Vrij	PY-curve-2_V10.B	PY-curve-2_V10.B
(PY-curve-2_V10)5	Lijn	Paal_XY_6	17,000 18,000	Vrij	Niet-lineair	Niet-lineair	Vrij	Vrij	Vrij	PY-curve-2_V10.B	PY-curve-2_V10.B
(PY-curve-2_V10)4	Lijn	Paal_XY_5	17,000	Vrij	Niet-lineair	Niet-lineair	Vrij	Vrij	Vrij	PY-curve-2_V10.B	PY-curve-2_V10.B

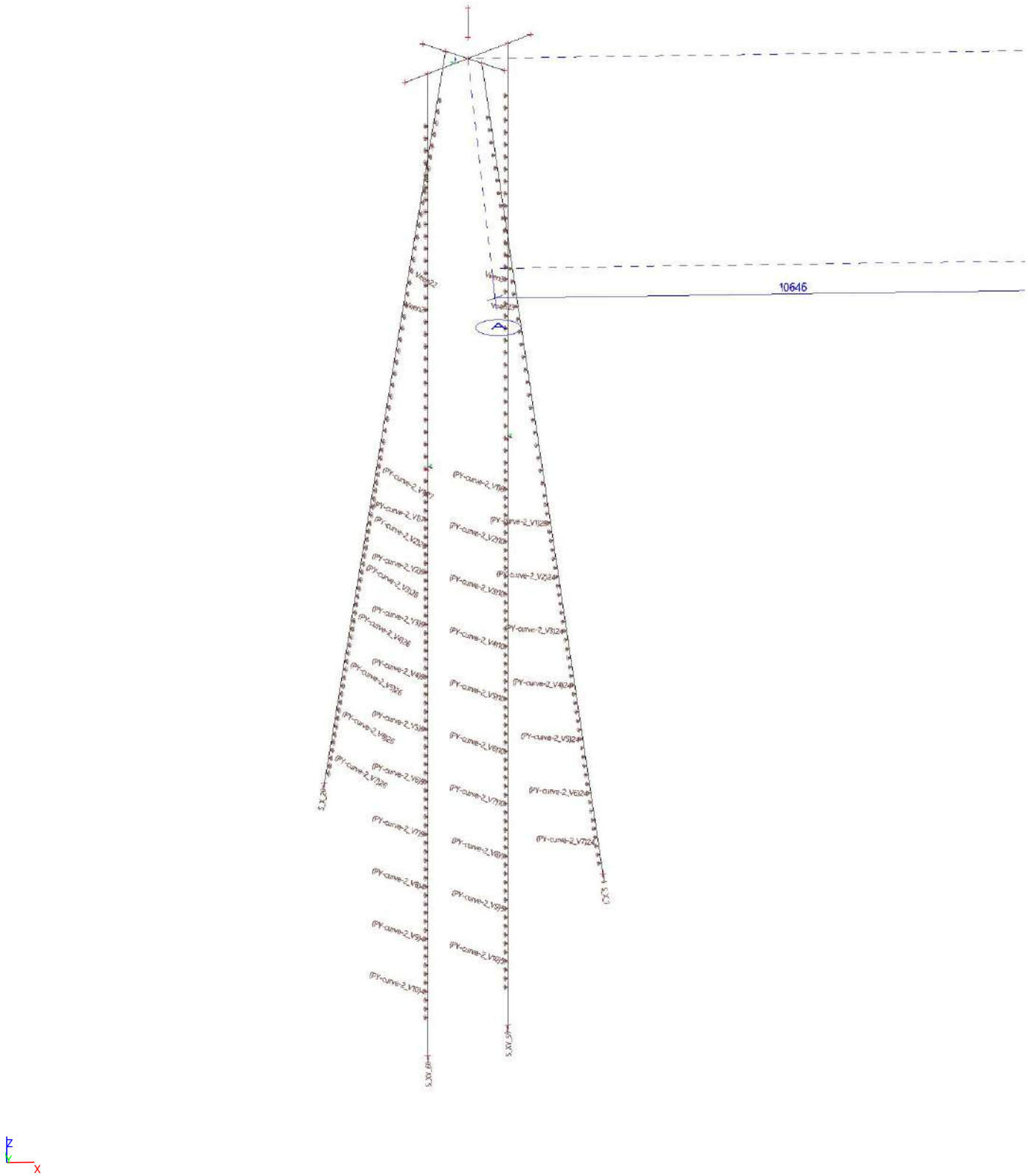
Naam	Type	Staaf	Pos x_1 [m] Pos x_2 [m]	X	Y	Z	Rx	Ry	Rz	Functie Y	Functie Z
			18,000								
(PY-curve-2_V10)3	Lijn	Paal_XY_4	17,000 18,000	Vrij	Niet-lineair	Niet-lineair	Vrij	Vrij	Vrij	PY-curve-2_V10.B	PY-curve-2_V10.B
(PY-curve-2_V10)2	Lijn	Paal_XY_3	17,000 18,000	Vrij	Niet-lineair	Niet-lineair	Vrij	Vrij	Vrij	PY-curve-2_V10.B	PY-curve-2_V10.B
(PY-curve-2_V10)1	Lijn	Paal_XY_17	17,000 18,000	Vrij	Niet-lineair	Niet-lineair	Vrij	Vrij	Vrij	PY-curve-2_V10.B	PY-curve-2_V10.B
(PY-curve-2_V10)	Lijn	Paal_XY_14	17,000 18,000	Vrij	Niet-lineair	Niet-lineair	Vrij	Vrij	Vrij	PY-curve-2_V10.B	PY-curve-2_V10.B

5.8. Analyse model met Lijnondersteuningen



5.9. Analyse model met Lijnondersteuningen

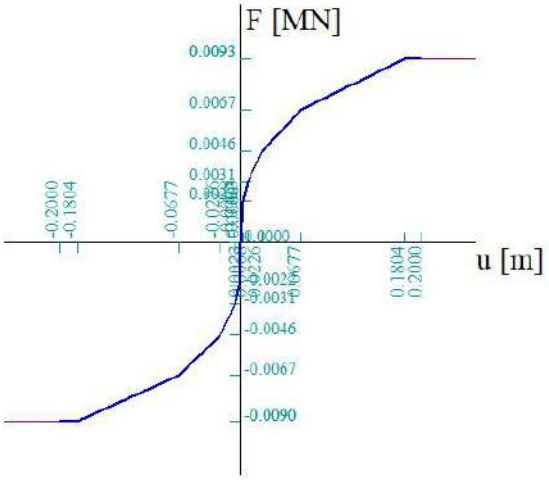
Om de leesbaarheid te optimaliseren, is per plan één paal getoond.



5.10. Niet-lineaire functies

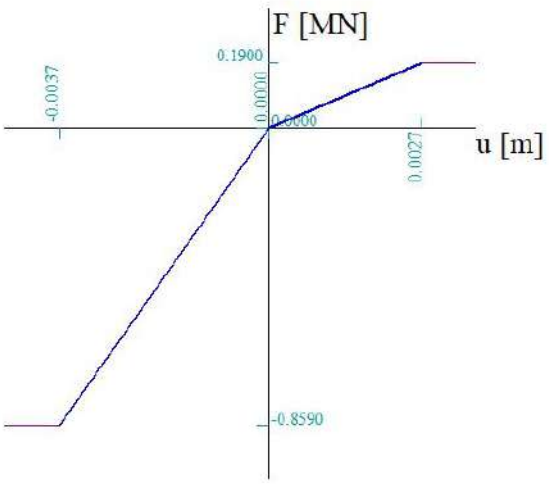
Naam	Type	u / F	Positief einde	Negatief einde
PY-curve-1_Veen	Verplaatsing	-0.200000 / -9000.000000	Vrij	Vrij
		-0.180400 / -9000.000000		
		-0.067650 / -6700.000000		
		-0.022550 / -4630.000000		
		-0.006765 / -3100.000000		
		-0.002255 / -2150.000000		
		0.000000 / 0.000000		
		0.002255 / 2150.000000		
		0.006765 / 3100.000000		
		0.022550 / 4630.000000		
		0.067650 / 6700.000000		
		0.180400 / 9270.000000		
		0.200000 / 9270.000000		

Tekenen



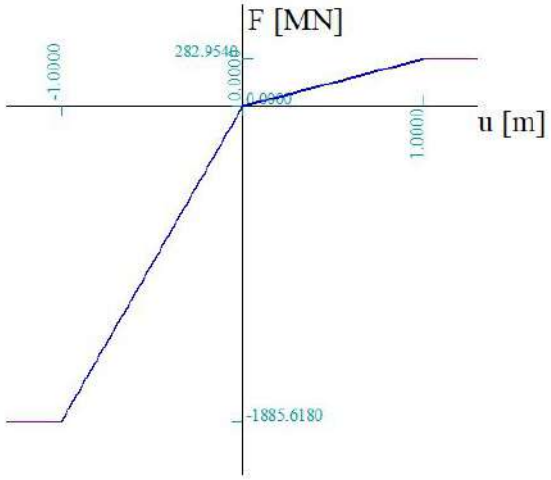
Naam	Type	u / F	Positief einde	Negatief einde
Trek-druk-paalpunt-Mastnr148	Verplaatsing	-0.003690 / -859000.000000	Vrij	Vrij
		0.000000 / 0.000000		
		0.002720 / 190000.000000		

Tekenen



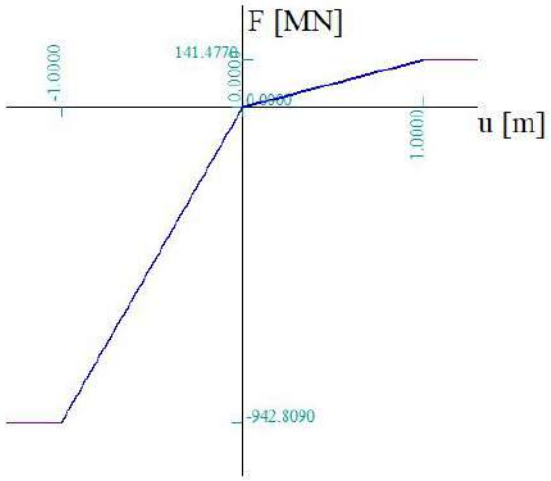
Naam	Type	u / F	Positief einde	Negatief einde
Trek-druk-paalpunt-LEKA.BG.	Verplaatsing	-1.000000 / -1885618000.000000	Vrij	Vrij
		0.000000 / 0.000000		
		1.000000 / 282954000.000000		

Tekenen



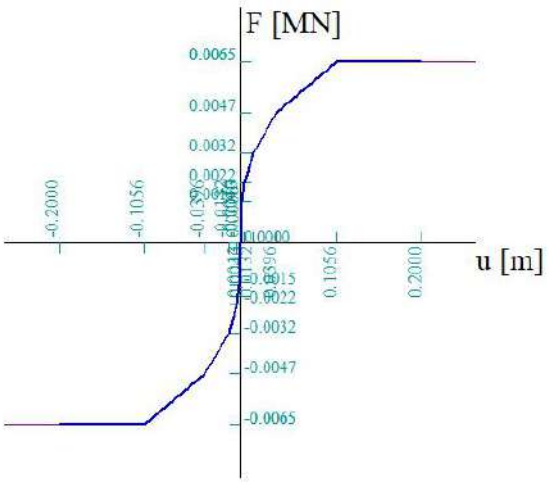
Naam	Type	u / F	Positief einde	Negatief einde
Trek-druk-paalpunt-LEKA.OG.	Verplaatsing	-1.000000 / -942809000.000000	Vrij	Vrij
		0.000000 / 0.000000		
		1.000000 / 141477000.000000		

Tekenen



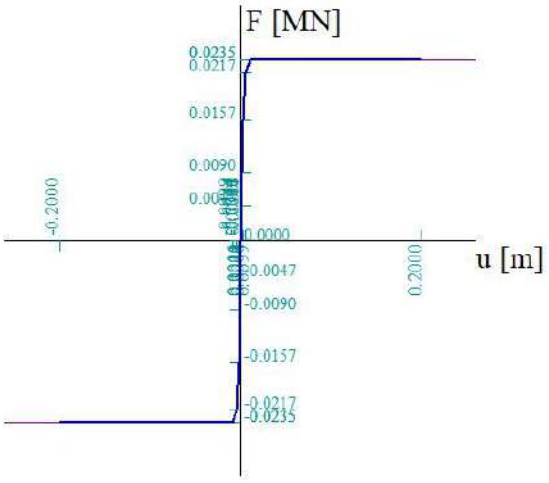
Naam	Type	u / F	Positief einde	Negatief einde
PY-curve-2_Veen.B	Verplaatsing	-0.200000 / -6460.000000	Vrij	Vrij
		-0.105600 / -6460.000000		
		-0.039600 / -4658.466112		
		-0.013200 / -3230.000000		
		-0.003960 / -2162.268429		
		-0.001320 / -1499.233193		
		0.000000 / 0.000000		
		0.001320 / 1499.233193		
		0.003960 / 2162.268429		
		0.013200 / 3230.000000		
		0.039600 / 4658.466112		
		0.105600 / 6460.000000		
		0.200000 / 6460.000000		

Tekenen



Naam	Type	u / F	Positief einde	Negatief einde
PY-curve-2_V1.B	Verplaatsing	-0.200000 / -23507.363202	Vrij	Vrij
		-0.009900 / -23507.363202		
		-0.004400 / -21723.306095		
		-0.002200 / -15680.794047		
		-0.001100 / -8981.671111		
		-0.000550 / -4667.361101		
		0.000000 / 0.000000		
		0.000550 / 4667.361101		
		0.001100 / 8981.671111		
		0.002200 / 15680.794047		
		0.004400 / 21723.306095		
		0.009900 / 23507.363202		
		0.200000 / 23507.363202		

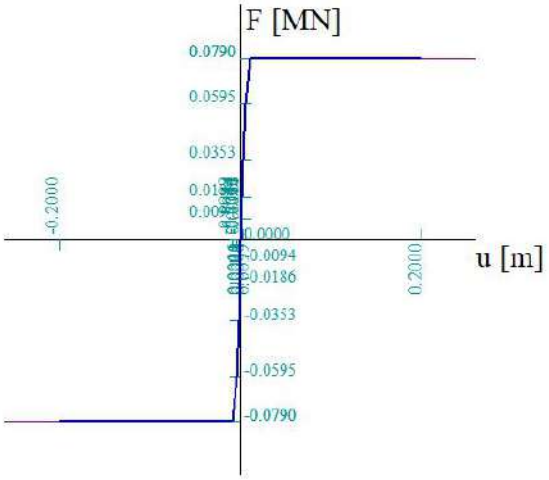
Tekenen



Naam	Type	u / F	Positief einde	Negatief einde
PY-curve-2_V2.B	Verplaatsing	-0.200000 / -79035.038593	Vrij	Vrij
		-0.009900 / -79035.038593		
		-0.004400 / -59487.765327		
		-0.002200 / -35336.219808		
		-0.001100 / -18587.236311		
		-0.000550 / -9417.735746		
		0.000000 / 0.000000		
		0.000550 / 9417.735746		

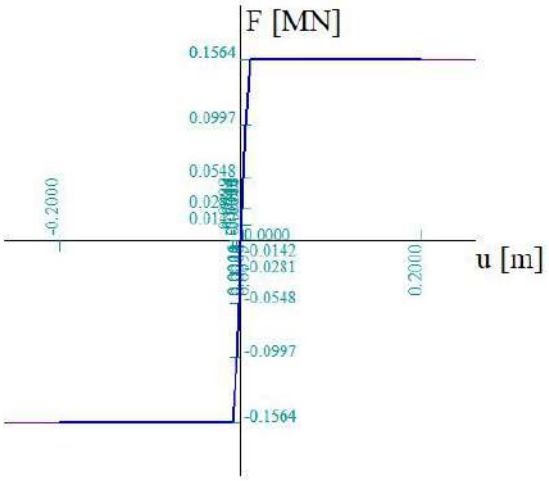
Naam	Type	u / F	Positief einde	Negatief einde
		0.001100 / 18587.236311		
		0.002200 / 35336.219808		
		0.004400 / 59487.765327		
		0.009900 / 79035.038593		
		0.200000 / 79035.038593		

Tekenen



Naam	Type	u / F	Positief einde	Negatief einde
PY-curve-2_V3.B	Verplaatsing	-0.200000 / -156368.664870	Vrij	Vrij
		-0.009900 / -156368.664870		
		-0.004400 / -99733.431143		
		-0.002200 / -54825.793146		
		-0.001100 / -28130.579433		
		-0.000550 / -14158.573896		
		0.000000 / 0.000000		
		0.000550 / 14158.573896		
		0.001100 / 28130.579433		
		0.002200 / 54825.793146		
		0.004400 / 99733.431143		
		0.009900 / 156368.664870		
		0.200000 / 156368.664870		

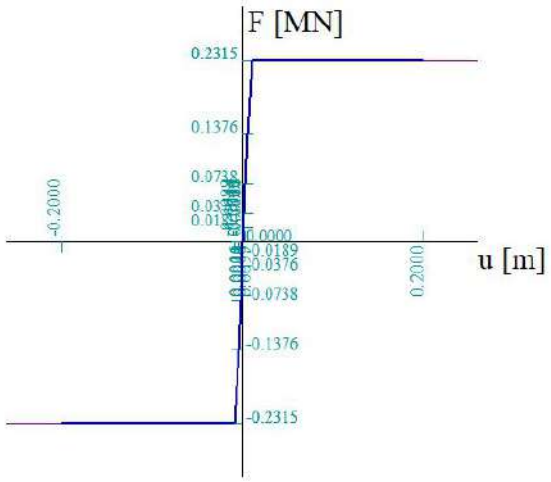
Tekenen



Naam	Type	u / F	Positief einde	Negatief einde
PY-curve-2_V4.B	Verplaatsing	-0.200000 / -231483.603402	Vrij	Vrij
		-0.009900 / -231483.603402		

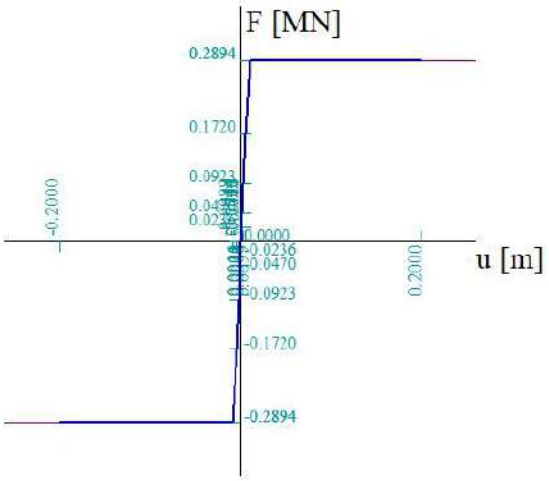
Naam	Type	u / F	Positief einde	Negatief einde
		-0.004400 / -137564.319138		
		-0.002200 / -73801.743400		
		-0.001100 / -37599.856384		
		-0.000550 / -18889.809630		
		0.000000 / 0.000000		
		0.000550 / 18889.809630		
		0.001100 / 37599.856384		
		0.002200 / 73801.743400		
		0.004400 / 137564.319138		
		0.009900 / 231483.603402		
		0.200000 / 231483.603402		

Tekenen



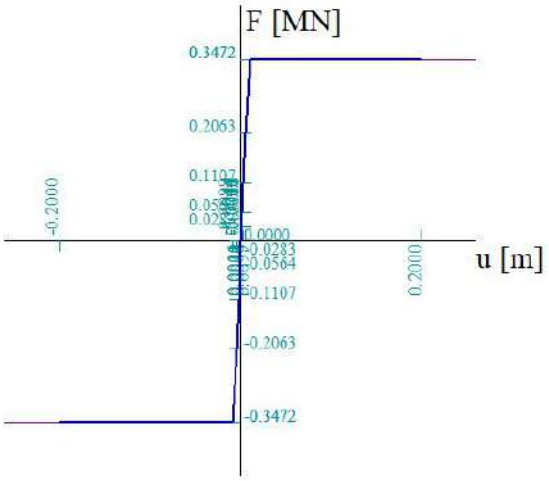
Naam	Type	u / F	Positief einde	Negatief einde
PY-curve-2_V5.B	Verplaatsing	-0.200000 / -289354.504253	Vrij	Vrij
		-0.009900 / -289354.504253		
		-0.004400 / -171955.398922		
		-0.002200 / -92252.179250		
		-0.001100 / -46999.820480		
		-0.000550 / -23612.262038		
		0.000000 / 0.000000		
		0.000550 / 23612.262038		
		0.001100 / 46999.820480		
		0.002200 / 92252.179250		
		0.004400 / 171955.398922		
		0.009900 / 289354.504253		
		0.200000 / 289354.504253		

Tekenen



Naam	Type	u / F	Positief einde	Negatief einde
PY-curve-2_V6.B	Verplaatsing	-0.200000 / -347225.405104	Vrij	Vrij
		-0.009900 / -347225.405104		
		-0.004400 / -206346.478706		
		-0.002200 / -110702.615099		
		-0.001100 / -56399.784576		
		-0.000550 / -28334.714446		
		0.000000 / 0.000000		
		0.000550 / 28334.714446		
		0.001100 / 56399.784576		
		0.002200 / 110702.615099		
		0.004400 / 206346.478706		
		0.009900 / 347225.405104		
		0.200000 / 347225.405104		

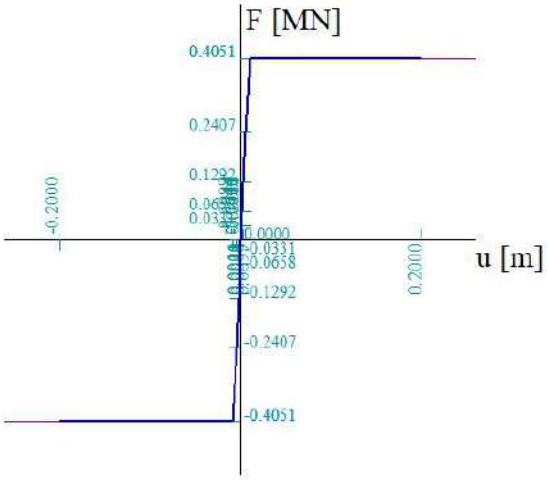
Tekenen



Naam	Type	u / F	Positief einde	Negatief einde
PY-curve-2_V7.B	Verplaatsing	-0.200000 / -405096.305954	Vrij	Vrij
		-0.009900 / -405096.305954		
		-0.004400 / -240737.558491		
		-0.002200 / -129153.050949		
		-0.001100 / -65799.748672		
		-0.000550 / -33057.166853		
		0.000000 / 0.000000		
		0.000550 / 33057.166853		
		0.001100 / 65799.748672		
		0.002200 / 129153.050949		

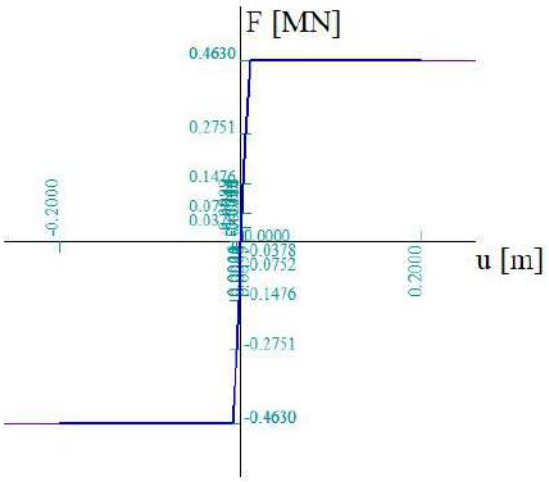
Naam	Type	u / F	Positief einde	Negatief einde
		0.004400 / 240737.558491		
		0.009900 / 405096.305954		
		0.200000 / 405096.305954		

Tekenen



Naam	Type	u / F	Positief einde	Negatief einde
PY-curve-2_V8.B	Verplaatsing	-0.200000 / -462967.206805	Vrij	Vrij
		-0.009900 / -462967.206805		
		-0.004400 / -275128.638275		
		-0.002200 / -147603.486799		
		-0.001100 / -75199.712768		
		-0.000550 / -37779.619261		
		0.000000 / 0.000000		
		0.000550 / 37779.619261		
		0.001100 / 75199.712768		
		0.002200 / 147603.486799		
		0.004400 / 275128.638275		
		0.009900 / 462967.206805		
		0.200000 / 462967.206805		

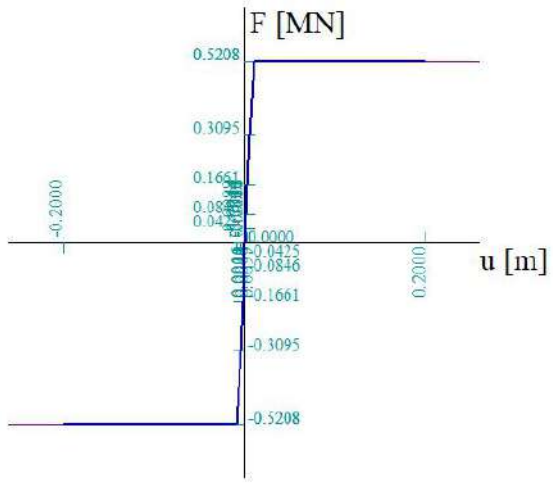
Tekenen



Naam	Type	u / F	Positief einde	Negatief einde
PY-curve-2_V9.B	Verplaatsing	-0.200000 / -520838.107655	Vrij	Vrij
		-0.009900 / -520838.107655		
		-0.004400 / -309519.718059		
		-0.002200 / -166053.922649		

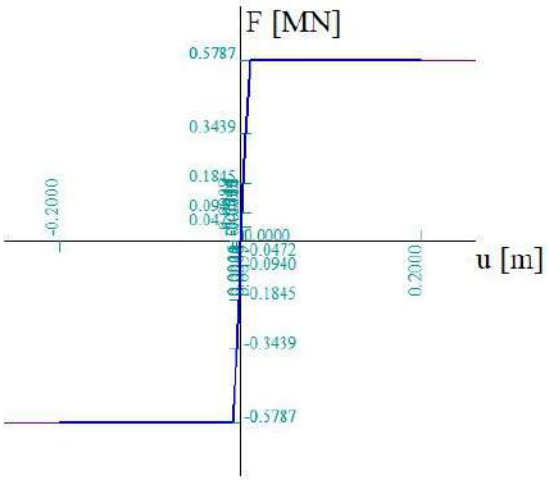
Naam	Type	u / F	Positief einde	Negatief einde
		-0.001100 / -84599.676864		
		-0.000550 / -42502.071669		
		0.000000 / 0.000000		
		0.000550 / 42502.071669		
		0.001100 / 84599.676864		
		0.002200 / 166053.922649		
		0.004400 / 309519.718059		
		0.009900 / 520838.107655		
		0.200000 / 520838.107655		

Tekenen



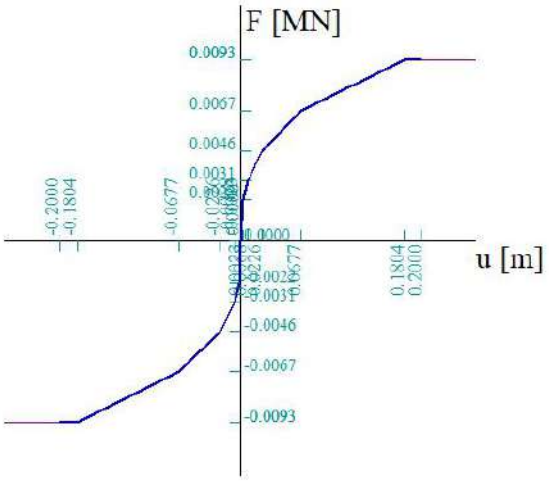
Naam	Type	u / F	Positief einde	Negatief einde
PY-curve-2_V10.B	Verplaatsing	-0.200000 / -578709.008506	Vrij	Vrij
		-0.009900 / -578709.008506		
		-0.004400 / -343910.797844		
		-0.002200 / -184504.358499		
		-0.001100 / -93999.640960		
		-0.000550 / -47224.524076		
		0.000000 / 0.000000		
		0.000550 / 47224.524076		
		0.001100 / 93999.640960		
		0.002200 / 184504.358499		
		0.004400 / 343910.797844		
		0.009900 / 578709.008506		
		0.200000 / 578709.008506		

Tekenen



Naam	Type	u / F	Positief einde	Negatief einde
PY-curve-2_Veen	Verplaatsing	-0.200000 / -9265.000000	Vrij	Vrij
		-0.180400 / -9265.000000		
		-0.067650 / -6681.000000		
		-0.022550 / -4633.000000		
		-0.006765 / -3101.000000		
		-0.002255 / -2150.000000		
		0.000000 / 0.000000		
		0.002255 / 2150.000000		
		0.006765 / 3101.000000		
		0.022550 / 4633.000000		
		0.067650 / 6681.000000		
		0.180400 / 9265.000000		
		0.200000 / 9265.000000		

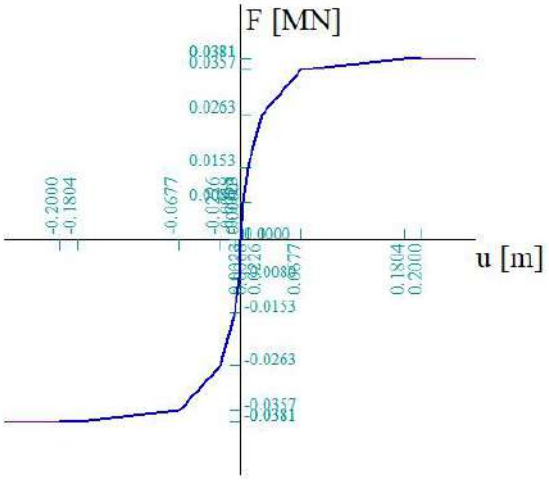
Tekenen



Naam	Type	u / F	Positief einde	Negatief einde
PY-curve-2_V9	Verplaatsing	-0.200000 / -38100.000000	Vrij	Vrij
		-0.180400 / -38100.000000		
		-0.067650 / -35700.000000		
		-0.022550 / -26300.000000		
		-0.006765 / -15300.000000		
		-0.002255 / -8000.000000		
		0.000000 / 0.000000		
		0.002255 / 8000.000000		
		0.006765 / 15300.000000		
		0.022550 / 26300.000000		

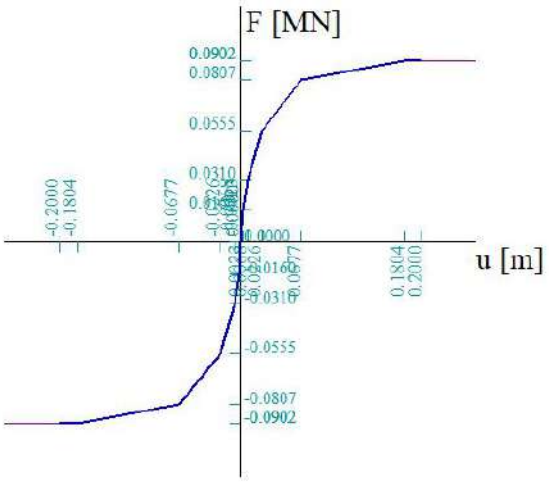
Naam	Type	u / F	Positief einde	Negatief einde
		0.067650 / 35700.000000		
		0.180400 / 38100.000000		
		0.200000 / 38100.000000		

Tekenen



Naam	Type	u / F	Positief einde	Negatief einde
PY-curve-2_V10	Verplaatsing	-0.200000 / -90200.000000	Vrij	Vrij
		-0.180400 / -90200.000000		
		-0.067650 / -80700.000000		
		-0.022550 / -55500.000000		
		-0.006765 / -31000.000000		
		-0.002255 / -16000.000000		
		0.000000 / 0.000000		
		0.002255 / 16000.000000		
		0.006765 / 31000.000000		
		0.022550 / 55500.000000		
		0.067650 / 80700.000000		
		0.180400 / 90200.000000		
		0.200000 / 90200.000000		

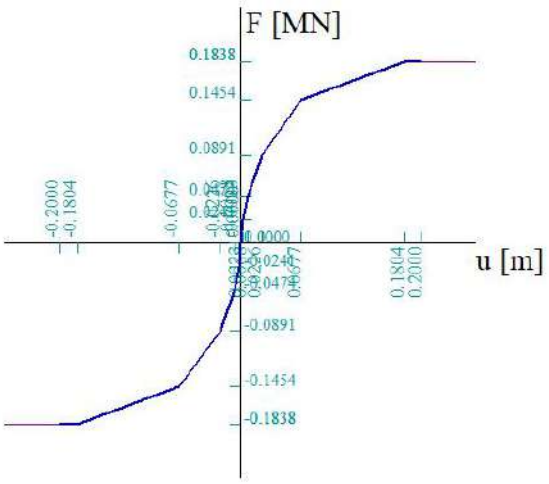
Tekenen



Naam	Type	u / F	Positief einde	Negatief einde
PY-curve-2_V11	Verplaatsing	-0.200000 / -183800.000000	Vrij	Vrij
		-0.180400 / -183800.000000		
		-0.067650 / -145400.000000		
		-0.022550 / -89100.000000		

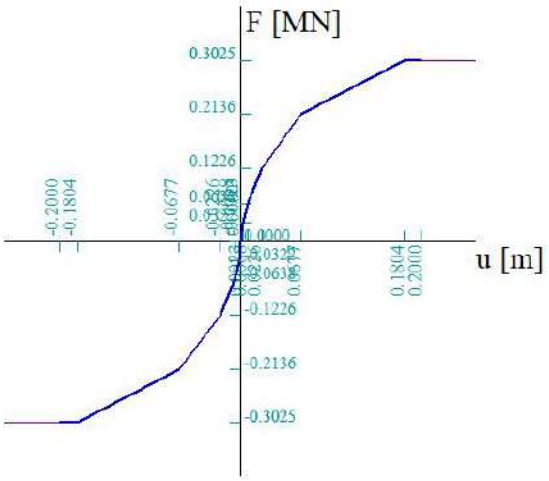
Naam	Type	u / F	Positief einde	Negatief einde
		-0.006765 / -47400.000000		
		-0.002255 / -24100.000000		
		0.000000 / 0.000000		
		0.002255 / 24100.000000		
		0.006765 / 47400.000000		
		0.022550 / 89100.000000		
		0.067650 / 145400.000000		
		0.180400 / 183800.000000		
		0.200000 / 183800.000000		

Tekenen



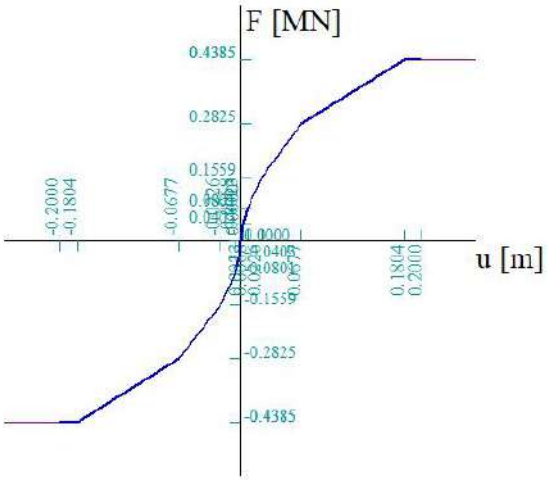
Naam	Type	u / F	Positief einde	Negatief einde
PY-curve-2_V12	Verplaatsing	-0.200000 / -302500.000000	Vrij	Vrij
		-0.180400 / -302500.000000		
		-0.067650 / -213600.000000		
		-0.022550 / -122600.000000		
		-0.006765 / -63800.000000		
		-0.002255 / -32200.000000		
		0.000000 / 0.000000		
		0.002255 / 32200.000000		
		0.006765 / 63800.000000		
		0.022550 / 122600.000000		
		0.067650 / 213600.000000		
		0.180400 / 302500.000000		
		0.200000 / 302500.000000		

Tekenen



Naam	Type	u / F	Positief einde	Negatief einde
PY-curve-2_V13	Verplaatsing	-0.200000 / -438500.000000	Vrij	Vrij
		-0.180400 / -438500.000000		
		-0.067650 / -282500.000000		
		-0.022550 / -155900.000000		
		-0.006765 / -80100.000000		
		-0.002255 / -40300.000000		
		0.000000 / 0.000000		
		0.002255 / 40300.000000		
		0.006765 / 80100.000000		
		0.022550 / 155900.000000		
		0.067650 / 282500.000000		
		0.180400 / 438500.000000		
		0.200000 / 438500.000000		

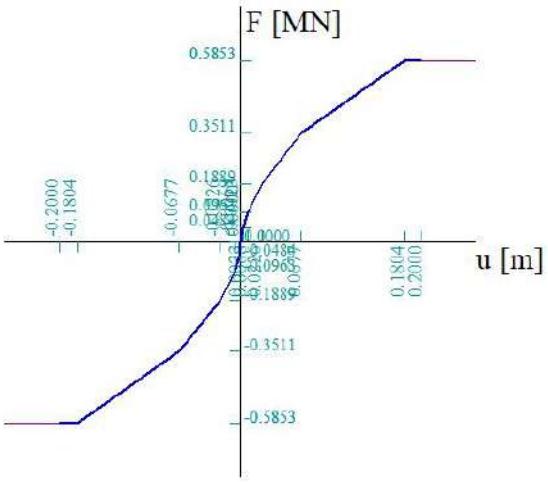
Tekenen



Naam	Type	u / F	Positief einde	Negatief einde
PY-curve-2_V14	Verplaatsing	-0.200000 / -585300.000000	Vrij	Vrij
		-0.180400 / -585300.000000		
		-0.067650 / -351100.000000		
		-0.022550 / -188900.000000		
		-0.006765 / -96300.000000		
		-0.002255 / -48400.000000		
		0.000000 / 0.000000		
		0.002255 / 48400.000000		
		0.006765 / 96300.000000		
		0.022550 / 188900.000000		

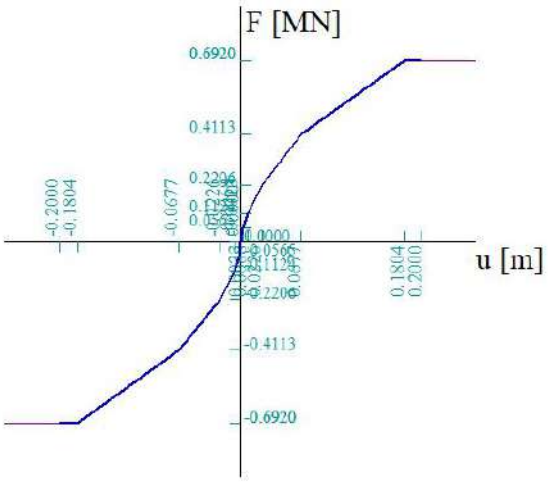
Naam	Type	u / F	Positief einde	Negatief einde
		0.067650 / 351100.000000		
		0.180400 / 585300.000000		
		0.200000 / 585300.000000		

Tekenen



Naam	Type	u / F	Positief einde	Negatief einde
PY-curve-2_V15	Verplaatsing	-0.200000 / -692000.000000	Vrij	Vrij
		-0.180400 / -692000.000000		
		-0.067650 / -411300.000000		
		-0.022550 / -220600.000000		
		-0.006765 / -112400.000000		
		-0.002255 / -56500.000000		
		0.000000 / 0.000000		
		0.002255 / 56500.000000		
		0.006765 / 112400.000000		
		0.022550 / 220600.000000		
		0.067650 / 411300.000000		
		0.180400 / 692000.000000		
		0.200000 / 692000.000000		

Tekenen

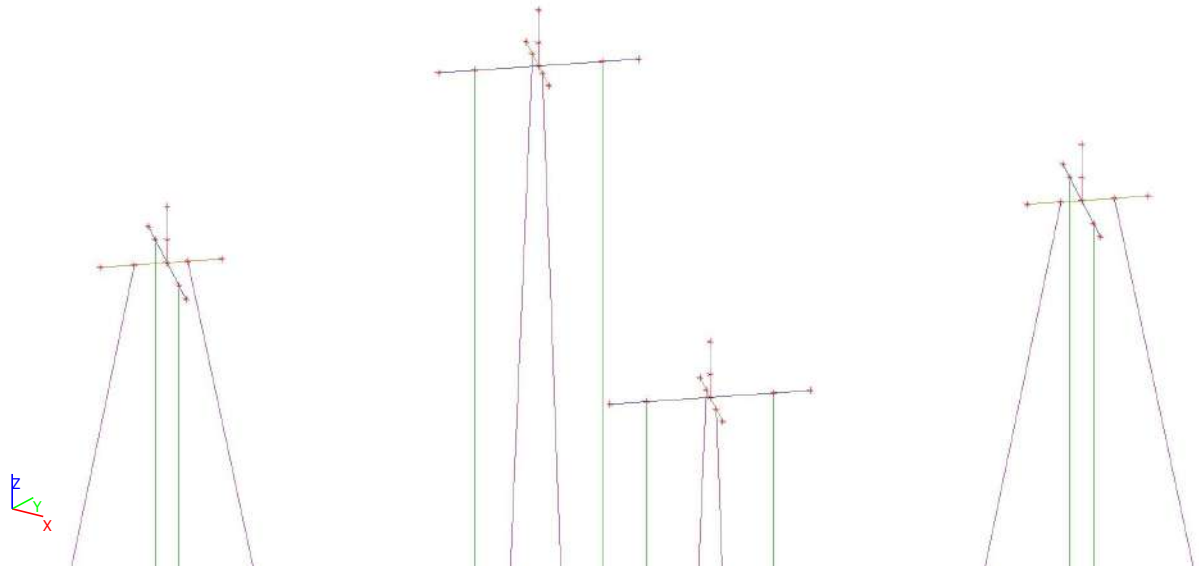


6. Belastingen

6.1. Belastingsgevallen

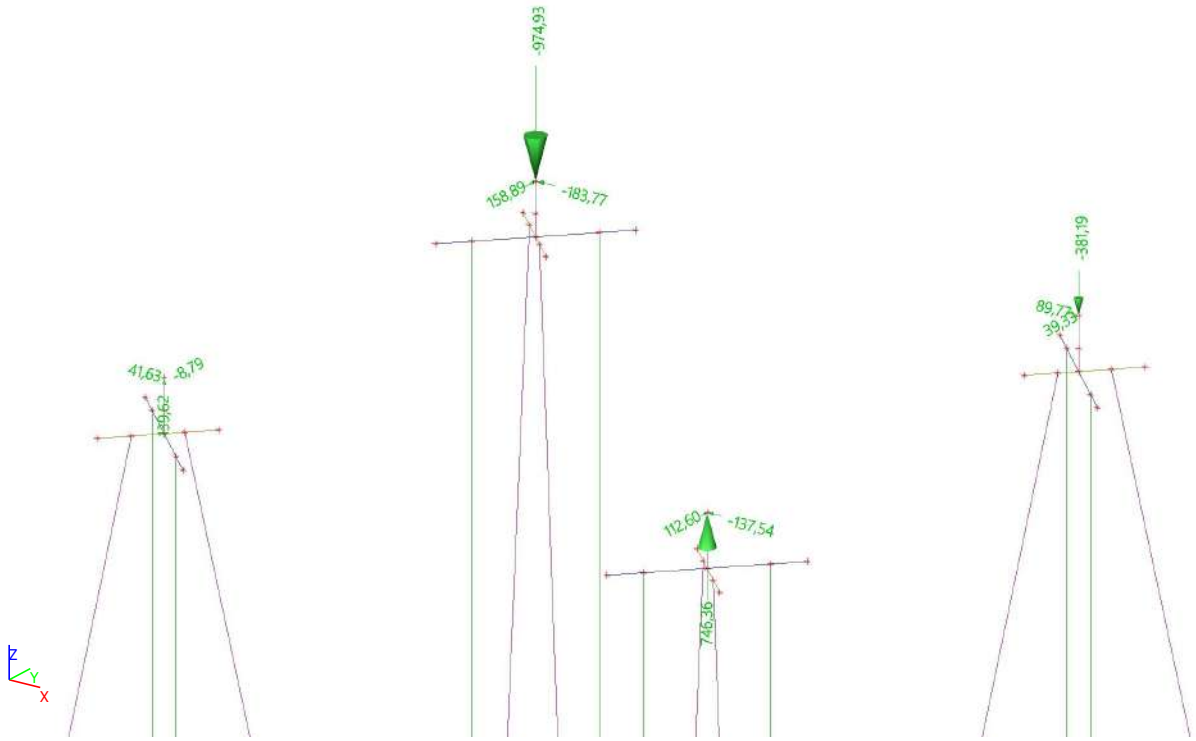
6.1.1. Belastingsgevallen - E.G.

Naam	Omschrijving	Actie type	Lastgroep	Richting
	Spec	Belastingtype		
E.G.		Permanent	LG1	-Z
		Eigen gewicht		



6.1.2. Belastingsgevallen - high max Wnd ;45°

Naam	Omschrijving	Actie type	Lastgroep	Duur	'Master' belastingsgeval
	Spec	Belastingtype			
high max Wnd ;45°		Variabel	LG4	Kort	Geen
	Standaard	Statisch			



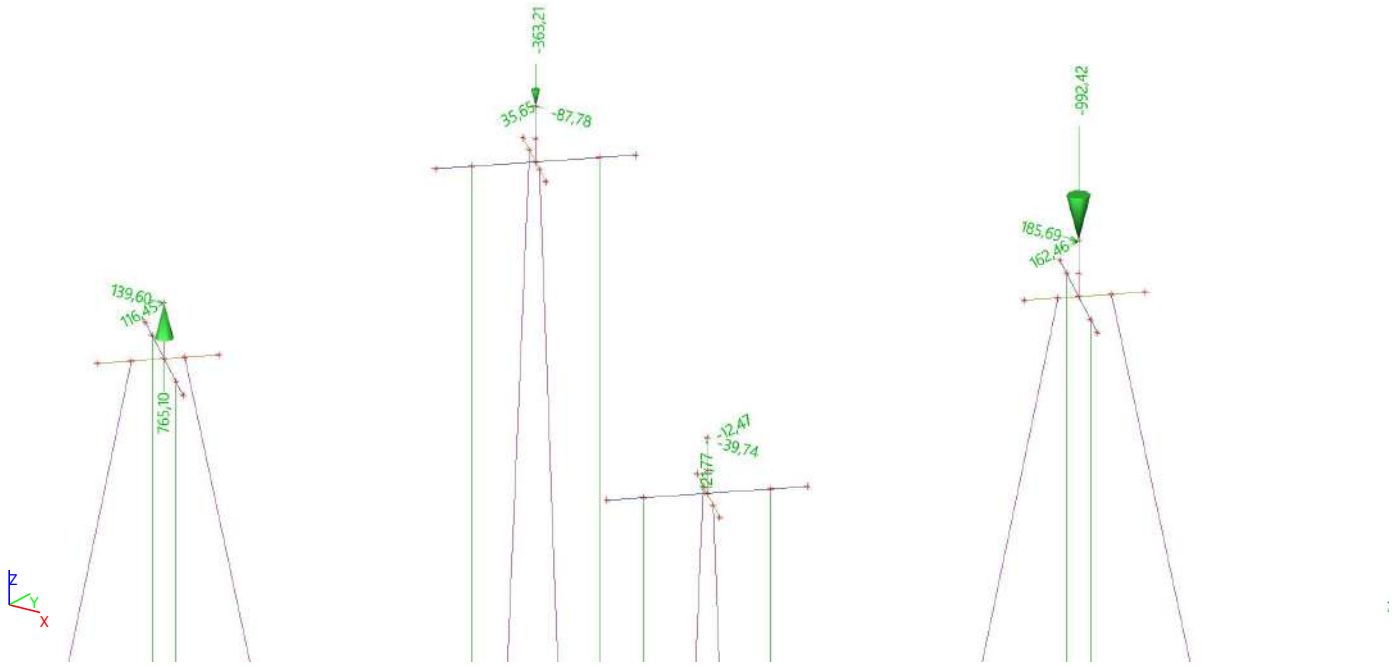
6.1.2.1. Puntlast op knoop

Naam	Knoop	Belastingsgeval	Systeem	Rich	Type	Waarde - F [kN]
high max Wnd ;45°_1P_X	1P	high max Wnd ;45°	GCS	X	Kracht	41,63
high max Wnd ;45°_1P_Y	1P	high max Wnd ;45°	GCS	Y	Kracht	-8,79
high max Wnd ;45°_1P_Z	1P	high max Wnd ;45°	GCS	Z	Kracht	139,62
high max Wnd ;45°_1X_X	1X	high max Wnd ;45°	GCS	X	Kracht	-183,77
high max Wnd ;45°_1X_Y	1X	high max Wnd ;45°	GCS	Y	Kracht	158,89
high max Wnd ;45°_1X_Z	1X	high max Wnd ;45°	GCS	Z	Kracht	-974,93
high max Wnd ;45°_1XY_X	1XY	high max Wnd ;45°	GCS	X	Kracht	89,77
high max Wnd ;45°_1XY_Y	1XY	high max Wnd ;45°	GCS	Y	Kracht	39,33
high max Wnd ;45°_1XY_Z	1XY	high max Wnd ;45°	GCS	Z	Kracht	-381,19
high max Wnd ;45°_1Y_X	1Y	high max Wnd ;45°	GCS	X	Kracht	-137,54
high max Wnd ;45°_1Y_Y	1Y	high max Wnd ;45°	GCS	Y	Kracht	112,60
high max Wnd ;45°_1Y_Z	1Y	high max Wnd ;45°	GCS	Z	Kracht	746,36
high max Wnd ;45°_1P_X1	1P2	high max Wnd ;45°	GCS	X	Kracht	41,63
high max Wnd ;45°_1P_Y1	1P2	high max Wnd ;45°	GCS	Y	Kracht	-8,79
high max Wnd	1P2	high max Wnd ;45°	GCS	Z	Kracht	139,62

Naam	Knoop	Belastingsgeval	Systeem	Rich	Type	Waarde - F [kN]
;45°_1P_Z1						
high max Wnd ;45°_1XY_X1	1XY3	high max Wnd ;45°	GCS	X	Kracht	89,77
high max Wnd ;45°_1XY_Y1	1XY3	high max Wnd ;45°	GCS	Y	Kracht	39,33
high max Wnd ;45°_1XY_Z1	1XY3	high max Wnd ;45°	GCS	Z	Kracht	-381,19
high max Wnd ;45°_1Y_X1	1Y2	high max Wnd ;45°	GCS	X	Kracht	-137,54
high max Wnd ;45°_1Y_Y1	1Y2	high max Wnd ;45°	GCS	Y	Kracht	112,60
high max Wnd ;45°_1Y_Z1	1Y2	high max Wnd ;45°	GCS	Z	Kracht	746,36
high max Wnd ;45°_1X_X1	1X10	high max Wnd ;45°	GCS	X	Kracht	-183,77
high max Wnd ;45°_1X_Y1	1X10	high max Wnd ;45°	GCS	Y	Kracht	158,89
high max Wnd ;45°_1X_Z1	1X10	high max Wnd ;45°	GCS	Z	Kracht	-974,93

6.1.3. Belastingsgevallen - high max Wnd ;135°

Naam	Omschrijving	Actie type	Lastgroep	Duur	'Master' belastingsgeval
	Spec	Belastingtype			
high max Wnd ;135°		Variabel	LG4	Kort	Geen
	Standaard	Statisch			

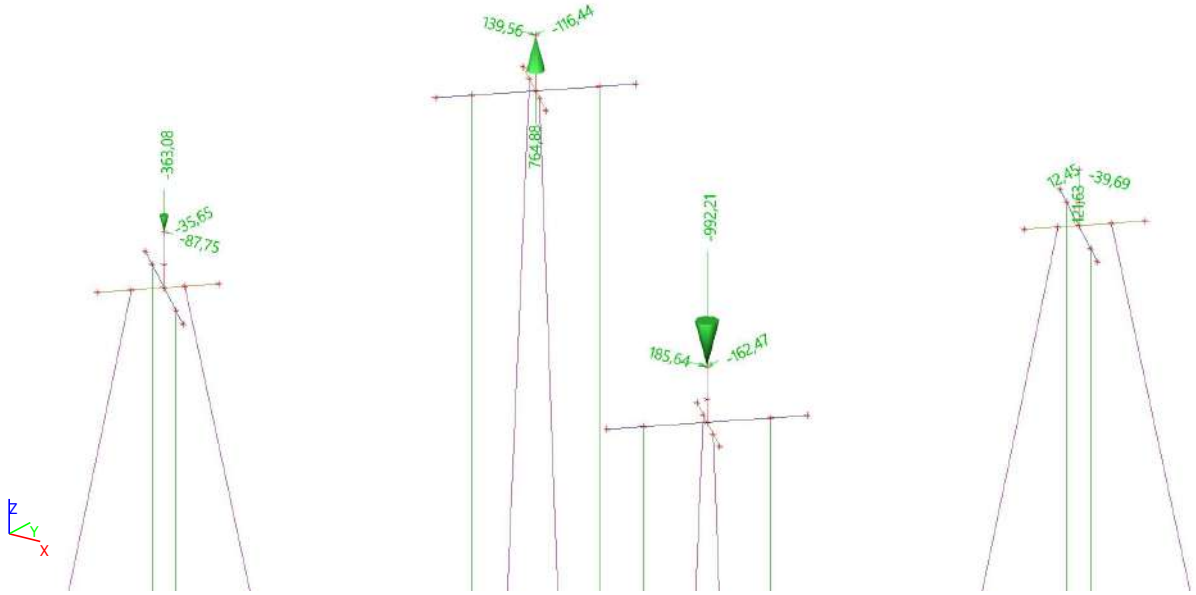


6.1.3.1. Puntlast op knoop

Naam	Knoop	Belastingsgeval	Systeem	Rich	Type	Waarde - F [kN]
high max Wnd ;135°_1P_X	1P	high max Wnd ;135°	GCS	X	Kracht	139,60
high max Wnd ;135°_1P_Y	1P	high max Wnd ;135°	GCS	Y	Kracht	116,45
high max Wnd ;135°_1P_Z	1P	high max Wnd ;135°	GCS	Z	Kracht	765,10
high max Wnd ;135°_1X_X	1X	high max Wnd ;135°	GCS	X	Kracht	-87,78
high max Wnd ;135°_1X_Y	1X	high max Wnd ;135°	GCS	Y	Kracht	35,65
high max Wnd ;135°_1X_Z	1X	high max Wnd ;135°	GCS	Z	Kracht	-363,21
high max Wnd ;135°_1XY_X	1XY	high max Wnd ;135°	GCS	X	Kracht	185,69
high max Wnd ;135°_1XY_Y	1XY	high max Wnd ;135°	GCS	Y	Kracht	162,46
high max Wnd ;135°_1XY_Z	1XY	high max Wnd ;135°	GCS	Z	Kracht	-992,42
high max Wnd ;135°_1Y_X	1Y	high max Wnd ;135°	GCS	X	Kracht	-39,74
high max Wnd ;135°_1Y_Y	1Y	high max Wnd ;135°	GCS	Y	Kracht	-12,47
high max Wnd ;135°_1Y_Z	1Y	high max Wnd ;135°	GCS	Z	Kracht	121,77
high max Wnd ;135°_1P_X1	1P2	high max Wnd ;135°	GCS	X	Kracht	139,60
high max Wnd ;135°_1P_Y1	1P2	high max Wnd ;135°	GCS	Y	Kracht	116,45
high max Wnd ;135°_1P_Z1	1P2	high max Wnd ;135°	GCS	Z	Kracht	765,10
high max Wnd ;135°_1XY_X1	1XY3	high max Wnd ;135°	GCS	X	Kracht	185,69
high max Wnd ;135°_1XY_Y1	1XY3	high max Wnd ;135°	GCS	Y	Kracht	162,46
high max Wnd ;135°_1XY_Z1	1XY3	high max Wnd ;135°	GCS	Z	Kracht	-992,42
high max Wnd ;135°_1Y_X1	1Y2	high max Wnd ;135°	GCS	X	Kracht	-39,74
high max Wnd ;135°_1Y_Y1	1Y2	high max Wnd ;135°	GCS	Y	Kracht	-12,47
high max Wnd ;135°_1Y_Z1	1Y2	high max Wnd ;135°	GCS	Z	Kracht	121,77
high max Wnd ;135°_1X_X1	1X10	high max Wnd ;135°	GCS	X	Kracht	-87,78
high max Wnd ;135°_1X_Y1	1X10	high max Wnd ;135°	GCS	Y	Kracht	35,65
high max Wnd ;135°_1X_Z1	1X10	high max Wnd ;135°	GCS	Z	Kracht	-363,21

6.1.4. Belastingsgevallen - high max Wnd ;225°

Naam	Omschrijving	Actie type	Lastgroep	Duur	'Master' belastingsgeval
	Spec	Belastingtype			
high max Wnd ;225°		Variabel	LG4	Kort	Geen
	Standaard	Statisch			



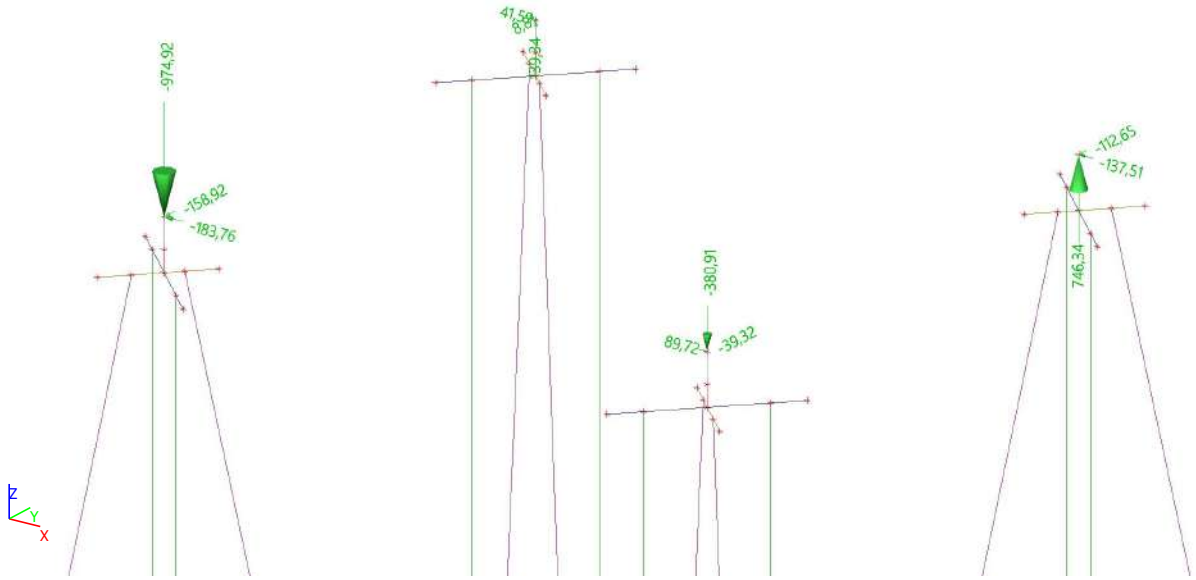
6.1.4.1. Puntlast op knoop

Naam	Knoop	Belastingsgeval	Systeem	Rich	Type	Waarde - F [kN]
high max Wnd ;225°_1P_X	1P	high max Wnd ;225°	GCS	X	Kracht	-87,75
high max Wnd ;225°_1P_Y	1P	high max Wnd ;225°	GCS	Y	Kracht	-35,65
high max Wnd ;225°_1P_Z	1P	high max Wnd ;225°	GCS	Z	Kracht	-363,08
high max Wnd ;225°_1X_X	1X	high max Wnd ;225°	GCS	X	Kracht	139,56
high max Wnd ;225°_1X_Y	1X	high max Wnd ;225°	GCS	Y	Kracht	-116,44
high max Wnd ;225°_1X_Z	1X	high max Wnd ;225°	GCS	Z	Kracht	764,88
high max Wnd ;225°_1XY_X	1XY	high max Wnd ;225°	GCS	X	Kracht	-39,69
high max Wnd ;225°_1XY_Y	1XY	high max Wnd ;225°	GCS	Y	Kracht	12,45
high max Wnd ;225°_1XY_Z	1XY	high max Wnd ;225°	GCS	Z	Kracht	121,63
high max Wnd ;225°_1Y_X	1Y	high max Wnd ;225°	GCS	X	Kracht	185,64
high max Wnd ;225°_1Y_Y	1Y	high max Wnd ;225°	GCS	Y	Kracht	-162,47
high max Wnd ;225°_1Y_Z	1Y	high max Wnd ;225°	GCS	Z	Kracht	-992,21
high max Wnd ;225°_1P_X1	1P2	high max Wnd ;225°	GCS	X	Kracht	-87,75
high max Wnd ;225°_1P_Y1	1P2	high max Wnd ;225°	GCS	Y	Kracht	-35,65
high max Wnd	1P2	high max Wnd ;225°	GCS	Z	Kracht	-363,08

Naam	Knoop	Belastingsgeval	Systeem	Rich	Type	Waarde - F [kN]
;225°_1P_Z1						
high max Wnd ;225°_1XY_X1	1XY3	high max Wnd ;225°	GCS	X	Kracht	-39,69
high max Wnd ;225°_1XY_Y1	1XY3	high max Wnd ;225°	GCS	Y	Kracht	12,45
high max Wnd ;225°_1XY_Z1	1XY3	high max Wnd ;225°	GCS	Z	Kracht	121,63
high max Wnd ;225°_1Y_X1	1Y2	high max Wnd ;225°	GCS	X	Kracht	185,64
high max Wnd ;225°_1Y_Y1	1Y2	high max Wnd ;225°	GCS	Y	Kracht	-162,47
high max Wnd ;225°_1Y_Z1	1Y2	high max Wnd ;225°	GCS	Z	Kracht	-992,21
high max Wnd ;225°_1X_X1	1X10	high max Wnd ;225°	GCS	X	Kracht	139,56
high max Wnd ;225°_1X_Y1	1X10	high max Wnd ;225°	GCS	Y	Kracht	-116,44
high max Wnd ;225°_1X_Z1	1X10	high max Wnd ;225°	GCS	Z	Kracht	764,88

6.1.5. Belastingsgevallen - high max Wnd ;315°

Naam	Omschrijving	Actie type	Lastgroep	Duur	'Master' belastingsgeval
	Spec	Belastingtype			
high max Wnd ;315°		Variabel	LG4	Kort	Geen
	Standaard	Statisch			

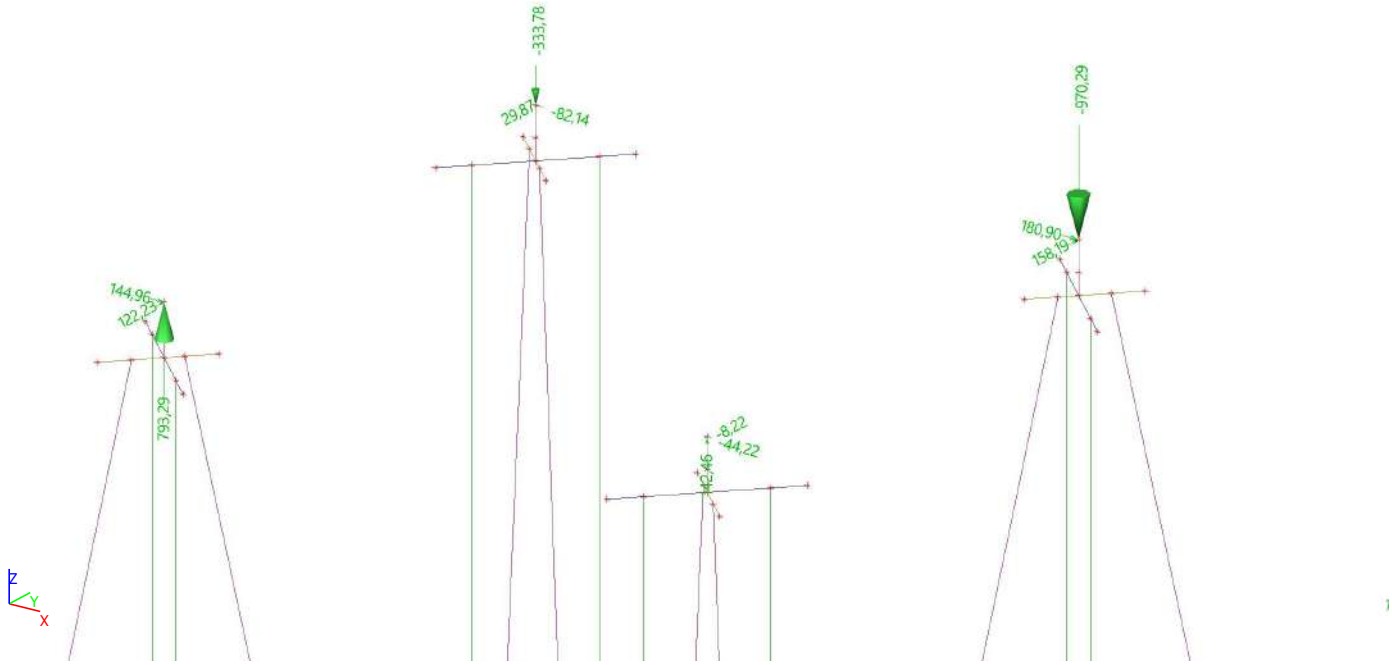


6.1.5.1. Puntlast op knoop

Naam	Knoop	Belastingsgeval	Systeem	Rich	Type	Waarde - F [kN]
high max Wnd ;315°_1P_X	1P	high max Wnd ;315°	GCS	X	Kracht	-183,76
high max Wnd ;315°_1P_Y	1P	high max Wnd ;315°	GCS	Y	Kracht	-158,92
high max Wnd ;315°_1P_Z	1P	high max Wnd ;315°	GCS	Z	Kracht	-974,92
high max Wnd ;315°_1X_X	1X	high max Wnd ;315°	GCS	X	Kracht	41,59
high max Wnd ;315°_1X_Y	1X	high max Wnd ;315°	GCS	Y	Kracht	8,81
high max Wnd ;315°_1X_Z	1X	high max Wnd ;315°	GCS	Z	Kracht	139,34
high max Wnd ;315°_1XY_X	1XY	high max Wnd ;315°	GCS	X	Kracht	-137,51
high max Wnd ;315°_1XY_Y	1XY	high max Wnd ;315°	GCS	Y	Kracht	-112,65
high max Wnd ;315°_1XY_Z	1XY	high max Wnd ;315°	GCS	Z	Kracht	746,34
high max Wnd ;315°_1Y_X	1Y	high max Wnd ;315°	GCS	X	Kracht	89,72
high max Wnd ;315°_1Y_Y	1Y	high max Wnd ;315°	GCS	Y	Kracht	-39,32
high max Wnd ;315°_1Y_Z	1Y	high max Wnd ;315°	GCS	Z	Kracht	-380,91
high max Wnd ;315°_1P_X1	1P2	high max Wnd ;315°	GCS	X	Kracht	-183,76
high max Wnd ;315°_1P_Y1	1P2	high max Wnd ;315°	GCS	Y	Kracht	-158,92
high max Wnd ;315°_1P_Z1	1P2	high max Wnd ;315°	GCS	Z	Kracht	-974,92
high max Wnd ;315°_1XY_X1	1XY3	high max Wnd ;315°	GCS	X	Kracht	-137,51
high max Wnd ;315°_1XY_Y1	1XY3	high max Wnd ;315°	GCS	Y	Kracht	-112,65
high max Wnd ;315°_1XY_Z1	1XY3	high max Wnd ;315°	GCS	Z	Kracht	746,34
high max Wnd ;315°_1Y_X1	1Y2	high max Wnd ;315°	GCS	X	Kracht	89,72
high max Wnd ;315°_1Y_Y1	1Y2	high max Wnd ;315°	GCS	Y	Kracht	-39,32
high max Wnd ;315°_1Y_Z1	1Y2	high max Wnd ;315°	GCS	Z	Kracht	-380,91
high max Wnd ;315°_1X_X1	1X10	high max Wnd ;315°	GCS	X	Kracht	41,59
high max Wnd ;315°_1X_Y1	1X10	high max Wnd ;315°	GCS	Y	Kracht	8,81
high max Wnd ;315°_1X_Z1	1X10	high max Wnd ;315°	GCS	Z	Kracht	139,34

6.1.6. Belastingsgevallen - low max Wnd ;135°

Naam	Omschrijving	Actie type	Lastgroep	Duur	'Master' belastingsgeval
	Spec	Belastingtype			
low max Wnd ;135°		Variabel	LG4	Kort	Geen
	Standaard	Statisch			



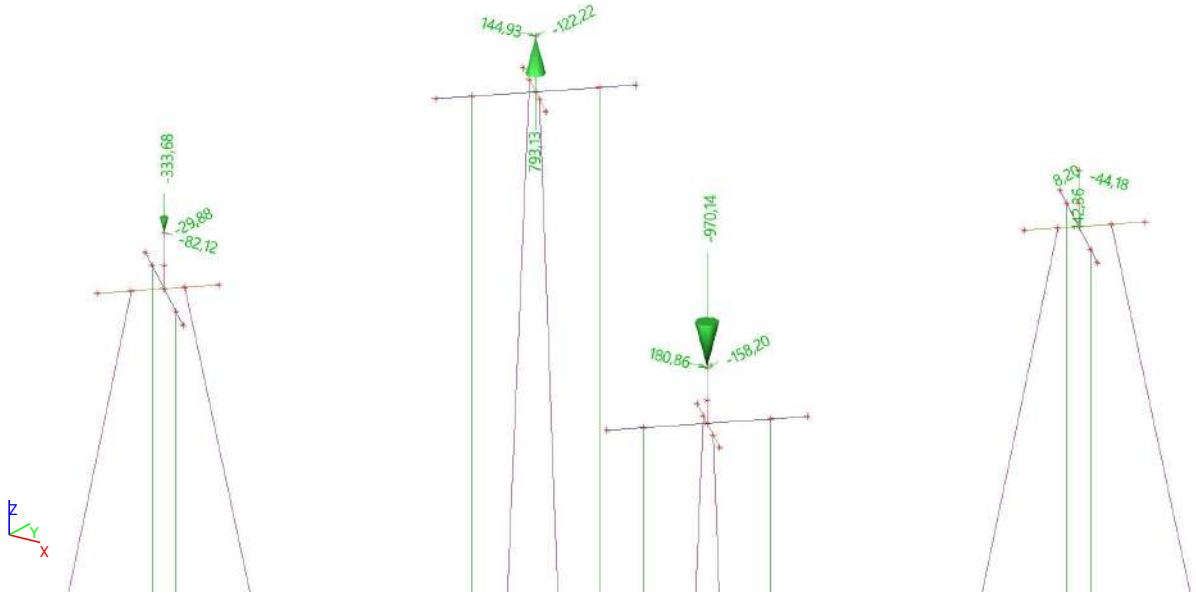
6.1.6.1. Puntlast op knoop

Naam	Knoop	Belastingsgeval	Systeem	Rich	Type	Waarde - F [kN]
low max Wnd ;135°_1P_X	1P	low max Wnd ;135°	GCS	X	Kracht	144,96
low max Wnd ;135°_1P_Y	1P	low max Wnd ;135°	GCS	Y	Kracht	122,23
low max Wnd ;135°_1P_Z	1P	low max Wnd ;135°	GCS	Z	Kracht	793,29
low max Wnd ;135°_1X_X	1X	low max Wnd ;135°	GCS	X	Kracht	-82,14
low max Wnd ;135°_1X_Y	1X	low max Wnd ;135°	GCS	Y	Kracht	29,87
low max Wnd ;135°_1X_Z	1X	low max Wnd ;135°	GCS	Z	Kracht	-333,78
low max Wnd ;135°_1XY_X	1XY	low max Wnd ;135°	GCS	X	Kracht	180,90
low max Wnd ;135°_1XY_Y	1XY	low max Wnd ;135°	GCS	Y	Kracht	158,19
low max Wnd ;135°_1XY_Z	1XY	low max Wnd ;135°	GCS	Z	Kracht	-970,29
low max Wnd ;135°_1Y_X	1Y	low max Wnd ;135°	GCS	X	Kracht	-44,22
low max Wnd ;135°_1Y_Y	1Y	low max Wnd ;135°	GCS	Y	Kracht	-8,22
low max Wnd ;135°_1Y_Z	1Y	low max Wnd ;135°	GCS	Z	Kracht	142,46
low max Wnd ;135°_1P_X1	1P2	low max Wnd ;135°	GCS	X	Kracht	144,96
low max Wnd ;135°_1P_Y1	1P2	low max Wnd ;135°	GCS	Y	Kracht	122,23
low max Wnd	1P2	low max Wnd ;135°	GCS	Z	Kracht	793,29

Naam	Knoop	Belastingsgeval	Systeem	Rich	Type	Waarde - F [kN]
;135°_1P_Z1						
low max Wnd ;135°_1XY_X1	1XY3	low max Wnd ;135°	GCS	X	Kracht	180,90
low max Wnd ;135°_1XY_Y1	1XY3	low max Wnd ;135°	GCS	Y	Kracht	158,19
low max Wnd ;135°_1XY_Z1	1XY3	low max Wnd ;135°	GCS	Z	Kracht	-970,29
low max Wnd ;135°_1Y_X1	1Y2	low max Wnd ;135°	GCS	X	Kracht	-44,22
low max Wnd ;135°_1Y_Y1	1Y2	low max Wnd ;135°	GCS	Y	Kracht	-8,22
low max Wnd ;135°_1Y_Z1	1Y2	low max Wnd ;135°	GCS	Z	Kracht	142,46
low max Wnd ;135°_1X_X1	1X10	low max Wnd ;135°	GCS	X	Kracht	-82,14
low max Wnd ;135°_1X_Y1	1X10	low max Wnd ;135°	GCS	Y	Kracht	29,87
low max Wnd ;135°_1X_Z1	1X10	low max Wnd ;135°	GCS	Z	Kracht	-333,78

6.1.7. Belastingsgevallen - low max Wnd ;225°

Naam	Omschrijving	Actie type	Lastgroep	Duur	'Master' belastingsgeval
	Spec	Belastingtype			
low max Wnd ;225°		Variabel	LG4	Kort	Geen
	Standaard	Statisch			

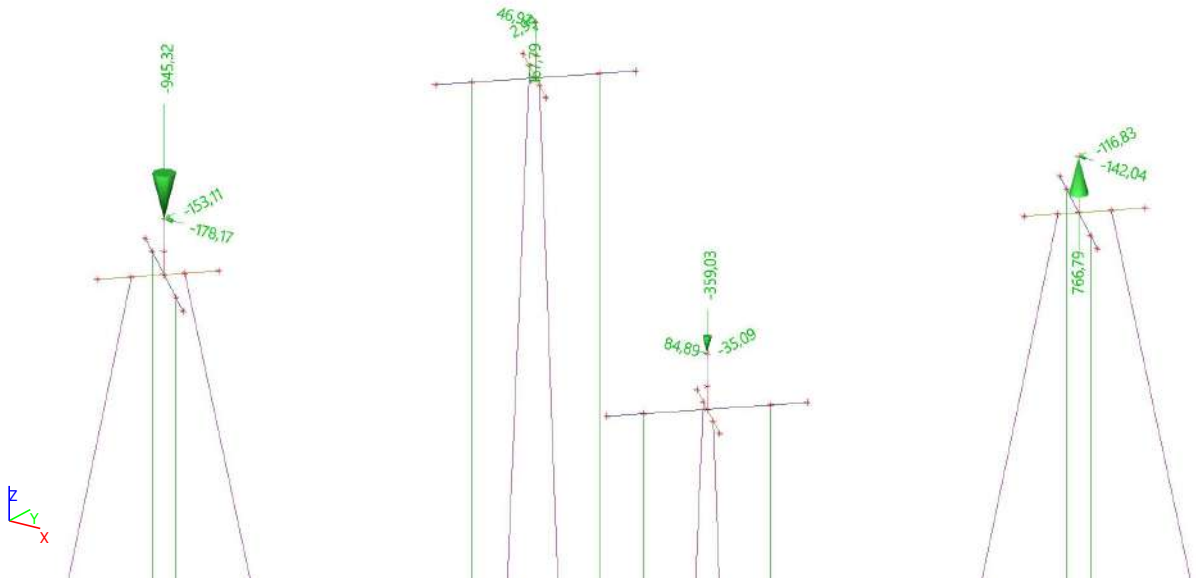


6.1.7.1. Puntlast op knoop

Naam	Knoop	Belastingsgeval	Systeem	Rich	Type	Waarde - F [kN]
low max Wnd ;225°_1P_X	1P	low max Wnd ;225°	GCS	X	Kracht	-82,12
low max Wnd ;225°_1P_Y	1P	low max Wnd ;225°	GCS	Y	Kracht	-29,88
low max Wnd ;225°_1P_Z	1P	low max Wnd ;225°	GCS	Z	Kracht	-333,68
low max Wnd ;225°_1X_X	1X	low max Wnd ;225°	GCS	X	Kracht	144,93
low max Wnd ;225°_1X_Y	1X	low max Wnd ;225°	GCS	Y	Kracht	-122,22
low max Wnd ;225°_1X_Z	1X	low max Wnd ;225°	GCS	Z	Kracht	793,13
low max Wnd ;225°_1XY_X	1XY	low max Wnd ;225°	GCS	X	Kracht	-44,18
low max Wnd ;225°_1XY_Y	1XY	low max Wnd ;225°	GCS	Y	Kracht	8,20
low max Wnd ;225°_1XY_Z	1XY	low max Wnd ;225°	GCS	Z	Kracht	142,36
low max Wnd ;225°_1Y_X	1Y	low max Wnd ;225°	GCS	X	Kracht	180,86
low max Wnd ;225°_1Y_Y	1Y	low max Wnd ;225°	GCS	Y	Kracht	-158,20
low max Wnd ;225°_1Y_Z	1Y	low max Wnd ;225°	GCS	Z	Kracht	-970,14
low max Wnd ;225°_1P_X1	1P2	low max Wnd ;225°	GCS	X	Kracht	-82,12
low max Wnd ;225°_1P_Y1	1P2	low max Wnd ;225°	GCS	Y	Kracht	-29,88
low max Wnd ;225°_1P_Z1	1P2	low max Wnd ;225°	GCS	Z	Kracht	-333,68
low max Wnd ;225°_1XY_X1	1XY3	low max Wnd ;225°	GCS	X	Kracht	-44,18
low max Wnd ;225°_1XY_Y1	1XY3	low max Wnd ;225°	GCS	Y	Kracht	8,20
low max Wnd ;225°_1XY_Z1	1XY3	low max Wnd ;225°	GCS	Z	Kracht	142,36
low max Wnd ;225°_1Y_X1	1Y2	low max Wnd ;225°	GCS	X	Kracht	180,86
low max Wnd ;225°_1Y_Y1	1Y2	low max Wnd ;225°	GCS	Y	Kracht	-158,20
low max Wnd ;225°_1Y_Z1	1Y2	low max Wnd ;225°	GCS	Z	Kracht	-970,14
low max Wnd ;225°_1X_X1	1X10	low max Wnd ;225°	GCS	X	Kracht	144,93
low max Wnd ;225°_1X_Y1	1X10	low max Wnd ;225°	GCS	Y	Kracht	-122,22
low max Wnd ;225°_1X_Z1	1X10	low max Wnd ;225°	GCS	Z	Kracht	793,13

6.1.8. Belastingsgevallen - low max Wnd ;315°

Naam	Omschrijving	Actie type	Lastgroep	Duur	'Master' belastingsgeval
	Spec	Belastingtype			
low max Wnd ;315°		Variabel	LG4	Kort	Geen
	Standaard	Statisch			



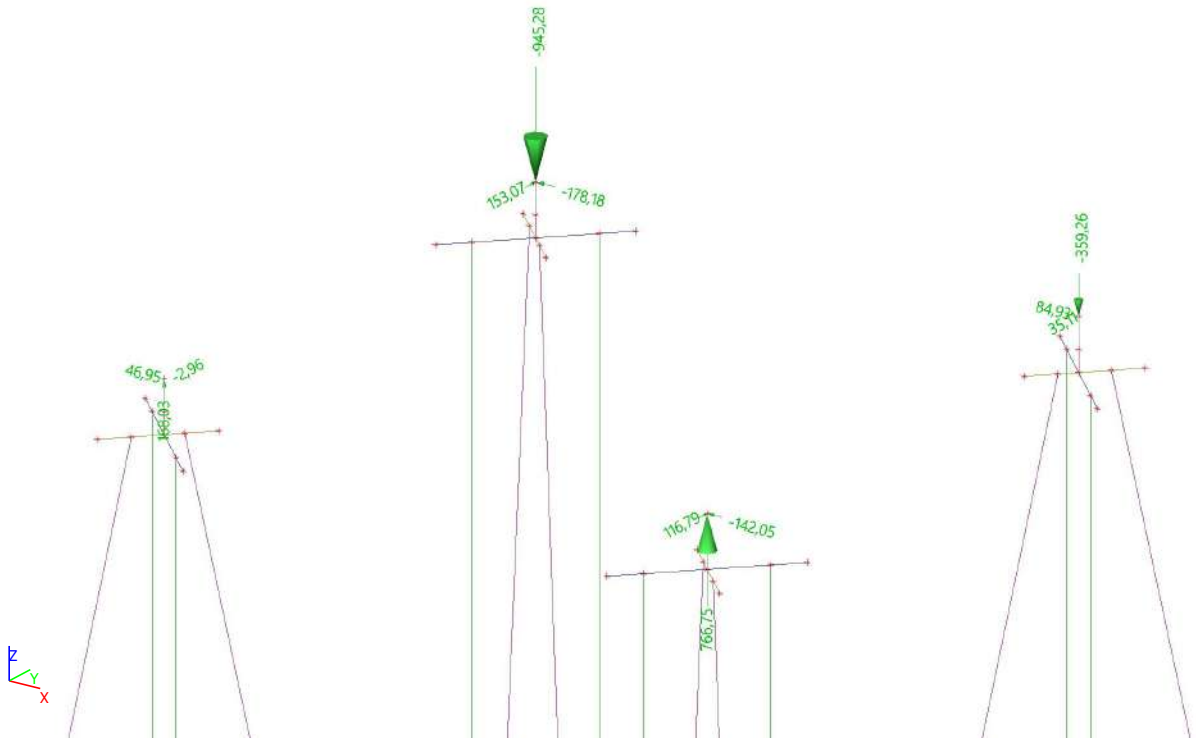
6.1.8.1. Puntlast op knoop

Naam	Knoop	Belastingsgeval	Systeem	Rich	Type	Waarde - F [kN]
low max Wnd ;315°_1P_X	1P	low max Wnd ;315°	GCS	X	Kracht	-178,17
low max Wnd ;315°_1P_Y	1P	low max Wnd ;315°	GCS	Y	Kracht	-153,11
low max Wnd ;315°_1P_Z	1P	low max Wnd ;315°	GCS	Z	Kracht	-945,32
low max Wnd ;315°_1X_X	1X	low max Wnd ;315°	GCS	X	Kracht	46,92
low max Wnd ;315°_1X_Y	1X	low max Wnd ;315°	GCS	Y	Kracht	2,99
low max Wnd ;315°_1X_Z	1X	low max Wnd ;315°	GCS	Z	Kracht	167,79
low max Wnd ;315°_1XY_X	1XY	low max Wnd ;315°	GCS	X	Kracht	-142,04
low max Wnd ;315°_1XY_Y	1XY	low max Wnd ;315°	GCS	Y	Kracht	-116,83
low max Wnd ;315°_1XY_Z	1XY	low max Wnd ;315°	GCS	Z	Kracht	766,79
low max Wnd ;315°_1Y_X	1Y	low max Wnd ;315°	GCS	X	Kracht	84,89
low max Wnd ;315°_1Y_Y	1Y	low max Wnd ;315°	GCS	Y	Kracht	-35,09
low max Wnd ;315°_1Y_Z	1Y	low max Wnd ;315°	GCS	Z	Kracht	-359,03
low max Wnd ;315°_1P_X1	1P2	low max Wnd ;315°	GCS	X	Kracht	-178,17
low max Wnd ;315°_1P_Y1	1P2	low max Wnd ;315°	GCS	Y	Kracht	-153,11
low max Wnd	1P2	low max Wnd ;315°	GCS	Z	Kracht	-945,32

Naam	Knoop	Belastingsgeval	Systeem	Rich	Type	Waarde - F [kN]
;315°_1P_Z1						
low max Wnd ;315°_1XY_X1	1XY3	low max Wnd ;315°	GCS	X	Kracht	-142,04
low max Wnd ;315°_1XY_Y1	1XY3	low max Wnd ;315°	GCS	Y	Kracht	-116,83
low max Wnd ;315°_1XY_Z1	1XY3	low max Wnd ;315°	GCS	Z	Kracht	766,79
low max Wnd ;315°_1Y_X1	1Y2	low max Wnd ;315°	GCS	X	Kracht	84,89
low max Wnd ;315°_1Y_Y1	1Y2	low max Wnd ;315°	GCS	Y	Kracht	-35,09
low max Wnd ;315°_1Y_Z1	1Y2	low max Wnd ;315°	GCS	Z	Kracht	-359,03
low max Wnd ;315°_1X_X1	1X10	low max Wnd ;315°	GCS	X	Kracht	46,92
low max Wnd ;315°_1X_Y1	1X10	low max Wnd ;315°	GCS	Y	Kracht	2,99
low max Wnd ;315°_1X_Z1	1X10	low max Wnd ;315°	GCS	Z	Kracht	167,79

6.1.9. Belastingsgevallen - low max Wnd ;45°

Naam	Omschrijving	Actie type	Lastgroep	Duur	'Master' belastingsgeval
	Spec	Belastingtype			
low max Wnd ;45°		Variabel	LG4	Kort	Geen
	Standaard	Statisch			



6.1.9.1. Puntlast op knoop

Naam	Knoop	Belastingsgeval	Systeem	Rich	Type	Waarde - F [kN]
low max Wnd ;45°_1P_X	1P	low max Wnd ;45°	GCS	X	Kracht	46,95
low max Wnd ;45°_1P_Y	1P	low max Wnd ;45°	GCS	Y	Kracht	-2,96
low max Wnd ;45°_1P_Z	1P	low max Wnd ;45°	GCS	Z	Kracht	168,03
low max Wnd ;45°_1X_X	1X	low max Wnd ;45°	GCS	X	Kracht	-178,18
low max Wnd ;45°_1X_Y	1X	low max Wnd ;45°	GCS	Y	Kracht	153,07
low max Wnd ;45°_1X_Z	1X	low max Wnd ;45°	GCS	Z	Kracht	-945,28
low max Wnd ;45°_1XY_X	1XY	low max Wnd ;45°	GCS	X	Kracht	84,93
low max Wnd ;45°_1XY_Y	1XY	low max Wnd ;45°	GCS	Y	Kracht	35,11
low max Wnd ;45°_1XY_Z	1XY	low max Wnd ;45°	GCS	Z	Kracht	-359,26
low max Wnd ;45°_1Y_X	1Y	low max Wnd ;45°	GCS	X	Kracht	-142,05
low max Wnd ;45°_1Y_Y	1Y	low max Wnd ;45°	GCS	Y	Kracht	116,79
low max Wnd ;45°_1Y_Z	1Y	low max Wnd ;45°	GCS	Z	Kracht	766,75
low max Wnd ;45°_1P_X1	1P2	low max Wnd ;45°	GCS	X	Kracht	46,95
low max Wnd ;45°_1P_Y1	1P2	low max Wnd ;45°	GCS	Y	Kracht	-2,96
low max Wnd ;45°_1P_Z1	1P2	low max Wnd ;45°	GCS	Z	Kracht	168,03
low max Wnd ;45°_1XY_X1	1XY3	low max Wnd ;45°	GCS	X	Kracht	84,93
low max Wnd ;45°_1XY_Y1	1XY3	low max Wnd ;45°	GCS	Y	Kracht	35,11
low max Wnd ;45°_1XY_Z1	1XY3	low max Wnd ;45°	GCS	Z	Kracht	-359,26
low max Wnd ;45°_1Y_X1	1Y2	low max Wnd ;45°	GCS	X	Kracht	-142,05
low max Wnd ;45°_1Y_Y1	1Y2	low max Wnd ;45°	GCS	Y	Kracht	116,79
low max Wnd ;45°_1Y_Z1	1Y2	low max Wnd ;45°	GCS	Z	Kracht	766,75
low max Wnd ;45°_1X_X1	1X10	low max Wnd ;45°	GCS	X	Kracht	-178,18
low max Wnd ;45°_1X_Y1	1X10	low max Wnd ;45°	GCS	Y	Kracht	153,07
low max Wnd ;45°_1X_Z1	1X10	low max Wnd ;45°	GCS	Z	Kracht	-945,28

6.2. Niet-lineaire combinaties

Naam	Type	Belastingsgevallen	Coëff. [-]
high max Wnd ;45° + EG_Ongunstig	Uiterste Grenstoestand	E.G.	1,200
		high max Wnd ;45°	1,000
high max Wnd ;135° + EG_Ongunstig	Uiterste Grenstoestand	E.G.	1,200
		high max Wnd ;135°	1,000
high max Wnd ;315° + EG_Ongunstig	Uiterste Grenstoestand	E.G.	1,200
		high max Wnd ;315°	1,000
high max Wnd ;225° + EG_Ongunstig	Uiterste Grenstoestand	E.G.	1,200

Naam	Type	Belastingsgevallen	Coëff. [-]
		high max Wnd ;225°	1,000
low max Wnd ;45° + EG_Gunstig	Uiterste Grenstoestand	E.G.	0,900
		low max Wnd ;45°	1,000
low max Wnd ;135° + EG_Gunstig	Uiterste Grenstoestand	E.G.	0,900
		low max Wnd ;135°	1,000
low max Wnd ;315° + EG_Gunstig	Uiterste Grenstoestand	E.G.	0,900
		low max Wnd ;315°	1,000
low max Wnd ;225° + EG_Gunstig	Uiterste Grenstoestand	E.G.	0,900
		low max Wnd ;225°	1,000

6.3. Resultaatklasses

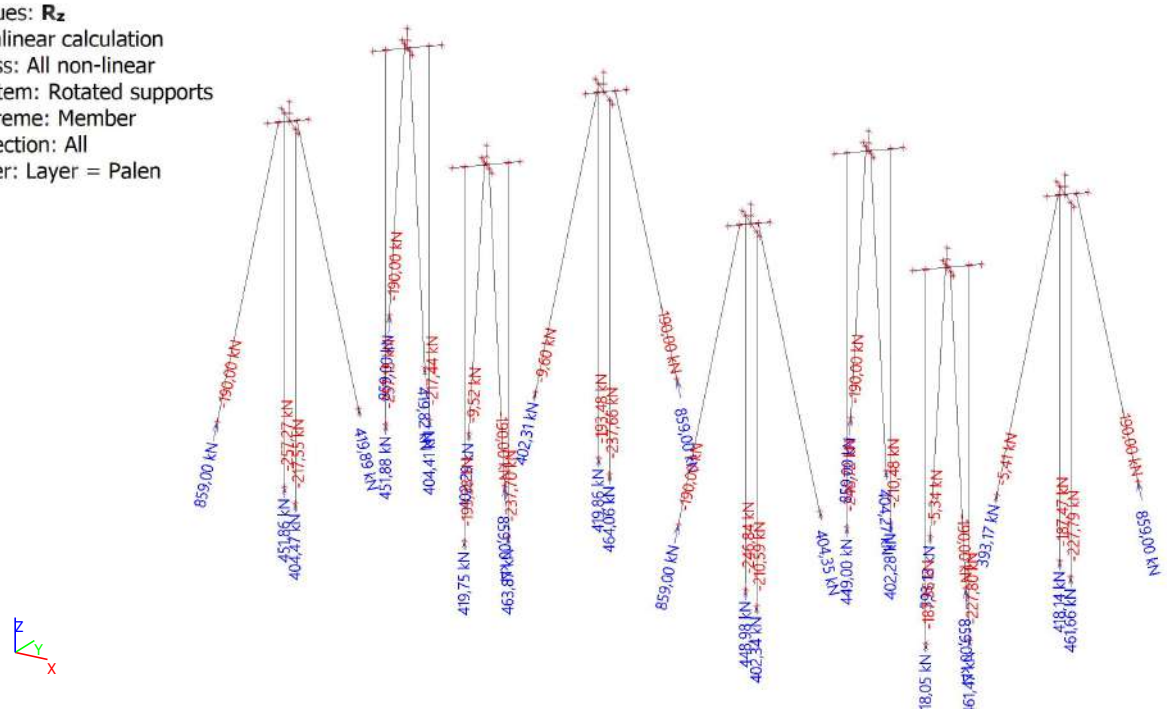
Naam	Lijst
All non-linear	high max Wnd ;45° + EG_Ongunstig
	high max Wnd ;135° + EG_Ongunstig
	high max Wnd ;315° + EG_Ongunstig
	high max Wnd ;225° + EG_Ongunstig
	low max Wnd ;45° + EG_Gunstig
	low max Wnd ;135° + EG_Gunstig
	low max Wnd ;315° + EG_Gunstig
	low max Wnd ;225° + EG_Gunstig

7. Resultaten

7.1. Reacties van de palen

7.1.1. Reactions; R_z

Values: R_z
Nonlinear calculation
Class: All non-linear
System: Rotated supports
Extreme: Member
Selection: All
Filter: Layer = Palen



7.1.2. Reacties

Niet-lineaire berekening
Klasse: All non-linear
Systeem: Schuine steunpunten
Extreem: Globaal
Selectie: Alle
Filter: Doorsnede = LD1 - General cross-section

Knoopreacties

Naam	Belasting	R_x [kN]	R_y [kN]	R_z [kN]	M_x [kNm]	M_y [kNm]	M_z [kNm]	e_x [mm]	e_y [mm]
S_XY_1/N33	high max Wnd ;135° + EG_Ongunstig	**0,00**	0,00	859,00	0,00	0,00	0,00	0,0	0,0
S_XY_11/N79	high max Wnd ;45° + EG_Ongunstig	0,00	**0,00**	508,20	0,00	0,00	0,00	0,0	0,0
S_X_1/N49	low max Wnd ;225° + EG_Gunstig	0,00	**0,00**	419,82	**0,00**	**0,00**	**0,00**	0,0	0,0
S_P_1/N3	high max Wnd ;135° + EG_Ongunstig	0,00	0,00	**-190,00**	0,00	0,00	0,00	0,0	0,0
S_P_1/N3	high max Wnd ;315° + EG_Ongunstig	**0,00**	0,00	**859,00**	0,00	0,00	0,00	0,0	0,0

7.1.3. Reacties

Niet-lineaire berekening
Klasse: All non-linear
Systeem: Schuine steunpunten
Extreem: Globaal
Selectie: Alle

Filter: Doorsnede = LEKA Paal - type e (CHS219.1/10.0)
Knoopreacties

Naam	Belasting	R_x [kN]	R_y [kN]	R_z [kN]	M_x [kNm]	M_y [kNm]	M_z [kNm]	e_x [mm]	e_y [mm]
S_XY_10/N70	low max Wnd ;135° + EG_Gunstig	0,00	0,00	**-257,27**	0,00	0,00	0,00	0,0	0,0
S_XY_4/N54	high max Wnd ;135° + EG_Ongunstig	**0,00**	**0,00**	**464,06**	**0,00**	**0,00**	**0,00**	0,0	0,0

7.1.4. Reacties

Niet-lineaire berekening
Klasse: All non-linear
Systeem: Schuine steunpunten
Extreem: Element
Selectie: Alle
Filter: Laag = Palen
Knoopreacties

Naam	Belasting	R_x [kN]	R_y [kN]	R_z [kN]	M_x [kNm]	M_y [kNm]	M_z [kNm]	e_x [mm]	e_y [mm]
S_P_1/N3	high max Wnd ;315° + EG_Ongunstig	**0,00**	**0,00**	**859,00**	**0,00**	**0,00**	**0,00**	0,0	0,0
S_P_1/N3	high max Wnd ;135° + EG_Ongunstig	0,00	**0,00**	**-190,00**	0,00	0,00	0,00	0,0	0,0
S_P_1/N3	low max Wnd ;45° + EG_Gunstig	**0,00**	0,00	62,18	0,00	0,00	**0,00**	0,0	0,0
S_P_2/N30	low max Wnd ;315° + EG_Gunstig	**0,00**	0,00	13,52	**0,00**	**0,00**	**0,00**	0,0	0,0
S_P_2/N30	high max Wnd ;135° + EG_Ongunstig	0,00	**0,00**	414,21	0,00	0,00	0,00	0,0	0,0
S_P_2/N30	high max Wnd ;315° + EG_Ongunstig	0,00	0,00	**0,68**	0,00	0,00	0,00	0,0	0,0
S_P_2/N30	low max Wnd ;135° + EG_Gunstig	0,00	**0,00**	**419,89**	0,00	0,00	0,00	0,0	0,0
S_P_2/N30	low max Wnd ;45° + EG_Gunstig	**0,00**	0,00	169,31	0,00	0,00	**0,00**	0,0	0,0
S_XY_1/N33	low max Wnd ;225° + EG_Gunstig	**0,00**	0,00	79,90	**0,00**	**0,00**	**0,00**	0,0	0,0
S_XY_1/N33	high max Wnd ;315° + EG_Ongunstig	0,00	**0,00**	**-190,00**	0,00	0,00	0,00	0,0	0,0
S_XY_1/N33	high max Wnd ;135° + EG_Ongunstig	**0,00**	**0,00**	**859,00**	0,00	0,00	**0,00**	0,0	0,0
S_XY_2/N35	high max Wnd ;315° + EG_Ongunstig	**0,00**	**0,00**	402,15	**0,00**	**0,00**	**0,00**	0,0	0,0
S_XY_2/N35	high max Wnd ;135° + EG_Ongunstig	0,00	0,00	**-9,60**	0,00	0,00	0,00	0,0	0,0
S_XY_2/N35	low max Wnd ;315° + EG_Gunstig	0,00	0,00	**402,31**	0,00	0,00	0,00	0,0	0,0
S_XY_2/N35	low max Wnd ;45° + EG_Gunstig	**0,00**	**0,00**	140,07	0,00	0,00	**0,00**	0,0	0,0

Naam	Belasting	R_x [kN]	R_y [kN]	R_z [kN]	M_x [kNm]	M_y [kNm]	M_z [kNm]	e_x [mm]	e_y [mm]
S_Y_1/N40	low max Wnd ;135° + EG_Gunstig	**0,00**	0,00	79,82	**0,00**	**0,00**	**0,00**	0,0	0,0
S_Y_1/N40	high max Wnd ;315° + EG_Ongunstig	0,00	**0,00**	500,49	0,00	0,00	0,00	0,0	0,0
S_Y_1/N40	high max Wnd ;45° + EG_Ongunstig	0,00	0,00	**-190,00**	0,00	0,00	0,00	0,0	0,0
S_Y_1/N40	high max Wnd ;225° + EG_Ongunstig	**0,00**	**0,00**	**859,00**	0,00	0,00	**0,00**	0,0	0,0
S_Y_2/N42	high max Wnd ;315° + EG_Ongunstig	0,00	**0,00**	192,24	0,00	0,00	0,00	0,0	0,0
S_Y_2/N42	high max Wnd ;45° + EG_Ongunstig	0,00	**0,00**	402,17	**0,00**	**0,00**	**0,00**	0,0	0,0
S_Y_2/N42	high max Wnd ;225° + EG_Ongunstig	0,00	0,00	**-9,52**	0,00	0,00	0,00	0,0	0,0
S_Y_2/N42	low max Wnd ;45° + EG_Gunstig	**0,00**	0,00	**402,29**	0,00	0,00	0,00	0,0	0,0
S_Y_2/N42	high max Wnd ;135° + EG_Ongunstig	**0,00**	0,00	220,82	0,00	0,00	**0,00**	0,0	0,0
S_X_2/N47	high max Wnd ;315° + EG_Ongunstig	0,00	**0,00**	140,60	0,00	0,00	0,00	0,0	0,0
S_X_2/N47	high max Wnd ;225° + EG_Ongunstig	0,00	0,00	**-190,00**	0,00	0,00	0,00	0,0	0,0
S_X_2/N47	high max Wnd ;45° + EG_Ongunstig	**0,00**	**0,00**	**859,00**	**0,00**	**0,00**	**0,00**	0,0	0,0
S_X_2/N47	low max Wnd ;315° + EG_Gunstig	**0,00**	0,00	62,33	0,00	0,00	**0,00**	0,0	0,0
S_X_1/N49	high max Wnd ;315° + EG_Ongunstig	**0,00**	**0,00**	221,81	**0,00**	**0,00**	**0,00**	0,0	0,0
S_X_1/N49	high max Wnd ;45° + EG_Ongunstig	0,00	0,00	**0,73**	0,00	0,00	0,00	0,0	0,0
S_X_1/N49	low max Wnd ;225° + EG_Gunstig	**0,00**	**0,00**	**419,82**	0,00	0,00	**0,00**	0,0	0,0
S_XY_3/N53	low max Wnd ;315° + EG_Gunstig	0,00	0,00	**-193,48**	0,00	0,00	0,00	0,0	0,0
S_XY_3/N53	high max Wnd ;135° + EG_Ongunstig	**0,00**	**0,00**	**419,86**	**0,00**	**0,00**	**0,00**	0,0	0,0
S_XY_4/N54	low max Wnd ;315° + EG_Gunstig	0,00	0,00	**-237,66**	0,00	0,00	0,00	0,0	0,0
S_XY_4/N54	high max Wnd ;135° + EG_Ongunstig	**0,00**	**0,00**	**464,06**	**0,00**	**0,00**	**0,00**	0,0	0,0
S_XY_6/N59	low max Wnd ;225° + EG_Gunstig	**0,00**	**0,00**	**-257,15**	**0,00**	**0,00**	**0,00**	0,0	0,0
S_XY_6/N59	high max Wnd ;45° + EG_Ongunstig	0,00	0,00	**451,88**	0,00	0,00	**0,00**	0,0	0,0

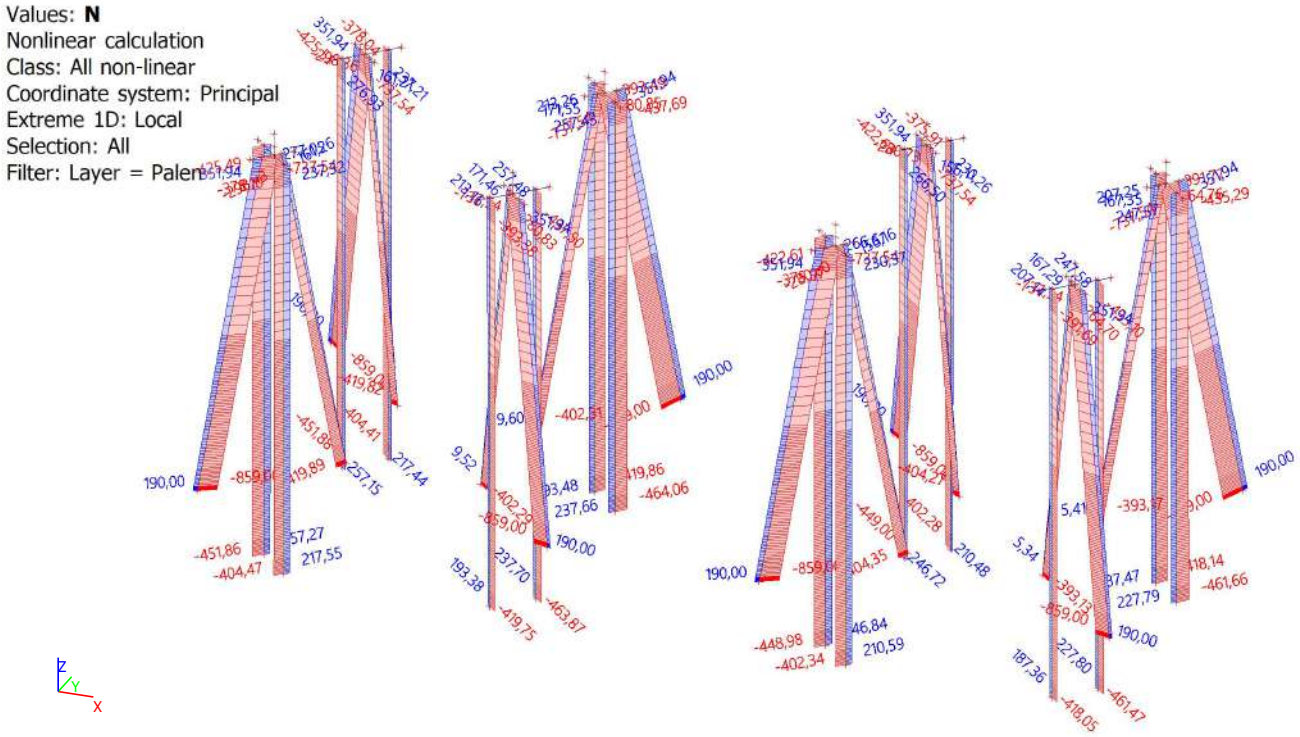
Naam	Belasting	R_x [kN]	R_y [kN]	R_z [kN]	M_x [kNm]	M_y [kNm]	M_z [kNm]	e_x [mm]	e_y [mm]
S_XY_5/N58	low max Wnd ;225° + EG_Gunstig	**0,00**	**0,00**	**-217,44**	**0,00**	**0,00**	**0,00**	0,0	0,0
S_XY_5/N58	high max Wnd ;45° + EG_Ongunstig	0,00	0,00	**404,41**	0,00	0,00	**0,00**	0,0	0,0
S_XY_8/N66	low max Wnd ;45° + EG_Gunstig	0,00	0,00	**-237,70**	0,00	0,00	0,00	0,0	0,0
S_XY_8/N66	high max Wnd ;225° + EG_Ongunstig	**0,00**	**0,00**	**463,87**	**0,00**	**0,00**	**0,00**	0,0	0,0
S_XY_7/N65	low max Wnd ;45° + EG_Gunstig	0,00	0,00	**-193,38**	0,00	0,00	0,00	0,0	0,0
S_XY_7/N65	high max Wnd ;225° + EG_Ongunstig	**0,00**	**0,00**	**419,75**	**0,00**	**0,00**	**0,00**	0,0	0,0
S_XY_9/N69	low max Wnd ;135° + EG_Gunstig	0,00	0,00	**-217,55**	0,00	0,00	0,00	0,0	0,0
S_XY_9/N69	high max Wnd ;315° + EG_Ongunstig	**0,00**	**0,00**	**404,47**	**0,00**	**0,00**	**0,00**	0,0	0,0
S_XY_10/N70	low max Wnd ;135° + EG_Gunstig	0,00	0,00	**-257,27**	0,00	0,00	0,00	0,0	0,0
S_XY_10/N70	high max Wnd ;315° + EG_Ongunstig	**0,00**	**0,00**	**451,86**	**0,00**	**0,00**	**0,00**	0,0	0,0
S_P_3/N72	high max Wnd ;315° + EG_Ongunstig	**0,00**	**0,00**	**859,00**	0,00	0,00	0,00	0,0	0,0
S_P_3/N72	high max Wnd ;225° + EG_Ongunstig	0,00	**0,00**	495,12	**0,00**	**0,00**	**0,00**	0,0	0,0
S_P_3/N72	high max Wnd ;135° + EG_Ongunstig	0,00	0,00	**-190,00**	0,00	0,00	0,00	0,0	0,0
S_P_3/N72	low max Wnd ;45° + EG_Gunstig	**0,00**	0,00	64,80	0,00	0,00	**0,00**	0,0	0,0
S_P_4/N74	low max Wnd ;315° + EG_Gunstig	**0,00**	0,00	17,56	**0,00**	**0,00**	**0,00**	0,0	0,0
S_P_4/N74	high max Wnd ;315° + EG_Ongunstig	0,00	0,00	**5,79**	0,00	0,00	0,00	0,0	0,0
S_P_4/N74	high max Wnd ;135° + EG_Ongunstig	0,00	**0,00**	**404,35**	0,00	0,00	0,00	0,0	0,0
S_P_4/N74	low max Wnd ;135° + EG_Gunstig	**0,00**	**0,00**	402,26	0,00	0,00	**0,00**	0,0	0,0
S_XY_11/N79	high max Wnd ;225° + EG_Ongunstig	**0,00**	0,00	157,01	**0,00**	**0,00**	**0,00**	0,0	0,0
S_XY_11/N79	high max Wnd ;45° + EG_Ongunstig	0,00	**0,00**	508,20	0,00	0,00	0,00	0,0	0,0
S_XY_11/N79	high max Wnd ;315° + EG_Ongunstig	0,00	0,00	**-190,00**	0,00	0,00	0,00	0,0	0,0
S_XY_11/N79	high max Wnd ;135° + EG_Ongunstig	**0,00**	**0,00**	**859,00**	0,00	0,00	**0,00**	0,0	0,0

Naam	Belasting	R_x [kN]	R_y [kN]	R_z [kN]	M_x [kNm]	M_y [kNm]	M_z [kNm]	e_x [mm]	e_y [mm]
S_XY_12/N81	low max Wnd ;45° + EG_Gunstig	**0,00**	0,00	146,99	**0,00**	**0,00**	**0,00**	0,0	0,0
S_XY_12/N81	high max Wnd ;315° + EG_Ongunstig	0,00	**0,00**	**393,17**	0,00	0,00	0,00	0,0	0,0
S_XY_12/N81	high max Wnd ;225° + EG_Ongunstig	0,00	**0,00**	225,53	0,00	0,00	0,00	0,0	0,0
S_XY_12/N81	high max Wnd ;135° + EG_Ongunstig	**0,00**	0,00	**-5,41**	0,00	0,00	**0,00**	0,0	0,0
S_Y_3/N86	high max Wnd ;315° + EG_Ongunstig	0,00	**0,00**	508,04	**0,00**	**0,00**	**0,00**	0,0	0,0
S_Y_3/N86	high max Wnd ;45° + EG_Ongunstig	**0,00**	0,00	**-190,00**	0,00	0,00	0,00	0,0	0,0
S_Y_3/N86	high max Wnd ;225° + EG_Ongunstig	**0,00**	**0,00**	**859,00**	0,00	0,00	**0,00**	0,0	0,0
S_Y_4/N88	high max Wnd ;135° + EG_Ongunstig	0,00	**0,00**	225,52	0,00	0,00	0,00	0,0	0,0
S_Y_4/N88	low max Wnd ;315° + EG_Gunstig	0,00	**0,00**	146,99	**0,00**	**0,00**	**0,00**	0,0	0,0
S_Y_4/N88	high max Wnd ;225° + EG_Ongunstig	0,00	0,00	**-5,34**	0,00	0,00	0,00	0,0	0,0
S_Y_4/N88	high max Wnd ;45° + EG_Ongunstig	**0,00**	0,00	**393,13**	0,00	0,00	0,00	0,0	0,0
S_Y_4/N88	low max Wnd ;135° + EG_Gunstig	**0,00**	0,00	171,04	0,00	0,00	**0,00**	0,0	0,0
S_X_3/N93	high max Wnd ;135° + EG_Ongunstig	0,00	**0,00**	495,20	0,00	0,00	0,00	0,0	0,0
S_X_3/N93	high max Wnd ;225° + EG_Ongunstig	0,00	0,00	**-190,00**	0,00	0,00	0,00	0,0	0,0
S_X_3/N93	high max Wnd ;45° + EG_Ongunstig	**0,00**	**0,00**	**859,00**	**0,00**	**0,00**	**0,00**	0,0	0,0
S_X_3/N93	low max Wnd ;315° + EG_Gunstig	**0,00**	0,00	64,95	0,00	0,00	**0,00**	0,0	0,0
S_X_4/N95	high max Wnd ;135° + EG_Ongunstig	0,00	**0,00**	202,07	0,00	0,00	0,00	0,0	0,0
S_X_4/N95	high max Wnd ;45° + EG_Ongunstig	**0,00**	0,00	**5,84**	0,00	0,00	0,00	0,0	0,0
S_X_4/N95	high max Wnd ;225° + EG_Ongunstig	0,00	**0,00**	**404,27**	**0,00**	**0,00**	**0,00**	0,0	0,0
S_X_4/N95	low max Wnd ;225° + EG_Gunstig	**0,00**	0,00	402,19	0,00	0,00	**0,00**	0,0	0,0
S_XY_13/N99	low max Wnd ;315° + EG_Gunstig	0,00	0,00	**-187,47**	0,00	0,00	0,00	0,0	0,0
S_XY_13/N99	high max Wnd ;135° + EG_Ongunstig	**0,00**	**0,00**	**418,14**	**0,00**	**0,00**	**0,00**	0,0	0,0

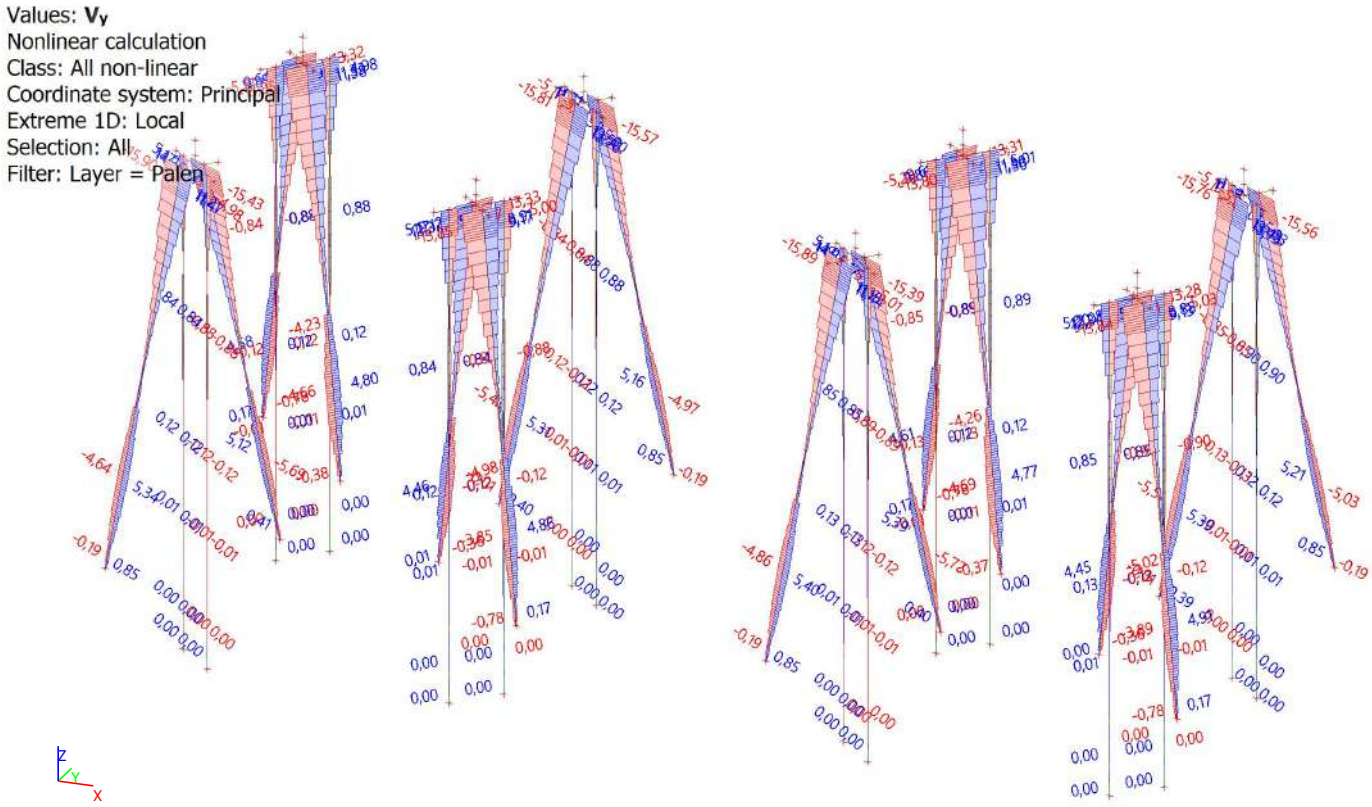
Naam	Belasting	R_x [kN]	R_y [kN]	R_z [kN]	M_x [kNm]	M_y [kNm]	M_z [kNm]	e_x [mm]	e_y [mm]
S_XY_14/N100	low max Wnd ;315° + EG_Gunstig	0,00	0,00	**-227,79**	0,00	0,00	0,00	0,0	0,0
S_XY_14/N100	high max Wnd ;135° + EG_Ongunstig	**0,00**	**0,00**	**461,66**	**0,00**	**0,00**	**0,00**	0,0	0,0
S_XY_16/N105	low max Wnd ;225° + EG_Gunstig	**0,00**	**0,00**	**-246,72**	**0,00**	**0,00**	**0,00**	0,0	0,0
S_XY_16/N105	high max Wnd ;45° + EG_Ongunstig	0,00	0,00	**449,00**	0,00	0,00	**0,00**	0,0	0,0
S_XY_15/N104	low max Wnd ;225° + EG_Gunstig	**0,00**	**0,00**	**-210,48**	**0,00**	**0,00**	**0,00**	0,0	0,0
S_XY_15/N104	high max Wnd ;45° + EG_Ongunstig	0,00	0,00	**402,28**	0,00	0,00	**0,00**	0,0	0,0
S_XY_18/N110	low max Wnd ;45° + EG_Gunstig	0,00	0,00	**-227,80**	0,00	0,00	0,00	0,0	0,0
S_XY_18/N110	high max Wnd ;225° + EG_Ongunstig	**0,00**	**0,00**	**461,47**	**0,00**	**0,00**	**0,00**	0,0	0,0
S_XY_17/N109	low max Wnd ;45° + EG_Gunstig	0,00	0,00	**-187,36**	0,00	0,00	0,00	0,0	0,0
S_XY_17/N109	high max Wnd ;225° + EG_Ongunstig	**0,00**	**0,00**	**418,05**	**0,00**	**0,00**	**0,00**	0,0	0,0
S_XY_19/N113	low max Wnd ;135° + EG_Gunstig	0,00	0,00	**-210,59**	0,00	0,00	0,00	0,0	0,0
S_XY_19/N113	high max Wnd ;315° + EG_Ongunstig	**0,00**	**0,00**	**402,34**	**0,00**	**0,00**	**0,00**	0,0	0,0
S_XY_20/N114	low max Wnd ;135° + EG_Gunstig	0,00	0,00	**-246,84**	0,00	0,00	0,00	0,0	0,0
S_XY_20/N114	high max Wnd ;315° + EG_Ongunstig	**0,00**	**0,00**	**448,98**	**0,00**	**0,00**	**0,00**	0,0	0,0

8. Krachten van de Funderingspalen

8.1. Interne 1D- krachten; N

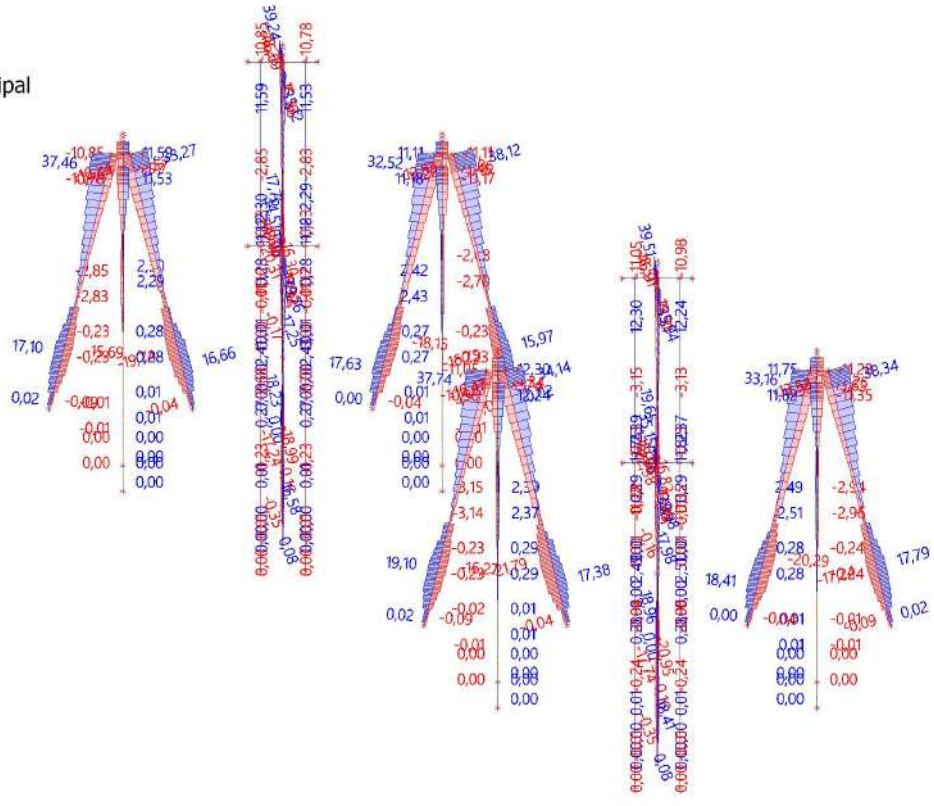


8.2. Interne 1D- krachten; V_y



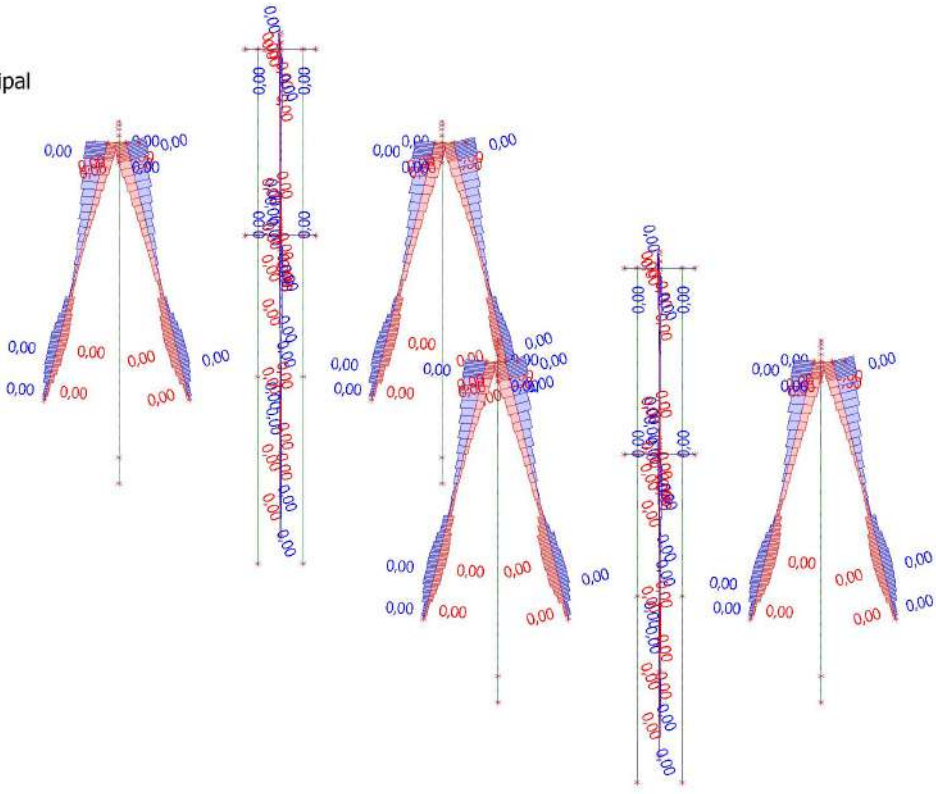
8.3. Interne 1D- krachten; V_z

Values: V_z
Nonlinear calculation
Class: All non-linear
Coordinate system: Principal
Extreme 1D: Local
Selection: All
Filter: Layer = Palen



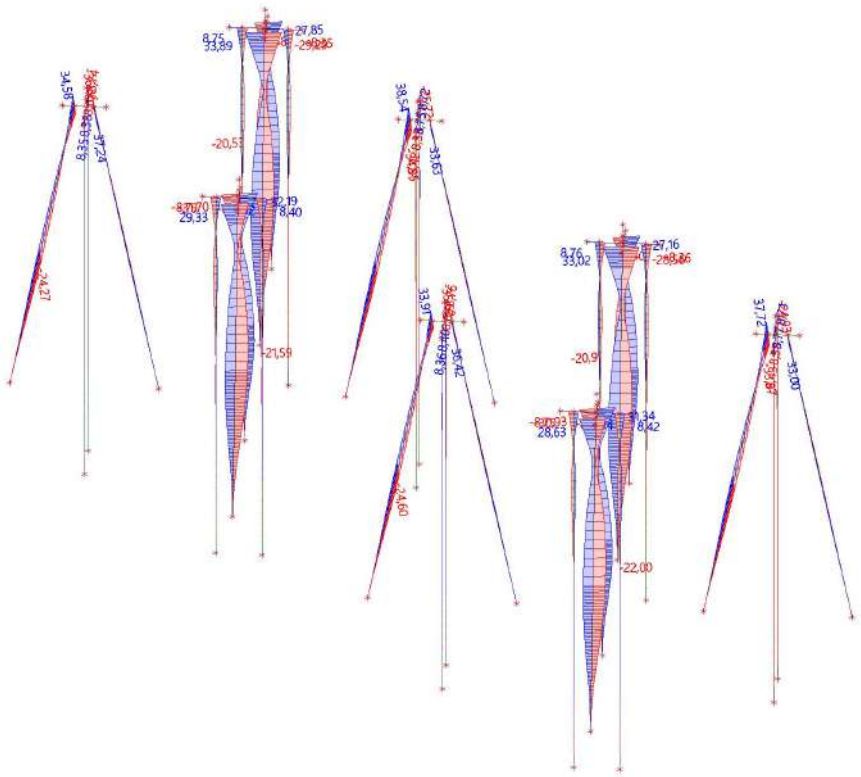
8.4. Interne 1D- krachten; M_x

Values: M_x
Nonlinear calculation
Class: All non-linear
Coordinate system: Principal
Extreme 1D: Local
Selection: All
Filter: Layer = Palen



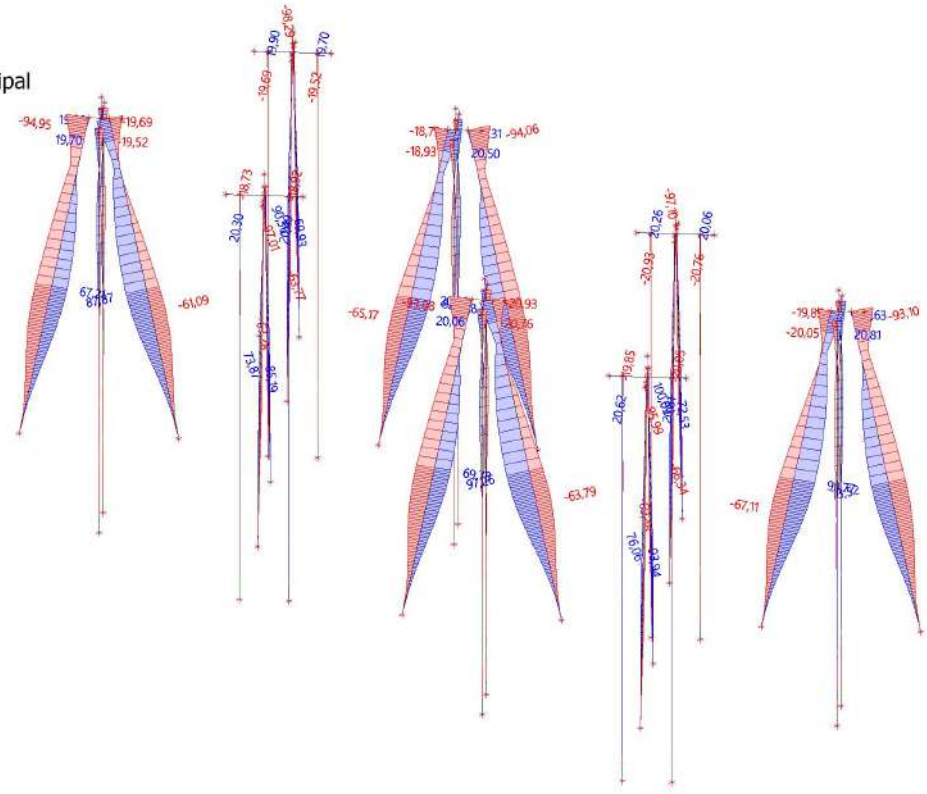
8.5. Interne 1D- krachten; M_z

Values: **Mz**
Nonlinear calculation
Class: All non-linear
Coordinate system: Principal
Extreme 1D: Member
Selection: All
Filter: Layer = Palen



8.6. Interne 1D- krachten; M_y

Values: **My**
Nonlinear calculation
Class: All non-linear
Coordinate system: Principal
Extreme 1D: Member
Selection: All
Filter: Layer = Palen



8.7. Interne 1D-krachten

Niet-lineaire berekening
Klasse: All non-linear
Coördinatenstelsel: Hoofd
Extreme 1D: Globaal
Selectie: Alle
Filter: Doorsnede = LD1 - General cross-section

Naam	dx [m]	Belasting	Doorsnede	N [kN]	V_y [kN]	V_z [kN]	M_x [kNm]	M_y [kNm]	M_z [kNm]
Paal_P_1	14,997	high max Wnd ;315° + EG_Ongunstig	LD1 - General cross-section	**-859,00**	0,85	-0,09	0,00	0,00	0,00
Paal_P_1	0,000	high max Wnd ;135° + EG_Ongunstig	LD1 - General cross-section	**351,94**	6,43	-7,53	0,00	3,62	-8,48
Paal_P_1	0,000	high max Wnd ;225° + EG_Ongunstig	LD1 - General cross-section	-325,77	**-15,90**	19,61	0,00	-44,96	34,58
Paal_P_2	1,000-	low max Wnd ;225° + EG_Gunstig	LD1 - General cross-section	-28,63	**14,33**	-0,98	0,00	2,80	-22,16
Paal_X_4	11,000+	low max Wnd ;225° + EG_Gunstig	LD1 - General cross-section	-371,85	1,69	**-22,38**	0,00	59,65	-4,13
Paal_Y_3	0,000	high max Wnd ;225° + EG_Ongunstig	LD1 - General cross-section	-697,05	-1,12	**39,98**	0,00	-91,28	5,15
Paal_P_4	1,000-	low max Wnd ;315° + EG_Gunstig	LD1 - General cross-section	95,80	9,18	-16,47	**0,00**	38,01	-13,85
Paal_P_3	0,000	high max Wnd ;315° + EG_Ongunstig	LD1 - General cross-section	-697,05	-11,72	37,74	**0,00**	-88,93	24,42
Paal_X_2	0,000	low max Wnd ;45° + EG_Gunstig	LD1 - General cross-section	-737,54	0,18	34,94	0,00	**-98,29**	4,99
Paal_X_4	8,000-	low max Wnd ;225° + EG_Gunstig	LD1 - General cross-section	-341,47	-0,35	1,16	0,00	**100,09**	-6,86
Paal_P_2	0,000	low max Wnd ;225° + EG_Gunstig	LD1 - General cross-section	-20,53	14,07	0,62	0,00	2,98	**-36,36**
Paal_XY_2	0,000	high max Wnd ;225° + EG_Ongunstig	LD1 - General cross-section	-58,86	-15,81	10,51	0,00	-18,11	**38,54**

8.8. Interne 1D-krachten

Niet-lineaire berekening
Klasse: All non-linear
Coördinatenstelsel: Hoofd
Extreme 1D: Globaal
Selectie: Alle
Filter: Doorsnede = LEKA Paal - type e (CHS219.1/10.0)

Naam	dx [m]	Belasting	Doorsnede	N [kN]	V_y [kN]	V_z [kN]	M_x [kNm]	M_y [kNm]	M_z [kNm]
Paal_XY_4	18,720	high max Wnd ;135° + EG_Ongunstig	LEKA Paal - type e (CHS219.1/10.0)	**-464,06**	0,00	0,00	0,00	0,00	0,00
Paal_XY_10	0,000	low max Wnd ;135° + EG_Gunstig	LEKA Paal - type e (CHS219.1/10.0)	**277,05**	-2,70	11,59	**0,00**	-19,69	4,06
Paal_XY_14	0,000	low max Wnd ;225° + EG_Gunstig	LEKA Paal - type e (CHS219.1/10.0)	-2,07	**-5,20**	1,44	0,00	-2,22	**8,77**
Paal_XY_14	0,000	high max Wnd ;135° + EG_Ongunstig	LEKA Paal - type e (CHS219.1/10.0)	-435,29	2,69	**-11,35**	0,00	**20,81**	-4,10
Paal_XY_20	0,000	low max Wnd ;135° + EG_Gunstig	LEKA Paal - type e (CHS219.1/10.0)	266,61	-2,76	**12,30**	0,00	**-20,93**	4,06
Paal_XY_17	0,000	low max Wnd ;135° + EG_Gunstig	LEKA Paal - type e (CHS219.1/10.0)	-1,97	**5,21**	1,45	0,00	-2,22	**-8,78**

9. Krachten van de Poeren

9.1. Interne 1D-krachten

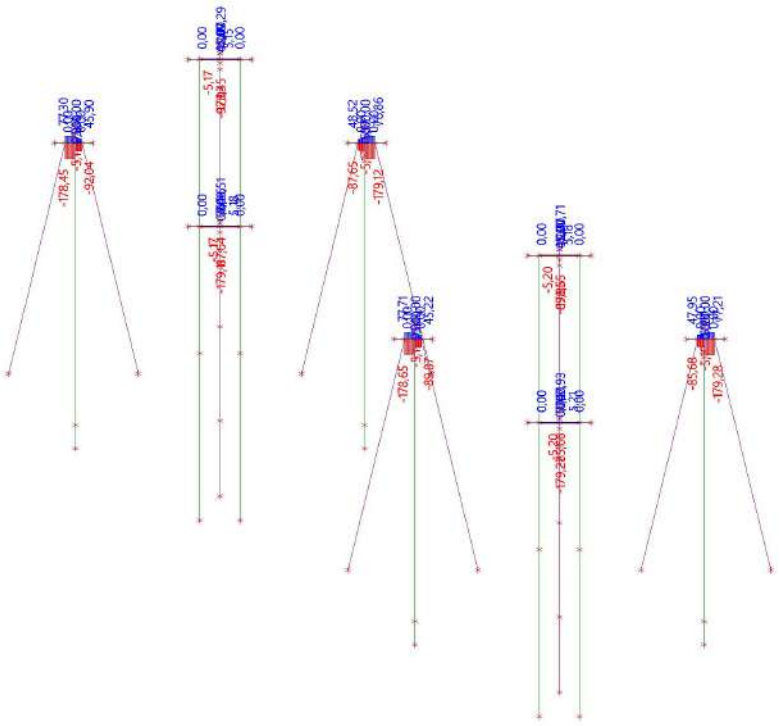
Niet-lineaire berekening
Klasse: All non-linear
Coördinatenstelsel: Hoofd
Extreme 1D: Globaal
Selectie: Alle
Filter: Laag = Poeren

Naam	dx [m]	Belasting	N [kN]	V_y [kN]	V_z [kN]	M_x [kNm]	M_y [kNm]	M_z [kNm]
Opstort_P	0,570	low max Wnd ;135° + EG_Gunstig	**793,29**	-122,23	144,96	**0,00**	0,00	0,00
Opstort_P1	0,000	high max Wnd ;135° + EG_Ongunstig	**-997,49**	162,46	**-185,69**	0,00	**105,84**	-92,60
Opstort_P3	0,000	high max Wnd ;45° + EG_Ongunstig	-980,00	**-183,77**	**158,89**	0,00	**-90,57**	**104,75**
Opstort_P2	0,000	high max Wnd ;225° + EG_Ongunstig	-997,28	**185,64**	-162,47	0,00	92,61	**-105,81**

10. Krachten van de Funderingsbalken

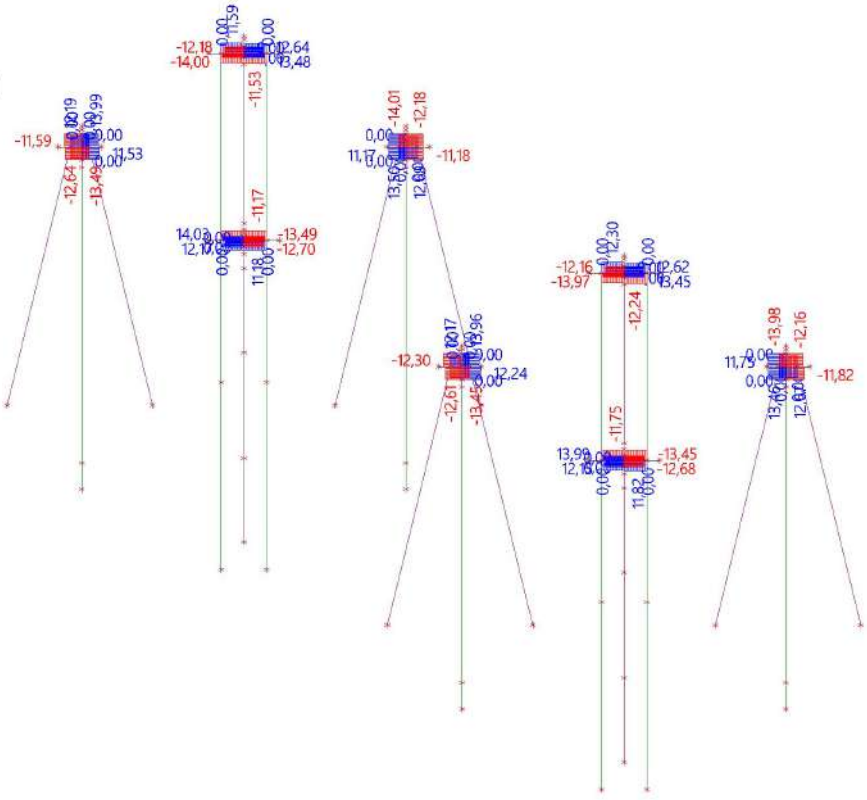
10.1. Interne 1D- krachten; N

Values: **N**
Nonlinear calculation
Class: All non-linear
Coordinate system: Principal
Extreme 1D: Local
Selection: All
Filter: Layer = Balken



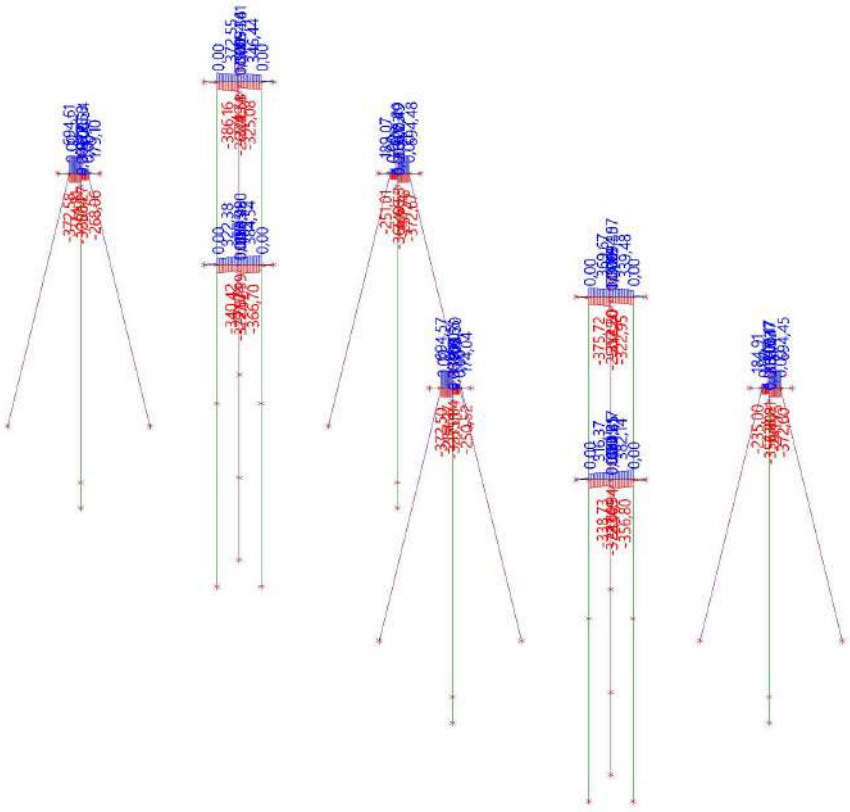
10.2. Interne 1D- krachten; V_y

Values: **V_y**
Nonlinear calculation
Class: All non-linear
Coordinate system: Principal
Extreme 1D: Local
Selection: All
Filter: Layer = Balken



10.3. Interne 1D- krachten; V_z

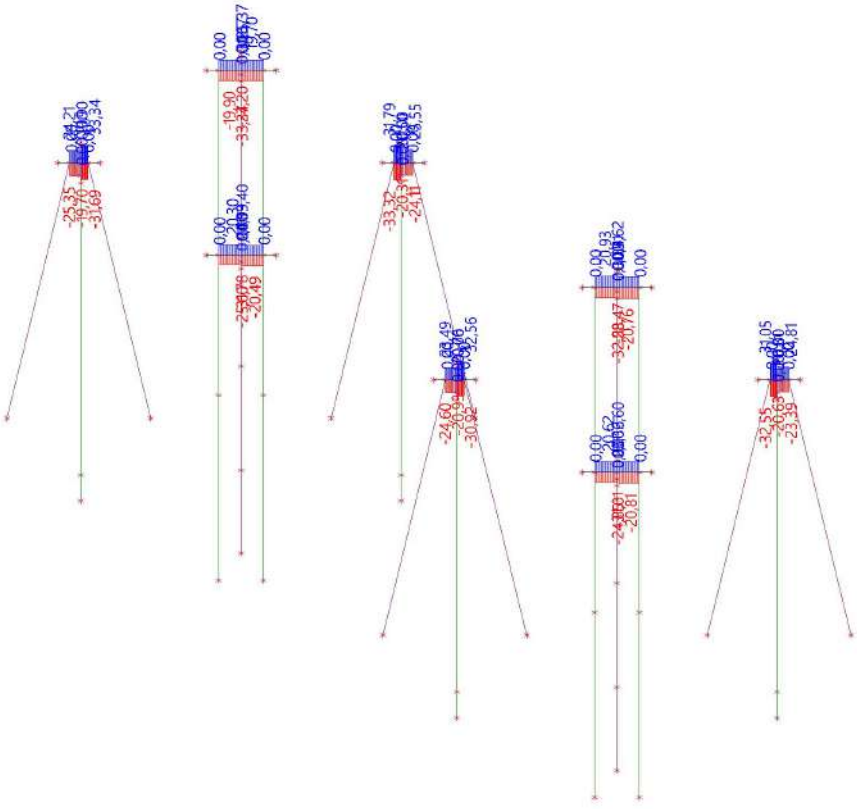
Values: V_z
Nonlinear calculation
Class: All non-linear
Coordinate system: Principal
Extreme 1D: Local
Selection: All
Filter: Layer = Balken





10.4. Interne 1D- krachten; M_x

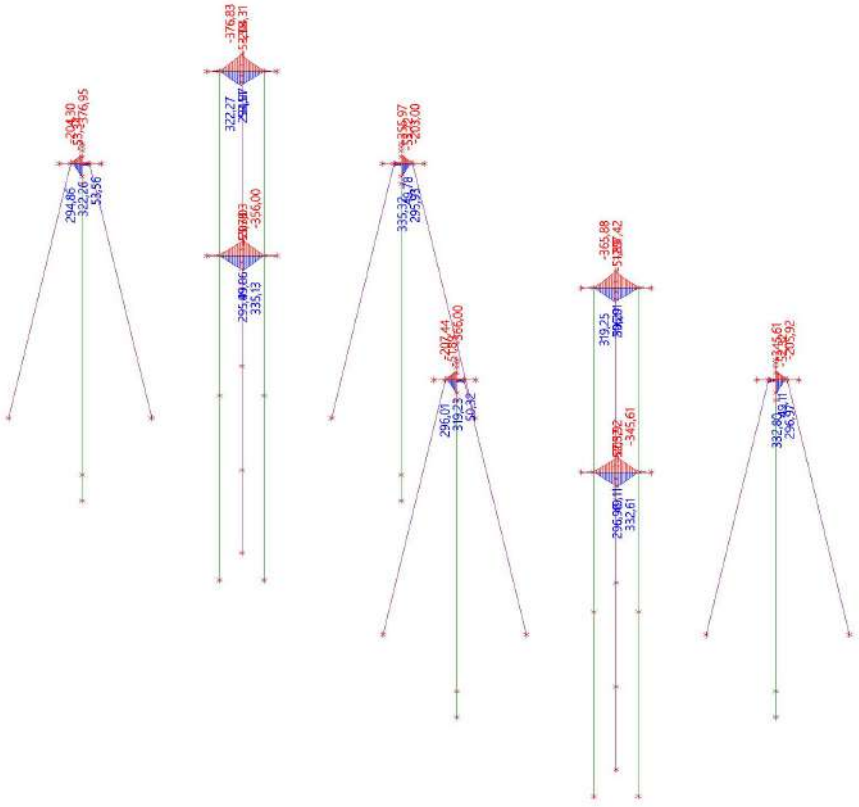
Values: M_x
Nonlinear calculation
Class: All non-linear
Coordinate system: Principal
Extreme 1D: Local
Selection: All
Filter: Layer = Balken





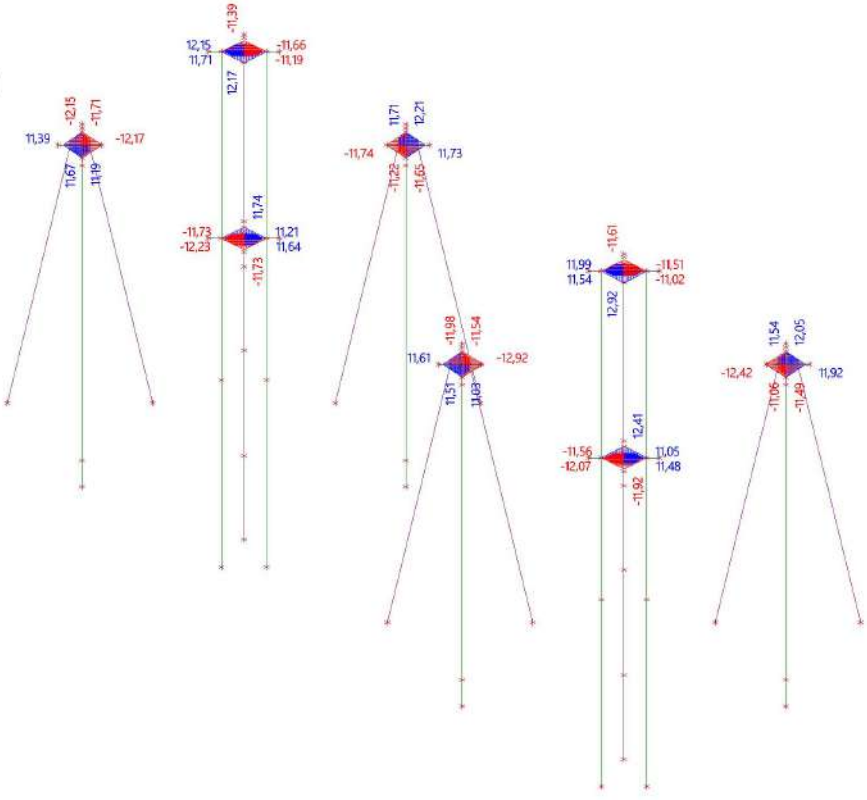
10.5. Interne 1D- krachten; M_y

Values: M_y
Nonlinear calculation
Class: All non-linear
Coordinate system: Principal
Extreme 1D: Member
Selection: All
Filter: Layer = Balken



10.6. Interne 1D- krachten; M_z

Values: M_z
Nonlinear calculation
Class: All non-linear
Coordinate system: Principal
Extreme 1D: Member
Selection: All
Filter: Layer = Balken



10.7. Interne 1D-krachten

Niet-lineaire berekening
Klasse: All non-linear
Coördinatenstelsel: Hoofd
Extreme 1D: Globaal
Selectie: Alle
Filter: Laag = Balken

Naam	dx [m]	Belasting	N [kN]	V_y [kN]	V_z [kN]	M_x [kNm]	M_y [kNm]	M_z [kNm]
Poer_XY_3	0,560+	low max Wnd ;135° + EG_Gunstig	**-179,28**	-5,11	705,17	-8,47	-80,93	-1,80
Poer_P_3	0,560+	high max Wnd ;135° + EG_Ongunstig	**77,71**	5,10	-358,20	5,30	-10,15	1,16
Poer_XY_2	0,000	low max Wnd ;225° + EG_Gunstig	-19,92	**-14,01**	-25,50	-33,32	-12,44	11,71
Poer_X_2	0,560+	low max Wnd ;45° + EG_Gunstig	-178,45	5,70	**705,34**	9,82	-83,11	2,08
Poer_X_1	0,000	low max Wnd ;135° + EG_Gunstig	-2,45	-14,00	-2,59	**-33,37**	7,84	11,71
Poer_Y_2	0,000	low max Wnd ;135° + EG_Gunstig	-19,91	**14,03**	-25,51	**33,40**	-12,46	-11,73
Opstort9:Opstort-1700:848176	1,650-	low max Wnd ;135° + EG_Gunstig	2,70	-11,59	**-386,27**	-19,69	**-376,95**	-12,17
Opstort9:Opstort-1700:848169	1,650-	high max Wnd ;135° + EG_Ongunstig	-2,67	11,17	292,06	20,50	**335,32**	11,73
Opstort9:Opstort-1700:848180	1,650-	low max Wnd ;135° + EG_Gunstig	2,76	-12,30	-375,84	-20,93	-366,00	**-12,92**
Opstort9:Opstort-1700:848178	1,650-	low max Wnd ;225° + EG_Gunstig	2,76	12,30	-375,72	20,93	-365,88	**12,92**

1. Table of contents

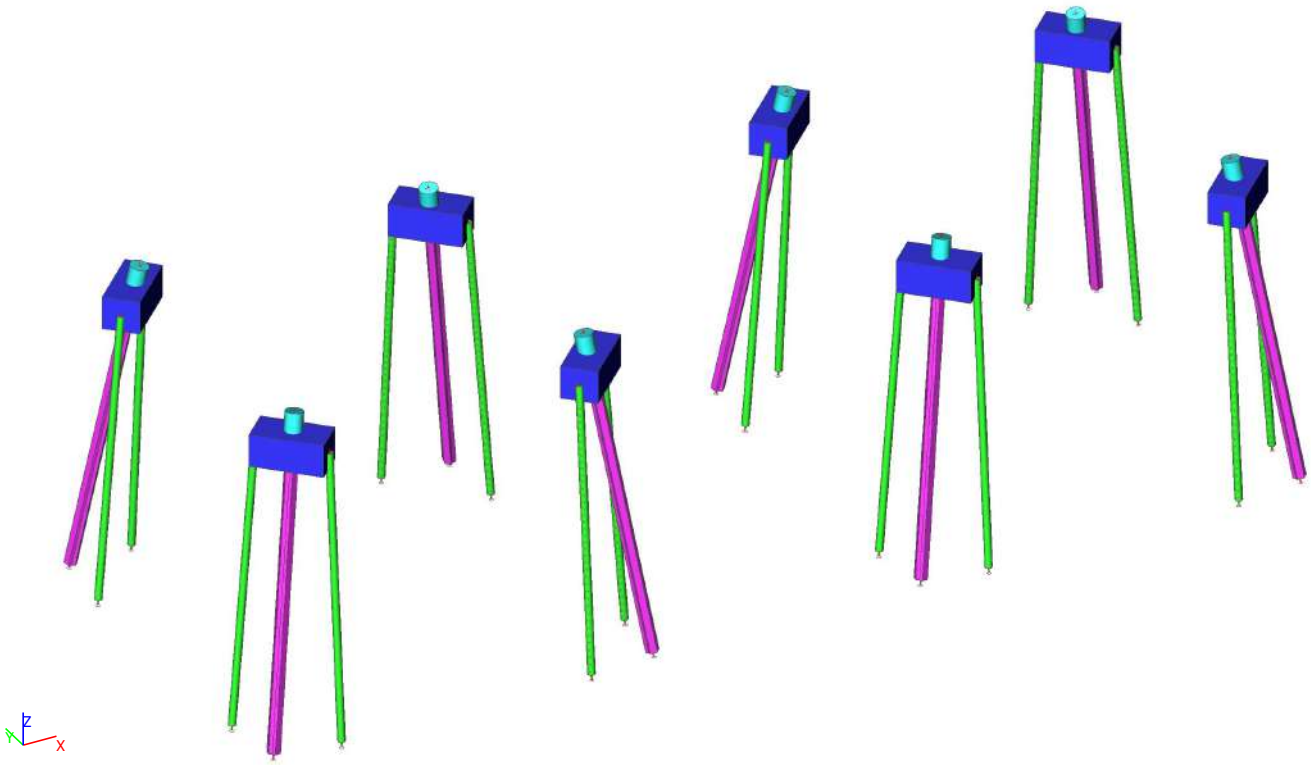
1. Table of contents 1
2. Project 3
3. Analyse model 3
4. Modeleigenschappen 4
4.1. Materials 4
4.2. Cross-sections 4
4.3. Analyse model met doorsneden 7
4.4. Analyse model met doorsneden 7
4.5. Mesh setup 8
5. Geometrie 8
5.1. Nodes 8
5.2. Analyse model met knopen 9
5.3. Members 9
5.4. Analyse model met Staven 10
5.5. Nodal supports 10
5.6. Analyse model met Knoopondersteuningen 11
5.7. Line supports on member 11
5.8. Analyse model met Lijnondersteuningen 16
5.9. Analyse model met Lijnondersteuningen 17
5.10. Nonlinear functions 17
6. Belastingen 27
6.1. Load cases 27
6.1.1. Load cases - EG_Fundering 27
6.1.2. Load cases - high max Wnd ;45° 27
6.1.2.1. Point force in node 28
6.1.3. Load cases - high max Wnd ;315° 29
6.1.3.1. Point force in node 30
6.1.4. Load cases - high max Wnd ;135° 30
6.1.4.1. Point force in node 31
6.1.5. Load cases - high max Wnd ;225° 32
6.1.5.1. Point force in node 33
6.1.6. Load cases - low max Wnd ;45° 33
6.1.6.1. Point force in node 34
6.1.7. Load cases - low max Wnd ;225° 35
6.1.7.1. Point force in node 36
6.1.8. Load cases - low max Wnd ;135° 36
6.1.8.1. Point force in node 37
6.1.9. Load cases - low max Wnd ;315° 38
6.1.9.1. Point force in node 39
6.2. Nonlinear combinations 39
6.3. Result classes 40
7. Resultaten 41
7.1. Reacties van de palen 41
7.1.1. Reactions; R_z 41
7.1.2. Reactions 41
7.1.3. Reactions 41
7.1.4. Reactions 42
8. Krachten van de Funderingspalen 45
8.1. Interne 1D- krachten; N 45
8.2. Interne 1D- krachten; V_y 45
8.3. Interne 1D- krachten; V_z 46
8.4. Interne 1D- krachten; M_x 46
8.5. Interne 1D- krachten; M_y 47
8.6. Interne 1D- krachten; M_z 47
8.7. 1D internal forces 48
8.8. 1D internal forces 48
9. Krachten van de Poeren 49
9.1. 1D internal forces 49
10. Krachten van de Funderingsbalken 50
10.1. Interne 1D- krachten; N 50
10.2. Interne 1D- krachten; V_y 50
10.3. Interne 1D- krachten; V_z 51
10.4. Interne 1D- krachten; M_x 51
10.5. Interne 1D- krachten; M_y 52
10.6. Interne 1D- krachten; M_z 52

10.7. 1D internal forces 53

2. Project

Licence user	[redacted]
Project	Opwaardering KIJ-BVW 380kV
Part	Cilinder 75 + palen S+9
Author	[redacted]
Date	12-05-2026
Structure	General XYZ
No. of nodes :	56
No. of beams :	40
No. of slabs :	0
No. of solids :	0
No. of used profiles :	4
No. of load cases :	9
No. of used materials :	8
Acceleration of gravity [m/s^2]	9,807
National code	EC - EN

3. Analyse model



4. Modeleigenschappen

4.1. Materials

Steel EC3

Name	ρ [kg/m³]	E_{mod} [MPa]	μ [-]	Lower limit [mm]	Upper limit [mm]	F_y [MPa]	F_u [MPa]	Colour
		G_{mod} [MPa]	α [m/mK]					
S 235	6850,00	2,1000e+05	0,30	0,00	40,00	235,0	360,0	
		8,0769e+04	0,01e-003	40,00	80,00	215,0	360,0	
S 235	6850,00	2,1000e+05	0,30	0,00	40,00	235,0	360,0	
		8,0769e+04	0,01e-003	40,00	80,00	215,0	360,0	
S 235	6850,00	2,1000e+05	0,30	0,00	40,00	235,0	360,0	
		8,0769e+04	0,01e-003	40,00	80,00	215,0	360,0	

Name	Type	ρ [kg/m³]	Density in fresh state [kg/m³]	E_{mod} [MPa]	μ [-]	α [m/mK]	$f_{c.k.28}$ [MPa]	Colour
C12/15 Gescheurd	Concrete	2500,00	2600,00	9,0000e+03	0,23	0,01e-003	12,00	
C30/37 Gescheurd	Concrete	2500,00	2600,00	1,1000e+04	0,20	0,01e-003	30,00	
C30/37	Concrete	1500,00	2600,00	1,0900e+04	0,20	0,01e-003	30,00	
C12/15 Gescheurd	Concrete	1500,00	2600,00	7,0000e+03	0,20	0,01e-003	12,00	

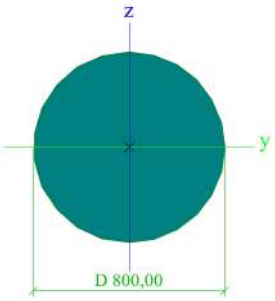
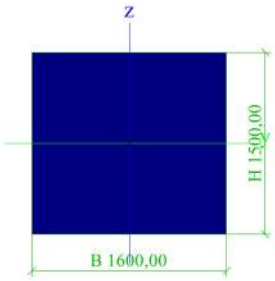
Explanations of symbols	
Density in fresh state	The value in the density in fresh state property is used only in case a composite deck is input and its self-weight load is taken into account.

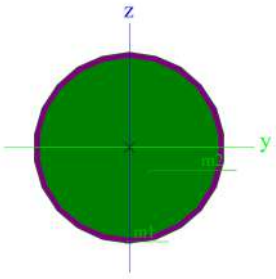
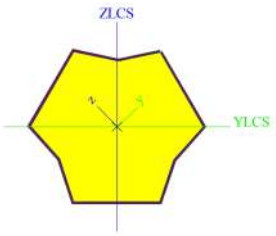
Reinforcement EC2

Name	Type	ρ [kg/m³]	E_{mod} [MPa]	G_{mod} [MPa]	α [m/mK]	$f_{y.k}$ [MPa]
B 400A	Reinforcement steel	7850,00	2,0000e+05	8,3333e+04	0,01e-003	400,0

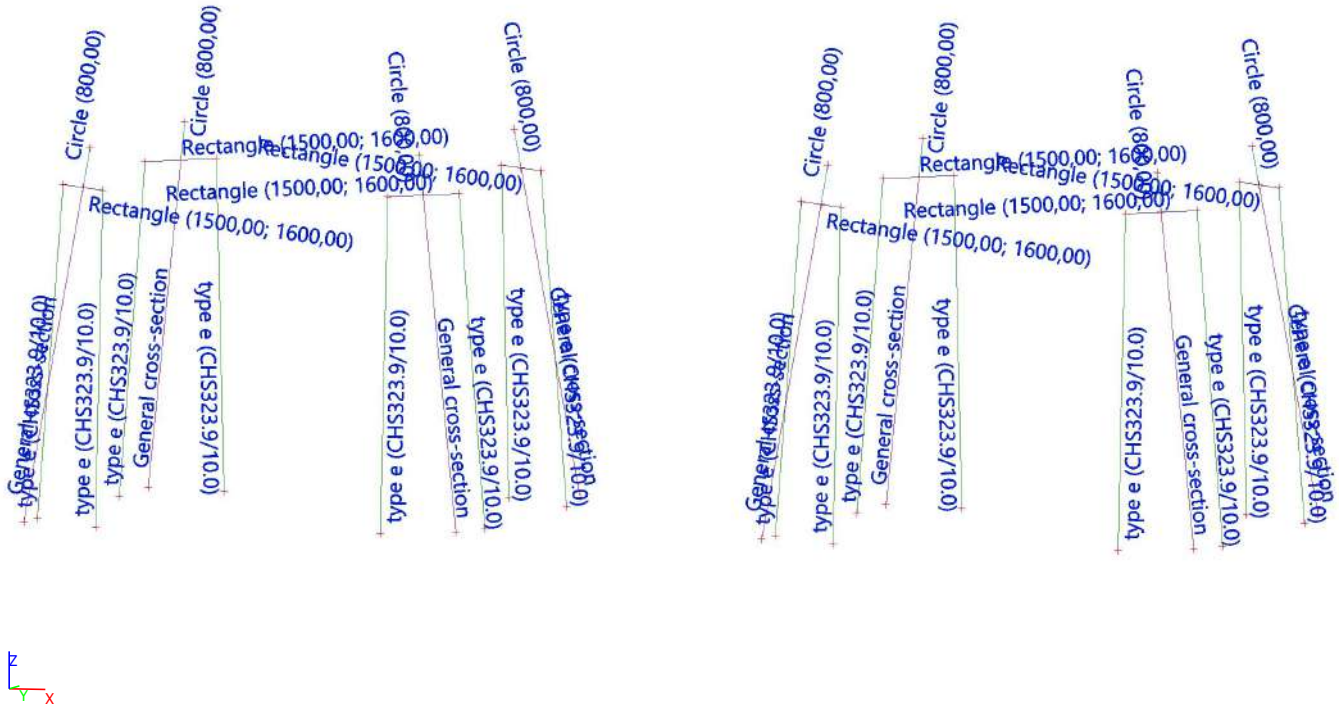
4.2. Cross-sections

Poer800		
Type	Circle	
Detailed	800,00	
Shape type	Thick-walled	
Item material	C12/15 Gescheurd	
Fabrication	general	
Colour		
A [mm²]	5,0265e+05	
A_y [mm²], A_z [mm²]	4,5239e+05	4,5239e+05
A_L [m²/m], A_D [m²/m]	2,5131e+00	2,5131e+00
$c_{Y.UCS}$ [mm], $c_{Z.UCS}$ [mm]	400,00	400,00
α [deg]	0,00	
I_y [mm⁴], I_z [mm⁴]	2,0106e+10	2,0106e+10
i_y [mm], i_z [mm]	199,98	199,98
$W_{el.y}$ [mm³], $W_{el.z}$ [mm³]	5,0265e+07	5,0265e+07
$W_{pl.y}$ [mm³], $W_{pl.z}$ [mm³]	8,5333e+07	8,5333e+07
$M_{pl.y.+}$ [Nmm], $M_{pl.y.-}$ [Nmm]	0,00	0,00
$M_{pl.z.+}$ [Nmm], $M_{pl.z.-}$ [Nmm]	0,00	0,00
d_y [mm], d_z [mm]	0,00	0,00
I_t [mm⁴], I_w [mm⁶]	4,0212e+10	0,0000e+00
β_y [mm], β_z [mm]	0,00	0,00

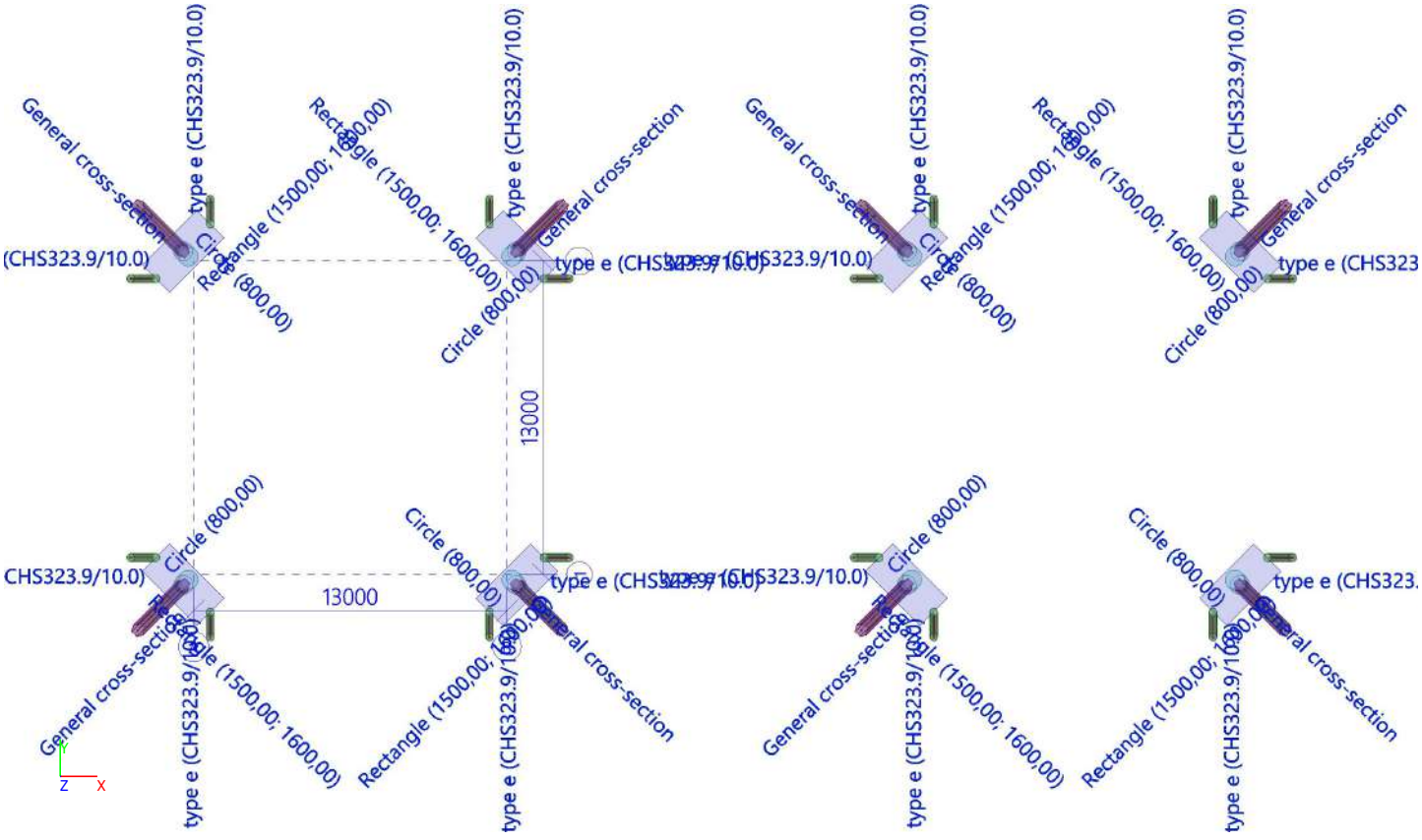
Picture		
lijnpoer		
Type	Rectangle	
Detailed	1500,00; 1600,00	
Shape type	Thick-walled	
Item material	C30/37 Gescheurd	
Fabrication	concrete	
Colour		
A [mm²]	2,4000e+06	
A_y [mm²], A_z [mm²]	2,0007e+06	2,0008e+06
A_L [m²/m], A_D [m²/m]	6,2000e+00	6,2000e+00
$c_{Y.UCS}$ [mm], $c_{Z.UCS}$ [mm]	800,00	750,00
α [deg]	0,00	
I_y [mm⁴], I_z [mm⁴]	4,5000e+11	5,1200e+11
i_y [mm], i_z [mm]	433,01	461,88
$W_{el.y}$ [mm³], $W_{el.z}$ [mm³]	6,0000e+08	6,4000e+08
$W_{pl.y}$ [mm³], $W_{pl.z}$ [mm³]	0,0000e+00	0,0000e+00
$M_{pl.y.+}$ [Nmm], $M_{pl.y.-}$ [Nmm]	0,00	0,00
$M_{pl.z.+}$ [Nmm], $M_{pl.z.-}$ [Nmm]	0,00	0,00
d_y [mm], d_z [mm]	0,00	0,00
I_t [mm⁴], I_w [mm⁶]	8,0849e+11	2,2447e+15
β_y [mm], β_z [mm]	0,00	0,00
Picture		
LEKA Paal		
Type	type e	
Detailed	CHS323.9/10.0	
Shape type	Thick-walled	
Item material	S 235	
	C30/37	
Fabrication	concrete	
Flexural buckling y-y, Flexural buckling z-z	a	a
A [mm²]	1,3624e+04	
A_y [mm²], A_z [mm²]	9,1187e+03	9,1187e+03
A_L [m²/m], A_D [m²/m]	1,0175e+00	1,0175e+00
$c_{Y.UCS}$ [mm], $c_{Z.UCS}$ [mm]	161,95	161,95
α [deg]	0,00	
I_y [mm⁴], I_z [mm⁴]	1,4326e+08	1,4326e+08
i_y [mm], i_z [mm]	102,54	102,54
$W_{el.y}$ [mm³], $W_{el.z}$ [mm³]	8,8458e+05	8,8458e+05
$W_{pl.y}$ [mm³], $W_{pl.z}$ [mm³]	1,1479e+06	1,1479e+06
$M_{pl.y.+}$ [Nmm], $M_{pl.y.-}$ [Nmm]	269749430,18	269749430,18

$M_{pl.z.+}$ [Nmm], $M_{pl.z.-}$ [Nmm]	269749430,18	269749430,18
d_y [mm], d_z [mm]	0,00	0,00
I_t [mm⁴], I_w [mm⁶]	2,9003e+08	2,9935e+04
β_y [mm], β_z [mm]	0,00	0,00
Picture		
LD1(31-plank)		
Type	General cross-section	
Shape type	Thick-walled	
Item material	C12/15 Gescheurd	
	S 235	
Fabrication	concrete	
Flexural buckling y-y, Flexural buckling z-z	d	d
A [mm²]	6,0572e+05	
A_y [mm²], A_z [mm²]	3,6248e+05	3,6314e+05
A_L [m²/m], A_D [m²/m]	1,7651e+00	3,4664e+00
$c_{Y.UCS}$ [mm], $c_{Z.UCS}$ [mm]	553,25	9,99
$I_{Y.LCS}$ [mm⁴], $I_{Z.LCS}$ [mm⁴]	1,6274e+10	1,6264e+10
$I_{YZ.LCS}$ [mm⁴]	-1,0231e+08	
α [deg]	43,55	
I_y [mm⁴], I_z [mm⁴]	1,6372e+10	1,6167e+10
i_y [mm], i_z [mm]	164,40	163,37
$W_{el.y}$ [mm³], $W_{el.z}$ [mm³]	5,7898e+07	5,8163e+07
$W_{pl.y}$ [mm³], $W_{pl.z}$ [mm³]	4,9594e+07	4,9245e+07
$M_{pl.y.+}$ [Nmm], $M_{pl.y.-}$ [Nmm]	601215312,58	595125922,92
$M_{pl.z.+}$ [Nmm], $M_{pl.z.-}$ [Nmm]	597037111,16	590937542,96
d_y [mm], d_z [mm]	0,12	0,03
I_t [mm⁴], I_w [mm⁶]	2,6243e+10	1,7700e+12
β_y [mm], β_z [mm]	0,09	0,21
Picture		

4.3. Analyse model met doorsneden



4.4. Analyse model met doorsneden



4.5. Mesh setup

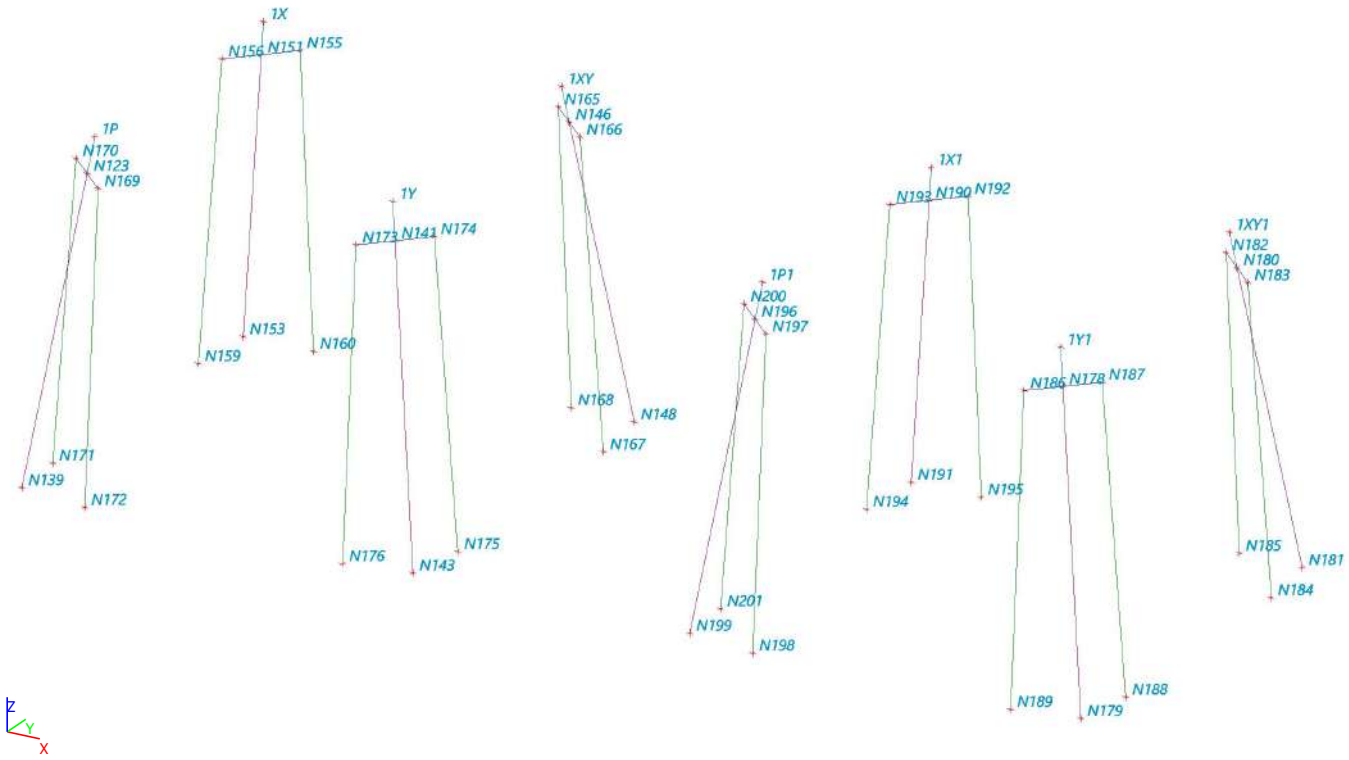
Name	MeshSetup1
Generation of variable eccentricities on members instead of constant ones	×
Generation of nodes in connections of beam elements	×
Elastic mesh	✓
Use automatic mesh refinement	×
Connect members/nodes	✓
Division on haunches and arbitrary members	5
Division for integration strip and 2D-1D upgrade	50
Average number of 1D mesh elements on straight 1D members	1
Average size of 2D mesh element [m]	0,200
Average size of 1D mesh element on curved 1D members [m]	0,100
Minimal length of beam element [m]	0,100
Maximal length of beam element [m]	1000,000
Average size of tendons, elements on subsoil, nonlinear soil spring [m]	1,000
Maximal out of plane angle of a quadrilateral [mrad]	30,0
Minimal distance between definition point and line [m]	0,001
Average size of panel element [m]	1,000
Mesh refinement following the beam type	None
Definition of mesh element size for panels	Manual

5. Geometrie

5.1. Nodes

Name	Coord X [m]	Coord Y [m]	Coord Z [m]
N123	-0,427	-0,433	-0,250
1P	-0,209	-0,212	1,279
N139	-2,297	-2,305	-13,245
N141	13,399	-0,433	-0,250
1Y	13,181	-0,212	1,279
N143	15,269	-2,305	-13,245
N146	13,399	13,405	-0,250
1XY	13,181	13,184	1,279
N148	15,269	15,277	-13,245
N151	-0,427	13,405	-0,250
1X	-0,209	13,184	1,279
N153	-2,297	15,277	-13,245
N155	0,693	14,525	-0,250
N156	-1,560	12,272	-0,250
N159	-2,609	12,272	-13,360
N160	0,693	15,574	-13,360
N165	12,279	14,525	-0,250
N166	14,532	12,272	-0,250
N167	15,581	12,272	-13,360
N168	12,279	15,574	-13,360
N169	0,693	-1,553	-0,250
N170	-1,560	0,700	-0,250
N171	-2,609	0,700	-13,360
N172	0,693	-2,602	-13,360
N173	12,279	-1,553	-0,250
N174	14,532	0,700	-0,250
N175	15,581	0,700	-13,360
N176	12,279	-2,602	-13,360
N178	43,399	-0,433	-0,250
1Y1	43,181	-0,212	1,279
N179	45,269	-2,305	-13,245
N180	43,399	13,405	-0,250
1XY1	43,181	13,184	1,279
N181	45,269	15,277	-13,245
N182	42,279	14,525	-0,250
N183	44,532	12,272	-0,250
N184	45,581	12,272	-13,360
N185	42,279	15,574	-13,360
N186	42,279	-1,553	-0,250
N187	44,532	0,700	-0,250
N188	45,581	0,700	-13,360
N189	42,279	-2,602	-13,360
N190	29,573	13,405	-0,250
1X1	29,791	13,184	1,279
N191	27,703	15,277	-13,245
N192	30,693	14,525	-0,250
N193	28,440	12,272	-0,250
N194	27,391	12,272	-13,360
N195	30,693	15,574	-13,360
N196	29,573	-0,433	-0,250
1P1	29,791	-0,212	1,279
N197	30,693	-1,553	-0,250
N198	30,693	-2,602	-13,360
N199	27,703	-2,305	-13,245
N200	28,440	0,700	-0,250
N201	27,391	0,700	-13,360

5.2. Analyse model met knopen

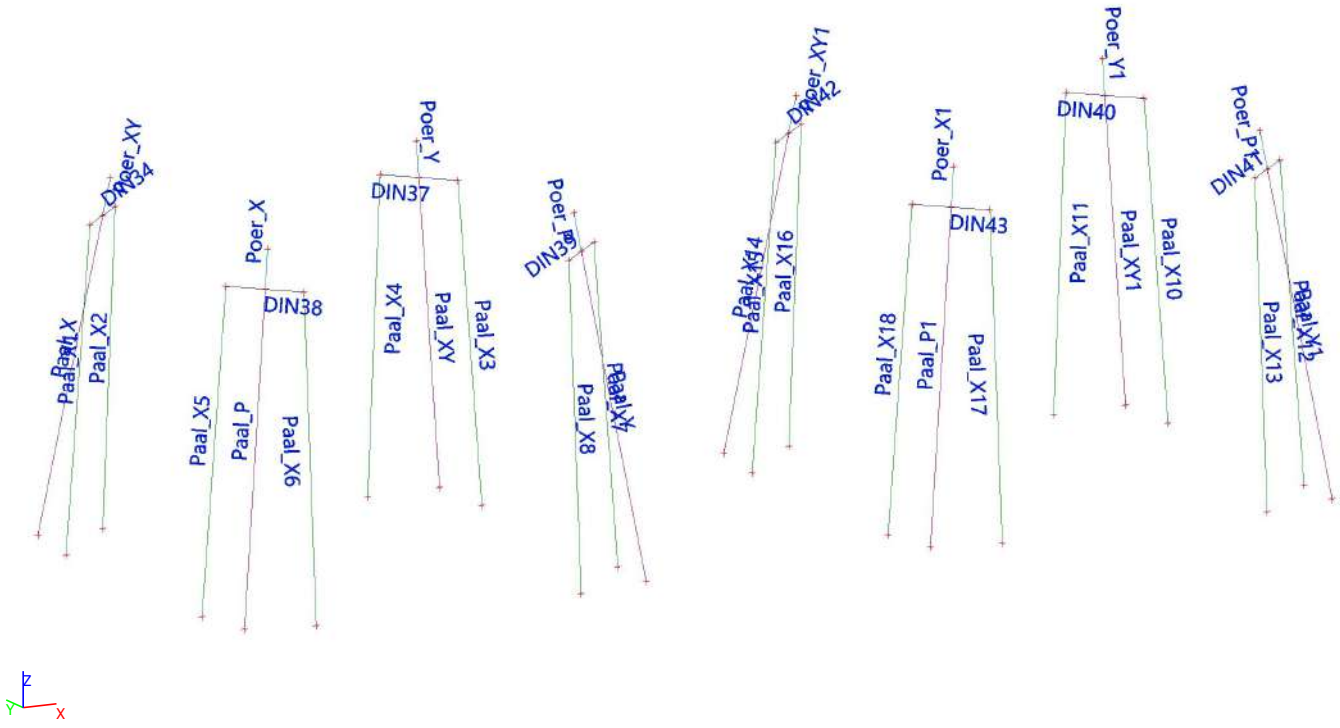


5.3. Members

Name	Cross-section	Material	Length [m]	Beg. node	End node	Type
DIN34	lijnpoer - Rectangle (1500,00; 1600,00)	C30/37 Gescheurd	3,186	N156	N155	beam (80)
DIN37	lijnpoer - Rectangle (1500,00; 1600,00)	C30/37 Gescheurd	3,186	N166	N165	beam (80)
DIN38	lijnpoer - Rectangle (1500,00; 1600,00)	C30/37 Gescheurd	3,186	N170	N169	beam (80)
DIN39	lijnpoer - Rectangle (1500,00; 1600,00)	C30/37 Gescheurd	3,186	N174	N173	beam (80)
DIN40	lijnpoer - Rectangle (1500,00; 1600,00)	C30/37 Gescheurd	3,186	N183	N182	beam (80)
DIN41	lijnpoer - Rectangle (1500,00; 1600,00)	C30/37 Gescheurd	3,186	N187	N186	beam (80)
DIN42	lijnpoer - Rectangle (1500,00; 1600,00)	C30/37 Gescheurd	3,186	N193	N192	beam (80)
DIN43	lijnpoer - Rectangle (1500,00; 1600,00)	C30/37 Gescheurd	3,186	N200	N197	beam (80)
Paal_P	LD1(31-plank) - General cross-section	C12/15 Gescheurd	13,261	N123	N139	column (100)
Paal_P1	LD1(31-plank) - General cross-section	C12/15 Gescheurd	13,261	N196	N199	column (100)
Paal_X	LD1(31-plank) - General cross-section	C12/15 Gescheurd	13,261	N151	N153	column (100)
Paal_X1	LEKA Paal - type e (CHS323.9/10.0)	S 235	13,152	N156	N159	column (100)
Paal_X2	LEKA Paal - type e (CHS323.9/10.0)	S 235	13,152	N155	N160	column (100)
Paal_X3	LEKA Paal - type e (CHS323.9/10.0)	S 235	13,152	N166	N167	column (100)
Paal_X4	LEKA Paal - type e (CHS323.9/10.0)	S 235	13,152	N165	N168	column (100)
Paal_X5	LEKA Paal - type e (CHS323.9/10.0)	S 235	13,152	N170	N171	column (100)
Paal_X6	LEKA Paal - type e (CHS323.9/10.0)	S 235	13,152	N169	N172	column (100)
Paal_X7	LEKA Paal - type e (CHS323.9/10.0)	S 235	13,152	N174	N175	column (100)
Paal_X8	LEKA Paal - type e (CHS323.9/10.0)	S 235	13,152	N173	N176	column (100)
Paal_X10	LEKA Paal - type e (CHS323.9/10.0)	S 235	13,152	N183	N184	column (100)
Paal_X11	LEKA Paal - type e (CHS323.9/10.0)	S 235	13,152	N182	N185	column (100)
Paal_X12	LEKA Paal - type e (CHS323.9/10.0)	S 235	13,152	N187	N188	column (100)
Paal_X13	LEKA Paal - type e (CHS323.9/10.0)	S 235	13,152	N186	N189	column (100)
Paal_X14	LD1(31-plank) - General cross-section	C12/15 Gescheurd	13,261	N190	N191	column (100)
Paal_X15	LEKA Paal - type e (CHS323.9/10.0)	S 235	13,152	N193	N194	column (100)
Paal_X16	LEKA Paal - type e (CHS323.9/10.0)	S 235	13,152	N192	N195	column (100)
Paal_X17	LEKA Paal - type e (CHS323.9/10.0)	S 235	13,152	N197	N198	column (100)
Paal_X18	LEKA Paal - type e (CHS323.9/10.0)	S 235	13,152	N200	N201	column (100)
Paal_XY	LD1(31-plank) - General cross-section	C12/15 Gescheurd	13,261	N146	N148	column (100)

Name	Cross-section	Material	Length [m]	Beg. node	End node	Type
Paal_XY1	LD1(31-plank) - General cross-section	C12/15 Gescheurd	13,261	N180	N181	column (100)
Paal_Y	LD1(31-plank) - General cross-section	C12/15 Gescheurd	13,261	N141	N143	column (100)
Paal_Y1	LD1(31-plank) - General cross-section	C12/15 Gescheurd	13,261	N178	N179	column (100)
Poer_P	Poer800 - Circle (800,00)	C12/15 Gescheurd	1,560	N141	1Y	column (100)
Poer_P1	Poer800 - Circle (800,00)	C12/15 Gescheurd	1,560	N178	1Y1	column (100)
Poer_X	Poer800 - Circle (800,00)	C12/15 Gescheurd	1,560	N123	1P	column (100)
Poer_X1	Poer800 - Circle (800,00)	C12/15 Gescheurd	1,560	N196	1P1	column (100)
Poer_XY	Poer800 - Circle (800,00)	C12/15 Gescheurd	1,560	N151	1X	column (100)
Poer_XY1	Poer800 - Circle (800,00)	C12/15 Gescheurd	1,560	N190	1X1	column (100)
Poer_Y	Poer800 - Circle (800,00)	C12/15 Gescheurd	1,560	N146	1XY	column (100)
Poer_Y1	Poer800 - Circle (800,00)	C12/15 Gescheurd	1,560	N180	1XY1	column (100)

5.4. Analyse model met Staven

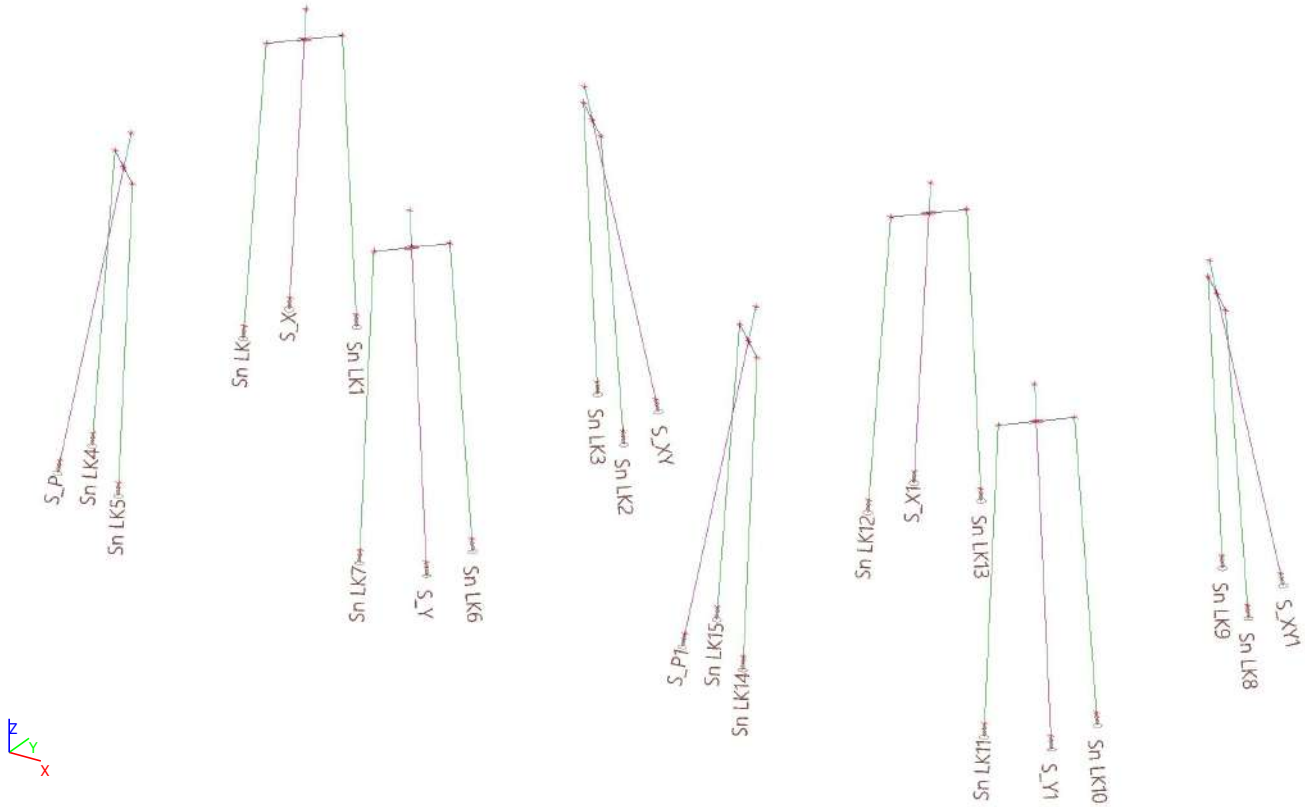


5.5. Nodal supports

Name	Node	System	Type	X	Y	Z	Rx	Ry	Rz	Angle [deg]
S_P	N139	GCS	Standard	Free	Free	Nonlinear	Free	Free	Free	Rx-8,11;Ry8,11
S_Y	N143	GCS	Standard	Free	Free	Nonlinear	Free	Free	Free	Rx-8,11;Ry-8,11
S_XY	N148	GCS	Standard	Free	Free	Nonlinear	Free	Free	Free	Rx8,11;Ry-8,11
S_X	N153	GCS	Standard	Free	Free	Nonlinear	Free	Free	Free	Rx8,11;Ry8,11
Sn LK	N159	GCS	Standard	Free	Free	Nonlinear	Free	Free	Free	Ry4,58
Sn LK1	N160	GCS	Standard	Free	Free	Nonlinear	Free	Free	Free	Rx4,58
Sn LK2	N167	GCS	Standard	Free	Free	Nonlinear	Free	Free	Free	Ry-4,58
Sn LK3	N168	GCS	Standard	Free	Free	Nonlinear	Free	Free	Free	Rx4,58
Sn LK4	N171	GCS	Standard	Free	Free	Nonlinear	Free	Free	Free	Ry4,58
Sn LK5	N172	GCS	Standard	Free	Free	Nonlinear	Free	Free	Free	Rx-4,58
Sn LK6	N175	GCS	Standard	Free	Free	Nonlinear	Free	Free	Free	Ry-4,58
Sn LK7	N176	GCS	Standard	Free	Free	Nonlinear	Free	Free	Free	Rx-4,58
S_Y1	N179	GCS	Standard	Free	Free	Nonlinear	Free	Free	Free	Rx-8,11;Ry-8,11
S_XY1	N181	GCS	Standard	Free	Free	Nonlinear	Free	Free	Free	Rx8,11;Ry-8,11
Sn LK8	N184	GCS	Standard	Free	Free	Nonlinear	Free	Free	Free	Ry-4,58
Sn LK9	N185	GCS	Standard	Free	Free	Nonlinear	Free	Free	Free	Rx4,58

Name	Node	System	Type	X	Y	Z	Rx	Ry	Rz	Angle [deg]
Sn LK10	N188	GCS	Standard	Free	Free	Nonlinear	Free	Free	Free	Ry-4,58
Sn LK11	N189	GCS	Standard	Free	Free	Nonlinear	Free	Free	Free	Rx-4,58
S_X1	N191	GCS	Standard	Free	Free	Nonlinear	Free	Free	Free	Rx8,11;Ry8,11
Sn LK12	N194	GCS	Standard	Free	Free	Nonlinear	Free	Free	Free	Ry4,58
Sn LK13	N195	GCS	Standard	Free	Free	Nonlinear	Free	Free	Free	Rx4,58
Sn LK14	N198	GCS	Standard	Free	Free	Nonlinear	Free	Free	Free	Rx-4,58
S_P1	N199	GCS	Standard	Free	Free	Nonlinear	Free	Free	Free	Rx-8,11;Ry8,11
Sn LK15	N201	GCS	Standard	Free	Free	Nonlinear	Free	Free	Free	Ry4,58

5.6. Analyse model met Knoopondersteuningen



5.7. Line supports on member

Name	Type	Member System	Pos x_1 [m] Pos x_2 [m]	Coor Orig	X	Y	Z	Rx	Ry	Rz
Slb_P_Veen	Line	Paal_P	1,000	Abso	Free	Nonlinear	Nonlinear	Free	Free	Free
		LCS	8,000	From start						
Slb_Y_Veen	Line	Paal_Y	1,000	Abso	Free	Nonlinear	Nonlinear	Free	Free	Free
		LCS	8,000	From start						
Slb_XY_Veen	Line	Paal_XY	1,000	Abso	Free	Nonlinear	Nonlinear	Free	Free	Free
		LCS	8,000	From start						
Slb_X_Veen	Line	Paal_X	1,000	Abso	Free	Nonlinear	Nonlinear	Free	Free	Free
		LCS	8,000	From start						
Slb_P_V9	Line	Paal_P	8,000	Abso	Free	Nonlinear	Nonlinear	Free	Free	Free
		LCS	9,000	From start						
Slb_Y_V9	Line	Paal_Y	8,000	Abso	Free	Nonlinear	Nonlinear	Free	Free	Free
		LCS	9,000	From start						
Slb_XY_V9	Line	Paal_XY	8,000	Abso	Free	Nonlinear	Nonlinear	Free	Free	Free
		LCS	9,000	From start						
Slb_X_V9	Line	Paal_X	8,000	Abso	Free	Nonlinear	Nonlinear	Free	Free	Free
		LCS	9,000	From start						
Slb_P_V10	Line	Paal_P	9,000	Abso	Free	Nonlinear	Nonlinear	Free	Free	Free

Name	Type	Member System	Pos x_1 [m] Pos x_2 [m]	Coor Orig	X	Y	Z	Rx	Ry	Rz
		LCS	10,000	From start						
Slb_P_V11	Line	Paal_P	10,000	Abso	Free	Nonlinear	Nonlinear	Free	Free	Free
		LCS	11,000	From start						
Slb_P_V12	Line	Paal_P	11,000	Abso	Free	Nonlinear	Nonlinear	Free	Free	Free
		LCS	12,000	From start						
Slb_P_V13	Line	Paal_P	12,000	Abso	Free	Nonlinear	Nonlinear	Free	Free	Free
		LCS	12,850	From start						
Slb_Y_V10	Line	Paal_Y	9,000	Abso	Free	Nonlinear	Nonlinear	Free	Free	Free
		LCS	10,000	From start						
Slb_Y_V11	Line	Paal_Y	10,000	Abso	Free	Nonlinear	Nonlinear	Free	Free	Free
		LCS	11,000	From start						
Slb_Y_V12	Line	Paal_Y	11,000	Abso	Free	Nonlinear	Nonlinear	Free	Free	Free
		LCS	12,000	From start						
Slb_Y_V13	Line	Paal_Y	12,000	Abso	Free	Nonlinear	Nonlinear	Free	Free	Free
		LCS	12,850	From start						
Slb_XY_V10	Line	Paal_XY	9,000	Abso	Free	Nonlinear	Nonlinear	Free	Free	Free
		LCS	10,000	From start						
Slb_XY_V11	Line	Paal_XY	10,000	Abso	Free	Nonlinear	Nonlinear	Free	Free	Free
		LCS	11,000	From start						
Slb_XY_V12	Line	Paal_XY	11,000	Abso	Free	Nonlinear	Nonlinear	Free	Free	Free
		LCS	12,000	From start						
Slb_XY_V13	Line	Paal_XY	12,000	Abso	Free	Nonlinear	Nonlinear	Free	Free	Free
		LCS	12,850	From start						
Slb_X_V10	Line	Paal_X	9,000	Abso	Free	Nonlinear	Nonlinear	Free	Free	Free
		LCS	10,000	From start						
Slb_X_V11	Line	Paal_X	10,000	Abso	Free	Nonlinear	Nonlinear	Free	Free	Free
		LCS	11,000	From start						
Slb_X_V12	Line	Paal_X	11,000	Abso	Free	Nonlinear	Nonlinear	Free	Free	Free
		LCS	12,000	From start						
Slb_X_V13	Line	Paal_X	12,000	Abso	Free	Nonlinear	Nonlinear	Free	Free	Free
		LCS	12,850	From start						
Slb_X_Veen1	Line	Paal_X1	1,000	Abso	Free	Nonlinear	Nonlinear	Free	Free	Free
		LCS	8,000	From start						
Slb_X_V22	Line	Paal_X1	8,000	Abso	Free	Nonlinear	Nonlinear	Free	Free	Free
		LCS	9,000	From start						
Slb_X_V23	Line	Paal_X1	9,000	Abso	Free	Nonlinear	Nonlinear	Free	Free	Free
		LCS	10,000	From start						
Slb_X_V24	Line	Paal_X1	10,000	Abso	Free	Nonlinear	Nonlinear	Free	Free	Free
		LCS	11,000	From start						
Slb_X_V25	Line	Paal_X1	11,000	Abso	Free	Nonlinear	Nonlinear	Free	Free	Free
		LCS	12,000	From start						
Slb_X_V26	Line	Paal_X1	12,000	Abso	Free	Nonlinear	Nonlinear	Free	Free	Free
		LCS	13,000	From start						
Slb_X_Veen2	Line	Paal_X2	1,000	Abso	Free	Nonlinear	Nonlinear	Free	Free	Free
		LCS	8,000	From start						
Slb_X_V32	Line	Paal_X2	8,000	Abso	Free	Nonlinear	Nonlinear	Free	Free	Free
		LCS	9,000	From start						
Slb_X_V33	Line	Paal_X2	9,000	Abso	Free	Nonlinear	Nonlinear	Free	Free	Free
		LCS	10,000	From start						
Slb_X_V34	Line	Paal_X2	10,000	Abso	Free	Nonlinear	Nonlinear	Free	Free	Free
		LCS	11,000	From start						
Slb_X_V35	Line	Paal_X2	11,000	Abso	Free	Nonlinear	Nonlinear	Free	Free	Free
		LCS	12,000	From start						
Slb_X_V36	Line	Paal_X2	12,000	Abso	Free	Nonlinear	Nonlinear	Free	Free	Free
		LCS	13,000	From start						
Slb_X_Veen3	Line	Paal_X3	1,000	Abso	Free	Nonlinear	Nonlinear	Free	Free	Free
		LCS	8,000	From start						
Slb_X_V42	Line	Paal_X3	8,000	Abso	Free	Nonlinear	Nonlinear	Free	Free	Free
		LCS	9,000	From start						
Slb_X_V43	Line	Paal_X3	9,000	Abso	Free	Nonlinear	Nonlinear	Free	Free	Free
		LCS	10,000	From start						
Slb_X_V44	Line	Paal_X3	10,000	Abso	Free	Nonlinear	Nonlinear	Free	Free	Free
		LCS	11,000	From start						
Slb_X_V45	Line	Paal_X3	11,000	Abso	Free	Nonlinear	Nonlinear	Free	Free	Free

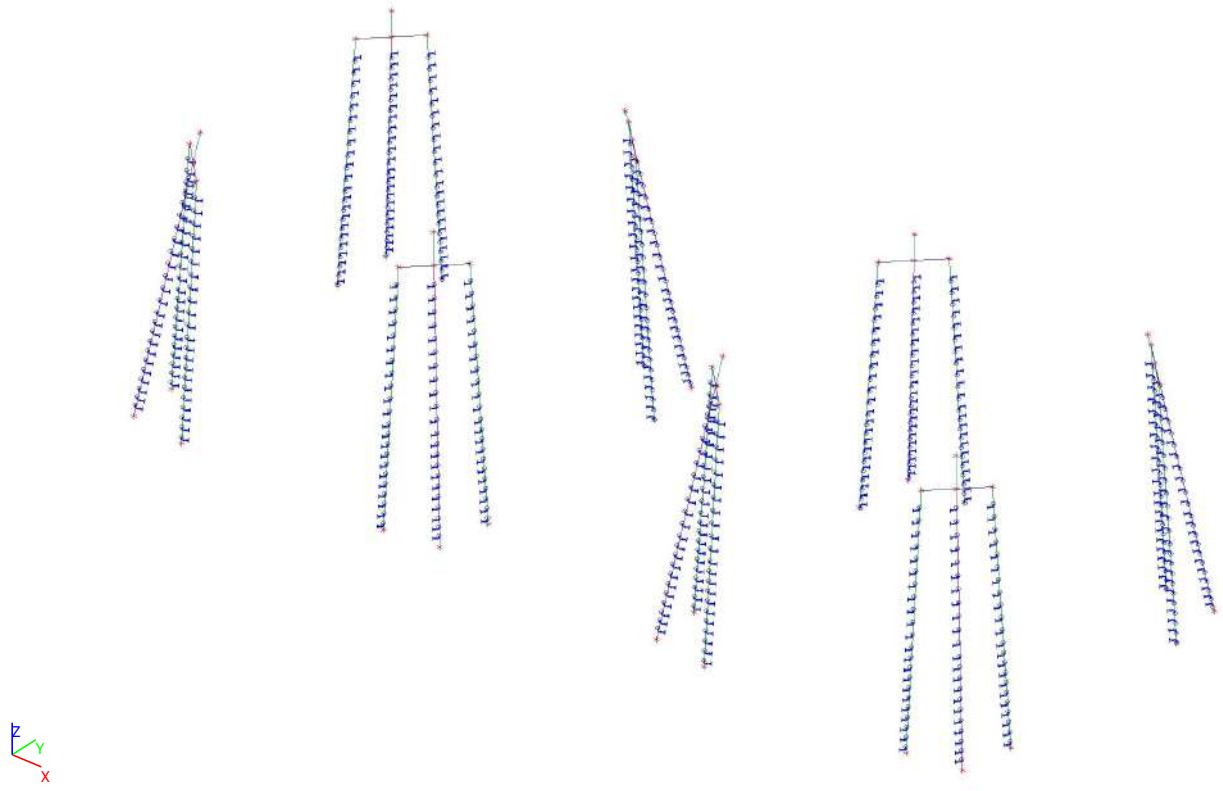
Name	Type	Member System	Pos x_1 [m] Pos x_2 [m]	Coor Orig	X	Y	Z	Rx	Ry	Rz
		LCS	12,000	From start						
Slb_X_V46	Line	Paal_X3	12,000	Abso	Free	Nonlinear	Nonlinear	Free	Free	Free
		LCS	13,000	From start						
Slb_X_Veen4	Line	Paal_X4	1,000	Abso	Free	Nonlinear	Nonlinear	Free	Free	Free
		LCS	8,000	From start						
Slb_X_V52	Line	Paal_X4	8,000	Abso	Free	Nonlinear	Nonlinear	Free	Free	Free
		LCS	9,000	From start						
Slb_X_V53	Line	Paal_X4	9,000	Abso	Free	Nonlinear	Nonlinear	Free	Free	Free
		LCS	10,000	From start						
Slb_X_V54	Line	Paal_X4	10,000	Abso	Free	Nonlinear	Nonlinear	Free	Free	Free
		LCS	11,000	From start						
Slb_X_V55	Line	Paal_X4	11,000	Abso	Free	Nonlinear	Nonlinear	Free	Free	Free
		LCS	12,000	From start						
Slb_X_V56	Line	Paal_X4	12,000	Abso	Free	Nonlinear	Nonlinear	Free	Free	Free
		LCS	13,000	From start						
Slb_X_Veen5	Line	Paal_X5	1,000	Abso	Free	Nonlinear	Nonlinear	Free	Free	Free
		LCS	8,000	From start						
Slb_X_V62	Line	Paal_X5	8,000	Abso	Free	Nonlinear	Nonlinear	Free	Free	Free
		LCS	9,000	From start						
Slb_X_V63	Line	Paal_X5	9,000	Abso	Free	Nonlinear	Nonlinear	Free	Free	Free
		LCS	10,000	From start						
Slb_X_V64	Line	Paal_X5	10,000	Abso	Free	Nonlinear	Nonlinear	Free	Free	Free
		LCS	11,000	From start						
Slb_X_V65	Line	Paal_X5	11,000	Abso	Free	Nonlinear	Nonlinear	Free	Free	Free
		LCS	12,000	From start						
Slb_X_V66	Line	Paal_X5	12,000	Abso	Free	Nonlinear	Nonlinear	Free	Free	Free
		LCS	13,000	From start						
Slb_X_Veen6	Line	Paal_X6	1,000	Abso	Free	Nonlinear	Nonlinear	Free	Free	Free
		LCS	8,000	From start						
Slb_X_V72	Line	Paal_X6	8,000	Abso	Free	Nonlinear	Nonlinear	Free	Free	Free
		LCS	9,000	From start						
Slb_X_V73	Line	Paal_X6	9,000	Abso	Free	Nonlinear	Nonlinear	Free	Free	Free
		LCS	10,000	From start						
Slb_X_V74	Line	Paal_X6	10,000	Abso	Free	Nonlinear	Nonlinear	Free	Free	Free
		LCS	11,000	From start						
Slb_X_V75	Line	Paal_X6	11,000	Abso	Free	Nonlinear	Nonlinear	Free	Free	Free
		LCS	12,000	From start						
Slb_X_V76	Line	Paal_X6	12,000	Abso	Free	Nonlinear	Nonlinear	Free	Free	Free
		LCS	13,000	From start						
Slb_X_Veen7	Line	Paal_X7	1,000	Abso	Free	Nonlinear	Nonlinear	Free	Free	Free
		LCS	8,000	From start						
Slb_X_V82	Line	Paal_X7	8,000	Abso	Free	Nonlinear	Nonlinear	Free	Free	Free
		LCS	9,000	From start						
Slb_X_V83	Line	Paal_X7	9,000	Abso	Free	Nonlinear	Nonlinear	Free	Free	Free
		LCS	10,000	From start						
Slb_X_V84	Line	Paal_X7	10,000	Abso	Free	Nonlinear	Nonlinear	Free	Free	Free
		LCS	11,000	From start						
Slb_X_V85	Line	Paal_X7	11,000	Abso	Free	Nonlinear	Nonlinear	Free	Free	Free
		LCS	12,000	From start						
Slb_X_V86	Line	Paal_X7	12,000	Abso	Free	Nonlinear	Nonlinear	Free	Free	Free
		LCS	13,000	From start						
Slb_X_Veen8	Line	Paal_X8	1,000	Abso	Free	Nonlinear	Nonlinear	Free	Free	Free
		LCS	8,000	From start						
Slb_X_V92	Line	Paal_X8	8,000	Abso	Free	Nonlinear	Nonlinear	Free	Free	Free
		LCS	9,000	From start						
Slb_X_V93	Line	Paal_X8	9,000	Abso	Free	Nonlinear	Nonlinear	Free	Free	Free
		LCS	10,000	From start						
Slb_X_V94	Line	Paal_X8	10,000	Abso	Free	Nonlinear	Nonlinear	Free	Free	Free
		LCS	11,000	From start						
Slb_X_V95	Line	Paal_X8	11,000	Abso	Free	Nonlinear	Nonlinear	Free	Free	Free
		LCS	12,000	From start						
Slb_X_V96	Line	Paal_X8	12,000	Abso	Free	Nonlinear	Nonlinear	Free	Free	Free
		LCS	13,000	From start						
Slb_Y_Veen1	Line	Paal_Y1	1,000	Abso	Free	Nonlinear	Nonlinear	Free	Free	Free

Name	Type	Member System	Pos x_1 [m] Pos x_2 [m]	Coor Orig	X	Y	Z	Rx	Ry	Rz
		LCS	8,000	From start						
Slb_Y_V14	Line	Paal_Y1	8,000	Abso	Free	Nonlinear	Nonlinear	Free	Free	Free
		LCS	9,000	From start						
Slb_Y_V15	Line	Paal_Y1	9,000	Abso	Free	Nonlinear	Nonlinear	Free	Free	Free
		LCS	10,000	From start						
Slb_Y_V16	Line	Paal_Y1	10,000	Abso	Free	Nonlinear	Nonlinear	Free	Free	Free
		LCS	11,000	From start						
Slb_Y_V17	Line	Paal_Y1	11,000	Abso	Free	Nonlinear	Nonlinear	Free	Free	Free
		LCS	12,000	From start						
Slb_Y_V18	Line	Paal_Y1	12,000	Abso	Free	Nonlinear	Nonlinear	Free	Free	Free
		LCS	12,850	From start						
Slb_XY_Veen1	Line	Paal_XY1	1,000	Abso	Free	Nonlinear	Nonlinear	Free	Free	Free
		LCS	8,000	From start						
Slb_XY_V14	Line	Paal_XY1	8,000	Abso	Free	Nonlinear	Nonlinear	Free	Free	Free
		LCS	9,000	From start						
Slb_XY_V15	Line	Paal_XY1	9,000	Abso	Free	Nonlinear	Nonlinear	Free	Free	Free
		LCS	10,000	From start						
Slb_XY_V16	Line	Paal_XY1	10,000	Abso	Free	Nonlinear	Nonlinear	Free	Free	Free
		LCS	11,000	From start						
Slb_XY_V17	Line	Paal_XY1	11,000	Abso	Free	Nonlinear	Nonlinear	Free	Free	Free
		LCS	12,000	From start						
Slb_XY_V18	Line	Paal_XY1	12,000	Abso	Free	Nonlinear	Nonlinear	Free	Free	Free
		LCS	12,850	From start						
Slb_X_Veen10	Line	Paal_X10	1,000	Abso	Free	Nonlinear	Nonlinear	Free	Free	Free
		LCS	8,000	From start						
Slb_X_V112	Line	Paal_X10	8,000	Abso	Free	Nonlinear	Nonlinear	Free	Free	Free
		LCS	9,000	From start						
Slb_X_V113	Line	Paal_X10	9,000	Abso	Free	Nonlinear	Nonlinear	Free	Free	Free
		LCS	10,000	From start						
Slb_X_V114	Line	Paal_X10	10,000	Abso	Free	Nonlinear	Nonlinear	Free	Free	Free
		LCS	11,000	From start						
Slb_X_V115	Line	Paal_X10	11,000	Abso	Free	Nonlinear	Nonlinear	Free	Free	Free
		LCS	12,000	From start						
Slb_X_V116	Line	Paal_X10	12,000	Abso	Free	Nonlinear	Nonlinear	Free	Free	Free
		LCS	13,000	From start						
Slb_X_Veen11	Line	Paal_X11	1,000	Abso	Free	Nonlinear	Nonlinear	Free	Free	Free
		LCS	8,000	From start						
Slb_X_V120	Line	Paal_X11	8,000	Abso	Free	Nonlinear	Nonlinear	Free	Free	Free
		LCS	9,000	From start						
Slb_X_V121	Line	Paal_X11	9,000	Abso	Free	Nonlinear	Nonlinear	Free	Free	Free
		LCS	10,000	From start						
Slb_X_V122	Line	Paal_X11	10,000	Abso	Free	Nonlinear	Nonlinear	Free	Free	Free
		LCS	11,000	From start						
Slb_X_V123	Line	Paal_X11	11,000	Abso	Free	Nonlinear	Nonlinear	Free	Free	Free
		LCS	12,000	From start						
Slb_X_V124	Line	Paal_X11	12,000	Abso	Free	Nonlinear	Nonlinear	Free	Free	Free
		LCS	13,000	From start						
Slb_X_Veen12	Line	Paal_X12	1,000	Abso	Free	Nonlinear	Nonlinear	Free	Free	Free
		LCS	8,000	From start						
Slb_X_V128	Line	Paal_X12	8,000	Abso	Free	Nonlinear	Nonlinear	Free	Free	Free
		LCS	9,000	From start						
Slb_X_V129	Line	Paal_X12	9,000	Abso	Free	Nonlinear	Nonlinear	Free	Free	Free
		LCS	10,000	From start						
Slb_X_V130	Line	Paal_X12	10,000	Abso	Free	Nonlinear	Nonlinear	Free	Free	Free
		LCS	11,000	From start						
Slb_X_V131	Line	Paal_X12	11,000	Abso	Free	Nonlinear	Nonlinear	Free	Free	Free
		LCS	12,000	From start						
Slb_X_V132	Line	Paal_X12	12,000	Abso	Free	Nonlinear	Nonlinear	Free	Free	Free
		LCS	13,000	From start						
Slb_X_Veen13	Line	Paal_X13	1,000	Abso	Free	Nonlinear	Nonlinear	Free	Free	Free
		LCS	8,000	From start						
Slb_X_V136	Line	Paal_X13	8,000	Abso	Free	Nonlinear	Nonlinear	Free	Free	Free
		LCS	9,000	From start						
Slb_X_V137	Line	Paal_X13	9,000	Abso	Free	Nonlinear	Nonlinear	Free	Free	Free

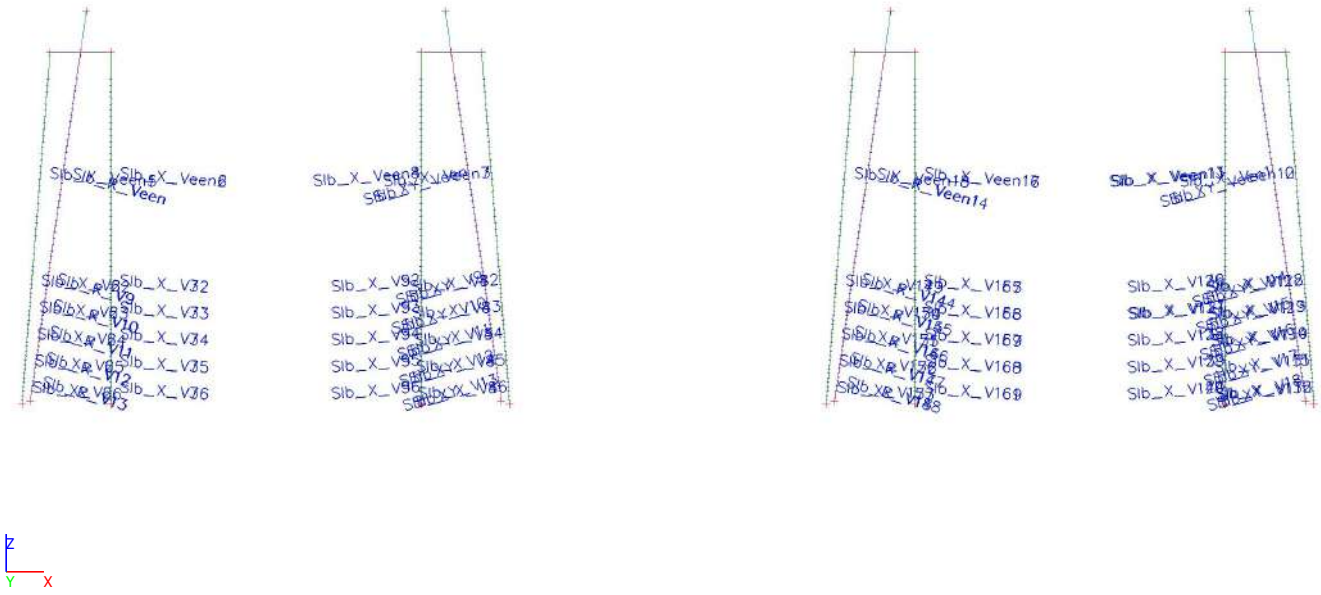
Name	Type	Member System	Pos x_1 [m] Pos x_2 [m]	Coor Orig	X	Y	Z	Rx	Ry	Rz
		LCS	10,000	From start						
Slb_X_V138	Line	Paal_X13	10,000	Abso	Free	Nonlinear	Nonlinear	Free	Free	Free
		LCS	11,000	From start						
Slb_X_V139	Line	Paal_X13	11,000	Abso	Free	Nonlinear	Nonlinear	Free	Free	Free
		LCS	12,000	From start						
Slb_X_V140	Line	Paal_X13	12,000	Abso	Free	Nonlinear	Nonlinear	Free	Free	Free
		LCS	13,000	From start						
Slb_X_Veen14	Line	Paal_X14	1,000	Abso	Free	Nonlinear	Nonlinear	Free	Free	Free
		LCS	8,000	From start						
Slb_X_V144	Line	Paal_X14	8,000	Abso	Free	Nonlinear	Nonlinear	Free	Free	Free
		LCS	9,000	From start						
Slb_X_V145	Line	Paal_X14	9,000	Abso	Free	Nonlinear	Nonlinear	Free	Free	Free
		LCS	10,000	From start						
Slb_X_V146	Line	Paal_X14	10,000	Abso	Free	Nonlinear	Nonlinear	Free	Free	Free
		LCS	11,000	From start						
Slb_X_V147	Line	Paal_X14	11,000	Abso	Free	Nonlinear	Nonlinear	Free	Free	Free
		LCS	12,000	From start						
Slb_X_V148	Line	Paal_X14	12,000	Abso	Free	Nonlinear	Nonlinear	Free	Free	Free
		LCS	12,850	From start						
Slb_X_Veen15	Line	Paal_X15	1,000	Abso	Free	Nonlinear	Nonlinear	Free	Free	Free
		LCS	8,000	From start						
Slb_X_V149	Line	Paal_X15	8,000	Abso	Free	Nonlinear	Nonlinear	Free	Free	Free
		LCS	9,000	From start						
Slb_X_V150	Line	Paal_X15	9,000	Abso	Free	Nonlinear	Nonlinear	Free	Free	Free
		LCS	10,000	From start						
Slb_X_V151	Line	Paal_X15	10,000	Abso	Free	Nonlinear	Nonlinear	Free	Free	Free
		LCS	11,000	From start						
Slb_X_V152	Line	Paal_X15	11,000	Abso	Free	Nonlinear	Nonlinear	Free	Free	Free
		LCS	12,000	From start						
Slb_X_V153	Line	Paal_X15	12,000	Abso	Free	Nonlinear	Nonlinear	Free	Free	Free
		LCS	13,000	From start						
Slb_X_Veen16	Line	Paal_X16	1,000	Abso	Free	Nonlinear	Nonlinear	Free	Free	Free
		LCS	8,000	From start						
Slb_X_V157	Line	Paal_X16	8,000	Abso	Free	Nonlinear	Nonlinear	Free	Free	Free
		LCS	9,000	From start						
Slb_X_V158	Line	Paal_X16	9,000	Abso	Free	Nonlinear	Nonlinear	Free	Free	Free
		LCS	10,000	From start						
Slb_X_V159	Line	Paal_X16	10,000	Abso	Free	Nonlinear	Nonlinear	Free	Free	Free
		LCS	11,000	From start						
Slb_X_V160	Line	Paal_X16	11,000	Abso	Free	Nonlinear	Nonlinear	Free	Free	Free
		LCS	12,000	From start						
Slb_X_V161	Line	Paal_X16	12,000	Abso	Free	Nonlinear	Nonlinear	Free	Free	Free
		LCS	13,000	From start						
Slb_P_Veen1	Line	Paal_P1	1,000	Abso	Free	Nonlinear	Nonlinear	Free	Free	Free
		LCS	8,000	From start						
Slb_P_V14	Line	Paal_P1	8,000	Abso	Free	Nonlinear	Nonlinear	Free	Free	Free
		LCS	9,000	From start						
Slb_P_V15	Line	Paal_P1	9,000	Abso	Free	Nonlinear	Nonlinear	Free	Free	Free
		LCS	10,000	From start						
Slb_P_V16	Line	Paal_P1	10,000	Abso	Free	Nonlinear	Nonlinear	Free	Free	Free
		LCS	11,000	From start						
Slb_P_V17	Line	Paal_P1	11,000	Abso	Free	Nonlinear	Nonlinear	Free	Free	Free
		LCS	12,000	From start						
Slb_P_V18	Line	Paal_P1	12,000	Abso	Free	Nonlinear	Nonlinear	Free	Free	Free
		LCS	12,850	From start						
Slb_X_Veen17	Line	Paal_X17	1,000	Abso	Free	Nonlinear	Nonlinear	Free	Free	Free
		LCS	8,000	From start						
Slb_X_V165	Line	Paal_X17	8,000	Abso	Free	Nonlinear	Nonlinear	Free	Free	Free
		LCS	9,000	From start						
Slb_X_V166	Line	Paal_X17	9,000	Abso	Free	Nonlinear	Nonlinear	Free	Free	Free
		LCS	10,000	From start						
Slb_X_V167	Line	Paal_X17	10,000	Abso	Free	Nonlinear	Nonlinear	Free	Free	Free
		LCS	11,000	From start						
Slb_X_V168	Line	Paal_X17	11,000	Abso	Free	Nonlinear	Nonlinear	Free	Free	Free

Name	Type	Member System	Pos x_1 [m] Pos x_2 [m]	Coor Orig	X	Y	Z	Rx	Ry	Rz
		LCS	12,000	From start						
Slb_X_V169	Line	Paal_X17	12,000	Abso	Free	Nonlinear	Nonlinear	Free	Free	Free
		LCS	13,000	From start						
Slb_X_Veen18	Line	Paal_X18	1,000	Abso	Free	Nonlinear	Nonlinear	Free	Free	Free
		LCS	8,000	From start						
Slb_X_V173	Line	Paal_X18	8,000	Abso	Free	Nonlinear	Nonlinear	Free	Free	Free
		LCS	9,000	From start						
Slb_X_V174	Line	Paal_X18	9,000	Abso	Free	Nonlinear	Nonlinear	Free	Free	Free
		LCS	10,000	From start						
Slb_X_V175	Line	Paal_X18	10,000	Abso	Free	Nonlinear	Nonlinear	Free	Free	Free
		LCS	11,000	From start						
Slb_X_V176	Line	Paal_X18	11,000	Abso	Free	Nonlinear	Nonlinear	Free	Free	Free
		LCS	12,000	From start						
Slb_X_V177	Line	Paal_X18	12,000	Abso	Free	Nonlinear	Nonlinear	Free	Free	Free
		LCS	13,000	From start						

5.8. Analyse model met Lijnondersteuningen



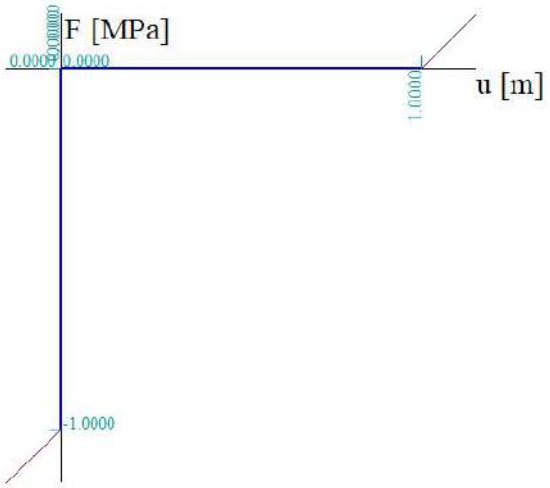
5.9. Analyse model met Lijnondersteuningen



5.10. Nonlinear functions

Name	Type	u / F	Positive end	Negative end
soil press only	Nonlinear subsoil		Flexible	Flexible

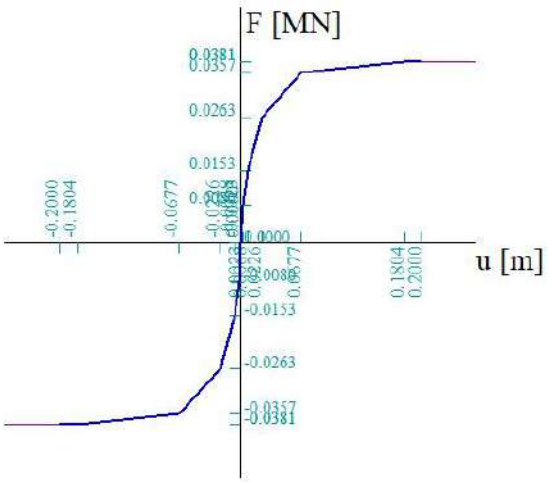
Drawing



Name	Type	u / F	Positive end	Negative end
PY-curve-2_V9	Translation	-0.200000 / -38100.000000	Free	Free
		-0.180400 / -38100.000000		
		-0.067650 / -35700.000000		
		-0.022550 / -26300.000000		
		-0.006765 / -15300.000000		

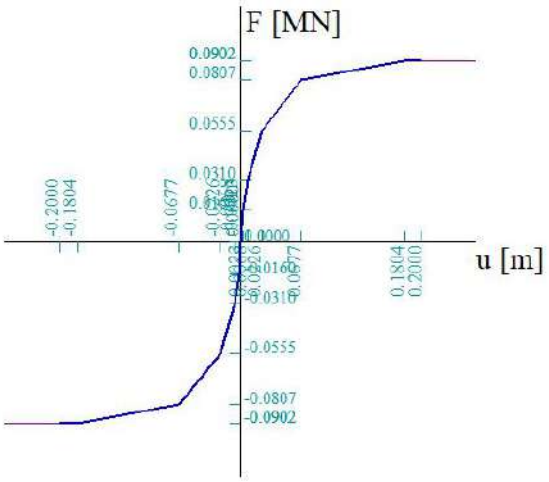
Name	Type	u / F	Positive end	Negative end
		-0.002255 / -8000.000000		
		0.000000 / 0.000000		
		0.002255 / 8000.000000		
		0.006765 / 15300.000000		
		0.022550 / 26300.000000		
		0.067650 / 35700.000000		
		0.180400 / 38100.000000		
		0.200000 / 38100.000000		

Drawing



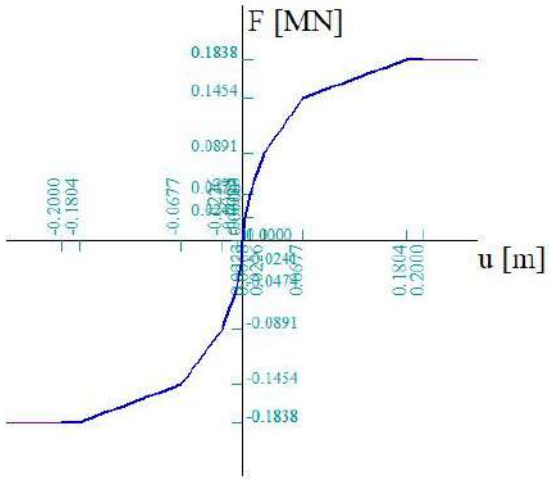
Name	Type	u / F	Positive end	Negative end
PY-curve-2_V10	Translation	-0.200000 / -90200.000000	Free	Free
		-0.180400 / -90200.000000		
		-0.067650 / -80700.000000		
		-0.022550 / -55500.000000		
		-0.006765 / -31000.000000		
		-0.002255 / -16000.000000		
		0.000000 / 0.000000		
		0.002255 / 16000.000000		
		0.006765 / 31000.000000		
		0.022550 / 55500.000000		
		0.067650 / 80700.000000		
		0.180400 / 90200.000000		
		0.200000 / 90200.000000		

Drawing



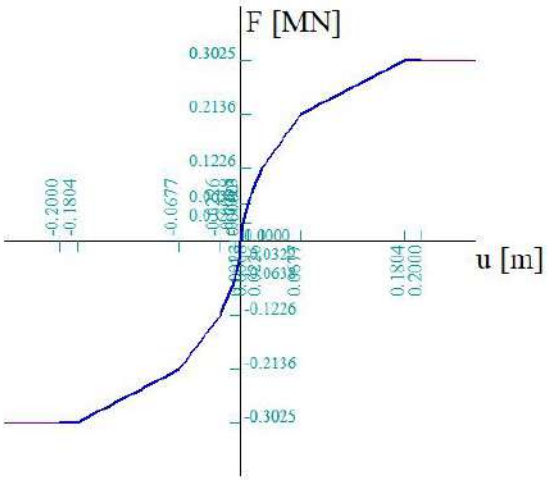
Name	Type	u / F	Positive end	Negative end
PY-curve-2_V11	Translation	-0.200000 / -183800.000000	Free	Free
		-0.180400 / -183800.000000		
		-0.067650 / -145400.000000		
		-0.022550 / -89100.000000		
		-0.006765 / -47400.000000		
		-0.002255 / -24100.000000		
		0.000000 / 0.000000		
		0.002255 / 24100.000000		
		0.006765 / 47400.000000		
		0.022550 / 89100.000000		
		0.067650 / 145400.000000		
		0.180400 / 183800.000000		
		0.200000 / 183800.000000		

Drawing



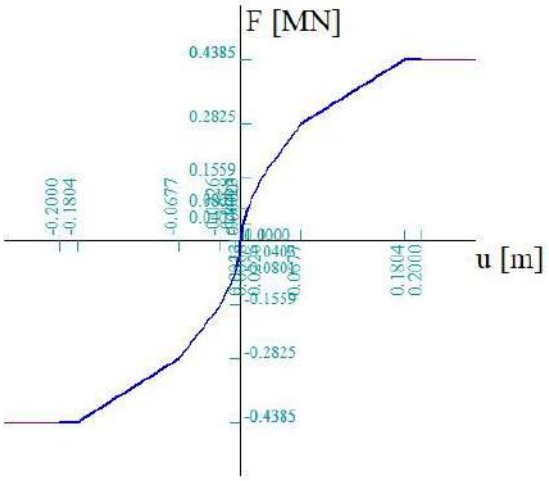
Name	Type	u / F	Positive end	Negative end
PY-curve-2_V12	Translation	-0.200000 / -302500.000000	Free	Free
		-0.180400 / -302500.000000		
		-0.067650 / -213600.000000		
		-0.022550 / -122600.000000		
		-0.006765 / -63800.000000		
		-0.002255 / -32200.000000		
		0.000000 / 0.000000		
		0.002255 / 32200.000000		
		0.006765 / 63800.000000		
		0.022550 / 122600.000000		
		0.067650 / 213600.000000		
		0.180400 / 302500.000000		
		0.200000 / 302500.000000		

Drawing



Name	Type	u / F	Positive end	Negative end
PY-curve-2_V13	Translation	-0.200000 / -438500.000000	Free	Free
		-0.180400 / -438500.000000		
		-0.067650 / -282500.000000		
		-0.022550 / -155900.000000		
		-0.006765 / -80100.000000		
		-0.002255 / -40300.000000		
		0.000000 / 0.000000		
		0.002255 / 40300.000000		
		0.006765 / 80100.000000		
		0.022550 / 155900.000000		
		0.067650 / 282500.000000		
		0.180400 / 438500.000000		
		0.200000 / 438500.000000		

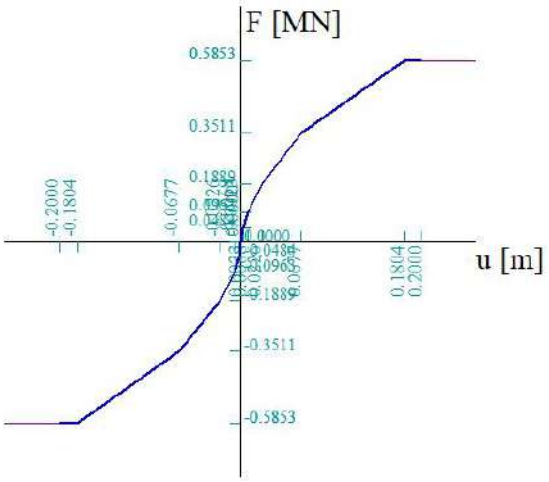
Drawing



Name	Type	u / F	Positive end	Negative end
PY-curve-2_V14	Translation	-0.200000 / -585300.000000	Free	Free
		-0.180400 / -585300.000000		
		-0.067650 / -351100.000000		
		-0.022550 / -188900.000000		
		-0.006765 / -96300.000000		
		-0.002255 / -48400.000000		
		0.000000 / 0.000000		
		0.002255 / 48400.000000		
		0.006765 / 96300.000000		
		0.022550 / 188900.000000		

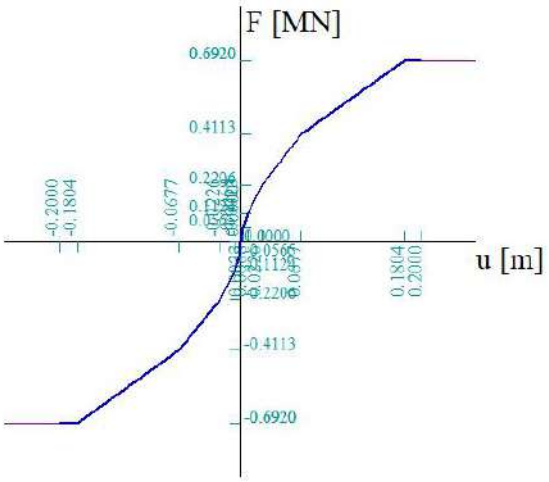
Name	Type	u / F	Positive end	Negative end
		0.067650 / 351100.000000		
		0.180400 / 585300.000000		
		0.200000 / 585300.000000		

Drawing



Name	Type	u / F	Positive end	Negative end
PY-curve-2_V15	Translation	-0.200000 / -692000.000000	Free	Free
		-0.180400 / -692000.000000		
		-0.067650 / -411300.000000		
		-0.022550 / -220600.000000		
		-0.006765 / -112400.000000		
		-0.002255 / -56500.000000		
		0.000000 / 0.000000		
		0.002255 / 56500.000000		
		0.006765 / 112400.000000		
		0.022550 / 220600.000000		
		0.067650 / 411300.000000		
		0.180400 / 692000.000000		
		0.200000 / 692000.000000		

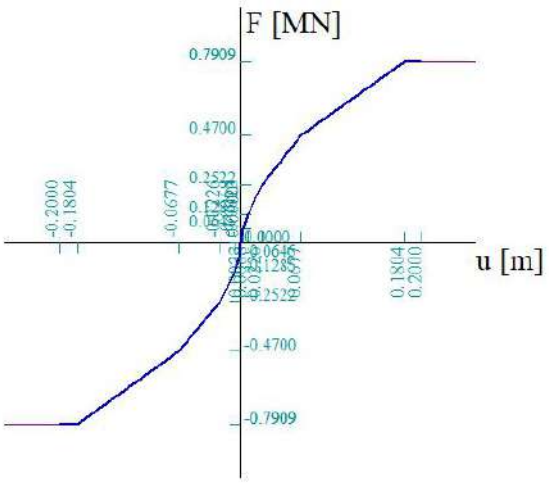
Drawing



Name	Type	u / F	Positive end	Negative end
PY-curve-2_V16	Translation	-0.200000 / -790900.000000	Free	Free
		-0.180400 / -790900.000000		
		-0.067650 / -470000.000000		
		-0.022550 / -252200.000000		

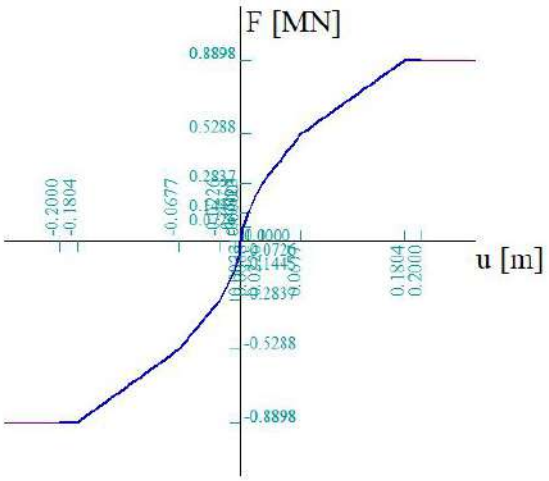
Name	Type	u / F	Positive end	Negative end
		-0.006765 / -128500.000000		
		-0.002255 / -64500.000000		
		0.000000 / 0.000000		
		0.002255 / 64500.000000		
		0.006765 / 128500.000000		
		0.022550 / 252200.000000		
		0.067650 / 470000.000000		
		0.180400 / 790900.000000		
		0.200000 / 790900.000000		

Drawing



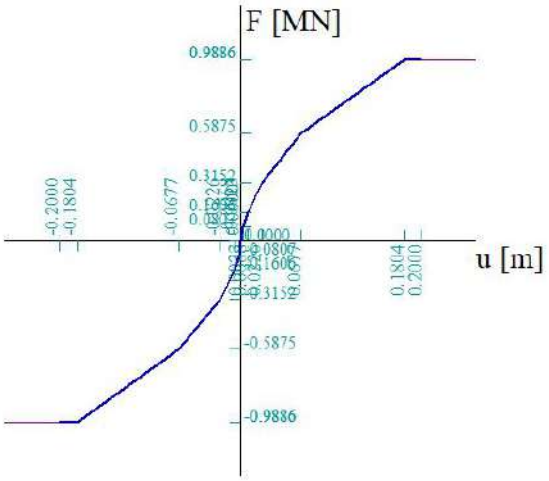
Name	Type	u / F	Positive end	Negative end
PY-curve-2_V17	Translation	-0.200000 / -889800.000000	Free	Free
		-0.180400 / -889800.000000		
		-0.067650 / -528800.000000		
		-0.022550 / -283700.000000		
		-0.006765 / -144500.000000		
		-0.002255 / -72600.000000		
		0.000000 / 0.000000		
		0.002255 / 72600.000000		
		0.006765 / 144500.000000		
		0.022550 / 283700.000000		
		0.067650 / 528800.000000		
		0.180400 / 889800.000000		
		0.200000 / 889800.000000		

Drawing



Name	Type	u / F	Positive end	Negative end
PY-curve-2_V18	Translation	-0.200000 / -988600.000000	Free	Free
		-0.180400 / -988600.000000		
		-0.067650 / -587500.000000		
		-0.022550 / -315200.000000		
		-0.006765 / -160600.000000		
		-0.002255 / -80700.000000		
		0.000000 / 0.000000		
		0.002255 / 80700.000000		
		0.006765 / 160600.000000		
		0.022550 / 315200.000000		
		0.067650 / 587500.000000		
		0.180400 / 988600.000000		
		0.200000 / 988600.000000		

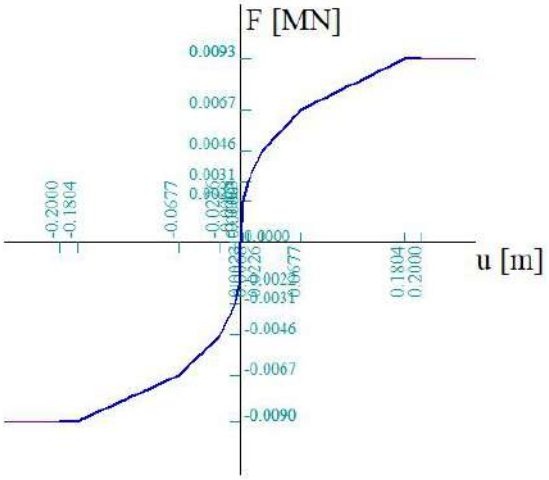
Drawing



Name	Type	u / F	Positive end	Negative end
PY-curve-1_Veen	Translation	-0.200000 / -9000.000000	Free	Free
		-0.180400 / -9000.000000		
		-0.067650 / -6700.000000		
		-0.022550 / -4630.000000		
		-0.006765 / -3100.000000		
		-0.002255 / -2150.000000		
		0.000000 / 0.000000		
		0.002255 / 2150.000000		
		0.006765 / 3100.000000		
		0.022550 / 4630.000000		

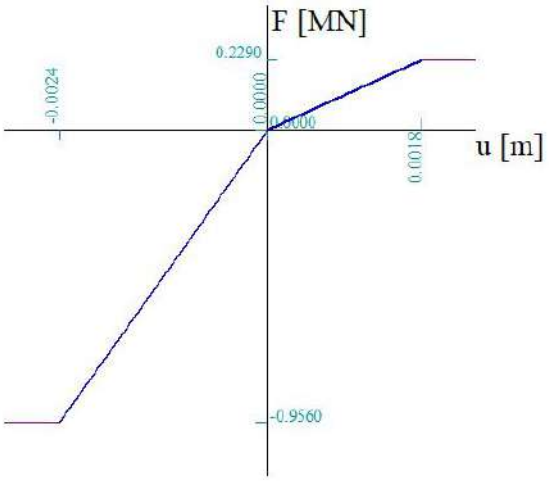
Name	Type	u / F	Positive end	Negative end
		0.067650 / 6700.000000		
		0.180400 / 9270.000000		
		0.200000 / 9270.000000		

Drawing



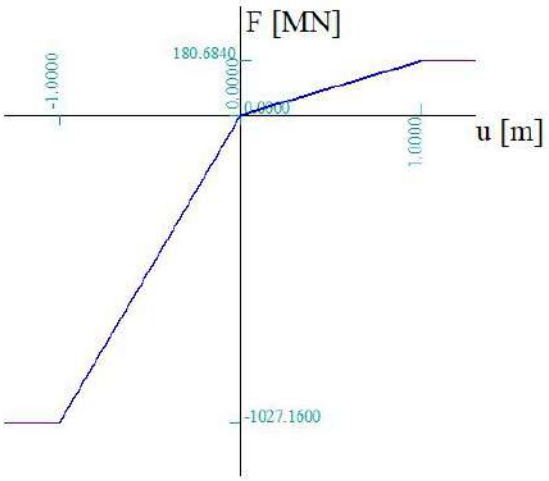
Name	Type	u / F	Positive end	Negative end
Trek-druk-paalpunt_min.B.	Translation	-0.002420 / -956000.000000	Free	Free
		0.000000 / 0.000000		
		0.001810 / 229000.000000		

Drawing



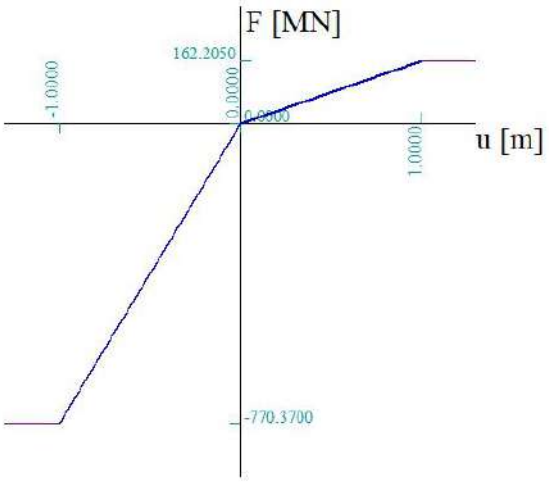
Name	Type	u / F	Positive end	Negative end
Trek-druk-paalpunt-max.LEKA	Translation	-1.000000 / -1027160000.000000	Free	Free
		0.000000 / 0.000000		
		1.000000 / 180684000.000000		

Drawing



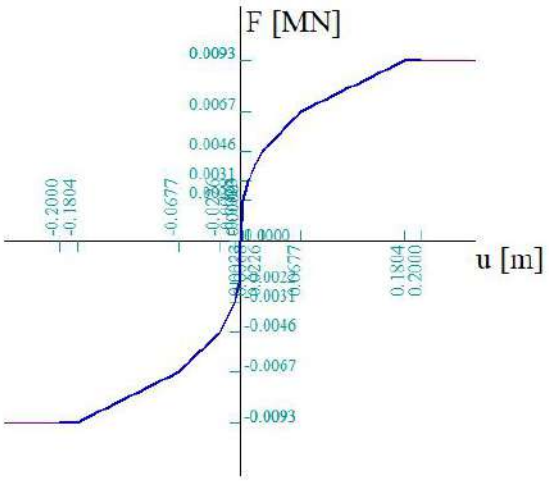
Name	Type	u / F	Positive end	Negative end
Trek-druk-paalpunt-min.LEKA	Translation	-1.000000 / -770370000.000000	Free	Free
		0.000000 / 0.000000		
		1.000000 / 162205000.000000		

Drawing



Name	Type	u / F	Positive end	Negative end
PY-curve-2_Veen	Translation	-0.200000 / -9265.000000	Free	Free
		-0.180400 / -9265.000000		
		-0.067650 / -6681.000000		
		-0.022550 / -4633.000000		
		-0.006765 / -3101.000000		
		-0.002255 / -2150.000000		
		0.000000 / 0.000000		
		0.002255 / 2150.000000		
		0.006765 / 3101.000000		
		0.022550 / 4633.000000		
		0.067650 / 6681.000000		
		0.180400 / 9265.000000		
		0.200000 / 9265.000000		

Drawing

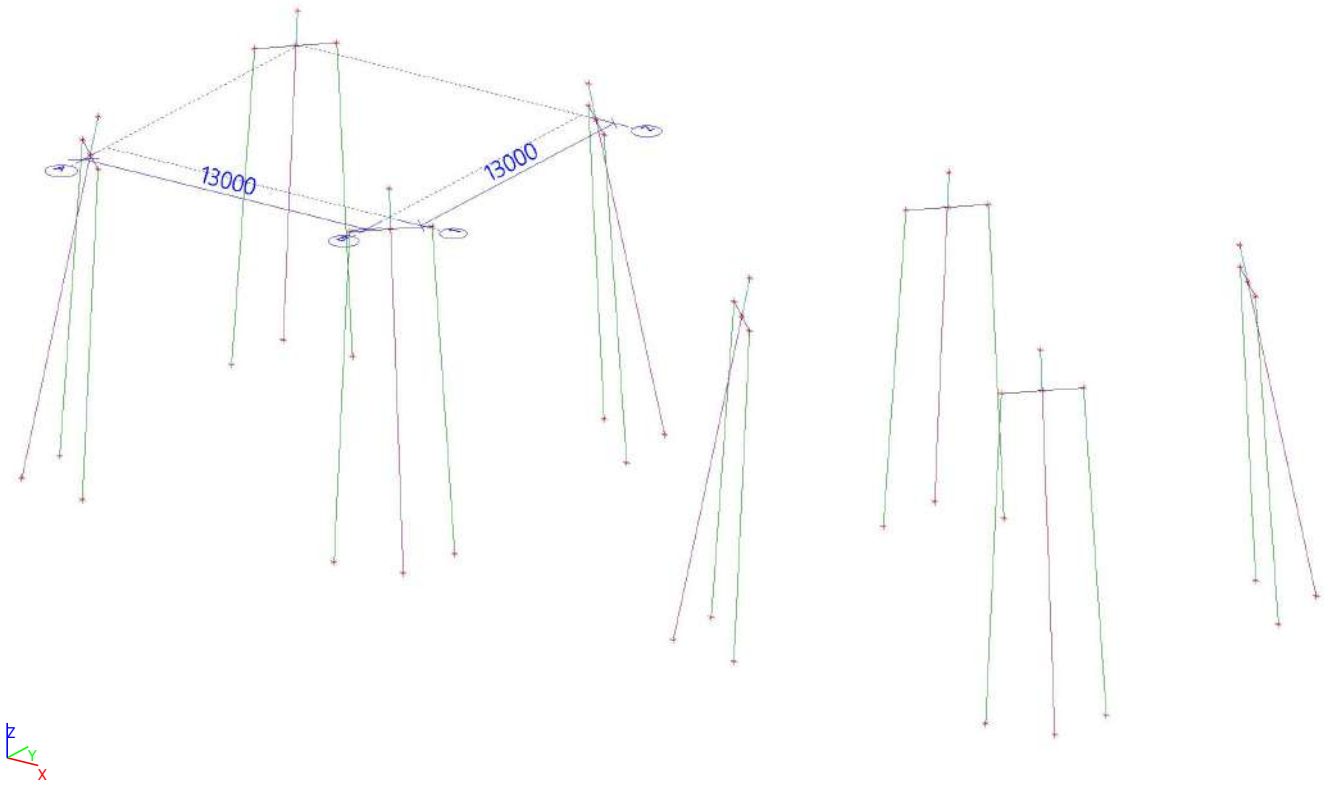

F [MN]
0.0093
0.0067
0.0046
0.0031
-0.2000
-0.1804
-0.0677
0.0000
0.1804
0.2000
u [m]
-0.0046
-0.0067
-0.0093

6. Belastingen

6.1. Load cases

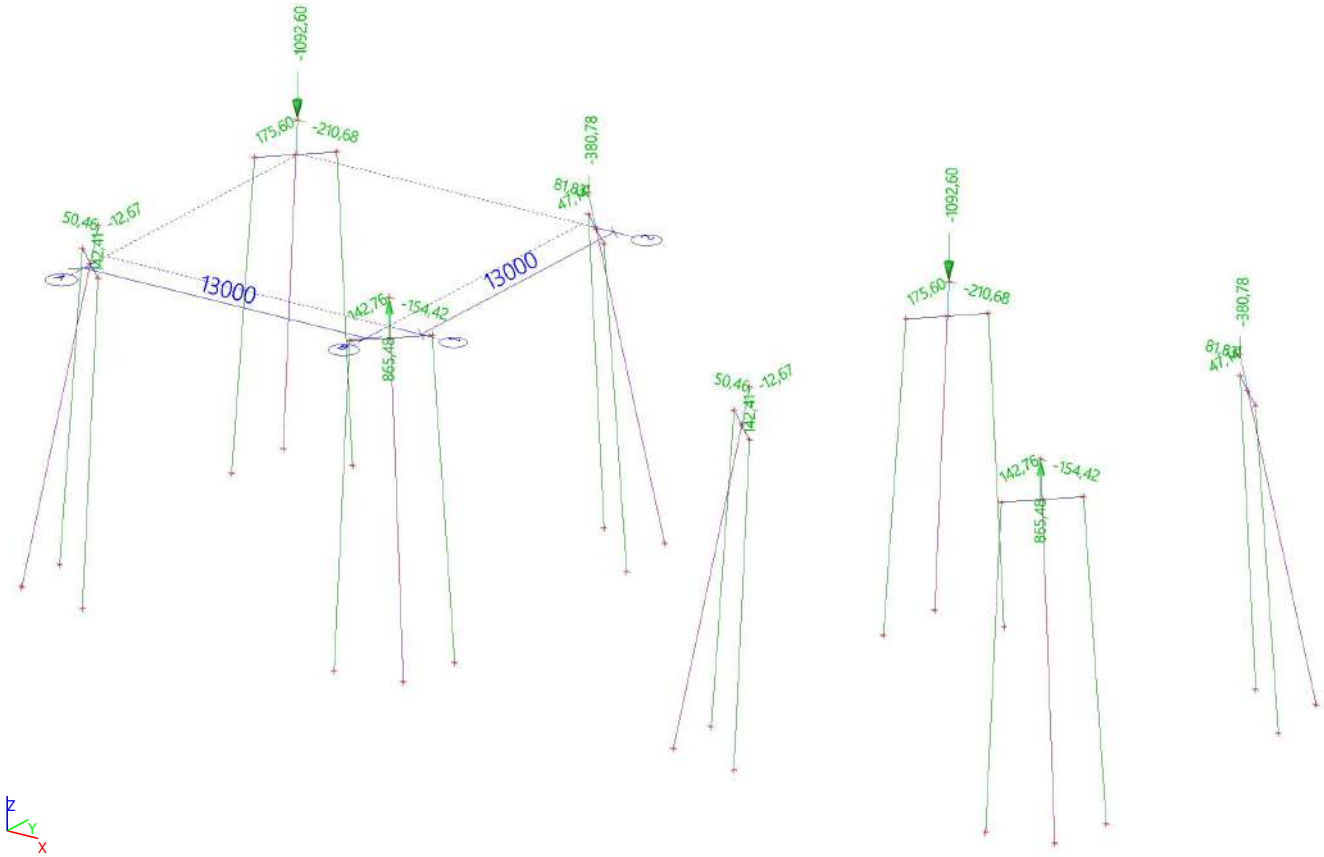
6.1.1. Load cases - EG_Fundering

Name	Description	Action type	Load group	Direction
	Spec	Load type		
EG_Fundering		Permanent	LG1	-Z
		Self weight		



6.1.2. Load cases - high max Wnd ;45°

Name	Description	Action type	Load group	Duration	Master load case
	Spec	Load type			
high max Wnd ;45°		Variable	LG4	Short	None
	Standard	Static			



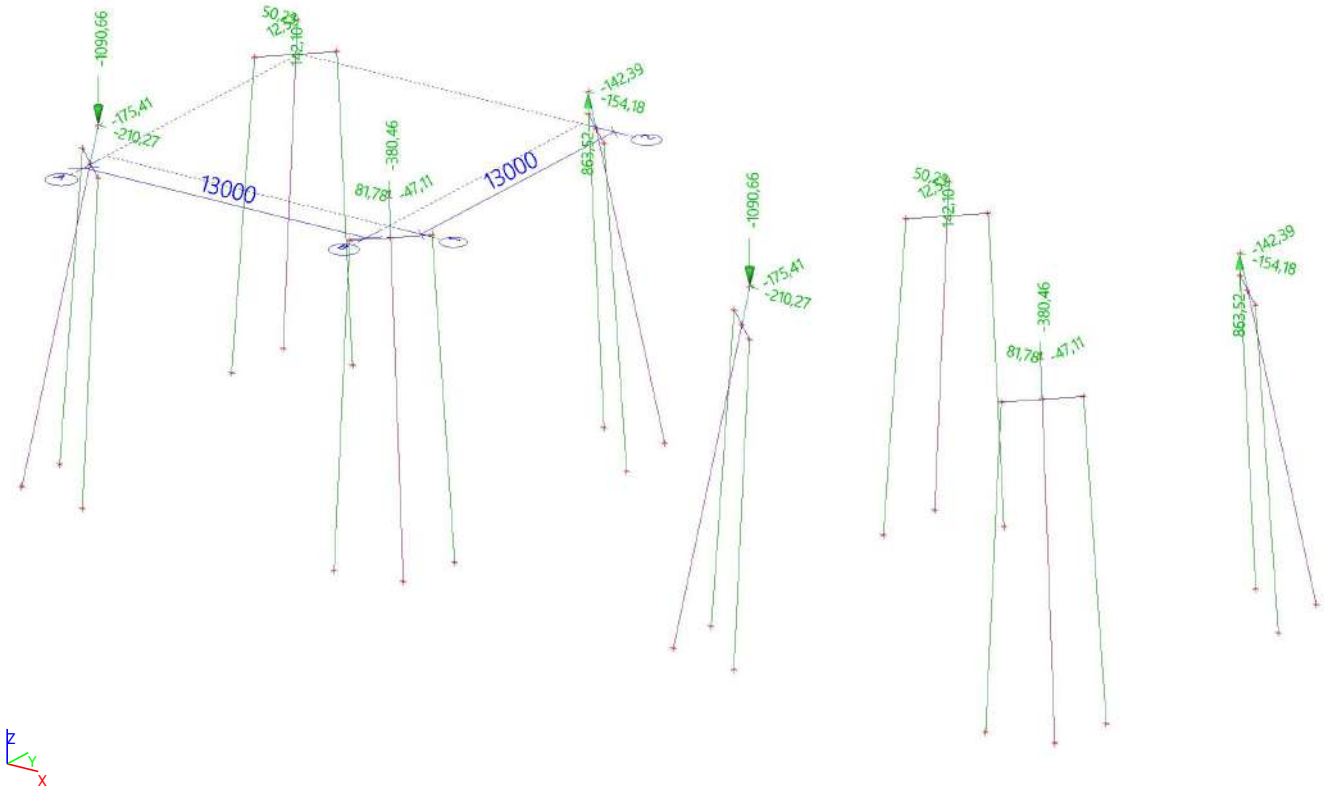
6.1.2.1. Point force in node

Name	Node	Load case	System	Dir	Type	Value - F [kN]
high max Wnd ;45°_1P_X	1P	high max Wnd ;45°	GCS	X	Force	50,46
high max Wnd ;45°_1P_Y	1P	high max Wnd ;45°	GCS	Y	Force	-12,67
high max Wnd ;45°_1P_Z	1P	high max Wnd ;45°	GCS	Z	Force	142,41
high max Wnd ;45°_1X_X	1X	high max Wnd ;45°	GCS	X	Force	-210,68
high max Wnd ;45°_1X_Y	1X	high max Wnd ;45°	GCS	Y	Force	175,60
high max Wnd ;45°_1X_Z	1X	high max Wnd ;45°	GCS	Z	Force	-1092,60
high max Wnd ;45°_1XY_X	1XY	high max Wnd ;45°	GCS	X	Force	81,83
high max Wnd ;45°_1XY_Y	1XY	high max Wnd ;45°	GCS	Y	Force	47,14
high max Wnd ;45°_1XY_Z	1XY	high max Wnd ;45°	GCS	Z	Force	-380,78
high max Wnd ;45°_1Y_X	1Y	high max Wnd ;45°	GCS	X	Force	-154,42
high max Wnd ;45°_1Y_Y	1Y	high max Wnd ;45°	GCS	Y	Force	142,76
high max Wnd ;45°_1Y_Z	1Y	high max Wnd ;45°	GCS	Z	Force	865,48
high max Wnd ;45°_1Y_X1	1Y1	high max Wnd ;45°	GCS	X	Force	-154,42
high max Wnd ;45°_1Y_Y1	1Y1	high max Wnd ;45°	GCS	Y	Force	142,76
high max Wnd	1Y1	high max Wnd ;45°	GCS	Z	Force	865,48

Name	Node	Load case	System	Dir	Type	Value - F [kN]
;45°_1Y_Z1						
high max Wnd ;45°_1XY_X1	1XY1	high max Wnd ;45°	GCS	X	Force	81,83
high max Wnd ;45°_1XY_Y1	1XY1	high max Wnd ;45°	GCS	Y	Force	47,14
high max Wnd ;45°_1XY_Z1	1XY1	high max Wnd ;45°	GCS	Z	Force	-380,78
high max Wnd ;45°_1X_X1	1X1	high max Wnd ;45°	GCS	X	Force	-210,68
high max Wnd ;45°_1X_Y1	1X1	high max Wnd ;45°	GCS	Y	Force	175,60
high max Wnd ;45°_1X_Z1	1X1	high max Wnd ;45°	GCS	Z	Force	-1092,60
high max Wnd ;45°_1P_X1	1P1	high max Wnd ;45°	GCS	X	Force	50,46
high max Wnd ;45°_1P_Y1	1P1	high max Wnd ;45°	GCS	Y	Force	-12,67
high max Wnd ;45°_1P_Z1	1P1	high max Wnd ;45°	GCS	Z	Force	142,41

6.1.3. Load cases - high max Wnd ;315°

Name	Description	Action type	Load group	Duration	Master load case
	Spec	Load type			
high max Wnd ;315°		Variable	LG4	Short	None
	Standard	Static			

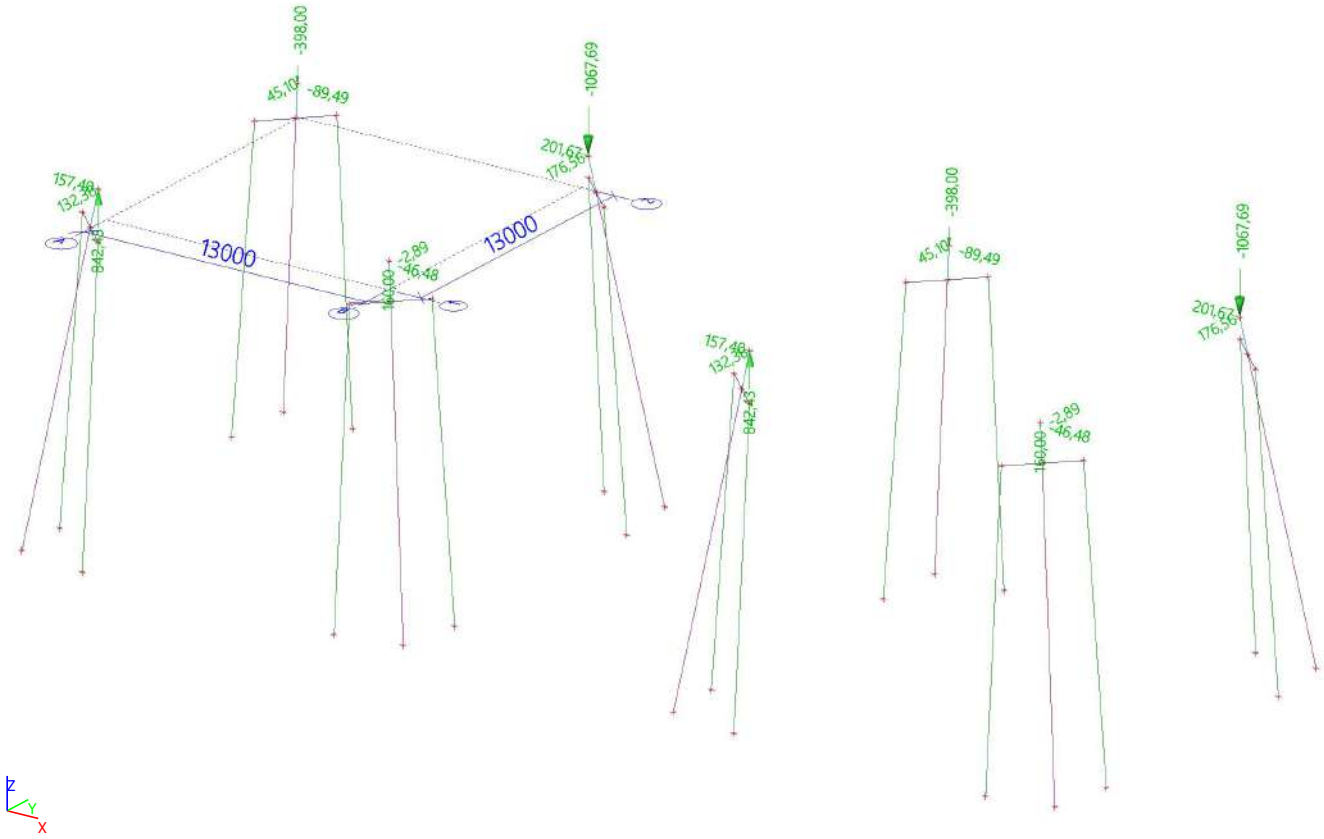


6.1.3.1. Point force in node

Name	Node	Load case	System	Dir	Type	Value - F [kN]
high max Wnd ;315°_1P_X	1P	high max Wnd ;315°	GCS	X	Force	-210,27
high max Wnd ;315°_1P_Y	1P	high max Wnd ;315°	GCS	Y	Force	-175,41
high max Wnd ;315°_1P_Z	1P	high max Wnd ;315°	GCS	Z	Force	-1090,66
high max Wnd ;315°_1X_X	1X	high max Wnd ;315°	GCS	X	Force	50,23
high max Wnd ;315°_1X_Y	1X	high max Wnd ;315°	GCS	Y	Force	12,53
high max Wnd ;315°_1X_Z	1X	high max Wnd ;315°	GCS	Z	Force	142,10
high max Wnd ;315°_1XY_X	1XY	high max Wnd ;315°	GCS	X	Force	-154,18
high max Wnd ;315°_1XY_Y	1XY	high max Wnd ;315°	GCS	Y	Force	-142,39
high max Wnd ;315°_1XY_Z	1XY	high max Wnd ;315°	GCS	Z	Force	863,52
high max Wnd ;315°_1Y_X	1Y	high max Wnd ;315°	GCS	X	Force	81,78
high max Wnd ;315°_1Y_Y	1Y	high max Wnd ;315°	GCS	Y	Force	-47,11
high max Wnd ;315°_1Y_Z	1Y	high max Wnd ;315°	GCS	Z	Force	-380,46
high max Wnd ;315°_1Y_X1	1Y1	high max Wnd ;315°	GCS	X	Force	81,78
high max Wnd ;315°_1Y_Y1	1Y1	high max Wnd ;315°	GCS	Y	Force	-47,11
high max Wnd ;315°_1Y_Z1	1Y1	high max Wnd ;315°	GCS	Z	Force	-380,46
high max Wnd ;315°_1XY_X1	1XY1	high max Wnd ;315°	GCS	X	Force	-154,18
high max Wnd ;315°_1XY_Y1	1XY1	high max Wnd ;315°	GCS	Y	Force	-142,39
high max Wnd ;315°_1XY_Z1	1XY1	high max Wnd ;315°	GCS	Z	Force	863,52
high max Wnd ;315°_1X_X1	1X1	high max Wnd ;315°	GCS	X	Force	50,23
high max Wnd ;315°_1X_Y1	1X1	high max Wnd ;315°	GCS	Y	Force	12,53
high max Wnd ;315°_1X_Z1	1X1	high max Wnd ;315°	GCS	Z	Force	142,10
high max Wnd ;315°_1P_X1	1P1	high max Wnd ;315°	GCS	X	Force	-210,27
high max Wnd ;315°_1P_Y1	1P1	high max Wnd ;315°	GCS	Y	Force	-175,41
high max Wnd ;315°_1P_Z1	1P1	high max Wnd ;315°	GCS	Z	Force	-1090,66

6.1.4. Load cases - high max Wnd ;135°

Name	Description	Action type	Load group	Duration	Master load case
	Spec	Load type			
high max Wnd ;135°		Variable	LG4	Short	None
	Standard	Static			



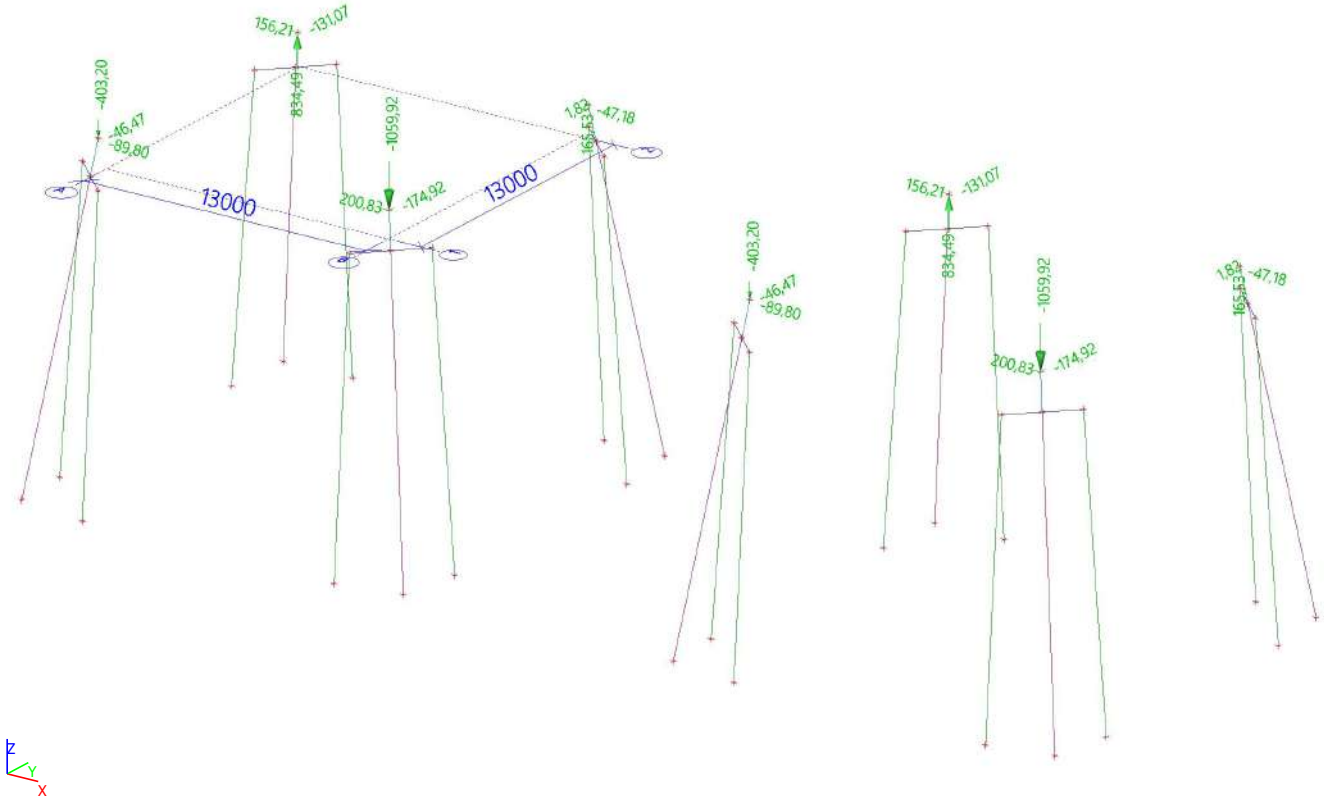
6.1.4.1. Point force in node

Name	Node	Load case	System	Dir	Type	Value - F [kN]
high max Wnd ;135°_1P_X	1P	high max Wnd ;135°	GCS	X	Force	157,40
high max Wnd ;135°_1P_Y	1P	high max Wnd ;135°	GCS	Y	Force	132,38
high max Wnd ;135°_1P_Z	1P	high max Wnd ;135°	GCS	Z	Force	842,43
high max Wnd ;135°_1X_X	1X	high max Wnd ;135°	GCS	X	Force	-89,49
high max Wnd ;135°_1X_Y	1X	high max Wnd ;135°	GCS	Y	Force	45,10
high max Wnd ;135°_1X_Z	1X	high max Wnd ;135°	GCS	Z	Force	-398,00
high max Wnd ;135°_1XY_X	1XY	high max Wnd ;135°	GCS	X	Force	201,67
high max Wnd ;135°_1XY_Y	1XY	high max Wnd ;135°	GCS	Y	Force	176,56
high max Wnd ;135°_1XY_Z	1XY	high max Wnd ;135°	GCS	Z	Force	-1067,69
high max Wnd ;135°_1Y_X	1Y	high max Wnd ;135°	GCS	X	Force	-46,48
high max Wnd ;135°_1Y_Y	1Y	high max Wnd ;135°	GCS	Y	Force	-2,89
high max Wnd ;135°_1Y_Z	1Y	high max Wnd ;135°	GCS	Z	Force	160,00
high max Wnd ;135°_1Y_X1	1Y1	high max Wnd ;135°	GCS	X	Force	-46,48
high max Wnd ;135°_1Y_Y1	1Y1	high max Wnd ;135°	GCS	Y	Force	-2,89
high max Wnd	1Y1	high max Wnd ;135°	GCS	Z	Force	160,00

Name	Node	Load case	System	Dir	Type	Value - F [kN]
;135°_1Y_Z1						
high max Wnd ;135°_1XY_X1	1XY1	high max Wnd ;135°	GCS	X	Force	201,67
high max Wnd ;135°_1XY_Y1	1XY1	high max Wnd ;135°	GCS	Y	Force	176,56
high max Wnd ;135°_1XY_Z1	1XY1	high max Wnd ;135°	GCS	Z	Force	-1067,69
high max Wnd ;135°_1X_X1	1X1	high max Wnd ;135°	GCS	X	Force	-89,49
high max Wnd ;135°_1X_Y1	1X1	high max Wnd ;135°	GCS	Y	Force	45,10
high max Wnd ;135°_1X_Z1	1X1	high max Wnd ;135°	GCS	Z	Force	-398,00
high max Wnd ;135°_1P_X1	1P1	high max Wnd ;135°	GCS	X	Force	157,40
high max Wnd ;135°_1P_Y1	1P1	high max Wnd ;135°	GCS	Y	Force	132,38
high max Wnd ;135°_1P_Z1	1P1	high max Wnd ;135°	GCS	Z	Force	842,43

6.1.5. Load cases - high max Wnd ;225°

Name	Description	Action type	Load group	Duration	Master load case
	Spec	Load type			
high max Wnd ;225°		Variable	LG4	Short	None
	Standard	Static			

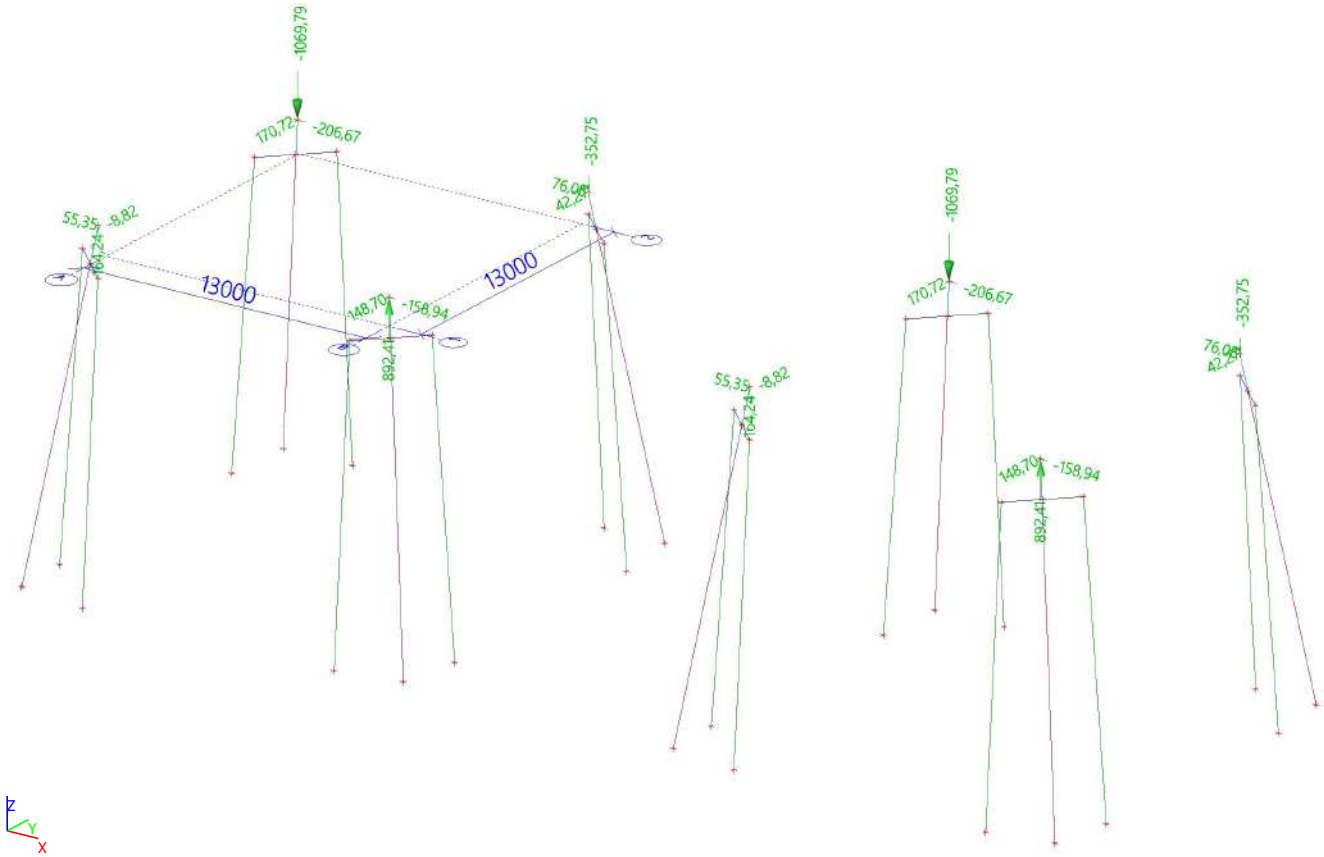


6.1.5.1. Point force in node

Name	Node	Load case	System	Dir	Type	Value - F [kN]
high max Wnd ;225°_1P_X	1P	high max Wnd ;225°	GCS	X	Force	-89,80
high max Wnd ;225°_1P_Y	1P	high max Wnd ;225°	GCS	Y	Force	-46,47
high max Wnd ;225°_1P_Z	1P	high max Wnd ;225°	GCS	Z	Force	-403,20
high max Wnd ;225°_1X_X	1X	high max Wnd ;225°	GCS	X	Force	156,21
high max Wnd ;225°_1X_Y	1X	high max Wnd ;225°	GCS	Y	Force	-131,07
high max Wnd ;225°_1X_Z	1X	high max Wnd ;225°	GCS	Z	Force	834,49
high max Wnd ;225°_1XY_X	1XY	high max Wnd ;225°	GCS	X	Force	-47,18
high max Wnd ;225°_1XY_Y	1XY	high max Wnd ;225°	GCS	Y	Force	1,82
high max Wnd ;225°_1XY_Z	1XY	high max Wnd ;225°	GCS	Z	Force	165,53
high max Wnd ;225°_1Y_X	1Y	high max Wnd ;225°	GCS	X	Force	200,83
high max Wnd ;225°_1Y_Y	1Y	high max Wnd ;225°	GCS	Y	Force	-174,92
high max Wnd ;225°_1Y_Z	1Y	high max Wnd ;225°	GCS	Z	Force	-1059,92
high max Wnd ;225°_1Y_X1	1Y1	high max Wnd ;225°	GCS	X	Force	200,83
high max Wnd ;225°_1Y_Y1	1Y1	high max Wnd ;225°	GCS	Y	Force	-174,92
high max Wnd ;225°_1Y_Z1	1Y1	high max Wnd ;225°	GCS	Z	Force	-1059,92
high max Wnd ;225°_1XY_X1	1XY1	high max Wnd ;225°	GCS	X	Force	-47,18
high max Wnd ;225°_1XY_Y1	1XY1	high max Wnd ;225°	GCS	Y	Force	1,82
high max Wnd ;225°_1XY_Z1	1XY1	high max Wnd ;225°	GCS	Z	Force	165,53
high max Wnd ;225°_1X_X1	1X1	high max Wnd ;225°	GCS	X	Force	156,21
high max Wnd ;225°_1X_Y1	1X1	high max Wnd ;225°	GCS	Y	Force	-131,07
high max Wnd ;225°_1X_Z1	1X1	high max Wnd ;225°	GCS	Z	Force	834,49
high max Wnd ;225°_1P_X1	1P1	high max Wnd ;225°	GCS	X	Force	-89,80
high max Wnd ;225°_1P_Y1	1P1	high max Wnd ;225°	GCS	Y	Force	-46,47
high max Wnd ;225°_1P_Z1	1P1	high max Wnd ;225°	GCS	Z	Force	-403,20

6.1.6. Load cases - low max Wnd ;45°

Name	Description	Action type	Load group	Duration	Master load case
	Spec	Load type			
low max Wnd ;45°		Variable	LG4	Short	None
	Standard	Static			



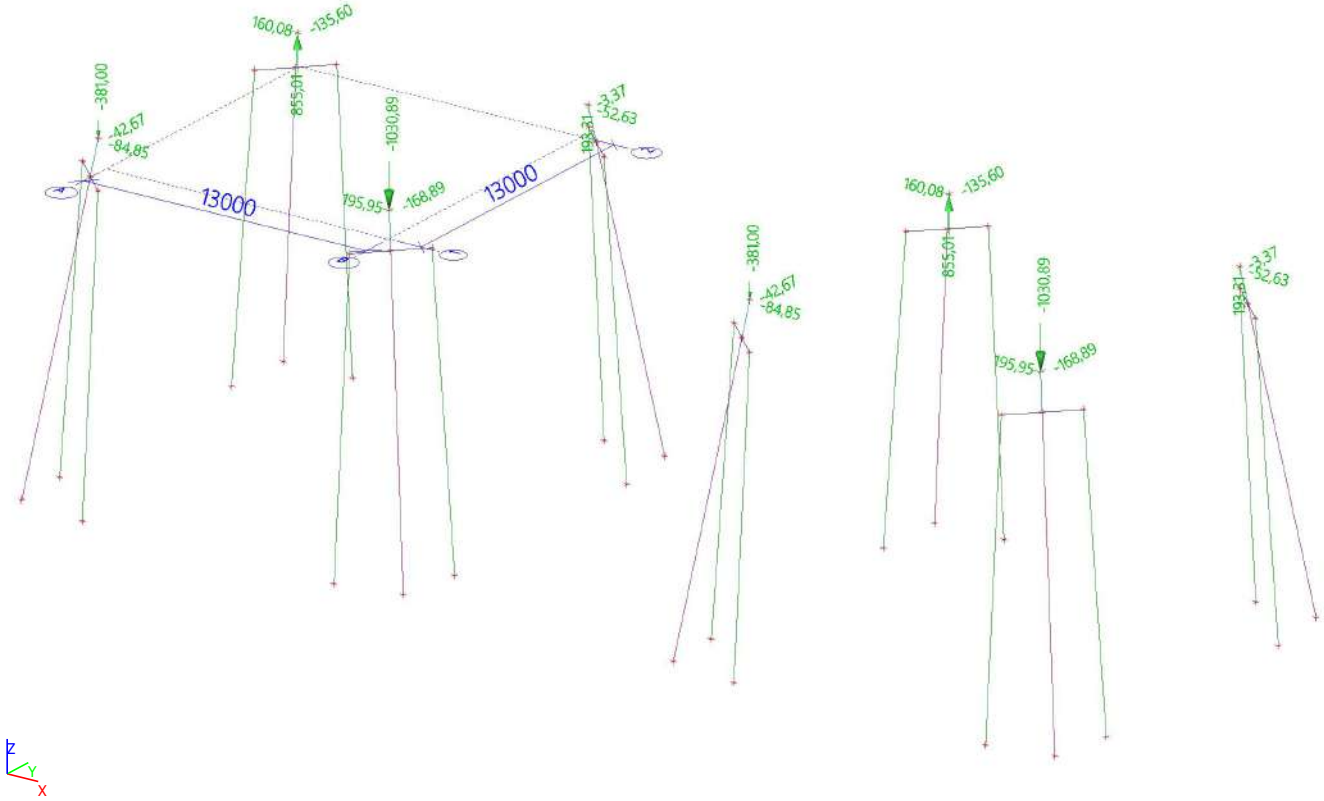
6.1.6.1. Point force in node

Name	Node	Load case	System	Dir	Type	Value - F [kN]
low max Wnd ;45°_1P_X	1P	low max Wnd ;45°	GCS	X	Force	55,35
low max Wnd ;45°_1P_Y	1P	low max Wnd ;45°	GCS	Y	Force	-8,82
low max Wnd ;45°_1P_Z	1P	low max Wnd ;45°	GCS	Z	Force	164,24
low max Wnd ;45°_1X_X	1X	low max Wnd ;45°	GCS	X	Force	-206,67
low max Wnd ;45°_1X_Y	1X	low max Wnd ;45°	GCS	Y	Force	170,72
low max Wnd ;45°_1X_Z	1X	low max Wnd ;45°	GCS	Z	Force	-1069,79
low max Wnd ;45°_1XY_X	1XY	low max Wnd ;45°	GCS	X	Force	76,08
low max Wnd ;45°_1XY_Y	1XY	low max Wnd ;45°	GCS	Y	Force	42,27
low max Wnd ;45°_1XY_Z	1XY	low max Wnd ;45°	GCS	Z	Force	-352,75
low max Wnd ;45°_1Y_X	1Y	low max Wnd ;45°	GCS	X	Force	-158,94
low max Wnd ;45°_1Y_Y	1Y	low max Wnd ;45°	GCS	Y	Force	148,70
low max Wnd ;45°_1Y_Z	1Y	low max Wnd ;45°	GCS	Z	Force	892,41
low max Wnd ;45°_1Y_X1	1Y1	low max Wnd ;45°	GCS	X	Force	-158,94
low max Wnd ;45°_1Y_Y1	1Y1	low max Wnd ;45°	GCS	Y	Force	148,70
low max Wnd	1Y1	low max Wnd ;45°	GCS	Z	Force	892,41

Name	Node	Load case	System	Dir	Type	Value - F [kN]
;45°_1Y_Z1						
low max Wnd ;45°_1XY_X1	1XY1	low max Wnd ;45°	GCS	X	Force	76,08
low max Wnd ;45°_1XY_Y1	1XY1	low max Wnd ;45°	GCS	Y	Force	42,27
low max Wnd ;45°_1XY_Z1	1XY1	low max Wnd ;45°	GCS	Z	Force	-352,75
low max Wnd ;45°_1X_X1	1X1	low max Wnd ;45°	GCS	X	Force	-206,67
low max Wnd ;45°_1X_Y1	1X1	low max Wnd ;45°	GCS	Y	Force	170,72
low max Wnd ;45°_1X_Z1	1X1	low max Wnd ;45°	GCS	Z	Force	-1069,79
low max Wnd ;45°_1P_X1	1P1	low max Wnd ;45°	GCS	X	Force	55,35
low max Wnd ;45°_1P_Y1	1P1	low max Wnd ;45°	GCS	Y	Force	-8,82
low max Wnd ;45°_1P_Z1	1P1	low max Wnd ;45°	GCS	Z	Force	164,24

6.1.7. Load cases - low max Wnd ;225°

Name	Description	Action type	Load group	Duration	Master load case
	Spec	Load type			
low max Wnd ;225°	Standard	Variable Static	LG4	Short	None

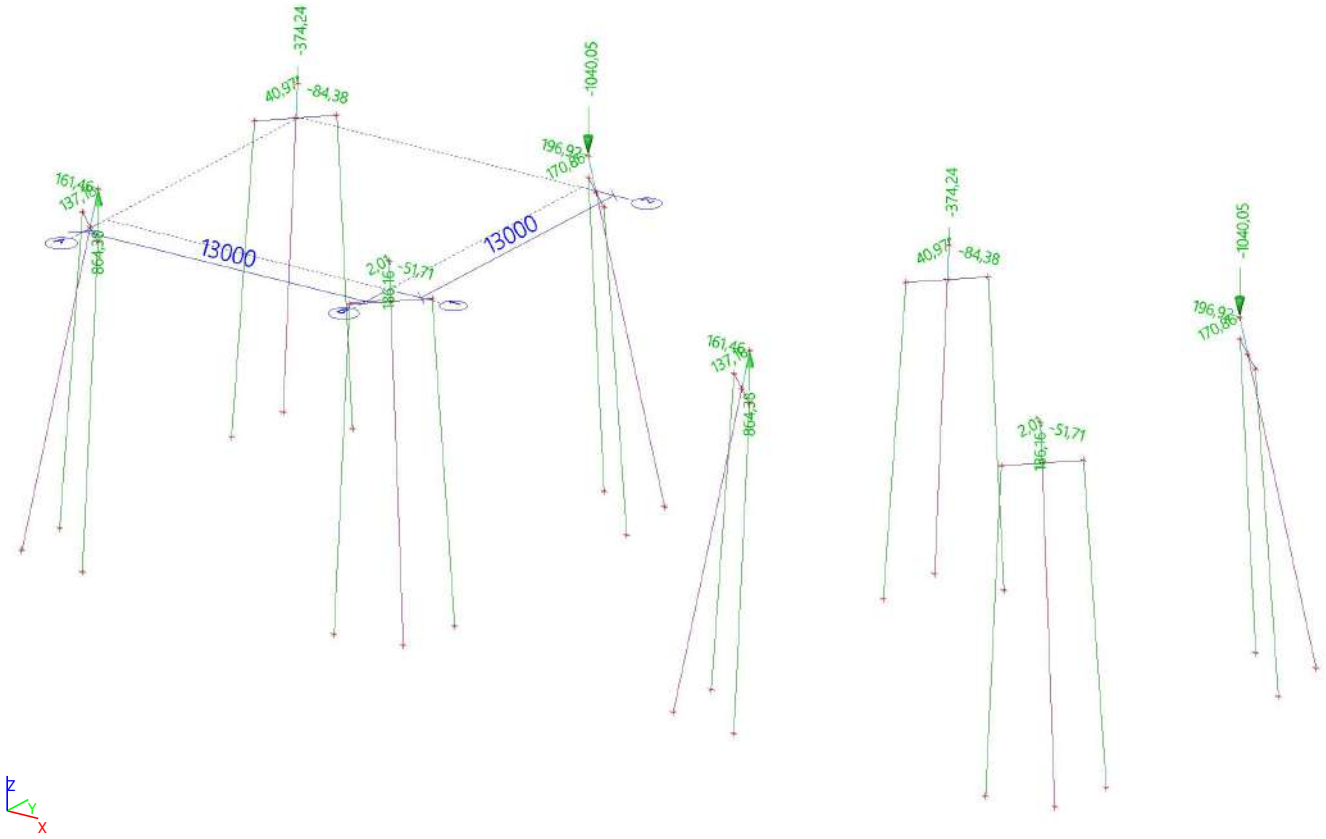


6.1.7.1. Point force in node

Name	Node	Load case	System	Dir	Type	Value - F [kN]
low max Wnd ;225°_1P_X	1P	low max Wnd ;225°	GCS	X	Force	-84,85
low max Wnd ;225°_1P_Y	1P	low max Wnd ;225°	GCS	Y	Force	-42,67
low max Wnd ;225°_1P_Z	1P	low max Wnd ;225°	GCS	Z	Force	-381,00
low max Wnd ;225°_1X_X	1X	low max Wnd ;225°	GCS	X	Force	160,08
low max Wnd ;225°_1X_Y	1X	low max Wnd ;225°	GCS	Y	Force	-135,60
low max Wnd ;225°_1X_Z	1X	low max Wnd ;225°	GCS	Z	Force	855,01
low max Wnd ;225°_1XY_X	1XY	low max Wnd ;225°	GCS	X	Force	-52,63
low max Wnd ;225°_1XY_Y	1XY	low max Wnd ;225°	GCS	Y	Force	-3,37
low max Wnd ;225°_1XY_Z	1XY	low max Wnd ;225°	GCS	Z	Force	193,31
low max Wnd ;225°_1Y_X	1Y	low max Wnd ;225°	GCS	X	Force	195,95
low max Wnd ;225°_1Y_Y	1Y	low max Wnd ;225°	GCS	Y	Force	-168,89
low max Wnd ;225°_1Y_Z	1Y	low max Wnd ;225°	GCS	Z	Force	-1030,89
low max Wnd ;225°_1Y_X1	1Y1	low max Wnd ;225°	GCS	X	Force	195,95
low max Wnd ;225°_1Y_Y1	1Y1	low max Wnd ;225°	GCS	Y	Force	-168,89
low max Wnd ;225°_1Y_Z1	1Y1	low max Wnd ;225°	GCS	Z	Force	-1030,89
low max Wnd ;225°_1XY_X1	1XY1	low max Wnd ;225°	GCS	X	Force	-52,63
low max Wnd ;225°_1XY_Y1	1XY1	low max Wnd ;225°	GCS	Y	Force	-3,37
low max Wnd ;225°_1XY_Z1	1XY1	low max Wnd ;225°	GCS	Z	Force	193,31
low max Wnd ;225°_1X_X1	1X1	low max Wnd ;225°	GCS	X	Force	160,08
low max Wnd ;225°_1X_Y1	1X1	low max Wnd ;225°	GCS	Y	Force	-135,60
low max Wnd ;225°_1X_Z1	1X1	low max Wnd ;225°	GCS	Z	Force	855,01
low max Wnd ;225°_1P_X1	1P1	low max Wnd ;225°	GCS	X	Force	-84,85
low max Wnd ;225°_1P_Y1	1P1	low max Wnd ;225°	GCS	Y	Force	-42,67
low max Wnd ;225°_1P_Z1	1P1	low max Wnd ;225°	GCS	Z	Force	-381,00

6.1.8. Load cases - low max Wnd ;135°

Name	Description	Action type	Load group	Duration	Master load case
	Spec	Load type			
low max Wnd ;135°		Variable	LG4	Short	None
	Standard	Static			



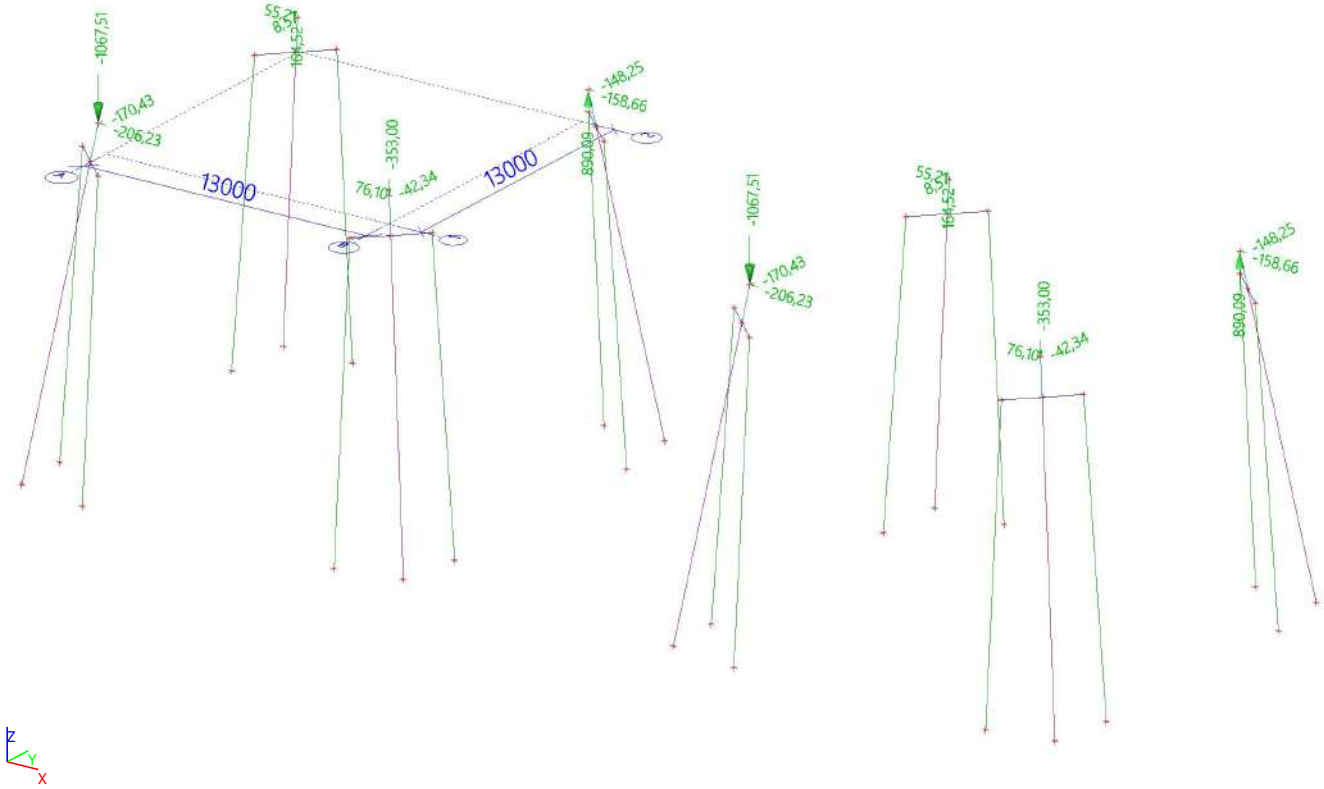
6.1.8.1. Point force in node

Name	Node	Load case	System	Dir	Type	Value - F [kN]
low max Wnd ;135°_1P_X	1P	low max Wnd ;135°	GCS	X	Force	161,46
low max Wnd ;135°_1P_Y	1P	low max Wnd ;135°	GCS	Y	Force	137,18
low max Wnd ;135°_1P_Z	1P	low max Wnd ;135°	GCS	Z	Force	864,38
low max Wnd ;135°_1X_X	1X	low max Wnd ;135°	GCS	X	Force	-84,38
low max Wnd ;135°_1X_Y	1X	low max Wnd ;135°	GCS	Y	Force	40,97
low max Wnd ;135°_1X_Z	1X	low max Wnd ;135°	GCS	Z	Force	-374,24
low max Wnd ;135°_1XY_X	1XY	low max Wnd ;135°	GCS	X	Force	196,92
low max Wnd ;135°_1XY_Y	1XY	low max Wnd ;135°	GCS	Y	Force	170,86
low max Wnd ;135°_1XY_Z	1XY	low max Wnd ;135°	GCS	Z	Force	-1040,05
low max Wnd ;135°_1Y_X	1Y	low max Wnd ;135°	GCS	X	Force	-51,71
low max Wnd ;135°_1Y_Y	1Y	low max Wnd ;135°	GCS	Y	Force	2,01
low max Wnd ;135°_1Y_Z	1Y	low max Wnd ;135°	GCS	Z	Force	186,16
low max Wnd ;135°_1Y_X1	1Y1	low max Wnd ;135°	GCS	X	Force	-51,71
low max Wnd ;135°_1Y_Y1	1Y1	low max Wnd ;135°	GCS	Y	Force	2,01
low max Wnd	1Y1	low max Wnd ;135°	GCS	Z	Force	186,16

Name	Node	Load case	System	Dir	Type	Value - F [kN]
;135°_1Y_Z1						
low max Wnd ;135°_1XY_X1	1XY1	low max Wnd ;135°	GCS	X	Force	196,92
low max Wnd ;135°_1XY_Y1	1XY1	low max Wnd ;135°	GCS	Y	Force	170,86
low max Wnd ;135°_1XY_Z1	1XY1	low max Wnd ;135°	GCS	Z	Force	-1040,05
low max Wnd ;135°_1X_X1	1X1	low max Wnd ;135°	GCS	X	Force	-84,38
low max Wnd ;135°_1X_Y1	1X1	low max Wnd ;135°	GCS	Y	Force	40,97
low max Wnd ;135°_1X_Z1	1X1	low max Wnd ;135°	GCS	Z	Force	-374,24
low max Wnd ;135°_1P_X1	1P1	low max Wnd ;135°	GCS	X	Force	161,46
low max Wnd ;135°_1P_Y1	1P1	low max Wnd ;135°	GCS	Y	Force	137,18
low max Wnd ;135°_1P_Z1	1P1	low max Wnd ;135°	GCS	Z	Force	864,38

6.1.9. Load cases - low max Wnd ;315°

Name	Description	Action type	Load group	Duration	Master load case
	Spec	Load type			
low max Wnd ;315°	Standard	Variable Static	LG4	Short	None



6.1.9.1. Point force in node

Name	Node	Load case	System	Dir	Type	Value - F [kN]
low max Wnd ;315°_1P_X	1P	low max Wnd ;315°	GCS	X	Force	-206,23
low max Wnd ;315°_1P_Y	1P	low max Wnd ;315°	GCS	Y	Force	-170,43
low max Wnd ;315°_1P_Z	1P	low max Wnd ;315°	GCS	Z	Force	-1067,51
low max Wnd ;315°_1X_X	1X	low max Wnd ;315°	GCS	X	Force	55,21
low max Wnd ;315°_1X_Y	1X	low max Wnd ;315°	GCS	Y	Force	8,57
low max Wnd ;315°_1X_Z	1X	low max Wnd ;315°	GCS	Z	Force	164,52
low max Wnd ;315°_1XY_X	1XY	low max Wnd ;315°	GCS	X	Force	-158,66
low max Wnd ;315°_1XY_Y	1XY	low max Wnd ;315°	GCS	Y	Force	-148,25
low max Wnd ;315°_1XY_Z	1XY	low max Wnd ;315°	GCS	Z	Force	890,09
low max Wnd ;315°_1Y_X	1Y	low max Wnd ;315°	GCS	X	Force	76,10
low max Wnd ;315°_1Y_Y	1Y	low max Wnd ;315°	GCS	Y	Force	-42,34
low max Wnd ;315°_1Y_Z	1Y	low max Wnd ;315°	GCS	Z	Force	-353,00
low max Wnd ;315°_1Y_X1	1Y1	low max Wnd ;315°	GCS	X	Force	76,10
low max Wnd ;315°_1Y_Y1	1Y1	low max Wnd ;315°	GCS	Y	Force	-42,34
low max Wnd ;315°_1Y_Z1	1Y1	low max Wnd ;315°	GCS	Z	Force	-353,00
low max Wnd ;315°_1XY_X1	1XY1	low max Wnd ;315°	GCS	X	Force	-158,66
low max Wnd ;315°_1XY_Y1	1XY1	low max Wnd ;315°	GCS	Y	Force	-148,25
low max Wnd ;315°_1XY_Z1	1XY1	low max Wnd ;315°	GCS	Z	Force	890,09
low max Wnd ;315°_1X_X1	1X1	low max Wnd ;315°	GCS	X	Force	55,21
low max Wnd ;315°_1X_Y1	1X1	low max Wnd ;315°	GCS	Y	Force	8,57
low max Wnd ;315°_1X_Z1	1X1	low max Wnd ;315°	GCS	Z	Force	164,52
low max Wnd ;315°_1P_X1	1P1	low max Wnd ;315°	GCS	X	Force	-206,23
low max Wnd ;315°_1P_Y1	1P1	low max Wnd ;315°	GCS	Y	Force	-170,43
low max Wnd ;315°_1P_Z1	1P1	low max Wnd ;315°	GCS	Z	Force	-1067,51

6.2. Nonlinear combinations

Name	Type	Load cases	Coeff. [-]
low max Wnd ;45° - EG_Gunstig	Ultimate	EG_Fundering	0,900
		low max Wnd ;45°	1,000
low max Wnd ;225° - EG_Gunstig	Ultimate	EG_Fundering	0,900
		low max Wnd ;225°	1,000
low max Wnd ;135° - EG_Gunstig	Ultimate	EG_Fundering	0,900
		low max Wnd ;135°	1,000
low max Wnd ;315° - EG_Gunstig	Ultimate	EG_Fundering	0,900

Name	Type	Load cases	Coeff. [-]
		low max Wnd ;315°	1,000
high max Wnd ;45° - EG_Ongunstig	Ultimate	EG_Fundering	1,200
		high max Wnd ;45°	1,000
high max Wnd ;225° - EG_Ongunstig	Ultimate	EG_Fundering	1,200
		high max Wnd ;315°	1,000
high max Wnd ;135° - EG_Ongunstig	Ultimate	EG_Fundering	1,200
		high max Wnd ;135°	1,000
high max Wnd ;315° - EG_Ongunstig	Ultimate	EG_Fundering	1,200
		high max Wnd ;225°	1,000

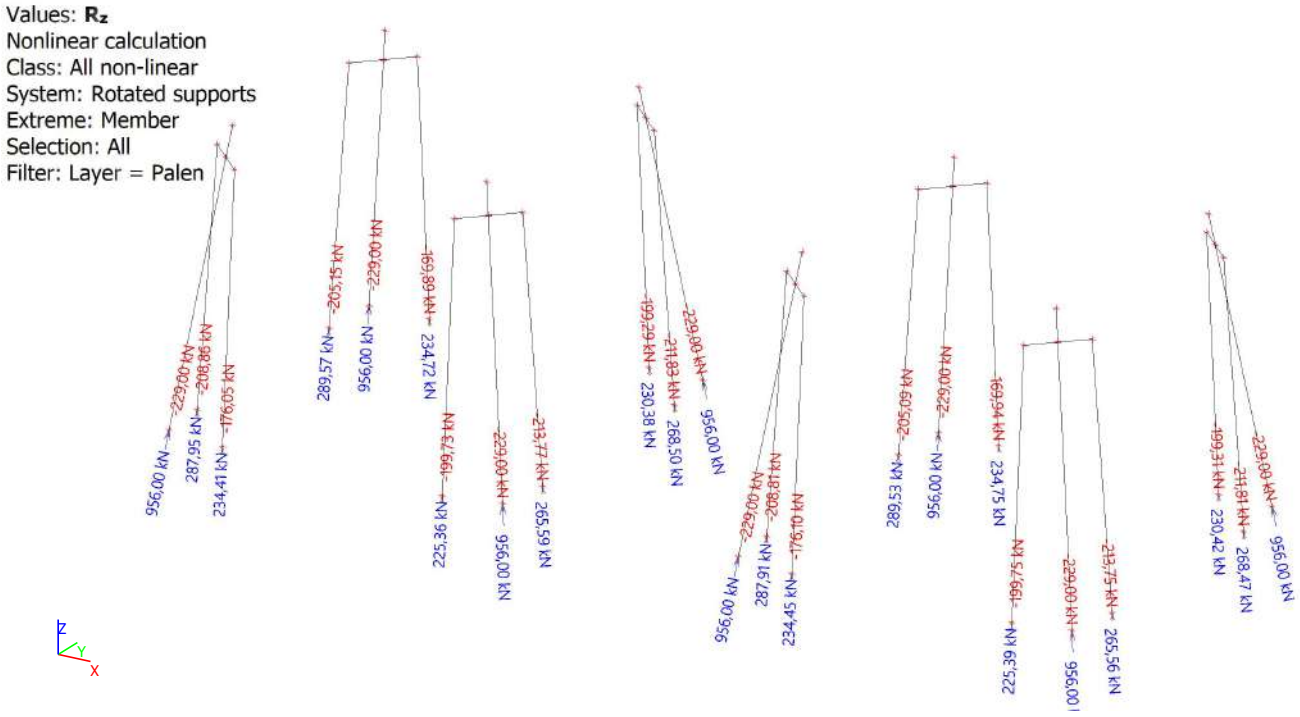
6.3. Result classes

Name	List
All non-linear	low max Wnd ;45° - EG_Gunstig
	low max Wnd ;225° - EG_Gunstig
	low max Wnd ;135° - EG_Gunstig
	low max Wnd ;315° - EG_Gunstig
	high max Wnd ;45° - EG_Ongunstig
	high max Wnd ;225° - EG_Ongunstig
	high max Wnd ;135° - EG_Ongunstig
	high max Wnd ;315° - EG_Ongunstig

7. Resultaten

7.1. Reacties van de palen

7.1.1. Reactions; R_z



7.1.2. Reactions

Nonlinear calculation
Class: All non-linear
System: Rotated supports
Extreme: Global
Selection: All
Filter: Cross-section = LD1(31-plank) - General cross-section
Nodal reactions

Name	Case	R_x [kN]	R_y [kN]	R_z [kN]	M_x [kNm]	M_y [kNm]	M_z [kNm]	e_x [mm]	e_y [mm]
S_P/N139	low max Wnd ;135° - EG_Gunstig	0,00	0,00	**-229,00**	0,00	0,00	0,00	0,0	0,0
S_P/N139	low max Wnd ;315° - EG_Gunstig	**0,00**	**0,00**	**956,00**	**0,00**	**0,00**	**0,00**	0,0	0,0

7.1.3. Reactions

Nonlinear calculation
Class: All non-linear
System: Rotated supports
Extreme: Global
Selection: All
Filter: Cross-section = LEKA Paal - type e (CHS323.9/10.0)
Nodal reactions

Name	Case	R_x [kN]	R_y [kN]	R_z [kN]	M_x [kNm]	M_y [kNm]	M_z [kNm]	e_x [mm]	e_y [mm]
Sn LK6/N175	low max Wnd ;45° - EG_Gunstig	0,00	0,00	**-213,77**	0,00	0,00	0,00	0,0	0,0
Sn LK/N159	high max Wnd ;45° - EG_Ongunstig	**0,00**	**0,00**	**289,57**	**0,00**	**0,00**	**0,00**	0,0	0,0

7.1.4. Reactions

Nonlinear calculation
Class: All non-linear
System: Rotated supports
Extreme: Member
Selection: All
Filter: Layer = Palen
Nodal reactions

Name	Case	R_x [kN]	R_y [kN]	R_z [kN]	M_x [kNm]	M_y [kNm]	M_z [kNm]	e_x [mm]	e_y [mm]
S_P/N139	low max Wnd ;135° - EG_Gunstig	0,00	0,00	**-229,00**	0,00	0,00	0,00	0,0	0,0
S_P/N139	low max Wnd ;315° - EG_Gunstig	**0,00**	**0,00**	**956,00**	**0,00**	**0,00**	**0,00**	0,0	0,0
S_Y/N143	low max Wnd ;225° - EG_Gunstig	**0,00**	**0,00**	**956,00**	**0,00**	**0,00**	**0,00**	0,0	0,0
S_Y/N143	low max Wnd ;45° - EG_Gunstig	0,00	0,00	**-229,00**	0,00	0,00	**0,00**	0,0	0,0
S_XY/N148	low max Wnd ;315° - EG_Gunstig	0,00	0,00	**-229,00**	0,00	0,00	0,00	0,0	0,0
S_XY/N148	low max Wnd ;135° - EG_Gunstig	**0,00**	**0,00**	**956,00**	**0,00**	**0,00**	**0,00**	0,0	0,0
S_X/N153	low max Wnd ;225° - EG_Gunstig	**0,00**	**0,00**	**-229,00**	**0,00**	**0,00**	**0,00**	0,0	0,0
S_X/N153	low max Wnd ;45° - EG_Gunstig	0,00	0,00	**956,00**	0,00	0,00	**0,00**	0,0	0,0
Sn LK/N159	low max Wnd ;225° - EG_Gunstig	0,00	0,00	**-205,15**	0,00	0,00	0,00	0,0	0,0
Sn LK/N159	high max Wnd ;45° - EG_Ongunstig	**0,00**	**0,00**	**289,57**	**0,00**	**0,00**	**0,00**	0,0	0,0
Sn LK1/N160	low max Wnd ;225° - EG_Gunstig	0,00	0,00	**-169,89**	0,00	0,00	0,00	0,0	0,0
Sn LK1/N160	high max Wnd ;45° - EG_Ongunstig	**0,00**	**0,00**	**234,72**	**0,00**	**0,00**	**0,00**	0,0	0,0
Sn LK2/N167	low max Wnd ;315° - EG_Gunstig	0,00	0,00	**-211,83**	0,00	0,00	0,00	0,0	0,0
Sn LK2/N167	high max Wnd ;135° - EG_Ongunstig	**0,00**	**0,00**	**268,50**	**0,00**	**0,00**	**0,00**	0,0	0,0
Sn LK3/N168	low max Wnd ;315° - EG_Gunstig	0,00	0,00	**-199,29**	0,00	0,00	0,00	0,0	0,0
Sn LK3/N168	high max Wnd ;135° -	**0,00**	**0,00**	**230,38**	**0,00**	**0,00**	**0,00**	0,0	0,0

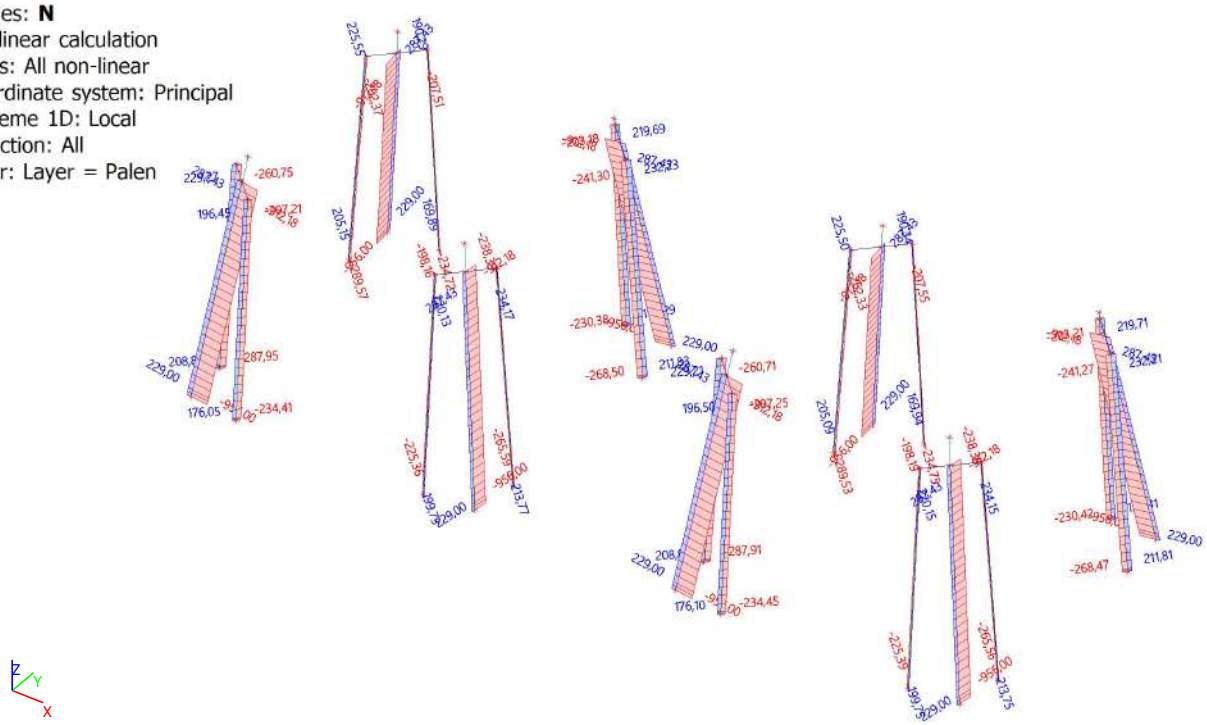
Name	Case	R_x [kN]	R_y [kN]	R_z [kN]	M_x [kNm]	M_y [kNm]	M_z [kNm]	e_x [mm]	e_y [mm]
	EG_Ongunstig								
Sn LK4/N171	low max Wnd ;135° - EG_Gunstig	0,00	0,00	**-208,86**	0,00	0,00	0,00	0,0	0,0
Sn LK4/N171	high max Wnd ;225° - EG_Ongunstig	**0,00**	**0,00**	**287,95**	**0,00**	**0,00**	**0,00**	0,0	0,0
Sn LK5/N172	low max Wnd ;135° - EG_Gunstig	0,00	0,00	**-176,05**	0,00	0,00	0,00	0,0	0,0
Sn LK5/N172	high max Wnd ;225° - EG_Ongunstig	**0,00**	**0,00**	**234,41**	**0,00**	**0,00**	**0,00**	0,0	0,0
Sn LK6/N175	high max Wnd ;315° - EG_Ongunstig	**0,00**	**0,00**	**265,59**	**0,00**	**0,00**	**0,00**	0,0	0,0
Sn LK6/N175	low max Wnd ;45° - EG_Gunstig	0,00	0,00	**-213,77**	0,00	0,00	**0,00**	0,0	0,0
Sn LK7/N176	high max Wnd ;315° - EG_Ongunstig	**0,00**	**0,00**	**225,36**	**0,00**	**0,00**	**0,00**	0,0	0,0
Sn LK7/N176	low max Wnd ;45° - EG_Gunstig	0,00	0,00	**-199,73**	0,00	0,00	**0,00**	0,0	0,0
S_Y1/N179	low max Wnd ;225° - EG_Gunstig	**0,00**	**0,00**	**956,00**	**0,00**	**0,00**	**0,00**	0,0	0,0
S_Y1/N179	low max Wnd ;45° - EG_Gunstig	0,00	0,00	**-229,00**	0,00	0,00	**0,00**	0,0	0,0
S_XY1/N181	low max Wnd ;315° - EG_Gunstig	0,00	0,00	**-229,00**	0,00	0,00	0,00	0,0	0,0
S_XY1/N181	low max Wnd ;135° - EG_Gunstig	**0,00**	**0,00**	**956,00**	**0,00**	**0,00**	**0,00**	0,0	0,0
Sn LK8/N184	low max Wnd ;315° - EG_Gunstig	0,00	0,00	**-211,81**	0,00	0,00	0,00	0,0	0,0
Sn LK8/N184	high max Wnd ;135° - EG_Ongunstig	**0,00**	**0,00**	**268,47**	**0,00**	**0,00**	**0,00**	0,0	0,0
Sn LK9/N185	low max Wnd ;315° - EG_Gunstig	0,00	0,00	**-199,31**	0,00	0,00	0,00	0,0	0,0
Sn LK9/N185	high max Wnd ;135° - EG_Ongunstig	**0,00**	**0,00**	**230,42**	**0,00**	**0,00**	**0,00**	0,0	0,0
Sn LK10/N188	high max Wnd ;315° - EG_Ongunstig	**0,00**	**0,00**	**265,56**	**0,00**	**0,00**	**0,00**	0,0	0,0
Sn LK10/N188	low max Wnd ;45° - EG_Gunstig	0,00	0,00	**-213,75**	0,00	0,00	**0,00**	0,0	0,0
Sn LK11/N189	high max Wnd ;315° - EG_Ongunstig	**0,00**	**0,00**	**225,39**	**0,00**	**0,00**	**0,00**	0,0	0,0
Sn LK11/N189	low max Wnd ;45° - EG_Gunstig	0,00	0,00	**-199,75**	0,00	0,00	**0,00**	0,0	0,0
S_X1/N191	low max Wnd ;225° - EG_Gunstig	**0,00**	**0,00**	**-229,00**	**0,00**	**0,00**	**0,00**	0,0	0,0
S_X1/N191	low max Wnd ;45° -	0,00	0,00	**956,00**	0,00	0,00	**0,00**	0,0	0,0

Name	Case	R_x [kN]	R_y [kN]	R_z [kN]	M_x [kNm]	M_y [kNm]	M_z [kNm]	e_x [mm]	e_y [mm]
	EG_Gunstig								
Sn LK12/N194	low max Wnd ;225° - EG_Gunstig	0,00	0,00	**-205,09**	0,00	0,00	0,00	0,0	0,0
Sn LK12/N194	high max Wnd ;45° - EG_Ongunstig	**0,00**	**0,00**	**289,53**	**0,00**	**0,00**	**0,00**	0,0	0,0
Sn LK13/N195	low max Wnd ;225° - EG_Gunstig	0,00	0,00	**-169,94**	0,00	0,00	0,00	0,0	0,0
Sn LK13/N195	high max Wnd ;45° - EG_Ongunstig	**0,00**	**0,00**	**234,75**	**0,00**	**0,00**	**0,00**	0,0	0,0
S_P1/N199	low max Wnd ;135° - EG_Gunstig	0,00	0,00	**-229,00**	0,00	0,00	0,00	0,0	0,0
S_P1/N199	low max Wnd ;315° - EG_Gunstig	**0,00**	**0,00**	**956,00**	**0,00**	**0,00**	**0,00**	0,0	0,0
Sn LK14/N198	low max Wnd ;135° - EG_Gunstig	0,00	0,00	**-176,10**	0,00	0,00	0,00	0,0	0,0
Sn LK14/N198	high max Wnd ;225° - EG_Ongunstig	**0,00**	**0,00**	**234,45**	**0,00**	**0,00**	**0,00**	0,0	0,0
Sn LK15/N201	low max Wnd ;135° - EG_Gunstig	0,00	0,00	**-208,81**	0,00	0,00	0,00	0,0	0,0
Sn LK15/N201	high max Wnd ;225° - EG_Ongunstig	**0,00**	**0,00**	**287,91**	**0,00**	**0,00**	**0,00**	0,0	0,0

8. Krachten van de Funderingspalen

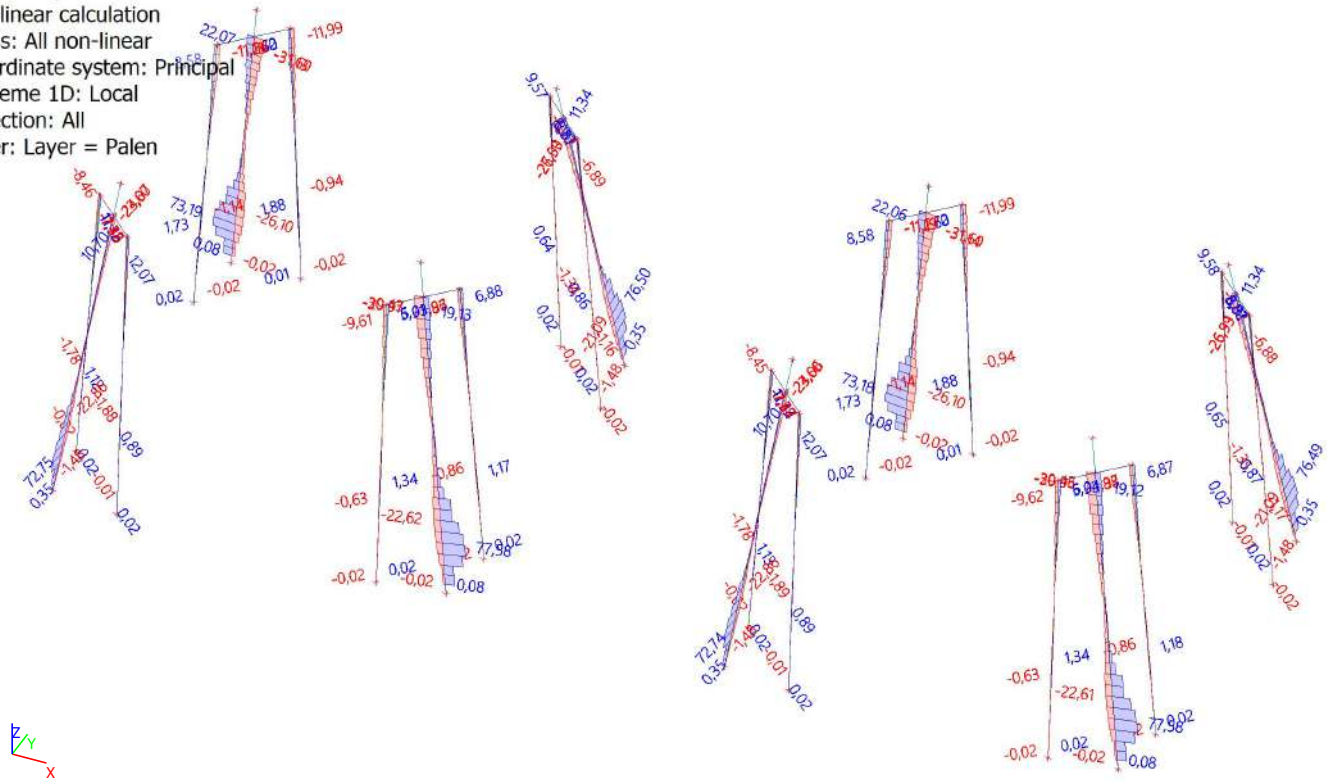
8.1. Interne 1D- krachten; N

Values: **N**
Nonlinear calculation
Class: All non-linear
Coordinate system: Principal
Extreme 1D: Local
Selection: All
Filter: Layer = Palen



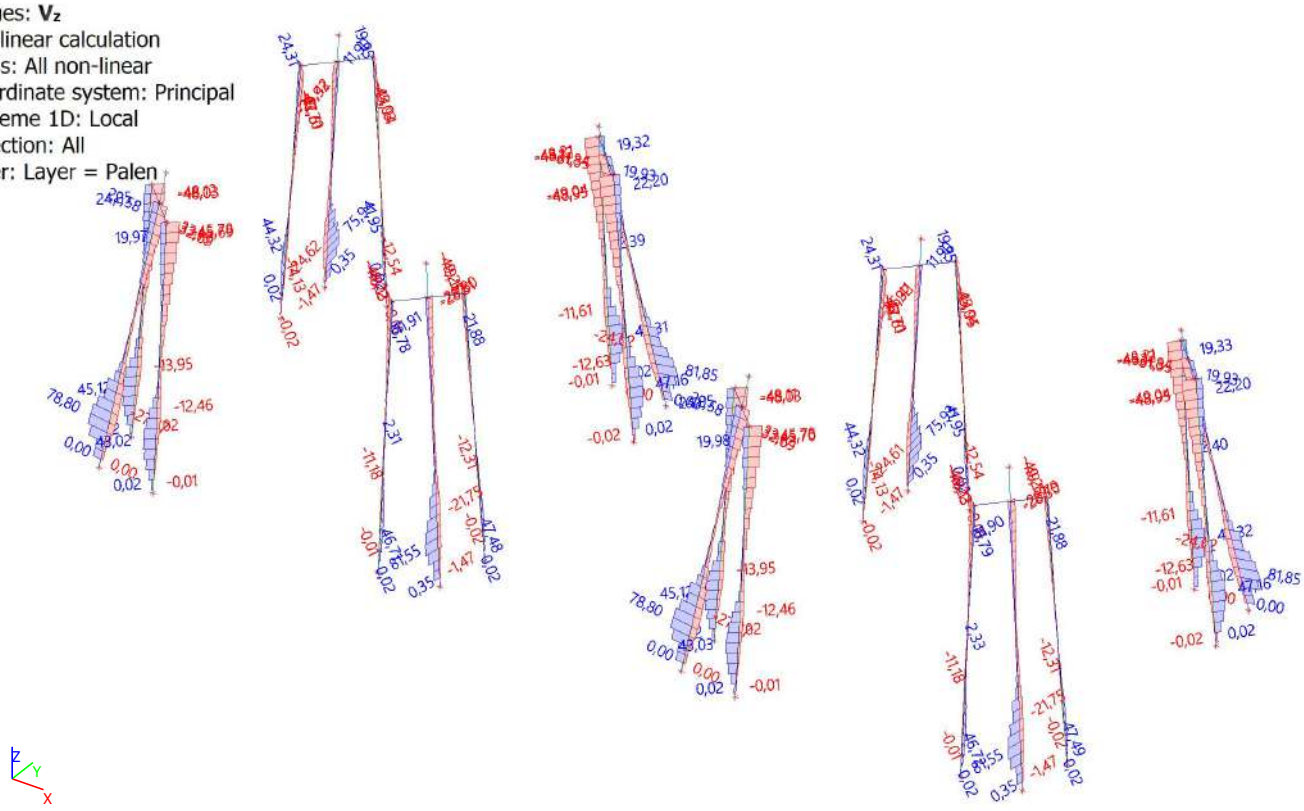
8.2. Interne 1D- krachten; V_y

Values: **V_y**
Nonlinear calculation
Class: All non-linear
Coordinate system: Principal
Extreme 1D: Local
Selection: All
Filter: Layer = Palen



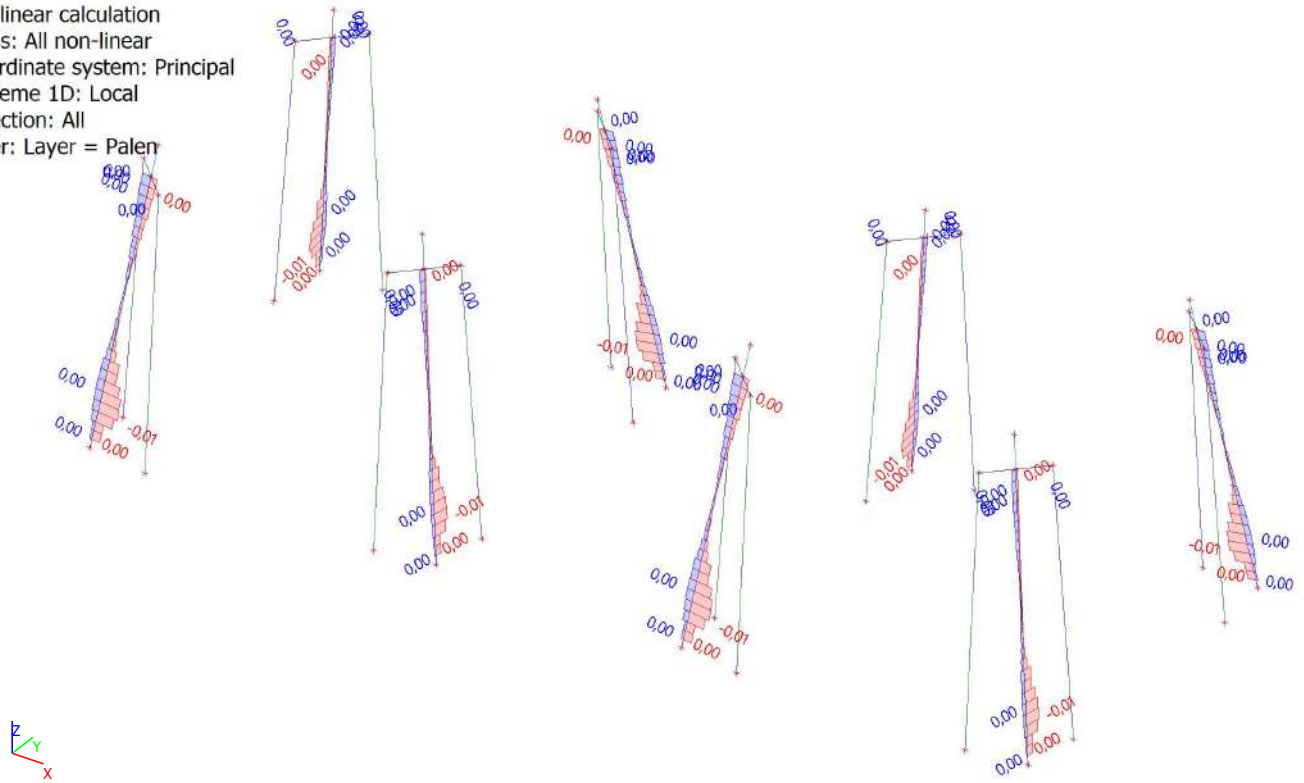
8.3. Interne 1D- krachten; V_z

Values: V_z
Nonlinear calculation
Class: All non-linear
Coordinate system: Principal
Extreme 1D: Local
Selection: All
Filter: Layer = Palen



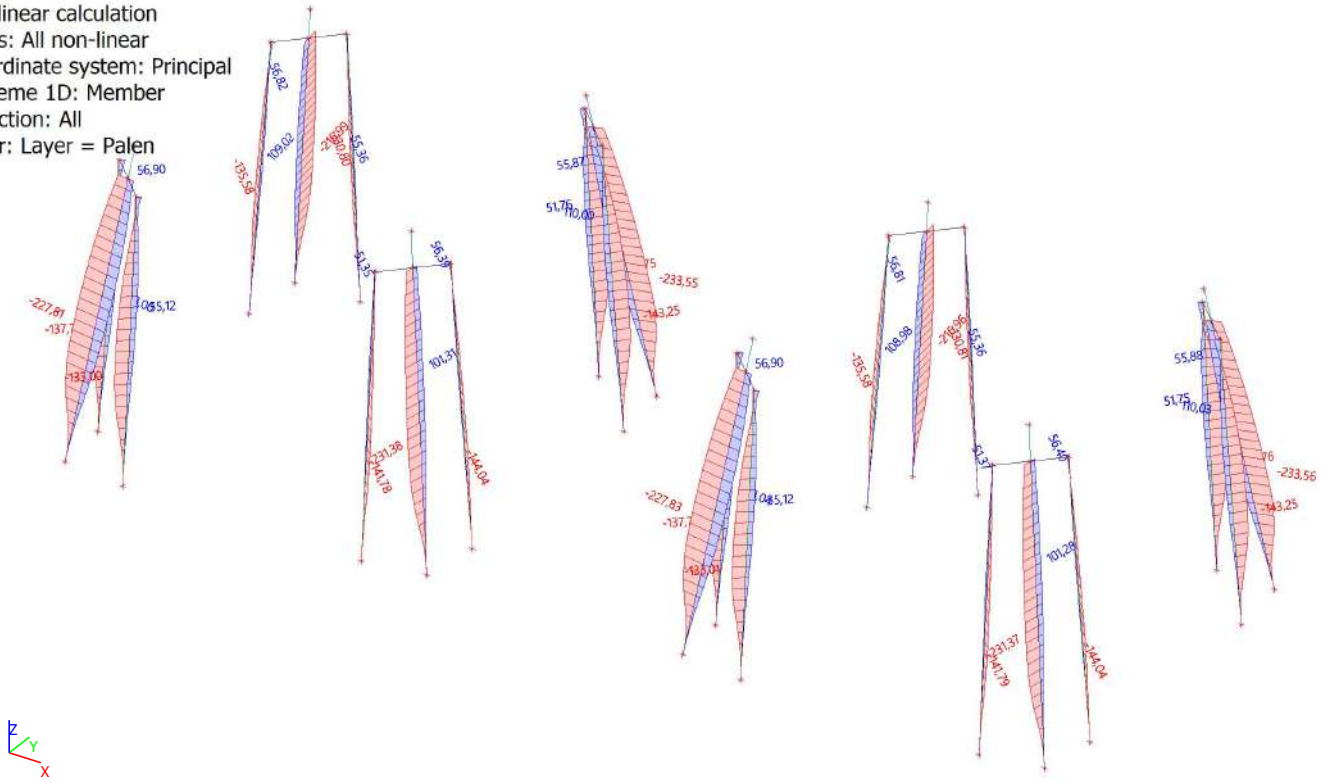
8.4. Interne 1D- krachten; M_x

Values: M_x
Nonlinear calculation
Class: All non-linear
Coordinate system: Principal
Extreme 1D: Local
Selection: All
Filter: Layer = Palen



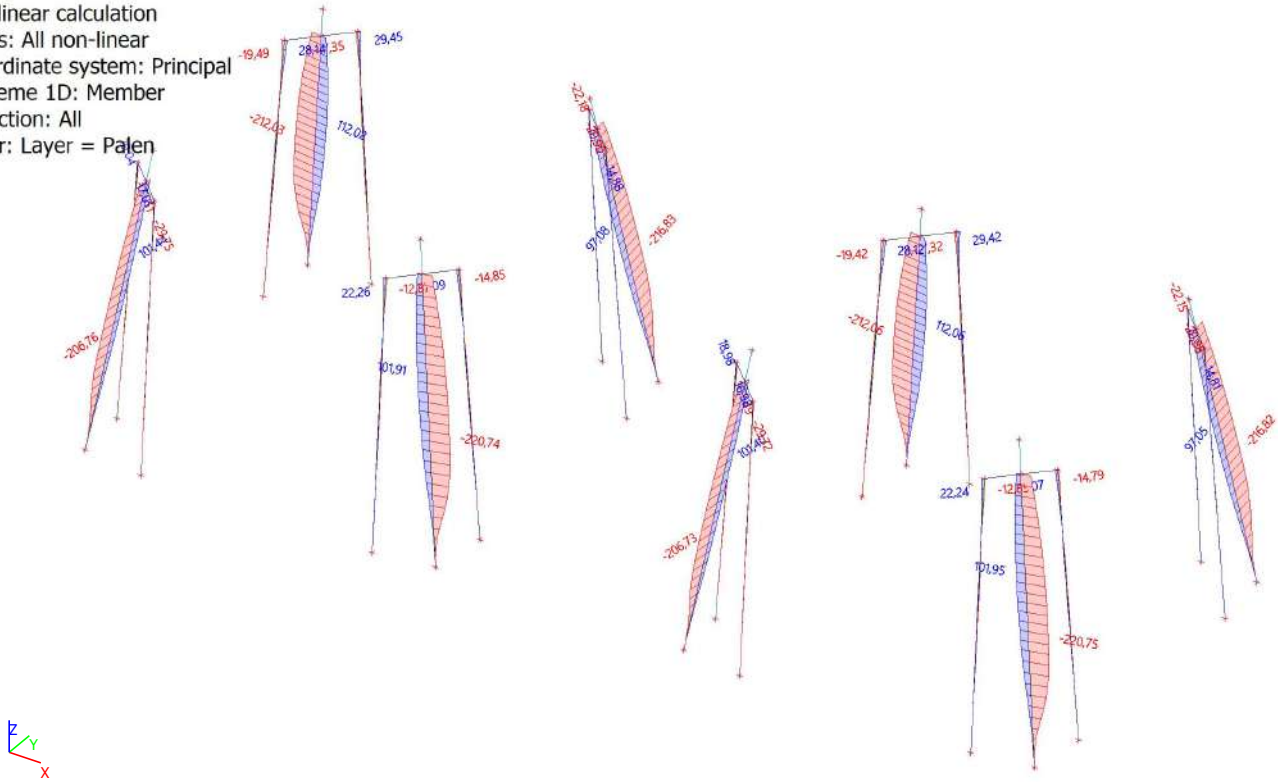
8.5. Interne 1D- krachten; M_y

Values: M_y
Nonlinear calculation
Class: All non-linear
Coordinate system: Principal
Extreme 1D: Member
Selection: All
Filter: Layer = Palen



8.6. Interne 1D- krachten; M_z

Values: M_z
Nonlinear calculation
Class: All non-linear
Coordinate system: Principal
Extreme 1D: Member
Selection: All
Filter: Layer = Palen



8.7. 1D internal forces

Nonlinear calculation
Class: All non-linear
Coordinate system: Principal
Extreme 1D: Global
Selection: All
Nothing in selection to display.

8.8. 1D internal forces

Nonlinear calculation
Class: All non-linear
Coordinate system: Principal
Extreme 1D: Global
Selection: All
Filter: Cross-section = LEKA Paal - type e (CHS323.9/10.0)

Name	dx [m]	Case	Cross-section	N [kN]	V_y [kN]	V_z [kN]	M_x [kNm]	M_y [kNm]	M_z [kNm]
Paal_X1	13,152	high max Wnd ;45° - EG_Ongunstig	LEKA Paal - type e (CHS323.9/10.0)	**-289,57**	0,02	0,02	0,00	0,00	0,00
Paal_X7	0,000	low max Wnd ;45° - EG_Gunstig	LEKA Paal - type e (CHS323.9/10.0)	**234,17**	-3,07	-49,16	**0,00**	56,39	6,38
Paal_X16	0,000	low max Wnd ;315° - EG_Gunstig	LEKA Paal - type e (CHS323.9/10.0)	-119,65	**-11,99**	-1,79	0,00	-9,13	29,42
Paal_X17	0,000	low max Wnd ;45° - EG_Gunstig	LEKA Paal - type e (CHS323.9/10.0)	-119,85	**12,07**	-1,90	0,00	-8,87	-29,72
Paal_X12	1,000-	low max Wnd ;45° - EG_Gunstig	LEKA Paal - type e (CHS323.9/10.0)	232,60	-3,14	**-49,25**	0,00	7,19	3,23
Paal_X12	10,500+	low max Wnd ;45° - EG_Gunstig	LEKA Paal - type e (CHS323.9/10.0)	217,47	0,21	**47,49**	0,00	-76,95	-0,25
Paal_X12	8,000-	low max Wnd ;45° - EG_Gunstig	LEKA Paal - type e (CHS323.9/10.0)	222,42	0,28	-2,10	0,00	**-144,04**	-1,01
Paal_X5	0,000	low max Wnd ;135° - EG_Gunstig	LEKA Paal - type e (CHS323.9/10.0)	229,27	5,80	-48,03	0,00	**56,90**	-12,28
Paal_X6	0,000	low max Wnd ;45° - EG_Gunstig	LEKA Paal - type e (CHS323.9/10.0)	-120,46	12,07	-1,83	0,00	-8,91	**-29,75**
Paal_X2	0,000	low max Wnd ;315° - EG_Gunstig	LEKA Paal - type e (CHS323.9/10.0)	-120,25	-11,99	-1,73	0,00	-9,17	**29,45**

9. Krachten van de Poeren

9.1. 1D internal forces

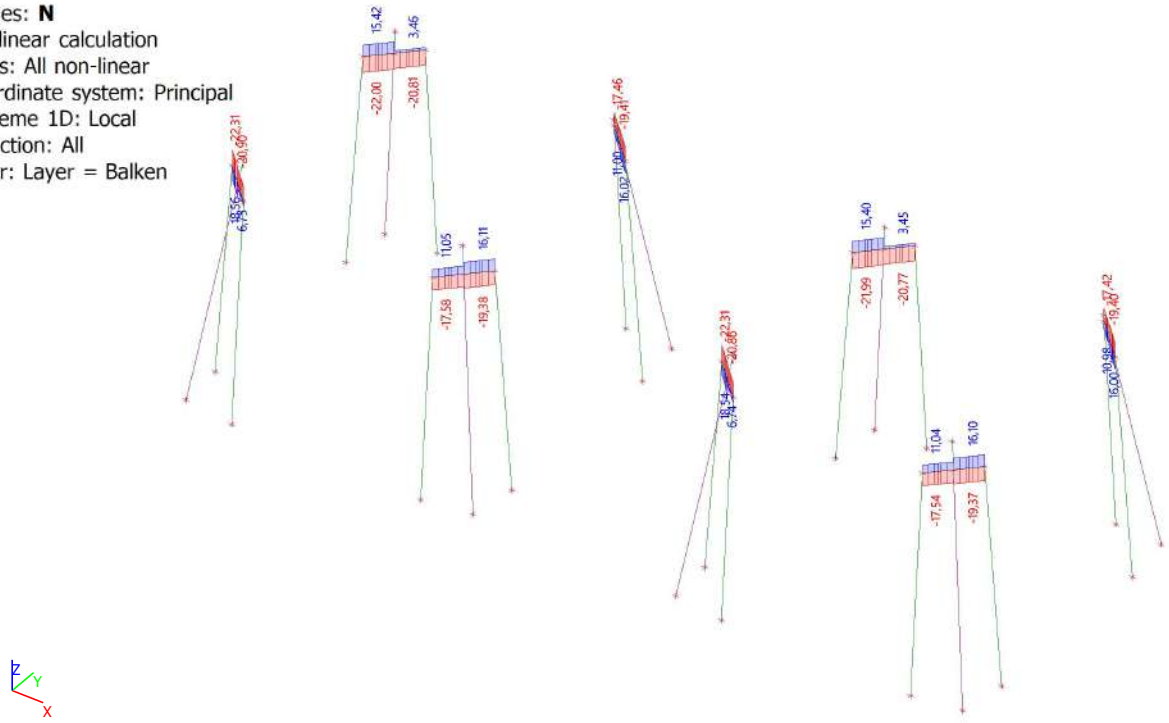
Nonlinear calculation
Class: All non-linear
Coordinate system: Principal
Extreme 1D: Global
Selection: All
Filter: Cross-section = Poer800 - Circle (800,00)

Name	dx [m]	Case	Cross-section	N [kN]	V_y [kN]	V_z [kN]	M_x [kNm]	M_y [kNm]	M_z [kNm]
Poer_P	1,560	low max Wnd ;45° - EG_Gunstig	Poer800 - Circle (800,00)	**917,83**	-35,77	-8,46	**0,00**	0,00	0,00
Poer_P	0,000	low max Wnd ;45° - EG_Gunstig	Poer800 - Circle (800,00)	900,88	**-39,21**	-8,44	0,00	13,18	**58,48**
Poer_XY	1,560	high max Wnd ;45° - EG_Ongunstig	Poer800 - Circle (800,00)	-1125,06	**50,46**	26,30	0,00	0,00	0,00
Poer_XY	1,560	low max Wnd ;315° - EG_Gunstig	Poer800 - Circle (800,00)	167,73	0,39	**-45,32**	0,00	0,00	0,00
Poer_X	1,560	low max Wnd ;45° - EG_Gunstig	Poer800 - Circle (800,00)	167,44	0,41	**45,60**	0,00	0,00	0,00
Poer_X	0,000	low max Wnd ;45° - EG_Gunstig	Poer800 - Circle (800,00)	150,48	-3,03	45,57	0,00	**-71,12**	2,05
Poer_XY	0,000	low max Wnd ;315° - EG_Gunstig	Poer800 - Circle (800,00)	150,77	-3,05	-45,30	0,00	**70,69**	2,08
Poer_XY	0,000	high max Wnd ;45° - EG_Ongunstig	Poer800 - Circle (800,00)	**-1147,67**	45,87	26,33	0,00	-41,05	**-75,15**

10. Krachten van de Funderingsbalken

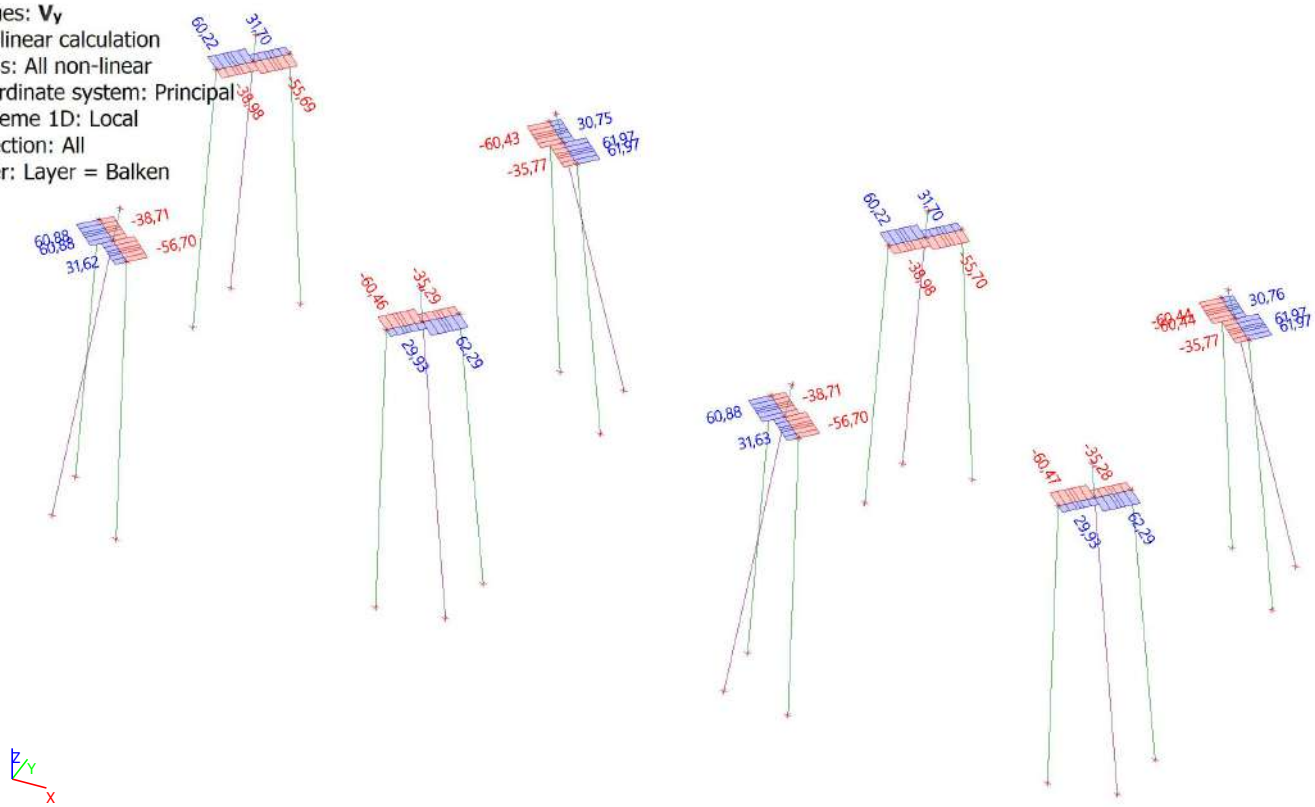
10.1. Interne 1D- krachten; N

Values: **N**
Nonlinear calculation
Class: All non-linear
Coordinate system: Principal
Extreme 1D: Local
Selection: All
Filter: Layer = Balken



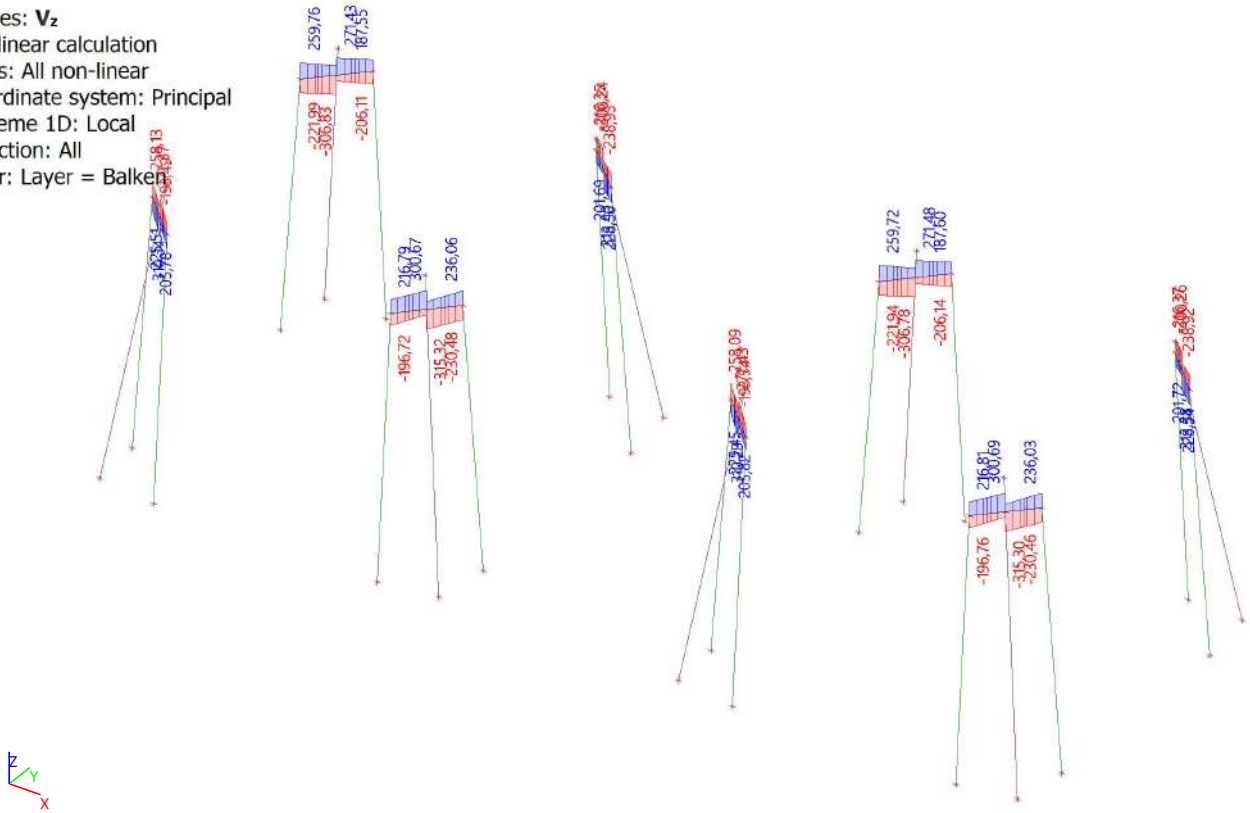
10.2. Interne 1D- krachten; V_y

Values: **V_y**
Nonlinear calculation
Class: All non-linear
Coordinate system: Principal
Extreme 1D: Local
Selection: All
Filter: Layer = Balken



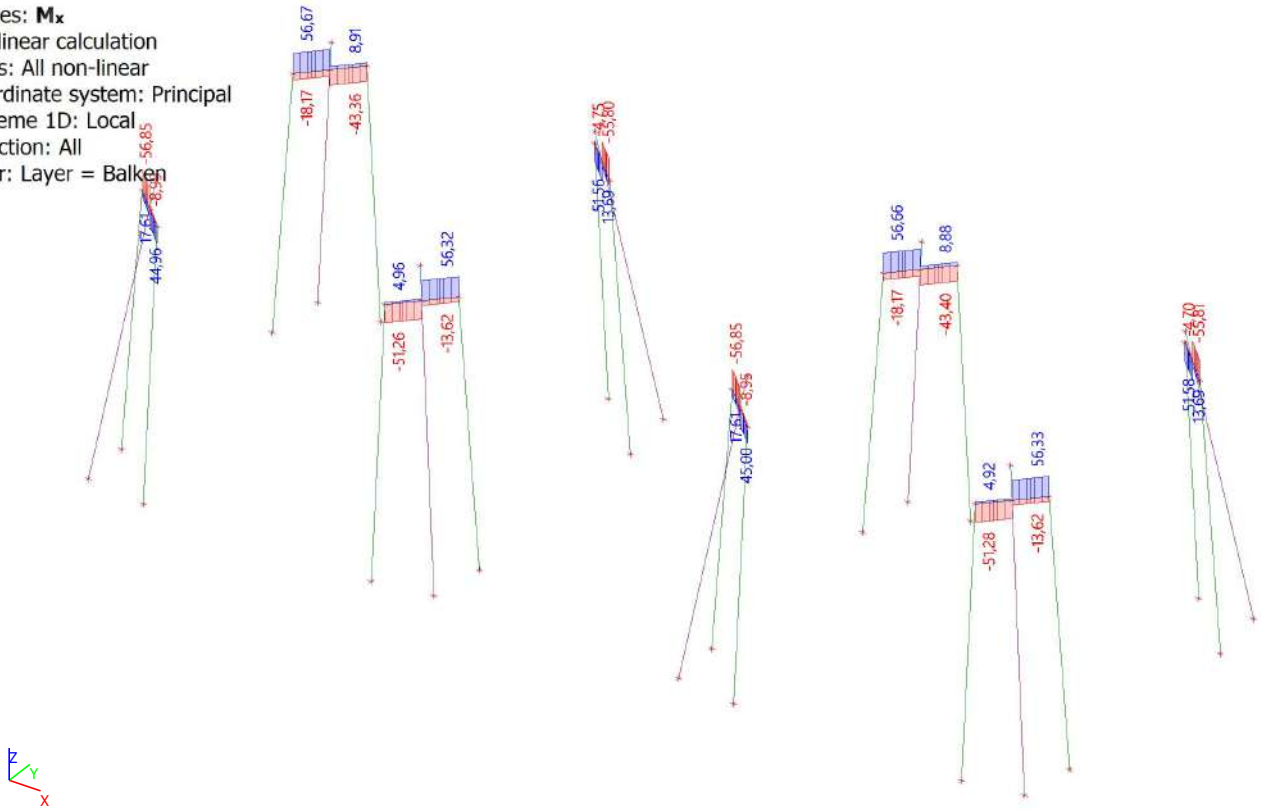
10.3. Interne 1D- krachten; V_z

Values: V_z
Nonlinear calculation
Class: All non-linear
Coordinate system: Principal
Extreme 1D: Local
Selection: All
Filter: Layer = Balken



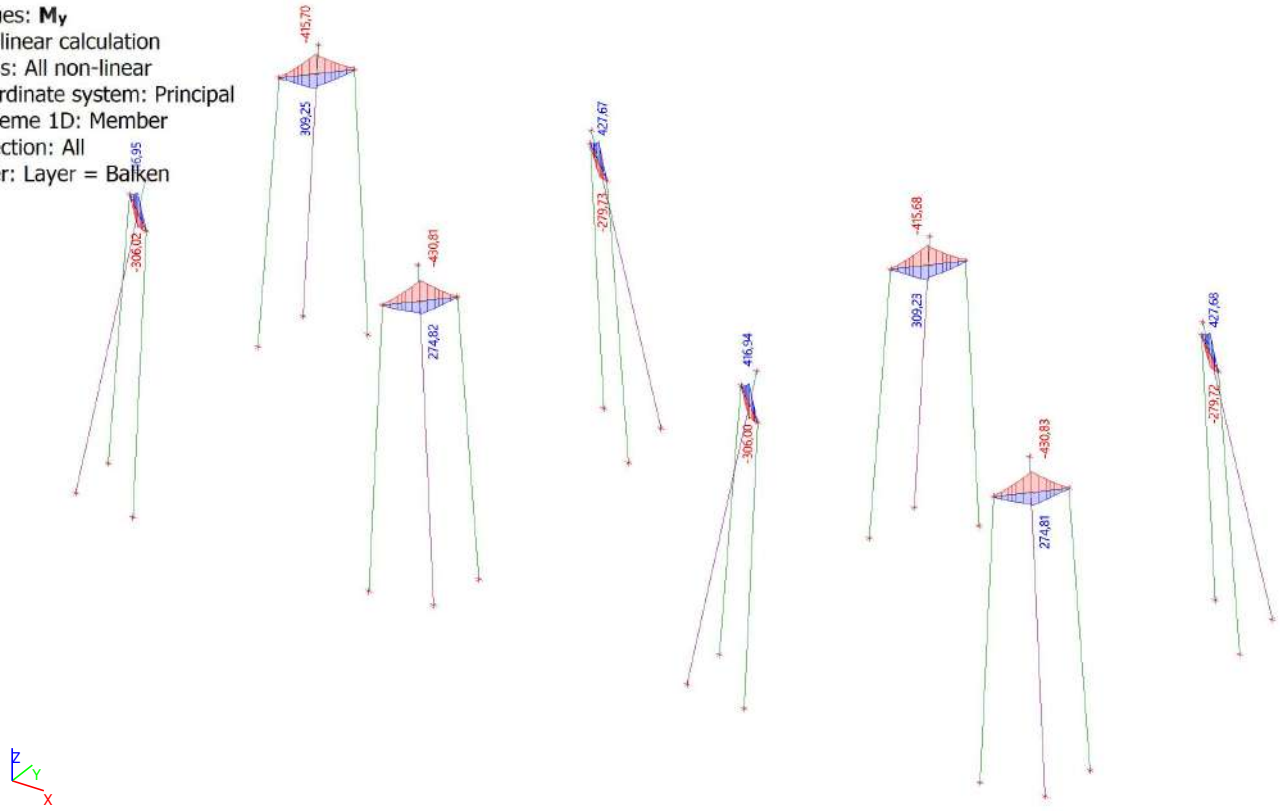
10.4. Interne 1D- krachten; M_x

Values: M_x
Nonlinear calculation
Class: All non-linear
Coordinate system: Principal
Extreme 1D: Local
Selection: All
Filter: Layer = Balken



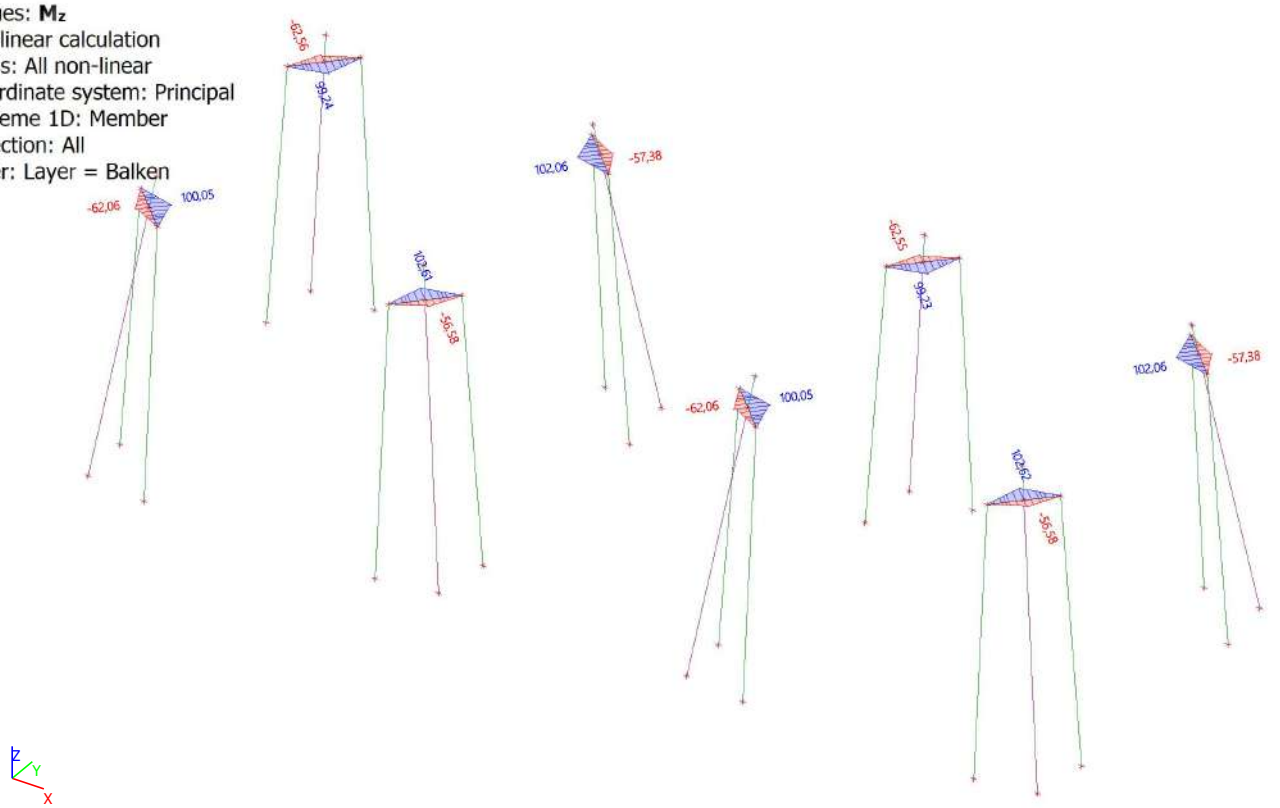
10.5. Interne 1D- krachten; M_y

Values: M_y
Nonlinear calculation
Class: All non-linear
Coordinate system: Principal
Extreme 1D: Member
Selection: All
Filter: Layer = Balken



10.6. Interne 1D- krachten; M_z

Values: M_z
Nonlinear calculation
Class: All non-linear
Coordinate system: Principal
Extreme 1D: Member
Selection: All
Filter: Layer = Balken



10.7. 1D internal forces

Nonlinear calculation
Class: All non-linear
Coordinate system: Principal
Extreme 1D: Global
Selection: All
Filter: Cross-section = lijnpoer - Rectangle (1500,00; 1600,00)

Name	dx [m]	Case	Cross-section	N [kN]	V_y [kN]	V_z [kN]	M_x [kNm]	M_y [kNm]	M_z [kNm]
DIN38	0,000	high max Wnd ;225° - EG_Ongunstig	lijnpoer - Rectangle (1500,00; 1600,00)	**-22,31**	-38,71	-258,13	17,61	16,89	-0,04
DIN41	1,602+	low max Wnd ;45° - EG_Gunstig	lijnpoer - Rectangle (1500,00; 1600,00)	11,04	**-60,47**	300,69	-51,28	-412,47	98,83
DIN39	1,602-	low max Wnd ;45° - EG_Gunstig	lijnpoer - Rectangle (1500,00; 1600,00)	16,11	**62,29**	**-315,32**	56,32	-430,81	102,61
DIN37	1,602-	low max Wnd ;315° - EG_Gunstig	lijnpoer - Rectangle (1500,00; 1600,00)	16,02	61,97	**313,40**	-55,80	427,67	102,06
DIN38	0,000	low max Wnd ;135° - EG_Gunstig	lijnpoer - Rectangle (1500,00; 1600,00)	**18,56**	60,88	225,51	**-56,85**	-12,26	2,52
DIN34	0,000	low max Wnd ;225° - EG_Gunstig	lijnpoer - Rectangle (1500,00; 1600,00)	15,42	60,22	-221,99	**56,67**	7,88	2,76
DIN41	1,602-	low max Wnd ;45° - EG_Gunstig	lijnpoer - Rectangle (1500,00; 1600,00)	16,10	62,29	-315,30	56,33	**-430,83**	**102,62**
DIN40	1,602-	low max Wnd ;315° - EG_Gunstig	lijnpoer - Rectangle (1500,00; 1600,00)	16,00	61,97	313,38	-55,81	**427,68**	102,06
DIN34	1,602-	high max Wnd ;45° - EG_Ongunstig	lijnpoer - Rectangle (1500,00; 1600,00)	-22,00	-38,98	146,64	-18,17	309,25	**-62,56**

1. Table of contents

1. Table of contents 1
2. Project 3
3. Analyse model 3
4. Modeleigenschappen 4
4.1. Materials 4
4.2. Cross-sections 4
4.3. Analyse model met doorsneden 7
4.4. Analyse model met doorsneden 7
4.5. Mesh setup 8
5. Geometrie 8
5.1. Nodes 8
5.2. Analyse model met knopen 9
5.3. Members 9
5.4. Analyse model met Staven 10
5.5. Nodal supports 10
5.6. Analyse model met Knoopondersteuningen 11
5.7. Line supports on member 11
5.8. Analyse model met Lijnondersteuningen 19
5.9. Analyse model met Lijnondersteuningen 19
5.10. Nonlinear functions 20
6. Belastingen 29
6.1. Load cases 29
6.1.1. Load cases - EG_Fundering 29
6.1.2. Load cases - high max Wnd ;45° 29
6.1.2.1. Point force in node 30
6.1.3. Load cases - high max Wnd ;315° 31
6.1.3.1. Point force in node 32
6.1.4. Load cases - high max Wnd ;135° 32
6.1.4.1. Point force in node 33
6.1.5. Load cases - high max Wnd ;225° 34
6.1.5.1. Point force in node 35
6.1.6. Load cases - low max Wnd ;45° 35
6.1.6.1. Point force in node 36
6.1.7. Load cases - low max Wnd ;225° 37
6.1.7.1. Point force in node 38
6.1.8. Load cases - low max Wnd ;135° 38
6.1.8.1. Point force in node 39
6.1.9. Load cases - low max Wnd ;315° 40
6.1.9.1. Point force in node 41
6.2. Nonlinear combinations 41
6.3. Result classes 42
7. Resultaten 43
7.1. Reacties van de palen 43
7.1.1. Reactions; R_z 43
7.1.2. Reactions 43
7.1.3. Reactions 43
7.1.4. Reactions 44
8. Krachten van de Funderingspalen 47
8.1. Interne 1D- krachten; N 47
8.2. Interne 1D- krachten; V_y 47
8.3. Interne 1D- krachten; V_z 48
8.4. Interne 1D- krachten; M_x 48
8.5. Interne 1D- krachten; M_y 49
8.6. Interne 1D- krachten; M_z 49
8.7. 1D internal forces 50
8.8. 1D internal forces 50
9. Krachten van de Poeren 51
9.1. 1D internal forces 51
10. Krachten van de Funderingsbalken 52
10.1. Interne 1D- krachten; N 52
10.2. Interne 1D- krachten; V_y 52
10.3. Interne 1D- krachten; V_z 53
10.4. Interne 1D- krachten; M_x 53
10.5. Interne 1D- krachten; M_y 54
10.6. Interne 1D- krachten; M_z 54

10.7. 1D internal forces 55

2. Project

Licence user	[redacted]
Project	Opwaardering KIJ-BVW 380kV
Part	Cilinder 75 + palen S II
Author	[redacted]
Date	12-05-2026
Structure	General XYZ
No. of nodes :	56
No. of beams :	40
No. of slabs :	0
No. of solids :	0
No. of used profiles :	4
No. of load cases :	9
No. of used materials :	8
Acceleration of gravity [m/s^2]	9,807
National code	EC - EN

3. Analyse model



4. Modeleigenschappen

4.1. Materials

Steel EC3

Name	ρ [kg/m³]	E_{mod} [MPa]	μ [-]	Lower limit [mm]	Upper limit [mm]	F_y [MPa]	F_u [MPa]	Colour
		G_{mod} [MPa]	α [m/mK]					
S 235	6850,00	2,1000e+05	0,30	0,00	40,00	235,0	360,0	
		8,0769e+04	0,01e-003	40,00	80,00	215,0	360,0	
S 235	6850,00	2,1000e+05	0,30	0,00	40,00	235,0	360,0	
		8,0769e+04	0,01e-003	40,00	80,00	215,0	360,0	
S 235	6850,00	2,1000e+05	0,30	0,00	40,00	235,0	360,0	
		8,0769e+04	0,01e-003	40,00	80,00	215,0	360,0	

Name	Type	ρ [kg/m³]	Density in fresh state [kg/m³]	E_{mod} [MPa]	μ [-]	α [m/mK]	$f_{c.k.28}$ [MPa]	Colour
C12/15 Gescheurd	Concrete	2500,00	2600,00	9,0000e+03	0,23	0,01e-003	12,00	
C30/37 Gescheurd	Concrete	1500,00	2600,00	1,1000e+04	0,20	0,01e-003	30,00	
C30/37	Concrete	1500,00	2600,00	1,0900e+04	0,20	0,01e-003	30,00	
C12/15 Gescheurd	Concrete	1500,00	2600,00	7,0000e+03	0,20	0,01e-003	12,00	

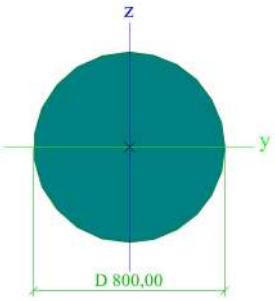
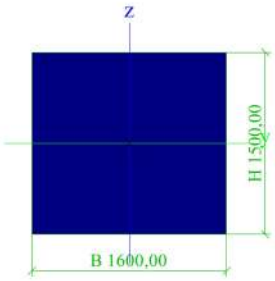
Explanations of symbols	
Density in fresh state	The value in the density in fresh state property is used only in case a composite deck is input and its self-weight load is taken into account.

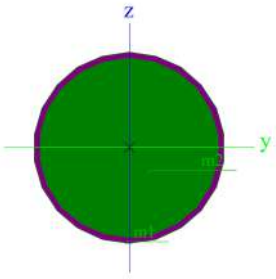
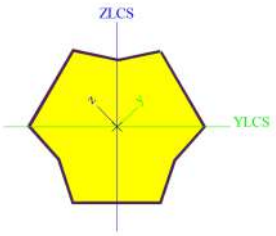
Reinforcement EC2

Name	Type	ρ [kg/m³]	E_{mod} [MPa]	G_{mod} [MPa]	α [m/mK]	$f_{y.k}$ [MPa]
B 400A	Reinforcement steel	7850,00	2,0000e+05	8,3333e+04	0,01e-003	400,0

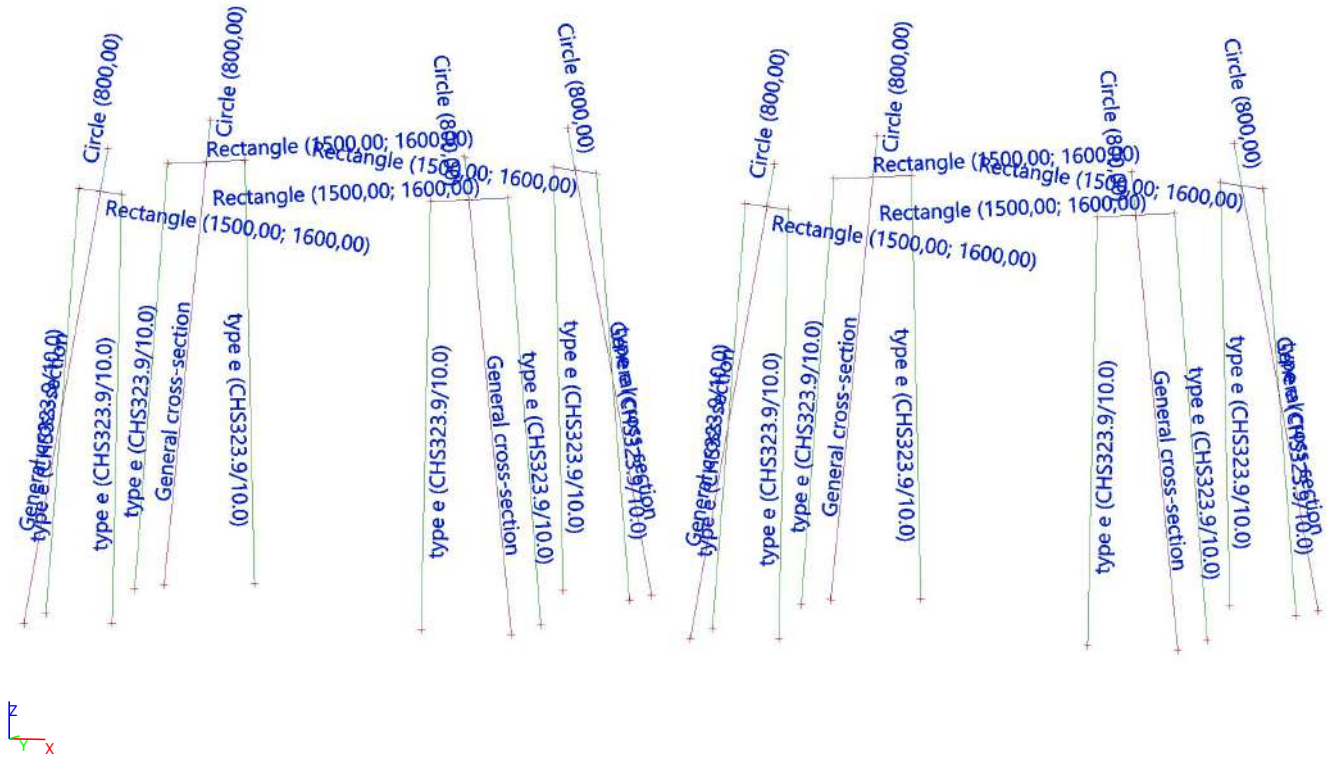
4.2. Cross-sections

Poer800		
Type	Circle	
Detailed	800,00	
Shape type	Thick-walled	
Item material	C12/15 Gescheurd	
Fabrication	general	
Colour		
A [mm²]	5,0265e+05	
A_y [mm²], A_z [mm²]	4,5239e+05	4,5239e+05
A_L [m²/m], A_D [m²/m]	2,5131e+00	2,5131e+00
$c_{Y.UCS}$ [mm], $c_{Z.UCS}$ [mm]	400,00	400,00
α [deg]	0,00	
I_y [mm⁴], I_z [mm⁴]	2,0106e+10	2,0106e+10
i_y [mm], i_z [mm]	199,98	199,98
$W_{el.y}$ [mm³], $W_{el.z}$ [mm³]	5,0265e+07	5,0265e+07
$W_{pl.y}$ [mm³], $W_{pl.z}$ [mm³]	8,5333e+07	8,5333e+07
$M_{pl.y.+}$ [Nmm], $M_{pl.y.-}$ [Nmm]	0,00	0,00
$M_{pl.z.+}$ [Nmm], $M_{pl.z.-}$ [Nmm]	0,00	0,00
d_y [mm], d_z [mm]	0,00	0,00
I_t [mm⁴], I_w [mm⁶]	4,0212e+10	0,0000e+00
β_y [mm], β_z [mm]	0,00	0,00

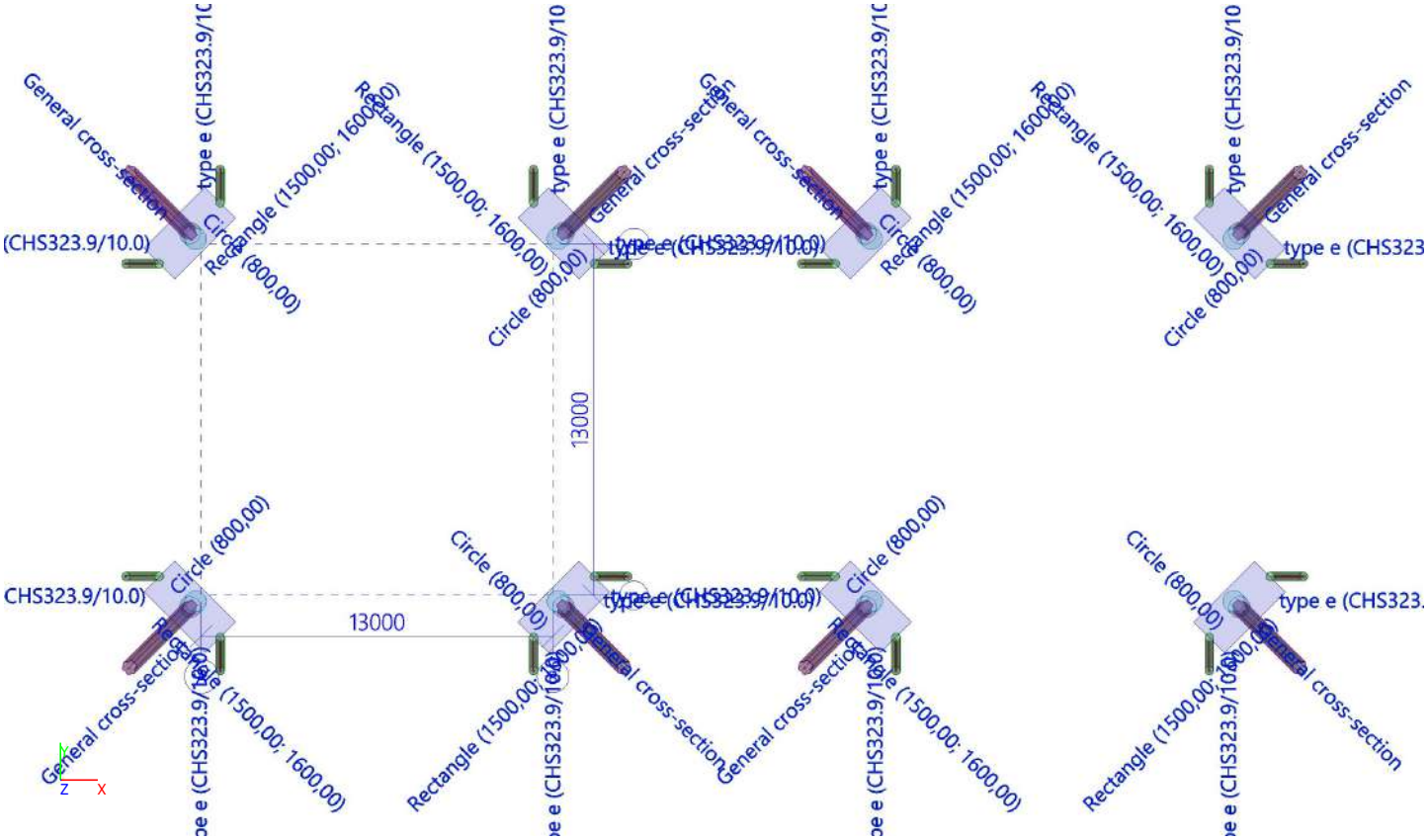
Picture		
lijnpoer		
Type	Rectangle	
Detailed	1500,00; 1600,00	
Shape type	Thick-walled	
Item material	C30/37 Gescheurd	
Fabrication	concrete	
Colour		
A [mm²]	2,4000e+06	
A_y [mm²], A_z [mm²]	2,0007e+06	2,0008e+06
A_L [m²/m], A_D [m²/m]	6,2000e+00	6,2000e+00
$c_{Y.UCS}$ [mm], $c_{Z.UCS}$ [mm]	800,00	750,00
α [deg]	0,00	
I_y [mm⁴], I_z [mm⁴]	4,5000e+11	5,1200e+11
i_y [mm], i_z [mm]	433,01	461,88
$W_{el.y}$ [mm³], $W_{el.z}$ [mm³]	6,0000e+08	6,4000e+08
$W_{pl.y}$ [mm³], $W_{pl.z}$ [mm³]	0,0000e+00	0,0000e+00
$M_{pl.y.+}$ [Nmm], $M_{pl.y.-}$ [Nmm]	0,00	0,00
$M_{pl.z.+}$ [Nmm], $M_{pl.z.-}$ [Nmm]	0,00	0,00
d_y [mm], d_z [mm]	0,00	0,00
I_t [mm⁴], I_w [mm⁶]	8,0849e+11	2,2447e+15
β_y [mm], β_z [mm]	0,00	0,00
Picture		
LEKA Paal		
Type	type e	
Detailed	CHS323.9/10.0	
Shape type	Thick-walled	
Item material	S 235	
	C30/37	
Fabrication	concrete	
Flexural buckling y-y, Flexural buckling z-z	a	a
A [mm²]	1,3624e+04	
A_y [mm²], A_z [mm²]	9,1187e+03	9,1187e+03
A_L [m²/m], A_D [m²/m]	1,0175e+00	1,0175e+00
$c_{Y.UCS}$ [mm], $c_{Z.UCS}$ [mm]	161,95	161,95
α [deg]	0,00	
I_y [mm⁴], I_z [mm⁴]	1,4326e+08	1,4326e+08
i_y [mm], i_z [mm]	102,54	102,54
$W_{el.y}$ [mm³], $W_{el.z}$ [mm³]	8,8458e+05	8,8458e+05
$W_{pl.y}$ [mm³], $W_{pl.z}$ [mm³]	1,1479e+06	1,1479e+06
$M_{pl.y.+}$ [Nmm], $M_{pl.y.-}$ [Nmm]	269749430,18	269749430,18

$M_{pl.z.+}$ [Nmm], $M_{pl.z.-}$ [Nmm]	269749430,18	269749430,18
d_y [mm], d_z [mm]	0,00	0,00
I_t [mm⁴], I_w [mm⁶]	2,9003e+08	2,9935e+04
β_y [mm], β_z [mm]	0,00	0,00
Picture		
LD1(31-plank)		
Type	General cross-section	
Shape type	Thick-walled	
Item material	C12/15 Gescheurd	
	S 235	
Fabrication	concrete	
Flexural buckling y-y, Flexural buckling z-z	d	d
A [mm²]	6,0572e+05	
A_y [mm²], A_z [mm²]	3,6248e+05	3,6314e+05
A_L [m²/m], A_D [m²/m]	1,7651e+00	3,4664e+00
$c_{Y.UCS}$ [mm], $c_{Z.UCS}$ [mm]	553,25	9,99
$I_{Y.LCS}$ [mm⁴], $I_{Z.LCS}$ [mm⁴]	1,6274e+10	1,6264e+10
$I_{YZ.LCS}$ [mm⁴]	-1,0231e+08	
α [deg]	43,55	
I_y [mm⁴], I_z [mm⁴]	1,6372e+10	1,6167e+10
i_y [mm], i_z [mm]	164,40	163,37
$W_{el.y}$ [mm³], $W_{el.z}$ [mm³]	5,7898e+07	5,8163e+07
$W_{pl.y}$ [mm³], $W_{pl.z}$ [mm³]	4,9594e+07	4,9245e+07
$M_{pl.y.+}$ [Nmm], $M_{pl.y.-}$ [Nmm]	601215312,58	595125922,92
$M_{pl.z.+}$ [Nmm], $M_{pl.z.-}$ [Nmm]	597037111,16	590937542,96
d_y [mm], d_z [mm]	0,12	0,03
I_t [mm⁴], I_w [mm⁶]	2,6243e+10	1,7700e+12
β_y [mm], β_z [mm]	0,09	0,21
Picture		

4.3. Analyse model met doorsneden



4.4. Analyse model met doorsneden



4.5. Mesh setup

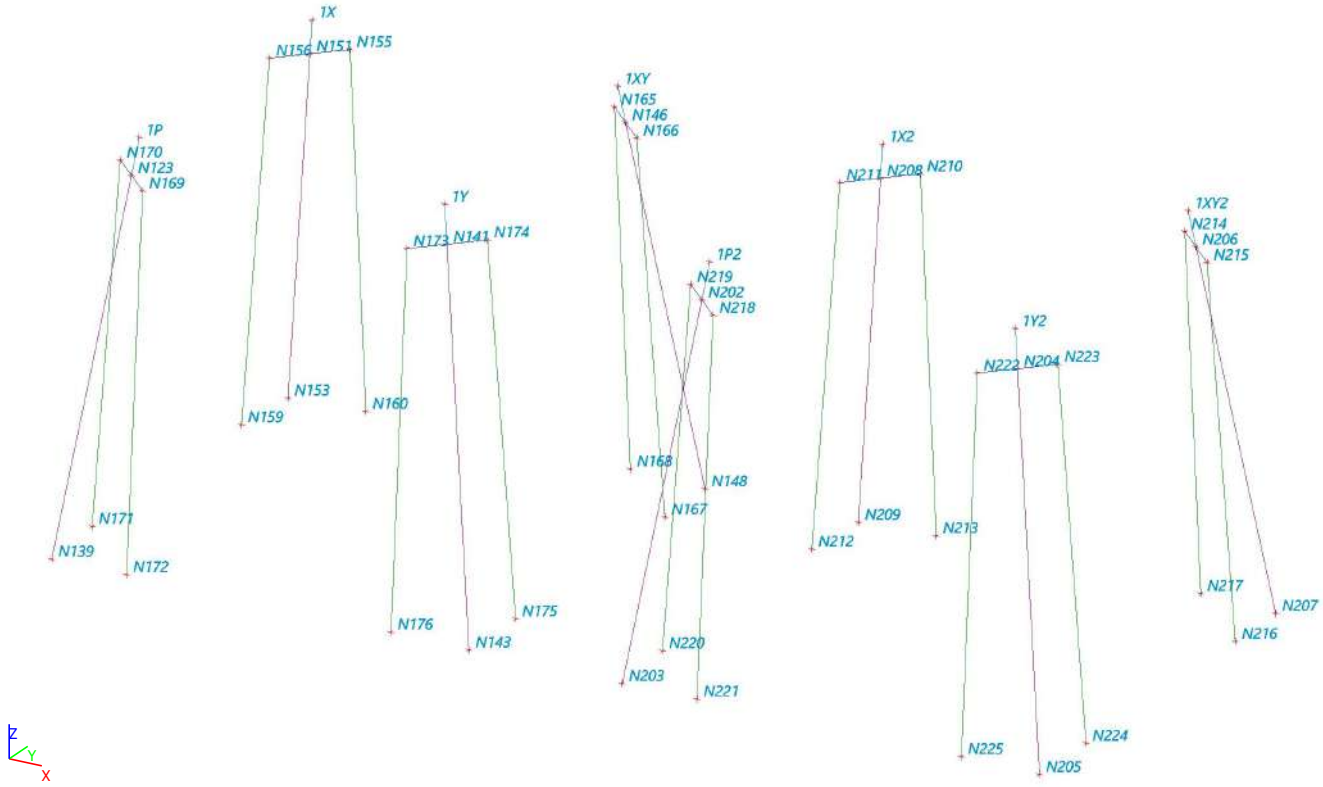
Name	MeshSetup1
Generation of variable eccentricities on members instead of constant ones	×
Generation of nodes in connections of beam elements	×
Elastic mesh	✓
Use automatic mesh refinement	×
Connect members/nodes	✓
Division on haunches and arbitrary members	5
Division for integration strip and 2D-1D upgrade	50
Average number of 1D mesh elements on straight 1D members	1
Average size of 2D mesh element [m]	0,200
Average size of 1D mesh element on curved 1D members [m]	0,100
Minimal length of beam element [m]	0,100
Maximal length of beam element [m]	1000,000
Average size of tendons, elements on subsoil, nonlinear soil spring [m]	1,000
Maximal out of plane angle of a quadrilateral [mrad]	30,0
Minimal distance between definition point and line [m]	0,001
Average size of panel element [m]	1,000
Mesh refinement following the beam type	None
Definition of mesh element size for panels	Manual

5. Geometrie

5.1. Nodes

Name	Coord X [m]	Coord Y [m]	Coord Z [m]
N123	-0,427	-0,433	-0,250
1P	-0,209	-0,212	1,279
N139	-2,655	-2,664	-15,732
N141	13,399	-0,433	-0,250
1Y	13,181	-0,212	1,279
N143	15,627	-2,664	-15,732
N146	13,399	13,405	-0,250
1XY	13,181	13,184	1,279
N148	15,627	15,636	-15,732
N151	-0,427	13,405	-0,250
1X	-0,209	13,184	1,279
N153	-2,655	15,636	-15,732
N155	0,693	14,525	-0,250
N156	-1,560	12,272	-0,250
N159	-2,794	12,272	-15,640
N160	0,693	15,759	-15,640
N165	12,279	14,525	-0,250
N166	14,532	12,272	-0,250
N167	15,766	12,272	-15,640
N168	12,279	15,759	-15,640
N169	0,693	-1,553	-0,250
N170	-1,560	0,700	-0,250
N171	-2,794	0,700	-15,640
N172	0,693	-2,787	-15,640
N173	12,279	-1,553	-0,250
N174	14,532	0,700	-0,250
N175	15,766	0,700	-15,640
N176	12,279	-2,787	-15,640
N202	24,573	-0,433	-0,250
1P2	24,791	-0,212	1,279
N203	22,345	-2,664	-15,732
N204	38,399	-0,433	-0,250
1Y2	38,181	-0,212	1,279
N205	40,627	-2,664	-15,732
N206	38,399	13,405	-0,250
1XY2	38,181	13,184	1,279
N207	40,627	15,636	-15,732
N208	24,573	13,405	-0,250
1X2	24,791	13,184	1,279
N209	22,345	15,636	-15,732
N210	25,693	14,525	-0,250
N211	23,440	12,272	-0,250
N212	22,206	12,272	-15,640
N213	25,693	15,759	-15,640
N214	37,279	14,525	-0,250
N215	39,532	12,272	-0,250
N216	40,766	12,272	-15,640
N217	37,279	15,759	-15,640
N218	25,693	-1,553	-0,250
N219	23,440	0,700	-0,250
N220	22,206	0,700	-15,640
N221	25,693	-2,787	-15,640
N222	37,279	-1,553	-0,250
N223	39,532	0,700	-0,250
N224	40,766	0,700	-15,640
N225	37,279	-2,787	-15,640

5.2. Analyse model met knopen

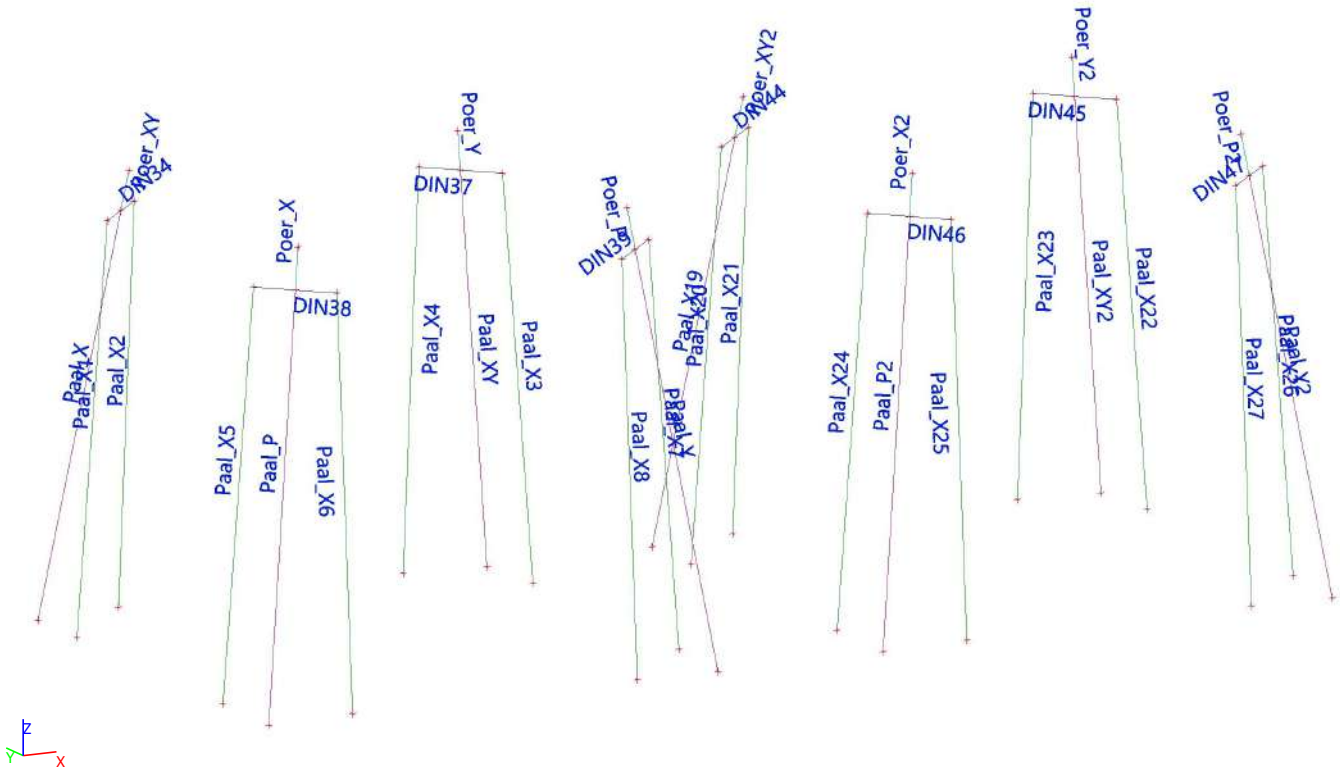


5.3. Members

Name	Cross-section	Material	Length [m]	Beg. node	End node	Type
DIN34	lijnpoer - Rectangle (1500,00; 1600,00)	C30/37 Gescheurd	3,186	N156	N155	beam (80)
DIN37	lijnpoer - Rectangle (1500,00; 1600,00)	C30/37 Gescheurd	3,186	N166	N165	beam (80)
DIN38	lijnpoer - Rectangle (1500,00; 1600,00)	C30/37 Gescheurd	3,186	N170	N169	beam (80)
DIN39	lijnpoer - Rectangle (1500,00; 1600,00)	C30/37 Gescheurd	3,186	N174	N173	beam (80)
DIN44	lijnpoer - Rectangle (1500,00; 1600,00)	C30/37 Gescheurd	3,186	N211	N210	beam (80)
DIN45	lijnpoer - Rectangle (1500,00; 1600,00)	C30/37 Gescheurd	3,186	N215	N214	beam (80)
DIN46	lijnpoer - Rectangle (1500,00; 1600,00)	C30/37 Gescheurd	3,186	N219	N218	beam (80)
DIN47	lijnpoer - Rectangle (1500,00; 1600,00)	C30/37 Gescheurd	3,186	N223	N222	beam (80)
Paal_P	LD1(31-plank) - General cross-section	C12/15 Gescheurd	15,800	N123	N139	column (100)
Paal_P2	LD1(31-plank) - General cross-section	C12/15 Gescheurd	15,800	N202	N203	column (100)
Paal_X	LD1(31-plank) - General cross-section	C12/15 Gescheurd	15,800	N151	N153	column (100)
Paal_X1	LEKA Paal - type e (CHS323.9/10.0)	S 235	15,439	N156	N159	column (100)
Paal_X2	LEKA Paal - type e (CHS323.9/10.0)	S 235	15,439	N155	N160	column (100)
Paal_X3	LEKA Paal - type e (CHS323.9/10.0)	S 235	15,439	N166	N167	column (100)
Paal_X4	LEKA Paal - type e (CHS323.9/10.0)	S 235	15,439	N165	N168	column (100)
Paal_X5	LEKA Paal - type e (CHS323.9/10.0)	S 235	15,439	N170	N171	column (100)
Paal_X6	LEKA Paal - type e (CHS323.9/10.0)	S 235	15,439	N169	N172	column (100)
Paal_X7	LEKA Paal - type e (CHS323.9/10.0)	S 235	15,439	N174	N175	column (100)
Paal_X8	LEKA Paal - type e (CHS323.9/10.0)	S 235	15,439	N173	N176	column (100)
Paal_X19	LD1(31-plank) - General cross-section	C12/15 Gescheurd	15,800	N208	N209	column (100)
Paal_X20	LEKA Paal - type e (CHS323.9/10.0)	S 235	15,439	N211	N212	column (100)
Paal_X21	LEKA Paal - type e (CHS323.9/10.0)	S 235	15,439	N210	N213	column (100)
Paal_X22	LEKA Paal - type e (CHS323.9/10.0)	S 235	15,439	N215	N216	column (100)
Paal_X23	LEKA Paal - type e (CHS323.9/10.0)	S 235	15,439	N214	N217	column (100)
Paal_X24	LEKA Paal - type e (CHS323.9/10.0)	S 235	15,439	N219	N220	column (100)
Paal_X25	LEKA Paal - type e (CHS323.9/10.0)	S 235	15,439	N218	N221	column (100)
Paal_X26	LEKA Paal - type e (CHS323.9/10.0)	S 235	15,439	N223	N224	column (100)
Paal_X27	LEKA Paal - type e (CHS323.9/10.0)	S 235	15,439	N222	N225	column (100)
Paal_XY	LD1(31-plank) - General cross-section	C12/15 Gescheurd	15,800	N146	N148	column (100)

Name	Cross-section	Material	Length [m]	Beg. node	End node	Type
Paal_XY2	LD1(31-plank) - General cross-section	C12/15 Gescheurd	15,800	N206	N207	column (100)
Paal_Y	LD1(31-plank) - General cross-section	C12/15 Gescheurd	15,800	N141	N143	column (100)
Paal_Y2	LD1(31-plank) - General cross-section	C12/15 Gescheurd	15,800	N204	N205	column (100)
Poer_P	Poer800 - Circle (800,00)	C12/15 Gescheurd	1,560	N141	1Y	column (100)
Poer_P2	Poer800 - Circle (800,00)	C12/15 Gescheurd	1,560	N204	1Y2	column (100)
Poer_X	Poer800 - Circle (800,00)	C12/15 Gescheurd	1,560	N123	1P	column (100)
Poer_X2	Poer800 - Circle (800,00)	C12/15 Gescheurd	1,560	N202	1P2	column (100)
Poer_XY	Poer800 - Circle (800,00)	C12/15 Gescheurd	1,560	N151	1X	column (100)
Poer_XY2	Poer800 - Circle (800,00)	C12/15 Gescheurd	1,560	N208	1X2	column (100)
Poer_Y	Poer800 - Circle (800,00)	C12/15 Gescheurd	1,560	N146	1XY	column (100)
Poer_Y2	Poer800 - Circle (800,00)	C12/15 Gescheurd	1,560	N206	1XY2	column (100)

5.4. Analyse model met Staven

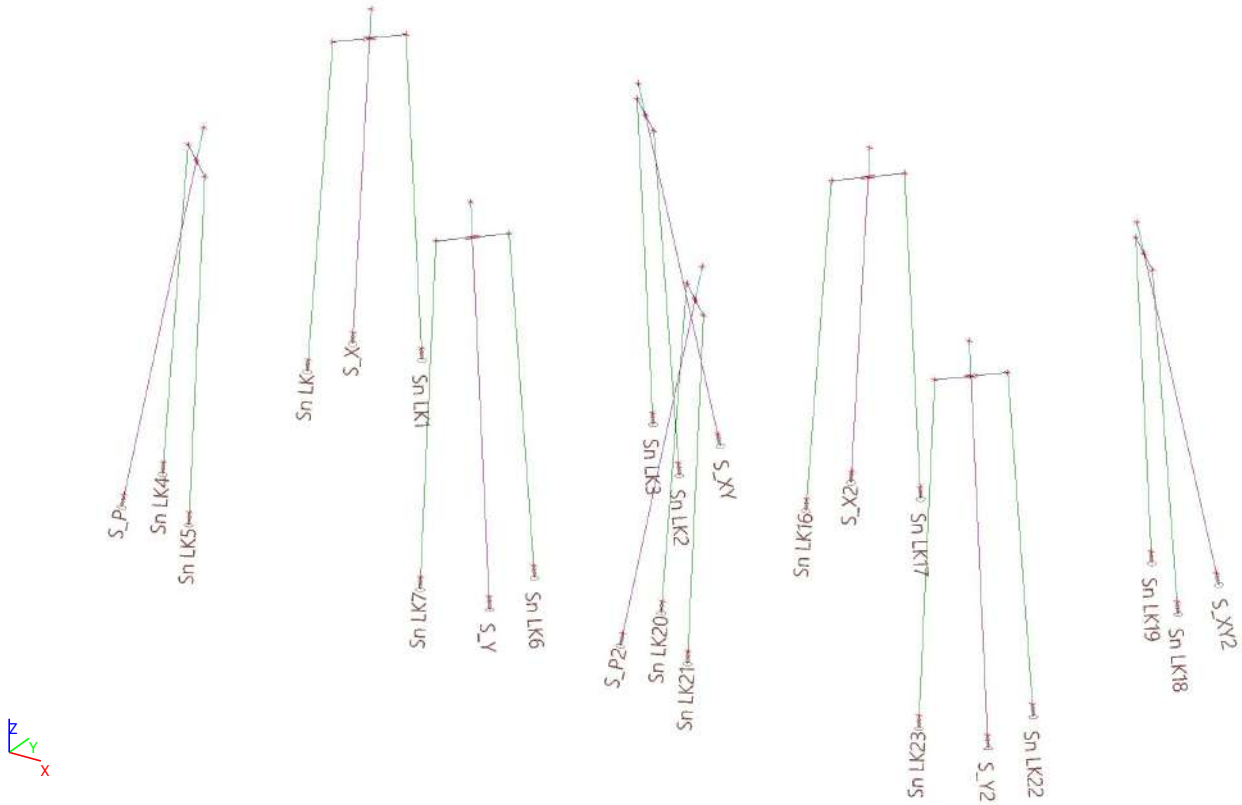


5.5. Nodal supports

Name	Node	System	Type	X	Y	Z	Rx	Ry	Rz	Angle [deg]
S_P	N139	GCS	Standard	Free	Free	Nonlinear	Free	Free	Free	Rx-8,11;Ry8,11
S_Y	N143	GCS	Standard	Free	Free	Nonlinear	Free	Free	Free	Rx-8,11;Ry-8,11
S_XY	N148	GCS	Standard	Free	Free	Nonlinear	Free	Free	Free	Rx8,11;Ry-8,11
S_X	N153	GCS	Standard	Free	Free	Nonlinear	Free	Free	Free	Rx8,11;Ry8,11
Sn LK	N159	GCS	Standard	Free	Free	Nonlinear	Free	Free	Free	Ry4,58
Sn LK1	N160	GCS	Standard	Free	Free	Nonlinear	Free	Free	Free	Rx4,58
Sn LK2	N167	GCS	Standard	Free	Free	Nonlinear	Free	Free	Free	Ry-4,58
Sn LK3	N168	GCS	Standard	Free	Free	Nonlinear	Free	Free	Free	Rx4,58
Sn LK4	N171	GCS	Standard	Free	Free	Nonlinear	Free	Free	Free	Ry4,58
Sn LK5	N172	GCS	Standard	Free	Free	Nonlinear	Free	Free	Free	Rx-4,58
Sn LK6	N175	GCS	Standard	Free	Free	Nonlinear	Free	Free	Free	Ry-4,58
Sn LK7	N176	GCS	Standard	Free	Free	Nonlinear	Free	Free	Free	Rx-4,58
S_P2	N203	GCS	Standard	Free	Free	Nonlinear	Free	Free	Free	Rx-8,11;Ry8,11
S_Y2	N205	GCS	Standard	Free	Free	Nonlinear	Free	Free	Free	Rx-8,11;Ry-8,11
S_XY2	N207	GCS	Standard	Free	Free	Nonlinear	Free	Free	Free	Rx8,11;Ry-8,11
S_X2	N209	GCS	Standard	Free	Free	Nonlinear	Free	Free	Free	Rx8,11;Ry8,11

Name	Node	System	Type	X	Y	Z	Rx	Ry	Rz	Angle [deg]
Sn LK16	N212	GCS	Standard	Free	Free	Nonlinear	Free	Free	Free	Ry4,58
Sn LK17	N213	GCS	Standard	Free	Free	Nonlinear	Free	Free	Free	Rx4,58
Sn LK18	N216	GCS	Standard	Free	Free	Nonlinear	Free	Free	Free	Ry-4,58
Sn LK19	N217	GCS	Standard	Free	Free	Nonlinear	Free	Free	Free	Rx4,58
Sn LK20	N220	GCS	Standard	Free	Free	Nonlinear	Free	Free	Free	Ry4,58
Sn LK21	N221	GCS	Standard	Free	Free	Nonlinear	Free	Free	Free	Rx-4,58
Sn LK22	N224	GCS	Standard	Free	Free	Nonlinear	Free	Free	Free	Ry-4,58
Sn LK23	N225	GCS	Standard	Free	Free	Nonlinear	Free	Free	Free	Rx-4,58

5.6. Analyse model met Knoopondersteuningen



5.7. Line supports on member

Name	Type	Member	Pos x_1 [m]	Coor	X	Y	Z	Rx	Ry	Rz
		System	Pos x_2 [m]	Orig						
Slb_P_Veen	Line	Paal_P	1,000	Abso	Free	Nonlinear	Nonlinear	Free	Free	Free
		LCS	8,000	From start						
Slb_Y_Veen	Line	Paal_Y	1,000	Abso	Free	Nonlinear	Nonlinear	Free	Free	Free
		LCS	8,000	From start						
Slb_XY_Veen	Line	Paal_XY	1,000	Abso	Free	Nonlinear	Nonlinear	Free	Free	Free
		LCS	8,000	From start						
Slb_X_Veen	Line	Paal_X	1,000	Abso	Free	Nonlinear	Nonlinear	Free	Free	Free
		LCS	8,000	From start						
Slb_P_V9	Line	Paal_P	8,000	Abso	Free	Nonlinear	Nonlinear	Free	Free	Free
		LCS	9,000	From start						
Slb_Y_V9	Line	Paal_Y	8,000	Abso	Free	Nonlinear	Nonlinear	Free	Free	Free
		LCS	9,000	From start						
Slb_XY_V9	Line	Paal_XY	8,000	Abso	Free	Nonlinear	Nonlinear	Free	Free	Free
		LCS	9,000	From start						
Slb_X_V9	Line	Paal_X	8,000	Abso	Free	Nonlinear	Nonlinear	Free	Free	Free
		LCS	9,000	From start						
Slb_P_V10	Line	Paal_P	9,000	Abso	Free	Nonlinear	Nonlinear	Free	Free	Free

Name	Type	Member System	Pos x_1 [m] Pos x_2 [m]	Coor Orig	X	Y	Z	Rx	Ry	Rz
		LCS	10,000	From start						
Slb_P_V11	Line	Paal_P	10,000	Abso	Free	Nonlinear	Nonlinear	Free	Free	Free
		LCS	11,000	From start						
Slb_P_V12	Line	Paal_P	11,000	Abso	Free	Nonlinear	Nonlinear	Free	Free	Free
		LCS	12,000	From start						
Slb_P_V13	Line	Paal_P	12,000	Abso	Free	Nonlinear	Nonlinear	Free	Free	Free
		LCS	13,000	From start						
Slb_Y_V10	Line	Paal_Y	9,000	Abso	Free	Nonlinear	Nonlinear	Free	Free	Free
		LCS	10,000	From start						
Slb_Y_V11	Line	Paal_Y	10,000	Abso	Free	Nonlinear	Nonlinear	Free	Free	Free
		LCS	11,000	From start						
Slb_Y_V12	Line	Paal_Y	11,000	Abso	Free	Nonlinear	Nonlinear	Free	Free	Free
		LCS	12,000	From start						
Slb_Y_V13	Line	Paal_Y	12,000	Abso	Free	Nonlinear	Nonlinear	Free	Free	Free
		LCS	13,000	From start						
Slb_XY_V10	Line	Paal_XY	9,000	Abso	Free	Nonlinear	Nonlinear	Free	Free	Free
		LCS	10,000	From start						
Slb_XY_V11	Line	Paal_XY	10,000	Abso	Free	Nonlinear	Nonlinear	Free	Free	Free
		LCS	11,000	From start						
Slb_XY_V12	Line	Paal_XY	11,000	Abso	Free	Nonlinear	Nonlinear	Free	Free	Free
		LCS	12,000	From start						
Slb_XY_V13	Line	Paal_XY	12,000	Abso	Free	Nonlinear	Nonlinear	Free	Free	Free
		LCS	13,000	From start						
Slb_X_V10	Line	Paal_X	9,000	Abso	Free	Nonlinear	Nonlinear	Free	Free	Free
		LCS	10,000	From start						
Slb_X_V11	Line	Paal_X	10,000	Abso	Free	Nonlinear	Nonlinear	Free	Free	Free
		LCS	11,000	From start						
Slb_X_V12	Line	Paal_X	11,000	Abso	Free	Nonlinear	Nonlinear	Free	Free	Free
		LCS	12,000	From start						
Slb_X_V13	Line	Paal_X	12,000	Abso	Free	Nonlinear	Nonlinear	Free	Free	Free
		LCS	13,000	From start						
Slb_X_Veen1	Line	Paal_X1	1,000	Abso	Free	Nonlinear	Nonlinear	Free	Free	Free
		LCS	8,000	From start						
Slb_X_V22	Line	Paal_X1	8,000	Abso	Free	Nonlinear	Nonlinear	Free	Free	Free
		LCS	9,000	From start						
Slb_X_V23	Line	Paal_X1	9,000	Abso	Free	Nonlinear	Nonlinear	Free	Free	Free
		LCS	10,000	From start						
Slb_X_V24	Line	Paal_X1	10,000	Abso	Free	Nonlinear	Nonlinear	Free	Free	Free
		LCS	11,000	From start						
Slb_X_V25	Line	Paal_X1	11,000	Abso	Free	Nonlinear	Nonlinear	Free	Free	Free
		LCS	12,000	From start						
Slb_X_V26	Line	Paal_X1	12,000	Abso	Free	Nonlinear	Nonlinear	Free	Free	Free
		LCS	13,000	From start						
Slb_X_Veen2	Line	Paal_X2	1,000	Abso	Free	Nonlinear	Nonlinear	Free	Free	Free
		LCS	8,000	From start						
Slb_X_V32	Line	Paal_X2	8,000	Abso	Free	Nonlinear	Nonlinear	Free	Free	Free
		LCS	9,000	From start						
Slb_X_V33	Line	Paal_X2	9,000	Abso	Free	Nonlinear	Nonlinear	Free	Free	Free
		LCS	10,000	From start						
Slb_X_V34	Line	Paal_X2	10,000	Abso	Free	Nonlinear	Nonlinear	Free	Free	Free
		LCS	11,000	From start						
Slb_X_V35	Line	Paal_X2	11,000	Abso	Free	Nonlinear	Nonlinear	Free	Free	Free
		LCS	12,000	From start						
Slb_X_V36	Line	Paal_X2	12,000	Abso	Free	Nonlinear	Nonlinear	Free	Free	Free
		LCS	13,000	From start						
Slb_X_Veen3	Line	Paal_X3	1,000	Abso	Free	Nonlinear	Nonlinear	Free	Free	Free
		LCS	8,000	From start						
Slb_X_V42	Line	Paal_X3	8,000	Abso	Free	Nonlinear	Nonlinear	Free	Free	Free
		LCS	9,000	From start						
Slb_X_V43	Line	Paal_X3	9,000	Abso	Free	Nonlinear	Nonlinear	Free	Free	Free
		LCS	10,000	From start						
Slb_X_V44	Line	Paal_X3	10,000	Abso	Free	Nonlinear	Nonlinear	Free	Free	Free
		LCS	11,000	From start						
Slb_X_V45	Line	Paal_X3	11,000	Abso	Free	Nonlinear	Nonlinear	Free	Free	Free

Name	Type	Member System	Pos x_1 [m] Pos x_2 [m]	Coor Orig	X	Y	Z	Rx	Ry	Rz
		LCS	12,000	From start						
Slb_X_V46	Line	Paal_X3	12,000	Abso	Free	Nonlinear	Nonlinear	Free	Free	Free
		LCS	13,000	From start						
Slb_X_Veen4	Line	Paal_X4	1,000	Abso	Free	Nonlinear	Nonlinear	Free	Free	Free
		LCS	8,000	From start						
Slb_X_V52	Line	Paal_X4	8,000	Abso	Free	Nonlinear	Nonlinear	Free	Free	Free
		LCS	9,000	From start						
Slb_X_V53	Line	Paal_X4	9,000	Abso	Free	Nonlinear	Nonlinear	Free	Free	Free
		LCS	10,000	From start						
Slb_X_V54	Line	Paal_X4	10,000	Abso	Free	Nonlinear	Nonlinear	Free	Free	Free
		LCS	11,000	From start						
Slb_X_V55	Line	Paal_X4	11,000	Abso	Free	Nonlinear	Nonlinear	Free	Free	Free
		LCS	12,000	From start						
Slb_X_V56	Line	Paal_X4	12,000	Abso	Free	Nonlinear	Nonlinear	Free	Free	Free
		LCS	13,000	From start						
Slb_X_Veen5	Line	Paal_X5	1,000	Abso	Free	Nonlinear	Nonlinear	Free	Free	Free
		LCS	8,000	From start						
Slb_X_V62	Line	Paal_X5	8,000	Abso	Free	Nonlinear	Nonlinear	Free	Free	Free
		LCS	9,000	From start						
Slb_X_V63	Line	Paal_X5	9,000	Abso	Free	Nonlinear	Nonlinear	Free	Free	Free
		LCS	10,000	From start						
Slb_X_V64	Line	Paal_X5	10,000	Abso	Free	Nonlinear	Nonlinear	Free	Free	Free
		LCS	11,000	From start						
Slb_X_V65	Line	Paal_X5	11,000	Abso	Free	Nonlinear	Nonlinear	Free	Free	Free
		LCS	12,000	From start						
Slb_X_V66	Line	Paal_X5	12,000	Abso	Free	Nonlinear	Nonlinear	Free	Free	Free
		LCS	13,000	From start						
Slb_X_Veen6	Line	Paal_X6	1,000	Abso	Free	Nonlinear	Nonlinear	Free	Free	Free
		LCS	8,000	From start						
Slb_X_V72	Line	Paal_X6	8,000	Abso	Free	Nonlinear	Nonlinear	Free	Free	Free
		LCS	9,000	From start						
Slb_X_V73	Line	Paal_X6	9,000	Abso	Free	Nonlinear	Nonlinear	Free	Free	Free
		LCS	10,000	From start						
Slb_X_V74	Line	Paal_X6	10,000	Abso	Free	Nonlinear	Nonlinear	Free	Free	Free
		LCS	11,000	From start						
Slb_X_V75	Line	Paal_X6	11,000	Abso	Free	Nonlinear	Nonlinear	Free	Free	Free
		LCS	12,000	From start						
Slb_X_V76	Line	Paal_X6	12,000	Abso	Free	Nonlinear	Nonlinear	Free	Free	Free
		LCS	13,000	From start						
Slb_X_Veen7	Line	Paal_X7	1,000	Abso	Free	Nonlinear	Nonlinear	Free	Free	Free
		LCS	8,000	From start						
Slb_X_V82	Line	Paal_X7	8,000	Abso	Free	Nonlinear	Nonlinear	Free	Free	Free
		LCS	9,000	From start						
Slb_X_V83	Line	Paal_X7	9,000	Abso	Free	Nonlinear	Nonlinear	Free	Free	Free
		LCS	10,000	From start						
Slb_X_V84	Line	Paal_X7	10,000	Abso	Free	Nonlinear	Nonlinear	Free	Free	Free
		LCS	11,000	From start						
Slb_X_V85	Line	Paal_X7	11,000	Abso	Free	Nonlinear	Nonlinear	Free	Free	Free
		LCS	12,000	From start						
Slb_X_V86	Line	Paal_X7	12,000	Abso	Free	Nonlinear	Nonlinear	Free	Free	Free
		LCS	13,000	From start						
Slb_X_Veen8	Line	Paal_X8	1,000	Abso	Free	Nonlinear	Nonlinear	Free	Free	Free
		LCS	8,000	From start						
Slb_X_V92	Line	Paal_X8	8,000	Abso	Free	Nonlinear	Nonlinear	Free	Free	Free
		LCS	9,000	From start						
Slb_X_V93	Line	Paal_X8	9,000	Abso	Free	Nonlinear	Nonlinear	Free	Free	Free
		LCS	10,000	From start						
Slb_X_V94	Line	Paal_X8	10,000	Abso	Free	Nonlinear	Nonlinear	Free	Free	Free
		LCS	11,000	From start						
Slb_X_V95	Line	Paal_X8	11,000	Abso	Free	Nonlinear	Nonlinear	Free	Free	Free
		LCS	12,000	From start						
Slb_X_V96	Line	Paal_X8	12,000	Abso	Free	Nonlinear	Nonlinear	Free	Free	Free
		LCS	13,000	From start						
Slb_P_Veen2	Line	Paal_P2	1,000	Abso	Free	Nonlinear	Nonlinear	Free	Free	Free

Name	Type	Member System	Pos x_1 [m] Pos x_2 [m]	Coor Orig	X	Y	Z	Rx	Ry	Rz
		LCS	8,000	From start						
Slb_P_V19	Line	Paal_P2	8,000	Abso	Free	Nonlinear	Nonlinear	Free	Free	Free
		LCS	9,000	From start						
Slb_P_V20	Line	Paal_P2	9,000	Abso	Free	Nonlinear	Nonlinear	Free	Free	Free
		LCS	10,000	From start						
Slb_P_V21	Line	Paal_P2	10,000	Abso	Free	Nonlinear	Nonlinear	Free	Free	Free
		LCS	11,000	From start						
Slb_P_V22	Line	Paal_P2	11,000	Abso	Free	Nonlinear	Nonlinear	Free	Free	Free
		LCS	12,000	From start						
Slb_P_V23	Line	Paal_P2	12,000	Abso	Free	Nonlinear	Nonlinear	Free	Free	Free
		LCS	13,000	From start						
Slb_Y_Veen2	Line	Paal_Y2	1,000	Abso	Free	Nonlinear	Nonlinear	Free	Free	Free
		LCS	8,000	From start						
Slb_Y_V19	Line	Paal_Y2	8,000	Abso	Free	Nonlinear	Nonlinear	Free	Free	Free
		LCS	9,000	From start						
Slb_Y_V20	Line	Paal_Y2	9,000	Abso	Free	Nonlinear	Nonlinear	Free	Free	Free
		LCS	10,000	From start						
Slb_Y_V21	Line	Paal_Y2	10,000	Abso	Free	Nonlinear	Nonlinear	Free	Free	Free
		LCS	11,000	From start						
Slb_Y_V22	Line	Paal_Y2	11,000	Abso	Free	Nonlinear	Nonlinear	Free	Free	Free
		LCS	12,000	From start						
Slb_Y_V23	Line	Paal_Y2	12,000	Abso	Free	Nonlinear	Nonlinear	Free	Free	Free
		LCS	13,000	From start						
Slb_XY_Veen2	Line	Paal_XY2	1,000	Abso	Free	Nonlinear	Nonlinear	Free	Free	Free
		LCS	8,000	From start						
Slb_XY_V19	Line	Paal_XY2	8,000	Abso	Free	Nonlinear	Nonlinear	Free	Free	Free
		LCS	9,000	From start						
Slb_XY_V20	Line	Paal_XY2	9,000	Abso	Free	Nonlinear	Nonlinear	Free	Free	Free
		LCS	10,000	From start						
Slb_XY_V21	Line	Paal_XY2	10,000	Abso	Free	Nonlinear	Nonlinear	Free	Free	Free
		LCS	11,000	From start						
Slb_XY_V22	Line	Paal_XY2	11,000	Abso	Free	Nonlinear	Nonlinear	Free	Free	Free
		LCS	12,000	From start						
Slb_XY_V23	Line	Paal_XY2	12,000	Abso	Free	Nonlinear	Nonlinear	Free	Free	Free
		LCS	13,000	From start						
Slb_X_Veen19	Line	Paal_X19	1,000	Abso	Free	Nonlinear	Nonlinear	Free	Free	Free
		LCS	8,000	From start						
Slb_X_V181	Line	Paal_X19	8,000	Abso	Free	Nonlinear	Nonlinear	Free	Free	Free
		LCS	9,000	From start						
Slb_X_V182	Line	Paal_X19	9,000	Abso	Free	Nonlinear	Nonlinear	Free	Free	Free
		LCS	10,000	From start						
Slb_X_V183	Line	Paal_X19	10,000	Abso	Free	Nonlinear	Nonlinear	Free	Free	Free
		LCS	11,000	From start						
Slb_X_V184	Line	Paal_X19	11,000	Abso	Free	Nonlinear	Nonlinear	Free	Free	Free
		LCS	12,000	From start						
Slb_X_V185	Line	Paal_X19	12,000	Abso	Free	Nonlinear	Nonlinear	Free	Free	Free
		LCS	13,000	From start						
Slb_X_Veen20	Line	Paal_X20	1,000	Abso	Free	Nonlinear	Nonlinear	Free	Free	Free
		LCS	8,000	From start						
Slb_X_V186	Line	Paal_X20	8,000	Abso	Free	Nonlinear	Nonlinear	Free	Free	Free
		LCS	9,000	From start						
Slb_X_V187	Line	Paal_X20	9,000	Abso	Free	Nonlinear	Nonlinear	Free	Free	Free
		LCS	10,000	From start						
Slb_X_V188	Line	Paal_X20	10,000	Abso	Free	Nonlinear	Nonlinear	Free	Free	Free
		LCS	11,000	From start						
Slb_X_V189	Line	Paal_X20	11,000	Abso	Free	Nonlinear	Nonlinear	Free	Free	Free
		LCS	12,000	From start						
Slb_X_V190	Line	Paal_X20	12,000	Abso	Free	Nonlinear	Nonlinear	Free	Free	Free
		LCS	13,000	From start						
Slb_X_Veen21	Line	Paal_X21	1,000	Abso	Free	Nonlinear	Nonlinear	Free	Free	Free
		LCS	8,000	From start						
Slb_X_V194	Line	Paal_X21	8,000	Abso	Free	Nonlinear	Nonlinear	Free	Free	Free
		LCS	9,000	From start						
Slb_X_V195	Line	Paal_X21	9,000	Abso	Free	Nonlinear	Nonlinear	Free	Free	Free

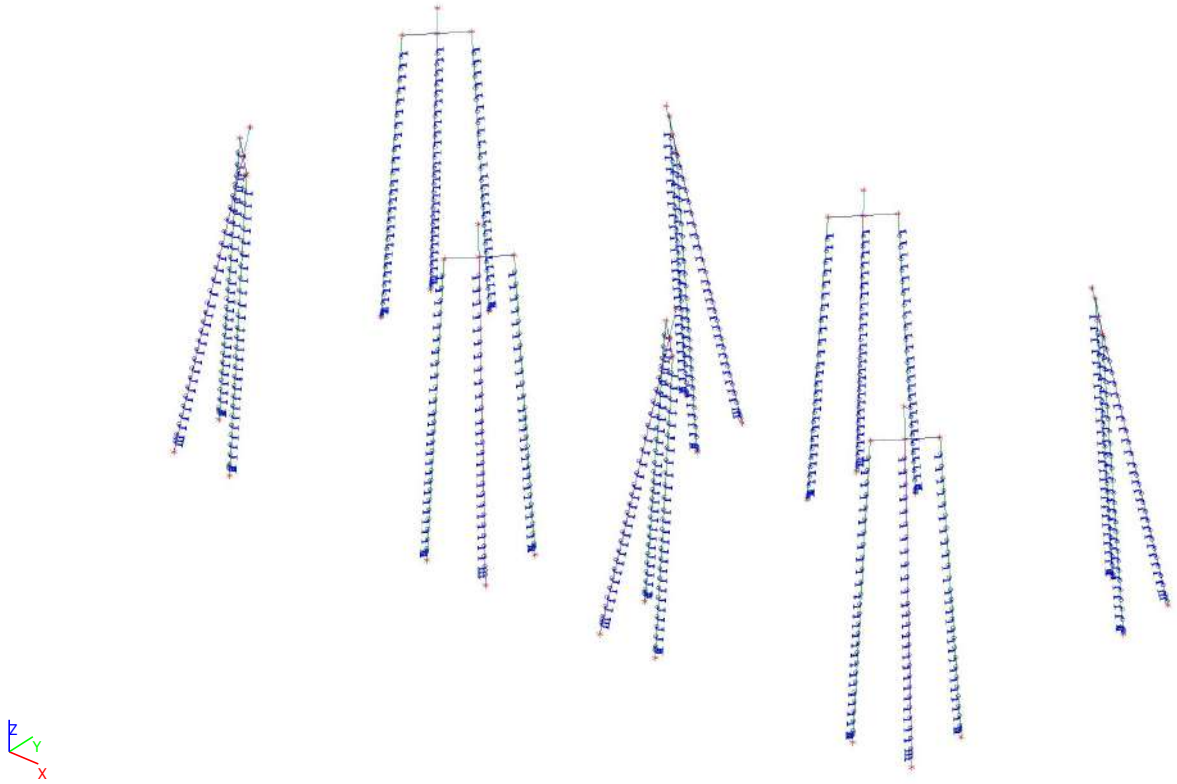
Name	Type	Member System	Pos x_1 [m] Pos x_2 [m]	Coor Orig	X	Y	Z	Rx	Ry	Rz
		LCS	10,000	From start						
Slb_X_V196	Line	Paal_X21	10,000	Abso	Free	Nonlinear	Nonlinear	Free	Free	Free
		LCS	11,000	From start						
Slb_X_V197	Line	Paal_X21	11,000	Abso	Free	Nonlinear	Nonlinear	Free	Free	Free
		LCS	12,000	From start						
Slb_X_V198	Line	Paal_X21	12,000	Abso	Free	Nonlinear	Nonlinear	Free	Free	Free
		LCS	13,000	From start						
Slb_X_Veen22	Line	Paal_X22	1,000	Abso	Free	Nonlinear	Nonlinear	Free	Free	Free
		LCS	8,000	From start						
Slb_X_V202	Line	Paal_X22	8,000	Abso	Free	Nonlinear	Nonlinear	Free	Free	Free
		LCS	9,000	From start						
Slb_X_V203	Line	Paal_X22	9,000	Abso	Free	Nonlinear	Nonlinear	Free	Free	Free
		LCS	10,000	From start						
Slb_X_V204	Line	Paal_X22	10,000	Abso	Free	Nonlinear	Nonlinear	Free	Free	Free
		LCS	11,000	From start						
Slb_X_V205	Line	Paal_X22	11,000	Abso	Free	Nonlinear	Nonlinear	Free	Free	Free
		LCS	12,000	From start						
Slb_X_V206	Line	Paal_X22	12,000	Abso	Free	Nonlinear	Nonlinear	Free	Free	Free
		LCS	13,000	From start						
Slb_X_Veen23	Line	Paal_X23	1,000	Abso	Free	Nonlinear	Nonlinear	Free	Free	Free
		LCS	8,000	From start						
Slb_X_V210	Line	Paal_X23	8,000	Abso	Free	Nonlinear	Nonlinear	Free	Free	Free
		LCS	9,000	From start						
Slb_X_V211	Line	Paal_X23	9,000	Abso	Free	Nonlinear	Nonlinear	Free	Free	Free
		LCS	10,000	From start						
Slb_X_V212	Line	Paal_X23	10,000	Abso	Free	Nonlinear	Nonlinear	Free	Free	Free
		LCS	11,000	From start						
Slb_X_V213	Line	Paal_X23	11,000	Abso	Free	Nonlinear	Nonlinear	Free	Free	Free
		LCS	12,000	From start						
Slb_X_V214	Line	Paal_X23	12,000	Abso	Free	Nonlinear	Nonlinear	Free	Free	Free
		LCS	13,000	From start						
Slb_X_Veen24	Line	Paal_X24	1,000	Abso	Free	Nonlinear	Nonlinear	Free	Free	Free
		LCS	8,000	From start						
Slb_X_V218	Line	Paal_X24	8,000	Abso	Free	Nonlinear	Nonlinear	Free	Free	Free
		LCS	9,000	From start						
Slb_X_V219	Line	Paal_X24	9,000	Abso	Free	Nonlinear	Nonlinear	Free	Free	Free
		LCS	10,000	From start						
Slb_X_V220	Line	Paal_X24	10,000	Abso	Free	Nonlinear	Nonlinear	Free	Free	Free
		LCS	11,000	From start						
Slb_X_V221	Line	Paal_X24	11,000	Abso	Free	Nonlinear	Nonlinear	Free	Free	Free
		LCS	12,000	From start						
Slb_X_V222	Line	Paal_X24	12,000	Abso	Free	Nonlinear	Nonlinear	Free	Free	Free
		LCS	13,000	From start						
Slb_X_Veen25	Line	Paal_X25	1,000	Abso	Free	Nonlinear	Nonlinear	Free	Free	Free
		LCS	8,000	From start						
Slb_X_V226	Line	Paal_X25	8,000	Abso	Free	Nonlinear	Nonlinear	Free	Free	Free
		LCS	9,000	From start						
Slb_X_V227	Line	Paal_X25	9,000	Abso	Free	Nonlinear	Nonlinear	Free	Free	Free
		LCS	10,000	From start						
Slb_X_V228	Line	Paal_X25	10,000	Abso	Free	Nonlinear	Nonlinear	Free	Free	Free
		LCS	11,000	From start						
Slb_X_V229	Line	Paal_X25	11,000	Abso	Free	Nonlinear	Nonlinear	Free	Free	Free
		LCS	12,000	From start						
Slb_X_V230	Line	Paal_X25	12,000	Abso	Free	Nonlinear	Nonlinear	Free	Free	Free
		LCS	13,000	From start						
Slb_X_Veen26	Line	Paal_X26	1,000	Abso	Free	Nonlinear	Nonlinear	Free	Free	Free
		LCS	8,000	From start						
Slb_X_V234	Line	Paal_X26	8,000	Abso	Free	Nonlinear	Nonlinear	Free	Free	Free
		LCS	9,000	From start						
Slb_X_V235	Line	Paal_X26	9,000	Abso	Free	Nonlinear	Nonlinear	Free	Free	Free
		LCS	10,000	From start						
Slb_X_V236	Line	Paal_X26	10,000	Abso	Free	Nonlinear	Nonlinear	Free	Free	Free
		LCS	11,000	From start						
Slb_X_V237	Line	Paal_X26	11,000	Abso	Free	Nonlinear	Nonlinear	Free	Free	Free

Name	Type	Member System	Pos x_1 [m] Pos x_2 [m]	Coor Orig	X	Y	Z	Rx	Ry	Rz
		LCS	12,000	From start						
Slb_X_V238	Line	Paal_X26	12,000	Abso	Free	Nonlinear	Nonlinear	Free	Free	Free
		LCS	13,000	From start						
Slb_X_Veen27	Line	Paal_X27	1,000	Abso	Free	Nonlinear	Nonlinear	Free	Free	Free
		LCS	8,000	From start						
Slb_X_V242	Line	Paal_X27	8,000	Abso	Free	Nonlinear	Nonlinear	Free	Free	Free
		LCS	9,000	From start						
Slb_X_V243	Line	Paal_X27	9,000	Abso	Free	Nonlinear	Nonlinear	Free	Free	Free
		LCS	10,000	From start						
Slb_X_V244	Line	Paal_X27	10,000	Abso	Free	Nonlinear	Nonlinear	Free	Free	Free
		LCS	11,000	From start						
Slb_X_V245	Line	Paal_X27	11,000	Abso	Free	Nonlinear	Nonlinear	Free	Free	Free
		LCS	12,000	From start						
Slb_X_V246	Line	Paal_X27	12,000	Abso	Free	Nonlinear	Nonlinear	Free	Free	Free
		LCS	13,000	From start						
Slb_X_V18	Line	Paal_P	13,000	Abso	Free	Nonlinear	Nonlinear	Free	Free	Free
		LCS	14,000	From start						
Slb_X_V247	Line	Paal_X	13,000	Abso	Free	Nonlinear	Nonlinear	Free	Free	Free
		LCS	14,000	From start						
Slb_X_V248	Line	Paal_X1	13,000	Abso	Free	Nonlinear	Nonlinear	Free	Free	Free
		LCS	14,000	From start						
Slb_X_V249	Line	Paal_X5	13,000	Abso	Free	Nonlinear	Nonlinear	Free	Free	Free
		LCS	14,000	From start						
Slb_X_V250	Line	Paal_X2	13,000	Abso	Free	Nonlinear	Nonlinear	Free	Free	Free
		LCS	14,000	From start						
Slb_X_V251	Line	Paal_X6	13,000	Abso	Free	Nonlinear	Nonlinear	Free	Free	Free
		LCS	14,000	From start						
Slb_X_V252	Line	Paal_X4	13,000	Abso	Free	Nonlinear	Nonlinear	Free	Free	Free
		LCS	14,000	From start						
Slb_X_V253	Line	Paal_X8	13,000	Abso	Free	Nonlinear	Nonlinear	Free	Free	Free
		LCS	14,000	From start						
Slb_X_V254	Line	Paal_X3	13,000	Abso	Free	Nonlinear	Nonlinear	Free	Free	Free
		LCS	14,000	From start						
Slb_X_V255	Line	Paal_X7	13,000	Abso	Free	Nonlinear	Nonlinear	Free	Free	Free
		LCS	14,000	From start						
Slb_X_V256	Line	Paal_Y	13,000	Abso	Free	Nonlinear	Nonlinear	Free	Free	Free
		LCS	14,000	From start						
Slb_X_V257	Line	Paal_XY	13,000	Abso	Free	Nonlinear	Nonlinear	Free	Free	Free
		LCS	14,000	From start						
Slb_X_V258	Line	Paal_P2	13,000	Abso	Free	Nonlinear	Nonlinear	Free	Free	Free
		LCS	14,000	From start						
Slb_X_V259	Line	Paal_X19	13,000	Abso	Free	Nonlinear	Nonlinear	Free	Free	Free
		LCS	14,000	From start						
Slb_X_V260	Line	Paal_X20	13,000	Abso	Free	Nonlinear	Nonlinear	Free	Free	Free
		LCS	14,000	From start						
Slb_X_V261	Line	Paal_X24	13,000	Abso	Free	Nonlinear	Nonlinear	Free	Free	Free
		LCS	14,000	From start						
Slb_X_V262	Line	Paal_X21	13,000	Abso	Free	Nonlinear	Nonlinear	Free	Free	Free
		LCS	14,000	From start						
Slb_X_V263	Line	Paal_X25	13,000	Abso	Free	Nonlinear	Nonlinear	Free	Free	Free
		LCS	14,000	From start						
Slb_X_V264	Line	Paal_X23	13,000	Abso	Free	Nonlinear	Nonlinear	Free	Free	Free
		LCS	14,000	From start						
Slb_X_V265	Line	Paal_X27	13,000	Abso	Free	Nonlinear	Nonlinear	Free	Free	Free
		LCS	14,000	From start						
Slb_X_V266	Line	Paal_X22	13,000	Abso	Free	Nonlinear	Nonlinear	Free	Free	Free
		LCS	14,000	From start						
Slb_X_V267	Line	Paal_X26	13,000	Abso	Free	Nonlinear	Nonlinear	Free	Free	Free
		LCS	14,000	From start						
Slb_X_V268	Line	Paal_Y2	13,000	Abso	Free	Nonlinear	Nonlinear	Free	Free	Free
		LCS	14,000	From start						
Slb_X_V269	Line	Paal_XY2	13,000	Abso	Free	Nonlinear	Nonlinear	Free	Free	Free
		LCS	14,000	From start						
Slb_X_V270	Line	Paal_P	14,000	Abso	Free	Nonlinear	Nonlinear	Free	Free	Free

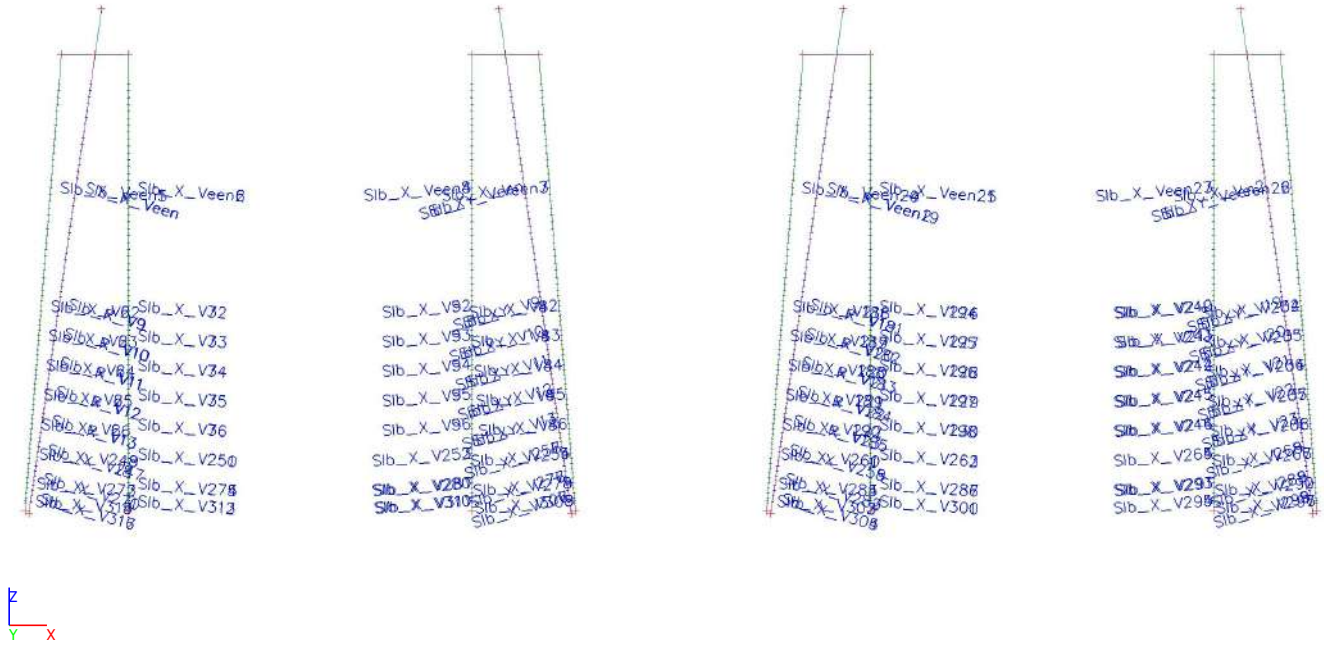
Name	Type	Member System	Pos x_1 [m] Pos x_2 [m]	Coor Orig	X	Y	Z	Rx	Ry	Rz
		LCS	15,000	From start						
Slb_X_V271	Line	Paal_X	14,000	Abso	Free	Nonlinear	Nonlinear	Free	Free	Free
		LCS	15,000	From start						
Slb_X_V272	Line	Paal_X1	14,000	Abso	Free	Nonlinear	Nonlinear	Free	Free	Free
		LCS	15,000	From start						
Slb_X_V273	Line	Paal_X5	14,000	Abso	Free	Nonlinear	Nonlinear	Free	Free	Free
		LCS	15,000	From start						
Slb_X_V274	Line	Paal_X2	14,000	Abso	Free	Nonlinear	Nonlinear	Free	Free	Free
		LCS	15,000	From start						
Slb_X_V275	Line	Paal_X6	14,000	Abso	Free	Nonlinear	Nonlinear	Free	Free	Free
		LCS	15,000	From start						
Slb_X_V276	Line	Paal_Y	14,000	Abso	Free	Nonlinear	Nonlinear	Free	Free	Free
		LCS	15,000	From start						
Slb_X_V277	Line	Paal_XY	14,000	Abso	Free	Nonlinear	Nonlinear	Free	Free	Free
		LCS	15,000	From start						
Slb_X_V278	Line	Paal_X3	14,000	Abso	Free	Nonlinear	Nonlinear	Free	Free	Free
		LCS	15,000	From start						
Slb_X_V279	Line	Paal_X7	14,000	Abso	Free	Nonlinear	Nonlinear	Free	Free	Free
		LCS	15,000	From start						
Slb_X_V280	Line	Paal_X4	14,000	Abso	Free	Nonlinear	Nonlinear	Free	Free	Free
		LCS	15,000	From start						
Slb_X_V281	Line	Paal_X8	14,000	Abso	Free	Nonlinear	Nonlinear	Free	Free	Free
		LCS	15,000	From start						
Slb_X_V282	Line	Paal_P2	14,000	Abso	Free	Nonlinear	Nonlinear	Free	Free	Free
		LCS	15,000	From start						
Slb_X_V283	Line	Paal_X19	14,000	Abso	Free	Nonlinear	Nonlinear	Free	Free	Free
		LCS	15,000	From start						
Slb_X_V284	Line	Paal_X20	14,000	Abso	Free	Nonlinear	Nonlinear	Free	Free	Free
		LCS	15,000	From start						
Slb_X_V285	Line	Paal_X24	14,000	Abso	Free	Nonlinear	Nonlinear	Free	Free	Free
		LCS	15,000	From start						
Slb_X_V286	Line	Paal_X21	14,000	Abso	Free	Nonlinear	Nonlinear	Free	Free	Free
		LCS	15,000	From start						
Slb_X_V287	Line	Paal_X25	14,000	Abso	Free	Nonlinear	Nonlinear	Free	Free	Free
		LCS	15,000	From start						
Slb_X_V288	Line	Paal_Y2	14,000	Abso	Free	Nonlinear	Nonlinear	Free	Free	Free
		LCS	15,000	From start						
Slb_X_V289	Line	Paal_XY2	14,000	Abso	Free	Nonlinear	Nonlinear	Free	Free	Free
		LCS	15,000	From start						
Slb_X_V290	Line	Paal_X22	14,000	Abso	Free	Nonlinear	Nonlinear	Free	Free	Free
		LCS	15,000	From start						
Slb_X_V291	Line	Paal_X23	14,000	Abso	Free	Nonlinear	Nonlinear	Free	Free	Free
		LCS	15,000	From start						
Slb_X_V292	Line	Paal_X26	14,000	Abso	Free	Nonlinear	Nonlinear	Free	Free	Free
		LCS	15,000	From start						
Slb_X_V293	Line	Paal_X27	14,000	Abso	Free	Nonlinear	Nonlinear	Free	Free	Free
		LCS	15,000	From start						
Slb_X_V294	Line	Paal_X23	15,000	Abso	Free	Nonlinear	Nonlinear	Free	Free	Free
		LCS	15,200	From start						
Slb_X_V295	Line	Paal_X27	15,000	Abso	Free	Nonlinear	Nonlinear	Free	Free	Free
		LCS	15,200	From start						
Slb_X_V296	Line	Paal_X22	15,000	Abso	Free	Nonlinear	Nonlinear	Free	Free	Free
		LCS	15,200	From start						
Slb_X_V297	Line	Paal_X26	15,000	Abso	Free	Nonlinear	Nonlinear	Free	Free	Free
		LCS	15,200	From start						
Slb_X_V298	Line	Paal_Y2	15,000	Abso	Free	Nonlinear	Nonlinear	Free	Free	Free
		LCS	15,390	From start						
Slb_X_V299	Line	Paal_XY2	15,000	Abso	Free	Nonlinear	Nonlinear	Free	Free	Free
		LCS	15,390	From start						
Slb_X_V300	Line	Paal_X21	15,000	Abso	Free	Nonlinear	Nonlinear	Free	Free	Free
		LCS	15,200	From start						
Slb_X_V301	Line	Paal_X25	15,000	Abso	Free	Nonlinear	Nonlinear	Free	Free	Free
		LCS	15,200	From start						
Slb_X_V302	Line	Paal_X20	15,000	Abso	Free	Nonlinear	Nonlinear	Free	Free	Free

Name	Type	Member System	Pos x_1 [m] Pos x_2 [m]	Coor Orig	X	Y	Z	Rx	Ry	Rz
		LCS	15,200	From start						
Slb_X_V303	Line	Paal_X24	15,000	Abso	Free	Nonlinear	Nonlinear	Free	Free	Free
		LCS	15,200	From start						
Slb_X_V304	Line	Paal_P2	15,000	Abso	Free	Nonlinear	Nonlinear	Free	Free	Free
		LCS	15,390	From start						
Slb_X_V305	Line	Paal_X19	15,000	Abso	Free	Nonlinear	Nonlinear	Free	Free	Free
		LCS	15,390	From start						
Slb_X_V306	Line	Paal_Y	15,000	Abso	Free	Nonlinear	Nonlinear	Free	Free	Free
		LCS	15,390	From start						
Slb_X_V307	Line	Paal_XY	15,000	Abso	Free	Nonlinear	Nonlinear	Free	Free	Free
		LCS	15,390	From start						
Slb_X_V308	Line	Paal_X3	15,000	Abso	Free	Nonlinear	Nonlinear	Free	Free	Free
		LCS	15,200	From start						
Slb_X_V309	Line	Paal_X7	15,000	Abso	Free	Nonlinear	Nonlinear	Free	Free	Free
		LCS	15,200	From start						
Slb_X_V310	Line	Paal_X4	15,000	Abso	Free	Nonlinear	Nonlinear	Free	Free	Free
		LCS	15,200	From start						
Slb_X_V311	Line	Paal_X8	15,000	Abso	Free	Nonlinear	Nonlinear	Free	Free	Free
		LCS	15,200	From start						
Slb_X_V312	Line	Paal_X2	15,000	Abso	Free	Nonlinear	Nonlinear	Free	Free	Free
		LCS	15,200	From start						
Slb_X_V313	Line	Paal_X6	15,000	Abso	Free	Nonlinear	Nonlinear	Free	Free	Free
		LCS	15,200	From start						
Slb_X_V314	Line	Paal_X1	15,000	Abso	Free	Nonlinear	Nonlinear	Free	Free	Free
		LCS	15,200	From start						
Slb_X_V315	Line	Paal_X5	15,000	Abso	Free	Nonlinear	Nonlinear	Free	Free	Free
		LCS	15,200	From start						
Slb_X_V316	Line	Paal_P	15,000	Abso	Free	Nonlinear	Nonlinear	Free	Free	Free
		LCS	15,390	From start						
Slb_X_V317	Line	Paal_X	15,000	Abso	Free	Nonlinear	Nonlinear	Free	Free	Free
		LCS	15,390	From start						

5.8. Analyse model met Lijnondersteuningen



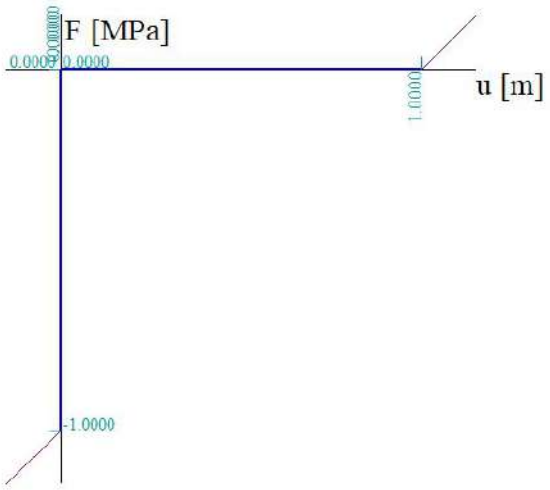
5.9. Analyse model met Lijnondersteuningen



5.10. Nonlinear functions

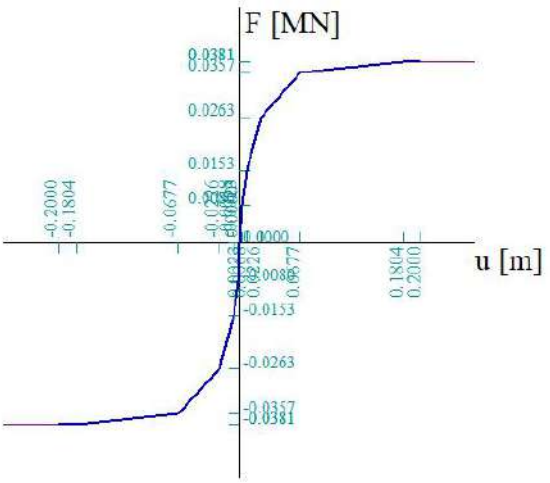
Name	Type	u / F	Positive end	Negative end
soil press only	Nonlinear subsoil		Flexible	Flexible

Drawing



Name	Type	u / F	Positive end	Negative end
PY-curve-2_V9	Translation	-0.200000 / -38100.000000	Free	Free
		-0.180400 / -38100.000000		
		-0.067650 / -35700.000000		
		-0.022550 / -26300.000000		
		-0.006765 / -15300.000000		
		-0.002255 / -8000.000000		
		0.000000 / 0.000000		
		0.002255 / 8000.000000		
		0.006765 / 15300.000000		
		0.022550 / 26300.000000		
		0.067650 / 35700.000000		
		0.180400 / 38100.000000		
		0.200000 / 38100.000000		

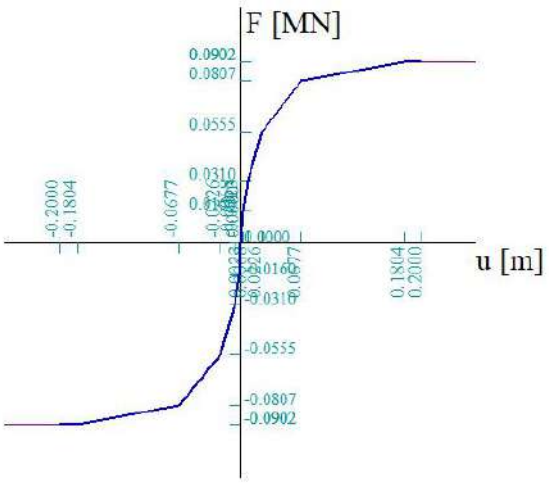
Drawing



Name	Type	u / F	Positive end	Negative end
PY-curve-2_V10	Translation	-0.200000 / -90200.000000	Free	Free
		-0.180400 / -90200.000000		
		-0.067650 / -80700.000000		
		-0.022550 / -55500.000000		

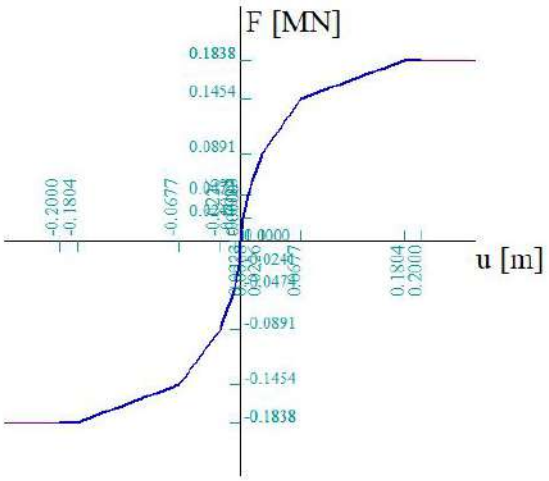
Name	Type	u / F	Positive end	Negative end
		-0.006765 / -31000.000000		
		-0.002255 / -16000.000000		
		0.000000 / 0.000000		
		0.002255 / 16000.000000		
		0.006765 / 31000.000000		
		0.022550 / 55500.000000		
		0.067650 / 80700.000000		
		0.180400 / 90200.000000		
		0.200000 / 90200.000000		

Drawing



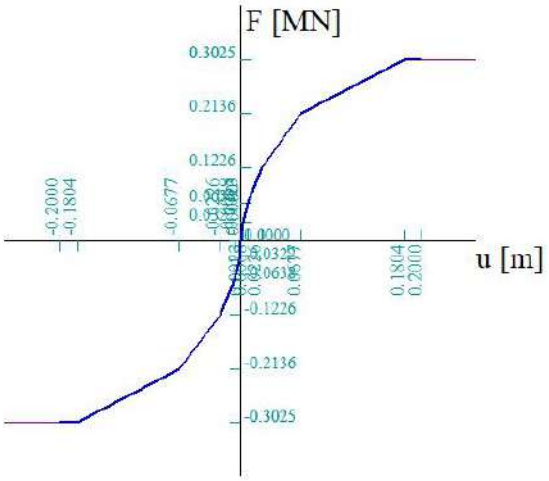
Name	Type	u / F	Positive end	Negative end
PY-curve-2_V11	Translation	-0.200000 / -183800.000000	Free	Free
		-0.180400 / -183800.000000		
		-0.067650 / -145400.000000		
		-0.022550 / -89100.000000		
		-0.006765 / -47400.000000		
		-0.002255 / -24100.000000		
		0.000000 / 0.000000		
		0.002255 / 24100.000000		
		0.006765 / 47400.000000		
		0.022550 / 89100.000000		
		0.067650 / 145400.000000		
		0.180400 / 183800.000000		
		0.200000 / 183800.000000		

Drawing



Name	Type	u / F	Positive end	Negative end
PY-curve-2_V12	Translation	-0.200000 / -302500.000000	Free	Free
		-0.180400 / -302500.000000		
		-0.067650 / -213600.000000		
		-0.022550 / -122600.000000		
		-0.006765 / -63800.000000		
		-0.002255 / -32200.000000		
		0.000000 / 0.000000		
		0.002255 / 32200.000000		
		0.006765 / 63800.000000		
		0.022550 / 122600.000000		
		0.067650 / 213600.000000		
		0.180400 / 302500.000000		
		0.200000 / 302500.000000		

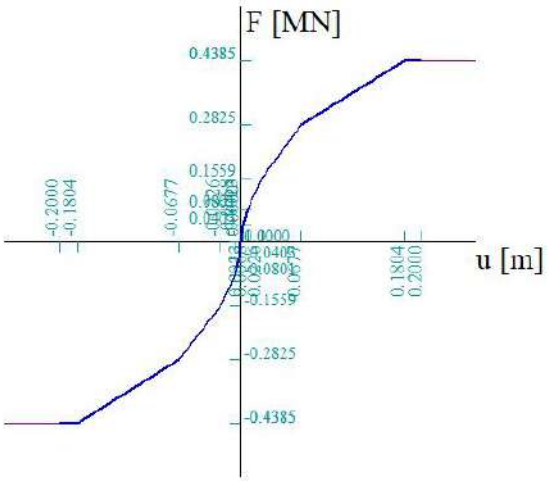
Drawing



Name	Type	u / F	Positive end	Negative end
PY-curve-2_V13	Translation	-0.200000 / -438500.000000	Free	Free
		-0.180400 / -438500.000000		
		-0.067650 / -282500.000000		
		-0.022550 / -155900.000000		
		-0.006765 / -80100.000000		
		-0.002255 / -40300.000000		
		0.000000 / 0.000000		
		0.002255 / 40300.000000		
		0.006765 / 80100.000000		
		0.022550 / 155900.000000		

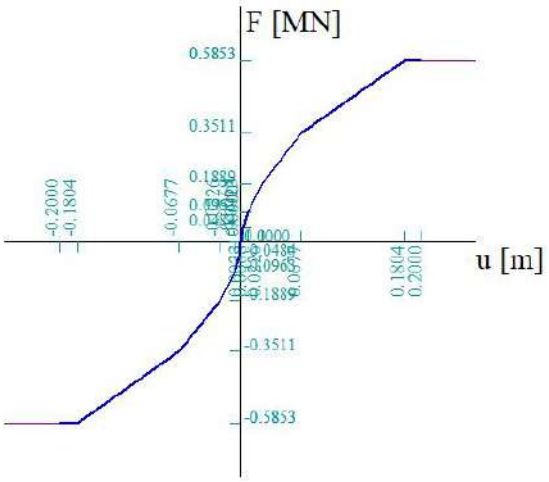
Name	Type	u / F	Positive end	Negative end
		0.067650 / 282500.000000		
		0.180400 / 438500.000000		
		0.200000 / 438500.000000		

Drawing



Name	Type	u / F	Positive end	Negative end
PY-curve-2_V14	Translation	-0.200000 / -585300.000000	Free	Free
		-0.180400 / -585300.000000		
		-0.067650 / -351100.000000		
		-0.022550 / -188900.000000		
		-0.006765 / -96300.000000		
		-0.002255 / -48400.000000		
		0.000000 / 0.000000		
		0.002255 / 48400.000000		
		0.006765 / 96300.000000		
		0.022550 / 188900.000000		
		0.067650 / 351100.000000		
		0.180400 / 585300.000000		
		0.200000 / 585300.000000		

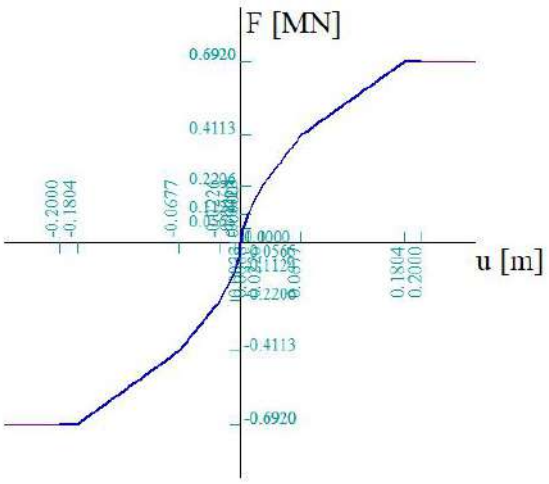
Drawing



Name	Type	u / F	Positive end	Negative end
PY-curve-2_V15	Translation	-0.200000 / -692000.000000	Free	Free
		-0.180400 / -692000.000000		
		-0.067650 / -411300.000000		
		-0.022550 / -220600.000000		

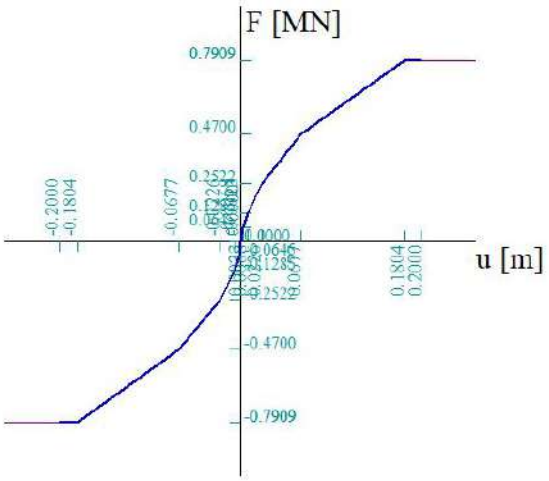
Name	Type	u / F	Positive end	Negative end
		-0.006765 / -112400.000000		
		-0.002255 / -56500.000000		
		0.000000 / 0.000000		
		0.002255 / 56500.000000		
		0.006765 / 112400.000000		
		0.022550 / 220600.000000		
		0.067650 / 411300.000000		
		0.180400 / 692000.000000		
		0.200000 / 692000.000000		

Drawing



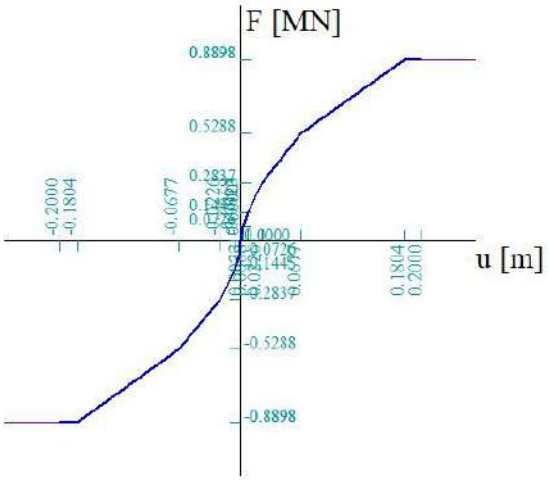
Name	Type	u / F	Positive end	Negative end
PY-curve-2_V16	Translation	-0.200000 / -790900.000000	Free	Free
		-0.180400 / -790900.000000		
		-0.067650 / -470000.000000		
		-0.022550 / -252200.000000		
		-0.006765 / -128500.000000		
		-0.002255 / -64500.000000		
		0.000000 / 0.000000		
		0.002255 / 64500.000000		
		0.006765 / 128500.000000		
		0.022550 / 252200.000000		
		0.067650 / 470000.000000		
		0.180400 / 790900.000000		
		0.200000 / 790900.000000		

Drawing



Name	Type	u / F	Positive end	Negative end
PY-curve-2_V17	Translation	-0.200000 / -889800.000000	Free	Free
		-0.180400 / -889800.000000		
		-0.067650 / -528800.000000		
		-0.022550 / -283700.000000		
		-0.006765 / -144500.000000		
		-0.002255 / -72600.000000		
		0.000000 / 0.000000		
		0.002255 / 72600.000000		
		0.006765 / 144500.000000		
		0.022550 / 283700.000000		
		0.067650 / 528800.000000		
		0.180400 / 889800.000000		
		0.200000 / 889800.000000		

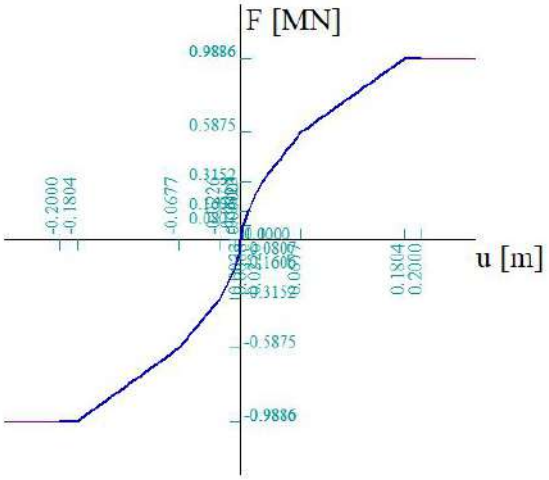
Drawing



Name	Type	u / F	Positive end	Negative end
PY-curve-2_V18	Translation	-0.200000 / -988600.000000	Free	Free
		-0.180400 / -988600.000000		
		-0.067650 / -587500.000000		
		-0.022550 / -315200.000000		
		-0.006765 / -160600.000000		
		-0.002255 / -80700.000000		
		0.000000 / 0.000000		
		0.002255 / 80700.000000		
		0.006765 / 160600.000000		
		0.022550 / 315200.000000		

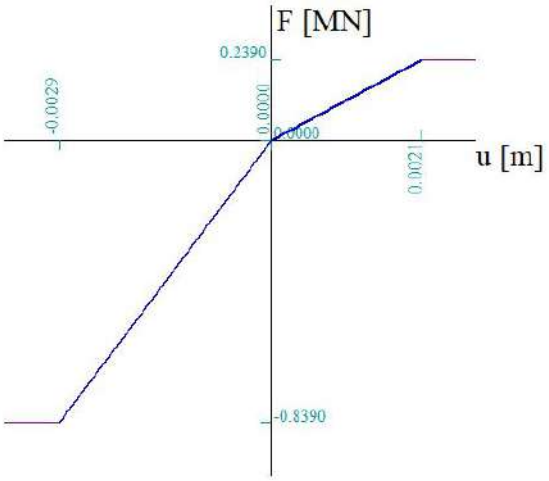
Name	Type	u / F	Positive end	Negative end
		0.067650 / 587500.000000		
		0.180400 / 988600.000000		
		0.200000 / 988600.000000		

Drawing



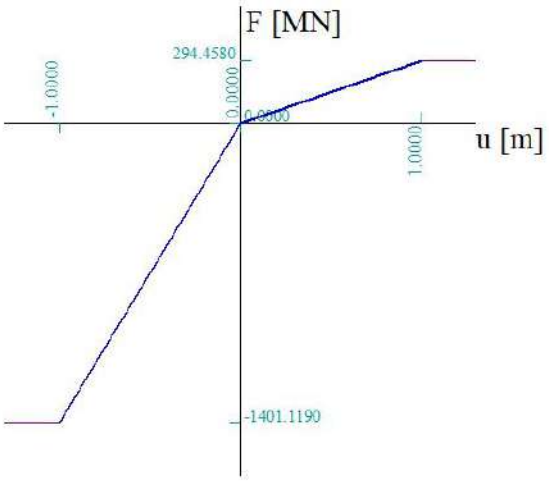
Name	Type	u / F	Positive end	Negative end
Trek-druk-paalpunt_B.mast 153	Translation	-0.002890 / -839000.000000	Free	Free
		0.000000 / 0.000000		
		0.002060 / 239000.000000		

Drawing



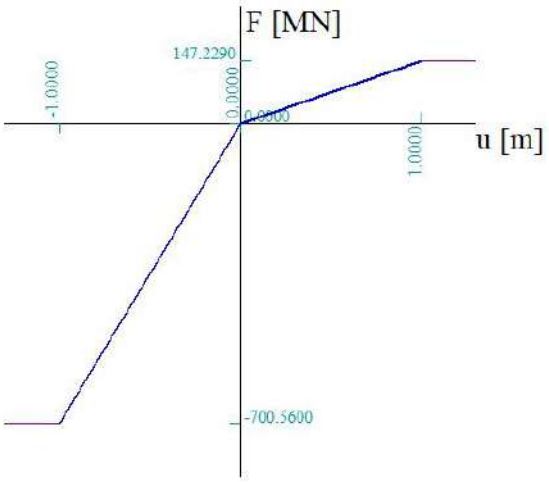
Name	Type	u / F	Positive end	Negative end
Trek-druk-paalpunt.LEKA.BG.	Translation	-1.000000 / -1401119000.000000	Free	Free
		0.000000 / 0.000000		
		1.000000 / 294458000.000000		

Drawing



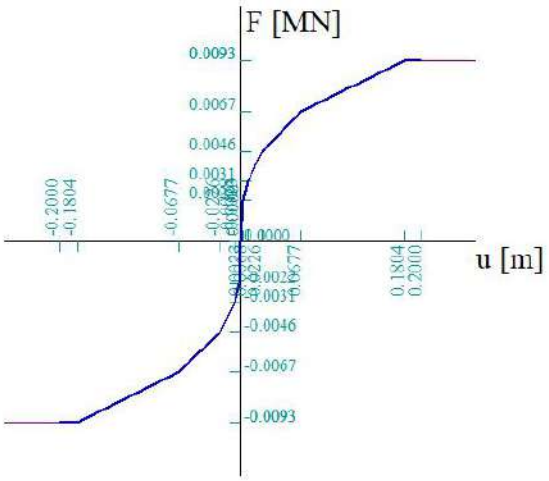
Name	Type	u / F	Positive end	Negative end
Trek-druk-paalpunt-LEKA.OG.	Translation	-1.000000 / -700560000.000000	Free	Free
		0.000000 / 0.000000		
		1.000000 / 147229000.000000		

Drawing



Name	Type	u / F	Positive end	Negative end
PY-curve-2_Veen	Translation	-0.200000 / -9265.000000	Free	Free
		-0.180400 / -9265.000000		
		-0.067650 / -6681.000000		
		-0.022550 / -4633.000000		
		-0.006765 / -3101.000000		
		-0.002255 / -2150.000000		
		0.000000 / 0.000000		
		0.002255 / 2150.000000		
		0.006765 / 3101.000000		
		0.022550 / 4633.000000		
		0.067650 / 6681.000000		
		0.180400 / 9265.000000		
		0.200000 / 9265.000000		

Drawing

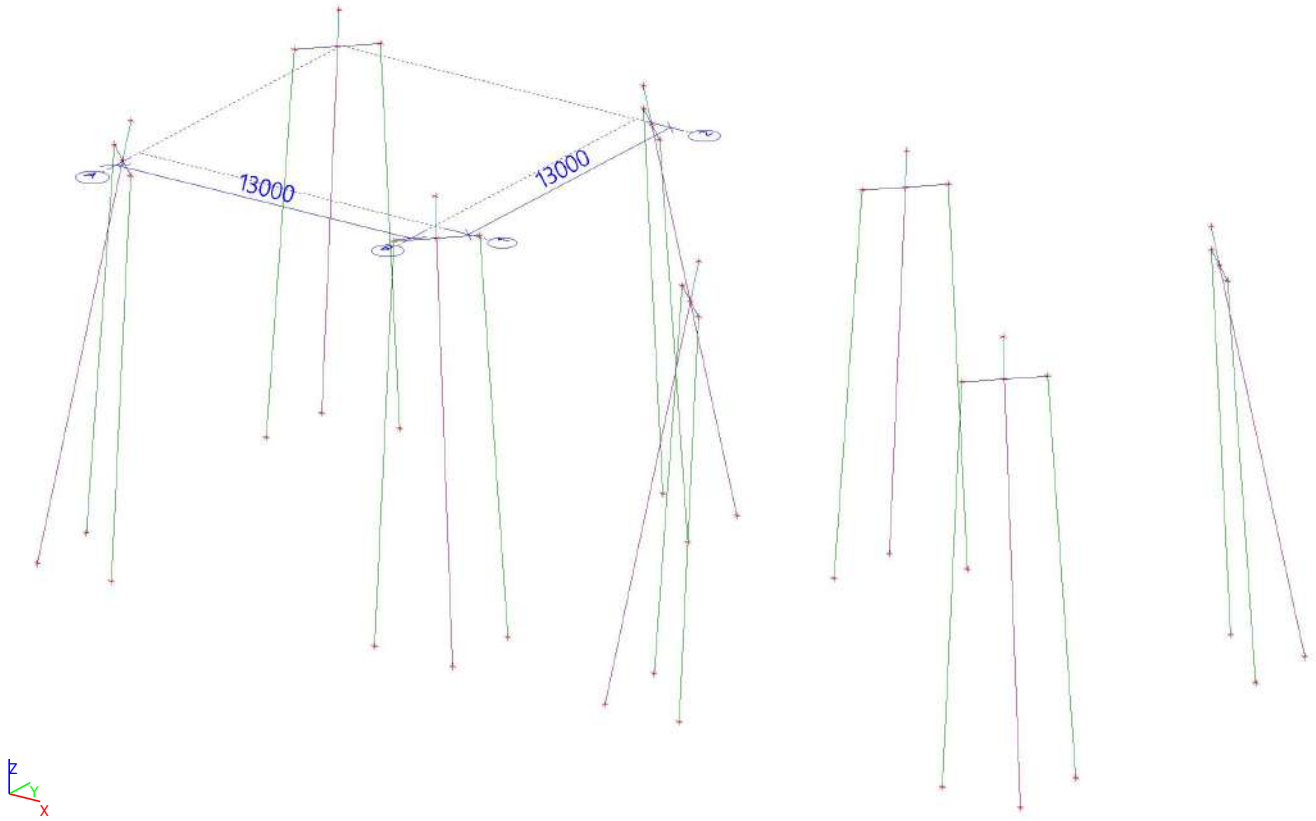

F [MN]
0.0093
0.0067
0.0046
0.0031
-0.2000
-0.1804
-0.0677
0.0000
0.1804
0.2000
u [m]
-0.0031
-0.0046
-0.0067
-0.0093

6. Belastingen

6.1. Load cases

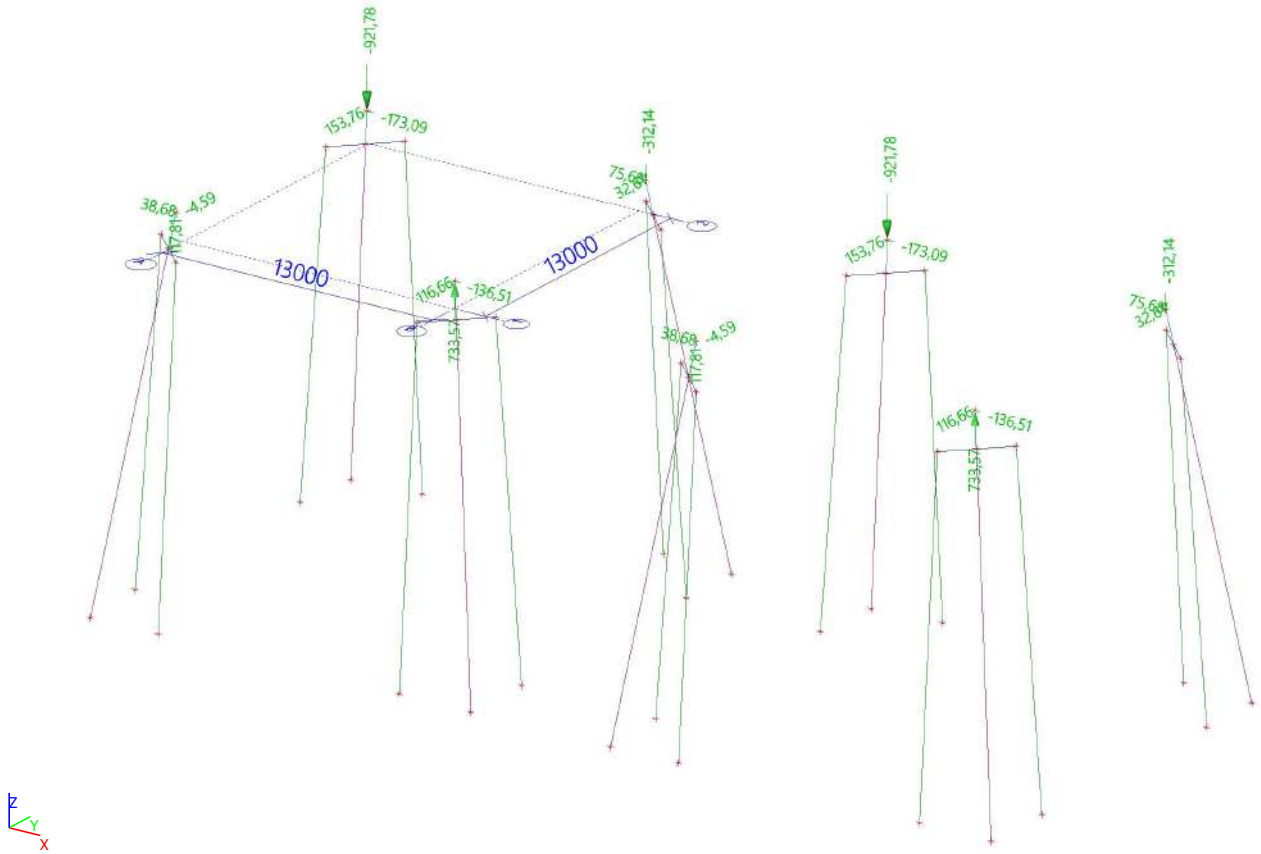
6.1.1. Load cases - EG_Fundering

Name	Description	Action type	Load group	Direction
	Spec	Load type		
EG_Fundering		Permanent	LG1	-Z
		Self weight		



6.1.2. Load cases - high max Wnd ;45°

Name	Description	Action type	Load group	Duration	Master load case
	Spec	Load type			
high max Wnd ;45°		Variable	LG4	Short	None
	Standard	Static			



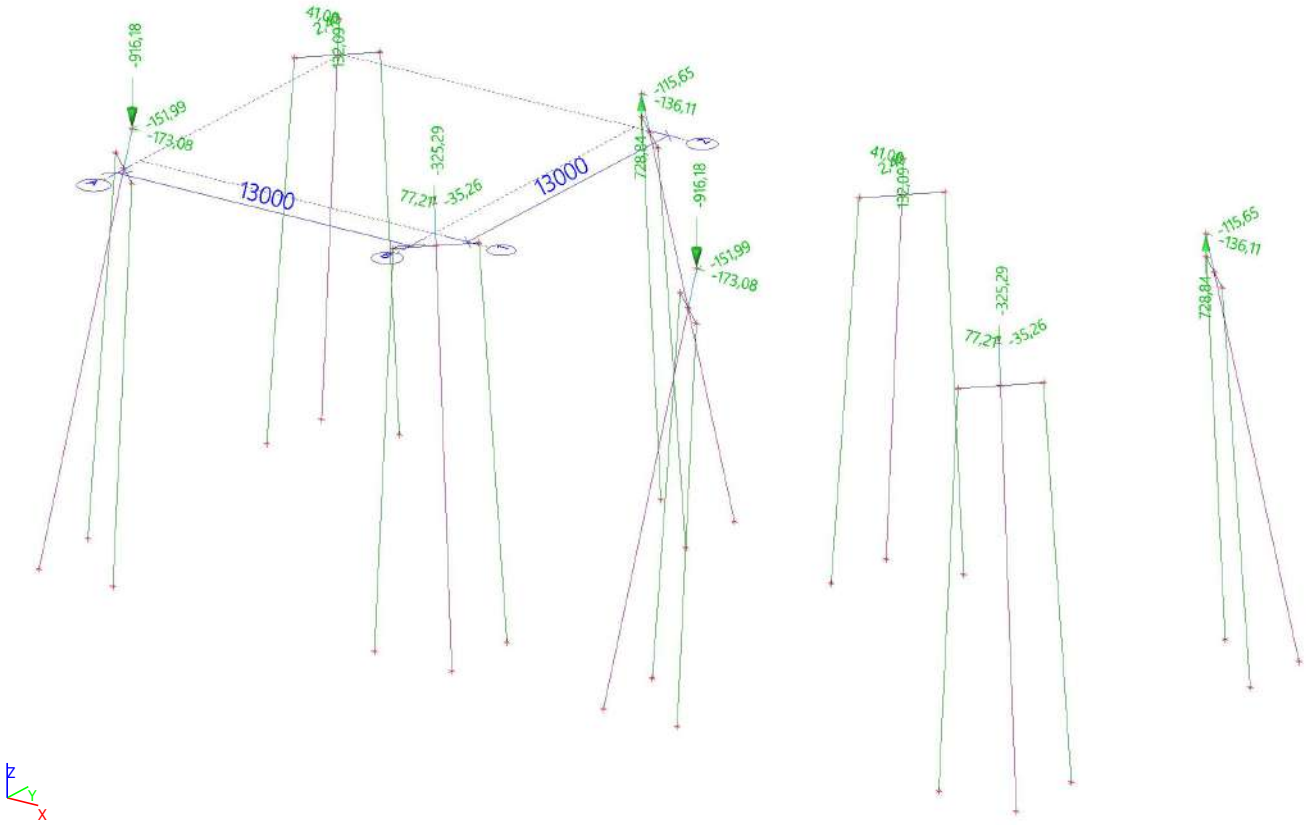
6.1.2.1. Point force in node

Name	Node	Load case	System	Dir	Type	Value - F [kN]
high max Wnd ;45°_1P_X	1P	high max Wnd ;45°	GCS	X	Force	38,68
high max Wnd ;45°_1P_Y	1P	high max Wnd ;45°	GCS	Y	Force	-4,59
high max Wnd ;45°_1P_Z	1P	high max Wnd ;45°	GCS	Z	Force	117,81
high max Wnd ;45°_1X_X	1X	high max Wnd ;45°	GCS	X	Force	-173,09
high max Wnd ;45°_1X_Y	1X	high max Wnd ;45°	GCS	Y	Force	153,76
high max Wnd ;45°_1X_Z	1X	high max Wnd ;45°	GCS	Z	Force	-921,78
high max Wnd ;45°_1XY_X	1XY	high max Wnd ;45°	GCS	X	Force	75,68
high max Wnd ;45°_1XY_Y	1XY	high max Wnd ;45°	GCS	Y	Force	32,61
high max Wnd ;45°_1XY_Z	1XY	high max Wnd ;45°	GCS	Z	Force	-312,14
high max Wnd ;45°_1Y_X	1Y	high max Wnd ;45°	GCS	X	Force	-136,51
high max Wnd ;45°_1Y_Y	1Y	high max Wnd ;45°	GCS	Y	Force	116,66
high max Wnd ;45°_1Y_Z	1Y	high max Wnd ;45°	GCS	Z	Force	733,57
high max Wnd ;45°_1P_X1	1P2	high max Wnd ;45°	GCS	X	Force	38,68
high max Wnd ;45°_1P_Y1	1P2	high max Wnd ;45°	GCS	Y	Force	-4,59
high max Wnd	1P2	high max Wnd ;45°	GCS	Z	Force	117,81

Name	Node	Load case	System	Dir	Type	Value - F [kN]
;45°_1P_Z1						
high max Wnd ;45°_1Y_X1	1Y2	high max Wnd ;45°	GCS	X	Force	-136,51
high max Wnd ;45°_1Y_Y1	1Y2	high max Wnd ;45°	GCS	Y	Force	116,66
high max Wnd ;45°_1Y_Z1	1Y2	high max Wnd ;45°	GCS	Z	Force	733,57
high max Wnd ;45°_1XY_X1	1XY2	high max Wnd ;45°	GCS	X	Force	75,68
high max Wnd ;45°_1XY_Y1	1XY2	high max Wnd ;45°	GCS	Y	Force	32,61
high max Wnd ;45°_1XY_Z1	1XY2	high max Wnd ;45°	GCS	Z	Force	-312,14
high max Wnd ;45°_1X_X1	1X2	high max Wnd ;45°	GCS	X	Force	-173,09
high max Wnd ;45°_1X_Y1	1X2	high max Wnd ;45°	GCS	Y	Force	153,76
high max Wnd ;45°_1X_Z1	1X2	high max Wnd ;45°	GCS	Z	Force	-921,78

6.1.3. Load cases - high max Wnd ;315°

Name	Description	Action type	Load group	Duration	Master load case
	Spec	Load type			
high max Wnd ;315°		Variable	LG4	Short	None
	Standard	Static			

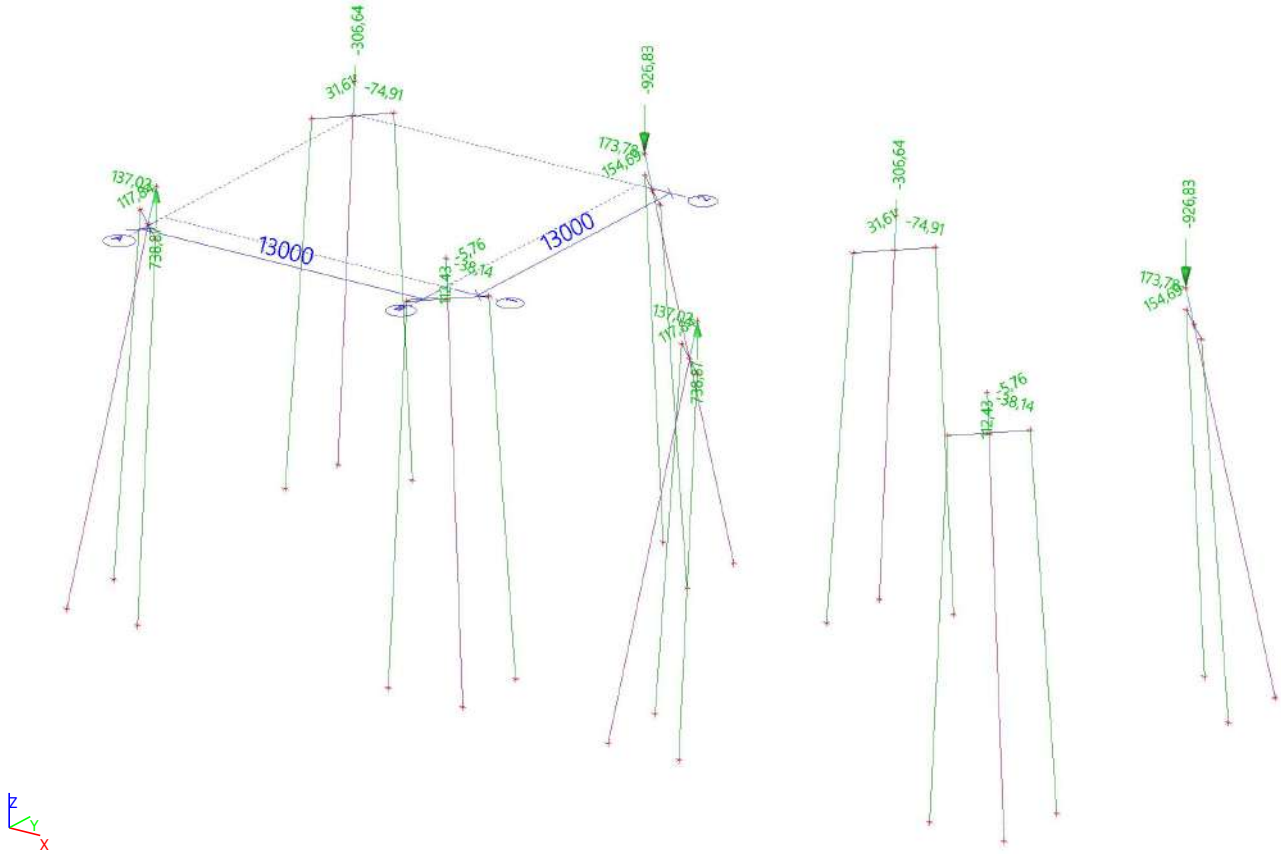


6.1.3.1. Point force in node

Name	Node	Load case	System	Dir	Type	Value - F [kN]
high max Wnd ;315°_1P_X	1P	high max Wnd ;315°	GCS	X	Force	-173,08
high max Wnd ;315°_1P_Y	1P	high max Wnd ;315°	GCS	Y	Force	-151,99
high max Wnd ;315°_1P_Z	1P	high max Wnd ;315°	GCS	Z	Force	-916,18
high max Wnd ;315°_1X_X	1X	high max Wnd ;315°	GCS	X	Force	41,08
high max Wnd ;315°_1X_Y	1X	high max Wnd ;315°	GCS	Y	Force	2,40
high max Wnd ;315°_1X_Z	1X	high max Wnd ;315°	GCS	Z	Force	132,09
high max Wnd ;315°_1XY_X	1XY	high max Wnd ;315°	GCS	X	Force	-136,11
high max Wnd ;315°_1XY_Y	1XY	high max Wnd ;315°	GCS	Y	Force	-115,65
high max Wnd ;315°_1XY_Z	1XY	high max Wnd ;315°	GCS	Z	Force	728,84
high max Wnd ;315°_1Y_X	1Y	high max Wnd ;315°	GCS	X	Force	77,21
high max Wnd ;315°_1Y_Y	1Y	high max Wnd ;315°	GCS	Y	Force	-35,26
high max Wnd ;315°_1Y_Z	1Y	high max Wnd ;315°	GCS	Z	Force	-325,29
high max Wnd ;315°_1P_X1	1P2	high max Wnd ;315°	GCS	X	Force	-173,08
high max Wnd ;315°_1P_Y1	1P2	high max Wnd ;315°	GCS	Y	Force	-151,99
high max Wnd ;315°_1P_Z1	1P2	high max Wnd ;315°	GCS	Z	Force	-916,18
high max Wnd ;315°_1Y_X1	1Y2	high max Wnd ;315°	GCS	X	Force	77,21
high max Wnd ;315°_1Y_Y1	1Y2	high max Wnd ;315°	GCS	Y	Force	-35,26
high max Wnd ;315°_1Y_Z1	1Y2	high max Wnd ;315°	GCS	Z	Force	-325,29
high max Wnd ;315°_1XY_X1	1XY2	high max Wnd ;315°	GCS	X	Force	-136,11
high max Wnd ;315°_1XY_Y1	1XY2	high max Wnd ;315°	GCS	Y	Force	-115,65
high max Wnd ;315°_1XY_Z1	1XY2	high max Wnd ;315°	GCS	Z	Force	728,84
high max Wnd ;315°_1X_X1	1X2	high max Wnd ;315°	GCS	X	Force	41,08
high max Wnd ;315°_1X_Y1	1X2	high max Wnd ;315°	GCS	Y	Force	2,40
high max Wnd ;315°_1X_Z1	1X2	high max Wnd ;315°	GCS	Z	Force	132,09

6.1.4. Load cases - high max Wnd ;135°

Name	Description	Action type	Load group	Duration	Master load case
	Spec	Load type			
high max Wnd ;135°		Variable	LG4	Short	None
	Standard	Static			



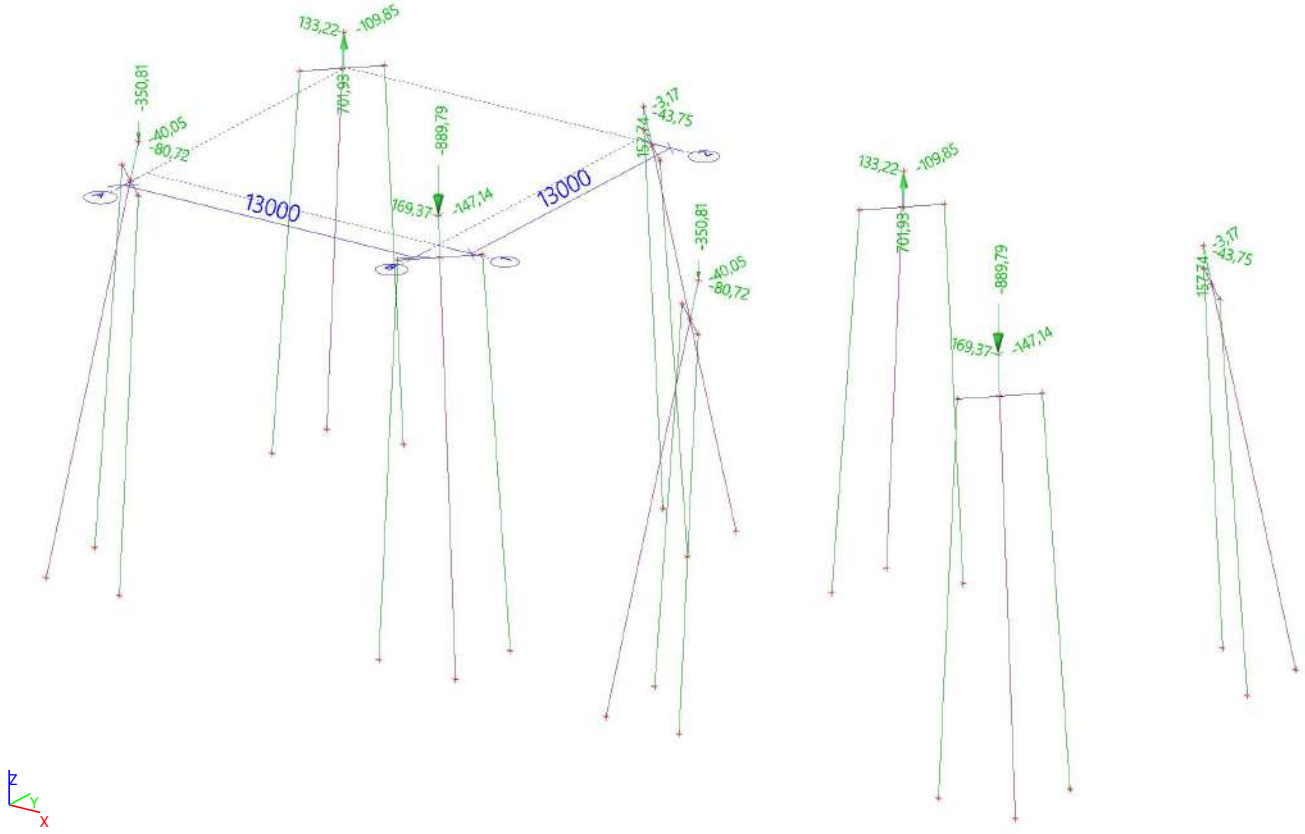
6.1.4.1. Point force in node

Name	Node	Load case	System	Dir	Type	Value - F [kN]
high max Wnd ;135°_1P_X	1P	high max Wnd ;135°	GCS	X	Force	137,02
high max Wnd ;135°_1P_Y	1P	high max Wnd ;135°	GCS	Y	Force	117,84
high max Wnd ;135°_1P_Z	1P	high max Wnd ;135°	GCS	Z	Force	738,87
high max Wnd ;135°_1X_X	1X	high max Wnd ;135°	GCS	X	Force	-74,91
high max Wnd ;135°_1X_Y	1X	high max Wnd ;135°	GCS	Y	Force	31,61
high max Wnd ;135°_1X_Z	1X	high max Wnd ;135°	GCS	Z	Force	-306,64
high max Wnd ;135°_1XY_X	1XY	high max Wnd ;135°	GCS	X	Force	173,78
high max Wnd ;135°_1XY_Y	1XY	high max Wnd ;135°	GCS	Y	Force	154,69
high max Wnd ;135°_1XY_Z	1XY	high max Wnd ;135°	GCS	Z	Force	-926,83
high max Wnd ;135°_1Y_X	1Y	high max Wnd ;135°	GCS	X	Force	-38,14
high max Wnd ;135°_1Y_Y	1Y	high max Wnd ;135°	GCS	Y	Force	-5,76
high max Wnd ;135°_1Y_Z	1Y	high max Wnd ;135°	GCS	Z	Force	112,43
high max Wnd ;135°_1P_X1	1P2	high max Wnd ;135°	GCS	X	Force	137,02
high max Wnd ;135°_1P_Y1	1P2	high max Wnd ;135°	GCS	Y	Force	117,84
high max Wnd	1P2	high max Wnd ;135°	GCS	Z	Force	738,87

Name	Node	Load case	System	Dir	Type	Value - F [kN]
;135°_1P_Z1						
high max Wnd ;135°_1Y_X1	1Y2	high max Wnd ;135°	GCS	X	Force	-38,14
high max Wnd ;135°_1Y_Y1	1Y2	high max Wnd ;135°	GCS	Y	Force	-5,76
high max Wnd ;135°_1Y_Z1	1Y2	high max Wnd ;135°	GCS	Z	Force	112,43
high max Wnd ;135°_1XY_X1	1XY2	high max Wnd ;135°	GCS	X	Force	173,78
high max Wnd ;135°_1XY_Y1	1XY2	high max Wnd ;135°	GCS	Y	Force	154,69
high max Wnd ;135°_1XY_Z1	1XY2	high max Wnd ;135°	GCS	Z	Force	-926,83
high max Wnd ;135°_1X_X1	1X2	high max Wnd ;135°	GCS	X	Force	-74,91
high max Wnd ;135°_1X_Y1	1X2	high max Wnd ;135°	GCS	Y	Force	31,61
high max Wnd ;135°_1X_Z1	1X2	high max Wnd ;135°	GCS	Z	Force	-306,64

6.1.5. Load cases - high max Wnd ;225°

Name	Description	Action type	Load group	Duration	Master load case
	Spec	Load type			
high max Wnd ;225°	Standard	Variable Static	LG4	Short	None

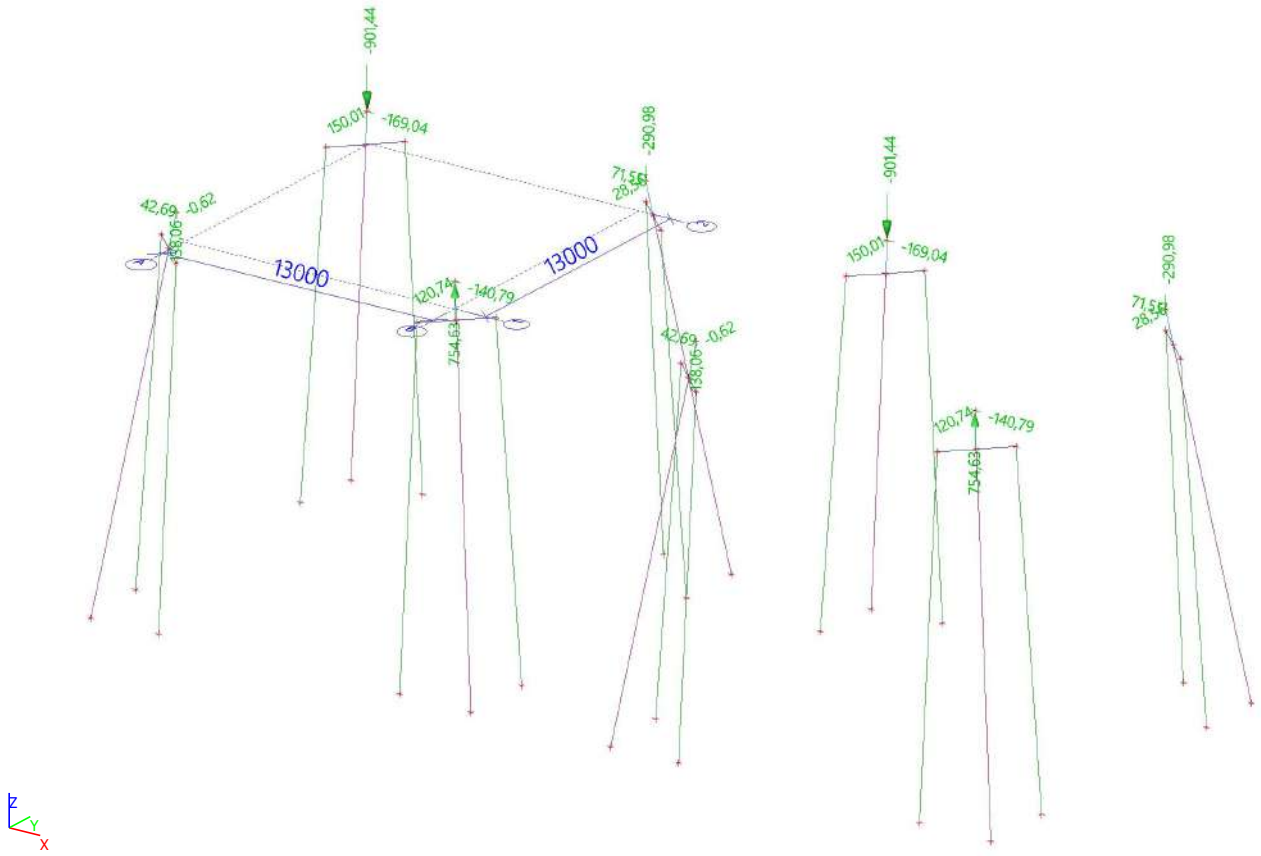


6.1.5.1. Point force in node

Name	Node	Load case	System	Dir	Type	Value - F [kN]
high max Wnd ;225°_1P_X	1P	high max Wnd ;225°	GCS	X	Force	-80,72
high max Wnd ;225°_1P_Y	1P	high max Wnd ;225°	GCS	Y	Force	-40,05
high max Wnd ;225°_1P_Z	1P	high max Wnd ;225°	GCS	Z	Force	-350,81
high max Wnd ;225°_1X_X	1X	high max Wnd ;225°	GCS	X	Force	133,22
high max Wnd ;225°_1X_Y	1X	high max Wnd ;225°	GCS	Y	Force	-109,85
high max Wnd ;225°_1X_Z	1X	high max Wnd ;225°	GCS	Z	Force	701,93
high max Wnd ;225°_1XY_X	1XY	high max Wnd ;225°	GCS	X	Force	-43,75
high max Wnd ;225°_1XY_Y	1XY	high max Wnd ;225°	GCS	Y	Force	-3,17
high max Wnd ;225°_1XY_Z	1XY	high max Wnd ;225°	GCS	Z	Force	157,74
high max Wnd ;225°_1Y_X	1Y	high max Wnd ;225°	GCS	X	Force	169,37
high max Wnd ;225°_1Y_Y	1Y	high max Wnd ;225°	GCS	Y	Force	-147,14
high max Wnd ;225°_1Y_Z	1Y	high max Wnd ;225°	GCS	Z	Force	-889,79
high max Wnd ;225°_1P_X1	1P2	high max Wnd ;225°	GCS	X	Force	-80,72
high max Wnd ;225°_1P_Y1	1P2	high max Wnd ;225°	GCS	Y	Force	-40,05
high max Wnd ;225°_1P_Z1	1P2	high max Wnd ;225°	GCS	Z	Force	-350,81
high max Wnd ;225°_1Y_X1	1Y2	high max Wnd ;225°	GCS	X	Force	169,37
high max Wnd ;225°_1Y_Y1	1Y2	high max Wnd ;225°	GCS	Y	Force	-147,14
high max Wnd ;225°_1Y_Z1	1Y2	high max Wnd ;225°	GCS	Z	Force	-889,79
high max Wnd ;225°_1XY_X1	1XY2	high max Wnd ;225°	GCS	X	Force	-43,75
high max Wnd ;225°_1XY_Y1	1XY2	high max Wnd ;225°	GCS	Y	Force	-3,17
high max Wnd ;225°_1XY_Z1	1XY2	high max Wnd ;225°	GCS	Z	Force	157,74
high max Wnd ;225°_1X_X1	1X2	high max Wnd ;225°	GCS	X	Force	133,22
high max Wnd ;225°_1X_Y1	1X2	high max Wnd ;225°	GCS	Y	Force	-109,85
high max Wnd ;225°_1X_Z1	1X2	high max Wnd ;225°	GCS	Z	Force	701,93

6.1.6. Load cases - low max Wnd ;45°

Name	Description	Action type	Load group	Duration	Master load case
	Spec	Load type			
low max Wnd ;45°		Variable	LG4	Short	None
	Standard	Static			



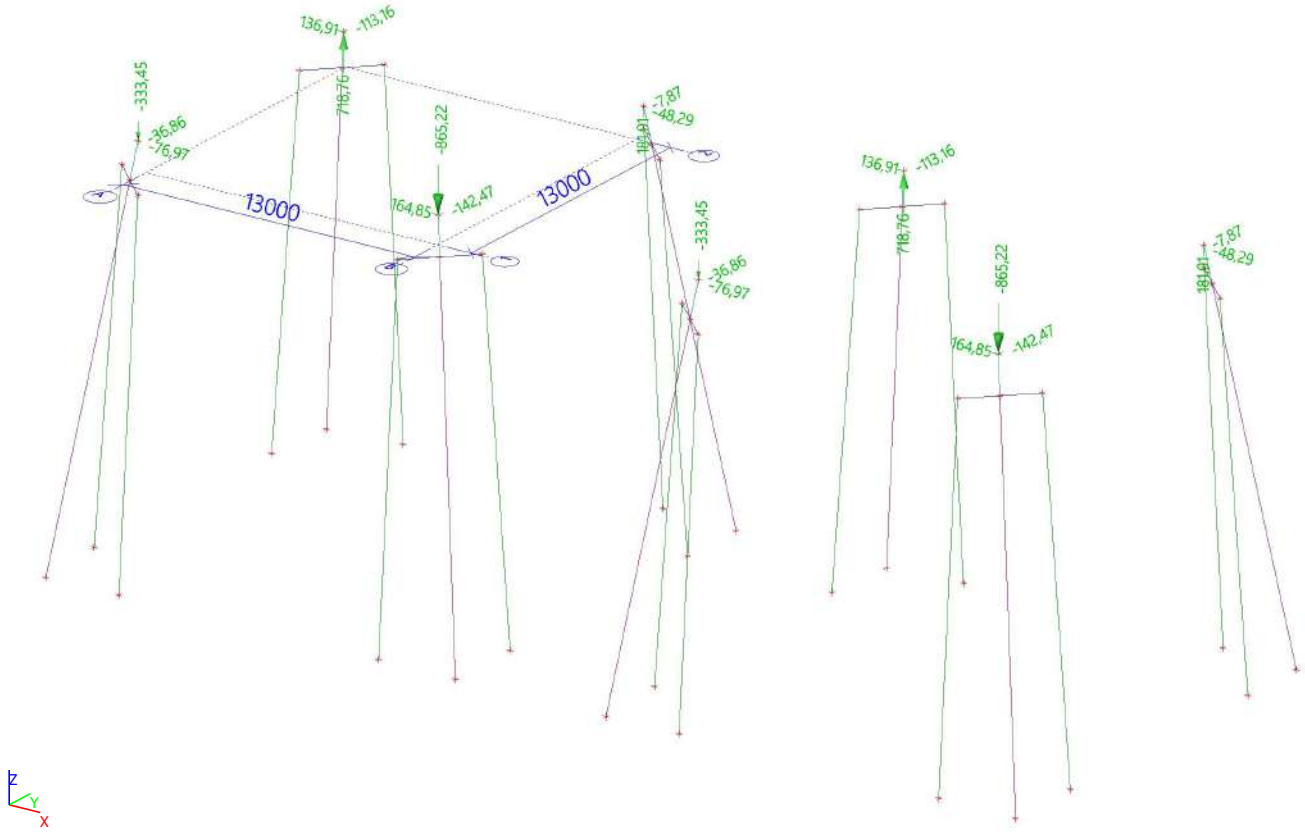
6.1.6.1. Point force in node

Name	Node	Load case	System	Dir	Type	Value - F [kN]
low max Wnd ;45°_1P_X	1P	low max Wnd ;45°	GCS	X	Force	42,69
low max Wnd ;45°_1P_Y	1P	low max Wnd ;45°	GCS	Y	Force	-0,62
low max Wnd ;45°_1P_Z	1P	low max Wnd ;45°	GCS	Z	Force	138,06
low max Wnd ;45°_1X_X	1X	low max Wnd ;45°	GCS	X	Force	-169,04
low max Wnd ;45°_1X_Y	1X	low max Wnd ;45°	GCS	Y	Force	150,01
low max Wnd ;45°_1X_Z	1X	low max Wnd ;45°	GCS	Z	Force	-901,44
low max Wnd ;45°_1XY_X	1XY	low max Wnd ;45°	GCS	X	Force	71,55
low max Wnd ;45°_1XY_Y	1XY	low max Wnd ;45°	GCS	Y	Force	28,56
low max Wnd ;45°_1XY_Z	1XY	low max Wnd ;45°	GCS	Z	Force	-290,98
low max Wnd ;45°_1Y_X	1Y	low max Wnd ;45°	GCS	X	Force	-140,79
low max Wnd ;45°_1Y_Y	1Y	low max Wnd ;45°	GCS	Y	Force	120,74
low max Wnd ;45°_1Y_Z	1Y	low max Wnd ;45°	GCS	Z	Force	754,63
low max Wnd ;45°_1P_X1	1P2	low max Wnd ;45°	GCS	X	Force	42,69
low max Wnd ;45°_1P_Y1	1P2	low max Wnd ;45°	GCS	Y	Force	-0,62
low max Wnd	1P2	low max Wnd ;45°	GCS	Z	Force	138,06

Name	Node	Load case	System	Dir	Type	Value - F [kN]
;45°_1P_Z1						
low max Wnd ;45°_1Y_X1	1Y2	low max Wnd ;45°	GCS	X	Force	-140,79
low max Wnd ;45°_1Y_Y1	1Y2	low max Wnd ;45°	GCS	Y	Force	120,74
low max Wnd ;45°_1Y_Z1	1Y2	low max Wnd ;45°	GCS	Z	Force	754,63
low max Wnd ;45°_1XY_X1	1XY2	low max Wnd ;45°	GCS	X	Force	71,55
low max Wnd ;45°_1XY_Y1	1XY2	low max Wnd ;45°	GCS	Y	Force	28,56
low max Wnd ;45°_1XY_Z1	1XY2	low max Wnd ;45°	GCS	Z	Force	-290,98
low max Wnd ;45°_1X_X1	1X2	low max Wnd ;45°	GCS	X	Force	-169,04
low max Wnd ;45°_1X_Y1	1X2	low max Wnd ;45°	GCS	Y	Force	150,01
low max Wnd ;45°_1X_Z1	1X2	low max Wnd ;45°	GCS	Z	Force	-901,44

6.1.7. Load cases - low max Wnd ;225°

Name	Description	Action type	Load group	Duration	Master load case
	Spec	Load type			
low max Wnd ;225°	Standard	Variable Static	LG4	Short	None

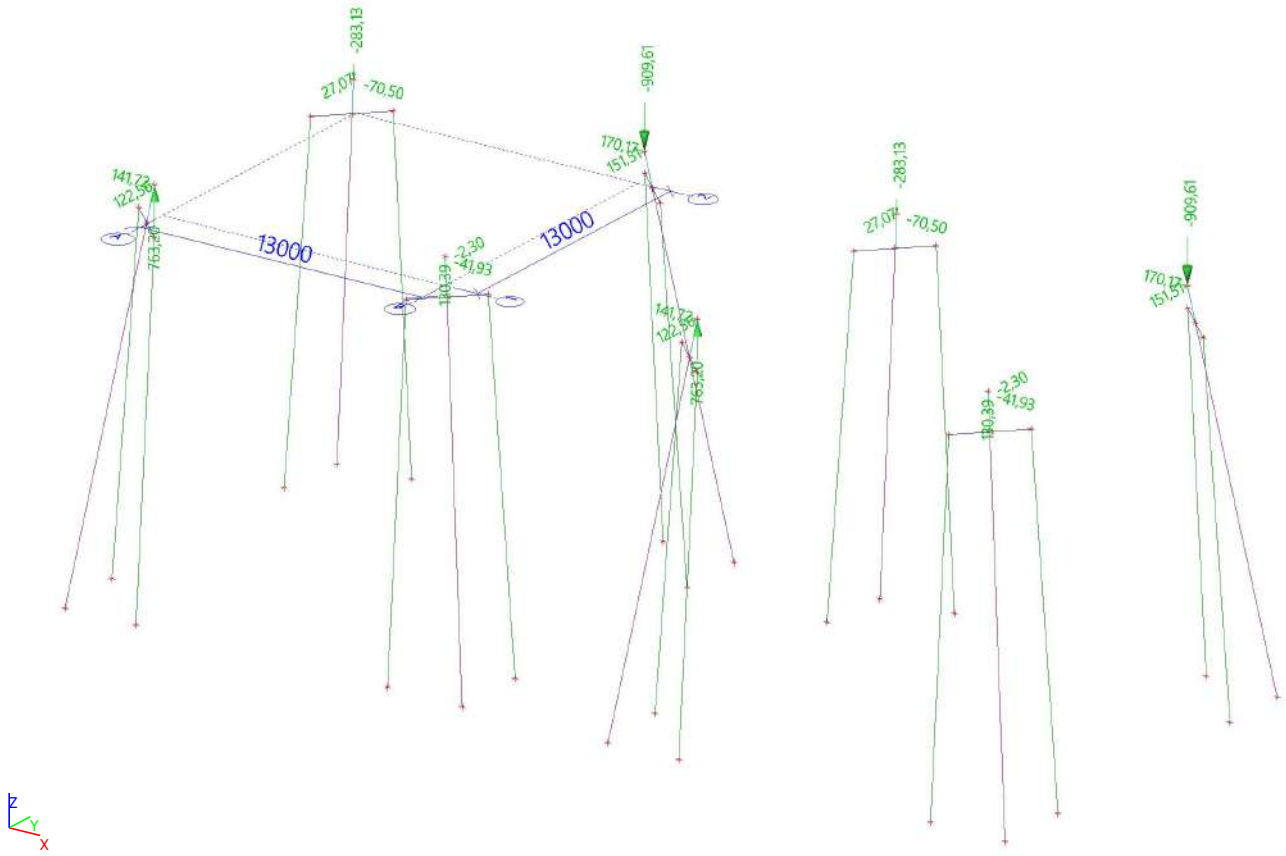


6.1.7.1. Point force in node

Name	Node	Load case	System	Dir	Type	Value - F [kN]
low max Wnd ;225°_1P_X	1P	low max Wnd ;225°	GCS	X	Force	-76,97
low max Wnd ;225°_1P_Y	1P	low max Wnd ;225°	GCS	Y	Force	-36,86
low max Wnd ;225°_1P_Z	1P	low max Wnd ;225°	GCS	Z	Force	-333,45
low max Wnd ;225°_1X_X	1X	low max Wnd ;225°	GCS	X	Force	136,91
low max Wnd ;225°_1X_Y	1X	low max Wnd ;225°	GCS	Y	Force	-113,16
low max Wnd ;225°_1X_Z	1X	low max Wnd ;225°	GCS	Z	Force	718,76
low max Wnd ;225°_1XY_X	1XY	low max Wnd ;225°	GCS	X	Force	-48,29
low max Wnd ;225°_1XY_Y	1XY	low max Wnd ;225°	GCS	Y	Force	-7,87
low max Wnd ;225°_1XY_Z	1XY	low max Wnd ;225°	GCS	Z	Force	181,91
low max Wnd ;225°_1Y_X	1Y	low max Wnd ;225°	GCS	X	Force	164,85
low max Wnd ;225°_1Y_Y	1Y	low max Wnd ;225°	GCS	Y	Force	-142,47
low max Wnd ;225°_1Y_Z	1Y	low max Wnd ;225°	GCS	Z	Force	-865,22
low max Wnd ;225°_1P_X1	1P2	low max Wnd ;225°	GCS	X	Force	-76,97
low max Wnd ;225°_1P_Y1	1P2	low max Wnd ;225°	GCS	Y	Force	-36,86
low max Wnd ;225°_1P_Z1	1P2	low max Wnd ;225°	GCS	Z	Force	-333,45
low max Wnd ;225°_1Y_X1	1Y2	low max Wnd ;225°	GCS	X	Force	164,85
low max Wnd ;225°_1Y_Y1	1Y2	low max Wnd ;225°	GCS	Y	Force	-142,47
low max Wnd ;225°_1Y_Z1	1Y2	low max Wnd ;225°	GCS	Z	Force	-865,22
low max Wnd ;225°_1XY_X1	1XY2	low max Wnd ;225°	GCS	X	Force	-48,29
low max Wnd ;225°_1XY_Y1	1XY2	low max Wnd ;225°	GCS	Y	Force	-7,87
low max Wnd ;225°_1XY_Z1	1XY2	low max Wnd ;225°	GCS	Z	Force	181,91
low max Wnd ;225°_1X_X1	1X2	low max Wnd ;225°	GCS	X	Force	136,91
low max Wnd ;225°_1X_Y1	1X2	low max Wnd ;225°	GCS	Y	Force	-113,16
low max Wnd ;225°_1X_Z1	1X2	low max Wnd ;225°	GCS	Z	Force	718,76

6.1.8. Load cases - low max Wnd ;135°

Name	Description	Action type	Load group	Duration	Master load case
	Spec	Load type			
low max Wnd ;135°		Variable	LG4	Short	None
	Standard	Static			



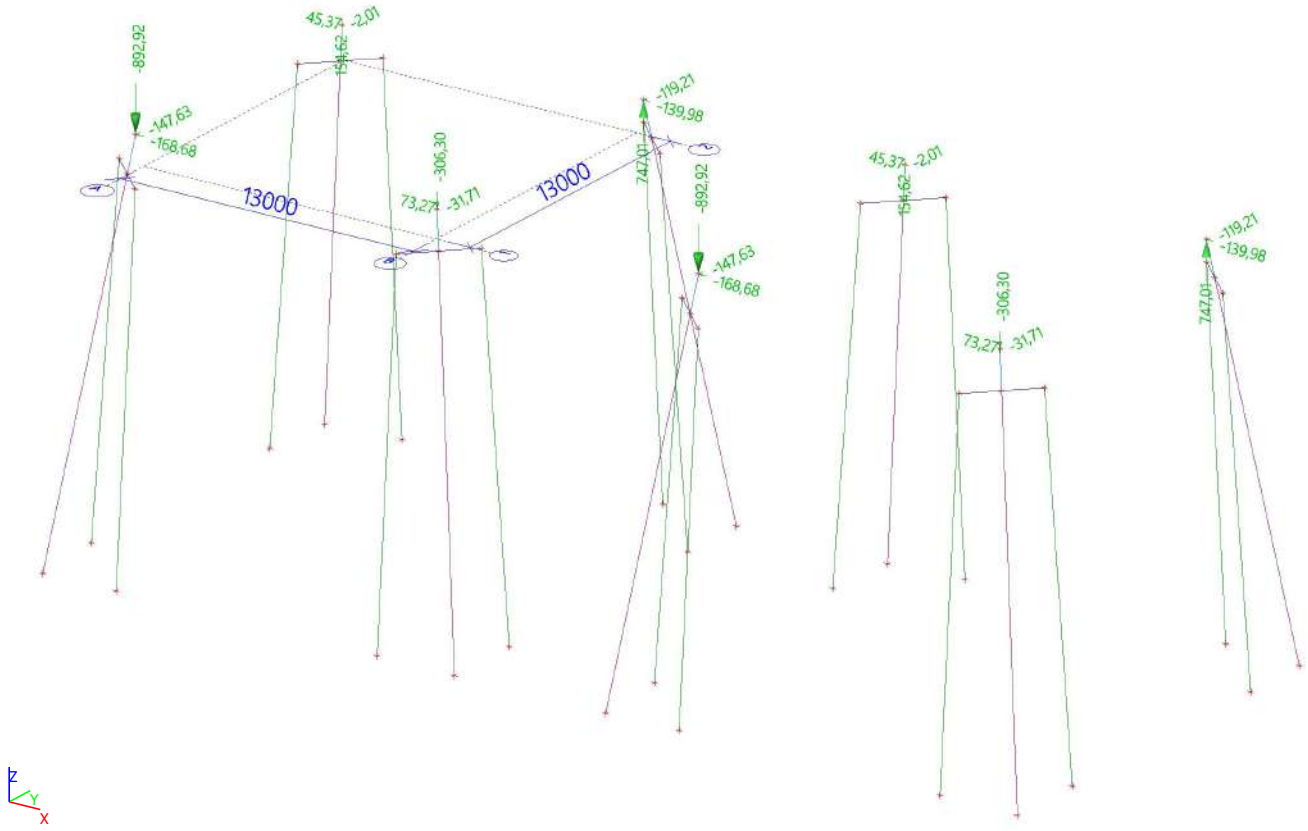
6.1.8.1. Point force in node

Name	Node	Load case	System	Dir	Type	Value - F [kN]
low max Wnd ;135°_1P_X	1P	low max Wnd ;135°	GCS	X	Force	141,72
low max Wnd ;135°_1P_Y	1P	low max Wnd ;135°	GCS	Y	Force	122,56
low max Wnd ;135°_1P_Z	1P	low max Wnd ;135°	GCS	Z	Force	763,20
low max Wnd ;135°_1X_X	1X	low max Wnd ;135°	GCS	X	Force	-70,50
low max Wnd ;135°_1X_Y	1X	low max Wnd ;135°	GCS	Y	Force	27,07
low max Wnd ;135°_1X_Z	1X	low max Wnd ;135°	GCS	Z	Force	-283,13
low max Wnd ;135°_1XY_X	1XY	low max Wnd ;135°	GCS	X	Force	170,17
low max Wnd ;135°_1XY_Y	1XY	low max Wnd ;135°	GCS	Y	Force	151,51
low max Wnd ;135°_1XY_Z	1XY	low max Wnd ;135°	GCS	Z	Force	-909,61
low max Wnd ;135°_1Y_X	1Y	low max Wnd ;135°	GCS	X	Force	-41,93
low max Wnd ;135°_1Y_Y	1Y	low max Wnd ;135°	GCS	Y	Force	-2,30
low max Wnd ;135°_1Y_Z	1Y	low max Wnd ;135°	GCS	Z	Force	130,39
low max Wnd ;135°_1P_X1	1P2	low max Wnd ;135°	GCS	X	Force	141,72
low max Wnd ;135°_1P_Y1	1P2	low max Wnd ;135°	GCS	Y	Force	122,56
low max Wnd	1P2	low max Wnd ;135°	GCS	Z	Force	763,20

Name	Node	Load case	System	Dir	Type	Value - F [kN]
;135°_1P_Z1						
low max Wnd ;135°_1Y_X1	1Y2	low max Wnd ;135°	GCS	X	Force	-41,93
low max Wnd ;135°_1Y_Y1	1Y2	low max Wnd ;135°	GCS	Y	Force	-2,30
low max Wnd ;135°_1Y_Z1	1Y2	low max Wnd ;135°	GCS	Z	Force	130,39
low max Wnd ;135°_1XY_X1	1XY2	low max Wnd ;135°	GCS	X	Force	170,17
low max Wnd ;135°_1XY_Y1	1XY2	low max Wnd ;135°	GCS	Y	Force	151,51
low max Wnd ;135°_1XY_Z1	1XY2	low max Wnd ;135°	GCS	Z	Force	-909,61
low max Wnd ;135°_1X_X1	1X2	low max Wnd ;135°	GCS	X	Force	-70,50
low max Wnd ;135°_1X_Y1	1X2	low max Wnd ;135°	GCS	Y	Force	27,07
low max Wnd ;135°_1X_Z1	1X2	low max Wnd ;135°	GCS	Z	Force	-283,13

6.1.9. Load cases - low max Wnd ;315°

Name	Description	Action type	Load group	Duration	Master load case
	Spec	Load type			
low max Wnd ;315°	Standard	Variable Static	LG4	Short	None



6.1.9.1. Point force in node

Name	Node	Load case	System	Dir	Type	Value - F [kN]
low max Wnd ;315°_1P_X	1P	low max Wnd ;315°	GCS	X	Force	-168,68
low max Wnd ;315°_1P_Y	1P	low max Wnd ;315°	GCS	Y	Force	-147,63
low max Wnd ;315°_1P_Z	1P	low max Wnd ;315°	GCS	Z	Force	-892,92
low max Wnd ;315°_1X_X	1X	low max Wnd ;315°	GCS	X	Force	45,37
low max Wnd ;315°_1X_Y	1X	low max Wnd ;315°	GCS	Y	Force	-2,01
low max Wnd ;315°_1X_Z	1X	low max Wnd ;315°	GCS	Z	Force	154,62
low max Wnd ;315°_1XY_X	1XY	low max Wnd ;315°	GCS	X	Force	-139,98
low max Wnd ;315°_1XY_Y	1XY	low max Wnd ;315°	GCS	Y	Force	-119,21
low max Wnd ;315°_1XY_Z	1XY	low max Wnd ;315°	GCS	Z	Force	747,01
low max Wnd ;315°_1Y_X	1Y	low max Wnd ;315°	GCS	X	Force	73,27
low max Wnd ;315°_1Y_Y	1Y	low max Wnd ;315°	GCS	Y	Force	-31,71
low max Wnd ;315°_1Y_Z	1Y	low max Wnd ;315°	GCS	Z	Force	-306,30
low max Wnd ;315°_1P_X1	1P2	low max Wnd ;315°	GCS	X	Force	-168,68
low max Wnd ;315°_1P_Y1	1P2	low max Wnd ;315°	GCS	Y	Force	-147,63
low max Wnd ;315°_1P_Z1	1P2	low max Wnd ;315°	GCS	Z	Force	-892,92
low max Wnd ;315°_1Y_X1	1Y2	low max Wnd ;315°	GCS	X	Force	73,27
low max Wnd ;315°_1Y_Y1	1Y2	low max Wnd ;315°	GCS	Y	Force	-31,71
low max Wnd ;315°_1Y_Z1	1Y2	low max Wnd ;315°	GCS	Z	Force	-306,30
low max Wnd ;315°_1XY_X1	1XY2	low max Wnd ;315°	GCS	X	Force	-139,98
low max Wnd ;315°_1XY_Y1	1XY2	low max Wnd ;315°	GCS	Y	Force	-119,21
low max Wnd ;315°_1XY_Z1	1XY2	low max Wnd ;315°	GCS	Z	Force	747,01
low max Wnd ;315°_1X_X1	1X2	low max Wnd ;315°	GCS	X	Force	45,37
low max Wnd ;315°_1X_Y1	1X2	low max Wnd ;315°	GCS	Y	Force	-2,01
low max Wnd ;315°_1X_Z1	1X2	low max Wnd ;315°	GCS	Z	Force	154,62

6.2. Nonlinear combinations

Name	Type	Load cases	Coeff. [-]
low max Wnd ;45° - EG_Gunstig	Ultimate	EG_Fundering	0,900
		low max Wnd ;45°	1,000
low max Wnd ;225° - EG_Gunstig	Ultimate	EG_Fundering	0,900
		low max Wnd ;225°	1,000
low max Wnd ;135° - EG_Gunstig	Ultimate	EG_Fundering	0,900
		low max Wnd ;135°	1,000
low max Wnd ;315° - EG_Gunstig	Ultimate	EG_Fundering	0,900

Name	Type	Load cases	Coeff. [-]
		low max Wnd ;315°	1,000
high max Wnd ;45° - EG_Ongunstig	Ultimate	EG_Fundering	1,200
		high max Wnd ;45°	1,000
high max Wnd ;225° - EG_Ongunstig	Ultimate	EG_Fundering	1,200
		high max Wnd ;315°	1,000
high max Wnd ;135° - EG_Ongunstig	Ultimate	EG_Fundering	1,200
		high max Wnd ;135°	1,000
high max Wnd ;315° - EG_Ongunstig	Ultimate	EG_Fundering	1,200
		high max Wnd ;225°	1,000

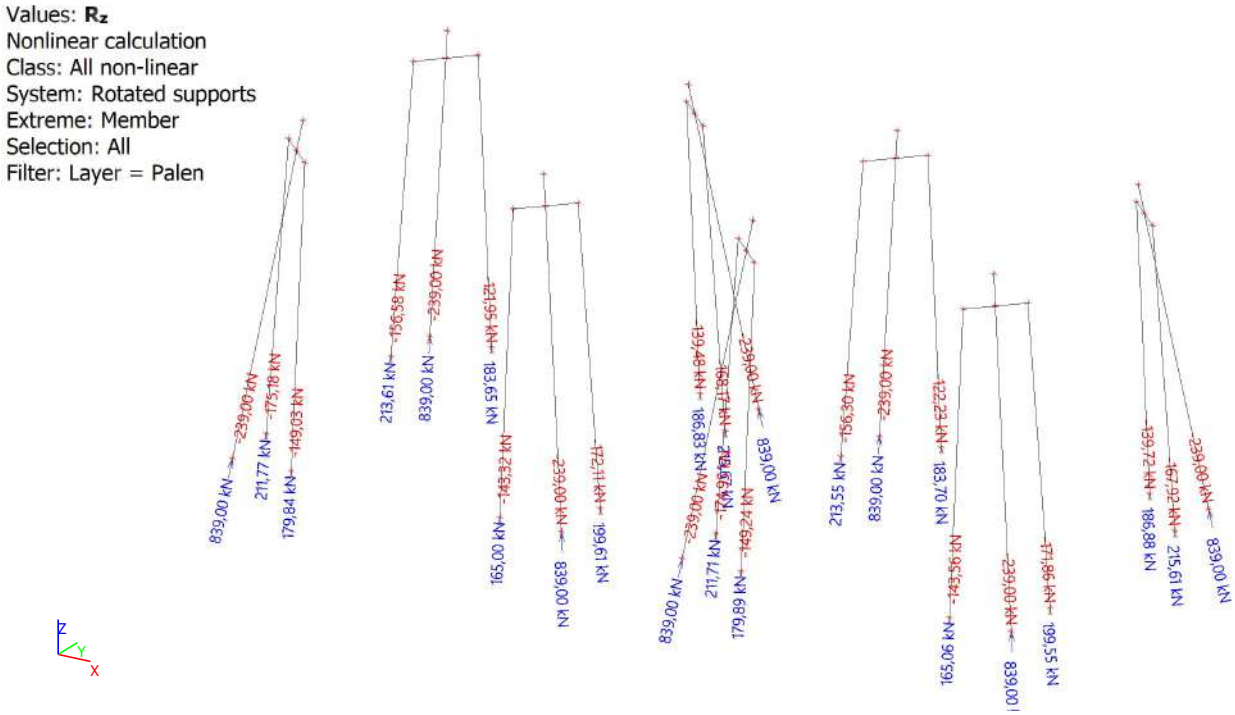
6.3. Result classes

Name	List
All non-linear	low max Wnd ;45° - EG_Gunstig
	low max Wnd ;225° - EG_Gunstig
	low max Wnd ;135° - EG_Gunstig
	low max Wnd ;315° - EG_Gunstig
	high max Wnd ;45° - EG_Ongunstig
	high max Wnd ;225° - EG_Ongunstig
	high max Wnd ;135° - EG_Ongunstig
	high max Wnd ;315° - EG_Ongunstig

7. Resultaten

7.1. Reacties van de palen

7.1.1. Reactions; R_z



7.1.2. Reactions

Nonlinear calculation
Class: All non-linear
System: Rotated supports
Extreme: Global
Selection: All
Filter: Cross-section = LD1(31-plank) - General cross-section
Nodal reactions

Name	Case	R_x [kN]	R_y [kN]	R_z [kN]	M_x [kNm]	M_y [kNm]	M_z [kNm]	e_x [mm]	e_y [mm]
S_P/N139	low max Wnd ;135° - EG_Gunstig	0,00	0,00	**-239,00**	0,00	0,00	0,00	0,0	0,0
S_P/N139	low max Wnd ;315° - EG_Gunstig	**0,00**	**0,00**	**839,00**	**0,00**	**0,00**	**0,00**	0,0	0,0

7.1.3. Reactions

Nonlinear calculation
Class: All non-linear
System: Rotated supports
Extreme: Global
Selection: All
Filter: Cross-section = LEKA Paal - type e (CHS323.9/10.0)
Nodal reactions

Name	Case	R_x [kN]	R_y [kN]	R_z [kN]	M_x [kNm]	M_y [kNm]	M_z [kNm]	e_x [mm]	e_y [mm]
Sn LK4/N171	low max Wnd ;135° - EG_Gunstig	0,00	0,00	**-175,18**	0,00	0,00	0,00	0,0	0,0
Sn LK2/N167	high max Wnd ;135° - EG_Ongunstig	**0,00**	**0,00**	**215,67**	**0,00**	**0,00**	**0,00**	0,0	0,0

7.1.4. Reactions

Nonlinear calculation
Class: All non-linear
System: Rotated supports
Extreme: Member
Selection: All
Filter: Layer = Palen
Nodal reactions

Name	Case	R_x [kN]	R_y [kN]	R_z [kN]	M_x [kNm]	M_y [kNm]	M_z [kNm]	e_x [mm]	e_y [mm]
S_P/N139	low max Wnd ;135° - EG_Gunstig	0,00	0,00	**-239,00**	0,00	0,00	0,00	0,0	0,0
S_P/N139	low max Wnd ;315° - EG_Gunstig	**0,00**	**0,00**	**839,00**	**0,00**	**0,00**	**0,00**	0,0	0,0
S_Y/N143	low max Wnd ;225° - EG_Gunstig	**0,00**	**0,00**	**839,00**	**0,00**	**0,00**	**0,00**	0,0	0,0
S_Y/N143	low max Wnd ;45° - EG_Gunstig	0,00	0,00	**-239,00**	0,00	0,00	**0,00**	0,0	0,0
S_XY/N148	low max Wnd ;315° - EG_Gunstig	0,00	0,00	**-239,00**	0,00	0,00	0,00	0,0	0,0
S_XY/N148	low max Wnd ;135° - EG_Gunstig	**0,00**	**0,00**	**839,00**	**0,00**	**0,00**	**0,00**	0,0	0,0
S_X/N153	low max Wnd ;225° - EG_Gunstig	**0,00**	**0,00**	**-239,00**	**0,00**	**0,00**	**0,00**	0,0	0,0
S_X/N153	low max Wnd ;45° - EG_Gunstig	0,00	0,00	**839,00**	0,00	0,00	**0,00**	0,0	0,0
Sn LK/N159	low max Wnd ;225° - EG_Gunstig	0,00	0,00	**-156,58**	0,00	0,00	0,00	0,0	0,0
Sn LK/N159	high max Wnd ;45° - EG_Ongunstig	**0,00**	**0,00**	**213,61**	**0,00**	**0,00**	**0,00**	0,0	0,0
Sn LK1/N160	low max Wnd ;225° - EG_Gunstig	0,00	0,00	**-121,95**	0,00	0,00	0,00	0,0	0,0
Sn LK1/N160	high max Wnd ;45° - EG_Ongunstig	**0,00**	**0,00**	**183,65**	**0,00**	**0,00**	**0,00**	0,0	0,0
Sn LK2/N167	low max Wnd ;315° - EG_Gunstig	0,00	0,00	**-168,17**	0,00	0,00	0,00	0,0	0,0
Sn LK2/N167	high max Wnd ;135° - EG_Ongunstig	**0,00**	**0,00**	**215,67**	**0,00**	**0,00**	**0,00**	0,0	0,0
Sn LK3/N168	low max Wnd ;315° - EG_Gunstig	0,00	0,00	**-139,48**	0,00	0,00	0,00	0,0	0,0
Sn LK3/N168	high max Wnd ;135° -	**0,00**	**0,00**	**186,83**	**0,00**	**0,00**	**0,00**	0,0	0,0

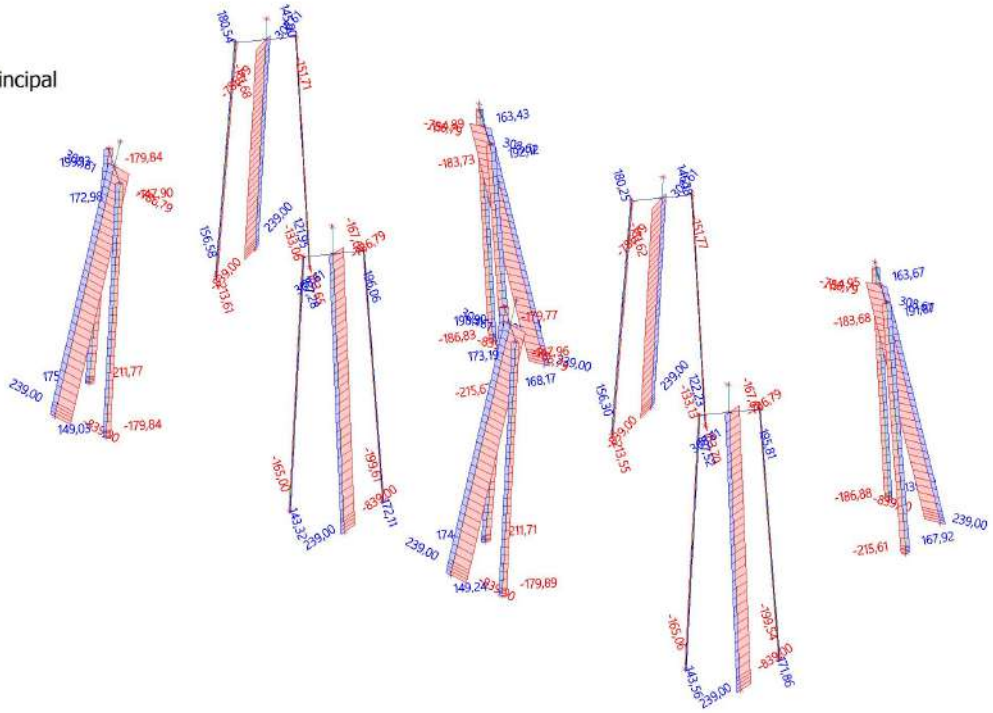
Name	Case	R_x [kN]	R_y [kN]	R_z [kN]	M_x [kNm]	M_y [kNm]	M_z [kNm]	e_x [mm]	e_y [mm]
	EG_Ongunstig								
Sn LK4/N171	low max Wnd ;135° - EG_Gunstig	0,00	0,00	**-175,18**	0,00	0,00	0,00	0,0	0,0
Sn LK4/N171	high max Wnd ;225° - EG_Ongunstig	**0,00**	**0,00**	**211,77**	**0,00**	**0,00**	**0,00**	0,0	0,0
Sn LK5/N172	low max Wnd ;135° - EG_Gunstig	0,00	0,00	**-149,03**	0,00	0,00	0,00	0,0	0,0
Sn LK5/N172	high max Wnd ;225° - EG_Ongunstig	**0,00**	**0,00**	**179,84**	**0,00**	**0,00**	**0,00**	0,0	0,0
Sn LK6/N175	high max Wnd ;315° - EG_Ongunstig	**0,00**	**0,00**	**199,61**	**0,00**	**0,00**	**0,00**	0,0	0,0
Sn LK6/N175	low max Wnd ;45° - EG_Gunstig	0,00	0,00	**-172,11**	0,00	0,00	**0,00**	0,0	0,0
Sn LK7/N176	high max Wnd ;315° - EG_Ongunstig	**0,00**	**0,00**	**165,00**	**0,00**	**0,00**	**0,00**	0,0	0,0
Sn LK7/N176	low max Wnd ;45° - EG_Gunstig	0,00	0,00	**-143,32**	0,00	0,00	**0,00**	0,0	0,0
S_P2/N203	low max Wnd ;135° - EG_Gunstig	0,00	0,00	**-239,00**	0,00	0,00	0,00	0,0	0,0
S_P2/N203	low max Wnd ;315° - EG_Gunstig	**0,00**	**0,00**	**839,00**	**0,00**	**0,00**	**0,00**	0,0	0,0
S_Y2/N205	low max Wnd ;225° - EG_Gunstig	**0,00**	**0,00**	**839,00**	**0,00**	**0,00**	**0,00**	0,0	0,0
S_Y2/N205	low max Wnd ;45° - EG_Gunstig	0,00	0,00	**-239,00**	0,00	0,00	**0,00**	0,0	0,0
S_XY2/N207	low max Wnd ;315° - EG_Gunstig	0,00	0,00	**-239,00**	0,00	0,00	0,00	0,0	0,0
S_XY2/N207	low max Wnd ;135° - EG_Gunstig	**0,00**	**0,00**	**839,00**	**0,00**	**0,00**	**0,00**	0,0	0,0
S_X2/N209	low max Wnd ;225° - EG_Gunstig	**0,00**	**0,00**	**-239,00**	**0,00**	**0,00**	**0,00**	0,0	0,0
S_X2/N209	low max Wnd ;45° - EG_Gunstig	0,00	0,00	**839,00**	0,00	0,00	**0,00**	0,0	0,0
Sn LK16/N212	low max Wnd ;225° - EG_Gunstig	0,00	0,00	**-156,30**	0,00	0,00	0,00	0,0	0,0
Sn LK16/N212	high max Wnd ;45° - EG_Ongunstig	**0,00**	**0,00**	**213,55**	**0,00**	**0,00**	**0,00**	0,0	0,0
Sn LK17/N213	low max Wnd ;225° - EG_Gunstig	0,00	0,00	**-122,23**	0,00	0,00	0,00	0,0	0,0
Sn LK17/N213	high max Wnd ;45° - EG_Ongunstig	**0,00**	**0,00**	**183,70**	**0,00**	**0,00**	**0,00**	0,0	0,0
Sn LK18/N216	low max Wnd ;315° - EG_Gunstig	0,00	0,00	**-167,92**	0,00	0,00	0,00	0,0	0,0
Sn LK18/N216	high max Wnd ;135° -	**0,00**	**0,00**	**215,61**	**0,00**	**0,00**	**0,00**	0,0	0,0

Name	Case	R_x [kN]	R_y [kN]	R_z [kN]	M_x [kNm]	M_y [kNm]	M_z [kNm]	e_x [mm]	e_y [mm]
	EG_Ongunstig								
Sn LK19/N217	low max Wnd ;315° - EG_Gunstig	0,00	0,00	**-139,72**	0,00	0,00	0,00	0,0	0,0
Sn LK19/N217	high max Wnd ;135° - EG_Ongunstig	**0,00**	**0,00**	**186,88**	**0,00**	**0,00**	**0,00**	0,0	0,0
Sn LK20/N220	low max Wnd ;135° - EG_Gunstig	0,00	0,00	**-174,95**	0,00	0,00	0,00	0,0	0,0
Sn LK20/N220	high max Wnd ;225° - EG_Ongunstig	**0,00**	**0,00**	**211,71**	**0,00**	**0,00**	**0,00**	0,0	0,0
Sn LK21/N221	low max Wnd ;135° - EG_Gunstig	0,00	0,00	**-149,24**	0,00	0,00	0,00	0,0	0,0
Sn LK21/N221	high max Wnd ;225° - EG_Ongunstig	**0,00**	**0,00**	**179,89**	**0,00**	**0,00**	**0,00**	0,0	0,0
Sn LK22/N224	high max Wnd ;315° - EG_Ongunstig	**0,00**	**0,00**	**199,54**	**0,00**	**0,00**	**0,00**	0,0	0,0
Sn LK22/N224	low max Wnd ;45° - EG_Gunstig	0,00	0,00	**-171,86**	0,00	0,00	**0,00**	0,0	0,0
Sn LK23/N225	high max Wnd ;315° - EG_Ongunstig	**0,00**	**0,00**	**165,06**	**0,00**	**0,00**	**0,00**	0,0	0,0
Sn LK23/N225	low max Wnd ;45° - EG_Gunstig	0,00	0,00	**-143,56**	0,00	0,00	**0,00**	0,0	0,0

8. Krachten van de Funderingspalen

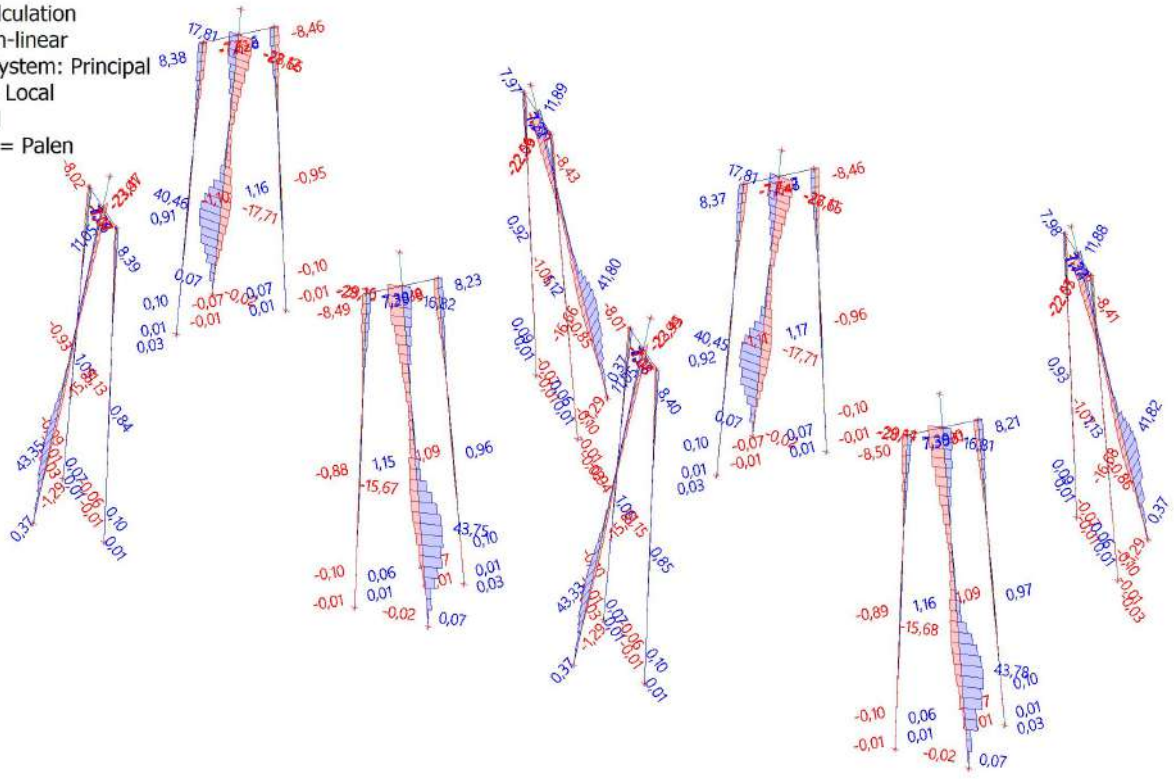
8.1. Interne 1D- krachten; N

Values: **N**
Nonlinear calculation
Class: All non-linear
Coordinate system: Principal
Extreme 1D: Local
Selection: All
Filter: Layer = Palen



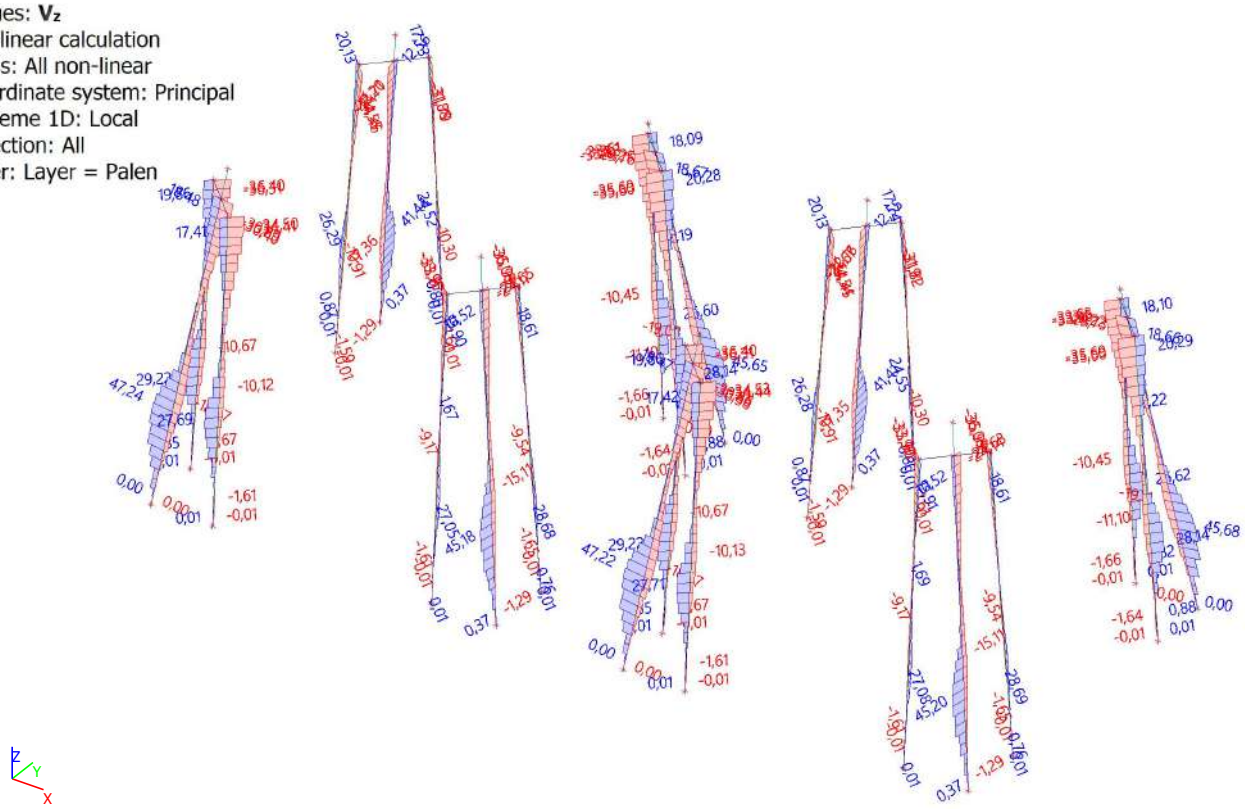
8.2. Interne 1D- krachten; V_y

Values: **V_y**
Nonlinear calculation
Class: All non-linear
Coordinate system: Principal
Extreme 1D: Local
Selection: All
Filter: Layer = Palen



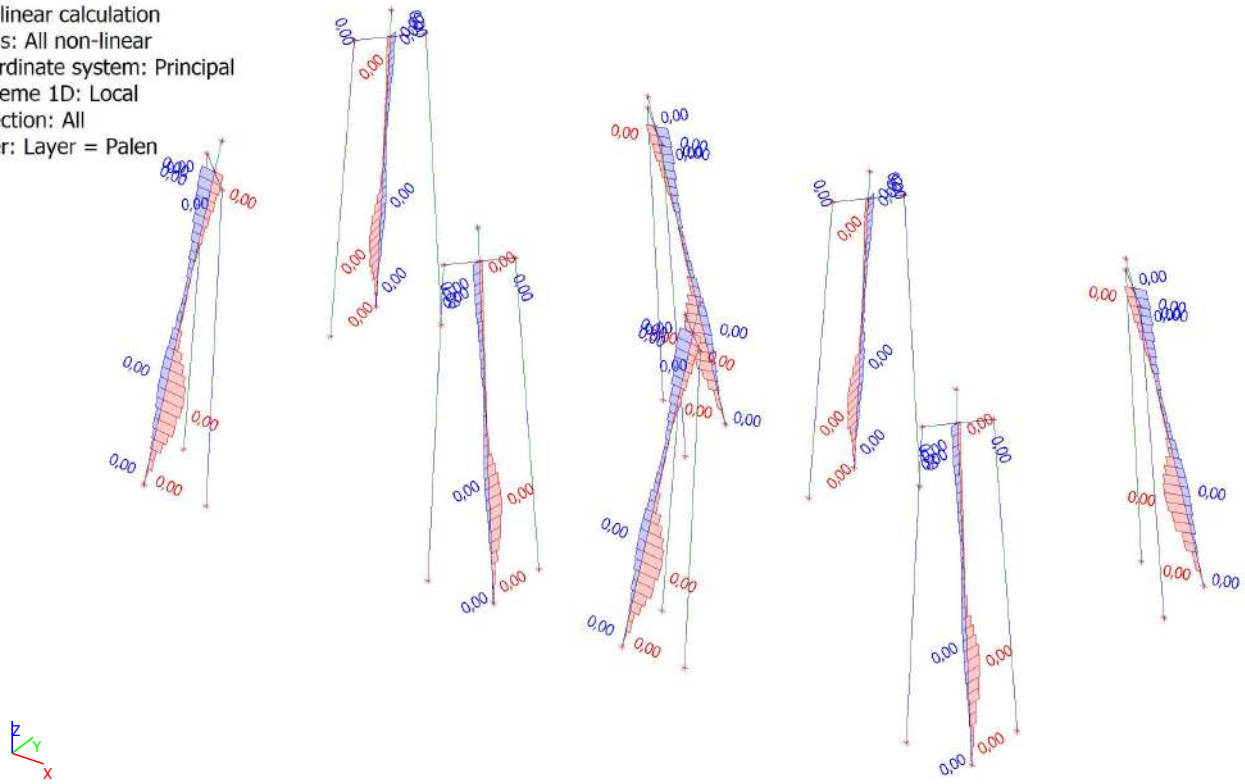
8.3. Interne 1D- krachten; V_z

Values: V_z
Nonlinear calculation
Class: All non-linear
Coordinate system: Principal
Extreme 1D: Local
Selection: All
Filter: Layer = Palen



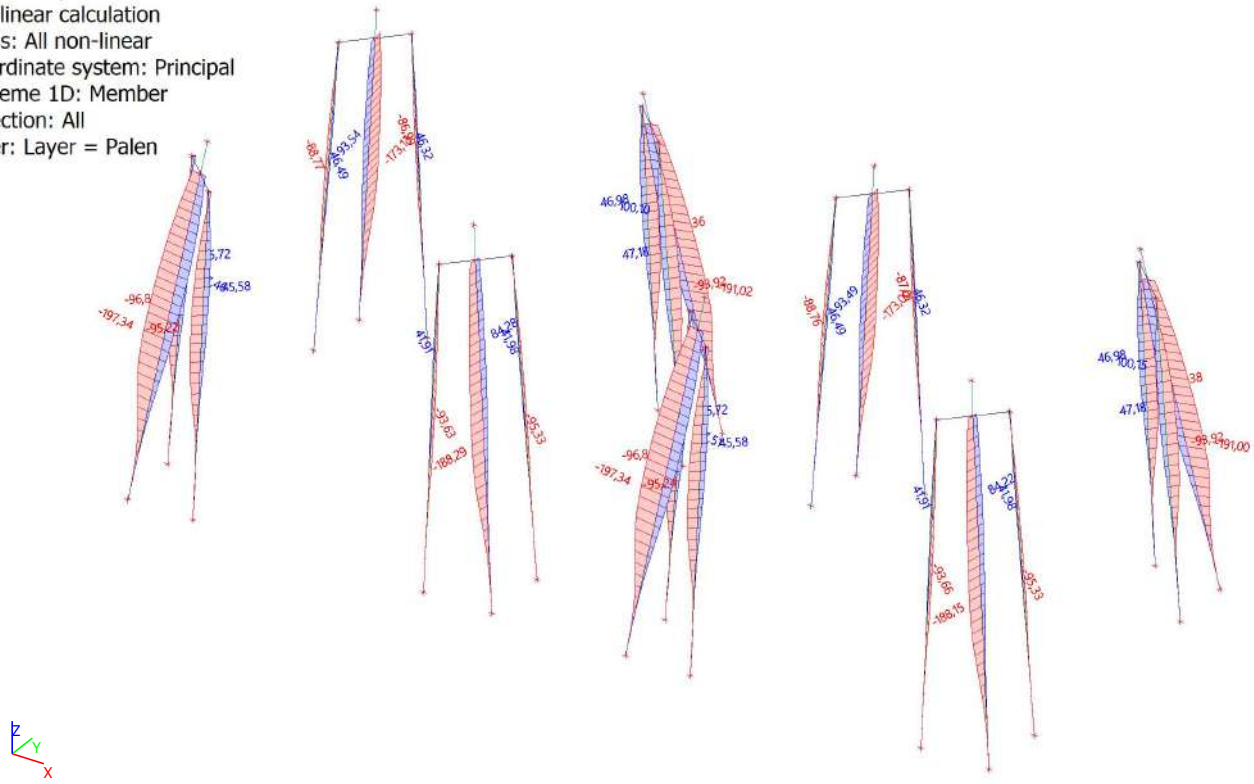
8.4. Interne 1D- krachten; M_x

Values: M_x
Nonlinear calculation
Class: All non-linear
Coordinate system: Principal
Extreme 1D: Local
Selection: All
Filter: Layer = Palen



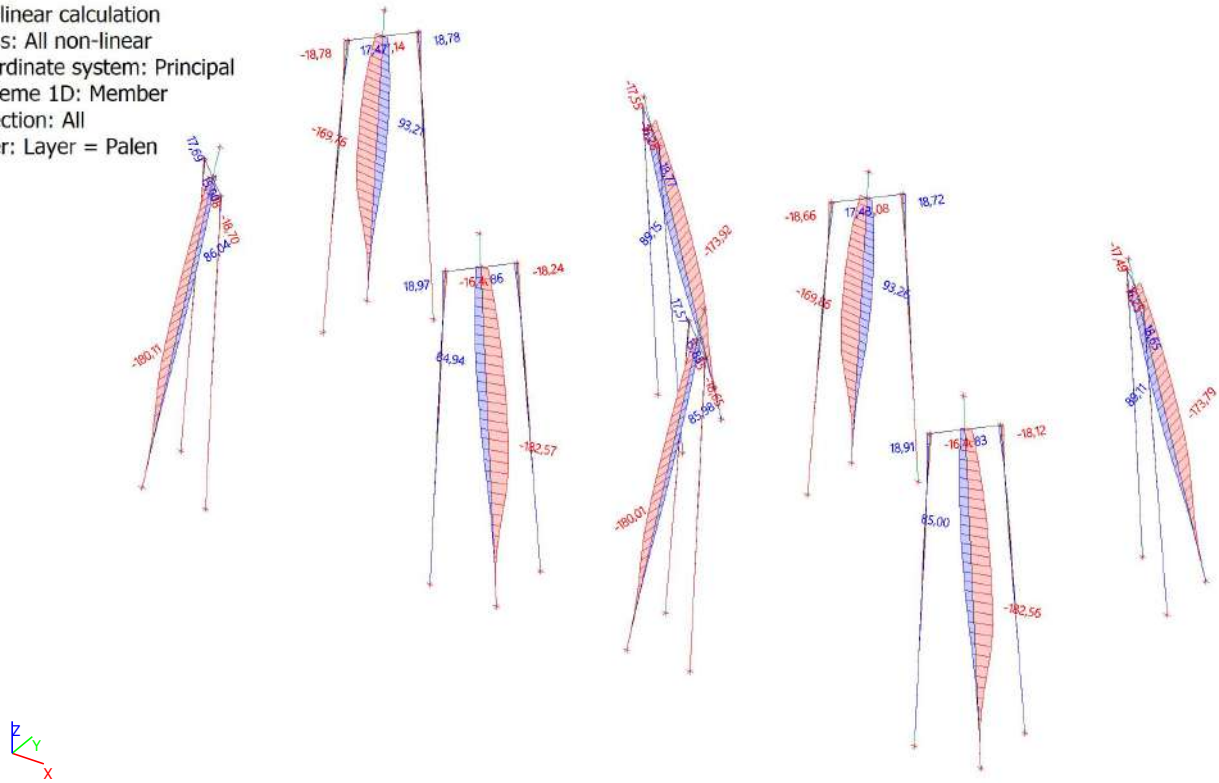
8.5. Interne 1D- krachten; M_y

Values: M_y
Nonlinear calculation
Class: All non-linear
Coordinate system: Principal
Extreme 1D: Member
Selection: All
Filter: Layer = Palen



8.6. Interne 1D- krachten; M_z

Values: M_z
Nonlinear calculation
Class: All non-linear
Coordinate system: Principal
Extreme 1D: Member
Selection: All
Filter: Layer = Palen



8.7. 1D internal forces

Nonlinear calculation
Class: All non-linear
Coordinate system: Principal
Extreme 1D: Global
Selection: All
Nothing in selection to display.

8.8. 1D internal forces

Nonlinear calculation
Class: All non-linear
Coordinate system: Principal
Extreme 1D: Global
Selection: All
Filter: Cross-section = LEKA Paal - type e (CHS323.9/10.0)

Name	dx [m]	Case	Cross-section	N [kN]	V_y [kN]	V_z [kN]	M_x [kNm]	M_y [kNm]	M_z [kNm]
Paal_X3	15,439	high max Wnd ;135° - EG_Ongunstig	LEKA Paal - type e (CHS323.9/10.0)	**-215,67**	0,01	-0,01	0,00	0,00	0,00
Paal_X5	0,000	low max Wnd ;135° - EG_Gunstig	LEKA Paal - type e (CHS323.9/10.0)	**199,13**	4,42	-36,31	**0,00**	33,84	-9,39
Paal_X27	0,000	high max Wnd ;135° - EG_Ongunstig	LEKA Paal - type e (CHS323.9/10.0)	-100,03	**-8,50**	-2,29	0,00	-4,37	18,91
Paal_X25	0,000	high max Wnd ;45° - EG_Ongunstig	LEKA Paal - type e (CHS323.9/10.0)	-98,29	**8,40**	-2,51	0,00	-4,20	-18,65
Paal_X5	1,000-	low max Wnd ;135° - EG_Gunstig	LEKA Paal - type e (CHS323.9/10.0)	197,58	4,51	**-36,40**	0,00	-2,51	-4,92
Paal_X5	10,000+	low max Wnd ;135° - EG_Gunstig	LEKA Paal - type e (CHS323.9/10.0)	182,84	-0,34	**29,22**	0,00	-57,43	0,52
Paal_X5	7,000-	low max Wnd ;135° - EG_Gunstig	LEKA Paal - type e (CHS323.9/10.0)	189,05	-0,34	-1,26	0,00	**-96,85**	1,83
Paal_X3	5,000-	high max Wnd ;135° - EG_Ongunstig	LEKA Paal - type e (CHS323.9/10.0)	-193,04	-0,40	2,36	0,00	**47,18**	-2,32
Paal_X1	0,000	high max Wnd ;135° - EG_Ongunstig	LEKA Paal - type e (CHS323.9/10.0)	-164,68	8,38	8,40	0,00	-8,99	**-18,78**
Paal_X8	0,000	high max Wnd ;135° - EG_Ongunstig	LEKA Paal - type e (CHS323.9/10.0)	-101,44	-8,49	-2,15	0,00	-4,45	**18,97**

9. Krachten van de Poeren

9.1. 1D internal forces

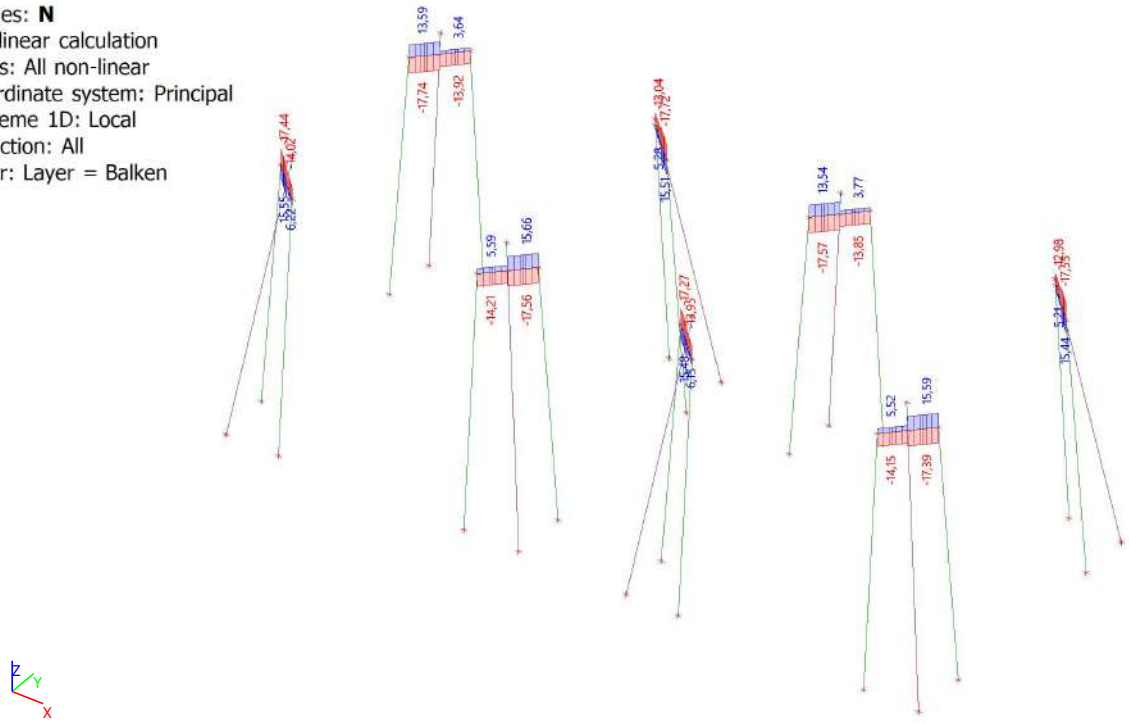
Nonlinear calculation
Class: All non-linear
Coordinate system: Principal
Extreme 1D: Global
Selection: All
Filter: Cross-section = Poer800 - Circle (800,00)

Name	dx [m]	Case	Cross-section	N [kN]	V_y [kN]	V_z [kN]	M_x [kNm]	M_y [kNm]	M_z [kNm]
Poer_X	1,560	low max Wnd ;135° - EG_Gunstig	Poer800 - Circle (800,00)	**785,10**	-31,41	14,59	**0,00**	0,00	0,00
Poer_X	0,000	low max Wnd ;135° - EG_Gunstig	Poer800 - Circle (800,00)	768,14	**-34,85**	14,57	0,00	-22,74	**51,68**
Poer_Y	1,560	high max Wnd ;135° - EG_Ongunstig	Poer800 - Circle (800,00)	-954,49	**43,36**	-14,76	0,00	0,00	0,00
Poer_P	1,560	low max Wnd ;135° - EG_Gunstig	Poer800 - Circle (800,00)	133,32	-1,54	**-31,45**	0,00	0,00	0,00
Poer_XY	0,000	low max Wnd ;135° - EG_Gunstig	Poer800 - Circle (800,00)	-308,11	7,88	**31,12**	0,00	**-48,53**	-14,98
Poer_P	0,000	low max Wnd ;135° - EG_Gunstig	Poer800 - Circle (800,00)	116,36	-4,98	-31,43	0,00	**49,05**	5,09
Poer_Y	0,000	high max Wnd ;135° - EG_Ongunstig	Poer800 - Circle (800,00)	**-977,10**	38,77	-14,79	0,00	23,06	**-64,06**

10. Krachten van de Funderingsbalken

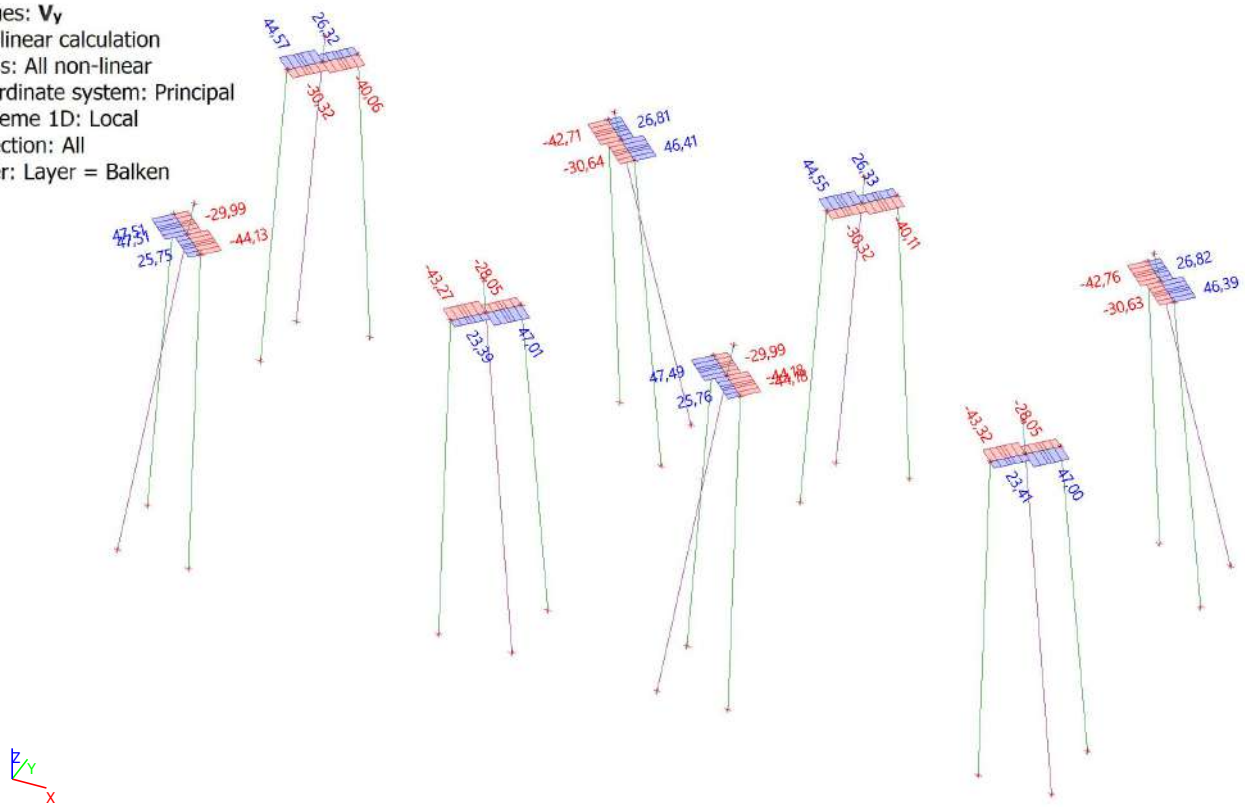
10.1. Interne 1D- krachten; N

Values: **N**
Nonlinear calculation
Class: All non-linear
Coordinate system: Principal
Extreme 1D: Local
Selection: All
Filter: Layer = Balken



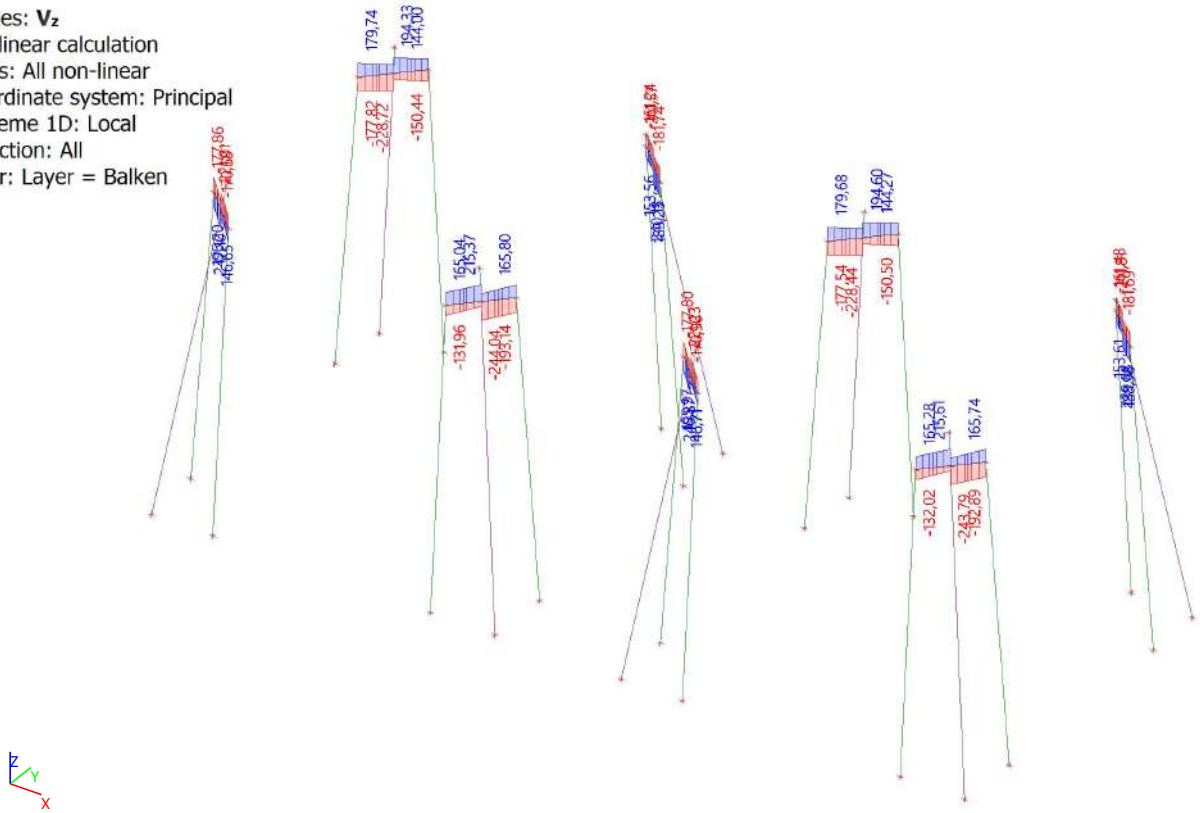
10.2. Interne 1D- krachten; V_y

Values: **V_y**
Nonlinear calculation
Class: All non-linear
Coordinate system: Principal
Extreme 1D: Local
Selection: All
Filter: Layer = Balken



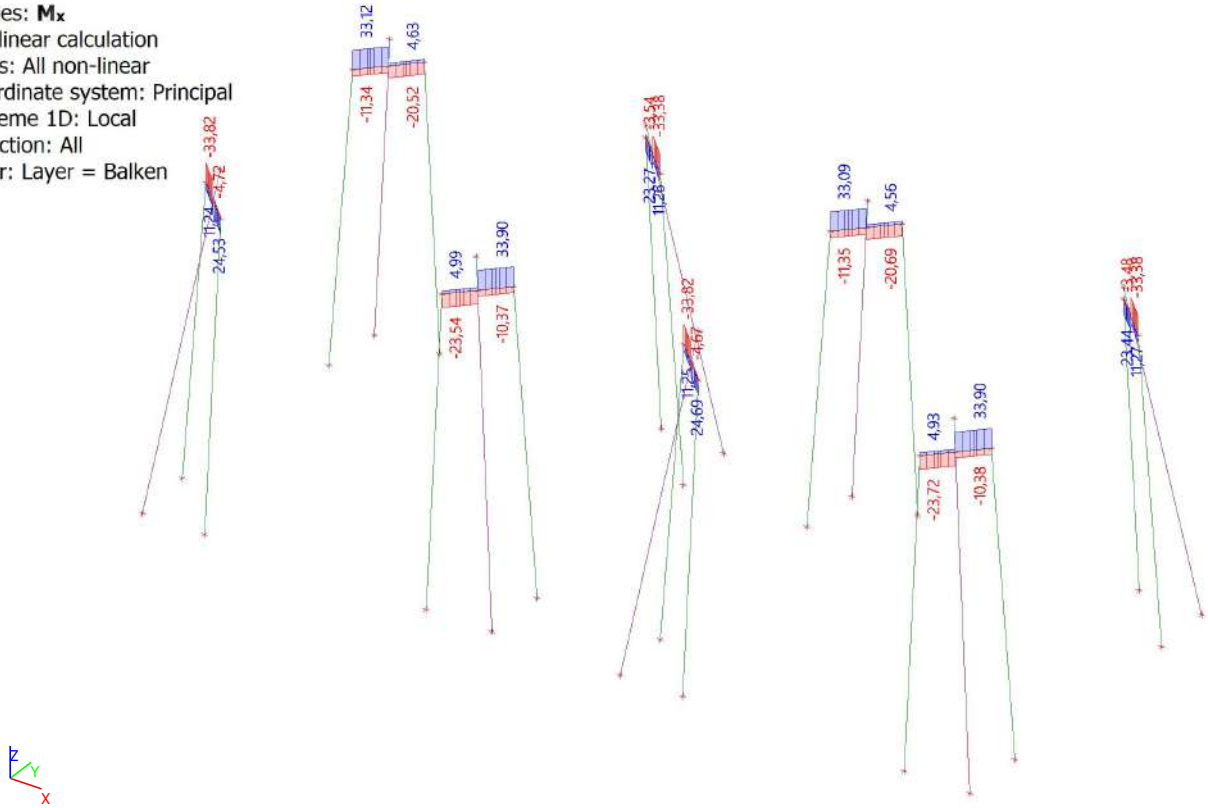
10.3. Interne 1D- krachten; V_z

Values: V_z
Nonlinear calculation
Class: All non-linear
Coordinate system: Principal
Extreme 1D: Local
Selection: All
Filter: Layer = Balken



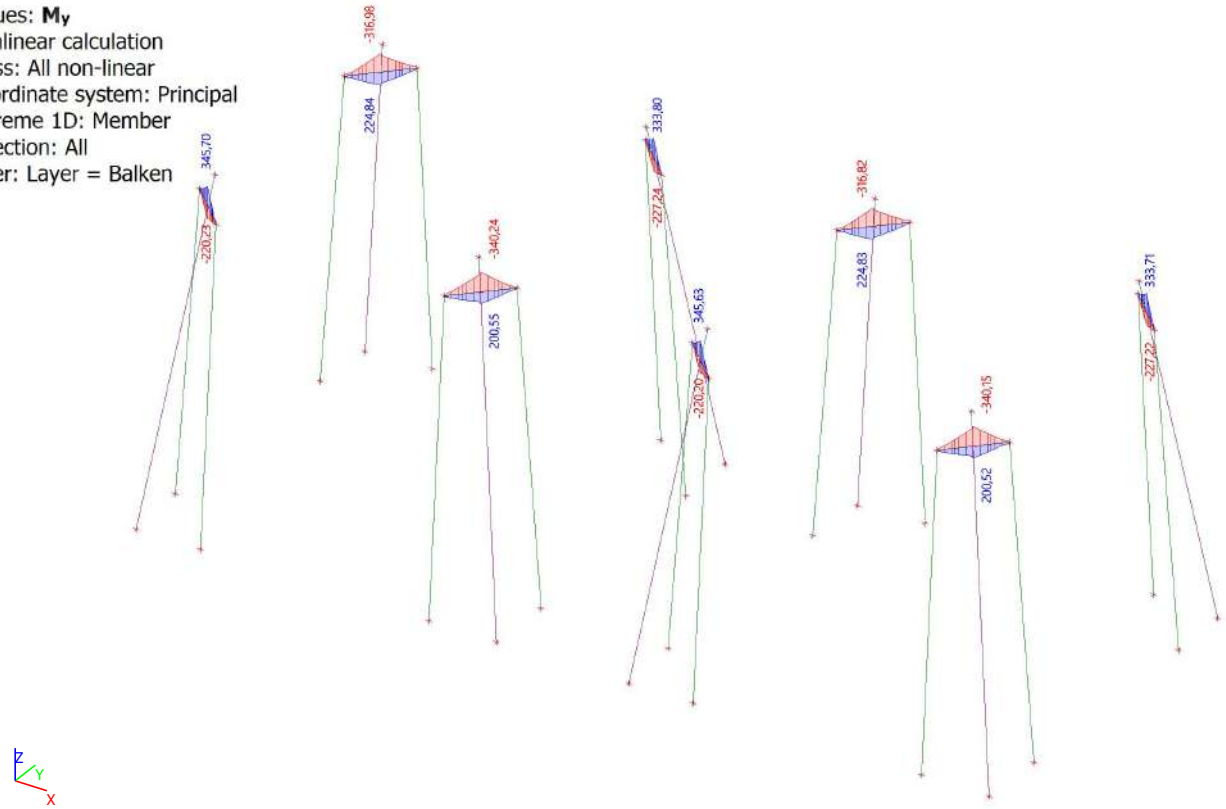
10.4. Interne 1D- krachten; M_x

Values: M_x
Nonlinear calculation
Class: All non-linear
Coordinate system: Principal
Extreme 1D: Local
Selection: All
Filter: Layer = Balken



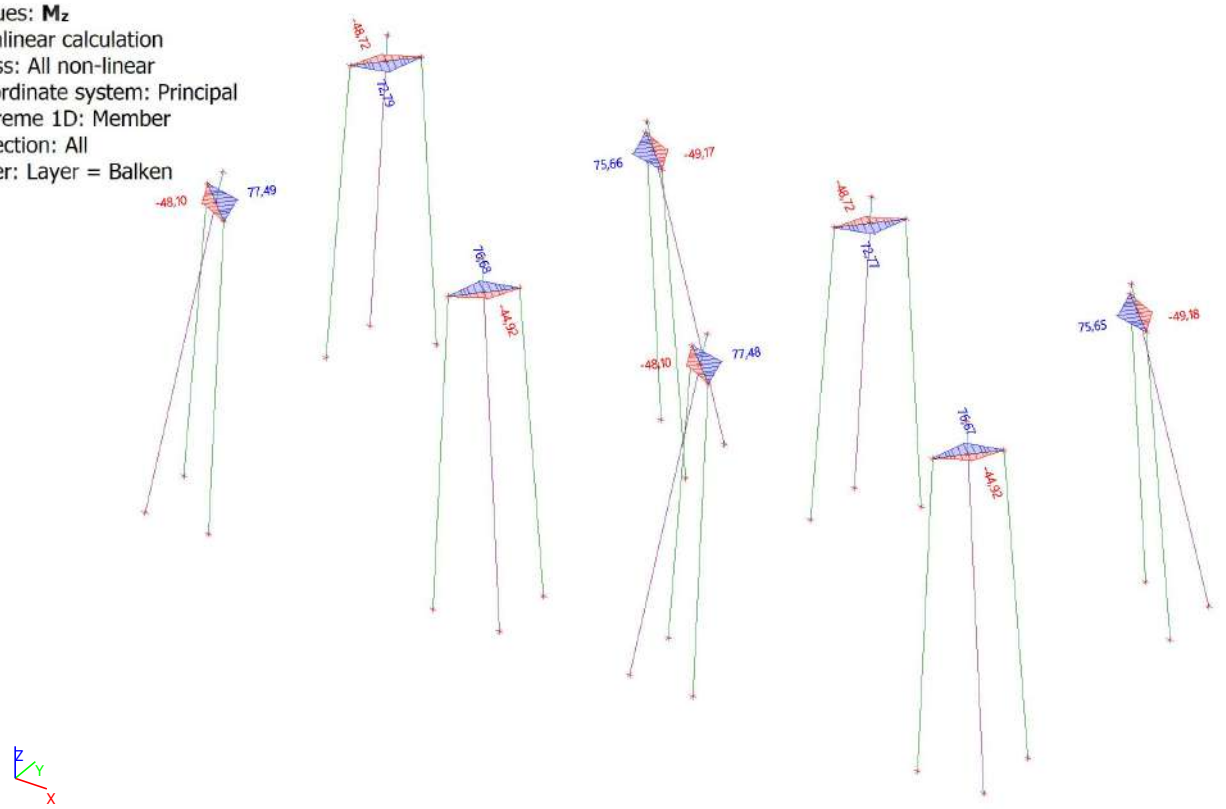
10.5. Interne 1D- krachten; M_y

Values: **My**
Nonlinear calculation
Class: All non-linear
Coordinate system: Principal
Extreme 1D: Member
Selection: All
Filter: Layer = Balken



10.6. Interne 1D- krachten; M_z

Values: **Mz**
Nonlinear calculation
Class: All non-linear
Coordinate system: Principal
Extreme 1D: Member
Selection: All
Filter: Layer = Balken



10.7. 1D internal forces

Nonlinear calculation
Class: All non-linear
Coordinate system: Principal
Extreme 1D: Global
Selection: All
Filter: Cross-section = lijnpoer - Rectangle (1500,00; 1600,00)

Name	dx [m]	Case	Cross-section	N [kN]	V_y [kN]	V_z [kN]	M_x [kNm]	M_y [kNm]	M_z [kNm]
DIN34	0,000	high max Wnd ;135° - EG_Ongunstig	lijnpoer - Rectangle (1500,00; 1600,00)	**-17,74**	-17,60	163,20	-8,82	-18,85	0,57
DIN46	1,602+	low max Wnd ;135° - EG_Gunstig	lijnpoer - Rectangle (1500,00; 1600,00)	6,15	**-44,18**	-221,23	24,69	317,83	71,78
DIN39	1,602-	low max Wnd ;45° - EG_Gunstig	lijnpoer - Rectangle (1500,00; 1600,00)	**15,66**	47,01	**-244,04**	**33,90**	**-340,24**	76,68
DIN45	1,602-	high max Wnd ;135° - EG_Ongunstig	lijnpoer - Rectangle (1500,00; 1600,00)	-14,87	-30,63	-113,82	11,27	-227,22	**-49,18**
DIN38	1,602-	low max Wnd ;135° - EG_Gunstig	lijnpoer - Rectangle (1500,00; 1600,00)	15,55	**47,51**	**247,10**	**-33,82**	**345,70**	**77,49**

1. Inhoudsopgave

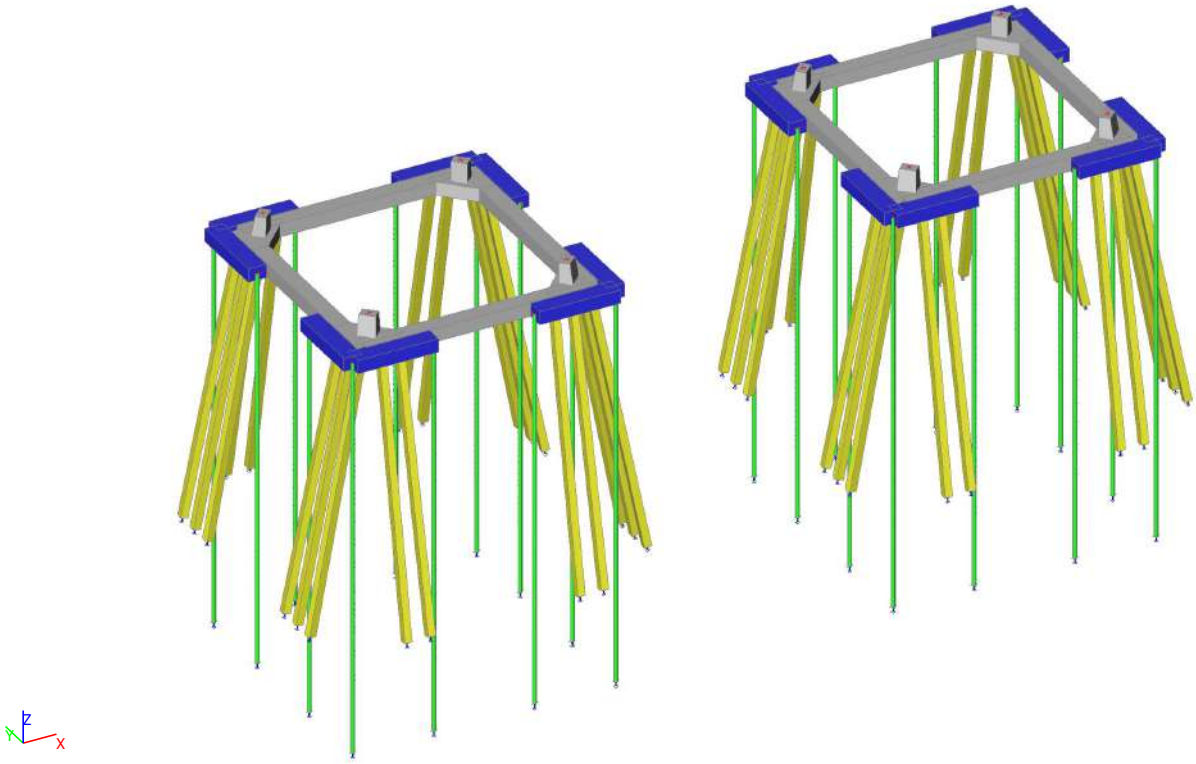
1. Inhoudsopgave 1
2. Project 3
3. Analyse model 3
4. Modeleigenschappen 4
4.1. Materialen 4
4.2. Doorsneden 4
4.3. Analyse model met doorsneden 6
4.4. Analyse model met doorsneden 6
4.5. Instellingen net 7
5. Geometrie 7
5.1. Knopen 7
5.2. Analyse model met knopen 9
5.3. Staven 9
5.4. Analyse model met Staven 11
5.5. Knoopsteunpunten 11
5.6. Analyse model met Knoopondersteuningen 13
5.7. Lijnsteunpunten op staven 13
5.8. Analyse model met Lijnondersteuningen 33
5.9. Analyse model met Lijnondersteuningen 34
5.10. Niet-lineaire functies 35
6. Belastingen 49
6.1. Belastingsgevallen 49
6.1.1. Belastingsgevallen - E.G. 49
6.1.2. Belastingsgevallen - high max Wnd ;135° 49
6.1.2.1. Puntlast op knoop 50
6.1.3. Belastingsgevallen - high max Wnd ;225° 51
6.1.3.1. Puntlast op knoop 52
6.1.4. Belastingsgevallen - high max Wnd ;315° 52
6.1.4.1. Puntlast op knoop 53
6.1.5. Belastingsgevallen - high max Wnd ;45° 54
6.1.5.1. Puntlast op knoop 55
6.1.6. Belastingsgevallen - low max Wnd ;135° 55
6.1.6.1. Puntlast op knoop 56
6.1.7. Belastingsgevallen - low max Wnd ;225° 57
6.1.7.1. Puntlast op knoop 58
6.1.8. Belastingsgevallen - low max Wnd ;315° 58
6.1.8.1. Puntlast op knoop 59
6.1.9. Belastingsgevallen - low max Wnd ;45° 60
6.1.9.1. Puntlast op knoop 61
6.2. Niet-lineaire combinaties 61
6.3. Resultaatklasses 62
7. Resultaten 63
7.1. Reacties van de palen 63
7.1.1. Reactions; R_z 63
7.1.2. Reacties 63
7.1.3. Reacties 63
7.1.4. Reacties 64
7.2. Krachten van de Funderingspalen 71
7.2.1. Interne 1D- krachten; N 71
7.2.2. Interne 1D- krachten; V_y 71
7.2.3. Interne 1D- krachten; V_z 72
7.2.4. Interne 1D- krachten; M_x 72
7.2.5. Interne 1D- krachten; M_y 73
7.2.6. Interne 1D- krachten; M_z 73
7.2.7. Interne 1D-krachten 74
7.2.8. Interne 1D-krachten 74
7.3. Krachten van de Poeren 75
7.3.1. Interne 1D-krachten 75
7.4. Krachten van de Funderingsbalken 76
7.4.1. Interne 1D- krachten; N 76
7.4.2. Interne 1D- krachten; V_y 76
7.4.3. Interne 1D- krachten; V_z 77
7.4.4. Interne 1D- krachten; M_x 77
7.4.5. Interne 1D- krachten; M_y 78
7.4.6. Interne 1D- krachten; M_z 78

7.4.7. Interne 1D-krachten 79
7.4.8. Interne 1D-krachten 79

2. Project

Gebruiker van licentie	[redacted]
Project	Opwaardering KIJ-DIM 380kV
Onderdeel	Balkrooster 5xBeton40x40 mast 157
Auteur	[redacted]
Datum	28-01-2026
Constructie	Algemeen XYZ
Aantal knopen :	176
Aantal staven :	96
Aantal platen :	0
Aantal vaste lichamen :	0
Aantal gebruikte doorsneden :	5
Aantal belastingsgevallen :	9
Aantal gebruikte materialen :	7
Gravitatieversnelling [m/s^2]	9,810
Nationale norm	EC - EN

3. Analyse model



4. Modeleigenschappen

4.1. Materialen

Staal EC3

Naam	ρ [kg/m³]	E_{mod} [MPa]	μ	Onderlimiet [mm]	Bovenlimiet [mm]	F_y [MPa]	F_u [MPa]	Kleur
		G_{mod} [MPa]	α [m/mK]					
S 235	6850,0	2,1000e+05	0.3	0	40	235,0	360,0	
		8,0769e+04	0,00	40	80	215,0	360,0	
S 235	6850,0	2,1000e+05	0.3	0	40	235,0	360,0	
		8,0769e+04	0,00	40	80	215,0	360,0	

Naam	Type	ρ [kg/m³]	Dichtheid in natte toestand [kg/m³]	E_{mod} [MPa]	μ	α [m/mK]	$f_{c.k.28}$ [MPa]	Kleur
C20/25 Ongescheurd	Beton	1500,0	2600,0	2,4000e+04	0.2	0,00	20,00	
C20/25 Gescheurd	Beton	2500,0	2600,0	8,0000e+03	0.2	0,00	20,00	
C30/37 Gescheurd	Beton	2500,0	2600,0	1,1000e+04	0.2	0,00	30,00	
C30/37	Beton	2400,0	2600,0	3,2800e+04	0.2	0,00	30,00	

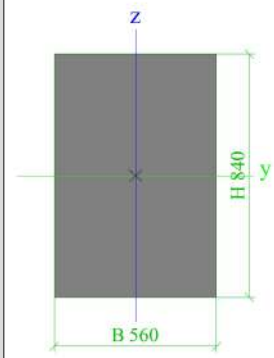
Verklaring van symbolen	
Dichtheid in natte toestand	De waarde van de dichtheid van het kenmerk nieuwe toestand wordt alleen gebruikt als een samengesteld dek wordt ingevoerd en rekening wordt gehouden met de belasting van het eigengewicht.

Wapening EC2

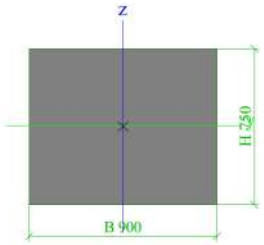
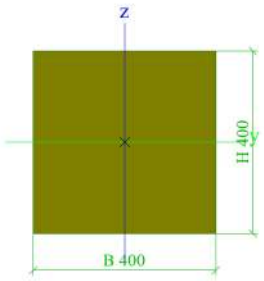
Naam	Type	ρ [kg/m³]	E_{mod} [MPa]	G_{mod} [MPa]	α [m/mK]	$f_{y.k}$ [MPa]
B 500B	Betonstaal	7850,0	2,0000e+05	8,3333e+04	0,00	500,0

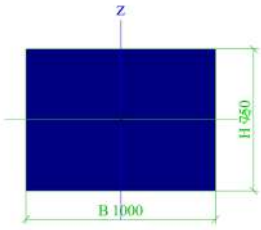
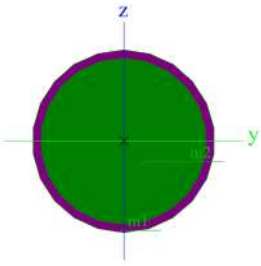
4.2. Doorsneden

Poer.Opstort		
Type	Rectangle	
Gedetailleerd	840; 560	
Vorm type	Dikke wanden	
Onderdeelmateriaal	C20/25 Gescheurd	
Bouwwijze	beton	
Kleur		
A [m²]	4,7040e-01	
A_y [m²], A_z [m²]	3,9200e-01	3,9200e-01
A_L [m²/m], A_D [m²/m]	2,8000e+00	2,8000e+00
$c_{Y.UCS}$ [mm], $c_{Z.UCS}$ [mm]	280	420
α [deg]	0,00	
I_y [m⁴], I_z [m⁴]	2,7660e-02	1,2293e-02
i_y [mm], i_z [mm]	242	162
$W_{el.y}$ [m³], $W_{el.z}$ [m³]	6,5856e-02	4,3904e-02
$W_{pl.y}$ [m³], $W_{pl.z}$ [m³]	0,0000e+00	0,0000e+00
$M_{pl.y.+}$ [Nm], $M_{pl.y.-}$ [Nm]	0,00e+00	0,00e+00
$M_{pl.z.+}$ [Nm], $M_{pl.z.-}$ [Nm]	0,00e+00	0,00e+00
d_y [mm], d_z [mm]	0	0
I_t [m⁴], I_w [m⁶]	2,8888e-02	0,0000e+00
β_y [mm], β_z [mm]	0	0

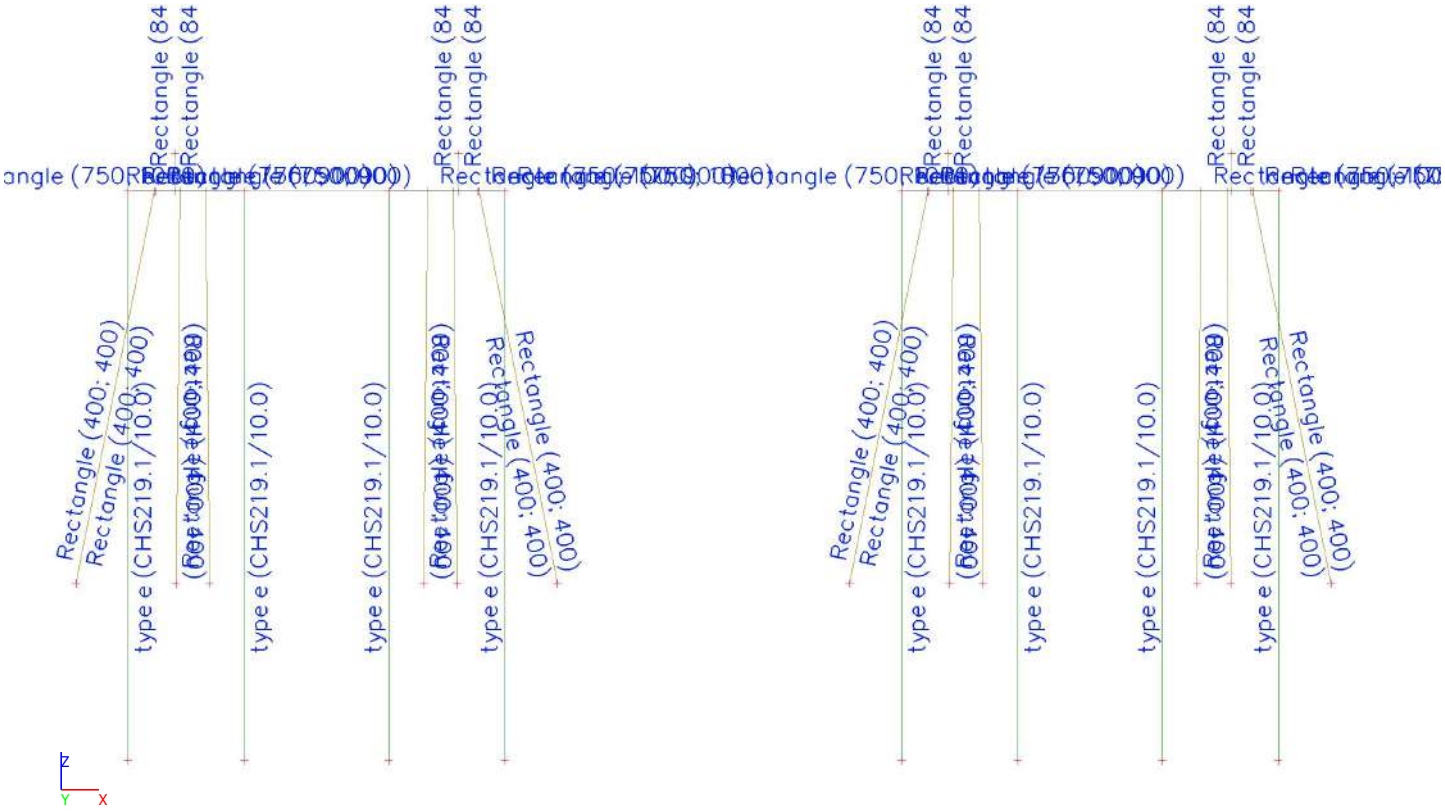
Afbeelding		

Balk		
Type	Rectangle	
Gedetailleerd	750; 900	
Vorm type	Dikke wanden	
Onderdeelmateriaal	C20/25 Gescheurd	
Bouwwijze	beton	
Kleur		
A [m²]	6,7500e-01	
A_y [m²], A_z [m²]	5,6250e-01	5,6250e-01
A_L [m²/m], A_D [m²/m]	3,3000e+00	3,3000e+00
$c_{Y.UCS}$ [mm], $c_{Z.UCS}$ [mm]	450	375
α [deg]	0,00	
I_y [m⁴], I_z [m⁴]	3,1641e-02	4,5563e-02
i_y [mm], i_z [mm]	217	260
$W_{el.y}$ [m³], $W_{el.z}$ [m³]	8,4375e-02	1,0125e-01
$W_{pl.y}$ [m³], $W_{pl.z}$ [m³]	0,0000e+00	0,0000e+00
$M_{pl.y.+}$ [Nm], $M_{pl.y.-}$ [Nm]	0,00e+00	0,00e+00
$M_{pl.z.+}$ [Nm], $M_{pl.z.-}$ [Nm]	0,00e+00	0,00e+00

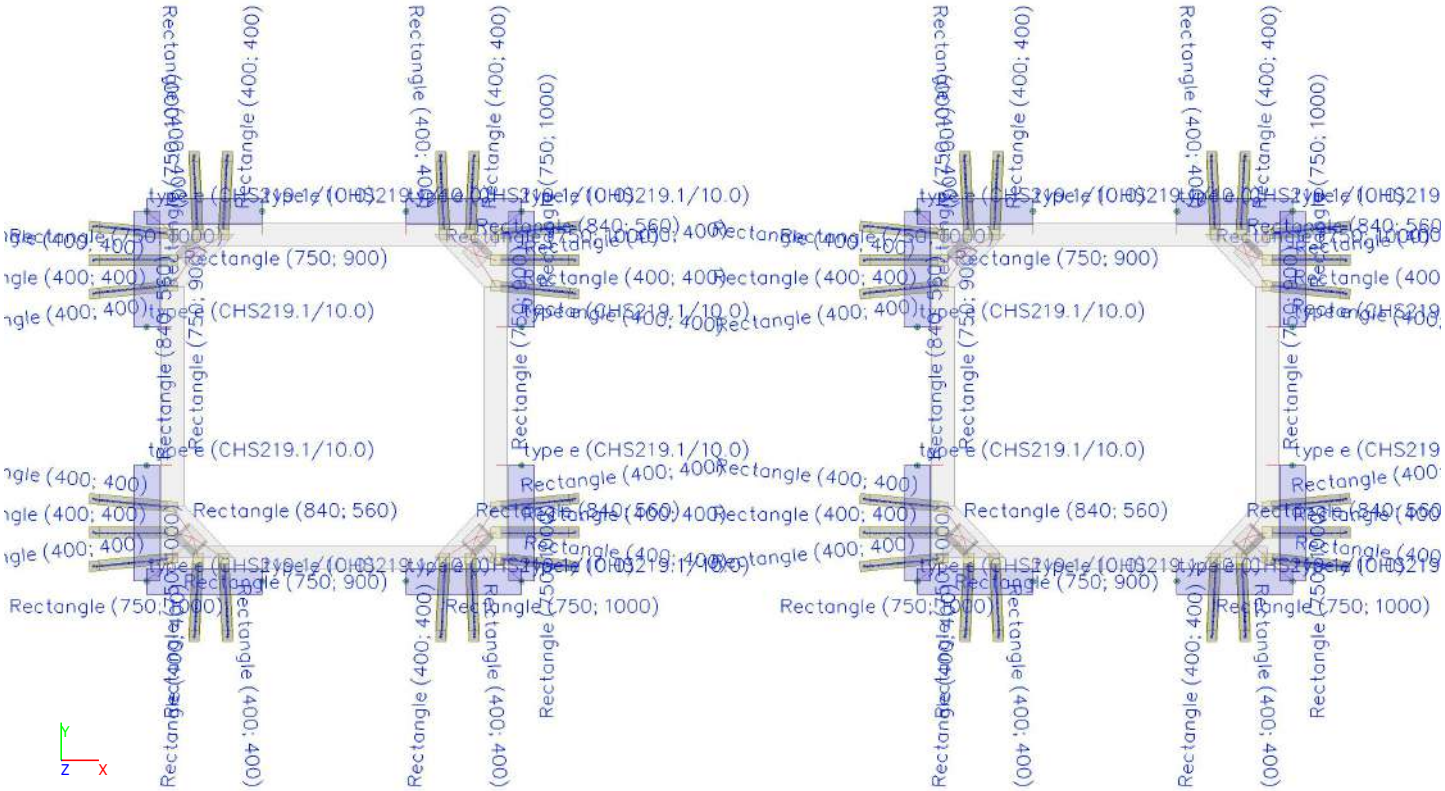
d_y [mm], d_z [mm]	0	0
I_t [m⁴], I_w [m⁶]	6,3112e-02	0,0000e+00
β_y [mm], β_z [mm]	0	0
Afbeelding		
Funderingspaal		
Type	Rectangle	
Gedetailleerd	400; 400	
Vorm type	Dikke wanden	
Onderdeelmateriaal	C20/25 Ongescheurd	
Bouwwijze	beton	
Kleur		
A [m²]	1,6000e-01	
A_y [m²], A_z [m²]	1,3333e-01	1,3333e-01
A_L [m²/m], A_D [m²/m]	1,6000e+00	1,6000e+00
$c_{Y.UCS}$ [mm], $c_{Z.UCS}$ [mm]	200	200
α [deg]	0,00	
I_y [m⁴], I_z [m⁴]	2,1333e-03	2,1333e-03
i_y [mm], i_z [mm]	115	115
$W_{el.y}$ [m³], $W_{el.z}$ [m³]	1,0667e-02	1,0667e-02
$W_{pl.y}$ [m³], $W_{pl.z}$ [m³]	0,0000e+00	0,0000e+00
$M_{pl.y.+}$ [Nm], $M_{pl.y.-}$ [Nm]	0,00e+00	0,00e+00
$M_{pl.z.+}$ [Nm], $M_{pl.z.-}$ [Nm]	0,00e+00	0,00e+00
d_y [mm], d_z [mm]	0	0
I_t [m⁴], I_w [m⁶]	3,6027e-03	0,0000e+00
β_y [mm], β_z [mm]	0	0
Afbeelding		
Ringbalk		
Type	Rectangle	
Gedetailleerd	750; 1000	
Vorm type	Dikke wanden	
Onderdeelmateriaal	C30/37 Gescheurd	
Bouwwijze	beton	
Kleur		
A [m²]	7,5000e-01	
A_y [m²], A_z [m²]	6,2517e-01	6,2531e-01
A_L [m²/m], A_D [m²/m]	3,5000e+00	3,5000e+00
$c_{Y.UCS}$ [mm], $c_{Z.UCS}$ [mm]	500	375
α [deg]	0,00	
I_y [m⁴], I_z [m⁴]	3,5156e-02	6,2500e-02
i_y [mm], i_z [mm]	217	289
$W_{el.y}$ [m³], $W_{el.z}$ [m³]	9,3750e-02	1,2500e-01
$W_{pl.y}$ [m³], $W_{pl.z}$ [m³]	0,0000e+00	0,0000e+00
$M_{pl.y.+}$ [Nm], $M_{pl.y.-}$ [Nm]	0,00e+00	0,00e+00
$M_{pl.z.+}$ [Nm], $M_{pl.z.-}$ [Nm]	0,00e+00	0,00e+00
d_y [mm], d_z [mm]	0	0
I_t [m⁴], I_w [m⁶]	7,6159e-02	2,7801e-04
β_y [mm], β_z [mm]	0	0

Afbeelding		
LEKA Paal		
Type	type e	
Gedetailleerd	CHS219.1/10.0	
Vorm type	Dikke wanden	
Onderdeelmateriaal	S 235	
	C30/37	
Bouwwijze	beton	
Knik y-y, Knik z-z	a	a
A [m²]	1,1430e-02	
A_y [m²], A_z [m²]	8,7249e-03	8,7249e-03
A_L [m²/m], A_D [m²/m]	6,8829e-01	6,8829e-01
$c_{Y.UCS}$ [mm], $c_{Z.UCS}$ [mm]	110	110
α [deg]	0,00	
I_y [m⁴], I_z [m⁴]	4,8013e-05	4,8013e-05
i_y [mm], i_z [mm]	65	65
$W_{el.y}$ [m³], $W_{el.z}$ [m³]	4,3827e-04	4,3827e-04
$W_{pl.y}$ [m³], $W_{pl.z}$ [m³]	4,9123e-04	4,9123e-04
$M_{pl.y.+}$ [Nm], $M_{pl.y.-}$ [Nm]	1,15e+05	1,15e+05
$M_{pl.z.+}$ [Nm], $M_{pl.z.-}$ [Nm]	1,15e+05	1,15e+05
d_y [mm], d_z [mm]	0	0
I_t [m⁴], I_w [m⁶]	9,8040e-05	0,0000e+00
β_y [mm], β_z [mm]	0	0
Afbeelding		

4.3. Analyse model met doorsneden



4.4. Analyse model met doorsneden



4.5. Instellingen net

Naam	NetInstelling1
Generatie van variabele excentriciteiten op elementen in plaats van constante excentriciteiten	×
Generatie van knopen op staven	×
Elastisch net	✓
Pas automatische netverfijning toe	×
Constructie-entiteiten verbinden	✓
Verdeling op consoles en variabele staven	5
Verdeling voor integratiestrook en 2D-1D upgrade	50
Gemiddeld aantal 1D-netelementen op rechte 1D-elementen	5
Gemiddelde grootte van 2D-netelement [m]	0,250
Gemiddelde grootte van 1D-element op gebogen 1D-elementen [m]	0,200
Minimum lengte van staafelement [m]	0,100
Maximum lengte van staafelement [m]	1000,000
Gemiddelde grootte van voorspankabels, elementen op elastische bedding, niet-lineaire grondveer [m]	1,000
Maximale hoek uit het vlak van vierhoekig element [mrad]	30,0
Minimale afstand tussen definitiepunt en -lijn [m]	0,001
Gemiddelde afmeting van paneelelement [m]	1,000
Netverfijning volgens het liggertype	Geen
Definitie van netelementen afmetingen voor panelen	Handmatig

5. Geometrie

5.1. Knopen

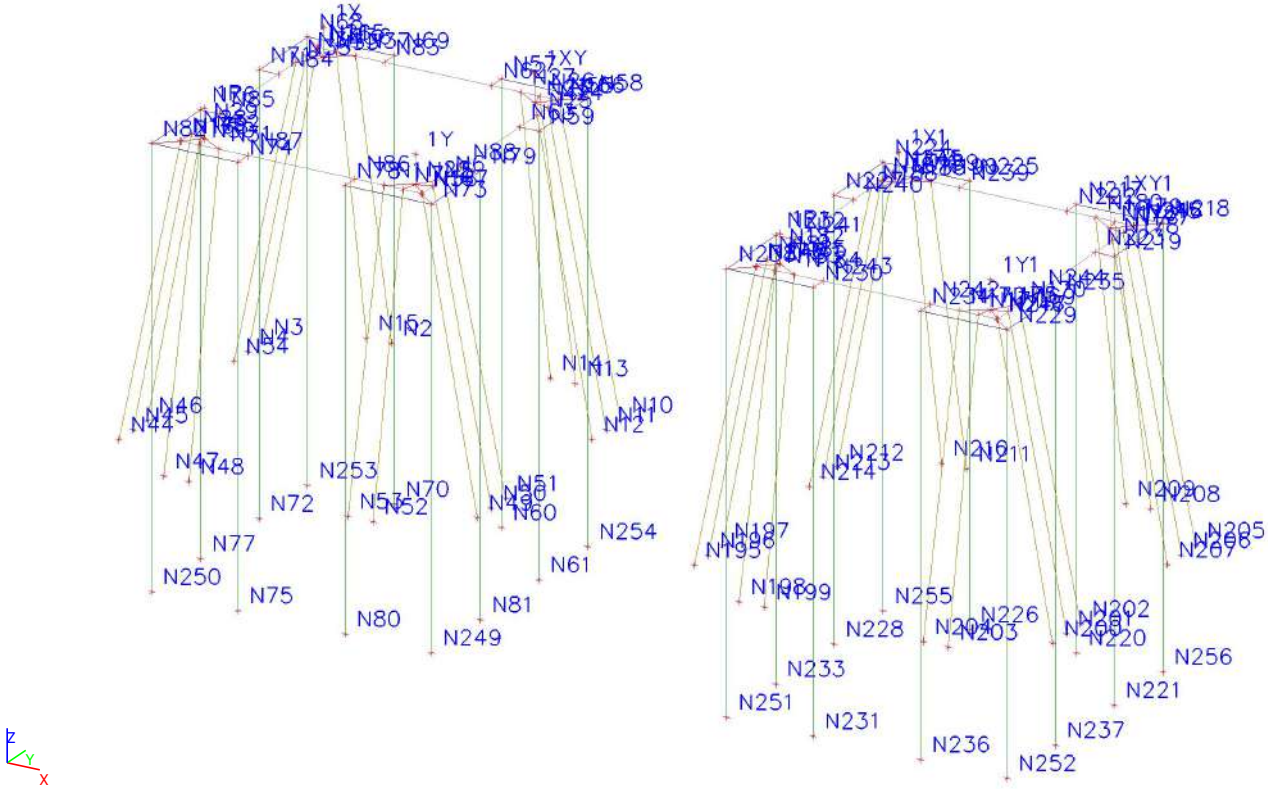
Naam	Coördinaat X [m]	Coördinaat Y [m]	Coördinaat Z [m]
N5	13,000	1,400	0,000
N6	13,000	2,400	0,000
N7	12,000	0,400	0,000
N1	11,000	0,400	0,000
N17	0,400	0,400	0,000
N21	0,400	13,000	0,000
1Y	12,200	1,200	1,475
N22	12,200	1,200	0,000
N23	12,200	12,200	0,000
1XY	12,200	12,200	1,475
N24	13,000	12,000	0,000
N25	13,000	11,000	0,000
N26	12,000	13,000	0,000
N27	11,000	13,000	0,000
N28	0,400	1,400	0,000
N29	0,400	2,400	0,000
N30	1,400	0,400	0,000
N31	2,400	0,400	0,000
1P	1,200	1,200	1,475
N32	1,200	1,200	0,000
N33	1,200	12,200	0,000
1X	1,200	12,187	1,475
N34	0,400	12,000	0,000
N35	0,400	11,000	0,000
N36	1,400	13,000	0,000
N37	2,400	13,000	0,000
N38	12,200	1,200	0,000
N39	1,200	1,200	0,000
N40	12,200	12,200	0,000
N41	1,200	12,200	0,000
N44	-2,639	0,096	-15,196
N45	-2,639	1,400	-15,195
N46	-2,639	2,704	-15,196
N47	1,248	-2,640	-15,198
N48	2,552	-2,640	-15,198
N49	16,040	0,096	-15,199
N50	16,039	1,400	-15,195
N51	16,039	2,704	-15,196
N52	12,152	-2,640	-15,198
N53	10,848	-2,640	-15,198

Naam	Coördinaat X [m]	Coördinaat Y [m]	Coördinaat Z [m]
N10	16,039	13,304	-15,196
N11	16,039	12,000	-15,195
N12	16,039	10,696	-15,196
N13	12,152	16,040	-15,198
N14	10,848	16,040	-15,198
N15	1,248	16,040	-15,198
N2	2,552	16,040	-15,198
N3	-2,639	13,304	-15,196
N4	-2,639	12,000	-15,195
N54	-2,639	10,696	-15,196
N55	13,000	13,000	0,000
N56	13,000	0,400	0,000
N57	9,500	13,900	0,000
N58	14,000	13,900	0,000
N59	14,000	9,400	0,000
N60	9,500	13,900	-22,040
N61	14,000	9,400	-22,040
N62	9,500	13,000	0,000
N63	13,000	9,400	0,000
N68	-0,600	13,900	0,000
N69	3,900	13,900	0,000
N70	3,900	13,900	-22,040
N71	-0,600	9,400	0,000
N72	-0,600	9,400	-22,040
N73	14,000	-0,500	0,000
N74	3,900	-0,500	0,000
N75	3,900	-0,500	-22,040
N76	-0,600	4,000	0,000
N77	-0,600	4,000	-22,040
N78	9,500	-0,500	0,000
N79	14,000	4,000	0,000
N80	9,500	-0,500	-22,040
N81	14,000	4,000	-22,040
N82	-0,600	-0,500	0,000
N83	3,900	13,000	0,000
N84	0,400	9,400	0,000
N85	0,400	4,000	0,000
N86	9,500	0,400	0,000
N87	3,900	0,400	0,000
N88	13,000	4,000	0,000

Naam	Coördinaat X [m]	Coördinaat Y [m]	Coördinaat Z [m]
N165	0,450	13,000	0,000
N166	12,950	13,000	0,000
N167	12,950	0,400	0,000
N168	0,450	0,400	0,000
N169	43,000	1,400	0,000
N170	43,000	2,400	0,000
N171	42,000	0,400	0,000
N172	41,000	0,400	0,000
N173	30,400	0,400	0,000
N174	30,400	13,000	0,000
1Y1	42,200	1,200	1,475
N175	42,200	1,200	0,000
N176	42,200	12,200	0,000
1XY1	42,200	12,200	1,475
N177	43,000	12,000	0,000
N178	43,000	11,000	0,000
N179	42,000	13,000	0,000
N180	41,000	13,000	0,000
N181	30,400	1,400	0,000
N182	30,400	2,400	0,000
N183	31,400	0,400	0,000
N184	32,400	0,400	0,000
1P1	31,200	1,200	1,475
N185	31,200	1,200	0,000
N186	31,200	12,200	0,000
1X1	31,200	12,187	1,475
N187	30,400	12,000	0,000
N188	30,400	11,000	0,000
N189	31,400	13,000	0,000
N190	32,400	13,000	0,000
N191	42,200	1,200	0,000
N192	31,200	1,200	0,000
N193	42,200	12,200	0,000
N194	31,200	12,200	0,000
N195	27,361	0,096	-15,196
N196	27,361	1,400	-15,195
N197	27,361	2,704	-15,196
N198	31,248	-2,640	-15,198
N199	32,552	-2,640	-15,198
N200	46,040	0,096	-15,199
N201	46,039	1,400	-15,195
N202	46,039	2,704	-15,196
N203	42,152	-2,640	-15,198
N204	40,848	-2,640	-15,198
N205	46,039	13,304	-15,196
N206	46,039	12,000	-15,195
N207	46,039	10,696	-15,196
N208	42,152	16,040	-15,198

Naam	Coördinaat X [m]	Coördinaat Y [m]	Coördinaat Z [m]
N209	40,848	16,040	-15,198
N210	31,248	16,040	-15,198
N211	32,552	16,040	-15,198
N212	27,361	13,304	-15,196
N213	27,361	12,000	-15,195
N214	27,361	10,696	-15,196
N215	43,000	13,000	0,000
N216	43,000	0,400	0,000
N217	39,500	13,900	0,000
N218	44,000	13,900	0,000
N219	44,000	9,400	0,000
N220	39,500	13,900	-22,040
N221	44,000	9,400	-22,040
N222	39,500	13,000	0,000
N223	43,000	9,400	0,000
N224	29,400	13,900	0,000
N225	33,900	13,900	0,000
N226	33,900	13,900	-22,040
N227	29,400	9,400	0,000
N228	29,400	9,400	-22,040
N229	44,000	-0,500	0,000
N230	33,900	-0,500	0,000
N231	33,900	-0,500	-22,040
N232	29,400	4,000	0,000
N233	29,400	4,000	-22,040
N234	39,500	-0,500	0,000
N235	44,000	4,000	0,000
N236	39,500	-0,500	-22,040
N237	44,000	4,000	-22,040
N238	29,400	-0,500	0,000
N239	33,900	13,000	0,000
N240	30,400	9,400	0,000
N241	30,400	4,000	0,000
N242	39,500	0,400	0,000
N243	33,900	0,400	0,000
N244	43,000	4,000	0,000
N245	30,450	13,000	0,000
N246	42,950	13,000	0,000
N247	42,950	0,400	0,000
N248	30,450	0,400	0,000
N249	14,000	-0,500	-22,040
N250	-0,600	-0,500	-22,040
N251	29,400	-0,500	-22,040
N252	44,000	-0,500	-22,040
N253	-0,600	13,900	-22,040
N254	14,000	13,900	-22,040
N255	29,400	13,900	-22,040
N256	44,000	13,900	-22,040

5.2. Analyse model met knopen



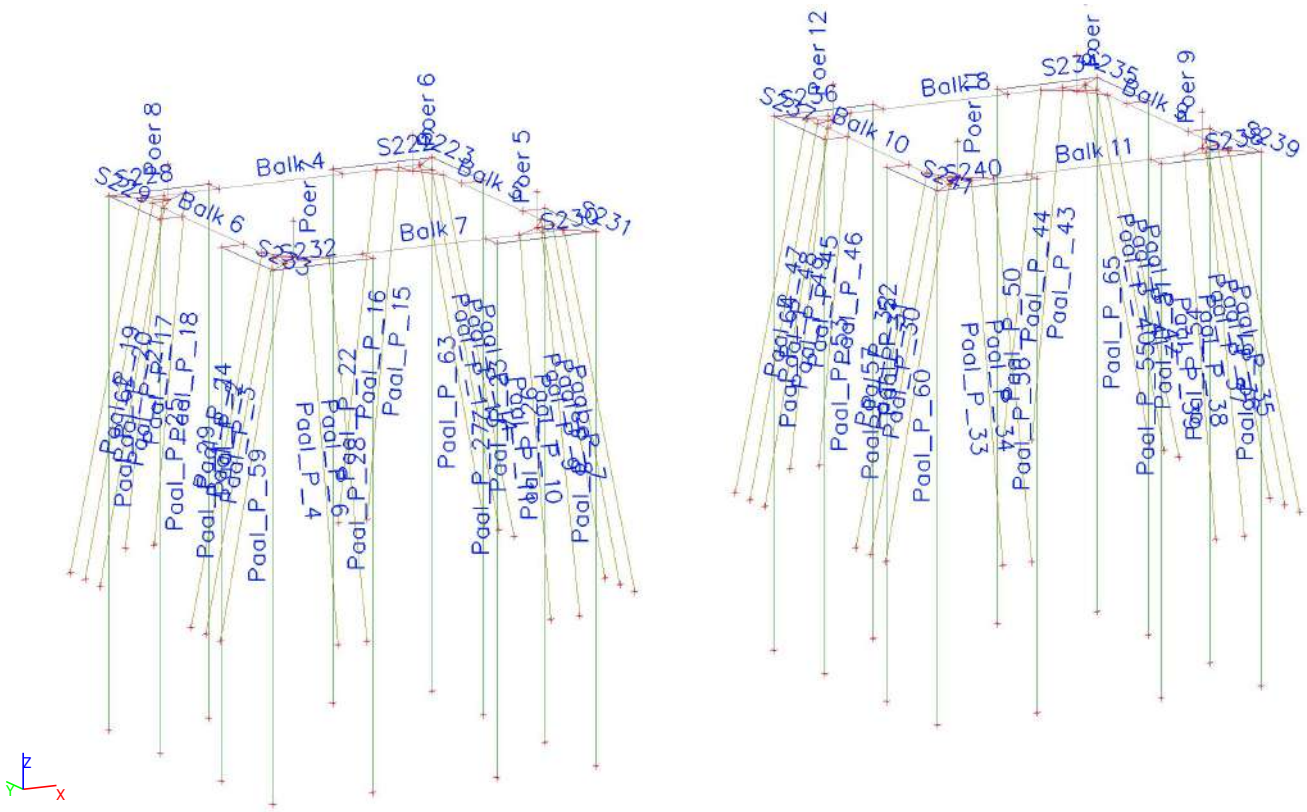
5.3. Staven

Naam	Doorsnede	Materiaal	Lengte [m]	Beginknoop	Eindknoop	Type
Balk 4	Balk - Rectangle (750; 900)	C20/25 Gescheurd	12,600	N55	N21	Balk (80)
Balk 5	Balk - Rectangle (750; 900)	C20/25 Gescheurd	12,600	N56	N55	Balk (80)
Balk 6	Balk - Rectangle (750; 900)	C20/25 Gescheurd	12,600	N17	N21	Balk (80)
Balk 7	Balk - Rectangle (750; 900)	C20/25 Gescheurd	12,600	N56	N17	Balk (80)
Balk 8	Balk - Rectangle (750; 900)	C20/25 Gescheurd	12,600	N215	N174	Balk (80)
Balk 9	Balk - Rectangle (750; 900)	C20/25 Gescheurd	12,600	N216	N215	Balk (80)
Balk 10	Balk - Rectangle (750; 900)	C20/25 Gescheurd	12,600	N173	N174	Balk (80)
Balk 11	Balk - Rectangle (750; 900)	C20/25 Gescheurd	12,600	N216	N173	Balk (80)
S222	Ringbalk - Rectangle (750; 1000)	C30/37 Gescheurd	4,500	N57	N58	Balk (80)
S223	Ringbalk - Rectangle (750; 1000)	C30/37 Gescheurd	4,500	N59	N58	Balk (80)
S228	Ringbalk - Rectangle (750; 1000)	C30/37 Gescheurd	4,500	N69	N68	Balk (80)
S229	Ringbalk - Rectangle (750; 1000)	C30/37 Gescheurd	4,500	N71	N68	Balk (80)
S230	Ringbalk - Rectangle (750; 1000)	C30/37 Gescheurd	4,500	N78	N73	Balk (80)
S231	Ringbalk - Rectangle (750; 1000)	C30/37 Gescheurd	4,500	N79	N73	Balk (80)
S232	Ringbalk - Rectangle (750; 1000)	C30/37 Gescheurd	4,500	N74	N82	Balk (80)
S233	Ringbalk - Rectangle (750; 1000)	C30/37 Gescheurd	4,500	N76	N82	Balk (80)
S234	Ringbalk - Rectangle (750; 1000)	C30/37 Gescheurd	4,500	N217	N218	Balk (80)
S235	Ringbalk - Rectangle (750; 1000)	C30/37 Gescheurd	4,500	N219	N218	Balk (80)
S236	Ringbalk - Rectangle (750; 1000)	C30/37 Gescheurd	4,500	N225	N224	Balk (80)
S237	Ringbalk - Rectangle (750; 1000)	C30/37 Gescheurd	4,500	N227	N224	Balk (80)
S238	Ringbalk - Rectangle (750; 1000)	C30/37 Gescheurd	4,500	N234	N229	Balk (80)
S239	Ringbalk - Rectangle (750; 1000)	C30/37 Gescheurd	4,500	N235	N229	Balk (80)
S240	Ringbalk - Rectangle (750; 1000)	C30/37 Gescheurd	4,500	N230	N238	Balk (80)
S241	Ringbalk - Rectangle (750; 1000)	C30/37 Gescheurd	4,500	N232	N238	Balk (80)
Paal_P_3	Funderingspaal - Rectangle (400; 400)	C20/25 Ongescheurd	15,500	N17	N44	Kolom (100)
Paal_P_4	Funderingspaal - Rectangle (400; 400)	C20/25 Ongescheurd	15,500	N30	N47	Kolom (100)
Paal_P_16	Funderingspaal - Rectangle (400; 400)	C20/25 Ongescheurd	15,500	N27	N14	Kolom (100)
Poer 6	Poer.Opstort - Rectangle (840; 560)	C20/25 Gescheurd	1,475	N23	1XY	Kolom (100)
Paal_P_6	Funderingspaal - Rectangle (400; 400)	C20/25 Ongescheurd	15,500	N31	N48	Kolom (100)

Naam	Doorsnede	Materiaal	Lengte [m]	Beginknoop	Eindknoop	Type
Poer 11	Poer.Opstort - Rectangle (840; 560)	C20/25 Gescheurd	1,475	N185	1P1	Kolom (100)
Poer 12	Poer.Opstort - Rectangle (840; 560)	C20/25 Gescheurd	1,475	N186	1X1	Kolom (100)
Paal_P_7	Funderingspaal - Rectangle (400; 400)	C20/25 Ongescheurd	15,503	N56	N49	Kolom (100)
Paal_P_14	Funderingspaal - Rectangle (400; 400)	C20/25 Ongescheurd	15,500	N25	N12	Kolom (100)
Paal_P_17	Funderingspaal - Rectangle (400; 400)	C20/25 Ongescheurd	15,500	N36	N15	Kolom (100)
Paal_P_18	Funderingspaal - Rectangle (400; 400)	C20/25 Ongescheurd	15,500	N37	N2	Kolom (100)
Paal_P_19	Funderingspaal - Rectangle (400; 400)	C20/25 Ongescheurd	15,500	N21	N3	Kolom (100)
Paal_P_20	Funderingspaal - Rectangle (400; 400)	C20/25 Ongescheurd	15,496	N34	N4	Kolom (100)
Paal_P_21	Funderingspaal - Rectangle (400; 400)	C20/25 Ongescheurd	15,500	N35	N54	Kolom (100)
Paal_P_22	LEKA Paal - type e (CHS219.1/10.0)	S 235	22,040	N57	N60	Kolom (100)
Paal_P_26	LEKA Paal - type e (CHS219.1/10.0)	S 235	22,040	N79	N81	Kolom (100)
Paal_P_30	Funderingspaal - Rectangle (400; 400)	C20/25 Ongescheurd	15,500	N173	N195	Kolom (100)
Paal_P_31	Funderingspaal - Rectangle (400; 400)	C20/25 Ongescheurd	15,496	N181	N196	Kolom (100)
Paal_P_32	Funderingspaal - Rectangle (400; 400)	C20/25 Ongescheurd	15,500	N182	N197	Kolom (100)
Paal_P_33	Funderingspaal - Rectangle (400; 400)	C20/25 Ongescheurd	15,500	N183	N198	Kolom (100)
Paal_P_34	Funderingspaal - Rectangle (400; 400)	C20/25 Ongescheurd	15,500	N184	N199	Kolom (100)
Paal_P_35	Funderingspaal - Rectangle (400; 400)	C20/25 Ongescheurd	15,503	N216	N200	Kolom (100)
Paal_P_36	Funderingspaal - Rectangle (400; 400)	C20/25 Ongescheurd	15,496	N169	N201	Kolom (100)
Paal_P_38	Funderingspaal - Rectangle (400; 400)	C20/25 Ongescheurd	15,500	N171	N203	Kolom (100)
Paal_P_39	Funderingspaal - Rectangle (400; 400)	C20/25 Ongescheurd	15,500	N172	N204	Kolom (100)
Paal_P_40	Funderingspaal - Rectangle (400; 400)	C20/25 Ongescheurd	15,500	N215	N205	Kolom (100)
Poer 5	Poer.Opstort - Rectangle (840; 560)	C20/25 Gescheurd	1,475	N22	1Y	Kolom (100)
Poer 7	Poer.Opstort - Rectangle (840; 560)	C20/25 Gescheurd	1,475	N32	1P	Kolom (100)
Poer 8	Poer.Opstort - Rectangle (840; 560)	C20/25 Gescheurd	1,475	N33	1X	Kolom (100)
Poer 9	Poer.Opstort - Rectangle (840; 560)	C20/25 Gescheurd	1,475	N175	1Y1	Kolom (100)
Poer 10	Poer.Opstort - Rectangle (840; 560)	C20/25 Gescheurd	1,475	N176	1XY1	Kolom (100)
Paal_P_1	Funderingspaal - Rectangle (400; 400)	C20/25 Ongescheurd	15,500	N29	N46	Kolom (100)
Paal_P_2	Funderingspaal - Rectangle (400; 400)	C20/25 Ongescheurd	15,496	N28	N45	Kolom (100)
Paal_P_8	Funderingspaal - Rectangle (400; 400)	C20/25 Ongescheurd	15,496	N5	N50	Kolom (100)
Paal_P_37	Funderingspaal - Rectangle (400; 400)	C20/25 Ongescheurd	15,500	N170	N202	Kolom (100)
Paal_P_9	Funderingspaal - Rectangle (400; 400)	C20/25 Ongescheurd	15,500	N6	N51	Kolom (100)
Paal_P_10	Funderingspaal - Rectangle (400; 400)	C20/25 Ongescheurd	15,500	N7	N52	Kolom (100)
Paal_P_11	Funderingspaal - Rectangle (400; 400)	C20/25 Ongescheurd	15,500	N1	N53	Kolom (100)
Paal_P_12	Funderingspaal - Rectangle (400; 400)	C20/25 Ongescheurd	15,500	N55	N10	Kolom (100)
Paal_P_13	Funderingspaal - Rectangle (400; 400)	C20/25 Ongescheurd	15,496	N24	N11	Kolom (100)
Paal_P_15	Funderingspaal - Rectangle (400; 400)	C20/25 Ongescheurd	15,500	N26	N13	Kolom (100)
Paal_P_23	LEKA Paal - type e (CHS219.1/10.0)	S 235	22,040	N59	N61	Kolom (100)
Paal_P_24	LEKA Paal - type e (CHS219.1/10.0)	S 235	22,040	N69	N70	Kolom (100)
Paal_P_25	LEKA Paal - type e (CHS219.1/10.0)	S 235	22,040	N71	N72	Kolom (100)
Paal_P_27	LEKA Paal - type e (CHS219.1/10.0)	S 235	22,040	N78	N80	Kolom (100)
Paal_P_28	LEKA Paal - type e (CHS219.1/10.0)	S 235	22,040	N74	N75	Kolom (100)
Paal_P_29	LEKA Paal - type e (CHS219.1/10.0)	S 235	22,040	N76	N77	Kolom (100)
Paal_P_41	Funderingspaal - Rectangle (400; 400)	C20/25 Ongescheurd	15,496	N177	N206	Kolom (100)
Paal_P_42	Funderingspaal - Rectangle (400; 400)	C20/25 Ongescheurd	15,500	N178	N207	Kolom (100)
Paal_P_43	Funderingspaal - Rectangle (400; 400)	C20/25 Ongescheurd	15,500	N179	N208	Kolom (100)
Paal_P_44	Funderingspaal - Rectangle (400; 400)	C20/25 Ongescheurd	15,500	N180	N209	Kolom (100)
Paal_P_45	Funderingspaal - Rectangle (400; 400)	C20/25 Ongescheurd	15,500	N189	N210	Kolom (100)
Paal_P_46	Funderingspaal - Rectangle (400; 400)	C20/25 Ongescheurd	15,500	N190	N211	Kolom (100)
Paal_P_47	Funderingspaal - Rectangle (400; 400)	C20/25 Ongescheurd	15,500	N174	N212	Kolom (100)
Paal_P_48	Funderingspaal - Rectangle (400; 400)	C20/25 Ongescheurd	15,496	N187	N213	Kolom (100)
Paal_P_49	Funderingspaal - Rectangle (400; 400)	C20/25 Ongescheurd	15,500	N188	N214	Kolom (100)
Paal_P_50	LEKA Paal - type e (CHS219.1/10.0)	S 235	22,040	N217	N220	Kolom (100)
Paal_P_51	LEKA Paal - type e (CHS219.1/10.0)	S 235	22,040	N219	N221	Kolom (100)
Paal_P_52	LEKA Paal - type e (CHS219.1/10.0)	S 235	22,040	N225	N226	Kolom (100)
Paal_P_53	LEKA Paal - type e (CHS219.1/10.0)	S 235	22,040	N227	N228	Kolom (100)
Paal_P_54	LEKA Paal - type e (CHS219.1/10.0)	S 235	22,040	N235	N237	Kolom (100)
Paal_P_55	LEKA Paal - type e (CHS219.1/10.0)	S 235	22,040	N234	N236	Kolom (100)
Paal_P_56	LEKA Paal - type e (CHS219.1/10.0)	S 235	22,040	N230	N231	Kolom (100)
Paal_P_57	LEKA Paal - type e (CHS219.1/10.0)	S 235	22,040	N232	N233	Kolom (100)
Paal_P_58	LEKA Paal - type e (CHS219.1/10.0)	S 235	22,040	N73	N249	Kolom (100)
Paal_P_59	LEKA Paal - type e (CHS219.1/10.0)	S 235	22,040	N82	N250	Kolom (100)
Paal_P_60	LEKA Paal - type e (CHS219.1/10.0)	S 235	22,040	N238	N251	Kolom (100)
Paal_P_61	LEKA Paal - type e (CHS219.1/10.0)	S 235	22,040	N229	N252	Kolom (100)
Paal_P_62	LEKA Paal - type e (CHS219.1/10.0)	S 235	22,040	N68	N253	Kolom (100)
Paal_P_63	LEKA Paal - type e (CHS219.1/10.0)	S 235	22,040	N58	N254	Kolom (100)
Paal_P_64	LEKA Paal - type e (CHS219.1/10.0)	S 235	22,040	N224	N255	Kolom (100)

Naam	Doorsnede	Materiaal	Lengte [m]	Beginknoop	Eindknoop	Type
Paal_P_65	LEKA Paal - type e (CHS219.1/10.0)	S 235	22,040	N218	N256	Kolom (100)

5.4. Analyse model met Staven

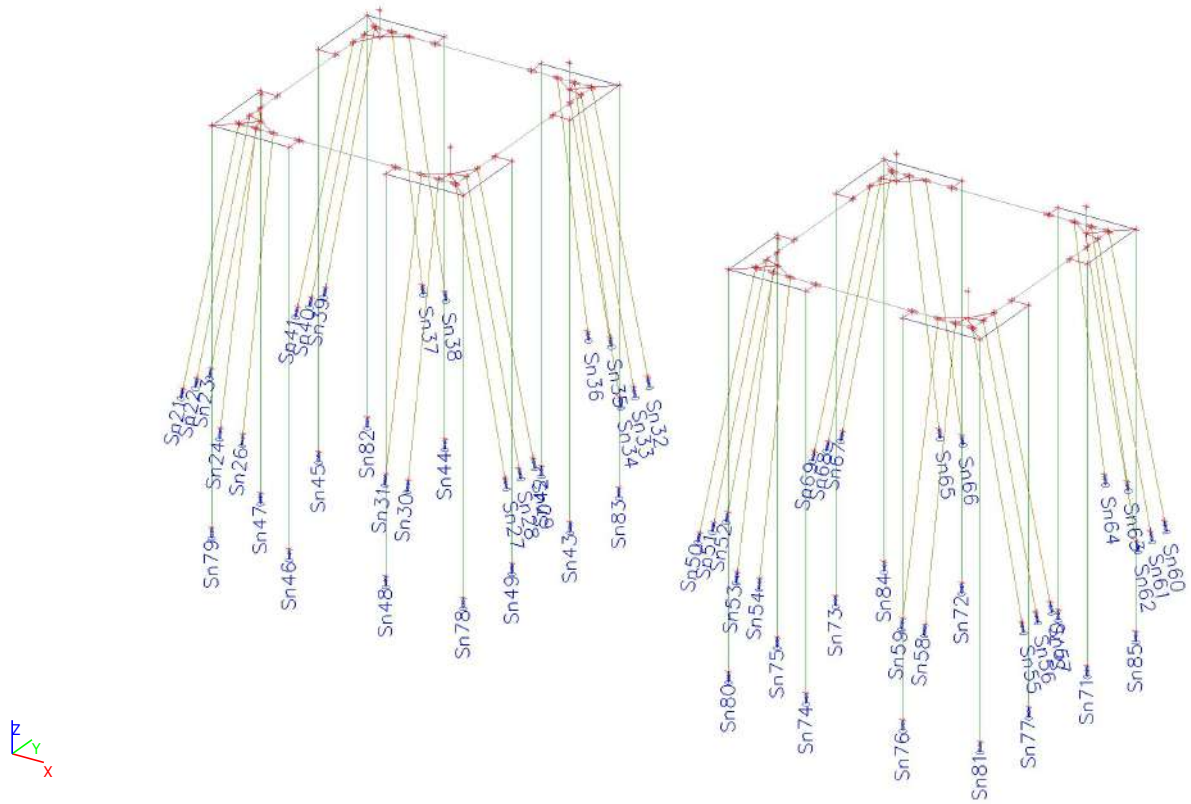


5.5. Knoopsteunpunten

Naam	Knoop	Systeem	Type	X	Y	Z	Rx	Ry	Rz	Hoek [deg]
Sn21	N44	LCS van knoop	Standaard	Vrij	Vrij	Niet-lineair	Vrij	Vrij	Vrij	Rx-1,12;Ry11,31
Sn22	N45	LCS van knoop	Standaard	Vrij	Vrij	Niet-lineair	Vrij	Vrij	Vrij	Ry11,31
Sn23	N46	LCS van knoop	Standaard	Vrij	Vrij	Niet-lineair	Vrij	Vrij	Vrij	Rx1,12;Ry11,31
Sn24	N47	LCS van knoop	Standaard	Vrij	Vrij	Niet-lineair	Vrij	Vrij	Vrij	Ry0,56;Rx-11,31
Sn26	N48	LCS van knoop	Standaard	Vrij	Vrij	Niet-lineair	Vrij	Vrij	Vrij	Ry-0,56;Rx-11,31
Sn27	N49	LCS van knoop	Standaard	Vrij	Vrij	Niet-lineair	Vrij	Vrij	Vrij	Rx-1,12;Ry-11,31
Sn28	N50	LCS van knoop	Standaard	Vrij	Vrij	Niet-lineair	Vrij	Vrij	Vrij	Ry-11,31
Sn29	N51	LCS van knoop	Standaard	Vrij	Vrij	Niet-lineair	Vrij	Vrij	Vrij	Rx1,12;Ry-11,31
Sn30	N52	LCS van knoop	Standaard	Vrij	Vrij	Niet-lineair	Vrij	Vrij	Vrij	Ry-0,56;Rx-11,31
Sn31	N53	LCS van knoop	Standaard	Vrij	Vrij	Niet-lineair	Vrij	Vrij	Vrij	Ry0,56;Rx-11,31
Sn32	N10	LCS van knoop	Standaard	Vrij	Vrij	Niet-lineair	Vrij	Vrij	Vrij	Rx1,12;Ry-11,31
Sn33	N11	LCS van knoop	Standaard	Vrij	Vrij	Niet-lineair	Vrij	Vrij	Vrij	Ry-11,31
Sn34	N12	LCS van knoop	Standaard	Vrij	Vrij	Niet-lineair	Vrij	Vrij	Vrij	Rx-1,12;Ry-11,31
Sn35	N13	LCS van knoop	Standaard	Vrij	Vrij	Niet-lineair	Vrij	Vrij	Vrij	Ry-0,56;Rx11,31
Sn36	N14	LCS van knoop	Standaard	Vrij	Vrij	Niet-lineair	Vrij	Vrij	Vrij	Ry0,56;Rx11,31
Sn37	N15	LCS van knoop	Standaard	Vrij	Vrij	Niet-lineair	Vrij	Vrij	Vrij	Ry0,56;Rx11,31
Sn38	N2	LCS van knoop	Standaard	Vrij	Vrij	Niet-lineair	Vrij	Vrij	Vrij	Ry-0,56;Rx11,31
Sn39	N3	LCS van knoop	Standaard	Vrij	Vrij	Niet-lineair	Vrij	Vrij	Vrij	Rx1,12;Ry11,31
Sn40	N4	LCS van knoop	Standaard	Vrij	Vrij	Niet-lineair	Vrij	Vrij	Vrij	Ry11,31
Sn41	N54	LCS van knoop	Standaard	Vrij	Vrij	Niet-lineair	Vrij	Vrij	Vrij	Rx-1,12;Ry11,31
Sn42	N60	LCS van knoop	Standaard	Vrij	Vrij	Niet-lineair	Vrij	Vrij	Vrij	
Sn43	N61	LCS van knoop	Standaard	Vrij	Vrij	Niet-lineair	Vrij	Vrij	Vrij	
Sn44	N70	LCS van knoop	Standaard	Vrij	Vrij	Niet-lineair	Vrij	Vrij	Vrij	
Sn45	N72	LCS van knoop	Standaard	Vrij	Vrij	Niet-lineair	Vrij	Vrij	Vrij	
Sn46	N75	LCS van knoop	Standaard	Vrij	Vrij	Niet-lineair	Vrij	Vrij	Vrij	
Sn47	N77	LCS van knoop	Standaard	Vrij	Vrij	Niet-lineair	Vrij	Vrij	Vrij	

Naam	Knoop	Systeem	Type	X	Y	Z	Rx	Ry	Rz	Hoek [deg]
Sn48	N80	LCS van knoop	Standaard	Vrij	Vrij	Niet-lineair	Vrij	Vrij	Vrij	
Sn49	N81	LCS van knoop	Standaard	Vrij	Vrij	Niet-lineair	Vrij	Vrij	Vrij	
Sn50	N195	LCS van knoop	Standaard	Vrij	Vrij	Niet-lineair	Vrij	Vrij	Vrij	Rx-1,12;Ry11,31
Sn51	N196	LCS van knoop	Standaard	Vrij	Vrij	Niet-lineair	Vrij	Vrij	Vrij	Ry11,31
Sn52	N197	LCS van knoop	Standaard	Vrij	Vrij	Niet-lineair	Vrij	Vrij	Vrij	Rx1,12;Ry11,31
Sn53	N198	LCS van knoop	Standaard	Vrij	Vrij	Niet-lineair	Vrij	Vrij	Vrij	Ry0,56;Rx-11,31
Sn54	N199	LCS van knoop	Standaard	Vrij	Vrij	Niet-lineair	Vrij	Vrij	Vrij	Ry-0,56;Rx-11,31
Sn55	N200	LCS van knoop	Standaard	Vrij	Vrij	Niet-lineair	Vrij	Vrij	Vrij	Rx-1,12;Ry-11,31
Sn56	N201	LCS van knoop	Standaard	Vrij	Vrij	Niet-lineair	Vrij	Vrij	Vrij	Ry-11,31
Sn57	N202	LCS van knoop	Standaard	Vrij	Vrij	Niet-lineair	Vrij	Vrij	Vrij	Rx1,12;Ry-11,31
Sn58	N203	LCS van knoop	Standaard	Vrij	Vrij	Niet-lineair	Vrij	Vrij	Vrij	Ry-0,56;Rx-11,31
Sn59	N204	LCS van knoop	Standaard	Vrij	Vrij	Niet-lineair	Vrij	Vrij	Vrij	Ry0,56;Rx-11,31
Sn60	N205	LCS van knoop	Standaard	Vrij	Vrij	Niet-lineair	Vrij	Vrij	Vrij	Rx1,12;Ry-11,31
Sn61	N206	LCS van knoop	Standaard	Vrij	Vrij	Niet-lineair	Vrij	Vrij	Vrij	Ry-11,31
Sn62	N207	LCS van knoop	Standaard	Vrij	Vrij	Niet-lineair	Vrij	Vrij	Vrij	Rx-1,12;Ry-11,31
Sn63	N208	LCS van knoop	Standaard	Vrij	Vrij	Niet-lineair	Vrij	Vrij	Vrij	Ry-0,56;Rx11,31
Sn64	N209	LCS van knoop	Standaard	Vrij	Vrij	Niet-lineair	Vrij	Vrij	Vrij	Ry0,56;Rx11,31
Sn65	N210	LCS van knoop	Standaard	Vrij	Vrij	Niet-lineair	Vrij	Vrij	Vrij	Ry0,56;Rx11,31
Sn66	N211	LCS van knoop	Standaard	Vrij	Vrij	Niet-lineair	Vrij	Vrij	Vrij	Ry-0,56;Rx11,31
Sn67	N212	LCS van knoop	Standaard	Vrij	Vrij	Niet-lineair	Vrij	Vrij	Vrij	Rx1,12;Ry11,31
Sn68	N213	LCS van knoop	Standaard	Vrij	Vrij	Niet-lineair	Vrij	Vrij	Vrij	Ry11,31
Sn69	N214	LCS van knoop	Standaard	Vrij	Vrij	Niet-lineair	Vrij	Vrij	Vrij	Rx-1,12;Ry11,31
Sn70	N220	LCS van knoop	Standaard	Vrij	Vrij	Niet-lineair	Vrij	Vrij	Vrij	
Sn71	N221	LCS van knoop	Standaard	Vrij	Vrij	Niet-lineair	Vrij	Vrij	Vrij	
Sn72	N226	LCS van knoop	Standaard	Vrij	Vrij	Niet-lineair	Vrij	Vrij	Vrij	
Sn73	N228	LCS van knoop	Standaard	Vrij	Vrij	Niet-lineair	Vrij	Vrij	Vrij	
Sn74	N231	LCS van knoop	Standaard	Vrij	Vrij	Niet-lineair	Vrij	Vrij	Vrij	
Sn75	N233	LCS van knoop	Standaard	Vrij	Vrij	Niet-lineair	Vrij	Vrij	Vrij	
Sn76	N236	LCS van knoop	Standaard	Vrij	Vrij	Niet-lineair	Vrij	Vrij	Vrij	
Sn77	N237	LCS van knoop	Standaard	Vrij	Vrij	Niet-lineair	Vrij	Vrij	Vrij	
Sn78	N249	LCS van knoop	Standaard	Vrij	Vrij	Niet-lineair	Vrij	Vrij	Vrij	
Sn79	N250	LCS van knoop	Standaard	Vrij	Vrij	Niet-lineair	Vrij	Vrij	Vrij	
Sn80	N251	LCS van knoop	Standaard	Vrij	Vrij	Niet-lineair	Vrij	Vrij	Vrij	
Sn81	N252	LCS van knoop	Standaard	Vrij	Vrij	Niet-lineair	Vrij	Vrij	Vrij	
Sn82	N253	LCS van knoop	Standaard	Vrij	Vrij	Niet-lineair	Vrij	Vrij	Vrij	
Sn83	N254	LCS van knoop	Standaard	Vrij	Vrij	Niet-lineair	Vrij	Vrij	Vrij	
Sn84	N255	LCS van knoop	Standaard	Vrij	Vrij	Niet-lineair	Vrij	Vrij	Vrij	
Sn85	N256	LCS van knoop	Standaard	Vrij	Vrij	Niet-lineair	Vrij	Vrij	Vrij	

5.6. Analyse model met Knoopondersteuningen



5.7. Lijnsteunpunten op staven

Naam	Type	Staaf	Pos x_1 [m] / Pos x_2 [m]	X	Y	Z	Rx	Ry	Rz	Functie Y	Functie Z
Veen16	Lijn	Paal_P_8	1,000 8,000	Vrij	Niet-lineair	Niet-lineair	Vrij	Vrij	Vrij	PY-curve-2_Veen	PY-curve-2_Veen
Veen	Lijn	Paal_P_1	1,000 8,000	Vrij	Niet-lineair	Niet-lineair	Vrij	Vrij	Vrij	PY-curve-2_Veen	PY-curve-2_Veen
Veen62	Lijn	Paal_P_62	1,000 8,000	Vrij	Niet-lineair	Niet-lineair	Vrij	Vrij	Vrij	PY-curve-2_Veen.B	PY-curve-2_Veen.B
Veen31	Lijn	Paal_P_31	1,000 8,000	Vrij	Niet-lineair	Niet-lineair	Vrij	Vrij	Vrij	PY-curve-2_Veen	PY-curve-2_Veen
Veen33	Lijn	Paal_P_33	1,000 8,000	Vrij	Niet-lineair	Niet-lineair	Vrij	Vrij	Vrij	PY-curve-2_Veen	PY-curve-2_Veen
Veen36	Lijn	Paal_P_36	1,000 8,000	Vrij	Niet-lineair	Niet-lineair	Vrij	Vrij	Vrij	PY-curve-2_Veen	PY-curve-2_Veen
Veen12	Lijn	Paal_P_21	1,000 8,000	Vrij	Niet-lineair	Niet-lineair	Vrij	Vrij	Vrij	PY-curve-2_Veen	PY-curve-2_Veen
Veen45	Lijn	Paal_P_45	1,000 8,000	Vrij	Niet-lineair	Niet-lineair	Vrij	Vrij	Vrij	PY-curve-2_Veen	PY-curve-2_Veen
Veen60	Lijn	Paal_P_60	1,000 8,000	Vrij	Niet-lineair	Niet-lineair	Vrij	Vrij	Vrij	PY-curve-2_Veen.B	PY-curve-2_Veen.B
Veen52	Lijn	Paal_P_52	1,000 8,000	Vrij	Niet-lineair	Niet-lineair	Vrij	Vrij	Vrij	PY-curve-2_Veen.B	PY-curve-2_Veen.B
Veen3	Lijn	Paal_P_2	1,000 8,000	Vrij	Niet-lineair	Niet-lineair	Vrij	Vrij	Vrij	PY-curve-2_Veen	PY-curve-2_Veen
Veen21	Lijn	Paal_P_13	1,000 8,000	Vrij	Niet-lineair	Niet-lineair	Vrij	Vrij	Vrij	PY-curve-2_Veen	PY-curve-2_Veen
Veen24	Lijn	Paal_P_24	1,000 8,000	Vrij	Niet-lineair	Niet-lineair	Vrij	Vrij	Vrij	PY-curve-2_Veen.B	PY-curve-2_Veen.B
Veen40	Lijn	Paal_P_40	1,000	Vrij	Niet-lineair	Niet-lineair	Vrij	Vrij	Vrij	PY-curve-2_Veen	PY-curve-2_Veen

Naam	Type	Staaf	Pos x_1 [m] Pos x_2 [m]	X	Y	Z	Rx	Ry	Rz	Functie Y	Functie Z
			8,000								
Veen58	Lijn	Paal_P_58	1,000 8,000	Vrij	Niet-lineair	Niet-lineair	Vrij	Vrij	Vrij	PY-curve-2_Veen.B	PY-curve-2_Veen.B
Veen41	Lijn	Paal_P_41	1,000 8,000	Vrij	Niet-lineair	Niet-lineair	Vrij	Vrij	Vrij	PY-curve-2_Veen	PY-curve-2_Veen
Veen53	Lijn	Paal_P_53	1,000 8,000	Vrij	Niet-lineair	Niet-lineair	Vrij	Vrij	Vrij	PY-curve-2_Veen.B	PY-curve-2_Veen.B
Veen39	Lijn	Paal_P_39	1,000 8,000	Vrij	Niet-lineair	Niet-lineair	Vrij	Vrij	Vrij	PY-curve-2_Veen	PY-curve-2_Veen
Veen6	Lijn	Paal_P_14	1,000 8,000	Vrij	Niet-lineair	Niet-lineair	Vrij	Vrij	Vrij	PY-curve-2_Veen	PY-curve-2_Veen
Veen5	Lijn	Paal_P_11	1,000 8,000	Vrij	Niet-lineair	Niet-lineair	Vrij	Vrij	Vrij	PY-curve-2_Veen	PY-curve-2_Veen
Veen35	Lijn	Paal_P_35	1,000 8,000	Vrij	Niet-lineair	Niet-lineair	Vrij	Vrij	Vrij	PY-curve-2_Veen	PY-curve-2_Veen
Veen47	Lijn	Paal_P_47	1,000 8,000	Vrij	Niet-lineair	Niet-lineair	Vrij	Vrij	Vrij	PY-curve-2_Veen	PY-curve-2_Veen
Veen25	Lijn	Paal_P_25	1,000 8,000	Vrij	Niet-lineair	Niet-lineair	Vrij	Vrij	Vrij	PY-curve-2_Veen.B	PY-curve-2_Veen.B
Veen42	Lijn	Paal_P_42	1,000 8,000	Vrij	Niet-lineair	Niet-lineair	Vrij	Vrij	Vrij	PY-curve-2_Veen	PY-curve-2_Veen
Veen17	Lijn	Paal_P_19	1,000 8,000	Vrij	Niet-lineair	Niet-lineair	Vrij	Vrij	Vrij	PY-curve-2_Veen	PY-curve-2_Veen
Veen54	Lijn	Paal_P_54	1,000 8,000	Vrij	Niet-lineair	Niet-lineair	Vrij	Vrij	Vrij	PY-curve-2_Veen.B	PY-curve-2_Veen.B
Veen9	Lijn	Paal_P_6	1,000 8,000	Vrij	Niet-lineair	Niet-lineair	Vrij	Vrij	Vrij	PY-curve-2_Veen	PY-curve-2_Veen
Veen56	Lijn	Paal_P_56	1,000 8,000	Vrij	Niet-lineair	Niet-lineair	Vrij	Vrij	Vrij	PY-curve-2_Veen.B	PY-curve-2_Veen.B
Veen57	Lijn	Paal_P_57	1,000 8,000	Vrij	Niet-lineair	Niet-lineair	Vrij	Vrij	Vrij	PY-curve-2_Veen.B	PY-curve-2_Veen.B
Veen10	Lijn	Paal_P_10	1,000 8,000	Vrij	Niet-lineair	Niet-lineair	Vrij	Vrij	Vrij	PY-curve-2_Veen	PY-curve-2_Veen
Veen46	Lijn	Paal_P_46	1,000 8,000	Vrij	Niet-lineair	Niet-lineair	Vrij	Vrij	Vrij	PY-curve-2_Veen	PY-curve-2_Veen
Veen14	Lijn	Paal_P_15	1,000 8,000	Vrij	Niet-lineair	Niet-lineair	Vrij	Vrij	Vrij	PY-curve-2_Veen	PY-curve-2_Veen
Veen48	Lijn	Paal_P_48	1,000 8,000	Vrij	Niet-lineair	Niet-lineair	Vrij	Vrij	Vrij	PY-curve-2_Veen	PY-curve-2_Veen
Veen18	Lijn	Paal_P_4	1,000 8,000	Vrij	Niet-lineair	Niet-lineair	Vrij	Vrij	Vrij	PY-curve-2_Veen	PY-curve-2_Veen
Veen23	Lijn	Paal_P_23	1,000 8,000	Vrij	Niet-lineair	Niet-lineair	Vrij	Vrij	Vrij	PY-curve-2_Veen.B	PY-curve-2_Veen.B
Veen26	Lijn	Paal_P_26	1,000 8,000	Vrij	Niet-lineair	Niet-lineair	Vrij	Vrij	Vrij	PY-curve-2_Veen.B	PY-curve-2_Veen.B
Veen51	Lijn	Paal_P_51	1,000 8,000	Vrij	Niet-lineair	Niet-lineair	Vrij	Vrij	Vrij	PY-curve-2_Veen.B	PY-curve-2_Veen.B
Veen7	Lijn	Paal_P_12	1,000 8,000	Vrij	Niet-lineair	Niet-lineair	Vrij	Vrij	Vrij	PY-curve-2_Veen	PY-curve-2_Veen
Veen61	Lijn	Paal_P_61	1,000 8,000	Vrij	Niet-lineair	Niet-lineair	Vrij	Vrij	Vrij	PY-curve-2_Veen.B	PY-curve-2_Veen.B
Veen15	Lijn	Paal_P_20	1,000 8,000	Vrij	Niet-lineair	Niet-lineair	Vrij	Vrij	Vrij	PY-curve-2_Veen	PY-curve-2_Veen
Veen65	Lijn	Paal_P_65	1,000 8,000	Vrij	Niet-lineair	Niet-lineair	Vrij	Vrij	Vrij	PY-curve-2_Veen.B	PY-curve-2_Veen.B
Veen37	Lijn	Paal_P_37	1,000 8,000	Vrij	Niet-lineair	Niet-lineair	Vrij	Vrij	Vrij	PY-curve-2_Veen	PY-curve-2_Veen
Veen19	Lijn	Paal_P_17	1,000 8,000	Vrij	Niet-lineair	Niet-lineair	Vrij	Vrij	Vrij	PY-curve-2_Veen	PY-curve-2_Veen
Veen32	Lijn	Paal_P_32	1,000 8,000	Vrij	Niet-lineair	Niet-lineair	Vrij	Vrij	Vrij	PY-curve-2_Veen	PY-curve-2_Veen
Veen43	Lijn	Paal_P_43	1,000 8,000	Vrij	Niet-lineair	Niet-lineair	Vrij	Vrij	Vrij	PY-curve-2_Veen	PY-curve-2_Veen
Veen4	Lijn	Paal_P_3	1,000	Vrij	Niet-lineair	Niet-lineair	Vrij	Vrij	Vrij	PY-curve-2_Veen	PY-curve-2_Veen

Naam	Type	Staaf	Pos x_1 [m] Pos x_2 [m]	X	Y	Z	Rx	Ry	Rz	Functie Y	Functie Z
			8,000								
Veen29	Lijn	Paal_P_29	1,000 8,000	Vrij	Niet-lineair	Niet-lineair	Vrij	Vrij	Vrij	PY-curve-2_Veen.B	PY-curve-2_Veen.B
Veen59	Lijn	Paal_P_59	1,000 8,000	Vrij	Niet-lineair	Niet-lineair	Vrij	Vrij	Vrij	PY-curve-2_Veen.B	PY-curve-2_Veen.B
Veen27	Lijn	Paal_P_27	1,000 8,000	Vrij	Niet-lineair	Niet-lineair	Vrij	Vrij	Vrij	PY-curve-2_Veen.B	PY-curve-2_Veen.B
Veen13	Lijn	Paal_P_9	1,000 8,000	Vrij	Niet-lineair	Niet-lineair	Vrij	Vrij	Vrij	PY-curve-2_Veen	PY-curve-2_Veen
Veen11	Lijn	Paal_P_18	1,000 8,000	Vrij	Niet-lineair	Niet-lineair	Vrij	Vrij	Vrij	PY-curve-2_Veen	PY-curve-2_Veen
Veen44	Lijn	Paal_P_44	1,000 8,000	Vrij	Niet-lineair	Niet-lineair	Vrij	Vrij	Vrij	PY-curve-2_Veen	PY-curve-2_Veen
Veen38	Lijn	Paal_P_38	1,000 8,000	Vrij	Niet-lineair	Niet-lineair	Vrij	Vrij	Vrij	PY-curve-2_Veen	PY-curve-2_Veen
Veen55	Lijn	Paal_P_55	1,000 8,000	Vrij	Niet-lineair	Niet-lineair	Vrij	Vrij	Vrij	PY-curve-2_Veen.B	PY-curve-2_Veen.B
Veen49	Lijn	Paal_P_49	1,000 8,000	Vrij	Niet-lineair	Niet-lineair	Vrij	Vrij	Vrij	PY-curve-2_Veen	PY-curve-2_Veen
Veen64	Lijn	Paal_P_64	1,000 8,000	Vrij	Niet-lineair	Niet-lineair	Vrij	Vrij	Vrij	PY-curve-2_Veen.B	PY-curve-2_Veen.B
Veen20	Lijn	Paal_P_16	1,000 8,000	Vrij	Niet-lineair	Niet-lineair	Vrij	Vrij	Vrij	PY-curve-2_Veen	PY-curve-2_Veen
Veen22	Lijn	Paal_P_22	1,000 8,000	Vrij	Niet-lineair	Niet-lineair	Vrij	Vrij	Vrij	PY-curve-2_Veen.B	PY-curve-2_Veen.B
Veen63	Lijn	Paal_P_63	1,000 8,000	Vrij	Niet-lineair	Niet-lineair	Vrij	Vrij	Vrij	PY-curve-2_Veen.B	PY-curve-2_Veen.B
Veen50	Lijn	Paal_P_50	1,000 8,000	Vrij	Niet-lineair	Niet-lineair	Vrij	Vrij	Vrij	PY-curve-2_Veen.B	PY-curve-2_Veen.B
Veen34	Lijn	Paal_P_34	1,000 8,000	Vrij	Niet-lineair	Niet-lineair	Vrij	Vrij	Vrij	PY-curve-2_Veen	PY-curve-2_Veen
Veen30	Lijn	Paal_P_30	1,000 8,000	Vrij	Niet-lineair	Niet-lineair	Vrij	Vrij	Vrij	PY-curve-2_Veen	PY-curve-2_Veen
Veen28	Lijn	Paal_P_28	1,000 8,000	Vrij	Niet-lineair	Niet-lineair	Vrij	Vrij	Vrij	PY-curve-2_Veen.B	PY-curve-2_Veen.B
Veen8	Lijn	Paal_P_7	1,000 8,000	Vrij	Niet-lineair	Niet-lineair	Vrij	Vrij	Vrij	PY-curve-2_Veen	PY-curve-2_Veen
(PY-curve-2_V1)18	Lijn	Paal_P_60	8,000 9,000	Vrij	Niet-lineair	Niet-lineair	Vrij	Vrij	Vrij	PY-curve-2_V1.B	PY-curve-2_V1.B
(PY-curve-2_V1)46	Lijn	Paal_P_32	8,000 9,000	Vrij	Niet-lineair	Niet-lineair	Vrij	Vrij	Vrij	PY-curve-2_V1	PY-curve-2_V1
(PY-curve-2_V1)5	Lijn	Paal_P_27	8,000 9,000	Vrij	Niet-lineair	Niet-lineair	Vrij	Vrij	Vrij	PY-curve-2_V1.B	PY-curve-2_V1.B
(PY-curve-2_V1)50	Lijn	Paal_P_36	8,000 9,000	Vrij	Niet-lineair	Niet-lineair	Vrij	Vrij	Vrij	PY-curve-2_V1	PY-curve-2_V1
(PY-curve-2_V1)22	Lijn	Paal_P_64	8,000 9,000	Vrij	Niet-lineair	Niet-lineair	Vrij	Vrij	Vrij	PY-curve-2_V1.B	PY-curve-2_V1.B
(PY-curve-2_V1)2	Lijn	Paal_P_24	8,000 9,000	Vrij	Niet-lineair	Niet-lineair	Vrij	Vrij	Vrij	PY-curve-2_V1.B	PY-curve-2_V1.B
(PY-curve-2_V1)59	Lijn	Paal_P_45	8,000 9,000	Vrij	Niet-lineair	Niet-lineair	Vrij	Vrij	Vrij	PY-curve-2_V1	PY-curve-2_V1
(PY-curve-2_V1)52	Lijn	Paal_P_38	8,000 9,000	Vrij	Niet-lineair	Niet-lineair	Vrij	Vrij	Vrij	PY-curve-2_V1	PY-curve-2_V1
(PY-curve-2_V1)30	Lijn	Paal_P_8	8,000 9,000	Vrij	Niet-lineair	Niet-lineair	Vrij	Vrij	Vrij	PY-curve-2_V1	PY-curve-2_V1
(PY-curve-2_V1)33	Lijn	Paal_P_11	8,000 9,000	Vrij	Niet-lineair	Niet-lineair	Vrij	Vrij	Vrij	PY-curve-2_V1	PY-curve-2_V1
(PY-curve-2_V1)14	Lijn	Paal_P_56	8,000 9,000	Vrij	Niet-lineair	Niet-lineair	Vrij	Vrij	Vrij	PY-curve-2_V1.B	PY-curve-2_V1.B
(PY-curve-2_V1)40	Lijn	Paal_P_18	8,000 9,000	Vrij	Niet-lineair	Niet-lineair	Vrij	Vrij	Vrij	PY-curve-2_V1	PY-curve-2_V1
(PY-curve-2_V1)1	Lijn	Paal_P_23	8,000 9,000	Vrij	Niet-lineair	Niet-lineair	Vrij	Vrij	Vrij	PY-curve-2_V1.B	PY-curve-2_V1.B
(PY-curve-2_V1)60	Lijn	Paal_P_46	8,000	Vrij	Niet-lineair	Niet-lineair	Vrij	Vrij	Vrij	PY-curve-2_V1	PY-curve-2_V1

Naam	Type	Staaf	Pos x_1 [m] Pos x_2 [m]	X	Y	Z	Rx	Ry	Rz	Functie Y	Functie Z
			9,000								
(PY-curve-2_V1)61	Lijn	Paal_P_47	8,000 9,000	Vrij	Niet-lineair	Niet-lineair	Vrij	Vrij	Vrij	PY-curve-2_V1	PY-curve-2_V1
(PY-curve-2_V1)62	Lijn	Paal_P_48	8,000 9,000	Vrij	Niet-lineair	Niet-lineair	Vrij	Vrij	Vrij	PY-curve-2_V1	PY-curve-2_V1
(PY-curve-2_V1)26	Lijn	Paal_P_1	8,000 9,000	Vrij	Niet-lineair	Niet-lineair	Vrij	Vrij	Vrij	PY-curve-2_V1	PY-curve-2_V1
(PY-curve-2_V1)47	Lijn	Paal_P_33	8,000 9,000	Vrij	Niet-lineair	Niet-lineair	Vrij	Vrij	Vrij	PY-curve-2_V1	PY-curve-2_V1
(PY-curve-2_V1)57	Lijn	Paal_P_43	8,000 9,000	Vrij	Niet-lineair	Niet-lineair	Vrij	Vrij	Vrij	PY-curve-2_V1	PY-curve-2_V1
(PY-curve-2_V1)34	Lijn	Paal_P_12	8,000 9,000	Vrij	Niet-lineair	Niet-lineair	Vrij	Vrij	Vrij	PY-curve-2_V1	PY-curve-2_V1
(PY-curve-2_V1)	Lijn	Paal_P_22	8,000 9,000	Vrij	Niet-lineair	Niet-lineair	Vrij	Vrij	Vrij	PY-curve-2_V1.B	PY-curve-2_V1.B
(PY-curve-2_V1)8	Lijn	Paal_P_50	8,000 9,000	Vrij	Niet-lineair	Niet-lineair	Vrij	Vrij	Vrij	PY-curve-2_V1.B	PY-curve-2_V1.B
(PY-curve-2_V1)29	Lijn	Paal_P_7	8,000 9,000	Vrij	Niet-lineair	Niet-lineair	Vrij	Vrij	Vrij	PY-curve-2_V1	PY-curve-2_V1
(PY-curve-2_V1)44	Lijn	Paal_P_30	8,000 9,000	Vrij	Niet-lineair	Niet-lineair	Vrij	Vrij	Vrij	PY-curve-2_V1	PY-curve-2_V1
(PY-curve-2_V1)12	Lijn	Paal_P_54	8,000 9,000	Vrij	Niet-lineair	Niet-lineair	Vrij	Vrij	Vrij	PY-curve-2_V1.B	PY-curve-2_V1.B
(PY-curve-2_V1)24	Lijn	Paal_P_3	8,000 9,000	Vrij	Niet-lineair	Niet-lineair	Vrij	Vrij	Vrij	PY-curve-2_V1	PY-curve-2_V1
(PY-curve-2_V1)54	Lijn	Paal_P_40	8,000 9,000	Vrij	Niet-lineair	Niet-lineair	Vrij	Vrij	Vrij	PY-curve-2_V1	PY-curve-2_V1
(PY-curve-2_V1)53	Lijn	Paal_P_39	8,000 9,000	Vrij	Niet-lineair	Niet-lineair	Vrij	Vrij	Vrij	PY-curve-2_V1	PY-curve-2_V1
(PY-curve-2_V1)43	Lijn	Paal_P_21	8,000 9,000	Vrij	Niet-lineair	Niet-lineair	Vrij	Vrij	Vrij	PY-curve-2_V1	PY-curve-2_V1
(PY-curve-2_V1)15	Lijn	Paal_P_57	8,000 9,000	Vrij	Niet-lineair	Niet-lineair	Vrij	Vrij	Vrij	PY-curve-2_V1.B	PY-curve-2_V1.B
(PY-curve-2_V1)4	Lijn	Paal_P_26	8,000 9,000	Vrij	Niet-lineair	Niet-lineair	Vrij	Vrij	Vrij	PY-curve-2_V1.B	PY-curve-2_V1.B
(PY-curve-2_V1)9	Lijn	Paal_P_51	8,000 9,000	Vrij	Niet-lineair	Niet-lineair	Vrij	Vrij	Vrij	PY-curve-2_V1.B	PY-curve-2_V1.B
(PY-curve-2_V1)56	Lijn	Paal_P_42	8,000 9,000	Vrij	Niet-lineair	Niet-lineair	Vrij	Vrij	Vrij	PY-curve-2_V1	PY-curve-2_V1
(PY-curve-2_V1)35	Lijn	Paal_P_13	8,000 9,000	Vrij	Niet-lineair	Niet-lineair	Vrij	Vrij	Vrij	PY-curve-2_V1	PY-curve-2_V1
(PY-curve-2_V1)51	Lijn	Paal_P_37	8,000 9,000	Vrij	Niet-lineair	Niet-lineair	Vrij	Vrij	Vrij	PY-curve-2_V1	PY-curve-2_V1
(PY-curve-2_V1)25	Lijn	Paal_P_2	8,000 9,000	Vrij	Niet-lineair	Niet-lineair	Vrij	Vrij	Vrij	PY-curve-2_V1	PY-curve-2_V1
(PY-curve-2_V1)42	Lijn	Paal_P_20	8,000 9,000	Vrij	Niet-lineair	Niet-lineair	Vrij	Vrij	Vrij	PY-curve-2_V1	PY-curve-2_V1
(PY-curve-2_V1)58	Lijn	Paal_P_44	8,000 9,000	Vrij	Niet-lineair	Niet-lineair	Vrij	Vrij	Vrij	PY-curve-2_V1	PY-curve-2_V1
(PY-curve-2_V1)27	Lijn	Paal_P_4	8,000 9,000	Vrij	Niet-lineair	Niet-lineair	Vrij	Vrij	Vrij	PY-curve-2_V1	PY-curve-2_V1
(PY-curve-2_V1)3	Lijn	Paal_P_25	8,000 9,000	Vrij	Niet-lineair	Niet-lineair	Vrij	Vrij	Vrij	PY-curve-2_V1.B	PY-curve-2_V1.B
(PY-curve-2_V1)49	Lijn	Paal_P_35	8,000 9,000	Vrij	Niet-lineair	Niet-lineair	Vrij	Vrij	Vrij	PY-curve-2_V1	PY-curve-2_V1
(PY-curve-2_V1)19	Lijn	Paal_P_61	8,000 9,000	Vrij	Niet-lineair	Niet-lineair	Vrij	Vrij	Vrij	PY-curve-2_V1.B	PY-curve-2_V1.B
(PY-curve-2_V1)17	Lijn	Paal_P_59	8,000 9,000	Vrij	Niet-lineair	Niet-lineair	Vrij	Vrij	Vrij	PY-curve-2_V1.B	PY-curve-2_V1.B
(PY-curve-2_V1)28	Lijn	Paal_P_6	8,000 9,000	Vrij	Niet-lineair	Niet-lineair	Vrij	Vrij	Vrij	PY-curve-2_V1	PY-curve-2_V1
(PY-curve-2_V1)55	Lijn	Paal_P_41	8,000 9,000	Vrij	Niet-lineair	Niet-lineair	Vrij	Vrij	Vrij	PY-curve-2_V1	PY-curve-2_V1
(PY-curve-2_V1)21	Lijn	Paal_P_63	8,000	Vrij	Niet-lineair	Niet-lineair	Vrij	Vrij	Vrij	PY-curve-2_V1.B	PY-curve-2_V1.B

Naam	Type	Staaf	Pos x_1 [m] Pos x_2 [m]	X	Y	Z	Rx	Ry	Rz	Functie Y	Functie Z
			9,000								
(PY-curve-2_V1)7	Lijn	Paal_P_29	8,000 9,000	Vrij	Niet-lineair	Niet-lineair	Vrij	Vrij	Vrij	PY-curve-2_V1.B	PY-curve-2_V1.B
(PY-curve-2_V1)16	Lijn	Paal_P_58	8,000 9,000	Vrij	Niet-lineair	Niet-lineair	Vrij	Vrij	Vrij	PY-curve-2_V1.B	PY-curve-2_V1.B
(PY-curve-2_V1)10	Lijn	Paal_P_52	8,000 9,000	Vrij	Niet-lineair	Niet-lineair	Vrij	Vrij	Vrij	PY-curve-2_V1.B	PY-curve-2_V1.B
(PY-curve-2_V1)39	Lijn	Paal_P_17	8,000 9,000	Vrij	Niet-lineair	Niet-lineair	Vrij	Vrij	Vrij	PY-curve-2_V1	PY-curve-2_V1
(PY-curve-2_V1)23	Lijn	Paal_P_65	8,000 9,000	Vrij	Niet-lineair	Niet-lineair	Vrij	Vrij	Vrij	PY-curve-2_V1.B	PY-curve-2_V1.B
(PY-curve-2_V1)45	Lijn	Paal_P_31	8,000 9,000	Vrij	Niet-lineair	Niet-lineair	Vrij	Vrij	Vrij	PY-curve-2_V1	PY-curve-2_V1
(PY-curve-2_V1)41	Lijn	Paal_P_19	8,000 9,000	Vrij	Niet-lineair	Niet-lineair	Vrij	Vrij	Vrij	PY-curve-2_V1	PY-curve-2_V1
(PY-curve-2_V1)6	Lijn	Paal_P_28	8,000 9,000	Vrij	Niet-lineair	Niet-lineair	Vrij	Vrij	Vrij	PY-curve-2_V1.B	PY-curve-2_V1.B
(PY-curve-2_V1)11	Lijn	Paal_P_53	8,000 9,000	Vrij	Niet-lineair	Niet-lineair	Vrij	Vrij	Vrij	PY-curve-2_V1.B	PY-curve-2_V1.B
(PY-curve-2_V1)48	Lijn	Paal_P_34	8,000 9,000	Vrij	Niet-lineair	Niet-lineair	Vrij	Vrij	Vrij	PY-curve-2_V1	PY-curve-2_V1
(PY-curve-2_V1)37	Lijn	Paal_P_15	8,000 9,000	Vrij	Niet-lineair	Niet-lineair	Vrij	Vrij	Vrij	PY-curve-2_V1	PY-curve-2_V1
(PY-curve-2_V1)20	Lijn	Paal_P_62	8,000 9,000	Vrij	Niet-lineair	Niet-lineair	Vrij	Vrij	Vrij	PY-curve-2_V1.B	PY-curve-2_V1.B
(PY-curve-2_V1)31	Lijn	Paal_P_9	8,000 9,000	Vrij	Niet-lineair	Niet-lineair	Vrij	Vrij	Vrij	PY-curve-2_V1	PY-curve-2_V1
(PY-curve-2_V1)63	Lijn	Paal_P_49	8,000 9,000	Vrij	Niet-lineair	Niet-lineair	Vrij	Vrij	Vrij	PY-curve-2_V1	PY-curve-2_V1
(PY-curve-2_V1)32	Lijn	Paal_P_10	8,000 9,000	Vrij	Niet-lineair	Niet-lineair	Vrij	Vrij	Vrij	PY-curve-2_V1	PY-curve-2_V1
(PY-curve-2_V1)36	Lijn	Paal_P_14	8,000 9,000	Vrij	Niet-lineair	Niet-lineair	Vrij	Vrij	Vrij	PY-curve-2_V1	PY-curve-2_V1
(PY-curve-2_V1)13	Lijn	Paal_P_55	8,000 9,000	Vrij	Niet-lineair	Niet-lineair	Vrij	Vrij	Vrij	PY-curve-2_V1.B	PY-curve-2_V1.B
(PY-curve-2_V1)38	Lijn	Paal_P_16	8,000 9,000	Vrij	Niet-lineair	Niet-lineair	Vrij	Vrij	Vrij	PY-curve-2_V1	PY-curve-2_V1
(PY-curve-2_V2)13	Lijn	Paal_P_55	9,000 10,000	Vrij	Niet-lineair	Niet-lineair	Vrij	Vrij	Vrij	PY-curve-2_V2.B	PY-curve-2_V2.B
(PY-curve-2_V2)57	Lijn	Paal_P_43	9,000 10,000	Vrij	Niet-lineair	Niet-lineair	Vrij	Vrij	Vrij	PY-curve-2_V2	PY-curve-2_V2
(PY-curve-2_V2)27	Lijn	Paal_P_4	9,000 10,000	Vrij	Niet-lineair	Niet-lineair	Vrij	Vrij	Vrij	PY-curve-2_V2	PY-curve-2_V2
(PY-curve-2_V2)30	Lijn	Paal_P_8	9,000 10,000	Vrij	Niet-lineair	Niet-lineair	Vrij	Vrij	Vrij	PY-curve-2_V2	PY-curve-2_V2
(PY-curve-2_V2)58	Lijn	Paal_P_44	9,000 10,000	Vrij	Niet-lineair	Niet-lineair	Vrij	Vrij	Vrij	PY-curve-2_V2	PY-curve-2_V2
(PY-curve-2_V2)10	Lijn	Paal_P_52	9,000 10,000	Vrij	Niet-lineair	Niet-lineair	Vrij	Vrij	Vrij	PY-curve-2_V2.B	PY-curve-2_V2.B
(PY-curve-2_V2)9	Lijn	Paal_P_51	9,000 10,000	Vrij	Niet-lineair	Niet-lineair	Vrij	Vrij	Vrij	PY-curve-2_V2.B	PY-curve-2_V2.B
(PY-curve-2_V2)5	Lijn	Paal_P_27	9,000 10,000	Vrij	Niet-lineair	Niet-lineair	Vrij	Vrij	Vrij	PY-curve-2_V2.B	PY-curve-2_V2.B
(PY-curve-2_V2)46	Lijn	Paal_P_32	9,000 10,000	Vrij	Niet-lineair	Niet-lineair	Vrij	Vrij	Vrij	PY-curve-2_V2	PY-curve-2_V2
(PY-curve-2_V2)8	Lijn	Paal_P_50	9,000 10,000	Vrij	Niet-lineair	Niet-lineair	Vrij	Vrij	Vrij	PY-curve-2_V2.B	PY-curve-2_V2.B
(PY-curve-2_V2)36	Lijn	Paal_P_14	9,000 10,000	Vrij	Niet-lineair	Niet-lineair	Vrij	Vrij	Vrij	PY-curve-2_V2	PY-curve-2_V2
(PY-curve-2_V2)4	Lijn	Paal_P_26	9,000 10,000	Vrij	Niet-lineair	Niet-lineair	Vrij	Vrij	Vrij	PY-curve-2_V2.B	PY-curve-2_V2.B
(PY-curve-2_V2)51	Lijn	Paal_P_37	9,000 10,000	Vrij	Niet-lineair	Niet-lineair	Vrij	Vrij	Vrij	PY-curve-2_V2	PY-curve-2_V2
(PY-curve-2_V2)62	Lijn	Paal_P_48	9,000	Vrij	Niet-lineair	Niet-lineair	Vrij	Vrij	Vrij	PY-curve-2_V2	PY-curve-2_V2

Naam	Type	Staaf	Pos x_1 [m] Pos x_2 [m]	X	Y	Z	Rx	Ry	Rz	Functie Y	Functie Z
			10,000								
(PY-curve-2_V2)59	Lijn	Paal_P_45	9,000 10,000	Vrij	Niet-lineair	Niet-lineair	Vrij	Vrij	Vrij	PY-curve-2_V2	PY-curve-2_V2
(PY-curve-2_V2)7	Lijn	Paal_P_29	9,000 10,000	Vrij	Niet-lineair	Niet-lineair	Vrij	Vrij	Vrij	PY-curve-2_V2.B	PY-curve-2_V2.B
(PY-curve-2_V2)21	Lijn	Paal_P_63	9,000 10,000	Vrij	Niet-lineair	Niet-lineair	Vrij	Vrij	Vrij	PY-curve-2_V2.B	PY-curve-2_V2.B
(PY-curve-2_V2)2	Lijn	Paal_P_24	9,000 10,000	Vrij	Niet-lineair	Niet-lineair	Vrij	Vrij	Vrij	PY-curve-2_V2.B	PY-curve-2_V2.B
(PY-curve-2_V2)15	Lijn	Paal_P_57	9,000 10,000	Vrij	Niet-lineair	Niet-lineair	Vrij	Vrij	Vrij	PY-curve-2_V2.B	PY-curve-2_V2.B
(PY-curve-2_V2)32	Lijn	Paal_P_10	9,000 10,000	Vrij	Niet-lineair	Niet-lineair	Vrij	Vrij	Vrij	PY-curve-2_V2	PY-curve-2_V2
(PY-curve-2_V2)24	Lijn	Paal_P_3	9,000 10,000	Vrij	Niet-lineair	Niet-lineair	Vrij	Vrij	Vrij	PY-curve-2_V2	PY-curve-2_V2
(PY-curve-2_V2)61	Lijn	Paal_P_47	9,000 10,000	Vrij	Niet-lineair	Niet-lineair	Vrij	Vrij	Vrij	PY-curve-2_V2	PY-curve-2_V2
(PY-curve-2_V2)34	Lijn	Paal_P_12	9,000 10,000	Vrij	Niet-lineair	Niet-lineair	Vrij	Vrij	Vrij	PY-curve-2_V2	PY-curve-2_V2
(PY-curve-2_V2)60	Lijn	Paal_P_46	9,000 10,000	Vrij	Niet-lineair	Niet-lineair	Vrij	Vrij	Vrij	PY-curve-2_V2	PY-curve-2_V2
(PY-curve-2_V2)	Lijn	Paal_P_22	9,000 10,000	Vrij	Niet-lineair	Niet-lineair	Vrij	Vrij	Vrij	PY-curve-2_V2.B	PY-curve-2_V2.B
(PY-curve-2_V2)53	Lijn	Paal_P_39	9,000 10,000	Vrij	Niet-lineair	Niet-lineair	Vrij	Vrij	Vrij	PY-curve-2_V2	PY-curve-2_V2
(PY-curve-2_V2)54	Lijn	Paal_P_40	9,000 10,000	Vrij	Niet-lineair	Niet-lineair	Vrij	Vrij	Vrij	PY-curve-2_V2	PY-curve-2_V2
(PY-curve-2_V2)28	Lijn	Paal_P_6	9,000 10,000	Vrij	Niet-lineair	Niet-lineair	Vrij	Vrij	Vrij	PY-curve-2_V2	PY-curve-2_V2
(PY-curve-2_V2)43	Lijn	Paal_P_21	9,000 10,000	Vrij	Niet-lineair	Niet-lineair	Vrij	Vrij	Vrij	PY-curve-2_V2	PY-curve-2_V2
(PY-curve-2_V2)26	Lijn	Paal_P_1	9,000 10,000	Vrij	Niet-lineair	Niet-lineair	Vrij	Vrij	Vrij	PY-curve-2_V2	PY-curve-2_V2
(PY-curve-2_V2)40	Lijn	Paal_P_18	9,000 10,000	Vrij	Niet-lineair	Niet-lineair	Vrij	Vrij	Vrij	PY-curve-2_V2	PY-curve-2_V2
(PY-curve-2_V2)52	Lijn	Paal_P_38	9,000 10,000	Vrij	Niet-lineair	Niet-lineair	Vrij	Vrij	Vrij	PY-curve-2_V2	PY-curve-2_V2
(PY-curve-2_V2)33	Lijn	Paal_P_11	9,000 10,000	Vrij	Niet-lineair	Niet-lineair	Vrij	Vrij	Vrij	PY-curve-2_V2	PY-curve-2_V2
(PY-curve-2_V2)11	Lijn	Paal_P_53	9,000 10,000	Vrij	Niet-lineair	Niet-lineair	Vrij	Vrij	Vrij	PY-curve-2_V2.B	PY-curve-2_V2.B
(PY-curve-2_V2)3	Lijn	Paal_P_25	9,000 10,000	Vrij	Niet-lineair	Niet-lineair	Vrij	Vrij	Vrij	PY-curve-2_V2.B	PY-curve-2_V2.B
(PY-curve-2_V2)42	Lijn	Paal_P_20	9,000 10,000	Vrij	Niet-lineair	Niet-lineair	Vrij	Vrij	Vrij	PY-curve-2_V2	PY-curve-2_V2
(PY-curve-2_V2)50	Lijn	Paal_P_36	9,000 10,000	Vrij	Niet-lineair	Niet-lineair	Vrij	Vrij	Vrij	PY-curve-2_V2	PY-curve-2_V2
(PY-curve-2_V2)44	Lijn	Paal_P_30	9,000 10,000	Vrij	Niet-lineair	Niet-lineair	Vrij	Vrij	Vrij	PY-curve-2_V2	PY-curve-2_V2
(PY-curve-2_V2)41	Lijn	Paal_P_19	9,000 10,000	Vrij	Niet-lineair	Niet-lineair	Vrij	Vrij	Vrij	PY-curve-2_V2	PY-curve-2_V2
(PY-curve-2_V2)48	Lijn	Paal_P_34	9,000 10,000	Vrij	Niet-lineair	Niet-lineair	Vrij	Vrij	Vrij	PY-curve-2_V2	PY-curve-2_V2
(PY-curve-2_V2)37	Lijn	Paal_P_15	9,000 10,000	Vrij	Niet-lineair	Niet-lineair	Vrij	Vrij	Vrij	PY-curve-2_V2	PY-curve-2_V2
(PY-curve-2_V2)38	Lijn	Paal_P_16	9,000 10,000	Vrij	Niet-lineair	Niet-lineair	Vrij	Vrij	Vrij	PY-curve-2_V2	PY-curve-2_V2
(PY-curve-2_V2)23	Lijn	Paal_P_65	9,000 10,000	Vrij	Niet-lineair	Niet-lineair	Vrij	Vrij	Vrij	PY-curve-2_V2.B	PY-curve-2_V2.B
(PY-curve-2_V2)17	Lijn	Paal_P_59	9,000 10,000	Vrij	Niet-lineair	Niet-lineair	Vrij	Vrij	Vrij	PY-curve-2_V2.B	PY-curve-2_V2.B
(PY-curve-2_V2)39	Lijn	Paal_P_17	9,000 10,000	Vrij	Niet-lineair	Niet-lineair	Vrij	Vrij	Vrij	PY-curve-2_V2	PY-curve-2_V2
(PY-curve-2_V2)19	Lijn	Paal_P_61	9,000	Vrij	Niet-lineair	Niet-lineair	Vrij	Vrij	Vrij	PY-curve-2_V2.B	PY-curve-2_V2.B

Naam	Type	Staaf	Pos x_1 [m] Pos x_2 [m]	X	Y	Z	Rx	Ry	Rz	Functie Y	Functie Z
			10,000								
(PY-curve-2_V2)22	Lijn	Paal_P_64	9,000 10,000	Vrij	Niet-lineair	Niet-lineair	Vrij	Vrij	Vrij	PY-curve-2_V2.B	PY-curve-2_V2.B
(PY-curve-2_V2)20	Lijn	Paal_P_62	9,000 10,000	Vrij	Niet-lineair	Niet-lineair	Vrij	Vrij	Vrij	PY-curve-2_V2.B	PY-curve-2_V2.B
(PY-curve-2_V2)18	Lijn	Paal_P_60	9,000 10,000	Vrij	Niet-lineair	Niet-lineair	Vrij	Vrij	Vrij	PY-curve-2_V2.B	PY-curve-2_V2.B
(PY-curve-2_V2)56	Lijn	Paal_P_42	9,000 10,000	Vrij	Niet-lineair	Niet-lineair	Vrij	Vrij	Vrij	PY-curve-2_V2	PY-curve-2_V2
(PY-curve-2_V2)63	Lijn	Paal_P_49	9,000 10,000	Vrij	Niet-lineair	Niet-lineair	Vrij	Vrij	Vrij	PY-curve-2_V2	PY-curve-2_V2
(PY-curve-2_V2)35	Lijn	Paal_P_13	9,000 10,000	Vrij	Niet-lineair	Niet-lineair	Vrij	Vrij	Vrij	PY-curve-2_V2	PY-curve-2_V2
(PY-curve-2_V2)49	Lijn	Paal_P_35	9,000 10,000	Vrij	Niet-lineair	Niet-lineair	Vrij	Vrij	Vrij	PY-curve-2_V2	PY-curve-2_V2
(PY-curve-2_V2)45	Lijn	Paal_P_31	9,000 10,000	Vrij	Niet-lineair	Niet-lineair	Vrij	Vrij	Vrij	PY-curve-2_V2	PY-curve-2_V2
(PY-curve-2_V2)12	Lijn	Paal_P_54	9,000 10,000	Vrij	Niet-lineair	Niet-lineair	Vrij	Vrij	Vrij	PY-curve-2_V2.B	PY-curve-2_V2.B
(PY-curve-2_V2)16	Lijn	Paal_P_58	9,000 10,000	Vrij	Niet-lineair	Niet-lineair	Vrij	Vrij	Vrij	PY-curve-2_V2.B	PY-curve-2_V2.B
(PY-curve-2_V2)29	Lijn	Paal_P_7	9,000 10,000	Vrij	Niet-lineair	Niet-lineair	Vrij	Vrij	Vrij	PY-curve-2_V2	PY-curve-2_V2
(PY-curve-2_V2)1	Lijn	Paal_P_23	9,000 10,000	Vrij	Niet-lineair	Niet-lineair	Vrij	Vrij	Vrij	PY-curve-2_V2.B	PY-curve-2_V2.B
(PY-curve-2_V2)6	Lijn	Paal_P_28	9,000 10,000	Vrij	Niet-lineair	Niet-lineair	Vrij	Vrij	Vrij	PY-curve-2_V2.B	PY-curve-2_V2.B
(PY-curve-2_V2)25	Lijn	Paal_P_2	9,000 10,000	Vrij	Niet-lineair	Niet-lineair	Vrij	Vrij	Vrij	PY-curve-2_V2	PY-curve-2_V2
(PY-curve-2_V2)47	Lijn	Paal_P_33	9,000 10,000	Vrij	Niet-lineair	Niet-lineair	Vrij	Vrij	Vrij	PY-curve-2_V2	PY-curve-2_V2
(PY-curve-2_V2)55	Lijn	Paal_P_41	9,000 10,000	Vrij	Niet-lineair	Niet-lineair	Vrij	Vrij	Vrij	PY-curve-2_V2	PY-curve-2_V2
(PY-curve-2_V2)14	Lijn	Paal_P_56	9,000 10,000	Vrij	Niet-lineair	Niet-lineair	Vrij	Vrij	Vrij	PY-curve-2_V2.B	PY-curve-2_V2.B
(PY-curve-2_V2)31	Lijn	Paal_P_9	9,000 10,000	Vrij	Niet-lineair	Niet-lineair	Vrij	Vrij	Vrij	PY-curve-2_V2	PY-curve-2_V2
(PY-curve-2_V3)20	Lijn	Paal_P_62	10,000 11,000	Vrij	Niet-lineair	Niet-lineair	Vrij	Vrij	Vrij	PY-curve-2_V3.B	PY-curve-2_V3.B
(PY-curve-2_V3)13	Lijn	Paal_P_55	10,000 11,000	Vrij	Niet-lineair	Niet-lineair	Vrij	Vrij	Vrij	PY-curve-2_V3.B	PY-curve-2_V3.B
(PY-curve-2_V3)7	Lijn	Paal_P_29	10,000 11,000	Vrij	Niet-lineair	Niet-lineair	Vrij	Vrij	Vrij	PY-curve-2_V3.B	PY-curve-2_V3.B
(PY-curve-2_V3)11	Lijn	Paal_P_53	10,000 11,000	Vrij	Niet-lineair	Niet-lineair	Vrij	Vrij	Vrij	PY-curve-2_V3.B	PY-curve-2_V3.B
(PY-curve-2_V3)10	Lijn	Paal_P_52	10,000 11,000	Vrij	Niet-lineair	Niet-lineair	Vrij	Vrij	Vrij	PY-curve-2_V3.B	PY-curve-2_V3.B
(PY-curve-2_V3)45	Lijn	Paal_P_31	10,000 11,000	Vrij	Niet-lineair	Niet-lineair	Vrij	Vrij	Vrij	PY-curve-2_V3	PY-curve-2_V3
(PY-curve-2_V3)30	Lijn	Paal_P_8	10,000 11,000	Vrij	Niet-lineair	Niet-lineair	Vrij	Vrij	Vrij	PY-curve-2_V3	PY-curve-2_V3
(PY-curve-2_V3)47	Lijn	Paal_P_33	10,000 11,000	Vrij	Niet-lineair	Niet-lineair	Vrij	Vrij	Vrij	PY-curve-2_V3	PY-curve-2_V3
(PY-curve-2_V3)9	Lijn	Paal_P_51	10,000 11,000	Vrij	Niet-lineair	Niet-lineair	Vrij	Vrij	Vrij	PY-curve-2_V3.B	PY-curve-2_V3.B
(PY-curve-2_V3)5	Lijn	Paal_P_27	10,000 11,000	Vrij	Niet-lineair	Niet-lineair	Vrij	Vrij	Vrij	PY-curve-2_V3.B	PY-curve-2_V3.B
(PY-curve-2_V3)8	Lijn	Paal_P_50	10,000 11,000	Vrij	Niet-lineair	Niet-lineair	Vrij	Vrij	Vrij	PY-curve-2_V3.B	PY-curve-2_V3.B
(PY-curve-2_V3)36	Lijn	Paal_P_14	10,000 11,000	Vrij	Niet-lineair	Niet-lineair	Vrij	Vrij	Vrij	PY-curve-2_V3	PY-curve-2_V3
(PY-curve-2_V3)63	Lijn	Paal_P_49	10,000 11,000	Vrij	Niet-lineair	Niet-lineair	Vrij	Vrij	Vrij	PY-curve-2_V3	PY-curve-2_V3
(PY-curve-2_V3)4	Lijn	Paal_P_26	10,000	Vrij	Niet-lineair	Niet-lineair	Vrij	Vrij	Vrij	PY-curve-2_V3.B	PY-curve-2_V3.B

Naam	Type	Staaf	Pos x_1 [m] Pos x_2 [m]	X	Y	Z	Rx	Ry	Rz	Functie Y	Functie Z
			11,000								
(PY-curve-2_V3)3	Lijn	Paal_P_25	10,000 11,000	Vrij	Niet-lineair	Niet-lineair	Vrij	Vrij	Vrij	PY-curve-2_V3.B	PY-curve-2_V3.B
(PY-curve-2_V3)35	Lijn	Paal_P_13	10,000 11,000	Vrij	Niet-lineair	Niet-lineair	Vrij	Vrij	Vrij	PY-curve-2_V3	PY-curve-2_V3
(PY-curve-2_V3)15	Lijn	Paal_P_57	10,000 11,000	Vrij	Niet-lineair	Niet-lineair	Vrij	Vrij	Vrij	PY-curve-2_V3.B	PY-curve-2_V3.B
(PY-curve-2_V3)59	Lijn	Paal_P_45	10,000 11,000	Vrij	Niet-lineair	Niet-lineair	Vrij	Vrij	Vrij	PY-curve-2_V3	PY-curve-2_V3
(PY-curve-2_V3)2	Lijn	Paal_P_24	10,000 11,000	Vrij	Niet-lineair	Niet-lineair	Vrij	Vrij	Vrij	PY-curve-2_V3.B	PY-curve-2_V3.B
(PY-curve-2_V3)58	Lijn	Paal_P_44	10,000 11,000	Vrij	Niet-lineair	Niet-lineair	Vrij	Vrij	Vrij	PY-curve-2_V3	PY-curve-2_V3
(PY-curve-2_V3)29	Lijn	Paal_P_7	10,000 11,000	Vrij	Niet-lineair	Niet-lineair	Vrij	Vrij	Vrij	PY-curve-2_V3	PY-curve-2_V3
(PY-curve-2_V3)6	Lijn	Paal_P_28	10,000 11,000	Vrij	Niet-lineair	Niet-lineair	Vrij	Vrij	Vrij	PY-curve-2_V3.B	PY-curve-2_V3.B
(PY-curve-2_V3)57	Lijn	Paal_P_43	10,000 11,000	Vrij	Niet-lineair	Niet-lineair	Vrij	Vrij	Vrij	PY-curve-2_V3	PY-curve-2_V3
(PY-curve-2_V3)1	Lijn	Paal_P_23	10,000 11,000	Vrij	Niet-lineair	Niet-lineair	Vrij	Vrij	Vrij	PY-curve-2_V3.B	PY-curve-2_V3.B
(PY-curve-2_V3)18	Lijn	Paal_P_60	10,000 11,000	Vrij	Niet-lineair	Niet-lineair	Vrij	Vrij	Vrij	PY-curve-2_V3.B	PY-curve-2_V3.B
(PY-curve-2_V3)26	Lijn	Paal_P_1	10,000 11,000	Vrij	Niet-lineair	Niet-lineair	Vrij	Vrij	Vrij	PY-curve-2_V3	PY-curve-2_V3
(PY-curve-2_V3)56	Lijn	Paal_P_42	10,000 11,000	Vrij	Niet-lineair	Niet-lineair	Vrij	Vrij	Vrij	PY-curve-2_V3	PY-curve-2_V3
(PY-curve-2_V3)34	Lijn	Paal_P_12	10,000 11,000	Vrij	Niet-lineair	Niet-lineair	Vrij	Vrij	Vrij	PY-curve-2_V3	PY-curve-2_V3
(PY-curve-2_V3)25	Lijn	Paal_P_2	10,000 11,000	Vrij	Niet-lineair	Niet-lineair	Vrij	Vrij	Vrij	PY-curve-2_V3	PY-curve-2_V3
(PY-curve-2_V3)55	Lijn	Paal_P_41	10,000 11,000	Vrij	Niet-lineair	Niet-lineair	Vrij	Vrij	Vrij	PY-curve-2_V3	PY-curve-2_V3
(PY-curve-2_V3)	Lijn	Paal_P_22	10,000 11,000	Vrij	Niet-lineair	Niet-lineair	Vrij	Vrij	Vrij	PY-curve-2_V3.B	PY-curve-2_V3.B
(PY-curve-2_V3)22	Lijn	Paal_P_64	10,000 11,000	Vrij	Niet-lineair	Niet-lineair	Vrij	Vrij	Vrij	PY-curve-2_V3.B	PY-curve-2_V3.B
(PY-curve-2_V3)54	Lijn	Paal_P_40	10,000 11,000	Vrij	Niet-lineair	Niet-lineair	Vrij	Vrij	Vrij	PY-curve-2_V3	PY-curve-2_V3
(PY-curve-2_V3)37	Lijn	Paal_P_15	10,000 11,000	Vrij	Niet-lineair	Niet-lineair	Vrij	Vrij	Vrij	PY-curve-2_V3	PY-curve-2_V3
(PY-curve-2_V3)53	Lijn	Paal_P_39	10,000 11,000	Vrij	Niet-lineair	Niet-lineair	Vrij	Vrij	Vrij	PY-curve-2_V3	PY-curve-2_V3
(PY-curve-2_V3)43	Lijn	Paal_P_21	10,000 11,000	Vrij	Niet-lineair	Niet-lineair	Vrij	Vrij	Vrij	PY-curve-2_V3	PY-curve-2_V3
(PY-curve-2_V3)52	Lijn	Paal_P_38	10,000 11,000	Vrij	Niet-lineair	Niet-lineair	Vrij	Vrij	Vrij	PY-curve-2_V3	PY-curve-2_V3
(PY-curve-2_V3)16	Lijn	Paal_P_58	10,000 11,000	Vrij	Niet-lineair	Niet-lineair	Vrij	Vrij	Vrij	PY-curve-2_V3.B	PY-curve-2_V3.B
(PY-curve-2_V3)33	Lijn	Paal_P_11	10,000 11,000	Vrij	Niet-lineair	Niet-lineair	Vrij	Vrij	Vrij	PY-curve-2_V3	PY-curve-2_V3
(PY-curve-2_V3)61	Lijn	Paal_P_47	10,000 11,000	Vrij	Niet-lineair	Niet-lineair	Vrij	Vrij	Vrij	PY-curve-2_V3	PY-curve-2_V3
(PY-curve-2_V3)51	Lijn	Paal_P_37	10,000 11,000	Vrij	Niet-lineair	Niet-lineair	Vrij	Vrij	Vrij	PY-curve-2_V3	PY-curve-2_V3
(PY-curve-2_V3)42	Lijn	Paal_P_20	10,000 11,000	Vrij	Niet-lineair	Niet-lineair	Vrij	Vrij	Vrij	PY-curve-2_V3	PY-curve-2_V3
(PY-curve-2_V3)50	Lijn	Paal_P_36	10,000 11,000	Vrij	Niet-lineair	Niet-lineair	Vrij	Vrij	Vrij	PY-curve-2_V3	PY-curve-2_V3
(PY-curve-2_V3)24	Lijn	Paal_P_3	10,000 11,000	Vrij	Niet-lineair	Niet-lineair	Vrij	Vrij	Vrij	PY-curve-2_V3	PY-curve-2_V3
(PY-curve-2_V3)44	Lijn	Paal_P_30	10,000 11,000	Vrij	Niet-lineair	Niet-lineair	Vrij	Vrij	Vrij	PY-curve-2_V3	PY-curve-2_V3
(PY-curve-2_V3)28	Lijn	Paal_P_6	10,000	Vrij	Niet-lineair	Niet-lineair	Vrij	Vrij	Vrij	PY-curve-2_V3	PY-curve-2_V3

Naam	Type	Staaf	Pos x_1 [m] Pos x_2 [m]	X	Y	Z	Rx	Ry	Rz	Functie Y	Functie Z
			11,000								
(PY-curve-2_V3)49	Lijn	Paal_P_35	10,000 11,000	Vrij	Niet-lineair	Niet-lineair	Vrij	Vrij	Vrij	PY-curve-2_V3	PY-curve-2_V3
(PY-curve-2_V3)41	Lijn	Paal_P_19	10,000 11,000	Vrij	Niet-lineair	Niet-lineair	Vrij	Vrij	Vrij	PY-curve-2_V3	PY-curve-2_V3
(PY-curve-2_V3)27	Lijn	Paal_P_4	10,000 11,000	Vrij	Niet-lineair	Niet-lineair	Vrij	Vrij	Vrij	PY-curve-2_V3	PY-curve-2_V3
(PY-curve-2_V3)23	Lijn	Paal_P_65	10,000 11,000	Vrij	Niet-lineair	Niet-lineair	Vrij	Vrij	Vrij	PY-curve-2_V3.B	PY-curve-2_V3.B
(PY-curve-2_V3)32	Lijn	Paal_P_10	10,000 11,000	Vrij	Niet-lineair	Niet-lineair	Vrij	Vrij	Vrij	PY-curve-2_V3	PY-curve-2_V3
(PY-curve-2_V3)40	Lijn	Paal_P_18	10,000 11,000	Vrij	Niet-lineair	Niet-lineair	Vrij	Vrij	Vrij	PY-curve-2_V3	PY-curve-2_V3
(PY-curve-2_V3)21	Lijn	Paal_P_63	10,000 11,000	Vrij	Niet-lineair	Niet-lineair	Vrij	Vrij	Vrij	PY-curve-2_V3.B	PY-curve-2_V3.B
(PY-curve-2_V3)62	Lijn	Paal_P_48	10,000 11,000	Vrij	Niet-lineair	Niet-lineair	Vrij	Vrij	Vrij	PY-curve-2_V3	PY-curve-2_V3
(PY-curve-2_V3)12	Lijn	Paal_P_54	10,000 11,000	Vrij	Niet-lineair	Niet-lineair	Vrij	Vrij	Vrij	PY-curve-2_V3.B	PY-curve-2_V3.B
(PY-curve-2_V3)46	Lijn	Paal_P_32	10,000 11,000	Vrij	Niet-lineair	Niet-lineair	Vrij	Vrij	Vrij	PY-curve-2_V3	PY-curve-2_V3
(PY-curve-2_V3)19	Lijn	Paal_P_61	10,000 11,000	Vrij	Niet-lineair	Niet-lineair	Vrij	Vrij	Vrij	PY-curve-2_V3.B	PY-curve-2_V3.B
(PY-curve-2_V3)39	Lijn	Paal_P_17	10,000 11,000	Vrij	Niet-lineair	Niet-lineair	Vrij	Vrij	Vrij	PY-curve-2_V3	PY-curve-2_V3
(PY-curve-2_V3)17	Lijn	Paal_P_59	10,000 11,000	Vrij	Niet-lineair	Niet-lineair	Vrij	Vrij	Vrij	PY-curve-2_V3.B	PY-curve-2_V3.B
(PY-curve-2_V3)48	Lijn	Paal_P_34	10,000 11,000	Vrij	Niet-lineair	Niet-lineair	Vrij	Vrij	Vrij	PY-curve-2_V3	PY-curve-2_V3
(PY-curve-2_V3)31	Lijn	Paal_P_9	10,000 11,000	Vrij	Niet-lineair	Niet-lineair	Vrij	Vrij	Vrij	PY-curve-2_V3	PY-curve-2_V3
(PY-curve-2_V3)38	Lijn	Paal_P_16	10,000 11,000	Vrij	Niet-lineair	Niet-lineair	Vrij	Vrij	Vrij	PY-curve-2_V3	PY-curve-2_V3
(PY-curve-2_V3)60	Lijn	Paal_P_46	10,000 11,000	Vrij	Niet-lineair	Niet-lineair	Vrij	Vrij	Vrij	PY-curve-2_V3	PY-curve-2_V3
(PY-curve-2_V3)14	Lijn	Paal_P_56	10,000 11,000	Vrij	Niet-lineair	Niet-lineair	Vrij	Vrij	Vrij	PY-curve-2_V3.B	PY-curve-2_V3.B
(PY-curve-2_V4)12	Lijn	Paal_P_54	11,000 12,000	Vrij	Niet-lineair	Niet-lineair	Vrij	Vrij	Vrij	PY-curve-2_V4.B	PY-curve-2_V4.B
(PY-curve-2_V4)26	Lijn	Paal_P_1	11,000 12,000	Vrij	Niet-lineair	Niet-lineair	Vrij	Vrij	Vrij	PY-curve-2_V4	PY-curve-2_V4
(PY-curve-2_V4)37	Lijn	Paal_P_15	11,000 12,000	Vrij	Niet-lineair	Niet-lineair	Vrij	Vrij	Vrij	PY-curve-2_V4	PY-curve-2_V4
(PY-curve-2_V4)11	Lijn	Paal_P_53	11,000 12,000	Vrij	Niet-lineair	Niet-lineair	Vrij	Vrij	Vrij	PY-curve-2_V4.B	PY-curve-2_V4.B
(PY-curve-2_V4)6	Lijn	Paal_P_28	11,000 12,000	Vrij	Niet-lineair	Niet-lineair	Vrij	Vrij	Vrij	PY-curve-2_V4.B	PY-curve-2_V4.B
(PY-curve-2_V4)10	Lijn	Paal_P_52	11,000 12,000	Vrij	Niet-lineair	Niet-lineair	Vrij	Vrij	Vrij	PY-curve-2_V4.B	PY-curve-2_V4.B
(PY-curve-2_V4)5	Lijn	Paal_P_27	11,000 12,000	Vrij	Niet-lineair	Niet-lineair	Vrij	Vrij	Vrij	PY-curve-2_V4.B	PY-curve-2_V4.B
(PY-curve-2_V4)25	Lijn	Paal_P_2	11,000 12,000	Vrij	Niet-lineair	Niet-lineair	Vrij	Vrij	Vrij	PY-curve-2_V4	PY-curve-2_V4
(PY-curve-2_V4)36	Lijn	Paal_P_14	11,000 12,000	Vrij	Niet-lineair	Niet-lineair	Vrij	Vrij	Vrij	PY-curve-2_V4	PY-curve-2_V4
(PY-curve-2_V4)8	Lijn	Paal_P_50	11,000 12,000	Vrij	Niet-lineair	Niet-lineair	Vrij	Vrij	Vrij	PY-curve-2_V4.B	PY-curve-2_V4.B
(PY-curve-2_V4)4	Lijn	Paal_P_26	11,000 12,000	Vrij	Niet-lineair	Niet-lineair	Vrij	Vrij	Vrij	PY-curve-2_V4.B	PY-curve-2_V4.B
(PY-curve-2_V4)62	Lijn	Paal_P_48	11,000 12,000	Vrij	Niet-lineair	Niet-lineair	Vrij	Vrij	Vrij	PY-curve-2_V4	PY-curve-2_V4
(PY-curve-2_V4)24	Lijn	Paal_P_3	11,000 12,000	Vrij	Niet-lineair	Niet-lineair	Vrij	Vrij	Vrij	PY-curve-2_V4	PY-curve-2_V4
(PY-curve-2_V4)3	Lijn	Paal_P_25	11,000	Vrij	Niet-lineair	Niet-lineair	Vrij	Vrij	Vrij	PY-curve-2_V4.B	PY-curve-2_V4.B

Naam	Type	Staaf	Pos x_1 [m] Pos x_2 [m]	X	Y	Z	Rx	Ry	Rz	Functie Y	Functie Z
			12,000								
(PY-curve-2_V4)45	Lijn	Paal_P_31	11,000 12,000	Vrij	Niet-lineair	Niet-lineair	Vrij	Vrij	Vrij	PY-curve-2_V4	PY-curve-2_V4
(PY-curve-2_V4)35	Lijn	Paal_P_13	11,000 12,000	Vrij	Niet-lineair	Niet-lineair	Vrij	Vrij	Vrij	PY-curve-2_V4	PY-curve-2_V4
(PY-curve-2_V4)60	Lijn	Paal_P_46	11,000 12,000	Vrij	Niet-lineair	Niet-lineair	Vrij	Vrij	Vrij	PY-curve-2_V4	PY-curve-2_V4
(PY-curve-2_V4)15	Lijn	Paal_P_57	11,000 12,000	Vrij	Niet-lineair	Niet-lineair	Vrij	Vrij	Vrij	PY-curve-2_V4.B	PY-curve-2_V4.B
(PY-curve-2_V4)59	Lijn	Paal_P_45	11,000 12,000	Vrij	Niet-lineair	Niet-lineair	Vrij	Vrij	Vrij	PY-curve-2_V4	PY-curve-2_V4
(PY-curve-2_V4)2	Lijn	Paal_P_24	11,000 12,000	Vrij	Niet-lineair	Niet-lineair	Vrij	Vrij	Vrij	PY-curve-2_V4.B	PY-curve-2_V4.B
(PY-curve-2_V4)29	Lijn	Paal_P_7	11,000 12,000	Vrij	Niet-lineair	Niet-lineair	Vrij	Vrij	Vrij	PY-curve-2_V4	PY-curve-2_V4
(PY-curve-2_V4)9	Lijn	Paal_P_51	11,000 12,000	Vrij	Niet-lineair	Niet-lineair	Vrij	Vrij	Vrij	PY-curve-2_V4.B	PY-curve-2_V4.B
(PY-curve-2_V4)58	Lijn	Paal_P_44	11,000 12,000	Vrij	Niet-lineair	Niet-lineair	Vrij	Vrij	Vrij	PY-curve-2_V4	PY-curve-2_V4
(PY-curve-2_V4)57	Lijn	Paal_P_43	11,000 12,000	Vrij	Niet-lineair	Niet-lineair	Vrij	Vrij	Vrij	PY-curve-2_V4	PY-curve-2_V4
(PY-curve-2_V4)1	Lijn	Paal_P_23	11,000 12,000	Vrij	Niet-lineair	Niet-lineair	Vrij	Vrij	Vrij	PY-curve-2_V4.B	PY-curve-2_V4.B
(PY-curve-2_V4)34	Lijn	Paal_P_12	11,000 12,000	Vrij	Niet-lineair	Niet-lineair	Vrij	Vrij	Vrij	PY-curve-2_V4	PY-curve-2_V4
(PY-curve-2_V4)56	Lijn	Paal_P_42	11,000 12,000	Vrij	Niet-lineair	Niet-lineair	Vrij	Vrij	Vrij	PY-curve-2_V4	PY-curve-2_V4
(PY-curve-2_V4)55	Lijn	Paal_P_41	11,000 12,000	Vrij	Niet-lineair	Niet-lineair	Vrij	Vrij	Vrij	PY-curve-2_V4	PY-curve-2_V4
(PY-curve-2_V4)	Lijn	Paal_P_22	11,000 12,000	Vrij	Niet-lineair	Niet-lineair	Vrij	Vrij	Vrij	PY-curve-2_V4.B	PY-curve-2_V4.B
(PY-curve-2_V4)54	Lijn	Paal_P_40	11,000 12,000	Vrij	Niet-lineair	Niet-lineair	Vrij	Vrij	Vrij	PY-curve-2_V4	PY-curve-2_V4
(PY-curve-2_V4)20	Lijn	Paal_P_62	11,000 12,000	Vrij	Niet-lineair	Niet-lineair	Vrij	Vrij	Vrij	PY-curve-2_V4.B	PY-curve-2_V4.B
(PY-curve-2_V4)53	Lijn	Paal_P_39	11,000 12,000	Vrij	Niet-lineair	Niet-lineair	Vrij	Vrij	Vrij	PY-curve-2_V4	PY-curve-2_V4
(PY-curve-2_V4)43	Lijn	Paal_P_21	11,000 12,000	Vrij	Niet-lineair	Niet-lineair	Vrij	Vrij	Vrij	PY-curve-2_V4	PY-curve-2_V4
(PY-curve-2_V4)33	Lijn	Paal_P_11	11,000 12,000	Vrij	Niet-lineair	Niet-lineair	Vrij	Vrij	Vrij	PY-curve-2_V4	PY-curve-2_V4
(PY-curve-2_V4)52	Lijn	Paal_P_38	11,000 12,000	Vrij	Niet-lineair	Niet-lineair	Vrij	Vrij	Vrij	PY-curve-2_V4	PY-curve-2_V4
(PY-curve-2_V4)61	Lijn	Paal_P_47	11,000 12,000	Vrij	Niet-lineair	Niet-lineair	Vrij	Vrij	Vrij	PY-curve-2_V4	PY-curve-2_V4
(PY-curve-2_V4)51	Lijn	Paal_P_37	11,000 12,000	Vrij	Niet-lineair	Niet-lineair	Vrij	Vrij	Vrij	PY-curve-2_V4	PY-curve-2_V4
(PY-curve-2_V4)42	Lijn	Paal_P_20	11,000 12,000	Vrij	Niet-lineair	Niet-lineair	Vrij	Vrij	Vrij	PY-curve-2_V4	PY-curve-2_V4
(PY-curve-2_V4)28	Lijn	Paal_P_6	11,000 12,000	Vrij	Niet-lineair	Niet-lineair	Vrij	Vrij	Vrij	PY-curve-2_V4	PY-curve-2_V4
(PY-curve-2_V4)50	Lijn	Paal_P_36	11,000 12,000	Vrij	Niet-lineair	Niet-lineair	Vrij	Vrij	Vrij	PY-curve-2_V4	PY-curve-2_V4
(PY-curve-2_V4)30	Lijn	Paal_P_8	11,000 12,000	Vrij	Niet-lineair	Niet-lineair	Vrij	Vrij	Vrij	PY-curve-2_V4	PY-curve-2_V4
(PY-curve-2_V4)49	Lijn	Paal_P_35	11,000 12,000	Vrij	Niet-lineair	Niet-lineair	Vrij	Vrij	Vrij	PY-curve-2_V4	PY-curve-2_V4
(PY-curve-2_V4)41	Lijn	Paal_P_19	11,000 12,000	Vrij	Niet-lineair	Niet-lineair	Vrij	Vrij	Vrij	PY-curve-2_V4	PY-curve-2_V4
(PY-curve-2_V4)31	Lijn	Paal_P_9	11,000 12,000	Vrij	Niet-lineair	Niet-lineair	Vrij	Vrij	Vrij	PY-curve-2_V4	PY-curve-2_V4
(PY-curve-2_V4)7	Lijn	Paal_P_29	11,000 12,000	Vrij	Niet-lineair	Niet-lineair	Vrij	Vrij	Vrij	PY-curve-2_V4.B	PY-curve-2_V4.B
(PY-curve-2_V4)23	Lijn	Paal_P_65	11,000	Vrij	Niet-lineair	Niet-lineair	Vrij	Vrij	Vrij	PY-curve-2_V4.B	PY-curve-2_V4.B

Naam	Type	Staaf	Pos x_1 [m] Pos x_2 [m]	X	Y	Z	Rx	Ry	Rz	Functie Y	Functie Z
			12,000								
(PY-curve-2_V4)47	Lijn	Paal_P_33	11,000 12,000	Vrij	Niet-lineair	Niet-lineair	Vrij	Vrij	Vrij	PY-curve-2_V4	PY-curve-2_V4
(PY-curve-2_V4)40	Lijn	Paal_P_18	11,000 12,000	Vrij	Niet-lineair	Niet-lineair	Vrij	Vrij	Vrij	PY-curve-2_V4	PY-curve-2_V4
(PY-curve-2_V4)17	Lijn	Paal_P_59	11,000 12,000	Vrij	Niet-lineair	Niet-lineair	Vrij	Vrij	Vrij	PY-curve-2_V4.B	PY-curve-2_V4.B
(PY-curve-2_V4)46	Lijn	Paal_P_32	11,000 12,000	Vrij	Niet-lineair	Niet-lineair	Vrij	Vrij	Vrij	PY-curve-2_V4	PY-curve-2_V4
(PY-curve-2_V4)63	Lijn	Paal_P_49	11,000 12,000	Vrij	Niet-lineair	Niet-lineair	Vrij	Vrij	Vrij	PY-curve-2_V4	PY-curve-2_V4
(PY-curve-2_V4)13	Lijn	Paal_P_55	11,000 12,000	Vrij	Niet-lineair	Niet-lineair	Vrij	Vrij	Vrij	PY-curve-2_V4.B	PY-curve-2_V4.B
(PY-curve-2_V4)39	Lijn	Paal_P_17	11,000 12,000	Vrij	Niet-lineair	Niet-lineair	Vrij	Vrij	Vrij	PY-curve-2_V4	PY-curve-2_V4
(PY-curve-2_V4)18	Lijn	Paal_P_60	11,000 12,000	Vrij	Niet-lineair	Niet-lineair	Vrij	Vrij	Vrij	PY-curve-2_V4.B	PY-curve-2_V4.B
(PY-curve-2_V4)44	Lijn	Paal_P_30	11,000 12,000	Vrij	Niet-lineair	Niet-lineair	Vrij	Vrij	Vrij	PY-curve-2_V4	PY-curve-2_V4
(PY-curve-2_V4)21	Lijn	Paal_P_63	11,000 12,000	Vrij	Niet-lineair	Niet-lineair	Vrij	Vrij	Vrij	PY-curve-2_V4.B	PY-curve-2_V4.B
(PY-curve-2_V4)16	Lijn	Paal_P_58	11,000 12,000	Vrij	Niet-lineair	Niet-lineair	Vrij	Vrij	Vrij	PY-curve-2_V4.B	PY-curve-2_V4.B
(PY-curve-2_V4)32	Lijn	Paal_P_10	11,000 12,000	Vrij	Niet-lineair	Niet-lineair	Vrij	Vrij	Vrij	PY-curve-2_V4	PY-curve-2_V4
(PY-curve-2_V4)48	Lijn	Paal_P_34	11,000 12,000	Vrij	Niet-lineair	Niet-lineair	Vrij	Vrij	Vrij	PY-curve-2_V4	PY-curve-2_V4
(PY-curve-2_V4)38	Lijn	Paal_P_16	11,000 12,000	Vrij	Niet-lineair	Niet-lineair	Vrij	Vrij	Vrij	PY-curve-2_V4	PY-curve-2_V4
(PY-curve-2_V4)19	Lijn	Paal_P_61	11,000 12,000	Vrij	Niet-lineair	Niet-lineair	Vrij	Vrij	Vrij	PY-curve-2_V4.B	PY-curve-2_V4.B
(PY-curve-2_V4)14	Lijn	Paal_P_56	11,000 12,000	Vrij	Niet-lineair	Niet-lineair	Vrij	Vrij	Vrij	PY-curve-2_V4.B	PY-curve-2_V4.B
(PY-curve-2_V4)22	Lijn	Paal_P_64	11,000 12,000	Vrij	Niet-lineair	Niet-lineair	Vrij	Vrij	Vrij	PY-curve-2_V4.B	PY-curve-2_V4.B
(PY-curve-2_V4)27	Lijn	Paal_P_4	11,000 12,000	Vrij	Niet-lineair	Niet-lineair	Vrij	Vrij	Vrij	PY-curve-2_V4	PY-curve-2_V4
(PY-curve-2_V5)53	Lijn	Paal_P_55	12,000 13,000	Vrij	Niet-lineair	Niet-lineair	Vrij	Vrij	Vrij	PY-curve-2_V5.B	PY-curve-2_V5.B
(PY-curve-2_V5)13	Lijn	Paal_P_15	12,000 13,000	Vrij	Niet-lineair	Niet-lineair	Vrij	Vrij	Vrij	PY-curve-2_V5	PY-curve-2_V5
(PY-curve-2_V5)51	Lijn	Paal_P_53	12,000 13,000	Vrij	Niet-lineair	Niet-lineair	Vrij	Vrij	Vrij	PY-curve-2_V5.B	PY-curve-2_V5.B
(PY-curve-2_V5)6	Lijn	Paal_P_8	12,000 13,000	Vrij	Niet-lineair	Niet-lineair	Vrij	Vrij	Vrij	PY-curve-2_V5	PY-curve-2_V5
(PY-curve-2_V5)45	Lijn	Paal_P_28	12,000 13,000	Vrij	Niet-lineair	Niet-lineair	Vrij	Vrij	Vrij	PY-curve-2_V5.B	PY-curve-2_V5.B
(PY-curve-2_V5)50	Lijn	Paal_P_52	12,000 13,000	Vrij	Niet-lineair	Niet-lineair	Vrij	Vrij	Vrij	PY-curve-2_V5.B	PY-curve-2_V5.B
(PY-curve-2_V5)44	Lijn	Paal_P_27	12,000 13,000	Vrij	Niet-lineair	Niet-lineair	Vrij	Vrij	Vrij	PY-curve-2_V5.B	PY-curve-2_V5.B
(PY-curve-2_V5)12	Lijn	Paal_P_14	12,000 13,000	Vrij	Niet-lineair	Niet-lineair	Vrij	Vrij	Vrij	PY-curve-2_V5	PY-curve-2_V5
(PY-curve-2_V5)48	Lijn	Paal_P_50	12,000 13,000	Vrij	Niet-lineair	Niet-lineair	Vrij	Vrij	Vrij	PY-curve-2_V5.B	PY-curve-2_V5.B
(PY-curve-2_V5)27	Lijn	Paal_P_49	12,000 13,000	Vrij	Niet-lineair	Niet-lineair	Vrij	Vrij	Vrij	PY-curve-2_V5	PY-curve-2_V5
(PY-curve-2_V5)26	Lijn	Paal_P_48	12,000 13,000	Vrij	Niet-lineair	Niet-lineair	Vrij	Vrij	Vrij	PY-curve-2_V5	PY-curve-2_V5
(PY-curve-2_V5)43	Lijn	Paal_P_25	12,000 13,000	Vrij	Niet-lineair	Niet-lineair	Vrij	Vrij	Vrij	PY-curve-2_V5.B	PY-curve-2_V5.B
(PY-curve-2_V5)25	Lijn	Paal_P_47	12,000 13,000	Vrij	Niet-lineair	Niet-lineair	Vrij	Vrij	Vrij	PY-curve-2_V5	PY-curve-2_V5
(PY-curve-2_V5)11	Lijn	Paal_P_13	12,000	Vrij	Niet-lineair	Niet-lineair	Vrij	Vrij	Vrij	PY-curve-2_V5	PY-curve-2_V5

Naam	Type	Staaf	Pos x_1 [m] Pos x_2 [m]	X	Y	Z	Rx	Ry	Rz	Functie Y	Functie Z
			13,000								
(PY-curve-2_V5)49	Lijn	Paal_P_51	12,000 13,000	Vrij	Niet-lineair	Niet-lineair	Vrij	Vrij	Vrij	PY-curve-2_V5.B	PY-curve-2_V5.B
(PY-curve-2_V5)23	Lijn	Paal_P_46	12,000 13,000	Vrij	Niet-lineair	Niet-lineair	Vrij	Vrij	Vrij	PY-curve-2_V5	PY-curve-2_V5
(PY-curve-2_V5)5	Lijn	Paal_P_7	12,000 13,000	Vrij	Niet-lineair	Niet-lineair	Vrij	Vrij	Vrij	PY-curve-2_V5	PY-curve-2_V5
(PY-curve-2_V5)42	Lijn	Paal_P_24	12,000 13,000	Vrij	Niet-lineair	Niet-lineair	Vrij	Vrij	Vrij	PY-curve-2_V5.B	PY-curve-2_V5.B
(PY-curve-2_V5)22	Lijn	Paal_P_45	12,000 13,000	Vrij	Niet-lineair	Niet-lineair	Vrij	Vrij	Vrij	PY-curve-2_V5	PY-curve-2_V5
(PY-curve-2_V5)21	Lijn	Paal_P_44	12,000 13,000	Vrij	Niet-lineair	Niet-lineair	Vrij	Vrij	Vrij	PY-curve-2_V5	PY-curve-2_V5
(PY-curve-2_V5)41	Lijn	Paal_P_23	12,000 13,000	Vrij	Niet-lineair	Niet-lineair	Vrij	Vrij	Vrij	PY-curve-2_V5.B	PY-curve-2_V5.B
(PY-curve-2_V5)20	Lijn	Paal_P_43	12,000 13,000	Vrij	Niet-lineair	Niet-lineair	Vrij	Vrij	Vrij	PY-curve-2_V5	PY-curve-2_V5
(PY-curve-2_V5)10	Lijn	Paal_P_12	12,000 13,000	Vrij	Niet-lineair	Niet-lineair	Vrij	Vrij	Vrij	PY-curve-2_V5	PY-curve-2_V5
(PY-curve-2_V5)32	Lijn	Paal_P_42	12,000 13,000	Vrij	Niet-lineair	Niet-lineair	Vrij	Vrij	Vrij	PY-curve-2_V5	PY-curve-2_V5
(PY-curve-2_V5)40	Lijn	Paal_P_22	12,000 13,000	Vrij	Niet-lineair	Niet-lineair	Vrij	Vrij	Vrij	PY-curve-2_V5.B	PY-curve-2_V5.B
(PY-curve-2_V5)39	Lijn	Paal_P_41	12,000 13,000	Vrij	Niet-lineair	Niet-lineair	Vrij	Vrij	Vrij	PY-curve-2_V5	PY-curve-2_V5
(PY-curve-2_V5)38	Lijn	Paal_P_40	12,000 13,000	Vrij	Niet-lineair	Niet-lineair	Vrij	Vrij	Vrij	PY-curve-2_V5	PY-curve-2_V5
(PY-curve-2_V5)19	Lijn	Paal_P_21	12,000 13,000	Vrij	Niet-lineair	Niet-lineair	Vrij	Vrij	Vrij	PY-curve-2_V5	PY-curve-2_V5
(PY-curve-2_V5)37	Lijn	Paal_P_39	12,000 13,000	Vrij	Niet-lineair	Niet-lineair	Vrij	Vrij	Vrij	PY-curve-2_V5	PY-curve-2_V5
(PY-curve-2_V5)9	Lijn	Paal_P_11	12,000 13,000	Vrij	Niet-lineair	Niet-lineair	Vrij	Vrij	Vrij	PY-curve-2_V5	PY-curve-2_V5
(PY-curve-2_V5)36	Lijn	Paal_P_38	12,000 13,000	Vrij	Niet-lineair	Niet-lineair	Vrij	Vrij	Vrij	PY-curve-2_V5	PY-curve-2_V5
(PY-curve-2_V5)4	Lijn	Paal_P_6	12,000 13,000	Vrij	Niet-lineair	Niet-lineair	Vrij	Vrij	Vrij	PY-curve-2_V5	PY-curve-2_V5
(PY-curve-2_V5)18	Lijn	Paal_P_20	12,000 13,000	Vrij	Niet-lineair	Niet-lineair	Vrij	Vrij	Vrij	PY-curve-2_V5	PY-curve-2_V5
(PY-curve-2_V5)35	Lijn	Paal_P_37	12,000 13,000	Vrij	Niet-lineair	Niet-lineair	Vrij	Vrij	Vrij	PY-curve-2_V5	PY-curve-2_V5
(PY-curve-2_V5)34	Lijn	Paal_P_36	12,000 13,000	Vrij	Niet-lineair	Niet-lineair	Vrij	Vrij	Vrij	PY-curve-2_V5	PY-curve-2_V5
(PY-curve-2_V5)29	Lijn	Paal_P_31	12,000 13,000	Vrij	Niet-lineair	Niet-lineair	Vrij	Vrij	Vrij	PY-curve-2_V5	PY-curve-2_V5
(PY-curve-2_V5)52	Lijn	Paal_P_54	12,000 13,000	Vrij	Niet-lineair	Niet-lineair	Vrij	Vrij	Vrij	PY-curve-2_V5.B	PY-curve-2_V5.B
(PY-curve-2_V5)17	Lijn	Paal_P_19	12,000 13,000	Vrij	Niet-lineair	Niet-lineair	Vrij	Vrij	Vrij	PY-curve-2_V5	PY-curve-2_V5
(PY-curve-2_V5)33	Lijn	Paal_P_35	12,000 13,000	Vrij	Niet-lineair	Niet-lineair	Vrij	Vrij	Vrij	PY-curve-2_V5	PY-curve-2_V5
(PY-curve-2_V5)8	Lijn	Paal_P_10	12,000 13,000	Vrij	Niet-lineair	Niet-lineair	Vrij	Vrij	Vrij	PY-curve-2_V5	PY-curve-2_V5
(PY-curve-2_V5)63	Lijn	Paal_P_65	12,000 13,000	Vrij	Niet-lineair	Niet-lineair	Vrij	Vrij	Vrij	PY-curve-2_V5.B	PY-curve-2_V5.B
(PY-curve-2_V5)46	Lijn	Paal_P_29	12,000 13,000	Vrij	Niet-lineair	Niet-lineair	Vrij	Vrij	Vrij	PY-curve-2_V5.B	PY-curve-2_V5.B
(PY-curve-2_V5)16	Lijn	Paal_P_18	12,000 13,000	Vrij	Niet-lineair	Niet-lineair	Vrij	Vrij	Vrij	PY-curve-2_V5	PY-curve-2_V5
(PY-curve-2_V5)31	Lijn	Paal_P_33	12,000 13,000	Vrij	Niet-lineair	Niet-lineair	Vrij	Vrij	Vrij	PY-curve-2_V5	PY-curve-2_V5
(PY-curve-2_V5)61	Lijn	Paal_P_63	12,000 13,000	Vrij	Niet-lineair	Niet-lineair	Vrij	Vrij	Vrij	PY-curve-2_V5.B	PY-curve-2_V5.B
(PY-curve-2_V5)30	Lijn	Paal_P_32	12,000	Vrij	Niet-lineair	Niet-lineair	Vrij	Vrij	Vrij	PY-curve-2_V5	PY-curve-2_V5

Naam	Type	Staaf	Pos x_1 [m] Pos x_2 [m]	X	Y	Z	Rx	Ry	Rz	Functie Y	Functie Z
			13,000								
(PY-curve-2_V5)59	Lijn	Paal_P_61	12,000 13,000	Vrij	Niet-lineair	Niet-lineair	Vrij	Vrij	Vrij	PY-curve-2_V5.B	PY-curve-2_V5.B
(PY-curve-2_V5)47	Lijn	Paal_P_26	12,000 13,000	Vrij	Niet-lineair	Niet-lineair	Vrij	Vrij	Vrij	PY-curve-2_V5.B	PY-curve-2_V5.B
(PY-curve-2_V5)15	Lijn	Paal_P_17	12,000 13,000	Vrij	Niet-lineair	Niet-lineair	Vrij	Vrij	Vrij	PY-curve-2_V5	PY-curve-2_V5
(PY-curve-2_V5)58	Lijn	Paal_P_60	12,000 13,000	Vrij	Niet-lineair	Niet-lineair	Vrij	Vrij	Vrij	PY-curve-2_V5.B	PY-curve-2_V5.B
(PY-curve-2_V5)1	Lijn	Paal_P_2	12,000 13,000	Vrij	Niet-lineair	Niet-lineair	Vrij	Vrij	Vrij	PY-curve-2_V5	PY-curve-2_V5
(PY-curve-2_V5)7	Lijn	Paal_P_9	12,000 13,000	Vrij	Niet-lineair	Niet-lineair	Vrij	Vrij	Vrij	PY-curve-2_V5	PY-curve-2_V5
(PY-curve-2_V5)2	Lijn	Paal_P_1	12,000 13,000	Vrij	Niet-lineair	Niet-lineair	Vrij	Vrij	Vrij	PY-curve-2_V5	PY-curve-2_V5
(PY-curve-2_V5)57	Lijn	Paal_P_59	12,000 13,000	Vrij	Niet-lineair	Niet-lineair	Vrij	Vrij	Vrij	PY-curve-2_V5.B	PY-curve-2_V5.B
(PY-curve-2_V5)28	Lijn	Paal_P_30	12,000 13,000	Vrij	Niet-lineair	Niet-lineair	Vrij	Vrij	Vrij	PY-curve-2_V5	PY-curve-2_V5
(PY-curve-2_V5)56	Lijn	Paal_P_58	12,000 13,000	Vrij	Niet-lineair	Niet-lineair	Vrij	Vrij	Vrij	PY-curve-2_V5.B	PY-curve-2_V5.B
(PY-curve-2_V5)24	Lijn	Paal_P_34	12,000 13,000	Vrij	Niet-lineair	Niet-lineair	Vrij	Vrij	Vrij	PY-curve-2_V5	PY-curve-2_V5
(PY-curve-2_V5)60	Lijn	Paal_P_62	12,000 13,000	Vrij	Niet-lineair	Niet-lineair	Vrij	Vrij	Vrij	PY-curve-2_V5.B	PY-curve-2_V5.B
(PY-curve-2_V5)55	Lijn	Paal_P_57	12,000 13,000	Vrij	Niet-lineair	Niet-lineair	Vrij	Vrij	Vrij	PY-curve-2_V5.B	PY-curve-2_V5.B
(PY-curve-2_V5)3	Lijn	Paal_P_4	12,000 13,000	Vrij	Niet-lineair	Niet-lineair	Vrij	Vrij	Vrij	PY-curve-2_V5	PY-curve-2_V5
(PY-curve-2_V5)14	Lijn	Paal_P_16	12,000 13,000	Vrij	Niet-lineair	Niet-lineair	Vrij	Vrij	Vrij	PY-curve-2_V5	PY-curve-2_V5
(PY-curve-2_V5)	Lijn	Paal_P_3	12,000 13,000	Vrij	Niet-lineair	Niet-lineair	Vrij	Vrij	Vrij	PY-curve-2_V5	PY-curve-2_V5
(PY-curve-2_V5)54	Lijn	Paal_P_56	12,000 13,000	Vrij	Niet-lineair	Niet-lineair	Vrij	Vrij	Vrij	PY-curve-2_V5.B	PY-curve-2_V5.B
(PY-curve-2_V5)62	Lijn	Paal_P_64	12,000 13,000	Vrij	Niet-lineair	Niet-lineair	Vrij	Vrij	Vrij	PY-curve-2_V5.B	PY-curve-2_V5.B
(PY-curve-2_V6)53	Lijn	Paal_P_55	13,000 14,000	Vrij	Niet-lineair	Niet-lineair	Vrij	Vrij	Vrij	PY-curve-2_V6.B	PY-curve-2_V6.B
(PY-curve-2_V6)46	Lijn	Paal_P_29	13,000 14,000	Vrij	Niet-lineair	Niet-lineair	Vrij	Vrij	Vrij	PY-curve-2_V6.B	PY-curve-2_V6.B
(PY-curve-2_V6)13	Lijn	Paal_P_15	13,000 14,000	Vrij	Niet-lineair	Niet-lineair	Vrij	Vrij	Vrij	PY-curve-2_V6	PY-curve-2_V6
(PY-curve-2_V6)52	Lijn	Paal_P_54	13,000 14,000	Vrij	Niet-lineair	Niet-lineair	Vrij	Vrij	Vrij	PY-curve-2_V6.B	PY-curve-2_V6.B
(PY-curve-2_V6)6	Lijn	Paal_P_8	13,000 14,000	Vrij	Niet-lineair	Niet-lineair	Vrij	Vrij	Vrij	PY-curve-2_V6	PY-curve-2_V6
(PY-curve-2_V6)51	Lijn	Paal_P_53	13,000 14,000	Vrij	Niet-lineair	Niet-lineair	Vrij	Vrij	Vrij	PY-curve-2_V6.B	PY-curve-2_V6.B
(PY-curve-2_V6)45	Lijn	Paal_P_28	13,000 14,000	Vrij	Niet-lineair	Niet-lineair	Vrij	Vrij	Vrij	PY-curve-2_V6.B	PY-curve-2_V6.B
(PY-curve-2_V6)50	Lijn	Paal_P_52	13,000 14,000	Vrij	Niet-lineair	Niet-lineair	Vrij	Vrij	Vrij	PY-curve-2_V6.B	PY-curve-2_V6.B
(PY-curve-2_V6)49	Lijn	Paal_P_51	13,000 14,000	Vrij	Niet-lineair	Niet-lineair	Vrij	Vrij	Vrij	PY-curve-2_V6.B	PY-curve-2_V6.B
(PY-curve-2_V6)44	Lijn	Paal_P_27	13,000 14,000	Vrij	Niet-lineair	Niet-lineair	Vrij	Vrij	Vrij	PY-curve-2_V6.B	PY-curve-2_V6.B
(PY-curve-2_V6)12	Lijn	Paal_P_14	13,000 14,000	Vrij	Niet-lineair	Niet-lineair	Vrij	Vrij	Vrij	PY-curve-2_V6	PY-curve-2_V6
(PY-curve-2_V6)48	Lijn	Paal_P_50	13,000 14,000	Vrij	Niet-lineair	Niet-lineair	Vrij	Vrij	Vrij	PY-curve-2_V6.B	PY-curve-2_V6.B
(PY-curve-2_V6)47	Lijn	Paal_P_26	13,000 14,000	Vrij	Niet-lineair	Niet-lineair	Vrij	Vrij	Vrij	PY-curve-2_V6.B	PY-curve-2_V6.B
(PY-curve-2_V6)27	Lijn	Paal_P_49	13,000	Vrij	Niet-lineair	Niet-lineair	Vrij	Vrij	Vrij	PY-curve-2_V6	PY-curve-2_V6

Naam	Type	Staaf	Pos x_1 [m] Pos x_2 [m]	X	Y	Z	Rx	Ry	Rz	Functie Y	Functie Z
			14,000								
(PY-curve-2_V6)26	Lijn	Paal_P_48	13,000 14,000	Vrij	Niet-lineair	Niet-lineair	Vrij	Vrij	Vrij	PY-curve-2_V6	PY-curve-2_V6
(PY-curve-2_V6)43	Lijn	Paal_P_25	13,000 14,000	Vrij	Niet-lineair	Niet-lineair	Vrij	Vrij	Vrij	PY-curve-2_V6.B	PY-curve-2_V6.B
(PY-curve-2_V6)25	Lijn	Paal_P_47	13,000 14,000	Vrij	Niet-lineair	Niet-lineair	Vrij	Vrij	Vrij	PY-curve-2_V6	PY-curve-2_V6
(PY-curve-2_V6)11	Lijn	Paal_P_13	13,000 14,000	Vrij	Niet-lineair	Niet-lineair	Vrij	Vrij	Vrij	PY-curve-2_V6	PY-curve-2_V6
(PY-curve-2_V6)5	Lijn	Paal_P_7	13,000 14,000	Vrij	Niet-lineair	Niet-lineair	Vrij	Vrij	Vrij	PY-curve-2_V6	PY-curve-2_V6
(PY-curve-2_V6)23	Lijn	Paal_P_46	13,000 14,000	Vrij	Niet-lineair	Niet-lineair	Vrij	Vrij	Vrij	PY-curve-2_V6	PY-curve-2_V6
(PY-curve-2_V6)42	Lijn	Paal_P_24	13,000 14,000	Vrij	Niet-lineair	Niet-lineair	Vrij	Vrij	Vrij	PY-curve-2_V6.B	PY-curve-2_V6.B
(PY-curve-2_V6)22	Lijn	Paal_P_45	13,000 14,000	Vrij	Niet-lineair	Niet-lineair	Vrij	Vrij	Vrij	PY-curve-2_V6	PY-curve-2_V6
(PY-curve-2_V6)21	Lijn	Paal_P_44	13,000 14,000	Vrij	Niet-lineair	Niet-lineair	Vrij	Vrij	Vrij	PY-curve-2_V6	PY-curve-2_V6
(PY-curve-2_V6)41	Lijn	Paal_P_23	13,000 14,000	Vrij	Niet-lineair	Niet-lineair	Vrij	Vrij	Vrij	PY-curve-2_V6.B	PY-curve-2_V6.B
(PY-curve-2_V6)20	Lijn	Paal_P_43	13,000 14,000	Vrij	Niet-lineair	Niet-lineair	Vrij	Vrij	Vrij	PY-curve-2_V6	PY-curve-2_V6
(PY-curve-2_V6)10	Lijn	Paal_P_12	13,000 14,000	Vrij	Niet-lineair	Niet-lineair	Vrij	Vrij	Vrij	PY-curve-2_V6	PY-curve-2_V6
(PY-curve-2_V6)32	Lijn	Paal_P_42	13,000 14,000	Vrij	Niet-lineair	Niet-lineair	Vrij	Vrij	Vrij	PY-curve-2_V6	PY-curve-2_V6
(PY-curve-2_V6)40	Lijn	Paal_P_22	13,000 14,000	Vrij	Niet-lineair	Niet-lineair	Vrij	Vrij	Vrij	PY-curve-2_V6.B	PY-curve-2_V6.B
(PY-curve-2_V6)39	Lijn	Paal_P_41	13,000 14,000	Vrij	Niet-lineair	Niet-lineair	Vrij	Vrij	Vrij	PY-curve-2_V6	PY-curve-2_V6
(PY-curve-2_V6)38	Lijn	Paal_P_40	13,000 14,000	Vrij	Niet-lineair	Niet-lineair	Vrij	Vrij	Vrij	PY-curve-2_V6	PY-curve-2_V6
(PY-curve-2_V6)19	Lijn	Paal_P_21	13,000 14,000	Vrij	Niet-lineair	Niet-lineair	Vrij	Vrij	Vrij	PY-curve-2_V6	PY-curve-2_V6
(PY-curve-2_V6)37	Lijn	Paal_P_39	13,000 14,000	Vrij	Niet-lineair	Niet-lineair	Vrij	Vrij	Vrij	PY-curve-2_V6	PY-curve-2_V6
(PY-curve-2_V6)9	Lijn	Paal_P_11	13,000 14,000	Vrij	Niet-lineair	Niet-lineair	Vrij	Vrij	Vrij	PY-curve-2_V6	PY-curve-2_V6
(PY-curve-2_V6)4	Lijn	Paal_P_6	13,000 14,000	Vrij	Niet-lineair	Niet-lineair	Vrij	Vrij	Vrij	PY-curve-2_V6	PY-curve-2_V6
(PY-curve-2_V6)36	Lijn	Paal_P_38	13,000 14,000	Vrij	Niet-lineair	Niet-lineair	Vrij	Vrij	Vrij	PY-curve-2_V6	PY-curve-2_V6
(PY-curve-2_V6)2	Lijn	Paal_P_1	13,000 14,000	Vrij	Niet-lineair	Niet-lineair	Vrij	Vrij	Vrij	PY-curve-2_V6	PY-curve-2_V6
(PY-curve-2_V6)18	Lijn	Paal_P_20	13,000 14,000	Vrij	Niet-lineair	Niet-lineair	Vrij	Vrij	Vrij	PY-curve-2_V6	PY-curve-2_V6
(PY-curve-2_V6)35	Lijn	Paal_P_37	13,000 14,000	Vrij	Niet-lineair	Niet-lineair	Vrij	Vrij	Vrij	PY-curve-2_V6	PY-curve-2_V6
(PY-curve-2_V6)34	Lijn	Paal_P_36	13,000 14,000	Vrij	Niet-lineair	Niet-lineair	Vrij	Vrij	Vrij	PY-curve-2_V6	PY-curve-2_V6
(PY-curve-2_V6)1	Lijn	Paal_P_2	13,000 14,000	Vrij	Niet-lineair	Niet-lineair	Vrij	Vrij	Vrij	PY-curve-2_V6	PY-curve-2_V6
(PY-curve-2_V6)17	Lijn	Paal_P_19	13,000 14,000	Vrij	Niet-lineair	Niet-lineair	Vrij	Vrij	Vrij	PY-curve-2_V6	PY-curve-2_V6
(PY-curve-2_V6)33	Lijn	Paal_P_35	13,000 14,000	Vrij	Niet-lineair	Niet-lineair	Vrij	Vrij	Vrij	PY-curve-2_V6	PY-curve-2_V6
(PY-curve-2_V6)8	Lijn	Paal_P_10	13,000 14,000	Vrij	Niet-lineair	Niet-lineair	Vrij	Vrij	Vrij	PY-curve-2_V6	PY-curve-2_V6
(PY-curve-2_V6)24	Lijn	Paal_P_34	13,000 14,000	Vrij	Niet-lineair	Niet-lineair	Vrij	Vrij	Vrij	PY-curve-2_V6	PY-curve-2_V6
(PY-curve-2_V6)62	Lijn	Paal_P_64	13,000 14,000	Vrij	Niet-lineair	Niet-lineair	Vrij	Vrij	Vrij	PY-curve-2_V6.B	PY-curve-2_V6.B
(PY-curve-2_V6)16	Lijn	Paal_P_18	13,000	Vrij	Niet-lineair	Niet-lineair	Vrij	Vrij	Vrij	PY-curve-2_V6	PY-curve-2_V6

Naam	Type	Staaf	Pos x_1 [m] Pos x_2 [m]	X	Y	Z	Rx	Ry	Rz	Functie Y	Functie Z
			14,000								
(PY-curve-2_V6)31	Lijn	Paal_P_33	13,000 14,000	Vrij	Niet-lineair	Niet-lineair	Vrij	Vrij	Vrij	PY-curve-2_V6	PY-curve-2_V6
(PY-curve-2_V6)61	Lijn	Paal_P_63	13,000 14,000	Vrij	Niet-lineair	Niet-lineair	Vrij	Vrij	Vrij	PY-curve-2_V6.B	PY-curve-2_V6.B
(PY-curve-2_V6)30	Lijn	Paal_P_32	13,000 14,000	Vrij	Niet-lineair	Niet-lineair	Vrij	Vrij	Vrij	PY-curve-2_V6	PY-curve-2_V6
(PY-curve-2_V6)60	Lijn	Paal_P_62	13,000 14,000	Vrij	Niet-lineair	Niet-lineair	Vrij	Vrij	Vrij	PY-curve-2_V6.B	PY-curve-2_V6.B
(PY-curve-2_V6)	Lijn	Paal_P_3	13,000 14,000	Vrij	Niet-lineair	Niet-lineair	Vrij	Vrij	Vrij	PY-curve-2_V6	PY-curve-2_V6
(PY-curve-2_V6)29	Lijn	Paal_P_31	13,000 14,000	Vrij	Niet-lineair	Niet-lineair	Vrij	Vrij	Vrij	PY-curve-2_V6	PY-curve-2_V6
(PY-curve-2_V6)59	Lijn	Paal_P_61	13,000 14,000	Vrij	Niet-lineair	Niet-lineair	Vrij	Vrij	Vrij	PY-curve-2_V6.B	PY-curve-2_V6.B
(PY-curve-2_V6)15	Lijn	Paal_P_17	13,000 14,000	Vrij	Niet-lineair	Niet-lineair	Vrij	Vrij	Vrij	PY-curve-2_V6	PY-curve-2_V6
(PY-curve-2_V6)7	Lijn	Paal_P_9	13,000 14,000	Vrij	Niet-lineair	Niet-lineair	Vrij	Vrij	Vrij	PY-curve-2_V6	PY-curve-2_V6
(PY-curve-2_V6)58	Lijn	Paal_P_60	13,000 14,000	Vrij	Niet-lineair	Niet-lineair	Vrij	Vrij	Vrij	PY-curve-2_V6.B	PY-curve-2_V6.B
(PY-curve-2_V6)57	Lijn	Paal_P_59	13,000 14,000	Vrij	Niet-lineair	Niet-lineair	Vrij	Vrij	Vrij	PY-curve-2_V6.B	PY-curve-2_V6.B
(PY-curve-2_V6)28	Lijn	Paal_P_30	13,000 14,000	Vrij	Niet-lineair	Niet-lineair	Vrij	Vrij	Vrij	PY-curve-2_V6	PY-curve-2_V6
(PY-curve-2_V6)3	Lijn	Paal_P_4	13,000 14,000	Vrij	Niet-lineair	Niet-lineair	Vrij	Vrij	Vrij	PY-curve-2_V6	PY-curve-2_V6
(PY-curve-2_V6)63	Lijn	Paal_P_65	13,000 14,000	Vrij	Niet-lineair	Niet-lineair	Vrij	Vrij	Vrij	PY-curve-2_V6.B	PY-curve-2_V6.B
(PY-curve-2_V6)56	Lijn	Paal_P_58	13,000 14,000	Vrij	Niet-lineair	Niet-lineair	Vrij	Vrij	Vrij	PY-curve-2_V6.B	PY-curve-2_V6.B
(PY-curve-2_V6)14	Lijn	Paal_P_16	13,000 14,000	Vrij	Niet-lineair	Niet-lineair	Vrij	Vrij	Vrij	PY-curve-2_V6	PY-curve-2_V6
(PY-curve-2_V6)55	Lijn	Paal_P_57	13,000 14,000	Vrij	Niet-lineair	Niet-lineair	Vrij	Vrij	Vrij	PY-curve-2_V6.B	PY-curve-2_V6.B
(PY-curve-2_V6)54	Lijn	Paal_P_56	13,000 14,000	Vrij	Niet-lineair	Niet-lineair	Vrij	Vrij	Vrij	PY-curve-2_V6.B	PY-curve-2_V6.B
(PY-curve-2_V7)53	Lijn	Paal_P_55	14,000 15,000	Vrij	Niet-lineair	Niet-lineair	Vrij	Vrij	Vrij	PY-curve-2_V7.B	PY-curve-2_V7.B
(PY-curve-2_V7)46	Lijn	Paal_P_29	14,000 15,000	Vrij	Niet-lineair	Niet-lineair	Vrij	Vrij	Vrij	PY-curve-2_V7.B	PY-curve-2_V7.B
(PY-curve-2_V7)6	Lijn	Paal_P_8	14,000 15,000	Vrij	Niet-lineair	Niet-lineair	Vrij	Vrij	Vrij	PY-curve-2_V7	PY-curve-2_V7
(PY-curve-2_V7)13	Lijn	Paal_P_15	14,000 15,000	Vrij	Niet-lineair	Niet-lineair	Vrij	Vrij	Vrij	PY-curve-2_V7	PY-curve-2_V7
(PY-curve-2_V7)52	Lijn	Paal_P_54	14,000 15,000	Vrij	Niet-lineair	Niet-lineair	Vrij	Vrij	Vrij	PY-curve-2_V7.B	PY-curve-2_V7.B
(PY-curve-2_V7)51	Lijn	Paal_P_53	14,000 15,000	Vrij	Niet-lineair	Niet-lineair	Vrij	Vrij	Vrij	PY-curve-2_V7.B	PY-curve-2_V7.B
(PY-curve-2_V7)45	Lijn	Paal_P_28	14,000 15,000	Vrij	Niet-lineair	Niet-lineair	Vrij	Vrij	Vrij	PY-curve-2_V7.B	PY-curve-2_V7.B
(PY-curve-2_V7)50	Lijn	Paal_P_52	14,000 15,000	Vrij	Niet-lineair	Niet-lineair	Vrij	Vrij	Vrij	PY-curve-2_V7.B	PY-curve-2_V7.B
(PY-curve-2_V7)12	Lijn	Paal_P_14	14,000 15,000	Vrij	Niet-lineair	Niet-lineair	Vrij	Vrij	Vrij	PY-curve-2_V7	PY-curve-2_V7
(PY-curve-2_V7)44	Lijn	Paal_P_27	14,000 15,000	Vrij	Niet-lineair	Niet-lineair	Vrij	Vrij	Vrij	PY-curve-2_V7.B	PY-curve-2_V7.B
(PY-curve-2_V7)49	Lijn	Paal_P_51	14,000 15,000	Vrij	Niet-lineair	Niet-lineair	Vrij	Vrij	Vrij	PY-curve-2_V7.B	PY-curve-2_V7.B
(PY-curve-2_V7)48	Lijn	Paal_P_50	14,000 15,000	Vrij	Niet-lineair	Niet-lineair	Vrij	Vrij	Vrij	PY-curve-2_V7.B	PY-curve-2_V7.B
(PY-curve-2_V7)47	Lijn	Paal_P_26	14,000 15,000	Vrij	Niet-lineair	Niet-lineair	Vrij	Vrij	Vrij	PY-curve-2_V7.B	PY-curve-2_V7.B
(PY-curve-2_V7)27	Lijn	Paal_P_49	14,000	Vrij	Niet-lineair	Niet-lineair	Vrij	Vrij	Vrij	PY-curve-2_V7	PY-curve-2_V7

Naam	Type	Staaf	Pos x_1 [m] Pos x_2 [m]	X	Y	Z	Rx	Ry	Rz	Functie Y	Functie Z
			15,000								
(PY-curve-2_V7)26	Lijn	Paal_P_48	14,000 15,000	Vrij	Niet-lineair	Niet-lineair	Vrij	Vrij	Vrij	PY-curve-2_V7	PY-curve-2_V7
(PY-curve-2_V7)11	Lijn	Paal_P_13	14,000 15,000	Vrij	Niet-lineair	Niet-lineair	Vrij	Vrij	Vrij	PY-curve-2_V7	PY-curve-2_V7
(PY-curve-2_V7)43	Lijn	Paal_P_25	14,000 15,000	Vrij	Niet-lineair	Niet-lineair	Vrij	Vrij	Vrij	PY-curve-2_V7.B	PY-curve-2_V7.B
(PY-curve-2_V7)5	Lijn	Paal_P_7	14,000 15,000	Vrij	Niet-lineair	Niet-lineair	Vrij	Vrij	Vrij	PY-curve-2_V7	PY-curve-2_V7
(PY-curve-2_V7)25	Lijn	Paal_P_47	14,000 15,000	Vrij	Niet-lineair	Niet-lineair	Vrij	Vrij	Vrij	PY-curve-2_V7	PY-curve-2_V7
(PY-curve-2_V7)23	Lijn	Paal_P_46	14,000 15,000	Vrij	Niet-lineair	Niet-lineair	Vrij	Vrij	Vrij	PY-curve-2_V7	PY-curve-2_V7
(PY-curve-2_V7)42	Lijn	Paal_P_24	14,000 15,000	Vrij	Niet-lineair	Niet-lineair	Vrij	Vrij	Vrij	PY-curve-2_V7.B	PY-curve-2_V7.B
(PY-curve-2_V7)22	Lijn	Paal_P_45	14,000 15,000	Vrij	Niet-lineair	Niet-lineair	Vrij	Vrij	Vrij	PY-curve-2_V7	PY-curve-2_V7
(PY-curve-2_V7)21	Lijn	Paal_P_44	14,000 15,000	Vrij	Niet-lineair	Niet-lineair	Vrij	Vrij	Vrij	PY-curve-2_V7	PY-curve-2_V7
(PY-curve-2_V7)10	Lijn	Paal_P_12	14,000 15,000	Vrij	Niet-lineair	Niet-lineair	Vrij	Vrij	Vrij	PY-curve-2_V7	PY-curve-2_V7
(PY-curve-2_V7)41	Lijn	Paal_P_23	14,000 15,000	Vrij	Niet-lineair	Niet-lineair	Vrij	Vrij	Vrij	PY-curve-2_V7.B	PY-curve-2_V7.B
(PY-curve-2_V7)2	Lijn	Paal_P_1	14,000 15,000	Vrij	Niet-lineair	Niet-lineair	Vrij	Vrij	Vrij	PY-curve-2_V7	PY-curve-2_V7
(PY-curve-2_V7)20	Lijn	Paal_P_43	14,000 15,000	Vrij	Niet-lineair	Niet-lineair	Vrij	Vrij	Vrij	PY-curve-2_V7	PY-curve-2_V7
(PY-curve-2_V7)32	Lijn	Paal_P_42	14,000 15,000	Vrij	Niet-lineair	Niet-lineair	Vrij	Vrij	Vrij	PY-curve-2_V7	PY-curve-2_V7
(PY-curve-2_V7)1	Lijn	Paal_P_2	14,000 15,000	Vrij	Niet-lineair	Niet-lineair	Vrij	Vrij	Vrij	PY-curve-2_V7	PY-curve-2_V7
(PY-curve-2_V7)40	Lijn	Paal_P_22	14,000 15,000	Vrij	Niet-lineair	Niet-lineair	Vrij	Vrij	Vrij	PY-curve-2_V7.B	PY-curve-2_V7.B
(PY-curve-2_V7)39	Lijn	Paal_P_41	14,000 15,000	Vrij	Niet-lineair	Niet-lineair	Vrij	Vrij	Vrij	PY-curve-2_V7	PY-curve-2_V7
(PY-curve-2_V7)38	Lijn	Paal_P_40	14,000 15,000	Vrij	Niet-lineair	Niet-lineair	Vrij	Vrij	Vrij	PY-curve-2_V7	PY-curve-2_V7
(PY-curve-2_V7)9	Lijn	Paal_P_11	14,000 15,000	Vrij	Niet-lineair	Niet-lineair	Vrij	Vrij	Vrij	PY-curve-2_V7	PY-curve-2_V7
(PY-curve-2_V7)19	Lijn	Paal_P_21	14,000 15,000	Vrij	Niet-lineair	Niet-lineair	Vrij	Vrij	Vrij	PY-curve-2_V7	PY-curve-2_V7
(PY-curve-2_V7)	Lijn	Paal_P_3	14,000 15,000	Vrij	Niet-lineair	Niet-lineair	Vrij	Vrij	Vrij	PY-curve-2_V7	PY-curve-2_V7
(PY-curve-2_V7)4	Lijn	Paal_P_6	14,000 15,000	Vrij	Niet-lineair	Niet-lineair	Vrij	Vrij	Vrij	PY-curve-2_V7	PY-curve-2_V7
(PY-curve-2_V7)37	Lijn	Paal_P_39	14,000 15,000	Vrij	Niet-lineair	Niet-lineair	Vrij	Vrij	Vrij	PY-curve-2_V7	PY-curve-2_V7
(PY-curve-2_V7)36	Lijn	Paal_P_38	14,000 15,000	Vrij	Niet-lineair	Niet-lineair	Vrij	Vrij	Vrij	PY-curve-2_V7	PY-curve-2_V7
(PY-curve-2_V7)18	Lijn	Paal_P_20	14,000 15,000	Vrij	Niet-lineair	Niet-lineair	Vrij	Vrij	Vrij	PY-curve-2_V7	PY-curve-2_V7
(PY-curve-2_V7)35	Lijn	Paal_P_37	14,000 15,000	Vrij	Niet-lineair	Niet-lineair	Vrij	Vrij	Vrij	PY-curve-2_V7	PY-curve-2_V7
(PY-curve-2_V7)34	Lijn	Paal_P_36	14,000 15,000	Vrij	Niet-lineair	Niet-lineair	Vrij	Vrij	Vrij	PY-curve-2_V7	PY-curve-2_V7
(PY-curve-2_V7)8	Lijn	Paal_P_10	14,000 15,000	Vrij	Niet-lineair	Niet-lineair	Vrij	Vrij	Vrij	PY-curve-2_V7	PY-curve-2_V7
(PY-curve-2_V7)17	Lijn	Paal_P_19	14,000 15,000	Vrij	Niet-lineair	Niet-lineair	Vrij	Vrij	Vrij	PY-curve-2_V7	PY-curve-2_V7
(PY-curve-2_V7)33	Lijn	Paal_P_35	14,000 15,000	Vrij	Niet-lineair	Niet-lineair	Vrij	Vrij	Vrij	PY-curve-2_V7	PY-curve-2_V7
(PY-curve-2_V7)24	Lijn	Paal_P_34	14,000 15,000	Vrij	Niet-lineair	Niet-lineair	Vrij	Vrij	Vrij	PY-curve-2_V7	PY-curve-2_V7
(PY-curve-2_V7)16	Lijn	Paal_P_18	14,000	Vrij	Niet-lineair	Niet-lineair	Vrij	Vrij	Vrij	PY-curve-2_V7	PY-curve-2_V7

Naam	Type	Staaf	Pos x_1 [m] Pos x_2 [m]	X	Y	Z	Rx	Ry	Rz	Functie Y	Functie Z
			15,000								
(PY-curve-2_V7)63	Lijn	Paal_P_65	14,000 15,000	Vrij	Niet-lineair	Niet-lineair	Vrij	Vrij	Vrij	PY-curve-2_V7.B	PY-curve-2_V7.B
(PY-curve-2_V7)62	Lijn	Paal_P_64	14,000 15,000	Vrij	Niet-lineair	Niet-lineair	Vrij	Vrij	Vrij	PY-curve-2_V7.B	PY-curve-2_V7.B
(PY-curve-2_V7)31	Lijn	Paal_P_33	14,000 15,000	Vrij	Niet-lineair	Niet-lineair	Vrij	Vrij	Vrij	PY-curve-2_V7	PY-curve-2_V7
(PY-curve-2_V7)61	Lijn	Paal_P_63	14,000 15,000	Vrij	Niet-lineair	Niet-lineair	Vrij	Vrij	Vrij	PY-curve-2_V7.B	PY-curve-2_V7.B
(PY-curve-2_V7)30	Lijn	Paal_P_32	14,000 15,000	Vrij	Niet-lineair	Niet-lineair	Vrij	Vrij	Vrij	PY-curve-2_V7	PY-curve-2_V7
(PY-curve-2_V7)60	Lijn	Paal_P_62	14,000 15,000	Vrij	Niet-lineair	Niet-lineair	Vrij	Vrij	Vrij	PY-curve-2_V7.B	PY-curve-2_V7.B
(PY-curve-2_V7)59	Lijn	Paal_P_61	14,000 15,000	Vrij	Niet-lineair	Niet-lineair	Vrij	Vrij	Vrij	PY-curve-2_V7.B	PY-curve-2_V7.B
(PY-curve-2_V7)15	Lijn	Paal_P_17	14,000 15,000	Vrij	Niet-lineair	Niet-lineair	Vrij	Vrij	Vrij	PY-curve-2_V7	PY-curve-2_V7
(PY-curve-2_V7)29	Lijn	Paal_P_31	14,000 15,000	Vrij	Niet-lineair	Niet-lineair	Vrij	Vrij	Vrij	PY-curve-2_V7	PY-curve-2_V7
(PY-curve-2_V7)3	Lijn	Paal_P_4	14,000 15,000	Vrij	Niet-lineair	Niet-lineair	Vrij	Vrij	Vrij	PY-curve-2_V7	PY-curve-2_V7
(PY-curve-2_V7)7	Lijn	Paal_P_9	14,000 15,000	Vrij	Niet-lineair	Niet-lineair	Vrij	Vrij	Vrij	PY-curve-2_V7	PY-curve-2_V7
(PY-curve-2_V7)58	Lijn	Paal_P_60	14,000 15,000	Vrij	Niet-lineair	Niet-lineair	Vrij	Vrij	Vrij	PY-curve-2_V7.B	PY-curve-2_V7.B
(PY-curve-2_V7)57	Lijn	Paal_P_59	14,000 15,000	Vrij	Niet-lineair	Niet-lineair	Vrij	Vrij	Vrij	PY-curve-2_V7.B	PY-curve-2_V7.B
(PY-curve-2_V7)28	Lijn	Paal_P_30	14,000 15,000	Vrij	Niet-lineair	Niet-lineair	Vrij	Vrij	Vrij	PY-curve-2_V7	PY-curve-2_V7
(PY-curve-2_V7)56	Lijn	Paal_P_58	14,000 15,000	Vrij	Niet-lineair	Niet-lineair	Vrij	Vrij	Vrij	PY-curve-2_V7.B	PY-curve-2_V7.B
(PY-curve-2_V7)14	Lijn	Paal_P_16	14,000 15,000	Vrij	Niet-lineair	Niet-lineair	Vrij	Vrij	Vrij	PY-curve-2_V7	PY-curve-2_V7
(PY-curve-2_V7)55	Lijn	Paal_P_57	14,000 15,000	Vrij	Niet-lineair	Niet-lineair	Vrij	Vrij	Vrij	PY-curve-2_V7.B	PY-curve-2_V7.B
(PY-curve-2_V7)54	Lijn	Paal_P_56	14,000 15,000	Vrij	Niet-lineair	Niet-lineair	Vrij	Vrij	Vrij	PY-curve-2_V7.B	PY-curve-2_V7.B
(PY-curve-2_V8)13	Lijn	Paal_P_15	15,000 15,250	Vrij	Niet-lineair	Niet-lineair	Vrij	Vrij	Vrij	PY-curve-2_V8	PY-curve-2_V8
(PY-curve-2_V8)6	Lijn	Paal_P_8	15,000 15,250	Vrij	Niet-lineair	Niet-lineair	Vrij	Vrij	Vrij	PY-curve-2_V8	PY-curve-2_V8
(PY-curve-2_V8)12	Lijn	Paal_P_14	15,000 15,250	Vrij	Niet-lineair	Niet-lineair	Vrij	Vrij	Vrij	PY-curve-2_V8	PY-curve-2_V8
(PY-curve-2_V8)27	Lijn	Paal_P_49	15,000 15,250	Vrij	Niet-lineair	Niet-lineair	Vrij	Vrij	Vrij	PY-curve-2_V8	PY-curve-2_V8
(PY-curve-2_V8)26	Lijn	Paal_P_48	15,000 15,250	Vrij	Niet-lineair	Niet-lineair	Vrij	Vrij	Vrij	PY-curve-2_V8	PY-curve-2_V8
(PY-curve-2_V8)2	Lijn	Paal_P_1	15,000 15,250	Vrij	Niet-lineair	Niet-lineair	Vrij	Vrij	Vrij	PY-curve-2_V8	PY-curve-2_V8
(PY-curve-2_V8)5	Lijn	Paal_P_7	15,000 15,250	Vrij	Niet-lineair	Niet-lineair	Vrij	Vrij	Vrij	PY-curve-2_V8	PY-curve-2_V8
(PY-curve-2_V8)11	Lijn	Paal_P_13	15,000 15,250	Vrij	Niet-lineair	Niet-lineair	Vrij	Vrij	Vrij	PY-curve-2_V8	PY-curve-2_V8
(PY-curve-2_V8)25	Lijn	Paal_P_47	15,000 15,250	Vrij	Niet-lineair	Niet-lineair	Vrij	Vrij	Vrij	PY-curve-2_V8	PY-curve-2_V8
(PY-curve-2_V8)1	Lijn	Paal_P_2	15,000 15,250	Vrij	Niet-lineair	Niet-lineair	Vrij	Vrij	Vrij	PY-curve-2_V8	PY-curve-2_V8
(PY-curve-2_V8)23	Lijn	Paal_P_46	15,000 15,250	Vrij	Niet-lineair	Niet-lineair	Vrij	Vrij	Vrij	PY-curve-2_V8	PY-curve-2_V8
(PY-curve-2_V8)	Lijn	Paal_P_3	15,000 15,250	Vrij	Niet-lineair	Niet-lineair	Vrij	Vrij	Vrij	PY-curve-2_V8	PY-curve-2_V8
(PY-curve-2_V8)22	Lijn	Paal_P_45	15,000 15,250	Vrij	Niet-lineair	Niet-lineair	Vrij	Vrij	Vrij	PY-curve-2_V8	PY-curve-2_V8
(PY-curve-2_V8)21	Lijn	Paal_P_44	15,000	Vrij	Niet-lineair	Niet-lineair	Vrij	Vrij	Vrij	PY-curve-2_V8	PY-curve-2_V8

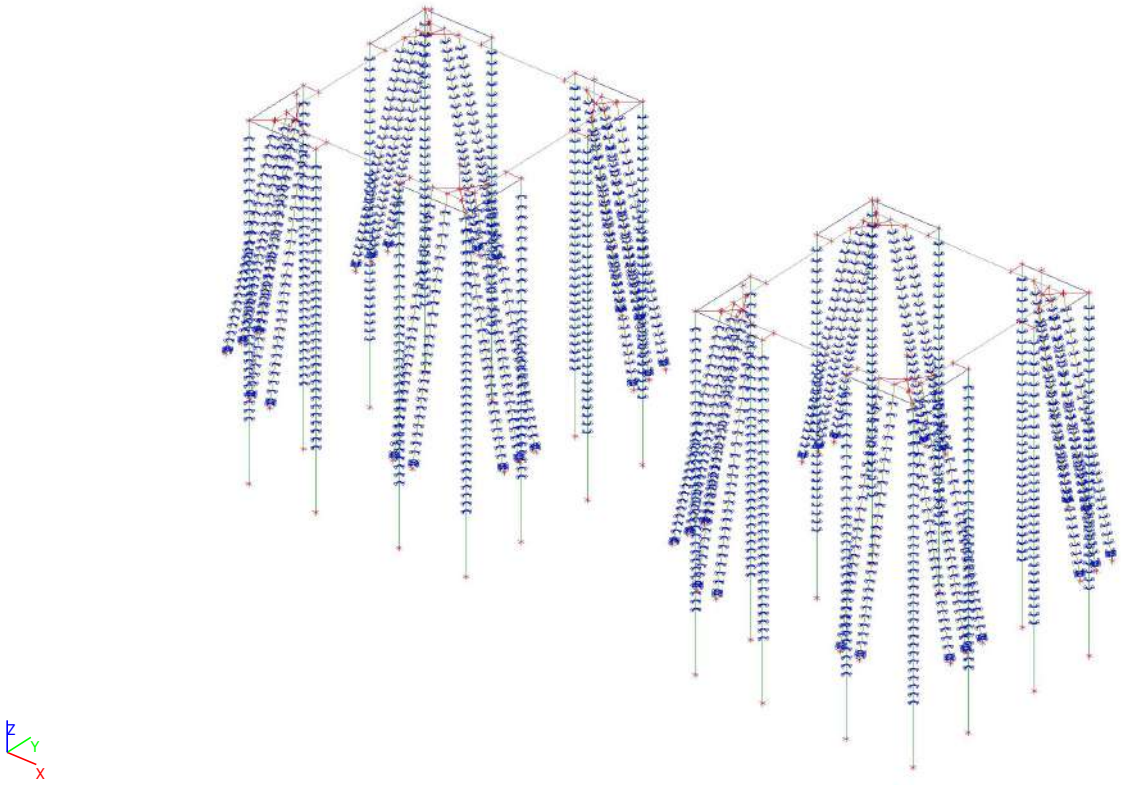
Naam	Type	Staaf	Pos x_1 [m] Pos x_2 [m]	X	Y	Z	Rx	Ry	Rz	Functie Y	Functie Z
			15,250								
(PY-curve-2_V8)10	Lijn	Paal_P_12	15,000 15,250	Vrij	Niet-lineair	Niet-lineair	Vrij	Vrij	Vrij	PY-curve-2_V8	PY-curve-2_V8
(PY-curve-2_V8)20	Lijn	Paal_P_43	15,000 15,250	Vrij	Niet-lineair	Niet-lineair	Vrij	Vrij	Vrij	PY-curve-2_V8	PY-curve-2_V8
(PY-curve-2_V8)32	Lijn	Paal_P_42	15,000 15,250	Vrij	Niet-lineair	Niet-lineair	Vrij	Vrij	Vrij	PY-curve-2_V8	PY-curve-2_V8
(PY-curve-2_V8)39	Lijn	Paal_P_41	15,000 15,250	Vrij	Niet-lineair	Niet-lineair	Vrij	Vrij	Vrij	PY-curve-2_V8	PY-curve-2_V8
(PY-curve-2_V8)38	Lijn	Paal_P_40	15,000 15,250	Vrij	Niet-lineair	Niet-lineair	Vrij	Vrij	Vrij	PY-curve-2_V8	PY-curve-2_V8
(PY-curve-2_V8)4	Lijn	Paal_P_6	15,000 15,250	Vrij	Niet-lineair	Niet-lineair	Vrij	Vrij	Vrij	PY-curve-2_V8	PY-curve-2_V8
(PY-curve-2_V8)9	Lijn	Paal_P_11	15,000 15,250	Vrij	Niet-lineair	Niet-lineair	Vrij	Vrij	Vrij	PY-curve-2_V8	PY-curve-2_V8
(PY-curve-2_V8)19	Lijn	Paal_P_21	15,000 15,250	Vrij	Niet-lineair	Niet-lineair	Vrij	Vrij	Vrij	PY-curve-2_V8	PY-curve-2_V8
(PY-curve-2_V8)37	Lijn	Paal_P_39	15,000 15,250	Vrij	Niet-lineair	Niet-lineair	Vrij	Vrij	Vrij	PY-curve-2_V8	PY-curve-2_V8
(PY-curve-2_V8)36	Lijn	Paal_P_38	15,000 15,250	Vrij	Niet-lineair	Niet-lineair	Vrij	Vrij	Vrij	PY-curve-2_V8	PY-curve-2_V8
(PY-curve-2_V8)18	Lijn	Paal_P_20	15,000 15,250	Vrij	Niet-lineair	Niet-lineair	Vrij	Vrij	Vrij	PY-curve-2_V8	PY-curve-2_V8
(PY-curve-2_V8)35	Lijn	Paal_P_37	15,000 15,250	Vrij	Niet-lineair	Niet-lineair	Vrij	Vrij	Vrij	PY-curve-2_V8	PY-curve-2_V8
(PY-curve-2_V8)34	Lijn	Paal_P_36	15,000 15,250	Vrij	Niet-lineair	Niet-lineair	Vrij	Vrij	Vrij	PY-curve-2_V8	PY-curve-2_V8
(PY-curve-2_V8)8	Lijn	Paal_P_10	15,000 15,250	Vrij	Niet-lineair	Niet-lineair	Vrij	Vrij	Vrij	PY-curve-2_V8	PY-curve-2_V8
(PY-curve-2_V8)17	Lijn	Paal_P_19	15,000 15,250	Vrij	Niet-lineair	Niet-lineair	Vrij	Vrij	Vrij	PY-curve-2_V8	PY-curve-2_V8
(PY-curve-2_V8)33	Lijn	Paal_P_35	15,000 15,250	Vrij	Niet-lineair	Niet-lineair	Vrij	Vrij	Vrij	PY-curve-2_V8	PY-curve-2_V8
(PY-curve-2_V8)24	Lijn	Paal_P_34	15,000 15,250	Vrij	Niet-lineair	Niet-lineair	Vrij	Vrij	Vrij	PY-curve-2_V8	PY-curve-2_V8
(PY-curve-2_V8)16	Lijn	Paal_P_18	15,000 15,250	Vrij	Niet-lineair	Niet-lineair	Vrij	Vrij	Vrij	PY-curve-2_V8	PY-curve-2_V8
(PY-curve-2_V8)31	Lijn	Paal_P_33	15,000 15,250	Vrij	Niet-lineair	Niet-lineair	Vrij	Vrij	Vrij	PY-curve-2_V8	PY-curve-2_V8
(PY-curve-2_V8)30	Lijn	Paal_P_32	15,000 15,250	Vrij	Niet-lineair	Niet-lineair	Vrij	Vrij	Vrij	PY-curve-2_V8	PY-curve-2_V8
(PY-curve-2_V8)7	Lijn	Paal_P_9	15,000 15,250	Vrij	Niet-lineair	Niet-lineair	Vrij	Vrij	Vrij	PY-curve-2_V8	PY-curve-2_V8
(PY-curve-2_V8)3	Lijn	Paal_P_4	15,000 15,250	Vrij	Niet-lineair	Niet-lineair	Vrij	Vrij	Vrij	PY-curve-2_V8	PY-curve-2_V8
(PY-curve-2_V8)15	Lijn	Paal_P_17	15,000 15,250	Vrij	Niet-lineair	Niet-lineair	Vrij	Vrij	Vrij	PY-curve-2_V8	PY-curve-2_V8
(PY-curve-2_V8)29	Lijn	Paal_P_31	15,000 15,250	Vrij	Niet-lineair	Niet-lineair	Vrij	Vrij	Vrij	PY-curve-2_V8	PY-curve-2_V8
(PY-curve-2_V8)28	Lijn	Paal_P_30	15,000 15,250	Vrij	Niet-lineair	Niet-lineair	Vrij	Vrij	Vrij	PY-curve-2_V8	PY-curve-2_V8
(PY-curve-2_V8)14	Lijn	Paal_P_16	15,000 15,250	Vrij	Niet-lineair	Niet-lineair	Vrij	Vrij	Vrij	PY-curve-2_V8	PY-curve-2_V8
(PY-curve-2_V8)46	Lijn	Paal_P_29	15,000 16,000	Vrij	Niet-lineair	Niet-lineair	Vrij	Vrij	Vrij	PY-curve-2_V8.B	PY-curve-2_V8.B
(PY-curve-2_V8)52	Lijn	Paal_P_54	15,000 16,000	Vrij	Niet-lineair	Niet-lineair	Vrij	Vrij	Vrij	PY-curve-2_V8.B	PY-curve-2_V8.B
(PY-curve-2_V8)51	Lijn	Paal_P_53	15,000 16,000	Vrij	Niet-lineair	Niet-lineair	Vrij	Vrij	Vrij	PY-curve-2_V8.B	PY-curve-2_V8.B
(PY-curve-2_V8)45	Lijn	Paal_P_28	15,000 16,000	Vrij	Niet-lineair	Niet-lineair	Vrij	Vrij	Vrij	PY-curve-2_V8.B	PY-curve-2_V8.B
(PY-curve-2_V8)50	Lijn	Paal_P_52	15,000 16,000	Vrij	Niet-lineair	Niet-lineair	Vrij	Vrij	Vrij	PY-curve-2_V8.B	PY-curve-2_V8.B
(PY-curve-2_V8)44	Lijn	Paal_P_27	15,000	Vrij	Niet-lineair	Niet-lineair	Vrij	Vrij	Vrij	PY-curve-2_V8.B	PY-curve-2_V8.B

Naam	Type	Staaf	Pos x_1 [m] Pos x_2 [m]	X	Y	Z	Rx	Ry	Rz	Functie Y	Functie Z
			16,000								
(PY-curve-2_V8)49	Lijn	Paal_P_51	15,000 16,000	Vrij	Niet-lineair	Niet-lineair	Vrij	Vrij	Vrij	PY-curve-2_V8.B	PY-curve-2_V8.B
(PY-curve-2_V8)48	Lijn	Paal_P_50	15,000 16,000	Vrij	Niet-lineair	Niet-lineair	Vrij	Vrij	Vrij	PY-curve-2_V8.B	PY-curve-2_V8.B
(PY-curve-2_V8)47	Lijn	Paal_P_26	15,000 16,000	Vrij	Niet-lineair	Niet-lineair	Vrij	Vrij	Vrij	PY-curve-2_V8.B	PY-curve-2_V8.B
(PY-curve-2_V8)43	Lijn	Paal_P_25	15,000 16,000	Vrij	Niet-lineair	Niet-lineair	Vrij	Vrij	Vrij	PY-curve-2_V8.B	PY-curve-2_V8.B
(PY-curve-2_V8)42	Lijn	Paal_P_24	15,000 16,000	Vrij	Niet-lineair	Niet-lineair	Vrij	Vrij	Vrij	PY-curve-2_V8.B	PY-curve-2_V8.B
(PY-curve-2_V8)41	Lijn	Paal_P_23	15,000 16,000	Vrij	Niet-lineair	Niet-lineair	Vrij	Vrij	Vrij	PY-curve-2_V8.B	PY-curve-2_V8.B
(PY-curve-2_V8)40	Lijn	Paal_P_22	15,000 16,000	Vrij	Niet-lineair	Niet-lineair	Vrij	Vrij	Vrij	PY-curve-2_V8.B	PY-curve-2_V8.B
(PY-curve-2_V8)63	Lijn	Paal_P_65	15,000 16,000	Vrij	Niet-lineair	Niet-lineair	Vrij	Vrij	Vrij	PY-curve-2_V8.B	PY-curve-2_V8.B
(PY-curve-2_V8)62	Lijn	Paal_P_64	15,000 16,000	Vrij	Niet-lineair	Niet-lineair	Vrij	Vrij	Vrij	PY-curve-2_V8.B	PY-curve-2_V8.B
(PY-curve-2_V8)61	Lijn	Paal_P_63	15,000 16,000	Vrij	Niet-lineair	Niet-lineair	Vrij	Vrij	Vrij	PY-curve-2_V8.B	PY-curve-2_V8.B
(PY-curve-2_V8)60	Lijn	Paal_P_62	15,000 16,000	Vrij	Niet-lineair	Niet-lineair	Vrij	Vrij	Vrij	PY-curve-2_V8.B	PY-curve-2_V8.B
(PY-curve-2_V8)59	Lijn	Paal_P_61	15,000 16,000	Vrij	Niet-lineair	Niet-lineair	Vrij	Vrij	Vrij	PY-curve-2_V8.B	PY-curve-2_V8.B
(PY-curve-2_V8)58	Lijn	Paal_P_60	15,000 16,000	Vrij	Niet-lineair	Niet-lineair	Vrij	Vrij	Vrij	PY-curve-2_V8.B	PY-curve-2_V8.B
(PY-curve-2_V8)57	Lijn	Paal_P_59	15,000 16,000	Vrij	Niet-lineair	Niet-lineair	Vrij	Vrij	Vrij	PY-curve-2_V8.B	PY-curve-2_V8.B
(PY-curve-2_V8)56	Lijn	Paal_P_58	15,000 16,000	Vrij	Niet-lineair	Niet-lineair	Vrij	Vrij	Vrij	PY-curve-2_V8.B	PY-curve-2_V8.B
(PY-curve-2_V8)55	Lijn	Paal_P_57	15,000 16,000	Vrij	Niet-lineair	Niet-lineair	Vrij	Vrij	Vrij	PY-curve-2_V8.B	PY-curve-2_V8.B
(PY-curve-2_V8)54	Lijn	Paal_P_56	15,000 16,000	Vrij	Niet-lineair	Niet-lineair	Vrij	Vrij	Vrij	PY-curve-2_V8.B	PY-curve-2_V8.B
(PY-curve-2_V8)53	Lijn	Paal_P_55	15,000 16,000	Vrij	Niet-lineair	Niet-lineair	Vrij	Vrij	Vrij	PY-curve-2_V8.B	PY-curve-2_V8.B
(PY-curve-2_V9)2	Lijn	Paal_P_25	16,000 17,000	Vrij	Niet-lineair	Niet-lineair	Vrij	Vrij	Vrij	PY-curve-2_V9.B	PY-curve-2_V9.B
(PY-curve-2_V9)1	Lijn	Paal_P_28	16,000 17,000	Vrij	Niet-lineair	Niet-lineair	Vrij	Vrij	Vrij	PY-curve-2_V9.B	PY-curve-2_V9.B
(PY-curve-2_V9)	Lijn	Paal_P_27	16,000 17,000	Vrij	Niet-lineair	Niet-lineair	Vrij	Vrij	Vrij	PY-curve-2_V9.B	PY-curve-2_V9.B
(PY-curve-2_V9)12	Lijn	Paal_P_54	16,000 17,000	Vrij	Niet-lineair	Niet-lineair	Vrij	Vrij	Vrij	PY-curve-2_V9.B	PY-curve-2_V9.B
(PY-curve-2_V9)11	Lijn	Paal_P_53	16,000 17,000	Vrij	Niet-lineair	Niet-lineair	Vrij	Vrij	Vrij	PY-curve-2_V9.B	PY-curve-2_V9.B
(PY-curve-2_V9)10	Lijn	Paal_P_52	16,000 17,000	Vrij	Niet-lineair	Niet-lineair	Vrij	Vrij	Vrij	PY-curve-2_V9.B	PY-curve-2_V9.B
(PY-curve-2_V9)9	Lijn	Paal_P_51	16,000 17,000	Vrij	Niet-lineair	Niet-lineair	Vrij	Vrij	Vrij	PY-curve-2_V9.B	PY-curve-2_V9.B
(PY-curve-2_V9)8	Lijn	Paal_P_50	16,000 17,000	Vrij	Niet-lineair	Niet-lineair	Vrij	Vrij	Vrij	PY-curve-2_V9.B	PY-curve-2_V9.B
(PY-curve-2_V9)23	Lijn	Paal_P_65	16,000 17,000	Vrij	Niet-lineair	Niet-lineair	Vrij	Vrij	Vrij	PY-curve-2_V9.B	PY-curve-2_V9.B
(PY-curve-2_V9)22	Lijn	Paal_P_64	16,000 17,000	Vrij	Niet-lineair	Niet-lineair	Vrij	Vrij	Vrij	PY-curve-2_V9.B	PY-curve-2_V9.B
(PY-curve-2_V9)21	Lijn	Paal_P_63	16,000 17,000	Vrij	Niet-lineair	Niet-lineair	Vrij	Vrij	Vrij	PY-curve-2_V9.B	PY-curve-2_V9.B
(PY-curve-2_V9)20	Lijn	Paal_P_62	16,000 17,000	Vrij	Niet-lineair	Niet-lineair	Vrij	Vrij	Vrij	PY-curve-2_V9.B	PY-curve-2_V9.B
(PY-curve-2_V9)19	Lijn	Paal_P_61	16,000 17,000	Vrij	Niet-lineair	Niet-lineair	Vrij	Vrij	Vrij	PY-curve-2_V9.B	PY-curve-2_V9.B
(PY-curve-2_V9)18	Lijn	Paal_P_60	16,000	Vrij	Niet-lineair	Niet-lineair	Vrij	Vrij	Vrij	PY-curve-2_V9.B	PY-curve-2_V9.B

Naam	Type	Staaf	Pos x_1 [m] Pos x_2 [m]	X	Y	Z	Rx	Ry	Rz	Functie Y	Functie Z
			17,000								
(PY-curve-2_V9)17	Lijn	Paal_P_59	16,000 17,000	Vrij	Niet-lineair	Niet-lineair	Vrij	Vrij	Vrij	PY-curve-2_V9.B	PY-curve-2_V9.B
(PY-curve-2_V9)16	Lijn	Paal_P_58	16,000 17,000	Vrij	Niet-lineair	Niet-lineair	Vrij	Vrij	Vrij	PY-curve-2_V9.B	PY-curve-2_V9.B
(PY-curve-2_V9)15	Lijn	Paal_P_57	16,000 17,000	Vrij	Niet-lineair	Niet-lineair	Vrij	Vrij	Vrij	PY-curve-2_V9.B	PY-curve-2_V9.B
(PY-curve-2_V9)14	Lijn	Paal_P_56	16,000 17,000	Vrij	Niet-lineair	Niet-lineair	Vrij	Vrij	Vrij	PY-curve-2_V9.B	PY-curve-2_V9.B
(PY-curve-2_V9)7	Lijn	Paal_P_23	16,000 17,000	Vrij	Niet-lineair	Niet-lineair	Vrij	Vrij	Vrij	PY-curve-2_V9.B	PY-curve-2_V9.B
(PY-curve-2_V9)6	Lijn	Paal_P_26	16,000 17,000	Vrij	Niet-lineair	Niet-lineair	Vrij	Vrij	Vrij	PY-curve-2_V9.B	PY-curve-2_V9.B
(PY-curve-2_V9)5	Lijn	Paal_P_22	16,000 17,000	Vrij	Niet-lineair	Niet-lineair	Vrij	Vrij	Vrij	PY-curve-2_V9.B	PY-curve-2_V9.B
(PY-curve-2_V9)4	Lijn	Paal_P_24	16,000 17,000	Vrij	Niet-lineair	Niet-lineair	Vrij	Vrij	Vrij	PY-curve-2_V9.B	PY-curve-2_V9.B
(PY-curve-2_V9)3	Lijn	Paal_P_29	16,000 17,000	Vrij	Niet-lineair	Niet-lineair	Vrij	Vrij	Vrij	PY-curve-2_V9.B	PY-curve-2_V9.B
(PY-curve-2_V9)13	Lijn	Paal_P_55	16,000 17,000	Vrij	Niet-lineair	Niet-lineair	Vrij	Vrij	Vrij	PY-curve-2_V9.B	PY-curve-2_V9.B
(PY-curve-2_V10)12	Lijn	Paal_P_54	17,000 18,000	Vrij	Niet-lineair	Niet-lineair	Vrij	Vrij	Vrij	PY-curve-2_V10.B	PY-curve-2_V10.B
(PY-curve-2_V10)11	Lijn	Paal_P_53	17,000 18,000	Vrij	Niet-lineair	Niet-lineair	Vrij	Vrij	Vrij	PY-curve-2_V10.B	PY-curve-2_V10.B
(PY-curve-2_V10)10	Lijn	Paal_P_52	17,000 18,000	Vrij	Niet-lineair	Niet-lineair	Vrij	Vrij	Vrij	PY-curve-2_V10.B	PY-curve-2_V10.B
(PY-curve-2_V10)9	Lijn	Paal_P_51	17,000 18,000	Vrij	Niet-lineair	Niet-lineair	Vrij	Vrij	Vrij	PY-curve-2_V10.B	PY-curve-2_V10.B
(PY-curve-2_V10)8	Lijn	Paal_P_50	17,000 18,000	Vrij	Niet-lineair	Niet-lineair	Vrij	Vrij	Vrij	PY-curve-2_V10.B	PY-curve-2_V10.B
(PY-curve-2_V10)23	Lijn	Paal_P_65	17,000 18,000	Vrij	Niet-lineair	Niet-lineair	Vrij	Vrij	Vrij	PY-curve-2_V10.B	PY-curve-2_V10.B
(PY-curve-2_V10)22	Lijn	Paal_P_64	17,000 18,000	Vrij	Niet-lineair	Niet-lineair	Vrij	Vrij	Vrij	PY-curve-2_V10.B	PY-curve-2_V10.B
(PY-curve-2_V10)21	Lijn	Paal_P_63	17,000 18,000	Vrij	Niet-lineair	Niet-lineair	Vrij	Vrij	Vrij	PY-curve-2_V10.B	PY-curve-2_V10.B
(PY-curve-2_V10)20	Lijn	Paal_P_62	17,000 18,000	Vrij	Niet-lineair	Niet-lineair	Vrij	Vrij	Vrij	PY-curve-2_V10.B	PY-curve-2_V10.B
(PY-curve-2_V10)19	Lijn	Paal_P_61	17,000 18,000	Vrij	Niet-lineair	Niet-lineair	Vrij	Vrij	Vrij	PY-curve-2_V10.B	PY-curve-2_V10.B
(PY-curve-2_V10)18	Lijn	Paal_P_60	17,000 18,000	Vrij	Niet-lineair	Niet-lineair	Vrij	Vrij	Vrij	PY-curve-2_V10.B	PY-curve-2_V10.B
(PY-curve-2_V10)17	Lijn	Paal_P_59	17,000 18,000	Vrij	Niet-lineair	Niet-lineair	Vrij	Vrij	Vrij	PY-curve-2_V10.B	PY-curve-2_V10.B
(PY-curve-2_V10)16	Lijn	Paal_P_58	17,000 18,000	Vrij	Niet-lineair	Niet-lineair	Vrij	Vrij	Vrij	PY-curve-2_V10.B	PY-curve-2_V10.B
(PY-curve-2_V10)7	Lijn	Paal_P_28	17,000 18,000	Vrij	Niet-lineair	Niet-lineair	Vrij	Vrij	Vrij	PY-curve-2_V10.B	PY-curve-2_V10.B
(PY-curve-2_V10)15	Lijn	Paal_P_57	17,000 18,000	Vrij	Niet-lineair	Niet-lineair	Vrij	Vrij	Vrij	PY-curve-2_V10.B	PY-curve-2_V10.B
(PY-curve-2_V10)6	Lijn	Paal_P_29	17,000 18,000	Vrij	Niet-lineair	Niet-lineair	Vrij	Vrij	Vrij	PY-curve-2_V10.B	PY-curve-2_V10.B
(PY-curve-2_V10)5	Lijn	Paal_P_25	17,000 18,000	Vrij	Niet-lineair	Niet-lineair	Vrij	Vrij	Vrij	PY-curve-2_V10.B	PY-curve-2_V10.B
(PY-curve-2_V10)4	Lijn	Paal_P_24	17,000 18,000	Vrij	Niet-lineair	Niet-lineair	Vrij	Vrij	Vrij	PY-curve-2_V10.B	PY-curve-2_V10.B
(PY-curve-2_V10)3	Lijn	Paal_P_27	17,000 18,000	Vrij	Niet-lineair	Niet-lineair	Vrij	Vrij	Vrij	PY-curve-2_V10.B	PY-curve-2_V10.B
(PY-curve-2_V10)2	Lijn	Paal_P_22	17,000 18,000	Vrij	Niet-lineair	Niet-lineair	Vrij	Vrij	Vrij	PY-curve-2_V10.B	PY-curve-2_V10.B
(PY-curve-2_V10)1	Lijn	Paal_P_26	17,000 18,000	Vrij	Niet-lineair	Niet-lineair	Vrij	Vrij	Vrij	PY-curve-2_V10.B	PY-curve-2_V10.B
(PY-curve-2_V10)14	Lijn	Paal_P_56	17,000	Vrij	Niet-lineair	Niet-lineair	Vrij	Vrij	Vrij	PY-curve-2_V10.B	PY-curve-2_V10.B

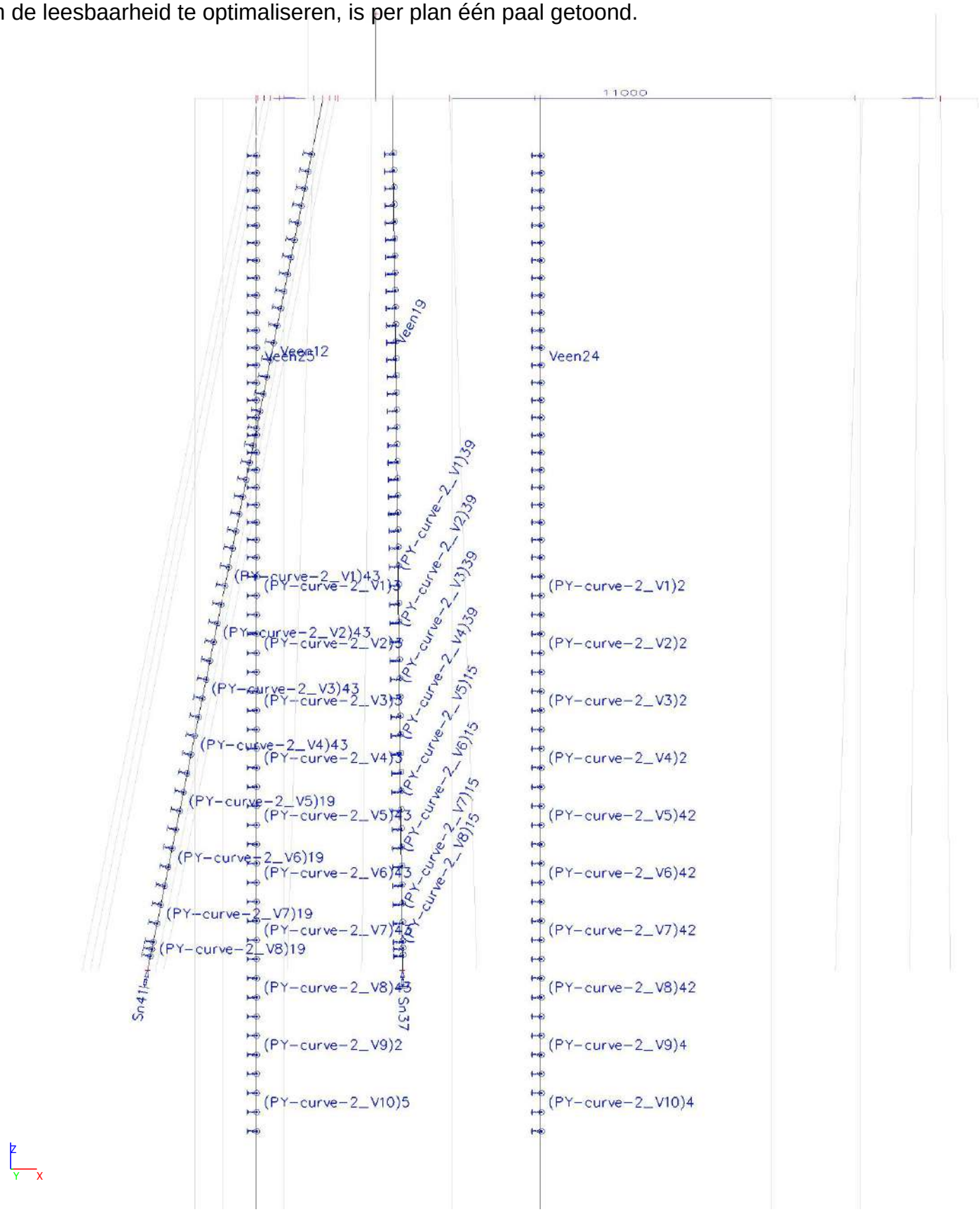
Naam	Type	Staaf	Pos x_1 [m] Pos x_2 [m]	X	Y	Z	Rx	Ry	Rz	Functie Y	Functie Z
			18,000								
(PY-curve-2_V10)	Lijn	Paal_P_23	17,000 18,000	Vrij	Niet-lineair	Niet-lineair	Vrij	Vrij	Vrij	PY-curve-2_V10.B	PY-curve-2_V10.B
(PY-curve-2_V10)13	Lijn	Paal_P_55	17,000 18,000	Vrij	Niet-lineair	Niet-lineair	Vrij	Vrij	Vrij	PY-curve-2_V10.B	PY-curve-2_V10.B

5.8. Analyse model met Lijnondersteuningen



5.9. Analyse model met Lijnondersteuningen

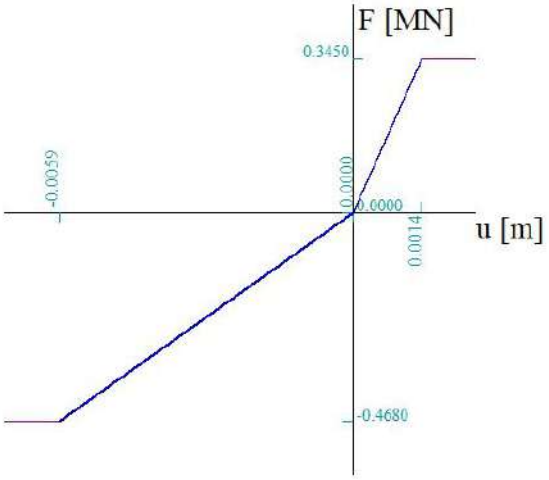
Om de leesbaarheid te optimaliseren, is per plan één paal getoond.



5.10. Niet-lineaire functies

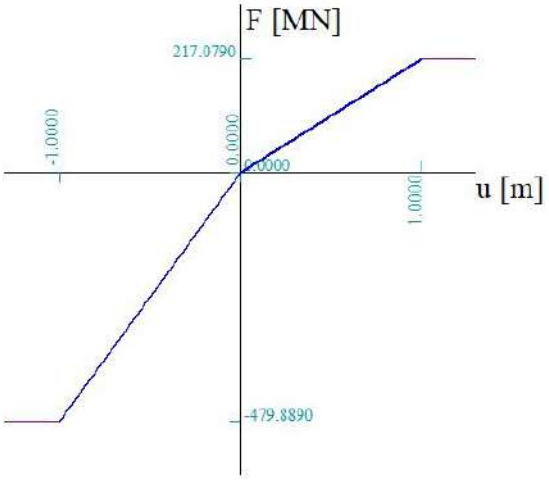
Naam	Type	u / F	Positief einde	Negatief einde
Trek-druk-S+paalpunt mast 157	Verplaatsing	-5,8500e-03[m] / -4,6800e-01[MN]	Vrij	Vrij
		0,0000e+00[m] / 0,0000e+00[MN]		
		1,3700e-03[m] / 3,4500e-01[MN]		

Tekenen



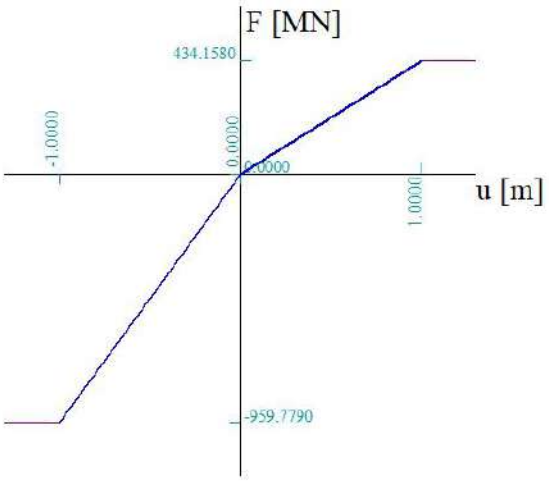
Naam	Type	u / F	Positief einde	Negatief einde
Trek-druk-paalpunt-LEKA.OG.	Verplaatsing	-1,0000e+00[m] / -4,7989e+02[MN]	Vrij	Vrij
		0,0000e+00[m] / 0,0000e+00[MN]		
		1,0000e+00[m] / 2,1708e+02[MN]		

Tekenen



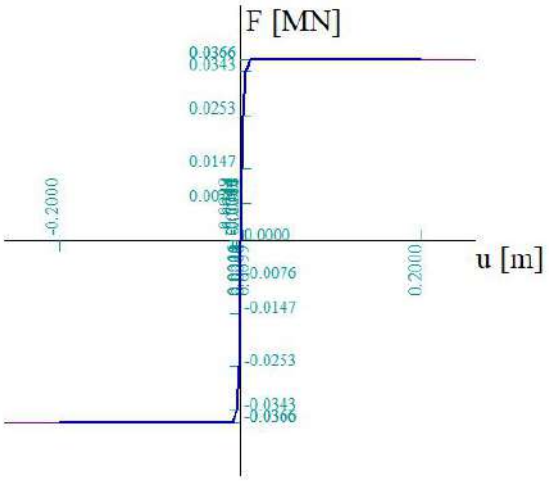
Naam	Type	u / F	Positief einde	Negatief einde
Trek-druk-paalpunt.LEKA.BG.	Verplaatsing	-1,0000e+00[m] / -9,5978e+02[MN]	Vrij	Vrij
		0,0000e+00[m] / 0,0000e+00[MN]		
		1,0000e+00[m] / 4,3416e+02[MN]		

Tekenen



Naam	Type	u / F	Positief einde	Negatief einde
PY-curve-2_V1	Verplaatsing	-2,0000e-01[m] / -3,6624e-02[MN]	Vrij	Vrij
		-9,9000e-03[m] / -3,6624e-02[MN]		
		-4,4000e-03[m] / -3,4259e-02[MN]		
		-2,2000e-03[m] / -2,5265e-02[MN]		
		-1,1000e-03[m] / -1,4650e-02[MN]		
		-5,5000e-04[m] / -7,6435e-03[MN]		
		0,0000e+00[m] / 0,0000e+00[MN]		
		5,5000e-04[m] / 7,6435e-03[MN]		
		1,1000e-03[m] / 1,4650e-02[MN]		
		2,2000e-03[m] / 2,5265e-02[MN]		
		4,4000e-03[m] / 3,4259e-02[MN]		
		9,9000e-03[m] / 3,6624e-02[MN]		
		2,0000e-01[m] / 3,6624e-02[MN]		

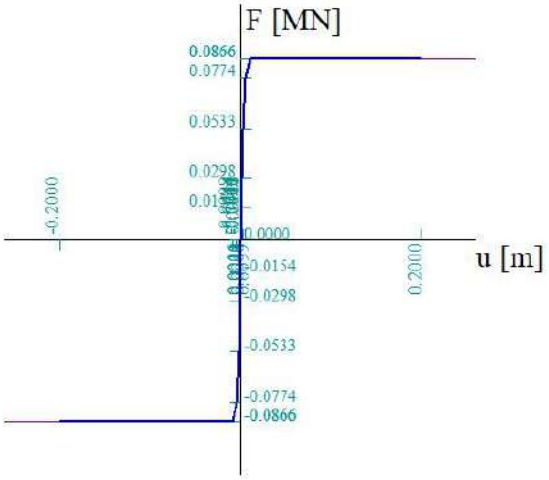
Tekenen



Naam	Type	u / F	Positief einde	Negatief einde
PY-curve-2_V2	Verplaatsing	-2,0000e-01[m] / -8,6571e-02[MN]	Vrij	Vrij
		-9,9000e-03[m] / -8,6571e-02[MN]		
		-4,4000e-03[m] / -7,7425e-02[MN]		
		-2,2000e-03[m] / -5,3284e-02[MN]		
		-1,1000e-03[m] / -2,9773e-02[MN]		
		-5,5000e-04[m] / -1,5351e-02[MN]		
		0,0000e+00[m] / 0,0000e+00[MN]		
		5,5000e-04[m] / 1,5351e-02[MN]		
		1,1000e-03[m] / 2,9773e-02[MN]		
		2,2000e-03[m] / 5,3284e-02[MN]		

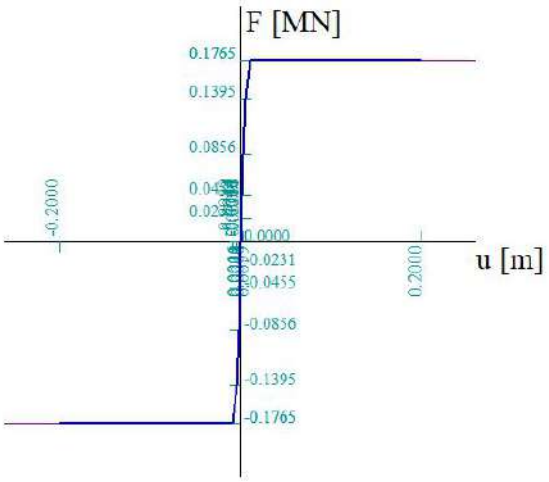
Naam	Type	u / F	Positief einde	Negatief einde
		4,4000e-03[m] / 7,7425e-02[MN]		
		9,9000e-03[m] / 8,6571e-02[MN]		
		2,0000e-01[m] / 8,6571e-02[MN]		

Tekenen



Naam	Type	u / F	Positief einde	Negatief einde
PY-curve-2_V3	Verplaatsing	-2,0000e-01[m] / -1,7645e-01[MN]	Vrij	Vrij
		-9,9000e-03[m] / -1,7645e-01[MN]		
		-4,4000e-03[m] / -1,3955e-01[MN]		
		-2,2000e-03[m] / -8,5576e-02[MN]		
		-1,1000e-03[m] / -4,5531e-02[MN]		
		-5,5000e-04[m] / -2,3143e-02[MN]		
		0,0000e+00[m] / 0,0000e+00[MN]		
		5,5000e-04[m] / 2,3143e-02[MN]		
		1,1000e-03[m] / 4,5531e-02[MN]		
		2,2000e-03[m] / 8,5576e-02[MN]		
		4,4000e-03[m] / 1,3955e-01[MN]		
		9,9000e-03[m] / 1,7645e-01[MN]		
		2,0000e-01[m] / 1,7645e-01[MN]		

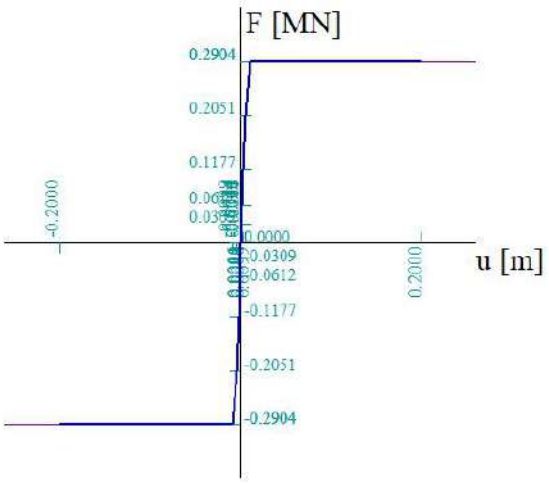
Tekenen



Naam	Type	u / F	Positief einde	Negatief einde
PY-curve-2_V4	Verplaatsing	-2,0000e-01[m] / -2,9038e-01[MN]	Vrij	Vrij
		-9,9000e-03[m] / -2,9038e-01[MN]		
		-4,4000e-03[m] / -2,0506e-01[MN]		
		-2,2000e-03[m] / -1,1772e-01[MN]		

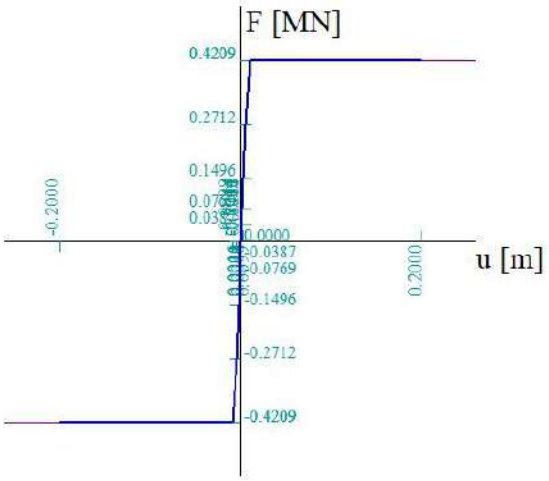
Naam	Type	u / F	Positief einde	Negatief einde
		-1,1000e-03[m] / -6,1220e-02[MN]		
		-5,5000e-04[m] / -3,0923e-02[MN]		
		0,0000e+00[m] / 0,0000e+00[MN]		
		5,5000e-04[m] / 3,0923e-02[MN]		
		1,1000e-03[m] / 6,1220e-02[MN]		
		2,2000e-03[m] / 1,1772e-01[MN]		
		4,4000e-03[m] / 2,0506e-01[MN]		
		9,9000e-03[m] / 2,9038e-01[MN]		
		2,0000e-01[m] / 2,9038e-01[MN]		

Tekenen



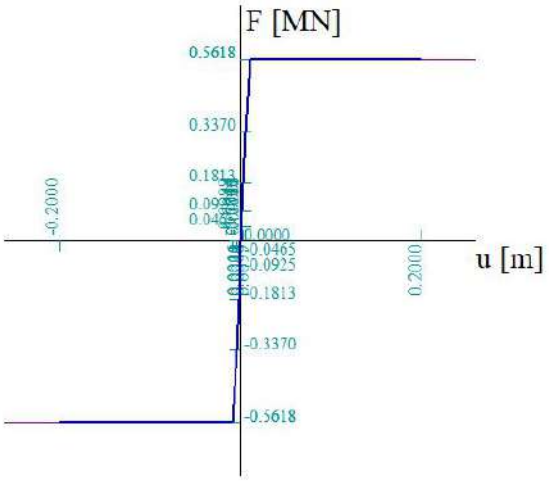
Naam	Type	u / F	Positief einde	Negatief einde
PY-curve-2_V5	Verplaatsing	-2,0000e-01[m] / -4,2094e-01[MN]	Vrij	Vrij
		-9,9000e-03[m] / -4,2094e-01[MN]		
		-4,4000e-03[m] / -2,7117e-01[MN]		
		-2,2000e-03[m] / -1,4963e-01[MN]		
		-1,1000e-03[m] / -7,6860e-02[MN]		
		-5,5000e-04[m] / -3,8696e-02[MN]		
		0,0000e+00[m] / 0,0000e+00[MN]		
		5,5000e-04[m] / 3,8696e-02[MN]		
		1,1000e-03[m] / 7,6860e-02[MN]		
		2,2000e-03[m] / 1,4963e-01[MN]		
		4,4000e-03[m] / 2,7117e-01[MN]		
		9,9000e-03[m] / 4,2094e-01[MN]		
		2,0000e-01[m] / 4,2094e-01[MN]		

Tekenen



Naam	Type	u / F	Positief einde	Negatief einde
PY-curve-2_V6	Verplaatsing	-2,0000e-01[m] / -5,6184e-01[MN]	Vrij	Vrij
		-9,9000e-03[m] / -5,6184e-01[MN]		
		-4,4000e-03[m] / -3,3701e-01[MN]		
		-2,2000e-03[m] / -1,8134e-01[MN]		
		-1,1000e-03[m] / -9,2468e-02[MN]		
		-5,5000e-04[m] / -4,6465e-02[MN]		
		0,0000e+00[m] / 0,0000e+00[MN]		
		5,5000e-04[m] / 4,6465e-02[MN]		
		1,1000e-03[m] / 9,2468e-02[MN]		
		2,2000e-03[m] / 1,8134e-01[MN]		
		4,4000e-03[m] / 3,3701e-01[MN]		
		9,9000e-03[m] / 5,6184e-01[MN]		
		2,0000e-01[m] / 5,6184e-01[MN]		

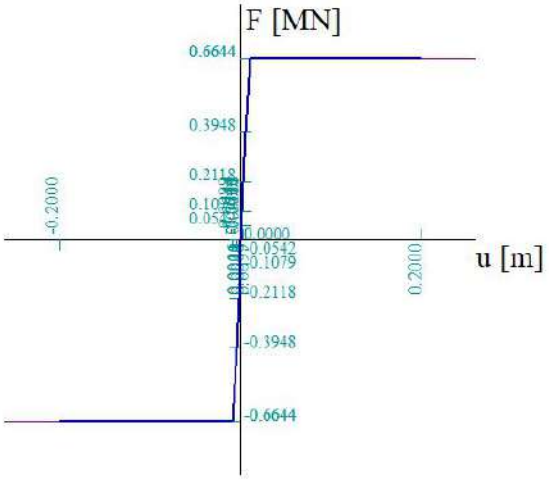
Tekenen



Naam	Type	u / F	Positief einde	Negatief einde
PY-curve-2_V7	Verplaatsing	-2,0000e-01[m] / -6,6436e-01[MN]	Vrij	Vrij
		-9,9000e-03[m] / -6,6436e-01[MN]		
		-4,4000e-03[m] / -3,9481e-01[MN]		
		-2,2000e-03[m] / -2,1181e-01[MN]		
		-1,1000e-03[m] / -1,0791e-01[MN]		
		-5,5000e-04[m] / -5,4214e-02[MN]		
		0,0000e+00[m] / 0,0000e+00[MN]		
		5,5000e-04[m] / 5,4214e-02[MN]		
		1,1000e-03[m] / 1,0791e-01[MN]		
		2,2000e-03[m] / 2,1181e-01[MN]		

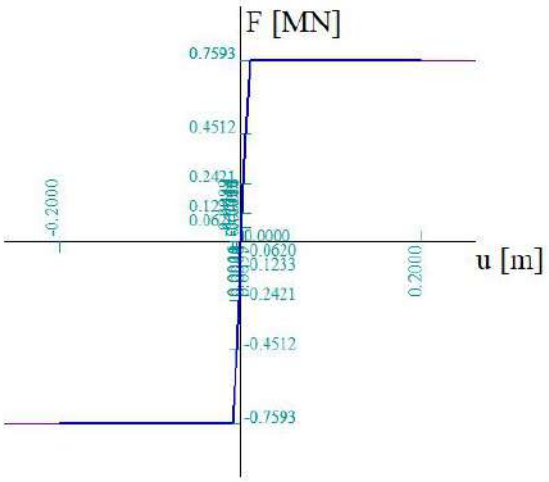
Naam	Type	u / F	Positief einde	Negatief einde
		4,4000e-03[m] / 3,9481e-01[MN]		
		9,9000e-03[m] / 6,6436e-01[MN]		
		2,0000e-01[m] / 6,6436e-01[MN]		

Tekenen



Naam	Type	u / F	Positief einde	Negatief einde
PY-curve-2_V8	Verplaatsing	-2,0000e-01[m] / -7,5927e-01[MN]	Vrij	Vrij
		-9,9000e-03[m] / -7,5927e-01[MN]		
		-4,4000e-03[m] / -4,5121e-01[MN]		
		-2,2000e-03[m] / -2,4207e-01[MN]		
		-1,1000e-03[m] / -1,2333e-01[MN]		
		-5,5000e-04[m] / -6,1959e-02[MN]		
		0,0000e+00[m] / 0,0000e+00[MN]		
		5,5000e-04[m] / 6,1959e-02[MN]		
		1,1000e-03[m] / 1,2333e-01[MN]		
		2,2000e-03[m] / 2,4207e-01[MN]		
		4,4000e-03[m] / 4,5121e-01[MN]		
		9,9000e-03[m] / 7,5927e-01[MN]		
		2,0000e-01[m] / 7,5927e-01[MN]		

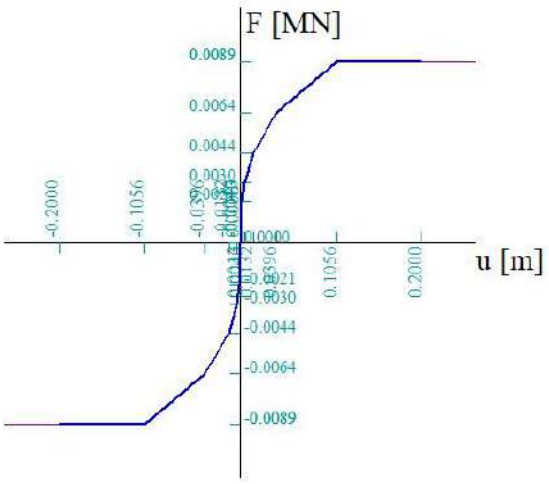
Tekenen



Naam	Type	u / F	Positief einde	Negatief einde
PY-curve-2_Veen	Verplaatsing	-2,0000e-01[m] / -8,8944e-03[MN]	Vrij	Vrij
		-1,0560e-01[m] / -8,8944e-03[MN]		
		-3,9600e-02[m] / -6,4138e-03[MN]		
		-1,3200e-02[m] / -4,4477e-03[MN]		

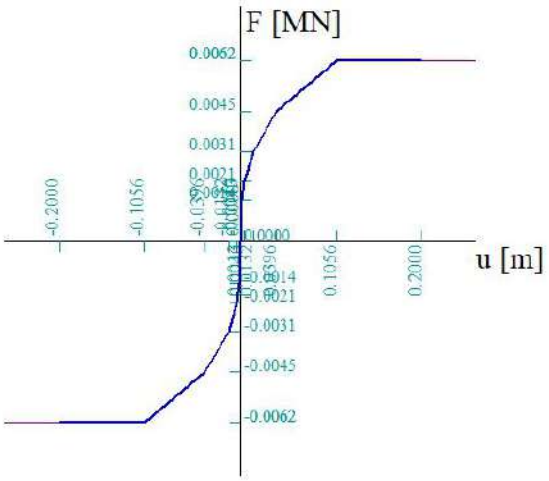
Naam	Type	u / F	Positief einde	Negatief einde
		-3,9600e-03[m] / -2,9770e-03[MN]		
		-1,3200e-03[m] / -2,0640e-03[MN]		
		0,0000e+00[m] / 0,0000e+00[MN]		
		1,3200e-03[m] / 2,0640e-03[MN]		
		3,9600e-03[m] / 2,9770e-03[MN]		
		1,3200e-02[m] / 4,4477e-03[MN]		
		3,9600e-02[m] / 6,4138e-03[MN]		
		1,0560e-01[m] / 8,8944e-03[MN]		
		2,0000e-01[m] / 8,8944e-03[MN]		

Tekenen



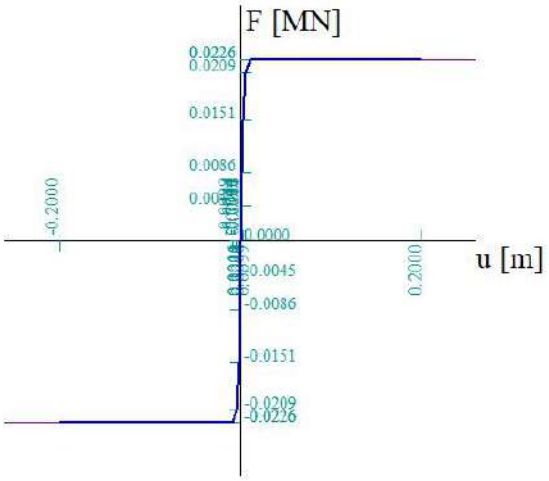
Naam	Type	u / F	Positief einde	Negatief einde
PY-curve-2_Veen.B	Verplaatsing	-2,0000e-01[m] / -6,2016e-03[MN]	Vrij	Vrij
		-1,0560e-01[m] / -6,2016e-03[MN]		
		-3,9600e-02[m] / -4,4721e-03[MN]		
		-1,3200e-02[m] / -3,1008e-03[MN]		
		-3,9600e-03[m] / -2,0758e-03[MN]		
		-1,3200e-03[m] / -1,4393e-03[MN]		
		0,0000e+00[m] / 0,0000e+00[MN]		
		1,3200e-03[m] / 1,4393e-03[MN]		
		3,9600e-03[m] / 2,0758e-03[MN]		
		1,3200e-02[m] / 3,1008e-03[MN]		
		3,9600e-02[m] / 4,4721e-03[MN]		
		1,0560e-01[m] / 6,2016e-03[MN]		
		2,0000e-01[m] / 6,2016e-03[MN]		

Tekenen



Naam	Type	u / F	Positief einde	Negatief einde
PY-curve-2_V1.B	Verplaatsing	-2,0000e-01[m] / -2,2567e-02[MN]	Vrij	Vrij
		-9,9000e-03[m] / -2,2567e-02[MN]		
		-4,4000e-03[m] / -2,0854e-02[MN]		
		-2,2000e-03[m] / -1,5054e-02[MN]		
		-1,1000e-03[m] / -8,6224e-03[MN]		
		-5,5000e-04[m] / -4,4807e-03[MN]		
		0,0000e+00[m] / 0,0000e+00[MN]		
		5,5000e-04[m] / 4,4807e-03[MN]		
		1,1000e-03[m] / 8,6224e-03[MN]		
		2,2000e-03[m] / 1,5054e-02[MN]		
		4,4000e-03[m] / 2,0854e-02[MN]		
		9,9000e-03[m] / 2,2567e-02[MN]		
		2,0000e-01[m] / 2,2567e-02[MN]		

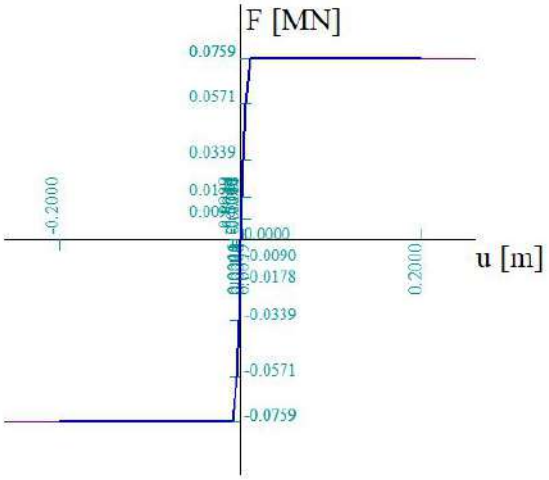
Tekenen



Naam	Type	u / F	Positief einde	Negatief einde
PY-curve-2_V2.B	Verplaatsing	-2,0000e-01[m] / -7,5874e-02[MN]	Vrij	Vrij
		-9,9000e-03[m] / -7,5874e-02[MN]		
		-4,4000e-03[m] / -5,7108e-02[MN]		
		-2,2000e-03[m] / -3,3923e-02[MN]		
		-1,1000e-03[m] / -1,7844e-02[MN]		
		-5,5000e-04[m] / -9,0410e-03[MN]		
		0,0000e+00[m] / 0,0000e+00[MN]		
		5,5000e-04[m] / 9,0410e-03[MN]		
		1,1000e-03[m] / 1,7844e-02[MN]		
		2,2000e-03[m] / 3,3923e-02[MN]		

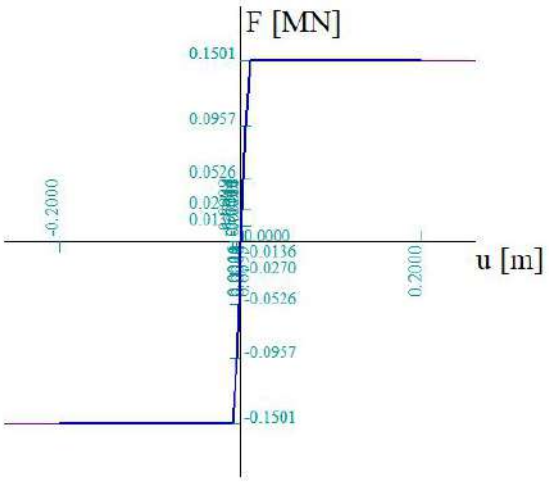
Naam	Type	u / F	Positief einde	Negatief einde
		4,4000e-03[m] / 5,7108e-02[MN]		
		9,9000e-03[m] / 7,5874e-02[MN]		
		2,0000e-01[m] / 7,5874e-02[MN]		

Tekenen



Naam	Type	u / F	Positief einde	Negatief einde
PY-curve-2_V3.B	Verplaatsing	-2,0000e-01[m] / -1,5011e-01[MN]	Vrij	Vrij
		-9,9000e-03[m] / -1,5011e-01[MN]		
		-4,4000e-03[m] / -9,5744e-02[MN]		
		-2,2000e-03[m] / -5,2633e-02[MN]		
		-1,1000e-03[m] / -2,7005e-02[MN]		
		-5,5000e-04[m] / -1,3592e-02[MN]		
		0,0000e+00[m] / 0,0000e+00[MN]		
		5,5000e-04[m] / 1,3592e-02[MN]		
		1,1000e-03[m] / 2,7005e-02[MN]		
		2,2000e-03[m] / 5,2633e-02[MN]		
		4,4000e-03[m] / 9,5744e-02[MN]		
		9,9000e-03[m] / 1,5011e-01[MN]		
		2,0000e-01[m] / 1,5011e-01[MN]		

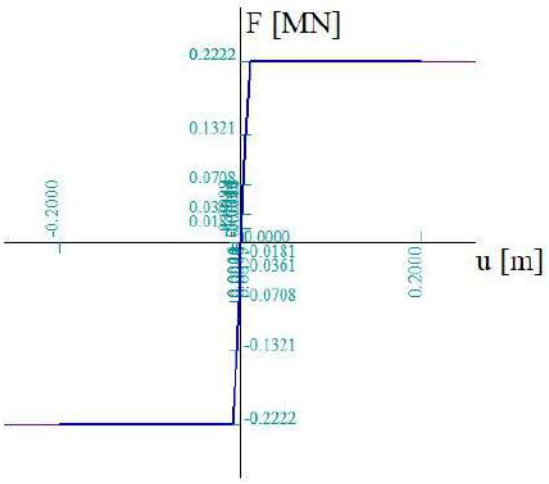
Tekenen



Naam	Type	u / F	Positief einde	Negatief einde
PY-curve-2_V4.B	Verplaatsing	-2,0000e-01[m] / -2,2222e-01[MN]	Vrij	Vrij
		-9,9000e-03[m] / -2,2222e-01[MN]		
		-4,4000e-03[m] / -1,3206e-01[MN]		
		-2,2000e-03[m] / -7,0850e-02[MN]		

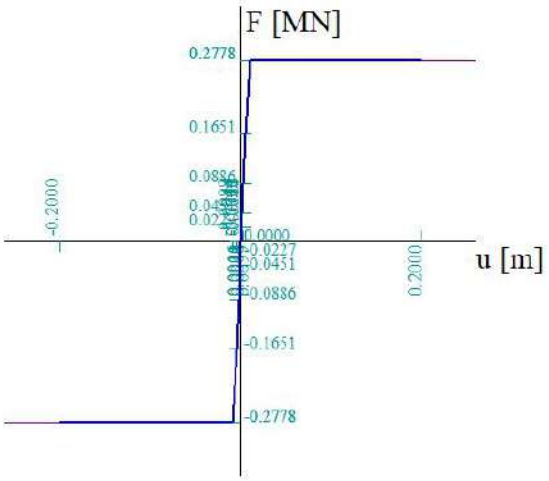
Naam	Type	u / F	Positief einde	Negatief einde
		-1,1000e-03[m] / -3,6096e-02[MN]		
		-5,5000e-04[m] / -1,8134e-02[MN]		
		0,0000e+00[m] / 0,0000e+00[MN]		
		5,5000e-04[m] / 1,8134e-02[MN]		
		1,1000e-03[m] / 3,6096e-02[MN]		
		2,2000e-03[m] / 7,0850e-02[MN]		
		4,4000e-03[m] / 1,3206e-01[MN]		
		9,9000e-03[m] / 2,2222e-01[MN]		
		2,0000e-01[m] / 2,2222e-01[MN]		

Tekenen



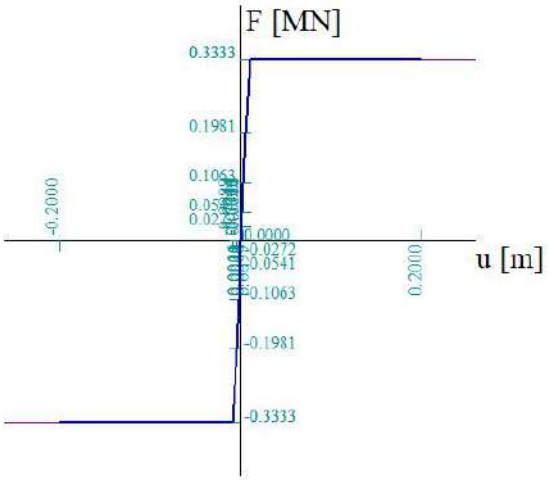
Naam	Type	u / F	Positief einde	Negatief einde
PY-curve-2_V5.B	Verplaatsing	-2,0000e-01[m] / -2,7778e-01[MN]	Vrij	Vrij
		-9,9000e-03[m] / -2,7778e-01[MN]		
		-4,4000e-03[m] / -1,6508e-01[MN]		
		-2,2000e-03[m] / -8,8562e-02[MN]		
		-1,1000e-03[m] / -4,5120e-02[MN]		
		-5,5000e-04[m] / -2,2668e-02[MN]		
		0,0000e+00[m] / 0,0000e+00[MN]		
		5,5000e-04[m] / 2,2668e-02[MN]		
		1,1000e-03[m] / 4,5120e-02[MN]		
		2,2000e-03[m] / 8,8562e-02[MN]		
		4,4000e-03[m] / 1,6508e-01[MN]		
		9,9000e-03[m] / 2,7778e-01[MN]		
		2,0000e-01[m] / 2,7778e-01[MN]		

Tekenen



Naam	Type	u / F	Positief einde	Negatief einde
PY-curve-2_V6.B	Verplaatsing	-2,0000e-01[m] / -3,3334e-01[MN]	Vrij	Vrij
		-9,9000e-03[m] / -3,3334e-01[MN]		
		-4,4000e-03[m] / -1,9809e-01[MN]		
		-2,2000e-03[m] / -1,0627e-01[MN]		
		-1,1000e-03[m] / -5,4144e-02[MN]		
		-5,5000e-04[m] / -2,7201e-02[MN]		
		0,0000e+00[m] / 0,0000e+00[MN]		
		5,5000e-04[m] / 2,7201e-02[MN]		
		1,1000e-03[m] / 5,4144e-02[MN]		
		2,2000e-03[m] / 1,0627e-01[MN]		
		4,4000e-03[m] / 1,9809e-01[MN]		
		9,9000e-03[m] / 3,3334e-01[MN]		
		2,0000e-01[m] / 3,3334e-01[MN]		

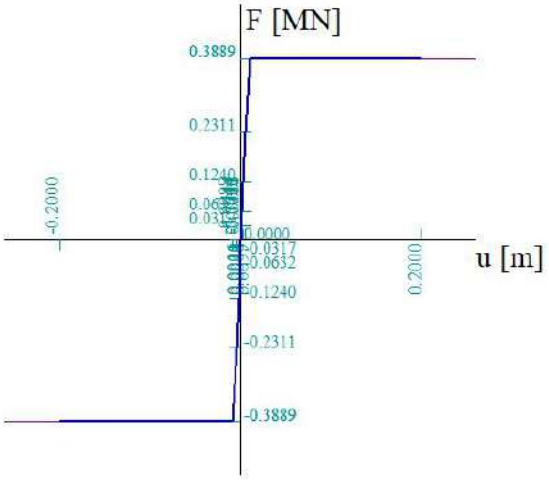
Tekenen



Naam	Type	u / F	Positief einde	Negatief einde
PY-curve-2_V7.B	Verplaatsing	-2,0000e-01[m] / -3,8889e-01[MN]	Vrij	Vrij
		-9,9000e-03[m] / -3,8889e-01[MN]		
		-4,4000e-03[m] / -2,3111e-01[MN]		
		-2,2000e-03[m] / -1,2399e-01[MN]		
		-1,1000e-03[m] / -6,3168e-02[MN]		
		-5,5000e-04[m] / -3,1735e-02[MN]		
		0,0000e+00[m] / 0,0000e+00[MN]		
		5,5000e-04[m] / 3,1735e-02[MN]		
		1,1000e-03[m] / 6,3168e-02[MN]		
		2,2000e-03[m] / 1,2399e-01[MN]		

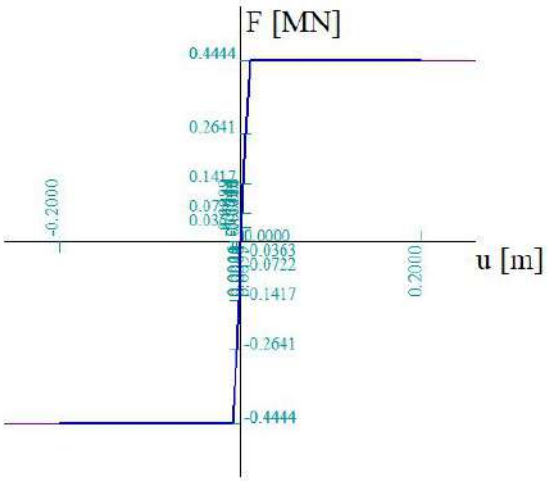
Naam	Type	u / F	Positief einde	Negatief einde
		4,4000e-03[m] / 2,3111e-01[MN]		
		9,9000e-03[m] / 3,8889e-01[MN]		
		2,0000e-01[m] / 3,8889e-01[MN]		

Tekenen



Naam	Type	u / F	Positief einde	Negatief einde
PY-curve-2_V8.B	Verplaatsing	-2,0000e-01[m] / -4,4445e-01[MN]	Vrij	Vrij
		-9,9000e-03[m] / -4,4445e-01[MN]		
		-4,4000e-03[m] / -2,6412e-01[MN]		
		-2,2000e-03[m] / -1,4170e-01[MN]		
		-1,1000e-03[m] / -7,2192e-02[MN]		
		-5,5000e-04[m] / -3,6268e-02[MN]		
		0,0000e+00[m] / 0,0000e+00[MN]		
		5,5000e-04[m] / 3,6268e-02[MN]		
		1,1000e-03[m] / 7,2192e-02[MN]		
		2,2000e-03[m] / 1,4170e-01[MN]		
		4,4000e-03[m] / 2,6412e-01[MN]		
		9,9000e-03[m] / 4,4445e-01[MN]		
		2,0000e-01[m] / 4,4445e-01[MN]		

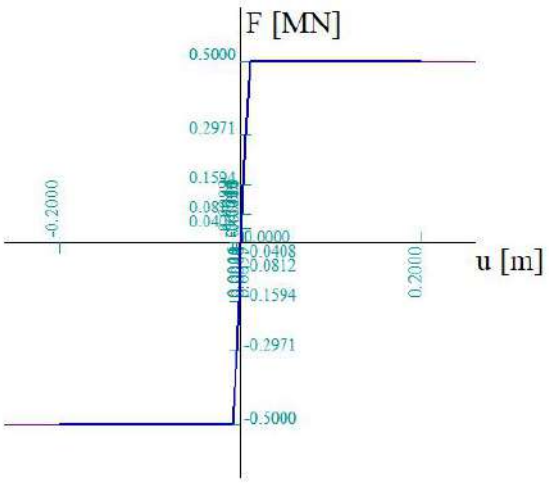
Tekenen



Naam	Type	u / F	Positief einde	Negatief einde
PY-curve-2_V9.B	Verplaatsing	-2,0000e-01[m] / -5,0000e-01[MN]	Vrij	Vrij
		-9,9000e-03[m] / -5,0000e-01[MN]		
		-4,4000e-03[m] / -2,9714e-01[MN]		
		-2,2000e-03[m] / -1,5941e-01[MN]		

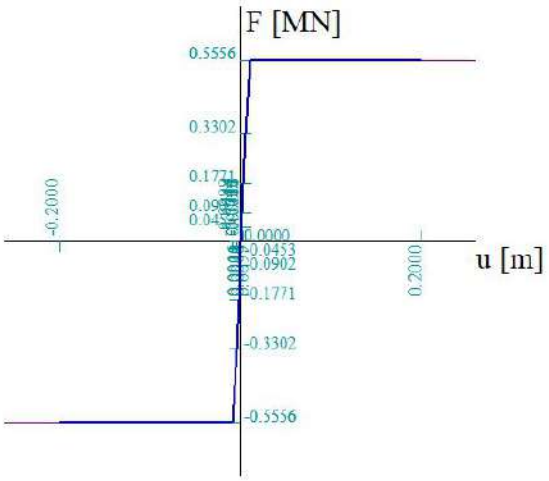
Naam	Type	u / F	Positief einde	Negatief einde
		-1,1000e-03[m] / -8,1216e-02[MN]		
		-5,5000e-04[m] / -4,0802e-02[MN]		
		0,0000e+00[m] / 0,0000e+00[MN]		
		5,5000e-04[m] / 4,0802e-02[MN]		
		1,1000e-03[m] / 8,1216e-02[MN]		
		2,2000e-03[m] / 1,5941e-01[MN]		
		4,4000e-03[m] / 2,9714e-01[MN]		
		9,9000e-03[m] / 5,0000e-01[MN]		
		2,0000e-01[m] / 5,0000e-01[MN]		

Tekenen



Naam	Type	u / F	Positief einde	Negatief einde
PY-curve-2_V10.B	Verplaatsing	-2,0000e-01[m] / -5,5556e-01[MN]	Vrij	Vrij
		-9,9000e-03[m] / -5,5556e-01[MN]		
		-4,4000e-03[m] / -3,3015e-01[MN]		
		-2,2000e-03[m] / -1,7712e-01[MN]		
		-1,1000e-03[m] / -9,0240e-02[MN]		
		-5,5000e-04[m] / -4,5336e-02[MN]		
		0,0000e+00[m] / 0,0000e+00[MN]		
		5,5000e-04[m] / 4,5336e-02[MN]		
		1,1000e-03[m] / 9,0240e-02[MN]		
		2,2000e-03[m] / 1,7712e-01[MN]		
		4,4000e-03[m] / 3,3015e-01[MN]		
		9,9000e-03[m] / 5,5556e-01[MN]		
		2,0000e-01[m] / 5,5556e-01[MN]		

Tekenen

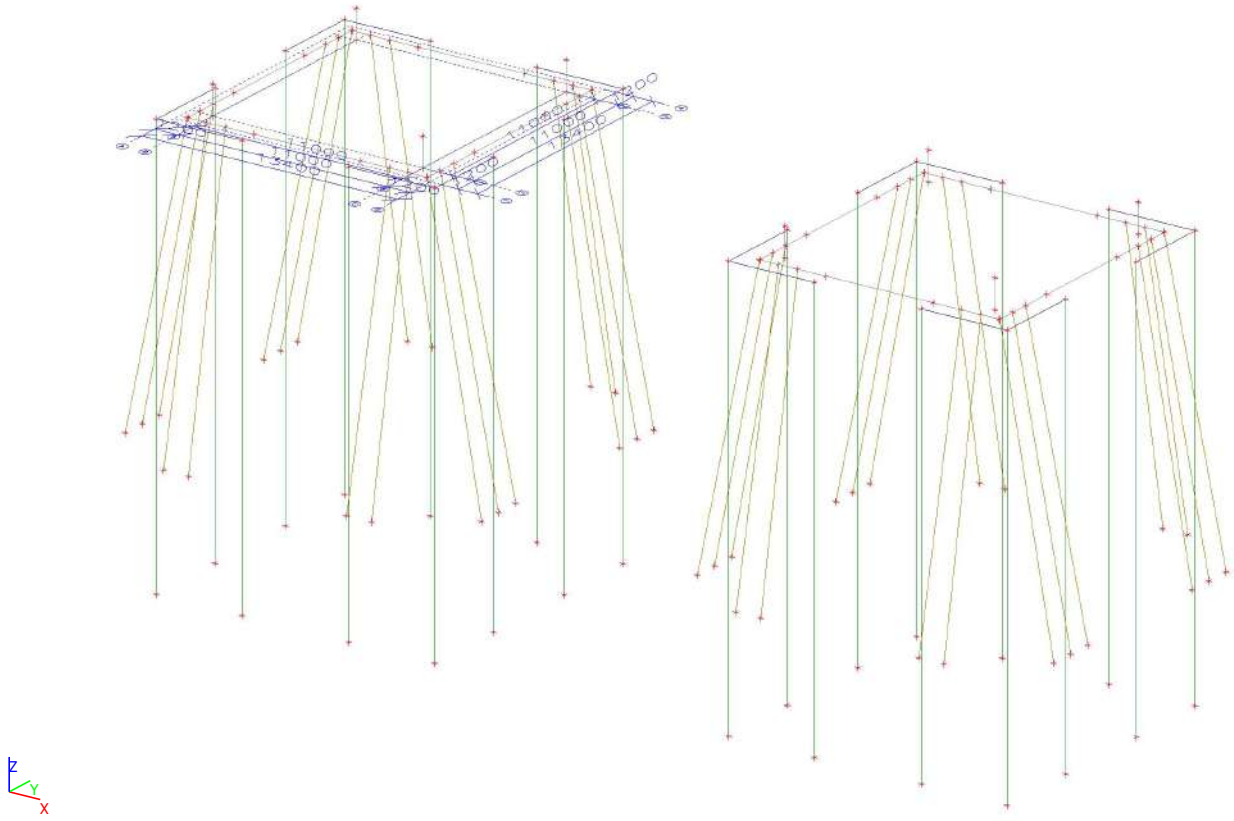

F [MN]
0.5556
0.3302
0.1771
0.0902
0.0453
0.0000
-0.2000
0.2000
u [m]
-0.0902
-0.1771
-0.3302
-0.5556

6. Belastingen

6.1. Belastingsgevallen

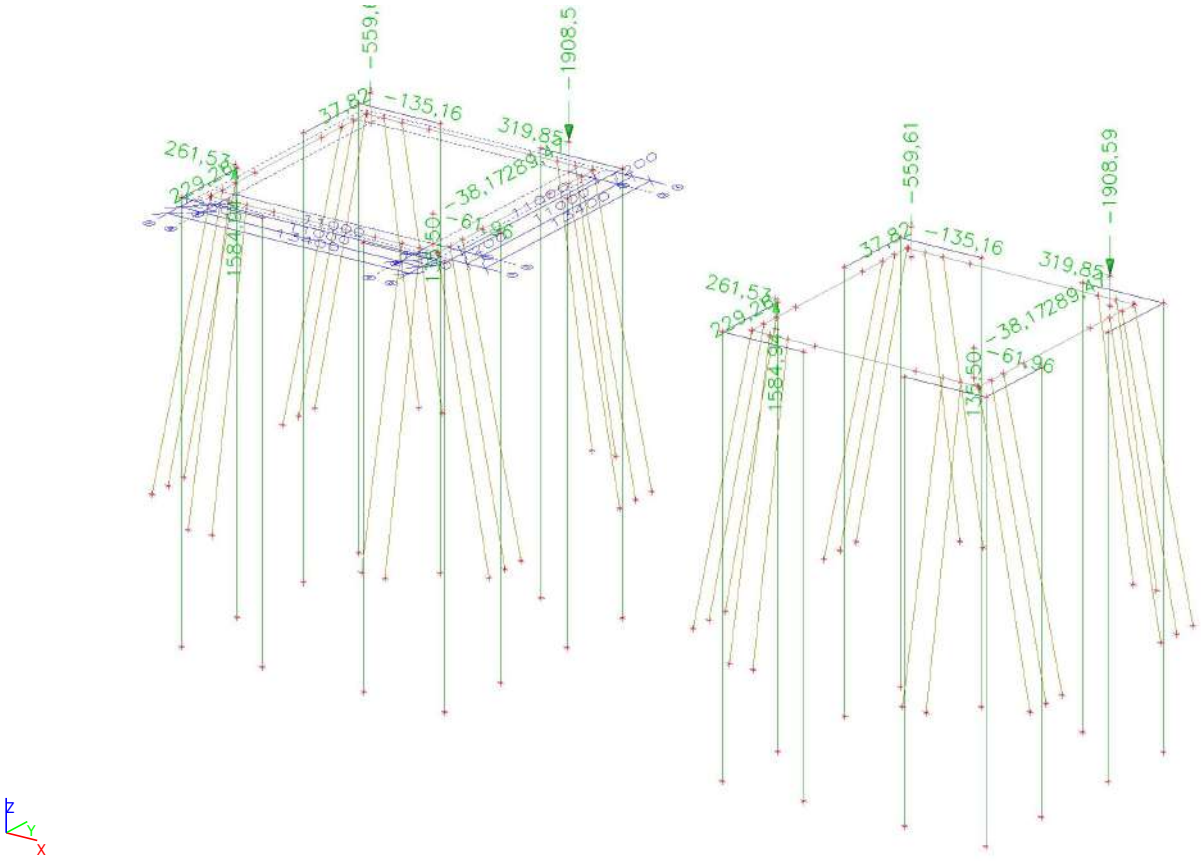
6.1.1. Belastingsgevallen - E.G.

Naam	Omschrijving	Actie type	Lastgroep	Richting
	Spec	Belastingtype		
E.G.		Permanent	LG1	-Z
		Eigen gewicht		



6.1.2. Belastingsgevallen - high max Wnd ;135°

Naam	Omschrijving	Actie type	Lastgroep	Duur	'Master' belastingsgeval
	Spec	Belastingtype			
high max Wnd ;135°		Variabel	LG4	Kort	Geen
	Standaard	Statisch			



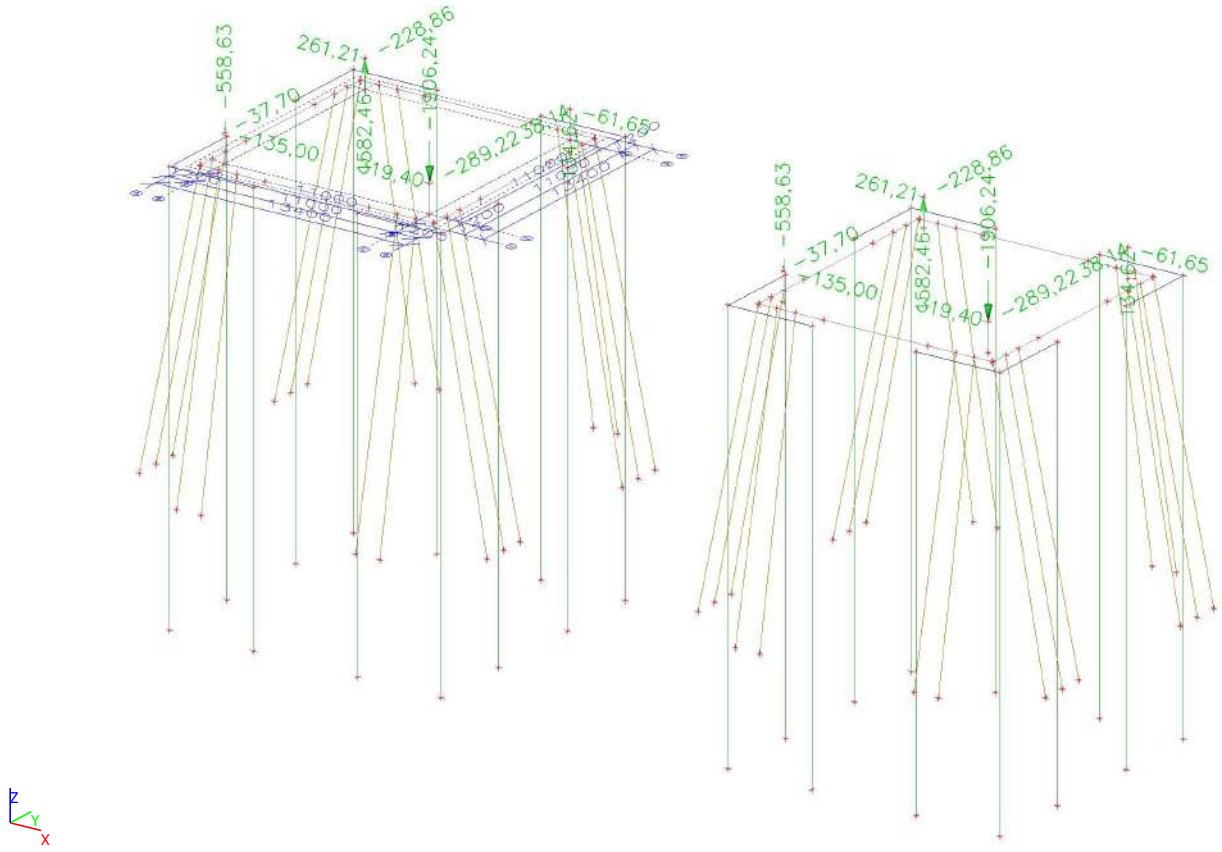
6.1.2.1. Puntlast op knoop

Naam	Knoop	Belastingsgeval	Systeem	Rich	Type	Waarde - F [kN]
high max Wnd ;135°_1P_X	1P	high max Wnd ;135°	GCS	X	Kracht	261,53
high max Wnd ;135°_1P_Y	1P	high max Wnd ;135°	GCS	Y	Kracht	229,26
high max Wnd ;135°_1P_Z	1P	high max Wnd ;135°	GCS	Z	Kracht	1584,94
high max Wnd ;135°_1X_X	1X	high max Wnd ;135°	GCS	X	Kracht	-135,16
high max Wnd ;135°_1X_Y	1X	high max Wnd ;135°	GCS	Y	Kracht	37,82
high max Wnd ;135°_1X_Z	1X	high max Wnd ;135°	GCS	Z	Kracht	-559,61
high max Wnd ;135°_1XY_X	1XY	high max Wnd ;135°	GCS	X	Kracht	319,85
high max Wnd ;135°_1XY_Y	1XY	high max Wnd ;135°	GCS	Y	Kracht	289,47
high max Wnd ;135°_1XY_Z	1XY	high max Wnd ;135°	GCS	Z	Kracht	-1908,59
high max Wnd ;135°_1Y_X	1Y	high max Wnd ;135°	GCS	X	Kracht	-61,96
high max Wnd ;135°_1Y_Y	1Y	high max Wnd ;135°	GCS	Y	Kracht	-38,17
high max Wnd ;135°_1Y_Z	1Y	high max Wnd ;135°	GCS	Z	Kracht	135,50
high max Wnd ;135°_1Y_X1	1Y1	high max Wnd ;135°	GCS	X	Kracht	-61,96
high max Wnd ;135°_1Y_Y1	1Y1	high max Wnd ;135°	GCS	Y	Kracht	-38,17
high max Wnd	1Y1	high max Wnd ;135°	GCS	Z	Kracht	135,50

Naam	Knoop	Belastingsgeval	Systeem	Rich	Type	Waarde - F [kN]
;135°_1Y_Z1						
high max Wnd ;135°_1XY_X1	1XY1	high max Wnd ;135°	GCS	X	Kracht	319,85
high max Wnd ;135°_1XY_Y1	1XY1	high max Wnd ;135°	GCS	Y	Kracht	289,47
high max Wnd ;135°_1XY_Z1	1XY1	high max Wnd ;135°	GCS	Z	Kracht	-1908,59
high max Wnd ;135°_1P_X1	1P1	high max Wnd ;135°	GCS	X	Kracht	261,53
high max Wnd ;135°_1P_Y1	1P1	high max Wnd ;135°	GCS	Y	Kracht	229,26
high max Wnd ;135°_1P_Z1	1P1	high max Wnd ;135°	GCS	Z	Kracht	1584,94
high max Wnd ;135°_1X_X1	1X1	high max Wnd ;135°	GCS	X	Kracht	-135,16
high max Wnd ;135°_1X_Y1	1X1	high max Wnd ;135°	GCS	Y	Kracht	37,82
high max Wnd ;135°_1X_Z1	1X1	high max Wnd ;135°	GCS	Z	Kracht	-559,61

6.1.3. Belastingsgevallen - high max Wnd ;225°

Naam	Omschrijving	Actie type	Lastgroep	Duur	'Master' belastingsgeval
	Spec	Belastingtype			
high max Wnd ;225°		Variabel	LG4	Kort	Geen
	Standaard	Statisch			

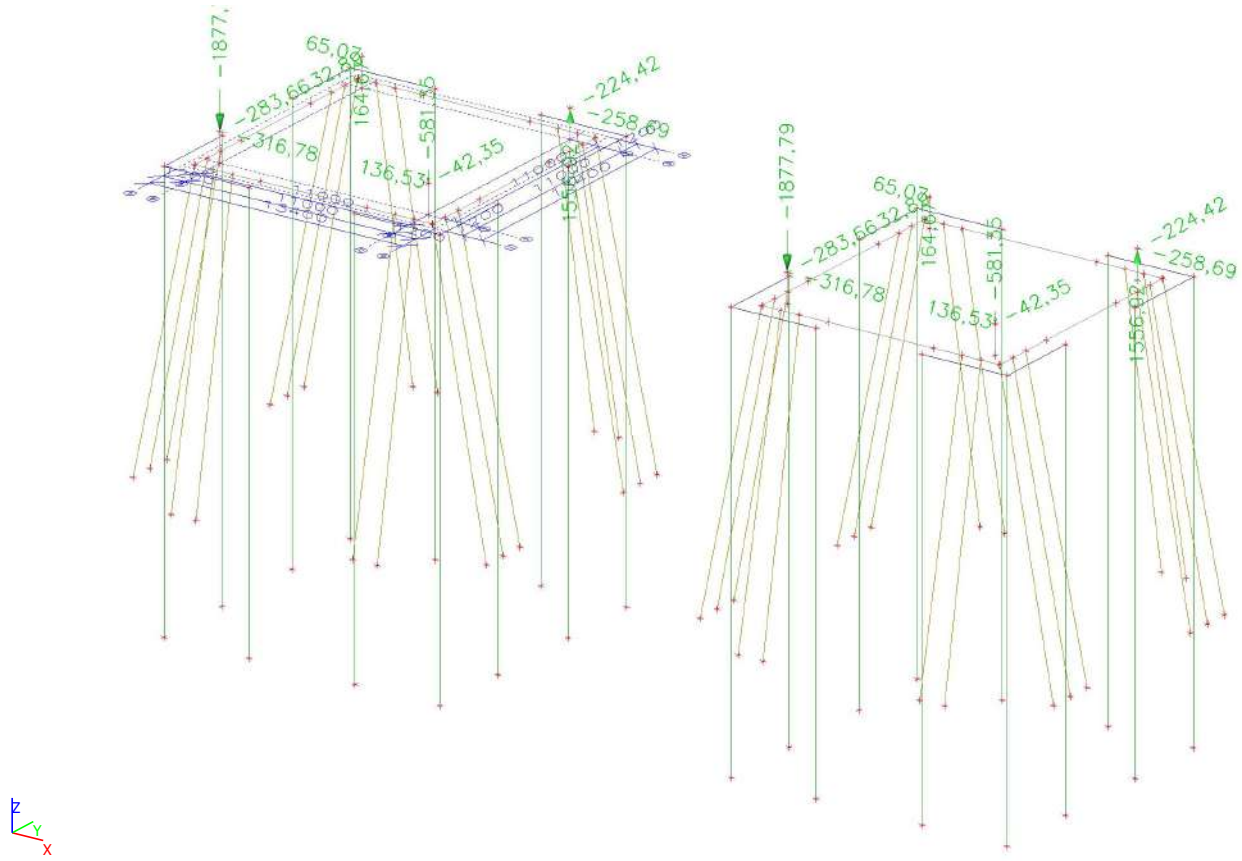


6.1.3.1. Puntlast op knoop

Naam	Knoop	Belastingsgeval	Systeem	Rich	Type	Waarde - F [kN]
high max Wnd ;225°_1P_X	1P	high max Wnd ;225°	GCS	X	Kracht	-135,00
high max Wnd ;225°_1P_Y	1P	high max Wnd ;225°	GCS	Y	Kracht	-37,70
high max Wnd ;225°_1P_Z	1P	high max Wnd ;225°	GCS	Z	Kracht	-558,63
high max Wnd ;225°_1X_X	1X	high max Wnd ;225°	GCS	X	Kracht	261,21
high max Wnd ;225°_1X_Y	1X	high max Wnd ;225°	GCS	Y	Kracht	-228,86
high max Wnd ;225°_1X_Z	1X	high max Wnd ;225°	GCS	Z	Kracht	1582,46
high max Wnd ;225°_1XY_X	1XY	high max Wnd ;225°	GCS	X	Kracht	-61,65
high max Wnd ;225°_1XY_Y	1XY	high max Wnd ;225°	GCS	Y	Kracht	38,14
high max Wnd ;225°_1XY_Z	1XY	high max Wnd ;225°	GCS	Z	Kracht	134,62
high max Wnd ;225°_1Y_X	1Y	high max Wnd ;225°	GCS	X	Kracht	319,40
high max Wnd ;225°_1Y_Y	1Y	high max Wnd ;225°	GCS	Y	Kracht	-289,22
high max Wnd ;225°_1Y_Z	1Y	high max Wnd ;225°	GCS	Z	Kracht	-1906,24
high max Wnd ;225°_1Y_X1	1Y1	high max Wnd ;225°	GCS	X	Kracht	319,40
high max Wnd ;225°_1Y_Y1	1Y1	high max Wnd ;225°	GCS	Y	Kracht	-289,22
high max Wnd ;225°_1Y_Z1	1Y1	high max Wnd ;225°	GCS	Z	Kracht	-1906,24
high max Wnd ;225°_1XY_X1	1XY1	high max Wnd ;225°	GCS	X	Kracht	-61,65
high max Wnd ;225°_1XY_Y1	1XY1	high max Wnd ;225°	GCS	Y	Kracht	38,14
high max Wnd ;225°_1XY_Z1	1XY1	high max Wnd ;225°	GCS	Z	Kracht	134,62
high max Wnd ;225°_1P_X1	1P1	high max Wnd ;225°	GCS	X	Kracht	-135,00
high max Wnd ;225°_1P_Y1	1P1	high max Wnd ;225°	GCS	Y	Kracht	-37,70
high max Wnd ;225°_1P_Z1	1P1	high max Wnd ;225°	GCS	Z	Kracht	-558,63
high max Wnd ;225°_1X_X1	1X1	high max Wnd ;225°	GCS	X	Kracht	261,21
high max Wnd ;225°_1X_Y1	1X1	high max Wnd ;225°	GCS	Y	Kracht	-228,86
high max Wnd ;225°_1X_Z1	1X1	high max Wnd ;225°	GCS	Z	Kracht	1582,46

6.1.4. Belastingsgevallen - high max Wnd ;315°

Naam	Omschrijving	Actie type	Lastgroep	Duur	'Master' belastingsgeval
	Spec	Belastingtype			
high max Wnd ;315°		Variabel	LG4	Kort	Geen
	Standaard	Statisch			



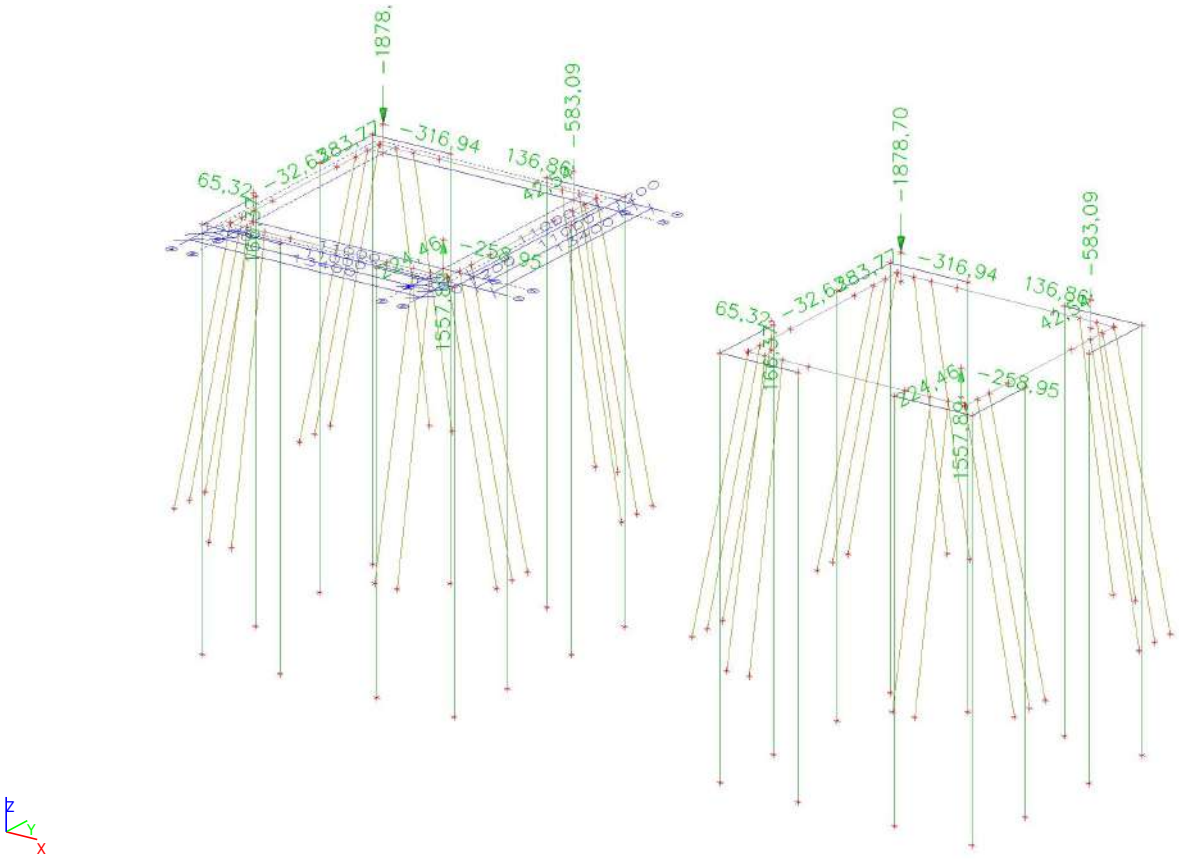
6.1.4.1. Puntlast op knoop

Naam	Knoop	Belastingsgeval	Systeem	Rich	Type	Waarde - F [kN]
high max Wnd ;315°_1P_X	1P	high max Wnd ;315°	GCS	X	Kracht	-316,78
high max Wnd ;315°_1P_Y	1P	high max Wnd ;315°	GCS	Y	Kracht	-283,66
high max Wnd ;315°_1P_Z	1P	high max Wnd ;315°	GCS	Z	Kracht	-1877,79
high max Wnd ;315°_1X_X	1X	high max Wnd ;315°	GCS	X	Kracht	65,07
high max Wnd ;315°_1X_Y	1X	high max Wnd ;315°	GCS	Y	Kracht	32,89
high max Wnd ;315°_1X_Z	1X	high max Wnd ;315°	GCS	Z	Kracht	164,67
high max Wnd ;315°_1XY_X	1XY	high max Wnd ;315°	GCS	X	Kracht	-258,69
high max Wnd ;315°_1XY_Y	1XY	high max Wnd ;315°	GCS	Y	Kracht	-224,42
high max Wnd ;315°_1XY_Z	1XY	high max Wnd ;315°	GCS	Z	Kracht	1556,92
high max Wnd ;315°_1Y_X	1Y	high max Wnd ;315°	GCS	X	Kracht	136,53
high max Wnd ;315°_1Y_Y	1Y	high max Wnd ;315°	GCS	Y	Kracht	-42,35
high max Wnd ;315°_1Y_Z	1Y	high max Wnd ;315°	GCS	Z	Kracht	-581,35
high max Wnd ;315°_1Y_X1	1Y1	high max Wnd ;315°	GCS	X	Kracht	136,53
high max Wnd ;315°_1Y_Y1	1Y1	high max Wnd ;315°	GCS	Y	Kracht	-42,35
high max Wnd	1Y1	high max Wnd ;315°	GCS	Z	Kracht	-581,35

Naam	Knoop	Belastingsgeval	Systeem	Rich	Type	Waarde - F [kN]
;315°_1Y_Z1						
high max Wnd ;315°_1XY_X1	1XY1	high max Wnd ;315°	GCS	X	Kracht	-258,69
high max Wnd ;315°_1XY_Y1	1XY1	high max Wnd ;315°	GCS	Y	Kracht	-224,42
high max Wnd ;315°_1XY_Z1	1XY1	high max Wnd ;315°	GCS	Z	Kracht	1556,92
high max Wnd ;315°_1P_X1	1P1	high max Wnd ;315°	GCS	X	Kracht	-316,78
high max Wnd ;315°_1P_Y1	1P1	high max Wnd ;315°	GCS	Y	Kracht	-283,66
high max Wnd ;315°_1P_Z1	1P1	high max Wnd ;315°	GCS	Z	Kracht	-1877,79
high max Wnd ;315°_1X_X1	1X1	high max Wnd ;315°	GCS	X	Kracht	65,07
high max Wnd ;315°_1X_Y1	1X1	high max Wnd ;315°	GCS	Y	Kracht	32,89
high max Wnd ;315°_1X_Z1	1X1	high max Wnd ;315°	GCS	Z	Kracht	164,67

6.1.5. Belastingsgevallen - high max Wnd ;45°

Naam	Omschrijving	Actie type	Lastgroep	Duur	'Master' belastingsgeval
	Spec	Belastingtype			
high max Wnd ;45°		Variabel	LG4	Kort	Geen
	Standaard	Statisch			

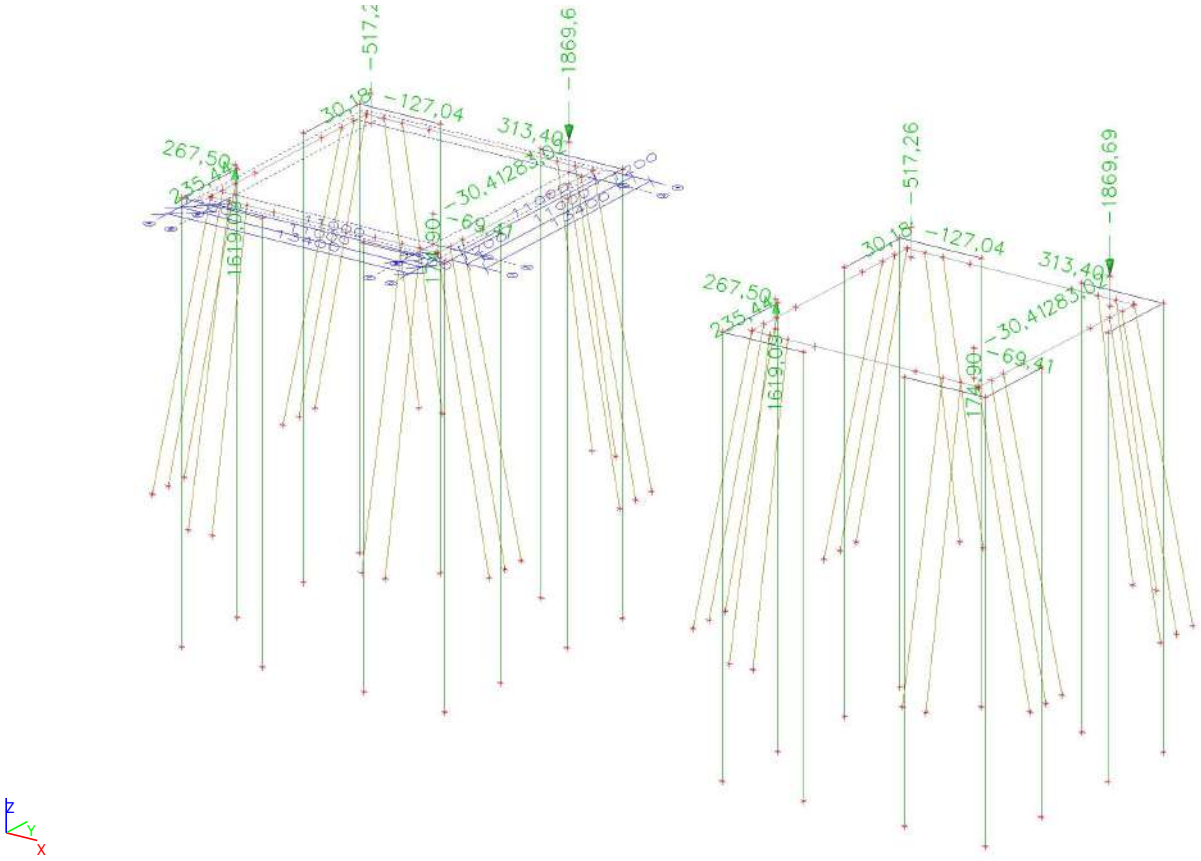


6.1.5.1. Puntlast op knoop

Naam	Knoop	Belastingsgeval	Systeem	Rich	Type	Waarde - F [kN]
high max Wnd ;45°_1P_X	1P	high max Wnd ;45°	GCS	X	Kracht	65,32
high max Wnd ;45°_1P_Y	1P	high max Wnd ;45°	GCS	Y	Kracht	-32,63
high max Wnd ;45°_1P_Z	1P	high max Wnd ;45°	GCS	Z	Kracht	166,37
high max Wnd ;45°_1X_X	1X	high max Wnd ;45°	GCS	X	Kracht	-316,94
high max Wnd ;45°_1X_Y	1X	high max Wnd ;45°	GCS	Y	Kracht	283,77
high max Wnd ;45°_1X_Z	1X	high max Wnd ;45°	GCS	Z	Kracht	-1878,70
high max Wnd ;45°_1XY_X	1XY	high max Wnd ;45°	GCS	X	Kracht	136,86
high max Wnd ;45°_1XY_Y	1XY	high max Wnd ;45°	GCS	Y	Kracht	42,54
high max Wnd ;45°_1XY_Z	1XY	high max Wnd ;45°	GCS	Z	Kracht	-583,09
high max Wnd ;45°_1Y_X	1Y	high max Wnd ;45°	GCS	X	Kracht	-258,95
high max Wnd ;45°_1Y_Y	1Y	high max Wnd ;45°	GCS	Y	Kracht	224,46
high max Wnd ;45°_1Y_Z	1Y	high max Wnd ;45°	GCS	Z	Kracht	1557,89
high max Wnd ;45°_1Y_X1	1Y1	high max Wnd ;45°	GCS	X	Kracht	-258,95
high max Wnd ;45°_1Y_Y1	1Y1	high max Wnd ;45°	GCS	Y	Kracht	224,46
high max Wnd ;45°_1Y_Z1	1Y1	high max Wnd ;45°	GCS	Z	Kracht	1557,89
high max Wnd ;45°_1XY_X1	1XY1	high max Wnd ;45°	GCS	X	Kracht	136,86
high max Wnd ;45°_1XY_Y1	1XY1	high max Wnd ;45°	GCS	Y	Kracht	42,54
high max Wnd ;45°_1XY_Z1	1XY1	high max Wnd ;45°	GCS	Z	Kracht	-583,09
high max Wnd ;45°_1P_X1	1P1	high max Wnd ;45°	GCS	X	Kracht	65,32
high max Wnd ;45°_1P_Y1	1P1	high max Wnd ;45°	GCS	Y	Kracht	-32,63
high max Wnd ;45°_1P_Z1	1P1	high max Wnd ;45°	GCS	Z	Kracht	166,37
high max Wnd ;45°_1X_X1	1X1	high max Wnd ;45°	GCS	X	Kracht	-316,94
high max Wnd ;45°_1X_Y1	1X1	high max Wnd ;45°	GCS	Y	Kracht	283,77
high max Wnd ;45°_1X_Z1	1X1	high max Wnd ;45°	GCS	Z	Kracht	-1878,70

6.1.6. Belastingsgevallen - low max Wnd ;135°

Naam	Omschrijving	Actie type	Lastgroep	Duur	'Master' belastingsgeval
	Spec	Belastingtype			
low max Wnd ;135°		Variabel	LG4	Kort	Geen
	Standaard	Statisch			



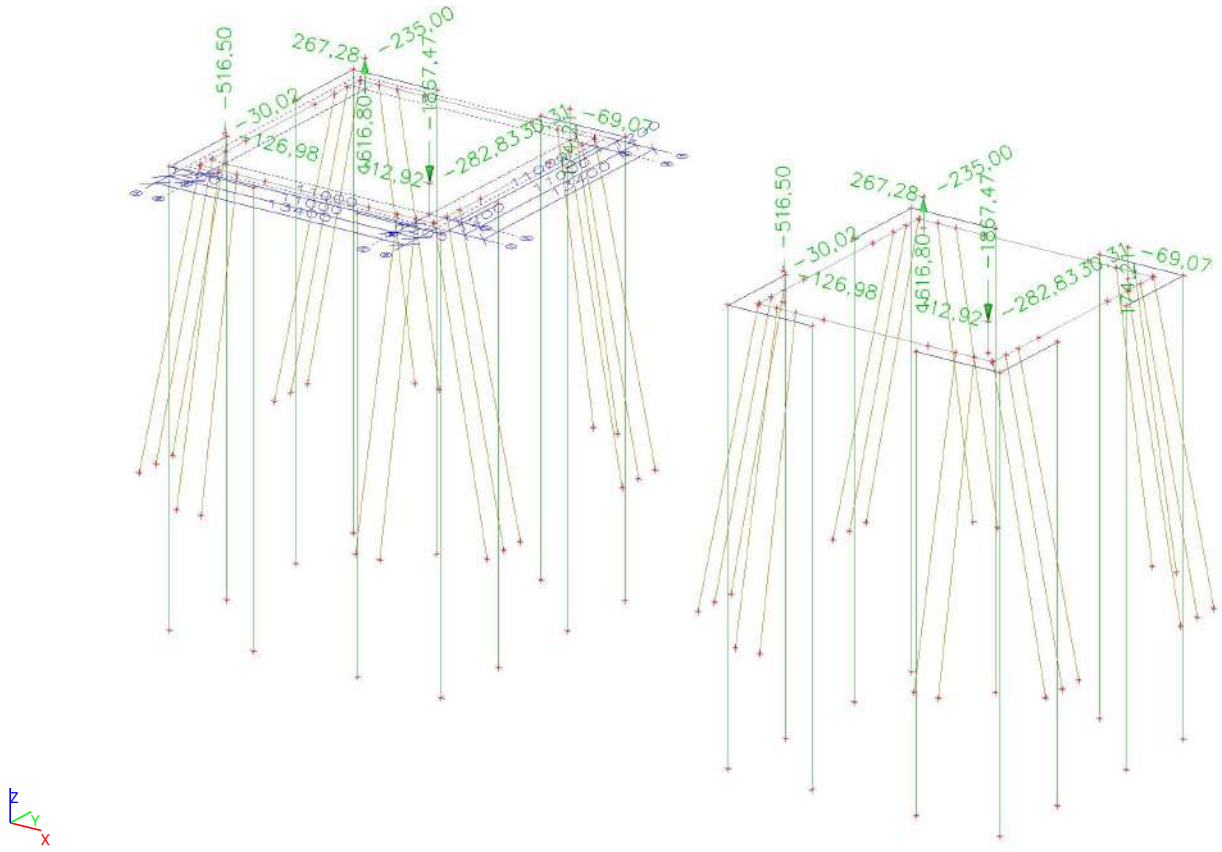
6.1.6.1. Puntlast op knoop

Naam	Knoop	Belastingsgeval	Systeem	Rich	Type	Waarde - F [kN]
low max Wnd ;135°_1P_X	1P	low max Wnd ;135°	GCS	X	Kracht	267,50
low max Wnd ;135°_1P_Y	1P	low max Wnd ;135°	GCS	Y	Kracht	235,44
low max Wnd ;135°_1P_Z	1P	low max Wnd ;135°	GCS	Z	Kracht	1619,09
low max Wnd ;135°_1X_X	1X	low max Wnd ;135°	GCS	X	Kracht	-127,04
low max Wnd ;135°_1X_Y	1X	low max Wnd ;135°	GCS	Y	Kracht	30,18
low max Wnd ;135°_1X_Z	1X	low max Wnd ;135°	GCS	Z	Kracht	-517,26
low max Wnd ;135°_1XY_X	1XY	low max Wnd ;135°	GCS	X	Kracht	313,40
low max Wnd ;135°_1XY_Y	1XY	low max Wnd ;135°	GCS	Y	Kracht	283,02
low max Wnd ;135°_1XY_Z	1XY	low max Wnd ;135°	GCS	Z	Kracht	-1869,69
low max Wnd ;135°_1Y_X	1Y	low max Wnd ;135°	GCS	X	Kracht	-69,41
low max Wnd ;135°_1Y_Y	1Y	low max Wnd ;135°	GCS	Y	Kracht	-30,41
low max Wnd ;135°_1Y_Z	1Y	low max Wnd ;135°	GCS	Z	Kracht	174,90
low max Wnd ;135°_1Y_X1	1Y1	low max Wnd ;135°	GCS	X	Kracht	-69,41
low max Wnd ;135°_1Y_Y1	1Y1	low max Wnd ;135°	GCS	Y	Kracht	-30,41
low max Wnd	1Y1	low max Wnd ;135°	GCS	Z	Kracht	174,90

Naam	Knoop	Belastingsgeval	Systeem	Rich	Type	Waarde - F [kN]
;135°_1Y_Z1						
low max Wnd ;135°_1XY_X1	1XY1	low max Wnd ;135°	GCS	X	Kracht	313,40
low max Wnd ;135°_1XY_Y1	1XY1	low max Wnd ;135°	GCS	Y	Kracht	283,02
low max Wnd ;135°_1XY_Z1	1XY1	low max Wnd ;135°	GCS	Z	Kracht	-1869,69
low max Wnd ;135°_1P_X1	1P1	low max Wnd ;135°	GCS	X	Kracht	267,50
low max Wnd ;135°_1P_Y1	1P1	low max Wnd ;135°	GCS	Y	Kracht	235,44
low max Wnd ;135°_1P_Z1	1P1	low max Wnd ;135°	GCS	Z	Kracht	1619,09
low max Wnd ;135°_1X_X1	1X1	low max Wnd ;135°	GCS	X	Kracht	-127,04
low max Wnd ;135°_1X_Y1	1X1	low max Wnd ;135°	GCS	Y	Kracht	30,18
low max Wnd ;135°_1X_Z1	1X1	low max Wnd ;135°	GCS	Z	Kracht	-517,26

6.1.7. Belastingsgevallen - low max Wnd ;225°

Naam	Omschrijving	Actie type	Lastgroep	Duur	'Master' belastingsgeval
	Spec	Belastingtype			
low max Wnd ;225°		Variabel	LG4	Kort	Geen
	Standaard	Statisch			

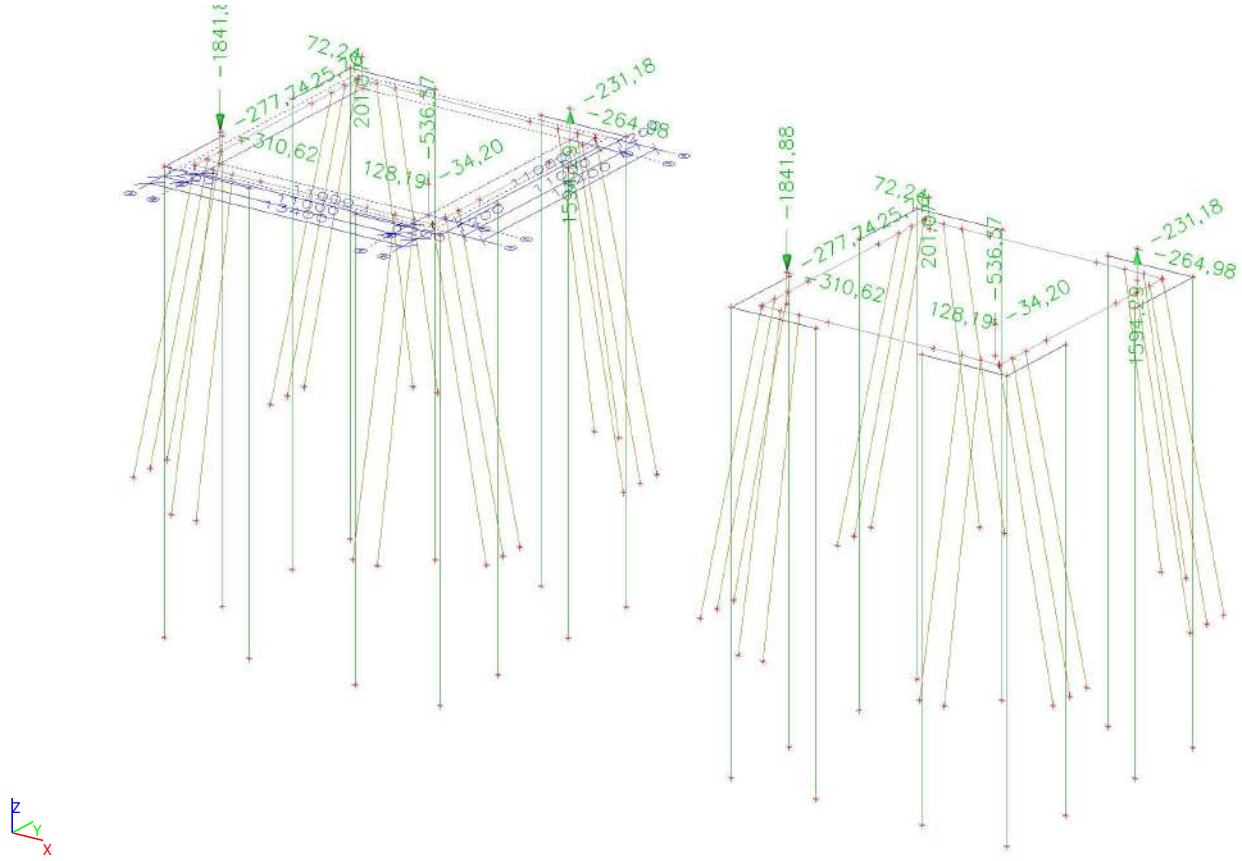


6.1.7.1. Puntlast op knoop

Naam	Knoop	Belastingsgeval	Systeem	Rich	Type	Waarde - F [kN]
low max Wnd ;225°_1P_X	1P	low max Wnd ;225°	GCS	X	Kracht	-126,98
low max Wnd ;225°_1P_Y	1P	low max Wnd ;225°	GCS	Y	Kracht	-30,02
low max Wnd ;225°_1P_Z	1P	low max Wnd ;225°	GCS	Z	Kracht	-516,50
low max Wnd ;225°_1X_X	1X	low max Wnd ;225°	GCS	X	Kracht	267,28
low max Wnd ;225°_1X_Y	1X	low max Wnd ;225°	GCS	Y	Kracht	-235,00
low max Wnd ;225°_1X_Z	1X	low max Wnd ;225°	GCS	Z	Kracht	1616,80
low max Wnd ;225°_1XY_X	1XY	low max Wnd ;225°	GCS	X	Kracht	-69,07
low max Wnd ;225°_1XY_Y	1XY	low max Wnd ;225°	GCS	Y	Kracht	30,31
low max Wnd ;225°_1XY_Z	1XY	low max Wnd ;225°	GCS	Z	Kracht	174,21
low max Wnd ;225°_1Y_X	1Y	low max Wnd ;225°	GCS	X	Kracht	312,92
low max Wnd ;225°_1Y_Y	1Y	low max Wnd ;225°	GCS	Y	Kracht	-282,83
low max Wnd ;225°_1Y_Z	1Y	low max Wnd ;225°	GCS	Z	Kracht	-1867,47
low max Wnd ;225°_1Y_X1	1Y1	low max Wnd ;225°	GCS	X	Kracht	312,92
low max Wnd ;225°_1Y_Y1	1Y1	low max Wnd ;225°	GCS	Y	Kracht	-282,83
low max Wnd ;225°_1Y_Z1	1Y1	low max Wnd ;225°	GCS	Z	Kracht	-1867,47
low max Wnd ;225°_1XY_X1	1XY1	low max Wnd ;225°	GCS	X	Kracht	-69,07
low max Wnd ;225°_1XY_Y1	1XY1	low max Wnd ;225°	GCS	Y	Kracht	30,31
low max Wnd ;225°_1XY_Z1	1XY1	low max Wnd ;225°	GCS	Z	Kracht	174,21
low max Wnd ;225°_1P_X1	1P1	low max Wnd ;225°	GCS	X	Kracht	-126,98
low max Wnd ;225°_1P_Y1	1P1	low max Wnd ;225°	GCS	Y	Kracht	-30,02
low max Wnd ;225°_1P_Z1	1P1	low max Wnd ;225°	GCS	Z	Kracht	-516,50
low max Wnd ;225°_1X_X1	1X1	low max Wnd ;225°	GCS	X	Kracht	267,28
low max Wnd ;225°_1X_Y1	1X1	low max Wnd ;225°	GCS	Y	Kracht	-235,00
low max Wnd ;225°_1X_Z1	1X1	low max Wnd ;225°	GCS	Z	Kracht	1616,80

6.1.8. Belastingsgevallen - low max Wnd ;315°

Naam	Omschrijving	Actie type	Lastgroep	Duur	'Master' belastingsgeval
	Spec	Belastingtype			
low max Wnd ;315°		Variabel	LG4	Kort	Geen
	Standaard	Statisch			



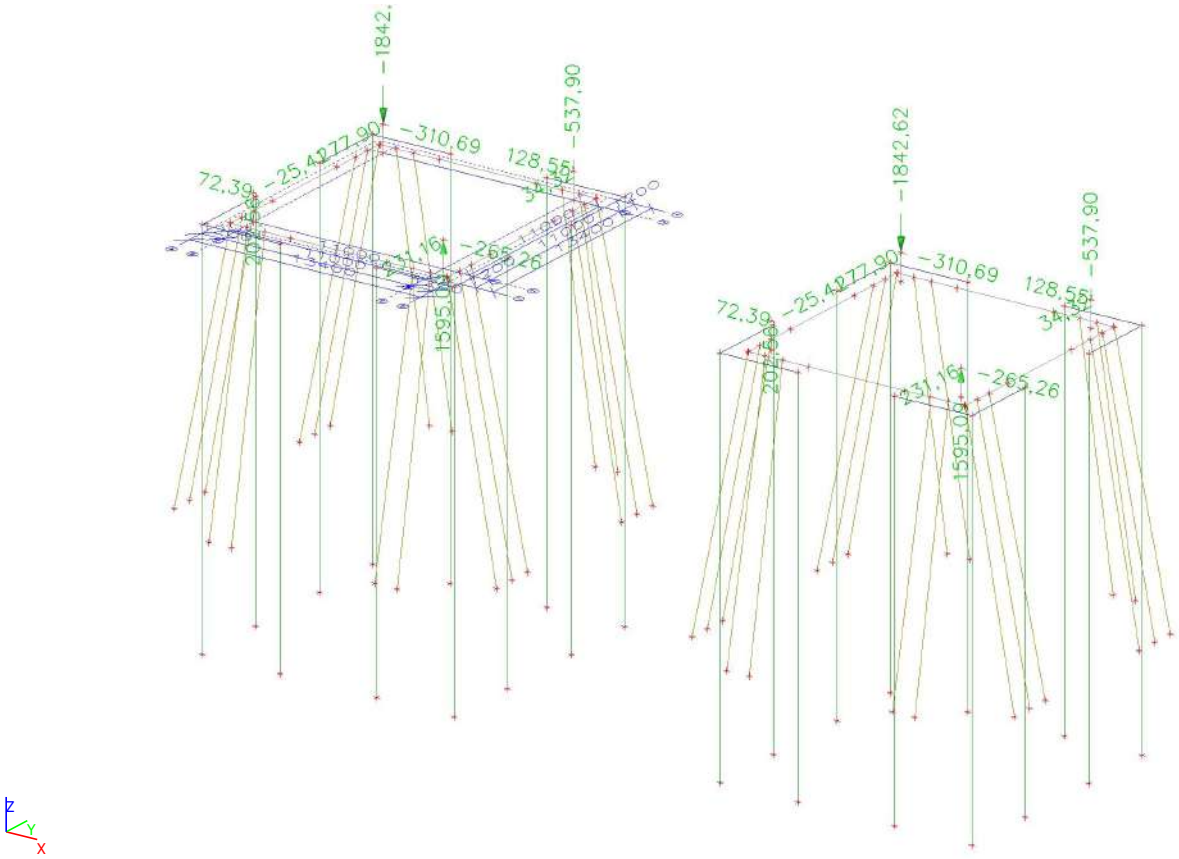
6.1.8.1. Puntlast op knoop

Naam	Knoop	Belastingsgeval	Systeem	Rich	Type	Waarde - F [kN]
low max Wnd ;315°_1P_X	1P	low max Wnd ;315°	GCS	X	Kracht	-310,62
low max Wnd ;315°_1P_Y	1P	low max Wnd ;315°	GCS	Y	Kracht	-277,74
low max Wnd ;315°_1P_Z	1P	low max Wnd ;315°	GCS	Z	Kracht	-1841,88
low max Wnd ;315°_1X_X	1X	low max Wnd ;315°	GCS	X	Kracht	72,24
low max Wnd ;315°_1X_Y	1X	low max Wnd ;315°	GCS	Y	Kracht	25,70
low max Wnd ;315°_1X_Z	1X	low max Wnd ;315°	GCS	Z	Kracht	201,07
low max Wnd ;315°_1XY_X	1XY	low max Wnd ;315°	GCS	X	Kracht	-264,98
low max Wnd ;315°_1XY_Y	1XY	low max Wnd ;315°	GCS	Y	Kracht	-231,18
low max Wnd ;315°_1XY_Z	1XY	low max Wnd ;315°	GCS	Z	Kracht	1594,29
low max Wnd ;315°_1Y_X	1Y	low max Wnd ;315°	GCS	X	Kracht	128,19
low max Wnd ;315°_1Y_Y	1Y	low max Wnd ;315°	GCS	Y	Kracht	-34,20
low max Wnd ;315°_1Y_Z	1Y	low max Wnd ;315°	GCS	Z	Kracht	-536,37
low max Wnd ;315°_1Y_X1	1Y1	low max Wnd ;315°	GCS	X	Kracht	128,19
low max Wnd ;315°_1Y_Y1	1Y1	low max Wnd ;315°	GCS	Y	Kracht	-34,20
low max Wnd	1Y1	low max Wnd ;315°	GCS	Z	Kracht	-536,37

Naam	Knoop	Belastingsgeval	Systeem	Rich	Type	Waarde - F [kN]
;315°_1Y_Z1						
low max Wnd ;315°_1XY_X1	1XY1	low max Wnd ;315°	GCS	X	Kracht	-264,98
low max Wnd ;315°_1XY_Y1	1XY1	low max Wnd ;315°	GCS	Y	Kracht	-231,18
low max Wnd ;315°_1XY_Z1	1XY1	low max Wnd ;315°	GCS	Z	Kracht	1594,29
low max Wnd ;315°_1P_X1	1P1	low max Wnd ;315°	GCS	X	Kracht	-310,62
low max Wnd ;315°_1P_Y1	1P1	low max Wnd ;315°	GCS	Y	Kracht	-277,74
low max Wnd ;315°_1P_Z1	1P1	low max Wnd ;315°	GCS	Z	Kracht	-1841,88
low max Wnd ;315°_1X_X1	1X1	low max Wnd ;315°	GCS	X	Kracht	72,24
low max Wnd ;315°_1X_Y1	1X1	low max Wnd ;315°	GCS	Y	Kracht	25,70
low max Wnd ;315°_1X_Z1	1X1	low max Wnd ;315°	GCS	Z	Kracht	201,07

6.1.9. Belastingsgevallen - low max Wnd ;45°

Naam	Omschrijving	Actie type	Lastgroep	Duur	'Master' belastingsgeval
	Spec	Belastingtype			
low max Wnd ;45°		Variabel	LG4	Kort	Geen
	Standaard	Statisch			



6.1.9.1. Puntlast op knoop

Naam	Knoop	Belastingsgeval	Systeem	Rich	Type	Waarde - F [kN]
low max Wnd ;45°_1P_X	1P	low max Wnd ;45°	GCS	X	Kracht	72,39
low max Wnd ;45°_1P_Y	1P	low max Wnd ;45°	GCS	Y	Kracht	-25,41
low max Wnd ;45°_1P_Z	1P	low max Wnd ;45°	GCS	Z	Kracht	202,56
low max Wnd ;45°_1X_X	1X	low max Wnd ;45°	GCS	X	Kracht	-310,69
low max Wnd ;45°_1X_Y	1X	low max Wnd ;45°	GCS	Y	Kracht	277,90
low max Wnd ;45°_1X_Z	1X	low max Wnd ;45°	GCS	Z	Kracht	-1842,62
low max Wnd ;45°_1XY_X	1XY	low max Wnd ;45°	GCS	X	Kracht	128,55
low max Wnd ;45°_1XY_Y	1XY	low max Wnd ;45°	GCS	Y	Kracht	34,32
low max Wnd ;45°_1XY_Z	1XY	low max Wnd ;45°	GCS	Z	Kracht	-537,90
low max Wnd ;45°_1Y_X	1Y	low max Wnd ;45°	GCS	X	Kracht	-265,26
low max Wnd ;45°_1Y_Y	1Y	low max Wnd ;45°	GCS	Y	Kracht	231,16
low max Wnd ;45°_1Y_Z	1Y	low max Wnd ;45°	GCS	Z	Kracht	1595,09
low max Wnd ;45°_1Y_X1	1Y1	low max Wnd ;45°	GCS	X	Kracht	-265,26
low max Wnd ;45°_1Y_Y1	1Y1	low max Wnd ;45°	GCS	Y	Kracht	231,16
low max Wnd ;45°_1Y_Z1	1Y1	low max Wnd ;45°	GCS	Z	Kracht	1595,09
low max Wnd ;45°_1XY_X1	1XY1	low max Wnd ;45°	GCS	X	Kracht	128,55
low max Wnd ;45°_1XY_Y1	1XY1	low max Wnd ;45°	GCS	Y	Kracht	34,32
low max Wnd ;45°_1XY_Z1	1XY1	low max Wnd ;45°	GCS	Z	Kracht	-537,90
low max Wnd ;45°_1P_X1	1P1	low max Wnd ;45°	GCS	X	Kracht	72,39
low max Wnd ;45°_1P_Y1	1P1	low max Wnd ;45°	GCS	Y	Kracht	-25,41
low max Wnd ;45°_1P_Z1	1P1	low max Wnd ;45°	GCS	Z	Kracht	202,56
low max Wnd ;45°_1X_X1	1X1	low max Wnd ;45°	GCS	X	Kracht	-310,69
low max Wnd ;45°_1X_Y1	1X1	low max Wnd ;45°	GCS	Y	Kracht	277,90
low max Wnd ;45°_1X_Z1	1X1	low max Wnd ;45°	GCS	Z	Kracht	-1842,62

6.2. Niet-lineaire combinaties

Naam	Type	Belastingsgevallen	Coëff. [-]
high max + Wnd ;45°	Uiterste Grenstoestand	E.G.	1,20
		high max Wnd ;45°	1,00
high max + Wnd ;135°	Uiterste Grenstoestand	E.G.	1,20
		high max Wnd ;135°	1,00
high max + Wnd ;225°	Uiterste Grenstoestand	E.G.	1,20
		high max Wnd ;225°	1,00
high max + Wnd ;315°	Uiterste Grenstoestand	E.G.	1,20
		high max Wnd ;315°	1,00
low max + Wnd ;45°	Uiterste Grenstoestand	E.G.	0,90
		low max Wnd ;45°	1,00
low max + Wnd ;135°	Uiterste Grenstoestand	E.G.	0,90

Naam	Type	Belastingsgevallen	Coëff. [-]
		low max Wnd ;135°	1,00
low max + Wnd ;225°	Uiterste Grenstoestand	E.G.	0,90
		low max Wnd ;225°	1,00
low max + Wnd ;315°	Uiterste Grenstoestand	E.G.	0,90
		low max Wnd ;315°	1,00

6.3. Resultaatklassen

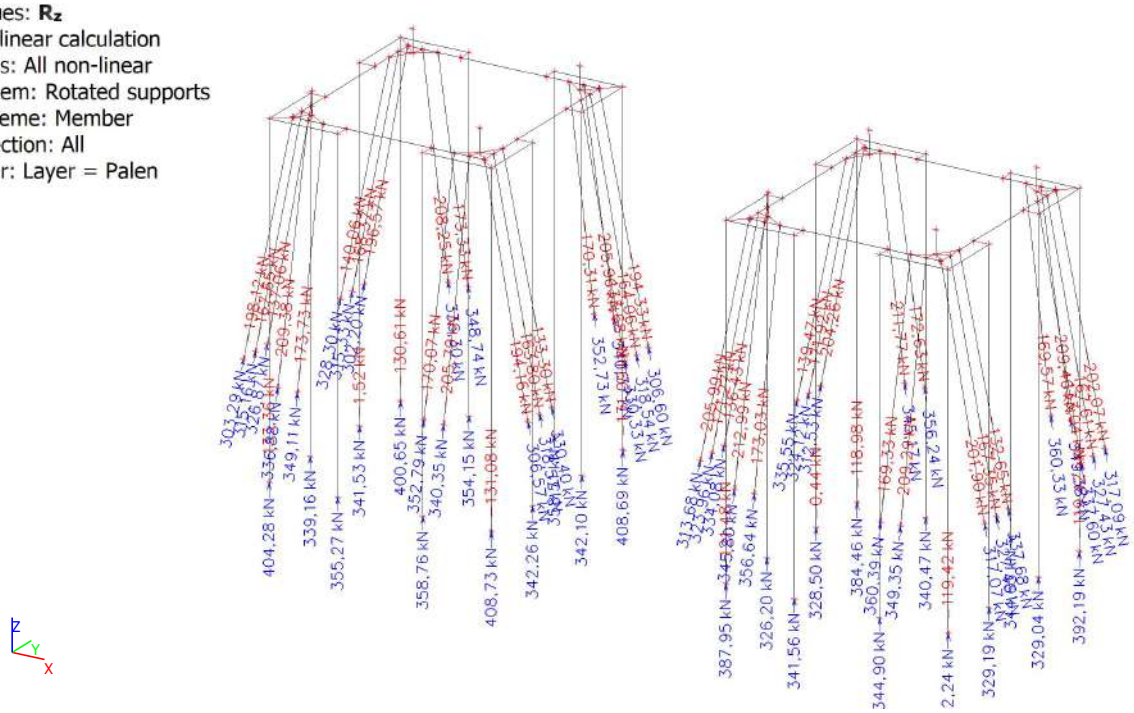
Naam	Lijst
All non-linear	high max + Wnd ;45°
	high max + Wnd ;135°
	high max + Wnd ;225°
	high max + Wnd ;315°
	low max + Wnd ;45°
	low max + Wnd ;135°
	low max + Wnd ;225°
	low max + Wnd ;315°

7. Resultaten

7.1. Reacties van de palen

7.1.1. Reactions; R_z

Values: R_z
Nonlinear calculation
Class: All non-linear
System: Rotated supports
Extreme: Member
Selection: All
Filter: Layer = Palen



7.1.2. Reacties

Niet-lineaire berekening
Klasse: All non-linear
Systeem: Schuine steunpunten
Extreem: Globaal
Selectie: Alle
Filter: Doorsnede = Funderingspaal - Rectangle (400; 400)
Knoopreacties

Naam	Belasting	R_x [kN]	R_y [kN]	R_z [kN]	M_x [kNm]	M_y [kNm]	M_z [kNm]	e_x [mm]	e_y [mm]
Sn32/N10	low max + Wnd ;135°	**0,00**	0,00	283,85	0,00	0,00	0,00	0,0	0,0
Sn23/N46	low max + Wnd ;315°	**0,00**	0,00	297,58	**0,00**	**0,00**	**0,00**	0,0	0,0
Sn64/N209	low max + Wnd ;135°	0,00	**0,00**	329,69	0,00	0,00	0,00	0,0	0,0
Sn62/N207	high max + Wnd ;135°	0,00	**0,00**	337,60	0,00	0,00	0,00	0,0	0,0
Sn53/N198	low max + Wnd ;135°	0,00	0,00	**-212,99**	0,00	0,00	0,00	0,0	0,0
Sn59/N204	high max + Wnd ;225°	0,00	0,00	**360,39**	0,00	0,00	0,00	0,0	0,0

7.1.3. Reacties

Niet-lineaire berekening
Klasse: All non-linear
Systeem: Schuine steunpunten
Extreem: Globaal
Selectie: Alle
Filter: Doorsnede = LEKA Paal - type e (CHS219.1/10.0)
Knoopreacties

Naam	Belasting	R_x [kN]	R_y [kN]	R_z [kN]	M_x [kNm]	M_y [kNm]	M_z [kNm]	e_x [mm]	e_y [mm]
Sn79/N250	low max + Wnd ;135°	0,00	0,00	**-133,36**	0,00	0,00	0,00	0,0	0,0
Sn78/N249	high max + Wnd ;225°	**0,00**	**0,00**	**408,73**	**0,00**	**0,00**	**0,00**	0,0	0,0

7.1.4. Reacties

Niet-lineaire berekening
Klasse: All non-linear
Systeem: Schuine steunpunten
Extreem: Element
Selectie: Alle
Filter: Laag = Palen

Knoopreacties

Naam	Belasting	R_x [kN]	R_y [kN]	R_z [kN]	M_x [kNm]	M_y [kNm]	M_z [kNm]	e_x [mm]	e_y [mm]
Sn21/N44	high max + Wnd ;225°	**0,00**	0,00	120,98	**0,00**	**0,00**	**0,00**	0,0	0,0
Sn21/N44	high max + Wnd ;315°	0,00	**0,00**	**303,29**	0,00	0,00	0,00	0,0	0,0
Sn21/N44	low max + Wnd ;135°	**0,00**	**0,00**	**-198,12**	0,00	0,00	**0,00**	0,0	0,0
Sn22/N45	low max + Wnd ;315°	**0,00**	**0,00**	289,27	**0,00**	**0,00**	**0,00**	0,0	0,0
Sn22/N45	low max + Wnd ;135°	0,00	0,00	**-167,65**	0,00	0,00	0,00	0,0	0,0
Sn22/N45	high max + Wnd ;315°	0,00	0,00	**315,16**	0,00	0,00	0,00	0,0	0,0
Sn22/N45	low max + Wnd ;225°	**0,00**	0,00	106,69	0,00	0,00	**0,00**	0,0	0,0
Sn23/N46	low max + Wnd ;315°	**0,00**	**0,00**	297,58	0,00	0,00	0,00	0,0	0,0
Sn23/N46	high max + Wnd ;315°	0,00	0,00	**326,87**	**0,00**	**0,00**	**0,00**	0,0	0,0
Sn23/N46	low max + Wnd ;135°	**0,00**	**0,00**	**-137,06**	0,00	0,00	**0,00**	0,0	0,0
Sn24/N47	high max + Wnd ;315°	**0,00**	**0,00**	**336,88**	**0,00**	**0,00**	**0,00**	0,0	0,0
Sn24/N47	low max + Wnd ;135°	**0,00**	**0,00**	**-209,38**	0,00	0,00	**0,00**	0,0	0,0
Sn26/N48	high max + Wnd ;225°	0,00	**0,00**	203,05	0,00	0,00	0,00	0,0	0,0
Sn26/N48	low max + Wnd ;225°	0,00	**0,00**	172,45	**0,00**	**0,00**	**0,00**	0,0	0,0
Sn26/N48	low max + Wnd ;135°	**0,00**	0,00	**-173,73**	0,00	0,00	0,00	0,0	0,0
Sn26/N48	high max + Wnd ;315°	**0,00**	0,00	**349,11**	0,00	0,00	**0,00**	0,0	0,0
Sn27/N49	low max + Wnd ;315°	**0,00**	0,00	100,06	**0,00**	**0,00**	**0,00**	0,0	0,0
Sn27/N49	low max + Wnd ;45°	0,00	**0,00**	**-194,16**	0,00	0,00	0,00	0,0	0,0
Sn27/N49	high max + Wnd ;225°	0,00	**0,00**	**306,57**	0,00	0,00	0,00	0,0	0,0
Sn27/N49	low max + Wnd ;225°	**0,00**	0,00	283,73	0,00	0,00	**0,00**	0,0	0,0
Sn28/N50	low max + Wnd ;45°	0,00	0,00	**-163,80**	0,00	0,00	0,00	0,0	0,0
Sn28/N50	high max + Wnd ;225°	**0,00**	**0,00**	**318,57**	**0,00**	**0,00**	**0,00**	0,0	0,0
Sn28/N50	low max + Wnd ;315°	**0,00**	0,00	109,05	0,00	0,00	**0,00**	0,0	0,0
Sn29/N51	high max + Wnd ;315°	**0,00**	0,00	147,67	**0,00**	**0,00**	**0,00**	0,0	0,0
Sn29/N51	high max +	0,00	**0,00**	**330,40**	0,00	0,00	0,00	0,0	0,0

Naam	Belasting	R_x [kN]	R_y [kN]	R_z [kN]	M_x [kNm]	M_y [kNm]	M_z [kNm]	e_x [mm]	e_y [mm]
	Wnd ;225°								
Sn29/N51	low max + Wnd ;45°	0,00	**0,00**	**-133,30**	0,00	0,00	0,00	0,0	0,0
Sn29/N51	low max + Wnd ;225°	**0,00**	0,00	300,71	0,00	0,00	**0,00**	0,0	0,0
Sn30/N52	high max + Wnd ;45°	**0,00**	**0,00**	-173,42	0,00	0,00	0,00	0,0	0,0
Sn30/N52	low max + Wnd ;315°	0,00	**0,00**	164,47	**0,00**	**0,00**	**0,00**	0,0	0,0
Sn30/N52	low max + Wnd ;45°	0,00	0,00	**-205,79**	0,00	0,00	0,00	0,0	0,0
Sn30/N52	high max + Wnd ;225°	**0,00**	0,00	**340,35**	0,00	0,00	**0,00**	0,0	0,0
Sn31/N53	low max + Wnd ;225°	**0,00**	**0,00**	323,01	**0,00**	**0,00**	**0,00**	0,0	0,0
Sn31/N53	high max + Wnd ;225°	0,00	0,00	**352,79**	0,00	0,00	0,00	0,0	0,0
Sn31/N53	low max + Wnd ;45°	**0,00**	**0,00**	**-170,07**	0,00	0,00	**0,00**	0,0	0,0
Sn32/N10	low max + Wnd ;315°	0,00	**0,00**	**-194,33**	0,00	0,00	0,00	0,0	0,0
Sn32/N10	high max + Wnd ;135°	**0,00**	0,00	**306,60**	**0,00**	**0,00**	**0,00**	0,0	0,0
Sn32/N10	low max + Wnd ;135°	**0,00**	**0,00**	283,85	0,00	0,00	**0,00**	0,0	0,0
Sn33/N11	high max + Wnd ;315°	**0,00**	**0,00**	-131,65	**0,00**	**0,00**	**0,00**	0,0	0,0
Sn33/N11	low max + Wnd ;315°	0,00	0,00	**-164,06**	0,00	0,00	0,00	0,0	0,0
Sn33/N11	high max + Wnd ;135°	**0,00**	0,00	**318,54**	0,00	0,00	**0,00**	0,0	0,0
Sn34/N12	high max + Wnd ;45°	**0,00**	0,00	147,61	**0,00**	**0,00**	**0,00**	0,0	0,0
Sn34/N12	low max + Wnd ;315°	0,00	**0,00**	**-133,68**	0,00	0,00	0,00	0,0	0,0
Sn34/N12	high max + Wnd ;135°	0,00	**0,00**	**330,33**	0,00	0,00	0,00	0,0	0,0
Sn34/N12	low max + Wnd ;135°	**0,00**	0,00	300,76	0,00	0,00	**0,00**	0,0	0,0
Sn35/N13	high max + Wnd ;45°	0,00	**0,00**	192,02	0,00	0,00	0,00	0,0	0,0
Sn35/N13	low max + Wnd ;135°	0,00	**0,00**	314,07	**0,00**	**0,00**	**0,00**	0,0	0,0
Sn35/N13	low max + Wnd ;315°	**0,00**	0,00	**-205,96**	0,00	0,00	0,00	0,0	0,0
Sn35/N13	high max + Wnd ;135°	**0,00**	0,00	**340,37**	0,00	0,00	**0,00**	0,0	0,0
Sn36/N14	high max + Wnd ;315°	0,00	**0,00**	-132,33	0,00	0,00	0,00	0,0	0,0
Sn36/N14	high max + Wnd ;135°	**0,00**	0,00	**352,73**	**0,00**	**0,00**	**0,00**	0,0	0,0
Sn36/N14	low max + Wnd ;315°	**0,00**	**0,00**	**-170,31**	0,00	0,00	**0,00**	0,0	0,0
Sn37/N15	low max + Wnd ;45°	**0,00**	0,00	310,37	**0,00**	**0,00**	**0,00**	0,0	0,0
Sn37/N15	high max + Wnd ;135°	0,00	**0,00**	189,07	0,00	0,00	0,00	0,0	0,0
Sn37/N15	high max + Wnd ;225°	0,00	**0,00**	-176,40	0,00	0,00	0,00	0,0	0,0
Sn37/N15	high max + Wnd ;45°	0,00	0,00	**336,30**	0,00	0,00	0,00	0,0	0,0
Sn37/N15	low max + Wnd ;225°	**0,00**	0,00	**-208,25**	0,00	0,00	**0,00**	0,0	0,0
Sn38/N2	high max + Wnd ;225°	**0,00**	0,00	-135,88	**0,00**	**0,00**	**0,00**	0,0	0,0
Sn38/N2	low max +	0,00	**0,00**	172,40	0,00	0,00	0,00	0,0	0,0

Naam	Belasting	R_x [kN]	R_y [kN]	R_z [kN]	M_x [kNm]	M_y [kNm]	M_z [kNm]	e_x [mm]	e_y [mm]
	Wnd ;135°								
Sn38/N2	high max + Wnd ;135°	0,00	**0,00**	202,90	0,00	0,00	0,00	0,0	0,0
Sn38/N2	low max + Wnd ;225°	0,00	0,00	**-173,33**	0,00	0,00	0,00	0,0	0,0
Sn38/N2	high max + Wnd ;45°	**0,00**	0,00	**348,74**	0,00	0,00	**0,00**	0,0	0,0
Sn39/N3	high max + Wnd ;225°	**0,00**	0,00	-170,04	**0,00**	**0,00**	**0,00**	0,0	0,0
Sn39/N3	high max + Wnd ;45°	0,00	**0,00**	**302,20**	0,00	0,00	0,00	0,0	0,0
Sn39/N3	low max + Wnd ;225°	0,00	**0,00**	**-196,57**	0,00	0,00	0,00	0,0	0,0
Sn39/N3	low max + Wnd ;45°	**0,00**	0,00	279,78	0,00	0,00	**0,00**	0,0	0,0
Sn40/N4	low max + Wnd ;225°	0,00	0,00	**-168,37**	0,00	0,00	0,00	0,0	0,0
Sn40/N4	high max + Wnd ;45°	**0,00**	**0,00**	**315,33**	**0,00**	**0,00**	**0,00**	0,0	0,0
Sn40/N4	low max + Wnd ;45°	**0,00**	0,00	289,48	0,00	0,00	**0,00**	0,0	0,0
Sn41/N54	high max + Wnd ;225°	**0,00**	0,00	-102,58	**0,00**	**0,00**	**0,00**	0,0	0,0
Sn41/N54	high max + Wnd ;45°	0,00	**0,00**	**328,30**	0,00	0,00	0,00	0,0	0,0
Sn41/N54	low max + Wnd ;225°	**0,00**	**0,00**	**-140,06**	0,00	0,00	**0,00**	0,0	0,0
Sn42/N60	low max + Wnd ;315°	0,00	0,00	**7,60**	0,00	0,00	0,00	0,0	0,0
Sn42/N60	high max + Wnd ;135°	**0,00**	**0,00**	**358,51**	**0,00**	**0,00**	**0,00**	0,0	0,0
Sn43/N61	low max + Wnd ;315°	0,00	0,00	**1,69**	0,00	0,00	0,00	0,0	0,0
Sn43/N61	high max + Wnd ;135°	**0,00**	**0,00**	**342,10**	**0,00**	**0,00**	**0,00**	0,0	0,0
Sn44/N70	low max + Wnd ;225°	**0,00**	**0,00**	**6,55**	**0,00**	**0,00**	**0,00**	0,0	0,0
Sn44/N70	high max + Wnd ;45°	0,00	0,00	**354,15**	0,00	0,00	**0,00**	0,0	0,0
Sn45/N72	low max + Wnd ;225°	**0,00**	**0,00**	**-1,52**	**0,00**	**0,00**	**0,00**	0,0	0,0
Sn45/N72	high max + Wnd ;45°	0,00	0,00	**341,53**	0,00	0,00	**0,00**	0,0	0,0
Sn49/N81	low max + Wnd ;45°	0,00	0,00	**1,77**	0,00	0,00	0,00	0,0	0,0
Sn49/N81	high max + Wnd ;225°	**0,00**	**0,00**	**342,26**	**0,00**	**0,00**	**0,00**	0,0	0,0
Sn48/N80	low max + Wnd ;45°	0,00	0,00	**7,88**	0,00	0,00	0,00	0,0	0,0
Sn48/N80	high max + Wnd ;225°	**0,00**	**0,00**	**358,76**	**0,00**	**0,00**	**0,00**	0,0	0,0
Sn46/N75	low max + Wnd ;135°	0,00	0,00	**6,23**	0,00	0,00	0,00	0,0	0,0
Sn46/N75	high max + Wnd ;315°	**0,00**	**0,00**	**355,27**	**0,00**	**0,00**	**0,00**	0,0	0,0
Sn47/N77	low max + Wnd ;135°	0,00	0,00	**0,48**	0,00	0,00	0,00	0,0	0,0
Sn47/N77	high max + Wnd ;315°	**0,00**	**0,00**	**339,16**	**0,00**	**0,00**	**0,00**	0,0	0,0
Sn50/N195	low max + Wnd ;225°	**0,00**	0,00	102,38	**0,00**	**0,00**	**0,00**	0,0	0,0
Sn50/N195	low max + Wnd ;135°	0,00	**0,00**	**-205,99**	0,00	0,00	0,00	0,0	0,0
Sn50/N195	high max + Wnd ;315°	0,00	**0,00**	**313,68**	0,00	0,00	0,00	0,0	0,0
Sn50/N195	high max +	**0,00**	0,00	-178,34	0,00	0,00	**0,00**	0,0	0,0

Naam	Belasting	R_x [kN]	R_y [kN]	R_z [kN]	M_x [kNm]	M_y [kNm]	M_z [kNm]	e_x [mm]	e_y [mm]
	Wnd ;135°								
Sn51/N196	low max + Wnd ;315°	**0,00**	**0,00**	297,22	**0,00**	**0,00**	**0,00**	0,0	0,0
Sn51/N196	low max + Wnd ;135°	0,00	0,00	**-171,27**	0,00	0,00	0,00	0,0	0,0
Sn51/N196	high max + Wnd ;315°	0,00	0,00	**323,96**	0,00	0,00	0,00	0,0	0,0
Sn51/N196	high max + Wnd ;135°	**0,00**	0,00	-138,30	0,00	0,00	**0,00**	0,0	0,0
Sn52/N197	high max + Wnd ;45°	**0,00**	0,00	105,96	**0,00**	**0,00**	**0,00**	0,0	0,0
Sn52/N197	high max + Wnd ;315°	0,00	**0,00**	**334,08**	0,00	0,00	0,00	0,0	0,0
Sn52/N197	low max + Wnd ;135°	**0,00**	**0,00**	**-136,43**	0,00	0,00	**0,00**	0,0	0,0
Sn53/N198	high max + Wnd ;225°	0,00	**0,00**	193,89	0,00	0,00	0,00	0,0	0,0
Sn53/N198	low max + Wnd ;225°	0,00	**0,00**	165,62	**0,00**	**0,00**	**0,00**	0,0	0,0
Sn53/N198	low max + Wnd ;135°	0,00	0,00	**-212,99**	0,00	0,00	0,00	0,0	0,0
Sn53/N198	high max + Wnd ;315°	**0,00**	0,00	**345,80**	0,00	0,00	0,00	0,0	0,0
Sn53/N198	high max + Wnd ;135°	**0,00**	0,00	-180,05	0,00	0,00	**0,00**	0,0	0,0
Sn54/N199	low max + Wnd ;315°	0,00	**0,00**	326,28	**0,00**	**0,00**	**0,00**	0,0	0,0
Sn54/N199	low max + Wnd ;135°	**0,00**	0,00	**-173,03**	0,00	0,00	0,00	0,0	0,0
Sn54/N199	high max + Wnd ;315°	**0,00**	**0,00**	**356,64**	0,00	0,00	**0,00**	0,0	0,0
Sn55/N200	low max + Wnd ;225°	0,00	**0,00**	293,35	**0,00**	**0,00**	**0,00**	0,0	0,0
Sn55/N200	low max + Wnd ;45°	**0,00**	**0,00**	**-201,90**	0,00	0,00	0,00	0,0	0,0
Sn55/N200	high max + Wnd ;225°	0,00	0,00	**317,07**	0,00	0,00	0,00	0,0	0,0
Sn55/N200	low max + Wnd ;315°	**0,00**	0,00	104,70	0,00	0,00	**0,00**	0,0	0,0
Sn56/N201	low max + Wnd ;135°	**0,00**	**0,00**	64,07	**0,00**	**0,00**	**0,00**	0,0	0,0
Sn56/N201	low max + Wnd ;45°	0,00	0,00	**-167,35**	0,00	0,00	0,00	0,0	0,0
Sn56/N201	high max + Wnd ;225°	0,00	0,00	**327,46**	0,00	0,00	0,00	0,0	0,0
Sn56/N201	low max + Wnd ;225°	**0,00**	0,00	300,32	0,00	0,00	**0,00**	0,0	0,0
Sn57/N202	low max + Wnd ;225°	**0,00**	0,00	307,13	**0,00**	**0,00**	**0,00**	0,0	0,0
Sn57/N202	high max + Wnd ;225°	0,00	**0,00**	**337,68**	0,00	0,00	0,00	0,0	0,0
Sn57/N202	high max + Wnd ;45°	0,00	**0,00**	-93,87	0,00	0,00	0,00	0,0	0,0
Sn57/N202	low max + Wnd ;45°	0,00	0,00	**-132,65**	0,00	0,00	0,00	0,0	0,0
Sn57/N202	high max + Wnd ;315°	**0,00**	0,00	152,47	0,00	0,00	**0,00**	0,0	0,0
Sn58/N203	high max + Wnd ;315°	0,00	**0,00**	196,82	0,00	0,00	0,00	0,0	0,0
Sn58/N203	low max + Wnd ;45°	**0,00**	0,00	**-209,29**	0,00	0,00	0,00	0,0	0,0
Sn58/N203	high max + Wnd ;225°	0,00	0,00	**349,35**	**0,00**	**0,00**	**0,00**	0,0	0,0
Sn58/N203	low max + Wnd ;225°	**0,00**	**0,00**	322,14	0,00	0,00	**0,00**	0,0	0,0
Sn59/N204	low max +	0,00	**0,00**	178,70	**0,00**	**0,00**	**0,00**	0,0	0,0

Naam	Belasting	R_x [kN]	R_y [kN]	R_z [kN]	M_x [kNm]	M_y [kNm]	M_z [kNm]	e_x [mm]	e_y [mm]
	Wnd ;315°								
Sn59/N204	high max + Wnd ;225°	**0,00**	0,00	**360,39**	0,00	0,00	0,00	0,0	0,0
Sn59/N204	low max + Wnd ;45°	**0,00**	**0,00**	**-169,33**	0,00	0,00	**0,00**	0,0	0,0
Sn60/N205	low max + Wnd ;135°	**0,00**	0,00	293,46	**0,00**	**0,00**	**0,00**	0,0	0,0
Sn60/N205	low max + Wnd ;315°	0,00	**0,00**	**-202,07**	0,00	0,00	0,00	0,0	0,0
Sn60/N205	high max + Wnd ;135°	**0,00**	**0,00**	**317,09**	0,00	0,00	**0,00**	0,0	0,0
Sn61/N206	high max + Wnd ;315°	**0,00**	**0,00**	-134,26	**0,00**	**0,00**	**0,00**	0,0	0,0
Sn61/N206	low max + Wnd ;315°	0,00	0,00	**-167,61**	0,00	0,00	0,00	0,0	0,0
Sn61/N206	high max + Wnd ;135°	**0,00**	0,00	**327,43**	0,00	0,00	**0,00**	0,0	0,0
Sn62/N207	low max + Wnd ;135°	**0,00**	0,00	307,18	**0,00**	**0,00**	**0,00**	0,0	0,0
Sn62/N207	low max + Wnd ;315°	0,00	**0,00**	**-133,04**	0,00	0,00	0,00	0,0	0,0
Sn62/N207	high max + Wnd ;135°	0,00	**0,00**	**337,60**	0,00	0,00	0,00	0,0	0,0
Sn62/N207	high max + Wnd ;45°	**0,00**	0,00	152,41	0,00	0,00	**0,00**	0,0	0,0
Sn63/N208	high max + Wnd ;315°	**0,00**	0,00	-176,10	**0,00**	**0,00**	**0,00**	0,0	0,0
Sn63/N208	low max + Wnd ;315°	0,00	**0,00**	**-209,46**	0,00	0,00	0,00	0,0	0,0
Sn63/N208	high max + Wnd ;135°	**0,00**	**0,00**	**349,38**	0,00	0,00	**0,00**	0,0	0,0
Sn64/N209	low max + Wnd ;135°	0,00	**0,00**	329,69	0,00	0,00	0,00	0,0	0,0
Sn64/N209	high max + Wnd ;135°	**0,00**	0,00	**360,33**	**0,00**	**0,00**	**0,00**	0,0	0,0
Sn64/N209	low max + Wnd ;315°	**0,00**	**0,00**	**-169,57**	0,00	0,00	**0,00**	0,0	0,0
Sn65/N210	high max + Wnd ;135°	0,00	**0,00**	193,67	0,00	0,00	0,00	0,0	0,0
Sn65/N210	low max + Wnd ;45°	0,00	**0,00**	318,36	**0,00**	**0,00**	**0,00**	0,0	0,0
Sn65/N210	low max + Wnd ;225°	0,00	0,00	**-211,77**	0,00	0,00	0,00	0,0	0,0
Sn65/N210	high max + Wnd ;45°	**0,00**	0,00	**345,17**	0,00	0,00	0,00	0,0	0,0
Sn65/N210	high max + Wnd ;225°	**0,00**	0,00	-178,96	0,00	0,00	**0,00**	0,0	0,0
Sn66/N211	low max + Wnd ;225°	**0,00**	**0,00**	**-172,63**	**0,00**	**0,00**	**0,00**	0,0	0,0
Sn66/N211	high max + Wnd ;45°	**0,00**	**0,00**	**356,24**	0,00	0,00	**0,00**	0,0	0,0
Sn67/N212	high max + Wnd ;45°	**0,00**	**0,00**	**312,53**	0,00	0,00	0,00	0,0	0,0
Sn67/N212	high max + Wnd ;225°	0,00	**0,00**	-176,68	**0,00**	**0,00**	**0,00**	0,0	0,0
Sn67/N212	low max + Wnd ;225°	0,00	0,00	**-204,26**	0,00	0,00	0,00	0,0	0,0
Sn67/N212	low max + Wnd ;135°	**0,00**	0,00	101,85	0,00	0,00	**0,00**	0,0	0,0
Sn68/N213	high max + Wnd ;135°	**0,00**	**0,00**	137,92	**0,00**	**0,00**	**0,00**	0,0	0,0
Sn68/N213	low max + Wnd ;225°	0,00	0,00	**-171,92**	0,00	0,00	0,00	0,0	0,0
Sn68/N213	high max + Wnd ;45°	0,00	0,00	**324,12**	0,00	0,00	0,00	0,0	0,0
Sn68/N213	high max +	**0,00**	0,00	87,55	0,00	0,00	**0,00**	0,0	0,0

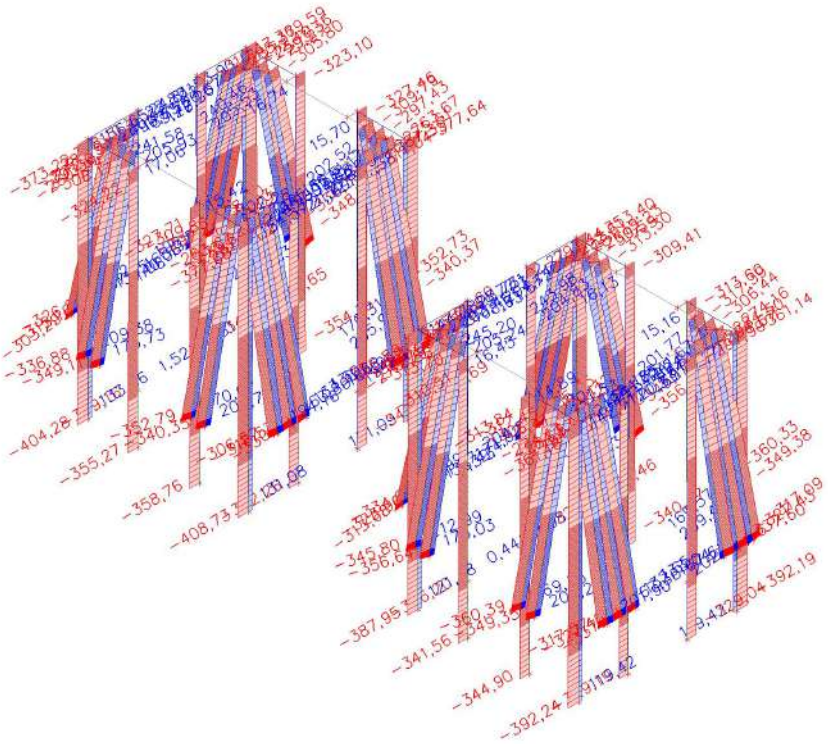
Naam	Belasting	R_x [kN]	R_y [kN]	R_z [kN]	M_x [kNm]	M_y [kNm]	M_z [kNm]	e_x [mm]	e_y [mm]
	Wnd ;315°								
Sn69/N214	low max + Wnd ;135°	**0,00**	0,00	119,77	**0,00**	**0,00**	**0,00**	0,0	0,0
Sn69/N214	low max + Wnd ;225°	0,00	**0,00**	**-139,47**	0,00	0,00	0,00	0,0	0,0
Sn69/N214	high max + Wnd ;45°	0,00	**0,00**	**335,55**	0,00	0,00	0,00	0,0	0,0
Sn69/N214	high max + Wnd ;315°	**0,00**	0,00	105,26	0,00	0,00	**0,00**	0,0	0,0
Sn70/N220	low max + Wnd ;315°	0,00	0,00	**8,13**	0,00	0,00	0,00	0,0	0,0
Sn70/N220	high max + Wnd ;135°	**0,00**	**0,00**	**344,65**	**0,00**	**0,00**	**0,00**	0,0	0,0
Sn71/N221	low max + Wnd ;315°	0,00	0,00	**2,69**	0,00	0,00	0,00	0,0	0,0
Sn71/N221	high max + Wnd ;135°	**0,00**	**0,00**	**329,04**	**0,00**	**0,00**	**0,00**	0,0	0,0
Sn72/N226	low max + Wnd ;225°	**0,00**	**0,00**	**7,16**	**0,00**	**0,00**	**0,00**	0,0	0,0
Sn72/N226	high max + Wnd ;45°	0,00	0,00	**340,47**	0,00	0,00	**0,00**	0,0	0,0
Sn73/N228	low max + Wnd ;225°	**0,00**	**0,00**	**-0,44**	**0,00**	**0,00**	**0,00**	0,0	0,0
Sn73/N228	high max + Wnd ;45°	0,00	0,00	**328,50**	0,00	0,00	**0,00**	0,0	0,0
Sn77/N237	low max + Wnd ;45°	0,00	0,00	**2,76**	0,00	0,00	0,00	0,0	0,0
Sn77/N237	high max + Wnd ;225°	**0,00**	**0,00**	**329,19**	**0,00**	**0,00**	**0,00**	0,0	0,0
Sn76/N236	low max + Wnd ;45°	0,00	0,00	**8,41**	0,00	0,00	0,00	0,0	0,0
Sn76/N236	high max + Wnd ;225°	**0,00**	**0,00**	**344,90**	**0,00**	**0,00**	**0,00**	0,0	0,0
Sn74/N231	low max + Wnd ;135°	0,00	0,00	**6,86**	0,00	0,00	0,00	0,0	0,0
Sn74/N231	high max + Wnd ;315°	**0,00**	**0,00**	**341,56**	**0,00**	**0,00**	**0,00**	0,0	0,0
Sn75/N233	low max + Wnd ;135°	0,00	0,00	**1,53**	0,00	0,00	0,00	0,0	0,0
Sn75/N233	high max + Wnd ;315°	**0,00**	**0,00**	**326,20**	**0,00**	**0,00**	**0,00**	0,0	0,0
Sn78/N249	low max + Wnd ;45°	0,00	0,00	**-131,08**	0,00	0,00	0,00	0,0	0,0
Sn78/N249	high max + Wnd ;225°	**0,00**	**0,00**	**408,73**	**0,00**	**0,00**	**0,00**	0,0	0,0
Sn79/N250	low max + Wnd ;135°	0,00	0,00	**-133,36**	0,00	0,00	0,00	0,0	0,0
Sn79/N250	high max + Wnd ;315°	**0,00**	**0,00**	**404,28**	**0,00**	**0,00**	**0,00**	0,0	0,0
Sn80/N251	low max + Wnd ;135°	0,00	0,00	**-121,48**	0,00	0,00	0,00	0,0	0,0
Sn80/N251	high max + Wnd ;315°	**0,00**	**0,00**	**387,95**	**0,00**	**0,00**	**0,00**	0,0	0,0
Sn81/N252	low max + Wnd ;45°	0,00	0,00	**-119,42**	0,00	0,00	0,00	0,0	0,0
Sn81/N252	high max + Wnd ;225°	**0,00**	**0,00**	**392,24**	**0,00**	**0,00**	**0,00**	0,0	0,0
Sn82/N253	low max + Wnd ;225°	**0,00**	**0,00**	**-130,61**	**0,00**	**0,00**	**0,00**	0,0	0,0
Sn82/N253	high max + Wnd ;45°	0,00	0,00	**400,65**	0,00	0,00	**0,00**	0,0	0,0
Sn83/N254	low max + Wnd ;315°	0,00	0,00	**-131,09**	0,00	0,00	0,00	0,0	0,0
Sn83/N254	high max + Wnd ;135°	**0,00**	**0,00**	**408,69**	**0,00**	**0,00**	**0,00**	0,0	0,0
Sn84/N255	low max +	**0,00**	**0,00**	**-118,98**	**0,00**	**0,00**	**0,00**	0,0	0,0

Naam	Belasting	R_x [kN]	R_y [kN]	R_z [kN]	M_x [kNm]	M_y [kNm]	M_z [kNm]	e_x [mm]	e_y [mm]
	Wnd ;225°								
Sn84/N255	high max + Wnd ;45°	0,00	0,00	**384,46**	0,00	0,00	**0,00**	0,0	0,0
Sn85/N256	low max + Wnd ;315°	0,00	0,00	**-119,42**	0,00	0,00	0,00	0,0	0,0
Sn85/N256	high max + Wnd ;135°	**0,00**	**0,00**	**392,19**	**0,00**	**0,00**	**0,00**	0,0	0,0

7.2. Krachten van de Funderingspalen

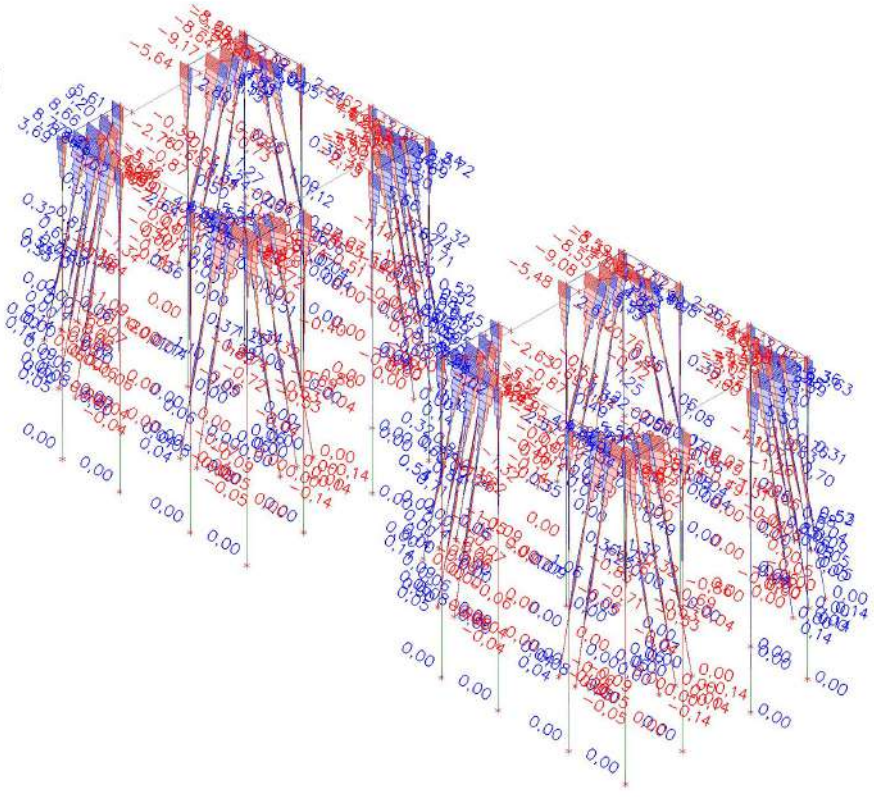
7.2.1. Interne 1D- krachten; N

Values: **N**
Nonlinear calculation
Class: All non-linear
Coordinate system: Principal
Extreme 1D: Local
Selection: All
Filter: Layer = Palen



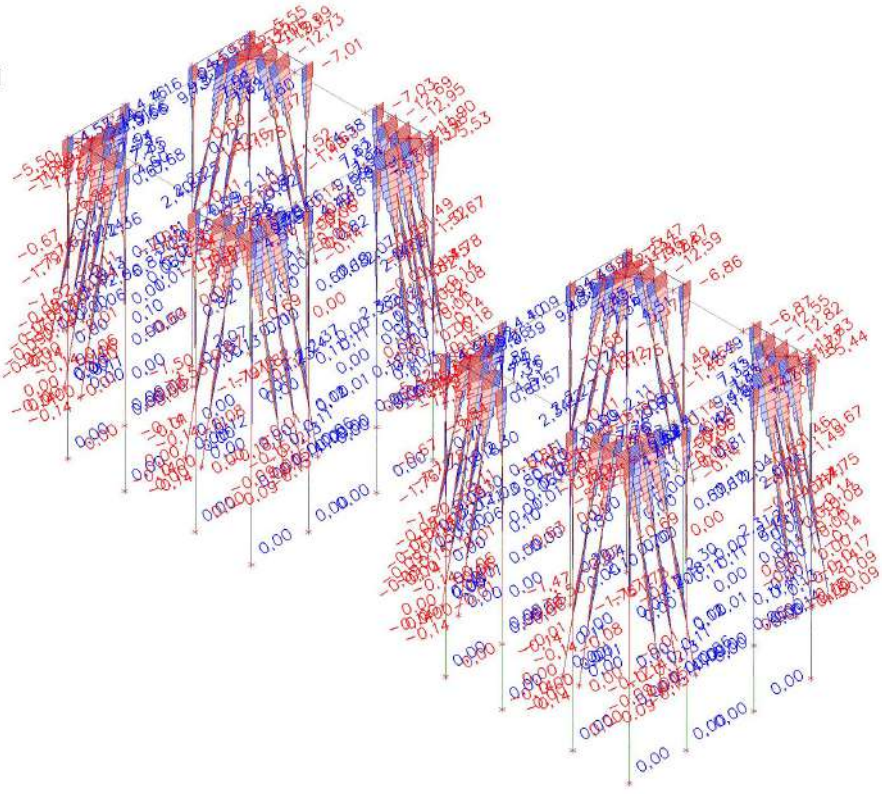
7.2.2. Interne 1D- krachten; V_y

Values: V_y
Nonlinear calculation
Class: All non-linear
Coordinate system: Principal
Extreme 1D: Local
Selection: All
Filter: Layer = Palen



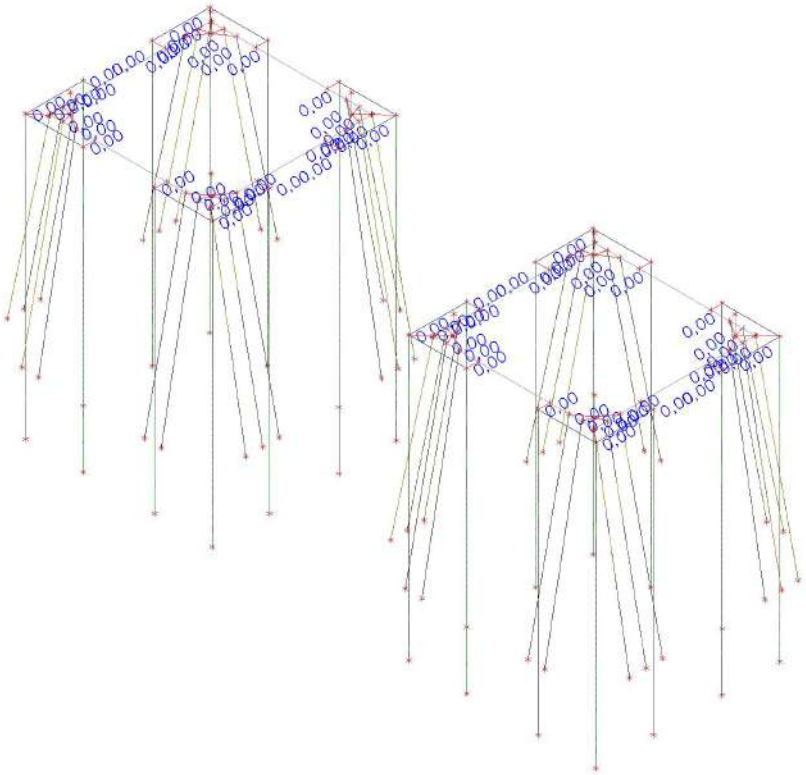
7.2.3. Interne 1D- krachten; V_z

Values: V_z
Nonlinear calculation
Class: All non-linear
Coordinate system: Principal
Extreme 1D: Local
Selection: All
Filter: Layer = Palen



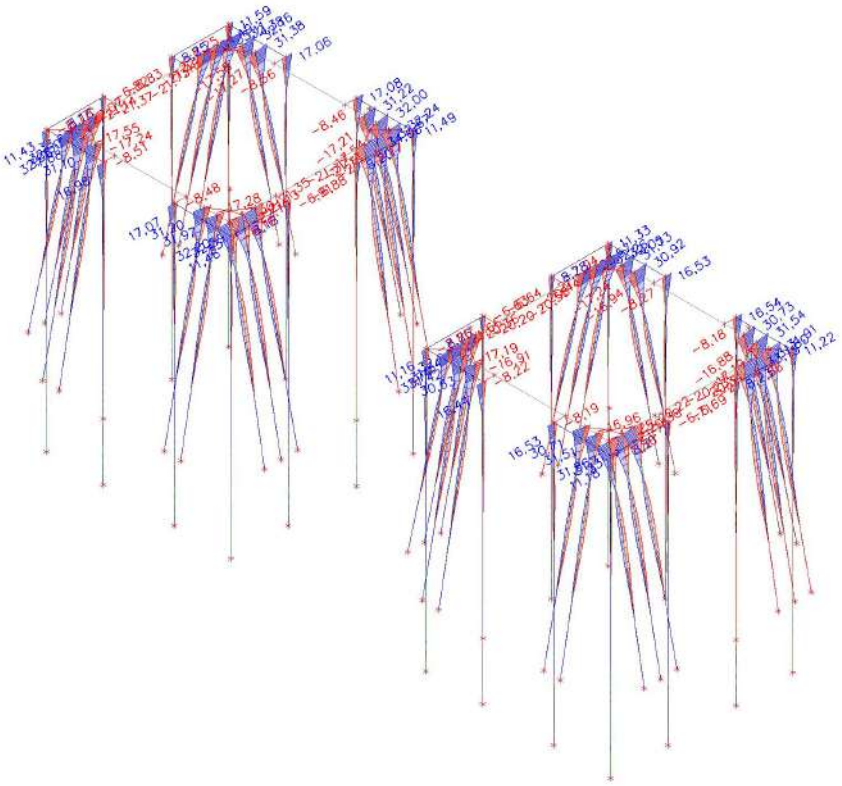
7.2.4. Interne 1D- krachten; M_x

Values: M_x
Nonlinear calculation
Class: All non-linear
Coordinate system: Principal
Extreme 1D: Local
Selection: All
Filter: Layer = Palen



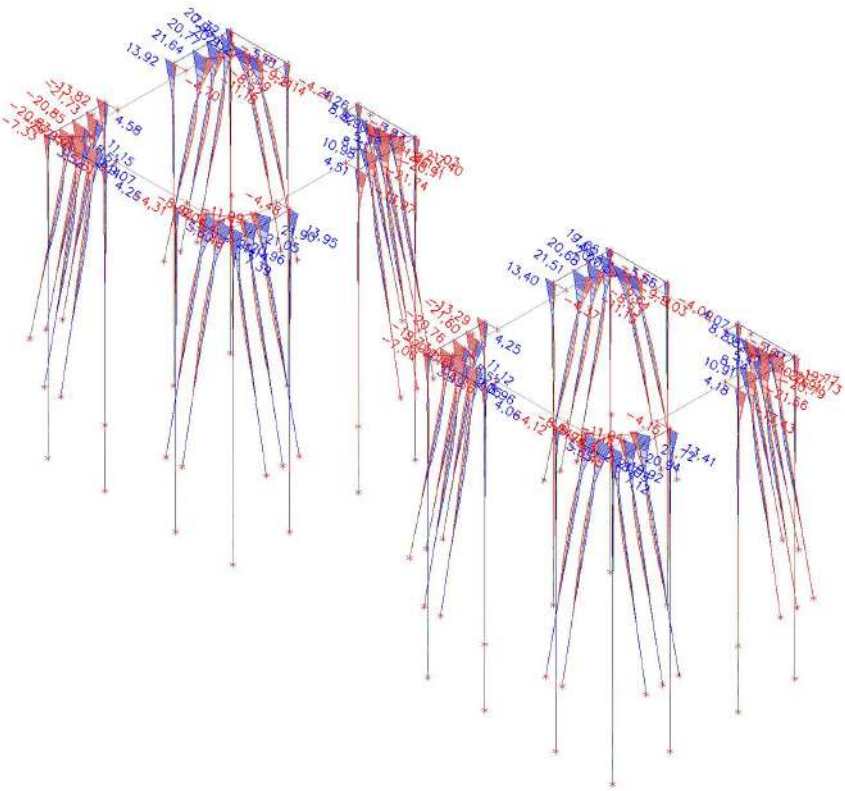
7.2.5. Interne 1D- krachten; M_y

Values: M_y
Nonlinear calculation
Class: All non-linear
Coordinate system: Principal
Extreme 1D: Member
Selection: All
Filter: Layer = Palen



7.2.6. Interne 1D- krachten; M_z

Values: M_z
Nonlinear calculation
Class: All non-linear
Coordinate system: Principal
Extreme 1D: Member
Selection: All
Filter: Layer = Palen



7.2.7. Interne 1D-krachten

Niet-lineaire berekening
Klasse: All non-linear
Coördinatenstelsel: Hoofd
Extreme 1D: Globaal
Selectie: Alle
Filter: Doorsnede = Funderingspaal - Rectangle (400; 400)

Naam	dx [m]	Belasting	Doorsnede	N [kN]	V_y [kN]	V_z [kN]	M_x [kNm]	M_y [kNm]	M_z [kNm]
Paal_P_39	15,500	high max + Wnd ;225°	Funderingspaal - Rectangle (400; 400)	**-360,39**	-0,08	0,00	0,00	0,00	0,00
Paal_P_33	0,000	low max + Wnd ;135°	Funderingspaal - Rectangle (400; 400)	**245,20**	-3,45	6,88	**0,00**	-15,30	3,96
Paal_P_9	0,000	high max + Wnd ;135°	Funderingspaal - Rectangle (400; 400)	-64,20	**-9,26**	8,70	0,00	-18,01	**21,90**
Paal_P_17	0,000	high max + Wnd ;135°	Funderingspaal - Rectangle (400; 400)	-146,13	4,64	**-12,99**	0,00	32,16	-7,74
Paal_P_7	0,700	low max + Wnd ;135°	Funderingspaal - Rectangle (400; 400)	-17,50	-6,89	**9,75**	0,00	-15,28	12,68
Paal_P_19	0,000	low max + Wnd ;315°	Funderingspaal - Rectangle (400; 400)	-12,72	-7,09	9,74	0,00	**-22,11**	17,34
Paal_P_21	0,000	high max + Wnd ;45°	Funderingspaal - Rectangle (400; 400)	-285,37	-5,21	-12,45	0,00	**34,49**	12,51
Paal_P_14	0,000	high max + Wnd ;225°	Funderingspaal - Rectangle (400; 400)	-63,68	**9,20**	8,67	0,00	-17,96	**-21,74**

7.2.8. Interne 1D-krachten

Niet-lineaire berekening
Klasse: All non-linear
Coördinatenstelsel: Hoofd
Extreme 1D: Globaal
Selectie: Alle
Filter: Doorsnede = LEKA Paal - type e (CHS219.1/10.0)

Naam	dx [m]	Belasting	Doorsnede	N [kN]	V_y [kN]	V_z [kN]	M_x [kNm]	M_y [kNm]	M_z [kNm]
Paal_P_58	22,040	high max + Wnd ;225°	LEKA Paal - type e (CHS219.1/10.0)	**-408,73**	0,00	0,00	0,00	0,00	0,00
Paal_P_59	0,000	low max + Wnd ;135°	LEKA Paal - type e (CHS219.1/10.0)	**156,65**	-2,02	4,57	**0,00**	-8,17	2,78
Paal_P_26	0,000	high max + Wnd ;225°	LEKA Paal - type e (CHS219.1/10.0)	-311,21	**-5,65**	-3,89	0,00	5,82	**13,95**
Paal_P_22	0,000	high max + Wnd ;135°	LEKA Paal - type e (CHS219.1/10.0)	-327,46	1,81	**-7,03**	**0,00**	**17,08**	-1,82
Paal_P_24	0,000	low max + Wnd ;225°	LEKA Paal - type e (CHS219.1/10.0)	16,74	1,12	**4,60**	0,00	**-8,56**	-0,39
Paal_P_23	0,000	high max + Wnd ;135°	LEKA Paal - type e (CHS219.1/10.0)	-311,04	**5,66**	-3,91	0,00	5,86	**-13,97**

7.3. Krachten van de Poeren

7.3.1. Interne 1D-krachten

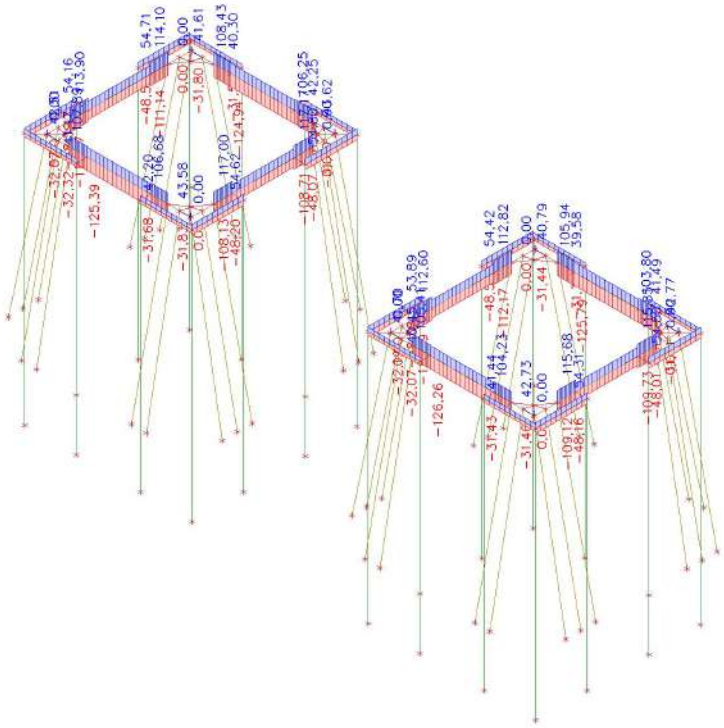
Niet-lineaire berekening
Klasse: All non-linear
Coördinatenstelsel: Hoofd
Extreme 1D: Globaal
Selectie: Alle
Filter: Laag = Poeren

Naam	dx [m]	Belasting	N [kN]	V_y [kN]	V_z [kN]	M_x [kNm]	M_y [kNm]	M_z [kNm]
Poer 5	0,000	high max + Wnd ;225°	**-1934,15**	430,36	21,34	2,30	-31,48	-427,72
Poer 7	1,475	low max + Wnd ;135°	**1619,09**	355,63	-22,67	0,27	0,00	19,43
Poer 7	0,000	high max + Wnd ;315°	-1905,70	**-424,58**	23,42	-2,53	-34,54	**422,26**
Poer 8	0,000	high max + Wnd ;135°	-584,72	-118,67	**-72,48**	**7,82**	**106,78**	113,59
Poer 5	0,000	high max + Wnd ;135°	107,59	-16,82	-70,80	**-7,65**	104,43	11,37
Poer 6	0,000	high max + Wnd ;225°	109,82	-16,62	**70,56**	7,62	**-104,08**	11,09
Poer 6	0,000	high max + Wnd ;135°	-1933,38	**430,85**	-21,48	-2,32	31,69	**-428,28**

7.4. Krachten van de Funderingsbalken

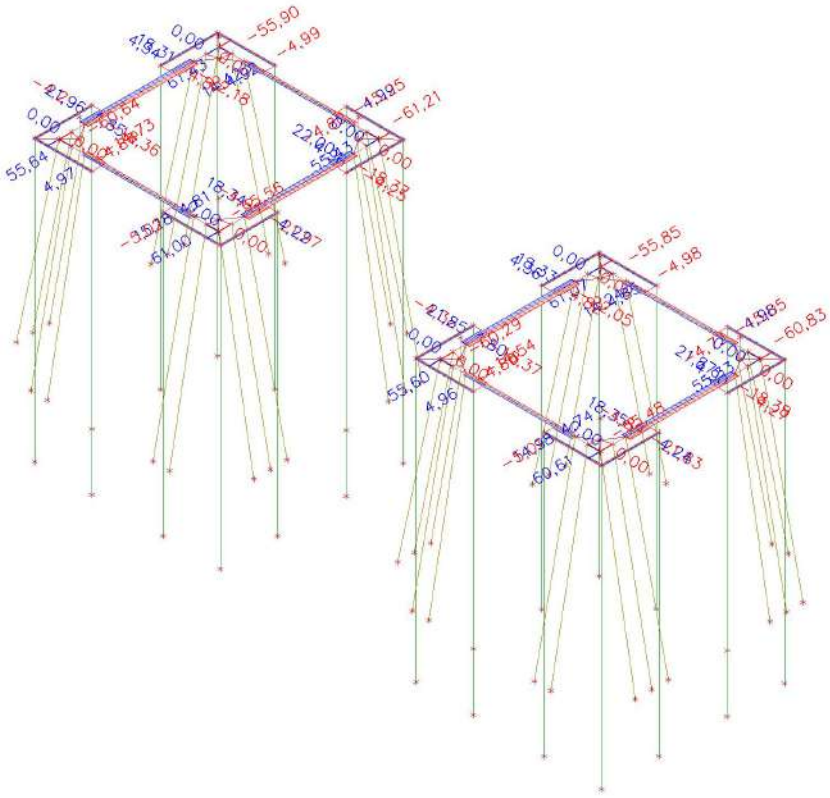
7.4.1. Interne 1D- krachten; N

Values: **N**
Nonlinear calculation
Class: All non-linear
Coordinate system: Principal
Extreme 1D: Local
Selection: All
Filter: Layer = Balken



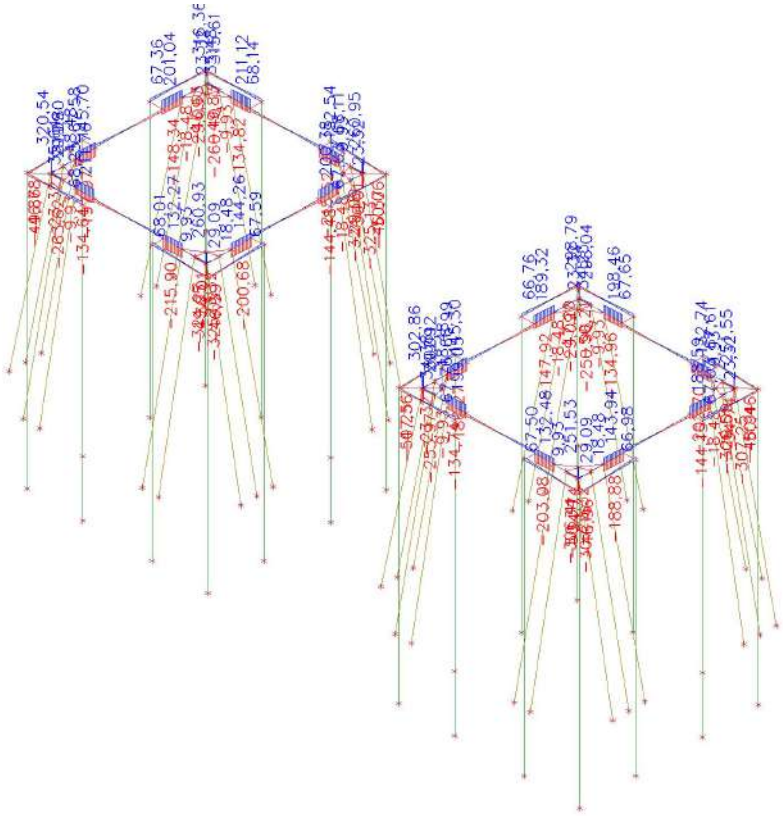
7.4.2. Interne 1D- krachten; V_y

Values: **V_y**
Nonlinear calculation
Class: All non-linear
Coordinate system: Principal
Extreme 1D: Local
Selection: All
Filter: Layer = Balken



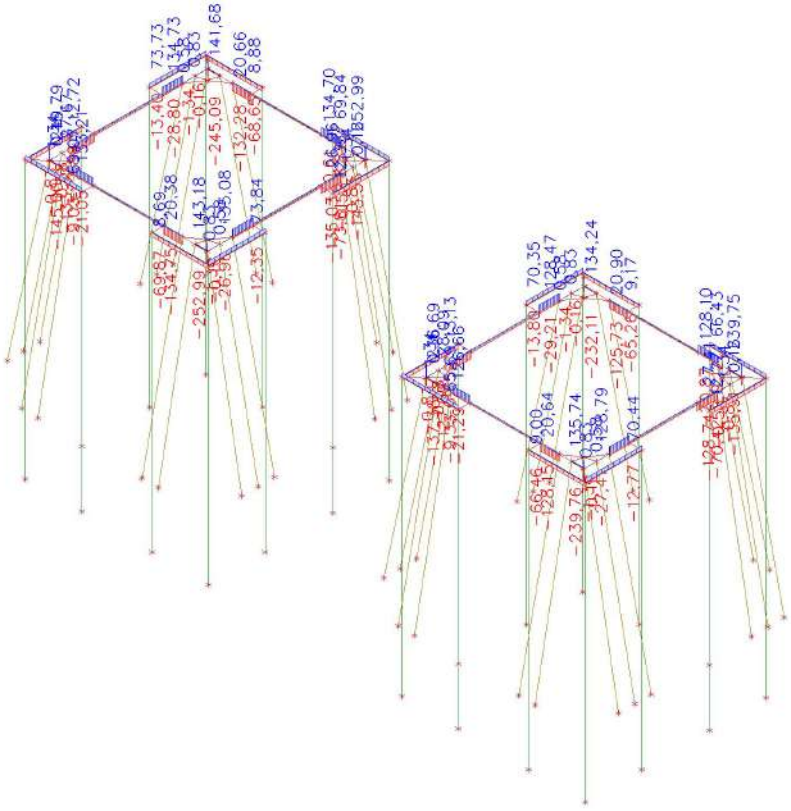
7.4.3. Interne 1D- krachten; V_z

Values: V_z
Nonlinear calculation
Class: All non-linear
Coordinate system: Principal
Extreme 1D: Local
Selection: All
Filter: Layer = Balken



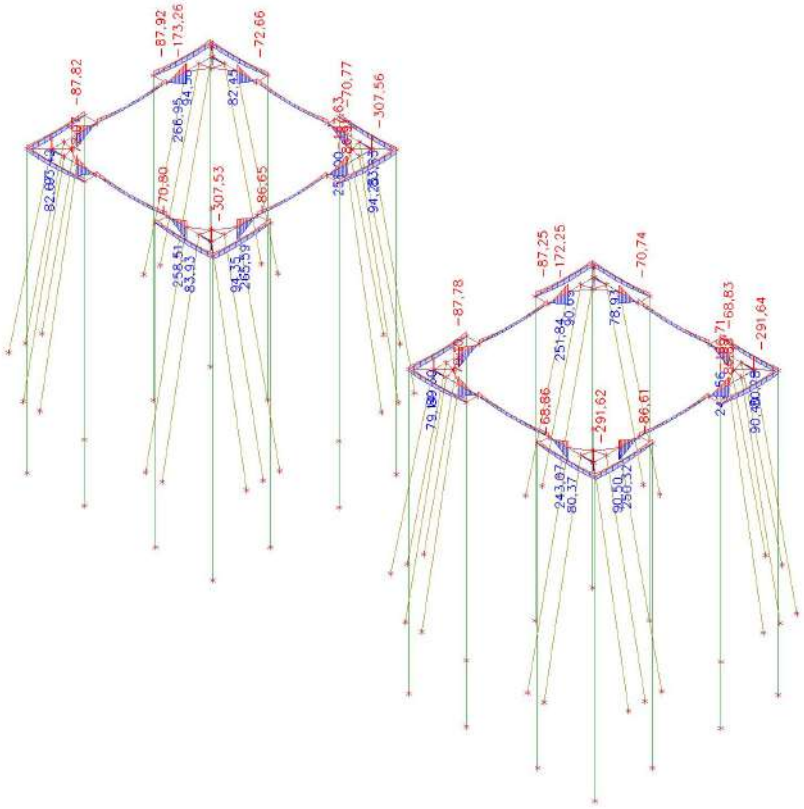
7.4.4. Interne 1D- krachten; M_x

Values: M_x
Nonlinear calculation
Class: All non-linear
Coordinate system: Principal
Extreme 1D: Local
Selection: All
Filter: Layer = Balken



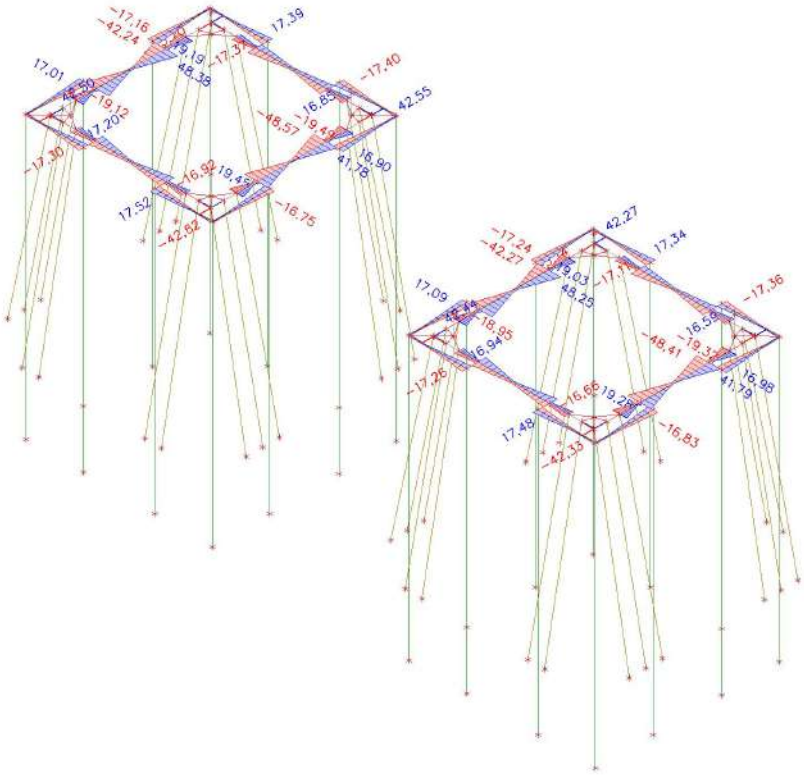
7.4.5. Interne 1D- krachten; M_y

Values: M_y
Nonlinear calculation
Class: All non-linear
Coordinate system: Principal
Extreme 1D: Member
Selection: All
Filter: Layer = Balken



7.4.6. Interne 1D- krachten; M_z

Values: M_z
Nonlinear calculation
Class: All non-linear
Coordinate system: Principal
Extreme 1D: Member
Selection: All
Filter: Layer = Balken



7.4.7. Interne 1D-krachten

Niet-lineaire berekening
Klasse: All non-linear
Coördinatenstelsel: Hoofd
Extreme 1D: Globaal
Selectie: Alle
Filter: Doorsnede = Balk - Rectangle (750; 900)

Naam	dx [m]	Belasting	Doorsnede	N [kN]	V_y [kN]	V_z [kN]	M_x [kNm]	M_y [kNm]	M_z [kNm]
Balk 11	3,500+	high max + Wnd ;45°	Balk - Rectangle (750; 900)	**-126,26**	-5,86	59,27	-11,40	-27,91	10,87
Balk 5	9,000+	low max + Wnd ;225°	Balk - Rectangle (750; 900)	**117,17**	-18,37	-20,97	-28,33	2,41	0,85
Balk 4	12,550+	low max + Wnd ;45°	Balk - Rectangle (750; 900)	41,61	**61,43**	316,36	-239,19	-293,65	-23,07
Balk 4	0,050-	low max + Wnd ;135°	Balk - Rectangle (750; 900)	43,62	**-61,21**	**-325,13**	246,68	-300,21	-21,46
Balk 7	12,550+	low max + Wnd ;315°	Balk - Rectangle (750; 900)	42,51	-60,64	**320,54**	243,74	-296,16	21,76
Balk 7	0,000	high max + Wnd ;225°	Balk - Rectangle (750; 900)	41,23	58,99	-321,87	**-252,99**	-291,41	18,38
Balk 4	0,050-	high max + Wnd ;135°	Balk - Rectangle (750; 900)	41,29	-59,24	-322,91	**252,99**	**-307,56**	-21,47
Balk 6	10,600-	high max + Wnd ;45°	Balk - Rectangle (750; 900)	32,60	-21,60	169,23	134,73	**266,95**	-23,08
Balk 5	9,000-	low max + Wnd ;225°	Balk - Rectangle (750; 900)	87,24	-16,69	-47,59	-25,69	-65,50	**-48,57**
Balk 6	9,000-	low max + Wnd ;315°	Balk - Rectangle (750; 900)	83,93	16,64	-47,67	25,74	-65,17	**48,38**

7.4.8. Interne 1D-krachten

Niet-lineaire berekening
Klasse: All non-linear
Coördinatenstelsel: Hoofd
Extreme 1D: Globaal
Selectie: Alle
Filter: Doorsnede = Ringbalk - Rectangle (750; 1000)

Naam	dx [m]	Belasting	Doorsnede	N [kN]	V_y [kN]	V_z [kN]	M_x [kNm]	M_y [kNm]	M_z [kNm]
S223	0,000	low max + Wnd ;135°	Ringbalk - Rectangle (750; 1000)	**54,80**	0,08	49,84	-67,11	12,04	3,01
S230	0,000	high max + Wnd ;135°	Ringbalk - Rectangle (750; 1000)	3,34	**-5,02**	49,37	-18,94	-23,95	17,52
S222	0,000	high max + Wnd ;225°	Ringbalk - Rectangle (750; 1000)	3,17	**4,99**	49,26	18,66	-23,76	-17,40
S234	4,500	high max + Wnd ;225°	Ringbalk - Rectangle (750; 1000)	2,78	4,98	**-50,46**	17,46	-27,46	5,06
S232	0,000	high max + Wnd ;225°	Ringbalk - Rectangle (750; 1000)	-10,30	-4,67	**68,25**	38,79	-68,36	16,24
S223	0,000	high max +	Ringbalk -	52,59	0,14	64,46	**-73,81**	0,66	2,67

Naam	dx [m]	Belasting	Doorsnede	N [kN]	V_y [kN]	V_z [kN]	M_x [kNm]	M_y [kNm]	M_z [kNm]
		Wnd ;135°	Rectangle (750; 1000)						
S231	0,000	high max + Wnd ;225°	Ringbalk - Rectangle (750; 1000)	52,37	-0,16	64,41	**73,84**	0,89	-2,60
S229	0,000	high max + Wnd ;225°	Ringbalk - Rectangle (750; 1000)	**-48,52**	-0,09	55,70	-9,34	**-87,92**	2,48
S229	2,700-	high max + Wnd ;45°	Ringbalk - Rectangle (750; 1000)	52,47	0,00	4,22	73,73	**94,50**	-3,14
S223	0,000	low max + Wnd ;225°	Ringbalk - Rectangle (750; 1000)	-34,12	4,96	52,84	-17,07	-74,81	**-19,49**
S231	0,000	low max + Wnd ;135°	Ringbalk - Rectangle (750; 1000)	-33,97	-4,95	52,81	17,09	-74,62	**19,45**

1. Table of contents

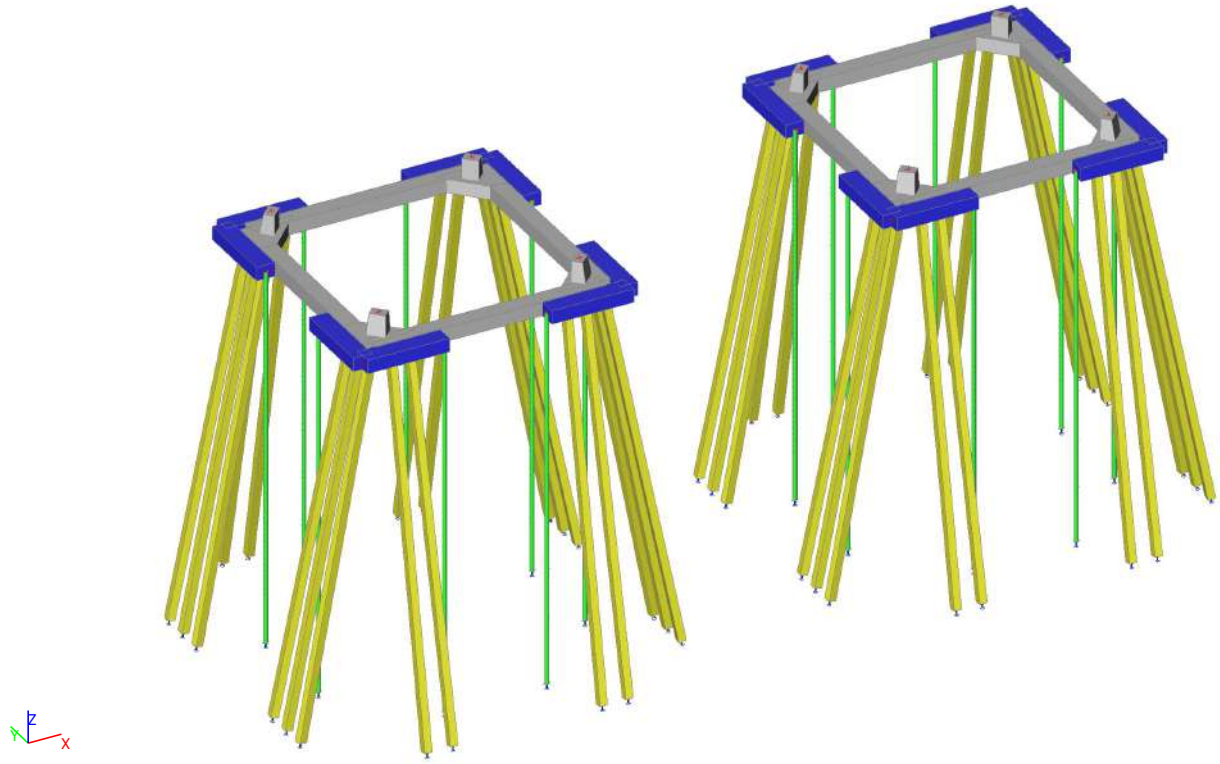
1. Table of contents 1
2. Project 3
3. Analyse model 3
4. Modeleigenschappen 4
4.1. Materials 4
4.2. Cross-sections 4
4.3. Analyse model met doorsneden 6
4.4. Analyse model met doorsneden 6
4.5. Mesh setup 7
5. Geometrie 7
5.1. Nodes 7
5.2. Analyse model met knopen 8
5.3. Members 8
5.4. Analyse model met Staven 10
5.5. Nodal supports 10
5.6. Analyse model met Knoopondersteuningen 12
5.7. Line supports on member 12
5.8. Analyse model met Lijnondersteuningen 32
5.9. Analyse model met Lijnondersteuningen 33
5.10. Nonlinear functions 34
6. Belastingen 49
6.1. Load cases 49
6.1.1. Load cases - E.G. 49
6.1.2. Load cases - high max Wnd ;135° 49
6.1.2.1. Point force in node 50
6.1.3. Load cases - high max Wnd ;225° 51
6.1.3.1. Point force in node 52
6.1.4. Load cases - high max Wnd ;315° 52
6.1.4.1. Point force in node 53
6.1.5. Load cases - high max Wnd ;45° 54
6.1.5.1. Point force in node 55
6.1.6. Load cases - low max Wnd ;135° 55
6.1.6.1. Point force in node 56
6.1.7. Load cases - low max Wnd ;225° 57
6.1.7.1. Point force in node 58
6.1.8. Load cases - low max Wnd ;315° 58
6.1.8.1. Point force in node 59
6.1.9. Load cases - low max Wnd ;45° 60
6.1.9.1. Point force in node 61
6.2. Nonlinear combinations 61
6.3. Result classes 62
7. Resultaten 63
7.1. Reacties van de palen 63
7.1.1. Reactions; R_z 63
7.1.2. Reactions 63
7.1.3. Reactions 63
7.1.4. Reactions 64
7.2. Krachten van de Funderingspalen 70
7.2.1. Interne 1D- krachten; N 70
7.2.2. Interne 1D- krachten; V_y 70
7.2.3. Interne 1D- krachten; V_z 71
7.2.4. Interne 1D- krachten; M_x 71
7.2.5. Interne 1D- krachten; M_y 72
7.2.6. Interne 1D- krachten; M_z 72
7.2.7. 1D internal forces 73
7.2.8. 1D internal forces 73
7.3. Krachten van de Poeren 74
7.3.1. 1D internal forces 74
7.4. Krachten van de Funderingsbalken 75
7.4.1. Interne 1D- krachten; N 75
7.4.2. Interne 1D- krachten; V_y 75
7.4.3. Interne 1D- krachten; V_z 76
7.4.4. Interne 1D- krachten; M_x 76
7.4.5. Interne 1D- krachten; M_y 77
7.4.6. Interne 1D- krachten; M_z 77

7.4.7. 1D internal forces 78
7.4.8. 1D internal forces 78

2. Project

Licence user	[redacted]
Project	Opwaardering KIJ-DIM 380kV
Part	Balkrooster 5xBeton40x40 mast 158
Author	[redacted]
Date	28-01-2026
Structure	General XYZ
No. of nodes :	168
No. of beams :	88
No. of slabs :	0
No. of solids :	0
No. of used profiles :	5
No. of load cases :	9
No. of used materials :	7
Acceleration of gravity [m/s^2]	9,810
National code	EC - EN

3. Analyse model



4. Modeleigenschappen

4.1. Materials

Steel EC3

Name	ρ [kg/m³]	E_{mod} [MPa]	μ	Onderlimiet [mm]	Bovenlimiet [mm]	F_y [MPa]	F_u [MPa]	Colour
		G_{mod} [MPa]	α [m/mK]					
S 235	6850,0	2,1000e+05	0.3	0	40	235,0	360,0	
		8,0769e+04	0,00	40	80	215,0	360,0	
S 235	6850,0	2,1000e+05	0.3	0	40	235,0	360,0	
		8,0769e+04	0,00	40	80	215,0	360,0	

Name	Type	ρ [kg/m³]	Density in fresh state [kg/m³]	E_{mod} [MPa]	μ	α [m/mK]	$f_{c.k.28}$ [MPa]	Colour
C20/25 Ongescheurd	Concrete	1500,0	2600,0	2,4000e+04	0.2	0,00	20,00	
C20/25 Gescheurd	Concrete	2500,0	2600,0	8,0000e+03	0.2	0,00	20,00	
C30/37 Gescheurd	Concrete	2500,0	2600,0	1,1000e+04	0.2	0,00	30,00	
C30/37	Concrete	2400,0	2600,0	3,2800e+04	0.2	0,00	30,00	

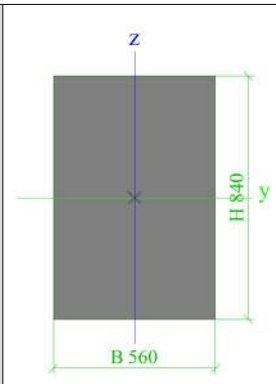
Explanations of symbols	
Density in fresh state	The value in the density in fresh state property is used only in case a composite deck is input and its self-weight load is taken into account.

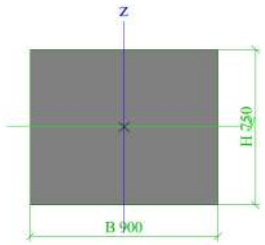
Reinforcement EC2

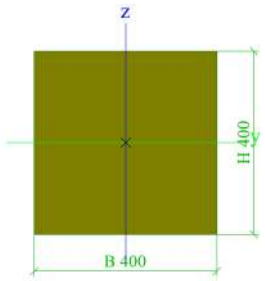
Name	Type	ρ [kg/m³]	E_{mod} [MPa]	G_{mod} [MPa]	α [m/mK]	$f_{y.k}$ [MPa]
B 500B	Reinforcement steel	7850,0	2,0000e+05	8,3333e+04	0,00	500,0

4.2. Cross-sections

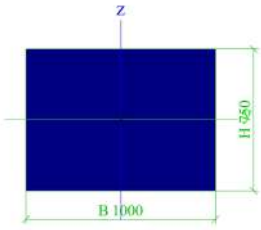
Poer.Opstort		
Type	Rectangle	
Detailed	840; 560	
Shape type	Thick-walled	
Item material	C20/25 Gescheurd	
Fabrication	concrete	
Colour		
A [m²]	4,7040e-01	
A_y [m²], A_z [m²]	3,9200e-01	3,9200e-01
A_L [m²/m], A_D [m²/m]	2,8000e+00	2,8000e+00
$c_{Y.UCS}$ [mm], $c_{Z.UCS}$ [mm]	280	420
α [deg]	0,00	
I_y [m⁴], I_z [m⁴]	2,7660e-02	1,2293e-02
i_y [mm], i_z [mm]	242	162
$W_{el.y}$ [m³], $W_{el.z}$ [m³]	6,5856e-02	4,3904e-02
$W_{pl.y}$ [m³], $W_{pl.z}$ [m³]	0,0000e+00	0,0000e+00
$M_{pl.y.+}$ [Nm], $M_{pl.y.-}$ [Nm]	0,00e+00	0,00e+00
$M_{pl.z.+}$ [Nm], $M_{pl.z.-}$ [Nm]	0,00e+00	0,00e+00
d_y [mm], d_z [mm]	0	0
I_t [m⁴], I_w [m⁶]	2,8888e-02	0,0000e+00
β_y [mm], β_z [mm]	0	0

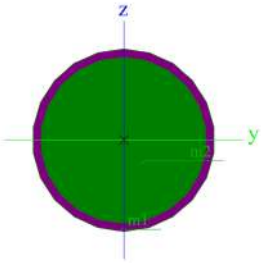
Picture		
		
Balk		
Type	Rectangle	
Detailed	750; 900	
Shape type	Thick-walled	
Item material	C20/25 Gescheurd	
Fabrication	concrete	
Colour		
A [m²]	6,7500e-01	
A_y [m²], A_z [m²]	5,6250e-01	5,6250e-01
A_L [m²/m], A_D [m²/m]	3,3000e+00	3,3000e+00
$c_{Y.UCS}$ [mm], $c_{Z.UCS}$ [mm]	450	375
α [deg]	0,00	
I_y [m⁴], I_z [m⁴]	3,1641e-02	4,5563e-02
i_y [mm], i_z [mm]	217	260
$W_{el.y}$ [m³], $W_{el.z}$ [m³]	8,4375e-02	1,0125e-01
$W_{pl.y}$ [m³], $W_{pl.z}$ [m³]	0,0000e+00	0,0000e+00
$M_{pl.y.+}$ [Nm], $M_{pl.y.-}$ [Nm]	0,00e+00	0,00e+00
$M_{pl.z.+}$ [Nm], $M_{pl.z.-}$ [Nm]	0,00e+00	0,00e+00
d_y [mm], d_z [mm]	0	0

I_t [m⁴], I_w [m⁶]	6,3112e-02	0,0000e+00
β_y [mm], β_z [mm]	0	0
Picture		

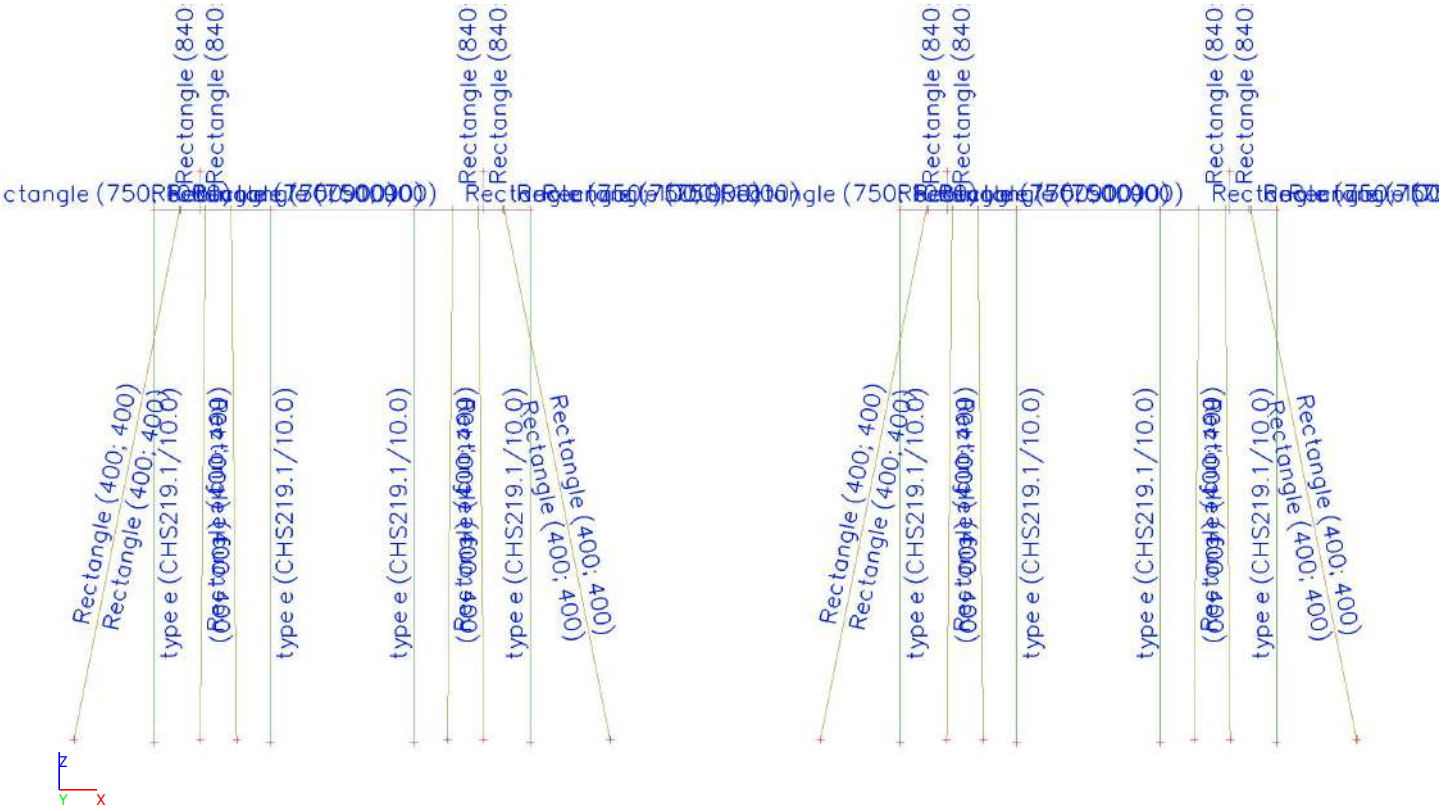
Funderingspaal		
Type	Rectangle	
Detailed	400; 400	
Shape type	Thick-walled	
Item material	C20/25 Ongescheurd	
Fabrication	concrete	
Colour		
A [m²]	1,6000e-01	
A_y [m²], A_z [m²]	1,3333e-01	1,3333e-01
A_L [m²/m], A_D [m²/m]	1,6000e+00	1,6000e+00
$c_{Y.UCS}$ [mm], $c_{Z.UCS}$ [mm]	200	200
α [deg]	0,00	
I_y [m⁴], I_z [m⁴]	2,1333e-03	2,1333e-03
i_y [mm], i_z [mm]	115	115
$W_{el.y}$ [m³], $W_{el.z}$ [m³]	1,0667e-02	1,0667e-02
$W_{pl.y}$ [m³], $W_{pl.z}$ [m³]	0,0000e+00	0,0000e+00
$M_{pl.y.+}$ [Nm], $M_{pl.y.-}$ [Nm]	0,00e+00	0,00e+00
$M_{pl.z.+}$ [Nm], $M_{pl.z.-}$ [Nm]	0,00e+00	0,00e+00
d_y [mm], d_z [mm]	0	0
I_t [m⁴], I_w [m⁶]	3,6027e-03	0,0000e+00
β_y [mm], β_z [mm]	0	0
Picture		

Ringbalk		
Type	Rectangle	
Detailed	750; 1000	
Shape type	Thick-walled	
Item material	C30/37 Gescheurd	
Fabrication	concrete	
Colour		
A [m²]	7,5000e-01	
A_y [m²], A_z [m²]	6,2517e-01	6,2531e-01
A_L [m²/m], A_D [m²/m]	3,5000e+00	3,5000e+00
$c_{Y.UCS}$ [mm], $c_{Z.UCS}$ [mm]	500	375
α [deg]	0,00	
I_y [m⁴], I_z [m⁴]	3,5156e-02	6,2500e-02
i_y [mm], i_z [mm]	217	289
$W_{el.y}$ [m³], $W_{el.z}$ [m³]	9,3750e-02	1,2500e-01
$W_{pl.y}$ [m³], $W_{pl.z}$ [m³]	0,0000e+00	0,0000e+00
$M_{pl.y.+}$ [Nm], $M_{pl.y.-}$ [Nm]	0,00e+00	0,00e+00
$M_{pl.z.+}$ [Nm], $M_{pl.z.-}$ [Nm]	0,00e+00	0,00e+00
d_y [mm], d_z [mm]	0	0
I_t [m⁴], I_w [m⁶]	7,6159e-02	2,7801e-04
β_y [mm], β_z [mm]	0	0

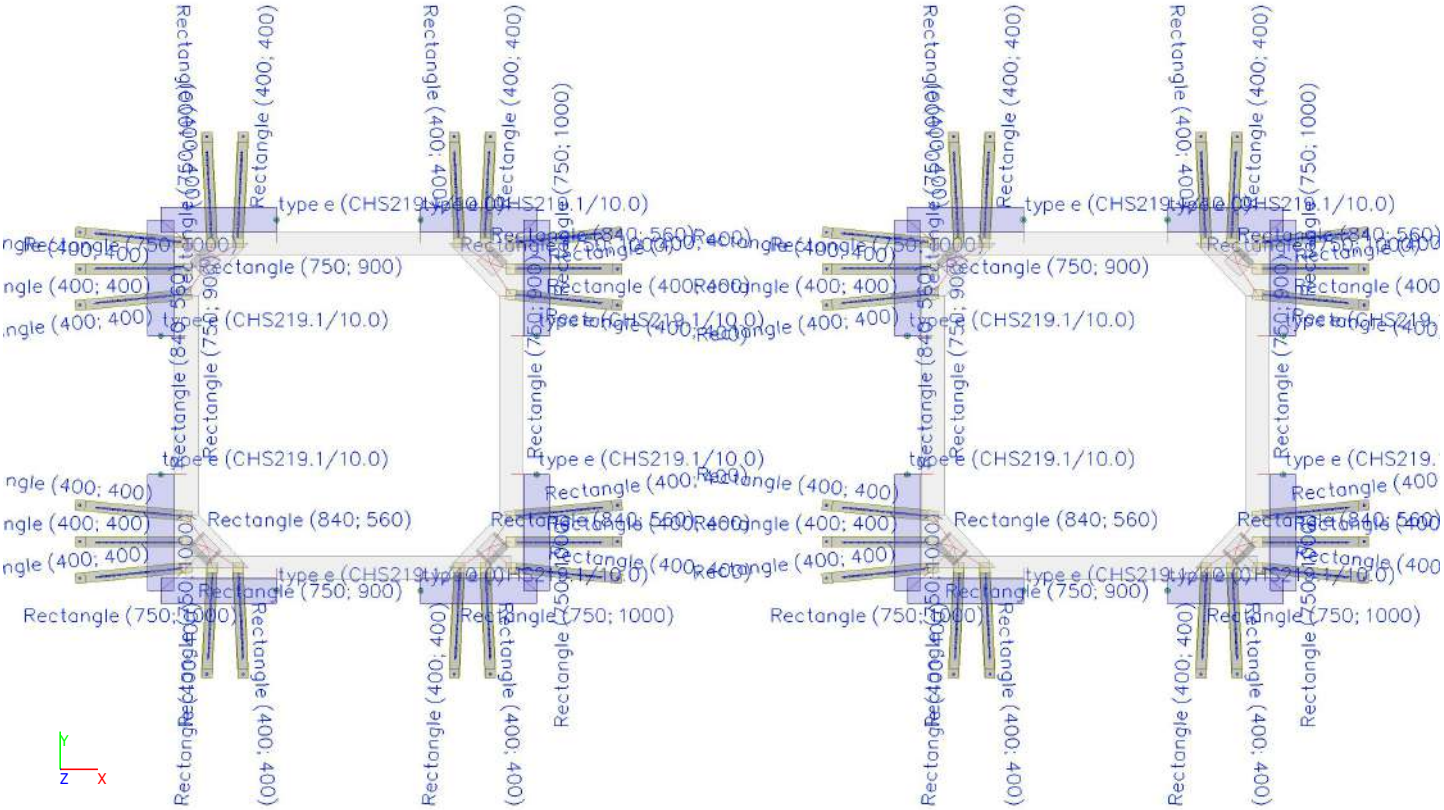
Picture		

LEKA Paal		
Type	type e	
Detailed	CHS219.1/10.0	
Shape type	Thick-walled	
Item material	S 235	
	C30/37	
Fabrication	concrete	
Flexural buckling y-y, Flexural buckling z-z	a	a
A [m²]	1,1430e-02	
A_y [m²], A_z [m²]	8,7249e-03	8,7249e-03
A_L [m²/m], A_D [m²/m]	6,8829e-01	6,8829e-01
$c_{Y.UCS}$ [mm], $c_{Z.UCS}$ [mm]	110	110
α [deg]	0,00	
I_y [m⁴], I_z [m⁴]	4,8013e-05	4,8013e-05
i_y [mm], i_z [mm]	65	65
$W_{el.y}$ [m³], $W_{el.z}$ [m³]	4,3827e-04	4,3827e-04
$W_{pl.y}$ [m³], $W_{pl.z}$ [m³]	4,9123e-04	4,9123e-04
$M_{pl.y.+}$ [Nm], $M_{pl.y.-}$ [Nm]	1,15e+05	1,15e+05
$M_{pl.z.+}$ [Nm], $M_{pl.z.-}$ [Nm]	1,15e+05	1,15e+05
d_y [mm], d_z [mm]	0	0
I_t [m⁴], I_w [m⁶]	9,8040e-05	0,0000e+00
β_y [mm], β_z [mm]	0	0
Picture		

4.3. Analyse model met doorsneden



4.4. Analyse model met doorsneden



4.5. Mesh setup

Name	NetInstelling1
Generation of variable eccentricities on members instead of constant ones	×
Generation of nodes in connections of beam elements	×
Elastic mesh	✓
Use automatic mesh refinement	×
Connect members/nodes	✓
Division on haunches and arbitrary members	5
Division for integration strip and 2D-1D upgrade	50
Average number of 1D mesh elements on straight 1D members	5
Average size of 2D mesh element [m]	0,250
Average size of 1D mesh element on curved 1D members [m]	0,250
Minimal length of beam element [m]	0,100
Maximal length of beam element [m]	1000,000
Average size of tendons, elements on subsoil, nonlinear soil spring [m]	1,000
Maximal out of plane angle of a quadrilateral [mrad]	30,0
Minimal distance between definition point and line [m]	0,001
Average size of panel element [m]	1,000
Mesh refinement following the beam type	None
Definition of mesh element size for panels	Manual

5. Geometrie

5.1. Nodes

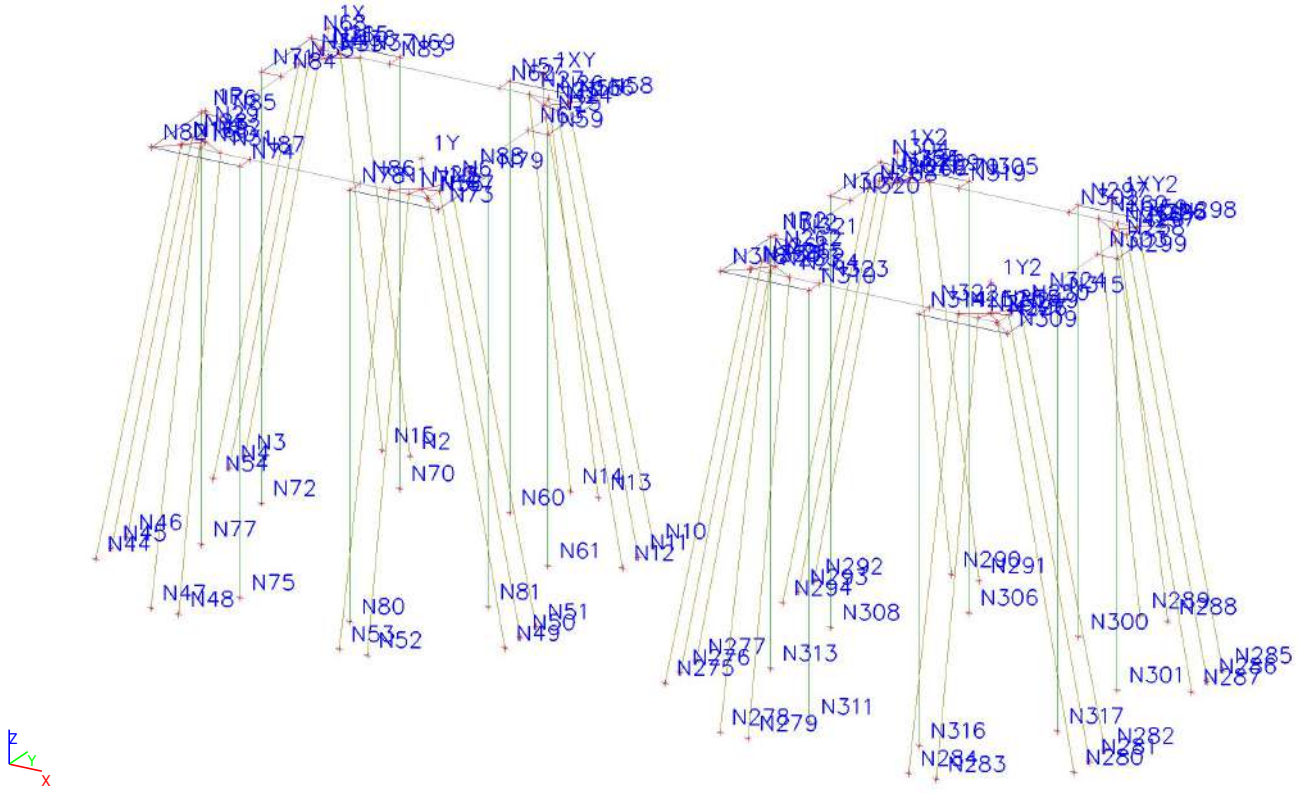
Name	Coord X [m]	Coord Y [m]	Coord Z [m]
N5	13,000	1,400	0,000
N6	13,000	2,400	0,000
N7	12,000	0,400	0,000
N1	11,000	0,400	0,000
N17	0,400	0,400	0,000
N21	0,400	13,000	0,000
1Y	12,200	1,200	1,475
N22	12,200	1,200	0,000
N23	12,200	12,200	0,000
1XY	12,200	12,200	1,475
N24	13,000	12,000	0,000
N25	13,000	11,000	0,000
N26	12,000	13,000	0,000
N27	11,000	13,000	0,000
N28	0,400	1,400	0,000
N29	0,400	2,400	0,000
N30	1,400	0,400	0,000
N31	2,400	0,400	0,000
1P	1,200	1,200	1,475
N32	1,200	1,200	0,000
N33	1,200	12,200	0,000
1X	1,200	12,187	1,475
N34	0,400	12,000	0,000
N35	0,400	11,000	0,000
N36	1,400	13,000	0,000
N37	2,400	13,000	0,000
N38	12,200	1,200	0,000
N39	1,200	1,200	0,000
N40	12,200	12,200	0,000
N41	1,200	12,200	0,000
N44	-3,718	-0,012	-20,588
N45	-3,718	1,400	-20,588
N46	-3,718	2,812	-20,588
N47	1,194	-3,718	-20,591
N48	2,606	-3,718	-20,591
N49	17,118	-0,012	-20,591
N50	17,118	1,400	-20,588
N51	17,118	2,812	-20,588
N52	12,206	-3,718	-20,591
N53	10,794	-3,718	-20,591
N10	17,118	13,412	-20,588
N11	17,118	12,000	-20,588
N12	17,118	10,588	-20,588
N13	12,206	17,118	-20,591
N14	10,794	17,118	-20,591
N15	1,194	17,118	-20,591
N2	2,606	17,118	-20,591
N3	-3,718	13,412	-20,588
N4	-3,718	12,000	-20,588
N54	-3,718	10,588	-20,588
N55	13,000	13,000	0,000
N56	13,000	0,400	0,000
N57	9,500	13,900	0,000
N58	14,000	13,900	0,000
N59	14,000	9,400	0,000
N60	9,500	13,900	-20,701
N61	14,000	9,400	-20,701
N62	9,500	13,000	0,000
N63	13,000	9,400	0,000
N68	-0,600	13,900	0,000
N69	3,900	13,900	0,000
N70	3,900	13,900	-20,701
N71	-0,600	9,400	0,000
N72	-0,600	9,400	-20,701
N73	14,000	-0,500	0,000
N74	3,900	-0,500	0,000
N75	3,900	-0,500	-20,701
N76	-0,600	4,000	0,000
N77	-0,600	4,000	-20,701
N78	9,500	-0,500	0,000
N79	14,000	4,000	0,000
N80	9,500	-0,500	-20,701
N81	14,000	4,000	-20,701
N82	-0,600	-0,500	0,000
N83	3,900	13,000	0,000
N84	0,400	9,400	0,000
N85	0,400	4,000	0,000
N86	9,500	0,400	0,000
N87	3,900	0,400	0,000
N88	13,000	4,000	0,000
N165	0,450	13,000	0,000
N166	12,950	13,000	0,000
N167	12,950	0,400	0,000
N168	0,450	0,400	0,000
N249	42,000	1,400	0,000
N250	42,000	2,400	0,000
N251	41,000	0,400	0,000
N252	40,000	0,400	0,000
N253	29,400	0,400	0,000
N254	29,400	13,000	0,000
1Y2	41,200	1,200	1,475
N255	41,200	1,200	0,000
N256	41,200	12,200	0,000
1XY2	41,200	12,200	1,475
N257	42,000	12,000	0,000
N258	42,000	11,000	0,000
N259	41,000	13,000	0,000
N260	40,000	13,000	0,000
N261	29,400	1,400	0,000
N262	29,400	2,400	0,000
N263	30,400	0,400	0,000
N264	31,400	0,400	0,000
1P2	30,200	1,200	1,475
N265	30,200	1,200	0,000
N266	30,200	12,200	0,000
1X2	30,200	12,187	1,475
N267	29,400	12,000	0,000
N268	29,400	11,000	0,000
N269	30,400	13,000	0,000
N270	31,400	13,000	0,000
N271	41,200	1,200	0,000
N272	30,200	1,200	0,000
N273	41,200	12,200	0,000
N274	30,200	12,200	0,000
N275	25,282	-0,012	-20,588
N276	25,282	1,400	-20,588
N277	25,282	2,812	-20,588
N278	30,194	-3,718	-20,591
N279	31,606	-3,718	-20,591
N280	46,118	-0,012	-20,591

Name	Coord X [m]	Coord Y [m]	Coord Z [m]
N281	46,118	1,400	-20,588
N282	46,118	2,812	-20,588
N283	41,206	-3,718	-20,591
N284	39,794	-3,718	-20,591
N285	46,118	13,412	-20,588
N286	46,118	12,000	-20,588
N287	46,118	10,588	-20,588
N288	41,206	17,118	-20,591
N289	39,794	17,118	-20,591
N290	30,194	17,118	-20,591
N291	31,606	17,118	-20,591
N292	25,282	13,412	-20,588
N293	25,282	12,000	-20,588
N294	25,282	10,588	-20,588
N295	42,000	13,000	0,000
N296	42,000	0,400	0,000

Name	Coord X [m]	Coord Y [m]	Coord Z [m]
N297	38,500	13,900	0,000
N298	43,000	13,900	0,000
N299	43,000	9,400	0,000
N300	38,500	13,900	-20,701
N301	43,000	9,400	-20,701
N302	38,500	13,000	0,000
N303	42,000	9,400	0,000
N304	28,400	13,900	0,000
N305	32,900	13,900	0,000
N306	32,900	13,900	-20,701
N307	28,400	9,400	0,000
N308	28,400	9,400	-20,701
N309	43,000	-0,500	0,000
N310	32,900	-0,500	0,000
N311	32,900	-0,500	-20,701
N312	28,400	4,000	0,000

Name	Coord X [m]	Coord Y [m]	Coord Z [m]
N313	28,400	4,000	-20,701
N314	38,500	-0,500	0,000
N315	43,000	4,000	0,000
N316	38,500	-0,500	-20,701
N317	43,000	4,000	-20,701
N318	28,400	-0,500	0,000
N319	32,900	13,000	0,000
N320	29,400	9,400	0,000
N321	29,400	4,000	0,000
N322	38,500	0,400	0,000
N323	32,900	0,400	0,000
N324	42,000	4,000	0,000
N325	29,450	13,000	0,000
N326	41,950	13,000	0,000
N327	41,950	0,400	0,000
N328	29,450	0,400	0,000

5.2. Analyse model met knopen



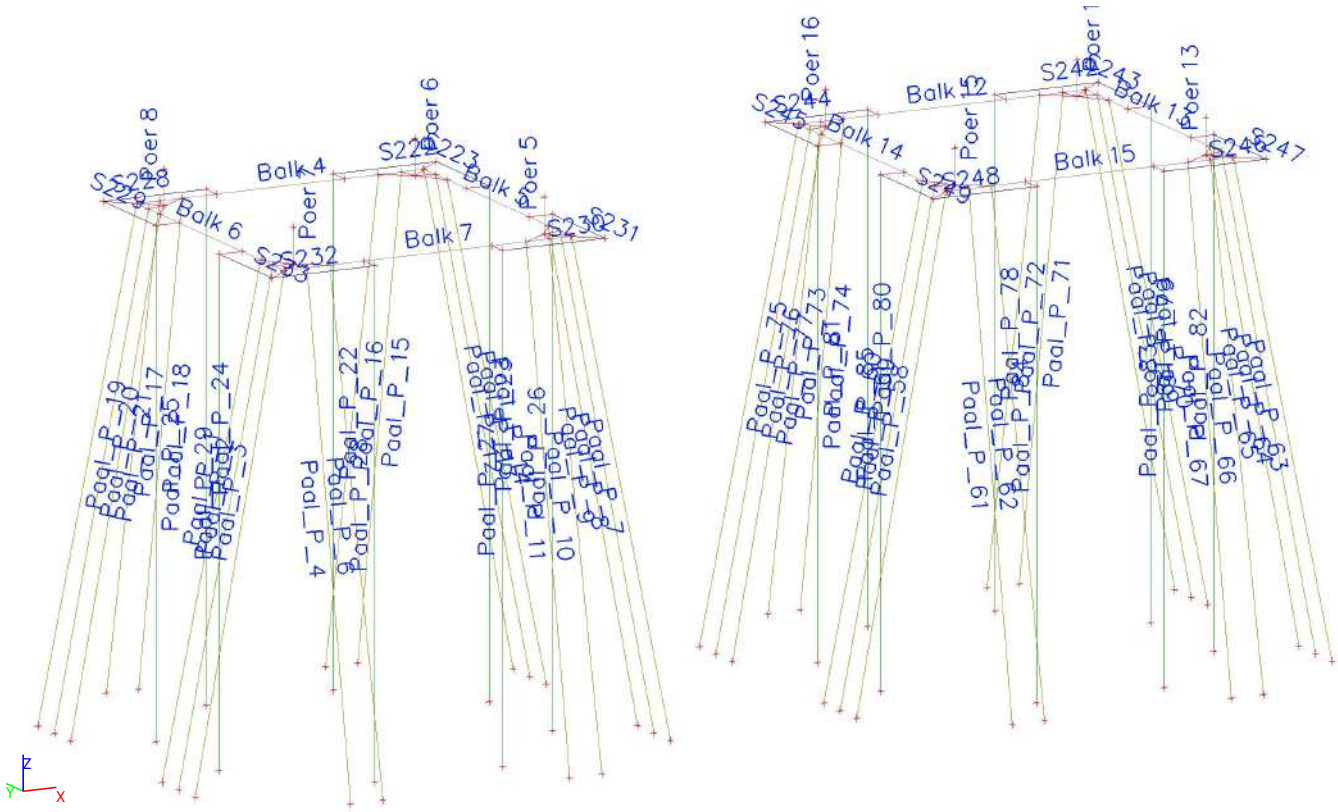
5.3. Members

Name	Cross-section	Material	Length [m]	Beg. node	End node	Type
Balk 4	Balk - Rectangle (750; 900)	C20/25 Gescheurd	12,600	N55	N21	beam (80)
Balk 5	Balk - Rectangle (750; 900)	C20/25 Gescheurd	12,600	N56	N55	beam (80)
Balk 6	Balk - Rectangle (750; 900)	C20/25 Gescheurd	12,600	N17	N21	beam (80)
Balk 7	Balk - Rectangle (750; 900)	C20/25 Gescheurd	12,600	N56	N17	beam (80)
Balk 12	Balk - Rectangle (750; 900)	C20/25 Gescheurd	12,600	N295	N254	beam (80)
Balk 13	Balk - Rectangle (750; 900)	C20/25 Gescheurd	12,600	N296	N295	beam (80)
Balk 14	Balk - Rectangle (750; 900)	C20/25 Gescheurd	12,600	N253	N254	beam (80)
Balk 15	Balk - Rectangle (750; 900)	C20/25 Gescheurd	12,600	N296	N253	beam (80)
S222	Ringbalk - Rectangle (750; 1000)	C30/37 Gescheurd	4,500	N57	N58	beam (80)
S223	Ringbalk - Rectangle (750; 1000)	C30/37 Gescheurd	4,500	N59	N58	beam (80)

Name	Cross-section	Material	Length [m]	Beg. node	End node	Type
S228	Ringbalk - Rectangle (750; 1000)	C30/37 Gescheurd	4,500	N69	N68	beam (80)
S229	Ringbalk - Rectangle (750; 1000)	C30/37 Gescheurd	4,500	N71	N68	beam (80)
S230	Ringbalk - Rectangle (750; 1000)	C30/37 Gescheurd	4,500	N78	N73	beam (80)
S231	Ringbalk - Rectangle (750; 1000)	C30/37 Gescheurd	4,500	N79	N73	beam (80)
S232	Ringbalk - Rectangle (750; 1000)	C30/37 Gescheurd	4,500	N74	N82	beam (80)
S233	Ringbalk - Rectangle (750; 1000)	C30/37 Gescheurd	4,500	N76	N82	beam (80)
S242	Ringbalk - Rectangle (750; 1000)	C30/37 Gescheurd	4,500	N297	N298	beam (80)
S243	Ringbalk - Rectangle (750; 1000)	C30/37 Gescheurd	4,500	N299	N298	beam (80)
S244	Ringbalk - Rectangle (750; 1000)	C30/37 Gescheurd	4,500	N305	N304	beam (80)
S245	Ringbalk - Rectangle (750; 1000)	C30/37 Gescheurd	4,500	N307	N304	beam (80)
S246	Ringbalk - Rectangle (750; 1000)	C30/37 Gescheurd	4,500	N314	N309	beam (80)
S247	Ringbalk - Rectangle (750; 1000)	C30/37 Gescheurd	4,500	N315	N309	beam (80)
S248	Ringbalk - Rectangle (750; 1000)	C30/37 Gescheurd	4,500	N310	N318	beam (80)
S249	Ringbalk - Rectangle (750; 1000)	C30/37 Gescheurd	4,500	N312	N318	beam (80)
Poer 6	Poer.Opstort - Rectangle (840; 560)	C20/25 Gescheurd	1,475	N23	1XY	column (100)
Poer 15	Poer.Opstort - Rectangle (840; 560)	C20/25 Gescheurd	1,475	N265	1P2	column (100)
Poer 16	Poer.Opstort - Rectangle (840; 560)	C20/25 Gescheurd	1,475	N266	1X2	column (100)
Paal_P_3	Funderingspaal - Rectangle (400; 400)	C20/25 Ongescheurd	21,000	N17	N44	column (100)
Paal_P_4	Funderingspaal - Rectangle (400; 400)	C20/25 Ongescheurd	21,000	N30	N47	column (100)
Paal_P_6	Funderingspaal - Rectangle (400; 400)	C20/25 Ongescheurd	21,000	N31	N48	column (100)
Paal_P_14	Funderingspaal - Rectangle (400; 400)	C20/25 Ongescheurd	21,000	N25	N12	column (100)
Paal_P_17	Funderingspaal - Rectangle (400; 400)	C20/25 Ongescheurd	21,000	N36	N15	column (100)
Paal_P_18	Funderingspaal - Rectangle (400; 400)	C20/25 Ongescheurd	21,000	N37	N2	column (100)
Paal_P_19	Funderingspaal - Rectangle (400; 400)	C20/25 Ongescheurd	21,000	N21	N3	column (100)
Paal_P_20	Funderingspaal - Rectangle (400; 400)	C20/25 Ongescheurd	20,996	N34	N4	column (100)
Paal_P_22	LEKA Paal - type e (CHS219.1/10.0)	S 235	20,701	N57	N60	column (100)
Paal_P_26	LEKA Paal - type e (CHS219.1/10.0)	S 235	20,701	N79	N81	column (100)
Paal_P_58	Funderingspaal - Rectangle (400; 400)	C20/25 Ongescheurd	21,000	N253	N275	column (100)
Paal_P_59	Funderingspaal - Rectangle (400; 400)	C20/25 Ongescheurd	20,996	N261	N276	column (100)
Paal_P_60	Funderingspaal - Rectangle (400; 400)	C20/25 Ongescheurd	21,000	N262	N277	column (100)
Paal_P_62	Funderingspaal - Rectangle (400; 400)	C20/25 Ongescheurd	21,000	N264	N279	column (100)
Paal_P_63	Funderingspaal - Rectangle (400; 400)	C20/25 Ongescheurd	21,003	N296	N280	column (100)
Paal_P_64	Funderingspaal - Rectangle (400; 400)	C20/25 Ongescheurd	20,996	N249	N281	column (100)
Paal_P_66	Funderingspaal - Rectangle (400; 400)	C20/25 Ongescheurd	21,000	N251	N283	column (100)
Paal_P_67	Funderingspaal - Rectangle (400; 400)	C20/25 Ongescheurd	21,000	N252	N284	column (100)
Paal_P_68	Funderingspaal - Rectangle (400; 400)	C20/25 Ongescheurd	21,000	N295	N285	column (100)
Poer 5	Poer.Opstort - Rectangle (840; 560)	C20/25 Gescheurd	1,475	N22	1Y	column (100)
Poer 7	Poer.Opstort - Rectangle (840; 560)	C20/25 Gescheurd	1,475	N32	1P	column (100)
Poer 8	Poer.Opstort - Rectangle (840; 560)	C20/25 Gescheurd	1,475	N33	1X	column (100)
Poer 13	Poer.Opstort - Rectangle (840; 560)	C20/25 Gescheurd	1,475	N255	1Y2	column (100)
Poer 14	Poer.Opstort - Rectangle (840; 560)	C20/25 Gescheurd	1,475	N256	1XY2	column (100)
Paal_P_1	Funderingspaal - Rectangle (400; 400)	C20/25 Ongescheurd	21,000	N29	N46	column (100)
Paal_P_2	Funderingspaal - Rectangle (400; 400)	C20/25 Ongescheurd	20,996	N28	N45	column (100)
Paal_P_7	Funderingspaal - Rectangle (400; 400)	C20/25 Ongescheurd	21,003	N56	N49	column (100)
Paal_P_61	Funderingspaal - Rectangle (400; 400)	C20/25 Ongescheurd	21,000	N263	N278	column (100)
Paal_P_21	Funderingspaal - Rectangle (400; 400)	C20/25 Ongescheurd	21,000	N35	N54	column (100)
Paal_P_8	Funderingspaal - Rectangle (400; 400)	C20/25 Ongescheurd	20,996	N5	N50	column (100)
Paal_P_9	Funderingspaal - Rectangle (400; 400)	C20/25 Ongescheurd	21,000	N6	N51	column (100)
Paal_P_65	Funderingspaal - Rectangle (400; 400)	C20/25 Ongescheurd	21,000	N250	N282	column (100)
Paal_P_10	Funderingspaal - Rectangle (400; 400)	C20/25 Ongescheurd	21,000	N7	N52	column (100)
Paal_P_11	Funderingspaal - Rectangle (400; 400)	C20/25 Ongescheurd	21,000	N1	N53	column (100)
Paal_P_12	Funderingspaal - Rectangle (400; 400)	C20/25 Ongescheurd	21,000	N55	N10	column (100)
Paal_P_13	Funderingspaal - Rectangle (400; 400)	C20/25 Ongescheurd	20,996	N24	N11	column (100)
Paal_P_15	Funderingspaal - Rectangle (400; 400)	C20/25 Ongescheurd	21,000	N26	N13	column (100)
Paal_P_16	Funderingspaal - Rectangle (400; 400)	C20/25 Ongescheurd	21,000	N27	N14	column (100)
Paal_P_23	LEKA Paal - type e (CHS219.1/10.0)	S 235	20,701	N59	N61	column (100)
Paal_P_24	LEKA Paal - type e (CHS219.1/10.0)	S 235	20,701	N69	N70	column (100)
Paal_P_25	LEKA Paal - type e (CHS219.1/10.0)	S 235	20,701	N71	N72	column (100)
Paal_P_27	LEKA Paal - type e (CHS219.1/10.0)	S 235	20,701	N78	N80	column (100)
Paal_P_28	LEKA Paal - type e (CHS219.1/10.0)	S 235	20,701	N74	N75	column (100)
Paal_P_29	LEKA Paal - type e (CHS219.1/10.0)	S 235	20,701	N76	N77	column (100)
Paal_P_69	Funderingspaal - Rectangle (400; 400)	C20/25 Ongescheurd	20,996	N257	N286	column (100)
Paal_P_70	Funderingspaal - Rectangle (400; 400)	C20/25 Ongescheurd	21,000	N258	N287	column (100)
Paal_P_71	Funderingspaal - Rectangle (400; 400)	C20/25 Ongescheurd	21,000	N259	N288	column (100)
Paal_P_72	Funderingspaal - Rectangle (400; 400)	C20/25 Ongescheurd	21,000	N260	N289	column (100)
Paal_P_73	Funderingspaal - Rectangle (400; 400)	C20/25 Ongescheurd	21,000	N269	N290	column (100)

Name	Cross-section	Material	Length [m]	Beg. node	End node	Type
Paal_P_74	Funderingspaal - Rectangle (400; 400)	C20/25 Ongescheurd	21,000	N270	N291	column (100)
Paal_P_75	Funderingspaal - Rectangle (400; 400)	C20/25 Ongescheurd	21,000	N254	N292	column (100)
Paal_P_76	Funderingspaal - Rectangle (400; 400)	C20/25 Ongescheurd	20,996	N267	N293	column (100)
Paal_P_77	Funderingspaal - Rectangle (400; 400)	C20/25 Ongescheurd	21,000	N268	N294	column (100)
Paal_P_78	LEKA Paal - type e (CHS219.1/10.0)	S 235	20,701	N297	N300	column (100)
Paal_P_79	LEKA Paal - type e (CHS219.1/10.0)	S 235	20,701	N299	N301	column (100)
Paal_P_80	LEKA Paal - type e (CHS219.1/10.0)	S 235	20,701	N305	N306	column (100)
Paal_P_81	LEKA Paal - type e (CHS219.1/10.0)	S 235	20,701	N307	N308	column (100)
Paal_P_82	LEKA Paal - type e (CHS219.1/10.0)	S 235	20,701	N315	N317	column (100)
Paal_P_83	LEKA Paal - type e (CHS219.1/10.0)	S 235	20,701	N314	N316	column (100)
Paal_P_84	LEKA Paal - type e (CHS219.1/10.0)	S 235	20,701	N310	N311	column (100)
Paal_P_85	LEKA Paal - type e (CHS219.1/10.0)	S 235	20,701	N312	N313	column (100)

5.4. Analyse model met Staven

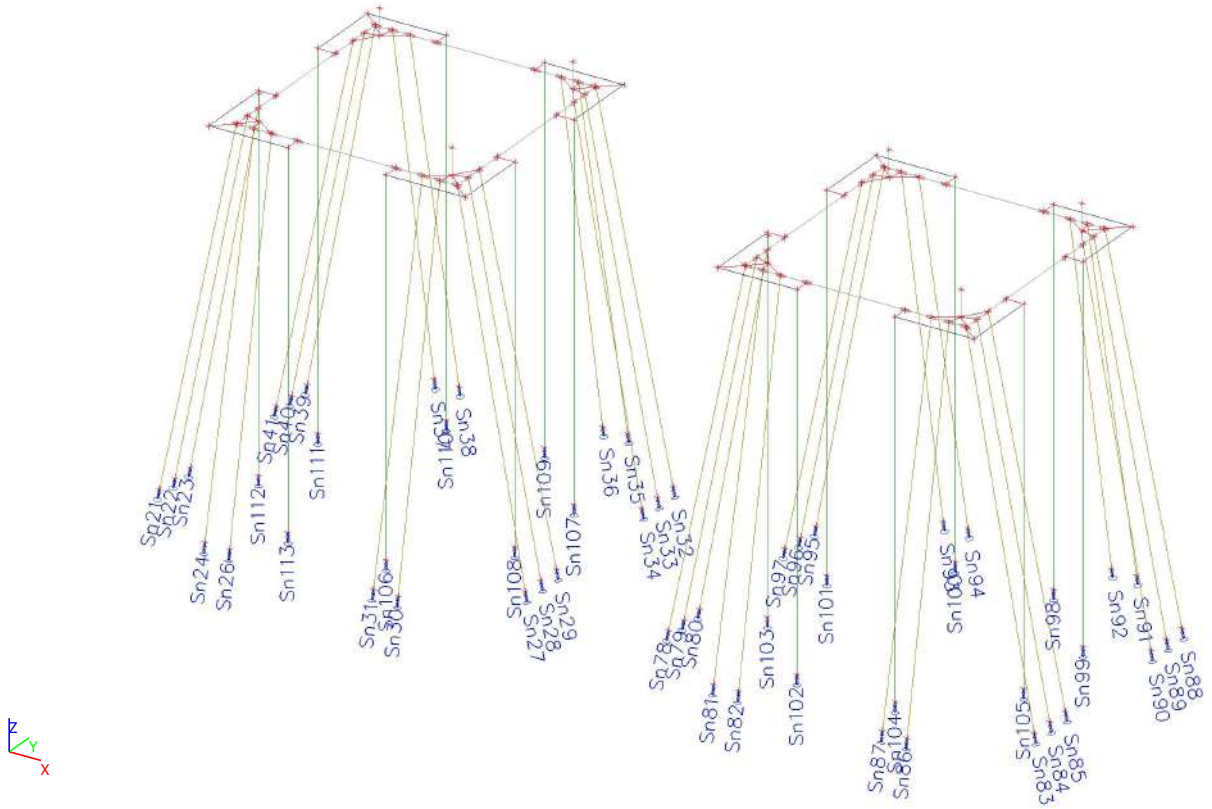


5.5. Nodal supports

Name	Node	System	Type	X	Y	Z	Rx	Ry	Rz	Angle [deg]
Sn21	N44	LCS of node	Standard	Free	Free	Nonlinear	Free	Free	Free	Rx-1,12;Ry11,31
Sn22	N45	LCS of node	Standard	Free	Free	Nonlinear	Free	Free	Free	Ry11,31
Sn23	N46	LCS of node	Standard	Free	Free	Nonlinear	Free	Free	Free	Rx1,12;Ry11,31
Sn24	N47	LCS of node	Standard	Free	Free	Nonlinear	Free	Free	Free	Ry0,56;Rx-11,31
Sn26	N48	LCS of node	Standard	Free	Free	Nonlinear	Free	Free	Free	Ry-0,56;Rx-11,31
Sn27	N49	LCS of node	Standard	Free	Free	Nonlinear	Free	Free	Free	Rx-1,12;Ry-11,31
Sn28	N50	LCS of node	Standard	Free	Free	Nonlinear	Free	Free	Free	Ry-11,31
Sn29	N51	LCS of node	Standard	Free	Free	Nonlinear	Free	Free	Free	Rx1,12;Ry-11,31
Sn30	N52	LCS of node	Standard	Free	Free	Nonlinear	Free	Free	Free	Ry-0,56;Rx-11,31
Sn31	N53	LCS of node	Standard	Free	Free	Nonlinear	Free	Free	Free	Ry0,56;Rx-11,31
Sn32	N10	LCS of node	Standard	Free	Free	Nonlinear	Free	Free	Free	Rx1,12;Ry-11,31
Sn33	N11	LCS of node	Standard	Free	Free	Nonlinear	Free	Free	Free	Ry-11,31
Sn34	N12	LCS of node	Standard	Free	Free	Nonlinear	Free	Free	Free	Rx-1,12;Ry-11,31
Sn35	N13	LCS of node	Standard	Free	Free	Nonlinear	Free	Free	Free	Ry-0,56;Rx11,31
Sn36	N14	LCS of node	Standard	Free	Free	Nonlinear	Free	Free	Free	Ry0,56;Rx11,31

Name	Node	System	Type	X	Y	Z	Rx	Ry	Rz	Angle [deg]
Sn37	N15	LCS of node	Standard	Free	Free	Nonlinear	Free	Free	Free	Ry0,56;Rx11,31
Sn38	N2	LCS of node	Standard	Free	Free	Nonlinear	Free	Free	Free	Ry-0,56;Rx11,31
Sn39	N3	LCS of node	Standard	Free	Free	Nonlinear	Free	Free	Free	Rx1,12;Ry11,31
Sn40	N4	LCS of node	Standard	Free	Free	Nonlinear	Free	Free	Free	Ry11,31
Sn41	N54	LCS of node	Standard	Free	Free	Nonlinear	Free	Free	Free	Rx-1,12;Ry11,31
Sn78	N275	LCS of node	Standard	Free	Free	Nonlinear	Free	Free	Free	Rx-1,12;Ry11,31
Sn79	N276	LCS of node	Standard	Free	Free	Nonlinear	Free	Free	Free	Ry11,31
Sn80	N277	LCS of node	Standard	Free	Free	Nonlinear	Free	Free	Free	Rx1,12;Ry11,31
Sn81	N278	LCS of node	Standard	Free	Free	Nonlinear	Free	Free	Free	Ry0,56;Rx-11,31
Sn82	N279	LCS of node	Standard	Free	Free	Nonlinear	Free	Free	Free	Ry-0,56;Rx-11,31
Sn83	N280	LCS of node	Standard	Free	Free	Nonlinear	Free	Free	Free	Rx-1,12;Ry-11,31
Sn84	N281	LCS of node	Standard	Free	Free	Nonlinear	Free	Free	Free	Ry-11,31
Sn85	N282	LCS of node	Standard	Free	Free	Nonlinear	Free	Free	Free	Rx1,12;Ry-11,31
Sn86	N283	LCS of node	Standard	Free	Free	Nonlinear	Free	Free	Free	Ry-0,56;Rx-11,31
Sn87	N284	LCS of node	Standard	Free	Free	Nonlinear	Free	Free	Free	Ry0,56;Rx-11,31
Sn88	N285	LCS of node	Standard	Free	Free	Nonlinear	Free	Free	Free	Rx1,12;Ry-11,31
Sn89	N286	LCS of node	Standard	Free	Free	Nonlinear	Free	Free	Free	Ry-11,31
Sn90	N287	LCS of node	Standard	Free	Free	Nonlinear	Free	Free	Free	Rx-1,12;Ry-11,31
Sn91	N288	LCS of node	Standard	Free	Free	Nonlinear	Free	Free	Free	Ry-0,56;Rx11,31
Sn92	N289	LCS of node	Standard	Free	Free	Nonlinear	Free	Free	Free	Ry0,56;Rx11,31
Sn93	N290	LCS of node	Standard	Free	Free	Nonlinear	Free	Free	Free	Ry0,56;Rx11,31
Sn94	N291	LCS of node	Standard	Free	Free	Nonlinear	Free	Free	Free	Ry-0,56;Rx11,31
Sn95	N292	LCS of node	Standard	Free	Free	Nonlinear	Free	Free	Free	Rx1,12;Ry11,31
Sn96	N293	LCS of node	Standard	Free	Free	Nonlinear	Free	Free	Free	Ry11,31
Sn97	N294	LCS of node	Standard	Free	Free	Nonlinear	Free	Free	Free	Rx-1,12;Ry11,31
Sn98	N300	LCS of node	Standard	Free	Free	Nonlinear	Free	Free	Free	
Sn99	N301	LCS of node	Standard	Free	Free	Nonlinear	Free	Free	Free	
Sn100	N306	LCS of node	Standard	Free	Free	Nonlinear	Free	Free	Free	
Sn101	N308	LCS of node	Standard	Free	Free	Nonlinear	Free	Free	Free	
Sn102	N311	LCS of node	Standard	Free	Free	Nonlinear	Free	Free	Free	
Sn103	N313	LCS of node	Standard	Free	Free	Nonlinear	Free	Free	Free	
Sn104	N316	LCS of node	Standard	Free	Free	Nonlinear	Free	Free	Free	
Sn105	N317	LCS of node	Standard	Free	Free	Nonlinear	Free	Free	Free	
Sn106	N80	LCS of node	Standard	Free	Free	Nonlinear	Free	Free	Free	
Sn107	N61	LCS of node	Standard	Free	Free	Nonlinear	Free	Free	Free	
Sn108	N81	LCS of node	Standard	Free	Free	Nonlinear	Free	Free	Free	
Sn109	N60	LCS of node	Standard	Free	Free	Nonlinear	Free	Free	Free	
Sn110	N70	LCS of node	Standard	Free	Free	Nonlinear	Free	Free	Free	
Sn111	N72	LCS of node	Standard	Free	Free	Nonlinear	Free	Free	Free	
Sn112	N77	LCS of node	Standard	Free	Free	Nonlinear	Free	Free	Free	
Sn113	N75	LCS of node	Standard	Free	Free	Nonlinear	Free	Free	Free	

5.6. Analyse model met Knoopondersteuningen



5.7. Line supports on member

Name	Type	Member System	Pos x_1 [m] Pos x_2 [m]	X	Y	Z	Rx	Ry	Rz	Function Y	Function Z
Veen26	Line	Paal_P_26 LCS	1,000 8,000	Free	Nonlinear	Nonlinear	Free	Free	Free	PY-curve-2_Veen.B	PY-curve-2_Veen.B
Veen71	Line	Paal_P_71 LCS	1,000 8,000	Free	Nonlinear	Nonlinear	Free	Free	Free	PY-curve-2_Veen	PY-curve-2_Veen
Veen7	Line	Paal_P_12 LCS	1,000 8,000	Free	Nonlinear	Nonlinear	Free	Free	Free	PY-curve-2_Veen	PY-curve-2_Veen
Veen23	Line	Paal_P_23 LCS	1,000 8,000	Free	Nonlinear	Nonlinear	Free	Free	Free	PY-curve-2_Veen.B	PY-curve-2_Veen.B
Veen62	Line	Paal_P_62 LCS	1,000 8,000	Free	Nonlinear	Nonlinear	Free	Free	Free	PY-curve-2_Veen	PY-curve-2_Veen
Veen75	Line	Paal_P_75 LCS	1,000 8,000	Free	Nonlinear	Nonlinear	Free	Free	Free	PY-curve-2_Veen	PY-curve-2_Veen
Veen73	Line	Paal_P_73 LCS	1,000 8,000	Free	Nonlinear	Nonlinear	Free	Free	Free	PY-curve-2_Veen	PY-curve-2_Veen
Veen60	Line	Paal_P_60 LCS	1,000 8,000	Free	Nonlinear	Nonlinear	Free	Free	Free	PY-curve-2_Veen	PY-curve-2_Veen
Veen9	Line	Paal_P_6 LCS	1,000 8,000	Free	Nonlinear	Nonlinear	Free	Free	Free	PY-curve-2_Veen	PY-curve-2_Veen
Veen63	Line	Paal_P_63 LCS	1,000 8,000	Free	Nonlinear	Nonlinear	Free	Free	Free	PY-curve-2_Veen	PY-curve-2_Veen
Veen4	Line	Paal_P_3 LCS	1,000 8,000	Free	Nonlinear	Nonlinear	Free	Free	Free	PY-curve-2_Veen	PY-curve-2_Veen
Veen22	Line	Paal_P_22 LCS	1,000 8,000	Free	Nonlinear	Nonlinear	Free	Free	Free	PY-curve-2_Veen.B	PY-curve-2_Veen.B
Veen13	Line	Paal_P_9 LCS	1,000 8,000	Free	Nonlinear	Nonlinear	Free	Free	Free	PY-curve-2_Veen	PY-curve-2_Veen
Veen	Line	Paal_P_1	1,000	Free	Nonlinear	Nonlinear	Free	Free	Free	PY-curve-2_Veen	PY-curve-2_Veen

Name	Type	Member System	Pos x_1 [m] Pos x_2 [m]	X	Y	Z	Rx	Ry	Rz	Function Y	Function Z
		LCS	8,000								
Veen80	Line	Paal_P_80 LCS	1,000 8,000	Free	Nonlinear	Nonlinear	Free	Free	Free	PY-curve-2_Veen.B	PY-curve-2_Veen.B
Veen65	Line	Paal_P_65 LCS	1,000 8,000	Free	Nonlinear	Nonlinear	Free	Free	Free	PY-curve-2_Veen	PY-curve-2_Veen
Veen8	Line	Paal_P_7 LCS	1,000 8,000	Free	Nonlinear	Nonlinear	Free	Free	Free	PY-curve-2_Veen	PY-curve-2_Veen
Veen11	Line	Paal_P_18 LCS	1,000 8,000	Free	Nonlinear	Nonlinear	Free	Free	Free	PY-curve-2_Veen	PY-curve-2_Veen
Veen76	Line	Paal_P_76 LCS	1,000 8,000	Free	Nonlinear	Nonlinear	Free	Free	Free	PY-curve-2_Veen	PY-curve-2_Veen
Veen18	Line	Paal_P_4 LCS	1,000 8,000	Free	Nonlinear	Nonlinear	Free	Free	Free	PY-curve-2_Veen	PY-curve-2_Veen
Veen81	Line	Paal_P_81 LCS	1,000 8,000	Free	Nonlinear	Nonlinear	Free	Free	Free	PY-curve-2_Veen.B	PY-curve-2_Veen.B
Veen66	Line	Paal_P_66 LCS	1,000 8,000	Free	Nonlinear	Nonlinear	Free	Free	Free	PY-curve-2_Veen	PY-curve-2_Veen
Veen70	Line	Paal_P_70 LCS	1,000 8,000	Free	Nonlinear	Nonlinear	Free	Free	Free	PY-curve-2_Veen	PY-curve-2_Veen
Veen12	Line	Paal_P_21 LCS	1,000 8,000	Free	Nonlinear	Nonlinear	Free	Free	Free	PY-curve-2_Veen	PY-curve-2_Veen
Veen25	Line	Paal_P_25 LCS	1,000 8,000	Free	Nonlinear	Nonlinear	Free	Free	Free	PY-curve-2_Veen.B	PY-curve-2_Veen.B
Veen27	Line	Paal_P_27 LCS	1,000 8,000	Free	Nonlinear	Nonlinear	Free	Free	Free	PY-curve-2_Veen.B	PY-curve-2_Veen.B
Veen78	Line	Paal_P_78 LCS	1,000 8,000	Free	Nonlinear	Nonlinear	Free	Free	Free	PY-curve-2_Veen.B	PY-curve-2_Veen.B
Veen10	Line	Paal_P_10 LCS	1,000 8,000	Free	Nonlinear	Nonlinear	Free	Free	Free	PY-curve-2_Veen	PY-curve-2_Veen
Veen58	Line	Paal_P_58 LCS	1,000 8,000	Free	Nonlinear	Nonlinear	Free	Free	Free	PY-curve-2_Veen	PY-curve-2_Veen
Veen67	Line	Paal_P_67 LCS	1,000 8,000	Free	Nonlinear	Nonlinear	Free	Free	Free	PY-curve-2_Veen	PY-curve-2_Veen
Veen19	Line	Paal_P_17 LCS	1,000 8,000	Free	Nonlinear	Nonlinear	Free	Free	Free	PY-curve-2_Veen	PY-curve-2_Veen
Veen79	Line	Paal_P_79 LCS	1,000 8,000	Free	Nonlinear	Nonlinear	Free	Free	Free	PY-curve-2_Veen.B	PY-curve-2_Veen.B
Veen6	Line	Paal_P_14 LCS	1,000 8,000	Free	Nonlinear	Nonlinear	Free	Free	Free	PY-curve-2_Veen	PY-curve-2_Veen
Veen59	Line	Paal_P_59 LCS	1,000 8,000	Free	Nonlinear	Nonlinear	Free	Free	Free	PY-curve-2_Veen	PY-curve-2_Veen
Veen74	Line	Paal_P_74 LCS	1,000 8,000	Free	Nonlinear	Nonlinear	Free	Free	Free	PY-curve-2_Veen	PY-curve-2_Veen
Veen64	Line	Paal_P_64 LCS	1,000 8,000	Free	Nonlinear	Nonlinear	Free	Free	Free	PY-curve-2_Veen	PY-curve-2_Veen
Veen61	Line	Paal_P_61 LCS	1,000 8,000	Free	Nonlinear	Nonlinear	Free	Free	Free	PY-curve-2_Veen	PY-curve-2_Veen
Veen16	Line	Paal_P_8 LCS	1,000 8,000	Free	Nonlinear	Nonlinear	Free	Free	Free	PY-curve-2_Veen	PY-curve-2_Veen
Veen85	Line	Paal_P_85 LCS	1,000 8,000	Free	Nonlinear	Nonlinear	Free	Free	Free	PY-curve-2_Veen.B	PY-curve-2_Veen.B
Veen5	Line	Paal_P_11 LCS	1,000 8,000	Free	Nonlinear	Nonlinear	Free	Free	Free	PY-curve-2_Veen	PY-curve-2_Veen
Veen84	Line	Paal_P_84 LCS	1,000 8,000	Free	Nonlinear	Nonlinear	Free	Free	Free	PY-curve-2_Veen.B	PY-curve-2_Veen.B
Veen20	Line	Paal_P_16 LCS	1,000 8,000	Free	Nonlinear	Nonlinear	Free	Free	Free	PY-curve-2_Veen	PY-curve-2_Veen
Veen68	Line	Paal_P_68 LCS	1,000 8,000	Free	Nonlinear	Nonlinear	Free	Free	Free	PY-curve-2_Veen	PY-curve-2_Veen
Veen17	Line	Paal_P_19 LCS	1,000 8,000	Free	Nonlinear	Nonlinear	Free	Free	Free	PY-curve-2_Veen	PY-curve-2_Veen
Veen83	Line	Paal_P_83 LCS	1,000 8,000	Free	Nonlinear	Nonlinear	Free	Free	Free	PY-curve-2_Veen.B	PY-curve-2_Veen.B
Veen69	Line	Paal_P_69	1,000	Free	Nonlinear	Nonlinear	Free	Free	Free	PY-curve-2_Veen	PY-curve-2_Veen

Name	Type	Member System	Pos x_1 [m] Pos x_2 [m]	X	Y	Z	Rx	Ry	Rz	Function Y	Function Z
		LCS	8,000								
Veen77	Line	Paal_P_77 LCS	1,000 8,000	Free	Nonlinear	Nonlinear	Free	Free	Free	PY-curve-2_Veen	PY-curve-2_Veen
Veen15	Line	Paal_P_20 LCS	1,000 8,000	Free	Nonlinear	Nonlinear	Free	Free	Free	PY-curve-2_Veen	PY-curve-2_Veen
Veen14	Line	Paal_P_15 LCS	1,000 8,000	Free	Nonlinear	Nonlinear	Free	Free	Free	PY-curve-2_Veen	PY-curve-2_Veen
Veen3	Line	Paal_P_2 LCS	1,000 8,000	Free	Nonlinear	Nonlinear	Free	Free	Free	PY-curve-2_Veen	PY-curve-2_Veen
Veen72	Line	Paal_P_72 LCS	1,000 8,000	Free	Nonlinear	Nonlinear	Free	Free	Free	PY-curve-2_Veen	PY-curve-2_Veen
Veen28	Line	Paal_P_28 LCS	1,000 8,000	Free	Nonlinear	Nonlinear	Free	Free	Free	PY-curve-2_Veen.B	PY-curve-2_Veen.B
Veen21	Line	Paal_P_13 LCS	1,000 8,000	Free	Nonlinear	Nonlinear	Free	Free	Free	PY-curve-2_Veen	PY-curve-2_Veen
Veen29	Line	Paal_P_29 LCS	1,000 8,000	Free	Nonlinear	Nonlinear	Free	Free	Free	PY-curve-2_Veen.B	PY-curve-2_Veen.B
Veen82	Line	Paal_P_82 LCS	1,000 8,000	Free	Nonlinear	Nonlinear	Free	Free	Free	PY-curve-2_Veen.B	PY-curve-2_Veen.B
Veen24	Line	Paal_P_24 LCS	1,000 8,000	Free	Nonlinear	Nonlinear	Free	Free	Free	PY-curve-2_Veen.B	PY-curve-2_Veen.B
(PY-curve-2_V1)39	Line	Paal_P_70 LCS	8,000 9,000	Free	Nonlinear	Nonlinear	Free	Free	Free	PY-curve-2_V1	PY-curve-2_V1
(PY-curve-2_V1)44	Line	Paal_P_27 LCS	8,000 9,000	Free	Nonlinear	Nonlinear	Free	Free	Free	PY-curve-2_V1.B	PY-curve-2_V1.B
(PY-curve-2_V1)7	Line	Paal_P_9 LCS	8,000 9,000	Free	Nonlinear	Nonlinear	Free	Free	Free	PY-curve-2_V1	PY-curve-2_V1
(PY-curve-2_V1)19	Line	Paal_P_21 LCS	8,000 9,000	Free	Nonlinear	Nonlinear	Free	Free	Free	PY-curve-2_V1	PY-curve-2_V1
(PY-curve-2_V1)49	Line	Paal_P_79 LCS	8,000 9,000	Free	Nonlinear	Nonlinear	Free	Free	Free	PY-curve-2_V1.B	PY-curve-2_V1.B
(PY-curve-2_V1)22	Line	Paal_P_72 LCS	8,000 9,000	Free	Nonlinear	Nonlinear	Free	Free	Free	PY-curve-2_V1	PY-curve-2_V1
(PY-curve-2_V1)23	Line	Paal_P_73 LCS	8,000 9,000	Free	Nonlinear	Nonlinear	Free	Free	Free	PY-curve-2_V1	PY-curve-2_V1
(PY-curve-2_V1)35	Line	Paal_P_66 LCS	8,000 9,000	Free	Nonlinear	Nonlinear	Free	Free	Free	PY-curve-2_V1	PY-curve-2_V1
(PY-curve-2_V1)51	Line	Paal_P_81 LCS	8,000 9,000	Free	Nonlinear	Nonlinear	Free	Free	Free	PY-curve-2_V1.B	PY-curve-2_V1.B
(PY-curve-2_V1)28	Line	Paal_P_65 LCS	8,000 9,000	Free	Nonlinear	Nonlinear	Free	Free	Free	PY-curve-2_V1	PY-curve-2_V1
(PY-curve-2_V1)38	Line	Paal_P_69 LCS	8,000 9,000	Free	Nonlinear	Nonlinear	Free	Free	Free	PY-curve-2_V1	PY-curve-2_V1
(PY-curve-2_V1)24	Line	Paal_P_74 LCS	8,000 9,000	Free	Nonlinear	Nonlinear	Free	Free	Free	PY-curve-2_V1	PY-curve-2_V1
(PY-curve-2_V1)46	Line	Paal_P_29 LCS	8,000 9,000	Free	Nonlinear	Nonlinear	Free	Free	Free	PY-curve-2_V1.B	PY-curve-2_V1.B
(PY-curve-2_V1)14	Line	Paal_P_16 LCS	8,000 9,000	Free	Nonlinear	Nonlinear	Free	Free	Free	PY-curve-2_V1	PY-curve-2_V1
(PY-curve-2_V1)36	Line	Paal_P_67 LCS	8,000 9,000	Free	Nonlinear	Nonlinear	Free	Free	Free	PY-curve-2_V1	PY-curve-2_V1
(PY-curve-2_V1)6	Line	Paal_P_8 LCS	8,000 9,000	Free	Nonlinear	Nonlinear	Free	Free	Free	PY-curve-2_V1	PY-curve-2_V1
(PY-curve-2_V1)2	Line	Paal_P_1 LCS	8,000 9,000	Free	Nonlinear	Nonlinear	Free	Free	Free	PY-curve-2_V1	PY-curve-2_V1
(PY-curve-2_V1)40	Line	Paal_P_22 LCS	8,000 9,000	Free	Nonlinear	Nonlinear	Free	Free	Free	PY-curve-2_V1.B	PY-curve-2_V1.B
(PY-curve-2_V1)8	Line	Paal_P_10 LCS	8,000 9,000	Free	Nonlinear	Nonlinear	Free	Free	Free	PY-curve-2_V1	PY-curve-2_V1
(PY-curve-2_V1)31	Line	Paal_P_61 LCS	8,000 9,000	Free	Nonlinear	Nonlinear	Free	Free	Free	PY-curve-2_V1	PY-curve-2_V1
(PY-curve-2_V1)54	Line	Paal_P_84 LCS	8,000 9,000	Free	Nonlinear	Nonlinear	Free	Free	Free	PY-curve-2_V1.B	PY-curve-2_V1.B
(PY-curve-2_V1)12	Line	Paal_P_14	8,000	Free	Nonlinear	Nonlinear	Free	Free	Free	PY-curve-2_V1	PY-curve-2_V1

Name	Type	Member System	Pos x_1 [m] Pos x_2 [m]	X	Y	Z	Rx	Ry	Rz	Function Y	Function Z
		LCS	9,000								
(PY-curve-2_V1)47	Line	Paal_P_23 LCS	8,000 9,000	Free	Nonlinear	Nonlinear	Free	Free	Free	PY-curve-2_V1.B	PY-curve-2_V1.B
(PY-curve-2_V1)25	Line	Paal_P_75 LCS	8,000 9,000	Free	Nonlinear	Nonlinear	Free	Free	Free	PY-curve-2_V1	PY-curve-2_V1
(PY-curve-2_V1)27	Line	Paal_P_77 LCS	8,000 9,000	Free	Nonlinear	Nonlinear	Free	Free	Free	PY-curve-2_V1	PY-curve-2_V1
(PY-curve-2_V1)13	Line	Paal_P_15 LCS	8,000 9,000	Free	Nonlinear	Nonlinear	Free	Free	Free	PY-curve-2_V1	PY-curve-2_V1
(PY-curve-2_V1)30	Line	Paal_P_60 LCS	8,000 9,000	Free	Nonlinear	Nonlinear	Free	Free	Free	PY-curve-2_V1	PY-curve-2_V1
(PY-curve-2_V1)17	Line	Paal_P_19 LCS	8,000 9,000	Free	Nonlinear	Nonlinear	Free	Free	Free	PY-curve-2_V1	PY-curve-2_V1
(PY-curve-2_V1)29	Line	Paal_P_59 LCS	8,000 9,000	Free	Nonlinear	Nonlinear	Free	Free	Free	PY-curve-2_V1	PY-curve-2_V1
(PY-curve-2_V1)48	Line	Paal_P_78 LCS	8,000 9,000	Free	Nonlinear	Nonlinear	Free	Free	Free	PY-curve-2_V1.B	PY-curve-2_V1.B
(PY-curve-2_V1)37	Line	Paal_P_68 LCS	8,000 9,000	Free	Nonlinear	Nonlinear	Free	Free	Free	PY-curve-2_V1	PY-curve-2_V1
(PY-curve-2_V1)34	Line	Paal_P_64 LCS	8,000 9,000	Free	Nonlinear	Nonlinear	Free	Free	Free	PY-curve-2_V1	PY-curve-2_V1
(PY-curve-2_V1)3	Line	Paal_P_4 LCS	8,000 9,000	Free	Nonlinear	Nonlinear	Free	Free	Free	PY-curve-2_V1	PY-curve-2_V1
(PY-curve-2_V1)43	Line	Paal_P_26 LCS	8,000 9,000	Free	Nonlinear	Nonlinear	Free	Free	Free	PY-curve-2_V1.B	PY-curve-2_V1.B
(PY-curve-2_V1)18	Line	Paal_P_20 LCS	8,000 9,000	Free	Nonlinear	Nonlinear	Free	Free	Free	PY-curve-2_V1	PY-curve-2_V1
(PY-curve-2_V1)	Line	Paal_P_3 LCS	8,000 9,000	Free	Nonlinear	Nonlinear	Free	Free	Free	PY-curve-2_V1	PY-curve-2_V1
(PY-curve-2_V1)50	Line	Paal_P_80 LCS	8,000 9,000	Free	Nonlinear	Nonlinear	Free	Free	Free	PY-curve-2_V1.B	PY-curve-2_V1.B
(PY-curve-2_V1)4	Line	Paal_P_6 LCS	8,000 9,000	Free	Nonlinear	Nonlinear	Free	Free	Free	PY-curve-2_V1	PY-curve-2_V1
(PY-curve-2_V1)20	Line	Paal_P_71 LCS	8,000 9,000	Free	Nonlinear	Nonlinear	Free	Free	Free	PY-curve-2_V1	PY-curve-2_V1
(PY-curve-2_V1)9	Line	Paal_P_11 LCS	8,000 9,000	Free	Nonlinear	Nonlinear	Free	Free	Free	PY-curve-2_V1	PY-curve-2_V1
(PY-curve-2_V1)26	Line	Paal_P_76 LCS	8,000 9,000	Free	Nonlinear	Nonlinear	Free	Free	Free	PY-curve-2_V1	PY-curve-2_V1
(PY-curve-2_V1)16	Line	Paal_P_18 LCS	8,000 9,000	Free	Nonlinear	Nonlinear	Free	Free	Free	PY-curve-2_V1	PY-curve-2_V1
(PY-curve-2_V1)33	Line	Paal_P_63 LCS	8,000 9,000	Free	Nonlinear	Nonlinear	Free	Free	Free	PY-curve-2_V1	PY-curve-2_V1
(PY-curve-2_V1)41	Line	Paal_P_24 LCS	8,000 9,000	Free	Nonlinear	Nonlinear	Free	Free	Free	PY-curve-2_V1.B	PY-curve-2_V1.B
(PY-curve-2_V1)42	Line	Paal_P_25 LCS	8,000 9,000	Free	Nonlinear	Nonlinear	Free	Free	Free	PY-curve-2_V1.B	PY-curve-2_V1.B
(PY-curve-2_V1)55	Line	Paal_P_85 LCS	8,000 9,000	Free	Nonlinear	Nonlinear	Free	Free	Free	PY-curve-2_V1.B	PY-curve-2_V1.B
(PY-curve-2_V1)45	Line	Paal_P_28 LCS	8,000 9,000	Free	Nonlinear	Nonlinear	Free	Free	Free	PY-curve-2_V1.B	PY-curve-2_V1.B
(PY-curve-2_V1)1	Line	Paal_P_2 LCS	8,000 9,000	Free	Nonlinear	Nonlinear	Free	Free	Free	PY-curve-2_V1	PY-curve-2_V1
(PY-curve-2_V1)32	Line	Paal_P_62 LCS	8,000 9,000	Free	Nonlinear	Nonlinear	Free	Free	Free	PY-curve-2_V1	PY-curve-2_V1
(PY-curve-2_V1)21	Line	Paal_P_58 LCS	8,000 9,000	Free	Nonlinear	Nonlinear	Free	Free	Free	PY-curve-2_V1	PY-curve-2_V1
(PY-curve-2_V1)15	Line	Paal_P_17 LCS	8,000 9,000	Free	Nonlinear	Nonlinear	Free	Free	Free	PY-curve-2_V1	PY-curve-2_V1
(PY-curve-2_V1)53	Line	Paal_P_83 LCS	8,000 9,000	Free	Nonlinear	Nonlinear	Free	Free	Free	PY-curve-2_V1.B	PY-curve-2_V1.B
(PY-curve-2_V1)11	Line	Paal_P_13 LCS	8,000 9,000	Free	Nonlinear	Nonlinear	Free	Free	Free	PY-curve-2_V1	PY-curve-2_V1
(PY-curve-2_V1)10	Line	Paal_P_12	8,000	Free	Nonlinear	Nonlinear	Free	Free	Free	PY-curve-2_V1	PY-curve-2_V1

Name	Type	Member System	Pos x_1 [m] Pos x_2 [m]	X	Y	Z	Rx	Ry	Rz	Function Y	Function Z
		LCS	9,000								
(PY-curve-2_V1)5	Line	Paal_P_7 LCS	8,000 9,000	Free	Nonlinear	Nonlinear	Free	Free	Free	PY-curve-2_V1	PY-curve-2_V1
(PY-curve-2_V1)52	Line	Paal_P_82 LCS	8,000 9,000	Free	Nonlinear	Nonlinear	Free	Free	Free	PY-curve-2_V1.B	PY-curve-2_V1.B
(PY-curve-2_V2)22	Line	Paal_P_72 LCS	9,000 10,000	Free	Nonlinear	Nonlinear	Free	Free	Free	PY-curve-2_V2	PY-curve-2_V2
(PY-curve-2_V2)44	Line	Paal_P_27 LCS	9,000 10,000	Free	Nonlinear	Nonlinear	Free	Free	Free	PY-curve-2_V2.B	PY-curve-2_V2.B
(PY-curve-2_V2)6	Line	Paal_P_8 LCS	9,000 10,000	Free	Nonlinear	Nonlinear	Free	Free	Free	PY-curve-2_V2	PY-curve-2_V2
(PY-curve-2_V2)49	Line	Paal_P_79 LCS	9,000 10,000	Free	Nonlinear	Nonlinear	Free	Free	Free	PY-curve-2_V2.B	PY-curve-2_V2.B
(PY-curve-2_V2)52	Line	Paal_P_82 LCS	9,000 10,000	Free	Nonlinear	Nonlinear	Free	Free	Free	PY-curve-2_V2.B	PY-curve-2_V2.B
(PY-curve-2_V2)23	Line	Paal_P_73 LCS	9,000 10,000	Free	Nonlinear	Nonlinear	Free	Free	Free	PY-curve-2_V2	PY-curve-2_V2
(PY-curve-2_V2)30	Line	Paal_P_60 LCS	9,000 10,000	Free	Nonlinear	Nonlinear	Free	Free	Free	PY-curve-2_V2	PY-curve-2_V2
(PY-curve-2_V2)45	Line	Paal_P_28 LCS	9,000 10,000	Free	Nonlinear	Nonlinear	Free	Free	Free	PY-curve-2_V2.B	PY-curve-2_V2.B
(PY-curve-2_V2)36	Line	Paal_P_67 LCS	9,000 10,000	Free	Nonlinear	Nonlinear	Free	Free	Free	PY-curve-2_V2	PY-curve-2_V2
(PY-curve-2_V2)26	Line	Paal_P_76 LCS	9,000 10,000	Free	Nonlinear	Nonlinear	Free	Free	Free	PY-curve-2_V2	PY-curve-2_V2
(PY-curve-2_V2)24	Line	Paal_P_74 LCS	9,000 10,000	Free	Nonlinear	Nonlinear	Free	Free	Free	PY-curve-2_V2	PY-curve-2_V2
(PY-curve-2_V2)19	Line	Paal_P_21 LCS	9,000 10,000	Free	Nonlinear	Nonlinear	Free	Free	Free	PY-curve-2_V2	PY-curve-2_V2
(PY-curve-2_V2)3	Line	Paal_P_4 LCS	9,000 10,000	Free	Nonlinear	Nonlinear	Free	Free	Free	PY-curve-2_V2	PY-curve-2_V2
(PY-curve-2_V2)37	Line	Paal_P_68 LCS	9,000 10,000	Free	Nonlinear	Nonlinear	Free	Free	Free	PY-curve-2_V2	PY-curve-2_V2
(PY-curve-2_V2)41	Line	Paal_P_24 LCS	9,000 10,000	Free	Nonlinear	Nonlinear	Free	Free	Free	PY-curve-2_V2.B	PY-curve-2_V2.B
(PY-curve-2_V2)50	Line	Paal_P_80 LCS	9,000 10,000	Free	Nonlinear	Nonlinear	Free	Free	Free	PY-curve-2_V2.B	PY-curve-2_V2.B
(PY-curve-2_V2)42	Line	Paal_P_25 LCS	9,000 10,000	Free	Nonlinear	Nonlinear	Free	Free	Free	PY-curve-2_V2.B	PY-curve-2_V2.B
(PY-curve-2_V2)5	Line	Paal_P_7 LCS	9,000 10,000	Free	Nonlinear	Nonlinear	Free	Free	Free	PY-curve-2_V2	PY-curve-2_V2
(PY-curve-2_V2)39	Line	Paal_P_70 LCS	9,000 10,000	Free	Nonlinear	Nonlinear	Free	Free	Free	PY-curve-2_V2	PY-curve-2_V2
(PY-curve-2_V2)38	Line	Paal_P_69 LCS	9,000 10,000	Free	Nonlinear	Nonlinear	Free	Free	Free	PY-curve-2_V2	PY-curve-2_V2
(PY-curve-2_V2)10	Line	Paal_P_12 LCS	9,000 10,000	Free	Nonlinear	Nonlinear	Free	Free	Free	PY-curve-2_V2	PY-curve-2_V2
(PY-curve-2_V2)8	Line	Paal_P_10 LCS	9,000 10,000	Free	Nonlinear	Nonlinear	Free	Free	Free	PY-curve-2_V2	PY-curve-2_V2
(PY-curve-2_V2)40	Line	Paal_P_22 LCS	9,000 10,000	Free	Nonlinear	Nonlinear	Free	Free	Free	PY-curve-2_V2.B	PY-curve-2_V2.B
(PY-curve-2_V2)25	Line	Paal_P_75 LCS	9,000 10,000	Free	Nonlinear	Nonlinear	Free	Free	Free	PY-curve-2_V2	PY-curve-2_V2
(PY-curve-2_V2)51	Line	Paal_P_81 LCS	9,000 10,000	Free	Nonlinear	Nonlinear	Free	Free	Free	PY-curve-2_V2.B	PY-curve-2_V2.B
(PY-curve-2_V2)11	Line	Paal_P_13 LCS	9,000 10,000	Free	Nonlinear	Nonlinear	Free	Free	Free	PY-curve-2_V2	PY-curve-2_V2
(PY-curve-2_V2)33	Line	Paal_P_63 LCS	9,000 10,000	Free	Nonlinear	Nonlinear	Free	Free	Free	PY-curve-2_V2	PY-curve-2_V2
(PY-curve-2_V2)35	Line	Paal_P_66 LCS	9,000 10,000	Free	Nonlinear	Nonlinear	Free	Free	Free	PY-curve-2_V2	PY-curve-2_V2
(PY-curve-2_V2)9	Line	Paal_P_11 LCS	9,000 10,000	Free	Nonlinear	Nonlinear	Free	Free	Free	PY-curve-2_V2	PY-curve-2_V2
(PY-curve-2_V2)18	Line	Paal_P_20	9,000	Free	Nonlinear	Nonlinear	Free	Free	Free	PY-curve-2_V2	PY-curve-2_V2

Name	Type	Member System	Pos x_1 [m] Pos x_2 [m]	X	Y	Z	Rx	Ry	Rz	Function Y	Function Z
		LCS	10,000								
(PY-curve-2_V2)46	Line	Paal_P_29 LCS	9,000 10,000	Free	Nonlinear	Nonlinear	Free	Free	Free	PY-curve-2_V2.B	PY-curve-2_V2.B
(PY-curve-2_V2)17	Line	Paal_P_19 LCS	9,000 10,000	Free	Nonlinear	Nonlinear	Free	Free	Free	PY-curve-2_V2	PY-curve-2_V2
(PY-curve-2_V2)13	Line	Paal_P_15 LCS	9,000 10,000	Free	Nonlinear	Nonlinear	Free	Free	Free	PY-curve-2_V2	PY-curve-2_V2
(PY-curve-2_V2)4	Line	Paal_P_6 LCS	9,000 10,000	Free	Nonlinear	Nonlinear	Free	Free	Free	PY-curve-2_V2	PY-curve-2_V2
(PY-curve-2_V2)14	Line	Paal_P_16 LCS	9,000 10,000	Free	Nonlinear	Nonlinear	Free	Free	Free	PY-curve-2_V2	PY-curve-2_V2
(PY-curve-2_V2)34	Line	Paal_P_64 LCS	9,000 10,000	Free	Nonlinear	Nonlinear	Free	Free	Free	PY-curve-2_V2	PY-curve-2_V2
(PY-curve-2_V2)47	Line	Paal_P_23 LCS	9,000 10,000	Free	Nonlinear	Nonlinear	Free	Free	Free	PY-curve-2_V2.B	PY-curve-2_V2.B
(PY-curve-2_V2)2	Line	Paal_P_1 LCS	9,000 10,000	Free	Nonlinear	Nonlinear	Free	Free	Free	PY-curve-2_V2	PY-curve-2_V2
(PY-curve-2_V2)16	Line	Paal_P_18 LCS	9,000 10,000	Free	Nonlinear	Nonlinear	Free	Free	Free	PY-curve-2_V2	PY-curve-2_V2
(PY-curve-2_V2)43	Line	Paal_P_26 LCS	9,000 10,000	Free	Nonlinear	Nonlinear	Free	Free	Free	PY-curve-2_V2.B	PY-curve-2_V2.B
(PY-curve-2_V2)21	Line	Paal_P_58 LCS	9,000 10,000	Free	Nonlinear	Nonlinear	Free	Free	Free	PY-curve-2_V2	PY-curve-2_V2
(PY-curve-2_V2)31	Line	Paal_P_61 LCS	9,000 10,000	Free	Nonlinear	Nonlinear	Free	Free	Free	PY-curve-2_V2	PY-curve-2_V2
(PY-curve-2_V2)20	Line	Paal_P_71 LCS	9,000 10,000	Free	Nonlinear	Nonlinear	Free	Free	Free	PY-curve-2_V2	PY-curve-2_V2
(PY-curve-2_V2)29	Line	Paal_P_59 LCS	9,000 10,000	Free	Nonlinear	Nonlinear	Free	Free	Free	PY-curve-2_V2	PY-curve-2_V2
(PY-curve-2_V2)7	Line	Paal_P_9 LCS	9,000 10,000	Free	Nonlinear	Nonlinear	Free	Free	Free	PY-curve-2_V2	PY-curve-2_V2
(PY-curve-2_V2)55	Line	Paal_P_85 LCS	9,000 10,000	Free	Nonlinear	Nonlinear	Free	Free	Free	PY-curve-2_V2.B	PY-curve-2_V2.B
(PY-curve-2_V2)48	Line	Paal_P_78 LCS	9,000 10,000	Free	Nonlinear	Nonlinear	Free	Free	Free	PY-curve-2_V2.B	PY-curve-2_V2.B
(PY-curve-2_V2)53	Line	Paal_P_83 LCS	9,000 10,000	Free	Nonlinear	Nonlinear	Free	Free	Free	PY-curve-2_V2.B	PY-curve-2_V2.B
(PY-curve-2_V2)12	Line	Paal_P_14 LCS	9,000 10,000	Free	Nonlinear	Nonlinear	Free	Free	Free	PY-curve-2_V2	PY-curve-2_V2
(PY-curve-2_V2)15	Line	Paal_P_17 LCS	9,000 10,000	Free	Nonlinear	Nonlinear	Free	Free	Free	PY-curve-2_V2	PY-curve-2_V2
(PY-curve-2_V2)	Line	Paal_P_3 LCS	9,000 10,000	Free	Nonlinear	Nonlinear	Free	Free	Free	PY-curve-2_V2	PY-curve-2_V2
(PY-curve-2_V2)32	Line	Paal_P_62 LCS	9,000 10,000	Free	Nonlinear	Nonlinear	Free	Free	Free	PY-curve-2_V2	PY-curve-2_V2
(PY-curve-2_V2)1	Line	Paal_P_2 LCS	9,000 10,000	Free	Nonlinear	Nonlinear	Free	Free	Free	PY-curve-2_V2	PY-curve-2_V2
(PY-curve-2_V2)27	Line	Paal_P_77 LCS	9,000 10,000	Free	Nonlinear	Nonlinear	Free	Free	Free	PY-curve-2_V2	PY-curve-2_V2
(PY-curve-2_V2)28	Line	Paal_P_65 LCS	9,000 10,000	Free	Nonlinear	Nonlinear	Free	Free	Free	PY-curve-2_V2	PY-curve-2_V2
(PY-curve-2_V2)54	Line	Paal_P_84 LCS	9,000 10,000	Free	Nonlinear	Nonlinear	Free	Free	Free	PY-curve-2_V2.B	PY-curve-2_V2.B
(PY-curve-2_V3)49	Line	Paal_P_79 LCS	10,000 11,000	Free	Nonlinear	Nonlinear	Free	Free	Free	PY-curve-2_V3.B	PY-curve-2_V3.B
(PY-curve-2_V3)15	Line	Paal_P_17 LCS	10,000 11,000	Free	Nonlinear	Nonlinear	Free	Free	Free	PY-curve-2_V3	PY-curve-2_V3
(PY-curve-2_V3)46	Line	Paal_P_29 LCS	10,000 11,000	Free	Nonlinear	Nonlinear	Free	Free	Free	PY-curve-2_V3.B	PY-curve-2_V3.B
(PY-curve-2_V3)48	Line	Paal_P_78 LCS	10,000 11,000	Free	Nonlinear	Nonlinear	Free	Free	Free	PY-curve-2_V3.B	PY-curve-2_V3.B
(PY-curve-2_V3)51	Line	Paal_P_81 LCS	10,000 11,000	Free	Nonlinear	Nonlinear	Free	Free	Free	PY-curve-2_V3.B	PY-curve-2_V3.B
(PY-curve-2_V3)50	Line	Paal_P_80	10,000	Free	Nonlinear	Nonlinear	Free	Free	Free	PY-curve-2_V3.B	PY-curve-2_V3.B

Name	Type	Member System	Pos x_1 [m] Pos x_2 [m]	X	Y	Z	Rx	Ry	Rz	Function Y	Function Z
		LCS	11,000								
(PY-curve-2_V3)6	Line	Paal_P_8 LCS	10,000 11,000	Free	Nonlinear	Nonlinear	Free	Free	Free	PY-curve-2_V3	PY-curve-2_V3
(PY-curve-2_V3)53	Line	Paal_P_83 LCS	10,000 11,000	Free	Nonlinear	Nonlinear	Free	Free	Free	PY-curve-2_V3.B	PY-curve-2_V3.B
(PY-curve-2_V3)44	Line	Paal_P_27 LCS	10,000 11,000	Free	Nonlinear	Nonlinear	Free	Free	Free	PY-curve-2_V3.B	PY-curve-2_V3.B
(PY-curve-2_V3)29	Line	Paal_P_59 LCS	10,000 11,000	Free	Nonlinear	Nonlinear	Free	Free	Free	PY-curve-2_V3	PY-curve-2_V3
(PY-curve-2_V3)12	Line	Paal_P_14 LCS	10,000 11,000	Free	Nonlinear	Nonlinear	Free	Free	Free	PY-curve-2_V3	PY-curve-2_V3
(PY-curve-2_V3)27	Line	Paal_P_77 LCS	10,000 11,000	Free	Nonlinear	Nonlinear	Free	Free	Free	PY-curve-2_V3	PY-curve-2_V3
(PY-curve-2_V3)43	Line	Paal_P_26 LCS	10,000 11,000	Free	Nonlinear	Nonlinear	Free	Free	Free	PY-curve-2_V3.B	PY-curve-2_V3.B
(PY-curve-2_V3)26	Line	Paal_P_76 LCS	10,000 11,000	Free	Nonlinear	Nonlinear	Free	Free	Free	PY-curve-2_V3	PY-curve-2_V3
(PY-curve-2_V3)42	Line	Paal_P_25 LCS	10,000 11,000	Free	Nonlinear	Nonlinear	Free	Free	Free	PY-curve-2_V3.B	PY-curve-2_V3.B
(PY-curve-2_V3)11	Line	Paal_P_13 LCS	10,000 11,000	Free	Nonlinear	Nonlinear	Free	Free	Free	PY-curve-2_V3	PY-curve-2_V3
(PY-curve-2_V3)13	Line	Paal_P_15 LCS	10,000 11,000	Free	Nonlinear	Nonlinear	Free	Free	Free	PY-curve-2_V3	PY-curve-2_V3
(PY-curve-2_V3)23	Line	Paal_P_73 LCS	10,000 11,000	Free	Nonlinear	Nonlinear	Free	Free	Free	PY-curve-2_V3	PY-curve-2_V3
(PY-curve-2_V3)41	Line	Paal_P_24 LCS	10,000 11,000	Free	Nonlinear	Nonlinear	Free	Free	Free	PY-curve-2_V3.B	PY-curve-2_V3.B
(PY-curve-2_V3)45	Line	Paal_P_28 LCS	10,000 11,000	Free	Nonlinear	Nonlinear	Free	Free	Free	PY-curve-2_V3.B	PY-curve-2_V3.B
(PY-curve-2_V3)22	Line	Paal_P_72 LCS	10,000 11,000	Free	Nonlinear	Nonlinear	Free	Free	Free	PY-curve-2_V3	PY-curve-2_V3
(PY-curve-2_V3)2	Line	Paal_P_1 LCS	10,000 11,000	Free	Nonlinear	Nonlinear	Free	Free	Free	PY-curve-2_V3	PY-curve-2_V3
(PY-curve-2_V3)24	Line	Paal_P_74 LCS	10,000 11,000	Free	Nonlinear	Nonlinear	Free	Free	Free	PY-curve-2_V3	PY-curve-2_V3
(PY-curve-2_V3)5	Line	Paal_P_7 LCS	10,000 11,000	Free	Nonlinear	Nonlinear	Free	Free	Free	PY-curve-2_V3	PY-curve-2_V3
(PY-curve-2_V3)47	Line	Paal_P_23 LCS	10,000 11,000	Free	Nonlinear	Nonlinear	Free	Free	Free	PY-curve-2_V3.B	PY-curve-2_V3.B
(PY-curve-2_V3)10	Line	Paal_P_12 LCS	10,000 11,000	Free	Nonlinear	Nonlinear	Free	Free	Free	PY-curve-2_V3	PY-curve-2_V3
(PY-curve-2_V3)38	Line	Paal_P_69 LCS	10,000 11,000	Free	Nonlinear	Nonlinear	Free	Free	Free	PY-curve-2_V3	PY-curve-2_V3
(PY-curve-2_V3)40	Line	Paal_P_22 LCS	10,000 11,000	Free	Nonlinear	Nonlinear	Free	Free	Free	PY-curve-2_V3.B	PY-curve-2_V3.B
(PY-curve-2_V3)37	Line	Paal_P_68 LCS	10,000 11,000	Free	Nonlinear	Nonlinear	Free	Free	Free	PY-curve-2_V3	PY-curve-2_V3
(PY-curve-2_V3)1	Line	Paal_P_2 LCS	10,000 11,000	Free	Nonlinear	Nonlinear	Free	Free	Free	PY-curve-2_V3	PY-curve-2_V3
(PY-curve-2_V3)36	Line	Paal_P_67 LCS	10,000 11,000	Free	Nonlinear	Nonlinear	Free	Free	Free	PY-curve-2_V3	PY-curve-2_V3
(PY-curve-2_V3)19	Line	Paal_P_21 LCS	10,000 11,000	Free	Nonlinear	Nonlinear	Free	Free	Free	PY-curve-2_V3	PY-curve-2_V3
(PY-curve-2_V3)35	Line	Paal_P_66 LCS	10,000 11,000	Free	Nonlinear	Nonlinear	Free	Free	Free	PY-curve-2_V3	PY-curve-2_V3
(PY-curve-2_V3)9	Line	Paal_P_11 LCS	10,000 11,000	Free	Nonlinear	Nonlinear	Free	Free	Free	PY-curve-2_V3	PY-curve-2_V3
(PY-curve-2_V3)28	Line	Paal_P_65 LCS	10,000 11,000	Free	Nonlinear	Nonlinear	Free	Free	Free	PY-curve-2_V3	PY-curve-2_V3
(PY-curve-2_V3)18	Line	Paal_P_20 LCS	10,000 11,000	Free	Nonlinear	Nonlinear	Free	Free	Free	PY-curve-2_V3	PY-curve-2_V3
(PY-curve-2_V3)39	Line	Paal_P_70 LCS	10,000 11,000	Free	Nonlinear	Nonlinear	Free	Free	Free	PY-curve-2_V3	PY-curve-2_V3
(PY-curve-2_V3)34	Line	Paal_P_64	10,000	Free	Nonlinear	Nonlinear	Free	Free	Free	PY-curve-2_V3	PY-curve-2_V3

Name	Type	Member System	Pos x_1 [m] Pos x_2 [m]	X	Y	Z	Rx	Ry	Rz	Function Y	Function Z
		LCS	11,000								
(PY-curve-2_V3)25	Line	Paal_P_75 LCS	10,000 11,000	Free	Nonlinear	Nonlinear	Free	Free	Free	PY-curve-2_V3	PY-curve-2_V3
(PY-curve-2_V3)	Line	Paal_P_3 LCS	10,000 11,000	Free	Nonlinear	Nonlinear	Free	Free	Free	PY-curve-2_V3	PY-curve-2_V3
(PY-curve-2_V3)4	Line	Paal_P_6 LCS	10,000 11,000	Free	Nonlinear	Nonlinear	Free	Free	Free	PY-curve-2_V3	PY-curve-2_V3
(PY-curve-2_V3)33	Line	Paal_P_63 LCS	10,000 11,000	Free	Nonlinear	Nonlinear	Free	Free	Free	PY-curve-2_V3	PY-curve-2_V3
(PY-curve-2_V3)17	Line	Paal_P_19 LCS	10,000 11,000	Free	Nonlinear	Nonlinear	Free	Free	Free	PY-curve-2_V3	PY-curve-2_V3
(PY-curve-2_V3)32	Line	Paal_P_62 LCS	10,000 11,000	Free	Nonlinear	Nonlinear	Free	Free	Free	PY-curve-2_V3	PY-curve-2_V3
(PY-curve-2_V3)52	Line	Paal_P_82 LCS	10,000 11,000	Free	Nonlinear	Nonlinear	Free	Free	Free	PY-curve-2_V3.B	PY-curve-2_V3.B
(PY-curve-2_V3)8	Line	Paal_P_10 LCS	10,000 11,000	Free	Nonlinear	Nonlinear	Free	Free	Free	PY-curve-2_V3	PY-curve-2_V3
(PY-curve-2_V3)31	Line	Paal_P_61 LCS	10,000 11,000	Free	Nonlinear	Nonlinear	Free	Free	Free	PY-curve-2_V3	PY-curve-2_V3
(PY-curve-2_V3)16	Line	Paal_P_18 LCS	10,000 11,000	Free	Nonlinear	Nonlinear	Free	Free	Free	PY-curve-2_V3	PY-curve-2_V3
(PY-curve-2_V3)30	Line	Paal_P_60 LCS	10,000 11,000	Free	Nonlinear	Nonlinear	Free	Free	Free	PY-curve-2_V3	PY-curve-2_V3
(PY-curve-2_V3)3	Line	Paal_P_4 LCS	10,000 11,000	Free	Nonlinear	Nonlinear	Free	Free	Free	PY-curve-2_V3	PY-curve-2_V3
(PY-curve-2_V3)55	Line	Paal_P_85 LCS	10,000 11,000	Free	Nonlinear	Nonlinear	Free	Free	Free	PY-curve-2_V3.B	PY-curve-2_V3.B
(PY-curve-2_V3)7	Line	Paal_P_9 LCS	10,000 11,000	Free	Nonlinear	Nonlinear	Free	Free	Free	PY-curve-2_V3	PY-curve-2_V3
(PY-curve-2_V3)21	Line	Paal_P_58 LCS	10,000 11,000	Free	Nonlinear	Nonlinear	Free	Free	Free	PY-curve-2_V3	PY-curve-2_V3
(PY-curve-2_V3)20	Line	Paal_P_71 LCS	10,000 11,000	Free	Nonlinear	Nonlinear	Free	Free	Free	PY-curve-2_V3	PY-curve-2_V3
(PY-curve-2_V3)14	Line	Paal_P_16 LCS	10,000 11,000	Free	Nonlinear	Nonlinear	Free	Free	Free	PY-curve-2_V3	PY-curve-2_V3
(PY-curve-2_V3)54	Line	Paal_P_84 LCS	10,000 11,000	Free	Nonlinear	Nonlinear	Free	Free	Free	PY-curve-2_V3.B	PY-curve-2_V3.B
(PY-curve-2_V4)52	Line	Paal_P_82 LCS	11,000 12,000	Free	Nonlinear	Nonlinear	Free	Free	Free	PY-curve-2_V4.B	PY-curve-2_V4.B
(PY-curve-2_V4)13	Line	Paal_P_15 LCS	11,000 12,000	Free	Nonlinear	Nonlinear	Free	Free	Free	PY-curve-2_V4	PY-curve-2_V4
(PY-curve-2_V4)29	Line	Paal_P_59 LCS	11,000 12,000	Free	Nonlinear	Nonlinear	Free	Free	Free	PY-curve-2_V4	PY-curve-2_V4
(PY-curve-2_V4)45	Line	Paal_P_28 LCS	11,000 12,000	Free	Nonlinear	Nonlinear	Free	Free	Free	PY-curve-2_V4.B	PY-curve-2_V4.B
(PY-curve-2_V4)50	Line	Paal_P_80 LCS	11,000 12,000	Free	Nonlinear	Nonlinear	Free	Free	Free	PY-curve-2_V4.B	PY-curve-2_V4.B
(PY-curve-2_V4)44	Line	Paal_P_27 LCS	11,000 12,000	Free	Nonlinear	Nonlinear	Free	Free	Free	PY-curve-2_V4.B	PY-curve-2_V4.B
(PY-curve-2_V4)1	Line	Paal_P_2 LCS	11,000 12,000	Free	Nonlinear	Nonlinear	Free	Free	Free	PY-curve-2_V4	PY-curve-2_V4
(PY-curve-2_V4)12	Line	Paal_P_14 LCS	11,000 12,000	Free	Nonlinear	Nonlinear	Free	Free	Free	PY-curve-2_V4	PY-curve-2_V4
(PY-curve-2_V4)48	Line	Paal_P_78 LCS	11,000 12,000	Free	Nonlinear	Nonlinear	Free	Free	Free	PY-curve-2_V4.B	PY-curve-2_V4.B
(PY-curve-2_V4)43	Line	Paal_P_26 LCS	11,000 12,000	Free	Nonlinear	Nonlinear	Free	Free	Free	PY-curve-2_V4.B	PY-curve-2_V4.B
(PY-curve-2_V4)38	Line	Paal_P_69 LCS	11,000 12,000	Free	Nonlinear	Nonlinear	Free	Free	Free	PY-curve-2_V4	PY-curve-2_V4
(PY-curve-2_V4)26	Line	Paal_P_76 LCS	11,000 12,000	Free	Nonlinear	Nonlinear	Free	Free	Free	PY-curve-2_V4	PY-curve-2_V4
(PY-curve-2_V4)42	Line	Paal_P_25 LCS	11,000 12,000	Free	Nonlinear	Nonlinear	Free	Free	Free	PY-curve-2_V4.B	PY-curve-2_V4.B
(PY-curve-2_V4)11	Line	Paal_P_13	11,000	Free	Nonlinear	Nonlinear	Free	Free	Free	PY-curve-2_V4	PY-curve-2_V4

Name	Type	Member System	Pos x_1 [m] Pos x_2 [m]	X	Y	Z	Rx	Ry	Rz	Function Y	Function Z
		LCS	12,000								
(PY-curve-2_V4)23	Line	Paal_P_73 LCS	11,000 12,000	Free	Nonlinear	Nonlinear	Free	Free	Free	PY-curve-2_V4	PY-curve-2_V4
(PY-curve-2_V4)24	Line	Paal_P_74 LCS	11,000 12,000	Free	Nonlinear	Nonlinear	Free	Free	Free	PY-curve-2_V4	PY-curve-2_V4
(PY-curve-2_V4)41	Line	Paal_P_24 LCS	11,000 12,000	Free	Nonlinear	Nonlinear	Free	Free	Free	PY-curve-2_V4.B	PY-curve-2_V4.B
(PY-curve-2_V4)5	Line	Paal_P_7 LCS	11,000 12,000	Free	Nonlinear	Nonlinear	Free	Free	Free	PY-curve-2_V4	PY-curve-2_V4
(PY-curve-2_V4)22	Line	Paal_P_72 LCS	11,000 12,000	Free	Nonlinear	Nonlinear	Free	Free	Free	PY-curve-2_V4	PY-curve-2_V4
(PY-curve-2_V4)49	Line	Paal_P_79 LCS	11,000 12,000	Free	Nonlinear	Nonlinear	Free	Free	Free	PY-curve-2_V4.B	PY-curve-2_V4.B
(PY-curve-2_V4)20	Line	Paal_P_71 LCS	11,000 12,000	Free	Nonlinear	Nonlinear	Free	Free	Free	PY-curve-2_V4	PY-curve-2_V4
(PY-curve-2_V4)47	Line	Paal_P_23 LCS	11,000 12,000	Free	Nonlinear	Nonlinear	Free	Free	Free	PY-curve-2_V4.B	PY-curve-2_V4.B
(PY-curve-2_V4)	Line	Paal_P_3 LCS	11,000 12,000	Free	Nonlinear	Nonlinear	Free	Free	Free	PY-curve-2_V4	PY-curve-2_V4
(PY-curve-2_V4)10	Line	Paal_P_12 LCS	11,000 12,000	Free	Nonlinear	Nonlinear	Free	Free	Free	PY-curve-2_V4	PY-curve-2_V4
(PY-curve-2_V4)39	Line	Paal_P_70 LCS	11,000 12,000	Free	Nonlinear	Nonlinear	Free	Free	Free	PY-curve-2_V4	PY-curve-2_V4
(PY-curve-2_V4)40	Line	Paal_P_22 LCS	11,000 12,000	Free	Nonlinear	Nonlinear	Free	Free	Free	PY-curve-2_V4.B	PY-curve-2_V4.B
(PY-curve-2_V4)51	Line	Paal_P_81 LCS	11,000 12,000	Free	Nonlinear	Nonlinear	Free	Free	Free	PY-curve-2_V4.B	PY-curve-2_V4.B
(PY-curve-2_V4)37	Line	Paal_P_68 LCS	11,000 12,000	Free	Nonlinear	Nonlinear	Free	Free	Free	PY-curve-2_V4	PY-curve-2_V4
(PY-curve-2_V4)36	Line	Paal_P_67 LCS	11,000 12,000	Free	Nonlinear	Nonlinear	Free	Free	Free	PY-curve-2_V4	PY-curve-2_V4
(PY-curve-2_V4)19	Line	Paal_P_21 LCS	11,000 12,000	Free	Nonlinear	Nonlinear	Free	Free	Free	PY-curve-2_V4	PY-curve-2_V4
(PY-curve-2_V4)2	Line	Paal_P_1 LCS	11,000 12,000	Free	Nonlinear	Nonlinear	Free	Free	Free	PY-curve-2_V4	PY-curve-2_V4
(PY-curve-2_V4)9	Line	Paal_P_11 LCS	11,000 12,000	Free	Nonlinear	Nonlinear	Free	Free	Free	PY-curve-2_V4	PY-curve-2_V4
(PY-curve-2_V4)35	Line	Paal_P_66 LCS	11,000 12,000	Free	Nonlinear	Nonlinear	Free	Free	Free	PY-curve-2_V4	PY-curve-2_V4
(PY-curve-2_V4)28	Line	Paal_P_65 LCS	11,000 12,000	Free	Nonlinear	Nonlinear	Free	Free	Free	PY-curve-2_V4	PY-curve-2_V4
(PY-curve-2_V4)18	Line	Paal_P_20 LCS	11,000 12,000	Free	Nonlinear	Nonlinear	Free	Free	Free	PY-curve-2_V4	PY-curve-2_V4
(PY-curve-2_V4)4	Line	Paal_P_6 LCS	11,000 12,000	Free	Nonlinear	Nonlinear	Free	Free	Free	PY-curve-2_V4	PY-curve-2_V4
(PY-curve-2_V4)34	Line	Paal_P_64 LCS	11,000 12,000	Free	Nonlinear	Nonlinear	Free	Free	Free	PY-curve-2_V4	PY-curve-2_V4
(PY-curve-2_V4)53	Line	Paal_P_83 LCS	11,000 12,000	Free	Nonlinear	Nonlinear	Free	Free	Free	PY-curve-2_V4.B	PY-curve-2_V4.B
(PY-curve-2_V4)33	Line	Paal_P_63 LCS	11,000 12,000	Free	Nonlinear	Nonlinear	Free	Free	Free	PY-curve-2_V4	PY-curve-2_V4
(PY-curve-2_V4)17	Line	Paal_P_19 LCS	11,000 12,000	Free	Nonlinear	Nonlinear	Free	Free	Free	PY-curve-2_V4	PY-curve-2_V4
(PY-curve-2_V4)46	Line	Paal_P_29 LCS	11,000 12,000	Free	Nonlinear	Nonlinear	Free	Free	Free	PY-curve-2_V4.B	PY-curve-2_V4.B
(PY-curve-2_V4)8	Line	Paal_P_10 LCS	11,000 12,000	Free	Nonlinear	Nonlinear	Free	Free	Free	PY-curve-2_V4	PY-curve-2_V4
(PY-curve-2_V4)32	Line	Paal_P_62 LCS	11,000 12,000	Free	Nonlinear	Nonlinear	Free	Free	Free	PY-curve-2_V4	PY-curve-2_V4
(PY-curve-2_V4)30	Line	Paal_P_60 LCS	11,000 12,000	Free	Nonlinear	Nonlinear	Free	Free	Free	PY-curve-2_V4	PY-curve-2_V4
(PY-curve-2_V4)25	Line	Paal_P_75 LCS	11,000 12,000	Free	Nonlinear	Nonlinear	Free	Free	Free	PY-curve-2_V4	PY-curve-2_V4
(PY-curve-2_V4)16	Line	Paal_P_18	11,000	Free	Nonlinear	Nonlinear	Free	Free	Free	PY-curve-2_V4	PY-curve-2_V4

Name	Type	Member System	Pos x_1 [m] Pos x_2 [m]	X	Y	Z	Rx	Ry	Rz	Function Y	Function Z
		LCS	12,000								
(PY-curve-2_V4)31	Line	Paal_P_61 LCS	11,000 12,000	Free	Nonlinear	Nonlinear	Free	Free	Free	PY-curve-2_V4	PY-curve-2_V4
(PY-curve-2_V4)27	Line	Paal_P_77 LCS	11,000 12,000	Free	Nonlinear	Nonlinear	Free	Free	Free	PY-curve-2_V4	PY-curve-2_V4
(PY-curve-2_V4)55	Line	Paal_P_85 LCS	11,000 12,000	Free	Nonlinear	Nonlinear	Free	Free	Free	PY-curve-2_V4.B	PY-curve-2_V4.B
(PY-curve-2_V4)21	Line	Paal_P_58 LCS	11,000 12,000	Free	Nonlinear	Nonlinear	Free	Free	Free	PY-curve-2_V4	PY-curve-2_V4
(PY-curve-2_V4)7	Line	Paal_P_9 LCS	11,000 12,000	Free	Nonlinear	Nonlinear	Free	Free	Free	PY-curve-2_V4	PY-curve-2_V4
(PY-curve-2_V4)6	Line	Paal_P_8 LCS	11,000 12,000	Free	Nonlinear	Nonlinear	Free	Free	Free	PY-curve-2_V4	PY-curve-2_V4
(PY-curve-2_V4)14	Line	Paal_P_16 LCS	11,000 12,000	Free	Nonlinear	Nonlinear	Free	Free	Free	PY-curve-2_V4	PY-curve-2_V4
(PY-curve-2_V4)54	Line	Paal_P_84 LCS	11,000 12,000	Free	Nonlinear	Nonlinear	Free	Free	Free	PY-curve-2_V4.B	PY-curve-2_V4.B
(PY-curve-2_V4)15	Line	Paal_P_17 LCS	11,000 12,000	Free	Nonlinear	Nonlinear	Free	Free	Free	PY-curve-2_V4	PY-curve-2_V4
(PY-curve-2_V4)3	Line	Paal_P_4 LCS	11,000 12,000	Free	Nonlinear	Nonlinear	Free	Free	Free	PY-curve-2_V4	PY-curve-2_V4
(PY-curve-2_V5)53	Line	Paal_P_83 LCS	12,000 13,000	Free	Nonlinear	Nonlinear	Free	Free	Free	PY-curve-2_V5.B	PY-curve-2_V5.B
(PY-curve-2_V5)13	Line	Paal_P_15 LCS	12,000 13,000	Free	Nonlinear	Nonlinear	Free	Free	Free	PY-curve-2_V5	PY-curve-2_V5
(PY-curve-2_V5)51	Line	Paal_P_81 LCS	12,000 13,000	Free	Nonlinear	Nonlinear	Free	Free	Free	PY-curve-2_V5.B	PY-curve-2_V5.B
(PY-curve-2_V5)29	Line	Paal_P_59 LCS	12,000 13,000	Free	Nonlinear	Nonlinear	Free	Free	Free	PY-curve-2_V5	PY-curve-2_V5
(PY-curve-2_V5)45	Line	Paal_P_28 LCS	12,000 13,000	Free	Nonlinear	Nonlinear	Free	Free	Free	PY-curve-2_V5.B	PY-curve-2_V5.B
(PY-curve-2_V5)44	Line	Paal_P_27 LCS	12,000 13,000	Free	Nonlinear	Nonlinear	Free	Free	Free	PY-curve-2_V5.B	PY-curve-2_V5.B
(PY-curve-2_V5)12	Line	Paal_P_14 LCS	12,000 13,000	Free	Nonlinear	Nonlinear	Free	Free	Free	PY-curve-2_V5	PY-curve-2_V5
(PY-curve-2_V5)48	Line	Paal_P_78 LCS	12,000 13,000	Free	Nonlinear	Nonlinear	Free	Free	Free	PY-curve-2_V5.B	PY-curve-2_V5.B
(PY-curve-2_V5)27	Line	Paal_P_77 LCS	12,000 13,000	Free	Nonlinear	Nonlinear	Free	Free	Free	PY-curve-2_V5	PY-curve-2_V5
(PY-curve-2_V5)41	Line	Paal_P_24 LCS	12,000 13,000	Free	Nonlinear	Nonlinear	Free	Free	Free	PY-curve-2_V5.B	PY-curve-2_V5.B
(PY-curve-2_V5)25	Line	Paal_P_75 LCS	12,000 13,000	Free	Nonlinear	Nonlinear	Free	Free	Free	PY-curve-2_V5	PY-curve-2_V5
(PY-curve-2_V5)11	Line	Paal_P_13 LCS	12,000 13,000	Free	Nonlinear	Nonlinear	Free	Free	Free	PY-curve-2_V5	PY-curve-2_V5
(PY-curve-2_V5)24	Line	Paal_P_74 LCS	12,000 13,000	Free	Nonlinear	Nonlinear	Free	Free	Free	PY-curve-2_V5	PY-curve-2_V5
(PY-curve-2_V5)5	Line	Paal_P_7 LCS	12,000 13,000	Free	Nonlinear	Nonlinear	Free	Free	Free	PY-curve-2_V5	PY-curve-2_V5
(PY-curve-2_V5)50	Line	Paal_P_80 LCS	12,000 13,000	Free	Nonlinear	Nonlinear	Free	Free	Free	PY-curve-2_V5.B	PY-curve-2_V5.B
(PY-curve-2_V5)23	Line	Paal_P_73 LCS	12,000 13,000	Free	Nonlinear	Nonlinear	Free	Free	Free	PY-curve-2_V5	PY-curve-2_V5
(PY-curve-2_V5)22	Line	Paal_P_72 LCS	12,000 13,000	Free	Nonlinear	Nonlinear	Free	Free	Free	PY-curve-2_V5	PY-curve-2_V5
(PY-curve-2_V5)47	Line	Paal_P_23 LCS	12,000 13,000	Free	Nonlinear	Nonlinear	Free	Free	Free	PY-curve-2_V5.B	PY-curve-2_V5.B
(PY-curve-2_V5)20	Line	Paal_P_71 LCS	12,000 13,000	Free	Nonlinear	Nonlinear	Free	Free	Free	PY-curve-2_V5	PY-curve-2_V5
(PY-curve-2_V5)10	Line	Paal_P_12 LCS	12,000 13,000	Free	Nonlinear	Nonlinear	Free	Free	Free	PY-curve-2_V5	PY-curve-2_V5
(PY-curve-2_V5)39	Line	Paal_P_70 LCS	12,000 13,000	Free	Nonlinear	Nonlinear	Free	Free	Free	PY-curve-2_V5	PY-curve-2_V5
(PY-curve-2_V5)42	Line	Paal_P_25	12,000	Free	Nonlinear	Nonlinear	Free	Free	Free	PY-curve-2_V5.B	PY-curve-2_V5.B

Name	Type	Member System	Pos x_1 [m] Pos x_2 [m]	X	Y	Z	Rx	Ry	Rz	Function Y	Function Z
		LCS	13,000								
(PY-curve-2_V5)40	Line	Paal_P_22 LCS	12,000 13,000	Free	Nonlinear	Nonlinear	Free	Free	Free	PY-curve-2_V5.B	PY-curve-2_V5.B
(PY-curve-2_V5)38	Line	Paal_P_69 LCS	12,000 13,000	Free	Nonlinear	Nonlinear	Free	Free	Free	PY-curve-2_V5	PY-curve-2_V5
(PY-curve-2_V5)37	Line	Paal_P_68 LCS	12,000 13,000	Free	Nonlinear	Nonlinear	Free	Free	Free	PY-curve-2_V5	PY-curve-2_V5
(PY-curve-2_V5)6	Line	Paal_P_8 LCS	12,000 13,000	Free	Nonlinear	Nonlinear	Free	Free	Free	PY-curve-2_V5	PY-curve-2_V5
(PY-curve-2_V5)49	Line	Paal_P_79 LCS	12,000 13,000	Free	Nonlinear	Nonlinear	Free	Free	Free	PY-curve-2_V5.B	PY-curve-2_V5.B
(PY-curve-2_V5)19	Line	Paal_P_21 LCS	12,000 13,000	Free	Nonlinear	Nonlinear	Free	Free	Free	PY-curve-2_V5	PY-curve-2_V5
(PY-curve-2_V5)36	Line	Paal_P_67 LCS	12,000 13,000	Free	Nonlinear	Nonlinear	Free	Free	Free	PY-curve-2_V5	PY-curve-2_V5
(PY-curve-2_V5)9	Line	Paal_P_11 LCS	12,000 13,000	Free	Nonlinear	Nonlinear	Free	Free	Free	PY-curve-2_V5	PY-curve-2_V5
(PY-curve-2_V5)35	Line	Paal_P_66 LCS	12,000 13,000	Free	Nonlinear	Nonlinear	Free	Free	Free	PY-curve-2_V5	PY-curve-2_V5
(PY-curve-2_V5)4	Line	Paal_P_6 LCS	12,000 13,000	Free	Nonlinear	Nonlinear	Free	Free	Free	PY-curve-2_V5	PY-curve-2_V5
(PY-curve-2_V5)26	Line	Paal_P_76 LCS	12,000 13,000	Free	Nonlinear	Nonlinear	Free	Free	Free	PY-curve-2_V5	PY-curve-2_V5
(PY-curve-2_V5)18	Line	Paal_P_20 LCS	12,000 13,000	Free	Nonlinear	Nonlinear	Free	Free	Free	PY-curve-2_V5	PY-curve-2_V5
(PY-curve-2_V5)28	Line	Paal_P_65 LCS	12,000 13,000	Free	Nonlinear	Nonlinear	Free	Free	Free	PY-curve-2_V5	PY-curve-2_V5
(PY-curve-2_V5)34	Line	Paal_P_64 LCS	12,000 13,000	Free	Nonlinear	Nonlinear	Free	Free	Free	PY-curve-2_V5	PY-curve-2_V5
(PY-curve-2_V5)17	Line	Paal_P_19 LCS	12,000 13,000	Free	Nonlinear	Nonlinear	Free	Free	Free	PY-curve-2_V5	PY-curve-2_V5
(PY-curve-2_V5)33	Line	Paal_P_63 LCS	12,000 13,000	Free	Nonlinear	Nonlinear	Free	Free	Free	PY-curve-2_V5	PY-curve-2_V5
(PY-curve-2_V5)8	Line	Paal_P_10 LCS	12,000 13,000	Free	Nonlinear	Nonlinear	Free	Free	Free	PY-curve-2_V5	PY-curve-2_V5
(PY-curve-2_V5)32	Line	Paal_P_62 LCS	12,000 13,000	Free	Nonlinear	Nonlinear	Free	Free	Free	PY-curve-2_V5	PY-curve-2_V5
(PY-curve-2_V5)52	Line	Paal_P_82 LCS	12,000 13,000	Free	Nonlinear	Nonlinear	Free	Free	Free	PY-curve-2_V5.B	PY-curve-2_V5.B
(PY-curve-2_V5)31	Line	Paal_P_61 LCS	12,000 13,000	Free	Nonlinear	Nonlinear	Free	Free	Free	PY-curve-2_V5	PY-curve-2_V5
(PY-curve-2_V5)16	Line	Paal_P_18 LCS	12,000 13,000	Free	Nonlinear	Nonlinear	Free	Free	Free	PY-curve-2_V5	PY-curve-2_V5
(PY-curve-2_V5)15	Line	Paal_P_17 LCS	12,000 13,000	Free	Nonlinear	Nonlinear	Free	Free	Free	PY-curve-2_V5	PY-curve-2_V5
(PY-curve-2_V5)46	Line	Paal_P_29 LCS	12,000 13,000	Free	Nonlinear	Nonlinear	Free	Free	Free	PY-curve-2_V5.B	PY-curve-2_V5.B
(PY-curve-2_V5)30	Line	Paal_P_60 LCS	12,000 13,000	Free	Nonlinear	Nonlinear	Free	Free	Free	PY-curve-2_V5	PY-curve-2_V5
(PY-curve-2_V5)2	Line	Paal_P_1 LCS	12,000 13,000	Free	Nonlinear	Nonlinear	Free	Free	Free	PY-curve-2_V5	PY-curve-2_V5
(PY-curve-2_V5)1	Line	Paal_P_2 LCS	12,000 13,000	Free	Nonlinear	Nonlinear	Free	Free	Free	PY-curve-2_V5	PY-curve-2_V5
(PY-curve-2_V5)7	Line	Paal_P_9 LCS	12,000 13,000	Free	Nonlinear	Nonlinear	Free	Free	Free	PY-curve-2_V5	PY-curve-2_V5
(PY-curve-2_V5)21	Line	Paal_P_58 LCS	12,000 13,000	Free	Nonlinear	Nonlinear	Free	Free	Free	PY-curve-2_V5	PY-curve-2_V5
(PY-curve-2_V5)55	Line	Paal_P_85 LCS	12,000 13,000	Free	Nonlinear	Nonlinear	Free	Free	Free	PY-curve-2_V5.B	PY-curve-2_V5.B
(PY-curve-2_V5)3	Line	Paal_P_4 LCS	12,000 13,000	Free	Nonlinear	Nonlinear	Free	Free	Free	PY-curve-2_V5	PY-curve-2_V5
(PY-curve-2_V5)14	Line	Paal_P_16 LCS	12,000 13,000	Free	Nonlinear	Nonlinear	Free	Free	Free	PY-curve-2_V5	PY-curve-2_V5
(PY-curve-2_V5)43	Line	Paal_P_26	12,000	Free	Nonlinear	Nonlinear	Free	Free	Free	PY-curve-2_V5.B	PY-curve-2_V5.B

Name	Type	Member System	Pos x_1 [m] Pos x_2 [m]	X	Y	Z	Rx	Ry	Rz	Function Y	Function Z
		LCS	13,000								
(PY-curve-2_V5)	Line	Paal_P_3 LCS	12,000 13,000	Free	Nonlinear	Nonlinear	Free	Free	Free	PY-curve-2_V5	PY-curve-2_V5
(PY-curve-2_V5)54	Line	Paal_P_84 LCS	12,000 13,000	Free	Nonlinear	Nonlinear	Free	Free	Free	PY-curve-2_V5.B	PY-curve-2_V5.B
(PY-curve-2_V6)53	Line	Paal_P_83 LCS	13,000 14,000	Free	Nonlinear	Nonlinear	Free	Free	Free	PY-curve-2_V6.B	PY-curve-2_V6.B
(PY-curve-2_V6)46	Line	Paal_P_29 LCS	13,000 14,000	Free	Nonlinear	Nonlinear	Free	Free	Free	PY-curve-2_V6.B	PY-curve-2_V6.B
(PY-curve-2_V6)13	Line	Paal_P_15 LCS	13,000 14,000	Free	Nonlinear	Nonlinear	Free	Free	Free	PY-curve-2_V6	PY-curve-2_V6
(PY-curve-2_V6)52	Line	Paal_P_82 LCS	13,000 14,000	Free	Nonlinear	Nonlinear	Free	Free	Free	PY-curve-2_V6.B	PY-curve-2_V6.B
(PY-curve-2_V6)6	Line	Paal_P_8 LCS	13,000 14,000	Free	Nonlinear	Nonlinear	Free	Free	Free	PY-curve-2_V6	PY-curve-2_V6
(PY-curve-2_V6)51	Line	Paal_P_81 LCS	13,000 14,000	Free	Nonlinear	Nonlinear	Free	Free	Free	PY-curve-2_V6.B	PY-curve-2_V6.B
(PY-curve-2_V6)45	Line	Paal_P_28 LCS	13,000 14,000	Free	Nonlinear	Nonlinear	Free	Free	Free	PY-curve-2_V6.B	PY-curve-2_V6.B
(PY-curve-2_V6)50	Line	Paal_P_80 LCS	13,000 14,000	Free	Nonlinear	Nonlinear	Free	Free	Free	PY-curve-2_V6.B	PY-curve-2_V6.B
(PY-curve-2_V6)44	Line	Paal_P_27 LCS	13,000 14,000	Free	Nonlinear	Nonlinear	Free	Free	Free	PY-curve-2_V6.B	PY-curve-2_V6.B
(PY-curve-2_V6)12	Line	Paal_P_14 LCS	13,000 14,000	Free	Nonlinear	Nonlinear	Free	Free	Free	PY-curve-2_V6	PY-curve-2_V6
(PY-curve-2_V6)48	Line	Paal_P_78 LCS	13,000 14,000	Free	Nonlinear	Nonlinear	Free	Free	Free	PY-curve-2_V6.B	PY-curve-2_V6.B
(PY-curve-2_V6)43	Line	Paal_P_26 LCS	13,000 14,000	Free	Nonlinear	Nonlinear	Free	Free	Free	PY-curve-2_V6.B	PY-curve-2_V6.B
(PY-curve-2_V6)27	Line	Paal_P_77 LCS	13,000 14,000	Free	Nonlinear	Nonlinear	Free	Free	Free	PY-curve-2_V6	PY-curve-2_V6
(PY-curve-2_V6)49	Line	Paal_P_79 LCS	13,000 14,000	Free	Nonlinear	Nonlinear	Free	Free	Free	PY-curve-2_V6.B	PY-curve-2_V6.B
(PY-curve-2_V6)26	Line	Paal_P_76 LCS	13,000 14,000	Free	Nonlinear	Nonlinear	Free	Free	Free	PY-curve-2_V6	PY-curve-2_V6
(PY-curve-2_V6)25	Line	Paal_P_75 LCS	13,000 14,000	Free	Nonlinear	Nonlinear	Free	Free	Free	PY-curve-2_V6	PY-curve-2_V6
(PY-curve-2_V6)11	Line	Paal_P_13 LCS	13,000 14,000	Free	Nonlinear	Nonlinear	Free	Free	Free	PY-curve-2_V6	PY-curve-2_V6
(PY-curve-2_V6)5	Line	Paal_P_7 LCS	13,000 14,000	Free	Nonlinear	Nonlinear	Free	Free	Free	PY-curve-2_V6	PY-curve-2_V6
(PY-curve-2_V6)24	Line	Paal_P_74 LCS	13,000 14,000	Free	Nonlinear	Nonlinear	Free	Free	Free	PY-curve-2_V6	PY-curve-2_V6
(PY-curve-2_V6)41	Line	Paal_P_24 LCS	13,000 14,000	Free	Nonlinear	Nonlinear	Free	Free	Free	PY-curve-2_V6.B	PY-curve-2_V6.B
(PY-curve-2_V6)23	Line	Paal_P_73 LCS	13,000 14,000	Free	Nonlinear	Nonlinear	Free	Free	Free	PY-curve-2_V6	PY-curve-2_V6
(PY-curve-2_V6)22	Line	Paal_P_72 LCS	13,000 14,000	Free	Nonlinear	Nonlinear	Free	Free	Free	PY-curve-2_V6	PY-curve-2_V6
(PY-curve-2_V6)47	Line	Paal_P_23 LCS	13,000 14,000	Free	Nonlinear	Nonlinear	Free	Free	Free	PY-curve-2_V6.B	PY-curve-2_V6.B
(PY-curve-2_V6)20	Line	Paal_P_71 LCS	13,000 14,000	Free	Nonlinear	Nonlinear	Free	Free	Free	PY-curve-2_V6	PY-curve-2_V6
(PY-curve-2_V6)10	Line	Paal_P_12 LCS	13,000 14,000	Free	Nonlinear	Nonlinear	Free	Free	Free	PY-curve-2_V6	PY-curve-2_V6
(PY-curve-2_V6)39	Line	Paal_P_70 LCS	13,000 14,000	Free	Nonlinear	Nonlinear	Free	Free	Free	PY-curve-2_V6	PY-curve-2_V6
(PY-curve-2_V6)40	Line	Paal_P_22 LCS	13,000 14,000	Free	Nonlinear	Nonlinear	Free	Free	Free	PY-curve-2_V6.B	PY-curve-2_V6.B
(PY-curve-2_V6)38	Line	Paal_P_69 LCS	13,000 14,000	Free	Nonlinear	Nonlinear	Free	Free	Free	PY-curve-2_V6	PY-curve-2_V6
(PY-curve-2_V6)42	Line	Paal_P_25 LCS	13,000 14,000	Free	Nonlinear	Nonlinear	Free	Free	Free	PY-curve-2_V6.B	PY-curve-2_V6.B
(PY-curve-2_V6)37	Line	Paal_P_68	13,000	Free	Nonlinear	Nonlinear	Free	Free	Free	PY-curve-2_V6	PY-curve-2_V6

Name	Type	Member System	Pos x_1 [m] Pos x_2 [m]	X	Y	Z	Rx	Ry	Rz	Function Y	Function Z
		LCS	14,000								
(PY-curve-2_V6)19	Line	Paal_P_21 LCS	13,000 14,000	Free	Nonlinear	Nonlinear	Free	Free	Free	PY-curve-2_V6	PY-curve-2_V6
(PY-curve-2_V6)36	Line	Paal_P_67 LCS	13,000 14,000	Free	Nonlinear	Nonlinear	Free	Free	Free	PY-curve-2_V6	PY-curve-2_V6
(PY-curve-2_V6)9	Line	Paal_P_11 LCS	13,000 14,000	Free	Nonlinear	Nonlinear	Free	Free	Free	PY-curve-2_V6	PY-curve-2_V6
(PY-curve-2_V6)4	Line	Paal_P_6 LCS	13,000 14,000	Free	Nonlinear	Nonlinear	Free	Free	Free	PY-curve-2_V6	PY-curve-2_V6
(PY-curve-2_V6)35	Line	Paal_P_66 LCS	13,000 14,000	Free	Nonlinear	Nonlinear	Free	Free	Free	PY-curve-2_V6	PY-curve-2_V6
(PY-curve-2_V6)2	Line	Paal_P_1 LCS	13,000 14,000	Free	Nonlinear	Nonlinear	Free	Free	Free	PY-curve-2_V6	PY-curve-2_V6
(PY-curve-2_V6)18	Line	Paal_P_20 LCS	13,000 14,000	Free	Nonlinear	Nonlinear	Free	Free	Free	PY-curve-2_V6	PY-curve-2_V6
(PY-curve-2_V6)28	Line	Paal_P_65 LCS	13,000 14,000	Free	Nonlinear	Nonlinear	Free	Free	Free	PY-curve-2_V6	PY-curve-2_V6
(PY-curve-2_V6)34	Line	Paal_P_64 LCS	13,000 14,000	Free	Nonlinear	Nonlinear	Free	Free	Free	PY-curve-2_V6	PY-curve-2_V6
(PY-curve-2_V6)1	Line	Paal_P_2 LCS	13,000 14,000	Free	Nonlinear	Nonlinear	Free	Free	Free	PY-curve-2_V6	PY-curve-2_V6
(PY-curve-2_V6)17	Line	Paal_P_19 LCS	13,000 14,000	Free	Nonlinear	Nonlinear	Free	Free	Free	PY-curve-2_V6	PY-curve-2_V6
(PY-curve-2_V6)33	Line	Paal_P_63 LCS	13,000 14,000	Free	Nonlinear	Nonlinear	Free	Free	Free	PY-curve-2_V6	PY-curve-2_V6
(PY-curve-2_V6)8	Line	Paal_P_10 LCS	13,000 14,000	Free	Nonlinear	Nonlinear	Free	Free	Free	PY-curve-2_V6	PY-curve-2_V6
(PY-curve-2_V6)32	Line	Paal_P_62 LCS	13,000 14,000	Free	Nonlinear	Nonlinear	Free	Free	Free	PY-curve-2_V6	PY-curve-2_V6
(PY-curve-2_V6)	Line	Paal_P_3 LCS	13,000 14,000	Free	Nonlinear	Nonlinear	Free	Free	Free	PY-curve-2_V6	PY-curve-2_V6
(PY-curve-2_V6)31	Line	Paal_P_61 LCS	13,000 14,000	Free	Nonlinear	Nonlinear	Free	Free	Free	PY-curve-2_V6	PY-curve-2_V6
(PY-curve-2_V6)30	Line	Paal_P_60 LCS	13,000 14,000	Free	Nonlinear	Nonlinear	Free	Free	Free	PY-curve-2_V6	PY-curve-2_V6
(PY-curve-2_V6)16	Line	Paal_P_18 LCS	13,000 14,000	Free	Nonlinear	Nonlinear	Free	Free	Free	PY-curve-2_V6	PY-curve-2_V6
(PY-curve-2_V6)15	Line	Paal_P_17 LCS	13,000 14,000	Free	Nonlinear	Nonlinear	Free	Free	Free	PY-curve-2_V6	PY-curve-2_V6
(PY-curve-2_V6)14	Line	Paal_P_16 LCS	13,000 14,000	Free	Nonlinear	Nonlinear	Free	Free	Free	PY-curve-2_V6	PY-curve-2_V6
(PY-curve-2_V6)7	Line	Paal_P_9 LCS	13,000 14,000	Free	Nonlinear	Nonlinear	Free	Free	Free	PY-curve-2_V6	PY-curve-2_V6
(PY-curve-2_V6)3	Line	Paal_P_4 LCS	13,000 14,000	Free	Nonlinear	Nonlinear	Free	Free	Free	PY-curve-2_V6	PY-curve-2_V6
(PY-curve-2_V6)21	Line	Paal_P_58 LCS	13,000 14,000	Free	Nonlinear	Nonlinear	Free	Free	Free	PY-curve-2_V6	PY-curve-2_V6
(PY-curve-2_V6)55	Line	Paal_P_85 LCS	13,000 14,000	Free	Nonlinear	Nonlinear	Free	Free	Free	PY-curve-2_V6.B	PY-curve-2_V6.B
(PY-curve-2_V6)54	Line	Paal_P_84 LCS	13,000 14,000	Free	Nonlinear	Nonlinear	Free	Free	Free	PY-curve-2_V6.B	PY-curve-2_V6.B
(PY-curve-2_V6)29	Line	Paal_P_59 LCS	13,000 14,000	Free	Nonlinear	Nonlinear	Free	Free	Free	PY-curve-2_V6	PY-curve-2_V6
(PY-curve-2_V7)53	Line	Paal_P_83 LCS	14,000 15,000	Free	Nonlinear	Nonlinear	Free	Free	Free	PY-curve-2_V7.B	PY-curve-2_V7.B
(PY-curve-2_V7)6	Line	Paal_P_8 LCS	14,000 15,000	Free	Nonlinear	Nonlinear	Free	Free	Free	PY-curve-2_V7	PY-curve-2_V7
(PY-curve-2_V7)13	Line	Paal_P_15 LCS	14,000 15,000	Free	Nonlinear	Nonlinear	Free	Free	Free	PY-curve-2_V7	PY-curve-2_V7
(PY-curve-2_V7)52	Line	Paal_P_82 LCS	14,000 15,000	Free	Nonlinear	Nonlinear	Free	Free	Free	PY-curve-2_V7.B	PY-curve-2_V7.B
(PY-curve-2_V7)51	Line	Paal_P_81 LCS	14,000 15,000	Free	Nonlinear	Nonlinear	Free	Free	Free	PY-curve-2_V7.B	PY-curve-2_V7.B
(PY-curve-2_V7)45	Line	Paal_P_28	14,000	Free	Nonlinear	Nonlinear	Free	Free	Free	PY-curve-2_V7.B	PY-curve-2_V7.B

Name	Type	Member System	Pos x_1 [m] Pos x_2 [m]	X	Y	Z	Rx	Ry	Rz	Function Y	Function Z
		LCS	15,000								
(PY-curve-2_V7)50	Line	Paal_P_80 LCS	14,000 15,000	Free	Nonlinear	Nonlinear	Free	Free	Free	PY-curve-2_V7.B	PY-curve-2_V7.B
(PY-curve-2_V7)3	Line	Paal_P_4 LCS	14,000 15,000	Free	Nonlinear	Nonlinear	Free	Free	Free	PY-curve-2_V7	PY-curve-2_V7
(PY-curve-2_V7)44	Line	Paal_P_27 LCS	14,000 15,000	Free	Nonlinear	Nonlinear	Free	Free	Free	PY-curve-2_V7.B	PY-curve-2_V7.B
(PY-curve-2_V7)49	Line	Paal_P_79 LCS	14,000 15,000	Free	Nonlinear	Nonlinear	Free	Free	Free	PY-curve-2_V7.B	PY-curve-2_V7.B
(PY-curve-2_V7)48	Line	Paal_P_78 LCS	14,000 15,000	Free	Nonlinear	Nonlinear	Free	Free	Free	PY-curve-2_V7.B	PY-curve-2_V7.B
(PY-curve-2_V7)43	Line	Paal_P_26 LCS	14,000 15,000	Free	Nonlinear	Nonlinear	Free	Free	Free	PY-curve-2_V7.B	PY-curve-2_V7.B
(PY-curve-2_V7)27	Line	Paal_P_77 LCS	14,000 15,000	Free	Nonlinear	Nonlinear	Free	Free	Free	PY-curve-2_V7	PY-curve-2_V7
(PY-curve-2_V7)12	Line	Paal_P_14 LCS	14,000 15,000	Free	Nonlinear	Nonlinear	Free	Free	Free	PY-curve-2_V7	PY-curve-2_V7
(PY-curve-2_V7)26	Line	Paal_P_76 LCS	14,000 15,000	Free	Nonlinear	Nonlinear	Free	Free	Free	PY-curve-2_V7	PY-curve-2_V7
(PY-curve-2_V7)11	Line	Paal_P_13 LCS	14,000 15,000	Free	Nonlinear	Nonlinear	Free	Free	Free	PY-curve-2_V7	PY-curve-2_V7
(PY-curve-2_V7)42	Line	Paal_P_25 LCS	14,000 15,000	Free	Nonlinear	Nonlinear	Free	Free	Free	PY-curve-2_V7.B	PY-curve-2_V7.B
(PY-curve-2_V7)5	Line	Paal_P_7 LCS	14,000 15,000	Free	Nonlinear	Nonlinear	Free	Free	Free	PY-curve-2_V7	PY-curve-2_V7
(PY-curve-2_V7)25	Line	Paal_P_75 LCS	14,000 15,000	Free	Nonlinear	Nonlinear	Free	Free	Free	PY-curve-2_V7	PY-curve-2_V7
(PY-curve-2_V7)24	Line	Paal_P_74 LCS	14,000 15,000	Free	Nonlinear	Nonlinear	Free	Free	Free	PY-curve-2_V7	PY-curve-2_V7
(PY-curve-2_V7)41	Line	Paal_P_24 LCS	14,000 15,000	Free	Nonlinear	Nonlinear	Free	Free	Free	PY-curve-2_V7.B	PY-curve-2_V7.B
(PY-curve-2_V7)23	Line	Paal_P_73 LCS	14,000 15,000	Free	Nonlinear	Nonlinear	Free	Free	Free	PY-curve-2_V7	PY-curve-2_V7
(PY-curve-2_V7)22	Line	Paal_P_72 LCS	14,000 15,000	Free	Nonlinear	Nonlinear	Free	Free	Free	PY-curve-2_V7	PY-curve-2_V7
(PY-curve-2_V7)10	Line	Paal_P_12 LCS	14,000 15,000	Free	Nonlinear	Nonlinear	Free	Free	Free	PY-curve-2_V7	PY-curve-2_V7
(PY-curve-2_V7)47	Line	Paal_P_23 LCS	14,000 15,000	Free	Nonlinear	Nonlinear	Free	Free	Free	PY-curve-2_V7.B	PY-curve-2_V7.B
(PY-curve-2_V7)20	Line	Paal_P_71 LCS	14,000 15,000	Free	Nonlinear	Nonlinear	Free	Free	Free	PY-curve-2_V7	PY-curve-2_V7
(PY-curve-2_V7)2	Line	Paal_P_1 LCS	14,000 15,000	Free	Nonlinear	Nonlinear	Free	Free	Free	PY-curve-2_V7	PY-curve-2_V7
(PY-curve-2_V7)39	Line	Paal_P_70 LCS	14,000 15,000	Free	Nonlinear	Nonlinear	Free	Free	Free	PY-curve-2_V7	PY-curve-2_V7
(PY-curve-2_V7)1	Line	Paal_P_2 LCS	14,000 15,000	Free	Nonlinear	Nonlinear	Free	Free	Free	PY-curve-2_V7	PY-curve-2_V7
(PY-curve-2_V7)40	Line	Paal_P_22 LCS	14,000 15,000	Free	Nonlinear	Nonlinear	Free	Free	Free	PY-curve-2_V7.B	PY-curve-2_V7.B
(PY-curve-2_V7)38	Line	Paal_P_69 LCS	14,000 15,000	Free	Nonlinear	Nonlinear	Free	Free	Free	PY-curve-2_V7	PY-curve-2_V7
(PY-curve-2_V7)37	Line	Paal_P_68 LCS	14,000 15,000	Free	Nonlinear	Nonlinear	Free	Free	Free	PY-curve-2_V7	PY-curve-2_V7
(PY-curve-2_V7)9	Line	Paal_P_11 LCS	14,000 15,000	Free	Nonlinear	Nonlinear	Free	Free	Free	PY-curve-2_V7	PY-curve-2_V7
(PY-curve-2_V7)19	Line	Paal_P_21 LCS	14,000 15,000	Free	Nonlinear	Nonlinear	Free	Free	Free	PY-curve-2_V7	PY-curve-2_V7
(PY-curve-2_V7)	Line	Paal_P_3 LCS	14,000 15,000	Free	Nonlinear	Nonlinear	Free	Free	Free	PY-curve-2_V7	PY-curve-2_V7
(PY-curve-2_V7)4	Line	Paal_P_6 LCS	14,000 15,000	Free	Nonlinear	Nonlinear	Free	Free	Free	PY-curve-2_V7	PY-curve-2_V7
(PY-curve-2_V7)36	Line	Paal_P_67 LCS	14,000 15,000	Free	Nonlinear	Nonlinear	Free	Free	Free	PY-curve-2_V7	PY-curve-2_V7
(PY-curve-2_V7)35	Line	Paal_P_66	14,000	Free	Nonlinear	Nonlinear	Free	Free	Free	PY-curve-2_V7	PY-curve-2_V7

Name	Type	Member System	Pos x_1 [m] Pos x_2 [m]	X	Y	Z	Rx	Ry	Rz	Function Y	Function Z
		LCS	15,000								
(PY-curve-2_V7)18	Line	Paal_P_20 LCS	14,000 15,000	Free	Nonlinear	Nonlinear	Free	Free	Free	PY-curve-2_V7	PY-curve-2_V7
(PY-curve-2_V7)28	Line	Paal_P_65 LCS	14,000 15,000	Free	Nonlinear	Nonlinear	Free	Free	Free	PY-curve-2_V7	PY-curve-2_V7
(PY-curve-2_V7)34	Line	Paal_P_64 LCS	14,000 15,000	Free	Nonlinear	Nonlinear	Free	Free	Free	PY-curve-2_V7	PY-curve-2_V7
(PY-curve-2_V7)8	Line	Paal_P_10 LCS	14,000 15,000	Free	Nonlinear	Nonlinear	Free	Free	Free	PY-curve-2_V7	PY-curve-2_V7
(PY-curve-2_V7)17	Line	Paal_P_19 LCS	14,000 15,000	Free	Nonlinear	Nonlinear	Free	Free	Free	PY-curve-2_V7	PY-curve-2_V7
(PY-curve-2_V7)33	Line	Paal_P_63 LCS	14,000 15,000	Free	Nonlinear	Nonlinear	Free	Free	Free	PY-curve-2_V7	PY-curve-2_V7
(PY-curve-2_V7)32	Line	Paal_P_62 LCS	14,000 15,000	Free	Nonlinear	Nonlinear	Free	Free	Free	PY-curve-2_V7	PY-curve-2_V7
(PY-curve-2_V7)15	Line	Paal_P_17 LCS	14,000 15,000	Free	Nonlinear	Nonlinear	Free	Free	Free	PY-curve-2_V7	PY-curve-2_V7
(PY-curve-2_V7)29	Line	Paal_P_59 LCS	14,000 15,000	Free	Nonlinear	Nonlinear	Free	Free	Free	PY-curve-2_V7	PY-curve-2_V7
(PY-curve-2_V7)30	Line	Paal_P_60 LCS	14,000 15,000	Free	Nonlinear	Nonlinear	Free	Free	Free	PY-curve-2_V7	PY-curve-2_V7
(PY-curve-2_V7)31	Line	Paal_P_61 LCS	14,000 15,000	Free	Nonlinear	Nonlinear	Free	Free	Free	PY-curve-2_V7	PY-curve-2_V7
(PY-curve-2_V7)7	Line	Paal_P_9 LCS	14,000 15,000	Free	Nonlinear	Nonlinear	Free	Free	Free	PY-curve-2_V7	PY-curve-2_V7
(PY-curve-2_V7)21	Line	Paal_P_58 LCS	14,000 15,000	Free	Nonlinear	Nonlinear	Free	Free	Free	PY-curve-2_V7	PY-curve-2_V7
(PY-curve-2_V7)14	Line	Paal_P_16 LCS	14,000 15,000	Free	Nonlinear	Nonlinear	Free	Free	Free	PY-curve-2_V7	PY-curve-2_V7
(PY-curve-2_V7)55	Line	Paal_P_85 LCS	14,000 15,000	Free	Nonlinear	Nonlinear	Free	Free	Free	PY-curve-2_V7.B	PY-curve-2_V7.B
(PY-curve-2_V7)46	Line	Paal_P_29 LCS	14,000 15,000	Free	Nonlinear	Nonlinear	Free	Free	Free	PY-curve-2_V7.B	PY-curve-2_V7.B
(PY-curve-2_V7)54	Line	Paal_P_84 LCS	14,000 15,000	Free	Nonlinear	Nonlinear	Free	Free	Free	PY-curve-2_V7.B	PY-curve-2_V7.B
(PY-curve-2_V7)16	Line	Paal_P_18 LCS	14,000 15,000	Free	Nonlinear	Nonlinear	Free	Free	Free	PY-curve-2_V7	PY-curve-2_V7
(PY-curve-2_V8)13	Line	Paal_P_15 LCS	15,000 16,000	Free	Nonlinear	Nonlinear	Free	Free	Free	PY-curve-2_V8	PY-curve-2_V8
(PY-curve-2_V8)6	Line	Paal_P_8 LCS	15,000 16,000	Free	Nonlinear	Nonlinear	Free	Free	Free	PY-curve-2_V8	PY-curve-2_V8
(PY-curve-2_V8)46	Line	Paal_P_29 LCS	15,000 16,000	Free	Nonlinear	Nonlinear	Free	Free	Free	PY-curve-2_V8.B	PY-curve-2_V8.B
(PY-curve-2_V8)52	Line	Paal_P_82 LCS	15,000 16,000	Free	Nonlinear	Nonlinear	Free	Free	Free	PY-curve-2_V8.B	PY-curve-2_V8.B
(PY-curve-2_V8)51	Line	Paal_P_81 LCS	15,000 16,000	Free	Nonlinear	Nonlinear	Free	Free	Free	PY-curve-2_V8.B	PY-curve-2_V8.B
(PY-curve-2_V8)45	Line	Paal_P_28 LCS	15,000 16,000	Free	Nonlinear	Nonlinear	Free	Free	Free	PY-curve-2_V8.B	PY-curve-2_V8.B
(PY-curve-2_V8)50	Line	Paal_P_80 LCS	15,000 16,000	Free	Nonlinear	Nonlinear	Free	Free	Free	PY-curve-2_V8.B	PY-curve-2_V8.B
(PY-curve-2_V8)12	Line	Paal_P_14 LCS	15,000 16,000	Free	Nonlinear	Nonlinear	Free	Free	Free	PY-curve-2_V8	PY-curve-2_V8
(PY-curve-2_V8)44	Line	Paal_P_27 LCS	15,000 16,000	Free	Nonlinear	Nonlinear	Free	Free	Free	PY-curve-2_V8.B	PY-curve-2_V8.B
(PY-curve-2_V8)49	Line	Paal_P_79 LCS	15,000 16,000	Free	Nonlinear	Nonlinear	Free	Free	Free	PY-curve-2_V8.B	PY-curve-2_V8.B
(PY-curve-2_V8)48	Line	Paal_P_78 LCS	15,000 16,000	Free	Nonlinear	Nonlinear	Free	Free	Free	PY-curve-2_V8.B	PY-curve-2_V8.B
(PY-curve-2_V8)43	Line	Paal_P_26 LCS	15,000 16,000	Free	Nonlinear	Nonlinear	Free	Free	Free	PY-curve-2_V8.B	PY-curve-2_V8.B
(PY-curve-2_V8)27	Line	Paal_P_77 LCS	15,000 16,000	Free	Nonlinear	Nonlinear	Free	Free	Free	PY-curve-2_V8	PY-curve-2_V8
(PY-curve-2_V8)26	Line	Paal_P_76	15,000	Free	Nonlinear	Nonlinear	Free	Free	Free	PY-curve-2_V8	PY-curve-2_V8

Name	Type	Member System	Pos x_1 [m] Pos x_2 [m]	X	Y	Z	Rx	Ry	Rz	Function Y	Function Z
		LCS	16,000								
(PY-curve-2_V8)2	Line	Paal_P_1 LCS	15,000 16,000	Free	Nonlinear	Nonlinear	Free	Free	Free	PY-curve-2_V8	PY-curve-2_V8
(PY-curve-2_V8)5	Line	Paal_P_7 LCS	15,000 16,000	Free	Nonlinear	Nonlinear	Free	Free	Free	PY-curve-2_V8	PY-curve-2_V8
(PY-curve-2_V8)11	Line	Paal_P_13 LCS	15,000 16,000	Free	Nonlinear	Nonlinear	Free	Free	Free	PY-curve-2_V8	PY-curve-2_V8
(PY-curve-2_V8)42	Line	Paal_P_25 LCS	15,000 16,000	Free	Nonlinear	Nonlinear	Free	Free	Free	PY-curve-2_V8.B	PY-curve-2_V8.B
(PY-curve-2_V8)25	Line	Paal_P_75 LCS	15,000 16,000	Free	Nonlinear	Nonlinear	Free	Free	Free	PY-curve-2_V8	PY-curve-2_V8
(PY-curve-2_V8)1	Line	Paal_P_2 LCS	15,000 16,000	Free	Nonlinear	Nonlinear	Free	Free	Free	PY-curve-2_V8	PY-curve-2_V8
(PY-curve-2_V8)24	Line	Paal_P_74 LCS	15,000 16,000	Free	Nonlinear	Nonlinear	Free	Free	Free	PY-curve-2_V8	PY-curve-2_V8
(PY-curve-2_V8)41	Line	Paal_P_24 LCS	15,000 16,000	Free	Nonlinear	Nonlinear	Free	Free	Free	PY-curve-2_V8.B	PY-curve-2_V8.B
(PY-curve-2_V8)23	Line	Paal_P_73 LCS	15,000 16,000	Free	Nonlinear	Nonlinear	Free	Free	Free	PY-curve-2_V8	PY-curve-2_V8
(PY-curve-2_V8)	Line	Paal_P_3 LCS	15,000 16,000	Free	Nonlinear	Nonlinear	Free	Free	Free	PY-curve-2_V8	PY-curve-2_V8
(PY-curve-2_V8)22	Line	Paal_P_72 LCS	15,000 16,000	Free	Nonlinear	Nonlinear	Free	Free	Free	PY-curve-2_V8	PY-curve-2_V8
(PY-curve-2_V8)10	Line	Paal_P_12 LCS	15,000 16,000	Free	Nonlinear	Nonlinear	Free	Free	Free	PY-curve-2_V8	PY-curve-2_V8
(PY-curve-2_V8)47	Line	Paal_P_23 LCS	15,000 16,000	Free	Nonlinear	Nonlinear	Free	Free	Free	PY-curve-2_V8.B	PY-curve-2_V8.B
(PY-curve-2_V8)20	Line	Paal_P_71 LCS	15,000 16,000	Free	Nonlinear	Nonlinear	Free	Free	Free	PY-curve-2_V8	PY-curve-2_V8
(PY-curve-2_V8)39	Line	Paal_P_70 LCS	15,000 16,000	Free	Nonlinear	Nonlinear	Free	Free	Free	PY-curve-2_V8	PY-curve-2_V8
(PY-curve-2_V8)40	Line	Paal_P_22 LCS	15,000 16,000	Free	Nonlinear	Nonlinear	Free	Free	Free	PY-curve-2_V8.B	PY-curve-2_V8.B
(PY-curve-2_V8)38	Line	Paal_P_69 LCS	15,000 16,000	Free	Nonlinear	Nonlinear	Free	Free	Free	PY-curve-2_V8	PY-curve-2_V8
(PY-curve-2_V8)37	Line	Paal_P_68 LCS	15,000 16,000	Free	Nonlinear	Nonlinear	Free	Free	Free	PY-curve-2_V8	PY-curve-2_V8
(PY-curve-2_V8)4	Line	Paal_P_6 LCS	15,000 16,000	Free	Nonlinear	Nonlinear	Free	Free	Free	PY-curve-2_V8	PY-curve-2_V8
(PY-curve-2_V8)9	Line	Paal_P_11 LCS	15,000 16,000	Free	Nonlinear	Nonlinear	Free	Free	Free	PY-curve-2_V8	PY-curve-2_V8
(PY-curve-2_V8)19	Line	Paal_P_21 LCS	15,000 16,000	Free	Nonlinear	Nonlinear	Free	Free	Free	PY-curve-2_V8	PY-curve-2_V8
(PY-curve-2_V8)36	Line	Paal_P_67 LCS	15,000 16,000	Free	Nonlinear	Nonlinear	Free	Free	Free	PY-curve-2_V8	PY-curve-2_V8
(PY-curve-2_V8)35	Line	Paal_P_66 LCS	15,000 16,000	Free	Nonlinear	Nonlinear	Free	Free	Free	PY-curve-2_V8	PY-curve-2_V8
(PY-curve-2_V8)18	Line	Paal_P_20 LCS	15,000 16,000	Free	Nonlinear	Nonlinear	Free	Free	Free	PY-curve-2_V8	PY-curve-2_V8
(PY-curve-2_V8)28	Line	Paal_P_65 LCS	15,000 16,000	Free	Nonlinear	Nonlinear	Free	Free	Free	PY-curve-2_V8	PY-curve-2_V8
(PY-curve-2_V8)34	Line	Paal_P_64 LCS	15,000 16,000	Free	Nonlinear	Nonlinear	Free	Free	Free	PY-curve-2_V8	PY-curve-2_V8
(PY-curve-2_V8)8	Line	Paal_P_10 LCS	15,000 16,000	Free	Nonlinear	Nonlinear	Free	Free	Free	PY-curve-2_V8	PY-curve-2_V8
(PY-curve-2_V8)17	Line	Paal_P_19 LCS	15,000 16,000	Free	Nonlinear	Nonlinear	Free	Free	Free	PY-curve-2_V8	PY-curve-2_V8
(PY-curve-2_V8)33	Line	Paal_P_63 LCS	15,000 16,000	Free	Nonlinear	Nonlinear	Free	Free	Free	PY-curve-2_V8	PY-curve-2_V8
(PY-curve-2_V8)32	Line	Paal_P_62 LCS	15,000 16,000	Free	Nonlinear	Nonlinear	Free	Free	Free	PY-curve-2_V8	PY-curve-2_V8
(PY-curve-2_V8)29	Line	Paal_P_59 LCS	15,000 16,000	Free	Nonlinear	Nonlinear	Free	Free	Free	PY-curve-2_V8	PY-curve-2_V8
(PY-curve-2_V8)31	Line	Paal_P_61	15,000	Free	Nonlinear	Nonlinear	Free	Free	Free	PY-curve-2_V8	PY-curve-2_V8

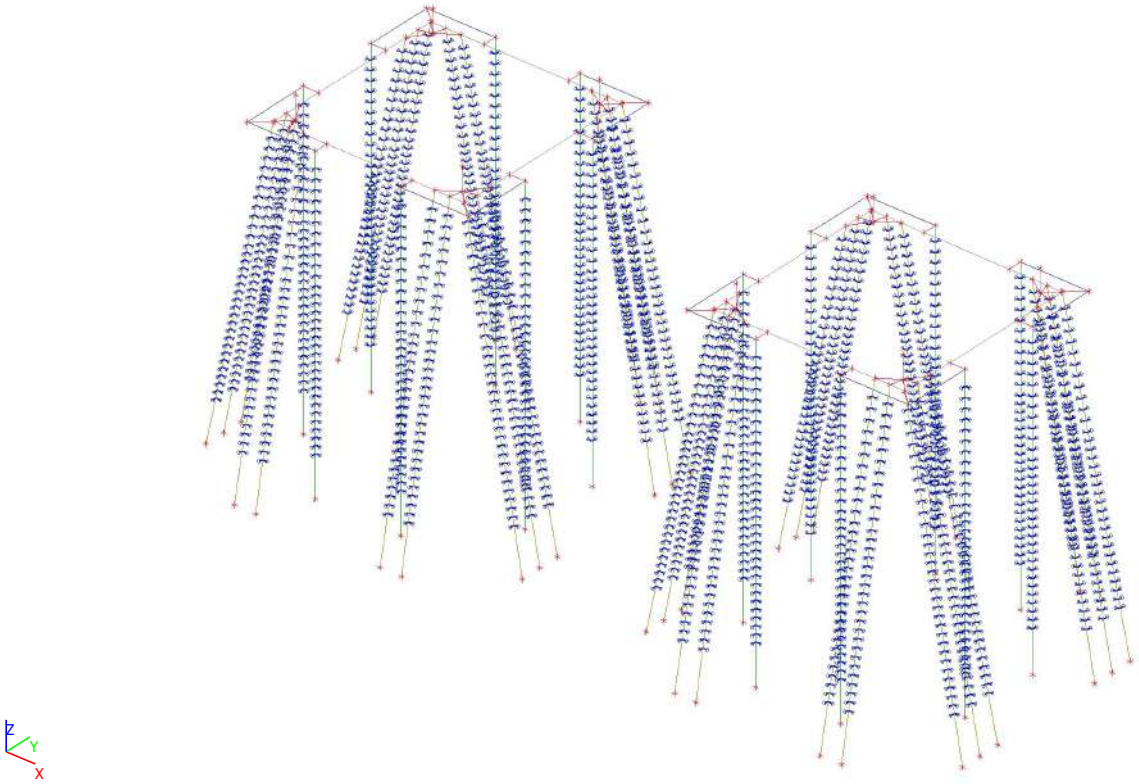
Name	Type	Member System	Pos x_1 [m] Pos x_2 [m]	X	Y	Z	Rx	Ry	Rz	Function Y	Function Z
		LCS	16,000								
(PY-curve-2_V8)30	Line	Paal_P_60 LCS	15,000 16,000	Free	Nonlinear	Nonlinear	Free	Free	Free	PY-curve-2_V8	PY-curve-2_V8
(PY-curve-2_V8)3	Line	Paal_P_4 LCS	15,000 16,000	Free	Nonlinear	Nonlinear	Free	Free	Free	PY-curve-2_V8	PY-curve-2_V8
(PY-curve-2_V8)7	Line	Paal_P_9 LCS	15,000 16,000	Free	Nonlinear	Nonlinear	Free	Free	Free	PY-curve-2_V8	PY-curve-2_V8
(PY-curve-2_V8)15	Line	Paal_P_17 LCS	15,000 16,000	Free	Nonlinear	Nonlinear	Free	Free	Free	PY-curve-2_V8	PY-curve-2_V8
(PY-curve-2_V8)14	Line	Paal_P_16 LCS	15,000 16,000	Free	Nonlinear	Nonlinear	Free	Free	Free	PY-curve-2_V8	PY-curve-2_V8
(PY-curve-2_V8)21	Line	Paal_P_58 LCS	15,000 16,000	Free	Nonlinear	Nonlinear	Free	Free	Free	PY-curve-2_V8	PY-curve-2_V8
(PY-curve-2_V8)16	Line	Paal_P_18 LCS	15,000 16,000	Free	Nonlinear	Nonlinear	Free	Free	Free	PY-curve-2_V8	PY-curve-2_V8
(PY-curve-2_V8)55	Line	Paal_P_85 LCS	15,000 16,000	Free	Nonlinear	Nonlinear	Free	Free	Free	PY-curve-2_V8.B	PY-curve-2_V8.B
(PY-curve-2_V8)54	Line	Paal_P_84 LCS	15,000 16,000	Free	Nonlinear	Nonlinear	Free	Free	Free	PY-curve-2_V8.B	PY-curve-2_V8.B
(PY-curve-2_V8)53	Line	Paal_P_83 LCS	15,000 16,000	Free	Nonlinear	Nonlinear	Free	Free	Free	PY-curve-2_V8.B	PY-curve-2_V8.B
(PY-curve-2_V9)42	Line	Paal_P_25 LCS	16,000 17,000	Free	Nonlinear	Nonlinear	Free	Free	Free	PY-curve-2_V9.B	PY-curve-2_V9.B
(PY-curve-2_V9)41	Line	Paal_P_28 LCS	16,000 17,000	Free	Nonlinear	Nonlinear	Free	Free	Free	PY-curve-2_V9.B	PY-curve-2_V9.B
(PY-curve-2_V9)40	Line	Paal_P_27 LCS	16,000 17,000	Free	Nonlinear	Nonlinear	Free	Free	Free	PY-curve-2_V9.B	PY-curve-2_V9.B
(PY-curve-2_V9)51	Line	Paal_P_82 LCS	16,000 17,000	Free	Nonlinear	Nonlinear	Free	Free	Free	PY-curve-2_V9.B	PY-curve-2_V9.B
(PY-curve-2_V9)50	Line	Paal_P_81 LCS	16,000 17,000	Free	Nonlinear	Nonlinear	Free	Free	Free	PY-curve-2_V9.B	PY-curve-2_V9.B
(PY-curve-2_V9)49	Line	Paal_P_80 LCS	16,000 17,000	Free	Nonlinear	Nonlinear	Free	Free	Free	PY-curve-2_V9.B	PY-curve-2_V9.B
(PY-curve-2_V9)48	Line	Paal_P_79 LCS	16,000 17,000	Free	Nonlinear	Nonlinear	Free	Free	Free	PY-curve-2_V9.B	PY-curve-2_V9.B
(PY-curve-2_V9)47	Line	Paal_P_78 LCS	16,000 17,000	Free	Nonlinear	Nonlinear	Free	Free	Free	PY-curve-2_V9.B	PY-curve-2_V9.B
(PY-curve-2_V9)10	Line	Paal_P_18 LCS	16,000 17,000	Free	Nonlinear	Nonlinear	Free	Free	Free	PY-curve-2_V9	PY-curve-2_V9
(PY-curve-2_V9)14	Line	Paal_P_15 LCS	16,000 17,000	Free	Nonlinear	Nonlinear	Free	Free	Free	PY-curve-2_V9	PY-curve-2_V9
(PY-curve-2_V9)15	Line	Paal_P_16 LCS	16,000 17,000	Free	Nonlinear	Nonlinear	Free	Free	Free	PY-curve-2_V9	PY-curve-2_V9
(PY-curve-2_V9)13	Line	Paal_P_21 LCS	16,000 17,000	Free	Nonlinear	Nonlinear	Free	Free	Free	PY-curve-2_V9	PY-curve-2_V9
(PY-curve-2_V9)12	Line	Paal_P_20 LCS	16,000 17,000	Free	Nonlinear	Nonlinear	Free	Free	Free	PY-curve-2_V9	PY-curve-2_V9
(PY-curve-2_V9)11	Line	Paal_P_19 LCS	16,000 17,000	Free	Nonlinear	Nonlinear	Free	Free	Free	PY-curve-2_V9	PY-curve-2_V9
(PY-curve-2_V9)9	Line	Paal_P_17 LCS	16,000 17,000	Free	Nonlinear	Nonlinear	Free	Free	Free	PY-curve-2_V9	PY-curve-2_V9
(PY-curve-2_V9)28	Line	Paal_P_6 LCS	16,000 17,000	Free	Nonlinear	Nonlinear	Free	Free	Free	PY-curve-2_V9	PY-curve-2_V9
(PY-curve-2_V9)8	Line	Paal_P_4 LCS	16,000 17,000	Free	Nonlinear	Nonlinear	Free	Free	Free	PY-curve-2_V9	PY-curve-2_V9
(PY-curve-2_V9)5	Line	Paal_P_2 LCS	16,000 17,000	Free	Nonlinear	Nonlinear	Free	Free	Free	PY-curve-2_V9	PY-curve-2_V9
(PY-curve-2_V9)4	Line	Paal_P_3 LCS	16,000 17,000	Free	Nonlinear	Nonlinear	Free	Free	Free	PY-curve-2_V9	PY-curve-2_V9
(PY-curve-2_V9)3	Line	Paal_P_14 LCS	16,000 17,000	Free	Nonlinear	Nonlinear	Free	Free	Free	PY-curve-2_V9	PY-curve-2_V9
(PY-curve-2_V9)2	Line	Paal_P_13 LCS	16,000 17,000	Free	Nonlinear	Nonlinear	Free	Free	Free	PY-curve-2_V9	PY-curve-2_V9
(PY-curve-2_V9)1	Line	Paal_P_12	16,000	Free	Nonlinear	Nonlinear	Free	Free	Free	PY-curve-2_V9	PY-curve-2_V9

Name	Type	Member System	Pos x_1 [m] Pos x_2 [m]	X	Y	Z	Rx	Ry	Rz	Function Y	Function Z
		LCS	17,000								
(PY-curve-2_V9)	Line	Paal_P_7 LCS	16,000 17,000	Free	Nonlinear	Nonlinear	Free	Free	Free	PY-curve-2_V9	PY-curve-2_V9
(PY-curve-2_V9)39	Line	Paal_P_8 LCS	16,000 17,000	Free	Nonlinear	Nonlinear	Free	Free	Free	PY-curve-2_V9	PY-curve-2_V9
(PY-curve-2_V9)37	Line	Paal_P_11 LCS	16,000 17,000	Free	Nonlinear	Nonlinear	Free	Free	Free	PY-curve-2_V9	PY-curve-2_V9
(PY-curve-2_V9)36	Line	Paal_P_10 LCS	16,000 17,000	Free	Nonlinear	Nonlinear	Free	Free	Free	PY-curve-2_V9	PY-curve-2_V9
(PY-curve-2_V9)35	Line	Paal_P_77 LCS	16,000 17,000	Free	Nonlinear	Nonlinear	Free	Free	Free	PY-curve-2_V9	PY-curve-2_V9
(PY-curve-2_V9)33	Line	Paal_P_75 LCS	16,000 17,000	Free	Nonlinear	Nonlinear	Free	Free	Free	PY-curve-2_V9	PY-curve-2_V9
(PY-curve-2_V9)32	Line	Paal_P_60 LCS	16,000 17,000	Free	Nonlinear	Nonlinear	Free	Free	Free	PY-curve-2_V9	PY-curve-2_V9
(PY-curve-2_V9)31	Line	Paal_P_59 LCS	16,000 17,000	Free	Nonlinear	Nonlinear	Free	Free	Free	PY-curve-2_V9	PY-curve-2_V9
(PY-curve-2_V9)29	Line	Paal_P_70 LCS	16,000 17,000	Free	Nonlinear	Nonlinear	Free	Free	Free	PY-curve-2_V9	PY-curve-2_V9
(PY-curve-2_V9)7	Line	Paal_P_69 LCS	16,000 17,000	Free	Nonlinear	Nonlinear	Free	Free	Free	PY-curve-2_V9	PY-curve-2_V9
(PY-curve-2_V9)27	Line	Paal_P_68 LCS	16,000 17,000	Free	Nonlinear	Nonlinear	Free	Free	Free	PY-curve-2_V9	PY-curve-2_V9
(PY-curve-2_V9)26	Line	Paal_P_65 LCS	16,000 17,000	Free	Nonlinear	Nonlinear	Free	Free	Free	PY-curve-2_V9	PY-curve-2_V9
(PY-curve-2_V9)25	Line	Paal_P_64 LCS	16,000 17,000	Free	Nonlinear	Nonlinear	Free	Free	Free	PY-curve-2_V9	PY-curve-2_V9
(PY-curve-2_V9)24	Line	Paal_P_63 LCS	16,000 17,000	Free	Nonlinear	Nonlinear	Free	Free	Free	PY-curve-2_V9	PY-curve-2_V9
(PY-curve-2_V9)23	Line	Paal_P_72 LCS	16,000 17,000	Free	Nonlinear	Nonlinear	Free	Free	Free	PY-curve-2_V9	PY-curve-2_V9
(PY-curve-2_V9)30	Line	Paal_P_58 LCS	16,000 17,000	Free	Nonlinear	Nonlinear	Free	Free	Free	PY-curve-2_V9	PY-curve-2_V9
(PY-curve-2_V9)22	Line	Paal_P_71 LCS	16,000 17,000	Free	Nonlinear	Nonlinear	Free	Free	Free	PY-curve-2_V9	PY-curve-2_V9
(PY-curve-2_V9)21	Line	Paal_P_67 LCS	16,000 17,000	Free	Nonlinear	Nonlinear	Free	Free	Free	PY-curve-2_V9	PY-curve-2_V9
(PY-curve-2_V9)20	Line	Paal_P_66 LCS	16,000 17,000	Free	Nonlinear	Nonlinear	Free	Free	Free	PY-curve-2_V9	PY-curve-2_V9
(PY-curve-2_V9)19	Line	Paal_P_74 LCS	16,000 17,000	Free	Nonlinear	Nonlinear	Free	Free	Free	PY-curve-2_V9	PY-curve-2_V9
(PY-curve-2_V9)34	Line	Paal_P_76 LCS	16,000 17,000	Free	Nonlinear	Nonlinear	Free	Free	Free	PY-curve-2_V9	PY-curve-2_V9
(PY-curve-2_V9)18	Line	Paal_P_62 LCS	16,000 17,000	Free	Nonlinear	Nonlinear	Free	Free	Free	PY-curve-2_V9	PY-curve-2_V9
(PY-curve-2_V9)17	Line	Paal_P_73 LCS	16,000 17,000	Free	Nonlinear	Nonlinear	Free	Free	Free	PY-curve-2_V9	PY-curve-2_V9
(PY-curve-2_V9)16	Line	Paal_P_61 LCS	16,000 17,000	Free	Nonlinear	Nonlinear	Free	Free	Free	PY-curve-2_V9	PY-curve-2_V9
(PY-curve-2_V9)54	Line	Paal_P_85 LCS	16,000 17,000	Free	Nonlinear	Nonlinear	Free	Free	Free	PY-curve-2_V9.B	PY-curve-2_V9.B
(PY-curve-2_V9)38	Line	Paal_P_9 LCS	16,000 17,000	Free	Nonlinear	Nonlinear	Free	Free	Free	PY-curve-2_V9	PY-curve-2_V9
(PY-curve-2_V9)53	Line	Paal_P_84 LCS	16,000 17,000	Free	Nonlinear	Nonlinear	Free	Free	Free	PY-curve-2_V9.B	PY-curve-2_V9.B
(PY-curve-2_V9)55	Line	Paal_P_23 LCS	16,000 17,000	Free	Nonlinear	Nonlinear	Free	Free	Free	PY-curve-2_V9.B	PY-curve-2_V9.B
(PY-curve-2_V9)6	Line	Paal_P_1 LCS	16,000 17,000	Free	Nonlinear	Nonlinear	Free	Free	Free	PY-curve-2_V9	PY-curve-2_V9
(PY-curve-2_V9)46	Line	Paal_P_26 LCS	16,000 17,000	Free	Nonlinear	Nonlinear	Free	Free	Free	PY-curve-2_V9.B	PY-curve-2_V9.B
(PY-curve-2_V9)45	Line	Paal_P_22 LCS	16,000 17,000	Free	Nonlinear	Nonlinear	Free	Free	Free	PY-curve-2_V9.B	PY-curve-2_V9.B
(PY-curve-2_V9)44	Line	Paal_P_24	16,000	Free	Nonlinear	Nonlinear	Free	Free	Free	PY-curve-2_V9.B	PY-curve-2_V9.B

Name	Type	Member System	Pos x_1 [m] Pos x_2 [m]	X	Y	Z	Rx	Ry	Rz	Function Y	Function Z
		LCS	17,000								
(PY-curve-2_V9)43	Line	Paal_P_29 LCS	16,000 17,000	Free	Nonlinear	Nonlinear	Free	Free	Free	PY-curve-2_V9.B	PY-curve-2_V9.B
(PY-curve-2_V9)52	Line	Paal_P_83 LCS	16,000 17,000	Free	Nonlinear	Nonlinear	Free	Free	Free	PY-curve-2_V9.B	PY-curve-2_V9.B
(PY-curve-2_V10)51	Line	Paal_P_82 LCS	17,000 18,000	Free	Nonlinear	Nonlinear	Free	Free	Free	PY-curve-2_V10.B	PY-curve-2_V10.B
(PY-curve-2_V10)50	Line	Paal_P_81 LCS	17,000 18,000	Free	Nonlinear	Nonlinear	Free	Free	Free	PY-curve-2_V10.B	PY-curve-2_V10.B
(PY-curve-2_V10)49	Line	Paal_P_80 LCS	17,000 18,000	Free	Nonlinear	Nonlinear	Free	Free	Free	PY-curve-2_V10.B	PY-curve-2_V10.B
(PY-curve-2_V10)48	Line	Paal_P_79 LCS	17,000 18,000	Free	Nonlinear	Nonlinear	Free	Free	Free	PY-curve-2_V10.B	PY-curve-2_V10.B
(PY-curve-2_V10)47	Line	Paal_P_78 LCS	17,000 18,000	Free	Nonlinear	Nonlinear	Free	Free	Free	PY-curve-2_V10.B	PY-curve-2_V10.B
(PY-curve-2_V10)15	Line	Paal_P_21 LCS	17,000 18,000	Free	Nonlinear	Nonlinear	Free	Free	Free	PY-curve-2_V10	PY-curve-2_V10
(PY-curve-2_V10)13	Line	Paal_P_19 LCS	17,000 18,000	Free	Nonlinear	Nonlinear	Free	Free	Free	PY-curve-2_V10	PY-curve-2_V10
(PY-curve-2_V10)12	Line	Paal_P_18 LCS	17,000 18,000	Free	Nonlinear	Nonlinear	Free	Free	Free	PY-curve-2_V10	PY-curve-2_V10
(PY-curve-2_V10)11	Line	Paal_P_17 LCS	17,000 18,000	Free	Nonlinear	Nonlinear	Free	Free	Free	PY-curve-2_V10	PY-curve-2_V10
(PY-curve-2_V10)10	Line	Paal_P_16 LCS	17,000 18,000	Free	Nonlinear	Nonlinear	Free	Free	Free	PY-curve-2_V10	PY-curve-2_V10
(PY-curve-2_V10)9	Line	Paal_P_15 LCS	17,000 18,000	Free	Nonlinear	Nonlinear	Free	Free	Free	PY-curve-2_V10	PY-curve-2_V10
(PY-curve-2_V10)28	Line	Paal_P_14 LCS	17,000 18,000	Free	Nonlinear	Nonlinear	Free	Free	Free	PY-curve-2_V10	PY-curve-2_V10
(PY-curve-2_V10)8	Line	Paal_P_13 LCS	17,000 18,000	Free	Nonlinear	Nonlinear	Free	Free	Free	PY-curve-2_V10	PY-curve-2_V10
(PY-curve-2_V10)5	Line	Paal_P_11 LCS	17,000 18,000	Free	Nonlinear	Nonlinear	Free	Free	Free	PY-curve-2_V10	PY-curve-2_V10
(PY-curve-2_V10)4	Line	Paal_P_10 LCS	17,000 18,000	Free	Nonlinear	Nonlinear	Free	Free	Free	PY-curve-2_V10	PY-curve-2_V10
(PY-curve-2_V10)3	Line	Paal_P_9 LCS	17,000 18,000	Free	Nonlinear	Nonlinear	Free	Free	Free	PY-curve-2_V10	PY-curve-2_V10
(PY-curve-2_V10)1	Line	Paal_P_7 LCS	17,000 18,000	Free	Nonlinear	Nonlinear	Free	Free	Free	PY-curve-2_V10	PY-curve-2_V10
(PY-curve-2_V10)	Line	Paal_P_6 LCS	17,000 18,000	Free	Nonlinear	Nonlinear	Free	Free	Free	PY-curve-2_V10	PY-curve-2_V10
(PY-curve-2_V10)39	Line	Paal_P_4 LCS	17,000 18,000	Free	Nonlinear	Nonlinear	Free	Free	Free	PY-curve-2_V10	PY-curve-2_V10
(PY-curve-2_V10)37	Line	Paal_P_2 LCS	17,000 18,000	Free	Nonlinear	Nonlinear	Free	Free	Free	PY-curve-2_V10	PY-curve-2_V10
(PY-curve-2_V10)36	Line	Paal_P_3 LCS	17,000 18,000	Free	Nonlinear	Nonlinear	Free	Free	Free	PY-curve-2_V10	PY-curve-2_V10
(PY-curve-2_V10)35	Line	Paal_P_77 LCS	17,000 18,000	Free	Nonlinear	Nonlinear	Free	Free	Free	PY-curve-2_V10	PY-curve-2_V10
(PY-curve-2_V10)34	Line	Paal_P_76 LCS	17,000 18,000	Free	Nonlinear	Nonlinear	Free	Free	Free	PY-curve-2_V10	PY-curve-2_V10
(PY-curve-2_V10)33	Line	Paal_P_75 LCS	17,000 18,000	Free	Nonlinear	Nonlinear	Free	Free	Free	PY-curve-2_V10	PY-curve-2_V10
(PY-curve-2_V10)32	Line	Paal_P_74 LCS	17,000 18,000	Free	Nonlinear	Nonlinear	Free	Free	Free	PY-curve-2_V10	PY-curve-2_V10
(PY-curve-2_V10)31	Line	Paal_P_73 LCS	17,000 18,000	Free	Nonlinear	Nonlinear	Free	Free	Free	PY-curve-2_V10	PY-curve-2_V10
(PY-curve-2_V10)30	Line	Paal_P_72 LCS	17,000 18,000	Free	Nonlinear	Nonlinear	Free	Free	Free	PY-curve-2_V10	PY-curve-2_V10
(PY-curve-2_V10)29	Line	Paal_P_71 LCS	17,000 18,000	Free	Nonlinear	Nonlinear	Free	Free	Free	PY-curve-2_V10	PY-curve-2_V10
(PY-curve-2_V10)7	Line	Paal_P_70 LCS	17,000 18,000	Free	Nonlinear	Nonlinear	Free	Free	Free	PY-curve-2_V10	PY-curve-2_V10
(PY-curve-2_V10)27	Line	Paal_P_69	17,000	Free	Nonlinear	Nonlinear	Free	Free	Free	PY-curve-2_V10	PY-curve-2_V10

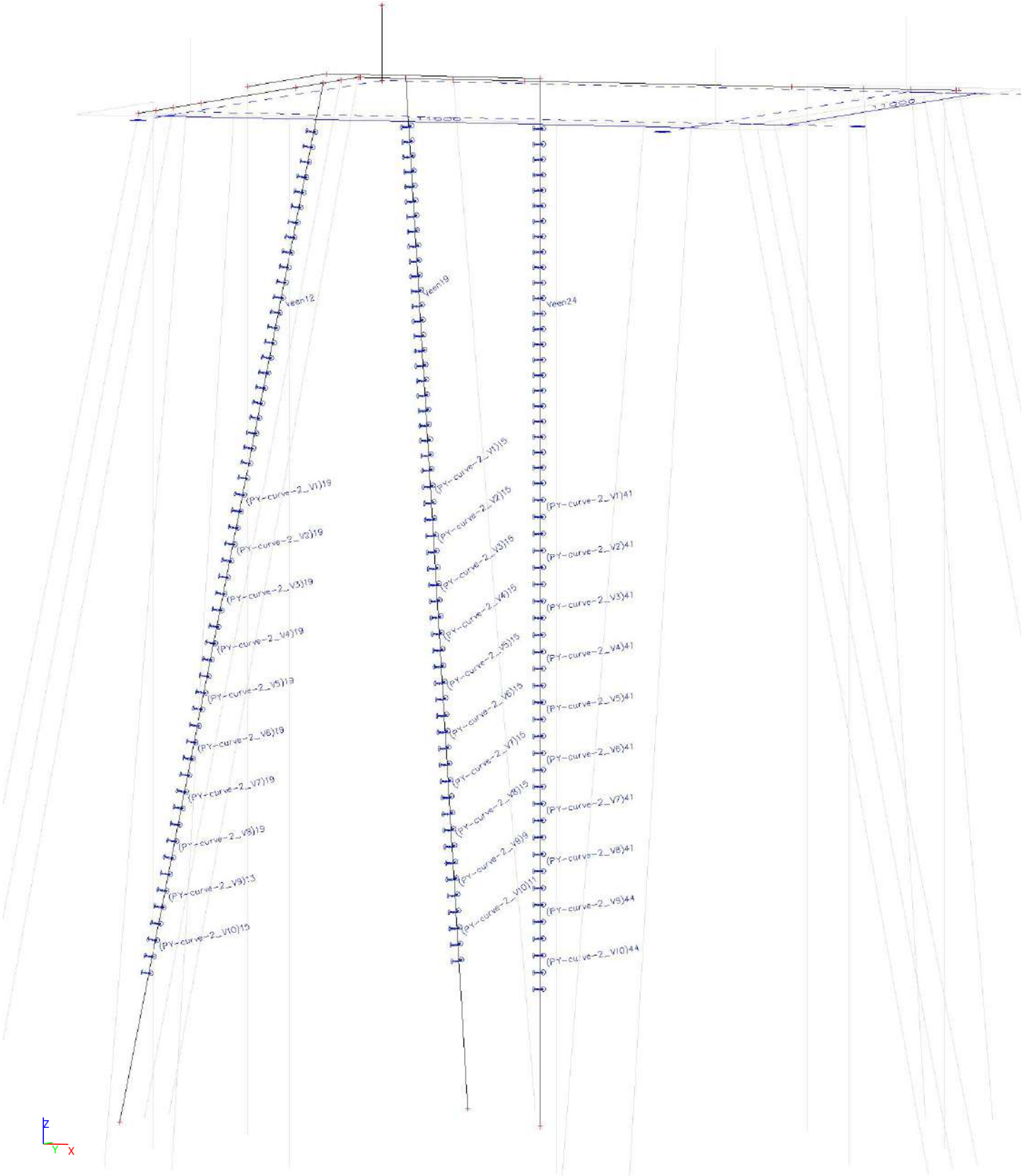
Name	Type	Member System	Pos x_1 [m] Pos x_2 [m]	X	Y	Z	Rx	Ry	Rz	Function Y	Function Z
		LCS	18,000								
(PY-curve-2_V10)38	Line	Paal_P_1 LCS	17,000 18,000	Free	Nonlinear	Nonlinear	Free	Free	Free	PY-curve-2_V10	PY-curve-2_V10
(PY-curve-2_V10)26	Line	Paal_P_68 LCS	17,000 18,000	Free	Nonlinear	Nonlinear	Free	Free	Free	PY-curve-2_V10	PY-curve-2_V10
(PY-curve-2_V10)25	Line	Paal_P_67 LCS	17,000 18,000	Free	Nonlinear	Nonlinear	Free	Free	Free	PY-curve-2_V10	PY-curve-2_V10
(PY-curve-2_V10)24	Line	Paal_P_66 LCS	17,000 18,000	Free	Nonlinear	Nonlinear	Free	Free	Free	PY-curve-2_V10	PY-curve-2_V10
(PY-curve-2_V10)23	Line	Paal_P_65 LCS	17,000 18,000	Free	Nonlinear	Nonlinear	Free	Free	Free	PY-curve-2_V10	PY-curve-2_V10
(PY-curve-2_V10)2	Line	Paal_P_8 LCS	17,000 18,000	Free	Nonlinear	Nonlinear	Free	Free	Free	PY-curve-2_V10	PY-curve-2_V10
(PY-curve-2_V10)6	Line	Paal_P_12 LCS	17,000 18,000	Free	Nonlinear	Nonlinear	Free	Free	Free	PY-curve-2_V10	PY-curve-2_V10
(PY-curve-2_V10)22	Line	Paal_P_64 LCS	17,000 18,000	Free	Nonlinear	Nonlinear	Free	Free	Free	PY-curve-2_V10	PY-curve-2_V10
(PY-curve-2_V10)21	Line	Paal_P_63 LCS	17,000 18,000	Free	Nonlinear	Nonlinear	Free	Free	Free	PY-curve-2_V10	PY-curve-2_V10
(PY-curve-2_V10)20	Line	Paal_P_62 LCS	17,000 18,000	Free	Nonlinear	Nonlinear	Free	Free	Free	PY-curve-2_V10	PY-curve-2_V10
(PY-curve-2_V10)19	Line	Paal_P_61 LCS	17,000 18,000	Free	Nonlinear	Nonlinear	Free	Free	Free	PY-curve-2_V10	PY-curve-2_V10
(PY-curve-2_V10)18	Line	Paal_P_60 LCS	17,000 18,000	Free	Nonlinear	Nonlinear	Free	Free	Free	PY-curve-2_V10	PY-curve-2_V10
(PY-curve-2_V10)17	Line	Paal_P_59 LCS	17,000 18,000	Free	Nonlinear	Nonlinear	Free	Free	Free	PY-curve-2_V10	PY-curve-2_V10
(PY-curve-2_V10)16	Line	Paal_P_58 LCS	17,000 18,000	Free	Nonlinear	Nonlinear	Free	Free	Free	PY-curve-2_V10	PY-curve-2_V10
(PY-curve-2_V10)55	Line	Paal_P_28 LCS	17,000 18,000	Free	Nonlinear	Nonlinear	Free	Free	Free	PY-curve-2_V10.B	PY-curve-2_V10.B
(PY-curve-2_V10)54	Line	Paal_P_85 LCS	17,000 18,000	Free	Nonlinear	Nonlinear	Free	Free	Free	PY-curve-2_V10.B	PY-curve-2_V10.B
(PY-curve-2_V10)14	Line	Paal_P_20 LCS	17,000 18,000	Free	Nonlinear	Nonlinear	Free	Free	Free	PY-curve-2_V10	PY-curve-2_V10
(PY-curve-2_V10)46	Line	Paal_P_29 LCS	17,000 18,000	Free	Nonlinear	Nonlinear	Free	Free	Free	PY-curve-2_V10.B	PY-curve-2_V10.B
(PY-curve-2_V10)45	Line	Paal_P_25 LCS	17,000 18,000	Free	Nonlinear	Nonlinear	Free	Free	Free	PY-curve-2_V10.B	PY-curve-2_V10.B
(PY-curve-2_V10)44	Line	Paal_P_24 LCS	17,000 18,000	Free	Nonlinear	Nonlinear	Free	Free	Free	PY-curve-2_V10.B	PY-curve-2_V10.B
(PY-curve-2_V10)43	Line	Paal_P_27 LCS	17,000 18,000	Free	Nonlinear	Nonlinear	Free	Free	Free	PY-curve-2_V10.B	PY-curve-2_V10.B
(PY-curve-2_V10)42	Line	Paal_P_22 LCS	17,000 18,000	Free	Nonlinear	Nonlinear	Free	Free	Free	PY-curve-2_V10.B	PY-curve-2_V10.B
(PY-curve-2_V10)41	Line	Paal_P_26 LCS	17,000 18,000	Free	Nonlinear	Nonlinear	Free	Free	Free	PY-curve-2_V10.B	PY-curve-2_V10.B
(PY-curve-2_V10)53	Line	Paal_P_84 LCS	17,000 18,000	Free	Nonlinear	Nonlinear	Free	Free	Free	PY-curve-2_V10.B	PY-curve-2_V10.B
(PY-curve-2_V10)40	Line	Paal_P_23 LCS	17,000 18,000	Free	Nonlinear	Nonlinear	Free	Free	Free	PY-curve-2_V10.B	PY-curve-2_V10.B
(PY-curve-2_V10)52	Line	Paal_P_83 LCS	17,000 18,000	Free	Nonlinear	Nonlinear	Free	Free	Free	PY-curve-2_V10.B	PY-curve-2_V10.B

5.8. Analyse model met Lijnondersteuningen



5.9. Analyse model met Lijnondersteuningen

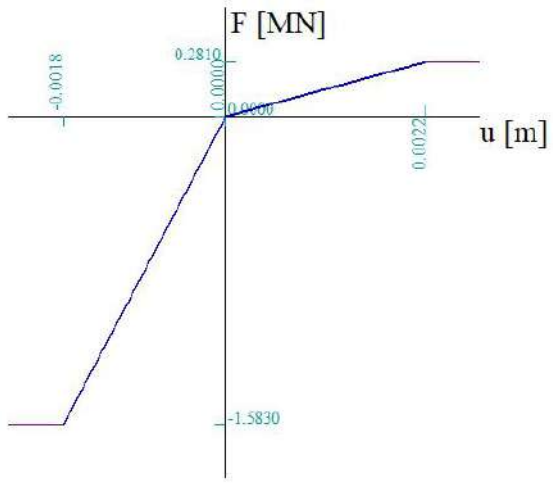
Om de leesbaarheid te optimaliseren, is per plan één paal getoond.



5.10. Nonlinear functions

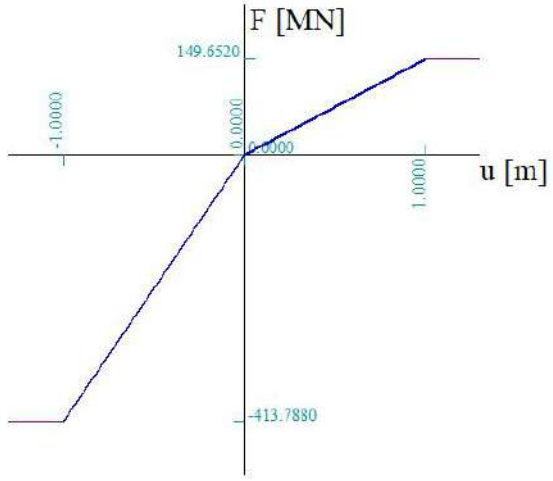
Name	Type	u / F	Positive end	Negative end
Trek-druk-S+paalpunt mast 158	Translation	-1,7900e-03[m] / -1,5830e+00[MN]	Free	Free
		0,0000e+00[m] / 0,0000e+00[MN]		
		2,2100e-03[m] / 2,8100e-01[MN]		

Drawing



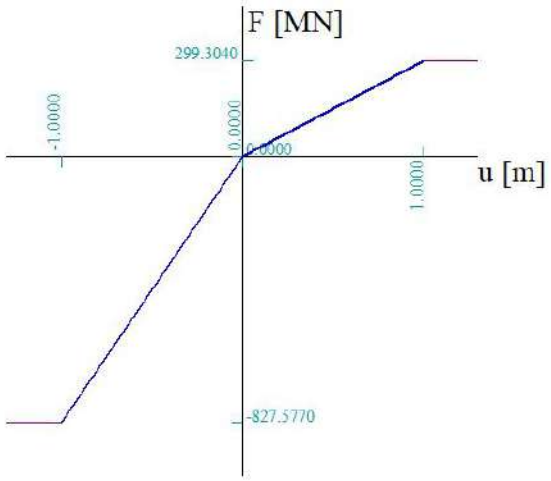
Name	Type	u / F	Positive end	Negative end
Trek-druk-paalpunt-LEKA.OG.	Translation	-1,0000e+00[m] / -4,1379e+02[MN]	Free	Free
		0,0000e+00[m] / 0,0000e+00[MN]		
		1,0000e+00[m] / 1,4965e+02[MN]		

Drawing



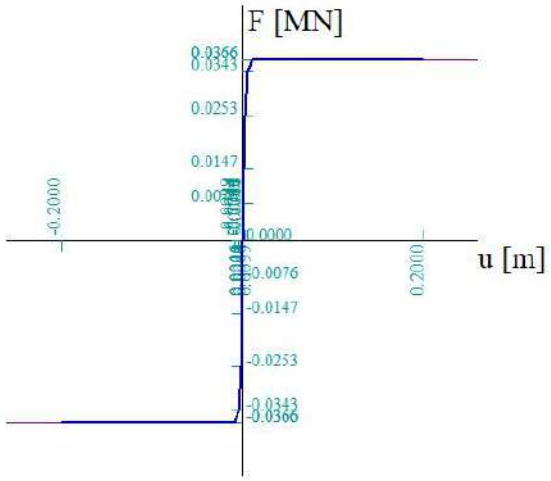
Name	Type	u / F	Positive end	Negative end
Trek-druk-paalpunt.LEKA.BG.	Translation	-1,0000e+00[m] / -8,2758e+02[MN]	Free	Free
		0,0000e+00[m] / 0,0000e+00[MN]		
		1,0000e+00[m] / 2,9930e+02[MN]		

Drawing



Name	Type	u / F	Positive end	Negative end
PY-curve-2_V1	Translation	-2,0000e-01[m] / -3,6624e-02[MN]	Free	Free
		-9,9000e-03[m] / -3,6624e-02[MN]		
		-4,4000e-03[m] / -3,4259e-02[MN]		
		-2,2000e-03[m] / -2,5265e-02[MN]		
		-1,1000e-03[m] / -1,4650e-02[MN]		
		-5,5000e-04[m] / -7,6435e-03[MN]		
		0,0000e+00[m] / 0,0000e+00[MN]		
		5,5000e-04[m] / 7,6435e-03[MN]		
		1,1000e-03[m] / 1,4650e-02[MN]		
		2,2000e-03[m] / 2,5265e-02[MN]		
		4,4000e-03[m] / 3,4259e-02[MN]		
		9,9000e-03[m] / 3,6624e-02[MN]		
		2,0000e-01[m] / 3,6624e-02[MN]		

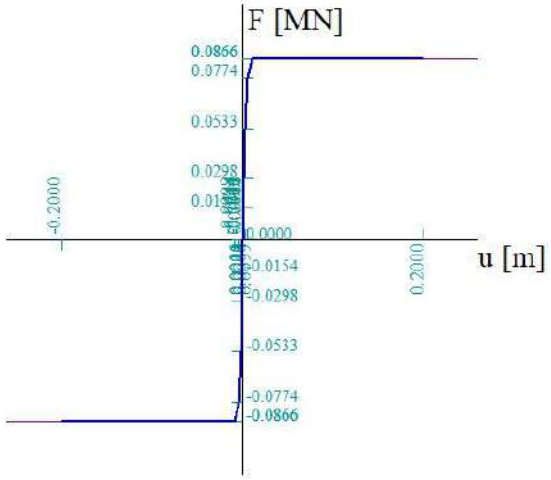
Drawing



Name	Type	u / F	Positive end	Negative end
PY-curve-2_V2	Translation	-2,0000e-01[m] / -8,6571e-02[MN]	Free	Free
		-9,9000e-03[m] / -8,6571e-02[MN]		
		-4,4000e-03[m] / -7,7425e-02[MN]		
		-2,2000e-03[m] / -5,3284e-02[MN]		
		-1,1000e-03[m] / -2,9773e-02[MN]		
		-5,5000e-04[m] / -1,5351e-02[MN]		
		0,0000e+00[m] / 0,0000e+00[MN]		
		5,5000e-04[m] / 1,5351e-02[MN]		
		1,1000e-03[m] / 2,9773e-02[MN]		
		2,2000e-03[m] / 5,3284e-02[MN]		

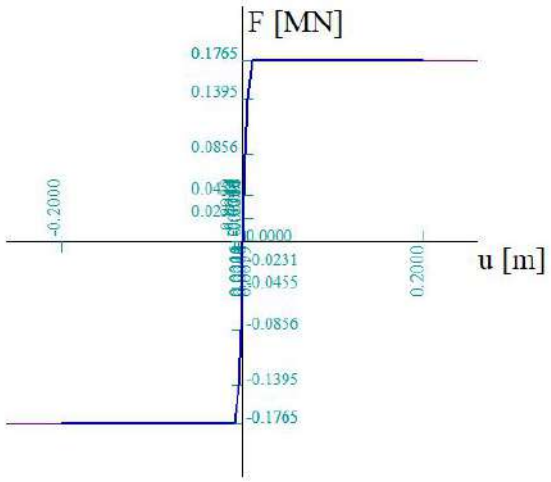
Name	Type	u / F	Positive end	Negative end
		4,4000e-03[m] / 7,7425e-02[MN]		
		9,9000e-03[m] / 8,6571e-02[MN]		
		2,0000e-01[m] / 8,6571e-02[MN]		

Drawing



Name	Type	u / F	Positive end	Negative end
PY-curve-2_V3	Translation	-2,0000e-01[m] / -1,7645e-01[MN]	Free	Free
		-9,9000e-03[m] / -1,7645e-01[MN]		
		-4,4000e-03[m] / -1,3955e-01[MN]		
		-2,2000e-03[m] / -8,5576e-02[MN]		
		-1,1000e-03[m] / -4,5531e-02[MN]		
		-5,5000e-04[m] / -2,3143e-02[MN]		
		0,0000e+00[m] / 0,0000e+00[MN]		
		5,5000e-04[m] / 2,3143e-02[MN]		
		1,1000e-03[m] / 4,5531e-02[MN]		
		2,2000e-03[m] / 8,5576e-02[MN]		
		4,4000e-03[m] / 1,3955e-01[MN]		
		9,9000e-03[m] / 1,7645e-01[MN]		
		2,0000e-01[m] / 1,7645e-01[MN]		

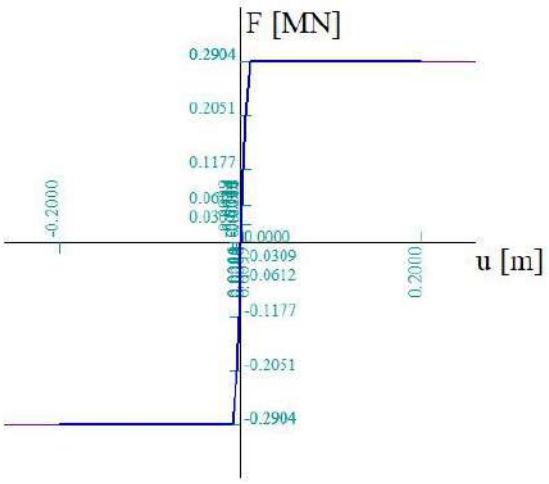
Drawing



Name	Type	u / F	Positive end	Negative end
PY-curve-2_V4	Translation	-2,0000e-01[m] / -2,9038e-01[MN]	Free	Free
		-9,9000e-03[m] / -2,9038e-01[MN]		
		-4,4000e-03[m] / -2,0506e-01[MN]		
		-2,2000e-03[m] / -1,1772e-01[MN]		

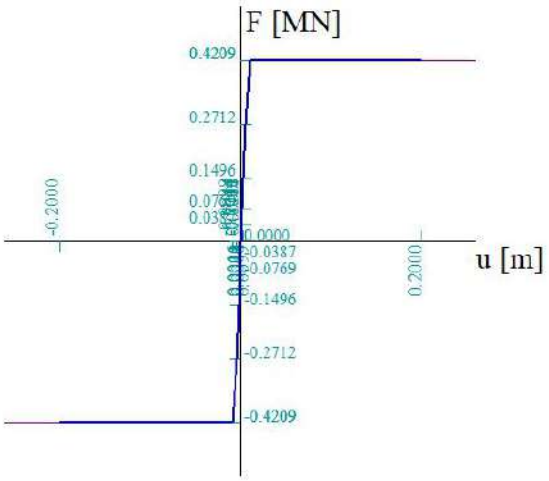
Name	Type	u / F	Positive end	Negative end
		-1,1000e-03[m] / -6,1220e-02[MN]		
		-5,5000e-04[m] / -3,0923e-02[MN]		
		0,0000e+00[m] / 0,0000e+00[MN]		
		5,5000e-04[m] / 3,0923e-02[MN]		
		1,1000e-03[m] / 6,1220e-02[MN]		
		2,2000e-03[m] / 1,1772e-01[MN]		
		4,4000e-03[m] / 2,0506e-01[MN]		
		9,9000e-03[m] / 2,9038e-01[MN]		
		2,0000e-01[m] / 2,9038e-01[MN]		

Drawing



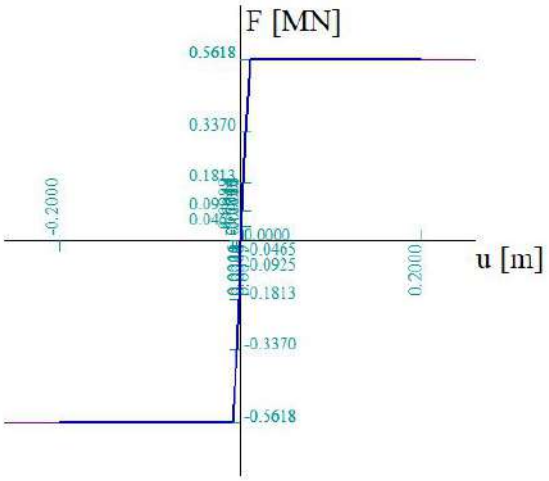
Name	Type	u / F	Positive end	Negative end
PY-curve-2_V5	Translation	-2,0000e-01[m] / -4,2094e-01[MN]	Free	Free
		-9,9000e-03[m] / -4,2094e-01[MN]		
		-4,4000e-03[m] / -2,7117e-01[MN]		
		-2,2000e-03[m] / -1,4963e-01[MN]		
		-1,1000e-03[m] / -7,6860e-02[MN]		
		-5,5000e-04[m] / -3,8696e-02[MN]		
		0,0000e+00[m] / 0,0000e+00[MN]		
		5,5000e-04[m] / 3,8696e-02[MN]		
		1,1000e-03[m] / 7,6860e-02[MN]		
		2,2000e-03[m] / 1,4963e-01[MN]		
		4,4000e-03[m] / 2,7117e-01[MN]		
		9,9000e-03[m] / 4,2094e-01[MN]		
		2,0000e-01[m] / 4,2094e-01[MN]		

Drawing



Name	Type	u / F	Positive end	Negative end
PY-curve-2_V6	Translation	-2,0000e-01[m] / -5,6184e-01[MN]	Free	Free
		-9,9000e-03[m] / -5,6184e-01[MN]		
		-4,4000e-03[m] / -3,3701e-01[MN]		
		-2,2000e-03[m] / -1,8134e-01[MN]		
		-1,1000e-03[m] / -9,2468e-02[MN]		
		-5,5000e-04[m] / -4,6465e-02[MN]		
		0,0000e+00[m] / 0,0000e+00[MN]		
		5,5000e-04[m] / 4,6465e-02[MN]		
		1,1000e-03[m] / 9,2468e-02[MN]		
		2,2000e-03[m] / 1,8134e-01[MN]		
		4,4000e-03[m] / 3,3701e-01[MN]		
		9,9000e-03[m] / 5,6184e-01[MN]		
		2,0000e-01[m] / 5,6184e-01[MN]		

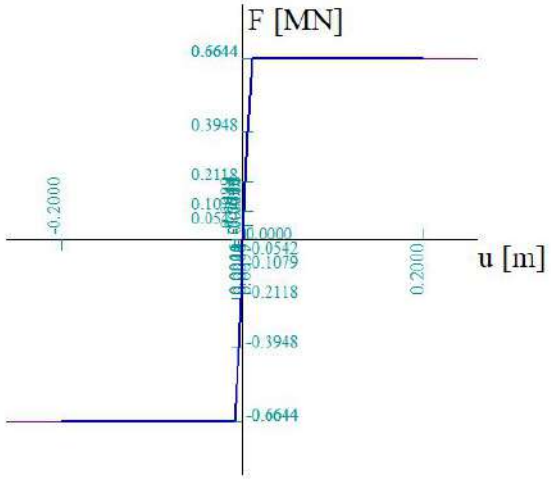
Drawing



Name	Type	u / F	Positive end	Negative end
PY-curve-2_V7	Translation	-2,0000e-01[m] / -6,6436e-01[MN]	Free	Free
		-9,9000e-03[m] / -6,6436e-01[MN]		
		-4,4000e-03[m] / -3,9481e-01[MN]		
		-2,2000e-03[m] / -2,1181e-01[MN]		
		-1,1000e-03[m] / -1,0791e-01[MN]		
		-5,5000e-04[m] / -5,4214e-02[MN]		
		0,0000e+00[m] / 0,0000e+00[MN]		
		5,5000e-04[m] / 5,4214e-02[MN]		
		1,1000e-03[m] / 1,0791e-01[MN]		
		2,2000e-03[m] / 2,1181e-01[MN]		

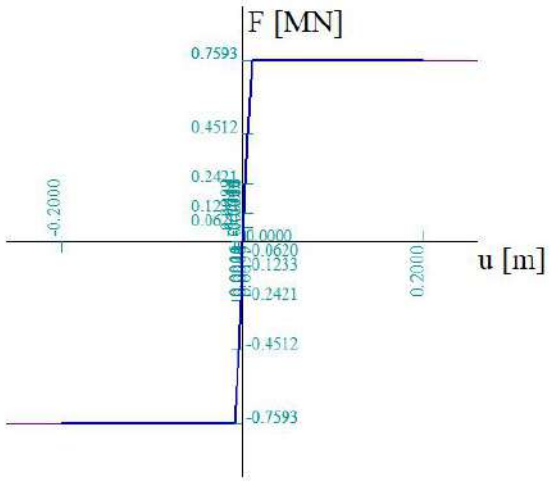
Name	Type	u / F	Positive end	Negative end
		4,4000e-03[m] / 3,9481e-01[MN]		
		9,9000e-03[m] / 6,6436e-01[MN]		
		2,0000e-01[m] / 6,6436e-01[MN]		

Drawing



Name	Type	u / F	Positive end	Negative end
PY-curve-2_V8	Translation	-2,0000e-01[m] / -7,5927e-01[MN]	Free	Free
		-9,9000e-03[m] / -7,5927e-01[MN]		
		-4,4000e-03[m] / -4,5121e-01[MN]		
		-2,2000e-03[m] / -2,4207e-01[MN]		
		-1,1000e-03[m] / -1,2333e-01[MN]		
		-5,5000e-04[m] / -6,1959e-02[MN]		
		0,0000e+00[m] / 0,0000e+00[MN]		
		5,5000e-04[m] / 6,1959e-02[MN]		
		1,1000e-03[m] / 1,2333e-01[MN]		
		2,2000e-03[m] / 2,4207e-01[MN]		
		4,4000e-03[m] / 4,5121e-01[MN]		
		9,9000e-03[m] / 7,5927e-01[MN]		
		2,0000e-01[m] / 7,5927e-01[MN]		

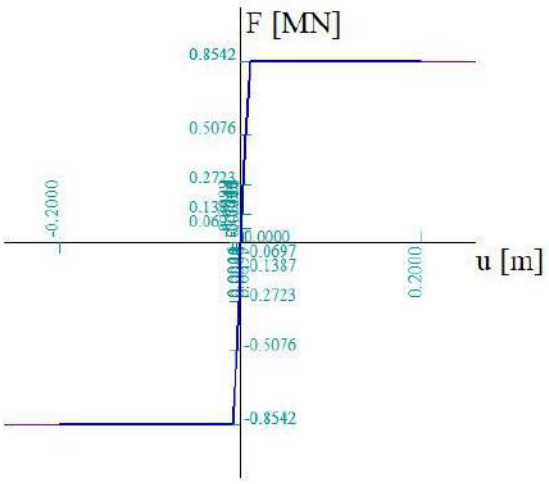
Drawing



Name	Type	u / F	Positive end	Negative end
PY-curve-2_V9	Translation	-2,0000e-01[m] / -8,5417e-01[MN]	Free	Free
		-9,9000e-03[m] / -8,5417e-01[MN]		
		-4,4000e-03[m] / -5,0761e-01[MN]		
		-2,2000e-03[m] / -2,7233e-01[MN]		

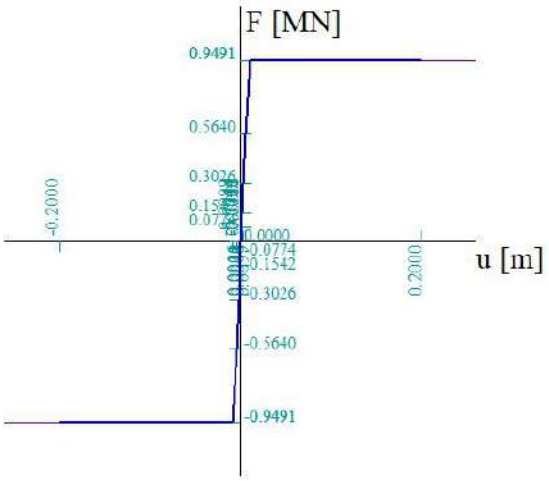
Name	Type	u / F	Positive end	Negative end
		-1,1000e-03[m] / -1,3874e-01[MN]		
		-5,5000e-04[m] / -6,9703e-02[MN]		
		0,0000e+00[m] / 0,0000e+00[MN]		
		5,5000e-04[m] / 6,9703e-02[MN]		
		1,1000e-03[m] / 1,3874e-01[MN]		
		2,2000e-03[m] / 2,7233e-01[MN]		
		4,4000e-03[m] / 5,0761e-01[MN]		
		9,9000e-03[m] / 8,5417e-01[MN]		
		2,0000e-01[m] / 8,5417e-01[MN]		

Drawing



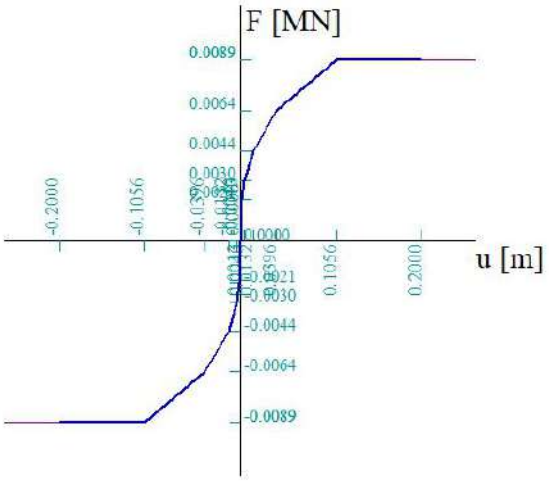
Name	Type	u / F	Positive end	Negative end
PY-curve-2_V10	Translation	-2,0000e-01[m] / -9,4908e-01[MN]	Free	Free
		-9,9000e-03[m] / -9,4908e-01[MN]		
		-4,4000e-03[m] / -5,6401e-01[MN]		
		-2,2000e-03[m] / -3,0259e-01[MN]		
		-1,1000e-03[m] / -1,5416e-01[MN]		
		-5,5000e-04[m] / -7,7448e-02[MN]		
		0,0000e+00[m] / 0,0000e+00[MN]		
		5,5000e-04[m] / 7,7448e-02[MN]		
		1,1000e-03[m] / 1,5416e-01[MN]		
		2,2000e-03[m] / 3,0259e-01[MN]		
		4,4000e-03[m] / 5,6401e-01[MN]		
		9,9000e-03[m] / 9,4908e-01[MN]		
		2,0000e-01[m] / 9,4908e-01[MN]		

Drawing



Name	Type	u / F	Positive end	Negative end
PY-curve-2_Veen	Translation	-2,0000e-01[m] / -8,8944e-03[MN]	Free	Free
		-1,0560e-01[m] / -8,8944e-03[MN]		
		-3,9600e-02[m] / -6,4138e-03[MN]		
		-1,3200e-02[m] / -4,4477e-03[MN]		
		-3,9600e-03[m] / -2,9770e-03[MN]		
		-1,3200e-03[m] / -2,0640e-03[MN]		
		0,0000e+00[m] / 0,0000e+00[MN]		
		1,3200e-03[m] / 2,0640e-03[MN]		
		3,9600e-03[m] / 2,9770e-03[MN]		
		1,3200e-02[m] / 4,4477e-03[MN]		
		3,9600e-02[m] / 6,4138e-03[MN]		
		1,0560e-01[m] / 8,8944e-03[MN]		
		2,0000e-01[m] / 8,8944e-03[MN]		

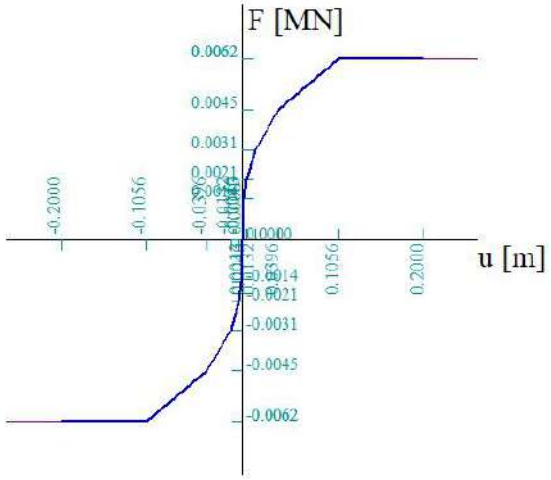
Drawing



Name	Type	u / F	Positive end	Negative end
PY-curve-2_Veen.B	Translation	-2,0000e-01[m] / -6,2016e-03[MN]	Free	Free
		-1,0560e-01[m] / -6,2016e-03[MN]		
		-3,9600e-02[m] / -4,4721e-03[MN]		
		-1,3200e-02[m] / -3,1008e-03[MN]		
		-3,9600e-03[m] / -2,0758e-03[MN]		
		-1,3200e-03[m] / -1,4393e-03[MN]		
		0,0000e+00[m] / 0,0000e+00[MN]		
		1,3200e-03[m] / 1,4393e-03[MN]		
		3,9600e-03[m] / 2,0758e-03[MN]		
		1,3200e-02[m] / 3,1008e-03[MN]		

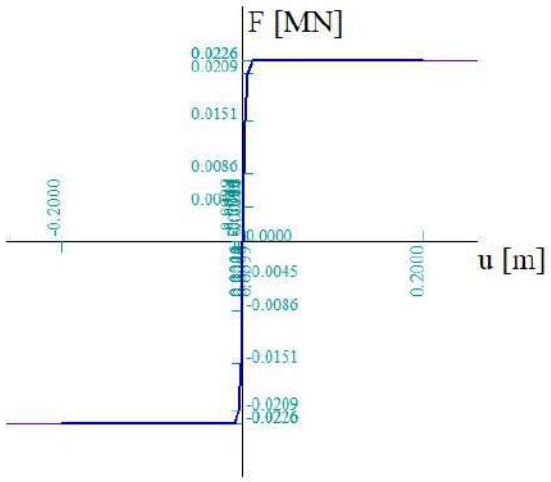
Name	Type	u / F	Positive end	Negative end
		3,9600e-02[m] / 4,4721e-03[MN]		
		1,0560e-01[m] / 6,2016e-03[MN]		
		2,0000e-01[m] / 6,2016e-03[MN]		

Drawing



Name	Type	u / F	Positive end	Negative end
PY-curve-2_V1.B	Translation	-2,0000e-01[m] / -2,2567e-02[MN]	Free	Free
		-9,9000e-03[m] / -2,2567e-02[MN]		
		-4,4000e-03[m] / -2,0854e-02[MN]		
		-2,2000e-03[m] / -1,5054e-02[MN]		
		-1,1000e-03[m] / -8,6224e-03[MN]		
		-5,5000e-04[m] / -4,4807e-03[MN]		
		0,0000e+00[m] / 0,0000e+00[MN]		
		5,5000e-04[m] / 4,4807e-03[MN]		
		1,1000e-03[m] / 8,6224e-03[MN]		
		2,2000e-03[m] / 1,5054e-02[MN]		
		4,4000e-03[m] / 2,0854e-02[MN]		
		9,9000e-03[m] / 2,2567e-02[MN]		
		2,0000e-01[m] / 2,2567e-02[MN]		

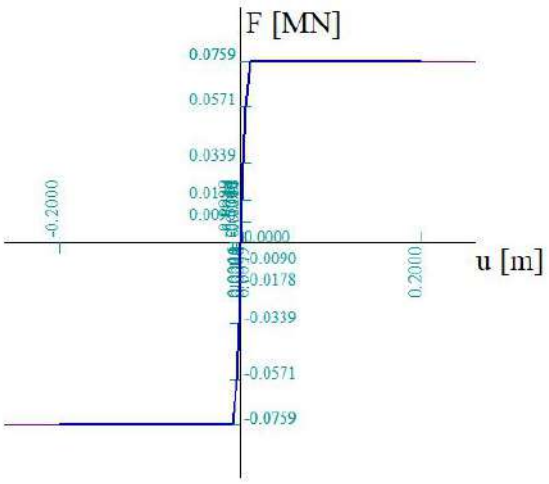
Drawing



Name	Type	u / F	Positive end	Negative end
PY-curve-2_V2.B	Translation	-2,0000e-01[m] / -7,5874e-02[MN]	Free	Free
		-9,9000e-03[m] / -7,5874e-02[MN]		
		-4,4000e-03[m] / -5,7108e-02[MN]		
		-2,2000e-03[m] / -3,3923e-02[MN]		

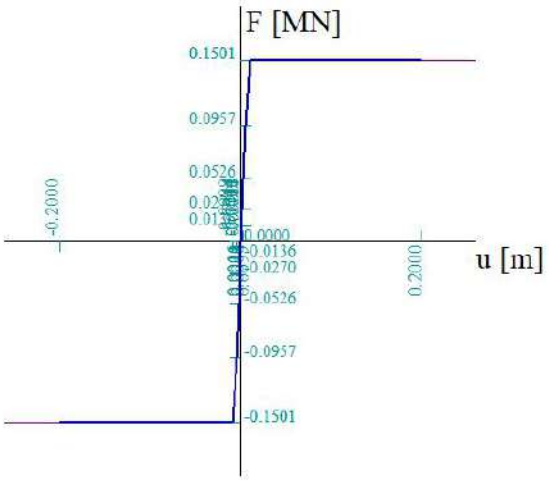
Name	Type	u / F	Positive end	Negative end
		-1,1000e-03[m] / -1,7844e-02[MN]		
		-5,5000e-04[m] / -9,0410e-03[MN]		
		0,0000e+00[m] / 0,0000e+00[MN]		
		5,5000e-04[m] / 9,0410e-03[MN]		
		1,1000e-03[m] / 1,7844e-02[MN]		
		2,2000e-03[m] / 3,3923e-02[MN]		
		4,4000e-03[m] / 5,7108e-02[MN]		
		9,9000e-03[m] / 7,5874e-02[MN]		
		2,0000e-01[m] / 7,5874e-02[MN]		

Drawing



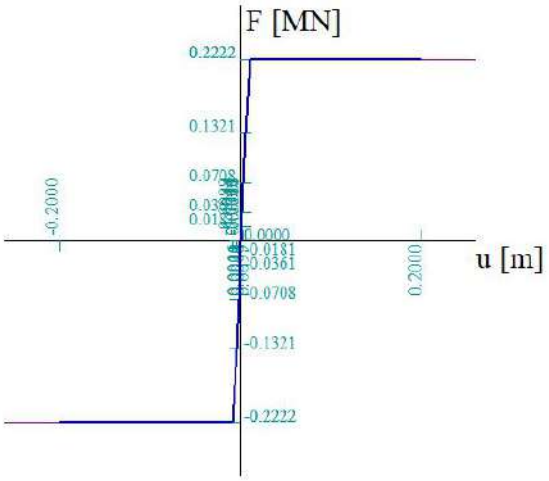
Name	Type	u / F	Positive end	Negative end
PY-curve-2_V3.B	Translation	-2,0000e-01[m] / -1,5011e-01[MN]	Free	Free
		-9,9000e-03[m] / -1,5011e-01[MN]		
		-4,4000e-03[m] / -9,5744e-02[MN]		
		-2,2000e-03[m] / -5,2633e-02[MN]		
		-1,1000e-03[m] / -2,7005e-02[MN]		
		-5,5000e-04[m] / -1,3592e-02[MN]		
		0,0000e+00[m] / 0,0000e+00[MN]		
		5,5000e-04[m] / 1,3592e-02[MN]		
		1,1000e-03[m] / 2,7005e-02[MN]		
		2,2000e-03[m] / 5,2633e-02[MN]		
		4,4000e-03[m] / 9,5744e-02[MN]		
		9,9000e-03[m] / 1,5011e-01[MN]		
		2,0000e-01[m] / 1,5011e-01[MN]		

Drawing



Name	Type	u / F	Positive end	Negative end
PY-curve-2_V4.B	Translation	-2,0000e-01[m] / -2,2222e-01[MN]	Free	Free
		-9,9000e-03[m] / -2,2222e-01[MN]		
		-4,4000e-03[m] / -1,3206e-01[MN]		
		-2,2000e-03[m] / -7,0850e-02[MN]		
		-1,1000e-03[m] / -3,6096e-02[MN]		
		-5,5000e-04[m] / -1,8134e-02[MN]		
		0,0000e+00[m] / 0,0000e+00[MN]		
		5,5000e-04[m] / 1,8134e-02[MN]		
		1,1000e-03[m] / 3,6096e-02[MN]		
		2,2000e-03[m] / 7,0850e-02[MN]		
		4,4000e-03[m] / 1,3206e-01[MN]		
		9,9000e-03[m] / 2,2222e-01[MN]		
		2,0000e-01[m] / 2,2222e-01[MN]		

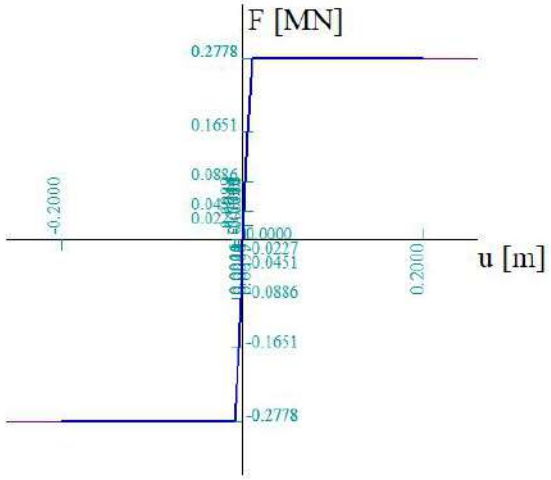
Drawing



Name	Type	u / F	Positive end	Negative end
PY-curve-2_V5.B	Translation	-2,0000e-01[m] / -2,7778e-01[MN]	Free	Free
		-9,9000e-03[m] / -2,7778e-01[MN]		
		-4,4000e-03[m] / -1,6508e-01[MN]		
		-2,2000e-03[m] / -8,8562e-02[MN]		
		-1,1000e-03[m] / -4,5120e-02[MN]		
		-5,5000e-04[m] / -2,2668e-02[MN]		
		0,0000e+00[m] / 0,0000e+00[MN]		
		5,5000e-04[m] / 2,2668e-02[MN]		
		1,1000e-03[m] / 4,5120e-02[MN]		
		2,2000e-03[m] / 8,8562e-02[MN]		

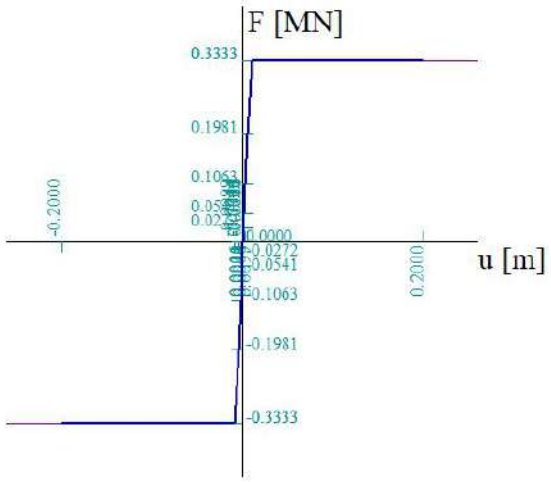
Name	Type	u / F	Positive end	Negative end
		4,4000e-03[m] / 1,6508e-01[MN]		
		9,9000e-03[m] / 2,7778e-01[MN]		
		2,0000e-01[m] / 2,7778e-01[MN]		

Drawing



Name	Type	u / F	Positive end	Negative end
PY-curve-2_V6.B	Translation	-2,0000e-01[m] / -3,3334e-01[MN]	Free	Free
		-9,9000e-03[m] / -3,3334e-01[MN]		
		-4,4000e-03[m] / -1,9809e-01[MN]		
		-2,2000e-03[m] / -1,0627e-01[MN]		
		-1,1000e-03[m] / -5,4144e-02[MN]		
		-5,5000e-04[m] / -2,7201e-02[MN]		
		0,0000e+00[m] / 0,0000e+00[MN]		
		5,5000e-04[m] / 2,7201e-02[MN]		
		1,1000e-03[m] / 5,4144e-02[MN]		
		2,2000e-03[m] / 1,0627e-01[MN]		
		4,4000e-03[m] / 1,9809e-01[MN]		
		9,9000e-03[m] / 3,3334e-01[MN]		
		2,0000e-01[m] / 3,3334e-01[MN]		

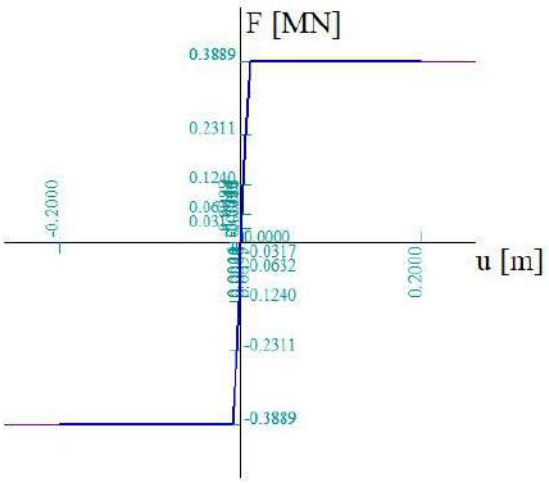
Drawing



Name	Type	u / F	Positive end	Negative end
PY-curve-2_V7.B	Translation	-2,0000e-01[m] / -3,8889e-01[MN]	Free	Free
		-9,9000e-03[m] / -3,8889e-01[MN]		
		-4,4000e-03[m] / -2,3111e-01[MN]		
		-2,2000e-03[m] / -1,2399e-01[MN]		

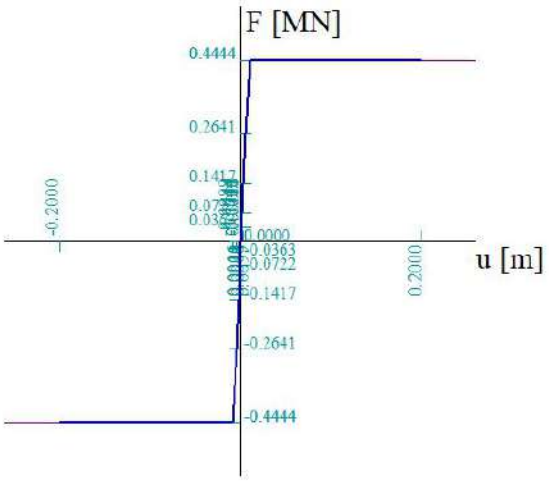
Name	Type	u / F	Positive end	Negative end
		-1,1000e-03[m] / -6,3168e-02[MN]		
		-5,5000e-04[m] / -3,1735e-02[MN]		
		0,0000e+00[m] / 0,0000e+00[MN]		
		5,5000e-04[m] / 3,1735e-02[MN]		
		1,1000e-03[m] / 6,3168e-02[MN]		
		2,2000e-03[m] / 1,2399e-01[MN]		
		4,4000e-03[m] / 2,3111e-01[MN]		
		9,9000e-03[m] / 3,8889e-01[MN]		
		2,0000e-01[m] / 3,8889e-01[MN]		

Drawing



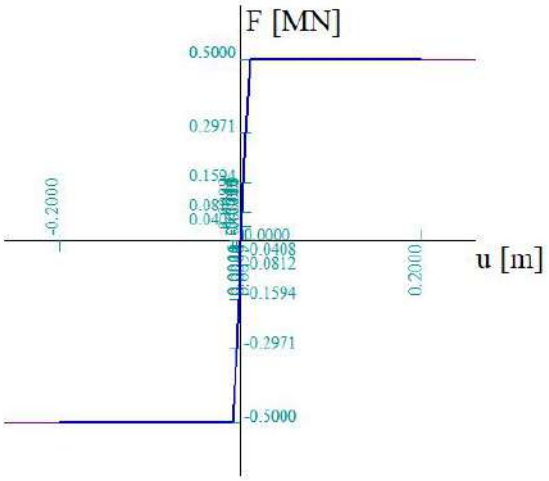
Name	Type	u / F	Positive end	Negative end
PY-curve-2_V8.B	Translation	-2,0000e-01[m] / -4,4445e-01[MN]	Free	Free
		-9,9000e-03[m] / -4,4445e-01[MN]		
		-4,4000e-03[m] / -2,6412e-01[MN]		
		-2,2000e-03[m] / -1,4170e-01[MN]		
		-1,1000e-03[m] / -7,2192e-02[MN]		
		-5,5000e-04[m] / -3,6268e-02[MN]		
		0,0000e+00[m] / 0,0000e+00[MN]		
		5,5000e-04[m] / 3,6268e-02[MN]		
		1,1000e-03[m] / 7,2192e-02[MN]		
		2,2000e-03[m] / 1,4170e-01[MN]		
		4,4000e-03[m] / 2,6412e-01[MN]		
		9,9000e-03[m] / 4,4445e-01[MN]		
		2,0000e-01[m] / 4,4445e-01[MN]		

Drawing



Name	Type	u / F	Positive end	Negative end
PY-curve-2_V9.B	Translation	-2,0000e-01[m] / -5,0000e-01[MN]	Free	Free
		-9,9000e-03[m] / -5,0000e-01[MN]		
		-4,4000e-03[m] / -2,9714e-01[MN]		
		-2,2000e-03[m] / -1,5941e-01[MN]		
		-1,1000e-03[m] / -8,1216e-02[MN]		
		-5,5000e-04[m] / -4,0802e-02[MN]		
		0,0000e+00[m] / 0,0000e+00[MN]		
		5,5000e-04[m] / 4,0802e-02[MN]		
		1,1000e-03[m] / 8,1216e-02[MN]		
		2,2000e-03[m] / 1,5941e-01[MN]		
		4,4000e-03[m] / 2,9714e-01[MN]		
		9,9000e-03[m] / 5,0000e-01[MN]		
		2,0000e-01[m] / 5,0000e-01[MN]		

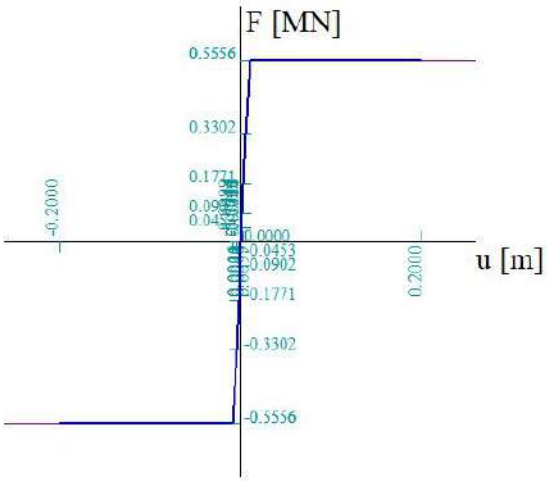
Drawing



Name	Type	u / F	Positive end	Negative end
PY-curve-2_V10.B	Translation	-2,0000e-01[m] / -5,5556e-01[MN]	Free	Free
		-9,9000e-03[m] / -5,5556e-01[MN]		
		-4,4000e-03[m] / -3,3015e-01[MN]		
		-2,2000e-03[m] / -1,7712e-01[MN]		
		-1,1000e-03[m] / -9,0240e-02[MN]		
		-5,5000e-04[m] / -4,5336e-02[MN]		
		0,0000e+00[m] / 0,0000e+00[MN]		
		5,5000e-04[m] / 4,5336e-02[MN]		
		1,1000e-03[m] / 9,0240e-02[MN]		
		2,2000e-03[m] / 1,7712e-01[MN]		

Name	Type	u / F	Positive end	Negative end
		4,4000e-03[m] / 3,3015e-01[MN]		
		9,9000e-03[m] / 5,5556e-01[MN]		
		2,0000e-01[m] / 5,5556e-01[MN]		

Drawing

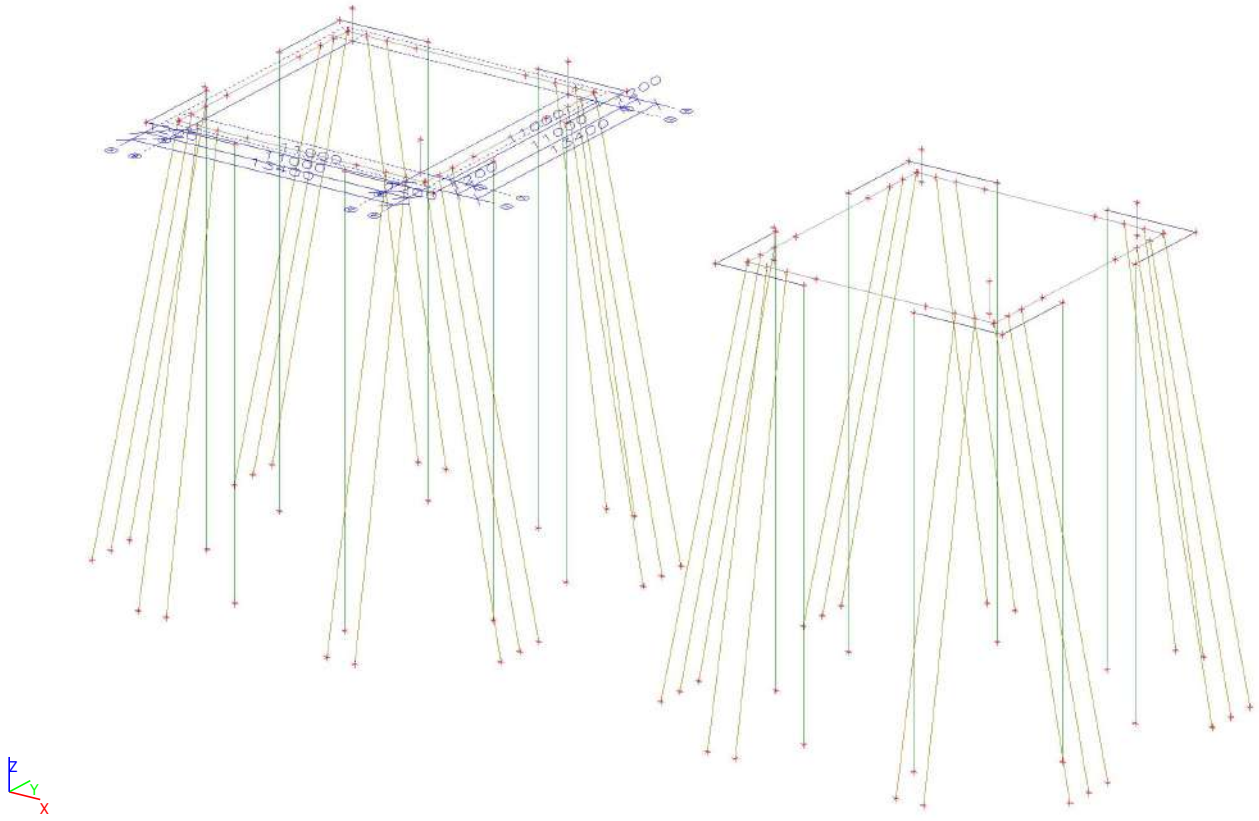


6. Belastingen

6.1. Load cases

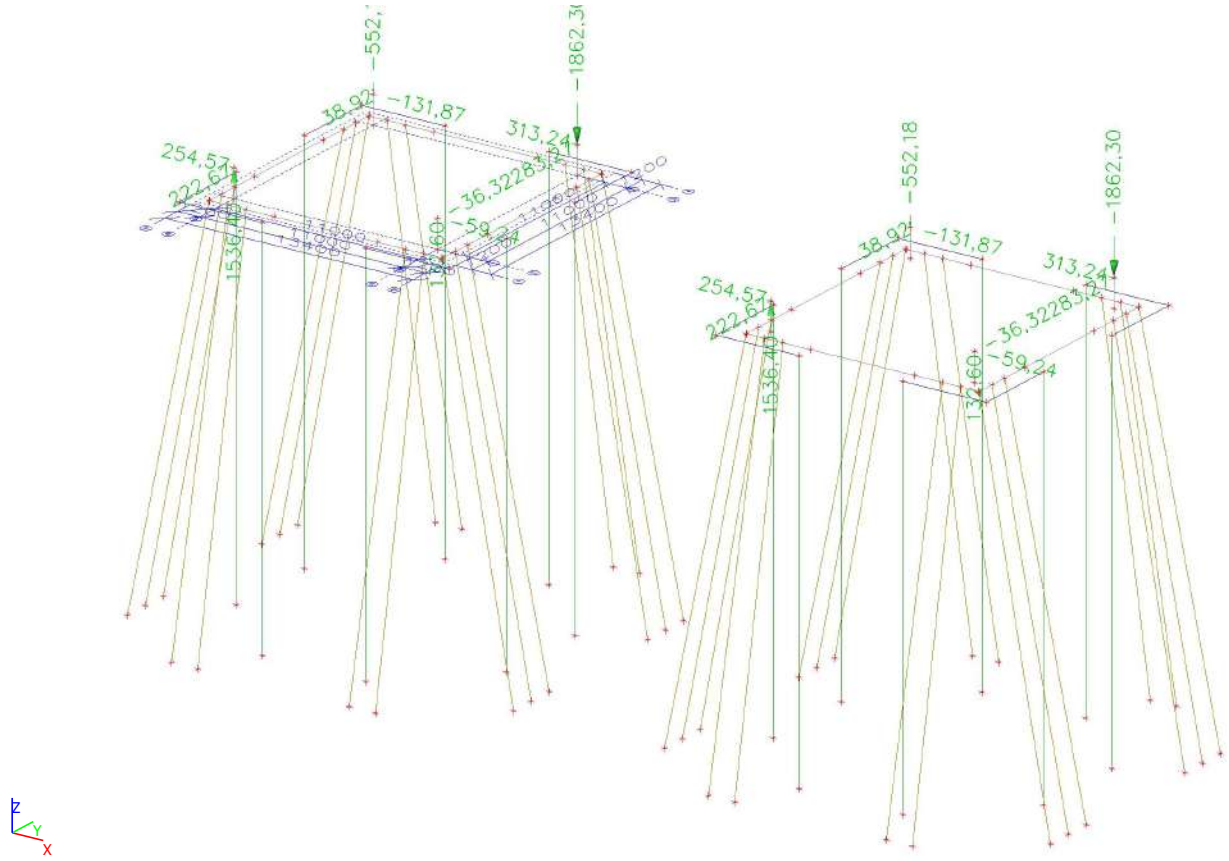
6.1.1. Load cases - E.G.

Name	Description	Action type	Load group	Direction
	Spec	Load type		
E.G.		Permanent	LG1	-Z
		Self weight		



6.1.2. Load cases - high max Wnd ;135°

Name	Description	Action type	Load group	Duration	Master load case
	Spec	Load type			
high max Wnd ;135°		Variable	LG4	Short	None
	Standard	Static			



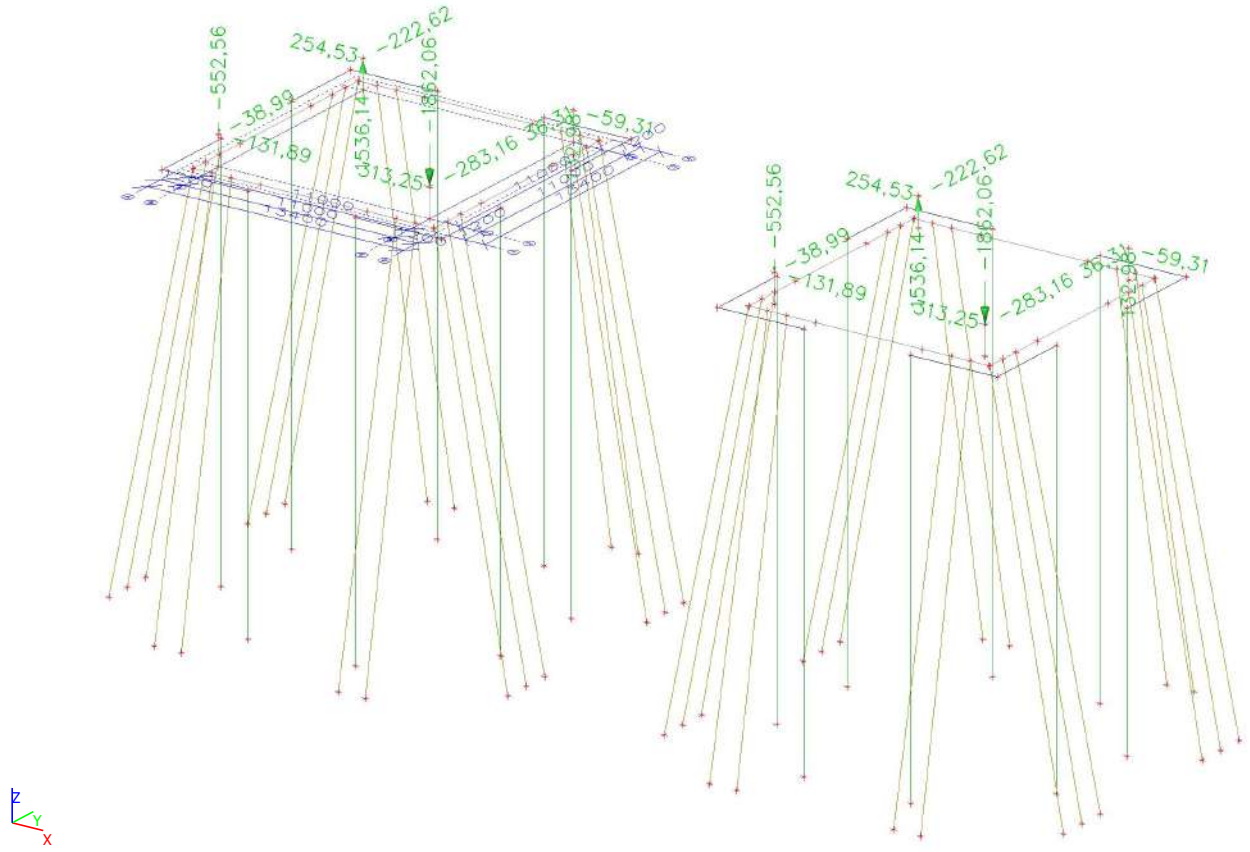
6.1.2.1. Point force in node

Name	Node	Load case	System	Dir	Type	Value - F [kN]
high max Wnd ;135°_1P_X	1P	high max Wnd ;135°	GCS	X	Force	254,57
high max Wnd ;135°_1P_Y	1P	high max Wnd ;135°	GCS	Y	Force	222,67
high max Wnd ;135°_1P_Z	1P	high max Wnd ;135°	GCS	Z	Force	1536,40
high max Wnd ;135°_1X_X	1X	high max Wnd ;135°	GCS	X	Force	-131,87
high max Wnd ;135°_1X_Y	1X	high max Wnd ;135°	GCS	Y	Force	38,92
high max Wnd ;135°_1X_Z	1X	high max Wnd ;135°	GCS	Z	Force	-552,18
high max Wnd ;135°_1XY_X	1XY	high max Wnd ;135°	GCS	X	Force	313,24
high max Wnd ;135°_1XY_Y	1XY	high max Wnd ;135°	GCS	Y	Force	283,27
high max Wnd ;135°_1XY_Z	1XY	high max Wnd ;135°	GCS	Z	Force	-1862,30
high max Wnd ;135°_1Y_X	1Y	high max Wnd ;135°	GCS	X	Force	-59,24
high max Wnd ;135°_1Y_Y	1Y	high max Wnd ;135°	GCS	Y	Force	-36,32
high max Wnd ;135°_1Y_Z	1Y	high max Wnd ;135°	GCS	Z	Force	132,60
high max Wnd ;135°_1Y_X1	1Y2	high max Wnd ;135°	GCS	X	Force	-59,24
high max Wnd ;135°_1Y_Y1	1Y2	high max Wnd ;135°	GCS	Y	Force	-36,32
high max Wnd	1Y2	high max Wnd ;135°	GCS	Z	Force	132,60

Name	Node	Load case	System	Dir	Type	Value - F [kN]
;135°_1Y_Z1						
high max Wnd ;135°_1XY_X1	1XY2	high max Wnd ;135°	GCS	X	Force	313,24
high max Wnd ;135°_1XY_Y1	1XY2	high max Wnd ;135°	GCS	Y	Force	283,27
high max Wnd ;135°_1XY_Z1	1XY2	high max Wnd ;135°	GCS	Z	Force	-1862,30
high max Wnd ;135°_1P_X1	1P2	high max Wnd ;135°	GCS	X	Force	254,57
high max Wnd ;135°_1P_Y1	1P2	high max Wnd ;135°	GCS	Y	Force	222,67
high max Wnd ;135°_1P_Z1	1P2	high max Wnd ;135°	GCS	Z	Force	1536,40
high max Wnd ;135°_1X_X1	1X2	high max Wnd ;135°	GCS	X	Force	-131,87
high max Wnd ;135°_1X_Y1	1X2	high max Wnd ;135°	GCS	Y	Force	38,92
high max Wnd ;135°_1X_Z1	1X2	high max Wnd ;135°	GCS	Z	Force	-552,18

6.1.3. Load cases - high max Wnd ;225°

Name	Description	Action type	Load group	Duration	Master load case
	Spec	Load type			
high max Wnd ;225°	Standard	Variable Static	LG4	Short	None

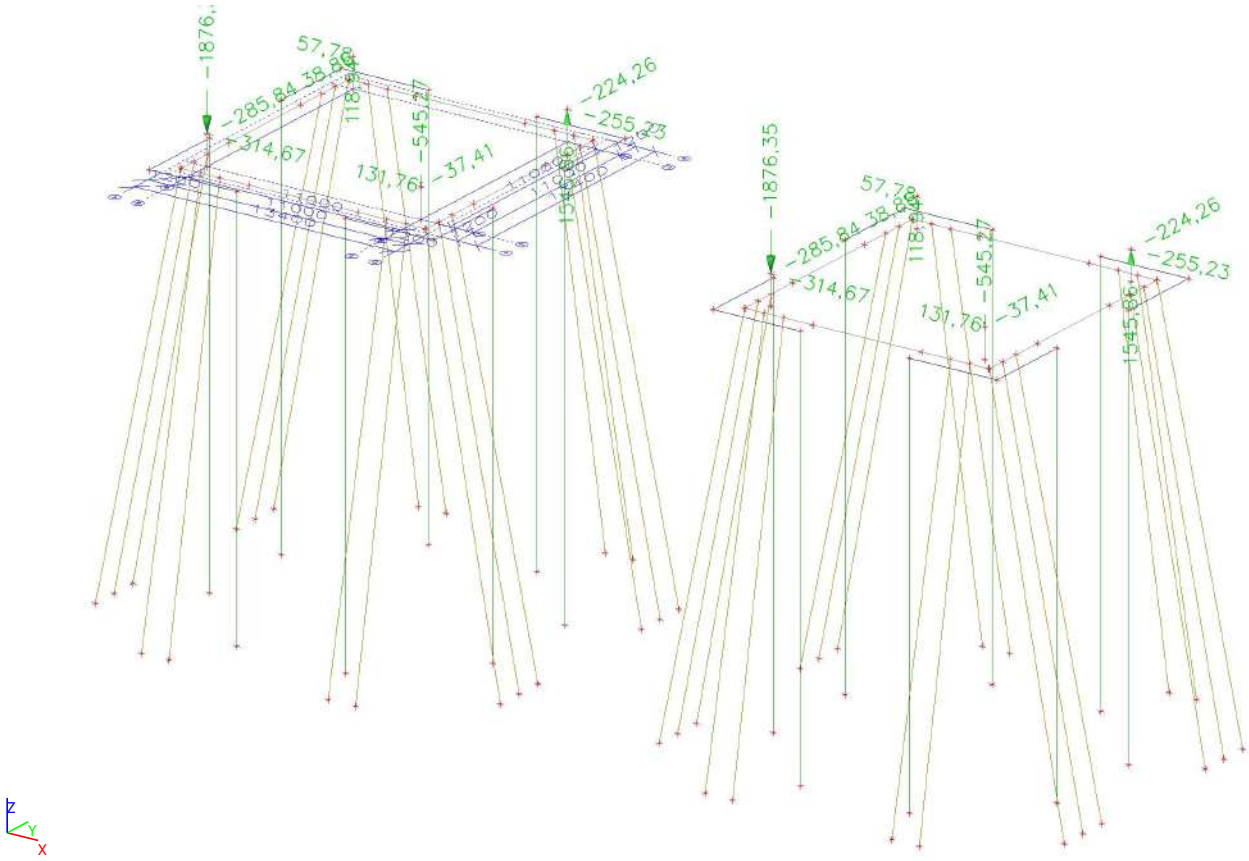


6.1.3.1. Point force in node

Name	Node	Load case	System	Dir	Type	Value - F [kN]
high max Wnd ;225°_1P_X	1P	high max Wnd ;225°	GCS	X	Force	-131,89
high max Wnd ;225°_1P_Y	1P	high max Wnd ;225°	GCS	Y	Force	-38,99
high max Wnd ;225°_1P_Z	1P	high max Wnd ;225°	GCS	Z	Force	-552,56
high max Wnd ;225°_1X_X	1X	high max Wnd ;225°	GCS	X	Force	254,53
high max Wnd ;225°_1X_Y	1X	high max Wnd ;225°	GCS	Y	Force	-222,62
high max Wnd ;225°_1X_Z	1X	high max Wnd ;225°	GCS	Z	Force	1536,14
high max Wnd ;225°_1XY_X	1XY	high max Wnd ;225°	GCS	X	Force	-59,31
high max Wnd ;225°_1XY_Y	1XY	high max Wnd ;225°	GCS	Y	Force	36,31
high max Wnd ;225°_1XY_Z	1XY	high max Wnd ;225°	GCS	Z	Force	132,98
high max Wnd ;225°_1Y_X	1Y	high max Wnd ;225°	GCS	X	Force	313,25
high max Wnd ;225°_1Y_Y	1Y	high max Wnd ;225°	GCS	Y	Force	-283,16
high max Wnd ;225°_1Y_Z	1Y	high max Wnd ;225°	GCS	Z	Force	-1862,06
high max Wnd ;225°_1Y_X1	1Y2	high max Wnd ;225°	GCS	X	Force	313,25
high max Wnd ;225°_1Y_Y1	1Y2	high max Wnd ;225°	GCS	Y	Force	-283,16
high max Wnd ;225°_1Y_Z1	1Y2	high max Wnd ;225°	GCS	Z	Force	-1862,06
high max Wnd ;225°_1XY_X1	1XY2	high max Wnd ;225°	GCS	X	Force	-59,31
high max Wnd ;225°_1XY_Y1	1XY2	high max Wnd ;225°	GCS	Y	Force	36,31
high max Wnd ;225°_1XY_Z1	1XY2	high max Wnd ;225°	GCS	Z	Force	132,98
high max Wnd ;225°_1P_X1	1P2	high max Wnd ;225°	GCS	X	Force	-131,89
high max Wnd ;225°_1P_Y1	1P2	high max Wnd ;225°	GCS	Y	Force	-38,99
high max Wnd ;225°_1P_Z1	1P2	high max Wnd ;225°	GCS	Z	Force	-552,56
high max Wnd ;225°_1X_X1	1X2	high max Wnd ;225°	GCS	X	Force	254,53
high max Wnd ;225°_1X_Y1	1X2	high max Wnd ;225°	GCS	Y	Force	-222,62
high max Wnd ;225°_1X_Z1	1X2	high max Wnd ;225°	GCS	Z	Force	1536,14

6.1.4. Load cases - high max Wnd ;315°

Name	Description	Action type	Load group	Duration	Master load case
	Spec	Load type			
high max Wnd ;315°		Variable	LG4	Short	None
	Standard	Static			



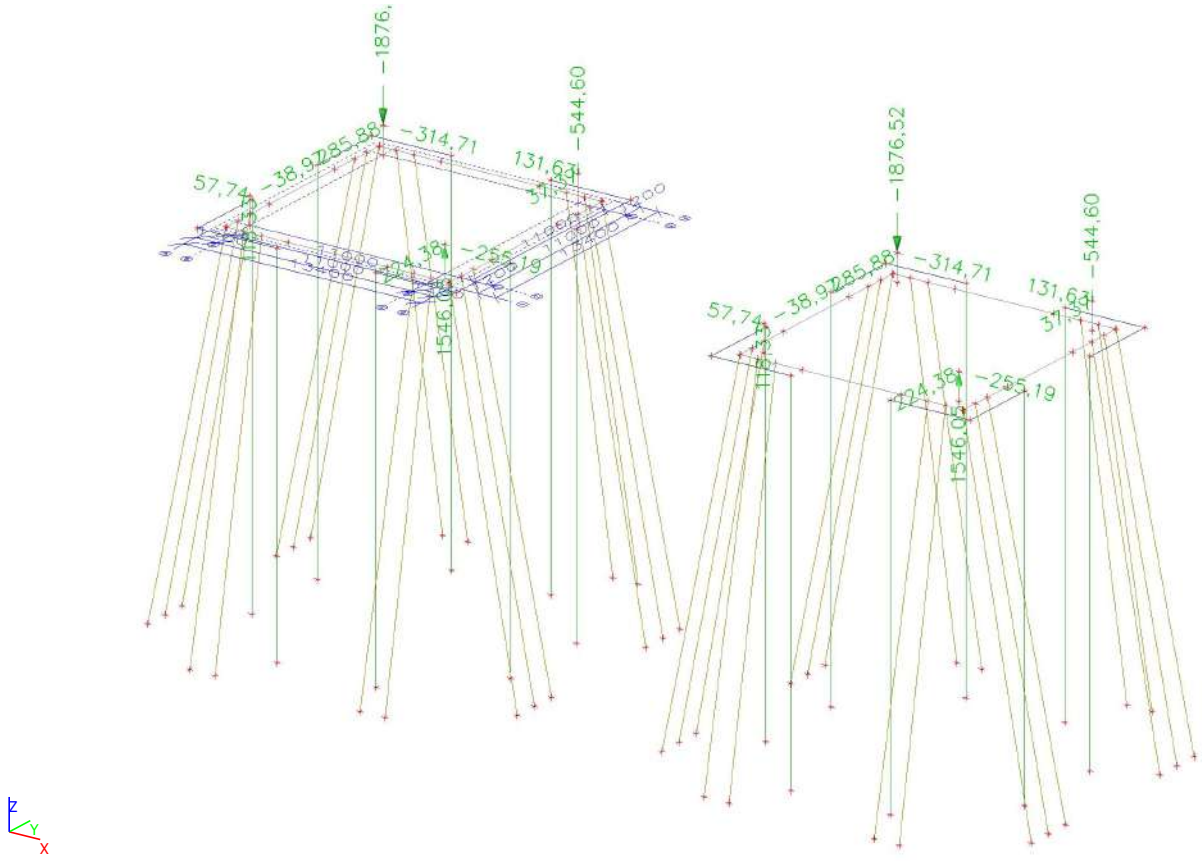
6.1.4.1. Point force in node

Name	Node	Load case	System	Dir	Type	Value - F [kN]
high max Wnd ;315°_1P_X	1P	high max Wnd ;315°	GCS	X	Force	-314,67
high max Wnd ;315°_1P_Y	1P	high max Wnd ;315°	GCS	Y	Force	-285,84
high max Wnd ;315°_1P_Z	1P	high max Wnd ;315°	GCS	Z	Force	-1876,35
high max Wnd ;315°_1X_X	1X	high max Wnd ;315°	GCS	X	Force	57,78
high max Wnd ;315°_1X_Y	1X	high max Wnd ;315°	GCS	Y	Force	38,86
high max Wnd ;315°_1X_Z	1X	high max Wnd ;315°	GCS	Z	Force	118,94
high max Wnd ;315°_1XY_X	1XY	high max Wnd ;315°	GCS	X	Force	-255,23
high max Wnd ;315°_1XY_Y	1XY	high max Wnd ;315°	GCS	Y	Force	-224,26
high max Wnd ;315°_1XY_Z	1XY	high max Wnd ;315°	GCS	Z	Force	1545,86
high max Wnd ;315°_1Y_X	1Y	high max Wnd ;315°	GCS	X	Force	131,76
high max Wnd ;315°_1Y_Y	1Y	high max Wnd ;315°	GCS	Y	Force	-37,41
high max Wnd ;315°_1Y_Z	1Y	high max Wnd ;315°	GCS	Z	Force	-545,27
high max Wnd ;315°_1Y_X1	1Y2	high max Wnd ;315°	GCS	X	Force	131,76
high max Wnd ;315°_1Y_Y1	1Y2	high max Wnd ;315°	GCS	Y	Force	-37,41
high max Wnd	1Y2	high max Wnd ;315°	GCS	Z	Force	-545,27

Name	Node	Load case	System	Dir	Type	Value - F [kN]
;315°_1Y_Z1						
high max Wnd ;315°_1XY_X1	1XY2	high max Wnd ;315°	GCS	X	Force	-255,23
high max Wnd ;315°_1XY_Y1	1XY2	high max Wnd ;315°	GCS	Y	Force	-224,26
high max Wnd ;315°_1XY_Z1	1XY2	high max Wnd ;315°	GCS	Z	Force	1545,86
high max Wnd ;315°_1P_X1	1P2	high max Wnd ;315°	GCS	X	Force	-314,67
high max Wnd ;315°_1P_Y1	1P2	high max Wnd ;315°	GCS	Y	Force	-285,84
high max Wnd ;315°_1P_Z1	1P2	high max Wnd ;315°	GCS	Z	Force	-1876,35
high max Wnd ;315°_1X_X1	1X2	high max Wnd ;315°	GCS	X	Force	57,78
high max Wnd ;315°_1X_Y1	1X2	high max Wnd ;315°	GCS	Y	Force	38,86
high max Wnd ;315°_1X_Z1	1X2	high max Wnd ;315°	GCS	Z	Force	118,94

6.1.5. Load cases - high max Wnd ;45°

Name	Description	Action type	Load group	Duration	Master load case
	Spec	Load type			
high max Wnd ;45°	Standard	Variable Static	LG4	Short	None

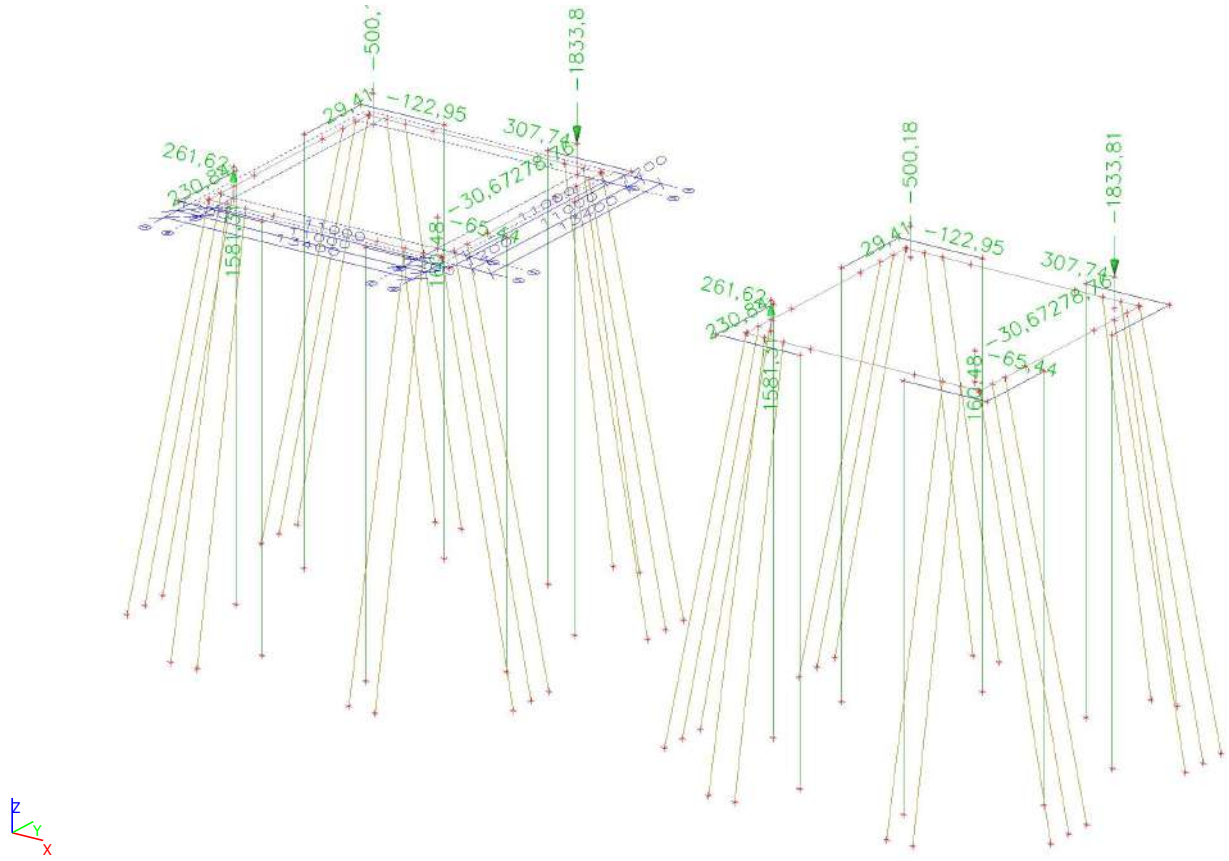


6.1.5.1. Point force in node

Name	Node	Load case	System	Dir	Type	Value - F [kN]
high max Wnd ;45°_1P_X	1P	high max Wnd ;45°	GCS	X	Force	57,74
high max Wnd ;45°_1P_Y	1P	high max Wnd ;45°	GCS	Y	Force	-38,97
high max Wnd ;45°_1P_Z	1P	high max Wnd ;45°	GCS	Z	Force	118,33
high max Wnd ;45°_1X_X	1X	high max Wnd ;45°	GCS	X	Force	-314,71
high max Wnd ;45°_1X_Y	1X	high max Wnd ;45°	GCS	Y	Force	285,88
high max Wnd ;45°_1X_Z	1X	high max Wnd ;45°	GCS	Z	Force	-1876,52
high max Wnd ;45°_1XY_X	1XY	high max Wnd ;45°	GCS	X	Force	131,63
high max Wnd ;45°_1XY_Y	1XY	high max Wnd ;45°	GCS	Y	Force	37,37
high max Wnd ;45°_1XY_Z	1XY	high max Wnd ;45°	GCS	Z	Force	-544,60
high max Wnd ;45°_1Y_X	1Y	high max Wnd ;45°	GCS	X	Force	-255,19
high max Wnd ;45°_1Y_Y	1Y	high max Wnd ;45°	GCS	Y	Force	224,38
high max Wnd ;45°_1Y_Z	1Y	high max Wnd ;45°	GCS	Z	Force	1546,05
high max Wnd ;45°_1Y_X1	1Y2	high max Wnd ;45°	GCS	X	Force	-255,19
high max Wnd ;45°_1Y_Y1	1Y2	high max Wnd ;45°	GCS	Y	Force	224,38
high max Wnd ;45°_1Y_Z1	1Y2	high max Wnd ;45°	GCS	Z	Force	1546,05
high max Wnd ;45°_1XY_X1	1XY2	high max Wnd ;45°	GCS	X	Force	131,63
high max Wnd ;45°_1XY_Y1	1XY2	high max Wnd ;45°	GCS	Y	Force	37,37
high max Wnd ;45°_1XY_Z1	1XY2	high max Wnd ;45°	GCS	Z	Force	-544,60
high max Wnd ;45°_1P_X1	1P2	high max Wnd ;45°	GCS	X	Force	57,74
high max Wnd ;45°_1P_Y1	1P2	high max Wnd ;45°	GCS	Y	Force	-38,97
high max Wnd ;45°_1P_Z1	1P2	high max Wnd ;45°	GCS	Z	Force	118,33
high max Wnd ;45°_1X_X1	1X2	high max Wnd ;45°	GCS	X	Force	-314,71
high max Wnd ;45°_1X_Y1	1X2	high max Wnd ;45°	GCS	Y	Force	285,88
high max Wnd ;45°_1X_Z1	1X2	high max Wnd ;45°	GCS	Z	Force	-1876,52

6.1.6. Load cases - low max Wnd ;135°

Name	Description	Action type	Load group	Duration	Master load case
	Spec	Load type			
low max Wnd ;135°		Variable	LG4	Short	None
	Standard	Static			



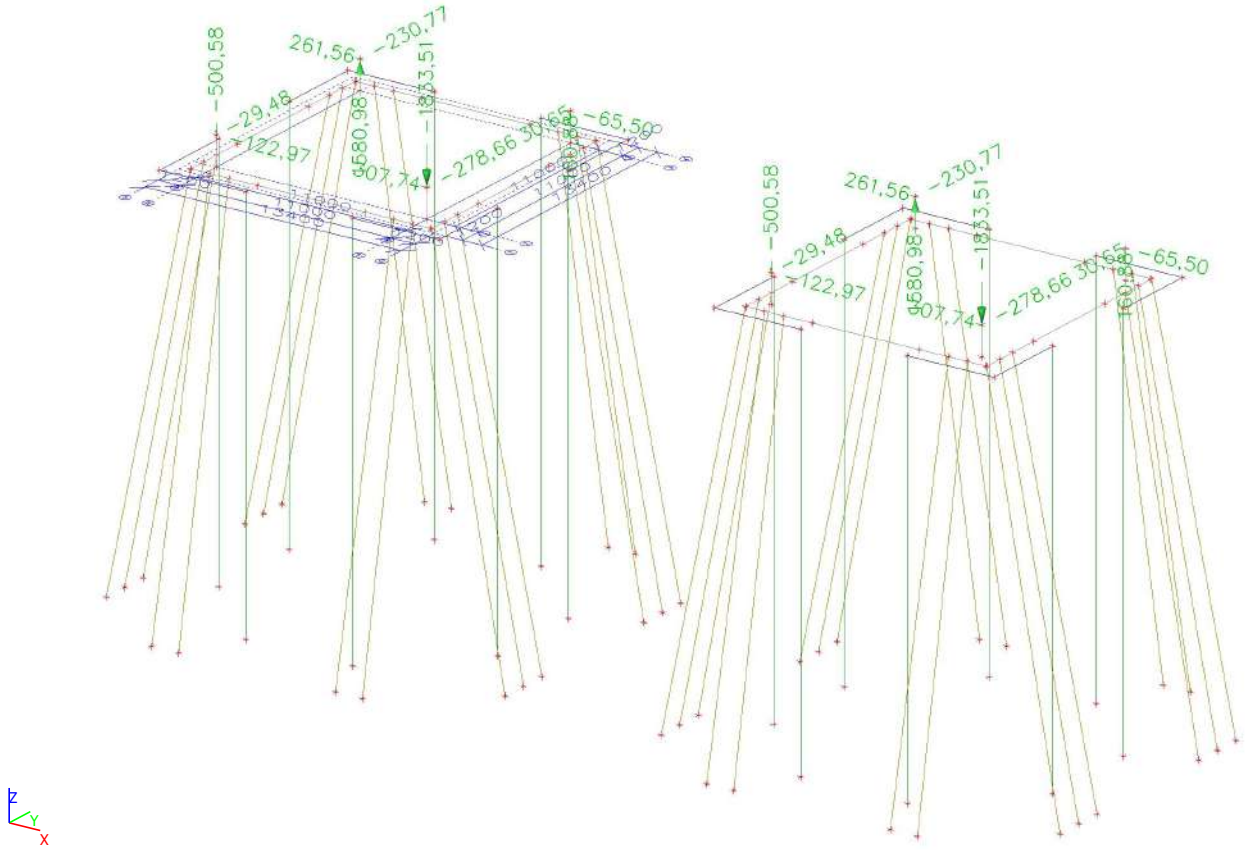
6.1.6.1. Point force in node

Name	Node	Load case	System	Dir	Type	Value - F [kN]
low max Wnd ;135°_1P_X	1P	low max Wnd ;135°	GCS	X	Force	261,62
low max Wnd ;135°_1P_Y	1P	low max Wnd ;135°	GCS	Y	Force	230,84
low max Wnd ;135°_1P_Z	1P	low max Wnd ;135°	GCS	Z	Force	1581,31
low max Wnd ;135°_1X_X	1X	low max Wnd ;135°	GCS	X	Force	-122,95
low max Wnd ;135°_1X_Y	1X	low max Wnd ;135°	GCS	Y	Force	29,41
low max Wnd ;135°_1X_Z	1X	low max Wnd ;135°	GCS	Z	Force	-500,18
low max Wnd ;135°_1XY_X	1XY	low max Wnd ;135°	GCS	X	Force	307,74
low max Wnd ;135°_1XY_Y	1XY	low max Wnd ;135°	GCS	Y	Force	278,76
low max Wnd ;135°_1XY_Z	1XY	low max Wnd ;135°	GCS	Z	Force	-1833,81
low max Wnd ;135°_1Y_X	1Y	low max Wnd ;135°	GCS	X	Force	-65,44
low max Wnd ;135°_1Y_Y	1Y	low max Wnd ;135°	GCS	Y	Force	-30,67
low max Wnd ;135°_1Y_Z	1Y	low max Wnd ;135°	GCS	Z	Force	160,48
low max Wnd ;135°_1Y_X1	1Y2	low max Wnd ;135°	GCS	X	Force	-65,44
low max Wnd ;135°_1Y_Y1	1Y2	low max Wnd ;135°	GCS	Y	Force	-30,67
low max Wnd	1Y2	low max Wnd ;135°	GCS	Z	Force	160,48

Name	Node	Load case	System	Dir	Type	Value - F [kN]
;135°_1Y_Z1						
low max Wnd ;135°_1XY_X1	1XY2	low max Wnd ;135°	GCS	X	Force	307,74
low max Wnd ;135°_1XY_Y1	1XY2	low max Wnd ;135°	GCS	Y	Force	278,76
low max Wnd ;135°_1XY_Z1	1XY2	low max Wnd ;135°	GCS	Z	Force	-1833,81
low max Wnd ;135°_1P_X1	1P2	low max Wnd ;135°	GCS	X	Force	261,62
low max Wnd ;135°_1P_Y1	1P2	low max Wnd ;135°	GCS	Y	Force	230,84
low max Wnd ;135°_1P_Z1	1P2	low max Wnd ;135°	GCS	Z	Force	1581,31
low max Wnd ;135°_1X_X1	1X2	low max Wnd ;135°	GCS	X	Force	-122,95
low max Wnd ;135°_1X_Y1	1X2	low max Wnd ;135°	GCS	Y	Force	29,41
low max Wnd ;135°_1X_Z1	1X2	low max Wnd ;135°	GCS	Z	Force	-500,18

6.1.7. Load cases - low max Wnd ;225°

Name	Description	Action type	Load group	Duration	Master load case
	Spec	Load type			
low max Wnd ;225°	Standard	Variable Static	LG4	Short	None

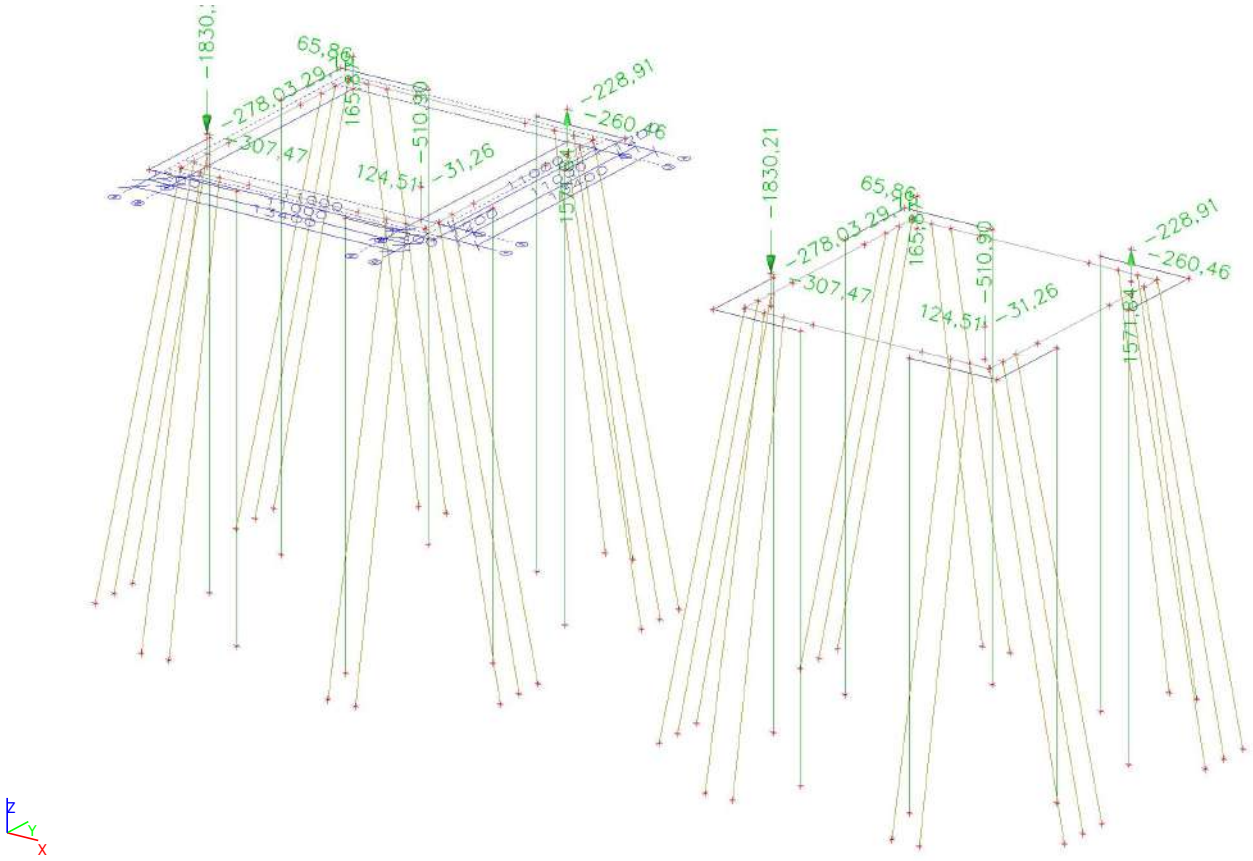


6.1.7.1. Point force in node

Name	Node	Load case	System	Dir	Type	Value - F [kN]
low max Wnd ;225°_1P_X	1P	low max Wnd ;225°	GCS	X	Force	-122,97
low max Wnd ;225°_1P_Y	1P	low max Wnd ;225°	GCS	Y	Force	-29,48
low max Wnd ;225°_1P_Z	1P	low max Wnd ;225°	GCS	Z	Force	-500,58
low max Wnd ;225°_1X_X	1X	low max Wnd ;225°	GCS	X	Force	261,56
low max Wnd ;225°_1X_Y	1X	low max Wnd ;225°	GCS	Y	Force	-230,77
low max Wnd ;225°_1X_Z	1X	low max Wnd ;225°	GCS	Z	Force	1580,98
low max Wnd ;225°_1XY_X	1XY	low max Wnd ;225°	GCS	X	Force	-65,50
low max Wnd ;225°_1XY_Y	1XY	low max Wnd ;225°	GCS	Y	Force	30,65
low max Wnd ;225°_1XY_Z	1XY	low max Wnd ;225°	GCS	Z	Force	160,88
low max Wnd ;225°_1Y_X	1Y	low max Wnd ;225°	GCS	X	Force	307,74
low max Wnd ;225°_1Y_Y	1Y	low max Wnd ;225°	GCS	Y	Force	-278,66
low max Wnd ;225°_1Y_Z	1Y	low max Wnd ;225°	GCS	Z	Force	-1833,51
low max Wnd ;225°_1Y_X1	1Y2	low max Wnd ;225°	GCS	X	Force	307,74
low max Wnd ;225°_1Y_Y1	1Y2	low max Wnd ;225°	GCS	Y	Force	-278,66
low max Wnd ;225°_1Y_Z1	1Y2	low max Wnd ;225°	GCS	Z	Force	-1833,51
low max Wnd ;225°_1XY_X1	1XY2	low max Wnd ;225°	GCS	X	Force	-65,50
low max Wnd ;225°_1XY_Y1	1XY2	low max Wnd ;225°	GCS	Y	Force	30,65
low max Wnd ;225°_1XY_Z1	1XY2	low max Wnd ;225°	GCS	Z	Force	160,88
low max Wnd ;225°_1P_X1	1P2	low max Wnd ;225°	GCS	X	Force	-122,97
low max Wnd ;225°_1P_Y1	1P2	low max Wnd ;225°	GCS	Y	Force	-29,48
low max Wnd ;225°_1P_Z1	1P2	low max Wnd ;225°	GCS	Z	Force	-500,58
low max Wnd ;225°_1X_X1	1X2	low max Wnd ;225°	GCS	X	Force	261,56
low max Wnd ;225°_1X_Y1	1X2	low max Wnd ;225°	GCS	Y	Force	-230,77
low max Wnd ;225°_1X_Z1	1X2	low max Wnd ;225°	GCS	Z	Force	1580,98

6.1.8. Load cases - low max Wnd ;315°

Name	Description	Action type	Load group	Duration	Master load case
	Spec	Load type			
low max Wnd ;315°		Variable	LG4	Short	None
	Standard	Static			



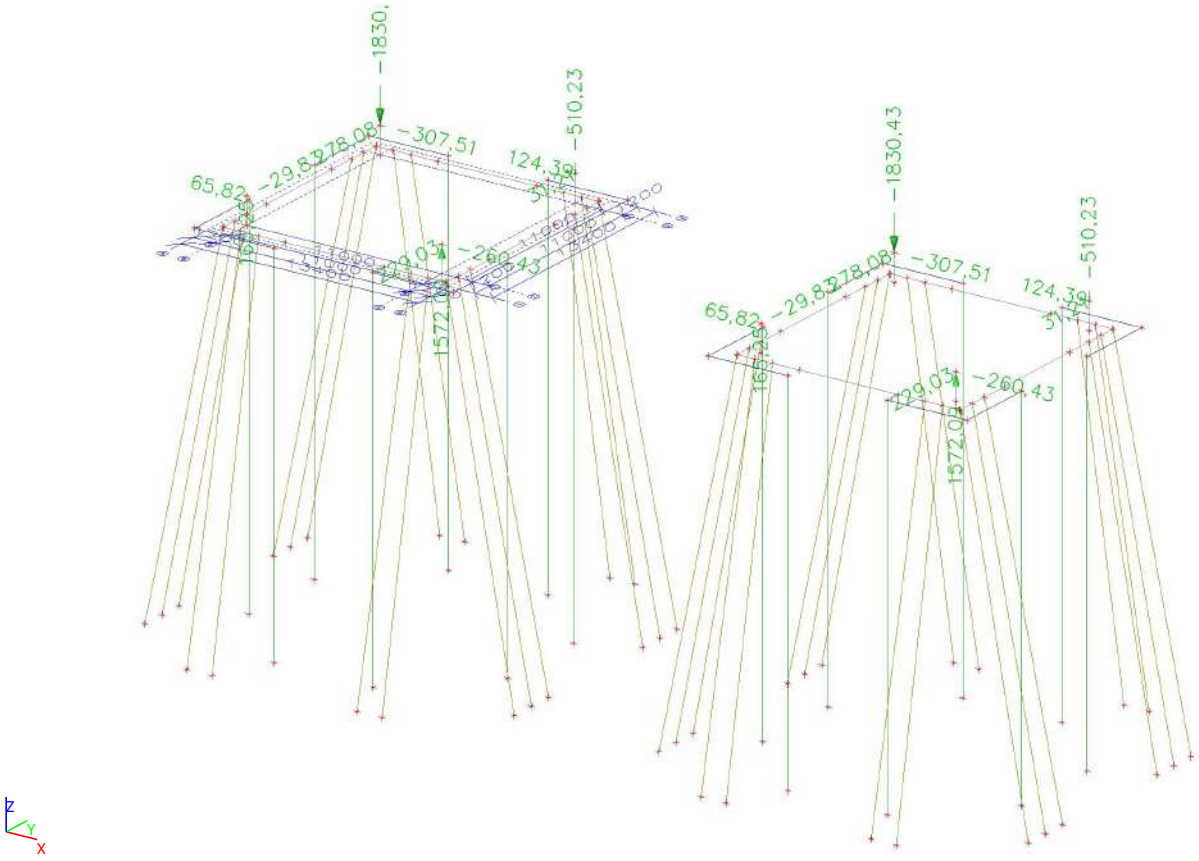
6.1.8.1. Point force in node

Name	Node	Load case	System	Dir	Type	Value - F [kN]
low max Wnd ;315°_1P_X	1P	low max Wnd ;315°	GCS	X	Force	-307,47
low max Wnd ;315°_1P_Y	1P	low max Wnd ;315°	GCS	Y	Force	-278,03
low max Wnd ;315°_1P_Z	1P	low max Wnd ;315°	GCS	Z	Force	-1830,21
low max Wnd ;315°_1X_X	1X	low max Wnd ;315°	GCS	X	Force	65,86
low max Wnd ;315°_1X_Y	1X	low max Wnd ;315°	GCS	Y	Force	29,73
low max Wnd ;315°_1X_Z	1X	low max Wnd ;315°	GCS	Z	Force	165,87
low max Wnd ;315°_1XY_X	1XY	low max Wnd ;315°	GCS	X	Force	-260,46
low max Wnd ;315°_1XY_Y	1XY	low max Wnd ;315°	GCS	Y	Force	-228,91
low max Wnd ;315°_1XY_Z	1XY	low max Wnd ;315°	GCS	Z	Force	1571,84
low max Wnd ;315°_1Y_X	1Y	low max Wnd ;315°	GCS	X	Force	124,51
low max Wnd ;315°_1Y_Y	1Y	low max Wnd ;315°	GCS	Y	Force	-31,26
low max Wnd ;315°_1Y_Z	1Y	low max Wnd ;315°	GCS	Z	Force	-510,90
low max Wnd ;315°_1Y_X1	1Y2	low max Wnd ;315°	GCS	X	Force	124,51
low max Wnd ;315°_1Y_Y1	1Y2	low max Wnd ;315°	GCS	Y	Force	-31,26
low max Wnd	1Y2	low max Wnd ;315°	GCS	Z	Force	-510,90

Name	Node	Load case	System	Dir	Type	Value - F [kN]
;315°_1Y_Z1						
low max Wnd ;315°_1XY_X1	1XY2	low max Wnd ;315°	GCS	X	Force	-260,46
low max Wnd ;315°_1XY_Y1	1XY2	low max Wnd ;315°	GCS	Y	Force	-228,91
low max Wnd ;315°_1XY_Z1	1XY2	low max Wnd ;315°	GCS	Z	Force	1571,84
low max Wnd ;315°_1P_X1	1P2	low max Wnd ;315°	GCS	X	Force	-307,47
low max Wnd ;315°_1P_Y1	1P2	low max Wnd ;315°	GCS	Y	Force	-278,03
low max Wnd ;315°_1P_Z1	1P2	low max Wnd ;315°	GCS	Z	Force	-1830,21
low max Wnd ;315°_1X_X1	1X2	low max Wnd ;315°	GCS	X	Force	65,86
low max Wnd ;315°_1X_Y1	1X2	low max Wnd ;315°	GCS	Y	Force	29,73
low max Wnd ;315°_1X_Z1	1X2	low max Wnd ;315°	GCS	Z	Force	165,87

6.1.9. Load cases - low max Wnd ;45°

Name	Description	Action type	Load group	Duration	Master load case
	Spec	Load type			
low max Wnd ;45°		Variable	LG4	Short	None
	Standard	Static			



6.1.9.1. Point force in node

Name	Node	Load case	System	Dir	Type	Value - F [kN]
low max Wnd ;45°_1P_X	1P	low max Wnd ;45°	GCS	X	Force	65,82
low max Wnd ;45°_1P_Y	1P	low max Wnd ;45°	GCS	Y	Force	-29,83
low max Wnd ;45°_1P_Z	1P	low max Wnd ;45°	GCS	Z	Force	165,25
low max Wnd ;45°_1X_X	1X	low max Wnd ;45°	GCS	X	Force	-307,51
low max Wnd ;45°_1X_Y	1X	low max Wnd ;45°	GCS	Y	Force	278,08
low max Wnd ;45°_1X_Z	1X	low max Wnd ;45°	GCS	Z	Force	-1830,43
low max Wnd ;45°_1XY_X	1XY	low max Wnd ;45°	GCS	X	Force	124,39
low max Wnd ;45°_1XY_Y	1XY	low max Wnd ;45°	GCS	Y	Force	31,21
low max Wnd ;45°_1XY_Z	1XY	low max Wnd ;45°	GCS	Z	Force	-510,23
low max Wnd ;45°_1Y_X	1Y	low max Wnd ;45°	GCS	X	Force	-260,43
low max Wnd ;45°_1Y_Y	1Y	low max Wnd ;45°	GCS	Y	Force	229,03
low max Wnd ;45°_1Y_Z	1Y	low max Wnd ;45°	GCS	Z	Force	1572,09
low max Wnd ;45°_1Y_X1	1Y2	low max Wnd ;45°	GCS	X	Force	-260,43
low max Wnd ;45°_1Y_Y1	1Y2	low max Wnd ;45°	GCS	Y	Force	229,03
low max Wnd ;45°_1Y_Z1	1Y2	low max Wnd ;45°	GCS	Z	Force	1572,09
low max Wnd ;45°_1XY_X1	1XY2	low max Wnd ;45°	GCS	X	Force	124,39
low max Wnd ;45°_1XY_Y1	1XY2	low max Wnd ;45°	GCS	Y	Force	31,21
low max Wnd ;45°_1XY_Z1	1XY2	low max Wnd ;45°	GCS	Z	Force	-510,23
low max Wnd ;45°_1P_X1	1P2	low max Wnd ;45°	GCS	X	Force	65,82
low max Wnd ;45°_1P_Y1	1P2	low max Wnd ;45°	GCS	Y	Force	-29,83
low max Wnd ;45°_1P_Z1	1P2	low max Wnd ;45°	GCS	Z	Force	165,25
low max Wnd ;45°_1X_X1	1X2	low max Wnd ;45°	GCS	X	Force	-307,51
low max Wnd ;45°_1X_Y1	1X2	low max Wnd ;45°	GCS	Y	Force	278,08
low max Wnd ;45°_1X_Z1	1X2	low max Wnd ;45°	GCS	Z	Force	-1830,43

6.2. Nonlinear combinations

Name	Type	Load cases	Coeff. [-]
high max + Wnd ;45°	Ultimate	E.G.	1,20
		high max Wnd ;45°	1,00
high max + Wnd ;135°	Ultimate	E.G.	1,20
		high max Wnd ;135°	1,00
high max + Wnd ;225°	Ultimate	E.G.	1,20
		high max Wnd ;225°	1,00
high max + Wnd ;315°	Ultimate	E.G.	1,20
		high max Wnd ;315°	1,00
low max + Wnd ;45°	Ultimate	E.G.	0,90
		low max Wnd ;45°	1,00
low max + Wnd ;135°	Ultimate	E.G.	0,90

Name	Type	Load cases	Coeff. [-]
		low max Wnd ;135°	1,00
low max + Wnd ;225°	Ultimate	E.G.	0,90
		low max Wnd ;225°	1,00
low max + Wnd ;315°	Ultimate	E.G.	0,90
		low max Wnd ;315°	1,00

6.3. Result classes

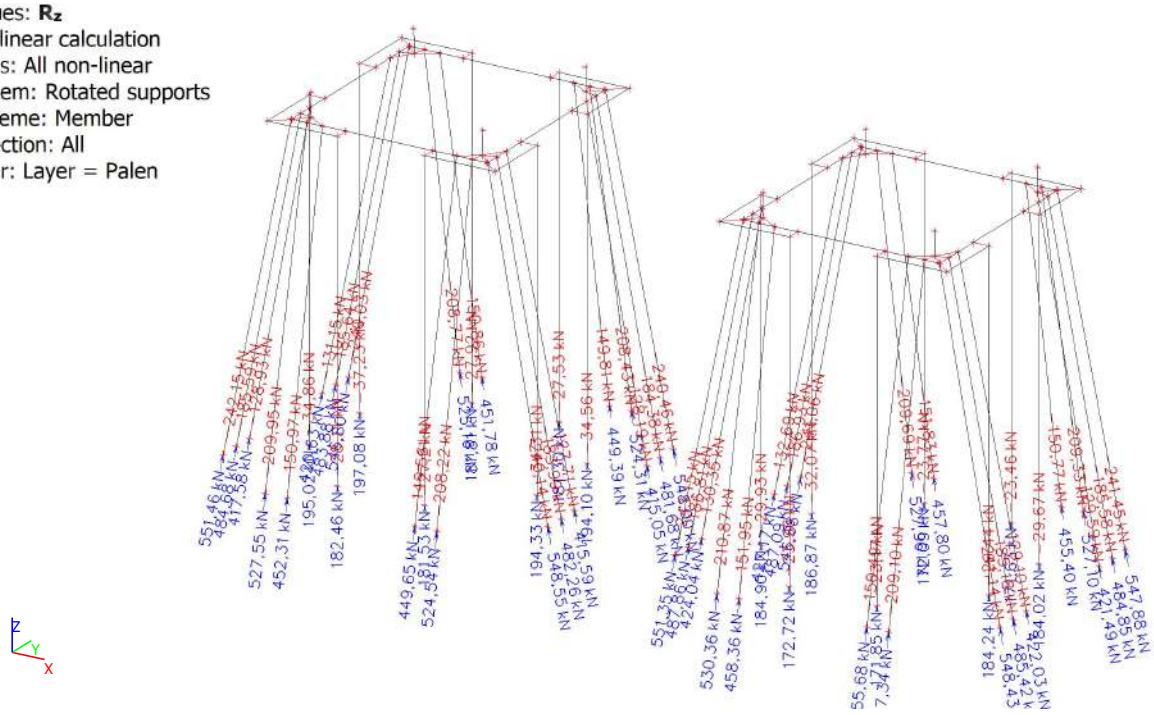
Name	List
All non-linear	high max + Wnd ;45°
	high max + Wnd ;135°
	high max + Wnd ;225°
	high max + Wnd ;315°
	low max + Wnd ;45°
	low max + Wnd ;135°
	low max + Wnd ;225°
	low max + Wnd ;315°

7. Resultaten

7.1. Reacties van de palen

7.1.1. Reactions; R_z

Values: R_z
Nonlinear calculation
Class: All non-linear
System: Rotated supports
Extreme: Member
Selection: All
Filter: Layer = Palen



7.1.2. Reactions

Nonlinear calculation
Class: All non-linear
System: Rotated supports
Extreme: Global
Selection: All
Filter: Cross-section = Funderingspaal - Rectangle (400; 400)
Nodal reactions

Name	Case	R_x [kN]	R_y [kN]	R_z [kN]	M_x [kNm]	M_y [kNm]	M_z [kNm]	e_x [mm]	e_y [mm]
Sn32/N10	high max + Wnd ;135°	**0,00**	0,00	548,00	0,00	0,00	0,00	0,0	0,0
Sn78/N275	high max + Wnd ;315°	**0,00**	0,00	551,35	**0,00**	**0,00**	**0,00**	0,0	0,0
Sn93/N290	high max + Wnd ;45°	0,00	**0,00**	527,96	0,00	0,00	0,00	0,0	0,0
Sn91/N288	high max + Wnd ;135°	0,00	**0,00**	527,10	0,00	0,00	0,00	0,0	0,0
Sn78/N275	low max + Wnd ;135°	0,00	0,00	**-243,15**	0,00	0,00	0,00	0,0	0,0
Sn21/N44	high max + Wnd ;315°	0,00	0,00	**551,46**	0,00	0,00	0,00	0,0	0,0

7.1.3. Reactions

Nonlinear calculation
Class: All non-linear
System: Rotated supports
Extreme: Global
Selection: All
Filter: Cross-section = LEKA Paal - type e (CHS219.1/10.0)
Nodal reactions

Name	Case	R_x [kN]	R_y [kN]	R_z [kN]	M_x [kNm]	M_y [kNm]	M_z [kNm]	e_x [mm]	e_y [mm]
Sn111/N72	low max + Wnd ;225°	0,00	0,00	**-37,23**	0,00	0,00	0,00	0,0	0,0
Sn111/N72	high max + Wnd ;45°	**0,00**	**0,00**	**197,08**	**0,00**	**0,00**	**0,00**	0,0	0,0

7.1.4. Reactions

Nonlinear calculation
Class: All non-linear
System: Rotated supports
Extreme: Member
Selection: All
Filter: Layer = Palen

Nodal reactions

Name	Case	R_x [kN]	R_y [kN]	R_z [kN]	M_x [kNm]	M_y [kNm]	M_z [kNm]	e_x [mm]	e_y [mm]
Sn21/N44	low max + Wnd ;135°	0,00	**0,00**	**-242,15**	0,00	0,00	0,00	0,0	0,0
Sn21/N44	high max + Wnd ;315°	**0,00**	0,00	**551,46**	**0,00**	**0,00**	**0,00**	0,0	0,0
Sn21/N44	low max + Wnd ;315°	**0,00**	**0,00**	511,28	0,00	0,00	**0,00**	0,0	0,0
Sn22/N45	low max + Wnd ;135°	0,00	0,00	**-185,59**	0,00	0,00	0,00	0,0	0,0
Sn22/N45	high max + Wnd ;315°	**0,00**	**0,00**	**484,68**	**0,00**	**0,00**	**0,00**	0,0	0,0
Sn22/N45	high max + Wnd ;135°	**0,00**	0,00	-146,70	0,00	0,00	**0,00**	0,0	0,0
Sn23/N46	low max + Wnd ;225°	**0,00**	0,00	158,69	**0,00**	**0,00**	**0,00**	0,0	0,0
Sn23/N46	high max + Wnd ;315°	0,00	**0,00**	**417,58**	0,00	0,00	0,00	0,0	0,0
Sn23/N46	low max + Wnd ;135°	0,00	**0,00**	**-128,93**	0,00	0,00	0,00	0,0	0,0
Sn23/N46	low max + Wnd ;45°	**0,00**	0,00	107,18	0,00	0,00	**0,00**	0,0	0,0
Sn24/N47	low max + Wnd ;315°	**0,00**	0,00	486,30	**0,00**	**0,00**	**0,00**	0,0	0,0
Sn24/N47	low max + Wnd ;225°	0,00	**0,00**	255,41	0,00	0,00	0,00	0,0	0,0
Sn24/N47	high max + Wnd ;225°	0,00	**0,00**	297,13	0,00	0,00	0,00	0,0	0,0
Sn24/N47	high max + Wnd ;315°	0,00	0,00	**527,55**	0,00	0,00	0,00	0,0	0,0
Sn24/N47	low max + Wnd ;135°	**0,00**	0,00	**-209,95**	0,00	0,00	**0,00**	0,0	0,0
Sn26/N48	high max + Wnd ;225°	0,00	**0,00**	264,86	**0,00**	**0,00**	**0,00**	0,0	0,0
Sn26/N48	low max + Wnd ;135°	**0,00**	**0,00**	**-150,97**	0,00	0,00	0,00	0,0	0,0
Sn26/N48	high max + Wnd ;315°	**0,00**	0,00	**452,31**	0,00	0,00	**0,00**	0,0	0,0
Sn27/N49	high max + Wnd ;45°	0,00	**0,00**	-203,16	0,00	0,00	0,00	0,0	0,0
Sn27/N49	low max + Wnd ;225°	0,00	**0,00**	512,11	**0,00**	**0,00**	**0,00**	0,0	0,0
Sn27/N49	low max + Wnd ;45°	0,00	0,00	**-240,14**	0,00	0,00	0,00	0,0	0,0
Sn27/N49	high max + Wnd ;225°	**0,00**	0,00	**548,55**	0,00	0,00	0,00	0,0	0,0
Sn27/N49	high max + Wnd ;315°	**0,00**	0,00	220,78	0,00	0,00	**0,00**	0,0	0,0
Sn28/N50	high max + Wnd ;315°	**0,00**	**0,00**	211,51	**0,00**	**0,00**	**0,00**	0,0	0,0
Sn28/N50	low max +	0,00	0,00	**-183,99**	0,00	0,00	0,00	0,0	0,0

Name	Case	R_x [kN]	R_y [kN]	R_z [kN]	M_x [kNm]	M_y [kNm]	M_z [kNm]	e_x [mm]	e_y [mm]
	Wnd ;45°								
Sn28/N50	high max + Wnd ;225°	0,00	0,00	**482,26**	0,00	0,00	0,00	0,0	0,0
Sn28/N50	low max + Wnd ;225°	**0,00**	0,00	444,06	0,00	0,00	**0,00**	0,0	0,0
Sn29/N51	high max + Wnd ;225°	0,00	**0,00**	**415,59**	**0,00**	**0,00**	**0,00**	0,0	0,0
Sn29/N51	low max + Wnd ;45°	**0,00**	**0,00**	**-127,71**	0,00	0,00	0,00	0,0	0,0
Sn29/N51	low max + Wnd ;135°	**0,00**	0,00	107,50	0,00	0,00	**0,00**	0,0	0,0
Sn30/N52	low max + Wnd ;45°	**0,00**	**0,00**	**-208,22**	**0,00**	**0,00**	**0,00**	0,0	0,0
Sn30/N52	high max + Wnd ;225°	**0,00**	**0,00**	**524,54**	0,00	0,00	**0,00**	0,0	0,0
Sn31/N53	low max + Wnd ;225°	0,00	**0,00**	410,03	0,00	0,00	0,00	0,0	0,0
Sn31/N53	high max + Wnd ;225°	**0,00**	**0,00**	**449,65**	**0,00**	**0,00**	**0,00**	0,0	0,0
Sn31/N53	low max + Wnd ;45°	**0,00**	0,00	**-149,56**	0,00	0,00	**0,00**	0,0	0,0
Sn32/N10	low max + Wnd ;135°	0,00	**0,00**	511,70	**0,00**	**0,00**	**0,00**	0,0	0,0
Sn32/N10	low max + Wnd ;315°	**0,00**	**0,00**	**-240,46**	0,00	0,00	0,00	0,0	0,0
Sn32/N10	high max + Wnd ;135°	**0,00**	0,00	**548,00**	0,00	0,00	**0,00**	0,0	0,0
Sn33/N11	high max + Wnd ;315°	**0,00**	**0,00**	-148,79	**0,00**	**0,00**	**0,00**	0,0	0,0
Sn33/N11	low max + Wnd ;315°	0,00	0,00	**-184,38**	0,00	0,00	0,00	0,0	0,0
Sn33/N11	high max + Wnd ;135°	0,00	0,00	**481,68**	0,00	0,00	0,00	0,0	0,0
Sn33/N11	low max + Wnd ;135°	**0,00**	0,00	443,64	0,00	0,00	**0,00**	0,0	0,0
Sn34/N12	high max + Wnd ;315°	**0,00**	0,00	-93,88	**0,00**	**0,00**	**0,00**	0,0	0,0
Sn34/N12	low max + Wnd ;315°	0,00	**0,00**	**-128,19**	0,00	0,00	0,00	0,0	0,0
Sn34/N12	high max + Wnd ;135°	**0,00**	**0,00**	**415,05**	0,00	0,00	**0,00**	0,0	0,0
Sn35/N13	low max + Wnd ;135°	0,00	**0,00**	486,57	**0,00**	**0,00**	**0,00**	0,0	0,0
Sn35/N13	low max + Wnd ;315°	**0,00**	**0,00**	**-208,43**	0,00	0,00	0,00	0,0	0,0
Sn35/N13	high max + Wnd ;135°	**0,00**	0,00	**524,31**	0,00	0,00	**0,00**	0,0	0,0
Sn36/N14	high max + Wnd ;135°	**0,00**	**0,00**	**449,39**	0,00	0,00	0,00	0,0	0,0
Sn36/N14	low max + Wnd ;225°	0,00	**0,00**	47,18	**0,00**	**0,00**	**0,00**	0,0	0,0
Sn36/N14	low max + Wnd ;315°	**0,00**	0,00	**-149,81**	0,00	0,00	**0,00**	0,0	0,0
Sn37/N15	low max + Wnd ;45°	0,00	**0,00**	484,06	0,00	0,00	0,00	0,0	0,0
Sn37/N15	low max + Wnd ;315°	0,00	**0,00**	9,34	**0,00**	**0,00**	**0,00**	0,0	0,0
Sn37/N15	high max + Wnd ;45°	**0,00**	0,00	**525,16**	0,00	0,00	0,00	0,0	0,0
Sn37/N15	low max + Wnd ;225°	**0,00**	0,00	**-208,77**	0,00	0,00	**0,00**	0,0	0,0
Sn38/N2	low max + Wnd ;135°	0,00	**0,00**	221,90	**0,00**	**0,00**	**0,00**	0,0	0,0
Sn38/N2	low max + Wnd ;225°	**0,00**	0,00	**-150,86**	0,00	0,00	0,00	0,0	0,0
Sn38/N2	high max +	**0,00**	**0,00**	**451,78**	0,00	0,00	**0,00**	0,0	0,0

Name	Case	R_x [kN]	R_y [kN]	R_z [kN]	M_x [kNm]	M_y [kNm]	M_z [kNm]	e_x [mm]	e_y [mm]
	Wnd ;45°								
Sn39/N3	high max + Wnd ;45°	**0,00**	**0,00**	**546,80**	**0,00**	**0,00**	**0,00**	0,0	0,0
Sn39/N3	low max + Wnd ;225°	0,00	**0,00**	**-240,03**	0,00	0,00	0,00	0,0	0,0
Sn39/N3	low max + Wnd ;135°	**0,00**	0,00	178,16	0,00	0,00	**0,00**	0,0	0,0
Sn40/N4	high max + Wnd ;135°	**0,00**	**0,00**	211,90	**0,00**	**0,00**	**0,00**	0,0	0,0
Sn40/N4	high max + Wnd ;45°	0,00	0,00	**483,88**	0,00	0,00	0,00	0,0	0,0
Sn40/N4	low max + Wnd ;225°	**0,00**	0,00	**-185,64**	0,00	0,00	**0,00**	0,0	0,0
Sn41/N54	low max + Wnd ;135°	**0,00**	0,00	159,61	**0,00**	**0,00**	**0,00**	0,0	0,0
Sn41/N54	high max + Wnd ;45°	0,00	**0,00**	**420,63**	0,00	0,00	0,00	0,0	0,0
Sn41/N54	low max + Wnd ;225°	**0,00**	**0,00**	**-131,15**	0,00	0,00	**0,00**	0,0	0,0
Sn109/N60	low max + Wnd ;315°	0,00	0,00	**-27,53**	0,00	0,00	0,00	0,0	0,0
Sn109/N60	high max + Wnd ;135°	**0,00**	**0,00**	**181,30**	**0,00**	**0,00**	**0,00**	0,0	0,0
Sn107/N61	low max + Wnd ;315°	0,00	0,00	**-34,56**	0,00	0,00	0,00	0,0	0,0
Sn107/N61	high max + Wnd ;135°	**0,00**	**0,00**	**194,10**	**0,00**	**0,00**	**0,00**	0,0	0,0
Sn110/N70	low max + Wnd ;225°	**0,00**	**0,00**	**-27,92**	**0,00**	**0,00**	**0,00**	0,0	0,0
Sn110/N70	high max + Wnd ;45°	0,00	0,00	**181,81**	0,00	0,00	**0,00**	0,0	0,0
Sn111/N72	low max + Wnd ;225°	**0,00**	**0,00**	**-37,23**	**0,00**	**0,00**	**0,00**	0,0	0,0
Sn111/N72	high max + Wnd ;45°	0,00	0,00	**197,08**	0,00	0,00	**0,00**	0,0	0,0
Sn108/N81	low max + Wnd ;45°	0,00	0,00	**-34,31**	0,00	0,00	0,00	0,0	0,0
Sn108/N81	high max + Wnd ;225°	**0,00**	**0,00**	**194,33**	**0,00**	**0,00**	**0,00**	0,0	0,0
Sn106/N80	low max + Wnd ;45°	0,00	0,00	**-27,21**	0,00	0,00	0,00	0,0	0,0
Sn106/N80	high max + Wnd ;225°	**0,00**	**0,00**	**181,53**	**0,00**	**0,00**	**0,00**	0,0	0,0
Sn113/N75	low max + Wnd ;135°	0,00	0,00	**-28,11**	0,00	0,00	0,00	0,0	0,0
Sn113/N75	high max + Wnd ;315°	**0,00**	**0,00**	**182,46**	**0,00**	**0,00**	**0,00**	0,0	0,0
Sn112/N77	low max + Wnd ;135°	0,00	0,00	**-34,86**	0,00	0,00	0,00	0,0	0,0
Sn112/N77	high max + Wnd ;315°	**0,00**	**0,00**	**195,02**	**0,00**	**0,00**	**0,00**	0,0	0,0
Sn78/N275	high max + Wnd ;315°	**0,00**	**0,00**	**551,35**	**0,00**	**0,00**	**0,00**	0,0	0,0
Sn78/N275	low max + Wnd ;135°	**0,00**	**0,00**	**-243,15**	0,00	0,00	**0,00**	0,0	0,0
Sn79/N276	low max + Wnd ;225°	**0,00**	**0,00**	171,83	**0,00**	**0,00**	**0,00**	0,0	0,0
Sn79/N276	low max + Wnd ;135°	0,00	0,00	**-186,81**	0,00	0,00	0,00	0,0	0,0
Sn79/N276	high max + Wnd ;315°	0,00	0,00	**487,86**	0,00	0,00	0,00	0,0	0,0
Sn79/N276	high max + Wnd ;135°	**0,00**	0,00	-146,72	0,00	0,00	**0,00**	0,0	0,0
Sn80/N277	high max + Wnd ;315°	**0,00**	**0,00**	**424,04**	**0,00**	**0,00**	**0,00**	0,0	0,0
Sn80/N277	low max +	0,00	**0,00**	**-130,35**	0,00	0,00	0,00	0,0	0,0

Name	Case	R_x [kN]	R_y [kN]	R_z [kN]	M_x [kNm]	M_y [kNm]	M_z [kNm]	e_x [mm]	e_y [mm]
	Wnd ;135°								
Sn80/N277	high max + Wnd ;45°	**0,00**	0,00	151,71	0,00	0,00	**0,00**	0,0	0,0
Sn81/N278	high max + Wnd ;315°	**0,00**	**0,00**	**530,36**	0,00	0,00	0,00	0,0	0,0
Sn81/N278	high max + Wnd ;225°	0,00	**0,00**	298,32	**0,00**	**0,00**	**0,00**	0,0	0,0
Sn81/N278	low max + Wnd ;135°	**0,00**	0,00	**-210,87**	0,00	0,00	**0,00**	0,0	0,0
Sn82/N279	high max + Wnd ;135°	**0,00**	0,00	-113,07	**0,00**	**0,00**	**0,00**	0,0	0,0
Sn82/N279	low max + Wnd ;225°	0,00	**0,00**	224,29	0,00	0,00	0,00	0,0	0,0
Sn82/N279	high max + Wnd ;225°	0,00	**0,00**	268,33	0,00	0,00	0,00	0,0	0,0
Sn82/N279	low max + Wnd ;135°	0,00	0,00	**-151,95**	0,00	0,00	0,00	0,0	0,0
Sn82/N279	high max + Wnd ;315°	**0,00**	0,00	**458,36**	0,00	0,00	**0,00**	0,0	0,0
Sn83/N280	low max + Wnd ;45°	**0,00**	**0,00**	**-241,14**	0,00	0,00	0,00	0,0	0,0
Sn83/N280	high max + Wnd ;225°	0,00	0,00	**548,43**	**0,00**	**0,00**	**0,00**	0,0	0,0
Sn83/N280	low max + Wnd ;225°	**0,00**	**0,00**	512,11	0,00	0,00	**0,00**	0,0	0,0
Sn84/N281	high max + Wnd ;315°	**0,00**	**0,00**	214,16	**0,00**	**0,00**	**0,00**	0,0	0,0
Sn84/N281	low max + Wnd ;45°	0,00	0,00	**-185,18**	0,00	0,00	0,00	0,0	0,0
Sn84/N281	high max + Wnd ;225°	**0,00**	0,00	**485,42**	0,00	0,00	**0,00**	0,0	0,0
Sn85/N282	low max + Wnd ;225°	**0,00**	0,00	381,08	**0,00**	**0,00**	**0,00**	0,0	0,0
Sn85/N282	low max + Wnd ;45°	0,00	**0,00**	**-129,10**	0,00	0,00	0,00	0,0	0,0
Sn85/N282	high max + Wnd ;225°	**0,00**	**0,00**	**422,03**	0,00	0,00	**0,00**	0,0	0,0
Sn86/N283	low max + Wnd ;45°	**0,00**	**0,00**	**-209,10**	0,00	0,00	0,00	0,0	0,0
Sn86/N283	high max + Wnd ;225°	0,00	**0,00**	**527,34**	**0,00**	**0,00**	**0,00**	0,0	0,0
Sn86/N283	low max + Wnd ;225°	**0,00**	0,00	488,99	0,00	0,00	**0,00**	0,0	0,0
Sn87/N284	low max + Wnd ;315°	0,00	**0,00**	226,05	**0,00**	**0,00**	**0,00**	0,0	0,0
Sn87/N284	high max + Wnd ;225°	**0,00**	0,00	**455,68**	0,00	0,00	0,00	0,0	0,0
Sn87/N284	low max + Wnd ;45°	**0,00**	**0,00**	**-150,49**	0,00	0,00	**0,00**	0,0	0,0
Sn88/N285	high max + Wnd ;135°	0,00	**0,00**	**547,88**	**0,00**	**0,00**	**0,00**	0,0	0,0
Sn88/N285	low max + Wnd ;315°	**0,00**	**0,00**	**-241,45**	0,00	0,00	0,00	0,0	0,0
Sn88/N285	low max + Wnd ;135°	**0,00**	0,00	511,71	0,00	0,00	**0,00**	0,0	0,0
Sn89/N286	high max + Wnd ;225°	**0,00**	**0,00**	130,67	**0,00**	**0,00**	**0,00**	0,0	0,0
Sn89/N286	low max + Wnd ;315°	0,00	0,00	**-185,58**	0,00	0,00	0,00	0,0	0,0
Sn89/N286	high max + Wnd ;135°	0,00	0,00	**484,85**	0,00	0,00	0,00	0,0	0,0
Sn89/N286	low max + Wnd ;135°	**0,00**	0,00	446,37	0,00	0,00	**0,00**	0,0	0,0
Sn90/N287	low max + Wnd ;225°	**0,00**	0,00	108,26	**0,00**	**0,00**	**0,00**	0,0	0,0
Sn90/N287	low max +	0,00	**0,00**	**-129,59**	0,00	0,00	0,00	0,0	0,0

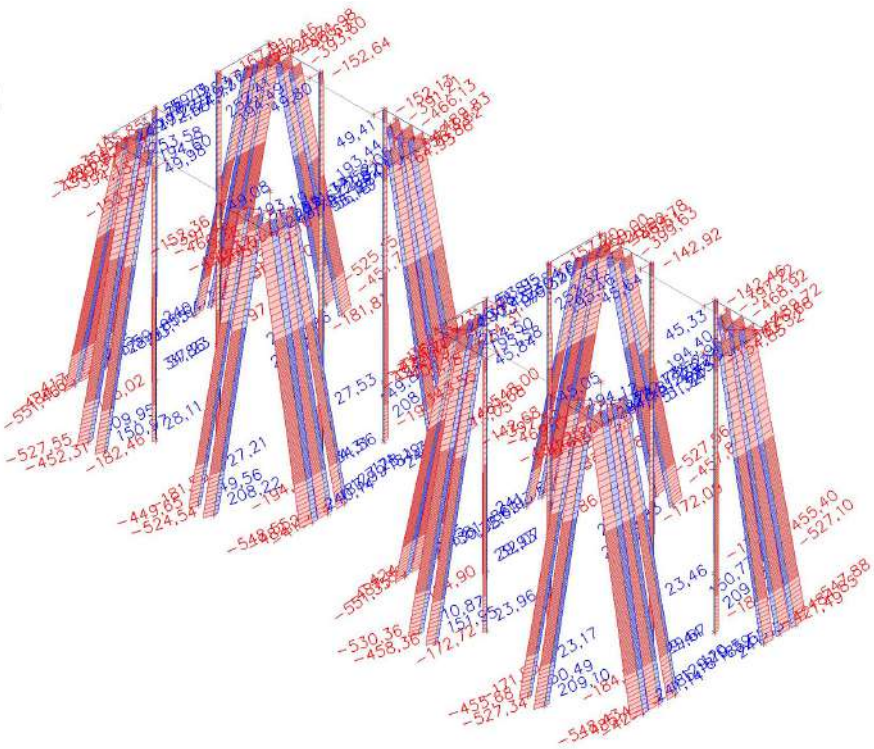
Name	Case	R_x [kN]	R_y [kN]	R_z [kN]	M_x [kNm]	M_y [kNm]	M_z [kNm]	e_x [mm]	e_y [mm]
	Wnd ;315°								
Sn90/N287	high max + Wnd ;135°	**0,00**	**0,00**	**421,49**	0,00	0,00	**0,00**	0,0	0,0
Sn91/N288	low max + Wnd ;135°	0,00	**0,00**	488,84	**0,00**	**0,00**	**0,00**	0,0	0,0
Sn91/N288	low max + Wnd ;315°	**0,00**	0,00	**-209,33**	0,00	0,00	0,00	0,0	0,0
Sn91/N288	high max + Wnd ;135°	**0,00**	**0,00**	**527,10**	0,00	0,00	**0,00**	0,0	0,0
Sn92/N289	low max + Wnd ;225°	0,00	**0,00**	51,03	0,00	0,00	0,00	0,0	0,0
Sn92/N289	low max + Wnd ;315°	0,00	0,00	**-150,77**	0,00	0,00	0,00	0,0	0,0
Sn92/N289	high max + Wnd ;135°	**0,00**	**0,00**	**455,40**	**0,00**	**0,00**	**0,00**	0,0	0,0
Sn92/N289	high max + Wnd ;315°	**0,00**	0,00	-114,95	0,00	0,00	**0,00**	0,0	0,0
Sn93/N290	high max + Wnd ;45°	**0,00**	**0,00**	**527,96**	**0,00**	**0,00**	**0,00**	0,0	0,0
Sn93/N290	low max + Wnd ;225°	0,00	0,00	**-209,69**	0,00	0,00	0,00	0,0	0,0
Sn93/N290	high max + Wnd ;225°	**0,00**	**0,00**	-169,71	0,00	0,00	**0,00**	0,0	0,0
Sn94/N291	low max + Wnd ;225°	**0,00**	**0,00**	**-151,83**	0,00	0,00	0,00	0,0	0,0
Sn94/N291	high max + Wnd ;45°	0,00	0,00	**457,80**	**0,00**	**0,00**	**0,00**	0,0	0,0
Sn94/N291	low max + Wnd ;45°	**0,00**	**0,00**	414,14	0,00	0,00	**0,00**	0,0	0,0
Sn95/N292	high max + Wnd ;45°	**0,00**	**0,00**	**546,68**	**0,00**	**0,00**	**0,00**	0,0	0,0
Sn95/N292	low max + Wnd ;225°	0,00	**0,00**	**-241,06**	0,00	0,00	0,00	0,0	0,0
Sn95/N292	high max + Wnd ;225°	**0,00**	0,00	-200,02	0,00	0,00	**0,00**	0,0	0,0
Sn96/N293	high max + Wnd ;135°	**0,00**	**0,00**	214,57	**0,00**	**0,00**	**0,00**	0,0	0,0
Sn96/N293	low max + Wnd ;225°	0,00	0,00	**-186,93**	0,00	0,00	0,00	0,0	0,0
Sn96/N293	high max + Wnd ;45°	0,00	0,00	**487,09**	0,00	0,00	0,00	0,0	0,0
Sn96/N293	high max + Wnd ;225°	**0,00**	0,00	-146,94	0,00	0,00	**0,00**	0,0	0,0
Sn97/N294	low max + Wnd ;45°	**0,00**	0,00	383,69	**0,00**	**0,00**	**0,00**	0,0	0,0
Sn97/N294	low max + Wnd ;225°	0,00	**0,00**	**-132,69**	0,00	0,00	0,00	0,0	0,0
Sn97/N294	high max + Wnd ;45°	0,00	**0,00**	**427,17**	0,00	0,00	0,00	0,0	0,0
Sn97/N294	high max + Wnd ;315°	**0,00**	0,00	150,19	0,00	0,00	**0,00**	0,0	0,0
Sn98/N300	low max + Wnd ;315°	0,00	0,00	**-23,46**	0,00	0,00	0,00	0,0	0,0
Sn98/N300	high max + Wnd ;135°	**0,00**	**0,00**	**171,63**	**0,00**	**0,00**	**0,00**	0,0	0,0
Sn99/N301	low max + Wnd ;315°	0,00	0,00	**-29,67**	0,00	0,00	0,00	0,0	0,0
Sn99/N301	high max + Wnd ;135°	**0,00**	**0,00**	**184,02**	**0,00**	**0,00**	**0,00**	0,0	0,0
Sn100/N306	low max + Wnd ;225°	**0,00**	**0,00**	**-23,77**	**0,00**	**0,00**	**0,00**	0,0	0,0
Sn100/N306	high max + Wnd ;45°	0,00	0,00	**172,09**	0,00	0,00	**0,00**	0,0	0,0
Sn101/N308	low max + Wnd ;225°	**0,00**	**0,00**	**-32,07**	**0,00**	**0,00**	**0,00**	0,0	0,0
Sn101/N308	high max +	0,00	0,00	**186,87**	0,00	0,00	**0,00**	0,0	0,0

Name	Case	R_x [kN]	R_y [kN]	R_z [kN]	M_x [kNm]	M_y [kNm]	M_z [kNm]	e_x [mm]	e_y [mm]
	Wnd ;45°								
Sn105/N317	low max + Wnd ;45°	0,00	0,00	**-29,44**	0,00	0,00	0,00	0,0	0,0
Sn105/N317	high max + Wnd ;225°	**0,00**	**0,00**	**184,24**	**0,00**	**0,00**	**0,00**	0,0	0,0
Sn104/N316	low max + Wnd ;45°	0,00	0,00	**-23,17**	0,00	0,00	0,00	0,0	0,0
Sn104/N316	high max + Wnd ;225°	**0,00**	**0,00**	**171,85**	**0,00**	**0,00**	**0,00**	0,0	0,0
Sn102/N311	low max + Wnd ;135°	0,00	0,00	**-23,96**	0,00	0,00	0,00	0,0	0,0
Sn102/N311	high max + Wnd ;315°	**0,00**	**0,00**	**172,72**	**0,00**	**0,00**	**0,00**	0,0	0,0
Sn103/N313	low max + Wnd ;135°	0,00	0,00	**-29,93**	0,00	0,00	0,00	0,0	0,0
Sn103/N313	high max + Wnd ;315°	**0,00**	**0,00**	**184,90**	**0,00**	**0,00**	**0,00**	0,0	0,0

7.2. Krachten van de Funderingspalen

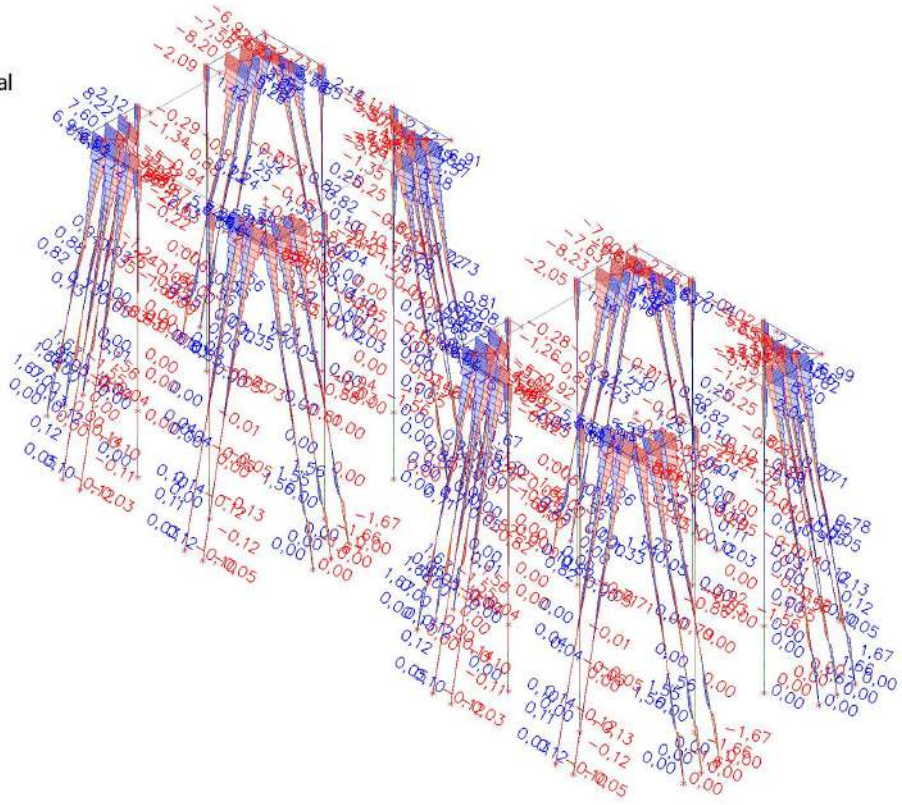
7.2.1. Interne 1D- krachten; N

Values: **N**
Nonlinear calculation
Class: All non-linear
Coordinate system: Principal
Extreme 1D: Local
Selection: All
Filter: Layer = Palen



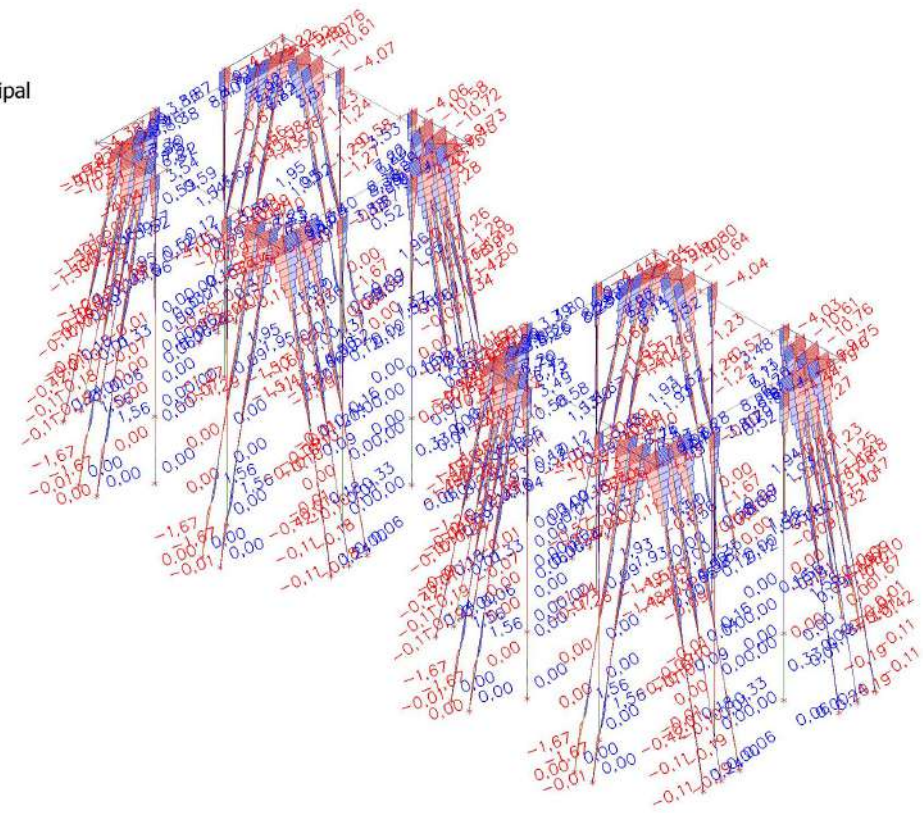
7.2.2. Interne 1D- krachten; V_y

Values: **V_y**
Nonlinear calculation
Class: All non-linear
Coordinate system: Principal
Extreme 1D: Local
Selection: All
Filter: Layer = Palen



7.2.3. Interne 1D- krachten; V_z

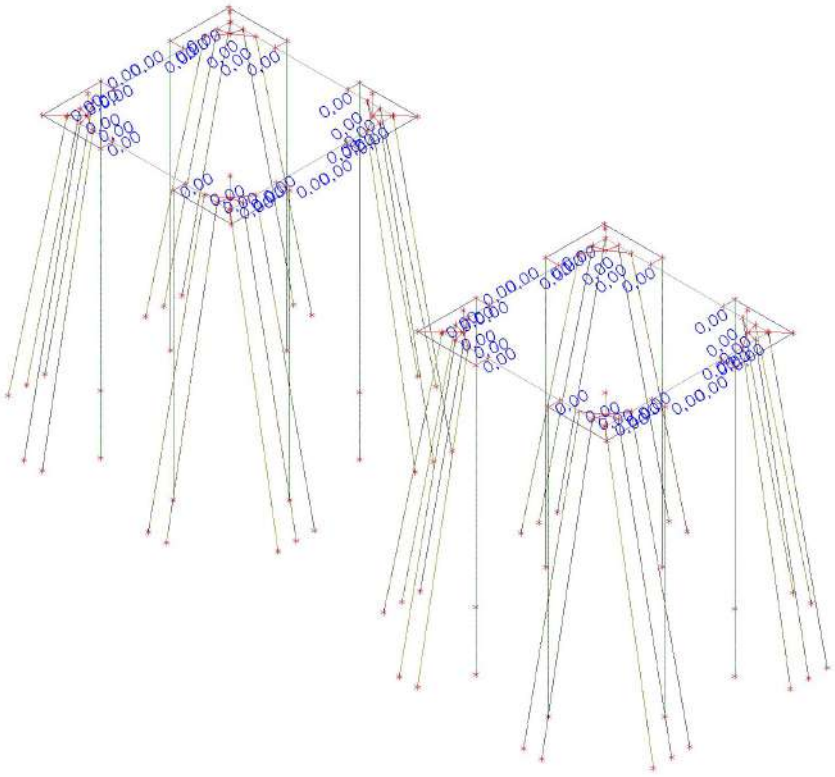
Values: V_z
Nonlinear calculation
Class: All non-linear
Coordinate system: Principal
Extreme 1D: Local
Selection: All
Filter: Layer = Palen





7.2.4. Interne 1D- krachten; M_x

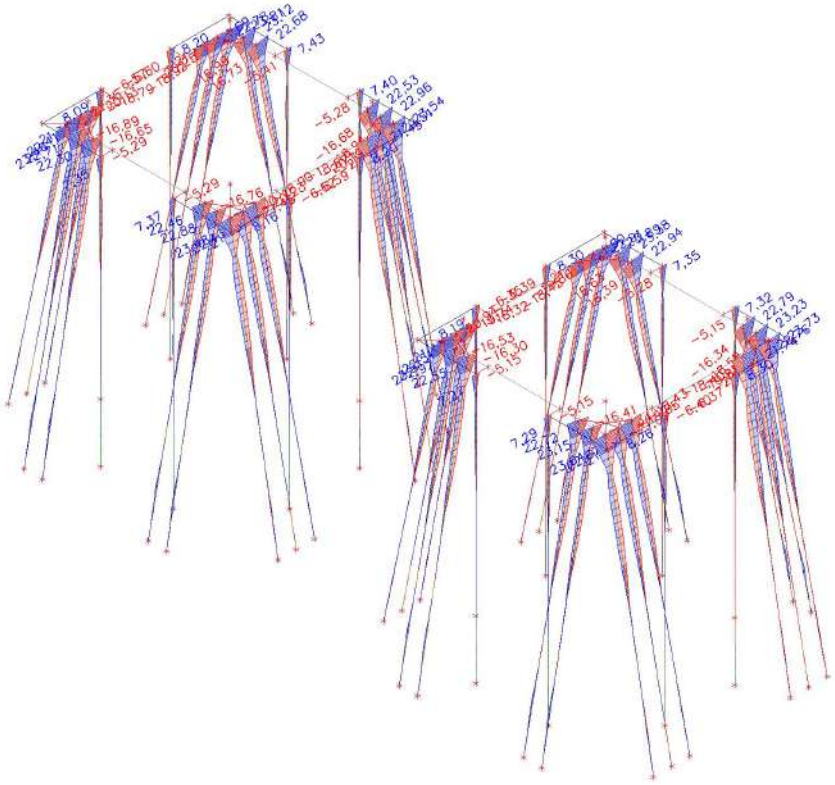
Values: M_x
Nonlinear calculation
Class: All non-linear
Coordinate system: Principal
Extreme 1D: Local
Selection: All
Filter: Layer = Palen





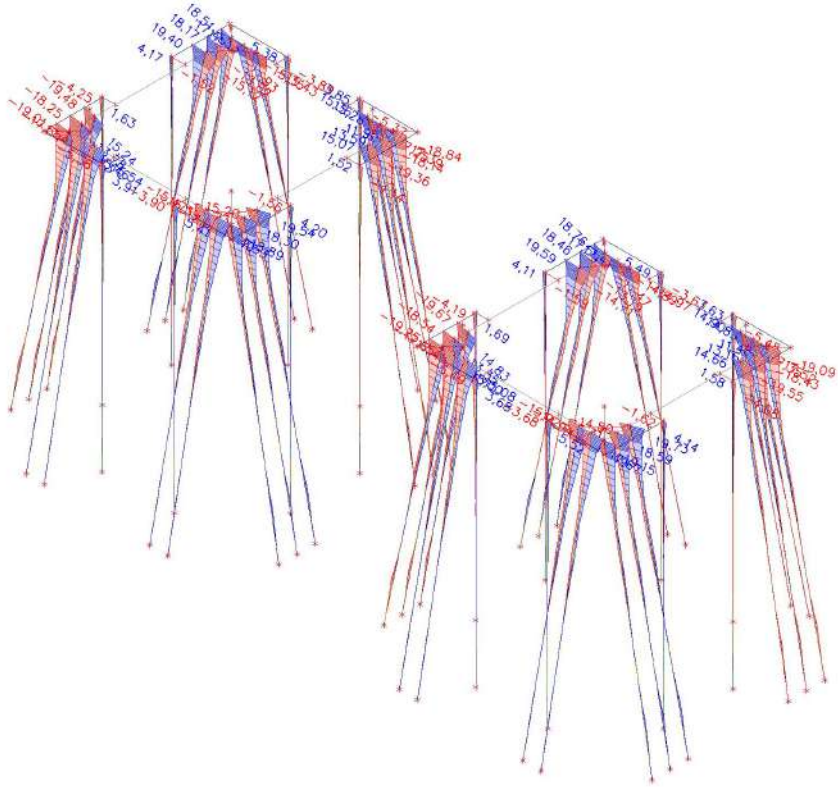
7.2.5. Interne 1D- krachten; M_y

Values: M_y
Nonlinear calculation
Class: All non-linear
Coordinate system: Principal
Extreme 1D: Member
Selection: All
Filter: Layer = Palen



7.2.6. Interne 1D- krachten; M_z

Values: M_z
Nonlinear calculation
Class: All non-linear
Coordinate system: Principal
Extreme 1D: Member
Selection: All
Filter: Layer = Palen



7.2.7. 1D internal forces

Nonlinear calculation
Class: All non-linear
Coordinate system: Principal
Extreme 1D: Global
Selection: All
Filter: Cross-section = Funderingspaal - Rectangle (400; 400)

Name	dx [m]	Case	Cross-section	N [kN]	V_y [kN]	V_z [kN]	M_x [kNm]	M_y [kNm]	M_z [kNm]
Paal_P_3	21,000	high max + Wnd ;315°	Funderingspaal - Rectangle (400; 400)	**-551,46**	0,00	0,24	0,00	0,00	0,00
Paal_P_58	0,000	low max + Wnd ;135°	Funderingspaal - Rectangle (400; 400)	**286,78**	4,69	5,75	**0,00**	-6,16	-19,25
Paal_P_65	0,000	high max + Wnd ;135°	Funderingspaal - Rectangle (400; 400)	-90,91	**-8,27**	8,14	0,00	-17,90	**19,73**
Paal_P_73	0,000	high max + Wnd ;135°	Funderingspaal - Rectangle (400; 400)	-239,10	5,44	**-10,80**	0,00	23,38	-14,40
Paal_P_7	0,800-	low max + Wnd ;135°	Funderingspaal - Rectangle (400; 400)	-36,32	-6,36	**9,11**	0,00	-14,15	11,38
Paal_P_19	0,000	low max + Wnd ;315°	Funderingspaal - Rectangle (400; 400)	-33,52	-6,69	9,11	0,00	**-21,46**	16,56
Paal_P_75	0,000	high max + Wnd ;135°	Funderingspaal - Rectangle (400; 400)	-162,16	3,19	-9,78	0,00	**23,89**	-10,63
Paal_P_60	0,000	high max + Wnd ;45°	Funderingspaal - Rectangle (400; 400)	-93,54	**8,24**	8,15	0,00	-17,90	**-19,67**

7.2.8. 1D internal forces

Nonlinear calculation
Class: All non-linear
Coordinate system: Principal
Extreme 1D: Global
Selection: All
Filter: Cross-section = LEKA Paal - type e (CHS219.1/10.0)

Name	dx [m]	Case	Cross-section	N [kN]	V_y [kN]	V_z [kN]	M_x [kNm]	M_y [kNm]	M_z [kNm]
Paal_P_25	20,701	high max + Wnd ;45°	LEKA Paal - type e (CHS219.1/10.0)	**-197,08**	0,00	0,00	0,00	0,00	0,00
Paal_P_25	0,000	low max + Wnd ;225°	LEKA Paal - type e (CHS219.1/10.0)	**59,11**	1,42	2,63	**0,00**	-2,22	-1,41
Paal_P_83	0,000	high max + Wnd ;135°	LEKA Paal - type e (CHS219.1/10.0)	-94,18	**-2,77**	3,21	0,00	-4,86	**5,52**
Paal_P_81	0,000	high max + Wnd ;135°	LEKA Paal - type e (CHS219.1/10.0)	-113,69	0,92	**-4,44**	0,00	**8,30**	-1,23
Paal_P_26	0,000	low max + Wnd ;135°	LEKA Paal - type e (CHS219.1/10.0)	-32,42	-2,06	**3,88**	0,00	**-6,62**	4,01
Paal_P_84	0,000	high max + Wnd ;45°	LEKA Paal - type e (CHS219.1/10.0)	-95,10	**2,75**	3,20	0,00	-4,84	**-5,49**

7.3. Krachten van de Poeren

7.3.1. 1D internal forces

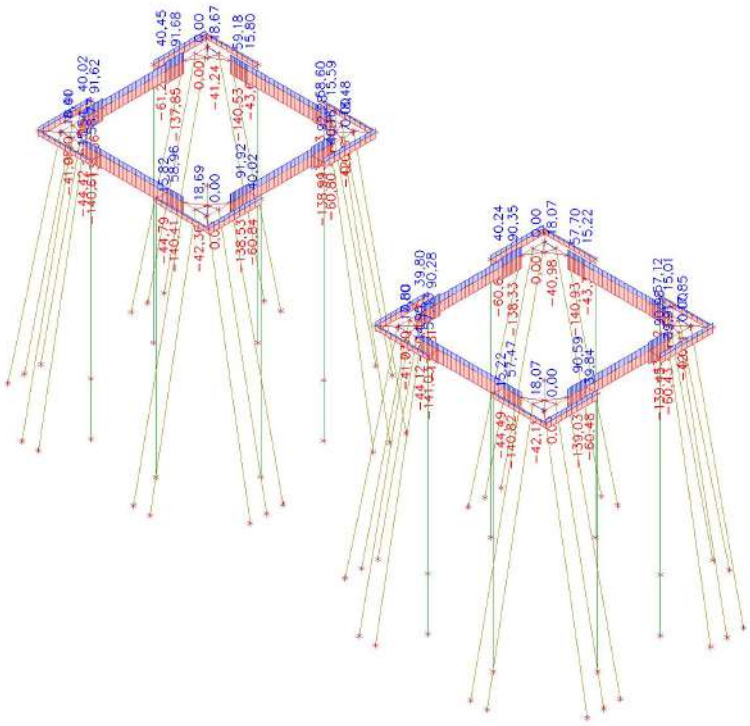
Nonlinear calculation
Class: All non-linear
Coordinate system: Principal
Extreme 1D: Global
Selection: All
Filter: Layer = Poeren

Name	dx [m]	Case	N [kN]	V_y [kN]	V_z [kN]	M_x [kNm]	M_y [kNm]	M_z [kNm]
Poer 8	1,475	low max + Wnd ;225°	**1582,95**	338,27	31,64	-0,38	0,00	19,00
Poer 7	0,000	high max + Wnd ;315°	**-1904,26**	**-424,62**	20,39	-2,20	-30,07	**422,49**
Poer 8	0,000	low max + Wnd ;135°	-519,02	-104,50	**-69,38**	**7,49**	**102,25**	99,36
Poer 8	1,475	high max + Wnd ;315°	118,59	12,64	**69,08**	-0,83	0,00	1,42
Poer 8	0,000	high max + Wnd ;315°	93,80	12,79	68,92	**-7,45**	**-101,78**	-7,05
Poer 6	0,000	high max + Wnd ;135°	-1887,10	**421,80**	-21,19	-2,29	31,26	**-419,92**

7.4. Krachten van de Funderingsbalken

7.4.1. Interne 1D- krachten; N

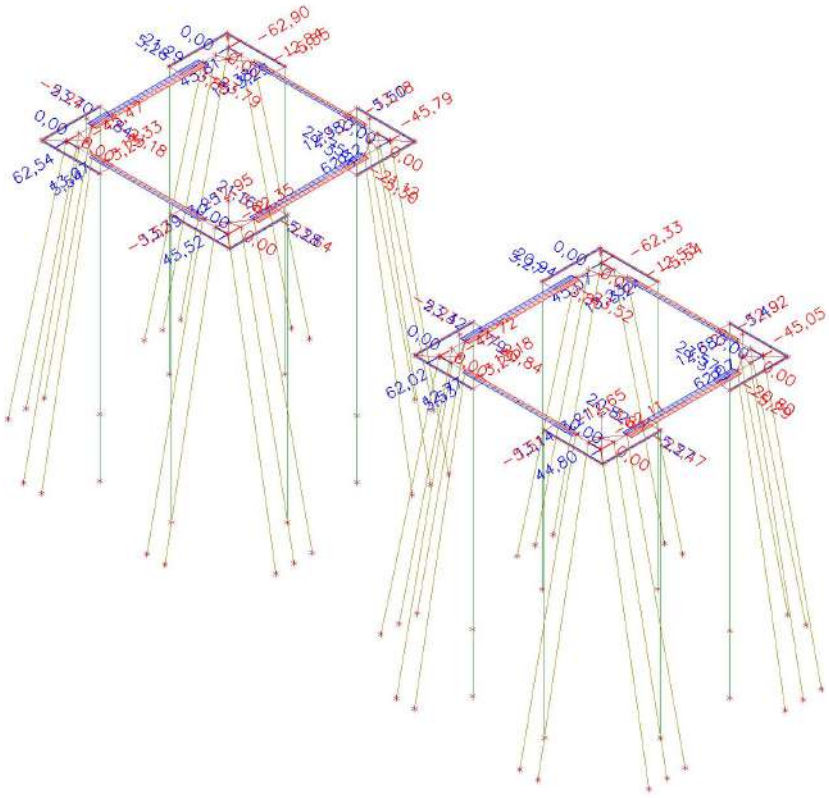
Values: **N**
Nonlinear calculation
Class: All non-linear
Coordinate system: Principal
Extreme 1D: Local
Selection: All
Filter: Layer = Balken





7.4.2. Interne 1D- krachten; V_y

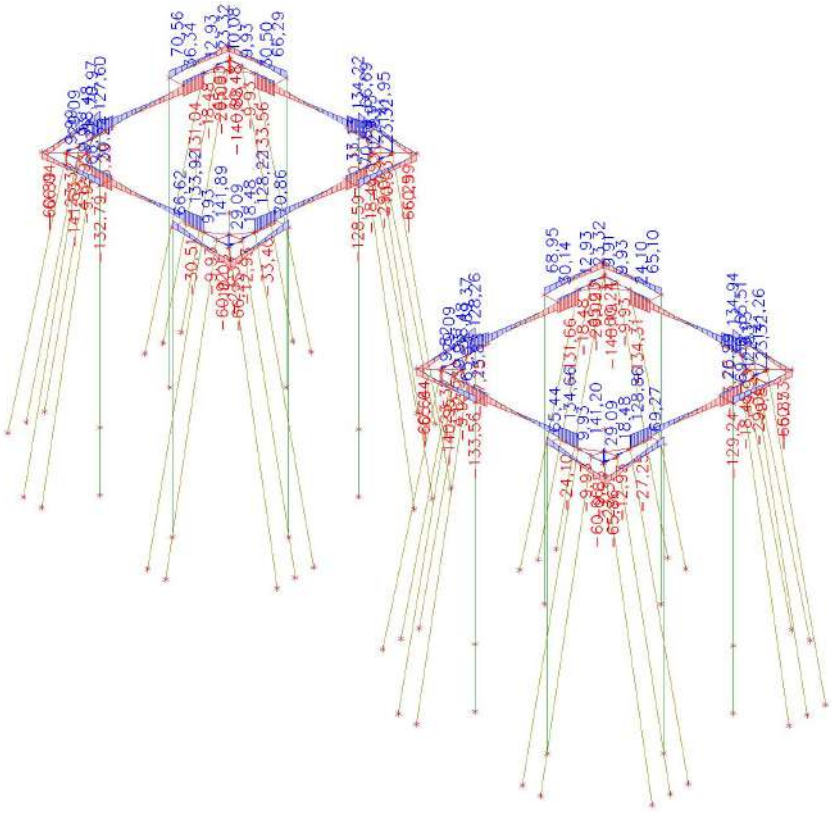
Values: **V_y**
Nonlinear calculation
Class: All non-linear
Coordinate system: Principal
Extreme 1D: Local
Selection: All
Filter: Layer = Balken





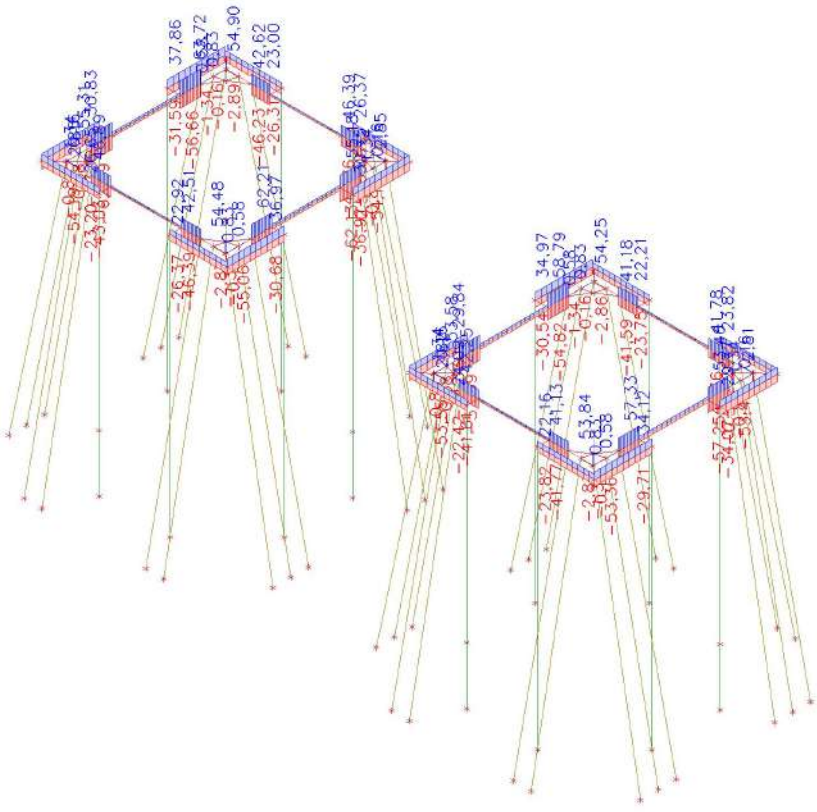
7.4.3. Interne 1D- krachten; V_z

Values: V_z
Nonlinear calculation
Class: All non-linear
Coordinate system: Principal
Extreme 1D: Local
Selection: All
Filter: Layer = Balken



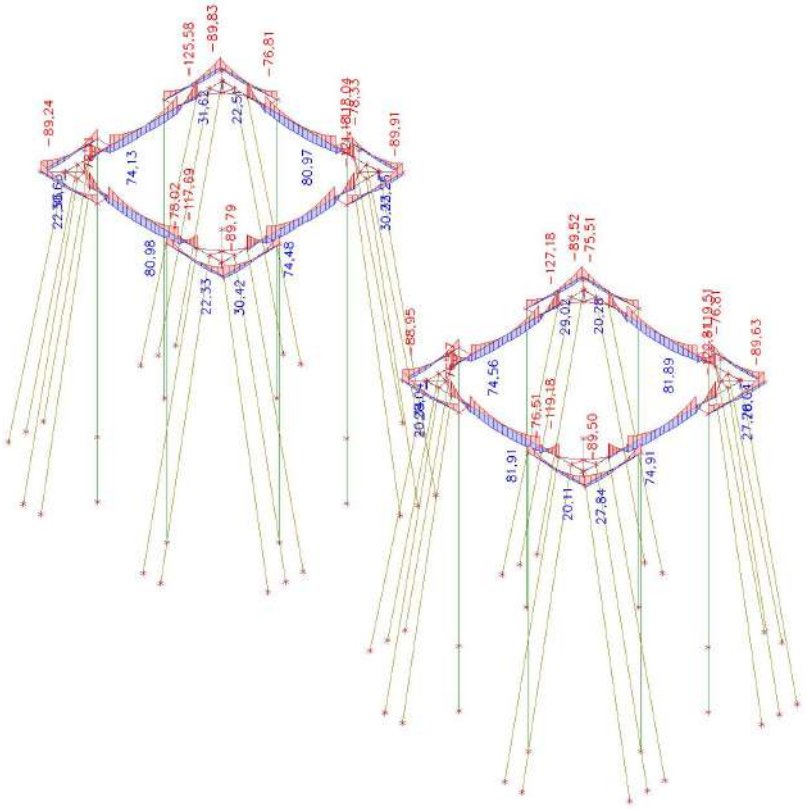
7.4.4. Interne 1D- krachten; M_x

Values: M_x
Nonlinear calculation
Class: All non-linear
Coordinate system: Principal
Extreme 1D: Local
Selection: All
Filter: Layer = Balken



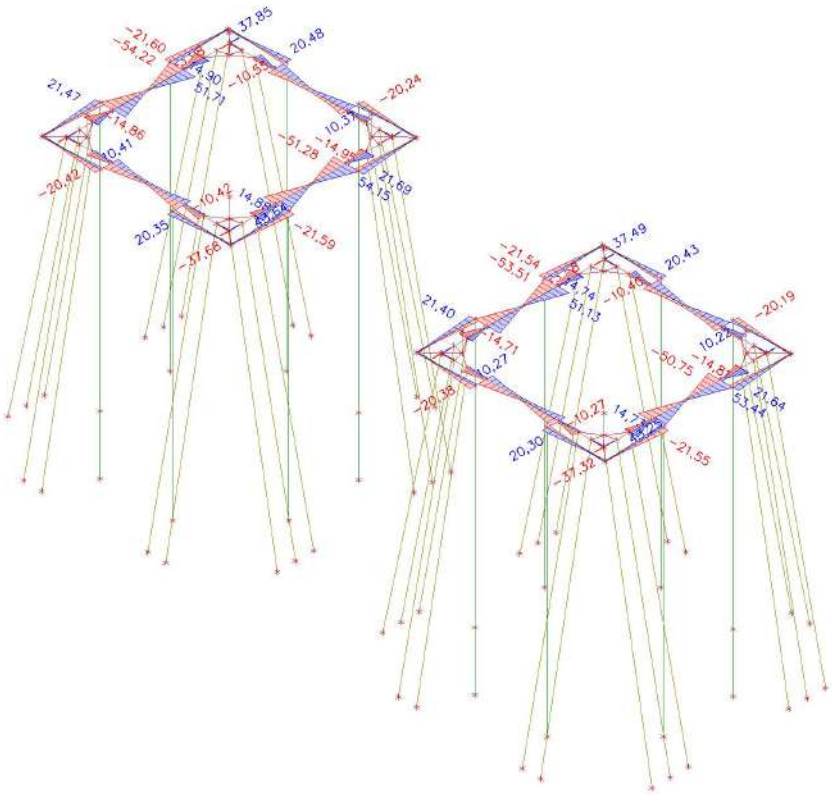
7.4.5. Interne 1D- krachten; M_y

Values: M_y
Nonlinear calculation
Class: All non-linear
Coordinate system: Principal
Extreme 1D: Member
Selection: All
Filter: Layer = Balken



7.4.6. Interne 1D- krachten; M_z

Values: M_z
Nonlinear calculation
Class: All non-linear
Coordinate system: Principal
Extreme 1D: Member
Selection: All
Filter: Layer = Balken



7.4.7. 1D internal forces

Nonlinear calculation
Class: All non-linear
Coordinate system: Principal
Extreme 1D: Global
Selection: All
Filter: Cross-section = Balk - Rectangle (750; 900)

Name	dx [m]	Case	Cross-section	N [kN]	V_y [kN]	V_z [kN]	M_x [kNm]	M_y [kNm]	M_z [kNm]
Balk 15	9,100+	high max + Wnd ;45°	Balk - Rectangle (750; 900)	**-141,03**	-13,18	-25,18	30,08	27,05	-3,93
Balk 5	9,000+	low max + Wnd ;225°	Balk - Rectangle (750; 900)	**92,28**	-13,91	-30,47	10,81	14,96	0,57
Balk 4	12,550+	low max + Wnd ;225°	Balk - Rectangle (750; 900)	-41,10	**-62,90**	-116,78	30,91	65,36	24,42
Balk 7	12,550+	low max + Wnd ;135°	Balk - Rectangle (750; 900)	-41,87	**62,54**	-117,58	-32,35	65,06	-23,57
Balk 7	12,600	high max + Wnd ;135°	Balk - Rectangle (750; 900)	-41,98	62,20	**-141,63**	-41,25	68,76	-20,00
Balk 4	0,000	high max + Wnd ;315°	Balk - Rectangle (750; 900)	-42,26	62,29	**141,95**	-41,31	68,93	19,87
Balk 6	2,050+	high max + Wnd ;315°	Balk - Rectangle (750; 900)	32,35	14,34	3,22	**-62,59**	10,00	-14,61
Balk 6	9,000+	high max + Wnd ;45°	Balk - Rectangle (750; 900)	31,86	-14,55	30,65	**63,72**	-8,76	7,66
Balk 14	10,600-	high max + Wnd ;225°	Balk - Rectangle (750; 900)	-45,87	20,57	-131,66	-48,73	**-127,18**	22,54
Balk 15	5,740-	high max + Wnd ;45°	Balk - Rectangle (750; 900)	-130,13	-10,86	0,91	5,63	**81,91**	2,39
Balk 6	9,000-	low max + Wnd ;135°	Balk - Rectangle (750; 900)	-101,12	-19,55	-60,09	10,72	-49,60	**-54,22**
Balk 5	9,000-	low max + Wnd ;45°	Balk - Rectangle (750; 900)	-99,99	19,52	-60,19	-10,81	-50,40	**54,15**

7.4.8. 1D internal forces

Nonlinear calculation
Class: All non-linear
Coordinate system: Principal
Extreme 1D: Global
Selection: All
Filter: Cross-section = Ringbalk - Rectangle (750; 1000)

Name	dx [m]	Case	Cross-section	N [kN]	V_y [kN]	V_z [kN]	M_x [kNm]	M_y [kNm]	M_z [kNm]
S229	0,000	low max + Wnd ;225°	Ringbalk - Rectangle (750; 1000)	**-61,28**	-0,32	18,92	-31,59	-3,28	4,18
S229	0,000	low max + Wnd ;45°	Ringbalk - Rectangle (750; 1000)	**40,45**	0,27	56,61	35,08	-66,98	-2,57
S228	0,000	high max + Wnd ;315°	Ringbalk - Rectangle (750; 1000)	14,36	**-5,55**	55,54	-18,71	-50,93	20,48
S232	0,000	high max + Wnd ;45°	Ringbalk - Rectangle (750; 1000)	14,10	**5,54**	55,49	18,82	-50,59	-20,42
S231	4,500	high max + Wnd ;45°	Ringbalk - Rectangle (750; 1000)	-60,76	-0,20	**-66,25**	-26,26	-89,79	2,80
S233	0,000	high max + Wnd ;315°	Ringbalk - Rectangle (750; 1000)	39,65	-0,30	**70,97**	**-37,19**	-83,43	2,70
S223	4,500	high max + Wnd ;315°	Ringbalk - Rectangle (750; 1000)	-60,70	0,20	-66,25	26,35	**-89,91**	-2,79
S229	3,150	high max +	Ringbalk -	40,11	0,35	1,03	**37,86**	**31,62**	-1,77

Name	dx [m]	Case	Cross-section	N [kN]	V_y [kN]	V_z [kN]	M_x [kNm]	M_y [kNm]	M_z [kNm]
		Wnd ;45°	Rectangle (750; 1000)						
S229	0,000	low max + Wnd ;135°	Ringbalk - Rectangle (750; 1000)	40,09	5,28	48,83	23,64	-54,90	**-21,60**
S223	0,000	high max + Wnd ;45°	Ringbalk - Rectangle (750; 1000)	39,33	-5,30	63,17	-25,98	-70,89	**21,69**

Toetsing inleiding krachten in fundering

Projectnaam	Opwaardering KIJ-BVW 380kV	**Rekensheet versie**	3.1
Lijn	KIJ-DIM Ronde Venen	**Datum**	1-2-2026
Subtype deuvels aan randstijl		**Auteur**	[redacted]
Subtype deuvels aan paal	Leka 219	**Eerste interne controle**	Mauny Bahri (RO)
Mastnummer(s)	versterkingen	**Tweede interne controle**	[redacted]

Samenvatting	UC	Check	F_{Rd}	
Maatgevende unity check	**1,00**	OK		
Max UC randstijldeuvels beton	n.v.t.	OK	D:0 T:0	kN
Max UC paaldeuvels beton	0,87	OK	1683	kN
Max UC lassen	0,74	OK	1990	kN
Max UC staalciteria	1,00	OK	1470	kN
Trekkracht uit randstijl	$F_{Ed,t}$		*1469*	kN
Drukkracht uit randstijl	$F_{Ed,c}$		*1469*	kN
Spanningsbegrenzing		$=0,7f_{cd}$	Nee	
Toetsing incl. buiging			Nee	
Toetsing incl. las reductie		$=f_w/1,2$	Ja	

Zie voor de maximaal optredende paalkrachten het constructief rapport

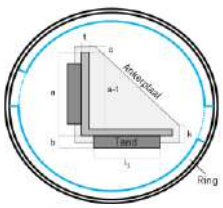
Materialen				
Betonkwaliteit	-		C30/37	
Beton omsloten	-		Ja	
Karakteristieke druksterkte	f_{ck}		30	N/mm^2
Verhogingsfactor druksterkte	C_a	$=min[\sqrt{(A_{c2}/A_{f1})};2,5]$	1,76	-
Verhoogde druksterkte	f_{jk}	$=f_{ck}C_a$	52,81	N/mm^2
Betondruksterkte	f_{cd}	$=f_{jk}/\gamma_c$	35,21	N/mm^2
Staalsoort 1: funderingspaal	-		S235	N/mm^2
Treksterkte staalsoort 1	$f_{u,1}$		360	N/mm^2
Vloeispanning staalsoort 1	$f_{y,1}$		235	N/mm^2
Staalsoort 2: randstijl	-		S235	N/mm^2
Treksterkte staalsoort 2	$f_{u,2}$		360	N/mm^2
Vloeispanning staalsoort 2	$f_{y,2}$		235	N/mm^2
Staalsoort 3: deuvels	-		S235	N/mm^2
Treksterkte staalsoort 3	$f_{u,3}$		360	N/mm^2
Vloeispanning staalsoort 3	$f_{y,3}$		235	N/mm^2
Lassterkte deuvels paal	$f_{w,Rd}$	$=f_{u1,3}/(w_r\beta_w\gamma_s)$	300	N/mm^2
Lassterkte deuvels randstijl	$f_{w,Rd}$	$=f_{u2,3}/(w_r\beta_w\gamma_s)$	300	N/mm^2
Partiële factor beton	γ_c		1,50	-
Partiële factor staal	γ_s		1,25	-
Corrolatiefactor lassen	β_w		0,80	-
Reductiefactor lassen	w_r		1,2	-

Hoekprofiel randstijl			0x0x0	
Zijde	L_w		0	mm
Dikte	t_w		0	mm
Lengte verankering	L_e		800	mm

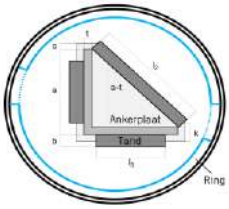
Geometrie				
Hoofdtype deuvels (zie figuren onderaan)			6	
Aantal palen per randstijl*	n_p		1	#
Type paal*			Buispaal	
Diameter paal uitwendig (indien buispaal)	$ø_{p,out}$		219,1	mm
Wanddikte paal	t_p		10,0	mm
Roestreductie paalwand	$t_{p,red}$		0	mm
Lengte paaldeuvel als % van omtrek paal	P_b		100,00%	%
Aantal lagen deuvels aan paal	$n_{b,p}$		3	#
Seperatie paaldeuvels	s_1		200	mm
Breedte deuvels/ lengte stift aan paal*	b_1		30	mm
Dikte deuvels aan fundatiepaal*	h_1		50	mm
Diameter paal inwendig (indien buispaal)	$ø_{p,in}$	$=ø_{p,out}-2t_p$	199,1	mm
Inwendige omtrek paal o.b.v. paaldiameter	P_{in}	$=[0;ø_{p,in}\pi]$	625	mm
Laslengte paaldeuvel	L_b	$=P_{in}P_b$	625	mm
Oppervlakte deuvels per laag aan paal**	$A_{b,1,i}$	$=[P_b(ø_{p,in}-b_1)\pi rb_1;L_bb_1]$	15937	mm2
Deuvels aan buitenzijde randstijl	n_{out}		0	#
Deuvels aan binnenzijde randstijl	n_{in}		0	#
Seperatie randstijldeuvels	s_2		200	mm
(las)Lengte deuvel buitenzijde*	L_{out}		0	mm
Uitkragende lengte deuvel buitenzijde	e		0	mm
(las)Lengte deuvel binnenzijde*	L_{in}		0	mm
Breedte deuvels aan randstijl	b_2		0	mm
Dikte deuvels aan randstijl	h_2		0	mm
Diameter stiftdeuvel	$ø_b$		0	mm
Oppervlakte enkele deuvel buitenzijde	$A_{f1,out,i}$	$=[L_{out}b;L_{out}ø_b]$	0	mm^2
Oppervlakte enkele deuvel binnenzijde	$A_{f1,in,i}$	$=[L_{in}b;L_{in}ø_b]$	0	mm^2
Las ankerplaat|randstijl	a_1		0	mm
Las deuvel|paal	a_2		4	mm
Las deuvel|buitenzijde randstijl	a_3		0	mm
Las deuvel|binnenzijde randstijl	a_4		0	mm
Lengte rugplaat aan ankerplaat	L_{rp}		0	mm
Dikte ankerplaat/rugplaat	t_r		0	mm
n-zijden buitenrand ankerplaat	n_c		2	#
Breedte buitenrand ankerplaat	c		0	mm
Rechte zijde ankerplaat	k_{pl}		0	mm
Aanvullende reductie omvang ankerplaat	$A_{p,red2}$		0	mm^2
(Las)Lengte ankerplaat binnenzijde	L_{lp}	$=[4;2](L_w-t_w-a_1\sqrt{2})$	0	mm
Effectief oppervlakte ankerplaat druk	$A_{p,c}$	$=A_{p,r}-A_{p,red1,2}$	0	mm^2
Effectief oppervlakte ankerplaat trek	$A_{p,t}$	$=A_{p,r}-A_{p,red1,2}-A_s$	0	mm^2

Notities

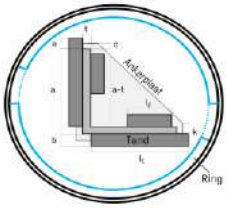
Hoofdtype 1
Tanddeuvels aan buitenzijde + ankerplaat



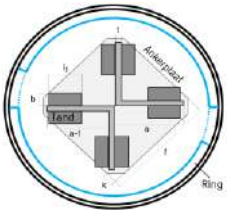
Hoofdtype 2
Tanddeuvels aan buitenzijde +
knag aan rand van de flensen + ankerplaat



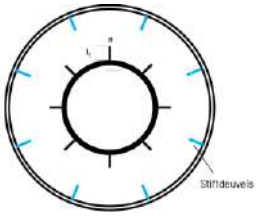
Hoofdtype 3
Tanddeuvels aan buitenzijde en binnenzijde
+ ankerplaat



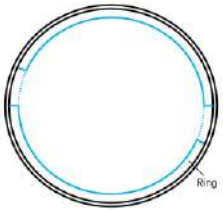
Hoofdtype 4
Tanddeuvels dubbele randstaaf + ankerplaat



Hoofdtype 5
Stiftdeuvels aan ronde buisprofiel, geen ankerplaat

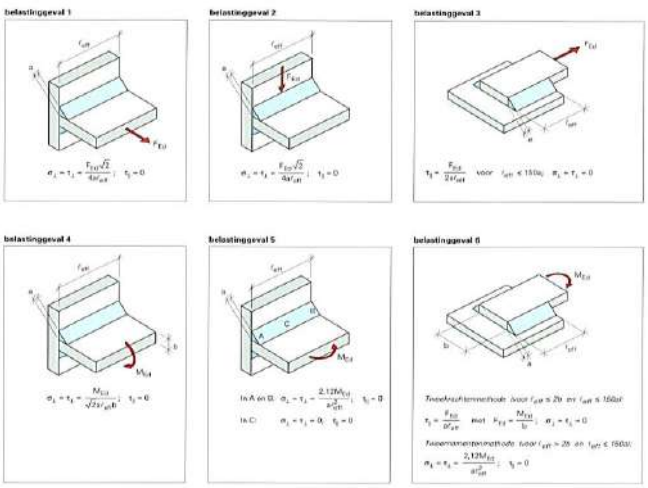


Hoofdtype 6
Enkel toetsing van knaggen aan
funderingspaal + doorsnede paal



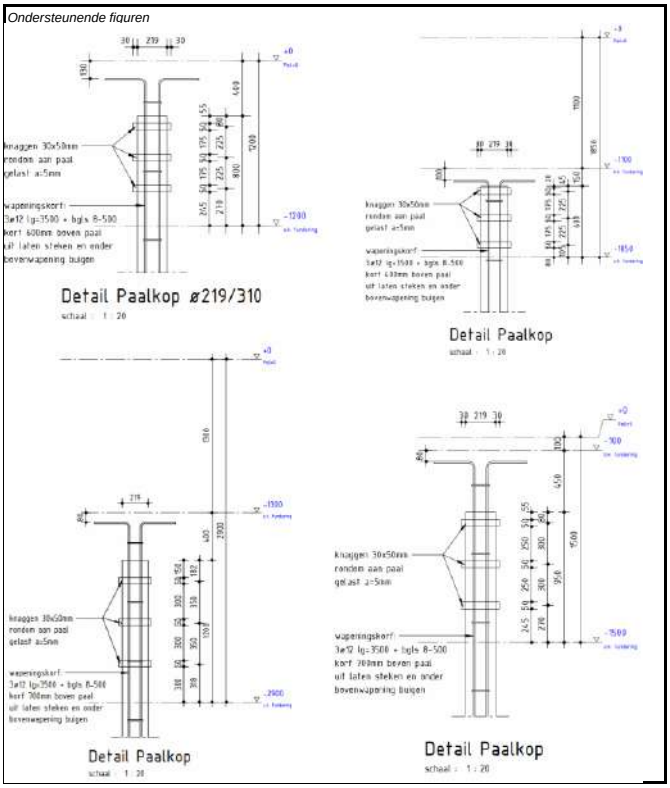
Toetsing capaciteit randstijldeuvels				
Capaciteit ankerplaat bij druk	$F_{Rd,c,p}$	$=A_{p,c}f_{cd}$	0,0	kN
Capaciteit ankerplaat bij trek	$F_{Rd,t,p}$	$=A_{p,t}f_{cd}$	0,0	kN
Capaciteit buitendeuvels	$F_{Rd,b,out}$	$=A_{t1,out,i}f_{cd}n_{out}$	0,0	kN
Capaciteit binnendeuvels	$F_{Rd,b,in}$	$=A_{t1,in,i}f_{cd}n_{in}$	0,0	kN
Capaciteit totaal bij druk	$F_{Rd,c}$	$=F_{Rd,c,p}+F_{Rd,b+o/i}$	0,0	kN
Capaciteit totaal bij trek	$F_{Rd,t}$	$=F_{Rd,t,p}+F_{Rd,b+o/i}$	0,0	kN
Betondrukspanning deuvels bij druk	$\sigma_{c,Ed,c}$	$=F_{ed,c}/(A_{p,c}+A_{t,o/i})$	0,00	N/mm^2
Betondrukspanning bij deuvels bij trek	$\sigma_{c,Ed,t}$	$=F_{ed,t}/(A_{p,t}+A_{t,o/i})$	0,00	N/mm^2
Max. buigspanning in staal	$\sigma_{s,Ed,c}$		0	N/mm^2
Max. buigspanning in staal	$\sigma_{s,Ed,t}$		0	N/mm^2
UC (staalcriterium)		$=\sigma_{s,Ed}/f_{y,3}$	n.v.t.	OK
UC (betoncriterium)		$=[F_{Ed,c}/F_{Rd,c};F_{Ed,t}/F_{Rd,t}]$	n.v.t.	OK
Toetsing capaciteit paaldeuvels				
Capaciteit deuvels enkele paal	$F_{Rd,b}$	$=A_{b,i}*n_{b,p}*f_{cd}$	1683,3	kN
Betondrukspanning bij deuvels	$\sigma_{c,Ed+max}$	$=F_{Ed}/(A_{b,i}*n_b)$	30,7	N/mm^2
Max. buigspanning in staal	$\sigma_{s,Ed}$		0,0	N/mm^2
UC (staalcriterium)		$=\sigma_{s,Ed}/f_{y,3}$	0,00	OK
UC (betoncriterium)		$=F_{Ed}/(F_{Rd,b}+F_{Rd,b,c/st})$	0,87	OK
Toetsing lassen				
Type las randstijldeuvels			Dubbelzijdig	
Type las paaldeuvels			Dubbelzijdig	
Lasspanning ankerplaat	$\sigma_{vw1,Ed}$	$=\sqrt{(\sigma_\perp^2+3(\tau_T^2+\tau_{//}^2))}$	n.v.t.	N/mm^2
Lasspanning buitendeuvels	$\sigma_{vw2,Ed}$	$=\sqrt{(\sigma_T^2+3(\tau_T^2+\tau_{//}^2))}$	n.v.t.	N/mm^2
Lasspanning binnendeuvels	$\sigma_{vw3,Ed}$	$=\sqrt{(\sigma_T^2+3(\tau_T^2+\tau_{//}^2))}$	n.v.t.	N/mm^2
Lasspanning paaldeuvels	$\sigma_{vw4,Ed}$	$=\sqrt{(\sigma_T^2+3(\tau_T^2+\tau_{//}^2))}$	221	N/mm^2
Maatgevende UC		$=\sigma_{vw,Ed}/f_{w,Rd}$	0,74	OK
Toetsing paalcapaciteit				
Effectieve doorsnede paal	$A_{p,eff}$	$=P_{in}(t_p-t_{p,red})$	6255	mm^2
Maximale spanning in paal	$\sigma_{s,Ed}$	$=F_{Ed}/(A_{p,eff}n_p)$	234,9	N/mm^2
UC doorsnede paal		$=\sigma_{s,Ed}/f_{y,1}$	1,00	OK

Lasspanningen NEN-EN 1993-1-8 p. 4.5.3						
Onderdeel	Ankerplaat	Buitendeuvels	Binnendeuvels (T3)	Binnendeuvels (T2)	Paaldeuvels	
Som σ_T	0,0	0,0	0,0	0,0	110,7	N/mm^2
Som τ_T	0,0	0,0	0,0	0,0	110,7	N/mm^2
Som $\tau_{//}$	0,0	0,0	0,0	0,0	0,0	N/mm^2
Mechanisme 1	Ja	Nee	Nee	Nee	Nee	
M1 σ_T	0,0	0,0	0,0	0,0	0,0	N/mm^2
M1 τ_T	0,0	0,0	0,0	0,0	0,0	N/mm^2
M1 $\tau_{//}$	0,0	0,0	0,0	0,0	0,0	N/mm^2
Mechanisme 2	Nee	Ja	Ja	Nee	Ja	
M2 σ_T	0,0	0,0	0,0	0,0	69,2	N/mm^2
M2 τ_T	0,0	0,0	0,0	0,0	69,2	N/mm^2
M2 $\tau_{//}$	0,0	0,0	0,0	0,0	0,0	N/mm^2
Mechanisme 3	Nee	Nee	Nee	Ja	Nee	
M3 σ_T	0,0	0,0	0,0	0,0	0,0	N/mm^2
M3 τ_T	0,0	0,0	0,0	0,0	0,0	N/mm^2
M3 $\tau_{//}$	0,0	0,0	0,0	0,0	0,0	N/mm^2
Mechanisme 4	Nee	Ja	Ja	Nee	Ja	
M4 σ_T	0,0	0,0	0,0	0,0	41,5	N/mm^2
M4 τ_T	0,0	0,0	0,0	0,0	41,5	N/mm^2
M4 $\tau_{//}$	0,0	0,0	0,0	0,0	0,0	N/mm^2
Mechanisme 5	Nee	Nee	Nee	Nee	Nee	
M5 σ_T	0,0	0,0	0,0	0,0	0,0	N/mm^2
M5 τ_T	0,0	0,0	0,0	0,0	0,0	N/mm^2
M5 $\tau_{//}$	0,0	0,0	0,0	0,0	0,0	N/mm^2
Mechanisme 6	Nee	Nee	Nee	Nee	Nee	
M6 σ_T	0,0	0,0	0,0	0,0	0,0	N/mm^2
M6 τ_T	0,0	0,0	0,0	0,0	0,0	N/mm^2
M6 $\tau_{//}$	0,0	0,0	0,0	0,0	0,0	N/mm^2



Achterliggende logica				
Afschuifprojectievlak NEN-EN1994-2 F1.1				
Oppervlakte projectie afschuifweerstand	A_{f2}	$=A_{f2,out}+A_{f2,in}$	3200	mm^2
Minimale h.o.h. seperatie deuvels	s_{min}	$=[250;2*L_w]$	n.v.t.	mm
Breedte projectievlak buitendeuvels	$b_{f2,out}$	$=b_2+s_2/5$	40	mm
Lengte projectievlak buitendeuvels	$L_{f2,out}$	$=L_{out}+2s_2/5$	80	mm
Oppervlak projectie buitendeuvels	$A_{f2,out}$	$=b_{f2,out}L_{f2,out}$	3200	mm^2
Breedte projectievlak binnendeuvels	$b_{f2,in}$	$=b_2+s_2/5$	0	mm
Lengte projectievlak binnendeuvels	$L_{f2,in}$	$=L_{in}+2s_2/5$	0	mm
Oppervlak projectie binnendeuvels	$A_{f2,in}$	$=b_{f2,in}L_{f2,in}$	0	mm^2
Breedte projectievlak paaldeuvels	$b_{f2,p}$	$=\min[b_1;b_{eff,b}]+s_1/5$	70	mm
Lengte projectievlak paaldeuvels	$L_{f2,p}$	$=L_b+2s_1/5$	705	mm
Oppervlak projectie paaldeuvels	$A_{f2,p}$	$=b_{f2,p}L_{f2,p}$	49384	mm^2
Effectieve oppervlakte ankerplaat NEN-EN1993-1-8 p. 4.10				
Oppervlakte ankerplaat excl. reducties	$A_{p,i}$	$=(L_w+cn_c)^2-0,5((w+cn_c-k)^2$	0	mm^2
Reductie ineffectief oppervlak ankerplaat	$A_{p,red1}$	$=0,5b_{ineff}^2$	0	mm^2
Oppervlakte staalprofiel	A_s	$=(2L_w-t_w)t_w$	0	mm^2
Effectieve breedte ankerplaat	b_{eff}	$=t_w+2a_1\sqrt{2}+7kt_f$	0,0	mm
Factor meewerkende breedte	k	$=\min[(t_f/t_w);1,0]$	0,00	-
Ineffectieve breedte	b_{ineff}	$=L_w+cn_c-(2c+t_w+b_{eff})+k_{pl}$	0,0	mm
Momentarm ankerplaat (voor toetsing incl. buiging)				
Momentarm ankerplaat	a_{fp}	$=[\sqrt{(2(z_1-z_2)^2)};0]$	0,0	mm
Zwaartepunt ankerplaat t.o.v. onderhoek	z_1	$=\sum A_i*z_i/A_T$	0,0	mm
Zwaartepunt randstijl t.o.v. onderhoek	z_2	$=\sum A_i*z_i/A_T$	0,0	mm
Staalspanning (voor toetsing incl. buiging)				
Weerstandsmoment ankerplaat	W_1	$=1/6*2(L_w-t_w)t_f^2$	0	mm^3
Weerstandsmoment buitendeuvels	W_2	$=1/6(L_{out}-e)h_2^2$	0	mm^3
Weerstandsmoment binnendeuvels	W_3	$=1/6L_{in}h_2^2$	0	mm^3
Weerstandsmoment paaldeuvels	W_4	$=1/6L_ph_1^2$	260621	mm^3
Staalspanning ankerplaat (druk)	$\sigma_{s,Ed,c}$	$=A_{p,c}\sigma_{c,Ed,c}a_{fp}/W_1$	0	N/mm^2
Staalspanning buitendeuvels (druk)	$\sigma_{s,Ed,c}$	$=A_{t1,out,c}\sigma_{c,Ed,c}(b_2/2)/W_2$	0	N/mm^2
Staalspanning binnendeuvels (druk)	$\sigma_{s,Ed,c}$	$=A_{t1,in,c}\sigma_{c,Ed,c}(b_2/2)/W_3$	0	N/mm^2
Staalspanning paaldeuvels (max)	$\sigma_{s,Ed,c,t}$	$=A_t\sigma_{c,Ed,max}(b_1/2)/W_4$	28	N/mm^2
Staalspanning ankerplaat (trek)	$\sigma_{s,Ed,t}$	$=A_{p,t}\sigma_{c,Ed,t}a_f/W_1$	0	N/mm^2
Staalspanning buitendeuvels (trek)	$\sigma_{s,Ed,t}$	$=A_{t1,out,c}\sigma_{c,Ed,t}(b_2/2)/W_2$	0	N/mm^2
Staalspanning binnendeuvels (trek)	$\sigma_{s,Ed,t}$	$=A_{t1,in,c}\sigma_{c,Ed,t}(b_2/2)/W_3$	0	N/mm^2
Optionele meewerkende betondoorsnede paal				
Enkel van toepassing als krachten uit randstijl via schachtwrijving naar de paalwand overbracht kunnen worden.				
Meewerkende wapeningstaven	n_{st}		0	#
Staafdiameter	$ø_{st}$		0	mm
Materiaalkwaliteit staaf	-		-	-
Factor effectiviteit betondoorsnede	α		0,00	-
Vloeigrens	f_{yd}		0	N/mm^2
Trekcapaciteit wapening	$F_{Rd,b,st}$	$=0,25n_{st}ø_{st}^2\pi F_{yd}$	0	kN
Betondoorsnede paal	$A_{c,p}$	$=\alpha*0,25P_{in}^2/\pi$	0	mm^2
Druksterkte betondoorsnede	$F_{Rd,b,c}$	$=A_{c,p}f_{ck}/\gamma_c$	0	kN
Gereduceerde breedte als knaggen geprofileerd zijn volgens NEN-EN1993-1-8 p. 4.10				
Flensdikte aangelast profiel	$t_{f,b}$		0	mm
Factor meewerkende breedte (k)	k_b	$=\min[(t_{f,b}/t_{f,b});1,0]$	0,00	-
Effectieve breedte knag	$b_{eff,b}$	$=0,5(t_{f,b}+2a_2\sqrt{2}+7k_bt_{f,b})$	0	mm

Ondersteunende figuren



Toetsing inleiding krachten in fundering

Projectnaam	Opwaardering KIJ-BVW 380kV	**Rekensheet versie**	3.1
Lijn	KIJ-DIM Ronde Venen	**Datum**	1-2-2026
Subtype deuvels aan randstijl	O	**Auteur**	[redacted]
Subtype deuvels aan paal	Leka 273	**Eerste interne controle**	Mauny Bahri (RO)
Mastnummer(s)	versterkingen	**Tweede interne controle**	[redacted]

Samenvatting	UC	Check	F_{Rd}	
Maatgevende unity check	**1,00**	OK		
Max UC randstijldeuvels beton	n.v.t.	OK	D:0 T:0	kN
Max UC paaldeuvels beton	0,87	OK	2153	kN
Max UC lassen	0,74	OK	2529	kN
Max UC staalciteria	1,00	OK	1868	kN
Trekkracht uit randstijl	$F_{Ed,t}$		*1867*	kN
Drukkracht uit randstijl	$F_{Ed,c}$		*1867*	kN
Spanningsbegrenzing		$=0,7f_{cd}$	Nee	
Toetsing incl. buiging			Nee	
Toetsing incl. las reductie		$=f_w/1,2$	Ja	

Zie voor de maximaal optredende paalkrachten het constructief rapport

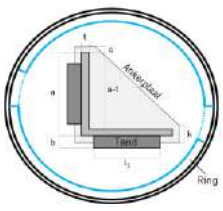
Materialen				
Betonkwaliteit	-		C30/37	
Beton omsloten	-		Ja	
Karakteristieke druksterkte	f_{ck}		30	N/mm^2
Verhogingsfactor druksterkte	C_a	$=min[\sqrt{(A_{c2}/A_{f1})};2,5]$	1,71	-
Verhoogde druksterkte	f_{jk}	$=f_{ck}C_a$	51,21	N/mm^2
Betondruksterkte	f_{cd}	$=f_{jk}/\gamma_c$	34,14	N/mm^2
Staalsoort 1: funderingspaal	-		S235	N/mm^2
Treksterkte staalsoort 1	$f_{u,1}$		360	N/mm^2
Vloeispanning staalsoort 1	$f_{y,1}$		235	N/mm^2
Staalsoort 2: randstijl	-		S235	N/mm^2
Treksterkte staalsoort 2	$f_{u,2}$		360	N/mm^2
Vloeispanning staalsoort 2	$f_{y,2}$		235	N/mm^2
Staalsoort 3: deuvels	-		S235	N/mm^2
Treksterkte staalsoort 3	$f_{u,3}$		360	N/mm^2
Vloeispanning staalsoort 3	$f_{y,3}$		235	N/mm^2
Lassterkte deuvels paal	$f_{w,Rd}$	$=f_{u1,3}/(w_r\beta_w\gamma_s)$	300	N/mm^2
Lassterkte deuvels randstijl	$f_{w,Rd}$	$=f_{u2,3}/(w_r\beta_w\gamma_s)$	300	N/mm^2
Partiële factor beton	γ_c		1,50	-
Partiële factor staal	γ_s		1,25	-
Corrolatiefactor lassen	β_w		0,80	-
Reductiefactor lassen	w_r		1,2	-

Hoekprofiel randstijl			0x0x0	
Zijde	L_w		0	mm
Dikte	t_w		0	mm
Lengte verankering	L_e		800	mm

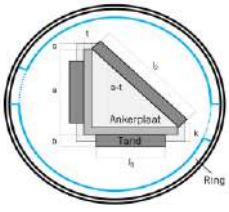
Geometrie				
Hoofdtype deuvels (zie figuren onderaan)			6	
Aantal palen per randstijl*	n_p		1	#
Type paal*			Buispaal	
Diameter paal uitwendig (indien buispaal)	$ø_{p,out}$		273,0	mm
Wanddikte paal	t_p		10,0	mm
Roestreductie paalwand	$t_{p,red}$		0	mm
Lengte paaldeuvel als % van omtrek paal	P_b		100,00%	%
Aantal lagen deuvels aan paal	$n_{b,p}$		3	#
Seperatie paaldeuvels	s_1		200	mm
Breedte deuvels/ lengte stift aan paal*	b_1		30	mm
Dikte deuvels aan fundatiepaal*	h_1		50	mm
Diameter paal inwendig (indien buispaal)	$ø_{p,in}$	$=ø_{p,out}-2t_p$	253,0	mm
Inwendige omtrek paal o.b.v. paaldiameter	P_{in}	$=[0;ø_{p,in}\pi]$	795	mm
Laslengte paaldeuvel	L_b	$=P_{in}P_b$	795	mm
Oppervlakte deuvels per laag aan paal**	$A_{b,1,i}$	$=[P_b(ø_{p,in}-b_1)\pi rb_1;L_bb_1]$	21017	mm2
Deuvels aan buitenzijde randstijl	n_{out}		0	#
Deuvels aan binnenzijde randstijl	n_{in}		0	#
Seperatie randstijldeuvels	s_2		200	mm
(las)Lengte deuvel buitenzijde*	L_{out}		0	mm
Uitkragende lengte deuvel buitenzijde	e		0	mm
(las)Lengte deuvel binnenzijde*	L_{in}		0	mm
Breedte deuvels aan randstijl	b_2		0	mm
Dikte deuvels aan randstijl	h_2		0	mm
Diameter stiftdeuvel	$ø_b$		0	mm
Oppervlakte enkele deuvel buitenzijde	$A_{f1,out,i}$	$=[L_{out}b;L_{out}ø_b]$	0	mm^2
Oppervlakte enkele deuvel binnenzijde	$A_{f1,in,i}$	$=[L_{in}b;L_{in}ø_b]$	0	mm^2
Las ankerplaat|randstijl	a_1		0	mm
Las deuvel|paal	a_2		4	mm
Las deuvel|buitenzijde randstijl	a_3		0	mm
Las deuvel|binnenzijde randstijl	a_4		0	mm
Lengte rugplaat aan ankerplaat	L_{rp}		0	mm
Dikte ankerplaat/rugplaat	t_r		0	mm
n-zijden buitenrand ankerplaat	n_c		2	#
Breedte buitenrand ankerplaat	c		0	mm
Rechte zijde ankerplaat	k_{pl}		0	mm
Aanvullende reductie omvang ankerplaat	$A_{p,red2}$		0	mm^2
(Las)Lengte ankerplaat binnenzijde	L_{ip}	$=[4;2](L_w-t_w-a_1\sqrt{2})$	0	mm
Effectief oppervlakte ankerplaat druk	$A_{p,c}$	$=A_{p,r}-A_{p,red1,2}$	0	mm^2
Effectief oppervlakte ankerplaat trek	$A_{p,t}$	$=A_{p,r}-A_{p,red1,2}-A_s$	0	mm^2

Notities

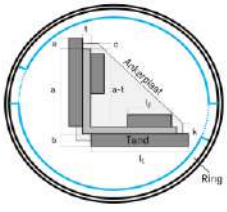
Hoofdtype 1
Tanddeuvels aan buitenzijde + ankerplaat



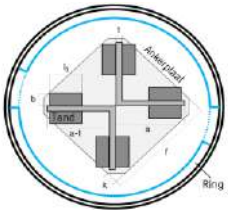
Hoofdtype 2
Tanddeuvels aan buitenzijde +
knag aan rand van de flensen + ankerplaat



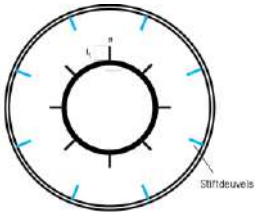
Hoofdtype 3
Tanddeuvels aan buitenzijde en binnenzijde
+ ankerplaat



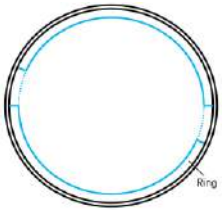
Hoofdtype 4
Tanddeuvels dubbele randstaaf + ankerplaat



Hoofdtype 5
Stiftdeuvels aan ronde buisprofiel, geen ankerplaat

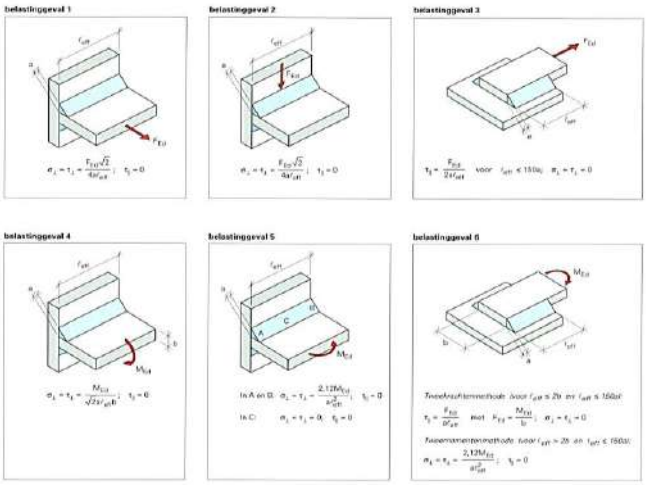


Hoofdtype 6
Enkel toetsing van knaggen aan
funderingspaal + doorsnede paal



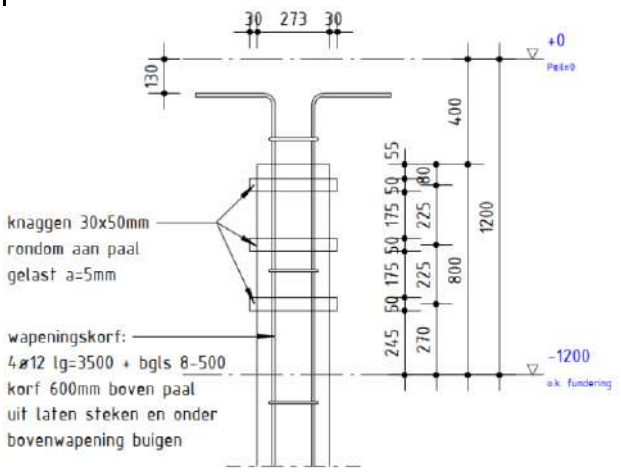
Toetsing capaciteit randstijldeuvels				
Capaciteit ankerplaat bij druk	$F_{Rd,c,p}$	$=A_{p,c}f_{cd}$	0,0	kN
Capaciteit ankerplaat bij trek	$F_{Rd,t,p}$	$=A_{p,t}f_{cd}$	0,0	kN
Capaciteit buitendeuvels	$F_{Rd,b,out}$	$=A_{t1,out,i}f_{cd}n_{out}$	0,0	kN
Capaciteit binnendeuvels	$F_{Rd,b,in}$	$=A_{t1,in,i}f_{cd}n_{in}$	0,0	kN
Capaciteit totaal bij druk	$F_{Rd,c}$	$=F_{Rd,c,p}+F_{Rd,b+o/i}$	0,0	kN
Capaciteit totaal bij trek	$F_{Rd,t}$	$=F_{Rd,t,p}+F_{Rd,b+o/i}$	0,0	kN
Betondrukspanning deuvels bij druk	$\sigma_{c,Ed,c}$	$=F_{ed,c}/(A_{p,c}+A_{t,o/i})$	0,00	N/mm^2
Betondrukspanning bij deuvels bij trek	$\sigma_{c,Ed,t}$	$=F_{ed,t}/(A_{p,t}+A_{t,o/i})$	0,00	N/mm^2
Max. buigspanning in staal	$\sigma_{s,Ed,c}$		0	N/mm^2
Max. buigspanning in staal	$\sigma_{s,Ed,t}$		0	N/mm^2
UC (staalcriterium)		$=\sigma_{s,Ed}/f_{y,3}$	n.v.t.	OK
UC (betoncriterium)		$=[F_{Ed,c}/F_{Rd,c};F_{Ed,t}/F_{Rd,t}]$	n.v.t.	OK
Toetsing capaciteit paaldeuvels				
Capaciteit deuvels enkele paal	$F_{Rd,b}$	$=A_{b,i}*n_{b,p}*f_{cd}$	2152,5	kN
Betondrukspanning bij deuvels	$\sigma_{c,Ed+max}$	$=F_{Ed}/(A_{b,i}*n_b)$	29,6	N/mm^2
Max. buigspanning in staal	$\sigma_{s,Ed}$		0,0	N/mm^2
UC (staalcriterium)		$=\sigma_{s,Ed}/f_{y,3}$	0,00	OK
UC (betoncriterium)		$=F_{Ed}/(F_{Rd,b}+F_{Rd,b,c/st})$	0,87	OK
Toetsing lassen				
Type las randstijldeuvels			Dubbelzijdig	
Type las paaldeuvels			Dubbelzijdig	
Lasspanning ankerplaat	$\sigma_{vw1,Ed}$	$=v(\sigma_z^2+3(\tau_T^2+\tau_{//}^2))$	n.v.t.	N/mm^2
Lasspanning buitendeuvels	$\sigma_{vw2,Ed}$	$=v(\sigma_T^2+3(\tau_T^2+\tau_{//}^2))$	n.v.t.	N/mm^2
Lasspanning binnendeuvels	$\sigma_{vw3,Ed}$	$=v(\sigma_T^2+3(\tau_T^2+\tau_{//}^2))$	n.v.t.	N/mm^2
Lasspanning paaldeuvels	$\sigma_{vw4,Ed}$	$=v(\sigma_z^2+3(\tau_T^2+\tau_{//}^2))$	221	N/mm^2
Maatgevende UC		$=\sigma_{vw,Ed}/f_{w,Rd}$	0,74	OK
Toetsing paalcapaciteit				
Effectieve doorsnede paal	$A_{p,eff}$	$=P_{in}(t_p-t_{p,red})$	7948	mm^2
Maximale spanning in paal	$\sigma_{s,Ed}$	$=F_{Ed}/(A_{p,eff}n_p)$	234,9	N/mm^2
UC doorsnede paal		$=\sigma_{s,Ed}/f_{y,1}$	1,00	OK

Lasspanningen NEN-EN 1993-1-8 p. 4.5.3						
Onderdeel	Ankerplaat	Buitendeuvels	Binnendeuvels (T3)	Binnendeuvels (T2)	Paaldeuvels	
Som σ_T	0,0	0,0	0,0	0,0	110,7	N/mm^2
Som τ_T	0,0	0,0	0,0	0,0	110,7	N/mm^2
Som $\tau_{//}$	0,0	0,0	0,0	0,0	0,0	N/mm^2
Mechanisme 1	Ja	Nee	Nee	Nee	Nee	
M1 σ_T	0,0	0,0	0,0	0,0	0,0	N/mm^2
M1 τ_T	0,0	0,0	0,0	0,0	0,0	N/mm^2
M1 $\tau_{//}$	0,0	0,0	0,0	0,0	0,0	N/mm^2
Mechanisme 2	Nee	Ja	Ja	Nee	Ja	
M2 σ_T	0,0	0,0	0,0	0,0	69,2	N/mm^2
M2 τ_T	0,0	0,0	0,0	0,0	69,2	N/mm^2
M2 $\tau_{//}$	0,0	0,0	0,0	0,0	0,0	N/mm^2
Mechanisme 3	Nee	Nee	Nee	Ja	Nee	
M3 σ_T	0,0	0,0	0,0	0,0	0,0	N/mm^2
M3 τ_T	0,0	0,0	0,0	0,0	0,0	N/mm^2
M3 $\tau_{//}$	0,0	0,0	0,0	0,0	0,0	N/mm^2
Mechanisme 4	Nee	Ja	Ja	Nee	Ja	
M4 σ_T	0,0	0,0	0,0	0,0	41,5	N/mm^2
M4 τ_T	0,0	0,0	0,0	0,0	41,5	N/mm^2
M4 $\tau_{//}$	0,0	0,0	0,0	0,0	0,0	N/mm^2
Mechanisme 5	Nee	Nee	Nee	Nee	Nee	
M5 σ_T	0,0	0,0	0,0	0,0	0,0	N/mm^2
M5 τ_T	0,0	0,0	0,0	0,0	0,0	N/mm^2
M5 $\tau_{//}$	0,0	0,0	0,0	0,0	0,0	N/mm^2
Mechanisme 6	Nee	Nee	Nee	Nee	Nee	
M6 σ_T	0,0	0,0	0,0	0,0	0,0	N/mm^2
M6 τ_T	0,0	0,0	0,0	0,0	0,0	N/mm^2
M6 $\tau_{//}$	0,0	0,0	0,0	0,0	0,0	N/mm^2



Achterliggende logica				
Afschuifprojectievlak NEN-EN1994-2 F1.1				
Oppervlakte projectie afschuifweerstand	A_{f2}	$=A_{f2,out}+A_{f2,in}$	3200	mm^2
Minimale h.o.h. seperatie deuvels	s_{min}	$=[250;2*L_w]$	n.v.t.	mm
Breedte projectievlak buitendeuvels	$b_{f2,out}$	$=b_2+s_2/5$	40	mm
Lengte projectievlak buitendeuvels	$L_{f2\text{-}out}$	$=L_{out}+2s_2/5$	80	mm
Oppervlak projectie buitendeuvels	$A_{f2,out}$	$=b_{f2,out}L_{f2,out}$	3200	mm^2
Breedte projectievlak binnendeuvels	$b_{f2,in}$	$=b_2+s_2/5$	0	mm
Lengte projectievlak binnendeuvels	$L_{f2\text{-}in}$	$=L_{in}+2s_2/5$	0	mm
Oppervlak projectie binnendeuvels	$A_{f2,in}$	$=b_{f2,in}L_{f2,in}$	0	mm^2
Breedte projectievlak paaldeuvels	$b_{f2,p}$	$=\min[b_1;b_{eff,b}]+s_1/5$	70	mm
Lengte projectievlak paaldeuvels	$L_{f2\text{-}p}$	$=L_b+2s_1/5$	875	mm
Oppervlak projectie paaldeuvels	$A_{f2,p}$	$=b_{f2,p}L_{f2,p}$	61238	mm^2
Effectieve oppervlakte ankerplaat NEN-EN1993-1-8 p. 4.10				
Oppervlakte ankerplaat excl. reducties	$A_{p,i}$	$=(L_w+cn_c)^2-0,5((w+cn_c-k)^2$	0	mm^2
Reductie ineffectief oppervlak ankerplaat	$A_{p,red1}$	$=0,5b_{ineff}^2$	0	mm^2
Oppervlakte staalprofiel	A_s	$=(2L_w-t_w)t_w$	0	mm^2
Effectieve breedte ankerplaat	b_{eff}	$=t_w+2a_1\sqrt{2}+7kt_f$	0,0	mm
Factor meewerkende breedte	k	$=\min[(t_f/t_w);1,0]$	0,00	-
Ineffectieve breedte	b_{ineff}	$=L_w+cn_c-(2c+t_w+b_{eff})+k_{pl}$	0,0	mm
Momentarm ankerplaat (voor toetsing incl. buiging)				
Momentarm ankerplaat	a_{ip}	$=[\sqrt{(2(z_1-z_2)^2)};0]$	0,0	mm
Zwaartepunt ankerplaat t.o.v. onderhoek	z_1	$=\sum A_i*z_i/A_T$	0,0	mm
Zwaartepunt randstijl t.o.v. onderhoek	z_2	$=\sum A_i*z_i/A_T$	0,0	mm
Staalspanning (voor toetsing incl. buiging)				
Weerstandsmoment ankerplaat	W_1	$=1/6*2(L_w-t_w)t_f^2$	0	mm^3
Weerstandsmoment buitendeuvels	W_2	$=1/6(L_{out}-e)h_2^2$	0	mm^3
Weerstandsmoment binnendeuvels	W_3	$=1/6L_{in}h_2^2$	0	mm^3
Weerstandsmoment paaldeuvels	W_4	$=1/6L_ih_1^2$	331176	mm^3
Staalspanning ankerplaat (druk)	$\sigma_{s,Ed,c}$	$=A_{p,c}\sigma_{c\text{-}Ed,c}a_{ip}/W_1$	0	N/mm^2
Staalspanning buitendeuvels (druk)	$\sigma_{s,Ed,c}$	$=A_{t1,out,c}\sigma_{c\text{-}Ed,c}(b_2/2)/W_2$	0	N/mm^2
Staalspanning binnendeuvels (druk)	$\sigma_{s,Ed,c}$	$=A_{t1,in,c}\sigma_{c\text{-}Ed,c}(b_2/2)/W_3$	0	N/mm^2
Staalspanning paaldeuvels (max)	$\sigma_{s,Ed,c,t}$	$=A_i\sigma_{c\text{-}Ed,max}(b_1/2)/W_4$	28	N/mm^2
Staalspanning ankerplaat (trek)	$\sigma_{s,Ed,t}$	$=A_{p,t}\sigma_{c\text{-}Ed,t}a_{ip}/W_1$	0	N/mm^2
Staalspanning buitendeuvels (trek)	$\sigma_{s,Ed,t}$	$=A_{t1,out,c}\sigma_{c\text{-}Ed,t}(b_2/2)/W_2$	0	N/mm^2
Staalspanning binnendeuvels (trek)	$\sigma_{s,Ed,t}$	$=A_{t1,in,c}\sigma_{c\text{-}Ed,t}(b_2/2)/W_3$	0	N/mm^2
Optionele meewerkende betondoorsnede paal				
Enkel van toepassing als krachten uit randstijl via schachtwrijving naar de paalwand overbracht kunnen worden.				
Meewerkende wapeningstaven	n_{st}		0	#
Staafdiameter	$ø_{st}$		0	mm
Materiaalkwaliteit staaf	-		-	-
Factor effectiviteit betondoorsnede	α		0,00	-
Vloeigrens	f_{yd}		0	N/mm^2
Trekcapaciteit wapening	$F_{Rd,b,st}$	$=0,25n_{st}ø_{st}^2\pi F_{yd}$	0	kN
Betondoorsnede paal	$A_{c,p}$	$=\alpha*0,25P_{in}^2/\pi$	0	mm^2
Druksterkte betondoorsnede	$F_{Rd,b,c}$	$=A_{c,p}f_{ck}/\gamma_c$	0	kN
Gereduceerde breedte als knaggen geprofileerd zijn volgens NEN-EN1993-1-8 p. 4.10				
Flensdikte aangelast profiel	$t_{f,b}$		0	mm
Factor meewerkende breedte (k)	k_b	$=\min[(t_{f,b}/t_{f,b});1,0]$	0,00	-
Effectieve breedte knag	$b_{eff,b}$	$=0,5(t_{f,b}+2a_2\sqrt{2}+7k_bt_{f,b})$	0	mm

Ondersteunende figuren



Toetsing inleiding krachten in fundering

Projectnaam	Opwaardering KIJ-BVW 380kV	**Rekensheet versie**	3.1
Lijn	KIJ-DIM Ronde Venen	**Datum**	1-2-2026
Subtype deuvels aan randstijl	O	**Auteur**	[redacted]
Subtype deuvels aan paal	Leka 324	**Eerste interne controle**	Mauny Bahri (RO)
Mastnummer(s)	versterkingen	**Tweede interne controle**	[redacted]

Samenvatting	UC	Check	F_{Rd}	
Maatgevende unity check	**1,00**	OK		
Max UC randstijldeuvels beton	n.v.t.	OK	D:0 T:0	kN
Max UC paaldeuvels beton	0,86	OK	2594	kN
Max UC lassen	0,74	OK	3038	kN
Max UC staalciteria	1,00	OK	2244	kN
Trekkracht uit randstijl	$F_{Ed,t}$		*2234*	kN
Drukkracht uit randstijl	$F_{Ed,c}$		*2234*	kN
Spanningsbegrenzing		$=0,7f_{cd}$	Nee	
Toetsing incl. buiging			Nee	
Toetsing incl. las reductie		$=f_w/1,2$	Ja	

Zie voor de maximaal optredende paalkrachten het constructief rapport

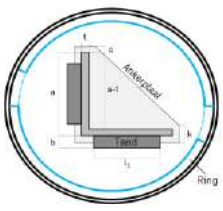
Materialen				
Betonkwaliteit	-		C30/37	
Beton omsloten	-		Ja	
Karakteristieke druksterkte	f_{ck}		30	N/mm^2
Verhogingsfactor druksterkte	C_a	$=min[\sqrt{(A_{c2}/A_{f1})};2,5]$	1,68	-
Verhoogde druksterkte	f_{jk}	$=f_{ck}C_a$	50,25	N/mm^2
Betondruksterkte	f_{cd}	$=f_{jk}/\gamma_c$	33,50	N/mm^2
Staalsoort 1: funderingspaal	-		S235	N/mm^2
Treksterkte staalsoort 1	$f_{u,1}$		360	N/mm^2
Vloeispanning staalsoort 1	$f_{y,1}$		235	N/mm^2
Staalsoort 2: randstijl	-		S235	N/mm^2
Treksterkte staalsoort 2	$f_{u,2}$		360	N/mm^2
Vloeispanning staalsoort 2	$f_{y,2}$		235	N/mm^2
Staalsoort 3: deuvels	-		S235	N/mm^2
Treksterkte staalsoort 3	$f_{u,3}$		360	N/mm^2
Vloeispanning staalsoort 3	$f_{y,3}$		235	N/mm^2
Lassterkte deuvels paal	$f_{w,Rd}$	$=f_{u1,3}/(w_r\beta_w\gamma_s)$	300	N/mm^2
Lassterkte deuvels randstijl	$f_{w,Rd}$	$=f_{u2,3}/(w_r\beta_w\gamma_s)$	300	N/mm^2
Partiële factor beton	γ_c		1,50	-
Partiële factor staal	γ_s		1,25	-
Corrolatiefactor lassen	β_w		0,80	-
Reductiefactor lassen	w_r		1,2	-

Hoekprofiel randstijl			0x0x0	
Zijde	L_w		0	mm
Dikte	t_w		0	mm
Lengte verankering	L_e		800	mm

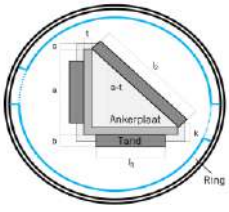
Geometrie				
Hoofdtype deuvels (zie figuren onderaan)			6	
Aantal palen per randstijl*	n_p		1	#
Type paal*			Buispaal	
Diameter paal uitwendig (indien buispaal)	$ø_{p,out}$		323,9	mm
Wanddikte paal	t_p		10,0	mm
Roestreductie paalwand	$t_{p,red}$		0	mm
Lengte paaldeuvel als % van omtrek paal	P_b		100,00%	%
Aantal lagen deuvels aan paal	$n_{b,p}$		3	#
Seperatie paaldeuvels	s_1		200	mm
Breedte deuvels/ lengte stift aan paal*	b_1		30	mm
Dikte deuvels aan fundatiepaal*	h_1		50	mm
Diameter paal inwendig (indien buispaal)	$ø_{p,in}$	$=ø_{p,out}-2t_p$	303,9	mm
Inwendige omtrek paal o.b.v. paaldiameter	P_{in}	$=[0;ø_{p,in}\pi]$	955	mm
Laslengte paaldeuvel	L_b	$=P_{in}P_b$	955	mm
Oppervlakte deuvels per laag aan paal**	$A_{b,1,i}$	$=[P_b(ø_{p,in}-b_1)\pi rb_1;L_bb_1]$	25814	mm2
Deuvels aan buitenzijde randstijl	n_{out}		0	#
Deuvels aan binnenzijde randstijl	n_{in}		0	#
Seperatie randstijldeuvels	s_2		200	mm
(las)Lengte deuvel buitenzijde*	L_{out}		0	mm
Uitkragende lengte deuvel buitenzijde	e		0	mm
(las)Lengte deuvel binnenzijde*	L_{in}		0	mm
Breedte deuvels aan randstijl	b_2		0	mm
Dikte deuvels aan randstijl	h_2		0	mm
Diameter stiftdeuvel	$ø_b$		0	mm
Oppervlakte enkele deuvel buitenzijde	$A_{f1,out,i}$	$=[L_{out}b;L_{out}ø_b]$	0	mm^2
Oppervlakte enkele deuvel binnenzijde	$A_{f1,in,i}$	$=[L_{in}b;L_{in}ø_b]$	0	mm^2
Las ankerplaat|randstijl	a_1		0	mm
Las deuvel|paal	a_2		4	mm
Las deuvel|buitenzijde randstijl	a_3		0	mm
Las deuvel|binnenzijde randstijl	a_4		0	mm
Lengte rugplaat aan ankerplaat	L_{rp}		0	mm
Dikte ankerplaat/rugplaat	t_r		0	mm
n-zijden buitenrand ankerplaat	n_c		2	#
Breedte buitenrand ankerplaat	c		0	mm
Rechte zijde ankerplaat	k_{pl}		0	mm
Aanvullende reductie omvang ankerplaat	$A_{p,red2}$		0	mm^2
(Las)Lengte ankerplaat binnenzijde	L_{lp}	$=[4;2](L_w-t_w-a_1\sqrt{2})$	0	mm
Effectief oppervlakte ankerplaat druk	$A_{p,c}$	$=A_{p,r}-A_{p,red1,2}$	0	mm^2
Effectief oppervlakte ankerplaat trek	$A_{p,t}$	$=A_{p,r}-A_{p,red1,2}-A_s$	0	mm^2

Notities

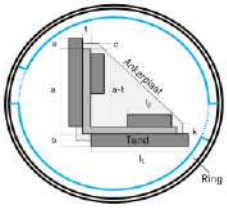
Hoofdtype 1
Tanddeuvels aan buitenzijde + ankerplaat



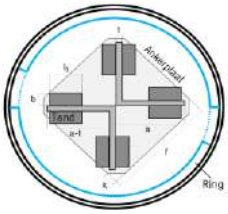
Hoofdtype 2
Tanddeuvels aan buitenzijde +
knag aan rand van de flensen + ankerplaat



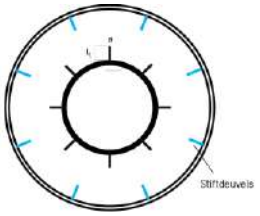
Hoofdtype 3
Tanddeuvels aan buitenzijde en binnenzijde
+ ankerplaat



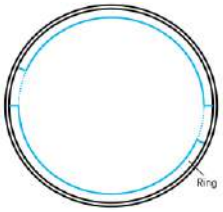
Hoofdtype 4
Tanddeuvels dubbele randstaaf + ankerplaat



Hoofdtype 5
Stiftdeuvels aan ronde buisprofiel, geen ankerplaat

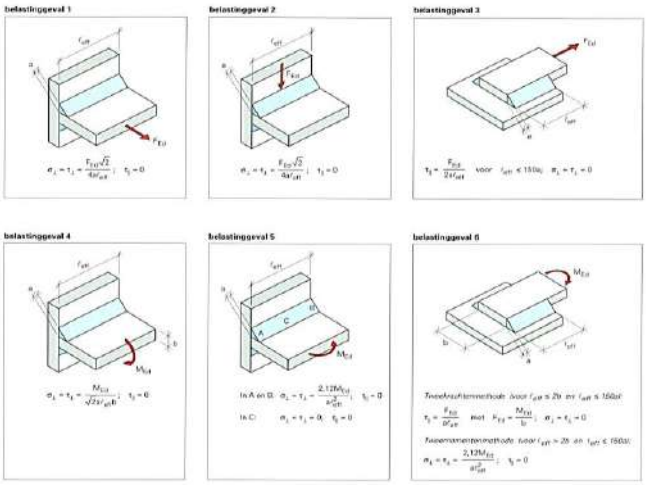


Hoofdtype 6
Enkel toetsing van knaggen aan
funderingspaal + doorsnede paal



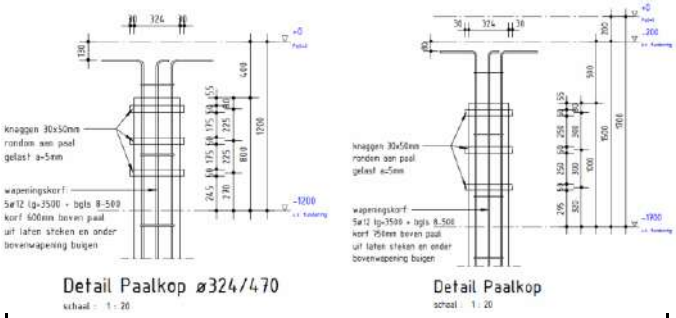
Toetsing capaciteit randstijldeuvels				
Capaciteit ankerplaat bij druk	$F_{Rd,c,p}$	$=A_{p,c}f_{cd}$	0,0	kN
Capaciteit ankerplaat bij trek	$F_{Rd,t,p}$	$=A_{p,t}f_{cd}$	0,0	kN
Capaciteit buitendeuvels	$F_{Rd,b,out}$	$=A_{t1,out,i}f_{cd}n_{out}$	0,0	kN
Capaciteit binnendeuvels	$F_{Rd,b,in}$	$=A_{t1,in,i}f_{cd}n_{in}$	0,0	kN
Capaciteit totaal bij druk	$F_{Rd,c}$	$=F_{Rd,c,p}+F_{Rd,b+o/i}$	0,0	kN
Capaciteit totaal bij trek	$F_{Rd,t}$	$=F_{Rd,t,p}+F_{Rd,b+o/i}$	0,0	kN
Betondrukspanning deuvels bij druk	$\sigma_{c,Ed,c}$	$=F_{ed,c}/(A_{p,c}+A_{t,o/i})$	0,00	N/mm^2
Betondrukspanning bij deuvels bij trek	$\sigma_{c,Ed,t}$	$=F_{ed,t}/(A_{p,t}+A_{t,o/i})$	0,00	N/mm^2
Max. buigspanning in staal	$\sigma_{s,Ed,c}$		0	N/mm^2
Max. buigspanning in staal	$\sigma_{s,Ed,t}$		0	N/mm^2
UC (staalcriterium)		$=\sigma_{s,Ed}/f_{y,3}$	n.v.t.	OK
UC (betoncriterium)		$=[F_{Ed,c}/F_{Rd,c};F_{Ed,t}/F_{Rd,t}]$	n.v.t.	OK
Toetsing capaciteit paaldeuvels				
Capaciteit deuvels enkele paal	$F_{Rd,b}$	$=A_{b,i}*n_{b,p}*f_{cd}$	2594,5	kN
Betondrukspanning bij deuvels	$\sigma_{c,Ed+max}$	$=F_{Ed}/(A_{b,i}*n_b)$	28,8	N/mm^2
Max. buigspanning in staal	$\sigma_{s,Ed}$		0,0	N/mm^2
UC (staalcriterium)		$=\sigma_{s,Ed}/f_{y,3}$	0,00	OK
UC (betoncriterium)		$=F_{Ed}/(F_{Rd,b}+F_{Rd,b,c/st})$	0,86	OK
Toetsing lassen				
Type las randstijldeuvels			Dubbelzijdig	
Type las paaldeuvels			Dubbelzijdig	
Lasspanning ankerplaat	$\sigma_{vw1,Ed}$	$=\sqrt{(\sigma_\perp^2+3(\tau_\perp^2+\tau_{//}^2))}$	n.v.t.	N/mm^2
Lasspanning buitendeuvels	$\sigma_{vw2,Ed}$	$=\sqrt{(\sigma_T^2+3(\tau_T^2+\tau_{//}^2))}$	n.v.t.	N/mm^2
Lasspanning binnendeuvels	$\sigma_{vw3,Ed}$	$=\sqrt{(\sigma_T^2+3(\tau_T^2+\tau_{//}^2))}$	n.v.t.	N/mm^2
Lasspanning paaldeuvels	$\sigma_{vw4,Ed}$	$=\sqrt{(\sigma_T^2+3(\tau_T^2+\tau_{//}^2))}$	221	N/mm^2
Maatgevende UC		$=\sigma_{vw,Ed}/f_{w,Rd}$	0,74	OK
Toetsing paalcapaciteit				
Effectieve doorsnede paal	$A_{p,eff}$	$=P_{in}(t_p-t_{p,red})$	9547	mm^2
Maximale spanning in paal	$\sigma_{s,Ed}$	$=F_{Ed}/(A_{p,eff}n_p)$	234,0	N/mm^2
UC doorsnede paal		$=\sigma_{s,Ed}/f_{y,1}$	1,00	OK

Lasspanningen NEN-EN 1993-1-8 p. 4.5.3						
Onderdeel	Ankerplaat	Buitendeuvels	Binnendeuvels (T3)	Binnendeuvels (T2)	Paaldeuvels	
Som σ_T	0,0	0,0	0,0	0,0	110,3	N/mm^2
Som τ_T	0,0	0,0	0,0	0,0	110,3	N/mm^2
Som $\tau_{//}$	0,0	0,0	0,0	0,0	0,0	N/mm^2
Mechanisme 1	Ja	Nee	Nee	Nee	Nee	
M1 σ_T	0,0	0,0	0,0	0,0	0,0	N/mm^2
M1 τ_T	0,0	0,0	0,0	0,0	0,0	N/mm^2
M1 $\tau_{//}$	0,0	0,0	0,0	0,0	0,0	N/mm^2
Mechanisme 2	Nee	Ja	Ja	Nee	Ja	
M2 σ_T	0,0	0,0	0,0	0,0	68,9	N/mm^2
M2 τ_T	0,0	0,0	0,0	0,0	68,9	N/mm^2
M2 $\tau_{//}$	0,0	0,0	0,0	0,0	0,0	N/mm^2
Mechanisme 3	Nee	Nee	Nee	Ja	Nee	
M3 σ_T	0,0	0,0	0,0	0,0	0,0	N/mm^2
M3 τ_T	0,0	0,0	0,0	0,0	0,0	N/mm^2
M3 $\tau_{//}$	0,0	0,0	0,0	0,0	0,0	N/mm^2
Mechanisme 4	Nee	Ja	Ja	Nee	Ja	
M4 σ_T	0,0	0,0	0,0	0,0	41,4	N/mm^2
M4 τ_T	0,0	0,0	0,0	0,0	41,4	N/mm^2
M4 $\tau_{//}$	0,0	0,0	0,0	0,0	0,0	N/mm^2
Mechanisme 5	Nee	Nee	Nee	Nee	Nee	
M5 σ_T	0,0	0,0	0,0	0,0	0,0	N/mm^2
M5 τ_T	0,0	0,0	0,0	0,0	0,0	N/mm^2
M5 $\tau_{//}$	0,0	0,0	0,0	0,0	0,0	N/mm^2
Mechanisme 6	Nee	Nee	Nee	Nee	Nee	
M6 σ_T	0,0	0,0	0,0	0,0	0,0	N/mm^2
M6 τ_T	0,0	0,0	0,0	0,0	0,0	N/mm^2
M6 $\tau_{//}$	0,0	0,0	0,0	0,0	0,0	N/mm^2



Achterliggende logica				
Afschuifprojectievlak NEN-EN1994-2 F1.1				
Oppervlakte projectie afschuifweerstand	A_{f2}	$=A_{f2,out}+A_{f2,in}$	3200	mm^2
Minimale h.o.h. seperatie deuvels	s_{min}	$=[250;2*L_w]$	n.v.t.	mm
Breedte projectievlak buitendeuvels	$b_{f2,out}$	$=b_2+s_2/5$	40	mm
Lengte projectievlak buitendeuvels	$L_{f2\text{-}out}$	$=L_{out}+2s_2/5$	80	mm
Oppervlak projectie buitendeuvels	$A_{f2,out}$	$=b_{f2,out}L_{f2,out}$	3200	mm^2
Breedte projectievlak binnendeuvels	$b_{f2,in}$	$=b_2+s_2/5$	0	mm
Lengte projectievlak binnendeuvels	$L_{f2\text{-}in}$	$=L_{in}+2s_2/5$	0	mm
Oppervlak projectie binnendeuvels	$A_{f2,in}$	$=b_{f2,in}L_{f2,in}$	0	mm^2
Breedte projectievlak paaldeuvels	$b_{f2,p}$	$=\min[b_1;b_{eff,b}]+s_1/5$	70	mm
Lengte projectievlak paaldeuvels	$L_{f2\text{-}p}$	$=L_b+2s_1/5$	1035	mm
Oppervlak projectie paaldeuvels	$A_{f2,p}$	$=b_{f2,p}L_{f2,p}$	72431	mm^2
Effectieve oppervlakte ankerplaat NEN-EN1993-1-8 p. 4.10				
Oppervlakte ankerplaat excl. reducties	$A_{p,i}$	$=(L_w+cn_c)^2-0,5((w+cn_c-k)^2$	0	mm^2
Reductie ineffectief oppervlak ankerplaat	$A_{p,red1}$	$=0,5b_{ineff}^2$	0	mm^2
Oppervlakte staalprofiel	A_s	$=(2L_w-t_w)t_w$	0	mm^2
Effectieve breedte ankerplaat	b_{eff}	$=t_w+2a_1\sqrt{2}+7kt_f$	0,0	mm
Factor meewerkende breedte	k	$=\min[(t_f/t_w);1,0]$	0,00	-
Ineffectieve breedte	b_{ineff}	$=L_w+cn_c-(2c+t_w+b_{eff})+k_{pl}$	0,0	mm
Momentarm ankerplaat (voor toetsing incl. buiging)				
Momentarm ankerplaat	a_{fp}	$=[\sqrt{(2(z_1-z_2)^2)};0]$	0,0	mm
Zwaartepunt ankerplaat t.o.v. onderhoek	z_1	$=\sum A*z_i/A_T$	0,0	mm
Zwaartepunt randstijl t.o.v. onderhoek	z_2	$=\sum A*z_i/A_T$	0,0	mm
Staalspanning (voor toetsing incl. buiging)				
Weerstandsmoment ankerplaat	W_1	$=1/6*2(L_w-t_w)t_f^2$	0	mm^3
Weerstandsmoment buitendeuvels	W_2	$=1/6(L_{out}-e)h_2^2$	0	mm^3
Weerstandsmoment binnendeuvels	W_3	$=1/6L_{in}h_2^2$	0	mm^3
Weerstandsmoment paaldeuvels	W_4	$=1/6L_1h_1^2$	397804	mm^3
Staalspanning ankerplaat (druk)	$\sigma_{s,Ed,c}$	$=A_{p,c}\sigma_{c\text{-}Ed,c}a_{fp}/W_1$	0	N/mm^2
Staalspanning buitendeuvels (druk)	$\sigma_{s,Ed,c}$	$=A_{t1,out,c}\sigma_{c\text{-}Ed,c}(b_2/2)/W_2$	0	N/mm^2
Staalspanning binnendeuvels (druk)	$\sigma_{s,Ed,c}$	$=A_{t1,in,c}\sigma_{c\text{-}Ed,c}(b_2/2)/W_3$	0	N/mm^2
Staalspanning paaldeuvels (max)	$\sigma_{s,Ed,c,t}$	$=A_4\sigma_{c\text{-}Ed,max}(b_1/2)/W_4$	28	N/mm^2
Staalspanning ankerplaat (trek)	$\sigma_{s,Ed,t}$	$=A_{p,t}\sigma_{c\text{-}Ed,t}a_f/W_1$	0	N/mm^2
Staalspanning buitendeuvels (trek)	$\sigma_{s,Ed,t}$	$=A_{t1,out,c}\sigma_{c\text{-}Ed,t}(b_2/2)/W_2$	0	N/mm^2
Staalspanning binnendeuvels (trek)	$\sigma_{s,Ed,t}$	$=A_{t1,in,c}\sigma_{c\text{-}Ed,t}(b_2/2)/W_3$	0	N/mm^2
Optionele meewerkende betondoorsnede paal				
Enkel van toepassing als krachten uit randstijl via schachtwrijving naar de paalwand overbracht kunnen worden.				
Meewerkende wapeningstaven	n_{st}		0	#
Staafdiameter	$ø_{st}$		0	mm
Materiaalkwaliteit staaf	-		-	-
Factor effectiviteit betondoorsnede	α		0,00	-
Vloeigrens	f_{yd}		0	N/mm^2
Trekcapaciteit wapening	$F_{Rd,b,st}$	$=0,25n_{st}ø_{st}^2\pi F_{yd}$	0	kN
Betondoorsnede paal	$A_{c,p}$	$=\alpha*0,25P_{in}^2/\pi$	0	mm^2
Druksterkte betondoorsnede	$F_{Rd,b,c}$	$=A_{c,p}f_{cd}/\gamma_c$	0	kN
Gereduceerde breedte als knaggen geprofileerd zijn volgens NEN-EN1993-1-8 p. 4.10				
Flensdikte aangelast profiel	$t_{f,b}$		0	mm
Factor meewerkende breedte (k)	k_b	$=\min[(t_{f,b}/t_{f,b});1,0]$	0,00	-
Effectieve breedte knag	$b_{eff,b}$	$=0,5(t_{f,b}+2a_2\sqrt{2}+7k_bt_{f,b})$	0	mm

Ondersteunende figuren



Toetsing inleiding krachten in fundering

Projectnaam	Opwaardering KIJ-BVW 380kV	**Rekensheet versie**	3.1
Lijn	KIJ-DIM Ronde Venen	**Datum**	1-2-2026
Subtype deuvels aan randstijl		**Auteur**	[redacted]
Subtype deuvels aan paal	Buitenzijde LD1 (maximaal)	**Eerste interne controle**	Mauny Bahri (RO)
Mastnummer(s)	versterkingen	**Tweede interne controle**	[redacted]

Samenvatting	UC	Check	F_{Rd}	
Maatgevende unity check	**1,00**	OK		
Max UC randstijldeuvels beton	n.v.t.	OK	D:0 T:0	kN
Max UC paaldeuvels beton	0,85	OK	3201	kN
Max UC lassen	0,78	OK	3499	kN
Max UC staalciteria	1,00	OK	2726	kN
Trekkracht uit randstijl	$F_{Ed,t}$		*2720*	kN
Drukkracht uit randstijl	$F_{Ed,c}$		*2720*	kN
Spanningsbegrenzing		$=0,7f_{cd}$	Nee	
Toetsing incl. buiging			Nee	
Toetsing incl. las reductie		$=f_w/1,2$	Ja	

Zie voor de maximaal optredende paalkrachten het constructief rapport

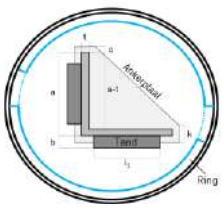
Materialen				
Betonkwaliteit	-		C30/37	
Beton omsloten	-		Ja	
Karakteristieke druksterkte	f_{ck}		30	N/mm^2
Verhogingsfactor druksterkte	C_a	$=min[\sqrt{(A_{c2}/A_{f1})};2,5]$	1,62	-
Verhoogde druksterkte	f_{jk}	$=f_{ck}C_a$	48,52	N/mm^2
Betondruksterkte	f_{cd}	$=f_{jk}/\gamma_c$	32,35	N/mm^2
Staalsoort 1: funderingspaal	-		S235	N/mm^2
Treksterkte staalsoort 1	$f_{u,1}$		360	N/mm^2
Vloeispanning staalsoort 1	$f_{y,1}$		235	N/mm^2
Staalsoort 2: randstijl	-		S235	N/mm^2
Treksterkte staalsoort 2	$f_{u,2}$		360	N/mm^2
Vloeispanning staalsoort 2	$f_{y,2}$		235	N/mm^2
Staalsoort 3: deuvels	-		S235	N/mm^2
Treksterkte staalsoort 3	$f_{u,3}$		360	N/mm^2
Vloeispanning staalsoort 3	$f_{y,3}$		235	N/mm^2
Lassterkte deuvels paal	$f_{w,Rd}$	$=f_{u1,3}/(w_r\beta_w\gamma_s)$	300	N/mm^2
Lassterkte deuvels randstijl	$f_{w,Rd}$	$=f_{u2,3}/(w_r\beta_w\gamma_s)$	300	N/mm^2
Partiële factor beton	γ_c		1,50	-
Partiële factor staal	γ_s		1,25	-
Corrolatiefactor lassen	β_w		0,80	-
Reductiefactor lassen	w_r		1,2	-

Hoekprofiel randstijl			0x0x0	
Zijde	L_w		0	mm
Dikte	t_w		0	mm
Lengte verankering	L_e		800	mm

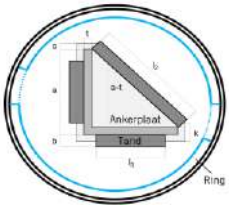
Geometrie				
Hoofdtype deuvels (zie figuren onderaan)			6	
Aantal palen per randstijl*	n_p		1	#
Type paal*			LD1	
Diameter paal uitwendig (indien buispaal)	$ø_{p,out}$		0,0	mm
Wanddikte paal	t_p		8,0	mm
Roestreductie paalwand	$t_{p,red}$		0	mm
Lengte paaldeuvel als % van omtrek paal	P_b		45,50%	%
Aantal lagen deuvels aan paal	$n_{b,p}$		5	#
Seperatie paaldeuvels	s_1		200	mm
Breedte deuvels/ lengte stift aan paal*	b_1		30	mm
Dikte deuvels aan fundatiepaal*	h_1		30	mm
Diameter paal inwendig (indien buispaal)	$ø_{p,in}$	$=ø_{p,out}-2t_p$	n.v.t.	mm
Inwendige omtrek paal o.b.v. tabellen	P_{in}	$=[0;ø_{p,in}\pi]$	1450	mm
Laslengte paaldeuvel	L_b	$=P_{in}P_b$	660	mm
Oppervlakte deuvels per laag aan paal**	$A_{b,1,i}$	$=[P_b(ø_{p,in}-b_1)\pi rb_1;L_bb_1]$	19793	mm2
Deuvels aan buitenzijde randstijl	n_{out}		0	#
Deuvels aan binnenzijde randstijl	n_{in}		0	#
Seperatie randstijldeuvels	s_2		332	mm
(las)Lengte deuvel buitenzijde*	L_{out}		0	mm
Uitkragende lengte deuvel buitenzijde	e		0	mm
(las)Lengte deuvel binnenzijde*	L_{in}		0	mm
Breedte deuvels aan randstijl	b_2		0	mm
Dikte deuvels aan randstijl	h_2		0	mm
Diameter stiftdeuvel	$ø_b$		0	mm
Oppervlakte enkele deuvel buitenzijde	$A_{f1,out,i}$	$=[L_{out}b;L_{out}ø_b]$	0	mm^2
Oppervlakte enkele deuvel binnenzijde	$A_{f1,in,i}$	$=[L_{in}b;L_{in}ø_b]$	0	mm^2
Las ankerplaat|randstijl	a_1		0	mm
Las deuvel|paal	a_2		5	mm
Las deuvel|buitenzijde randstijl	a_3		0	mm
Las deuvel|binnenzijde randstijl	a_4		0	mm
Lengte rugplaat aan ankerplaat	L_{rp}		0	mm
Dikte ankerplaat/rugplaat	t_r		0	mm
n-zijden buitenrand ankerplaat	n_c		2	#
Breedte buitenrand ankerplaat	c		0	mm
Rechte zijde ankerplaat	k_{pl}		0	mm
Aanvullende reductie omvang ankerplaat	$A_{p,red2}$		0	mm^2
(Las)Lengte ankerplaat binnenzijde	L_{lp}	$=[4;2](L_w-t_w-a_1\sqrt{2})$	0	mm
Effectief oppervlakte ankerplaat druk	$A_{p,c}$	$=A_{p,r}-A_{p,red1,2}$	0	mm^2
Effectief oppervlakte ankerplaat trek	$A_{p,t}$	$=A_{p,r}-A_{p,red1,2}-A_s$	0	mm^2

Notities

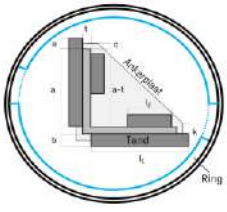
Hoofdtype 1
Tanddeuvels aan buitenzijde + ankerplaat



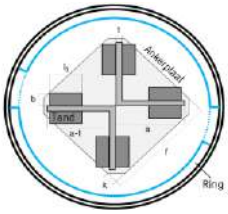
Hoofdtype 2
Tanddeuvels aan buitenzijde +
knag aan rand van de flensen + ankerplaat



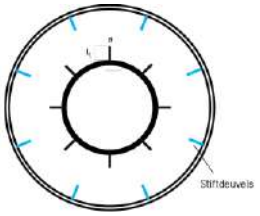
Hoofdtype 3
Tanddeuvels aan buitenzijde en binnenzijde
+ ankerplaat



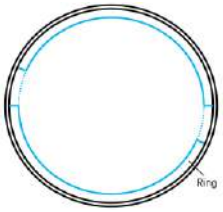
Hoofdtype 4
Tanddeuvels dubbele randstaaf + ankerplaat



Hoofdtype 5
Stiftdeuvels aan ronde buisprofiel, geen ankerplaat



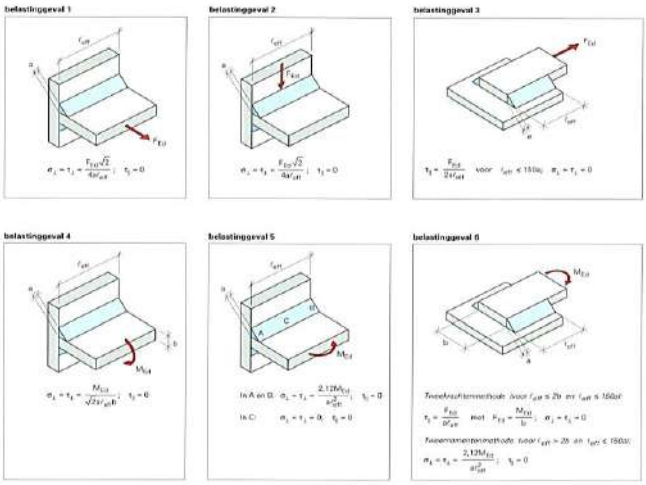
Hoofdtype 6
Enkel toetsing van knaggen aan
funderingspaal + doorsnede paal



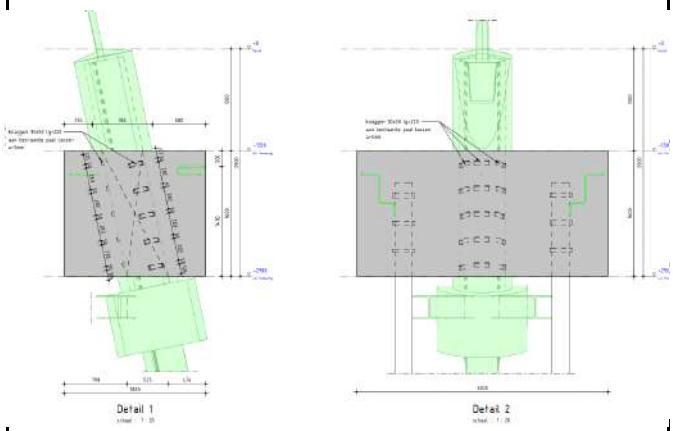
Toetsing capaciteit randstijldeuvels				
Capaciteit ankerplaat bij druk	$F_{Rd,c,p}$	$=A_{p,c}f_{cd}$	0,0	kN
Capaciteit ankerplaat bij trek	$F_{Rd,t,p}$	$=A_{p,t}f_{cd}$	0,0	kN
Capaciteit buitendeuvels	$F_{Rd,b,out}$	$=A_{t1,out,i}f_{cd}n_{out}$	0,0	kN
Capaciteit binnendeuvels	$F_{Rd,b,in}$	$=A_{t1,in,i}f_{cd}n_{in}$	0,0	kN
Capaciteit totaal bij druk	$F_{Rd,c}$	$=F_{Rd,c,p}+F_{Rd,b+o/i}$	0,0	kN
Capaciteit totaal bij trek	$F_{Rd,t}$	$=F_{Rd,t,p}+F_{Rd,b+o/i}$	0,0	kN
Betondrukspanning deuvels bij druk	$\sigma_{c,Ed,c}$	$=F_{ed,c}/(A_{p,c}+A_{t,o/i})$	0,00	N/mm²
Betondrukspanning bij deuvels bij trek	$\sigma_{c,Ed,t}$	$=F_{ed,t}/(A_{p,t}+A_{t,o/i})$	0,00	N/mm²
Max. buigspanning in staal	$\sigma_{s,Ed,c}$		0	N/mm²
Max. buigspanning in staal	$\sigma_{s,Ed,t}$		0	N/mm²
UC (staalcriterium)		$=\sigma_{s,Ed}/f_{y,3}$	n.v.t.	OK
UC (betoncriterium)		$=[F_{Ed,c}/F_{Rd,c};F_{Ed,t}/F_{Rd,t}]$	n.v.t.	OK
Toetsing capaciteit paaldeuvels				
Capaciteit deuvels enkele paal	$F_{Rd,b}$	$=A_{b,i}*n_{b,p}*f_{cd}$	3201,4	kN
Betondrukspanning bij deuvels	$\sigma_{c,Ed+max}$	$=F_{Ed}/(A_{b,i}*n_b)$	27,5	N/mm²
Max. buigspanning in staal	$\sigma_{s,Ed}$		0,0	N/mm²
UC (staalcriterium)		$=\sigma_{s,Ed}/f_{y,3}$	0,00	OK
UC (betoncriterium)		$=F_{Ed}/(F_{Rd,b}+F_{Rd,b,c/st})$	0,85	OK
Toetsing lassen				
Type las randstijldeuvels			Dubbelzijdig	
Type las paaldeuvels			Dubbelzijdig	
Lasspanning ankerplaat	$\sigma_{vw1,Ed}$	$=\sqrt{(\sigma_T^2+3(\tau_T^2+\tau_{//}^2))}$	n.v.t.	N/mm²
Lasspanning buitendeuvels	$\sigma_{vw2,Ed}$	$=\sqrt{(\sigma_T^2+3(\tau_T^2+\tau_{//}^2))}$	n.v.t.	N/mm²
Lasspanning binnendeuvels	$\sigma_{vw3,Ed}$	$=\sqrt{(\sigma_T^2+3(\tau_T^2+\tau_{//}^2))}$	n.v.t.	N/mm²
Lasspanning paaldeuvels	$\sigma_{vw4,Ed}$	$=\sqrt{(\sigma_T^2+3(\tau_T^2+\tau_{//}^2))}$	233	N/mm²
Maatgevende UC		$=\sigma_{vw,Ed}/f_{w,Rd}$	0,78	OK
Toetsing paalcapaciteit				
Effectieve doorsnede paal	$A_{p,eff}$	$=P_{in}(t_p-t_{p,red})$	11600	mm²
Maximale spanning in paal	$\sigma_{s,Ed}$	$=F_{Ed}/(A_{p,eff}n_p)$	234,5	N/mm²
UC doorsnede paal		$=\sigma_{s,Ed}/f_{y,1}$	1,00	OK

Achterliggende logica				
Afschuifprojectievlak NEN-EN1994-2 F1.1				
Oppervlakte projectie afschuifweerstand	A_{f2}	$=A_{f2,out}+A_{f2,in}$	8818	mm²
Minimale h.o.h. seperatie deuvels	s_{min}	$=[250;2*t_w]$	n.v.t.	mm
Breedte projectievlak buitendeuvels	$b_{f2,out}$	$=b_2+s_2/5$	66,4	mm
Lengte projectievlak buitendeuvels	$L_{f2,out}$	$=L_{out}+2s_2/5$	132,8	mm
Oppervlak projectie buitendeuvels	$A_{f2,out}$	$=b_{f2,out}L_{f2,out}$	8817,92	mm²
Breedte projectievlak binnendeuvels	$b_{f2,in}$	$=b_2+s_2/5$	0	mm
Lengte projectievlak binnendeuvels	$L_{f2,in}$	$=L_{in}+2s_2/5$	0	mm
Oppervlak projectie binnendeuvels	$A_{f2,in}$	$=b_{f2,in}L_{f2,in}$	0	mm²
Breedte projectievlak paaldeuvels	$b_{f2,p}$	$=\min[b_1;b_{eff,b}]+s_1/5$	70	mm
Lengte projectievlak paaldeuvels	$L_{f2,p}$	$=L_b+2s_1/5$	740	mm
Oppervlak projectie paaldeuvels	$A_{f2,p}$	$=b_{f2,p}L_{f2,p}$	51783	mm²
Effectieve oppervlakte ankerplaat NEN-EN1993-1-8 p. 4.10				
Oppervlakte ankerplaat excl. reducties	$A_{p,i}$	$=(L_w+cn_c)^2-0,5((w+cn_c-k)^2$	0	mm²
Reductie ineffectief oppervlak ankerplaat	$A_{p,red1}$	$=0,5b_{ineff}^2$	0	mm²
Oppervlakte staalprofiel	A_s	$=(2L_w-t_w)t_w$	0	mm²
Effectieve breedte ankerplaat	b_{eff}	$=t_w+2a_1\sqrt{2}+7kt_f$	0,0	mm
Factor meewerkende breedte	k	$=\min[(t_f/t_w);1,0]$	0,00	-
Ineffectieve breedte	b_{ineff}	$=L_w+cn_c-(2c+t_w+b_{eff})+k_{pl}$	0,0	mm
Momentarm ankerplaat (voor toetsing incl. buiging)				
Momentarm ankerplaat	a_{tp}	$=[\sqrt{(2(z_1-z_2)^2)};0]$	0,0	mm
Zwaartepunt ankerplaat t.o.v. onderhoek	z_1	$=\sum A_i*z_i/A_T$	0,0	mm
Zwaartepunt randstijl t.o.v. onderhoek	z_2	$=\sum A_i*z_i/A_T$	0,0	mm
Staalspanning (voor toetsing incl. buiging)				
Weerstandsmoment ankerplaat	W_1	$=1/6*2(L_w-t_w)t_f^2$	0	mm³
Weerstandsmoment buitendeuvels	W_2	$=1/6(L_{out}-e)h_2^2$	0	mm³
Weerstandsmoment binnendeuvels	W_3	$=1/6L_{in}h_2^2$	0	mm³
Weerstandsmoment paaldeuvels	W_4	$=1/6L_ph_1^2$	98963	mm³
Staalspanning ankerplaat (druk)	$\sigma_{s,Ed,c}$	$=A_{p,c}\sigma_{c\text{-}Ed,c}a_{tp}/W_1$	0	N/mm²
Staalspanning buitendeuvels (druk)	$\sigma_{s,Ed,c}$	$=A_{t1,out,c}\sigma_{c\text{-}Ed,c}(b_2/2)/W_2$	0	N/mm²
Staalspanning binnendeuvels (druk)	$\sigma_{s,Ed,c}$	$=A_{t1,in,c}\sigma_{c\text{-}Ed,c}(b_2/2)/W_3$	0	N/mm²
Staalspanning paaldeuvels (max)	$\sigma_{s,Ed,c,t}$	$=A_t\sigma_{c\text{-}Ed,max}(b_1/2)/W_4$	82	N/mm²
Staalspanning ankerplaat (trek)	$\sigma_{s,Ed,t}$	$=A_{p,t}\sigma_{c\text{-}Ed,t}a_t/W_1$	0	N/mm²
Staalspanning buitendeuvels (trek)	$\sigma_{s,Ed,t}$	$=A_{t1,out,c}\sigma_{c\text{-}Ed,t}(b_2/2)/W_2$	0	N/mm²
Staalspanning binnendeuvels (trek)	$\sigma_{s,Ed,t}$	$=A_{t1,in,c}\sigma_{c\text{-}Ed,t}(b_2/2)/W_3$	0	N/mm²
Optionele meewerkende betondoorsnede paal				
Enkel van toepassing als krachten uit randstijl via schachtwrijving naar de paalwand overbracht kunnen worden.				
Meewerkende wapeningstaven	n_{st}		0	#
Staafdiameter	$ø_{st}$		0	mm
Materiaalkwaliteit staaf	-		-	-
Factor effectiviteit betondoorsnede	α		0,00	-
Vloeigrens	f_{yd}		0	N/mm²
Trekcapaciteit wapening	$F_{Rd,b,st}$	$=0,25n_{st}ø_{st}^2\pi F_{yd}$	0	kN
Betondoorsnede paal	$A_{c,p}$	$=\alpha*0,25P_{in}^2/\pi$	0	mm²
Druksterkte betondoorsnede	$F_{Rd,b,c}$	$=A_{c,p}f_{cd}/\gamma_c$	0	kN
Gereduceerde breedte als knaggen geprofileerd zijn volgens NEN-EN1993-1-8 p. 4.10				
Flensdikte aangelast profiel	$t_{f,b}$		0	mm
Factor meewerkende breedte (k)	k_b	$=\min[(t_{f,b}/t_{f,b});1,0]$	0,00	-
Effectieve breedte knag	$b_{eff,b}$	$=0,5(t_{f,b}+2a_2\sqrt{2}+7k_bt_{f,b})$	0	mm

Lasspanningen NEN-EN 1993-1-8 p. 4.5.3						
Onderdeel	Ankerplaat	Buitendeuvels	Binnendeuvels (T3)	Binnendeuvels (T2)	Paaldeuvels	
Som σ_T	0,0	0,0	0,0	0,0	116,6	N/mm²
Som τ_T	0,0	0,0	0,0	0,0	116,6	N/mm²
Som $\tau_{//}$	0,0	0,0	0,0	0,0	0,0	N/mm²
Mechanisme 1	Ja	Nee	Nee	Nee	Nee	
M1 σ_T	0,0	0,0	0,0	0,0	0,0	N/mm²
M1 τ_T	0,0	0,0	0,0	0,0	0,0	N/mm²
M1 $\tau_{//}$	0,0	0,0	0,0	0,0	0,0	N/mm²
Mechanisme 2	Nee	Ja	Ja	Nee	Ja	
M2 σ_T	0,0	0,0	0,0	0,0	58,3	N/mm²
M2 τ_T	0,0	0,0	0,0	0,0	58,3	N/mm²
M2 $\tau_{//}$	0,0	0,0	0,0	0,0	0,0	N/mm²
Mechanisme 3	Nee	Nee	Nee	Ja	Nee	
M3 σ_T	0,0	0,0	0,0	0,0	0,0	N/mm²
M3 τ_T	0,0	0,0	0,0	0,0	0,0	N/mm²
M3 $\tau_{//}$	0,0	0,0	0,0	0,0	0,0	N/mm²
Mechanisme 4	Nee	Ja	Ja	Nee	Ja	
M4 σ_T	0,0	0,0	0,0	0,0	58,3	N/mm²
M4 τ_T	0,0	0,0	0,0	0,0	58,3	N/mm²
M4 $\tau_{//}$	0,0	0,0	0,0	0,0	0,0	N/mm²
Mechanisme 5	Nee	Nee	Nee	Nee	Nee	
M5 σ_T	0,0	0,0	0,0	0,0	0,0	N/mm²
M5 τ_T	0,0	0,0	0,0	0,0	0,0	N/mm²
M5 $\tau_{//}$	0,0	0,0	0,0	0,0	0,0	N/mm²
Mechanisme 6	Nee	Nee	Nee	Nee	Nee	
M6 σ_T	0,0	0,0	0,0	0,0	0,0	N/mm²
M6 τ_T	0,0	0,0	0,0	0,0	0,0	N/mm²
M6 $\tau_{//}$	0,0	0,0	0,0	0,0	0,0	N/mm²



Ondersteunende figuren



Toetsing inleiding krachten in fundering

Projectnaam	Opwaardering KIJ-BVW 380kV	**Rekensheet versie**	3.1
Lijn	KIJ-DIM Ronde Venen	**Datum**	1-2-2026
Subtype deuvels aan randstijl		**Auteur**	[redacted]
Subtype deuvels aan paal	Buitenzijde LD1 (minimaal)	**Eerste interne controle**	Mauny Bahri (RO)
Mastnummer(s)	versterkingen	**Tweede interne controle**	[redacted]

Samenvatting	UC	Check	F_{Rd}	
Maatgevende unity check	**1,00**	OK		
Max UC randstijldeuvels beton	n.v.t.	OK	D:0 T:0	kN
Max UC paaldeuvels beton	1,00	OK	1921	kN
Max UC lassen	0,73	OK	2624	kN
Max UC staalcriteria	0,70	OK	2726	kN
Trekkracht uit randstijl	$F_{Ed,t}$		*1920*	kN
Drukkracht uit randstijl	$F_{Ed,c}$		*1920*	kN
Spanningsbegrenzing		$=0,7f_{cd}$	Nee	
Toetsing incl. buiging			Nee	
Toetsing incl. las reductie		$=f_w/1,2$	Ja	

Zie voor de maximaal optredende paalkrachten het constructief rapport

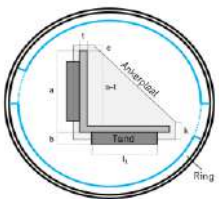
Materialen				
Betonkwaliteit	-		C30/37	
Beton omsloten	-		Ja	
Karakteristieke druksterkte	f_{ck}		30	N/mm^2
Verhogingsfactor druksterkte	C_a	$=\min[\sqrt{(A_{t2}/A_{t1})};2,5]$	1,62	-
Verhoogde druksterkte	f_{jk}	$=f_{ck}C_a$	48,52	N/mm^2
Betondruksterkte	f_{cd}	$=f_{jk}/\gamma_c$	32,35	N/mm^2
Staalsoort 1: funderingspaal	-		S235	N/mm^2
Treksterkte staalsoort 1	$f_{u,1}$		360	N/mm^2
Vloeispanning staalsoort 1	$f_{y,1}$		235	N/mm^2
Staalsoort 2: randstijl	-		S235	N/mm^2
Treksterkte staalsoort 2	$f_{u,2}$		360	N/mm^2
Vloeispanning staalsoort 2	$f_{y,2}$		235	N/mm^2
Staalsoort 3: deuvels	-		S235	N/mm^2
Treksterkte staalsoort 3	$f_{u,3}$		360	N/mm^2
Vloeispanning staalsoort 3	$f_{y,3}$		235	N/mm^2
Lassterkte deuvels paal	$f_{w,Rd}$	$=f_{u1,2}/(w_f\beta_w\gamma_s)$	300	N/mm^2
Lassterkte deuvels randstijl	$f_{w,Rd}$	$=f_{u2,2}/(w_f\beta_w\gamma_s)$	300	N/mm^2
Partiële factor beton	γ_c		1,50	-
Partiële factor staal	γ_s		1,25	-
Corrolatiefactor lassen	β_w		0,80	-
Reductiefactor lassen	w_f		1,2	-

Hoekprofiel randstijl			0x0x0	
Zijde	L_w		0	mm
Dikte	t_w		0	mm
Lengte verankering	L_e		800	mm

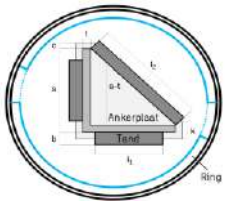
Geometrie				
Hoofdtype deuvels (zie figuren onderaan)			6	
Aantal palen per randstijl*	n_p		1	#
Type paal*			LD1	
Diameter paal uitwendig (indien buispaal)	$ø_{p,out}$		0,0	mm
Wanddikte paal	t_p		8,0	mm
Roestreductie paalwand	$t_{p,red}$		0	mm
Lengte paaldeuvel als % van omtrek paal	P_b		45,50%	%
Aantal lagen deuvels aan paal	$n_{b,p}$		3	#
Seperatie paaldeuvels	s_1		200	mm
Breedte deuvels/ lengte stift aan paal*	b_1		30	mm
Dikte deuvels aan fundatiepaal*	h_1		50	mm
Diameter paal inwendig (indien buispaal)	$ø_{p,in}$	$=ø_{p,out}-2t_p$	n.v.t.	mm
Inwendige omtrek paal o.b.v. tabellen	P_{in}	$=[0;ø_{p,in}\pi]$	1450	mm
Laslengte paaldeuvel	L_b	$=P_{in}P_b$	660	mm
Oppervlakte deuvels per laag aan paal**	$A_{b,1,i}$	$=[P_b(ø_{p,in}-b_1)\pi b_1;L_bb_1]$	19793	mm2
Deuvels aan buitenzijde randstijl	n_{out}		0	#
Deuvels aan binnenzijde randstijl	n_{in}		0	#
Seperatie randstijldeuvels	s_2		450	mm
(las)Lengte deuvel buitenzijde*	L_{out}		0	mm
Uitkragende lengte deuvel buitenzijde	e		0	mm
(las)Lengte deuvel binnenzijde*	L_{in}		0	mm
Breedte deuvels aan randstijl	b_2		0	mm
Dikte deuvels aan randstijl	h_2		0	mm
Diameter stiftdeuvel	$ø_b$		0	mm
Oppervlakte enkele deuvel buitenzijde	$A_{t1,out,i}$	$=[L_{out}b;L_{out}ø_b]$	0	mm^2
Oppervlakte enkele deuvel binnenzijde	$A_{t1,in,i}$	$=[L_{in}b;L_{in}ø_b]$	0	mm^2
Las ankerplaat|randstijl	a_1		0	mm
Las deuvel|paal	a_2		5	mm
Las deuvel|buitenzijde randstijl	a_3		0	mm
Las deuvel|binnenzijde randstijl	a_4		0	mm
Lengte rugplaat aan ankerplaat	L_{rp}		0	mm
Dikte ankerplaat/rugplaat	t_f		0	mm
n-zijden buitenrand ankerplaat	n_c		2	#
Breedte buitenrand ankerplaat	c		0	mm
Rechte zijde ankerplaat	k_{pl}		0	mm
Aanvullende reductie omvang ankerplaat	$A_{p,red2}$		0	mm^2
(Las)Lengte ankerplaat binnenzijde	L_{fp}	$=[4;2](L_w-t_w-a_1\sqrt{2})$	0	mm
Effectief oppervlakte ankerplaat druk	$A_{p,c}$	$=A_{p,r}-A_{p,red1,2}$	0	mm^2
Effectief oppervlakte ankerplaat trek	$A_{p,t}$	$=A_{p,r}-A_{p,red1,2}-A_s$	0	mm^2

Notities

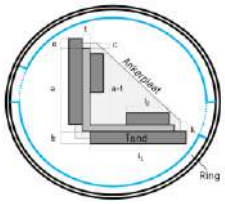
Hoofdtype 1
Tanddeuvels aan buitenzijde + ankerplaat



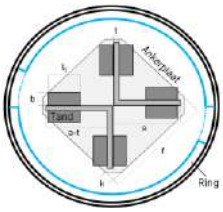
Hoofdtype 2
Tanddeuvels aan buitenzijde +
knag aan rand van de flensen + ankerplaat



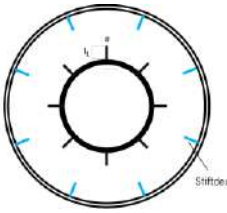
Hoofdtype 3
Tanddeuvels aan buitenzijde en binnenzijde
+ ankerplaat



Hoofdtype 4
Tanddeuvels dubbele randstaaf + ankerplaat



Hoofdtype 5
Stiftdeuvels aan ronde buisprofiel, geen ankerplaat



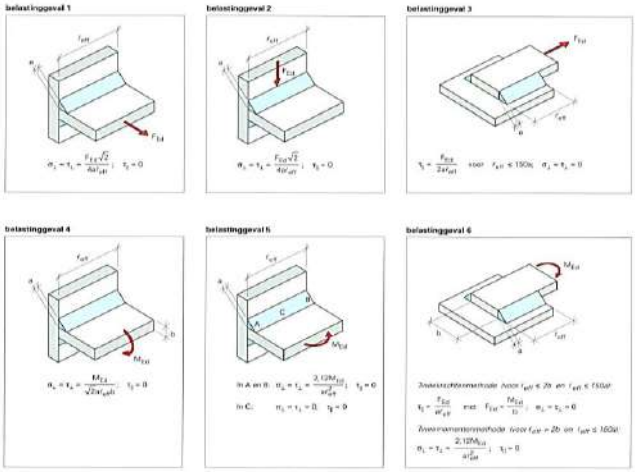
Hoofdtype 6
Enkel toetsing van knaggen aan
funderingspaal + doorsnede paal



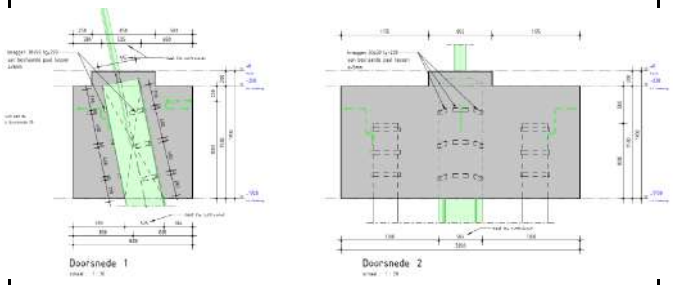
Toetsing capaciteit randstijldeuvels				
Capaciteit ankerplaat bij druk	$F_{Rd,c,p}$	$=A_{p,c}f_{cd}$	0,0	kN
Capaciteit ankerplaat bij trek	$F_{Rd,t,p}$	$=A_{p,t}f_{cd}$	0,0	kN
Capaciteit buitendeuvels	$F_{Rd,b,out}$	$=A_{i1,out,i}f_{cd}n_{out}$	0,0	kN
Capaciteit binnendeuvels	$F_{Rd,b,in}$	$=A_{i1,in,i}f_{cd}n_{in}$	0,0	kN
Capaciteit totaal bij druk	$F_{Rd,c}$	$=F_{Rd,c,p}+F_{Rd,b+o/i}$	0,0	kN
Capaciteit totaal bij trek	$F_{Rd,t}$	$=F_{Rd,t,p}+F_{Rd,b+o/i}$	0,0	kN
Betondrukspanning deuvels bij druk	$\sigma_{c,Ed,c}$	$=F_{ed,c}/(A_{p,c}+A_{i,c,o/i})$	0,00	N/mm^2
Betondrukspanning bij deuvels bij trek	$\sigma_{c,Ed,t}$	$=F_{ed,t}/(A_{p,t}+A_{i,t,o/i})$	0,00	N/mm^2
Max. buigspanning in staal	$\sigma_{s,Ed,c}$		0	N/mm^2
Max. buigspanning in staal	$\sigma_{s,Ed,t}$		0	N/mm^2
UC (staalcriterium)		$=\sigma_{s,Ed}/f_{y,3}$	n.v.t.	OK
UC (betoncriterium)		$=[F_{Ed,c}/F_{Rd,c};F_{Ed,t}/F_{Rd,t}]$	n.v.t.	OK
Toetsing capaciteit paaldeuvels				
Capaciteit deuvels enkele paal	$F_{Rd,b}$	$=A_{b,i}*n_{b,p}*f_{cd}$	1920,8	kN
Betondrukspanning bij deuvels	$\sigma_{c,Ed+max}$	$=F_{Ed}/(A_{b,i}*n_b)$	32,3	N/mm^2
Max. buigspanning in staal	$\sigma_{s,Ed}$		0,0	N/mm^2
UC (staalcriterium)		$=\sigma_{s,Ed}/f_{y,3}$	0,00	OK
UC (betoncriterium)		$=F_{Ed}/(F_{Rd,b}+F_{Rd,b,c/st})$	1,00	OK
Toetsing lassen				
Type las randstijldeuvels			Dubbelzijdig	
Type las paaldeuvels			Dubbelzijdig	
Lasspanning ankerplaat	$\sigma_{vw1,Ed}$	$=\sqrt{(\sigma_T^2+3(\tau_T^2+\tau_{//}^2))}$	n.v.t.	N/mm^2
Lasspanning buitendeuvels	$\sigma_{vw2,Ed}$	$=\sqrt{(\sigma_T^2+3(\tau_T^2+\tau_{//}^2))}$	n.v.t.	N/mm^2
Lasspanning binnendeuvels	$\sigma_{vw3,Ed}$	$=\sqrt{(\sigma_T^2+3(\tau_T^2+\tau_{//}^2))}$	n.v.t.	N/mm^2
Lasspanning paaldeuvels	$\sigma_{vw4,Ed}$	$=\sqrt{(\sigma_T^2+3(\tau_T^2+\tau_{//}^2))}$	220	N/mm^2
Maatgevende UC		$=\sigma_{vw,Ed}/f_{w,Rd}$	0,73	OK
Toetsing paalcapaciteit				
Effectieve doorsnede paal	$A_{p,eff}$	$=P_{in}(t_p-t_{p,red})$	11600	mm^2
Maximale spanning in paal	$\sigma_{s,Ed}$	$=F_{Ed}/(A_{p,eff}n_p)$	165,5	N/mm^2
UC doorsnede paal		$=\sigma_{s,Ed}/f_{y,1}$	0,70	OK

Achterliggende logica				
Afschuifprojectievlak NEN-EN1994-2 F1.1				
Oppervlakte projectie afschuifweerstand	A_{f2}	$=A_{f2,out}+A_{f2,in}$	16200	mm^2
Minimale h.o.h. seperatie deuvels	s_{min}	$=[250;2*L_w]$	n.v.t.	mm
Breedte projectievlak buitendeuvels	$b_{f2,out}$	$=b_2+s_2/5$	90	mm
Lengte projectievlak buitendeuvels	L_{f2+out}	$=L_{out}+2s_2/5$	180	mm
Oppervlak projectie buitendeuvels	$A_{f2,out}$	$=b_{f2,out}L_{f2,out}$	16200	mm^2
Breedte projectievlak binnendeuvels	$b_{f2,in}$	$=b_2+s_2/5$	0	mm
Lengte projectievlak binnendeuvels	L_{f2+in}	$=L_{in}+2s_2/5$	0	mm
Oppervlak projectie binnendeuvels	$A_{f2,in}$	$=b_{f2,in}L_{f2,in}$	0	mm^2
Breedte projectievlak paaldeuvels	$b_{f2,p}$	$=\min[b_1;b_{eff,1}]+s_1/5$	70	mm
Lengte projectievlak paaldeuvels	L_{f2+p}	$=L_1+2s_1/5$	740	mm
Oppervlak projectie paaldeuvels	$A_{f2,p}$	$=b_{f2,p}L_{f2,p}$	51783	mm^2
Effectieve oppervlakte ankerplaat NEN-EN1993-1-8 p. 4.10				
Oppervlakte ankerplaat excl. reducties	$A_{p,i}$	$=(L_w+cn_c)^2-0,5((w+cn_c-k)^2$	0	mm^2
Reductie ineffectief oppervlak ankerplaat	$A_{p,red1}$	$=0,5b_{ineff}^2$	0	mm^2
Oppervlakte staalprofiel	A_s	$=(2L_w-t_w)t_w$	0	mm^2
Effectieve breedte ankerplaat	b_{eff}	$=t_w+2a_1\sqrt{2}+7kt_f$	0,0	mm
Factor meewerkende breedte	k	$=\min[(t_f/t_w);1,0]$	0,00	-
Ineffectieve breedte	b_{ineff}	$=L_w+cn_c-(2c+t_w+b_{eff})+k_{pl}$	0,0	mm
Momentarm ankerplaat (voor toetsing incl. buiging)				
Momentarm ankerplaat	a_{fp}	$=[\sqrt{(2(z_1-z_2)^2)};0]$	0,0	mm
Zwaartepunt ankerplaat t.o.v. onderhoek	z_1	$=\Sigma A_i*z_i/A_T$	0,0	mm
Zwaartepunt randstijl t.o.v. onderhoek	z_2	$=\Sigma A_i*z_i/A_T$	0,0	mm
Staalspanning (voor toetsing incl. buiging)				
Weerstandsmoment ankerplaat	W_1	$=1/6*2(L_w-t_w)t_f^2$	0	mm^3
Weerstandsmoment buitendeuvels	W_2	$=1/6(L_{out}-e)h_2^2$	0	mm^3
Weerstandsmoment binnendeuvels	W_3	$=1/6L_{in}h_2^2$	0	mm^3
Weerstandsmoment paaldeuvels	W_4	$=1/6L_1h_1^2$	274896	mm^3
Staalspanning ankerplaat (druk)	$\sigma_{s,Ed,c}$	$=A_{p,c}\sigma_{c:Ed,c}a_{fp}/W_1$	0	N/mm^2
Staalspanning buitendeuvels (druk)	$\sigma_{s,Ed,c}$	$=A_{i1,out,c}\sigma_{c:Ed,c}(b_2/2)/W_2$	0	N/mm^2
Staalspanning binnendeuvels (druk)	$\sigma_{s,Ed,c}$	$=A_{i1,in,c}\sigma_{c:Ed,c}(b_2/2)/W_3$	0	N/mm^2
Staalspanning paaldeuvels (max)	$\sigma_{s,Ed,c,i}$	$=A_i\sigma_{c:Ed,max}(b_1/2)/W_4$	35	N/mm^2
Staalspanning ankerplaat (trek)	$\sigma_{s,Ed,t}$	$=A_{p,t}\sigma_{c:Ed,t}a_i/W_1$	0	N/mm^2
Staalspanning buitendeuvels (trek)	$\sigma_{s,Ed,t}$	$=A_{i1,out,c}\sigma_{c:Ed,t}(b_2/2)/W_2$	0	N/mm^2
Staalspanning binnendeuvels (trek)	$\sigma_{s,Ed,t}$	$=A_{i1,in,c}\sigma_{c:Ed,t}(b_2/2)/W_3$	0	N/mm^2
Optionele meewerkende betondoorsnede paal				
Enkel van toepassing als krachten uit randstijl via schachtwrijving naar de paalwand overbracht kunnen worden.				
Meewerkende wapeningstaven	n_{st}		0	#
Staafdiameter	$ø_{st}$		0	mm
Materiaalkwaliteit staaf	-		-	-
Factor effectiviteit betondoorsnede	α		0,00	-
Vloeigrens	f_{yd}		0	N/mm^2
Trekcapaciteit wapening	$F_{Rd,b,st}$	$=0,25n_{st}ø_{st}^2\pi F_{yd}$	0	kN
Betondoorsnede paal	$A_{c,p}$	$=\alpha*0,25P_{in}^2/\pi$	0	mm^2
Druksterkte betondoorsnede	$F_{Rd,b,c}$	$=A_{c,p}f_{ck}/\gamma_c$	0	kN
Gereduceerde breedte als knaggen geprofileerd zijn volgens NEN-EN1993-1-8 p. 4.10				
Flensdikte aangelast profiel	$t_{f,b}$		0	mm
Factor meewerkende breedte (k)	k_b	$=\min[(t_{f,p}/t_{f,b});1,0]$	0,00	-
Effectieve breedte knag	$b_{eff,b}$	$=0,5(t_{f,b}+2a_2\sqrt{2}+7k_bt_{f,b})$	0	mm

Lasspanningen NEN-EN 1993-1-8 p. 4.5.3						
Onderdeel	Ankerplaat	Buitendeuvels	Binnendeuvels (T3)	Binnendeuvels (T2)	Paaldeuvels	
Som σ_T	0,0	0,0	0,0	0,0	109,8	N/mm^2
Som τ_T	0,0	0,0	0,0	0,0	109,8	N/mm^2
Som $\tau_{//}$	0,0	0,0	0,0	0,0	0,0	N/mm^2
Mechanisme 1	Ja	Nee	Nee	Nee	Nee	
M1 σ_T	0,0	0,0	0,0	0,0	0,0	N/mm^2
M1 τ_T	0,0	0,0	0,0	0,0	0,0	N/mm^2
M1 $\tau_{//}$	0,0	0,0	0,0	0,0	0,0	N/mm^2
Mechanisme 2	Nee	Ja	Ja	Nee	Ja	
M2 σ_T	0,0	0,0	0,0	0,0	68,6	N/mm^2
M2 τ_T	0,0	0,0	0,0	0,0	68,6	N/mm^2
M2 $\tau_{//}$	0,0	0,0	0,0	0,0	0,0	N/mm^2
Mechanisme 3	Nee	Nee	Nee	Ja	Nee	
M3 σ_T	0,0	0,0	0,0	0,0	0,0	N/mm^2
M3 τ_T	0,0	0,0	0,0	0,0	0,0	N/mm^2
M3 $\tau_{//}$	0,0	0,0	0,0	0,0	0,0	N/mm^2
Mechanisme 4	Nee	Ja	Ja	Nee	Ja	
M4 σ_T	0,0	0,0	0,0	0,0	41,2	N/mm^2
M4 τ_T	0,0	0,0	0,0	0,0	41,2	N/mm^2
M4 $\tau_{//}$	0,0	0,0	0,0	0,0	0,0	N/mm^2
Mechanisme 5	Nee	Nee	Nee	Nee	Nee	
M5 σ_T	0,0	0,0	0,0	0,0	0,0	N/mm^2
M5 τ_T	0,0	0,0	0,0	0,0	0,0	N/mm^2
M5 $\tau_{//}$	0,0	0,0	0,0	0,0	0,0	N/mm^2
Mechanisme 6	Nee	Nee	Nee	Nee	Nee	
M6 σ_T	0,0	0,0	0,0	0,0	0,0	N/mm^2
M6 τ_T	0,0	0,0	0,0	0,0	0,0	N/mm^2
M6 $\tau_{//}$	0,0	0,0	0,0	0,0	0,0	N/mm^2



Ondersteunende figuren



Toetsing inleiding krachten in fundering

Projectnaam	Opwaardering KIJ-BVW 380kV	**Rekensheet versie**	3.1
Lijn	KIJ-DIM Ronde Venen	**Datum**	1-2-2026
Subtype deuvels aan randstijl		**Auteur**	[redacted]
Subtype deuvels aan paal	Buitenzijde LD1 (minimaal t.b.v. ballastversterkingen)	**Eerste interne controle**	Mauny Bahri (RO)
Mastnummer(s)	versterkingen	**Tweede interne controle**	[redacted]

Samenvatting	UC	Check	F_{Rd}	
Maatgevende unity check	**1,00**	OK		
Max UC randstijldeuvels beton	n.v.t.	OK	D:0 T:0	kN
Max UC paaldeuvels beton	1,00	OK	1921	kN
Max UC lassen	0,73	OK	2624	kN
Max UC staalciteria	0,70	OK	2726	kN
Trekkracht uit randstijl	$F_{Ed,t}$		*1920*	kN
Drukkracht uit randstijl	$F_{Ed,c}$		*1920*	kN
Spanningsbegrenzing		$=0,7f_{cd}$	Nee	
Toetsing incl. buiging			Nee	
Toetsing incl. las reductie		$=f_w/1,2$	Ja	

Zie voor de maximaal optredende paalkrachten het constructief rapport

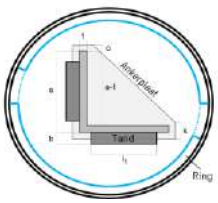
Materialen				
Betonkwaliteit	-		C30/37	
Beton omsloten	-		Ja	
Karakteristieke druksterkte	f_{ck}		30	N/mm^2
Verhogingsfactor druksterkte	C_a	$=min[\sqrt{(A_{t2}/A_{t1})};2,5]$	1,62	-
Verhoogde druksterkte	f_{jk}	$=f_{ck}C_a$	48,52	N/mm^2
Betondruksterkte	f_{cd}	$=f_{jk}/\gamma_c$	32,35	N/mm^2
Staalsoort 1: funderingspaal	-		S235	N/mm^2
Treksterkte staalsoort 1	$f_{u,1}$		360	N/mm^2
Vloeispanning staalsoort 1	$f_{y,1}$		235	N/mm^2
Staalsoort 2: randstijl	-		S235	N/mm^2
Treksterkte staalsoort 2	$f_{u,2}$		360	N/mm^2
Vloeispanning staalsoort 2	$f_{y,2}$		235	N/mm^2
Staalsoort 3: deuvels	-		S235	N/mm^2
Treksterkte staalsoort 3	$f_{u,3}$		360	N/mm^2
Vloeispanning staalsoort 3	$f_{y,3}$		235	N/mm^2
Lassterkte deuvels paal	$f_{w,Rd}$	$=f_{u1,2}/(w_i\beta_w\gamma_s)$	300	N/mm^2
Lassterkte deuvels randstijl	$f_{w,Rd}$	$=f_{u2,2}/(w_i\beta_w\gamma_s)$	300	N/mm^2
Partiële factor beton	γ_c		1,50	-
Partiële factor staal	γ_s		1,25	-
Corrolatiefactor lassen	β_w		0,80	-
Reductiefactor lassen	w_r		1,2	-

Hoekprofiel randstijl			0x0x0	
Zijde	L_w		0	mm
Dikte	t_w		0	mm
Lengte verankering	L_e		800	mm

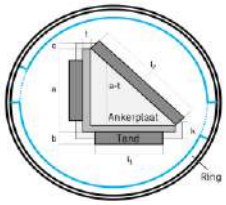
Geometrie				
Hoofdtype deuvels (zie figuren onderaan)			6	
Aantal palen per randstijl*	n_p		1	#
Type paal*			LD1	
Diameter paal uitwendig (indien buispaal)	$ø_{p,out}$		0,0	mm
Wanddikte paal	t_p		8,0	mm
Roestreductie paalwand	$t_{p;red}$		0	mm
Lengte paaldeuvel als % van omtrek paal	P_b		45,50%	%
Aantal lagen deuvels aan paal	$n_{b,p}$		3	#
Seperatie paaldeuvels	s_1		200	mm
Breedte deuvels/ lengte stift aan paal*	b_1		30	mm
Dikte deuvels aan fundatiepaal*	h_1		50	mm
Diameter paal inwendig (indien buispaal)	$ø_{p,in}$	$=ø_{p,out}-2t_p$	n.v.t.	mm
Inwendige omtrek paal o.b.v. tabellen	P_{in}	$=[0;ø_{p,in}\pi]$	1450	mm
Laslengte paaldeuvel	L_b	$=P_{in}P_b$	660	mm
Oppervlakte deuvels per laag aan paal**	$A_{b,1,i}$	$=[P_b(ø_{p,in}-b_1)\pi b_1;L_bb_1]$	19793	mm2
Deuvels aan buitenzijde randstijl	n_{out}		0	#
Deuvels aan binnenzijde randstijl	n_{in}		0	#
Seperatie randstijldeuvels	s_2		450	mm
(las)Lengte deuvel buitenzijde*	L_{out}		0	mm
Uitkragende lengte deuvel buitenzijde	e		0	mm
(las)Lengte deuvel binnenzijde*	L_{in}		0	mm
Breedte deuvels aan randstijl	b_2		0	mm
Dikte deuvels aan randstijl	h_2		0	mm
Diameter stiftdeuvel	$ø_b$		0	mm
Oppervlakte enkele deuvel buitenzijde	$A_{t1,out,i}$	$=[L_{out}b;L_{out}ø_b]$	0	mm^2
Oppervlakte enkele deuvel binnenzijde	$A_{t1,in,i}$	$=[L_{in}b;L_{in}ø_b]$	0	mm^2
Las ankerplaat|randstijl	a_1		0	mm
Las deuvel|paal	a_2		5	mm
Las deuvel|buitenzijde randstijl	a_3		0	mm
Las deuvel|binnenzijde randstijl	a_4		0	mm
Lengte rugplaat aan ankerplaat	L_{rp}		0	mm
Dikte ankerplaat/rugplaat	t_f		0	mm
n-zijden buitenrand ankerplaat	n_c		2	#
Breedte buitenrand ankerplaat	c		0	mm
Rechte zijde ankerplaat	k_{pl}		0	mm
Aanvullende reductie omvang ankerplaat	$A_{p,red2}$		0	mm^2
(Las)Lengte ankerplaat binnenzijde	L_{fp}	$=[4;2](L_w-t_w-a_1\sqrt{2})$	0	mm
Effectief oppervlakte ankerplaat druk	$A_{p,c}$	$=A_{p,r}-A_{p,red1,2}$	0	mm^2
Effectief oppervlakte ankerplaat trek	$A_{p,t}$	$=A_{p,r}-A_{p,red1,2}-A_s$	0	mm^2

Notities

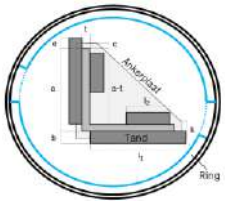
Hoofdtype 1
Tanddeuvels aan buitenzijde + ankerplaat



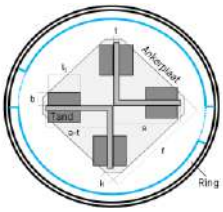
Hoofdtype 2
Tanddeuvels aan buitenzijde +
knag aan rand van de flensen + ankerplaat



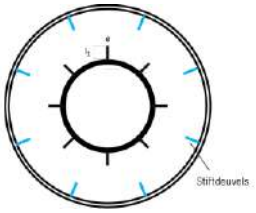
Hoofdtype 3
Tanddeuvels aan buitenzijde en binnenzijde
+ ankerplaat



Hoofdtype 4
Tanddeuvels dubbele randstaaf + ankerplaat



Hoofdtype 5
Stiftdeuvels aan ronde buisprofiel, geen ankerplaat



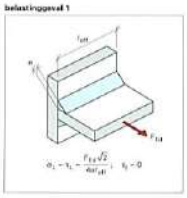
Hoofdtype 6
Enkel toetsing van knaggen aan
funderingspaal + doorsnede paal



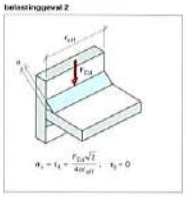
Toetsing capaciteit randstijldeuvels				
Capaciteit ankerplaat bij druk	$F_{Rd,c,p}$	$=A_{p,c}f_{cd}$	0,0	kN
Capaciteit ankerplaat bij trek	$F_{Rd,t,p}$	$=A_{p,t}f_{cd}$	0,0	kN
Capaciteit buitendeuvels	$F_{Rd,b,out}$	$=A_{N1,out,i}f_{cd}n_{out}$	0,0	kN
Capaciteit binnendeuvels	$F_{Rd,b,in}$	$=A_{N1,in,i}f_{cd}n_{in}$	0,0	kN
Capaciteit totaal bij druk	$F_{Rd,c}$	$=F_{Rd,c,p}+F_{Rd,b+o/i}$	0,0	kN
Capaciteit totaal bij trek	$F_{Rd,t}$	$=F_{Rd,t,p}+F_{Rd,b+o/i}$	0,0	kN
Betondrukspanning deuvels bij druk	$\sigma_{c,Ed,c}$	$=F_{ed,c}/(A_{p,c}+A_{t,o/i})$	0,00	N/mm^2
Betondrukspanning bij deuvels bij trek	$\sigma_{c,Ed,t}$	$=F_{ed,t}/(A_{p,t}+A_{t,o/i})$	0,00	N/mm^2
Max. buigspanning in staal	$\sigma_{s,Ed,c}$		0	N/mm^2
Max. buigspanning in staal	$\sigma_{s,Ed,t}$		0	N/mm^2
UC (staalcriterium)		$=\sigma_{s,Ed}/f_{y,3}$	n.v.t.	OK
UC (betoncriterium)		$=[F_{Ed,c}/F_{Rd,c};F_{Ed,t}/F_{Rd,t}]$	n.v.t.	OK
Toetsing capaciteit paaldeuvels				
Capaciteit deuvels enkele paal	$F_{Rd,b}$	$=A_{b,i}*n_{b,p}*f_{cd}$	1920,8	kN
Betondrukspanning bij deuvels	$\sigma_{c,Ed+max}$	$=F_{Ed}/(A_{b,i}*n_b)$	32,3	N/mm^2
Max. buigspanning in staal	$\sigma_{s,Ed}$		0,0	N/mm^2
UC (staalcriterium)		$=\sigma_{s,Ed}/f_{y,3}$	0,00	OK
UC (betoncriterium)		$=F_{Ed}/(F_{Rd,b}+F_{Rd,b,c/st})$	1,00	OK
Toetsing lassen				
Type las randstijldeuvels			Dubbelzijdig	
Type las paaldeuvels			Dubbelzijdig	
Lasspanning ankerplaat	$\sigma_{w1,Ed}$	$=\sqrt{(\sigma_\perp^2+3(\tau_\perp^2+\tau_{//}^2))}$	n.v.t.	N/mm^2
Lasspanning buitendeuvels	$\sigma_{w2,Ed}$	$=\sqrt{(\sigma_\perp^2+3(\tau_\perp^2+\tau_{//}^2))}$	n.v.t.	N/mm^2
Lasspanning binnendeuvels	$\sigma_{w3,Ed}$	$=\sqrt{(\sigma_\perp^2+3(\tau_\perp^2+\tau_{//}^2))}$	n.v.t.	N/mm^2
Lasspanning paaldeuvels	$\sigma_{w4,Ed}$	$=\sqrt{(\sigma_\perp^2+3(\tau_\perp^2+\tau_{//}^2))}$	220	N/mm^2
Maatgevende UC		$=\sigma_{vw,Ed}/f_{w,Rd}$	0,73	OK
Toetsing paalcapaciteit				
Effectieve doorsnede paal	$A_{p,eff}$	$=P_{in}(t_p-t_{p,red})$	11600	mm^2
Maximale spanning in paal	$\sigma_{s,Ed}$	$=F_{Ed}/(A_{p,eff}n_p)$	165,5	N/mm^2
UC doorsnede paal		$=\sigma_{s,Ed}/f_{y,1}$	0,70	OK

Lasspanningen NEN-EN 1993-1-8 p. 4.5.3						
Onderdeel	Ankerplaat	Buitendeuvels	Binnendeuvels (T3)	Binnendeuvels (T2)	Paaldeuvels	
Som σ_T	0,0	0,0	0,0	0,0	109,8	N/mm^2
Som τ_T	0,0	0,0	0,0	0,0	109,8	N/mm^2
Som $\tau_{//}$	0,0	0,0	0,0	0,0	0,0	N/mm^2
Mechanisme 1	Ja	Nee	Nee	Nee	Nee	
M1 σ_T	0,0	0,0	0,0	0,0	0,0	N/mm^2
M1 τ_T	0,0	0,0	0,0	0,0	0,0	N/mm^2
M1 $\tau_{//}$	0,0	0,0	0,0	0,0	0,0	N/mm^2
Mechanisme 2	Nee	Ja	Ja	Nee	Ja	
M2 σ_T	0,0	0,0	0,0	0,0	68,6	N/mm^2
M2 τ_T	0,0	0,0	0,0	0,0	68,6	N/mm^2
M2 $\tau_{//}$	0,0	0,0	0,0	0,0	0,0	N/mm^2
Mechanisme 3	Nee	Nee	Nee	Ja	Nee	
M3 σ_T	0,0	0,0	0,0	0,0	0,0	N/mm^2
M3 τ_T	0,0	0,0	0,0	0,0	0,0	N/mm^2
M3 $\tau_{//}$	0,0	0,0	0,0	0,0	0,0	N/mm^2
Mechanisme 4	Nee	Ja	Ja	Nee	Ja	
M4 σ_T	0,0	0,0	0,0	0,0	41,2	N/mm^2
M4 τ_T	0,0	0,0	0,0	0,0	41,2	N/mm^2
M4 $\tau_{//}$	0,0	0,0	0,0	0,0	0,0	N/mm^2
Mechanisme 5	Nee	Nee	Nee	Nee	Nee	
M5 σ_T	0,0	0,0	0,0	0,0	0,0	N/mm^2
M5 τ_T	0,0	0,0	0,0	0,0	0,0	N/mm^2
M5 $\tau_{//}$	0,0	0,0	0,0	0,0	0,0	N/mm^2
Mechanisme 6	Nee	Nee	Nee	Nee	Nee	
M6 σ_T	0,0	0,0	0,0	0,0	0,0	N/mm^2
M6 τ_T	0,0	0,0	0,0	0,0	0,0	N/mm^2
M6 $\tau_{//}$	0,0	0,0	0,0	0,0	0,0	N/mm^2

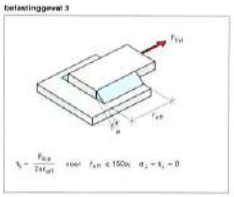
belastinggeval 1



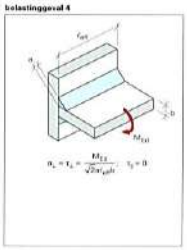
belastinggeval 2



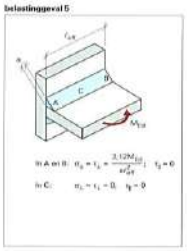
belastinggeval 3



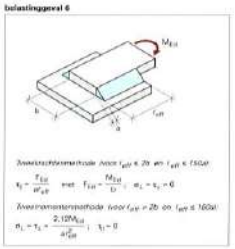
belastinggeval 4



belastinggeval 5

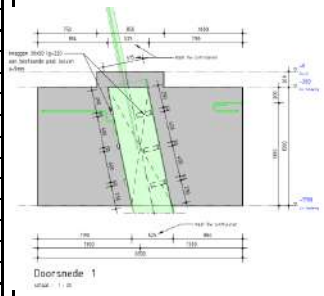


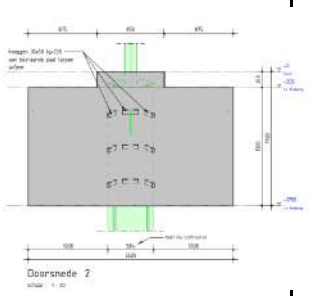
belastinggeval 6



Achterliggende logica				
Afschuifprojectievlak NEN-EN1994-2 F1.1				
Oppervlakte projectie afschuifweerstand	A_{f2}	$=A_{f2,out}+A_{f2,in}$	16200	mm^2
Minimale h.o.h. seperatie deuvels	s_{min}	$=[250;2*L_w]$	n.v.t.	mm
Breedte projectievlak buitendeuvels	$b_{f2,out}$	$=b_2+s_2/5$	90	mm
Lengte projectievlak buitendeuvels	$L_{f2,out}$	$=L_{out}+2s_2/5$	180	mm
Oppervlak projectie buitendeuvels	$A_{f2,out}$	$=b_{f2,out}L_{f2,out}$	16200	mm^2
Breedte projectievlak binnendeuvels	$b_{f2,in}$	$=b_2+s_2/5$	0	mm
Lengte projectievlak binnendeuvels	$L_{f2,in}$	$=L_{in}+2s_2/5$	0	mm
Oppervlak projectie binnendeuvels	$A_{f2,in}$	$=b_{f2,in}L_{f2,in}$	0	mm^2
Breedte projectievlak paaldeuvels	$b_{f2,p}$	$=\min[b_1;b_{eff,1}]+s_1/5$	70	mm
Lengte projectievlak paaldeuvels	$L_{f2,p}$	$=L_1+2s_1/5$	740	mm
Oppervlak projectie paaldeuvels	$A_{f2,p}$	$=b_{f2,p}L_{f2,p}$	51783	mm^2
Effectieve oppervlakte ankerplaat NEN-EN1993-1-8 p. 4.10				
Oppervlakte ankerplaat excl. reducties	$A_{p,i}$	$=(L_w+cn_c)^2-0,5((w+cn_c-k)^2$	0	mm^2
Reductie ineffectief oppervlak ankerplaat	$A_{p,red1}$	$=0,5b_{ineff}^2$	0	mm^2
Oppervlakte staalprofiel	A_s	$=(2L_w-t_w)t_w$	0	mm^2
Effectieve breedte ankerplaat	b_{eff}	$=t_w+2a_1\sqrt{2}+7kt_f$	0,0	mm
Factor meewerkende breedte	k	$=\min[(t_f/t_w);1,0]$	0,00	-
Ineffectieve breedte	b_{ineff}	$=L_w+cn_c-(2c+t_w+b_{eff})+k_{pl}$	0,0	mm
Momentarm ankerplaat (voor toetsing incl. buiging)				
Momentarm ankerplaat	a_{fp}	$=[\sqrt{(2(z_1-z_2)^2)};0]$	0,0	mm
Zwaartepunt ankerplaat t.o.v. onderhoek	z_1	$=\Sigma A_i*z_i/A_T$	0,0	mm
Zwaartepunt randstijl t.o.v. onderhoek	z_2	$=\Sigma A_i*z_i/A_T$	0,0	mm
Staalspanning (voor toetsing incl. buiging)				
Weerstandsmoment ankerplaat	W_1	$=1/6*2(L_w-t_w)t_f^2$	0	mm^3
Weerstandsmoment buitendeuvels	W_2	$=1/6(L_{out}-e)h_2^2$	0	mm^3
Weerstandsmoment binnendeuvels	W_3	$=1/6L_{in}h_2^2$	0	mm^3
Weerstandsmoment paaldeuvels	W_4	$=1/6L_1h_1^2$	274896	mm^3
Staalspanning ankerplaat (druk)	$\sigma_{s,Ed,c}$	$=A_{p,c}\sigma_{c:Ed,c}a_{fp}/W_1$	0	N/mm^2
Staalspanning buitendeuvels (druk)	$\sigma_{s,Ed,c}$	$=A_{N1,out,c}\sigma_{c:Ed,c}(b_2/2)/W_2$	0	N/mm^2
Staalspanning binnendeuvels (druk)	$\sigma_{s,Ed,c}$	$=A_{N1,in,c}\sigma_{c:Ed,c}(b_2/2)/W_3$	0	N/mm^2
Staalspanning paaldeuvels (max)	$\sigma_{s,Ed,c,i}$	$=A_i\sigma_{c:Ed,max}(b_1/2)/W_4$	35	N/mm^2
Staalspanning ankerplaat (trek)	$\sigma_{s,Ed,t}$	$=A_{p,t}\sigma_{c:Ed,t}a_t/W_1$	0	N/mm^2
Staalspanning buitendeuvels (trek)	$\sigma_{s,Ed,t}$	$=A_{N1,out,c}\sigma_{c:Ed,t}(b_2/2)/W_2$	0	N/mm^2
Staalspanning binnendeuvels (trek)	$\sigma_{s,Ed,t}$	$=A_{N1,in,c}\sigma_{c:Ed,t}(b_2/2)/W_3$	0	N/mm^2
Optionele meewerkende betondoorsnede paal				
Enkel van toepassing als krachten uit randstijl via schachtwrijving naar de paalwand overbracht kunnen worden.				
Meewerkende wapeningstaven	n_{st}		0	#
Staafdiameter	$ø_{st}$		0	mm
Materiaalkwaliteit staaf	-		-	-
Factor effectiviteit betondoorsnede	α		0,00	-
Vloeigrens	f_{yd}		0	N/mm^2
Trekcapaciteit wapening	$F_{Rd,b,st}$	$=0,25n_{st}ø_{st}^2\pi F_{yd}$	0	kN
Betondoorsnede paal	$A_{c,p}$	$=\alpha*0,25P_{in}^2/\pi$	0	mm^2
Druksterkte betondoorsnede	$F_{Rd,b,c}$	$=A_{c,p}f_{ck}/\gamma_c$	0	kN
Gereduceerde breedte als knaggen geprofileerd zijn volgens NEN-EN1993-1-8 p. 4.10				
Flensdikte aangelast profiel	$t_{f,b}$		0	mm
Factor meewerkende breedte (k)	k_b	$=\min[(t_{f,p}/t_{f,b});1,0]$	0,00	-
Effectieve breedte knag	$b_{eff,b}$	$=0,5(t_{f,b}+2a_2\sqrt{2}+7k_bt_{f,b})$	0	mm

Ondersteunende figuren





BIJLAGE 24
Meridian kenmerk C1698890

Mast	Masttype	Masthoogte	Paaltype	Maximale drukkracht in één LEKA-paal [kN] / Ballast [kN]	Maximale trekkracht in één LEKA-paal [kN]	Capaciteit knag [kN/paal]	Capaciteit knag best. paal [kN/paal]	UC knag druk [kN/paal]	UC knag trek [kN/paal]	UC knag best. paal [kN/paal]	Locatie berekening knag
4	S+0	48	Rond 219/310	251,3	355,8	1469		0,17	0,24		Bijlage 18
5	S+0	48	Rond 219/310	251,3	355,8	1469		0,17	0,24		Bijlage 18
6	S+0	48	n.v.t.	n.v.t.	n.v.t.						
7	S+0	48	n.v.t.	n.v.t.	n.v.t.						
9	HA+0	48	n.v.t.	n.v.t.	n.v.t.						
10	S+0	48	Rond 219/310	251,3	355,8	1469		0,17	0,24		Bijlage 18
13	S+0	48	n.v.t.	n.v.t.	n.v.t.						
14	HA+0	45	n.v.t.	n.v.t.	n.v.t.						
16	S+0	48	Rond 324/470	251,3	355,8	2234		0,11	0,16		Bijlage 20
18	S+0	48	n.v.t.	n.v.t.	n.v.t.						
19	S+0	48	n.v.t.	n.v.t.	n.v.t.						
21	S+0	48	Rond 273/370	251,3	355,8	1867		0,13	0,19		Bijlage 19
22	HA+0	45	n.v.t.	n.v.t.	n.v.t.						
23	S+0	48	Rond 324/470	438,1	353,4	2234		0,20	0,16		Bijlage 20
24	S+0	48	Rond 273/370	412,7	257,8	1867		0,22	0,14		Bijlage 19
26	S+0	48	Rond 219/310	251,3	355,8	1469		0,17	0,24		Bijlage 18
27	S+0	48	Rond 219/310	251,3	355,8	1469		0,17	0,24		Bijlage 18
28	S+0	48	n.v.t.	n.v.t.	n.v.t.						
29	S+0	48	Rond 324/470	251,3	355,8	2234		0,11	0,16		Bijlage 20
33	S+3	51	Rond 273/370	251,3	355,8	1867		0,13	0,19		Bijlage 19
34	HA+0	45	Rond 324/470	251,3	355,8	2234		0,11	0,16		Bijlage 20
37	S+0	48	Rond 219/310	180,7	54,3	1469		0,12	0,04		Bijlage 18
50	S+6	54	Rond 219/310	278,9	138,8	1469		0,19	0,09		Bijlage 18
51	S+0	48	n.v.t.	n.v.t.	n.v.t.						
52	S+0	48	n.v.t.	n.v.t.	n.v.t.						
53	S+0	48	n.v.t.	n.v.t.	n.v.t.						
54	S+0	48	n.v.t.	n.v.t.	n.v.t.						
55	S+0	48	n.v.t.	n.v.t.	n.v.t.						
56	S+0	48	n.v.t.	n.v.t.	n.v.t.						
57	WA	46	n.v.t.	n.v.t.	n.v.t.						
58	S+0	48	Rond 219/310	278,9	138,8	1469		0,19	0,09		Bijlage 18
59	S+0	48	Rond 219/310	278,9	138,8	1469		0,19	0,09		Bijlage 18
64	S+0	48	n.v.t.	n.v.t.	n.v.t.						
65	HA+0	45	n.v.t.	n.v.t.	n.v.t.						
66	S+6	54	n.v.t.	n.v.t.	n.v.t.						
68	S+9	57	n.v.t.	n.v.t.	n.v.t.						
69	S+6	54	Rond 219/310	400,0	233,7	1469		0,27	0,16		Bijlage 18
71	S+0	48	Rond 219/310	139,7	272,2	1469		0,10	0,19		Bijlage 18
73	S+6	54	n.v.t.	n.v.t.	n.v.t.						
86	S+0	48	Rond 324/470	153,2	138,6	2234	1920	0,07	0,06	0,16	Bijlage 20&22
90	S+0	48	n.v.t.	n.v.t.	n.v.t.						
111	S+0	48	n.v.t.	n.v.t.	n.v.t.						
118	S+6	54	n.v.t.	n.v.t.	n.v.t.						
121	S+0	48	Ballast	294,8	0,0		1920			0,15	Bijlage 23
123	S+6	54	n.v.t.	n.v.t.	n.v.t.						
124	HA+0	45	Rond 219/310	278,9	138,8	1469		0,19	0,09		Bijlage 18
126	S+0	48	Rond 324/470	189,5	99,3	2234	1920	0,08	0,04	0,20	Bijlage 20&22
~~128~~	~~S+6~~	~~54~~	~~Ballast~~	~~294,8~~	~~0,0~~		~~1920~~			~~0,15~~	~~Bijlage 23~~
~~130~~	~~HA+0~~	~~45~~	~~Ballast~~	~~294,8~~	~~0,0~~		~~1920~~			~~0,15~~	~~Bijlage 23~~
~~131~~	~~S+0~~	~~48~~	~~Ballast~~	~~294,8~~	~~0,0~~		~~1920~~			~~0,15~~	~~Bijlage 23~~
~~133~~	~~S+0~~	~~48~~	~~Ballast~~	~~294,8~~	~~0,0~~		~~1920~~			~~0,15~~	~~Bijlage 23~~
~~134~~	~~HA+0~~	~~45~~	~~Ballast~~	~~294,8~~	~~0,0~~		~~1920~~			~~0,15~~	~~Bijlage 23~~
~~135~~	~~HA+0~~	~~45~~	~~Ballast~~	~~294,8~~	~~0,0~~		~~1920~~			~~0,15~~	~~Bijlage 23~~
~~136~~	~~S+0~~	~~48~~	~~Ballast~~	~~294,8~~	~~0,0~~		~~1920~~			~~0,15~~	~~Bijlage 23~~
~~141~~	~~S+6~~	~~54~~	~~Rond 324/470~~	~~210,4~~	~~63,4~~	~~2234~~	~~1920~~	~~0,09~~	~~0,03~~	~~0,07~~	~~Bijlage 20&22~~
~~142~~	~~S+6~~	~~54~~	~~Rond 324/470~~	~~245,4~~	~~66,1~~	~~2234~~	~~1920~~	~~0,11~~	~~0,03~~	~~0,07~~	~~Bijlage 20&22~~
~~143~~	~~S+9~~	~~57~~	~~Rond 324/470~~	~~210,4~~	~~63,4~~	~~2234~~	~~1920~~	~~0,09~~	~~0,03~~	~~0,07~~	~~Bijlage 20&22~~
~~144~~	~~S+9~~	~~57~~	~~Rond 219/310~~	~~850,1~~	~~289,1~~	~~1469~~	~~2720~~	~~0,58~~	~~0,20~~	~~0,63~~	~~Bijlage 18 & 21~~
~~145~~	~~S+9~~	~~57~~	~~Ballast~~	~~294,8~~	~~0,0~~		~~1920~~			~~0,15~~	~~Bijlage 23~~
~~146~~ optie 1	~~S+12~~	~~60~~	~~Rond 219/310~~	~~413,5~~	~~0,0~~	~~1469~~		~~0,28~~	~~0,00~~		~~Bijlage 18~~
~~147~~ optie 1	~~HE+6~~	~~51~~	~~Rond 219/310~~	~~214,6~~	~~133,8~~	~~1469~~		~~0,15~~	~~0,09~~		~~Bijlage 18~~
~~148~~	~~S+9~~	~~57~~	~~Rond 219/310~~	~~464,0~~	~~257,2~~	~~1469~~		~~0,32~~	~~0,18~~		~~Bijlage 18~~
150	S+0	48	Rond 324/470	289,6	213,8	2234	1920	0,13	0,10	0,30	Bijlage 20&22
151	S+0	48	Rond 324/470	289,6	213,8	2234	1920	0,13	0,10	0,30	Bijlage 20&22
152	S+0	48	Ballast	294,8	0,0		1920			0,15	Bijlage 23
153	HA+12	57	Rond 324/470	215,7	175,2	2234	1920	0,10	0,08	0,22	Bijlage 20&22
157	0	0	Rond 219/310	408,7	133,4	1469		0,28	0,09		Bijlage 18
158	0	0	Rond 219/310	197,1	37,2	1469		0,13	0,03		Bijlage 18

Bestaande balk: Mast 23

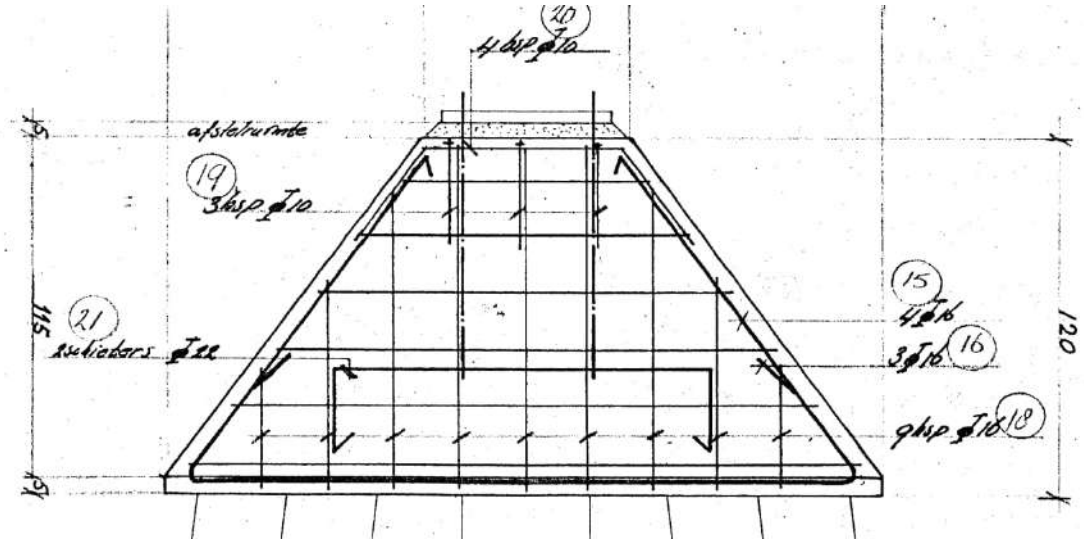
hoogte	breedte	Boven wapening			Onder wapening			Flank wapening		
		aantal	Ø		aantal	Ø		aantal	Ø	
1200	1060	7	16	mm	4	16	mm	6	10	mm
	420	As:	1407	mm2		804	mm2		471	mm2
		Beugels			Feb:			C12/15	12	N/mm2
		h.o.h.	Ø		QR24	QR40		α	21,8	graden
		200	16	mm	210	348		TAN α	0,40	
			2011	mm2/m1				VRcd:	0,30	N/mm2

			As:ben		As:aanw		U.C. As
Nd:min	-973,4	kN	1059	mm2	2683	mm2	0,39
Nd:max	772,62	kN	2220	mm2	2683	mm2	0,83
Vd:min	-189,18	kN	-293	mm2	2011	mm2	-0,15
Vd:max	233,73	kN	-211	mm2	2011	mm2	-0,10
Mxd:min	0	kN.m	0	mm2	873	mm2	0,00
Mxd:max	0	kN.m	0	mm2	873	mm2	0,00
Myd:min	-49,83	kN.m	138	mm2	1407	mm2	0,10
Myd:max	49,68	kN.m	138	mm2	1407	mm2	0,10
Mzd:min	-280,47	kN.m	237	mm2	402	mm2	0,59
Mzd:max	227,02	kN.m	192	mm2	402	mm2	0,48 *

* Aandeel opneembare torsie door beton niet mee genomen

$N_{d:max} / f_{yd}$
$N_{d:min} / f_{yd}$

Zie pg. 5&6 voor berekening bestaande balk.



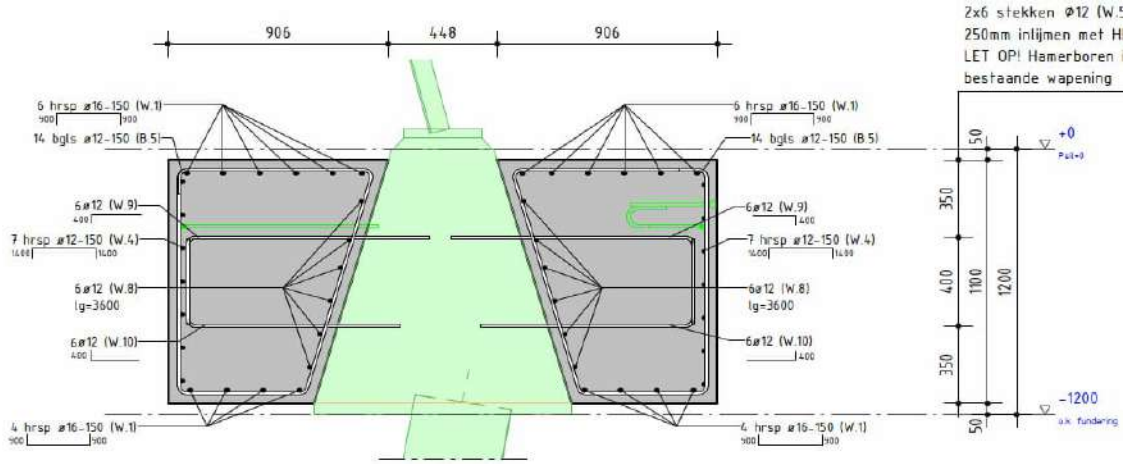
Nieuwe balk: Mast 23

hoogte	breedte	Boven wapening			Onder wapening			Flank wapening		
		aantal	Ø		aantal	Ø		aantal	Ø	
1500	1600	12	16	mm	8	16	mm	7	12	mm
		As:	2413	mm2		1608	mm2		792	mm2
		Beugels			Feb:			C30/37	30	N/mm2
		h.o.h.	Ø				feb500	α	21	graden
		150	12	mm			435	TAN α	0,38	
			1508	mm2/m1				VRcd:	0,47	N/mm2

			As:ben		As:aanw		U.C. As
Nd:min	-14,7	kN	34	mm2	4813	mm2	0,01
Nd:max	14,14	kN	33	mm2	4813	mm2	0,01
Vd:min	-475,99	kN	322	mm2	1508	mm2	0,21
Vd:max	522,94	kN	354	mm2	1508	mm2	0,23
Mxd:min	-28,68	kN.m	47	mm2	1194	mm2	0,04
Mxd:max	28,7	kN.m	47	mm2	1194	mm2	0,04
Myd:min	-638,52	kN.m	1125	mm2	2413	mm2	0,47
Myd:max	330,83	kN.m	583	mm2	2413	mm2	0,24
Mzd:min	-40,4	kN.m	8	mm2	226	mm2	0,04
Mzd:max	40,53	kN.m	8	mm2	226	mm2	0,04

$N_{d:max} / f_{yd}$
$N_{d:min} / f_{yd}$

Zie pg. 7&8 voor berekening nieuwe balk.



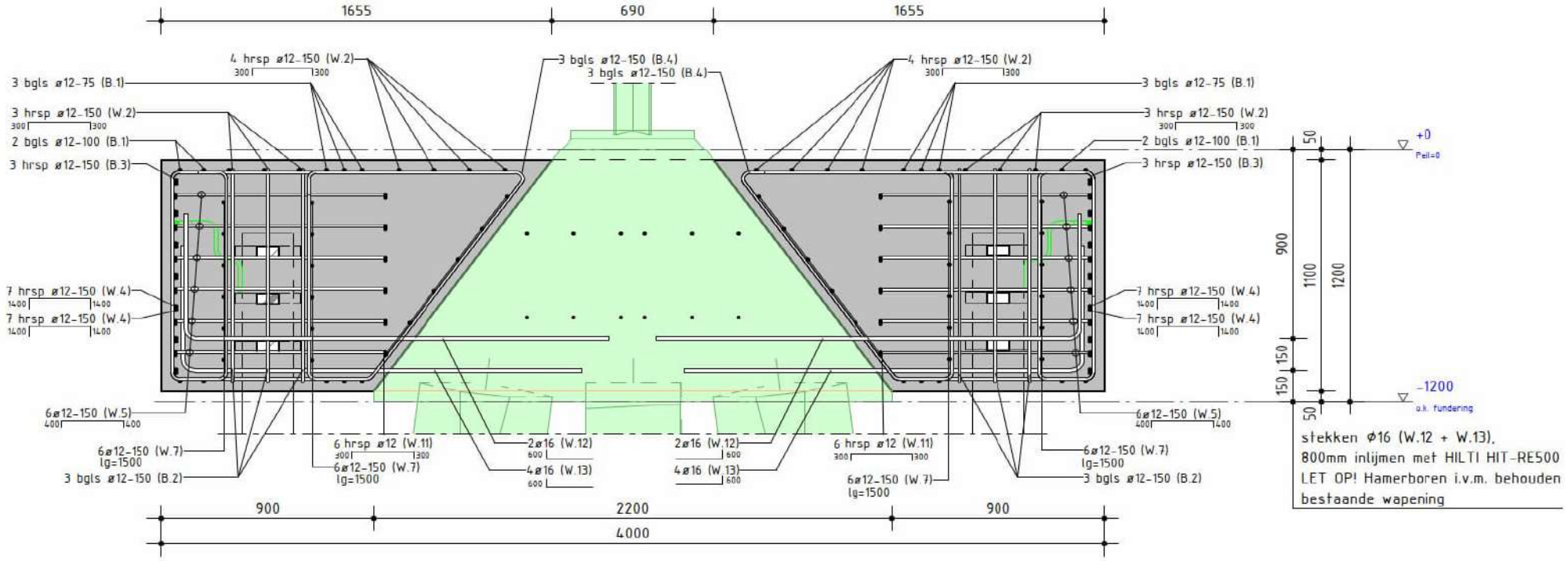
Koppeling nieuw aan bestaande balk: Mast 23

hoogte	breedte	Stekken (1000mm)			Feb:		
		h.o.h.	Ø				feb500
1100	1060	200	16	mm			435
	420		1005	mm2/m1			

Fd:paal druk -483,1 kN
trek 413,2 kN
Excentrisiteit paal 0,753 m

		As:ben		As:aanw		U.C. As	
Vd:druk	0,6077 N/mm	1111	mm2	2011	mm2	0,55	exclusief aandeel beton
Vd:trek	0,52 kN.m	950	mm2	2011	mm2	0,47	exclusief aandeel beton

Zie pg. 4 voor toets stortvlak capaciteit



c	0,4	
f_{ctd}	1,333	N/mm2
μ	0,7	
σ_n	0,001	N/mm2
ρ	0,001	
f_{yd}	500	N/mm2
α	90	graden
v	0,528	
f_{cd}	20	N/mm2
0,6 * f_{cd}	12	N/mm2
V_{Rdi}	0,534	N/mm2
0,5 * v * f_{cd}	5,280	N/mm2
α_{ct}	1	
$f_{ctk:0,05}$	2	N/mm2
γ_C	1,5	

0 bij trek

normatief

$$f_{ctd} = \alpha_{ct}\, f_{ctk,0,05} / \gamma_C$$ 3.16

$$\sigma_n < 0{,}6\, f_{cd}$$

$$\nu = 0{,}6\left[1 - \frac{f_{ck}}{250}\right] \qquad (f_{ck} \text{ in MPa})$$ 6.6N

$$f_{cd} = \alpha_{cc}\, f_{ck} / \gamma_C$$ 3.15

$$v_{Rdi} = c\, f_{ctd} + \mu\, \sigma_n + \rho\, f_{yd}\,(\mu \sin\alpha + \cos\alpha) \le 0{,}5\, \nu\, f_{cd}$$ 6.25

A_s	1206	mm2
A_i	1166000	mm2
b = b_i	1060	mm
h	1100	mm
f_{ck}	30	N/mm2

Afschuifweerstand 3B-poer

α_{cc}	1	
sin α	1	
cos α	0,00	
axiale druk	1	kN

normatief

β	1	
V_{Ed}	483,1	kN
z	990	mm
V_{Edi}	0,460	N/mm2

$$z = 0{,}9\, d$$

$$v_{Edi} = \beta\, V_{Ed} / (z\, b_i)$$ 6.24

U.C.	0,86

$v_{Edi} \le v_{Rdi}$ 6.23

NEN-EN 1992-1-1+C2:2011

Wap. toets best. poer My + Vz

A_s	1407	mm^2
f_{yd}	400	N/mm^2
b | b_w	740	mm
f_{cd}	20	N/mm^2
h	1200	mm
Ø	16	mm
dekking	30	mm
d	1162	mm

z	638	mm
0,9 * d	1045,8	mm
0,6 x l	474	mm

$$z = 0{,}2\,l + 0{,}4\,h \le 0{,}6\,l$$ — 6.1 (10)

$F_{d\ druk}$	483	kN
l	0,79	m

M_{Ed}	49,8	kN.m
V_{Ed}	233,73	kN

toets	4540,2	kN

$$V_{Ed} \le 0{,}5\,b_w d\,\nu\,f_{cd}$$ — 6.5

k	1,41		2
ρ_l	0,0016		0,02
σ_{cp}	0,0	N/mm^2	
$C_{Rd,c}$	0,12		N.B.
v_{min}	0,323		
v_1	0,600		
α_{cw}	1,000		N.B.
k_1	0,15		normatief

$$k = 1 + \sqrt{\frac{200}{d}} \le 2{,}0 \qquad \rho_l = \frac{A_{sl}}{b_w d} \le 0{,}02$$

$$v_{min} = 0{,}035\,k^{3/2} \cdot f_{ck}^{1/2}$$

6.2.2(1)		
6.3N		
6.10.aN		
6.2.3(3)		
6.2.2(1)		

$V_{Rd,c}$	248,12	kN
	277,42	kN

$$V_{Rd,c} = [C_{Rd,c} k (100\,\rho_l f_{ck})^{1/3} + k_1\,\sigma_{cp}]\,b_w d$$ — 6.2.a

$$V_{Rd,c} = (v_{min} + k_1 \sigma_{cp})\,b_w d$$ — 6.2.b

$A_{s:Md:ben}$	302	mm^2

$$M_{Rd} = z\,A_s\,f_s$$ — 6.1 (10)

UC $M_{d,wap.}$	0,21

$$A_{s:ben} = M_d / 0{,}87 * f_{yd} * z$$

$V_{Rd,max}$	2832,72	kN

$$V_{Rd,max} = \alpha_{cw}\,b_w\,z\,\nu_1\,f_{cd}/(\cot\theta + \tan\theta)$$ — 6.9

$V_{Rd,s}$	205	kN
Ø	16	mm
s	220	mm
snedes	2	stuks
opp	1828	mm^2/m
θ	45	graden
cot θ	1	
tan θ	1	

$$V_{Rd,s} = \frac{A_{sw}}{s}\,z\,f_{ywd}\,\cot\theta$$ — 6.8

UC $V_{d,wap.}$	0,52	beton

NEN-EN 1992-1-1+C2:2011

Wap. toets best. poer Mx + Vy

A_s	474	mm^2
f_{yd}	400	N/mm^2
b | b_w	1200	mm
f_{cd}	20	N/mm^2
h	740	mm
Ø	10	mm
dekking	30	mm
d	705	mm

z	454	mm
0,9 * d	634,5	mm
0,6 x l	474	mm

$$z = 0{,}2\,l + 0{,}4\,h \le 0{,}6\,l$$ 6.1 (10)

$F_{d\ druk}$	483	kN
l	0,79	m

M_{Ed}	1,0	kN.m
V_{Ed}	62,9	kN

toets	4466,9	kN

$$V_{Ed} \le 0{,}5\,b_w d\,\nu\,f_{cd}$$ 6.5

k	1,53		2
ρ_l	0,0006		0,02
σ_{cp}	0,0	N/mm^2	
$C_{Rd,c}$	0,12		N.B.
v_{min}	0,364		
v_1	0,600		
α_{cw}	1,000		N.B.
k_1	0,15		normatief

$$k = 1 + \sqrt{\frac{200}{d}} \le 2{,}0 \qquad \rho_l = \frac{A_{sl}}{b_w d} \le 0{,}02$$

$$v_{min} = 0{,}035\,k^{3/2} \cdot f_{ck}^{1/2}$$

6.2.2(1)	
6.3N	
6.10.aN	
6.2.3(3)	
6.2.2(1)	

$V_{Rd,c}$	185,00	kN
	307,72	kN

$$V_{Rd,c} = [C_{Rd,c}\,k(100\,\rho_l f_{ck})^{1/3} + k_1\,\sigma_{cp}]\,b_w d$$ 6.2.a

$$V_{Rd,c} = (v_{min} + k_1\sigma_{cp})\,b_w d$$ 6.2.b

$A_{s:Md:ben}$	6	mm^2

$$M_{Rd} = z\,A_s\,f_s$$ 6.1 (10)

UC $M_{d,wap.}$	0,01

$$A_{s:ben} = M_d / 0{,}87 * f_{yd} * z$$

$V_{Rd,max}$	3268,80	kN

$$V_{Rd,max} = \alpha_{cw}\,b_w\,z\,\nu_1\,f_{cd}/(\cot\theta + \tan\theta)$$ 6.9

$V_{Rd,s}$	73	kN
Ø	16	mm
s	220	mm
snedes	1	stuks
opp	914	mm^2/m
θ	45	graden
cot θ	1	
tan θ	1	

$$V_{Rd,s} = \frac{A_{sw}}{s}\,z\,f_{ywd}\,\cot\theta$$ 6.8

UC $V_{d,wap.}$	0,24	beton

NEN-EN 1992-1-1+C2:2011

Wap. toets nieuw balk My + Vz

A_s	1608	mm^2
f_{yd}	500	N/mm^2
b | b_w	1506	mm
f_{cd}	20	N/mm^2
h	1100	mm
Ø	16	mm
dekking	45	mm
d	1047	mm

z	1060	mm
0,9 * d	942,3	mm
0,6 x l	1860	mm

$F_{d\ druk}$	483	kN
l	3,1	m

M_{Ed}	638,5	kN.m
V_{Ed}	522,94	kN

toets	8325,4	kN

k	1,44		2
ρ_l	0,0010		0,02
σ_{cp}	0,0	N/mm^2	
$C_{Rd,c}$	0,12		N.B.
v_{min}	0,330		
v_1	0,600		
α_{cw}	1,000		N.B.
k_1	0,15		normatief

$V_{Rd,c}$	394,74	kN
	520,73	kN

$A_{s:Md:ben}$	1558	mm^2

UC $M_{d,wap.}$	0,97

$V_{Rd,max}$	8514,62	kN

$V_{Rd,s}$	1137	kN
Ø	12	mm
s	150	mm
snedes	4	stuks
opp	3016	mm^2/m
θ	45	graden
cot θ	1	
tan θ	1	

UC $V_{d,wap.}$	0,34

beton

$$z = 0{,}2\,l + 0{,}4\,h \le 0{,}6\,l$$ — 6.1 (10)

$$V_{Ed} \le 0{,}5\,b_w d\,\nu\,f_{cd}$$ — 6.5

$$k = 1 + \sqrt{\frac{200}{d}} \le 2{,}0 \qquad \rho_l = \frac{A_{sl}}{b_w d} \le 0{,}02$$

	6.2.2(1)
$v_{min} = 0{,}035\,k^{3/2} \cdot f_{ck}^{1/2}$	6.3N
	6.10.aN
	6.2.3(3)
	6.2.2(1)

$$V_{Rd,c} = [C_{Rd,c} k (100\,\rho_l f_{ck})^{1/3} + k_1\,\sigma_{cp}]\,b_w d$$ — 6.2.a

$$V_{Rd,c} = (v_{min} + k_1 \sigma_{cp})\,b_w d$$ — 6.2.b

$$M_{Rd} = z\,A_s\,f_s$$ — 6.1 (10)

$$A_{s:ben} = M_d / 0{,}87 * f_{yd} * z$$

$$V_{Rd,max} = \alpha_{cw}\,b_w\,z\,\nu_1\,f_{cd}/(\cot\theta + \tan\theta)$$ — 6.9

$$V_{Rd,s} = \frac{A_{sw}}{s} z\,f_{ywd}\cot\theta$$ — 6.8

NEN-EN 1992-1-1+C2:2011

Wap. toets nieuw balk Mx + Vy

A_s	1193	mm^2
f_{yd}	500	N/mm^2
b | b_w	1100	mm
f_{cd}	20	N/mm^2
h	1506	mm
Ø	12	mm
dekking	45	mm
d	1455	mm

z	1302,4	mm
0,9 * d	1309,5	mm
0,6 x l	2100	mm

$F_{d\ druk}$	37	kN
l	3,5	m

M_{Ed}	28,7	kN.m
V_{Ed}	62,9	kN

toets	8450,6	kN

k	1,37		2
ρ_l	0,0007		0,02
σ_{cp}	0,0	N/mm^2	
$C_{Rd,c}$	0,12		N.B.
v_{min}	0,308		
v_1	0,600		
α_{cw}	1,000		N.B.
k_1	0,15		normatief

$V_{Rd,c}$	344,27	kN
	492,41	kN

$A_{s:Md:ben}$	51	mm^2

UC $M_{d,wap.}$	0,04

$V_{Rd,max}$	8595,84	kN

$V_{Rd,s}$	589	kN
Ø	12	mm
s	200	mm
snedes	2	stuks
opp	1131	mm^2/m
θ	45	graden
cot θ	1	
tan θ	1	

UC $V_{d,wap.}$	0,07

beton

$$z = 0{,}2\,l + 0{,}4\,h \le 0{,}6\,l$$ — 6.1 (10)

$$V_{Ed} \le 0{,}5\,b_w d\,\nu\,f_{cd}$$ — 6.5

$$k = 1 + \sqrt{\frac{200}{d}} \le 2{,}0 \qquad \rho_l = \frac{A_{sl}}{b_w d} \le 0{,}02$$

$$v_{min} = 0{,}035\,k^{3/2} \cdot f_{ck}^{1/2}$$

6.2.2(1)	
6.3N	
6.10.aN	
6.2.3(3)	
6.2.2(1)	

$$V_{Rd,c} = [C_{Rd,c}\,k(100\,\rho_l f_{ck})^{1/3} + k_1\,\sigma_{cp}]\,b_w d$$ — 6.2.a

$$V_{Rd,c} = (v_{min} + k_1\sigma_{cp})\,b_w d$$ — 6.2.b

$$M_{Rd} = z\,A_s\,f_s$$ — 6.1 (10)

$$A_{s:ben} = M_d / 0{,}87 * f_{yd} * z$$

$$V_{Rd,max} = \alpha_{cw}\,b_w\,z\,\nu_1\,f_{cd}/(\cot\theta + \tan\theta)$$ — 6.9

$$V_{Rd,s} = \frac{A_{sw}}{s}\,z\,f_{ywd}\,\cot\theta$$ — 6.8

NEN-EN 1992-1-1+C2:2011

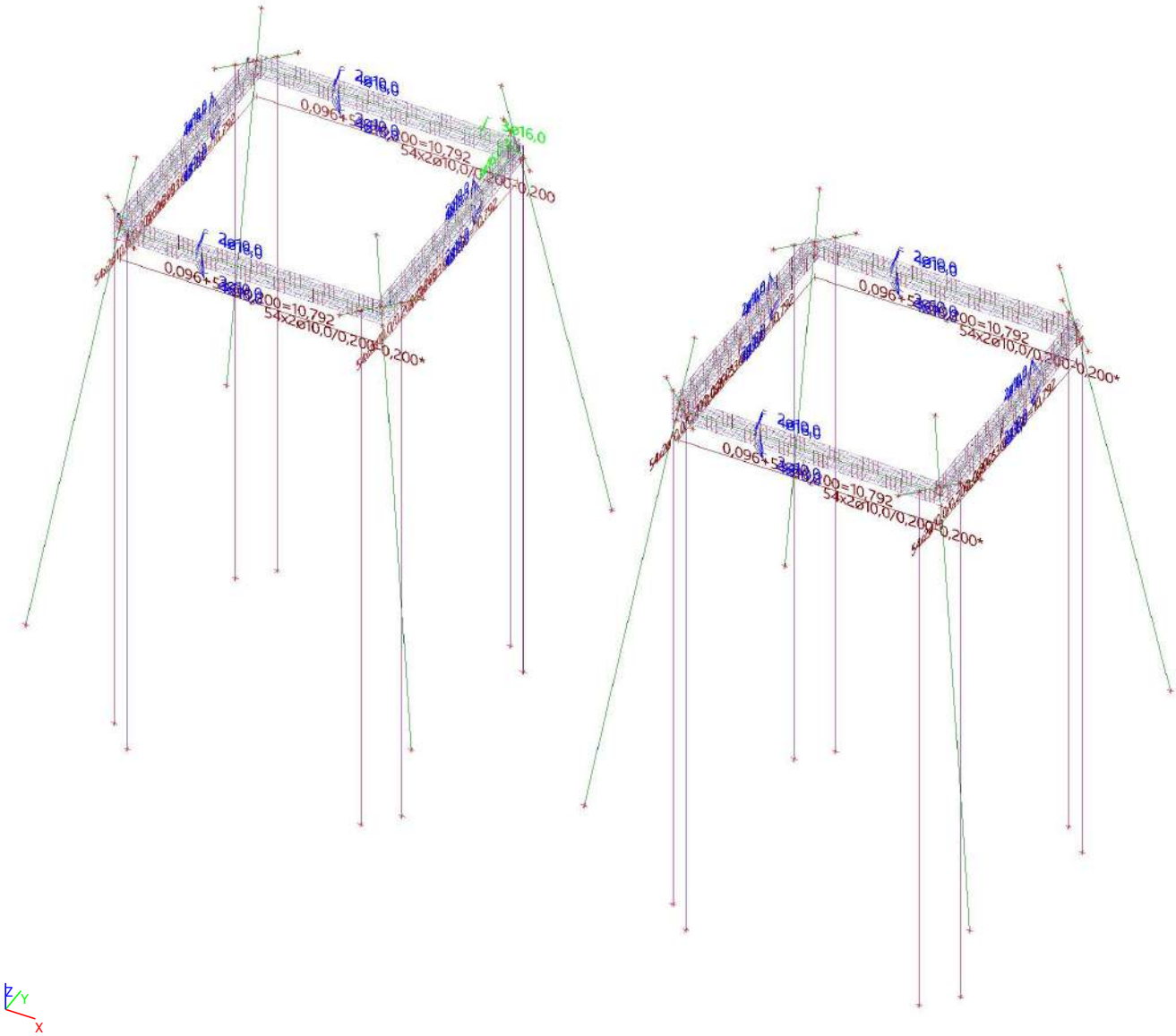
1. Inhoudsopgave

1. Inhoudsopgave 1
2. Project 2
3. Rekenmodel / Hoofdwapening / Beugels 2
4. Rekenmodel / Hoofdwapening / Beugels 3
5. Krachten van de Funderingsbalken 4
5.1. Interne 1D- krachten; N 4
5.2. Interne 1D- krachten; V_y 4
5.3. Interne 1D- krachten; V_z 5
5.4. Interne 1D- krachten; M_x 5
5.5. Interne 1D- krachten; M_y 6
5.6. Interne 1D- krachten; M_z 6
5.7. Interne 1D-krachten 7
6. Buigingstoets 8
6.1. Check capacity-interaction diagram; UC 8
6.2. Controle capaciteits-interactiediagram 8
6.3. Controle capaciteits-interactiediagram 9
7. Dwarskracht- en torsietoets 14
7.1. Controleer afschuiving+torsie (UGT); UC 14
7.2. Controleer afschuiving+torsie (UGT) 14
7.3. Controleer afschuiving+torsie (UGT) 16

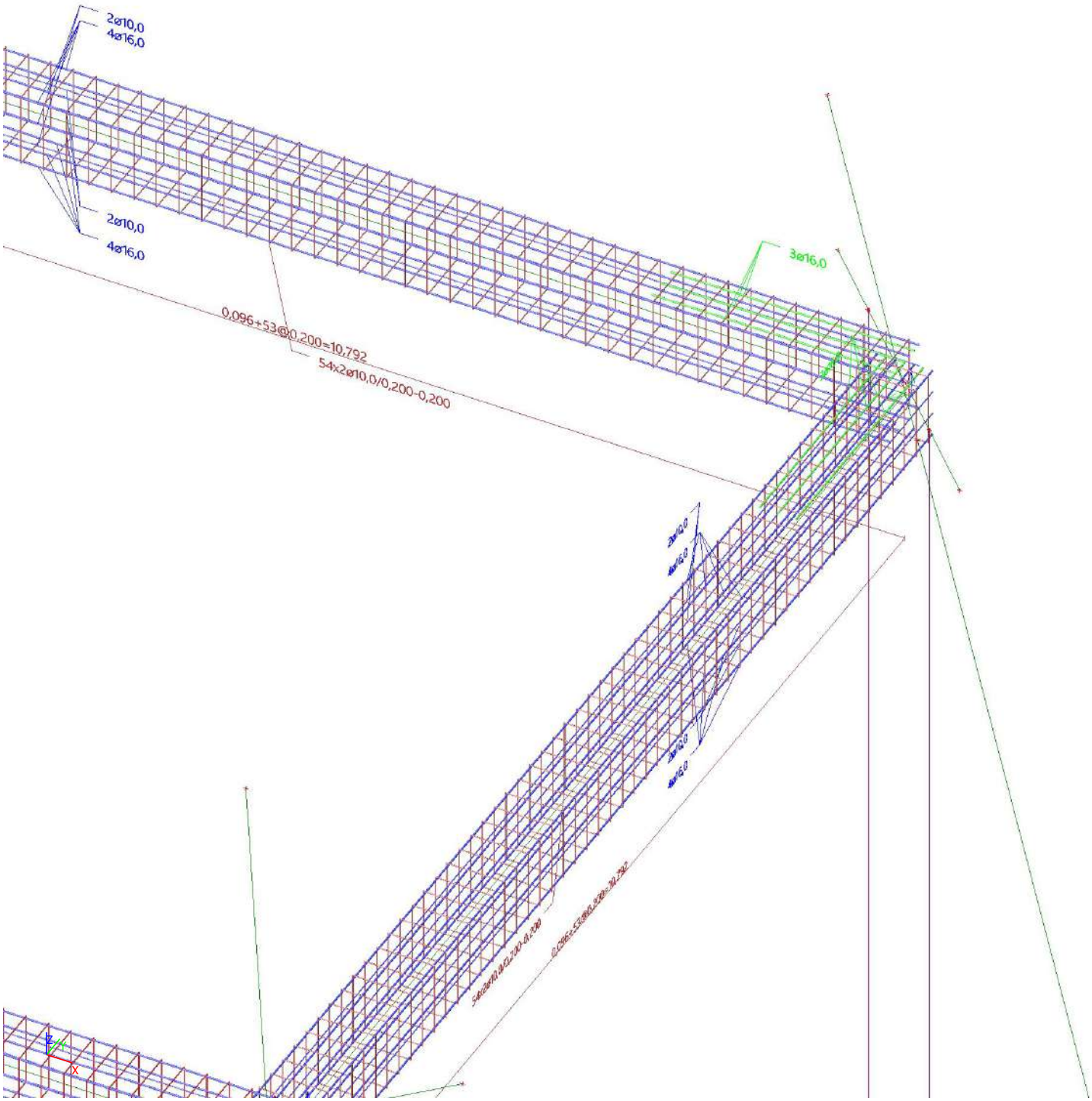
2. Project

Gebruiker van licentie	[redacted]
Project	Opwaardering KIJ-BVW 380kV
Onderdeel	Koppelframe 1xLD1 F3- Wapeningtoetsing
Auteur	[redacted]
Datum	05-02-2026
Constructie	Algemeen XYZ
Aantal knopen :	92
Aantal staven :	64
Aantal platen :	0
Aantal vaste lichamen :	0
Aantal gebruikte doorsneden :	6
Aantal belastingsgevallen :	9
Aantal gebruikte materialen :	9
Gravitatieversnelling [m/s^2]	9,807
Nationale norm	EC - EN

3. Rekenmodel / Hoofdwapening / Beugels



4. Rekenmodel / Hoofdwapening / Beugels



5. Krachten van de Funderingsbalken

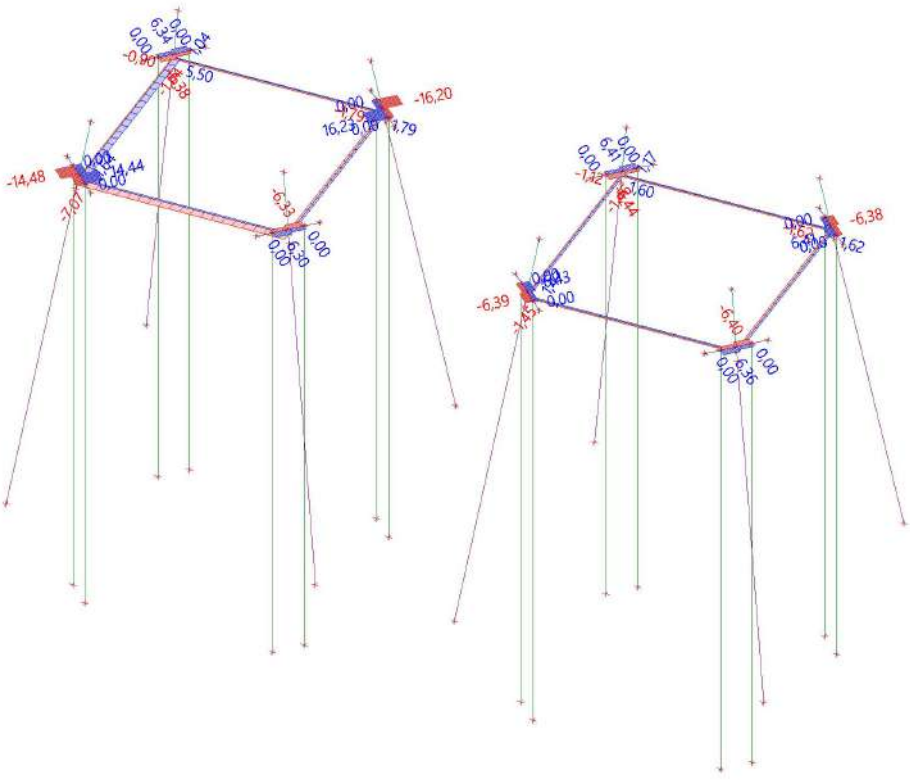
5.1. Interne 1D- krachten; N

Waarden: **N**
Niet-lineaire berekening
Klasse: All non-linear
Coördinatenstelsel: Hoofd
Extreme 1D: Lokaal
Selectie: Alle
Filter: Laag = Balken



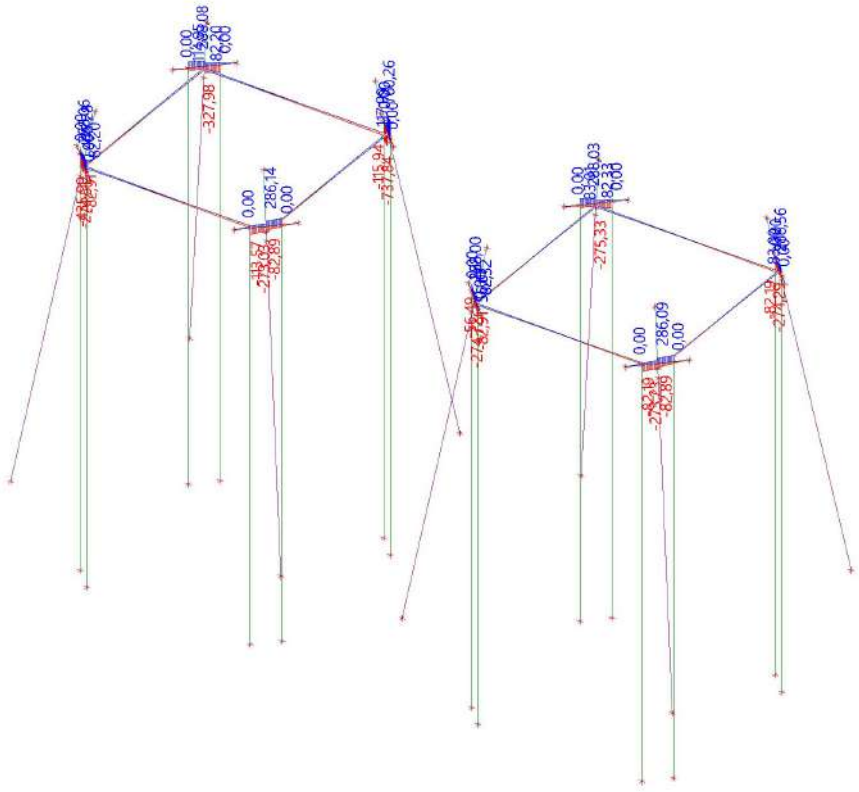
5.2. Interne 1D- krachten; V_y

Waarden: **V_y**
Niet-lineaire berekening
Klasse: All non-linear
Coördinatenstelsel: Hoofd
Extreme 1D: Lokaal
Selectie: Alle
Filter: Laag = Balken



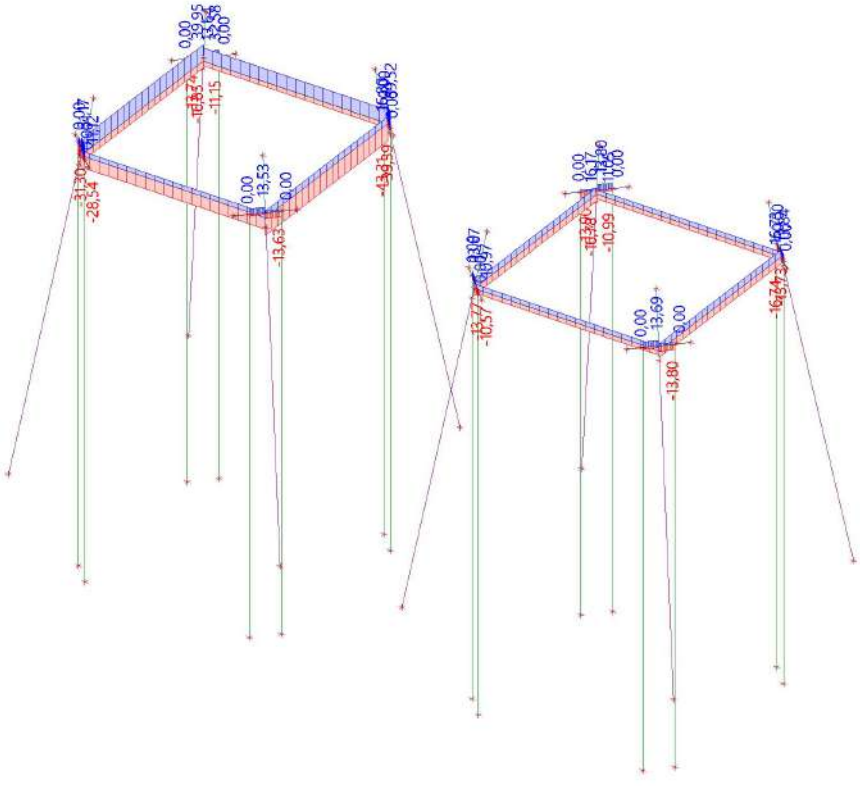
5.3. Interne 1D- krachten; V_z

Waarden: V_z
Niet-lineaire berekening
Klasse: All non-linear
Coördinatenstelsel: Hoofd
Extreme 1D: Lokaal
Selectie: Alle
Filter: Laag = Balken



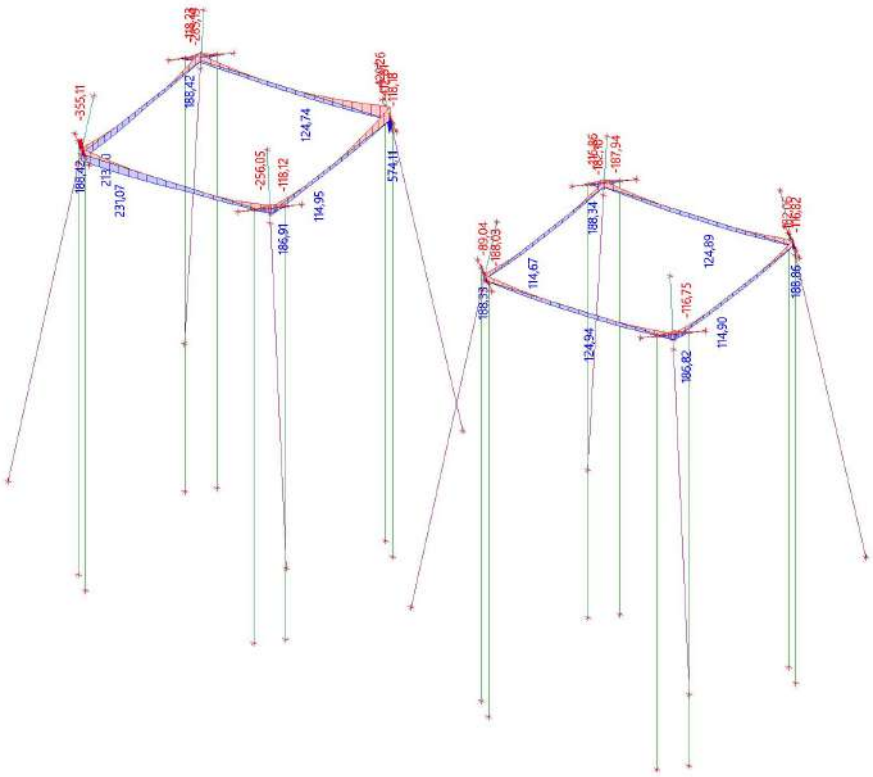
5.4. Interne 1D- krachten; M_x

Waarden: M_x
Niet-lineaire berekening
Klasse: All non-linear
Coördinatenstelsel: Hoofd
Extreme 1D: Lokaal
Selectie: Alle
Filter: Laag = Balken



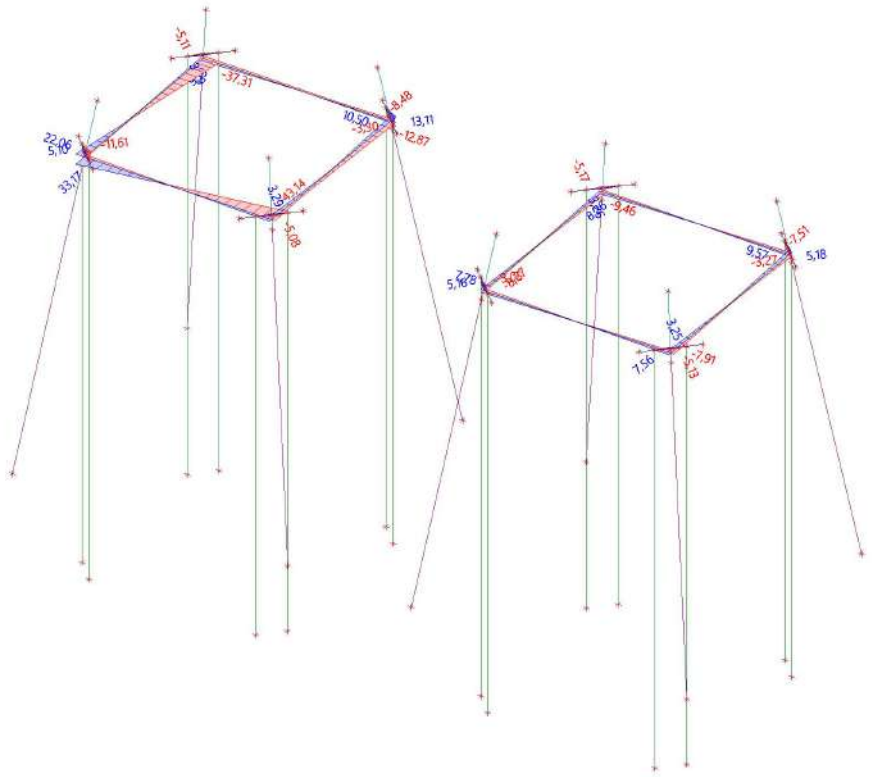
5.5. Interne 1D- krachten; M_y

Waarden: M_y
Niet-lineaire berekening
Klasse: All non-linear
Coördinatenstelsel: Hoofd
Extreme 1D: Element
Selectie: Alle
Filter: Laag = Balken



5.6. Interne 1D- krachten; M_z

Waarden: M_z
Niet-lineaire berekening
Klasse: All non-linear
Coördinatenstelsel: Hoofd
Extreme 1D: Element
Selectie: Alle
Filter: Laag = Balken



5.7. Interne 1D-krachten

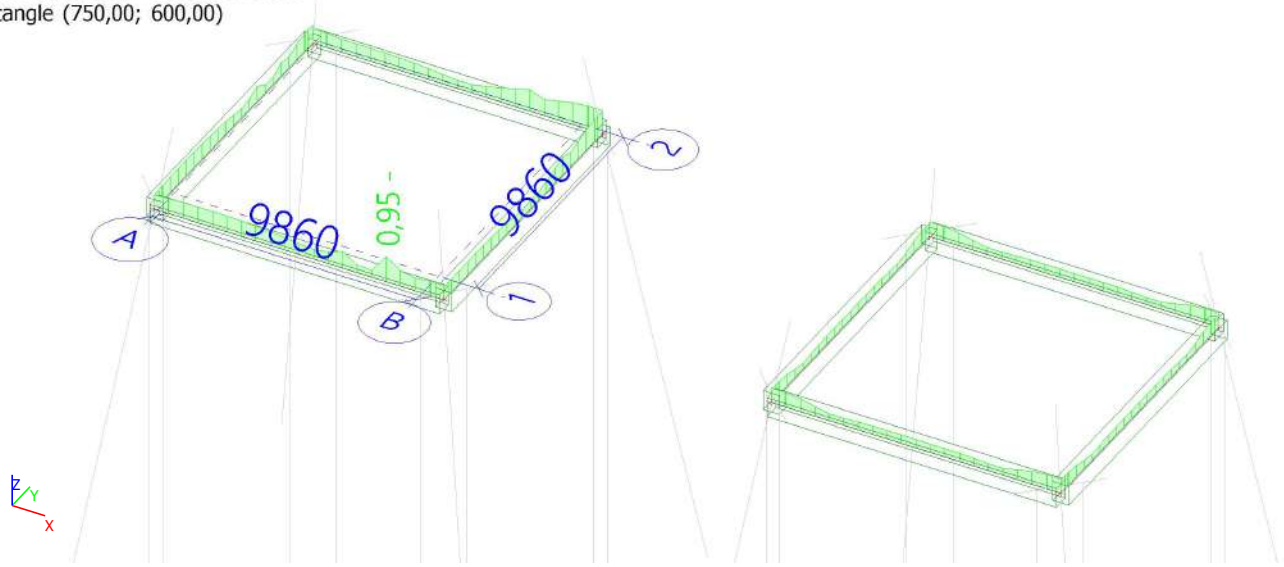
Niet-lineaire berekening
Klasse: All non-linear
Coördinatenstelsel: Hoofd
Extreme 1D: Globaal
Selectie: Alle
Filter: Doorsnede = Betonnen Blalk - Rectangle (750,00; 600,00)

Naam	dx [m]	Belasting	Doorsnede	N [kN]	V_y [kN]	V_z [kN]	M_x [kNm]	M_y [kNm]	M_z [kNm]
(balk 600x750)8	0,000	high max Wnd ;135° - EG_Ongunstig	Betonnen Blalk - Rectangle (750,00; 600,00)	-180,06	**-7,07**	29,31	-28,54	198,66	**33,17**
(balk 600x750)3	0,000	high max Wnd ;135° - EG_Ongunstig	Betonnen Blalk - Rectangle (750,00; 600,00)	118,21	1,01	**117,99**	**-43,31**	-412,81	-12,87
(balk 600x750)2	0,000	high max Wnd ;135° - EG_Ongunstig	Betonnen Blalk - Rectangle (750,00; 600,00)	-112,49	**5,50**	114,95	**39,95**	-285,19	-37,31
(balk 600x750)1	10,792	high max Wnd ;135° - EG_Ongunstig	Betonnen Blalk - Rectangle (750,00; 600,00)	**181,93**	0,52	**-115,94**	32,58	**-420,26**	-2,39
(balk 600x750)8	2,158	high max Wnd ;135° - EG_Ongunstig	Betonnen Blalk - Rectangle (750,00; 600,00)	**-180,06**	-7,07	0,73	-28,54	**231,07**	17,91
(balk 600x750)8	10,792	high max Wnd ;135° - EG_Ongunstig	Betonnen Blalk - Rectangle (750,00; 600,00)	-180,06	-7,07	-113,57	-28,54	-256,05	**-43,14**

6. Buigingstoets

6.1. Check capacity-interaction diagram; UC

Waarden: **UC**
Niet-lineaire berekening
Klasse: All non-linear
Coördinatenstelsel: Staaf
Extreme 1D: Globaal
Selectie: Alle
Filter: Doorsnede = Betonnen Blalk - Rectangle (750,00; 600,00)



6.2. Controle capaciteits-interactiediagram

Waarden: **UC**
Niet-lineaire berekening
Klasse: All non-linear
Coördinatenstelsel: Staaf
Extreme 1D: Globaal
Selectie: Alle
Filter: Doorsnede = Betonnen Blalk - Rectangle (750,00; 600,00)

Naam	dx [m]	Belasting	Doorsnede	N_{Ed} [kN]	M_{Edy} [kNm] M_{Edz} [kNm]	Method	N_{Rd+} [kN] N_{Rd-} [kN]	M_{Rdy+} [kNm] M_{Rdy-} [kNm]	M_{Rdz+} [kNm] M_{Rdz-} [kNm]	UC [-] Check
(balk 600x750)8	0,300	high max Wnd ;135° - EG_Ongunstig	Betonnen Blalk - Rectangle (750,00; 600,00)	**-180,06**	214,82 **31,05**	NuMu	192,21 -324,53	387,18 -229,32	55,97 -33,15	0,55 OK
(balk 600x750)1	10,252	high max Wnd ;135° - EG_Ongunstig	Betonnen Blalk - Rectangle (750,00; 600,00)	**181,93**	**-364,08** 0,00	NuMu	204,18 -176,40	353,01 -408,62	0,00 0,00	0,89 OK
(balk 600x750)8	2,158	high max Wnd ;135° - EG_Ongunstig	Betonnen Blalk - Rectangle (750,00; 600,00)	-180,06	**231,07** 19,96	NuMu	183,06 -297,98	382,41 -234,93	33,03 -20,29	0,60 OK
(balk 600x750)8	10,792	high max Wnd ;135° - EG_Ongunstig	Betonnen Blalk - Rectangle (750,00; 600,00)	-180,06	-201,05 **-43,14**	NuMu	200,55 -352,49	223,92 -393,58	48,05 -84,46	0,51 OK
(balk	10,492	high max Wnd	Betonnen	-97,50	22,09	NuMu	**850,09**	958,19	44,81	0,02

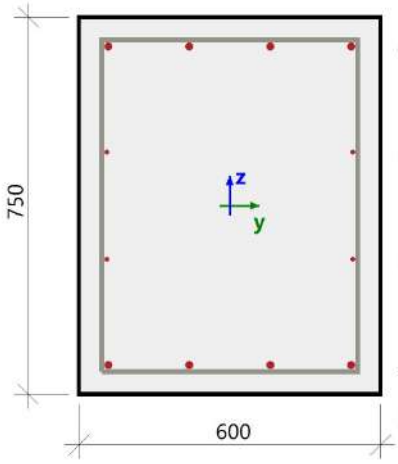
Naam	dx [m]	Belasting	Doorsnede	N_{Ed} [kN]	M_{Edy} [kNm] M_{Edz} [kNm]	Method	N_{Rd+} [kN] N_{Rd-} [kN]	M_{Rdy+} [kNm] M_{Rdy-} [kNm]	M_{Rdz+} [kNm] M_{Rdz-} [kNm]	UC [-] Check
600x750)1		;315° - EG_Ongunstig	Blalk - Rectangle (750,00; 600,00)		-5,14		-4229,92	-192,57	-222,98	OK
(balk 600x750)1	5,396-	high max Wnd ;135° - EG_Ongunstig	Betonnen Blalk - Rectangle (750,00; 600,00)	181,93	27,40 -5,33	NuMu	614,00 **-5582,00**	92,48 -840,74	163,66 -18,00	0,30 OK
(balk 600x750)1	8,634	low max Wnd ;225° - EG_Gunstig	Betonnen Blalk - Rectangle (750,00; 600,00)	-96,01	25,58 -4,06	NuMu	797,35 -3806,60	**1014,07** -212,41	33,75 -161,11	0,03 OK
(balk 600x750)3	0,000	high max Wnd ;315° - EG_Ongunstig	Betonnen Blalk - Rectangle (750,00; 600,00)	-64,05	-21,27 0,00	NuMu	455,41 -3300,24	151,24 **-1095,96**	0,00 0,00	0,02 OK
(balk 600x750)3	0,000	low max Wnd ;315° - EG_Gunstig	Betonnen Blalk - Rectangle (750,00; 600,00)	-62,36	16,46 10,50	NuMu	686,95 -2434,09	642,37 -181,29	**409,93** -115,69	0,03 OK
(balk 600x750)8	8,094	high max Wnd ;135° - EG_Ongunstig	Betonnen Blalk - Rectangle (750,00; 600,00)	-180,06	29,08 -26,11	NuMu	550,76 -3462,72	559,16 -88,94	79,87 **-502,14**	0,05 OK
(balk 600x750)8	8,634	high max Wnd ;135° - EG_Ongunstig	Betonnen Blalk - Rectangle (750,00; 600,00)	-180,06	-73,81 -29,93	NuMu	391,51 -1490,54	160,50 -611,03	65,07 -247,73	**0,95** OK

6.3. Controle capaciteits-interactiediagram

Waarden: **UC**
Niet-lineaire berekening
Klasse: All non-linear
Coördinatenstelsel: Staaf
Extreme 1D: Globaal
Selectie: Alle
Filter: Doorsnede = Betonnen Blalk - Rectangle (750,00; 600,00)

Balk (balk 600x750)8	**Rectangle (750,00; 600,00)**
NEN EN 1992-1-1+C2/NB+A1:2020	Doorsnede 19 [dx = 8.63 m]

Staaflengte: L = 10.8 m
"Knik y-y⊥ L_y = 13.3 m (zijdelings flexibel)
Knik z-z⊥ L_z = 13.3 m (zijdelings flexibel)



Beton: C30/37 Gescheurd
Bilineair spanning-rekdiagram
Milieuklasse: XC4, XF4

Langswapening: B 500A
Bilineair met oplopende bovenvertakking
8ø16+4ø10 (1923 mm^2)
ρ_l = 0,427 % (15.1 kg/m)

Afschuifwapening: B 500A
Bilineair met oplopende bovenvertakking
2ø10/200* (detaillering)

Dekking (beugel)
Bovenzijde: 40 mm
Onderzijde: 40 mm
Links: 40 mm
Rechts: 40 mm

Materiaalkarakteristieken

Ontwerpbetondruksterkte

$$f_{cd} = \frac{\alpha_{cc} \cdot f_{ck}}{\gamma_C} = \frac{1 \cdot 30}{1.5} = 20 \text{ MPa}$$

Ontwerpvloeispanning van langswapening

$$f_{yd} = \frac{f_{yk}}{\gamma_S} = \frac{500}{1.15} = 435 \text{ MPa} \quad (3.15)$$

Krachten

Van EEM analyse

N = -180 kN M_y = -41.8 kNm M_z = -27.9 kNm

Inhoud van de combinatie:

highmaxWnd;135°-EG_Ongunstig

Drukstaaf

Beperk normaalkracht om rekening te houden met drukstaven:

$$N_{com} = -\text{Coeff}_{com} \cdot \left(f_{cd} \cdot A_c \right) = -0.1 \cdot \left(20 \cdot 10^6 \cdot 0.45 \right) = -900 \text{ kN}$$

Controleer conditie:

$N_{Ed} \geq N_{com}$ = -180 kN ≥ -900 kN ... geen drukstaaf

Opm.: Het element moet niet worden beschouwd als een drukelement (normaalkracht is relatief klein of nul).

Herberekende buigende momenten:

Momentreductie boven steunpunt: Ja
Reductie van dwarskrachten boven steunpunt: Ja
Verschuivingsregel gebruiken: Ja
Dwarskrachten reduceren: Op het vlak

N_{Ed} = -180 kN M_{Edy} = -73.8 kNm M_{Edz} = -29.9 kNm

Invoergegevens voor het genereren van interactiediagrammen

Methode van interactiediagram controle	N_uM_u
Verdeling van verticale rekken	250
Aantal verticale snedes	18
Resultante waarde van buigend moment	M_{res} = 79.7 kNm
Hoek van resultante van buigend moment is gerelateerd aan M_y richting in horizontaal vlak M_y-M_z	α_{MyMz} = -22.1 °
Hoek van resultante van buigend moment is gerelateerd aan N richting in verticaal vlak N-M_{res}	α_{NM} = -66.1 °

Status van scheuren in buiging

$\sigma_{ct.max}$ = 1.58 MPa ≥ f_{ctd} = 1.33 MPa => doorsnede gescheurd bij buiging

Toetsing van beperkte hoogte van drukzone gebaseerd op 6.1(9) van NEN EN 1992-1-1

Grenswaarde van ontwerpnormaalkracht

$N_{lim} = 0.1 \cdot A_c \cdot f_{cd} = 0.1 \cdot 0.45 \cdot 20 = 900$ kN

Ontwerpwaarde van normaalkracht

N_{Ed} = -180 kN

De waarde x_u berekend op basis van de weerstanden uit het interactiediagram

N_{Rd} = -1491 kN

M_{Rdy} = -611 kN

M_{Rdz} = -248 kN

Beperkte hoogte van drukzone

$$x_{u,lim} = \frac{500 \cdot 10^6 \cdot d}{500 \cdot 10^6 + f} = \frac{500 \cdot 10^6 \cdot 0.727}{500 \cdot 10^6 + 435 \cdot 10^6} = 0.389 \text{ m}$$

$x_u < x_{u,lim}$ => 370 mm < 389 mm

Controlewaarde gerelateerd aan de beperking van de drukzone

$$UC_{xu} = \frac{x_u}{x_{u,lim}} = \frac{0.37}{0.389} = 0.953$$

Berekening van weerstanden

Weerstanden in positieve richting N_{Rd+} = 392 kN M_{Rdy+} = 160 kNm M_{Rdz+} = 65 kNm

Weerstanden in negatieve richting N_{Rd-} = -1491 kN M_{Rdy-} = -611 kNm M_{Rdz-} = -248 kNm

Samenvatting controle

Krachten: N_{Ed} = -180 kN M_{Edy} = -73.8 kNm M_{Edz} = -29.9 kNm

Weerstand: N_{Rd} = -1491 kN M_{Rdy} = -611 kNm M_{Rdz} = -248 kNm

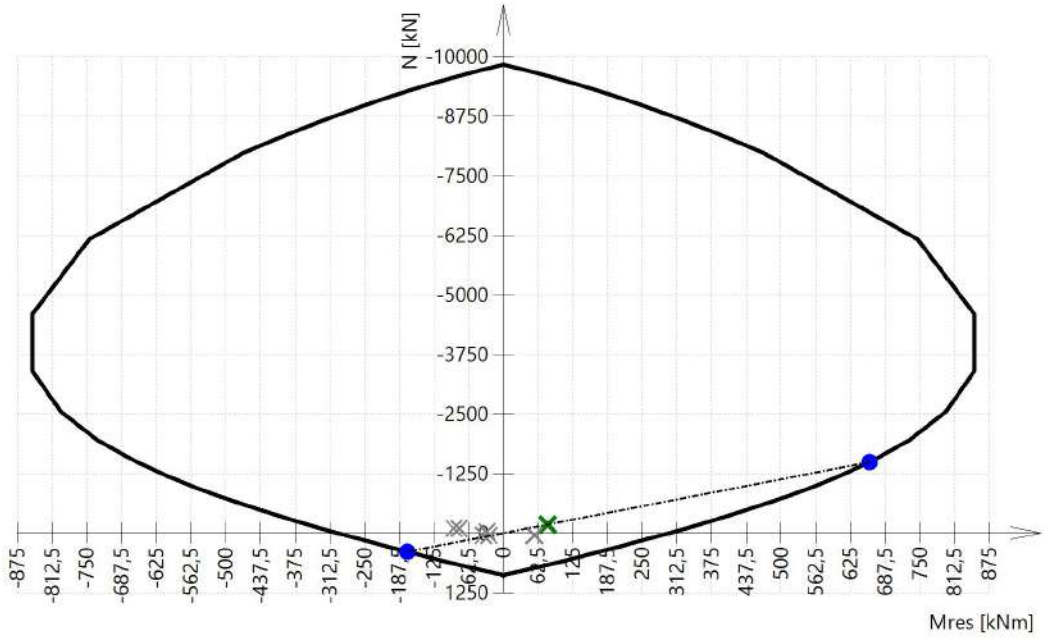
Berekenen van de eenheidscontrole:

$$UC = \frac{\sqrt{N_{Ed}^2 + M_{Edy}^2 + M_{Edz}^2}}{\sqrt{N_{Rd}^2 + M_{Rdy}^2 + M_{Rdz}^2}} = \frac{\sqrt{-180^2 + -73.8^2 + -29.9^2}}{\sqrt{-1491^2 + -611^2 + -248^2}} = 0.121$$

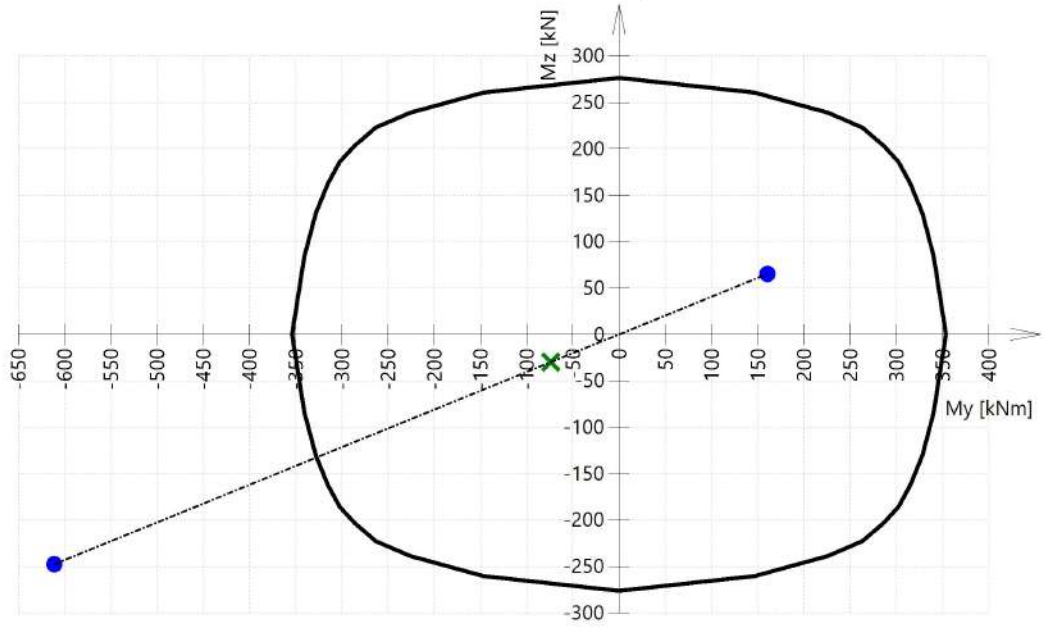
Eenheidscontrole gebaseerd op $x_{u,lim}$ volgens 6.1(9) van NEN EN 1992-1-1

$$UC_{xu} = \frac{x}{x_{u,lim}} = \frac{0.37}{0.389} = 0.953 \quad <= 1 \quad \textbf{OK}$$

3D-interactiediagram - Verticale doorsnede N-M $_{res}$



3D-interactiediagram - Horizontale doorsnede M_y-M_z

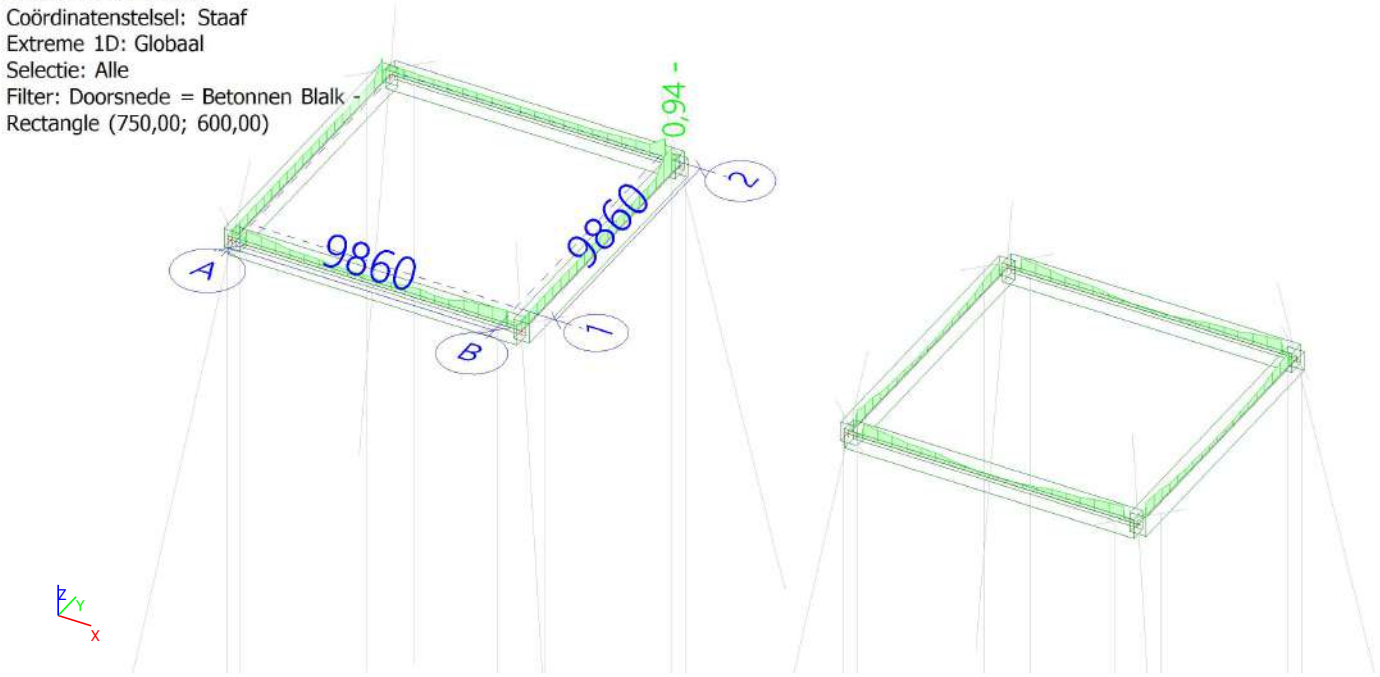


Lijst van fouten/waarschuwingen/opmerkingen: N2/1

7. Dwarskracht- en torsietoets

7.1. Controleer afschuiving+torsie (UGT); UC

Waarden: **UC**
Niet-lineaire berekening
Klasse: All non-linear
Coördinatenstelsel: Staaf
Extreme 1D: Globaal
Selectie: Alle
Filter: Doorsnede = Betonnen Blalk - Rectangle (750,00; 600,00)



7.2. Controleer afschuiving+torsie (UGT)

Waarden: **UC**
Niet-lineaire berekening
Klasse: All non-linear
Coördinatenstelsel: Staaf
Extreme 1D: Globaal
Selectie: Alle
Filter: Doorsnede = Betonnen Blalk - Rectangle (750,00; 600,00)

Dwarskrachtcontrole

Naam	dx [m]	Belasting	Doorsnede	V_{Ed} [kN]	d [mm] z [mm]	A_{swm} [cm²/m] θ [deg]	b_w [mm] b_{w1} [mm]	V_{Rdc} [kN] V_{Rdmax} [kN]	V_{Rds} [kN]	UC_{shear} [-]
(balk 600x750)5	5,396-	low max Wnd ;135° - EG_Gunstig	Betonnen Blalk - Rectangle (750,00; 600,00)	**0,01**	6,5347e+02 5,9516e+02	0,00 40,00	604,21 604,21	222,29 1869,84	0,00	0,00
(balk 600x750)3	0,000	high max Wnd ;135° - EG_Ongunstig	Betonnen Blalk - Rectangle (750,00; 600,00)	**111,38**	6,7158e+02 6,1241e+02	7,90 40,00	600,00 600,00	159,04 2171,19	0,00	0,05
(balk 600x750)8	10,792	high max Wnd ;45° - EG_Ongunstig	Betonnen Blalk - Rectangle (750,00; 600,00)	54,28	7,0062e+02 4,6969e+02	0,00 40,00	288,72 600,09	**388,29** 1465,60	0,00	0,04
(balk 600x750)1	5,396-	high max Wnd ;135° - EG_Ongunstig	Betonnen Blalk - Rectangle (750,00; 600,00)	44,50	6,9827e+02 6,2844e+02	7,85 40,00	600,04 600,04	0,00 **2228,17**	**235,29**	0,19

Naam	dx [m]	Belasting	Doorsnede	V_{Ed} [kN]	d [mm] z [mm]	A_{swm} [cm²/m] θ [deg]	b_w [mm] b_{w1} [mm]	V_{Rdc} [kN] V_{Rdmax} [kN]	V_{Rds} [kN]	UC_{shear} [-]
(balk 600x750)8	10,252	high max Wnd ;135° - EG_Ongunstig	Betonnen Blalk - Rectangle (750,00; 600,00)	106,66	6,8061e+02 5,9591e+02	0,00 40,00	601,32 601,32	177,27 1863,25	0,00	**0,60**

Torsiecontrole

Naam	dx [m]	Belasting	Doorsnede	T_{Ed} [kNm]	u_k [mm] A_k [mm²]	A_{swtm} [cm²/m] t_{ef} [mm]	T_{Rdc} [kNm] T_{Rdmax} [kNm]	T_{Rds} [kNm] T_{Rd} [kNm]	UC_{tor} [-]
(balk 600x750)3	0,000	high max Wnd ;135° - EG_Ongunstig	Betonnen Blalk - Rectangle (750,00; 600,00)	**-43,31**	2033,34 2,5278e+05	3,95 166,67	112,35 438,13	**103,44** 103,44	0,42
(balk 600x750)2	0,000	high max Wnd ;135° - EG_Ongunstig	Betonnen Blalk - Rectangle (750,00; 600,00)	**39,95**	2033,34 2,5278e+05	3,95 166,67	**112,35** **438,13**	103,42 103,42	0,39
(balk 600x750)8	0,000	high max Wnd ;135° - EG_Ongunstig	Betonnen Blalk - Rectangle (750,00; 600,00)	-28,54	2033,34 2,5278e+05	0,00 166,67	112,35 438,13	0,00 **112,35**	0,25
(balk 600x750)3	0,500	high max Wnd ;135° - EG_Ongunstig	Betonnen Blalk - Rectangle (750,00; 600,00)	-43,31	2033,34 2,5278e+05	3,93 166,67	112,35 438,13	102,87 102,87	**0,42**

Interactie tussen afschuiving en torsie

Naam	dx [m]	Belasting	Doorsnede	V_{Ed} [kN] T_{Ed} [kNm]	Equation 6_29 [-] Equation 6_31 [-]	UC_{int_con} [-]	UC_{int_shear} [-]	UC_{int} [-]
(balk 600x750)5	5,396-	low max Wnd ;135° - EG_Gunstig	Betonnen Blalk - Rectangle (750,00; 600,00)	**0,01** 0,02	0,00 0,00	0,00	0,00	0,00
(balk 600x750)3	0,000	high max Wnd ;135° - EG_Ongunstig	Betonnen Blalk - Rectangle (750,00; 600,00)	**111,38** **-43,31**	0,15 1,09	**0,15**	0,00	0,15
(balk 600x750)2	0,000	high max Wnd ;135° - EG_Ongunstig	Betonnen Blalk - Rectangle (750,00; 600,00)	108,47 **39,95**	0,14 1,01	0,14	0,00	0,14
(balk 600x750)3	0,540	high max Wnd ;135° - EG_Ongunstig	Betonnen Blalk - Rectangle (750,00; 600,00)	110,85 -43,31	0,15 1,08	0,15	**0,94**	**0,94**

Globale tabel van dwars- en torsiecontrole

Naam	dx [m]	Belasting	Doorsnede	UC_{shear} [-]	UC_{tor} [-]	UC_{int} [-]	UC [-]	Check
(balk 600x750)8	10,252	high max Wnd ;135° -	Betonnen Blalk -	**0,60**	0,25	0,12	0,60	OK, maar...

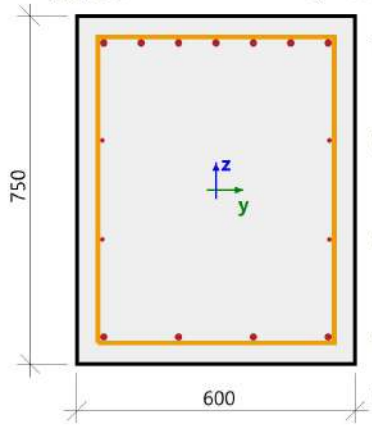
Naam	dx [m]	Belasting	Doorsnede	UC_{shear} [-]	UC_{tor} [-]	UC_{int} [-]	UC [-]	Check
		EG_Ongunstig	Rectangle (750,00; 600,00)					
(balk 600x750)3	0,540	high max Wnd ;135° - EG_Ongunstig	Betonnen Blalk - Rectangle (750,00; 600,00)	0,48	**0,42**	**0,94**	**0,94**	**OK**

7.3. Controleer afschuiving+torsie (UGT)

Waarden: **UC**
Niet-lineaire berekening
Klasse: All non-linear
Coördinatenstelsel: Staaf
Extreme 1D: Globaal
Selectie: Alle
Filter: Doorsnede = Betonnen Blalk - Rectangle (750,00; 600,00)

Balk (balk 600x750)3 | **Rectangle (750,00; 600,00)**
NEN EN 1992-1-1+C2/NB+A1:2020 | Doorsnede 3 [dx = 0.54 m]

Staaflengte: L = 10.8 m
"Knik y-y" L_y = 13.3 m (zijdelings flexibel)
Knik z-z" L_z = 13.3 m (zijdelings flexibel)



Beton: C30/37 Gescheurd
Bilineair spanning-rekdiagram
Milieuklasse: XC4, XF4
Langswapening: B 500A
Bilineair met oplopende bovenvertakking
11ø16+4ø10 (2526 mm^2)
ρ_l = 0,561 % (19.8 kg/m)
Afschuifwapening: B 500A
Bilineair met oplopende bovenvertakking
2ø10/200 (785 mm^2/m)
ρ_w = 0,131 % (6.17 kg/m)
Dekking (beugel)
Bovenzijde: 40 mm
Onderzijde: 40 mm
Links: 40 mm
Rechts: 40 mm

Instellingen

Methode voor berekening afschuifweerstanden: Standaard
Grenswaarde van de hoek tussen buigende momenten en resultante dwarskrachten voor het gebruik van de standaardmethode: $\alpha_{VM,lim}$ = 15 °
Equivalente dunwandige doorsnede: Automatisch
De hoek tussen de betondrukschoor en de staafas: Gebruikersinvoer: θ_{inp} = 40 ° => $\cot(\theta_{inp})$ = 1.19

Krachten

Inhoud van de combinatie: highmaxWnd;135°-EG_Ongunstig
N_{Ed} = 118 kN M_{Edy} = -356 kNm M_{Edz} = 0 kNm V_{Edy} = 0 kN V_{Edz} = 111 kN T_{Ed} = -43.3 kNm

Hoek van gradiënt van rekvlak
α_M = 90 °

Hoek van resultante van afschuiving
α_V = 90 °

Resultante van dwarskracht

$$V_{Ed} = \sqrt{V_{Edy}^2 + V_{Edz}^2} = \sqrt{0^2 + 111^2} = 111 \text{ kN}$$

Verschil tussen hoeken α_M en α_V

$$\alpha_{MV} = \text{abs}(\alpha_M - \alpha_V) = \text{abs}(90 - 90) = 0 °$$

Materiaalkarakteristieken

Ontwerpbetondruksterkte

$$f_{cd} = \frac{\alpha_{cc} \cdot f_{ck}}{\gamma_C} = \frac{1 \cdot 30}{1.5} = 20 \text{ MPa}$$

Ontwerp betontreksterkte

$$f_{ctd} = \frac{\alpha_{ct} \cdot f_{ctk005}}{\gamma_C} = \frac{1 \cdot 2}{1.5} = 1.33 \text{ MPa} \quad (3.15, 3.16)$$

Berekening van hoek tussen betondrukschoor en staafas

- minimale waarde:

$\theta_{min} = 21.8° \Rightarrow \cot(\theta_{min}) = 2.5$ (§6.2.3(2))

- maximale waarde:

$\theta_{max} = 45° \Rightarrow \cot(\theta_{max}) = 1$ (§6.2.3(2))

- invoer/berekende waarde:

$\theta = \theta_{inp} = 40°, \cot(\theta) = 1.19$

Opm.: Automatische berekening van hoek is uitgeschakeld, gebruikerswaarde wordt in rekening genomen

Controleer afschuiving en bereken afschuifweerstand

Doorsnedeparameters

Minimale breedte van doorsnede in trekzone

$y_{bw} = 0$ mm $z_{bw} = -197$ mm $b_w = 600$ mm

Opm.: Waarde b_w is berekend als de kleinste breedte van de doorsnede in het trekoppervlak loodrecht op de resultante van de dwarskracht.

Minimale breedte van de doorsnede tussen trek- en drukschoor

$y_{bw1} = 0$ mm $z_{bw1} = 297$ mm $b_{w1} = 600$ mm

Opm.: Waarde b_{w1} is berekend als de kleinste breedte van de doorsnede tussen het trek- en drukkoord loodrecht op de resultante van de dwarskracht.

Hoogte van doorsnede is herberekend in de richting van de resultante van de dwarskracht

$h = 750$ mm

Opm.: De waarde h wordt berekend als de breedte van de doorsnede op het zwaartepunt in de richting van de resultante van de dwarskracht.

Oppervlakte betondoorsnede

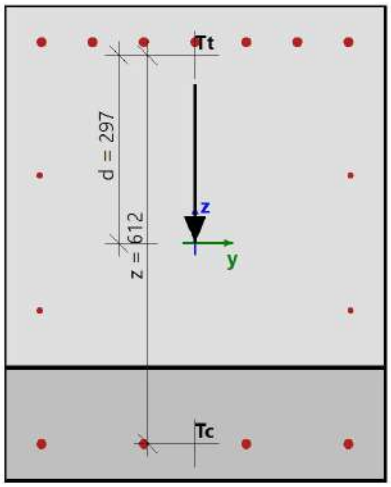
$A_c = 0.45$ m^2

Effectieve diepte omgerekend naar richting van resultante van dwarskracht

$d = 672$ mm

Hefboomsarm van interne krachten omgerekend naar richting van resultante van dwarskracht

$z = 612$ mm



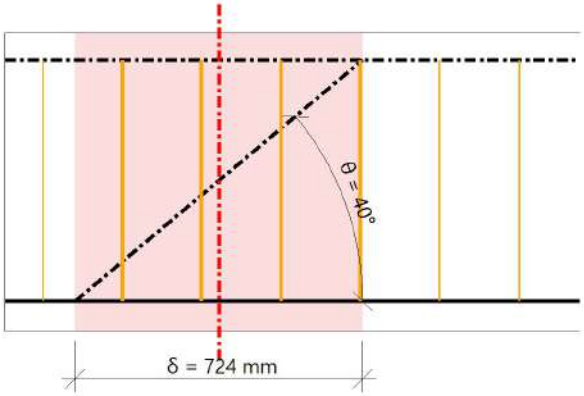
Parameters van afschuifwapening

Invoerparameters

Beugels over de lengte van scheurafschuifprojectie $\delta = z*\cot(\Theta) = 724$ mm, interval (-362; 362)

$z = \text{Coeff\_d} \cdot \text{Coeff\_z} \cdot h = 0.9 \cdot 0.9 \cdot 0.75 = 608$ mm $\quad \delta = z \cdot \text{cotg}(\theta) = 0.608 \cdot \text{cotg}(40) = 724$ mm

ID	Zone	x_s [mm]	$\varnothing_s$ [mm]	s_s [mm]	n_s []	α_s [°]	f_{ywk} [MPa]
1	1	-244	10	200	2	90	500
2	1	-43.6	10	200	2	90	500
3	1	156	10	200	2	90	500
4	1	356	10	200	2	90	500
Avg.	-	-	10	200	2	90	500



Aantal snedes per beugel $n_s = 2$

Diameter van de wapening $\varnothing_s = 10$ mm

Hart - op - hartafstand van beugel in langsrichting $s_{inp} = 0.2$ m

Hoek van beugels van elementas $\alpha_s = 90°$

Karakteristieke vloeigrens $f_{ywk} = 500$ MPa

Doorsnedeoppervlakte van afschuifwapening

$$A_{sw} = n_s \cdot \pi \cdot \left(\frac{\varnothing_s}{2}\right)^2 = 2 \cdot 3.14 \cdot \left(\frac{10}{2}\right)^2 = 157 \text{ mm}^2$$

Maximale longitudinale tussenafstand van beugelwapening

$s_l = s_{inp} = 200$ mm

Doorsnedeoppervlak per meter

$$A_{swm} = \frac{A_{sw}}{s_l} = \frac{157 \cdot 10^{-6}}{0.2} = 785 \text{ mm}^2/\text{m}$$

Parameters van langswapening

Het oppervlak van de trekwapening

$A_{sl} = 1722$ mm^2

Berekening van afschuifweerstanden

Ontwerpafschuifweerstand van de staaf zonder afschuifwapening

$\sigma_{ct,max} = 6.58\ MPa \geq f_{ctd} = 1.33\ MPa \Rightarrow$ doorsnede gescheurd bij buiging

Berekening ontwerp afschuifweerstand van de staaf zonder afschuifwapening volgens artikel 6.2.2(1).

Coëfficiënt voor hoogte van de doorsnede

$$k = \min\left(1 + \left(\frac{200}{d}\right)^{\frac{1}{2}}; 2\right) = \min\left(1 + \left(\frac{200}{672}\right)^{\frac{1}{2}}; 2\right) = 1.55 \qquad (\S 6.2.2(1))$$

Geometrische wapeningsverhouding

$$\rho_1 = \min\left(\frac{A_{sl}}{b_w \cdot d}; 0.02\right) = \min\left(\frac{1.72 \cdot 10^{-3}}{0.6 \cdot 0.672}; 0.02\right) = 4.27 \cdot 10^{-3} \qquad (\S 6.2.2(1))$$

Axiale spanning in de doorsnede

$$\sigma_{cp} = \min\left(\frac{-N_{Ed}}{A_c}; 0.2 \cdot f_{cd}\right) = \min\left(\frac{-118}{0.45}; 0.2 \cdot 20\right) = -0.263\ MPa \qquad (\S 6.2.2(1))$$

Andere coëfficiënten

$C_{Rdc} = 0.12 \quad v_{min} = 0.368\ MPa \quad k_1 = 0.15$

Berekening van de rekenwaarde afschuifweerstand

$$V_{Rdc} = 10^6 \cdot \left(C_{Rdc} \cdot k \cdot \left(100 \cdot \rho_1 \cdot f_{ck}\right)^{\frac{1}{3}} + k_1 \cdot \sigma_{cp}\right) \cdot b_w \cdot d \qquad (6.2.a)$$

$$= 10^6 \cdot \left(0.12 \cdot 1.55 \cdot \left(100 \cdot 4.27 \cdot 10^{-3} \cdot 30\right)^{\frac{1}{3}} + 0.15 \cdot -0.263\right) \cdot 0.6 \cdot 0.672 = 159\ kN$$

$$V_{Rdcmin} = 10^6 \cdot \left(v_{min} + k_1 \cdot \sigma_{cp}\right) \cdot b_w \cdot d \qquad (6.2.b)$$

$$= 10^6 \cdot \left(0.368 + 0.15 \cdot -0.263\right) \cdot 0.6 \cdot 0.672 = 133\ kN$$

$$V_{Rdc} = \max\left(V_{Rdc}; V_{Rdcmin}; 0\right) = \max\left(159037; 132569; 0\right) = 159\ kN$$

Opm.: Ontwerpweerstand afschuiving van het element zonder de afschuifwapening is berekend volgens artikel 6.2.2(1), omdat de doorsnede is gescheurd in buiging in UGT of de doorsnede is niet belast door normaalkracht en buigende momenten.

Rekenwaarde van de max. dwarskracht welke kan worden verdragen door het element

Sterktereductiefactor voor beton gescheurd in afschuiving - waarde v

$$\nu = 0.6 \cdot \left(1 - \frac{f_{ck}}{250}\right) = 0.6 \cdot \left(1 - \frac{30}{250}\right) = 0.528 \qquad (6.6N)$$

Sterktereductiefactor voor beton gescheurd in afschuiving - waarde ν_1

$$\sigma_{cp} = \min\left(\frac{-N_{Ed}}{A_c}; 0.2 \cdot f_{cd}\right) = \min\left(\frac{-118}{0.45}; 0.2 \cdot 20\right) = -0.263 \text{ MPa}$$

$$\nu_1 = 0.6 \qquad (6.10.aN)$$

Coëfficiënt voor de bepaling van de spanning in de drukdiagonaal

$\alpha_{cw} = 1$ (voor niet-voorgespannen element) (§6.2.3(3)N3)

Rekenwaarde van de max. dwarskracht welke kan worden verdragen door het element

$$V_{Rdmax} = \frac{\alpha_{cw} \cdot b_{w1} \cdot z \cdot \nu_1 \cdot f_{cd}}{\left(\cot g(\theta) + tg(\theta)\right)} = \frac{1 \cdot 0.6 \cdot 0.612 \cdot 0.6 \cdot 20 \cdot 10^6}{\left(\cot g(40) + tg(40)\right)} = 2171 \text{ kN} \qquad (6.9)$$

Ontwerpafschuifweerstand van de staaf met afschuifwapening

Ontwerpspanning van afschuifwapening

$$A_{sw} = n_s \cdot \pi \cdot \left(\frac{\varnothing_s}{2}\right)^2 = 2 \cdot 3.14 \cdot \left(\frac{10}{2}\right)^2 = 157 \text{ mm}^2$$

$$\sigma_{swd} = \frac{\frac{V_{Ed}}{z} \cdot s_l}{A_{sw} \cdot \left(\cot g(\theta) + \cot g(\alpha_s) \cdot \sin(\alpha_s)\right)} = \frac{\frac{110850}{0.612} \cdot 0.2}{157 \cdot 10^{-6} \cdot \left(\cot g(40) + \cot g(90) \cdot \sin(90)\right)} = 193 \text{ MPa}$$

Ontwerpvloeispanning van afschuifwapening

$f_{ywd} = 0.8 \cdot f_{ywk} = 0.8 \cdot 500 = 400$ MPa , omdat $\sigma_{swd} < 0.8 \cdot f_{ywk}$)

Opm.: Ontwerp vloeisterkte van de afschuifwapening is gereduceerd to 0.8 x f_{ywk} (EN 1992-1-1, Artikel 6.2.3(3)), omdat de ontwerpspanning van de afschuifwapening onder de 80% van de karakteristieke vloeispanning f_{yk} is.

Limiet van maximaal toelaatbare afschuifwapening

$$A_{sw,max} = \frac{\alpha_{cw} \cdot \nu_1 \cdot f_{cd} \cdot b_{w1} \cdot s_l}{f_{ywd} \cdot \left(1 + \cot g(\theta)^2\right) \cdot \sin(\alpha_s)} = \frac{1 \cdot 0.6 \cdot 20 \cdot 600 \cdot 200}{400 \cdot \left(1 + \cot g(40)^2\right) \cdot \sin(90)} = 1487 \text{ mm}^2 \qquad (6.12)$$

$$A_{sw} = \min\left(A_{sw}; A_{sw,max}\right) = \min\left(157; 1487\right) = 157 \text{ mm}^2$$

Ontwerpafschuifweerstand van de staaf met afschuifwapening

$$V_{Rds} = \frac{A_{sw}}{s_l} \cdot z \cdot f_{ywd} \cdot \cot g(\theta) = \frac{157 \cdot 10^{-6}}{0.2} \cdot 0.612 \cdot 400 \cdot 10^6 \cdot \cot g(40) = 229 \text{ kN} \qquad (6.8)$$

Maximale dwarskracht bij het steunpunt (zonder gebruik van factor β)

$$V_{Edmax} = 0.5 \cdot b_{w1} \cdot d \cdot \nu \cdot f_{cd} = 0.5 \cdot 0.6 \cdot 0.672 \cdot 0.528 \cdot 20 \cdot 10^6 = 2128 \text{ kN} \qquad (6.5)$$

Afschuifweerstand van de staaf

$$V_{Rd} = \min\left(V_{Rds} + V_{ccd} + V_{td}; V_{Rdmax} + V_{ccd} + V_{td}; V_{Edmax} + V_{ccd} + V_{td}\right) = \min\left(229 + 0 + 0; 2171 + 0 + 0; 2128 + 0 + 0\right) = 229 \text{ kN}$$

Dwarskrachtcontrole

Controle V_{Rdmax}

$V_{Ed} = 111\ kN \leq V_{Rdmax} + V_{ccd} + V_{td} = 2171\ kN$

Opm.: De controle voldoet voor het verbrijzelen van de drukschoor ($V_{Ed} \leq V_{Rd,max} + V_{td} + V_{ccd}$).

Controle V_{Edmax}

$V_{Ed} = 111\ kN \leq V_{Edmax} + V_{ccd} + V_{td} = 2128\ kN$

Opm.: De controle voldoet voor dwarskracht nabij het steunpunt ($V_{Ed} \leq V_{Ed,max} + V_{td} + V_{ccd}$).

Controle V_{Rdc} en V_{Rds}

$V_{Ed} = 111kN < V_{Rds} + V_{ccd} + V_{td} = 229\ kN$

Opm.: De controle voldoet voor afschuifwapening ($V_{Ed} < V_{Rds} + V_{ccd} + V_{td}$).

Eenh. Controle

$$UC = \frac{V_{Ed}}{V_{Rd}} = \frac{111\ kN}{229\ kN} = 0.483$$

Controleer torsie en bereken torsieweerstand

Totale oppervlakte van doorsnede

$A_c = 450000\ mm^2$

Buitenomtrek van de doorsnede

u_c = ConcreteCssCharacteristics.Perimeter = 2.7 = 2700 mm

De oppervlakte van langswapening voor torsie

$A_{sl} = 2526\ mm^2$

De minimum afstand tussen wapeningsstaven binnen beugel voor torsie en rand van doorsnede

$a_{sl} = 55\ mm$

Effectieve wanddikte

$$t_{ef} = \max\left(\frac{A_c}{u_c}; 2 \cdot a_{sl}\right) = \max\left(\frac{450000}{2700}; 2 \cdot 55\right) = 167\ mm \qquad (§6.3.2(1))$$

Omtrek en oppervlakte van de zone binnen de centrale lijn van de effectieve doorsnede

$u_k = 2033\ mm$

$A_k = 252778\ mm^2$

Opm.: Torsieparameters [waarden van A_k en u_k] zijn berekend volgens de automatisch ingestelde methode [Methode = Van torsiebeugel].

Parameters voor afschuif/torsie wapening

Beugels over de lengte van scheurafschuifprojectie $\delta = z^*\cot(\Theta) = 724$ mm, interval (-362; 362)

$z = \text{Coeff\_d} \cdot \text{Coeff\_z} \cdot h = 0.9 \cdot 0.9 \cdot 0.75 = 608$ mm $\quad \delta = z \cdot \text{cotg}(\theta) = 0.608 \cdot \text{cotg}(40) = 724$ mm

ID	Zone	x_s [mm]	$\varnothing_s$ [mm]	s_s [mm]	n_s []	α_s [°]	f_{ywk} [MPa]
1	1	-244	10	200	2	90	500
2	1	-43.6	10	200	2	90	500
3	1	156	10	200	2	90	500
4	1	356	10	200	2	90	500
Avg.	-	-	10	200	2	90	500

Invoerparameters

Diameter $\varnothing_{st} = 10$ mm

Hoek van beugels van elementas $\alpha_{st} = 90$ °

Karakteristieke vloeigrens $f_{ywtk} = 500$ MPa

Doorsnedeoppervlakte van afschuifwapening

$$A_{swt} = \pi \cdot \left(\frac{\varnothing_{st}}{2}\right)^2 = 3.14 \cdot \left(\frac{10}{2}\right)^2 = 78.5 \text{ mm}^2$$

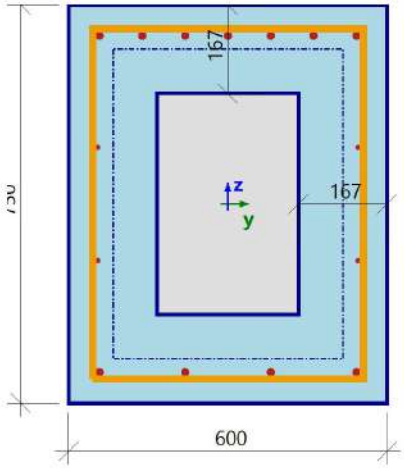
Maximale longitudinale tussenafstand van beugelwapening $s_{lt} = 200$ mm

Doorsnedeoppervlakte van afschuifwapening per meter

$$A_{swtm} = \frac{A_{swt}}{s_{lt}} = \frac{78.5}{200} = 393 \text{ mm}^2/\text{m}$$

Ontwerpvloeispanning van afschuifwapening

$$f_{ywd} = \frac{f_{ywtk}}{\gamma_S} = \frac{500}{1.15} = 435 \text{ MPa}$$



Berekening van torsie weerstanden

Ontwerp torsie scheurmoment

$T_{Rdc} = 2 \cdot f_{ctd} \cdot t_{ef} \cdot A_k = 2 \cdot 1.33 \cdot 167 \cdot 252778 = 112$ kNm

Ontwerp weerstandbiedend torsiemoment van torsiewapening

$$T_{Rds} = 2 \cdot A_k \cdot \frac{A_{swt}}{s_{lt}} \cdot f_{ywd} \cdot \text{cotg}(\theta) = 2 \cdot 252778 \cdot \frac{78.5}{200} \cdot 435 \cdot \text{cotg}(40) = 103 \text{ kNm}$$

Maximaal ontwerptorsieweerstandsmoment

Sterktereductiefactor voor beton gescheurd in afschuiving - waarde v

$$\nu = 0.6 \cdot \left(1 - \frac{f_{ck}}{250}\right) = 0.6 \cdot \left(1 - \frac{30}{250}\right) = 0.528 \qquad \text{(6.6N)}$$

$\nu_1 = 0.6$ (6.10.aN)

Coëfficiënt voor de bepaling van de spanning in de drukdiagonaal

$\alpha_{cw} = 1$ (voor niet-voorgespannen element) (§6.2.3(3)N3)

Maximaal ontwerptorsieweerstandsmoment

$$T_{Rdmax} = 2 \cdot \nu \cdot \alpha_{cw} \cdot f_{cd} \cdot A_k \cdot t_{ef} \cdot \cos(\theta) \cdot \sin(\theta)$$
$$= 2 \cdot 0.528 \cdot 1 \cdot 20 \cdot 252778 \cdot 167 \cdot \cos(40) \cdot \sin(40) = 438 \text{ kNm}$$

Torsie weerstandsmoment van de staaf

$$T_{Rd} = \min(T_{Rds};T_{Rdmax}) = \min(103;438) = 103 \text{ kNm}$$

Additionele torsiekracht

Ontwerp additionele spanning

$$\sigma_{sd} = \frac{\text{abs}(T_{Ed}) \cdot u_k \cdot \text{cotg}(\theta)}{2 \cdot A_k \cdot A_{sl}} = \frac{\text{abs}(-43.3) \cdot 2033 \cdot \text{cotg}(40)}{2 \cdot 252778 \cdot 2526} = 82.2 \text{ MPa} \quad (6.28)$$

Ontwerp vloeigrens

$$f_{yd} = \frac{f_{yk}}{\gamma_s} = \frac{500}{1.15} = 435 \text{ MPa}$$

Ontwerp additionele trekkrachten

$$F_{sd} = \sigma_{sd} \cdot A_{sl} = 82.2 \cdot 2526 = 208 \text{ kN}$$

Maximale ontwerpkacht

$$F_{sdmax} = f_{yd} \cdot A_{sl} = 435 \cdot 2526 = 1098 \text{ kN}$$

Torsie controle

Controle T_{Rdmax}

$$T_{Ed} = 43.3 \text{ kNm} \leq T_{Rdmax} = 438 \text{ kNm}$$

Opm.: De controle voldoet voor het bezwijken van de drukschoor ($T_{Ed} < T_{Rd,max}$).

Controle T_{Rdc} en T_{Rds}

$$T_{Ed} = 43.3 \text{ kNm} < T_{Rds} = 103 \text{ kNm}$$

Opm.: De controle voldoet voor afschuifwapening ($T_{Ed} < T_{Rds}$).

Controleer F_{sdmax}

$$F_{sd} = 208 \text{ kN} \leq F_{sdmax} = 1098 \text{ kN}$$

Opm.: De controle van additionele trekkracht in langswapening is geslaagd.

Eenh. Controle

$$UC = \max\left(\frac{\text{abs}(T_{Ed})}{T_{Rd}}; \frac{F_{sd}}{F_{sdmax}}\right) = \max\left(\frac{\text{abs}(-43.3 \text{ kNm})}{103 \text{ kNm}}; \frac{208 \text{ kN}}{1098 \text{ kN}}\right) = 0.421$$

Interactie controle Vy+Vz+T

Interactiecontrole Vy+Vz+T (beton)

Controleer vergelijking $(T_{Ed}/T_{Rdmax})+(V_{Ed}/V_{Rdmax})$

$$\left(\frac{\text{abs}(T_{Ed})}{T_{Rdmax}}\right) + \left(\frac{\text{abs}(V_{Ed})}{V_{Rdmax}}\right) = \left(\frac{\text{abs}(-43.3)}{438}\right) + \left(\frac{\text{abs}(111)}{2171}\right) = 0.15 \leq 1 \quad (6.29)$$

Opm.: Interactie controle $V_y + V_z + T$ for het bezwijken van de drukschoor voldoet.

Controleer vergelijking $(T_{Ed}/T_{Rdc})+(V_{Ed}/V_{Rdc})$

$$\left(\frac{\text{abs}(T_{Ed})}{T_{Rdc}}\right)+\left(\frac{\text{abs}(V_{Ed})}{V_{Rdc}}\right)=\left(\frac{\text{abs}(-43.3)}{112}\right)+\left(\frac{\text{abs}(111)}{159}\right)=1.08 > 1 \text{ and } A_{sw} > 0 \quad (6.31)$$

Opm.: Dwarskrachten en het torsiemoment kunnen niet worden gedragen door het beton, afschuifwapening is benodigd.

Eenh. Controle

$UC_{int.con} = 0.15$

Interactiecontrole Vy+Vz+T (afschuifwapening)

Ontwerpspanning

$$\sigma_{swd}=\left(\frac{\text{abs}(T_{Ed})}{2\cdot A_k}+\frac{V_{Ed}}{n_s\cdot z}\right)\cdot\left(\frac{s_{lt}}{A_{swt}\cdot\text{cotg}(\theta)}\right)=\left(\frac{\text{abs}(-43.3)}{2\cdot 252778}+\frac{111}{2\cdot 612}\right)\cdot\left(\frac{200}{78.5\cdot\text{cotg}(40)}\right)=376 \text{ MPa}$$

Ontwerp vloeigrens

$f_{ywd} = 0.8\cdot f_{ywk} = 0.8\cdot 500 = 400$ MPa , (omdat $\sigma_{swd} < 0.8\cdot f_{ywk}$)

Opm.: Ontwerp vloeigrens van de afschuifwapening is gereduceerd naar 0.8 x f_{ywk} (EN 1992-1-1, Artikel 6.2.3(3)) omdat de ontwerpspanning van de afschuifwapening is onder 80% van de karakteristieke vloeispanning f_{yk}.

$\sigma_{swd} = 376$ MPa $< f_{ywd} = 400$ MPa

Opm.: Interactie controle $V_y + V_z + T$ voor afschuifwapening voldoet.

Eenh. Controle

$$UC_{int.shear}=\frac{\sigma_{swd}}{f_{ywd}}=\frac{376}{400}=0.941$$

Totale eenheidscontrole van de interactie

$$UC_{int} = \max(UC_{int.con};UC_{int.shear}) = \max(0.15;0.941) = 0.941$$

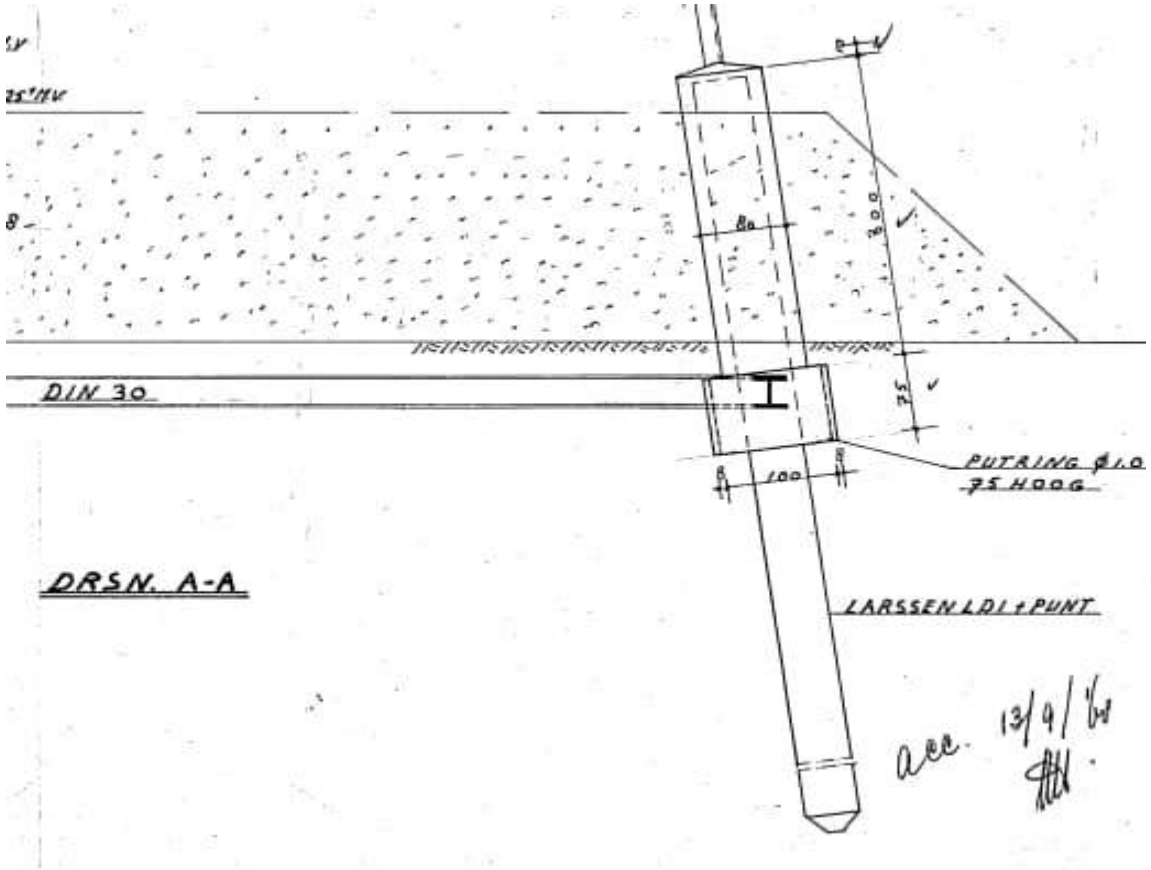
Totale waarde van eenheidscontrole

$$UC = \max(UC_{shear};UC_{tor};UC_{int.con};UC_{int.shear}) = \max(0.483;0.421;0.15;0.941) = 0.941$$

Bestaande balk: Mast 144

profiel	DIN30	Oppervlak			Wel.y			Wel.z		
hoogte	breedte									
300	300	A =	15403	mm2	Wel.y =	1717800	mm3	Wel.z =	600460	mm3
20	12									
		It			Fy					
						S235				
		It =	1772800	mm4		235				

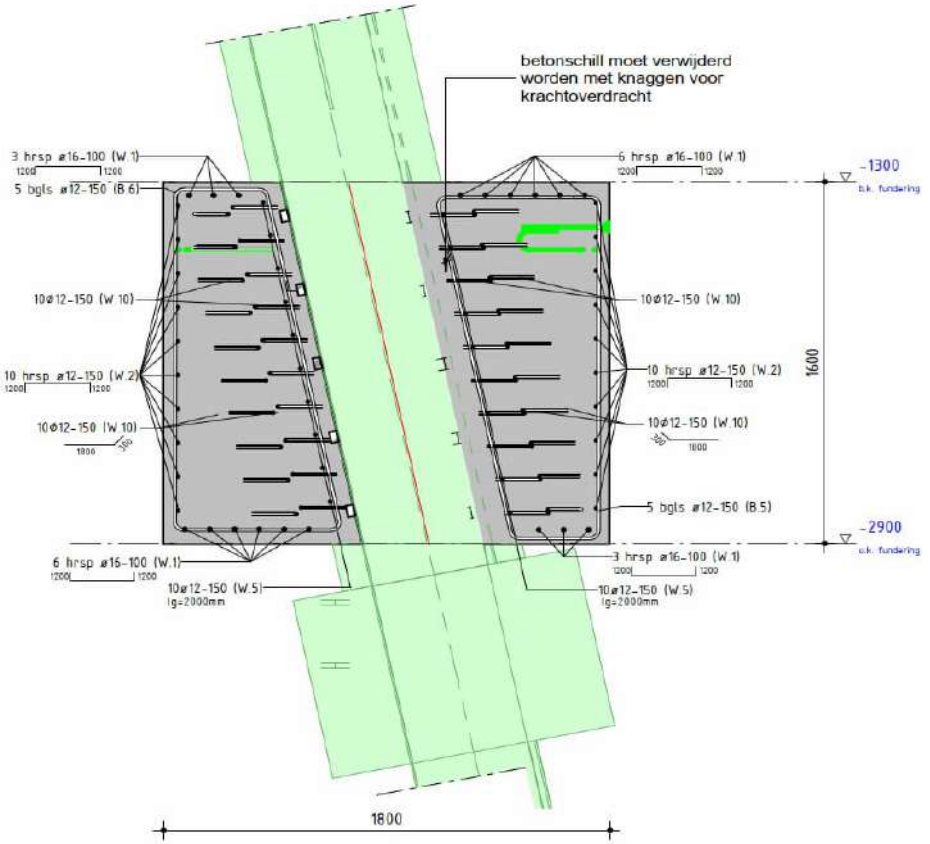
			δd		Max. δd		U.C. As
Nd:min	-181,65	kN	12	N/mm2	235	N/mm2	0,05
Nd:max	212,92	kN	14	N/mm2	235	N/mm2	0,06
Vd:min	-30,51	kN	20	N/mm2	235	N/mm2	0,08
Vd:max	31,77	kN	20	N/mm2	235	N/mm2	0,09
Mxd:min	-0,26	kN.m	0	N/mm2	235	N/mm2	0,00
Mxd:max	0,25	kN.m	0	N/mm2	235	N/mm2	0,00
Myd:min	-174,51	kN.m	102	N/mm2	235	N/mm2	0,43
Myd:max	134,16	kN.m	78	N/mm2	235	N/mm2	0,33
Mzd:min	-27,66	kN.m	16	N/mm2	235	N/mm2	0,07
Mzd:max	17,08	kN.m	10	N/mm2	235	N/mm2	0,04



Nieuwe balk: Mast 144

hoogte	breedte	Boven wapening			Onder wapening			Flank wapening		
		aantal	Ø		aantal	Ø		aantal	Ø	
1600	1800	9	16	mm	9	16	mm	10	12	mm
		As:	1810	mm2		1810	mm2		1131	mm2
		Beugels			Feb:			C30/37	30	N/mm2
		h.o.h.	Ø				feb500	α	21	graden
		150	12	mm			435	TAN α	0,38	
			1508	mm2/m1				VRcd:	0,47	N/mm2

			As:ben		As:aanw		U.C. As
Nd:min	-22,09	kN	51	mm2	4750	mm2	0,01
Nd:max	22,09	kN	51	mm2	4750	mm2	0,01
Vd:min	-647,69	kN	410	mm2	1508	mm2	0,27
Vd:max	671,79	kN	425	mm2	1508	mm2	0,28
Mxd:min	-31,5	kN.m	46	mm2	1533	mm2	0,03
Mxd:max	31,77	kN.m	46	mm2	1533	mm2	0,03
Myd:min	-390,94	kN.m	644	mm2	1810	mm2	0,36
Myd:max	503,05	kN.m	829	mm2	1810	mm2	0,46
Mzd:min	-12,98	kN.m	2	mm2	226	mm2	0,01
Mzd:max	12,52	kN.m	2	mm2	226	mm2	0,01

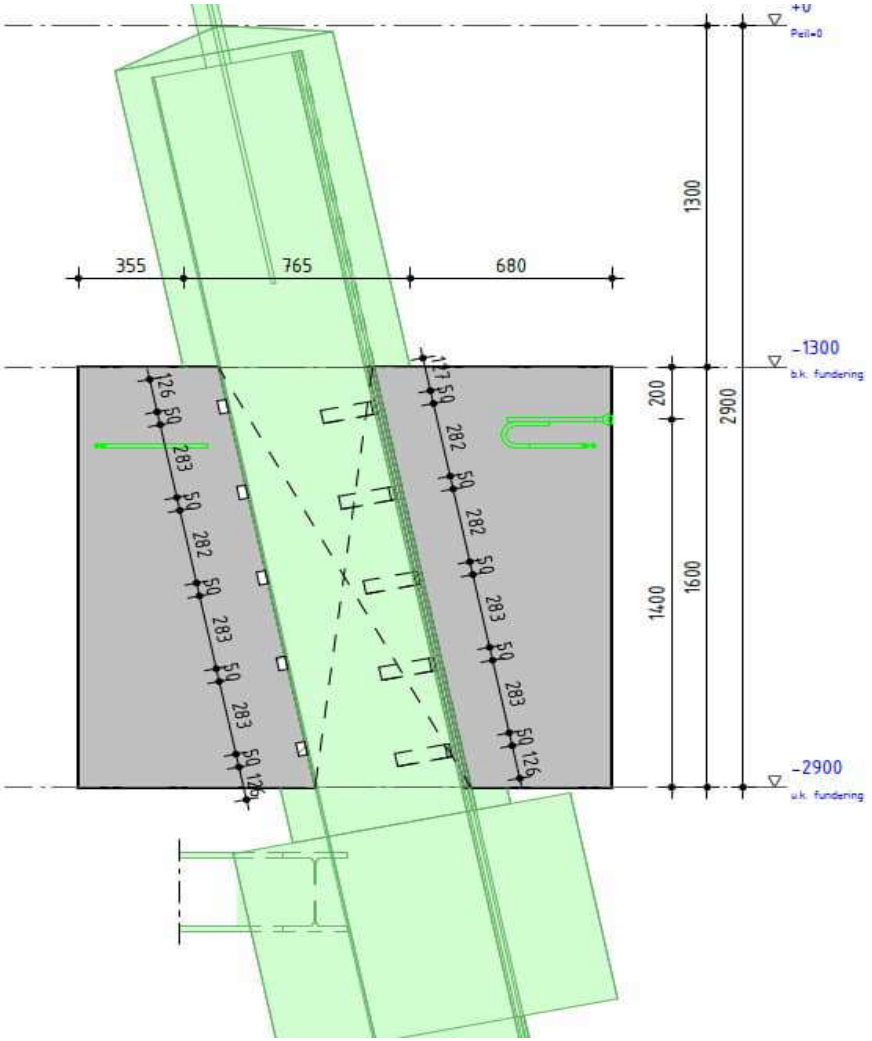


Koppeling nieuw aan bestaande balk: Mast 144 => Zie berekening Knaggen

hoogte	breedte	Stekken (1000mm)			Feb:		
		h.o.h.	Ø				feb500
1600	1800	100	16	mm			435
			2011	mm2/m1			

Fd:paal druk 0 kN
trek 0 kN
Excentrisiteit paal 0,75 m

		As:ben		As:aanw		U.C. As
Md:druk	0 kN.m	0	mm2	2011	mm2	0,00
Md:trek	0 kN.m	0	mm2	2011	mm2	0,00



Stap 1: Formule voor dwarskrachtcapaciteit

Voor een I-profiel zonder verzwakkingen geldt:

$$V_{Rd} = \frac{A_w \cdot f_y}{\sqrt{3} \cdot \gamma_{M0}}$$

waar:

- $A_w = h_w \cdot t_w$ = weboppervlak (hoogte van het lijf × dikte van het lijf)
- f_y = vloeigrens (S235 → 235 MPa)
- $\gamma_{M0} = 1,0$ (veiligheidsfactor)
- h_w = hoogte van het lijf (afstand tussen flenzen)
- t_w = dikte van het lijf

De torsieweerstand van een H-profiel wordt meestal uitgedrukt via het **torsiemoment van weerstand** en hangt af van de **warping** en **Saint-Venant torsie**. Voor een H-profiel (IPE, HEA, HEB) zijn er twee belangrijke grootheden:

1. **Torsiestijfheid (G·It)**
   - G = schuifmodulus (voor staal ≈ 81.000 N/mm²)
   - I_t = torsieconstante (afhankelijk van profielvorm)
2. **Torsiemoment van weerstand (W_t)**
   - Wordt gebruikt om de spanning bij torsie te berekenen:
     $\tau = \frac{M_t}{W_t}$
     waarbij M_t het torsiemoment is.

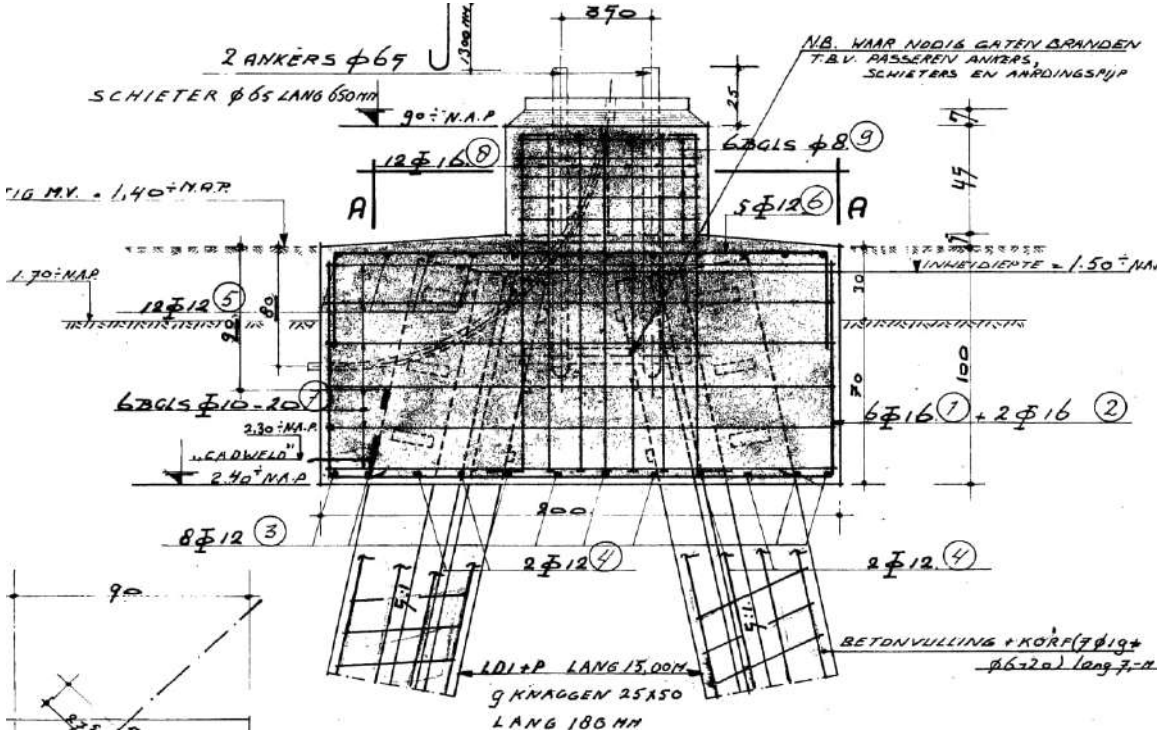
Hoe bereken je I_t voor een H-profiel?

Voor een open profiel zoals een H-balk is I_t veel kleiner dan bij gesloten profielen. Formule (benadering):
$I_t \approx \frac{1}{3} \sum (b \cdot t^3)$
waarbij je voor elke flens en het lijf de breedte b en dikte t neemt.

Bestaande poer: Mast 148

hoogte	breedte	Boven wapening			Onder wapening			Flank wapening		
		aantal	Ø		aantal	Ø		aantal	Ø	
1000	900	5	12	mm	6	16	mm	6	10	mm
		As:	565	mm2		1206	mm2		471	mm2
		Beugels			Feb:			C12/15	12	N/mm2
		h.o.h.	Ø		QR24	QR40		α	21,8	graden
		175	8	mm	210	348		TAN α	0,40	
			574	mm2/m1				VRcd:	0,30	N/mm2

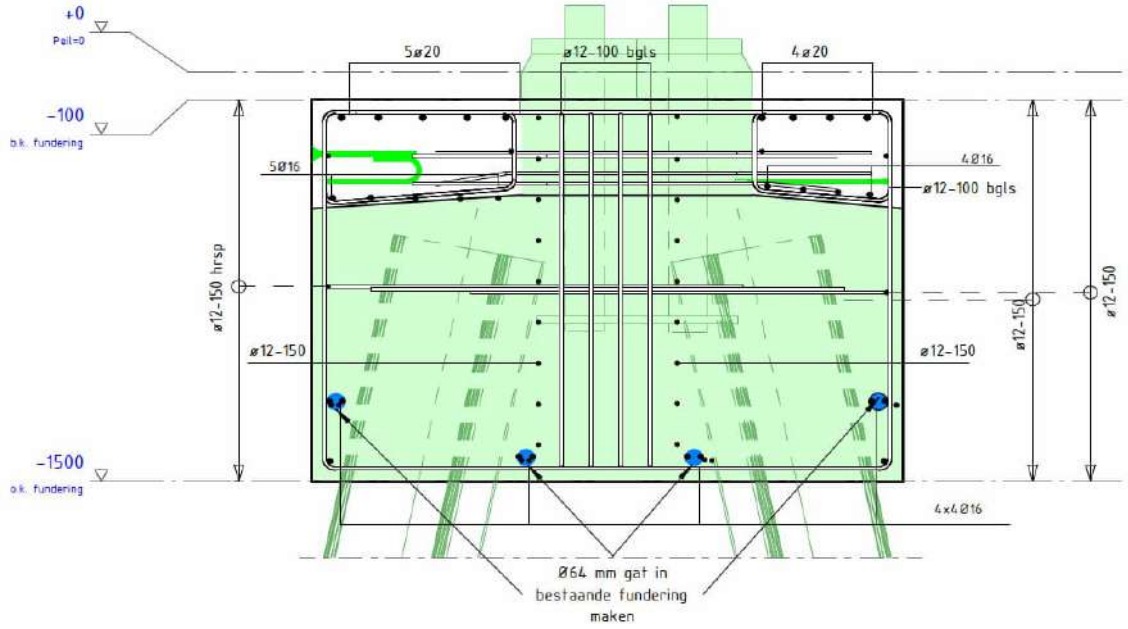
			As:ben		As:aanw		U.C. As
Nd:min	-179,29	kN	205	mm2	2243	mm2	0,09
Nd:max	77,72	kN	223	mm2	2243	mm2	0,10
Vd:min	-14,02	kN	31	mm2	574	mm2	0,05
Vd:max	14,03	kN	31	mm2	574	mm2	0,05
Mxd:min	-33,37	kN.m	125	mm2	785	mm2	0,16
Mxd:max	33,4	kN.m	125	mm2	785	mm2	0,16
Myd:min	-207,47	kN.m	697	mm2	723	mm2	0,97
Myd:max	296,95	kN.m	998	mm2	1206	mm2	0,83
Mzd:min	-12,23	kN.m	15	mm2	101	mm2	0,15
Mzd:max	12,21	kN.m	15	mm2	101	mm2	0,15



Nieuwe balk: Mast 148

hoogte	breedte	Boven wapening			Onder wapening			Flank wapening		
		aantal	Ø		aantal	Ø		aantal	Ø	
1400	2000	10	20	mm	8	16	mm	2	16	mm
		As:	3142	mm2		1608	mm2		402	mm2
		Beugels			Feb:			C30/37	30	N/mm2
		h.o.h.	Ø				feb500	α	21	graden
		100	12	mm			435	TAN α	0,38	
			2262	mm2/m1				VRcd:	0,47	N/mm2

			As:ben		As:aanw		U.C. As
Nd:min	-5,2	kN	12	mm2	5152	mm2	0,00
Nd:max	5,21	kN	12	mm2	5152	mm2	0,00
Vd:min	-386,19	kN	280	mm2	2262	mm2	0,12
Vd:max	384,96	kN	280	mm2	2262	mm2	0,12
Mxd:min	-20,93	kN.m	27	mm2	917	mm2	0,03
Mxd:max	20,93	kN.m	27	mm2	917	mm2	0,03
Myd:min	-376,87	kN.m	713	mm2	3142	mm2	0,23
Myd:max	335,28	kN.m	683	mm2	1608	mm2	0,42
Mzd:min	-12,92	kN.m	2	mm2	226	mm2	0,01
Mzd:max	12,91	kN.m	2	mm2	226	mm2	0,01

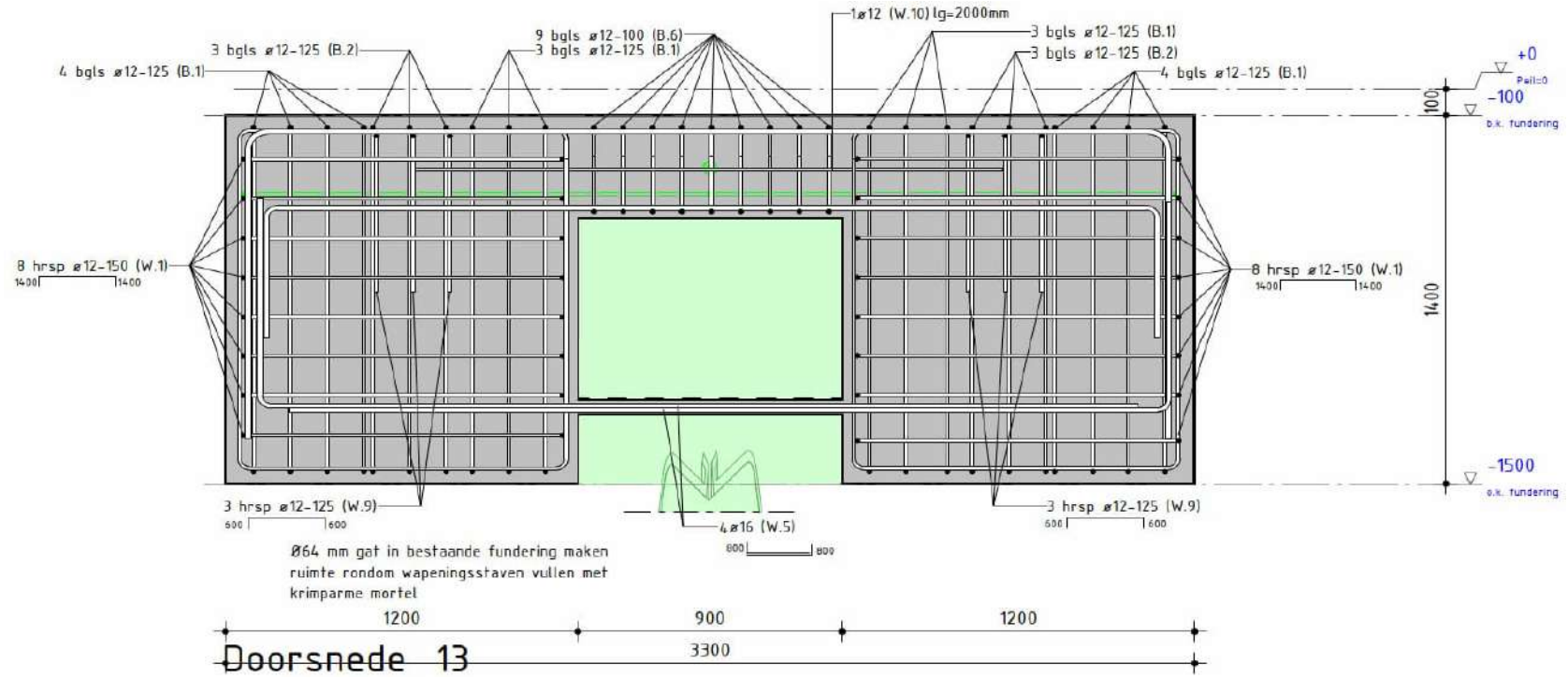


Koppeling nieuw aan bestaande poer: Mast 148

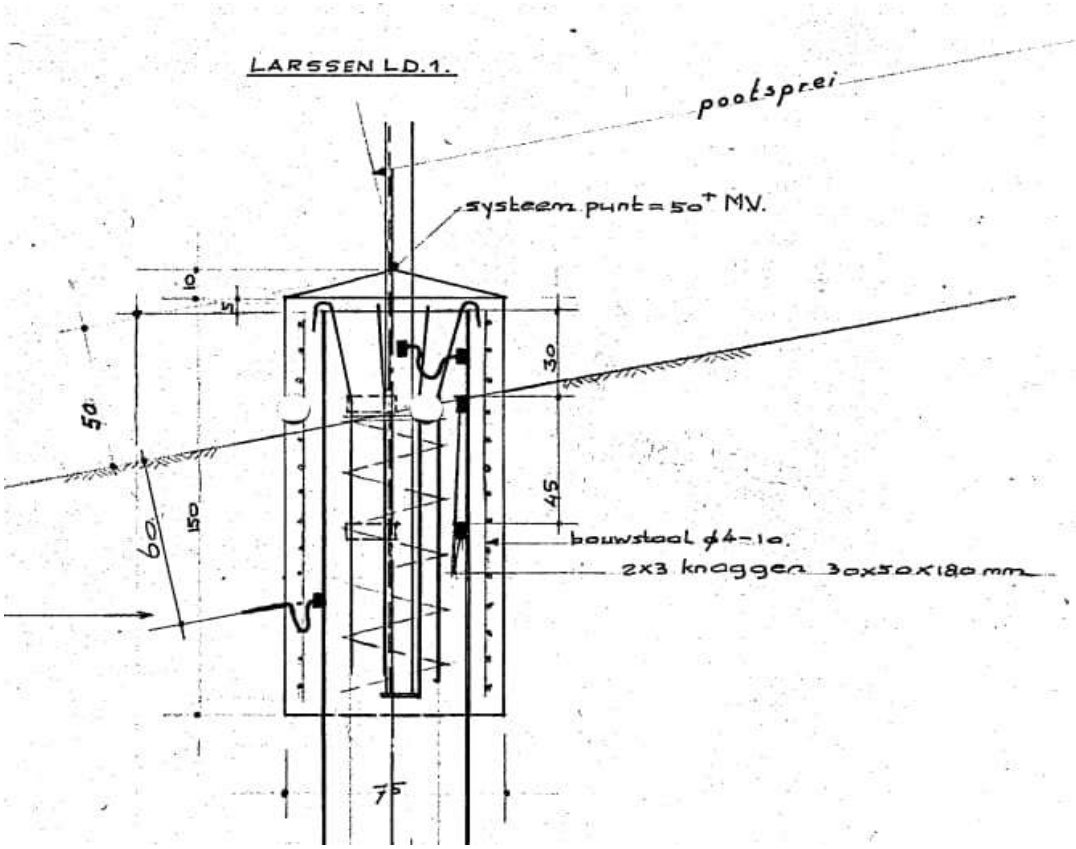
hoogte	breedte	Stekken (1000mm)			Feb:		
		h.o.h.	Ø				feb500
1000	2000	125	16	mm			435
	0		1608	mm2/m1			

Fd:paal	druk	-464	kN
	trek	277	kN
Excentrisiteit paal		0,64	m

			As:ben		As:aanw		U.C. As	
Vd:druk	0,3569	N/mm	1067	mm2	3142	mm2	0,34	exclusief aandeel beton
Vd:trek	0,21	kN.m	637	mm2	1608	mm2	0,40	exclusief aandeel beton



Bestaande balk: Masten 86 / 126 / 150 / 151 / 153 Cilinderpoeren hebben geen bestaande balk

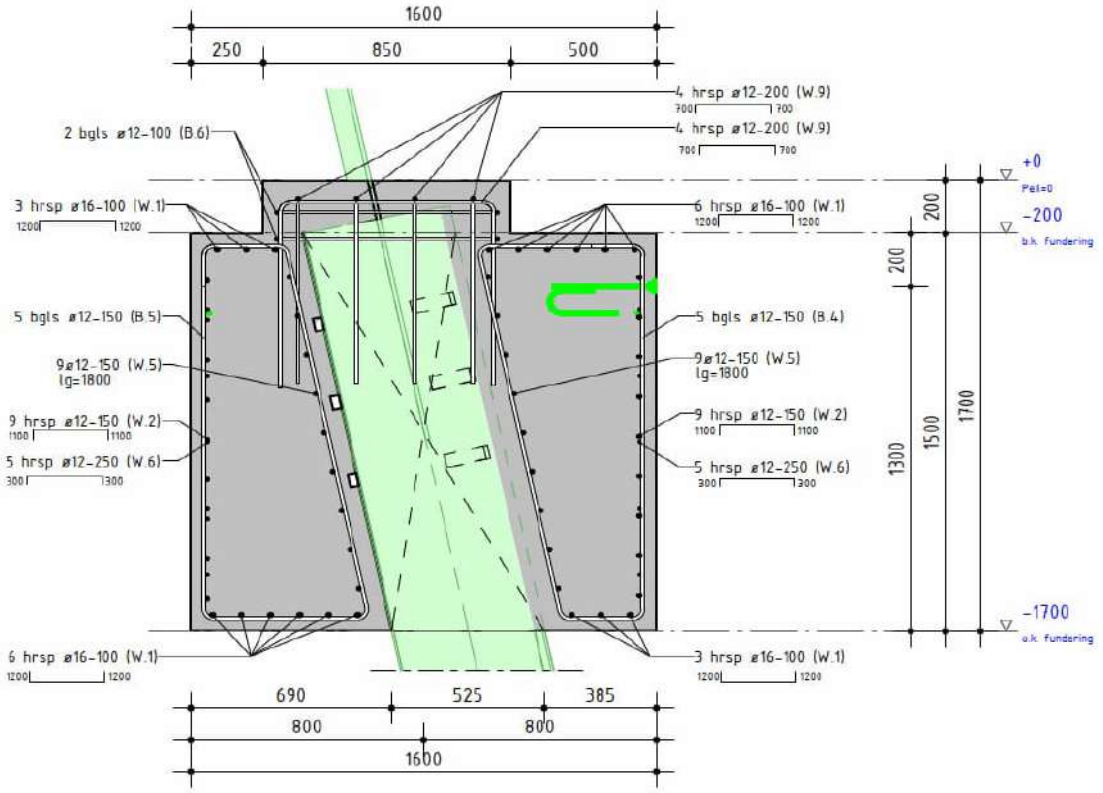


Nieuwe balk: Masten 86 / 126 / 150 / 151 / 153

hoogte	breedte	Boven wapening			Onder wapening			Flank wapening		
		aantal	Ø		aantal	Ø		aantal	Ø	
750	1000	9	16	mm	9	16	mm	9	12	mm
		As:	1810	mm2		1810	mm2		1018	mm2
		Beugels			Feb:			C30/37	30	N/mm2
		h.o.h.	Ø				feb500	α	21	graden
		200	12	mm			435	TAN α	0,38	
			1131	mm2/m1				VRcd:	0,47	N/mm2

			As:ben		As:aanw		U.C. As
Nd:min	-22,31	kN	51	mm2	4637	mm2	0,01
Nd:max	18,56	kN	43	mm2	4637	mm2	0,01
Vd:min	-315,32	kN	442	mm2	1131	mm2	0,39
Vd:max	313,4	kN	439	mm2	1131	mm2	0,39
Mxd:min	-56,85	kN.m	153	mm2	1420	mm2	0,11
Mxd:max	56,67	kN.m	152	mm2	1420	mm2	0,11
Myd:min	-430,83	kN.m	1572	mm2	1810	mm2	0,87
Myd:max	427,68	kN.m	1561	mm2	1810	mm2	0,86
Mzd:min	-62,56	kN.m	45	mm2	226	mm2	0,20
Mzd:max	102,62	kN.m	73	mm2	226	mm2	0,32

Zie pg. 5&6 voor berekening nieuwe balk.



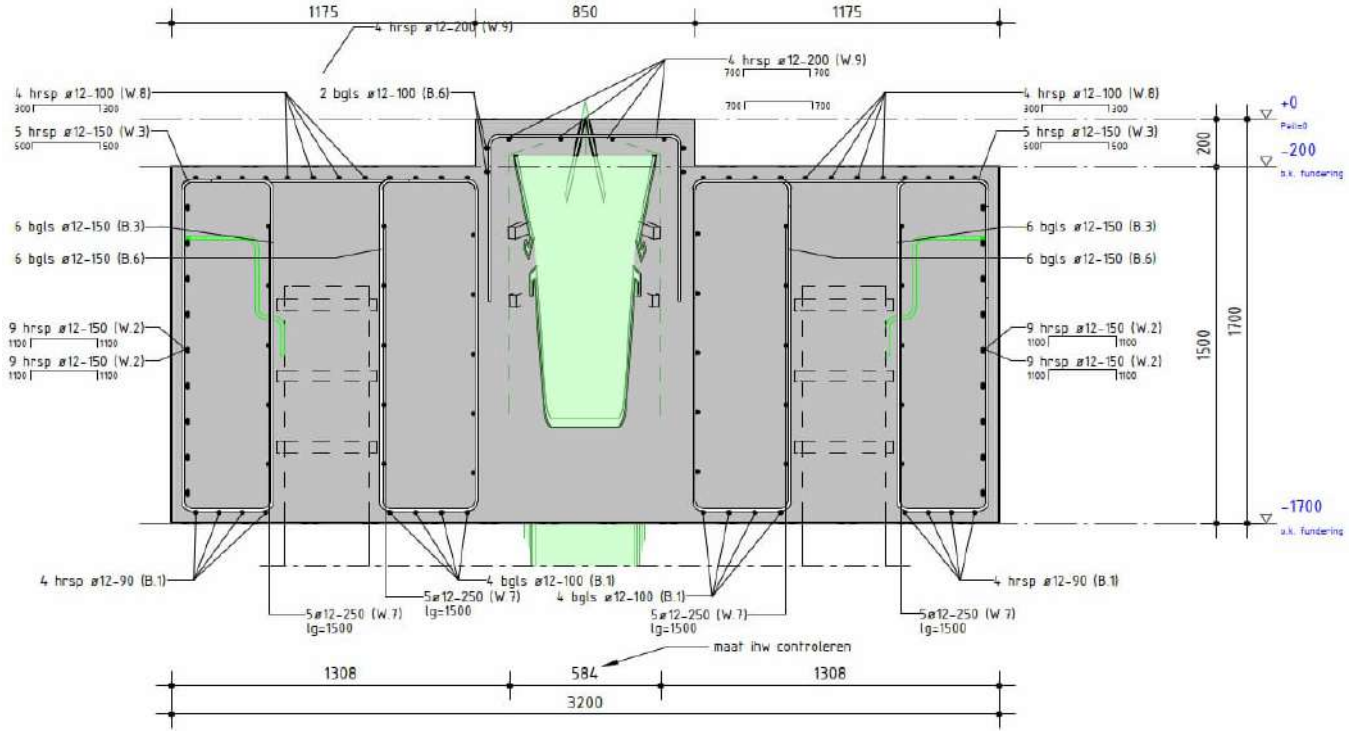
Koppeling nieuw aan bestaande balk: Masten 86 / 126 / 150 / 151 / 153

hoogte	breedte	Stekken (1000mm)			Feb:		
		h.o.h.	Ø				feb500
750	1000	150	16	mm			435
			1340	mm2/m1			

Fd:paal druk -289,6 kN
trek 213,8 kN
Excentrisiteit paal 0,8 m

		As:ben		As:aanw		U.C. As
Md:druk	-231,71 kN.m	947	mm2	1340	mm2	0,71
Md:trek	171,06 kN.m	699	mm2	1340	mm2	0,52

Zie pg. 4 voor toets stortvlak capaciteit



c	0,4		
fctd	1,333	N/mm2	0 bij trek
μ	0,7		
σn	0,001	N/mm2	
ρ	0,002		
fyd	500	N/mm2	
α	90	graden	
v	0,528		
fcd	20	N/mm2	
0,6 * fcd	12	N/mm2	

$f_{ctd} = \alpha_{ct}\, f_{ctk,0,05} / \gamma_C$ — 3.16

$\sigma_n < 0{,}6\, f_{cd}$

$v = 0{,}6\left[1 - \frac{f_{ck}}{250}\right]$ (f_{ck} in MPa) — 6.6N

$f_{cd} = \alpha_{cc}\, f_{ck} / \gamma_C$ — 3.15

vRdi	0,534	N/mm2
0,5 * v * fcd	5,280	N/mm2

$v_{Rdi} = c\, f_{ctd} + \mu\, \sigma_n + \rho\, f_{yd}\, (\mu \sin \alpha + \cos \alpha) \leq 0{,}5\, \nu\, f_{cd}$ — 6.25

αct	1	normatief
fctk:0,05	2	N/mm2
γC	1,5	

As	1809	mm2
Ai	787500	mm2
b	525	mm
h	1500	mm

Weerstand stortvlak cylinder 75

fck	30	N/mm2

αcc	1	normatief
Sin α	1	
Cos α	0,00	

axiale druk	1	kN

β	1	
vEd	315,32	kN
z	1350	mm
vEdi	0,445	N/mm2

$z = 0{,}9\, d$

$v_{Edi} = \beta\, V_{Ed} / (z\, b_i)$ — 6.24

U.C.	0,83

$v_{Edi} \leq v_{Rdi}$ — 6.23

NEN-EN 1992-1-1+C2:2011

Wap. toets nieuw balk My + Vz

A_s	1809	mm^2
f_{yd}	500	N/mm^2
b | b_w	1075	mm
f_{cd}	20	N/mm^2
h	1500	mm
Ø	16	mm
dekking	45	mm
d	1447	mm

z	1000	mm
0,9 * d	1302,3	mm
0,6 x l	1200	mm

$$z = 0{,}2\,l + 0{,}4\,h \le 0{,}6\,l$$ — 6.1 (10)

$F_{d\ druk}$	289,57	kN
l	2	m

M_{Ed}	430,8	kN.m
V_{Ed}	315,32	kN

toets	8213,172	kN

$$V_{Ed} \le 0{,}5\,b_w d\,\nu\,f_{cd}$$ — 6.5

k	1,37		2
ρ_l	0,0012		0,02
σ_{cp}	0,0	N/mm^2	
$C_{Rd,c}$	0,12		N.B.
v_{min}	0,308		
v_1	0,600		
α_{cw}	1,00		N.B.
k_1	0,15		normatief

$$k = 1 + \sqrt{\frac{200}{d}} \le 2{,}0 \qquad \text{fyd x z(min)} \qquad \rho_l = \frac{A_{sl}}{b_w d} \le 0{,}02$$

$$v_{min} = 0{,}035\,k^{3/2} \cdot f_{ck}^{1/2}$$

6.2.2(1)	
6.3N	
6.10.aN	
6.2.3(3)	
6.2.2(1)	

$V_{Rd,c}$	388,36	kN
	479,10	kN

$$V_{Rd,c} = [C_{Rd,c}k(100\,\rho_l f_{ck})^{1/3} + k_1\,\sigma_{cp}]\,b_w d$$ — 6.2.a

$$V_{Rd,c} = (v_{min} + k_1\sigma_{cp})\,b_w d$$ — 6.2.b

$A_{s:Md:ben}$	990	mm^2

$$M_{Rd} = z\,A_s\,f_s$$ — 6.1 (10)

UC $M_{d,wap.}$	0,55

$$A_{s:ben} = M_d / 0{,}87 * f_{yd} * z$$

$V_{Rd,max}$	6450,00	kN

$$V_{Rd,max} = \alpha_{cw}\,b_w\,z\,\nu_1\,f_{cd}/(\cot\theta + \tan\theta)$$ — 6.9

$V_{Rd,s}$	905	kN
Ø	12	mm
s	200	mm
snedes	4	stuks
opp	2262	mm^2/m
θ	45	graden
cot θ	1	
tan θ	1	

$$V_{Rd,s} = \frac{A_{sw}}{s}\,z\,f_{ywd}\,\cot\theta$$ — 6.8

UC $V_{d,wap.}$	0,24	beton

NEN-EN 1992-1-1+C2:2011

Wap. toets nieuw balk My + Vz

A_s	1018	mm^2
f_{yd}	500	N/mm^2
b | b_w	1500	mm
f_{cd}	20	N/mm^2
h	1075	mm
Ø	12	mm
dekking	45	mm
d	1024	mm

z	1130	mm
0,9 * d	921,6	mm
0,6 x l	2100	mm

$F_{d\ druk}$	414	kN
l	3,5	m

M_{Ed}	102,6	kN.m
V_{Ed}	62,29	kN

toets	8110,08	kN

$$z = 0{,}2\,l + 0{,}4\,h \le 0{,}6\,l$$ — 6.1 (10)

$$V_{Ed} \le 0{,}5\,b_w d\,\nu\,f_{cd}$$ — 6.5

k	1,44		2
ρ_l	0,0007		0,02
σ_{cp}	0,0	N/mm^2	
$C_{Rd,c}$	0,12		N.B.
v_{min}	0,332		
v_1	0,600		
α_{cw}	1,00		N.B.
k_1	0,15		normatief

$$k = 1 + \sqrt{\frac{200}{d}} \le 2{,}0 \qquad \rho_l = \frac{A_{sl}}{b_w d} \le 0{,}02$$

$$v_{min} = 0{,}035\,k^{3/2} \cdot f_{ck}^{1/2}$$

6.2.2(1)		
6.3N		
6.10.aN		
6.2.3(3)		
6.2.2(1)		

$V_{Rd,c}$	334,21	kN
	509,85	kN

$$V_{Rd,c} = [C_{Rd,c} k (100\,\rho_l f_{ck})^{1/3} + k_1\,\sigma_{cp}]\,b_w d$$ — 6.2.a

$$V_{Rd,c} = (v_{min} + k_1 \sigma_{cp})\,b_w d$$ — 6.2.b

$A_{s:Md:ben}$	256	mm^2

$$M_{Rd} = z\,A_s\,f_s$$ — 6.1 (10)

UC $M_{d,wap.}$	0,25

$$A_{s:ben} = M_d / 0{,}87 * f_{yd} * z$$

$V_{Rd,max}$	8294,40	kN

$$V_{Rd,max} = \alpha_{cw}\,b_w\,z\,\nu_1\,f_{cd}/(\cot\theta + \tan\theta)$$ — 6.9

$V_{Rd,s}$	834	kN
Ø	12	mm
s	100	mm
snedes	2	stuks
opp	2262	mm^2/m
θ	45	graden
cot θ	1	
tan θ	1	

$$V_{Rd,s} = \frac{A_{sw}}{s}\,z\,f_{ywd}\,\cot\theta$$ — 6.8

UC $V_{d,wap.}$	0,05	beton

NEN-EN 1992-1-1+C2:2011

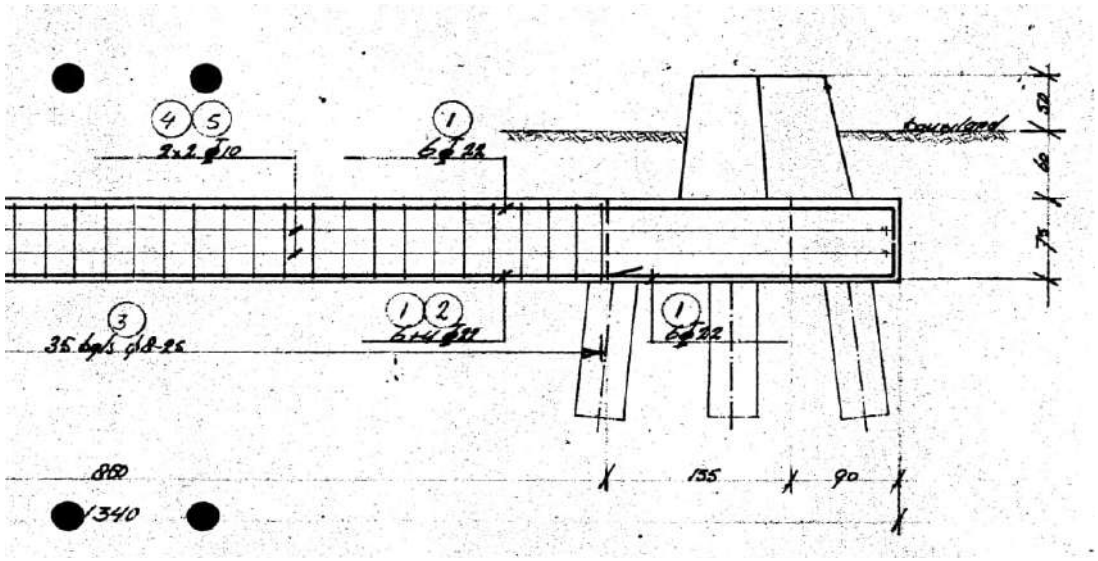
Bestaande balk: Mast 146

hoogte	breedte	Boven wapening			Onder wapening			Flank wapening		
		aantal	Ø		aantal	Ø		aantal	Ø	
750	900	6	22	mm	6	22	mm	2	10	mm
		As:	2281	mm2		2281	mm2		157	mm2
		Beugels			fyd:			C12/15	12	N/mm2
		h.o.h.	Ø		QR24	QR40		θ	21,8	graden
		250	8	mm	210	348		TAN θ	0,40	
			402	mm2/m1				VRcd:	0,30	N/mm2

			As:ben		As:aanw		U.C. As
Nd:min	-229,71	kN	660	mm2	4719	mm2	0,14
Nd:max	146,77	kN	422	mm2	4719	mm2	0,09
Vd:min	-62,9	kN	190	mm2	402	mm2	0,47
Vd:max	62,54	kN	189	mm2	402	mm2	0,47
Mxd:min	-353,92	kN.m	1329	mm2	1678	mm2	0,79
Mxd:max	352,61	kN.m	1325	mm2	1678	mm2	0,79
Myd:min	-353,58	kN.m	1613	mm2	2281	mm2	0,71
Myd:max	463,72	kN.m	2115	mm2	2281	mm2	0,93
Mzd:min	-140,71	kN.m	47	mm2	101	mm2	0,47
Mzd:max	144,68	kN.m	48	mm2	101	mm2	0,48

$N_{d:max} / f_{yd}$
$N_{d:min} / f_{yd}$

Zie pg. 6&7 voor berekening bestaande balk.



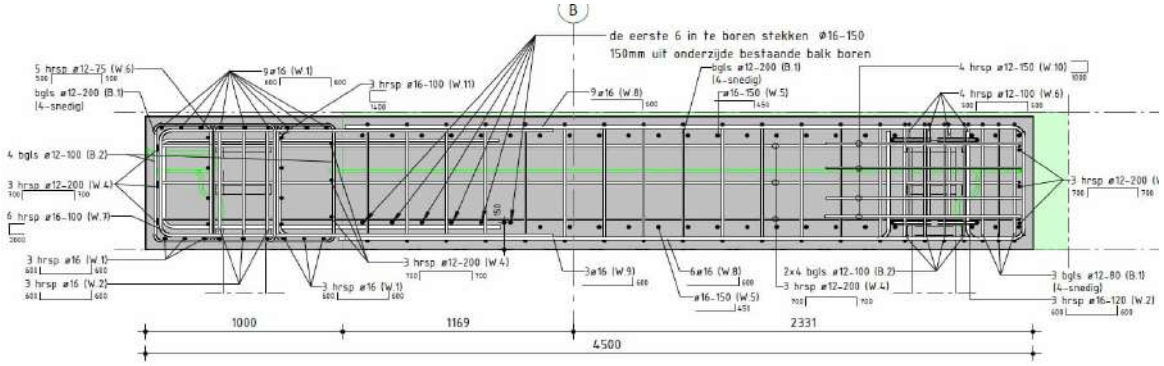
Nieuwe balk: Mast 146

hoogte	breedte	Boven wapening			Onder wapening			Flank wapening		
		aantal	Ø		aantal	Ø		aantal	Ø	
750	1000	9	16	mm	9	16	mm	3	12	mm
		As:	1810	mm2		1810	mm2		339	mm2
		Beugels			fyd:			C30/37	30	N/mm2
		h.o.h.	Ø				fyd500	θ	21,8	graden
		200	12	mm			435	TAN θ	0,40	
			1131	mm2/m1				VRcd:	0,47	N/mm2

			As:ben		As:aanw		U.C. As
Nd:min	-138,38	kN	318	mm2	3958	mm2	0,08
Nd:max	108,38	kN	249	mm2	3958	mm2	0,06
Vd:min	-104,35	kN	152	mm2	1131	mm2	0,13
Vd:max	77,96	kN	114	mm2	1131	mm2	0,10
Mxd:min	-79,78	kN.m	215	mm2	741	mm2	0,29
Mxd:max	79,77	kN.m	214	mm2	741	mm2	0,29
Myd:min	-154,32	kN.m	563	mm2	1810	mm2	0,31
Myd:max	270,82	kN.m	988	mm2	1810	mm2	0,55
Mzd:min	-49,05	kN.m	37	mm2	226	mm2	0,16
Mzd:max	49,36	kN.m	37	mm2	226	mm2	0,16

$N_{d:max} / f_{yd}$
$N_{d:min} / f_{yd}$

Zie pg. 8&9 voor berekening nieuwe balk.



Koppeling nieuw aan bestaande balk: Mast 146

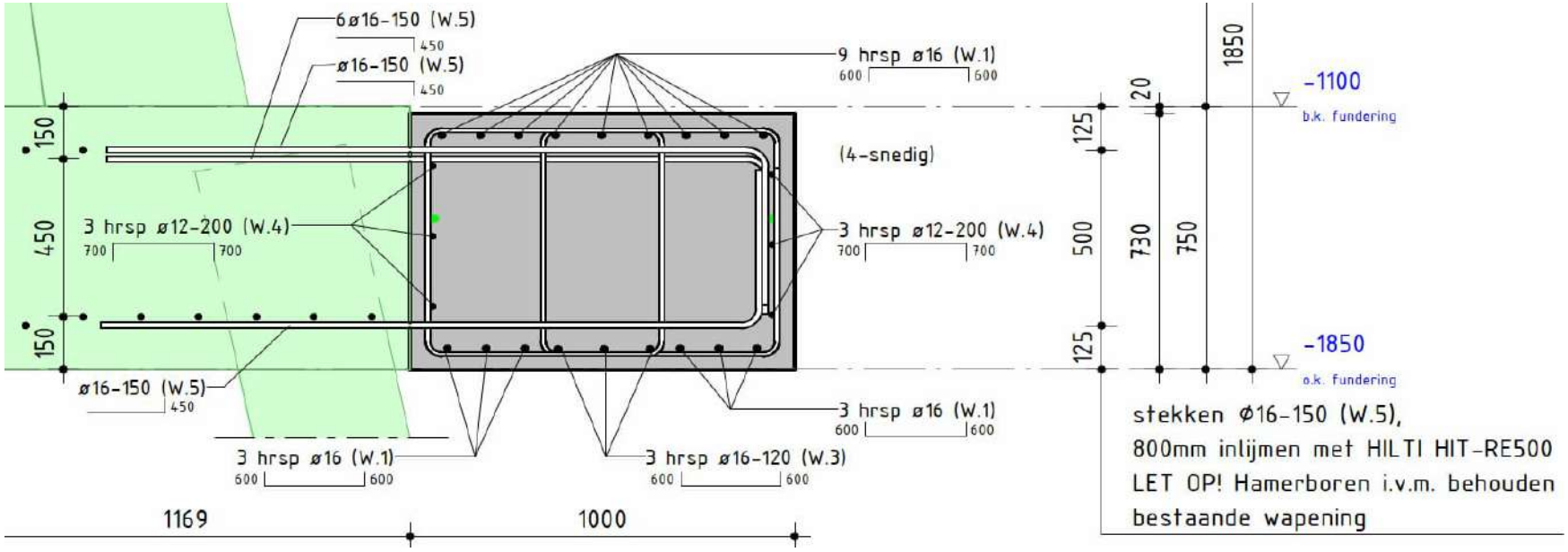
hoogte	breedte	Stekken (1000mm)			Feb:		
		h.o.h.	Ø				feb500
750	1000	150	16	mm			435
			1676	mm2/m1			

Fd:paal druk -413,5 kN
trek 156,7 kN
Excentrisiteit paal 0,875 m

		As:ben		As:aanw		U.C. As
Md:druk	-361,83 kN.m	1479	mm2	1676	mm2	0,88
Md:trek	137,07 kN.m	560	mm2	1676	mm2	0,33

Zie pg. 5 voor toets stortvlak capaciteit

Eff breedte 1,25 m



Gegevens

- Balk: **900 × 750 mm**
- Beton: **C12/15**, $T_{Rd,c} = 130\,\text{kN}\backslash\text{cdotpm}$
- Wapening:
  - **Langswapening**: 6×Ø22 boven + 6×Ø22 onder (voor buiging, niet direct voor torsie)
  - **Flankwapening**: 2×2×Ø10
  - **Beugels**: Ø8 @ 250 mm (QR24)

Stap 1: Ontwerp treksterkte beton

$$f_{ctd} = \frac{\alpha_{ct} \cdot f_{ctk,0.05}}{\gamma_c} = \frac{1.0 \cdot 1.2}{1.5} = 0.8\,\text{N/mm}^2$$

Stap 2: Effectieve wanddikte

$$t_{ef} = \frac{\min(b,h)}{3} = \frac{750}{3} = 250\,\text{mm}$$

Stap 3: Oppervlak A_k

$$A_k = (b - t_{ef}) \cdot (h - t_{ef}) = (900 - 250) \cdot (750 - 250) = 650 \cdot 500 = 325{,}000\,\text{mm}^2$$

Stap 4: Betonbijdrage torsie

$$T_{Rd,c} = 2 \cdot f_{ctd} \cdot t_{ef} \cdot A_k$$

$$T_{Rd,c} = 2 \cdot 0.8 \cdot 250 \cdot 325{,}000 = 130{,}000{,}000\,\text{N}\backslash\text{cdotpmm} = 130\,\text{kN}\backslash\text{cdotpm}$$

Vergelijking

$$T_{Ed} = 140.71\,\text{kN}\backslash\text{cdotpm} > T_{Rd,c} = 130\,\text{kN}\backslash\text{cdotpm}$$

Berekening wapeningbijdrage

Formule volgens Eurocode:

$$T_{Rd,s} = 2 \cdot A_k \cdot \frac{A_{sw}}{s} \cdot f_{ywd} \cdot \cot\theta$$

- $A_k = 325{,}000\,\text{mm}^2$
- $A_{sw}/s = 0.80\,\text{mm}^2/\text{mm}$ (beugels Ø8-250 mm)
- $f_{ywd} = 500\,\text{N/mm}^2$
- $\cot\theta = 1$ (bij $\theta = 45°$)

$$T_{Rd,s} \approx 261.4\,\text{kN}\backslash\text{cdotpm}$$

Met de aangepaste waarde $f_{ywd} = 240\,\text{N/mm}^2$ voor QR24-beugels is de berekening:

$$T_{Rd,s} = 124.8\,\text{kN}\backslash\text{cdotpm}$$

Met de flankwapening toegevoegd aan A_{sw}/s is het resultaat:

- **Beugels (Ø8 @ 250 mm, fywd = 240):**
  $A_{sw}/s = 0.402\,\text{mm}^2/\text{mm}$, term $= 96.5$
- **Flankwapening (4×Ø10, fywd = 400):**
  $A_{sw}/s = 0.419\,\text{mm}^2/\text{mm}$, term $= 167.6$

Totale wapeningbijdrage

$$T_{Rd,s} = 171.6\,\text{kN}\backslash\text{cdotpm}$$

Totale torsieweerstand

$$T_{Rd,tot} = T_{Rd,c} + T_{Rd,s} = 130 + 171.6 = 301.6\,\text{kN}\backslash\text{cdotpm}$$

c	0,4		
f_{ctd}	1,333	N/mm2	0 bij trek
μ	0,7		
σ_n	0,001	N/mm2	
ρ	0,002		
f_{yd}	500	N/mm2	
α	90	graden	
v	0,528		
f_{cd}	20	N/mm2	
0,6 * f_{cd}	12	N/mm2	
V_{Rdi}	1,177	N/mm2	
0,5 * v * f_{cd}	5,280	N/mm2	
α_{ct}	1		normatief
$f_{ctk:0,05}$	2	N/mm2	
γ_C	1,5		

$$f_{ctd} = \alpha_{ct}\, f_{ctk,0,05} / \gamma_C$$ 3.16

$$\sigma_n < 0,6\, f_{cd}$$

$$\nu = 0,6\left[1 - \frac{f_{ck}}{250}\right] \quad (f_{ck} \text{ in MPa})$$ 6.6N

$$f_{cd} = \alpha_{cc}\, f_{ck} / \gamma_C$$ 3.15

$$v_{Rdi} = c\, f_{ctd} + \mu\, \sigma_n + \rho\, f_{yd}\,(\mu \sin\alpha + \cos\alpha) \le 0,5\, \nu\, f_{cd}$$ 6.25

Weerstand stortvlak balkrooster

A_s	1675	mm2
A_i	912500	mm2
b = b_i	1250	mm
h	730	mm
f_{ck}	30	N/mm2

α_{cc}	1		normatief
sin α	1		
cos α	0		
axiale druk	1	kN	

β	1	
V_{Ed}	413,5	kN
z	657	mm
V_{Edi}	0,504	N/mm2

$$z = 0,9\, d$$

$$v_{Edi} = \beta\, V_{Ed} / (z\, b_i)$$ 6.24

U.C.	0,43	$v_{Edi} \le v_{Rdi}$	6.23

NEN-EN 1992-1-1+C2:2011

Wap. toets best. balk My + Vz

A_s	2281	mm^2
f_{yd}	400	N/mm^2
b | b_w	900	mm
f_{cd}	20	N/mm^2
h	750	mm
Ø	22	mm
dekking	30	mm
d	709	mm

z	2000	mm
0,9 * d	638,1	mm
0,6 x l	5100	mm

$F_{d\ druk}$	414	kN
l	8,5	m

M_{Ed}	463,7	kN.m
V_{Ed}	62,9	kN

toets	3369,168	kN

k	1,53		2
ρ_l	0,0036		0,02
σ_{cp}	0,0	N/mm^2	
$C_{Rd,c}$	0,12		N.B.
v_{min}	0,363		
v_1	0,600		
α_{cw}	1,000		N.B.
k_1	0,15		normatief

$V_{Rd,c}$	258,54	kN
	231,76	kN

$A_{s:Md:ben}$	2088	mm^2

UC $M_{d,wap.}$	0,92

$V_{Rd,max}$	3445,74	kN

$V_{Rd,s}$	82	kN
Ø	8	mm
s	250	mm
snedes	2	stuks
opp	402	mm^2/m
θ	45	graden
cot θ	1	
tan θ	1	

UC $V_{d,wap.}$	0,18

beton

$$z = 0{,}2\,l + 0{,}4\,h \le 0{,}6\,l$$ 6.1 (10)

$$V_{Ed} \le 0{,}5\,b_w d\,\nu\,f_{cd}$$ 6.5

$$k = 1 + \sqrt{\frac{200}{d}} \le 2{,}0 \qquad \rho_l = \frac{A_{sl}}{b_w d} \le 0{,}02$$

6.2.2(1)

$$v_{min} = 0{,}035\,k^{3/2} \cdot f_{ck}^{1/2}$$ 6.3N

6.10.aN

6.2.3(3)

6.2.2(1)

$$V_{Rd,c} = [C_{Rd,c} k (100\,\rho_l f_{ck})^{1/3} + k_1\,\sigma_{cp}]\,b_w d$$ 6.2.a

$$V_{Rd,c} = (v_{min} + k_1 \sigma_{cp})\,b_w d$$ 6.2.b

$$M_{Rd} = z\,A_s\,f_s$$ 6.1 (10)

$$A_{s:ben} = M_d / 0{,}87 * f_{yd} * z$$

$$V_{Rd,max} = \alpha_{cw}\,b_w\,z\,\nu_1\,f_{cd}/(\cot\theta + \tan\theta)$$ 6.9

$$V_{Rd,s} = \frac{A_{sw}}{s}\,z\,f_{ywd}\,\cot\theta$$ 6.8

NEN-EN 1992-1-1+C2:2011

Wap. toets best. balk Mx + Vy

A_s	1678	mm^2
f_{yd}	400	N/mm^2
b | b_w	750	mm
f_{cd}	20	N/mm^2
h	900	mm
Ø	22	mm
dekking	30	mm
d	859	mm

z	2060	mm
0,9 * d	773,1	mm
0,6 x l	5100	mm

$F_{d\ druk}$	414	kN
l	8,5	m

M_{Ed}	353,9	kN.m
V_{Ed}	62,9	kN

toets	3401,64	kN

$$z = 0{,}2\,l + 0{,}4\,h \le 0{,}6\,l$$ 6.1 (10)

$$V_{Ed} \le 0{,}5\,b_w d\,\nu\,f_{cd}$$ 6.5

k	1,48		2
ρ_l	0,0026		0,02
σ_{cp}	0,0	N/mm^2	
$C_{Rd,c}$	0,12		N.B.
v_{min}	0,346		
v_1	0,600		
α_{cw}	1,000		N.B.
k_1	0,15		normatief

$$k = 1 + \sqrt{\frac{200}{d}} \le 2{,}0 \qquad \rho_l = \frac{A_{sl}}{b_w d} \le 0{,}02$$

6.2.2(1)

$$v_{min} = 0{,}035\,k^{3/2} \cdot f_{ck}^{1/2}$$ 6.3N

6.10.aN

6.2.3(3)

6.2.2(1)

$V_{Rd,c}$	227,43	kN
	222,94	kN

$$V_{Rd,c} = [C_{Rd,c}\,k(100\,\rho_l f_{ck})^{1/3} + k_1\,\sigma_{cp}]\,b_w d$$ 6.2.a

$$V_{Rd,c} = (v_{min} + k_1\sigma_{cp})\,b_w d$$ 6.2.b

$A_{s:Md:ben}$	1315	mm^2

$$M_{Rd} = z\,A_s\,f_s$$ 6.1 (10)

UC $M_{d,wap.}$	0,78

$$A_{s:ben} = M_d / 0{,}87 * f_{yd} * z$$

$V_{Rd,max}$	3478,95	kN

$$V_{Rd,max} = \alpha_{cw}\,b_w\,z\,\nu_1\,f_{cd}/(\cot\theta + \tan\theta)$$ 6.9

$V_{Rd,s}$	99	kN
Ø	8	mm
s	250	mm
snedes	2	stuks
opp	402	mm^2/m
θ	45	graden
cot θ	1	
tan θ	1	

$$V_{Rd,s} = \frac{A_{sw}}{s}\,z\,f_{ywd}\,\cot\theta$$ 6.8

UC $V_{d,wap.}$	0,19	beton

NEN-EN 1992-1-1+C2:2011

Wap. toets nieuw balk My + Vz

A_s	1809	mm^2
f_{yd}	500	N/mm^2
b | b_w	1000	mm
f_{cd}	20	N/mm^2
h	730	mm
Ø	16	mm
dekking	45	mm
d	677	mm

z	992	mm
0,9 * d	609,3	mm
0,6 x l	2100	mm

$F_{d\ druk}$	414	kN
l	3,5	m

M_{Ed}	270,8	kN.m
V_{Ed}	104,4	kN

toets	3574,56	kN

$$z = 0{,}2\,l + 0{,}4\,h \le 0{,}6\,l$$ 6.1 (10)

$$V_{Ed} \le 0{,}5\,b_w d\,\nu\,f_{cd}$$ 6.5

k	1,54		2
ρ_l	0,0027		0,02
σ_{cp}	0,0	N/mm^2	
$C_{Rd,c}$	0,12		N.B.
v_{min}	0,368		
v_1	0,600		
α_{cw}	1,000		N.B.
k_1	0,15		normatief

$$k = 1 + \sqrt{\frac{200}{d}} \le 2{,}0 \qquad \rho_l = \frac{A_{sl}}{b_w d} \le 0{,}02$$

$$v_{min} = 0{,}035\,k^{3/2} \cdot f_{ck}^{1/2}$$

6.2.2(1)	
6.3N	
6.10.aN	
6.2.3(3)	
6.2.2(1)	

$V_{Rd,c}$	250,96	kN
	248,88	kN

$$V_{Rd,c} = [C_{Rd,c} k (100\,\rho_l f_{ck})^{1/3} + k_1\,\sigma_{cp}]\,b_w d$$ 6.2.a

$$V_{Rd,c} = (v_{min} + k_1 \sigma_{cp})\,b_w d$$ 6.2.b

$A_{s:Md:ben}$	1022	mm^2

$$M_{Rd} = z\,A_s\,f_s$$ 6.1 (10)

UC $M_{d,wap.}$	0,56

$$A_{s:ben} = M_d / 0{,}87 * f_{yd} * z$$

$V_{Rd,max}$	3655,80	kN

$$V_{Rd,max} = \alpha_{cw}\,b_w\,z\,\nu_1\,f_{cd}/(\cot\theta + \tan\theta)$$ 6.9

$V_{Rd,s}$	551	kN
Ø	12	mm
s	200	mm
snedes	4	stuks
opp	2262	mm^2/m
θ	45	graden
cot θ	1	
tan θ	1	

$$V_{Rd,s} = \frac{A_{sw}}{s}\,z\,f_{ywd}\cot\theta$$ 6.8

UC $V_{d,wap.}$	0,13	beton

NEN-EN 1992-1-1+C2:2011

Wap. toets nieuw balk Mx + Vy

A_s	741	mm^2
f_{yd}	500	N/mm^2
b | b_w	730	mm
f_{cd}	20	N/mm^2
h	1000	mm
Ø	16	mm
dekking	45	mm
d	947	mm

z	1100	mm
0,9 * d	852,3	mm
0,6 x l	2100	mm

$F_{d\ druk}$	551,46	kN
l	3,5	m

M_{Ed}	79,8	kN.m
V_{Ed}	62,9	kN

toets	3650,1168	kN

$$z = 0{,}2\,l + 0{,}4\,h \le 0{,}6\,l$$ 6.1 (10)

$$V_{Ed} \le 0{,}5\,b_w d\,\nu\,f_{cd}$$ 6.5

k	1,46		2
ρ_l	0,0011		0,02
σ_{cp}	0,0	N/mm^2	
$C_{Rd,c}$	0,12		N.B.
v_{min}	0,338		
v_1	0,600		
α_{cw}	1,000		N.B.
k_1	0,15		normatief

$$k = 1 + \sqrt{\frac{200}{d}} \le 2{,}0 \qquad \rho_l = \frac{A_{sl}}{b_w d} \le 0{,}02$$

6.2.2(1)

$$v_{min} = 0{,}035\,k^{3/2} \cdot f_{ck}^{1/2}$$ 6.3N

6.10.aN

6.2.3(3)

6.2.2(1)

$V_{Rd,c}$	178,72	kN
	233,69	kN

$$V_{Rd.c} = [C_{Rd.c}k(100\,\rho_l f_{ck})^{1/3} + k_1\,\sigma_{cp}]\,b_w d$$ 6.2.a

$$V_{Rd,c} = (v_{min} + k_1\sigma_{cp})\,b_w d$$ 6.2.b

$A_{s:Md:ben}$	215	mm^2

$$M_{Rd} = z\,A_s\,f_s$$ 6.1 (10)

UC $M_{d,wap.}$	0,29

$$A_{s:ben} = M_d / 0{,}87 * f_{yd} * z$$

$V_{Rd,max}$	3733,07	kN

$$V_{Rd,max} = \alpha_{cw}\,b_w\,z\,\nu_1\,f_{cd}/(\cot\theta + \tan\theta)$$ 6.9

$V_{Rd,s}$	386	kN
Ø	12	mm
s	200	mm
snedes	2	stuks
opp	1131	mm^2/m
θ	45	graden
cot θ	1	
tan θ	1	

$$V_{Rd,s} = \frac{A_{sw}}{s}\,z\,f_{ywd}\,\cot\theta$$ 6.8

UC $V_{d,wap.}$	0,11	beton

NEN-EN 1992-1-1+C2:2011

Mast	Mastmodel	Mast type	Masthoogte	Paalgegevens			GEO	GEO	bestaande palen		LEKA palen							
				Paaltype	Aantal palen per randstijl	Schoorstand palen (°)	Drukcapaciteit enkele paal [kN]	Trekcapaciteit enkele paal [kN]	Maximale drukkracht in één fundatiepaal [kN]	Maximale trekkracht in één fundatiepaal [kN]	Maximale drukkracht in één fundatiepaal [kN]	Maximale trekkracht in één fundatiepaal [kN]	Versterking	Categorie	Poer- type	LEKA dia.	2x druk via knag [kN]	2x trek via knag [kN]
4	Donaumast	S+0	48	40*40 cm bet.	3	6:1	753	198	559,0	132,0	251,3	355,8	Lijnpoer met 2 extra palen	F4	Blokpoer(220) (3*B)	Ø 219/310	502,6	711,6
5	Donaumast	S+0	48	40*40 cm bet.	3	6:1	793	170	559,0	132,0	251,3	355,8	Lijnpoer met 2 extra palen	F4	Blokpoer(220) (3*B)	Ø 219/310	502,6	711,6
6	Donaumast	S+0	48	40*40 cm bet.	3	6:1	1340	242	12,0	0,5	n.v.t.	n.v.t.	Ballast zwaar	F1	Blokpoer(220) (3*B)			
7	Donaumast	S+0	48	40*40 cm bet.	3	6:1	1400	263	12,0	0,5	n.v.t.	n.v.t.	Ballast licht	F1	Blokpoer(220) (3*B)			
9	Donaumast	S+0	48	40*40 cm bet.	3	6:1	1577	266	12,0	0,5	n.v.t.	n.v.t.	Ballast licht	F1	Blokpoer(220) (3*B)			
10	Donaumast	S+0	48	40*40 cm bet.	3	6:1	669	170	559,0	132,0	251,3	355,8	Lijnpoer met 2 extra palen	F4	Blokpoer(220) (3*B)	Ø 219/310	502,6	711,6
13	Donaumast	S+0	48	40*40 cm bet.	3	6:1	1011	224	12,0	0,5	n.v.t.	n.v.t.	Ballast+Koppelbalk	F2	Blokpoer(220) (3*B)			
14	Donaumast	S+0	48	40*40 cm bet.	3	6:1	1289	268	12,0	0,5	n.v.t.	n.v.t.	Ballast licht	F1	Blokpoer(220) (3*B)			
16	Donaumast	S+0	48	40*40 cm bet.	3	6:1	888	171	559,0	132,0	251,3	355,8	Lijnpoer met 2 extra palen	F4	Blokpoer(220) (3*B)	Ø 324/470	502,6	711,6
18	Donaumast	S+0	48	40*40 cm bet.	3	6:1	1169	250	12,0	0,5	n.v.t.	n.v.t.	Ballast zwaar	F1	Blokpoer(220) (3*B)			
19	Donaumast	S+0	48	40*40 cm bet.	3	6:1	979	234	12,0	0,5	n.v.t.	n.v.t.	Ballast+Koppelbalk	F2	Blokpoer(220) (3*B)			
21	Donaumast	S+0	48	40*40 cm bet.	3	6:1	873	190	559,0	132,0	251,3	355,8	Lijnpoer met 2 extra palen	F4	Blokpoer(220) (3*B)	Ø 273/370	502,6	711,6
22	Donaumast	S+0	48	40*40 cm bet.	3	6:1	1270	237	12,0	1,0@0,5	n.v.t.	n.v.t.	Ballast+Koppelbalk	F2	Blokpoer(220) (3*B)			
23	Donaumast	S+0	48	40*40 cm bet.	3	6:1	396	89	396,0	0,1	438,1	353,4	Lijnpoer met 2 extra palen	F4	Blokpoer(220) (3*B)	Ø 324/470	876,2	706,8
24	Donaumast	S+0	48	40*40 cm bet.	3	6:1	462	128	462,0	128,0	412,7	257,8	Lijnpoer met 2 extra palen	F4	Blokpoer(220) (3*B)	Ø 273/370	825,4	515,6
26	Donaumast	S+0	48	40*40 cm bet.	3	6:1	703	186	559,0	132,0	251,3	355,8	Lijnpoer met 2 extra palen	F4	Blokpoer(220) (3*B)	Ø 219/310	502,6	711,6
27	Donaumast	S+0	48	40*40 cm bet.	3	6:1	706	167	559,0	132,0	251,3	355,8	Lijnpoer met 2 extra palen	F4	Blokpoer(220) (3*B)	Ø 219/310	502,6	711,6
28	Donaumast	S+0	48	40*40 cm bet.	3	6:1	1199	246	12,0	0,5	n.v.t.	n.v.t.	Ballast zwaar	F1	Blokpoer(220) (3*B)			
29	Donaumast	S+0	48	40*40 cm bet.	3	6:1	559	179	559,0	132,0	251,3	355,8	Lijnpoer met 2 extra palen	F4	Blokpoer(220) (3*B)	Ø 324/470	502,6	711,6
33	Donaumast	S+0	48	40*40 cm bet.	3	6:1	638	168	559,0	132,0	251,3	355,8	Lijnpoer met 2 extra palen	F4	Blokpoer(220) (3*B)	Ø 273/370	502,6	711,6
34	Donaumast	S+0	48	40*40 cm bet.	3	6:1	587	183	559,0	132,0	251,3	355,8	Lijnpoer met 2 extra palen	F4	Blokpoer(220) (3*B)	Ø 324/470	502,6	711,6
37	Donaumast	HA+0	45	40*40 cm bet.	5	5:1	664	100	459,7	100,0	180,7	8,6	Aanstorting met 2 palen	F5	Balkrooster (5*B)	Ø 219/310	361,4	17,2
50	Donaumast	S+0	48	40*40 cm bet.	3	6:1	812	175	462,0	128,0	278,9	138,8	Lijnpoer met 2 extra palen	F4	Blokpoer(220) (3*B)	Ø 219/310	557,8	277,6
51	Donaumast	S+0	48	40*40 cm bet.	3	6:1	1063	228	12,0	1,0@0,5	n.v.t.	n.v.t.	Ballast+Koppelbalk	F2	Blokpoer(220) (3*B)			

52	Donaumast	S+6	54	40*40 cm bet.	3	6:1	1478	269	12,0	0,5	n.v.t.	n.v.t.	Ballast licht	F1	Blokpoer(220) (3*B)			
53	Donaumast	S+6	54	40*40 cm bet.	3	6:1	1481	228	12,0	0,5	n.v.t.	n.v.t.	Ballast+Koppelbalk	F2	Blokpoer(220) (3*B)			
54	Donaumast	S+0	48	40*40 cm bet.	3	6:1	1233	240	12,0	0,5	n.v.t.	n.v.t.	Ballast+Koppelbalk	F2	Blokpoer(220) (3*B)			
55	Donaumast	S+0	48	40*40 cm bet.	3	6:1	1401	228	12,0	0,5	n.v.t.	n.v.t.	Ballast+Koppelbalk	F2	Blokpoer(220) (3*B)			
56	Donaumast	S+0	48	40*40 cm bet.	3	6:1	1580	256	12,0	0,5	n.v.t.	n.v.t.	Ballast licht	F1	Blokpoer(220) (3*B)			
57	Donaumast	S+0	48	40*40 cm bet.	3	6:1	1699	271	12,0	0,5	n.v.t.	n.v.t.	Ballast licht	F1	Blokpoer(220) (3*B)			
58	Donaumast	S+0	48	40*40 cm bet.	3	6:1	1232	147	462,0	128,0	278,9	138,8	Lijnpoer met 2 extra palen	F4	Blokpoer(220) (3*B)	Ø 219/310	557,8	277,6
59	Donaumast	S+0	48	40*40 cm bet.	3	6:1	930	135	462,0	128,0	278,9	138,8	Lijnpoer met 2 extra palen	F4	Blokpoer(220) (3*B)	Ø 219/310	557,8	277,6
64	Donaumast	S+0	48	40*40 cm bet.	3	6:1	1239	226	12,0		n.v.t.	n.v.t.	Ballast+Koppelbalk	F2	Blokpoer(220) (3*B)			
65	Donaumast	S+0	48	40*40 cm bet.	3	6:1	1526	260	12,0	0,5	n.v.t.	n.v.t.	Ballast licht	F1	Blokpoer(220) (3*B)			
66	Donaumast	S+0	48	40*40 cm bet.	3	6:1	1319	270	12,0	0,5	n.v.t.	n.v.t.	Ballast licht	F1	Blokpoer(220) (3*B)			
69	Donaumast	S+6	54	40*40 cm bet.	3	6:1	384	136	384,0	136,0	397,8	235,0	Lijnpoer met 2 extra palen	F4	Blokpoer(220) (3*B)	Ø 219/310	795,6	470
71	Donaumast	S+9	57	40*40 cm bet.	3	6:1	896	176	728,5	176,0	145,7	266,1	Lijnpoer met 2 extra palen	F4	Blokpoer(220) (3*B)	Ø 219/310	291,4	532,2
73	Donaumast	S+0	48	40*40 cm bet.	3	6:1	1569	250	12,0	0,5	n.v.t.	n.v.t.	Ballast zwaar	F1	Blokpoer(220) (3*B)			
84	Donaumast	HA+ 0	45	35*35 cm bet.	5	5:1	2155	353			n.v.t.	n.v.t.	0	0	Balkrooster (5*B)			
86	Donaumast	S+0	48	LD1+p	1	4,9:4	909	178	800,0	178,0	153,2	138,6	Extra palen (2 stuks)	F3	Cilinderpoer(75) (1*LD1)	Ø 324/470	306,4	277,2
90	Donaumast	S+0	48	40*40 cm bet.	3	6:1	1324	263	12,0	0,5	n.v.t.	n.v.t.	Ballast licht	F1	Blokpoer(220) (3*B)			
~~**104**~~	~~Donaumast~~	~~EA+ 3/K~~	~~48~~	~~Ø813~~	~~1~~	~~4,93:1~~	~~1741~~	~~354~~	~~1524,8~~	~~313,0~~	~~357,0~~	~~72,7~~	~~Lijnpoer met 2 extra trekpalen~~	~~F3~~	1xSI			
111	Donaumast	S+0	48	40*40 cm bet.	3	6:1	1376	257	12,0	0,5	n.v.t.	n.v.t.	Ballast licht	F1	Blokpoer(220) (3*B)			
118	Donaumast	S+0	48	40*40 cm bet.	3	6:1	1288	236		0,5	n.v.t.	n.v.t.	Ballast+Koppelbalk	F2	Blokpoer(220) (3*B)			
121	Donaumast	S+6	54	LD1+p	1	4,9:1	1627	387	4,0	0,5	n.v.t.	n.v.t.	Ballast (let op knagge	F1	Cilinderpoer(75) (1*LD1)			
123	Donaumast	S+6	54	40*40 cm bet.	3	6:1	1180	222	12,0	0,5	n.v.t.	n.v.t.	Ballast+Koppelbalk	F2	Blokpoer(220) (3*B)			
124	Donaumast	S+0	48	40*40 cm bet.	3	6:1	962	132	462,0	128,0	278,9	138,8	Lijnpoer met 2 extra palen	F4	Blokpoer(220) (3*B)	Ø 219/310	557,8	277,6
126	Donaumast	S+6	54	LD1+p	1	4,9:1	908	270	900,0	194,0	189,5	99,3	Extra palen (2 stuks) (let op knag	F3	Cilinderpoer(75) (1*LD1)	Ø 324/470	379,0	189,6
128	Donaumast	S+0	48	LD1+p	1	4,9:1	1319	322	4,0	1,5@0,5	n.v.t.	n.v.t.	Ballast	F1	Cilinderpoer(75) (1*LD1)			
130	Donaumast	S+0	48	LD1+p	1	4,9:1	1454	348	4,0	1,0@0,5	n.v.t.	n.v.t.	Ballast	F1	Cilinderpoer(75) (1*LD1)			

131	Donaumast	S+6	54	LD1+p	1	4,9:1	1245	409	4,0	2,5@1,5	n.v.t.	n.v.t.	Ballast	F1	Cilinderpoer(75) (1*LD1)			
133	Donaumast	S+0	48	LD1+p	1	4,9:1	1223	413	4,0	1,5@0,5	n.v.t.	n.v.t.	Ballast	F1	Cilinderpoer(75) (1*LD1)			
134	Donaumast	S+0	48	LD1+p	1	4,9:1	1505	428	4,0	1,5@0,5	n.v.t.	n.v.t.	Ballast	F1	Cilinderpoer(75) (1*LD1)			
135	Donaumast	S+0	48	LD1+p	1	4,9:1	1457	317	4,0	1,5@0,5	n.v.t.	n.v.t.	Ballast	F1	Cilinderpoer(75) (1*LD1)			
136	Donaumast	S+0	48	LD1+p	1	4,9:1	1271	319	4,0	2,5@0,5	n.v.t.	n.v.t.	Ballast	F1	Cilinderpoer(75) (1*LD1)			
141	Donaumast	S+0	48	LD1+p	1	4,9:1	900	194	900,0	194,0	210,4	63,4	Extra palen (2 stuks)	F3	Cilinderpoer(75) (1*LD1)	Ø 324/470	420,8	126,8
142	Donaumast	S+0	48	LD1+p	1	4,9:1	800	203	800,0	178,0	245,4	66,1	Extra palen (2 stuks)	F3	Cilinderpoer(75) (1*LD1)	Ø 324/470	490,8	132,2
143	Donaumast	S+0	48	LD1+p	1	4,9:1	986	226	900,0	194,0	210,4	63,4	Extra palen (2 stuks)	F3	Cilinderpoer(75) (1*LD1)	Ø 324/470	420,8	126,8
144	Donaumast	S+6	54	LD1+p	1	4,9:1	868	234	868,0	234,0	761,6	333,6	Extra palen (2 stuks) l	F3	Koppelframe (Cilinderpoer 1*LD1)	Ø 219/310	1523,2	667,2
145	Donaumast	S+6	54	LD1+p	1	4,9:1	1900	414	4,0	0,5	n.v.t.	n.v.t.	Ballast	F1	Cilinderpoer(75) (1*LD1)			
~~**146 optie 2**~~	~~Donaumast~~	~~S+9~~	~~57~~	~~LD1+p~~	~~1~~	~~5:1~~	~~821~~	~~308~~					~~Aanstorting met 3 palen om fundament grotendeels over te nemen~~	~~F5 fundatievernieuwing~~	Balkrooster (5*B)			
146 optie 1	Donaumast	S+9	57	32*32 cm bet.	5	5:1	84	1	84,0	0,0	413,5	0,0	Aanstorting met 3 palen om fundament grotendeels over te nemen	F5 fundatievernieuwing	Balkrooster (5*B)	Ø 219/310	827	0
~~**147 optie 2**~~	~~Donaumast~~	~~S+9~~	~~57~~	~~LD1+p~~	~~1~~	~~5:1~~	~~901~~	~~274~~					~~Aanstorting met 3 palen om fundament grotendeels over te nemen~~	~~F5 fundatievernieuwing~~	Balkrooster (5*B)			
147 optie 1	Donaumast	S+9	57	32*32 cm bet.	5	5:1	411	31	228,8	26,3	205,7	114,4	Aanstorting met 3 palen om fundament grotendeels over te nemen	F5 fundatievernieuwing	Balkrooster (5*B)	Ø 219/310	411,4	228,8
148	Donaumast	S+12	60	2 LD1+p	2	5:1	859	190	859,0	190,0	463,4	251,5	Blokpoer met 2 extra palen	F5	Blokpoer(200) (2*LD1)	Ø 219/310	926,8	503
150	Donaumast	S+9	57	LD1+p	1	4,9:1	1469	275	956,0	229,0	289,6	213,8	Extra palen (2 stuks)	F3	Cilinderpoer(75) (1*LD1)	Ø 324/470	579,2	427,6
151	Donaumast	S+9	57	LD1+p	1	4,9:1	956	229	956,0	229,0	289,6	213,8	Extra palen (2 stuks) (let	F3 op knag	Cilinderpoer(75) (1*LD1)	Ø 324/470	579,2	427,6
152	Donaumast	S+0	48	LD1+p	1	4,9:1	1572	436	4,0	0,5	n.v.t.	n.v.t.	Ballast (let op knagge	F1	Cilinderpoer(75) (1*LD1)			
153	Donaumast	S+0	48	LD1+p	1	4,9:1	839	239	839,0	239,0	215,7	175,2	Extra palen (2 stuks)	F3	Cilinderpoer(75) (1*LD1)	Ø 324/470	431,4	350,4
157	Donaumast	S+24	75,5	40*40 cm bet.	4	5:1	468	345	360,4	213,0	408,7	133,4	Aanstorting met 3 palen	F5	Balkrooster (4*B)	Ø 219/310	817,4	266,8
158	Donaumast	S+24	75,5	40*40 cm bet.	4	5:1	1583	281	551,5	243,2	197,1	37,2	Aanstorting met 2 palen	F5	Balkrooster (4*B)	Ø 219/310	394,2	74,4

F4 3B-poer	F4-II	F4-III	Mast 23	Mast 24	Mast 69	Mast 71
Beton Rd druk	-559	-462	-396	-462	-384	-735
i8kmk	168,22	164,22	61,64	188,39	168,04	212,22
LEKA Rd druk	-251,25	-278,93	-438,13	-412,7	-399,79	-139,67
LEKA Rd trek	376,51	159,47	413,23	302,38	255,48	293,34
Poer Nd druk	-973,4	-828,56	-973,4	-973,4	-908,18	-955,69
Poer Nd trek	772,62	620,72	772,62	772,62	680,9	717,22
Poer Vy druk	-189,18	-151,48	-189,18	-189,18	-169,19	-174,48
Poer Vy trek	233,73	197,85	233,73	233,73	224,94	229,4
Poer Mx max	0	0	0	0	0	0
Poer Mx min	0	0	0	0	0	0
Poer My max	37,81	31,51	37,81	37,81	49,68	35,16
Poer My min	-37,71	-31,47	-37,71	-37,71	-49,83	-35,14
Poer Mz max	227,02	181,77	227,02	227,02	203,03	209,37
Poer Mz min	-280,47	-237,42	-280,47	-280,47	-269,93	-275,28
Balk Nd druk	-3,24	-14,7	-5,16	-4,3	-4,47	-2,94
Balk Nd trek	3,57	14,14	5,32	4,53	4,91	3,27
Balk Vz druk	-441,53	-267,9	-475,99	-366,7	-328,34	-360,7
Balk Vz trek	486,22	269,18	522,94	412,1	365,19	403,05
Balk Mx max	9,36	20,21	28,7	4,15	20,74	4,78
Balk Mx min	-9,3	-20,21	-28,68	-4,1	-20,67	-4,78
Balk My max	141,59	172,48	312,76	308,16	330,83	5,36
Balk My min	-595,47	-328,34	-638,52	-497,26	-437,88	-487,34
Balk Mz max	22,45	34,95	40,53	31,32	31,27	14,52
Balk Mz min	-22,35	-34,95	-40,4	-31,2	-31,21	-14,52

F3 Cilind 75	86 en 142	126, 141 en 143	150 en 151	153
_D1 Rd druk	-800	-876,76	-956	-839
LD1 Rd trek	178,0	194,00	229,0	239,0
LEKA Rd druk	153,16	-189,52	-289,57	-215,67
LEKA Rd trek	138,6	99,24	213,77	175,18
Poer Nd druk	-835,05	-835,05	-1147,67	-977,1
Poer Nd trek	638,43	638,43	917,83	785,1
Poer Vy druk	-28,5	-28,5	-39,21	-34,85
Poer Vy trek	37,07	37,07	50,46	43,36
Poer Mx max	0	0	0	0
Poer Mx min	0	0	0	0
Poer My max	41,61	41,61	70,69	49,05
Poer My min	-41,56	-41,56	-71,12	-48,53
Poer Mz max	41,77	41,77	58,48	51,68
Poer Mz min	-54,26	-54,26	-75,15	-64,06
Balk Nd druk	-8,39	-8,24	-22,31	-17,7
Balk Nd trek	8,25	8	18,56	15,7
Balk Vz druk	-209,11	-202,07	-315,32	-244,04
Balk Vz trek	208,47	201,5	313,40	247,1
Balk Mx max	46,31	52,47	56,85	33,90
Balk Mx min	-45,56	-52,10	-56,67	-33,82
Balk My max	283,58	244,15	430,83	345,7
Balk My min	-282,86	-244,81	-427,68	-340,24
Balk Mz max	63,23	66,56	102,62	77,49
Balk Mz min	-28,01	-20,42	-62,56	-49,18

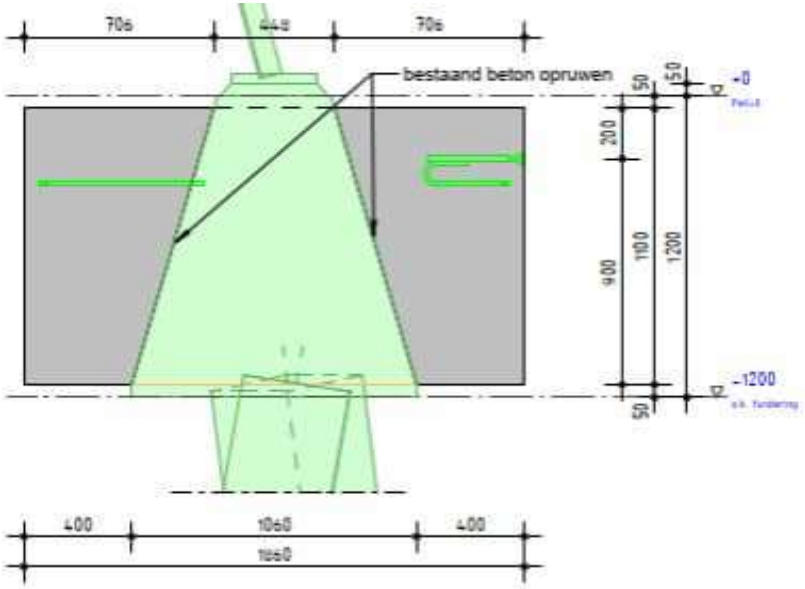
F5 Ringbalk	Mast 372	Mast 1463	Mast 1473	Mast 1573	Mast 1583
BP Rd druk	-459,74	-84	-218,47	-360,39	-551,46
BP Rd trek	149,86	15,95	29,53	245,2	286,78
LEKA Rd druk	-180,68	-413,52	-214,61	-408,73	-197,08
LEKA Rd trek	35,9	22,26	149,45	156,65	59,11
B.balk Nd druk	-151,02	-229,71	-105,35	-126,26	-141,03
B.balk Nd trek	96,65	146,77	46,28	117,17	92,28
B.balk Vy druk	-50,22	-62,08	-26,7	-61,21	-62,9
B.balk Vy trek	48,33	61,47	26,68	61,43	62,54
B.balk Mx max	205,54	352,61	231,03	252,99	63,72
B.balk Mx min	-206,16	-353,92	-231,85	-252,99	-62,59
B.balk My max	105,43	463,72	131,61	266,95	81,91
B.balk My min	-112,16	-353,58	-168,97	-307,56	-127,18
B.balk Mz max	49,31	144,68	59,81	48,38	54,15
B.balk Mz min	-50,89	-140,71	-58,66	-48,57	-54,22
Balk Nd druk	-51,5	-138,01	-39,8	-48,52	-61,28
Balk Nd trek	30,05	108,38	25,49	54,8	40,45
Balk Vz druk	-72,56	-104,35	-61,29	-50,46	-66,25
Balk Vz trek	72,43	77,96	60,44	68,25	70,97
Balk Mx max	34	79,77	32,38	73,84	37,86
Balk Mx min	-34,31	-79,78	-32,02	-73,81	-37,19
Balk My max	24,21	270,82	54,14	94,5	31,62
Balk My min	-96,96	-154,32	-76,38	-87,92	-89,91
Balk Mz max	19,41	49,36	17,57	19,45	21,69
Balk Mz min	-19,14	-49,05	-17,57	-19,49	-21,6

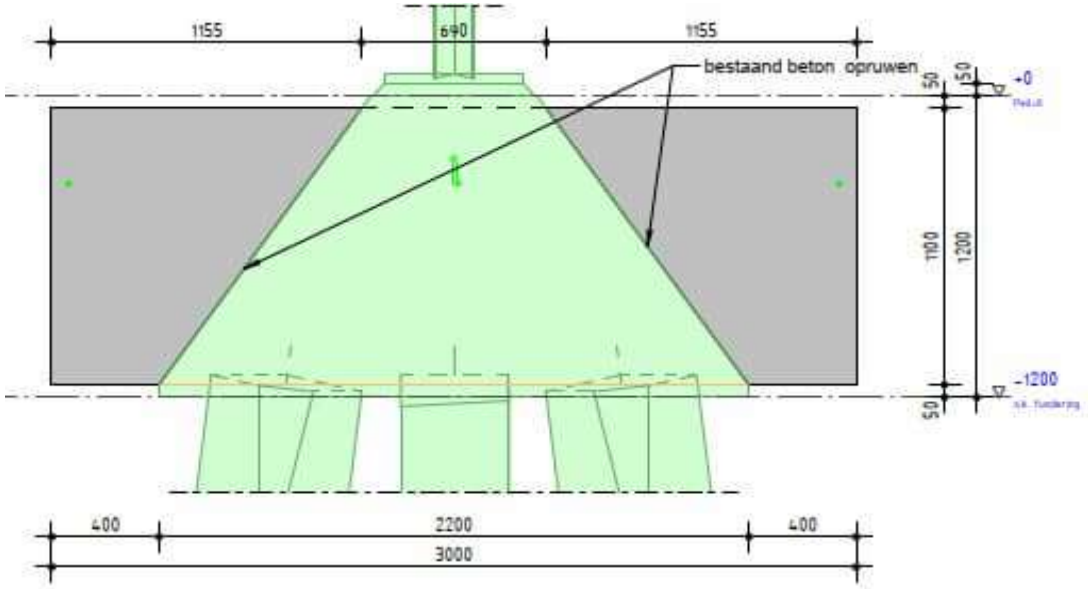
F5 Poer 2 x LD1	148
LD1 Rd druk	-859
LD1 Rd trek	351,94
LEKA Rd druk	-464,02
LEKA Rd trek	276,97
Poer Nd druk	-179,29
Poer Nd trek	77,72
Poer Vy druk	-14,02
Poer Vy trek	14,03
Poer Mx max	-33,37
Poer Mx min	33,4
Poer My max	-207,47
Poer My min	296,95
Poer Mz max	12,21
Poer Mz min	-12,23
Balk Nd druk	-5,2
Balk Nd trek	5,21
Balk Vz druk	-386,19
Balk Vz trek	384,96
Balk Mx max	20,93
Balk Mx min	-20,93
Balk My max	335,28
Balk My min	-376,87
Balk Mz max	12,91
Balk Mz min	-12,92

F3 kop.frame	144
LD1 Rd druk	-234
LD1 Rd trek	868
LEKA Rd druk	-761,61
LEKA Rd trek	367,33
Poer Nd druk	-181,65
Poer Nd trek	212,92
Poer Vy druk	-30,51
Poer Vy trek	31,77
Poer Mx max	-0,26
Poer Mx min	0,25
Poer My max	-174,51
Poer My min	134,16
Poer Mz max	-27,66
Poer Mz min	17,08
Balk Nd druk	-22,09
Balk Nd trek	22,09
Balk Vz druk	-647,69
Balk Vz trek	671,79
Balk Mx max	31,77
Balk Mx min	-31,5
Balk My max	503,05
Balk My min	-390,94
Balk Mz max	12,52
Balk Mz min	-12,98

Ballast Blokpoer 220 3xB lichte variant

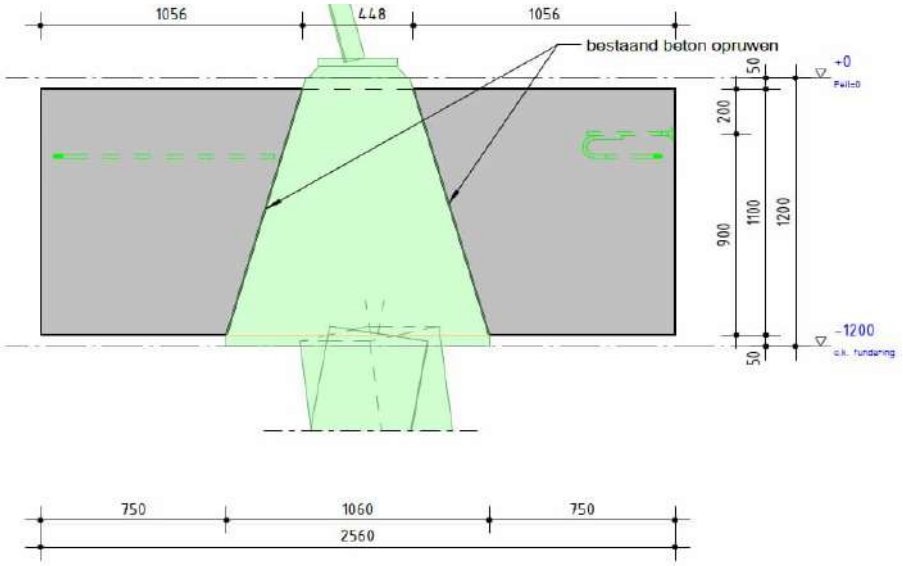
Bestaande poer:				**Nieuwe poer:**				**Nieuwe balk:**				**Extra Ballast:**		
Lboven	690	mm		Lboven	3000	mm		Lboven	0	mm		Vol	4,940	m3
Londer	2200	mm		Londer	3000	mm		Londer	0	mm		Soortlijke M	25	kN/m3
Bboven	448	mm		Bboven	1860	mm		Bboven	0	mm		Aant. palen	3	stuks
Bonder	1060	mm		Bonder	1860	mm		Bonder	0	mm		$F_{rep:ballast}$	123,49	kN
Hoogte	1100	mm		Hoogte	1100	mm		Hoogte	0	mm		$F_{d:ballast}$	148,19	kN
												$F_{d:ballast;\ min}$	66,68	kN
Vol	1,198	m3		Vol	6,138	m3		Vol	0,000	m3		Per paal;max	49,40	kN
												Per paal;min	22,23	kN

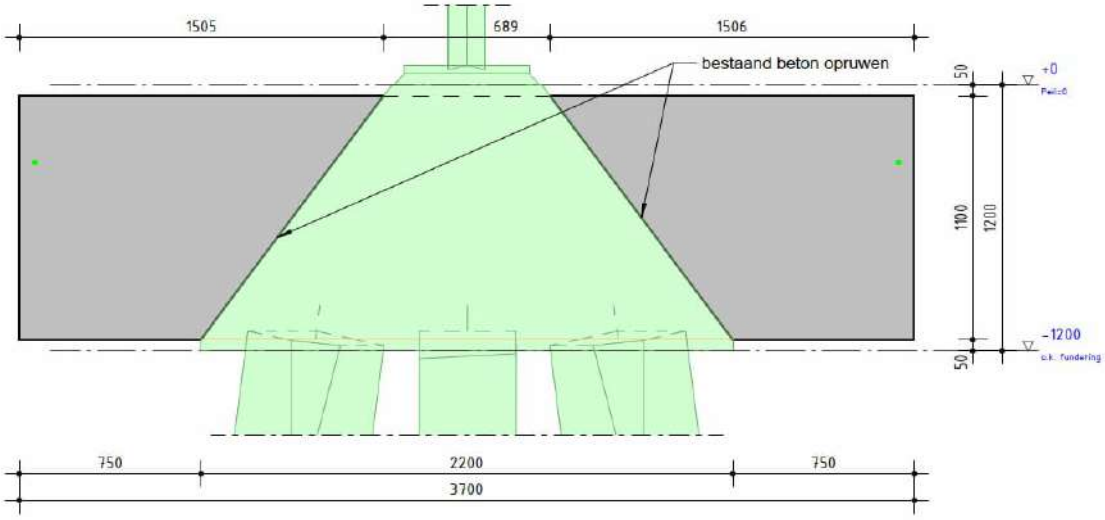




Ballast Blokpoer 220 3xB zware variant

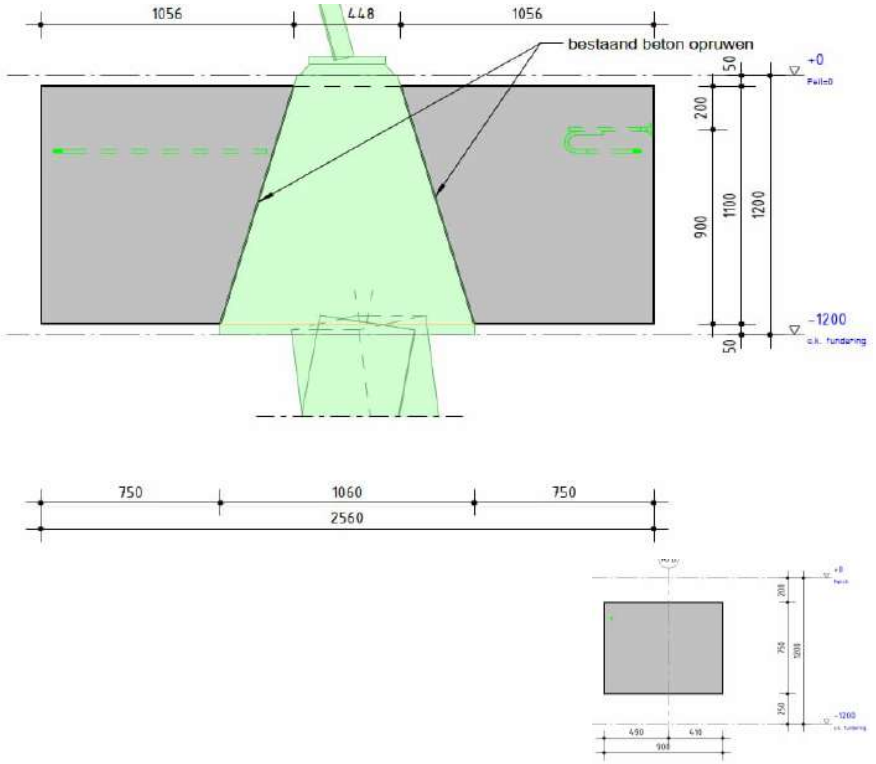
Bestaande poer:				Nieuwe poer:				Nieuwe balk:				Extra Ballast:		
Lboven	689	mm		Lboven	3700	mm		Lboven	0	mm		Vol	9,221	m3
Londer	2200	mm		Londer	3700	mm		Londer	0	mm		Soortlijke M	25	kN/m3
Bboven	448	mm		Bboven	2560	mm		Bboven	0	mm		Aant. palen	3	stuks
Bonder	1060	mm		Bonder	2560	mm		Bonder	0	mm		$F_{rep:ballast}$	230,53	kN
Hoogte	1100	mm		Hoogte	1100	mm		Hoogte	0	mm		$F_{d:ballast}$	276,63	kN
												$F_{d:ballast;\ min}$	124,49	kN
Vol	1,198	m3		Vol	10,419	m3		Vol	0,000	m3		Per paal;max	92,21	kN
												Per paal;min	41,50	kN

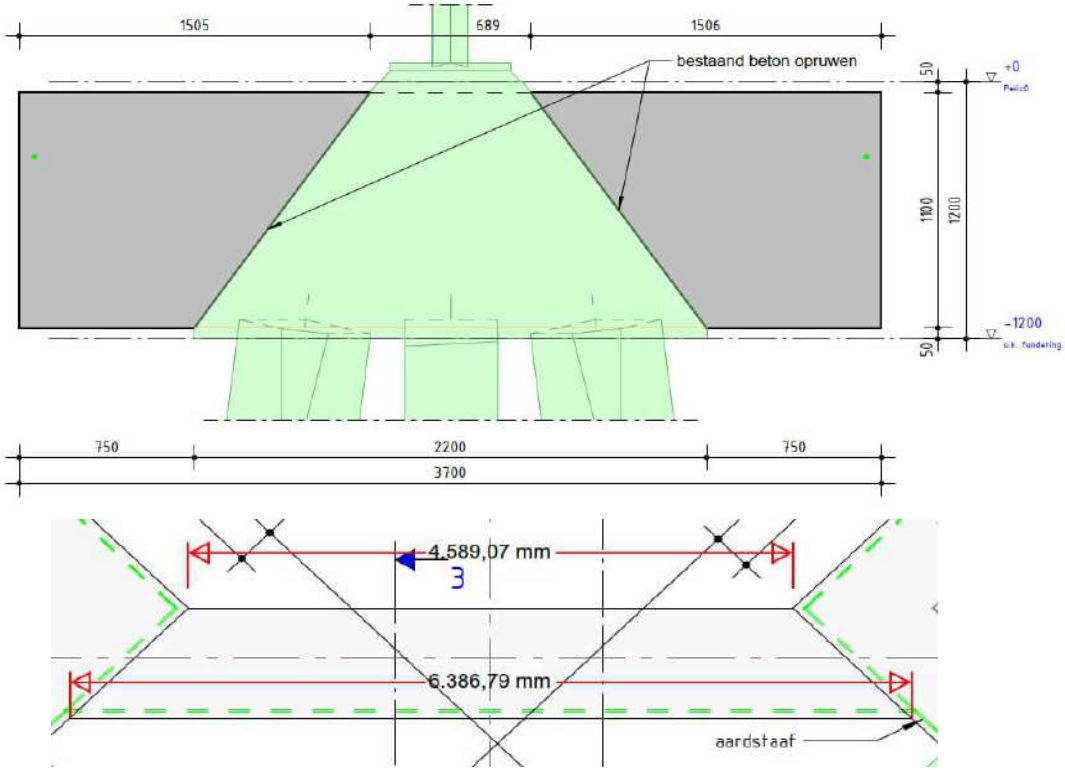




Ballast Blokpoer 220 3xB zware variant + koppelbalk

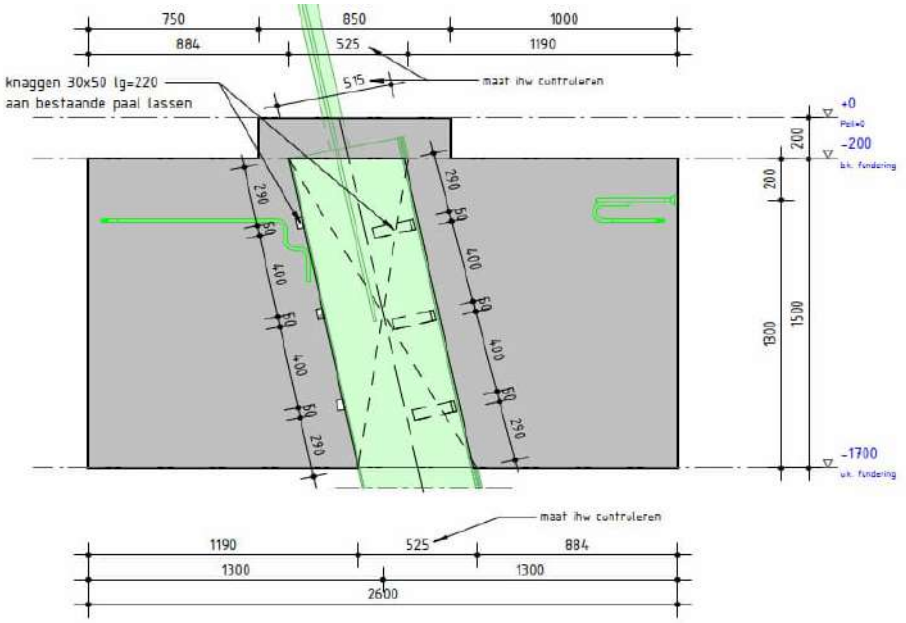
Bestaande poer:				Nieuwe poer:				Nieuwe balk:				Extra Ballast:		
Lboven	689	mm		Lboven	3700	mm		Lboven	4589	mm		Vol	12,926	m3
Londer	2200	mm		Londer	3700	mm		Londer	6387	mm		Soortlijke M	25	kN/m3
Bboven	448	mm		Bboven	2560	mm		Bboven	900	mm		Aant. palen	3	stuks
Bonder	1060	mm		Bonder	2560	mm		Bonder	900	mm		$F_{rep:ballast}$	323,14	kN
Hoogte	1100	mm		Hoogte	1100	mm		Hoogte	750	mm		$F_{d:ballast}$	387,77	kN
												$F_{d:ballast;\ min}$	174,49	kN
Vol	1,198	m3		Vol	10,419	m3		Vol	3,704	m3		Per paal;max	129,26	kN
												Per paal;min	58,16	kN

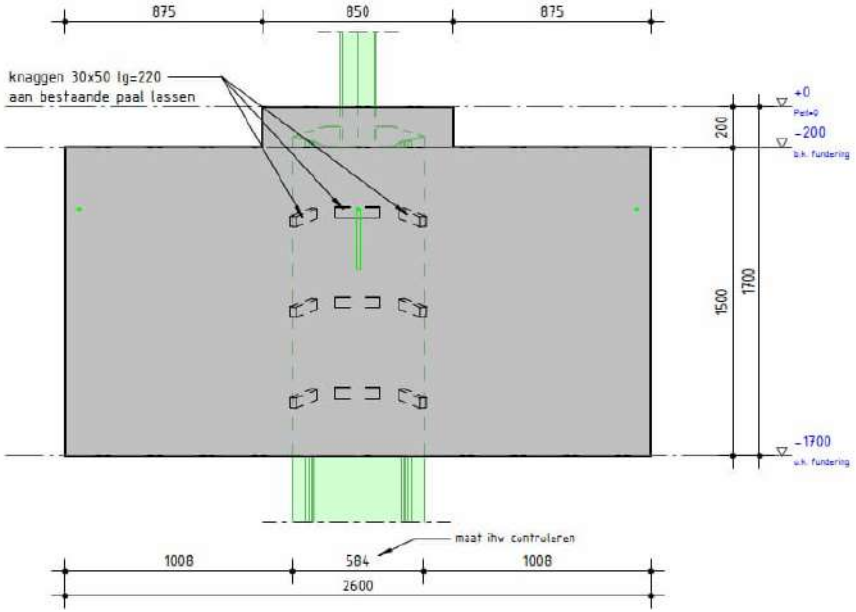




Ballast Blokpoer 200 2xLD1

Bestaande poer:				Nieuwe poer:				Nieuwe balk:				Extra Ballast:		
Lboven	525	mm		Lboven	2600	mm		Lboven	850	mm		Vol	9,871	m3
Londer	525	mm		Londer	2600	mm		Londer	850	mm		Soortlijke M	25	kN/m3
Bboven	525	mm		Bboven	2600	mm		Bboven	850	mm		Aant. palen	1	stuks
Bonder	525	mm		Bonder	2600	mm		Bonder	850	mm		$F_{rep:ballast}$	246,78	kN
Hoogte	1500	mm		Hoogte	1500	mm		Hoogte	200	mm		$F_{d:ballast}$	296,13	kN
												$F_{d:ballast;\ min}$	133,26	kN
Vol	0,413	m3		Vol	10,140	m3		Vol	0,145	m3		Per paal;max	296,13	kN
												Per paal;min	133,26	kN





BIJLAGE 32
Meridian kenmerk C1700004

Mast		GEO	GEO	Bestaande palen		Ballast blokken						
	Paaltype	Drukcapaciteit enkele paal [kN]	Trekcapaciteit enkele paal [kN]	Maximale drukkracht in één fundatiepaal [kN]	Maximale trekkracht in één fundatiepaal [kN]	Max. belasting door ballast	Min. Belasting door ballast	Versterking	Cat.	Poer- type	UC op druk in paal	UC op trek in paal
4	40*40 cm bet.	753	198	559,0	132,0			Lijnpoer met 2 extra palen	F4	Blokpoer(220) (3*B)		
5	40*40 cm bet.	793	170	559,0	132,0			Lijnpoer met 2 extra palen	F4	Blokpoer(220) (3*B)		
6	40*40 cm bet.	1340	242	537,2	275,0	92,2	41,5	Ballast zwaar	F1	Blokpoer(220) (3*B)	0,47	0,96
7	40*40 cm bet.	1400	263	537,2	275,0	49,4	22,2	Ballast licht	F1	Blokpoer(220) (3*B)	0,42	0,96
9	40*40 cm bet.	1577	266	537,2	275,0	49,4	22,2	Ballast licht	F1	Blokpoer(220) (3*B)	0,37	0,95
10	40*40 cm bet.	669	170	559,0	132,0			Lijnpoer met 2 extra palen	F4	Blokpoer(220) (3*B)		
13	40*40 cm bet.	1011	224	537,2	275,0	129,3	58,2	Ballast+Koppelbalk	F2	Blokpoer(220) (3*B)	0,66	0,97
14	40*40 cm bet.	1289	268	537,2	275,0	49,4	22,2	Ballast licht	F1	Blokpoer(220) (3*B)	0,46	0,94
16	40*40 cm bet.	888	171	559,0	132,0			Lijnpoer met 2 extra palen	F4	Blokpoer(220) (3*B)		
18	40*40 cm bet.	1169	250	537,2	275,0	92,2	41,5	Ballast zwaar	F1	Blokpoer(220) (3*B)	0,54	0,93
19	40*40 cm bet.	979	234	537,2	275,0	129,3	58,2	Ballast+Koppelbalk	F2	Blokpoer(220) (3*B)	0,68	0,93
21	40*40 cm bet.	873	190	559,0	132,0			Lijnpoer met 2 extra palen	F4	Blokpoer(220) (3*B)		
22	40*40 cm bet.	1270	237	537,2	275,0	129,3	58,2	Ballast+Koppelbalk	F2	Blokpoer(220) (3*B)	0,52	0,91
23	40*40 cm bet.	396	89	396,0	0,1			Lijnpoer met 2 extra palen	F4	Blokpoer(220) (3*B)		
24	40*40 cm bet.	462	128	462,0	128,0			Lijnpoer met 2 extra palen	F4	Blokpoer(220) (3*B)		
26	40*40 cm bet.	703	186	559,0	132,0			Lijnpoer met 2 extra palen	F4	Blokpoer(220) (3*B)		
27	40*40 cm bet.	706	167	559,0	132,0			Lijnpoer met 2 extra palen	F4	Blokpoer(220) (3*B)		
28	40*40 cm bet.	1199	246	537,2	275,0	92,2	41,5	Ballast zwaar	F1	Blokpoer(220) (3*B)	0,52	0,95
29	40*40 cm bet.	559	179	559,0	132,0			Lijnpoer met 2 extra palen	F4	Blokpoer(220) (3*B)		
33	40*40 cm bet.	638	168	559,0	132,0			Lijnpoer met 2 extra palen	F4	Blokpoer(220) (3*B)		
34	40*40 cm bet.	587	183	559,0	132,0			Lijnpoer met 2 extra palen	F4	Blokpoer(220) (3*B)		
37	40*40 cm bet.	664	100	459,7	100,0			Aanstorting met 2 palen	F5	Balkrooster (5*B)		
50	40*40 cm bet.	812	175	462,0	128,0			Lijnpoer met 2 extra palen	F4	Blokpoer(220) (3*B)		
51	40*40 cm bet.	1063	228	491,9	275,0	129,3	58,2	Ballast+Koppelbalk	F2	Blokpoer(220) (3*B)	0,58	0,95
52	40*40 cm bet.	1478	269	423,0	275,0	49,4	22,2	Ballast licht	F1	Blokpoer(220) (3*B)	0,32	0,94
53	40*40 cm bet.	1481	228	423,0	275,0	129,3	58,2	Ballast+Koppelbalk	F2	Blokpoer(220) (3*B)	0,37	0,95
54	40*40 cm bet.	1233	240	491,9	275,0	129,3	58,2	Ballast+Koppelbalk	F2	Blokpoer(220) (3*B)	0,50	0,90
55	40*40 cm bet.	1401	228	491,9	275,0	129,3	58,2	Ballast+Koppelbalk	F2	Blokpoer(220) (3*B)	0,44	0,95
56	40*40 cm bet.	1580	256	491,9	275,0	49,4	22,2	Ballast licht	F1	Blokpoer(220) (3*B)	0,34	0,99
57	40*40 cm bet.	1699	271	491,9	275,0	49,4	22,2	Ballast licht	F1	Blokpoer(220) (3*B)	0,32	0,93
58	40*40 cm bet.	1232	147	462,0	128,0			Lijnpoer met 2 extra palen	F4	Blokpoer(220) (3*B)		
59	40*40 cm bet.	930	135	462,0	128,0			Lijnpoer met 2 extra palen	F4	Blokpoer(220) (3*B)		
64	40*40 cm bet.	1239	226	491,9	275,0	129,3	58,2	Ballast+Koppelbalk	F2	Blokpoer(220) (3*B)	0,50	0,96
65	40*40 cm bet.	1526	260	491,9	275,0	49,4	22,2	Ballast licht	F1	Blokpoer(220) (3*B)	0,35	0,97
66	40*40 cm bet.	1319	270	491,9	275,0	49,4	22,2	Ballast licht	F1	Blokpoer(220) (3*B)	0,41	0,94
69	40*40 cm bet.	384	136	384,0	136,0			Lijnpoer met 2 extra palen	F4	Blokpoer(220) (3*B)		
71	40*40 cm bet.	896	176	735,0	176,0			Lijnpoer met 2 extra palen	F4	Blokpoer(220) (3*B)		
73	40*40 cm bet.	1569	250	491,9	275,0	92,2	41,5	Ballast zwaar	F1	Blokpoer(220) (3*B)	0,37	0,93
86	LD1+p	909	178	800,0	178,0			Extra palen (2 stuks)	F3	Cilinderpoer(75) (1*LD1)		
90	40*40 cm bet.	1324	263	491,9	275,0	49,4	22,2	Ballast licht	F1	Blokpoer(220) (3*B)	0,41	0,96
111	40*40 cm bet.	1376	257	491,9	275,0	49,4	22,2	Ballast licht	F1	Blokpoer(220) (3*B)	0,39	0,98
118	40*40 cm bet.	1288	236		275,0	129,3	58,2	Ballast+Koppelbalk	F2	Blokpoer(220) (3*B)	0,10	0,92
121	LD1+p	1627	387	756,9	479,8	296,1	133,3	Ballast (let op kna	F1	Cilinderpoer(75) (1*LD1)	0,65	0,90
123	40*40 cm bet.	1180	222	423,0	275,0	129,3	58,2	Ballast+Koppelbalk	F2	Blokpoer(220) (3*B)	0,47	0,98
124	40*40 cm bet.	962	132	462,0	128,0			Lijnpoer met 2 extra palen	F4	Blokpoer(220) (3*B)		

Mast		GEO	GEO	Bestaande palen		Ballast blokken						
	Paaltype	Drukcapaciteit enkele paal [kN]	Trekcapaciteit enkele paal [kN]	Maximale drukkracht in één fundatiepaal [kN]	Maximale trekkracht in één fundatiepaal [kN]	Max. belasting door ballast	Min. Belasting door ballast	Versterking	Cat.	Poer- type	UC op druk in paal	UC op trek in paal
126	LD1+p	908	270	900,0	194,0			Extra palen (2 stu	F3	Cilinderpoer(75) (1*LD1)		
128	LD1+p	1319	322	678,4	434,7	296,1	133,3	Ballast	F1	Cilinderpoer(75) (1*LD1)	0,74	0,94
130	LD1+p	1454	348	677,8	435,1	296,1	133,3	Ballast	F1	Cilinderpoer(75) (1*LD1)	0,67	0,87
131	LD1+p	1245	409	754,9	481,3	296,1	133,3	Ballast	F1	Cilinderpoer(75) (1*LD1)	0,84	0,85
133	LD1+p	1223	413	678,9	434,3	296,1	133,3	Ballast	F1	Cilinderpoer(75) (1*LD1)	0,80	0,73
134	LD1+p	1505	428	677,8	435,1	296,1	133,3	Ballast	F1	Cilinderpoer(75) (1*LD1)	0,65	0,71
135	LD1+p	1457	317	678,4	434,7	296,1	133,3	Ballast	F1	Cilinderpoer(75) (1*LD1)	0,67	0,95
136	LD1+p	1271	319	676,8	435,9	296,1	133,3	Ballast	F1	Cilinderpoer(75) (1*LD1)	0,77	0,95
141	LD1+p	900	194	900,0	194,0			Extra palen (2 stu	F3	Cilinderpoer(75) (1*LD1)		
142	LD1+p	800	203	800,0	178,0			Extra palen (2 stu	F3	Cilinderpoer(75) (1*LD1)		
143	LD1+p	986	226	900,0	194,0			Extra palen (2 stu	F3	Cilinderpoer(75) (1*LD1)		
144	LD1+p	868	234	868,0	234,0			Extra palen (2 stu	F3	Koppelframe (Cilinderpoer 1*LD1)		
145	LD1+p	1900	414	754,9	481,3	296,1	133,3	Ballast	F1	Cilinderpoer(75) (1*LD1)	0,55	0,84
146 o	32*32 cm bet.	84	1	84,0	0,0			Aanstorting met 3 palen om fundament grotendeels over te nemen	F5 fundati evernie uwing	Balkrooster (5*B)		
147 o	32*32 cm bet.	411	31	218,5	17,6			Aanstorting met 3 palen om fundament grotendeels over te nemen	F5 fundati evernie uwing	Balkrooster (5*B)		
148	2 LD1+p	859	190	859,0	190,0			Blokpoer met 2 extra palen	F5	Blokpoer(200) (2*LD1)		
150	LD1+p	1469	275	956,0	229,0			Extra palen (2 stu	F3	Cilinderpoer(75) (1*LD1)		
151	LD1+p	956	229	798,0	551,3			Extra palen (2 stu	F3	Cilinderpoer(75) (1*LD1)		
152	LD1+p	1572	436	798,0	551,0	296,1	133,3	Ballast (let op kna	F1	Cilinderpoer(75) (1*LD1)	0,70	0,96
153	LD1+p	839	239	839,0	239,0			Extra palen (2 stu	F3	Cilinderpoer(75) (1*LD1)		
157	40*40 cm bet.	468	345	360,4	213,0			Aanstorting met 3 palen	F5	Balkrooster (4*B)		
158	40*40 cm bet.	1583	281	551,5	243,2			Aanstorting met 2 palen	F5	Balkrooster (4*B)		

Samenvatting gegevens bestaande en nieuwe mastfundaties

(*Schuin* is Input Lijnen ivm 1-paalspoer, EG_paal+poer toegevoegd)

Mast	Mastmodel	Mast type	Mastfunctie	Masthoogte	Paalgegevens bestaand: Paaltype	Aantal palen per randstijl	Aantal palen totaal	Paal boven maaiveld [m]	Maaiveld t.o.v. NAP [m]	Syst. punt t.o.v. MV [cm]	Paalpuntniveau t.o.v. MV [m]	Paallengte [m]	Schoorstand palen (°)	GEO Drukcapaciteit enkele paal [kN]	GEO Trekcapaciteit enkele paal [kN]	Paalgewicht één-paals-poeren: Gewicht paal (kN/strekkende meter)	Gewicht paal [kN]	Toelichting
4	Donaumast	S+0	Steunmast	48	40*40 cm bet.	3	12	0,5	0	0	20	20,5	6:1	753	198			
5	Donaumast	S+0	Steunmast	48	40*40 cm bet.	3	12	0,5	0	0	18,5	19	6:1	793	170			
6	Donaumast	S+0	Steunmast	48	40*40 cm bet.	3	12	0,5	0	0	18	18,5	6:1	1340	242			
7	Donaumast	S+0	Steunmast	48	40*40 cm bet.	3	12	0,5	0	0	18	18,5	6:1	1400	263			
9	Donaumast	S+0	Steunmast	48	40*40 cm bet.	3	12	0,5	0	0	15,5	16	6:1	1577	266			
10	Donaumast	S+0	Steunmast	48	40*40 cm bet.	3	12	0,5	0	0	20	20,5	6:1	669	170			
13	Donaumast	S+0	Steunmast	48	40*40 cm bet.	3	12	0,5	0	0	18	18,5	6:1	1011	224			
14	Donaumast	S+0	Steunmast	48	40*40 cm bet.	3	12	0,5	0	0	18	18,5	6:1	1289	268			
16	Donaumast	S+0	Steunmast	48	40*40 cm bet.	3	12	0,5	0	0	15,5	16	6:1	888	171			
18	Donaumast	S+0	Steunmast	48	40*40 cm bet.	3	12	0,5	0	0	18	18,5	6:1	1169	250			
19	Donaumast	S+0	Steunmast	48	40*40 cm bet.	3	12	0,5	0	0	17	17,5	6:1	979	234			
21	Donaumast	S+0	Steunmast	48	40*40 cm bet.	3	12	0,5	0	0	16,5	17	6:1	873	190			
22	Donaumast	S+0	Steunmast	48	40*40 cm bet.	3	12	1,0@0,5	0	0	16,0@16,5	17	6:1	1270	237			
23	Donaumast	S+0	Steunmast	48	40*40 cm bet.	3	12	0,5	0	0	22	22,5	6:1	396	89			
24	Donaumast	S+0	Steunmast	48	40*40 cm bet.	3	12	0,5	0	0	21,5	22	6:1	462	128			
26	Donaumast	S+0	Steunmast	48	40*40 cm bet.	3	12	0,5	0	0	17,5	18	6:1	703	186			
27	Donaumast	S+0	Steunmast	48	40*40 cm bet.	3	12	0,5	0	0	16	16,5	6:1	706	167			
28	Donaumast	S+0	Steunmast	48	40*40 cm bet.	3	12	0,5	0	0	15	15,5	6:1	1199	246			
29	Donaumast	S+0	Steunmast	48	40*40 cm bet.	3	12	0,5	0	0	17	17,5	6:1	559	179			
33	Donaumast	S+0	Steunmast	48	40*40 cm bet.	3	12	0,5	0	0	15,5	16	6:1	638	168			
34	Donaumast	S+0	Steunmast	48	40*40 cm bet.	3	12	0,5	0	0	17	17,5	6:1	587	183			
37	Donaumast	HA+0	Hoekmast	45	40*40 cm bet.	5	20	0	0	0	18	18	5:1	664	100			
50	Donaumast	S+0	Steunmast	48	40*40 cm bet.	3	12	0,5	0	0	16	16,5	6:1	812	175			
51	Donaumast	S+0	Steunmast	48	40*40 cm bet.	3	12	1,0@0,5	0	0	16,0@16,5	17	6:1	1063	228			
52	Donaumast	S+6	Steunmast	54	40*40 cm bet.	3	12	0,5	0	0	16	16,5	6:1	1478	269			
53	Donaumast	S+6	Steunmast	54	40*40 cm bet.	3	12	0,5	0	0	15,5	16	6:1	1481	228			
54	Donaumast	S+0	Steunmast	48	40*40 cm bet.	3	12	0,5	0	0	15	15,5	6:1	1233	240			
55	Donaumast	S+0	Steunmast	48	40*40 cm bet.	3	12	0,5	0	0	15	15,5	6:1	1401	228			
56	Donaumast	S+0	Steunmast	48	40*40 cm bet.	3	12	0,5	0	0	15,5	16	6:1	1580	256			
57	Donaumast	S+0	Steunmast	48	40*40 cm bet.	3	12	0,5	0	0	13,5	14	6:1	1699	271			
58	Donaumast	S+0	Steunmast	48	40*40 cm bet.	3	12	0,5	0	0	12,5	13	6:1	1232	147			
59	Donaumast	S+0	Steunmast	48	40*40 cm bet.	3	12	0,5	0	0	12,5	13	6:1	930	135			
64	Donaumast	S+0	Steunmast	48	40*40 cm bet.	3	12	1,0@0,5	0	0	14,5@15	15,5	6:1	1239	226			
65	Donaumast	S+0	Steunmast	48	40*40 cm bet.	3	12	0,5	0	0	12,5	13	6:1	1526	260			
66	Donaumast	S+0	Steunmast	48	40*40 cm bet.	3	12	0,5	0	0	13	13,5	6:1	1319	270			
68	Donaumast	HA+0	Hoekmast	45	40*40 cm bet.	5	20	0	0	0	12,5	12,5	5:1	1463	176			
69	Donaumast	S+6	Steunmast	54	40*40 cm bet.	3	12	0,5	0	0	11,5	12	6:1	384	136			
71	Donaumast	S+9	Steunmast	57	40*40 cm bet.	3	12	0,5	0	0	13	13,5	6:1	896	176			
73	Donaumast	S+0	Steunmast	48	40*40 cm bet.	3	12	0,5	0	0	12	12,5	6:1	1569	250			
86	Donaumast	S+0	Steunmast	48	LD1+p	1	4	1,5@0,5	0	0	12,5@13,5	14	4,9:4	909	178	3,82	47,75	
90	Donaumast	S+0	Steunmast	48	40*40 cm bet.	3	12	0,5	0	0	14,5	15	6:1	1324	263			
111	Donaumast	S+0	Steunmast	48	40*40 cm bet.	3	12	0,5	0	0	12,5	13	6:1	1376	257			
118	Donaumast	S+0	Steunmast	48	40*40 cm bet.	3	12	0,5	0	0	13	13,5	6:1	1288	236			
121	Donaumast	S+6	Steunmast	54	LD1+p	1	4	0,5	0	0	16	16,5	4,9:1	1627	387	3,82	57,30	
123	Donaumast	S+6	Steunmast	54	40*40 cm bet.	3	12	0,5	0	0	13,5	14	6:1	1180	222			
124	Donaumast	S+0	Steunmast	48	40*40 cm bet.	3	12	0,5	0	0	12,5	13	6:1	962	132			
126	Donaumast	S+6	Steunmast	54	LD1+p	1	4	1,5@0,5	0	0	14,0@15,0	15,5	4,9:1	908	270	3,82	53,48	
~~**128**~~	~~Donaumast~~	~~S+0~~	~~Steunmast~~	~~48~~	~~LD1+p~~	~~1~~	~~4~~	~~1,5@0,5~~	~~0~~	~~0~~	~~12,5@13,5~~	~~14~~	~~4,9:1~~	~~1319~~	~~322~~	~~3,82~~	~~47,75~~	
~~**130**~~	~~Donaumast~~	~~S+0~~	~~Steunmast~~	~~48~~	~~LD1+p~~	~~1~~	~~4~~	~~1,0@0,5~~	~~0~~	~~0~~	~~12,5@13,0~~	~~13,5~~	~~4,9:1~~	~~1454~~	~~348~~	~~3,82~~	~~45,84~~	
~~**131**~~	~~Donaumast~~	~~S+6~~	~~Steunmast~~	~~54~~	~~LD1+p~~	~~1~~	~~4~~	~~2,5@1,5~~	~~0~~	~~0~~	~~12,0@14,0~~	~~14,5~~	~~4,9:1~~	~~1245~~	~~409~~	~~3,82~~	~~49,66~~	
~~**133**~~	~~Donaumast~~	~~S+0~~	~~Steunmast~~	~~48~~	~~LD1+p~~	~~1~~	~~4~~	~~1,5@0,5~~	~~0~~	~~0~~	~~13,0@14,0~~	~~14,5~~	~~4,9:1~~	~~1223~~	~~413~~	~~3,82~~	~~49,66~~	
~~**134**~~	~~Donaumast~~	~~S+0~~	~~Steunmast~~	~~48~~	~~LD1+p~~	~~1~~	~~4~~	~~1,5@0,5~~	~~0~~	~~0~~	~~12,0@13,0~~	~~13,5~~	~~4,9:1~~	~~1505~~	~~428~~	~~3,82~~	~~45,84~~	
~~**135**~~	~~Donaumast~~	~~S+0~~	~~Steunmast~~	~~48~~	~~LD1+p~~	~~1~~	~~4~~	~~1,5@0,5~~	~~0~~	~~0~~	~~12,5@13,5~~	~~14~~	~~4,9:1~~	~~1457~~	~~317~~	~~3,82~~	~~47,75~~	
~~**136**~~	~~Donaumast~~	~~S+0~~	~~Steunmast~~	~~48~~	~~LD1+p~~	~~1~~	~~4~~	~~2,5@0,5~~	~~0~~	~~0~~	~~10,0@12,0~~	~~12,5~~	~~4,9:1~~	~~1271~~	~~319~~	~~3,82~~	~~42,02~~	
~~**141**~~	~~Donaumast~~	~~S+0~~	~~Steunmast~~	~~48~~	~~LD1+p~~	~~1~~	~~4~~	~~1,5@0,5~~	~~0~~	~~0~~	~~11,5@12,5~~	~~13~~	~~4,9:1~~	~~900~~	~~194~~	~~3,82~~	~~43,93~~	
~~**142**~~	~~Donaumast~~	~~S+0~~	~~Steunmast~~	~~48~~	~~LD1+p~~	~~1~~	~~4~~	~~1,5@0,5~~	~~0~~	~~0~~	~~12,5@13,5~~	~~14~~	~~4,9:1~~	~~800~~	~~203~~	~~3,82~~	~~47,75~~	
~~**143**~~	~~Donaumast~~	~~S+0~~	~~Steunmast~~	~~48~~	~~LD1+p~~	~~1~~	~~4~~	~~1,5~~	~~0~~	~~0~~	~~13~~	~~14,5~~	~~4,9:1~~	~~986~~	~~226~~	~~3,82~~	~~49,66~~	
~~**144**~~	~~Donaumast~~	~~S+6~~	~~Steunmast~~	~~54~~	~~LD1+p~~	~~1~~	~~4~~	~~3,5~~	~~0~~	~~275+~~	~~14~~	~~17,5~~	~~4,9:1~~	~~868~~	~~234~~			
~~**145**~~	~~Donaumast~~	~~S+6~~	~~Steunmast~~	~~54~~	~~LD1+p~~	~~1~~	~~4~~	~~0,5~~	~~0~~	~~50+~~	~~14~~	~~14,5~~	~~4,9:1~~	~~1900~~	~~414~~	~~3,82~~	~~49,66~~	
~~**146 optie 1**~~	~~Donaumast~~	~~S+9~~	~~Steunmast~~	~~57~~	~~32*32 cm bet.~~	~~5~~	~~20~~	~~1,5@1,0~~	~~0~~	~~50+~~	~~7,5@8,0~~	~~9~~	~~5:1~~	~~84~~	~~1~~			
~~**147 optie 1**~~	~~Donaumast~~	~~S+9~~	~~Steunmast~~	~~57~~	~~32*32 cm bet.~~	~~5~~	~~20~~	~~1,5@1,0~~	~~0~~	~~80+~~	~~7,5@8,0~~	~~9~~	~~5:1~~	~~411~~	~~31~~			
~~**148**~~	~~Donaumast~~	~~S+12~~	~~Steunmast~~	~~60~~	~~2 LD1+p~~	~~2~~	~~8~~	~~1,5~~	-	~~80+~~	~~13,5~~	~~15~~	~~5:1~~	~~859~~	~~190~~	~~3,82~~	~~51,57~~	
150	Donaumast	S+9	Steunmast	57	LD1+p	1	4	2	0	80+	14,5	16,5	4,9:1	1469	275	3,82	57,30	
151	Donaumast	S+9	Steunmast	57	LD1+p	1	4	2,5	0	130+	13	15,5	4,9:1	956	229	3,82	53,48	
152	Donaumast	S+0	Steunmast	48	LD1+p	1	4	0,5	0	145+	18	18,5	4,9:1	1572	436	3,82	64,94	
153	Donaumast	S+0	Steunmast	48	LD1+p	1	4	1	0	135+	15,5	16,5	4,9:1	839	239	3,82	57,30	
157	Donaumast	S+24	Steunmast	75,5	40*40 cm bet.	4	16	0	0	50+	15,5	15,5	5:1	468	345			
158	Donaumast	S+24	Steunmast	75,5	40*40 cm bet.	4	16	0,0@0,5	0	50+	21,0@21,5	21	5:1	1583	281			

Mast	Poergegevens bestaand: Poer- type	b [m]	l [m]	h [m]	hoek [m]	b poer [m]	l poer [m]	h poer [m]	Volume poer [m^3]	EG poer[kN]	Fd;eg poer / paal [kN]	Verankering: Type Ringen of stiftdeuvels	Type Blokdeuvel	Type ankers/ voetplaat	Capaciteit drukkracht mast - fundatie [kN]	Capaciteit trekkracht mast - fundatie [kN]	Capaciteit drukkracht fundatie - paal [kN/paal]	Capaciteit trekkracht fundatie - paal [kN/paal]
4	Blokpoer(220) (3*B)	0,74	1,41	1,2	0	0	0	0	5,00832	120,19968	10,01664	n.v.t.	n.v.t.	B: 4xM36-520.320.38	800	594	2080	370
5	Blokpoer(220) (3*B)	0,74	1,41	1,2	0	0	0	0	5,00832	120,19968	10,01664	n.v.t.	n.v.t.	B: 4xM36-520.320.38	800	594	2080	370
6	Blokpoer(220) (3*B)	0,74	1,41	1,2	0	0	0	0	5,01	120,20	10,02	n.v.t.	n.v.t.	B: 4xM36-520.320.38	800	594	2080	370
7	Blokpoer(220) (3*B)	0,74	1,41	1,2	0	0	0	0	5,01	120,20	10,02	n.v.t.	n.v.t.	B: 4xM36-520.320.38	800	594	2080	370
9	Blokpoer(220) (3*B)	0,74	1,41	1,2	0	0	0	0	5,01	120,20	10,02	n.v.t.	n.v.t.	B: 4xM36-520.320.38	800	594	2080	370
10	Blokpoer(220) (3*B)	0,74	1,41	1,2	0	0	0	0	5,00832	120,19968	10,01664	n.v.t.	n.v.t.	B: 4xM36-520.320.38	800	594	2080	370
13	Blokpoer(220) (3*B)	0,74	1,41	1,2	0	0	0	0	5,01	120,20	10,02	n.v.t.	n.v.t.	B: 4xM36-520.320.38	800	594	2080	370
14	Blokpoer(220) (3*B)	0,74	1,41	1,2	0	0	0	0	5,01	120,20	10,02	n.v.t.	n.v.t.	B: 4xM36-520.320.38	800	594	2080	370
16	Blokpoer(220) (3*B)	0,74	1,41	1,2	0	0	0	0	5,00832	120,19968	10,01664	n.v.t.	n.v.t.	B: 4xM36-520.320.38	800	594	2080	370
18	Blokpoer(220) (3*B)	0,74	1,41	1,2	0	0	0	0	5,01	120,20	10,02	n.v.t.	n.v.t.	B: 4xM36-520.320.38	800	594	2080	370
19	Blokpoer(220) (3*B)	0,74	1,41	1,2	0	0	0	0	5,01	120,20	10,02	n.v.t.	n.v.t.	B: 4xM36-520.320.38	800	594	2080	370
21	Blokpoer(220) (3*B)	0,74	1,41	1,2	0	0	0	0	5,00832	120,19968	10,01664	n.v.t.	n.v.t.	B: 4xM36-520.320.38	800	594	2080	370
22	Blokpoer(220) (3*B)	0,74	1,41	1,2	0	0	0	0	5,01	120,20	10,02	n.v.t.	n.v.t.	B: 4xM36-520.320.38	800	594	2080	370
23	Blokpoer(220) (3*B)	0,74	1,41	1,2	0	0	0	0	5,00832	120,19968	10,01664	n.v.t.	n.v.t.	B: 4xM36-520.320.38	800	594	2080	370
24	Blokpoer(220) (3*B)	0,74	1,41	1,2	0	0	0	0	5,00832	120,19968	10,01664	n.v.t.	n.v.t.	B: 4xM36-520.320.38	800	594	2080	370
26	Blokpoer(220) (3*B)	0,74	1,41	1,2	0	0	0	0	5,00832	120,19968	10,01664	n.v.t.	n.v.t.	B: 4xM36-520.320.38	800	594	2080	370
27	Blokpoer(220) (3*B)	0,74	1,41	1,2	0	0	0	0	5,00832	120,19968	10,01664	n.v.t.	n.v.t.	B: 4xM36-520.320.38	800	594	2080	370
28	Blokpoer(220) (3*B)	0,74	1,41	1,2	0	0	0	0	5,01	120,20	10,02	n.v.t.	n.v.t.	B: 4xM36-520.320.38	800	594	2080	370
29	Blokpoer(220) (3*B)	0,74	1,41	1,2	0	0	0	0	5,00832	120,19968	10,01664	n.v.t.	n.v.t.	B: 4xM36-520.320.38	800	594	2080	370
33	Blokpoer(220) (3*B)	0,74	1,41	1,2	0	0	0	0	5,00832	120,19968	10,01664	n.v.t.	n.v.t.	B: 4xM36-520.320.38	800	594	2080	370
34	Blokpoer(220) (3*B)	0,74	1,41	1,2	0	0	0	0	5,00832	120,19968	10,01664	n.v.t.	n.v.t.	B: 4xM36-520.320.38	800	594	2080	370
37	Balkrooster (5*B)	0,9	12,5	0,75	1,55	0,94	0,68	1,17	40,345206	968,28494	48,414247	n.v.t.	n.v.t.	A: 6xM64-800.550.75	2100	1250	2080	370
50	Blokpoer(220) (3*B)	0,74	1,41	1,2	0	0	0	0	5,00832	120,19968	10,01664	n.v.t.	n.v.t.	B: 4xM36-520.320.38	800	594	2080	370
51	Blokpoer(220) (3*B)	0,74	1,41	1,2	0	0	0	0	5,01	120,20	10,02	n.v.t.	n.v.t.	B: 4xM36-520.320.38	800	594	2080	370
52	Blokpoer(220) (3*B)	0,74	1,41	1,2	0	0	0	0	5,01	120,20	10,02	n.v.t.	n.v.t.	B: 4xM36-520.320.38	800	594	2080	370
53	Blokpoer(220) (3*B)	0,74	1,41	1,2	0	0	0	0	5,01	120,20	10,02	n.v.t.	n.v.t.	B: 4xM36-520.320.38	800	594	2080	370
54	Blokpoer(220) (3*B)	0,74	1,41	1,2	0	0	0	0	5,01	120,20	10,02	n.v.t.	n.v.t.	B: 4xM36-520.320.38	800	594	2080	370
55	Blokpoer(220) (3*B)	0,74	1,41	1,2	0	0	0	0	5,01	120,20	10,02	n.v.t.	n.v.t.	B: 4xM36-520.320.38	800	594	2080	370
56	Blokpoer(220) (3*B)	0,74	1,41	1,2	0	0	0	0	5,01	120,20	10,02	n.v.t.	n.v.t.	B: 4xM36-520.320.38	800	594	2080	370
57	Blokpoer(220) (3*B)	0,74	1,41	1,2	0	0	0	0	5,01	120,20	10,02	n.v.t.	n.v.t.	B: 4xM36-520.320.38	800	594	2080	370
58	Blokpoer(220) (3*B)	0,74	1,41	1,2	0	0	0	0	5,00832	120,19968	10,01664	n.v.t.	n.v.t.	B: 4xM36-520.320.38	800	594	2080	370
59	Blokpoer(220) (3*B)	0,74	1,41	1,2	0	0	0	0	5,00832	120,19968	10,01664	n.v.t.	n.v.t.	B: 4xM36-520.320.38	800	594	2080	370
64	Blokpoer(220) (3*B)	0,74	1,41	1,2	0	0	0	0	5,01	120,20	10,02	n.v.t.	n.v.t.	B: 4xM36-520.320.38	800	594	2080	370
65	Blokpoer(220) (3*B)	0,74	1,41	1,2	0	0	0	0	5,01	120,20	10,02	n.v.t.	n.v.t.	B: 4xM36-520.320.38	800	594	2080	370
66	Blokpoer(220) (3*B)	0,74	1,41	1,2	0	0	0	0	5,01	120,20	10,02	n.v.t.	n.v.t.	B: 4xM36-520.320.38	800	594	2080	370
68	Balkrooster (5*B)	0,9	12,5	0,75	1,55	0,94	0,68	1,17	40,35	968,28	48,41	n.v.t.	n.v.t.	A: 6xM64-800.550.75	2100	1250	2080	370
69	Blokpoer(220) (3*B)	0,74	1,41	1,2	0	0	0	0	5,00832	120,19968	10,01664	n.v.t.	n.v.t.	B: 4xM36-520.320.38	800	594	2080	370
71	Blokpoer(220) (3*B)	0,74	1,41	1,2	0	0	0	0	5,00832	120,19968	10,01664	?	?	C: 2xM64-450.450.45	950	708	2080	370
73	Blokpoer(220) (3*B)	0,74	1,41	1,2	0	0	0	0	5,01	120,20	10,02	n.v.t.	n.v.t.	B: 4xM36-520.320.38	800	594	2080	370
86	Cilinderpoer(75) (1*LI	0,66467	0,66467	1,56	0	0	0	0	2,7567459	66,161903	16,540476	G: 6x30.50.180	M: 12x50.30.100	n.v.t.	1205	1205	916	916
90	Blokpoer(220) (3*B)	0,74	1,41	1,2	0	0	0	0	5,01	120,20	10,02	n.v.t.	n.v.t.	B: 4xM36-520.320.38	800	594	2080	370
111	Blokpoer(220) (3*B)	0,74	1,41	1,2	0	0	0	0	5,01	120,20	10,02	n.v.t.	n.v.t.	B: 4xM36-520.320.38	800	594	2080	370
118	Blokpoer(220) (3*B)	0,74	1,41	1,2	0	0	0	0	5,01	120,20	10,02	n.v.t.	n.v.t.	B: 4xM36-520.320.38	800	594	2080	370
121	Cilinderpoer(75) (1*LI	0,66	0,66	1,56	0	0	0	0	2,76	66,16	16,54	G: 6x30.50.180	M: 12x50.30.100	n.v.t.	1205	1205	916	916
123	Blokpoer(220) (3*B)	0,74	1,41	1,2	0	0	0	0	5,01	120,20	10,02	n.v.t.	n.v.t.	B: 4xM36-520.320.38	800	594	2080	370
124	Blokpoer(220) (3*B)	0,74	1,41	1,2	0	0	0	0	5,00832	120,19968	10,01664	n.v.t.	n.v.t.	B: 4xM36-520.320.38	800	594	2080	370
126	Cilinderpoer(75) (1*LI	0,66467	0,66467	1,56	0	0	0	0	2,7567459	66,161903	16,540476	G: 6x30.50.180	M: 12x50.30.100	n.v.t.	1205	1205	916	916
~~**128**~~	~~Cilinderpoer(75) (1*LI~~	~~0,66~~	~~0,66~~	~~1,56~~	~~0~~	~~0~~	~~0~~	~~0~~	~~2,76~~	~~66,16~~	~~16,54~~	~~G: 6x30.50.180~~	~~M: 12x50.30.100~~	~~n.v.t.~~	~~1205~~	~~1205~~	~~916~~	~~916~~
~~**130**~~	~~Cilinderpoer(75) (1*LI~~	~~0,66~~	~~0,66~~	~~1,56~~	~~0~~	~~0~~	~~0~~	~~0~~	~~2,76~~	~~66,16~~	~~16,54~~	~~G: 6x30.50.180~~	~~M: 12x50.30.100~~	~~n.v.t.~~	~~1205~~	~~1205~~	~~916~~	~~916~~
~~**131**~~	~~Cilinderpoer(75) (1*LI~~	~~0,66~~	~~0,66~~	~~1,56~~	~~0~~	~~0~~	~~0~~	~~0~~	~~2,76~~	~~66,16~~	~~16,54~~	~~G: 6x30.50.180~~	~~M: 12x50.30.100~~	~~n.v.t.~~	~~1205~~	~~1205~~	~~916~~	~~916~~
~~**133**~~	~~Cilinderpoer(75) (1*LI~~	~~0,66~~	~~0,66~~	~~1,56~~	~~0~~	~~0~~	~~0~~	~~0~~	~~2,76~~	~~66,16~~	~~16,54~~	~~G: 6x30.50.180~~	~~M: 12x50.30.100~~	~~n.v.t.~~	~~1205~~	~~1205~~	~~916~~	~~916~~
~~**134**~~	~~Cilinderpoer(75) (1*LI~~	~~0,66~~	~~0,66~~	~~1,56~~	~~0~~	~~0~~	~~0~~	~~0~~	~~2,76~~	~~66,16~~	~~16,54~~	~~G: 6x30.50.180~~	~~M: 12x50.30.100~~	~~n.v.t.~~	~~1205~~	~~1205~~	~~916~~	~~916~~
~~**135**~~	~~Cilinderpoer(75) (1*LI~~	~~0,66~~	~~0,66~~	~~1,56~~	~~0~~	~~0~~	~~0~~	~~0~~	~~2,76~~	~~66,16~~	~~16,54~~	~~G: 6x30.50.180~~	~~M: 12x50.30.100~~	~~n.v.t.~~	~~1205~~	~~1205~~	~~916~~	~~916~~
~~**136**~~	~~Cilinderpoer(75) (1*LI~~	~~0,66~~	~~0,66~~	~~1,56~~	~~0~~	~~0~~	~~0~~	~~0~~	~~2,76~~	~~66,16~~	~~16,54~~	~~G: 6x30.50.180~~	~~M: 12x50.30.100~~	~~n.v.t.~~	~~1205~~	~~1205~~	~~916~~	~~916~~
~~**141**~~	~~Cilinderpoer(75) (1*LI~~	~~0,66467~~	~~0,66467~~	~~1,56~~	~~0~~	~~0~~	~~0~~	~~0~~	~~2,7567459~~	~~66,161903~~	~~16,540476~~	~~G: 6x30.50.180~~	~~M: 12x50.30.100~~	~~n.v.t.~~	~~1205~~	~~1205~~	~~916~~	~~916~~
~~**142**~~	~~Cilinderpoer(75) (1*LI~~	~~0,66467~~	~~0,66467~~	~~1,56~~	~~0~~	~~0~~	~~0~~	~~0~~	~~2,7567459~~	~~66,161903~~	~~16,540476~~	~~G: 6x30.50.180~~	~~M: 12x50.30.100~~	~~n.v.t.~~	~~1205~~	~~1205~~	~~916~~	~~916~~
~~**143**~~	~~Cilinderpoer(75) (1*LI~~	~~0,66467~~	~~0,66467~~	~~1,56~~	~~0~~	~~0~~	~~0~~	~~0~~	~~2,7567459~~	~~66,161903~~	~~16,540476~~	~~G: 6x30.50.180~~	~~M: 12x50.30.100~~	~~n.v.t.~~	~~1205~~	~~1205~~	~~916~~	~~916~~
~~**144**~~	~~Koppelframe (Cilinder~~	~~0,66467~~	~~0,66467~~	~~1,56~~	~~0~~	~~0~~	~~0~~	~~0~~	~~2,7567459~~	~~66,161903~~	~~16,540476~~	~~G: 6x30.50.180~~	~~M: 12x50.30.100~~	~~n.v.t.~~	~~1205~~	~~1205~~	~~916~~	~~916~~
~~**145**~~	~~Cilinderpoer(75) (1*LI~~	~~0,66~~	~~0,66~~	~~1,56~~	~~0~~	~~0~~	~~0~~	~~0~~	~~2,76~~	~~66,16~~	~~16,54~~	~~G: 6x30.50.180~~	~~M: 12x50.30.100~~	~~n.v.t.~~	~~1205~~	~~1205~~	~~916~~	~~916~~
~~**146 optie 1**~~	~~Balkrooster (5*B)~~	~~0,9~~	~~12,5~~	~~0,75~~	~~1,55~~	~~0,94~~	~~0,68~~	~~1,17~~	~~40,345206~~	~~968,28494~~	~~48,414247~~	~~?~~	~~?~~	~~C: 2xM64-450.450.45~~	~~1000~~	~~708~~	~~1331,2~~	~~90,5~~
~~**147 optie 1**~~	~~Balkrooster (5*B)~~	~~0,9~~	~~12,5~~	~~0,75~~	~~1,55~~	~~0,94~~	~~0,68~~	~~1,17~~	~~40,345206~~	~~968,28494~~	~~48,414247~~	~~?~~	~~?~~	~~C: 2xM64-450.450.45~~	~~1000~~	~~708~~	~~1331,2~~	~~90,5~~
~~**148**~~	~~Blokpoer(200) (2*LD1~~	~~0,9~~	~~2~~	~~1,05~~	~~0~~	~~0,55~~	~~0,55~~	~~0,5~~	~~8,165~~	~~196~~	~~24,5~~	~~C9. Poer~~	~~n.v.t.~~	~~C: 2xM64-450.450.45~~	~~1000~~	~~708~~	~~1363~~	~~1363~~
150	Cilinderpoer(75) (1*LI	0,66467	0,66467	1,56	0	0	0	0	2,7567459	66,161903	16,540476	G: 6x30.50.180	N: 10x50.30.160	n.v.t.	1504	1504	916	916
151	Cilinderpoer(75) (1*LI	0,66467	0,66467	1,56	0	0	0	0	2,7567459	66,161903	16,540476	G: 6x30.50.180	N: 10x50.30.160	n.v.t.	1504	1504	916	916
152	Cilinderpoer(75) (1*LI	0,66	0,66	1,56	0	0	0	0	2,76	66,16	16,54	G: 6x30.50.180	M: 12x50.30.100	n.v.t.	1205	1205	916	916
153	Cilinderpoer(75) (1*LI	0,66467	0,66467	1,56	0	0	0	0	2,7567459	66,161903	16,540476	G: 6x30.50.180	M: 12x50.30.100	n.v.t.	1205	1205	916	916
157	Balkrooster (4*B)	0,9	13,438	0,75	1,55	1	0,75	1,17	43,39635	1041,5124	65,094525	n.v.t.	n.v.t.	D: 6xM65-700.500.55	2000	1250	2080	370
158	Balkrooster (4*B)	0,9	13,438	0,75	1,55	1	0,75	1,17	43,39635	1041,5124	65,094525	n.v.t.	n.v.t.	D: 6xM65-700.500.55	2000	1250	2080	370

Mast	Paalgegevens nieuw (LEKA palen): Aantal extra palen	Paaltype	Paal boven maaiveld [m NAP]	Maaiveld t.o.v. NAP [m]	PPN t.o.v. NAP [m]	PP niveau t.o.v. maaiveld [m]	Paallengte [m]	Schoor… op 1	Drukcapaciteit enkele paal [kN]	Trekcapaciteit enkele paal [kN]
4	2	Rond 219/310	-1,85		-29		27,15		1031	371
5	2	Rond 219/310	-2,01		-27,5		25,49		1021	367
6										
7										
9										
10	2	Rond 219/310	-1,86		-30		28,14		935	368
13										
14										
16	2	Rond 324/470	-2,29		-23		20,71		1192	381
18										
19										
21	2	Rond 273/370	-2,24		-24,5		22,26		1053	377
22										
23	2	Rond 324/470	-1,95		-30		28,05		858	424
24	2	Rond 273/370	-2		-30,5		28,5		781	370
26	2	Rond 219/310	-1,95		-28		26,05		981	376
27	2	Rond 219/310	-1,82		-27		25,18		1068	384
28										
29	2	Rond 324/470	-1,86		-24,5		22,64		1184	387
33	2	Rond 273/370	-1,98		-24,5		22,52		1266	387
34	2	Rond 324/470	2,05		-24,5		26,55		1078	385
37	2	Rond 219/310	-1,1		-20,5		19,4		377	93
50	2	Rond 219/310	-1,67		-23		21,33		802	272
51										
52										
53										
54										
55										
56										
57										
58	2	Rond 219/310	-1,71		-21		19,29		897	291
59	2	Rond 219/310	-1,79		-21,5		19,71		1026	292
64										
65										
66										
68										
69	2	Rond 219/310	-0,85		-21,5		20,65		946	351
71	2	Rond 219/310	-0,48		-20,5		20,02		1072	344
73										
86	2	Rond 324/470	-0,4		-13		12,6		718	192
90										
111										
118										
121										
123										
124	2	Rond 219/310	-1,76		-22,5		20,74		1027	305
126	2	Rond 324/470	-0,5		-15,5		15		849	295
~~**128**~~										
~~**130**~~										
~~**131**~~										
~~**133**~~										
~~**134**~~										
~~**135**~~										
~~**136**~~										
~~**141**~~	~~2~~	~~Rond 324/470~~	~~-0,94~~		~~-12,5~~		~~11,56~~		~~716~~	~~207~~
~~**142**~~	~~2~~	~~Rond 324/470~~	~~-0,9~~		~~-13,5~~		~~12,6~~		~~667~~	~~220~~
~~**143**~~	~~2~~	~~Rond 324/470~~	~~-1,13~~		~~-14~~		~~12,87~~		~~806~~	~~234~~
~~**144**~~	~~2~~	~~Rond 219/310~~	~~-1,44~~		~~-24,5~~		~~23,06~~		~~1343~~	~~453~~
~~**145**~~										
~~**146 optie 1**~~	~~2~~	~~Rond 219/310~~	~~-1,7~~		~~-17,5~~		~~15,8~~		~~668~~	~~179~~
~~**147 optie 1**~~	~~2~~	~~Rond 219/310~~	~~-1,73~~		~~-16,5~~		~~14,77~~		~~545~~	~~144~~
~~**148**~~	~~2~~	~~Rond 219/310~~	~~-1,78~~	-	~~-20,5~~	-	~~18,72~~	-	~~1256~~	~~336~~
150	2	Rond 324/470	-1,89		-15		13,11	12,5/1	993	256
151	2	Rond 324/470	-1,83		-15,5		13,67	12,5/1	955	271
152										
153	2	Rond 324/470	-2,11		-17,5		15,39	12,5/1	799	237
157	2	Rond 219/310	-1,96		-24		22,04		973	233
158	2	Rond 219/310	-1,39		-22,5		21,11		654	177

Mast	Poergegevens nieuw: Poer- verzwaringstype	b poer [m]	l poer [m]	h poer [m]	b balk [m]	l balk[m]	h balk/hoek	Hoek l [m]	Afm. onder	Volume onder GWS [m^3]	Volumepoer [m	EG per nieuwe poer Max [kN]	EG per nieuwe poer Min [kN]	Waterdruk [kN]
4	palen	2,26	4	1,1	0	0	0							
5	palen	2,26	4	1,1	0	0	0							
6	F1 - Ballast zwaar	2,56	3,70	1,1	0	0	0	0,0	0	0	10	220,0	123,8	0
7	F1 - Ballast licht	1,86	3,00	1,1	0	0	0	0,0	0	0	6	117,3	66,0	0
9	F1 - Ballast licht	1,86	3,00	1,1	0	0	0	0,0	0	0	6	117,3	66,0	0
10	palen	2,26	4	1,1	0	0	0							
13	F2 - Ballast + Koppelbalk	2,56	3,70	1,1	0,75	4,9	0,9	1,0	0	0	14	310,2	174,5	0
14	F1 - Ballast licht	1,86	3,00	1,1	0	0	0	0,0	0	0	6	117,3	66,0	0
16	palen	2,26	4	1,1	0	0	0							
18	F1 - Ballast zwaar	2,56	3,70	1,1	0	0	0	0,0	0	0	10	220,0	123,8	0
19	F2 - Ballast + Koppelbalk	2,56	3,70	1,1	0,75	4,9	0,9	1,0	0	0	14	310,2	174,5	0
21	palen	2,26	4	1,1	0	0	0							
22	F2 - Ballast + Koppelbalk	2,56	3,70	1,1	0,75	4,9	0,9	1,0	0	0	14	310,2	174,5	0
23	palen	2,26	4	1,1	0	0	0							
24	palen	2,26	4	1,1	0	0	0							
26	palen	2,26	4	1,1	0	0	0							
27	palen	2,26	4	1,1	0	0	0							
28	F1 - Ballast zwaar	2,56	3,70	1,1	0	0	0	0,0	0	0	10	220,0	123,8	0
29	palen	2,26	4	1,1	0	0	0							
33	palen	2,26	4	1,1	0	0	0							
34	palen	2,26	4	1,1	0	0	0							
37	F5 - Aanstorting met 2 palen	0	0	0	1	2 x 4,5	0,75							
50	palen	2,26	4	1,1	0	0	0							
51	F2 - Ballast + Koppelbalk	2,56	3,70	1,1	0	0	0	0,0	0	0	14	310,2	174,5	0
52	F1 - Ballast licht	1,86	3,00	1,1	0	0	0	0,0	0	0	6	117,3	66,0	0
53	F2 - Ballast + Koppelbalk	2,56	3,70	1,1	0,75	4,9	0,9	1,0	0	0	14	310,2	174,5	0
54	F2 - Ballast + Koppelbalk	2,56	3,70	1,1	0,75	4,9	0,9	1,0	0	0	14	310,2	174,5	0
55	F2 - Ballast + Koppelbalk	2,56	3,70	1,1	0,75	4,9	0,9	1,0	0	0	14	310,2	174,5	0
56	F1 - Ballast licht	1,86	3,00	1,1	0	0	0	0,0	0	0	6	117,3	66,0	0
57	F1 - Ballast licht	1,86	3,00	1,1	0	0	0	0,0	0	0	6	117,3	66,0	0
58	palen	2,26	4	1,1	0	0	0							
59	palen	2,26	4	1,1	0	0	0							
64	F2 - Ballast + Koppelbalk	2,56	3,70	1,1	0,75	4,9	0,9	1,0	0	0	14	310,2	174,5	0
65	F1 - Ballast licht	1,86	3,00	1,1	0	0	0	0,0	0	0	6	117,3	66,0	0
66	F1 - Ballast licht	1,86	3,00	1,1	0	0	0	0,0	0	0	6	117,3	66,0	0
68	- - -	0,9	6,83	1,05	0	0	1,8	2,3	0,4	0,02	19	217,3	122,2	0,2
69	palen	2,26	4	1,1	0	0	0							
71	palen	2,26	4	1,1	0	0	0							
73	F1 - Ballast zwaar	2,56	3,70	1,1	0	0	0	0,0	0	0	10	220,0	123,8	0
86	F3 - Extra palen (2 stuks)	0	0	0	1,6	3,2	1,5							
90	F1 - Ballast licht	1,86	3,00	1,1	0	0	0	0,0	0	0	6	117,3	66,0	0
111	F1 - Ballast licht	1,86	3,00	1,1	0	0	0	0,0	0	0	6	117,3	66,0	0
118	F2 - Ballast + Koppelbalk	2,56	3,70	1,1	0,75	4,9	0,9	1,0	0	0	14	310,2	174,5	0
121	F1 - Ballast	2,60	2,60	1,5	0	0	0	0,0	1,0	0	10	226,8	127,6	0
123	F2 - Ballast + Koppelbalk	2,56	3,70	1,1	0,75	4,9	0,9	1,0	0	0	14	310,2	174,5	0
124	palen	2,26	4	1,1	0	0	0							
126	F3 - Extra palen (2 stuks)	0	0	0	1,6	3,2	1,5							
~~**128**~~	~~F1 - Ballast~~	~~2,60~~	~~2,60~~	~~1,5~~	~~0~~	~~0~~	~~0~~	~~0,0~~	~~1~~	~~0~~	~~10~~	~~226,8~~	~~127,6~~	~~0~~
~~**130**~~	~~F1 - Ballast~~	~~2,60~~	~~2,60~~	~~1,5~~	~~0~~	~~0~~	~~0~~	~~0,0~~	~~1~~	~~0~~	~~10~~	~~226,8~~	~~127,6~~	~~0~~
~~**131**~~	~~F1 - Ballast~~	~~2,60~~	~~2,60~~	~~1,5~~	~~0~~	~~0~~	~~0~~	~~0,0~~	~~1~~	~~0~~	~~10~~	~~226,8~~	~~127,6~~	~~0~~
~~**133**~~	~~- - -~~	~~2,60~~	~~2,60~~	~~1,5~~	~~0~~	~~0~~	~~0~~	~~0,0~~	~~1~~	~~0~~	~~10~~	~~226,8~~	~~127,6~~	~~0~~
~~**134**~~	~~- - -~~	~~2,60~~	~~2,60~~	~~1,5~~	~~0~~	~~0~~	~~0~~	~~0,0~~	~~1~~	~~0~~	~~10~~	~~226,8~~	~~127,6~~	~~0~~
~~**135**~~	~~F1 - Ballast~~	~~2,60~~	~~2,60~~	~~1,5~~	~~0~~	~~0~~	~~0~~	~~0,0~~	~~1~~	~~0~~	~~10~~	~~226,8~~	~~127,6~~	~~0~~
~~**136**~~	~~F1 - Ballast~~	~~2,60~~	~~2,60~~	~~1,5~~	~~0~~	~~0~~	~~0~~	~~0,0~~	~~1~~	~~0~~	~~10~~	~~226,8~~	~~127,6~~	~~0~~
~~**141**~~	~~F3 - Extra palen (2 stuks)~~	~~0~~	~~0~~	~~0~~	~~1,6~~	~~3,2~~	~~1,5~~							
~~**142**~~	~~F3 - Extra palen (2 stuks)~~	~~0~~	~~0~~	~~0~~	~~1,6~~	~~3,2~~	~~1,5~~							
~~**143**~~	~~F3 - Extra palen (2 stuks)~~	~~0~~	~~0~~	~~0~~	~~1,6~~	~~3,2~~	~~1,5~~							
~~**144**~~	~~Koppelbalk~~	~~1,6~~	~~3,2~~	~~1,5~~	~~0~~	~~0~~	~~0~~							
~~**145**~~	~~F1 - Ballast~~	~~2,60~~	~~2,60~~	~~1,5~~	~~0~~	~~0~~	~~0~~	~~0,0~~	~~1~~	~~0~~	~~10~~	~~226,8~~	~~127,6~~	~~0~~
~~**146 optie 1**~~	~~F5 - Aanstorting met 3 palen~~	~~0~~	~~0~~	~~0~~	~~1~~	~~2 x 4,5~~	~~0,75~~							
~~**147 optie 1**~~	~~F5 - Aanstorting met 3 palen~~	~~0~~	~~0~~	~~0~~	~~1~~	~~2 x 4,5~~	~~0,75~~							
~~**148**~~	~~F5 - Blokpoer met 2 extra palen~~	~~2~~	~~3,3~~	~~1,5~~	~~0~~	~~0~~	~~0~~		-	-	-			-
150	F3 - Extra palen (2 stuks) - Schoorpalen	0	0	0	1,6	3,2	1,5							
151	F3 - Extra palen (2 stuks) - Schoorpalen	0	0	0	1,6	3,2	1,5							
152	F1 - Ballast	2,60	2,60	1,5	0	0	0	0,0	1	0	10	226,8	127,6	0
153	F3 - Extra palen (2 stuks) - Schoorpalen	0	0	0	1,6	3,2	1,5							
157	F5 - Aanstorting met 3 palen	0	0	0	1	2 x 4,5	0,75							
158	F5 - Aanstorting met 2 palen	0	0	0	1	2 x 4,5	0,75							

Mast	SCIA model fundering input: Naam SCIA-model funderingstype	Beschouwde belasting	Beschikbare rapportage vanuit Lijnen	Gehanteerde rapportage vanuit Lijnen	Toelichting	Windgebied	Maatgevende belasting	PY Curve 1 of 2	Begrensde paalcapaciteit beschouwd	Opmerking
4	**KIJ-DIM380-Blokpoer-3xBeton40x40-MAST-S+0 - II F4**	VB max S+0 wind II	380 KIJ-DIM S+0_R2	380 KIJ-DIM S+0_R2		2		1	559 druk en 132 trek	meerdere masten model
5	**KIJ-DIM380-Blokpoer-3xBeton40x40-MAST-S+0 - II F4**	VB max S+0 wind II	380 KIJ-DIM S+0_R2	380 KIJ-DIM S+0_R2		2		1	559 druk en 132 trek	meerdere masten model
6		VB max S+0 wind II	380 KIJ-DIM S+0_R2	380 KIJ-DIM S+0_R2		2			655 druk en 275 trek	
7		VB max S+0 wind II	380 KIJ-DIM S+0_R2	380 KIJ-DIM S+0_R2		2			655 druk en 275 trek	
9		VB max S+0 wind II	380 KIJ-DIM S+0_R2	380 KIJ-DIM S+0_R2		2			655 druk en 275 trek	
10	**KIJ-DIM380-Blokpoer-3xBeton40x40-MAST-S+0 - II F4**	VB max S+0 wind II	380 KIJ-DIM S+0_R2	380 KIJ-DIM S+0_R2		2		1	559 druk en 132 trek	meerdere masten model
13		VB max S+0 wind II	380 KIJ-DIM S+0_R2	380 KIJ-DIM S+0_R2		2			655 druk en 275 trek	
14		VB max S+0 wind II	380 KIJ-DIM S+0_R2	380 KIJ-DIM S+0_R2		2			655 druk en 275 trek	
16	**KIJ-DIM380-Blokpoer-3xBeton40x40-MAST-S+0 - II F4**	VB max S+0 wind II	380 KIJ-DIM S+0_R2	380 KIJ-DIM S+0_R2		2		1	559 druk en 132 trek	meerdere masten model
18		VB max S+0 wind II	380 KIJ-DIM S+0 (18)_R	380 KIJ-DIM S+0_R2		2			655 druk en 275 trek	
19		VB max S+0 wind II	380 KIJ-DIM S+0_R2	380 KIJ-DIM S+0_R2		2			655 druk en 275 trek	
21	**KIJ-DIM380-Blokpoer-3xBeton40x40-MAST-S+0 - II F4**	VB max S+0 wind II	380 KIJ-DIM S+0_R2	380 KIJ-DIM S+0_R2		2		1	559 druk en 132 trek	meerdere masten model
22		VB max S+0 wind II	380 KIJ-DIM S+0_R2	380 KIJ-DIM S+0_R2		2			655 druk en 275 trek	
23	**KIJ-DIM380-Blokpoer-3xBeton40x40-MAST-S+0 - II F4 mast 23**	VB max S+0 wind II	380 KIJ-DIM S+0_R2	380 KIJ-DIM S+0_R2		2		1	396 druk en 89 trek	een mast model
24	**KIJ-DIM380-Blokpoer-3xBeton40x40-MAST-S+0 - II F4 mast 24**	VB max S+0 wind II	380 KIJ-DIM S+0_R2	380 KIJ-DIM S+0_R2		2		1	462 druk en 128 trek	een mast model
26	**KIJ-DIM380-Blokpoer-3xBeton40x40-MAST-S+0 - II F4**	VB max S+0 wind II	380 KIJ-DIM S+0_R2	380 KIJ-DIM S+0_R2		2		1	559 druk en 132 trek	meerdere masten model
27	**KIJ-DIM380-Blokpoer-3xBeton40x40-MAST-S+0 - II F4**	VB max S+0 wind II	380 KIJ-DIM S+0_R2	380 KIJ-DIM S+0_R2		2		1	559 druk en 132 trek	meerdere masten model
28		VB max S+0 wind II	380 KIJ-DIM S+0_R2	380 KIJ-DIM S+0_R2		2			655 druk en 275 trek	
29	**KIJ-DIM380-Blokpoer-3xBeton40x40-MAST-S+0 - II F4**	VB max S+0 wind II	380 KIJ-DIM S+0_R2	380 KIJ-DIM S+0_R2		2		1	559 druk en 132 trek	meerdere masten model
33	**KIJ-DIM380-Blokpoer-3xBeton40x40-MAST-S+0 - II F4**	VB max S+0 wind II	380 KIJ-DIM S+0_R2	380 KIJ-DIM S+0_R2		2		1	559 druk en 132 trek	meerdere masten model
34	**KIJ-DIM380-Blokpoer-3xBeton40x40-MAST-S+0 - II F4**	VB max S+0 wind II	380 KIJ-DIM S+0_R2	380 KIJ-DIM S+0_R2		2		1	559 druk en 132 trek	meerdere masten model
37	**KIJ-DIM380-Balkrooster-5xBeton40x40 mast 37**	VB Mastnr 37	380 KIJ-DIM HA+0 (37)_RW	380 KIJ-DIM HA+0 (37)_RW		2		1	664 druk en 100 trek	een mast model
50	**KIJ-DIM380-Blokpoer-3xBeton40x40-MAST-S+0 - III F4**	VB max S+0 wind III	380 KIJ-DIM S+0_R2	*(Zie mastnr. 48)*		3		1	559 druk en 132 trek	meerdere masten model
51		VB max S+0 wind III	380 KIJ-DIM S+0_R2	*(Zie mastnr. 48)*		3			994 druk en 275 trek	
52		VB S+6 max	380 KIJ-DIM S+6 (52)_R	380 KIJ-DIM S+6_R		3			423 druk en 275 trek	
53		VB S+6 max	380 KIJ-DIM S+6_R	380 KIJ-DIM S+6_R		3			423 druk en 275 trek	
54		VB max S+0 wind III	380 KIJ-DIM S+0_R2	(Zie mastnr. 48)		3			994 druk en 275 trek	
55		VB max S+0 wind III	380 KIJ-DIM S+0_R2	(Zie mastnr. 48)		3			994 druk en 275 trek	
56		VB max S+0 wind III	380 KIJ-DIM S+0_R2	(Zie mastnr. 48)		3			994 druk en 275 trek	
57		VB max S+0 wind III	380 KIJ-DIM S+0_R2	(Zie mastnr. 48)		3			994 druk en 275 trek	
58	**KIJ-DIM380-Blokpoer-3xBeton40x40-MAST-S+0 - III F4**	VB max S+0 wind III	380 KIJ-DIM S+0_R2	(Zie mastnr. 48)		3		1	559 druk en 132 trek	meerdere masten model
59	**KIJ-DIM380-Blokpoer-3xBeton40x40-MAST-S+0 - III F4**	VB max S+0 wind III	380 KIJ-DIM S+0_R2	(Zie mastnr. 48)		3		1	559 druk en 132 trek	meerdere masten model
64		VB max S+0 wind III	380 KIJ-DIM S+0_R2	(Zie mastnr. 48)		3			994 druk en 275 trek	
65		VB max S+0 wind III	380 KIJ-DIM S+0_R2	(Zie mastnr. 48)		3			994 druk en 275 trek	
66		VB max S+0 wind III	380 KIJ-DIM S+0_R2	(Zie mastnr. 48)		3			994 druk en 275 trek	
68		VB Mastnr 68	380 KIJ-DIM HA+0_RW	380 KIJ-DIM HA+0 (37)_RW		2				
69	**KIJ-DIM380-Blokpoer-3xBeton40x40-MAST-69 F4**	VB Mastnr 69	380 KIJ-DIM S+6_R	380 KIJ-DIM S+6_R		3		2 (1 beschouwd)	384 druk en 136 trek	een mast model
71	**KIJ-DIM380-Blokpoer-3xBeton40x40-MAST-71 F4**	VB Mastnr 71	380 KIJ-DIM S+9_R	380 KIJ-DIM S+9_R		3		2 (1 beschouwd)	893 druk en 176 trek	een mast model
73		VB max S+0 wind III	380 KIJ-DIM S+0 (73)_R	*(Zie mastnr. 48)*		3			994 druk en 275 trek	
86	**KIJ-DIM380-F3 Cilinder 75 + palen S III 86+142**	VB max S+0 wind III	380 KIJ-DIM S+0_R2	380 KIJ-DIM S+0_R2		3		2	800 druk en 178 trek	meerdere masten model
90		VB max S+0 wind III	*380 KIJ-DIM S+0_R2*	*(Zie mastnr. 48)*		3			994 druk en 275 trek	
111		VB max S+0 wind III	380 KIJ-DIM S+0_R2	*(Zie mastnr. 48)*		3			994 druk en 275 trek	
118		VB max S+0 wind III	380 KIJ-DIM S+0_R2	*(Zie mastnr. 48)*		3			994 druk en 275 trek	
121		VB S+6 max	380 KIJ-DIM S+6_R	380 KIJ-DIM S+6_R		3				
123		VB S+6 max	380 KIJ-DIM S+6_R	380 KIJ-DIM S+6_R		3			423 druk en 275 trek	
124	**KIJ-DIM380-Blokpoer-3xBeton40x40-MAST-S+0 - III F4**	VB max S+0 wind III	380 KIJ-DIM S+0_R2	*(Zie mastnr. 48)*		3		2 (1 beschouwd)	559 druk en 132 trek	meerdere masten model
126	**KIJ-DIM380-F3 Cilinder 75 + palen S III**	VB max S+0 wind III	380 KIJ-DIM S+6_R	380 KIJ-DIM S+6_R		3		2	900 druk en 194 trek	meerdere masten model
~~**128**~~		~~VB max S+0 wind III~~	~~380 KIJ-DIM S+0_R2~~	~~380 KIJ-DIM S+0_R2~~		~~3~~				
~~**130**~~		~~VB max S+0 wind III~~	~~380 KIJ-DIM S+0_R2~~	~~380 KIJ-DIM S+0_R2~~		~~3~~				
~~**131**~~		~~VB S+6 max~~	~~380 KIJ-DIM S+6_R~~	~~380 KIJ-DIM S+6_R~~		~~3~~				
~~**133**~~		~~VB max S+0 wind III~~	~~380 KIJ-DIM S+0_R2~~	~~380 KIJ-DIM S+0_R2~~		~~3~~				
~~**134**~~		~~VB max S+0 wind III~~	~~380 KIJ-DIM S+0 (134)_R~~	~~380 KIJ-DIM S+0_R2~~		~~3~~				
~~**135**~~		~~VB max S+0 wind III~~	~~380 KIJ-DIM S+0_R2~~	~~380 KIJ-DIM S+0_R2~~		~~3~~				
~~**136**~~		~~VB max S+0 wind III~~	~~380 KIJ-DIM S+0_R2~~	~~380 KIJ-DIM S+0_R2~~		~~3~~				
~~**141**~~	~~**KIJ-DIM380-F3 Cilinder 75 + palen S III**~~	~~VB max S+0 wind III~~	~~380 KIJ-DIM S+0_R2~~	~~380 KIJ-DIM S+0_R2~~		~~3~~		~~2~~	~~900 druk en 194 trek~~	~~meerdere masten model~~
~~**142**~~	~~**KIJ-DIM380-F3 Cilinder 75 + palen S III 86+142**~~	~~VB max S+0 wind III~~	~~380 KIJ-DIM S+0_R2~~	~~380 KIJ-DIM S+0_R2~~		~~3~~		~~2~~	~~800 druk en 178 trek~~	~~meerdere masten model~~
~~**143**~~	~~**KIJ-DIM380-F3 Cilinder 75 + palen S III**~~	~~VB max S+0 wind III~~	~~380 KIJ-DIM S+0_R2~~	~~380 KIJ-DIM S+0_R2~~		~~3~~		~~2~~	~~900 druk en 194 trek~~	~~meerdere masten model~~
~~**144**~~	~~**KIJ-DIM380-Koppelframe-1xLD1 F3**~~	~~VB Mastnr 144~~	~~380 KIJ-DIM S+6_R~~	~~380 KIJ-DIM S+6_R~~		~~3~~		~~2~~	~~868 druk en 234 trek~~	~~een mast model~~
~~**145**~~		~~VB S+6 max~~	~~380 KIJ-DIM S+6_R~~	~~380 KIJ-DIM S+6_R~~		~~3~~				
~~**146 optie 1**~~	~~**KIJ-DIM380-Balkrooster-5xBeton32x32 mast 146**~~	~~VB Mastnr 146~~	~~380 KIJ-DIM S+9_R~~	~~380 KIJ-DIM S+9_R~~		~~3~~		~~PY Curve 2 met een Reductiefactor van 96%~~	~~84 druk en 1 trek~~	~~een mast model~~
~~**147 optie 1**~~	~~**KIJ-DIM380-Balkrooster-5xBeton32x32 mast 147**~~	~~VB Mastnr 147~~	~~380 KIJ-DIM S+9_R~~	~~380 KIJ-DIM S+9_R~~		~~3~~		~~PY Curve 2 met een Reductiefactor van 96%~~	~~441 druk en 31 trek~~	~~een mast model~~
~~**148**~~	~~**KIJ-DIM380-Blokpoer-2xLD1 mast 148**~~	~~VB Mastnr 148~~	~~380 KIJ-DIM S+12_R~~	~~380 KIJ-DIM S+12_R~~		~~3~~		~~2~~	~~859 druk en 190 trek~~	~~een mast model~~
150	**KIJ-DIM380-F3 Cilinder 75 + palen - S+9**	VB max S+9	380 KIJ-DIM S+9_R	380 KIJ-DIM S+9_R		2		2	956 druk en 229 trek	meerdere masten model
151	**KIJ-DIM380-F3 Cilinder 75 + palen - S+9**	VB max S+9	380 KIJ-DIM S+9_R	380 KIJ-DIM S+9_R		2		2	956 druk en 229 trek	meerdere masten model
152		VB max S+0 wind III	380 KIJ-DIM S+0_R1 (152)	380 KIJ-DIM S+0_R1 (152)		2				
153	**KIJ-DIM380-F3 Cilinder 75 + palen S II**	VB Mastnr 153	380 KIJ-DIM S+0_R2	380 KIJ-DIM S+0_R1 (152)		2		2	839 druk en 239 trek	een mast model
157	**KIJ-DIM380-Balkrooster-5xBeton40x40 mast 157**	VB Mastnr 157	380 KIJ-DIM S+24_R	380 KIJ-DIM S+24_R		2		Reductiefactor van	468 druk en 345 trek	een mast model
158	**KIJ-DIM380-Balkrooster-5xBeton40x40 mast 158**	VB Mastnr 158	380 KIJ-DIM S+24_R	380 KIJ-DIM S+24_R		2		Reductiefactor van	1583 druk en 281 trek	een mast model

Mast	SCIA model resultaten – Bestaande Palen: Maximale drukkracht in één fundatiepaal [kN]	Bestaande Palen: Maximale trekkracht in één fundatiepaal [kN]	LEKA Palen: Maximale drukkracht in één fundatiepaal [kN]	LEKA Palen: Maximale trekkracht in één fundatiepaal [kN]	Belastingen op AK en VB niveau – Input vanuit Lijnen (AK): Maximale drukkracht in één randstijl [kN]	Input vanuit Lijnen (AK): Maximale trekkracht in één randstijl [kN]	Input vanuit Lijnen (VB): Maximale drukkracht in één randstijl [kN]	Input vanuit Lijnen (VB): Maximale trekkracht in één randstijl [kN]	Verschil Lijnen input AK - VB: ΔF_druk per randstijl [kN] (Fd_VB - Fd_AK)	ΔF_trek per randstijl [kN] (Ft_VB - Ft_AK)	Toetsingen – Bestaande Palen: Toetsing paalcapaciteit op maximale drukkracht	Bestaande Palen: Toetsing paalcapaciteit op maximale trekkracht	LEKA Palen: Toetsing paalcapaciteit op maximale drukkracht	LEKA Palen: Toetsing paalcapaciteit op maximale trekkracht	Overkoepelende toetsing	Opmerking	Versterking	Categorie
4	559,0	132,0	251,3	355,8	749	588	963	796	214	208	0,74	0,67	0,24	0,96	**0,96**		Lijnpoer met 2 extra palen	F4
5	559,0	132,0	251,3	355,8	749	588	963	796	214	208	0,70	0,78	0,25	0,97	**0,97**		Lijnpoer met 2 extra palen	F4
6	537,3	275,0	n.v.t.	n.v.t.	749	588	963	796	214	208	0,47	0,97	n.v.t.	n.v.t.	**0,97**		Ballast zwaar	F1
7	537,3	275,0	n.v.t.	n.v.t.	749	588	963	796	214	208	0,42	0,96	n.v.t.	n.v.t.	**0,96**		Ballast licht	F1
9	537,3	275,0	n.v.t.	n.v.t.	749	588	963	796	214	208	0,37	0,95	n.v.t.	n.v.t.	**0,95**		Ballast licht	F1
10	559,0	132,0	251,3	355,8	749	588	963	796	214	208	0,84	0,78	0,27	0,97	**0,97**		Lijnpoer met 2 extra palen	F4
13	537,3	275,0	n.v.t.	n.v.t.	749	588	963	796	214	208	0,65	0,97	n.v.t.	n.v.t.	**0,97**		Ballast + Koppelbalk	F2
14	537,3	275,0	n.v.t.	n.v.t.	749	588	963	796	214	208	0,45	0,94	n.v.t.	n.v.t.	**0,94**		Ballast licht	F1
16	559,0	132,0	251,3	355,8	749	588	963	796	214	208	0,63	0,77	0,21	0,93	**0,93**		Lijnpoer met 2 extra palen	F4
18	537,3	275,0	n.v.t.	n.v.t.	749	588	963	796	214	208	0,53	0,93	n.v.t.	n.v.t.	**0,93**		Ballast zwaar	F1
19	537,3	275,0	n.v.t.	n.v.t.	749	588	963	796	214	208	0,68	0,93	n.v.t.	n.v.t.	**0,93**		Ballast + Koppelbalk	F2
21	559,0	132,0	251,3	355,8	749	588	963	796	214	208	0,64	0,69	0,24	0,94	**0,94**		Lijnpoer met 2 extra palen	F4
22	537,3	275,0	n.v.t.	n.v.t.	749	588	963	796	214	208	0,52	0,91	n.v.t.	n.v.t.	**0,91**		Ballast + Koppelbalk	F2
23	396,0	0,1	438,1	353,4	749	588	963	796	214	208	1,00	0,00	0,51	0,83	**1,00**		Lijnpoer met 2 extra palen	F4
24	462,0	128,0	412,7	257,8	749	588	963	796	214	208	1,00	1,00	0,53	0,70	**1,00**		Lijnpoer met 2 extra palen	F4
26	559,0	132,0	251,3	355,8	749	588	963	796	214	208	0,80	0,71	0,26	0,95	**0,95**		Lijnpoer met 2 extra palen	F4
27	559,0	132,0	251,3	355,8	749	588	963	796	214	208	0,79	0,79	0,24	0,93	**0,93**		Lijnpoer met 2 extra palen	F4
28	537,3	275,0	n.v.t.	n.v.t.	749	588	963	796	214	208	0,52	0,95	n.v.t.	n.v.t.	**0,95**		Ballast zwaar	F1
29	559,0	132,0	251,3	355,8	749	588	963	796	214	208	1,00	0,74	0,21	0,92	**1,00**		Lijnpoer met 2 extra palen	F4
33	559,0	132,0	251,3	355,8	749	588	963	796	214	208	0,88	0,79	0,20	0,92	**0,92**		Lijnpoer met 2 extra palen	F4
34	559,0	132,0	251,3	355,8	749	588	963	796	214	208	0,95	0,72	0,23	0,92	**0,95**		Lijnpoer met 2 extra palen	F4
37	459,7	100,0	180,7	54,3	1353	1120	1443	1187	90	67	0,69	1,00	0,48	0,58	**1,00**		Aanstorting met 2 palen	F5
50	462,0	128,0	278,9	138,8	634	468	813	639	179	171	0,57	0,73	0,35	0,51	**0,73**		Lijnpoer met 2 extra palen	F4
51	491,9	269,2	n.v.t.	n.v.t.	634	468	813	639	179	171	0,58	0,93	n.v.t.	n.v.t.	**0,93**		Ballast + Koppelbalk	F2
52	423,0	275,0	n.v.t.	n.v.t.	719	536	906	707	187	171	0,32	0,94	n.v.t.	n.v.t.	**0,94**		Ballast licht	F1
53	423,0	275,0	n.v.t.	n.v.t.	710	515	906	707	196	192	0,37	0,95	n.v.t.	n.v.t.	**0,95**		Ballast + Koppelbalk	F2
54	491,9	269,2	n.v.t.	n.v.t.	634	468	813	639	179	171	0,50	0,88	n.v.t.	n.v.t.	**0,88**		Ballast + Koppelbalk	F2
55	491,9	269,2	n.v.t.	n.v.t.	634	468	813	639	179	171	0,44	0,93	n.v.t.	n.v.t.	**0,93**		Ballast + Koppelbalk	F2
56	491,9	269,2	n.v.t.	n.v.t.	634	468	813	639	179	171	0,34	0,97	n.v.t.	n.v.t.	**0,97**		Ballast licht	F1
57	491,9	269,2	n.v.t.	n.v.t.	634	468	813	639	179	171	0,32	0,91	n.v.t.	n.v.t.	**0,91**		Ballast licht	F1
58	462,0	128,0	278,9	138,8	634	468	813	639	179	171	0,38	0,87	0,31	0,48	**0,87**		Lijnpoer met 2 extra palen	F4
59	462,0	128,0	278,9	138,8	634	468	813	639	179	171	0,50	0,95	0,27	0,48	**0,95**		Lijnpoer met 2 extra palen	F4
64	491,9	269,2	n.v.t.	n.v.t.	634	468	813	639	179	171	0,50	0,93	n.v.t.	n.v.t.	**0,93**		Ballast + Koppelbalk	F2
65	491,9	269,2	n.v.t.	n.v.t.	634	468	813	639	179	171	0,35	0,95	n.v.t.	n.v.t.	**0,95**		Ballast licht	F1
66	491,9	269,2	n.v.t.	n.v.t.	634	468	813	639	179	171	0,41	0,92	n.v.t.	n.v.t.	**0,92**		Ballast licht	F1
68	377,1	176,0	n.v.t.	n.v.t.	1255	1030	1329	1075	74	45	0,29	0,86	n.v.t.	n.v.t.	**0,86**		-	-
69	384,0	136,0	400,0	233,7	710	515	906	707	196	192	1,00	1,00	0,42	0,67	**1,00**		Lijnpoer met 2 extra palen	F4
71	735,0	176,0	139,7	272,2	879	685	1127	918	248	233	0,82	1,00	0,13	0,79	**1,00**		Lijnpoer met 2 extra palen	F4
73	491,9	269,2	n.v.t.	n.v.t.	634	468	813	639	179	171	0,37	0,91	n.v.t.	n.v.t.	**0,91**		Ballast zwaar	F1
86	800,0	178,0	153,2	138,6	634	468	813	639	179	171	0,88	1,00	0,21	0,72	**1,00**		Extra palen (2 stuks)	F3
90	491,9	269,2	n.v.t.	n.v.t.	634	468	813	639	179	171	0,41	0,94	n.v.t.	n.v.t.	**0,94**		Ballast licht	F1
111	491,9	269,2	n.v.t.	n.v.t.	634	468	813	639	179	171	0,39	0,96	n.v.t.	n.v.t.	**0,96**		Ballast licht	F1
118	491,9	269,2	n.v.t.	n.v.t.	634	468	813	639	179	171	0,48	0,89	n.v.t.	n.v.t.	**0,89**		Ballast + Koppelbalk	F2
121	798,6	448,5	n.v.t.	n.v.t.	710	515	906	707	196	192	0,66	0,83	n.v.t.	n.v.t.	**0,83**		Ballast	F1
123	423,0	275,0	n.v.t.	n.v.t.	710	515	906	707	196	192	0,46	0,98	n.v.t.	n.v.t.	**0,98**		Ballast + Koppelbalk	F2
124	462,0	128,0	278,9	138,8	634	468	813	639	179	171	0,48	0,97	0,27	0,46	**0,97**		Lijnpoer met 2 extra palen	F4
126	857,7	194,0	189,5	99,3	710	515	877	686	167	171	0,94	0,72	0,22	0,34	**0,94**		Extra palen (2 stuks)	F3
~~**128**~~	~~711,1~~	~~410,1~~	~~n.v.t.~~	~~n.v.t.~~	~~634~~	~~468~~	~~813~~	~~639~~	~~179~~	~~171~~	~~0,75~~	~~0,88~~	~~n.v.t.~~	~~n.v.t.~~	~~**0,88**~~		~~Ballast~~	~~F1~~
~~**130**~~	~~708,9~~	~~411,9~~	~~n.v.t.~~	~~n.v.t.~~	~~634~~	~~468~~	~~813~~	~~639~~	~~179~~	~~171~~	~~0,67~~	~~0,82~~	~~n.v.t.~~	~~n.v.t.~~	~~**0,82**~~		~~Ballast~~	~~F1~~
~~**131**~~	~~789,4~~	~~455,4~~	~~n.v.t.~~	~~n.v.t.~~	~~710~~	~~515~~	~~906~~	~~707~~	~~196~~	~~192~~	~~0,85~~	~~0,80~~	~~n.v.t.~~	~~n.v.t.~~	~~**0,85**~~		~~Ballast~~	~~F1~~
~~**133**~~	~~713,4~~	~~408,4~~	~~n.v.t.~~	~~n.v.t.~~	~~634~~	~~468~~	~~813~~	~~639~~	~~179~~	~~171~~	~~0,81~~	~~0,68~~	~~n.v.t.~~	~~n.v.t.~~	~~**0,81**~~		-	-
~~**134**~~	~~708,9~~	~~411,9~~	~~n.v.t.~~	~~n.v.t.~~	~~634~~	~~468~~	~~813~~	~~639~~	~~179~~	~~171~~	~~0,65~~	~~0,66~~	~~n.v.t.~~	~~n.v.t.~~	~~**0,66**~~		-	-
~~**135**~~	~~711,1~~	~~410,1~~	~~n.v.t.~~	~~n.v.t.~~	~~634~~	~~468~~	~~813~~	~~639~~	~~179~~	~~171~~	~~0,67~~	~~0,89~~	~~n.v.t.~~	~~n.v.t.~~	~~**0,89**~~		~~Ballast~~	~~F1~~
~~**136**~~	~~704,3~~	~~415,3~~	~~n.v.t.~~	~~n.v.t.~~	~~634~~	~~468~~	~~813~~	~~639~~	~~179~~	~~171~~	~~0,77~~	~~0,90~~	~~n.v.t.~~	~~n.v.t.~~	~~**0,90**~~		~~Ballast~~	~~F1~~
~~**141**~~	~~900,0~~	~~194,0~~	~~210,4~~	~~63,4~~	~~634~~	~~468~~	~~813~~	~~639~~	~~179~~	~~171~~	~~1,00~~	~~1,00~~	~~0,29~~	~~0,31~~	~~**1,00**~~		~~Extra palen (2 stuks)~~	~~F3~~
~~**142**~~	~~800,0~~	~~178,0~~	~~245,4~~	~~66,1~~	~~634~~	~~468~~	~~813~~	~~639~~	~~179~~	~~171~~	~~1,00~~	~~0,88~~	~~0,37~~	~~0,30~~	~~**1,00**~~		~~Extra palen (2 stuks)~~	~~F3~~
~~**143**~~	~~900,0~~	~~194,0~~	~~210,4~~	~~63,4~~	~~634~~	~~468~~	~~813~~	~~639~~	~~179~~	~~171~~	~~0,91~~	~~0,86~~	~~0,26~~	~~0,27~~	~~**0,91**~~		~~Extra palen (2 stuks)~~	~~F3~~
~~**144**~~	~~868,0~~	~~234,0~~	~~850,1~~	~~289,1~~	~~710~~	~~515~~	~~906~~	~~707~~	~~196~~	~~192~~	~~1,00~~	~~1,00~~	~~0,63~~	~~0,64~~	~~**1,00**~~		~~Extra palen (2 stuks) + Koppelbalk~~	~~F3~~
~~**145**~~	~~789,4~~	~~455,4~~	~~n.v.t.~~	~~n.v.t.~~	~~710~~	~~515~~	~~906~~	~~707~~	~~196~~	~~192~~	~~0,56~~	~~0,79~~	~~n.v.t.~~	~~n.v.t.~~	~~**0,79**~~		~~Ballast~~	~~F1~~
~~**146 optie 1**~~	~~84,0~~	~~0,0~~	~~413,5~~	~~0,0~~	~~879~~	~~685~~	~~1127~~	~~918~~	~~248~~	~~233~~	~~1,00~~	~~0,00~~	~~0,62~~	~~0,00~~	~~**1,00**~~	~~Werkhypothese is uitwerking van optie 1 waarbij dit uitgangspunt in het werk wordt geverifieerd~~	~~Aanstorting met 3 palen~~	~~F5~~
~~**147 optie 1**~~	~~218,5~~	~~17,6~~	~~214,6~~	~~133,8~~	~~879~~	~~685~~	~~1127~~	~~918~~	~~248~~	~~233~~	~~0,53~~	~~0,57~~	~~0,39~~	~~0,93~~	~~**0,93**~~	~~Werkhypothese is uitwerking van optie 1 waarbij dit uitgangspunt in het werk wordt geverifieerd~~	~~Aanstorting met 3 palen~~	~~F5~~
~~**148**~~	~~859,0~~	~~190,0~~	~~464,0~~	~~257,2~~	~~799~~	~~598~~	~~993~~	~~794~~	~~194~~	~~196~~	~~1,00~~	~~1,00~~	~~0,37~~	~~0,77~~	~~**1,00**~~		~~Blokpoer met 2 extra palen~~	~~F5~~
150	956,0	229,0	289,6	213,8	834	647	1127	918	293	271	0,65	0,83	0,29	0,84	**0,84**		Extra palen (2 stuks) - Schoorpalen	F3
151	956,0	229,0	289,6	213,8	848	656	1127	918	279	262	1,00	1,00	0,30	0,79	**1,00**		Extra palen (2 stuks) - Schoorpalen	F3
152	798,0	551,3	n.v.t.	n.v.t.	749	588	963	773	214	185	0,68	0,97	n.v.t.	n.v.t.	**0,97**		Ballast	F1
153	839,0	239,0	215,7	175,2	749	588	963	773	214	185	1,00	1,00	0,27	0,74	**1,00**		Extra palen (2 stuks) - Schoorpalen	F3
157	360,4	213,0	408,7	133,4	1519	1218	NTB	NTB	NTB	NTB	0,77	0,62	0,42	0,57	**0,77**		Aanstorting met 3 palen	F5
158	551,5	243,2	197,1	37,2	1492	1193	NTB	NTB	NTB	NTB	0,35	0,87	0,30	0,21	**0,87**		Aanstorting met 2 palen	F5

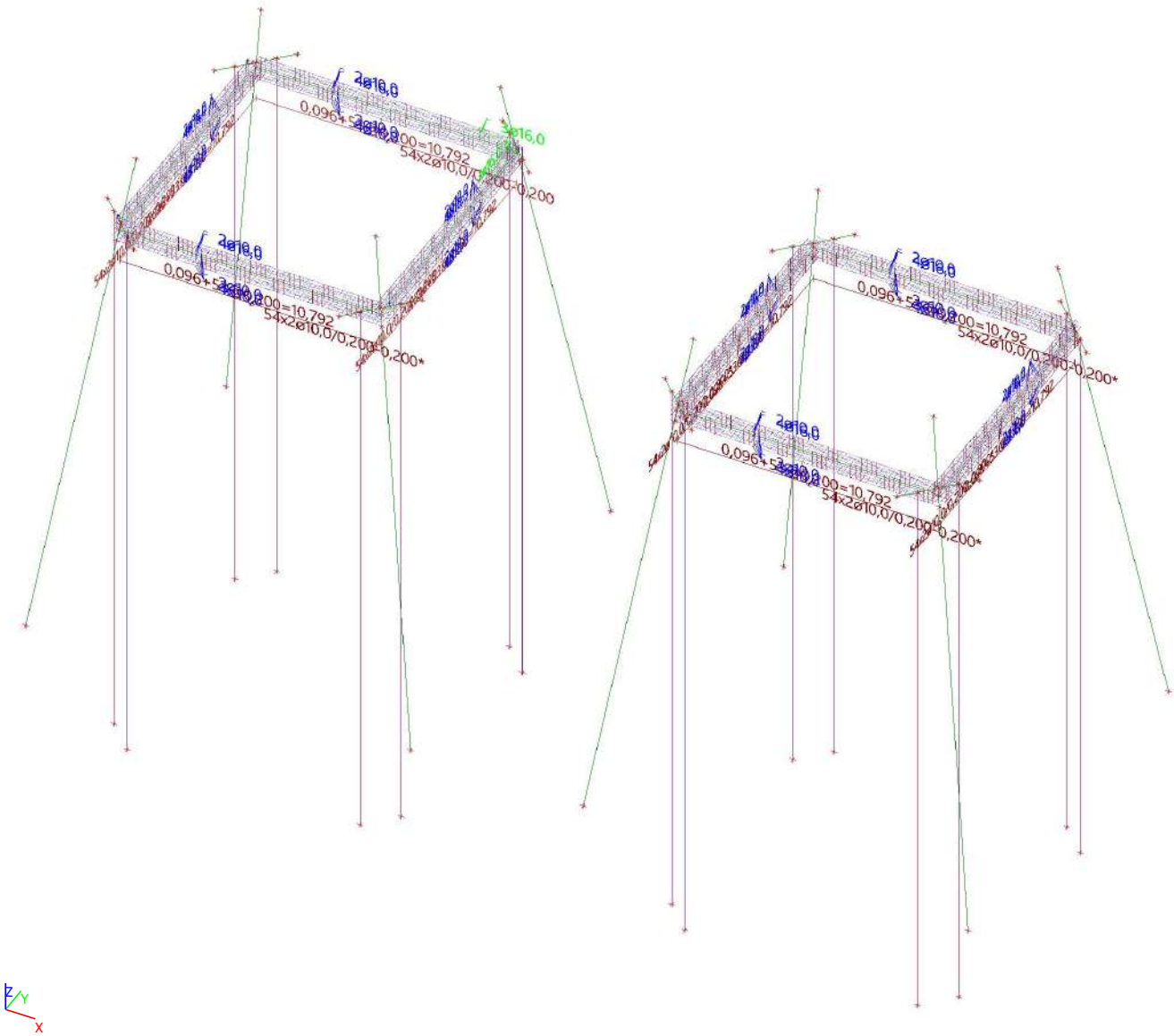
1. Inhoudsopgave

1. Inhoudsopgave 1
2. Project 2
3. Rekenmodel / Hoofdwapening / Beugels 2
4. Rekenmodel / Hoofdwapening / Beugels 3
5. Krachten van de Funderingsbalken 4
5.1. Interne 1D- krachten; N 4
5.2. Interne 1D- krachten; V_y 4
5.3. Interne 1D- krachten; V_z 5
5.4. Interne 1D- krachten; M_x 5
5.5. Interne 1D- krachten; M_y 6
5.6. Interne 1D- krachten; M_z 6
5.7. Interne 1D-krachten 7
6. Buigingstoets 8
6.1. Check capacity-interaction diagram; UC 8
6.2. Controle capaciteits-interactiediagram 8
6.3. Controle capaciteits-interactiediagram 9
7. Dwarskracht- en torsietoets 14
7.1. Controleer afschuiving+torsie (UGT); UC 14
7.2. Controleer afschuiving+torsie (UGT) 14
7.3. Controleer afschuiving+torsie (UGT) 16

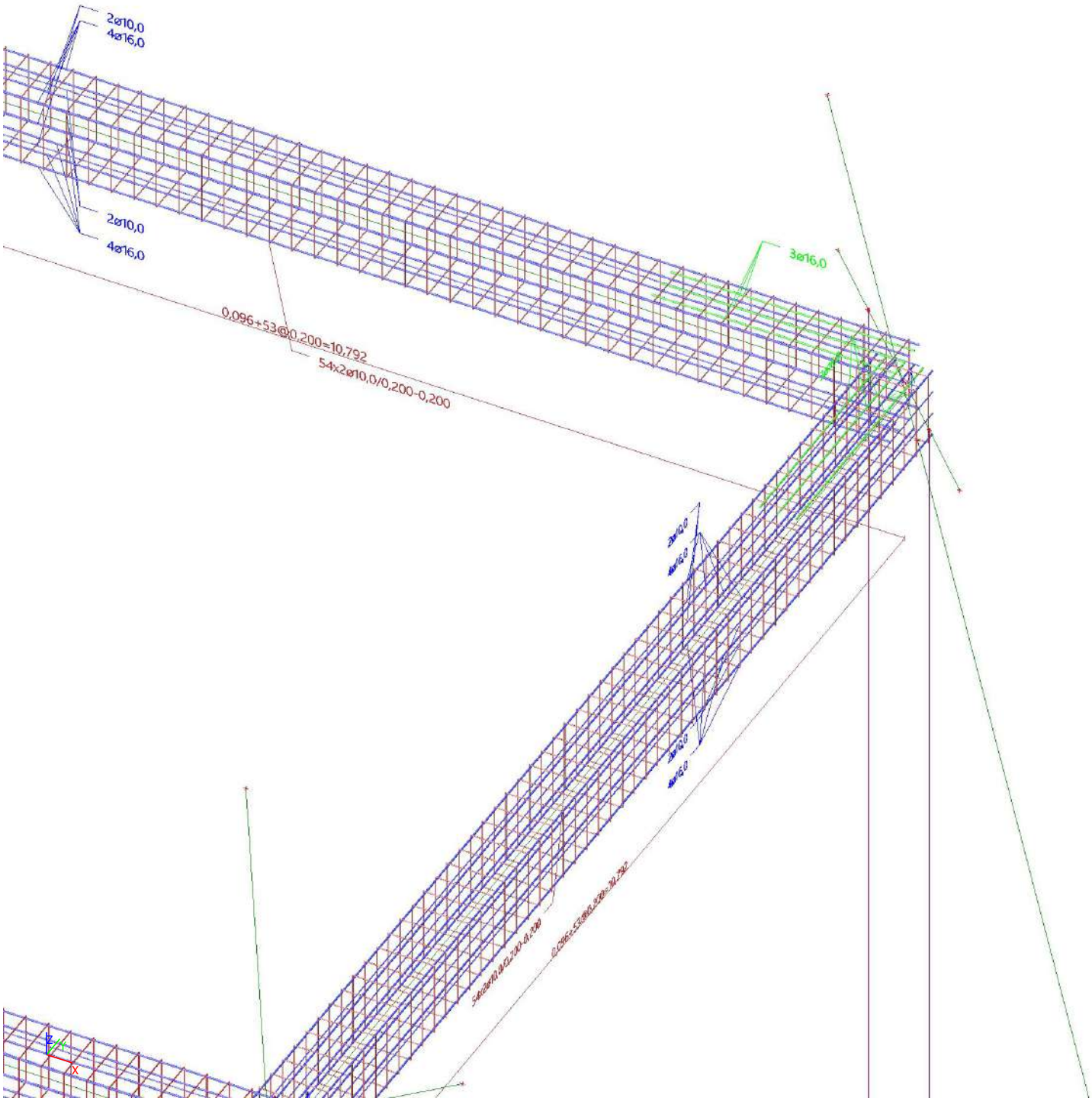
2. Project

Gebruiker van licentie	[redacted]
Project	Opwaardering KIJ-BVW 380kV
Onderdeel	Koppelframe 1xLD1 F3- Wapeningtoetsing
Auteur	[redacted]
Datum	05-02-2026
Constructie	Algemeen XYZ
Aantal knopen :	92
Aantal staven :	64
Aantal platen :	0
Aantal vaste lichamen :	0
Aantal gebruikte doorsneden :	6
Aantal belastingsgevallen :	9
Aantal gebruikte materialen :	9
Gravitatieversnelling [m/s^2]	9,807
Nationale norm	EC - EN

3. Rekenmodel / Hoofdwapening / Beugels



4. Rekenmodel / Hoofdwapening / Beugels



5. Krachten van de Funderingsbalken

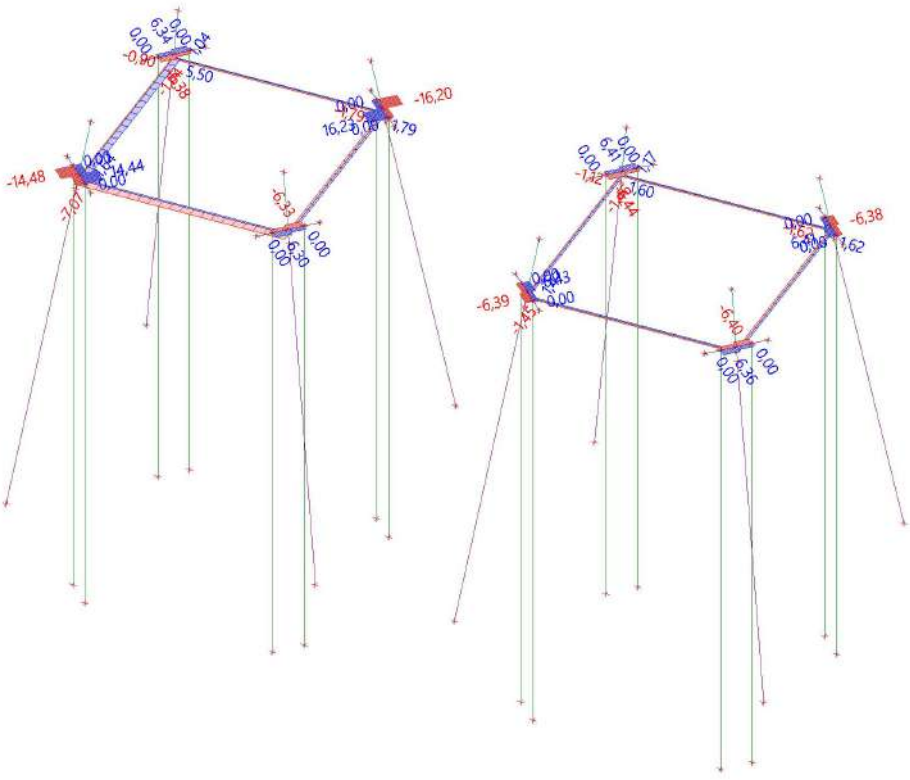
5.1. Interne 1D- krachten; N

Waarden: **N**
Niet-lineaire berekening
Klasse: All non-linear
Coördinatenstelsel: Hoofd
Extreme 1D: Lokaal
Selectie: Alle
Filter: Laag = Balken



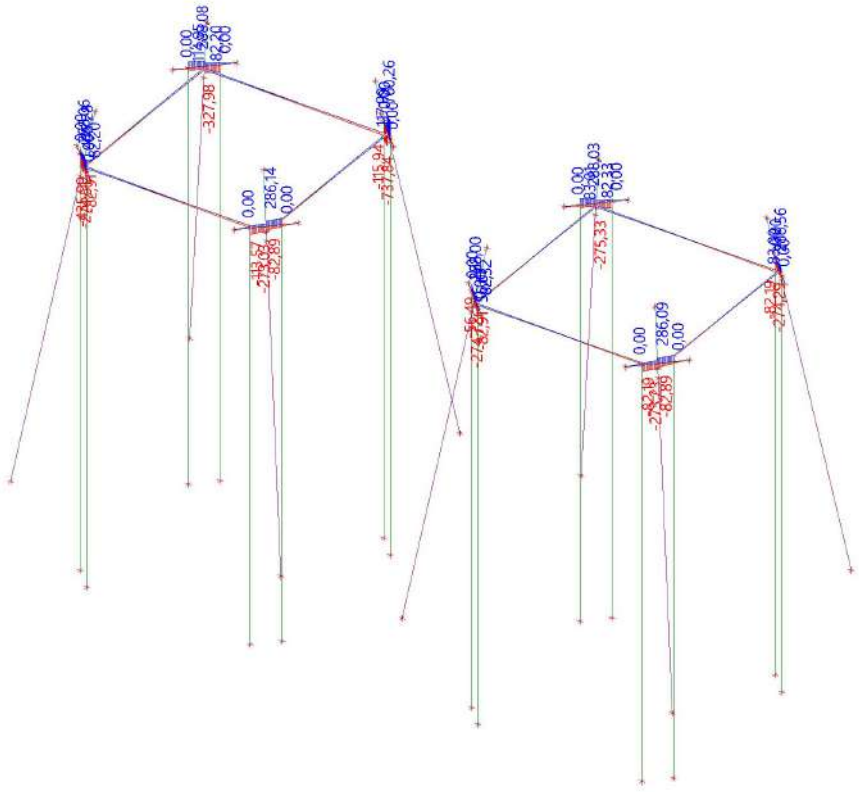
5.2. Interne 1D- krachten; V_y

Waarden: V_y
Niet-lineaire berekening
Klasse: All non-linear
Coördinatenstelsel: Hoofd
Extreme 1D: Lokaal
Selectie: Alle
Filter: Laag = Balken



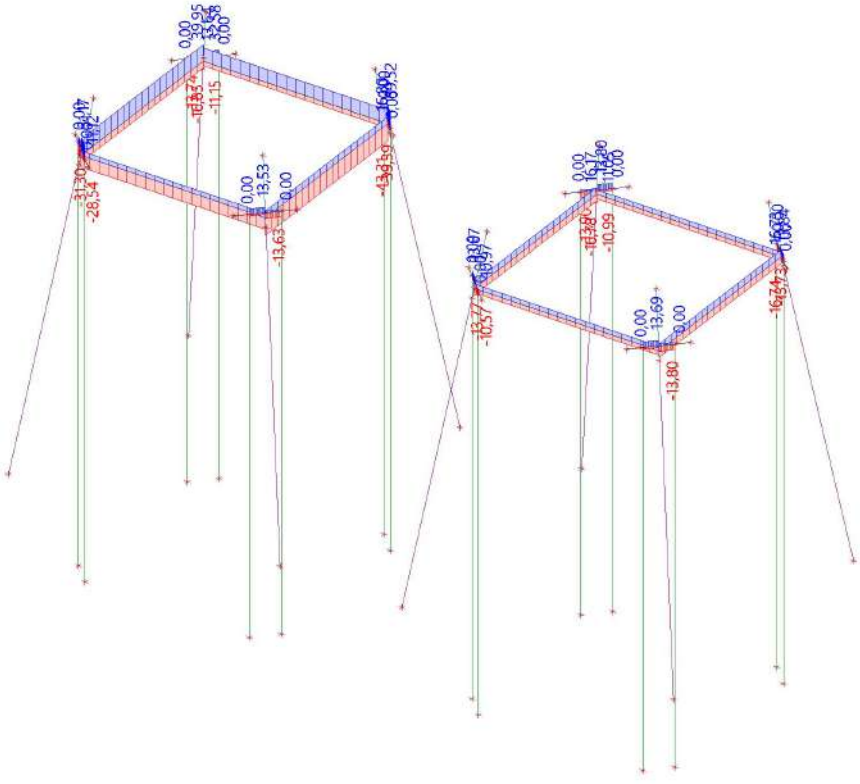
5.3. Interne 1D- krachten; V_z

Waarden: V_z
Niet-lineaire berekening
Klasse: All non-linear
Coördinatenstelsel: Hoofd
Extreme 1D: Lokaal
Selectie: Alle
Filter: Laag = Balken



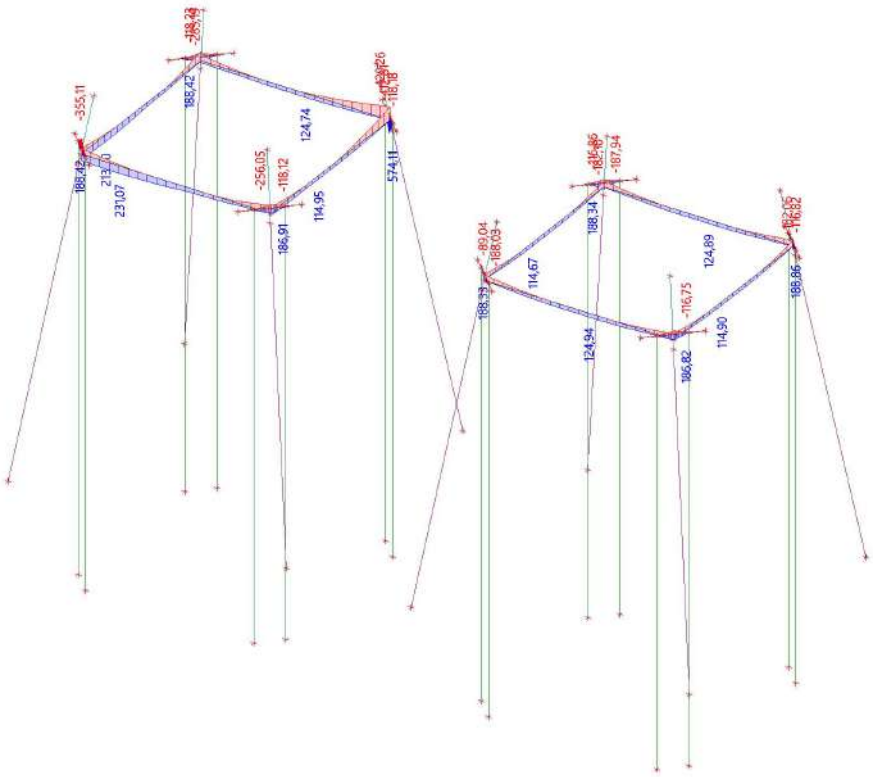
5.4. Interne 1D- krachten; M_x

Waarden: M_x
Niet-lineaire berekening
Klasse: All non-linear
Coördinatenstelsel: Hoofd
Extreme 1D: Lokaal
Selectie: Alle
Filter: Laag = Balken



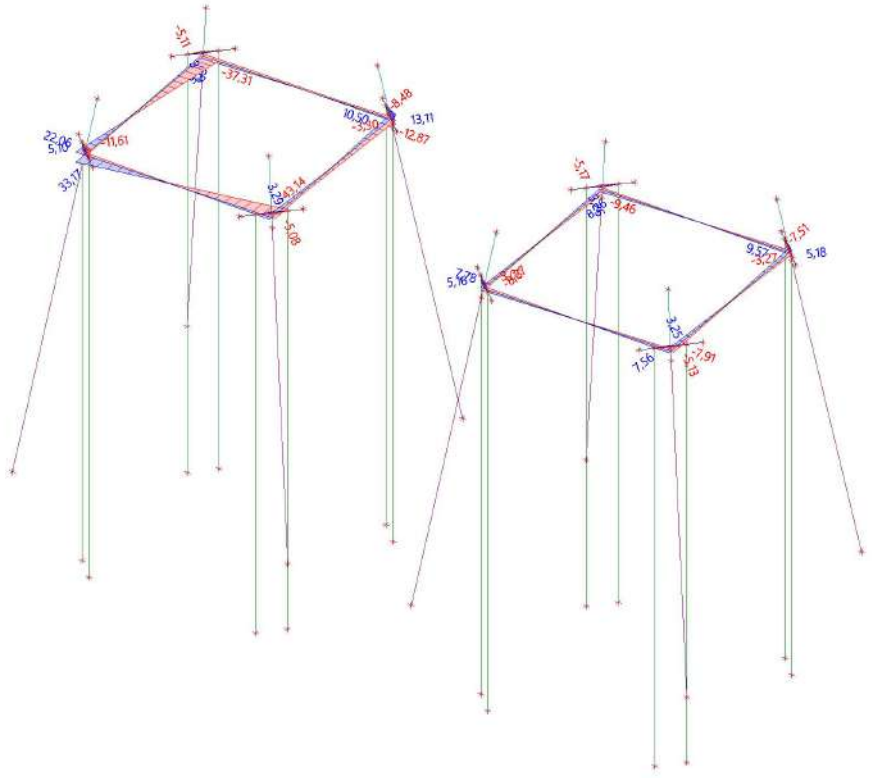
5.5. Interne 1D- krachten; M_y

Waarden: M_y
Niet-lineaire berekening
Klasse: All non-linear
Coördinatenstelsel: Hoofd
Extreme 1D: Element
Selectie: Alle
Filter: Laag = Balken



5.6. Interne 1D- krachten; M_z

Waarden: M_z
Niet-lineaire berekening
Klasse: All non-linear
Coördinatenstelsel: Hoofd
Extreme 1D: Element
Selectie: Alle
Filter: Laag = Balken



5.7. Interne 1D-krachten

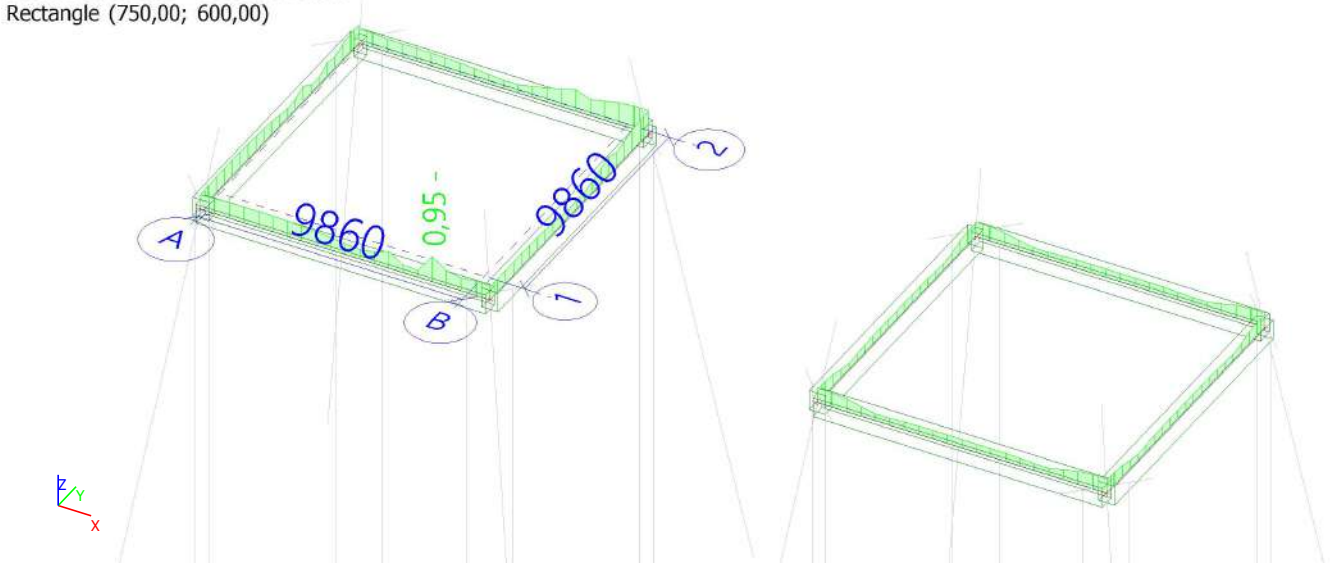
Niet-lineaire berekening
Klasse: All non-linear
Coördinatenstelsel: Hoofd
Extreme 1D: Globaal
Selectie: Alle
Filter: Doorsnede = Betonnen Blalk - Rectangle (750,00; 600,00)

Naam	dx [m]	Belasting	Doorsnede	N [kN]	V_y [kN]	V_z [kN]	M_x [kNm]	M_y [kNm]	M_z [kNm]
(balk 600x750)8	0,000	high max Wnd ;135° - EG_Ongunstig	Betonnen Blalk - Rectangle (750,00; 600,00)	-180,06	**-7,07**	29,31	-28,54	198,66	**33,17**
(balk 600x750)3	0,000	high max Wnd ;135° - EG_Ongunstig	Betonnen Blalk - Rectangle (750,00; 600,00)	118,21	1,01	**117,99**	**-43,31**	-412,81	-12,87
(balk 600x750)2	0,000	high max Wnd ;135° - EG_Ongunstig	Betonnen Blalk - Rectangle (750,00; 600,00)	-112,49	**5,50**	114,95	**39,95**	-285,19	-37,31
(balk 600x750)1	10,792	high max Wnd ;135° - EG_Ongunstig	Betonnen Blalk - Rectangle (750,00; 600,00)	**181,93**	0,52	**-115,94**	32,58	**-420,26**	-2,39
(balk 600x750)8	2,158	high max Wnd ;135° - EG_Ongunstig	Betonnen Blalk - Rectangle (750,00; 600,00)	**-180,06**	-7,07	0,73	-28,54	**231,07**	17,91
(balk 600x750)8	10,792	high max Wnd ;135° - EG_Ongunstig	Betonnen Blalk - Rectangle (750,00; 600,00)	-180,06	-7,07	-113,57	-28,54	-256,05	**-43,14**

6. Buigingstoets

6.1. Check capacity-interaction diagram; UC

Waarden: **UC**
Niet-lineaire berekening
Klasse: All non-linear
Coördinatenstelsel: Staaf
Extreme 1D: Globaal
Selectie: Alle
Filter: Doorsnede = Betonnen Blalk - Rectangle (750,00; 600,00)



6.2. Controle capaciteits-interactiediagram

Waarden: **UC**
Niet-lineaire berekening
Klasse: All non-linear
Coördinatenstelsel: Staaf
Extreme 1D: Globaal
Selectie: Alle
Filter: Doorsnede = Betonnen Blalk - Rectangle (750,00; 600,00)

Naam	dx [m]	Belasting	Doorsnede	N_{Ed} [kN]	M_{Edy} [kNm] M_{Edz} [kNm]	Method	N_{Rd+} [kN] N_{Rd-} [kN]	M_{Rdy+} [kNm] M_{Rdy-} [kNm]	M_{Rdz+} [kNm] M_{Rdz-} [kNm]	UC [-] Check
(balk 600x750)8	0,300	high max Wnd ;135° - EG_Ongunstig	Betonnen Blalk - Rectangle (750,00; 600,00)	**-180,06**	214,82 **31,05**	NuMu	192,21 -324,53	387,18 -229,32	55,97 -33,15	0,55 OK
(balk 600x750)1	10,252	high max Wnd ;135° - EG_Ongunstig	Betonnen Blalk - Rectangle (750,00; 600,00)	**181,93**	**-364,08** 0,00	NuMu	204,18 -176,40	353,01 -408,62	0,00 0,00	0,89 OK
(balk 600x750)8	2,158	high max Wnd ;135° - EG_Ongunstig	Betonnen Blalk - Rectangle (750,00; 600,00)	-180,06	**231,07** 19,96	NuMu	183,06 -297,98	382,41 -234,93	33,03 -20,29	0,60 OK
(balk 600x750)8	10,792	high max Wnd ;135° - EG_Ongunstig	Betonnen Blalk - Rectangle (750,00; 600,00)	-180,06	-201,05 **-43,14**	NuMu	200,55 -352,49	223,92 -393,58	48,05 -84,46	0,51 OK
(balk	10,492	high max Wnd	Betonnen	-97,50	22,09	NuMu	**850,09**	958,19	44,81	0,02

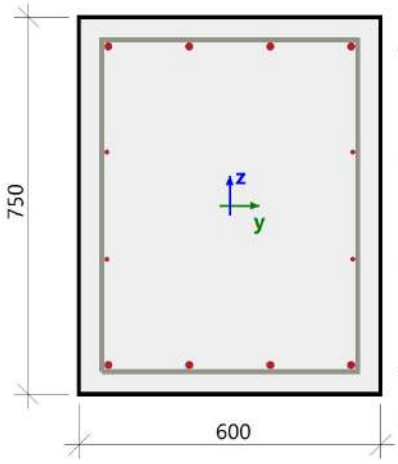
Naam	dx [m]	Belasting	Doorsnede	N_{Ed} [kN]	M_{Edy} [kNm] M_{Edz} [kNm]	Method	N_{Rd+} [kN] N_{Rd-} [kN]	M_{Rdy+} [kNm] M_{Rdy-} [kNm]	M_{Rdz+} [kNm] M_{Rdz-} [kNm]	UC [-] Check
600x750)1		;315° - EG_Ongunstig	Blalk - Rectangle (750,00; 600,00)		-5,14		-4229,92	-192,57	-222,98	OK
(balk 600x750)1	5,396-	high max Wnd ;135° - EG_Ongunstig	Betonnen Blalk - Rectangle (750,00; 600,00)	181,93	27,40 -5,33	NuMu	614,00 **-5582,00**	92,48 -840,74	163,66 -18,00	0,30 OK
(balk 600x750)1	8,634	low max Wnd ;225° - EG_Gunstig	Betonnen Blalk - Rectangle (750,00; 600,00)	-96,01	25,58 -4,06	NuMu	797,35 -3806,60	**1014,07** -212,41	33,75 -161,11	0,03 OK
(balk 600x750)3	0,000	high max Wnd ;315° - EG_Ongunstig	Betonnen Blalk - Rectangle (750,00; 600,00)	-64,05	-21,27 0,00	NuMu	455,41 -3300,24	151,24 **-1095,96**	0,00 0,00	0,02 OK
(balk 600x750)3	0,000	low max Wnd ;315° - EG_Gunstig	Betonnen Blalk - Rectangle (750,00; 600,00)	-62,36	16,46 10,50	NuMu	686,95 -2434,09	642,37 -181,29	**409,93** -115,69	0,03 OK
(balk 600x750)8	8,094	high max Wnd ;135° - EG_Ongunstig	Betonnen Blalk - Rectangle (750,00; 600,00)	-180,06	29,08 -26,11	NuMu	550,76 -3462,72	559,16 -88,94	79,87 **-502,14**	0,05 OK
(balk 600x750)8	8,634	high max Wnd ;135° - EG_Ongunstig	Betonnen Blalk - Rectangle (750,00; 600,00)	-180,06	-73,81 -29,93	NuMu	391,51 -1490,54	160,50 -611,03	65,07 -247,73	**0,95** OK

6.3. Controle capaciteits-interactiediagram

Waarden: **UC**
Niet-lineaire berekening
Klasse: All non-linear
Coördinatenstelsel: Staaf
Extreme 1D: Globaal
Selectie: Alle
Filter: Doorsnede = Betonnen Blalk - Rectangle (750,00; 600,00)

Balk (balk 600x750)8	**Rectangle (750,00; 600,00)**
NEN EN 1992-1-1+C2/NB+A1:2020	Doorsnede 19 [dx = 8.63 m]

Staaflengte: L = 10.8 m
"Knik y-y⊥ L_y = 13.3 m (zijdelings flexibel)
Knik z-z⊥ L_z = 13.3 m (zijdelings flexibel)



Beton: C30/37 Gescheurd
Bilineair spanning-rekdiagram
Milieuklasse: XC4, XF4

Langswapening: B 500A
Bilineair met oplopende bovenvertakking
8ø16+4ø10 (1923 mm^2)
ρ_l = 0,427 % (15.1 kg/m)

Afschuifwapening: B 500A
Bilineair met oplopende bovenvertakking
2ø10/200* (detaillering)

Dekking (beugel)
Bovenzijde: 40 mm
Onderzijde: 40 mm
Links: 40 mm
Rechts: 40 mm

Materiaalkarakteristieken

Ontwerpbetondruksterkte

$$f_{cd} = \frac{\alpha_{cc} \cdot f_{ck}}{\gamma_C} = \frac{1 \cdot 30}{1.5} = 20 \text{ MPa}$$

Ontwerpvloeispanning van langswapening

$$f_{yd} = \frac{f_{yk}}{\gamma_S} = \frac{500}{1.15} = 435 \text{ MPa} \quad (3.15)$$

Krachten

Van EEM analyse

N = -180 kN M_y = -41.8 kNm M_z = -27.9 kNm

Inhoud van de combinatie:

highmaxWnd;135°-EG_Ongunstig

Drukstaaf

Beperk normaalkracht om rekening te houden met drukstaven:

$$N_{com} = -\text{Coeff}_{com} \cdot \left(f_{cd} \cdot A_c \right) = -0.1 \cdot \left(20 \cdot 10^6 \cdot 0.45 \right) = -900 \text{ kN}$$

Controleer conditie:

$N_{Ed} \geq N_{com}$ = -180 kN ≥ -900 kN ... geen drukstaaf

Opm.: Het element moet niet worden beschouwd als een drukelement (normaalkracht is relatief klein of nul).

Herberekende buigende momenten:

Momentreductie boven steunpunt: Ja
Reductie van dwarskrachten boven steunpunt: Ja
Verschuivingsregel gebruiken: Ja
Dwarskrachten reduceren: Op het vlak

N_{Ed} = -180 kN M_{Edy} = -73.8 kNm M_{Edz} = -29.9 kNm

Invoergegevens voor het genereren van interactiediagrammen

Methode van interactiediagram controle	N_uM_u
Verdeling van verticale rekken	250
Aantal verticale snedes	18
Resultante waarde van buigend moment	M_{res} = 79.7 kNm
Hoek van resultante van buigend moment is gerelateerd aan M_y richting in horizontaal vlak M_y-M_z	α_{MyMz} = -22.1 °
Hoek van resultante van buigend moment is gerelateerd aan N richting in verticaal vlak N-M_{res}	α_{NM} = -66.1 °

Status van scheuren in buiging

$\sigma_{ct.max}$ = 1.58 MPa ≥ f_{ctd} = 1.33 MPa => doorsnede gescheurd bij buiging

Toetsing van beperkte hoogte van drukzone gebaseerd op 6.1(9) van NEN EN 1992-1-1

Grenswaarde van ontwerpnormaalkracht

$N_{lim} = 0.1 \cdot A_c \cdot f_{cd} = 0.1 \cdot 0.45 \cdot 20 = 900$ kN

Ontwerpwaarde van normaalkracht

N_{Ed} = -180 kN

De waarde x_u berekend op basis van de weerstanden uit het interactiediagram

N_{Rd} = -1491 kN

M_{Rdy} = -611 kN

M_{Rdz} = -248 kN

Beperkte hoogte van drukzone

$$x_{u,lim} = \frac{500 \cdot 10^6 \cdot d}{500 \cdot 10^6 + f} = \frac{500 \cdot 10^6 \cdot 0.727}{500 \cdot 10^6 + 435 \cdot 10^6} = 0.389 \text{ m}$$

$x_u < x_{u,lim}$ => 370 mm < 389 mm

Controlewaarde gerelateerd aan de beperking van de drukzone

$$UC_{xu} = \frac{x_u}{x_{u,lim}} = \frac{0.37}{0.389} = 0.953$$

Berekening van weerstanden

Weerstanden in positieve richting N_{Rd+} = 392 kN M_{Rdy+} = 160 kNm M_{Rdz+} = 65 kNm

Weerstanden in negatieve richting N_{Rd-} = -1491 kN M_{Rdy-} = -611 kNm M_{Rdz-} = -248 kNm

Samenvatting controle

Krachten: N_{Ed} = -180 kN M_{Edy} = -73.8 kNm M_{Edz} = -29.9 kNm

Weerstand: N_{Rd} = -1491 kN M_{Rdy} = -611 kNm M_{Rdz} = -248 kNm

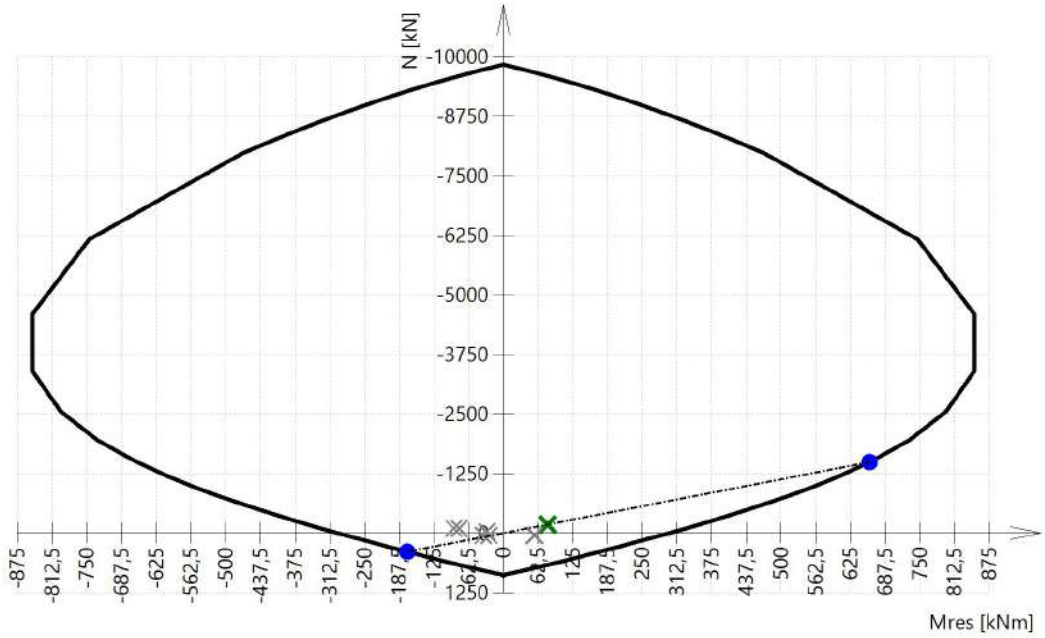
Berekenen van de eenheidscontrole:

$$UC = \frac{\sqrt{N_{Ed}^2 + M_{Edy}^2 + M_{Edz}^2}}{\sqrt{N_{Rd}^2 + M_{Rdy}^2 + M_{Rdz}^2}} = \frac{\sqrt{-180^2 + -73.8^2 + -29.9^2}}{\sqrt{-1491^2 + -611^2 + -248^2}} = 0.121$$

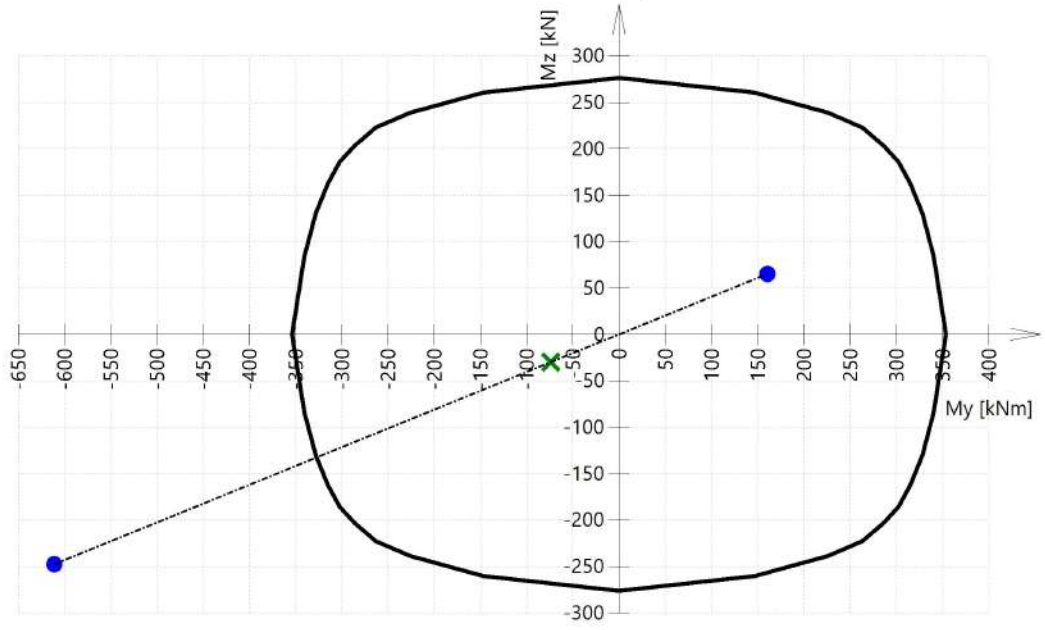
Eenheidscontrole gebaseerd op $x_{u,lim}$ volgens 6.1(9) van NEN EN 1992-1-1

$$UC_{xu} = \frac{x}{x_{u,lim}} = \frac{0.37}{0.389} = 0.953 \quad <= 1 \quad \textbf{OK}$$

3D-interactiediagram - Verticale doorsnede N-M $_{res}$



3D-interactiediagram - Horizontale doorsnede M_y-M_z

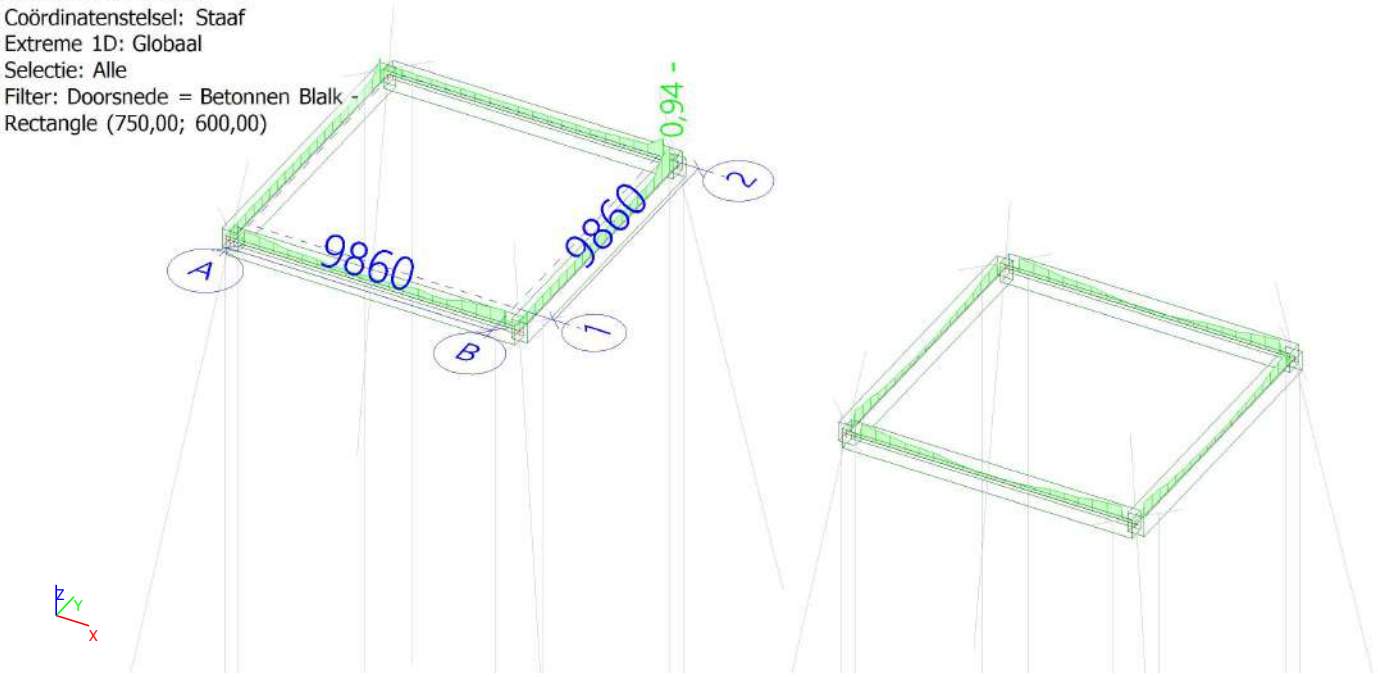


Lijst van fouten/waarschuwingen/opmerkingen: N2/1

7. Dwarskracht- en torsietoets

7.1. Controleer afschuiving+torsie (UGT); UC

Waarden: **UC**
Niet-lineaire berekening
Klasse: All non-linear
Coördinatenstelsel: Staaf
Extreme 1D: Globaal
Selectie: Alle
Filter: Doorsnede = Betonnen Blalk - Rectangle (750,00; 600,00)



7.2. Controleer afschuiving+torsie (UGT)

Waarden: **UC**
Niet-lineaire berekening
Klasse: All non-linear
Coördinatenstelsel: Staaf
Extreme 1D: Globaal
Selectie: Alle
Filter: Doorsnede = Betonnen Blalk - Rectangle (750,00; 600,00)
Dwarskrachtcontrole

Naam	dx [m]	Belasting	Doorsnede	V_{Ed} [kN]	d [mm] z [mm]	A_{swm} [cm²/m] θ [deg]	b_w [mm] b_{w1} [mm]	V_{Rdc} [kN] V_{Rdmax} [kN]	V_{Rds} [kN]	UC_{shear} [-]
(balk 600x750)5	5,396-	low max Wnd ;135° - EG_Gunstig	Betonnen Blalk - Rectangle (750,00; 600,00)	**0,01**	6,5347e+02 5,9516e+02	0,00 40,00	604,21 604,21	222,29 1869,84	0,00	0,00
(balk 600x750)3	0,000	high max Wnd ;135° - EG_Ongunstig	Betonnen Blalk - Rectangle (750,00; 600,00)	**111,38**	6,7158e+02 6,1241e+02	7,90 40,00	600,00 600,00	159,04 2171,19	0,00	0,05
(balk 600x750)8	10,792	high max Wnd ;45° - EG_Ongunstig	Betonnen Blalk - Rectangle (750,00; 600,00)	54,28	7,0062e+02 4,6969e+02	0,00 40,00	288,72 600,09	**388,29** 1465,60	0,00	0,04
(balk 600x750)1	5,396-	high max Wnd ;135° - EG_Ongunstig	Betonnen Blalk - Rectangle (750,00; 600,00)	44,50	6,9827e+02 6,2844e+02	7,85 40,00	600,04 600,04	0,00 **2228,17**	**235,29**	0,19

Naam	dx [m]	Belasting	Doorsnede	V_{Ed} [kN]	d [mm] z [mm]	A_{swm} [cm²/m] θ [deg]	b_w [mm] b_{w1} [mm]	V_{Rdc} [kN] V_{Rdmax} [kN]	V_{Rds} [kN]	UC_{shear} [-]
(balk 600x750)8	10,252	high max Wnd ;135° - EG_Ongunstig	Betonnen Blalk - Rectangle (750,00; 600,00)	106,66	6,8061e+02 5,9591e+02	0,00 40,00	601,32 601,32	177,27 1863,25	0,00	**0,60**

Torsiecontrole

Naam	dx [m]	Belasting	Doorsnede	T_{Ed} [kNm]	u_k [mm] A_k [mm²]	A_{swtm} [cm²/m] t_{ef} [mm]	T_{Rdc} [kNm] T_{Rdmax} [kNm]	T_{Rds} [kNm] T_{Rd} [kNm]	UC_{tor} [-]
(balk 600x750)3	0,000	high max Wnd ;135° - EG_Ongunstig	Betonnen Blalk - Rectangle (750,00; 600,00)	**-43,31**	2033,34 2,5278e+05	3,95 166,67	112,35 438,13	**103,44** 103,44	0,42
(balk 600x750)2	0,000	high max Wnd ;135° - EG_Ongunstig	Betonnen Blalk - Rectangle (750,00; 600,00)	**39,95**	2033,34 2,5278e+05	3,95 166,67	**112,35** **438,13**	103,42 103,42	0,39
(balk 600x750)8	0,000	high max Wnd ;135° - EG_Ongunstig	Betonnen Blalk - Rectangle (750,00; 600,00)	-28,54	2033,34 2,5278e+05	0,00 166,67	112,35 438,13	0,00 **112,35**	0,25
(balk 600x750)3	0,500	high max Wnd ;135° - EG_Ongunstig	Betonnen Blalk - Rectangle (750,00; 600,00)	-43,31	2033,34 2,5278e+05	3,93 166,67	112,35 438,13	102,87 102,87	**0,42**

Interactie tussen afschuiving en torsie

Naam	dx [m]	Belasting	Doorsnede	V_{Ed} [kN] T_{Ed} [kNm]	Equation 6_29 [-] Equation 6_31 [-]	UC_{int_con} [-]	UC_{int_shear} [-]	UC_{int} [-]
(balk 600x750)5	5,396-	low max Wnd ;135° - EG_Gunstig	Betonnen Blalk - Rectangle (750,00; 600,00)	**0,01** 0,02	0,00 0,00	0,00	0,00	0,00
(balk 600x750)3	0,000	high max Wnd ;135° - EG_Ongunstig	Betonnen Blalk - Rectangle (750,00; 600,00)	**111,38** **-43,31**	0,15 1,09	**0,15**	0,00	0,15
(balk 600x750)2	0,000	high max Wnd ;135° - EG_Ongunstig	Betonnen Blalk - Rectangle (750,00; 600,00)	108,47 **39,95**	0,14 1,01	0,14	0,00	0,14
(balk 600x750)3	0,540	high max Wnd ;135° - EG_Ongunstig	Betonnen Blalk - Rectangle (750,00; 600,00)	110,85 -43,31	0,15 1,08	0,15	**0,94**	**0,94**

Globale tabel van dwars- en torsiecontrole

Naam	dx [m]	Belasting	Doorsnede	UC_{shear} [-]	UC_{tor} [-]	UC_{int} [-]	UC [-]	Check
(balk 600x750)8	10,252	high max Wnd ;135° -	Betonnen Blalk -	**0,60**	0,25	0,12	0,60	OK, maar...

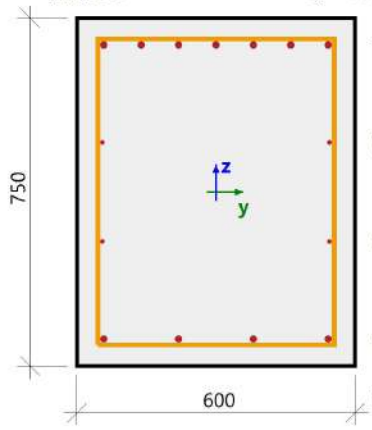
Naam	dx [m]	Belasting	Doorsnede	UC_{shear} [-]	UC_{tor} [-]	UC_{int} [-]	UC [-]	Check
		EG_Ongunstig	Rectangle (750,00; 600,00)					
(balk 600x750)3	0,540	high max Wnd ;135° - EG_Ongunstig	Betonnen Blalk - Rectangle (750,00; 600,00)	0,48	**0,42**	**0,94**	**0,94**	**OK**

7.3. Controleer afschuiving+torsie (UGT)

Waarden: **UC**
Niet-lineaire berekening
Klasse: All non-linear
Coördinatenstelsel: Staaf
Extreme 1D: Globaal
Selectie: Alle
Filter: Doorsnede = Betonnen Blalk - Rectangle (750,00; 600,00)

Balk (balk 600x750)3 | **Rectangle (750,00; 600,00)**
NEN EN 1992-1-1+C2/NB+A1:2020 | Doorsnede 3 [dx = 0.54 m]

Staaflengte: L = 10.8 m
"Knik y-y⊥ L_y = 13.3 m (zijdelings flexibel)
Knik z-z⊥ L_z = 13.3 m (zijdelings flexibel)



Beton: C30/37 Gescheurd
Bilineair spanning-rekdiagram
Milieuklasse: XC4, XF4
Langswapening: B 500A
Bilineair met oplopende bovenvertakking
11ø16+4ø10 (2526 mm^2)
ρ_l = 0,561 % (19.8 kg/m)
Afschuifwapening: B 500A
Bilineair met oplopende bovenvertakking
2ø10/200 (785 mm^2/m)
ρ_w = 0,131 % (6.17 kg/m)
Dekking (beugel)
Bovenzijde: 40 mm
Onderzijde: 40 mm
Links: 40 mm
Rechts: 40 mm

Instellingen

Methode voor berekening afschuifweerstanden: Standaard
Grenswaarde van de hoek tussen buigende momenten en resultante dwarskrachten voor het gebruik van de standaardmethode: $\alpha_{VM,lim}$ = 15 °
Equivalente dunwandige doorsnede: Automatisch
De hoek tussen de betondrukschoor en de staafas: Gebruikersinvoer: θ_{inp} = 40 ° => $\cot(\theta_{inp})$ = 1.19

Krachten

Inhoud van de combinatie: highmaxWnd;135°-EG_Ongunstig
N_{Ed} = 118 kN M_{Edy} = -356 kNm M_{Edz} = 0 kNm V_{Edy} = 0 kN V_{Edz} = 111 kN T_{Ed} = -43.3 kNm
Hoek van gradiënt van rekvlak
α_M = 90 °
Hoek van resultante van afschuiving
α_V = 90 °
Resultante van dwarskracht
$V_{Ed} = \sqrt{V_{Edy}^2 + V_{Edz}^2} = \sqrt{0^2 + 111^2}$ = 111 kN
Verschil tussen hoeken α_M en α_V
$\alpha_{MV} = \text{abs}(\alpha_M - \alpha_V) = \text{abs}(90 - 90) = 0$ °

Materiaalkarakteristieken

Ontwerpbetondruksterkte

$$f_{cd} = \frac{\alpha_{cc} \cdot f_{ck}}{\gamma_C} = \frac{1 \cdot 30}{1.5} = 20 \text{ MPa}$$

Ontwerp betontreksterkte

$$f_{ctd} = \frac{\alpha_{ct} \cdot f_{ctk005}}{\gamma_C} = \frac{1 \cdot 2}{1.5} = 1.33 \text{ MPa} \quad (3.15, 3.16)$$

Berekening van hoek tussen betondrukschoor en staafas

- minimale waarde:

$\theta_{min} = 21.8° \Rightarrow \cot(\theta_{min}) = 2.5$ (§6.2.3(2))

- maximale waarde:

$\theta_{max} = 45° \Rightarrow \cot(\theta_{max}) = 1$ (§6.2.3(2))

- invoer/berekende waarde:

$\theta = \theta_{inp} = 40°, \cot(\theta) = 1.19$

Opm.: Automatische berekening van hoek is uitgeschakeld, gebruikerswaarde wordt in rekening genomen

Controleer afschuiving en bereken afschuifweerstand

Doorsnedeparameters

Minimale breedte van doorsnede in trekzone

y_{bw} = 0 mm z_{bw} = -197 mm b_w = 600 mm

Opm.: Waarde b_w is berekend als de kleinste breedte van de doorsnede in het trekoppervlak loodrecht op de resultante van de dwarskracht.

Minimale breedte van de doorsnede tussen trek- en drukschoor

y_{bw1} = 0 mm z_{bw1} = 297 mm b_{w1} = 600 mm

Opm.: Waarde b_{w1} is berekend als de kleinste breedte van de doorsnede tussen het trek- en drukkoord loodrecht op de resultante van de dwarskracht.

Hoogte van doorsnede is herberekend in de richting van de resultante van de dwarskracht

h = 750 mm

Opm.: De waarde h wordt berekend als de breedte van de doorsnede op het zwaartepunt in de richting van de resultante van de dwarskracht.

Oppervlakte betondoorsnede

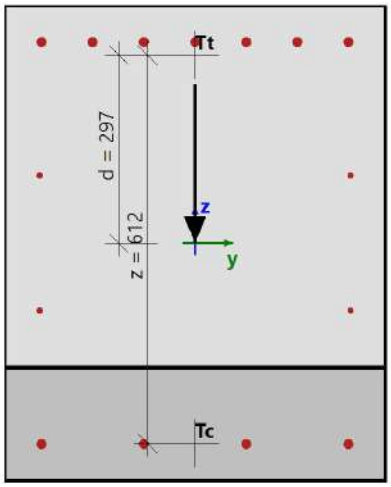
A_c = 0.45 m^2

Effectieve diepte omgerekend naar richting van resultante van dwarskracht

d = 672 mm

Hefboomsarm van interne krachten omgerekend naar richting van resultante van dwarskracht

z = 612 mm



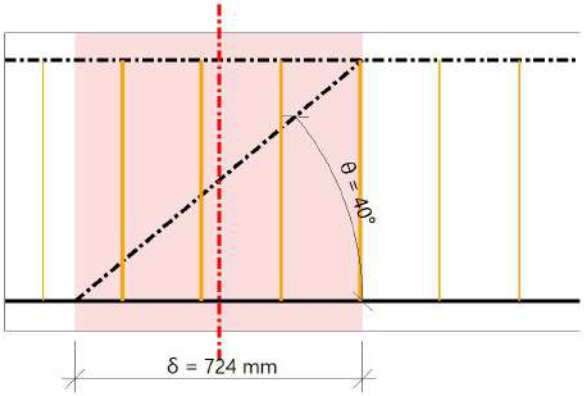
Parameters van afschuifwapening

Invoerparameters

Beugels over de lengte van scheurafschuifprojectie $\delta = z*\cot(\Theta) = 724$ mm, interval (-362; 362)

$z = \text{Coeff\_d} \cdot \text{Coeff\_z} \cdot h = 0.9 \cdot 0.9 \cdot 0.75 = 608$ mm $\quad \delta = z \cdot \text{cotg}(\theta) = 0.608 \cdot \text{cotg}(40) = 724$ mm

ID	Zone	x_s [mm]	$\varnothing_s$ [mm]	s_s [mm]	n_s []	α_s [°]	f_{ywk} [MPa]
1	1	-244	10	200	2	90	500
2	1	-43.6	10	200	2	90	500
3	1	156	10	200	2	90	500
4	1	356	10	200	2	90	500
Avg.	-	-	10	200	2	90	500



Aantal snedes per beugel $n_s = 2$

Diameter van de wapening $\varnothing_s = 10$ mm

Hart - op - hartafstand van beugel in langsrichting $s_{inp} = 0.2$ m

Hoek van beugels van elementas $\alpha_s = 90°$

Karakteristieke vloeigrens $f_{ywk} = 500$ MPa

Doorsnedeoppervlakte van afschuifwapening

$$A_{sw} = n_s \cdot \pi \cdot \left(\frac{\varnothing_s}{2}\right)^2 = 2 \cdot 3.14 \cdot \left(\frac{10}{2}\right)^2 = 157 \text{ mm}^2$$

Maximale longitudinale tussenafstand van beugelwapening

$s_l = s_{inp} = 200$ mm

Doorsnedeoppervlak per meter

$$A_{swm} = \frac{A_{sw}}{s_l} = \frac{157 \cdot 10^{-6}}{0.2} = 785 \text{ mm}^2/\text{m}$$

Parameters van langswapening

Het oppervlak van de trekwapening

$A_{sl} = 1722$ mm^2

Berekening van afschuifweerstanden

Ontwerpafschuifweerstand van de staaf zonder afschuifwapening

$\sigma_{ct,max} = 6.58\ MPa \geq f_{ctd} = 1.33\ MPa \Rightarrow$ doorsnede gescheurd bij buiging

Berekening ontwerp afschuifweerstand van de staaf zonder afschuifwapening volgens artikel 6.2.2(1).

Coëfficiënt voor hoogte van de doorsnede

$$k = \min\left(1 + \left(\frac{200}{d}\right)^{\frac{1}{2}}; 2\right) = \min\left(1 + \left(\frac{200}{672}\right)^{\frac{1}{2}}; 2\right) = 1.55 \qquad (\S 6.2.2(1))$$

Geometrische wapeningsverhouding

$$\rho_1 = \min\left(\frac{A_{sl}}{b_w \cdot d}; 0.02\right) = \min\left(\frac{1.72 \cdot 10^{-3}}{0.6 \cdot 0.672}; 0.02\right) = 4.27 \cdot 10^{-3} \qquad (\S 6.2.2(1))$$

Axiale spanning in de doorsnede

$$\sigma_{cp} = \min\left(\frac{-N_{Ed}}{A_c}; 0.2 \cdot f_{cd}\right) = \min\left(\frac{-118}{0.45}; 0.2 \cdot 20\right) = -0.263\ MPa \qquad (\S 6.2.2(1))$$

Andere coëfficiënten

$C_{Rdc} = 0.12 \quad v_{min} = 0.368\ MPa \quad k_1 = 0.15$

Berekening van de rekenwaarde afschuifweerstand

$$V_{Rdc} = 10^6 \cdot \left(C_{Rdc} \cdot k \cdot \left(100 \cdot \rho_1 \cdot f_{ck}\right)^{\frac{1}{3}} + k_1 \cdot \sigma_{cp}\right) \cdot b_w \cdot d \qquad (6.2.a)$$

$$= 10^6 \cdot \left(0.12 \cdot 1.55 \cdot \left(100 \cdot 4.27 \cdot 10^{-3} \cdot 30\right)^{\frac{1}{3}} + 0.15 \cdot -0.263\right) \cdot 0.6 \cdot 0.672 = 159\ kN$$

$$V_{Rdcmin} = 10^6 \cdot \left(v_{min} + k_1 \cdot \sigma_{cp}\right) \cdot b_w \cdot d \qquad (6.2.b)$$

$$= 10^6 \cdot \left(0.368 + 0.15 \cdot -0.263\right) \cdot 0.6 \cdot 0.672 = 133\ kN$$

$$V_{Rdc} = \max\left(V_{Rdc}; V_{Rdcmin}; 0\right) = \max\left(159037; 132569; 0\right) = 159\ kN$$

Opm.: Ontwerpweerstand afschuiving van het element zonder de afschuifwapening is berekend volgens artikel 6.2.2(1), omdat de doorsnede is gescheurd in buiging in UGT of de doorsnede is niet belast door normaalkracht en buigende momenten.

Rekenwaarde van de max. dwarskracht welke kan worden verdragen door het element

Sterktereductiefactor voor beton gescheurd in afschuiving - waarde v

$$\nu = 0.6 \cdot \left(1 - \frac{f_{ck}}{250}\right) = 0.6 \cdot \left(1 - \frac{30}{250}\right) = 0.528 \qquad (6.6N)$$

Sterktereductiefactor voor beton gescheurd in afschuiving - waarde ν_1

$$\sigma_{cp} = \min\left(\frac{-N_{Ed}}{A_c}; 0.2 \cdot f_{cd}\right) = \min\left(\frac{-118}{0.45}; 0.2 \cdot 20\right) = -0.263 \text{ MPa}$$

$$\nu_1 = 0.6 \qquad (6.10.aN)$$

Coëfficiënt voor de bepaling van de spanning in de drukdiagonaal

$\alpha_{cw} = 1$ (voor niet-voorgespannen element) (§6.2.3(3)N3)

Rekenwaarde van de max. dwarskracht welke kan worden verdragen door het element

$$V_{Rdmax} = \frac{\alpha_{cw} \cdot b_{w1} \cdot z \cdot \nu_1 \cdot f_{cd}}{\left(\cot g(\theta) + tg(\theta)\right)} = \frac{1 \cdot 0.6 \cdot 0.612 \cdot 0.6 \cdot 20 \cdot 10^6}{\left(\cot g(40) + tg(40)\right)} = 2171 \text{ kN} \qquad (6.9)$$

Ontwerpafschuifweerstand van de staaf met afschuifwapening

Ontwerpspanning van afschuifwapening

$$A_{sw} = n_s \cdot \pi \cdot \left(\frac{\varnothing_s}{2}\right)^2 = 2 \cdot 3.14 \cdot \left(\frac{10}{2}\right)^2 = 157 \text{ mm}^2$$

$$\sigma_{swd} = \frac{\frac{V_{Ed}}{z} \cdot s_l}{A_{sw} \cdot \left(\cot g(\theta) + \cot g(\alpha_s) \cdot \sin(\alpha_s)\right)} = \frac{\frac{110850}{0.612} \cdot 0.2}{157 \cdot 10^{-6} \cdot \left(\cot g(40) + \cot g(90) \cdot \sin(90)\right)} = 193 \text{ MPa}$$

Ontwerpvloeispanning van afschuifwapening

$f_{ywd} = 0.8 \cdot f_{ywk} = 0.8 \cdot 500 = 400$ MPa , omdat $\sigma_{swd} < 0.8 \cdot f_{ywk}$)

Opm.: Ontwerp vloeisterkte van de afschuifwapening is gereduceerd to 0.8 x f_{ywk} (EN 1992-1-1, Artikel 6.2.3(3)), omdat de ontwerpspanning van de afschuifwapening onder de 80% van de karakteristieke vloeispanning f_{yk} is.

Limiet van maximaal toelaatbare afschuifwapening

$$A_{sw,max} = \frac{\alpha_{cw} \cdot \nu_1 \cdot f_{cd} \cdot b_{w1} \cdot s_l}{f_{ywd} \cdot \left(1 + \cot g(\theta)^2\right) \cdot \sin(\alpha_s)} = \frac{1 \cdot 0.6 \cdot 20 \cdot 600 \cdot 200}{400 \cdot \left(1 + \cot g(40)^2\right) \cdot \sin(90)} = 1487 \text{ mm}^2 \qquad (6.12)$$

$$A_{sw} = \min\left(A_{sw}; A_{sw,max}\right) = \min\left(157; 1487\right) = 157 \text{ mm}^2$$

Ontwerpafschuifweerstand van de staaf met afschuifwapening

$$V_{Rds} = \frac{A_{sw}}{s_l} \cdot z \cdot f_{ywd} \cdot \cot g(\theta) = \frac{157 \cdot 10^{-6}}{0.2} \cdot 0.612 \cdot 400 \cdot 10^6 \cdot \cot g(40) = 229 \text{ kN} \qquad (6.8)$$

Maximale dwarskracht bij het steunpunt (zonder gebruik van factor β)

$$V_{Edmax} = 0.5 \cdot b_{w1} \cdot d \cdot \nu \cdot f_{cd} = 0.5 \cdot 0.6 \cdot 0.672 \cdot 0.528 \cdot 20 \cdot 10^6 = 2128 \text{ kN} \qquad (6.5)$$

Afschuifweerstand van de staaf

$$V_{Rd} = \min\left(V_{Rds} + V_{ccd} + V_{td}; V_{Rdmax} + V_{ccd} + V_{td}; V_{Edmax} + V_{ccd} + V_{td}\right) = \min\left(229 + 0 + 0; 2171 + 0 + 0; 2128 + 0 + 0\right) = 229 \text{ kN}$$

Dwarskrachtcontrole

Controle V_{Rdmax}

$V_{Ed} = 111\ kN \leq V_{Rdmax} + V_{ccd} + V_{td} = 2171\ kN$

Opm.: De controle voldoet voor het verbrijzelen van de drukschoor ($V_{Ed} \leq V_{Rd,max} + V_{td} + V_{ccd}$).

Controle V_{Edmax}

$V_{Ed} = 111\ kN \leq V_{Edmax} + V_{ccd} + V_{td} = 2128\ kN$

Opm.: De controle voldoet voor dwarskracht nabij het steunpunt ($V_{Ed} \leq V_{Ed,max} + V_{td} + V_{ccd}$).

Controle V_{Rdc} en V_{Rds}

$V_{Ed} = 111kN < V_{Rds} + V_{ccd} + V_{td} = 229\ kN$

Opm.: De controle voldoet voor afschuifwapening ($V_{Ed} < V_{Rds} + V_{ccd} + V_{td}$).

Eenh. Controle

$$UC = \frac{V_{Ed}}{V_{Rd}} = \frac{111\ kN}{229\ kN} = 0.483$$

Controleer torsie en bereken torsieweerstand

Totale oppervlakte van doorsnede

$A_c = 450000\ mm^2$

Buitenomtrek van de doorsnede

u_c = ConcreteCssCharacteristics.Perimeter = 2.7 = 2700 mm

De oppervlakte van langswapening voor torsie

$A_{sl} = 2526\ mm^2$

De minimum afstand tussen wapeningsstaven binnen beugel voor torsie en rand van doorsnede

$a_{sl} = 55\ mm$

Effectieve wanddikte

$$t_{ef} = \max\left(\frac{A_c}{u_c}; 2 \cdot a_{sl}\right) = \max\left(\frac{450000}{2700}; 2 \cdot 55\right) = 167\ mm \qquad (§6.3.2(1))$$

Omtrek en oppervlakte van de zone binnen de centrale lijn van de effectieve doorsnede

$u_k = 2033\ mm$

$A_k = 252778\ mm^2$

Opm.: Torsieparameters [waarden van A_k en u_k] zijn berekend volgens de automatisch ingestelde methode [Methode = Van torsiebeugel].

Parameters voor afschuif/torsie wapening

Beugels over de lengte van scheurafschuifprojectie $\delta = z*\cot(\Theta) = 724$ mm, interval (-362; 362)

$z = \text{Coeff\_d} \cdot \text{Coeff\_z} \cdot h = 0.9 \cdot 0.9 \cdot 0.75 = 608$ mm $\delta = z \cdot \text{cotg}(\theta) = 0.608 \cdot \text{cotg}(40) = 724$ mm

ID	Zone	x_s [mm]	$\varnothing_s$ [mm]	s_s [mm]	n_s []	α_s [°]	f_{ywk} [MPa]
1	1	-244	10	200	2	90	500
2	1	-43.6	10	200	2	90	500
3	1	156	10	200	2	90	500
4	1	356	10	200	2	90	500
Avg.	-	-	10	200	2	90	500

Invoerparameters

Diameter $\varnothing_{st} = 10$ mm

Hoek van beugels van elementas $\alpha_{st} = 90$ °

Karakteristieke vloeigrens $f_{ywtk} = 500$ MPa

Doorsnedeoppervlakte van afschuifwapening

$$A_{swt} = \pi \cdot \left(\frac{\varnothing_{st}}{2}\right)^2 = 3.14 \cdot \left(\frac{10}{2}\right)^2 = 78.5 \text{ mm}^2$$

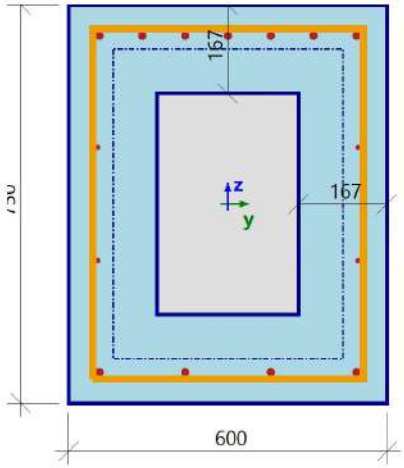
Maximale longitudinale tussenafstand van beugelwapening $s_{lt} = 200$ mm

Doorsnedeoppervlakte van afschuifwapening per meter

$$A_{swtm} = \frac{A_{swt}}{s_{lt}} = \frac{78.5}{200} = 393 \text{ mm}^2/\text{m}$$

Ontwerpvloeispanning van afschuifwapening

$$f_{ywd} = \frac{f_{ywtk}}{\gamma_S} = \frac{500}{1.15} = 435 \text{ MPa}$$



Berekening van torsie weerstanden

Ontwerp torsie scheurmoment

$T_{Rdc} = 2 \cdot f_{ctd} \cdot t_{ef} \cdot A_k = 2 \cdot 1.33 \cdot 167 \cdot 252778 = 112$ kNm

Ontwerp weerstandbiedend torsiemoment van torsiewapening

$$T_{Rds} = 2 \cdot A_k \cdot \frac{A_{swt}}{s_{lt}} \cdot f_{ywd} \cdot \text{cotg}(\theta) = 2 \cdot 252778 \cdot \frac{78.5}{200} \cdot 435 \cdot \text{cotg}(40) = 103 \text{ kNm}$$

Maximaal ontwerptorsieweerstandsmoment

Sterktereductiefactor voor beton gescheurd in afschuiving - waarde v

$$\nu = 0.6 \cdot \left(1 - \frac{f_{ck}}{250}\right) = 0.6 \cdot \left(1 - \frac{30}{250}\right) = 0.528 \quad \text{(6.6N)}$$

$\nu_1 = 0.6$ (6.10.aN)

Coëfficiënt voor de bepaling van de spanning in de drukdiagonaal

$\alpha_{cw} = 1$ (voor niet-voorgespannen element) (§6.2.3(3)N3)

Maximaal ontwerptorsieweerstandsmoment

$$T_{Rdmax} = 2 \cdot \nu \cdot \alpha_{cw} \cdot f_{cd} \cdot A_k \cdot t_{ef} \cdot \cos(\theta) \cdot \sin(\theta)$$
$$= 2 \cdot 0.528 \cdot 1 \cdot 20 \cdot 252778 \cdot 167 \cdot \cos(40) \cdot \sin(40) = 438 \text{ kNm}$$

Torsie weerstandsmoment van de staaf

$$T_{Rd} = \min(T_{Rds};T_{Rdmax}) = \min(103;438) = 103 \text{ kNm}$$

Additionele torsiekracht

Ontwerp additionele spanning

$$\sigma_{sd} = \frac{\text{abs}(T_{Ed}) \cdot u_k \cdot \text{cotg}(\theta)}{2 \cdot A_k \cdot A_{sl}} = \frac{\text{abs}(-43.3) \cdot 2033 \cdot \text{cotg}(40)}{2 \cdot 252778 \cdot 2526} = 82.2 \text{ MPa} \quad (6.28)$$

Ontwerp vloeigrens

$$f_{yd} = \frac{f_{yk}}{\gamma_s} = \frac{500}{1.15} = 435 \text{ MPa}$$

Ontwerp additionele trekkrachten

$$F_{sd} = \sigma_{sd} \cdot A_{sl} = 82.2 \cdot 2526 = 208 \text{ kN}$$

Maximale ontwerpkacht

$$F_{sdmax} = f_{yd} \cdot A_{sl} = 435 \cdot 2526 = 1098 \text{ kN}$$

Torsie controle

Controle T_{Rdmax}

$$T_{Ed} = 43.3 \text{ kNm} \leq T_{Rdmax} = 438 \text{ kNm}$$

Opm.: De controle voldoet voor het bezwijken van de drukschoor ($T_{Ed} < T_{Rd,max}$).

Controle T_{Rdc} en T_{Rds}

$$T_{Ed} = 43.3 \text{ kNm} < T_{Rds} = 103 \text{ kNm}$$

Opm.: De controle voldoet voor afschuifwapening ($T_{Ed} < T_{Rds}$).

Controleer F_{sdmax}

$$F_{sd} = 208 \text{ kN} \leq F_{sdmax} = 1098 \text{ kN}$$

Opm.: De controle van additionele trekkracht in langswapening is geslaagd.

Eenh. Controle

$$UC = \max\left(\frac{\text{abs}(T_{Ed})}{T_{Rd}}; \frac{F_{sd}}{F_{sdmax}}\right) = \max\left(\frac{\text{abs}(-43.3 \text{ kNm})}{103 \text{ kNm}}; \frac{208 \text{ kN}}{1098 \text{ kN}}\right) = 0.421$$

Interactie controle Vy+Vz+T

Interactiecontrole Vy+Vz+T (beton)

Controleer vergelijking $(T_{Ed}/T_{Rdmax})+(V_{Ed}/V_{Rdmax})$

$$\left(\frac{\text{abs}(T_{Ed})}{T_{Rdmax}}\right) + \left(\frac{\text{abs}(V_{Ed})}{V_{Rdmax}}\right) = \left(\frac{\text{abs}(-43.3)}{438}\right) + \left(\frac{\text{abs}(111)}{2171}\right) = 0.15 \leq 1 \quad (6.29)$$

Opm.: Interactie controle $V_y + V_z + T$ for het bezwijken van de drukschoor voldoet.

Controleer vergelijking $(T_{Ed}/T_{Rdc})+(V_{Ed}/V_{Rdc})$

$$\left(\frac{abs(T_{Ed})}{T_{Rdc}}\right)+\left(\frac{abs(V_{Ed})}{V_{Rdc}}\right)=\left(\frac{abs(-43.3)}{112}\right)+\left(\frac{abs(111)}{159}\right)=1.08 > 1 \text{ and } A_{sw} > 0 \quad (6.31)$$

Opm.: Dwarskrachten en het torsiemoment kunnen niet worden gedragen door het beton, afschuifwapening is benodigd.

Eenh. Controle

$UC_{int.con} = 0.15$

Interactiecontrole Vy+Vz+T (afschuifwapening)

Ontwerpspanning

$$\sigma_{swd}=\left(\frac{abs(T_{Ed})}{2\cdot A_k}+\frac{V_{Ed}}{n_s\cdot z}\right)\cdot\left(\frac{s_{lt}}{A_{swt}\cdot cotg(\theta)}\right)=\left(\frac{abs(-43.3)}{2\cdot 252778}+\frac{111}{2\cdot 612}\right)\cdot\left(\frac{200}{78.5\cdot cotg(40)}\right)=376 \text{ MPa}$$

Ontwerp vloeigrens

$f_{ywd} = 0.8\cdot f_{ywk} = 0.8\cdot 500 = 400$ MPa , (omdat $\sigma_{swd} < 0.8\cdot f_{ywk}$)

Opm.: Ontwerp vloeigrens van de afschuifwapening is gereduceerd naar 0.8 x f_{ywk} (EN 1992-1-1, Artikel 6.2.3(3)) omdat de ontwerpspanning van de afschuifwapening is onder 80% van de karakteristieke vloeispanning f_{yk}.

$\sigma_{swd} = 376$ MPa $< f_{ywd} = 400$ MPa

Opm.: Interactie controle $V_y + V_z + T$ voor afschuifwapening voldoet.

Eenh. Controle

$$UC_{int.shear}=\frac{\sigma_{swd}}{f_{ywd}}=\frac{376}{400}=0.941$$

Totale eenheidscontrole van de interactie

$$UC_{int} = \max(UC_{int.con};UC_{int.shear}) = \max(0.15;0.941) = 0.941$$

Totale waarde van eenheidscontrole

$$UC = \max(UC_{shear};UC_{tor};UC_{int.con};UC_{int.shear}) = \max(0.483;0.421;0.15;0.941) = 0.941$$